Veröffentlichungen

der

Königlich Bayerischen Meteorologischen Centralstation

Beobachtungen

der

Meteorologischen Stationen

im

Königreich Bayern

im Jahre 1912

MÜNCHEN 1913
In Kommission bei A. Buchholz.

28168

JAHRGANG XXXIV. 1912

Deutsches

Meteorologisches Jahrbuch

für

1912

Bayern

MÜNCHEN 1913

In Kommission bei A. Buchholz.

KÖNIGL. PREUSS. METEOROLOGISCHES INSTITUT
BERLIN

Inhalts-Verzeichnis zum Band XXXIV. Jahrgang 1912.

	Seite
Erklärung der in den Tabellen benützten Zeichen und Abkürzungen	VI
Berichtigungen	VI
Bericht über die Tätigkeit der K. B. Meteorologischen Centralstation und der ihr angeschlossenen Stationen im Jahre 1912	VII—XIII
Beschreibung der Neuaufstellung der Instrumente in Regensburg und Schaftlach	XIII
Tägliche Beobachtungen von 17 Stationen II. Ordnung	1—108
Tagesmittel der Windgeschwindigkeiten in München, Nürnberg F. W. und Kaiserslautern	109—110
Monats- und Jahresresultate	111—132
Übersicht über die wichtigsten Jahresresultate der Stationen II. und III. Ordnung	133—134
Abweichungen der Temperatur und der Niederschlagsmenge der einzelnen Monate des Jahres vom langjährigen Mittel	134—135
Wintertage, Frosttage, Sommertage	136
Datumsgrenzen von Wintertagen, Frosttagen, Sommertagen sowie von Schneefällen	137
Die Sonnenscheindauer in Bayern im Jahre 1912	138—140
Auswertung der Registrierungen vom Hohenpeissenberg	141—165
Auswertung der Registrierungen auf der Zugspitze	166—190

Anhang:

1. Beobachtungen über Gewitter in Bayern während des Jahres 1912 von **E. Alt** und **M. Sperer**	A 1— 7
2. Übersicht über die Witterungsverhältnisse in Bayern im Jahre 1912 von **E. Alt** (Maiübersicht von **L. Weickmann**)	B 1—48
3. Pilotballonvisierungen im Jahre 1912 von **K. Bux** und **P. Zistler**	C 1—21
4. Münchener Registrierballonfahrten im Jahre 1912 von **A. Schmauss** (mit einem Anhang — Allgemeine Ergebnisse der Fahrten von 1906—1912)	D 1—47
5. Ein Beitrag zur Kritik der Pilotballonvisierungen von **K. Bux**	E 1—9
6. Verdunstungsmessungen in München (Sommer 1912) von **W. Gallenkamp**	F 1—7
7. Münchener Aerologische Studien von **A. Schmauss** Nr. 1. Temperaturwellen an der Grenze von Troposphäre und Stratosphäre.	G 1—9
8. Ein neuer photographischer Sonnenscheinautograph von **L. Weickmann**	H 1—3
9. Münchener Aerologische Studien von **A. Schmauss** Nr. 2. Beziehungen zwischen der Luftversetzung und der Höhenerstreckung der Troposphäre.	J 1—4
10. Trübung der Atmosphäre durch Vulkanasche im Sommer und Herbst 1912 von **L. Weickmann**	K 1—8
11. Klimatologie von Süddeutschland II. Teil Temperaturmittel von Süddeutschland (Periode 1881—1910) von **E. Alt**.	L 1—32

Erklärung der in den Tabellen benützten Zeichen und Abkürzungen.

◍ = Regen,	≡ = Nebel,	∞ = Dunst,	◐ = Sonnenhof,
✳ = Schnee,	⌴ = Reif,	⚡ = Gewitter,	◑ = Mondring,
✢ = Schneegestöber,	V = Rauhfrost,	≺ = Wetterleuchten,	◡ = Mondhof,
△ = Graupeln,	ᔓ = Glatteis,	⌒ = Nordlicht,	◠ = Regenbogen.
▲ = Hagel,	⍙ = Tau,	⊙ = Sonnenschein,	
≣ = Bodennebel,	≋ = starker Wind,	⊕ = Sonnenring,	

Abgesehen von den hier aufgeführten Zeichen werden noch folgende Abkürzungen benützt:

n = nachts,	p = nachmittags, abends,	o (als Exponent) = schwach,
mn = Mitternacht,	t = den ganzen Tag,	2 (als Exponent) = stark,
a = morgens, vormittags,	fortges. = fortgesetzt,	i. d. F. = in der Ferne,
m = mittags,	ztw. = zeitweise,	v. = von.

Rücksichtlich der redaktionellen Anordnung der Bemerkungen zu den täglichen Beobachtungen sämtlicher Stationen ist für den vorliegenden Band sowie auch für die übrigen Bände noch folgendes zu erwähnen:

Der meteorologische Tag wird für alle Witterungselemente von 9 Uhr abends des vorangehenden Tages bis 9 Uhr abends des laufenden Datums gerechnet, so zwar, dass z. B. ein Niederschlag, der nach 9 Uhr abends eines bestimmten Datums gefallen ist, unter den Bemerkungen des darauffolgenden Tages aufgeführt wird, da ja dessen Menge auch erst um 7 Uhr morgens des letzteren zur Messung gelangt.

Die Bemerkungen sind, mit dem obenerwähnten Zeitpunkte beginnend, chronologisch geordnet, und zwar ohne Unterscheidungszeichen aneinandergereiht, wenn sie gleichzeitig stattfanden, dagegen durch Kommata voneinander getrennt, wenn sie zeitlich unmittelbar aufeinander folgten, durch Punkte, wenn zwischen zwei nacheinander aufgeführten Erscheinungen entweder kein sachlicher Zusammenhang besteht, oder wenn dieselben zeitlich weit auseinander lagen.

Die Schwere-Korrektionen der Barometerstände sind an den Köpfen der betreffenden Tabellen angegeben. Dieselben sind überall, also sowohl an den Einzelbeobachtungen als an den Monats- und Jahresmitteln angebracht.

Berichtigungen zu Band XXXIV. Jahrgang 1912.

Seite	27.	Zugspitze:	Temperatur	am	19. III.	um	2 p	lies	− 8.8	statt − 8.0.
„	54.	„	Feuchtigkeit	am	28. VI.	„	9 p	„	76	„ 66 .
„	63.	„	Temperatur-Monatsmittel	im	Juli	„	9 p	„	1.3	„ 1.4.
„	81.	„	Temperatur	am	1. IX.	„	2 p	„	− 2.9	„ − 1.9.
„	81.	„	Temperatur	am	9. IX.	„	9 p	„	− 3.8	„ − 3.7.
„	81.	„	Temperatur-Monatsmittel	im	September	„	2 p	„	− 5.1	„ − 5.0.
„	81.	„	Feuchtigkeit	am	10. IX.	„	7 a	„	99	„ 100 .
„	81.	„	Feuchtigkeit	am	9. IX.	„	9 p	„	98	„ 100 .
„	90.	„	Temperatur	am	5. X.	„	9 p	„	− 8.8	„ − 7.8.
„	130.	„	Temperatur-Monatsmittel	im	Juli	„	9 p	„	1.3	„ 1.4.
„	130.	„	Temperatur-Monatsmittel	im	September	„	2 p	„	− 5.1	„ − 5.0.

Bericht

über die

Tätigkeit der K. Bayerischen Meteorologischen Centralstation

im Jahre 1912.

Sammlung und Veröffentlichung der Beobachtungen.

Die Redaktion des vorliegenden Jahrbuches erfolgte genau entsprechend den in der Einleitung zum Jahrgang 1901 dargelegten Grundsätzen, worauf hier verwiesen werden möge.

Alle Luftdruckangaben sind nicht bloss auf Nullgrad, sondern auch bereits auf Normalschwere reduziert. Der Betrag der Schwerekorrektion findet sich in der Zusammenstellung der Monats- und Jahresresultate am Kopfe jeder Station angegeben, an der Luftdruckbeobachtungen angestellt worden sind.

Die Berechnung der mittleren Temperatur eines Tages erfolgte nach der Formel $\frac{1}{4}$ ($7_a + 2_p + 2 \times 9_p$). Die übrigen Mittelwertsbildungen sind arithmetische Mittel.

Interpolierte Werte sind stets kursiv gedruckt.

Um die fortwährenden Schwierigkeiten in der Beschaffung richtiger Zeitangaben infolge gelegentlicher Verwechslung von Orts- und Zonenzeit zu vermeiden, wurde die Berichterstattung der Beobachter dahin abgeändert, dass sie alle Zeitangaben in den Bemerkungen nach Zonenzeit eintragen, und dass die Umrechnung derselben erst an der Centralstation erfolgt.

Neu ist die Veröffentlichung der Sonnenscheindauern. Wir haben uns nicht gerne dazu entschlossen angesichts der bekannten Unsicherheiten der Angaben des Campbell-Stokes-Apparates. Erst auf vieles Drängen aus ärztlichen und landwirtschaftlichen Kreisen geben wir mit allem Vorbehalte die Zeiten an, zu welchen Brennspuren zu erkennen waren. Es ist ja gewiss richtig, dass in diesen Zeiten auch eine Angabe über den unteren Wert der Intensität der Sonnenstrahlung steckt, dessen Kenntnis für hygienische und landwirtschaftliche Fragen von Bedeutung ist. Jedenfalls steht der Anwendung der Zahlen nach der Richtung nichts im Wege, dass Vergleiche der an einer Station in verschiedenen Jahren in gleichen Monaten erhaltenen Werte angestellt werden. Die Fragen: Warum ist in diesem Jahre der Wein gut geraten, in einem anderen schlecht, warum war diesmal die Heuernte ergiebig, die Grummeternte minderwertig? machen zur Vervollständigung des klimatischen Bildes neben der Angabe der Temperatur und Niederschlagswerte gewiss auch die Berücksichtigung der Besonnung notwendig.

Für die Beobachtung der Schneehöhen ist ein eigenes Netz errichtet, das ab 1. Januar 1906 in den Geschäftsbereich des K. B. Hydrotechnischen Bureaus übernommen worden ist. Von diesem erhält die Centralstation leihweise die Meldekarten. Während des Winters 1911/12 wurde wie bisher bei Vorhandensein einer ausgedehnteren Schneedecke wöchentlich für je einen Tag (Samstag) eine Karte der „Schneehöhen im Königreich Bayern" mit beschreibendem Text und tabellarischer Übersicht als Beilage zum Wetterbericht der K. B. Meteorologischen Centralstation veröffentlicht.

Mit dem Winter 1912/13 wurde zu einer neuen Art der Veröffentlichung der Schneedecke gegriffen. Es hat sich gar nicht selten der Fall ergeben, dass z. B. am Sonntag eine nennenswerte Schneedecke anfiel, die durch ein darauffolgendes Tauwetter bis zu dem bisher zugrunde gelegten Samstag wieder verschwand. Auf diese Weise musste auf die kartographische Darstellung manches interessanten Schneefalles verzichtet werden.

Es wird daher jeder grössere Schneefall eingezeichnet und ohne die bisherige Tabelle, jedoch mit einem kurzen Geleittext, im halben bisherigen Formate dem Wetterberichte beigegeben. Auf diese Weise ist die Geschichte der Schneedecke gut festgelegt, deren Kenntnis zur Beurteilung der Abschmelzverhältnisse bei plötzlich eintretendem Tauwetter von Bedeutung ist.

Die eigentliche Bearbeitung der Schneestatistik erfolgt am K. B. Hydrotechnischen Bureau.

Die monatliche Witterungsübersicht wurde lange vor dem Jahrbuch gedruckt, daher war es nicht zu vermeiden, dass in den Zahlenangaben der Monatsübersicht und des eigentlichen Jahrbuches gelegentlich Unstimmigkeiten bestehen: Fehler im Tabellenmaterial, die sich erst später ermitteln liessen. Für Zahlenangaben ist daher stets das ausführliche Material des Jahrbuches massgebend.

Aus den Monatsübersichten wurden die Abweichungen der Temperaturen und des Niederschlages von den langjährigen Mitteln ausgezogen und auf Seite 134/135 wiedergegeben. Es sollte damit eine möglichst kurze, tabellarische Charakterisierung des ganzen Jahres ermöglicht werden.

Der direkte Verkehr mit der österreichischen Station Salzburg sowie die allmonatlichen Mitteilungen der Temperatur- und Niederschlagsverhältnisse von Hessen, Württemberg, Baden und Elsass durch die bezüglichen Centralstellen in Darmstadt, Stuttgart, Karlsruhe und Strassburg zur Ergänzung und Erweiterung der Isothermen- und Isohyeten-Karten in unseren Monatsübersichten sind erhalten geblieben.

Das Beobachtungsmaterial lief ein von 40 Stationen II. Ordnung und 3 Stationen III. Ordnung. Dasselbe ist für 17 Stationen II. Ordnung in voller Ausführlichkeit und genau dem internationalen Schema entsprechend zum Abdruck gelangt, von 38 Stationen II. Ordnung sowie von 3 Stationen III. Ordnung sind die Monats- und Jahresresultate der beobachteten Elemente mitgeteilt.

Vom Hirschberg sowie vom Wendelstein können aus den Gründen, welche bereits in den Vorworten der Vorjahre erwähnt sind, keine Beobachtungen mitgeteilt werden.

Ferner erhielt die Meteorologische Centralstation die Beobachtungen der Stationen Planegg, Weihenstephan und Nürnberg-Feuerwache, welche im Archive der Anstalt niedergelegt sind.

Für die Verwendung der Windregistrierungen von Nürnberg-Feuerwache ist darauf aufmerksam zu machen, dass Nürnberg F.W. die Tageswerte aus 7_a bis 7_a ermittelt, nicht aus 9_p bis 9_p.

Bei der Monats- und Jahreszusammenstellung von Nürnberg wurden wie im Vorjahre die Windbeobachtungen nach der städtischen Wetterwarte eingesetzt, deren Vorstand, Herr Professor Rudel, hiezu seine Zustimmung gab. Auch sonst wurden die Ergebnisse der letzteren Station fleissig zu Rate gezogen, da an unserer Station im Waisenhaus manche Beobachtungen erschwert sind. Für die Förderung der meteorologischen Bestrebungen in Bayerns zweitgrösster Stadt gebührt Herrn Professor Rudel aufrichtiger Dank. Nürnberg hat noch heute die besten Wetterhäuschen des Landes, an denen sich die übrigen Stadtverwaltungen — München nicht ausgenommen — ein Vorbild nehmen könnten.

Es ist mir eine Freude, der Mitarbeit des Herrn Fabrikdirektors Gallenkamp zu gedenken, der uns auch in diesem Jahre einen wertvollen Beitrag geliefert hat. Der Fall dürfte sich nicht oft wiederholt finden, dass ein in seinem Berufe vielbeschäftigter Mann jeden Sonn- und Feiertag für meteorologische Aufzeichnungen und Untersuchungen opfert.

Im Archiv der K. B. Meteorologischen Centralstation sind folgende Registrierungen vom Jahre 1912 vorhanden:

Meteorol. Station	Höhe	Sonnenschein	Barometer	Thermometer	Hygrometer	Anemometer	Bemerkungen
Luitpoldheim . . .	250	1		1	1		
Alexandersbad . .	590	1	1	1	1		
Bamberg	287.7	1	1	1	1		Hygrometer-Registrierung vom 13. XI. ab
Ludwigshafen a/Rh.	100.3	1	1	1	1		Barometer-Registrierung vom 23.—30. IX.; Thermometer-Registrierung vom 3.—10. VI.; 23.—30. IX.; Hygrometer-Registrierung vom 3.—10. VI.; 23.—30. IX. } fehlen
Kaiserslautern . .	242.2	1	1	1	1	1	
Buchenau	750	1		1			
München-C.St. . . .	526.4	1	2	1			Instrumente an der Meteorologischen Centralstation; Thermometer-Registrierung vom 23. XII. ab
München-F.V.A. . .			1	1	1		Instrumente im Garten der Forstlichen Versuchsanstalt
Planegg	558	1		1	1		
Traunstein . . .	597		1				
Hohenpeissenberg .	994.1		1	1	1	1	
Schaftlach	760			1			Thermometer-Registrierung vom 26. VIII. ab; Registrierung vom 21.—28. X. fehlt.
Bad Reichenhall . .	477	1	1				
Berchtesgaden . . .	600	1					
Partenkirchen . . .	716.8	1	1	1	1		
Mittenwald	911.8	1	1	1	1		
Zugspitze	2964	1	1	1	1	1	
Oberstdorf . . .	811.4	1					

Bericht über die Stationen.

a) Die Aufstellungen:

Die Station auf dem Hohenpeissenberg erhielt Ende Mai ein Fuess'sches Schalenkreuzanemometer, das auf der hochgelegenen Plattform der Aussichtsterrasse eine ziemlich gute Aufstellung gefunden hat.

Eine Verlegung des Regenmessers erfolgte an der Station Passau; er wurde am 1. November vom Hofe des K. Gymnasiums nach dem botanischen Garten des K. Lyzeums versetzt.

In Tegernsee wurde am 27. Mai das Barometer vom 2. Stock nach dem Parterre des gleichen Hauses verbracht, der Regenmesser an eine günstigere Stelle des Hofes versetzt.

Auf dem Wendelstein waren fortgesetzt kleinere Veränderungen notwendig durch den Bau der Bahn und die damit verbundene Erweiterung der Restaurationsräume.

Eine Verlegung der Station war in Regensburg nötig; sie wurde am 11. Juli aus dem K. Garnisonslazarett nach dem Karmeliterkloster in Kumpfmühl verbracht.

Die Station Bayreuth erhielt an Stelle der defekt gewordenen Bezoldschen Regenmesser neue Hellmannsche Apparate.

Neu aufgenommen wurde ab 1. März die Station in Schaftlach, wo Postadjunkt Geissler aus eigenen Mitteln sich Instrumente beschafft hatte, so dass die Zentralstation nur kleinere Ergänzungen vorzunehmen hatte.

Neu eingemessen wurden von den zuständigen Behörden die Höhen der Stationen Mittenwald, Partenkirchen und Hohenpeissenberg; es ergaben sich kleine Differenzen gegen die bisherigen Werte.

b) Personal.

Auf dem Hohenpeissenberg wurde am 15. Mai die Pfarrstelle wieder besetzt mit dem Priester J. Wallner, der sich mit dem dortigen Lehrer H. Jung in die Beobachtungen teilt. Wir sind den Beobachtern zu Dank verpflichtet, dass sie auch noch die Bedienung eines Fuess'schen Schalenkreuzanemometers übernommen haben.

In Kissingen beobachtet seit 1. November der Pedell Meyer, der schon dem bisherigen Beobachter, dem K. Reallehrer O. Volk, geholfen hatte.

In Nürnberg brachte die Versetzung der Oberschwester R. Meisinger nach München einen Beobachterwechsel. An ihre Stelle trat ab 20. Januar Schwester M. Büchele, die schon bisher aushilfsweise beobachtet hatte.

In Weissenburg übernahm am 15. Juli der bisherige Hilfsbeobachter Fleischmann die gesamten Geschäfte der meteorologischen Station.

Die Verlegung der Station in Regensburg am 10. Juli bedingte einen Wechsel der Beobachter. Der jetzige Leiter der Station ist P. Paulinus Schöning.

Auf dem Wendelstein wurden die Beobachtungen zuerst von Pächter Müller und Bahnvorstand Härter gemacht; seit 1. Juli hat sie das Postfräulein J. Maal übernommen.

In Würzburg wurde ab 1. April Hausmeister Marstaller in den Ruhestand versetzt. Sein Amtsnachfolger Knöllinger übernahm auch die meteorologische Station.

Auf dem Hochobservatorium Zugspitze wurde am 1. September Assistent J. Höllerer durch den Assistenten K. Bux ersetzt.

Schliesslich darf noch mit Dank des Beobachters in Passau, des K. Prorektors Professor Dr. H. Putz, gedacht werden, der am 1. August 1912 sein 25. Beobachterjahr vollendete. Die Zentralstation übermittelte ihm die besten Glückwünsche.

Der Personalstand an den Stationen war demnach zum Jahresschlusse folgender:

Übersichtstabelle über sämtliche Stationen

nach der Polhöhe geordnet.

(Stand vom 31. Dezember 1912.)

A. Stationen II. Ordnung.

Station	See-höhe	Geo-graph. Breite		Länge östlich von Green-wich				Beobachter	Lokal
	m	°	′	°	′	m	s		
Hof	476.1	50	19	11	55	47	40	J. Schramm, Buchhalter.	Gasanstalt.
Bad Kissingen	209.2	50	12	10	5	40	20	K. Pedell Meyer.	K. Realschule.
Kahl a. M.	114.1	50	4	9	1	36	4	A. Schilling, Hauptlehrer	Schulhaus.
Luitpoldheim	250	50	1	9	34	38	16	Dr. O. Pischinger, prakt. Arzt.	Sanatorium.
Alexandersbad	590	50	1	12	1	48	4	H. Schlötterer, Badverwalter.	Kuranstalt.
Bayreuth	363.3	49	57	11	34	46	16	Dr. Gustav Wagner, Oberarzt.	K. Kreisirrenanstalt.
Bamberg	287.7	49	53	10	53	43	32	Hofrat Dr. E. Hartwig, Direktor. Frl. E. Hartwig u. Dr. E. Zinner.	Remeis-Sternwarte.
Würzburg	179.3	49	48	9	56	39	44	Peter Knöllinger, K. Hausmeister u. Laborant.	Physik. Institut der K. Universität.
Ludwigshafen a. Rh.	100.3	49	29	8	26	33	44	M. Beinzer, K. Reallehrer.	K. Realschule.
Nürnberg (Waisenh.)	309.1	49	27	11	3	44	12	Marie Büchele, Schwester.	Städtisches Waisenhaus.
Kaiserslautern	242.2	49	27	7	46	31	4	K. Tillmann, K. Professor.	K. Kreis-Oberrealschule.
Ansbach	437.5	49	18	10	33	42	12	Medizinalrat Dr. A. Herfeldt, K. Direktor.	K. Kreisirrenanstalt.
Landau i. Pf.	149.9	49	12	8	7	32	28	K. Hensler, K. Ökonomierat.	K. Landwirtschaftliche Winterschule.
Weissenburg i. B.	431	49	2	10	58	43	52	K. Pedell Karl Fleischmann.	K. Realschule.
Buchenau	750	49	2	13	20	53	20	J. Membarth, Hüttenleiter.	Auf dem Landgute des H. v. Poschinger.
Regensburg*)	354.3	49	1	12	7	48	28	P. Paulinus Schöning, Seminarpräfekt.	Karmelitenkloster Kumpfmühl.
Metten	320	48	51	12	55	51	40	P. Ruppert Hauth, O. S. B., K. Konrektor.	Benediktinerstift.

*) Seehöhe bis zum 11. Juli 1912: 342.6 m.

Station	See-höhe	Geo-graph. Breite		Länge östlich von Green-wich				Beobachter	Lokal
	m	°	′	°	′	m	s		
Nördlingen	435.6	48	51	10	30	42	0	Dr. E. Frickhinger, Apotheker.	Einhornapotheke.
Ingolstadt	368	48	45	11	26	45	44	N. Martin, K. Eisenbahnsekretär.	Privathaus des Beobachters.
Karlshuld	382.0	48	40	11	18	45	12	Die Oberin der Armen Schulschwestern.	Kloster der Armen Schulschwestern.
Passau	309.3	48	34	13	28	53	52	Dr. H. Putz, K. Lyzealprofessor u. Prorektor.	K. Lyzeum.
Landshut	397.7	48	32	12	10	48	40	Dr. H. Willemer, städt. Chemiker.	Privathaus des Beobachters.
Augsburg	499.6	48	22	10	54	43	36	P. Ferd. Eichinger, O. S. B., K. Professor.	Benediktinerstift „St. Stephan".
Burghausen	365	48	10	12	50	51	20	P. Gerard Stegmiller, O. Cap., K. Lektor.	Kloster der Kapuziner.
München-C.-St.	526.4	48	9	11	34	46	16	G. Götz, K. Bote u. Diener.	K. Met. Centralstation, gemiet. Lokal.
Schaftlach	760	47	48	11	41	46	44	A. Geissler, K. Postadjunkt.	Postgebäude.
Ottobeuren	660.0	47	56	10	18	41	12	C. Raith, K. Präparandenlehrer a. D.	Wohnung des Beobachters.
Traunstein	597	47	52	12	39	50	36	L. Blumschein, K. Professor.	K. Realschule.
Hohenpeissenberg	994.1	47	48	11	1	44	4	Pfarrer Wallner. H. Jung, Lehrer.	Pfarrhaus.
Bad Reichenhall	477	47	43	12	53	51	32	A. Bauer, Hauptlehrer.	Privathaus des Beobachters.
Tegernsee	727.8	47	43	11	45	47	0	L. Biebl, Gemeindesekretär.	Rathaus.
Wendelstein	1727	47	42	12	1	48	4	Josephine Maal, Postfräulein.	Touristenhaus.
Hirschberg	1512	47	40	11	42	46	48	B. Riedmann, Pächter.	Touristenhaus.
Berchtesgaden	600	47	38	13	0	52	0	Schwester Willehada.	K. Distriktskrankenhaus.
Ettal	879.5	47	34	11	5	44	20	A. Hochenleitner, Gärtner.	Benediktinerabtei.
Lindau i. B. (Reutin)	401.7	47	33	9	41	38	44	J. Westermayr, K. Zolloberkontrolleur.	Zollneubauten (Wohngebäude).
Partenkirchen	716.8	47	30	11	6	44	24	M. Beckert, K. B. Hofphotogr. u. Magistratsrat	Privathaus des Beobachters.
Mittenwald	911.8	47	27	11	16	45	4	G. Tiefenbrunner, H. Nass. Hof-Instrumenten-macher.	Privathaus des Beobachters.
Zugspitze	2964	47	25	10	59	43	56	Karl Bux.	Observatorium.
Oberstdorf	811.4	47	24	10	17	41	8	A. Aubele, Oberin.	Neues Schulhaus.

B. Stationen III. Ordnung.

Station	See-höhe	Geo-graph. Breite		Länge östlich von Green-wich				Beobachter	Lokal
	m	°	′	°	′	m	s		
Amberg (M.-H.-B.)	519	49	27	11	52	47	28	Das Priorat.	Franziskanerkloster.
Cham	386	49	13	12	40	50	40	Dr. P. Ketterl, prakt. u. Bahnarzt.	K. Distriktskrankenhaus.
Eggenfelden	417	48	24	12	46	51	4	Das Guardianat.	Franziskanerkloster.
Weihenstephan	497	48	24	11	44	46	55	K. Leitner, K. Kanzleiassistent.	K. Akademie für Landwirtschaft und Brauerei.

Den Herren Beobachtern, welche das Material für dieses Jahr lieferten, danke ich für ihren bewährten Eifer. Als kleines Zeichen ihrer Dankbarkeit hat die Centralstation den Beobachtern die Monats- und Jahreszusammenstellungen als Separatabzug übersandt.

Desgleichen danke ich den Herren der Centralstation, welche an der Aufarbeitung des Materials beteiligt waren.

Die verantwortungsvolle Aufgabe der Lesung der Korrekturbogen lag in den Händen des Sekretärs Brunner und des Dieners Götz.

Das Personal der Centralstation.

Das Personal der Centralstation bestand im Jahre 1912 aus den Herren: Direktor Dr. A. Schmauss (Privatdozent an der Universität); Kustoden Dr. E. Alt und Dr. L. Weickmann (ernannt am 1. I. 12); Sekretäre K. Brunner und L. Gsell. Kanzlei- und Registraturassistent G. Bader; Diener und Bote G. Götz.

Assistenten: M. Sperer (bis 15. September), A. Huber, B. Schelle (bis 15. September), J. Höllerer (bis 20. Oktober), K. Bux (bis 31. August), F. Koch (16.—25. September), A. Frankl (ab 1. Oktober), P. Zistler (ab 1. Oktober) und H. Altmann (ab 1. November).

Für den Telephondienst sowie für die Herstellung der Wetterkarte war bis 31. Januar H. Goller, ab 1. Februar war Frl. M. Wiedemann verwendet.

Dienstreisen.

Die Dienstreisen galten vorwiegend dem Besuche der Stationen und verteilten sich auf die einzelnen Beamten in folgender Weise:

Schmauss: Schaftlach und Tegernsee (3. März), Regensburg (22. Juni), Hohenpeissenberg (13. Juli).

Alt: Schaftlach und Tegernsee (2. Januar), Schaftlach und Tegernsee (16. und 17. Februar), Kahl am Main, Luitpoldheim, Würzburg, Regensburg, Landshut (4.—8. Mai), Ansbach, Würzburg, Kissingen, Kahl, Ludwigshafen, Kaiserslautern, Landau (17.—21. Mai), Wendelstein (20. Juni), Regensburg (10. und 11. Juli), Wendelstein (16. Juli), Regensburg, Cham, Amberg, Alexandersbad, Hof, Bayreuth, Weissenburg, Ingolstadt (9.—13. September), Wendelstein (15. November), Rohr (30. Dezember).

Huber: Tegernsee (27. und 28. Januar), Tegernsee (27. Mai), Hohenpeissenberg (30. November).

Ausserdem besuchte der Berichterstatter am 21. Februar Kempten, da ein Antrag auf Errichtung einer meteorologischen Station an diesem Orte vorlag. Vom 27. Mai bis 1. Juni nahm er an der Tagung der Internationalen Kommission für wissenschaftliche Luftschiffahrt in Wien teil, zu deren Mitglied er gewählt wurde. Am 4. August wurde eine wissenschaftliche Hochfahrt des Münchener Vereins für Luftschiffahrt veranstaltet mit der Aufgabe: Messungen der Füllungstemperatur des Freiballons. Zusammen mit K. Bassus hat der Berichterstatter die Ergebnisse niedergelegt in der Zeitschrift für Flugtechnik und Motorluftschiffahrt 1912 S. 258. Am 21. September fand in Neustadt a. H. eine Besprechung mit amtlichen Vertretern der Land- und Forstwirtschaft statt, in welcher über das Thema: Wetterdienst und Peronospora sowie über Frostbekämpfung verhandelt wurde.

Aus der Chronik der Centralstation sei hervorgehoben:

Der gemeinsam mit dem k. Hydrotechnischen Bureau eingerichtete Hochwasserwarnungsdienst wurde weitergeführt. An folgenden Tagen fanden gemeinsame Beratungen wegen eines eventuellen Zusatzes zur Wetterprognose statt: Am 9. I., 5. u. 6. II., 2. IV., 10. IV., 8.—11. V., 25. u. 26. VI., sowie am 9. IX.

Die Wetterkarte wird ab 1. Januar mittels einer eigens beschafften Schreibmaschine hergestellt, um die Lesbarkeit derselben zu erleichtern, was besonders an Wetterhäuschen dankbar empfunden werden wird. Der Preis derselben wurde von 1.50 ℳ auf 1 ℳ pro Monat ermässigt. Damit dürfte Bayern die billigste mit einer Tabelle versehene Wetterkarte haben.

Die Bedeutung der Wetterkarte wird immer mehr erkannt. Durch Verfügung der K. Staatsministerien des Innern erhalten nunmehr die Landwirtschaftsschulen, die Strassen- und Flussbauämter sowie die Kulturbauämter die Wetterkarte übersandt.

Dem Wetterdienst wurden neue Aufgaben gestellt durch Herrn Reichsrat von Buhl in der Kammer der Reichsräte, durch Herrn Dr. Hammerschmidt in der Kammer der Abgeordneten des bayerischen Landtages.

Eine der grossen Gefahren, welche dem Weinbau drohen, ist die plötzliche massenhafte Verbreitung der Peronospora. Man weiss heute, dass die Übertragung dieser Krankheit durch einen von der Unterseite der Blätter aus eindringenden Pilz erfolgt, der sich bei feuchter Witterung ungeheuer vermehrt. Als wirksames Gegenmittel ist das Bespritzen der Blätter mit Kupfersulfat bekannt. Es wäre daher von eminenter Bedeutung, wenn die meteorologischen Centralstellen etwa acht Tage vor dem Eintritt feuchtwarmer Witterung den Winzern davon Nachricht geben könnten, damit die Vorkehrungsmassregeln rechtzeitig erledigt werden könnten.

Der Erörterung des vonseiten der beiden Vertreter des pfälzischen Weinbaues in den Kammern eingebrachten Antrages „auf Errichtung eines speziellen Wetterdienstes“ galt die Sitzung in Neustadt a. H. vom 21. September, an welcher teilnahmen die Herren: Regierungsdirektor Wappes (Speier), Landesökonomierat Dern, Direktor Zschokke (Neustadt a. H.), Direktor Mattern (Veitshöchheim), Landwirtschaftslehrer Kraus (Landau) sowie der Berichterstatter. Unsere meteorologischen Kenntnisse reichen heute noch nicht aus, die wahrscheinlichen Witterungsverhältnisse auf mehr als etwa 30 Stunden vorauszusehen.

Von diesem Gesichtspunkte aus musste der Antrag der Herren Buhl-Hammerschmidt abgelehnt werden, dagegen wurde vorgeschlagen, sich der Wetterprognose zu bedienen, um die Aufforderung zum Bespritzen der Reben nochmals eindringlich bekanntzugeben. Die verantwortlichen Landwirtschaftlichen Institute in Veitshöchheim und in Neustadt werden, wenn nach ihrem Ermessen der Zeitpunkt der Vornahme der schützenden Arbeiten gekommen ist, telegraphisch davon die Meteorologische Centralstation verständigen. Diese hängt dann eine entsprechende Aufforderung ihrer Prognose an, ganz ähnlich wie bei hochwassergefährlichen Situationen Zusätze erfolgen.

Anlässlich des Süddeutschen Rundfluges (Mitte Oktober) wurde auch die Mitarbeit unseres Institutes erbeten. Assistent Höllerer begleitete (mit einem hilfsbereiten Freunde) den Flug, um durch Veranstaltung von Pilotvisierungen den Fliegern Auskunft über die Windverhältnisse geben zu können.

Im Anschluss an den süddeutschen Rundflug besuchte Graf Zeppelin mit einem seiner Luftschiffe von Friedrichshafen aus unsere Stadt. Es war uns eine Ehre, auch hier mit positiven Aufschlüssen ohne eine eigentliche Wetterprognose zum guten Gelingen der Fahrt beitragen zu dürfen.

Ab 1. November richtete die Meteorologische Centralstation telephonische Auskunftserteilung für Private ein. Um von den äusserst lästigen, regellos verteilten Anfragen befreit zu werden, wurde versuchsweise vereinbart, dass von ständigen Interessenten gegen eine monatliche Gebühr von 15 Mark täglich zwischen $^1/_2$12 und $^1/_2$2 Uhr Aufschluss über die bestehenden Witterungsverhältnisse in Europa erholt werden kann. Derartige Auskünfte dürften für Transport-, Obst-, Weingeschäfte usw. von Bedeutung sein.

Die Bedeutung der Meteorologie wird immer mehr anerkannt. In Norddeutschland wird schon seit mehreren Jahren an den Volksschulen ein meteorologischer Unterricht erteilt. Die Herren Linke-Clössner in Frankfurt haben in einem Buche: „Der wetterkundliche Unterricht“ gezeigt, dass sich ohne Einführung eines eigenen Faches meteorologische Kenntnisse im Physik-, Geographie- und Naturkundeunterricht lehren lassen. Auf einen Bericht der Meteorologischen Centralstation hat auch das K. B. Staatsministerium des Innern für Kirchen- und Schulangelegenheiten die Bedeutung anerkannt und genehmigt, dass der Berichterstatter im Sommersemester vor den Abiturienten der Lehrerbildungsanstalt in Pasing einige einführende Vorträge halten durfte. Diese sollten unter den eben in die Praxis hinaustretenden jungen Lehrern Freunde der meteorologischen Sache werben.

An den Münchener Volksschulen wurde auf eigene Initiative der Schulverwaltung ein meteorologischer Beobachtungsdienst eingerichtet; auch an dem Privatinstitute Stoll in München wurden ähnliche Bestrebungen verwirklicht, so dass eine erfreuliche Zunahme meteorologischer Unterweisung zu konstatieren ist.

Ausser an der Universität dozierte der Berichterstatter im Winter vor dem Lehrkurse des K. Luftschifferbataillons, im Sommer an der landwirtschaftlichen Hochschule in Weihenstephan.

Leider konnte der mehr als 25jährige Wunsch der Centralstation nach einem eigenen Dienstgebäude auch für die Finanzperiode 1912/13 keine Erfüllung finden. Die Möglichkeit, Beobachtungen anzustellen, ist seit der Vollendung des Neubaus der K. Technischen Hochschule noch weiter verringert worden. Am fühlbarsten sind die Missstände im Wetterdienst, abgesehen von dem Verzicht auf experimentell-meteorologische Untersuchungen, den uns die ungenügende Unterbringung des Institutes auferlegt. Die Herren Kollegen wollen es daher nicht als persönliche Indolenz oder Interesselosigkeit deuten, wenn an unserem Institute keine Strahlungsmessungen, Windregistrierungen, systematische Wolkenbeobachtungen usw. angestellt werden.

Angesichts dieser misslichen Verhältnisse ist es eine besondere Auszeichnung, dass zwei Ausländer längere Zeit an unserem Institute arbeiten mochten: die Herren Oteteleseanu aus Bukarest und Dr. G. Marczell aus Budapest.

An Besuchen ausländischer Kollegen sind zu erwähnen die Herren Róna-Budapest, Skreb-Agram, Schneider-Wien, Pircher-Wien, Exner-Innsbruck, v. Ficker-Graz, Hobbs-Ann Arbor (Michigan), Vincent (Brüssel).

Aus der Chronik unseres Hochobservatoriums sei angeführt:

Das Hauptinteresse der Arbeiten konzentrierte sich auf die Vornahme von Verbesserungen an der Einrichtung der drahtlosen Telegraphie. Leider waren die Schneeverhältnisse des Sommers 1912 äusserst ungünstig. Ein Ingenieur der Gesellschaft Telefunken, der Ende Juli nach München kam, um mit den Arbeiten zu beginnen, musste wegen des reichlichen Neuschnees unverrichteter Dinge zurückkehren. Erst im August besserten sich die Transport- und Wegverhältnisse soweit, dass Ingenieur Dr. Meissner versuchen konnte, eine gute Empfangsanordnung zustande zu bringen. Als Antenne dient jetzt ein über das bayerische Schneekar vom Nordgrat zum Ostgrat herübergelegtes isoliertes Stahlseil von 120 m Länge; vom Observatorium aus verläuft senkrecht auf den ersten Leiter ein zweites 40 m langes Stahlseil, das die elektrische Energie dem Empfänger zuführt. Als Gegengewicht dient wie schon bei den Versuchen im Vorjahre das nach dem Höllental hinabführende Blitzkabel. (Die Stahlseile sind mit Kupfer umwickelt.)

Mit dieser etwas primitiven Antenne gelang es nach der entsprechenden Abstimmung einen guten Empfang drahtloser Telegramme zu erhalten. Ob die frei verspannte Antenne den Rauhfrostansätzen gewachsen sein wird, bleibt abzuwarten.

Die Anordnung dient heute, nachdem die telephonische Verbindung mit der Zugspitze durch das im Jahre 1910 auf der Strecke „Blaue Gumpen"—Knorrhütte verlegte Kabel nahezu betriebssicher ist, vornehmlich wissenschaftlichen Zwecken. Es wurde daher versucht, die Intensität der ankommenden Wellen zu messen. Herr Dr. Edelmann, der Inhaber des bekannten Institutes in München, hat dafür in liebenswürdiger Weise eine Apparateanordnung zur Verfügung gestellt. Es besteht Aussicht, in diesem Jahre Registrierempfang einzurichten und auf diese Weise nicht unwichtige Beiträge zu dem interessanten Kapitel der sogen. Empfangsstörungen zu liefern.

Von der Sendeanordnung kann leider kein gleich günstiges Ergebnis berichtet werden. Wie im Vorjahre erwähnt wurde, war für den als Kraftquelle dienenden Benzinmotor ein eigener kleiner Anbau am Beobachtungsturm gemacht worden. In diesem sondert sich reichlich Tauniederschlag ab, so dass die Wickelungen der Erreger- und Wechselstrommaschine stark durch Feuchtigkeit an Isolation verloren haben. Es wurde von der K. Werkstätteninspektion in Neuaubing, der wir auch in diesem Jahre für manche Unterstützung (z. B. Unterweisung des Beobachters in der Bedienung eines Benzinmotors, Revision des Motors auf der Zugspitze) sehr zu Danke verpflichtet sind, ein Gutachten vorgelegt, dass nach den jetzt gemachten Erfahrungen ein einwandfreies Funktionieren des Benzinmotors in der kalten und feuchten Atmosphäre nur mit ganz erheblichen Schwierigkeiten erreicht werden könne. Wir müssen daher vorerst auf die Möglichkeit verzichten, auf der Zugspitze drahtlose Telegramme auch aufgeben zu können. Vielleicht kann im nächsten Jahre von Erfolgen neuer Versuche berichtet werden, die Energie für die Gebeanordnung auf anderem Wege zu beschaffen.

Von weiteren Arbeiten ist der Vorbereitungen zu gedenken, vom Zugspitzgipfel aus Refraktionsmessungen vornehmen zu lassen. Herr Geheimrat Schmidt, Vorstand des geodätischen Institutes der K. Technischen Hochschule, hatte zur Erklärung gewisser Abweichungen trigonometrischer Messungen darauf hingewiesen, dass bei bestimmten Wetterlagen Refraktionsanomalien vorkommen können. Wir griffen diese Vermutung auf, um durch systematische Messungen der Lateralrefraktion von der Zugspitze aus Herrn Geheimrat Schmidt Material liefern zu können. Es wurde ein Signal auf der Dreitorspitze, ein weiteres auf der Bettelwurfspitze errichtet, die beide in einem vom geodätischen Institut entliehenen Messfernrohr gleichzeitig gesehen werden können. Hoffentlich gelingt es dem Beobachter, durch gute Messungen der über das Gebirge hin bestimmten Seitenrefraktion sich für das Entgegenkommen des Herrn Geheimrates Schmidt zu bedanken.

Die vom Beobachter 1911/12 in Angriff genommene Messung der Wanderungsgeschwindigkeit des Schneeferners hat leider kein Ergebnis gezeitigt. Die schlechten Witterungsverhältnisse des Sommers 1912 haben der Zugspitze fortgesetzt Schnee gebracht, so dass die zur Messung benützten Stangen abgedrückt oder sonstwie zu Schaden gebracht wurden. Da Herr Assistent Höllerer eine Lehrerstelle in Norddeutschland aufgesucht hat, besteht wenig Hoffnung, die Messungen vorerst wieder aufnehmen zu können.

Mit dem Verschwinden der zur Ermittelung der Wanderungsgeschwindigkeit des Ferners benützten Stangen wurde ab Oktober auch die Möglichkeit benommen, die Schneehöhemessung auf dem „Plattachferner“ fortzusetzen. Es musste von diesem Monat ab bis auf weiteres die Angabe der Schneehöhe der Zugspitze nach dem bisherigen Verfahren der Addition durch den Beobachter ermittelt werden. Im Sommer 1912 ist zweifellos keine Schneehöhe 0 erreicht worden, wenn es auch vielleicht nicht richtig war, den Nullpunkt der Skala den im heissen Sommer 1911 aufgestellten Stangen zu entnehmen.

Damit der Beobachter möglichst viel Zeit zu wissenschaftlicher Betätigung erhält, braucht derselbe nur die Auswertung der Registrierstreifen zu besorgen. Diese wird vorteilhaft von dem Herrn erledigt, der mit den Eigenheiten der Apparate, etwaigen Verstellungen usw. vertraut ist. Alle Rechenarbeit wird von der Centralstation erledigt.

München, 15. Juni 1913. A. Schmauss.

Beschreibung

der

Neuaufstellung der Instrumente in Regensburg und Schaftlach.

Regensburg.

Meereshöhe = 354.3 m. Polhöhe = 49° 1′. Östl. Länge von Greenwich = 12° 7′.

Die Station befindet sich seit 11. Juli 1912 in dem sehr geräumigen und mit niedrigen Anpflanzungen bestandenen Hofe des Karmelitenklosters zu Kumpfmühl, einer südlichen Vorstadt Regensburgs. Der Hof ist nach Norden offen und findet seine Fortsetzung in einer ausgedehnten Gartenanlage mit ziemlich grossem Teiche.

Thermometer und Hygrometer sind in einem Screen untergebracht, der durch die benachbarten Gebäude vor direkter Strahlung geschützt ist. Durch die Heizung des Gebäudes ist keine Beeinflussung der Thermometer zu befürchten. Die Instrumente befinden sich circa 2.0 m über dem Erdboden.

Der Regenmesser ist im gleichen Hofe untergebracht und zwar in hinreichender Entfernung von hochragenden Gegenständen. Seine Auffangfläche liegt 1.2 m über dem Erdboden.

Die Windrichtung wird nach einer auf dem westlichen Trakte des Klostergebäudes angebrachten Windfahne bestimmt.

Die Beobachtungen werden unter Leitung des Präfekten P. Paulinus von einem Alumnus des Klosters angestellt.

Schaftlach.

Meereshöhe = 760 m. Polhöhe = 47° 48′. Östl. Länge von Greenwich = 11° 41′.

Die Station befindet sich in einem in nächster Nähe des Bahnkörpers gelegenen Garten, der nach der West- und Südseite durch hochstämmige Fichtenwaldung abgeschlossen ist.

Thermometer und Hygrometer sind in einem Screen untergebracht, der durch die ihn umgebenden Bäume und Gebäude vor direkter Bestrahlung gut geschützt ist. Die Instrumente befinden sich 1.3 m über dem Boden.

Der Regenmesser ist in dem gleichen Garten aufgestellt; die Auffangfläche liegt 1.6 m über dem Boden.

Die Windrichtung wird nach einer auf dem benachbarten Postgebäude angebrachten Wild'schen Windfahne mit Stärketafel bestimmt.

Die Beobachtungen werden von Herrn Postadjunkt Geissler, in dessen Vertretung von Herrn Postexpeditor Moritz ausgeführt.

Kahl a/M.

Januar. $\varphi = 50^0\ 4'$ N. $\lambda = 9^0\ 1'$ E $= 36^m\ 4^s$. H $= 114.1$ m. Cg $= +0.3$ mm. 1912.

Datum	Luftdruck auf 0^0 u. Normalschwere reduziert 700 mm +			Lufttemperatur C°					Absolute Feuchtigkeit mm			Relative Feuchtigkeit Proz.			Richtung und Stärke des Windes 0 bis 12			Bewölkung 0 bis 10			Niederschlag mm	Schneedecke cm	Bemerkungen
	7^a	2^p	9^p	7^a	2^p	9^p	Max.	Min.	7^a	2^p	9^p	7^a	2^p	9^p	7^a	2^p	9^p	7^a	2^p	9^p	7^a	7^a	
1.	62.5	63.4	**64.7**	4.1	5.9	5.2	6.5	2.5	6.1	6.9	6.5	100	99	98	C	SW 2	C	10^1	10^1	10^0	–	–	a ≡⁰
2.	63.3	62.0	61.6	4.3	6.6	6.1	7.1	3.3	6.1	6.5	6.7	98	90	96	C	SW 2	SW 4	10^1	10^1	10^0	0.3	–	n ◎⁰
3.	58.0	56.2	55.6	5.7	6.4	6.0	7.8	5.0	6.7	5.8	6.4	99	81	91	SW 4	SW 4	SW 4	10^1	10^1	10^1	–	–	n ◎⁰
4.	54.0	50.7	49.7	5.7	6.4	7.3	7.9	4.9	6.5	6.9	**7.0**	96	96	93	SW 4	SW 4	SW 6	10^1	10^1●	10^1	0.8	–	n, t ztw. ◎
5.	45.5	41.6	40.0	6.0	6.4	4.0	9.0	2.6	6 5	6.1	5.4	93	86	88	SW 6	SW 4	SW 6	10^1●	10^1	10^0	5.7	–	n, t ztw. ◎
6.	41.0	38.9	26.2	2.8	3.7	0.7	6.3	– 0.4	4.7	5.5	4.8	82	92	98	SW 4	SW 4	SW 2	5^1	10^1●	10^0	4.2	–	0^{30}–8^{36} p ◎, dann ✳
7.	**23.8**	24.0	42.8	8.3	6.0	– 2.6	**9.6**	– 3.3	6.2	6.0	2.6	75	87	70	SW 6	W 4	NW 2	10^1	10^1	0	**20.9**	–	n ✳
8.	51.1	52.5	53.0	– 3.0	1.0	– 1.5	2.0	– 4.8	3.2	3.5	3.0	87	70	72	NW 2	SW 4	NW 2	7^1	8^1	0	3.4	–	
9	45.7	44.6	45.3	– 1.3	1.6	2.0	2.9	– 2.3	4.2	4.8	5.2	100	93	98	SE 2	SW 2	SW 2	10^1✳	10^1	10^1	4.4	**5**	n–8^{34} a ✳
10.	50.1	53.6	57.8	2.0	3.9	3.0	5.2	0.8	5.2	6.0	5.7	98	98	100	C	SE 2	C	4^0	10^1	10^1	4.8	2	
11.	60.8	61.0	60.9	0.3	2.0	0.4	3.6	– 0.7	4.4	3.4	3.1	94	61	66	C	SE 2	NW 2	6^1	10^0	10^2	–	–	
12.	59.7	60.4	60.8	– 0.8	2.3	0.9	3.1	– 1.8	3.2	3.9	4.4	73	72	89	SW 2	SE 2	NE 2	8^0	10^1	10^1	–	–	
13.	60.5	59.9	60.1	1.2	2.0	0.4	2.8	– 0.3	4.3	4.5	4.3	85	85	90	C	SE 2	NW 2	10^1	10^1	10^1	–	–	
14	59.0	57.6	58.0	– 2.4	– 0.4	– 3.5	0.8	– 4.1	2.8	2.2	2.4	73	50	69	NE 2	SE 2	C	9^0	2^0	0	–	–	
15	57.1	55.9	55.9	– 6.9	– 3.1	– 6.0	– 2.3	– 7.7	2.0	2.2	1.7	75	61	59	SE 2	SE 2	SE 2	0	00	0	–	–	
16.	55.6	54.6	55.5	– 8.7	– 3.8	– 5.5	– 3.1	– **9.4**	1.6	2.0	1.7	69	58	56	SE 2	SE 2	E 4	0	1^0⊙	10^0	–	–	
17.	56.0	57.5	58.9	– 7.0	– 5.1	– 7.2	– 3.0	– 8.8	**1.3**	1.6	1.6	**49**	52	61	E 2	E 2	E 2	1^0	00	0	–	–	
18	58.0	58.1	59.5	– 4.8	– 0.3	– 0.3	0.3	– 7.9	1.8	2.2	2.5	58	50	56	SW 4	SE 2	C	10^1	9^0	10^1	–	–	
19.	59 6	58.1	57.4	– 0.3	2.8	– 1.7	3.3	– 2.3	2 9	3.3	3.4	65	59	84	C	E 2	C	10^1	9^0	0	–	–	
20.	56.4	56.1	56.9	– 5.2	0.9	– 4.3	1.9	– 5.9	2.8	2.9	3.1	90	60	95	C	C	C	0	00	0	–	–	a ⌊
21.	57.0	55.8	55.0	– 6.3	– 0.4	– 0.4	0.4	– 8.2	2.7	3.9	4.5	95	87	100	C	C	C	10^0	10^1	10^2	–	–	a ⌊, p ≡⁰
22.	53.3	51.9	50 3	– 0.4	3 0	0.1	4.2	– 3.0	4.5	5.4	4.6	100	95	100	C	C	E 2	10^1	5^0	10^1	1.6	–	n ◎⁰, a ≡⁰ ᔓ, p ≡⁰·²
23.	48.8	48.2	47.4	1.4	4.5	3.2	5.4	– 0.7	5.0	6.3	5.8	100	100	100	S 2	C	S 2	10^1	10^1●	10^1	6.3	–	n, p ◎⁰·¹
24.	47.9	48.8	48.8	2.3	8.1	3.0	9.0	– 0.4	5.0	6.9	5.5	93	86	96	S 2	S 2	C	10^1	10^0	6^0	–	–	
25.	46.8	45.6	46.1	– 1.2	5 3	0.5	6.4	– 2.0	4.2	5.8	4.8	100	87	100	S 2	S 2	S 2	8^0	10^0	10^1	–	–	
26.	47.4	47.1	47.3	0.7	2.7	1.4	3.4	– 0.7	4.9	5.6	5 0	100	100	100	C	SW 2	C	10^2=	10^0=	10^2≡	–	–	n, t ≡²
27.	50.7	53.1	55.7	– 1.6	– 0.8	– 4.1	2.8	– 4.8	2.6	2.4	2.2	64	56	66	NE 6	NE 4	NE 4	10^1	9^1	0	–	–	
28.	56.4	56 4	56.6	– 7.9	– 0.1	– 3.0	0.9	– 8.7	2.2	2.2	2.8	89	**49**	76	NE 2	N 2	C	0	5^0	1^0	–	–	a ⌊
29.	56.5	56.1	56.0	– 2.4	1.0	– 0.7	2.0	– 5.7	3.4	2.9	3.9	89	58	88	C	NE 2	C	10^1	1^0⊙	10^0	–	–	a ⌊
30.	55.5	55.6	55.6	– 1.4	2.9	– 1.0	3.7	– 2.1	4.1	3.9	3.9	98	69	90	C	SW 2	SW 2	10^1	7^1⊙	10^1	–	–	9^{36}–10^{46} a ✳
31.	52.4	49.2	48.8	– 3.2	– 0.6	0.5	1.5	– 5.0	3.6	4.4	4.8	100	100	100	SW 2	SW 2	SW 4	10^1	10^1✳	10^1	0.2	–	a ⌊, $10^{30.58}$ a ✳
Mittel	53.3	52.7	53.2	– 0.6	2.3	0.1	3.6	– 2.6	4.0	4.4	4.2	87	77	85				7.7	7.6	7.0	52.6		

Bayreuth.

Januar. $\varphi = 49^0\ 57'$ N. $\lambda = 11^0\ 34'$ E $= 46^m\ 16^s$. H $= 363.3$ m. Cg $= +0.3$ mm. 1912.

1.	40.3	41.1	**42.2**	0.6	2.2	2.6	2.7	– 0.4	4.6	5.1	5.4	96	94	98	E 2	E 2	C	10^2✳	10^1	10^2	1.9	–	n–a ✳, a ◎⁰
2.	40.8	39.4	38.7	3.5	3.8	4.0	4.1	2.0	5.5	5.7	**6.0**	93	95	98	W 2	SW 2	W 4	10^2	10^1●	10^2	0 5	–	t ≡⁰·¹, ztw. ◎⁰
3.	35.3	31.8	31.2	4.9	5.3	4.5	5.3	3.3	5.7	5.3	5.7	90	81	91	W 4	W 6	W 8	10^2	10^2	10^2	1.4	–	p ztw. ◎⁰ ⎽⎽
4.	29.8	26.5	25.2	4.7	4.4	5.1	5.2	3.6	5.6	5.7	5.9	88	92	91	W 8	W 6	W 8	10^2	10^2●	10^2	0.2	–	n, t ⎽⎽, t ztw. ◎⁰
5.	22.1	19.1	16.2	4.3	4.1	4.5	5.1	3.3	5.6	5.4	5.3	91	89	85	W 8	W 6	W 8	10^2●	10^2●	10^2	2.4	–	n ◎, t ztw. ◎⁰. n, t ⎽⎽
6.	18.4	16.3	07.9	1.9	2.9	0.9	4.5	0.3	4.0	4.3	4.6	78	77	94	W 8	SW 6	SW 4	10^2	10^2	10^2	3.2	–	n ⎽⎽, t ztw. ◎⁰·¹, ✳
7.	**00.9**	01.9	15.3	6.9	3.7	– 5.3	**6.9**	– 5.9	5.7	5.4	2.4	77	91	78	W 8	W 6	NW 6	10^2●	10^2	10^2	**16.9**	–	n ◎¹ ✳¹ ⎽⎽, a ◎⁰. p ✳¹
8.	26.3	27.5	29.3	– 5.1	– 1.9	– 2.3	– 1.9	– 7.0	2 5	3.4	3.5	80	86	89	W 4	W 6	W 4	10^2	10^2✳	10^2	3.1	2	t ztw. ✳⁰·¹
9.	24.6	22 5	23.3	– 4.1	– 1.7	– 0.5	– 0.5	– 4.8	3.1	3.8	4.3	96	94	98	SE 4	SE 4	SE 2	10^2✳	10^2	10^2	0.7	**4**	t ztw. ✳⁰·²
10.	26.6	30.5	35.7	0.9	1.5	0.1	1.7	– 0.9	4.8	5.1	4.2	98	100	90	E 2	E 2	N 2	10^2●	10^2=	6^1	10.4	2	n ◎⁰. a ◎⁰ ✳⁰. p ≡¹
11.	40.6	41.1	41.6	– 7.5	– 2.1	– 5.5	0.1	– 8.3	2.3	2.3	2.0	89	59	68	NW 2	E 4	SE 4	0	2^0⊙	0	2.9	2	
12.	38.9	38.6	39.2	– 5.1	– 3.1	– 3.4	– 3.1	– 6.5	2.0	2.2	2.4	66	61	70	SE 4	E 4	E 2	10^2	10^2	10^2	–	2	
13	39.5	39.4	39.7	– 4.8	– 3.7	– 4.4	– 3.4	– 5.6	2.6	2.8	2.4	81	80	75	SE 4	SE 4	E 4	10^2	10^2	10^2	–	2	
14.	37.6	36.6	36.6	–10.8	– 3.9	– 7.0	– 3.9	–11.3	1.7	2.2	1.8	86	66	68	NW 2	NE 2	E 2	2^0	00	0	–	1	
15.	35.4	33.8	33.9	–11.2	– 7.1	–10.9	– 7.0	–12.3	1.4	1.6	1.5	75	58	76	E 2	SE 4	SE 4	0	00	0	–	1	
16.	33.2	32.4	32.5	–13.9	– 6.1	– 9.2	– 6.1	**–14.6**	**1.3**	1.6	**1.3**	87	56	60	E 2	E 4	E 4	0	00	0	–	1	
17.	34.1	36.5	37.8	–12.1	– 8.5	– 7.8	– 8.1	–13.7	**1.3**	1.6	1.7	74	67	69	E 4	E 6	E 4	4^1	00	0	–	1	
18.	37.1	37.2	38.2	– 7.0	– 3.6	– 3.3	– 3.3	– 8.9	1.7	1.9	2.2	65	56	63	SE 6	E 6	SE 4	3^1	10^1	10^1	–	–	
19.	38.4	36 8	35.7	– 4.5	– 0.7	– 4.0	– 0.7	– 5.3	2.3	2.6	2.4	72	60	71	SE 4	SE 4	SE 4	10^2	8^1	0	–	–	
20.	33.7	33 7	34.5	– 6.3	– 1.6	– 4.9	– 1.3	– 7.4	2.2	2.4	2.4	79	60	76	E 2	E 2	E 2	2^1	1^0⊙	0	–	–	
21.	34.3	33.2	32.2	– 7.7	– 0.9	– 1.9	– 0.2	– 8.4	2.2	3.3	3.2	89	76	80	E 2	E 2	E 2	0	1^0⊙	10^1	–	–	
22.	30.5	29.8	28.5	– 0.3	2.4	0.1	2.4	– 2.8	3.8	4.3	4.3	85	80	94	E 2	E 2	E 2	10^2	10^0	0	–	–	
23.	27.5	26.2	26.3	– 0.5	1.0	0.7	1.0	– 1.6	4.1	4.0	4.2	92	82	88	SE 4	SE 4	E 2	10^1	10^2	2^0	–	–	
24.	26.8	27.5	27.5	0.6	4.5	0.7	4.5	– 0.8	4.2	4.6	4.3	87	72	90	E 2	E 2	E 2	5^1	4^0⊙	10^1	–	–	
25.	24.2	22.4	22.9	– 2.1	2.1	1.0	2.1	– 2.8	3.7	4.6	4.7	94	86	91	E 2	E 2	E 2	2^0	10^1=	10^2▬	–	–	a ⌊, ≡⁰. p ≡¹ ◎⁰
26	24.2	24.2	24.1	0.7	3.1	0.7	3.1	– 0.3	4.7	5.0	4.7	98	89	96	W 2	W 2	W 2	10^1=	10^2	10^2	0.3	–	t ≡¹·⁰
27.	26.5	29.2	31.5	– 2.9	– 3.3	– 4.1	0.7	– 4.6	2.8	2.5	2.4	76	70	70	N 4	N 6	E 4	8^1	10^1	10^1	–	–	
28.	32.7	32.4	32.9	– 9.2	– 2.5	– 3.8	– 2.5	–10.6	1.7	1.5	1.9	78	**40**	56	NW 4	NW 4	E 2	0	3^1⊙	10^1	–	–	a ⌊
29.	33.1	32.4	32.5	– 9.3	– 1.5	– 3.1	– 1.0	–10.4	2.0	2.9	3.3	91	70	91	NE 2	NW 2	W 2	10^1=	9^1	10^1	0.3	–	n ✳⁰. a ≡¹
30.	32.0	32.4	32.4	– 3.6	– 0.4	– 5.9	– 0.4	– 6.4	3.3	3.4	2.5	95	76	87	E 2	SE 2	SE 2	10^2	5^1⊙	0	0.7	2	n ✳⁰·¹
31	29.0	25.3	23.9	– 4.9	– 2.1	– 1.5	– 0.6	–10 5	2.8	3.5	3.7	88	90	90	SW 4	SW 4	SW 6	10^2	10^2✳	10^2	–	1	t ztw. ✳⁰·¹
Mittel	30.8	30.2	30.7	– 3.4	– 0.4	– 2.1	0.2	– 5.1	3.3	3.5	3.4	85	76	82				7.0	7.2	6.7	44.9		

Alle Angaben nach Ortszeit.

Bamberg.

Januar. $\varphi = 49^0\ 53'$ N. $\lambda = 10^0\ 53'$ E $= 43^m\ 32^s$. H $= 287.7$ m. Cg $= +0.3$ mm. 1912.

Datum	Luftdruck auf 0° u. Normalschwere reduziert 700 mm + 7a	2p	9p	Lufttemperatur C° 7a	2p	9p	Max.	Min.	Absolute Feuchtigkeit mm 7a	2p	9p	Relative Feuchtigkeit Proz. 7a	2p	9p	Richtung und Stärke des Windes 0 bis 12 7a	2p	9p	Bewölkung 0 bis 10 7a	2p	9p	Niederschlag mm 7a	Schneedecke cm 7a	Bemerkungen
1.	47.3	48.2	**49.1**	2.0	3.8	3.1	4.6	1.8	5.1	5.6	5.7	96	93	98	SE 1	C	S 1	10^2●	10^2≡	10^2	0.3	–	ca 7^{30} a ◍^{0}. 2 p ≡^{1}
2.	47.8	46.4	45.5	3.3	3.9	4.1	4.5	3.1	5.5	5.9	5.9	95	97	97	SW 2	SW 1	SW 2	10^2	10^2●	10^2	0.2	–	7^{09} a–gegen 4 p ◍^{0}. 2 p ≡^{0}
3.	42.5	39.3	38.9	4.5	5.5	4.6	6.1	4.1	5.9	5.5	5.9	94	82	94	W 3	W 4	W 4	10^2	10^2	10^2●	1.1	–	4^{28}–9 p ◍^{0}
4.	37.2	34.1	32.2	4.3	4.5	5.1	5.7	4.1	6.0	5.9	**6.1**	97	94	94	S 2	SW 3	W 5	10^2	10^2●	10^2●	0.6	–	09^{t}–9 p ◍
5.	29.0	25.8	23.1	4.5	4.5	4.3	6.3	4.3	5.6	5.4	5.4	89	86	87	W 7	SW 4	SW 6	10^2	10^2	10^2●	3.0	–	10 a ◍. p ztw. ◍
6.	25.8	23.2	12.5	2.5	3.3	0.3	5.4	0.3	4.0	4.7	4.6	72	82	98	W 5	W 4	S 3	10^2	10^2●	10^7✳	1.4	–	9–11 p, 2 p ◍^{0}. ca $6^{15.45}$ p ◍^{1}. 7–9 p ✳^{1}
7.	07.9	08.7	23.5	7.1	5.2	– 3.7	8.8	– 4.5	6.0	5.7	2.8	80	86	80	W 1	W 2	NW 7	9^1	10^1	10^0	**13.6**	–	9 p–mn ✳^{2}. 9^{34}–10^{37} a, 4^{34}–6 p ◍^{2}. [1]
8.	33.6	35.5	36.4	– 4.2	– 1.2	– 2.0	0.4	– 5.6	2.7	3.5	3.1	81	82	78	W 2	W 2	NW 3	10^2	10^1✳	6^1	5.3	1	7^{36}–10^{15} a, ca 11 a ✳^{0}. 1^{31}–4^{21} p ✳^{1}
9.	31.1	28.9	29.7	– 2.0	– 0.5	1.4	1.7	– 4.8	3.1	4.3	5.0	78	96	100	SW 5	S 2	S 2	10^2✳	10^2	10^2●≡	0.2	–	7–11 a ┼. ca 7^{15}–9 p ◍^{0}. 9 p ≡^{1}
10.	33.8	37.5	42.9	1.6	3.5	1.5	4.3	0.8	5.1	5.5	5.0	98	93	96	S 1	C	C	10^2≡	10^2≡	10^2	5.9	–	n ◍^{0}. t ≡$^{1.2}$, p ◍^{0}
11.	47.3	47.1	47.7	– 4.6	0.6	– 4.2	2.7	– 4.7	3.0	2.6	2.5	93	54	75	W 1	SE 1	SE 3	0	2^1	8^0	0.1	–	n ⌴. a ∞
12.	45.9	45.4	46.0	– 3.6	– 0.5	– 1.2	– 0.1	– 4.2	2.2	2.7	3.1	62	61	74	SW 2	SE 2	C	10^2	10^2	10^2	0.1	–	
13.	46.2	45.6	45.8	– 2.5	– 1.8	– 2.8	– 0.3	– 3.1	3.3	3.5	3.1	87	88	83	E 2	SE 2	E 3	10^2	10^2	10^2	0.1	–	n ⌴
14.	44.3	43.1	43.5	– 8.7	– 2.1	– 6.9	– 1.7	– 8.7	1.8	2.2	1.9	75	57	70	E 1	E 3	S 3	8^1	7^1	0	0.1	–	n ⌴. a ∞
15.	41.9	40.4	40.6	–11.0	– 4.3	– 9.7	– 4.1	–11.1	1.6	1.6	1.5	82	48	71	SE 1	S 3	E 4	1^0	00	0	0.1	–	n ⌴. 2 p ∞
16.	39.8	38.9	40.2	–11.5	– 4.6	– 8.2	– 4.2	**–11.8**	1.4	1.7	1.4	75	54	56	SE 1	S 3	SE 1	1^0	00	0	–	–	
17.	40.8	43.2	43.5	–11.0	– 7.6	– 8.6	– 7.3	–11.7	1.3	1.5	1.7	69	61	73	E 3	E 5	E 3	2^1	2^0	0	–	–	
18.	43.2	43.6	45.0	– 6.7	– 2.4	– 2.9	– 1.9	–10.0	1.8	2.1	2.2	68	55	59	E 2	SE 3	SE 1	9^1	9^1	10^1	–	–	
19.	44.9	43.3	41.9	– 3.1	0.4	– 3.2	0.8	– 3.4	3.0	2.8	2.3	82	59	65	SE 1	S 1	SE 2	10^2●	9^1○	6^1	0.3	–	a ✳^{0}, später △, ◍^{0}. 2 p ◐
20.	40.4	40.1	41.1	– 5.9	2.0	– 3.9	2.3	– 6.2	2.3	2.5	2.7	80	48	80	E 1	S 2	NW 1	7^0	2^0○	2^0	0.1	–	7 a, 9 p ≡
21.	41.0	39.9	38.7	– 8.4	1.2	– 1.4	1.6	– 9.1	2.4	3.6	3.6	100	70	86	W 1	C	NW 2	3^1	7^0○	10^0	0.1	–	n ⌴. 2 p ∞
22.	37.1	35.9	34.8	– 1.1	2.3	– 0.3	4.0	– 2.0	4.0	5.2	4.3	94	96	96	NW 2	NW 1	S 2	10^2	10^1●	o	0.1	–	a–p ztw. ◍. 2 p ∞
23.	33.5	32.6	32.6	0.9	4.0	1.0	4.9	– 1.7	4.3	5.5	4.9	87	90	100	S 2	SE 1	C	10^2	10^1●	10^2●	0.3	–	n ⌴. a ztw. ●. p ztw. ◍^{0}
24.	33.2	33.9	33.7	– 0.4	8.6	0.9	**8.9**	– 0.9	4.2	5.7	4.9	94	68	100	S 3	S 2	NW 1	7^1	7^0○	9^1	0.4	–	n ⌴
25.	30.3	28.9	30.0	– 2.0	2.8	1.0	3.3	– 2.4	4.0	4.8	4.8	100	86	98	NW 2	NW 1	C	1^1≡	10^1	10^1≡	0.1	–	n ⌴. 6^{50} p ◍^{0}. 7 a, 9 p ≡^{1}
26.	31.5	31.2	31.0	– 0.8	1.5	0.8	2.3	– 1.5	4.3	5.0	4.7	100	100	98	NW 1	W 1	C	10^2≡	10^2≡	10^2≡	0.2	–	t ≡$^{1.2}$
27.	33.5	35.9	39.1	– 3.0	– 1.1	– 4.0	1.7	– 4.1	2.8	2.3	2.2	76	54	64	NW 3	NE 5	N 2	3^1	5^1○	10^1	0.2	–	n ⌴. 9^{15} a, m ✳^{0}
28.	39.9	39.5	39.9	– 8.7	– 1.0	– 2.6	– 0.2	– 8.7	1.8	2.0	2.5	79	47	66	N 2	NW 3	C	1^1	3^1○	10^1	0.1	–	n ⌴
29.	39.8	39.1	39.3	– 6.2	– 0.1	– 1.8	0.4	– 6.4	2.7	3.1	2.7	95	69	68	C	W 3	S 1	3^1	10^2	10^2	0.1	–	n ✳^{0}. a ⌴, ∞. $9^{15.34}$ a ✳^{0}
30.	38.8	39.1	39.1	– 3.5	– 0.6	– 5.4	0.1	– 5.4	3.4	3.9	3.0	95	88	98	S 1	C	C	10^2✳	10^1	10^0	0.2	1	ca 9^{30}, 11^{20} p ∪. n–10 a ✳^{0}. 9 p ≡^{0} V^2
31.	35.8	32.5	31.1	– 7.6	– 2.2	– 1.1	– 1.1	–10.1	2.5	3.6	4.0	97	92	94	S 3	SW 1	W 2	10^2	10^2✳	10^2	0.2	1	n V. 2 p ✳^{1}
Mittel	37.6	37.0	37.4	– 2.8	0.9	– 1.5	1.9	– 4.0	3.5	3.9	3.7	86	75	84				7.3	7.8	7.8	34.5		[1] abds. ≡ (N) ∽; ca 6^{15} p an ┼.

Würzburg.

Januar. $\varphi = 49^0\ 48'$ N. $\lambda = 9^0\ 56'$ E $= 39^m\ 44^s$. H $= 179.3$ m. Cg $= +0.3$ mm. 1912.

1.	56.7	57.0	**58.4**	3.8	6.3	5.6	6.3	3.2	5.5	6.0	6.1	92	84	89	E 2	E 2	E 2	10^2●	7^1	10^2	0.2	–	n, a ◍^{0}
2.	57.4	56.0	55.4	4.5	6.0	5.8	6.0	4.1	5.4	6.0	6.2	86	87	90	W 2	W 2	W 2	10^2	10^2	10^2	–	–	a ◍^{0}
3.	51.8	49.2	48.7	6.3	6.7	5.8	7.0	5.4	**6.3**	5.4	**6.3**	88	74	91	E 2	W 6	W 4	10^2	10^2	10^2	0.6	–	p ◍^{0}
4.	46.7	43.7	42.5	6.0	6.3	6.8	6.9	5.5	6.0	5.9	**6.3**	87	83	85	W 2	W 5	W 6	10^2	10^2	10^2	1.3	–	n ◍
5.	38.7	34.6	33.6	5.5	7.0	4.7	7.0	4.4	6.0	5.4	5.4	89	72	84	W 4	SW 6	W 6	10^2●	10^2	10^2●	6.2	–	n, a ◍. 9 p ◍
6.	35.5	32.6	20.9	3.9	4.3	2.1	5.0	2.0	4.0	4.9	5.1	65	79	94	W 6	W 4	W 4	10^2	10^2	10^2●✳	3.4	–	n ◍. p ◍ ✳
7.	20.0	17.8	33.9	8.8	5.7	– 1.7	**10.0**	– 1.7	5.6	5.8	2.7	67	85	68	W 6	W 5	W 2	10^2	8^1	o	**13.4**	–	n, a ztw. ≡ ◍
8.	43.5	45.7	46.6	– 3.2	1.0	– 1.3	1.2	– 3.5	2.6	3.0	2.6	74	60	63	W 2	W 2	W 2	o	7^2	o	6.0	–	a ⌴
9.	40.0	38.1	38.9	– 1.4	1.0	1.4	1.4	– 2.0	4.0	4.5	4.8	**96**	90	94	NW 2	C	C	10^2✳	10^2	10^2	1.8	**2**	n, a ✳
10.	43.3	46.7	51.9	2.2	5.8	3.7	6.0	1.3	5.1	6.2	5.7	94	90	95	C	W 2	C	10^2	10^2	10^2	5.1	1	n ◍^{0}. a ∞
11.	56.0	55.9	56.5	– 0.4	1.8	– 0.9	3.7	– 1.5	3.9	3.1	2.9	87	58	67	E 2	E 2	E 2	10^2	00	10^2	–	–	
12.	54.7	54.5	55.1	– 1.8	0.4	0.4	0.6	– 2.0	2.9	3.1	3.5	74	66	73	SE 4	E 2	E 2	8^1	10^2	10^2	–	–	a ⌴
13.	55.1	54.9	54.8	0.0	0.4	– 0.4	0.6	– 0.6	3.9	4.0	3.5	85	85	79	E 2	SE 2	E 2	10^2	10^2	10^2	–	–	
14.	53.5	51.9	52.5	– 4.2	– 1.0	– 4.3	– 0.4	– 4.5	2.2	2.1	2.2	66	51	68	SE 4	SE 2	SE 3	10^1	8^1	o	–	–	a ⌴
15.	51.2	49.4	50.0	– 7.8	– 4.2	– 7.6	– 4.0	– 8.2	1.8	1.7	1.5	74	52	61	E 2	SE 2	SE 2	o	00	o	–	–	a ⌴
16.	48.7	47.8	49.5	– 9.0	– 4.6	– 7.3	– 4.0	– **9.7**	1.6	1.9	1.6	69	60	61	SE 4	E 4	E 2	4^1	10^2	o	–	–	a ⌴
17.	50.2	51.9	53.7	– 8.0	– 5.7	– 8.0	– 5.4	– 9.4	**1.4**	1.5	1.6	56	50	65	E 5	E 2	E 2	9^1	00	o	–	–	a ⌴
18.	52.6	52.5	54.1	– 5.6	– 1.8	– 1.3	– 1.3	– 8.2	1.7	2.1	2.2	58	52	53	E 4	E 4	SE 2	10^2	10^2	10^2	–	–	a ⌴
19.	54.2	52.5	51.3	– 1.7	0.9	– 2.0	1.0	– 2.0	3.3	3.3	3.1	82	66	80	E 2	E 4	C	10^2	10^2	4^1	0.3	–	n ◍^{0}. a ∽
20.	49.6	49.5	50.6	– 5.2	0.6	– 3.6	1.0	– 5.5	2.6	2.5	2.9	85	52	82	SE 2	E 2	E 2	3^1	00	o	–	–	a ⌴, ∞
21.	50.7	49.6	48.0	– 7.0	– 1.4	– 1.3	– 1.0	– 7.1	2.4	3.2	4.0	89	78	**96**	E 2	E 2	C	o	10^2	10^2≡	–	–	a ⌴. t ≡^{1}
22.	46.6	45.1	44.4	– 0.8	2.8	– 1.0	3.2	– 1.6	4.2	5.2	4.1	**96**	93	**96**	W 2	S 2	S 2	10^2	2^1○	10^2≡	–	–	a ⌴ ≡^{1}. ca 10 a ◍^{0}. p ≡^{1}
23.	42.8	41.8	41.5	– 0.5	1.8	1.6	2.1	– 1.2	4.3	5.0	5.0	**96**	95	**96**	C	C	C	10^2≡	10^2●	10^2	1.3	–	a ⌴, ≡^{2}. t ◍
24.	42.3	42.7	42.6	0.1	6.8	0.7	7.0	– 0.4	4.4	6.0	4.6	**96**	81	94	C	SE 2	C	10^2≡	6^1	o≡	1.8	–	a ⌴ ≡^{1}, p ≡^{2}
25.	40.0	38.7	39.0	– 1.3	2.3	1.8	2.8	– 1.6	4.0	4.9	4.9	**96**	91	93	C	C	C	o≡	00	o≡	–	–	a ⌴. a, p ≡$^{1.2}$
26.	40.8	40.1	40.1	1.9	3.8	1.1	3.8	0.3	5.0	5.4	4.6	95	90	92	SW 2	SW 2	C	10^2≡	10^2	8^1≡	–	–	a, r ≡$^{1.2}$
27.	43.5	45.6	48.5	– 1.2	– 0.6	– 3.4	1.1	– 3.4	2.6	2.6	2.4	63	59	70	N 4	E 5	NE 2	10^2	10^2	6^1	–	–	
28.	49.8	49.7	49.6	– 6.8	– 1.8	– 1.3	– 0.8	– 7.6	2.0	1.7	2.7	75	42	65	E 2	E 2	E 2	o	00	10^2	–	–	a ⌴
29.	49.4	48.8	48.8	– 1.9	1.1	– 0.2	1.1	– 2.3	3.3	2.7	3.1	82	53	68	N 2	E 2	E 2	10^2	8^1	10^2	–	–	a ⌴
30.	48.2	48.4	48.8	– 1.3	0.7	– 2.3	1.0	– 2.3	3.8	3.6	3.5	92	73	89	SE 2	SE 2	C	10^2	3^1○	7^1	–	–	a ⌴. ca 7^{10} a an ✳^{0}
31.	45.2	42.0	41.1	– 3.5	– 0.7	0.9	1.0	– 6.0	2.9	3.9	4.2	85	88	87	NE 2	W 4	W 2	10^2	10^2✳	10^2✳	0.1	–	a ⌴. p ztw. ✳^{0}
Mittel	47.0	46.3	46.8	– 1.0	1.7	– 0.2	2.3	– 2.1	3.7	4.0	3.8	82	72	80				7.9	7.1	6.6	41.5		

Alle Angaben nach Ortszeit.

Ludwigshafen a/Rh.

Januar. $\varphi = 49^{\circ}\,29'$ N. $\lambda = 8^{\circ}\,26'$ E $= 33^{m}\,44^{s}$. H $= 100.3$ m. Cg $= +0.3$ mm. 1912.

Datum	Luftdruck auf 0° u. Normalschwere reduziert 700 mm +			Lufttemperatur C°					Absolute Feuchtigkeit mm			Relative Feuchtigkeit Proz.			Richtung und Stärke des Windes 0 bis 12			Bewölkung 0 bis 10			Niederschlag mm	Schneedecke cm	Bemerkungen
	7a	2p	9p	7a	2p	9p	Max.	Min.	7a	2p	9p	7a	2p	9p	7a	2p	9p	7a	2p	9p	7a	7a	
1.	65.7	65.5	**67.1**	4.1	5.6	4.4	6.4	2.7	5.7	6.1	5.7	92	89	92	SE 1	SE 1	S 1	10^{0}	10^{1}	9^{1}	–	–	
2.	66.1	64.8	64.7	3.5	6.0	5.6	6.3	2.1	5.5	6.1	6.3	93	88	93	SE 1	S 1	S 1	10^{1}	10^{1}	10^{1}	0.2	–	a, m ≡reissen
3.	60.8	59.2	58.2	4.5	7.0	6.4	7.3	3.9	5.7	5.8	5.9	90	77	83	S 1	W 1	SW 2	10^{1}≡	10^{2}	10^{1}	–	–	a ≡^{1}
4.	56.0	52.5	51.1	6.0	6.4	7.4	7.4	5.4	6.0	6.3	6.2	87	88	80	SW 3	S 2	SW 4	10^{2}	10^{2}●	10^{2}	1.0	–	n ◍, a, p ztw. ◍
5.	47.1	42.9	43.1	7.1	7.2	5.1	7.9	5.1	5.6	5.7	4.9	74	76	75	SW 5	SW 4	SW 4	10^{2}	10^{2}	3^{0}	5.6	–	p ◍
6.	44.8	40.0	26.6	4.1	4.5	5.6	5.6	3.3	4.3	5.3	**6.6**	71	84	97	SW 3	S 3	SW 2	10^{2}	10^{2}	10^{2}	1.6	–	a, p ◍^{0}, abds. ◍^{1}
7.	**25.7**	28.1	43.6	10.0	8.2	– 0.4	**11.1**	– 0.4	5.7	6.5	3.4	62	81	76	W 8	W 6	N 6	2^{0}	10^{2}●	10^{2}	**6.4**	–	n ⩊, a, p ◍^{0}, rasch ziehende Regenwolken
8.	53.7	54.9	54.1	– 2.8	2.4	– 0.5	2.5	– 3.2	3.2	3.7	3.6	85	68	81	SW 2	SW 2	SW 1	4^{0}	8^{1}	10^{0}	0.8	–	
9.	46.0	45.6	46.9	– 0.3	3.9	5.1	5.1	– 1.1	4.2	5.5	6.2	94	90	95	SE 1	E 1	S 2	10^{2}*	10^{2}	10^{1}≡	3.6	1	n ⩊, a ⩊, dann ◍, a, p ≡^{1}
10.	52.3	55.5	59.3	6.3	8.4	6.2	8.5	5.1	6.2	6.2	6.2	87	76	88	SW 2	SW 1	SW 1	10^{2}●	10^{2}	10^{2}	2.6	–	n ◍, p ◍^{0}
11.	61.9	62.4	61.9	2.3	5.5	3.5	6.2	1.9	5.2	5.1	4.1	96	76	70	S 1	E 1	E 2	10^{2}≡	10^{2}	10^{1}	0.4	–	a ≡^{2}
12.	61.2	61.8	62.6	1.7	2.9	1.9	3.5	1.3	4.1	4.4	4.5	78	78	86	SE 1	N 2	NW 2	10^{2}	5^{2}	10^{0}	–	–	
13.	62.0	61.4	61.5	1.5	3.7	3.1	3.7	0.9	4.5	5.0	4.7	87	83	83	E 2	NW 2	N 1	10^{1}	10^{1}	10^{0}	–	–	
14.	59.7	58.8	58.8	1.5	1.5	0.2	3.1	0.2	4.0	4.0	3.5	78	78	74	NE 1	N 1	NE 1	10^{1}	6^{0}	0	–	–	
15.	57.7	56.6	56.3	– 3.9	– 2.3	– 4.0	0.2	– 4.0	2.9	3.1	2.8	84	79	82	E 1	SE 1	S 2	10^{1}≡	3^{0}○	0	–	–	a ≡^{1} ⌴^{1}
16.	54.7	53.9	54.8	– 4.4	– 1.3	– 1.1	– 1.0	– 5.0	3.0	3.4	3.0	91	82	71	NE 2	NE 2	NE 1	10^{1}≡	10^{1}	10^{1}	–	–	a ≡^{1}
17.	56.0	57.9	59.2	– 3.4	– 3.4	– 3.8	– 1.1	– 4.0	2.0	2.1	2.2	56	60	64	N 2	NE 2	NE 2	10^{1}	10^{1}	10^{1}	–	–	
18.	58.6	59.0	60.4	– 2.4	0.5	0.9	1.2	– 4.0	2.5	3.5	3.7	65	73	77	N 2	SW 1	SW 1	10^{1}	10^{2}	10^{2}	–	–	ca 10^{30} a–ca 0 p ◎
19	61.0	59.3	58.3	0.3	3.7	0.7	3.7	0.0	3.8	3.6	3.7	81	60	76	N 2	N 2	N 2	10^{2}	10^{2}	0	0.2	–	
20.	57.1	57.5	59.2	– 3.0	0.7	– 2.4	2.5	– 3.2	3.2	3.6	3.8	87	73	**98**	SW 2	W 2	SW 2	10^{2}	○○	0	–	–	a ⌴^{0} ≡^{2}, t ∞
21.	57.9	56.8	56.2	– 1.9	0.1	0.1	0.1	– 2.8	3.8	4.2	4.2	96	90	90	SW 2	S 1	S 1	10^{2}≡	10^{2}	10^{1}	–	–	a ⋁, a–ca 2^{30} p ≡^{1}
22.	53.7	52.7	51.0	0.3	3.3	2.1	3.3	0.0	4.4	4.8	5.0	94	83	93	NE 1	S 1	NE 1	10^{1}≡	○○≡	10^{2}≡	–	–	t ≡^{1}
23.	49.1	48.3	47.5	2.9	5.1	3.3	5.7	1.0	5.1	6.1	5.6	90	94	97	S 1	S 1	N 2	10^{2}≡	10^{2}	10^{2}	–	–	a ≡^{1}, ca 7^{30} a ≡reissen, ca 8^{30} a–ca 0 p ◍^{0}
24.	49.3	49.9	49.2	3.1	9.7	4.9	10.1	1.1	5.3	6.4	5.8	93	71	90	S 1	C	SW 1	10^{2}≡	10^{2}	4^{0}	3.6	–	a, p ≡^{1}
25.	46.9	46.4	47.0	0.9	4.3	3.7	4.9	0.2	4.7	5.6	5.6	96	90	93	C	NW 1	W 1	10^{2}≡	10^{1}●	10^{1}	–	–	a ≡^{2}, 14^{4}–ca 2^{30} p ◍^{0}
26.	48.3	48.2	49.5	1.0	3.3	3.1	3.7	0.0	4.7	5.4	5.5	96	93	96	N 1	N 1	C	10^{2}≡	10^{0}	10^{0}	0.4	–	≡^{2}
27.	51.9	53.5	57.3	– 0.7	0.7	0.3	3.1	– 1.0	2.6	2.1	3.0	60	48	64	N 4	NE 3	C	5^{2}	9^{2}	10^{0}	–	–	n ⩊
28.	57.7	57.4	57.9	– 6.0	0.3	– 0.9	0.4	– 6.0	2.4	1.5	2.6	82	34	61	N 2	N 1	N 2	0	5^{1}	9^{1}	–	–	
29.	57.4	57.0	57.2	– 1.7	1.6	0.3	2.1	– 2.8	3.2	3.0	3.0	80	58	64	N 2	N 2	SW 1	10^{2}	9^{2}	10^{2}	–	–	
30.	56.4	56.7	56.6	– 0.9	1.1	– 1.1	2.0	– 1.3	3.2	3.2	3.6	74	65	84	SW 1	W 1	W 2	10^{2}	3^{0}	0	–	–	p ∞
31.	54.0	51.5	49.9	– 3.5	0.1	1.3	1.3	– 4.4	3.3	4.3	4.3	93	92	85	S 2	SW 2	SW 2	0	10^{2}	10^{1}	–	–	a ⌴^{1}, ca 11 a–ca 2^{30} p ⊹
Mittel	54.5	54.1	54.4	0.8	3.2	2.0	4.1	– 0.3	4.2	4.6	4.5	84	77	83				8.7	8.3	7.9	26.4		

Nürnberg.

Januar. $\varphi = 49^{0}\,27'$ N. $\lambda = 11^{0}\,3'$ E $= 44^{m}\,12^{s}$. H $= 309.1$ m. Cg $= +0.2$ mm, über 735.0 mm Cg $= +0.3$ mm. 1912.

1.	44.5	45.6	**46.7**	2.7	4.1	4.3	4.8	2.3	5.2	5.4	5.8	93	89●	93	C	W 1	S 2	10^{1}	10^{0}	10^{1}	2.2	–	5^{30}–gegen 8 a meist ◍^{0}. 10^{10} a–m ◍^{0}. t bedeckt
2.	45.9	44.6	43.7	3.3	4.9	4.7	5.2	2.9	5.4	5.8	**6.0**	93	90	94	SW 2	W 2	W 3	10^{1}	10^{1}	10^{0}	0.5	–	a ≡^{0}. nach 8 a, t ztw. ◍^{0}. t bedeckt
3.	40.7	37.7	37.2	4.7	5.1	4.5	6.1	4.0	5.7	5.5	5.8	89	85	92	W 3	W 2	W 3	10^{1}	10^{1}	10^{1}	0.5	–	a ≡^{0}. ca 1 a ◍^{0}. ca 9 a–n ztw. ◍^{0}. t bedeckt
4.	35.6	32.4	30.8	4.9	5.1	5.3	5.4	4.2	5.7	5.8	**6.0**	89	89	91	W 2	SW 3	SW 4	10^{1}	10^{1}	10^{1}	–	–	n–11 p, mn–3 a meist ◍^{0}. 8 a–2^{30} p ztw. ◍$^{0.1}$. 1)
5.	28.0	24.5	22.2	4.9	5.5	5.3	7.0	4.0	5.7	5.2	5.4	87	77	82	SW 3	W 2	SW 3	10^{1}	10^{1}	10^{1}	2.0	–	vor mn ztw. starker SW. 1–nach 10 a meist ◍^{0}. 2)
6.	23.9	21.5	11.1	2.5	4.1	3.0	5.3	0.3	4.3	4.6	5.0	77	76	88	SW 3	SW 2	S 3	6^{1}	10^{0}	10^{0}●	2.0	–	$0^{10.29}$ a ◍^{0}. $1^{30.45}$ p ◍$^{0.1}$ ⩊$^{0.1}$. $9^{05.45}$ a ◍^{1}. 3)
7.	06.8	06.9	20.8	8.5	6.1	– 3.7	8.5	– 3.7	5.8	**6.0**	2.7	70	86	78	SW 4	SW 4	NW 3	7^{1}	9^{1}●	10^{2}	**8.1**	–	n–nach 6 a ztw. ◍$^{0.1}$. 5^{30} a, 2 p starker SW. ◍^{0}. 4)
8.	31.3	33.8	34.4	– 3.8	– 1.0	– 1.8	– 0.5	– 3.8	2.6	3.2	3.1	78	74	74	W 3	W 4	SW 2	10^{0}	10^{1}	8^{1}	5.5	1	9^{20} a–3 p ztw. ⩊^{0}. t wechselnde Bewölkung
9.	29.0	27.1	27.5	– 2.1	0.6	2.9	2.9	– 2.6	3.5	4.7	5.7	90	94	96	SE 3	SE 2	W 1	10^{1}≡*	10^{1}	10^{1}≡	–	–	6 a–0^{30} p ⩊$^{0.1}$. a, abds. ≡^{1}. t meist bedeckt
10.	31.5	35.5	40.0	3.7	4.9	3.3	5.1	2.7	5.8	**6.0**	5.7	97	94	**98**	W 1	W 2	NW 1	10^{1}	10^{1}	10^{1}	6.7	–	t ≡$^{0.1}$. a–4^{30} p ztw. ◍^{0}. 4^{30}–gegen 7 a mit ⩊^{0}
11.	44.2	44.2	45.3	– 2.1	0.5	– 2.9	3.3	– 4.5	2.9	2.8	2.4	73	59	66	E 2	SE 3	SE 2	4^{1}	1^{1}○	0	1.0	–	a ≡^{0}, Aufklaren. t heiter
12.	43.3	42.8	43.2	– 2.3	0.1	– 0.3	0.2	– 4.5	2.1	2.9	3.1	55	62	70	S 3	SE 2	E 2	10^{1}	10^{1}	10^{1}	–	–	2 a Ψ. t meist bedeckt, abflauender SE
13.	43.2	43.1	43.2	– 1.9	– 1.3	– 1.9	– 0.3	– 2.5	3.4	3.7	3.4	86	88	86	SE 2	E 2	E 2	10^{1}	10^{1}	10^{1}	–	–	t ≡$^{1.0}$, trüb
14.	41.9	40.6	40.8	– 8.1	– 3.1	– 6.5	– 1.9	– 8.9	1.9	2.1	2.1	77	59	76	E 1	E 2	E 2	4^{1}	4^{1}○	0	–	–	⌴. mrgs., abds. heiter, sonst wechselnd bewölkt
15.	39.4	38.0	37.9	–10.3	– 5.2	– 9.3	– 5.1	–10.9	1.6	1.5	1.6	80	50	72	E 2	E 2	E 2	○≡	○○	0	–	–	⌴. a ≡^{1}. t wolkenlos
16.	37.2	36.3	37.0	–11.3	– 5.1	– 8.5	– 5.0	–11.9	1.5	1.7	1.5	78	57	64	E 2	SE 2	E 3	○≡	○○	0	–	–	⌴. a ≡^{1}. t meist heiter
17.	37.8	40.1	41.5	–10.9	– 7.3	– 8.7	– 6.8	–11.8	1.3	1.6	1.7	69	61	73	E 2	E 2	E 2	9^{1}	2^{1}●	0	–	–	⌴. a ≡^{0}. t wechselnde Bewölkung, ∞
18.	40.7	41.1	42.3	– 7.5	– 2.5	– 2.8	– 2.0	– 8.7	1.8	2.2	2.3	72	58	62	SE 2	SE 3	E 2	10^{1}	8^{1}	10^{1}	–	–	a ≡^{1}. t meist bedeckt
19.	42.1	40.7	39.6	– 3.7	– 0.4	– 3.1	– 0.1	– 4.0	2.4	2.5	2.4	71	56	65	E 3	E 3	E 2	10^{1}	8^{1}○	10^{1}	–	–	a ≡^{1}, bedeckt. p Aufklaren
20.	38.0	37.7	38.5	– 5.4	1.3	– 2.5	1.6	– 6.6	2.1	2.6	2.7	71	51	70	E 2	SE 1	SE 1	8^{1}≡	1^{1}○	0	–	–	a ≡^{1}. t wechselnde Bewölkung
21.	38.6	37.7	36.4	– 6.3	1.9	– 0.3	2.3	– 6.7	2.5	3.8	4.1	90	73	90	SE 1	NW 1	C	○≡	4^{1}○	10^{1}	–	–	⌴. a ≡^{1}. t wechselnde Bewölkung. p oft C,
22.	35.0	33.9	32.6	0.1	5.5	0.5	6.0	– 1.4	4.1	4.6	4.1	89	68	85	SE 1	E 2	SE 2	10^{1}≡	6^{1}	0	–	–	a ≡^{1}, bedeckt. p Aufklaren [abds. ≡^{0}
23.	31.6	30.8	30.2	0.7	3.2	1.3	4.0	– 0.9	3.9	4.5	4.4	80	78	87	SE 2	SE 2	E 2	4^{1}≡	10^{0}	0	–	–	a ≡^{1}. 3 a an meist bedeckt. m ztw. ◉^{0}
24.	31.0	32.1	31.6	1.9	8.1	2.5	**8.6**	0.9	4.3	5.6	4.7	82	68	84	SE 2	S 2	SE 1	8^{1}	10○	10^{0}	–	–	a ≡^{0}. t wechselnde Bewölkung
25.	28.2	26.8	27.0	– 0.2	1.9	1.1	3.0	– 1.0	3.9	4.6	4.7	87	88	94	E 1	NW 1	NW 2	○≡	10^{1}	10^{1}	–	–	⌴. t ≡$^{0.1}$, meist wolkig. 6 p ◍^{0}
26.	29.0	28.8	28.6	1.1	2.1	2.1	3.1	0.9	4.9	5.0	5.2	**98**	93	96	NW 1	C	C	○≡	10^{0}≡	0	–	–	n, a ztw. ◍^{0}. t ≡^{1}, trüb
27.	30.0	32.9	35.5	– 0.9	– 1.5	– 3.2	2.1	– 3.2	3.6	2.6	2.3	82	62	65	N 2	NE 3	NE 3	10^{1}	6^{2}○	10^{1}	–	–	t wechselnde Bewölkung
28.	37.2	37.1	37.3	– 9.3	– 2.7	– 3.3	– 2.0	–10.0	1.7	1.7	2.0	78	45	56	NE 3	C	C	0	1^{1}	8^{1}	–	–	⌴. n klar, t heiter
29.	37.4	36.7	37.1	– 4.9	– 0.9	– 1.7	– 0.8	– 5.9	2.6	2.6	2.9	84	61	72	E 1	N 2	NE 1	1^{1}	7^{1}○	10^{1}	–	–	⌴. a ≡^{0}. 1–3 a ztw. ⩊^{0}. t wechs. Bewölkg.
30.	36.5	37.1	36.8	– 4.4	– 2.2	– 5.5	– 0.9	– 5.5	2.8	3.3	2.7	88	85	90	C	NW 3	SE 1	10^{1}≡*	9^{1}	9^{0}	0.5	1	a ≡^{1}, häufig C. 5–7 a, 8^{40}–gegen 11^{30} a ⩊^{0}
31.	34.1	30.8	29.4	– 7.2	– 1.2	– 0.7	– 0.7	– 8.8	2.5	3.4	3.7	95	80	85	S 1	W 2	W 1	2^{1}≡	10^{1}*	10^{1}*	0.8	2	mrgs. ⋁, ≡^{1}. 9 a–nach 6 p ztw. ⩊^{0}. t meist trüb
Mittel	35.3	34.8	35.0	– 2.1	1.0	– 0.8	2.0	– 3.4	3.5	3.8	3.7	82	73	80				6.6	7.0	7.0	29.8		

Alle Angaben nach Ortszeit.

1) gegen 8 p ◍^{0}. t bedeckt. 2) t bedeckt.
3) a Aufklaren. nach 2 p ◍^{0}. 5^{10} p–n ◍$^{0.1}$ ⩊^{0}. ca 1^{30} a, m starker SW.
4) $10^{22.27}$ a, $11^{28.42}$ a ◍$^{1.2}$. 1^{30}–2 p ◍$^{1.2}$ ⩊^{1}. 2^{25}–4^{15} p ◍$^{1.2}$ ⩊ △. 2–3 p ztw. ⌒.

Kaiserslautern.

Januar. $\varphi = 49^0\ 27'$ N. $\lambda = 7^0\ 46'$ E $= 31^m\ 4^s$. H $= 242.2$ m. Cg $= +0.3$ mm. 1912.

Datum	Luftdruck auf 0° u. Normalschwere reduziert 700 mm + 7a	2p	9p	Lufttemperatur C° 7a	2p	9p	Max.	Min.	Absolute Feuchtigkeit mm 7a	2p	9p	Relative Feuchtigkeit Proz. 7a	2p	9p	Richtung und Stärke des Windes 0 bis 12 7a	2p	9p	Bewölkung 0 bis 10 7a	2p	9p	Niederschlag mm 7a	Schneedecke cm 7a	Bemerkungen
1.	51.6	52.1	**53.5**	2.0	5.1	3.4	5.1	0.9	5.3	6.1	5.6	100	94	97	C	C	C	10^2	10^2	10^2	–	–	a, p ≡1, abds. ≡2
2.	52.6	51.2	51.1	3.7	4.9	5.3	5.6	3.1	5.8	6.1	**6.7**	97	96	100	NW 1	W 2	W 1	10^2	10^2	10^2●	–	–	t ≡1.2, ∞. 8^{21} p–n ◎0
3.	47.5	46.1	45.5	5.7	5.5	5.0	6.2	5.0	6.4	5.9	6.0	94	88	92	W 3	W 3	W 2	10^2●	10^2	10^2	0.2	–	n, a ◎0, p–n ztw. ◎0 ⚊
4.	43.1	40.2	38.8	4.9	5.9	6.1	6.3	4.5	6.0	6.5	6.6	94	94	95	W 2	W 3	W 3	10^2●	10^2●	10^2	0.6	–	n, a, p ◎0.1, ztw. ⚊, abds.–n ztw. ◎0 ⚊
5.	34.8	30.7	31.1	5.1	5.6	3.4	6.2	3.4	6.1	6.0	4.8	94	88	82	W 5	W 4	W 3	10^2●	10^2●	9^1	4.3	–	n, a ◎ ⚊. p–ca 7^{30} p ztw. ◎ ⚊
6.	32.3	27.2	**14.7**	3.2	2.9	6.0	6.2	2.1	4.7	5.2	6.5	81	93	93	W 4	W 3	W 6	10^2	10^2●	10^2●	6.3	–	n, a ztw. ⚊, 10^{21} a–n ◎, ca 3^{30} p kurz ⚹, abds. ⚊
7.	15.1	16.7	32.4	8.7	6.5 –	1.7	**9.4** –	1.7	6.4	6.0	3.1	76	83	76	W 5	NW 6	N 3	10^2	10^2●	4^1	**16.1**	–	n ◎ ⚊, 10^{36} a–ca 2^{30} p ztw. ◎ ⚊
8.	40.9	41.9	40.4	– 3.8	0.4 –	1.4	0.4 –	4.5	4.8	2.9	2.9	82	61	70	W 1	SW 2	C	3^0	4^1○	7^9	1.1	–	a ⌊2
9.	32.7	33.1	34.7	0.1	4.1	4.3	5.1 –	1.8	4.4	5.9	6.0	96	97	97	C	W 1	C	10^2●	10^2	7^1	3.6	3	n ⚹, a–0^{52} p ◎0, p ≡0.1, $7^{01.51}$ p ◎0.1
10.	39.7	42.6	46.1	3.7	6.7	3.0	7.1	3.0	6.0	6.6	5.7	100	90	100	C	NW 2	C	8^2	10^1	10^1	4.1	–	n ◎, a ≡1 ≡, ztw. ◎0, abds. ≡1
11.	47.7	47.1	47.4	2.8	4.2	2.4	4.2	1.7	5.5	5.2	5.0	98	85	91	SE 2	SE 2	SE 1	5^0	10^1	10^1	0.1	–	a ≡1, t ∞
12.	47.6	48.2	48.4	0.9	4.7	1.8	5.0	0.4	4.7	5.6	4.8	96	87	91	C	W 1	E 1	10^1	5^0○	10^1	–	–	a, p, abds. ≡1
13.	48 0	47.4	47.1	1.8	4.1	2.1	4.1	1.7	5.0	5.3	5.1	95	87	94	E 2	SE 1	E 1	10^1	10^1	10^1	–	–	a, p ≡1
14.	45.4	44.8	44.8	0.3	0.6 –	0.8	2.1 –	0.8	4.2	4.1	3.3	90	85	77	E 2	E 2	E 1	10^1	10^1	2^0	–	–	a ≡0, t ≡1 ∞
15.	43.6	42.5	42.3	– 3.0 –	2.0 –	3.4 –	0.8 –	3.4	3.1	3.2	2.9	85	82	82	SE 2	SE 2	C	10^1	10^1	10^1	–	–	a ≡0 ⌊0
16.	41.0	40.4	41.0	– 5.2 –	4.2 –	3.6 –	3.2 –	5.6	2.8	2.9	2.9	90	86	85	E 3	E 2	E 2	10^1	10^2⁂●	10^1	–	–	a ztw. ⚹0, p ⚹0 ◎0. 2^{31}–ca 3^{30} p ∽
17.	42.1	43.5	44.3	– 5.2 –	4.8 –	4.6 –	3.2 –	5.7	1.9	2.0	2.1	63	64	65	E 3	SE 3	E 2	10^1	10^1	10^1	–	–	a ≡1, p ≡2, ztw. △
18.	43.5	44.7	46.6	– 4.9 –	2.1 –	2.0 –	1.0 –	5.8	2.6	3.4	3.1	84	85	80	E 3	NE 2	E 1	10^2●△	10^2●	10^1	0.1	–	n ◎0 △, a ∽ ◎0 △, Eisregen, p–n ◎0 ∽ ≡
19.	47.3	45.7	44.6	– 1.4	2.9 –	1.1	3.1 –	2.0	3.3	3.9	3.6	80	69	84	E 2	E 2	E 1	10^1	8^1○	0	0.1	–	n ◎0 ∽2, a ∽2, ztw. kurz ◎0
20.	43.5	43.8	45.1	– 4.8	1.4 –	2.6	1.9 –	5.1	3.0	3.6	3.4	95	71	89	C	C	C	10^2▬	○○	0	–	–	a ≡2 ⌊2, p, abds. ≡2
21.	44.4	43.2	42.3	– 4.4	2.8	0.6	3.1 –	4.4	3.0	4.9	4.6	91	88	96	C	C	C	7^1	10^1	5^1	–	–	a ⌊2 ≡1, p ≡1, abds. ≡2
22	40.5	40.0	38.9	0.7	3.5	1.3	4.9 –	0.7	4.8	5.7	5.0	100	97	100	C	C	C	10^1	9^1	10^1	–	–	a, p, abds. ≡2
23.	36.0	35.2	34.5	0.6	4.5	3.2	4.6 –	0.2	4.8	6.3	5.8	100	100	100	C	C	C	10^1	10^2●=	10^2▬	–	–	a ≡2, ca 8^{30} a–n ◎ ≡1.2
24.	36.4	37.0	36.9	4.9	8.3	3.8	9.0	2.2	6.1	6.6	5.9	96	81	98	W 2	C	C	0	10^1	10^2	9.4	–	n ◎ ≡. 8^{01} p–n ztw. ◎0
25.	34.2	33.8	35.0	0.8	4.7	2.2	5.2	0.5	4.7	6.0	5.4	96	94	100	C	NW 1	C	10^0	10^1	10^2≡	0 2	–	a, p ≡2, abds.–n ≡2
26.	35.7	35.7	36.1	1.4	2.5	2.1	2.9	1.2	5.0	5.5	5.3	100	100	100	W 2	NW 1	C	10^1	10^2●	10^1	–	–	n ≡, a ≡2. ab 1^{26} p ztw. ◎0
27.	38.7	40.3	42.6	– 1.6 –	1.4 –	3.0	2.3 –	3.0	3.1	3.1	2.8	76	74	76	E 4	E 3	E 3	10^1	10^2⁂	10^1	0.3	–	ab 11^{01} a ztw. ⚹flocken ⚊
28.	43.6	43.9	44.8	– 6.4 –	1.0 –	3.0 –	1.0 –	**7.0**	2.3	2.1	2.5	84	51	68	E 3	E 2	E 1	o	1^0○	3^0	–	–	a ⌊2
29.	44.1	43.6	43.9	– 2.6	0.0 –	1.9	0.0 –	5.6	3.3	3.2	3.3	87	71	84	E 1	E 2	C	10^2⁂	10^1	10^1	–	–	a–11^{01} a ztw. ⚹flocken
30.	42.9	43.1	43.3	– 2.1	1.2 –	3.6	1.6 –	3.9	3.5	3.8	3.3	90	75	95	C	SE 2	C	10^1	2^0○	0	0.1	–	a ≡1. 8^{21}–10^{06} a ztw. ⚹flocken
31.	41.0	38.5	37.6	– 3.5 –	0.5	0.5	0.5 –	**7.0**	3.4	4.3	4.6	95	96	96	NW 2	W 3	W 2	10^1	10^2⁂	10^2⁂	–	–	a ⌊2 ≡1. ca 7^{30} a–n ⚹2.1
Mittel	41.2	40.8	41.2	0.1	2.5	0.8	3.3 –	1.2	4.3	4.8	4.5	91	84	89				8.8	8.7	8.0	46.6		

Ansbach.

Januar. $\varphi = 49^0\ 18'$ N. $\lambda = 10^0\ 33'$ E $= 42^m\ 12^s$. H $= 437.5$ m. Cg $= +0.2$ mm. 1912.

1.	33.1	34.2	**35.2**	2.1	3.8	2.7	3.8	1.5	5.1	5.6	5.4	94	93	96	C	NW 2	C	10^2●	10^2	10^2	0.2	–	6^{12}–8^{32} a ◎
2.	34.5	33.0	32.6	2.3	3.9	3.6	4.0	1.7	5.1	5.5	5.6	94	91	95	SW 2	W 2	W 4	10^2	10^2	10^2	0.9	–	t ztw. ◎
3.	29.4	26.7	26.3	3.5	3.5	3.3	4.0	2.9	5.7	5.4	5.4	**97**	93	93	W 2	W 8	W 8	10^2●	10^2●	10^2●	0.9	–	t ◎; p u. abds. ⚊
4.	24.5	21.5	20.3	3.3	3.9	4.3	4.4	2.7	5.4	5.6	5.7	93	93	93	W 6	W 8	W 8	10^2	10^2●	10^2●	1.7	–	n u. t ◎ ⚊
5.	16.7	13.0	11.5	3.7	4.5	3.4	4.5	3.1	5.4	4.9	5.3	91	79	93	W 8	W 6	W 6	10^2●	10^2	10^1●	5.8	–	n u. t meist ◎ ⚊
6.	13.7	10.6	699.6	0.8	2.1	0.8	3 8	0.2	4.3	4.6	4.7	90	86	96	W 6	W 6	SW 4	6^2	10^2	10^2⁂	4.6	–	n u. a ⚹, t ztw. ◎ ⚹, ⚊
7.	696.9	696.3	09.5	7.5	5.8 –	4.8	**7.8** –	4.8	5.8	5.7	2.4	74	85	76	W 8	W 8	N 4	8^2	10^2	10^2⁂	6.2	–	n u. t ztw. ◎ ⚹ ⚊
8.	20.7	22.7	23.2	– 5.7 –	3.0 –	3.2 –	0.8 –	5.8	2.4	2.6	3.0	82	72	82	W 6	W 4	W 4	2^1	2^0○	0	6.7	–	n u. a ⚹ ⚊, t ztw. ⚹0
9.	16.9	15.2	16.7	– 4.0	2.6	3.7	3.7 –	4.0	2.9	4.8	5.7	87	87	95	S 4	SW 2	SW 2	10^2⁂	10^3●	10^2●	1.8	2	n u. a ⚹, p u. abds. ◎
10.	20.7	24.4	28.6	3.4	4.7	3.3	5.0	2.8	5.5	5.8	5.6	95	91	87	W 2	W 2	W 2	10^2	10^2	10^2●	**6.8**	–	n u. t ztw. ◎
11.	32.3	32.2	33.0	– 0.7	0.9 –	4.0	3.6 –	4.0	4.1	3.8	2.2	94	77	66	E 2	E 2	SE 2	10^2	○○	0	1.2	–	n–ca 3 a ≡2
12.	31.4	30.9	31.5	– 4.5	0.6 –	0.6	0.8 –	4.8	2.6	3.8	3.7	81	78	85	S 2	C	C	10^2	10^2	10^2	–	–	
13.	31.4	31.0	31.0	– 1.7 –	1.1 –	2.5	0.2 –	2.5	3.7	3.6	3.1	92	86	83	SE 2	E 4	SE 2	10^2	10^2	10^2	–	–	mrgs. ≡0
14.	29.4	28.3	28.5	– 7.6 –	3.2 –	7.2 –	1.8 –	7.9	1.9	2.0	2.0	78	57	75	SE 2	E 4	SE 2	2^0	8^1	0	–	–	
15.	27.1	25.6	25.8	–11.0 –	5.9	–10.0 –	5.0	–12.0	1.6	1.6	1.5	82	54	71	E 2	E 2	E 2	0	○○	0	–	–	
16.	25.0	23.6	25.0	–11.9 –	6.4	–10.0 –	5.2	–12.2	1.5	2.1	1.3	81	76	64	E 2	E 2	E 2	0	10^2	0	–	–	
17.	25.4	27.4	28.9	–10.6 –	7.4	–10.6 –	6.6	–11.2	1.3	1.4	1.4	66	56	70	E 4	E 4	E 4	8^2	8^1	0	–	–	
18.	28.1	28.7	30.2	– 7.8 –	3.2 –	3.4 –	2.0	–11.0	1.6	1.9	2.1	67	53	60	E 2	E 2	E 2	8^1	10^2	10^2	–	–	
19.	30.1	28.7	27.5	– 3.4	0.2 –	4.4	0.4 –	4.4	2.5	2.4	2.2	72	52	68	E 2	E 2	C	10^2	6^1	0	0.2	–	n u. a ◎, mrgs. ∽
20.	26.0	25.8	26.8	– 6.1	1.6 –	4.8	2.0 –	6.3	2.2	2.8	2.5	77	55	79	C	C	C	2^0	2^0○	0	–	–	
21.	27.0	25.9	24.8	– 7.4	4.0 –	0.6	4.2 –	7.5	2.3	4.6	4.0	92	75	90	C	C	C	4^0	o	0	–	–	mrgs. u. abds. ≡0
22.	23.1	21.9	21.2	0.3	5.2	0.5	5.8 –	0.8	4.3	4.4	4.1	92	66	89	C	SE 2	C	10^2	○○	0	–	–	
23.	19.7	18.8	18.6	0.8	5.7	1.0	6.2 –	2.7	3.7	**6.2**	4.6	85	92	92	SW 2	C	C	8^2	10^2	0	–	–	ca 11 a–2 p ztw. ◎
24.	19.8	20.4	20.0	– 1.0	7.4	1.5	7.6 –	1.0	3.5	5.0	4.6	82	65	92	C	C	C	o	2^0○	0	0.1	–	
25.	16.6	15.2	16.1	– 2.8	2.6	2.0	2.8 –	2.8	3 5	4.3	4.6	94	77	88	C	C	C	o	10^2	10^2●	–	–	mrgs. ⌊, t ≡0, 6^{12} p–n ◎
26.	17.8	17.6	17.2	1.0	2.9	1.3	3.0	0.4	4.7	5.1	4.8	96	91	96	C	C	C	10^2▬	10^2▬	10^2●	0.3	–	mrgs. ≡2, t ≡1, 6^{12} p–n ◎
27.	19.1	21.5	24.0	– 2.7 –	2.8 –	4.6	1.8 –	5.0	3.2	2.1	2.0	85	57	63	N 4	N 4	E 4	10^2	8^2	10^2	0.4	–	
28.	24.8	25.2	25.7	– 9.8 –	3.9 –	4.8 –	2.8	–10.2	1.6	1.5	1.6	77	44	53	E 2	NE 4	N 2	o	○○	6^1	–	–	abds. Ψ
29.	25.7	25.0	25.5	– 6.4 –	2.5 –	3.0 –	1.0 –	8.1	2.5	2.1	2.5	90	56	68	C	C	NE 2	o	4^1	10^2	0.5	–	n u. mrgs. ⚹
30.	24.8	25.2	24.9	– 5.8 –	1.8 –	8.4 –	0.6 –	8.5	2.6	3.1	2.2	87	78	91	C	C	C	10^{7*}	10^2	o	0.1	–	mrgs. ⚹
31.	22.6	19.1	18.2	– 7.7 –	2.3 –	1.7 –	1.0	–11.8	2.2	3.2	3.7	89	83	92	W 2	SW 6	W 2	o	10^2⁂	10^2⁂	0.3	–	t ztw. ⚹, ⚊
Mittel	23.7	23.1	23.5	– 2.9	0.7 –	1.8	1.7 –	4.3	3.4	3.8	3.5	86	74	82				6.3	7.2	5.6	38.7		

Alle Angaben nach Ortszeit.

Regensburg.

Januar. $\varphi = 49^0\ 1'$ N. $\lambda = 12^0\ 7'$ E $= 48^m\ 28^s$. H $= 342.6$ m. Cg $= +0.2$ mm. 1912.

Datum	Luftdruck auf 0^0 u. Normalschwere reduziert 700 mm + 7a	2p	9p	Lufttemperatur C° 7a	2p	9p	Max.	Min.	Absolute Feuchtigkeit mm 7a	2p	9p	Relative Feuchtigkeit Proz. 7a	2p	9p	Richtung und Stärke des Windes 0 bis 12 7a	2p	9p	Bewölkung 0 bis 10 7a	2p	9p	Niederschlag mm 7a	Schneedecke cm 7a	Bemerkungen
1.	42.2	42.4	**43.1**	0.2	1.8	1.2	2.2	− 1.6	4.3	4.7	4.4	92	90	89	S 2	S 2	S 2	10^0	6^0	6^0	–	–	
2.	42.4	40.8	39.4	2.0	4.0	3.4	4.6	0.0	5.1	**5.6**	5.3	96	92	92	S 2	S 2	S 2	10^9	10^2●	10^2●	–	–	
3.	37.2	34.2	33.7	4.6	4.8	4.0	5.2	1.9	5.2	5.1	5.2	82	79	85	N 2	NW 2	NW 4	10^0	10^2	10^0	[4.0	–	ab 8^{45} p
4.	33.2	31.2	29.1	4.4	4.2	4.6	5.2	2.9	5.1	5.2	5.2	82	85	82	SW 2	SW 2	SW 4	10^0	10^0	10^0	1.0	–	5^{48}–8^{45} p
5.	26.7	23.4	21.1	4.2	5.2	3.8	5.4	2.7	5.1	4.9	5.0	82	74	83	SW 9	SW 2	SW 6	8^0	10^1	8^1	3.0	–	
6.	21.7	21.1	08.5	1.8	3.4	0.6	5.7	− 0.9	3.5	4.3	4.2	67	73	89	SW 3	S 2	S 6	3^1	8^2	10^0	0.3	–	9^{18}–11^{18} p, ab 8^{18} p
7.	06.4	06.3	15.5	6.2	5.0 −	4.2	**7.2**	− 5.1	5.7	5.4	2.7	81	83	81	S 2	S 3	N 8	4^1	10^0	10^0*	**15.5**	3	11^{33} a–1^{03} p, ab 8^{45} p
8.	27.5	29.5	30.5	− 4.0 −	1.2 −	1.6	− 0.8	− 6.0	2.7	3.4	3.3	80	80	80	W 4	NW 4	W 2	3^1	4^1	4^1	2.0	–	n, 9^{18}–10^{03} a
9.	28.0	26.0	26.4	− 3.2 −	2.4 −	0.2	0.0 −	4.8	2.9	3.6	4.4	80	94	96	S 6	SW 2	S 2	10^0*	10^0	10^0●	0.5	1	6^{18}–11^{03} a, ab 8^{45} p
10.	28.6	31.8	37.4	1.6	4.2	1.0	4.4	− 1.1	4.8	5.2	4.4	93	85	89	NW 2	W 2	W 2	10^0● =	10^0	6^1	10.0	**3**	a
11.	41.0	41.5	42.6	− 2.4 −	1.4 −	5.6	1.0 −	7.0	2.9	3.0	2.2	77	71	73	N 2	NW 2	N 2	8^1	2^0⊙	0	1.0	1	6^{38}–7^{08} a
12.	40.7	40.0	40.2	− 5.8 −	3.4 −	3.0	0.0 −	7.7	2.1	2.5	2.6	72	72	72	S 4	S 4	S 2	2^1	4^1⊙	6^0	–	1	
13.	40.7	39.6	40.2	− 4.6 −	2.0 −	6.2	− 1.8	− 7.4	3.1	3.1	2.4	95	80	84	S 2	S 4	S 2	10^0	10^0	0	–	1	
14.	38.8	38.0	37.8	−10.0 −	5.0 −	9.2	− 4.3	−10.9	1.8	2.4	1.9	87	79	84	N 2	N 2	N 2	2^1	2^1⊙	2^1	–	1	
15.	36.6	34.7	34.6	−11.8 −	6.6 −	9.4	− 5.4	−12.8	1.7	2.1	1.7	86	76	78	N 2	N 2	N 2	10^0	2^1⊙	4^0	–	–	
16.	34.7	34.2	33.7	−12.4 −	6.0 −10.0		− 5.4	**−13.5**	1.4	2.1	1.5	81	74	71	N 2	NW 2	NW 2	4^1	10^0	0	–	–	
17.	33.7	35.7	37.8	−10.4 −	8.0 −10.0		− 5.4	−13.0	1.5	2.0	1.6	74	64	77	N 4	N 4	N 2	8^2	6^2	0	–	–	
18.	37.8	37.7	38.7	− 9.4 −	3.6 −	4.0	− 3.4	−11.4	1.6	2.2	2.3	75	62	68	N 2	NE 2	NE 2	2^1	8^2	10^0	–	–	
19.	38.7	38.5	35.6	− 4.5 −	2.0 −	2.8	− 1.2 −	6.0	2.2	2.5	2.3	70	65	63	N 4	N 2	N 2	8^1	4^1⊙	0	–	–	
20.	35.1	34 6	35.0	− 7.0 −	3.0 −	4.0	− 1.8 −	7.9	1.9	2.2	2.3	73	**61**	68	N 2	N 2	N 2	2^1	2^1	0	–	–	
21.	35.7	34.5	34.5	− 7.4 −	1.8 −	4.6	− 1.3 −	8.4	2.0	2.8	2.5	78	70	79	SW 2	SW 2	SW 2	10^0≡	2^1⊙	0	–	–	a ≡
22.	33.1	32.2	32.0	− 4.4 −	1.5 −	4.4	− 0.8 −	6.0	2.7	3.0	2.7	84	74	81	S 2	S 2	S 2	10^0≡	4^1⊙	0	–	–	a ≡
23.	31.8	29.9	28.8	− 5.8 −	1.6 −	3.2	− 0.8 −	7.9	2.9	3.4	3.0	100	84	85	S 4	S 2	S 2	10^0	10^0	0	–	–	a ≡ V
24.	28.0	29.7	29.9	− 3.6	1.8 −	1.4	2.2 −	5.0	3.2	3.9	3.6	91	75	88	S 2	S 2	S 2	6^1	2^0⊙	10^0	–	–	p ≡
25.	26.7	25.2	24.7	− 4.8	0.5	0.0	1.2 −	6.0	3.2	3.8	4.3	100	80	95	N 2	N 2	N 2	10^0≡	6^0⊙	10^0≡	–	–	a V, a u. p ≡
26.	25.9	26.1	26.6	0.4	1.0	0.6	1.7 −	1.6	4.4	4.7	4.6	92	96	96	NW 2	NW 2	NW 2	10^0≡	10^0≡	10^0≡	2.0	–	n, t ≡
27.	26.6	27.6	31.2	0.0 −	3.0 −	4.6	1.7 −	6.0	4.6	2.7	2.6	100	74	81	NW 4	NW 4	N 6	10^0≡	8^1	0	2.0	–	a ≡
28.	32.7	32.7	32.7	− 9.0 −	4.2 −	8.6	− 3.8 −	9.9	1.7	2.3	1.8	75	70	76	N 4	N 2	N 2	2^1	2^1⊙	0	–	–	
29.	33.3	33.5	34.0	−12.2 −	2.2 −	7.4	− 1.8	−13.2	1.6	2.7	2.1	89	69	81	N 4	N 2	N 2	2^0	⊙⊙	0	–	–	a
30.	34.0	33.8	34.0	−10.0 −	2.8 −	7.0	− 2.3	−11.3	1.7	2.6	2.5	84	70	94	N 2	N 2	N 2	2^0	2^0⊙	0	–	–	
31.	33.0	28.7	27.7	− 8.2 −	1.4 −	2.0	− 1.3	−10.9	2.3	3.2	3.7	94	78	94	NW 2	NW 2	NW 2	10^0	6^0⊙	10^0*	–	–	a, ab 4^{48} p
Mittel	32.7	32.1	32.2	− 4.0 −	0.9 −	3.0	0.2 −	6.3	3.1	3.4	3.2	84	77	82				7.0	6.1	4.7	41.3		

Passau.

Januar. $\varphi = 48^0\ 34'$ N. $\lambda = 13^0\ 28'$ E $= 53^m\ 52^s$. H $= 309.3$ m. Cg $= +0.2$ mm. 1912.

1.	45.3	46.1	**47.6**	− 1.0	1.4	1 0	1.9 −	2.1	3.9	4.0	4.5	90	80	90	C	C	C	10^1	5^1	10^1	–	–	
2.	46.5	45.6	44.2	1.4	2.4	2.6	2.8	0.4	5.0	5.3	5.5	100	95	100	C	C	C	10^1	10^1●	10^1●	–	–	a ≡, 11^{24} a–ca 9 p
3.	40.7	37.5	37.5	4.0	4.7	4.0	5.8	2.6	6.1	6.4	5.8	100	100	95	W 4	W 4	W 4	10^1	10^1●	10^1●	5.5	–	t
4.	36.2	33.5	33.4	4.7	4.2	4.0	5.1	3.8	5.4	5.6	5.8	85	90	95	W 2	W 4	W 2	10^1	10^1●	10^1●	4.0	–	t zfw.
5.	30.1	20.4	25.8	4.5	5.3	4.5	5.7	3.8	5.8	6.0	4.9	92	90	78	W 4	S 4	W 1	10^1●	8^1	10^1	8.8	–	t
6.	26.4	21.4	20.0	1.8	3.8	2.0	5.3	1.8	4.7	4.5	4 8	90	75	92	W 4	W 4	W 4	10^1	10^1	10^1●	4.0	–	6^{24} p–ca 9 p
7.	09.6	08.8	13 7	7.1	7.5	3.8	**8.1**	0.4	**6.8**	5.5	5.4	89	70	90	W 4	W 6	W 4	10^1●	10^1	10^1	**15.0**	–	n, a ; t öfters
8.	31.8	33.3	35.5	− 3.2 −	2.4 −	2.0	3.8 −	4.1	2.7	3.4	3.8	75	90	95	W 2	C	C	10^1	* 10^1*	10^1	4.0	–	a , t
9.	32.4	29.7	30.3	− 3.8 −	1.4	0.0	0.3 −	5.1	3.4	4.8	4.6	95	94	100	C	C	C	10^1	10^1	10^1	6.6	**9**	n, t
10.	32.4	35.4	40.4	0.6	1.6	1.8	2.2	0.0	4.8	5.2	5.2	100	100	100	C	C	C	10^1●	10^1	10^1	**15.0**	5	a ≡, t öfters
11.	45.1	46.4	47.2	− 3.0 −	0.4 −	5.0	1.8 −	5.0	2.7	2.2	2.4	75	50	75	E 2	C	C	0	⊙⊙	0	4.3	4	
12.	45.7	44.2	44.6	− 9.5 −	2.4 −	3.6	− 2.4	−10.1	1.8	2.1	2.6	82	55	75	C	C	C	10^1	10^1	10^1	–	4	, ca 6–8 p
13.	44.4	44.2	44.7	− 3.0 −	1.6 −	5.6	− 1.2 −	5.6	3.1	3.1	2.4	85	75	80	C	C	C	10^1	10^1	10^1	0.2	3	
14.	43.2	41.4	41.7	−11.2 −	4.0 −	8.1	− 3.2	−11.8	1.7	2.2	1.7	90	66	72	C	C	E 2	10^1	⊙⊙	0	–	3	
15.	40.7	38.6	38.6	−13.9 −	6.2 −	6.4	− 5.2	**−13.9**	1.3	1.7	2.2	89	60	80	E 1	C	C	0	⊙⊙	0	–	3	
16.	38.6	36.4	37.5	−12.5 −	3.0 −	7.8	− 2.2	−12.5	1.4	1.7	2.0	80	**45**	80	C	E 2	C	0	⊙⊙	0	–	3	
17.	38.6	39.9	42.1	−11.3 −	6.4 −	9.3	− 6.2	−12.5	1.5	1.7	1.5	80	60	70	C	E 2	C	10^0	10^1	0	–	3	
18.	41.5	41.5	42.8	− 5.8	0.0 −	3.0	1.0 −	9.3	2.0	2.6	3.1	67	55	85	C	E 2	C	10^0	3^0⊙	10^1	–	3	
19.	42.9	40.4	39.7	− 3.2	0.2 −	1.4	0.8 −	3.2	2.7	2.8	3.6	76	62	85	C	C	C	10^1	10^1	10^1	–	3	
20.	38.6	39.0	40.0	− 5.1 −	1.4 −	4.0	− 1.2 −	5.1	2.5	2.5	2.7	80	60	80	C	W 1	C	10^1	10^1	10^1	–	3	
21.	40.4	38.5	37.8	− 7.2 −	0.8 −	4.6	0.0 −	7.2	2.3	2.8	2.9	90	66	90	C	C	C	10^1	⊙⊙	10^1	–	3	
22.	36.6	35.4	35.2	− 6.0	0.0 −	3.6	0.0 −	7.5	2.7	3.4	3.2	95	75	90	C	C	C	10^1	10^1	0	–	3	
23.	35.0	33.0	32.9	− 5.6 −	0.8 −	3.0	0.0 −	6.8	2.8	3.5	3.3	95	80	90	C	C	C	10^1	5^0⊙	0	–	3	
24.	32.6	33.8	33.3	− 4.4	1.6 −	1.6	2 8 −	5.5	3.1	3.6	4.9	95	70	95	C	E 1	C	10^1	⊙⊙	10^1	–	3	a ≡
25.	29.6	27.1	27.6	− 4.0	0.6 −	0.2	0.8 −	4.1	3.4	4.1	4.4	100	85	96	C	C	C	10^1	10^1	10^1	–	3	≡
26.	30 0	29.8	29.7	0.0	2.2 −	0.4	2.7 −	0.6	4.6	4.9	4.5	100	90	100	C	C	C	10^1	10^1	10^1	0.4	3	n
27.	29.6	30.9	34.7	0.2	0.6 −	2.4	1.8 −	2.4	4.7	3.7	3.4	100	76	62	C	C	E 4	10^1	10^1	10^1	1.0	3	n, a
28.	35.8	36.7	37.8	− 5.4 −	2.6 −	7.2	− 2.2 −	7.2	2.0	1.7	1.8	65	45	70	C	C	C	10^1	10^1	10^0	0.8	2	
29.	38.2	37.8	37.7	−12.9 −	3.2 −	9.7	− 2.2	−12.9	**1.3**	1.6	1.7	80	45	80	NE 4	C	E 4	0	⊙⊙	0	–	2	
30.	37.6	38.0	37.2	−11.3 −	2.0 −	5.0	0.0 −	13.5	1.7	2.3	2.6	89	60	85	C	W 1	C	10^1	3^1⊙	0	–	2	
31.	36.4	33.2	32.0	− 8.1 −	3.0 −	2.4	− 2.2	−10.0	2.2	2.5	3.8	90	70	99	C	C	C	10^1	10^0	10*	–	2	, ca 3 p–ca 9 p
Mittel	36.5	35.7	36.2	− 4.1 −	0.2 −	2.3	0.8 −	5.3	3.2	3.5	3.6	88	72	86				8.7	6.9	7.1	69.6		

Alle Angaben nach Ortszeit.

Landshut.

Januar. $\varphi = 48^0\ 32'$ N. $\lambda = 12^0\ 10'$ E $= 48^m\ 40^s$. H $= 397.7$ m. Cg $= +0.2$ mm. 1912.

Datum	Luftdruck auf 0^0 u. Normalschwere reduziert 700 mm +			Lufttemperatur C°					Absolute Feuchtigkeit mm			Relative Feuchtigkeit Proz.			Richtung und Stärke des Windes 0 bis 12			Bewölkung 0 bis 10			Niederschlag mm	Schneedecke cm	Bemerkungen
	7^a	2^p	9^p	7^a	2^p	9^p	Max.	Min.	7^a	2^p	9^p	7^a	2^p	9^p	7^a	2^p	9^p	7^a	2^p	9^p	7^a	7^a	
1.	36.7	37.9	**38.6**	0.0	3.5	3.0	4.6	− 1.1	4.1	4.9	5.2	89	83	91	E 2	SW 2	W 2	10^1	10^1	10^1	0.1	–	
2.	38.0	37.2	35.8	2.1	2.8	2.8	3.6	− 0.8	4.9	5.1	5.3	91	91	94	W 2	W 2	SW 4	10^1	10^1●	10^1●	–	–	p–n
3.	32.7	29.2	29.7	4.0	5.5	3.8	7.0	2.0	6.0	5.7	5.3	98	85	88	W 2	NW 2	W 6	10^1●	10^1	10^1●	5.2	–	n, ca 7–11^{19} a, ca 8 p–n
4.	28.1	25.3	24.0	4.0	5.3	3.8	6.3	2.6	5.3	5.5	5.4	87	83	90	W 4	W 4	W 6	10^1	10^1	10^1●	0.4	–	ca 10–11 a, 2^{19} p–n
5.	21.2	17.8	15.9	3.6	5.3	5.2	6.5	2.7	5.3	5.0	4.6	90	74	69	W 6	W 4	W 6	10^1●	9^1	10^0	2.1	–	m kurze böe, 11^{24} p u. △böe
6.	18.0	15.9	05.8	1.7	3.8	1.4	5.2	− 0.7	4.1	4.1	4.8	80	69	94	W 6	W 6	W 6	10^1	10^1	10^1●	0.8	–	ca 9 a, ca 11 a böe
7.	01.2	00.5	09.7	7.2	6.4	− 2.8	**8.8**	− 4.0	**6.5**	5.8	2.8	86	81	76	W 6	W 6	W 6	3^2	10^1●	10^1	15.5	–	n, 1^{29}–2^{39} p, $5^{19.33}$ p, 7^{19} p böe
8.	23.8	25.6	26.7	− 4.4	− 1.2	− 1.0	0.1	− 6.9	2.3	2.7	2.9	73	65	69	SW 4	NW 6	W 4	8^1	6^1○	10^1	4.4	–	ca 11 a flocken
9.	22.0	19.6	20.7	− 2.2	1.6	1.9	3.0	− 5.0	3.3	4.4	5.0	85	85	95	S 2	C	W 2	10^1*	10^1●	10^1●	1.7	–	6^{19}–11^{29} a, ca 2 p–n
10.	24.2	27.6	31.5	1.0	4.4	1.8	5.3	− 0.1	4.7	5.7	5.0	94	92	95	SW 4	W 2	W 2	10^1●	10^1	10^1	**19.6**	3	n, ca 7 a–ca 9 a ^{0}, $0^{19.39}$ p, $2^{19.39}$ p ^{0}
11.	35.5	36.9	37.1	0.7	− 0.2	− 4.0	1.8	− 5.1	4.2	2.4	2.4	87	54	71	E 2	E 2	E 4	10^1	1^0○	0	2.7	–	
12.	35.6	35.3	35.1	− 5.0	− 1.4	− 2.2	0.2	− 7.0	2.4	3.0	3.2	76	72	81	SE 4	SE 2	C	10^0	10^1	10^1	–	–	
13.	35.0	35.3	35.1	− 2.7	− 1.6	− 3.4	− 1.6	− 4.4	3.4	3.3	2.4	92	82	70	E 2	E 4	E 4	10^1	10^1	10^1	–	–	ca 7 a ^{0}
14.	33.3	32.2	32.2	− 8.6	− 3.2	− 8.2	− 2.0	−10.2	1.8	2.1	1.8	76	59	76	NE 4	E 4	E 4	1^1	5^1○	0	–	–	ca 7 a
15.	30.7	29.5	29.4	−11.1	− 5.8	−10.0	− 4.8	−12.3	1.5	1.6	1.9	75	55	94	E 2	E 2	E 2	0	○○	0	–	–	
16.	28.5	27.6	28.0	−10.6	− 4.2	− 9.8	− 3.2	−12.6	1.7	1.8	1.8	86	55	87	NE 2	E 2	E 2	10^1	1^1	0	–	–	^{1}
17.	28.4	30.8	32.6	− 9.2	− 7.0	− 7.8	− 6.0	−11.4	1.5	1.7	1.6	69	65	66	E 4	E 4	E 4	10^1	10^1	0	–	–	
18.	31.6	32.6	33.2	− 5.5	0.0	− 1.6	1.0	− 9.4	2.0	2.5	2.8	65	54	68	E 4	E 4	E 2	10^1	9^1	10^1	–	–	
19.	32.9	31.7	30.5	− 3.0	1.8	− 2.4	2.4	− 4.2	2.7	2.6	2.9	74	50	77	NE 2	NE 2	E 2	10^1	9^0	0	–	–	
20.	29.5	29.9	30.5	− 5.6	0.8	− 4.4	1.6	− 7.4	2.7	2.7	2.9	90	54	88	NE 2	NE 2	C	1^1	9^0○	0	–	–	
21.	31.1	29.7	28.3	− 7.4	1.4	− 4.2	2.9	− 8.7	2.4	3.7	3.2	95	72	95	C	C	C	10^1	4^0○	0	–	–	ca 7 a
22.	27.1	26.4	25.2	− 4.6	2.4	− 4.0	3.6	− 7.2	3.1	4.1	3.3	95	75	98	C	NE 2	E 2	10^1	9^1	0	–	–	ca 7 a ^{0}
23	24.5	23.5	22.6	− 7.2	0.8	− 2.6	2.3	− 8.9	2.5	3.7	3.5	95	77	94	N 2	NE 2	E 2	7^0	8^0○	10^1	–	–	ca 7 a
24.	24.0	24.7	23.7	− 3.0	5.6	− 1.0	6.6	− 5.4	3.3	4.3	4.1	91	64	96	SW 2	C	C	10^1	4^0○	0	–	–	
25.	20.0	18.1	18.9	− 3.6	1.0	0.7	2.1	− 5.1	3.5	4.2	4.4	100	85	90	C	N 2	W 2	10^0	10^1	10^1●	–	–	^{2}
26.	21.0	21.1	20.5	1.6	3.8	1.4	5.0	− 0.4	4.9	5.6	5.0	94	93	98	SW 2	C	C	10^1●	10^1	10^1=	2.9	–	n–8^{19} a ^{0}, ^{0}
27.	20.4	23.3	25.5	− 1.4	− 1.6	− 3.2	1.4	− 4.2	5.0	2.8	2.4	98	70	67	NE 2	N 4	E 4	10^1	10^1	10^1	0.6	–	
28.	27.2	28.1	28.7	− 7.0	− 4.2	− 7.8	− 3.2	−10.0	2.2	1.7	2.0	81	52	80	NE 6	N 2	C	10^1	9^1	1^1	–	–	
29.	28.9	28.5	28.4	−13.1	− 2.8	− 9.4	− 1.9	**−14.4**	1.4	1.6	1.9	88	43	87	N 2	NE 2	C	1^0	○○	0	–	–	ca 7 a ^{1}
30.	28.0	28.3	28.3	−12.5	− 2.8	− 8.0	− 1.9	−13.4	1.6	2.7	2.3	96	72	94	C	E 2	N 2	0	○○	9^1	–	–	ca 7 a ^{2}
31.	27.4	24.0	22.1	−10.3	− 0.7	− 2.2	0.6	−12.4	1.9	2.7	3.6	93	62	94	W 2	SW 4	W 4	10^1	9^1	10^2*	–	–	ca 7 a ^{2}, 4^{19} p–n ^{0}
Mittel	27.3	26.9	26.9	− 3.5	0.6	− 2.4	1.8	− 6.0	3.3	3.5	3.4	87	70	85				8.1	7.5	6.1	56.0		

Augsburg.

Januar. $\varphi = 48^0\ 22'$ N. $\lambda = 10^0\ 54'$ E $= 43^m\ 36^s$. H $= 499.6$ m. Cg $= +0.1$ mm, über 728.8 mm Cg $= +0.2$ mm. 1912.

1.	28.6	29.4	**30.4**	1.1	2.8	2.8	3.7	0.4	4.8	5.2	5.3	96	93	94	N 2	NW 2	SW 2	10^1	10^2	10^2	–	–	ca 2–6 p
2.	30.3	28.8	27.9	− 0.4	2.7	3.0	3.5	− 0.7	4.4	4.7	4.9	98	84	87	SW 2	SW 2	SW 4	10^1	10^2	10^2●	3.2	–	2^{24} p–n
3.	24.7	21.7	22.6	3.5	5.9	4.0	6.8	2.5	4.9	5.7	5.1	83	83	84	SW 2	SW 2	SW 2	10^1	10^1	10^1	0.6	–	
4.	20.4	18.8	16.4	3.0	3.2	3.6	5.0	2.2	4.9	5.4	5.5	87	93	93	SW 2	SW 2	SW 4	10^1	10^2●	10^1●	–	–	0^{24} p–n
5.	13.1	09.5	07.6	3.2	4.2	4.2	5.0	2.0	5.0	5.0	4.8	87	79	77	SW 4	SW 4	SW 8	10^1	10^1	4^1	4.6	–	n
6.	09.6	06.7	696.9	0.8	3.1	3.2	4.2	0.4	4.3	4.1	5.1	89	71	89	SW 4	SW 4	SW 6	5^1	10^1	10^2●	1.6	–	n, 3^{24} p–n
7.	693.7	692.7	02.5	6.6	5.5	− 2.0	6.8	− 2.0	**6.2**	**6.2**	3.6	85	93	92	SW 6	W 6	NW 6	5^2	10^2●	10^1	11.0	–	n, 0^{39}–2^{04} p
8.	16.0	18.0	18.6	− 4.6	− 0.2	− 2.3	0.7	− 5.9	2.7	2.8	3.5	84	61	89	SW 4	SW 4	SW 4	0	10^2*	0	1.4	–	, 1^{29}–2^{24} p
9.	11.9	11.2	12.5	− 1.7	4.1	3.7	4.1	− 4.9	3.9	5.2	5.8	96	85	97	S 2	SW 2	SW 2	10^2*	10^2●	10^2●	5.8	**6**	n–9^{24} a, 9^{24} a–n
10.	16.3	19.5	23.3	1.6	5.4	3.2	5.4	1.1	5.0	5 7	5.4	96	85	93	W 2	W 2	W 2	10^2●	6^2	10^1	**28.7**	2	n–8^{29} a, 2^{39}–3^{59} p
11.	26.3	27.1	27.7	1.1	1.4	− 2.8	3.2	− 2.8	4.9	4.4	3.5	98	87	94	E 2	E 4	E 2	10^2=	1^0○	0	3.4	–	n u. a ^{2}
12.	26.2	25.7	25.8	− 2.3	1.1	1.6	1.9	− 3.2	3.8	4.3	4.7	98	87	91	E 2	SE 2	SE 2	10^2=	10^1	10^1	–	–	n u. a ^{2}
13.	25.6	25.3	25.3	0.2	0.1	− 1.2	1.6	− 1.2	4.6	4.3	3.9	98	94	92	SE 2	SE 2	SE 2	10^2=	10^2=	10^2=	–	–	n u. t ^{2}
14.	23.4	22.4	22.7	− 5.3	− 4.0	− 6.2	− 1.2	− 6.2	2.9	2.6	2.5	96	76	90	E 2	E 2	SE 2	10^2=	10^2=	0	–	–	, n–p ^{2}
15.	21.1	20.9	19.8	− 8.1	− 5.4	− 6.5	− 4.0	− 9.1	2.2	2.7	2.4	91	90	87	SE 4	E 2	E 4	10^1=	10^2=	10^2	–	–	, n–p ^{2}
16.	18.6	18.1	18.6	− 5.8	− 2.5	− 6.2	− 2.0	− 7.6	2.3	2.8	2.2	77	71	76	E 4	E 2	SE 2	10^1	5^1○	10^1	–	–	
17.	18.9	21.0	22.7	− 7.8	− 7.1	− 7.6	− 6.2	− 9.0	1.6	2.3	2.0	66	90	81	SE 4	E 2	E 4	10^2	10^2*	10^1	0.2	1	n, 10^{04}–6^{24} p
18.	22.1	23.9	24.2	− 6.5	− 1.8	− 2.5	− 1.0	− 8.9	1.9	2.9	3.2	68	72	83	E 2	E 2	E 2	10^1	10^2	10^1	3.8	4	
19.	23.9	23.2	21.6	− 4.2	− 0.4	− 3.1	0 2	− 5.5	2.9	3.4	3.0	89	76	82	C	E 2	E 2	4^1	10^0	0	–	3	
20.	20.4	20.5	21.9	− 5.9	2.6	− 0.8	2.6	− 6.6	2.3	3.9	3.8	80	70	88	C	S	SE 2	0	4^1○	0	–	3	
21.	21.9	20.4	19.5	− 3.4	4.4	0.6	4.4	− 4.7	3.1	4.5	4.4	88	73	92	SE 2	SE 2	SE 2	0	2^0○	0	–	2	
22.	18.0	17.5	16.8	− 1.3	4.1	0.9	4.3	− 2.5	4.0	4.4	4.5	96	72	90	SE 2	SE 2	SE 2	10^1	2^0○	0	–	2	
23.	15.2	14.4	13.1	− 0.8	2.3	0.0	3.7	− 3.8	3.7	4.4	4.0	85	80	87	S 2	NE 2	NE 2	10^1	9^1	4^1	–	1	
24.	15.0	15.2	14.6	0.2	8.4	2.2	**8.4**	− 0.9	3.7	5.2	4.7	80	63	87	C	C	E 2	8^1	7^1	10^1	–	–	
25.	11.2	09.9	10.8	− 1.2	0.6	1.6	2.2	− 2.6	4.2	4.1	4.5	100	85	87	NE 2	NE 2	C	10^2=	10^2=	10^2=	–	–	, n u. t ^{2}
26.	12.5	12.8	12.0	3.2	3.4	2.7	4.2	0.9	5.6	5.6	5.4	97	97	96	C	C	N 2	10^2=	10^2=	10^2=	2.3	–	n, n u. t ^{2}
27.	12.1	14.9	17.1	1.4	− 1.8	− 3.2	2.7	− 3.2	5.0	3.4	2.9	98	84	80	N 2	NE 2	NE 4	10^2	10^2	10^2	–	–	
28.	18.1	18.8	20.0	− 6.7	− 4.7	− 6.9	− 3.2	− 8.2	1.7	1.9	1.5	62	60	56	NE 4	NE 4	E 2	10^1	2^1○	0	–	–	
29.	19.6	19.7	19.9	− 9.9	− 1.3	− 6.2	− 1.3	−10.8	**1.1**	2.0	1.7	53	**47**	62	E 2	E 2	E 2	0	○○	0	–	–	
30.	19.0	19.5	19.5	− 8.3	− 1.8	− 5.6	− 1.0	− 9.8	1.5	2.3	2.7	61	57	90	NE 2	NE 2	E 2	0	○○	0	–	–	
31.	18.6	15.5	14.1	− 8.2	− 1.8	− 2.4	− 1.8	− 8.3	1.6	2.5	3.6	68	63	95	S 2	SW 4	SW 4	0	10^0	10^2	–	–	2^{19}–ca 6 p
Mittel	18.5	18.2	18.3	− 2.1	1.0	− 0.9	2.0	− 3.8	3.6	4.0	3.9	85	78	86				7.5	7.7	6.4	66.6		

Alle Angaben nach Ortszeit.

München-C.St.

Januar. $\varphi = 48^0\ 9'$ N. $\lambda = 11^0\ 34'$ E $= 46^m\ 16^s$. H $= 526.4$ m. Cg $= +0.1$ mm. 1912.

Datum	Luftdruck auf 0° u. Normalschwere reduziert 700 mm +			Lufttemperatur C°					Absolute Feuchtigkeit mm			Relative Feuchtigkeit Proz.			Richtung und Stärke des Windes 0 bis 12			Bewölkung 0 bis 10			Niederschlag mm	Schneedecke cm	Bemerkungen
	7a	2p	9p	7a	2p	9p	Max.	Min.	7a	2p	9p	7a	2p	9p	7a	2p	9p	7a	2p	9p	7a	7a	
1.	25.3	26.3	**27.6**	1.0	2.4	2.4	3.5	0.6	4.7	5.0	5.0	96	92	92	NW 1	NW 1	NW 2	10^1=	10^1	10^1	0.1	–	mrgs. ≡¹, vorm. ztw. ✳⁰ ◍⁰
2.	27.1	26.2	25.3	– 0.4	2.8	3.1	3.1	– 0.9	4.4	4.8	5.0	98	87	89	SW 2	SW 1	SW 2	10^1=	10^1	10^1●	0.6	–	mrgs. ⌊³ ≡¹, 0^{36}–ca 1 p ✳, dann–n ztw. ◍⁰
3.	22.1	18.6	19.8	3.9	8.1	4.0	**9.5**	2.3	4.7	5.3	5.1	76	65	83	W 2	SW 3	W 2	10^1	10^1	10^1	2.0	–	mrgs. ≡⁰, m ztw, Aufkl., Gebirge teilw. gut sichtb.
4.	17.5	14.8	13.8	3.6	4.7	3.6	6.0	3.0	4.9	5.5	5.3	84	87	91	SW 1	SW 4	SW 3	10^1	10^1●	10^1●	0.6	–	n ◍, a ≡⁰, 1^{16} p–n ◍$^{0.1}$
5.	10.6	07.2	05.8	3.6	5.4	4.8	6.1	3.2	5.1	4.5	4.6	88	67	71	SW 1	W 3	SW 7	10^1●	8^1⊖	10^1	4.4	–	n–8^{16} a ◍, ca 12^0 p teilw. Aufkl. m Geb. schwach [1]
6.	07.4	05.0	695.0	1.6	3.6	1.7	5.3	0.2	3.9	3.7	5.1	77	61	98	SW 3	SW 4	SW 3	7^1	10^1	10^1●	2.3	1	n ⩤✳, 9^{25}a–m ✳, m Geb, s. gut sichtb., 6^{06}p–n ◍
7.	692 1	690.5	699.2	7.1	6.7	– 1.5	8.1	– 1.8	5.7	5.8	4.0	75	79	98	SW 2	SW 3	SW 7	9^1	10^1●	10^1✳	10.1	–	n, t ztw ⩤, 10^{06} a–abds. ztw. ✳⁰ ab ca 9 p ✳⁰
8.	13.4	15.0	16.1	– 5.1	– 1.2	– 1.8	– 0.6	– 6.1	2.5	2.5	2.2	81	59	54	SW 2	SW 3	W 2	0	8^1	3^1	1.5	1	n ⩤✳, 24^{06}–3^{56} p ✳⁰
9.	10.2	08.5	10.2	– 1.9	4.3	3.2	4.5	– 3.8	4.0	**6.2**	5.6	100	100	97	C	SW 3	SW 1	10^1✳	10^1●	10^1●	4.2	3	n u. a ✳ ≡¹, 10^{00} a Eisregen, 10^{36} a–n ◍$^{0.1}$
10.	13.8	16.9	20.6	1.2	5.1	2.9	5.3	0.8	4.7	5.6	5.2	94	87	93	SW 2	SW 2	SW 1	10^1✳	10^1	10^1●	**44.3**	2	n u. a abwechselnd ◍ u. ✳
11.	23.5	24.1	25.0	1.2	1.8	– 2.4	3.7	– 2.9	5.0	4.2	3.8	100	81	99	C	E 2	E 1	10^2=	1^0⊖	10^1	7.3	–	n ◍², a ≡², m ∞, ca 10^{05} a an Aufkl. ∞
12.	23.8	23.4	23.4	– 2.6	0.7	1.6	2.0	– 3.2	3.4	4.1	4.6	92	85	90	SE 1	C	C	10^1	10^1✳●	10^1	–	–	a ⌊, 1^{10}–2^{06} p ◍⁰ ✳⁰
13.	23.0	22.7	22.7	0.4	0.2	– 1.6	2.8	– 2.0	4.4	4.1	3.5	92	88	87	C	E 2	E 1	10^1=	10^1	10^1	0.2	–	a ≡¹, m ≡⁰
14.	20.7	19.8	20.0	– 5.6	– 4.4	– 7.3	– 1.0	– 7.6	2.8	3.0	1.9	95	91	76	E 1	E 1	E 2	10^1=	10^1	o	0.1	–	a ≡¹ V, ca 4^{05} p an Aufklaren
15.	18.3	17.3	17.1	– 7.6	– 7.4	– 6.2	– 5.0	– 8.0	2.4	2.4	2.6	95	94	92	SE 2	NE 2	C	10^1=	10^1✳	10^1	0.1	–	n ✳⁰, t ztw. ✳⁰, a ≡¹ V
16.	16.0	14.9	15.9	– 6.2	– 3.8	– 7.2	– 3.5	– 7.5	2.5	2.4	1.8	90	71	69	E 1	E 2	E 1	10^1	3^1⊖	o	0.3	–	a ≡⁰ V, ab ca 11^{15} a Aufklaren, abds. ≡⁰
17.	16.3	18.3	20.2	– 7.6	– 7.4	– 8.2	– 6.4	– 8.5	2.0	2.1	1.9	80	81	79	E 2	E 1	E 2	10^1✳	10^1✳	10^1	1.0	1	n, t–ca 7 p ✳$^{0.1}$
18.	19.2	20.3	21.4	– 7.2	– 2.7	– 3.1	– 2.4	– 8.7	1.9	2.5	2.7	79	67	75	E 2	E 2	C	10^1	9^1	10^1	4.7	**5**	n ✳
19.	21.2	20.0	18.9	– 4.2	– 0.4	– 2.5	0.0	– 5.0	2.9	3.0	3.2	86	66	86	E 1	C	C	10^1	8^1	o	–	**5**	11^{56} a ⊕, abds. ≡¹
20.	17.8	18.1	19.1	– 4.3	0.6	– 1.4	1.0	– 5.1	3.1	3.5	3.9	94	74	95	C	C	C	10^1=	9^0⊖	o	–	4	n u. a ≡¹ V, m ≡⁰, 1^{46} p ⊕, abds. ≡¹
21.	19.3	17.9	17.0	– 2.0	3.8	– 0.5	**1.8**	– 2.4	3.8	4.3	4.3	96	71	96	C	C	C	3^0	oo	o	–	4	a ⌊ V, t ≡⁰
22.	15.7	14.8	13.3	– 1.7	3.4	1.0	3.6	– 2.8	3.7	4.6	3.9	92	79	79	C	C	C	10^1=	9^1⊙=	o	–	–	mrgs. ⌊, ≡¹–ca 3^{30} p, dann Aufklaren
23.	12.8	11.5	10.8	– 1.2	3.2	– 0.3	3.4	– 2.8	3.5	4.3	3.8	85	74	85	SW 1	C	E 1	8^1	7^1	o	–	–	mrgs. ⌊, ≡¹, m ∞, abds. ≡⁰
24.	12.5	12.9	12.2	4.0	8.3	2.8	8.9	– 2.2	3.8	5.2	4.6	62	63	81	SW 2	E 1	C	9^1	7^0⊙	o	–	–	vorm. u. abds. ≡⁰
25.	08.6	07.2	08.2	– 1.4	0.6	1.4	5.5	– 1.8	4.1	4.1	4.6	99	86	92	C	C	W 1	8^1	10^1	10^1●	–	–	mrgs. ⌊ ≡⁰, m ≡¹, ab ca 3 p ≡reissen. [2]
26.	10.1	09.5	09.5	3.3	4.6	2.9	4.9	1.2	5.6	5.9	5.5	97	94	98	C	C	C	10^1=	10^1	10^1=	4.0	–	n ◍, t ≡⁰·¹, ≡reissen
27.	09.3	11.9	14.0	1.0	– 1.9	– 3.3	3.5	– 3.6	4.9	3.3	2.6	100	85	75	NW 1	NE 2	NE 2	10^1●✳	10^1	10^1	1.7	–	n u. a ≡¹, a–m ◍ ✳⁰·¹
28.	15.1	16.0	17.3	– 5.6	– 4.4	– 6.8	– 3.0	– 7.1	2.4	2.3	1.8	80	69	68	NE 1	E 1	C	10^1	9^1	3^0	3.0	1	n ✳
29.	16.9	16.4	17.0	– 9.8	– 3.8	– 7.0	– 3.8	–10.2	1.6	1.6	1.6	78	46	62	SE 1	E 1	C	1^0	1^0⊙	o	–	1	a ≡⁰
30.	16.4	16.2	16.8	–10.5	– 4.0	– 6.4	– 3.9	–11.1	1.6	2.1	2.1	81	64	76	C	E 1	C	o	oo	10^1	–	–	a ≡⁰, m ∞, ab ca 6 p Bewölkungszunahme
31.	16.0	13.0	11.6	– 8.6	– 1.3	– 2.4	– 1.0	–10.0	2.0	2.4	3.3	88	59	86	SW 2	SW 5	SW 5	o	10^1	10^1✳	–	–	mrgs. ≡⁰, ab ca. 10 a Bewölkungszunahme; [3]
Mittel	15.9	15.3	15.6	– 2.0	0.9	– 1.1	2.1	– 3.7	3.6	3.9	3.7	88	77	84				8.2	8.1	6.6	92.5		

[1] sichtbar, ca 4^{25} p–n ⩤.
[2] ca 7 p–n ◍. [3] 4^{01} p–n ✳⁰.

Traunstein.

Januar. $\varphi = 47^0\ 52'$ N. $\lambda = 12^0\ 39'$ E $= 50^m\ 36^s$. H $= 597$ m. Cg $= +0.1$ mm. 1912.

1.	18.9	20.0	**21.9**	– 0.2	1.2	0.8	1.2	– 0.6	4.5	5.0	4.8	100	100	100	NW 2	W 2	W 2	10^2	10^2●	10^2	3.1	–	t ◍⁰, p ≡⁰
2.	21.3	20.1	19.6	– 2.0	2.0	1.2	2.4	– 2.0	4.0	4.1	5.0	100	79	100	S 2	W 3	W 2	4^2	10^2	10^2●	0.9	–	p ◍ ✳
3.	16.1	11.9	13.6	3.2	8.4	3.2	8.6	1.2	5.8	**6.1**	5.8	100	74	100	W 2	W 2	NW 4	10^2●	8^2	10^2●	7.5	–	t meist ◍
4.	11.9	08.9	08.1	2.2	4.6	3.4	4.8	2.0	5.2	5.1	5.6	96	81	97	W 6	W 6	W 4	10^2●	10^2	10^2●	4.0	–	n u. a ◍⁰
5.	04.8	02.1	00.1	2.9	5.4	4.2	6.0	2.8	5.2	**6.1**	3.8	93	91	62	W 2	NE 2	W 4	10^2●	6^2	6^2	14.1	–	n u. a ◍
6.	01.8	699.8	690.8	0.4	2.8	2.0	4.2	– 0.2	4.1	3.2	4.0	87	57	75	NW 8	W 8	W 2	10^2✳	10^2	10^2●	4.2	–	n ✳ ⩤, vorm. ✳, abds. ◍
7.	685.9	684.9	690.8	8.2	5.6	1.2	8.4	1.2	4.8	5.3	4.8	60	79	96	W 8	W 6	W 8	8^2	9^2	10^2●✳	9.9	–	n–vorm. ◍ ⩤
8.	07.4	08.9	10.4	– 6.0	– 2.8	– 2.0	1.2	– 6.8	2.7	2.1	2.9	95	55	74	W 6	NW 6	W 4	8^2	10^2	6^2	13.2	5	n ✳
9.	05.0	03.6	05.0	– 2.4	2.6	1.8	3.0	– 4.4	2.5	5.1	5.2	67	93	100	W 2	W 6	W 4	10^2	10^2●	10^2●	0.1	5	vorm. ✳, p ◍
10.	08.0	11.0	14.9	0.2	3.0	1.6	3.2	0.2	4.7	5.3	5.2	100	93	100	W 4	W 2	W 2	10^2✳	10^2	10^2	**46.5**	8	n ✳, vorm. ◍ ✳, abds. ◍
11.	17.7	18.8	19.1	0.8	– 0.2	– 2.4	1.6	– 2.6	4.8	2.9	3.4	100	65	89	N 4	SE 2	E 2	10^2=	10^2	10^2	11.6	5	n u. a ≡¹·²
12.	17.8	17.5	18.1	– 5.2	– 0.2	0.8	1.0	– 5.6	3.0	3.7	4.6	98	81	94	E 2	N 2	SW 2	10^2	10^2	10^2●	–	5	a V, p ✳, abds. ◍
13.	17.5	16.7	16.2	– 1.2	– 2.2	– 4.4	0.8	– 4.4	4.0	3.7	3.1	96	96	95	SE 2	E 2	E 2	10^2	10^2=	6^2	0.9	5	p ≡¹·²
14.	14.8	13.5	14.1	– 6.8	– 5.4	– 8.4	– 4.4	– 8.4	2.6	2.8	2.1	97	93	85	E 2	E 2	E 2	10^2=	10^2	10^2	–	5	a ≡¹·², t V
15.	12.4	11.0	11.6	– 9.8	– 9.6	– 8.6	– 8.0	–10.2	2.0	2.0	2.0	94	94	85	E 2	E 2	E 2	10^2	10^2	6^2	–	5	t V
16.	10.2	09.0	09.8	– 8.2	– 6.4	– 8.2	– 6.0	– 9.2	2.2	2.2	1.9	91	79	80	E 4	E 2	E 2	8^2	4^7⊙	4^2	–	5	a V
17.	10.3	11.8	14.0	– 8.8	– 8.2	– 9.0	– 7.8	– 9.0	1.9	2.0	1.9	85	82	85	E 4	NE 4	E 2	10^2✳	10^2✳	10^2	1.9	8	a–p ✳
18.	13.3	14.2	16.4	– 8.0	– 4.2	– 5.4	– 4.0	– 9.8	2.1	2.3	2.7	85	70	87	E 4	E 2	E 2	8^2	8^2⊙	6^2	3.7	**15**	
19.	15.2	13.9	13.2	– 4.8	0.2	– 2.4	0.2	– 5.8	2.7	3.1	3.4	86	67	89	E 2	E 4	E 2	6^2	8^2⊙	4^2	–	**15**	
20.	11.6	12.2	13.1	– 7.6	2.8	– 2.6	3.0	– 8.0	2.4	4.5	3.4	95	79	89	E 2	E 2	E 2	4^2	8^2⊙	o	–	**15**	
21.	13.7	12.4	11.2	– 5.0	4.0	– 3.6	4.0	– 5.2	3.0	4.1	3.4	95	67	98	E 2	E 2	E 2	4^2	4^2⊙	o	–	**15**	
22.	09.8	09.3	08.5	– 4.0	4.4	– 3.2	4.6	– 5.4	3.3	5.1	3.5	98	82	98	SE 2	SE 2	E 2	6^2	6^2⊙	o	–	12	
23.	07.8	05.7	05.3	– 5.6	3.8	– 0.4	4.0	– 5.8	2.8	3.7	3.7	96	62	83	E 2	E 2	E 2	6^2	6^2⊙	o	–	10	
24.	07.2	07.8	06.6	– 0.6	8.0	0.2	**9.0**	– 2.0	4.0	4.7	4.1	90	59	90	NE 2	E 2	E 2	8^2	6^2⊙	4^2	–	10	
25.	04.1	02.0	02.3	– 1.6	2.8	1.2	3.6	– 2.0	3.9	4.5	4.4	96	79	89	SE 2	E 2	W 2	4^2	10^2	10^2●	–	5	abds. ◍
26.	04.7	04.1	04.0	1.8	5.2	1.4	5.8	0.8	5.1	5.4	4.9	96	81	96	W 2	E 2	E 2	10^2●	8^2⊙	10^2=	10.7	3	n, a, abds. ◍
27.	03.4	05.4	07.6	1.4	– 0.6	– 3.8	1.6	– 3.8	4.9	4.1	3.0	96	94	89	S 2	NE 4	NE 2	10^2=	10^2●✳	10^2	0.2	1	a ≡², t ◍ ✳
28.	08.8	10.0	11.1	– 7.2	– 6.4	–10.2	– 3.8	–10.2	2.3	2.5	1.8	89	90	90	E 4	E 2	E 2	10^2✳	10^2✳	4^2	8.9	5	n–p ✳
29.	11.0	10.2	11.2	–16.6	– 7.2	–15.4	– 7.0	–17.0	1.1	2.0	1.1	85	78	86	E 2	SE 2	E 2	o	2^2⊙	2^2	2.2	10	⌊
30.	10.3	10.3	10.8	–17.0	– 7.2	–14.6	– 9.2	–17.2	1.0	1.8	1.2	84	67	87	SE 2	E 2	E 2	o	oo	o	–	10	
31.	10.3	07.4	06.2	–15.6	– 2.4	– 3.8	– 2.0	–16.0	1.1	2.1	3.1	86	55	91	W 2	W 2	W 4	8^2	8^2⊙	10^2✳	–	10	abds. ✳
Mittel	10.1	09.5	09.9	– 4.0	0.1	– 2.8	1.1	– 5.3	3.3	3.8	3.5	91	78	90				7.8	8.1	6.7	143.6		

Alle Angaben nach Ortszeit.

Partenkirchen.

Januar. $\varphi = 47^0\ 30'$ N. $\lambda = 11^0\ 6'$ E $= 44^m\ 24^s$. H $= 714.6$ m. Cg $= +0.1$ mm. 1912.

Datum	Luftdruck auf 0° u. Normalschwere reduziert 700 mm + 7a	2p	9p	Lufttemperatur C° 7a	2p	9p	Max.	Min.	Absolute Feuchtigkeit mm 7a	2p	9p	Relative Feuchtigkeit Proz. 7a	2p	9p	Richtung und Stärke des Windes 0 bis 12 7a	2p	9p	Bewölkung 0 bis 10 7a	2p	9p	Niederschlag mm 7a	Schneedecke cm 7a	Bemerkungen
1.	09.2	10.4	**11.5**	− 0.9	0.1	− 0.3	0.6	− 1.4	3.9	4.4	4.5	92	96	100	C	C	C	10^1	10^1*	10^1	0.2	–	m *
2.	11.3	09.9	09.4	− 4.5	1.3	1.5	1.7	− 4.8	2.9	3.8	4.9	90	76	96	S 3	S 2	C	1^0	10^1	10^1●	2.1	7	abds. ◍[1]
3.	06.1	02.6	03.4	2.8	7.1	3.8	8.5	1.0	5.6	**7.0**	4.7	100	93	78	S 1	C	C	10^2	2^0○	8^1	7.5	–	
4.	02.2	698 7	698.3	1.9	6.0	3.2	6.4	1.8	5.3	5.8	5.6	100	84	97	C	C	C	10^1●	9^1	10^1●	0.7	–	mrgs. u. abds. ◍[0]
5.	695.0	691.8	690.9	2.4	8.9	1.7	**9.7**	1.3	5.4	5.3	4.8	98	62	93	C	C	NW 2	10^1●	5^0	8^0	3.5	–	mrgs. u. p ◍[0]
6.	692.7	689.7	680.5	− 0.3	1.8	1.9	3.4	− 0.8	3.7	3.6	4.2	83	69	80	NW 2	SE 3	C	10^1*	10^1	10^1	2.8	3	mrgs. *
7.	679.2	677.1	682.9	3.5	4.9	− 0.1	6.5	− 0.1	5.9	5.7	4.6	100	87	100	C	NW 3	N 6	10^2●	10^2●	10^2*	14.5	–	t ◍[1], abds. *[0]
8.	697.3	699.7	00.8	− 9.0	− 3.7	− 9.4	− 0.1	−11.0	2.0	2.7	1.9	88	78	87	SE 2	C	S 2	3^1	8^1	1^0	**36.0**	22	ca 10 p ≡ *
9.	694.1	693.8	696.1	− 3 1	1.9	1.3	3.1	− 9.4	3.4	4.9	5.0	94	93	100	SW 4	SW 3	C	10^1*	10^1●	10^1●	1.8	24	mrgs. *[1], t meist ◍
10.	689.5	01.4	04.7	0.3	0.7	0.5	2.6	0.1	4.7	4.8	4.8	100	100	100	C	C	C	10^1●	10^1●*	10^1*	21.0	16	mrgs. ◍[0], m ◍ *, abds. *[0]
11.	07.1	06.6	08.2	− 0.6	2.7	− 2.9	3.2	− 2.9	4.4	3.7	3.0	100	67	83	C	S 2	S 3	2^1	○○	o	9.0	12	a Berge frei
12.	07.5	07.0	07.1	− 2.4	3.1	0.5	3.4	− 4.0	2.8	3.8	4.5	73	66	94	S 4	SE 3	C	9^0	10^1	1^0	–	8	a Berge frei
13.	06.6	05.2	05.5	− 0.5	4.7	− 0.4	5.5	− 0.9	4.1	4.3	4.3	92	67	96	C	SE 2	C	6^0	○○	o	–	7	a Berge frei, föhnig
14.	03.3	01.9	02.5	− 4.3	0.9	− 2.6	1.5	− 4.4	2.8	3.6	3.5	86	72	94	S 3	NW 2	C	2^0	6^0	5^0	–	6	a Berge frei
15.	00.9	699.4	699 9	− 8.2	− 1.3	− 4.7	− 0.6	− 8.2	2.1	2.8	2.5	88	67	79	S 3	SW 2	S 2	o	1^0○	9^0	–	6	a ⌴, Berge rein
16.	698.8	697.6	698.6	− 7.3	− 1.9	− 3.5	− 1.9	− 7.3	1.9	2.8	3.1	72	72	89	SE 4	C	C	6^1	10^1*	10^1*	–	6	a Berge meist frei, ab m *
17.	698.6	00.4	02.0	− 5.6	− 5.6	− 7.3	− 3.5	− 7.3	2.7	2.5	2.2	90	85	87	C	C	C	10^1*	10^1*	10^1	9.0	26	a *[1]
18.	01.8	03.2	04.5	− 6.2	− 3.5	− 1.6	− 1.4	− 7.8	2.5	2.7	3.9	90	76	96	C	C	C	9^1	7^0	10^1	6.0	**35**	
19	04.1	03.0	02.2	− 4.1	− 1.1	− 4.7	3.2	− 5.8	3.0	3.2	3.1	89	76	98	C	C	C	10^0	8^0	1^0	–	32	
20.	01.6	01.7	03.2	− 0.9	5.6	1.0	6.5	− 5.5	3.2	3.7	3.4	74	55	68	SE 2	S 2	SE 2	2^0	3^0○	o	–	27	a Berge sehr rein
21.	03.2	01.5	00.7	− 2.3	5.0	− 0.8	5.4	− 2.3	2.9	4.0	3.5	75	61	81	C	C	SE 2	o	○○	o	–	23	a Berge sehr rein, föhnig
22.	699 4	698.2	697.7	− 1.7	6.0	0.2	7.5	− 2.2	3.1	3.8	3.4	76	53	73	SE 2	S 2	S 3	6^0	1^0○	o	–	21	a Berge sehr rein, föhnig
23.	697.6	695.7	695.1	− 0.1	6.6	3.3	8.9	− 1.5	2.9	4.0	4.3	63	56	75	S 3	C	S 3	2^0	8^1	1^0	–	17	a Berge sehr rein, föhnig
24.	696.9	696.5	696.4	1.5	7.4	1.2	9.5	1.2	4.4	4.4	4.3	85	58	85	C	S 2	C	1^0	8^0	1^0	–	12	a Berge sehr rein, föhnig
25.	692.6	690.9	692.6	0.7	3.3	1.4	5.7	0.6	3.8	4.4	4.9	78	76	96	C	SE 2	C	9^1	8^1	10^1●	–	10	a Berge sehr rein, abds. ◍[0]
26.	694.1	693.0	693.4	1.0	5.7	1.9	6.4	0.9	4.8	5.2	4.7	98	76	90	C	S 3	C	10^1	7^0	10^1	3.2	9	a Berge bis 1200 m im Nebel
27	693.2	694.4	696.5	0.7	− 1.5	− 5.1	1.9	− 5.1	4.6	3.9	2.6	94	96	85	C	N 5	N 6	10^1	10^1*	10^1*	0.2	8	a Berge im Nebel, ab m *[0]
28.	697.5	698.4	699.4	− 6.4	− 6.0	− 8.9	− 5.1	− 8.9	2.3	2.3	1.9	84	79	85	NW 4	NW 4	C	10^1*	10^1*	7^1	6.0	15	mrgs. u. m *, Berge meist im Nebel
29	699.6	699.2	699.9	−15.2	− 8.0	− 9.6	− 6.7	−16.2	1.2	1.7	1.8	86	71	84	C	C	C	1^1	8^1	8^0	3.0	18	a Berge frei
30.	699.2	698.9	00.0	−13.8	− 7.1	−13.6	− 5.9	−14.6	1.2	1.7	1.2	79	64	79	SE 3	S 2	S 3	o	○○	o	–	18	a Berge frei
31.	699.8	697.0	696.9	−15.0	− 4.1	− 5.2	− 3.2	−15.0	**1.1**	1.7	2.5	77	50	83	S 2	S 3	S 3	o	8^0	10^1	–	17	a ⌴, Berge frei
Mittel	699.4	698.9	699.4	− 3.2	1.3	− 1.8	2.7	− 4.5	3.4	3.8	3.7	87	74	88				6.1	6.7	6.1	126.5		

Hohenpeissenberg.

Januar. $\varphi = 47^0\ 48'$ N. $\lambda = 11^0\ 1'$ E $= 44^m\ 4^s$. H $= 993.9$ m. Cg $= \pm 0.$● mm. 1912.

	600 mm + 7a	2p	9p	7a	2p	9p	Max.	Min.	7a	2p	9p	7a	2p	9p	7a	2p	9p	7a	2p	9p	7a	7a	
1.	83.9	85.2	**86.7**	− 1.6	− 1.0	− 0.8	− 0.6	− 1.8	4.0	4.2	4.2	98	98	98	SE 1	W 1	C	10^1	10^2=*	10^2	0.5	1	n *, p ≡[2] *
2.	86.2	85.5	84.7	− 1.4	1.0	2.1	2.5	− 1.6	3.4	3.0	4.1	82	60	77	SE 1	W 1	W 5	5^1	10^2*	10^2●	2.5	1	a–1^{14} p *, später ztw. ◍ *
3.	81.8	78.6	79.3	5.0	7.7	1.6	7.7	1.4	**5.5**	4.1	4.7	84	53	91	W 1	SW 6	W 1	10^2	5^2	10^2	1.6	–	p Flachland rein; föhnig
4.	77.9	74.9	74.1	− 0.4	1.3	0.2	1.9	− 0.6	4.2	4.6	4.7	94	91	100	W 5	W 6	W 6	10^2	10^2*	10^2	0.2	–	n, ab 2^{00} p ztw. *. a Flachland rein
5.	70.5	67.7	66.2	1.5	2.2	0.2	3.2	0.2	4.5	4.3	4.6	87	80	98	W 5	SW 1	W 8	10^2	10^1	10^2*	3.6	–	a Flachland rein, p ∞ abds. *
6.	67.8	65.0	55.1	− 2.0	− 0.8	1.7	2.1	− 2.3	3.5	3.2	4.7	88	73	91	W 6	W 6	SW 8	10^2	10^2	10^2●	2.5	1	n *, p reine Fernsicht. abds. *
7.	54.9	**51.7**	59.7	1.0	3.9	− 3.9	5.3	− 3.9	4.9	4.7	3.4	100	77	100	W 5	W 10	NW 10	10^2=●	10^2	10^2*	7.0	–	a ≡[1] ◍, vorm. ◍ *, 22.34 p ▲, abds. ≡ *
8.	72.6	74.7	75.2	− 9.4	− 5.1	− 5.8	− 3.9	− 9.4	2.2	2.0	1.4	100	64	47	NW 1	W 3	W 1	o	10^2	o	15.5	4	a reine Fernsicht, p ∞[0]
9.	69.1	69.1	70.5	− 1.4	2.5	1.6	3.1	− 6.3	4.0	**5.5**	5.2	96	100	100	W 4	W 6	W 1	10^2*	$1\subset^2$●	10^2●	1.5	5	n u. a *, t ◍
10.	74.1	77.0	80.5	− 0.6	0.8	0.2	1.6	− 0.9	4.4	4.7	4.6	100	98	98	W 1	W 1	C	10^2=	10^2=	10^2=	**42.4**	8	n u. vorm. *, t ≡[2], abds. ≡[1]
11.	82.0	82.3	83.1	− 0.3	0.2	− 3.0	0.5	− 3.0	4.5	4.6	3.6	100	98	98	SW 1	W 1	W 1	10^2=	10^2=	10^2=	2.0	1	t ≡[2]
12.	82.4	82.7	82.8	0.8	3.5	2.5	3.8	− 3.1	2.7	3.8	4.2	56	65	77	SW 1	W 3	W 3	10^1	10^2	10^2	–	–	a reine Fernsicht, p ≡, besonders im E u. S, [1])
13.	82.0	81.3	80.9	1.0	1.2	− 2.8	2.6	− 2.8	4.2	4.8	3.7	85	96	100	NW 1	E 3	E 1	10^2	○○	0^w	–	–	a reine Fernsicht, p ≡, besonders im E u. S, [1])
14.	78.5	77.7	77.8	− 4.8	− 5.1	− 6.6	− 2.8	− 6.6	3.2	3.0	2.7	100	98	97	E 1	E 1	NE 1	10^2=	10^2=	10^2=	–	–	a ⌴, t ≡[2], abds. V
15.	76.3	75.2	75.1	− 6.8	− 7.0	− 5.0	− 5.0	− 7.1	2.7	2.6	3.0	100	97	98	NE 1	NE 1	NE 1	10^2=	10^2=	10^2=	–	–	t ≡[2] V
16.	74.1	73.5	74.0	− 5.2	− 3.4	− 3.8	− 3.1	− 5.9	2.9	3.5	3.4	96	100	100	NE 1	W 1	NW 1	10^2	10^2=*	10^2=*	0.7	–	a ≡ i. E u. S, ∞ V, (RR v. V!), ab ca 11 a ≡[2, 2])
17.	74.0	75.3	76.9	− 6.6	−10.3	−11.3	− 3.1	−11.1	2.8	2.0	1.6	100	100	85	NE 1	NE 4	NE 4	10^2=*	10^2=*	10^2	10.3	15	a *[2], ≡[1.2]–p. t V
18.	76.7	78.4	79.9	− 6.2	− 0.5	2.0	2.1	−11.4	2.3	3.5	4.3	82	81	82	SE 1	SE 1	C	10^1	9^1	10^2	4.8	15	t reine Fernsicht
19.	79.8	78.8	78.1	1.4	5.3	5.0	6.2	− 0.3	3.8	3.7	3.7	74	56	61	SE 1	SE 1	SE 1	10^1	10^1	o	–	10	a reine Fernsicht, Horiz≡ bes. i. N; p ≡[2] ringsum
20.	77.4	77.9	78.9	3.2	6.8	2.7	6.8	2.6	3.5	3.0	3.2	61	**41**	57	W 1	SW 1	SW 1	o	10^1○	o	–	8	a sehr reine, p reine Fernsicht; p Horiz≡
21.	79.0	77.7	76.7	2.1	3.4	1.6	3.4	0.8	3.3	4.0	4.3	62	68	84	W 1	W 1	C	o	○○	o	–	6	a sehr reine, p reine Fernsicht; t Horiz≡
22.	75.3	74.8	73.3	1.1	3.7	3.3	3.9	1.1	3.6	4.2	3.1	72	70	53	NW 1	SW 1	E 5	10^2	1^1○	o	–	5	t reine Fernsicht
23.	73.1	71.9	71.0	3.5	7.9	5.7	**8.2**	2.3	2.6	3.9	3.3	44	49	48	S 3	SE 3	SW 6	10^1	10^1	o	–	5	a stratus im S am Horizont, p reine Fernsicht
24.	73.4	73.1	72.6	4.4	5.4	5.2	7.7	3.3	4.2	4.2	3.3	66	63	50	SW 1	SW 1	SW 1	5^1	○○	o	–	3	t sehr reine Fernsicht
25.	69.1	67.9	68.7	5.4	6.6	0.8	7.4	0.8	3.2	3.8	4.8	51	53	100	C	SW 1	NW 1	10^1	10^1●	10^2=●	–	3	a sehr reine Fernsicht, ab 2 p–n ◍, abds. ≡[2]
26.	70.3	69.6	69.6	0.8	2.9	1.0	3.0	0.3	4.7	4.8	4.9	98	85	100	W 1	SW 1	C	10^2=	6^1○	10^2=	2.4	–	n ◍, p ∞, a u. abds. ≡[2]
27.	69.5	70.3	72.3	− 1.0	− 4.2	− 7.8	1.3	− 7.8	4.3	3.3	2.4	100	100	97	W 1	N 3	N 3	10^2=	10^2=	10^2=*	0.1	–	n ◍, ca 9 a *[2], t ≡[1], abds. *
28.	72.9	73.7	75.0	− 9.1	− 9.7	−11.5	− 7.8	−11.5	2.2	1.7	1.6	97	77	85	N 1	NE 3	NE 4	10^2=*	10^2	5^1	9.5	10	n u. a–9^{00} a ≡[2] *, t V
29.	74.2	74.3	74.6	−12.7	−10.4	−11.3	−10.2	−13.1	1.4	1.4	**1.1**	84	70	58	NE 3	NE 4	NE 5	o	○○	o	1.5	10	p reine Fernsicht
30.	73.8	74.1	74.9	−11.3	−10.1	−10.5	− 9.9	−11.9	1.4	1.7	1.8	75	80	90	NE 1	NE 3	NE 3	o	○○	o	–	6	a sehr reine, p reine Fernsicht
31.	74.2	72.2	71.1	−11.0	− 5.4	− 5.6	− 5.3	−11.5	1.8	1.8	2.8	93	61	96	W 1	NW 4	NW 6	o	10^1	10^2*	–	6	p ∞. ab ca. 5 p–n *, abds. ≡
Mittel	75.1	74.6	74.8	− 2.0	− 0.2	− 1.7	1.1	− 3.9	3.4	3.5	3.5	85	77	84				7.7	7.5	6.6	109.2		

[1]) Horiz≡ im N, ∞
[2]) ztw. *[0]–n V

Alle Angaben nach Ortszeit.

Zugspitze.

Januar. $\varphi = 47^0\ 25'$ N. $\lambda = 10^0\ 59'$ E $= 43^m\ 56^s$. H $= 2964$ m. Cg $= -0{,}2$ mm. 1912.

Datum	Luftdruck auf 0^0 u. Normalschwere reduziert 500 mm +			Lufttemperatur C°					Absolute Feuchtigkeit mm			Relative Feuchtigkeit Proz.			Richtung und Stärke des Windes 0 bis 12			Bewölkung 0 bis 10			Niederschlag mm	Schneedecke cm
	7^a	2^p	9^p	7^a	2^p	9^p	Max.	Min.	7^a	2^p	9^p	7^a	2^p	9^p	7^a	2^p	9^p	7^a	2^p	9^p	7^a	7^a
1.	31.0	31.6	32.9	−12.6	−12.2	−11.4	−11.4	−14.4	1.3	1.7	1.8	81	100	100	NE 4	N 4	N 6	10^2	$10^1 \equiv *$	$5^1 \equiv$	–	230
2.	34.5	34.2	**35.2**	−10.0	− 5.3	− 3.1	− 3.0	−11.4	1.6	3.0	**3.6**	80	100	100	N 4	N 7	N 6	3^1	$10^1 \equiv *$	$10^1 \equiv$	1.5	235
3.	33.0	30.6	28.7	− 4.7	− 5.8	− 9.2	− 3.0	− 9.4	3.2	2.9	2.2	100	100	100	N 3	NW 8	NW 9	$10^1 \equiv$	$7^1 \equiv$	$10^2 \equiv$	4.9	240
4.	27.0	25.5	24.4	− 9.8	− 8.7	− 7.5	− 7.5	− 9.8	2.0	2.3	2.5	100	100	100	NW 5	NW 3	N 10	$10^2 \equiv$	$10^1 \equiv *$	$10^2 \equiv$	5.6	250
5.	23.6	21.4	18.9	− 7.2	− 5.2	−10.0	− **1.1**	−10.0	2.6	2.9	2.0	100	96	100	N 4	W 4	NW 5	$10^2 \equiv *$	$8^1 \odot$	$10^2 \equiv$	7.9	270
6.	16.7	15.2	09.6	−16.2	−14.1	− 7.3	− 7.3	−16.2	1.2	1.4	2.5	100	100	100	N 6	W 6	W 11	$10^2 \equiv *$	$10^1 \equiv *$	$10^1 \equiv$	0.9	275
7.	09.6	**08.0**	10 3	− 7.8	− 9.1	−11.6	− 6.5	−11.6	2.4	2.2	1.8	100	100	100	NW 3	NW 3	NW 7	$10^1 \equiv *$	$10^2 \equiv *$	$10^2 \equiv$	1.0	280
8.	16.6	19.9	21.3	−17.7	−21.1	−20.3	−11.6	**−21.3**	0.9	0.7	0.8	89	100	100	NW 2	NW 6	NW 10	1^0	$10^1 \equiv$	1^1	2.5	285
9.	20.8	22.1	22.9	−11.8	− 8.1	− 7.0	− 7.0	−20.6	1.8	2.3	2.6	100	100	100	NW 3	NW 3	NW 1	$10^1 \equiv *$	$10^1 \equiv *$	10^2	–	285
10.	23 9	25.9	28.5	− 8.1	−10.0	−11.1	− 6.9	−11.3	2.3	2.0	1.8	100	100	100	NW 6	NW 2	C	$10^2 \equiv *$	$10^2 \equiv *$	$10^2 \equiv$	**11.0**	**295**
11.	30.1	31.1	32.4	−11.9	−11.0	−11.9	−11.0	−11.9	1.7	1.6	1.4	80	90	86	C	C	W 2	1^0	$1^0 \odot$	o	3.9	**295**
12.	32.1	31.5	31.4	−10.8	−10.3	− 9.2	− 9.0	−12.2	1.6	1.9	2.1	90	100	100	NW 5	NW 3	N 5	10^1	$10^1 \equiv *$	$10^2 * \equiv$	–	290
13.	31.0	30.7	30.2	− 9.7	−12.0	−11.6	− 9.1	−12.0	2.0	1.3	1.3	100	80	76	NE 3	N 2	N 3	$9^2 \equiv$	$1^0 \odot$	o	–	285
14.	28.5	27.2	26.7	−11.8	−11.0	−13.4	− 9.9	−13.4	1.4	1.5	1.0	83	84	72	NW 2	NW 2	N 2	4^1	8^1	2	–	285
15.	24.9	23.8	23.2	−14.4	−14.5	−15.1	−13.4	−15.1	0.9	0.8	0.9	65	64	70	NW 3	N 4	N 7	1^0	$1^0 \odot$	1^1	–	280
16.	22.5	22.0	22.9	−13.6	−11.6	−11.1	−11.1	−15.1	1.5	1.8	1.8	100	100	100	N 5	NW 4	N 7	$10^1 \equiv$	$10^2 \equiv *$	$10^2 \equiv$	–	280
17.	23.3	24.7	26.8	−10.0	− 8.4	− 7.8	− 7.8	−11.1	2.0	2.3	2.4	100	100	100	NW 6	N 6	C	$10^2 \equiv *$	$10^2 \equiv$	10^1	9.6	290
18.	28.6	30.3	31.8	− 6.3	− 4.5	− 3.8	− 3.0	− 7.8	2.8	3.2	3.4	100	100	100	C	SE 3	C	$10^2 \equiv$	8^1	10^2	3.2	**295**
19.	31.6	31.1	30.4	− 3.4	− 3.2	− 2.8	− 1.8	− 4.6	3.5	3.3	2.7	100	92	82	W 2	SE 1	SW 4	9^2	$9^1 \odot$	1^1	–	290
20.	29 0	29.2	29.8	− 7.3	− 8.0	− 8.3	− 2.8	− 8.3	2.3	2.1	1.7	89	91	75	SW 1	W 1	N 3	2^1	$4^1 \odot$	1^1	–	290
21.	29.5	28.5	27.8	− 8.6	− 6.6	− 8.5	− 6.3	− 8.6	2.3	2.3	2.1	100	89	91	N 1	S 4	NW 2	2^1	$1^1 \odot$	2^1	–	285
22.	26.2	26.2	26.4	− 7.1	− 6.2	− 8.8	− 4.9	− 9.2	2.4	2.5	1.5	92	90	65	W 2	S 4	W 4	8^1	$1^0 \odot$	1^1	–	285
23.	25.8	25.3	24.9	− 6.6	− 4.9	− 4.2	− **4.2**	− 8.8	1.9	2.5	2.6	72	80	79	S 6	S 9	S 9	8^1	9^1	9^1	–	280
24.	25.9	25.9	25.8	− 6.1	− 5.8	− 5.4	− 4.2	− 6.7	2.4	2.4	2.3	83	84	78	SW 3	S 4	S 5	4^1	9^1	6^1	–	280
25.	22.8	21.0	20.7	− 6.9	− 6.5	− 7.9	− 5.2	− 7.9	2.0	2.8	2.4	77	100	100	S 1	SE 2	C	9^1	$6^1 \odot$	$10^1 \equiv$	–	275
26.	22.0	21.3	21.2	− 8.9	− 4.9	− 6.4	− 4.0	− 9.0	2.2	2.9	2.6	100	92	92	C	SW 4	W 3	10^1	8^1	2^1	–	280
27.	20 0	19.7	20.2	− 6.0	− 7.4	− 8.1	− 4.6	− 9.9	2.6	2.5	2.3	93	100	100	SW 6	S 3	SE 2	10^1	$10^1 \equiv$	$10^1 *$	3.0	280
28.	19.7	19.8	19.9	−10.0	−13.6	−13.9	− 8.1	−14.3	2.0	1 5	1.4	100	100	100	C	C	E 4	$10^1 \equiv$	$10^1 \equiv *$	5^1	–	285
29.	19.9	20.4	21.0	−14.5	−13.8	−15.2	−13.6	−16.5	1.2	0.9	0.8	90	65	62	E 3	E 4	E 6	1^1	$1^1 \odot$	1^1	0.2	290
30.	20.8	21.0	21.4	−15.8	−14.0	−16.1	−13.6	−16.1	0.6	0.7	0.7	55	48	57	E 3	C	C	1^0	$1^0 \odot$	o	1.0	285
31.	20.3	19.4	18.6	−17.9	−16.0	−18.3	−16.0	−18.4	0 7	0.7	1.0	57	60	100	NW 3	NW 4	NW 6	1^0	9^1	$10^2 \equiv$	–	280
Mittel	24.9	24.7	24.7	−10.1	− 9 5	− 9.9	− 7.4	−12.0	1.9	2.0	1.9	90	90	90				6.9	7.2	6.0	56.2	

Bemerkungen.

1. mn ⏀ v. 23^0; a ≡meer ü. Vorbergen u. Flachl. i. ca 2000 m; ab ca 11 a ≡^{1}, ✳$^{0.1}$; 8–9 p ztw Aufklaren; über Ebene ≡meer sichtbar; 9 p sehr schöner ☋ (abnorm klein)
2. bis m freie Fernsicht ü. Gebirge; mrgs. heiter, dann rasch zunehmende Bewölkung; ab ca 0^{30} p ≡$^{1.2}$, ✳$^{0.1}$; ✳treiben
3. n ✳; t vorwiegend ≡$^{1.2}$, ✳treiben; von 2–6 p stärkeres Aufklaren; p kräftiger Temperaturrückgang; N-Sturm. 2–3 p irisierende str-cu
4. 7 a 50 cm ⋁; t ≡$^{1.2}$, nur m vorübergehendes Aufklaren; ztw. ⊙ durchscheinend; p ztw. ✳$^{0.1}$, starker Sturm
5. bis 9^{45} a ≡$^{1.2}$, ✳^{0}; dann bis ca 6 p heiter; 9^{45} a Brockengespenst, irisierende str-cu; p zunehmende Bewölkung; 2^{30} p obere Nebel⊙ (23^0); 6 p langs. Umschlag, ≡$^{0.2}$
6. n ✳; t ≡$^{1.2}$, ✳$^{0.1}$; p starker Sturm
7. n Sturm, t ≡^{2}, ✳^{1}; abds. neuerdings ≋
8. a Aufklaren; 7 a ringsum str-cu i. 2000–2500 m; 9 a wieder Trübung, ≡. ca 3 p neuerdings Aufklaren; t ✳treiben
9. ab ca 11 p Trübung; n ≋; t ✳^{1}, ≡^{1}
10. n u. a ≋; t ≡^{2}, ✳$^{0.1}$; nur 2^{15} p kurzes Aufklaren im Zenit; cu sichtbar
11. n Aufklaren. a ü. Ebene u. Isartal ≡meer in ca 1100 m, ü. Inntal in ca 1800 m; t fast wolkenlos
12. a ü. Flachland u. Zentralalpen ∞; starke Bewölkung. m–ca 3^{30} p ≡^{1}; 3^{30}–4^{30} p Aufklaren; prachtvolle Irisationserscheinung, dann wieder ≡$^{1.2}$
13. bis ca 10 a starke Bewölkung; teilweise ≡$^{1.2}$; dann meist heiter, 10 a Brockengespenst. 9 p ü. Flachland ≡meer
14. a ü. Flachland ≡meer; t vorwiegend heiter, rasch wechselnde Bewölkung; ztw. Irisation an ci und a-cu
15. t fast wolkenlos; Berge frei, ü. Flachland ≡meer in ca 1300 m; 9 p ringsum ≡meer
16. n ≋, t ≡$^{1.2}$, p meist ✳$^{0.1}$
17. n ≋; t ≡$^{1.2}$; a ✳$^{0.1}$, ✳treiben
18. 7 a 30 cm ⋁; 10 a Aufklaren; 2 p ü. Flachland ≡
19. t meist stärkere Bewölkung; a ü. unmittelb. Alpenvorland seichte ≡decke; 2–4 p ⊕ (23^0), sehr schön farbig u. linke Neben⊙ hiezu
20. t heiter, Fernsicht frei, ü. Gebirge cu („Föhnmauer"); 5 p plötzlich stärkere aufsteigende Luftströme mit vorübergehend lokaler ≡bildung
21. t heiter, freie Fernsicht; 5 p vorübergehend stärkeres Auftreten von ci
22. t Fernsicht frei, vorwiegend heiter, m–2^{30} p ziemlich viele cu aus S rasch; dann wieder fast wolkenlos
23. t Föhnsturm, Fernsicht frei; 9 p ≼ l. SSW
24. n Sturm; t föhnig, Fernsicht frei, p ≋
25. t ziemlich starke Bewölkung; Fernsicht frei, Zentralalpen in Wolken; a ztw. ✳^{20}; 9 p ≡^{1}
26. t vorwiegend heiter; ringsum in ca 1200–1500 m ≡meer
27. t ≡$^{0.2}$; 11 a–1 p ztw. schwaches Aufklaren; 11^{40} a ⊕ (23^0); 0^{12} m oberer Berührungsb. d. ⊕ v. 23^0 (hornförmig!); 0^{17} p ⊕ (46^0) farbig; p ✳^{00}
28. n ✳^{0}; bis 11 a ztw. ≡$^{0.1}$; p dauernd ≡^{1}, ✳$^{0.1}$; abds. langs. Aufkl., ca 4 p ⊕ (23^0)
29. t leichter Sturm, ü. Gebirgstälern u. unmittelb. Alpenvorland ≡meer in ca 1600 m
30. t fast wolkenlos; ü. Flachland teilw. ≡; sonst Fernsicht frei; 9 p ringsum ∞^{1}, ☋
31. vorwiegend heiter, Fernsicht frei; Flachland ∞; ü. schwäb. Alpenvorland ≡meer; abds. ≡^{1}

Alle Angaben nach Ortszeit.

Kahl a/M.

Februar. $\varphi = 50^{0}\ 4'$ N. $\lambda = 9^{0}\ 1'$ E $= 36^{m}\ 4^{s}$. H $= 114.1$ m. Cg $= +0.3$ mm. 1912.

Datum	Luftdruck auf 0° u. Normalschwere reduziert 700 mm + 7a	2p	9p	Lufttemperatur C° 7a	2p	9p	Max.	Min.	Absolute Feuchtigkeit mm 7a	2p	9p	Relative Feuchtigkeit Proz. 7a	2p	9p	Richtung und Stärke des Windes 0 bis 12 7a	2p	9p	Bewölkung 0 bis 10 7a	2p	9p	Niederschlag mm 7a	Schneedecke cm 7a	Bemerkungen
1.	46.4	43.0	39.1	− 1.5	1.4	− 0.2	2.5	− 2.7	4.1	4.0	3.9	100	80	87	C	SW 4	SW 2	10^{1}	10^{1}	10^{1}	0.7	1	
2.	35.3	32.2	31.1	− 4.3	− 0.3	− 6.0	1.2	− 6.8	3.1	3.4	2.4	95	76	85	S 2	NE 2	NE 4	7^{0}	9^{0}	10^{1}	−	1	
3.	36.9	40.9	43.6	−12.9	− 8.5	−15.6	− 4.1	−16.5	1.3	1.4	1.2	80	58	90	N 4	E 2	C	1^{0}	oo	5^{0}	1.0	3	n ✳
4.	44.8	45.6	44.4	−16.1	− 7.1	−10.4	− 6.2	−17.3	1.1	1.7	1.4	85	64	70	C	E 2	C	1^{0}	10^{0}	o	−	3	
5.	40.8	40.3	39.8	− 9.3	− 4.6	− 3.2	− 2.7	−13.3	1.5	2.0	2.8	69	63	78	E 2	SE 2	SE 2	10^{0}	10^{1}	10^{1}	−	3	
6.	40.1	39.7	40.2	− 0.5	4.0	2.7	4.8	− 6.0	4.4	5.3	5.4	100	87	96	S 2	C	S 2	10^{1}●	9^{0}	10^{1}●	2.7	2	n ◍. a ᔓ. t ztw. ◍. 9 p ◍
7.	42.0	43.5	43.7	2.9	9.9	1.1	11.3	0.1	5.4	7.1	4.9	96	79	98	SW 2	C	C	10^{1}	10^{1}	o	3.7	−	7^{30} a an ztw. ◍^{0}
8.	42.0	40.5	40.7	− 1.4	6.6	1.5	8.1	− 2.0	4.1	5.3	4.7	100	73	93	C	SE 2	SW 2	o	10^{1}	10^{0}	0.2	−	a ⌊⌋
9.	37.9	38.8	39.5	2.4	9.8	2.1	11.3	− 0.7	5.0	6.7	5.1	91	74	94	C	C	C	10^{1}	4^{0}⊙	o	−	−	
10.	41.9	42.3	41.4	1.6	4.6	3.0	5.6	− 0.5	5.1	6.3	5.7	98	100	100	C	C	C	10^{1}	10^{2}≡	10^{2}≡	−	−	a ◍; p ≡^{2}. 9 p ≡
11.	40.8	41.6	42.8	3.4	8.4	0.1	9.9	− 0.8	5.8	7.3	4.6	100	89	100	S 2	SW 2	C	10^{1}	10^{0}	o=	3.5	−	4^{30} p–n ≡^{1}
12.	47.3	47.8	50.2	− 0.6	4.9	4.5	7.3	− 2.2	4.4	6.3	6.1	100	98	97	C	S 2	S 2	1^{0}	10^{1}●	o	−	−	a ⌊⌋. 11^{21} a an ◍^{0}
13.	50.5	50.5	50.6	1.5	8.8	2.1	10.0	− 0.1	5.0	6.0	5.2	98	71	98	S 2	S 2	SW 2	9^{0}	7^{0}	10^{1}	2.5	−	
14.	50.7	50.9	52.3	− 0.3	7.8	2.5	8.5	− 1.9	4.5	6.1	5.3	100	78	96	SE 2	W 2	C	8^{0}	7^{1}	10^{1}●	−	−	a ⌊⌋. 9 p ◍
15	54.8	56.6	57.4	− 0.5	3.7	1.5	4.7	− 1.4	4.4	5.9	5.1	100	98	100	C	SW 2	C	10^{1}	10^{1}	10^{2}≡	1.4	−	n ◍; a ≡^{2} ⌊⌋. 9 p ≡
16.	59.3	59.3	59.2	1.5	6.7	2.0	8.0	− 0.7	5.1	5.8	5.1	100	80	96	SW 2	SW 2	C	10^{1}	10^{0}	o	−	−	
17.	59.2	58.0	57.0	− 0.7	9.2	0.9	10.7	− 1.9	4.4	5.6	4.8	100	65	98	C	SW 2	C	o	2^{0}	o	−	−	a ≡^{0} ⌊⌋
18.	55.6	53.6	51.1	− 0.8	10.8	4.4	12.2	− 2.2	4.3	6.3	5.8	100	65	93	C	C	SW 2	o	8^{0}	o	−	−	a ≡^{0} ⌊⌋
19.	48.8	46.2	45.7	1.2	12.3	7.6	13.1	− 0.1	4.8	6.0	6.0	96	56	77	S 2	S 2	E 2	1^{0}	10^{0}	o	−	−	a ⌊⌋
20.	46.1	46.7	47.2	6.8	9.7	7.7	10.9	6.0	6.0	5.4	4.1	81	60	53	SW 4	SW 2	SW 6	10^{1}	4^{2}⊙	10^{1}	−	−	
21.	49.8	51.5	54.0	4.1	8.2	2.9	9.4	1.0	4.7	5.3	5.1	77	65	90	SW 2	W 4	C	2^{1}	9^{2}	o	1.2	−	n ◍
22.	57.7	58.8	58.9	0.7	10.0	8.2	10.7	− 2.1	4.5	7.0	7.1	92	76	88	C	SW 2	SW 2	10^{0}	9^{1}⊙	10^{1}	−	−	a ⌊⌋
23.	57.0	55.4	53.5	8.8	10.6	9.6	11.5	7.3	8.3	**9.4**	8.9	99	99	100	SW 2	SW 2	SW 2	10^{1}	10^{1}●	10^{1}●	1.7	−	n ◍. 8^{36} a an untertags ◍
24.	50.7	50.0	50.7	9.7	12.6	8.7	13.2	8.1	8.9	9.3	8.2	99	87	98	SW 2	SW 4	C	10^{1}●	8^{1}	o	**14.7**	−	n, a–8^{30} a ◍
25.	49.7	51.6	51.7	6.8	9.7	5.8	11.1	5.8	7.4	8.0	6.9	100	89	100	C	SW 2	C	10^{1}	5^{1}	9^{1}	12.4	−	n, a ◍^{0}
26.	53.6	55.1	56.3	6.2	10.8	6.6	11.8	5.4	7.0	7.6	6.2	99	79	85	C	W 2	SW 2	10^{1}●	9^{1}	1^{0}	1.8	−	6^{41}–7^{21} a ◍
27.	56.7	56.3	**59.5**	6.9	12.4	8.4	13.9	4.5	6.8	8.1	6.4	91	76	78	S 2	SW 4	SW 4	10^{1}	6^{1}	3^{0}	0.8	−	
28.	59.1	58.3	58.8	7.5	13.5	6.0	14.3	4.3	7.1	7.9	6.8	91	69	97	SW 2	SW 4	C	10^{0}	7^{0}⊙	o	−	−	
29.	56.4	54.5	54.3	0.8	16.2	10.5	**17.2**	− 0.4	4.7	7.7	6.6	96	56	70	C	SW 2	SE 2	1^{0}	5^{0}⊙	10^{2}	−	−	a ≡^{0} ⌊⌋
Mittel	48.7	48.6	48.8	0.8	7.0	2.6	8.3	− 1.3	4.9	6.1	5.2	94	76	90				7.3	8.2	5.4	48.3		

Bayreuth.

Februar. $\varphi = 49^{0}\ 57'$ N. $\lambda = 11^{0}\ 34'$ E $= 46^{m}\ 16^{s}$. H $= 363.3$ m. Cg $= +0.3$ mm. 1912.

1.	22.2	19.1	16.1	− 3.2	− 0.2	− 2.1	− 0.2	− 5.5	3.3	3.8	3.5	91	85	90	SW 2	SW 4	W 4	10^{2}	10^{2}✳	10^{2}	1.1	6	n ztw. ✳^{1}, t ztw. ✳$^{0.1}$
2.	12.3	09.4	07.2	− 3.1	− 2.0	− 8.0	− 1.0	− 8.4	3.4	2.9	2.0	94	74	83	W 2	NE 2	N 6	10^{2}	10^{2}	10^{2}	1.7	12	n ✳^{2}, p ✳^{0}
3.	10.4	16.9	18.0	−11.9	− 9.5	−16.5	− 8.3	−16.8	1.4	1.3	1.0	78	62	80	NE 6	N 4	N 2	10^{2}✳	2^{0}⊙	o	2.3	**13**	n ✳^{0}
4.	23.1	22.4	22.4	−15.5	− 9.7	−12.1	− 8.0	−20.1	1.1	1.4	1.2	86	64	67	E 2	SE 4	SE 2	10^{2}	8^{0}⊙	8^{1}	−	10	
5.	17.7	18.2	18.4	−11.1	− 7.1	− 4.7	− 4.6	−15.7	1.5	1.8	2.4	79	69	77	SE 2	SE 4	E 4	10^{2}	10^{2}	10^{2}	−	9	
6.	19.6	19.5	19.9	− 3.1	4.3	2.1	4.4	− 5.3	3.1	4.1	4.4	87	66	83	SE 6	SE 4	E 2	10^{2}	8^{0}⊙	6^{1}	−	7	ca 6–8 p ◍^{0}
7.	21.5	23.0	23.0	− 0.1	4.5	1.1	5.3	− 0.8	4.0	4.4	4.3	87	69	88	SE 2	E 2	E 2	5^{1}	5^{0}⊙	o	0.3	3	
8.	20.8	19.6	19.9	− 1.1	7.7	1.5	7.7	− 2.1	3.8	4.0	4.3	90	53	84	E 2	SE 2	SE 4	o	3^{0}⊙	o	−	1	
9.	16.7	18.2	18.7	2.3	7.1	2.1	7.2	− 0.1	4.2	4.7	4.4	78	62	83	SE 2	SE 4	E 2	10^{2}	6^{1}⊙	o	−	−	
10.	18.9	19.1	19.1	− 0.9	6.1	1.7	6.3	− 2.6	4.0	5.5	4.8	94	77	93	W 2	C	E 2	10^{1}=	10^{1}	4^{1}	−	−	a ⌊⌋^{1} ≡^{1}
11.	19.2	19.7	20.6	0.3	3.1	2.9	4.0	− 0.8	4.6	5.4	5.5	98	95	98	SE 2	E 2	E 2	10^{2}≡	10^{1}≡	10^{1}≡	−	−	t ≡$^{1.2}$, p ztw. ◍^{0}
12.	25.4	26.4	28.3	2.5	6.0	4.4	6.2	1.3	5.5	5.9	5.6	100	86	91	W 2	W 2	SW 4	10^{2}≡	3^{1}⊙	10^{2}	1.1	−	a ≡^{2}, p ◍^{0}
13.	29.4	29.0	28.8	0.1	7.9	2.6	8.0	− 0.8	4.4	4.9	4.7	96	61	85	E 2	E 2	E 2	3^{1}	3^{0}⊙	o	1.3	−	a ⌊⌋^{1}
14.	28.7	28.7	29.8	0.1	7.9	1.3	8.0	− 0.9	4.3	5.1	4.7	92	64	92	E 2	SW 2	W 2	10^{2}	10^{0}⊙	6^{1}	−	−	a ⌊⌋^{1}
15.	31.7	33.6	34.9	0.1	3.7	3.1	4.2	− 0.7	4.4	5.2	5.2	96	92	91	NW 2	W 2	W 2	10^{1}≡	10^{1}≡	10^{1}≡	−	−	t ≡^{1}
16.	36.5	37.3	37.6	1.5	4.9	3.5	5.4	0.5	4.8	5.1	5.1	94	79	88	W 2	W 2	W 2	10^{1}≡	10^{2}	10^{2}●	−	−	a ≡^{1}. 8^{30}–9^{00} p ◍^{0}
17.	37.9	37.0	36.3	0.9	7.8	2.9	9.2	− 0.7	4.6	5.8	5.0	94	73	89	E 2	E 4	E 2	10^{1}	4^{0}⊙	o	0.3	−	9^{00}–ca 10 p ◍^{0}. a ⌊⌋^{1}
18.	34.3	31.1	29.5	0.9	10.7	4.1	11.4	0.2	4.4	5.5	4.9	90	57	81	E 2	E 4	E 2	2^{0}	oo	o	−	−	a ⌊⌋^{0}
19.	26.5	24.1	23.8	1.3	10.6	3.3	11.2	− 0.2	4.5	5.2	5.2	90	55	91	SE 2	SW 2	SE 2	5^{1}	7^{1}	o	−	−	a ⌊⌋^{0}
20.	24.5	24.9	25.9	4.9	8.3	3.5	8.3	2.2	5.7	5.3	3.5	90	64	78	SW 4	SW 4	SW 4	10^{1}	9^{1}	o	0.8	−	n ◍^{0}
21.	26.7	28.5	31.0	3.7	6.2	3.7	7.2	2.0	4.9	4.3	4.8	83	61	81	W 4	NW 4	W 4	10^{1}	8^{2}	10^{1}	3.1	−	n ◍$^{0.1}$, p ztw. △ ◍^{0}
22.	35.2	37.5	**38.2**	1.3	7.9	3.1	8.8	0.3	4.8	4.9	4.9	96	61	88	SE 2	SW 2	SW 2	10^{2}≡	3^{1}⊙	5^{1}	0.5	−	a ≡^{2}
23.	35.9	33.8	31.4	3.6	6.5	8.2	9.0	1.4	5.5	6.9	**7.9**	93	96	98	SE 2	SE 2	SW 2	10^{1}≡	10^{2}●	10^{2}●	0.3	−	a ≡^{1}, ab ca 6 a ◍$^{0.1}$
24.	28.1	27.3	28.1	8.5	9.7	8.3	10.0	6.1	7.7	7.8	7.0	93	88	88	SW 2	SW 4	W 4	10^{2}●	10^{2}	10^{2}●	**10.4**	−	n ◍$^{0.1}$, t ◍^{0}
25.	27.2	29.0	29.8	5.5	7.7	6.6	8.3	4.4	6.5	7.3	6.9	97	93	94	E 2	W 2	W 2	10^{2}●	10^{1}	9^{1}	9.0	−	n, a ◍$^{0.1}$
26.	31.6	33.0	34.4	3.7	10.7	5.8	11.8	1.7	5.8	7.7	6.5	97	80	94	E 2	SE 2	SW 4	10^{2}≡	7^{1}	3^{1}	3.1	−	a ≡^{2}
27.	35.6	34.3	36.4	4.7	9.4	8.3	10.7	2.4	5.8	7.1	6.9	91	81	87	SW 2	W 8	W 6	10^{1}	10^{2}	7^{2}	−	−	p ztw. ◍^{0} ᔓ
28.	37.0	36.3	37.3	5.9	12.1	5.9	12.7	3.7	6.4	6.3	6.3	93	61	92	SW 4	W 6	W 2	8^{1}	10^{1}	2^{0}	1.3	−	
29.	36.0	33.2	32.9	3.3	14.6	7.5	**15.7**	1.3	5.6	7.1	6.3	97	57	83	E 2	SE 4	W 2	10^{2}≡	2^{0}⊙	3^{0}	−	−	a ≡^{2}
Mittel	26.6	26.6	26.8	0.2	5.4	1.9	6.2	− 1.9	4.5	5.1	4.8	91	72	87				8.7	7.2	5.3	36.6		

Alle Angaben nach Ortszeit.

Bamberg

Februar. $\varphi = 49^0\ 53'$ N. $\lambda = 10^0\ 53'$ E $= 43^m\ 32^s$. H $= 287.7$ m. Cg $= +0.3$ mm. 1912.

Datum	Luftdruck auf 0° u. Normalschwere reduziert 700 mm + 7a	2p	9p	Lufttemperatur C° 7a	2p	9p	Max.	Min.	Absolute Feuchtigkeit mm 7a	2p	9p	Relative Feuchtigkeit Proz. 7a	2p	9p	Richtung und Stärke des Windes 0 bis 12 7a	2p	9p	Bewölkung 0 bis 10 7a	2p	9p	Niederschlag mm 7a	Schneedecke cm 7a	Bemerkungen
1.	29.1	26.0	22.7	− 5.2	0.6	− 2.0	1.6	− 5.5	2.9	4.0	3.5	96	83	90	SW 1	W 1	NW 2	10^2	10^2*	10^1	1.9	3	ca 11^{30-14} a, $1^{34}-2^{14}$ p ✳0, p ztw. ✳0
2.	19.3	16.0	**13.7**	− 3.4	− 2.4	− 7.2	− 0.5	− 7.2	3.2	3.2	2.4	91	83	93	W 1	SW 1	NW 4	6^1	10^2*	10^2*	0.5	4	n ✳0, ca $1-8^{30}$ p ✳1
3.	18.2	24.0	27.9	−11.1	− 7.0	−16.3	− 5.5	−16.8	1.6	1.7	1.1	82	65	90	N 2	NW 3	N 1	10^2	8^1⊙	0	3.7	**8**	$7^{14}-9^{14}$ a ✳0
4.	29.6	29.3	27.8	−15.1	− 8.8	−10.9	− 8.0	**−19.6**	1.2	1.5	1.4	91	66	72	NW 1	E 3	E 3	10^2	10^1	10^1	0.1	7	n ⌊_
5.	24.7	24.2	24.8	−10.3	− 6.3	− 4.1	− 3.9	−12.7	1.5	1.9	2.7	73	69	82	C	E 3	S 2	10^2	10^2	10^2	0.2	5	ca 10 p ✳0
6.	26.1	25.6	26.2	− 1.4	5.9	2.6	6.9	− 4.6	3.6	4.2	4.8	86	60	87	S 4	S 3	S 2	10^2●	10^0⊙	10^2	0.1	5	$6^{30}-8^{30}$ a ◍0, a ⌇. $4^{57}-6^{30}$ p ◍0
7.	27.5	29.2	29.2	0.6	8.3	1.5	9.5	0.3	4.3	5.3	4.6	90	65	91	SE 1	S 1	SW 1	10^1	10^1	0	0.8	–	a ⌇
8.	27.0	25.6	25.9	− 1.0	10.7	3.0	12.0	− 1.5	3.9	4.9	4.7	92	51	83	NW 2	S 2	C 1	1^1	8^1⊙	10^1	0.1	–	n ⌊_, 6^{30} p ≡2
9.	22.9	24.4	25.0	2.2	11.2	2.1	11.9	1.0	4.8	5.7	4.9	89	58	91	NW 2	S 2	NW 1	10^2	3^1⊙	0	0.1	–	8^{14} p ≡0
10.	26.1	26.0	25.6	0.2	5.2	1.8	6.5	− 0.3	4.6	5.7	4.9	98	86	93	W 2	W 2	SW 3	10^2	10^2	3^1	0.1	–	n ⌊_
11.	25.5	26.4	27.8	1.6	4.0	3.2	4.8	1.1	5.2	6.0	5.7	100	98	98	S 2	C	C	10^2=	10^2●	10^2=	0.2	–	10^{30} p−ca 8 a ≡1, 11^{30} a−0^{30} p ◍0, $0^{30}-3^{14}$ p ◍1
12.	32.1	33.0	35.3	1.5	7.4	5.1	8.4	1.1	5.1	6.6	5.6	100	86	86	S 2	SE 1	S 2	10^2=	10^2	10^2●	1.7	–	n ≡1, 2^{30}−ca 5 p ◍0
13.	36.0	34.8	34.6	0.6	10.5	3.3	11.0	− 0.4	4.2	5.5	4.9	89	58	85	S 2	SW 3	SW 2	10^0	10^0⊙	8^1	0.8	–	n ⌊_
14.	35.2	35.2	36.5	0.2	6.5	2.7	7.7	− 0.6	4.5	5.5	5.3	96	77	94	C	C	C	10^2	10^1	9^1●	0.1	–	n ⌊_, ca 9 p ≡1
15.	38.7	40.2	41.7	1.9	4.3	1.2	4.9	0.7	5.2	6.1	4.7	98	98	94	S 1	C	C	10^2●	10^2	10^1	0.5	–	n ◍0, 3^{57} p ◍0
16.	43.6	44.0	44.2	0.8	7.3	3.9	8.0	0.1	4.7	6.3	5.2	98	83	85	SE 1	SW 2	SW 2	10^2	10^0⊙	10^2	0.3	–	n ⌊_
17.	44.4	43.2	42.6	0.8	11.8	4.2	12.4	0.5	4.6	5.4	4.9	94	52	79	S 1	S 1	SW 3	7^1	10^0⊙	1^1	0.9	–	$10^{14}-11^{14}$ p ◍0, n ⌊_. a ≡1
18.	40.6	37.9	35.5	− 0.8	13.1	5.3	14.0	− 0.9	4.1	6.0	5.4	94	53	82	W 2	C	C	7^0	10^0⊙	10^1	0.1	–	n ⌊_
19.	33.0	30.5	30.3	− 0.8	11.8	7.3	13.3	0.1	4.6	6.1	5.3	94	59	69	W 1	E 2	S 2	10^1	10^0⊙	10^2	0.1	–	n ⌊_
20.	31.4	31.6	32.6	4.1	10.7	3.0	12.2	2.7	5.6	6.5	4.7	92	68	83	S 1	W 5	S 3	10^2	9^2	10^1	0.6	–	n ◍. 2^{43} p ◍0
21	33.9	35.4	38.2	3.2	6.9	3.9	10.3	2.4	4.8	4.2	4.9	83	56	80	SW 2	W 5	C 7	7^1	10^2●	10^1	1.9	–	n ◍
22.	42.4	44.1	**44.8**	− 1.0	9.1	3.9	10.1	− 1.4	4.2	7.6	5.6	98	89	92	S 1	S 1	S 2	5^1	2^1⊙	9^1	0.1	–	n ◍
23.	42.6	40.2	37.7	5.0	9.6	9.0	10.3	3.9	6.2	8.3	8.2	95	94	96	S 3	S 2	S 3	10^2●	10^2●	10^2●	0.9	–	n ◍, p ◍1
24.	34.8	34.1	35.0	8.5	10.7	8.2	11.7	8.0	7.9	**9.0**	7.7	96	94	94	S 2	W 3	W 1	10^2●	10^2	10^2	9.5	–	n ◍, a ◍1, p ztw. ◍1
25.	33.4	35.6	36.5	6.7	9.7	5.4	10.4	5.4	7.2	7.2	6.5	99	82	97	S 1	NW 2	S 1	10^2●	10^2	8^1	**9.6**	–	n ◍, a ≡1, a ztw. ◍
26.	38.3	39.3	41.3	4.0	12.8	5.7	13.4	3.2	6.0	7.6	6.4	98	69	94	C	S 2	S 1	10^2=	9^1⊙	10^1	1.8	–	n ⌓. 10^{14} p−ca 10 a ≡2
27.	42.2	41.3	43.9	4.4	9.8	8.1	12.0	3.1	5.7	7.2	6.7	92	80	83	SW 4	W 5	SW 3	10^2	10^2●	8^0	9.1	–	⊃ ⌓, ca 6 p Wolken dunkelrot gefärbt
28.	44.2	43.2	44.0	4.4	14.2	6.6	15.3	4.4	6.0	7.1	6.9	97	59	64	SW 2	W 3	S 2	10^1	10^0⊙	1^1	0.1	–	n ⌓
29.	42.2	39.3	39.5	1.6	17.0	8.1	**17.4**	1.1	5.1	5.9	5.6	98	**41**	68	C	S 3	S 3	10^2=	3^1⊙	10^1	0.1	–	10^{14} p ⏀ (45 °). n ⌓
																					37.0		
Mittel	33.3	33.1	33.5	0.1	7.1	2.4	8.2	− 1.1	4.6	5.6	5.0	93	72	86				9.1	9.0	7.8			

Würzburg.

Februar. $\varphi = 49^0\ 48'$ N. $\lambda = 9^0\ 56'$ E $= 39^m\ 44^s$. H $= 179.3$ m. Cg $= +0.3$ mm. 1912.

1.	39.0	35.9	31.7	− 0.7	2.1	− 0.2	2.1	− 1.5	3.8	3.6	3.5	86	68	78	W 2	W 4	W 4	10^2	10^2	10^2	1.6	2	n ✳, p ztw. ✳
2.	28.9	25.7	**22.7**	− 1.2	− 0.3	− 5.5	− 0.2	− 5.5	3.3	3.6	2.6	78	81	87	S 2	E 2	E 2	10^2	10^2*	10^2*	0.2	1	n, p ✳
3.	28.7	34.2	37.7	− 9.4	− 8.2	−15.4	− 5.5	−15.4	1.8	1.4	1.0	81	59	77	W 4	SE 2	W 2	o	oo	o	9.5	**11**	n ✳
4.	38.9	38.5	36.7	−20.0	− 9.0	−11.1	− 8.8	**−20.2**	**0.7**	1.5	1.4	80	66	72	W 2	E 4	E 2	o	10^1	10^2	–	9	
5.	33.8	33.9	33.9	− 9.6	− 4.5	− 3.7	− 3.7	−13.1	1.6	2.0	2.6	74	63	76	W 4	SE 2	SE 2	o	10^2	10^2	–	8	
6.	34.6	34.0	34.7	− 3.0	3.7	1.5	4.0	− 6.2	3.3	4.6	4.8	89	77	94	C	W 2	W 2	10^2●	10^1	10^2	1.0	5	a ◍ ⌇. ca. 3^{45} p ◍
7.	36.3	37.6	37.8	2.0	5.6	1.0	7.4	1.0	4.7	5.7	4.7	89	75	94	C	SE 2	C	10^2	6^1	o	1.9	3	p ◍0
8.	35.9	33.8	34.7	− 1.8	6.0	1.5	6.2	− 2.0	3.8	5.2	4.7	96	75	93	C	E 2	SW 2	o=	10^2	o	0.1	1	a ⌊_ ≡1
9	31.9	33.1	33.9	2.3	7.7	1.2	8.8	1.0	4.8	5.2	4.6	87	67	92	SW 2	SW 2	C	10^2	3^1	o	–	–	a ≡1
10.	35.4	35.3	34.4	0.8	7.4	3.9	7.4	− 0.4	4.6	6.6	5.7	94	86	95	S 2	SW 2	C	10^2	10^2	10^2	–	–	a ⌊_ ≡1
11.	34.6	35.0	36.5	2.9	5.2	1.9	6.0	1.9	5.3	6.2	5.0	94	94	95	C	C	C	10^2	10^2	10^2=	–	–	a, p ≡1. a ◍0
12.	41.1	42.0	44.4	0.0	7.2	5.2	8.0	− 0.4	4.4	5.9	5.5	96	77	83	C	W 4	W 2	o=	10^2●	o	0.5	–	a ⌊_ ⌊_ ≡2, p ◍
13.	44.7	44.3	44.0	0.8	8.4	2.4	8.7	− 0.3	4.6	5.1	5.0	94	62	91	C	C	C	3^1=	10^1	o=	1.5	–	a ⌊_ ⌊_ ≡2
14.	44.4	44.6	45.9	0.4	7.0	3.7	8.0	0.0	4.5	5.3	5.6	94	71	93	C	NW 1	C	10^1	10^1	10^2	–	–	a ⌊_ ⌊_ ≡2. p ztw. ◍0
15.	48.1	49.8	51.0	2.3	7.1	4.3	7.2	1.9	5.0	5.7	5.3	93	76	85	SW 2	SW 2	C	10^2	10^1	10^1	1.7	–	n ◍
16.	53.2	53.3	53.3	2.6	7.6	5.1	8.0	2.0	5.0	5.2	5.2	91	67	80	W 2	SW 2	C	3^1	8^1	10^2	–	–	
17.	53.3	52.4	51.3	0.5	10.1	2.9	10.9	0.0	4.5	5.3	5.2	94	57	91	C	SE 2	C	o=	oo	o	–	–	a ⌊_ ≡2
18.	49.4	46.7	44.6	− 1.3	9.6	3.5	10.2	− 1.6	4.0	5.2	5.4	96	58	92	C	C	C	o=	3^1⊙	o	–	–	a ⌊_ ⌊_ ≡2
19.	42.6	39.9	39.7	− 0.2	8.6	7.0	9.4	− 0.6	4.4	6.1	6.6	96	73	88	C	C	C	o=	10^2	10^2●	–	–	a ⌊_ ⌊_ ≡2. ca 6^{45} p ◍
20.	40.2	40.6	41.7	− 6.0	9.5	6.4	10.0	5.5	5.6	5.0	4.8	81	56	66	SW 2	W 4	W 4	10^2	10^2	10^2	1.1	–	n ◍
21.	43.0	44.7	47.7	− 4.1	7.9	5.5	8.3	3.7	4.5	4.5	5.3	74	57	79	W 4	W 4	W 2	o	5^1	8^2	1.6	–	n ◍
22.	51.8	53.4	**53.8**	− 0.6	7.9	7.3	8.0	− 1.0	4.1	6.4	6.5	94	81	86	W 2	SW 2	W 2	10^2=	10^2	10^2	–	–	a ⌊_ ⌊_ ≡1
23.	51.0	49.2	47.0	8.5	11.7	9.6	11.7	6.5	7.4	**8.9**	8.7	89	87	**98**	W 2	SW 4	SW 2	10^2	10^2●	10^2●	0.6	–	a ◍0, p ztw. ◍
24.	43.9	43.5	43.8	9.6	11.9	10.0	12.2	8.3	8.2	8.4	8.0	92	81	87	W 4	W 4	W 4	10^2●	10^2●	10^2●	7.8	–	n ◍
25.	42.6	45.0	45.5	7.9	10.1	6.1	10.1	6.1	7.5	7.6	6.5	94	82	93	S 2	NW 2	NW 2	10^2●	10^2	10^1	**12.2**	–	n, a ◍. ca 6^{45} p ☋
26.	47.3	48.3	50.6	5.4	10.8	7.1	11.8	4.4	6.4	7.6	6.3	95	79	84	NW 2	SW 2	SW 2	10^2=	3^1⊙	3^1	1.6	–	a ≡1
27.	51.2	50.9	53.7	5.3	10.6	9.0	11.0	4.6	5.7	7.6	6.9	86	80	80	SE 2	W 4	W 4	4^1	10^2	o	–	–	a ≡1. p ◍0
28.	53.3	52.4	53.2	7.0	14.7	8.1	15.0	5.8	6.4	6.3	6.8	85	**51**	85	NW 2	SW 4	SW 2	o	4^1⊙	o	0.1	–	a ⌓
29.	50.9	48.0	48.0	2.1	13.4	8.3	**16.7**	1.8	5.1	8.1	6.2	94	71	75	C	W 2	C	o=	oo	5^1	–	–	a ⌓ ≡2
																					43.0		
Mittel	42.4	42.3	42.6	0.8	6.5	3.0	7.2	− 0.5	4.7	5.5	5.2	89	72	86				5.5	7.7	6.1			

Alle Angaben nach Ortszeit.

Ludwigshafen a/Rh.

Februar. $\varphi = 49^0\ 29'$ N. $\lambda = 8^0\ 26'$ E $= 33^m\ 44^s$. H $= 100.3$ m. Cg $= +0.3$ mm. 1912.

Datum	Luftdruck auf 0^0 u. Normalschwere reduziert 700 mm +			Lufttemperatur C°					Absolute Feuchtigkeit mm			Relative Feuchtigkeit Proz.			Richtung und Stärke des Windes 0 bis 12			Bewölkung 0 bis 10			Niederschlag mm	Schneedecke cm	Bemerkungen
	7^a	2^p	9^p	7^a	2^p	9^p	Max.	Min.	7^a	2^p	9^p	7^a	2^p	9^p	7^a	2^p	9^p	7^a	2^p	9^p	7^a	7^a	
1.	47.5	44.4	40.6	0.7	1.6	0.5	1.6	0.1	4.1	3.7	3.8	85	73	80	SW 1	W 2	NW 1	10^2	10^2	10^2	1.0	–	
2.	35.8	32.4	30.2	0.2	0.5	– 1.8	3.0	– 1.8	3.7	3.9	4.0	80	82	100	SW 1	NE 2	N 3	10^2	10^1	10^2	0.4	–	10^{20} p ✳^{0}, 11^{04} a–13^4 p ✳
3.	38.1	42.5	45.5	– 9.9	– 7.4	–11.5	– 1.8	–11.5	1.6	1.5	1.4	74	58	78	N 3	W 2	W 1	10^2	oo	o	5.4	8	n ✳, ≡
4.	46.0	45.0	44.1	–14.6	– 6.2	– 8.7	– 6.2	–15.0	1.4	2.0	1.5	96	69	66	N 2	N 1	N 2	o	oo	ↄ	–	5	a–n ∞
5.	40.7	40.4	40.3	– 6.8	– 3.2	– 3.0	– 3.0	– 8.9	1.9	2.2	2.7	70	61	74	C	C	C	10^0	10^0	10^0	–	4	4^{34} p leichtes Rieseln
6.	40.8	40.4	40.7	– 1.3	2.3	2.5	2.5	– 3.0	3.9	4.6	5.3	94	84	96	N 1	N 1	SW 2	10^1=	10^1	10^2	0.4	2	n ◍^{0}, ∽, seit mn ⊠ ausgeaepert, a ≡^{1}, p ◍
7.	43.2	44.8	44.3	4.7	11.0	5.8	11.1	2.4	5.4	7.1	5.9	84	73	87	C	C	C	10^2=	2^0⊙	o	6.6	–	n ◍, a ≡^{1}. Die letzten Reste der ⊠ im [1]
8.	41.8	41.3	41.4	– 0.7	4.7	3.6	5.8	– 0.9	4.2	5.1	5.0	96	79	85	N 1	N 1	N 1	10^2=	10^2	10^2	–	–	a ≡^{2}, ⌙^{1}
9.	39.5	39.9	40.8	4.1	11.3	6.5	12.2	2.3	4.9	6.4	6.1	80	64	84	E 1	C	C	10^2=	3^1⊙	o	–	–	a ≡^{1}
10.	43.7	43.5	43.5	5.6	7.4	5.8	7.5	3.9	6.3	7.5	6.5	93	98	94	C	S 1	C	10^2=	10^2●	10^2	–	–	a ≡^{2}. 7^{34} a ab ≡ reissen. 9^{35} a–2^{34} p ◍^{0} (ztw. ◍^{1})
11.	42.0	42.4	45.1	5.1	10.2	5.1	10.7	5.0	6.1	6.9	6.1	94	74	94	S 1	W 1	C	10^2	3^0⊙	o	6.8	–	
12.	48.8	49.7	51.7	4.7	7.8	6.4	8.1	2.9	6.0	6.6	5.6	94	83	78	SE 1	S 1	SW 1	10^2	o	10^2	0.4	–	a ∞, ≡ reissen. 9^{20} a–0^{34} p ◍^{0}
13.	51.8	51.3	51.3	5.2	10.9	6.8	11.1	4.9	4.9	4.7	5.1	74	49	70	SE 2	S 1	C	10^2	5^0	o	1.2	–	a ∞. 9^{04} a ≡ reissen
14.	52.0	52.0	53.9	4.1	9.1	6.2	9.3	3.5	5.3	5.9	5.5	87	68	78	S 1	C	N 1	10^2	5^1	10^1	0.2	–	mrgs. rasch ziehende Wolken
15.	56.3	58.1	59.4	2.1	8.0	6.4	8.3	1.9	5.2	5.4	5.8	96	67	81	N 1	W 1	W 1	10^2=	9^2	10^0	0.2	–	6^{34} a ab ≡^{1}. 9^{34} a ∞. 3^{04-50} p ausserordentlich [2]
16.	61.5	61.4	61.0	1.4	8.8	4.9	9.1	0.9	4.4	5.1	5.1	87	60	78	S 1	C	SW 1	10^1	9^1	o	–	–	a ∞ ⌙^{1}
17.	61.0	60.0	58.4	0.7	8.8	4.5	9.3	0.1	4.9	5.5	5.7	100	66	90	SW 1	C	NW 1	10^2=	6^1	o	–	–	a ≡^{2} ⌙^{1}
18.	56.7	54.3	51.7	1.9	10.4	7.8	10.5	1.3	4.9	5.9	6.1	93	63	78	N 1	S 1	C	o	6^0⊙	10^0	–	–	a ≡^{1}, ⌙^{1}
19.	49.5	47.0	46.8	5.8	12.6	9.5	13.1	4.6	5.5	5.5	6.6	81	50	75	S 1	S 1	SW 5	10^1	10^1	o	–	–	8^{04} p ab ⌒
20	48.0	48.7	50.1	6.0	10.0	8.4	10.1	6.0	5.8	5.5	3.6	84	60	44	S 4	SW 5	SW 5	7^1	5^1⊙	10^0	–	–	n lebhafter Wind. 10^{35-44} a, p ◍^{0}
21.	52.3	53.2	55.5	4.9	9.4	7.0	9.9	3.9	4.7	4.9	6.8	71	56	91	SW 1	SW 3	SW 2	9^2	9^2	10^1●	0.1	–	6^{04} p ab ◍
22.	59.3	60.8	62.9	6.0	11.0	10.0	11.0	5.2	6.8	7.6	7.7	97	77	84	S 1	S 1	S 1	10^2=	10^2	10^0	1.5	–	a ≡^{1}. 0^{34-164} p ◍
23.	59.3	57.2	54.3	9.2	12.2	10.3	12.2	8.2	8.0	**9.1**	8.9	92	87	95	C	SW 1	SW 2	10^2	10^2●	10^2	2.5	–	n ◍. vorm. u. nachm. mit Unterbrechungen ◍
24.	52.2	52.3	52.2	10.6	12.6	10.8	12.7	9.8	8.3	8.4	8.4	89	78	89	S 3	SW 2	SW 1	10^1	10^2●	10^2	2.6	–	n ◍. vorm. u. nachm. mit Unterbrechungen ◍
25.	50.9	53.0	53.5	8.6	11.8	10.4	11.9	8.0	7.9	7.8	8.0	95	76	85	W 1	SW 1	W 1	10^2●	10^2	10^1	**11.8**		n–9^{34} a ◍
26.	56.3	56.9	58.6	5.1	11.0	7.0	11.2	4.2	6.6	6.9	6.0	100	70	79	W 1	W 1	SW 1	10^2=	5^1⊙	o	3.2	–	a ≡^{1}, dann vorm. ∞
27.	59.2	60.0	**62.5**	7.4	11.8	10.6	12.0	5.8	6.2	7.8	6.6	80	76	70	S 2	SW 3	SW 1	10^2	10^2	o	–	–	
28.	62.2	61.5	61.2	8.2	13.6	10.0	15.0	7.0	7.0	7.6	7.1	87	65	79	S 1	SW 1	SW 1	10^1	2^0⊙	o	–	–	
29.	58.2	55.4	55.9	4.3	15.5	12.6	**15.8**	4.0	5.6	6.1	6.9	90	47	63	S 1	S 2	SW 1	2^0⊙	6^0⊙	10^1●	–	–	a ⏢. 8^{50} p ab ◍
																					44.3		
Mittel	50.2	50.0	50.2	2.9	7.8	5.3	8.4	1.9	5.2	5.8	5.6	88	69	81				8.5	7.0	5.5			

[1] Laufe des Tages vollständig abgeschmolzen
[2] starker ni aus W

Nürnberg.

Februar. $\varphi = 49^0\ 27'$ N. $\lambda = 11^0\ 3'$ E $= 44^m\ 12^s$. H $= 309.1$ m. Cg $= +0.2$ mm, über 735.0 mm Cg $= +0.3$ mm. 1912.

1.	27.2	24.5	21.3	– 1.9	0.7	– 1.3	1.0	– 2.6	3.4	3.6	3.2	86	73	78	SW 2	SW 2	SW 2	10^1	10^1	10^1	4.0	7	n ztw. ✳^{0}, gegen 11 a–1^{15} p meist ✳^{0}, t trüb
2.	16.7	13.9	09.9	– 1.7	– 1.3	– 4.2	– 1.0	– 4.2	3.4	3.5	2.9	84	84	89	SW 1	E 2	NE 2	10^1✳	10^1✳	10^1✳	0.4	8	10^{20} p–2 a ✳^{0}. 5^{20} a an t ✳$^{0.1}$
3.	14.6	21.2	25.4	–10.9	–10.3	–15.0	– 4.2	–15.0	1.6	1.1	1.1	83	54	77	N 3	N 2	NE 2	10^1✳	5^1⊙	o	8.2	**17**	n–nach 9 a ✳$^{0.1}$. 10 a an Aufklaren
4.	26.9	26.5	25.1	–18.7	– 9.6	–10.9	– 9.1	**–20.1**	0.8	1.3	1.3	77	63	69	E 2	E 2	E 3	o	9^1⊙	10^1	–	15	t wechselnde Bewölkung
5.	22.2	22.4	22.5	–10.1	– 4.9	– 4.2	– 4.2	–11.3	1.4	2.1	2.5	67	67	75	E 3	SE 2	SE 2	10^1	10^1	10^1	–	12	t meist bedeckt
6.	23.6	23.7	23.6	– 2.4	4.2	2.1	5.3	– 4.2	3.1	3.9	4.0	81	63	75	SE 3	SW 2	SE 2	10^1	7^1⊙	6^1	–	10	ca. 3 a ◍^{0}. 7^{42-50} a ◍^{1}, t wechselnde Bewölkung
7.	25.4	27.1	27.0	0.6	6.8	2.5	7.4	0.4	4.2	4.2	4.5	89	57	80	E 1	SE 2	E 2	o=	8^1⊙	o	–	7	a ≡^{1}, p Aufklaren
8.	24.9	23.4	23.5	– 0.2	8.0	3.9	8.3	– 1.9	3.8	4.7	4.6	85	59	75	SE 2	SE 2	SE 2	o	5^1	10^1	–	6	n klar, a ≡^{0}, p zunehmende Bewölkung
9.	20.5	22.4	22.5	3.4	9.1	3.6	10.9	2.8	4.6	5.0	5.2	78	58	88	E 2	C	SE 1	10^0	4^1⊙	o	–	5	a ≡^{0}, p Aufklaren
10.	23.2	23.7	23.4	0.9	5.1	3.1	6.3	0.7	4.5	5.5	5.5	90	85	96	NW 1	NW 2	SE 1	10^1	10^0	10^1	–	4	⌙. a ≡$^{0.2}$, t trüb, häufig C
11.	23.1	24.1	24.9	2.9	4.8	3.9	5.9	2.3	5.2	5.9	6.0	91	92	**98**	S 1	SW 2	SW 1	10^2=	10^1●	10^1	–	1	a ≡^{2}. 1–gegen 7 a ✳^{0}. 10^{32} a–1 p, 1^{15-240} p ◍$^{0.1}$. [1]
12.	29.6	30.8	33.2	1.2	8.3	4.7	9.0	0.2	4.8	5.7	5.4	96	70	84	SW 1	SW 2	SW 1	10^2=	6^1	10^1	0.6	–	n Aufkl., a ≡^{2}. 4^{20-35} p ◍$^{0.1}$, p zunehm. Bewölkg.
13.	33.2	33.2	32.4	1.3	9.2	3.7	10.0	1.0	4.3	4.7	4.7	85	55	78	SE 1	SE 2	SE 2	8^1=	6^1⊙	o	0.7	–	n klar. ⌙. a ≡^{1}, t wechselnde Bewölkung
14.	32.7	33.2	33.8	0.7	6.8	3.3	7.0	0.5	4.4	5.2	5.4	90	71	93	SE 1	C	SW 1	10^0=	10^0	5^1=	–	–	t ≡$^{0.1}$, meist windstill, wechselnde Bewölkung
15.	36.0	38.2	39.1	2.1	5.3	2.3	6.0	1.7	5.1	5.7	4.9	94	85	91	W 1	W 2	W 1	10^0=	10^0	o	–	–	mn–gegen 7 a ztw. ◍^{0}, a ≡^{1}, t meist bedeckt
16.	41.0	42.0	41.9	2.7	6.7	4.5	7.0	1.9	4.9	4.7	5.1	88	64	81	SW 1	W 2	SW 2	10^0	8^1⊙	10^1	–	–	a ≡^{0}, t meist bedeckt
17.	41.9	41.1	40.4	2.1	10.4	5.0	11.0	2.1	4.9	4.7	4.6	91	50	71	C	S 2	SE 2	5^1	4^1⊙	o	–	–	a ≡^{0}, t öfters C, m Aufklaren
18.	38.1	35.8	33.4	1.3	11.8	6.1	12.8	0.9	4.5	4.3	5.4	89	41	76	SE 1	S 2	SE 2	5^1=	3^1⊙	o	–	–	n klar. ⌙. a ≡^{1}. t heiter
19.	30.3	28.7	28.1	2.3	11.7	5.7	11.9	1.4	4.8	5.1	5.8	87	50	85	S 1	SE 1	E 1	10^0=	10^0	10^1=	–	–	n meist klar, ⌙. a, p ≡^{1}. t ztw. C, meist wolkig
20.	29.2	29.7	30.7	4.8	9.0	3.7	9.1	3.7	5.8	5.3	5.1	90	62	85	SW 2	W 2	SW 2	4^1	8^1⊙	10^1	0.7	–	20^3–gegen 3 a meist ◍^{1}. a ≡^{0}. 24^{5-3} p ◍$^{0.1}$
21.	32.4	33.8	35.9	2.9	7.2	4.1	7.9	2.9	4.6	4.5	5.2	80	60	85	SW 2	SW 3	SW 1	4^1	8^1	10^1	0.2	–	mn kurz ◍^{0}. t ztw. Aufkl. 3^{15-25} p ◍^{0}. 3^{25-30} p △. [2]
22.	39.9	42.1	**42.7**	0.9	7.0	5.6	7.8	0.6	4.6	5.4	5.5	94	72	82	S 1	SW 2	SE 2	10^2=	2^1⊙	8^1	–	–	10^{20-50} p ◍^{0}. a ≡^{1}. t wechselnde Bewölkung
23.	40.6	38.6	35.8	6.2	10.0	9.2	10.6	5.0	6.4	8.2	**8.4**	90	89	**98**	S 2	S 2	SE 1	10^0	10^0	10^1	0.4	–	a ≡^{0}. 5 a–6 p ztw. ◍$^{0.1}$. t bedekt
24.	33.2	32.8	33.0	8.4	10.3	9.5	11.2	7.9	7.9	8.3	8.0	96	89	91	SW 1	SW 3	SW 1	10^1	10^0	10^1	**9.2**	–	10 p–nach m ztw. ◍$^{0.1}$. 5 p ◍^{0}. a ≡^{0}. t bedeckt
25	31.1	33.3	34.2	8.4	8.2	6.8	9.5	6.8	7.8	7.4	7.1	94	94	96	S 1	NW 2	SW 1	10_0	10^0	10^1	7.5	–	2^{25} a–6 p ztw. ◍$^{0.1}$. m ∞. t trüb
26.	35.8	37.2	39.4	3.7	11.6	6.1	12.0	2.9	5.8	8.1	6.4	97	82	91	C	SW 2	SW 1	10^2=	9^1	2^1	0.7	–	a ≡^{2}. t ztw. Aufklaren, häufig C
27.	40.4	39.6	42.0	5.5	11.0	9.3	13.0	4.3	6.0	6.9	7.0	89	70	80	W 2	SW 3	SW 3	10^0	10^1	8^1	–	–	mn ψ. a ≡^{0}. 10^{30} a, gegen 3 p ◍^{0}. t meist bed.
28.	42.1	41.5	41.9	6.2	13.2	8.0	13.8	5.6	6.2	6.3	6.8	88	56	85	S 2	W 2	SW 2	10^0	8^0⊙	o	–	–	mn ψ. a ≡^{0}. p Aufklaren
29.	39.8	37.3	37.6	3.3	15.7	8.4	**16.7**	3.1	5.6	4.9	5.7	97	**37**	69	S 1	S 2	SE 2	7^1=	2^0⊙	8^1	–	–	⌙. a ≡^{1}. t meist heiter
																					32.6		
Mittel	30.9	31.1	31.2	0.9	6.4	3.1	7.3	0.0	4.7	5.1	5.1	88	67	83				8.0	7.6	6.4			

[1] t meist bedeckt, häufig C. [2] 3^{30} p ⌒

Alle Angaben nach Ortszeit.

Kaiserslautern.

Februar. $\varphi = 49^0\ 27'$ N. $\lambda = 7^0\ 46'$ E $= 31^m\ 4^s$. H $= 242{,}2$ m. Cg $= +0.3$ mm. 1912.

Datum	Luftdruck auf 0^0 u. Normalschwere reduziert 700 mm + 7a	2p	9p	Lufttemperatur C° 7a	2p	9p	Max.	Min.	Absolute Feuchtigkeit mm 7a	2p	9p	Relative Feuchtigkeit Proz. 7a	2p	9p	Richtung und Stärke des Windes 0 bis 12 7a	2p	9p	Bewölkung 0 bis 10 7a	2p	9p	Niederschlag mm 7a	Schneedecke cm 7a	Bemerkungen
1.	34.9	32.0	28.0	− 0.1	0.4	0.0	0.5	− 0.4	4.3	4.1	4.4	94	87	96	W 2	NW 2	W 2	10^1	10^1	10^2*	2.8	4	n ✳. a ztw. ✳0. p-n ztw. ✳
2.	23.3	19.9	18.4	− 1.2	− 1.2	− 2.6	0.0	− 2.6	3.8	4.0	3.6	90	96	96	C	E 2	SE 2	10^1	10^2*	10^2*	0.3	1	n ✳0. a ≡1, ztw. ✳0. p-n ✳
3.	25.7	29.6	31.9	−10.7	− 7.4	−13.5	− 2.6	−13.5	1.6	1.8	1.3	80	69	83	E 1	N 1	N 1	7^1	2^0⊙	0	3.4	**10**	n ✳
4.	32.3	31.4	30.3	−17.4	− 7.3	−10.7	− 7.2	**−18.6**	**1.0**	1.9	1.6	84	72	80	N 1	NE 2	E 1	2^0	oo	3^0	−	7	
5.	27.8	27.4	27.4	− 8.9	− 3.2	− 2.7	− 2.7	−11.2	1.9	2.7	3.7	85	76	100	E 2	E 1	C	10^1	10^1	10^1●	−	5	8^{56}–10^{01} a ✳-flocken. 4^{30} p-n ✳, dann ◍0
6.	27.8	27.5	28.2	− 1.2	3.0	2.6	3.3	− 4.8	4.2	5.4	5.5	100	95	100	C	C	C	10^1	10^1	10^2●	1.0	3	n ◍0 ᔓ. a ᔓ ≡. p ≡. 3^{16} p-n ◍ ≡
7.	30.6	31.8	31.7	5.8	10.0	1.9	10.4	1.0	6.6	7.6	5.3	96	83	100	W 1	W 1	C	10^1	2^1⊙	0	7.4	−	n ◍. a, abds. ≡2
8.	29.2	28.9	28.7	− 0.4	3.4	2.6	4.0	− 0.8	4.5	5.3	5.1	100	92	93	C	N 1	C	10^0	10^1	10^1	−	−	a ≡2, ⌊. p ≡
9.	27.2	27.5	29.0	2.2	12.0	3.4	12.4	1.9	5.1	6.9	5.7	94	66	98	C	W 2	C	10^1	2^0⊙	0	0.1	−	a ≡1. 7^{41}–8^{01} a ◍0
10.	31.3	30.9	29.7	5.2	6.5	5.3	7.4	2.9	6.5	7.1	6.5	98	99	97	W 1	W 1	C	10^2●	10^1●	10^1	1.9	−	n ◍. a ≡1, ◍. p ztw. ◍0, ≡2, ∞
11.	28.8	30.3	32.4	5.5	9.7	1.8	10.4	1.8	6.5	6.8	5.1	97	75	98	W 1	W 2	C	10^1	3^1⊙	0	3.7	−	n ◍. a ≡1
12	35.7	36.6	39.1	1.3	8.3	5.3	9.0	0.5	5.0	6.6	5.7	100	81	86	C	W 2	C	7^1	7^1⊙	0	−	−	a ⌊2, ≡2. 8^{01} a–9^{31} p ◍0.1. p ztw. ◍0
13.	39.0	39.1	38.5	3.3	9.5	4.5	10.2	2.2	5.4	5.7	5.7	93	64	90	W 2	NW 2	C	10^1	7^1⊙	0	4.8	−	n ◍. a ≡1. 8^{01}–9^{31} a ◍0
14.	39.0	39.1	40.6	1.0	7.1	3.6	8.1	− 0.1	4.7	6.7	5.8	96	88	98	C	SW 1	C	9^1	10^1	9^2●	0.1	−	a ≡2. p-n ztw. ◍0
15.	43.0	44.9	46.4	2.9	7.0	2.4	7.7	2.4	5.6	5.4	5.3	100	72	96	C	W 1	C	10^2=	9^1	0	1.0	−	a ≡2
16.	47.9	47.9	47.7	− 0.6	7.6	1.4	8.2	− 0.8	4.2	5.3	4.9	96	68	96	SW 1	W 2	C	10^1	8^0⊙	0	−	−	a ⌊2
17.	47.7	46.1	45.1	− 1.0	10.4	3.2	12.1	− 1.4	4.1	5.7	5.5	96	60	95	C	C	C	7^1	2^0⊙	0	−	−	a ⌊2, ≡2
18.	43.5	40.4	39.0	− 0.4	11.5	5.2	13.1	− 0.8	4.5	6.7	5.7	100	66	86	C	C	C	7^0	2^0⊙	0	−	−	a ⌊, ≡
19.	36.6	34.0	34.2	5.8	13.6	9.3	14.0	3.6	5.5	5.5	6.2	81	**47**	71	C	W 4	W 3	9^2	7^0⊙	10^1	−	−	a ≡1. 10^1 p-n ztw. ᔓ. 5^{01} p ◍tropfen, 1)
20.	35.2	35.9	37.0	6.0	9.5	7.0	9.6	5.5	6.0	4.3	4.4	87	48	59	W 3	W 5	W 3	10^1	7^2⊙	10^1	0.1	−	n ᔓ, ◍0. a, p ztw. ᔓ
21.	39.1	40.4	42.6	3.1	8.3	6.0	9.2	2.9	5.1	5.4	6.7	90	66	96	W 2	NW 2	C	8^1	9^1	10^1	0.2	−	9^{01} p kurz ◍0. n ᔓ. a ≡1. 5^{01}–7^{01} p ◍0
22.	45.8	47.3	47.6	5.3	9.3	8.9	10.1	5.0	6.6	7.8	7.9	99	89	93	C	W 1	W 1	10^1	10^1	10^1	0.7	−	a ≡2, ztw. ◍0. p-n ztw. ◍6
23.	46.0	44.3	41.3	9.4	11.1	9.5	12.1	8.6	8.3	**8.9**	8.6	95	90	98	W 2	W 1	C	10^1	10^2●	10^1	1.0	−	n, t-n ztw. ◍2
24.	39.5	39.9	39.5	9.3	10.2	9.6	11.2	8.8	8.0	8.7	8.3	92	94	94	W 3	W 2	C	10^2●	10^2●	10^2●	5.3	−	n ◍. t-n ztw. ◍0
25.	38.4	41.0	40.3	8.9	11.5	6.9	12.1	6.9	7.9	7.4	7.2	93	74	98	W 2	W 2	C	10^2●	9^1	9^1	**12.0**	−	n ◍2. a–8^{31} a ◍0.1
26.	42.5	45.1	45.7	4.9	9.3	5.9	10.1	4.3	6.5	7.1	6.0	100	82	87	C	W 2	W 1	10^2=	10^1	3^1	1.5	−	a ≡2
27.	46.1	46.8	**49.5**	7.3	11.5	9.0	12.7	5.0	6.5	7.6	6.7	86	75	78	W 1	W 2	NW 1	10^1	9^1⊙	2^0	−	−	
28.	48.9	48.7	47.7	8.3	11.4	5.1	12.0	5.1	7.3	7.7	6.4	89	77	97	NW 1	NW 2	C	10^1	9^1⊙	0	−	−	
29.	44.6	42.5	43.7	0.4	14.8	10.9	**15.1**	0.1	4.7	6.9	8.6	100	55	89	C	W 3	W 1	7^1	9^1⊙	10^2●	−	−	a ⌊2, ≡2. 7^{46} p-n ◍0
																					47.3		
Mittel	37.2	37.1	37.3	1.9	7.2	3.5	8.0	0.5	5.2	6.0	5.6	94	76	91				9.1	7.3	5.4			1) abds.-n ztw. ◍tropfen.

Ansbach.

Februar. $\varphi = 49^0\ 18'$ N. $\lambda = 10^0\ 33'$ E $= 42^m 12^s$. H $= 437.5$ m. Cg $= +0.2$ mm. 1912.

1.	15.8	13.4	10.0	− 2.3	− 0.7	− 2.6	− 0.2	− 2.7	3.6	3.6	3.2	94	83	85	NW 2	W 4	W 4	10^2*	10^2	10^2	**9.4**	7	n, a, t ztw. ✳
2.	05.6	02.3	699 0	− 3.4	− 2.2	− 4.8	− 0.8	− 4.8	3.1	3.2	2.9	89	83	93	C	SW 2	NE 2	10^2	10^2*	10^2*	0.7	8	t ztw. ✳
3.	04.3	10.1	13.5	−12.2	−10.0	−20.0	− 3.8	−20.4	1.5	1.3	0.7	85	64	80	N 6	N 2	C	10^2*	4^1⊙	10^2-	9.0	**18**	u, a, vorm. ztw. ✳ u. ᔓ, abds. ≡2 V
4.	14.8	14.1	12.8	−25.1	−10.5	−12.4	− 9.6	**−25.8**	**0.5**	1.3	1.3	81	67	73	C	E 2	E 4	0	4^0⊙	8^1	0.1	**18**	mrgs. V
5.	09.9	10.1	10.6	−11.1	− 3.6	− 3.7	− 2.8	−13.0	1.5	2.2	2.9	78	65	84	E 2	SE 2	S 6	10^2	10^3	10^2*●	−	**18**	abds. ✳ u. ◍, ᔓ
6.	12.2	12 0	12.4	− 1.1	3.9	− 1.3	4.0	− 4.2	3.8	3.9	3.5	90	64	84	C	C	C	10^2●	10^2	10^2	1.2	12	n, a, vorm.–7^{32} a ◍. Tauwetter
7.	14.2	15.8	15.8	− 0.6	6.6	− 1.0	7.0	− 1.3	4.1	4.3	4.1	92	59	96	C	C	C	4^0	2^0⊙	0	0.4	8	mrgs. ≡0. Tauwetter
8.	13.1	12.1	12.3	− 4.1	6.9	0.9	7.2	− 4.2	3.1	5.4	4.5	94	73	92	C	C	C	0	8^2	0	−	5	mrgs. ≡0. Tauwetter
9.	09.3	11.0	11.6	1.3	9.6	0.3	9.8	− 0.2	4.6	4.9	4.4	92	55	94	C	C	NW 2	6^0	2^0⊙	0	−	4	Tauwetter
10.	12.4	12.8	11.8	3.7	6.2	3.1	6.8	− 1.5	5.1	5.8	5.7	86	82	98	C	NW 2	C	10^2	10^2	10^2=	−	3	abds. ≡1
11.	11.8	13.0	14 2	2.7	5.1	2.1	6.2	1.7	5.4	5.8	5.2	96	90	98	SW 2	W 2	NW 2	10^2	10^2●	0	−	2	mrgs. Tauwetter. 11^{12} a–2^{27} p ◍
12.	19.0	20.3	22.3	1.9	6.8	1.3	8.0	0.0	5.1	5.6	4.8	96	75	94	C	W 8	C	0	10^2●	0	2.2	−	mrgs. ⌊. t ztw. ◍ u. ᔓ
13.	22.4	21.9	21.5	− 0.9	8.0	1.5	8.4	− 0.9	4.0	5.4	4.5	94	66	90	C	SW 2	C	4^0	6^1	0	0.6	−	mrgs. ⌊
14.	21.6	21.7	23.0	− 0.9	7.4	2.8	7.8	− 1.1	4.1	5.0	5.3	96	65	94	C	C	C	8^1	10^2	0	−	−	mrgs. ⌊. 6^{12}–7^{27} p ◍
15.	25.1	26.9	28.5	1.5	5.0	0.5	5.4	0.0	4.9	5.3	4.5	96	82	94	C	C	C	10^2	10^2	0	0.7	−	
16.	30.3	30.7	30.5	1.8	5.5	2.0	6.2	0.0	4.9	4.8	4.7	93	71	90	C	W 4	C	10^2	2^0⊙	0	−	−	
17.	30.4	29.7	28.9	− 1.0	10.5	2.5	10.8	− 1.0	4.1	5.3	4.7	96	57	86	C	S 2	C	0	oo	0	−	−	
18.	26.5	24.3	22.3	0.9	11.3	5.4	11.6	0.2	4.4	5.6	4.8	90	56	72	C	S 2	C	2^0	oo	0	−	−	mrgs. ⌊
19.	19.7	17.2	16.9	0.3	10.3	4.3	11.0	− 0.2	4.4	5.7	5.4	94	61	88	C	S 2	C	4^0	10^2	10^2	−	−	
20.	18.3	19.0	19.7	4.4	6.3	2.9	8.0	2.3	5.5	5.3	4.7	90	75	83	SW 2	W 6	SW 4	10^2	10^2●	0	0.6	−	1^{12}–2^{42} p ◍ u. ᔓ
21.	21.2	22.5	24.7	1.8	5.9	2.9	6.6	1.2	4.4	5.3	5.1	85	77	91	SW 2	W 4	W 2	0	8^2	0	0.9	−	$10^{2.57}$ p ◍
22.	28.7	30.9	**31.4**	0.7	6.2	5.6	8.2	− 0.2	4.7	5.3	6.1	96	75	90	C	C	W 2	10^2=	2^1⊙	8^2	0.7	−	mrgs. ≡2
23.	29.3	27.4	24.5	5.7	10.6	7.8	11.0	4.8	6.3	**8.4**	7.8	94	91	**99**	SW 2	SW 2	C	10^2●	10^2	10^2=	0.8	−	mrgs. ◍2
24.	22.3	22.0	22.1	8.1	9.0	8.6	9.4	7.1	7.6	7.8	7.8	94	93	93	W 2	W 4	W 2	10^2●	10^2●	10^2●	4.4	−	mrgs. ◍
25.	20.1	22.5	23.1	8.0	7.8	3.9	9.2	3.3	7.5	7.5	5.9	93	94	97	W 2	W 2	C	10^2●	10^2●	4^0	9.0	−	mrgs.–2^{37} p ●
26.	24.4	26.5	28.3	1.4	10.0	4.5	11.2	0.4	5.0	7.5	6.0	98	83	96	C	W 2	C	10^2=	4^1⊙	0	3.4	−	mrgs. ≡2
27.	29.2	28.9	31.3	5.4	9.9	8.2	11.4	3.5	6.4	7.4	6.8	95	82	84	SW 2	W 6	W 6	10^2	10^2	0	−	−	nachm. u. abds. ztw. ᔓ
28.	31.1	30.5	30.6	5.5	12.8	6.6	12.8	4.6	5.9	6.5	6.5	89	59	91	W 2	W 4	C	8^2	2^0⊙	0	−	−	
29.	28 4	26.2	25.3	2.1	15.0	7.8	**15.4**	0.6	5.2	4.4	6.2	96	**35**	80	C	S 4	C	2^0	2^0⊙	6^1	−	−	mrgs. ⌊, ≡0. abds. ∪
																					44.1		
Mittel	19.7	19.9	20.0	− 0.2	5.8	1.4	6.8	− 1.8	4.5	5.2	4.8	92	72	89				6.8	6.7	4.0			

Alle Angaben nach Ortszeit.

Regensburg.

Februar. $\varphi = 49^0\ 1'$ N. $\lambda = 12^0\ 7'$ E $= 48^m\ 28^s$. H $= 342.6$ m. Cg $= +0.2$ mm. 1912.

Datum	Luftdruck auf 0° u. Normalschwere reduziert 700 mm +			Lufttemperatur C°					Absolute Feuchtigkeit mm			Relative Feuchtigkeit Proz.			Richtung und Stärke des Windes 0 bis 12			Bewölkung 0 bis 10			Niederschlag mm	Schneedecke cm	Bemerkungen
	7a	2p	9p	7a	2p	9p	Max.	Min.	7a	2p	9p	7a	2p	9p	7a	2p	9p	7a	2p	9p	7a	7a	
1.	25.2	21.6	17.8	− 2.4	− 1.0	− 2.2	0.0	−3.5	3.6	3.4	3.6	94	80	94	NW 2	NW 2	NW 2	10^0 *	10^0	10^0 ≡	2.0	3	n, a, $8^{33.38}$ a ✳
2.	16.7	14.1	**07.7**	− 2.2	− 2.0	− 3.8	− 1.8	−4.9	3.6	3 5	3.3	94	90	95	NW 2	SW 2	SW 2	10^0 *	10^0 *	10^0 *	1.0	5	t-n öfters ✳
3.	11.0	17.7	20.1	− 9 6	− 8.0	−18.0	− 3.8	−19.0	2.0	2.2	1.0	94	91	95	N 6	N 4	N 2	10^0 *	10^0	10^0	**10.0**	**20**	n-mrgs. ununterbrochen ✳, p ≡^{3}
4.	25.0	23.8	23.2	−20.6	−11.0	−11.0	− 9.9	**−25.0**	0.8	1.7	1.7	93	89	86	N 2	N 2	N 2	10^0	2^0	8^0	−	**20**	a ∽
5.	21.0	20.8	21.0	−10.2	− 6.8	− 6.0	− 5.7	−11.0	1.7	2.2	2.6	80	81	90	W 2	SW 2	SW 2	10^0	6^0	6^0	−	16	
6.	22.0	21.6	21.6	− 5.0	− 0.4	0.0	0.2	− 8.9	2.9	3.5	3.7	93	78	79	S 2	S 2	S 2	10^0	6^0	10^0	−	13	
7.	23.2	24.4	24.5	− 4.8	0.8	− 3.0	2.0	− 5.7	2.9	3.4	3.4	90	70	94	S 2	S 2	S 2	2^0	4^0	6^0	−	11	p ≡^{0}
8.	24.0	22.3	22.3	− 6.0	3.2	− 0.2	3.5	− 7.9	2.7	4.8	3.8	95	83	85	S 2	S 2	S 2	6^1 ≡	6^0 ⊙	6^1	−	10	a ≡^{1}
9.	20.3	19.5	20.1	1.8	5.0	− 0.6	6.1	− 2.8	4.1	4.8	3.9	78	74	88	SE 2	NE 2	NE 2	10^0	2^0 ⊙	2^0	−	9	
10.	20.1	20.4	20.5	− 1.2	2.2	2.5	2.8	− 2.2	3.8	4.2	4.7	90	79	84	N 2	NW 2	NW 2	10^1 ≡	10^0	10^0	−	5	n ●. a, p ≡$^{0.1}$
11.	20.6	20.2	23.1	1.0	1.8	1.2	3.0	0.8	4.6	4.9	4.8	92	93	96	NW 2	S 2	S 2	10^3 ≡	10^2 ≡	10^2 ≡	3.0	5	t ≡^{2}, ca 3–3^{18} p, $4^{18.38}$ p ●
12.	26.2	29.1	30.1	0.0	5.0	2.0	6.1	− 1.0	4.6	5.8	4.9	100	89	93	S 2	NE 2	NE 2	10^1 ≡	10^1 ≡	10^0	1.0	−	t ≡$^{0.1}$
13.	30.6	31.1	30.1	− 1.0	3.4	0.2	5.1	− 2.0	4.0	4.9	4.2	94	83	90	S 2	S 2	S 2	8^1	2^0 ⊙	2^0	−	−	a ∽
14.	29.9	30.1	30.4	− 0.6	3.0	1.0	3.0	− 2.0	4.1	4.7	4.6	92	83	92	NW 2	8 2	S 2	8^0	10^0	10^0	−	−	
15.	33.5	33.6	36.1	0.6	7.0	3.4	8.1	− 1.0	4.4	4.8	5.1	92	65	87	NW 2	NW 2	NW 2	10^0	10^2	10^0	−	−	a ≡^{3}
16.	37.8	38.3	38.7	2.4	5.8	1.8	7.1	1.0	4.7	3.9	4.5	85	57	85	W 2	W 2	W 2	10^1	10^0	10^0	−	−	
17.	39.2	38.9	38.5	0.6	6.8	2.4	9.1	0.0	4.4	5.4	4.3	92	73	79	S 2	SE 3	E 2	2^0	2^0 ⊙	0	−	−	
18.	35.9	34.0	31.4	0.2	7.4	1.8	9.1	− 1.0	4.3	5.0	4.9	92	65	93	S 2	SW 2	SW 2	2^0	2^0 ⊙	0	−	−	
19.	29.6	27.1	25.3	0.0	5.2	2.8	7.1	− 2.0	4.3	5.1	4.8	94	77	86	S 3	S 2	S 2	6^0	6^0 ⊙	10^0	−	−	
20.	26.2	27.2	27.7	0.8	6.4	2.0	9.1	0.0	4.5	5.6	4.9	92	78	93	S 2	SW 2	SW 2	8^0	10^0	0	−	−	ca. 5–5^{18} p ●
21.	29.2	30.2	32.7	2.4	7.2	3.2	9.1	1.0	4.7	4.7	5.2	85	63	90	W 3	W 2	W 2	4^0	8^0	10^0	1.0	−	
22.	37.0	38.7	**40.1**	2.4	7.6	1.8	10.1	0.1	4.7	4.7	4.7	85	60	90	W 2	W 2	W 2	8^1 ≡	4^1 ⊙	8^1	−	−	a ≡^{0}
23.	38.6	36.3	33.7	0.6	3.2	3.8	8.1	0.0	4.4	5.4	5.5	92	93	92	SW 2	SE 2	SE 2	10^0 ≡	10^0	10^0	−	−	a ≡^{0}, 7^{06}–9^{18} a ●, t öfters kurz ●
24.	31.2	30.6	30.6	4.0	8.6	8.0	11.6	2.5	5.4	**7.3**	7.2	88	88	90	SE 2	W 2	W 2	10^1	10^1	10^1	6.0	−	n, 7^{18}–ca 8 a ●, t öfters kurz ●
25	30.0	29.4	31.0	6.8	10.8	4.0	12.1	4.0	6.8	6.4	5.7	93	67	93	SW 2	SW 2	SW 2	10^1 ●	10^0	10^1	7.0	−	n, 7^{00}–ca 9 a, 3^{03}–6^{03} p ●
26.	33.1	34.6	37.0	2.8	7.0	3.8	10.0	2.0	5.2	6.7	5.8	93	89	97	NW 2	SW 2	S 2	10^2 ≡	8^0 ⊙	10^2 ≡	2.0	−	a u. p ≡^{3}
27.	38.2	36.5	38.7	2.8	11.8	9.8	14.6	1.0	5.2	6.3	5.7	91	61	63	S 2	SW 2	SW 2	10^1	6^1	4^1	−	−	a ≡^{0}
28.	39.1	38.7	38.4	6.0	13.2	6.8	**16.0**	5.0	5.7	6.0	6.3	82	53	85	W 2	W 2	W 2	6^1	4^1	0	−	−	
29.	38.1	35.0	34.5	1.4	14.0	6.4	**16.0**	0.0	4.9	6.7	7 0	96	57	98	SE 2	S 2	S 2	10^2	2^1 ⊙	0	−	−	
																					33.0		
Mittel	28.7	28.4	28.5	−0.9	4.0	0.8	5.8	−2.8	4.1	4.8	4.5	91	76	89				8.3	6.9	7.0			

Passau.

Februar. $\varphi = 48^0\ 34'$ N. $\lambda = 13^0\ 28'$ E $= 53^m\ 52^s$. H $= 309.3$ m. Cg $= +0.2$ mm. 1912.

1.	28.1	26.4	23.3	− 1.0	− 1.4	− 1.4	− 1.2	− 2.9	3.9	3.8	3.9	90	92	95	W 2	C	C	10^1	10^1 *	10^1	13.7	17	n, t ✳
2.	18.7	14.9	**10.0**	− 2.0	0.2	− 1.0	0.3	− 2.1	3.5	3.7	4.6	89	80	100	C	C	C	10^1	10^1	10^1	6.9	21	n ✳, t öfters ✳
3	11.1	20.0	26.3	− 3.0	− 7.2	−13.3	− 1.0	−13.3	3.1	2.1	1.3	85	80	84	C	NW 4	C	10^1	10^1 *	0	7.6	**27**	n, a, p ✳
4.	27.8	26.8	26.1	−17.1	− 7.8	− 8.7	− 6.0	**−17.1**	1.0	1.9	1.4	85	76	60	E 1	C	E 2	0	⊙⊙	5^0	3.2	**27**	
5.	23.4	23.9	25.3	−10.1	− 4.0	− 8.7	− 3.2	−10.1	1.5	2.3	2.1	70	68	90	S 1	C	C	10^1	10^1	10^1	−	26	
6.	26.1	26.6	26.8	− 8.3	− 0.4	− 2.2	0.8	−10.0	2.2	3.3	3.2	91	75	84	C	W 1	C	10^0	10^0 ⊙	10	−	26	a ≡^{0}
7.	27.6	29.0	29.0	− 6.7	0.6	− 2.6	1.8	− 6.8	2.5	3.2	3.5	91	72	95	C	E 1	C	10^0	5^0 ⊙	0	−	21	
8.	27.3	25.5	25.8	− 5.8	4.4	− 1.0	4 8	− 6.8	2.8	4.5	4.3	95	73	100	C	S 2	C	10^1 ≡	⊙⊙	0	−	21	a–7^{24} a ≡^{1}
9.	22.7	23.8	23.6	− 2.0	4 8	− 0.2	5.8	− 4.1	4.0	4.4	4.5	100	75	100	C	S 1	C	10^1	10^1	0	−	19	
10.	23.9	24.4	24.8	− 1.0	2.6	1.6	3.8	− 1.9	4.3	2.4	5.1	100	95	100	C	C	C	10^1 ≡	10^1	10^2 ≡	−	16	a ≡^{1}. 9 p ≡^{2}, t ●^{0}
11.	24.2	25.7	26.0	1.0	2,6	1.4	2.8	0.9	4.3	5.5	5.0	100	100	100	C	C	C	10^2 ≡	10^1 ≡	10^1 ≡	1.3	11	t ≡$^{1.2}$ ●^{0}
12.	30.4	32.7	34 4	1.4	4.0	1.8	4 8	− 1.2	5.0	5.5	5.2	100	90	100	C	C	C	10^2 ≡	10^0 ⊙	10^1	0.4	11	a ≡^{2}
13.	35.6	34.2	33 9	− 1.4	5.5	− 0.2	6.8	− 1.9	4.1	5.4	4.5	100	80	100	C	C	C	10^2 ≡	⊙⊙	0	−	9	a ≡^{2}
14.	33.5	34.3	34.8	− 3.0	3.0	1.4	3.8	− 3.3	3.7	4.8	4.8	100	85	95	C	W 2	C	10^1 ≡	10^1	10^1	−	7	a ≡^{1}
15.	35.9	37.6	39.5	0.8	3.0	1.4	3.0	0.7	4.8	5.1	5.0	100	90	100	C	C	C	10^1	10^1	10^1 ≡	−	5	a ≡^{1}
16.	41.5	42.5	42.6	1.6	4.0	1.8	4.8	0.9	5.1	4.9	4.9	99	80	94	C	W 4	C	10^1	10^1	10^1	−	4	
17.	43.4	42.5	42.5	1.0	6.9	0.2	7.3	0.2	4.9	5.2	4.5	100	70	96	C	C	C	10^1 ≡	⊙⊙	0	−	3	a ≡^{1}
18.	40.3	36.8	35.4	− 1.8	8.5	1.4	10.1	− 2.1	4.0	5.5	4.8	100	65	96	C	W 1	C	10^2 ≡	⊙⊙	0	−	2	a ≡^{2} ⌴
19.	33.4	30.5	29.2	− 0,2	4.0	1.8	6.8	− 1.7	4.5	5.0	5.1	100	86	97	C	C	C	10^2 ≡	⊙⊙	5^0	−	−	a ≡^{2}
20.	30.8	31.3	32.9	1.6	6.7	3.2	7.7	0.7	5.2	5.8	5.8	100	80	100	C	C	C	10^1	10^1	10^1	0.2	−	n, ca 4–6 p ●
21.	33.8	34.8	36.7	0.8	6.9	3.2	7.7	− 0.9	4.8	4.5	5.5	100	60	95	E 1	W 2	C	5^0	8^1	10^1	1.7	−	n, ca 2–3^{33} p ●
22.	40.1	43.8	**44.3**	2.2	4.3	1.2	5.8	1.2	5.4	5.6	5.0	100	90	100	W 1	C	C	10^1 ≡	10^1	0	1.5	−	7 a ≡^{1}
23.	43.2	41.4	38.3	− 0.2	4.9	4.0	5.9	− 0.9	4.5	5.8	6.1	100	90	100	C	C	C	10^1 ≡	10^1	10●	−	−	a ≡^{1}, a ztw. ●, ca 4 p-n ●^{0}
24.	34.7	34.7	34.3	3.4	7.7	7 2	8.1	3.1	5.8	7.7	7.6	100	99	100	C	C	C	10^1	10^1●	10^1	4.2	−	n ●, t ztw. ●
25.	33.4	33.4	35.1	6.6	9.5	6.5	9.6	5.0	7.3	7.4	7.2	100	85	100	C	W 2	C	10^1 ≡ ●	10^1	10^1	**14.0**	−	a ≡^{2}, p-ca 6 p öfters ●
26.	36.3	38.5	40.2	4.4	7.1	4.3	9.1	3.8	6.2	7.2	6.1	100	96	98	C	C	C	10^2 ≡	10^1	8^1	9.2	−	a ≡^{2}
27.	41.9	41.1	42.5	2.8	9.3	9.9	12.7	1.1	5.6	7.2	6.4	100	83	70	C	C	C	10^2 ≡	10^0 ⊙	8^1	−	−	a ≡^{2}
28.	43.1	43.6	42.1	6.0	11.3	8.9	12.7	5.8	6.8	7.0	**8.2**	67	70	96	C	W 4	C	10^1	8^1 ⊙	10	−	−	
29.	43.0	40.0	38.5	1.4	15.0	6.0	**15.9**	0.4	5.0	7.1	6.6	100	56	94	C	C	C	10^1 ≡	⊙⊙	10	−	−	a–ca 9 a ≡^{2}
																					63.9		
Mittel	32.3	32.4	32.6	−1.0	4.0	1.0	5.2	−2.2	4.3	5.0	4.9	95	81	94				9.5	7.3	6.8			

Alle Angaben nach Ortszeit.

Landshut.

Februar. $\varphi = 48^0\ 32'$ N. $\lambda = 12^0\ 10'$ E $= 48^m\ 40^s$. H $= 397.7$ m. Cg $= +0.2$ mm. 1912.

Datum	Luftdruck auf 0° u. Normalschwere reduziert 700 mm + 7a	2p	9p	Lufttemperatur C° 7a	2p	9p	Max.	Min.	Absolute Feuchtigkeit mm 7a	2p	9p	Relative Feuchtigkeit Proz. 7a	2p	9p	Richtung und Stärke des Windes 0 bis 12 7a	2p	9p	Bewölkung 0 bis 10 7a	2p	9p	Niederschlag mm 7a	Schneedecke cm 7a	Bemerkungen
1.	19.6	17.4	14.3	− 1.6	0.6	− 1.0	1.4	− 4.1	3.8	4.1	3.6	94	85	84	SW 4	W 2	W 2	10^1	10^1*	10^1	3.4	4	n, 8^{09}–ca 9 a, 10^{39}–11^{29} a ✳, ca. 2 p kurze ✳böe
2.	09.4	06.1	01.6	− 2.6	− 0.7	− 2.1	0.5	− 5.2	3.0	3.6	3.8	79	83	98	W 2	E 2	C	10^1	10^1*	10^1*	0.7	4	ca 1 p ✳^{0}, dann bis n ✳^{2}
3.	04.4	12.6	17.6	− 7.4	− 8.6	−18.1	− 2.1	−19.2	2.3	1.7	0.9	89	73	84	NW 6	NW 4	W 2	10^1*	10^0	0	12.4	18	n, a–7^{19} a ✳^{3}, 8^{19}–ca 10 a ✳^{0}
4.	18.8	17.5	15.9	−19.9	−10.9	−11.8	− 9.7	−25.4	0.8	1.5	1.5	86	76	85	NE 2	E 2	E 2	10^1	5^0⊙	10^1	0.2	16	7 a V
5.	14.0	14.4	15.6	−10.0	− 5.0	− 9.0	− 3.5	−12.4	1.6	2.1	2.0	80	69	88	C	NE 2	E 2	10^1	2^1⊙	10^1	−	15	
6.	16.4	16.6	16.1	− 6.8	2.2	− 0.6	2.9	−11.2	2.6	3.8	3.6	94	70	83	C	E 2	C	9^1	10^1	9^1	−	14	
7.	17.8	19.7	19.3	− 5.8	1.8	− 4.4	2.8	− 7.6	2.7	3.6	3.1	93	69	95	C	E 2	C	9^1	7^0⊙	0	−	12	
8.	17.4	16.2	16.1	− 6.9	5.2	0.0	7.0	− 8.3	2.7	4.8	4.6	100	72	100	C	C	C	10^1	5^0⊙	0	−	10	7 a ⌊^{2} ≡^{0}
9	12.9	15.0	14.5	0.5	5.9	0.0	8.0	− 2.1	4.5	4.9	4.5	94	71	98	NE 2	E 2	E 2	10^1	3^0⊙	0	−	5	
10.	15.2	16.0	15.5	0.0	5.9	2.6	7.8	− 3.0	4.4	5.6	5.2	96	81	94	SW 2	W 2	C	10^1	10^1	10^1	−	3	3^{19}–4^{13} p ◍^{0}
11.	15.7	17.0	17.6	1.4	3.8	0.8	5.9	− 0.5	5.0	5.4	4.8	98	90	98	C	W 2	C	10^1=	10^1●	10^1=	0.4	1	7 a ≡^{1} u. ≡reissen, ca 1–2^{29} p ◍^{0}
12.	22.5	24.2	26.1	− 1.2	7.5	1.8	9.2	− 2.9	4.2	5.5	4.7	100	70	90	SW 2	W 2	W 2	10^1	1^1⊙	0	0.6	−	
13.	26.7	26.0	25.0	− 1.4	6.8	− 0.4	7.8	− 2.6	4.1	5.2	4.4	98	71	98	C	NE 2	C	9^1	6^0⊙	0	−	−	⌊^{1}
14.	24.9	25.5	26.2	− 1.9	4.6	1.0	6.0	− 3.2	3.9	4.6	4.7	98	73	94	C	W 2	C	10^1	10^1	10^1	−	−	⌊^{1}
15.	27.7	30.0	31.6	0.5	5.5	2.7	7.0	− 0.9	4.7	5.2	5.4	98	77	96	W 2	W 2	W 2	10^0	10^1	10^1	0.2	−	7 a ≡^{0}, $4^{19.34}$ p ◍, $4^{37.29}$ p △
16.	33.5	34.5	34.1	1.8	5.6	2.2	7.0	− 0.6	4.8	4.0	4.8	91	60	89	SW 2	W 2	W 2	10^1	7^1	10^1	2.0	−	
17.	34.2	34.0	33.1	1.3	10.3	0.7	11.2	− 0.8	4.7	4.5	4.6	92	48	94	C	SW 2	C	10^1	5^0⊙	0	−	−	
18.	30 7	28.1	26.1	− 1.8	10.4	0.4	11.8	− 3.4	3.9	6.1	4.5	98	65	96	C	E 2	C	8^1	1^1⊙	0	−	−	⌊^{1}
19.	24.0	21.1	20.4	− 1.8	8.8	2.1	10.0	− 3.9	4.0	5.8	5.0	100	68	93	C	E 2	C	10^1=	9^0	8^1	−	−	≡^{1} ⌊^{1}
20.	21.9	22.9	24.1	2.3	6.5	3.2	9.2	0.0	5.0	6.2	5.1	93	86	89	C	W 2	W 4	9^1	10^1	0	−	−	$1^{29.29}$ p ◍^{0}, $5^{19.39}$ p ◍
21.	25.1	26.9	28.3	2.8	3.8	2.8	9.0	0.5	4.7	5.3	5.3	82	88	94	SW 4	W 4	W 2	9^1	10^1●	8^1	1.1	−	1^{29}–2^{19} p, $5^{31.39}$ p ◍
22.	32.1	34.7	35.6	1.4	7.5	2.6	9.1	0.1	5.0	5.2	5.2	98	68	94	SW 2	W 4	C	10^1	8^1	0	2 8	−	n ◍
23.	33.8	32.1	28.9	2.3	9.3	5.2	11.2	− 1.0	4.9	7.2	6.4	91	83	97	W 2	W 2	C	10^1	10^1●	10^1●	−	−	7^{29}–8^{19} a ◍^{0}, 1^{39}–2^{19} p ◍, ca 8 p–n ≡reissen
24.	25.9	25.9	25.7	6.1	11.8	8.4	12.6	3.2	6.5	8.2	7.4	93	80	91	SW 4	W 4	W 4	10^1	10^1	10^1●	2.2	−	n, 7^{29} a–ca 1 p ◍^{0}, 2^{19}–5^{29} p ◍
25.	22.6	25.7	26.7	7.1	10.4	5.4	13.0	4.2	7.1	6.9	6.2	94	74	92	W 6	W 6	W 2	10^1●	8^1⊙	5^1	12.8	−	n, ca 7–8^{09} a, 11^{59} a–0^{29} p ◍
26.	27.9	30.0	31.5	3.2	11.2	2.4	13.4	− 1.2	5.7	7.4	5.4	98	74	98	S 2	S 2	C	10^1=	2^1⊙	0	0.5	−	7 a ≡^{1}, 3^{19}–ca 4 p ◍
27.	33.5	32.7	34.9	0.7	12.9	9.7	14.2	− 0.9	4.6	6.2	6.0	98	56	66	W 2	W 4	W 4	8^1	3^1⊙	8^1	0.3	−	7 a ≡^{0}
28.	34.8	34.3	34.2	4.2	13.4	5.7	14.9	1.7	5.4	6.3	5.9	87	55	86	SW 4	W 4	W 2	10^0	7^0⊙	0	−	−	
29.	32.8	30.0	30.2	0.8	16.2	4.4	17.3	− 1.0	4.4	5.2	5.9	90	38	96	NE 2	E 2	C	6^1	1^1⊙	1^1	−	−	7 a ⌊^{0}
																					39.6		
Mittel	23.3	23.7	23.7	− 1.1	5.6	0.6	7.4	− 3.8	4.2	5.0	4.6	93	71	92				9.6	6.9	5.1			

Augsburg.

Februar. $\varphi = 48^0\ 22'$ N. $\lambda = 10^0\ 54'$ E $= 43^m\ 36^s$. H $= 499.6$ m. Cg $= +0.1$ mm, über 728.8 mm Cg $= +0.2$ mm. 1912.

1.	11.3	09.0	05.4	− 1.7	0.4	− 1.1	0.4	− 2.9	3.6	3.8	3.2	88	80	74	SW 2	SW 2	SW 2	10^2	10^2	10^2	1.7	2	n u. a ziw. ✳
2.	00.7	696.5	692.4	− 2.7	− 1.3	− 2.6	− 0.1	− 4.7	2.5	3.7	3.7	66	88	98	W 2	C	SE 2	10^2	10^2*	10^2*	0.3	2	1^{39} p–n ✳
3.	697.2	04.1	08.2	− 6.4	− 8.3	−13.5	− 2.6	−13.5	1.9	1 8	1.6	70	72	100	N 2	N 2	N 2	10^2	9^1	0	15.7	19	n ✳
4.	08.7	07.3	06.2	−19.9	−10.5	−10.0	− 8.9	−20.9	0.8	1.5	1.7	92	76	80	SE 2	NE 2	SE 2	5^0	7^1	10^1	−	19	V
5.	04.5	04.7	06.3	− 9.3	− 3.1	− 4.7	− 3.1	−10.4	1.9	2.6	2.7	85	72	83	SE 2	E 2	SE 2	10^1	2^0⊙	10^1	−	19	V
6.	07.8	07.1	07.1	− 5.5	2.7	0.4	3.7	− 7.4	2.4	4.0	4.5	80	72	95	NW 2	NE 2	NE 2	10^1	7^1	10^1	−	18	⌊
7.	09.0	10.3	09.9	− 1.5	4.0	− 0.1	4.7	− 3.5	3.9	4.4	4.2	96	72	92	E 2	E 2	E 2	10^1	4^1⊙	0	−	11	a ≡^{2} ⌊
8	07.7	07.5	07.1	− 4.2	2.9	1.2	3.3	− 5.1	2.6	4.2	4.4	79	74	90	E 2	SE 2	SE 2	0	10^1	4^1	−	9	⌊
9	04.2	07.6	05.9	1.4	9.0	3.6	9.3	0.9	4.2	5.8	4.7	84	68	80	E 2	C	E 2	10^1	2^0⊙	0	−	6	⌊
10.	07.4	07.8	06.8	2.6	4.2	3.2	4.2	0.9	4.8	5.5	5.6	87	89	97	W 2	W 2	SW 2	10^1	10^2	10^2=	−	2	p–n ≡^{2}
11.	07.2	08.1	09.9	1.4	5.1	2.5	5.3	1.4	5.0	5.9	5.2	98	90	94	SW 2	S 2	SW 2	10^2	10^2	0	−	−	9^{31}–11^{14} a ◍
12.	14.4	16.2	17.8	2.8	7.3	4.0	7.9	0.4	5.2	4.9	4.7	93	65	77	SW 2	SW 2	SW 2	10^1	10^2	10^1	1.4	−	2^{24}–3^{19} p ◍
13.	17.4	17.8	16.0	1.1	7.6	3.2	8.1	1.0	4.1	5.2	4.8	83	67	83	SW 2	NE 2	E 2	2^0	4^0⊙	0	0.2	−	⌊ .
14.	16.3	16.5	17.7	0.2	4.6	3.2	4.8	− 0.2	4.3	5.2	5.2	92	82	90	SE 2	C	SE 2	10^1=	10^1	10^1	−	−	n u. a ≡^{1} ⌊
15.	19.5	22.7	23.7	2.0	4.8	3.0	5.2	1.1	5.1	5.3	5.1	96	82	90	SE 2	SW 2	SW 2	10^1	10^1	10^2	−	2	
16	25.6	26.3	25.6	1.1	5.9	3.6	6.7	1.1	4.7	5.0	5.0	94	72	85	SW 2	SW 2	SW 2	10^1	8^1	10^1	−	−	⌊
17.	25.6	24.8	24.3	0.4	10.9	5.3	10.9	− 0.4	4.0	4.8	5.3	85	50	80	SW 2	C	SE 2	0	1^0⊙	0	−	−	⌊
18.	21.6	19.6	17.3	0.3	9.9	5.6	10.3	0.1	4.2	5.8	5.3	90	64	79	C	SE 2	C	1^0	00	0	−	−	⌊
19.	15.0	13.3	11.5	2.4	9.6	6.6	9.8	1.4	4.3	5.7	5.6	79	63	77	SW 2	SE 2	SW 2	0	10^1	0	−	−	⌊
20.	13.6	14.2	16.3	4.6	8.0	3.4	8.0	3.4	5.2	5.0	4.9	82	63	83	SW 2	SW 2	SW 2	4^0	7^1	4^1	−	−	5^{28}–6^{06} p ◍
21.	17.0	17.9	20 3	3.1	5.2	4.2	6.2	2.5	4.8	5.1	5.0	84	77	80	SW 2	W 2	W 2	2^1	10^2	5^1	1.7	−	0^{32}–1^{34} p △ ◍
22.	23.5	26.4	26.6	3.0	8.7	4.5	9.0	2.1	5.3	5.5	5.6	93	65	89	SE 2	SW 2	SW 2	10^2	8^2	4^1	3.9	−	n ◍
23.	25.1	23.4	20.3	4.0	13.6	9.6	13.9	3.2	5.0	7.3	6.7	82	63	75	SW 2	SW 2	SW 4	10^2●	8^1	10^1	−	−	6^{39}–8^{49} a, 5^{31}–ca 6 p ◍
24.	18.1	18.0	17.7	10.4	10.3	9.2	10.7	9.2	6.0	7.8	7.5	64	83	87	SW 4	SW 4	SW 4	10^2	10^2●	10^2	1.7	−	7^{49}–10^{34} a, 1^{19}–2^{49} p ◍
25.	16 5	17.8	18.2	7.8	10.2	7.4	10.4	7.4	7.0	6.6	6.8	89	71	89	SW 2	NW 2	W 2	10^2●	10^1	10^1	9.3	−	n–7^{04} a ◍
26.	19.3	21.7	23.0	6.2	11.3	7.4	11.3	5.2	6.9	6.2	6.6	97	62	86	C	NW 2	W. 2	10^2	5^1⊙	3^1	0.8	−	
27	25.4	25.1	27.5	5.0	12.6	8.8	13.7	4.2	5.7	6.3	6.3	87	58	74	SE 2	SW 6	SW 2	6^1	4^1⊙	0	−	−	⌊
28.	27.1	26.1	26.0	5.0	13.2	7.8	13.2	4.7	5.9	6.0	5.6	90	53	70	SW 2	SW 2	SW 2	4^0	5^0⊙	1^0	−	−	⌊
29.	23.8	22.2	22.3	2.1	14.2	10.1	14.2	1.8	4.6	5.4	5.7	85	45	62	SW 2	C	C	4^1	2^0⊙	5^0	−	−	⌊
																					36.7		
Mittel	14.8	15.2	15.0	0.5	6.0	3.0	6.6	− 0.6	4.3	5.0	4.9	86	70	84				7.2	7.0	5.4			

Alle Angaben nach Ortszeit.

München-C.St.

Februar. $\varphi = 48^0\ 9'$ N. $\lambda = 11^0\ 34'$ E $= 46^m\ 16^s$. H $= 526.4$ m. Cg $= +\ 0.1$ mm. 1912.

Datum	Luftdruck auf 0° u. Normalschwere reduziert 700 mm + 7a	2p	9p	Lufttemperatur C° 7a	2p	9p	Max.	Min	Absolute Feuchtigkeit 7a	2p	9p	Relative Feuchtigkeit 7a	2p	9p	Richtung und Stärke des Windes 0 bis 12 7a	2p	9p	Bewölkung 0 bis 10 7a	2p	9p	Niederschlag mm 7a	Schneedecke cm 7a	Bemerkungen
1	09.0	06.4	03.3	− 1.4	0.4	− 1.1	0.4	− 2.6	3.5	3.4	3.4	84	71	80	SW 3	SW 2	SW 4	10^1✱	10^1	10^1	0.6	2	n, a, 5^{36}–ca 6^{45} p ✳
2	698.3	694.4	**690.5**	− 2.4	− 1.0	− 2.6	− 0.8	− 3.0	2.8	3.1	3.6	73	73	96	C	E 1	NW 1	10^1	10^1	10^1✱	0.7	4	3^{21} p–n ✳
3	694.3	01.5	06.0	− 8.6	− 9.4	−11.7	− 2.0	−12.4	2.1	1.6	1.5	91	75	85	SW 2	NW 3	W 1	10^1✱	6^1⊙	0	**10.7**	**20**	n–10^{36} a ✳, p teilweises Aufklaren
4	06.1	04.7	03.7	−17.1	− 8.4	− 9.4	− 7.0	**−18.7**	**1.0**	1.6	1.7	84	67	78	E 2	E 1	E 2	8^0	7^1⊙	10^1	−	**20**	a V
5	02.2	02.4	04.2	− 9.2	− 3.2	− 3.2	− 3.0	−10.3	1.8	2.4	3.0	81	67	85	E 1	SE 1	E 2	10^1	7^1⊙	10^1	−	**20**	m ∞
6	04.8	04.6	04.4	− 2.9	8.7	2.8	8.9	− 3.6	3.3	4.6	4.5	87	56	80	C	SE 1	C	9^1	8^1	3^1	−	15	a ≡⁰, m ∞
7	06.7	08.0	07.6	− 1.6	4.7	0.9	7.3	− 2.0	3.7	4.3	4.1	90	66	85	C	NE 1	C	4^1≡	6^0⊙	0	−	6	a ⌴, ≡¹; m ∞², abds. ≡⁰
8	05.7	04.8	04.8	0.5	13.7	8.4	15.3	− 2.2	4.3	5.5	4.6	90	46	56	N 1	SE 1	SE 1	8^1≡	9^1	0	−	3	mrgs. ≡¹ ⌴
9	01.9	03.8	03.5	7.7	11.1	5.7	12.5	5.5	4.6	5.0	4.9	59	51	71	SE 1	C	C	9^1	7^0⊙	0	−	−	a ≡⁰
10	04.6	05.3	04.7	4.3	5.3	4.3	6.6	1.8	5.4	5.9	5.9	88	90	96	SW 2	SW 2	C	10^1	10^1●	10^1	−	−	a ≡⁰, 1^{26}–ca 2^{15} p ◍
11	05.1	05.8	06.6	1.6	6.4	1.3	6.7	1.0	5.1	5.6	4.8	**98**	79	94	SW 2	SW 2	C	10^1≡	10^1	0	−	−	a ≡¹, 9^{45}–ca 0^{45} p ◍
12	12.0	13.4	15.3	3.0	9.5	4.5	9.7	− 1.0	5.1	4.3	4.5	91	49	71	SW 3	SW 5	SW 2	8^1	3^1⊙	0	0.5	−	mrgs. ⏃, m Gebirge sichtbar
13	15.0	14.4	13.6	1.3	7.5	2.6	7.7	0.8	3.9	4.7	4.8	79	61	86	SW 1	E 1	C	3^0	8^1⊙	0	−	−	a ⌴, ≡⁰
14	13.6	14.1	15.1	− 0.2	4.1	2.9	4.1	− 0.5	4.2	5.0	5.2	92	83	92	C	W 1	C	10^1≡	10^1	10^1	−	−	a ⌴², ≡¹, 6^{16}–ca 7^{15} p ◍⁰
15	16.9	18.9	21.1	1.6	4.5	2.6	5.0	1.2	5.0	5.3	5.0	96	86	92	W 1	NW 1	W 1	10^1≡●	7^1⊙	10^1	1.2	−	n u. a ≡¹, a–ca 10^{15} a ◍⁰
16	22.8	22.7	22.8	2.2	6.1	4.2	6.5	1.8	4.8	4.5	4.8	90	65	77	SW 2	NW 2	C	10^1	9^1⊙	7^1	−	−	
17	23.2	22.2	21.8	1.6	10.7	5.7	11.1	1.0	4.0	4.6	4.8	79	47	69	SW 1	NW 1	W 1	0	3^0⊙	0	0.2	−	mrgs. ⌴, m ∞
18	19.2	16.4	15.0	0.9	10.5	5.4	11.1	0.6	3.8	5.2	5.3	78	54	79	C	NE 1	C	3^0	2^0⊙	0	−	−	mrgs. ⌴, p Gebirge schwach sichtbar
19	12.7	09.9	09.4	3.8	10.1	5.5	10.1	2.6	4.5	5.6	5.7	74	61	86	C	NE 2	C	7^0	8^0⊙	0	−	−	mrgs. ⌴, ≡⁰; m im S ∞
20	11.3	12.1	14.0	5.8	7.1	3.6	7.7	3.3	5.1	5.0	4.6	74	66	79	SW 2	SW 2	SW 3	10^1	10^1	0	−	−	a ∞, 11^{36} a kurz ◍⁰, ab 3^{15} p teilweises, [1]
21	14.6	15.5	17.6	4.4	7.9	5.0	8.1	3.4	4.7	4.5	4.7	75	57	72	SW 3	SW 4	SW 2	9^1	10^2	7^1	−	−	ab 10^{36} a ztw. ◍⁰
22	20.9	23.1	24.3	2.7	6.9	4.4	8.1	1.9	5.2	5.8	5.4	93	78	88	C	C	SW 1	10^1≡	4^1⊙	1^0	4.0	−	n ◍, a ≡¹
23	22.6	20.5	18.2	5.1	13.9	9.4	14.1	2.8	4.7	5.9	7.3	72	50	83	SW 3	SW 2	C	10^1	8^0⊖	10^1●	−	−	mrgs. Gebirge gut sichtbar, $8^{01.43}$ a ◍⁰
24	15.7	15.6	15.2	10.5	10.1	9.5	11.5	9.0	5.8	**7.6**	6.9	62	81	77	SW 3	SW 3	SW 3	10^1	10^1●	10^1	2.5	−	n ◍, t ztw. ◍
25	14.1	16.1	15.8	7.1	11.3	8.0	12.1	7.0	6.2	6.4	6.6	84	63	83	SW 4	SW 3	C	10^1	10^1●	10^1	7.8	−	n ◍
26	16.8	18.9	20.4	6.5	10.8	6.9	11.7	6.0	6.9	7.0	6.8	96	72	92	C	C	SW 2	10^1≡●	7^1⊙	0	4.0	−	n u. a ◍, a ≡¹, ab 10^{25} a teilw., abds. [2]
27	22.7	22.2	**24.8**	5.7	13.2	9.0	13.9	5.2	5.7	5.4	6.3	84	48	73	SW 1	SW 4	SW 3	4^0	4^0⊙	0	0.3	−	mrgs. ⏃, m Gebirge sichtbar
28	24.7	23.8	23.5	5.9	13.9	8.3	14.1	5.6	5.8	4.8	5.2	85	**41**	63	SW 1	SW 2	SW 1	4^0	6^0⊙	0	−	−	mrgs. ⏃, t Gebirge sehr gut sichtbar
29	21.1	18.9	19.9	3.6	15.6	8.8	**15.7**	3.0	4.2	5.6	5.3	70	43	63	C	C	SW 1	4^0	1^0⊙	0	−	−	mrgs. ⌴, m im S ∞
																					32.5		
Mittel	12.4	12.4	12.7	1.5	7.0	3.5	7.8	0.3	4.4	4.8	4.9	83	64	80				7.9	7.2	4.1			

[1] abds. vollständiges Aufklaren.
[2] vollständiges Aufklaren.

Traunstein.

Februar. $\varphi = 47^0\ 52'$ N. $\lambda = 12^0\ 39'$ E $= 50^m\ 36^s$. H $= 597$ m. Cg $= +\ 0.1$ mm. 1912

1	03.1	01.0	697.6	− 2.4	− 1.4	− 1.8	− 1.0	− 3.8	3.5	3.5	3.0	92	84	76	W 4	W 6	W 4	10^2✱	10^2✱	10^2	8.1	20	n u. t ✳
2	692.6	688.2	**684.4**	− 4.4	− 1.2	− 3.2	− 0.6	− 5.0	2.7	2.7	3.0	81	65	85	W 2	E 2	E 2	10^2	10^2	10^2	3.2	20	
3	686.1	694.7	699.9	− 4.8	− 9.8	−11.6	− 3.2	−11.6	2.9	1.7	1.5	90	81	82	W 4	W 4	W 2	10^2✱	10^2✱	8^2	1.5	20	t ✳
4	00.3	699.0	697.8	−18.2	−10.0	−11.4	− 9.6	**−20.0**	**0.9**	1.4	1.5	83	67	78	NE 2	NE 2	E 2	6^2	8^2	6^2	3.9	**26**	
5	696.4	696.5	698.5	−10.2	− 3.0	− 7.6	− 2.6	−12.6	1.7	2.4	2.2	83	66	89	E 2	NE 2	E 2	10^2	4^2⊙	0	−	**26**	
6	698.7	699.7	699.3	− 3.4	5.8	− 0.4	6.2	− 8.8	2.4	4.3	4.2	67	63	94	E 2	N 2	E 2	4^2	6^2⊙	0	−	22	
7	00.9	02.2	02.6	− 0.4	10.2	− 0.2	11.0	− 0.8	4.1	4.5	4.0	92	48	89	SW 2	E 2	SE 2	6^2	4^2⊙	0	−	15	a ≡
8	00.8	699.5	00.1	− 1.4	13.2	2.6	13.8	− 1.4	3.8	4.9	4.7	92	43	84	SE 2	E 2	SE 2	2^1	6^2⊙	0	−	10	
9	697.1	698.2	697.9	7.8	11.0	1.4	12.0	1.4	4.3	4.5	4.4	56	46	87	SE 2	SE 2	SE 2	10^2	6^2⊙	0	−	6	
10	698.7	699.5	699.4	3.2	4.6	2.6	4.8	0.6	4.6	5.7	5.2	80	90	94	W 2	W 2	S 2	10^2	10^2●	10^1	−	3	
11	698.7	00.5	00.6	0.0	5.2	2.8	6.0	0.0	4.4	5.9	5.3	**96**	89	94	W 2	W 2	W 2	10^2≡	10^2●	10^2	2.6	1	a ≡, m u. p ◍
12	05.7	07.7	10.1	3.0	7.2	4.2	7.8	1.2	4.8	4.1	4.1	85	54	66	W 2	W 4	SE 2	10^2	4^2⊙	0	1.7	1	
13	09.5	08.4	08.9	− 1.0	7.6	− 1.2	8.0	− 1.2	3.7	3.7	4.0	86	47	94	SE 2	SE 2	SE 2	2^2	4^2⊙	2^1	−	−	a ⌴
14	07.4	08.1	09.2	− 1.8	3.6	0.6	4.0	− 2.4	3.8	4.2	4.2	94	70	89	S 2	NW 2	W 2	4^2	10^0⊙	4^2	−	−	a ⌴
15	10.6	12.9	15.1	0.4	1.6	1.8	2.0	− 0.2	4.4	4.7	4.8	92	91	91	W 2	W 4	W 2	10^2✱	10^2	10^2	2.3	1	n–vorm. ✳
16	16.6	17.0	17.4	1.6	4.6	1.8	4.7	1.0	4.6	3.9	4.6	89	62	88	W 4	W 2	W 2	10^2	8^2⊙	10^2	0.4	−	
17	17.5	16.5	16.6	0.4	9.8	0.4	10.0	0.2	3.9	3.8	3.3	82	41	70	W 2	NW 2	N 2	7^2	3^1⊙	0	−	−	
18	13.5	11.2	09.5	− 0.2	11.0	1.4	12.0	− 1.0	2.9	4.3	3.3	65	44	64	SE 2	E 2	E 2	2^1	2^1⊙	0	−	−	a ⌴
19	07.0	04.4	03.3	− 1.6	12.0	3.8	12.7	− 1.6	2.6	3.5	4.5	64	34	75	SE 2	SE 2	SE 2	2^1	6^1⊙	0	−	−	a ⌴
20	05.9	06.8	08.4	5.6	3.8	3.4	6.0	1.8	4.6	5.1	4.0	68	85	68	W 2	W 6	SW 2	8^2	10^2●	2^1	−	−	t ztw. ◍
21	09.2	10.0	10.7	3.4	6.0	5.0	6.5	2.2	3.8	4.2	3.8	65	60	58	W 2	W 6	W 2	8^2	10^2	10^2	4.1	−	vorm. ◍
22	15.0	17.6	19.0	0.4	5.0	1.2	5.8	0.2	4.5	5.2	4.7	94	80	94	W 2	W 2	W 2	10^2✱	6^1⊙	4^2	9.3	2	n u. a ✳
23	17.4	15.3	13.2	1.4	11.8	6.2	12.8	− 0.2	4.6	5.6	5.7	91	55	81	W 2	SW 2	S 2	6^2	8^2	10^2	0.1	−	a ⌴, t ztw. ◍
24	10.2	10.0	09.8	10.4	9.4	7.4	11.0	6.2	5.6	6.6	6.6	59	75	86	W 6	W 4	W 2	10^2	10^2	10^2	2.8	−	n u. t ztw. ◍
25	08.6	09.1	10.5	6.6	10.6	6.2	11.2	6.2	6.5	5.9	**6.8**	90	62	**96**	W 2	W 6	W 2	10^2●	6^2⊙	6^2	**21.9**	−	n u. t ztw. ◍
26	10.8	13.5	14.9	5.2	9.2	3.8	9.8	3.8	6.3	5.6	5.7	95	65	95	SE 2	NW 2	W 2	10^2●	7^2⊙	4^2	12.1	−	n–vorm. ◍
27	16.5	16.6	**19.1**	6.2	11.6	9.6	12.8	2.2	5.1	4.6	4.9	72	45	55	SW 4	NW 4	W 2	3^2	7^2⊙	4^2	2.7	−	vorm. ◍
28	18.6	18.3	18.1	5.6	12.6	5.8	13.0	5.2	5.0	4.5	4.3	74	41	63	W 2	W 2	W 4	2^1	6^2⊙	0	−	−	
29	15.7	13.2	14.2	2.8	15.0	7.2	**15.8**	1.0	3.6	4.2	5.1	64	33	68	S 2	E 2	E 2	4^2	2^1⊙	0	−	−	
																					76.7		
Mittel	06.5	06.7	07.1	0.5	6.1	1.4	7.0	− 1.3	4.0	4.4	4.3	81	62	81				7.1	7.0	4.5			

Alle Angaben nach Ortszeit.

Partenkirchen.

Februar. $\varphi = 47^0\ 30'$ N. $\lambda = 11^0\ 6'$ E $= 44^m\ 24^s$. H $= 714.6$ m. Cg $= +0.1$ mm 1912.

Datum	Luftdruck auf 0^0 u. Normalschwere reduziert 700 mm +			Lufttemperatur C^0					Absolute Feuchtigkeit mm			Relative Feuchtigkeit Proz.			Richtung und Stärke des Windes 0 bis 12			Bewölkung 0 bis 10			Niederschlag mm	Schneedecke cm	Bemerkungen
	7^a	2^p	9^p	7^a	2^p	9^p	Max.	Min.	7^a	2^p	9^p	7^a	2^p	9^p	7^a	2^p	9^p	7^a	2^p	9^p	7^a	7^a	
1.	693.2	690.2	687.2	− 3.3	− 0.6	− 5.5	0.3	− 6.0	2.9	3.3	2.6	82	75	87	C	C	S 2	10^1	9^1*	7^1	0.9	18	n u. mrgs. ✳^{0}, a Berge bis 1200 m im Nebel
2.	682.4	677.6	678.7	− 5.9	− 1.0	− 2.5	− 0.5	− 8.2	2.2	2.7	2.8	74	63	74	S 3	SE 2	C	8^0	10^1	7^1	0.1	17	a Berge rein
3.	677.1	684.2	689.6	− 4.6	− 8.6	−11.8	− 2.5	−11.8	2.8	1.8	1.5	86	76	82	N 7	N 4	C	10^2*	8^1	9^1*	4.0	24	a ⩩, mrgs. u. abds. ✳$^{0.1}$
4.	688.4	687.1	686.0	−16.0	− 9.2	−11.0	− 7.3	−16.0	1.0	1.4	1.6	76	63	82	SE 4	NW 3	C	2^0	8^0	9^0	1.6	26	a Berge frei
5.	685.9	686.0	688.6	− 4.7	4.9	− 0.4	5.5	−11.4	2.5	3.6	3.4	79	55	76	S 2	SE 2	S 4	10^1	3^0⊙	2^0	−	25	
6.	689.3	689.3	689.7	1.0	10.8	6.4	11.7	− 2.0	3.4	4.1	5.3	68	43	59	C	S 2	S 3	2^1	2^0⊙	1^0	−	21	a Berge sehr rein, föhnig
7.	691.5	692.1	693.0	5.3	13.6	3.1	14.5	3.1	4.3	4.1	4.5	65	35	78	S 3	S 2	S 2	10^1	1^0⊙	0	−	14	a Berge frei
8.	692.1	689.8	690.4	2.9	13.0	5.7	15.5	1.6	4.3	3.9	4.4	76	35	64	W 2	S 5	S 2	1^0	10^0	1^0	−	7	a Berge rein
9.	687.9	688.2	688.1	4.1	14.2	4.2	15.5	3.4	4.5	4.4	4.5	74	36	73	SE 2	S 3	SW 2	7^0	1^0⊙	2^0	−	4	a Berge frei, föhnig
10.	689.6	689.7	689.0	2.3	5.3	2.2	7.5	2.1	4.9	5.8	4.8	89	87	89	C	SE 3	S 2	10^1	9^1	1^0	−	2	a Berge bis 1900 m im Nebel
11.	688.9	689.8	690.9	0.3	6.6	2.4	7.6	0.0	4.4	5.4	4.8	94	74	87	W 2	C	C	10^1	8^1	2^1	−	−	a Berge teilweise frei
12.	696.8	697.7	699.8	2.1	8.5	0.8	9.5	0.8	5.2	4.1	4.2	96	50	87	C	S 2	SE 2	10^1●	9^1	0	2.3	−	mrgs. ◍^{0}
13.	699.3	697.7	697 6	− 1.5	8.8	− 0.3	10.2	− 1.7	3.1	2.9	3.6	76	34	81	S 4	NW 3	C	2^0	9^1	0	0.5	−	a Berge rein
14.	697.4	697.5	698.2	− 1.3	5.7	0.6	7.1	− 1.5	3.4	3.8	4.8	82	55	100	C	NW 4	C	10^0	10^0	10^1*	−	−	a Berge frei, abds. ✳^{0}
15.	00.6	02.7	05.9	0.1	2.1	0.9	2.6	0.0	4.0	5.3	4.9	100	93	100	C	W 3	C	10^1*	10^1	10^1	5.4	5	mrgs. ✳^{1}, Berge im Nebel
16.	07.0	06.5	06.9	− 2.4	5.8	1.1	6.5	− 2.4	3.8	3.5	4.0	98	51	92	C	S 3	C	1^0	9^0	0	0.2	−	a Berge frei, föhnig
17.	07.2	05.7	06.7	− 1.1	11.8	2.9	13.1	− 1.3	3.2	3.5	4.3	74	34	76	S 4	S 3	S 3	0	1^0⊙	0	−	−	a Berge sehr rein, föhnig
18.	03.3	00.1	699.8	2.6	16.4	3.3	17.0	1.0	2.9	4.3	4.4	52	32	76	S 4	C	C	2^0	1^0⊙	2^0	−	−	a Berge rein, föhnig
19.	697.5	693 8	694.7	1.1	12.2	5.3	13.3	0.8	3.6	3.9	4.7	72	37	71	C	C	C	1^0	8^0	2^1	−	−	a Berge rein, föhnig
20.	696.0	696 5	698.5	1.1	5.9	1.9	7.3	− 0.4	4.6	5.5	4.8	92	79	91	C	SE 2	C	10^1●	9^1	4^1	0.7	−	mrgs. ◍^{0}
21.	698.5	699.8	02.3	1.1	8.2	2.9	9.1	− 0.2	4.2	4.3	4.0	85	54	71	C	NW 3	SW 3	6^1	7^1	8^1	4.2	−	a Berge rein, föhnig
22.	05.2	07.3	08.9	0.3	5.7	1.2	6.5	0.2	4.7	5.8	4.8	100	85	96	C	C	SE 3	10^1*	8^1●	1^0	10.0	3	mrgs. ✳^{0}, m ◍^{0}, t Berge bis 1200 m im Nebel
23.	07.8	04.6	03.6	1.4	14.0	7.3	14.5	− 0.4	4.0	5.7	5.5	78	48	72	SE 1	S 2	S 4	10^1	3^0⊙	6^0	1.1	−	a ⩩, Berge meist frei, t föhnig
24.	01.2	00.4	00.5	5.1	12.6	6.2	15.4	4.9	5.1	5.7	6.6	78	52	93	S 3	W 3	C	8^1	9^1	7^1	−	−	a Berge mit Ausnahme der Zugspitze frei
25.	00.3	00.4	00.4	4.9	9.8	5.5	11.1	4.8	6.3	6.1	6.5	98	68	97	C	C	C	10^1●	7^1	7^1	**12.0**	−	n u. a ◍^{0}
26.	00.9	03.0	05.2	4.3	9.6	2.9	12.3	2.9	6.0	**6.9**	4.9	97	78	86	C	S 2	S 2	7^1	2^0⊙	0	2.0	−	a Berge meist frei
27.	07.2	06.6	08.4	0.7	14.5	3.8	15.5	0.6	4.0	4.1	3.9	82	34	65	SE 3	C	C	1^0	6^0⊙	6^0	1.1	−	a Berge rein, föhnig
28.	**09.1**	07.6	07.7	0.5	15.4	4.3	16.1	0.4	3.9	4.4	4.0	82	33	65	C	C	S 4	2^0	6^0	0	−	−	a Berge sehr rein, föhnig
29.	05.8	02.8	04.8	2.7	18.8	5.5	**19.5**	2.0	2.9	5.1	4.8	52	31	71	SE 4	NW 3	S 2	1^0	1^0⊙	3^0	−	−	a Berge sehr rein, föhnig
																					46.1		
Mittel	696.8	696.4	697.1	0.1	8.1	1.7	9.3	− 1.2	3.9	4.3	4.3	81	55	81				6.2	6.3	3.7			

Hohenpeissenberg.

Februar. $\varphi = 47^0\ 48'$ N. $\lambda = 11^0\ 1'$ E $= 44^m\ 4^s$. H $= 993.9$ m. Cg $= \pm 0.0$ mm. 1912.

	600 mm +																						
1.	68.6	66.1	63.2	− 5.2	− 4.2	− 4.5	− 4.1	− 5.6	3.0	2.9	2.9	98	86	90	W 3	W 4	W 4	10^2=*	10^2*	10^2	0.8	7	a ≡^{1}, t meist ✳, p Flachland ∞
2.	58.1	54.2	50.4	− 3.8	− 3.4	− 4.2	− 2.0	− 4.7	2.0	2.1	3.3	60	60	100	SW 1	SW 1	NW 1	10^1	10^1=*	10^2=*	0.3	6	a reine Fernsicht, p–n ≡^{1} ✳
3.	54.4	60.1	64.0	−11.5	−12.5	−13.5	− 2.3	−14.2	1.9	1.2	1.3	100	73	84	NW 1	NW 1	NW 1	10^2=*	10^1	10^1	8.7	**15**	n–a ≡ ✳; p Aufhellen, ztw. ✳^{0}, t V
4.	63.3	62.3	61.8	−12.3	−12.2	−12.6	−12.2	−13.5	1.2	1.4	1.6	70	77	92	SE 4	NE 4	NE 1	1^1	10^2	10^1	1.3	10	t ∞ V
5.	61.4	62.2	64.3	− 1.0	1.8	2.9	2.9	−12.6	3.0	3.6	3 9	71	68	69	W 1	W 1	W 1	10^1	1^1	9^2	−	10	t reine Fernsicht, p Horiz≡
6.	64.6	65.3	65.7	3.0	8.5	8.7	10.1	0.0	2.8	3.5	3.7	48	43	46	SE 1	S 1	S 1	1^1	9^1⊙	1^1	−	6	a Horiz≡, t sehr reine Fernsicht
7.	67.4	68.8	68.8	8.2	10.3	6.9	10.8	6.3	3.7	4.2	3.9	46	45	52	S 3	S 1	SE 8	9^1	5^1⊙	0	−	−	t sehr reine Fernsicht
8.	66.8	66 5	66.3	8.8	11.3	8.2	**12.0**	6.8	3.5	3.6	3.5	41	36	43	S 6	S 4	S 4	0	10^1	0	−	−	t sehr reine Fernsicht
9.	63.9	65.1	64.3	9.3	10.7	7.4	10.7	6.9	3.1	4.1	3.8	35	42	49	SW 6	S 1	NE 1	10^1	5^1⊙	0	−	−	t sehr reine Fernsicht
10.	66.0	66.1	64.8	2.1	3.0	1.4	10.0	1.4	5.3	5.5	5.0	100	96	100	W 4	W 1	SE 1	10^1	10^1	0=	−	−	vorm. kurz ◍^{0}, t ∞, abds. ≡^{1}
11.	65.5	66.4	67.2	1.6	4.0	2.3	6.8	1.1	4.8	5.2	4.8	93	85	87	W 1	NW 1	C	10^2	10^1	0	−	−	a ∞, p sehr reine Fernsicht
12.	72.4	73.9	75.8	− 0.4	4.9	2.3	5.1	− 0.4	4.5	3.6	3.8	100	55	70	W 6	NW 4	SE 3	10^2=*	10^1	0	1.6	1	n–ca 7^{15} a ✳^{2} ≡ ⩩, p sehr reine Fernsicht
13.	74.8	74.6	73.6	2.3	5.5	2.1	5.5	1.7	2.6	4.0	3.8	48	59	71	SE 3	W 1	SE 1	1^1	10^1	0	1.6	−	a sehr reine Fernsicht, im Tale ⩩, p ∞^{0}
14.	73.6	73.9	74.6	0.0	2.9	− 0.4	3.3	− 0.4	3.2	4.6	4.5	71	80	100	W 4	NW 1	C	10^1	10^1	10^2*	−	−	t ∞$^{0.1}$, ca 3^{15} p–n ✳
15.	76.5	78.4	80.7	− 1.2	0.4	− 0.7	0.4	− 1.3	4.2	4.5	4.4	100	94	100	NW 1	NW 1	NW 1	10^2*	10^2=*	10^2*	6.2	3	t ztw. ✳, p ≡^{1}
16.	82.0	82.2	82.5	− 1.4	2.9	1.8	3.3	− 1.5	3.4	4.0	3.2	82	71	62	W 4	SW 3	W 3	10^2	10^1	9^2	2.1	5	a reine Fernsicht, p ∞^{0}
17.	82.7	82.3	81.7	2.5	7.0	6.2	7.9	1.8	2.1	3.8	3.3	38	51	46	SE 1	S 1	SE 1	0	1^1⊙	0	−	3	a sehr reine, p reine Fernsicht
18.	79.2	77.2	75.9	7.5	9.9	7.1	10.3	6.2	2.3	3.1	4.4	30	34	58	SE 4	N 1	SE 1	1^1	0⊙	0	−	−	t sehr reine Fernsicht
19.	73.5	70.9	70.3	5.3	8.5	5.8	10.0	4.8	2.9	4.8	3.4	43	58	50	SW 1	C	SW 4	1^1	10^1	0	−	−	a reine Fernsicht, p ∞^{0}
20.	71.9	72.4	73.7	1.6	3.6	0.2	5.8	0.2	4.5	4.1	4.4	87	69	94	SW 5	W 6	W 6	10^2	10^2	10^2	−	−	a reine Fernsicht, p ∞^{0}, ztw. ✳^{0}
21.	75.0	75.7	78.0	0.4	3.2	2.0	3.7	− 0.6	4.6	3.7	3.9	96	65	73	NW 3	SW 6	W 4	10^2*	10^2	6^2	0.4	−	a ztw. ✳ ⩩, reine Fernsicht
22.	80.8	83.0	84.1	0.0	3.1	3.1	3.6	− 0.2	4.6	5.4	4.5	100	95	79	W 1	W 1	W 1	10^2=	10^2	0	3.9	2	a ≡^{2}, p ∞
23.	83.0	81.2	78.9	5.8	10.6	10.0	11.6	3.0	3.1	5.8	5.0	45	61	55	W 1	SW 1	W 1	10^1	6^1⊙	2^1	−	−	t sehr reine Fernsicht
24.	76.7	76.5	76.2	7.5	8.5	5.4	11.2	5.3	5.2	5.6	**6.5**	68	67	97	W 6	W 6	SW 6	10^2	10^2	10^2●	−	−	a reine Fernsicht, a–ca 7 p ztw. ◍
25.	74.7	75.9	76.3	4.4	7.5	4.4	7.8	3.6	5.4	6.2	5.9	87	80	96	SW 8	SW 6	SW 1	10^2	8^2⊙	10^1	**8.9**	−	n ◍, a sehr reine, p reine Fernsicht
26.	77.3	79.0	80.8	4.1	7.7	6.1	8.8	3.9	6.1	6.1	5.0	100	77	72	NW 1	NW 1	NW 4	10^2=	9^2	3^2	3.1	−	n ◍, a ≡^{1}, p reine Fernsicht
27.	82.7	82.8	**85.3**	3.9	8.8	6.2	9.9	3.9	4.9	4.1	5.8	80	49	82	W 4	W 6	W 4	1^2	1^1⊙	9^1	−	−	a ∞^{0}, p sehr reine Fernsicht
28.	84.8	84.2	84.0	3.4	10.5	7.7	10 5	3.2	5.0	3.9	3.2	85	41	41	W 1	W 1	C	1^1	5^1	0	−	−	a ⩩, t reine Fernsicht
29.	81.2	80.0	80.8	8.4	11.6	8.5	12 0	6.6	2.3	4.1	2.9	27	40	35	C	C	W 4	1^1	1^1⊙	5^1	−	−	a sehr reine, p reine Fernsicht
																					38.9		
Mittel	72.5	72.7	72.9	1.8	4.6	2.8	6.0	0.4	3.6	4.1	4.0	71	64	72				6.8	7.6	4.6			

Alle Angaben nach Ortszeit.

Zugspitze.

Februar. $\varphi = 47^0\ 25'$ N. $\lambda\ 10^0\ 59'$ E = 43m 56s. H = 2964 m. Cg = −0.2 mm. 1912.

Datum	Luftdruck auf 0° u. Normalschwere reduziert 500 mm +			Lufttemperatur C°					Absolute Feuchtigkeit mm			Relative Feuchtigkeit Proz.			Richtung und Stärke des Windes 0 bis 12			Bewölkung 0 bis 10			Niederschlag mm	Schneedecke cm
	7a	2p	9p	7a	2p	9p	Max.	Min.	7a	2p	9p	7a	2p	9p	7a	2p	9p	7a	2p	9p	7a	7a
1.	15.8	14.7	12.7	−18.9	−18.0	−16.5	−16.5	−19.2	0.9	1.0	1.1	100	100	100	NW 4	NW 2	NW 7	10^1≡*	10^2≡	9^0	–	295
2.	10.8	07.3	05.5	−13.8	−10.4	−10.0	− 9.0	−16.5	0.8	1.9	2.0	60	100	100	NW 5	S 10	SW 10	9^2	10^2	10^2≡	0.1	295
3.	03.9	06.4	08.9	−16.7	−23.4	−24.9	− 9.7	−24.9	1.1	0.6	0.5	100	100	100	N 7	N 10	NE 5	10^1≡	10^1≡	10^2≡	0.3	**300**
4.	10.7	11.8	13.5	−18.9	−13.1	− 9.8	− 9.8	−25.2	0.9	1.5	2.0	95	92	95	SW 7	W 9	W 9	1^1	10^2*	10^2	0.3	**300**
5.	13.5	15.0	17.6	−12.2	−11.2	− 8.0	− 8.0	−12.2	1.7	1.8	2.0	100	100	83	NW 2	W 4	SW 8	10^2≡	8^1	1^1	–	295
6.	19.7	20.9	22.2	− 7.8	− 4.1	− 4.6	− 3.9	− 8.9	2.1	2.9	3.0	91	86	93	SW 8	S 10	SE 11	4^1	5^1⊙	3^1	–	295
7.	22.9	24.5	23.9	− 5.1	− 2.3	− 4.2	− 2.1	− 5.5	2.4	2.7	3.2	79	77	95	SE 10	S 7	S 8	9^2	4^1⊙	1^1	–	290
8.	21.9	22.2	22.6	− 5.7	− 4.6	− 3.9	− 3.7	− 5.7	2.8	3.2	2.6	97	100	77	SE 9	S 7	S 7	4^1	9^1	2^1	–	280
9.	20.0	20.5	19.9	− 5.9	− 5.1	− 5.8	− 3.8	− 5.9	2.7	3.1	2.7	95	100	93	SW 7	SE 5	SE 5	6^0	6^1⊙	9^0	–	270
10.	19.2	19.2	19.2	− 7.2	− 5.1	− 6.3	− 4.8	− 7.3	2.6	3.0	1.9	100	100	70	N 1	SE 1	S 4	10^2≡*	10^1≡	0	–	265
11.	18.8	18.9	19.4	− 7.0	− 8.0	− 9.6	− 5.7	− 9.6	2.6	2.4	2.1	100	100	100	S 5	NW 3	W 1	10^1≡*	10^1≡	6^1≡	0.4	265
12.	22.5	24.2	25.9	−11.3	−10.8	−12.6	− 9.6	−12.6	1.8	1.9	1.5	100	100	95	NW 7	W 4	NW 3	10^2≡*	10^1≡*	1^1	7.7	270
13.	25.8	25.5	24.4	−11.4	− 8.0	−10.0	− 7.5	−12.7	1.1	1.8	1.8	64	74	89	W 3	SE 2	S 1	2^0	9^1	1^1	–	265
14.	23.3	23.2	23.6	−12.0	−10.1	−11.8	− 9.7	−12.5	1.7	2.0	1.5	100	100	100	N 2	N 1	C	10^2≡	10^1≡*	8^1≡*	–	265
15.	24.5	26.5	27.8	−13.0	−10.9	−13.5	−10.7	−13.5	1.5	1.8	1.5	100	100	100	N 1	C	N 3	10^1≡*	10^2≡*	10^0≡	5.2	270
16.	28.9	30.8	31.4	−15.0	−12.8	− 9.5	− 8.8	−15.4	1.3	1.2	2.1	100	75	100	N 4	NW 6	NW 8	1^0	9^1	9^1	5.1	270
17.	32.8	33.1	33.6	− 9.7	− 7.6	− 6.2	− 5.8	−11.8	0.9	1.3	2.4	45	55	86	N 3	NW 2	NW 4	1^0	1^0⊙	1^0	–	260
18.	33.1	32.3	30.7	− 3.7	− 1.7	− 1.1	− 1.0	− 6.2	1.6	2.1	2.3	45	53	54	NW 1	SW 2	SW 4	2^1⊙	1^1⊙	5^1	–	255
19.	27.8	25.5	24.0	− 3.3	− 1.2	− 5.6	− **0.8**	− 5.8	2.3	2.8	2.8	60	67	95	SW 3	S 3	S 6	1^1	10^1	3^1	–	251
20.	22.8	22.6	23.8	− 9.8	−11.6	−12.2	− 5.2	−12.2	2.0	1.8	1.7	100	100	100	NW 2	NW 5	NW 5	10^1≡*	10^2≡*	9^1≡	1.5	245
21.	24.5	25.6	26.9	−12.9	−11.6	−12.2	−11.4	−13.2	1.5	1.8	1.7	100	100	100	NW 3	NW 3	NW 4	9^2	9^1≡	10^2≡	2.0	250
22.	29.0	31.3	33.1	−10.2	− 9.3	−10.4	− 9.3	−12.2	2.0	2.1	1.9	100	100	100	N 6	N 2	N 1	10^1≡	10^2≡	0	5.4	255
23.	33.2	33.6	32.1	− 7.6	− 3.8	− 3.4	− 3.3	−10.4	2.5	3.4	**3.5**	100	100	100	N 6	C	NW 4	10^2≡	9^1≡	9^1	–	255
24.	29.4	28.8	28.5	− 4.6	− 5.2	− 5.4	− 3.4	− 5.4	3.2	3.0	3.0	100	100	100	W 2	NW 3	NW 4	10^2≡	10^2≡	10^2≡*	1.7	260
25.	27.0	27.8	28.0	− 6.0	− 6.2	− 6.1	− 5.4	− 6.3	2.8	2.8	2.8	100	100	100	NW 6	NW 3	W 2	10^2≡*	10^2≡*	10^2≡*	**29.7**	280
26.	28.0	29.9	31.8	− 6.7	− 6.8	− 9.6	− 5.9	− 9.6	2.7	2.6	2.0	100	100	96	N 3	NW 1	NW 2	10^2≡	1^1⊙	1^1	3.4	285
27.	32.2	33.7	35.1	− 9.4	− 8.2	− 7.2	− 6.5	− 9.6	2.1	2.3	2.6	98	100	100	NW 2	W 2	NW 4	2^1⊙	8^1⊙	9^1	–	281
28.	35.1	35.5	**36.0**	− 8.7	− 8.3	− 7.4	− 7.2	− 9.2	1.4	1.9	1.7	62	80	66	N 6	NW 4	NW 4	4^0⊙	9^1	1^1	–	280
29.	35.3	34.4	34.2	− 7.2	− 5.2	− 4.7	− 4.3	− 8.0	1.4	1.4	1.8	57	45	58	W 1	SW 4	S 3	1^0⊙	1^1⊙	6^0	–	280
																					62.8	
Mittel	23.9	24.3	24.7	− 9.7	− 8.4	− 8.7	− 6.6	−11.3	1.9	2.1	2.1	88	90	91				6.8	7.9	5.7		

Bemerkungen.

1. n ⩸; t meist ≡1.2, ✳1, ✳treiben, ca 4 p langsames Aufklaren, 8 p fast wolkenlos; 9 p nahezu bedeckt; 9 p ☋
2. 10 p wieder wolkenlos; p sehr starker Sturm, meist ≡1.2, ✳treiben
3. n ✳, a ✳treiben, starker Sturm; t ≡1.2, ztw. ✳0
4. ca 11 p ringsum Aufklaren; a über Flachland ∞meer; p ztw. ✳0, ≡0
5. a ≡1.2; m Aufklaren, Brockengespenst; 2 p Spuren eines ⊕ von 23° Rad. (später deutlicher), rasche Zunahme d. ci-Bew.; 7 p sehr starke Bewölkung; dann Aufkl.; p ⩸; 9 p ☋
6. n ⩸; 10 a irisierende ci; t starker Föhnsturm \
7. n u. t Föhnsturm; t Fernsicht frei
8. n u. t ⩸; t sehr schöne Fernsicht (Bayr. Wald sichtbar); Gipfel meist an Wolkengrenze
9. andauernd ⩸, Fernsicht frei, Flachland ∞
10. a ≡1.2, ztw. ✳0.1; 2^{30} p rasch vollständiges Aufklaren, Brockengespenst, ringsum ≡meer
11. t meist ≡0.2, häufiges kurzes Aufklaren; a ztw. ✳0.1, m kurz ✳1.2; m u. p schwaches Brockengespenst; Gipfel meist an Wolkengrenze (cu!)
12. a ⩸, ≡1.2, starke ⋁bildung; 11^{45} a-ca 1 p Aufklaren; dann ≡1.2; 4 p neuerdings Aufklaren, diesmal von Bestand
13. über Flachland ∞0, sonst reine Fernsicht; 10 a ⊕ von 23° Rad.; 12^{40} p sehr schöner ⊕ von 23° Rad.; rechte Neben ⊙ u. obere Neben-⊙ sichtbar
14. a ≡0.1; 10 a ⊕ von 23° Rad.; ab 11^{30} a ⊕ in seiner ganzen Ausdehnung prachtvoll sichtbar; die beiden horiz. Neben⊙ erscheinen deutlich ca 2-3° ausserhalb des ⊕; [1])
15. n u. t ruhiger ✳fall, ✳1.2; t ≡1.2, nur m kurzer Ansatz zum Aufklaren
16. ca 6^{40} a vollständiges Aufklaren, a st. ✳treiben, über Flachland ∞ u. ≡meer in ca 1800 m; abds. ⩸, st. ✳treiben
17. t fast wolkenlos [die horiz. Neben⊙ zeigen Schweife; 5 p starke Bewölkungszunahme; später Aufkl.
18. a prächtige Fernsicht (Bayr. Wald sichtbar); a lange Zeit ⊕ von 23° schwach, dagegen die beiden horiz. Neben⊙ sehr gut sichtbar (sehr farbenpr.); 1-2 p ⊕ von 23°;
19. t Fernsicht frei, Flachland ∞; ca 10 a die horiz. Neben⊙ eines Halo von 23° schwach sichtbar (ohne ⊕)
20. t ≡1.2, ✳1, ✳treiben; p ztw. ganz schwaches Aufklaren
21. n ⩸; a sehr schön irisierende a-cu u. str-cu; ab ca 11^{30} a ≡1.2; ztw. Aufklaren; 3 p prächt. 3fach. ◍; Brockengespenst
22. n starker Sturm; t ≡1.2, ✳treiben; ca 6 p allmähl. Aufklaren; Gipfel an ob. Wolkengrenze; 7 p doppelt. ☋
23. n ⩸; t ≡1.2, ztw. kurzes Aufklaren; ztw. ✳0
24. t ≡2, ztw. ✳0, ✳treiben; a ztw. Aufreissen
25. n u. t ✳0.1, ≡2
26. n ✳0; a bis ca 8 a ≡1.2; dann Gipfel ztw. in cu; erst 6 p vollständiges Aufklaren; ◍, Brockengespenst
27. a ⌊10, ztw. ≡0.1, ✳tr.; üb. Alpenwerl. starkes cu-meer; 11 a schwach ⊕, dagegen die horiz. Neben⊙ ziemlich deutlich mit schw. Schweifen; ab 3 p-ca 6^{30} p fast wolkenlos; [2])
28. n u. a ⩸; starkes ✳treiben; Fernsicht frei, Flachland ∞
29. t föhnig, schöne Fernsicht (Bayr. Wald!); im Zugspitzgebiet ziemlich viele Lawinen!

[1]) p ≡1.2, ✳0.1 [2]) Wind frischt auf

Alle Angaben nach Ortszeit.

Kahl a/M.

März. $\varphi = 50^0\ 4'$ N. $\lambda = 9^0\ 1'$ E $= 36^m\ 4^s$. H $= 114.1$ m. Cg $= +0.3$ mm. 1912.

Datum	Luftdruck auf 0° u. Normalschwere reduziert 700 mm + 7a	2p	9p	Lufttemperatur C° 7a	2p	9p	Max.	Min.	Absolute Feuchtigkeit mm 7a	2p	9p	Relative Feuchtigkeit Proz. 7a	2p	9p	Richtung und Stärke des Windes 0 bis 12 7a	2p	9p	Bewölkung 0 bis 10 7a	2p	9p	Niederschlag mm 7a	Bemerkungen
1.	56.8	54.7	51.7	5.3	12.0	10.2	13.2	4.8	6.6	7.4	8.8	99	71	96	C 2	S 2	SW 2	4^0	10^0	10^0	2.0	n
2.	49.9	51.9	51.3	9.8	13.1	6.9	14.4	5.8	7.7	6.8	6.1	86	61	83	SW 4	SW 4	C	6^1	$1^1\odot$	1^0	4.0	n
3.	46.3	45.7	46.7	7.1	10.4	8.2	11.3	5.8	5.9	8.4	7.6	78	91	93	S 2	SW 2	SW 2	8^0	$10^1\bullet$	10^2	–	t
4.	48.9	49.9	48.6	6.5	9.9	6.4	10.4	6.2	6.7	5.6	5.5	93	62	76	SW 2	SW 4	SW 4	9^0	7^1	9^1	4.8	5^{36} a an ztw. ●. 2^{36} p ⌒
5.	43.7	42.9	42.8	8.1	10.3	7.5	12.5	6.1	6.9	7.0	6.9	86	75	89	SW 4	W 2	C	9^1	8^2	9^0	3.2	$11^{06.31}$ a ●
6.	42.9	43.3	43.7	5.5	9.1	5.8	10.1	5.1	5.8	5.6	5.8	86	65	85	SW 2	SW 4	SW 4	10^1	8^1	10^1	5.0	n, $30^{9.21}$ p ●
7.	46.6	48.1	51.3	4.5	8.6	5.2	9.9	3.9	6.0	5.8	6.1	96	69	92	SW 2	SW 2	SW 2	9_0	9^1	10^1	3.1	a ⌊
8.	54.6	53.8	53.4	1.1	8.4	4.0	9.4	0.4	4.9	5.0	5.4	98	61	88	SW 2	SW 2	SW 2	0	$4^1\odot$	10^1	0.8	
9.	53.1	52.0	51.2	2.6	11.6	5.7	12.4	0.4	4.6	4.5	4.2	82	44	61	S 2	SW 2	SW 2	7^1	$1^0\odot$	0	–	
10.	50.2	48.6	48.2	4.1	11.4	7.9	12.6	3.4	4.0	4.7	4.8	66	47	60	C	E 2	E 4	9^0	$1^0\odot$	8^0	–	
11.	50.1	51.8	54.2	1.6	8.8	5.3	10.8	0.6	4.9	6.4	6.6	94	76	99	C	SW 2	SW 2	1^0	10^0	10^1	–	
12.	57.1	58.7	60.1	4.6	8.9	2.5	10.2	2.3	6.0	6.6	5.5	96	77	100	C	N 2	NW 2	10^1	7^0	0	0.2	n ●0
13.	**60.9**	59.1	58.1	2.6	11.2	7.9	12.4	1.5	5.4	5.6	6.2	98	57	78	C	SW 2	C	10^1	$6^0\odot$	9^0	–	a ≡1
14.	56.2	55.3	55.0	6.8	10.5	8.8	11.2	6.1	7.2	7.9	8.3	98	84	99	S 2	SW 2	C	$10^1\bullet$	10^1	10^1	2.3	n, t ztw. ●0
15.	54.3	52.1	48.8	8.2	13.2	9.2	14.6	8.0	8.1	7.8	7.5	100	69	88	SW 2	SE 2	SE 2	9^0	9^1	0	1.3	
16.	47.5	48.5	49.4	7.0	5.4	3.6	11.1	2.7	5.8	4.8	5.4	77	72	92	W 4	W 2	W 2	10^1	$10^1\bullet$	10^1	–	$10^{46.51}$ a △. $14^{4.48}$ p △, dann ●0
17.	49.3	46.9	44.3	3.0	9.7	4.2	10.2	2.0	5.1	5.1	5.2	90	57	85	SE 2	SW 2	SW 2	10^1	10^1	0	3.2	
18.	39.0	35.4	33.6	5.6	12.4	8.7	13.7	4.2	5.4	5.7	7.0	80	53	84	SE 2	SW 2	SW 2	10^1	9^2	10^1	0.2	n ●0
19.	34.2	38.5	42.7	7.3	9.4	4.3	10.6	4.1	6.2	6.1	5.1	82	70	82	SW 4	SW 6	SW 2	10^1	$4^1\odot$	0	1.8	n, t ztw. ●
20.	42.8	43.8	44.8	5.5	9.5	4.9	10.2	3.3	4.9	4.7	5.3	72	53	81	SW 2	SW 2	SW 2	9^1	10^1	0	3.4	
21.	45.2	43.2	40.3	2.2	8.4	7.5	9.4	0.9	5.0	5.0	7.0	93	61	90	S 2	SW 4	SW 6	2^1	10^1	3^0	–	a ⌊, p ztw. ●
22.	40.5	40.7	42.9	6.7	10.9	6.2	12.0	5.5	6.1	5.6	6.4	83	57	90	SE 2	SW 4	SW 4	8^0	8^1	0	2.4	
23.	47.0	48.2	48.2	6.1	9.8	6.4	11.1	4.6	5.9	5.5	6.7	84	60	93	SW 4	SW 2	SW 2	9^1	9^1	10^1	–	
24.	41.6	41.5	50.0	6.3	10.6	8.7	11.5	5.3	6.9	7.0	7.0	98	73	84	SE 2	W 4	SW 2	$10^2\bullet$	10^1	10^1	**6.0**	n, a ●
25.	55.7	56.6	59.1	8.2	12.0	12.3	13.2	7.1	7.3	9.8	**10.1**	91	95	96	SW 2	SW 2	SW 2	10^1	10^1	10^0	5.0	n, a–9^{36} a ●
26.	60.5	60.2	58.9	11.1	17.4	8.8	18.6	8.7	9.5	9.7	8.3	96	66	99	SW 2	SW 2	C	10^1	10^1	0	1.7	
27.	56.6	54.1	54.5	5.4	18.8	12.0	**20.3**	3.4	6.7	9.1	7.4	100	57	71	C	SW 2	W 2	0	$1^0\odot$	6^0	–	a ≡2. 4^{44}–5^{02} p ⌇. 4^{36}–5^{04} p, $5^{11.36}$ p ●
28.	54.5	54.1	54.2	8.9	10.6	10.5	13.4	7.0	7.2	7.2	7.9	86	74	84	SW 2	SW 2	C	$10^1\bullet$	10^1	10^1	2.4	7^{00}–8^{11} a ●0
29.	53.7	55.2	56.9	8.1	10.9	3.8	12.0	3.3	6.8	**3.6**	5.0	85	**38**	83	SW 2	NW 4	C	9^1	$1^1\odot$	0	0.3	
30.	54.6	52.1	52.7	3.5	10.7	4.8	12.0	– 0.5	4.6	4.5	5.5	78	47	86	SW 2	W 6	W 4	9^1	6^2	9^1	–	a ⌊. $2^{31.34}$ p ●, dann ztw. ●
31.	52.6	47.6	41.0	3.5	13.0	10.2	13.9	1.1	5.2	5.4	4.8	88	48	52	SW 2	SW 2	S 2	1^0	10^0	10^0	1.5	
Mittel	49.9	49.5	49.6	5.7	10.9	7.0	12.2	4.0	6.1	6.3	6.4	88	64	85				7.7	7.4	6.3	54.6	

Bayreuth.

März. $\varphi = 49^0\ 57'$ N. $\lambda = 11^0\ 34'$ E $= 46^m\ 16^s$. H $= 363.3$ m. Cg $= +0.3$ mm. 1912.

1.	34 9	33.2	30.6	7.2	12.1	9.5	13.2	5.2	6.9	6.6	7.4	92	63	85	W 2	SE 4	E 4	5^1	8^1	$10^1\bullet$	0.3	n, 9 p ●0
2.	27.6	29.8	30.4	9.3	9.7	6.7	11.4	2.7	7.4	7.1	6.2	87	79	85	W 4	W 6	SE 2	$10^2\bullet$	10^2	4^0	3.5	n ●0.1, t ztw. ●0
3.	25.0	23.1	24.5	3.1	12.6	7.5	12.9	2.2	5.4	6.7	6.6	95	62	87	E 4	S 2	W 6	3^1	10^2	$10^2\bullet$	0.8	7^{46}–9 p ●0
4.	20.7	27.8	27.4	5.8	7.7	5.3	9.0	4.3	6.1	5.5	5.4	89	70	83	SW 4	SW 6	W 2	10^1	8^1	10^1	3.2	n ●0
5.	23.1	21.4	21 3	3.8	9.4	8.3	10.2	2.3	5.3	6.7	6.4	89	76	78	SE 2	SW 6	W 6	8^1	$5^1\odot$	$10^2\bullet$	0.9	n ●0. $4^{38.31}$ p ⌇, t ztw. ●1 △
6.	21.4	21.4	22.6	4.5	7.3	5.5	8.7	4.2	5.9	5.0	5.0	94	66	73	W 4	SW 6	W 6	$10^2\bullet$	7^1	0	**9.9**	n ●1, t ztw. ●0
7.	23.8	26.0	28 6	3.7	6.5	2.6	7.6	2.6	5.6	5.1	5.0	93	71	91	W 4	W 6	W 2	10^2	8^2	0	2.0	n ●0, t ⌊⌊⌊, ztw. ●0
8.	31.2	31.0	31.0	2.3	6.1	0.8	8.6	0.2	5.0	5.0	4.5	93	72	92	W 2	SE 2	E 2	10^2	$5^1\odot$	0	0.4	
9.	31.2	30.6	29.8	– 1.3	8.8	3 9	10.2	– 1.9	3.9	**3.5**	4.0	94	42	65	E 2	SE 2	E 2	4^0	$0\odot$	0	–	a ⌊1
10.	28.3	27.0	26.5	0.1	7.3	3.9	8.1	– 0.8	4.1	4.4	4.6	89	58	76	SE 2	E 6	E 4	5^0	7^1	0	–	a ⌊0
11.	27.4	29.4	32 2	– 1.9	7.1	3.3	7.4	– **2.7**	3.8	5.4	5.0	96	71	88	W 2	N 2	E 2	8^1	10^1	4^1	–	a ⌊2
12.	35.3	36.9	38.2	2.3	6.9	0.9	8.0	0.4	5.2	4.9	4.5	96	66	90	S 2	S 2	E 2	$10^1=$	9^1	0	0.6	n ●0. a ≡1
13.	38.9	37.7	36.8	– 0.9	7.6	3.1	8.0	– 2.6	4.1	5.6	5.3	96	71	93	E 2	NW 2	E 2	$10^1=$	10^1	0	–	a ⌊2, ≡1
14.	34.6	33.0	32.5	2.5	7.5	6.3	8.0	1.2	5.3	6.7	6.8	96	89	96	E 2	SW 2	E 2	$10^2\bullet$	10^2	10^2	0.5	n, a ●0
15.	31.7	29.9	27.7	5.7	8.8	7.2	10.0	5.0	6.6	6.7	6.4	98	79	85	SE 2	SE 2	SE 2	$10^2=$	10^1	10^2	2.6	n ztw. ●0.1, a ≡2
16.	24.7	25.3	26.8	5.5	6.1	1.7	7.2	1.2	5.7	4.3	4.7	86	62	91	SE 2	W 4	W 2	10^2	10^1	10^2	–	a ztw. ●0. 6^{46}–8^{46} p ✳1 ●0
17.	26.7	24.8	24.0	1.5	6.7	4.1	8.0	0.2	4.5	4.7	4.5	90	64	73	W 2	SE 2	E 2	10^2	10^1	0	2.0	
18.	18.5	15.0	13.0	2.5	11.7	7.6	11.8	0.9	4.2	5.0	5.9	76	48	75	E 4	SE 6	E 4	7^1	9^1	10^1	–	
19.	13.0	16.9	21.4	6.9	9.2	4.7	9.7	3.7	5.8	4.8	4.5	78	56	69	E 4	SW 8	W 4	10^2	8^2	0	0.2	t ztw. ●0 △ ⌊⌊⌊
20.	22.9	23.3	22.8	1.9	6.3	4.1	10.0	0.0	4.2	4.7	5.0	81	66	83	E 2	SW 6	W 2	4^0	10^2	10^2	0.7	a ⌊0
21.	23.7	22.0	20.1	2.0	8.7	6.5	10.0	1.0	4.6	3.8	5.3	88	47	73	SW 2	SW 4	W 2	8^1	10^1	10^2	–	ca 8–9 p ●0
22.	20.3	20.0	21.2	5.7	9.1	5.7	11.4	4.1	5.3	5.5	5.9	77	63	87	SE 4	SW 2	W 2	10^1	10^1	10^1	0.2	a ztw. ●0
23.	24.3	26.0	26.1	4.9	8.5	4.7	9.1	4.0	5.5	4.5	5.4	85	55	85	W 4	W 6	W 4	10^1	9^1	3^0	0.2	p ztw. ●0
24.	21.3	19.9	26.6	4.1	5.8	7.0	8.0	2.9	5.7	6.3	7.0	93	92	94	SE 2	E 2	W 4	$10^2\bullet$	10^2	$10^2\bullet$	0.2	t meist ●0
25.	33.1	34.9	37.5	7.3	10.4	9.1	11.3	6.2	6.8	6.8	8.1	90	72	95	W 4	W 2	W 2	10^2	10^2	$10^2\bullet$	6.8	n ●0. 2^{16} p an ●0
26.	39.3	**39.5**	38.4	9.5	14.1	11.5	16.9	8.3	8.7	**9.8**	9.0	**99**	82	90	E 2	SE 2	SE 2	$10^2=$	10^1	10^1	3.7	n ●0. a ≡2 ●0
27.	35.1	31.4	30.8	8.7	17.4	12.5	**18.3**	8.0	8.1	8.6	8.5	96	58	79	E 2	W 6	W 4	8^1	7^1	10^2	0.3	a △ ≡1. 6^{46}–7^{48} p ⌇ ●0.1
28.	31.5	30.7	30.8	7.2	8.5	8.6	12.5	5.7	5.7	6.0	6.7	75	72	81	SW 4	W 6	W 4	10^2	10^2	10^2	0.8	a ●0
29.	29.7	31.1	34.0	6.9	9.5	3.5	10.6	3.0	6.8	3.8	3.8	92	43	64	W 4	W 6	NE 2	10^2	$6^1\odot$	0	2.5	n ●0. t ztw. ⌊⌊⌊
30.	31.2	28.5	29.8	2.1	8.7	1.5	9.0	– 1.3	3.8	3.5	4.9	70	**41**	96	SE 2	W 8	E 2	$0\odot$	8^1	6^1	–	a ⌊1. 3^{46}–6^{46} p ●0 ✳0. t ⌊⌊⌊
31.	29.8	26.5	20.5	2.2	10.6	6.8	11.2	0.7	4.7	4.1	4.6	88	43	62	SW 4	SW 4	SE 4	$3^0\odot$	$6^0\odot$	9^1	1.0	
Mittel	27.9	27.5	27.9	4.0	8.9	5.6	10.2	2.4	5.5	5.5	5.7	89	65	83				8.2	8.4	6.0	43.3	

Alle Angaben nach Ortszeit.

Bamberg.

März. $\varphi = 49^0\ 53'$ N. $\lambda = 10^0\ 53'$ E $= 43^m\ 32^s$. H $= 287.7$ m. Cg $= +\ 0.3$ mm. 1912.

Datum	Luftdruck auf 0° u. Normalschwere reduziert 700 mm +			Lufttemperatur C°					Absolute Feuchtigkeit mm			Relative Feuchtigkeit Proz.			Richtung und Stärke des Windes 0 bis 12			Bewölkung 0 bis 10			Niederschlag mm	Bemerkungen
	7a	2p	9p	7a	2p	9p	Max.	Min.	7a	2p	9p	7a	2p	9p	7a	2p	9p	7a	2p	9p	7a	
1.	41.8	39.6	36.8	5.9	12.1	9.6	13.9	5.3	6.5	6.8	8.2	94	64	92	W 1	S 4	S 2	10^1	10^0	10^2	0.6	n, 6^{23}–9 p
2.	34.5	36.9	36.8	8.9	9.4	4.9	12.8	4.9	8.0	7.7	5.8	95	88	90	W 1	S 2	SW 4	10^2	10^2	9^1	5.2	n ztw. . 0^{00} p, 0^{34}–1^{49} p, 1^{32} p ^{0}
3.	31.2	29 7	31.7	4.7	12.5	6.8	13 5	3.9	5.2	7.8	7.1	81	72	96	S 2	SW 3	SW 1	5^{10}	10^2	10^2	0.5	n △. 11^{31} a, 1^{49}–2^{14} p ^{0}. 6^{09}–9 p ^{1}
4.	33.6	34.5	33.8	5.5	9.9	5.2	10.4	5.2	5.9	6.3	5.2	88	69	78	SW 2	W 5	SW 4	10^2	7^{10}	2^1	3.8	$0^{00.11}$ p ^{1}. 0^{36}–1^{30} p, 5 p ^{0}
5.	29.1	27.5	27.6	4.5	11.6	6.9	12.3	3.9	5.2	6.1	6.7	82	59	90	S 6	SW 7	S 4	4^1	9^{10}	10^1	2.2	n . 10^{04}–11^{14} a ^{1}. 11^{54} a, 1^{04} p ^{0}. 2^{34}–4 p, $8^{00.34}$ p ^{1}
6.	28.3	28.4	29.5	3.3	7.9	4.7	10.5	3.1	5.5	5.5	5.0	95	69	78	S 2	W 6	SW 3	10^1	9^1	9^1	**11.1**	n . $8^{44.45}$ p ^{1}
7.	31.0	32.9	35.2	3.4	6.6	2.4	8.2	2.4	5.5	5.5	5.3	93	76	96	W 1	W 1	C	10^2●	10^2●	2^1	1.0	$10^{00.04}$ p, ca 5^{15}–8 a ^{1}. 1^{57}–2^{14} p ^{0}. $2^{34.41}$ p, 7–8 p ^{1}
8.	38.4	37.6	37.5	2.0	7.7	1.3	9.7	0.9	5.2	4.6	3.9	98	59	78	W 1	W 1	S 2	10^2●	6^{10}	0	0.8	ca 6^{30}–7 a ^{0}. $7^{06.07}$ a △. $7^{13.32}$ a, 9 a ^{1}. a ^{0}
9.	37.7	36.7	35.9	− 2.0	10.3	3.7	11.2	− 2.1	4.0	3.8	3.9	100	40	65	SW 2	SW 3	E 2	4^{10}	1^{10}	0	0.8	n . a ^{0}
10.	34.9	33.2	32.8	1.8	10.5	4.7	11.9	1.0	3.8	4.4	4.6	73	46	71	NE 1	S 4	E 3	10^0	9^{10}	2^1	0.1	n
11.	34.3	35.9	39.0	0.0	9.7	4.8	10.7	− 0.2	4.4	5.3	5.2	96	59	81	W 2	C	C	9^1	10^0	10^2	0.5	n . a
12.	41.9	43.6	44.8	3.1	8.1	1.9	9.6	2.1	5.2	5.8	5.1	91	72	96	N 1	W 2	S 1	10^2	8^1	0	0.1	n △. 8^{44} a ^{0}. a, abds.
13.	45.7	44.6	43.3	1.2	9.0	5.4	9.7	− 1.2	4.9	6.6	5.8	98	77	86	SE 1	E 1	S 3	10^2	10^2	10^1	0.1	11 p . a ^{2}
14.	41.3	39 3	39.2	3.7	10.1	7.2	11.5	3.3	5.8	7.0	7.5	97	76	99	SW 2	W 2	C	10^2	10^2	10^2 ●=	0.7	n . 4–6 p ztw. ^{0}. 6–7^{30} p ^{1}. abds. ^{1}, 9 p
15.	38.4	36.2	34.0	6.1	10.3	6.6	11.8	6.1	7.0	7.2	6.2	100	76	85	S 1	SE 2	S 2	10^2	10^2	3^0	1.8	
16.	31.4	32.3	33.8	6.1	6.9	1.7	8.3	1.1	6.2	4.3	4.8	88	57	93	S 2	W 2	SW 2	10^2●	10^2	10^2	0.1	7–8 a ^{0}. 8–10 a ^{1}. $5^{29.36}$ p △. 5^{36}–6^{09}, ca. 7 p ^{1}
17.	33.3	31.2	28.8	− 0.2	7.9	4.3	10.8	− 1.0	4.4	4.3	4.3	98	55	70	SW 2	E 2	S 4	10^2	10^2	10^1	4.3	n
18.	24.7	21.0	19.0	3.9	12.2	9.2	13.0	2.8	4.6	5.6	5.5	75	53	63	S 2	S 5	SE 3	10^0	10^2	10^2	0.1	n △. 11^{54} a ^{0}. ca 6^{45}–7^{15} p ^{1}
19.	18.9	23.6	28.4	7.0	8.8	2.7	11.1	2.4	5.6	5.5	4.4	75	66	79	SW 4	SW 4	S 1	10^1	8^{10}	7^1	0.2	ca 11^{15} p ^{1}. 8^{09} a ^{0}. 8^{30} a ^{1}. $11^{32.47}$ a ^{2}. [1]
20.	29.2	29.7	29.6	2.3	7.0	3.5	10.3	1.2	4.4	4.9	5.3	80	66	90	S 2	SW 4	S 1	9^{10}	10^2	10^1	0.6	n . ca m–0^{15} p, 1–1^{15} p ^{0}
21.	30 2	28.1	26.0	1.8	8.7	8.3	11.2	0.4	4.7	4.2	5.1	90	50	62	SW 2	S 5	SW 5	9^{10}	10^2	10^2	0.1	n △
22.	26.4	25.8	28.0	6.3	11.1	6.4	12.2	5.1	5.3	4.9	5.5	75	50	76	S 4	SW 4	SW 1	10^2	10^2	9^1	0.3	9^{04} p ^{0}
23.	31.6	32.9	32.6	4.7	9.2	4.4	10.8	3.7	5.7	4.8	5.4	89	56	87	S 2	W 3	SW 2	10^1	10^2	9^1	0.3	n △. ca 1–1^{15} p, ca 4^{15} p ^{0}. 4^{51}–5^{09} p ^{1}
24.	27.5	26.7	33.9	4.4	8.8	8.0	9.7	3.4	5.9	7.5	6.6	96	89	82	SE 4	W 3	W 5	10^2●	10^2●	10^2	1.4	n-m . 2–5 p ^{0}
25	40.1	41.6	44.2	7.1	10.3	10.7	12.4	6.8	6 9	8.1	9.2	91	88	97	SW 2	C	C	10^2	10^2●	10^2 =●	7.5	m–9 p ztw. ^{0}. abds. ^{1}
26.	**46.1**	45.6	44.8	10.2	16.1	11.8	17.8	9.8	9.0	**9.7**	8.9	97	71	87	SW 1	S 2	W 2	10^2	10^2	10^1	3.4	n ^{0}. a ^{0}. 8^{49} p
27.	41.8	38.2	37.9	8.1	19.3	11.7	**20.8**	7.8	7.8	9.2	9.0	98	55	88	SW 2	W 3	NW 1	10^1	9^1	10^1	0.1	n △. ca 6^{15}–7^{23} p . $6^{30.53}$ p ^{0}. $7^{28.49}$ p ^{1}
28	38.4	37.8	37.6	7.0	9.7	9.6	12.7	6.4	6.1	5.9	6.5	81	65	73	SW 2	W 4	W 3	10^2	10^2	10^2	1.2	8–9 a ^{1}
29.	36.7	38.4	41.1	7.5	11.8	3.5	12.5	3.5	7.1	4.2	4.3	91	40	73	W 3	NW 6	C	10^2	7^{10}	0	2.9	a ^{1}. 5 p NW
30.	38.0	35.8	36.8	1.3	10.3	1.4	11.9	− 0.7	3.9	3.7	4.8	75	39	94	SW 2	W 7	C	4^0	9^{10}	5^1	0.1	n . 4^{27} p ^{0}. 5^{21}–6^{34} p ^{1}
31.	26.7	33.3	26.7	3.3	11.0	7.2	12.5	1.1	4.7	4.5	4.8	82	46	64	SW 3	SW 4	S 3	2^{10}	10^1	10^1	2.2	n . 9^{21}–10 p ztw. ^{1}. 11 p ^{1}. 9 p
Mittel	34.6	34.1	34.4	4.3	10.2	5.8	11.8	3.0	5.6	5.9	5.8	89	63	83				8.9	9.1	7.3	54.1	[1] 4 p kurz ^{2}. $6^{28.30}$ p △. 6^{55} p ^{1}

Würzburg.

März. $\varphi = 49^0\ 48'$ N. $\lambda = 9^0\ 56'$ E $= 39^m\ 44^s$. H $= 179.3$ m. Cg $= +\ 0.3$ mm. 1912.

1.	51.0	48.2	45.6	6.3	12.5	10.3	13.2	5.3	6.4	6.9	8.7	90	64	94	E 2	SE 2	S 2	10^1	7^1	10^2●	0.7	n, 5 p an ^{0}
2.	43.6	45.5	45.1	10.2	12.8	7.8	13.0	7.8	7.0	6.8	6.5	76	61	82	SW 5	W 4	SW 2	10^2	5^1	10^2	4.0	n
3.	39.9	39.0	40.1	3.7	11.6	8.4	13.0	3.2	5.5	8.0	7.1	92	79	87	S 1	W 3	W 2	5^1	10^2●	10^2●	–	a △. t ztw. ^{0}
4	42.7	43.8	42.3	6.9	9.1	5.2	10.0	5.0	6.1	5.4	5.5	83	62	83	C	W 4	W 2	10^2	10^2	10^2	1.7	n ^{0}
5.	37.3	36.8	36.0	7.7	9.8	9.4	12.0	4.2	6.0	6.9	6.9	76	76	79	S 4	W 4	W 4	3^1	10^2●	10^2	0.8	t ztw.
6.	37.1	37.2	37.8	5.2	7.0	6.1	9.4	4.3	5.7	6.0	5.1	86	79	74	W 4	W 6	W 3	10^2	10^2●	6^2	**12.9**	n, t ztw.
7.	40.3	41.9	44.3	5.0	7.6	3.7	8.0	3.7	5.8	5.6	5.6	89	72	93	W 3	NW 2	C	10^2●	7^2	0	2.9	n, a
8	47.7	46.5	46.4	2.2	8.0	3.6	8.2	1.8	4.8	3.6	4.3	89	45	73	NW 2	NW 2	C	0	2^{10}	0	1.9	n
9.	46.5	45.2	44.5	0.4	9.8	4.5	10.2	− 0.6	4.5	3.7	4.4	91	40	70	NW 1	SE 4	SE 2	10^1	00	0	–	a
10.	43.9	41.6	41.3	2.4	10.8	4.6	11.0	2.0	4.1	3.9	4.7	75	41	74	E 4	E 4	C	5^1	2^{10}	0	–	a △
11.	43.5	45.0	47.3	0.6	9 2	7.5	9.6	0.0	4.4	5.9	6.5	92	68	85	W 1	W 2	C	8^1	6^1	10^2=	–	a
12.	51.2	53.1	54.1	5.0	7.2	4.5	8.2	4.5	5.5	6.0	6.0	84	79	96	C	C	C	10^2	10^2	0	0.5	n
13.	54.8	53.7	52.2	3.2	9.8	6.1	10.0	1.4	5.5	6.6	6.2	95	73	88	E 2	S 2	S 1	10^1	10^2	5^2	–	a △,
14.	49.9	48.6	48.0	6.5	10.8	8 9	11.0	5.0	6.2	7.0	7.6	86	72	89	SE 2	W 2	W 2	10^2	10^2	10^2	0.6	n, a
15.	47.3	44.8	42.9	7.6	11.2	7.3	12.0	7.2	7.6	8.3	6.4	98	84	85	C	E 2	C	10^2●	10^2	2^1	3.5	n, a
16.	41.2	41.9	43.2	7.0	4.8	2.4	8.6	2.4	6.1	5.0	4.9	81	78	89	W 4	NW 2	W 3	10^2●	2^{10}	3^1	0.9	n, a 5 p △ ✳ p ztw.
17.	42.3	40.1	37.2	2.4	9.6	6.0	10.0	1.4	4.7	3.8	4.7	85	42	67	S 2	S 2	C	10^1	10^2	10^2	1.8	
18.	33.6	29.9	28.0	5.3	13.1	9.2	13.1	4.0	4.9	5.5	6.4	74	49	**74**	S 1	S 3	S 2	10^1	10^2	10^2	–	5^{10} p ^{0}
19.	**27.9**	32.3	36.9	8.3	9.3	4.8	10.5	4.8	5.9	5.5	4.6	73	62	71	SW 5	SW 5	C	10^2●	8^{10}	0	0.6	n, a a, m ztw. △
20.	37.3	37.9	38.2	3.2	9.5	5 0	9.8	2.0	4.5	4.9	5.4	78	55	83	S 2	SW 4	C	8^1	10^2	10^2	1.0	
21.	38.9	36.3	35.1	2.8	10.0	8.7	10.4	0.6	4.8	4.6	6.4	86	50	76	SE 2	SW 4	SW 2	10^2	10^2	10^2	–	a
22.	35.0	35.1	36.6	7.2	11.8	6.8	11.9	6.8	6.3	8.4	5.5	83	83	74	SW 4	W 6	W 2	10^2	6^{10}	0	0.3	n , ztw.
23.	40.4	41.8	41.4	6.3	9.3	7.1	10.8	5.2	5.9	5.0	5.4	83	57	71	SW 2	W 6	W 2	10^1	10^2	10^2	–	a △
24.	35.6	35.8	42.9	6.0	10.4	9.0	11.2	5.2	6.9	7.1	6.5	**99**	75	76	S 4	NW 6	W 2	10^2●	10^2	8^2	2.7	n, t ztw.
25.	49.4	50.6	53.4	8.6	11.6	12.8	13.0	8.0	6.7	8.9	**9.9**	81	88	91	SW 2	W 2	SW 2	10^2	10^2	10^2	7.3	n ^{0}
26.	**55.0**	54.5	53.0	10.6	16.8	11.4	17.8	10.3	9.2	9.8	9.3	97	69	93	S 1	SE 1	C	10^2	10^1	0	0.4	a
27.	50.9	47.3	47.6	6.8	18.6	13.2	**19.5**	6.2	7.2	8.3	8.0	98	52	71	C	W 4	W 2	10^1=	5^{10}	10^2	–	a △ ^{1}. 7 p
28.	47.4	47.2	47.1	9.5	10.6	10.9	13.2	8 2	6.5	6.1	7.1	74	64	72	W 2	W 6	W 3	10^2	10^2	10^2	1.3	
29.	46.7	48.3	50.8	8.4	11.2	5.6	11.4	5.6	6.6	**2.8**	4.2	81	**28**	62	W 3	N 6	N 2	10^2	6^{10}	0	2.3	n
30.	47.3	45.1	45.5	4.1	10.1	4.1	10.2	2.0	4.1	3.8	5.6	68	41	92	W 4	W 5	W 2	00	3^{10}	0	–	a △. 5^{10} p
31.	45.9	42.0	35.7	3.8	11.7	8.6	12.1	2.7	4.8	5.0	5.1	80	48	61	S 1	SE 4	C	00	10^2	10^2	2.2	n ^{0}
Mittel	43.6	43.1	43.2	5.6	10.5	7.2	11.4	4.2	5.8	6.0	6.1	85	62	80				8.6	8.0	6.1	50.3	

Alle Angaben nach Ortszeit.

Ludwigshafen a/Rh.

März. $\varphi = 49^0\ 29'$ N. $\lambda = 8^0\ 26'$ E $= 33^m\ 44^s$. H = 100.3 m. Cg = +0.3 mm. 1912.

Datum	Luftdruck auf 0° u. Normalschwere reduziert 700 mm + 7a	2p	9p	Lufttemperatur C° 7a	2p	9p	Max.	Min.	Absolute Feuchtigkeit mm 7a	2p	9p	Relative Feuchtigkeit Proz. 7a	2p	9p	Richtung und Stärke des Windes 0 bis 12 7a	2p	9p	Bewölkung 0 bis 10 7a	2p	9p	Niederschlag mm 7a	Bemerkungen
1.	58.9	55.2	52.7	6.6	13.5	11.0	14.0	6.2	6.6	7.6	8.8	91	66	90	S 1	S 1	S 1	3^0	10^2	10^2	1.2	3^{24} p ◍
2.	52.3	54.3	51.5	10.8	13.2	9.4	13.4	9 4	7.3	6.3	6.7	75	55	76	SW 3	SW 2	SW 1	10^2	3^0⊙	10^2	2 8	n ◍
3.	47.0	47.1	48.2	7.0	10.8	8.0	11.8	6.0	6.0	8.9	6.7	79	93	83	S 1	SW 1	C	10^2●	10^2	10^2	–	6^{34} a an ◍0. vorm. u. nachm. öfters ◍
4.	51.1	51.8	49.3	6.4	10.2	7.5	10.2	6.0	6.3	6.0	5.1	88	65	66	S 1	SW 2	SW 2	10^2	9^2	10^1	1.6	$13^{4.49}$ p ◍0
5.	44.8	44.4	44.0	9.3	12.8	8.8	13.0	7.1	5.9	6.8	6.8	67	61	81	SW 4	SW 5	SW 4	5^0	4^1⊙	10^2●	0 5	n ◍ u. ⎓, $8^{04.49}$ a, 10^{33} a, abds. ◍
6.	14.8	45.0	46.0	5.5	9.9	5 3	10.0	4.8	6 1	5.2	5.8	91	57	87	S 3	SW 5	SW 3	7^1	5^1⊙	0	**9.4**	n ◍ u. ⎓, vorm. u. nachm. öfters ◍böen
7.	48.9	50.3	53.3	4.7	8.0	4.5	8.0	4.2	5.4	5.4	5.5	84	67	87	W 2	SW 2	SW 2	10^1●	4^1⊙	0	1 4	n, a ◍. vorm. öfters ◍. $6^{34.44}$ p ◍
8.	56.3	54.6	53.7	1.8	9.2	6.8	9.5	**1.3**	4.8	4.6	4.5	91	53	61	SE 1	SE 2	SE 1	0=	5^1⊙	0	2.4	a ≡1, ⌙
9.	53.3	52.2	50.6	4.5	11.4	6.4	11.8	2.5	4.0	3 5	3.4	63	35	47	SE 1	SE 1	S 1	9^1	00	0	–	
10.	49.9	48.1	48.3	3.7	12.4	10.2	12.7	2.7	4.8	4 7	5.1	80	44	55	N 2	SE 1	E 1	6^1	10^1	10^0	–	
11.	51.5	53.5	56.4	6 3	8.4	8.2	10.2	5.2	5.7	7.1	7.4	79	87	92	C	W 1	W 1	10^2● =	10^7●	10^1	–	6^{23} a ab ≡reissen, ≡1; dann bis abds. anhaltend ◍
12.	59.2	60.3	62.3	6,0	11.1	7.2	11.1	6.0	6.4	6.4	6.7	91	64	89	S 1	NE 1	NE 1	10^2	9^2	10^1	3.6	m ◍. 2^{59-311} p ◪, $3^{00.18}$ p ◍
13.	**61.3**	61.4	60.2	5.2	12.0	9 0	12.1	5.0	6.1	5.6	6.1	92	54	71	S 1	SW 1	SW 1	10^2	5^1⊙	10^1●	7.4	n ◍. a ≡0. 8^{04}-n ztw. ◍
14.	57.9	56.7	56.5	7.3	13.0	10.4	13.1	7.0	6.8	7.3	8.0	89	66	85	S 1	SW 1	SW 1	10^2●	9^2	10^1	3.2	n, a, abds. ◍
15.	54.6	51.9	48.9	7.6	14.4	10.8	15.0	7.2	7.3	7 0	7.3	94	57	75	SE 1	SE 1	SE 1	5^1	10^2	0	0.6	a ∞
16.	49.9	50.6	50.4	6.1	6.8	6.4	10.8	6.0	5.1	4.7	5.0	74	64	69	SW 3	SW 6	SW 2	5^1●	8^2	0	–	6^{44}–7^{04} a ◍0; später öfters ◍0
17.	50.0	47.6	45.6	2.3	9.8	9.2	10.0	1.5	4.3	4.3	4.8	79	47	56	SE 2	SW 2	SW 1	10^2	10^2	5^1	0.4	
18.	39.5	35.4	34.2	6.4	13.5	9.4	13.6	6.0	4 8	5.3	6.7	66	46	76	E 1	S 2	S 1	10^1	5^1⊙	10^2●	–	9 p ◍
19.	36.2	41.0	44.6	6.6	9.2	6.4	10.9	6.1	5.8	5.5	4.6	80	63	64	SW 3	SW 5	SW 2	5^1	3^0⊙	0	3 4	n ◍ u. lebhafter Wind; a u. p ◍böen
20.	44.6	45.4	46.8	5.6	10.0	4.5	10.1	4.5	4.8	4.8	5.3	71	52	84	S 1	SW 3	SW 3	10^2	10^2	0	1.4	abds. ◍
21.	46.8	43.4	42.0	3.1	9.2	8.3	9.3	1.9	5.1	5.1	6.8	90	58	84	S 1	S 3	SW 5	6^1⊙	10^1	10^2	0.5	abds. ◍
22.	41.8	42.4	43.6	7.1	11.0	7.0	12.0	6.2	6.1	5.8	6.4	81	59	85	S 1	SW 3	W 1	8^2	6^2●	10^0	0.8	nachm. ◍böen; abds. ◍
23.	49.2	49.9	49.2	6.5	10.9	6.8	11.1	5.0	6.0	5.5	6.7	83	56	91	SW 2	S 2	SW 2	10^2	5^1	0	0.2	vorm. ◍0
24.	42.5	46.6	52.5	7.4	12.0	9.7	12.7	6.0	7.2	5.6	6.5	94	54	73	S 1	NW 3	SW 3	10^2●	10^2	10^2	4.4	n–7^{24} a ◍. nachm. ◍0
25.	57.3	58.6	61.8	8.6	12.8	12.4	12.9	8.0	7.2	**10.0**	**10.0**	87	91	94	S 1	S 1	C	10^1●	10^1	9^2	0.4	6^{44}–11^{06} a ◍
26.	62.7	62.1	60.5	10.6	18.8	13.2	19.2	10.1	9.2	9.0	9.2	97	56	82	C	C	SW 1	10^1	5^1⊙	0	2.6	a ≡1
27.	58.7	55 7	55.9	8.2	19.9	14.3	**20.1**	6.6	8.1	8.5	8.3	100	49	68	SE 1	SW 1	SW 3	10^2=	00	2^0	–	a ≡2. 6^{04} p ab böig
28.	56.5	55.9	55.1	10.2	12.8	12 4	14.3	9.2	6.9	6.1	6.3	74	55	59	C	SW 1	C	10^1	10^2	10^1	–	7^{19}–10^{04} a ◍
29.	55.7	57.3	59.3	8.4	12.2	6.7	13.1	6.7	6.6	3.7	4.0	77	35	54	W 3	NW 5	W 3	10^2	5^1	0	2.0	n ◍
30.	56.6	54.3	54.5	5.1	11.0	10.4	11.4	1.9	4.3	3.5	4 1	66	36	44	SW 3	W 5	W 1	00	2^1⊙	0	–	a ⌙1, m ◍0
31.	54.2	48.6	46.2	3.7	13.4	12 4	14.6	2.3	4.9	5.0	5.1	82	44	48	SE 2	S 2	S 1	00	10^2	10^2	0.6	a ⌙0
Mittel	51.5	51.0	51.1	6.4	11.7	8 8	12.3	5.4	6.0	6.0	6.2	82	58	73				7.7	6.8	5.7	50.8	

Nürnberg.

März. $\varphi = 49^0\ 27'$ N. $\lambda = 11^0\ 3'$ E $= 44^m\ 12^s$. H = 309.1 m. Cg = +0,2 mm, über 735.0 mm Cg = +0.3 mm. 1912.

1	39.5	37.4	34.6	8.2	13.2	10.2	13.7	6.8	7.0	7.1	8.1	87	63	87	W 2	S 2	S 1	10^1	8^0⊙	10^0	–	1^{30}–3^{35} a meist ◍0. 7–7^{25} p ◍0. t meist bedeckt
2.	32.5	34.8	34.5	9.7	12.0	7.1	13.0	6.9	8.3	7.0	5.8	92	67	77	SW 2	W 4	SE 1	10^0	9^1	5^1	5.0	n–8 a meist ◍0. 11^{30-50} a, 1^{40}–gegen 2 p ◍0. a ∞. [1]
3.	29.2	27.0	29.6	5.1	12.8	7.4	13.1	3.9	5.3	6.6	6.9	82	60	90	SE 2	SW 2	W 2	4^1⊙	10^1	10^1	–	a ztw. Aufklaren. 4^{40} p ◍0. 6^{20} p an meist ◍0.1
4.	31.8	33.1	32.0	6.4	8.4	5.3	9.9	5.3	6.0	5.2	5.4	84	63	82	SW 2	SW 2	S 2	10^0	6^1⊙	1^1	2.6	n–ca. 1 a ◍0. a ztw. ◍0. 0^{03-12} p ◍2, dann–4 p ztw. ◍0. [2]
5.	27.6	27.0	25.9	5.7	9.8	8.2	10.0	4.0	5.5	6.6	7.2	80	73	89	SE 3	SW 3	SW 1	6^1	8^1⊙	10^1	–	0^{30}–1^{40} a, 10^{15} a–2^{20} p ztw. ◍0. gegen 9 p ◍0. t ztw. Aufkl.
6.	26.3	26.6	26.8	5.1	8.4	5.6	9.8	4.4	5.6	4.8	5.2	86	59	77	W 2	W 3	SW 2	7^1	5^1⊙	10^1	3.7	n–0^{10} a ztw. ◍0. 6^{30-45} a, 8^{10-25} a ◍0. 0^{17-105} p ◍2 △. [3]
7.	28.8	30.9	33.4	4.9	7.2	4.5	8.2	3.9	5.4	5.2	5.3	82	69	84	SW 3	NW 3	SW 2	10^1	6^1⊙	10^1	1.7	2 a–2 p ztw. ◍0. p Aufklaren, ztw. lebhafter SW
8.	35.9	35.9	35.2	2.9	6.6	1.9	7.0	1.9	5.2	4.6	4.8	93	64	91	W 2	NW 2	SE 1	10^0	5^1⊙	0	–	⌙. a ≡0, meist bedeckt. p Aufklaren
9.	35.6	34.5	33.8	– 0.5	8.9	3.9	9.2	– **0.9**	4.1	3.3	3.7	92	39	61	SE 1	SE 2	E 3	3^1⊙=	1^1⊙	0	–	⌙. a ≡1. t heiter
10.	32.3	30.9	30.4	2.1	10 0	4.9	10.6	1.3	3.7	3.6	4.7	69	40	71	SE 2	SE 3	E 2	7^0⊙	3^1⊙	0	–	t meist heiter
11.	31.7	33 7	36.7	0.3	8.7	6.8	9.0	0.0	4.4	4.3	6.3	94	51	85	N 1	NW 2	W 3	8^1	10^1	10^1	–	a ≡0. t wechselnde Bewölkung
12.	39.2	41.5	42.6	4 6	7.0	3.7	7.7	3.7	6.2	5.8	5.5	**98**	77	92	NE 2	N 1	SE 1	10^1=	10^0	0=	1.0	10^{00} p–mn ◍0. mn kurz ◍1. 2^{55-33} a ◍1. a ≡1. [4]
13.	43.5	42.7	41.5	3.4	8.6	6.0	9.0	0.8	5.7	5.8	5.8	**98**	69	84	SE 1	W 2	S 1	10^2=	10^1	10^1	–	a ≡2. 7–8 a ztw. ◍0. nach 8 p ◍0. t wolkig
14.	39.5	37.9	37.3	4.7	9.1	7.6	10.0	3.6	5.8	7.0	7.2	90	81	93	SE 2	W 2	C	10^0	10^1	10^1	0.5	a, t ztw. ◍0. abds. ≡0
15.	36.4	34.1	31.5	6.0	11.2	7.6	11.3	5.4	6.7	6.7	6.4	96	67	82	SE 1	SE 2	SE 2	10^2=	10^0	0	3.5	9^{45}–10^{00} p ◍1.2. a ≡2. t trüb. 3^{35}–4^{40} p ◍0
16.	29.7	30.3	31.6	6.8	6.4	1.7	8.3	1.7	6.4	3.8	4.5	87	51	85	SW 2	W 2	W 2	10^0=	10^0	0	–	a ≡1. t ztw ◍0. abds. Aufklaren
17.	31.6	29.0	26.6	0.5	8.5	4.9	8.9	– 0.3	4.1	3.5	4.1	87	43	70	SE 1	S 2	S 3	8^1	9^2	5^1	–	⌙. a ≡1. t wechselnde Bewölkung
18	22.4	19.5	17.5	4.8	12.1	9.3	12.6	3.5	4.5	4.6	6.0	70	44	69	SE 2	SE 3	S 2	10^{00}	9^1⊙	10^1	–	a ≡0. 7–8 a ztw. ◍0. nach 8 p ◍0. t wolkig
19.	17.8	22.5	26.8	7.6	7.8	3.9	10.0	3.9	5.5	5.6	5.1	70	71	84	SW 3	SW 4	C	10^1	8^7⊙	6^1	–	9–10 p ◍0. t ztw. ◍0, sehr sichtige Luft
20.	27.5	28.0	27.5	3.2	7.4	4.6	9.9	2.2	4.0	5.3	5.2	70	69	82	SE 2	SW 2	S 2	4^1⊙	10^1	10^1	4.2	n klar. a ∞. t zunehmende Bewölkung. gegen 2 p ◍0
21.	28.2	26.7	24.5	2.0	9.7	9.2	10.6	1.8	4.7	4.2	4.9	89	47	57	SW 3	SW 3	S 2	4^1⊙	7^1	10^1	–	t meist trüb, sehr sichtige Luft
22.	24.7	24.4	26.2	6.1	10.8	7.0	11.1	5.0	5.0	5.1	5.9	72	53	78	S 2	SW 2	SW 2	9^0⊙	10^1	10^1	–	gegen 11 p ◍0. 10^{30} a–3 p ztw. ◍0. t meist bedeckt, [3]
23.	29.6	31.1	30.8	5.7	10.0	6.3	10.1	4.5	5.6	4.4	5.4	82	48	76	SW 2	SW 3	SW 3	9^1	6^1⊙	10^1	–	11^{05-20} a ◍0. 3^{15-530} p ztw. ◍0. t meist bedeckt
24.	26.0	24.7	31.7	4.7	9.2	7.7	9.8	4.5	6.0	6.7	6.9	94	78	89	S 3	W 2	W 2	10^1●	10^1	10^1	2.1	n–gegen 4 a ztw. ◍0. a ztw. ◍0.1. p ztw. ◍0. [6]
25.	38.4	39.6	42.1	7.4	11.9	10.7	11.9	6.9	6.7	8.0	**9.3**	88	81	**98**	W 2	W 2	W 2	10^0	10^0	10^1	**11.6**	10^{15} a an t ztw. ◍0. abds. ≡1. t meist bedeckt
26.	**44.0**	43.7	42.5	10.4	16.0	12.0	16.6	10.0	9.0	8.7	9.2	96	64	89	SW 1	E 2	SE 2	10^0	8^1⊙	9^1	3.6	a ≡0 p Aufklaren
27.	39.8	36.5	35.9	8.7	18.4	12.7	**18.8**	7.4	7.8	8.0	8.8	93	51	81	S 1	W 1	NW 1	4^1⊙	6^1⊙	10^1	–	⌓. abds. ◹ im NW. nach 8 p–n ztw. ◍0. [7]
28.	36.6	36.1	35.8	8.2	10.7	10 1	12.7	7.5	6.3	5.6	5.6	78	58	61	W 2	W 3	W 2	10^0	10^0	10^1	1.3	8^{45} a–m ztw. ◍0. t bedeckt
29.	34.1	36.6	39.2	8.8	9.2	4.6	10.1	4.6	7.8	4.2	4.4	92	48	70	W 3	W 3	E 1	10^0●	5^1⊙	0	–	3^{42-53} a ◍1. 4–7^{30} a ztw. ◍0. p Aufklaren. 5^{30}–3^{20} p ztw. ◍0
30.	36.5	33.8	31.8	2.5	9.8	3.3	10.2	0.9	4.9	3.4	5.4	89	38	93	SE 1	NW 2	W 2	00	6^1⊙	8^1	–	n klar, ⌓. a fast wolkenlos, p zunehmende Bewölkung. [8]
31.	35.0	30.9	35.0	2.9	11.5	8.4	12.0	1.9	5.0	4.0	4.1	88	39	51	SW 1	SW 1	W 2	00	10^0	9^1	2 6	⌓. a ∞. p zunehmende Bewölkung, sichtige Luft
Mittel	32.6	32.3	32.4	5.1	10.0	6.7	10.8	3.8	5.7	5.4	5.9	86	59	79				7.8	7.9	6 9	43.4	

Alle Angaben nach Ortszeit.

[1] t ztw. Aufkl. [2] t ztw. Aufkl. [3] 3^{35-50} p, 7^{25} p ◍0. 3^{30} p ◠
[4] t meist C. 3 p an Aufkl. 9 p ≡1 [5] sehr sichtige Luft
[6] nach 1^{30} p kurz mit ✳0. t bedeckt
[7] t wechselnde Bewölkung
[8] 6^{45-7} p ◍0 1. 7^{31-27} p ◍2 ✳

Kaiserslautern.

März. $\varphi = 49^0\ 27'$ N. $\lambda = 7^0\ 46'$ E $= 31^m\ 4^s$. H $= 242.2$ m. Cg $= +0.3$ mm. 1912.

Datum	Luftdruck auf 0° u. Normalschwere reduziert 700 mm +			Lufttemperatur C°					Absolute Feuchtigkeit mm			Relative Feuchtigkeit Proz.			Richtung und Stärke des Windes 0 bis 12			Bewölkung 0 bis 10			Niederschlag mm	Bemerkungen
	7a	2p	9p	7a	2p	9p	Max.	Min.	7a	2p	9p	7a	2p	9p	7a	2p	7p	7a	2p	9p	7a	
1.	44.3	42.1	39 7	4.7	11.9	10.3	12.7	4.1	6.0	7.3	8.6	94	71	93	C	W 1	W 3	5^0	10^1	10^2	1.1	n ◍. a ≡¹. 1³¹ p–n ztw. ◍0.1
2	39.7	41.6	38.2	9.3	11.6	7.1	12.2	7.1	7.3	6.2	6.4	84	61	86	W 3	W 4	E 2	10^1	$7^1\odot$	5^1	5.0	n ◍. t–3²¹ p ⎓
3.	34.2	34.1	35.7	8.3	9.9	7.7	10.6	4.1	7.4	7.9	6.6	91	87	85	W 1	W 2	W 3	$10^2\bullet$	$10^2\bullet$	10^1	0.7	n ◍0. a, p–n meist ◍0
4.	38.5	39.8	36.1	6.5	9.0	7.5	10.2	5.9	6.2	5.7	5.6	86	67	72	W 1	W 3	W 6	10^1	9^2	$10^2\bullet$	4.0	n ◍. p ztw. kurz ◍0. abds.–n ◍1.2
5.	32.0	31.6	31.3	8.9	11.3	7.7	12.4	6.0	6.5	6.4	6.7	76	64	86	W 3	W 3	W 4	10^2	9^2	10^2	4.2	n ⎓ ◍. a ztw. ⎓. 8^{06} a–n ztw. ◍
6.	32.1	32.9	32.9	5.4	7.3	5.3	8.5	4.3	5.9	5.5	5.6	87	72	85	W 2	W 5	W 2	9^2	$10^2\bullet$	5^2	**13.2**	n ◍2 ⎓. a ztw. ◍0. $1^{26.31}$ p, $2^{26.29}$ p △ ●. p–n ztw. ◍
7.	36.0	37.8	40.6	2.0	6.4	3.5	7.2	1.4	5.0	5.8	5.2	94	81	88	W 2	NW 1	NW 1	$10^2\bullet\ast$	9	2^0	9.7	n ◍. a–8^{11} a ◍, ✳3
8.	43.0	42.2	40.7	0.6	7.9	2.4	8.3	– 0.8	4.7	5.0	5.1	98	63	93	NW 1	W 1	C	10^1	$7^1\odot$	0	1.4	a ≡², ⎵²
9.	40.1	38.6	37.6	1.0	10.7	5.5	11.2	0.2	4.7	3.9	4.5	96	40	67	C	NW 3	C	4^1	oo	0	–	a ≡⁰, ⎵⁰
10.	36.7	36.1	35.7	2.8	11.3	7.5	12.0	2.3	4.5	5.5	6.1	79	55	79	E 1	E 3	C	5^0	7^1	10^1	–	
11.	38.7	40.5	42.9	5.7	8.7	6.7	9.2	4.5	6.4	7.5	6.9	94	89	94	C	W 1	C	10^1	$10^2\bullet$	10^1	1.8	n ◍. a ≡¹. p–6^{31} p ztw. ◍0
12.	46.1	47.0	48.9	3.2	10.0	6.5	10.6	3.1	5.8	6.7	6.8	100	73	94	C	C	C	9^1	10^2	10^1	2.0	a ≡². $2^{01.06}$ p ⎡; $2^{26.16}$ p ◍; $2^{41.43}$ p ▲
13.	**49.5**	48.2	46.8	2.9	9.3	7.3	10.3	2.6	5.4	6.2	6.9	96	71	90	NW 1	W 2	C	10^1	$9^1\odot$	10^1	0.9	a ≡². 6^{31}–8^{31} p ◍0
14.	44.9	43.9	43.5	7.1	10.6	8.9	11.2	6.1	6.9	7.7	7.9	91	81	93	W 2	W 2	C	10^2	10^2	10^1	0.9	n ◍0. a kurz, p ztw. ◍0
15.	41 6	38.9	36.3	5.3	13.3	8.3	15.0	4.1	6.3	6.7	7.0	96	59	87	C	C	C	9^1	$9^1\odot$	5^1	0.4	
16.	37.7	37.9	38.3	4.7	3.6	2.2	9.2	2.2	4.8	4.8	4.9	74	82	91	W 2	NW 3	C	10^2	$10^2\bullet\ast\triangle$	0	–	a ztw. ● △ ✳. p–6^{31} p ztw. ◍0 △ ✳ ⎓
17.	36.6	33.5	31.2	1.4	7.7	5.1	8.3	0.3	4.9	4.8	4.7	96	61	73	C	C	C	8^1	10^2	0	4.0	a ⎵, ≡
18.	26.9	23.0	**22.0**	5.6	12.0	7.5	12.2	4.4	5.9	6.3	6.9	86	61	89	S 2	S 2	C	$10^2\bullet$	10^2	$10^2\bullet$	0.7	n, a ◍0. p–n ztw. ◍1.2
19.	23.8	29.0	31.4	5.6	8.1	6.3	9.7	5.0	6.3	5.4	4.4	93	67	62	W 3	W 4	W 2	10^2	$4^1\odot$	3^1	12.0	n ◍2 ⎓. a ztw. ◍. 1^{26} p △ ◍ ⎓. 1)
20.	32.0	32.7	34.0	4.9	7.6	3.5	8.2	3.5	3.5	4.9	5.3	84	62	90	W 2	W 3	C	9^1	$10^0\odot$	0	3.0	n ◍ ztw. ⎓. $1^{26.31}$ p △0. 3^{36}–4^{06} p △ ◍. $6^{16.33}$ p ◍
21.	33.7	30.3	28.8	3.4	6.5	7.5	7.7	2.2	5.0	6.1	6.4	85	84	83	SW 1	W 2	W 5	9^1	10^2	$10^2\bullet$	2.0	a ztw. ◍0. p ztw. ◍. 5^{51} p–n ◍ ⎓
22.	29.5	29 8	32.9	6.5	8.9	5.6	10.2	5.6	6.0	6.2	6.3	83	73	93	W 3	W 4	W 1	10^2	9^2	0	4.7	n ◍ ⎓. $0^{01.16}$ a ⎡◍2, a ztw. ◍0. p ztw. ⎓, kurz ◍.2)
23.	36.4	37.1	35 7	5.6	8.1	5.5	9.2	4.9	5.9	6.1	5.9	86	75	88	W 2	W 3	C	10^1	$7^1\odot$	$10^2\bullet$	2.5	a ztw. ◍. p–1^{41} p ztw. ●. abds.–n ◍
24.	29.8	34.3	40.0	7.9	10.5	8.3	11.2	5.0	7.5	5.9	6.8	94	63	84	W 3	W 3	W 1	$10^2\bullet$	10^2	10^1	7.0	n, a ◍. p–4^{21} p ztw. kurz ◍2 ⎓
25.	44.3	46.0	48.7	7.9	12.3	11.7	13.1	6.2	7.5	9.5	**9.8**	94	90	96	W 2	NW 2	C	$10^2\bullet$	10^2	10^1	1.1	a ≡²; a–1^{16} p ◍0
26.	49.2	48.7	47.7	10.3	16.5	9.9	17.5	9.4	9 1	9.4	8.6	97	68	95	C	S 1	C	10^1	$7^1\odot$	0	1.9	a ≡²
27.	45.7	43.4	43.3	4.3	17.8	12.1	**18.2**	4.0	6.0	8.5	8.3	97	57	79	C	NW 2	C	$5^0\odot$	$2^0\odot$	0	–	a ≡², ∞
28.	43.8	43.1	42.5	8.2	12.0	11.7	14.8	7.8	6.7	5.3	7.4	82	51	73	W 2	W 3	C	10^1	10^1	10^1	–	8^{32}–9^{21} a ◍0
29.	43.1	44.8	46.2	7.9	10.2	4.6	11.9	4.6	6.6	3.7	4.7	83	40	74	NW 1	W 2	C	8^1	7^1	0	1.3	n ◍
30.	43.7	41.5	41.8	2.9	9.9	6.1	10.0	0.6	4.5	4.3	4.3	79	47	62	W 2	W 6	W 2	oo	$5^1\odot$	0	–	a ⎵². t ⎓. 4^{36}–5^{01} p ●0
31.	41.2	34.9	29.6	1.9	13.2	10.3	13.2	1.2	4.7	4.3	5.6	90	38	60	C	SW 1	C	$4^0\odot$	$9^1\odot$	$10^2\bullet$	0.1	8^{31} p–n ◍
Mittel	38 5	38.2	38.1	5.2	10.1	7.1	11.2	3.9	5.9	6.1	6.3	89	66	83				8.5	8.3	5.8	85.6	1) p–5^{21} p ztw. ◍ △ ⎓. 2) 6^{46}–7^{01} p ●2

Ansbach.

März. $\varphi = 49^0\ 18'$ N. $\lambda = 10^0\ 33'$ E $= 42^m\ 12^s$. H $= 437.5$ m. Cg $= +0.2$ mm. 1912.

1	28.3	26.2	23.7	7.3	12.7	9.4	12.8	6.0	6.8	7.3	8.1	90	67	93	C	S 2	SW 2	8^2	8^2	$10^2\bullet$	–	ab 5^{12} p ◍
2.	22.0	24.0	23.3	8.9	9.9	4.3	11.2	3.9	7.1	7.0	5.8	85	76	93	W 6	W 6	C	10^2	$6^1\odot$	2^0	4.1	n, a ◍ ⎓
3.	17.9	16.6	18.4	2.7	12.0	6.0	12.0	1.9	5.0	7.1	6.5	90	68	94	C	S 2	W 2	2^0	10^2	$10^2\bullet$	–	ab 5^{42} p ◍
4.	20.8	21.7	20.6	5.0	8.2	3.3	8.8	2.9	5.8	5.2	5.0	90	64	88	W 4	W 6	W 2	10^2	6^2	2^0	4.6	t ztw. ◍ ⎓
5.	16.1	15.4	14.9	4.2	7.3	7.9	10.0	2.9	5.6	6.9	6.6	90	91	84	SW 2	SW 4	W 6	6^2	$4^1\odot$	$10^2\bullet$	0.5	t ztw. ◍ ⎓
6.	15.2	15.1	16.2	3.7	8.3	4.2	8.6	3.1	5.4	4.8	4.8	91	58	75	W 6	W 6	SW 6	8^2	$6^1\odot$	10^2	3.6	n, a ◍, $0^{27.42}$ p, $6^{30.47}$ p ◍ ⎓
7.	18.0	19.6	22.3	2.9	6.5	1.7	8.0	1.3	5.5	4.6	4.8	98	64	93	W 4	SW 4	C	$10^2\bullet$	$4^1\odot$	–	1.3	n, a, mrgs.–7^{57} a ◍
8.	24.7	24.1	23.8	2.1	6.3	– 1.2	7.8	– 1.2	5.2	3.7	4.0	96	52	94	NW 2	C	NW 2	10^2	$4^1\odot$	–	0 7	
9.	23.9	22.8	21.6	– 2.9	8.2	2.3	8.8	– 2.9	3.6	4.0	4.0	98	50	73	C	S 4	C	oo	co	–	–	mrgs. ⎵ ≡0
10.	20.7	19.1	18.6	– 1.0	9.6	2.5	10.2	– 1.0	3.7	4.4	4.6	86	49	83	C	E 4	C	$2^0\odot$	oo	–	–	mrgs. ⎵
11.	20.3	22.7	25.3	0.3	7.9	5.6	8.4	– 0.2	4.5	5.5	6.3	96	69	94	C	W 2	W 2	4^0	10^2	$10^2\bullet$	–	ab 5^{27} p ◍
12.	28.1	29.7	31.0	3.9	7.8	5.3	8.6	3.5	5.7	6.6	6.2	94	83	94	NW 2	NW 2	NW 2	$10^2\bullet$	10^2	10^2	4.1	n, a, mrgs.–7^{27} a ◍
13.	31.8	31.2	30.0	4.1	7.6	4.8	8.8	2.9	5.3	5.1	5.6	93	78	88	C	W 2	C	10^2	10^1	–	0.4	
14.	28.0	26.6	25.8	4.3	9.1	7.4	9.8	2.9	5.5	6.6	7.4	90	76	96	SW 2	W 2	W 2	10^2	10^2	$10^2\bullet$	0.2	t ztw. ◍
15.	24.8	22.4	20.4	6.4	11.8	6.2	12.8	5.2	7.1	6.8	6.4	**99**	66	91	C	SE 2	S 2	10^2	10^1	–	3.8	n, a ◍, mrgs. ≡0
16.	18.7	19.6	20.4	5.9	4.0	0.3	7.0	– 0.2	6.3	4.5	4.4	91	73	94	W 4	W 2	W 4	10^2	$4^1\odot$	–	–	$7^{02.42}$ a ◍, $1^{27.37}$ p △, $1^{37.47}$ p ✳, t ztw. ✳
17.	19.8	17.6	15.1	– 1.7	8.0	3.1	8.2	– 2.1	3.8	3.7	4.3	94	47	74	C	E 2	C	$2^0\odot$	4^1	10^2	1.2	stellenweise ⊠
18.	11.4	08.7	06.2	3.3	12.2	7.8	12.2	2.3	4.5	5.7	6.2	79	54	79	S 2	S 2	W 4	10^2	10^2	$10^2\bullet$	–	ab 8^{42} p ◍
19.	06.8	11.9	15.2	6.6	2.7	2.1	9.0	1.9	5.9	5.2	4.6	81	93	86	SW 4	W 6	W 2	10^2	$10^2\triangle$	–	0.1	t ztw. ◍ △ ⎓
20.	15.7	16.5	16.5	1.8	4.9	3.3	8.0	0.4	4.3	5.7	5.1	82	87	89	S 4	SW 2	SW 2	$2^0\odot$	10^2	10^2	4.6	11^{42} a–0^{57} p ◍
21.	17.0	15.1	13.5	1.3	8.7	7.3	9.2	0.0	4.5	6.0	6.1	90	72	80	W 2	W 6	SW 4	$2^1\odot$	10^2	10^2	1.9	9^{22} p ab ◍
22.	13.2	13.3	15.0	6.4	10.0	5.5	10.2	3.5	6.0	5.2	5.3	84	57	80	SW 4	SW 2	W 4	10^2	10^2	2^0	0.4	n, a ◍, abds. Ψ
23.	18.8	20.1	19.3	4.7	7.4	4.9	8.4	3.5	5.8	5.1	5.1	90	66	80	W 6	W 2	W 2	10^2	10^2	10^2	–	mrgs. ⎓, $1^{07.12}$ p ◍
24.	14.2	14.5	21.4	4.1	9.0	7.2	10.4	3.1	5.7	6.5	6.1	93	75	80	SW 2	W 6	W 4	$10^2\bullet$	$10^2\bullet$	10^2	3.4	n, a ●, t–5^{42} p ztw. ◍ ⎓
25.	27.2	28.5	31.2	6.6	10.0	11.4	11.4	5.8	6.9	8.1	**9.3**	94	89	95	W 4	SW 2	W 2	10^2	10^2	$10^2\bullet$	**81**	t ztw. ◍, abds. u. ca 9 p ◍
26.	**32.7**	31.2	30.6	9.8	16.2	9.5	16.2	9.1	8.7	**9.3**	8.6	96	68	98	C	S 2	C	10^2	$6^1\odot$	0	1.9	n, a ●
27.	28.7	25.6	25.3	7.0	17.6	13.8	**17.8**	5.0	7.0	8.3	7.8	94	55	67	C	W 4	W 2	10^2≡	$4^1\odot$	8^1	–	mrgs. ≡2 ⌓, abds. ⧹ im NW
28.	25.6	25.1	25.0	7.7	9.6	9.2	13.8	7.1	6.3	4.4	5.7	81	50	66	W 2	W 6	W 4	10^2	10^2	10^2	–	9^{20}–11^{12} a ◍ ⎓
29.	23.6	25.9	28.2	7.9	8 8	3.1	10.0	2.7	7.5	4.2	3.9	94	51	67	W 4	W 4	W 2	$10^2\bullet$	$4^1\odot$	0	3.8	n, a, mrgs.–8^{02} a ◍
30.	25.1	23.3	23.8	2.9	7.6	2.5	9.2	0.0	4.1	3.8	5.3	73	49	96	W 2	W 8	W 4	oo	oo	$10^2\bullet$	1.1	⎵, ab 6^{27} p ◍
31.	24.0	19.7	13.8	1.5	10.7	6.8	11.4	0.2	4.5	4.6	5.0	90	48	68	SW 2	S 2	SW 2	oo	oo	10^2	5.2	n, a ◍
Mittel	21.4	21.1	21.2	4.1	9.1	5.4	10.3	2.4	5.6	5.7	5.8	90	66	85				7.3	6.8	5.9	55.0	

Alle Angaben nach Ortszeit.

Regensburg.

März. $\varphi = 49^0\ 1'$ N. $\lambda = 12^0\ 7'$ E $= 48^m\ 28^s$. H $= 342.6$ m. Cg $= +0.2$ mm. 1912.

Datum	Luftdruck auf 0° u. Normalschwere reduziert 700 mm +			Lufttemperatur C°					Absolute Feuchtigkeit mm			Relative Feuchtigkeit Proz.			Richtung und Stärke des Windes 0 bis 12			Bewölkung 0 bis 10			Niederschlag mm	Bemerkungen
	7a	2p	9p	7a	2p	9p	Max.	Min.	7a	2p	9p	7a	2p	9p	7a	2p	9p	7a	2p	9p	7a	
1.	36.7	34.8	33.1	4.2	12.6	9.0	14.0	2.5	5.5	7.0	7.5	89	64	88	S 2	S 2	S 2	10^2	6^2⊙	4^1	–	
2.	31.1	31.9	32.2	8.8	12.0	6.8	13.0	6.0	7.6	6.0	6.8	91	57	93	W 2	NW 4	S 2	10^2●	6^1⊙	0	3.0	n, a–9^{15} a, $2^{48.58}$ p ◍
3.	28.1	26.5	26.4	1.6	11.8	7.4	13.0	1.0	5.0	6.8	5.6	96	66	73	W 2	W 2	W 2	10^1	6^2⊙	10^2	2.0	n ◍, 7 a ≡⁰
4.	29.0	30.1	30.0	5.4	9.0	4.4	9.0	4.0	5.6	5.1	5.7	83	60	92	SW 2	W 2	W 2	10^2	8^2⊙	0	5.0	$0^{18.33}$ p ◍ △
5.	27.6	26.1	25.6	1.6	8.2	6.4	10.0	0.0	4.6	6.7	6.0	89	82	84	S 4	W 4	W 2	8^2	10^2	4^1	2.0	ca 11 a–1 p ◍
6.	24.8	25.0	25.1	3.8	9.2	4.6	10.0	2.4	5.0	4.3	4.9	83	50	78	S 2	W 4	W 2	6^2⊙	10^2	0	2.6	
7.	26.1	27.4	29.6	3.8	7.8	2.0	9.0	1.4	4.6	3.9	4.7	77	50	89	W 2	NW 2	NW 2	6^2	8^2	0	–	$0^{13.35}$ p △
8.	32.3	32.6	32.7	2.0	5.4	3.6	6.0	– 1.1	4.5	4.2	4.7	85	63	80	NW 2	N 2	N 2	10^1	10^1	6^1	–	⌙, 7 a ≡⁰; 11^{32} a–0^{03} p ◍⁰
9.	32.8	32.3	31.6	– 1.6	7.8	0.4	8.0	– 2.5	3.4	3.9	4.4	84	50	92	N 2	N 2	N 2	2^1⊙	2^1⊙	0	–	⌙
10.	30.8	30.2	28.4	– 1.4	9.2	4.4	10.0	– 2.5	3.1	3.9	4.5	74	45	71	NE 2	N 2	N 2	2^1⊙	4^1⊙	0	–	⌙
11.	27.7	31.4	32.7	3.4	7.4	4.2	8.5	2.5	5.3	4.6	6.0	92	60	97	S 2	S 2	S 2	10^1●	10^1	10^1	3.0	n, a–ca 7 a ◍
12.	35.5	36.7	39.4	3.8	5.8	2.2	7.0	1.9	5.8	5.7	5.0	97	84	93	S 2	N 2	N 2	10^0	10^1	10^1	2.0	n, 7^{36} a–ca 1 p ◍, a ≡⁰
13.	40.1	39.3	38.7	– 0.4	6.4	3.4	8.0	– 1.6	4.1	5.8	5.2	92	81	90	N 2	NE 2	NE 2	10^1≡	8^2⊙	0	1.0	7 a ≡¹, $5^{18.33}$ p ◍
14.	36.9	35.4	34.6	2.4	5.4	5.0	6.0	– 0.6	4.9	6.0	5.8	89	89	89	S 2	SW 2	SW 2	10^0	10^1	10^1	1.0	≡⁰, t–n öfters ◍
15.	33.8	32.1	30.2	5.4	9.4	6.2	10.0	3.8	6.0	6.1	5.9	89	70	84	S 2	S 2	S 2	10^0	8^2⊙	10^1	4.0	7 a ≡⁰
16.	28.2	28.2	28.9	3.8	5.8	3.4	7.0	2.9	5.2	4.4	5.2	87	64	90	S 2	W 2	W 2	10^1	10^1	6^1	–	vorm. öfters ◍
17.	29.4	27.4	25.5	– 1.6	6.2	3.8	7.5	– 2.5	3.3	3.6	4.4	80	50	73	S 2	S 2	S 2	2^1⊙	4^2⊙	0	1.0	⌙
18.	22.4	19.1	16.6	2.4	11.0	7.0	12.0	0.9	4.5	5.2	5.4	82	53	72	S 2	S 2	S 2	6^1	4^1⊙	0	–	
19.	16.9	19.1	24.8	5.0	11.6	4.2	12.0	2.6	5.3	8.8	4.2	81	87	68	S 2	S 4	S 2	10^1	6^2⊙	0	–	$11^{23.38}$ a, ca 4 p ◍, 2^{18}–4^{18} p: S 6
20.	26.0	23.9	25.0	1.0	12.4	3.2	12.5	– 1.1	4.6	5.7	5.6	92	55	97	SE 2	S 2	W 2	2^1⊙	8^1	10^1	1.0	⌙, ab ca 5 p ◍
21.	25.2	25.4	24.2	2.0	9.2	2.8	10.0	0.9	4.7	3.7	4.8	89	42	80	W 2	W 2	W 2	6^1⊙	8^2⊙	0	6.0	
22.	23.6	23.2	23.5	2.4	8.8	4.6	10.5	0.9	4.1	5.6	5.1	75	67	81	SE 2	W 2	W 2	6^1⊙	10^1	6^1	–	ca 2–3 p ◍
23.	26.4	28.2	28.2	5.2	9.2	5.0	10.0	1.9	5.2	4.1	5.1	78	47	78	W 2	W 2	W 2	8^2	10^2	10^1	1.0	
24.	25.6	23.2	29.2	3.8	7.4	6.8	10.0	1.9	5.0	6.3	6.2	83	82	84	S 2	S 2	S 2	10^1	10^2	10^1	1.0	n ◍, t öfters ◍
25.	35.1	36.4	38.4	7.2	11.4	9.0	11.5	0.9	5.1	6.8	8.0	68	67	93	W 2	W 2	W 2	10^1	10^2	10^1	**7.0**	ab 2^{18} p ◍
26.	40.5	**40.9**	40.0	8.4	14.4	9.2	15.0	2.3	7.7	9.1	7.8	93	75	91	S 2	S 2	S 2	10^0	10^2	0	3.0	7 a ≡⁰
27.	37.3	33.9	32.7	6.8	14.8	14.6	**19.5**	3.9	6.8	**9.7**	7.2	93	77	58	S 2	S 2	S 2	10^1	4^2⊙	6^2	–	7 a ≡⁰
28.	33.2	32.9	32.9	8.4	10.8	10.0	15.0	4.9	4.8	4.2	5.1	59	44	56	W 2	W 4	W 4	10^1	8^1	10^1	–	ca 11–11^{38} a ◍
29.	31.6	32.5	35.9	8.2	10.2	4.6	11.0	3.9	6.9	4.4	3.9	85	47	62	W 2	W 2	W 2	10^1	8^1	0	1.0	7^{18}–ca 10 a ◍⁰
30.	34.0	30.9	32.0	0.6	11.4	3.2	12.0	– 1.6	3.3	4.2	4.6	70	41	80	S 2	NW 6	NW 2	○○	4^1	6^2	1.0	⌙
31.	32.1	29.9	23.4	2.0	10.8	5.6	12.0	1.1	4.5	3.2	4.7	85	33	69	W 2	S 2	S 2	4^1⊙	4^1⊙	10^0		p ≡⁰
Mittel	30.3	29.9	30.0	3.5	9.4	5.4	10.6	1.3	5.0	5.5	5.5	84	61	81				7.7	7.5	4.8	47.0	

Passau.

März. $\varphi = 48^0\ 34'$ N. $\lambda = 13^0\ 28'$ E $= 53^m\ 52^s$. H $= 309.3$ m. Cg $= +0.2$ mm. 1912.

1.	40.7	38.7	35.9	1.8	11.9	6.3	13.7	0.9	5.2	7.5	6.8	100	74	96	C	C	C	10^1≡	5^0⊙	8^1	–	a–ca 8 a ≡¹
2.	35.4	36.1	36.9	5.7	10.7	5.7	10.7	5.0	6.9	7.7	6.9	100	80	100	C	S 1	C	10^2●=	10^1	10^2≡	–	n, a ◍, 7 a ≡, 9 p ≡²
3.	31.0	29.0	29.1	1.4	12.4	6.7	12.9	1.0	5.0	5.9	7.0	100	55	95	C	E 2	C	10^2≡	○○	10^0	0.5	a ≡²
4.	32.9	34.0	34.3	4.5	**7.9**	4.5	8.8	3.8	6.0	5.0	6.0	97	62	95	W 2	W 2	C	10^1●	8^1⊙	0	2.8	n, a ◍
5.	31.5	29.8	29.8	2.2	8.1	6.3	8.6	0.4	5.2	6.9	7.1	95	85	100	E 1	C	C	5^0⊙	10^1●	10^1	2.0	m–3^{39} p ◍, p öfters ◍
6.	28.9	28.8	29.6	5.7	8.9	5.5	9.6	5.0	6.5	5.7	5.5	95	67	80	C	C	C	5^0⊙	8^1⊙	0	4.0	t öfters ◍
7.	31.0	31.0	33.4	2.8	9.1	3.6	9.7	1.9	5.2	4.3	5.1	93	50	87	E 1	W 2	C	10^1	5^1⊙	0	1.0	
8.	35.2	35.6	35.8	2.0	6.9	4.9	7.1	1.0	4.9	4.8	5.6	95	65	85	W 2	NW 4	C	10^1	10^0⊙	10^1	–	a–ca 7 a ≡⁰
9.	36.6	36.0	35.6	1.0	8.7	3.4	9.6	0.4	4.9	3.7	4.4	100	45	74	C	W 2	C	10^2≡	3^0⊙	0	–	a–ca 9 a ≡²
10.	33.7	31.6	31.4	– 0.1	11.1	6.5	11.2	– **0.9**	4.4	4.8	5.0	95	48	70	C	E 4	C	○○	○○	10^1	–	⌙
11.	32.4	33.9	36.8	3.6	5.1	4.9	6.5	3.2	5.5	6.6	6.5	95	100	100	S 1	W 1	C	10^1●	10^1●	10^1	0.3	a ◍, t öfters ◍
12.	39.1	40.8	42.6	4.7	8.7	3.8	9.6	3.8	6.4	6.7	6.0	100	80	100	C	W 1	C	10^1≡	10^1	10^2≡	7.6	n ◍, a–m ◍, 7 a ≡, 9 p ≡²
13.	43.6	42.6	42.3	0.8	8.1	4.8	9.1	0.4	4.9	5.6	6.0	100	69	94	C	W 2	C	10^2≡	10^1	0	2.5	a–ca 10 a ≡²
14.	41.0	39.2	38.3	2.0	6.6	5.7	6.9	0.9	5.3	6.0	6.7	100	82	99	C	W 2	C	10^2≡	10^1●	10^1●	–	a–cn 9 a ≡²
15.	37.2	35.2	33.7	5.5	11.7	4.5	11.7	4.5	6.8	6.5	5.7	100	63	90	E 1	E 2	C	10^1●	5^0⊙	0	1.5	n, a ◍⁰
16.	31.0	31.3	33.0	2.6	5.1	3.2	5.9	0.4	5.3	5.9	5.2	95	90	90	C	NW 4	C	10^1	10^1●	10^1	–	△, a–ca 4 p ◍
17.	33.0	30.8	28.8	0.2	7.9	4.7	8.1	– 0.6	4.2	**3.4**	4.9	90	42	75	C	C	C	10^1	6^0⊙	8^1	4.8	n △ ✳
18.	25.2	21.3	**19.0**	3.0	12.8	7.9	12.8	2.8	5.1	4.8	5.9	90	44	**72**	W 1	C	C	10^1	8^0⊙	10^1	–	
19.	21.1	24.4	28.4	5.1	6.9	4.0	8.6	4.0	6.2	5.9	4.6	95	80	76	C	C	C	10^1	10^1	0	–	△, a–m ◍
20.	30.0	27.1	27.5	0.2	12.6	6.3	13.7	– 0.6	4.6	4.3	5.3	98	**40**	75	C	E 2	W 4	○○	○○	10^1	2.5	⌙, ca 5–7 p ◍
21.	29.6	29.3	28.2	2.6	7.3	4.0	9.6	1.4	5.3	5.5	4.6	96	72	76	C	S 2	C	10^1●✳	5^1⊙	0	7.0	n, a ◍ ✳
22.	26.8	24.6	27.6	1.8	12.6	5.9	12.7	1.0	5.0	5.4	6.2	95	49	90	C	W 4	C	○○	5^0⊙	0	–	⌙, ca 3–5 p ◍⁰, 6^{24}–7^{30} p ◍
23.	30.0	32.0	32.4	4.9	9.3	5.1	9.6	4.0	6.1	6.2	5.6	95	59	86	W 2	W 2	C	10^1	10^0⊙	5^1	0.8	
24.	29.4	27.3	31.6	2.2	5.7	7.3	7.6	1.0	5.2	6.1	7.2	95	90	95	W 1	W 4	W 2	10^1	10^1●	10^1●	–	ca 9 a–9 p ◍
25.	38.6	40.7	42.9	7.3	9.6	7.9	10.6	6.5	6.9	6.7	8.0	90	75	100	W 2	W 4	W 2	10^1	10^1	10^1●	**10.1**	n, ca 4–9 p ◍
26.	44.3	**44.9**	43.7	7.8	13.2	8.9	14.7	7.0	7.9	9.0	8.2	100	**80**	96	C	C	C	10^2●=	3^0⊙	0	2.5	a ≡² ◍⁰
27.	41.5	36.9	35.9	6.5	16.8	11.7	**18.8**	5.0	7.2	9.1	**9.6**	100	64	95	C	C	C	10^2≡	○○	3^1	–	a–ca 10 a ≡²
28.	36.7	36.8	36.9	9.7	11.3	9.5	11.7	9.3	6.1	6.7	6.9	68	67	78	W 4	NW 4	C	10^1	10^1	10^1	–	
29.	35.1	35.7	39.1	9.1	8.7	6.1	10.6	6.1	6.9	7.1	5.3	80	80	75	C	W 2	C	10^1●	10^0●	0	0.5	n, a–ca 3 p ◍
30.	38.8	34.5	34.6	0.0	11.7	6.9	12.5	– **0.9**	4.6	4.7	5.0	100	45	67	C	W 4	C	○○	3^0⊙	0	4.2	⌙
31.	36.4	33.6	27.5	3.0	10.9	8.5	11.7	2.0	5.2	4.7	5.4	91	49	65	C	C	C	○○	○○	0	2.4	n ◍
Mittel	34.1	33.3	33.6	3.5	9.6	6.0	10.5	2.6	5.6	5.9	6.1	95	66	86				8.1	6.6	5.3	57.0	

Alle Angaben nach Ortszeit.

Landshut.

März. $\varphi = 48^0\ 32'$ N. $\lambda = 12^0\ 10'$ E $= 48^m\ 40^s$. H $= 397.7$ m. Cg $= +0.2$ mm. 1912.

Datum	Luftdruck auf c^0 u. Normalschwere reduziert 700 mm + 7a	2p	9p	Lufttemperatur C° 7a	2p	9p	Max.	Min.	Absolute Feuchtigkeit mm 7a	2p	9p	Relative Feuchtigkeit Proz. 7a	2p	9p	Richtung und Stärke des Windes 0 bis 12 7a	2p	9p	Bewölkung 0 bis 10 7a	2p	9p	Niederschlag mm 7a	Bemerkungen
1.	32.2	29.9	27.3	4.1	14.1	8.4	15.8	1.2	5.0	7.4	7.4	82	62	91	W 2	E 2	E 2	10^1	5^1⊙	9^1	–	
2.	26.2	28.1	27.7	8.8	10.4	3.7	14.9	2.4	7.5	6.6	5.6	89	71	93	SW 6	W 4	SW 2	10^1●	10^1●	0	2.5	n ◍, ca $7–8^{19}$ a ◍, ca $10–10^{19}$ a, ca $2–2^{09}$ p ◍
3	22.2	19 9	20.9	0 8	14.0	8.3	15.0	– 0.9	4.7	5.9	6.2	96	50	75	C	E 2	W 4	2^1⊙	7^0⊙	10^1	2.1	7 a ⌙^{1} ≡^{0}
4.	24.5	25.8	25.2	4.6	6.7	4.0	10.6	2.4	5.8	5.6	5.2	92	77	85	W 6	NW 2	C	10^1●	9^1	0	**8.6**	n, ca 7 a ◍, 1^{19} p ◍böe, $2^{04}–3^{00}$ p ◍
5.	21.8	21.0	19.9	3.2	9.0	7.7	10.9	– 1.0	4.7	7.1	6.2	81	83	79	W 2	W 4	W 4	9^1	10^1ↄ	1^1	2.6	10^{19} a–2^{03} p, ca $3–4^{39}$ p ◍^{0}
6.	19.4	20.1	20.6	5.5	8.7	2.8	10.3	1.5	5.3	4.8	4.7	79	58	82	SW 6	W 4	W 2	10^1	10^1	0	3.5	ca 8 a ◍tropfen
7.	22.3	23 5	24.9	2.8	9.7	2.4	10.9	0.0	4.2	3.7	4 9	74	41	89	W 4	W 4	W 2	8^1	3^1⊙	8^1	0 1	
8.	27.4	27.5	27.3	1.6	5.3	2.6	8.1	– 1.2	4.9	4.6	4.8	94	69	87	NW 2	E 2	C	10^1	10^1	9^1	–	
9.	27.7	26.0	25.5	– 2.4	8.9	4.0	10.2	– 4.0	3.8	3.5	3.4	98	41	56	W 2	E 2	E 6	5^1	⊂⊃	0	–	⌙^{1}, ≡
10.	24.1	22.8	21.5	1.2	9.9	4.8	11.9	– 0.8	4.0	4.7	5.3	80	51	82	E 4	E 4	E 4	8^1	⊂⊃	10^1	–	⌙^{1}
11.	23.4	25.9	28.6	4.6	6.9	5.5	8.9	2.5	5.9	6.3	6.4	94	84	96	SW 4	W 4	W 4	10^1●	10^1	10^1●	4.6	n, ca 7–7^{19} a, 8^{19} p–n ◍
12.	31.4	32.8	34.0	3.8	9.3	2.8	10.3	1.7	5.7	5.8	5.3	95	66	94	SW 2	W 4	C	10^1	8^1	0	1.6	n ◍
13.	35.0	34.8	33.8	4.2	7.7	3.3	12.0	1.6	5.9	5.8	5.4	96	73	93	C	N 2	NW 2	10^1	7^1	0	–	
14.	31.9	31.0	29.4	1.3	8.3	6.1	10.0	– 2.8	4.8	6.2	6.7	94	75	96	W 2	SW 2	W 4	10^1	10^1●	10^1●	–	7^{19} a ◍tropfen, 1^{19}–ca 2 p ◍^{0}, 7^{19} p–n ◍
15.	29.3	26.4	24.2	5.5	10.4	6.7	12.1	4.0	6.7	6.2	6.2	**99**	66	84	W 2	SE 2	E 4	10^1	3^1⊙	0	5 5	n ◍
16.	21.9	23.6	24.6	3.1	4.8	0.7	6.9	– 0.8	5.3	4.7	4.4	93	73	90	SW 2	W 4	W 2	10^1	10^1	0	–	7^{19} a–m ◍
17.	23.9	21.5	19.3	– 2.1	7.3	3.7	9.0	– 4.2	3.8	3.8	4.4	98	50	73	SW 2	SE 2	E 2	1^1⊙	10^1	10^1	1.6	n △, 7 a ⌙^{1}
18.	15.9	11.9	09.5	2.0	11.8	7.2	12.9	– 0.4	4.6	5.5	6.3	87	54	83	NE 2	E 2	C	10^1	10^1	5^0	–	
19.	11.7	15.4	19.6	7.2	9.7	4.4	12.0	3.1	5.3	5.0	4.0	70	55	63	W 4	W 6	W 4	10^1	7^1	0	–	ca 8 a ◍tropfen, dann–10^{04} a ◍^{0}
20.	20.0	18.1	20.4	3.2	13.6	2.6	14.2	– 2.1	4.1	4.8	5.4	7^1	41	98	S 4	NE 2	W 4	1^1	9^1	10^1●	0.7	7 a ⌙, 3^{19} p–n ◍
21.	21.1	19.8	18.2	1.3	10.6	5.3	14.0	0.0	4.7	4.2	4.0	92	44	60	SW 2	SW 6	W 2	3^1⊙	8^1⊙	0	5.5	
22.	17.6	17.6	18.8	2.0	7.5	4.2	11.8	0.1	4.6	5.5	5.2	87	70	85	NE 2	W 6	C	10^1	10^1●	0	–	ca 2–3 p ◍^{0}
23.	22.0	24.0	23.6	4.1	8.6	3.4	11.2	2.0	5.4	5.2	5.0	86	63	85	W 4	W 4	W 2	9^1	8^1	9^1	0.7	11^{18} a ◍^{0}, △böe, $0^{19–20}$ p ◍böe
24.	19 8	17.2	24.3	3.6	11.4	7.9	12.6	0.1	5.4	7.6	6.2	92	76	78	S 2	W 4	W 6	10^1●	9^1	10^1	2.1	n, a–0^{39} p ◍, 2^{09} p ◍^{2} ⌐
25.	30.7	32.6	34 5	6.7	11.4	9.8	12.2	5.2	6.4	7.7	8.8	87	77	98	W 4	SW 4	W 4	10^1	10^1●	10^1●	6.4	n ◍, 8^{19} a ◍tropfen, ca 1 p–n ◍^{0}
26.	**36.1**	**36.1**	34.5	10 2	16.0	9 3	19.0	8.2	9.2	**9.4**	8.3	**99**	69	95	W 2	E 2	E 2	10^1	5^1⊙	0	6.1	n ◍
27.	32.5	28.4	28.0	5.3	20.4	12.4	**22.1**	4.1	6.6	8.7	8.0	**99**	49	74	NW 2	W 4	W 2	⊂⊃	3^0⊙	10^1	0.1	≡, △, ca 8 a ≡^{1}
28.	28.9	28.5	28.1	9.1	11.6	10.1	14.0	7.9	6.9	4.7	6.4	80	46	69	W 2	W 4	C	10^1	10^1●	10^1	–	ca 2–2^{03} p ◍^{0}
29.	26.4	28.6	31.5	8,9	9.7	3.1	11.3	2.1	6.5	5.2	4.3	76	58	74	W 6	W 2	W 2	10^1●	8^0⊙	0	0.3	n ◍, ca 7–11^{09} a ◍^{0}
30.	29.7	26.3	27.2	1.0	13.0	6.3	14.1	– 4.1	4.5	3.2	3.5	90	29	49	W 2	W 4	W 6	⊂⊃	8^0⊙	8^1	2.6	7 a ⌙^{1}
31.	27.8	24.0	17.3	1.6	12,8	7.2	14.0	0.0	4.3	4.7	4.7	84	43	63	W 4	S 2	E 2	⊂⊃	5^0⊙	2^0	0.3	n ◍, 7 a ⌙
Mittel	25.3	24.8	24.8	3.8	10.3	5.5	12.4	0.9	5.4	5.6	5.6	88	60	81				7.6	7.5	4.8	57.5	

Augsburg.

März. $\varphi = 48^0\ 22'$ N. $\lambda = 10^0\ 54'$ E $= 43^m\ 36^s$. H $= 499.6$ m. Cg $= +0.1$ mm, über 728,8 mm Cg $= +0.2$ mm. 1912.

1.	23.7	20.7	19.0	7.7	14.1	11.1	14.1	6.5	6.6	7.5	7 9	85	63	79	S 2	SE 2	C	10^1	6^1⊙	10^1	–	
2.	18.2	19.5	18.6	9.2	12.1	6.6	12.1	6.4	7.3	6.0	5.6	84	57	77	SW 6	W 4	S 2	10^1	6^2⊙	3^1	3.7	n ◍
3.	13.4	10.8	13.8	1.7	13.7	6.0	13.7	0.6	4.8	6.2	6.1	93	53	88	SW 2	NE 2	NW 2	4^1	5^1⊙	10^2●	–	⌙, 6^{01} p–n ◍
4.	16.3	18.5	16.3	4 6	6.4	3.8	8.4	3.8	5.7	5.5	4.8	90	76	80	W 2	SW 2	SW 2	10^1	5^2⊙	0	5.7	n, $0^{49–54}$ p ◍
5.	12.8	12.5	10.5	5.2	7.7	9.0	9.0	1.8	4.7	6.6	5.9	69	85	69	SW 4	SW 6	SW 2	6^1	10^2●	0	0.8	n ◍, 11^{19} a–0^{03} p, $1^{41–2^{59}}$ p, $4^{39–5^{34}}$ p ◍
6.	11.0	11.7	12.0	5.7	7.0	4.1	9.0	4.1	5.5	4.8	4.5	80	64	74	SW 4	SW 6	SW 4	7^2	10^1	0	5.2	
7.	14.0	15.4	16.8	3.0	8.1	3.3	8.8	3.0	4.0	4.7	5.0	71	57	87	SW 4	SW 4	NW 2	2^0⊙	5^2⊙	3^0	–	
8.	19.6	19.2	18.6	2.3	6.8	2.2	7.7	2.0	4.9	4.6	4.4	91	62	82	NW 4	NW 4	NE 2	10^1	5^2⊙	0	–	
9.	18.7	17.2	15.9	– 0.9	9.2	3.2	9.2	– 1.2	3.6	3.6	4.0	85	41	70	SE 2	SE 2	SE 2	⊂⊃	2^{11}⊙	0	–	⌙
10.	15.3	13.2	12.9	0.3	10.7	6.9	10.7	– 0.4	3.8	5.0	5.5	81	52	74	SE 2	SE 2	SE 2	4^0	3^{11}⊙	10^1	–	⌙
11.	15.4	18.9	20.3	3.8	5.8	5.5	8.1	3.3	5.4	5.8	6.2	90	85	93	SW 2	SW 2	SW 2	10^2●	10^2	10^2	6.6	n–7^{19} a ◍, p ztw. ◍
12.	22.9	24.2	25.9	4.5	10.4	5.0	10.4	3.7	5.5	6.0	5.9	87	64	90	C	W 4	NW 2	10^1	5^2⊙	6^2	1.9	$4^{39–5^{29}}$ p, ◍
13.	26.7	26.0	25.0	4.2	9.0	6.0	9.0	3.5	5.6	5.8	5.5	90	68	79	W 2	NW 2	NW 2	10^2	6^2	5^1	0.7	
14.	23.2	22.0	20.9	4.4	8.9	7.8	10.7	3.2	4.8	5.8	6.4	77	68	81	NW 2	W 2	W 2	10^1	7^1	10^1	–	
15.	19.7	17.8	15.3	6.7	11.9	7.1	12.1	6.0	6.6	6.7	6.3	90	65	84	C	E 2	E 2	8^1	7^2	0	2.2	n ◍
16.	13.7	15.1	16.0	6.4	4.0	2.3	7.1	2.3	5.5	4.5	4.2	76	73	77	SW 2	W 4	SW 2	10^2	7^2	0	–	8^{19} a–0^{44} p ◍, $3^{44–49}$ p △
17.	14.8	12.2	10.2	– 0.5	6.8	4.3	6.8	– 0.9	3.7	**3.5**	4.3	83	47	70	SW 2	E 2	SE 2	4^0	10^1	10^1	4.2	⌙
18.	06.4	02.7	**01.9**	3.3	11.2	7.6	11.2	2.1	4.9	5.3	6.3	85	54	80	SE 2	E 2	SW 2	10^1	8^1⊙	8^1	–	
19.	03.2	07.0	10.9	7.3	9.7	5.4	9.7	4.1	5.3	4.1	4.1	69	47	61	SW 6	SW 6	SW 2	10^2	8^2⊙	0	–	$8^{04–39}$ a, $8^{34–9^{34}}$ a ◍
20.	10.8	11.2	12.1	2.4	6.0	2.7	9.8	0.9	4.0	4.9	5.1	73	70	91	S 2	NW 2	W 2	2^1⊙	10^2	10^2●	0.1	⌙, $2^{04–5^{14}}$ p ◍, 8 p–n ◍
21.	12.2	10.7	09.5	1.6	9.5	7.0	9.8	1.3	4.6	3.9	4.5	89	45	60	NW 2	SW 2	SW 2	2^0⊙	4^1⊙	10^1	1.0	⌙
22.	08.5	09.5	10.3	5.0	6.8	5.6	8.3	2.5	4.6	5.2	4.8	69	71	72	C	SW 4	SW 4	10^1	10^1	10^1	–	
23.	14.1	15.3	15.0	4.0	8.1	5.2	8.1	4.0	5.1	4.4	5.1	84	57	77	SW 4	W 4	W 4	7^1	6^2	8^2	–	$9^{14.39}$ p ◍ △
24.	10.1	09.5	16.9	4.4	10.6	8.2	10 9	3.3	5.5	5.6	5.8	89	59	71	SW 2	W 4	W 4	10^2●	7^2	10^1	5.1	n–10^{19} a, 11^{39} a–0^{17} p ◍
25.	22.8	24 0	26.5	7.0	9.7	10.2	10.2	5.9	6.6	8.0	8.9	88	89	96	SW 2	SW 2	SW 2	10^1	10^2●	10^1	**7.7**	10^{45} a–6^{48} p ◍
26.	**27.7**	27.4	26.2	9.2	16.4	12.0	17.3	8.4	8.4	**9.6**	9.2	**98**	69	89	C	E 2	E 2	10^1	3^1	0	2.8	△
27.	23.9	20 4	20.7	7.7	20.5	13.8	**20.5**	6.2	6.5	8.7	8.2	83	48	70	SW 2	W 4	NW 2	3^1⊙	5^2⊙	10^1	–	△, $3^{56–4^{39}}$ p ⊠
28.	20.8	22.0	20.4	10.0	12.8	12.0	14.7	8.9	7.6	5.7	5.0	83	52	48	SW 2	SW 2	SW 2	10^1	10^1	10^1	–	△
29.	19.2	20.7	23.5	8.2	9.5	5.0	12.0	5.0	6.5	6.2	4.4	81	70	66	SW 2	SW 4	SW 2	10^2●	10^1	0	0.3	n–11^{39} a ◍
30.	21.8	18.1	19 3	1.9	12.2	6.8	12.2	1.0	4.2	3.7	4.0	80	**35**	54	SW 2	SW 4	SW 2	⊂⊃	6^1⊙	5^1	6.1	⌙
31.	19.9	14.3	08.2	3.4	11.9	8.0	12.0	2.3	4.0	4.2	5.3	67	40	65	SW 2	SE 2	SE 2	⊂⊃	10^0	10^0	0.1	n △
Mittel	16.8	16.4	16.4	4.6	9.9	6.6	10.8	3.3	5.3	5.6	5.6	83	61	76				7.1	7.0	5.7	54.2	

Alle Angaben nach Ortszeit.

München-C.St.

März. $\varphi = 48^0\ 9'$ N. $\lambda = 11^0\ 34'$ E = 46 m 16 s. H = 526.4 m. Cg = + 0.1 mm. 1912.

Datum	Luftdruck auf 0° u. Normalschwere reduziert 700 mm + 7a	2p	9p	Lufttemperatur C° 7a	2p	9p	Max.	Min.	Absolute Feuchtigkeit mm 7a	2p	9p	Relative Feuchtigkeit Proz. 7a	2p	9p	Richtung und Stärke des Windes 0 bis 12 7a	2p	9p	Bewölkung 0 bis 10 7a	2p	9p	Niederschlag mm 7a	Schneedecke cm 7a	Bemerkungen
1.	21.3	18.1	16.4	8.3	14.2	10.3	14.3	7.1	5.1	7.1	7.0	62	59	75	C	E 2	SW 1	8^1	4^0⊙	10^1	–	–	a ∞, ca 8 p ☂
2.	16.0	17.2	16.5	9.0	13.1	7.0	13.2	7.0	6.8	5.9	5.4	79	52	72	SW 3	SW 3	SE 1	10^1	6^1⊙	o	1.6	–	n ◍
3.	10.6	08.6	11.5	2.8	14.5	5.0	14.6	2.4	4.7	4.5	5.9	83	38	91	SE 1	C	SW 2	2^0⊙	6^0⊙	10^1●	–	–	mrgs. ⌴, m Gebirge gut sichtbar
4.	13.9	14.8	14.4	4.3	8.1	4.0	9.1	3.1	5.4	5.1	4.7	88	63	76	SW 2	SW 2	SW 1	10^1●	9^1⊙	o	**12.0**	–	n u. a ◍
5.	10.8	10.0	09.3	4.1	10.6	8.7	11.7	2.4	4.1	6.2	5.1	67	65	60	SE 1	SW 3	SW 2	8^0	9^1●	o	4.3	–	a ◬, ∞[0], ztw. ◍tropfen. 0^{06}–ca 2^{15} p ztw. ◍
6.	09.1	09.8	10.0	6.7	6.9	4.1	9.5	3.9	5.4	4.7	4.5	74	63	73	SW 1	SW 3	C	10^1●	10^1	o	1.2	–	n u. a ◍. $5^{11.16}$ p △, ab 4 p Aufklaren
7.	11.8	12.5	14.2	3.2	7.7	4.2	8.7	3.0	3.9	3.7	5.2	67	48	85	SW 2	W 2	C	1^0⊙	9^1	o	0.7	–	a ⌴[0], Gebirge sichtbar. 14^{11}–ca 14^{15} p △, [1]
8.	16.6	16.3	16.3	1.8	3.6	2.4	6.5	1.6	4.9	4.7	4.5	92	81	83	NW 1	C	C	10^1	8^1●△	o	0.1	–	n ◍, 13^{21}–20^6 p ◍ △, 3^{16}–ca 4^{45} p ◍[0] ✳[0]
9.	16.4	15.2	13.9	– 0.2	8.5	2.9	8.9	– 0.4	3.8	3.4	3.8	86	40	67	SE 1	SE 2	SE 2	3^0	oo	o	0.9	–	a ⌴[2] ≡[0]
10.	12.6	10.8	10.5	– 0.4	10.7	6.5	11.1	– 0.8	3.6	4.9	5.6	82	51	78	SE 1	E 2	C	6^1	oo	10^1	–	–	a ⌴
11.	13.2	15.3	17.8	4.0	6.7	5.1	9.1	3.8	5.3	6.1	6.0	88	84	93	SW 2	SW 2	SW 1	10^1●	10^1●	10^1●	2.5	–	n u. t ztw. ◍
12.	20.6	21.6	23.4	4.1	9.1	5.3	10.1	3.6	5.4	5.6	5.7	89	64	87	SW 2	NW 1	C	9^1	8^1	8^1	6.5	–	n ◍. 6^{31} p u. 6^{36} p je einmal ≺ im SE
13.	24.0	23.3	22.6	5.1	8.3	5.7	9.0	3.8	5.5	5.2	5.9	86	63	87	SW 1	NW 1	C	10^1	9^1	7^1	–	–	a ztw. ◍tropfen
14.	20.7	19.4	18.3	4.1	9.7	6.7	9.9	3.0	4.6	5.0	5.4	75	56	74	SW 1	W 2	W 1	9^1	10^1	10^1	–	–	a ◬, ca 9^{45} a–n ztw. ◍[0]
15.	17.3	14.7	13.0	6.3	11.5	6.3	12.1	6.0	6.6	5.9	6.4	94	58	91	C	E 1	E 1	10^1=●	3^0⊙	o	3.4	–	n u. a ◍, a–ca 10 a ≡[1]
16.	10.8	12.8	13.7	7.0	4.2	2.3	8.5	2.0	5.4	4.7	4.5	72	75	83	SW 1	W 2	SW 1	10^1	10^1	10^1	4.1	–	a ◬, 8^{06} a–1^{16} p ◍. p ztw. ✣
17.	12 4	09.9	08.1	– 0.2	6.6	3.8	6.9	– 0.6	3.9	3.3	4.3	87	47	71	SW 1	SE 2	C	4^0⊙	10^1	10^1	4.5	–	n ✳[0], a ⌴[2]
18.	04.4	00.4	**699.5**	4.0	10.3	8.9	11.0	3.0	4.8	5.3	5.0	79	57	59	C	E 1	C	10^1	10^1	10^1	1.2	–	a ≡[0], ca 10^{45} a schwacher ⊕
19.	01.2	05.2	09.0	7.1	8 7	5.3	10.0	5.2	5.2	4.4	4.2	69	53	64	SW 1	W 4	SW 2	10^1	6^1⊙	o	–	–	a Gebirge sehr gut sichtbar. ca 8^{30} a ab ◍0.1, [2]
20.	08.5	07.5	09.6	2.8	9.3	2.5	11.0	2.0	4.2	4.3	4.9	73	49	90	SE 1	NW 3	NW 2	1^0⊙	10^1	10^1●	0.6	–	a ⌴ ≡[0], ab 2^{21} p ◍, 5^{36} p–n ◍ ✳
21.	10.0	08 6	07.2	2.2	9.7	5.5	10.7	1.8	4.5	3.1	4.0	85	34	60	SW 2	SW 2	SW 2	6^1	4^1⊙	o	3.9	–	n ◍, a ⌴, t Gebirge sichtbar
22.	06.1	07.1	08.1	4.9	5.1	5.1	9.1	4.0	3.9	5.4	4.9	60	84	75	S 1	SW 1	SW 2	10^1	10^1●	9^1	–	–	a Gebirge teilw. sichtbar, ca 11^{25} a–ca 2^{45} p ◍
23.	11.6	13.1	13.0	4.5	8.4	5.5	8.8	4.0	5.2	4.2	4.7	83	52	69	SW 2	SW 2	W 1	10^1	10^1	o	1.1	–	n ◍
24.	08.9	07.2	14.3	3.4	8.9	7.9	11.1	3.0	5.2	6.8	5.6	91	79	70	SW 1	SW 2	SW 2	10^1●	9^1	10^1	3.5	–	n u. t ztw. ◍
25.	20.2	21.6	24.0	7.1	9.1	9.7	10.1	6.8	6.0	7.7	8.7	81	92	**98**	NW 1	W 1	C	10^1●	10^1●	10^1●	11.9	–	a-n ztw. ◍
26.	**25.2**	24.4	23.5	10.1	16.2	10.7	16.5	9.6	8.6	**9.3**	9.1	94	68	95	SW 1	E 2	E 1	10^1=	1^0⊙	o	7.6	–	n ◍, a ≡[1]
27.	21.5	17.9	18.1	8.5	21.4	13.4	**22.1**	7.4	6.4	6.6	8.3	77	37	73	SW 2	SW 2	SW 1	3^0⊙	2^0⊙	10^1	–	–	a ⌴[2], ∞; 4^{31}–5^{21} p ◹. $5^{00.26}$ p ◍
28.	18.3	17.7	18.0	9.9	14.1	11.7	16.1	9.2	7.7	6.4	6.9	85	54	68	NW 1	NW 3	W 1	10^1	10^1	10^1	0.3	–	3^{05} p–n ztw. ◍[0]
29	16.4	18.1	20.9	9.1	7.9	5.2	13.3	5.0	6.2	6.1	4.2	72	76	63	SW 2	NW 2	W 1	10^1	10^1	o	0.1	–	n, ca 8^{45} a–0^{15} p ◍
30.	18.6	15.5	16.5	2.4	12.5	6.3	12.7	1.2	4.2	3.4	3.8	78	31	54	SE 1	SW 3	SW 2	oo	2^0⊙	3^1	6.2	–	a ⌴, ca 4^{45}–6^{45} p ztw. ◍
31.	17.0	12.2	06.1	3.8	11.7	7.7	12.5	3.2	4.1	4.2	5.0	68	41	63	SW 1	E 1	E 2	oo	10^0	10^0	–	–	a ◬, p ⊕
Mittel	14.4	13.8	14.1	4.8	9.9	6.3	11.2	3.8	5.2	5.3	5.5	80	58	76				7.4	7.3	5.4	78.2		

[1] ca 3^{45}–4^{00} p ⊕; abds. Aufklaren
[2] 11^{56} a teilw. Aufklaren

Traunstein.

März. $\varphi = 47^0\ 52'$ N. $\lambda = 12^0\ 39'$ E = 50 m 36 s. H = 597 m. Cg = + 0.1 mm. 1912.

1.	15.6	12.7	11.0	3.6	13.2	4.8	13.8	2.2	4.4	5.7	5.8	75	50	90	SW 2	E 4	W 2	8^2	6^2⊙	8^2	–	–	
2.	10.8	11.6	11.9	6.4	12.6	3.5	12.6	3.5	6.4	4.8	5.2	90	44	88	W 2	W 4	E 2	10^2	6^2⊙	o	1.1	–	n-vorm. ◍
3	04.8	03.9	04.5	0.4	13.4	8.4	14.0	0.0	4.0	3.0	6.1	85	**27**	74	S 2	NW 2	W 8	2^1	6^2⊙	10^2	2.7	–	a ⌴
4.	08.2	09.1	09.4	2.8	5.8	3.0	8.4	1.8	5.2	5.7	4.8	93	84	85	W 2	W 4	W 2	10^2●	10^2	2^1	**20.2**	–	n u. t ztw. ◍
5.	05.8	04.4	04.7	2.2	9.2	3.6	10.0	– 0.4	3.8	4.8	5.1	72	56	87	W 2	W 2	W 2	6^2	10^2	o	5.1	–	m ◍
6.	03.6	04.0	04.9	5.0	6.0	2.6	6.8	2.4	5.1	4.9	4.4	78	71	79	NE 4	W 4	SW 2	10^2	10^2●	o	0.1	–	t ztw. ◍
7.	06.0	06.9	08.0	0.6	8.0	2.8	8.2	– 0.8	4.2	3.1	4.7	87	39	82	SW 2	W 2	NW 2	2^1⊙	10^2	6^2	1.9	–	a ⌴
8.	10.0	10.6	10.7	0.4	1.6	1.2	2.8	0.2	4.5	4.7	4.6	94	91	92	W 2	W 2	W 2	10^2●✳	10^2	o	3 0	1	n u. a ◍ ✳, vorm. ✳
9.	10.9	10.0	08.3	– 2.0	6.6	– 0.8	7.0	– 2.2	3.8	3.3	3.8	**96**	46	86	S 2	NE 2	E 2	4^2	1^1⊙	o	3.9	–	a ⌴
10.	06.8	05.6	04.8	– 2.0	9.4	5.8	10.0	– 2.4	3.4	3.4	5.1	86	38	75	E 2	E 4	E 4	4^2	1^1⊙	10^2	–	–	a ⌴
11.	07.1	09.5	12.2	2.2	4.8	4.2	5.8	0.0	4.8	5.8	5.7	89	90	92	S 2	W 4	W 2	10^2	10^2	10^2●	0.1	–	n u. t ztw. ◍
12.	14.7	15.6	17.8	3.2	8.6	4.4	9.4	2.4	5.5	4.7	5.5	95	56	89	W 2	W 6	W 2	8^2	6^2⊙	4^2	13.7	–	t ztw. ◍. 7^{01} p ◹ im W
13.	18.0	17.6	17.2	3.2	6.6	3.0	7.0	2.8	5.3	5.1	5.2	92	70	91	SW 2	W 2	SE 2	10^2●	10^2	10^2	2.1	–	n u. t ztw. ◍, 3^{21} fernes ◹ im NW
14.	15.2	13.8	12.6	0.6	6.8	4.4	7.4	0.2	4.5	4.5	5.5	94	61	89	S 2	W 4	W 2	6^2	10^2	10^2●	2.3	–	a ◬, p u. abds. ◍
15.	11.6	09.1	07.7	4.4	10.0	4.0	10.8	3.8	5.7	5.7	5.7	94	62	93	SW 2	E 2	E 2	8^2	5^2⊙	o	7.1	–	n ◍
16.	05.1	07.0	08.3	3.8	2.0	0.4	4.0	0.2	5.5	4.8	4.4	92	91	92	NW 2	NW 6	W 2	10^2	10^2●	10^2	–	–	n ⌴, t ztw. ◍ ✳
17.	07.3	03.8	02.3	– 1.8	6.2	2.8	6.6	– 2.2	3.8	**2.5**	4.2	**96**	35	74	SE 2	E 4	SE 2	2^1⊙	8^2⊙	10^2	11.3	–	a ⌴
18.	698.8	694.9	**693.6**	3.4	12.6	7.0	13.2	2.0	4.4	3.8	4.9	75	35	66	SE 2	E 4	S 2	10^2	10^2	10^2	–	–	
19.	696.0	00.4	03.8	4.0	4.8	5.2	7.0	2.8	5.0	4.9	3.9	82	76	58	E 2	W 2	SE 2	10^2	10^2	4^2	–	–	p ◍
20.	03.3	01.8	04.1	0.0	13.2	0.4	13.6	– 0.6	4.3	3.7	4.6	94	32	**96**	E 2	N 2	W 2	2^1⊙	8^2⊙	10^2●✳	3.8	–	a ⌴, abds. ◍, später ◍ ✳
21.	04.3	03.5	02.4	0.6	7.2	1.0	8.0	0.2	4.6	4.1	4.3	**96**	54	87	SW 2	S 2	S 2	8^2	2^1⊙	o	15.3	**5**	n ◍ ✳
22.	00.6	00.2	02.7	3.6	8.4	3.4	9.0	0.6	3.7	5.0	4.9	62	61	83	SE 2	W 6	W 2	6^2⊙	8^2	8^2	–	–	p ◍
23.	05.5	07.3	07.5	2.6	6.8	2.2	7.0	1.0	5.1	4.2	4.5	93	57	84	W 4	W 2	W 2	10^2●	8^2⊙	10^2	12.3	–	n u. t ztw. ◍
24.	03.6	01.7	08.0	2.0	7.6	4.8	8.0	0.8	4.6	5.9	6.1	87	76	**96**	W 2	W 6	W 4	10^2●	10^2●	10^2●	1.6	–	n u. t meist ◍, $21^{11.21}$ p △
25.	14.4	16.3	18.4	6.0	7.4	7.2	8.0	4.8	5.3	6.0	7.3	76	79	**96**	W 2	W 2	W 2	10^2	10^2●	10^2●	16.0	–	p ◍
26.	**19.5**	19.0	18.1	7.8	14.4	8.0	15.0	7.2	7.3	**8.9**	7.7	93	73	**96**	S 2	E 4	E 2	10^2	4^2⊙	1^1	18.3	–	n ◍
27.	16.1	12.9	12.5	5.4	19.8	13.6	**20.0**	4.2	6.4	5.6	7.1	95	33	61	SE 2	W 6	W 2	1^1⊙	2^1⊙	6^2	–	–	a ◬, abds. ◍
28.	12.6	11.9	12.2	11.2	11.4	10.4	13.6	9.8	6.3	7.0	5.8	63	70	62	W 2	W 6	S 2	8^2	10^2	10^2	0.2	–	p ◍
29.	11.0	12.4	14.2	7.6	5.8	5.0	10.4	5 0	6.3	6.1	4.9	80	88	75	W 2	W 4	W 2	10^2●	10^2●	6^2	3.9	–	n u. t ztw. ◍
30.	13.0	09.8	10.0	0.0	10.8	6.0	11.0	– 1.0	4.3	2.6	4.0	94	28	57	SW 2	NW 4	NW 2	oo	oo	2^2	8.7	–	a ⌴
31.	11.3	07.1	01.1	4.2	10.8	5.2	11.6	2.2	3.9	3.9	4.5	63	41	68	W 2	E 4	E 2	6^2⊙	4^2⊙	4^2	–	–	
Mittel	08.8	08.2	08.5	2.9	8.8	4.4	9.7	1.6	4.9	4.8	5.2	86	59	82				7.1	7.3	5.8	154.7		

Alle Angaben nach Ortszeit.

Partenkirchen.

März. $\varphi = 47^0\ 30'$ N. $\lambda = 11^0\ 6'$ E $= 44^m\ 24^s$. H $= 714.6$ m. Cg $= +0.1$ mm. 1912.

Datum	Luftdruck auf 0° u. Normalschwere reduziert 700 mm +			Lufttemperatur C°					Absolute Feuchtigkeit mm			Relative Feuchtigkeit Proz.			Richtung und Stärke des Windes 0 bis 12			Bewölkung 0 bis 10			Niederschlag mm	Schneedecke cm	Bemerkungen
	7a	2p	9	7a	2	9p	Max.	Min.	7a	2p	9	7a	2p	9p	7a	2	9	7a	2	9	7a	7a	
1.	05.4	01.7	01.3	3.5	14.7	6.5	16.4	2.4	3.7	4.7	5.2	63	38	72	SE 3	NW 3	C	3^0	$6^0\odot$	6^0	–	–	a Berge sehr rein
2.	01.1	00.8	00.8	5.7	15.2	3.7	16.3	3.7	6.0	3.7	4.7	88	29	78	S 2	NW 4	S 2	10^1	$2^0\odot$	3^0	0.1	–	a Berge teilweise bedeckt
3.	695.8	692.9	694.7	3.6	13.6	4.2	15.1	2.6	3.4	3.7	6.1	57	32	98	S 2	S 4	C	2^0	9^0	$10^1\bullet$	–	–	a Berge sehr rein, föhnig
4.	698.4	699.5	698.8	1.3	5.1	0.5	7.9	0.5	5.0	5.4	4.5	100	83	94	SE 2	C	S 2	9^1	$6^1\odot$	1^0	13.8	–	ca 3-4 a ◍^{1}, a Berge teilw. bedeckt, 1^{44} p △
5.	696.2	694.9	694.2	1.3	11.2	4.7	11.9	– 0.2	3.9	4.4	5.0	75	44	78	S 2	NW 4	SW 2	8^0	7^1	0	1.6	–	a Berge rein
6.	693.4	694.0	994.3	3.7	7.2	1.8	10.3	1.8	5.0	4.1	4.4	83	54	84	C	SW 3	S 2	8^0	$8^0\odot$	1^0	–	–	a Berge meist bedeckt
7.	696.3	696.5	693.6	– 1.5	5.5	2.1	8.5	– 2.1	3.3	4.1	4.7	80	61	87	C	NW 2	C	0	10^1	$10^1\ast$	–	–	⌴, a Berge meist rein; abds. ✳^{0}
8.	00.4	00.0	00.2	0.3	2.5	– 1.1	4.5	– 1.1	4.7	4.4	4.0	100	79	94	C	C	C	$10^1\ast$	10^1	0	10.2	**10**	n u. a ✳$^{0.1}$, a Berge im Nebel
9.	00.3	698.4	697.4	– 4.5	8.5	1.1	11.6	– **4.6**	2.7	3.1	3.3	84	37	65	S 4	S 2	S 4	0	$0\odot$	0	0.2	5	a Berge rein
10.	696.5	694.5	694.8	2.2	12.2	4.8	14.3	0.2	3.3	3.4	4.9	62	32	76	SE 2	S 3	C	6^0	7^0	4^0	–	–	a Berge frei, föhnig
11.	698.0	699.4	02.3	1.1	7.8	2.7	9.1	0.0	4.6	5.4	5.0	92	68	89	C	NE 2	C	$10^1\bullet$	10^1	4^1	0.4	–	a ◍^{0}, a Berge bis 1300 m im Nebel
12.	05.1	05.1	07.7	– 0.7	9.8	3.1	11.3	– 1.0	4.2	4.5	5.3	96	50	93	C	NW 2	C	1^0	6^0	$10^1\bullet$	1.4	–	n ◍^{0}, a ⌴, Berge sehr rein
13.	08.1	07.1	06.8	1.7	7.4	3.2	8.3	0.7	5.2	5.1	5.3	100	67	92	C	NW 2	C	10^1	8^1	2^0	6.4	–	a Berge meist im Nebel
14.	05.4	03.5	03.0	1.7	8.8	4.7	9.3	0.4	4.1	3.7	4.7	78	45	73	SE 3	C	S 2	5^0	8^0	7^0	1.5	–	a Berge meist frei
15.	01.7	697.7	697.0	– 0.2	14.2	4.3	14.5	– 0.2	4.4	4.3	5.1	94	35	82	SE 1	NW 3	S 1	1^0	$1^0\odot$	1^0	–	–	a Berge rein
16.	695.2	696.8	697.9	4.5	1.6	– 0.2	5.3	– 0.2	5.1	4.7	4.4	81	91	96	C	C	C	10^0	$10^1\ast$	4^1	–	–	a Berge frei, m ✳^{0}
17.	696.3	693.1	692.3	– 2.5	7.6	3.2	8.4	– 3.2	3.3	3.5	4.7	87	44	81	S 3	NW 3	C	1^0	8^0	8^0	5.3	–	⌴, a Berge rein
18.	688.9	684.9	684.4	2.7	11.6	6.3	12.3	2.2	4.4	4.7	4.4	79	46	62	SE 3	C	C	10^0	9^0	5^0	–	–	a Berge frei
19.	686.4	690.0	693.3	1.5	9.8	1.7	10.4	0.9	4.4	4.1	3.9	85	45	75	C	W 5	SE 2	7^0	3^1	0	–	–	a Berge sehr rein
20.	693.1	691.8	693.9	0.6	7.6	– 0.1	11.5	– 1.3	3.8	3.9	4.6	80	50	100	S 4	NW 6	C	1^0	10^1	10^1	1.0	–	⌴, a Berge sehr rein
21.	694.3	692.8	691.8	– 1.4	9.1	2.5	10.5	– 1.4	4.0	3.1	3.8	96	36	69	S 3	S 3	S 3	1^0	$2^0\odot$	0	8.0	4	ab ca 9^{15} p ✳, a Berge rein, föhnig
22.	690.7	691.8	692.9	3.1	1.4	2.3	8.9	1.2	4.2	5.0	5.1	73	98	94	S 2	C	C	7^0	$10^1\bullet$	10^1	–	–	a Berge frei, bis m föhnig, dann ◍^{1}
23.	696.4	697.6	696.9	0.4	6.8	2.5	7.5	0.2	4.6	4.7	4.8	98	64	87	C	C	C	$10^1\ast$	8^1	6^1	16.6	7	n ◍ u. ✳, mrgs. ✳^{0}, a Berge bis 1100 m im Nebel
24.	693.3	693.3	699.7	1.8	4.3	3.9	6.5	0.7	5.1	5.9	6.1	96	96	100	C	NW 6	W 3	$10^1\bullet$	$10^1\bullet$	$10^1\bullet$	3.5	–	a Berge bis 1200 m im Nebel, t ◍, ztw. böig
25.	04.8	06.4	08.8	3.5	6.6	6.4	7.5	2.9	5.8	6.6	**7.2**	98	91	100	C	S 2	C	10^C	$10^1\bullet$	$10^1\bullet$	**18.3**	–	a Berge frei, p u. abds. ◍
26.	**09.6**	07.7	08.1	6.2	19.5	8.3	20.3	5.3	6.9	6.7	5.9	97	40	73	C	S 2	SE 4	2^0	$0\odot$	1^0	14.1	–	a Berge meist frei, föhnig
27.	06.7	05.6	03.1	6.2	22.6	10.0	**23.3**	5.0	4.8	4.5	6.1	67	22	67	SE 1	S 2	C	1^0	$1^0\odot$	3^1	–	–	a Berge sehr rein, föhnig
28.	02.7	01.9	02.7	9.8	14.8	12.1	17.4	8.3	7.0	4.8	5.1	78	39	51	C	NW 3	NW 2	7^1	9^1	9^1	0.2	–	n kurz ◍^{0}
29.	00.8	01.6	05.2	7.8	10.8	4.1	12.1	4.1	6.6	5.4	5.5	83	56	90	C	NW 4	S 4	9^1	10^1	6^1	–	–	a Berge frei
30.	03.0	699.7	00.6	– 0.1	13.8	7.7	15.3	– 1.1	4.1	1.8	3.1	90	16	40	S 2	SW 3	S 2	$0\odot$	$0\odot$	2^1	1.0	–	⌴, a Berge frei
31.	01.1	695.1	692.0	0.9	14.0	11.1	15.5	– 0.2	3.7	2.8	4.5	75	24	45	C	W 3	S 2	$0\odot$	6^0	8^0	–	–	a △, a Berge sehr rein
Mittel	698.9	697 9	698.6	2.1	9.9	4.1	11.7	0.9	4.6	4.4	4 9	84	52	80				5.5	6.6	4.9	103.6		

Hohenpeissenberg.

März. $\varphi = 47^0\ 48'$ N. $\lambda = 11^0\ 1'$ E $= 44^m\ 4^s$. H $= 993.9$ m. Cg $= \pm 0.0$ mm. 1912.

	600 mm +																						
1.	81.1	78.8	77.2	6.2	10.5	7.6	10.7	6.2	5.2	5.6	6.1	74	59	79	W 1	NE 3	SE 1	3^1	9^1	1^1	–	–	t Flachland ∞
2.	76.5	77.9	76.8	5.6	8.3	6.0	9.1	5.0	5.8	5.1	4.9	85	62	70	SW 8	SW 5	SW 4	10^2	9^2	8^1	–	–	a Flachland rein, p sehr rein
3.	71.8	69.6	71.8	7.2	10.9	0.4	11.0	0.4	2.3	3.5	4.7	30	37	100	W 1	SE 4	SW 6	2^1	10^2	$10^2\equiv\ast$	–	–	a ⌴. Flachl. rein, Horiz≡. ca 6 p-n ztw. ⌭◍✳
4.	73.9	75.1	74.4	0.2	3.7	2.3	4.3	0.0	4.7	4.2	3.9	100	70	72	W 4	SW 4	SW 3	10^2	$5^2\odot$	0	4.5	1	n ✳, p reine Fernsicht
5.	71.4	70.6	70.0	5.6	8.1	5.0	8.3	1.4	3.5	4.9	4.3	52	61	66	SW 3	SW 5	SW 4	10^1	10^2	0	–	–	t Flachland rein
6.	70.0	69.9	70.4	1.2	2.1	2.5	7.0	0.3	4.8	4.4	2.7	96	82	49	W 6	NW 7	SW 6	$10^2\equiv\bullet$	10^2	0	1.0	–	n ◍, a ≡^{1} ◍, 8^{14-24} p u. dann öfters ✳böen. [1]
7.	71.8	72.7	74.2	0.2	3.9	0.4	4.2	0.4	3.3	2.7	4.4	71	45	98	W 3	W 1	W 1	$0\odot$	10^1 •	5^2	0.8	–	a ⌴, t reine Fernsicht
8.	76.4	75.8	75.9	– 1.4	1.5	– 0.1	1.7	– 1.4	4.1	3.8	3.6	100	74	79	N 1	E 1	E 1	$10^2\equiv$	$9^2\ast$	0	0.4	–	n ✳, a ≡^{2}, 2^{20} p ✳flocken, p ∞
9.	75.5	74.7	73.1	– 1.2	5.0	2.8	5.0	– 1.5	2.7	2.7	2.5	65	41	45	SE 1	SE 1	E 4	$0\odot$	$0\odot$	0	0.3	–	a Horiz≡, ∞^{2}, p reine Fernsicht
10.	72.6	71.1	71.1	4.6	10.8	6.7	10.8	2.0	2.0	2.8	3.5	31	30	47	W 1	SE 1 C		8^1	8^1	9^1	–	–	t reine Fern. icht, p Horiz≡
11.	73.0	75.6	78.0	1.0	3.1	2.3	6.7	0.5	4.9	5.1	5.2	100	90	96	W 6	W 4	W 1	$10^2\bullet$	10^2	10^2	3.0	–	n u. a ztw. ◍, a ∞. 6^{34}, 6^{34} p ◹ im NE, [2]
12.	80.4	81.4	83.2	1.5	5.4	1.6	6.3	1.5	4.5	4.8	5.2	87	72	100	W 1	N 1	W 1	9^2	$9^2\bullet$	10^2	2.2	–	a ⌴, reine Fernsicht, ab 2^{00} p ztw. ◍. [3]
13.	83.4	83.2	82.4	0.6	4.2	2.5	5.8	– 0.1	4.8	4.5	4.7	100	73	85	NW 1	C	SE 1	$10^2\equiv\ast$	$10^2\bullet$	5^2	7.6	–	n ✳, a–8^{14} a ≡ ✳, 2^{02-14} p ◍
14.	80.6	79.7	78.6	2.3	5.4	5.0	5.9	2.3	3.6	3.9	3.8	66	59	58	SW 4	W 1	W 3	9^1	10^1	10^1	0.4	–	t ∞
15.	77.5	74.7	73.3	3.7	8.2	5.2	8.4	3.7	4.2	4.2	5.0	70	52	75	NW 1	NE 3	NE 3	9^2	$1^2\odot$	0	–	–	a ∞, p reine Fernsicht
16.	71.6	72.5	73.2	4.1	– 0.6	– 1.1	5.9	– 1.4	4.4	3.6	3.0	72	83	71	W 2	W 4	W 3	10^1	$10^2\ast$	0	–	–	a ∞, 8^{14}–10^{01} a ✳, vorm. öfters ✳böen; 2^{00} p ✳^{0}
17.	71.9	69.6	68.3	– 1.4	2.7	1.4	2.7	– **1.8**	2.5	3.1	3.8	60	55	74	SE 1	NE 4	W 1	$0\odot$	10^1	10^1	1.9	–	a ⌴, reine Fernsicht, p ∞
18.	65.0	61.4	61.3	2.3	6.4	4.8	7.3	1.4	4.1	4.6	5.3	75	64	82	SW 1	E 1	W 1	10^1	10^1	10^2	–	–	a reine Fernsicht, p ∞
19.	62.3	65.3	69.2	3.5	3.9	2.7	6.0	0.1	4.3	4.1	3.0	73	67	54	W 3	SW 6	W 5	10^1	5^2	0	–	–	a reine, p sehr reine Fernsicht, ca 10^{15}–11^{15} a ✳
20.	69.0	69.2	69.7	2.4	2.1 –	1.2	6.2	– 1.2	3.3	4.6	4.2	59	85	100	W 1	W 1	NW 3	$0\odot$	$10^2\ast$	$10^2\ast$	1.7	–	a sehr reine Fernsicht, 1^{34} p–n ✳
21.	69.7	69.4	68.2	– 1.5	5.1	4.9	6.1	– 1.6	3.5	3.0	2.5	86	45	39	SW 4	SW 3	E 1	$1^1\odot$	$4^1\odot$	0	10.7	**3**	n ✳, t reine Fernsicht
22.	66.9	67.6	68.6	2.5	0.7	1.6	5.5	0.3	3.2	4.7	4.1	58	96	80	SW 1	W 5	W 5	10^1	$10^2\equiv\ast$	10^2	–	–	a reine Fernsicht; 11^{14} a–2^{44} p ≡^{1}, ztw. ✳böen
23.	71.8	73.5	73.2	0.0	3.2	2.5	3.8	– 0.4	4.6	3.9	3.2	100	68	58	W 3	SW 4	SW 4	$10^2\equiv$	10^2	8^1	4.5	–	n ✳, a ≡^{2}, p reine Fernsicht, 1^{29} p kurz ✳böe
24.	68.6	68.9	75.2	2.4	3.2	3.9	5.5	0.5	5.3	5.8	5.2	96	100	85	SW 6	W 4	SW 4	$10^2\bullet$	10^2	10^2	4.6	–	n u. t häufig ◍ u. ✳böen, 3^{01-06} p △
25.	80.5	81.8	84.4	4.1	6.3	6.6	7.1	2.4	6.0	7.2	7.3	98	100	100	W 3	W 3	W 1	10^2	$10^2\equiv\bullet$	$10^2\equiv\bullet$	11.5	–	a ∞, t meist ≡^{2} ◍
26.	**85.3**	84.8	84.0	7.3	13.2	10.7	13.9	6.6	7.6	**8.0**	7.8	100	71	82	E 1	E 1	W 1	$0\equiv$	$0\odot$	0	**15.1**	–	a ≡^{1}, p reine Fernsicht
27.	82.2	79.8	79.6	11.5	16.4	11.2	**16.7**	10.0	4.8	5.9	6.2	47	43	62	W 3	W 4	W 4	$0\odot$	$1^1\odot$	1^1	–	–	a reine Fernsicht
28.	79.1	78.5	78.8	8.0	9.9	8.7	11.2	8.0	6.4	5.2	6.1	81	57	73	W 3	W 6	W 4	10^1	10^1	9^2	–	–	t ∞
29.	77.0	78.5	80.9	6.1	3.0	2.0	8.7	2.0	5.3	5.7	5.1	75	100	96	W 4	W 5	NW 1	10^1	$10^2\bullet$	6^2	–	–	a ∞, m–2 p ◍, p ztw. ◍
30.	78.2	76.4	76.9	0.8	8.2	2.7	8.3	0.1	3.1	**1.7**	2.7	63	21	49	W 1	NW 4	W 6	$0\odot$	$0\odot$	0	3.7	–	a ⌴ ∞^{3}, p reine Fernsicht
31.	76.7	72.1	67.4	1.1	7.9	8.2	8.3	0.5	3.5	3.2	2.3	68	40	28	SW 1	NE 4	NE 1	$0\odot$	10^1	10^1	–	–	a ∞^{3}, p u. abds. reine Fernsicht
Mittel	74.6	74.2	74.5	2.9	5.9	3.8	7.4	1.5	4.3	4.4	4 4	75	65	73				6.5	7.7	5.2	73.9		

[1] 9 p ◹ im SE [2] 5^{49}–6^{12} p △
[3] 5^{45} p ◹ im SW, 6^{04} p ◹ im SE

Alle Angaben nach Ortszeit.

Zugspitze.

März. $\varphi = 47^0\ 25'$ N. $\lambda = 10^0\ 59'$ E $= 43^m\ 56^s$. H = 2964 m. Cg = − 0.2 mm. 1912.

Datum	Luftdruck auf 0^0 u. Normalschwere reduziert 500 mm + 7a	2p	9p	Lufttemperatur C° 7a	2p	9p	Max.	Min.	Absolute Feuchtigkeit mm 7a	2p	9p	Relative Feuchtigkeit Proz. 7a	2p	9p	Richtung und Stärke des Windes 0 bis 12 7a	2p	9p	Bewölkung 0 bis 10 7a	2p	9p	Niederschlag mm 7a	Schneedecke cm 7a
1.	32.5	31.7	30.0	− 6.1	− 4.7	− 3.9	− 3.9	− 6.3	2.8	2.3	3.3	100	74	95	W 4	SW 2	SE 6	$5^1\odot$	$8^1\odot$	$10^1\ast$	–	274
2.	28.6	29.2	29.3	− 4.8	− 6.8	− 8.2	− 3.9	− 9.3	3.1	2.6	1.0	100	100	42	NW 5	W 4	W 6	$10^2=\ast$	3^1	1^1	2.5	275
3.	25.8	23.8	23.3	− 6.8	− 5.4	− 5.9	− 4.7	− 8.7	1.2	2.6	2.9	43	87	100	S 8	S 7	SE 2	$2^1\odot$	9^1	$10^1=\ast$	–	270
4.	23.4	24.7	25.3	−11.4	−11.4	−10.7	− 5.8	−12.2	1.8	1.8	1.7	100	100	92	N 7	NW 2	NW 2	$10^2=$	$10^1=$	3^0	2.6	275
5.	24.0	23.4	23.6	− 9.7	− 6.9	− 7.0	− 6.9	−11.7	2.1	2.6	2.4	100	100	94	SW 10	SW 9	SW 10	9^1	10^2	1^1	–	270
6.	21.7	20.5	21.3	− 8.6	−10.3	−12.3	7.0	−12.3	2.3	1.9	1.6	100	100	100	SW 7	NW 6	NW 3	$10^1=$	$10^1=\ast$	2^1	1.4	270
7.	21.5	22.3	23.3	−13.8	−11.1	−12.2	−11.1	−13.8	1.3	1.8	1.7	90	100	100	NW 3	C	C	$1^1\odot$	$10^1\ast$	$10^2=\ast$	0.3	275
8.	23.5	23.8	23.9	−14.2	−11.8	−12.4	−11.7	−14.2	1.4	1.7	1.5	100	100	93	N 2	C	S 1	$10^2=\ast$	$10^1=\ast$	0	**16.4**	320
9.	24.3	25.5	25.3	−15.3	−11.0	− 8.5	− 7.1	−15.4	0.8	1.6	1.5	70	82	64	W 2	W 1	SW 5	$1^0\odot$	$1^0\odot$	1^0	6.6	318
10.	24.7	24.2	23.6	− 8.4	− 7.5	− 7.4	− 5.9	− 9.5	1.8	1.5	2.0	80	59	80	SE 4	S 7	SE 5	8^1	8^1	1^1	–	310
11.	23.8	25.7	27.8	−10.1	− 8.7	− 9.8	− 6.4	−10.6	2.0	2.3	2.0	100	100	100	NW 3	NW 3	N 3	$10^1=\ast$	$10^2=\ast$	$10^1=$	2.2	305
12.	29.0	30.6	31.3	−11.6	− 8.4	− 9.7	− 8.0	−11.6	1.8	2.0	2.2	100	89	100	NW 1	W 1	W 3	$2^1\odot$	$6^1\odot$	$10^1=\ast$	2.5	304
13.	31.2	31.0	30.7	−11.5	− 8.4	−10.9	− 8.2	−11.8	1.8	2.3	1.8	100	100	100	N 1	NW 4	NW 4	$10^1=\ast$	$10^1=\ast$	$10^2=$	6.1	310
14.	29.2	29.3	28.9	−12.6	− 9.2	− 9.8	− 8.7	−12.8	1.6	2.1	2.0	100	100	100	NW 1	NW 2	NW 4	$8^1=$	$10^2=$	$10^1=$	3.2	310
15.	27.7	27.3	25.8	−10.1	− 5.8	− 6.2	− 3.4	−10.3	1.8	2.5	2.4	90	88	88	NW 2	SW 4	W 3	$1^0\odot$	$1^0\odot$	1^1	1.3	308
16.	23.4	21.7	21.6	− 9.0	− 8.0	−14.8	− 6.2	−14.8	2.2	2.4	1.3	100	100	100	SW 3	W 3	N 4	10^2	$10^2\ast$	$10^2=$	–	300
17.	20.6	20.4	19.9	−13.2	−10.0	− 7.8	− 7.8	−18.5	1.4	1.6	1.9	95	82	80	W 6	W 7	SW 6	$1^1\odot$	10^1	10^1	**16.4**	330
18.	17.6	16.1	**15.7**	− 8.0	− 5.6	− 5.9	− 4.7	− 9.3	1.8	2.2	2.4	76	76	78	NW 8	S 8	S 8	10^1	9^1	9^1	–	330
19.	15.8	18.3	20.7	− 7.9	− 8.0	−10.3	− 5.9	−10.9	2.4	2.2	1.9	82	100	92	W 7	NW 3	NW 3	8^1	$10^2=$	0	–	325
20.	20.4	20.2	19.2	− 9.6	− 7.7	−13.0	− 4.4	−13.0	1.8	2.5	1.5	86	100	100	S 4	SE 1	N 4	$1^0\odot$	$10^2=\ast$	$10^2=\ast$	–	320
21.	19.3	20.5	21.1	−15.2	−14.1	− 9.1	− 7.1	−15.5	1.1	1.4	1.8	86	99	78	NW 1	W 5	W 6	$1^0\odot$	4^1	1^1	0.4	318
22.	19.5	18.8	19.3	− 8.2	− 7.3	− 9.3	− 5.9	−10.1	1.9	2.5	2.1	79	100	100	SE 3	NW 3	N 4	$8^1\odot$	$10^1=\ast$	$10^1=$	–	310
23.	21.1	23.2	23.2	− 9.3	−10.2	−10.2	− 8.9	−10.5	2.1	2.0	2.0	100	100	100	N 4	NW 3	W 3	$10^1=\ast$	$10^2=\ast$	4^1	10.1	320
24.	20.9	20.5	25.6	− 9.2	− 5.9	− 8.9	− 5.9	−10.6	2.1	2.8	2.2	100	100	100	NW 6	N 7	N 8	$10^2=\ast$	$10^2=$	$10^2=$	3.8	330
25.	30.0	32.6	35.6	− 8.5	− 4.7	− 3.4	− 2.9	−11.1	2.3	3.2	3.5	100	100	100	NW 2	N 6	N 6	$10^2=\ast$	$10^2=\ast$	$10^1=\ast$	9.0	360
26.	36.7	37.8	**38.0**	− 3.2	− 3.2	− 3.5	**− 2.5**	− 3.5	**3.6**	2.0	3.2	100	57	90	N 1	NW 2	**NW 2**	$1^0\odot$	$1^0\odot$	1^0	8.2	**380**
27.	35.8	34.8	33.3	− 3.9	− 3.4	− 3.0	− 3.0	− 4.4	3.1	3.0	**3.6**	92	84	100	NW 4	W 4	NW 4	$2^0\odot$	$1^0\odot$	10^2	–	370
28.	31.2	30.8	31.2	− 4.2	− 5.0	− 5.2	− 2.9	− 5.6	3.3	3.1	3.0	100	100	100	NW 5	NW 4	NW 3	$10^2=$	$10^2=$	$10^2=\ast$	1.5	365
29.	29.3	28.8	29.0	− 5.1	− 5.1	− 8.3	− 4.6	− 8.3	3.0	3.0	2.3	100	100	100	NW 3	NW 3	N 3	$10^2=$	$10^2=$	$10^2=$	1.8	370
30.	28.0	27.6	26.2	−13.2	−12.4	−11.2	− 8.3	−13.4	1.5	1.4	1.8	95	85	100	W 1	NW 4	NW 7	00	$1^0\odot$	7^1	–	375
31.	26.1	25.0	22.1	−12.6	−12.1	− 8.2	− 7.9	−15.0	1.6	1.3	1.9	96	80	81	NW 5	S 6	SE 7	$1^0\odot$	$7^0\odot$	9^1	–	365
Mittel	25.4	25.5	25.6	− 9.5	− 8.1	− 8.6	− 6.2	−11.1	2.0	2.2	2.1	92	92	92				6.1	7.7	6.5	96.3	

Bemerkungen.

1. t vorwiegend heiter; über Flachland ∞ u. im Laufe des Vormittags einzelne cu; 2 p ⊕ v. 23° Rad. sehr schwach sichtbar; 9 p umliegende Berge im Nebel
2. n $\times^0$, ⎓ 9⁴⁰ a vorübergehend Aufklaren; m vollständiges Aufklaren; ringsum cu-kranz; p ztw. SW-Wind
3. 11 p sehr schöner ⊽ (23°); n u. a starker Sturm; a Fernsicht frei; m zunehmende Bewölkung; ca 5^{15} p Umschlag: $\equiv^{0.1}$, $\times^{0.1}$
4. n $\times$, ⎓ a $\equiv^{1.2}$; p langsames Aufklaren; 9 p über Inntal ≡meer in ca 2400 m, schwacher ψ
5. n u. a Sturm; bis ca 8^{30} a freie Fernsicht, dann $\equiv^{0.1}$; a ztw. Aufhellen; ab 4^{45} p ≡frei, jedoch starke str-cu-Bewölkung; erst 8 p vollständiges Aufklaren
6. n ⎓; bis ca 4 p $\equiv^{0.1}$, ×treiben; auch späterhin wieder ztw. stärkere Bewölkung
7. 7 a Fernsicht frei; über Inntal ≡meer; 9 a starke Bewölkungszunahme; dann ztw. $\equiv^{0.1}$, $\times^{0.1}$; ab ca 7 p dauernd $\equiv^1$, $\times^{0.1}$
8. über Nacht ca 60 cm Neu×; bis 5 p meist $\equiv^{1.2}$, $\times^{0.1}$; dann langsames Aufklaren; (Gipfel an oberer Wolkengrenze)
9. t fast wolkenlos; Fernsicht frei, Täler ∞ig
10. n ⎓; t Fernsicht frei; stark wechselnde Bewölkung; 2 p im Isartal anscheinend ◍
11. n ⎓; a $\times^{0.1}$; t $\equiv^1$, nur p ztw. schwacher Ansatz zum Aufklaren
12. t meist $\equiv^{0.1}$; jedoch ztw. längeres Aufklaren (Gipfel an oberer cu-Grenze!) 7^{15} p ◹ im W; ◺ im SE; ab 8^{30} p $\times^{1.2}$, kurz △. 9 p neg. Elmsfeuer
13. 9^{30} p sehr schönes pos. Elmsfeuer (5 cm); n ×; t $\equiv^{1.2}$; bis ca 3 p $\times^{0.1}$
14. 7 a 10 cm ⋁; t $\equiv^{0.2}$, ztw. $\times^{0.1}$; ztw. freier Tiefblick auf Eibsee etc.
15. t fast wolkenlos; über Flachland ∞ u. starke cu-Bewölkung; ab ca 5^{30} p cu rasch aus W; vom Loisachtal plötzlich ≡ aufsteigend; Gipfel ztw. i. $\equiv^1$; 5^{50} p ◍ (3fach! [1])
16. 7 a umliegende Gipfel in Wolken; bald darauf $\equiv^{0.1}$, $\times^{1.2}$; nur 6 p kurzes Aufklaren; sehr schön irisierende a-cu.
17. t Fernsicht frei; über Bergen ≡meer in ca 2500 m; ab 5 p ztw. $\equiv^1$
18. n u. a starker Sturm; t stark bewölkt, jedoch freie Fernsicht; starkes ×treiben
19. n ⎓; von ca 11 a–8 p $\equiv^{1.2}$, ztw. $\times^{0.1}$, starkes ×treiben
20. 6^{30} a rechte Neben⊙ des ⊕ v. 23°; 8 a ⊕ (23°) schwach sichtbar; deutlich die beiden horiz. Neben⊕ mit Schweifen; ab 1 p $\equiv^{1.2}$, $\times^{0.1}$
21. t heiter; über Gebirge besonders p häufig stärkeres Auftreten von fr-cu (irisierend!); 5^{30} p rechte Neben⊙ des ⊕ v. 23°; p ztw. S-Wind
22. n ⎓; a Fernsicht frei; 11 a–ca 5 p $\equiv^{1.2}$, $\times^{0.1}$; dann bis ca 8^{30} p ≡frei; sodann neuerdings $\equiv^1$
23. n ×; t $\equiv^{1.2}$, $\times^{0.1}$; p manchmal schwacher Ansatz zum Aufklaren; erst 9 p vorübergehend Aufklaren
24. n u. t $\equiv^2$, $\times^{0.1}$; t starker Sturm
25. n Sturm; 7^{15} a kurzes Aufklaren; allenthalben schwere str-cu sichtbar; t $\times^1$, $\equiv^{1.2}$, n Sturm
26. 7 a 50 cm ⋁; t fast wolkenlos, sehr starker Lawinengang; a in ca 1500 m ≡meer, über Gebirge höher gelegen; p über Alpenvorland u. Ebene einzelne cu
27. t heiter; im N cu; 2^{45} p rechte Neben⊙ (23°) mit Schweif auf scheinbar wolkenlosem Himmel; p zunehmende Bewölkung; im Flachland ◍ (?)
28. n $\times^0$; t mit kurzen Unterbrechungen $\equiv^{1.2}$; 9 p $\times^0$
29. t $\equiv^{0.2}$; 9 p 20 cm ⋁
30. n Aufklaren; 7 a freie Fernsicht; über Flachland ∞°, über Isartal ≡; 5 p über Flachland starke Bewölkung, 6 p auch im Gebirge Bewölkungszunahme; 9 p ψ
31. t vorwiegend heiter; Flachland ∞ig; 11 a u. 2–6 p ⊕ (23°); 2 p obere Neben⊙; p ⎓

[1]) Brockengespenst

Alle Angaben nach Ortszeit.

Kahl a/M.

April. $\varphi = 50^0\ 4'$ N. $\lambda = 9^0\ 1'$ E $= 36^m\ 4^s$. H $= 114.1$ m. Cg $= +0.3$ mm. 1912.

Datum	Luftdruck auf 0° u. Normalschwere reduziert 700 mm +			Lufttemperatur C°					Absolute Feuchtigkeit mm			Relative Feuchtigkeit Proz.			Richtung und Stärke des Windes o bis 12			Bewölkung o bis 10			Niederschlag mm	Schneedecke cm	Bemerkungen
	7a	2p	9p	7a	2p	9p	Max.	Min.	7a	2p	9p	7a	2p	9p	7a	2p	9p	7a	2p	9p	7a	7a	
1.	37.9	38.3	43.7	7.7	11.3	4.4	11.8	4.0	7.6	6.4	5.0	98	64	80	S 2	W 2	NW 4	10^1	10^1	8^1	2.4	–	n ●. 3^{31} p an ●
2.	50.5	54.1	57.8	3.4	6.4	3.5	8.0	1.3	4.4	4.2	4.1	75	58	70	NW 4	NW 6	NW 2	10^0	1^1	8^1	3.6	–	$6^{21.29}$ p ● △
3.	61.0	61.7	63.8	0.3	6.5	0.3	9.3	– 3.1	4.2	3.6	4.1	89	50	87	C	W 2	C	10^1	2^1	0	0.5	–	a ⌊
4.	64.4	62.3	61.1	– 2.1	11.0	7.5	12.6	– 4.3	3.4	4.0	5.3	87	41	69	SW 2	SW 4	SW 2	○○	4^0	8^0	–	–	a ⌊
5.	56.4	54.8	55.0	8.3	9.8	11.4	12.0	4.8	5.4	6.7	7.5	66	74	75	SW 2	SW 6	SW 6	10^1	10^1	10^1	–	–	
6.	55.2	54.5	54.4	11.2	15.8	13.6	17.3	10.4	8.1	8.0	8.7	81	60	75	W 4	SW 6	SW 6	10^1	7^1	10^1	–	–	
7.	56.0	56.1	56.3	10.5	13.5	8.2	15.0	8.0	5.6	4.1	4.6	59	36	57	NW 4	W 4	C	9^0	5^0○	0	–	–	
8.	53.2	46.2	41.9	7.0	16.1	12.2	17.7	2.1	5.4	6.2	6.1	72	46	57	C	W 6	W 6	9^1	2^1○	10^1	–	–	p ≡
9.	40.7	41.1	44.7	6.3	7.6	2.6	14.1	1.9	6.1	4.2	4.0	86	55	72	SW 2	NW 4	NW 2	10^1	9^2	9^0	0.6	–	n ● ≡. $8^{06.08}$ a △. bis 8^{16} a ●
10.	45.6	42.2	44.1	1.8	3.5	2.4	7.3	– 0.8	4.4	4.9	4.6	84	83	84	SW 2	SW 4	SW 2	1^1	10^1●	0	1.7	–	t von 11^{01} a an ●
11.	50.0	49.9	49.9	0.7	6.4	2.6	8.3	– 1.4	4.0	5.0	5.1	83	69	93	SW 2	W 2	SW 4	4^1	7^1○	10^1	5.4	–	$10^{21.26}$ a ✳, dann bis 11^{21} a ●
12.	55.2	57.9	61.9	2.1	3.7	– 1.2	6.0	– 1.5	4.4	3.3	3.2	82	55	76	W 2	NW 4	C	2^0	3^1○	0	1.3	–	11^{16} a–3^{36} p ztw. ✳
13.	64.3	62.4	61.1	– 1.1	6.8	– 0.1	9.9	– 6.6	3.8	3.0	3.9	90	41	85	C	C	E 2	○○	1^1	0	0.1	–	a ⌊
14.	58.9	57.0	56.5	0.6	6.8	6.0	8.7	– 2.9	3.8	6.2	6.8	78	84	97	C	W 2	NW 2	9^1	10^1●	10^1	–	–	2 p, $7^{01.36}$ p ●
15.	56.9	57.1	58.0	5.7	9.8	4.3	10.9	3.1	5.7	4.3	3.8	83	47	62	NE 2	NE 2	NE 2	7^1	8^1	0	0.3	–	
16.	57.9	56.3	56.6	3.7	12.5	5.0	15.8	– 2.5	4.8	3.5	4.2	80	32	64	NE 2	E 4	NE 4	○○	○○	0	–	–	a ⌊
17.	56.3	54.9	54.1	7.1	14.1	12.1	17.0	0.3	4.9	4.6	5.4	65	38	52	E 2	E 2	E 2	1^0○	1^0○	1^0	–	–	
18.	53.7	52.2	51.5	7.6	16.1	10.0	17.9	3.8	5.0	5.5	6.1	64	41	67	SE 2	S 2	C	○○	7^1	10^1	–	–	a ⊼
19.	52.4	52.6	53.8	7.6	17.5	11.7	18.7	3.9	6.8	5.7	7.7	88	39	75	C	NE 2	C	10^1	10^1	10^1	–	–	a ⊼. $9^{21.36}$ a ⊕
20.	55.8	55.7	56.8	6.8	18.3	11.2	18.9	2.4	6.6	5.5	6.4	90	35	65	C	SE 2	SE 2	3^0○	8^0	10^1	–	–	a ⊼
21.	58.1	57.6	58.7	11.7	19.2	11.2	20.0	6.4	5.9	5.7	5.9	57	35	59	NE 4	NE 4	NE 2	1^0○	7^1	0	–	–	a ⊼
22.	60.2	58.3	59.0	10.7	19.4	12.0	20.0	4.0	5.7	5.5	6.4	60	33	62	NE 2	NE 4	NE 2	○○	4^1	9^1	–	–	a ⊼. $4^{23.31}$ p ●^{0}
23.	58.5	56.8	57.6	11.2	17.2	8.3	18.5	7.0	6.7	4.5	5.3	67	31	65	NE 2	NE 6	NE 2	1^0○	7^1	0	0.1	–	
24.	57.1	55.7	55.7	10.5	19.4	10.4	21.0	4.3	5.8	5.3	4.9	62	32	52	NE 4	E 4	E 4	1^0○	3^1○	0	–	–	a ⊼
25.	55.6	54.0	53.5	9.2	19.4	9.1	21.2	3.7	5.9	5.6	4.9	68	34	57	C	C	E 2	6^0	6^1○	0	-	–	a ⊼
26.	53.6	50.7	50.2	6.8	17.5	9.4	22.9	0.3	6.0	5.0	5.3	81	34	60	C	C	E 2	○○	3^1	0	–	–	a ⌊
27.	48.8	46.6	45.8	7.4	19.3	11.7	20.6	1.3	5.8	5.5	5.8	76	33	56	C	NW 2	C	9^2	9^1	8^2	–	–	a ⊼
28.	45.8	44.5	45.1	8.6	17.5	9.5	18.8	4.0	5.9	5.2	5.4	70	35	61	C	N 4	N 2	9^0	10^0○	0	–	–	
29.	47.5	48.1	51.0	5.9	11.6	6.0	13.1	2.1	4.4	4.6	5.1	63	45	74	NE 2	NE 4	NE 2	1^0○	7^1	1^0	–	–	
30.	52.8	53.9	55.1	6.1	12.1	4.7	13.4	3.9	6.0	3.9	4.4	86	37	68	NE 2	NE 4	NE 4	9^1	8^1○	0	0.5	–	n ●^{0}
																					16.5		
Mittel	54.0	53.1	53.8	6.1	12.9	7.3	14.9	2.0	5.4	5.0	5.3	76	47	69				5.1	5.7	4.4			

Bayreuth.

April. $\varphi = 49^0\ 57'$ N. $\lambda = 11^0\ 34'$ E $= 46^m\ 16^s$. H $= 363.3$ m. Cg $= +0.3$ mm 1912.

1.	15.6	15.5	18.0	7.0	10.4	5.3	10.9	4.1	6.6	5.7	6.1	89	60	92	SW 2	W 4	W 4	10^2	10^2	10^2	4.0	–	n ●^{1}. p ●^{0}
2.	25.4	29.0	33 4	1.6	0.9	0.0	5.3	– 0.5	3.8	4.5	4.3	76	92	92	W 4	W 6	W 4	10^2*	10^2*	10^2	2.2	–	n ≡. t ✳$^{0.2}$
3.	37.6	39.1	40.8	– 3.3	2.4	– 1.1	3.9	– 5.5	3.2	3.5	3.7	89	64	86	N 2	N 4	N 2	3^1	5^1○	0	1.8	1	
4.	42.1	40.0	39.0	– 2.7	8.3	6.3	8.8	– 4.8	3.3	3.4	4.5	87	42	64	E 2	W 4	C	○○	10^1	10^2	–	–	n ⌊^{2}.
5.	34.2	30.4	31.5	5.9	7.8	7.9	8.8	4.1	4.6	6.6	7.3	66	84	93	SW 2	W 6	W 8	10^2	10^2●	10^2	–	–	t ≡. p ●^{0}
6.	31.5	30.7	29.7	– 9.5	12.0	11.7	13.5	7.3	8.1	7.8	8.0	93	75	79	W 6	W 8	W 8	10^2●	10^2	10^2	0.6	–	n ≡, ●–a, t ≡
7.	31.8	32.8	33.9	9.0	11.3	5.8	12.4	5.4	4.8	3.9	4.6	55	39	67	W 6	W 8	W 2	10^1	8^1	0	–	–	n ≡. t ztw. ≡
8.	30.4	23.4	18.3	4.7	15.8	13.0	17.0	1.1	5.4	5.4	7.2	85	41	65	E 2	SW 6	SW 6	10^1	5^0○	2^1	–	–	t ztw. ≡
9.	17.2	16.9	20.5	3.7	5.9	1.2	13.0	0.7	5.0	5.0	4.0	84	72	81	W 6	W 6	W 6	10^2●	10^1	10^2	0.2	–	n ≡. t ztw. ●^{0} ✳$^{0.2}$ △ ≡
10.	23.0	19.0	18.3	– 0.3	7.1	1.4	7.3	– 1.3	4.0	3.0	4.6	89	41	91	W 4	SW 6	SW 6	7^1	9^1	10^2*	1.9	–	p ✳$^{0.2}$. t ztw. ≡
11.	26.1	26.1	26.5	– 0.9	4.3	0.1	5.0	– 2.4	4.0	4.2	4.2	94	67	90	SW 4	W 6	SE 2	8^1	8^2	0	2.4	–	t ztw. ✳$^{0.2}$
12.	29.8	32.5	37.9	– 0.5	1.4	– 1.3	3.7	– 2.0	3.9	3.9	2.5	88	77	61	W 6	W 6	W 2	10^1	7^2	0	1.8	1	t ztw. ✳$^{0.2}$
13.	40.6	39.6	38.9	– 1.5	5.5	0.3	6.8	– 4.8	3.5	3.8	3.8	86	57	81	W 2	W 4	W 2	2^1○	9^2	0	0.5	–	a ⌊^{1}
14.	35.9	34.2	33.9	– 0.7	4.3	3.2	4.9	– 2.7	3.9	5.4	5.5	88	88	95	E 2	W 2	W 2	10^2=	10^2●	10^2	–	–	a ⌊^{1} ≡^{1}. p ●^{0}
15.	34.8	35.0	35.9	3.8	7.1	4.1	8.5	2.2	5.1	3.4	3.9	86	46	62	NW 2	NE 4	E 4	10^1	9^1	10^1	0.5	–	
16.	36.0	36.9	35.3	0.9	10.5	5.7	11.5	– 2.0	3.7	3.9	3.7	75	40	54	E 4	E 6	E 2	3^1○	○○	0	–	–	a ⌊^{0}
17.	34.5	33.6	33.2	2.7	12.0	7.9	14.3	– 1.6	4.2	4.4	4.2	76	42	54	NW 2	E 6	E 6	1^0○	○○	0	–	–	a ⌊^{1}
18.	31.4	29.9	29.9	5.7	13.5	10.3	15.7	2.8	4.3	5.1	5.4	63	45	58	E 4	E 4	E 4	2^0○	8^0	4^1	–	–	
19.	30.7	31.0	32.3	5.3	14.3	8.9	15.3	2.6	5.2	5.3	5.1	79	44	60	E 2	SE 2	E 4	8^0	7^0○	0	–	–	
20.	34.0	34.0	35.4	6.7	15.2	11.4	17.0	1.2	5.4	4.6	5.4	74	36	53	E 2	E 4	E 2	2^0○	8^1	10^1	–	–	
21.	37.1	37.1	38.1	9.1	14.3	9.3	15.2	3.7	5.9	5.1	4.7	68	43	54	E 2	E 6	E 4	○○	7^1○	0	–	–	a ⌊^{0}. ca $11^{5.45}$ p Fern[
22.	38.6	36.9	37.8	5.8	14.1	9.2	17.9	1.2	5.3	5.0	6.3	77	42	72	NW 2	N 6	E 2	2^1○	8^2	7^1	–	–	
23.	37.2	36.1	36.8	8.8	12.6	6.5	15.0	4.9	5.9	4.1	5.5	69	38	76	E 2	E 6	E 2	○○	10^1	0	–	–	
24.	36.2	34.1	34.0	6.1	15.7	9.9	17.8	1.2	5.5	5.2	5.4	78	40	59	NW 2	E 4	E 2	6^0	7^1	3^1	–	–	a ⌊^{0}
25.	33.5	31.9	31.4	5.7	15.0	8.1	16.1	2.2	5.4	4.4	5.1	80	35	63	E 2	N 4	E 2	2^0○	9^1	0	–	–	a ⊼
26.	30.7	28.8	28.2	3.5	15.7	9.5	17.0	0.1	4.7	4.3	4.8	81	33	55	NE 2	NW 4	E 2	5^0○	4^1○	0	–	–	a ⌊^{0}
27.	26.5	24.4	23.9	5.3	17.8	12.1	20.3	0.4	4.9	4.2	5.7	73	27	54	E 2	W 2	W 2	○○	4^1○	8^1	–	–	a ⌊^{0}
28.	23.4	21.6	22.6	5.7	17.4	8.3	18.3	3.2	5.3	4.6	4.8	77	32	58	W 2	N 4	N 6	10^1	5^0○	0	–	–	
29.	23.8	24.5	27.2	4.3	11.3	7.2	12.0	2.1	4.3	4.2	5.1	69	42	67	N 4	N 6	N 4	4^1○	9^1	9^1	–	–	
30.	29.5	31.2	32.8	4.0	7.7	3.7	9.4	3.2	4.8	4.3	4.1	79	56	68	N 6	N 6	E 2	10^2	10^2	1^1	–	–	
31.																					15.9		
Mittel	31.3	30.5	31.2	3.8	10.4	6.2	12.1	0.9	4.8	4.6	5.0	79	51	70				5.8	7.5	4.5			

Alle Angaben nach Ortszeit.

Bamberg.

April. $\varphi = 49^0\ 53'$ N. $\lambda = 10^0\ 53'$ E $= 43^m\ 32^s$. H $= 287.7$ m. Cg $= +0.3$ mm. 1912.

Datum	Luftdruck auf 0° u. Normalschwere reduziert 700 mm + 7a	2p	9p	Lufttemperatur C° 7a	2p	9p	Max.	Min.	Absolute Feuchtigkeit mm 7a	2p	9p	Relative Feuchtigkeit Proz. 7a	2p	9p	Richtung und Stärke des Windes 0 bis 12 7a	2p	9p	Bewölkung 0 bis 10 7a	2p	9p	Niederschlag mm 7a	Bemerkungen
							tx	tn													R7	
1.	22.1	22.2	25.5	6.7	9.2	5.2	12.4	5.1	6.9	6.9	5.9	94	80	89	SW 2	W 2	NW 4	10^2	10^2	10^2●	**3.1**	n ◍. ca 1^{15} p ◍^{1}. $1^{51.55}$ p, ca 3^{40} p ◍^{0}. ca 6^{30}–9 p ◍^{1}
2.	32.5	36.8	41.0	1.7	1.7	2.2	6.0	1.1	4.1	4.4	3.5	80	85	65	W 3	NW 7	W 4	10^2	10^2✳	10^2	1.2	ca 9–10 p ◍. ca 7 a ✳^{0}. ca 7^{35} a, ca 8^{40} a ✳^{0}. 9^{36} a–ca 3^{15} p ☔
3.	44.6	46.0	47.9	− 0.5	5.9	0.0	6 9	− 2.3	3.4	3.4	3.0	77	49	65	W 2	W 2	C	10^1⊖	7^1⊖	0	0.6	n ⌊⌋
4.	**49.1**	47.2	45.9	− 1.9	10.5	7.2	11.8	− 4.7	3.7	4.0	4.5	94	42	60	E 1	SW 2	S 1	⊖⊖	9^1	10^2	0.1	n ⌊⌋. 8^{54} p ◍^{0}
5.	40.9	37.7	39.0	6.1	8.0	8.1	10.7	4.7	4.4	7.0	7.4	63	88	92	S 2	SW 2	SW 4	10^2	10^2●	10^2●	0.1	ca 11^{55} a–9 p ◍^{1}
6	38.4	37.9	37.4	9.4	13.7	12.1	15.8	8.1	**8.4**	7.8	7.9	96	67	75	W 3	W 6	W 6	10^2●	10^2	10^2	3.0	ca 7–9 a ◍^{0}. ca 5^{45} p W 9
7.	39.3	39.9	40.8	9.4	12.7	6.7	15.2	6.7	5.5	4.6	4.8	62	42	66	W 5	W 3	W 1	10^2	9^1	3^0	0.1	
8.	47.1	30.3	25.3	3.8	16.9	12.5	18.1	0.8	5.1	6.1	6.9	85	43	64	S 3	SW 4	W 5	10^1	7^1⊖	5^0	0.1	n ◬
9.	24.2	23.8	27.9	3.8	6.3	0.6	13.4	0.6	5.3	5.0	3.8	88	71	80	W 3	W 4	NW 3	10^2●	10^2	2^1	1.1	n ◍. $10^{09.06}$ a △. $10^{06.34}$ a ✳^{1}. a ztw. ◍^{1}. 4^{21} p ✳. [1]
10.	29.9	25.8	26.0	0.6	5.8	1.6	8.8	− 1.6	3.8	3.5	4.8	80	51	93	S 2	SW 4	W 4	2^1⊖	10^2	10^2✳	**3.1**	n ⌊⌋. ca 1^{55} p, ca 3–6 p ✳^{0}. ca 8–9 p ✳
11.	33.5	33.1	33.2	0.0	4.3	0.5	7.2	− 1.9	3.7	4.3	4.1	81	70	85	W 3	W 6	S 1	10^1	10^2✳	8^1	1.7	ca 9–ca 11^{10} p, ca 6 a ✳^{1}. ca 10^{20} a ✳^{0}. ca 10^{33}–11 a ✳^{1}. [2]
12.	37.3	39.8	45.5	0.2	4.3	− 0.9	6.4	− 0.9	3.8	3.0	2.2	81	48	52	W 5	NW 8	W 1	10^2✳	9^2	0	1.1	11 p ✳^{1}. ca 7 a ✳^{0}. 11^{41} a, ca 1^{15} p ✳böe. $2^{01.12}$ p ☔ [3]
13.	48.1	46.8	45.7	− 1.3	6.0	0.6	8.7	− 6.0	3.4	2.3	3.3	82	34	68	W 2	N 3	C	2^1⊖	10^1	0	0.3	n ⌊⌋. ca 11^{25} a ✳^{0}. abds. ≡
14.	42.9	41.0	40.7	− 0.8	5.3	3.8	7.3	− 3.8	3.7	5.7	5.7	86	86	95	SW 2	NW 2	C	10^2	10^2●	10^2	0.1	n ⌊⌋. ca 11^{15}–7 p ◍$^{0.1}$. abds. ≡^{0}
15.	41.5	41.9	42.8	3.4	8.2	3.1	10.3	2.9	5.3	3.7	3.6	92	46	62	NE 2	SE 4	N 3	10^2	10^1	1^1	1.7	
16	42.8	41.3	41.7	1.4	10.8	6.3	12.2	− 0.6	3.4	3.4	3.7	66	35	52	N 2	E 2	N 2	5^1⊖	1^1⊖	1^1	0.1	
17.	41.1	39.8	39.6	6.1	13.4	8.7	15.8	2.4	3.9	4.4	3.7	56	39	46	E 2	E 4	SE 5	4^0⊖	1^1⊖	0	0.1	n ⌊⌋. abds. ∞
18.	37.8	36.4	36.1	6.3	15.3	10.1	17.0	2.3	4.5	5.6	5.5	63	43	60	E 2	SE 3	C	7^1⊖	10^1⊖	10^2	0.1	n ◬
19.	37.0	37.4	38.8	6.0	16.0	8.9	17.1	4.4	5.4	4.8	5.6	78	36	66	NW 1	SE 2	C	10^1	10^1⊖	2^1	0.1	n ◬
20.	40.4	40.6	42.2	7.3	14.4	10.7	18.3	5.1	5.2	5.2	5.6	68	43	58	E 1	SE 2	S 1	10^1	9^1	10^2	0.1	n ◬. ca 5^{15} p ◍^{0}
21.	43.3	43.1	44.6	9.1	16.6	10.3	18.8	6.6	5.7	4.8	4.7	66	34	51	W 2	NE 3	N 2	1^1⊖	9^1	0	0.1	n ◬. a ≡
22.	45.3	43.8	43.9	7.1	15.7	9.8	19.0	3.6	5.2	4.3	5.8	69	32	64	NW 2	NE 6	NW 2	7^1⊖	10^1	9^1	–	n ◬. 3^{16} p ◍^{1} bei NW 8. $4^{03.07}$ p ☈, $4^{41.55}$ p ◍^{1}
23.	43.8	42.2	43.0	8.9	14.2	7.0	17.4	6.1	6.2	3.3	5.1	73	27	69	W 1	E 5	C	3^0⊖	10^1	0	0.1	n ◬
24.	42.6	40.7	40.6	9.2	17.8	10.3	19.3	5.1	5.4	4.1	5.5	62	27	59	E 3	N 2	E 1	8^1⊖	8^1⊖	8^1	–	n ◬
25.	40.0	38.4	37.8	7.9	16.0	10.7	19.7	5.5	5.0	3.8	3.9	63	29	40	NW 2	NE 2	NW 2	10^0⊖	10^1	10^0	0.1	n ◬. 0^{57} p, ca 1^{30} p ◍^{0}
26.	37.5	35.0	34.5	5.7	16.9	10.9	19.7	2.7	5.1	5.1	4.4	74	36	45	W 2	W 1	W 2	3^0⊖	7^1	0	–	n ◬
27.	33.2	30.6	30.3	5.7	19.7	11.8	**20.8**	1.9	4.8	4.8	5.4	70	28	52	W 1	NW 2	NW 1	⊖⊖	4^1⊖	10^1	0.1	n ◬. a ≡
28.	29.8	28.0	29.4	7.5	18.8	8.9	19.7	5.5	4.9	3.8	4 7	64	24	55	W 2	W 3	N 3	10^0⊖	10^0⊖	0	0.1	n ◬
29.	30.5	31.4	34.3	5.1	14.5	5.8	15.0	2.4	3.9	4.2	4.7	60	35	69	W 4	W 3	NW 3	7^1	9^1⊖	7^0	–	n ◬
30.	36.5	37.4	39.6	4.1	10.4	3.7	11.7	3.4	5.9	4.2	3.8	**97**	45	64	N 3	E 5	N 1	10^2●	10^2	1^1	0 1	a–m ◍^{1}
																					18.5	
Mittel	38.1	37.2	38.0	4.6	11.6	6.6	14.0	2.2	4.8	4.6	4.8	76	47	65				7.3	8.6	5.2		[1] 5^{54}–6^{08} p ☔. [2] m ≡^{0}. ca 2 p ✳^{1}. [3] bei NW 9. 3^{26} p ✳^{1}

Würzburg.

April. $\varphi = 49^0\ 48'$ N. $\lambda = 9^0\ 56'$ E $= 39^m\ 44^s$. H $= 179.3$ m. Cg $= +0.3$ mm. 1912.

1.	**31.3**	31.5	35.2	7.5	11.5	6.7	11.5	6.7	7.6	5.9	6.4	**99**	58	87	C	W 3	W 4	10^2	10^2	10^2●	**7.8**	n, a, ca 5^{10} p ◍^{0}
2.	42.7	46.8	51.1	2.8	6.9	2.9	8.0	1.8	4.1	3.5	3.1	72	46	54	W 4	N 4	N 4	10^2	10^2	2^1	0.8	n ◍^{0}. ca 10 a ✳^{0}
3.	54.7	55.3	57.0	− 0.5	5.9	2.1	9.2	− 1.7	3.2	2.9	3.9	71	41	73	C	E 2	E 2	⊖⊖	2^1⊖	0	0.1	a ⌊⌋
4.	**58.6**	56 3	55.1	− 1.5	10.5	8.4	12.4	− 3.0	3.5	3.2	4.8	86	34	59	C	NW 2	NW 2	⊖⊖	10^1	10^2	–	a ⌊⌋. ca 8^{25} p ◍tropfen
5.	50.6	47.6	48.7	7.6	10.5	10.2	12.1	6.5	4.5	6.8	7.9	58	73	82	NW 4	NW 4	NE 4	10^2	10^2●	10^2	–	m ◍
6.	48.2	47.8	47.2	11.0	14.3	13.6	15.9	8.8	**8.3**	7.9	7.0	85	65	60	W 5	W 6	W 5	10^2	10^2	10^2	0.3	n ◍^{0}
7.	48.9	49.1	49.8	11.0	14.4	8.4	16.6	8.4	5.8	3.8	5.0	59	31	61	NW 4	W 4	C	10^2	6^1	4^1	–	
8.	46.1	38.5	34.5	6.8	17.2	11.9	17.8	2.0	5.0	6.0	6.4	68	41	62	SE 1	NW 5	W 6	10^1	6^1⊖	0	–	a ◬
9.	33.5	33.7	37.3	4.9	6.8	2.7	11.9	2.6	5.7	4.2	4.0	87	57	72	W 4	NW 4	NW 4	10^2	6^1⊖	0	5.1	n, a ◍. ca 10 a △. t ztw. ≡, ◍, ✳
10.	39.1	35.8	36.5	1.0	6.2	3.2	7.6	0.2	3.7	3.2	4.1	75	45	71	SW 2	W 6	W 7	4^1⊖	10^2	10^2	3.0	p ztw. ≡, ✳, ◍
11.	42.6	42.5	41.7	1.6	5.5	3.6	8.0	0.0	3.8	4.8	4.3	75	71	73	W 4	NW 3	W 2	2^1⊖	10^1	0	1.4	6^{30} a △^{0}. t ztw. ≡, ✳
12.	47.7	51.1	55.7	1.2	1.3	1.2	5.8	0.1	3.9	3.8	2.8	77	76	55	W 6	NW 6	NW 4	10^2✳	10^2✳	0	0.5	n, t ztw. ≡ ✳
13.	57.7	56.1	55.2	− 1.0	7.8	2.6	8.6	− 3.0	3.4	2.0	3.9	78	26	70	W 2	NW 2	C	⊖⊖	6^1⊖	0	0.6	n ⌊⌋
14.	52.6	50.2	49.4	0.2	7.0	5.7	9.0	− 2.2	3.7	4.9	5.9	80	66	86	S 1	NW 2	C	8^1	10^2●	10^2●	–	a ⌊⌋. p ◍^{0}
15.	50.5	51.0	51.9	5.6	9.7	4.3	10.0	4.3	5.3	3.8	3.8	79	42	62	N 3	NE 2	NE 2	10^2	8^1	0	0.2	
16.	52.0	50.4	50.7	2.1	10.7	6.0	11.4	0.4	3.0	3.3	4.0	68	34	57	E 2	E 2	E 2	⊖⊖	⊖⊖	0	–	a ⌊⌋
17.	50.2	48.3	47.8	3.4	13.4	8.9	15.8	1.2	4.3	4.4	5.3	73	39	62	C	E 3	E 4	⊖⊖	1^1⊖	0	–	a ◬
18.	46.6	45.1	45.0	4.7	14.6	10.7	16.0	2.0	4.6	5.6	6.5	71	45	68	SE 2	SE 2	C	⊖⊖	10^2	10^1	–	a ◬
19.	46.0	46.0	47.4	6.7	15.0	10.6	16.8	5.6	6.1	6.1	6.0	83	49	63	SE 1	SE 1	C	10^2	6^1⊖	5^1	–	a ◬, ∞
20.	49.4	49.4	51.1	6.8	16.4	12.2	16.8	4.4	5.7	5.3	5.6	77	38	53	NW 1	SE 4	E 2	5^1	9^2	10^2	–	a ◬
21.	51.4	52.0	53.2	10.0	17.3	10.1	17.3	8.8	5.8	4.5	5.1	63	31	55	E 4	E 4	NE 2	⊖⊖	6^1⊖	0	–	a ◬
22.	54.4	52.7	52.8	8.8	16.9	10.5	18.2	5.0	5.5	7.2	6.6	66	51	70	SE 2	NE 2	E 1	⊖⊖	8^2	0	–	a ◬. $2^{12.20}$ p ☈, $2^{10.40}$ p ◍
23.	52.6	51.5	52.2	9.6	12.2	8.3	16.2	5.4	6.4	6.0	5.4	71	56	66	E 4	S 3	NE 3	1^1⊖	5^1●	0	0.6	a ◬. p ztw. ◍
24.	51.3	49.2	49.1	8.9	17.7	12.1	18.0	4.3	5.9	4.4	5.2	70	29	50	NE 3	SE 3	NE 3	⊖⊖	3^1⊖	2^1	0.4	a ◬
25.	49.1	46.5	46.3	7.7	13.4	10.0	18.3	5.1	5.3	7.0	5.7	68	61	62	SE 1	SE 3	E 1	7^1⊖	4^2⊖	0	–	a ◬
26	46.1	43.5	42.4	5.8	18.0	10.4	18.7	3.4	5.0	4.8	5.8	73	31	62	E 1	NE 2	N 1	⊖⊖	3^1⊖	9^1	–	a ◬
27.	42 3	40.1	39.3	5.6	19.0	11.5	**19.1**	3.1	4.9	4.5	6.1	73	27	60	E 1	N 1	NE 1	⊖⊖	9^1	10^1	–	a ◬. p ☋
28.	39.0	37.5	38.3	7.7	18.2	11.1	18.2	3.1	5.4	3.9	5.6	69	25	57	NE 1	NE 3	N 6	10^1	1^1⊖	0	–	a ◬
29.	39.6	40.4	43.6	6.7	13.7	7.4	13.7	3.7	3.9	3.9	4.9	53	33	64	NE 2	NE 2	NW 3	2^1⊖	5^1⊖	2^1	–	a ◬
30.	45 2	46.2	48.5	7.1	10.9	7.0	10.9	6.1	5.1	4.6	4.0	68	47	53	NE 6	NE 4	NE 2	10^2	6^1⊖	2^1	–	a ◬. a ztw. ◍tropfen
																					20,8	
Mittel	47.3	46.4	47.1	5.3	12.1	7.8	13.7	3.1	4.9	4.7	5.2	73	46	64				5.0	6.7	3.8		

Alle Angaben nach Ortszeit.

Ludwigshafen a/Rh.

April. $\varphi = 49^0\ 29'$ N. $\lambda = 8^0\ 26'$ E $= 33^m\ 44^s$. H $= 100.3$ m. Cg $= +0.3$ mm. 1912.

Datum	Luftdruck auf 0^0 u. Normalschwere reduziert 700 mm +			Lufttemperatur C°					Absolute Feuchtigkeit mm			Relative Feuchtigkeit Proz.			Richtung und Stärke des Windes 0 bis 12			Bewölkung 0 bis 10			Niederschlag mm	Bemerkungen
	7^a	2^p	9^p	7^a	2^p	9^p	Max.	Min.	7^a	2^p	9^p	7^a	2^p	9^p	7^a	2^p	9^p	7^a	2^p	9^p	7^a	
1.	38.7	39.7	45.4	8.4	10.3	5.8	12.5	5.8	7.8	5.7	4.5	94	61	66	S 1	W 2	N 6	10^2	10^2	9^2	2.8	9^{30} p ◍^{1}. 5^{30} p ⩩, ◍^{1}
2.	53.0	56.9	60.1	3.7	6.1	3.9	7.5	2.2	4.2	4.2	4.0	70	60	65	W 2	W 4	W 3	9^2	$5^1\odot$	0	1.7	a ⌴^{1}
3.	63.2	63.7	64.9	1.6	7.6	5.1	7.7	0.8	4.1	2.9	3.3	80	37	49	W 2	NW 2	N 1	10^1	9^1	0	–	a ⌴^{1}
4	66.8	64.7	63.4	− 0.3	10.8	8.6	11.5	− 0.6	4.1	3.4	5.4	92	35	65	S 1	SW 2	SW 2	○○	$2^0\odot$	5^0	–	a ⌴^{2}
5.	59.7	57.1	58.5	6.4	10.8	12.0	12.1	6.0	4.8	6.7	7.0	66	70	67	SE 1	W 2	SW 2	10^1	10^1	10^2	–	nachm. ◍^{1}
6.	58.6	56.8	56.9	11.4	16.0	13.8	16.0	11.0	7.6	7.5	8.9	76	56	76	SW 1	SW 2	NW 2	10^2	$3^0\odot$	0	1.4	
7.	57.8	58.2	58.1	12.3	16.2	10.8	16.4	10.8	6.6	3.5	4.8	62	26	50	NW 1	NW 2	N 1	10^2	5^1	0	–	
8.	54.4	47.4	43.3	5.4	18.4	13.0	18.5	4.2	5.1	6.3	5.5	77	40	49	S 1	SW 3	SW 5	$2^0\odot$	8^1	5^2	–	10^{30} a ab böig. abds. ⩩
9.	42.4	43.2	47.1	6.2	7.6	2.5	9.1	2.5	5.5	4.3	3.8	78	56	69	SW 2	SW 5	SW 2	10^1	6^1	0	1.4	n ⩩, ◍^{0}. 9^{40-56} a △^{0}
10	47.9	43.5	46.3	0.3	3.9	2.7	7.1	0.2	4.4	5.1	4.6	91	81	82	S 1	S 2	SW 5	$2^0\odot$	10^1	$10^2\bullet$	1.8	a ⌴^{1}, nachm. u. abds. △^{0}. 9 p ◍
11.	51.8	51.5	51.3	2.5	4.6	4.4	8.4	0.2	4.0	5.0	5.1	72	79	82	SW 2	SW 2	SW 1	10^2	$10^2\bullet$	10^2	0.8	a ⌴^{1}. nachm. u. abds. ◍^{0}
12.	57.8	60.7	64.5	2.2	6.0	1.7	6.9	0.2	3.7	2.6	4.2	68	38	82	W 2	W 5	SW 3	9^2	8^2	0	0.8	
13	66.3	64.2	63.9	− 0.8	8.0	7.4	8.9	− 2.0	4.1	2.2	3.3	94	28	43	W 2	N 2	N 1	○○	$2^0\odot$	0	–	a ⌴^{1}, ∞
14.	61.1	59.2	58.2	− 0.1	8.4	7.2	9.7	− 0.2	4.0	4.9	6.5	87	60	86	E 1	NW 2	SW 1	$5^1\odot$	10^2	10^2	–	a ⌴^{1}
15.	58.2	58.3	58.6	5.1	9.2	6.2	10.1	2.2	6.1	4.8	5.0	94	56	71	N 1	NE 2	N 2	$10^1\bullet$	$10^2\bullet$	0	2.0	n−8 a ◍^{1}. nachm. ◍^{0}
16.	59.2	57.9	57.4	2.6	11.2	8.8	11.3	2.2	4.2	3.2	3.7	75	32	45	N 1	NE 1	NE 1	○○	○○	0	0.8	
17.	57.0	55.5	54.5	5.8	13.5	11.0	14.0	3.3	3.8	4.6	5.2	55	40	51	NE 1	S 1	E 1	○○	○○	0	–	
18	53.7	52.2	52.3	5.3	16.0	12.4	16.0	5.2	4.9	4.6	6.1	74	34	57	N 1	NW 1 C		⊂○	$5\odot$	0	–	a ∞
19.	53.8	53.7	55.2	8.8	16.2	11.9	18.2	7.8	5.8	5.4	7.5	68	40	73	C	NE 3	SE 1	$8^1\odot$	9^2	0	–	1^{44} p, abds. ◍^{0}
20.	57.1	56.9	57.5	8.6	18.2	16.8	18.2	8.2	6.5	6.0	6.0	78	38	42	N 1	NE 1	N 1	$4^0\odot$	$5^1\odot$	0	0.2	a ∞ u. ⏢
21.	59.4	59.3	59.7	10.0	17.4	14.2	18.2	9.6	5.9	5.4	4.9	64	37	40	N 1	NE 2	NE 2	$4^1\odot$	$7^1\odot$	0	–	
22.	61.6	60.1	60.2	10.0	18.8	13.4	19.3	9.4	5.2	3.6	5.9	57	23	52	N 2	NE 2	N 2	○○	$4^0\odot$	0	–	3^{30} p Gewitterwolken aus N, böig. 3^{40-54} p ◍^{1}
23	59.9	58.5	58.9	10.0	18.4	11.4	18.4	7.0	6.4	3.8	5.1	69	24	50	NE 1	E 2	E 2	$5^1\odot$	4^1	0	0.4	⏢. 3^{39} p auffällig starker Ni aus NE
24.	58.5	56.6	56.2	9.2	19.4	14.8	20.0	7.6	5.5	4.7	4.4	63	28	35	N 1	NE 1 C		○○	$5^1\odot$	0	–	
25.	56.5	54.8	53.9	8.9	17.8	13.2	18.3	7.2	5.5	5.4	6.3	65	35	55	N 1	NE 1 C		$3^1\odot$	5^1	0	–	
26.	53.9	51.8	50.3	8.0	19.2	13.6	19.3	6.4	4.9	4.3	5.8	62	26	50	N 1	E 1 C		○○	6^1	0	–	
27.	49.7	47.0	46.6	8.2	19.4	18.6	19.7	5.6	5.5	3.2	7.5	67	19	47	S 1	S 1 S 1		$4^1\odot$	8^1	0	–	
28.	46.1	44.8	45.8	9.0	18.4	11.6	19.0	8.4	5.4	4.3	5.2	63	28	51	N 2	N 3	N 5	10^1	$5^1\odot$	0	–	
29.	48.0	49.1	51.5	6.0	13.6	9.2	14.1	4.2	4.3	2.7	3.9	62	23	45	N 2	N 5	N 3	○○	$4^1\odot$	0	–	
30	53.7	54.9	56.1	6.1	10.4	7.8	10.4	5.2	6.3	5.4	6.4	90	58	81	N 2	N 2	N 2	$10^2\bullet$	10^2	0	–	5^{30} a ◍^{0}. 7 a ◍
																					14.1	
Mittel	55.5	54.6	55.2	6.0	13.1	9.8	13.9	4.7	5.2	4.5	5.3	74	42	59				5.2	6.2	2.0		

Nürnberg.

April. $\varphi = 49^0\ 27'$ N. $\lambda = 11^0\ 3'$ E $= 44^m\ 12^s$. H $= 309.1$ m. Cg $= +0.2$ mm; über 735.0 mm Cg $= +0.3$ mm. 1912.

1.	20.8	20.6	22.8	7.2	8.6	5.3	10.2	5.3	7.0	7.2	6.2	93	87	92	S 1	W 2	NW 4	10^0	10^0	$10^1\bullet$	6.6	n, t ztw. ◍$^{0.1}$
2.	30.9	34.4	38.5	1.7	2.3	2.3	5.3	1.4	4.1	4.6	3.4	80	84	63	W 2	NW 4	N 3	10^0	10^0 ●✱	10^1	11.6	n−ca 0^{30} a ◍^{0}. ca 7−10^{30} a ztw. ✱^{0}. 1^{30-5} p ztw. ✱$^{0.1}$
3	32.2	43.3	45.6	− 1.1	3.3	1.1	4.1	− 2.1	3.7	3.2	3.4	86	55	66	N 2	NW 2	E 1	10^1	$4^1\odot$	0	–	nach 9 p ✱^{0}−geg. 10 p. t wechs. Bewölkg., abds. Aufkl.
4	46.9	45.2	43.9	− 2.3	8.4	6.6	9.0	− 3.8	3.5	3.2	4.5	80	38	62	SE 1	SW 2	SW 2	○○=	$4^1\odot$	0	–	n wolkenlos, ⌴. a ≡^{1}. 2 p an zunehm. Bewölkg.
5.	39.9	36.8	37.4	5.7	11.0	9.2	11.1	4.7	4.7	6.0	7.3	68	61	84	SW 2	SW 4	SW 3	10^0	$10^0\bullet$	10^0	–	t bedeckt. nach 11 a−nach 5 p ztw. ◍^{0}
6.	37.0	36.4	35.6	10.4	14.6	12.6	15.0	8.1	8.1	7.5	7.8	87	61	72	W 2	W 2	W 3	$10^1\bullet$	$8^1\odot$	10^1	1.6	9^{30-50} p, 6^{18}−ca 8 a ◍^{0}. t bedeckt
7.	37.1	37.8	38.3	10.4	12.7	7.8	13.0	7.4	6.1	4.1	4.3	65	37	56	NW 3	NW 4	N 1	10^0	$7^1\odot$	0	–	1^{30} a, gegen 2 a ◍^{0}. p Aufklaren. t sichtige Luft
8.	35.7	29.4	23.9	4.3	16.6	11.5	17.2	2.0	4.6	5.4	7.2	74	39	71	S 1	SW 3	SW 1	$9^1\odot$	$4^1\odot$	0	–	t böige SW-Winde, heiter, sehr sichtige Luft
9.	23.2	23.3	26.2	2.7	5.5	1.9	11.5	1.9	5.2	4.8	3.9	93	71	75	NW 2	W 3	NW 2	$10^1\bullet$	10^1	10^1	0.9	2^{40}−gegen 3 a ◍^{0}. 5^{40-50} a ◍^{0} △^{0}. t ztw. ◍^{0} ✱$^{0.1}$. [1])
10.	28.4	24.5	23.9	− 0.2	7.6	2.2	8.1	− 0.9	3.7	3.0	4.5	81	38	84	SW 3	SW 3	SW 4	$4^1\odot$	10^1	10^1	2.0	4^{30} a ⋎. n ⌴. t wechs. Bewölkg., 3 p an bedeckt, [2])
11.	31.8	31.8	31.3	1.1	3.1	1.3	4.9	− 0.8	3.9	4.5	4.6	77	78	91	W 2	NW 4	SW 2	8^1	10^1	0	–	9^{50}−10 p △^{0}. mn kurz ✱^{0}. 6 a−m ztw. ✱^{0}. m−2 p [3])
12	35.7	38.7	43.2	0.0	2.4	− 0.3	3.0	− 0.8	3.1	3.4	3.2	78	61	72	W 3	NW 3	NW 3	8^1	10^1	0	0.3	11^{30} p−4 p ztw. ✱^{0}. a wechs. Bewölkung, abds. Aufkl.
13	45.7	44.7	43.5	− 1.3	5.1	1.4	5.8	− 3.5	2.9	2.7	3.7	71	41	72	W 2	NW 2 C		○○	9^1	0	–	a ⌴, ∞. 8 a an zunehm., 6 p an abnehm. Bewölkg. [4])
14.	40.9	38.6	38.3	− 0.4	8.0	4.3	8.1	− 2.9	3.4	4.6	5.8	76	58	93	SE 1	NW 2	NW 1	$5^1\odot$	10^1	10^1	–	a ⌴ ≡^{1}. 3 p an ztw. ◍^{0}. t meist bedeckt
15.	38.3	38.9	39.7	4.2	8.5	3.5	8.9	3.0	5.5	3.3	3.6	89	40	62	NE 2	E 3	NE 2	10^0	$6^1\odot$	0	–	nach mn kurz ◍^{0}. a bedeckt, p Aufkl. t sehr sicht. Luft
16.	39.9	39.1	38.8	0.7	8.6	6.1	10.2	− 0.4	3.2	3.1	3.9	66	37	56	E 2	E 3	E 2	$5^0\odot$	○○	0	–	a ⌴. t heiter
17.	38.6	37.5	36.9	4.4	12.6	8.8	13.8	1.9	4.1	4.5	4.1	65	41	49	E 2	E 2	E 2	$7^0\odot$	$3^1\odot$	0	–	a ⏢. t heiter, sehr sichtige Luft, m−4 p zunehmende, [5])
18.	35.6	33.6	33.7	4.9	15.0	11.1	15.4	2.0	4.1	4.5	5.2	62	38	53	E 2	SE 2	E 2	$7^0\odot$	$8^0\odot$	10^0	–	a ⏢. t zunehmende Bewölkung, sehr sichtige Luft
19.	34.6	34.9	36.2	5.8	14.0	10.0	14.4	5.5	4.9	5.2	5.7	71	44	67	SE 2	NE 1	E 1	10^0	$8^1\odot$	0	–	t wechselnde Bewölkung
20.	38.0	38.2	39.6	5.6	14.8	11.1	15.9	2.9	5.6	4.1	5.7	83	33	58	E 1	NE 2	E 2	$3^0\odot$	9^1	0	–	t wechselnde Bewölkung. p ztw. ◍tropfen
21	40.6	40.4	41.4	9.0	15.5	10.9	16.0	7.2	5.8	4.2	4.8	68	33	50	E 3	E 3	E 3	○○	$8^1\odot$	0	–	t wechselnde Bewölkung. 6 p an Aufkl. t sicht. Luft
22.	42.7	41.0	41.0	7.9	16.1	10.3	16.9	4.9	5.2	5.8	5.7	65	43	61	NE 2	E 3	NE 3	$3^0\odot$	$5^1\odot$	10^1	–	a ⏢. 7 a an zunehmende Bewölkung, geg. 1 p ◍^{0}. [6])
23.	41.0	39.8	40.0	9.7	14.0	7.5	14.0	7.5	5.6	4.0	5.6	63	33	72	E 2	E 3	NE 2	$1^0\odot$	$9^1\odot$	0	–	a ⏢. t wechs Bewölkg. p böig. 10 a−4^{30} p ztw. ◍^{0}. 7)
24.	39.8	37.9	37.6	7.1	16.6	11.6	17.0	5.1	5.5	4.2	5.6	73	30	54	E 2	NE 2	E 2	$4^0\odot$	$6^1\odot$	0	–	a ⏢. p zunehm. Bewölkg. 7 p an Aufkl. 3^{30} p, 5^{10} p ◍^{0}. 8)
25.	37.6	35.9	35.1	6.8	16.8	11.0	16.9	3.8	5.6	3.6	5.2	76	25	53	NE 2	E 3	E 1	9^1	7^1	0	–	t wechselnde Bewölkung, sichtige Luft
26.	35.2	32.6	31.9	3.7	16.3	12.0	16.8	1.5	4.9	4.8	4.7	82	35	45	C	N 2	E 1	$6^0\odot$	$6^1\odot$	2^1	–	n klar. a ≡^{1}. t oft C, wechselnde Bewölkung
27.	31.0	28.8	27.8	6.7	17.6	12.8	17.8	1.9	5.2	4.3	5.1	72	29	47	SE 1	N 2	NE 1	○○	6^1	10^1	–	a ⏢, ≡^{5}. t oft C. 3 p an bedeckt
28.	27.4	25.7	25.9	7.9	17.6	10.3	17.9	6.0	5.3	4.3	5.5	67	29	59	C	E 1	N 2	10^0	$9^0\odot$	0	–	9 a an langsames Aufklaren. t auffrischende N-Winde
29	27.7	28.4	31.1	6.0	12.4	6.2	13.7	2.9	4.5	4.0	4.9	65	38	69	N 2	N 1	NE 1	$6^0\odot$	$5^1\odot$	8^1	–	n klar. t wechselnde Bewölkg., meist lebhafte N-Winde. [9])
30.	33.2	34.8	36.4	5.7	9.4	5.1	10.0	3.9	5.0	4.6	4.4	73	52	68	N 1	SE 2	E 2	10^1	10^1	0	–	4 a−2 p meist bedeckt. a ztw. ◍^{0}. t sichtige Luft
																					23.0	
Mittel	35.9	35.1	35.5	4.5	11.2	7.2	12.1	2.5	4.8	4.4	5.0	75	46	66				6.2	7.4	3.7		

1) 11^{15} a−m ✱$^{0.1}$ △$^{0.1}$. 2) dann ztw.−n ✱^{0}. ◍^{0}. 3) ztw. ✱^{0} △^{0}. 3^{10-20} p ✱^{0}. 4) sehr sichtige Luft. 5) dann abnehmende Bewölkg. 6) 4^{35-50} p ⊼ i. N. t sehr sichtige Luft. 7) 6 p an Aufklaren. 8) 11^{30} a farbige ⊕. 9) sichtige Luft

Alle Angaben nach Ortszeit.

Kaiserslautern.

April. $\varphi = 49^0\ 27'$ N. $\lambda = 7^0\ 46'$ E $= 31^m\ 4^s$. H $= 242.2$ m. Cg $= +0.3$ mm. 1912.

Datum	Luftdruck auf 0^0 u. Normalschwere reduziert 700 mm +			Lufttemperatur C⁰					Absolute Feuchtigkeit mm			Relative Feuchtigkeit Proz.			Richtung und Stärke des Windes 0 bis 12			Bewölkung 0 bis 10			Niederschlag mm	Bemerkungen
	7a	2p	9p	7a	2p	9p	Max.	Min.	7a	2p	9p	7a	2p	9p	7a	2p	9p	7a	2p	9p	7a	
1.	**26.7**	29.1	34.1	7.9	7.5	3.7	10.3	3.7	6.9	6.6	4.2	88	86	70	W 1	NW 1	N 2	10^1	10^2●	7^1	**4.2**	a ≡. 2–7^{30} p ◍^{0}
2.	41.0	43.9	47.2	2.7	6.9	2.8	7.2	1.5	4.2	3.5	3.4	75	46	60	N 2	W 3	N 1	10^2✳	8^1○	7^1	1.7	n ✳. a–10^{30} a ztw. ✳^{0}, △^{0}
3.	49.6	50.2	51.8	− 0.3	6.8	1.2	7.2	− 2.0	3.5	4.2	4.0	78	57	80	C	NE 1	C	10^2	10^2	o	0.1	a ≡^{2}. t ≡, ∞
4.	**52.9**	51.2	50.2	− 1.5	10.5	7.5	11.0	− 2.9	3.5	4.4	5.1	84	46	66	C	W 3	W 2	4^0○	3^0○	o	–	a ⌙^{2}, ≡^{1}. p ztw. ⩸
5.	46.9	45.1	45.4	5.9	9.1	11.1	11.1	4.6	5.1	6.3	7.2	74	73	73	W 3	NW 3	NW 3	10^1	10^3●	10^1	–	0^{30} p ab ztw. ⩸, ◍^{0}
6.	45.6	44.9	44.6	10.1	12.5	12.8	13.0	9.6	7.8	8.0	**9.1**	84	75	83	W 3	W 3	W 2	10^1	9^1	2^0	0.6	n, a ztw. ⩸
7.	45.5	45.9	45.4	10.1	14.5	8.5	15.2	8.5	7.9	5.1	6.0	86	42	73	NW 2	W 2	C	9^1	2^1○	o	–	
8.	41.4	35.6	31.6	3.7	15.9	11.3	16.8	1.1	5.0	6.8	6.6	83	51	66	C	W 6	NW 4	2^0○	8^1	10^2	–	a ∞ △^{2}. 9^{30} a–n ⩸
9.	30.5	31.5	35.0	5.2	6.9	1.1	11.3	1.1	5.7	4.0	3.6	86	53	72	W 2	NW 3	NW 3	10^2	5^1○	o	2.0	n ◍, ⩸. $9^{16.21}$ a △^{2} ◍ ⩸. p ztw. ⩸. [1]
10.	35.2	31.3	34.7	0.5	2.0	1.7	5.4	− 0.8	3.7	4.8	4.6	76	**91**	90	W 2	W 2	W 2	5^0○	10^2✳	o	0.2	a ⌙^{3}. 11^{30} a–3 p ✳. $4^{06.26}$ p ✳, ◍^{0}. [2]
11.	39.2	38.9	39.1	0.7	3.0	2.9	6.5	− 1.5	4.2	5.2	5.2	87	**91**	**91**	W 1	W 1	C	10^1	10^1○	o	3.3	n ◍, ✳^{0}. a ⌙^{2}, ≡^{1}. $10^{06.30}$ a ✳flocken. [3]
12.	44.9	47.8	51.1	1.0	3.8	0.9	5.9	0.1	3.7	4.3	3.8	75	72	77	W 2	N 2	C	10^2	8^1○	o	2.4	n ✳ ◍. 9^{06} a ab, p ztw. ✳^{0}
13.	52.3	50.6	49.6	− 2.5	6.9	1.8	7.9	− **4.1**	3.4	2.9	3.5	89	38	67	E 1	E 2	C	4^0○	2^0○	o	0.1	a ⌙^{2}, ≡^{2}
14.	48 0	46.1	45.0	− 1.7	8.4	6.0	9.0	− 3.9	3.2	5.6	6.0	80	67	87	C	N 1	C	4^0○	9^1	10^2●	–	a ⌙. ≡^{2}. 1–1^{30} p ztw. ◍tropfen. 5 p–n ◍^{0}
15.	45.1	44.4	45.9	5.1	8.8	4.1	9.0	4.1	5.6	5.2	4.3	86	62	71	SE 1	E 2	E 1	10^1	9^1	o	0.8	n ◍^{0}
16.	45.9	44.5	44.4	2.6	9.9	4.1	10.9	− 0.6	4.5	3.7	4.5	80	40	74	E 1	SE 2	C	7^1○	2^0○	o	–	a ⌙
17.	43.7	42.4	41.7	0.8	11.1	5.9	13.2	− 1.6	4.2	5.0	5.5	87	51	79	C	SE 1	C	2^0○	1^0○	o	–	a ⌙^{2}, ≡^{2}
18.	40.8	39.6	40.1	3.1	14.3	9.7	15.0	0.4	4.9	5.9	7.1	87	49	79	C	E 2	C	8^0	10^2	10^1	–	a ⌙, ≡^{1}. 2^{03} p ◍tropfen
19.	41.3	41.1	42.9	5.3	16.6	9.7	16.9	4.1	5.8	5.8	8.0	87	41	89	C	C	C	9^1	7^1	10^1	–	a ≡^{2}. $2^{03.51}$ p ◍^{0}. $7^{06.41}$ p ◍tropfen
20.	44.3	44.1	45.5	7.1	16.5	10.9	17.3	5.2	6.9	5.0	6.5	**91**	35	68	C	E 1	C	9^1○	5^1○	o	0.1	a ≡^{2}. 5 p kurz ◍tropfen
21.	46.6	45.9	46.6	6.5	15.7	11.6	17.0	5.0	6.0	5.1	5.5	83	39	54	C	E 3	C	7^1	8^1	o	–	a ≡^{1}. t ztw. ⩸
22.	48.1	47.0	47.1	9.4	15.9	10.0	18.0	5.1	5.5	5.5	5.9	62	41	64	E 2	E 4	C	oo	8^2	o	–	t ztw. ⩸. $9^{21.23}$ p ◍tropfen
23.	46.9	45.2	45.6	7.3	16.1	10.8	16.1	4.2	6.1	4.9	5.3	80	36	55	C	E 2	E 2	2^0○	7^1○	10^2	–	a ≡^{1}. △. $0^{06.38}$ p ◍tropfen. p ztw. ⩸
24.	45.1	43.6	44.0	7.5	17.9	10.2	**18.3**	4.3	5.8	4.8	5.9	74	31	64	E 2	E 1	C	oo	4^0○	o	–	a △. p ztw. ⩸
25.	43.8	42.4	41.5	5.9	15.4	9.1	17.0	3.1	5.3	5.3	5.9	77	40	68	C	SE 1	C	2^0○	9^1	2^0	–	a ≡^{1}. 1^{16} p ◍tropfen
26.	41.2	39.1	38.1	4.9	17.5	9.1	18.1	1.7	5.1	4.8	5.9	79	32	68	C	E 2	C	2^0	4^0○	o	–	a △^{2}, ≡^{1}
27.	37.2	34.9	34.2	7.9	17.8	11.3	18.1	3.1	6.0	6.3	6.8	75	42	68	C	E 1	C	9^1	9^2	10^1	–	a ≡^{2}. 9^{46} a kurz ◍tropfen. p ztw. ◍tropfen
28.	34.2	32.9	34.3	10.0	17.8	9.9	**18.3**	7.2	5.8	5.3	5.5	63	35	61	E 1	E 1	W 1	10^1	5^0○	o	–	t ztw. ⩸
29.	35.7	36.7	39.7	6.9	12.5	7.1	13.8	2.2	4.2	3.2	4.4	56	29	58	E 2	NE 3	C	2^0○	7^1	o	–	a △^{0}. t ztw. ⩸
30	41.2	41.9	43.1	5.1	10.1	6.7	11.1	2.1	5.7	6.2	4.8	88	67	66	NE 1	E 1	C	10^2●	9^1	2^1	–	5^{46} a–1^{21} p ztw. ◍^{0}
																					15.5	
Mittel	42.7	41.9	42.7	4.6	11.6	7.1	12.9	2.2	5.2	5.1	5.5	80	52	71				6.6	6.9	3 0		[1] 3^{30} p an ztw. ✳flocken [2] abds.–8^{16} p ztw. ✳ ◍ [3] $0^{06.16}$ p ✳$^{-2}$, dann bis 1^{30} p ◍ ✳. $7^{06.36}$ p ✳ ◍^{0}

Ansbach.

April. $\varphi = 49^0\ 18'$ N. $\lambda = 10^0\ 33'$ E $= 42^m\ 12^s$. H $= 437.5$ m. Cg $= +0.2$ mm. 1912.

1.	09.3	09.5	12.2	6.6	8.2	4.1	8.6	3.7	7.0	7.0	5.7	96	88	93	W 2	W 2	N 6	10^2●	10^2●	10^2●	4 8	n, a, t, abds. ◍. abds. ⩸
2.	20.1	23.6	27.4	0.6	2.4	1.1	4.4	− 0.2	3.8	4.1	2.8	80	76	56	W 4	N 4	N 4	10^2	10^2✳	10^2	**8.1**	t ✳ ◍, ztw. ⩸. nachm. ✳ ⩸
3.	31.0	32.1	34.0	− 1.6	3.3	− 2 6	3.8	− 2.6	2.8	2.9	3.0	70	51	81	N 2	N 2	C	2^1○	4^1○	o	0.8	
4.	**35.2**	33.7	32.8	− 2.4	7.2	5.2	8.8	− 4.2	3.3	3 3	4.4	85	43	66	C	W 2	W 2	oo	o	10^2	--	mrgs. ⌙
5.	28.6	26.0	26.6	6 0	10.6	8.4	11.0	3.5	4.2	5.8	7.0	60	61	87	SW 4	W 6	W 6	10^2	10^2●	10^2	–	1^{37}–6^{32} p ◍ ⩸; dann ⩸
6.	26.6	25.5	25.7	9.1	13.4	11.7	13.6	7.9	7.7	7.6	**8.1**	92	66	80	W 6	W 6	W 6	10^2●	6^2	10^2	3.4	n, a ⩸. a–7^{17} a ◍ ⩸. t ⩸
7.	26.2	27.0	27.3	9.7	12.4	6.8	12.8	6.2	6.5	4.4	5.1	72	42	56	W 4	W 4	C	10^2	2^1○	o	0.2	
8.	24.3	17.8	23.1	4.9	16.2	11.7	16.8	0.0	4.6	6.2	6.9	70	46	68	C	W 6	W 4	4^1○	oo	o	–	mrgs. △ ≡^{0}
9.	11.5	11.6	15.0	4.7	4.7	0.4	12.2	− 0.2	6.2	5.1	4.0	**97**	80	85	NW 4	W 4	NW 4	10^2●	10^2	o	0.8	9^{27} p ab, n, a ⩸. 6^{37} a ab ◍ ⩸. t ztw. ✳△◍
10.	17.3	13.3	13.2	− 1.5	5.9	0.9	6.4	− 1.9	3.7	3.1	4.7	90	45	96	W 4	SW 6	W 6	oo	10^2	10^2✳	4.8	4^{27} p ab ✳. t ⩸. 9 p ✳
11.	20.6	20.0	20.3	− 0.8	3.7	0.1	4.2	− 2.1	3.8	4.2	4.3	88	70	94	W 4	NW 4	W 2	8^2	10^2	o	1.8	t ztw. ✳
12.	24.7	27.6	32.1	− 0.9	0.9	− 1.4	2.8	− 1.9	3.5	4.1	2.3	80	82	55	NW 4	NW 4	NW 4	co	4^1○	o	1.4	n, a ✳. t ztw. ✳ △
13.	34.3	33.0	31.7	− 2.3	4.2	− 1.8	5.8	− 5.0	3.1	2.6	2.8	79	41	70	C	C	C	oo	4^1○	o	1.1	mrgs. ⌙
14.	29.4	27.4	27.0	− 1.3	8.2	3.5	8.4	− 5.0	3.7	4.6	5.4	88	57	93	C	NW 2	C	oo	8^2	10^2	–	mrgs. ⌙. 3^{42}–5^{27} p ◍
15.	26.9	27.5	28.1	3.3	7.7	2.3	8.6	1.5	5.4	4.1	4.0	93	54	73	NE 2	NE 2	NE 1	10^2	8^2	o	0.5	mrgs. ≡^{0}
16.	28.2	27.5	27.5	0.1	8.0	4.1	9.8	− 2.3	3.7	3.6	4.0	79	46	64	NE 2	E 2	C	oo	oo	o	–	mrgs. ⌙
17.	26.9	25.7	25.2	1.9	12.2	5.7	13 6	− 0.8	4.3	4.7	4.5	82	45	66	E 2	E 2	C	oo	2^1○	o	–	mrgs. ⌙
18.	23.6	22.5	23.5	3.4	14.2	8.9	14.4	0.2	4.5	4.9	5 6	76	41	66	E 2	E 2	C	4^0○	4^0○	10^2	–	
19.	23.4	24.0	25.0	5.2	14.2	7.4	14.2	2.3	5.7	6.0	5.8	87	51	76	C	NE 2	C	10^2	4^0○	o	–	mrgs. ≡^{0}
20.	26.6	26.9	28.3	4.4	14.8	6.8	15.0	1.7	5.2	5.4	5.6	85	44	76	C	C	C	4^0○	8^1	o	–	
21.	29.4	29.0	30.1	7.8	14.8	9.2	14.8	5.4	5.9	5.2	4.8	74	42	54	C	E 6	E 4	oo	8^1	o	–	mrgs. ≡^{0}. t ⩸
22.	31.2	29.9	29.9	6.9	14.2	7.9	16.4	2.9	5.6	5.1	6.3	76	42	79	E 2	E 2	C	oo	6^1	o	–	$0^{37.45}$ p ◍. $1^{37.42}$ p ◪ ◍
23.	29.5	28.5	28.7	7.8	13.8	5.7	14.0	5.4	6.7	3.7	5.6	85	32	83	NE 4	E 4	C	oo	6^1○	o	0 1	$4^{04.32}$ p ◪ ◍
24.	28.4	26.7	26.7	5.5	16.6	9.5	17.2	0.8	6.1	4 9	6.1	91	35	68	E 2	E 4	C	2^0○	2^1○	2^0	0.5	mrgs. ⌙. $3^{42.52}$ p, $4^{22.27}$ p ◍
25.	26.4	24.8	24 2	6.4	15.2	7 4	17.2	1.9	5.8	4.4	5.3	82	34	69	C	NW 2	C	6^1	4^1○	o	0 1	
26.	23.7	21.9	21.1	5.1	16.1	7.1	16.4	0.0	5.5	4.7	5.1	85	36	68	C	NE 2	C	oo	4^1○	o	–	
27.	19.5	17.7	16.8	5.5	17.9	9.6	**18.0**	0.4	5.7	5.3	6.1	85	36	68	C	C	C	oo	6^1○	10^2	–	
28.	16.1	14.9	15.2	7.8	17.0	10.1	17.2	6.0	5.2	5.3	6.3	65	37	68	C	E 2	NE 4	10^2	4^0○	o	–	
29.	16.5	17.8	20.5	4.3	11.7	5.2	12.0	2.1	4.9	4.7	4.4	79	45	66	N 2	N 4	N 2	2^0○	4^1○	o	–	
30.	22.9	23.7	25.2	4.1	7.5	4.6	9.0	2.1	5.5	5.6	4.2	90	71	66	N 2	N 4	NE 2	10^2●	10^2	2^0	–	6^{37} a ab ztw. ◍
																					28.4	
Mittel	24.6	23.9	24.5	3.7	10.6	5.3	11.6	0.9	5.0	4.8	5.0	82	51	73				4.4	5.6	3.1		

Alle Angaben nach Ortszeit.

Regensburg.

April. $\varphi = 49^0\ 1'$ N. $\lambda = 12^0\ 7'$ E $= 48^m\ 28^s$. H $= 342.6$ m. Cg $= +0.2$ mm. 1912.

Datum	Luftdruck auf 0° u. Normalschwere reduziert 700 mm + 7a	2p	9p	Lufttemperatur C° 7a	2p	9p	Max.	Min.	Absolute Feuchtigkeit mm 7a	2p	9p	Relative Feuchtigkeit Proz. 7a	2p	9p	Richtung und Stärke des Windes 0 bis 12 7a	2p	9p	Bewölkung 0 bis 10 7a	2p	9p	Niederschlag mm 7a	Bemerkungen
1.	19.3	18.8	18.4	5.0	8.0	5.4	10.0	3.9	5.4	6.1	5.6	83	76	83	S 2	W 2	W 2	10^1	10^2●	10^1	2.0	t regnerisch
2.	26.2	29.1	33.2	2.0	4.8	1.4	6.0	0.9	3.4	4.0	4.7	64	62	93	NW 4	NW 6	NW 4	10^2	8^2	10^1● ✳	**9.0**	bis ca 6 a ≡, $10^{08.21}$ a ✳, $11^{28.31}$ a ✳ △; 1)
3.	37.3	40.0	42.3	− 1.0	2.0	− 0.6	4.0	− 2.1	3.3	2.4	2.6	76	45	61	N 4	N 4	N 2	6^2	4^2	o	3.0	
4.	**43.3**	41.8	41.0	− 3.2	8.6	5.4	9.8	− 4.5	3.0	2.8	3.8	85	34	57	NE 2	SW 2	SW 2	2^1⊙	4^2⊙	o	−	⌴
5.	37.7	34.2	33.6	4.0	9.8	8.8	10.5	2.4	3.5	5.3	7.0	64	58	83	W 2	W 4	W 6	10^1	10^1	10^2●	−	ab ca 2 p ◍, ab ca 6 p ≡
6.	34.1	33.3	33.0	9.6	14.6	12.2	16.0	7.8	7.1	6.5	7.2	80	52	68	W 4	W 6	W 4	10^2	6^2⊙	10^2	1.0	t ≡
7.	33.0	33.9	35.3	11.6	12.8	10.6	13.5	10.4	6.4	3.0	3.9	63	27	41	W 4	W 4	W 2	10^2	6^2⊙	o	−	
8.	33.6	27.0	21.6	2.0	16.2	11.6	18.2	0.1	5.1	5.1	5.7	**96**	37	56	SE 2	SE 4	S 2	oo	6^2⊙	o	−	
9.	20.6	20.9	22.4	8.6	4.0	2.4	12.5	1.1	4.9	4.3	4.5	59	70	82	W 2	NW 2	NW 2	10^2	10^2●	10^1	−	8^{33}–9^{28} a, $11^{28.38}$ a, $1^{08.18}$ p ◍, ca 9a, $4^{33.35}$ p △
10.	25.1	23.7	22.6	1.2	7.6	2.2	9.0	− 1.1	2.9	2.9	4.4	59	37	82	NW 2	W 4	W 2	6^1⊙	6^2⊙	10^1	2.0	ab ca 7 p ◍ ✳
11.	28.2	28.2	29.1	− 1.0	5.8	0.2	6.0	− 2.2	3.2	2.8	4.1	74	41	89	NW 2	NW 4	NW 2	2^1⊙	6^2⊙	o	1.0	10^{03} a–1^{03} p, 1^{18}–2^{08} p, $3^{22.25}$ p ✳
12.	31.2	34.2	38.7	0.0	0.8	− 1.2	3.0	− 2.0	3.2	3.8	2.7	71	78	65	NW 2	N 4	N 2	8^2	8^2⊙	o	3.0	$10^{03.23}$ a, $11^{23.33}$ a, $0^{03.58}$ p, $1^{23.45}$ p, $2^{02.06}$ p, $4^{02.18}$ p ✳
13.	41.7	41.2	39.9	− 2.8	4.8	1.4	6.0	− 5.0	2.4	2.3	3.4	64	36	67	N 2	N 2	N 2	2^1⊙	6^2⊙	o	1.0	
14.	38.1	35.0	34.8	− 2.0	9.2	4.0	9.8	− 5.0	2.7	3.5	3.8	68	40	63	S 2	W 2	W 2	4^2⊙	8^2	o	−	⌴
15.	34.7	35.1	35.4	3.2	7.6	3.0	9.0	− 0.1	4.8	3.3	3.4	83	42	59	N 2	E 2	E 2	10^2	6^2⊙	o	−	
16.	35.8	35.9	35.7	0.4	8.6	5.8	10.0	− 1.4	3.0	3.4	3.6	64	42	52	S 2	E 2	E 2	6^2⊙	4^2⊙	o	−	
17.	35.3	35.0	34.6	3.0	11.8	5.4	13.5	0.9	3.7	4.1	4.8	66	39	57	E 2	E 4	E 2	2^1⊙	2^2⊙	o	−	
18.	32.6	31.9	31.7	3.0	14.2	9.0	14.3	− 0.1	4.1	3.9	5.1	73	32	60	W 2	S 4	S 2	6^2⊙	6^2⊙	o	−	
19.	31.5	31.7	31.9	4.2	12.8	8.2	14.0	2.9	4.8	4.6	5.6	77	41	69	NW 2	S 2	S 2	8^2⊙	8^1	o	−	
20.	34.9	34.8	35.3	6.2	13.8	9.0	15.8	2.7	5.1	4.6	5.3	72	40	62	N 2	S 2	S 2	6^2⊙	10^2	o	−	
21.	36.4	37.0	38.4	7.0	14.8	9.4	16.0	5.3	5.2	4.5	5.6	70	36	63	N 2	NE 4	E 2	6^2	8^2	o	−	
22.	38.3	37.3	36.8	8.0	15.6	10.6	16.8	3.4	7.4	3.1	**7.5**	56	23	60	E 2	E 2	E 2	2^1⊙	6^2⊙	8^1	−	
23.	37.4	36.4	36.9	8.0	10.2	5.6	12.2	5.3	5.9	4.8	4.8	73	**52**	71	E 2	E 6	E 2	6^2⊙	8^2	o	−	
24.	35.9	34.9	34.9	5.2	15.6	9.0	17.0	1.9	4.9	4.0	5.7	74	31	67	N 2	E 4	E 2	4^1⊙	6^2⊙	o	−	
25.	34.4	32.9	31.7	7.0	15.8	10.2	18.0	4.1	5.2	2.8	4.8	70	**21**	52	N 2	E 2	E 2	6^2⊙	4^2⊙	o	−	
26.	31.6	30.4	29.9	4.4	15.8	9.0	17.0	1.9	4.5	5.1	6.0	73	38	70	N 2	E 2	E 2	2^1⊙	6^2⊙	4^2	−	
27.	28.6	27.4	25.8	5.2	17.6	10.6	19.0	1.9	4.9	4.4	5.2	74	30	55	SW 2	SE 2	SE 2	oo	6^2⊙	8^1	−	≡
28.	24.7	23.1	22.6	7.4	19.6	12.4	**20.0**	5.3	5.0	4.5	5.9	65	26	55	NW 2	E 2	E 2	8^2	6^2⊙	10^2	−	
29.	22.9	24.1	26.6	6.4	14.0	9.2	15.0	3.9	4.4	4.3	4.7	61	36	55	N 4	N 4	N 4	4^1⊙	8^2	8^2	−	$5^{18.23}$ p ●
30.	28.7	30.5	32.0	7.4	10.6	6.8	11.0	5.3	5.4	5.7	3.3	70	60	45	SE 2	E 4	E 4	10^2	10^2	10^2	−	
																					22.0	
Mittel	32.4	32.0	32.2	4.0	10.9	6.6	12.4	1.6	4.5	4.1	4.8	71	43	65				5.9	6.7	3.6		1) $0^{21.25}$ p, $1^{03.05}$ p ✳, ca 2 p △, ab ca 5 p ✳ ◍

Passau.

April. $\varphi = 48^0\ 34'$ N. $\lambda = 13^0\ 28'$ E $= 53^m\ 52^s$. H $= 309.3$ m. Cg $= +0.2$ mm. 1912.

1.	22.2	**21.2**	21.5	3.0	11.3	6.9	12.5	2.8	5.1	7.0	6.7	90	70	90	C	C	C	10^0	10^1	10^1●	−	ca 2 p–n ◍⁰
2.	29.5	32.5	26.1	2.8	5.7	1.6	6.9	1.6	4.8	4.3	4.2	86	62	82	NW 4	NW 2	C	10^1	5^1⊙	10^0	11.8	n ◍ ✳, t ztw. ✳⁰
3.	40.0	42.3	45.2	1.0	2.2	1.6	2.6	0.9	4.1	3.0	**2.7**	82	56	53	W 2	W 4	C	10✱	10^1	10^1	2.2	a ✳⁰
4.	**47.0**	45.7	45.2	0.0	7.1	4.2	7.6	− 0.9	3.3	3.0	3.7	72	40	60	W 2	NW 4	C	5^1⊙	3^1⊙	o	0.1	
5.	42.0	38.2	37.7	3.4	10.5	8.1	11.7	2.1	4.7	4.8	7.1	80	51	88	C	W 2	W 4	10^1	10^1●	10^1	−	ca 1–8 p ◍
6.	37.6	36.5	35.8	9.9	12.5	13.4	15.8	7.9	7.6	8.1	7.8	83	76	69	NW 2	NW 2	W 2	10^1	10^1	10^1	**19.2**	n ◍
7.	35.6	36.7	38.0	10.9	14.3	9.1	14.6	9.1	**8.4**	5.4	6.2	87	45	72	W 4	W 4	C	10^2●	5^1⊙	5^1	1.4	n, a ◍
8.	37.2	30.8	25.5	4.0	14.3	10.1	16.8	3.5	5.5	6.3	8.1	90	52	88	E 1	SW 4	C	oo	8^1⊙	o	0.2	
9.	23.4	23.5	25.8	9.3	5.0	2.6	10.1	2.6	7.0	5.7	4.9	80	87	89	SW 4	NW 4	C	10^1	10●	10^1	−	ca 8 a–5 p ◍
10.	28.5	27.4	26.2	1.6	5.3	3.2	6.2	0.9	4.2	3.3	4.2	82	50	73	NW 4	NW 4	NW 4	10^1	8^1	10^1	7.0	a ✳flocken
11.	32.2	32.2	32.3	0.8	5.4	2.6	5.7	− 0.2	3.7	3.8	4.8	75	57	85	NW 4	NW 4	C	8^1	10^1	o	1.0	n ◍ ✳, t öfters ⸸
12.	34.8	37.2	41.2	0.6	2.8	0.2	4.8	0.2	4.2	3.5	4.0	89	62	85	W 4	W 4	W 4	5^1	5^1⊙	o	3.5	n ✳, t öfters ⸸
13.	45.2	44.9	44.2	− 1.4	3.6	0.4	5.5	− 2.3	3.0	4.0	4.2	72	67	89	W 2	SW 2	C	oo	3^1⊙	o	0.5	
14.	41.6	38.8	38.4	− 2.0	8.9	5.3	8.9	− 3.3	3.7	4.2	5.5	95	49	83	C	W 2	C	oo	3^1⊙	10^1	0.7	⌴
15.	38.2	38.4	39.6	4.0	7.9	5.3	8.5	3.2	5.8	4.8	4.5	95	60	68	C	E 2	E 2	8^1	8^1⊙	o	0.4	n ◍⁰
16.	40.4	39.1	39.0	0.0	9.7	5.2	10.7	0.0	3.7	4.4	5.0	81	48	75	C	E 4	C	6^1⊙	oo	o	−	
17.	38.7	38.2	38.2	7.5	11.3	7.7	12.9	3.2	3.8	4.5	4.1	49	44	53	E 4	E 4	E 4	oo	oo	o	−	
18.	36.1	34.7	34.4	6.9	13.8	9.1	15.3	4.5	4.6	5.9	6.5	62	51	75	E 2	C	C	oo	5^0⊙	o	−	⏢
19.	34.9	35.3	36.5	3.6	14.0	9.5	14.7	2.8	5.0	5.8	5.8	85	49	65	C	C	C	10^1	5^0⊙	o	−	⏢
20.	38.2	38.3	39.7	5.9	13.2	8.3	14.2	3.2	6.1	6.2	7.2	88	55	88	C	S 1	C	10^1	10^1	o	−	⏢
21.	40.1	40.2	41.5	5.3	14.7	9.7	14.7	3.8	6.4	5.5	5.2	97	45	58	C	C	C	8^1⊙	8^1⊙	o	1.0	n ◍
22.	41.8	40.6	40.9	8.5	14.0	8.5	14.7	5.3	5.7	6.5	5.9	69	55	71	C	E 4	E 4	oo	10^1●	10^1	−	⏢; m, ca 2 p ◍
23.	40.5	39.9	40.7	6.7	11.6	7.5	12.2	4.4	6.6	6.0	6.1	90	58	79	C	E 2	C	10^1	3^1⊙	o	0.8	n ◍⁰, ca 11–11^{09} a ◍
24.	40.1	38.0	38.0	7.3	16.4	8.7	16.4	5.3	6.2	5.5	6.5	82	40	77	C	E 4	C	5	3^1⊙	o	1.2	⏢
25.	37.7	35.8	35.3	4.3	14.4	9.1	15.8	2.0	5.5	5.8	6.5	89	48	75	C	C	C	5^1⊙	8^1⊙	o	−	⏢
26.	34.9	33.8	33.0	3.0	14.0	8.5	14.7	1.8	5.7	6.0	6.6	100	51	79	C	C	C	oo	10^1	o	−	bis ca 7 p ≡
27.	32.4	29.8	28.7	3.2	17.6	9.9	17.6	1.4	5.8	6.3	7.0	100	42	78	C	W 1	C	oo	8^0⊙	10^0	−	⏢
28.	27.3	24.8	24.4	6.3	19.4	15.2	**19.9**	4.4	6.4	6.2	6.5	90	**37**	51	C	C	C	8^1⊙	5^0⊙	10^1	−	
29.	25.7	27.8	30.7	9.3	9.2	7.9	15.2	7.9	7.4	7.5	7.6	86	87	96	C	NW 2	C	10^1●	10^1●	10^1●	1.5	n, t ◍
30.	33.4	34.1	36.1	5.9	10.7	6.3	10.7	5.0	6.4	4.8	5.3	93	50	75	C	E 4	C	oo	10^1	8^0	6.5	n ◍
																					59.0	
Mittel	35.9	35.2	35.3	4.4	10.7	6.9	11.9	2.8	5.3	5.3	5.7	84	55	76				5.9	6.8	4.4		

Alle Angaben nach Ortszeit.

Landshut.

April. $\varphi = 48^0\ 32'$ N. $\lambda = 12^0\ 10'$ E $= 48^m\ 40^s$. H $= 397.7$ m. Cg $= +0.2$ mm. 1912.

Datum	Luftdruck auf 5° u. Normalschwere reduziert 700 mm + 7a	2p	9p	Lufttemperatur C° 7a	2p	9p	Max.	Min.	Absolute Feuchtigkeit mm 7a	2p	9p	Relative Feuchtigkeit Proz. 7a	2p	9p	Richtung und Stärke des Windes 0 bis 12 7a	2p	9p	Bewölkung 0 bis 10 7a	2p	9p	Niederschlag mm 7a	Schneedecke cm 7a	Bemerkungen
1.	13.3	**12.7**	14.3	5.2	8.2	5.5	12.9	3.2	5.6	7.2	6.1	84	89	91	NE 2	N 2	NW 4	10^1	10^1●	10^1●	–	–	11^{24} a–n
2.	22.9	25.5	29.2	1.4	4.3	0.3	6.2	– 1.1	3.7	4.0	4.2	72	65	89	W 4	NW 6	NW 2	10^1	10^1	10^1*	**14.0**	–	t–n stündlich ✳ und △böen, ≡
3.	32.9	35.0	37.3	– 0.2	2.8	– 1.0	4.9	– 2.3	3.4	2.8	3.5	76	50	82	W 4	NE 2	C	10^1	7^1⊙	2^0	2.9	–	n ✳
4.	**39.0**	37.5	36.4	– 2.1	7.5	2.7	11.9	– 6.2	3.6	3.1	4.2	92	40	75	W 4	W 4	W 2	5^{10}⊙	10^0⊙	o	–	–	7 a ⌊ ^{2}
5	33.6	30.2	30.1	4.2	10.2	7.7	12.7	1.4	3.7	5.3	7.4	60	58	94	W 4	W 4	W 6	10^1	10^1●	10^1●	–	–	1^{19} p–n ● ≡
6.	29.8	28.6	28.7	10.4	15.9	12.8	18.6	6.2	6.9	**8.1**	7.6	74	60	69	W 6	W 6	W 6	9^1	5^1⊙	10^1	5.7	–	
7	28.8	29.5	30.4	10.9	14.2	7.5	15.0	6.2	7.9	5.0	4.8	82	41	62	W 6	W 6	W 4	10^1	7^1	o	–	–	
8.	28.6	22.0	16.6	3.4	18.1	11.7	21.2	– 0.5	5.0	6.9	6.2	85	44	61	W 2	SW 2	SW 6	oo	3^0⊙	o	–	–	7 a ⌊
9.	15.0	15.6	17.8	8.3	4.4	1.4	11.7	– 0.9	5.8	5.1	4.6	71	82	91	W 4	W 4	W 4	10^1	10^1●	10^1●	–	–	9^{19}–ca 11 ● ●, 1^{33} p ●, $2^{54.56}$ p △böe, [1]
10.	20.8	18.6	17.6	0.3	6.1	2.0	8.8	– 1.6	4.0	3.2	4.3	85	46	80	W 6	W 4	W 6	10^1	7^2⊙	10*	3.5	–	8^{34} p–n ✳
11.	24.0	23.4	24.4	0.0	6.9	– 0.4	7.8	– 2.5	3.5	2.7	4.0	76	36	90	W 4	NW 6	W 4	1^1⊙	9^1⊙	o	0.2	–	7 a ⌊, 4^{04} p ✳ △. dann ca 7 p ✳
12.	27.8	30.3	34.4	– 0.6	2.9	– 2.0	5.0	– 3.4	3.3	3.0	3.4	75	53	86	W 6	N 4	W 4	10^0	8^2⊙	o	4.5	2	n ✳, 7 a ⌊, t stündlich ✳ u. △böen
13.	37.6	36.5	35.3	– 3.4	4.6	– 1.4	9.4	– **7.5**	3.0	**2.2**	3.4	85	35	82	W 4	NW 2	C	oo	5^1⊙	o	1.2	–	7 a ⌊
14.	33.0	30.4	29.7	– 2.0	8.6	4.8	12.4	– 6.1	3.4	3.6	5.5	86	43	86	C	N 2	N 2	oo	6^1⊙	10^1	–	–	7 a ⌊
15.	29.7	30.1	30.5	2.0	5.7	2.6	9.3	0.0	4.8	5.0	4.1	91	73	74	NE 2	E 2	E 2	10^1	10^1●	o	–	–	m–2^{19} p ●^{0}
16.	30.8	30.5	29.9	1.3	8.7	3.0	12.2	– 2.8	3.9	3.5	4.2	78	42	74	E 4	E 4	C	1^0⊙	2^0⊙	o	0.8	–	7 a ⌊
17.	29.7	29.1	28.6	5.0	11.4	6.9	14.4	– 2.0	4.0	4.4	4.0	61	43	53	E 4	E 6	E 6	1^1⊙	oo	o		–	7 a ⌊
18.	27.0	26.3	25.6	4.9	14.6	8.3	17.5	0.1	4.5	5.0	5.5	68	40	67	SE 2	SE 4	E 4	8^0	7^0⊙	10^1		–	7 a △
19.	26.5	27.4	27.8	4.6	13.2	5.9	15.0	2.2	5.4	6.0	5.7	86	53	83	NE 2	SW 2	W 2	9^1	10^1	o		–	
20.	29.6	30.1	31.1	4.8	14.4	8.3	19.0	0.4	6.1	6.5	7.2	**96**	53	88	W 2	SE 2	C	10^1≡	2^1⊙	10^1		–	7 a ≡^{1}
21.	31.9	32.2	32.5	7.1	13.0	9.1	16.1	4.0	6.4	5.2	4.8	86	47	56	NE 2	E 2	E 4	oo	10^1	o	0.3	–	n ●^{0}, ca 3 p ●tropfen
22	33.6	32.5	32.1	5.9	15.0	7.7	17.9	0.8	5.2	4.3	6.4	75	33	82	E 2	SE 4	E 2	oo	8^1	1^1	0.1	–	
23.	32.3	32.1	31.1	6.6	9.2	5.8	14.0	2.8	6.2	5.7	5.6	85	66	82	NE 2	NE 4	E 4	8^1	10^1	o	0.2	–	n ●^{0}, $11^{04.27}$ a ●, $11^{34.35}$ a △
24.	31.2	29.4	29.3	5.7	16.3	8.1	19.1	1.4	5.3	5.1	5.7	77	37	71	SE 2	SE 4	E 2	8^1⊙	6^2⊙	o	1.7	–	
25.	29.1	27.6	26.7	5.7	15.0	6.7	21.2	0.0	5.4	5.7	5.3	79	45	73	C	SE 2	C	1^1⊙	5^1⊙	1^1	–	–	7 a △, 1^{29} p ●tropfen
26.	26.8	25.2	24.2	4.3	15.4	7.9	22.0	– 1.9	5.0	4.1	5.9	80	32	73	SW 4	NW 2	C	1^0⊙	7^1	o	0.1	–	7 a ⌊
27.	23.5	21.5	20.0	4.2	18.6	11.2	**23.6**	– 1.9	5.2	4.1	5.9	85	**26**	59	W 2	NW 2	C	oo	8^0⊙	10^1	–	–	7 a ⌊, 7^{19} p ∪
28.	18.4	16.6	15.9	8.0	19.4	13.7	21.9	3.9	5.8	5.0	6.3	72	30	54	E 2	E 4	E 2	9^1	8^0⊙	10^1	–	–	
29.	18.2	19.3	22.3	7.3	14.2	8.5	15.6	5.5	5.2	5.0	6.6	68	41	79	N 2	NE 4	E 4	9^1	9^2	10^1	0.2	–	n, 7^{34}–8^{19} p ●^{0}
30.	24.3	25.9	27.5	8.2	9.1	6.7	13.6	5.0	5.3	4.7	4.7	65	55	64	E 4	E 4	E 2	10^1	10^1	2^1	0.3	–	ca 6 p ●tropfen
																					35.7		
Mittel	27.7	27.1	27.2	4.0	10.9	5.7	14.4	0.1	4.9	4.7	5.2	79	49	76				5.7	7.0	4.2			[1] 2^{19}–3^{39} p ● ✳, ca 6–6^{19} p ✳

Augsburg.

April. $\varphi = 48^0\ 22'$ N. $\lambda = 10^0\ 54'$ E $= 43^m\ 36^s$. H $= 499.6$ m. Cg $= +0.1$ mm, über 728.8 mm Cg $= +0.2$ mm. 1912.

1.	06.4	**04.4**	06.6	8.3	7.6	4.8	9.3	4.1	7.6	6.6	5.8	80	85	90	SW 2	SW 2	W 2	10^0	10^2●	10^2●	0.5	–	n u. t meist ●
2.	15.9	18.2	21.7	1.0	3.6	1.2	6.9	0.1	3.9	4.0	4.2	79	66	83	NW 2	NW 4	NW 2	8^1	7^2	6^1	**13.6**	–	n ●, t ztw. ✳ △
3.	25.9	26.3	28.6	– 0.6	5.0	1.0	6.2	– 1.8	3.3	2.8	3.1	75	44	63	N 2	N 2	NE 2	4^1⊙	3^1⊙	o	0.6	–	
4.	30.0	28.8	28.2	– 1.5	7.4	5.4	7.7	– 3.0	2.5	3.1	3.7	60	38	54	SE 2	SW 2	SW 2	oo	oo	10^1	–	–	⌊
5	25.9	22.2	22.5	4.1	11.0	8.5	11.3	2.9	4.0	4.6	6.2	65	47	75	SW 2	SW 6	SW 6	10^1	10^1	10^2●	–	–	3^{19} p n ●
6.	22.9	21.0	21.6	10.0	16.7	12.6	16.9	8.5	6.7	7.7	7.7	73	55	70	SW 6	NW 6	W 4	8^1	5^1⊙	8^1	2.0	–	
7.	22.0	21.6	22.5	10.1	14.5	10.6	14.5	9.2	**8.0**	6.3	6.9	87	52	73	NW 2	W 4	NW 2	10^1	4^1⊙	6^1	0.6	–	n ●
8.	19.9	13.5	08.7	5.8	17.6	14.3	19.4	3.8	5.9	6.8	6.9	87	46	57	C	SW 4	SW 2	oo	1^0⊙	o	–	–	△
9.	07.5	07.2	09.8	8.9	4.2	2.0	14.3	2.0	5.5	5.0	4.5	64	80	85	SW 4	SW 4	SW 4	10^2	10^2●*	10^2	–	–	8^{19} a–2^{34} p, $6^{14.34}$ p ● ✳
10.	13.4	09.3	09.3	– 0.7	4.8	2.0	5.0	– 1.1	3.1	2.9	4.2	73	45	78	SW 2	SW 4	SW 4	10^1	4^1⊙	5^1	2.1	–	n, 5^{39}–ca 6^{45} p ✳
11.	16.7	14.9	16.2	– 1.0	5.5	1.2	5.5	– 2.1	3.4	3.7	4.5	78	54	91	SW 4	SW 4	SW 4	3^1⊙	4^2⊙	5^2	0.9	–	⌊, $3^{20.34}$ p. 5^{19}–ca 6 p ● ✳. $5^{19.34}$ p ◪
12.	20.7	23.0	26.9	– 1.0	2.3	– 0.9	3.8	– 1.5	3.3	3.6	3.5	76	66	80	SW 4	SW 6	SW 2	4^0⊙	5^2⊙	o	2.7	1	n u. t ztw. ✳
13.	**30.4**	27.5	26.3	– 3.0	6.3	1.5	8.8	– **4.5**	2.8	2.8	3.1	76	39	60	NW 2	NE 2	SE 2	oo	3^1⊙	o	0.2	1	⌊ ⌊
14.	24.6	21.8	21.4	– 0.5	9.6	5.1	10.3	– 2.6	2.8	3.7	5.1	64	41	78	NE 2	NE 2	NE 2	oo	2^0⊙	10^1	–	–	⌊ ⌊
15.	21.7	21.0	21.6	2.8	6.9	4.9	7.7	2.6	5.2	5.1	4.7	**93**	68	71	NE 2	NE 2	NE 2	10^1	10^2	10^2	0.3	–	n ●
16.	21.5	22.0	21.3	0.8	8.4	5.9	10.1	– 0.9	3.9	4.1	4.4	80	52	63	N 2	NE 4	E 2	oo	2^1⊙	10^1	–	–	⌊
17.	20.7	19.9	19.2	2.1	11.4	7.1	13.8	0.6	4.1	4.8	5.0	77	48	66	E 2	E 4	E 2	oo	2^1⊙	o	–	–	⌊ ⌊
18.	18.0	17.1	17.0	2.4	15.2	9.7	15.2	1.2	4.5	4.8	6.0	82	38	66	SE 2	NE 2	E 2	4^0⊙	5^1⊙	10^1	–	–	⌊ ⌊
19.	18.0	19.1	19.7	6.6	14.6	9.7	14.8	5.3	5.8	5.4	7.0	80	44	78	C	NE 2	W 2	10^0	10^1	6^1	–	–	△
20.	21.0	21.0	22.7	8.3	15.3	8.5	15.3	6.6	6.8	6.1	6.7	84	47	81	SW 2	NE 2	SE 2	4^1⊙	5^1⊙	10^1	–	–	△. 5^{29}–6^{17} p ◪, $6^{04.49}$ p ●
21.	23.1	22.7	23.7	7.4	14.0	9.6	14.8	7.4	6.8	6.2	6.2	89	53	70	E 2	E 4	E 2	2^1⊙	4^2⊙	2^0	3.4	–	
22.	24.4	24.3	23.8	6.8	13.9	9.8	17.4	4.2	4.9	4.4	6.2	67	38	69	E 4	E 4	NE 2	oo	3^1⊙	6^1	–	–	
23.	23.5	24.1	22.1	6.8	10.6	6.6	10.8	5.5	6.2	4.8	5.9	84	50	81	E 2	NE 4	NE 2	6^2	7^2⊙	2^1	–	–	
24.	22.0	20.6	20.7	5.5	16.2	10.8	16.7	2.4	5.4	5.9	6.2	80	44	64	SE 2	E 4	E 2	2^0⊙	4^1⊙	o	–	–	⌊
25.	20.5	20.3	18.5	5.9	11.2	9.0	13.0	4.7	5.6	6.0	6.2	81	60	72	E 2	E 2	NW 2	4^1⊙	10^2●	2^0	–	–	△. 1^{39}–2^{19} p ●
26.	18.2	17.8	15.8	5.0	16.8	11.3	17.5	2.4	5.1	5.1	5.6	78	36	57	NE 2	NE 2	E 2	oo	4^1⊙	o	0.8	–	⌊
27.	14.3	12.3	11.1	6.5	18.2	12.6	18.8	3.7	5.1	4.7	5.8	71	**31**	53	C	E 2	E 2	oo	10^0	10^0	–	–	⌊ ⌊
28.	09.7	07.8	08.2	10.0	20.0	13.5	**20.0**	7.6	5.9	6.1	5.8	64	36	51	NE 2	N 2	NE 2	10^1	7^1	10^1	–	–	△
29	10.1	12.1	14.5	6.4	14.9	8.5	15.6	5.9	5.3	4.8	4.7	73	40	57	NE 2	NE 2	N 2	8^1	7^2	10^0	–	–	
30.	15.9	17.3	18.8	3.3	9.3	5.9	9.9	3.2	4.9	6.1	5.6	85	70	81	N 2	E 4	NE 2	8^1	10^1	10^1	–	–	7^{36} a, 10^{39} a ●, $0^{30.32}$ p ● △
																					27.7		
Mittel	19.5	18.6	19.0	4.2	11.1	7.1	12.4	2.5	4.9	4.9	5.4	77	50	71				4.8	5.6	5.9			

Alle Angaben nach Ortszeit.

München-C.St.

April. $\varphi = 48^0\ 9'$ N. $\lambda = 11^0\ 34'$ E = 46m 16s. H = 526.4 m. Cg = + 0.1 mm. 1912

Datum	Luftdruck auf 0° u Normalschwere reduziert 700 mm + 7a	2p	9p	Lufttemperatur C° 7a	2p	9p	Max.	Min.	Absolute Feuchtigkeit mm 7a	2p	9p	Relative Feuchtigkeit Proz. 7a	2p	9p	Richtung und Stärke des Windes o bis 12 7a	2p	9p	Bewölkung o bis 10 7a	2p	9p	Niederschlag mm 7a	Schneedecke cm 7a	Bemerkungen
1.	02.4	02.3	03.9	8.4	6.7	4.3	10.8	4.2	5.1	5.9	5.7	62	83	93	C	W 1	SW 2	10^1	10^1●	10^1●	–	–	a ≡1, 936 a–n ◍
2.	12.8	15.1	18.5	0.8	3.6	1.4	6.7	0.2	3.7	3.9	4.0	77	64	79	SW 2	W 5	W 2	10^1✳	10^1✳	10^1	**23.5**	–	n u. a ✳0.1, ca 10 a–n ztw. ✳böen
3.	22.2	23.6	25.9	– 0.8	2.6	1.0	3.0	– 1.0	3.3	2.7	3.0	76	48	59	NW 2	NW 2	C	9^1	8^2	0	1.5	1	n ✳, t ztw. ✳böen
4.	**27.3**	26.1	25.8	– 1.8	6.1	4.3	7.1	– 2.2	3.1	2.4	3.3	78	34	53	SW 1	NW 1	W 1	1^{10}	1^{10}	9^1	–	–	a ⌊, ∞
5	22.8	19.8	19.9	4.1	13.3	8.3	14.9	2.2	3.1	3.9	6.5	50	34	79	SW 2	SW 5	SW 7	10^1	10^1	10^1	–	–	916 p–ca 845 p ◍, m Gebirge gut sichtbar, t ,,,,
6.	20.6	18.5	19.0	10.1	16.2	13.3	17.0	8.2	6.3	6.6	7.3	68	48	64	SW 3	SW 3	SW 2	9^1	6^1	9^1	2.1	–	918–946 p ◍5.1
7.	19.2	19.0	19.7	9.6	13.4	9.4	14.1	9.3	**7.7**	5.5	6.4	87	49	73	W 2	NW 4	W 2	10^1	6^1○	10^1	–	–	a ztw. ◍0
8.	17.3	10.9	06.8	7.4	18.2	13.9	**19.3**	6.0	6.4	5.8	5.7	73	38	48	SW 1	W 2	SW 3	oo	4^{10}	o	–	–	a ⌓, ∞, t Gebirge gut sichtbar
9.	04.6	05.2	07.5	8.9	2.9	1.1	15.3	0.6	5.9	4.9	4.8	68	87	**96**	NW 2	W 2	W 1	10^1●	10^1 ●✳	10^1●	–	–	a ◍0, $10^{31.45}$ a ✳, dann–n ztw. ◍ ✳
10	10.2	07.5	07.2	– 0.5	4.7	1.9	6.1	– 0.8	3.7	2.7	3.9	84	42	74	W 2	SW 3	SW 4	9^1	3^1○	8^1	5.6	–	n ✳
11.	13.9	12.7	13.9	– 1.1	4.1	1.2	6.5	– 1.9	3.4	3.6	4.5	79	58	91	SW 2	W 3	SW 2	3^0○	10^1	10^1	2.5	**3**	n ✳, 200 p, 421 p kurz ✳böen, 628.36 p △, 1)
12.	17.4	19.6	23.9	– 1.0	3.8	– 1.0	4.0	– 1.4	3.6	2.4	3.9	84	41	90	NW 3	NW 5	W 3	6^1○	4^1○	6^1✳	5.2	2	n, 11^{01} a–12^8 p, p ztw. ✳
13	26.1	24.8	23.8	– 2.4	4.3	1.2	5.0	– 3.5	2.7	2.4	3.1	71	39	60	SW 1	SE 1	C	oo	6^1○	o	0.1	–	n ✳, t Gebirge sichtbar
14.	21.3	19.0	18.5	0.3	8.9	6.1	9.1	– 2.5	2.8	4.1	4.5	60	49	65	SE 1	NW 1	C	oo	3^0○	9^1	–	–	a ∞, m Gebirge gut sichtbar, ca 6 p ◍0
15.	18.0	18.4	19.0	2.9	5.7	4.5	8.3	2.6	5.2	5.2	5.1	92	77	82	C	NW 1	E 1	10^1	10^1	10^1	0.5	–	n, t ztw. ◍
16.	18.8	18.7	18.4	0.7	6.7	4.3	8.1	0.0	4.2	4.2	4.4	87	57	71	NE 2	NE 1	E 2	2^1○	6^1○	o	–	–	a ⌊
17.	17.8	17.2	16.7	2.8	11.2	5.8	12.9	0.4	4.3	5.2	4.7	75	52	68	E 2	E 2	E 2	oo	1^0○	o	–	–	a ⌊, ∞
18.	15.6	14.4	14.5	3.7	13.5	8.7	13.6	1.6	4.3	4.9	5.6	71	43	66	SE 2	E 2	C	4^1○	6^0○	o	–	–	a ⌓2, ∞0
19.	15.4	16.0	17.2	6.3	13.2	8.7	14.0	4.7	5.6	5.9	6.8	79	52	82	C	NE 2	NE 1	10^1=	8^1○	10^1	–	–	a ≡1
20.	18.5	18.9	20.2	7.8	10.3	8.3	12.1	7.0	6.8	7.0	6.5	87	75	79	C	W 1	C	10^1	9^1	9^1	0.1	–	n ◍, a ≡0, p ztw. ◍0
21.	20.4	19.9	21.1	7.7	12.9	7.7	13.9	6.0	6.4	5.2	6.0	83	47	76	NE 1	E 3	E 1	4^0○	7^1	o	0.3	–	n, p ztw. ◍
22.	21.6	21.1	21.1	5.8	13.4	8.1	14.5	3.0	5.0	4.5	6.2	73	40	76	NE 2	NE 3	C	oo	4^1○	3^0	0.3	–	a ⌓, m Gebirge gut sichtbar, 510–630 p ●
23.	20.7	20.1	19.6	6.1	7.5	6.3	11.3	4.8	6.2	6.1	5.7	89	78	80	E 1	E 2	NE 1	9^1	8^1●	o	0.8	–	n, t ztw. ◍
24.	19.1	17.8	17.9	5.6	15.8	9.7	16.0	2.4	4.9	5.5	5.6	72	42	62	E 1	NE 2	E 1	1^0○	7^0○	3^0	0.1	–	a ⌓, t Gebirge sichtbar, 538 p kurz ◍0
25.	17.9	16.4	15.8	6.7	15.5	10.0	15.7	4.0	5.5	4.7	5.5	75	37	59	E 1	NE 2	C	2^0○	4^1○	3^0	–	–	a ⌓, ∞0
26.	15.5	13.9	13.5	6.5	15.9	10.7	16.5	4.4	5.2	4.0	5.5	72	**31**	57	SW 1	NW 1	C	oo	4^1○	o	–	–	a ⌓, ∞
27.	12.0	10.2	08.9	8.9	17.7	12.2	17.9	5.2	5.0	4.7	5.3	59	**31**	51	S 1	NW 1	NW 1	oo	8^0○	8^1	–	–	a ⌓, ∞
28.	07.3	05.3	05.6	8.5	18.2	14.0	18.5	7.8	5.7	5.6	6.0	68	37	50	C	E 3	NW 2	10^1	8^0○	10^0	–	–	abds. Ψ
29.	07.2	08.6	11.5	6.9	14.5	8.7	15.0	6.7	5.4	4.4	4.5	73	37	54	C	NW 2	NW 1	10^1	7^1○	8^1	0.7	–	n ◍, 745 p kurz ◍ △
30.	13.1	13.8	15.8	6.5	11.8	6.9	12.1	6.1	5.7	4.7	5.5	81	46	74	NW 1	NE 2	NE 2	10^1	10^1	10^1	0.6	–	
																					43.9		
Mittel	16.6	16.8	16.4	4.5	10.4	6.7	12.0	2.8	4.9	4.6	5.2	75	50	70				5.6	6.6	5.8			1) dann bis ca 748 p ✳; 612 p ⌈

Traunstein.

April. $\varphi = 47^0\ 52'$ N. $\lambda = 12^0\ 39'$ E = 50m 36s. H = 597 m. Cg = + 0.1 mm. 1912.

1.	696.4	695.9	697.9	3.4	10.0	2.4	11.0	2.2	4.8	5.5	5.3	82	60	96	S 2	N 2	W 6	6^2	10^2	10^1●	–	–	p u. abds. ◍
2.	00.1	08.8	12.6	– 0.8	0.6	– 1.0	2.4	– 1.0	4.2	4.3	3.9	98	90	92	W 8	W 6	W 2	10^2✳	10^2✳	10^2✳	**36.8**	5	n u. a ◍ ✳, vorm. ✳, p–n ◍ ✳
3.	15.3	17.9	20.0	– 2.0	0.4	– 2.2	1.2	– 2.2	3.8	2.9	3.3	96	61	85	W 2	W 4	W 2	10^2✳	6^2○	6^2	17.2	**22**	n–m ✳
4.	21.5	**20.8**	20.4	– 4.8	2.0	0.6	3.0	– **6.4**	2.9	2.3	3.5	90	43	73	W 2	W 2	W 2	6^2○	1^1○	o	1.9	12	
5.	16.6	13.7	14.2	2.6	12.8	6.4	13.0	– 1.0	3.1	5.5	6.1	55	60	86	SW 2	W 6	W 6	10^3	10^2	10^3●	–	5	a ⌊, p ,,,, ◍
6	14.6	12.5	12.3	9.4	12.0	13.2	14.0	6.4	5.4	7.2	6.0	61	69	53	W 4	W 2	W 6	10^2	10^2●	4^2	5.8	–	m u. p ◍
7.	12.4	12.8	13.9	9.0	11.0	9.2	13.2	8.8	**7.3**	6.2	5.9	86	63	68	W 2	W 4	W 2	10^2●	10^2	10^2●	1.5	–	a u. abds. ◍
8	11.8	07.2	01.7	6.8	15.0	9.4	16.0	6.2	6.4	6.3	6.1	87	50	70	W 2	W 2	S 2	8^2	4^2○	o	1.9	–	
9.	699.1	699.3	01.2	8.6	1.2	0.2	9.4	0.2	5.9	4.6	4.5	70	92	96	W 2	W 2	W 2	10^2	10^3✳	10^2✳	–	–	vorm. ◍, später ✳, p–abds. ✳
10.	04.1	02.3	01.3	– 1.4	1.4	1.0	2.0	– 2.0	3.5	2.6	3.5	84	51	70	W 4	W 6	W 4	10^2✳	6^2○	10^2✳	23.7	2	n u. vorm. ✳, abds. ✳
11.	07.7	07.3	07.9	– 1.4	3.2	0.0	3.6	– 2.0	2.9	3.0	4.5	70	52	98	W 6	W 6	W 4	6^2○	10^3✳	10^2✳	2.7	1	n ✳ ,,,,, p u. abds. ✳
12.	10.9	13.7	17.2	– 2.0	– 1.5	– 1.8	2.0	– 3.0	3.1	4.1	2.8	86	100	70	W 6	W 8	W 4	10^2	10^3✳	10^2	11.8	3	n ✳, 10^{1}–20^3 p ✳ ,,,,, p u. abds. ✳ ,,,,, u. △
13.	19.9	19.3	18.0	– 2.6	2.6	– 1.6	3.0	– 5.4	2.3	**1.6**	2.8	60	29	68	SW 2	NE 2	E 2	4^2○	2^1○	o	7.8	5	
14.	15.5	13.1	12.5	– 2.4	6.6	3.0	7.0	– 5.0	2.5	2.0	4.3	65	**27**	76	SE 2	W 2	W 2	oo	1^1○	10^2	–	1	a ⌊
15.	12.0	12.2	13.0	2.4	4.2	2.2	5.4	1.4	5.1	4.7	4.0	93	76	75	E 2	NE 4	NE 4	10^3●	10^3●	o	1.0	–	n ◍, t ztw. ◍
16.	12.7	12.7	12.8	0.0	6.4	3.2	7.0	– 1.0	3.8	3.9	3.8	83	54	66	E 2	E 4	E 2	2^1○	4^2○	o	0.9	–	a ⌊
17.	12.0	11.4	11.1	2.2	10.4	4.6	11.0	– 1.0	3.7	3.7	4.1	68	39	65	E 4	NE 6	E 2	2^1○	2^1○	o	–	–	a ⌊
18.	09.6	09.0	08.8	1.8	12.4	6.6	12.6	– 0.8	4.0	4.2	5.2	77	40	71	E 2	E 4	E 2	6^2○	6^2○	6^2	–	–	a ⌊
19.	09.4	10.1	11.5	4.4	13.0	7.8	13.6	3.2	5.1	5.1	6.1	82	46	78	W 2	N 2	NW 2	10^2	9^2○	o	–	–	
20.	12.8	13.3	14.2	6.2	11.0	7.0	12.0	6.0	6.7	6.0	6.3	94	61	84	SE 2	E 2	E 2	10^2●	9^2○	6^2	1.4	–	n u. vorm. ◍
21.	14.4	14.3	15.3	5.4	11.4	7.8	12.0	5.0	6.1	4.8	4.6	91	48	59	E 2	E 4	E 4	1^1○	6^2○	2^2	0.3	–	a △
22.	15.5	15.1	15.5	4.8	13.0	4.4	13.5	2.5	4.5	3.9	5.6	70	35	90	NE 4	E 6	E 2	oo	6^2○	4^2	–	–	
23.	15.0	14.0	14.2	4.4	9.2	5.8	10.0	2.2	5.8	4.5	5.0	93	52	73	N 2	E 4	E 4	8^2	8^2○	o	5.0	–	n ◍ u. ,,,,
24.	13.7	12.0	12.5	3.2	15.2	8.0	16.0	0.2	4.3	3.5	5.2	75	**27**	64	N 2	SE 4	SE 2	4^2○	6^2○	o	–	–	a △
25.	11.7	11.1	10.0	3.8	13.6	5.6	14.0	0.0	5.0	4.0	4.5	83	34	67	E 2	N 2	NE 2	2^1○	4^2○	4^2	–	–	a ⌊
26.	09.9	08.5	07.9	4.6	13.8	6.4	15.0	1.8	4.5	3.6	5.3	71	31	73	S 2	NE 2	SE 2	oo	5^2○	o	–	–	a △
27.	06.4	04.7	03.0	7.4	17.0	8.4	18.0	2.1	4.8	4.6	6.1	62	32	74	SE 2	SE 2	SE 2	oo	8^2○	6^2	–	–	a △
28.	01.3	699.7	699.4	8.4	17.8	13.0	**18.2**	5.8	6.1	4.4	**7.3**	74	29	66	SE 2	E 2	S 2	8^2○	8^1○	10^2	–	–	
29.	00.8	03.3	05.8	7.2	7.6	6.2	13.0	6.2	6.8	6.9	6.7	90	89	94	NW 2	W 2	NE 2	10^3●	10^3	10^2	6.2	–	n u. t ◍
30.	06.7	08.0	09.9	4.8	10.4	4.6	11.0	4.2	5.8	3.3	4.9	90	35	78	NE 2	NE 4	NE 2	10^2	9^2○	4^2	5.7	–	
																					131.6		
Mittel	10.5	10.1	10.5	3.1	8.8	4.7	10.1	1.1	4.7	4.3	4.9	80	53	76				6.4	7.0	5.1			

Alle Angaben nach Ortszeit.

Partenkirchen.

April. $\varphi = 47^0\ 30'$ N. $\lambda = 11^0\ 6'$ E $= 44^m\ 24^s$. H $= 714.6$ m. Cg $= +0.1$ mm. 1912.

Datum	Luftdruck auf 0° u. Normalschwere reduziert 700 mm +			Lufttemperatur C°					Absolute Feuchtigkeit mm			Relative Feuchtigkeit Proz.			Richtung und Stärke des Windes 0 bis 12			Bewölkung 0 bis 10			Niederschlag mm	Schneedecke cm	Bemerkungen
	7^a	2^p	9^p	7^a	2^p	9^p	Max.	Min.	7^a	2^p	9^p	7^a	2^p	9^p	7^a	2^p	9^p	7^a	2^p	9^p	7^a	7^a	
1.	686.8	686.6	688.5	4.8	4.7	2.5	9.9	2.4	4.5	6.4	5.5	70	100	100	C	N 2	C	10^0	10^1●	10^1●	–	–	a Berge frei, ab m ≡¹
2.	697.3	00.1	02.9	− 1.7	0.5	− 1.1	2.5	− 1.8	4.0	4.1	4.2	100	85	100	NW 4	NW 3	C	10^1✱	10^1✱	10^1✱	**24.5**	12	n ⩎, ab mn ✱¹ den ganzen Tag über, [1]
3.	06.2	07.0	09.4	− 2.7	0.1	− 3.1	1.9	− 3.2	3.3	3.5	3.1	87	76	91	NW 3	S 3	S 2	10^1✱	7^1	2^1	7.0	15	a ✱⁰, a Berge im Nebel
4.	**11.1**	09 4	10.5	− 6.6	5.5	0.5	6.3	− 7.4	2.4	2.5	4.3	87	38	90	C	S 2	SE 3	○○	○○	2^0	0.5	6	a Berge rein
5.	07.7	05.0	05.6	1.2	15.0	7.0	16.8	− 2.3	3 5	4.7	6.7	68	37	89	SE 3	NW 2	C	10^0	9^0	10^1	–	–	a Berge mit Ausnahme der Zugspitze frei, p ◍
6.	04.6	03.4	03.6	8.2	17.6	10.6	19.7	6.2	6.5	6.0	6.1	81	41	64	SE 2	NW 3	NW 3	7^1	7^1	7^1	2.8	–	a Berge mit Ausnahme der Zugspitze frei
7.	03.5	04.0	04 4	10.0	10.8	8.2	12.9	8.2	7.0	7.8	**8.0**	76	82	99	C	S 3	C	6^1	10^1●	10^1	0.1	–	a Berge meist frei, m ◍⁰
8.	02.0	695 5	692.4	4.7	20.4	8.4	**21 5**	4.1	6.3	4.1	4.8	98	23	59	SE 2	C	C	1^0	○○	o	1.7	–	a Berge frei, föhnig
9.	689.4	689.1	692.0	5.0	1.7	− 0 1	8.4	− 0.2	5.4	4.9	4.6	83	94	100	W 1	N 3	N 2	10^1	10^1✱	10^1	–	–	⌓, a Berge bis 1600 m bewölkt, ab 2 p ✱⁰, [2]
10.	694.3	691.8	691.9	− 2.4	4.2	1.5	4.5	− 3.0	3.8	2.5	3.4	98	40	67	C	SW 3	C	8^0	1^0○	10^0	14.0	11	a Berge teilw. bedeckt
11.	697.8	696.5	698.0	− 1.0	4.7	0.5	5.3	− 2.0	3.4	3.5	4.7	80	55	98	C	NW 5	C	10^1✱	8^1	10^1✱	4.0	7	n u. mrgs. ✱, abds. ✱¹
12.	01.2	04.2	07.8	− 2.3	0.3	− 2.0	2.9	− 2.4	3.9	3.8	3.6	100	81	91	N 7	NW 6	NW 3	10^2✱	9^1✱	10^1✱	14.0	**18**	n u. a ✱², a Berge im Nebel
13.	09.8	07.6	06.9	− 7.7	3.5	− 1.8	3.7	**9.3**	**2.2**	2.8	3.6	86	47	90	SE 2	NW 2	SE 2	○○	○○	o	4.0	8	a Berge sehr rein
14.	04.6	02.1	02.1	− 3.2	8.8	4.2	9.0	− 5.5	2.7	2.6	4.9	76	31	79	SE 2	NW 4	C	○○	○○	9^1	–	–	a Berge sehr rein
15.	01.3	01.2	01.8	1.5	4.5	2.3	5.4	1.2	4.8	4.9	3.9	94	78	72	SE 2	NW 3	C	10^1	9^1	10^1	3.4	–	n ◍¹, a Berge bis 1200 m im Nebel
16.	00.6	01.6	01.8	1.1	5.9	3.5	6.4	0.5	4.4	4.5	5.0	89	65	85	C	NW 5	C	10^1	9^1	5^0	1.0	–	a ◍, Berge bis 1000 m im Nebel
17.	01.5	00.6	00.2	2.1	10.4	4.8	12.5	− 0.4	3.6	4.4	5.4	68	46	84	C	NW 4	C	1^0○	7^1	o	–	–	⌓, a Berge rein
18.	699 7	698 o	698.7	4.7	13.2	6.7	14.1	0.8	4.0	4.0	5.3	62	35	73	SE 3	NW 4	C	7^0	9^1	10^0	–	–	a Berge rein
19.	699.7	00.3	01.9	5.8	9.8	5.7	10.5	4.2	5.3	6.0	6.6	78	66	98	SE 3	C	C	10^2	10^1	10^1●	–	–	a Berge teilw. bedeckt, abds. ◍⁰
20.	02.9	02.7	03.8	5.6	12.2	5.8	12.7	4.1	6.6	6.2	6.9	97	59	100	C	W 2	C	10^0	9^0	10^1	4.8	–	a Berge über 1600 m im Nebel
21.	04.0	03.0	03.9	4.2	13.0	3.5	13.7	3.5	6.1	5.5	4.7	98	49	80	C	N 4	C	10^1●	6^0○	2^0	8.3	–	mrgs. ◍, a Berge meist im Nebel
22.	04.6	04.0	05.1	0.7	11.8	7.3	13.1	− 0 6	4.7	4 2	5.7	98	40	74	C	NW 5	N 2	1^0○	7^0○	5^0	0.2	–	⌓, a Berge frei
23.	04.2	02.6	02.9	2.2	8.1	3.5	10.2	0.8	5.2	4.6	5.0	96	57	85	C	NW 5	SE 2	10^1●	9^1	2^0	0.5	–	mrgs. ◍⁰, a Berge meist bedeckt
24.	02.9	01.9	01.9	2.9	15.6	8.0	16.5	0.2	4.1	3.9	5.5	73	30	68	SE 3	NW 4	C	2^0○	3^0○	6^0	0.3	–	⌓, a Berge rein, föhnig
25.	01.7	00.0	00.1	3 8	13.1	5.1	14.7	2.0	4.9	3.8	5.1	82	34	78	SE 2	NW 4	S 2	1^0○	5^1	2^0	–	–	⌓, a Berge meist frei
26.	00.0	698 o	698.0	4.1	16.0	6.0	16.3	0.5	4.2	4.3	4.9	69	32	70	SE 2	NW 4	S 2	○○	4^0○	o	–	–	⌓, a Berge rein
27.	696.5	694.2	693.1	5.2	17.2	8.8	18.5	2.6	4.5	3.9	5.3	68	27	63	C	S 2	C	○○	5^0○	7^0	–	–	⌓, a Berge rein
28.	691.1	689.2	690.4	9.4	17.6	8.7	18.4	7.1	5.4	7.6	**8.0**	61	51	96	SE 2	NW 2	C	6^0	8^0	10^1●	–	–	a Berge frei, 5^{45} p an ◍⁰
29.	691.4	693.5	695.9	6.0	9.8	6.3	10.3	6.0	7.0	6.9	6.7	100	76	94	C	C	C	10^1●	10^1	10^1	7.4	–	a Berge im Nebel, mrgs. u. p ◍⁰
30.	696.7	697.3	698.8	4.8	7.4	5.7	7.6	3.8	5.6	5.9	5.8	87	77	85	C	C	C	9^0	10^1	9^0	3.7	–	a Berge bis 1500 m bewölkt
																					102.2		
Mittel	00.5	699.7	00.5	2.3	9.4	4.2	10.8	0.7	4.6	4.7	5.2	84	55	84				6.3	6.7	6.6			[1] a Berge im Nebel [2] abds. ✱¹

Hohenpeissenberg.

April. $\varphi = 47^0\ 48'$ N. $\lambda = 11^0\ 1'$ E $= 44^m\ 4^s$. H $= 993.9$ m. Cg $= \pm 0.0$ mm. 1912.

	600 mm +																						
1.	63.5	63.2	65.1	6.2	2.5	− 0.6	8.9	− 0.6	3.9	5.5	4.4	55	100	100	NW 1	NW 3	NW 1	10^1	10^2= ●	10^2= ✱	–	–	ab ca 8^{45} a ◍, p ≡², ztw. ✱−n
2.	72.9	75.3	78.6	− 3.9	− 1.8	− 3.1	− 0.6	− 3.9	3.4	4.0	3.6	100	100	100	W 5	NW 3	NW 6	10^2= ✱	10^2= ✱	10^2	**30.0**	10	n ⩎ ✱, t ≡², ztw. ✱böen
3.	81.2	82.4	84.4	− 5.6	− 2.9	− 3.0	− 2.3	**− 5.7**	2.7	3.4	2.7	90	86	74	SW 1	NW 1	C	2^2	10^2= ✱	5^2	5.4	**15**	a reine Fernsicht; ab 8^{45} a bis gegen Abend ≡¹, [1]
4.	**85.6**	85.4	85.3	− 3.4	− 0.5	0.2	0.9	− 4.3	2.7	2.3	2.7	78	45	60	NE 1	N 1	N 1	○○	○○	5^2	0.8	5	a ∞⁰, p reine Fernsicht
5.	82.3	80.7	80.4	4.1	9.8	5.2	10.7	0.2	2.3	4.2	5.4	37	46	81	SW 6	SW 6	SW 10	10^2	10^2	10^2	–	–	t reine Fernsicht, p kurz ◍
6.	80.5	79.4	80.4	7.3	13.2	8.2	13.3	5.2	5.3	6.0	**7.6**	69	53	93	W 6	W 6	SW 8	8^2	5^2	10^2	0 8	–	t reine Fernsicht
7.	79.6	80.1	80.4	7.3	8.6	6.8	9.0	6.8	6.7	6.7	5.9	88	81	80	W 5	NW 3	W 1	10^2	10^2	10^2	–	–	t ∞. 11^{15} a kurz ◍
8.	77.7	72.8	68.8	5.9	14.9	11.8	**15.9**	5.7	5.7	3.4	5.2	83	**27**	50	W 1	W 4	W 6	○○	○○	o	1.7	–	n ◍. a ∞⁰, p reine Fernsicht, Horiz≡
9.	65.7	65.6	67.6	4.1	− 0.4	− 2.6	11.8	− 2.7	5.2	4.5	3.8	85	100	100	W 5	W 1	W 3	10^2	10^2= ✱	10^2= ✱	–	–	a ∞, ab ca 11^{15} p−n ztw. ✱, p−n ≡²
10.	69.5	67.4	67.6	− 4.2	− 0.9	− 2.3	− 0.4	− 4.4	3.1	2.6	3.9	93	59	100	W 1	N 4	W 4	9^1	1^2	10^2= ✱	14.5	8	n ✱, a ∞⁰, ab 7^{24} p−n ztw. ✱, abds. ≡²
11.	73.1	72.9	73.5	− 3.3	− 1.5	− 0.8	0.2	− 4.3	3.2	4.1	4.2	89	100	98	W 1	W 3	W 1	9^1	10^2= ✱	10^2= ✱	3.9	2	n ✱, a Flachland rein, Gebirge bedeckt. [2]
12.	76.2	79.4	82.4	− 5.2	− 1.8	− 5.3	0.0	− 5.3	2.9	2.6	2.6	96	66	85	W 4	W 1	W 5	10^2= ✱	10^2✱	1^2	12.4	10	a ≡² ✱, t öfters ✱böen
13.	84.6	83.5	82.2	− 3.1	0.2	− 2.8	0.2	− 5.3	**1.4**	1.8	2.0	38	40	53	C	E 2	NE 3	○○	○○	o	0.3	–	t reine Fernsicht
14.	79.7	78.7	78.1	− 3.0	4.5	1.9	4.9	− 3.7	2.2	2.6	3.7	59	41	71	E 1	N 1	NE 1	○○	○○	10^2	–	–	t reine Fernsicht
15.	77.2	77.4	77.9	− 0.1	3.0	− 0.4	3.0	− 0.4	4.1	3.7	4.0	90	64	90	NE 1	E 3	NE 4	10^2=	5^2○	2^2	0.4	–	n ◍, a ≡², vorm. ∞⁰, p ztw. kurz ✱⁰
16.	77.2	77.7	77.8	− 2.5	2.7	1.6	3.0	− 2.7	3.4	3.9	3.9	89	70	76	E 1	E 4	NE 1	10^2=	10^2	o	0.8	–	a ≡², p ∞
17.	77.1	77.4	76.6	3.3	7.3	4.1	7.9	− 0.7	2.7	4.5	4.0	47	60	65	C	NE 1	NE 4	○○	1^1○	o	–	–	a ∞
18.	75.4	74.8	75.0	5.0	9.5	6.6	9.7	3.5	3.8	4.2	4 2	58	47	58	SE 1	E 1	E 1	7^1	10^1	10^2	–	–	a reine Fernsicht, p ∞
19	75.5	76.6	77.8	5.2	8.9	4.3	8.9	4.3	4.7	5.7	5.9	71	67	96	SW 1	C	W 1	10^1	10^1	10^2●	–	–	t ∞, ab 9^{45} p ◍
20.	78.5	79.2	80.1	4.0	8 2	4.2	8.2	3.9	5.8	5.8	6.2	95	71	100	W 1	NW 1	NE 1	10^1	10^1	1^1	4.0	–	n ◍, a ∞, vorm. ztw. ◍
21.	79.7	79.7	80.1	3.3	7.5	5.0	7.6	2.9	5.8	4.1	5.0	100	54	76	NE 1	NE 5	NE 7	10^2=	10^2	10^2	3.0	–	n ◍, a ≡², p ∞
22.	80.3	80.5	80.7	1.4	8.7	3.7	8.9	0.4	4.3	3.2	5.7	85	38	95	NE 7	E 7	SE 3	○○	5^2○	9^2	0.1	–	n ◍. a ∞, p sehr reine Fernsicht
23.	79.9	79.1	78.7	2.0	6.1	3.1	6.5	1.6	5.1	4.4	5.7	96	63	98	E 2	NE 4	NE 4	10^2=	9^2	o	–	–	a ≡¹, p reine Fernsicht
24.	78.4	78.1	78.1	4.4	11.2	7.0	11.5	2.5	3.7	3.3	4.6	59	34	62	E 2	NE 4	W 1	1^1○	6^1	8^1	–	–	a reine, p sehr reine Fernsicht
25.	77.6	77.0	76.4	5.1	11.1	7.2	11.2	4.2	5.5	3.7	4.0	85	38	52	W 1	NE 3	SE 1	○○	7^2	5^1	0.2	–	n ◍, a ∞⁰, im Tale ⌓, p reine Fernsicht
26.	75.8	75.0	74.2	6.9	10.1	8.0	11.0	4.8	3.9	4.3	3.7	52	47	47	C	NW 1	E 1	○○	8^2	o	–	–	a ∞, p reine Fernsicht
27.	72.8	71.4	69.8	8.5	13.6	9.3	13.8	6.8	3.4	4.3	4.0	41	37	45	SE 1	W 1	W 5	○○	5^1	9^1	–	–	t reine Fernsicht
28.	67.9	66.8	67.3	8.5	14.4	9.3	14.4	**7.6**	4.4	5.0	6.1	54	41	70	E 1	NE 3	C	6^2	10^1	10^1●	–	–	t ∞$^{0.1}$, abds. ◍⁰
29.	68.0	69.9	72.1	2.8	8.4	4.8	9.3	2.6	5.6	5.2	3.7	100	63	57	NW 1	NW 1	NW 3	10^2=	10^2	10^2	3.5	–	n ◍, a ≡², p reine Fernsicht
30.	72.8	73.8	75.4	0.7	6.6	2.3	7.3	0.4	4.3	5.2	4.5	89	71	82	C	NE 3	NE 4	10^2	10^2	9^1	–	–	vorm. ztw. ◍ u. ✱, t ∞
																					81.8		
Mittel	76.2	76.0	76.4	2.1	6.0	3.1	7.2	0.6	4.0	4.1	4.4	76	60	77				6.1	7.1	6.5			[1] ztw. ✱ [2] t ≡², ztw. ✱

Alle Angaben nach Ortszeit.

Zugspitze.

April. $\varphi = 47^0\ 25'$ N. $\lambda = 10^0\ 59'$ E $= 43^m\ 56^s$. H $= 2964$ m. Cg $= -0.2$ mm. 1912.

Datum	Luftdruck auf 0^0 u. Normalschwere reduziert 500 mm +			Lufttemperatur C°					Absolute Feuchtigkeit mm			Relative Feuchtigkeit Proz.			Richtung und Stärke des Windes 0 bis 12			Bewölkung 0 bis 10			Niederschlag mm	Schneedecke cm
	7^a	2^p	9^p	7^a	2^p	9^p	Max.	Min.	7^a	2^p	9^p	7^a	2^p	9^p	7^a	2^p	9^p	7^a	2^p	9^p	7^a	7^a
1.	18.1	16.5	16.3	− 6.5	− 5.7	− 7.7	− 5.5	− 8.3	2.4	2.9	2.5	90	100	100	S 5	C	N 5	10^1	10^1 *	10^2 = *	−	360
2.	19.6	22.3	23.8	−14.4	−16.2	−16.0	− 7.7	−16.8	1.3	1.2	1.2	100	100	100	N 5	N 8	N 7	10^2 = *	10^2 = *	10^2 = *	7.7	405
3.	24.9	26.6	28.5	−18.1	−18.5	−17.0	−16.0	−19.6	1.0	0.9	1.1	100	100	100	N 6	N 4	N 4	10^2 ≈	10^1 =	10^2 = *	1.7	430
4.	29.9	31.6	33.1	−19.6	−15.9	−12.6	−12.6	−20.4	0.8	0.9	1.3	95	75	78	N 5	N 3	N 4	oo	1^0 ⊙	10^1	0.6	423
5.	**33.4**	32.7	32.1	− 6.7	− 5.2	− 3.1	− 3.1	−12.6	2.7	3.0	3.6	100	100	100	N 4	NW 5	NW 12	10^1 = *	10^1 =	10^2 =	−	420
6.	33.3	32.4	32.6	− 2.0	− 1.9	− 3.7	− 1.3	− 3.8	3.9	4.0	3.5	100	100	100	N. 11	NW 9	NW 10	10^2 ≈	10^2 ≈	10^2 =	3.0	425
7.	31.1	31.5	31.7	− 3.8	− 4.0	− 4.8	− 3.2	− 4.8	3.4	3.3	3.1	100	100	100	N 10	NW 8	N 6	10^2 =	10^2 =	10^2 =	4.2	430
8.	29.8	28.3	25.3	− 6.4	− 3.2	− 1.3	− 1.3	− 6.6	2.2	2.8	2.3	80	79	56	NW 2	SW 5	SW 8	1^0 ⊙	5^0 ⊙	o	−	435
9.	19.6	16.4	16.6	− 3.1	−10.9	−13.5	0.2	−13.5	3.1	1.8	1.5	88	100	100	SW 5	N 3	N 3	9^1	10^1 = *	10^2 = *	−	425
10.	16.0	16.8	16.3	−19.3	−17.7	−15.9	−13.5	−19.3	0.8	1.0	1.2	100	90	100	N 4	NW 1	NW 10	10^2 ≈	2^0 ⊙	10^2 =	6.0	435
11.	19.1	20.1	22.0	−18.8	−15.2	−12.4	−12.2	−18.8	0.9	1.3	1.6	100	100	100	N 8	NW 8	NW 6	9^1 =	10^2 ≈	10^2 = *	−	440
12.	21.9	24.8	27.2	−14.8	−17.5	−18.2	−12.2	−19.2	1.3	1.0	1.0	100	100	100	NW 5	NW 5	N 7	10^2 = *	10^2 =	10^2 =	1.8	445
13.	28.2	29.1	29.3	−20.6	−16.1	−14.5	−14.5	−21.8	0.7	0.9	1.1	97	81	83	N 4	N 2	NW 3	1^0 ⊙	1^0 ⊙	1^1	3.0	450
14.	28.0	27.5	26.7	−12.6	−11.7	−11.4	−10.9	−14.5	1.5	1.6	1.7	88	90	96	N 2	N 1	C	oo	1^0 ⊙	9^1 =	−	440
15.	25.2	25.8	25.8	−11.6	− 7.8	− 7.4	− 7.4	−12.4	1.8	2.4	2.5	100	100	100	E 1	SE 2	SE 2	10^2 = *	10^2 = *	5^1 = *	1.7	445
16.	25.4	26.5	26.9	− 9.0	− 6.6	− 6.9	− 5.0	− 9.7	1.8	2.5	2.5	84	94	98	SE 5	SE 3	SE 4	8^1 ⊙	6^1 ⊙	8^1 =	0.8	465
17.	27.7	28.1	27.6	− 6.4	− 5.8	− 5.5	− 1.0	− 7.8	2.6	2.9	2.8	93	100	95	E 2	SE 2	SE 4	2^1 ⊙	10^0 =	1^1	−	460
18.	26.7	26.9	26.9	− 7.3	− 4.7	− 5.8	− 3.8	− 8.2	2.6	3.1	2.9	90	96	100	SE 1	SE 2	SE 2	7^1 ⊙	9^1 ⊙	10^1 *	−	450
19.	26.8	27.7	28.6	− 8.0	− 2.9	− 5.9	− 1.9	− 8.3	2.4	3.7	2.9	100	100	100	N 1	C	C	10^2 = *	10^2 = *	10^2 = *	2.2	460
20.	29.0	29.9	30.2	− 7.3	− 2.7	− 7.6	− 2.5	− 7.7	2.6	3.7	2.5	100	100	100	C	C	N 3	10^1 = *	10^1 =	9^2	7.5	470
21.	29.1	30.1	30.5	− 5.5	− 3.0	− 4.8	− 1.5	− 8.1	3.0	3.6	3.1	100	100	100	E 1	E 2	NE 3	10^1 = *	10^2 = *	9^1 =	13.0	490
22.	29.8	30.7	30.5	− 5.9	− 3.2	− 7.0	− 2.6	− 7.7	2.6	3.6	2.6	91	100	100	E 4	E 2	N 3	oo	10^2 = △	10^2 = *	0.8	**500**
23.	28.7	28.7	28.8	− 7.6	− 1.4	− 4.9	0.2	− 7.6	2.5	4.1	3.1	100	100	100	NE 2	SE 2	SE 3	10^1 ≈ *	10^1 = *	8^1 =	3.2	495
24.	29.4	30.0	29.9	− 5.0	− 4.6	− 4.0	− 2.6	− 6.9	2.9	2.9	3.2	94	92	97	SE 2	S 2	C	2^0 ⊙	4^1 ⊙	7^1	1.2	480
25.	28.6	28.4	27.9	− 8.1	− 5.1	− 7.4	− 3.8	− 8.2	2.2	3.1	2.4	95	100	94	N 3	N 2	NE 2	5^1 =	9^1 =	6^1	−	470
26.	27.1	27.4	27.1	− 9.1	− 2.2	− 5.6	− 1.3	− 9.4	2.0	3.8	2.7	92	97	92	NE 2	SW 1	W 2	1^1 ⊙	10^2	o	0.9	455
27.	25.9	25.8	24.8	− 5.2	− 1.7	0.5	**0.7**	− 7.7	2.6	3.8	3 8	88	94	81	W 2	SE 3	S 4	1^1 ⊙	6^1 ⊙	10^1	−	445
28.	22.8	22.5	22.0	− 2.1	− 0.1	− 2.4	0.6	− 2.9	3.5	**4.4**	3.7	90	97	98	SW 2	S 2	E 1	9^1	10^1	10^2 *	−	440
29.	21.0	22.5	23.7	− 5.4	− 3.7	− 6.7	− 2.4	− 6.7	3.0	3.4	2.7	100	100	100	N 2	N 2	N 2	10^2 = *	10^2 = *	10^2 = *	**14.7**	450
30.	23.3	24.4	25.3	− 7.7	− 4.3	− 6.5	− 2.8	− 9.0	2.5	3.3	2.7	100	100	100	N 2	SE 2	SE 2	10^2 = *	10^2 = *	10^2 = *	11.2	455
																					85.2	
Mittel	26.0	26.4	26.6	− 9.3	− 7.3	− 8.0	− 5.0	−11.0	2.2	2.7	2.4	95	96	96				6.8	8.1	8.1		

Bemerkungen.

1. n Sturm; bis 8^{30} a Fernsicht frei, dann ≡0.2, ✳0; p stärkerer ✳fall, 2 p Sausen ausströmender Elektrizität
2. n ✳2; a ca 40–50 cm Neu✳; 10 cm ⋁; t ≡2, ✳1.2, ✳treiben
3. n u. a ⁀; t ≡1.2, ✳treiben; ztw. ✳0.1; 10^{30}–11^{30} a Aufklaren; 2 p ztw. Aufhellen; 6 p kurzer Ansatz zum Aufklaren
4. n Aufklaren, a über Inntal ≡meer, über Ebene einzelne ≡fetzen; t fast wolklos, ✳treiben; ab 6 p aus NW starke Bewölkungszunahme (a-cu, a-str.)
5. n meist klar, t ≡1.2, ztw. ✳00, ✳treiben; ab ca 6 p orkanartiger Sturm
6. n u. t Sturm; t ≡1, ✳treiben; 7 a 20 cm ⋁; 9 p 40 cm ⋁
7. t ≡2, ⁀, ✳treiben; ca 7^{30} p ≡reissen; 7 a 40 cm ⋁, 9 p 60 cm ⋁
8. n Aufklaren; t heiter, ztw. ⁀; a über Gebirgstälern ≡meer, an den Vorbergen einzelne ≡fahnen; über Flachland ∞ u. einzelne cu
9. 6–7 a ringsum ≡meer in ca 2500 m, rasch in die Höhe steigend; ab ca 8 a ≡1.2, ✳0.1
10. n ruhiger ✳fall; bis 9^{45} a ≡0.2; 9^{45} a–4^{30} p heiter; dann neuerdings sehr rascher Umschlag, ≡, ✳0, Sturm; 9 a ⊕ (23°); 3^{45} p ⊕ (23°)
11. t ≡1.2, ✳treiben; ztw. kurzes Aufklaren. $8^{00.45}$ p Elmsfeuer, zuerst negativ, dann positiv
12. n u. a ✳; t ≡, ztw. ganz kurzes Aufklaren; ztw. ✳0.1, meist ✳treiben
13. n sternenklar; t fast wolkenlos, freie Fernsicht; allenthalben (auch in der Ebene) viel Neu✳
14. bis 4 p heiter, dann Gipfel in cu; ≡1, ✳1; 7 a in Partenkirchen ≡; 9 p Sterne durchschimmernd
15. n ✳; t ≡2; t ztw. Aufhellen; p ✳1.2; ab 8^{45} p ztw. Aufklaren im Zenit
16. t wolkig; 7 a ⊕ (23°), oberer Berührungsbogen des ⊕ von 46° (sehr farbenprächtig!); 9 a rechte Neben⊙ des ⊕ von 23°; a ≡meer in 2000 m, 2 p in ca 2500–2700 m; [1])
17. a heiter, 0–6^{30} p ≡0.2; dann wieder Aufklaren
18. t starke Bewölkung; 2 p ⊕ von 23°; 9 p ✳00
19. t ≡2, ✳0.1; ztw. ⊙ durchscheinend
20. t ≡1.2, ✳0.1; meist C; 6 p setzt N-Wind ein; 7 p lichtet sich der ≡ auf kurze Zeit; es werden a-cu u. str-cu sichtbar
21. t ≡1.2, ✳0.1; ztw. kurzes Aufklaren
22. ca 9^{40} p Aufklaren; a über Ebene ∞; über Gebirge ziemlich lückenhaftes ≡meer (teilw. irisierend); ab ca 11 a ≡1.2, a ztw. ✳0; ab 2 p △1 u. später ✳1; p NE-Wind
23. t ≡1, ✳0.1; 8–10 a ztw. kurzes Aufklaren; 9 p langsames Aufklaren; 9 p Ψ
24. t vorwiegend heiter, freie Fernsicht; p starke Bewölkungszunahme; ab 6 p ztw. ≡0.1; 6^{30} p rechte Neben⊙ des ⊕ von 23°
25. n u. t Gipfel meist in Wolken, meist ≡, nur ztw. kurzes Aufklaren; wenig Niederschläge (✳00.0)
26. n Aufklaren; t heiter, jedoch ztw. stärkere Bewölkung; a ringsum ∞2; 10 a SE 1; dann E, NE, N; p SW-Wind, 9 p Ψ
27. t meist stärkere Bewölkung; a Flachland ∞ig; im S Föhnmauer, sonst freie Fernsicht; p föhnig; 3^{15} p Teile eines ⊕ (23°)
28. n ⁀; 10 a ⊕ (23°); ab 4^{40} p ≡0.1; ab ca 5^{30} p ✳0.1; ab 5 p NE-Wind, später NW
29. n u. a ✳ (15 cm Neu✳); t ≡0.2, ✳0.1; ztw. △0
30. t ≡2, ✳0.1

[1]) p Gipfel ztw. in ≡, Brockengespenst

Alle Angaben nach Ortszeit.

Kahl a/M.

Mai. $\varphi = 50^0\ 4'$ N. $\lambda = 9^0\ 1'$ E $= 36^m\ 4^s$. H $= 114.1$ m. Cg $= +0.3$ mm. 1912.

Datum	Luftdruck auf 0° u. Normalschwere reduziert 700 mm +			Lufttemperatur C°					Absolute Feuchtigkeit mm			Relative Feuchtigkeit Proz.			Richtung und Stärke des Windes 0 bis 12			Bewölkung 0 bis 10			Niederschlag mm	Bemerkungen
	7a	2p	9p	7a	2p	9p	Max.	Min.	7a	2p	9p	7a	2p	9p	7a	2p	9p	7a	2p	9p	7a	
1.	56.3	55.9	56.1	6.0	12.0	5.0	15.2	1.9	4.1	3.1	4.0	59	30	61	C	E 2	C	1^{10}	7^{10}	0	–	
2.	56.3	54.7	54.1	3.2	15.0	4.2	18.9	− 4.2	4.5	3.1	4.2	78	25	68	E 2	C	C	00	00	0	–	a ⌊⌋
3.	53.5	51.7	51.3	5.0	19.0	12.7	20.9	− 2.8	4.9	4.9	8.4	75	30	77	C	SW 2	C	1^{0}	4^{10}	10^{1}	–	a ⌊⌋
4.	52.3	52.4	52.9	10.7	14.9	10.3	17.0	9.5	6.6	5.1	6.2	69	41	66	C	NW 4	C	9^{1}	2^{00}	10^{0}	–	
5.	54.2	54.3	54.4	9.9	16.5	10.9	21.0	7.0	7.1	6.7	7.9	79	49	82	C	SW 2	C	10^{0}	1^{00}	1^{1}	0.8	n ◍0
6.	55.0	54.4	55.5	10.5	18.2	12.7	21.2	3.0	8.0	9.9	10.7	85	63	98	C	SW 2	C	00	6^{1}	10^{1}		134.44 p, 231–316 p, 331–401 p ◍
7.	58.0	58.0	58.1	13.7	18.8	15.1	19.4	10.9	10.9	8.2	10.7	94	51	84	SW 2	SW 2	SW 2	3^{10}	10^{1}	10^{1}	8.2	706.21 p ◍
8.	56.5	57.9	60.0	14.0	16.9	14.0	17.9	11.9	11.6	11.0	11.6	98	77	98	SW 2	NW 2	C	10^{1}	10^{1}	10^{1}	10.9	n ◍
9.	**60.6**	58.2	57.1	13.3	21.0	16.3	21.7	11.1	11.0	10.9	10.5	97	59	76	C	SW 4	SW 2	10^{1}	10^{0}	5^{0}	1.1	n ◍. a ≡0
10.	55.7	54.4	53.9	15.6	20.6	14.6	22.0	12.9	11.8	10.4	9.3	89	58	75	SW 2	SW 2	C	7^{1}	9^{0}	9^{1}	0.3	n ◍
11.	54.4	53.1	51.0	15.3	23.3	19.8	25.0	9.6	11.0	12.0	13.3	85	56	78	C	SW 2	C	5^{0}	10^{1}	1^{1}	–	a ⌓
12.	51.7	47.4	45.2	18.4	28.5	25.7	**31.6**	11.7	12.7	11.7	10.5	80	40	43	W 4	SW 2	SW 6	6^{0}	8^{0}◌	1^{2}	–	
13.	51.1	54.1	55.1	15.2	17.0	11.6	26.6	10.9	9.8	7.3	6.6	76	51	64	W 2	W 2	W 2	10^{0}	7^{10}	0	–	
14.	55.5	52.9	49.9	9.4	20.2	13.1	21.2	3.0	7.3	5.5	8.3	84	31	74	C	NW 2	C	00	9^{1}	0	–	a ⌓
15.	45.9	**43.5**	43.6	16.1	27.3	16.8	28.2	8.2	9.2	12.5	**13.5**	69	45	95	SW 2	S 2	SW 2	1^{0}	10^{0}	10^{1} ⛈●	–	a ⌓. 836–9 p ⛆. 901–9 p ◍
16.	44.6	44.5	47.4	14.9	16.9	10.2	19.3	9.3	10.0	9.5	7.7	80	66	83	SW 4	SW 6	C	8^{1}	6^{10}	9^{1}	11.2	9–1001 p ⛆. 900.46 p ◍
17.	51.3	51.9	53.7	9.4	12.2	9.2	15.4	6.8	6.7	6.2	7.3	76	59	84	SW 4	NW 4	C	1^{10}	5^{10}	10^{1}	0.8	n ◍. 711.21 p ◍
18.	53.8	53.4	54.4	9.6	17.0	9.4	18.5	7.1	7.4	5.5	7.7	84	38	88	SW 2	SW 4	C	10^{1}	5^{1}	1^{1}	1.2	n ◍
19.	55.1	53.3	52.5	10.2	20.1	13.1	22.8	2.9	7.8	7.4	8.6	84	42	77	C	SE 2	C	3^{00}	1^{00}	0	–	a ⌓
20.	52.1	48.3	46.5	14.1	25.2	19.7	26.3	5.1	9.6	9.0	10.1	80	38	59	C	SW 2	NW 2	00	4^{10}	10^{0}	–	
21.	48.5	46.0	45.1	16.0	23.4	14.9	24.3	12.9	11.5	10.2	12.3	85	48	98	SW 2	S 2	C	4^{1}	5^{1}	6^{0}	0.9	n ◍. 521.49 p ⛆. 523.51 p ◍
22.	44.4	43.8	44.3	13.7	18.4	13.9	21.4	12.8	11.1	12.1	11.7	96	77	**99**	C	SE 2	SW 2	10^{1}	9^{1}	3^{0}	**20.4**	n ●
23.	46.2	46.1	46.6	13.4	18.0	11.7	21.3	8.8	10.7	9.2	9.2	94	60	91	S 2	SE 2	C	1^{00}	9^{1}	5^{0}	6.3	n ◍
24.	49.0	50.4	51.7	11.2	14.3	12.6	19.5	7.1	8.8	8.9	9.6	89	74	89	C	SW 4	NW 2	7^{0}	10^{0}	10^{1}	–	129 p an ztw. ◍
25.	53.1	54.1	55.4	12.6	14.4	9.6	15.4	9.5	9.6	8.2	7.1	89	67	80	NW 2	NE 6	C	9^{1}	4^{0}	9^{1}	0.6	821.31 a ◍0
26	55.3	54.0	52.9	8.8	13.6	10.1	15.3	6.2	5.2	5.1	5.8	62	44	63	NE 4	NW 4	C	3^{10}	5^{10}	1^{0}	–	
27.	52.9	52.3	52.4	10.5	12.9	7.4	17.7	4.3	6.6	4.6	6.7	70	42	88	SW 2	W 4	C	1^{0}	4^{10}	1^{0}	–	
28.	51.9	50.3	49.3	9.8	18.2	13.2	19.3	3.9	6.5	6.1	8.5	71	39	75	S 2	W 2	C	10^{1}	5^{1}	9^{1}	–	
29.	48.9	48.3	48.3	14.0	16.7	9.6	18.8	9.3	8.4	5.9	7.1	70	41	80	SW 2	W 4	C	3^{00}	1^{1}	0	–	
30.	48.6	47.4	47.6	11.7	19.9	12.3	21.9	3.3	7.9	6.3	8.1	78	37	77	S 2	E 4	E 2	00	2^{10}	1^{1}	–	a ⌓
31.	49.2	48.1	48.2	11.8	21.1	12.0	24.0	4.9	8.3	6.0	8.9	81	32	86	C	W 2	C	00	1^{00}	10^{0}	–	
Mittel	52.3	51.5	51.4	11.9	18.4	12.6	20.9	7.1	8.6	7.8	8.8	81	49	79				4.6	5.8	5.2	62.7	

Bayreuth.

Mai. $\varphi = 49^0\ 57'$ N. $\lambda = 11^0\ 34'$ E $= 46^m\ 16^s$. H $= 363.3$ m. Cg $= +0.3$ mm. 1912.

1	34.2	33.9	34.3	0.2	8.8	5.5	9.2	− 3.6	3.8	3.1	3.5	81	36	52	NW 2	E 2	NE 2	1^{00}	8^{2}	8^{1}	–	a ⌊⌋2
2.	34.0	31.7	31.4	0.4	12.8	6.5	16.0	− 4.0	3.3	3.6	4.2	74	32	59	E 2	NW 4	W 2	00	00	0	–	a ⌊⌋2
3.	30.9	28.7	28.7	3.9	16.8	11.3	18.3	− 1.7	4.2	3.9	5.3	68	27	53	SE 2	NW 6	W 2	00	00	2^{0}	–	a ⌊⌋1
4.	29.4	29.3	30.6	9.2	14.1	10.2	15.6	7.2	7.2	5.5	5.4	84	45	59	W 2	NW 4	N 2	10^{1}	7^{1}	0	–	
5.	32.2	32.2	33.1	6.3	14.9	10.1	18.0	4.2	5.4	5.5	6.1	76	44	66	W 2	W 2	W 2	10^{1}	7^{20}	0	–	
6.	34.0	32.8	34.0	7.5	18.8	12.7	21.4	1.5	5.3	7.8	9.1	69	48	86	E 2	SE 2	W 2	3^{10}	7^{10}	10^{2}	–	a ⌊⌋10. 7 p an ◍0.1
7.	35.8	36.2	36.5	12.7	17.2	13.0	18.8	10.2	9.3	7.4	8.4	87	50	76	W 4	W 6	W 2	9^{2}	5^{20}	3^{1}	1.2	n ◍0.1 ⛆
8.	35.4	35.4	37.9	11.6	15.0	11.1	15.7	10.2	9.6	9.5	9.0	95	75	91	W 2	W 2	NW 2	10^{2}●	10^{2}	10^{1}	4.7	n ◍1.2, t ztw. ◌0.1
9.	**39.3**	37.7	35.7	9.6	16.8	11.9	17.5	6.4	8.7	9.4	10.0	**98**	66	97	E 2	W 4	E 2	10^{2}=	10^{2}	10^{2}●	5.2	n ◍0. a ≡2. 431 p an, ca 6–816 p ⛆. ca 5–9 p ◍1.2
10.	33.3	31.7	31.3	12.1	17.0	12.4	17.3	9.9	9.9	7.5	8.9	95	52	85	W 4	W 6	SE 2	10^{1}	10^{1}	10^{1}	**24.5**	n ◍0.1. a ≡0. ca 5 p an ◍0
11.	32.6	31.6	30.8	9.2	19.0	15.6	20.0	7.3	8.4	7.2	11.0	**98**	44	84	C	NW 6	SE 2	10^{2}=	10^{2}	2^{1}	0.1	a ≡1 ⌓
12.	30.2	27.0	24.5	16.7	27.9	19.4	**29.0**	12.8	11.8	10.7	**12.7**	83	38	76	E 2	SW 4	E 2	7^{2}	5^{1}	0	–	a ⌓. 356–431 p Fern⛆
13.	27.7	31.4	32.6	15.6	14.4	10.4	19.6	10.2	10.5	6.8	6.7	80	56	71	NW 6	NW 6	W 2	10^{1}	8^{2}	0	–	n ⛆ ⟍
14.	34.0	31.0	28.3	5.9	18.6	12.7	20.4	2.1	5.5	5.4	7.6	80	33	70	W 2	W 2	W 2	5^{10}	4^{10}	3^{2}	–	a ⌓
15.	25.1	22.7	20.3	12.5	26.6	20.0	28.1	6.5	8.2	9.2	11.1	77	36	64	E 2	W 6	W 2	8^{2}	3^{10}	10^{1}	–	
16.	22.9	22.4	25.8	12.9	16.6	10.2	20.5	9.9	9.1	7.0	8.1	83	51	87	W 6	W 6	W 2	10^{1}	8^{1}	10^{2}	2.1	n ⛆ ⟍ ◍0. p ztw. ◍0
17.	32.7	33.1	30.6	8.0	10.3	6.5	13.0	6.0	6.3	5.8	6.3	79	62	88	W 6	W 6	E 2	10^{2}	8^{2}○	5^{1}	0.6	
18.	32.1	31.4	32.4	7.3	7.3	8.4	12.0	4.0	6.2	6.7	7.7	83	89	93	W 4	NW 6	E 2	10^{2}	10^{2} ⛈●	10^{1}	–	1001.16 a ⛆, 1036.31 a ◍1.2, 1021.21 a △. 036–216 p ⛆, 1)
19.	33.5	32.2	31.9	6.7	18.0	12.4	20.2	4.7	7.0	7.5	8.3	96	49	78	E 2	NW 2	W 4	10^{1}	7^{10}	0	6.9	a ≡1, ⌓
20.	31.5	28.1	26.6	11.3	23.0	17.6	25.6	5.0	8.4	8.4	10.4	84	40	69	SE 2	S 2	E 2	00	5^{10}	10^{2}	–	a ⌓. 736–806 p Fern⛆
21.	27.1	25.4	24.1	14.8	22.2	14.9	23.6	12.4	11.3	10.5	10.5	90	53	84	W 2	NW 2	W 6	8^{1}	8^{2}○	10^{2}	3.0	n ⛆ ◍0
22.	23.3	22.7	22.7	13.9	15.1	14.1	17.5	12.5	11.1	11.8	11.2	95	92	94	SE 2	W 2	C	10^{2}●	10^{2}●	10^{2}	2.2	n ◍0. a ◍1. p ztw. ◍0
23.	24.3	24.7	25.0	13.4	16.2	14.6	18.2	11.4	9.5	8.3	9.4	83	60	76	NW 4	W 4	W 2	9^{2}	10^{1}	10^{2}	10.5	
24.	26.1	27.1	28.6	11.6	16.8	12.9	17.3	10.1	9.2	8.9	9.3	91	59	85	NW 4	NW 2	NW 2	10^{2}	10^{2}	10^{1}	0.3	a ◍0
25.	29.7	29.9	31.5	12.1	15.0	10.1	15.4	9.0	9.0	7.2	7.1	87	57	77	NW 4	N 4	NW 2	10^{1}	10^{1}	10^{2}	–	
26.	31.3	30.8	30.8	7.0	12.5	8.6	12.8	6.2	5.6	5.6	4.5	75	52	54	NW 6	NW 4	W 2	10^{2}	8^{1}	10^{1}	–	
27.	30.1	29.4	29.8	8.0	12.4	7.6	13.9	5.0	5.9	5.1	5.6	73	48	71	NW 2	W 4	E 2	10^{1}	7^{2}	2^{0}	–	
28.	30.4	28.8	28.1	6.5	14.5	11.6	16.5	2.2	5.8	6.4	7.7	82	53	76	SE 2	W 6	W 2	10^{1}	9^{2}	10^{2}	–	
29.	26.4	25.7	25.7	9.2	16.4	12.9	18.4	6.2	8.2	6.6	6.3	95	47	57	C	NW 4	E 2	10^{2}	8^{1}	5^{1}	1.0	n, a ◍0. a ≡1
30.	26.6	25.9	26.0	8.0	17.8	13.9	19.5	2.4	6.1	7.1	6.8	76	47	58	C	NW 4	NE 2	00	7^{10}	2^{0}	–	a ⌓
31.	27.3	27.1	26.8	9.5	19.8	14.7	21.8	4.1	7.3	8.0	8.4	84	47	68	NW 2	W 2	W 2	00	8^{10}	2^{0}	–	a ⌓
Mittel	30.4	29.6	29.6	9.5	16.5	12.1	18.4	6.2	7.6	7.2	8.0	84	51	74				7.4	7.3	5.9	62.3	

1) 121–ca 3 p ◍1.2, t ztw. ◍0.1

Alle Angaben nach Ortszeit.

Bamberg

Mai. $\varphi = 49^0\ 53'$ N. $\lambda = 10^0\ 53'$ E $= 43^m\ 32^s$. H $= 287.7$ m. Cg $= +0.3$ mm. 1912.

Datum	Luftdruck auf 0° u. Normalschwere reduziert 700 mm + 7a	2p	9p	Lufttemperatur C° 7a	2p	9p	Max.	Min.	Absolute Feuchtigkeit mm 7a	2p	9p	Relative Feuchtigkeit Proz. 7a	2p	9p	Richtung und Stärke des Windes 0 bis 12 7a	2p	9p	Bewölkung 0 bis 10 7a	2p	9p	Niederschlag mm 7a	Bemerkungen
1.	40.7	40.6	41.2	3.0	8.9	4.5	11.0	− 1.1	4.5	2.8	3.4	79	33	54	W 1	NE 3	N 1	2^1⊙	9^2	9^1	1.4	n ⌊_
2.	40 9	38.9	38.3	1.9	14.2	7.4	14.8	− 2.0	3.6	4.2	3.8	67	34	49	W 1	NW 1	C	○○	○○	1^1	0.1	n ⌊_. a ≡
3.	37.6	35.6	35.4	4.3	18.5	12.0	19.5	− 1.5	9.3	5.5	6.3	70	35	61	S 2	W 2	W 2	3^0⊙	1^1⊙	10^0	0.1	n ⌊_. a ≡
4.	36.1	36.0	37.3	8.2	17.4	9.3	18.3	6.7	6.8	5.7	6.0	83	38	69	SE 1	NW 3	W 1	10^2	10^0⊙	10^1	0.1	ca 6 a ◎0
5.	38.7	38.9	39.6	7.7	15.3	9.4	16.8	6.8	5.2	6.1	5.8	67	47	66	W 2	S 2	S 2	10^2	9^1⊙	6^1	0.1	
6.	40.4	39.2	40.9	7.8	19.8	11.3	21.7	2.4	5.7	6.9	9.6	73	40	97	W 1	SW 1	S 1	2^1⊙	7^1	10^1	0.1	n ⌓. 4^{04} p ◎0. 5^{30}–6^{30} p ⌇, 6^{54}–7^{02} p ◎2, 7^{42} p ◎1
7.	42.8	43.3	43.3	12.1	17.5	12.6	19.1	10.1	9.9	8.2	9.3	95	55	87	W 1	W 3	S 1	10^2	10^1	10^2	14.9	9^{31} p-ca 1 a ◎1, 7^{32}–ca 8^{30} a ◎1, ca 8^{45}–9 a ◎0
8.	41.8	42.1	44.9	11.5	13.1	11.5	15.3	11.5	9.9	10.7	9.9	98	96	98	E 1	SW 1	C	10^2●	10^2●	10^2	9.8	mrgs.–ca 10 a ◎. 10^{23} a–ca 5^{30} p ◎1. a ≡0
9.	**46.1**	43.8	41.7	11.0	18.3	13.3	20.7	9.7	9.8	10.5	11.4	100	67	100	S 1	C	W 1	10^{7}≈	10^2●	10^2	5.6	n ⌓. a ≡1, 14^{0}–2^{03} p ◎0. 7^{03}–8^{54} p ⌇, $7^{10.24}$ p, 7^{32}–8^{45} p ◎1
10.	40.2	38.5	38.4	12.3	18.2	12.3	20.3	12.0	10.5	10.3	10.3	99	66	97	W 2	SW 2	C	10^2	10^1⊙	10^2	10.4	3^{45}–4^{30} p ◎0
11.	39.4	38.0	36.9	10.5	20.4	16.6	22.7	9.1	9.2	9.7	10.9	98	54	77	SE 1	C	S 3	10^{2}≈	10^0⊙	10^1	1.2	n ⌓. a ≡2
12.	35.4	33.2	30.0	17.9	28.2	22.[1]	**29.3**	12.9	12.2	10.6	12.4	80	37	63	SE 3	SW 3	S 3	9^0⊙	9^1⊙	3^1	0.1	n ⌓. 2^{16}–3^{44} p ◎0. $8^{24.54}$ p ⌇ i. N. 7 a, 2 p ◐
13.	34.7	38.4	39.4	17.0	15.4	10.6	24.8	10.6	11.2	8.3	7.2	78	63	74	W 4	NW 2	NW 3	10^2	10^2●	2^1	0.1	n ⌇ i. N. ca 2 p ◎
14	40.5	37.5	34.5	8.3	18.3	13.2	20.2	3.8	6.7	6.3	7.0	82	40	62	E 2	E 2	NW 1	7^0⊙	9^1	7^1	0.1	n ⌓. ca 10 p–mn ⌇ i. SE
15.	31.3	29.1	26.0	13.4	27.1	20.3	28.6	8.3	8.3	11.7	10.6	73	44	60	W 3	E 2	S 3	2^1⊙	6^1⊙	10^2	0.1	n ⌓
16.	29.6	29.0	31.5	12.8	16.2	9.6	22.3	9.6	9.6	9.1	8.3	88	66	94	W 2	W 3	W 2	9^1	10^2	9^1	5.5	9^{34}–10^{07} p ⌇, 9^{54} p W 10, 9^{24}–ca 10^{35} p ◎1. ca 0^{50} a ◎1, 1)
17.	34.8	36.1	37.7	7.4	13.2	6.8	14.6	6.7	6.4	5.8	6.0	83	51	81	NW 3	W 2	SW 3	10^2	7^1	3^1	1.9	11 a–nach 5 p ztw. ◎0.1. 5^{22} p ◠
18.	38.1	37.6	39.0	7.2	14.0	9.3	15.7	5.6	7.0	7.6	7.5	93	64	87	W 2	W 2	S 2	10^2	10^0⊙	10^1	1.6	n ◎. ca 8^{45} a–2 p ztw. ◎0. 4^{10} p ◎1
19.	40.1	38.6	38.2	8.9	19.6	12.8	20.8	4.8	7.5	8.2	8.1	88	49	74	SW 2	S 3	N 1	4^0⊙	10^0⊙	2^1	0.7	n ⌓
20.	38.0	34.5	33.6	12.2	24.3	15.3	25.4	6.5	8.3	7.9	**12.8**	79	34	99	E 2	W 2	C	○○	7^1⊙	10^2●ℝ	0.1	n ⌓. ca 6^{30}–9 p ⌇. 8^{41}–9 p ◎1
21.	33.6	31.8	30.7	14.4	22.0	14.8	23.3	12.4	11.9	12.0	11.7	98	61	93	W 1	N 2	S 3	9^2⊙	4^1⊙	10^2●	**17.0**	9 p–0^{04} a ⌇. 9–10^{15} p ◎1. $11^{40.50}$ p ◎2. 11^{41} p–mrgs. ◎0. 2)
22.	30.0	28.9	29.3	14.6	16.9	13.9	18.8	13.1	11.7	12.4	11.4	94	87	97	W 1	W 2	C	10^2	10^2	10^2●	1.6	9–9^{24} p ◎1. 7^{39} a–ca 1^{45} p ◎0. 2^{44}–3^{24} p ◎2, dann ztw. ◎1
23.	30.9	31.2	31.7	13.6	17.4	12.0	19.8	10.8	10.1	10.7	7.7	88	72	74	W 2	S 2	W 1	6^1⊙	10^2	10^2	8.5	9–9^{24} p ◎1
24	33.2	33.6	35.5	11.1	17.7	11.6	19.7	9.3	8.5	8.3	8.9	86	56	88	N 2	N 5	NW 3	10^2	10^2	10^1	0.2	ca 10 p Ψ. n ⌓. 0^{07} p ◎. $2^{11.34}$ p ◎1
25.	36.8	36.6	38.7	13.4	18.1	9.6	19.9	9.4	10.0	7 8	6.9	88	51	78	NW 3	N 5	NW 5	9^1⊙	7^1	10^1	1.9	n ◎. 7 a ◐. 9 p Ψ
26	38.4	37.6	37.6	8.7	13.7	8.0	16.0	7.1	6.0	5.9	5.9	72	50	73	NW 4	NW 3	NW 1	10^0⊙	7^1	10^1	–	7 a ◐. 9 p Ψ
27.	37.0	36.2	36.7	8.2	14.0	8.2	16.7	5.3	6.7	5.3	4.6	82	45	57	W 2	W 3	W 2	10^1	7^1⊙	1^1	0.1	n ⌓
28.	37.1	35.6	34.5	7.1	16.2	11.2	18.3	1.2	6.3	7.0	7.8	84	52	79	S 3	W 3	S 2	10^0⊙	4^1⊙	10^1	0.1	n ⌓. 7 a ◐
29.	33.4	32.7	33.0	10.8	18.2	10.9	19.4	7.4	8.7	7.5	6.5	90	48	68	S 4	W 5	W 3	10^0⊙	7^1⊙	3^1	0.2	$5^{24.44}$ a ◎1
30.	33.4	32.8	32.7	9.7	18.5	13.8	20.3	3.7	7.2	7.3	8.3	82	46	71	E 2	N 2	N 2	○○	6^1	10^1	0.1	n ⌓
31.	33.8	33.4	33.5	11.0	19.0	14.5	21.4	6.7	7.7	7.7	7.7	79	47	62	NW 4	W 1	NW 1	○○	7^1	2^1	0.1	n ⌓
Mittel	36.9	36.1	36.2	10.3	17.7	11.9	19.9	7.1	8.1	8.0	8.2	84	53	77				7.2	7.8	7.7	83.8	1) 11^{20} a–ca 7 p ztw. ◎0.1 2) $4^{23.39}$ p ◎0. 8^{00}–9 p ◎1

Würzburg.

Mai. $\varphi = 49^0\ 48'$ N. $\lambda = 9^0\ 56'$ E $= 39^m\ 44^s$. H $= 179.3$ m. Cg $= +0.3$ mm. 1912.

1.	49.9	49.3	49.7	3.5	10.7	5.2	11.9	0.6	4.0	2.3	4.3	69	22	65	E 1	NE 4	C	○○	8^2	1	–	a ⌓
2.	50.1	48.0	47.3	1.0	13.1	7.8	16.8	− 1.5	2.9	3.3	4.3	58	29	56	SW 1	NE 1	S 1	○○	○○	0	–	a ⌓
3.	46.4	44.2	44.4	4.2	18.4	12.0	22.0	0.1	4.2	3.5	6.3	68	22	61	SE 1	NW 1	C	○○	○○	0	–	a ⌓
4.	44 6	44.9	45.9	11.3	18.1	12.7	23.4	10.5	6.4	5 6	5.5	64	37	50	NW 2	NE 2	C	5^1⊙	4^1⊙	9^1	–	a ⌓
5.	47.9	48.2	48.2	9.0	15.6	10.8	22.0	8.9	5.7	6.6	6.6	67	50	69	E 1	SE 3	C	10^1	2^1⊙	0	–	a ◎tropfen
6.	48.9	47.8	50.1	8.5	19.2	13.4	19.2	6.1	6.5	7.7	10.7	78	47	94	W 1	C	SW 1	○○	9^2	10^2●	–	a ⌓. 3^{32}–4^{05} p ⌇, ◎, 8^{38} p-n ⌇ ◎
7.	52.3	52.1	52.3	13.0	19.5	15.2	19.8	11.7	10.1	6.7	10.1	91	40	79	W 1	NW 3	C	10^2	6^2	10^2●	–	n–10^{05} p, p ◎
8.	50.3	51.4	**54.1**	13.0	16.0	14.5	18.0	12.6	11.0	10.8	10.8	**99**	80	88	E 1	NW 4	NW 1	10^2●	10^2	10^2	**7.1**	a, p ◎
9	52.8	52.7	50.6	13.4	20.2	17.0	20.9	12.0	10.1	10.2	10.4	89	57	72	NW 1	W 3	NW 2	10^2	7^2	10^2	5.5	a ≡. p ztw. ◎tropfen
10.	49 5	47.7	47.2	14.8	18.4	15.1	22.0	13.7	11.1	10.6	10.8	89	67	85	W 1	W 4	E 1	10^2	8^2	6^2	0.5	a ⌓
11.	47 8	46.6	44.8	12.8	23.2	17.1	24 5	10.8	9.8	11.5	12.3	90	55	85	E 1	S 1	S 1	5^1⊙	5^2	5^1	–	a ⌓
12.	43.8	41.9	38.8	17.6	27.8	26.1	**31.0**	14.0	12.7	10 3	9.8	85	37	40	SW 2	SW 3	SW 5	1^0⊙	9^2	1^0	–	a ⌓
13.	43.7	47.7	48.7	17.8	16.9	12.9	26.1	12.0	11.0	7.3	6.7	72	52	60	NW 4	NW 3	N 3	7^2	8^2	0	–	a ⌓
14.	49.5	45.9	43.4	9.2	17.8	13.4	17.8	5.6	6 4	6.9	8.0	74	46	70	NW 1	SE 2	E 1	1^0⊙	5^2	0	–	a ⌓
15.	40.0	37.8	35.3	12.8	27.6	20.2	28.0	5.1	7.8	7.6	10.5	72	28	59	S 1	W 2	SE 6	○○	3^1⊙	10^2	–	a ⌓. 8^{40} p-n ⌇
16.	38.2	37.9	40.5	14.2	15.6	10.8	21.9	10.0	9.8	9.6	6.7	82	73	70	SW 3	SW 4	SW 3	8^2	7^2	2^1	4.5	n–ca 11 p ⌇. 9 p–mn ◎. t ztw. ◎0
17.	44.2	44.9	47.1	7.8	13.7	9.3	16.0	6.1	6.9	5.6	6.6	88	48	76	W 3	NW 4	SW 2	6^1	6^2	3^1	2.5	a ◎tropfen. t ztw. ⚊
18.	47.4	47.0	47.8	10.0	16.0	11.1	17.0	6.0	6.8	5.8	8.0	74	43	81	W 1	W 3	C	9^1	7^2	0	–	a ⌓
19.	48.9	47.7	46.0	8.8	19.7	13.4	21.0	4.0	6.7	7.0	8.1	80	41	71	SE 1	E 2	SE 1	1^1⊙	2^1⊙	0	–	a ⌓
20.	46.9	43.5	41.6	10.4	23.1	19.2	26.0	6.0	7.6	8.2	10.4	81	39	63	SE 1	SE 1	SW 1	○○	2^1⊙	7^2	–	a ⌓ p ⌇
21.	42.4	40.8	39.4	15.7	21.4	15.4	23.0	13.0	11.3	10.7	12.5	85	56	96	W 2	NE 1	SW 1	8^1	6^2	9^2	–	mn ⌇. mu–ca 1 a ◎. 7^{15}–8^{28} p ⌇ ◎
22.	38.8	38.2	38.9	14.6	16.2	14.6	18.0	13.0	11.7	**12.8**	11.5	94	94	93	S 1	W 1	W 1	10^2	10^2●	4^1	3.0	6^{28}–8^{40} a meist ◎. p ztw. ◎
23.	40.0	40.2	41.0	14.8	19.1	13.4	20.8	11.7	9 8	7.1	9.2	78	43	81	SW 1	N 1	NE 1	5^1⊙	6^2	1^1	4.6	a ⌓. abds. ☿
24.	42.5	43.3	45.2	10.8	19.7	14.3	19.7	9.3	8.2	7.2	8.8	86	43	73	NW 1	N 2	NW 1	10^2	7^2	4^1	–	p ztw. ◎tropfen
25.	46.7	46.8	49.0	12.3	17.5	10.7	17.5	10.7	9.9	9.4	6.5	94	63	68	NW 1	N 1	N 1	10^2	4^1⊙	5^2	0.8	a ztw. ◎
26.	48.7	47.7	46.8	8.7	14.0	11 0	15.8	7.7	5.9	5.1	6.5	70	43	67	NW 1	NW 3	C	10^1	2^1⊙	9^2	1.6	a ⌓
27.	46.6	45.9	46.3	9.7	14.7	9.1	15.2	8.2	6.0	4.8	5.7	66	39	66	NW 1	W 3	SW 1	6^2⊙	6^2⊙	0	–	a ⌓
28.	45.9	45 2	43.3	9.2	17.6	13.3	19.0	5.5	6.3	6.7	8.5	72	45	75	SW 1	NW 4	SE 1	10^2	2^1⊙	2^2	–	a ⌓. p ztw. ⚊
29.	42.9	42.1	42.2	12.8	18.6	12.2	19.4	9.9	8.4	5.7	6.6	77	36	63	SW 1	NW 2	C	1^1⊙	1^1⊙	0	–	a ⌓
30.	42.8	42.0	41.8	10.0	19.0	12.8	20.9	5.7	6.9	6.3	8.1	75	39	74	C	N 2	C	○○	3^1⊙	0	–	a ⌓
31.	43.1	42.7	42.3	11.7	21.0	14.2	21.0	7.2	7.7	5.6	9.0	75	30	75	SW 1	E 1	C	○○	1^1	0	–	a ⌓
Mittel	45.9	45.2	45.2	11.1	18.4	13.5	20.5	8.3	8.1	7.4	8.4	79	47	72				5.3	4.8	3.8	30.1	

Alle Angaben nach Ortszeit

Ludwigshafen a/Rh.

Mai. $\varphi = 49^0\ 29'$ N. $\lambda = 8^0\ 26'$ E $= 33^m\ 44^s$. H = 100.3 m. Cg = + 0.3 mm. 1912.

Datum	Luftdruck auf 0^0 u. Normalschwere reduziert 700 mm +			Lufttemperatur C°					Absolute Feuchtigkeit mm			Relative Feuchtigkeit Proz.			Richtung und Stärke des Windes 0 bis 12			Bewölkung 0 bis 10			Niederschlag mm	Bemerkungen
	7^a	2^p	9^p	7^a	2^p	9^p	Max.	Min.	7^a	2^p	9^p	7^a	2^p	9^p	7^a	2^p	9^p	7^a	2^p	9^p	7^a	
1.	57.7	56.9	57.6	3.9	13.4	8.8	13.9	1.5	4.3	3.0	3.3	70	27	40	N 2	E 2	E 1	00	6^1⊖	0	–	
2.	57.8	55.3	54.9	3.7	14.0	10.4	14.2	2.3	3.8	2.7	4.1	64	23	44	N 1	N 1	N 1	00	00	0	–	
3.	54.6	52.3	52.3	6.2	18.8	14.8	19 0	3.7	4.2	4.3	7.7	59	27	62	SE 1	W 1	NE 1	5^0⊖	3^0⊖	10^0	–	
4.	53.7	52.9	53.7	11.1	17.8	14.4	18.0	10.0	7 0	5.4	6.7	70	35	55	N 1	W 2	W 1	10^2	5^1⊖	10^2	–	
5.	55.1	54.8	55.5	11.0	16.6	14.8	21.2	10.0	6.6	7.5	7.0	68	54	56	NW 1	NE 1	C	10^2	5^1	7^1	–	n ◎⁰
6.	56.5	55.8	57.5	10.6	17.9	14.7	19.8	8 2	8.1	10.2	10.4	85	67	84	C	W 1	E 1	00	10^2	10^2	–	n ⊿⁰, 11^{41} a 0^{19} p Fern[ϟ, 0^{29}–1^{09} p [ϟ, 0^{21}–1^{24} p ◎, 1)
7.	60.3	60.5	60.6	14.7	19.0	14.6	19.8	12.6	9.1	8.6	10.0	73	52	89	SW 1	SW 2	W 1	3^0⊖	10^2	10^2●	8.6	abds. ◎¹
8.	58.8	60.7	62.5	15.4	17.6	16.6	19.7	13.1	11.6	10.5	10.6	89	70	75	SW 1	W 3	C	10^2	9^2	10^1	10.0	n ◎¹
9.	**63.0**	60.7	59 1	14.5	21.6	17.6	22.0	13.1	10.5	9.7	10.5	80	51	70	C	W 1	C	10^1	3^0⊖	10^1	–	
10.	57.5	55.5	55.6	16.3	21.0	16.6	21.2	14.7	10.7	11.5	12.6	77	63	90	C	E 1	C	10^1	10^1	10^1	–	a ∞, 3^{14} p [ϟ, bis $3^{14.42}$ p ◎¹
11.	55.7	53.4	52.1	15.2	25.0	22.0	25.1	14.3	11.5	13.2	**13.7**	89	56	70	C	S 1	C	10^1	10^1	0	6.2	a ∞
12.	51.8	49.5	46.8	20.4	29.1	26.2	**30.3**	16.9	12.8	9.8	9.7	72	33	39	W 1	W 2	W 3	6^1⊖	10^1	0	–	
13.	52.6	55.8	56.6	15.8	17.0	14.4	26.2	14.4	11.1	7.4	7.0	83	52	57	NW 1	N 3	N 3	10^2	5^1⊖	2^0	–	ca 1^{30} a ≤
14.	57.0	53.0	49.0	10.3	21.1	17.0	21.1	8.0	6.6	7.6	9.3	70	41	64	N 1	W 1	NW 1	00	8^1⊖	0	–	
15	46.7	44.4	45.2	14.2	27.6	17.0	28.5	12.0	7 9	10.1	13.0	65	37	90	C	C	SW 1	00	9^1	10^2	–	6^{53}–8^{14} p [ϟ, ◎¹
16.	45.9	47.2	50.0	13.8	16.4	11.4	17.5	11.4	9.9	8.0	6.7	85	58	66	SW 2	SW 2	SW 1	10^2●	10^2	10^1	**13.5**	a ◎⁰
17.	53.5	53.7	55.5	8.0	12.5	9.2	14.9	7.1	5.8	5.9	6.8	72	54	79	SW 2	W 3	W 2	7^1	9^2	10^1	0 4	n ⊿⁰, $2^{05.33}$ p ◎¹, $2^{09.27}$ p [ϟ, $2^{10.13}$ p △, 2^{50}–3^{21} p ◎¹
18.	55.6	55.2	55.8	10.1	17.6	12.8	17.8	8.0	7.5	5.5	7.0	80	37	64	S 1	W 3	W 2	00	5^1⊖	0	6.7	
19.	56.2	54.2	53.5	10.0	21.0	16.4	21.0	7.6	7.1	7.6	9.1	79	41	66	SW 1	SW 1	C	6^1⊖	00	0	–	n ⊿⁰
20.	53.5	50.0	48.6	12.7	25.6	19.6	28.1	10.6	8.3	8.0	11.1	76	33	65	C	E 1	SW 1	00	2^0⊖	10^2●	–	n ⊿¹, a ∞, ab 6^{04} p ◎⁰
21.	50.1	46.9	47.0	15.8	23.5	17.4	29.9	10.5	9.2	11.1	12.0	68	52	81	W 1	C	C	00	9^2	10^2	1.5	p ◎⁰, ca 3^{30}–4^{30} p Fern[ϟ
22.	46.4	45.5	46.0	15.0	18.6	16.2	19.6	13.5	11.6	10.5	10.0	**91**	66	73	SW 1	W 1	C	10^1●	10^1ʁ	10^1	2.4	n u. a ◎⁰, 1^{58}–2^{13} p [ϟ, 1^{57}–2^{14} p ◎⁰, $6^{14.26}$ p [ϟ
23.	47.7	47.6	48.0	14.0	19.2	16.0	20.0	10.8	9.0	7.8	9.1	76	47	66	C	NE 1	C	7^1	9^2	9^1	1.6	
24.	50.5	51.6	53.5	12.8	15.7	13.8	20.0	11.0	8.3	9.3	9.6	76	69	82	W 1	W 1	W 2	9^1	10^2	10^2	–	$1^{40.15}$ p ◎¹, $1^{41.51}$ p [ϟ
25.	54.9	55.5	57.5	13.2	15.2	11.2	15.2	11.2	9.5	8 8	6.8	85	68	68	N 1	W 3	N 2	10^1	10^2	5^2	1.4	a ◎⁰
26.	57.3	55.8	54.9	9.0	14.2	11.4	14.6	7.0	4.6	3.4	6.0	53	28	59	NW 5	NW 3	W 3	10^2	5^1⊖	3^1	–	a böig
27.	54.9	53.6	53.9	9.7	14.4	12.8	14.6	7.2	6.6	5.1	5.4	74	42	49	N 2	N 2	NE 1	9^1	5^0⊖	2^0	–	
28.	54.1	52.3	50.7	10.8	19.0	16.6	21.4	7.4	6.5	6.1	8.2	68	37	58	S 1	W 1	C	3^0⊖	5^1	10^1	–	
29.	50.7	49.8	49.8	12.7	17.9	14.4	20.2	10.2	8.3	5.4	7.2	76	35	59	N 1	N 3	NW 2	00	00	0	–	
30.	50 3	48.7	48.9	10.4	21.2	17.0	22.3	8.0	6.9	7.0	7.7	74	37	54	NW 1	N 1	C	00	4^1⊖	0	–	a ⊿¹, ∞
31.	50.3	49.5	49.3	11.8	21.7	17.9	22.8	9.2	8.1	5.1	7.1	78	26	47	N 1	N 1	C	00	00	0	–	n ⊿⁰, a ∞
Mittel	53.9	52.9	53.0	12.0	19.1	15.3	20.6	9.9	8.2	7.6	8.6	75	46	65				5.3	6.3	5.7	52.3	i) p öfters ◎, 3^{41} p [ϟ

Nürnberg.

Mai. $\varphi = 49^0\ 27'$ N. $\lambda = 11^0\ 3'$ E $= 44^m\ 12^s$. H = 309.1 m. Cg = + 0.2 mm, über 735.0 mm Cg = + 0.3 mm. 1912.

1.	38.1	37.7	38.5	4.0	10.0	6.6	10.4	– 0.5	3.2	2.4	3.3	52	27	46	E 1	E 2	E 3	00	7^1⊖	0	–	⌴. t wechselnde Bewölkung
2.	38.2	36 4	35.9	0.8	11.8	6.8	12.5	– 2.3	3.4	3.3	4.3	70	32	59	E 1	NW 2	NW 1	00	00	0	–	⌴. t heiter, ztw. C
3.	35.9	33.7	33.0	4.5	16.2	10.8	17.3	– 0.1	4.0	3.3	5.0	63	24	52	SE 2	W 2	SW 1	00	00	0	–	⊿. t heiter, sehr sichtige Luft
4.	33.8	33 7	34.5	8.9	15.9	11.5	17.1	6.8	6.1	5.6	5.6	72	42	55	S 1	NW 3	N 1	10^0	8^1	6^0	–	a wolkig, t meist lebhafte wechselnde Winde
5.	36.3	36 8	37.1	9.0	14.0	10.9	14.7	7.9	4.7	5.8	6.5	54	49	68	E 2	NW 1	E 1	10^1	8^1	0	–	ca 8 a ◎⁰. p Aufklaren
6.	38.2	37.2	38.4	8.4	15.0	12.6	19.7	4.7	6.1	8.5	9.7	74	67	90	SE 1	W 3	SE 1	7^0⊖	9^1●	10^1	–	a ∞. p ztw. ◎⁰. 5^{24}–6^{35} p [ϟ, t wechselnde Bewölkung
7.	40.9	41.0	41.2	12.4	17.9	13.4	18.7	11.5	9.7	7.5	8.8	91	49	77	NW 2	NW 3	SW 2	10^0	5^1⊖	10^0	3.9	a ztw. ◎⁰, bedeckt. p ztw. Aufklaren
8.	39.9	39.8	42.3	12.2	13.2	11.6	15.2	11.6	10.0	10.0	9.7	95	**97**	96	C	NW 2	N 1	10^0●	10^0●	10^0	5.5	mn–ca 3^{35} a meist ◎⁰. 5^{24}–7^{30} a, 7^{49}–9 a ◎¹. m–nach 6 p
9.	**43.0**	41.9	39.1	11.6	17.8	15.8	18.8	10.5	9.8	9.9	10.5	**97**	65	79	SE 1	NW 2	NW 2	10^1	9^1	10^2ʁ	8.7	8^{29} p an [ϟ, $8^{38.40}$ p ◎⁰ [ztw. ◎⁰.¹
10.	37.9	36.3	35.7	14.1	16.8	13.8	17.8	12.8	10.6	10.3	10.2	90	73	87	NW 2	NW 1	S 1	10^1	10^1	10^1	5.5	9–9^{40} p [ϟ, nach 2 a, gegen 4 a ◎⁰. t meist bedeckt
11.	37.2	36.0	34.9	12.3	21.0	17.9	21.8	10.5	9.3	8.6	11.1	88	47	73	SE 2	NW 2	S 3	00≈	10^1	0	–	⊿. a ≡¹. t wechselnde Bewölkung, meist südl. Winde
12	33.7	31.3	29.0	19.0	29.1	21.5	**30.2**	14.9	11.3	11.0	11.4	69	36	60	SE 1	SW 2	SW 2	8"⊖	7^1⊖	3^1	–	t wechselnde Bewölkung. 3^{48}–4^{01} p [ϟ. $3^{54.57}$ p ◎²
13.	32.2	36.0	37.1	20 0	16.0	13.3	21.8	13.3	9.6	7.1	7.4	55	53	65	W 3	NW 4	NW 2	8^1⊖	4^1⊖	0	0,2	$6^{05.10}$ a ◎⁰. t meist heiter, sichtige Luft
14.	38.1	35.5	32.0	9.5	19.1	10.0	20.4	6.2	5.8	5.8	6.1	65	35	45	N 2	N 1	E 2	7^0⊖	9^1⊖	0	–	⊿. a heiter, p wolkig
15.	29.0	27.2	24.0	15.5	27.3	22.2	27.8	11.6	9.6	8.6	9.6	74	32	49	SE 1	W 2	SE 2	4^0⊖	4^0⊖	10^1	–	⊿. a ∞, wechs. Bewölkung, p zunehmende Bewölkg.
16.	28.0	27.6	29.5	14.8	17.4	11.2	22.2	11.2	9.5	8.3	8.2	76	56	83	SW 2	SW 4	W 2	9^1	10^2	9^1	0.6	nach 10 p–4 a ztw. ◎⁰.¹. 11 a–ca 1^{30} p ◎⁰, $2^{03.16}$ p [ϟ.¹)
17.	33.0	33.8	35.7	9.0	11.4	7.2	16.6	6.9	6.1	4.7	6.0	71	47	79	W 3	NW 4	W 3	10^1	7^1	2^1	4.7	ca 1^{30}–3^{30} a ztw. ◎⁰, ca $9^{40.50}$ a, ca $0^{20.25}$ p ◎⁰. 0^{47}–1^{04} p ◎¹.²)
18.	36.5	35.2	36.5	8.4	14.6	11.1	15.0	5.7	6.9	5.3	7.2	84	43	73	SW 1	NW 3	S 1	10^1	9^1⊖	10^1	–	5–7^{30} a ztw. ◎⁰, 11^{30} a–3^{30} p ztw. ●⁰. t wechs. Bewölkg.
19.	37.6	36.3	35.7	10.1	19.4	15.3	19.7	5.9	6.5	6.6	7.6	71	39	59	SE 1	NE 2	E 2	00	4^1⊖	0	–	⊿. t wechselnde Bewölkung
20.	35.6	32.5	30.9	13.7	23.7	16.8	24.9	7.9	7.2	8.4	**12.0**	61	38	84	SE 2	S 2	NW 2	00	4^1⊖	10^2	–	⊿. a ∞. a heiter, p zunehmende Bewölkg. 6^{49}–7^{34} p [ϟ.²)
21.	31.9	29.7	28.7	15.6	21.7	16.0	21.8	13.2	10.8	10.2	11.7	82	53	86	W 2	N 2	NW 1	10^1	4^1⊖	10^1	–	$0^{00.40}$ a [ϟ, $0^{37.43}$ a ◎⁰. 2^{09}–3^{30} p [ϟ, 3^{43}–4^{37} p ◎², 4)
22.	27.3	26.9	27.3	14.7	18.2	14.4	18.5	13.4	11.1	10.0	11.2	89	64	93	S 1	W 2	W 2	10^1	10^1	10^1	**15.5**	9^{40} p–2^{30} a ztw. ◎⁰.¹. ca 7^{10} a–0^{30} p ◎⁰. $3^{14.34}$ p ◎².³. 5)
23.	28.8	28.9	29.1	14.2	16.4	15.2	17.6	10.9	9.5	8.9	9.7	79	65	75	W 2	NW 2	SW 2	8^1⊖	10^0	10^1	8.6	nach 9 p ◎⁰, $1^{41.52}$ p. $2^{12.27}$ p ◎⁰, t meist wolkig
24.	30.7	31.6	33.0	10.6	11.4	12.2	15.2	9.8	8.9	8.7	9.4	94	87	90	NW 2	N 2	NW 1	10^0	10^0	10^1	2.6	5–10 a ztw. ◎⁰.¹. $1^{18.35}$ p ◎², dann–7 p ztw. ◎⁰.¹. 6)
25.	34.0	34.0	36.1	12.2	16.9	9.4	17.4	9.4	9.4	7.5	7.3	90	53	84	NW 2	N 2	N 3	10^1	10^1	10^1	9.3	ca 3 p, ca 4 p ◎⁰. t wolkig. 9 p Ψ
26.	35.9	35.8	35.2	7.2	11.0	9.2	12.9	6.8	5.7	5.5	5.5	76	56	63	NW 2	NW 3	N 2	10^1	8^1●	10^2	–	a bedeckt, p ztw. Aufklaren. t sehr sichtige Luft
27.	34.5	34.0	34.3	9.6	13.4	9.0	13.9	7.5	6.6	5.3	6.6	74	47	77	NW 1	NW 2	W 2	9^1	9^1	2^1	–	a oft C, t ztw. Aufklaren, sehr sichtige Luft
28.	34.9	33.6	32.3	8.8	16.8	12.6	17.2	4.9	6.2	5.5	8.3	73	39	77	SE 1	W 2	SE 1	9^1⊖	9^0	9^1	–	a ≡⁰. t wechselnde Bewölkung
29.	31.1	30.4	30.0	11.5	17.3	11.2	17.8	7.2	7.3	6.5	6.2	72	44	62	C	NW 4	N 2	7^1⊖	7^2⊖	1^0	–	a ≡¹. t wechselnde Bewölkung
30.	31.2	30.4	29.9	9.6	17.5	13.6	17.8	4.9	6.4	5.1	6 8	71	34	58	C	W 3	N 2	00	6^1⊖	2^1	–	⊿. a ≡⁰. t heiter
31.	31.2	30.9	30.9	10.6	19.4	15.8	19.8	5.9	7.5	6.9	7.9	79	44	59	W 1	W 3	W 2	00	4^1⊖	4^1	–	⊿. t oft C, wechselnde Bewölkung
Mittel	34.7	33.9	33.8	11.1	17.0	13.1	18 5	8.1	7.7	7.1	8.1	76	50	71				6.6	7.1	5.8	65.1	

Alle Angaben nach Ortszeit.

1) 1^{37}–2^{10} p ◎², $2^{27.32}$ p ◎¹. 6^{30}–8 p ztw. ◎⁰, t sehr sicht. Luft
2) p Aufklaren. 3) ca 7^{20} p kurz ◎⁰ 4) nach 4 p kurz ▲
5) 3^{10} p ⌒, $5^{11.22}$ p ◎⁰ 6) t meist bedeckt

Kaiserslautern.

Mai. $\varphi = 49^0\ 27'$ N. $\lambda = 7^0\ 46'$ E $= 31^m\ 4^s$. H $= 242.2$ m. Cg $= +0.3$ mm. 1912.

Datum	Luftdruck auf 0^0 u. Normalschwere reduziert 700 mm +			Lufttemperatur C⁰					Absolute Feuchtigkeit mm			Relative Feuchtigkeit Proz.			Richtung und Stärke des Windes 0 bis 12			Bewölkung 0 bis 10			Niederschlag mm	Bemerkungen
	7^a	2^p	9^p	7^a	2^p	9^p	Max.	Min.	7^a	2^p	9^p	7^a	2^p	9^p	7^a	2^p	9^p	7^a	2^p	9^p	7^a	
1.	44.5	43.7	44.4	3.5	11.1	5.3	13.0	0.1	4.5	3.4	4.3	77	35	65	C	E 2	C	00	4^1⊙	0	0.2	a ≡¹, ⌴⁰
2.	44.6	42.2	42.0	2.1	13.9	7.8	15.9	− 1.7	3.5	3.6	4.3	66	30	56	C	NW 1	C	1^0	00	0	–	a ≡², ⌴
3.	41.7	40.0	40.1	3.8	17.6	13.0	19.1	0.2	4.1	4.7	8.1	69	31	73	C	W 1	C	3^0	00	10^1	–	a ≡², 7^{01} p ◍tropfen. p ∞
4.	40.9	40.1	41.2	8.9	17.1	12.1	17.1	6.0	6.9	7.2	6.8	81	50	65	C	NE 1	C	10^1	9^1	10^2	–	a ≡², ⌓
5.	42.0	42.1	42.7	8.7	16.5	12.6	18.1	8.1	6.8	7.3	8.7	81	53	81	E 1	NE 1	C	$1C^2$●	10^1	10^0	0.4	n, a ◍⁰
6.	43.6	43.6	44.9	8.5	16.8	13.7	19.1	5.1	6.7	8.7	10.6	81	62	92	C	W 3	C	5^0⊙	10^2	10^2	0.1	a ⌓, ≡², ∞. 4^{36} p ◹ 5^{31} p ab ztw. ◍⁰
7.	47.7	47.9	47.3	12.5	16.9	10.7	18.0	10.5	9.8	9.2	10.7	91	64	92	W 1	W 3	C	2^0⊙	10^2	10^2	1.3	a ∞. 6^{01} p–n ztw. ◍⁰
8.	46.5	48.2	49.3	14.3	16.7	14.2	18.1	13.5	11.3	10.1	10.6	94	71	88	W 2	W 2	C	10^2	10^2	10^1	2.8	n ◍. a ztw. kurz ◍. p kurz ◍tropfen
9.	**50.3**	48.2	46.6	12.3	18.8	14.8	19.5	10.2	10.1	10.5	10.6	**96**	65	85	W 1	W 2	C	10^1	9^1⊙	5^0	0.3	a ≡ und Höhen≡. t ∞
10.	44.8	42.4	43.1	14.7	22.2	16.3	23.1	12.5	10.9	9.7	11.5	88	50	83	C	NW 4	C	10^1	8^1⊙	10^1	–	a ⌓⁰; ≡¹, Höhen≡. 8^{31}–9^{21}a kurz ◍⁰. 4 p kurz ⎓
11.	42.8	41.0	39.8	14.6	25.3	22.2	27.1	12.5	10.6	**13.0**	11.4	86	55	57	C	W 2	W 1	3^0⊙	10^0⊙	0	–	n ◍tropfen, a ⌓, ≡
12.	40.2	36.2	35.6	19.4	28.1	24.4	**30.7**	16.0	12.0	11.1	10.7	72	40	47	C	W 3	W 4	5^0⊙	8^1⊙	3^0	–	a ⌓, ≡, ∞. p–n ztw. ⎓
13.	40.6	43.4	44.0	18.3	17.0	13.3	24.4	13.3	10.3	7.8	8.0	65	54	71	W 4	N 2	C	3^0⊙	7^1	3^0	–	n, $t-3^{39}$ p ztw. ⎓
14.	43.9	40.0	37.0	10.5	21.8	14.9	22.1	6.9	6.4	8.1	8.1	68	42	64	E 2	NE 2	C	2^0⊙	8^1	0	–	
15.	34.7	32.5	33.9	13.3	26.4	14.3	26.7	10.1	8.4	11.2	10.8	74	44	90	C	W 2	W 2	00	8^0⊙	10^3●	–	a ≡², ∞. 5^{24}–9 p ◹. 5^{16} p–n ◍
16.	33.3	34.1	37.5	11.7	15.5	9.5	16.0	9.5	9.2	6.7	6.8	91	51	76	W 2	NW 7	W 2	10^2●	5^0⊙	10^2	**8.0**	n, a–9 a ◍. t ztw. ⎓. abds. ztw. ◍⁰
17.	40.7	41.1	43.0	6.9	11.0	8.9	12.8	5.0	5.7	7.2	7.1	77	74	84	W 2	W 2	C	9^1	9^2●⊙	10^1	1.5	n ◍⁰. 10^{46}–11^{21} a ◍. $0^{56.37}$ p ▲. 1^{16} p an ztw. ◍. [1]
18.	42.9	42.6	43.0	9.3	14.9	9.5	17.0	7.0	7.1	6.1	7.4	82	49	84	W 1	W 2	C	00	3^1⊙	0	2.1	a, p ∞
19.	43.3	41.6	41.3	8.1	19.7	13.6	22.0	3.2	6.3	7.5	9.0	78	44	78	C	C	C	00	2^0⊙	0	–	a ≡, ∞
20.	41.0	37.9	36.9	11.7	24.0	17.5	25.7	6.5	8.3	8.4	9.6	81	37	65	C	W 2	W 2	00	5^1⊙	10^2	–	a ≡⁰, ⌓², ∞. $8^{01.16}$ p ◍⁰
21.	37.9	34.7	34.8	14.5	21.7	15.4	22.0	13.3	9.9	9.9	11.3	81	51	87	NW 1	S 2	W 1	7^1	9^2	5^1	0.2	9^{26} p ◹, $9^{28.41}$ p ◍⁰. a ∞. 2^{38}–3^{16} p ◍⁰. 2^{49}–3^{05} p ◍¹. [2]
22	34.3	33.6	34.3	14.0	17.7	14.1	20.6	12.5	10.7	11.8	10.4	91	78	87	C	W 1	C	10^2●	8^1⊙	5^1	3 2	a–8^{30} a ◍⁰. 9^{01} a–0^{56} p ztw. ◍. $5^{21.41}$ p ◍⁰
23.	35.9	35.3	36.2	12.5	18.3	13.3	19.6	10.3	8.5	7.2	8.8	79	46	77	W 2	SW 2	W 1	9^1	7^1⊙	5^2	3.0	
24.	38.5	39.3	41.6	10.9	14.9	11.9	18.1	7.0	8.0	9.9	9.9	83	78	**96**	C	E 1	C	10^2	10^2◹	10^2●	–	a ≡², ⌓², $0^{06.11}$ p ◍⁰. 0^{36}–1^{16} p ◍1.2. $2^{01.46}$ p. [3]
25.	42.6	43.3	44.5	11 5	13.1	10.3	14.7	10.2	9.0	8.4	6.9	89	75	74	N 1	N 2	C	10^2●	10^1	10^2	3.2	n ◍. a ≡. a–8^{30} a ◍⁰
26.	44.3	43.3	42.4	6.9	12.3	9.3	13.4	5.5	5.5	5.3	6.7	74	50	76	N 1	N 2	C	10^1	9^1	2^0	0.1	a ≡¹
27	42.0	41.0	41.4	7.0	14.5	10.1	16.8	3.2	6.1	5.6	6.7	81	46	72	NE 1	NW 2	C	10^1	5^0	5^0	–	a ⌓, ≡², ∞
28.	41.6	39.9	38.5	7.8	18.5	12.1	20.1	4.2	6.0	6 9	8.4	76	44	80	NE 1	W 2	C	4^0⊙	10^1	5^0	–	a ⌓, ≡². t ∞
29.	38.3	37.5	37.9	11.1	18.5	11.8	20.0	6.9	8.1	6.6	7.0	82	42	68	C	N 1	E 1	2^0⊙	2^1⊙	2^0	–	a ⌓², ∞
30.	37.8	36.5	36.7	9.1	19.8	13.1	21.6	4.5	6 8	6.1	7 9	79	35	71	C	E 2	E 1	00	2^1⊙	0	–	a ⌓², ≡², ∞
31.	38.2	37.3	37.1	11.1	21.2	13.9	22.1	6.0	7.3	6.5	8.4	74	35	71	C	C	C	00	5^1	10^0	–	a ⌓⁰, ≡⁰, ∞
Mittel	41.3	40.3	40.6	10.6	18.1	13.0	19.8	7.7	7.9	7.9	8.6	80	51	76				5.3	6.8	5.8	26.4	[1] $6^{31.51}$ p ◍². [2] $5^{11.16}$ p ◍². [3] $3^{18.23}$ p ◹ 3^{22} p–n ◍0.1

Ansbach.

Mai. $\varphi = 49^0\ 18'$ N. $\lambda = 10^0\ 33'$ E $= 42^m\ 12^s$. H $= 437.5$ m. Cg $= +0.2$ mm. 1912.

1.	26.6	26.3	27.1	2.7	8.8	2.0	9.8	− 1.9	3.4	2.9	3.3	61	34	62	NE 2	E 2	C	00	8^1	0	1.3	mrgs. ⌓
2.	26.4	25.3	25.0	1.3	11.6	4.3	13.8	− 4.4	3.9	3.9	3.5	75	39	60	C	NE 2	C	00	00	0	–	mrgs. ⌓
3.	24.2	22.7	22.5	4.1	15.4	9.7	16.8	− 2.1	4.8	3.7	4.3	79	28	47	C	NW 2	C	2^0⊙	0^0	0	–	
4.	23.1	22.9	24.0	9.4	15.8	10.1	16.6	4.0	6.8	6.0	6.0	79	45	65	C	NW 2	C	6^1	8^1	10^2	–	
5.	24.7	25.2	26.2	8.7	15.0	8.2	15.6	6.2	5.8	7.0	6.9	69	54	86	C	C	C	10^2	8^1	0	0.1	4^{42} a ab kurzer ◍
6.	25.8	26.3	27.7	9.4	17.8	11.4	19.2	3.1	7.4	8.3	9.4	87	54	95	C	C	C	2^0⊙	8^1	8^2	..	nachm. ztw. ◍. 6^7 p ◠. 4^{42}–5^{27} p ◹
7.	29.9	30.3	30.4	12.1	17.1	12.6	17.6	10.7	9.4	8.0	9.0	90	55	84	W 2	W 2	W 2	10^2	8^2	10^2●	10.2	4
8.	28.4	28.7	31.4	12.0	16.5	12.8	16.6	10.1	9.8	10.5	10.1	95	75	93	C	NW 4	NW 4	10^2●	10^2	10^2●	11.2	9 p ab, n, a, 9 p ◍. t ztw. ◍ ⎓
9.	**32 6**	31.0	28.6	12.6	17.6	15.0	18.2	10.7	10.5	9.5	8.9	**97**	64	70	W 2	SW 2	W 4	10^2	10^2	0	12.8	ab 8^{32} p–n ◹ im NE
10.	27.1	25.8	25.2	13.4	17.0	14.0	17.7	12.1	10.1	10.0	10.4	89	70	88	C	NW 4	C	10^2	10^2	10^2	0.5	n u. a ◍
11.	26.0	25.3	24.2	12.2	20.9	17.9	22.0	8.7	9.3	10.7	**11.8**	89	58	77	C	C	SW 4	2^0⊙	8^1	4^0	–	mrgs. ⌓
12.	23.0	20.7	18.7	18.1	29.5	22.8	**29.8**	13.4	11.2	10.5	8.7	73	34	42	C	S 2	SW 2	2^0⊙	4^0⊙	0	–	3^{42}–4^{07} p ◹
13.	22.0	25.2	26.2	19.5	16.9	11.4	23.4	11.3	9.3	8.6	7.8	55	61	78	W 6	N 4	C	4^1⊙	10^2	0	–	ab ca 2 a ⎓
14.	27.1	24.0	21.3	8.8	20.6	13.4	21.8	6.4	5.4	8.8	7.5	64	48	65	N 2	C	C	2^1⊙	2^0⊙	0	–	
15.	18.1	16.5	**13.5**	15.4	26.6	20.9	27.8	9.9	10.2	9.9	9.9	79	39	54	C	NW 2	C	00	2^0⊙	10^2	–	p ◍, dann ⎓
16.	17.3	16.9	19.0	13.8	14.6	9.0	20.9	8.7	8.6	8.6	7.3	73	70	87	W 4	W 6	W 4	10^2	10^2	4^0	0.3	ab 9^{17} p–a ◍ ⎓. 9^{42}–11^{26} p ◹ ⎓. ab ca 10 a ztw. ◍
17.	22.0	23.2	25.0	6.6	11.6	6.3	12.6	5.6	6.2	4.6	6.0	85	45	85	W 4	W 2	W 2	10^2	8^2	2^0	1.3	t ztw. ◍; 11^{17} a △⁰
18.	24.3	24.6	25.7	6.6	14.7	10.8	15.0	4.8	6.5	5.3	6.7	91	44	70	W 2	W 4	W 2	10^2	8^2	6^1	0.3	n u. a ⎓, mrgs. ◍
19.	26.4	25.2	24.7	7.6	18.7	12.3	21.8	2.9	6.3	6.9	7.1	81	44	67	C	E 2	C	00	00	0	–	
20.	25.1	21.7	20.1	14.0	23.8	13.9	24.8	5.6	7.8	7.5	10.5	66	34	90	C	C	C	00	2^1⊙	8^2	–	5^{36}–7^{00} p ◹, ab 8^{27} p ◹ N–NE
21.	21.9	18.8	18.1	13.9	21.6	14.7	21.8	11.1	10.9	10.3	**11.8**	94	54	94	NW 2	C	C	10^2	8^1	10^2●	15.2	n, a ◍; 11^{47}–0^{38} p, 2^{23}–3^{47} p, 6^{09}–7^{47} p ◹
22.	16.8	16.0	16.6	13.4	18.3	13.6	18.4	12.6	10.8	10.6	10.7	95	68	93	C	SW 2	W 2	10^2●	10^2	6^1	5.9	n–11^{27} a, 4^{34}–5^{08} p ◍
23.	18.1	18.2	18.7	12.8	17.1	11.5	17.8	9.7	9.1	7.8	8.5	83	54	85	W 2	W 2	C	4^0	10^2	2^0	9.9	
24.	19.9	21.1	22.7	10.4	10.7	10.2	14.8	8.1	8.8	8.5	8.7	94	90	94	N 2	W 2	C	10^2●	10^2◹	10^2	0 9	ab 6^{12} a–p ◍, 1^{40}–2^{52} p ◹
25.	23.7	23.6	25.5	11.1	14.4	8.3	16.1	8.1	8.7	9.8	6.8	87	81	83	NW 2	NW 4	N 4	10^2	10^2	10^2	**16.6**	t ztw. ◍
26.	25.0	24.6	24.5	5.7	9.8	7.9	13.0	5.2	5.5	6.1	5.5	80	67	69	N 4	N 2	NW 2	10^2●	10^2	8^1	1.6	ab ca 7 a ztw. ◍
27.	23.5	23.2	23.8	8.6	13.3	7.9	13.6	6.2	6.3	5.4	5.4	75	47	68	NW 2	NW 2	C	10^2	6^1⊙	4^1	0.1	
28.	23.9	22.7	21.6	8.9	16.1	10.0	17.6	4.0	5.8	5.9	7.4	68	44	81	W 2	NW 2	C	2^0⊙	6^1⊙	2^0	–	
29.	20.1	19.6	19.6	12.1	17.1	11.0	17.8	5.0	6.9	7.4	5.3	66	51	54	C	NW 4	C	00	8^1	0	–	
30.	20.2	19.4	19.4	9.1	17.9	9.1	18.2	2.9	6.8	5.1	6.5	78	34	73	C	N 2	C	00	4^1⊙	0	–	
31.	20.5	20.3	20.6	11.3	18.3	11.8	21.6	4.4	7.5	7.2	7.2	75	46	71	C	N 2	C	00	6^1⊙	0	–	
Mittel	23.7	23.1	23.1	10.5	16.9	11.5	18.5	6.6	7.7	7.6	7.7	80	53	75				5.4	6.8	4.3	88.2	

Alle Angaben nach Ortszeit.

Regensburg.

Mai. $\varphi = 49^0\ 1'$ N. $\lambda = 12^0\ 7'$ E $= 48^m\ 28^s$. H $= 342.6$ m. Cg $= +0.2$ mm. 1912.

Datum	Luftdruck auf 0^0 u. Normalschwere reduziert 700 mm + 7a	2p	9p	Lufttemperatur C° 7a	2p	9p	Max.	Min.	Absolute Feuchtigkeit mm 7a	2p	9p	Relative Feuchtigkeit Proz. 7a	2p	9p	Richtung und Stärke des Windes 0 bis 12 7a	2p	9p	Bewölkung 0 bis 10 7a	2p	9p	Niederschlag mm 7a	Bemerkungen
1.	34.1	34.4	35.4	4.6	9.4	5.0	10 5	2.4	3.4	**2.4**	3.1	53	27	48	E 2	E 4	E 2	$4^1\odot$	8^2	8^2	–	
2.	34.5	33.3	32.7	1,0	11.8	7.4	13.0	– **2.0**	3.7	2,8	4.0	75	27	52	N 2	E 2	E 2	oo	oo	o	–	
3.	32.5	30.8	30.7	2.8	16.8	10.0	17.5	– 1.1	4.1	4.7	4.1	72	33	45	E 2	SW 2	SW 2	$2^1\odot$	$2^2\odot$	o	–	⌊
4.	30.7	30.6	31.1	5.2	17.8	10.4	19.0	1.4	4.7	5.3	5.6	71	35	59	SE 2	W 4	W 2	$4^1\odot$	$6^2\odot$	o	–	
5.	32.6	33.1	33.9	8.4	14 4	10.0	16.0	5.4	4.8	5.4	6.5	59	45	70	NW 2	E 2	E 2	10^1	6^2	o	–	
6.	35.0	35.3	35.6	8.0	17.6	12.0	19.5	2.4	6.3	6.9	9.1	79	46	88	SE 2	SE 2	SE 2	8^2	6^2	6^2	–	$^{412.23}$ p ◹, $^{438-503}$ p ●
7.	36.9	38.5	38.1	11.8	15.8	12.4	18.0	10.2	8.9	9.6	8.3	87	72	78	W 2	W 2	W 2	10^1	8^2	6^2	2.2	$^{1028.38}$ a, $^{1038-1138}$ a, $^{1203.38}$ p ●; ^{218} p, ^{708} p ◹
8.	36.9	36.5	38.7	12.0	13.0	11.4	14.0	10.7	9.6	9.5	8.7	**93**	86	87	W 2	W 2	W 2	10^1	10^1	10^2	7.3	t–ca 6 p ●
9.	**41.1**	39.0	36.5	9.6	17.0	12.8	19.0	7.2	7.8	8.3	9.3	88	58	86	NE 1	NW 2	W 2	10^1	$6^2\odot$	10^2	11.1	$^{523.28}$ p ●
10.	34.6	33.3	33.3	13.4	18.0	12.2	18.0	10.7	10.0	7.7	9.7	88	50	**93**	W 2	W 4	W 2	10^1	10^1	10^1	9.6	$^{1008.18}$ p ◹; ^{1093} p–n, $^{608-847}$ p ●
11.	34.3	33.6	33.3	11.8	20.4	14.8	21.0	10.2	9.2	6.5	10.7	90	37	86	NW 2	W 4	W 2	10^1	10^1	o	4.9	
12.	32.3	30.4	28.1	15.2	27.2	21.0	29.5	11.1	10.8	11.2	10.1	84	41	55	NE 2	S 4	S 2	$2^1\odot$	$2^1\odot$	o	–	
13.	29.6	31.9	33.9	17.2	21.6	13.8	23.0	13.6	9.8	8.3	7.0	67	43	59	S 1	NW 6	NW 4	$4^2\odot$	$4^2\odot$	o	–	ca ^{838} a SW 6
14.	35.3	32.9	30.3	9.8	18.8	15.0	21.0	8.2	5.7	7.5	9.6	63	47	75	N 2	S 4	S 2	$6^2\odot$	$4^2\odot$	o	–	
15.	27.4	24.9	22 9	14.6	29.2	19.4	**30.0**	10.2	8.7	5.6	9.3	71	19	55	E 4	NW 4	W 4	$6^2\odot$	$2^1\odot$	8^2	–	$^{729-11}$ p ≲ im SW
16.	25.9	25.4	27.0	14.0	18.8	10.8	21.0	10.2	9.1	7.5	7.4	77	47	76	W 4	W 4	W 4	10^2	6^2	10^2	0.3	n ●, ab ^{318} p ztw. kurz ●
17.	29.3	31.4	33.1	8.2	11.8	8.2	13.2	7.4	6.4	4.5	5.6	79	44	69	W 4	W 4	NW 2	10^2	$6^2\odot$	o	3.0	$^{008.53}$ p ●
18.	33.9	32.9	34.9	8.0	14.2	7.4	15.0	5.1	6.1	5.8	6.9	76	48	90	W 2	W 4	W 2	10^2	$6^2\odot$	2^2	0.9	$^{448.28}$ p ●
19.	35.2	34.3	33.4	5.6	17.2	11.0	20.3	4.1	6.3	5.9	7.7	**93**	40	79	E 2	E 4	E 2	oo	$4^2\odot$	o	1.4	≡^{0}, ⌊
20.	33.4	30.7	28.1	9.0	22.2	15.2	24.0	5.1	6.9	7.3	9 7	80	37	75	S 1	SE 2	SE 2	o⊙	oo	8^2	–	
21.	29.3	27.1	26.6	15.0	22.4	14.4	25.0	12.1	10.1	10.7	9.4	80	53	77	E 2	W 1	W 2	$4^2\odot$	$6^2\odot$	8^2	–	$^{153.56}$ p ●, ^{432}–ca 5 p ◹
22.	25.7	25.0	24.9	14.4	18.2	14.4	19.0	12.1	10.2	**11.5**	10.7	84	74	88	W 2	W 2	W 2	10^2	10^2	10^2	0.8	n, ab ^{602} p ●
23.	26.2	26.3	26.6	14.0	16.6	13.2	18.0	11.1	8.9	9.1	10.4	75	65	93	W 2	W 2	W 2	8^2	10^2	10^2●	2.2	$^{018.23}$ p, $^{108.53}$ p ●
24.	26.8	28.3	29.8	11.8	13.2	11.4	14.0	10.9	8.9	9.6	8.7	87	86	87	W 2	W 2	W 2	10^2●	10^2●	10^2●	6.8	t–n ●
25.	30.1	31.0	31.8	12.0	13.6	10 6	16.0	10.2	8.3	8.8	7.3	80	76	75	W 2	W 2	W 2	10^1	10^2●	10^1	**24.2**	p ztw. kurz ●
26.	32.2	32.3	32.1	7.2	11.0	9.6	12.5	6.6	6.2	5.6	6.5	82	58	73	W 4	W 4	NW 2	10^1●	10^2	10^2	2.2	vorm. wiederholt kurz ●
27.	32.0	31.5	31.6	9.2	13.0	7.2	15.0	6.1	5.8	4.9	6.0	67	44	79	SE 1	W 2	E 2	$8^2\odot$	10^2	6^2	0.4	
28.	32.1	31.3	30.6	8.8	16.8	11.4	19.2	5.3	6.1	5.7	7.0	72	40	70	E 2	SE 2	SE 2	10^1	$6^2\odot$	4^1	–	
29.	28.7	28.2	27.8	9.2	19.0	11.2	19.5	5.6	6.7	6.9	6.2	78	42	62	N 2	W 4	W 2	$2^1\odot$	$6^2\odot$	o	–	
30.	28.4	28.0	27.7	8.8	17.8	11.8	20.5	5.6	5.8	5.1	6.5	69	33	64	NW 2	W 4	E 4	oo	$4^2\odot$	o	–	
31.	28.4	28.0	28.5	10.0	19.8	14.6	22.2	6.6	6.7	5.9	8.7	73	34	71	E 2	E 2	E 2	$2^1\odot$	6^2	o	–	
Mittel	31.8	31.3	31.3	10.0	17.2	11.9	18.8	7.2	7.3	7.0	7.7	77	48	73				6.5	6.3	4.7	77.3	

Passau.

Mai. $\varphi = 48^0\ 34'$ N. $\lambda = 13^0\ 28'$ E $= 53^m\ 52^s$. H $= 309.3$ m. Cg $= +0.2$ mm. 1912.

1.	37.8	37.6	38.4	5.1	9.5	6.9	9.6	3.8	**3.5**	4.2	4.0	54	47	53	E 2	E 2	C	$3^0\odot$	$5^1\odot$	10^1	–	
2.	38.2	36.1	36 2	3.2	13.6	6.7	13.6	1.1	4.7	3.7	5.9	82	32	82	C	C	C	oo	oo	o	–	⊼
3.	36.1	35.2	34.3	2.4	15.6	8.5	15 8	**0.0**	4.8	5.5	6.4	87	42	77	C	W 2	C	oo	$3^0\odot$	o	–	⌊
4.	34.7	33.6	34.4	3.7	17.6	10.7	18.2	1.1	5.1	7.3	8.0	85	49	84	C	SW 2	C	oo	$8^1\odot$	o	–	⊼
5.	36.2	37.8	38.0	9.3	13.4	11.3	13.9	7.6	7.9	7.8	8.7	91	69	88	C	C	C	10^1	10^1	o	0 1	n ●^{0}
6.	39.0	38.6	39.3	10.3	16.6	10.9	17.0	7.9	8.1	7.9	9.2	88	57	96	C	C	C	10^1	$5^1\odot$	o	–	ca 5–7 p ●
7.	40.8	41.6	42.5	11.4	13.0	11.9	15.2	10.1	9.6	9.8	10.0	97	89	97	C	W 2	C	10^1●	10^1●	10^1●	4.4	n, a ●; ^{032}–nach ^{134} p, ^{648} p ◹
8.	40.5	39 6	41.4	10.9	13.8	11.3	13.9	10.1	9 6	10.4	9.7	**99**	90	98	NW 2	C	C	10^1●	10^1	10^1	8.5	n, t ●
9.	**44.0**	42.1	40.1	10.3	17.6	12.9	17.8	9.2	9.0	8.9	10.2	97	60	93	C	C	C	10^1	10^0	10^1	9.2	^{624}–ca 7 p ●
10.	37.5	36.2	36.4	13.0	18.0	13.6	18.0	11.1	10.2	8.9	10.4	93	58	90	S 2	W 4	C	10^1	$5^1\odot$	10^1●	10.7	ca 11 p ◹, ca 6–9 p ●
11.	37.0	37.0	37.2	12.4	20.6	14.6	20.6	10 3	10.0	9.6	11.0	94	53	89	C	NW 4	C	10^1	5^1	10^1	1.6	
12.	36.3	33.4	32.1	11.5	25.4	19.4	26.7	10 1	9.5	**13.7**	13.4	95	57	80	C	C	C	$3^0\odot$	oo	10^0	–	⊼
13.	32.8	33.9	36.4	16.4	23.8	15.6	23.9	12.6	11.1	8.3	9.1	80	37	68	SW 2	W 4	W 4	$5^1\odot$	10^1	o	–	$^{924.39}$ a ●
14.	37.9	36.4	33.7	12.1	18.4	14.8	18.8	11.1	8.6	8.1	10.3	83	52	83	W 4	S 2	C	10^1	oo	5^1	0.5	
15.	31.5	28.9	26.0	11.5	24.2	18.2	**27.7**	9.9	9.0	11.7	12.5	89	52	80	C	SW 1	C	$5^0\odot$	oo	5^1	–	⊼, $^{800.28}$ p ◹, $^{823.33}$ p ●
16.	29.4	29.0	30.0	14.4	16.6	12.8	18.8	12.8	9.5	8.5	10.0	78	60	91	W 2	W 2	W 2	10^1	$5^1\odot$	10^1●	1.9	t ötters ●
17.	31.6	33.7	35.8	8.7	12.1	8.3	12.8	8.3	7.7	5.8	6.9	92	55	86	W 2	W 4	W 4	10^1●	10^0	5^1	7.5	n ●, t ztw. ●
18.	36.7	37.0	37.4	8.3	12.1	8.5	12.7	7.0	6.7	6.7	7.7	82	64	93	W 4	W 4	W 2	10^1●	10^1	10^1	3.7	a ●, t ztw. ●
19.	38.6	37.4	36.4	5.1	18.4	11.3	18.8	4.0	6.4	7.4	8.6	97	47	87	C	C	C	10^2	oo	o	4.5	a–ca 8 a ≡^{2}
20.	36.7	33.4	32.2	7.3	21.4	14.0	22.2	4.8	7.3	9.2	10.0	96	49	85	E 2	S 1	C	oo	oo	o	–	a–ca 7 a ≡^{1}
21.	33.1	31.3	29.1	11.5	22.2	15.6	22.8	10.9	9.2	10.4	10.4	92	53	79	W 1	E 2	C	10^1	$3^0\odot$	o	–	
22.	28.7	27.7	27.7	14.6	16.8	14.2	17.8	12.4	10.7	11.7	11.2	87	82	94	C	S 1	C	10^0	10^1●	10^1	–	^{709} a–ca 9 p ztw. ●
23.	29.4	28.6	29.5	13.8	15.2	13.2	17.9	13.2	10.2	10.4	10.0	87	81	89	W 2	S 1	C	10^1	10●	10	17.7	n ●, t ztw. ●
24.	29.3	30.6	31.9	12.4	13.6	12.4	14.1	12.1	9.7	10.5	9.7	91	92	91	W 2	W 2	C	10^1●	10^1●	10^1	**18.8**	n, t ●
25.	32.5	33.3	33.4	11.9	12.1	10.3	13.3	10.3	9.6	9.1	9.4	94	88	94	W 2	NW 2	C	10^1●	10^1●	10●	14.4	n, t ●
26	32.7	34.5	35.0	9.7	9.9	8.9	10.6	9.1	8.1	8.0	7.5	91	88	88	NW 2	NW 4	C	10^1●	10^1●	10^1	12.5	n, a ●
27.	35.2	34.8	34.9	8.7	13.4	9.7	13.7	7.4	6.7	5.9	7.3	80	52	83	W 2	S 1	C	$8^1\odot$	10^1	3^1	0.8	
28.	35.8	34.8	33.9	8.1	15.5	10.5	15.8	5.0	7.1	6.3	8.1	89	48	87	C	C	C	10^1	$3^0\odot$	o	–	
29.	31.5	30.5	29.9	7.7	20.2	14.0	20.2	4.8	7.1	8.1	9.5	90	46	80	C	W 2	C	oo	$3^1\odot$	3^1	–	⊼
30.	31.4	30.6	30.3	9.1	17.6	11.9	18.3	6.8	8.0	6.8	8.8	93	45	85	C	W 2	C	oo	oo	3^1	–	⊼
31.	31.4	31.0	31.8	9.7	21.0	13.8	21.4	6.0	7.9	8 3	10.4	88	45	90	C	W 2	C	oo	$3^1\odot$	o	–	⊼, $^{403.18}$ p ◹, $^{418.20}$ p ●
Mittel	35.0	34.4	34.4	9.8	16.7	12.2	17.5	8.1	8.1	8.4	9.2	88	59	86				6.9	5.7	5.3	116.8	

Alle Angaben nach Ortszeit.

Landshut.

Mai. $\varphi = 48^0\ 32'$ N. $\lambda = 12^0\ 10'$ E $= 48^m\ 40^s$. H $= 397.7$ m. Cg $= +0.2$ mm. 1912.

Datum	Luftdruck auf 0° u. Normalschwere reduziert 700 mm +			Lufttemperatur C°					Absolute Feuchtigkeit mm			Relative Feuchtigkeit Proz.			Richtung und Stärke des Windes 0 bis 12			Bewölkung 0 bis 10			Niederschlag mm	Bemerkungen
	7a	2p	9p	7a	2p	9p	Max.	Min.	7a	2p	9p	7a	2p	9p	7a	2p	9p	7a	2p	9p	7a	
1.	29.4	28.8	30.0	5.2	9.8	4.9	12.0	2.5	3.5	2.6	3.9	53	29	59	E 4	E 4	E 2	9¹	6¹⊙	8¹	0.1	
2.	29.8	28.2	28.1	4.0	12.0	3.1	16.1	− 1.1	4.8	3.2	4.5	78	31	79	E 2	NE 2	E 2	⊙⊙	1⁰⊙	0	−	⌊⁰
3.	28.2	26.3	25.5	3.6	16.6	7.3	21.3	− 3.0	5.0	3.5	5.0	85	25	66	W 2	W 2	C	⊙⊙	1¹⊙	0	−	⌊
4.	26.6	25.6	26.3	5.9	20.0	11.7	21.8	0.0	5.6	4.8	6.7	81	28	66	W 2	W 4	C	1⁰⊙	6²⊙	9¹	−	7 a ∞
5.	28.0	28.8	29.7	9.3	14.0	10.1	17.4	6.0	6.6	7.2	7.3	75	61	79	NE 2	NE 2	C	10¹●	10¹	10¹	−	ca 7–7²⁰ a, m–ca 1 p ◍⁰
6.	30.8	29.8	31.1	7.8	19.8	11.4	21.9	3.2	7.2	6.6	9.6	92	39	96	C	W 2	W 2	9¹	7²	6¹	0.3	2¹⁹ p, 5¹²–¹⁹ p ⌈↯, 5¹⁶–³⁰ p ◍², 5²³–²⁴ p ▲, 7³⁴–8⁰⁹ p ◍²
7.	33.2	33.8	34.1	12.2	17.9	11.6	19.4	9.4	9.4	8.7	8.9	90	57	88	W 4	W 6	W 2	10¹	9²	0	7.0	2¹⁸–²⁹ p ◍, 7³³ p ↖ im NW, 8²⁸–³⁵ p ◍böe
8.	31.9	31.8	33.4	11.6	14.0	11.0	16.3	9.3	9.8	10.2	9.5	97	86	97	SW 4	W 4	C	10¹●	10¹●	2¹	3.7	n ◍, ca 9 p ↖ im SE
9.	**36.1**	34.3	31.5	10.5	18.8	13.8	20.8	6.1	9.5	10.1	10.3	100	62	88	W 2	SW 2	W 2	10¹	9¹⊙	8¹	17.4	ca 5 a ≡¹
10.	30.3	28.9	28.1	13.1	15.2	12.0	17.1	10.2	10.6	10.8	10.2	95	84	98	W 2	C	C	10¹●	10¹	0	3.5	11³⁴ p ⌈↯, ◍; n ◍ ⎓¹¹¹, t öfters kurze ◍böen
11.	29.3	28.9	28.5	13.4	21.2	15.6	23.0	9.2	10.5	9.3	**11.6**	93	51	88	SW 2	W 2	C	8¹	9¹	0	2.7	
12.	27.8	25.3	23.1	16.4	28.9	21.8	**34.2**	9.2	9.5	12.8	9.9	69	44	51	W 2	S 2	W 4	5⁰⊙	⊙⊙	0	−	⏢
13.	25.2	26.9	29.3	21.1	22.2	14.6	24.9	13.2	10.3	8.4	8.4	55	43	68	W 6	W 6	W 2	8¹	7¹⊙	2¹	−	8²⁰ a ◍tropfen
14.	30.0	27.8	24.7	11.7	19.8	15.6	22.8	10.3	7.7	7.2	9.4	75	42	71	C	N 2	N 2	10¹	6⁰⊙	1¹	0.1	
15.	22.1	19.9	**17.5**	17.1	30.3	19.8	32.0	8.5	11.0	9.9	9.6	76	31	56	NE 2	W 2	NE 2	8¹⊙	5⁰⊙	5¹	−	⏢, 6³⁴–³⁵ p ⌈↯, 6⁷⁴–³⁹ p ◍⁰, 8³⁴ p ↖ im N u. NW
16.	21.6	20.6	22.3	12.6	19.0	10.1	21.2	8.9	9.6	7.9	7.1	89	49	78	SW 4	W 6	W 4	10¹●	7¹	10¹	2.6	n ◍, 6¹⁹ p ◍tropfen
17.	24.7	26.7	28.2	7.5	10.1	6.3	15.2	5.2	6.1	5.7	6.0	79	62	84	W 6	N 4	N 4	10¹	10¹	0	4.8	n, 11³⁴–m, 6¹⁹–²⁰ p ◍
18.	29.2	28.5	29.3	7.7	13.6	8.3	17.2	4.1	6.6	6.0	7.2	85	52	88	W 4	W 4	W 2	10¹●	8¹⊙	0	0.6	n, a–7¹⁴ a ◍
19.	30.3	28.8	28.0	4.8	19.6	12.0	23.5	1.0	6.0	6.5	7.5	94	39	72	E 2	E 2	E 2	10¹≈	⊙⊙	0	0.2	ca 7 a ≡¹ ⏢
20.	28.2	25.4	23.3	11.9	24.2	14.8	27.1	3.2	8.8	7.2	9.3	85	32	74	C	E 2	C	⊙⊙	⊙⊙	9¹	−	⏢
21.	24.7	22.1	20.4	16.4	25.7	15.0	30.1	11.2	11.4	9.9	9.8	82	41	77	SW 2	W 4	C	10¹●	6¹⊙	2¹	0.9	n, a–7¹⁹ a ◍
22.	20.4	19.6	19.8	14.2	17.2	14.0	19.3	10.4	10.6	**11.6**	11.0	88	80	93	W 2	W 4	W 4	10¹	10¹●	10¹●	1.0	9¹⁹ a, 0²³–5¹⁹ p, ca 9 p–n ◍
23.	21.7	21.7	21.7	13.8	15.9	11.2	18.5	9.5	10.0	9.4	9.7	86	70	98	SW 2	W 4	W 2	10¹	10¹●	10¹●	1.2	ca 1 p–n ◍
24.	21.9	23.1	24.6	10.8	12.6	10.8	13.3	9.2	8.9	9.8	9.3	93	91	97	NW 2	N 2	N 2	10¹●	10¹●	10¹●	**21.0**	n, t–5¹⁹ p, ca 6 p–n ◍
25.	25.8	26.2	26.5	11.9	12.1	10.9	16.2	9.0	9.0	9.3	9.0	89	89	93	NW 4	N 2	N 2	10¹	10¹●	10¹●	18.1	11¹⁹ a–n ◍
26.	26.8	27.2	27.2	7.3	9.9	7.5	11.0	6.1	7.1	6.9	7.2	93	75	93	NW 2	W 4	NW 2	10¹●	10¹	8¹	9.0	n, a–11¹⁹ a ◍
27.	27.1	26.5	26.5	10.4	13.2	6.5	17.0	5.4	6.9	5.0	6.7	74	44	93	SW 4	W 2	W 2	9¹	8¹	1⁰	0.5	
28.	28.1	26.4	25.1	8.7	17.8	9.5	21.8	3.2	7.4	5.4	8.1	88	35	91	W 2	SW 4	C	10¹	8¹⊙	1⁰	−	
29.	23.5	22.0	22.1	9.6	21.0	11.2	22.0	2.4	7.2	6.4	8.4	82	35	85	W 2	W 4	C	1¹⊙	2¹⊙	1¹	−	⏢
30.	23.4	22.3	22.0	9.8	19.2	10.3	21.9	4.0	7.6	6.2	8.0	84	38	86	NW 2	N 2	E 2	2¹⊙	3¹⊙	0	−	
31.	23.2	23.1	23.4	11.2	21.0	11.8	25.0	3.5	8.4	7.5	8.8	85	41	86	E 2	W 2	C	⊙⊙	7¹⊙	0	−	⏢
Mittel	27.1	26.3	26.2	10.7	17.8	11.4	20.7	6.1	8.1	7.6	8.3	84	51	82				7.4	6.6	4.0	94.7	

Augsburg.

Mai. $\varphi = 48^0\ 22'$ N. $\lambda = 10^0\ 54'$ E $= 43^m\ 36^s$. H $= 499.6$ m. Cg $= +0.1$ mm, über 728.8 mm Cg $= +0.2$ mm. 1912.

1.	20.0	20.1	20.9	4.7	9.7	6.4	10.1	3.5	4.4	3.5	4.0	67	39	55	NE 2	NE 2	NE 2	10¹	7¹	10¹	1.8	n ◍
2.	20.7	20.3	19.7	3.1	12.8	8.8	13.1	1.2	3.9	4.0	4.6	67	36	54	NE 2	NE 2	NW 2	⊙⊙	2¹⊙	0	−	⌊
3.	19.3	18.1	17.8	5.1	16.6	12.3	18.3	1.4	4.9	5.3	4.2	74	38	40	C	NW 2	SW 2	⊙⊙	1⁰⊙	0	−	⌊⌊
4.	18.0	16.9	18.1	7.5	20.0	13.2	20.0	3.7	4.9	6.5	6.8	63	38	61	SW 2	N 2	N 2	⊙⊙	3¹⊙	10¹	−	⏢
5.	19.5	20.0	21.3	9.6	13.5	10.7	14.9	7.8	7.2	8.4	8.5	82	72	90	C	NE 2	SW 2	9¹	8¹	10¹	2.3	n ◍
6.	21.9	21.7	23.1	8.5	16.7	12.3	18.8	7.6	7.2	8.2	9.8	87	58	86	SW 2	SW 2	SW 2	5¹⊙	3²⊙	10¹	−	⏢, 5³⁴–³⁹ p ◍
7.	25.2	25.7	25.8	11.6	16.5	12.6	17.2	10.1	9.4	8.7	9.6	94	63	89	SW 2	NW 2	SW 2	10²	10²●⌓R	10¹	3.3	n ◍; 1³⁹–²¹⁴ p, 3¹⁷–⁴⁹ p ◍ △, 1³³–²¹⁹ p ⌈↯
8.	23.6	23.9	26.2	11.7	15.5	13.0	15.5	10.4	9.9	10.9	10.1	**97**	83	91	SW 2	SW 4	NW 2	10²●	10²	10¹	10.3	n–m ◍, p ztw. ◍
9.	**27.7**	27.1	23.9	12.5	18.2	14.9	18.2	11.3	10.1	9.4	10.2	94	50	81	C	NW 2	SW 2	10¹	10¹	10¹	**18.6**	n ◍
10.	22.1	22.0	20.5	13.5	15.4	13.8	16.8	12.7	10.2	10.5	10.0	89	80	86	SW 2	NW 2	SW 2	10¹●	10²●R	10¹	−	6¹⁹–ca 9⁴⁵ a, 1³⁹–2²¹ p ◍, 6⁰³–20³ p ⌈↯
11.	21.0	20.5	20.4	13.5	21.3	17.6	21.6	11.9	10.6	11.2	**12.4**	93	60	82	C	C	SW 2	10¹	10¹	10¹	7.7	⏢
12.	*18.1*	16.7	15.5	*14.0*	30.3	24.0	**30.3**	13.2	10.0	9.5	9.6	84	30	43	SW 2	NW 2	S 2	5⁰⊙	4¹⊙	5⁰	−	⏢
13.	17.6	19.7	21.4	21.0	23.1	15.0	24.0	15.0	9.2	10.7	9.7	50	51	75	SW 4	NW 4	N 2	8²	6¹⊙	10¹	−	
14	21.3	19.3	16.0	13.2	20.8	17.2	21.0	12.3	8.3	11.3	11.3	73	63	77	NE 2	SE 2	SE 2	10¹	7¹⊙	0	−	
15.	13.4	11.3	**09.1**	15.4	29.9	22.0	29.9	13.7	10.6	8.5	10.1	81	**27**	51	S 2	SW 4	S 2	0	5¹⊙	10¹	−	⏢
16	12.9	12.3	14.8	13.0	17.2	10.0	22.0	10.0	8.6	8.9	7.7	76	55	84	SW 4	W 6	SW 6	10¹	7²	10¹	1.4	n ◍
17.	17.2	18.4	20.4	7.1	12.5	8.2	13.5	5.8	6.2	5.3	5.9	83	49	71	SW 4	SW 4	SW 4	10¹	5²⊙	10¹	4.9	n ◍
18.	20.8	19.7	20.8	7.8	14.8	11.4	15.5	6.0	6.5	6.1	6.5	82	50	65	SW 4	W 6	NW 4	10¹	5²⊙	0	−	
19.	21.1	19.8	19.5	9.2	20.2	15.0	21.4	6.0	6.7	7.9	7.7	77	45	61	SW 2	SE 2	SE 2	⊙⊙	1⁰⊙	0	−	⏢
20.	19.3	17.0	15.3	11.9	24.1	17.6	24.7	9.1	7.9	8.9	10.2	75	40	68	SW 2	SE 2	S 2	⊙⊙	1¹⊙	4¹	−	7¹⁴–²¹ p ◍⁰
21.	16.0	13.1	13.7	16.4	25.1	14.2	25.2	13.6	10.3	9.5	10.9	73	40	92	SW 2	NW 4	W 4	5¹	6²⊙	10²●R	−	22³–49 p, 7³¹ p–n ⌈↯, 8⁰⁶ p–n ◍
22	11.7	11.1	12.0	13.7	17.2	13.5	17.2	12.2	11.0	10.5	10.6	95	71	93	SW 2	SW 2	SW 2	10²●	10²	10¹	17.1	n–11⁴⁹ a, 4²¹–5¹⁹ p ◍, 4¹³ p ⌈↯
23.	13.3	13.9	13.6	12.3	14.1	12.3	15.4	11.9	9.5	9.2	9.8	90	77	93	SW 2	NW 2	C	10¹	10²●	10²●	13.8	10¹⁹ a–2²⁹ p, 6²⁴ p–n ◍
24.	14.3	16.8	17.4	11.0	12.1	10.7	13.8	10.1	9.0	8.9	9.1	92	84	95	C	NW 2	NW 2	10²●	10²●	10²●	8.7	n u. t ◍
25.	18.0	18.2	18.9	11.1	13.2	10.8	14.4	10.0	9.1	9.2	9.0	93	82	94	NW 2	N 2	S 2	10²	10²●	10²	9.3	n ◍, t meist ◍
26.	19.3	19.5	19.4	7.2	8.0	7.7	10.8	6.9	6.9	6.8	7.1	91	85	90	NW 2	NW 2	SW 2	10²●	10²	10¹	16.0	n–7¹⁴ a, 2²³–3³¹ p ◍
27.	18.5	18.0	18.5	9.1	14.3	10.5	15.0	7.2	6.6	6.1	6.6	76	50	70	C	NW 2	NW 2	8¹	7⁰	4¹	0.4	
28.	19.2	18.2	16.4	9.2	16.4	13.2	18.8	7.1	6.5	7.7	7.6	75	56	67	C	NW 2	NW 2	10¹	2⁰⊙	0	−	⏢
29.	15.2	14.4	14.1	10.5	20.2	13.5	20.9	7.2	7.3	7.8	8.4	76	44	72	SW 2	NW 2	N 2	3⁰⊙	2⁰⊙	7¹	−	⏢
30.	15.0	14.6	13.5	11.0	18.2	13.9	19.4	8.2	7.6	7.1	7.4	76	46	62	C	NE 2	E 2	3⁰	4¹⊙	0	−	⏢
31.	14.8	15.4	15.1	11.6	20.8	15.5	21.8	8.5	7.6	8.2	8.8	74	45	67	NE 2	NW 2	NW 2	3⁰⊙	3¹⊙	0	−	⏢
Mittel	18.6	18.2	18.2	10.9	17.7	13.3	18.7	8.9	8.0	8.2	8.5	81	55	74				6.7	6.1	6.8	115.6	

Alle Angaben nach Ortszeit.

München-C.St

Mai. $\varphi = 48^0\ 9'$ N. $\lambda = 11^0\ 34'$ E $= 46^m\ 16^s$. H $= 526.4$ m. Cg $= +\ 0.1$ mm. 1912.

Datum	Luftdruck auf 0^0 u. Normalschwere reduziert 700 mm +			Lufttemperatur C°					Absolute Feuchtigkeit			Relative Feuchtigkeit			Richtung und Stärke des Windes 0 bis 12						Bewölkung 0 bis 10			Niederschlag	Bemerkungen
	7^a	2^p	9^p	7^a	2^p	9^p	Max.	Min.	7^a	2^p	9^p	7^a	2^p	9^p	7^a		2^p		9^p		7^a	2^p	9^p	mm 7^a	
1.	17.2	17.1	18.2	4.9	9.8	5.1	10.1	3.2	3.7	3.4	3.5	56	38	53	E	2	NE	2	E	3	10^0	9^1	3^0	–	m Gebirge teilweise sichtbar, abds.
2.	17.9	16.7	17.2	3.1	11.3	8.7	12.1	1.2	3.8	4.2	4.8	65	42	57	E	1	SE	1	C		$0\circ$	$6^1\circ$	8^1	–	a
3.	16.7	15.2	15.4	6.9	15.7	11.5	16.3	3.9	5.2	4.3	4.7	70	33	45	SW	1	NW	1	C		$0\circ$	$1^0\circ$	0	–	a ,
4.	15.5	14.6	15.5	9.2	18.7	12.3	18.9	6.0	4.9	4.9	6.3	57	31	60	SW	2	NW	1	C		$1^0\circ$	$3^0\circ$	1^0	–	a ,
5.	16.9	17.6	18.8	10.1	10.9	10.4	14.2	8.4	6.9	9.0	8.4	75	93	91	C		SW	1	SW	2	$10^1\bullet$	$10^1\bullet$	7^0	0.1	t ztw. , $1^{11.36}$ a im S
6.	19.4	18.9	20.8	10.5	17.7	12.7	18.6	9.2	7.6	9.9	8.2	80	54	76	C		SW	1	SW	2	9^1	$7^1\circ$	10^1	7.4	n, 0^{36} p, 3^{36}–4^{29} p , 3^{35}–4^{11} p
7.	22.6	23.5	23.5	11.5	15.7	11.6	17.1	11.0	9.1	8.4	9.1	91	64	89	W	2	W	3	SW	2	10^1	$10^1\bullet$	9^1	10.8	n u. t ztw.
8.	21.4	21.0	23.3	11.1	14.1	12.4	15.5	11.0	9.1	10.8	9.8	93	91	93	SW	2	NW	2	W	2	$10^1\bullet$	9^1	$10^1\bullet$	7.8	n–0^{28} p , p–n ztw. . 11^{31} a
9.	**25.0**	23.7	21.3	11.4	16.5	14.5	17.3	10.9	9.4	9.3	9.6	95	67	78	C		C		SW	2	10^1	9^1	10^1	**35.7**	n
10.	19.5	18.4	18.1	13.9	16.7	13.1	17.1	12.4	10.1	10.8	10.2	86	76	91	SW	1	SW	2	SW	3	9^1	10^1	$10^1\bullet$	1.9	n, 8^{01} a–n ztw.
11.	18.5	18.2	18.2	13.9	21.1	16.5	21.3	12.2	10.1	10.1	**11.2**	86	55	80	SW	1	SW	1	SW	1	10^1	$8^1\circ$	10^1	4 2	n
12.	16.8	14.6	13.5	18.2	31.2	22.8	**31.6**	13.8	8.5	7.3	9.4	55	22	46	SW	1	SW	2	SW	3	$6^0\circ$	$1^0\circ$	0	–.	a
13.	15.3	16.3	18.9	22.1	24.6	15.9	25.6	15.8	9.1	7.7	8.5	46	33	63	SW	5	SW	4	NW	2	7^1	$8^1\circ$	10^1	–	a ztw. tropfen
14.	18.9	16.4	13.7	14.0	20.3	16.6	20.8	13.3	7.8	10.2	10.8	66	57	77	C		E	2	C		10^1	$7^0\circ$	4^0	–	a , abds.
15.	11.3	09.3	06.9	7.8	28.7	20.2	29.1	12.7	10.1	8.6	9.3	67	29	53	S	1	NW	1	SE	2	$1^0\circ$	$6^0\circ$	9^1	–	a , , 5^{15} p , 5^{20} p tropfen
16.	11.1	10.6	12.4	12.5	16.6	10.5	21.4	10.0	7.6	7.0	8.3	71	50	88	SW	1	SW	3	SW	3	$10^1\bullet$	9^1	9^1	0.2	n u. a
17.	14.5	16.1	18.0	6.8	8.5	6.4	11.1	4.9	6.2	5.9	5.8	85	71	82	W	2	W	2	SW	4	10^1	9^1	6^1	7.7	n , $1^{18.41}$ p, 1^{51}–2^{01} p, $2^{26.43}$ p , p ztw.
18.	18.4	17.5	18.4	7.9	13.5	10.5	14.9	5.4	6.3	5.0	6.6	79	43	70	SW	3	W	3	C		10^1	7^1	0	3.6	a ztw. tropfen
19.	18.5	17.4	17.1	10.1	19.3	13.9	20.0	6.1	6.1	7.4	7.8	66	44	66	SE	1	NE	2	C		$0\circ$	$1^0\circ$	0	–	a
20.	17.0	14.2	13.9	13.6	23.4	17.2	23.6	9.7	7.9	8.8	10.9	69	41	75	C		E	1	SW	1	$0\circ$	$1^0\circ$	$10^1\bullet$ R	–	a , , 8^{00}–9^{00} p , 8^{35} p–n
21.	14.0	11.1	10.7	14.9	23.8	16.8	24.1	14.1	10.2	8.7	9.1	82	40	64	SW	2	SW	1	W	2	9^1	$6^1\circ$	10^1	1.9	9^{00}–ca 9^{45} p , n , abds. im SW u. NW
22.	09.4	09.1	09.7	13.4	16.4	13.1	17.1	12.4	10.3	10.3	10.2	90	74	91	C		W	1	W	3	$10^1\bullet$	10^1	$10^1\bullet$	8.4	9 p , 9^{06}–mu , 9^{11}a–1^{16} p , p ztw. $^{1.2}$; 5^{57}–6^{01} p
23.	11.0	11.0	11.0	12.8	13.5	11.0	15.1	10.8	8.9	10.2	8.4	82	89	87	W	1	W	1	C		9^1	$10^1\bullet$	$10^1\bullet$	18.2	n, 9^{36} a–n
24.	11.2	12.7	14.4	10.4	11.1	10.2	11.3	9.9	8.8	8.9	8.9	94	90	**96**	NW	1	NW	1	NW	1	$10^1\bullet$	$10^1\bullet$	$10^1\bullet$	10.9	n, t
25.	15.1	15.7	16.1	10.1	11.4	10.0	14.9	9.4	8.6	8.4	8.3	94	84	91	NW	3	NW	1	NW	2	$10^1\bullet$	$10^1\bullet$	10^1	14 6	n , t ztw.
26.	16.4	16.5	16.8	6.8	7.5	7.0	11.3	6.6	6.7	6.6	6.9	91	87	93	NW	2	NW	1	C		$10^1\bullet$	10^1	10^1	7.9	n, a–ca 1 p
27.	16.0	15.3	16.0	7.2	12.7	9.7	14.0	6.9	6.6	4.9	6.2	79	45	69	C		NW	2	C		10^1	8^1	3^0	1.7	
28.	16.9	15.1	14.3	9.2	16.9	12.0	17.5	6.0	5.2	6.1	7.5	59	42	72	C		NW	1	SE	1	10^1	$3^0\circ$	0	–	a
29.	12.7	11.2	11.5	13.9	20.5	14.8	20.9	8.9	7.3	6.5	8.0	61	37	64	SW	1	W	2	C		$4^0\circ$	$6^1\circ$	10^1	–	a ,
30.	12.4	11.4	11.2	11.6	17.2	13.5	18.0	9.1	6.1	5.4	7.4	59	37	64	NE	1	NE	2	C		7^1	$4^0\circ$	0	–	a
31.	12.0	12.3	12.9	11.1	20.3	14.8	20.6	9.4	7.4	6.6	8.5	64	37	68	C		NE	1	C		$4^0\circ$	$6^1\circ$	0	–	a
Mittel	16.1	15.4	15.7	11.3	17.0	12.8	18.1	9.2	7.6	7.6	8.1	75	55	74							7.3	6.9	6.4	143.0	

Traunstein.

Mai. $\varphi = 47^0\ 52'$ N. $\lambda = 12^0\ 39'$ E $= 50^m\ 36^s$. H $= 597$ m. Cg $= +\ 0.1$ mm. 1912.

1.	10.9	11.3	12.4	2.6	8.0	4.6	9.0	1.2	3.2	2.5	3.5	58	31	55	E	2	E	6	E	4	10^2	$6^2\circ$	8^2	–	
2.	11.8	11.1	11.5	1.2	10.6	6.8	11.0	– 1.4	4.0	4.0	5.6	81	42	76	SW	2	S	2	SW	2	$0\circ$	8^2	10^2	–	a
3.	10.7	09.6	09.9	5.6	13.6	6.6	15.0	0.8	4.2	3.4	5.6	62	29	77	S	2	NW	4	E	2	$0\circ$	$2^1\circ$	0	–	a
4.	09.6	09.1	10.0	8.2	17.4	9.2	18.0	3.4	5.0	3.6	6.6	62	25	76	SW	2	NW	2	SW	2	$0\circ$	$4^2\circ$	2^1	–	a
5.	11.2	11.7	13.1	8.8	13.0	8.4	14.0	6.8	6.7	7.6	7.8	80	68	94	E	2	E	2	S	2	$8^2\circ$	10^2	8^2	–	vorm. , 2^{11}–3^{03} p
6.	14.0	13.6	15.4	9.8	16.0	10.4	17.2	7.8	7.6	7.5	8.2	84	56	88	SE	2	W	4	W	4	$8^2\circ$	$6^2\circ$	$10^2\bullet$	13.1	ca 4–5 p u. 8–9 p , abds.
7.	16.7	17.8	18.4	10.2	11.0	9.8	12.4	9.4	7.8	8.3	8.6	84	85	95	W	2	W	2	W	2	$10^2\bullet$	$6^2\circ$	$10^2\bullet$	10.3	n , vorm. u. abds.
8.	16.1	15.5	16.9	9.8	10.4	10.8	11.8	9.2	8.6	8.4	9.2	95	91	95	W	2	SW	2	W	2	$10^2\bullet$	10^2	$10^2\bullet$	28.8	n , t meist
9.	**19.2**	18.2	15.5	10.2	14.0	11.8	15.0	9.0	8.3	7.7	8.6	90	65	84	W	2	W	4	W	2	10^2	9^2	10^2	**38.9**	abds.
10.	13.8	12.7	12.4	11.8	15.4	12.4	15.8	10.8	9.6	8.6	8.9	**96**	66	85	W	2	W	6	W	2	10^2	$9^2\circ$	8^2	4.5	n , t ztw.
11.	13.3	13.2	13.4	12.8	18.6	14.4	19.0	11.2	8.7	7.5	9.5	80	47	78	W	2	W	4	S	2	10^2	$8^2\circ$	1^1	23.1	
12.	11.8	09.5	08.6	16.4	29.2	18.6	**30.0**	14.4	9.1	5.3	9.4	66	**17**	59	SW	2	W	4	W	2	$2^1\circ$	$0\circ$	0	–	
13.	10.4	10.5	12.9	21.8	24.0	15.0	25.0	15.0	7.7	8.7	9.7	40	39	76	W	6	W	6	W	2	$6^2\circ$	10^2	10^2	–	abds. im N
14.	13.1	11.5	09.0	13.0	18.2	14.0	19.2	12.4	7.8	9.1	10.3	70	58	87	W	2	E	4	NE	2	10^2	$8^2\circ$	6^2	–	
15.	06.1	03.9	01.9	17.0	28.8	19.0	29.8	10.2	7.9	5.4	9.4	55	18	58	S	4	N	2	E	2	6^2	$4^2\circ$	6^2	0.1	a
16.	05.8	05.1	06.7	12.4	17.6	8.8	19.0	8.8	6.6	6.2	7.3	62	41	87	W	6	W	6	W	8	10^2	$6^2\circ$	$10^2\bullet$	–	n , p u. abds.
17.	08.5	10.6	11.9	4.2	5.4	5.2	8.8	3.8	5.7	5.9	5.4	92	87	81	W	6	W	4	W	6	$10^2\bullet$	10^2	2^1	19.3	n–vorm. , p ztw.
18.	12.6	12.2	12.9	5.6	11.4	7.8	12.8	5.0	5.9	4.5	6.4	86	44	81	W	4	W	6	W	2	$10^2\bullet$	$8^2\circ$	6^2	6.5	n u. a
19.	13.3	11.9	11.7	8.2	18.0	11.4	20.0	3.8	6.0	6.1	8.3	74	39	83	SE	2	E	2	E	2	$0\circ$	$0\circ$	0	0.6	
20.	11.3	09.1	07.4	12.0	21.8	13.4	23.0	5.6	7.7	8.0	9.7	74	41	86	SE	2	E	2	E	2	$0\circ$	$1^1\circ$	2^2	–	a
21.	08.9	06.2	03.8	12.6	21.4	17.2	23.0	12.0	10.3	8.8	**10.9**	**96**	46	75	SW	2	E	2	S	2	10^2	$6^2\circ$	6^2	12.9	2^{31}–ca 4 a , a
22.	03.5	03.7	04.2	13.4	12.4	11.4	17.2	11.4	9.4	10.1	9.3	82	95	93	W	2	W	6	W	4	10^2	$10^2\bullet$	$10^2\bullet$	0.6	t ztw.
23.	05.5	05.1	05.2	11.0	13.0	10.4	14.0	10.4	8.8	8.8	8.9	90	80	95	W	4	NW	4	NW	2	$10^2\bullet$	$10^2\bullet$	$10^2\bullet$	22.7	t
24.	04.9	06.6	08.2	9.6	9.6	9.8	10.4	9.2	8.4	8.4	8.4	95	95	94	NW	2	W	4	W	2	10^2	$10^2\bullet$	$10^3\bullet$	21.8	n u. t meist
25.	09.0	09.6	09.9	9.2	10.4	8.4	11.0	8.4	8.2	8.0	7.5	95	85	92	NW	4	NW	2	NW	2	$10^2\bullet$	$10^2\bullet$	$10^2\bullet$	31.4	n u. t
26.	10.2	10.6	11.2	6.4	6.6	6.4	8.4	6.2	6.6	6.5	6.6	81	90	91	NW	6	NW	4	N	2	$10^2\bullet$	$10^2\bullet$	$10^2\bullet$	37.5	n u. t
27.	10.3	09.8	10.7	6.4	12.2	7.8	13.0	6.0	6.1	4.9	5.2	86	46	65	NW	2	W	2	W	2	10^2	$8^2\circ$	6^2	7.4	
28.	11.1	09.8	09.4	8.2	15.6	9.6	16.0	3.8	6.5	6.0	8.0	81	46	89	W	2	W	4	W	2	$8^2\circ$	$4^2\circ$	0	–	
29.	07.0	05.9	05.8	13.8	18.6	11.0	19.4	5.8	8.1	7.8	9.0	69	49	92	W	2	NW	2	S	2	$6^2\circ$	$8^2\circ$	8^2	–	a , 3^{18}–4^{00} p
30.	06.9	05.8	05.9	10.4	16.0	10.4	17.0	9.4	7.5	5.8	8.2	80	43	88	NW	2	N	2	SE	2	8^2	$3^2\circ$	4^2	5.2	
31.	06.1	06.3	07.8	10.6	17.8	12.0	19.0	6.6	7.4	7.5	8.2	77	49	79	N	2	E	4	W	2	8^2	8^2	6^2	–	abds.
Mittel	10.4	09.9	10.1	10.1	15.4	10.7	16.6	7.6	7.3	6.8	8.0	78	55	82							7.4	7.0	6.4	284.7	

Alle Angaben nach Ortszeit.

Partenkirchen.

Mai. $\varphi = 47^0\ 30'$ N. $\lambda = 11^0\ 6'$ E $= 44^m\ 24^s$. H $= 714.6$ m. Cg $= +0.1$ mm 1912.

Datum	Luftdruck auf 0° u. Normalschwere reduziert 700 mm +			Lufttemperatur C°					Absolute Feuchtigkeit mm			Relative Feuchtigkeit Proz.			Richtung und Stärke des Windes 0 bis 12			Bewölkung 0 bis 10			Niederschlag mm	Bemerkungen
	7a	2p	9p	7a	2p	9p	Max.	Min.	7a	2p	9p	7a	2p	9p	7a	2p	9p	7a	2p	9p	7a	
1.	00.1	00.3	01.4	2.2	5.4	4.7	7.7	2.0	4.7	4.3	4.8	87	65	74	NW 2	SW 3	C	10^1	10^1	7^0	0.4	a Berge Neuschneedecke, bis ca 1300 m im Nebel
2.	01.3	00.7	01.5	1.3	9.0	6.3	9.3	− 1.3	4.3	4.2	5.0	85	49	71	C	C	C	$1^0\odot$	9^0	5^0	0.1	⌴, a Berge frei
3.	00.7	699.1	699.9	4.4	15.6	8.7	16.2	1.3	4.7	4.4	5.6	76	33	67	C	NW 3	C	$1^0\odot$	$2^0\odot$	0	–	⌓, a Berge frei
4.	00.4	698.6	00.0	6.1	18.6	11.3	19.5	2.6	5.4	4.5	5.9	76	28	59	C	NW 3	C	$0\odot$	$3^0\odot$	8^1	–	⌓, a Berge rein
5.	01.5	01.1	03.4	7.4	13.4	7.8	14.6	6.9	7.2	6.6	7.8	94	58	98	C	NW 5	C	9^1	8^1	8^1	0.7	n u p ⊜^{0}, a Berge teilweise bedeckt
6.	04.0	03.1	05.8	8.0	16.2	9.3	17.9	5.4	6.8	6.9	8.5	85	51	98	S 2	NW 2	C	8^1	4^1	7^1	3.0	a Berge teilweise bedeckt, 5^{24} p ◹ mit ⊜
7.	07.8	07.7	07.8	9.0	17.8	11.0	18.1	8.0	8.4	6.8	8.1	99	45	82	C	W 4	C	10^1	7^1	7^1	4.2	n zeitw. ⊜^{0}, a Berge teilweise bedeckt
8.	06.4	06.1	08.3	9.1	11.6	10.8	12.8	8.8	8.5	9.9	9.6	99	98	100	C	C	C	$10^1\bullet$	$10^1\bullet$	10^2◹●	8.0	n ⊜, t Strich⊜, 2^{14} p, ca 8–9 p ◹
9.	**10.0**	07.8	05.8	9.0	16.2	11.4	18.0	8.9	8.6	6.9	8.4	100	51	84	C	C	C	$10^1\bullet$	7^0	10^1	**71.0**	9–10 p ◹ ⊜^{2}, mrgs. ⊜^{1}
10.	04.7	03.6	03.2	9.8	13.6	10.7	18.3	9.1	8.9	9.7	9.3	99	85	98	C	N 5	C	$10^1\bullet$	$10^1\bullet$	$10^1\bullet$	3.7	a Berge teilweise bedeckt, t ⊜^{3}, abds. ca 7–9 p ◹
11.	03.9	03.3	03.7	10.4	19.0	14.7	19.5	9.0	9.3	10.8	10.3	99	66	83	C	SE 1	SE 3	$10^1\bullet$	9^1	3^0	23.7	ca 3–4 a u. ca 7–8 a ◹, mrgs. ⊜^{0}
12.	03.0	00.7	699.8	14.2	28.8	17.6	**29.8**	9.8	8.0	6.3	8.5	66	22	57	S 4	S 2	S 2	$2^0\odot$	$3^0\odot$	0	0.5	a Berge rein
13.	01.2	00.7	02.7	15.6	25.6	15.4	27.3	13.2	9.2	8.0	9.0	69	33	73	C	NW 3	C	$2^0\odot$	7^1	2^0	–	a Berge rein
14.	03.0	00.0	699.0	13.2	24.0	16.5	24.0	10.2	9.5	**12.3**	11.8	85	56	84	C	N 2	C	$3^0\odot$	5^0	0	–	⌓, a Berge rein
15.	696.7	694.3	692.8	16.4	28.6	17.7	29.0	14.0	9.1	4.4	8.4	66	15	54	C	S 2	SE 2	$0\odot$	$8^0\odot$	3^0	–	a Berge sehr föhnig, rein
16.	696.1	694.7	696.9	9.6	16.2	7.8	19.0	7.8	8.3	7.0	6.5	94	52	82	C	NW 3	C	$10^1\bullet$	8^1	$10^1\bullet$	4.0	0^{30} a ≡ bis Sturm, mrgs. ⊜^{1}, a Berge meist bedeckt, 1)
17.	699.2	00.7	02.8	4.1	6.9	5.3	8.9	3.8	5.7	5.3	5.4	93	72	82	C	W 4	C	$10^1\bullet$	9^1	10^1	18.0	mrgs. ⊜^{1}, a Berge bedeckt
18.	03.1	01.4	01.9	4.9	14.4	9.9	15.6	3.7	5.8	4.6	6.9	90	38	75	C	W 4	C	10^1	$2^1\odot$	0	2.2	a Berge teilweise bedeckt
19	02.5	00.7	01.4	8.6	20.0	12.1	20.3	4.0	5.9	6.4	8.1	70	37	78	SE 3	NW 4	C	$0\odot$	$1^0\odot$	0	–	⌓, a Berge sehr rein
20.	01.6	698.0	698.0	11.8	22.8	14.2	23.3	7.9	7.8	7.7	9.6	76	38	80	C	NW 3	C	$0\odot$	$1^0\odot$	1^0	–	⌓, a Berge sehr rein, ab ca 8^{15} p–n ◹ im N u. NW
21.	698.9	695.4	695.0	12.8	22.2	19.0	23.3	11.3	8.7	8.6	10.1	80	43	62	C	NW 4	N 4	7^0	$4^0\odot$	8^1	–	ab ca 8^{15} p ◹ im N u. NW
22.	693.7	693.2	695.0	12.5	14.4	11.0	19.0	11.0	10.5	10.6	9.7	98	87	99	C	C	C	$10^1\bullet$	9^1	10^1	0.8	mrgs. ⊜^{0}, a Berge im Nebel
23.	695.8	695.1	695.1	10.0	11.6	9.0	11.9	9.0	9.0	9.4	8.4	99	94	99	C	NW 3	C	$10^1\bullet$	$10^1\bullet$	10^1	12.0	mrgs. u. m ⊜, a Berge bedeckt
24.	696.0	697.9	699.3	8.2	9.0	8.3	9.4	7.9	7.9	7.8	8.1	98	92	99	W 2	C	C	$10^1\bullet$	10^1	$10^1\bullet$	29.5	n u. a ⊜$^{0-1}$, abds. ⊜^{0}, a Berge bis ca 1200 m im Nebel
25.	698.7	00.3	00.8	7.2	9.5	8.6	9.9	7.0	7.5	8.3	8.3	99	94	100	C	C	C	$10^1\bullet$	$10^1\bullet$	$10^1\bullet$	20.5	t ⊜
26.	00.7	00.1	00.3	6.2	7.8	6.5	8.6	5.9	7.0	6.8	7.2	99	86	100	C	NW 4	C	$10^1\bullet$	10^1	10^1	26.0	mrgs. ⊜^{0}, a Berge bis ca 1100 m im Nebel
27.	699.8	699.5	00.3	6.1	9.8	7.0	10.5	5.3	6.7	6.3	7.2	96	69	96	C	NW 4	C	10^1	10^1	5^1	0.3	a Berge im Nebel
28.	00.8	698.7	698.6	6.4	17.0	9.8	17.3	2.9	6.6	8.1	8.0	91	56	88	S 2	NW 4	C	$3^0\odot$	$3^0\odot$	3^1	–	a Berge frei
29.	697.9	695.7	696.5	10.5	17.0	10.5	17.3	8.1	9.1	8.1	9.3	96	56	99	C	W 4	C	9^1	8^1	$10^1\bullet$	1.4	n ⊜, a Berge teilweise bedeckt, abds. ⊜
30.	695.3	695.1	695.4	9.8	14.4	12.0	15.0	9.3	8.9	8.1	8.4	99	66	82	C	NW 3	C	10^9	8^1	8^1	13.4	a ≡^{0}
31.	696.4	696.8	697.7	10.2	14.8	11.4	16.1	9.1	8.6	9.0	8.7	93	72	87	C	W 2	SE 2	10^0	9^0	7^0	–	a Berge teilweise bedeckt, föhnig
Mittel	00.7	699.7	00.3	8.9	15.8	10.8	17.0	7.2	7.6	7.4	8.1	89	58	84				6.9	6.9	6.2	243.4	1) später Aufklaren, 6^{00} p ⊜^{3}

Hohenpeissenberg.

Mai. $\varphi = 47^0\ 48'$ N. $\lambda = 11^0\ 1'$ E $= 44^m\ 4^s$. H $= 993.9$ m. Cg $= \pm 0.0$ mm. 1912.

	600 mm +																					
1.	75.8	76.4	77.4	0.0	4.7	1.4	5.0	− 0.5	3.3	**2.9**	3.1	72	46	61	NE 4	NE 5	NE 5	10^1	10^2	5^2	0.4	t reine Fernsicht
2.	77.0	76.8	77.4	1.3	8.5	4.2	8.5	− 1.2	3.7	4.0	3.7	73	49	60	NE 1	SE 1	SE 1	$0\odot$	9^2	1^2	–	a ⌓, reine Fernsicht, p ∞
3.	76.9	76.2	76.5	4.8	11.8	8.6	12.4	3.8	3.9	3.5	3.4	61	34	42	E 1	W 1	W 1	$0\odot$	$1^1\odot$	1^2	–	a ⌓, reine Fernsicht
4.	76.2	76.0	76.6	8.5	14.7	9.8	15.1	7.3	3.6	3.4	5.2	44	28	57	W 1	NW 1	W 3	$0\odot$	$1^1\odot$	8^2	–	a ⌓ ∞^{0}, p Auflösen des Dunstes
5.	77.3	77.9	79.4	7.3	10.7	6.4	11.1	5.4	6.9	6.3	6.6	90	65	91	SW 1	W 1	W 1	10^1	10^2	8^2	1.3	n ⊜, t ∞^{0}; $3^{12.39}$ p ◹, $3^{13.18}$ p ▲, nachm. öfters kurz ⊜
6.	79.8	80.0	81.4	9.9	12.7	9.0	14.3	6.4	6.5	7.5	6.9	71	69	80	SW 1	SW 1	SW 6	9^1	$10^2\bullet$	9^2	5.1	a reine, p sehr reine Fernsicht, ab 2^{00} p ⊜, 3^{39}–4^{18} p ◹ i. S.
7.	83.3	84.3	84.1	7.3	10.4	10.6	10.8	7.0	7.6	7.7	6.8	100	82	72	W 3	W 4	W 4	10^2≡●	10^2	10^2	2.4	n u. a ≡^{2} ⊜, p ∞, ztw. ⊜
8.	81.9	82.1	84.3	8.4	12.0	9.3	12.6	7.7	8.2	9.7	8.6	100	94	99	NW 6	NW 8	NW 6	10^2≡●	10^2	10^2	10.9	n u. a ≡^{2} ⊜, p reine Fernsicht, ztw. ⊜
9.	**85.6**	84.7	82.8	8.5	14.4	11.3	14.6	7.8	8.3	**8.1**	6.5	100	66	65	NW 1	W 1	W 3	10^2≡	9^2	10^2	**25.1**	n ⊜, a ≡^{2}, p ∞
10.	80.6	80.1	79.8	10.1	10.1	9.5	13.1	9.4	8.7	8.7	8.7	95	95	99	NW 4	NW 1	NW 4	10^1	$10^9\bullet$	10^3≡●	3.3	a ∞, p–n ⊜, abds. ≡^{2}; 0^{49}–1^{02} p ◹ i. NW-N, 1)
11.	79.7	80.1	80.1	11.1	17.0	14.8	17.1	9.5	9.0	8.6	8.4	91	60	67	W 1	W 1	W 1	10^1	9^2	9^1	23.3	n ≡$^{1.2}$ ⊜, a ∞, p reine Fernsicht, ab 2 p ztw. ●^{0}
12.	79.1	77.8	76.8	19.0	25.2	21.5	**26.3**	14.7	7.0	4.3	4.3	43	**18**	23	SW 1	SW 3	SW 5	8^1	9^2	1^2	1.3	t ∞^{0}
13.	77.9	78.6	80.2	18.2	20.7	12.1	21.5	12.1	6.3	9.7	8.6	41	53	83	SW 5	SW 6	E 3	1^2	7^1	10^1	–	a reine Fernsicht, p ∞
14.	79.6	78.1	75.3	14.5	18.6	16.3	18.9	11.4	8.4	**11.1**	9.4	69	70	68	W 1	NE 1	NE 4	8^1	1^1	0	0.4	a ∞, p ∞^{0}, abds. Horiz≡
15.	73.4	72.3	69.4	19.0	24.9	19.9	25.3	16.0	6.6	7.5	4.5	40	32	26	SE 3	NE 1	W 6	$0\odot$	8^2	9^2	–	a ∞ Horiz≡, p ∞^{0}. 2^{54}–4^{34} p ◹ mit ⊜^{0}
16.	72.1	71.9	72.8	8.8	11.7	5.3	19.9	5.3	5.5	6.1	5.0	66	60	75	W 4	W 6	SW 6	10^2	9^2	10^2	–	t sehr reine Fernsicht
17.	75.2	76.4	78.4	2.3	2.9	2.1	5.4	− 0.4	5.2	5.2	5.0	96	93	93	W 3	W 5	SW 6	10^2	$5^2\odot$	6^2	10.6	a reine Fernsicht; $10^{34.57}$ a ✳, $0^{37.29}$ p △. 0^{39}–1^{03} p ✢; 2)
18.	78.7	78.4	79.1	4.2	10.8	7.5	11.2	1.8	5.6	5.0	5.0	90	52	65	W 2	W 2	NE 4	9^2	7^2	1^2	4.7	n ⊜, t ∞^{0}, abds. im Gebirge ∞^{2}
19.	78.7	78.6	78.1	9.9	16.0	12.0	16.1	6.4	6.0	6.6	6.3	65	49	61	C	E 1	NE 3	$0\odot$	$0\odot$	0	–	t reine Fernsicht, abds. Horiz≡ im W u. N
20.	78.2	75.9	74.9	14.6	18.9	12.4	19.2	11.0	5.7	7.6	8.7	46	47	82	C	NE 1	SW 3	$0\odot$	$0\odot$	2^2	–	a leichter Horiz≡ i. N, t reine Fernsicht, ca 5^{25} p ◹, 3)
21.	75.2	73.3	72.4	12.6	19.2	10.2	19.2	10.2	8.0	8.2	9.3	74	50	102	SW 3	E 1	SW 4	10^2	$4^2\odot$	10^1	4.1	n ⊜, a ∞, p reine Fernsicht, ca 6^{35} p ◹ mit ⊜
22.	71.0	70.6	71.2	9.9	14.2	8.7	14.8	8.7	9.1	8.4	8.3	100	69	99	W 1	W 1	W 6	10^2≡	10^2	9^1	5.7	n ⊜, a ≡^{2}, p sehr reine Fernsicht, abds. Horiz≡ i. S
23.	72.3	72.1	72.0	7.7	10.0	7.1	10.0	7.1	7.9	8.2	7.5	100	89	100	W 1	NE 1	NE 1	10^1≡	10^2	10^2≡	19.3	n ⊜, a u. abds. ≡^{2}, t meist ⊜
24.	72.7	74.3	75.6	6.5	6.6	6.2	7.1	6.2	7.2	7.2	7.1	100	99	100	NW 1	NW 1	NW 2	10^2≡	10^7≡●	10^2≡●	22.8	t ≡^{2}, meist ⊜
25.	76.2	76.7	76.9	6.1	9.1	6.4	9.7	6.0	7.0	7.0	7.2	100	81	100	W 1	NE 1	W 2	10^2≡	10^2	10^2	23.6	n ⊜, a ≡^{2}, t meist ⊜
26.	76.8	76.8	76.9	3.4	4.7	3.4	6.4	3.3	5.8	6.2	5.8	100	97	100	NW 1	NW 1	NE 1	10^2≡●	10^2≡	10^2≡●	19.3	n ⊜, t ≡^{2}, meist ⊜^{0}
27.	76.0	76.0	76.6	3.8	9.4	6.8	9.5	3.4	5.8	5.4	6.2	97	61	84	NE 1	W 1	SW 1	10^1	9^2	8^1	1.6	t ∞
28.	77.1	76.3	75.2	6.6	14.6	10.3	14.7	5.0	4.7	7.1	5.6	65	57	60	NE 1	W 1	E 5	$5^1\odot$	5^2	4^2	0.1	n ⊜^{0}, t ∞, abds. Horiz≡
29.	74.2	73.1	72.8	11.2	15.4	10.7	16.2	9.3	6.3	7.1	7.3	63	55	76	SW 4	NW 1	NW 3	9^2	10^2	10^1≡	–	t ∞, 11^{53} a–6^{07} p ◹. $2^{29.44}$ p ⊜, abds. ≡$^{1.2}$
30.	73.0	72.4	72.2	7.5	13.6	9.8	14.2	7.4	6.1	6.5	5.7	79	56	63	NE 2	NE 1	E 5	10^1	$8^2\odot$	5^2	0.2	n ≡, t ∞, abds. Horiz≡ ringsum
31.	73.1	73.8	74.3	10.4	14.4	12.6	15.4	9.0	6.3	6.6	6.6	68	54	61	E 1	NW 1	E 2	10^1	9^2	9^2	–	a ∞, p Fernsicht etwas klarer, abds. wieder ∞
Mittel	76.9	76.7	76.8	8.8	13.2	9.6	14.1	7.0	6.5	6.8	6.5	77	62	75				7.4	7.4	6.9	185.5	1) 0^{56}–1^{09} p ◹ i. S 2) $3^{37.49}$ p, 3^{57}–4^{04} p ⊜ ◠ 3) abds. ◹ i. W

Alle Angaben nach Ortszeit.

Zugspitze.

Mai. $\varphi = 47^0\ 25'$ N. $\lambda\ 10^0\ 59'$ E = 43m 56s. H = 2964 m. Cg = −0.2 mm. 1912.

Datum	Luftdruck auf 0^0 u. Normalschwere reduziert 500 mm +			Lufttemperatur C°					Absolute Feuchtigkeit mm			Relative Feuchtigkeit Proz.			Richtung und Stärke des Windes 0 bis 12			Bewölkung 0 bis 10			Niederschlag mm	Schneedecke cm
	7^a	2^p	9^p	7^a	2^p	9^p	Max.	Min.	7^a	2^p	9^p	7^a	2^p	9^p	7^a	2^p	9^p	7^a	2^p	9^p	7^a	7^a
1.	25.0	25.6	26.1	− 8.5	− 0.7	− 8.0	− 0.6	− 9.4	2.3	4.4	2.4	100	100	100	SE 2	SE 1	SE 2	10^2≡✳	10^2≡✳	10^2≡	1.5	**460**
2.	26.0	26.9	27.9	− 8.9	− 2.5	− 7.2	0.2	−11.1	1.9	3.5	2.2	90	92	88	NE 3	SE 2	N 3	2^0⊙	2^0⊙	0	–	**460**
3.	27.6	28.5	29.0	− 8.1	− 4.6	− 5.9	− 3.7	−10.1	1.6	3.1	2.6	66	95	91	N 2	W 2	W 2	00	4^1⊙	0	–	440
4.	29.0	30.0	30.2	− 7.0	− 2.5	− 4.2	− 1.5	− 8.7	1.7	3.2	3.3	67	86	100	NW 2	NW 2	N 3	1^0⊙	6^1⊙	10^2≡✳	–	430
5.	29.6	30.2	31.5	− 5.2	− 3.0	− 5.0	− 2.8	− 5.9	3.0	3.6	3.1	100	100	100	NW 2	NW 1	NW 3	10^2≡✳	10^1≡	10^2≡✳	2.3	435
6.	31.7	32.9	33.8	− 4.5	− 0.3	− 3.9	− 0.2	− 5.9	3.2	4.5	3.4	100	100	100	NW 1	W 1	NW 3	10^2≡	10^2≡✳	10^2≡✳	12.5	445
7.	34.2	35.9	35.9	− 4.0	− 1.7	− 3.3	− 1.6	− 4.1	3.3	4.1	3.5	100	100	100	NW 4	NW 2	NW 5	10^2≡	10^2≡	10^2≡	15.2	455
8.	33.4	34.5	35.9	− 2.2	− 0.5	− 1.9	− 0.3	− 3.3	3.9	4.5	4.0	100	100	100	NW 11	N 11	N 10	10^2≡	10^2≡	10^2≡	6.9	450
9.	36.3	36.4	35.3	− 3.5	− 2.9	− 2.9	− 1.7	− 3.7	3.5	3.6	3.6	100	100	100	N 4	N 5	N 5	10^2≡✳	10^2≡	10^1	**32.7**	450
10.	32.8	32.8	32.4	− 2.2	− 1.7	− 1.8	− 1.7	− 2.9	3.9	4.1	4.0	100	100	100	NW 5	NW 5	NW 8	10^2≡✳	10^2≡	10^2≡≋	1.5	440
11.	32.9	34.2	36.4	− 1.7	− 0.1	0.0	0.0	− 2.1	4.1	4.5	4.6	100	100	100	N 8	N 9	NW 4	10^2≡	10^2≡	8^1	10.5	430
12.	**37.0**	36.8	35.6	0.0	1.9	2.3	3.5	− 0.2	4.5	4.3	4.5	98	82	82	NW 5	SW 7	W 10	5^1⊙	6^1	2^1	–	420
13.	35.2	35.3	35.4	2.2	2.9	1.8	3.1	1.8	4.3	4.9	5.2	80	85	100	W 7	NW 9	NW 6	4^1⊙	9^1	3^1	–	400
14.	34.8	34.8	33.7	1.3	4.0	4.3	5.4	1.2	5.1	**5.3**	5.0	100	87	80	NW 6	NW 3	SW 6	9^1	6^1⊙	2^1	1.2	390
15.	32.5	32.0	28.5	5.2	6.7	3.8	**7.2**	3.8	3.6	4.5	4.0	54	61	65	NW 3	SE 5	S 9	1^1⊙	9^1	3^1	–	380
16.	25.8	26.6	25.4	− 4.3	− 3.0	− 6.4	3.8	− 6.4	3.3	3.6	2.7	100	100	100	NW 4	NW 4	NW 3	10^2≡✳	10^2≡	10^2≡✳	8.3	370
17.	**24.5**	25.8	27.4	−10.6	−10.3	−10.4	− 6.4	**−12.5**	1.9	1.9	1.9	100	100	100	N 4	NW 6	NW 7	10^2≡✳	10^1≡	10^2≡✳	4.6	370
18.	28.1	30.2	31.1	− 9.8	− 7.7	− 5.1	− 5.1	−10.4	2.0	2.2	2.7	100	94	90	NW 3	NW 3	NW 1	10^2≡	1^1⊙	1^1	5.1	370
19.	32.0	33.2	33.4	− 6.8	− 3.9	− 0.6	− 0.6	− 7.0	**1.5**	2.6	3.2	58	78	72	NW 4	C	W 3	1^0⊙	2^1⊙	0	0.9	365
20.	33.0	32.5	31.4	− 1.5	− 0.3	0.0	0.0	− 3.4	3.3	3.6	3.7	80	80	79	C	S 3	SW 9	00	3^1	2^1	–	355
21.	30.9	30.2	28.8	− 0.5	0.0	0.0	0.7	− 0.9	4.0	3.8	4.0	91	83	87	S 2	SE 3	S 5	9^1⊙	7^1⊙	9^1	–	350
22.	26.3	25.8	26.2	− 0.2	− 0.6	− 2.4	0.4	− 2.4	4.5	4.4	3.8	100	100	100	SE 2	NW 3	N 5	10^1≡✳	10^2≡	10^1≡✳	–	345
23.	26.0	25.8	25.4	− 3.1	0.0	− 3.7	0.0	− 3.7	3.6	4.6	3.5	100	100	100	NW 1	N 1	NW 1	10^1≡✳	10^1≡✳	10^1≡	17.8	350
24.	25.2	26.6	27.6	− 4.7	− 4.2	− 4.9	− 3.7	− 4.9	3.2	3.3	3.1	100	100	100	NW 2	N 2	N 2	10^1≡✳	10^2≡	10^1≡✳	12.2	360
25.	28.0	28.6	28.7	− 5.1	− 4.2	− 4.7	− 4.0	− 5.6	3.0	3.3	3.2	100	100	100	NW 3	N 2	NW 3	10^1≡✳	10^2≡✳	10^1≡✳	13.0	380
26.	27.8	27.9	28.0	− 5.8	− 2.9	− 1.9	− 1.2	− 5.8	2.9	3.7	4.0	100	100	100	N 1	N 1	SE 1	10^2≡✳	10^1≡	1^1	16.3	400
27.	27.1	27.7	28.8	− 4.5	− 4.5	− 6.3	− 1.9	− 6.3	2.5	3.1	1.8	80	95	66	W 2	W 4	NW 4	1^0⊙	1^0⊙	3^1	–	410
28.	29.3	30.4	30.7	− 5.6	− 2.0	− 1.1	− 1.1	− 7.3	2.4	3.5	3.8	84	89	90	NW 3	NW 1	NW 4	6^0⊙	10^2≡	8^1≡	–	410
29.	29.0	28.4	27.4	− 2.0	− 1.2	− 1.6	− 0.4	− 2.3	3.9	4.2	4.1	100	100	100	W 2	NW 2	C	10^2	8^1≡	10^2≡✳	4.3	400
30.	26.6	26.9	26.8	− 2.5	− 0.1	− 0.1	− 0.1	− 4.2	3.7	4.5	4.5	100	100	100	W 1	C	C	10^2≡	10^2≡	10^2≡	11.0	400
31.	27.1	28.2	28.8	− 1.2	− 1.3	− 1.8	− 0.1	− 1.8	4.2	4.2	4.0	100	100	100	C	N 2	SE 1	10^2≡	10^2≡	10^2≡	0.6	390
Mittel	29.8	30.4	30.4	− 3.7	− 1.7	− 2.7	− 0.5	− 4.7	3.2	3.8	3.5	92	94	93				7.4	7.9	6.8	178.4	

Bemerkungen.

1. a andauernd ✳0.1; 2 p ✳0; t ≡1.2; ab ca 330 p rapider Temperaturrückgang; gleichzeitig dreht der Wind rasch von SE u. E nach NE
2. 515 a rechte Neben⊙, später ⊕ (23°) mit beiden Neben⊙; t heiter; 5–8 p ≡1; ≡meer meist in Gipfelhöhe
3. a über Flachland u. Gebirgstälern ∞2 u. cu; ab 1 p Gipfel ztw. in ≡0.1; 9 p ringsum ≡meer in Gipfelhöhe
4. a Flachland ∞; m starke cu-Bewölkung, p ci überwiegend, Teile eines ⊕ (23°?); ab 820 p ≡1.2; 9 p ✳0
5. n u. a ✳0, △0; t ≡1.2; 630 p elektr. Sausen; 815 p kurzes Aufklaren
6. n ✳0, △0, t meist ≡2; ca 3 p Fern[im SE; 505.32 p [; 509.26 p △1, dann ✳1
7. n ✳0.1, 10 cm ⋁; t ≡2, nur von ca 1–3 p ztw. Aufklaren; 2 p [im S
8. n u. t starker Sturm; 40 cm ⋁; t ≡2, meist Eisregen, △
9. 015 a–ca 105 a [; bis 6 p ≡1.2; dann meist ≡frei; 3 p ganz kurzes Aufklaren; t ⎓
10. n u. t ⎓, t ≡2; a ✳0; 10 a–2 p Eisregen; ca 730.40 p △1; 732 p kurz [; 830 p [; 9 p [mit Elmsfeuer (6–7 cm lang)
11. n u. a Sturm; ca 3–5 a [mit △ u. ✳; bis 120 cm ⋁; t–5 p ≡1; dann Aufklaren
12. a ringsum ∞; t föhnig; p Sturm, starke Gewitterbewölkung; mehrfach schöne Irisation
13. a ∞; 615–ca 8 p Gipfel in Wolken (≡0.1); ab 720 p kurz ▨0 u. △0
14. a ztw. ≡0.1; m farbenprächtiger ⊕ (23°); 2 p irisierende cu
15. a Fernsicht frei, ∞0; ab 11 a S-Wind; 615 p dreht der Wind ztw. nach E; p starke Bewölkung, Gewitterstimmung
16. n △ u. ✳ (5 cm Neu✳); 7 a elektr. Sausen; t meist ≡2; p ztw. kurzes Aufklaren; 7 a ✳0.1; ab 615 p ✳0.1
17. n ca 20 cm Neu✳; t ≡1.2, ✳0.1, ✳treiben, ⎓
18. n ✳0; a 30 cm ⋁; bis 1130 a ≡2; 1130 a ◐; p nur noch ztw. ≡0.1; 710 p Brockengespenst; öfters schön irisierende ci u. a-cu
19. a ∞0; t Fernsicht frei, fast wolkenlos
20. a Flachland ∞; t meist heiter, p sehr starke Gewitterwolken; abds. ⎓
21. 5 a △; 815 p Fern[u. ≺ im N
22. n ✳0; t ≡1.2, a–1115 a ✳0.1; ab ca m NW-Wind; elektr. Sausen; ab 5 p ✳ u. △
23. a ca 10 cm Neu✳; t ≡0.2, ✳0.1
24. n ✳1; t ≡1.2, ✳1
25. andauernd ≡1, ✳0.1, sehr lawinengefährlich; 9 p 40 cm ⋁
26. n ✳1; t ≡1.2; a ✳0.1; 540 p Aufklaren, Brockengespenst, ◐
27. 11 p 3facher ⋓ von grossartiger Farbenpracht; t fast wolkenlos, ≡meer in ca 2700 m; 9 p starkes ≺ über Zentralalpen
28. a über Flachland cu; p häufig ≡1, ≡treiben; 7 a, 2 p ⊕
29. a ✳0; t meist ≡0.1; abds. ≡2; t ztw. △0.1; 615 p [; ab ca 7 p ✳0.1
30. 10 p [; t ≡1.2, ztw. ✳0; 9 a vorübergehendes Aufklaren; es wird beobachtet der „Horizontalkreis“ (weiss), enthaltend beide Neben⊙ (23°), die Gegen⊙ u. deren linke Neben⊙
31. t ≡1.2, ztw. ✳0.1, a ≡reissen, m kurz △

Alle Angaben nach Ortszeit

Kahl a/M.

Juni. $\varphi = 50^{0}\ 4'$ N. $\lambda = 9^{0}\ 1'$ E $= 36^{m}\ 4^{s}$. H = 114.1 m. Cg = + 0.3 mm. 1912.

Datum	Luftdruck auf 0° u. Normalschwere reduziert 700 mm +			Lufttemperatur C°					Absolute Feuchtigkeit mm			Relative Feuchtigkeit Proz.			Richtung und Stärke des Windes 0 bis 12			Bewölkung 0 bis 10			Niederschlag mm	Bemerkungen
	7^{a}	2^{p}	9^{p}	7^{a}	2^{p}	9^{p}	Max.	Min.	7^{a}	2^{p}	9^{p}	7^{a}	2^{p}	9^{p}	7^{a}	2^{p}	9^{p}	7^{a}	2^{p}	9^{p}	7^{a}	
1.	47.4	44.4	43.8	12.8	24.3	14.2	25.8	5.0	8.0	5.2	11.1	73	23	93	C	E 4	SE 2	oo	$3^{1}\odot$	9^{1}	–	6^{31}–7^{21} p ◍
2.	39.9	40.3	43.1	13.1	15.3	12.4	18.1	9.6	10.7	12.0	8.7	96	92	82	C	S 2	SW 2	10^{1}	$10^{1}\bullet$	10^{1}	2.5	11^{46} a–3^{21} p ◍
3.	44.6	45.3	47.1	12.4	15.7	11.6	18.0	9.1	8.7	9.1	8.2	82	68	80	SW 6	SW 4	SW 2	7^{1}	10^{2}	1^{0}	4.4	p ztw. ◍
4.	48.5	46.5	47.3	13.2	20.4	14.2	22.6	7.8	8.6	7.9	9.6	76	44	80	S 2	S 2	SW 2	1^{0}	4^{2}	10^{2}	5.3	
5.	47.5	48.8	49.4	13.8	17.5	14.1	22.2	11.6	8.7	7.8	10.5	74	52	88	SW 4	SW 4	C	8^{2}	10^{1}	10^{1}	2.4	n, $7^{46.48}$ p ◍
6.	51.0	50.6	50.8	16.0	23.3	14.2	24.0	10.3	9.4	8.2	10.3	69	38	86	S 2	SW 4	SW 2	7^{0}	9^{0}	7^{0}	0.1	
7.	49.9	48.1	49.0	15.2	24.6	16.3	26.9	9.5	11.2	12.6	13.6	87	55	**99**	C	SW 2	SW 2	8^{1}	10^{0}ξ●	10^{1}●	0.2	n ◍0. 14^{4}–4^{03} p ξ. 13^{1}–3^{28} p, 3^{36}–6^{16} p, 9 p ◍2. 1)
8.	51.5	51.9	52.7	17.4	21.9	16.8	24.2	13.9	12.4	8.9	9.9	84	46	69	SW 2	W 4	C	9^{1}	$6^{1}\odot$	2^{1}	**29.7**	
9.	53.6	52.9	51.8	14.9	17.6	14.7	20.0	13.1	9.2	10.3	11.1	73	63	89	SW 2	S 2	SW 2	8^{1}	10^{0}	10^{0}●	–	p ztw. ◍. 9 p ◍
10.	50.0	47.9	46.8	14.4	20.2	15.4	23.1	12.9	11.4	9.4	11.2	94	54	86	C	NE 2	E 2	9^{0}	4^{2}	1^{0}	5.0	n ◍
11.	44.8	42.9	43.3	14.8	22.7	16.0	24.3	8.9	11.0	10.5	10.1	88	51	75	SE 4	SE 4	E 2	10^{1}	$3^{2}\odot$	1^{0}	–	a ≡2
12.	44.6	44.5	44.8	17.3	22.7	16.9	24.2	12.0	11.2	11.9	11.4	76	58	80	NE 4	NE 4	E 4	oo	10^{0}	8^{0}	–	
13.	45.0	44.7	46.5	16.0	21.2	16.5	22.6	11.4	11.2	11.8	10.3	83	64	73	SE 2	C	NW 6	10^{0}	10^{1}	10^{0}	–	
14.	47.7	48.2	49.7	13.6	15.6	12.3	18.3	11.3	8.6	10.5	10.1	74	80	96	SW 4	S 2	SW 2	7^{1}	$2^{1}\odot$	10^{2}	–	9^{36}–10^{15} a, $11^{24.44}$ a ◍. 11^{16} a–0^{06} p ξ. $11^{28.31}$ a ▲. 2)
15.	47.8	48.4	51.0	13.4	18.4	12.0	20.0	11.1	10.5	6.3	9.4	93	40	91	SW 2	W 6	C	10^{1}	8^{1}	9^{1}	17.2	p ztw. ◍
16.	49.5	44.9	49.0	12.7	19.9	10.8	21.6	9.0	9.6	6.2	8.8	89	36	92	SW 2	SW 6	W 4	10^{1}●	10^{1}	10^{2}	1.3	n, 7 a, 4^{06}–6^{06} p ◍
17.	54.1	53.9	54.1	11.5	17.6	13.5	18.6	9.1	8.4	8.6	10.7	83	58	94	SW 2	SW 6	SW 2	10^{1}	10^{0}	10^{1}	5.3	p ztw. ◍
18.	53.4	53.4	54.2	13.0	17.7	14.5	21.0	11.4	10.8	12.2	12.0	97	81	98	SW 2	SW 2	SW 2	10^{1}	10^{1}	1^{0}	1.2	a ztw. ◍
19.	55.2	53.5	50.9	18.5	27.5	20.0	**33.9**	8.7	12.7	13.6	13.7	80	50	78	S 2	S 2	S 2	oo	2^{2}	1^{0}	0.5	
20.	51.8	53.3	54.7	18.5	22.5	16.4	24.0	16.0	13.7	8.8	9.9	86	44	71	SW 6	SW 4	C	10^{1}	9^{1}	8^{0}	1.1	11^{2}–2^{16} a ξ. $1^{41.58}$ a ◍
21.	55.1	54.0	54.8	16.0	21.5	15.0	22.2	12.1	10.0	7.6	10.2	74	40	81	SW 2	SW 2	C	10^{0}	$6^{1}\odot$	1^{1}	–	
22.	55.5	53.6	52.8	15.6	24.9	18.5	31.0	8.2	10.7	8.7	9.7	81	37	61	C	SW 2	SE 2	oo	oo	o	–	
23.	51.7	49.8	50.2	21.1	29.5	20.7	33.0	10.3	12.2	11.4	16.1	66	37	89	SE 2	SE 2	SW 2	$1^{0}\odot$	$1^{0}\odot$	10^{1}	–	6^{36}–8^{56} p ξ. 7^{26}–8^{01} p ◍, dann ztw. ◍
24.	51.7	51.4	52.5	20.2	23.1	17.3	24.2	17.2	**14.8**	10.5	12.4	84	50	85	SE 2	W 4	C	1^{1}	10^{1}	10^{0}	1.5	
25.	54.4	53.2	52.4	16.2	23.0	16.4	26.3	12.1	11.3	10.0	10.6	82	48	76	C	SW 2	C	4^{0}	$3^{1}\odot$	5^{0}	1.3	n ◍
26.	52.0	52.8	55.1	15.1	21.1	16.5	23.2	12.5	11.9	10.3	10.1	93	55	72	C	SW 4	C	10^{1}	$3^{1}\odot$	10^{1}	0.7	n, $0^{29.34}$ p ◍
27.	**57.2**	56.6	56.4	16.5	22.8	14.6	24.4	9.0	10.1	8.7	10.6	72	42	86	C	SW 2	C	oo	$4^{1}\odot$	o	0.1	a ⏢
28.	55.7	52.9	51.7	16.5	26.5	18.8	28.9	9.0	11.1	10.9	11.8	79	43	73	SE 2	SE 2	C	oo	$3^{1}\odot$	o	–	a ⏢
29.	50.1	47.5	48.8	19.8	28.8	17.8	30.5	11.0	13.0	11.0	12.9	76	37	85	C	SW 4	SW 4	oo	6^{1}	10^{1}	–	a ⏢. $5^{22.51}$ p ◍0
30.	50.4	49.9	49.6	14.1	20.0	14.5	22.1	12.6	11.0	9.0	10.2	93	49	84	SW 2	W 4	SW 2	10^{1}	10^{1}	1^{1}	1.4	n ◍
																					81.2	1) $9^{31.34}$ p, $2^{38.38}$ p ▲
Mittel	50.4	49.5	50.1	15.5	21.6	15.4	24.0	10.9	10.7	9.7	10.8	82	51	83				6.0	6.5	6.2		2) p ztw. ◍

Bayreuth.

Juni. $\varphi = 49^{0}\ 57'$ N. $\lambda = 11^{0}\ 34'$ E $= 46^{m}\ 16^{s}$. H = 363.3 m. Cg = + 0.3 mm. 1912.

1.	26.4	23.9	21.6	11.2	22.5	17.8	24.8	4.4	8.1	9.2	9.8	81	43	65	SE 2	SE 2	E 2	oo	$6^{1}\odot$	10^{2}	–	a ⏢
2.	18.6	18.3	21.4	14.9	21.7	11.4	22.3	11.2	10.5	10.0	8.4	84	52	84	NW 2	W 2	W 4	10^{2}	$7^{1}\odot$	10^{2}	–	t ztw. ◍0.1
3	23.9	24.7	26.5	11.9	17.5	11.5	19.9	9.7	7.2	6.7	7.9	69	48	78	SW 6	W 6	S 4	7^{1}	7^{2}	5^{1}	2.0	a ztw. ◍0. 5^{46}–6^{01} p ξ. ◍2
4.	28.1	26.4	26.3	12.1	18.8	13.6	21.9	6.4	8.0	8.9	8.9	76	55	77	S 2	S 4	E 2	$2^{1}\odot$	8^{2}	10^{1}	2.7	
5.	27.1	28.5	29.1	13.4	17.3	12.7	20.3	10.8	9.6	9.3	8.0	85	64	74	SE 2	S 4	E 2	9^{1}	10^{1}	2^{1}	1.6	n ◍0
6.	30.6	30.6	29.8	12.9	23.0	17.0	25.9	10.6	9.9	8.8	10.5	90	42	73	E 2	S 4	S 2	10^{1}	$5^{1}\odot$	3^{1}	0.2	n ◍0
7.	29.0	26.7	27.4	15.7	26.3	15.8	27.0	10.6	11.2	12.2	10.5	84	49	93	SE 2	SE 4	E 2	oo	9^{1}	10^{2}	–	a ⏢. 4^{01}–5^{11} p ξ, ca 4–5^{30} p ◍1
8.	30.0	30.5	31.5	16.1	21.0	15.8	22.6	15.2	12.0	10.7	10.9	88	58	82	W 2	W 4	E 2	10^{2}●	9^{0}	2^{0}	4.1	n ◍1. t ztw. ◍0
9.	31.6	30.5	29.4	13.7	19.4	16.5	20.8	12.2	10.5	11.0	11.2	91	65	80	W 2	N 2	W 2	10^{1}	9^{1}	10^{1}	0.6	t ztw. ◍0
10.	27.6	26.0	25.2	14.0	19.0	14.9	20.7	13.2	11.4	11.9	11.1	96	74	88	NW 2	W 2	N 2	10^{2}●	10^{2}	10^{1}	5.6	ca 11^{15} p ξ. 5^{16} a–m ◍1. p ztw. ◍0
11.	23.2	21.9	22.0	14.1	19.4	15.2	20.8	9.3	10.2	10.8	10.7	86	65	84	SE 2	NE 4	N 4	$5^{1}\odot$	10^{1}	10^{1}	2.2	a ⏢, ≡1
12.	23.4	23.4	23.4	15.8	20.8	15.4	21.0	12.7	10.6	11.6	10.6	80	64	82	N 2	NE 4	W 4	8^{1}	$6^{1}\odot$	9^{1}	–	a ⏢
13.	22.7	21.8	23.1	14.1	22.4	14.9	22.8	10.4	11.0	12.2	12.5	93	61	**99**	E 2	W 4	NW 2	10^{1}=	10^{1}	10^{2}●	–	a ⏢, ≡1. 3^{16}–5^{16} p ξ, 4^{16}–9 p ◍0.1
14.	24.8	26.3	27.6	13.3	14.0	10.3	15.8	9.6	9.0	7.8	8.3	79	66	89	W 4	W 6	W 4	8^{1}	7^{1}	10^{2}	6.7	$11^{46.56}$ a, $1^{01.16}$ p ξ. t ztw. ◍0.1
15.	26.7	25.4	28.5	10.7	15.5	10.5	18.0	8.7	8.6	9.5	7.8	85	72	82	SW 4	W 6	W 4	10^{2}	10^{2}●	10^{2}	2.5	t ztw. ◍0.1. 6^{31}–7^{36} p ξ, 6^{46}–7^{46} p ◍1.2
16.	28.9	24.9	26.2	11.9	18.6	10.1	20.8	7.1	8.2	7.7	7.5	80	48	80	SW 4	SW 6	SW 2	10^{2}	10^{1}	10^{2}●	2.5	t ztw. ⟍. 4^{46}–9 p ◍0
17.	31.2	32.3	32.7	9.9	14.0	11.5	14.8	8.8	6.7	6.5	8.1	74	55	81	W 6	W 6	W 4	10^{2}	10^{1}	10^{2}●	0.8	9–9^{46} p ◍1. 5^{46} p an–n ◍0
18.	32.3	31.9	32.9	10.9	14.1	14.1	14.5	10.0	9.1	11.2	11.6	94	94	97	W 2	W 4	W 4	10^{2}●	10^{2}●	10^{2}	2.8	n ◍0. t–5^{46} p ◍0.1
19.	34.4	33.2	31.5	16.0	24.5	19.2	28.0	13.2	11.4	10.8	12.9	84	48	78	W 2	SW 4	E 2	9^{1}	oo	1^{0}	4.8	
20.	30.0	31.5	33.0	16.8	20.0	15.5	22.2	12.9	12.2	9.6	9.3	85	55	71	SE 2	W 6	W 2	7^{1}	7^{1}	3^{1}	0.3	$4^{56.46}$ a, $8^{06.46}$ a ξ, $4^{46.56}$ a, $8^{31.56}$ a ◍0
21.	33.8	32.9	33.5	11.7	19.8	14.3	20.3	9.7	9.4	7.8	9.2	93	45	76	E 2	NW 4	W 2	10^{1}	$8^{1}\odot$	7^{2}	0.4	
22.	34.3	33.2	32.6	12.3	22.5	18.4	26.1	8.1	9.5	8.3	9.3	90	41	60	C	SW 2	NE 4	oo	$2^{1}\odot$	o	–	a ⏢
23.	32.1	29.9	29.2	15.0	26.6	19.8	**29.5**	9.5	10.6	10.1	**13.4**	84	39	79	NW 2	SE 2	E 2	oo	$5^{0}\odot$	3^{1}	–	a ⏢
24.	30.3	28.9	30.4	16.0	24.0	15.0	25.0	14.1	12.8	12.8	12.1	95	58	96	W 2	W 4	NE 2	8^{1}	9^{2}	10^{2}●	2.0	3^{36}–4^{46} a, 1^{06}–3^{46} p ξ, 3^{16}–5^{46} a, 6^{01} p an ◍0.1
25.	31.3	32.1	31.9	13.9	16.4	14.3	18.3	13.1	11.5	11.7	10.9	98	84	91	NW 4	NW 2	NW 2	10^{2}●	10^{2}	5^{1}	**17.1**	n, a–8^{16} a ◍1
26.	30.7	31.5	32.1	12.3	19.2	14.5	19.3	8.7	9.8	10.5	10.6	93	64	87	SE 2	W 2	NW 2	10^{1}	10^{1}	8^{1}	1.7	a ⏢ ≡1
27.	35.5	35.5	**35.6**	12.9	21.9	15.4	23.4	9.1	9.7	8.1	10.9	88	42	84	NW 2	W 2	C	$3^{0}\odot$	$5^{1}\odot$	o	–	a ⏢
28.	35.1	33.0	31.6	11.6	24.3	19.4	25.6	8.2	9.2	10.6	12.7	91	48	76	SE 2	E 4	SE 2	oo	8^{1}	4^{1}	–	a ⏢
29.	30.5	27.4	27.0	17.6	27.2	17.6	**29.5**	12.9	12.7	10.7	11.2	85	40	75	SE 4	S 4	NW 2	oo	$1^{0}\odot$	8^{2}	–	a ⏢
30.	29.1	29.1	28.9	13.1	17.8	13.2	19.7	12 2	9.1	8.9	10.0	82	59	89	W 4	W 6	W 2	10^{2}	$9^{0}\odot$	1^{0}	6.8	n ◍1
																					67 4	
Mittel	29.1	28.4	28.7	13.5	20.3	14.9	22.1	10.4	10.0	9.9	10.2	86	57	82				6.9	7.6	6.7		

Alle Angaben nach Ortszeit.

Bamberg.

Juni. $\varphi = 49^0\ 53'$ N. $\lambda = 10^0\ 53'$ E $= 43^m\ 32^s$. H $= 287.7$ m. Cg $= +0.3$ mm. 1912.

Datum	Luftdruck auf 0^0 u. Normalschwere reduziert 700 mm + 7a	2p	9p	Lufttemperatur C° 7a	2p	9p	Max.	Min.	Absolute Feuchtigkeit mm 7a	2p	9p	Relative Feuchtigkeit Proz. 7a	2p	9p	Richtung und Stärke des Windes 0 bis 12 7a	2p	9p	Bewölkung 0 bis 10 7a	2p	9p	Niederschlag mm 7a	Bemerkungen
1.	32.9	30.1	28.2	11.4	23.7	15.8	24.8	5.9	8.1	9.1	10.0	81	42	75	NW 2	S 2	W 4	2^1○	4^1○	10^2●	0.1	n ⏢. a ≡ 844–9 p ◍0
2.	25.2	25.1	28.7	14.0	18.9	11.1	22.4	11.1	11.0	11.8	8.1	93	73	82	W 1	C	SE 4	10^2	10^2●	10^2	0.4	944–1040 p ◹. n, a ztw. ◍. 1145–201 p, 2243.59 p ◍1. 3)
3	30.3	31.2	32.1	12.4	18.8	8.7	19.6	7.8	7.6	7.4	9.1	71	46	96	S 3	SW 3	SW 2	10^2	4^1○	10^1	2 2	424.32 p ◍1. 435 p ◠. 536–609 p ◍2. 713.38 p ◍1
4.	34.5	32.6	33.0	13.4	21.2	11.1	22.5	6.4	9.0	8.4	8.8	78	45	89	S 2	S 4	SW 4	7^1○	8^1○	10^2	2.5	531–617 p ◍. 631 p Doppel◠. 825.37 p ◍0. 823 p W 8
5.	33.2	34.7	35.2	15.0	18.2	13.3	20.0	10.5	9.9	9.6	8.4	78	62	74	S 5	S 5	S 5	9^1○	10^1	10^1	6.0	ca 5 a ◍0. ca 725 p Neben⊙ in Sonnenhöhe
6.	37.0	36.5	36.0	14.4	22.0	17.4	24.3	11.8	10.6	10.4	10.8	87	53	73	S 2	SW 5	C	10^2●	8^1	7^1	0.1	9-nach 10 p ◹ im NW. ca 7–9 a ◍0
7.	35.2	33.1	34.1	16.5	27.0	15.6	28.3	11.1	10.8	14.5	12.9	77	55	**98**	N 2	NW 2	C	1^1○	10^0○	10^2●	0.1	n ⏢. ca 1045 p ◹ im SSW. 202 p, 312–541 p ◹. 2)
8.	36.7	37.3	38.0	16.9	19.2	15.6	23.8	14.8	13.0	11.1	9 7	91	67	74	SE 2	N 2	C	10^1	10^2	2^1	2.8	9–ca 10 p ◍1. n–ca 640 a ◍. 823 a, 1152 a ◍0
9.	38.2	37.3	36.2	14.3	16.3	14.8	21.5	10.2	10.4	12.9	11.4	86	94	91	W 2	C	W 3	10^2	10^2●	10^2	0.1	n ⏢. 1046 a–ca 418 p ◍1
10.	34.0	32.7	31.6	14.6	20 4	15.2	21.8	13.5	12.1	13 0	12.3	**98**	73	96	N 2	W 2	W 2	10^2	10^1	10^1	9.9	331–639 a ◍1. ca 8–9 a ◍0. 633 p ◍1
11.	29.4	28.2	28.6	16.2	20.6	15.3	22.5	12.4	10.4	10.1	10.8	76	56	84	NW 2	W 3	NW 3	4^1○	7^1○	9^1	0.1	n ⏢
12.	29.8	29.9	30.1	15.4	21.6	14.8	23.7	12.4	10.5	11.6	11.0	81	61	88	NE 3	N 3	NW 3	7^1	8^1○	9^0	0.1	n ⏢. a ≡0
13.	29.1	28.3	29.7	16.0	23.5	17.0	25.0	12.5	11.4	11.8	11.3	84	55	79	NW 2	N 4	N 3	8^1	10^1	10^2	0.1	n ⏢. 605.26 p ◹
14.	31.8	32.8	34.5	14.4	13.8	10.0	18.2	10.0	9.7	9.5	8.3	80	81	91	W 4	W 5	W 2	10^2	10^2	10^2	0.1	938 p, ca 725 a ◍0. 846.49 a, 929.32 a ◍1. 001.17 p, 039–119 p, 3,
15.	33.3	32.2	35.5	11.5	17.4	10.8	19.9	9.1	9.2	7.6	8.0	92	51	83	SW 2	W 6	W 5	10^2●	9^1	10^2●	3.5	644–834 a, 948 a ◍1. 1020 a ◍0. 027.37 p ◍1. 613.15 p, 708 p ◹.4)
16.	35.4	31.3	32.9	11.8	19.3	9.4	21.6	7.8	8.8	9 4	8.0	86	56	91	S 2	SW 5	SW 3	10^2	10^2	10^2	4.3	9–ca 10 p, 750–806 a ◍0. 444–644 p, 734–834 p ◍1
17.	38.4	39.0	39.6	11.0	14.5	10.6	16.8	9.1	7.6	8 0	8.9	77	65	94	W 5	W 5	W 2	9^1	10^2	10^2●	I 2	013 p, 601.07 p ◍0. 623 p, 713.58 p, 847–9 p ◍1
18.	38.8	38.4	39.7	10.8	15.0	14.4	16.2	10.0	9.3	11.9	11.8	97	93	97	S 2	C	C	10^2●	10^2●	10^2	7.9	900.04 p, 1001 p–ca 10 a, 1029 a–ca 5 p ◍1. ca 545–618 p ◍0
19.	40.8	39.5	37.6	16.0	26.2	19.4	27.0	11.5	12.1	11.4	13.1	89	46	78	S 2	SW 2	C	3^1○	1^0○	1^0	4.6	n ⏢. a ≡0
20.	36.6	38.2	39.6	17.9	21.6	14.5	23.8	13.3	12.8	9.5	9.6	84	50	79	S 2	W 3	W 2	9^1○	5^1○	10^1	0.5	ca 315 a ◹. ◍. 732–818 a ◹. 730.54 a ◍1. 816.34 a ◍0
21.	40.3	39.6	40.2	14.8	19.0	14.2	22.2	10.8	10.6	9.7	10 3	85	59	86	SE 2	SW 2	N 1	9^1○	8^1○	10^2	0.5	n ⏢. a ≡0
22.	40.8	39.5	38.6	13.1	23.3	16.9	24.3	9.9	10.2	8.9	8.5	91	42	60	NE 1	S 2	NW 1	00	1^1○	1^1	0.1	n ⏢. ≡1
23.	38.0	36.2	35.6	17.6	27.1	20.6	28.3	11.5	10.5	12.0	12.4	70	45	69	SE 2	S 1	NW 1	1^1	7^1	9^1	0.1	n ⏢
24.	37.0	35.7	36.8	19.0	24.0	15.7	26.0	15.3	**14.6**	14.3	11.8	89	64	89	NE 1	NW 3	NW 2	8^1○	10^2	10^2	5.6	250–504 a ◹. ◍. 1141–319 p ◹. 915.39 p ◍2
25.	38.2	38.7	38.2	14.4	17.4	14.5	20.1	13.9	11.5	13.3	11.2	95	90	92	NW 3	NE 1	C	10^2	10^2	3^1	9.8	n ◍. a ztw. ◉
26.	37.2	38.2	39.8	12.4	19.4	14.3	21.2	10.1	10.5	11.2	11.2	**98**	66	93	S 1	C	C	10^2	10^1●	6^1	1.4	n ⏢. a ≡0. 915 a, 1021 a ◍0. 2 p ◉. 334–414 p, 503 p ◍1. 2)
27.	**42.2**	**42.2**	**42.2**	13.6	22.4	14.9	23 3	9.1	10.0	11.7	10.0	87	58	80	SE 2	SE 2	C	00	10^0○	0	0.6	n ⏢
28.	41.4	39.1	37.7	14.1	25.7	18.4	26.3	9.7	10.1	11.3	12.8	85	46	81	NW 2	S 3	SE 1	10^0○	10^0○	2^1	0.1	n ⏢. a ≡
29.	36.7	33.3	33.4	17.0	28.7	15.8	**29.4**	9.7	12.5	13.1	12.5	87	45	93	E 2	SE 2	NW 1	4^0○	2^1○	10^0●	0.1	n ⏢. 406–634 p ◹. 629–704 p ◍1. 9 p ◍1
30.	35.9	35.3	35.2	12.7	20.0	13.3	21.2	12.1	9.8	9.2	10.2	90	53	90	SW 2	SW 3	S 1	10^2	8^1○	7^1	**11.8**	9 p–ca 2 a ◍1. 1048 a, 306 p ◍0
																					76.7	
Mittel	35.6	34.9	35.3	14.4	20.9	14.4	22.9	10.8	10.5	10.8	10.4	85	60	85				7.4	8.0	7.9		

1) 303.56 p ◹. ca 6 p ◍0 2) 332–9 p ztw. ◍1
3) 429–511 p ◹. 042–102 p, 328.39 p, 431–504 p, 543–609 p ◍1
4) 641.56 p ◍1 5) 631 p ◍2

Würzburg.

Juni. $\varphi = 49^0\ 48'$ N. $\lambda = 9^0\ 56'$ E $= 39^m\ 44^s$. H $= 179.3$ m. Cg $= +0.3$ mm. 1912.

1.	42.0	40.2	38.2	11.0	23.9	14.4	24.0	7.2	7.5	7.8	11.7	76	35	96	SE 1	SE 2	SW 1	00	1^1○	10^2●	–	a ⏢. 603–ca 9 p ◹, 640–9 p ◍
2.	35.7	35.6	37.3	12.9	14.8	11.8	17.0	10.6	10.7	12.1	8.8	97	97	86	SW 1	SE 1	SW 3	10^7●	10^2●	2^2○	6.4	a ◉0. 140–223 p ◹, 140–235 p ◍, gegen 2 p kurz ▲
3.	38.8	40.1	41.9	12.3	18.6	13.0	19.5	10.3	7.8	7.1	7.5	73	45	67	SW 5	SW 5	SW 3	10^2	2^1○	2^1○	17.0	a ◍, ztw. ▬
4.	43.4	41.8	41.6	12.8	20.4	13.2	20.9	8.0	8.0	8.3	10.5	73	47	94	SE 1	SW 1	SE 1	00	6^2	9^2	0.7	a ⏢. p ztw. ◍
5.	42.0	43.4	43.7	14.8	19.6	14.6	21.0	11.3	9.3	7.6	10.6	74	44	86	SE 3	SE 4	SW 3	8^2	5^1	9^2	2.9	730–830 p ◹, 830.33 p ◍
6.	45.8	45 6	45.2	13.5	23.0	18.2	24.5	12.0	10.7	8.8	10.7	94	42	69	SE 1	SW 3	SW 2	10^2	3^1○	8^2	1.8	t ztw. ◍tropfen
7.	44.6	42.1	43.6	15.1	25.4	16.4	25.5	12.0	10.7	12 4	13 3	84	51	96	SW 1	SE 1	C	6^1	7^1○	10^2●	–	a ⏢. 319–500 p ◹. ca 4 p an–n ◍
8.	45.9	46.2	47.6	17.1	21.8	17.2	23.6	15.0	12.9	10 0	10 8	89	51	74	NW 1	C	C	10^1	7^2○	7^2	5.9	
9.	47.5	47.0	46.4	15.5	17.8	13.9	18.2	14.8	9.0	9.7	10.4	68	64	85	W 1	NW 3	NE 2	10^2	10^2	10^2	–	a ⏢. p ◍0
10.	43.8	42.4	40.9	14.7	19.0	16.0	22.8	13.5	10.8	11.4	11.2	87	70	83	NW 1	SW 1	C	10^2	10^2	3^2	0.7	t ztw. ◍tropfen
11.	38.9	37.5	36.8	15.0	20.9	17.0	23.0	12.0	11.2	10.7	11.1	88	58	77	SE 1	NE 1	NE 3	10^2	4^2	0	–	a ⏢
12.	38.6	38.8	38.8	16.3	22.4	17.4	23.0	12.6	11.1	11.6	11.2	80	57	76	E 1	E 4	E 3	3^1	5^2	9^1	–	a ⏢
13.	38.7	38.1	39.6	16.2	22.1	17.4	22.1	12.8	11.1	12.4	11.6	81	63	79	NW 2	SW 2	NW 3	2^1○	10^1	10^2	–	a ⏢. p ztw. ◍tropfen
14.	41.3	42.7	44.0	13.6	13.7	11.2	17.8	11.2	8.2	9.6	9.2	71	82	93	SW 3	W 3	SE 2	10^2	8^2	7^2	–	a ⏢. 110.40 p ◹. 110–ca 3 p ◍
15.	42.2	42.0	45.5	12.5	18.6	13.1	19.5	11.0	9.9	7.1	8.4	93	45	75	SW 2	W 7	C	10^2●	6^2	3^2	7.0	a ◍
16.	44.3	40.0	42.7	13.9	19.3	10.6	20.2	10.0	8.8	8.5	8.3	75	51	89	S 3	SW 5	S 3	10^2	10^2	8^2	1.0	t ztw. ◍
17.	48.2	48 6	48.8	11.0	15.7	12.6	18.0	10.0	8.2	8.1	10.2	83	61	95	W 2	W 3	C	9^2	9^2	9^2	3.9	t ztw. ◍
18.	48.0	48.0	48.5	13.0	16.2	16.2	19.2	11.5	10.1	11.5	11.7	71	84	86	SW 2	NW 3	C	10^2	10^2	3^1	2.8	t ztw. ◍
19.	50.0	48.2	46.3	16.2	26.4	19.2	27.0	10.0	11.2	10.6	13.7	78	43	83	C	C	C	00	00	0	0.5	a ≡1
20.	45.2	46.6	48.0	19.4	22.2	16.3	22.2	15.0	13.7	8.4	9.4	82	43	68	SW 3	W 4	N 1	8^2	5^2	2^1	1.4	140–223 a ◹. 135–232 a ◍
21.	49.0	48.7	49.3	15.1	17.5	15.5	21.8	12.8	9.2	7.8	10.3	72	52	79	W 1	W 1	C	10^2	10^2	2^1	–	
22.	49.9	48.5	47.4	11.8	23.3	17.3	25.5	9.5	9.4	9.1	10.2	93	43	69	C	NE 3	C	00	2^1	0	–	a ≡1
23.	47.1	44.9	43.9	15.6	26.9	22.1	**29.8**	10.9	10.2	8.7	13.3	77	33	68	E 1	S 2	S 1	00	1^1○	9^2◹	–	a ⏢. 820 p–n ◹
24.	45.6	45.8	45.1	18.2	23.0	15.8	25.5	11.8	14.6	**14.7**	13.1	94	96	**98**	S 1	S 1	C	10^2	10^2	8^2	6.0	9–940 p ◹, 945.43 p ◍. 123–240 a ◹, 140–240 a ◍. 1)
25.	47.5	47.4	46.9	15.7	21.6	16.9	23.0	9.5	10.0	9.5	12.3	83	50	86	W 1	C	C	5^1	4^1	0	**27.0**	
26.	46.5	47.2	49.1	14.3	19.3	15.0	20.8	12.8	11.3	11.4	9.7	94	68	76	SW 1	SW 3	W 1	10^2●	5^2	0	0.2	t ztw. ◍
27.	51.2	52.2	**52.3**	14.3	20.2	15.3	23.0	11.0	9.7	10.9	11.1	81	62	86	SE 1	SE 1	C	00	9^2	0	0.5	a ⏢
28.	50.6	47.9	46.3	12.1	25.1	19.0	26.3	10.2	9.8	11.5	14.0	94	49	86	SW 1	SW 2	C	00	5^2	0	–	a ≡
29.	45.3	42.2	42.7	14.8	27.5	17.9	28.0	12.8	11.7	10.5	13.1	93	38	86	S 1	S 1	SW 2	00	00	8^2	–	a ≡. 533–640 p ◹, ◍
30.	44.8	44.6	44.2	14.6	19.5	14.8	19.5	13.3	9.9	9 5	9.8	81	57	78	SW 3	S 3	C	10^2	7^2	0	2.3	a ztw. ◍
																					88.0	
Mittel	44.7	44.1	44.4	14.4	20 7	15.6	22.4	11.5	10.2	9.9	10.9	83	56	82				6.3	6.0	4.9		

1) 110–200 p, 435–505 p ◹

Alle Angaben nach Ortszeit.

Ludwigshafen a/Rh.

Juni. $\varphi = 49^0\ 29'$ N. $\lambda = 8^0\ 26'$ E $= 33^m\ 44^s$. H = 100.3 m. Cg = + 0.3 mm. 1912.

Datum	Luftdruck auf 0^0 u. Normalschwere reduziert 700 mm +			Lufttemperatur C°					Absolute Feuchtigkeit mm			Relative Feuchtigkeit Proz.			Richtung und Stärke des Windes o bis 12			Bewölkung o bis 10			Niederschlag mm	Bemerkungen
	7^a	2^p	9^p	7^a	2^p	9^p	Max.	Min.	7^a	2^p	9^p	7^a	2^p	9^p	7^a	2^p	9^p	7^a	2^p	9^p	7^h	
1.	48.5	45.4	45.1	12.7	25.9	15.8	26.0	11.8	8.3	6.9	11.4	76	29	85	NE 1	C	C	9^1	6^1⊙	5^1	–	3^{34}–4^{19} p ⟍
2.	41.5	43.1	45.1	13.8	15.0	12.5	17.0	12.5	10.7	10.5	8.1	**92**	83	76	SW 1	W 1	S 1	10^1	10^2	5^2	1.6	n, a ◎0
3.	46.4	47.0	48.7	12.2	17.4	14.4	19.0	9.6	8.1	8.1	7.7	76	55	63	S 3	SW 5	S 1	10^2	9^2●	5^2	5.8	a, p öfters ◎. $3^{21.23}$ p ⟍
4.	50.3	48.0	49.1	12.2	21.2	15.7	21.8	9.2	8.3	6.4	8.2	79	34	62	S 1	SW 2	S 1	○○	3^0⊙	10^2	1.8	7^{19} a ≡, p ◎0
5.	49.2	50.3	50.4	14.6	18.2	18.2	18.6	13.2	8.1	7.7	7.7	65	50	50	S 3	S 2	S 1	8^1	6^2	4^2	1.2	n ◎0
6.	52.7	52.2	52.0	15.0	22.9	20.8	22.9	12.4	9.2	7.9	7.8	72	38	43	S 1	SW 3	SW 1	4^0⊙	10^1	10^2	–	nachm. ◎0
7.	51.1	49.7	50.8	15.6	25.5	17.4	26.0	15.0	10.7	11.6	13.6	81	48	**92**	SW 1	W 1	S 1	10^2	6^1	10^2	0.8	n ◎0. 2^{41}–3^{19} p ⟍. abds. ◎1
8.	53.6	53.5	54.5	16.4	23.4	18.8	24.0	15.0	11.6	7.9	10.1	83	36	62	C	SW 1	SW 2	2^0⊙	4^1⊙	10^1	1.0	
9.	55.0	54.2	53.4	15.6	18.9	17.8	21.0	14.2	8.9	9.4	10.4	67	57	68	NW 1	NE 1	C	3^0	10^2	10^2	–	vorm., nachm. öfters ◎0
10.	51.6	49.3	47.7	16.0	22.1	17.8	23.0	14.0	11.0	9.7	11.6	81	49	76	C	C	N 2	10^2	9^1	10^1	–	
11.	45.5	43.6	44.2	14.1	24.6	20.5	24.7	11.8	10.8	10.4	10.2	91	46	56	N 1	NE 1	NE 1	○○	3^0⊙	2^0	–	a ∞
12.	45.2	45.2	45.8	16.1	24.7	19.2	25.4	12.8	10.6	10.9	11.9	78	52	72	NW 1	N 1	N 2	○○	9^1	3^0	–	a ∞. 11^{49} a ⟍
13.	46.2	46.4	48.2	16.2	20.9	17.2	20.9	14.2	11.1	10.4	10 0	81	56	68	NW 1	N 1	W 2	10^2	10^2	10^2	–	4^{04} p ⟍. ◎1
14.	50.1	50.2	52.1	13.6	19.1	14.4	19.6	11.8	8.1	6.1	8.7	70	38	72	SW 2	SW 3	SW 1	3^0	6^2⊙	10^2	**6.6**	$5^{04.11}$ p ◎1
15.	50.1	51.0	53.8	14.2	19.0	15.0	19.2	12.2	10.4	5.7	7.4	87	35	58	SW 1	SW 4	SW 1	10^2	10^2	0	3.6	n ◎0. nachm. böig
16.	51.6	47.1	51.4	15.5	21.4	11.6	23.0	11.6	8.6	5.0	8.7	65	**26**	86	S 4	SW 4	S 2	10^2	10^2	10^2●	–	nachm. ◎0. böig
17.	56.3	56.6	56.7	11.8	17.2	15.7	18.2	9.2	8.0	7.8	8.5	78	54	64	SW 1	SW 3	SW 1	9^1	10^2●	10^2	3.6	n, 1^{04} p ◎0
18.	55 5	55.2	56.2	14.3	22.6	20.0	22.6	13.3	10.1	11.6	10.5	84	57	60	S 1	SW 1	SW 1	10^2●	9^1	5^0	0.8	a ◎0
19.	57.0	55.1	52.6	17.5	28.7	24.4	30.3	14.0	12.3	8.8	10.7	83	30	47	C	S 1	C	○○	3^0⊙	0	1.4	a ∞, ⏢0
20.	54.3	55.7	56.6	19.7	22.8	17.5	24.5	17.5	12.8	9.0	7.9	75	43	53	SW 2	W 2	SW 2	3^0⊙	3^1⊙	6^1	1.8	11^{04} p–1^{19} a ⟍. ◎1
21.	57.1	56.0	56.6	17.4	21.6	19.4	23.8	15.0	9.2	6.9	8.6	62	36	51	C	SW 2	NW 1	9^1	10^2	2^0	–	
22.	57.0	55.0	53.5	14.6	25.9	22.8	28.7	12.4	9.9	8.5	9.4	81	35	46	C	E 1	C	○○	○○	2^0	–	n ⏢. a ∞
23.	52.9	51.1	51.9	17.2	31.9	25.1	**32.1**	14.2	9.4	10.1	12.6	64	29	54	W 1	C	W 2	6^1	○○	6^2	–	a ∞. 1^{03} p, 3^{34} p Fern⟍. 7^{04} p ab ⟍
24.	53.6	53.1	54.1	19.3	23.3	19.4	25.1	17.4	12.0	12.2	10.6	72	58	63	C	C	N 1	○○	10^1	10^1	3.8	9^{34} p ≤. 10^{03}–11^{35} p ⟍, ◎. vorm. ◎. $9^{34.44}$ a Fern⟍. 1)
25.	56.5	55.0	53.8	15.7	23.4	21.0	24.0	14.0	10.1	7.6	9.3	76	35	51	W 2	SW 1	C	5^1⊙	5^1⊙	3^0	1.4	
26.	53.8	54.6	56.9	16.2	22.0	17.6	22.4	15.0	11.4	6.6	9.4	83	34	63	C	W 3	SW 3	10^1	7^1	10^2	1.2	4^{04}–5^{31} a ◎1
27.	**58 9**	58.4	57.7	15.5	23.3	20.0	25.2	13.2	10.2	8.5	10.5	78	39	60	C	C	C	○○	5^2⊙	0	–	a ∞
28.	57.0	54.2	52.9	15.5	27.3	23.3	28.3	13.0	10.3	8.4	**13.7**	79	32	65	E 1	SE 1	C	○○	○○	0	–	a ⏢1
29.	51.7	49.8	51.3	18.6	25.9	16.2	28.5	16.2	11.7	10.5	12.2	73	43	89	C	SW 1	SW 1	○○	10^2	10^2●	–	1^{04} p ◎0. abds. ◎1
30.	52.7	52.2	51.2	15.0	20.4	17.0	21.8	13.2	10.4	8.6	10.6	82	48	74	S 2	NW 2	C	10^2	5^1	3^0	4.7	n ◎
																					41.1	
Mittel	52.1	51.3	51.8	15.4	22.5	18 2	23.6	13.3	10.1	8.7	9.9	78	44	64				5.4	6.6	6.0		1) nachm. ◎

Nürnberg.

Juni. $\varphi = 49^0\ 27'$ N. $\lambda = 11^0\ 3'$ E $= 44^m\ 12^s$. H = 309.1 m. Cg = + 0.2 mm, über 735.0 mm Cg = + 0.3 mm. 1912.

1.	30.3	27.9	25.8	12.7	22.8	15.4	23.5	7.3	8.4	7.0	9.8	77	**34**	76	SE 1	SE 2	NW 2	○○	9^1	10^1	–	⏢. a ≡0. t zunehmende Bewölkung
2.	22.8	**22 6**	26.5	13.6	18.6	11.7	19.9	11.7	10.4	10.4	7.7	90	65	75	SE 1	NW 2	W 2	10^0	10^0	10^2●	4.6	9^{27}–10^{46} p ⟍, $11^{15.45}$ p ◎2. a ≡1, n, t ztw. ◎0.1, 1)
3.	28.4	29.2	30.9	14.2	18.8	11.8	19.8	9.9	7.4	6.5	8.2	61	40	80	SW 2	W 2	W 1	8^1	6^1	8^1	1.0	t wechselnde Bewölkung, sehr sichtige Luft. ca 11^{30} a, 2)
4.	32.2	30.8	30.9	14.3	19.5	14.7	21.4	9.8	8.0	7.3	8.8	66	44	71	SW 1	S 3	NW 2	5^1⊙	6^1	10^1	–	a wechs., p zunehmende Bewölkung, sehr sichtige Luft
5.	31.7	33.1	33.0	14.4	16.8	14.9	18.6	11.9	9.7	9.5	9.1	80	67	72	SE 2	S 3	SE 2	9^1	9^1	10^1	8 2	vor mn ztw. ◎0.1. 9 a–2 p ztw. ◎0. p Aufklaren
6.	34.5	34.4	33.5	14.8	22.0	19.2	23.1	12.4	10.2	10.2	10.3	82	52	62	C	SW 2	N 2	10^1	7^1	4^1	1.1	4–6^{30} a meist ◎0. p sehr sichtige Luft
7.	33.1	30.8	31.7	16.4	25.5	16.6	25 9	12.5	10.9	12.3	12.4	78	50	89	NE 1	NE 1	NW 2	c○	9^1	2^1	–	gegen 1 a ◎0. a ⏢. 1^{56}–2^{27} p, 2^{54}–4^{50} p ⟍. 1^{49}–7^{30} p 3)
8.	34.6	34.9	35.4	16.1	21.1	18.0	21.7	15.0	12.6	10.6	12.0	92	57	78	W 1	W 2	SE 1	10^0	9^1	10^1	12.6	nach 1 a–3 p ztw. ◎0.1 ab 4 p Aufklaren
9.	35.6	34.7	33.4	15.8	15.7	15.2	18.0	13.6	10.7	12.0	11.7	80	**96**	91	NW 2	N 2	NW 2	10^0	10^1	8^0	–	8 a–4 p ztw. ◎0. t meist trüb
10.	32.1	31.1	29.3	14.3	17.6	15.8	19.0	13.3	11.4	12.0	12.1	95	80	90	W 1	W 2	N 1	10^0	10^1	10^1	12.3	03^4–1^{50} a ⟍, 04^3–4^{30} a ◎1.2. a ≡0. t–3 p meist trüb
11.	27.5	25.5	25.4	15.7	21.4	16.4	21.7	11.7	10.6	10.4	12.1	80	55	87	NE 2	W 2	NE 2	7^0⊙	9^1⊙	4^1	–	⏢. t wechselnde Bewölkung. abds. ≡0
12.	27.1	26.9	27.1	16.1	22.6	17.4	23.0	11.9	11.2	10.7	12.0	82	53	81	NE 1	NE 2	N 2	5^0⊙	8^0⊙	7^0	–	n, t wechselnde Bewölkung
13.	27.1	26.1	27.5	15.4	22.2	16.4	22.5	12.4	11.5	11.5	12.5	88	58	90	NE 2	N 2	E 1	10^0	10^0	10^0	–	t meist trüb. 3^{35}–5^{03} p ⟍. 2 p–n ztw. ◎0
14.	30.0	31.2	33.1	13.6	16.7	10.5	19.8	10.0	8.8	7.7	8.5	76	55	91	W 3	W 3	NW 1	10^1	9^1	10^1	2.6	nach mn–1^{30} a ztw. ◎0. ca 10^{20} a ◎0. ca 14^5–2^{20} p, 4)
15.	31.5	30.7	34.0	12.0	18.6	13.2	19.1	9.9	9.4	6.5	7.5	91	41	66	SW 2	W 4	W 3	10^1	9^1	10^1●	11.0	9–11 p ◎1. ca 3^{15}–7^{30} a ztw. ◎0.1. 11^{10} a–n ztw. ◎0. 5)
16.	33.9	29.5	31.6	14.1	21.2	11.0	22.0	10.0	8.8	8.5	8.1	74	46	82	SW 2	SW 2	SW 2	10^1	10^1	10^1●	0.5	mrgs., abds. ztw. ◎0. t meist bedeckt, sehr sichtige Luft
17.	36.1	37.3	37.3	11.4	13 5	12.8	16.8	9.4	7.6	8.1	8.4	76	71	77	SW 2	W 3	SW 2	9^1⊙	10^1	10^1	–	t ztw. ◎0, meist bedeckt, sichtige Luft
18.	37.1	36.8	37.3	13.0	15.4	15.8	17.6	11.5	9.5	11.2	12.4	86	86	92	S 1	W 1	C	10^1	10^1	10^1	–	a ∞. t ≡0, ztw. ◎0, meist bedeckt
19.	38.8	37.4	35.1	16.8	25.5	20.7	26.2	12.1	11.2	10.0	11.0	78	42	61	W 1	SW 1	SE 1	○○	1^0⊙	10^1	1.3	⏢. t heiter, sehr sichtige Luft
20.	34.5	36.6	36.4	20.2	21.1	16.4	22.8	14.9	12.8	9.4	8.8	74	51	64	SW 2	W 2	NW 2	10^1	5^1⊙	5^1	1.4	$1^{36.50}$ a, $7^{21.30}$ a ⟍, $4^{21.24}$ a ◎1. geg. 8 a ◎0. t wechs. Bew.
21.	38 0	37.6	37.8	15.9	19.8	16.8	20.3	12.9	9.3	8.2	9.8	68	48	69	NW 2	NW 3	NW 1	10^1	8^1⊙	8^1	–	⏢. t wechselnde Bewölkung
22.	38.3	37.4	36.3	14.0	22.8	19.0	23.0	10.4	10.3	7.1	8.9	87	35	54	C	N 2	NE 1	○○	1^0⊙	10^1	–	⏢. a ∞. t heiter, oft C
23.	36.0	33.9	33.0	18.8	26.9	22.6	**28.9**	11.5	10.0	8.8	10.4	61	**34**	51	E 1	SE 2	SE 1	○○	4^0⊙	0	–	⏢. t heiter, sichtige Luft, p zunehmende Bewölkung
24.	34.5	33.3	34 8	17.7	23.6	15.1	23.9	15.1	**12.9**	12.7	12.2	86	59	**96**	SW 1	NW 2	NW 2	10^1	8^1	5^1	7.8	3^{20}–4^{10} a, 3^{45}–5^{06} a, $0^{12.22}$ p, 2^{34}–7^{31} p ⟍. 3^{42}–5^{45} a ◎1, 6)
25.	35.6	36.4	36.0	14.7	16.7	16.0	18.4	14.3	11.5	12.4	12.7	92	88	93	NW 3	NW 1	SW 2	10^1	10^0●	10^1	**32.0**	n meist ◎0.1, 10^{58} p–mn ◎2. 10–11^{30} a, ca 14^5–2^{30} p ◎0. 7)
26.	35.1	36.0	37.8	15 3	19.2	15.5	19.7	11.5	11.4	10.4	10 9	88	63	83	SE 1	NW 2	W 1	9^1	10^1	6^1	1.1	ca $10^{10.30}$ a, ca $4^{20.25}$ p ◎0. $5^{09.23}$ p ◎1. t meist bedeckt, 8)
27.	40.0	**40.1**	39.8	13.8	20.7	16.8	21.7	10.8	8.9	8.2	10.3	76	46	73	S 1	N 2	C	○○	6^1⊙	9^1	1.2	⏢. a ∞. t wechs. Bew., abds. Aufkl., t sehr sicht. Luft
28.	39.2	36.8	35.5	13.4	24.0	19.2	25.4	10.0	9.4	10.3	12.8	82	47	77	C	SE 1	SE 2	9^0⊙	9^1⊙	0	–	a ≡0. t wechselnde Bewölkung, abds. Aufklaren
29.	34.3	30.8	31.4	17.9	28.2	18.0	28.6	13.9	11.4	10.9	12.8	75	39	83	SE 1	S 2	W 1	8^0⊙	3^1⊙	0	–	p zunehmende Bewölkung. 8^{38} p–n ⟍, $8^{21.30}$ p ◎0
30.	34.0	33.7	33.1	14.4	18.7	15.3	20.8	12.4	9.8	10.6	9.4	81	66	72	W 2	W 2	W 2	10^1	8^1⊙	10^1	8.4	9–9^{27} p ⟍. 9^{06} p–5 a ztw. ◎0.1. $11^{2.27}$ p ◎0.1. 9)
																					107 1	
Mittel	33.5	32.8	33.0	15.0	20.6	15.9	21.8	11.9	10.2	9.7	10.5	80	56	78				7.3	7.7	7.3		

1) 1^{19}–2^{25} p, 2^{34}–3^{10} p ⟍ 2) 4^{30}–5^{30} p, ca 8^{05} p ◎0
3) meist ◎0.1, $4^{02.26}$ p ◎2
4) $5^{09.36}$ p ⟍. $11^{5.17}$ p, $2^{31.34}$ p, 5^{29}–6^{00} p, $7^{14.32}$ p ◎2
5) t sicht. Luft 6) dann–7 a, 3^{30}–5^{50} p ztw. ◎0, 6^{47}–7^{35} p ◎0
7) abds. Aufklaren, ≡0 8) unsichtige Luft
9) t allmähliches Aufklaren.

Alle Angaben nach Ortszeit.

Kaiserslautern.

Juni. $\varphi = 49^0\ 27'$ N. $\lambda = 7^0\ 46'$ E $= 31^m\ 4^s$. H $= 242.2$ m. Cg $= +0.3$ mm. 1912.

Datum	Luftdruck auf 0° u. Normalschwere reduziert 700 mm +			Lufttemperatur C°					Absolute Feuchtigkeit mm			Relative Feuchtigkeit Proz.			Richtung und Stärke des Windes 0 bis 12						Bewölkung 0 bis 10			Niederschlag mm	Bemerkungen
	7a	2p	9p	7a	2p	9p	Max.	Min.	7a	2p	9p	7a	2p	9p	7a		2p		7p		7a	2p	9p	7a	
1.	36.2	33.5	32.5	11.7	22.0	14.9	22.1	7.6	8.3	8.0	11.4	81	41	90	C		SE	2	E	2	8^1	10^1	10^2●	–	a ≡1; 246–316 p ⛆; 236–321 p, 630 p–n ◍; 236–48 p ⎓
2.	30.0	31.7	32.7	12.5	12.8	11.5	15.1	10.8	10.0	9.5	8.1	94	87	81	W	1	W	2	W	2	9^1	10^2●	7^2	1.3	n ◍0; a ≡2; 830 a–401 p ztw. ◍
3.	33.7	34.8	36.4	11.7	14.5	11.5	17.0	10.3	8.0	7.8	8.4	79	63	83	W	3	W	2	W	2	10^2	8^1	5^1	1.4	n ◍0 ⎓; a ztw. ⎓; 901.51 a ztw. ◍; 916.21 a ◍2; 1)
4.	37.4	35.6	35.9	12.1	19.4	13.2	20.1	8.1	8.3	7.7	9.1	79	46	81	W	2	SW	2	W	3	2^0⊙	9^1	10^2●	2.9	n ◍0; p ztw. ⎓; 616.21 p ⎓, dann bis n ◍0.1
5.	37.1	37.3	38.1	12.5	16.3	14.1	20.2	10.8	7.3	9.0	9.6	68	65	80	W	2	SW	2	C		7^1⊙	9^2	10^1	2.0	901 a ⛆◍2, ⎓; 101.31 p ◍0; p ztw. ⎓
6.	39.8	39.8	39.6	14.3	20.8	14.0	21.1	10.4	8.7	8.6	9.5	72	47	80	W	1	W	2	C		7^0◎	9^2	5^1	2.6	311–401 p ztw. ◍0
7.	38.6	38.5	38.8	15.9	20.0	15.7	23.1	10.5	10.1	12.1	12.0	75	70	90	C		NW	2	C		4^0⊙	10^2●	3^1	0.6	a ≡2, ⏢, ∞; 131–221 p, 226.51 p ◍; 343–408 p ◍2, 2)
8.	41.2	41.2	42.4	15.7	21.5	15.0	22.9	14.0	9.6	8.0	9.2	73	42	72	NW	2	W	3	C		3^0◎	4^1	5^1	2.7	901 a kurz ◍tropfen
9.	42.7	41.6	40.7	13.6	19.6	14.3	21.0	10.0	9.1	8.5	9.7	79	50	81	C		S	1	E	1	9^1	10^2	9^2	–	a ≡, ⏢0; 1006 a kurz, 031–131 p ztw. ◍tropfen
10.	39.0	37.4	36.0	15.0	18.3	15.7	21.1	12.4	10.1	9.7	10.7	80	62	81	C		SE	2	C		9^1	10^2	10^1	–	131 p ⛆; 206 p kurz ◍tropfen
11.	33.5	31.5	31.9	13.2	23.4	18.1	24.1	9.7	10.2	10.5	10.7	91	49	69	E	1	E	1	NW	1	10^1	4^1◎	0	–	a ≡3, ∞
12.	33.4	33.6	34.0	15.2	24.2	18.5	26.0	12.2	10.5	11.9	12.2	82	53	77	SE	2	SE	1	SE	1	oo	3^1◎	10^1	–	a, t ∞
13.	34.4	33.6	36.7	15.9	19.8	16.1	21.1	14.0	11.4	12.0	9.9	85	70	73	C		C		W	2	10^1	10^2●	10^2	0.2	n, 631 a ◍0. 126–206 p, 246–301 p ztw. ◍tropfen. 531–731 p ⎓
14.	38.3	38.6	39.9	12.5	15.9	13.5	18.1	11.4	8.0	8.4	8.7	75	62	75	W	2	W	5	W	3	10^1	9^2●	5^1	–	a ∞. 031 p ab ztw. ⎓. 200–231 p ◍, ⎓. 441–43 p ⎓, 3)
15.	37.8	39.0	40.5	14.7	18.0	14.6	19.1	12.3	9.7	6.4	7.7	78	42	62	W	2	NW	5	NW	2	9^2	10^1	7^1	1.5	n ◍; t ztw. ⎓
16.	38.8	35.3	39.2	15.5	19.6	10.9	21.0	10.9	8.7	5.7	8.6	66	34	89	W	3	W	3	W	2	9^1	10^1	10^2●	–	901 a–931 p ⎓; 216–501 p ◍1.2, ⎓. 801 p–n ◍0.1
17.	43.5	43.4	43.7	10.3	16.5	14.7	18.8	7.8	7.9	8.6	8.3	85	62	67	W	2	NW	2	NW	2	10^1	8^1◎	10^2●	8.2	n ◍; a ∞. 1131 a–001 p, 116.31 p, 856 p–n ◍0; p ztw. ⎓
18.	42.9	42.7	43.8	14.0	22.6	17.3	24.2	12.9	9.9	10.8	11.7	84	53	80	W	2	NW	3	C		10^1	7^1◎	0	0.2	n ◍0; a ∞
19.	44.3	42.1	39.9	15.8	28.7	20.5	30.5	11.2	11.8	9.8	12.6	88	33	70	C		C		C		oo	7^1	o	–	a ⏢0, ≡0, ∞
20.	43.0	43.2	44.5	16.9	21.5	16.3	22.3	15.9	10.8	8.6	8.9	76	45	64	W	3	NW	3	W	2	7^2◎	7^1◎	10^1	5.6	1141 p–006 a ⛆2. 1156 p–041 a ◍2. 1121.31 p ⎓; t ztw. ⎓
21	44.5	43.5	43.8	15.7	20.5	16.2	22.1	12.5	9.6	8.1	10.2	73	45	74	W	1	W	2	C		10^1	9^1	6^0	–	a ≡1, ∞
22.	43.9	42.2	41.4	14.1	25.7	18.0	28.0	8.6	9.6	8.7	9.5	80	36	62	C		SE	2	C		oo	oo	2^0	–	a ⏢2, ≡
23.	40.3	39.3	39.8	18.9	29.0	21.2	30.2	12.3	10.8	13.6	14.5	66	46	78	C		W	1	W	1	1^0	2^0◎	8^2● ⛆	–	a ⏢0, ∞. 731–900 p ⛆
24.	41.3	41.0	42.2	18.9	22.0	16.7	23.6	16.5	12.1	10.3	10.7	75	52	75	C		NW	2	NW	1	7^1	10^1	8^2● ⛆	0.4	900.36 p ⛆; n ◍, ⛆. 806–931 a ◍0. 856–9 p ⛆. 856 p–n ●
25.	43.8	42.3	41.2	13.5	21.2	16.9	23.2	10.4	9.9	8.5	10.3	87	46	72	C		N	1	C		oo	5^1	10^1	1.8	900 p–n ⛆. 900 p–n ◍0; a ∞
26.	41.2	42.3	44.3	15.4	19.3	15.3	21.1	14.1	10.1	8.3	9.4	78	50	72	W	1	NW	2	W	2	10^1	9^1	5^1	–	736–801 a, 856–921 a ◍0
27.	46.1	45.4	45.0	13.7	22.7	16.0	23.1	9.6	9.4	8.1	10.3	81	40	76	C		NW	1	C		oo	7^1◎	10^0	0.1	a ≡3, ⏢, ∞
28.	43.8	41.6	40.9	16.1	26.2	20.1	28.2	9.2	10.2	8.9	11.8	75	36	67	N	1	S	1	C		oo	oo	o	–	a ⏢0, ∞
29.	39.0	38.3	39.2	18.9	22.9	13.5	25.1	12.9	12.4	11.9	10.2	76	58	89	C		W	2	NW	2	2^0◎	10^2	10^1	–	a ⏢0, ∞; 056–101 p, 216.31 p ◍0; bis 311 p ◍2; 4)
30.	40.0	40.0	38.7	13.7	16.5	13.2	19.1	12.3	10.1	9.6	9.9	87	69	88	W	2	W	2	C		10^2●	10^2	10^0	7.7	n, a ztw. ◍
																								39.2	1) 056 p ab ztw. ◍. 416 p ◍2 ⎓; 418.21 p ◍2 ▲ ⎓, bis n ◍0.1.
Mittel	39.7	39.0	39.5	14.6	20.7	15.6	22.4	11.4	9.8	9.3	10.1	79	52	77							6.1	7.5	6.8		2) danu ◍0.1. 3) bis 449 p ◍. 541–601 p ◍. 4) dann bis 351 p ◍0.1. 626–716 p ◍2; bis 756 p ◍0.

Ansbach.

Juni. $\varphi = 49^0\ 18'$ N. $\lambda = 10^0\ 33'$ E $= 42^m\ 12^s$. H $= 437.5$ m. Cg $= +0.2$ mm. 1912.

1.	19.4	16.9	15.6	11.1	21.7	13.8	23.8	5.4	7.4	8.5	9.1	75	44	78	C		E	2	C		oo	4^1◎	8^1	–	n ⛆ im N u. E
2.	12.4	13.1	15.9	11.8	15.6	9.4	20.2	9.3	8.9	9.7	7.2	87	74	83	C		W	6	W	4	10^2●	10^2●	4^1	0.5	632 a–242 p ztw. ◍; nachm. ⎓
3.	17.6	18.4	19.8	12.6	17.6	10.0	18.6	7.3	7.1	6.5	8.2	65	43	89	SW	6	W	4	C		10^2	2^1◎	8^1	1.8	a ⎓. 412.17 p, 702.22 p ●. 428 p ◠ NE–SE
4.	21.3	19.9	19.8	12.5	19.5	13.8	21.0	6.0	8.2	7.5	9.6	77	44	82	C		W	2	C		4^1◎	6^1	10^2●	2.4	802 p ab ◍
5.	22.5	21.9	22.2	13.4	17.9	12.6	20.8	10.7	9.3	8.1	8.0	82	53	74	SW	2	SW	2	S	2	4^1◎	8^1	o	2.1	n, a ◍
6.	23.8	23.5	23.2	15.2	22.3	16 6	26.0	11.7	9.7	9.5	9.5	75	48	68	SW	2	SE	2	C		10^2	8^1◎	8^2	–	
7.	22.1	20.3	21.3	16.6	25.2	15.3	27.6	11.1	11.0	11.4	11.8	78	48	91	C		C		W	2	oo	6^1◎	10^2●	–	612 p ab ◍
8.	24.1	24.2	24.9	15.6	20.5	16.4	21.8	14.0	11.6	9.4	10.0	88	52	72	W	4	W	2	W	2	10^2	6^1◎	8^2	2.6	
9.	24.7	23.9	22 9	14.5	16.2	13.4	17.2	13.2	9.6	10.8	9.7	78	79	86	C		N	4	C		10^2	10^2●	10^2	0.3	442–632 a ◍; t ztw. ◍
10.	21.3	20.3	18.5	12.9	15.8	13.0	20.6	12.0	10.6	11.3	10.5	96	84	95	NW	2	C		C		10^2●	10^2	o	4.2	n, a–812 a ◍
11.	16.4	14.7	14.9	14.0	20.5	15.5	21.2	9.1	11.1	10.5	10.3	94	58	79	N	2	N	2	C		10^2	4^1◎	2^0	0.6	a ⏢
12.	16.1	16.2	16.4	15.9	22.3	16.4	23.2	11.1	10.7	10.0	11.5	80	50	83	NE	2	N	2	N	2	oo	6^1◎	10^2	–	
13.	16.2	15.6	17.3	14.4	20.8	16.6	21.2	11.9	10.6	10.5	10 4	87	57	81	NW	2	N	2	NW	4	10^2	10^2	10^2	–	
14.	19.6	20.4	21.9	12.9	16.0	11.6	16.6	11.3	7.6	7.0	7.8	69	51	77	NW	4	W	6	W	6	8^2	10^2	10^2⛆	–	n, a ztw. ⎓; 237 p ab ◍ u. ▲. 852–900 p ⛆
15.	20.5	20.5	23.1	11.0	17.3	12.6	17.6	9.3	8.9	7.1	5.7	91	48	52	SW	4	W	8	W	4	10^2●	6^1◎	2^1	1.6	900.02 p ⛆; vorm. ztw. ◍; nachm. ztw. ⎓
16.	23.0	18.9	20.8	13.0	20.7	9.0	20.8	8.9	8.3	8.3	7.7	75	47	92	SW	4	W	6	W	4	10^2	10^2	10^2●	2.0	t ztw. ⎓; 517 p ab ◍
17.	25.7	26.7	26.6	9 4	13.0	11.2	15.6	8.1	7.4	6.9	8.1	87	62	81	W	2	W	4	W	2	10^2	10^2	2^1	2.7	
18.	26.0	25.8	26.7	12.9	16.6	17.1	20.8	9.5	8.6	10.6	11.9	78	75	83	W	4	W	2	NW	2	10^2	10^2	10^2	–	vorm. ztw. ◍
19.	27.9	26.7	24.8	17.1	25.1	18.2	28.4	10.5	11.8	10.1	10.0	82	42	64	W	2	W	2	C		oo	oo	2^0	0.6	
20.	24.1	25.8	26.8	17.7	20.1	15.8	21.0	14.0	12.5	8.8	9.3	83	50	69	W	4	W	6	C		10^2	4^1◎	8^1	0.5	n, 352–402 a ⛆
21.	27.4	26.4	27.1	14.4	19.6	15.6	20.8	12.2	8.7	7.4	8.9	72	43	67	W	2	W	4	C		10^2	8^2◎	10^2	–	
22.	27.6	26.4	25.5	15.4	22.7	16.4	24.6	8.7	9.4	8.3	7.3	72	40	52	C		E	2	C		oo	oo	o	–	
23.	24.6	23.3	22.7	15.6	27.1	19.3	31.0	9.1	9.5	10.9	9.0	72	41	54	SE	2	C		C		oo	2^0◎	2^0	–	
24.	23.8	23.1	24.0	16.7	21.9	13.8	22.4	13.6	13.3	11.3	11.1	94	58	95	S	2	NW	2	W	2	2^0◎	10^2	10^2●	11.6	n, 337–430 a, 210–412 p ⛆; abds.–n ◍
25.	25.5	25.2	25.2	14.2	19.7	15.6	20.6	13.2	10.9	9.4	11.6	92	55	88	W	4	N	2	C		10^2	8^2◎	6^1	11.2	
26.	24.1	25.2	27.0	14.2	18.3	13.4	18.6	10.1	10.6	9.4	10.0	88	60	88	NE	2	SW	2	W	2	10^2	10^2	o	–	mrgs. ≡0; nachm. ztw. ◍
27.	29.2	29.1	28.9	14.1	20.9	13.3	21.8	9.1	9.3	8.9	9.7	78	47	86	C		C		C		oo	8^1	o	0.2	
28.	28.0	25.9	24.6	14.2	24.1	16.6	24.8	7.9	9.2	11.2	10.6	77	50	75	C		S	4	C		oo	2^1◎	o	–	mrgs. ≡0 im Tal
29.	23.4	21.6	22.0	17.0	27 9	15.9	28.2	10.7	11.4	13.0	12.0	80	46	89	C		SE	2	SW	2	co	2^1◎	10^2●	–	a ⏢. 434–522 p ⛆. 802 p ab ◍
30.	22.9	22.9	22.2	13.8	17.7	11.4	18.4	11.3	9.1	7.9	9.3	78	53	93	W	4	W	4	C		6^1◎	4^1◎	o	8.6	1042–1142 a ◍
																								53.5	
Mittel	22.7	22.1	22.4	14.1	20.1	14.3	21.8	10.3	9.7	9.3	9.5	78	52	76							6.1	6.4	5.6		

Alle Angaben nach Ortszeit.

Regensburg.

Juni. $\varphi = 49^0\ 1'$ N. $\lambda = 12^0\ 7'$ E $= 48^m\ 28^s$. H $= 342.6$ m. Cg $= +0.2$ mm. 1912.

Datum	Luftdruck auf 0° u. Normalschwere reduziert 700 mm +			Lufttemperatur C°					Absolute Feuchtigkeit mm			Relative Feuchtigkeit Proz.			Richtung und Stärke des Windes 0 bis 12			Bewölkung 0 bis 10			Niederschlag mm	Bemerkungen
	7a	2p	9p	7a	2p	9p	Max.	Min.	7a	2p	9p	7a	2p	9p	7a	2p	9p	7a	2p	9p	7a	
1.	28.2	26.0	23.6	11.2	22.2	20.8	23.2	7.5	6.7	8.6	7.8	67	43	43	S 2	S 4	S 2	00	$2^2\odot$	8^2	–	
2.	21.2	20.3	25.3	13.2	22.4	10.4	23.8	7.5	8.6	7.6	6.8	76	38	73	S 1	SW 2	SW 2	$10^1\bullet$	$8^2\odot$	6^2	–	6^{33}–7^{03} a ◍. $3^{58.48}$ p ◹. 3^{32}–4^{18} ◍^{2}, bis 8^{33} p ◍^{0}
3.	26.7	27.0	29.0	10.8	19.0	12.0	20.0	8.0	6.9	7.3	8.1	71	45	78	SW 4	W 4	W 2	$6^2\odot$	$6^2\odot$	2^1	6.3	5^{48}–6^{28} p ◍
4.	30.2	29.0	28.5	12.0	19.2	14.0	22.8	9.5	8.8	8.5	9.2	85	51	78	SW 1	E 4	E 2	$6^2\odot$	$6^2\odot$	8^1	0.7	
5.	29.5	30.7	31.4	13.4	18.4	13.0	22.0	11.2	8.7	6.8	9.2	76	44	83	E 2	W 4	W 2	10^2	10^2	10^1	–	$5^{18.58}$ p ◍^{0}
6.	31.8	31.8	31.3	15.2	22.8	17.6	28.2	11.0	10.4	9.1	10.3	81	44	67	E 2	S 2	S 2	$4^2\odot$	$2^2\odot$	4^2	–	
7.	30.5	28.8	29.5	16.2	25.6	16.8	26.2	12.5	10.6	11.7	12.5	77	48	88	N 2	E 4	W 4	$2^1\odot$	$6^2\odot$	$10^2\bullet$	–	7^{18}–8^{33} p ◹. 7^{38}–9 p ◍
8.	31.9	32.7	32.8	15.8	17.4	18.0	21.0	15.0	11.9	9.6	12.0	89	65	78	W 2	W 4	W 2	$10^1\bullet$	$10^2\bullet$	10^2	7.6	9–10^{33} p, n–8^{28} a, 14^3–2^{28} p ◍
9.	32.7	31.4	30.5	15.0	17.4	17.8	23.0	14.0	11.0	12.4	11.0	87	84	72	NW 2	W 4	W 2	10^2	$6^2\odot$	10^1	5.2	n–6^{33} a, 0^{53}–1^{03} p ◍
10.	29.5	28.5	27.4	15.0	19.0	15.6	22.0	13.8	11.6	11.4	11.5	91	70	87	W 2	W 2	W 2	$10^1\bullet$	$6^2\odot$	o	5.6	4^{33}–7^{48} a ◍. 11^{43} a–0^{33} p ◍^{0}
11.	24.8	22.8	23.2	14.0	22.8	17.8	23.0	11.2	10.3	10.2	11.3	87	53	74	SW 2	E 4	E 2	$4^1\odot$	$6^2\odot$	o	–	
12	24.1	24.1	24.3	16.6	23.8	18.4	25.4	13.4	11.2	11.5	11.2	79	52	71	N 4	SW 1	SW 4	00	$6^1\odot$	4^1	–	
13.	24.0	23.3	24.8	16.0	21.2	15.0	23.0	13.4	11.5	**13.7**	11.3	85	74	89	NW 2	W 2	W 2	$8^1\odot$	10^1	$10^1\bullet$	–	ca 3–4^{30} p ◹. 3^{48}–5^{18} p, 8^{18} p–n ◍
14.	26.5	27.9	31.1	14.6	18.2	14.0	19.2	13.5	9.7	6.2	6.9	76	40	50	W 6	W 6	W 2	$4^2\odot$	$6^2\odot$	10^2	11.5	$4^{33.38}$ a ◍
15.	30.4	29.0	30.1	12.2	18.6	14.5	21.0	10.0	8.0	8.3	5.8	75	51	48	W 4	W 6	W 4	$10^2\bullet$	10^2	10^2	2.8	n–8^{28} a ◍
16.	31.8	28.5	29.2	14.4	21.2	11.0	22.0	10.0	6.4	7.9	7.0	55	42	71	W 4	W 4	W 4	10^1	$6^2\odot$	10^1	0.6	
17.	33.6	34.5	35.3	11.6	14.8	11.0	16.0	9.5	6.7	**5.7**	7.7	65	46	79	W 4	W 4	W 2	10^2	10^2	6^2	–	
18.	34.6	34.4	35.4	11.6	14.8	13.8	16.0	8.5	8.1	10.8	11.9	80	83	94	W 2	W 4	W 2	10^2	10^2	10^2	–	$8^{03.48}$ a, 2^{33}–4^{48} p ◍
19.	36.3	35.2	33.4	16.6	25.4	17.6	**29.2**	13.0	11.2	10.5	12.6	79	44	84	NW 2	W 4	E 2	00	$2^2\odot$	2^2	0.9	
20.	32.6	33.5	35.0	15.8	22.0	15.4	24.5	12.0	11.1	8.2	9.2	83	42	70	S 2	S 2	S 2	$6^2\odot$	$4^2\odot$	o	–	
21.	35.2	34.4	34.9	15.8	21.6	16.6	22.0	12.5	9.2	7.0	9.0	68	**37**	64	W 1	W 4	W 2	8^2	$6^2\odot$	10^2	–	
22.	35.5	34.4	33.8	15.4	22.8	14.4	27.0	13.0	9.7	7.9	9.0	75	39	74	E 2	W 2	W 2	00	$4^2\odot$	o	–	
23.	33.5	31.9	31.4	15.0	25.0	17.2	28.0	10.5	10.2	8.9	12.1	81	38	83	SW 1	W 2	E 2	00	$6^2\odot$	o	–	
24.	31.9	31.0	31.7	18.0	22.4	15.0	24.0	13.0	12.6	13.3	11.9	82	65	93	W 1	E 1	W 2	10^1	10^2	$10^2\bullet$	–	5^{48}–6^{03} a ◍^{0}. ca 1–4^{30} p ◹. 2^{03} p–n ◍^{1}
25.	32.0	33.0	33.5	14.6	17.6	15.0	19.0	13.4	11.3	10.8	11.0	91	72	87	W 2	W 2	W 2	$10^2\bullet$	$6^2\odot$	8^2	**45.0**	n–0^{58} p ◍ (wolkenbruchartig)
26.	32.7	33.3	35.2	11.8	20.4	15.0	20.5	10.0	10.1	10.6	11.3	**98**	59	89	E 2	W 2	W 2	10^{Vm}	10^1	10^1	4.0	a ≡^{2}. 4^{33} p ab ◍
27.	36.8	**37.2**	37.1	13.6	21.2	14.0	24.0	10.5	8.8	7.3	9.8	76	39	82	SW 2	S 2	S 2	$2^1\odot$	$6^2\odot$	o	4.2	
28.	36.4	34.5	33.2	13.2	24.2	16.6	25.5	9.6	9.1	11.3	12.6	81	50	90	E 2	E 4	E 2	00	$4^7\odot$	o	–	
29.	32.4	29.4	28.6	16.4	26.0	20.0	27.0	13.0	11.8	12.1	10.5	85	48	60	E 4	E 2	W 4	00	00	10^1	–	
30.	30.6	31.5	30.6	14.4	19.8	13.0	21.8	12.8	9.8	8.1	8.2	81	47	74	W 2	W 2	W 2	10^1	8^2	o	13 0	ca 9^{30}–11 p ◹. 9^{28} p–4^{18} a ◍
																					107.4	
Mittel	30.9	30.3	30.7	14.3	20.9	15.4	23.0	11.4	9.7	9.4	10.0	79	52	76				6.0	6.4	5.9		

Passau.

Juni. $\varphi = 48^0\ 34'$ N. $\lambda = 13^0\ 28'$ E $= 53^m\ 52^s$. H $= 309.3$ m. Cg $= +0.2$ mm. 1912.

1.	31.5	28.7	26.9	11.5	21.6	17.2	22.8	8.4	9.0	9.4	9.7	89	49	66	C	SE 2	C	00	00	10^0	–	⏢
2.	23.9	**22.9**	27.9	12.4	24.2	12.3	24.2	10.4	8.0	9.3	9.0	74	41	86	C	E 4	C	10^1	5^1	10^1	–	5^{09}–8^{24} p ◍
3.	30.7	31.3	31.8	11.4	18.0	13.0	18.8	9.6	8.7	8.1	8.1	83	53	73	SW 1	N 2	C	8^1	$5^1\odot$	10^1	9.9	$7^{06.23}$ p ◹. 7^{28}–8^{18} p ◍
4.	33.6	32.3	31.6	11.3	19.0	13.6	19.3	8.9	8.9	9.4	9.7	89	58	85	C	C	C	$10^1\bullet$	$3^1\odot$	o	2.2	6^{34} a ◍^{0}
5.	32.7	33.4	33.9	11.7	21.2	15.6	21.9	8.1	8.9	8.8	10.9	87	47	83	E 1	W 2	C	$3^0\odot$	$3^1\odot$	10^1	–	⏢
6.	35.2	34.5	34.2	13.0	23.2	18.4	23.7	11.6	9.8	10.7	12.8	89	51	81	NW 1	C	C	10^1	$1^0\odot$	8^0	–	
7.	33.5	31.6	31.7	14.6	27.4	18.4	**27.4**	12.1	11.0	10.6	12.2	89	**39**	78	E 1	C	C	00	$5^1\odot$	10^1	–	⏢. 6^{24}–7^{24} p Fern◹ i. E
8.	35.1	35.6	35.6	15.6	20.0	17.8	20.9	15.1	12.0	12.7	13.3	91	73	88	SW 2	S 2	C	$10^1\bullet$	10^1	10^2	9.4	n, a–9^{24} a ◍
9.	35.7	32 9	33.1	15.4	22.6	17.8	23.8	14.3	12.2	13.5	12.3	93	66	81	C	C	C	$10^1\bullet$	$8^1\odot$	10^1	21.0	n ◹. a–8^{24} a ◍. 4^{54}–6^{09} p Fern◹ i. W
10.	32.5	31.5	30.1	14.6	17.2	16.2	18.8	14.3	11.5	11.5	13.3	93	79	**97**	C	W 2	C	$10^1\bullet$	$10^1\bullet$	10^1	10.5	n, a–8^{24} a, 13^4–2^{24} p ◍
11.	27.7	25.8	25.7	15.2	21.0	17.2	22.8	13.9	11.9	12.1	12.9	92	66	89	C	C	C	10^1	$5^1\odot$	10	1.0	a–6^{54} a ≡^{1}. $5^{03.09}$ p ◹. $4^{54.56}$ p ◍. 5^{49}–7^{09} p Fern◹ i. W
12.	27.1	26.9	26.9	14.6	22.0	18.4	24.2	12.6	11.5	11.5	12.8	93	59	81	C	S 1	C	00	$8^1\odot$	o	0.1	⏢
13.	26.7	25.9	26.9	16.2	23.8	17.0	24.0	13.2	12.2	12.6	12.8	89	58	89	C	E 2	C	$8^0\odot$	$8^0\odot$	10^1	–	⏢. $7^{14.39}$ p ◹. 7^{34}–8^{24} p ◍
14.	28.4	30.9	33.0	15.2	17.8	12.2	17.8	12.2	11.7	7.7	8.6	91	51	82	W 4	W 4	C	$10^1\bullet$	8^1	10^1	5.6	n ◍
15.	33.9	32.4	34.0	14.8	13.2	13.6	15.8	12.1	8.0	10.5	10.0	64	94	87	SW 2	C	C	10^1	10^2	10^1	–	$0^{12.24}$ p, $2^{03.24}$ p ◹. 11^{54} a–0^{34} p, $2^{11.19}$ p ◍
16.	35.6	32.1	30.5	12.1	20.0	18.0	20.1	10.0	9.9	10.4	9.6	95	59	63	C	S 2	C	$8^0\odot$	10^1	10^1	8.7	n ◍
17.	36.6	37.6	38.7	11.7	15.8	11.5	18.0	10.3	7.9	**7.4**	8.7	78	56	87	S 1	W 4	C	10^1	10^1	10^0	3.5	n ◍
18.	38.3	38.0	37.9	9.9	13.8	14.2	13.8	**7.0**	8.3	10.7	11.2	91	92	94	E 1	C	C	$10^1\bullet$	$10^1\bullet$	10^1	0.2	a, t ◍
19.	39.2	38.4	36.6	15.0	23.8	17.2	24.8	13.1	11.7	**14.1**	12.4	92	64	85	C	C	C	$3^0\odot$	$1^0\odot$	10^1	5.7	
20.	35.5	37.0	37.2	15.8	19.2	16.0	20.1	11.1	10.8	13.2	11.4	81	80	84	E 2	E 1	C	10^1	10^1	10^1	–	$11^{09.42}$ a, $4^{31.43}$ p ◹. 11^{14} a–1^{04} p, $4^{31.54}$ p ◍
21.	38.2	37.0	37.5	13.4	20.2	16.8	20.2	11.1	10.4	10.5	11.2	91	59	78	C	W 2	C	10^1	10^1	10^1	**24.4**	
22.	38.6	37.3	37.3	15.1	21.6	17.0	22.3	13.6	11.2	9.4	11.6	88	49	81	C	W 2	C	$3^0\odot$	00	o	–	⏢
23.	37.1	34.8	34.5	13.3	25.0	18.6	25.2	10.1	10.5	10.6	13.6	93	45	85	C	C	C	00	$3^0\odot$	o	–	⏢
24.	35.7	33.3	34.1	15.6	23.2	16.2	23.2	13.1	11.5	13.4	11.8	87	64	86	E 1	C	C	00	$8^1\odot$	$10^1\bullet$	–	⏢. 5^{09} 9 p ◍
25.	33.9	35.3	35.9	15.2	16.0	15.2	16.8	14.4	11.7	11.9	11.9	91	88	92	W 2	NW 2	C	10^1	10^1	10^1	14.6	n, 9^{09}–10^{24} a, 4^{24}–6^{54} p ◍
26.	35.8	35.7	37.8	14.2	21.4	15.4	21.4	13.1	10.7	10.1	10.5	90	54	81	NW 1	W 4	C	10^1	$8^0\odot$	10	12.0	
27.	39.8	40.2	**40.3**	14.4	19.8	15.4	20.9	13.5	10.8	10.2	11.5	90	59	88	W 2	C	C	10^1	10^1	o	0.8	n ◍
28.	39.5	37.2	36 6	12.6	24.4	17.8	24.8	9.5	9.8	12.5	13.2	91	55	87	E 1	SE 2	C	00	$3^1\odot$	o	–	⏢
29.	36.0	32.9	30.6	14.0	25.5	18.4	26.1	11.6	10 8	12.4	13.4	92	51	85	C	C	C	00	00	o	–	⏢
30.	34.5	34.7	33.9	15.6	19.2	13.7	20.5	13.7	11.3	10.3	9.5	86	62	84	W 2	SE 4	C	10^1	$5^1\odot$	o	3.5	n ◍
																					133.1	
Mittel	34.1	33.3	33.4	13.8	20.7	16.0	21.5	11.7	10.4	10.9	11.3	88	61	84				6.8	6.2	7.2		

Alle Angaben nach Ortszeit.

Landshut.

Juni. $\varphi = 48^0\ 32'$ N. $\lambda = 12^0\ 10'$ E $= 48^m\ 40^s$. H $= 397.7$ m. Cg $= +0.2$ mm. 1912.

Datum	Luftdruck auf 0^0 u. Normalschwere reduziert 700 mm +			Lufttemperatur C°					Absolute Feuchtigkeit mm			Relative Feuchtigkeit Proz.			Richtung und Stärke des Windes o bis 12			Bewölkung o bis 10			Niederschlag mm	Bemerkungen
	7^a	2^p	9^p	7^a	2^p	9^p	Max.	Min.	7^a	2^p	9^p	7^a	2^p	9^p	7^a	2^p	9^p	7^a	2^p	9^p	7^a	
1.	22.9	20.1	17.9	11.2	24.0	17.0	26.0	6.0	8.9	8.5	10.2	90	38	71	NE 2	E 4	E 4	1^1⊙	2^0⊙	10^1	–	⌓
2.	15.6	14.5	20.0	12.2	21.1	9.4	25.1	8.2	9.3	8.0	7.5	89	43	87	NE 2	NW 2	W 6	9^1	10^2●ξ	10^1	–	7^{09} a ◍tropfen, 1^{40}–3^{03} p ◍^{0}, 1^{20}–2^{34} p ◹, ca 6–7 p ◍^{2}
3.	22.5	22.6	23.6	13.2	19.8	12.1	26.3	7.7	8.0	6.9	8.4	71	40	80	W 6	SW 4	W 2	2^1	5^1⊙	1^1	6.2	
4.	25.6	23.7	22.8	12.9	18.4	14.0	23.6	9.7	9.8	8.4	9.9	89	54	84	SW 2	SE 2	SW 2	8^1	2^1⊙	9^1	5.7	n ◍
5.	24.8	26.4	26.0	16.4	17.6	13.1	24.0	11.0	9.5	7.1	9.8	69	47	88	E 4	W 2	SW 2	8^1	9^1	1^1	–	
6.	27.5	26.6	25.6	14.7	23.8	17.5	27.4	9.7	10.3	10.3	12.2	83	47	82	W 2	NE 2	C	2^1⊙	1^1⊙	2^0	–	⌓
7.	25.3	23.4	23.6	17.8	27.4	15.8	29.2	10.3	12.6	12.0	12.8	83	44	96	C	E 2	W 2	1^1⊙	6^0⊙	10^1	–	⌓, 6^{29}–7^{29} p ◹, 6^{29}–8^{14} p ◍^{2}
8.	27.5	28.1	27.6	15.3	20.4	16.0	25.1	13.3	12.4	13.4	12.2	96	75	90	W 4	SW 2	C	10^1●	9^1	10^1	29.6	n, ca 7–8 a, $10^{19.29}$ a ◍
9.	27.4	25.6	24.9	16.8	22.4	15.2	25.6	13.4	12.3	12.5	11.6	87	63	90	NE 2	W 2	C	9^1	5^2⊙	10ξ●	1.6	$9^{34.44}$ a ◍, p öfters ◍^{0}, 7^{24}–9^{00} p ◹, 7^{24} p–9^{00} p ◍
10.	24.5	23.1	21.4	13.6	19.2	14.8	24.0	12.6	11.2	12.0	11.6	97	73	92	W 4	W 4	C	10^1	9^1	1^1	19.2	$9^{00.09}$ p ◹; 9^{00}–ca 10 p, n ◍
11.	19.1	17.3	17.3	13.4	22.2	16.6	25.0	9.7	11.0	11.1	11.9	97	56	84	NE 2	E 4	C	10^1≡	7^1	1^1	0.1	≡^{1}, ⌓
12.	18.9	18.6	18.5	17.1	24.8	18.1	27.0	11.2	12.1	11.7	13.0	84	50	84	E 2	E 4	C	oo	2^1⊙	1^1	–	⌓
13.	18.5	17.7	19.4	15.6	23.0	16.0	26.2	12.0	11.6	14.1	11.4	88	67	84	C	W 4	W 2	9^1	9^1	10^1	–	m ◍tropfen
14.	22.3	23.5	25.5	14.8	18.2	12.4	19.2	12.1	9.4	5.7	7.6	75	37	71	W 6	W 6	W 6	7^1	8^1⊙	10^1	4.7	n ◍; 2^{19} p, 3^{19} p ◍^{0}
15.	25.8	24.2	26.2	11.7	18.4	13.2	20.3	10.1	8.9	10.5	9.9	87	66	88	W 4	W 6	W 6	10^1●	10^1	10^1	0.2	ca 7–9 a ◍^{0}, p öfters kurz ◍böen
16.	27.5	23.7	23.6	14.8	22.8	15.2	25.2	8.0	9.4	9.4	7.5	75	46	58	W 4	W 4	W 8	10^1	8^0⊙	10^1	1.4	
17.	29.1	30.1	30.2	11.2	15.2	11.2	17.0	9.7	7.2	6.0	8.8	73	47	89	W 4	W 6	SW 4	10^1	9^1	10^1	–	n ⩩
18.	30.1	29.7	29.8	12.7	17.0	15.8	21.8	6.7	8.8	9.4	11.2	81	65	84	W 4	W 6	W 2	10^1	10^1	8^1	0.1	6^{29} a ◍tropfen
19.	31.8	30.3	28.2	18.1	27.0	18.4	30.9	11.2	12.2	11.3	12.5	79	43	80	W 4	S 2	C	oo	oo	1^1	–	
20.	28.1	29.1	29.5	17.6	19.6	15.0	25.1	10.5	12.6	15.3	9.8	84	90	77	SW 6	W 6	W 2	10^1	10^1	1^1	1.4	ca 5 a ◹◍, ca 9–10^{04} a ◹◍; a u. p öfters Fern◹
21.	30.5	29.5	29.8	15.7	20.4	15.8	23.0	12.4	11.0	7.6	10.8	83	73	81	W 4	NW 4	N 2	9^1	9^1⊙	9^1	4.7	
22.	30.7	29.5	28.5	16.0	24.6	15.3	28.2	13.0	10.4	8.7	10.7	77	38	83	C	W 2	C	oo	1^1⊙	o	–	⌓
23.	28.3	26.8	25.9	15.1	27.8	18.0	32.3	10.2	11.2	11.3	12.6	88	40	82	NE 2	SW 2	C	1^1⊙	2^0⊙	1^1	–	⌓
24.	27.4	25.6	27.0	17.4	22.8	14.6	26.0	12.1	12.8	13.8	12.2	87	67	99	SW 4	W 2	W 2	10^1	10^1	10^1●	0.1	n ◍^{0}, 2^{19}–3^{04} p ◹, 2^{19}–ca 4 p, ca 5 p–n ◍
25.	27.7	28.5	28.3	13.6	15.4	14.4	18.2	12.7	11.3	11.8	12.1	98	90	99	W 4	W 2	C	10^1●	10^1	10^1	31.4	n ◍^{2}, ca 7 a–11^9 p ◍
26.	27.7	28.3	30.3	14.8	20.2	13.2	21.3	9.8	10.1	10.0	10.5	81	56	94	W 2	W 2	W 2	8^0⊙	10^0	10^1	5.3	$0^{04.34}$ p ◹, $0^{04.14}$ p ◍^{2}, ca 4 p u. 6^{34} p kurze ◍böen
27.	32.5	32.5	32.1	14.0	21.1	14.2	25.6	9.4	10.8	8.3	10.8	92	45	91	SW 4	N 2	C	3^1⊙	8^1	o	6.0	⌓
28.	31.1	29.0	27.8	14.2	26.3	16.1	29.1	8.5	10.7	12.7	12.0	90	50	88	NE 2	E 2	C	oo	2^1⊙	o	–	⌓
29.	27.6	24.7	23.9	14.3	28.4	16.9	30.0	9.3	10.9	9.5	12.5	91	33	88	SW 2	W 2	NW 6	3^0⊙	oo	10^1●ξ	–	⌓, m ∞, 8^{00} p-n ◹◍
30	27.1	26.4	25.2	13.6	21.2	14.4	24.5	13.2	10.7	7.7	10.4	93	41	86	W 6	SW 4	C	10^1	3^1⊙	1^1	19.1	n (ca 9–10 p) ◹◍
																					136.8	
Mittel	26.2	25.3	25.3	14.7	21.7	15.0	25.1	10.5	10.6	10.2	10.8	85	53	85				6.3	6.2	5.9		

Augsburg.

Juni. $\varphi = 48^0\ 22'$ N. $\lambda = 10^0\ 54'$ E $= 43^m\ 36^s$. H $= 499.6$ m. Cg $= +0.1$ mm, über 728.8 mm Cg $= +0.2$ mm. 1912.

1.	13.9	11.2	10.1	13.1	23.4	13.6	23.4	7.7	8.6	9.8	9.4	76	46	81	S 2	E 2	NW 2	2^0⊙	5^2⊙	10^2ξ	–	⌓, 4^{19}–6^{24} p, 7^{39} p-n ◹; 4^{34}–5^{31} p, 7^{48}–8^{39} p ◍
2.	06.7	07.9	11.5	11.8	15.3	9.5	18.8	9.5	9.7	9.2	7.4	95	71	86	W 2	SW 4	SW 2	9^1	5^2⊙	10^1	12.7	n ◹; $11^{04.19}$ a, $12^{8.34}$ p ◹; $12^{6.39}$ p, 3^{49}–ca 6^{45} p ◍
3.	13.6	13.9	15.2	11.4	19 5	14.3	20.8	8.5	7.0	7.5	8.4	70	45	69	SW 4	SW 4	NE 2	5^1⊙	6^2⊙	10^1	2.2	⌓
4.	16.3	15.3	14.3	12.0	19.6	15.4	20.3	10.7	8.6	9.3	9.3	83	54	71	SW 4	SE 4	SE 2	2^0⊙	4^1⊙	2^0	1.6	n ◍
5.	16.7	17.3	17.7	12.8	16.0	14.5	16.8	12.4	9.1	7.9	9.2	83	58	74	S 2	SW 2	SW 2	9^1	8^1	7^1	–	⌓
6.	18.7	18.3	17.7	16.6	23.6	18.8	24.0	11.9	9.6	10.9	12.1	68	51	74	SW 2	E 2	E 2	7^1	5^1⊙	10^2	–	⌓
7.	16.7	16.1	16.5	16.2	26.0	16.1	26.0	13.9	11.5	9.7	12.3	84	40	90	SE 2	SE 2	NW 2	4^0⊙	10^1	10^1	0.5	n ◍; a ⌓; 4^{34}–5^{04} p ◹
8.	19.3	19.5	19.9	14.3	18.5	15.5	18.8	13.4	11.7	11.5	12.2	97	73	93	C	SW 2	SE 2	10^2●	10^2●	8^1	12.9	n–9^{09} a, 2^{14}–5^{32} p ◍
9	19.5	18.0	17.6	13.7	16.5	14.0	16.5	13.1	11.3	12.1	11.1	97	86	94	NW 2	NW 2	NW 2	10^1	10^2	10^1	20.2	n, 7^{14}–9^{01} a ◍
10.	16.1	14.9	13.3	13.2	19.1	16.0	20.8	11.9	10.5	11.0	11.7	94	67	86	NW 2	NW 2	NW 2	10^2	5^1⊙	4^0	0 7	
11.	10.5	09.2	08.7	13.2	22.4	18.0	23.3	10.7	11.0	11.8	12.1	98	58	78	C	NE 2	NE 2	10^2≡	9^1⊙	10^1	–	n u. a ≡^{2}
12.	09.9	10.0	10.5	14.4	24.6	19.0	26.4	12.3	11.9	12.6	13.0	98	55	79	NE 2	NE 2	NE 2	10^2≡	4^1⊙	10^1	–	n u. a ≡^{2}
13.	10.1	10.9	12.2	15.5	15.4	14.9	19.0	13.9	12.2	12.7	12.1	93	98	96	NE 2	NW 2	W 2	10^1≡	10^1●	10^2	–	n u. a ≡^{1}, ca 10^{45} a–12^{39} p ◹, 11^{52} a–2^{54} p, 6^{39}–7^{04} p ◍
14.	15.1	16.3	18.0	12.5	16.2	12.8	17.0	11.7	8.7	7.2	7.8	81	53	70	W 4	NW 4	W 2	2^0⊙	6^2⊙	10^1	66.3	n, $10^{19.34}$ a ◍
15.	16.7	17.6	18.8	12.4	16.8	13.5	16.8	9.9	8.6	9.6	10.5	79	67	93	SW 4	SW 6	SW 4	1^{01}	10^1	10^1	1.1	n u. a ziw. ◍
16.	18.8	14.7	16.7	14.2	21.2	12.0	21.2	12.0	9.1	9.4	9.2	75	51	89	SW 2	SW 4	SW 4	8^1	6^1⊙	10^2●	1.7	8^{19} p-n ◍
17.	21.2	22.2	22.2	10.4	16.8	13.4	16.8	7.7	7.6	8.0	8.4	81	57	73	W 4	NW 2	NW 2	8^1	8^1	10^1	2.1	n ◍
18.	21.8	22.4	22.1	13.8	17.3	17.2	19.2	10.6	8.4	9.6	10.6	71	66	72	SW 4	SW 4	SW 2	10^1	8^2	3^1	–	
19.	23.3	21.7	20.0	17.4	26.8	21 6	28.8	12.5	11.7	11.1	12.3	79	43	65	SW 2	SW 2	E 2	1^0⊙	oo	4^1	–	⌓
20.	19.9	21.4	21.8	19.2	21.5	17.0	23.2	15.3	13.2	13.5	11.4	79	75	79	SW 4	NW 4	NW 2	3^2⊙	4^2⊙	o	2.5	ca 3–4 a, $0^{04.39}$ p ◹; $0^{59.34}$ p ◍; $0^{13.54}$ p ▲
21.	22.3	21.8	22.0	15.0	19.6	16.7	20.8	13.1	10.0	9.8	10.6	78	57	74	SW 2	W 2	NW 2	4^1⊙	8^2	10^1	9.1	
22.	22.3	20.7	20.3	15.6	23.8	18.8	25.5	12.0	10.3	9.7	11.3	77	44	70	C	E 2	E 2	oo	oo	o	–	⌓
23.	19.4	18.2	17.5	16.1	27.4	22.3	29.7	12.0	10.7	12.1	12.8	78	44	64	E 2	E 2	NE 2	1^0⊙	3^0⊙	2^1	–	⌓
24.	19.3	18.7	19.4	17.5	17.2	14.4	22.3	14.5	13.1	12.9	11.7	88	89	96	SW 2	W 2	SW 2	8^1	10^2●	10^1	5.7	n, 0^{30}–8^{34} p ◍; ca 2–3 a, 0^{19}–1^{24} p ◹
25.	20.5	21.2	20.3	12.8	15.4	16.0	17.1	12.8	10.5	11.2	12.7	96	86	93	SW 2	SW 2	SW 2	10^2●	10^2	10^2	17.8	n–ca 7^{45} a, $1^{19.49}$ p, $3^{31.54}$ p, 4^{34}–5^{04} p ◍
26.	19.1	20.4	22.4	14.7	16.9	13.8	17.8	12.5	10.9	11.1	10.9	88	77	94	C	SW 2	SW 2	10^1	10^1	10^1	1.1	
27.	24.2	24.4	23.6	12.7	20.9	16.3	21.0	10.6	9.6	9.2	10.6	89	50	76	SW 2	SE 2	E 2	10^1	4^2⊙	o	6.2	n ◍, a ⌓
28.	22.2	20.9	19.9	14.0	24.0	19.6	24.2	11.0	9.9	10.1	12.6	82	46	74	E 2	SW 2	S 2	oo	oo	o	–	⌓
29.	18.9	15.8	15.9	16.2	28.2	19.5	29.5	13.1	11.1	13.1	13.3	80	46	79	C	SE 2	NW 4	oo	2^1⊙	10^2ξ●	–	8^{41} p-n ◹, 8^{44} p-n ◍
30	18.9	17.7	16.8	13.2	20.2	16.3	20.4	12.7	9.5	8.9	10.6	85	50	76	SW 4	W 2	W 2	5^2	4^2⊙	6^1	17.6	n ◹ u. ◍
																					182.0	
Mittel	17.7	17.3	17.4	14.2	20.3	16.0	21.5	11.8	10.2	10.4	10.9	84	60	80				6.3	6.1	7.2		

Alle Angaben nach Ortszeit.

München-C.St.

Juni. $\varphi = 48^0\ 9'$ N. $\lambda = 11^0\ 34'$ E $= 46^m\ 16^s$. H $= 526.4$ m. Cg $= +0.1$ mm. 1912.

Datum	Luftdruck auf 0^0 u. Normalschwere reduziert 700 mm + 7a	2p	9p	Lufttemperatur C° 7a	2p	9p	Max.	Min.	Absolute Feuchtigkeit mm 7a	2p	9p	Relative Feuchtigkeit Proz. 7a	2p	9p	Richtung und Stärke des Windes 0 bis 12 7a	2p	9p	Bewölkung 0 bis 10 7a	2p	9p	Niederschlag mm 7a	Bemerkungen
1.	11.6	08.9	07.6	14.1	23.2	14.7	23.5	10.9	7.6	8.9	9.7	64	42	78	E 2	NE 2	SW 2	4^0	6^1	8^1	–	a ⌓, m ∞, nachm. Gebirge gut sichtbar
2.	04.5	05.6	09.6	13.9	17.1	10.3	22.2	10.1	9.4	9.3	6.2	80	64	66	C	SW 4	SW 5	7^1	9^1	10^1	–	n ◯, 0⁵¹–1¹¹ p ⟋, 0⁵²–1³⁶ p ◯, p ztw. ≡
3.	11.8	11.6	13.0	12.1	19.0	12.2	19.1	9.8	6.0	5.8	8.0	57	35	75	SW 5	W 1	W 1	6^1	7^1	10^1	–	t Gebirge gut sichtbar, 3³⁶–ca 3⁴⁸ p ⟋; 6³⁶ p–n ◯, 1)
4.	14.2	12.3	12.2	11.9	19.2	15.9	19.9	10.4	8.2	7.9	9.3	80	48	68	SW 1	E 2	E 2	9^1	2^0	9^1	7.0	n ◯
5.	13.7	15.4	15.4	15.2	15.7	14.6	18.1	12.4	8.5	6.7	8.8	66	52	72	SE 1	SW 2	C	7^1	10^1	9^1	–	a ⌓
6.	16.4	15.6	14.9	15.0	22.8	18.5	23.0	10.9	9.0	9.7	11.2	71	48	71	SW 1	E 1	C	3^0	4^1	9^1	–	a ⌓, ∞⁰
7.	14.3	12.9	14.2	17.3	25.1	16.3	25.5	13.4	10.7	12.0	11.6	73	51	84	C	E 1	SW 2	1^0	10^1	10^2	–	a ⌓, 4³⁶–6¹¹ p ⟋, 5⁴⁶–6²¹ p ◯
8.	16.9	17.2	17.3	14.5	17.7	16.0	18.4	14.0	11.1	11.1	11.8	91	74	87	SW 2	NW 1	NW 1	10^1●	10^2●	10^1	10.9	n u. a ztw.–ca 2³³ p ◯
9.	16.7	14.9	15.0	14.1	19.6	14.7	20.1	13.4	11.4	10.3	11.2	96	60	90	NW 1	NW 2	W 3	10^1●	4^1○	10^1	17.2	n u. a ◯, abds. ◯⁰
10.	13.8	12.5	10.9	12.9	18.8	16.3	21.3	12.4	9.9	10.1	11.4	90	62	83	SW 2	W 1	C	10^1	8^1	9^1	2.5	n ◯
11.	08.1	06.3	06.8	14.7	22.4	17.4	22.9	11.8	10.4	8.2	12.3	84	41	84	E 1	NE 2	C	3^0○	6^1○	3^1	–	a ⌓, ∞, abds. ⟍ im S
12.	07.7	07.8	07.9	13.9	23.6	19.0	24.1	11.9	10.5	10.7	12.5	90	50	77	E 1	E 3	NE 1	6^1≡	4^1○	3^0	–	n–6⁰¹ a ≡², dann ≡¹, a ⌓
13.	07.8	07.5	09.8	16.6	18.3	14.9	19.3	14.7	12.0	11.8	11.9	85	75	94	C	NW 3	W 3	10^1	8^2○	10^1●	–	a ≡⁰, 2³²–3⁶¹ p Fern⟋, t ztw. ◯⁰, ca 6³⁵ p–n ◯¹·²
14.	12.6	13.2	15.6	12.1	15.9	12.7	17.1	11.5	8.4	7.8	6.9	80	58	63	W 3	W 4	W 3	10^1	4^2○	10^1	14.0	n ◯, 0³⁶–1⁰⁰ p ◯¹
15.	14.8	14.6	16.4	13.3	13.7	12.7	17.1	10.8	7.8	9.8	9.6	68	85	89	SW 3	SW 4	SW 1	9^1	10^1●	10^1●	1.8	n ◯, t ztw. ◯⁰·², böiger Wind
16.	16.7	12.8	13.7	14.4	23.0	16.5	23.1	11.9	8.2	8.3	6.3	67	39	45	SW 1	SW 3	SW 4	9^1	9^1	8^1	10.8	9³⁵ p ⟋, n ◯; m Gebirge schwach sichtbar, 2)
17.	18.7	19.5	19.9	10.9	13.2	13.4	17.1	9.2	6.5	6.7	7.7	66	60	67	W 3	NW 2	C	8^1	10^1	10^1	–	9³⁵ a–ca 0⁴⁵ p ztw. ◯
18.	19.4	19.3	19.7	14.4	16.9	16.7	19.9	10.9	7.8	8.7	10.5	64	62	74	SW 2	W 3	SW 2	8^1	10^1	3^0	0.6	a ⌓, t ztw. ◯
19.	20.9	19.3	17.7	18.1	25.6	20.2	26.2	14.0	10.5	9.3	11.5	69	39	66	SW 1	NE 1	C	○○	1^0○	1^0	0.2	a ⌓, t Gebirge schwach sichtbar
20.	17.8	18.6	19.3	16.7	19.2	17.5	25.9	16.0	12.8	12.6	10.3	91	76	69	C	NW 1	SW 1	9^2ℨ	9^1ℨ●	7^1	2.0	4⁰⁰.⁴⁰ a ⟋, 4⁰⁶.³⁶ a ◯, 5⁰⁵.¹⁶ a ⌒, 5³⁶–7⁰⁰ a ⟋, 3)
21.	19.8	18.7	19.4	14.6	19.8	17.0	21.0	13.4	9.1	8.7	9.2	74	51	65	SW 2	NW 2	C	8^1	9^1	10^1	1.7	vorm. ⊕
22.	19.7	18.3	18.1	16.2	23.0	18.3	23.3	14.4	8.3	8.7	10.1	60	41	64	C	E 1	E 2	○○	○○	○	–	a ⌓, ∞
23.	17.1	15.7	15.5	17.2	25.8	20.9	27.5	13.2	9.4	10.4	11.0	64	42	60	SE 1	NW 1	C	4^0○	4^0○	2^0	–	a ⌓, ∞
24.	16.9	15.6	16.8	17.3	19.1	13.9	23.1	13.8	11.3	**13.7**	10.7	77	84	92	W 2	W 3	SW 2	8^0	10^1	10^1●	1.0	n ◯, 3³⁶a ⟋, 0⁴⁵.³⁰ p ◯⁰, 0⁵⁰–1¹⁰ p ◯¹·², 0³⁷–1⁰¹ p ⟋
25.	17.7	18.3	17.8	12.3	15.1	14.7	16.2	12.3	10.4	10.5	9.7	**98**	83	78	SW 2	SW 2	SW 1	10^1●	10^1●	10^1	32.3	n u. a–ca 3⁴³ p ◯
26.	16.7	17.7	20.0	15.0	18.1	13.5	19.1	11.4	9.4	9.5	10.2	74	62	89	SW 1	W 2	SW 2	8^1○	10^1	10^1	13.0	a ≡⁰, p ztw. ◯⁰
27.	**21.7**	21.5	21.2	14.0	19.1	15.8	20.1	11.3	8.8	8.6	9.7	75	52	73	C	NE 1	SE 1	4^0○	9^1	○	–	a ⌓, ∞
28.	19.8	18.2	17.4	13.7	24.7	19.1	24.9	11.0	8.9	8.4	10.3	76	36	63	SE 1	SW 1	SW 1	○○	○○	○	–	a ⌓, ∞; m ∞², Gebirge schwach sichtbar
29.	16.4	13.7	13.4	17.8	27.4	16.7	**27.6**	14.0	10.1	10 1	12.1	67	37	85	SW 1	NW 1	C	○○	1^0○	10^1ℨ	–	a ⌓, ∞; 6¹¹–8¹⁶ p ⟋, 6³⁶–8³¹ p ◯, 8⁴⁶–9⁰⁰ p ⟋
30.	16 8	15.5	14.3	12.5	20.6	16.8	21.1	12.2	9.0	7.8	9.9	85	43	70	SW 3	NW 1	C	10^1	4^1○	8^1	**48.2**	9⁰⁰.²¹ p ⟋, n ◯, m Gebirge schwach sichtbar
																					163.2	
Mittel	15.4	14.6	15.0	14.6	20.1	15.9	21.6	12.2	9.4	9.4	10.1	76	55	75				6.4	6.6	7.3		1) abdds. ⟋ im S 2) 5³⁶–6⁰⁴ p ◯, t ≡ 3) 6¹¹.¹⁸ a ◯²; 1³⁸–2²¹ p ⟋, 1³¹–ca 2¹⁵ p ◯

Traunstein.

Juni. $\varphi = 47^0\ 52'$ N. $\lambda = 12^0\ 39'$ E $= 50^m\ 36^s$. H $= 597$ m. Cg $= +0.1$ mm. 1912.

1.	06.4	03.8	02.4	12.4	21.4	15.4	23.0	8.0	8.1	8.9	8.5	76	47	65	W 2	E 4	SW 2	1^1○	6^2○	8^2	0.1	a ⌓, p ◯⁰
2.	699.3	698.6	05.1	13.4	23.2	7.8	23.2	7.8	8.5	7.3	7.0	75	34	89	W 2	SE 2	W 4	6^2	8^2○	10^2●	0.1	ab ca 5 p–n ◯, ca 5⁵⁰–6¹⁰ p ≡ (W S)
3.	06.4	06.0	07.0	9.8	17.6	8.6	18.6	6.8	6.9	5.9	7.9	76	40	95	SW 2	E 2	E 2	2^2○	4^2○	6^2	17.9	5⁰³–6⁰¹ p ⟋, 5¹¹.⁴³ p ◯, 5³⁸.⁵⁶ p ▲⁰
4.	09.3	07.2	06.8	9.4	17.2	12.0	18.4	8.4	8.3	8.2	9.6	95	56	93	W 2	E 2	SE 2	10^2●	4^2○	4^2	15.9	n u. a ◯
5.	08.7	09.5	09.7	12.4	17.0	10.8	18.0	8.0	9.3	7.8	9.0	88	54	94	W 4	NW 2	SE 2	8^2	10^2	6^2	1.8	
6.	10.5	10.6	09.7	13.4	21.2	15.8	23.0	8.8	10.0	9.3	12.1	88	50	90	SE 2	N 4	SE 2	2^2○	4^2○	4^2	–	a ⌓
7.	08.9	07.5	08.3	16.8	23.4	16.2	24.6	11.0	11.2	**13.2**	11.8	78	62	86	E 2	NE 4	W 6	4^2○	10^2	6^2	–	a ⌓; 3³⁷–4⁰³ p, 4²⁷.⁴¹ p ⟋
8.	11.2	11.5	11.9	14.2	18.4	14.8	20.0	13.0	10.3	10.2	11.6	86	64	92	W 2	W 2	S 2	8^2	7^2○	10^2●	13.2	n ◯, p–n ztw. ◯
9.	11.1	08.8	09.2	13.8	19.6	14.0	21.0	13.2	10.8	10.1	11.2	93	59	95	W 4	E 4	W 2	10^2	6^2○	10^2●	9.2	5⁵⁶–6⁴¹ p ⟋, 6⁰⁶ p–n ◯
10.	08.3	06.9	05.7	13.4	18.4	14.2	19.0	12.6	10.0	9.4	11.6	88	60	**97**	W 2	W 4	W 2	10^2	6^2○	8^2	29.3	n ◯
11.	02.6	00.9	01.3	13.2	21.0	14.4	22.0	9.6	9.6	9.5	11.0	86	51	91	S 2	E 4	SE 2	4^2○	6^2○	2^2	–	
12.	02.1	02.5	02.3	15.2	23.2	17.6	25.0	9.8	10.0	8.4	11.8	77	39	79	NE 2	E 4	E 2	1^1○	6^2○	6^2	–	a ⌓
13.	02.3	01.2	03.5	15.2	21.8	14.8	23.0	12.0	10.8	10.1	10.7	84	52	86	W 2	E 4	W 4	8^2	6^2○	10^2●	–	4³⁵–5³¹ p ⟋, 4³⁷–5²⁹ p ◯², abds. ◯²
14.	05.1	08.2	09.6	11.4	11.8	11.2	14.8	10.2	9.2	7.2	6.4	92	71	65	W 8	W 8	W 6	10^2●	8^2○	4^2	**85.3**	n u. a ◯
15.	10.0	09.5	10.6	10.8	12.4	11.4	14.0	9 6	7.8	9.1	8.4	82	86	84	W 4	W 4	W 6	8^2	10^2	10^2	1.7	n ◯, t ztw. ◯
16.	11.8	08.1	07.6	11.4	18.4	12.6	20.0	9.4	8.0	8.8	10.0	79	56	93	W 4	E 2	W 2	10^2●	6^2○	10^2●	26.7	n u. a ◯, t ztw. ◯. 8⁰⁶ p ⟋
17.	12.8	13.8	14.5	9.6	13.4	10.8	15.0	8.8	6.0	6.2	7.3	67	54	75	NW 6	NW 4	W 2	8^2	8^2○	8^2	7.1	a ztw. ◯
18.	14.1	14.0	14.2	13.4	14.6	15.8	16.8	10.0	6.0	9.3	9.3	53	75	69	W 4	W 4	W 2	8^2	10^2	6^2	0.4	p ztw. ◯
19.	15.5	14.0	12.3	18.4	24.6	17.6	26.0	15.8	10.2	8.4	11.3	64	37	75	W 2	E 4	SE 2	6^2○	1^1○	8^2	0.1	
20.	14.0	12.5	14.3	14.4	22.4	15.2	23.6	13.0	11.4	10.7	9.8	94	53	76	W 2	NW 4	S 2	10^2●	6^2○	8^2ℨ	3.3	5⁵³–6²¹ a, 5⁴¹ p, 6⁴¹–9⁰⁰ p ⟋ mit ◯
21.	13.9	13.0	14.2	13.0	18.6	14.8	20.0	12.6	10.0	8.3	9.5	90	52	76	SW 2	SW 4	SW 2	10^2	8^2○	6^2	21.7	n–ca 10 p ⟋, n ◯; p ◯⁰
22.	14.2	12.9	12.7	14.4	21.6	15.0	23.0	12.4	9.4	8.3	8.6	75	43	67	SW 2	W 2	E 2	6^2○	2^1○	○	–	
23.	11.5	10.7	10.4	14.8	24.2	16.8	25.0	9.4	10.2	9.7	12.0	82	44	84	SE 2	E 4	E 2	2^2○	4^2	○	–	
24.	11.2	09.3	11.2	17.0	23.0	13.6	23.2	13.0	11.9	10.3	10.8	83	49	94	SW 2	W 6	W 6	10^2	8^2	10^2●	–	4²¹–ca 5 p ⟋ mit ◯
25.	11.5	12.4	12.5	12.0	12.4	11.6	13.6	11.6	9.4	9.7	9.4	91	91	94	W 6	W 8	SW 2	10^2●	10^2●	10^2	43.5	n u. a ◯; t meist ◯
26.	11.0	11.9	14.4	13.0	17.8	11.8	19.0	9.0	9.1	9.1	9.3	82	60	91	S 2	W 4	W 6	4^2○	10^2	10^2●	15.0	abds. ◯
27.	**16.2**	16.0	**16.2**	13.6	17.2	12.6	18.4	10.6	8.2	8.2	9.1	71	56	85	W 4	S 2	S 2	8^2	10^2	○	22.1	n ◯
28.	14.2	12.7	12.7	13.0	23.2	14.6	24.4	8.0	8.6	9.7	10.7	77	46	87	E 2	E 4	SE 2	○○	2^1○	○	–	a ⌓
29.	11.1	08.4	07.8	19.2	25.6	17.8	**26.4**	11.0	11.3	10.0	10.7	68	44	70	E 2	NE 2	NE 4	○○	○○	6^2	–	ca 9 p ⟍
30.	11.2	10.6	08.8	12.2	18.8	13.4	20.0	11.2	8.0	7.4	9.4	75	46	82	W 6	NW 4	E 2	10^2	6^2ℨ	2^1	18.4	10⁰⁶ p–1²¹ a ⟋ mit ◯, n ◯
																					332.8	
Mittel	09.9	09.1	09.6	13.5	19.4	13.8	21.1	10.5	9.3	9.0	9.9	80	54	84				6.4	6.4	6.3		

Alle Angaben nach Ortszeit.

Partenkirchen.

Juni. $\varphi = 47^0\ 30'$ N. $\lambda = 11^0\ 6'$ E $= 44^m\ 24^s$. H $= 714.6$ m. Cg $= +0.1$ mm. 1912.

Datum	Luftdruck auf 0° u. Normalschwere reduziert 700 mm +			Lufttemperatur C°					Absolute Feuchtigkeit mm			Relative Feuchtigkeit Proz.			Richtung und Stärke des Windes o bis 12			Bewölkung o bis 10			Niederschlag mm	Bemerkungen
	7a	2p	9	7a	2	9p	Max.	Min.	7a	2p	9	7a	2p	9p	7a	2	9	7a	2	9	7a	
1.	695.7	693.3	691.4	12.6	20.4	15.1	21.2	8.2	8.2	6.4	5.4	76	36	42	SE 2	SE 2	C	2^0⊙	6^0	4^0	0.6	a Berge rein, föhnig
2.	689.3	699.5	694.8	13.0	14.7	6.9	20.2	6.9	8.3	8.1	7.2	75	64	98	C	NW 5	S 2	6^0⊙	8^1	8^0●	–	⌓, a Berge sehr rein, föhnig; 5^{24} p–n ◍^{0}
3.	696.2	695.0	698.0	8.2	15.4	10.4	17.3	6.5	7.2	7.1	8.0	89	55	85	S 2	N 4	C	1^0⊙	8^0⊙	8^1	6.0	n ◍^{0}, a Berge sehr rein, föhnig; p u. abds. ⍁
4.	698.4	695.7	696.7	9.0	18.2	11.1	18.5	7.9	7.8	8.0	8.6	92	52	87	C	NW 4	S 2	6^0	3^1⊙	3^0	5.1	a Berge teilweise bedeckt
5.	698.2	699.6	00.1	9.8	12.6	9.8	16.5	6.8	8.3	7.3	8.4	92	68	94	C	NW 2	C	2^0⊙	10^1	1^0	–	a ⌓, Berge meist frei
6.	00.7	699.2	699.5	11.3	21.2	15.4	21.4	7.2	8.4	9.8	11.5	84	53	88	SE 2	NW 4	C	1^0⊙	5^0⊙	1^0	–	a ⌓, Berge rein
7.	699.9	697.6	699.1	14.3	20.7	15.2	22.0	10.6	9.8	11.3	12.6	82	62	98	SE 2	C	C	7^0	9^0	10^0●	–	a Berge rein, 7^{24} p–n ◍
8.	01.6	01.5	01.7	13.2	14.1	12.6	15.2	12.2	11.2	11.3	10.7	99	95	99	C	W 2	C	9^1	10^1●	10^0	14.5	n u. m ◍; mrgs. Berge meist bedeckt
9.	01.3	698.9	699.4	12.3	18.1	13.0	18.4	11.2	10.5	10.0	11.2	99	64	100	C	NW 5	C	4^0⊙	5^1⊙	10^1●	10.0	n ztw. ◍, ca 5 p–n ◍
10.	698.5	696.9	695.6	12.3	15.7	13.5	16.4	11.5	10.5	10.3	10.7	99	78	94	C	NW 2	C	9^1	9^1	1^0	12.2	
11.	692.3	690.1	691.9	12.3	20.1	17.0	21.1	10.0	9.3	11.0	**14.4**	88	63	100	S 2	W 3	C	2^0⊙	3^1⊙	0	–	a ⌓, föhnig, p mehrere ⍁, ca 6^{45} p ⍁^{2} mit ◍^{2}
12.	692.0	691.8	692.5	11.8	21.3	13.7	22.3	8.9	10.2	11.1	9.9	99	60	86	C	NW 4	C	1^0⊙	7^1	5^1	23.2	a Berge sehr rein
13.	692.4	692.1	694.7	13.4	18.0	12.2	18.2	11.7	10.4	11.2	10.6	91	73	100	C	NW 3	C	10^1	9^1	10^1	–	a Berge teilweise bedeckt, 7^{34} a ◍^{1}
14.	697.8	698.7	00.4	9.8	13.0	11.8	15.4	9.8	9.0	7.2	8.3	100	65	81	C	NW 4	C	10^1●	7^1	3^0	18.1	n u. a ◍$^{0.1}$
15.	00.1	699.3	01.7	10.6	15.7	10.8	17.9	7.0	7.3	8.5	9.6	75	64	100	SE 3	SE 2	C	8^0	8^0	10^1●	0.5	a Berge meist frei, abds. ◍^{1}
16.	01.4	697.4	698.4	11.0	19.8	13.0	20.5	10.0	9.7	9.8	10.9	99	57	98	C	NW 4	C	7^0	9^0	10^1	12.6	a Berge teilweise im Nebel; 5^{24} p ⍁
17.	02.9	03.1	04.6	8.0	14.8	9.0	15.2	**5.7**	7.2	5.6	7.0	90	45	81	C	NW 4	C	7^1	8^0	7^1	7.5	
18.	04.0	03.9	04.5	10.8	16.5	14.0	17.8	7.6	7.7	10.0	10.7	81	71	91	C	C	SE 2	$2^{n}0$	9^0	0	0.1	a ⌓, Berge föhnig rein
19.	**06.0**	04.0	03.0	10.4	24.7	16.0	25.3	9.0	8.7	12.2	10.4	93	53	77	S 1	NW 2	C	0^0	1^0⊙	0	–	a ⌓, Berge sehr rein, föhnig
20.	03.0	02.1	03.8	17.5	23.2	16.2	23.4	14.0	11.2	9.1	12.4	75	43	90	C	NW 2	C	8^0	7^0	10^1	0.3	ca 4–5 a, ca 0^{45} p u. ca 3–4 p ⍁
21.	04.3	03.5	03.9	11.7	14.6	13.1	16.2	11.2	10.1	10.6	10.0	99	86	90	C	C	C	10^1	10^1	3^0	12.0	n ◍^{0}
22.	04.2	02.1	02.3	12.8	22.0	14.5	22.5	10.0	10.0	10.2	10.0	91	52	82	C	NW 3	S 2	1^0⊙	1^0⊙	0	1.1	a Berge meist frei
23.	01.6	00.1	00.6	15.6	25.9	17.2	**26.6**	11.7	10.2	10.4	10.5	77	42	72	C	N 2	C	1^0⊙	3^0⊙	1^0	–	a Berge rein
24.	01.5	00.3	01.7	16.6	16.6	12.6	19.2	12.6	11.0	12.7	10.7	78	91	99	C	NW 3	C	5^0	10^1	10^1●	–	n ⍂, a Berge meist frei, p u. abds. ◍^{1}
25.	03.2	03.2	02.6	10.8	12.8	12.1	14.0	10.8	9.5	9.6	8.4	99	88	80	C	C	S 2	10^1●	10^1	7^0	**43.0**	n u. a ◍^{0}
26.	01.3	02.6	01.8	11.0	14.2	11.2	16.5	8.3	8.2	10.6	9.9	83	88	100	SE 3	C	C	7^0	10^1●	10^1●	–	a Berge frei, m u. abds. ◍^{0}
27.	**06.0**	05.7	05.2	11.0	16.4	12.3	17.1	10.8	9.5	8.3	8.8	97	60	83	C	C	S 2	2^0	8^1	0	6.5	abds. ∞
28.	03.8	02.9	02.4	11.4	22.2	16.0	23.3	8.1	7.8	11.6	10.8	78	58	80	SE 2	NW 2	C	0^0	0^0	0	–	a Berge föhnig rein; ∞ an den niedrigen Berghängen
29.	01.6	699.0	698.4	15.8	25.1	16.6	26.1	11.0	10.4	12.4	12.6	78	53	90	C	NW 3	C	0^0	$2^{n}0$	9^1	–	a Berge rein; ∞ an den niedrigen Berghängen; [1]
30.	01.4	699.6	698.9	11.2	17.8	14.9	18.2	10.5	9.7	9.1	10.0	98	60	80	C	NW 3	C	9^1	6^1	10^1	21.7	ca 10^{15} p ⍁ mit ◍^{1}; a Berge meist bedeckt
																					195.0	
Mittel	00.0	698.9	699.8	12.0	18.2	13.2	19.5	9.6	9.2	9.7	10.0	89	63	88				4.9	6.7	5.4		[1] ca 5^{45} p ⍁

Hohenpeissenberg.

Juni. $\varphi = 47^0\ 48'$ N. $\lambda = 11^0\ 1'$ E $= 44^m\ 4^s$. H $= 993.9$ m. Cg $= \pm 0.0$ mm. 1912.

	600 mm +																					
1.	72.5	70.7	69.4	11.8	16.4	12.1	17.3	10.6	7.4	8.0	8.0	72	58	76	W 1	NE 3	NE 3	4^1⊙	10^2	4^2	–	a ⌓^{0}; p Flachland rein; 0^{34}–6^{14} p ⍁ mit ◍ u. ▲; [1]
2.	66.4	68.0	70.4	13.6	8.7	6.3	16.2	4.6	6.0	7.5	4.8	52	89	68	N 1	W 5	SW 7	7^1	10^2●	9^2	2.4	t Flachland rein, ztw. ◍; 11^{44} p ⍁ mit ◍ u. ▲
3.	72.6	72.8	74.3	8.2	11.6	8.2	13.7	6.3	5.3	6.1	7.3	65	59	91	SW 3	NW 3	SW 5	8^1	9^2●	10^2●	6.1	t Flachland rein; $1^{36.52}$ p ⍁ mit ◍, 5^{34}–7^{44} p mehrere ⍁,[2]
4.	74.8	73.6	73.6	8.9	14.6	12.0	15.1	6.9	6.7	7.6	7.6	78	61	73	SW 1	E 1	E 2	6^1	1^2⊙	5^2	10.5	t Flachland rein. 3^{14}–4^{14} p, $5^{14.59}$ p ⍁; $4^{09.14}$ p, $5^{25.39}$ p ◍
5.	75.2	76.4	76.6	10.9	12.7	11.1	13.4	9.1	7.2	6.5	7.8	74	59	79	E 1	W 1	SE 1	10^1	10^1	9^2	0.1	a ∞^{0}, p Flachland rein
6.	77.5	77.2	76.5	14.3	17.9	14.6	18.9	10.6	7.4	9.0	9.1	61	59	74	SE 1	NE 1	E 5	9^1	4^2⊙	3^2	0.1	t ∞^{0}, 5^{59}–8^{04} p ⍁, $7^{32.34}$ p ◍ ▲, abds. i. S ∞, i. W ≤
7.	75.7	75.2	75.8	17.5	19.1	12.5	19.9	12.5	8.2	9.6	10.7	55	59	99	SW 1	SW 1	W 1	1^1⊙	10^2●	10^1●	3.9	a Flachland rein, p ∞^{0}, p–n ztw. ◍^{0}; 5^{27}–7^{44} p ⍁
8.	78.0	78.4	78.5	11.4	13.1	11.9	14.2	10.5	8.8	10.2	9.8	88	91	95	W 4	W 1	E 1	10^1	10^1●	10^1●	4.1	t ∞^{0}; p–abds. ztw. ◍; abds. i. S ≡meer
9.	77.9	77.0	76.3	10.8	14.4	10.6	14.7	10.4	9.6	10.2	9.5	100	84	100	NW 1	NW 1	E 4	10^2≡	9^2	10^2≡	24.1	n ◍, a ≡^{2}, p ∞, ztw. ◍; abds. wieder ≡^{2}
10.	75.1	73.9	72.4	10.0	15.2	12.8	15.2	9.7	9.2	8.1	9.0	100	69	82	W 1	NW 1	E 1	10^2≡	9^2	1^2	2.0	n u. a ≡^{2}, p ∞, abds. Gebirge im Nebel
11.	69.4	68.4	68.5	12.5	16.0	13.1	17.7	11.6	9.0	10.1	9.3	85	75	83	E 4	N 3	E 7	1^1⊙	10^2≡	9^2	0.3	n ◍, a ∞; 0^{34}–8^{32} p ⍁ mit ◍; abds. ≤ i. SE, [3]
12.	69.1	69.8	70.3	16.0	19.7	14.0	19.9	11.5	9.1	8.7	9.5	66	51	80	E 1	NE 3	W 4	1^1⊙	6^2⊙	10^2●	4.0	a ringsum ≡meer, p ∞, 7^{19} p–n ◍
13.	69.8	69.9	72.0	13.2	13.1	10.3	15.1	10.3	10.6	**10.8**	9.3	95	97	100	N 1	NW 1	W 5	10^2≡	10^2≡	10^2●≡	15.1	t ≡^{2}, 2^{14} p–n ◍
14.	74.0	74.9	76.5	7.0	10.1	8.0	11.9	6.6	6.8	6.5	5.8	91	71	72	W 3	NW 3	W 8	10^2	10^2	3^2	9.6	n ≡^{2} ◍; t ∞, öfters ◍
15.	75.8	75.9	77.2	10.3	9.6	10.0	11.9	7.5	6.2	8.9	8.7	66	100	95	SW 6	W 6	SW 8	9^2	10^2●	10^2	0.2	a sehr reine Fernsicht, p ∞^{2}, meist ◍ u. ≡
16.	77.8	74.8	74.7	10.5	17.5	11.2	18.1	9.3	7.2	6.7	6.4	75	46	65	SW 2	W 2	W 7	9^2	10^1	9^2	7.5	a ∞, p Flachland rein, abds. wieder ∞
17.	79.2	80.2	80.7	7.2	10.9	9.7	11.6	6.1	6.2	5.1	5.4	82	53	60	NW 3	NW 1	SW 6	10^2	10^2	7^2	1.7	9^{18} p ◍, a Flachl. ziemlich rein, p rein; abds. ∞ a. Horiz.
18.	80.5	80.7	81.5	10.6	14.0	14.3	17.3	8.8	6.4	7.4	8.7	68	62	72	NW 4	W 5	W 5	8^1	10^2	1^2	–	a ∞^{0}, p Flachland rein; abds. ∞ am Horizont
19.	82.2	81.2	79.5	16.4	21.4	18.6	22.2	13.7	8.8	9.8	9.1	64	52	57	W 1	NE 4	E 1	0⊙	0⊙	1^1	–	a Flachland rein, p sehr rein; t Horiz≡ i. N, abds. ∞
20.	79.7	80.0	80.7	15.9	19.7	14.1	19.7	13.6	10.5	6.6	9.6	78	39	80	SW 3	NW 5	NE 1	10^2	9^2	9^2	0.2	n ◍, p Flachl. rein, 4^{24}–5^{09} p ⍁ mit ◍; abds. Flachl. [4]
21.	80.5	80.2	80.6	10.1	15.4	12.5	16.8	8.9	7.1	8.3	8.1	78	63	76	SW 1	NW 1	NE 1	10^1	10^1	7^2	5.0	n ◍, t ∞
22.	80.6	79.8	79.4	14.4	18.3	14.8	19.3	11.2	9.7	8.3	8.5	80	54	68	C	NE 2	NE 2	0⊙	0⊙	0	–	a ⌓ u. ∞, t Horiz≡, abds. ⌓^{0}
23.	78.4	78.1	77.3	19.4	23.8	19.4	**24.7**	14.4	10.3	7.7	8.8	61	35	52	C	NW 1	E 3	1^1⊙	1^1⊙	1^2	–	a ⌓ u. ∞, p reine Fernsicht, abds. wieder ∞ [5]
24.	78.5	77.7	78.2	16.1	13.1	10.3	20.4	9.7	9.9	**10.8**	9.2	73	97	99	NW 1	NW 3	E 1	10^1	10^2●	10^2	–	a Flachland rein, 11^{44} a–abds. ◍; abds. im Tal stellw. st.
25.	79.2	79.5	79.1	9.4	14.0	12.3	14.1	9.2	8.8	7.7	7.8	100	65	73	NW 1	W 1	C	10^2	10^2	10^1	41.7	n ◍, t ∞, abds. ∞^{2} im S
26.	77.9	79.2	81.0	14.0	12.9	9.4	14.5	9.4	6.5	8.4	8.1	55	76	92	W 1	NW 1	NE 4	9^1	10^1●	10^1●	0.2	n ◍, t ∞, meist ◍, abds. im Tal stellw. st.
27.	**82.5**	**82.5**	81.7	11.1	15.2	12.1	15.7	8.7	8.0	7.4	7.9	81	57	75	NW 1	NE 1	E 4	1^1⊙	5^2	0	5.1	t ∞$^{2.1}$, abds. ⌓
28.	80.3	80.1	79.4	13.8	20.7	17.4	21.2	10.6	7.0	7.4	6.9	59	41	47	SE 1	SE 1	W 4	0⊙	0⊙	0	–	n ⌓, a ∞, Horiz≡; p Flachl. rein; abds. Horiz≡ [6]
29.	78.2	76.0	75.4	19.6	22.6	14.8	22.8	14.6	8.0	9.5	9.8	47	47	78	SW 1	NE 1	NE 4	0⊙	0⊙	10^2●	–	n ⌓, t Flachl. rein; 4^{31} p u. 8^{36} p ⍁, 4^{39}–6^{29} p, 8^{36} p–n ◍
30.	77.7	77.0	75.7	9.1	16.1	12.7	16.8	8.0	7.7	7.7	7.8	91	57	71	W 3	NW 1	NE 3	8^1	9^2	8^2	**52.2**	n ◍; t Flachl. rein, Gebirge bedeckt, abds. i. S Horiz≡
																					196.1	
Mittel	76.6	76.3	76.4	12.5	15.6	12.4	17.0	9.8	8.0	8.2	8.3	75	64	78				6.4	7.4	6.5		[1] abds. ≤ i. N, i. S ∞ [2] 5^{59}–7^{31} p ◍, p–n öfter ◍ [3] Gebirge ∞^{2} [4] gegen N rein, gegen S ∞^{2} [5] u. Horiz≡, i. W u. SW ≤ [6] i. N, i. S ∞, ⌓

Alle Angaben nach Ortszeit.

Zugspitze.

Juni. $\varphi = 47^0\ 25'$ N. $\lambda = 10^0\ 59'$ E $= 43^m\ 56^s$. H = 2964 m. Cg = − 0.2 mm. 1912.

Datum	Luftdruck auf 0° u. Normalschwere reduziert 500 mm +			Lufttemperatur C°					Absolute Feuchtigkeit mm			Relative Feuchtigkeit Proz.			Richtung und Stärke des Windes 0 bis 12			Bewölkung 0 bis 10			Niederschlag mm	Schneedecke cm
	7^a	2^p	9^p	7^a	2^p	9^p	Max.	Min.	7^a	2^p	9^p	7^a	2^p	9^p	7^a	2^p	9^p	7^a	2^p	9^p	7^a	7^a
1.	28.1	27.7	26.1	− 1.1	− 0.1	− 1.4	0.9	− 2.7	3.3	4.2	3.7	85	92	90	S 4	SE 2	SE 8	3^1⊙	6^1⊙	7^1	0.9	**370**
2.	23.2	23.6	23.6	− 1.9	− 0.1	− 7.1	− 0.1	− 7.1	3.7	4.5	2.6	93	97	100	S 3	SE 2	N 3	8^1	10^1≡*	10^2≡*	–	360
3.	25.8	27.3	28.0	− 6.5	− 2.1	− 2.0	− 1.0	− 7.4	2.6	3.5	3.7	98	90	96	W 5	W 4	SW 4	2^1⊙	5^1⊙	7^1	9.0	365
4.	27.6	28.4	28.7	− 2.3	− 0.8	− 0.4	0.8	− 4.3	3.5	3.7	4.0	93	85	90	S 2	S 2	S 3	2^1⊙	8^1	9^1	2.1	365
5.	28.9	30.0	31.2	− 2.1	− 0.2	− 0.1	1.0	− 3.2	3.5	4.5	4.4	90	100	96	S 4	SE 3	SE 4	1^0⊙	10^1≡	6^1	–	360
6.	31.7	32.9	32.9	− 0.5	0.0	0.5	1.9	− 1.8	3.8	4.2	4.5	85	92	95	S 3	SE 4	SE 3	1^1⊙	7^1	6^1	–	350
7.	32.5	31.9	31.5	1.9	1.6	1.0	2.8	0.1	4.2	4.9	4.8	81	94	98	S 6	SE 2	S 3	6^1⊙	10^1●	10^1≡*	–	345
8.	32.1	32.5	32.8	− 0.7	1.2	0.5	2.3	− 1.0	4.3	5.0	4.7	100	100	100	C	SE 3	E 2	10^2≡	10^2≡*	10^2≡△	12.0	355
9.	31.7	31.4	31.1	0.1	3.0	0.4	4.0	− 1.0	4.6	4.8	4.7	100	85	100	SE 2	SE 2	E 2	10^1≡	10^1	10^1≡	6.6	350
10.	29.6	29.1	28.5	1.7	4.2	0.8	4.7	0.3	4.2	5.9	4.6	79	94	93	W 1	SW 2	SW 2	1^1⊙	8^1≡	9^1	9.1	360
11.	26.2	25.6	26.0	2.9	4.1	1.1	5.2	0.4	4.9	5.7	4.9	85	93	100	C	SE 2	SE 3	5^1⊙	7^1≡	3^1	–	350
12.	26.4	27.8	27.8	2.7	3.8	1.8	4.5	− 0.2	3.7	5.2	5.2	66	86	100	S 1	SE 2	SE 3	8^1⊙	9^2	3^1≡	0.8	355
13.	26.5	26.4	27.3	1.4	4.0	− 0.4	4.0	− 0.4	5.1	5.9	4.5	100	98	100	E 3	SE 2	N 5	10^2≡▲	9^2≡	10^2≡*	0.4	350
14.	27.4	28.1	29.5	− 3.6	− 3.2	− 5.1	− 0.4	− 5.1	3.5	3.6	3.1	100	100	100	N 3	W 5	NW 5	10^2≡*	9^2≡	10^2≡*	13.1	360
15.	29.5	30.4	30.7	− 4.0	− 0.6	− 2.0	− 0.4	− 5.4	3.3	4.4	3.9	100	100	100	NW 4	NW 4	NW 7	10^1≡	10^1≡	10^1≡≡	8.9	365
16.	31.5	31.4	29.5	− 1.5	0.1	− 1.0	0.1	− 2.3	4.1	4.0	4.3	100	88	100	NW 5	S 3	NW 4	9^2	10^2	10^2≡	22.2	365
17.	29.8	31.9	32.9	− 7.1	− 3.2	− 4.1	− 1.0	− 7.1	2.6	3.6	3.3	100	100	100	NW 6	NW 3	NW 4	10^2≡	9^1≡	10^1≡	14.3	355
18.	33.5	34.3	35.4	− 2.1	0.0	− 0.1	0.4	− 4.1	3.9	4.6	4.5	100	100	100	NW 3	NW 6	NW 3	3^1⊙	10^2≡	1^1≡	–	350
19.	37.5	**38.3**	37.4	1.6	4.2	4.8	6.5	− 1.1	4.6	5.2	6.0	89	83	94	N 3	SE 3	W 3	1^0⊙	1^0⊙	1^1	–	350
20.	36.2	36.0	35.4	2.1	2.5	1.5	4.8	− 0.9	5.3	5.4	5.1	100	100	100	W 4	NW 4	N 5	9^1	10^2≡	10^2≡	3.4	350
21.	34.0	34.0	34.3	− 1.0	2.1	− 0.1	2.4	− 1.3	4.3	5.3	4.6	100	100	100	N 2	NW 2	NW 3	10^2≡	10^2≡	10^2≡	18.8	345
22.	34.7	35.9	36.3	0.5	4.1	4.3	**8.3**	− 0.1	2.4	4.0	4.4	52	64	71	N 3	NW 3	NW 4	3^1⊙	1^1⊙	1^1	0.3	340
23.	35.6	36.1	35.8	4.9	7.1	5.8	7.3	4.3	2.6	**7.0**	5.4	40	94	93	NW 3	NW 2	NW 1	3^1⊙	5^1	1^1	–	345
24.	34.6	33.4	32.2	4.1	3.5	− 0.7	5.8	− 1.2	5.7	5.8	4.3	93	100	100	C	S 4	N 1	7^1⊙	10^1≡●	10^1≡*	–	330
25.	31.6	32.6	33.1	− 3.5	− 2.4	− 1.4	− 0.7	− 3.5	3.5	3.8	4.1	100	100	100	NW 4	N 2	N 1	10^2≡*	10^2≡	10^1≡	**26.1**	345
26.	32.3	32.7	33.7	− 0.3	0.0	− 2.4	0.2	− 2.4	4.4	4.6	3.8	98	100	100	S 2	NW 3	NW 4	7^1⊙	10^2≡*	10^2≡	0.9	340
27.	34.4	35.3	35.9	− 3.4	0.0	0.0	0.0	− 3.7	3.5	4.6	4.6	100	100	100	N 2	SE 3	SW 2	9^0⊙≡	10^2	4^1	6.0	340
28.	35.6	36.5	36.6	− 1.0	3.1	2.5	6.2	− 2.0	2.5	4.0	4.2	58	69	66	W 2	SW 2	NW 3	1^0⊙	2^1⊙	1^0	–	330
29.	35.0	35.3	32.1	3.5	5.9	3.7	6.6	1.2	4.6	5.6	5.9	79	82	100	W 2	S 3	SE 3	1^0⊙	5^1	10^1≡≡	–	320
30.	30.7	31.4	31.3	− 1.4	1.1	2.8	4.0	− 2.5	4.1	4.9	5.4	100	98	95	S 4	SW 5	S 5	8^1≡	7^1	1^1	19.3	330
																					174.2	
Mittel	31.1	31.6	31.6	− 0.5	1.4	0.1	2.7	− 2.2	3.9	4.7	4.4	89	93	96				5.9	7.9	7.0		

Bemerkungen.

1. 7 a über Inntal Nebelmeer, über Flachland ∞; 10 a sehr schöner ⊕ v. 23°; 0^{50}–1^{35} p ≡$^{0.1}$; ca 5 p kurz ✳ (selten grosse Flocken); p im Flachland Regen
2. n ⎽⎽; a ztw. ≡; p meist ≡^{2}; 2 p ✳^{0}; $4^{30.50}$ p △^{1}, dann ✳$^{0.1}$
3. n Aufklaren, a 10 cm Neu✳, ✳treiben
4. a vorwiegend heiter, p stärkere Bewölkung
5. 7 a über Alpenvorland u. Vorbergen cu; ab 10 a meist ≡$^{0.1}$, ztw. Aufklaren, besonders abends
6. a ⎽^{0}, Fernsicht frei; an einzelnen Bergen Nebelfahnen; ab 9 a lebhafte cu-bildung; 3–6 p öfters ≡$^{0.1}$
7. n u. a ⎽⎽; 9 a ⊕ (23°); 1 p kurz ✳^{1}; ab 3 p mit kurzen Unterbrechungen ≡$^{1.2}$, ≡reissen
8. ab 11^{30} p ✳$^{0.1}$, kurz schwaches Elmsfeuer; a 3 cm Neu✳, 2 cm ⋁; t ≡$^{0.2}$, ztw. ✳^{0}; ab 4^{30} p ztw. längeres Aufklaren; 4^{35} p ⌒
9. n ✳, △; t ≡$^{0.1}$; p ztw. ✳$^{0.1}$, △$^{0.1}$, ◍^{0}
10. 7 a ringsum Nebelmeer in ca 2800 m, über Gebirge in Auflösung; 10 a kurz ◍^{0}; 2 p ≡$^{0.1}$
11. a Fernsicht frei, im Alpenvorland cu; 1^{30}–2^{10} p ⟆; 3^{30} p ⟆; 5 p kurz △^{1}; 8^{45} p kurz ⟆; p ztw. ≡$^{0.1}$
12. kurz nach 9 p Aufklaren; n sternenklar, Nebelmeer in ca 2500 m; a Fernsicht frei, über Flachland stellenweise Nebel; 9 p i. N ≡^{1}
13. n sternenklar; 6^{30}–7^{10} a ▲$^{0.1}$, ≡$^{1.2}$, später △^{1}; 3 p ▲ (kurze Zeit); ab ca 6 p ≡$^{1.2}$, ◍^{1}, später in ✳ übergehend
14. n ⎽⎽; n u. a ✳ (5 cm Neu✳); t ≡$^{1.2}$, ✳^{0}, △^{0}; m kurzes Aufklaren
15. a 40 cm ⋁; a ✳treiben; p ✳$^{0.1}$; 5 p sehr starkes elektrisches Sausen; t ≡$^{1.2}$
16. 7 a langsames Aufklaren; 50 cm ⋁, 15 cm Neu✳; 6^{00}–7^{15} p ⟆ mit ✳$^{0.1}$ u. im Anschluss daran ≡^{2}; t öfters ✳treiben
17. 7 a ⎽⎽; t ≡$^{1.2}$, ab 5 p ztw. kurzes Aufklaren
18. 7 a Fernsicht frei, ≡treiben; ab ca 8 a ≡$^{0.2}$, 6 p Aufklaren; p sehr ⎽⎽
19. a Fernsicht sehr rein; 5 p Teile eines ⊕ v. 23°; p stärkere ci-bedeckung v. W her fortschreitend
20. ca 5 a ⟆, ⎽⎽, ◍; t meist ≡$^{0.1}$
21. 10 p ◍^{2}, später in ✳ übergehend; a 4 cm Neu✳; t ≡$^{1.2}$, ≡reissen
22. a Flachland ∞; über Gebirge stellenweise Nebelmeer (in Auflösung); t heiter; jedoch eigentümlich dunstig
23. a Fernsicht frei; über Flachland ∞; t heiter
24. 1^0 p ≤ i. W u. NW; mn ≡^{2}; a ziemlich stark bewölkt; 9–10 a ◍$^{0.1}$, kurz ✳flocken; ab m ≡^{1}, ◍^{1}, ca 6 p in ✳ übergehend
25. 7 a 15 cm Neu✳; t ≡^{2}; p ztw. schwaches Aufklaren
26. a ∞ u. ztw. ≡; ab ca 11 a ≡ u. ✳$^{0.1}$
27. a ≡$^{0.2}$, ztw. ✳^{0}; p vorwiegend heiter
28. a freie Fernsicht, jedoch schwach dunstig; p eigentümlicher ∞, fast wolkenlos
29. t sehr starker ∞; p zunehmende Bewölkung; 5^{30}–ca 7 p ⟆; 9 p ⟆
30. 9 p-ca 1 a sehr heftiges ⟆ mit ▲, schwaches Elmsfeuer; n ✳; t meist heiter, ztw. ≡$^{0.1}$; p Nebelmeer in ca 2600–2800 m

Alle Angaben nach Ortszeit.

Kahl a/M.

Juli. $\varphi = 50^0\ 4'$ N. $\lambda = 9^0\ 1'$ E $= 36^m\ 4^s$. H $= 114.1$ m. Cg $= +0.3$ mm. 1912.

Datum	Luftdruck auf 0^0 u. Normalschwere reduziert 700 mm +			Lufttemperatur C°					Absolute Feuchtigkeit mm			Relative Feuchtigkeit Proz.			Richtung und Stärke des Windes 0 bis 12			Bewölkung 0 bis 10			Niederschlag mm	Bemerkungen
	7^a	2^p	9^p	7^a	2^p	9^p	Max.	Min.	7^a	2^p	9^p	7^a	2^p	9^p	7^a	2^p	9^p	7^a	2^p	9^p	7^a	
1.	49.4	49.1	49.1	14.2	19.4	15.4	21.2	12.1	11.2	9.0	9.8	94	54	76	C	SW 4	C	10^0	2^1	7^1	2.3	n ◍
2.	48.8	48.7	49.8	16.1	17.4	13.7	21.2	12.4	10.9	12.4	9.9	80	84	86	S 2	S 2	C	8^1	10^1	3^1	–	0^{36}–1^{22} p ◍
3.	50.9	49.6	50.4	14.8	21.2	17.0	22.2	8.1	9.8	9.1	9.9	78	49	69	S 2	SE 2	SW 2	○○	9^1	10^0≡	1.1	a ⏢. 8^{21}–9 p ◹
4.	52.9	54 0	55.5	13.8	18.6	14.7	20 5	12.5	10.8	10.6	11.5	93	67	92	SW 2	SW 2	C	10^1	10^1	10^0	2.0	9–10^{21} p ◹. 10^{21} p an ◍
5.	**57.4**	56.7	55.8	11.4	21.5	16.4	23.2	9.4	9.8	10.7	9.1	98	56	66	C	E 2	E 2	10^1	4^1○	0	–	a ≡^{1}
6.	54.2	52.6	51.3	18.2	25.4	18.9	26.8	12.7	10.3	9.7	12.1	66	41	75	SE 2	SE 2	C	○○	○○	10^0	–	
7.	50.8	50.0	52.0	17.5	24.7	16.6	26.3	13.3	12.5	9.9	13.2	84	43	94	C	SW 4	C	9^0	10^0	10^1	–	$6^{01.47}$ p ◹. $6^{21.56}$ p ◍
8.	54.1	53.6	54.5	16.6	24.1	18.0	26.1	11.2	12.7	11.6	12.9	91	52	84	C	W 4	C	3^0	5^0○	10^0	6.6	a ⏢
9.	55.3	54.5	54.7	16.7	23.0	15.9	24.3	12.6	12.7	11.1	11.6	90	53	86	C	N 4	C	10^0	6^0	10^1	–	a ⏢
10	54.6	53.2	53.4	16.0	27.1	19.8	27.8	10.3	11.8	11.4	13.2	87	43	77	SE 2	SE 2	C	10^0	9^1	10^0	–	
11.	54.2	53.7	54.2	19.4	28.3	21.5	30.7	10.4	13.1	12.3	13.1	78	43	69	C	C	C	○○	3^1	0	–	a ⏢
12.	55.7	54.2	53.4	21.3	30.3	20.7	**31.3**	13.9	13.5	11.9	13.9	72	37	77	C	SE 4	NE 2	○○	○○	0	–	a ⏢
13	54.5	53.0	53.2	20.9	29.0	19.9	30.9	14.2	13.3	10.5	12.3	73	35	72	C	SE 4	NE 2	○○	1^1○	0	–	a ⏢
14.	54.0	53.2	54.4	20.7	28.7	19.4	29.7	14.8	12.3	9.9	10.2	68	33	61	S 2	NE 4	NE 2	○○	1^1	0	–	
15.	56.5	55.9	55.8	20.4	27.5	19.6	29.7	15.0	11.9	10.3	11.1	67	38	65	C	SE 2	E 2	○○	○○	0	–	a ⏢
16.	56.1	54.9	53.8	21.0	28.0	19.1	29.2	16.1	10.9	9.6	9.5	59	34	58	E 4	E 4	SE 2	○○	○○	0	–	
17.	53.6	51.4	50.3	18.5	28.8	18.8	30.0	11.5	11.0	9.5	11.1	70	32	69	C	SE 4	C	○○	1^1○	0	–	a ⏢
18	48.8	45.7	44.6	18.3	26.7	20.5	29.7	11.1	11.7	9.7	**14.6**	74	38	82	C	SW 4	SW 4	○○	10^0	10^1	–	7^{36}–8^{21} p ◹. $8^{31.41}$ p ◍
19.	42.9	45.0	47.2	13.9	14.9	14.3	22.2	13.8	11.8	10.4	11.3	100	83	94	W 2	SW 2	SE 2	10^1●	10^1	10^0	**21.0**	a ◍, p ztw. ◍
20.	47.8	46.6	47.5	11.5	22.2	14.3	22.9	9.4	9.7	10.0	11.4	97	51	95	C	E 2	C	10^1	3^1○	10^1	2.0	a ≡^{2}
21.	47.5	47.9	47.9	14.2	14.0	15 3	18.9	13 3	11.1	11.6	12.7	93	98	98	SW 2	C	C	10^1	10^1●	10^1	1.9	n ◍, t ztw. ◍
22.	48.9	49.1	50.1	16.1	23.1	17.2	24.5	14.3	12.3	11.2	13.5	90	53	93	NW 2	W 2	C	10^0	2^1○	7^0	18.7	
23	50.8	50.6	51.5	15.9	23.8	17.5	25.1	12.4	12.4	11.8	13.1	92	54	88	C	SW 2	C	10^1	4^0○	8^0	–	a ⏢
24.	52.7	51.8	51.1	17.0	26.5	18.7	28.4	12.4	12.5	11.6	13.1	87	45	82	C	SE 2	NE 2	○○	3^1○	10^0	–	a ⏢
25.	50.6	48.4	49.9	17.6	27.5	18.4	29.1	12.4	13.0	12.0	14.0	87	43	89	C	SE 2	SW 4	○○	2^1○	10^1	–	a ⏢. 5^{16}–7^{47} p ◹. 6^{17}–7^{37} p ◍. $6^{33.31}$ p ▲
26.	52.0	52.7	51.9	16.6	22.9	16.6	25.0	15.6	13.2	13.5	12.7	94	65	91	C	SE 2	C	10^1	2^1	8^1	9.5	n, a–7 a ◍
27.	50.7	49.0	47.7	15.7	27.0	19.4	29.1	12.4	12.6	14.3	14.0	94	54	84	SE 2	SE 2	E 2	10^1	10^0	0	–	a ⏢
28.	47.7	47.4	48.5	20.3	27.3	18.1	28.8	13.3	13.5	11.8	14.2	76	43	92	S 4	SW 4	SW 2	4^0○	7^0○	10^1	–	$6^{11.53}$ p ◹. $6^{21.36}$ p ◍
29.	50.0	49.2	48.9	17.4	23.3	16.5	24.3	15.9	13.9	**8.8**	10.8	94	41	77	S 2	SW 4	C	10^1	3^1○	8^0	7.7	n ◍
30	49.1	49.0	50.3	16.5	21.5	15.7	22.9	9.8	10.9	9.3	10.9	78	49	82	C	SW 4	C	5^0	6^1	10^2	–	a ⏢
31.	51.5	49.8	47.5	17.1	23.1	19.5	24.8	13.6	12.0	12.1	12.6	83	58	75	S 2	SW 2	SW 2	3^0	3^1○	10^1	–	
Mittel	51.7	51.0	51.2	17.0	24.1	17.7	26.0	12.6	11.9	10.9	12.0	84	51	81				5.2	4.7	6.5	72.8	

Bayreuth.

Juli. $\varphi = 49^0\ 57'$ N. $\lambda = 11^0\ 34'$ E $= 46^m\ 16^s$. H $= 363.3$ m. Cg $= +0.3$ mm. 1912.

1.	28.4	28.2	28.0	13.1	19.8	16.1	21.2	9.0	9.8	8.7	10.2	88	51	75	E 2	SW 4	W 2	10^1	8^2	10^1	–	a ⏢
2.	27.7	27.5	28.6	13.5	17.6	13.9	20.2	10.1	9.7	9.0	9.3	85	61	79	S 2	NW 2	W 4	7^1	5^2○	10^2	–	a ⏢
3	29.8	28.4	28.5	12.7	20.4	15.4	21.9	9.7	8.9	**7.7**	9.0	82	43	69	W 2	W 2	W 2	3^1○	8^1	10^2	1.5	a ⏢. 0^{16}–1^{06} p ◍^{1}, 4^{46}–5^{16} p ◹, $5^{06.46}$ p ◍^{2}
4.	31.1	32.0	33.8	13.1	15.4	13.1	16.7	12.0	9.8	10.1	10.1	88	78	91	W 2	W 2	W 2	10^2●	10^1	10^1●	0.7	4^{46}–9^{46} a, ab 8^{36} p ◍^{2}
5.	35.7	35.7	35.4	11.5	19.2	15.0	20.5	8.2	9.7	8.7	8.7	97	52	69	W 2	NW 2	NE 2	10^2≡	7^1	7^1	1.6	u ◍, a ≡^{2}
6.	34.2	32.2	31.1	13.3	22.0	16.8	24.0	**7.1**	9.3	9.2	9.1	82	47	64	SE 2	E 2	E 2	○○	○○	0	–	a ⏢
7.	29.4	28.3	30.2	16.2	22.6	14.5	24.0	10.5	9.9	11.5	11.6	72	57	95	E 2	NE 4	NW 2	8^0	8^1	10^2	–	2^{16}–3^{46} p, 5^{36}–6^{46} p ◹, $6^{06.36}$ p ◍^{2}
8.	32.2	32.6	33.0	14.5	20.0	16.6	22.9	11.9	11.9	11.5	12.9	**97**	67	92	SE 2	W 4	W 2	10^1≡	10^1≡	10^1	7.0	a ≡^{1}, 1^{21}–2^{46} p ◹, 2^{16}–3^{46} p ◍^{2}
9.	33.6	32.4	34.2	15.4	22.9	17.0	24.0	12.7	11.0	11.5	11.6	91	56	81	W 2	W 4	W 2	10^1	7^1	10^1	0.5	a ⏢
10.	33.9	32.5	32.8	12.1	24.1	18.0	26.5	9.7	9.8	11.8	11.1	94	53	73	W 2	E 2	E 2	10^2≡	8^2	0	–	a ≡^{2} ⏢
11.	34.0	33.8	34.7	16.8	27.4	19.7	29.6	12.2	12.0	11.3	12.3	84	41	73	SE 2	NW 2	E 2	3^0○	3^1○	0	–	a ⏢
12.	35.6	34.5	33.7	16.2	27.5	21.2	29.4	12.2	11.7	12.1	12.6	85	44	68	E 2	E 2	E 2	○○	4^1○	0	–	a ⏢
13.	34.3	33.0	33.0	16.2	27.4	20.6	28.8	12 3	11.2	9.9	8.7	82	36	48	SE 2	E 4	E 4	○○	2^1○	0	–	a ⏢
14.	33.2	33.1	34.3	16.4	25.3	19.0	26.9	11.6	10.5	9.0	10.1	76	38	62	W 2	E 4	E 2	○○	5^1○	0	–	a ⏢
15.	**35.8**	35.2	35.5	13.3	25.0	20.2	26.2	10.4	9.7	9.4	9.9	86	40	56	C	E 4	NE 4	○○	4^1○	0	–	a ⏢
16	35.6	34.5	33.6	14.2	25.8	19.9	27.0	9.5	9.9	9.6	11.0	83	40	63	E 2	SE 2	E 2	○○	3^1○	8^1	–	a ⏢
17.	33.0	31.3	30.3	14.7	25.6	18.0	27.0	11.2	10.2	10.1	9.9	83	42	64	E 2	SE 2	E 4	○○	5^1○	3^1	–	a ⏢
18.	28.5	25.6	23.8	16.8	26.7	18.9	27.5	12.2	9.6	9.9	10.1	68	38	68	SE 2	SE 2	SE 2	8^1○	7^1○	6^1	–	
19.	21.3	21.7	25.2	17.1	17.2	14.1	22.3	13.9	11.0	13.7	11.3	76	94	95	E 4	SE 2	W 2	10^1	10^{e2}	10^2	–	11^{46} a–0^{36} p ◹, 0^{36}–1^{01} p ◍, 1^{21}–2^{36} p ◹, 1^{36}–3^{46} p ◍
20.	26.7	25.4	25.3	12.1	21.0	15.8	22.8	10.1	9.1	8.1	10.4	88	44	78	W 2	W 2	N 6	9^1	5^1○	10^1	**19.1**	
21	24.7	23.9	25.0	13.6	17.8	16.2	18.3	11.8	9.3	11.4	12.4	81	75	90	N 4	N 6	N 2	10^1	10^0	10^2●	–	8^{06}–9^{00} p ◍^{0}
22.	26.1	27.3	28.2	15.2	20.8	17.3	22.5	13.3	10.9	10.5	11.8	85	57	81	NW 4	N 2	NW 2	10^2	5^1○	5^1	0.7	n ◍^{0}
23.	29.5	29.3	30.7	14.6	20.8	16.2	22.3	11.0	11.5	10.2	12.0	93	57	87	NW 2	N 2	C	10^2	8^1	0	–	a ≡$^{0.2}$ ⏢
24.	31.9	31.0	30.6	12.9	24.8	20.0	26.8	9.7	10.2	12.0	11.8	93	52	68	E 2	E 2	E 2	10^1≡	6^1○	2^1	–	a ⏢, ≡$^{0.2}$
25.	30.3	28.4	28.2	15.6	26.2	20.6	27.7	12.2	11.6	11.3	12.6	88	45	71	E 2	SE 4	C	5^0	3^1○	4^1	–	a ⏢
26.	30.8	31.5	31.5	16.5	22.2	18.3	24.1	15.0	12.6	11.1	12.2	91	56	79	SW 2	SW 4	SE 2	10^2●	7^1	0	0.5	n ◹. 9^{16}–11^{16} p ztw. ◍^{0}
27.	30.4	29.4	27.7	15.4	25.8	19.0	27.8	12.2	11.0	10 9	10.1	85	44	62	E 2	SE 2	E 2	5^0○	4^0○	0	–	a ⏢
28.	27.4	26.4	26.4	16.6	29.4	22.0	**31.3**	11.2	11.5	12.1	**14.0**	82	39	72	E 2	SE 2	SW 2	1^0○	5^1○	10^1	–	a ⏢. 5^{16}–6^{36} p ◹
29	28.7	29.2	28.3	16.4	20.0	16.2	22.4	14.7	12.6	11.9	12.0	91	69	87	W 2	W 4	W 2	10^2	10^1	3^1	3 5	2^{16}–3^{36} a ◹, 2^{36}–3^{46} a ◍, a ztw. ◍$^{0.1}$
30.	28.6	28.0	29.1	14.3	20.6	16.0	22.6	11.2	11.3	10.0	10.2	94	55	76	E 2	W 6	W 2	8^1	8^2	10^1	1.7	a ⏢
31.	30.9	29.9	28.2	15.4	20.8	16.2	23.1	12.2	10.4	11.3	10.9	80	63	80	SW 2	SW 2	C	5^0○	8^1	3^1	–	a ⏢
Mittel	30.8	30.1	30.3	14.7	22.6	17.5	24.5	11.3	10.6	10.5	11.0	85	53	75				6.2	6.2	5.2	36.8	

Alle Angaben nach Ortszeit.

Bamberg.

Juli. $\varphi = 49^0\ 53'$ N. $\lambda = 10^0\ 53'$ E $= 43^m\ 32^s$. H $= 287.7$ m. Cg $= +0.3$ mm. 1912.

Datum	Luftdruck auf 0^0 u. Normalschwere reduziert 700 mm + 7ª	2ᵖ	9ᵖ	Lufttemperatur C° 30.7′ (Fa. ict) 7ª	2ᵖ	9ᵖ	Max.	Min.	Absolute Feuchtigkeit mm 7ª	2ᵖ	9ᵖ	Relative Feuchtigkeit Proz. 7ª	2ᵖ	9ᵖ	Richtung und Stärke des Windes 0 bis 12 7ª	2ᵖ	9ᵖ	Bewölkung 0 bis 10 7ª	2ᵖ	9ᵖ	Niederschlag mm 7ª	Bemerkungen
1.	34.6	34.6	34.5	13.8	19.8	14.4	21.7	9.8	10.4	8.7	9.8	90	51	81	S 3	W 4	SW 1	10^0⊖	10^1	7^1	0.1	n ⏢. 7^{48} a ◍^{0}
2.	34.2	33.7	35.0	14.0	19.0	12.6	21.9	9.7	10.2	10.1	8.8	86	62	82	SE 2	W 3	SW 2	10^1	10^1	10^1	0.1	n ⏢. $6^{04.11}$ p, $3^{54.59}$ p ◍^{0}. $7^{01.03}$ p ◍^{1}. $7^{06.19}$ p ◍^{2}. 7^{13} p
3.	36.2	34.7	35.3	13.9	20.4	15.8	21.3	9.4	9.8	8.6	10.4	84	48	82	SE 1	E 1	W 2	10^0⊖	10^0⊖	10^2	0.1	n ⏢
4.	37.5	38.8	40.6	12.3	13.6	13.2	16.8	11.4	10.0	10.8	10 2	95	94	91	E 1	E 1	W 2	10^2	10^2	10^1	0.7	10^{43} p–4^{45} a ◍. 7^{45}–9^{45} a ◍^{1}. $1^{43.54}$ p ◍^{2}
5	**42.6**	42.3	41.7	10.7	20.8	14.0	22.7	9.6	9.5	8.6	**8.5**	99	47	71	N 2	N 3	W 1	10^2=	6^1⊖	4^1	1.1	n ⏢. 7 a ≡^{1}
6.	40.2	38.3	37.4	16.3	24.1	17.0	24.8	12 4	9.2	10.2	9.0	66	46	63	E 2	SE 4	SE 2	○○	○○	10^0	0.1	n ⏢
7.	35.8	34.9	36.7	15.6	23.8	16.3	25.0	12.4	10.5	13.1	10.8	80	60	78	NE 1	NW 2	S 2	10^1	10^0⊖	10^2	0.1	n ⏢. 5^{56} p, 6^{49} p ◍^{0}. 5^{15}–7^{15} p ◹ im S bis W
8.	38.8	38.8	39.5	16.2	21.1	15.0	24 5	13.7	12.5	**14.7**	12.6	91	79	99	NE 1	C	C	10^1	10^2	6^1⊖	0.1	n ⏢. 11^{56} a–0^{06} p, $1^{47.59}$ p, 3^{15} p ◍^{0}. 2^{51}–3^{04} p ◍^{1}. 1)
9.	40.4	39.0	40.1	14.4	24.9	16.8	25.7	13.3	12.2	12.9	12.5	100	56	88	C	NW 5	N 1	10^2=	7^1⊖	10^0	7.9	9^{40}–10^{44} p ◹ i. NE, NW nach S, n ⏢. 7 a ≡^{2}. 9 p ∞
10.	40.2	39.0	39.5	13.6	25.5	18.7	27.3	12.3	11.1	11.7	12.6	96	49	79	NW 2	SE 2	C	10^2=	7^1⊖	10^1	0.1	n ⏢. 7 a ≡^{1}. 9 p ∞
11.	40.8	40.1	40.8	16.9	28.1	20.4	28.9	12.8	12.1	14.5	11.6	85	52	65	NW 1	S 2	S 4	10^0⊖=	6^1⊖	0	0.1	n ⏢. 7 a ≡^{1}
12.	41.9	40.8	39.7	18.7	29.1	20.9	**30.0**	14.1	12 2	12.8	11.1	76	43	61	N 1	SE 5	SE 3	10^0⊖=	3^1⊖	0	0.1	10 p ◹ i. NE; n ⏢. 7 a ≡^{1}
13.	40.6	39.0	39.2	18.8	27.9	21.1	29.6	15.1	11.5	9.9	9.4	71	36	51	N 1	SE 5	S 3	○○	2^1⊖	1^1	–	n ⏢^{0}. 7 a ≡
14.	39.6	39.1	40.8	18.8	26.7	18.2	28.1	14.7	11.4	9.6	9.8	70	37	63	NW 2	SE 3	E 2	○○	2^1⊖	0	0.1	n ⏢^{0}
15.	42 4	41.8	42.0	17.6	27.3	20 9	28.1	13.5	10.5	9.3	9.2	70	35	51	NW 3	NE 5	NE 3	○○	6^1⊖	0	0 1	n ⏢^{0}. 7 a ≡
16.	41.8	40.8	39.9	17.4	26.1	18.9	27.0	13.1	10.8	9.2	10.2	73	37	63	W 2	E 3	S 2	10^0⊖	10^0⊖	10^0	–	n ⏢. 7 a, 2 p, 9 p ∞
17.	39.1	37.3	36.2	16.8	26.0	19.4	28.1	13.1	10.8	11.1	10.7	76	45	64	W 2	S 1	S 2	5^1⊖	7^1⊖	10^1	–	n ⏢. 7 a ∞
18.	34.6	31.8	29.9	17.8	27.9	19.6	28.8	12.3	10.3	9.9	11.2	68	36	66	SW 2	SW 3	S 2	10^0⊖	10^0⊖	10^1	–	7 a, 2 p ∞
19.	**27.3**	28.9	31.9	17.0	15.0	13.6	21.6	13.7	13.4	12.1	10.8	93	96	94	E 1	W 1	SW 1	10^1●	10^2●	10^2	0.7	$11^{43.54}$ p, 3^{43}–7^{39} a, $10^{54.59}$ a, 1^{04}–2^{34} p, 4^{29}–5^{48} p ◍^{1}, 2)
20.	33.4	31.8	32.2	13.2	22.1	15.5	22.5	11.0	10.1	9.7	10.5	90	49	80	SE 2	NW 2	S 1	10^1	5^1⊖	10^1	7.8	
21.	31.2	30.8	31.6	14.3	15.9	15.4	18.4	12.1	9.7	12.0	12.0	81	89	92	NW 3	W 2	NW 3	10^2	10^2	10^1	0.1	n ⏢. 9^{40}–10^{49} a ◍^{1}. 10^{57}–11^{02} a ◍^{2}
22.	32.8	33.9	34.9	16.3	22.8	16.0	23.4	13.6	11.9	10.2	12.4	86	49	91	NW 3	S 3	C	10^0⊖	8^1⊖	8^1	1.5	n ⏢. $6^{11.53}$ p ◍^{1}
23.	36.1	36.0	37.1	14.0	21.4	15.3	25.2	11.9	11.9	12.7	12.4	100	67	96	SE 1	NW 3	C	10^2=	10^2	9^1	0.1	10^{28} p ◍^{0}, n ⏢. 7 a ≡^{2}. 1^{48}–2^{43} p ◹. $2^{22.32}$ p ◹. 3)
24.	38.3	37.4	36.9	12.4	26.1	19.2	27.1	11.3	10.5	13.0	11.9	98	52	72	NE 1	C	N 1	10^2=	10^0⊖	10^0	**16 7**	n ⏢. 7 a ≡^{2}. 2 p, 9 p ∞
25	36.4	34.3	35.5	17.3	27.7	18.7	28.7	14.8	12.4	12.8	11.7	85	46	73	N 2	SW 4	SW 3	10^0⊖	6^1⊖	10^1●	0.1	n ⏢. 7 a, 2 p ∞. 7^{32}. 9 p ◍. $7^{37.38}$ p ◹. $7^{53.57}$ p ◹
26.	37.2	37.8	38.0	16.4	21.6	16.8	24.7	15.3	13.1	13.1	11.7	95	69	82	S 2	SW 1	S 1	10^2●	9^1	4^1	0.4	$9^{09.15}$ p ◹. $9^{09.49}$ p ◹. 9^{25}–10^{34} p ◍. 7 a ◍^{0}. 9 p ∞
27.	36.5	35.4	33.9	14.9	25.9	19 7	27.2	11.8	10.9	12.3	11.9	87	50	70	W 1	SW 3	SE 2	10^0⊖	10^0⊖	0	0.1	n ⏢. 2 p ∞
28.	33.5	32.8	33.4	17.2	29.0	21.0	30.7	12.7	11.5	12.2	11.9	79	41	62	NW 1	N 2	NW 2	6^0⊖	5^1	10^2	0.1	n ⏢. 7 a ∞. 9 p ◹ im E
29.	35.7	35.4	34.5	16.2	20.5	16.0	28.7	15.1	13.1	12.7	11.8	96	71	87	W 3	SW 3	SW 3	10^2	10^0⊖	5^1	3.3	10^{40} p–4^{45} a ◍. 9^{42} p, 7^{14}–8^{30} a ◍^{0}. 10^{18} a ◍^{1}. $10^{31.46}$ p ◹
30.	34.9	34.2	35.7	16.2	22.3	10.6	24.4	12.8	12.2	8.8	9.0	89	44	64	SW 2	W 2	W 3	4^1⊖	10^1	10^1	0.2	n ⏢
31.	37.3	35.9	33.9	15.5	21.4	17.5	24.3	12.6	10.7	12.0	11.0	82	64	74	S 4	W 1	SE 2	5^1⊖	10^1	10^1	0.1	n ⏢
Mittel	37.2	36.4	36.7	15.6	23 4	17.2	25.4	12.6	11.2	11.3	10.9	85	55	75				7.8	7.7	7.2	42.0	

1) 5^{14}–6^{28} p ◍^{2}. 1^{34}–3^{06} p, 5^{27}–6^{02} p ◹. 5^{47}–6^{02} p ◹. 5^{57} p ▲
2) $10^{09.16}$ a ◍^{0}. $10^{16.34}$ a ◍^{2}. $11^{49.34}$ p ◹. $11^{49.53}$ p ◹
3) 2^{15}–3^{04} p ◍^{2}. 9 p ∞

Würzburg.

Juli. $\varphi = 49^0\ 48'$ N. $\lambda = 9^0\ 56'$ E $= 39^m\ 44^s$. H $= 179.3$ m. Cg $= +0.3$ mm. 1912.

1.	44.0	43.4	43.7	13.4	20.8	14.5	22,0	10.9	11.0	7.0	9.7	**97**	44	80	SE 1	S 3	C	10^2●	7^2	0	2.0	t ztw. ◍
2.	43.5	43.2	44.2	15.1	15.1	13.4	19.0	12.2	9.8	10.7	10.4	76	84	91	SW 1	W 2	C	1	9^2≋●	8^2	0.4	a ⏢; 1^{33}–2^{00} p ◹; 1^{30}–2^{00} p ●
3.	45.0	43.9	44.5	13.6	20.6	16.6	20.6	10.4	9.2	7.9	10.5	80	44	74	SE 1	S 1	C	○○	7^2⊖	3^1	2.8	a ⏢
4.	46.7	48.2	49.8	12.6	14.2	13.8	16.8	11.9	10.5	10.8	10.8	**97**	91	93	W 1	N 1	N 1	10^2	10^2	5^2	**14.2**	t ◍
5.	**51.6**	51.5	50.5	11.5	20.8	15.7	21.5	**10.2**	9.6	10.3	9.4	96	56	70	N 1	E 1	W 3	9^1	4^2	0	4.5	a ≡
6	49.1	47.3	45.9	15.0	23.8	17.5	24.5	**10.2**	9.8	9 2	12.3	77	42	83	E 2	E 1	C	○○	○○	1^1	–	a ⏢
7.	45.0	44.2	46.2	16.6	23.3	17.0	24.0	13.8	10.3	11.8	12.8	73	56	89	W 1	W 2	C	8^1	6^1	6^2	–	a ⏢; 3^{19}–5^{19} p ◹; $4^{20.38}$ p ◍^{0}
8.	47.9	47.9	48.1	17.1	22.3	17.9	23.9	14.5	12.1	13.4	14.2	84	67	93	W 2	NW 3	C	1^1	8^2	0	0.4	a ⏢; p ◍^{0}
9.	49.1	48.7	48.9	16.4	23.0	17.9	23.8	14.1	12.1	11.5	12.7	87	56	83	SW 1	NW 1	C	3^1	○○	0	0.4	a ⏢; p ◍tropfen
10	49.2	48.1	48.3	13.9	25.4	17.9	26.0	12.8	11.1	10.7	13.3	95	45	87	SW 1	SE 2	C	8^1	3^2	0	–	a ≡
11.	49.1	48.8	49.0	15.1	27.3	20.2	27.3	13.6	11.8	11.9	14.9	92	44	84	SW 1	SE 3	C	○○	2^2	0	–	a ≡
12.	50.5	49.3	48.5	17.6	28.7	21.2	**29.0**	14.5	12.7	11.4	14 7	85	39	78	SE 1	SE 4	C	○○	2^1	0	–	a ≡
13.	49 1	47.6	47.8	17.4	28.5	20.8	28.9	14.8	12.2	9.6	11.8	83	33	65	SE 2	SE 3	C	○○	1^1	0	–	a ≡^{0}
14.	48.3	47.6	48.0	17.0	27.4	19.8	27.9	14.0	11.2	8.8	10.6	78	33	61	E 1	E 3	C	1	2^1	0	–	a ⏢
15.	51.1	50.4	50 4	17.0	27.2	20.8	28.0	13.6	11.3	9.7	10.9	79	36	60	E 1	E 2	E 1	○○	○○	0	–	a ⏢
16	50.8	49 6	48.5	17.4	26.9	14.5	27.5	13.9	10.3	8.4	10.8	69	32	64	SW 1	SW 3	C	○○	○○	0	–	a ⏢
17.	48.4	46.4	45.1	15.8	26.9	14.4	28.5	13.0	10.3	9.9	12.3	77	38	74	SW 1	SE 2	C	○○	3^2	0	–	a ⏢
18.	43.8	40.3	38.7	16.1	27.5	20.1	27.9	12.7	10.8	8.5	12.7	79	**32**	73	SE 1	S 3	C	○○	3^1	8^2	–	a ⏢
19.	**36.1**	38.4	41.6	17.4	17.3	14.1	20.1	14.1	**14.2**	11.4	10.9	96	78	92	SW 1	NW 3	SW 1	10^2●	9^2	0	1.2	ztw. ◍
20	42.2	40.9	41.5	12.9	20.4	16.2	22.0	10.9	9.1	8.7	10.0	83	49	73	SW 1	E 2	C	10^2	8^2	10^2	4.3	a ≡
21.	41.0	41.1	41.2	15.0	13.3	15.2	17.8	13.3	10.6	10.8	11.9	84	96	91	NW 2	NW 4	NW 3	8^2	10^2	9^2	–	a ⏢; p ztw. ◍
22.	42.5	42.8	44.0	16.4	23.0	16.9	23 0	14.1	12.1	10.9	12.4	87	53	87	NW 2	SW 3	S 1	2^1	3^1	5^1	7.9	a ⏢; p ◍tropfen
23.	44.9	44.8	45.8	16 0	23.5	17.6	24.2	14.2	12.1	11.8	12.9	89	55	86	SW 2	S 3	E 1	10^2	6^2	0	0.1	a ⏢
24.	47 2	46.3	45.9	14.0	25.4	18.8	26.5	12.6	11.2	10.3	12.7	95	44	79	E 1	E 1	C	4^1	3^2	0	–	a ≡
25.	45.3	42.9	44.5	16.3	27.2	17.3	27.5	12.5	12.0	11.0	12.9	87	43	88	E 1	SE 2	SE 1	○○	4^1	10^2●	–	a ⏢; 6^{30}–8^{55} p ◹; 8^{25}–9^{00} p ◍
26.	46.4	46.8	46.8	17.6	22.2	17.7	24.0	16.2	12.3	12.0	12.8	82	61	85	W 1	W 1	C	10^2	4^2	0	2.0	9^{00}–ca 10 p ◍
27.	45.3	43.9	42.8	15.6	26.5	20.4	27.2	13.5	11.8	12.4	13.3	89	48	74	NE 1	S 3	C	10^2	7^1	0	–	a ≡
28.	42.7	42.0	42.5	16.5	27.9	20.0	28.2	13.8	11.9	10.9	12.0	85	39	69	SE 2	E 1	W 5	3^1	3^1	10^2	–	a ⏢
29.	44.7	44.0	43.6	16.7	22.5	17.5	23.0	16.0	13.1	10.3	11.6	93	51	78	SW 3	SW 3	S 1	10^2	4^2	3^1	8.1	9^{10}–ca 10 a ◹; ab 9^{15} a ◍; a ◍tropfen
30.	43.8	43.5	45.1	15 8	22.2	15.8	22.8	13.4	11.1	9.5	9.9	83	51	74	SE 1	W 4	SW 2	1^1	9^2	2^2	–	a ⏢; p ◍tropfen
31.	46.2	44.7	42.7	16.6	22.4	18.8	24.0	13.5	10.9	10.8	12.7	77	54	79	SW 2	SW 2	SE 1	6^2	5^2	9^2	–	a ⏢; t ztw. ◍tropfen
Mittel	46.1	45.4	45.6	15.7	23.3	17.8	24.4	13.2	11.2	10.4	12.3	85	51	79				4 4	4.6	2.9	48.3	

Alle Angaben nach Ortszeit.

Ludwigshafen a/Rh.

Juli. $\varphi = 49^0\ 29'$ N. $\lambda = 8^0\ 26'$ E $= 33^m\ 44^s$. H $= 100.3$ m. Cg $= +0.3$ mm. 1912.

Datum	Luftdruck auf 0° u. Normalschwere reduziert 700 mm + 7a	2p	9p	Lufttemperatur C° 7a	2p	9p	Max.	Min.	Absolute Feuchtigkeit mm 7a	2p	9p	Relative Feuchtigkeit Proz. 7a	2p	9p	Richtung und Stärke des Windes 0 bis 12 7a	2p	9p	Bewölkung 0 bis 10 7a	2p	9p	Niederschlag mm 7a	Bemerkungen
1.	51.4	51.0	51.0	14.6	19.6	17.8	21.4	12.8	10.7	9.1	9.2	87	53	61	S 1	SW 1	SW 2	10^2	5^1○	10^2	2.2	n, nachm. ◎
2.	50.8	51.1	51.6	15.2	14.4	14.0	20.0	13.1	9.0	9.5	9.5	70	78	80	S 1	SW 1	S 1	5^0○	10^2●	10^2	1.8	$12^{1.44}$ p, 4^{49-50} p ⊿. 13^{0-29^0} p ◎^{2}. 4^{49-6} p ◎
3.	52.5	50.9	52.8	13.2	22.0	14.8	22.0	10.6	9.5	6.9	10.6	85	35	85	S 1	S 2	S 1	oo	10^2	10^2●	5.4	a ∞, abds. ◎
4.	51.6	56.0	57.2	13.2	17.8	15.7	18.1	12.3	10.4	10 7	11.2	93	70	84	S 1	S 1	S 1	10^2●	10^2	10^2	6 6	n, a, m ◎
5.	**58.6**	58.0	56.6	12.8	23.1	19.0	23.1	**10.4**	10.5	9.8	10.0	**96**	47	61	SE 1	E 1	E 1	10^2=	5^1○	0	4.4	a ≡^{2}, dann ∞
6.	55.0	53.9	52.7	16.2	24.5	20 0	25.3	13 1	10.0	10.2	11.1	73	46	64	C	S 1	SW 1	oo	10^2	5^1	–	n ⊿, nachm. ◎^{0}
7.	52.8	52.7	54.3	16.8	21.4	17.4	23.3	14.3	12.3	12.3	12.4	87	65	84	S 1	SW 1	C	5^1○	10^2	0	0.1	$11^{19.39}$ a, nachm. ◎^{0} $11^{34.51}$ a Fern⊿
8.	56 0	55 2	55.7	16.8	25.8	19.6	26.1	14.4	11.6	9.0	12.8	81	37	76	C	SE 1	NE 1	oo	9^2	5^2	0.3	n ⊿, vorm. ◎^{0}, abds. ◎^{1}
9.	57.0	55.8	56.3	16 3	24.0	20 4	24.3	15.7	11.1	10.3	10.8	80	47	61	W 1	N 1	N 2	oo	2^1○	10^1	1.7	n ⊿, a ≡^{0}, t meist ∞
10.	56.0	54.6	54.6	16.4	27.5	23.8	28.1	15.6	11.4	11.0	12.4	82	40	57	N 1	S 1	C	3^0	3^1	3^0	–	n ⊿, vorm. ∞
11.	55.7	55.1	55 4	18.5	30.0	25.5	30.1	16.3	12.6	10.3	12.5	80	32	52	C	S 1	C	oo	2^1○	o	–	n ⊿, a ∞
12.	56.6	55.2	54.6	20.0	31.8	26.1	32.1	18.7	13.2	11.8	11.3	76	34	46	C	E 1	C	oo	oo	o	–	a ∞
13.	55.1	54.1	53.5	19.9	30.9	29.3	31.3	17.7	13.3	9.4	10.3	77	29	34	C	C	C	oo	oo	o	–	a ∞
14.	54 6	54.1	55.3	21.0	31.9	24.9	**33.1**	18.8	10.8	8.1	8.7	58	**23**	37	C	E 1	C	oo	3^{1}○	o	–	
15.	57.5	57.1	56.7	20.0	29.9	25.1	30.1	16.9	10.5	9 7	10.7	60	31	46	C	E 1	C	oo	1^{1}○	o	–	a ∞
16.	57.2	55.9	55.9	20.6	29.9	25.5	31.2	17.1	11.0	9.7	10.5	61	31	44	NE 1	E 1	C	co	oo	o	–	
17.	54.6	52.5	51.5	18.8	29.4	24.9	29.6	15.7	11.0	10.0	10.5	68	33	45	NE 1	NE 2	C	co	oo	o	–	a ∞
18.	49.8	46.7	46.0	18.6	28.0	21.2	28.2	16.1	11.1	12.3	13.4	70	44	73	NE 1	C	E 1	oo	10^2	10^2	–	a ∞. 2^{41-311} p ⊿. $2^{10.39}$ p, abds. ◎^{1}
19.	44.4	47.0	49.0	15.0	17.4	14.2	21.2	13.9	11.9	9.3	10.4	93	63	87	W 1	W 1	E 1	10^2●	10^2	10^0	**23.6**	n-8^{30} a ◎^{1}. $5^{08.24}$ p ◎. 5^{13} p ⊿
20.	49.3	48.5	48.7	13.4	20.9	20 2	21.4	11.7	9.6	8.4	10.1	85	46	57	SE 1	SW 1	SW 1	7^1	10^2	10^2	3.6	$3^{03.40}$ p ◎
21.	49.7	49.2	49.7	13.6	15.8	15.6	20.2	13.0	10 1	11.4	11.2	88	85	85	SW 1	SW 1	SW 1	10^1	10^1●	10^1●	1.4	n, 6^{02} p-n ◎
22.	50.7	51.2	52.1	15 6	22.2	17.1	22.2	14.3	12.0	13.1	12 9	91	66	89	SW 1	S 1	S 1	10^0	6^1	o	22.4	n ◎
23.	52.5	51.9	52 6	15.4	24.5	21.4	24.7	14.9	11.6	12.2	13.3	89	53	70	SE 1	NW 1	C	oo	5^1○	o	–	n ⊿, a ∞. 3^{41-421} p ⊿ (ohne ◎)
24.	53 9	53.0	52 2	15.6	27.5	22.6	27.8	14.7	11.8	10.6	12 9	89	39	63	NE 1	E 1	C	co	3^0○	2^0	–	a ∞
25.	51 7	49.8	49.5	17.0	28.4	25.9	29.7	16.1	12.3	10 4	10.5	86	36	43	C	S 1	C	co	3^1○	o	–	n ⊿, a ∞. 4^{21} p ⊿ ◎
26.	54.6	53.9	52.9	17.3	25.4	22.2	25.9	16.3	11.3	10.8	11.7	77	45	59	S 1	E 1	C	oo	2^{1}○	o	1.2	
27.	51.6	50.5	48.5	17.6	27.5	26.7	28.1	16.1	12.4	11.5	12 9	83	42	50	C	C	C	10^1	oo	o	–	
28.	49.5	49.5	50.1	20.4	29.1	21.4	29.3	16.9	13.0	10 8	**15.5**	73	36	82	S 1	SW 2	SW 1	5^1	5^{2}○	10^2	–	$5^{04-6^{19}}$ p ⊿ ◎
29.	51.9	51.0	50.5	18.0	24.1	19.3	24.2	16.5	13.5	10.1	13.8	88	46	83	S 2	S 1	C	10^2	3^{0}○	o	3 8	n ◎
30	51.1	50.8	52.6	16.0	22 8	14.6	23.0	13.9	10.0	9.7	9.4	74	47	76	S 2	S 3	S 2	10^2	10^2	10^1	–	$4^{33.45}$ p ◎^{1}
31.	53.6	51.5	49.1	16 3	24 3	20,3	24.4	13.9	11.6	11.5	13.0	84	51	74	S 1	S 1	S 1	10^2	5^{1}○	5^2	2 6	
Mittel	53.2	52.5	52.6	16.8	24.9	20.9	25.8	14.9	11.3	10 3	11.5	80	46	65				4.0	5.2	4.2	81.1	

Nürnberg.

Juli. $\varphi = 49^0\ 27'$ N. $\lambda = 11^0\ 3'$ E $= 44^m\ 12^s$. H $= 309.1$ m. Cg $= +0.2$ mm; über 735.0 mm Cg $= +0.3$ mm. 1912.

1.	32.7	32.9	32.1	14.9	19.3	15.7	20.9	11.5	9 9	11.1	10.3	78	66	77	S 1	SW 3	S 1	9^1	9^1●	4^1	1.6	t wechselnde Bewölkung. $2-3^{30}$ p ztw. ◎^{0}. t sichtige Luft
2.	31.9	31.5	32.9	15.0	21.0	14.0	21.2	12 0	9.2	8.3	9.6	72	45	81	SW 1	SW 1	W 2	8^1○	8^1○	7^1	1.3	a ≡^{0}. t zunehmende Bewölkung. p sehr sichtige Luft
3.	34.0	32.7	33.2	13.2	20 0	14.3	20.1	10 6	9.5	7.9	10.4	85	45	86	SW 2	C	NE 1	5^0○	9^1○	10^1●	–	p zunehmende Bewölkung. gegen 9 p ◎
4.	35.5	36.6	38.1	12.3	13.9	13.7	14.9	11.3	9.5	9.8	10.5	89	84	91	SW 2	W 2	W 1	10^1	10^1●	10^1	17.0	9 p-ca 9^{30} a meist ◎$^{0.1}$. $10^{09.27}$ p ⊿. p ztw. ◎^{0}. [1]
5.	**39.9**	**39.9**	38.9	12.5	19.8	16.0	20 6	10.8	9 6	9.1	8.5	90	53	63	NW 2	NE 1	NW 2	10^1	8^1	o	0.8	a ∞. p Aufklaren, unsichtige Luft
6.	37.7	35.9	34.9	15.4	23.3	19.1	24 5	11.9	9.2	7.8	9.6	70	36	59	E 2	SE 1	E 2	co	oo	4^1	–	⊿. t heiter, sictige Luft
7.	33.6	32.5	34.8	18 2	22.5	15.5	23.2	14.9	11.0	11.1	12.5	71	55	96	SW 2	W 3	SW 2	9^1	8^1	10^1	–	a wechs., p zunehmende Bewölkg. 2^{11-52^0} p, 6^{06-730} p ⊿. [2]
8.	36.7	36.8	37.4	16 6	19.8	17.0	23.1	14.5	12.3	12.9	13.7	87	75	95	SW 1	SW 1	N 1	10^0	10^1●	10^1	13.5	ca 9^{30}-10 p ◎$^{0.1}$. 1^{50-210} p, $3^{30.35}$ p ⊿. 2^{08-435} p ◎^{1}
9.	37.9	37.0	37.8	16,2	22,6	18,5	23.1	14.9	12.4	11.1	12.5	90	55	79	N 1	NE 1	E 1	10^0	9^1○	10^1	4.5	t meist wölkig. ca 0^{18-149} p ⊿. ca 11^{55} a-0^{10} p ◎^{0}
10.	37.9	36.7	36.6	15.2	24.9	19.8	24.9	11.7	10.6	10.2	12.9	83	44	75	E 1	SE 1	SE 1	9^{0}○	8^1○	o	–	⊿. a ≡^{0}. t zunehmende, abds. abnehmende Bewölkg. [3]
11.	38 0	37.9	38.6	18,2	26.2	21.6	27.2	14.4	11.7	10.3	11.8	75	41	62	SE 1	SE 1	E 2	oo=	6^1○	o	–	a ≡^{1}, zunehmende Bewölkg. abds. Aufklaren. t sicht. Luft
12.	39.1	38.5	37.3	19 5	27.7	22.7	28.1	15.8	11.7	9.7	12.2	70	36	60	E 1	SE 1	E 1	oo	6^1○	o	–	⊿. a ∞. t heiter
13.	37.9	36.7	36.4	19.6	26.9	22.3	27.3	16.3	11.2	8.1	9 0	66	**31**	46	E 1	SE 3	E 2	oo	oo	o	–	a ∞. t heiter. p sehr sichtige Luft
14.	37.0	36.9	38.0	19.2	25.3	20.4	26.1	15.5	10.8	7.4	9.0	65	**31**	51	E 4	E 3	E 2	oo	1^{0}○	o	–	⊿. t meist wolkenlos. p sehr sichtige Luft
15.	39.4	39.3	38.9	18.7	25.7	21.2	26.2	14.8	9.7	7.5	9.1	60	**31**	49	NE 2	E 2	SE 1	oo	2^{1}○	o	–	⊿. t meist wolkenlos, sehr sichtige Luft
16.	39.4	38.3	37.1	18,8	25.1	20.4	25.7	15.0	9.7	**7.3**	9.8	60	**31**	55	E 3	E 3	SE 2	oo	1^{1}○	2^1	–	t meist wolkenlos, sichtige Luft
17.	36.9	35.2	34 0	16.6	25.4	20,8	26.0	11 8	10.5	7.4	10.5	74	**31**	57	SE 1	E 2	SE 1	oo=	6^{1}○	2^1	–	⊿. a ≡^{1}. 10 a-6 p wechselnde Bewölkg. p sehr sicht. Luft
18.	32.7	29.8	27.9	17.7	25.9	21.8	26,8	13.3	8.4	7.5	9.6	56	**31**	49	SE 2	SE 3	SE 4	oo	3^{1}○	10^1	–	⊿. t zunehmende Bewölkung. p sehr sichtige Luft
19.	**25.2**	26.3	29.7	19.4	16.5	14.4	21.9	14.4	13.1	12,8	10.8	78	92	90	SE 2	W 3	NW 2	10^1	10^1●	10^1	0.3	2 a-7 p ztw. ◎$^{0.1}$. t bedeckt, unsichtige Luft
20.	30.8	29.6	28.9	12.8	20.1	17.9	21.2	11.1	9.5	8.5	9.0	87	48	59	N 2	NW 2	NE 2	10^1	8^1	10^1	15.5	a ≡^{0}. 9 a an Aufklaren. 6 p an zunehmende Trübung
21.	29.0	28.9	29.5	13.8	13.7	14.1	17.9	12.4	9.0	11.4	11.8	85	98	**99**	NW 2	SW 1	N 2	10^1	10^1	10^1g	–	t meist bedeckt. 9 a an ztw. ◎$^{0.1}$. gegen 9 p ◎^{2}. [4]
22.	30.2	31.8	32.5	15.0	20.6	16,0	21.1	13.9	11,6	11.8	12.5	91	65	92	NW 3	W 4	W 3	10^1	7^{1}○	5^1	**41.0**	9-9^{37} p ⊿. 9 p-mn ◎$^{1.2}$. 3^{15-430} p meist ◎^{0}. [5]
23.	33.2	33.5	34.6	14.9	22.2	15.8	22.6	13.9	11.2	11.2	12.1	89	56	90	NW 1	N 2	C	10^1	8^{1}○	5^1	1.2	a ∞, wechselnde Bewölkg., unsicht. Luft. ca 3^{40-510} p ⊿
24.	35.9	35.2	34.3	13.4	24.2	20.2	24.8	**10.5**	10.0	10 5	11.7	88	47	66	SE 1	E 1	E 2	oo	6^1	o	–	a ⊿, ≡$^{0.1}$. t wechs. Bewölkg., häufig C, p sehr sicht. Luft
25.	33.9	32.3	33.9	17.7	25.9	17.3	26,6	14.9	12,1	10.7	12.6	83	44	86	E 2	E 2	S 3	SW 2	oo	4^{1}○	10^1●	–	⊿. a ≡^{0}. t wechs. Bewölkg. 6^{28-830} p, 6^{41-846} p ⊿. [6]
26.	35.5	34.7	35.6	15.6	22.6	18.6	23.7	15.9	12.6	10.8	12 4	84	53	78	SW 2	W 3	C	10^1	5^{1}○	4^1	6.7	$9-11^{15}$ p ◎^{1}. mn-6 a ztw. ◎$^{0.1}$, dann-8 a zunehmendes [7]
27.	34.3	33.3	31.9	19.6	25.1	21.4	25.9	12 7	10.9	11.2	12.2	83	48	75	SE 2	E 2	SE 2	10^1=	4^{1}○	1^1	–	a ≡^{1}. gegen m abnehmende Bewölkung. 5 p an klar. [8]
28.	31.3	30.7	31.1	18.0	28.7	22.0	**29.0**	14.6	11.8	12.9	11.8	77	45	60	SE 1	S 2	NW 2	oo	1^{1}○	4^1	–	⊿. a ≡^{0}. 5 a an zunehm. Bewölkg. p sehr sichtige Luft
29.	33.3	32.9	32.5	17.6	22.2	17.8	22.8	15.8	**13.9**	11.1	12.0	93	56	79	W 2	W 2	E 1	10^1●	9^1	10^1	11.5	t regnerisch. 0^{03-415} a ⊿, 1^{16-256} a ◎^{2}. ca 3^{15-930} a ◎$^{0.1}$. [9]
30.	32.9	32.5	33.7	17.0	22.3	14.9	22.9	14.4	12.2	8.8	10.8	85	44	86	SW 1	W 3	W 2	7^{1}○	6^{1}○	10^1	9.6	ca 3^{30} a, ca 8^{15-50} p ◎^{0}. t wechselnde Bewölkung
31.	35.4	34.1	32.0	16,1	22.7	18.4	23.8	13.3	10.8	10.1	10.5	79	49	66	S 1	W 2	W 1	10^1	9^1	6^1	–	t wechselnde Bewölkung, sehr sichtige Luft
Mittel	34.8	34.2	34.4	16.3	22.6	18.2	23.7	13.5	10.9	9.9	11.0	79	51	73				5.7	6.1	5.3	124.5	

[1] t unsichtige Luft [2] nach 3 p ztw. ◎$^{0.1}$
[3] ca 6^{15} p ◎^{0} [4] 0^{24}-5 p, 8^{25} p-n ⊿
[5] t meist bedeckt, oft C [6] 8^{50} p an ◎^{1}
[7] Aufklaren, p sichtige Luft [8] p sehr sichtige Luft
[9] 4^{52-538} p ◎^{1}

Alle Angaben nach Ortszeit.

Kaiserslautern.

Juli. $\varphi = 49^0\ 27'$ N. $\lambda = 7^0\ 46'$ E $= 31^m\ 4^s$. H $= 242.2$ m. Cg $= +0.3$ mm. 1912.

Datum	Luftdruck auf 0° u. Normalschwere reduziert 700 mm +			Lufttemperatur C°					Absolute Feuchtigkeit mm			Relative Feuchtigkeit Proz.			Richtung und Stärke des Windes 0 bis 12			Bewölkung 0 bis 10			Niederschlag mm	Bemerkungen
	7a	2p	9p	7a	2p	9p	Max.	Min.	7a	2p	9p	7a	2p	9p	7a	2p	9p	7a	2p	9p	7a	
1.	38.8	38.8	38.8	14.3	18.5	13.5	20.1	10.8	9.8	8.5	10.5	82	54	91	NW 2	W 2	C	10^1	$8^1\odot$	7^1	1.7	n, $0^{41.16}$ p ◍. 7^{30}–8^{30} p ztw. ◍
2.	38.4	38.4	39.4	13.7	17.5	12.1	18.6	10.8	9.6	9.4	9.3	82	63	89	NW 2	NW 2	C	10^1	10^2 ≡●	5^0	3.3	$9^{41.56}$ a, $10^{25.51}$ a, $11^{19.31}$ a ztw. ◍. 2 p ◍. [1]
3.	40.1	38.8	40.3	11.9	18.9	14.5	20.1	7.5	8.9	9.4	9.3	86	57	76	C	NE 1	W 3	⊙⊙	10^1	7^1	3.5	a ≡[2] ⏢. 0^{21} p kurz ◍tropfen
4.	42.0	43.1	44.5	12.7	18.0	13.9	21.1	12.1	9.9	10.0	10.5	91	65	90	W 1	C	C	10^1	7^1	10^0	3.2	n ◍; 7^{30}–8^{01} a ztw. ◍^{0}; $0^{30.46}$ p ◍^{0}
5.	45.8	45.1	43.8	12.3	21.4	15.7	22.6	9.0	9.9	10.7	10.2	94	56	77	E 1	E 3	C	10^1=	7^1	3^0	0.2	a ≡[2], ⏢[2]
6.	42.0	41.6	40.9	15.7	21.4	17.7	24.1	11.2	9.9	11.9	11.9	75	63	79	C	C	C	⊙⊙	10^1	7^1	–	a ⏢^{0} ∞. $0^{30.56}$ p, 0^{56}–1^{05} p ztw. ◍^{0}
7.	40.2	40.7	41.7	15.1	20.4	16.4	22.6	11.7	11.1	11.3	11.7	87	63	84	C	W 1	C	9^1	9^1	5^0	0.2	n, $10^{00.11}$ a ◍^{0}, 7^{29} a ≡^{0}. 11^{30} a–0^{09} p ●
8.	43.6	42.9	43.5	14.6	24.2	17.9	25.1	11.4	10.6	10.5	10.8	86	47	71	C	NW 2	C	5^0	7^1	5^0	0.5	a ⏢[1] ≡[2]. t ∞
9.	41.5	43.5	43.9	14.9	23.9	17.7	24.3	11.9	10.5	9.8	10.6	84	44	70	C	W 1	C	5^0	5^1	10^0	–	a ⏢^{0} ≡^{0} u. ∞
10.	43.3	42.2	42.4	15.7	25.7	19.8	27.5	11.7	10.3	10.2	12.1	78	42	70	C	E 2	C	10^0	7^1	5^0	–	a ⏢^{0} ≡^{0} u. ∞
11.	43.2	42.7	43.1	16.4	28.1	20.6	30.2	13.4	11.4	12.4	14.1	82	44	78	C	SE 2	C	10^0	4^1	0	–	a ⏢[1] ≡[2] ∞. p–n ∞. $4^{53.58}$ p Fern◹. $4^{55.59}$ p ◍. [2]
12	43.9	42.6	42.1	19.7	30.6	22.2	31.2	15.3	13.4	9.2	11.7	79	28	59	C	SE 2	C	⊙⊙	⊙⊙	0	–	$9^{36.16}$ p Fern◹. a ∞
13.	42.5	41.4	41.8	21.2	30.3	22.2	31.3	15.8	11.7	9.7	10.8	63	31	54	E 1	E 2	C	⊙⊙	c⊙	0	–	
14.	42.4	41.8	43.1	20.2	29.1	21.8	30.2	14.4	10.2	9.2	9.8	57	31	51	E 1	E 3	C	⊙⊙	2^0	0	–	p ztw. ⏥
15.	44.7	44.1	44.1	19.4	28.2	21.8	29.2	14.8	10.2	9.4	9.3	61	33	47	E 1	E 3	E 2	⊙⊙	⊙⊙	0	–	a, p ztw. ⏥
16.	44.5	42.9	42.3	18.3	28.7	21.4	29.2	13.7	10.0	7.6	10.4	63	26	55	E 1	SE 2	C	⊙⊙	⊙⊙	0	–	a ∞. t–4^{30} p ztw. ⏥
17.	42.1	40.2	39.3	17.8	28.5	21.0	29.7	12.5	9.9	8.5	10.6	65	29	57	C	SE 2	C	⊙⊙	⊙⊙	0	–	a ∞
18.	37.6	35.2	33.9	17.5	26.0	19.0	27.2	12.9	10.2	13.0	14.0	68	52	86	C	W 2	W 1	5^0	10	10◹●	..	$8^{30.39}$ a, $11^{30.34}$ a ◍^{0}. 7^{20}–9 p mehrere ◹. $7^{21.26}$ p, $8^{30.46}$ p, [3]
19.	33.0	34.9	36.6	14.1	18.9	13.2	19.5	13.2	10.9	8.8	10.1	92	54	89	NW 1	NW 1	C	10^1	7^1	9^1	15.0	9–10^{10} p, n ◍. 9–10^{30} p mehrere ◹. a–6^{30} a ◍. [4]
20.	36.6	36.6	37.0	11.5	16.4	14.3	18.0	8.3	8.9	10.9	11.0	88	78	92	C	W 1	C	$10^0\odot$	10^1	10^1	3.1	a ≡[1] u. ∞. $0^{16.51}$ p ◍$^{1.2}$. 1^{06} p ◍[2]. $1^{16.18}$ p Fern◹. [5]
21.	37.6	37.8	38.5	12.3	15.1	13.3	15.2	11.8	9.9	10.7	10.6	94	84	94	NW 1	W 2	C	10^1●	10^2●	10^2●	12.0	n ◍. a–10^{01} a ◍$^{0.1}$. 1^{46} p–n ◍$^{1.2}$
22.	38.7	38.8	39.8	15.0	21.4	16.5	21.6	12.9	12.0	12.8	12.2	94	68	87	W 1	NW 1	C	10^0	9^1	10^1	22.0	n ◍[2]. a ≡[1]. $10^{28.38}$ a ◍[1]. $4^{21.51}$ p Fern◹
23.	40.2	40.1	40.7	15.3	18.5	16.5	21.5	12.5	11.7	13.0	11.9	90	82	85	W 1	E 2	C	10	10^2≡●	10	0.5	a ≡[2] ⏢[2]. 0^{59}–1^{01} p Fern◹ u. ◍. 0^{59}–3^{11} p ◹. [6]
24.	41.5	40.7	40.1	13.9	25.2	18.1	25.2	11.2	10.7	11.9	13.4	92	51	87	C	SE 1	C	5^0	7^1	7^0	6.7	a ≡[2] ⏢
25	39.2	37.9	39.8	16.4	27.1	18.5	27.1	12.5	11.8	10.9	12.2	85	41	77	C	S 1	W 2	7^0	5^1	9^0	–	a ≡^{0} ⏢[1]. $3^{01.06}$ p ◹. 2^{56}–3^{30} p ◍$^{0.1}$
26.	42.0	41.5	40.7	16.0	23.7	18.7	25.6	14.4	11.1	11.1	12.3	82	51	77	W 1	C	C	7^0	6^1	10^0	0.6	a ⏢[1]
27.	39.3	38.2	36.6	17.1	26.6	19.9	28.1	15.3	11.1	11.9	13.6	77	46	79	S 1	W 1	W 1	10^1	7^1	5^0	–	a ⏢[2] ≡[1]
28.	37.0	37.7	38.3	19.8	24.1	17.3	25.1	14.4	10.8	12.2	12.9	62	55	88	NW 1	NW 1	W 1	⊙⊙	9^1	9^1	–	a ⏢[2]. $5^{01.51}$ p ◍^{0}
29.	39.5	38.7	38.4	17.3	22.6	16.3	23.3	16.3	11.4	8.2	9.8	78	41	71	W 1	NW 2	C	10^1	8^1	3^0	0.3	n, t ◍^{0}
30.	38.9	38.5	39.7	15.3	20.8	15.4	21.1	11.8	9.2	9.3	11.5	71	51	88	W 2	W 3	W 2	10^1	9^1	5^0	–	a ⏢^{0}, ztw. ⏥. p–8 p ztw. ⏥ u. ◍
31.	40.8	38.8	36.9	15.9	23.4	20.0	24.7	13.7	11.4	10.5	11.0	85	49	63	W 2	W 1	W 1	7^1	5^1	7^1	1.0	a ∞
Mittel	40.8	40.2	40.4	15.9	23.3	17.7	24.5	12.6	10.6	10.4	11.3	80	51	76				6.1	6.3	5.7	73.8	

[1] 1^{30}–2^{11} p, $3^{33.51}$ p, $4^{10.34}$ p, 6^{30}–7^{09} p ◹ [2] 9 p ≡[1]
[3] 8^{46}–9 p ◍ [4] 3^{14}–4^{22} p ◹. 3^{49}–5^{11} p ◍. 3^{51} p ⏥
[5] $2^{06.41}$ p ◍^{0}. 2^{36}–4^{26} p ◍[2], bis 4^{46} p ●^{0}. $5^{46.46}$ p ◍[1]. 9 p ∞
[6] 1^{51}–3^{24} p ◍[2], abds. ≡[2].

Ansbach.

Juli. $\varphi \equiv 49^0\ 18'$ N. $\lambda = 10^0\ 33'$ E $= 42^m\ 12^s$. H $= 437.5$ m. Cg $= +0.2$ mm. 1912.

1.	21.8	22.0	21.9	14.3	18.5	13.1	19.8	9.9	9.8	8.7	8.1	82	55	73	C	W 2	C	$6^1\odot$	10^2●	2^0	1.4	1^{57}–3^{12} p ◍
2.	21.2	21.9	22.3	14.8	18.2	12.2	19.8	8.9	8.7	7.1	8.8	70	46	84	W 2	W 4	W 2	$4^1\odot$	8^2	6^1	1.7	$3^{07.47}$ p ◹
3.	23.2	21.7	22.0	13.3	19.4	11.5	20.0	7.5	8.4	7.9	9.9	74	47	98	W 2	C	W 4	⊙⊙	10^2	10^2●	–	⏢. 6^{10} p ab ◍
4.	24.5	25.6	27.4	11.2	15.4	10.6	15.8	10.1	8.9	8.6	9.4	90	66	99	W 1	NW 2	C	10^2	10^2	2^1	16.7	n, a ◍. t ztw. ◍
5.	29.0	28.9	27.9	12.0	20.1	13.6	20.8	7.3	9.4	10.4	9.2	91	58	80	C	E 2	C	10^2=	$4^1\odot$	0	1.7	mrgs. ≡[1]
6.	26.3	24.7	24.1	14.0	22.6	17.9	23.8	9.5	9.1	7.4	9.8	77	39	64	SE 2	E 2	SW 4	⊙⊙	⊙⊙	10^2	–	⏢
7	22.9	22.1	24.3	16.1	21.7	14.6	22.6	13.4	10.9	11.2	11.5	80	59	93	C	NW 4	W 2	$2^0\odot$	8^1	10^2	–	3^{42}–5^{22} p, 4^{02}–7^{12} p ◹
8	26.0	25.9	26.6	16.3	22.1	16.2	22.6	12.8	11.6	11.4	12.1	84	57	88	W 2	NW 2	SW 2	$4^0\odot$	$8^2\odot$	8^2	11.2	
9.	27.1	26.1	27.0	16.6	21.9	15.7	22.8	14.2	12.0	10.4	11.4	85	53	86	NW 2	NW 2	C	10^2	$2^1\odot$	2^0	–	
10.	26.8	26.0	26.3	15.3	25.0	17.5	25.2	10.5	10.9	10.3	11.9	85	44	80	C	E 2	C	⊙⊙	$2^1\odot$	6^0	–	mrgs. ⏢
11.	27.0	27.2	27.0	17.6	25.7	18.8	27.6	12.2	12.1	12.1	11.0	81	50	68	C	S 2	C	⊙⊙	$4^1\odot$	0	–	mrgs. ⏢
12.	28.5	27.7	26.7	18.0	26.7	19.5	28.0	12.4	11.9	11.1	10.8	78	43	64	E 2	S 2	C	⊙⊙	$2^1\odot$	0	–	mrgs. ⏢
13.	27.1	25.9	25.9	18.1	27.2	19.9	27.6	13.0	11.5	9.5	8.9	75	35	51	C	SE 2	C	⊙⊙	$2^1\odot$	0	–	mrgs. ⏢
14.	26.1	25.7	27.2	17.0	25.4	18.3	26.6	11.1	10.5	8.2	8.2	73	34	53	C	NE 4	C	⊙⊙	$2^1\odot$	0	–	mrgs. ⏢
15	28.6	28.3	28.4	16.9	25.9	17.4	26.2	11.3	10.2	9.6	8.9	71	39	60	C	SE 2	C	⊙⊙	$2^1\odot$	0	–	mrgs. ⏢
16.	28.4	27.5	26.6	16.5	25.0	17.1	25.4	11.5	9.8	8.6	7.8	70	37	54	E 2	E 2	C	⊙⊙	⊙⊙	0	–	mrgs. ⏢
17.	25.8	24.5	23.5	15.7	25.1	17.9	26.8	9.9	9.7	9.3	9.1	74	39	60	C	SE 2	C	⊙⊙	$2^1\odot$	0	–	mrgs. ⏢
18	22.6	19.1	17.2	15.9	26.1	18.7	26.2	10.9	9.8	8.5	11.6	73	34	72	C	SE 2	C	⊙⊙	$2^0\odot$	10^2	–	mrgs. ⏢. 4^{22} p ab ztw. ◍
19.	14.3	16.2	19.4	17.3	15.8	12.4	20.6	12.2	13.0	11.8	9.8	89	88	93	S 2	NW 2	W 2	10^2	10^2	10^2	1.4	ztw. ◍
20	20.0	18.5	18.9	10.9	20.9	14.2	21.2	7.5	9.0	8.3	9.7	93	43	81	C	C	W 4	10^2=	$4^1\odot$	10^2	11.8	mrgs. ≡[2]
21.	18.2	18.6	18.9	12.3	12.6	12.6	14.8	11.1	9.4	9.4	10.5	89	88	97	N 2	NW 2	W 2	10^2	10^2●	10^2●	0.4	n, a, 2^{15} p, 9^{18} p ◍
22	20.0	21.1	22.4	14.4	20.3	14.6	21.8	12.2	11.1	8.4	11.4	92	47	92	NW 4	NW 2	W 2	10^2	$6^1\odot$	10^2	36.4	n, a ◍. 6^{12}–7^{28} p ◹
23.	23.1	22.8	24.3	14.4	21.5	13.8	23.4	13.0	11.0	9.9	10.4	91	52	90	NW 2	C	C	10^2	8^2◹	0	0.3	1^{46}–5^{22} p ◹
24.	25.0	24.4	23.8	14.0	23.7	16.2	25.0	8.9	10.4	10.4	11.8	88	48	86	C	SE 2	C	⊙⊙	$2^1\odot$	0	1.9	
25.	23.1	21.4	22.7	16.0	26.3	16.6	26.4	11.3	11.3	11.8	11.4	84	47	81	C	SE 2	W 4	⊙⊙	$2^1\odot$	10^2	–	mrgs. ⏢. 6^{07}–7^{32} p ◹
26	24.8	25.2	24.9	16.2	21.3	14.8	22.8	14.6	11.1	9.5	9.9	81	51	80	W 4	W 2	W 2	8^2	$4^1\odot$	0	–	
27.	23.4	22.4	21.0	14.8	25.7	18.1	26.8	10.3	10.3	11.1	11.7	83	45	75	C	C	C	$2^0\odot$	$2^1\odot$	0	–	⏢
28.	20.4	20.5	21.0	17.3	27.1	20.1	27.8	12.2	12.1	11.9	11.4	83	45	65	C	C	W 2	$2^0\odot$	$2^0\odot$	10^2	–	⏢, nachm. ◹ i. W
29.	23.1	22.5	21.7	15.4	20.6	15.7	21.8	14.8	12.2	10.1	10.6	93	56	80	W 2	W 2	C	10^2●	$4^1\odot$	8^2	8.0	mrgs.–7^{40} a ◍
30.	22.1	21.7	23.0	16.1	21.3	12.0	21.4	11.9	11.6	8.3	10.1	85	44	97	C	W 2	C	⊙⊙	10^2	8^2	4.8	n ◍. 6^{52}–7^{32} p ◹
31	24.5	22.9	21.2	14.3	23.1	16.6	23.4	10.7	10.6	9.8	10.7	88	47	76	SW 2	C	W 2	⊙⊙	$4^1\odot$	8^2	7.0	
Mittel	24.4	23.5	23.7	15.3	22.3	15.7	23.4	11.1	10.6	9.7	10.3	82	49	78				3.8	4.3	4.3	104.7	

Alle Angaben nach Ortszeit.

Regensburg.

Juli. $\varphi = 49^0\ 1'$ N. $\lambda = 12^0\ 7'$ E $= 48^m\ 28^s$. H $= 354.3$ m. Cg $= +0.2$ mm. 1912.

Datum	Luftdruck auf 0° u. Normalschwere reduziert 700 mm +			Lufttemperatur C°					Absolute Feuchtigkeit mm			Relative Feuchtigkeit Proz.			Richtung und Stärke des Windes 0 bis 12			Bewölkung 0 bis 10			Niederschlag mm	Bemerkungen
	7a	2p	9p	7a	2p	9p	Max.	Min.	7a	2p	9p	7a	2p	9p	7a	2p	9p	7a	2p	9p	7a	
1	29.3	28.7	28.7	12 8	20.0	15.0	21.8	10.9	10.0	9.9	11.0	91	57	87	S 1	W 2	W 4	10^1	10^2	10^2●	1.0	7^{48}–9^{00} p
2.	27.1	28.3	29.5	13.6	19.4	12.6	20.0	12.1	10.3	9.5	9.3	89	56	87	SW 2	W 4	W 2	10^1	10^1	0	11.8	9^{00}–11^{18} p, $3^{33.48}$ p ●, $4^{18.38}$ p ⟀, $4^{33.34}$ p
3.	30.7	28.7	29.6	12.0	20.0	12.8	20.8	9.7	9.2	9.1	10.0	89	53	91	S 2	S 4	W 2	6^1○	4^2○	10^1●	1.4	8^{38} p–n
4.	32.2	32.2	33.9	12.0	16.6	13.2	19.0	11.1	9.4	9.5	10.0	91	68	8.	W 2	S 2	W 2	10^1●	6^2	10^2●	16.4	n, a–7^{03} a, $11^{18.48}$ p, 7^{48} p–n ●
5.	34.8	**35.7**	34.7	12.2	19.2	12.4	21.2	9.2	9.3	10.1	9.7	89	61	91	NE 2	SE 2	S 2	10^1	2^2○	0	10.0	
6.	33.7	32.8	31.0	14.4	22.4	14.4	24.6	10.1	9.0	8.2	10.0	74	41	83	E 1	S 4	S 2	○○	○○	0	–	
7.	30.1	29.1	30.7	14.0	22.0	14.4	22.8	10.6	10.0	10.2	11.4	85	52	94	W 1	E 2	W 2	10^2	8^1	10	–	
8	32.2	33.2	32.5	15.6	23.0	17.0	23.0	12.1	11.8	10.8	12.1	89	52	84	W 2	W 2	W 2	10^2	3	4	0.2	a ◍^{0}
9.	34.6	32.4	33 0	17.0	21.8	16.2	23.0	12.1	13.0	13.7	12.0	90	71	87	W 2	W 2	C	4	3○	0	0.2	a ◍^{0}
10	33.9	32.9	33.5	14.2	23.6	18.2	24.4	11.1	10.7	10.7	13.4	90	50	86	NE 2	W 1	C	8^1=	5^2○	3^0	0.1	a ≡^{1}
11.	34.2	34.3	34.5	14.9	24.1	20.1	24.5	12.1	11.2	11.8	14.4	81	53	83	NW 1	C	C	3^0○	2^1○	3^1	–	
12.	35.8	34.6	34.0	16.2	25.8	20.0	26.1	13.2	12.0	12.5	13.2	87	51	76	N 1	SE 2	C	3^1○	8^1○	0	–	
13.	34.3	32.9	32.9	16.6	25 6	19.5	26.0	13.2	10.9	11.3	10.5	77	47	62	W 1	E 1	W 1	○○	3^1○	1^1	–	
14	33.1	33.1	33.3	17 6	25.0	19.4	25.0	12.5	10.8	8 5	9.3	72	36	55	E 1	E 1	C	○○	1^1○	0	–	
15.	35.6	35.6	35.3	16.3	24.3	19.8	24.7	13.0	10.2	9.5	9.8	74	41	57	NE 2	E 2	C	○○	4^1○	0	–	
16.	35.4	34.7	33.8	16.0	23.5	17.4	26.5	12.3	10.6	9.3	11.5	78	43	78	E 1	E 1	C	○○	6^2○	0	–	ca 7 p ∞^{2}
17.	33.0	31.7	31.2	14.8	23.3	17.7	23.5	11.3	10.2	9.1	11.6	82	43	77	NW 1	SE 1	SE 1	○○	6^2○	0=	–	ca 9 p ≡$^{1.2}$
18.	29.4	26.6	24.8	13.2	23.4	19.4	24 0	10.4	9.9	8.1	11.4	88	38	68	W 1	SE 1	SE 2	○○	10○	9^2	–	ca 7 a ⏢
19.	22.5	22.0	25.4	16.0	22.8	15.1	23.0	13.8	11.7	13.7	11.8	86	66	92	SE 1	S 3	SW 3	10^1	9^1	10^1	–	4^{33}–6^{28} p ◍
20	26.9	25.8	25.0	13.2	19.5	16.9	20.5	12.1	9.6	8.7	11.4	86	52	80	NW 3	E 3	NE 1	9^1	6^1	10^1	1.3	
21.	24.1	24.3	25.8	14.5	12.7	12.8	16.9	11.4	9.7	10.2	10.2	80	94	94	NE 3	E 3	W 5	10^1	10^1●	10^1●	–	p ztw. ◍
22.	25.7	27.2	28.8	15.3	19.4	15.8	20.7	12.3	11.7	12.3	11.9	90	74	89	W 4	W 6	SW 5	10^1	6^2	9^1	**30.7**	5^{33}–6^{03} p ◍
23.	29.8	29.9	30.9	15.0	21.0	14.8	21.5	12.8	11.7	12.4	12.0	92	67	96	SW 1	SW 1	SW 1	10^1	5^1○	10^1	–	ca 7 a ⏢, 4^{21}–5^{18} p ⟀, 5^{00}–6^{08} p ◍^{2}
24.	32.3	31.4	31.1	12.4	22.8	17.9	23.5	10.4	10.3	10.6	13.1	**97**	52	86	W 1	SW 1	E 1	10^2=	4^1○	1^1	6.2	⏢ ≡^{2}
25.	30.6	28.6	30.4	14.9	25.0	16.4	25.5	13.0	11.5	11.1	12.1	91	47	87	C	E 4	W 5	1^0○	2^2○	10^2●	–	6^{38}–9^{00} p ⟀, 8^{05}–9^{00} p ◍
26.	31.8	32.1	31.9	15.6	22.0	16.7	22.0	14.9	12.3	12.8	11.1	93	65	78	SW 2	S 3	W 1	9^1	5^2○	6^1	10.4	$9^{00.33}$ p ⟀, 9^{00} p–5^{48} a ◍
27.	31.0	29.8	28.3	14.2	23.8	17.6	24.1	11.2	11.1	11.2	13.3	93	51	89	C	E 1	C	5^1○	2^1○	2^1	–	⏢
28.	28.0	27.2	27.0	15.6	26.6	21.4	**27.0**	12.6	11.8	13.8	**15.9**	89	54	84	C	E 1	W 1	2^0○	3^1○	6^2	–	⏢
29.	29.9	30.3	29.1	16.3	18.5	16.5	21.4	15.7	11.3	12.9	12.8	82	81	92	SW 3	SW 2	SW 2	8^2●	9^2●	5^1	6.4	⏢, n ◍ ⟀, t ztw. ◍
30.	29.3	28.9	29.7	14.8	21.5	17.2	21.9	13.3	11.1	10.2	11.1	89	54	76	SW 1	SW 3	SW 4	5^2○	5^2	4^1	2.8	⏢
31	29.8	29.2	29.0	14.6	21.4	17.2	22.0	13.3	10.9	10.5	11.4	88	56	78	S 1	SW 2	SW 1	5^1	5^1○	7^1	0.2	⏢, n ◍^{0}
Mittel	31.0	30.4	30.6	14.7	21.9	16.6	22.9	12.1	10.7	10.7	11.6	80	56	82				5.7	4.9	4.8	99.1	

Passau.

Juli. $\varphi = 48^0\ 34'$ N. $\lambda = 13^0\ 28'$ E $= 53^m\ 52^s$. H $= 309.3$ m. Cg $= +0.2$ mm. 1912.

1.	33.9	34.9	33.4	13.8	17.2	15.0	18.0	11.3	9.8	11.5	10.2	84	79	81	E 1	E 1	W 4	8^1	10^1	10^1	0.1	1^{20}–ca 3 p meist ◍, ca 9 p ●
2.	33.4	33.2	33.7	14.6	15.2	14.6	15.8	13.1	11.3	11.2	11.0	91	87	89	SE 1	C	C	10^2	10^1	10^1	1.8	a ◍^{0}, t ztw. ◍
3.	35.3	33.3	32.4	13.4	20.6	15.2	20.6	11.3	10.1	10.6	11.3	89	58	88	C	S 1	C	3^1○	3^0○	10^1●	1.8	ca 7 p–n ●
4.	35.4	36.0	38.0	13.4	18.2	14.0	18.6	12.3	10.4	10.0	10.0	91	64	85	NW 2	SW 2	C	10^1	10^1	10^1●	11.1	n ●, 7^{23} p ⟀, ca 8 p–ca 9 p ◍
5.	39.8	**40.0**	39.6	13.0	20.4	15.0	20.9	12.1	9.8	11.3	11.3	89	63	89	C	C	C	10^1	3^1○	10^1	3.0	
6.	38.0	36.0	35.0	15.4	23.0	17.2	23.3	10.1	8.4	8.8	11.1	64	42	76	E 2	E 2	C	c○	○○	10^0	–	⏢
7.	34.8	32.3	34.7	13.6	23.2	15.8	23.2	11.0	10.0	10.6	11.8	87	51	88	C	SW 4	C	8^0	8^1○	10^1	–	ca 4–5^{06} p ⟀, 3^{27}–6^{24} p ◍
8.	38.1	37.5	37.5	14.8	18.2	16.4	19.9	14.3	12.5	11.8	12.9	100	75	93	C	W 2	C	10^1●	10^1	10^1	13.0	n, a ztw. ◍
9.	37.9	36.9	37.5	14.8	22.5	17.9	23.8	13.1	12.6	11.4	13.1	100	56	86	C	E 2	C	10^1	8^1○	10^1	0.4	a ≡^{1}
10.	38 4	37.2	37.7	15.0	23 6	17.4	23.8	13.1	11.4	11.8	12.8	90	55	87	C	SE 2	C	8^0○	8^1	10^1	–	⏢
11.	38.5	38.3	39.0	14.2	25.2	18.8	25.6	11.4	10.9	12.2	13.2	92	52	82	C	S 2	C	○○	8^0○	0	–	⏢
12.	39.9	38.7	38.4	15.0	26.6	19.3	26.8	13.1	11.7	12.3	12.9	92	47	77	C	E 2	SE 2	○○	3^1○	0	–	⏢ ≡ bis 6^{24} a
13.	37.8	36.8	36.8	15.4	26.7	18.7	26.9	12.8	11.0	11.6	9.7	85	45	60	SE 2	E 2	C	○○	3^1○	0	–	⏢
14.	36.8	36.6	38.0	14.6	25.6	19.0	26.7	11.3	10.5	9.2	11.0	85	38	71	C	SE 2	E 2	○○	3^1○	0	–	⏢
15.	39 5	39.1	39.0	15 4	25.6	18.0	25.6	12.6	11.0	10.6	11.6	85	44	75	C	SW 2	C	○○	5^1○	0	–	⏢
16.	39.6	38.6	38.0	15.2	23.6	18.0	23.8	12.1	10 4	9.3	11.8	81	43	77	SE 2	E 2	N 1	○○	5^1○	8^1	–	⏢
17.	37.5	36.2	35.0	14.4	24.0	17.2	24.0	11.9	9.8	10.3	11.2	81	47	77	C	SE 2	C	○○	3^1○	0	–	⏢
18.	33.5	31.0	29.6	12.4	24.8	18.2	24.8	10.0	9.3	10.1	11.2	88	44	72	C	SE 2	C	○○	○○	10^0	–	⏢
19.	27.1	**25.3**	29.0	16.3	25.6	16.0	25.7	14.9	11.5	**12.3**	11.9	83	50	88	C	**6**	C	3^0○	○○	10^1	–	⏢, 5^{24}–ca 6 p ⟀, 5^{23} p–n ◍
20.	31.4	30.5	29.0	15.7	19.4	16.8	20.3	14.5	10.6	10.7	12.6	80	64	89	W 1	C	C	10^1	10^1	5^1	7.8	n ◍
21.	28.5	30.1	29.8	13.6	11.5	12.1	16.8	11.5	10.3	9.0	9.9	89	89	95	SW 2	S 2	C	10^1●	10^1●	10^1●	0.5	n, t ◍
22.	29.0	30.2	33.1	13.0	19.2	15.8	20.9	11.7	10.4	12.9	11.8	94	78	88	C	S 2	C	10^1●	10^1	10^1	**46.0**	n, a ◍, $11^{11.23}$ p ⟀, $11^{16.21}$ p ◍
23.	33.8	34.4	34.9	14.2	18.0	16.8	20.9	13.6	11.2	11.8	12.8	94	77	90	SW 2	SW 2	C	10^1●	10^0	10^1	1.0	a ◍^{0}
24.	36.2	35.9	35.3	13.2	23.4	18.4	24.3	12.1	10.8	13.0	13.9	96	61	88	C	C	C	10^2=	5^0○	5^1	–	a ≡^{2}
25.	34.5	32.4	34.7	14.6	26.8	16.8	26.8	12.1	11.3	10.9	12.3	91	42	87	C	E 2	W 2	5^0○	5^0○	10^1●⟀	–	a–6^{24} a ≡, ⏢, 8^{01}–9^{00} p ⟀, 8^{31}–9^{39} p ●
26.	36.1	36.5	36.7	16.8	22.4	17.0	22.9	15.1	11.7	11.6	11.8	92	57	89	S 2	W 4	C	10^1	5^1○	0	3.8	9^{00}–10^{39} p ⟀, 9^{00}–nach ca 11^{30} p ◍
27	34.9	33.5	32 6	14.4	25.4	19.2	25.7	12.2	11.1	13.4	14.8	92	56	89	C	C	C	3^0○	5^0○	0	–	
28.	32.6	31.8	31.2	15.4	28 2	19.9	**28.2**	13.3	12 0	**15.1**	14.5	92	54	87	C	C	C	10^1=	3^0○	0	–	a ≡^{1}
29.	33.1	34.4	33.4	18.2	21.6	16.6	21.9	15.4	12 9	12.7	12.4	83	66	89	SW 2	C	W 2	10^1	10^1	10^1●	–	$6^{32.34}$ p ⟀, 6^{33}–ca 9 p ◍
30.	33.5	33.3	33.7	16.0	21.0	17.0	21.9	15.2	11.7	14.2	13.1	85	77	91	SW 2	C	C	10	8^1○	10^1	11.0	n, 11^{34}–m ◍
31.	36 3	35.7	33.8	15.8	20.8	16.4	22.0	14.5	12.1	11.6	12.0	90	64	86	C	SW 1	C	8^1	5^1○	0	4.4	n ◍
Mittel	35.3	34.7	34.9	14.7	22.2	16.9	22.9	12.7	10.9	11.4	12.0	88	59	84				6.0	6.0	6.4	105.7	

Alle Angaben nach Ortszeit.

Landshut.

Juli. $\varphi = 48^0\ 32'$ N. $\lambda = 12^0\ 10'$ E $= 48^m\ 40^s$. H $= 397.7$ m. Cg $= +0.2$ mm 1912.

Datum	Luftdruck auf 0^0 u. Normalschwere reduziert 700 mm + 7a	2p	9p	Lufttemperatur C° 7a	2p	9p	Max.	Min.	Absolute Feuchtigkeit mm 7a	2p	9p	Relative Feuchtigkeit Proz. 7a	2p	9p	Richtung und Stärke des Windes 0 bis 12 7a	2p	9p	Bewölkung 0 bis 10 7a	2p	9p	Niederschlag mm 7a	Bemerkungen
1.	25.8	25.4	25.5	14.4	19.4	14.2	23.0	10.9	11.1	10.0	11.4	92	60	95	SW 4	W 2	SW 4	10^1●	10^1	10^1●	1.5	n ◍, ca 7 a–8^{19} a ◍^{0}, 7^{19} p–n ◍
2.	24.9	24.9	25.9	14.2	18.2	11.6	22.0	11.3	11.1	10.6	9.7	93	68	96	W 2	W 4	C	10^1	8^1⊙	10^1	5.4	n ◍, 8^{19}–10^{04} a ◍, 5^{19}–ca 6 p ◍ ⍁
3.	27.1	25.0	24.9	14.8	20.0	12.5	21.7	9.2	10.7	7.9	9.6	86	45	90	C	W 2	W 2	⊙⊙	5^1⊙	10^1●	1.1	⏢, ca 6 p–n ◍
4.	28.0	28.5	30.7	12.8	19.0	12.4	21.0	11.2	9.5	8.1	9.5	87	49	89	SW 2	NW 2	W 2	10^1	7^1⊙	10^1	3.5	n ◍
5.	**32.3**	32.0	30.9	12.2	20.4	14.4	23.2	10.0	9.8	9.9	10.4	94	55	86	C	E 2	C	10^1	5^1⊙	⊙	–	
6.	29.7	27.9	27.5	15.2	24.0	16.4	26.0	9.2	9.3	8.8	10.9	72	40	78	E 2	E 4	C	⊙⊙	⊙⊙	10^1	–	⏢
7.	26.4	25.0	27.3	16.1	19.5	14.3	25.0	12.2	11.7	12.1	11.4	86	72	95	W 2	C	W 2	7^0⊙	10^1●⍁	10^1	–	ca 2 p–4^{04} p ⍁, ca 2–5 p ◍
8.	29.6	29.5	29.4	14.8	23.8	17.2	26.2	14.1	11.3	13.2	13.1	90	61	90	W 4	W 2	W 2	10^1	8^1⊙	8^1	10.5	
9	30.2	29.3	29.7	16.6	22.2	17.0	26.3	13.2	12.4	12.4	12.6	89	63	88	C	NE 2	C	10^1	9^2●	10^0	–	⏢
10	30.3	29.1	29.3	15.2	26.1	17.2	28.3	11.1	11.6	11.8	12.9	90	47	89	W 2	SE 2	E 2	⊙⊙	4^2⊙	1^1	–	ca 6 a ≡^{1} ⏢
11.	30.5	30.4	31.1	16.6	26.6	18.4	28.1	11.9	11.9	11.2	13.4	84	44	85	E 2	E 2	C	⊙⊙	5^0	⊙	–	⏢ ∞
12	31.7	30.6	29.4	17.5	27.8	18.3	30.0	13.0	12.5	9.0	12.9	84	33	82	NE 2	E 4	C	⊙⊙	⊙⊙	⊙	–	⏢ ∞
13.	29.9	28.6	28.5	17.6	27.4	18.5	29.4	12.0	12.0	8.5	11.9	80	32	95	E 2	E 4	E 2	⊙⊙	1^1⊙	2^1	–	⏢
14.	29.0	28.3	29.5	16.2	26.1	17.0	26.8	12.2	10.6	9.3	10.8	77	38	75	NE 2	E 2	E 2	⊙⊙	1^1⊙	⊙	–	⏢ ∞
15.	31.6	31.2	30.9	16.6	24.2	17.6	28.0	11.8	10.7	9.6	11.8	76	43	79	NE 2	E 4	E 2	1^0⊙	2^1⊙	⊙	–	⏢ ∞
16	31.3	30.5	29.7	16.8	24.3	15.4	25.5	11.2	10.6	**7.7**	11.0	75	33	85	NE 2	E 4	C	2^0⊙	2^1⊙	1^1	–	⏢ ∞
17.	29.2	28.1	26.5	14.6	23.9	14.8	26.4	8.8	10.3	8.0	10.2	84	35	82	C	NE 4	C	⊙⊙	2^1⊙	⊙	–	⏢ ∞
18.	25.6	21.9	21.3	12.5	26.7	18.6	29.0	**7.2**	8.6	9.6	13.1	81	37	85	C	S 2	C	⊙⊙	1^0⊙	10^1●	–	⏢ ∞, ca 8 p–n ◍^{0}
19.	18.6	**18.2**	22.0	16.7	20.3	14.8	26.0	12.4	12.0	14.4	11.1	84	82	89	W 2	SW 2	W 2	10^1	10^1●	10^1	0.2	1^{19}–2^{19} p, ca 5–6 p ◍
20.	23.1	21.8	21.1	13.8	19.8	15.6	23.0	12.2	9.2	9.1	11.3	79	53	86	W 2	E 4	C	10^1	4^0⊙	10^0	1.5	
21.	20.2	20.8	21.6	10.2	11.6	11.4	15.6	10.0	9.0	9.9	9.9	97	98	**99**	SW 6	SW 6	W 6	10^1●	10^1●	10^1●	30.6	n, t–n meist ◍
22.	22.5	24.6	25.6	12.2	15.0	14.0	18.0	10.8	10.5	11.4	11.0	**99**	90	93	W 4	W 6	W 2	10^1	10^1	10^1	**34.4**	n ◍ ═══
23.	26.4	26.4	27.1	13.8	20.6	14.0	24.0	12.2	10.8	11.2	11.1	93	62	94	W 4	W 2	C	10^1	6^0⊙	5^0	0.2	n ◍
24.	28.1	27.5	27.2	12.5	24.7	16.2	26.0	8.2	10.1	10.6	11.8	95	47	86	NW 2	E 2	C	⊙⊙	5^1⊙	⊙	–	ca 6 a ≡^{1} ⏢
25	26.2	24.2	25.9	17.0	26.2	15.6	27.4	11.2	12.5	11.4	12.5	87	46	94	C	E 2	C	⊙⊙	1^0⊙	10^0●	–	⏢, 6^{28}–7^{43} p ⍁, 6^{31} p–n ◍^{0}
26.	28.4	28.2	27.9	16.1	23.8	15.0	27.0	13.2	11.7	10.3	11.7	86	47	92	SW 2	W 2	C	9^1	2^1⊙	1^1	3.4	n ◍
27.	26.8	25.6	24.1	15.7	25.9	17.6	27.0	11.2	11.6	13.9	14.2	87	57	95	E 4	NE 2	C	9^1⊙	6^0⊙	⊙	–	⏢
28.	24.1	23.1	22.7	17.1	29.2	20.3	**30.9**	11.5	11.7	13.4	**15.5**	81	45	88	C	C	C	5^0⊙	4^0⊙	1^1	–	⏢
29.	26.5	26.3	24.9	16.2	18.6	15.2	20.5	15.2	12.2	11.8	12.4	89	74	97	SW 4	W 2	W 2	10^1	10^1	10^1●	0.8	n ◍, 7^{19}–9^{19} a, ca 4 p–n ◍^{0}
30.	25.7	25.1	26.3	15.9	23.4	15.2	24.8	13.2	12.0	8.9	12.2	89	41	94	W 2	W 2	W 2	6^1	8^1	10^1	2.4	n ◍^{0}, ca $8^{00.09}$ p ◍^{2}
31.	28.4	26.7	25.1	14.0	23.8	16.2	27.8	11.2	11.2	9.8	11.3	95	45	82	W 2	W 2	C	8^1	1^1⊙	1^1	7.0	⏢^{0}
Mittel	27.4	26.6	26.8	15.0	22.7	15.7	25.3	11.4	11.0	10.4	11.7	86	53	88				5.4	5.0	5.5	102.5	

Augsburg.

Juli. $\varphi = 48^0\ 22'$ N. $\lambda = 10^0\ 54'$ E $= 43^m\ 36^s$. H $= 499.6$ m. Cg $= +0.1$ mm, über 728.8 mm Cg $= +0.2$ mm. 1912.

1.	17.0	17.3	17.1	14.4	19.1	13.6	19.1	13.6	10.3	9.6	9.7	85	58	85	SW 2	SW 2	SW 2	5^1	10^1	10^2	0.8	n, 8^{01} p–n ◍
2.	16.7	16.4	17.7	12.8	17.6	12.3	17.9	12.3	9.6	9.4	9.6	88	63	91	SW 2	NW 2	SW 2	10^1	8^2	10^1	0.7	n, $7^{29.54}$ a, $11^{41.49}$ a, 2^{41}–3^{04} p, 3^{34}–4^{09} p, 5^{39}–6^{59} p ◍, n
3.	18.2	16.2	17.9	12.6	19.0	11.9	19.0	10.2	9.3	8.9	9.2	87	54	90	SW 2	SE 2	NW 2	1^0⊙	10^1	10^2●	4.3	⏢, 5^{19} p–n ◍
4.	19.5	21.0	22.3	11.7	16.2	12.8	16.2	10.8	8.9	9.1	10.2	87	66	94	NW 2	NW 2	NW 2	10^1	10^2	10^1	4.1	n, $3^{11.54}$ p, $6^{39.54}$ p ◍
5.	23.5	**23.7**	22.2	11.8	19.6	15.4	20.1	**8.6**	9.6	11.4	10.5	94	67	80	SW 2	E 4	E 2	5^1≡	5^1⊙	⊙	2.0	n u. a ≡^{1}
6.	20.2	19.0	19.5	13.6	23.5	15.9	25.4	11.3	9.7	11.7	11.9	85	55	88	E 4	E 4	NE 2	⊙⊙	⊙⊙	10^2●	–	⏢, 6^{59} p–n ◍
7.	17.9	17.1	19.4	15.0	16.6	13.5	19.2	13.5	11.7	12.3	11.2	92	87	**98**	C	SW 2	SW 2	8^1	10^2	10^2●	1.3	n, 1^{24}–4^{49} p, 6^{39} p ◍. 2^{19}–3^{04} p ⍁
8.	21.1	21.8	21.7	14.2	18.1	16.8	20.1	12.6	10.8	13.3	13.3	91	85	94	SW 2	W 2	W 2	10^1	10^2	10^1	6.6	n, 1^{24}–2^{54} p, 6^{24}–8^{04} p ◍
9.	21.7	20.9	21.8	14.9	24.9	16.4	24.9	13.6	11.6	12.4	12.4	92	54	89	SW 2	NW 2	SE 2	10^1	4^1⊙	10^1	1.6	3^{39}–4^{39} p ⍁. 4^{09} 5^{29} p ◍
10.	21.6	20.9	21.0	14.7	23.6	20.0	25.0	11.8	10.7	12.1	12.7	86	56	72	C	SE 2	SE 2	⊙⊙	6^1⊙	⊙	0.6	⏢
11.	21.9	22.4	22.5	16.5	26.4	21.1	28.5	13.0	12.1	11.2	12.9	86	44	69	SE 2	NE 2	NE 2	4^1≡	2^0⊙	⊙	–	n u. a ≡^{1}
12.	23.0	22.1	21.4	17.6	27.7	20.8	**29.7**	15.4	12.9	12.9	12.5	86	47	68	C	SE 2	C	⊙⊙	⊙⊙	⊙	–	⏢
13.	21.3	20.2	20.2	17.5	27.2	21.5	29.0	13.8	11.7	12.7	12.4	78	46	66	E 2	E 2	E 2	⊙⊙	⊙⊙	⊙	–	⏢
14.	20.4	19.9	21.2	18.0	26.1	19.5	26.1	14.5	10.9	11.4	10.5	71	46	61	E 2	E 2	E 2	⊙⊙	1^0⊙	⊙	–	⏢
15.	22.8	22.8	22.8	16.7	24.8	19.8	25.2	13.7	10.9	11.6	11.2	76	50	65	E 2	E 4	E 2	⊙⊙	2^1⊙	⊙	–	⏢
16.	22.5	22.1	21.1	16.8	23.8	18.2	24.5	12.5	10.6	9.3	10.3	74	**42**	66	E 2	E 4	E 2	⊙⊙	⊙⊙	⊙	–	⏢
17.	20.6	19.7	18.5	15.4	25.2	19.1	25.2	10.5	10.1	10.5	10.4	77	44	64	SE 2	E 4	SE 2	⊙⊙	⊙⊙	⊙	–	⏢
18	16.9	14.9	13.2	14.8	26.2	17.8	26.7	12.3	9.6	10.7	12.6	76	43	83	SE 2	SW 2	SE 2	⊙⊙	5^1⊙	10^1	–	⏢, 5^{49}–7^{04} p ⍁, $6^{19.49}$ p ◍
19	**10.1**	10.9	14.4	16.0	16.4	13.5	19.6	12.7	12.4	12.6	10.5	91	91	90	SE 2	NW 2	NW 2	10^1	10^1	10^2	10.7	n u. t ztw. ◍
20.	14.8	13.3	14.1	12.8	20.9	13.8	20.9	11.5	10.0	10.6	11.6	91	58	**98**	NE 2	E 2	W 2	8^1	6^1⊙	10^2●	0.7	⏢, 6^{19} p–n ◍
21.	13.1	13.8	14.8	9.6	10.5	10.6	13.8	9.3	**8.7**	9.1	9.0	**98**	96	95	W 2	N 4	W 2	10^2●	10^2●	10^2●	30.6	n u. t ◍
22	15.4	17.1	18.2	10.9	14.8	13.1	16.1	9.9	9.1	10.5	10.3	94	84	93	W 4	SW 4	SW 2	10^2	10^1	3^1	**54.6**	n ◍
23.	18.6	18.4	19.2	12.4	21.2	16.1	23.3	10.9	10.1	10.4	11.0	95	56	80	SW 2	N 2	SE 2	10^1	6^1⊙	⊙	–	
24.	20.0	19.2	17.9	12.4	24.6	18.6	25.0	10.3	10.1	12.0	12.5	95	52	78	C	E 2	E 2	5^1≡	1^1⊙	⊙	–	n u. a ≡^{1}
25.	17.9	16.0	18.5	15.2	25.9	15.1	25.9	14.2	11.5	14.1	11.8	89	57	92	C	NE 2	SW 2	⊙⊙	4^0⊙	10^1	–	n ≡^{1}, 3^{24}–6^{22} p ⍁, 4^{39}–7^{19} p ◍
26.	20.8	20.6	20.1	14.9	22.7	17.2	23.5	13.2	10.9	9.1	11.3	87	44	72	SW 2	NW 2	N 2	⊙⊙	5^1⊙	⊙	5.6	
27.	18.1	17.5	16.4	15.4	25.3	20.2	25.9	12.8	10.0	14.5	13.2	85	60	74	C	NE 2	E 2	8^1	⊙⊙	⊙	–	⏢
28.	15.9	15.5	15.5	16.8	27.9	22.4	29.5	13.2	11.9	**15.5**	14.5	83	55	72	S 2	NW 2	N 2	4^0⊙	2^0⊙	6^1	–	⏢
29.	19.2	18.0	17.1	15.4	18.8	14.8	22.4	14.7	12.3	11.9	11.3	94	73	90	SW 2	SW 2	NE 2	10^2	10^1	10^1	4.0	n ◍^{0}, $1^{00.39}$ p ◍
30.	18.1	17.0	19.1	15.1	22.0	14.5	22.0	12.7	11.1	9.8	9.7	87	50	76	SW 2	SW 2	SW 2	5^1⊙	6^1⊙	10^2	0.6	⏢, $8^{19.39}$ p ◍
31.	20.1	18.5	17.5	14.8	22.7	18.4	24.7	13.7	10.6	10.2	10.6	85	50	67	SW 2	SW 2	S 2	3^1⊙	4^1⊙	3^1	1.0	
Mittel	19.0	18.5	18.8	14.5	21.9	16.6	23.0	12.4	10.6	11.3	11.3	87	59	81				4.7	5.1	5.2	129.8	1) 2^{41}–3^{04} p ⍁

Alle Angaben nach Ortszeit.

München-C.St.

Juli. $\varphi = 48^0\ 9'$ N. $\lambda = 11^0\ 34'$ E $= 46^m\ 16^s$. H $= 526.4$ m. Cg $= +0.1$ mm. 1912

Datum	Luftdruck auf 0° u. Normalschwere reduziert 700 mm + 7a	2p	9p	Lufttemperatur C° 7a	2p	9p	Max.	Min.	Absolute Feuchtigkeit mm 7a	2p	9p	Relative Feuchtigkeit Proz. 7a	2p	9p	Richtung und Stärke des Windes 0 bis 12 7a	2p	9p	Bewölkung 0 bis 10 7a	2p	9p	Niederschlag mm 7a	Bemerkungen
1.	14.8	14.8	15.0	14.6	17.8	13.7	18.8	13.4	10.4	9.4	10.6	85	62	92	C	SE 1	C	10^1●	10^1	10^1●	2.4	n–8^{36} a, p ztw. ◍
2.	14.2	14.1	15.4	12.9	16.3	13.0	18.3	12.6	9.8	8.5	8.6	89	61	77	W 1	SW 1	SW 2	10^1●	10^1	10^1	5.1	n, a ztw., 7^{46} p kurz ◍
3.	16.0	13.5	15.1	13.1	19.2	11.7	19.5	10.9	8.5	8.5	9.4	76	53	93	C	E 2	NW 3	4^0⊙	10^1	10^1●	0.2	a ∞², 3^{36} p-n ◍
4.	16.9	17.7	20.0	12.3	15.5	12.5	18.1	10.3	7.6	8.8	9.4	72	67	88	W 1	NW 2	SW 1	9^1	9^1●	6^0	8.3	n, t–7^{45} p ztw. ◍; 3^{09} p ⟍
5.	21.0	20.5	19.7	13.1	20.9	15.3	21.1	10.4	9.4	9.2	9.7	85	50	75	C	NE 2	NE 2	○○	5^1⊙	0	0.3	a ⏢, ∞
6.	17.8	16.3	17.3	13.1	23.5	15.7	23.7	10.9	9.2	11.7	11.6	83	55	87	E 3	E 2	W 1	○○	○○	10^1●	–	a ⏢, t ∞; 7^{36}–8^{31} p ⟍, 8^{16} p-n ◍
7.	15.2	15.1	17.2	16.2	16.1	13.1	19.4	13.0	11.4	11.6	10.2	83	85	91	C	SW 3	SW 2	9^1	10^1●	10^1●	5.3	n ◍, a ∞, 0^{00} p-n ◍, 2^{06} p-n ztw. ⸗
8.	18.9	18.8	19.2	14.3	20.6	16.9	21.5	12.7	10.4	10.8	11.8	86	59	83	SW 2	SW 2	C	10^1	8^1	8^1	2.5	n ◍
9.	19.1	18.2	19.4	15.8	22.4	15.3	23.1	14.4	11.3	11.3	11.3	85	56	87	C	NE 1	SW 1	10^1	7^1	10^1	–	5^{56}–7^{31} p ⟍, 5^{46}–7^{36} p ◍
10.	19.1	18.2	18.6	15.6	24.2	19.1	24.4	12.4	10.5	11.5	12.6	80	52	77	C	NE 1	C	○○	6^1⊙	2^0	1.7	a ⏢, ≡⁰
11.	19.4	19.4	20.3	17.4	25.8	20.0	26.3	15.0	11.5	10.7	12.5	78	44	73	C	E 2	C	○○	1^1⊙	0	–	a ≡¹, ⏢; m ∞
12.	20.6	19.6	19.1	16.9	26.8	20.1	26.8	15.0	11.5	11.2	11.3	81	43	65	SE 1	E 3	E 1	○○	○○	0	–	a ⏢
13.	18.9	17.6	17.7	17.0	26.4	20.4	26.6	14.9	9.5	12.8	12.2	66	51	69	E 1	E 1	E 1	○○	1^1⊙	1^1	–	a ⏢, m ∞
14.	17.7	17.3	18.7	16.3	25.2	18.9	25.2	14.4	9.1	8.8	9.8	66	37	61	E 1	E 3	E 1	○○	○○	0	–	a ⏢, m ∞
15.	20.3	20.3	20.3	15.3	24.6	19.0	24.6	13.0	9.7	10.2	10.2	75	45	63	E 1	E 3	C	○○	○○	0	–	a ⏢, t ∞
16.	20.0	19.5	18.9	15.4	23.5	18.1	23.6	13.4	9.1	7.7	9.2	70	35	60	E 2	E 3	C	○○	○○	0	–	a ⏢, ∞
17.	17.7	16.8	16.0	16.0	24.4	18.1	24.6	13.2	8.1	8.7	8.1	60	38	53	SE 1	E 3	C	○○	1^0⊙	1^0	–	a ⏢, t ∞
18.	14.2	11.9	10.6	16.0	25.0	16.6	25.6	13.2	9.3	8.3	12.7	68	35	91	C	E 1	C	○○	6^1⊙	9^1	–	a ⏢, t ∞, 4^{46}–5^{33} p ⟍, $5^{06.31}$ p, 5^{46}–ca 7^{45} p ztw. ◍
19.	08.0	08.2	11.9	17.3	20.5	13.6	22.4	13.4	12.1	11.5	10.0	83	63	87	C	SW 2	SW 2	10^1	10^1	10^1	4.1	a ≡⁰, 2^{36}–7^{46} p ztw. ◍
20.	12.1	10.8	10.9	13.1	19.0	14.9	19.8	12.1	9.0	9.6	10.7	81	59	85	C	SE 1	NW 1	10^1	10^1	10^1●	4.2	6^{36} p-n ztw. ◍⁰
21.	10.2	11.0	11.6	9.5	10.1	10.3	15.1	9.0	8.0	8.5	8.7	91	92	94	SW 3	SW 4	SW 6	10^1●	10^1●	10^1●	27.9	n, t–n ◍
22.	12.2	14.6	15.2	10.8	12.7	13.3	15.5	10.2	9.0	9.5	10.1	94	88	89	W 3	SW 4	SW 1	10^1	10^1●	2^0	48.5	n ◍1.3, t–ca 2^{45} p ◍⁰
23.	15.8	15.5	16.5	13.1	20.3	16.1	21.3	11.0	9.9	10.8	10.7	89	61	79	C	NW 1	C	10^1	2^0⊙	0	0.1	m ∞
24.	17.2	16.4	16.1	14.2	23.8	18.1	23.8	11.9	10.0	10.3	11.8	84	47	76	C	E 2	C	○○	○○	1^0	–	a ⏢, ≡⁰
25.	14.9	13.2	15.9	15.2	25.4	15.5	25.8	13.6	10.9	12.8	11.6	85	53	88	C	E 1	C	○○	4^0⊙	10^1	–	a ⏢, ∞; 4^{36}–7^{32} p ⟍, 4^{36}–ca 7^{45} p ◍
26.	17.7	17.5	17.4	16.2	22.8	17.7	23.4	14.0	10.5	9.6	10.6	77	47	70	SW 2	NW 1	E 1	4^1⊙	4^1⊙	1^0	33.6	a ∞
27.	15.5	14.8	13.6	16.2	24.6	19.7	25.7	14.0	11.1	12.3	13.3	81	54	78	C	NE 1	C	6^0⊙	○○	0	–	a ⏢, ca 8^{45} a ⊕, t ∞
28.	13.1	12.8	12.6	18.6	28.0	22.1	28.1	15.4	11.9	11.6	14.7	75	42	75	C	NW 1	C	7^0⊙	3^0⊙	4^1	–	a ⏢, ∞
29.	16.4	15.3	14.3	15.7	18.5	15.0	22.4	14.8	12.1	9.4	11.4	91	60	90	SW 2	NW 1	C	10^1	10^1	10^1	3.6	n ◍, m Gebirge schwach sichtbar
30.	15.1	14.3	15.9	16.0	21.8	16.1	22.8	14.2	10.7	7.9	11.0	79	40	81	SW 2	SW 1	SW 3	7^1	6^1	10^1	1.2	m Gebirge schwach sichtbar
31.	17.6	15.7	14.5	16.4	22.8	18.5	22.8	14.0	9.7	8.9	10.2	70	43	64	SW 1	NW 1	SE 3	10^1	4^1⊙	8^0	–	9^{01} p kurz ◍¹, m Gebirge sichtbar
Mittel	16.4	15.8	16.3	15.0	21.6	16.4	22.6	12.9	10.0	10.1	10.8	80	54	79				5.0	5.1	5.3	149.0	

Traunstein.

Juli. $\varphi = 47^0\ 52'$ N. $\lambda = 12^0\ 39'$ E $= 50^m\ 36^s$. H $= 597$ m. Cg $= +0.1$ mm. 1912.

1.	09.1	09.2	09.4	14.4	16.2	12.4	17.0	9.8	10.4	10.0	10.2	86	73	95	SW 2	SW 2	NW 2	8^2⊙	10^2	10^2●	–	t ztw. ◍
2.	08.6	09.0	10.4	11.8	13.8	11.2	15.0	11.2	10.0	9.9	9.4	97	85	95	S 2	S 2	S 2	10^2●	10^2●	10^2●	12.8	n u. t ◍
3.	10.6	07.9	08.2	12.4	18.8	11.6	18.8	10.0	9.3	7.9	9.8	88	49	97	S 2	NE 4	E 2	10^2	6^2⊙	10^2●	3.7	abds. ◍
4.	11.3	11.7	14.2	11.2	16.4	12.2	17.0	10.0	8.7	7.8	9.2	88	56	88	W 2	NW 2	W 2	8^2	8^2	4^2	15.8	n ◍, p öfters Gewitterregen
5.	15.2	15.0	14.3	12.2	19.0	14.4	19.2	9.2	9.2	8.3	9.3	88	51	76	W 2	E 4	E 2	4^2⊙	4^2⊙	0	1.4	n ◍, a ⏢
6.	12.4	10.8	09.9	12.2	22.2	17.0	23.4	9.2	8.8	10.6	12.5	84	53	87	E 6	N 6	E 2	0	2^1⊙	10^2	–	
7.	09.8	08.9	11.5	15.2	17.4	11.8	19.0	11.8	10.4	11.5	9.8	81	78	96	E 2	W 2	W 6	8^2	10^2●	10^2	3.1	9^{16} p Fern⟍ i. S; n ◍; 1^{51} p, ca 3–4 p, 4^{51}–5^{21} p ⟍; [1]
8.	13.3	13.6	13.9	12.0	18.6	14.6	19.6	11.6	10.5	10.2	12.0	100	64	97	W 2	W 4	W 2	10^2●	6^2⊙	8^2	18.5	n u. mrgs ◍¹ (7 a noch ◍⁰)
9.	13.7	12.6	14.9	15.8	22.0	13.0	23.0	11.6	11.1	11.0	11.2	83	56	100	SW 2	SW 2	W 4	6^2⊙	6^2⊙	10^2● R	–	n ⏢; $6^{21.31}$ p, 7^{36}–8^{56} p, 8^{31}–9^{20} p ⟍; 9^{00} p ◍
10.	13.9	12.7	13.3	14.0	22.7	16.2	23.8	11.2	11.1	11.3	12.5	94	55	91	S 2	E 2	E 2	4^2⊙	5^2⊙	0	38.4	$9^{06.21}$ p ⟍; n ◍
11.	13.7	13.9	14.8	15.5	24.2	17.1	24.9	12.3	11.4	11.0	12.4	87	49	86	W 2	E 2	E 2	3^2⊙	3^2⊙	0	–	
12.	15.0	14.2	13.7	16.3	25.1	17.2	26.0	11.9	11.5	10.5	12.9	83	45	89	E 2	E 4	E 2	○○	2^1⊙	0	–	a ⏢
13.	13.1	12.2	12.0	15.9	24.6	20.1	25.9	11.3	11.6	12.6	9.7	86	55	55	S 2	E 4	E 2	1^1⊙	2^2⊙	0	–	a ⏢
14.	11.8	11.8	13.0	16.5	23.9	17.5	24.8	11.0	10.3	9.2	9.8	73	41	66	E 2	E 6	E 2	1^1⊙	○○	0	–	a ⏢
15.	14.6	14.5	14.7	15.1	22.7	15.7	23.5	10.1	10.6	9.3	11.6	83	45	87	E 4	E 4	E 2	○○	3^2⊙	0	–	a ⏢
16.	14.3	13.7	13.7	15.4	21.4	14.1	22.5	9.9	10.1	5.9	10.1	78	31	85	E 4	E 4	SE 2	○○	1^1⊙	0	–	a ⏢
17.	12.3	11.5	10.6	13.1	22.0	14.3	23.0	8.4	8.8	7.3	10.5	78	37	87	SE 2	N 2	E 2	○○	1^1⊙	0	–	a ⏢
18.	08.8	06.5	05.8	14.8	24.1	17.9	25.3	9.0	10.1	7.9	10.6	81	34	69	SW 2	NW 4	E 2	2^2⊙	2^2⊙	10^2	–	
19.	02.4	02.3	05.9	16.7	17.5	13.7	21.6	13.7	11.4	13.5	11.6	80	91	100	SE 2	NW 6	W 2	6^2	10^2●	10^2●	–	0^{33} p Fern⟍ i. N. 0^{04} p-n ◍
20.	06.8	05.5	04.5	12.3	17.4	14.4	18.4	11.4	9.8	9.9	11.4	93	68	94	NW 2	E 4	NE 2	10^2	6^2⊙	10^2●	18.2	abds. ◍
21.	05.0	06.0	05.9	9.0	9.2	8.8	14.4	8.4	8.2	7.6	8.2	96	89	98	W 6	W 2	W 6	10^2●	10^2●	10^2●	36.6	n u. t ◍
22.	06.3	08.5	09.3	9.5	12.7	12.3	13.2	8.8	8.7	10.0	10.3	99	92	97	W 6	W 6	W 2	10^2●	10^2	10^2	49.8	n–vorm. ◍
23.	10.1	09.8	11.0	13.2	19.3	13.6	20.6	11.8	10.2	9.4	11.4	91	56	99	W 2	NW 2	E 2	8^2⊙	6^2	0	12.6	n ◍
24.	11.5	11.0	12.2	13.3	22.2	17.5	23.4	9.8	10.2	9.7	12.2	90	50	82	SW 2	NE 2	E 2	○○	○○	0	–	a ⏢
25.	09.5	08.1	10.7	14.8	23.4	14.4	24.6	10.9	10.7	12.0	12.2	86	56	100	E 2	N 2	S 2	○○	4^2	8^2	–	a ⏢. 1^{31} p Fern⟍ i. S; 5^{03}–6^{33} p ⟍
26	12.1	12.1	12.0	15.3	21.1	15.2	22.2	13.5	12.3	10.4	12.3	94	56	96	S 2	N 2	SW 2	8^2	6^2	0	3.5	
27.	09.9	09.4	08.4	15.4	24.4	17.0	25.6	11.4	11.8	13.0	13.7	90	57	95	SE 2	E 4	SE 2	8^2⊙	6^2⊙	0	–	
28.	08.1	06.8	06.9	19.0	27.5	18.3	27.9	12.5	12.1	11.8	14.7	75	43	94	S 2	E 4	E 2	6^2⊙	6^2⊙	2^1	–	
29.	10.6	09.9	08.9	16.0	19.8	15.2	21.0	15.2	14.9	9.1	12.9	88	53	100	W 4	W 4	W 2	10^2	10^2	10^2●	–	abds. ◍, 5^{33} p ⟍ i. S
30.	09.6	08.9	10.4	13.4	20.7	13.4	20.9	12.7	11.4	8.1	11.0	100	45	97	SW 2	NW 2	NW 2	10^2●	8^3⊙	10^2●	23.3	n, a u. abds. ◍
31.	12.2	10.8	08.8	14.2	20.9	14.8	22.0	11.9	10.7	9.1	11.8	90	50	94	SW 2	W 2	W 2	8^2	3^2⊙	4^2	7.1	n u. a ◍
Mittel	10.8	10.3	10.7	14.1	20.4	14.7	21.5	11.0	10.5	9.9	11.2	87	57	90				5.5	5.4	5.0	244.8	

[1] p ztw. ◍

Alle Angaben nach Ortszeit.

Partenkirchen.

Juli. $\varphi = 47^0\ 30'$ N. $\lambda = 11^0\ 6'$ E $= 44^m\ 24^s$. H $= 714.6$ m. Cg $= +0.1$ mm. 1912.

Datum	Luftdruck auf 0° u. Normalschwere reduziert 700 mm +			Lufttemperatur C°					Absolute Feuchtigkeit mm			Relative Feuchtigkeit Proz.			Richtung und Stärke des Windes 0 bis 12			Bewölkung 0 bis 10			Niederschlag mm	Bemerkungen
	7^a	2^p	9^p	7^a	2^p	9^p	Max.	Min.	7^a	2^p	9^p	7^a	2^p	9^p	7^a	2^p	9^p	7^a	2^p	9^p	7^a	
1.	699.2	698.3	699.6	13.8	14.2	11.5	15.2	11.5	10.4	9.1	9.6	90	76	96	C	N 2	C	10^1	10^1	10^1●	–	a Berge teilweise bewölkt, abds. ◍^{0}
2.	698.8	698.6	00.3	10.8	13.8	11.5	14.9	10.4	9.5	8.1	9.5	99	69	95	C	S 2	C	10^1●	9^1	10^1	12.1	mrgs. ◍^{1}, Berge bedeckt
3.	00.3	696.8	699.2	10.6	15.2	11.2	17.3	8.1	8.0	9.0	9.9	84	70	100	C	NW 4	C	9^0	10^1	10^1●	7.4	a Berge frei, abds. ◍
4.	01.2	01.9	04.5	10.0	14.2	11.4	15.8	8.7	8.7	8.6	9.8	95	72	98	C	S 1	C	10^1	9^0	9^1●	19.2	a Berge meist bedeckt, abds. ◍^{0}
5	**05.2**	03.9	04.2	10.3	18.6	12.2	19.2	8.0	8.6	9.4	9.6	93	59	91	SE 2	N 3	SE 2	1^0⊙	3^0⊙	0	5.2	a Berge meist frei
6.	01.7	00.0	02.4	14.0	22.2	13.6	23.1	10.2	9.8	11.5	11.6	82	58	100	S 2	N 4	C	⊙⊙	4^0⊙	10^1●	–	a Berge frei, 6^{19} p ◹; abds. ◍
7.	60.3	00.4	01.9	12.0	11.6	11.1	13.6	10.9	9.9	9.9	9.7	96	98	99	C	C	C	10^0●	10^1●	10^1●	3.0	a Berge teilweise bedeckt, t ◍
8.	03.9	03.9	04.0	11.3	14.8	14.3	18.3	10.3	10.0	10.6	10.5	100	85	87	C	C	C	10^0	9^0	3^0	23.4	a Berge teilweise bedeckt
9.	03.7	03.0	04.6	13.8	18.6	14.2	20.5	11.4	10.4	12.2	10.0	90	77	84	C	C	C	8^0	9^0	2^0	0.3	n ◍^{0}, a Berge frei, p ◍^{0}
10.	03.5	02.4	03.5	13.4	22.2	16.5	22.5	9.8	9.6	10.9	11.6	85	55	83	SE 3	NW 4	SE 2	⊙⊙	3^1⊙	2^1	0.5	⏢, a Berge ∞
11.	04.1	03.8	04.2	15.6	23.3	16.6	24.1	12.9	10.7	10.0	10.1	81	47	71	S 2	NW 3	SE 2	⊙⊙	3^0⊙	0	–	⏢, a Berge ∞
12.	04.9	03.9	03.6	15.6	24.8	17.8	26.0	12.7	9.8	10.3	12.1	75	45	80	SE 3	NW 5	C	⊙⊙	3^1⊙	0	–	a Berge rein
13.	03.1	01.7	02.3	15.9	24.3	19.6	25.2	13.4	11.7	12.1	**14.4**	87	44	85	C	NW 5	C	⊙⊙	4^1	0	–	⏢, a Berge rein
14	01.9	00.7	02.2	14.8	23.0	16.0	23.4	13.0	11.4	10.3	10.8	91	49	80	C	NW 5	C	⊙⊙	3^0⊙	1^0	–	a Berge ∞
15.	04.3	03.5	04.6	12.8	22.3	15.0	22.7	10.9	9.7	10.7	10.9	89	54	86	C	NW 4	SE 2	1^0⊙	2^0⊙	0	–	a Berge ∞
16.	04.1	02.5	02.9	13.4	22.0	13.9	22.4	11.3	10.0	9.6	8.2	88	49	69	SE 2	NW 5	SE 2	⊙⊙	3^0⊙	0	–	⏢, a Berge frei
17.	02.2	699.7	00.6	12.8	23.4	14.2	23.8	10.3	8.2	8.1	9.5	75	38	79	SE 2	NW 4	C	⊙⊙	1^0⊙	0	–	⏢, a Berge frei
18.	698.7	697.6	695.5	14.3	16.7	15.4	23.3	10.9	9.8	13.9	11.6	82	98	89	SE 2	NW 3	C	1^0⊙	9^1●	7^1	–	a Berge frei, m bis ca 6 p ◹, p ◍^{1}
19.	692.7	693.4	696.6	15.2	15.0	12.7	20.2	12.7	11.2	12.6	10.9	87	99	100	S 3	C	C	7^0	10^1●	10^1●	1.8	a Berge rein, m u. abds. ◍$^{0.1}$
20.	696.4	695.2	695.6	11.6	17.4	12.0	18.3	11.0	10.1	10.7	10.5	99	72	100	C	N 2	C	8^1	8^0⊙	10^1	18.0	n ◍, a Berge teilweise im ≡, ^{441} p ◹
21.	696.1	696.9	697.3	7.4	8.7	8.6	12.0	7.3	**7.6**	**7.6**	8.3	99	91	100	C	C	C	10^1●	10^1●	10^1●	**35.0**	mrgs. ◍^{0}, Neu⚹ bis ca 1700 m, t meist ◍
22.	697.6	697.3	00.4	9.2	12.2	10.2	12.6	**7.1**	8.2	9.7	9.3	95	93	100	C	C	C	10^1●	10^1	2^0	10.1	n u. a ◍, a Berge bedeckt; Neu⚹ bis ca 1600 m
23.	00.4	699.8	01.2	9.6	18.3	13.6	19.2	7.8	8.6	9.8	9.7	96	63	85	C	NW 3	C	1^0	7^1	0	2.0	a Berge ∞
24	01.7	00.1	00.5	12.3	23.0	15.5	22.5	10.0	9.1	10.2	11.3	87	52	86	SE 3	NW 5	C	⊙⊙	2^0⊙	3^0	–	a Berge ∞
25.	699.4	697.7	01.4	15.4	20.8	13.9	23.1	12.7	10.8	11.2	11.8	83	62	100	C	C	C	1^0⊙	7^1☰	9^1●	–	a Berge ∞, $^{143-311}$ p ◹, p u. abds. ◍$^{1.2}$
26	02.6	01.8	01.1	13.2	19.9	15.0	21.2	12.4	11.0	9.7	10.8	98	56	85	C	NW 3	SE 3	6^1	4^0	1^0	20.0	a Berge teilweise bedeckt
27.	00.3	698.7	698.6	14.6	23.6	16.4	24.2	12.6	10.1	11.6	12.3	82	54	88	S 4	NW 4	S 2	7^0	3^0⊙	1^0	–	a Berge sehr rein, föhnig
28.	698.6	697.1	698.6	17.0	25.3	16.3	**26.5**	13.4	10.9	10.3	12.5	76	43	90	S 3	NW 5	C	4^0⊙	2^0⊙	4^0⊙	–	a Berge sehr rein, föhnig
29.	01.4	699.6	698.8	14.4	16.2	13.6	18.3	13.0	10.3	11.7	11.2	85	85	100	C	C	C	10^0●	9^0	10^1●	0.4	a Berge wolkig, föhnig; mrgs. u. abds. ◍^{0}
30.	00.3	698.9	01.3	12.8	16.0	12.9	17.4	12.1	10.9	10.4	10.7	99	77	97	C	NW 1	C	9^1	10^1	6^0	12.0	a Berge wolkig, ab 2^{53} p ◹ mit ◍
31.	02.4	00.0	699.5	12.3	20.2	14.0	20.5	11.1	9.9	9.0	10.2	94	57	86	S 2	NW 3	C	1^0⊙	3^1⊙	1^0	5.2	a Berge sehr rein, föhnig
Mittel	01.0	00.0	01.0	12.9	18.7	13.9	20.2	10.9	9.8	10.3	10.6	89	66	90				4.6	6.1	4.5	175.6	

Hohenpeissenberg.

Juli. $\varphi = 47^0\ 48'$ N. $\lambda = 11^0\ 1'$ E $= 44^m\ 4^s$. H $= 993.9$ m. Cg $= \pm 0.0$ mm. 1912.

	600 mm +																					
1.	76.2	76.2	75.9	11.1	13.1	10.3	13.3	9.7	8.1	7.8	9.1	82	69	97	NW 1	NW 1	SE 1	10^2	10^2	10^2	–	t ∞, ztw. ◍, abds. stellenweise ≡
2.	75.3	75.2	76.4	9.0	14.4	9.5	15.4	8.6	7.2	7.0	7.3	84	57	83	W 1	SW 1	SW 5	10^1●	8^2	9^2	7.8	n u. a ◍, p reine Fernsicht, ca 7^{30} p ◑, ca 8 p ◍^{0}
3.	76.8	74.5	76.1	11.1	12.4	7.6	13.8	7.6	7.1	7.6	7.8	72	71	100	C	NE 4	NE 5	5^2	10^2●	10^2=●	0.7	a reine Fernsicht, p ∞, ca 1^{30} p–n meist ◍$^{1.2}$, abds. ≡^{2}
4.	77.5	78.5	80.6	9.8	13.3	9.6	13.3	7.0	7.9	6.5	8.3	87	56	94	SW 1	NW 2	W 3	10^1	8^2	9^2	19.3	n ≡^{2}; a ≡ ü. d. Gewässern, ∞^{0}; vorm. ztw. ◍, $^{1)}$
5.	81.3	81.2	80.2	10.6	15.4	12.1	15.9	8.2	8.3	7.6	8.6	89	59	83	SE 1	NE 1	E 5	⊙⊙	1^7⊙	0	3.6	a ∞ ≡ ü. d. Gewässern, p reine Fernsicht, abds. ∞^{2}
6.	78.2	78.0	78.8	12.9	19.6	11.8	19.8	10.9	8.6	**11.5**	9.6	78	68	94	SE 3	NE 1	SW 4	⊙⊙	2^1⊙	9^2●	–	a ⏢, t ∞$^{0.2}$, 2^{37-344} p, 5^{06-749} p ◹ mit ◍
7.	76.8	76.6	78.4	11.7	9.8	9.0	15.1	8.9	9.8	8.6	8.4	96	95	99	C	W 5	W 6	10^1	10^2	10^2=●	15.0	a ∞, ≡ besonders i. N, p Flachland rein, Gebirge be- $^{2)}$
8.	80.0	80.5	80.5	9.5	15.0	14.0	16.2	9.0	8.9	10.5	8.0	100	83	67	W 3	SW 3	NE 1	10^2=●	9^2	3^2	24.4	a ≡^{2} ◍, vorm. reine Fernsicht; abds. ∞, Horiz≡ i. S
9.	80.4	80.0	80.8	14.9	18.7	12.4	18.9	10.6	9.1	10.7	9.3	72	67	88	NW 1	E 1	E 3	9^1	8^2	8^2	0.2	t ∞$^{0.1}$; $^{416-627}$ p ◹, $^{443-644}$ p ◍; abds. den Ammer- $^{3)}$
10.	80.2	79.9	80.2	14.7	19.2	16.1	20.0	12.4	9.3	10.7	10.1	75	64	74	SE 1	NE 1	E 4	⊙⊙	2^1⊙	2^1	9.4	=∞^{0}, p reine Fernsicht, abds. Horiz≡, ◹ i. SW
11.	80.8	81.2	81.6	16.6	20.8	17.7	21.2	15.9	8.8	8.9	10.2	63	49	68	W 1	NE 1	E 5	⊙⊙	1^2⊙	0	–	a ⏢, t ∞, abds. Horiz≡, i. S ∞^{2}
12.	**81.7**	81.4	80.4	18.6	21.8	17.9	22.0	16.3	9.0	9.7	9.7	56	50	63	SE 1	NE 1	E 6	⊙⊙	⊙⊙	0	–	a ⏢, t ∞, p starke cu i. S; abds. Horiz≡ von W–N
13.	80.0	79.5	79.2	18.8	21.7	17.9	22.1	16.2	10.7	11.4	8.1	66	60	53	W 1	NE 2	E 5	⊙⊙	⊙⊙	0	–	a ⏢, t ∞, p starke cu ü. d. Gebirge, abds. Horiz≡ $^{4)}$
14.	78.5	78.5	79.7	13.8	20.0	15.7	20.0	13.3	9.6	9.6	8.1	82	55	61	NE 4	NE 5	E 6	⊙⊙	⊙⊙	0	–	a ⏢, t ∞, abds. i. S ∞^{2}
15.	80.5	81.2	81.5	12.2	19.0	15.2	19.2	10.7	8.7	9.4	8.8	83	58	68	E 4	E 3	E 6	⊙⊙	⊙⊙	0	–	a ∞, p reine Fernsicht, einige cu ü. d. Geb., abds. i. S ∞^{2}
16.	80.5	80.5	79.8	14.6	18.2	13.7	18.3	13.2	7.6	8.3	7.2	61	54	61	E 4	NE 5	E 6	⊙⊙	⊙⊙	0	–	a ∞^{0}, p ziemlich reine Fernsicht, ü. d. Geb. einzelne cu $^{5)}$
17.	78.6	78.1	77.5	14.4	19.5	14.9	19.6	12.6	**5.9**	7.1	7.2	49	**42**	57	E 3	NE 4	E 5	⊙⊙	⊙⊙	0	–	t ∞^{0}, p schwacher Horiz≡, einige cu ü. d. Gebirge, $^{6)}$
18.	75.6	74.2	72.5	16.6	20.6	15.2	21.0	14.2	9.0	9.4	11.0	64	52	86	W 1	NW 1	E 4	1^1⊙	8^2	7^2	–	t ∞^{0}, 11^{39}a–0^{11}p ◹ m. ◍tr.; $^{056-144}$ p, ^{416} p, $^{434-504}$p ◹, $^{7)}$
19.	69.8	70.3	73.3	14.9	12.9	9.8	17.3	9.8	9.5	11.1	9.0	75	100	100	W 1	W 2	NE 4	6^1	10^2=●	10^2=●	4.9	a reine Fernsicht. ^{044} p–n ≡^{2} ◍^{2}
20.	73.1	71.7	73.1	10.1	14.8	8.6	14.8	8.6	8.6	8.5	8.3	94	68	100	E 1	E 4	W 4	10^1	9^2	10^2=●	23.9	n–9^{24} p ◍, n ≡^{2}, a ≡ üb. den Gewässern, t ∞; $^{8)}$
21.	71.6	72.4	73.5	5.0	6.4	6.7	8.6	**4.7**	6.5	7.2	7.2	100	100	99	SW 6	SW 6	W 7	10^2=●	10^2=●	10^2=●	**32.8**	n u. t ≡^{2} ◍, p ▁^{111}, abds. ≡^{1} ●
22.	74.0	76.0	76.7	**7.1**	8.5	10.6	11.0	6.7	7.5	8.1	8.7	100	98	92	SW 5	W 1	SW 4	10^2=●	10^2●	0	25.4	n u. a ≡$^{1.2}$ ◍, p ◍^{0}, ∞; abds. ü. d. Ammer Nebel- $^{9)}$
23.	76.9	77.1	78.0	12.1	16.8	14.0	17.5	10.3	8.5	9.7	9.2	82	68	78	C	NE 1	E 4	5^2	6^2	0	5.7	t ∞; abds. i. N stellenweise ≡, i. S ∞^{2}
24.	78.1	78.2	77.5	14.5	18.6	16.2	19.3	12.7	9.2	8.2	9.0	75	51	65	E 1	E 1	E 6	⊙⊙	⊙⊙	0	–	t ∞, abds. Horiz≡
25.	76.4	75.5	77.6	15.6	19.1	11.9	20.8	11.9	8.9	10.5	10.2	67	63	98	NE 1	NE 1	NW 5	⊙⊙	10^2	10^2=●	–	t ∞, 1^{18} p ◹, 2^{23-530} p ◹ mit ◍; abds. ≡^{1} ◍
26.	79.0	79.1	78.5	12.8	17.8	15.0	17.8	11.6	9.0	10.0	9.2	82	66	72	W 1	N 1	E 5	1^1⊙	8^2	1^2	2.9	n ≡^{1}; a reine Fernsicht, p Geb bedeckt, abds. Horiz≡, $^{10)}$
27.	77.1	76.7	75.3	16.4	21.1	17.6	21.3	14.3	9.1	10.3	11.4	66	55	76	W 1	N 1	E 4	10^1	1^8⊙	0	–	a reine Fernsicht, ≡ über den Gewässern, p ∞^{0}, $^{11)}$
28.	75.3	75.0	75.1	19.8	22.5	20.1	**22.8**	16.6	8.1	9.7	8.8	47	48	50	S 1	N 1	NE 1	8^1	⊙⊙	2^2	–	a über den Gewässern ≡schwaden, t ∞
29.	77.9	76.7	75.5	11.1	14.8	12.4	20.1	10.9	9.9	8.9	8.7	100	71	82	W 1	W 1	E 1	10^2●	10^2	10^2●	–	ab 7^{00}a, t ztw. ◍; p reine Fernsicht, abds. ◍^{0} ∞ ≡ $^{12)}$
30.	76.9	76.1	77.2	11.9	17.6	13.3	17.8	10.7	9.5	7.7	6.7	93	52	59	W 1	NE 1	W 6	6^1	10^1	10^2	3.2	a ∞, p Flachland sehr rein, Gebirge bedeckt; $^{13)}$
31.	78.2	77.3	76.1	12.5	17.2	15.0	17.9	10.6	8.0	8.7	8.5	75	60	67	SW 1	SW 1	E 3	7^1	8^2	1^2	–	a sehr reine Fernsicht, p Gebirge bedeckt, abds. i. S ∞
Mittel	77.5	77.3	77.7	13.1	16.8	13.3	17.8	11.1	8.6	9.1	8.8	78	65	79				4.8	5.5	4.5	179.2	

Alle Angaben nach Ortszeit.

1) $0^{44.55}$ p ▲, p reine Fernsicht, abds. ∞
2) deckt, vorm. u. abds. ◍, abds. ≡^{1}
3) lauf entlang ≡ballen
4) von W–N
5) abds. ∞^{2}, Horiz≡ von W–N
6) abds. ∞^{2} i. S
7) $^{436-544}$ p ◍, abds. ü. d. Ammer u. d. Ammersee Nebelstreifen, ◹ i. W
8) ^{337}–ca 5^{43} p ◹ mit ◍, abds. ≡^{2} ◍
9) schwaden, i. S ∞
10) Gebirge bed
11) abds. Horiz≡ stellenweise

Zugspitze.

Juli. $\varphi = 47^0\ 25'$ N. $\lambda = 10^0\ 59'$ E $= 43^m\ 56^s$. H $= 2964$ m. Cg $= -0.2$ mm. 1912.

Datum	Luftdruck auf 0^0 u. Normalschwere reduziert 500 mm +			Lufttemperatur C°					Absolute Feuchtigkeit mm			Relative Feuchtigkeit Proz.			Richtung und Stärke des Windes 0 bis 12			Bewölkung 0 bis 10			Niederschlag	Schneedecke
	7^a	2^p	9^p	7^a	2^p	9^p	Max.	Min.	7^a	2^p	9^p	7^a	2^p	9^p	7^a	2^p	9^p	7^a	2^p	9^p	mm	cm
1.	30.6	30.7	30.1	0.2	4.5	− 2.3	4.9	− 2.3	4.6	5.9	3.8	100	94	100	SE 3	S 3	N 4	10^1≡	10^1≡	10^2≡	–	280
2.	28.7	29.2	29.9	− 1.7	− 1.7	− 3.1	0.1	− 3.1	4.1	4.1	3.6	100	100	100	C	NW 2	NW 4	9^1*	10^1≡	10^2≡	10.2	285
3.	29.9	29.2	29.6	− 2.7	0.0	− 1.8	0.8	− 4.5	3.5	4.6	4.0	96	100	100	SW 4	SE 3	NW 2	7^1	10^2≡*	10^2≡*	9.1	295
4.	30.2	31.8	33.1	− 3.3	− 0.9	− 3.1	− 0.1	− 3.7	3.6	4.3	3.6	100	100	100	NW 1	NW 3	NW 4	10^2≡	10^2≡	10^2≡*	7.4	**300**
5.	34.2	35.5	35.5	− 2.0	1.6	1.5	2.6	− 3.1	3.8	3.9	4.6	100	80	88	C	SW 2	S 2	1^1⊙	1^1⊙	1^1	7.7	**300**
6.	34.6	34.7	34.1	3.0	5.0	0.9	5.9	0.9	3.6	6.0	4.8	63	92	100	N 1	S 2	NW 2	1^1⊙	9^1	10^2≡	–	285
7.	31.6	31.1	32.1	0.4	− 0.8	− 1.6	0.9	− 1.6	4.7	4.3	4.1	100	100	100	SE 2	N 1	N 4	10^2≡	10^2≡*	10^2≡*	1.9	285
8.	33.8	34.9	35.4	− 0.3	1.7	0.8	3.0	− 1.6	4.5	5.1	4.6	100	100	96	N 2	E 1	E 1	10^2≡●	10^2≡	2^1	**24.6**	290
9.	35.3	35.5	35.6	1.6	4.2	0.7	4.2	0.7	4.9	5.8	4.8	94	93	100	W 1	W 2	NW 1	6^1	10^2≡	9^2≡	–	290
10.	35.1	36.0	36.4	2.1	4.0	2.3	5.1	0.2	3.8	6.0	4.9	71	99	87	C	NW 2	N 2	1^1⊙	10^1≡	3^1	0.1	285
11.	36.4	37.4	38.1	3.3	6.2	3.7	7.3	1.7	5.2	6.3	5.3	89	89	87	S 2	SE 2	C	2^1⊙	10^2≡	1^1	–	275
12.	37.8	**38.3**	37.9	4.6	8.3	5.4	9.7	2.8	3.8	6.7	5.7	60	81	86	N 1	N 1	S 1	0⊙	5^1⊙	1^1	–	260
13.	37.0	36.9	36.6	4.8	8.8	6.2	9.0	4.5	4.7	**7.0**	3.8	74	83	53	N 1	W 2	N 2	0⊙	8^1▬	6^1	–	245
14.	35.4	35.5	36.0	5.1	6.8	4.0	7.3	4.0	5.9	6.2	4.9	90	84	80	NW 2	NW 1	NW 2	1^1⊙	9^1≡	1^1	–	240
15.	36.1	37.0	37.5	4.0	7.0	4.5	**9.9**	2.3	0.9	5.4	3.4	14	74	52	N 2	SE 2	N 2	1^1⊙	4^1⊙	1^0	–	235
16.	36.4	36.6	35.8	4.6	6.7	3.5	7.2	3.5	2.4	2.8	4.2	38	44	57	N 2	C	N 5	1^0⊙	2^1⊙	1^1	–	230
17.	34.7	35.1	34.5	3.5	5.2	3.9	6.9	2.7	2.8	5.7	5.5	45	86	90	NW 4	NW 2	NW 3	1^1⊙	2^1⊙	2^1	–	220
18.	32.7	31.6	30.5	3.9	2.9	3.0	6.6	2.0	4.1	5.6	5.7	63	100	100	NW 3	N 2	NW 3	3^1⊙	10^2≡●	10^2≡	–	215
19.	27.5	27.4	28.0	3.6	3.1	− 1.7	5.4	− 1.7	5.3	5.7	4.1	89	100	100	SE 3	NW 2	N 6	7^1	10^2≡●	10^2≡*	9.8	210
20.	27.6	27.7	27.2	− 0.9	2.7	− 0.9	3.3	− 1.8	4.3	5.5	4.3	100	100	100	C	SE 2	N 4	10^2≡	10^2≡	10^2≡*	22.7	200
21.	24.3	25.9	26.4	− 5.5	− 5.0	− 4.2	− 0.9	− **5.7**	2.9	3.0	3.3	100	100	100	N 7	NW 7	NW 9	10^2≡*	10^2≡	10^2≡*	10.5	210
22.	28.2	30.4	31.5	− 3.2	− 0.5	− 0.3	− 0.3	− 4.2	3.6	4.4	4.5	100	100	100	N 6	N 3	N 2	10^2▬	10^2≡	3^1	8.3	225
23.	31.2	32.4	33.5	− 2.0	− 0.5	0.0	0.0	− 2.4	3.9	4.4	4.1	100	100	91	NW 2	W 1	NW 3	2^1	9^1	1^1	0.9	230
24.	33.8	34.4	34.5	− 0.4	2.1	2.8	5.0	− 0.9	3.9	5.2	5.1	87	95	91	N 1	S 2	S 3	2^1⊙	3^1⊙	2^1	–	225
25.	33.6	32.9	33.1	3.9	4.3	1.0	6.8	1.0	4.7	6.1	4.9	76	100	100	SW 4	S 4	NW 2	2^1⊙	10^2≡ξ	10^2≡●ξ	–	220
26.	33.4	34.6	35.0	0.4	5.2	4.1	5.5	− 0.4	4.7	6.2	5.7	100	94	93	W 1	SW 2	SW 3	7^1≡	7^1	3^1	8.2	220
27.	34.2	34.4	34.0	4.4	7.3	5.2	7.8	3.0	4.1	6.1	5.6	66	79	84	W 3	S 3	S 5	9^1	4^1⊙	1^1	–	215
28.	33.5	33.9	33.8	4.9	8.3	5.3	8.6	3.8	4.5	5.8	6.0	69	70	91	SW 4	S 2	S 4	7^0	5^1⊙	1^1	–	210
29.	32.9	32.3	31.0	2.8	4.4	1.7	5.6	1.7	5.6	6.2	5.2	100	100	100	SE 1	SE 3	N 1	10^1≡●	10^2≡	10^2≡●	–	205
30.	31.3	31.3	32.0	− 0.6	2.4	− 2.0	2.8	− 3.4	4.4	5.4	3.9	100	100	100	C	NW 1	N 4	10^2≡●	10^2≡	10^2≡	9.8	200
31.	32.8	33.0	32.8	− 1.5	2.5	2.1	4.4	− 2.0	4.1	5.4	4.8	100	99	89	W 1	S 3	NW 3	1^1⊙	6^1⊙	3^1	9.0	200
Mittel	32.7	33.1	33.3	1.2	3.4	1.4	4.7	− 0.2	4.1	5.3	4.6	83	91	91				5.2	7.9	5.5	118.2	

Bemerkungen.

1. t ≡1.2; ⊙ ztw. durchscheinend; ztw. ✳0.1; n ✳1
2. t ≡1.2, meist ✳1
3. a über Gebirge Wolkenmeer; Fernsicht über Ebene frei; ab ca 9 a ≡1.2, ab m ✳1; p ztw. elektrisches Sausen
4. n ✳; t ≡1.2; 9 a kurze Zeit Tiefblick frei; 6 p kurz schwaches Aufklaren; p ztw. ✳0, △0
5. n Aufklaren; 7 a über Bergen Nebelmeer in ca 2200 m, über Flachland einzelne Wolken; t heiter; a starke cu-bildung; besonders p ∞2
6. a ∞1.2, über Flachland stellenweise Nebel; 4^{25}–7^{15} p ⟀; ma–cu; 7^{30} p △, später ◍; ab 7 p ≡2
7. n Aufklaren; ab 6 a wieder ≡ u. ✳0; m kurzes ⟀; p häufig sehr starkes elektrisches Sausen, ✳1
8. a ◍0 u. ✳0 (ztw.); bis 4 p ≡2, dann Aufklaren; p ztw. SE-Wind; 9 p Nebelmeer in ca 2700 m
9. ab 2 p vorwiegend ≡0.2; 9 p Aufklaren
10. a ∞2, ⌙10; 10 a SW; 1 p dreht der Wind nach W (ztw. ≡0.1); 1^{50} p bereits NW u. ≡0.2; p meist ≡2; 9 p ≲ i. SE
11. t vorwiegend heiter; a ∞2; 11^{03} a ⟀ i. W; m ⟀; 3^{35} p ⟀; 6^{00} p ⟀ i. SE; ztw. Gipfel i. ≡1.2
12. t heiter; a Fernsicht ziemlich frei; über Gebirgstälern ∞1; p ztw. kurz ≡0.1
13. t heiter; a starker ∞kranz am Horizont; 2 p i. N ≡1
14. 10 p ≲ i. SE; a ∞1.2, vorwiegend W-Wind; 2 p ≡0.1; 9 p i. S u. SE Nebelmeer
15. t heiter
16. t heiter; a Fernsicht über Flachland ziemlich gut, wenn auch ∞ig
17. a freie Fernsicht (trotz NW-Wind macht die Wetterlage den Eindruck von Föhnsituation!); ca 7 p stark zunehmende ci- u. ci st-Bewölkung; 8 p ≲ i. SW
18. a ∞1.2; 11^{45} a kurz ◍0; 0^{05}–ca 1^{15} p ⟀ mit ▲0 u. ◍1; 3^{20} p ⟀ mit ◍0 u. ▲0; p ≡1.2; 9 p ≲
19. 7 a Fernsicht über Flachland ziemlich frei; ab 10 a ≡0.2; ab 11 a ◍0, dann kurz ▲; 2 p ◍2; ab 5 p ✳0.1; p ⎓
20. 6 a vorübergehendes Aufklaren; t ≡1.2, ab 6 p ◍ u. ✳
21. n 10 cm Neuschnee; n u. a Sturm; a noch ✳, t starkes ✳treiben
22. n ✳Sturm; a 30 cm ⋁; t ≡2; erst 9 p Aufklaren; 9 p ≡reissen
23. n ≲ i. S; a i. Inntal Nebel; auf den Bergen Nebelfahnen; t meist heiter; ztw. ≡0.1; a lebhafte cu-bildung, ∞2
24. meist heiter, a ∞2; p stärkere ci-st u. a-cu-Bewölkung, besonders nach 9 p
25. a ∞; 1^{34}–2^{05} p ⟀, ab 1^{40} p kurz ▲1; 2^{25}–ca 4 p ⟀ mit ▲1 u. ◍1; ab 8 p bis ca 8^{45} p ◍1; 8^{40}–9^{00} p ⟀
26. 9^{00-10} p ⟀; n ✳0; t ztw. ≡0.1; 9 p ≡meer in Gipfelhöhe
27. t heiter (föhnig!); Fernsicht frei
28. a ∞2; Fernsicht frei; a ztw. E-Wind
29. 10 p ≲ i. N. 7 a ◍0; t ≡1.2, p meist ◍, ztw. Aufklaren; ab ca 7 p N-Wind
30. n ◍1 u. ✳0; t ≡1.2, meist ◍, p auch ✳; 2^{45} p ⟀
31. 7 a schöne Fernsicht; über Inntal Nebelmeer; 11 a bis ca 6^{15} p ≡1

Alle Angaben nach Ortszeit.

Kahl a/M.

August. $\varphi = 50^0\ 4'$ N. $\lambda = 9^0\ 1'$ E $= 36^m\ 4^s$. H $= 114.1$ m. Cg $= +0.3$ mm. 1912.

Datum	Luftdruck auf 0^0 u. Normalschwere reduziert 700 mm +			Lufttemperatur C°					Absolute Feuchtigkeit mm			Relative Feuchtigkeit Proz.			Richtung und Stärke des Windes 0 bis 12			Bewölkung 0 bis 10			Niederschlag mm	Bemerkungen
	7^a	2^p	9^p	7^a	2^p	9^p	Max.	Min.	7^a	2^p	9^p	7^a	2^p	9^p	7^a	2^p	9^p	7^a	2^p	9^p	7^a	
1.	45.8	45.1	44.7	16.2	19.8	17.2	21.2	16.0	13.3	14.1	13.8	97	82	95	C 1	SW 4	SW 2	10^1	10^1	10^0●	9.3	446 a an t ztw. ◎. 9 p ◎
2.	45.8	46.5	49.2	16.5	20.1	16.1	21.3	15.5	13.5	13.3	12.6	97	76	92	C 1	SW 2	C 1	10^1	10^1	10^0	3.1	n ◎. a ztw. ◎0
3.	52.2	52.2	51.4	14.8	21.6	13.9	23.2	13.0	10.2	8.7	9.7	82	46	82	SW 2	SW 2	NW 2	10^1	1^1⊙	0	0.9	
4.	49.5	47.6	48.3	17.4	26.4	18.0	**27.6**	13.1	10.8	13.8	**14.6**	73	55	95	SE 2	S 2	SW 2	2^0⊙	7^0	10^1●	–	633–816 p ⟍. 783 p–n ◎
5.	49.6	50.7	50.4	16.4	21.0	12.9	22.0	12.8	13.0	9.2	10.0	94	50	91	SW 2	SW 4	C 1	10^1	5^1⊙	0	**14.9**	
6.	47.9	45.8	46.4	12.7	21.4	12.8	22.0	7.2	9.8	12.8	10.6	90	68	97	C 1	SE 2	C 1	00	10^1	0	–	331–405 p ⟍. 333.34 p ◎
7.	46.6	46.2	46.5	12.6	18.9	13.5	19.8	9.3	10.5	10.9	10.3	97	67	90	C 1	SW 2	C 1	10^1	10^1	10^0	6.9	
8.	47.5	47.8	49.7	13.4	16 5	14.0	19.4	10.8	9.6	13.1	9.0	85	94	76	SW 4	SW 4	SW 2	10^1	10^7●	10^2	–	260.22 p ◎
9.	49.9	49.9	51.0	12.8	19.2	14.3	20.7	10.8	8.8	14.3	11.6	81	87	96	SW 2	SW 2	C 1	8^0	10^1	10^2	4.2	
10.	50.7	49.8	50.0	13.6	20.2	14.4	21.0	10.3	10.4	10.9	10.2	90	62	84	S 2	SW 2	NW 4	7^1	9^1	10^2●	–	9 p ◎
11.	51.4	52.5	54.7	13.1	17.1	12.5	18.6	12.0	9.1	9.3	9.6	82	64	90	SW 4	SW 2	C 1	9^0	10^2	10^1	1.5	9 p an, 214–301 p ◎
12.	53.9	51.2	48.9	11.7	18.4	12.6	19.0	9.0	9.0	9.8	9.4	88	62	88	SW 2	SW 4	C 1	10^0	4^2	10^0	2.7	
13.	42.6	42.9	43.7	12.8	14.9	13.7	17.7	11 5	10.6	10.0	10.5	97	80	91	SW 2	SW 4	SW 2	10^1	10^1	10^1	2.0	n ◎
14	49.1	49.3	49.9	11.8	15.6	12.1	16.9	10.1	8.7	9.8	8.9	85	75	85	SW 2	SE 4	SW 2	10^0	9^2≡	10^2	1.2	n, $11^{26.56}$ a, 906.59 p ◎. $11^{19.43}$ a, 136–236 p ⟍
15.	50.1	50.7	52.1	12.2	16.1	12.9	18.2	10.2	9.6	9.3	9.8	91	68	89	S 2	SW 4	SW 4	9^0	10^1	10^2	4.4	p ztw. ◎
16	52.5	54.5	55.7	13.5	16.6	13.3	17.6	12.4	10.2	11.0	10.7	89	78	95	SW 4	SW 4	SW 2	10^0	10^1	10^1	1.7	$10^{16.56}$ a ◎
17.	**56.5**	55.6	54.9	13.1	19.8	13.3	20.7	11 0	10.0	10.2	10.1	90	59	89	S 2	SW 4	SW 2	7^0	10^1	10^1	2 3	
18.	52.1	49.9	49.6	12.9	23.6	17.7	24.6	7.0	9 9	12.1	13.4	90	56	89	S 2	S 2	S 2	00	8^2	3^1	–	
19.	50.3	49.3	48.8	15.9	22.9	16.6	23.9	14.3	12.4	13.5	13.5	92	65	96	SE 2	S 2	SE 2	10^1	10^1	10^1	1.8	n, 546–616 p ◎
20.	49.5	49.7	49.9	15.6	15.4	15.0	21.5	14.8	12.5	12.3	12.4	94	94	98	S 2	C 1	S 2	10^1	10^1●	2^1	1.7	n ◎. 128–202 p ◎2
21.	52.2	54.1	56.2	13.7	17.2	11.8	18.2	11.1	10.1	**8.1**	8.3	87	55	81	SW 4	W 6	SW 2	10^1	9^2	1^0	10.8	n ◎. 551.56 p ◎0
22	53.2	50.2	54.3	12.7	14.5	11.8	16.8	10.1	8.6	10.1	8.2	80	83	80	S 4	SW 4	SW 2	10^1	10^1	10^1	0.1	a ◎
23.	54.4	5[illegible]	48.3	10.8	13.9	12.0	16.1	9.2	8.2	8.4	10.1	86	71	97	SW 4	SW 2	SW 2	10^0	10^1	10^1●	2.9	300 p an, 9 p ◎
24.	45.4	46.1	45.8	14.3	15.7	15.2	18.0	12.0	11.3	11.7	12.0	94	88	93	SW 4	SW 4	SW 2	10^1	10^0	10^0	11.1	n ◎ ≡ t ztw. ◎
25.	45.1	47.1	45.8	15.6	17.4	13.8	21.4	13.6	11.8	13.6	11.6	89	92	99	SW 4	SW 2	C 1	10^1	10^1●	1^0	2.0	a–2^{26} p ◎
26.	40.3	38.6	39.5	15.3	19.1	13.5	21.0	12.3	12.7	13.9	10.2	98	85	89	SW 2	SW 4	SW 4	10^1	10^2	2^2	8.7	n, a, 611.47 p ◎. 626–701 p ⟍
27.	**37.8**	40.0	43.3	11.1	13.3	12.3	16.8	11.0	8.9	8.4	9.5	90	74	90	SW 4	SW 4	SW 2	10^1	10^1	10^0	5.7	621 a an ztw. ◎
28.	46.2	50.0	52.5	11.9	13.8	10.8	16.5	10.1	8.9	9.6	9 2	86	82	95	SW 4	SW 4	C 1	10^1	9^1	0	4.1	a ztw. ◎
29.	51.9	49.7	48.2	8.3	20.9	15.1	22.3	5.3	8.1	10.4	10 8	**99**	56	85	C 1	SE 4	C 1	1^0⊙	10^0	0	1.1	
30.	48.3	48.1	50.5	15.3	17.6	14.4	23.3	11.3	11.1	13.3	11.7	86	89	96	SW 2	SW 2	SW 2	3^0	10^1	10^1	–	130.51 p ●, dann ztw. ◎1
31.	50.8	52.4	54.7	14.2	17.5	11.7	18.3	11.0	10.8	11.0	9.6	91	74	95	SW 2	SW 4	C 1	10^1	5^1	9^0	4.8	
Mittel	49.0	48.9	49.5	13.6	18.3	13.8	20.2	11.2	10.4	11.2	10.7	89	72	91				8.3	8.9	7.0	109.9	

Bayreuth.

August. $\varphi = 49^0\ 57'$ N. $\lambda = 11^0\ 34'$ E $= 46^m\ 16^s$. H $= 363.3$ m. Cg $= +0.3$ mm. 1912.

1.	25.7	24.4	23.4	16.4	20.2	17.8	23.0	14.1	11.1	13.0	**13.3**	80	75	88	SE 4	W 4	W 2	9^1	10^2●	6^1	–	p ztw. ◎0
2.	24.8	25.4	26.9	15.8	19.6	14.8	21.2	14.6	12.8	12 5	12.0	96	74	96	S 2	SW 2	C 1	10^2●0	10^2	10^2●	7.6	n–836 a ◎0.1. 916 p an ◎0
3.	30.1	31.0	31.1	14.6	21.8	15.3	22.8	13.6	11.7	8.5	10.1	94	44	79	W 2	SW 4	C 1	9^1	7^1	0	5.4	n ◎0
4.	30.0	28.1	26.7	14.6	24.6	19.8	27.0	9.5	10.2	12.0	12.5	83	52	73	E 2	E 4	E 2	5^1⊙	3^0⊙	0	–	a ⌓
5.	27.1	29.7	29.8	15.8	15 3	14.1	19.9	13.9	12.2	11.6	11.6	91	89	87	W 2	W 4	W 2	10^2	10^2	10^2●	0.3	436.56 a ⟍. t meist ◎1
6.	26.9	25.7	25.3	11.7	19.1	15.3	20.5	9 2	9.4	10.3	10.4	93	63	81	C 1	S 4	SE 2	5^1≡	10^2	4^1	13.8	a ≡1
7.	25.9	24.1	23.5	12.8	13.9	11.6	15.6	10.4	9.8	11.1	9.7	90	95	96	SE 2	W 2	W 2	10^2	10^2●	10^2●	–	a ≡1. t meist ◎1
8.	25.5	26.0	28.4	11.9	16.0	11.6	17.8	10.2	8.8	9.8	8.9	85	86	88	SW 6	W 6	W 4	10^2	10^2	10^2	14.5	n ◎0. 336.56 p ⟍. 346–536 p ◎1
9.	28.9	28.8	29.9	10.6	16.4	10.9	17.9	8.4	7.7	7.7	8.5	81	55	89	W 2	SW 4	W 2	5^0⊙	10^1	3^1	3.2	
10.	29.7	28 6	28.4	10.3	19.4	13.4	20.0	7.2	8.3	9.4	10.4	89	56	91	E 2	S 4	S 2	7^1	6^1⊙	2^1	–	a ⌓
11.	29.3	30.3	31.9	11.1	15.3	11.6	16.6	10.3	9.1	8.6	8.4	93	66	84	W 4	W 6	W 4	10^2●	10^1	7^1	9 8	n ≤. 446–846 a ◎1. 446–656 p ⟍. 506.58 p ◎0
12.	31.6	29.6	28.0	10.9	16.2	11.0	17.5	10.0	8.0	6.8	8.6	83	50	87	W 6	W 6	SW 2	10^1	8^1	2^1	0 6	
13.	22.7	21.9	22.6	10.9	14.9	12.4	15.2	8 2	8.9	10.8	9.5	92	86	89	SE 4	S 4	S 4	10^2	10^2●	5^2	–	t ztw. ◎0
14.	26.4	28.3	29.7	10.5	15.9	10.7	17.2	9.0	8.6	7.4	8.3	92	56	87	W 4	W 4	S 2	10^2●	8^1	10^1	3.6	n–a ztw. ◎0
15.	29.4	30.2	31.3	10.5	13.4	11.5	16.8	8.1	8.9	9.2	8.4	94	81	83	SE 2	SW 4	W 4	10^1	10^1	4^1	1.0	n ◎0. p ztw. ◎0.1
16.	31.3	32.7	33.8	12.0	13.3	12.0	14.8	10.2	8.7	9.9	8.8	84	88	85	SW 4	W 6	W 2	10^2	10^2	10^1	2.8	t ztw. ◎0
17.	**35.0**	34.4	34.0	11.5	16.8	11.0	17.9	9.9	8.7	8.0	8.8	87	56	90	W 2	W 6	C 1	10^2	8^1	0	–	
18.	32.1	30.0	29.4	10.1	21.1	15.1	23.2	7.0	8.1	10.1	10.8	88	54	85	E 2	SE 4	SE 4	1^0⊙	4^0⊙	3^0	–	a ⌓
19.	30.4	29.0	27.2	14.4	22.7	17.4	25.3	12.0	11.7	11.8	12.2	**98**	57	83	SE 2	SE 4	SE 2	10^2	9^1	3^1	0 6	446–646 a ◎0
20.	28.7	29.4	29.0	15.4	15.9	15.1	17.9	14.0	12.5	11.9	11.8	96	88	92	SE 2	SE 2	C 1	10^1	10^1	10^2	1.4	n ≤ ◎0. 836–1046 a ◎0.1
21.	30.8	32.7	34.4	14.1	15.2	11.4	15.8	11.2	9.8	7.3	7.9	82	57	79	W 6	W 6	W 6	9^1	6^1	5^1	1.6	t ztw. ◎0
22.	32.8	29.7	30.0	10.7	11.7	11.9	14.5	7.2	7.7	9.2	8.4	80	91	87	S 4	SW 2	W 6	10^1	10^2●	10^2	1.1	146–816 p ◎0.1
23.	32.5	31.9	29.5	9.1	13.6	9.8	14.2	8.0	7.3	7.4	8.3	87	64	93	W 4	SW 4	W 2	10^2●	9^1	10^2●	3.9	t ztw. ◎0
24.	22.7	24.3	24.9	13.1	13.9	13.3	14.4	9.1	10.4	10.6	11.0	94	91	97	W 8	SW 6	SW 2	10^2●	10^2●	10^2	**17.3**	n ≡ ◎1. t–5 p ◎0
25.	23.6	25.5	26.3	14.1	15.4	12.3	18.0	11.7	11.2	12.2	10.4	94	93	96	W 4	W 6	SE 2	10^2●	10^1	0	2.0	a ◎0
26.	21.0	17.9	19.4	13.6	19.6	14.8	21.0	10.7	10.5	12.6	10.3	92	75	83	SE 2	S 6	SW 4	10^2	10^2	2^1	1 9	t ztw. ◎0
27.	19.0	**17.7**	20.6	10.5	11.7	11.7	14.8	9.9	8 0	8.2	8.7	85	80	86	W 4	SW 8	W 8	10^2	10^2	10^2	1.1	t ≡, ztw. ◎0
28.	23.4	26.8	30.8	11.1	14.6	9.3	16.0	9.0	8.0	8.8	8.1	81	72	94	W 6	W 6	C 1	10^2	8^2	0	3.3	t ztw. ◎0
29.	31.9	30.0	28.9	7.6	18.6	13.9	20.0	**5.2**	7.3	8.2	9.2	94	52	78	SE 2	SE 4	SE 2	10^1≡	4^0⊙	2^0	0.3	a ⌓, ≡1
30.	28.3	25.9	28.5	13.8	24.9	16.6	**27.7**	10.7	9.5	12.3	11.5	81	53	82	SE 4	E 2	W 4	00	2^1⊙	10^2	–	a ⌓
31.	29.4	30.1	32.4	13.7	15.4	11.9	16.7	11.7	10.7	10.8	9.8	93	83	95	SW 2	W 4	W 2	10^2	10^2	10^2	7 6	n ◎1. t ztw. ◎0.1
Mittel	28.0	27.8	28.3	12.4	17.0	13.2	18.7	10.1	9.5	9.9	9.9	89	70	87				8.7	8.5	5.7	104.7	

Alle Angaben nach Ortszeit.

Bamberg.

August. $\varphi = 49^0\ 53'$ N. $\lambda = 10^0\ 53'$ E $= 43^m\ 32^s$. H $= 287.7$ m. Cg $= +0.3$ mm. 1912.

Datum	Luftdruck auf 0^0 u. Normalschwere reduziert 700 mm +			Lufttemperatur C°					Absolute Feuchtigkeit mm			Relative Feuchtigkeit Proz.			Richtung und Stärke des Windes o bis 12			Bewölkung o bis 10			Niederschlag mm	Bemerkungen
	7^a	2^p	9^p	7^a	2^p	9^p	Max.	Min.	7^a	2^p	9^p	7^a	2^p	9^p	7^a	2^p	9^p	7^a	2^p	9^p	7^a	
1.	31.5	30.9	30.2	17.4	18.6	16.1	24.7	15.1	11.6	13.7	13.2	79	86	97	S 4	C	C	10^1	10^2●	10^2	0.1	n ⌓0. 738–geg. 9 a, ca 10–11 a ◍0. 1.33–2.13 p, 3.38–4.14 p, 1)
2.	31.2	31.8	33.6	16.0	20.2	15.2	21.3	15.1	12.9	14.0	12.6	96	80	98	SW 3	S 2	C	10^2●	10^2	10^2●	10.8	ca 11.13 p–7 a, 9.28 a–m ◍1. ca 2.15–9 p ztw. ◍1
3.	37.0	37.6	37.8	17.8	20.9	14.8	23.3	13.1	11.8	9.7	10.1	94	53	81	W 3	W 1	C	10^1	7^1⊙	0	2.9	n ⌓
4.	36.1	34.1	32.7	16.4	25.7	19.8	**26.8**	12.8	10.3	11.9	12.4	74	49	72	SE 2	SE 2	S 3	9^1⊙	4^0	9^0	0.1	9 p an ◺ i SW
5.	33.3	36.0	36.0	15.9	18.0	14.1	20.9	13.8	12.9	12.9	10.9	96	84	92	SW 1	W 2	S 2	10^2●	10^2	10^2	0.4	9–10 p ◺ i. SW. 6.24 a–2 p ◍1
6.	33.3	32.0	32.1	11.8	18.0	13.2	21.2	9.3	10.0	10.9	9.7	97	71	87	W 1	SW 4	SW 2	10^1=	10^1	8^1	**13.4**	n ⌓. a ≡1. 1.49 p, 7.00.09 p ◍0. 6.57–7.07 p ◹
7.	32.8	30.9	31.0	11.5	14.9	12.1	16.6	10.1	9.9	10.9	10.0	98	87	96	C	NW 2	C	10^2●	10^2	10^2●	0.1	7–10 a ◍1. 11.54 a–1.19 p ●0. 3–9 p ◍1
8.	32.2	32 5	34.9	12.7	17.3	11.6	18 7	10.4	9.5	9.6	8 8	88	66	87	SW 4	W 2	W 2	10^1	10^2	10^2	6 2	9.33 a ◍0. 10.38–11.14 a ◍1. 2.56 p ◹. 3.36–5.34 p ztw. ◍1
9.	35.2	35.3	36.1	11.4	18.0	12.0	19.2	8.4	8.4	8.0	8.2	84	52	79	S 2	S 2	W 1	10^0⊙	10^1	10^1	1.6	
10.	36.1	35.0	34.8	11.6	18.8	14.0	21.3	8.3	9.4	10.4	10.6	94	64	90	SW 1	S 4	SW 1	10^2	7^1	10^1	0.1	n ⌓. 4.15.21 p ◍1. 8.49–9 p ◺ i. W
11.	36.1	37.4	38.9	11.6	14 0	11.6	17.9	11.1	9.4	9.5	8.8	94	80	87	W 3	W 3	W 3	10^2	10^1	10^1	2.4	ca 10^{13} p ◺ i. N-NW. ca 3.30–6 a, 8 9 a ◍1. ca 0.15–1.36 p ◍0. 2)
12.	38.3	36.4	34.4	11.0	16.3	10.4	18.8	9.6	8.6	**7.0**	8.0	87	51	85	W 2	W 3	S 1	10^1	10^1	10^1	0.5	4.18–5.24 p ◍1
13.	28.5	28.6	28.5	11.4	14.7	12.0	16.5	8.5	9.3	11.3	9.4	93	91	91	SW 3	SW 3	W 4	10^2	10^2●	10^2	0.4	mrgs., t ztw. ◍0
14.	33.4	34.8	35.7	10.3	16.9	9.9	18.2	9.6	8.7	8.0	7.7	94	56	84	W 3	SW 2	S 4	10^1	7^1⊙	5^1	6.5	10^{11} p, 7.07.24 p ◍1
15.	35.9	36.1	37.5	11.2	16.4	10.9	18.7	8.9	8.9	9.6	7.8	90	69	81	SW 2	SW 4	S 1	10^1	10^1	7^1	1.0	n ⌓. 11.53 a–1.42 p ztw. ◍1
16.	38.0	39.6	40.6	11.3	13.8	12.0	16.6	10.0	9.0	10.5	8.3	91	91	80	S 4	S 2	W 1	10^2●	10^2●	10^1	0.5	6–11 a ◍0. ca 0.30–4 p ◍1
17.	**41.6**	41.1	40.4	11.1	16.8	11.5	20.2	8.9	9.1	7.8	8.7	93	55	86	SW 2	W 2	C	10^2	10^2	10^0	1.3	n ⌓
18.	38.3	36.2	35.2	9.9	23.1	15.9	23.7	6.6	8.4	10.4	10.6	92	**49**	79	S 1	S 5	S 1	⊂⊙	6^1⊙	1^1	0.1	n ⌓
19.	36.6	34.8	33.4	15.1	24.7	19.2	25.7	13.4	11.7	12.8	12.2	91	56	74	S 2	SE 4	C	10^1	9^1⊙	10^1	0 3	mn ◺ i, WSW, ca 5.15.45 a, ca 8.15 a ◍1. ca 8.30–9 p ◺ i, SW
20.	35.0	35.9	35.6	15.2	18.2	15.6	20.3	14.1	12.6	13.1	12.0	98	84	91	C	C	SW 1	10^2●	10^2	10^2	0.7	9.16–10.31 p ◍1. 9–11 p ◺ i. S-SW. 7 a–ca 1.12 p, 8.42 p ●0. 3)
21	37.3	39.3	41.5	14.2	14.3	11.2	17.4	11.1	10.0	8.3	7.6	84	68	77	SW 1	W 2	W 2	7^1⊙	9^1	6^1	2.8	9.04 p ●0. ca 10.15 p, 9.46.34 n, 10.12.32 a ◍1. 10.40–11.07 a ●2. 4)
22.	39.1	35.8	37.7	10.3	12.3	10.5	14.7	8.1	7.8	9.6	7.9	83	91	84	SW 2	W 4	W 5	9^1	10^2●	10^2●	2.8	10^{41} a–0.09 p ◍1. 0.41–1.14 p ●0. 2–4 p ◍1. 4.49–9 p ztw. ◍1
23.	39.3	37.7	39.8	8.8	15.1	9.9	16.6	8.1	7.6	7.9	8.7	91	62	96	SW 3	W 3	SW 3	10^1	10^2	10^2●	4.4	n ◌. 4.29–9 p ●1
24.	29.7	30.9	31.1	13.2	14.9	13.2	16.7	9.8	10.6	10.7	10.8	95	85	96	SW 5	W 4	SW 2	10^2●	10^2●	10^2	11.3	9 p–7.14 a, 10 a–4 p ◍1
25.	30.3	32.0	31.3	14.2	18.2	13.0	19.7	12.4	11.5	12.3	10.9	96	79	98	SW 1	W 3	S 2	10^2●	10^1	10^1	2.5	ca 4.30–6 a ◍1. 7 a–1 p ztw. ◍0
26.	26.6	**24.1**	25.7	14.4	20.1	14.9	21.5	11.0	10.8	**14.5**	10.1	90	83	81	SW 2	SW 3	W 1	10^2●	9^1	10^2●	0.4	10^{12} p ▽. 5–11 a ztw. ◍0–1. 1.14–6 p ztw. ◍1
27.	25.3	24.4	27.9	10.6	11.5	11.8	16.3	10.3	7.7	8.6	8.7	81	86	85	S 4	SW 6	S 3	10^2	10^2●	10^1	2.6	8.19 a–7 p ●1
28.	30.4	34.1	37.5	10.7	16.0	10.3	18.1	10.1	8.9	8.3	8.6	93	61	93	W 2	W 3	S 1	10^2	10^2	9^2	5 9	1.05.09 p ●0. 2.06.27 p ◍1
29.	38.1	35.9	34.6	8,2	20.2	15.0	21.2	**6.3**	8.0	9.4	9.3	**99**	54	73	S 1	S 4	S 4	10^0⊙=	7^0⊙	10^0	0,2	n ⌓. a ≡1
30.	34.2	32.3	35.9	16.0	24.9	14.1	26.7	12.3	10.3	14.4	11.6	76	62	97	S 4	W 1	C	⊙⊙	8^1	10^2●	0.1	n ⌓. 8–9 p ◍1
31.	36.2	37.3	39.4	13.0	14.4	10.5	18.6	10.5	10.8	10.3	9.2	97	85	98	SW 1	W 4	C	10^3●	10^2●	10^2	4 9	6.05–ca 7.15 a ●0. 10.56 a ◍1. ca 1.45–2.15 p ●0. 7.14–8.44 p ◍1
Mittel	34.4	34.2	34.7	12.6	17.7	13.1	19.9	10.6	9 9	10.5	9.8	91	71	87				9.2	9.1	8,9	87.3	1) 7.03–ca 8.15 p ◍1. 2) 2.21–5.26 p ◹, 5.33.33 p ◍1. 3) ca 8.30 p ◺ i.W. 4) 11.56 a–0.02 p ●0. 0.16 p ◍1. 1.46.54 p ●0.

Würzburg.

August. $\varphi = 49^0\ 48'$ N. $\lambda = 9^0\ 56'$ E $= 39^m\ 44^s$. H $= 179.3$ m. Cg $= +0.3$ mm. 1912.

1.	40.3	39.8	39.2	16.2	18.2	16.3	18.3	15.0	13.0	13.7	13.3	95	88	97	SW 1	SW 2	S 2	10^2	10^2	10^2	–	t meist ●
2.	40.3	40.7	43.4	15.8	19.0	16.0	21.2	14.9	13.2	13.8	13.1	**99**	85	97	S 1	S 3	W 2	10^2	10^2	10^2	9 2	t ztw. ◍
3.	46.2	**46.7**	46.3	14.7	21.4	15.1	23.0	12.8	11.1	8.0	10.4	89	**42**	82	W 2	S 3	C	7^2	3^2	0	4.5	a ⌓
4.	44.6	42.5	42.0	16.5	25 5	20.9	**27.8**	12.2	10.9	12.5	**14.2**	78	52	78	SE 3	S 2	C	8^2	2^1	4^2	–	p ◍
5.	43.7	45.2	45.1	14.9	19.5	13.7	20.9	13.7	11.9	10.0	10.5	94	59	91	W 3	W 3	C	10^2	9^2	0	7.8	t ztw. ◍
6.	42.6	40.3	41.1	10.6	21.0	14.2	21.9	9.8	9.2	10.2	10.3	97	55	86	SW 1	S 2	SW 1	10^2	9^2	0	1.7	a ≡
7.	41.1	40.4	40.6	12.8	16.2	14.1	16.2	11.2	9.6	10.0	10.1	88	73	85	SE 1	SE 1	C	10^2	10^2	0	–	t ztw. ●0
8.	41.5	41.8	44.3	13.4	16.1	13.0	17.6	12.2	9.2	10.0	9.1	81	81	82	SW 4	NW 4	C	9^2	10^2	0	0.7	t ztw. ●0. 2.35.59 p ◹
9.	44.5	44.4	45.1	11.7	18.8	14.3	18.8	9.9	8.4	**7.2**	8.7	83	45	72	SW 1	SW 3	S 1	⊙⊙	7^2	9^2	–	a ⌓
10.	45.1	44.2	43.7	12.3	18.3	15.1	20.0	10.6	9.3	9.7	11.1	88	62	87	SE 1	SW 2	C	10^2	10^2	0	–	a ⌓. p ●tropfen
11.	45.7	46.7	48.7	13.3	15.2	12.0	17.0	12.0	8.6	8.9	8.9	76	61	86	W 4	SW 4	SW 3	8^2	7^2	9^2	–	a ⌓. t ztw. ◍
12.	48.0	45.4	43.5	12.2	17.7	12.9	17.7	10.6	8.7	7.8	8.8	83	52	80	W 2	SW 4	W 2	4^1	7^2	0	1.7	t ztw. ◍
13.	38.1	36.9	37.4	12.5	16.4	14.0	16.5	10.9	10.3	10.9	10.0	96	78	85	SE 2	SW 3	SW 1	10^2	9^2	10^2	0 9	t ztw. ◍
14.	42.9	44.6	44.3	11.9	16.8	12.1	17.3	10.8	8.5	**7.2**	8.6	83	51	83	SW 1	NW 3	C	6^1	6^2	6^2	1.7	t ztw. ●. 3.37.59 p ◹
15.	44.7	45.5	47.0	12.2	14.3	11.9	16.9	10.0	8.7	9.2	9.0	83	76	87	SW 4	W 3	NW 1	8^1	8^2	5^2	1.6	1.35.45 p ◹, 1.38.40 p ◍
16.	46.3	48.8	49.9	13.4	15.2	13.5	17.8	11.6	9.5	9.6	8.9	83	74	77	SW 3	NW 3	C	10^2	9^2	9^1	3.0	t ztw. ◍0
17.	51.0	50.3	49.7	11.9	18.9	12.8	18.9	10.1	9.1	8.1	9.3	89	50	86	S 1	SW 1	C	9^2	8^2	0	0.7	a ⌓
18.	48.3	44.6	44 2	9.3	23.3	16.6	24.0	8.1	8.1	9.7	12.0	93	45	85	S 1	SW 1	C	⊙⊙	3^1	0	–	a ≡
19.	45.3	43.3	42.9	15.2	24.2	18.8	24.6	13.9	12.6	11.1	12.6	98	50	78	SE 1	S 2	C	6^2	2^1	10^2	1.3	n, p ◍
20.	44.1	44.3	44.3	15.5	20.0	16.9	21.0	14.1	12.8	**14.2**	12.7	98	72	89	S 1	S 2	SW 1	10^2	9^2	8^2	2.2	a ztw. ◍
21.	46.8	48.6	**52.8**	14.3	16.5	16.7	17.8	13.6	9.6	7.6	8.6	79	55	91	SW 3	W 5	W 1	3^1	4^2	4^2	1.4	t ztw. ◍. 10 a kurz ▲
22.	48.0	**44.8**	48.3	12.2	12.5	11.6	16.7	10.3	7.5	9.9	8.1	71	93	80	SW 5	SW 4	SW 5	9^2	10^2	10^2	3.7	t ztw. ●. 3.20 p ◹
23.	48.8	47.3	43.6	10.4	14.7	11.3	15.6	9.3	8.2	8.1	9.5	88	64	96	SW 1	SW 3	C	10^2	10^2	10^2	6.6	p ◍1.2
24.	39.2	39.9	39.7	14.9	17.4	15.3	19.0	9.0	10.7	9.9	11.4	85	68	88	SW 4	SW 3	C	10^2	10^2	4^2	**10.8**	t ztw. ◍0
25.	39.3	40.9	40.2	15.0	16.7	14.9	21.1	13.5	11.7	11.3	12.2	92	66	97	SW 3	SW 3	C	10^2	10^2	4^2	1.2	a ztw. ◍0
26.	35.6	**33.2**	34.3	13.8	20.7	13.6	21.0	11.9	11.6	12.5	11.1	**99**	69	96	SE 1	S 4	C	10^2	9^2	4^2	1.8	t ztw. ◍1
27.	33.3	33.7	36.9	12.1	13.0	13.0	14.1	11.8	7.9	8.8	8.7	75	80	78	SW 4	SW 4	SW 4	10^2	10^2	9^2	6.2	t ztw. ◍
28.	39.7	43.8	46.6	12.4	13.5	10.8	15.6	10.8	8.7	8.3	9.0	82	72	94	NW 2	SW 3	SW 1	7^1	10^2	.0	6.5	t ztw. ◍0
29.	46.8	44.5	43.3	8.0	20.4	14.8	21.2	6.4	7.8	8.9	10.7	98	50	86	SW 1	SW 2	C	9^1	5^1	0	0.4	a ≡
30.	43.0	41.6	44.9	12.0	25.2	14.5	25.2	10.8	9.9	10.9	12.0	96	51	98	C	S 1	C	1^1	3^2	10^2	–	a ≡. p ◍
31.	45.0	46.7	48.7	14.0	16.7	11.5	17.2	11.2	10.0	9.6	9.6	93	68	96	SW 1	SW 2	C	10^2	9^2	0	4.8	t ztw. ◍
Mittel	43.5	43.3	43.9	13.1	18.2	14.1	19.4	11.4	9.9	9.9	10.4	88	64	87				7.9	7.7	4 7	80.4	

Alle Angaben nach Ortszeit.

Ludwigshafen a/Rh.

August. $\varphi = 49^0\ 29'$ N. $\lambda = 8^0\ 26'$ E $= 33^m\ 44^s$. H = 100.3 m. Cg = + 0.3 mm. 1912.

Datum	Luftdruck auf 0° u. Normalschwere reduziert 700 mm + 7ª	2ᵖ	9ᵖ	Lufttemperatur C° 7ª	2ᵖ	9ᵖ	Max.	Min.	Absolute Feuchtigkeit mm 7ª	2ᵖ	9ᵖ	Relative Feuchtigkeit Proz. 7ª	2ᵖ	9ᵖ	Richtung und Stärke des Windes 0 bis 12 7ª	2ᵖ	9ᵖ	Bewölkung 0 bis 10 7ª	2ᵖ	9ᵖ	Niederschlag mm 7ª	Bemerkungen
1.	47.0	46.3	46.2	17.3	20.2	17.0	20.3	16.2	13.5	**14.0**	13.2	92	80	92	S 1	SE 1	E 1	10^2	10^2	10^2●	5.8	n ◍¹. vorm. u. nachm. öfters ◍. abds. ◍
2.	47.2	48.6	51.0	17.4	18.5	16.7	21.1	15.8	13.0	12.3	12.5	88	78	89	S 1	W 1	SW 1	5^1○	10^2●	5^2	10.4	ca 2–5 p ◍
3.	54.1	53.7	53.3	13.2	22.4	20.2	23.6	12.2	9.9	8.2	11.6	88	41	66	S 1	C	C	○○	7^1○	0	2.4	a ∞ u. ⏢
4.	50.6	50.0	50.0	16.8	24.6	19.2	**24.8**	15.6	10.8	12.0	14.6	76	52	88	C	C	C	5^1○	7^1	10^2	–	$6^{48.49}$ p Gewitterböe. 6^{10}–7^{19} p ◹, ◍¹
5	51.6	52.6	51.6	17.0	21.2	16.7	21.2	16.0	12.3	8.1	10.0	86	43	70	SW 1	SW 2	C	10^1●	5^1○	0	**16.8**	n–7^{30} a ◍
6.	49.1	47.0	47.8	12.5	21.4	19.8	22.0	11.2	9.1	8.5	8.7	86	45	51	S 1	S 3	S 2	7^1	8^2	10^2●	0.4	a ∞, m u. abds. ◍⁰
7.	49.2	47.6	48.3	13.7	18.4	13.9	19.8	12.4	10.1	8.1	9.3	87	52	79	S 1	S 1	S 1	10^1	10^2	5^1	0.6	ca 7–8^{30} a ◍
8.	49.6	50.3	52.1	13.9	18.5	13.8	18.5	12.4	9.6	8.2	7.8	81	52	67	SW 1	SW 2	SW 1	10^2	10^2●	0	0.4	nachm. öfters ◍
9.	52.0	51.8	52.4	11.8	20.1	18.4	20.1	9.8	8.3	7.4	7.6	81	42	48	S 1	S 1	S 1	2^0○	9^1	10^1	0.8	
10	52.2	51.4	51.8	13.0	20.9	17.4	21.0	12.4	9.3	9.8	11.5	85	53	78	C	S 1	S 1	○○	5^2○	10^2	–	vorm. u. nachm. ◍⁰
11.	53.8	55.2	57.0	13.0	15.0	14.0	17.4	12.0	9.1	8.6	9.5	82	68	80	S 1	W 3	SW 3	10^2	10^2	10^2	1.2	n–a ◍
12.	56.1	53.0	51.1	12.3	17.9	15.4	18.9	11.0	8.5	7.7	8.6	80	50	66	SW 1	SW 2	S 1	10^2	6^2○	10^2	–	n ◍. vorm. u. nachm. öfters ◍
13.	44.1	44.5	44.1	13.5	14.8	13.2	16.0	12.0	10.7	10.1	10.0	94	81	89	S 1	SW 2	SW 1	10^3●	10^2●	10^2	3.8	n ◍. vorm. u. nachm. öfters ◍
14.	51.0	51.6	51.1	11.7	16.3	12.8	16.3	10.2	7.8	8.0	8.7	76	58	80	SW 1	SW 1	S 1	2^{10}○	3^1○	10^2	13.5	n ◍. $10^{43.19}$ p ◹, ◍ u. ▲. ca 5^{30} p, ca 8^{30}–9 p ◍
15.	52.0	53.1	53.8	12.5	18.4	15.4	19.0	11.0	9.4	8.3	8.1	88	53	62	S 1	SW 2	SW 2	10^2	10^2	10^2	4.5	ca 9–10 p, n ◍. vorm. u. nachm. öfters ◍
16.	55.0	56.8	57.8	13.8	17.2	16.0	17.2	12.6	9.9	8.1	10.4	85	55	77	SW 1	SW 1	SW 1	10^2	10^2	10^2	3.6	n, vorm. ◍
17.	**58.6**	57.7	56.3	12.6	20.4	18.6	20.4	11.2	8.8	8.0	9.1	82	45	57	C	S 1	C	9^1	7^1○	2^0	0.6	n ⏢. a ∞
18.	53.6	51.7	51.3	12.4	23.3	20.8	23.3	10.8	9.2	9.5	10.0	87	45	56	S 1	S 1	S 1	○○	9^1	10^2	–	
19.	52.1	50.0	49.8	16.0	23.7	20.0	23.7	14.8	12.1	11.1	11.7	89	51	67	SE 1	C	C	10^2	10^2	10^2	2.8	n ◍. nachm. öfters ◍
20.	50.7	51.2	51.4	16.0	19.8	17.2	20.2	15.6	12.1	13.0	12.8	89	76	88	SE 1	S 1	C	10^2	10^1	10^2	1.2	n ◍⁰. vorm. u. nachm. ◍
21.	55.1	56.6	58.5	14.3	18.4	13.0	18.4	13.0	9.3	**6.1**	9.3	77	**39**	85	SW 1	SW 6	SW 2	3^0	5^1○	10^2●	1.8	a, vorm. u. nachm. ◍. nachm. 〓
22.	55.6	52.7	56.4	11.6	15.7	13.2	16.0	10.0	8.2	9.8	7.7	80	74	68	S 1	SW 2	SW 1	10^2	10^2	3^0	0.8	vorm. u. nachm., abds. ◍
23	57.0	55.0	51.8	10.8	15.4	12.4	16.0	9.8	8.0	7.9	10.0	83	60	94	SW 1	SW 3	S 2	8^1	10^2	10^3●	4.8	ca 2 p ab, 9 p ◍
24.	48.3	47.7	47.2	15.6	20.4	18.4	20.4	12.0	10.4	9.7	11.2	79	54	71	SW 1	SW 1	C	10^2	10^1	9^1	11.4	n ◍
25.	47.6	48.3	47.3	16.4	22.4	23.6	23.9	15.8	11.0	9.0	12.6	79	45	58	SW 3	W 1	S 1	10^2	3^0○	0	–	
26.	41.3	**40.4**	41.7	16.3	20.2	14.8	23.6	14.8	13.1	13.4	10.6	**95**	76	85	S 1	S 1	S 1	10^2●	10^2●	10^2	6.2	n ◍¹. vorm. anhaltend ◍. 2 p ◍. ca 6 p ◍¹
27.	**40.4**	42.8	44.6	12.2	15.6	14.4	15.6	11.8	8.3	7.9	9.3	79	60	76	S 5	SW 3	SW 2	10^2●	10^1	10^1	10.8	ca $7^{00.30}$ a ◍
28.	48.2	51.6	53.6	12.4	18.0	15.3	18.4	12.0	8.9	7.9	8.7	85	51	67	C	W 3	C	3^0	6^1	8^2	2.4	n ◍
29.	53.3	51.6	49.1	10.2	22.0	20.2	22.0	**8.8**	8.2	9.6	11.9	89	49	67	SE 1	SE 2	C	○○	3^0○	2^0	–	a ∞
30.	49.6	50.1	51.7	16.2	17.4	16.2	23.0	15.2	10.6	11.8	11.1	77	80	81	SE 1	W 2	C	3^1○	10^2●	10^2	–	ca 2–4^{30} p ◍
31.	53.2	54.7	55.5	14.4	16.5	15.4	17.0	13.0	10.6	10.9	9.0	87	78	69	C	S 1	C	10^2	10^2	3^0	1.2	n, ca 9^{30}–10^{04} a ◍. $3^{49.59}$ p ◍
Mittel	50.9	50.8	51.1	13.9	19.2	16.6	20.0	12.6	10.0	9.5	10.2	84	58	73				7.0	8.1	7.3	108.2	

Nürnberg.

August. $\varphi = 49^0\ 27'$ N. $\lambda = 11^0\ 3'$ E $= 44^m\ 12^s$. H = 309.1 m. Cg = + 0.2 mm, über 735.0 mm Cg = + 0.3 mm. 1912.

1.	29.8	28.9	27.9	18.4	22.4	18.1	23.8	16.0	11.1	12.2	12.8	70	61	83	SE 1	W 2	W 2	10^1	10^1	10^1	–	t meist bed., wechs. Windricht. ; ab 1^{19} p–n häufig ◍$^{0.2}$; [1]
2.	29.1	29.7	31.2	17.2	17.4	15.4	19.8	14.9	**13.4**	13.1	12.6	92	89	**97**	S 2	N 1	NW 2	10^0	10^1●	10^1	7.4	ganz bed., schw. Winde wechs. lticht. ca 0a–0 p häuf. ◍$^{0.2}$
3.	34.5	35.1	34.6	14.8	21.0	16.6	21.5	13.4	10.5	8.3	10.7	84	45	76	NW 2	W 2	E 2	7^0○	8^1○	0	**17.7**	0^{24} a–1^{33} p ztw. ◍, ab 7 a Aufkl., ab 6 p wolklos, abfl. [2]
4.	33.7	31.9	30.4	16.1	25.1	19.8	25.8	12.9	10.2	10.9	12.6	75	46	73	E 1	SE 2	C	4^0○	3^1○	5^1	–	n ⏢^{0}, ca 5–7 a 〓^{0}, ab 2 p zunehm. Bewölk. 8^{40}–9^{10} p ◍
5.	32.2	33.9	33.6	16.2	17.1	15.4	19.8	13.9	13.3	11.0	10.7	**97**	76	82	W 2	W 2	SE 1	10^1●	10^1	10^1	4.6	9^{16}–10^{34} p ◹ v. S–NW, t westl. ztw. lebhafte Winde, [3]
6.	31.2	30.2	29.7	12.1	18.9	16.0	20.0	10.5	9.6	10.2	11.1	93	63	82	SE 2	S 2	S 2	10^1	9^1○	10^1	5.6	a ⏢^{2}, ca 3–8 a 〓$^{1.2}$; 0^{54}–7^{59} p öfters ◍$^{0.1}$; 0^{33}–7^{16} p ◹ i. W
7.	30 3	28.8	28.7	13.0	14.2	12.6	16.9	11.7	10.2	10.4	10.1	93	87	93	NW 2	NW 2	W 2	10^1	10^1●	10^1●	1.5	a ⏢^{1}, ca 5–8 a 〓$^{0.1}$; 5^{13} a–1^{34} p ◍^{0}, 2^{50}–9^{10} p ●, um– [4]
8.	30.6	30.9	33.1	12.0	17.2	11.8	17.5	11.1	9.2	9.0	8.1	89	62	78	SW 2	SW 3	SW 2	10^1●	8^1	6^1	11.6	9^{16}–10^{32} p ◍$^{0.1}$; 10^8 a–6^{34} p ztw. ◍^{0}; t auffr. lebh. Winde,[5]
9.	33.0	33.2	34.3	11.5	18.4	12.7	19.4	9.3	7.7	7.1	8.8	76	45	81	SE 2	SW 2	W 1	○○	9^1	0	1.5	a ⏢^{0}, t südliche bis westliche Winde, sehr sichtige Luft
10.	34.1	33.2	33.1	11.6	18.7	13.9	19.0	9.4	8.2	9.9	11.0	80	61	94	SE 1	SE 2	C	10^1	9^1	10^1	–	a ⏢^{0}, ca 5–8 a 〓^{0}; 11^{54} a–4^{26} p ztw. ◍; 4^{50} p ◠, [6]
11.	34.5	35.9	37.2	12.7	12.6	12.0	15.9	11.2	9.1	9.1	8.9	85	85	86	W 2	W 2	W 3	10^1	10^1●	10^1	6.5	n–ca 1 a ◹ i. NW u. N; $11^{12.15}$ p ◍^{1}; ca 1 a–7 p häufig ◍; [7]
12.	36.9	34.8	32.3	11.6	14.8	13.2	15.9	10.1	8.6	7.1	7.9	85	57	70	SW 3	W 3	S 1	10^1	10^1	10^1	5.1	11^{15} a–2^{35} p ztw. ◍, t ztw. lebhafte Winde
13	26.8	26.7	26.7	12.7	15.1	12.7	15.7	11.1	9.8	11.5	9.8	90	90	90	SE 2	SW 2	S 2	10^1	10^1●	10^1	0.2	2^{34} a–9^{16} p häufig ◍^{0}; abflauende südliche Winde
14.	31.4	32.7	33.4	10.8	17.0	11.0	17.2	10.1	8.3	**5.9**	8.6	87	**41**	87	NW 2	SW 2	SE 2	10^1	8^1○	5^1	8.0	0^{22} a–7^{45} p ztw. ◍$^{0.2}$, westl. bis südl. Winde 5^{59} p 〓 (SW5)
15.	33.9	34.6	35.9	11.2	15.1	10.9	16.8	9.3	8.7	9.8	8.4	88	76	87	SW 1	SW 2	SW 2	10^1	8^1○	0	5.2	2^{34} a–1^{22} p häufig ◍$^{0.1}$, t südliche bis westliche Winde
16.	36.1	37.8	38.6	11.8	14.4	12.6	16.5	10.5	9.2	9.9	9.8	90	82	91	SW 2	SW 2	W 2	10^1	10^1	5^1	1.6	t ztw. ◍tropfen, ztw. lebhafte Winde
17.	39.3	39.1	38.3	11.6	18.0	13.0	18.4	8.9	8.9	7.2	9.6	88	47	87	W 2	W 2	C	10^1	10^1	0	–	a ⏢^{2}, p Aufklaren, sehr sichtige Luft
18	36.3	34.3	33.3	11.8	22.0	17.1	23.1	8.1	7.8	8.7	10.4	76	44	72	SE 1	SE 3	SE 1	3^0○	5^1○	0	–	n klar, a ⏢^{2}, t südl. ztw. lebh. Winde, sehr sichtige Luft
19.	34.7	32.7	31.7	15.3	24.0	19.0	24.6	13.9	11.8	11.1	13.0	91	50	80	SE 1	SE 1	C	10^1	1^0○	10^1	–	n ◹ i. SW, a ⏢^{1}, ca 5–8 a 〓^{0}, 4^{43} a–7^{14} p ztw. ◍^{0}, 8^{04} p–n ◹
20.	32.9	33.4	33.2	15.6	17.6	16.6	19.9	14.5	12.0	12.4	12.2	91	83	86	SE 1	SW 1	SW 1	10^1	10^1	10^1	5.5	$10^{01.19}$ p ◹ ausW, 11^{10} p–0^{10} a ◹ aus NW, 9^{52}–10^{59} p ◍$^{0.1}$, [8]
21.	35 7	37.7	**39.5**	14.3	16.8	11.8	18.6	11.8	10.0	7.2	8.3	83	51	81	W 2	W 3	SW 2	8^0○	8^0○	4^1	4.6	0^{21} a–3^{06} p ztw. ◍, t ztw. lebh. Winde, 0^{54} p 〓 (W 6), [9]
22.	38.0	31.4	36.0	11.6	14.8	11.2	15.9	8.9	7.6	9.7	8.0	75	77	80	SW 3	SW 3	W 3	10^1	10^1	10^1	–	n ztw. Aufkl. n–6^{34} p häufig ◍$^{0.1}$; lebh. Winde SW–W, [10]
23.	37.5	36.0	33.0	10.1	15.3	10.8	15.8	7.9	7.8	6.9	9.2	86	54	95	W 2	W 2	W 2	10^1	9^1	10^1●	2.6	a ⏢^{0}, ca 5 a–m ◍$^{0.1}$, wenig sichtige Luft
24.	28.3	28.9	29.2	14.2	17.7	15.5	18.2	10.3	10.0	9.9	10.6	84	66	81	W 3	W 2	SW 1	10^0	10^1	10^1	7.1	ca 1 a–m ztw. ◍^{0}; ztw. lebh. Winde, 8^{00} a 〓 (W 5); [11]
25.	28.8	29.9	29.5	15.4	19.3	15.2	20.2	12.6	11.2	10.5	11.9	86	63	92	SW 3	W 2	E 2	10^1	9^2○	4^1	–	ca 6 7 a ztw. ◍^{0}; sehr sichtige Luft
26.	25.3	**22.8**	23.7	15.2	20.9	15.3	21.9	12.4	10 9	12.8	10.4	85	70	81	SE 2	SW 2	SW 2	10^1	8^1○	10^1	–	n ⏢^{1} ⏦; 5^{30} a–6^{34} p häufig ◍$^{0.2}$, 7^{34}–8^{54} p ◹ i. NW u. N; [12]
27.	23.6	23.6	26.1	12.3	13.7	12.5	15.3	11.3	7.7	7.7	8.6	72	66	81	SW 3	SW 4	SW 3	10^1	10^1	10^1	4.2	8^{34} a–6^{46} p ztw. ◍tropfen 〓 (SW), 10^{00} a SW 5, 0^{43} p SW7
28.	28.0	32.2	35.6	11.8	14.2	11.0	16.5	10.9	8.8	8.7	8.8	86	73	90	SW 3	NW 3	SW 1	10^1	6^1	4^1	–	a ⏢^{2}, ca 5–9 a 〓^{0}; 2^{19} a–2^{40} p ztw. ◍^{0}, ab 3 p Aufkl., [13]
29.	36.2	33.9	32.6	8.4	19.3	15.0	20.5	**6.8**	7.4	8.0	9.8	91	49	77	SE 1	SE 2	SE 2	○○	8^1○	0	1.4	a ⏢^{2}, ca 5–8 a 〓^{0}, p sehr sichtige Luft
30.	32.1	30.1	34.0	15.6	25.7	14.9	**26.3**	12.8	10.2	10.8	11.8	77	45	93	SE 2	S 2	NW 2	○○	1^0○	10^1●	–	a ⏢^{1}, ca 6–8 a 〓^{0}; 8^{14} p–n ◍$^{0.2}$, 5^{09} p 〓 W 5
31.	34.3	35.4	37.0	14.0	14.8	12.6	16.9	12.6	10.7	9.9	8.4	91	74	78	SW 2	W 3	NW 3	10^1	10^1	10^1	9.6	n–3^{00} p ztw. ◍$^{0.2}$; wechs. abflaunde Winde, sicht. Luft
Mittel	32.5	32.3	32.7	13.3	17.9	14.1	19.1	11.3	9.7	9.6	10.0	85	64	84				8.4	8.3	6.9	111.5	

[1] 9 p–0 a ◹ i. N u. SW. [2] Winde v. NW üb. N u. E dreh. [3] 5^{34} ca 3 p ztw. ◍$^{0.1}$. [4] laufende, auffrisch. Winde. [5] 2^{27} p 〓 (W 6). [6] $4^{36.44}$ p ◹ i. E, 8^{04} p–n ◹ i. W. [7] auffrisch. Winde, 1^{27} p 〓 (W 6), sehr sichtige Luft. [8] ca 5 a–1 p 〓$^{0.1}$, t ztw. ◍^{0}. [9] sehr sichtige Luft. [10] 11^{08} a SW 5, 8^{00} p W 5. [11] sehr sichtige Luft. [12] 9^{14} p SW 5. [13] abflaunde Winde.

Alle Angaben nach Ortszeit.

Kaiserslautern.

August. $\varphi = 49^0\ 27'$ N. $\lambda = 7^0\ 46'$ E $= 31^m\ 4^s$. H $= 242{,}2$ m. Cg $= +0.3$ mm 1912.

Datum	Luftdruck auf 0^0 u. Normalschwere reduziert 700 mm +			Lufttemperatur C°					Absolute Feuchtigkeit mm			Relative Feuchtigkeit Proz.			Richtung und Stärke des Windes 0 bis 12			Bewölkung 0 bis 10			Niederschlag mm	Bemerkungen
	7^a	2^p	9^p	7^a	2^p	9^p	Max.	Min.	7^a	2^p	9^p	7^a	2^p	9^p	7^a	2^p	9^p	7^a	2^p	9^p	7^a	
1.	34.5	34.1	33.9	17.5	19.2	16.5	20.2	16.4	13.2	13.2	12 4	89	80	88	W 2	NW 1	W 2	9^2	10^2	10^2	9 5	n ◯. t ztw. ◯
2.	35.3	36.9	39.1	16.1	18.3	14.1	20.1	14.1	12 2	10 4	10.4	89	66	87	NW 2	N 1	NW 1	10^2	10^2	0	3.9	n ◯. t ztw. ◯
3.	41.7	41.0	40.0	10.3	21 0	15.3	22.1	8.1	8,1	7.8	9.4	88	42	72	C	E 1	C	3^0	$7^{1}\odot$	4^1	0.3	a ≡² ⌓
4.	38.2	37.0	38.0	16.5	24.8	17.6	**25 6**	14.5	10.3	12.6	**13.3**	73	55	89	E 1	S 1	W 1	7^1	7^1	9^2	–	4^{30}–6^{30} p ⟆. $6^{01.28}$ p ◯²; bis 6^{33} p ◯$^{3.1}$. $6^{01.56}$ p ═
5.	39.6	40.3	39.5	14.7	19.2	13.3	19.8	13.3	10.8	8.3	9.4	87	51	83	NW 1	W 1	C	10^1	$9^{1}\odot$	0	11.0	a ∞
6.	36.2	35.2	36.1	13.0	18.2	13.3	20.1	7.6	9.0	11.0	10.3	81	71	91	C	S 2	SW 2	9^1	10^1	5^1	–	a ≡⁰ ⌓². $1^{51.05}$ p ◯¹. $3^{17.36}$ p ⟆. $3^{11.19}$ p ◯
7.	35.9	35.4	36.3	12.7	17.7	12.8	18.2	9.3	9.1	8.4	9.1	85	56	83	C	NW 2	NW 1	10^1	10^1	5^1	1.5	a ⌓². $10^{20.31}$ a ◯. 5^{26} p Fern⟆ i. N
8.	37.5	38.1	39.7	12.8	16.5	12.5	17.1	10.3	9.3	8 9	8.0	86	64	75	NW 2	W 6	C	10^2	9^2	7^2	4.6	a, p–3^{21} p ztw. ◯ u. ═
9.	39.6	39.4	40.2	10 9	18.9	12.9	19.1	8.1	8.3	7.3	10.0	86	45	91	C	W 2	W 1	7^1	8^1	10^1	0.5	a ⌓¹ ≡¹. p ztw. ◯
10.	39.7	38.9	39.6	12.5	19.4	13 6	19.9	10.6	9.8	9.6	10 5	91	57	92	C	W 2	C	10^1	9^1	10^2	0.2	a ≡². 5^{30} p–n ztw. ◯
11.	41.3	42.7	44.4	11.9	15.4	11.2	16.4	11.2	9.5	9.2	9.3	93	70	94	C	W 5	W 2	10^2	10^2	10^2	1.8	9^{16} p ◹. n ◯. a ◯$^{1.2}$. p ztw. ═; p–6^{30} p ztw. ◯
12.	43.1	40.6	37.7	11.0	16.5	12.7	17.0	10.0	8.7	8.0	9.5	89	57	88	W 2	W 2	C	10^{*}	8^2	10^{2}	7.3	n, a–8^{16} a ◯. 5^{01} p–n ztw. ◯
13.	31.5	32.0	34.0	14.3	16.4	12.0	17.0	11.4	10.5	9.5	9.8	87	69	**95**	W 2	SW 3	C	8^1	8^1	10^2	5.4	n ◯. a–10^{21} a ztw. ◯. p ztw. ═; p–9 p ztw. ◯. [1]
14.	38.7	38.4	38.8	10.5	14.9	11.7	16.0	8.6	8,0	8.6	8.9	85	68	87	W 1	W 1	W 1	9^0	10^1	10^{2}	5.4	11^{32} a–0 p Fern⟆. 11^{21} a–0^{26} p ◯², dann–n ztw. ●
15.	39.2	40.4	41.4	12.1	16.3	13.0	17.0	11.2	8.8	7.5	8 5	84	55	76	W 1	W 3	W 2	10^2	10^2	10^1	2.8	n ◯. a ztw. ═ ◯⁰. p ztw. ═. $5^{41.57}$ p ◯böe, ═
16.	42.4	44.2	45.2	12.9	16.4	13.3	17.0	12.4	9.5	8 4	9.3	87	60	82	W 3	NW 3	NW 3	10^{2}	10^1	5^1	0.1	a–8^{16} a ◯ u. ztw. ═. p–ca 4^{30} p ztw. ═
17.	**45.9**	44.8	43.4	11.0	18.5	13.1	19.1	7.4	8.7	8.8	9.4	89	55	85	C	W 1	SW 1	5	9^1	5^1	–	a ⌓² ≡²
18.	41.0	39.7	38 7	10.5	21.6	15 5	22.2	8.1	8.0	10.6	11.7	85	55	89	C	W 1	C	2^{0}	9^1	5^{1}	–	a ⌓² ≡¹
19.	39.4	37.6	37.9	15.3	20.3	16.7	20.6	13.8	11.4	11.9	11.2	88	67	79	C	C	W 4	9^1	10^2	9^2	1 0	n ◯. 9^{16} p ab ◹. a ztw. ◯. 3^{31}–8^{16} p ztw. ●, dann–n ═
20.	38.2	38.3	39.7	14.9	20.0	13.7	20.1	13 7	11.4	11.5	11.0	90	66	**95**	W 1	S 2	C	10^1	9^1	9^1	0 7	n ◯⁰. $10^{36.31}$ a ◯², bis 11^{11} a ◯$^{0.1}$. 2^{30}–3^{11} p ◯$^{0.1}$. [2]
21.	42.1	44.2	45.8	13.0	16.5	11.1	16.5	11.1	9.3	7.1	8.9	85	51	90	W 2	W 5	C	5^2	$7^{1}\odot$	5^0	8.9	9^{21} p ◹ i. N. 7^{46}–9^{01} a ◯². $10^{01.31}$ a ◯¹. $10^{33.36}$ a ◯⁰. [3]
22.	42.3	40.7	44.3	11.3	13 4	10.4	14.9	9.6	9.0	9.2	7.8	91	81	84	W 2	W. 2	W 1	10^{2}●	$9^{2}\odot$	10^2	6 2	n ◯⁰. a–11^{46} a ◯¹.². p–1^{46} p ztw. ●
23.	44.2	41.9	38.2	10.9	12 8	12.9	14.5	8.3	8.0	9.6	10.3	83	88	94	W 2	W 2	W 4	10^2	10^{2}●	10^{2}●	5.2	a ∞. 1 p–n ◯. 6^{21} p–n ztw. ●
24.	36.2	35.6	34.6	13.9	19.0	16.3	19.3	12.9	10,2	9.8	11.5	87	60	83	W 4	W 3	W 1	10^2	10^2	9^2	4.2	n ═ ◯. t ztw. ═
25.	35.8	37.1	34.2	14.7	20.2	16.5	21.6	14.5	11.6	11.1	12.5	93	63	90	W 1	W 2	C	10^{2}●	8^2	7^2	4.5	n, a–10^{00} a ◯
26	29.0	28.9	29.2	16.5	19.5	13.3	20.1	13.3	13.1	11.8	9.0	94	70	80	W 1	W 3	W 3	10^{2}●	9^2	8^1	4.9	n, t–1^{01} p ztw. ◯. 2^{4} w. ═. $5^{01.16}$ p, 6^{03} p ⟆. 5^{01}–6^{21} p ◯. [4]
27.	**28.7**	31.2	33.3	10.3	15.7	12.8	15.9	10.3	8.1	7.6	9.3	88	57	86	W 5	W 6	W 4	10^{2}●	10^2	10^2	**12 0**	n ═ ◯. a–10^{36} a ◯. t–4^{30} p ═
28.	36.6	39.6	41.5	10.9	16.4	10.7	17.0	10.3	9.0	8.2	8.9	93	59	93	W 2	W 3	C	10^1	7^1	3^0	3.2	n ◯. t ∞
29.	40.1	38.2	37.2	9.2	21.0	14.7	21.6	6 0	7.5	9.0	11.1	87	49	89	C	S 2	C	$5^{0}\odot$	oo	o	–	a ≡¹, ⌓
30.	37.2	38 3	39.6	17.3	15.4	14.5	20.1	13.6	12,0	11.9	10.8	82	91	88	W 1	W 1	W 2	10^1	10^{3}●	10^2	–	a ⌓, ∞. 0^{50}–5^{01} p meist ◯, ztw. kurz ◯²
31.	40.9	41.9	43.8	13.5	18.0	11.1	18.1	11.1	10.2	9.2	8.9	89	59	90	W 2	W 2	W 1	10^2	$7^{1}\odot$	8^2	7 9	a ∞. 10^{30} a kurz ◯. p ∞ ≡¹
Mittel	38.5	38.5	38.9	13.0	18.0	13.5	18.8	11.0	9.8	9.6	10.0	87	63	87				8.8	8.7	7.2	113.0	[1] (4^{06}–5^{30} p ◯².) [2] 7^{30}–8 p ⟆ u. ◯²; bis 8^{16} p ◯⁰. [3] $2^{16.36}$ p ◯. 3^{30}–4^{16} p ═ [4] bis 6^{33} p ◯². 6^{50} p ═

Ansbach

August. $\varphi = 49^0\ 18'$ N. $\lambda = 10^0\ 33'$ E $= 42^m 12^s$. H $= 437.5$ m. Cg $= +0.2$ mm. 1912.

1.	18.8	18.0	17.1	17.0	19.7	16.2	24.0	14.6	11.3	**14.6**	12.1	79	85	88	S 2	C	W 2	8^2	10^2	10^2	–	t ztw. ◯
2.	18.2	18.8	21.1	15 6	19.9	14.6	20.4	14.4	12.3	11.0	11.4	93	64	91	C	W 2	W 2	10^2	10^2	10^{2}●	9.6	n ◯. t ztw. ◯. 9 p ◯
3.	24.2	24.6	24.0	14.0	20.7	13.0	21.6	11.7	9.9	7.5	8.5	83	**42**	76	C	NW 2	C	oo	$6^{1}\odot$	o	3.2	
4.	22.7	21.2	20.0	14.8	25.1	18.4	**26.4**	9.9	10.6	10.2	11.6	85	43	74	E 2	SE 2	C	oo	oo	10^2	–	abds. ◹ i. W
5.	21.7	23.4	23.0	13.6	16.6	13.2	20.4	13.0	10.8	10.1	9.0	94	71	80	NW 2	W 2	C	10^{2}●	10^2	4^1	6.6	n, mrgs.–11^{57} a ◯
6.	20.2	18.9	19.7	11.0	19.2	12.5	20.0	7.1	8.8	10.2	9.6	90	62	90	SW 2	S 2	W 2	10^2	$6^{1}\odot$	o	3.7	mrgs. ≡⁰. 5^{32}–6^{42} p ⟆
7.	19.4	18.3	18.4	11.4	12 8	11.6	13.2	10.1	8 6	8.7	9.3	86	80	92	C	C	W 2	10^{2}●	10^{2}●	10^2	4.8	mrgs., t–abds. ◯
8.	19.8	21.0	22.6	11.9	12.0	9.6	15.4	9.5	8.8	9.2	7.1	85	89	80	W 4	W 4	C	10^2	10^{2}●	o	4 7	5^{12}–6^{27} a, 6^{42}–2^{42} p ◯
9.	21.4	22.5	23.2	11.0	17.0	12.0	17.8	7.3	7.8	6.7	8.1	80	47	78	SW 2	W 4	C	oo	10^2	10^2	4.8	mrgs. ⌓
10.	22.8	22.1	21.9	11.4	18.3	12.8	18.6	7.5	8.6	9.6	10.1	86	61	93	C	W 2	W 2	$4^{0}\odot$	8^2	10^2	–	mrgs. ⌓. 10^{27}–11^{27} a ◯
11.	23.5	24.8	26.7	11.2	13.8	11.0	14.2	10.1	8.4	9.2	8.4	85	79	87	W 4	W 4	W 4	10^2	10^2	10^2	4.2	n, a–6^{22} a ◯. t ztw. ◯
12.	25.8	23.9	21.4	10.4	14 2	11.2	15.2	8.1	8.1	7.2	8.6	87	59	86	W 4	W 2	C	10^2	8^2	10^2	1.5	⌓. 11^{02} a–0^{52} p ◯
13.	15.5	16.0	15.6	11.8	13.6	12.0	14.0	10.1	9.7	10.3	9.3	95	89	90	W 4	W 4	W 4	10^2	10^{2}●	10^2	2.5	n, a, 7^{27} a–3^{42} p ●
14.	20.7	22.0	22.7	9.6	15.8	7.6	15.8	7.5	7.8	6.4	7.6	88	48	**98**	W 4	W 2	SW 2	10^2	8^2	10^2	9.8	$3^{32.57}$ p ⟆. 5^{32}–6^{27} p ◯
15.	22.9	23.7	25.0	10.4	14.5	10.2	15.0	7.5	8.2	9.1	7.6	88	74	82	SW 2	SW 2	W 2	10^2	8^2	o	1.7	11^{07} a–1^{32} p ◯
16.	25.3	27.1	27.9	11.7	13.4	11.0	14.8	9.7	8.6	8.6	8.9	85	75	91	W 4	W 6	W 2	10^2	10^2	o	4.6	
17.	**28.9**	28.2	27.5	10.8	17.5	9.8	17.8	8 9	8.4	7.6	8.3	89	52	92	W 2	W 2	W 2	10^1	8^2	o	–	
18.	24.9	23.3	22.6	9.2	21.7	15.6	22.8	6.2	7.5	10.0	10.9	89	52	83	C	S 2	C	oo	$4^{1}\odot$	o	–	mrgs. ⌓, ≡⁰
19.	24.0	22.1	21.7	14.3	23.3	18.9	23.8	12.2	10.9	11.1	12.0	91	52	75	SW 2	SW 2	W 4	10^{2}●	$4^{1}\odot$	10^{2}⛆ ●	1 2	n, a–7^{32} a ◯. 8^{12}–9^{00} p ⟆ ◯
20.	22.2	23.0	22.6	14.6	17.2	14.9	19.0	13.6	11.4	12.3	11.4	92	85	90	C	SW 2	SW 2	10^2	10^{2}●	10^2	**15.4**	9^{50}–10^{12} p, 10^{32}–11^{32} p ⟆ ◯. t ztw. ◯
21.	25.2	27.1	28.7	12.8	14.3	10.2	15.8	10.1	9.1	6.4	6.9	83	54	74	W 4	SW 6	W 4	10^2	$6^{1}\odot$	2^1	6.9	t ztw. ◯, ═
22.	26.5	23.0	25.7	9.9	14.0	9.9	14.0	6.8	7.3	9.5	7.2	81	80	80	SW 2	SW 4	W 4	10^2	10^{2}●	10^2	0.6	t ztw. ◯
23.	26.7	24.8	21.8	8.5	14.9	10.0	15.0	6 6	7.6	6.1	8.7	93	49	95	W 2	SW 2	SW 2	10^{2}●	10^2	10^{2}●	5.9	mrgs. ◯. t ztw. ◯
24.	18.0	18.3	18.4	13.2	17 5	14.4	17.8	9.7	9.6	8.4	8.5	86	57	70	W 6	W 6	C	10^2	10^2	10^2	8.2	n, a, mrgs. ═ ◯
25.	18.2	19,2	18.6	14.2	19.5	12.3	19.8	11.7	10.8	8.4	9.4	91	50	89	W 4	W 4	W 2	10^2	$4^{1}\odot$	4^0	0.3	$6^{22.32}$ a ◯. t ztw. ◯
26.	14.0	**12.1**	13.0	14.7	19.7	14.0	20.8	10.7	10.5	10.7	9.7	85	62	82	SW 2	SW 8	W 4	10^2	10^2	10^2	–	t ztw. ◯ ═
27.	12.4	13.1	15.8	10.8	11.7	11.5	14.4	9.9	7.5	8.0	8.6	77	79	86	SW 4	W 8	SW 6	10^2	10^2	10^2	4.6	t ztw. ◯ ═
28.	18.0	21.1	24.7	9.8	15.4	10.0	15.6	9.3	8.2	6.9	8.7	91	53	95	W 2	W 6	W 2	10^{2}●	$6^{1}\odot$	8^2	4.4	n, a, 5^{47}–8^{22} p ◯
29.	24.8	23.0	21.8	7.1	19.1	13.7	20.0	5 0	7.2	7.9	9.8	96	48	85	C	S 2	S 2	10^{1}≈	$2^{0}\odot$	o	2.2	mrgs. ≡¹
30.	21.3	19.9	23.2	14.4	24.3	13.5	24.8	11.9	9.9	10.6	11.0	82	48	96	C	C	W 2	oo	$2^{1}\odot$	10^{2}●	–	⌓. nachm. ═. 7^{22} p ab ◯
31.	23.4	24.6	26.3	12.6	14.7	10.4	16.2	10.4	9.8	9.4	8.6	91	76	92	W 2	NW 4	C	10^2	10^2	10^2	5.4	4^{12} p ab ztw. ◯
Mittel	21.7	21.6	22.0	12,1	17.1	12.5	18.2	9.7	9.2	9.1	9.3	87	63	86				8.1	7 7	6.7	116.8	

Alle Angaben nach Ortszeit.

Regensburg.

August. $\varphi = 49^0\ 1'$ N. $\lambda = 12^0\ 7'$ E $= 48^m\ 28^s$. H $= 354.3$ m. Cg $= +0.2$ mm. 1912.

Datum	Luftdruck auf 0° u. Normalschwere reduziert 700 mm + 7a	2p	9p	Lufttemperatur C° 7a	2p	9p	Max.	Min.	Absolute Feuchtigkeit mm 7a	2p	9p	Relative Feuchtigkeit Proz. 7a	2p	9p	Richtung und Stärke des Windes 0 bis 12 7a		2p		9p		Bewölkung 0 bis 10 7a	2p	9p	Niederschlag mm 7a	Bemerkungen
1.	27.3	25.5	24.0	15.6	24.4	20.3	**24.5**	13.1	11.6	13.4	12.7	86	59	72	SE	4	SW	3	NE	1	8¹	6⁰⊃	10²	–	ca 9 p ≤ im N
2.	25.2	25.9	26.4	16.8	18.4	16.2	20.3	16.2	12.8	**13.7**	11.4	90	87	83	S	1	SW	3	W	1	10¹	10¹●	10¹●	–	968.18 p ◍⁰, t ztw. ◍¹
3.	29.5	30.7	30.8	14.7	20.1	15.8	21.0	13.9	11.6	10.9	11.9	93	62	89	SW	4	NE	1	NE	1	9¹	5¹	0	10.6	⏢
4.	29.9	28.2	26.8	12.8	23.3	18.4	**24.5**	10.9	10.1	11.3	**13.7**	93	53	87	C		E	3	E	2	0⁰	1¹⁰	2¹	–	
5.	26.4	29.7	29.7	16.8	16.8	13.2	18.5	12.7	12.2	9.8	10.2	85	69	91	W	4	W	6	W	2	10¹●	9¹	10¹●	–	a ◍⁰
6.	27.3	26.9	26.5	10.2	16.8	15.0	18.5	10.1	9.0	10.8	11.0	**97**	76	87	NW	4	SE	3	SE	1	10²≡	8¹⊙	5¹	2.4	923 p-n ◍²; n ◍, ≡reissen
7.	26.0	25.0	24.4	13.4	13.5	12.4	18.6	10.9	10.5	10.6	8.9	93	93	85	SE	1	NW	3	W	7	10¹	10¹●	10¹●	0.3	⏢, 803 a ◍¹, p-n ztw. ◍¹
8.	26.6	27.2	30.4	11.6	14.0	11.4	16.0	10.6	9.2	9.5	8.8	91	80	88	SW	3	SW	6	W	3	9¹	6¹	5¹	**25.8**	ztw. ◍¹
9	29.6	29.1	29.7	9.4	16.8	13.2	16.8	7.6	7.4	8.6	9.1	86	61	81	S	1	S	3	W	2	0⊙	8²	5	2.1	⏢
10.	30.7	29.2	29.2	10.8	17.7	14.0	17.7	9.6	8.8	10.6	11.1	92	70	94	SE	1	SW	2	SW	3	5¹	8¹⊙	5¹	–	⏢, 313–ca 4 p ◍, 333 p ◹
11.	30.0	31.0	32.2	11.9	13.7	11.0	15.0	11.0	9.0	9.2	8.1	87	79	83	S	3	SW	5	W	7	8¹⊙	5¹	6¹	0.5	118.18 p, 428.38 p ◍
12.	32.3	29.9	29.0	10.5	13.8	11.3	16.0	10.0	8.4	8.1	8.6	90	69	87	SW	4	SW	4	SW	3	9⁰	10¹	8¹	1.6	
13.	24.1	23.5	23.6	10.8	15.6	12.0	15.8	10.1	9.2	11.5	9.7	95	87	94	SE	4	SW	3	SW	1	10¹	10¹●	5¹	1.3	n, 823.28 a, 200 p ◍
14.	27.3	28.8	29.6	11.6	14.2	9.8	14.7	9.7	8.9	8.6	8.2	88	72	91	SW	4	SW	2	SE	2	9¹	8¹●	0	6.8	200 p ◍
15.	30.5	30.1	31.7	7.7	17.5	11.4	17.8	6.2	7.2	9.1	8.1	91	61	81	SE	3	S	6	W	3	9¹	7¹●	5¹	–	255–ca 4 p ◍
16.	32.4	33.0	34.0	10.6	15.8	12.6	16.0	9.4	8.8	7.9	9.6	93	73	89	SE	1	SW	3	SW	3	9¹	9²	8¹	0.9	n ⏢
17.	34.8	34.5	34.0	12.1	17.1	11.2	17.1	11.1	9.3	**7.1**	8.9	89	**49**	90	S	3	W	4	W	1	9¹	6¹	4¹	–	
18	32.3	30.6	30.0	9.4	20.1	16.3	20.8	7.2	7.9	9.7	11.1	89	55	80	S	2	E	4	E	3	9¹	3⁰⊙	4¹	–	⏢
19.	30.8	28.9	27.5	14.2	23.2	18.2	23.6	12.9	10.3	10.5	12.3	86	**49**	79	C		E	3	E	3	8¹	2³⊙	0	–	
20.	28.4	29.3	29.5	15.6	19.8	16.7	19.8	13.3	11.5	11.4	13.1	87	66	93	W	1	NW	2	W	2	9⁰	7¹	9¹	–	⏢, 803 p-n ◍¹
21.	31.1	32.7	**35.0**	14.4	16.7	11.9	16.7	11.9	10.6	**7.1**	7.3	87	50	71	SW	4	SW	5	W	3	10¹	5¹	1⁰	8.4	n ◍¹, 1018–ca 11 a ◍
22.	34.1	31.0	31.4	9.6	12.4	11.2	14.3	8.3	7.7	9.5	8.3	87	89	84	SW	1	SW	4	SW	5	8¹	10¹●	10¹●	–	⏢, p ztw. ◍¹
23.	33.0	32.0	30.0	8.4	13.8	11.0	14.2	7.0	7.5	7.4	8.8	92	62	90	SW	1	SW	3	SW	1	9¹	9²●	9¹●	3.8	p ztw. ◍
24.	25.1	24.8	25.7	12.8	18 8	14.3	19.0	10.6	9.7	10.7	10.1	89	66	84	SW	6	SW	4	SW	2	10¹●	5¹	2¹	3.1	a ◍⁰
25.	25 5	25.9	25.8	12.4	20.1	14.6	20.4	11.3	9.8	10.2	11.0	93	57	89	SE	1	SW	5	C		10¹	3¹	0	–	
26.	22.3	21.2	21.2	13.1	19.5	14.8	19.8	11.4	8.9	13.2	11.0	88	79	88	E	3	C		W	2	10¹	10¹●	8¹	–	ca 2 p kurz ◍¹
27.	21.2	**21.0**	22.9	11.1	13.4	12.3	15.5	10.9	8.0	8.0	8.3	81	70	78	SW	4	SW	7	W	7	10¹	10¹	5¹	0.6	⏢, p ztw. ◍⁰
28.	24.6	27.5	31.0	11.4	14.9	10.0	15.5	10.0	8.8	8.4	8.3	88	67	91	SW	2	W	4	C		10¹	8²●	0	–	a ztw. ◍, ca 2 p ◍⁰
29	32.1	30.3	29.6	7.2	18.2	13.2	18.9	**6.0**	7.3	7.7	9.1	96	50	81	SE	2	SE	2	SE	1	10²≡	3⁰⊙	0	1.0	⏢ ≡²
30.	29.4	26.3	28.8	10.7	23.2	17.4	24.2	9.6	8.6	10.4	11.0	91	**49**	74	SE	1	SE	1	W	5	0⊙	1⁰⊙	8²	–	n ◍
31	30.1	30.3	32.2	12.9	16.0	12.0	17.5	7.6	10.3	10.1	8.6	94	75	83	SW	4	SW	2	SW	2	10¹	8²	7²	6 1	n, ca 1000.18 a ◍
Mittel	28.7	28.4	28.8	12.0	17.4	13.6	18.4	10.4	9.4	9.9	9.9	90	67	85							8.3	6.8	5.2	75.3	

Passau.

August. $\varphi = 48^0\ 34'$ N. $\lambda = 13^0\ 28'$ E $= 53^m\ 52^s$. H $= 309.3$ m. Cg $= +0.2$ mm. 1912.

1.	32.1	29.4	28.5	14.0	26.2	18.4	26.2	11.2	10.8	13.2	13.7	92	53	87	C		SE	2	C		10¹≡	5⁰⊙	0	–	a ≡¹
2.	30.2	30.3	28.9	16.4	20.8	17.2	20 9	14.3	12.3	12.9	12.7	88	71	87	SW	2	SW	2	W	2	10¹	10¹	10¹●	–	ca 9 p ◍⁰
3.	33.9	35.8	35.8	16.0	20.6	16.6	20.6	15.1	11.9	12.1	12.2	88	67	86	SW	2	SW	4	C		10¹	5¹⊙	0	8.5	n ◍
4.	34.8	33.0	31.2	13.2	25.2	18.8	25.7	10.3	9.9	12.5	**16.0**	88	53	**99**	SE	1	SE	2	E	2	C⊙	0⊙	0	–	⏢
5.	31.5	33.8	34.4	17.4	17.6	15.0	18.8	15.0	13.1	11.1	11.4	89	74	90	SW	2	S	2	W	4	10¹●	10¹	10¹	–	a 1123 a ◍⁰, ca 3–8 p ◍
6.	31.3	31.4	31.6	14.4	17.8	14.2	18.3	13.3	10.8	11.1	11.0	90	73	92	C		C		C		3¹	10¹	10¹	2.0	t ztw. ◍
7.	30.2	27.4	27.6	13.8	15.8	13.0	16.8	11.5	10.2	11.9	10.1	87	90	91	E	1	SW	2	C		5⁰⊙	10¹●	10¹●	1.0	a ◍
8.	31.3	32.3	34.6	12.6	12.0	11.7	15.8	11.3	9.3	8 7	9.4	87	84	93	SW	2	SW	2	C		10¹	10¹●	10¹	**21.5**	n ◍, ca 2-7 p ztw. ◍
9	34.8	34.3	34.9	9.4	17.2	13.8	17.8	8.1	8.3	8.6	9.6	95	59	82	C		NW	2	C		10¹.⁸	8¹	10¹	11.5	a–709 a ≡
10.	36.0	34.0	34.4	11.4	17.8	12.0	18.2	9.6	8.9	10.6	10.2	89	69	98	C		SW	2	C		0⊙	10¹●	10¹	–	⏢, ca 2 p ◍, 429–504 p ◹, 504–ca 6 p ◍
11.	35.2	36.2	37.3	12.2	14.0	12.2	15 8	10.1	9.3	9.0	8.8	89	76	84	W	2	W	4	W	4	10¹	10¹	10¹	6.0	n ◍, t ztw. ◍
12.	37.4	35.3	34.6	11.6	16.2	11.6	16.8	10.7	8.3	8.4	9.2	82	61	91	W	4	W	4	C		10¹	10¹	10¹	5.5	m–100 p ◍
13.	29.6	27.7	29.5	12.2	19.6	13.8	20.5	11.0	9.1	10.6	11.5	87	62	98	SE	2	N	2	W	2	5¹⊙	5¹⊙	10¹●	1.4	n, ca 4 p–n ◍
14.	31.5	23.6	35.3	12.8	13.8	11.6	14.1	11.6	9.0	9.6	9.2	82	82	91	SW	2	SW	2	C		10¹	10¹●	10¹	7.6	n, m–ca 6 p ◍
15.	35.9	**35.7**	37.0	9.0	18.0	12.4	18,0	7.5	7.8	8.7	9.7	92	57	91	C		C		C		10¹	8¹⊙	10¹	1.0	a–ca 7 a ≡, ca 600.24 p ◍
16.	38.1	38.4	39.4	10.3	14.4	13.8	14.9	8.7	8.7	10.8	10.4	94	90	90	C		SW	2	C		10¹	10¹	10¹	1.0	n ◍⁰, t ztw. ◍
17.	39.1	39.1	39.3	13.2	17.4	11.6	17.8	11.3	10.0	8.5	9.2	89	57	91	S	1	W	1	C		10¹	8¹⊙	0	4.7	
18	37.6	35.2	35.1	8.5	21.8	14.8	22.0	**6.3**	7.7	10.1	11.4	93	52	91	C		C		C		0⊙	0⊙	0	–	⏢
19.	35.6	34.1	32.8	11.9	22.2	16.2	22.2	9.9	9.5	12.9	12.5	93	65	91	C		SW	2	C		0⊙	0⊙	0	–	⏢
20.	33.3	33.0	33.1	12.6	23.2	17.8	23.2	11.2	10.6	13.8	12.9	98	65	85	C		SW	2	C		10⁰	10⁰	10¹	–	a ≡⁰, 830–ca 9 p ◹
21.	35.7	37.4	**40.1**	15.4	18.4	13.2	18.4	13.2	11.2	8.7	9.0	86	55	80	SW	2	W	2	C		10¹	5¹⊙	0	10.8	900–1024 p ◹ ◍, a ztw. ◍
22	39.7	36.5	35.9	9.4	12.8	12.0	14.9	7.1	**7 0**	9.7	8.9	89	89	86	SE	2	SW	2	W	2	10⁰	10¹●	10¹	1.7	009–ca 6 p ◍
23.	38.1	36.1	35.7	10.8	13.2	11.2	14.7	9.9	8.2	8.5	9.0	86	75	92	SW	2	SW	2	C		10¹	10¹	10¹	4.7	t ztw. ◍
24.	30.7	29.0	30.3	12.4	19.4	14.0	20.0	10.1	9.7	11.4	11.1	91	68	94	SW	2	NW	2	W	2	10¹●	3¹⊙	3¹	8.3	n, a ◍
25	30.7	30.8	31.1	12.6	21.6	14.4	21.9	10.3	9.8	9.4	11.1	91	49	92	C		W	4	C		10¹	3¹⊙	0	2.2	
26.	27.4	**24.0**	26.9	12.2	22.4	15.4	22.8	10.3	9.7	12.5	11.5	94	63	88	SE	2	SE	1	C		8¹⊙	10¹	10¹●	0.1	⏢, 424.44 p ◹, 429–ca 5 p ◍
27.	26.6	26.8	28.9	11.2	14.8	14.2	14.9	10.6	8.7	7.5	8.1	88	60	67	W	4	W	4	W	4	10¹●	10¹	10¹	17.6	n, a ◍
28.	30.1	32.5	36.3	11.8	13.8	11.5	14.7	11.3	9.1	10.2	8.7	88	87	87	SW	2	SW	2	C		10¹	10¹	10¹	1.6	n ◍
29.	37.5	35.3	35.0	8.7	20.2	12.6	20.2	7.2	8.1	7.8	9.8	96	42	91	E	1	E	1	C		10¹≡	0⊙	0	1.6	a ≡¹
30	34.6	30.3	31.2	9.3	26.9	16.6	**26.9**	7.4	8.5	8.5	12.7	98	**33**	91	C		E	2	C		10¹	0⊙	10¹	–	a ≡¹
31.	35.3	35.5	36.3	14.0	15.4	13.6	16.6	13.3	10.3	10.2	10 5	87	79	92	C		W	4	C		10¹●	10¹●	10¹	0.8	n, a ◍, t öfters ◍
Mittel	33.7	33.0	33.6	12.3	18.4	14.0	19.0	10.6	9.5	10.3	10.7	90	66	89							8.1	7.0	6.9	121.1	

Alle Angaben nach Ortszeit.

Landshut.

August. $\varphi = 48^0\ 32'$ N. $\lambda = 12^0\ 10'$ E $= 48^m\ 40^s$. H $= 397.7$ m. Cg $= +0.2$ mm. 1912.

Datum	Luftdruck auf 0^0 u. Normalschwere reduziert 700 mm +			Lufttemperatur C°					Absolute Feuchtigkeit mm			Relative Feuchtigkeit Proz.			Richtung und Stärke des Windes 0 bis 12			Bewölkung 0 bis 10			Niederschlag mm	Bemerkungen
	7^a	2^p	9^p	7^a	2^p	9^p	Max.	Min.	7^a	2^p	9^p	7^a	2^p	9^p	7^a	2^p	9^p	7^a	2^p	9^p	7^a	
1.	23.2	21.3	19.9	16.8	27.6	19.6	**31.2**	12.2	12.2	12.9	13.1	85	**46**	78	C 2	S 2	E 2	5^1	7^0⊙	2^2	–	△, ca 9 p ≲ im N
2.	21.9	22.6	23.4	17.0	18.4	14.8	20.3	14.8	12.6	13.6	12.3	88	86	98	C 2	SW 2	W 2	10^1	10^1●	10^1●	–	△, ca 8–11^{19} a ◍, 1^{19} p–n ◍^{0}
3.	27.2	27.6	27.2	13.8	21.8	14.8	24.0	13.6	11.3	9.6	11.6	97	49	92	W 2	W 2	C	10^1	7^3⊙	0	15.9	n ◍
4	26.4	24.5	23.1	16.4	26.0	18.0	27.0	10.5	11.4	12.6	**13.8**	82	50	90	E 2	E 2	C	0⊙	0⊙	1^1	–	△
5.	24.5	26.5	26.5	16.8	16.2	13.1	18.0	12.8	12.3	9.9	10.8	87	72	97	W 2	NW 2	W 2	10^1	10^1	10^1●	–	ca 8 a ◍^{0}, a u. p öfters ◍^{0}
6.	23.5	23.4	22.7	10.4	19.8	14.8	24.0	9.1	9.2	11.4	10.7	98	66	86	C	W 2	SE 4	10^1≡	9^1⊙	10^1	2.8	≡^{1} △
7.	22.3	19.9	21.5	13.5	14.4	10.6	16.2	10.3	10.5	11.5	9.3	90	95	98	NE 2	NE 2	W 4	10^1	10^1●	10^1●	–	ca 8 a–n ◍
8.	23.9	24.3	26.5	10.6	13.7	9.5	17.3	9.2	8.9	9.0	8.5	94	78	96	W 4	W 4	W 4	9^1	10^1	0	**33.5**	n ◍, a u. p fast stündlich ◍böen
9.	26.3	26.0	26.7	9.6	16.9	12.3	19.9	5.1	7.7	8.3	9.5	87	58	90	W 2	W 2	C	0⊙	10^1	10^1	12.0	△
10	26.4	25.7	25.9	11.4	19.6	11.8	21.8	7.2	9.4	11.3	10.0	95	67	97	C	SW 2	W 2	9^0	5^1⊙	0	–	△, $11^{19.39}$ a ◍, 2^{23}–3^{29} p ◹, $3^{06.34}$ p ◍, 3^{07} p ▲^{0}
11.	27.4	28.8	30.0	11.3	12.9	10.0	15.7	9.8	8.9	9.0	8.2	89	82	89	W 4	W 6	W 4	10^1●	10^1	10^1	4.1	n, a–ca 8 a ◍, a u. p stündlich ◍böen
12	29.8	27.4	25.3	9.9	16.4	11.6	18.9	8.6	8.1	7.3	8.8	89	52	87	W 4	W 4	W 2	10^1	9^1	3^1	7.1	
13	20.3	19.7	20.6	12.4	16.1	11.4	19.4	10.2	10.2	10.6	9.8	95	78	98	S 4	NW 2	C	7^1⊙	10^1	10^1	3.0	n ◍, $9^{19.39}$ a ◍^{0}, ca 3–7^{19} p ◍
14.	23.6	26.1	26.3	10.6	13.5	8.1	16.3	8.0	8.8	9.0	7.7	93	79	96	W 4	W 2	W 2	10^1	10^1	0	8.0	7^{29} a ◍^{0}
15.	27.3	27.3	28.8	8.1	19.2	11.4	20.5	2.6	7.3	8.3	9.8	91	51	98	SW 2	W 4	W 2	10^1	6^1⊙	10^1	0.2	△, ca 4–4^{14} p ◍, $8^{19.29}$ p ◍böen
16.	29.8	31.0	31.3	10.8	14.6	12.4	16.5	7.3	9.2	9.0	9.8	95	73	93	W 2	W 4	W 4	10^1	10^1●	10^1	1.8	n, $11^{19.34}$ a ◍, 1^{35}–2^{04} p ◍^{0}
17.	**32.3**	31.8	31.0	12.8	17.6	10.3	20.7	10.2	10.0	7.1	8.7	91	47	94	SW 2	N 2	C	8^1	8^1	0	0.8	n ◍^{0}
18	29.0	27.0	26.5	8.4	23.2	14.2	27.2	5.0	7.8	10.5	11.1	94	49	93	NE 2	E 2	C	1^1⊙	1^1⊙	0	0.1	△
19.	27.0	25.6	23.6	14.4	24.8	16.4	26.0	10.7	11.7	11.4	12.0	96	49	86	W 2	C	C	8^1	0⊙	0	–	△
20.	25.3	25.8	25.8	14.8	21.4	15.5	23.0	11.2	11.6	10.2	12.5	92	54	96	W 2	N 2	W 2	10^1	8^1	10^1●	–	△, ca 8 a ◍tropfen, ca 5–5^{04} p, ca 7–7^{09} p ◍, [1]
21.	28.5	30.3	**32.3**	14.4	16.5	10.9	19.0	10.5	10.6	7.9	8.0	87	56	83	W 6	W 6	NW 2	9^1	8^1⊙	1^1	8.9	n ◍, 0^{59}–1^{04} p ◍tropfen
22.	31.0	28.2	28.5	10.0	11.8	9.6	16.6	6.2	8.4	9.4	8.3	92	93	94	W 2	SW 4	W 4	10^1	10^1●	5^1	0.1	△, 11^{19} a–8^{29} p ◍
23	30.3	28.8	26.8	9.7	15.2	10.2	16.5	8.2	7.9	7.8	8.9	88	60	96	W 4	W 4	W 2	9^1⊙	9^2	10^1●	7.8	ca 3 p ◍tropfen, ca 7 p n ◍^{0}
24.	22.2	21.6	22.2	13.4	21.3	13.7	22.5	10.2	9.6	9.3	9.4	85	50	81	W 6	SW 4	W 2	10^1	6^1⊙	1^1	4.4	
25.	22.4	22.8	22.5	14.0	22.4	14.1	24.5	10.5	10.2	10.1	11.0	86	50	93	W 4	W 6	C	9^1	5^3⊙	2^1	–	
26.	18.1	**16.1**	17.7	12.9	20.7	14.1	23.4	10.7	9.9	13.5	10.8	90	75	91	E 4	W 2	W 2	10^1	10^1	10^1●	0.1	n, ca 8–ca 10 a, ca 3 p–n ◍^{0}
27.	17.8	18.2	20.0	10.7	14.5	12.3	15.8	10.2	7.9	7.5	8.0	83	61	75	SW 6	SW 6	W 4	10^1	10^1	10^1	7.3	n ◍ ≡, a u. p ≡ u. einige ◍böen
28.	21.8	24.8	28.2	11.1	15.0	10.0	17.0	10.0	8.7	7.5	8.0	89	59	89	SW 4	NW 4	C	10^1	10^1	0	0.5	
29.	28.9	26.6	25.7	5.3	20.5	12.2	24.3	4.0	**6.6**	8.6	10.0	**99**	48	95	C	E 2	C	10^1≡	1^0⊙	0	0.1	ca 7 a ≡^{1} △
30	25.8	22.4	25.7	9.6	25.5	17.4	27.1	6.3	8.2	12.0	10.7	92	50	72	E 2	E 2	W 6	0⊙	1^0⊙	10^1	–	△
31.	27.5	27.5	29.1	12.0	18.0	12.4	19.5	11.3	9.9	9.6	9.1	96	63	86	W 4	NW 2	W 4	10^1●	8^1	10^1	4.0	n, a–7^{19} a ◍, ca 11–11^{19} a ◍^{2}, 0^{19}–ca 1 p ◍
Mittel	25.6	25.1	25.5	12.0	18.6	12.8	21.0	9.2	9.6	9.9	10.0	91	63	91				8.2	7.3	5.3	122.5	[1] ca 8 p ◍, ≲ im E.

Augsburg.

August. $\varphi = 48^0\ 22'$ N. $\lambda = 10^0\ 54'$ E $= 43^m\ 36^s$. H $= 499.6$ m. Cg $= +0.1$ mm, über 728.8 mm Cg $= +0.2$ mm. 1912.

1.	13.7	13.5	13.1	16.2	24.5	18.4	24.8	14.6	10.8	12.9	**13.6**	79	56	86	SW 2	NW 2	NW 2	6^1	10^2	10^2g	–	△, 8^{39} p–n ◹
2.	13.4	15.4	16.3	16.0	17.1	14.1	18.4	13.7	12.2	13.0	11.3	90	90	95	SW 2	SW 2	SW 2	10^2●	10^3●	10^2●	**30.2**	n u. t ◍
3	19.5	19.6	18.8	13.3	21.2	16.0	21.5	12.5	9.8	9.1	11.1	87	49	79	SW 2	E 2	E 2	4^1⊙	3^1⊙	0	15.4	n ◍
4	17.8	16.4	15.0	12.0	25.2	20.1	25.2	11.3	10.2	13.4	13.4	98	57	76	E 2	E 2	E 2	10^2≡	0⊙	3^1	–	n u. a ≡^{2}
5.	16.7	18.9	18.7	15.2	16.3	13.4	20.1	13.4	12.3	11.9	10.5	96	85	93	NW 2	NW 2	S 2	10^2●	10^2●	10^2	0.2	6^{42} a–8^{45} p ◍
6.	15.3	14.6	15.8	10.9	19.2	14.4	20.6	9.3	9.7	9.2	10.3	100	56	85	SE 2	SW 2	SW 2	10^2≡	8^1	10^1	4.0	n u. a ≡^{2}
7.	14.2	12.5	14.4	12.9	13.2	11.4	14.4	10.3	10.3	10.2	9.1	94	91	91	SW 2	NE 2	SW 2	10^2●	10^2●	10^2●	1.2	n u. t ◍
8.	16.0	16.7	18.8	10.6	14.8	10.9	14.9	9.4	8.4	9.5	8.5	90	75	89	SW 4	NW 4	SW 2	10^2	8^2●	3^2	19.4	n u. t ztw. ◍
9.	17.7	17.9	19.1	10.0	16.2	13.2	16.4	7.7	7.6	8.1	9.7	83	60	87	SW 2	SW 2	SW 2	0⊙	10^2	10^1	1.4	△
10.	18.0	18.9	18.4	11.4	15.4	12.8	17.8	9.3	9.1	10.6	9.6	91	81	88	SW 2	NW 2	SW 2	9^1	10^2●	10^1	–	△, $2^{12.49}$ p, $4^{19.44}$ p ◹, [1] 1^{39}–2^{44} p, $4^{39.44}$ p ◍
11.	19.8	20.6	22.3	10.7	11.2	10.4	14.8	10.4	8.5	8.7	8.2	90	88	88	SW 2	SW 4	SW 2	8^1	9^2	8^2	3.4	7^{29}–8^{34} a ◍, 10^{44}–11^{39} a ◍ △, $1^{24.39}$ p, $2^{09.19}$ p ◍, [1]
12	21.5	19.1	16.7	10.0	14.9	12.0	14.9	9.2	8.0	7.8	9.2	87	62	89	SW 2	W 2	SW 2	10^1	10^2	10^2	11.6	7^{24} p–n ◍
13	11.5	11.9	11.6	12.1	13.0	10.9	13.9	10.4	10.4	10.4	9.5	99	94	98	SW 2	SW 2	SW 2	10^1	10^2●	6^1	8.7	n, $7^{34.54}$ a, 8^{29}–10^{34} a, 1^{14}–3^{49} p ◍
14.	16.3	17.7	18.0	10.0	13.0	10.4	14.3	10.0	7.8	8.3	8.4	85	74	91	NW 2	SW 2	SW 2	10^2	8^1	0	7.3	8^{29}–9^{19} a, $0^{34.54}$ p ◍
15.	19.1	18.5	20.8	8.8	18.0	11.9	18.0	7.2	**6.7**	8.6	8.4	80	56	81	SW 2	SW 4	SW 2	5^1	6^2	0	0.8	△, 2^{24}–3^{04} p ◍
16	21.5	22.5	23.2	11.8	15.0	12.8	15.4	10.3	8.7	10.3	9.7	85	81	89	SW 2	SW 4	SW 2	10^1	10^2	6^1	2.6	
17	24.4	23.1	22.5	11.8	18.3	13.7	19.8	11.0	8.9	8.5	8.8	87	55	74	SW 2	SW 4	SW 2	5^1	5^1⊙	0	–	△
18.	20.4	18.2	18.0	8.8	23.0	17.6	23.8	8.5	8.0	11.3	11.5	95	54	76	C	SW 2	SW 2	0⊙	6^1⊙	3^1	–	△
19.	19.5	16.5	15.6	15.8	24.4	19.8	24.9	13.9	10.9	12.4	**13.6**	82	55	79	SW 2	E 4	E 2	7^1	4^1⊙	10^1	–	△
20.	17.4	17.7	17.9	15.2	18.7	15.2	19.8	14.5	12.0	12.9	12.3	93	80	96	NW 2	SW 2	SW 2	10^2	10^2	10^2●	–	$1^{00.54}$ p, 5^{59} p–n ◍
21	21.4	22.2	**24.5**	12.8	16.3	11.8	16.3	11.1	9.0	9.0	8.4	82	65	83	SW 2	W 4	W 2	5^2	7^2	0	4.7	n, 11^{44} a–0^{06} p ◍
22.	23.8	19.3	21.1	11.1	13.2	10.8	13.8	10.8	8.3	9.1	8.7	84	80	90	SW 2	SW 6	NW 4	10^1	10^2●	10^2	0.7	9^{49} a–0^{19} p, 0^{54}–1^{04} p, 1^{48}–3^{39} p, 3^{44}–4^{34} p, 5^{49}–6^{34} p ◍
23.	22.5	20.9	18.1	9.0	12.2	10.8	12.3	7.9	8.3	8.2	9.4	97	76	98	NW 2	SW 4	SW 4	5^1	10^2	10^2●	6.7	n, $0^{04.09}$ p, 4^{39} p–n ◍
24.	15.0	13.5	14.2	12.2	20.2	15.2	20.3	10.3	9.1	10.6	10.5	87	59	81	SW 4	W 6	NW 4	10^2	8^2	8^2	5.4	n ◍
25.	14.5	14.3	14.1	15.1	22.7	16.4	22.7	13.5	10.1	11.8	12.3	78	57	88	NW 4	W 6	SW 4	4^1	5^2⊙	4^2	–	△
26.	10.8	**08.2**	09.2	14.0	20.1	14.6	21.5	13.0	10.8	11.4	9.6	92	66	77	NW 2	SW 6	SW 4	10^2●	10^2	5^2	0.7	n–7^{04} a, 3^{32}–6^{34} p ◍
27.	09.5	10.1	11.7	10.8	13.3	12.4	16.5	10.1	7.8	8.2	8.2	82	72	76	SW 4	SW 8	SW 4	9^2	10^2●	10^2	4.0	n u. p ztw. ◍
28.	13.8	16.6	20.0	10.5	14.9	11.4	15.2	10.1	8.5	9.3	8.3	91	73	83	SW 4	NW 2	C	10^2	6^2⊙	2^1	1.7	n, $0^{39.32}$ p ◍
29	20.1	17.6	17.0	7.2	21.2	16.0	21.8	**6.4**	7.5	10.0	11.5	99	54	85	SE 2	SE 2	S 2	2^0⊙	3^0⊙	0	0.5	△
30.	17.4	14.4	18.6	12.1	25.8	15.1	**25.8**	11.4	9.5	12.1	10.0	91	**49**	86	C	C	W 2	0⊙	2^1⊙	10^2	–	△, 2^{24} p ◍
31.	19.3	19.5	21.4	12.6	15.3	12.6	15.7	12.0	9.8	10.6	9.8	91	82	91	SW 2	NW 4	NW 2	5^1	10^2	10^2	5.5	n u. t ztw. ◍, $4^{19.39}$ p ◍ △, 4^{27} p ◹
Mittel	17.5	17.0	17.6	12.0	17.7	13.8	18.6	10.8	9.3	10.2	10.1	89	69	86				7.2	7.7	6.4	136.1	[1] $2^{12.39}$ p ◹.

Alle Angaben nach Ortszeit.

München-C.St

August. $\varphi = 48^0\ 9'$ N. $\lambda = 11^0\ 34'$ E $= 46^m\ 16^s$. H $= 526.4$ m. Cg $= +\ 0.1$ mm. 1912.

Datum	Luftdruck auf 0^0 u. Normalschwere reduziert 700 mm +			Lufttemperatur C°					Absolute Feuchtigkeit			Relative Feuchtigkeit			Richtung und Stärke des Windes 0 bis 12			Bewölkung 0 bis 10			Niederschlag	Bemerkungen
	7^a	2^p	9^p	7^a	2^p	9^p	Max.	Min	7^a	2^p	9^p	7^a	2^p	9^p	7^a	2^p	9^p	7^a	2^p	9^p	mm	
1.	12.4	10.5	09.6	17.6	25.4	19.1	**26.6**	14.8	10.1	9.9	11.6	68	41	71	SW 1	NW 2	NW 1	5^1⊙	6^1⊙	4^1	–	t ∞. 9 a-m Gebirge sichtbar
2.	11.5	12.1	13.6	15.7	16.2	13.9	19.1	13.7	12.1	11.6	11.0	91	85	94	SW 2	SW 1	W 3	10^1●	10^1●	10^1●	0.4	n u. t ztw. ◎$^{1.2}$
3.	16.5	16.8	16.2	14.1	20.2	16.0	20.6	13.0	10.1	9.0	10.5	85	51	78	SW 1	E 2	E 3	9^1	5^1	0	14.0	n ◎
4.	14.7	13.7	11.9	14.9	25.3	19.8	25.6	12.0	10.5	10.9	**13.3**	84	46	78	C	SE 1	C	○○	1^0⊙	1^0	–	t ∞
5	14.0	16.0	15.6	16.3	15.7	13.3	21.2	13.3	11.6	10.2	10.0	84	77	89	W 3	W 3	SW 1	10^2	10^2	10^1	–	n ≡, a Gebirge schwach sichtbar, p ztw. ◎^{3}
6.	12.3	12.2	12.6	10.5	18.4	16.0	20.2	9.8	9.1	10.2	9.6	96	64	71	C	SE 1	SW 1	10^1	9^1	10^0	2.5	a ≡^{0}, ⏢^{1}
7.	11.7	09.2	11.6	12.5	12.6	10.5	16.0	10.2	10.1	10.4	9.0	94	**97**	95	NW 1	NW 1	SW 3	10^1●	10^1●	10^1●	0.9	n u. t ◎$^{0.1}$
8.	13.3	14.1	16.2	11.3	14.8	10.9	15.1	9.2	8.1	9.1	7.5	82	73	77	SW 3	SW 3	W 1	10^1	10^0	5^1	**30.8**	n ◎$^{0.1}$, 11^{45} a–1^{45} p öfters ◎
9.	15.1	15.3	16.4	10.3	16.8	13.0	17.2	7.7	7.6	6.6	7.8	81	46	70	SW 2	SW 3	C	○○	10^1	10^0	2.6	a ∞^{0}, t Gebirge schwach sichtbar, ca 5^{45} p kurz ◎^{0}
10.	15.3	14.8	15.3	12.9	19.2	12.4	19.2	10.8	8.8	9.0	7.8	80	55	73	S 1	SW 2	SW 2	5^0⊙	9^1	10^1	–	9^{15} a ◎^{1}, ca 3-4 p ◹ mit ◎^{2}
11.	17.0	18.2	20.1	11.5	13.7	10.3	15.4	8.9	7.8	7.6	7.9	77	65	83	W 3	W 4	W 3	10^0⊙	10^1	10^1	0.2	a ∞, t ztw. ◎böen ≡
12.	18.7	16.8	14.6	10.3	15.6	11.3	15.8	9.5	7.7	**6.5**	8.3	82	49	83	W 2	W 2	SW 2	10^2	10^1	10^1●	5.2	n u. t ztw. ◎^{0}
13.	09.2	08.9	09.8	12.7	14.8	11.2	18.2	9.9	10.0	10.3	9.2	92	83	94	SE 2	SW 3	S 2	10^0	10^1●	9^1	8.4	n ◎^{t}, mrgs. ◎^{0}
14.	12.7	15.6	15.6	10.9	12.3	9.7	12.8	9.4	8.9	7.6	7.7	92	72	86	SW 1	SW 1	S 2	10^1●	10^1●	0	7.5	n–ca 3 p ◎, abds. Aufklaren
15.	16.1	16.2	18.4	10.1	18.6	12.4	18.7	7.8	6.9	6.9	9.1	75	43	86	S 3	W 4	SW 1	4^1⊙	9^2	10^0	5.7	a ⏢^{1}, ∞^{0}, Gebirge schwach sichtbar
16.	19.0	20.2	20.7	12.2	15.0	12.9	15.8	10.7	7.8	10.3	9.5	74	82	87	SW 4	SW 2	SW 1	10^2	10^1	7^0	–	n, a u. abds. ztw. ◎; a Gebirge schwach sichtbar
17.	21.3	20.7	20.0	12.3	17.8	12.9	18.2	11.6	8.4	6.9	8.9	79	45	81	W 1	W 1	C	9^1	6^1⊙	2^0	0.6	n ◎, a ∞^{t}
18	17.5	15.8	15.7	12.3	23.8	18.1	23.8	9.4	8.4	8.0	10.5	79	**36**	68	C	SW 1	C	1^1⊙	4^0⊙	0	–	a ⏢, ∞^{2}
19.	16.9	14.4	13.2	15.1	24.0	18.1	24.2	13.0	9.9	9.5	12.2	77	43	79	SE 1	E 2	C	10^1	○○	0	–	a ⏢, ∞
20.	14.6	15.1	15.7	16.1	20.4	15.1	20.8	14.0	11.2	10.5	11.9	83	58	93	C	NW 1	C	10^1	10^1	10^1●	–	a ⏢^{2}, ∞^{1}, ca 4^{45} p–n ◎
21.	18.2	19.4	**21.8**	13.6	17.9	11.7	18.0	11.4	9.7	7.3	7.2	84	48	70	SW 3	SW 4	SW 1	9^1	4^1⊙	3^1	12.4	n ◎
22.	20.1	17.3	18.4	11.6	13.4	10.3	14.8	10.1	7.5	8.9	8.1	74	78	88	SW 2	SW 2	SW 4	10^1	10^1	10^1●	–	a ⏢, 10^{16} a–n ztw. ◎
23.	19.5	18.6	16.0	9.1	11.9	9.8	12.6	8.0	7.5	6.8	8.4	89	66	94	SW 1	SW 2	SW 3	9^1	10^1	10^1●	7.2	n ◎, a ∞, ca 5 p–n ◎
24.	12.0	11.6	12.0	14.0	20.4	15.5	21.2	9.8	9.2	8.4	10.2	78	47	78	SW 2	SW 3	C	9^1	6^1	4^0	6.2	n ◎, t Gebirge teilweise sichtbar
25	12.0	12.2	11.8	16.7	22.5	16.9	23.6	14.4	9.3	9.4	11.6	66	46	82	SW 2	SW 4	C	7^0⊙	3^1⊙	2^0	–	a ⏢, m Gebirge schwach sichtbar
26.	07.3	06.0	07.3	15.8	21.4	13.7	23.2	13.4	9.8	10.3	10.3	74	55	89	C	W 4	W 3	10^1	10^1	10^1	–	a ⏢^{2}, ab 3 p ≡, ztw. ◎
27.	07.4	08.2	10.2	10.8	14.4	12.9	15.8	9.6	7.5	7.3	7.0	77	60	64	SW 2	SW 6	SW 6	10^1	10^1	10^1	5.0	ca 2^{15} a ≡ ◎, t ztw. ≡ ◎^{0}
28.	11.0	14.4	17.9	11.0	12.1	10.7	15.6	10.3	8.4	9.0	8.9	87	87	93	SW 2	SW 3	W 1	10^1	10^1●	2^0	1.1	n–ca 2^{45} p ztw. ◎
29.	17.1	15.4	15.1	8.6	21.1	16.5	21.6	**7.6**	7.1	8.6	10.4	87	46	74	SE 1	SE 2	E 1	○○	2^0⊙	0	8.1	a ⏢^{2} ∞
30.	14.4	11.8	15.6	14.2	21.6	14.9	25.0	12.2	9.3	11.5	10.5	78	50	84	C	NE 1	SW 3	○○	1^0	10^1	–	a ⏢^{2} ∞, ab ca 5 p starke Bewölkungszunahme, ztw. ≡
31.	16.9	17.2	18.8	11.7	15.0	12.6	16.6	11.2	8.7	8.9	9.4	86	70	88	SW 1	SW 3	SW 2	10^1●	10^1●	10^1	7.3	n u. a ◎, t ztw. ◎böen
Mittel	14.7	14.5	15.1	12.8	17.9	13.6	19.1	10.9	9.0	8.9	9.5	82	60	82				7.6	7.6	6.4	126.1	

Traunstein.

August. $\varphi = 47^0\ 52'$ N. $\lambda = 12^0\ 39'$ E $= 50^m\ 36^s$. H $= 597$ m. Cg $= +\ 0.1$ mm. 1912

1.	07.3	04.8	03.6	15.8	24.9	17.6	25.1	11.8	10.8	10.1	13.9	81	**43**	93	S 2	E 4	E 2	3^2⊙	2^1⊙	2^2	–	a ⏢
2.	05.9	06.3	07.7	16.8	15.9	13.6	18.4	13.6	11.9	12.1	11.4	83	90	99	S 2	NW 2	W 2	10^2	10^2	10^2●	–	vorm. u. abds. ◎
3.	11.2	11.3	10.9	12.1	18.2	13.5	19.6	11.9	10.5	10.3	11.4	100	66	99	W 4	SE 4	E 2	10^2●	7^2⊙	0	19.8	n–vorm. ◎
4.	09.3	08.4	06.2	14.0	24.0	17.2	**25.2**	9.8	10.7	11.4	**14.0**	91	51	96	E 2	E 6	E 2	○○	○○	0	2.2	a ⏢
5	08.3	10.3	10.2	15.6	13.9	12.2	17.2	11.9	11.2	11.8	10.6	85	100	100	W 4	W 4	W 2	10^2	10^2●	10^2	0.1	a u. t ztw. ◎
6	06.7	07.6	07.0	11.8	13.7	11.7	17.2	11.2	10.0	9.3	9.4	97	80	93	W 2	W 2	SE 2	10^2	10^2	4^2	11.2	t ztw. ◎
7.	05.0	0.33	05.7	12.0	13.0	10.0	14.0	9.9	9.8	10.6	9.2	95	96	100	E 2	W 4	W 6	9^2⊙	10^2	10^2●	4.0	a ⏢, t ztw. ◎
8.	07.7	08.8	10.3	10.5	14.3	10.8	16.0	8.0	7.9	6.6	8.0	84	54	83	W 6	W 6	W 2	10^2	10^2	10^2	**26.9**	n u. p ◎
9.	09.6	09.6	10.8	9.8	16.2	12.0	17.3	5.5	7.2	6.3	8.1	80	46	78	SW 2	W 2	W 2	○○	10^2	10^2	0.2	a ⏢
10	09.8	09.9	10.1	11.8	17.4	11.0	18.4	8.3	8.8	8.6	9.4	86	58	96	SW 2	W 4	W 2	1^1⊙	8^2	10^2●	–	a ⏢, vorm. u. abds. ◎. 5^{21} p ◹ im S
11.	11.4	12.8	14.5	9.8	9.8	10.1	11.0	9.0	7.6	8.4	7.6	84	94	82	W 2	W 8	W 8	10^2●	10^2●	10^2●	6.3	n u. t meist ◎. 4^{28}–5^{01} p ◹
12.	13.4	11.4	09.6	10.2	14.0	10.9	15.0	8.2	6.9	6.7	9.0	75	57	93	W 2	W 4	W 2	10^2	10^3	10^2●	6.6	abds. ◎
13.	04.6	03.1	05.3	11.4	18.3	10.6	19.3	9.3	9.6	9.6	9.5	96	61	100	S 2	NW 2	W 2	8^2	8^1⊙	10^2●	3.6	n, p u. abds. ◎
14.	07.5	09.8	10.4	11.2	9.5	7.2	12.3	7.2	8.4	8.7	7.6	85	99	100	NW 2	W 2	W 2	10^2	10^2●	0	15.3	vorm. u. p ◎
15.	10.8	11.0	13.4	7.6	16.8	10.7	17.8	**4.9**	7.1	6.3	9.2	91	44	97	S 2	W 4	W 6	○○	7^2⊙	10^2●	16.8	abds. ◎
16.	13.9	14.9	15.2	9.6	14.3	11.3	15.1	7.0	8.7	7.8	9.6	98	64	97	W 2	W 6	SW 2	10^2●	10^2	10^2	7.7	n u. a ◎
17.	15.7	15.5	14.9	11.0	16.6	10.8	18.4	10.2	9.5	8.5	9.2	97	60	95	W 2	W 4	E 2	10^2●	8^2⊙	0	3.4	n u. a ◎
18.	12.0	10.4	10.3	10.0	21.2	13.2	22.1	6.9	8.7	10.1	11.0	95	54	98	S 2	SE 4	SE 2	○○	○○	0	1.6	a ⏢
19.	11.5	09.8	08.3	14.3	22.5	15.1	23.4	10.0	10.4	10.8	12.4	86	53	97	W 2	E 4	E 2	4^2⊙	2^1⊙	0	–	a ⏢
20.	09.0	09.3	09.9	14.0	20.1	15.5	21.3	11.7	10.6	11.2	11.6	90	64	88	SE 2	N 4	NW 6	5^2⊙	6^2⊙	10^2●	–	a ⏢. 8^{31} p ◹ im N u. NW, abds. ◎
21.	12.5	14.1	**16.6**	12.8	15.0	12.4	16.0	12.0	9.6	7.4	7.8	88	58	73	W 6	W 6	W 2	10^2	9^2	8^2	18.6	n ◎
22.	14.8	12.4	13.0	10.0	11.2	9.0	13.2	9.0	8.1	8.0	8.6	88	80	100	SE 2	NW 2	W 6	10^2	10^2●	10^2●	–	vorm.–abds. ◎. 5^{31} p ◹ im S, ≡
23.	14.2	13.3	11.6	6.8	11.4	8.8	12.0	6.1	7.4	**6.0**	8.2	100	59	98	W 4	W 6	W 2	10^2●	10^2	10^2●	13.9	n, a u. abds ◎
24.	06.6	05.8	06.9	10.6	20.6	12.4	21.2	8.3	8.6	8.2	10.0	91	45	94	W 2	W 6	SE 2	6^1⊙	4^2⊙	2^2	9.6	
25.	06.8	07.1	06.7	13.7	20.7	13.2	21.0	10.0	9.0	10.4	11.0	78	57	98	W 2	W 6	W 2	6^2⊙	6^2⊙	1^1	–	
26.	02.3	699.6	02.8	13.4	24.2	12.9	24.3	10.7	10.3	13.2	10.4	90	59	95	SE 2	NW 2	W 2	10^2	10^2	10^2●	–	n ⏢, abds. ◎
27.	02.6	02.8	04.6	8.4	13.9	12.1	15.0	7.9	7.8	**6.0**	6.4	94	51	61	S 2	NW 7	NW 6	10^2	10^2	10^2	23.3	n ≡ u. ◎
28.	05.7	08.6	12.2	9.8	11.0	9.5	13.0	9.3	8.7	9.2	8.9	96	94	100	W 4	W 4	SE 2	10^2●	10^2	7^2	3.0	n, a u. p ◎
29.	11.8	10.2	09.9	7.9	18.6	12.3	20.0	5.7	7.4	7.9	10.3	93	50	97	SE 2	E 2	E 2	○○	2^1⊙	0	5.2	a ⏢
30.	09.3	06.3	09.5	11.9	22.8	17.8	24.1	8.9	8.8	11.0	10.6	85	54	69	SE 2	NE 2	W 8	○○	2^2⊙	10^2	–	a ⏢, ab 7^{05} p–n ≡
31.	11.2	11.1	13.0	11.0	15.2	10.5	17.8	10.5	9.3	8.5	9.1	95	66	96	SW 4	NW 2	W 4	10^2●	10^2●	10^2●	3.6	n u. t ◎
Mittel	09.3	09.0	09.7	11.5	16.7	12.1	18.1	9.2	9.1	9.1	9.8	90	64	92				6.8	7.4	6.7	202.9	

Alle Angaben nach Ortszeit.

Partenkirchen.

August. $\varphi = 47^0\ 30'$ N. $\lambda = 11^0\ 6'$ E $= 44^m\ 24^s$. H $= 714.6$ m. Cg $= +\ 0.1$ mm. 1912.

Datum	Luftdruck auf 0^0 u. Normalschwere reduziert 700 mm +			Lufttemperatur C°					Absolute Feuchtigkeit mm			Relative Feuchtigkeit Proz.			Richtung und Stärke des Windes 0 bis 12			Bewölkung 0 bis 10			Niederschlag mm	Bemerkungen
	7^a	2^p	9^p	7^a	2^p	9^p	Max.	Min.	7^a	2^p	9^p	7^a	2^p	9^p	7^a	2^p	9^p	7^a	2^p	9^p	7^a	
1.	697.4	694.6	694.4	13.9	23.2	15.4	24.8	11.3	9.6	11.1	11.9	81	53	91	S 3	NW 4	C	00	5^1	1^0	–	a Berge sehr rein
2.	696.3	696.7	699.3	13.9	13.9	11.9	15.4	11.9	11.7	11.7	10.4	99	99	100	C	C	C	10^1●	10^2●	10^1●	1.5	n ◍, a Berge teilweise im Nebel, t ◍^{0}
3.	01.4	00.6	00.5	11.3	17.6	14.3	18.3	11.0	9.9	9.6	10.6	99	64	88	C	NW 4	C	10^1	4^1○	0	28.5	a Berge meist im Nebel
4.	699.5	697.7	696.6	14.2	24.0	16.2	24.4	11.6	9.9	11.5	13.0	83	52	95	SE 2	NW 4	C	00	3^0○	2^0	–	⏢, Berge sehr rein, föhnig
5.	698.5	00.7	00.1	15.2	15.6	11.6	16.2	11.6	10.1	**13.1**	10.2	79	99	100	C	C	C	10^1	10^1●	10^1	–	a Berge meist bewölkt, p ◍
6.	696.6	696.7	698.2	10.3	16.4	13.5	17.2	9.3	8.5	9.1	11.5	92	66	100	S 3	C	C	81	8^0	10^1●	11.5	a Berge sehr rein, föhnig
7.	695.9	693.3	696.7	10.8	11.6	8.3	13.5	8.3	9.5	10.1	8.0	99	99	98	C	C	C	10^1	10^1●	10^1●	5.2	m u. abds. ◍
8.	698.6	698.7	00.9	8.0	14.5	9.7	15.9	7.1	7.9	7.1	8.1	99	57	91	C	NW 3	C	10^1	8^1	3^0	23.0	a Berge meist frei, ◍^{0}, bis 1900 m herab Neuschnee
9.	699.9	699.5	00.8	6.6	13.7	10.8	14.4	5.0	6.4	7.2	9.4	88	61	98	SE 4	NW 4	C	00	9^1	10^1	0.3	a Berge rein, abds. ◍^{0}
10.	00.1	699.3	00.9	9.8	17.1	10.9	17.5	8.1	8.1	9.1	9.5	89	63	98	S 2	NW 3	C	6^0	6^0	10^1●	2.0	a Berge sehr rein, ab 3^{09} p-abds. ◹ mit ◍
11	01.8	03.1	04.4	9.2	12.0	9.8	13.6	8.5	8.6	6.3	7.5	99	61	83	C	NW 4	C	10^1	8^1	10^1	6.8	a Berge meist frei, bis 2000 m herab Neuschnee, t ztw. ◍
12.	03.3	00.8	698.9	7.7	12.4	10.6	13.3	7.1	7.6	7.2	9.3	98	68	98	C	NW 3	C	9^1	10^1	10^1●	4.4	a Berge meist frei, abds. ◍^{0}
13.	694.1	693.0	695.2	11.2	12.6	10.6	18.2	9.3	9.3	9.8	9.3	94	91	98	S 3	NW 4	C	8^1	10^1	10^1	4.3	a Berge rein, föhnig, ab 1^{18} p ◍^{0}
14.	697.2	699.7	00.4	9.7	10.7	8.1	11.3	8.1	9.0	7.8	6.9	100	82	86	C	C	C	10^1●	9^1	2^0	19.4	a ◍, Berge bewölkt
15.	01.2	00.5	02.8	6.2	15.5	10.2	16.5	4.6	6.2	7.1	8.8	88	54	95	SE 3	NW 4	C	2^0	8^1	6^1	5.8	a Berge sehr rein, föhnig; ca 3^{45} p ◍^{1}
16.	03.8	04.4	05.1	8.4	14.4	12.4	14.9	6.9	7.8	9.0	10.2	94	74	95	C	C	C	9^1	8^1	10^1	10.5	a Berge meist frei
17.	05.6	04.8	04.3	10.4	16.4	12.1	17.0	10.1	9.3	9.6	9.5	99	69	91	C	N 3	SE 3	10^1≡	5^0○	0	0.8	n ◍^{0}, a ≡^{1}
18.	02.2	699.7	00.5	10.0	21.4	13.5	22.3	7.8	8.0	9.1	9.8	87	48	86	SE 3	NW 2	SE 2	00	2^0○	0	–	a Berge sehr rein, föhnig
19.	01.8	698.0	699.7	12.6	23.3	15.9	24.3	11.0	9.1	11.8	9.7	85	56	72	SE 3	C	SE 2	5^0	3^0○	1^0	–	a Berge rein, föhnig
20	698.9	698.8	00.5	13.7	17.8	13.7	19.8	10.7	10.2	11.3	11.6	88	74	100	C	N 5	C	7^0	10^1	10^1●	–	a Berge frei, föhnig; 5^{14} p-n ◍^{1}
21.	02.9	03.5	**06.5**	11.6	16.3	13.3	16.6	11.4	10.2	7.5	6.7	100	55	59	C	NW 3	SE 2	10^1●	7^1	8^1	18.0	n u. a ◍^{0}, a Berge meist bedeckt
22.	04.5	01.7	04.2	8.2	11.2	8.0	15.3	6.8	7.4	8.6	7.7	92	86	96	C	C	C	9^0	9^1	10^1●	0.1	a Berge frei, m u. abds. ◍^{0}
23	04.2	03.2	00.6	6.8	9.6	9.0	11.5	6.8	7.2	7.4	8.3	98	84	97	C	C	C	10^1●	9^1	10^1●	14.5	n u. a ◍^{1}, a Berge meist bedeckt
24.	697.0	695.7	697.1	11.2	20.6	13.6	22.0	8.1	8.8	8.5	10.3	89	47	89	C	SE 1	S 1	7^0	7^0	3^0	4.6	a Berge sehr rein, föhnig
25.	697.2	696.7	696.9	12.8	21.0	14.2	22.0	10.9	8.8	9.9	10.3	81	54	86	C	NW 2	C	8^0	4^0○	4^0	–	a ⏢, Berge sehr rein, föhnig
26.	693.3	690.6	692.7	14.4	19.6	11.9	21.5	11.9	9.4	10.6	10.4	77	62	100	C	NW 4	C	7^0	8^1	10^1●	–	a Berge sehr rein, föhnig, p u. abds. ◍
27.	692.0	693.8	695.0	7.6	14.8	9.6	15.5	7.1	7.1	5.4	7.7	91	44	87	SE 4	NW 4	SE 2	10^1	9^1	7^1	**33.4**	ca 2-3 a ◹ mit ◍^{2}, a bis 1900 m herab Neuschnee
28.	696.1	698.5	01.8	8.8	13.6	9.6	15.0	8.4	8.3	8.2	8.8	99	71	99	C	NW 2	C	10^1●	9^1	7^1	3.4	a ◍, Berge meist bedeckt
29.	01.6	699.7	00.2	8.0	20.4	14.0	21.3	7.1	7.0	9.4	9.9	88	53	84	SE 3	NW 2	SE 2	2^0	1^0○	0	1.4	a Berge rein, föhnig
30.	699.4	696.8	00.4	12.7	24.2	13.5	**25.4**	8.1	8.1	11.0	11.1	75	49	97	SE 3	NW 4	C	00	3^0○	10^1●	–	a ⏢, Berge rein, föhnig, abds. ◍^{1}
31.	02.0	01.7	03.2	9.6	12.6	10.2	15.1	9.0	8.8	9.8	8.7	99	91	94	SE 2	C	C	8^1	9^1	10^1	20.4	n ◍, a Berge meist frei, bis ca 2000 m herab Neuschnee, t ztw. Strichregen
Mittel	699.5	698.8	00.0	10.5	16.4	11.8	17.7	8.9	8.6	9.2	9.5	91	67	92				6.9	7.1	6.6	219.8	

Hohenpeissenberg.

August. $\varphi = 47^0\ 48'$ N. $\lambda = 11^0\ 1'$ E $= 44^m\ 4^s$. H $= 993.9$ m. Cg $= \pm\ 0.0$ mm. 1912.

	600 mm +																					
1.	74.1	72.9	71.7	16.8	21.3	14.8	21.4	13.8	8.7	9.7	10.2	62	52	82	SE 1	NW 1	E 4	00	9^2	7^1	–	a ⏢, sehr reine Fernsicht, p Gebirge bedeckt, [1]
2.	73.1	73.6	75.2	11.6	14.1	10.5	14.8	10.4	10.2	10.5	9.2	100	88	98	SW 1	S 1	W 6	10^2≡●	10^2	10^3●	3.3	n ◍, a ◍ ≡^{2}, p ∞, t ztw. ◍, 3^{45} p-n ununterbroch. ◍
3.	78.0	78.1	77.1	11.1	14.9	12.4	15.6	10.1	8.7	8.6	9.5	89	68	89	SW 1	NE 2	E 5	9^1	7^2	0	32.3	a ∞$^{1-2}$, p ∞^{0}; abds. starker Horiz≡
4.	76.3	75.6	74.3	17.3	20.8	17.4	21.3	11.4	7.5	11.3	**11.8**	51	62	80	SW 1	NE 4	E 2	00	00	2^2	–	a ⏢; bis p ∞^{0}, abds. ≲ im W
5	75.8	77.5	76.5	11.3	10.9	9.5	17.4	9.2	9.9	9.3	8.4	99	97	95	W 1	W 1	E 2	10^2●	10^2●	10^1	–	a reine Fernsicht, t meist ◍^{0}, abds. ≡
6.	73.2	73.9	74.2	10.6	16.0	9.3	16.7	8.4	8.4	7.0	8.7	90	52	100	E 1	W 1	W 4	0≡	9^2	10^2●	5.4	a Gebirge sehr rein, Flachl. i. S ≡, i. N aufsteig. Nebel, [2]
7.	72.8	70.7	72.8	8.9	8.9	5.9	12.4	5.8	8.5	8.5	6.6	100	100	96	NE 1	N 1	SW 5	10^2≡	10^2≡●	10^2≡●	10.4	n ◍, t ≡^{2}, p u. abds. ◍
8.	74.6	75.4	77.1	7.3	10.0	7.9	11.1	5.9	6.5	6.7	6.0	86	73	75	SW 6	NW 4	W 7	10^2	9^2	3^1	**37.4**	n u. p öfters ◍, a-p reine Fernsicht, abds. ≲ i. SE
9.	76.1	76.7	77.2	9.6	10.9	8.1	12.0	7.0	5.8	**5.7**	7.5	65	59	93	C	W 1	W 5	00	10^2●	9^2	0.2	t reine Fernsicht, p ◍^{0}
10.	76.4	76.4	76.7	11.9	14.3	10.1	16.0	8.1	7.5	8.6	7.1	73	71	78	SW 1	W 1	W 6	10^1	10^2	9^1	1.2	a sehr reine, p reine Fernsicht, 7^{07}-8^{34} p ◹, 7^{23}-8^{01} p ◍, [3]
11.	77.7	79.0	80.7	7.0	9.9	7.2	11.2	6.6	6.7	6.6	6.5	89	73	86	SW 5	W 6	W 7	10^2	10^2	10^2	14.6	t Gebirge bedeckt, a Flachland sehr rein, p rein; vorm. ◍
12.	79.3	77.6	75.3	6.6	11.0	7.3	11.4	5.4	6.2	6.3	7.3	85	64	96	SW 4	W 3	SE 3	10^2	10^2	10^2●	3.2	a ∞, 5^{45} p-n ◍
13.	71.2	71.2	71.1	12.6	9.5	10.1	14.0	7.1	8.2	8.9	6.7	76	100	73	SE 1	W 4	SW 3	10^1	10^2≡●	10^2	10.2	a reine Fernsicht, p ≡^{2}, 0^{44}-6^{45} p ◍
14.	73.8	76.3	76.4	7.3	9.0	7.8	10.6	5.9	7.4	6.9	6.2	98	80	79	W 3	NW 1	E 3	10^2●	10^2	0	8.2	a ◍ u. ∞, p reine Fernsicht, abds. üb. d. Gewässern [4]
15.	77.3	77.7	79.5	10.1	13.3	8.2	13.3	6.9	6.0	6.5	7.2	65	56	89	SW 1	NW 3	S 5	1^1	10^2	10^1	7.7	t reine Fernsicht, abds. böiger Wind, sehr reine Fernsicht
16.	79.8	81.1	81.6	8.3	13.4	10.0	14.1	7.8	6.8	7.2	8.1	84	63	88	SW 6	SW 4	S 3	10^2	9^2	10^2●	–	t reine Fernsicht, abds. Sprüh◍, i. S ∞
17.	82.1	81.6	80.8	8.7	13.3	10.3	14.4	8.0	7.4	7.7	7.0	88	67	75	W 1	C	E 5	10^1	9^2	0	1.3	t reine Fernsicht, abds. i. S ∞
18.	78.6	77.8	77.5	14.0	19.4	14.2	19.6	10.1	7.5	8.6	8.6	63	51	72	SE 1	C	SE 2	00	9^1	0	–	a sehr reine, p reine Fernsicht, abds. i. S u. SW Horiz≡
19.	78.2	76.0	75.3	14.8	19.0	17.5	19.5	12.7	7.7	10.1	8.9	62	62	60	SW 1	NE 6	SE 3	9^1	00	0	–	t ∞$^{0-1}$, abds. ∞^{1}, Horiz≡, ≲ i. NW
20.	76.1	76.7	77.0	13.9	14.1	11.8	19.6	11.7	9.4	10.0	10.3	80	84	100	NE 1	NW 3	W 2	10^1	10^2	10^2≡●	–	a ∞$^{0-1}$, p ∞^{0} i. S, 2^{20}-4^{02} p, 6^{38}-7^{44} p ◹, 3^{20} p-n ◍^{2}
21.	79.3	80.5	**82.6**	9.3	12.3	8.8	12.7	8.8	7.6	6.7	7.0	88	63	83	NW 6	SW 7	W 3	5^1	3^2○	10^2	20.9	a im Gebirge starke cu, p ∞ i. S
22.	80.6	78.0	79.8	8.3	10.5	5.8	11.8	5.8	5.8	6.6	6.8	71	70	99	SW 5	W 8	W 4	10^1	10^2	10^2≡●	–	vorm. ◍, t ∞; ca 3^{45} p ⎓ mit ◍ (W 9), abds. ◍ ≡^{1}
23.	80.3	79.0	76.6	5.0	6.9	7.2	8.0	**4.5**	6.0	6.7	7.6	92	90	100	W 6	SW 4	SW 6	10^2	10^2	10^2≡●	5.9	a i. S ∞^{2}; ca 0^{45} p ◍, p-abds. ◍ ≡^{1}
24.	73.2	73.5	73.7	11.2	17.1	13.8	17.1	7.2	7.7	7.7	9.2	78	53	79	SW 8	W 7	W 6	6^2	7^2○	7^2	11.8	a ⎓, Gebirge sehr rein, p Föhnstimmung, [5]
25.	73.7	74.0	73.5	12.9	18.4	13.9	18.6	12.5	8.3	8.0	8.5	75	51	72	SW 5	W 4	W 3	6^1	1^2	2^2	–	t i. S ∞
26.	69.2	68.7	68.5	15.8	15.2	10.5	19.1	10.5	7.1	9.3	8.4	54	72	90	N 2	W 6	S 5	10^2	10^2	8^2	–	a ∞^{0}; ca 1 p u. nachm. ◍ ⎓
27.	68.1	70.3	71.0	8.1	8.7	9.3	10.5	4.9	**5.7**	6.1	6.3	71	73	72	W 6	W 7	W 7	10^1	10^2	10^2	8.5	a reine Fernsicht, p ∞, abds. wieder reine Fernsicht, [6]
28.	72.3	75.4	78.5	6.6	9.4	8.1	10.4	6.6	6.6	7.9	7.2	91	89	89	SW 6	W 5	S 2	10^2●	10^2●	10^2	2.4	t ◍ ∞, abds. Horiz≡
29.	77.6	77.1	76.9	10.8	17.2	16.7	18.1	7.0	6.7	8.1	8.5	70	55	60	W 2	NE 4	SE 1	00	00	0	5.7	a ≡, p u. abds. Horiz≡
30.	75.9	74.3	77.3	18.1	21.4	10.1	**21.8**	10.1	6.1	9.1	9.1	**40**	48	99	W 1	W 2	SW 6	00	00	10^2≡●	–	a ∞^{0}, p ∞^{1}, i. NW Horiz≡, abds. ≡^{1} ⎓ u. Sprüh◍
31.	77.6	78.2	79.4	9.1	11.5	7.4	12.8	7.4	7.4	7.2	7.7	87	71	100	W 4	W 4	SW 4	10^2	8^2	10^2●	11.9	n ≡^{1}, a i. S ∞; abds. ∞, 6^{14} p-n ◍
Mittel	75.9	76.0	76.3	10.8	13.6	10.4	15.1	8.3	7.4	8.0	8.0	78	70	85				7.0	7.7	7.0	202.5	

Alle Angaben nach Ortszeit.

[1] abds. i. S ∞, ≲ i. N.
[2] ztw. ≡^{1} um den Gipfel, vorm. kurz ◍, Flachl. rein; ab 7^{32} p-n ◍ [3] 7^{38} p △, abds. ≲ i. N
[4] Nebelschwaden, i. S ∞ [5] abds. reine Fernsicht
[6] p u. abds. ⎓

Zugspitze.

August. $\varphi = 47^{0}\ 25'$ N. $\lambda\ 10^{0}\ 59'$ E = 43m 56s. H = 2964 m. Cg = −0.2 mm. 1912.

Datum	Luftdruck auf 0° u. Normalschwere reduziert 500 mm +			Lufttemperatur C°					Absolute Feuchtigkeit mm			Relative Feuchtigkeit Proz.			Richtung und Stärke des Windes 0 bis 12			Bewölkung 0 bis 10			Niederschlag mm	Schneedecke cm
	7a	2p	9p	7a	2p	9p	Max.	Min.	7a	2p	9p	7a	2p	9p	7a	2p	9p	7a	2p	9p	7a	7a
1.	31.3	31.3	30.3	3.8	7.8	4.2	**8.0**	1.9	4.3	**6.8**	6.1	71	86	99	W 4	S 2	SE 4	$2^{1}\odot$	10^{1}	2^{1}	–	195
2.	29.3	29.4	30.0	3.1	2.7	− 0.8	4.2	− 1.0	5.7	5.6	4.3	100	100	100	SE 2	S 2	N 2	$10^{2}\equiv\bullet$	$10^{2}\equiv$	$10^{2}\equiv\ast$	0.1	190
3.	31.5	33.0	33.8	− 0.4	3.0	4.5	4.8	− 2.3	4.5	5.7	5.4	100	100	85	C	S 4	W 5	10^{2}	6^{1}	1^{1}	**25.8**	**200**
4.	33.8	33.8	33.0	4.4	6.5	6.2	6.9	4.0	4.1	**6.8**	5.6	69	94	79	SE 2	S 2	S 5	$1^{0}\odot$	9^{1}	3^{1}	–	195
5.	30.8	30.9	30.6	1.1	− 1.1	0.9	6.2	− 1.1	5.0	4.2	4.5	100	100	91	SE 2	N 1	SW 4	$10^{2}\equiv\bullet$	$10^{2}\equiv$	8^{1}	0.1	190
6.	29.2	29.2	29.4	1.9	2.3	− 0.2	2.9	− 0.2	4.8	5.4	4.5	92	100	100	SW 4	S 4	SE 2	9^{1}	$10^{2}\equiv$	$10^{2}\equiv$	6.3	185
7.	27.4	25.5	25.9	− 0.1	0.2	− 4.0	1.1	− 4.4	4.6	4.6	3.3	100	100	100	SE 2	SE 1	NW 4	$10^{2}\equiv\ast$	$10^{2}\equiv\ast$	$10^{2}\equiv\ast$	1.5	185
8.	27.1	28.9	29.7	− 5.8	− 3.0	− 4.7	− 2.6	− 6.4	2.9	3.6	3.1	100	100	100	NW 3	NW 2	NW 4	$10^{2}\equiv$	$10^{2}\equiv$	$10^{2}\equiv$	14.0	195
9.	28.9	30.0	30.8	− 5.0	− 0.9	− 3.2	− 0.3	− 5.3	2.9	4.3	3.6	95	100	100	SW 4	SW 4	NW 4	$3^{1}\odot$	$10^{2}\equiv\ast$	$10^{2}\equiv\ast$	3.2	190
10.	30.8	31.2	30.9	− 2.0	0.4	− 2.4	0.5	− 3.2	3.9	4.7	3.8	100	100	100	W 4	N 3	N 3	$4^{1}\odot$	$10^{2}\equiv$	$10^{2}\equiv$	7.5	185
11.	30.0	31.1	31.9	− 5.8	− 4.8	− 5.5	− 2.4	− 6.3	2.9	3.1	3.0	100	100	100	NW 3	NW 3	NW 6	$10^{2}\equiv$	$10^{2}\equiv$	$10^{2}\equiv\ast$	14.2	190
12.	31.1	30.5	29.3	− 5.7	− 4.5	− 1.0	− 1.0	− 5.9	2.9	3.2	4.3	100	100	100	NW 1	NW 3	NW 4	$10^{3}\equiv$	$10^{2}\equiv$	$10^{2}\equiv$	8.8	195
13.	27.8	26.7	26.2	1.1	1.7	− 2.2	1.8	− 2.2	4.9	5.1	3.9	100	100	100	SW 8	S 4	NW 2	9^{1}	$10^{1}\equiv\bullet$	$10^{1}\equiv\ast$	10.3	185
14.	27.2	28.4	29.4	− 3.3	− 3.1	− 4.5	− 2.1	− 5.2	3.5	3.6	2.9	100	100	91	N 1	NW 2	W 6	$10^{2}\equiv\ast$	$9^{2}\equiv$	0	17.4	170
15.	30.2	31.2	31.8	− 3.2	− 0.3	− 4.0	− 0.3	− 4.5	3.1	4.5	3.3	93	100	100	S 4	W 3	NW 4	3^{1}	$9^{1}\equiv$	$10^{2}\equiv\ast$	8.2	175
16.	32.6	34.1	34.7	− 3.8	− 1.7	− 1.5	− 0.8	− 4.8	3.4	4.0	4.1	100	100	100	N 4	NW 3	NW 2	$10^{2}\equiv$	$10^{2}\equiv$	$10^{2}\equiv$	8.8	170
17.	34.0	34.7	**34.9**	− 2.0	0.0	− 1.0	0.0	− 2.6	3.9	4.6	4.1	100	100	96	NW 2	W 4	W 3	$10^{2}\equiv$	$9^{1}\equiv$	0	3.0	170
18.	33.7	34.3	34.2	− 0.4	3.1	3.4	3.8	− 1.0	3.6	4.5	5.3	81	78	90	NW 2	SE 2	S 4	$1^{0}\odot$	$5^{1}\odot$	1^{1}	–	165
19.	34.0	33.8	33.6	1.0	4.1	3.9	5.1	0.8	4.8	5.1	4.8	98	84	81	SE 3	SE 6	S 7	$8^{1}\odot$	$2^{1}\odot$	1^{1}	–	160
20.	32.4	32.8	32.2	2.8	4.4	1.8	4.5	1.3	4.7	5.7	5.2	84	90	100	S 8	SE 3	SW 4	8^{1}	7^{1}	10^{2}	–	150
21.	32.1	33.6	34.5	− 2.2	− 1.1	− 3.5	1.8	− 3.5	3.9	4.2	3.5	100	100	100	NW 3	NW 2	NW 2	$10^{2}\equiv$	$10^{2}\equiv$	$10^{2}\equiv$	19.2	145
22.	32.8	30.9	31.5	− 4.9	− 2.8	− 4.9	− 2.0	− 6.1	2.7	3.7	3.1	87	100	100	W 3	NW 4	N 3	9^{2}	$10^{2}\equiv\ast$	$10^{2}\equiv$	0.1	140
23.	30.4	30.8	29.8	− 6.9	− 4.9	− 2.7	− 2.7	− 6.9	2.6	3.1	3.7	100	100	100	NW 7	NW 4	NW 4	$10^{2}\equiv$	$10^{2}\equiv$	$10^{2}\equiv$	14.4	150
24.	29.4	30.6	30.7	− 2.2	− 0.6	0.1	0.1	− 2.7	3.5	4.1	4.4	92	94	95	N 4	NW 3	W 2	$7^{1}\odot$	9^{2}	7^{1}	6.5	155
25.	30.2	31.1	30.9	− 0.7	0.0	0.1	1.4	− 1.2	3.9	4.4	3.7	90	95	81	SW 4	W 1	SW 5	9^{1}	$6^{1}\odot$	5^{1}	–	150
26.	27.7	27.0	25.4	2.5	2.7	− 0.6	3.8	− 0.6	4.4	5.4	4.4	82	97	100	S 6	S 2	W 2	$8^{1}\odot$	10^{1}	$10^{1}\equiv\ast$	–	140
27.	22.4	24.3	25.9	− 5.4	− 4.8	− 4.4	− 0.6	− 5.6	3.0	3.1	3.2	100	100	100	NW 5	NW 4	SW 4	$10^{1}\equiv$	$10^{2}\equiv$	10^{1}	23.4	135
28.	25.8	28.7	31.2	− 4.4	− 2.9	− 3.6	− 2.8	− 4.4	3.2	3.7	3.5	100	100	100	NW 3	N 4	NW 3	$10^{1}\equiv\ast$	$10^{2}\equiv$	$10^{2}\equiv\ast$	8.4	140
29.	32.2	33.8	34.7	− 4.8	− 1.0	1.5	1.5	− 6.0	2.4	2.9	3.4	75	76	68	W 3	W 4	W 3	$4^{0}\odot$	$3^{1}\odot$	0	6.5	145
30.	33.7	33.0	32.2	2.9	4.7	0.5	4.7	0.5	3.6	5.0	4.7	60	78	100	S 3	S 2	E 2	$0\odot$	$1^{1}\odot$	$10^{2}\equiv$	–	140
31.	31.0	31.2	31.4	− 2.8	− 2.0	− 3.6	0.5	− 3.6	3.7	3.9	3.5	100	100	100	NW 2	NW 3	N 2	$10^{2}\equiv$	$10^{2}\equiv\ast$	$10^{2}\equiv$	16.8	160
Mittel	30.3	30.8	31.0	− 1.5	0.1	− 1.0	1.5	− 2.9	3.8	4.5	4.1	93	96	95				7.6	8.5	7.4	224.5	

Bemerkungen.

1. a heiter, freie Fernsicht; p stärkere Bewölkung; 2 p gewitterdrohend; 3 p vorübergehend $\equiv^{1}$; 6 p kurz $\equiv^{0}$; 9 p $\lesssim$ i. W
2. n $\lesssim$; n u. a $\circledcirc^{0}$; t $\equiv$reissen, $\equiv$, ztw. $\bullet^{0}$; ab 5 p $\circledcirc^{1}$, bald in $\times^{1}$ übergehend
3. n 10 cm Neuschnee 10 cm $\bigvee$; 6^{30} a Aufklaren, bis 10 a noch ztw. $\equiv$
4. a heiter, Fernsicht frei; ab 1 p stärkere Bewölkung; 2 p gewitterdrohend; 9 p $\lesssim$ i. SW u. S
5. n bis ca 7^{30} a $\bullet^{0}$; t $\equiv^{1.2}$; 3–5 p $\times$, ztw. stark elektrisches Sausen; 8 p Aufklaren, starke a-cu-Bewölkung; 9 p Nebelmeer über Gebirge in ca 2700 m
6. a $\smile^{0}$; 7 a Nebelmeer über Ebene in ca 900 m; ab ca 8 a $\equiv$; 8–10 a $\times^{1}$; p ztw. kurzes Aufklaren; abds. ztw. $\times^{1}$
7. n 3 cm Neuschnee; t $\equiv^{1.2}$; 7 a $\equiv$reissen u. $\times^{0}$; p $\times^{2}$
8. n 15 cm Neuschnee 10 cm $\bigvee$; t $\equiv^{2}$, p ztw. kurzes Aufklaren
9. n Aufklaren; 7 a über Flachland vollständig freie Fernsicht; über Isar- u. Inntal sowie Walchensee Nebel; ab 10 a Trübung, meist $\equiv^{1.2}$; ztw. $\times$
10. a Fernsicht frei; ab ca 10^{30} a meist $\equiv$; 2^{37} p $\lceil\!\!\lesssim$ mit $\triangle$; 4 p $\triangle$; 5^{30} p $\lceil\!\!\lesssim$ mit $\circledcirc$ u. $\times$
11. n $\times^{0}$; t $\smile\!\!\!\!\equiv$, $\equiv^{2}$, ztw. $\times$
12. a 20 cm $\bigvee$; bis 9 a allmähliches Aufklaren, Tiefblick frei; 2 p gute Nahsicht; p $\smile\!\!\!\!\equiv$; abds. $\equiv^{1.2}$, $\times$treiben
13. a Fernsicht frei, Föhnlage; ab 10 a $\equiv^{1.2}$, p häufig $\triangle^{0.1}$, $\circledcirc^{1}$, $\times^{0.1}$, öfters starkes elektrisches Sausen; ca 2^{30}–3^{00} p N-Wind
14. n u. a $\times^{1.2}$, $\equiv^{1.2}$; 2 p schwaches Aufklaren; 7 p völliges Aufklaren; 9 p Nebelmeer über Zentralalpen (Lichter von München sichtbar!)
15. a Fernsicht frei, über Gebirgstälern Nebelmeer in ca 2000 m; ab 10 a ztw. $\equiv$; ab 11 a meist $\equiv^{1.2}$, p ztw. $\times$, $\triangle$; 5 p $\lceil\!\!\lesssim$, starkes elektrisches Sausen
16. t $\equiv^{1.2}$, $\times^{0}$; 9 p $\equiv$ i. S weniger dicht
17. a $\equiv^{2}$; ab 10 a Gipfel an oberer Wolkengrenze; ab ca 2 p meist $\equiv$frei
18. a sehr schöne Fernsicht; im Flachland stellenweise Nebel; t heiter; p zunehmende ci-Bewölkung; 4 p auch cu u. ztw. $\equiv^{0}$
19. 7 a ∞ u. $\equiv^{0}$; t vorwiegend heiter; 9 p $\lesssim$ i. NW
20. a ∞; t meist stärkere Bewölkung; ab ca 6 p $\circledcirc^{0.1}$, später $\times^{0}$, $\equiv^{1.2}$; 9 p wieder frei (nur i. N $\equiv$), sonst Nebelmeer in ca 2600 m
21. n $\times$; t vorwiegend $\equiv^{1.2}$, nur ztw. Aufklaren
22. a 5 cm $\bigvee$; über Gebirgstälern Nebel, sonst freie Fernsicht (föhnig!); ab ca 10^{20} a $\equiv^{1.2}$; 2 p $\times^{0}$; 9 p negatives Elmsfeuer
23. n u. t sehr starker $\times$Sturm, besonders a; 7 a 15 cm $\bigvee$, p ca 20 cm $\bigvee$
24. n $\smile\!\!\!\!\equiv$; a freie Fernsicht; Neuschnee bis ca 1900 m herab; t ziemlich starke Bewölkung
25. n ztw. $\equiv^{0.1}$; a Fernsicht frei; t ziemlich trüb
26. a föhnig, zunehmende Bewölkung; ab ca 5 p $\circledcirc^{1.2}$, ca 7 p in $\times^{1}$ übergehend; 9 p positives Elmsfeuer
27. 9^{10} p negatives Elmsfeuer (grosse $\times$flocken); 9^{05}–ca 10^{15} p $\lceil\!\!\lesssim$ mit $\triangle$; ca 2–3^{15} a sehr schweres $\lceil\!\!\lesssim$ mit starkem Sturm; a 10 cm Neu$\times$, 5 cm $\bigvee$; t $\equiv$; ztw. Aufklaren
28. n 15 cm Neuschnee 10 cm $\bigvee$; t $\equiv^{1.2}$, $\times^{0.1}$
29. n (ca 2 a) Aufklaren; t heiter; a über Gebirgstälern u. Flachland stellenweise Nebel
30. a fast wolkenlos; ab ca 11^{30} a vorübergehend starke ci-bedeckung; ab 4 p cu, dann sehr bald $\equiv$; ab 7 p $\circledcirc^{1}$ bis ca 8^{15} p
31. n $\times$, 5 cm $\bigvee$; t $\equiv^{2}$, $\times$treiben

Alle Angaben nach Ortszeit.

Kahl a/M.

September. $\varphi = 50^{0}\ 4'$ N. $\lambda = 9^{0}\ 1'$ E $= 36^{m}\ 4^{s}$. H $= 114.1$ m. Cg $= +\ 0.3$ mm. 1912

Datum	Luftdruck auf 0^{0} u. Normalschwere reduziert 700 mm +			Lufttemperatur C°					Absolute Feuchtigkeit mm			Relative Feuchtigkeit Proz.			Richtung und Stärke des Windes 0 bis 12			Bewölkung 0 bis 10			Niederschlag mm	Bemerkungen
	7^{a}	2^{p}	9^{p}	7^{a}	2^{p}	9^{p}	Max.	Min.	7^{a}	2^{p}	9^{p}	7^{a}	2^{p}	9^{p}	7^{a}	2^{p}	9^{p}	7^{a}	2^{p}	9^{p}	7^{a}	
1.	54.6	52.4	51.0	8.8	16.7	12.5	18.0	6.7	8.1	9.3	9.1	96	66	86	C	SE 4	SW 2	10^{1}	10^{1}	10^{1}	1.1	n ◍, $^{20\text{h}.05}$ p ◍
2.	47.9	46.5	46.9	11.6	14.4	10.9	16.7	10.3	9.7	10.7	9.2	96	88	96	S 4	SE 2	C	10^{1}	9^{0}	10^{1}	3.4	n, a ◍, $^{05\text{h}}$–$^{11\text{h}}$ p ◹, $^{05\text{h}}$–$^{11\text{h}}$ p ◍, $^{05\text{h}}$–$^{10\text{h}}$ p ▲, [1]
3.	50.6	54.8	57.3	10.5	15.5	11.9	16.0	9.8	8.9	8.6	9.9	94	65	96	NW 2	SW 4	C	10^{1}	10^{2}	10^{0}	22.3	
4.	57.1	54.8	52.7	10.6	14.9	13.9	15.3	6.8	8.6	9.5	**11.1**	91	75	95	S 2	SW 4	SW 4	10^{1}	10^{1}	10^{2}	–	ca 4 p an ◍
5.	50.9	51.0	50.8	11.2	14.7	11.4	16.1	9.6	9.0	6.6	7.0	92	52	70	SW 4	SW 6	SW 4	3^{0}	7^{1}	8^{0}	1.4	
6.	48.5	47.8	49.2	9.9	13.1	9.6	15.0	8.1	7.6	8.3	7.4	83	74	84	SW 4	W 4	SW 4	9^{0}	9^{0}	10^{1}	–	$^{13\text{h}.46}$ p ◍, dann ztw. ◍
7.	50.4	51.9	54.9	10.2	13.2	10.3	14.3	9.0	7.7	7.2	7.3	83	64	78	SW 4	W 4	NW 4	10^{2}	10^{2}	10^{1}	3.8	t ztw. ◍
8.	55.5	52.3	50.9	8.6	11.2	12.4	13.1	8.2	8.0	9.4	10.5	96	95	98	SW 2	SW 4	SW 4	10^{1}●	10^{1}	10^{2}	5.5	a, p ◍
9.	50.8	51.0	51.9	9.6	12.1	6.8	13.9	6.8	8.7	7.1	7.0	98	68	94	W 2	NW 4	SW 2	10^{1}	3^{1}⊙	0	**25.0**	n, a–$^{8\text{h}.23}$ a ◍, p ztw. ◍
10.	50.7	50.5	50.6	7.6	10.4	8.8	11.9	6.3	7.3	8.3	7.9	94	89	93	SW 4	SW 2	SW 2	10^{1}●	10^{0}	10^{2}	1.5	n, a–$^{13\text{h}}$ p ◍, dann ztw. ◍
11.	50.2	50.3	52.6	8.9	12.5	9.3	13.5	8.1	7.9	7.2	7.9	93	67	91	SW 2	W 2	SW 2	9^{0}	8^{2}	10^{0}	5.3	
12.	56.3	57.4	59.6	7.1	15.2	7.8	16.0	4.2	7.4	7.9	7.8	99	61	99	SW 2	C	C	1^{0}	6^{2}	7^{0}	–	$^{20\text{h}.21}$ p ◍
13.	60.7	59.5	59.6	5.0	15.8	10.2	16.9	3.0	6.4	7.1	8.3	98	54	90	C	NE 2	C	10^{2}=	5^{0}	10^{1}	0.3	a ≡^{2}
14.	58.3	56.1	54.4	8.3	14.8	12.0	15.7	6.0	8.1	8.6	9.9	99	69	96	C	W 2	C	10^{2}=	10^{1}	10^{0}	–	a ≡^{2}
15.	52.8	51.8	52.8	11.1	12.1	9.5	13.3	9.4	7.7	7.8	8.3	78	74	94	SW 4	SW 4	C	10^{0}	10^{1}	0	–	p ztw. ◍
16.	54.2	55.2	56.8	9.2	13.1	5.9	14.3	4.0	7.6	6.6	7.0	89	58	100	C	W 4	C	10^{0}	10^{1}	0	–	
17.	57.7	57.2	57.4	9.3	17.7	12.0	**18.3**	4.2	7.8	9.0	9.1	89	60	88	SW 2	SW 4	SW 2	10^{1}	8^{0}	10^{1}	–	
18.	58.0	58.4	59.9	11.1	14.8	10.7	15.2	10.2	8.6	7.2	7.7	87	58	80	S 2	N 2	C	10^{1}	8^{1}	10^{0}	–	
19.	60.4	59.7	60.6	8.5	13.6	6.9	14.0	6.8	7.8	6.7	6.9	94	58	93	E 2	NE 2	C	10^{1}	9^{1}	0	–	
20.	60.8	59.9	60.8	2.3	11.9	4.2	13.0	– 0.6	4.9	5.1	5.5	91	49	89	C	NE 4	NE 4	00	8^{0}	0	–	a ≡^{0} ⌊
21.	61.9	61.7	62.6	4.2	13.1	5.1	14.1	2.1	5.6	5.1	5.3	90	45	82	C	NE 4	NE 4	00	4^{1}	0	–	a ⌊
22.	**63.0**	61.5	61.4	1.7	13.8	5.1	15.2	0.4	4.9	5.3	5.8	94	46	89	C	E 4	NE 4	00	7^{1}	0	–	a ⌊⌊
23.	61.6	60.2	59.2	3.6	14.4	9.6	15.2	2.0	5.5	6.5	7.4	93	53	84	C	NE 4	C	00	5^{0}	10^{0}	–	a ⌊⌊
24.	57.6	57.2	57.6	8.3	11.0	5.0	13.2	4.9	7.8	6.9	5.8	96	70	89	E 4	NE 4	C	10^{1}	10^{0}	8^{0}	1.7	n ◍
25.	56.3	54.8	55.6	2.3	11.2	4.2	12.3	0.4	5.1	5.7	6.2	94	58	100	SE 2	NE 4	C	10^{0}	6^{2}	0	–	a ⌊⌊, $^{22\text{h}}$ p an ztw. ◍
26.	56.3	56.4	56.6	0.4	11.0	6.7	11.8	– **0.7**	**4.7**	5.2	6.7	100	53	91	C	NE 2	C	00	7^{2}	1^{0}	2.1	a ≡^{2}, ⌊
27.	57.2	56.9	56.9	3.9	13.1	8.0	15.0	2.9	6.0	6.0	5.9	98	53	73	C	E 2	E 4	1^{0}	5^{2}	0	–	
28.	56.2	54.7	55.2	6.2	15.8	10.3	16.4	4.1	5.9	6.0	5.7	84	45	61	C	SE 4	SE 4	00	00	0	–	
29.	55.3	55.2	54.9	8.5	14.3	9.0	15.0	7.6	6.3	8.2	8.3	76	67	97	SE 2	C	C	4^{0}	10^{0}	1^{0}	–	$^{21\text{h}}$ p-n ◍
30.	52.7	48.8	46.3	3.9	17.0	14.8	17.9	2.0	5.9	9.4	8.8	97	65	70	C	S 2	SW 4	8^{1}	10^{1}	10^{0}	2.0	
																					75.4	
Mittel	55.5	54.9	55.2	7.4	13.8	9.2	14.9	5.4	7.2	7.4	7.7	92	63	88				6.8	7.8	5.8		

[1] $^{05\text{h}}$–$^{07\text{h}}$ p ◹, $^{07\text{h}.26}$ p ◍

Bayreuth.

September. $\varphi = 49^{0}\ 57'$ N. $\lambda = 11^{0}\ 34'$ E $= 46^{m}\ 16^{s}$. H $= 363.3$ m. Cg $= +\ 0.3$ mm. 1912.

1.	32.9	31.1	29.9	9.9	15.6	11.1	**16.8**	9.0	8.3	7.5	8.8	91	57	90	W 6	W 2	W 2	10^{2}	5^{1}⊙	10^{1}	2.6	7 a ≡^{0}
2.	26.8	25.0	24.5	10.1	14.4	10.4	15.4	8.0	8.4	9.1	8.9	91	75	95	SE 2	SW 2	W 2	9^{1}	8^{1}	10^{2}●	–	p ztw. ◍^{1}
3.	26.8	30.9	34.4	9.3	13.5	10.7	14.2	9.0	8.3	8.9	8.5	96	77	90	NW 4	W 4	N 2	10^{2}	10^{2}	7^{1}	10.8	n ◍$^{0.1}$
4.	35.6	33.5	31.0	9.1	13.4	11.7	15.2	7.2	8.1	8.4	**9.4**	95	71	93	W 4	W 6	SW 6	10^{2}	10^{2}	10^{2}●	0.1	a ≡^{0}, ab $^{22\text{h}}$ p ztw. ◍^{0}
5.	28.6	28.2	28.8	11.5	13.1	9.2	14.3	9.1	9.1	7.5	7.4	91	67	87	W 4	W 6	W 4	5^{1}	10^{2}	7^{1}	0.3	a ⌓, ab $^{02\text{h}}$ p ztw. ◍^{0}
6.	26.4	25.6	26.5	8.5	8.2	6.8	11.4	6.7	6.8	7.0	6.5	84	88	89	SW 4	W 4	E 2	10^{1}	10^{2}●	0	2.1	n ◍^{0}, $^{8\text{h}.36}$ a △, t ztw. ◍^{1}
7.	26.7	28.2	30.8	8.1	10.7	8.8	11.8	6.4	8.3	7.5	7.4	92	78	89	W 4	W 6	W 6	10^{2}	10^{2}	10^{2}●	2.9	n ◍^{0}, p ztw. ◍$^{0.1}$
8.	32.7	32.0	28.7	7.3	8.6	10.6	10.8	6.9	6.9	7.4	8.0	91	90	94	W 4	SW 4	W 6	10^{2}●	10^{2}●	10^{2}●	1.2	t ◍$^{0.1}$
9.	27.8	27.9	28.8	8.5	9.7	6.9	11.6	5.7	7.9	6.3	6.0	96	70	82	NW 2	NW 6	W 4	10^{2}	10^{1}	0	**12.6**	n ◍^{1}, p ztw. ◍^{0}
10.	28.2	28.3	29.0	6.3	8.6	7.6	9.2	4.2	6.2	6.6	6.9	88	80	90	W 4	W 4	W 2	10^{1}	10^{2}	10^{2}	0.1	$^{07\text{h}}$–$^{11\text{h}}$ a ztw. ◍^{0}, $^{16\text{h}}$–$^{23\text{h}}$ p ◍^{0}
11.	28.1	29.2	31.1	7.1	10.5	7.0	12.0	6.7	7.0	6.9	7.2	93	74	96	W 4	W 4	W 2	10^{2}●	10^{2}	0	0.3	a ztw. ◍^{0}
12.	34.1	34.8	37.6	4.1	13.7	8.3	14.0	2.4	5.8	6.2	6.7	95	53	83	C	N 4	NE 2	10^{1}=	8^{1}⊙	0	0.2	a ≡^{1}
13.	37.8	37.4	37.4	5.7	12.3	8.4	14.0	4.0	6.4	7.1	7.1	94	67	88	NW 2	N 6	NE 2	5^{1}	10^{1}	0	–	a ≡$^{0.1}$ ⌓
14.	35.6	33.5	31.9	5.1	13.3	10.1	13.3	2.6	6.4	7.5	8.0	97	66	87	SE 2	NW 4	W 4	10^{2}=	10^{1}	10^{2}●	–	a ≡^{2} ⌓
15.	29.0	27.7	28.5	8.5	9.3	7.1	10.9	6.9	6.8	7.5	6.9	84	88	92	W 4	W 4	W 2	10^{2}	10^{2}●	3^{1}	0.2	n ◍^{0}, p ztw. ◍^{0}
16.	30.3	31.7	33.8	6.9	11.7	8.5	12.1	4.5	6.7	6.7	7.0	91	65	87	W 4	W 6	W 4	10^{2}	9^{1}	10^{2}	0.7	n, a ztw. ◍^{0}
17.	31.6	34.8	34.9	8.7	13.6	12.1	14.0	7.2	7.4	8.8	8.6	89	76	83	W 2	W 6	W 2	10^{2}	9^{1}	10^{2}	0.1	
18.	35.5	35.9	37.3	10.3	12.0	8.6	12.3	8.4	7.8	7.3	7.0	83	70	85	NW 2	NW 4	NW 2	10^{2}	9^{1}	10^{1}	–	
19.	37.9	37.9	38.6	7.7	10.9	5.9	11.5	5.0	7.3	5.7	5.3	93	58	76	W 2	NE 4	NE 4	10^{1}	9^{1}	0	–	a ⌓
20.	38.5	38.1	38.8	0.5	9.9	6.5	10.8	– 1.8	4.5	5.0	6.2	94	55	87	W 2	N 4	E 2	10^{1}=	8^{1}	4^{1}	–	a ⌓^{1}, ≡$^{0.2}$
21.	39.9	40.0	**40.9**	1.3	9.1	6.3	10.1	0.2	4.8	5.2	5.5	94	61	77	C	NE 4	NE 4	10^{1}	10^{1}	4^{0}	–	a ⌓^{0}, ≡$^{0.1}$
22.	**40.9**	39.5	39.9	3.3	11.8	7.7	12.7	0.7	5.3	5.8	6.2	92	57	78	SE 2	E 4	C	7^{1}	7^{1}⊙	10^{2}	–	a ⌓, ≡^{1}
23.	39.4	37.6	36.9	0.8	12.4	9.3	12.8	– 0.8	**4.5**	5.7	7.0	92	53	81	SE 2	NW 4	NE 2	00	7^{1}	10^{1}	–	a ⌓^{1}
24.	35.3	35.2	35.3	8.1	8.5	4.2	9.7	4.0	7.3	5.4	5.6	92	65	91	N 2	N 2	E 2	10^{2}	10^{1}	0	2.5	n, a ◍^{0}
25.	33.1	32.0	33.0	3.6	6.9	3.9	7.6	2.4	5.6	6.3	5.5	95	85	91	NW 2	NW 4	NW 4	10^{2}	10^{2}	10^{1}	0.6	a ztw. ◍^{0}
26.	33.7	33.9	34.5	2.3	7.5	6.5	8.3	1.2	4.9	6.1	6.3	91	80	88	NW 2	N 4	E 2	3^{1}	10^{2}	10^{1}	1.1	a ⌓^{0} ≡^{1}, p ztw. ◍$^{0.1}$
27.	35.1	35.0	35.9	4.1	10.1	6.1	10.5	2.7	5.5	6.6	6.1	91	72	88	N 2	N 4	C	3^{1}	5^{1}⊙	3^{1}	1.9	a ⌓
28.	35.7	34.7	34.8	0.9	12.5	7.7	13.2	– 1.0	**4.5**	5.7	5.7	92	53	72	NW 2	E 4	E 4	00	10^{0}⊙	0	–	a ⌓^{1}, ≡^{1}
29.	35.7	34.1	34.3	1.9	11.3	4.8	12.0	0.4	5.0	6.8	5.9	95	68	92	E 2	E 4	E 2	4^{0}⊙	10^{0}	0	–	a ⌓^{0}
30.	31.1	29.6	26.9	3.2	15.2	9.5	16.0	0.7	5.7	7.9	7.3	**98**	61	84	SE 2	SE 4	SE 4	10^{2}=	4^{0}⊙	0	–	a ⌓^{0}, ≡^{1}
																					40.3	
Mittel	33.1	32.8	33.2	6.1	11.3	8.1	12.3	4.3	6.6	6.9	7.0	92	69	87				8.2	8.6	5.6		

Alle Angaben nach Ortszeit.

Bamberg.

September. $\varphi = 49^0\ 53'$ N. $\lambda = 10^0\ 53'$ E $= 43^m\ 32^s$. H $= 287.7$ m. Cg $= +0.3$ mm. 1912.

Datum	Luftdruck auf 0^0 u Normalschwere reduziert 700 mm +			Lufttemperatur C^0					Absolute Feuchtigkeit mm			Relative Feuchtigkeit Proz.			Richtung und Stärke des Windes o bis 12			Bewölkung o bis 10			Niederschlag mm	Bemerkungen
	7^a	2^p	9^p	7^a	2^p	9^p	Max.	Min.	7^a	2^p	9^p	7^a	2^p	9^p	7^a	2^p	9^p	7^a	2^p	9^p	7^a	
1.	39.6	37.7	36.2	8.4	16.0	10.3	17.3	7.8	8.2	8.8	8.6	100	64	93	SE 1	W 1	W 2	10^2≡	10^1	10^2●	3.1	n ⏢. 7 a ≡1. 430–545 p ◍1. 805–900 p ◍
2.	33.1	31.4	31.0	9.9	13.3	8.7	16.2	7.9	8.6	**10.1**	8.4	95	89	100	S 1	C	C	10^2	10^2●	4^1	0.7	n ⏢. 1015.45 a ◍1. 1600–5115 p ◍0.1. 609.26 p ⟦. 1)
3.	34.0	38.0	41.3	8.9	12.7	10.5	16.4	7.7	8.2	10.0	8.5	96	92	91	N 2	W 2	W 2	10^1	10^2	4^1	3.5	n ⏢. 1145 a ◍0. 1515.16 p ◍1. 530.45 p ◍0. 815–900 p ≲ i. NE
4.	42.2	40.4	37.8	8.4	13.4	12.0	16.9	6.7	8.1	8.8	9.9	99	77	96	S 2	SW 2	SW 2	10^2	10^2●	10^2	0.4	n ⏢. 7 a ≡. 048–245 p ◍0. 530–745 p ◍1
5.	35.5	35.3	35.6	11.1	13.8	11.0	17.2	9.6	9.7	8.1	7.2	99	69	74	SW 1	SW 3	W 2	9^1	10^1	10^2	1.7	n ⏢
6.	33.2	32.2	33.5	8.5	12.5	6.1	14.0	6.1	6.9	7.0	9.7	84	65	96	SW 2	W 4	SW 2	8^1⊙	10^1	2^1	0.1	n ⏢. 030–104 p ◍0
7.	33.8	35.5	38.1	8.5	11.4	8.8	13.4	5.6	7.6	8.2	7.6	92	82	91	W 3	W 5	W 5	10^1	10^2●	10^1	4.6	n–ca 630 a ◍1. 900.54 p ◍2. 140–215 p ◍1
8.	40.0	38.3	35.0	7.7	8.9	10.9	11.3	7.4	6.9	8.2	9.1	89	96	94	W 3	W 2	W 2	10^2	10^2●	10^2●	1.1	1020–1100 p ◍1. 630–700 a ◍0. 745 a–900 p ◍1
9.	34.5	35.0	35.9	9.1	12.4	6.7	13.3	6.6	8.4	7.7	5.8	98	72	80	NW 2	W 3	W 3	10^2	7^1⊙	2^1	**13.7**	ca 915 p–nach 0 a ◍1. 815 a ◍0. a ztw. ◍1
10.	35.1	35.0	35.4	6.4	9.9	7.1	10.6	5.1	6.4	7.1	6.9	90	79	91	S 2	W 3	SW 3	10^2●	10^2	8^1	1.0	7 a, p ◍0
11.	34.9	35.7	38.0	7.5	12.1	6.0	13.3	6.0	7.1	7.9	6.9	91	75	99	SW 2	S 4	NE 1	10^2	8^1⊙	10^2	0.3	n ⏢. 745–845 a, ca 600.15 p ◍0
12.	40.8	41.7	43.9	5.0	14.7	7.2	16.2	3.1	6.5	7.3	7.1	100	58	94	W 4	NW 3	NW 1	10^2=	6^1⊙	10^0	0.1	n ⏢. 7 a ≡2. 317 p, 415 p ◍0
13.	44.7	44.0	44.9	6.2	14.8	8.3	16.2	4.9	6.6	7.1	7.5	93	57	92	W 2	NE 3	NW 1	10^0	5^1⊙	10^1	0.1	n ⏢. 7 a ≡
14.	42.4	40.5	39.0	6.4	13.4	10.4	14.7	5.8	7.0	8.6	8.4	98	75	91	S 1	W 3	W 2	10^2	10^2	10^2●	0.1	n ⏢. 630 p, 7–9 p ◍0
15.	36.4	35.2	35.9	9.0	10.3	8.3	11.4	8.3	7.0	8.1	7.7	81	88	94	NW 3	W 2	NW 3	10^2	10^2●	8^2	1.1	n ◍. 1134 a–442 p ◍0. 715–815 p ◍1
16.	37.5	39.2	40.9	7.5	11.0	8.7	14.3	5.9	7.1	8.2	6.7	91	83	80	NW 1	NW 2	NW 2	10^2●	10^2	10^2	1.0	ca 615–704 a, 005 p ◍0. 134.29 p ◍2. 206.24 p ◍1, 2)
17.	41.6	41.7	41.8	8.9	15.6	12.4	17.0	7.7	7.2	9.4	8.3	86	71	78	W 2	W 3	W 4	10^2	10^1	10^2	1.9	
18.	42.4	42.7	44.2	10.4	12.6	8.4	14.4	8.4	8.2	7.2	7.1	88	67	87	W 3	NW 4	NW 2	10^1	10^2	9^1	0.1	n ⏢
19.	44.8	44.6	45.6	8.0	11.4	4.9	13.9	4.9	7.2	6.7	5.7	90	66	87	NW 2	N 2	NW 2	10^2	10^2	2^1	0.1	n ⏢. 1147.48 a ◍0
20.	45.1	44.8	45.6	2.6	10.1	6.5	12.9	0.9	5.0	4.6	6.0	91	50	83	NW 4	NE 5	N 4	1^1⊙	10^1	10^0	0.1	n ⌴. 7 a ≡ ∞
21.	46.7	46.4	47.5	3.9	11.5	5.7	13.2	2.7	5.5	4.8	5.6	90	**47**	82	W 3	NE 3	NW 2	oo	9^1⊙	4^0	0.1	n ⌴. 7 a ≡
22.	**47.6**	46.4	46.4	3.5	12.1	8.1	13.6	2.0	5.4	6.1	6.6	92	58	82	NW 2	NW 3	SE 1	8^1	8^1	9^1	0.1	n ⌴
23.	45.9	44.4	43.5	3.2	13.0	8.7	14.4	1.9	5.4	6.4	7.3	93	57	87	N 3	N 3	C	1^1⊙	3^1⊙	10^1	0.1	n ⌴. 7 a ≡
24.	42.1	42.0	42.0	8.0	8.9	3.7	11.7	3.7	7.8	5.7	5.6	98	67	93	NW 2	NE 3	N 1	10^2	10^2	8^0	3.1	ca 11 p ◍0. n ◍. 7 a ≡
25.	39.9	39.2	39.9	4.0	5.3	3.5	10.0	2.3	5.6	6.7	5.5	92	100	93	W 3	NE 2	NW 2	10^2	8^2●	10^1	0.1	n ⏢. 1015.45 a ◍1. 118–204 p ◍1
26	40.4	40.8	41.6	3.0	7.3	5.9	9.6	2.4	5.3	7.0	6.4	93	91	93	N 2	S 1	W 2	1^1⊙	10^2	10^2	2.3	n ⏢. 7 a ≡. 130.34 p ◍. 245–545 p ◍0
27.	41.9	41.7	42.4	3.9	11.5	5.3	13.7	2.9	5.7	6.4	6.1	93	63	92	W 3	N 4	N 2	9^1⊙	10^2	o	0.4	n ⏢.
28.	41.8	41.0	41.1	5.5	13.8	7.7	14.7	2.4	5.6	5.6	5.4	83	48	69	E 3	E 4	SE 4	oo	1^1⊙	o	0.1	n ⏢ .
29.	40.6	40.4	40 7	6.0	13.6	6.5	14.7	4.1	5.7	7.1	6.4	82	61	88	E 3	E 3	E 1	7^1⊙	10^1	8^1	0.1	9 p ≡
30.	38.6	35.4	32.9	2.2	16.4	12.1	**17.4**	1.4	5.3	8.8	7.4	98	64	71	C	SE 5	S 5	10^1=	9^1	8^1	0.1	n ⏢. 7 a ≡1. 9 p Ψ
																					41.3	
Mittel	39.9	39.6	39.9	6.7	12.1	8.0	14.1	5.1	6.8	7.5	7.2	92	71	88				8.1	8.8	7.5		1) 633–714 p, 8–9 p ≲ i. W. 2) 405 p ◍1. 445 p ◍2.

Würzburg.

September. $\varphi = 49^0\ 48'$ N. $\lambda = 9^0\ 56'$ E $= 39^m\ 44^s$. H $= 179.3$ m. Cg $= +0.3$ mm. 1912.

1.	49.0	46.8	45.7	9.0	15.3	11.0	16.0	8.3	8.2	9.9	9.5	96	77	97	W 1	C	C	8^2	9^2	8^2	3.3	a ≡1.2; 225.50 p ⟦, 228–300 p ◍
2.	42.2	40.5	40.4	11.0	14.7	10.6	16.0	10.1	9.4	10.3	9.2	96	83	97	S 1	W 1	W 1	10^2	8^2	4^2	2.8	330–410 p ⟦, 355–415 p ◍, dann ztw. ◍
3.	43.4	47.6	51.2	11.2	15.5	11.2	16.3	9.9	9.2	8.0	9.0	93	60	92	SW 1	SW 3	C	7^1	8^1	2^2	3.5	t ztw. ◍0
4.	51.8	49.5	47.1	10.7	14.0	13.5	15.0	9.0	8.4	9.2	**10.5**	89	78	90	SE 1	SW 2	NW 3	8^2	10^2	10^2	0.1	p ztw. ◍
5.	44.9	44.7	44.8	11.2	15.4	12.2	15.5	10.5	9.7	6.6	7.5	**98**	5^1	71	C	NW 4	NW 3	oo	4^2	6^2	1.7	
6.	42.8	41.4	42.8	9.8	13.3	8.2	13.7	8.0	7.1	6.9	7.7	79	61	94	NW 3	W 4	W 3	9^2	6^2	o	–	p ztw. ◍2
7.	43.4	45.5	48.3	9.6	13.0	9.7	13.8	8.0	7.6	8.1	7.9	86	73	88	NW 4	W 4	W 3	10^2	7^2	o	4.1	t ztw. ◍
8.	49.5	47.2	45.0	9.0	10.4	11.8	12.0	8.2	7.2	8.6	9.8	84	92	96	W 1	SW 4	C	10^2	10^2	10^2	1.0	t meist ◍
9.	44 5	44.6	45.8	9.7	12.4	7.7	12.4	7.7	8.4	6.3	6.3	94	59	80	SW 1	W 3	C	10^2	9^2	o	**16.3**	t ztw. ◍
10.	44.9	44.5	44.6	7.7	9.4	8.5	10.0	6.4	6.7	7.3	7.3	86	84	88	C	SW 2	C	10^2	10^2	10^2	1.3	t ztw. ◍
11.	44.1	44.5	46.5	8.4	12.6	8.2	13.0	7.5	7.5	7.6	7.4	92	70	92	W 1	SW 4	NW 3	10^2	10^2	10^2	1.0	t ztw. ◍; 255–331 p ▲
12.	50.5	51.4	53.3	7.1	14.2	9.0	14.7	5.4	7.1	7.8	8.0	94	64	93	E 1	E 1	C	10^2	4^2	o	0.4	a ⏢
13.	54.5	53.5	53.6	5.5	15.2	8.6	15.4	5.1	6.5	6.4	7.4	97	50	89	W 1	E 1	C	oo	2^2	o	–	a ≡1.2
14.	52.1	51.0	48.6	8.7	14.6	11.7	14.7	8.2	7.6	7.9	9.4	91	63	93	W 2	NW 1	C	9^2	10^2	10^2	–	a ≡1.2, p ◍0
15.	46.3	45.2	45.9	10.8	11.7	10.3	13.0	10.3	7.2	7.7	8.4	73	75	90	NW 3	NW 4	C	10^2	10^2	10^2	0.2	t ztw. ◍
16.	47.4	48.9	50.8	8.7	13.3	9.3	13.9	8.0	7.4	6.1	7.3	88	53	84	NW 2	NW 3	C	5^2	7^2	o	1.0	t ztw. ◍0
17.	51.5	51.3	51.6	9.4	16.5	11.4	17.0	7.7	7.3	9.2	8 8	84	66	88	W 1	NW 2	C	9^2	7^2	o	0.2	
18.	51.9	52.5	53.9	11.7	13.5	10.9	14.0	10.9	7.9	7.0	7.8	78	61	81	NW 1	NW 3	NW 1	9^2	9^2	10^2	–	
19.	54.2	54.1	54.9	9.1	11.8	6.4	13.8	6.4	7.4	6.5	5.9	87	64	80	NW 1	NE 2	C	8^2	9^2	o	–	
20.	54.7	54.0	54.7	2.6	12.0	5.8	12.2	1.4	5.1	**4.6**	5.9	93	44	87	NW 1	E 3	NE 2	oo	7^2	4^2	–	a ⏢
21.	56.0	56.0	56.7	4.1	11.9	6.4	12.0	2.5	5.6	4.8	5.7	92	46	79	C	E 1	C	oo	3^2	o	–	a ⏢
22.	**57.0**	55.8	55.5	3.7	12.7	7.6	13.0	2.1	5.4	5.4	6.6	90	49	85	E 1	E 4	C	oo	4^2	3^2	–	
23.	55.6	54.1	53.3	3.4	13.6	8.8	14.0	2.3	5.5	6.2	7.1	95	53	84	W 1	E 3	C	oo	3^2	8^2	–	a ≡1.2
24.	51.6	51.3	51.5	8.6	10.3	6.8	11.9	6.8	8.0	6.6	5.9	96	71	80	C	E 3	SE 2	10^2	10^2	5^2	4.1	a ztw. ◍
25.	50.0	48.7	49.3	4.8	10.0	5.3	11.0	3.1	5.7	5.8	6.1	89	63	92	SW 1	SW 2	C	9^2	6^2	8^2	0.2	
26.	49.9	50.2	50.7	3.2	9.1	7.0	10.2	2.5	5.4	6.3	7.2	93	73	96	W 1	E 2	C	2^1	10^2	10^2	0.4	a ≡1.2, ztw. ◍0
27.	52.1	51.0	51.5	5.3	12.8	6.8	12.8	4.6	5.9	6.3	6.2	89	57	84	E 3	E 3	C	1^1⊙	6^2	o	1.5	a ⏢, ztw. ◍0
28.	50.8	49.6	49.9	3.5	14.6	7.7	14.6	2.7	5.4	5.3	6.0	92	**43**	76	C	SE 4	SE 1	oo	oo	o	–	a ≡1.2
29.	49.8	49.5	49.5	5.9	13.5	10.0	14.0	4.4	6.1	7.0	7.1	88	61	78	E 1	E 1	S 1	2^1	10^2	10^2	–	a ⏢
30.	47.6	43.5	41.1	4.2	17.6	13.4	**18.0**	3.5	5.9	8.6	9 1	96	58	80	SE 1	SE 2	NE 1	1^1⊙	10^2	10^2	–	a ≡1.2, ztw. ◍0
																					43.1	
Mittel	49.5	48.9	49.3	7.6	13.2	9.2	13.8	6.4	7.1	7.1	7.6	90	63	87				5 9	7.2	4.9		

Alle Angaben nach Ortszeit.

Ludwigshafen a/Rh.

September. $\varphi = 49^0\ 29'$ N. $\lambda = 8^0\ 26'$ E $= 33^m\ 44^s$. H $= 100.3$ m. Cg $= +0.3$ mm. 1912.

Datum	Luftdruck auf 0^0 u. Normalschwere reduziert 700 mm +			Lufttemperatur C°					Absolute Feuchtigkeit mm			Relative Feuchtigkeit Proz.			Richtung und Stärke des Windes 0 bis 12			Bewölkung 0 bis 10			Niederschlag mm	Bemerkungen
	7^a	2^p	9^p	7^a	2^p	9^p	Max.	Min.	7^a	2^p	9^p	7^a	2^p	9^p	7^a	2^p	9^p	7^a	2^p	9^p	7^a	
1.	56.3	53.8	52.4	11.2	17.0	16.4	**18.0**	10.2	8.7	9.3	**10.7**	88	64	77	C	SE 1	E 1	10^1	9^2	10^2●	8.6	a ∞, nachm. ◍1. 9 p ◍
2.	49.1	**47.8**	48.3	11.6	15.7	12.2	16.8	10.2	9.7	**10.7**	9.8	96	81	94	S 1	S 1	E 1	10^2●	5^1⊙	10^2	6.4	n ◍, vorm. u. nachm. öfters ◍. 6^{19}–8^{03} p ⍁. bis 8^{19} p ◍
3.	52.5	56.6	59.5	10.6	14.6	12.4	15.1	9.8	7.8	8.1	9.2	83	65	87	W 2	N 1	SW 2	10^2	10^2	10^2	15.6	a, nachm. ◍
4.	59.3	57.1	54.7	9.8	15.4	14.6	15.7	8.2	7.9	9.4	**10.7**	87	72	86	S 1	S 2	SW 5	10^2	10^2	10^2	0.4	nachm. ◍, abds. ⩸
5.	53.5	53.5	53.5	12.2	15.4	12.4	16.4	11.0	8.3	7.1	8.2	79	55	77	SW 3	SW 3	SW 3	00	9^2	10^2	3.8	
6.	50.6	49.9	51.6	10.4	15.0	11.0	15.1	9.8	7.1	6.6	6.9	75	52	70	S 3	SW 3	SW 2	7^2	6^2⊙	10^1	–	vorm. u. nachm. ◍0
7.	52.8	54.5	56.5	10.8	15.0	12.4	15.2	9.8	7.5	6.8	6.8	77	54	63	SW 2	SW 3	SW 3	10^2	9^2	9^2	0.4	nachm. ◍0
8.	58.0	55.2	53.4	9.4	11.8	13.0	11.9	9.0	7 4	9.3	10.2	86	91	93	SW 2	SW 2	SW 3	10^2●	10^2	10^2	0.4	6^{04} a ab fast den ganzen Tag anhaltend ◍1
9.	52.3	53.4	54.3	11.0	11.8	9.0	13.0	9.0	8.8	7.4	6.5	90	72	76	N 2	NW 2	SW 2	10^2●	10^2●	0	**37.4**	n ◍1, vorm. u. nachm. öfters ◍0
10.	52.7	52.7	52.7	7.8	11.3	8.9	11.4	7.0	8.6	6.6	7.2	86	66	86	S 1	SW 2	SW 1	10^1●	10^1	10^1	1.8	a ◍0
11.	51.8	52.3	54.4	8.4	12.4	7.6	12.7	7.0	7.8	7.5	7.2	94	70	93	S 1	S 1	SW 1	10^1	10^2	0	2.6	n, nachm. ◍
12.	56.8	59.3	60.8	7.3	14.1	10.8	14.2	6.0	7.1	7.3	7.5	93	61	77	SE 1	N 1	N 1	00	5^1	0	0.6	a ⩸1, ⏢; nachm. ◍0
13.	62.1	61.0	61.1	7.0	16.5	11.4	16.7	6.4	7.0	6.0	7.8	94	43	78	N 1	NE 1	C	00	2^1⊙	10^1≡	–	a ∞, ⏢; abds. ⩸1
14.	59.8	58.1	57.9	6.4	14.8	12.2	15.1	6.0	6.6	8.5	9.6	91	68	91	W 1	SE 1	SE 1	7^1	9^2	10^2	–	a ⩸1, ⏢
15.	55.3	54.3	55.3	12.4	14.0	11.4	14.3	11.4	7.7	7.5	8.1	72	63	81	NW 3	W 2	W 2	10^2	10^2	0	–	a ◍
16	56 5	57.7	59.4	9.0	14.0	12.0	14.6	8.0	7.2	5.8	6.3	84	49	61	W 1	W 2	W 1	3^0	6^1⊙	10^1	0.6	
17.	60.0	59.7	59.7	8.6	17.2	13.0	17.4	7.6	7.4	8.7	9.3	89	60	85	SE 1	SW 1	SW 1	6^1	10^1	5^0	–	a ⩸0
18.	60.5	60.3	61.7	12.0	15 5	11.4	16.4	10.0	8.7	6.6	7.4	84	50	73	C	N 1	N 2	10^1	10^1	0	–	a ∞
19.	62.0	61.5	62.0	8.6	13.8	11.3	14.5	6.8	7.0	5.8	6.7	84	50	67	N 1	N 1	N 1	9^1	10^2	10^2	–	a ∞
20.	61.7	61.3	62.1	4.1	13.3	9.0	14.5	3.1	5.4	4.4	5.2	88	38	61	N 1	NE 1	NE 1	00	8^2	0	–	a ∞, ⏢1
21.	62 8	62.6	63.1	4.7	14.0	12.2	14.9	3.5	5.6	5.0	6.5	87	42	62	W 1	NE 3	N 1	00	5^1⊙	0	–	a ⩸0, ⏢
22.	**64.1**	62.8	62.4	5.8	14.2	10.4	15.8	3.7	5.5	**5.2**	5.9	81	43	63	N 1	NE 2	NE 1	00	5^1	0	–	t bölg
23.	62.8	61.2	60.7	6.6	14.8	10.2	15.1	3.9	5.6	5.2	7.0	77	42	76	NE 1	NE 1	NE 1	00	3^1⊙	5^1	–	a ∞, ⏢
24.	59.1	58.1	58.6	9.4	12.2	7.8	13.6	7.8	8.3	8.0	6.1	95	75	78	N 1	N 1	N 2	10^1●	10^2	5^1	–	a ⩸reissen, ca 7^{15}–9 a ◍0
25.	57.7	56.3	56.8	3.7	12.1	6.6	13.3	**2.7**	5.4	5.0	6.2	90	47	85	N 1	NE 1	N 2	10^1≡	5^1⊙	0	0.4	a ⩸1, ⏢; ca 4^{30} p Böe; 4^{37}–5^{01} p ◍1; abds. ◍
26.	57.7	57.6	58.1	3.6	11.2	8.3	11.6	**2.7**	5.4	5.5	7.2	92	56	88	N 1	E 1	N 1	10^2≡	8^2	10^2	1.7	a ⩸1, ⌴0
27.	58.6	57.9	58.0	5.4	13.9	9.6	14.4	4.2	6.2	6.1	6.6	92	52	74	N 1	NE 1	NE 1	10^1≡	9^2	0	–	a ⩸1, ⏢
28.	56 6	55.2	55.9	7.4	16.0	13.6	16.2	3.7	6.4	5.8	6.5	83	43	56	E 1	E 1	C	00	00	0	–	a ∞, ⏢
29.	56.3	56.3	55.9	9.3	11.8	9.6	13.6	8.8	7.2	8.3	8.4	83	81	95	SE 1	SW 1	N 1	7^1	10^2●	10^1≡	1.2	n ◍, t öfters ◍; abds. ⩸1
30.	53.6	50.0	48.3	5,8	15.7	14.0	16.5	4.8	6.7	10.6	10.0	**97**	80	85	N 1	C	C	10^2≡	10^2	10^2	1.6	a ⩸1, ⏢
																					83.5	
Mittel	57.1	56.6	56.9	8.3	14.2	11.2	14.8	7.1	7.2	7.1	7.7	87	60	78				6.6	7.8	5.8		

Nürnberg.

September. $\varphi = 49^0\ 27'$ N. $\lambda = 11^0\ 3'$ E $= 44^m\ 12^s$. H $= 309.1$ m. Cg $= +0.2$ mm, über 735.0 mm Cg $= +0.3$ mm. 1912.

1.	37.2	35.3	34.2	9.4	15.4	11.5	15.8	8.9	8.3	7.6	8.5	95	59	85	N 1	SW 2	SW 1	10^1	10^1	10^1	1.9	4 a ⏢1, 4 a–1 p ⩸0.2, schwache wechselnde Winde; 1)
2.	31.3	29.5	28.9	10.6	14.0	11.1	16.3	9.2	8.3	9.6	9.2	89	81	94	S 1	W 2	W 2	10^1≡	10^1	0	–	4 a ⏢0, 5–10 a ⩸1, 4^{14} a–5^{29} p häufig ◍0; a südliche, 2)
3.	31.4	35.3	39.2	9.8	12.8	11.4	14.0	9.5	8.1	8.7	8.7	89	80	87	NW 2	NW 2	W 3	10^1	10^1	8^1	0.6	p ztw. Aufklaren, auffrischender NW; 0^{09}–3^{34} p ztw. ◍
4.	40.4	38.6	36.2	10.1	15.1	12.4	16.3	8.7	8.1	7.8	9.6	88	61	90	SW 1	SW 2	SW 2	10^1	10^1	10^1	0.5	5 a ⏢2; 5-9 a ⩸0.1, a ztw. Aufkl. 14^{7}–9^{16} p ztw. ◍0 lebh. SW
5.	33.5	33.7	33.7	12.6	14.5	11.4	15.2	11.2	**10.0**	6.9	7.5	93	56	75	SW 2	W 3	W 3	10^1≡	10^1	6^1	2.3	9^{16} p–0^{08} a ztw. ◍, 6-7 a ⩸1; p sichtige Luft
6.	31.9	31.0	31.5	9.6	9.2	8.4	12.9	7.8	7.0	7.4	6.9	79	86	84	SW 2	W 2	SW 2	10^1●	10^1	10^1	1.1	$11^{24.44}$ p, 6^{49}–9^{14} a ◍0 2, 3^{24} a ⩸ (SW); $11^{42.56}$ a ⏢; 3)
7.	32.2	33.9	36.3	8.7	11.6	9.2	12.9	7.6	7.6	7.6	7.4	91	75	86	W 3	SW 4	E 3	10^1●	10^1	10^1●	4.4	4^{21} a–n häufig ◍0; p ztw. ⩸ (W bis SW), sicht. Luft
8.	38.0	36.6	33.8	8.6	9.2	10.8	10.8	8.0	6.8	8.2	9.2	83	95	95	W 2	SW 2	W 2	10^1	10^1●	10^0	2.4	3^{39} a–n ztw. ◍0.1, ⩸ (W), unsichtige Luft
9.	32.6	32.6	33.6	9.0	10.6	7.4	11.9	6.6	8.2	7.4	6 7	96	77	88	NW 1	N 3	W 2	10^1	8^1	0	**21.0**	n u. t ◍0.1; p ztw. Aufklaren, abflauende Winde
10.	33.2	33.3	33.3	6.8	9.3	8.0	9.9	4.3	6.7	6.8	7.1	91	78	89	SW 2	SW 3	SW 1	10^1●	10^1	10^1	2.7	4a ⏢2, 5^{37}a–12^{1} p ztw. ◍0; 6-7p ⩸0.1, westl. mässige Winde
11.	33.2	33.8	35.6	7.6	11.4	8.0	12.3	6.6	6.7	7.1	7.2	86	71	90	S 2	NW 2	S 1	10^1≡	10^1●	10^1≡	0.5	6–11 a ⩸1, 5^{03}–9^{01} a, 1^{44}–2^{06} p ◍0; 7 p–n ⩸1; p sicht. Luft
12.	38.4	39.0	41.0	5.7	13.5	8.6	14.0	4.8	6.9	6.4	7.2	**93**	56	87	NE 1	N 1	N 1	10^1≡	6^1⊙	10^1≡	–	5 a ⏢2, 5–10 a ⩸0.2, $4^{17.24}$ p, $5^{20.29}$ p ⍁, $6^{39.44}$ p ◍tr. 4)
13.	41.8	41.3	41.3	6.3	13.6	9.2	14.3	4.9	6.7	6.3	7.1	94	54	81	N 1	N 2	NE 1	9^1≡	9^1	0	–	n ztw. klar, 3 a ⏢1, 6-9 a ⩸1; 20^{7-19} p ◍tropfen; 5)
14.	40.3	38.6	36.8	7 0	13.4	10.9	13.4	5.7	6.7	7.3	7.8	89	68	81	C	NW 3	W 2	10^2≡	10^1	10^1	–	4 a ⏢1. 5 a–m ⩸1, 7^{32} p–n ztw. ◍tr.; a öfters C, 6)
15.	34.1	33.2	33.8	10.0	10.1	9.7	12.0	9.7	7.7	7.5	7.7	84	82	86	NW 3	NW 3	NW 3	10^1	10^1●	5^1	–	n öfters ◍tropfen, t ztw. ◍0
16.	35.6	36.9	39.0	7.8	11.2	7.0	12.4	5.9	7.2	6.4	6.8	92	65	91	W 3	NW 3	SW 1	9^1	10^1	0	0.5	n Aufklar., 4 a ⏢1, 6–8 a ⩸0, t ztw. ◍0.1, p sehr sicht. Luft
17.	39.8	39.8	39.8	8.8	14.8	10.0	15.2	6.5	7.3	8.4	8.4	87	67	92	SW 1	NW 3	W 2	10^1	8^1	0	0.7	6–11 a ⩸0.1, p sichtige Luft
18	40.1	40.4	41.8	11.0	12.6	9.5	13.0	8.9	8.6	7.1	7.1	87	66	80	W 2	NW 3	NW 2	9^1	10^1	10^1	0.9	n ◍, 6–9 a ⩸0, p ztw. Aufklaren, sichtige Luft
19.	42.0	42.0	42.8	8.2	11.6	6.8	12.6	6.8	7.2	6.6	5.5	89	64	74	W 1	NE 3	NE 2	10^1	10^1	0	–	5 a ⏢0, 6–8 a ⩸0 1, p sehr sichtige Luft
20.	42.5	42.0	42.9	1.1	10.0	4.9	11.0	0.7	4.8	5.2	5.7	96	57	87	E 1	NE 3	NE 2	0≡	10^1	0	–	4 a ⏢2. 5–9 a ⩸1, ab 9 a zunehmende Bewölkung, 7)
21.	43.9	43.7	**44.9**	2.7	11.4	6.0	11.8	1.9	5.2	4.2	5.3	93	41	76	NE 2	E 3	NE 2	0≡	8^1	0	–	4 a ⏢2, 6–9 a ⩸0, p sehr sichtige Luft
22.	**44.9**	43.7	43.8	3.9	12.2	7.2	12.8	3.1	5.5	**4.0**	5.3	90	**38**	70	E 1	E 2	NE 2	00	8^1	0	–	5 a ⏢0, 6–9 a ⩸0, p sehr sichtige Luft
23.	43.3	41.9	41.0	1.5	12.6	8.1	13.1	0.5	4.8	4.9	6.6	94	45	82	NE 1	E 2	NE 2	00	3^1⊙	10^0	–	5 a ⏢1, 6–10 a ⩸
24.	39.5	38.8	39.1	7.9	8.1	5.1	12.0	5.1	7.8	7.7	5.1	98	96	77	NE 1	NE 3	NE 2	10^0≡	10^1●	2^1	1.5	a ⩸1. 11^{39} a–2^{34} p öfters ◍, 6^{04}–10^{6} p ◍1 △
25.	37.5	36.4	37.1	1.3	7.8	5.1	9.2	**0.2**	4.8	5.8	6.0	96	73	92	NW 2	NW 1	NE 1	10^1≡	9^1	10^1	1.4	4 a ⏢2, 6–10 a ⩸1.2, 9^{59} a–1^{08} p ztw. ◍0.2; 2^{30}–3^{16} p △; 8)
26.	37.9	38.3	38.5	3.9	7.2	6.1	8.3	2.8	5.6	5.5	6.5	92	73	73	E 1	NE 3	N 1	9^1	10^1	10^1	1.4	2^{54} a–n häufig ◍0, 6–11 a ⩸0.1
27.	38.7	39.3	39.3	4.7	11.7	7.6	12.0	3 0	6.0	5.7	6.5	94	55	83	NE 2	SE 3	NE 2	10^1	9^1⊙	5^1	1.3	n ztw. heiter, 5 a ⏢1, 6–10 a ⩸0.2, 9)
28.	38.9	38.1	38.1	5.1	13.4	8.0	13.4	4.5	6.0	5.2	5.5	92	46	68	E 2	E 2	E 2	00	1^0⊙	0	–	5 a ⏢2, 6–9 a ⩸0, 4 p ⩸ (E 5), p sehr sichtige Luft
29.	38.3	38.0	38.0	5.7	13.8	7.8	13.9	3.9	5.8	6.2	6.6	85	53	83	E 2	SE 3	E 2	9^1⊙	10^0	6^0	–	5 a ⏢2, 6–10 a ⩸0.1, p sichtige Luft
30.	36.4	33.5	30.8	5.1	16.6	11.0	**16.8**	3.7	6.1	7.7	8.0	94	55	81	E 2	S 2	W 2	00	8^1	1^1	–	5 a ⏢1, 5–10 a ⩸0.2, p sichtige Luft
																					45.1	
Mittel	37.7	37.3	37.6	7.0	12.0	8.6	13.0	5.7	6.9	6.8	7.1	91	66	84				7.8	8.9	5.4		

1) 3^{09}–4^{04} p, $4^{34.31}$ p ◍; $6^{01.42}$ p ⍁. 2) p westl. Winde
3) 0^{00} p–5^{13} p ztw. ◍0.2. 4) 7 p–n ⩸1.
5) schwache bis mässige W-Winde. 6) p mässige W-Winde
7) ab 4 p wieder Aufklaren. 8) $2^{34.45}$ p ⍁; $4^{41.44}$ p ◍1.
9) p östliche bis nördliche schwache Winde.

Alle Angaben nach Ortszeit.

Kaiserslautern.

September. $\varphi = 49^0\ 27'$ N. $\lambda = 7^0\ 46'$ E $= 31^m\ 4^s$. H $= 242.2$ m. Cg $= +0.3$ mm 1912.

Datum	Luftdruck auf 0° u. Normalschwere reduziert 700 mm + 7a	2p	9p	Lufttemperatur C° 7a	2p	9p	Max.	Min.	Absolute Feuchtigkeit mm 7a	2p	9p	Relative Feuchtigkeit Proz. 7a	2p	9p	Richtung und Stärke des Windes 0 bis 12 7a	2p	9p	Bewölkung 0 bis 10 7a	2p	9p	Niederschlag mm 7a	Bemerkungen
1.	43.3	41.7	39.9	9.7	15.1	11.9	16.1	8.1	7.8	8.3	9.1	87	65	89	NE 1	W 1	C	10^1	10^2	10^2	0.4	a ≡, ∞. 3^{46} p an ztw. ◍^{0}
2.	36.5	35.5	36.3	11.5	16.8	11.9	**17.2**	11.1	9.4	7.8	9.2	93	55	90	W 2	NW 1	C	10^3●	8^1⊙	10^3●	4.0	n, a–10^{30} a ◍. 0^{01} p, 5^{21} p–n ztw. ◍^{0}. $5^{36.46}$ p ⚳
3.	40.6	43.8	46.6	9.7	15.0	10.7	15.3	8.9	7.5	7.7	8.6	84	61	91	NW 1	NW 1	C	10^1	9^1	10^1	4.7	n ◍. a ∞. p kurz ◍tropfen
4.	46.3	44.4	42.0	10.5	14.8	13.9	15.0	7.5	8.5	9.1	**11.0**	91	73	94	W 1	W 5	W 3	10^1	10^2	10^2●	0.1	a ∞, ⏢. p ztw. ▟. 4^{01} p–n meist ◍$^{0.1}$
5.	41.2	41.0	**40.7**	10.7	14.5	11.3	14.5	9.4	8.9	7.3	7.6	93	59	76	W 2	NW 4	W 1	3^0⊙	7^1⊙	5^0	2.4	n ◍. p–4^{30} p ▟
6.	38.3	37.8	39.1	9.1	13.4	9.6	14.0	8.3	7.3	6.9	7.1	86	60	80	W 2	W 3	W 2	10^2	7^1⊙	7^1	0.5	n, a–10^{56} a, $6^{01.11}$ p ◍
7.	40.5	42.4	45.2	9.5	12.7	9.5	13.1	8.3	7.9	7.6	7.2	89	70	82	NW 2	W 2	W 2	10^2	9^2	0	3.7	n ◍, a ztw. ◍^{0}. 11^{38} a–0^{01} p ◍^{2}, △ i dann kurz ◍^{0}
8.	45.0	43.0	40.9	8.5	11.0	12.5	12.5	7.9	7.6	9.2	10.3	92	94	96	SW 1	W 2	W 4	10^9●	10^2●	10^2●	1.5	n, a, t–2^{21} p, 5^{30} p–n ◍
9.	39.7	40.8	41.7	9.7	11.1	7.5	12.8	7.5	8.7	7.4	6.7	**98**	75	88	NE 1	NW 1	C	10^7●	10^2	0.	**37.7**	n ◍, ▟. a–7^{30} a, $5^{49.53}$ p ◍
10.	40.2	40.1	39.9	7.5	9.2	8.4	9.2	5.5	6.6	6.7	7.4	86	78	91	W 2	W 3	C	10^1	10^2	10^1	1.8	a, p–7^{01} p ztw. ◍
11.	39.4	39.7	41.3	8.7	9.9	7.9	11.0	7.9	7.6	7.4	7.1	91	82	89	W 2	W 2	C	10^2	10^1	3^1	0.8	n ◍. a ≡^{2}. 10^{01} a–0^{06} p, p ztw. ◍
12.	44.5	46.4	48.1	7.1	12.7	7.2	13.0	5.9	6.9	7.2	7.1	91	66	94	W 1	E 1	C	10^1	7^1⊙	0	1.3	a ≡^{2}. abds. ≡^{1}, ∞
13.	49.2	48.2	48.4	3.3	14.9	7.7	15.0	2.3	5.5	6.7	7.3	95	53	93	C	NE 2	C	○○	8^2	0	–	a ≡^{2}, ⏢^{2}
14.	46.5	45.0	44.3	4.9	14.9	12.0	15.1	3.2	5.8	7.6	8.9	90	60	86	C	W 2	W 1	10^1	10^1	4^1	–	a ≡^{2}, ⏢. t ∞
15.	42.7	42.0	42.7	11.2	12.5	9.9	13.9	9 9	8.3	8.6	8.3	84	81	91	W 1	W 2	C	10^1	10^2●	10^1	–	n ◍^{0}. a ∞
16.	44.2	44.9	46.4	7.9	13.5	7.5	13.6	6.5	7.4	6.9	7.3	93	60	94	NW 1	C	C	10^1	9^1	0	0.3	a ≡^{1}, ⏢
17.	47.2	47.1	46.9	7.1	15.4	11.5	16.0	5.4	6.9	9.0	9.1	91	69	91	C	W 1	C	10^2=	9^1	0	–	a ≡^{2}, ≡^{2}, ⏢
18.	47.4	47.6	48.8	9.5	14.6	8.1	15.0	8.1	8.1	7.5	7.4	92	60	92	C	N 1	C	10^1	10^1	0	–	a ⏢^{0}, ≡^{1}
19.	48.9	48.4	48.6	3.4	13.1	7.6	13.1	2.1	5.2	6.6	6.8	90	58	88	C	E 1	C	7^1	9^1	0	–	a ≡^{1}, dann ≡^{2}, ⏢
20.	48.8	47.8	48.7	2.4	12.1	5.5	12.2	1.4	5.0	5.0	5.5	91	47	82	E 1	E 2	C	○○	9^1	0	–	a ⌴^{2}, ≡^{1}, ∞. n ztw. ▟
21.	49.5	49.1	50.0	3.1	12.4	6.6	12.7	**0.7**	5.0	5.5	5.3	88	51	73	SE 1	SE 3	C	○○	6^1⊙	0	–	a ⌴^{2}, ≡^{0}. p ztw. ▟
22.	**50.1**	48.9	48.9	4.1	13.3	7.7	13.3	3.0	5.3	**4.9**	6.1	87	**43**	77	SE 1	E 3	E 2	○○	5^1⊙	0	–	a ⌴, p ztw. ▟
23.	49.3	48.4	47.8	2.9	13.3	6.8	13.3	2.1	5.1	6.1	6.7	90	53	91	C	N 3	C	3^0	5^1	7^1	–	a ⌴, ≡^{2}
24.	46.0	45.2	45.7	6.7	11.3	7.0	11.8	3.8	6.9	7.6	6.1	94	76	81	C	E 2	E 1	10^2●	10^1	10^1	–	6^{30}–8^{21} a ◍^{0}
25.	44.8	43.7	44.1	1.8	10.5	4.7	10.5	1.1	**4.9**	5.7	6.0	93	61	94	SE 1	E 2	E 1	3^0	8^1	3^0	–	a ⌴^{2}, ≡^{2}. p ztw. ◍tropfen
26.	44.6	44.8	44.9	5.0	9.3	5.6	9.9	3.3	5.8	5.5	5.9	89	62	86	E 1	E 2	E 1	10^1	10^2	10^1	–	a ⏢^{1}, ≡^{0}
27.	45.6	45.1	44.7	5.5	11.7	5.7	11.9	3.9	6.1	6.6	6.4	91	64	94	E 1	SE 2	SE 1	10^1	10^1	9^1	–	a ⏢, ∞
28.	42.9	42.1	42.5	6.5	14.0	10.9	14.0	4.1	6.4	6.9	7.3	88	58	75	E 2	E 3	E 3	10^2	4^0	10^2●	–	a ⏢, ∞. 8^{30} a ab ztw. ▟. 4^{21} p–n ztw. ◍tr.
29.	43.1	43.2	42.9	9.1	12.4	7.9	13.0	7.9	7.0	9.3	7.4	81	88	93	E 1	E 1	C	9^1	10^1	10^1	0.2	n ◍^{0}. 9^{30} a an, p ztw. ◍tropfen, abds. ≡^{0}
30.	40.5	37.2	34.7	5.7	16.6	15.6	16.7	3.2	6.2	8.5	8.7	91	60	65	C	E 1	S 3	9^1	10^1	10^2●	0.7	n ◍^{0}. a ≡^{1}. 8^{30} p–n ●, ▟
																					60.1	
Mittel	44.2	43.8	44.1	7.1	13.1	9.0	13.5	5.6	6.9	7.2	7.5	90	65	87				7.8	8.6	5.3		

Ansbach.

September. $\varphi = 49^0\ 18'$ N. $\lambda = 10^0\ 33'$ E $= 42^m\ 12^s$. H $= 437.5$ m. Cg $= +0.2$ mm. 1912.

1.	26.2	24.5	23.1	8.6	13.5	9.8	16.2	7.5	7.9	7.4	8.6	95	64	95	C	N 2	W 2	6^1	10^2⚳	0	1.4	mrgs. ⏢, ≡^{0}. 1^{27}–3^{08} p ⚳. 5^{32}–6^{17} p ◍
2.	20.0	18.5	18.0	10.7	14.2	8.4	14.4	8.1	8.4	9.6	8.0	89	80	**97**	C	SW 2	C	10^2	10^2●	0	4 8	t ztw. ●
3.	20.9	25.1	28.6	9.4	12.8	10.3	13.6	8.4	8.0	7.3	8.5	92	67	92	NW 2	NW 2	C	10^2	10^2	0	2.4	t ztw. ◍
4.	29.4	27.8	25.4	8.3	13.4	11.4	14.2	7.0	7.5	6.7	9.2	93	59	92	W 2	SW 4	SW 4	○○	10^2	10^2●	1.6	mrgs. ⏢. 2^{33} p ab ztw. ◍
5.	22.7	23.1	23.0	12.2	13.7	10.0	14.4	9.9	**9.7**	6.3	7.2	93	54	80	W 2	W 6	C	10^2	10^2	0	3.2	n, a ◍. t ▟
6.	20.9	20.2	21.0	7.6	7.0	6.2	10.6	6.0	7.1	6.7	6.7	**91**	90	94	W 6	W 6	W 6	10^2●	10^2●	10^2●	2.9	6^{07} a ab ◍ ▟
7.	21.6	23.4	25.9	7.6	9.2	7.8	11.0	6.0	7.1	7.6	7.2	92	90	93	W 4	W 6	W 6	10^2	10^2●	10^2●	10.2	t ztw. ◍ ▟. 4^{50} p ⚳ u. ▲
8.	27.6	25.7	23.0	7.2	8.0	10.2	10.4	6.4	6.6	7.6	8.8	88	95	95	W 4	W 6	W 6	10^2	10^2●	10^2●	8.3	7^{12} a ab ◍
9.	21.7	23.1	23.3	8.7	9.8	5.9	11.0	5.6	8.1	7.0	6.3	96	77	92	N 2	NW 2	W 2	10^2●	8^2⊙	0	**32.7**	n, a–1^{42} p ●. t ztw. ◍
10.	22.4	22.4	22.4	5.5	8.0	6.0	8.6	3.5	6.1	6.1	6.1	92	76	88	W 4	W 2	W 2	10^2●	10^2	0	7.9	5^{42}–7^{32} a ◍
11.	21.9	22.8	24.5	6.5	10.0	5.1	11.0	4.8	6.6	7.1	6.2	92	77	95	W 4	SW 4	C	10^2	10^2	0	0.4	11^{32} a–0^{32} p ◍
12.	27.0	28.3	30.2	5.7	12.8	5.5	13.0	4.0	6.4	6.0	6.5	94	55	97	N 2	NE 4	C	10^2	8^1⊙	0	0.3	mrgs. ≡^{0}. $3^{22.37}$ p ◍
13.	30.9	30.7	30.5	6.5	12.4	6.7	13.4	3.5	6.7	6.1	6.3	94	57	86	N 2	N 4	C	4^1	4^1⊙	0	0.2	mrgs. ⏢
14.	29.0	27.6	26.1	6.4	12.9	10.2	13.0	**3.1**	6.8	6.5	7.3	94	58	79	C	NW 2	W 4	10^2	10^2	10^2	–	mrgs. ≡^{0}, ⏢
15.	23.6	22.6	23.4	9.5	9.9	8.6	10.6	8.5	7.9	7.6	7.7	90	83	93	NW 2	NW 4	NW 4	10^2	10^2●	10^2●	1.1	n, a ◍. t ztw. ◍
16.	24.8	26.1	28.3	7.2	11.3	8.0	12.0	6.4	6.8	5.9	6.9	91	59	87	NW 2	W 2	W 2	10^2	10^2	10^2	3.2	vorm. ztw. ◍
17.	29.1	28.9	29.2	7.0	14.2	9.4	14.8	5.2	6.5	7.2	8.1	88	60	93	W 2	W 4	C	8^2	6^1⊙	0	1.6	mrgs. ⏢
18.	29.4	29.5	30.7	10.0	12.9	8 4	13.0	7.3	8.2	6.7	7.5	89	60	93	C	NW 2	NW 2	8^2	10^2	10^2	–	
19.	31.1	30.7	31.5	7.1	12.0	5.9	12.2	5.6	7.0	5.7	5.5	94	55	79	C	N 2	N 2	10^2	10^2	0	–	mrgs. ⏢
20.	31.1	30.5	31.5	2.3	8.7	3.7	10.0	0.2	4.9	5.5	5.1	90	65	85	C	NE 4	C	○○	10^2	0	–	mrgs. ⌴, nachm. ztw. ▟
21.	32.1	32.1	**33 3**	3.2	10.9	3.6	11.6	1.7	5.3	**4.7**	5.1	92	48	88	NE 2	NE 2	C	○○	8^1	0	–	mrgs. ⌴, t ▟
22.	33.1	32.3	32.1	2.1	12.0	5.3	12.0	0.6	5.0	**4.7**	5.1	93	46	76	C	E 4	C	○○	6^1⊙	0	–	mrgs. ⌴
23.	31.7	30.7	30.0	2.5	11.6	6.4	12.0	– **0.2**	4.9	5.2	6.1	90	50	87	C	N 4	C	○○	2^1⊙	10^2	–	mrgs. ⌴
24.	28.2	27.6	27.9	7.2	8.0	5.6	9.8	4.0	6.8	7.5	5.1	91	94	75	N 2	NE 2	NE 4	10^2=	10^2●	10^2	–	mrgs. ≡^{1}, $13^{1.42}$ p △$_1$ t ztw. ◍
25.	26.1	26.1	25.9	3.4	8.5	3.9	9.4	**0.4**	5.3	5.5	5.6	93	66	93	N 2	N 4	N 2	10^2	10^2	10^2	7.8	nachm. ztw. ◍
26.	26.4	26.8	27.2	3.5	6.7	5.0	8.8	1.9	5.3	5.0	6.3	91	69	97	N 2	NE 4	C	10^2	10^2●	10^2	0,8	nachm. u. abds. ztw. ◍
27.	27.6	27.7	28.2	4.3	11.6	6.2	11.8	3.3	5.8	5.8	6.2	93	57	88	NE 2	NE 2	C	10^2	8^2	0	1.9	mrgs. ≡^{0}
28.	27.3	26.4	26.8	3.2	12.8	5.7	12.8	1.9	5.3	5.6	5.6	92	51	83	E 2	E 2	C	○○	2^1⊙	0	–	mrgs. ⌴, ≡^{0}
29.	26.7	26.6	26.8	4.0	12.9	7.9	13.2	2.1	5.6	6.7	7.1	93	60	90	E 2	E 2	C	4^0	6^1	8^1	–	mrgs. ⌴
30.	24.8	22.3	19.9	1.6	16.6	10.2	**16.8**	0.9	5.0	7.5	8.2	96	54	89	C	S 2	S 2	10^3=	4^0	4^0	–	mrgs. ≡^{2}, abds. Ψ
																					92 7	
Mittel	26.5	26.3	26.6	6.3	11.3	7.2	12.2	4.5	6.6	6.5	6.8	92	66	89				7.3	8 4	4.4		

Alle Angaben nach Ortszeit.

Regensburg.

September. $\varphi = 49^0\ 1'$ N. $\lambda = 12^0\ 7'$ E $= 48^m\ 28^s$. H $= 354.3$ m. Cg $= +0.2$ mm. 1912.

Datum	Luftdruck auf 0° u. Normalschwere reduziert 700 mm + 7a	2p	9p	Lufttemperatur C° 7a	2p	9p	Max.	Min.	Absolute Feuchtigkeit mm 7a	2p	9p	Relative Feuchtigkeit Proz. 7a	2p	9p	Richtung und Stärke des Windes 0 bis 12 7a	2p	9p	Bewölkung 0 bis 10 7a	2p	9p	Niederschlag mm 7a	Bemerkungen
1.	32.5	31.0	29.9	9.9	14.6	10.6	15.1	9.1	8.3	7.2	8.4	91	62	90	NW 1	C	C	10^0	5^1	8^1	0.4	ca 7 a ⌓
2.	28.0	25.5	30.2	8.3	15.4	12.0	15.4	7.4	7.8	9.2	9.4	96	70	91	C	SW 1	C	10^{3}≡	9^2	10^{1}●	–	≡, 218.43 p
3	31.4	30.1	33.5	10.3	13.0	10.8	14.0	9.4	8.0	8.3	8.6	86	75	90	SW 2	NW 3	W 4	10^1	9^1	3	0.3	
4.	35.4	33.9	33.4	10.0	15.4	12.2	**15.8**	9.0	8.2	7.8	8.6	89	59	82	SW 3	SW 3	SW 4	10^1	10^2	9^{1}●	1.5	n, 9⁰⁰ a, abds.
5.	30.7	29.8	29.7	12.2	15.0	11.4	15.3	11.0	**10.0**	7.1	7.0	95	56	70	SW 3	W 5	W 4	10^{2}●	7^2	5^1	1.7	6³⁸–9¹⁸ a
6.	28.3	27.1	27.7	8.7	10.7	7.0	12.5	6.9	6.7	6.9	6.[illegible]	80	72	85	SW 2	SW 5	W 3	9^{1}●	8^1	3^1	0.3	7⁰⁰–18 a, 218.35
7.	28.2	29.5	31.7	7.8	10.9	8.7	11.0	6.2	7.0	7.8	7.0	89	81	84	SW 3	SW 4	SW 4	10^0●	10^{1}●	10^2	1	[illegible]
8.	33.2	32.9	29.9	8.2	8.7	9.7	9.9	7.7	6.3	7.6	8.3	78	91	92	SW 5	SW 4	SW 4	10^{1}●	[illegible]	[illegible]	[illegible]	[illegible] ca 11 a
9.	28.2	29.3	30.5	10.2	9.7	[illegible]	10.9	6.0	8.8	7.0	6.5	95	77	91	C	W 3	W 3	10^0	10^2	10^1	**11.3**	7³³ a–n
10.	30.4	29.9	30.4	5.2	[illegible]	8.2	11.0	3.6	6.1	6.6	7.2	92	79	89	SW 3	W 5	C	10	10^2	0	4.8	ca 10 a–1 p kurz ⊙, dann
11.	29.9	30.4	32.2	4.8	11.5	6.4	11.9	4.4	6.0	7.3	6.5	94	72	93	SW 1	SW 3	E 3	10≡	10^2	0	–	≡, 6¹⁸.³⁸ p
12.	34.4	35.4	37.2	3.9	11.5	9.0	12.5	3.6	5.7	6.5	7.6	95	64	**98**	SE 2	NE 4	E 2	10≡	9^{1}⊙	0	1.0	≡
13.	37.7	37.3	37.3	6.9	12.1	10.4	12.1	6.3	6.5	6.9	6.7	87	66	72	N 3	NE 2	NE 2	10^1	10^2	0	–	
14.	36.0	34.8	33 3	8.6	10.4	9.8	13.0	8.0	7.2	7.7	8.0	87	82	88	NE 3	NW 2	W 3	10^1	10^{1}●	10●	–	ca 2 p, 3 p, 9 p
15.	30.0	29.3	29.3	10.2	9.8	9.5	11.0	9.2	8.1	7.3	7.3	87	82	83	W 4	W 5	NE 4	10^2	10^{1}●	10^{1}●	2.7	ca 7 a ●⁰, ca 1 p ●, 9 p ●²
16.	31.8	32.7	35.3	6.4	10.6	7.8	11.5	6.1	6.3	6.6	6.8	88	70	86	W 1	W 4	NE 1	4^{0}¹	8^{1}⊙	2^1	1.1	8⁵⁸ a, 22³–3¹³ p
17.	36.1	36.0	36.3	6.7	14.6	11.0	15.0	5.7	6.6	8.4	8.4	90	68	87	SW 1	W 3	C	10^1	10^1	0	1.5	
18.	36.4	36.7	37.8	8.9	12.4	7.6	13.0	7.3	7.7	6.8	6.9	91	63	89	SW 1	W 3	C	10^1	10^2	0	–	
19.	38.2	38.0	38.5	6.2	11.6	7.8	12.0	5.2	6.5	6.3	5.9	91	62	75	W 1	NW 3	C	6^1	10^2	2	–	
20.	38.1	37.4	38.5	4.8	11.2	8.0	11.2	4.3	5.3	5.2	6.0	82	52	75	NE 1	NE 2	N 3	10^1	8^1	1	–	
21.	39.6	39.8	40.6	5.6	10.4	7.2	11.0	5.1	5.8	4.5	5.4	85	47	72	NE 1	NE 3	NE 4	2^0	3^0	8^1	–	
22.	**40.7**	39.8	39.8	6.2	10.8	6.8	11.2	4.6	5.7	4.6	5.9	81	47	80	E 3	E 3	C	10^1	8^{2}⊙	4	–	
23.	39.3	38.0	37.2	2.3	11.8	5.4	12.0	**1.0**	4.9	**4.3**	5.8	89	42	86	C	N 2	C	0⊙	2^1	0	–	ca 9 p Ψ
24.	35.5	35.0	34.9	6.4	9.2	6.2	10.3	4.0	6.7	6.6	5.2	93	76	74	NE 2	NE 3	N 2	10^{1}●	10^2	0	–	ca 7 a ●⁰
25.	32.9	31.2	33.0	4.6	8.4	5.4	9.0	3.8	5.3	5.2	5.7	84	63	85	N 1	N 3	C	6^{1}●	5^1	10^1	0.8	
26.	33.9	34.2	34.2	3.5	6.8	6.2	7.3	3.0	5.6	5.5	6.5	95	74	91	N 2	N 3	C	10^2	10^1	10	–	ca 1¹⁵ p
27.	34.6	34.9	35.7	6.2	10.7	7.6	11.0	5.1	6.0	5.8	6.9	86	61	89	NE 3	NE 4	C	10^1	10^2	8^1	1.8	ca 9 p Ψ
28.	35.6	34.4	34.7	4.4	13.0	5.3	13.0	3.1	5.7	5.8	5.8	92	52	87	NE 2	SE 3	C	4^{1}⊙	3⊙	0	–	ca 7 a ⌓
29.	34.7	34.3	34.4	3.8	13.0	7.8	13.4	3.0	5.4	6.6	6.8	90	59	86	NE 1	SW 2	C	5^1	5^{1}⊙	3	–	ca 7 a ⌓
30.	38.1	36.0	33.3	2.8	13.8	9.8	14.8	2.2	5.4	7.4	7.6	96	62	84	C	SE 3	C	10^{2}≡	4^0	0	–	≡
																					33.2	
Mittel	34 0	33.5	34.0	6.8	11.6	8.4	12.2	5.7	6.7	6.7	7.0	89	66	85				8.5	8.1	4.5		

Passau.

September. $\varphi = 48^0\ 34'$ N. $\lambda = 13^0\ 28'$ E $= 53^m\ 52^s$. H $= 309.3$ m. Cg $= +0.2$ mm. 1912.

1.	36.9	35.3	35.1	11.1	16.8	12.4	**16.8**	10.3	9.0	9.4	9.8	91	66	93	C	NW 4	C	10^1	5^{1}⊙	10^1	2.5	
2.	32.4	29.8	29.7	9.5	16.8	11.4	**16.8**	8.9	8.5	8.3	9.2	96	59	92	C	C	C	10^{2}≡	5^{1}⊙	10^1	–	a ≡²
3.	30.4	33.8	37.8	11.2	13.8	11.9	14.2	10.0	8.9	9.6	9.5	90	82	93	NW 2	W 4	W 2	10^{1}●	10^1	10^1	1.0	n, a ●, t ztw.
4.	38.9	39 3	38.1	11.1	15.8	12.1	15.8	10.1	8.6	9.5	8.9	87	71	85	W 2	SW 2	C	10^1	10^1	10^1	1.8	7⁰⁹.²¹ a
5.	34.8	33.9	35.0	12.4	15.7	12.3	16.2	10.7	**10.0**	8.7	7.5	94	65	71	SW 2	W 4	C	10^{1}●	5^{1}⊙	10^1	6.1	n, a ●, t ztw.
6.	32.9	32.2	32.6	11.3	12.4	9.1	12.4	9.1	7.0	7.4	7.5	70	70	88	SW 2	SW 2	C	10^1	10^1	10^1	1.8	4⁰⁴.⁰⁰ p
7.	33.1	33.9	37.2	8.7	11.9	9.1	11.9	7.6	7.1	8.0	7.5	86	78	88	W 4	SW 4	W 2	10^1	10^1	10^1	3.1	n, t öfters
8.	38.2	38.8	35.5	8.5	9.3	8.9	9.8	8.5	7.3	7.4	8.2	88	86	96	SW 2	W 2	C	10^{1}●	10^{1}●	10^{1}●	4.6	n, t
9.	32.7	33.0	34.6	10.9	10.5	9.3	10.9	8.6	9.1	7.9	8.1	97	84	93	SW 2	W 2	C	10^{1}●	10^{1}●	5^1	**26.0**	t–ca 8 p
10.	34.6	34.5	34.6	6.3	10.9	8.5	10.9	5.2	6.8	7.0	7.3	96	61	88	W 1	SW 2	C	5^{1}⊙	8^{1}⊙	10^1	9.9	
11.	34.3	35.1	37.6	7.1	10.1	7.9	10.4	6.0	7.2	7.0	7.4	96	76	93	C	W 1	C	10^1	10^1	10^1	0.1	n ●⁰
12.	38.5	38.8	40.6	4.7	11.7	7.9	12.2	3.5	6.3	8.6	7.4	98	85	93	C	C	C	10^2	10^2	10^1	–	a ≡²
13.	40.5	40.3	40.4	7.1	10.9	9.3	11.7	6.0	7.0	7.9	8.4	93	82	96	C	SW 2	C	10^{1}≡	10^{1}●	10^{1}●	0.6	a ≡¹, ca 1 p–n ztw.
14.	38.9	38.1	37.7	8.9	11.7	9.3	11.7	8.3	7.9	8.4	7.9	93	83	91	SW 2	SW 2	W 4	10^{1}●	10^1	10^1	14.6	n, a–0⁰⁹ p, ca 3–6 p
15.	33.3	33.2	32.8	9.7	9.9	9.3	9.9	8.6	8.4	8.0	7.8	94	88	89	SW 2	SW 2	C	10^{1}●	10^{1}●	10^{1}●	10.6	n, t öfters
16.	34.9	35.9	39.1	8.1	11.9	8.3	12.1	7.5	7.1	7.1	7.4	88	68	91	W 2	W 4	W 2	10^1	8^{1}⊙	10^1	5.7	ca 9–10²⁴ a
17.	39.9	40.4	40.2	8.1	13.8	10.4	13.8	7.1	7.1	8.3	9.2	88	71	98	SW 2	SW 2	C	10^1	10^1	10^1	3.0	a ●⁰
18.	39.9	40.3	41.3	10.1	12.8	9.8	13.2	8.1	8.4	8.3	8.1	91	71	89	SW 2	SW 2	C	10^1	10^1	8^1	0.1	
19.	41.9	42.1	42.1	7.3	11.5	9.1	12.7	4.5	7.3	7.3	7.0	96	72	81	C	C	C	10^1	8^1	10^1	–	
20.	41.1	40.9	42.1	7.9	12.1	6.5	12.1	6.5	7.0	5.6	6.7	89	53	93	C	SE 2	E 2	10^1	10^1	3^1	–	
21.	42.9	43.0	**44 3**	4.5	10.3	6.9	10.6	3.4	6.0	**4.7**	6.0	96	**51**	81	C	SE 4	E 2	10^{1}≡	5^1	0	–	a ≡²
22.	**44.3**	42.6	43.3	5.5	11.3	7.7	11.7	3.5	6.2	5.6	7.1	93	56	90	C	SE 2	C	10^1	10^1	5^1	–	
23.	42.5	41.1	41.1	6.9	11.1	8.1	12.5	5.0	6.9	7.3	7.3	93	74	91	C	C	C	10^1	5^1	3^1	–	
24.	39.1	38.4	39.1	6.5	9.1	8.1	9.1	4.5	6.7	7.6	7.7	93	89	96	C	C	C	10^1	10^1	10^1	–	
25.	37.8	36.3	36.9	6.7	9.5	5.9	9.6	6.0	7.0	6.6	6.4	96	75	93	C	SE 2	C	10^1	10^1	10^1	2.0	
26.	38.8	37.6	38.3	4.9	8.5	7.3	8.6	4.2	5.9	6.1	7.1	92	74	93	C	SE 2	C	10^{1}●	10^1	10^1	0.9	a ●⁰
27.	38.1	38.5	40.1	6.3	10.9	8.1	10.9	3.0	6.2	6.3	7.5	87	64	93	SE 2	SE 2	C	10^{1}●	10^1	10^1	0.1	a ●⁰
28.	39.8	38.8	38.9	4.0	14.0	9.3	14.0	3.0	5.7	6.0	6.1	93	51	70	SE 2	SE 2	E 4	0⊙	0⊙	0	0 5	
29.	38.7	37.9	38.3	2.8	15.8	7.9	15.8	**2 1**	5.6	7.4	7.4	100	56	93	C	SE 2	C	10^{2}≡	0⊙	0	–	a–ca 9 a ≡²
30.	37.0	35.2	33.1	3.2	15.1	8.9	15.8	2.8	5.8	8.6	8 3	100	66	96	C	SE 2	C	10^{2}≡	0⊙	0	–	a–ca 9 a ≡²
																					95.0	
Mittel	37.6	37.3	37.9	7.7	12.2	9.0	12.5	6.4	7.3	7.5	7.7	92	71	90				9 5	8.0	7.8		

Alle Angaben nach Ortszeit.

Landshut.

September. $\varphi = 48^0\ 32'$ N. $\lambda = 12^0\ 10'$ E $= 48^m\ 40^s$. H $= 397.7$ m. Cg $= +0.2$ mm. 1912.

Datum	Luftdruck auf 0^0 u. Normalschwere reduziert 700 mm +			Lufttemperatur C°					Absolute Feuchtigkeit mm			Relative Feuchtigkeit Proz.			Richtung und Stärke des Windes 0 bis 12			Bewölkung 0 bis 10			Niederschlag mm	Bemerkungen
	7^a	2^p	9^p	7^a	2^p	9^p	Max.	Min.	7^a	2^p	9^p	7^a	2^p	9^p	7^a	2^p	9^p	7^a	2^p	9^p	7^a	
1.	29.3	27.7	26.2	10.9	17.4	11.0	**19.3**	9.1	8.5	8.3	8.8	89	56	90	NW 2	S 2	W 2	10^1	$7^1\odot$	10^1	5.3	$3^{23.40}$ p ◪ im N, $3^{40-42.0}$ p ◍^{0}
2.	24.1	21.8	20.9	8.4	16.8	11.6	19.0	6.5	8.1	8.2	9.4	99	58	94	W 2	NW 2	W 2	$10^1\equiv$	$8^1\odot$	$10^1\bullet$	0.8	$\equiv^1$ u. ⏢, 9 p ◍$^{0.2}$
3.	23.2	27.1	31.0	10.2	10.2	10.4	14.2	8.4	7.8	9.3	8.7	84	100	93	NW 2	NW 2	W 4	10^1	$10^1\bullet$	10^1	0.3	n ◍^{0}, $1^{19-30.0}$ p ◍
4.	32.7	31.3	29.2	9.3	16.1	12.0	17.6	9.0	7.9	6.8	8.2	91	51	79	SW 4	W 4	W 2	10^1	8^1	10^1	5.3	5 p ◍tropfen
5.	26.5	26.3	26.8	11.6	16.1	9.9	17.0	9.2	**9.7**	6.5	7.4	96	48	82	W 4	W 6	W 2	$10^1\bullet$	$4^1\odot$	5^1	4.1	n ◍, a–m ◍^{0}
6.	24.9	23.4	24.6	9.2	12.8	6.5	14.6	6.2	6.6	6.1	6.5	76	55	90	W 2	W 6	W 2	9^1	10^1	0	0.9	$8^{34-50.9}$ a, $2^{23-30.0}$ p, $5^{49-6.4}$ p ●
7.	25.0	26.9	29.2	7.7	9.3	7.6	12.9	6.1	6.8	7.6	7.2	88	88	93	W 4	SW 4	W 6	$10^1\bullet$	10^1	10^1	1.6	n ◍, a u. p fast allstündlich ◍böen
8.	30.6	30.2	27.2	7.9	9.1	9.6	10.6	7.2	6.6	7.5	8.4	83	88	95	W 6	W 6	W 6	$10^1\bullet$	$10^1\bullet$	$10^1\bullet$	6.4	n ◍ u. ⫻, a–7 p ◍^{0}, 8^{19} p ◍^{2}
9.	24.6	25.4	26.4	9.6	9.0	8.0	12.2	7.8	8.8	8.1	7.7	99	95	96	W 2	NW 2	W 2	$10^1\bullet$	10^1	10^1	**21.8**	n ◍, a–4 p ◍
10.	26.5	26.0	26.3	5.8	11.0	7.1	12.2	3.6	6.5	5.3	6.9	94	54	91	W 4	W 2	W 2	10^1	10^1	10^1	12.4	
11.	25.9	26.6	28.1	6.4	10.6	6.5	13.9	4.7	6.9	7.0	6.9	96	73	96	SW 2	W 2	E 2	10^1	10^1	10^1	–	$7^{09-9.0}$ a ◍^{0}
12.	30.2	30.7	32.4	3.4	13.7	6.3	14.5	2.0	5.7	6.0	6.9	98	51	98	C	NE 2	C	$10^1\equiv$	$4^1\odot$	9^1	0.6	$\equiv^1$ u. ⏢, $3^{19.49}$ p, $5^{49-6.11}$ p ◍
13.	33.2	32.8	32.7	7.5	12.6	8.4	14.0	5.7	6.7	6.2	8.0	88	57	97	NE 2	NE 2	NW 2	10^1	9^1	$10^1\bullet$	0.8	5–9 p ◍
14.	31.7	30.7	29.4	7.6	8.9	9.2	14.8	7.2	7.3	7.9	8.0	94	93	92	W 2	N 2	W 4	$10^1\bullet$	$10^1\bullet$	10^1	7.9	n ◍, a–10 a, $1^{29-2.9}$ p ◍^{0}, $4^{40-6.0}$ p ◍
15.	26.2	25.6	25.7	9.5	10.1	8.9	12.3	8.3	8.3	7.5	7.7	94	80	91	W 4	W 4	W 2	10^1	$10^1\bullet$	10^1	6.5	n ◍ u. ⫻, $7^{40-8.0}$ a, 0^{28-7} p ◍^{0}
16.	27.7	29.2	31.3	7.1	10.9	6.2	13.2	5.8	6.4	6.3	6.5	86	64	91	W 4	W 6	C	$3^1\odot$	10^1	0	3.2	a, p–3 p öfters kurze ◍böen
17.	32.4	32.3	32.4	3.4	15.3	8.4	18.0	3.3	6.3	7.4	8.0	85	58	97	W 4	W 2	C	9^1	$6^0\odot$	0	0.5	
18.	32.4	32.6	33.7	7.5	13.3	9.5	15.3	4.1	7.4	6.9	8.1	96	61	91	W 2	NW 2	C	10^1	10^1	10^1	–	⏢
19.	34.3	33.5	33.7	7.0	12.5	7.9	14.0	4.6	7.2	6.2	6.4	96	58	81	W 2	NE 2	C	$7^0\odot$	8^1	10^1	–	⏢
20.	33.2	32.7	33.4	6.0	10.8	7.1	11.8	5.2	6.0	5.3	6.4	87	55	86	NE 2	NE 2	C	9^1	10^1	10^1	–	
21.	34.8	35.0	35.8	3.4	10.0	3.6	12.0	2.2	5.6	5.0	5.2	97	55	88	E 2	E 4	E 2	$1^1\odot$	9^1	0	–	⏢ u. ⌴^{0}
22.	**36.3**	35.0	34.7	1.2	10.7	6.5	12.3	– 0.8	5.0	**4.5**	6.2	100	**47**	86	E 2	E 4	C	$1^1\odot$	8^1	10^1	–	⌴
23.	34.4	33.3	32.6	3.2	11.8	4.4	14.8	0.8	5.1	5.5	5.7	89	54	92	E 2	E 2	C	$1^1\odot$	$2^1\odot$	0	–	⏢
24.	30.8	29.9	29.9	3.4	11.8	6.7	12.3	1.0	5.4	6.7	6.6	93	65	90	C	E 2	E 2	10^1	10^1	10^1	–	⏢. 10 a, 6 p ◍tropfen
25.	28.3	27.6	28.5	4.7	10.4	4.3	12.0	3.7	5.8	5.2	5.9	90	56	96	NE 2	NE 2	W 2	10^1	10^1	$10^1\bullet$	0.1	$7^{19.49}$ a ◍, $1^{22-2.9}$ p ◍^{0}, 3^{34-} ca 9 p ◍
26.	29.2	29.5	29.7	4.4	7.3	5.3	8.8	2.9	6.0	5.8	6.3	97	76	96	NE 2	N 2	E 2	$10^1\bullet$	10^1	$10^1\bullet$	9.8	n ◍, a–9 a ◍, 11^{24} a–1^{24} p ◍^{0}, $2^{19-9.0}$ p ◍
27.	30.0	30.8	31.4	5.4	8.5	7.1	9.3	4.4	6.2	6.4	7.2	92	77	96	NE 2	NE 2	C	$10^1\bullet$	10^1	10^0	6.0	n– m ◍
28.	30.8	29.8	29.7	4.6	12.6	5.0	14.0	1.7	5.9	5.7	5.7	94	52	87	E 2	E 2	C	○○	$1^0\odot$	0	1.8	⏢
29.	30.3	29.5	29.6	2.2	14.1	8.7	15.2	0.6	5.2	7.2	7.8	96	60	93	C	E 2	C	$7^0\odot$	$5^0\odot$	6^0	–	⌴
30.	28.4	26.2	23.6	2.4	17.0	7.1	18.0	1.2	5.4	7.8	7.4	98	54	99	C	SE 4	C	$10^1\equiv$	$7^0\odot$	0	–	$\equiv^1$ u. ⏢
																					96.1	
Mittel	29.6	29.3	29.5	6.5	12.0	7.7	14.0	4.7	6.7	6.7	7.2	92	65	92				8.2	8.2	7.3		

Augsburg.

September. $\varphi = 48^0\ 22'$ N. $\lambda = 10^0\ 54'$ E $= 43^m\ 36^s$. H $= 499.6$ m. Cg $= +0.1$ mm, über 728.8 mm Cg $= +0.2$ mm. 1912.

1.	21.3	19.1	18.4	11.1	16.8	10.4	16.8	10.4	9.1	8.7	8.2	93	62	88	W 2	SW 2	SW 2	10^2	8^2	$10^2\bullet$	7.4	n, $4^{19.49}$ p, 8^{59} p–n ◍
2.	15.6	13 0	13.0	9.7	15.2	11.2	15.2	8.5	8.5	8.9	9.4	95	69	95	SW 2	NW 4	W 2	6^2	8^2	10^2	6.7	n, $4^{34-5.19}$ p ◍
3	15.6	19.6	23.6	9.3	11.4	9.8	12.2	9.0	8.4	9.1	8.3	96	91	92	SW 2	W 4	W 4	$10^2\bullet$	10^2	10^2	5.1	n–ca 8 a, $0^{54-1.19}$ p ◍
4.	25.2	23.3	21.2	8.1	14.2	12.4	14.7	7.6	7.8	8.0	8.3	98	66	77	W 2	SW 4	SW 4	7^1	10^2	10^2	0.4	
5.	19.1	18.5	19.2	11.1	14.3	10.6	14.6	10.6	9.4	8.1	8.1	95	67	85	SW 4	NW 4	NW 2	$10^2\bullet$	$6^2\odot$	8^2	3.2	n–10^{59} a ◍
6.	16.7	15.3	16.5	8.7	11.6	6.8	11.6	6.8	7.7	7.6	6.8	92	74	93	SW 2	W 4	NW 4	$10^2\bullet$	10^2	5^2	4.8	n–7^{34} a, $2^{24.59}$ p ◍
7.	18.1	19.4	21.8	7.7	10.4	8.0	10.9	6.5	6.8	8.0	7.1	88	85	89	NW 4	SW 6	SW 4	10^2	10^2	10^2	6.6	n, t ztw. ◍
8.	23.2	21.5	19.5	7.4	8.1	10.0	10.0	7.4	6.9	7.5	8.4	90	93	92	W 4	SW 6	SW 6	10^1	10^2	10^2	6.4	n, 8^{34} p–n me^{1}st ◍
9.	17.0	16.8	18.6	10.4	10.2	8.2	10.8	8.2	8.8	8.6	7.4	94	93	92	SW 4	SW 2	NW 2	$10^2\bullet$	$10^2\bullet$	10^2	14.2	n, a–3^{19} p, $4^{23-6.4}$ p ◍
10.	18.1	17.4	17.9	5.4	10.8	7.4	10.8	4.9	6.4	6.2	6.8	95	64	89	SW 2	W 4	W 2	8^2	10^2	10^2	**15.6**	
11.	17.4	17.7	19.1	6.0	11.5	8.8	11.7	6.0	6.5	6.5	7.5	93	64	89	SW 2	W 2	NW 2	9^2	$6^2\odot$	5^1	–	
12.	21.6	22.2	24.2	4.5	13.6	7.8	13.6	3.7	6.1	7.7	7.1	97	66	90	C	NE 4	NE 2	$10^2\equiv$	7^2	6^1	–	n u. a $\equiv^2$
13.	25.2	24.6	24.8	7.3	11.0	8.8	12.3	6.6	7.2	7.8	7.8	94	79	92	NW 2	NE 2	NE 2	8^1	8^2	$10^2\bullet$	–	⏢, $1^{09.24}$ p, 8^{14} p–n ◍
14.	24.4	22.7	21.6	7.1	12.6	10.0	12.6	6.8	6.8	7.9	7.7	90	72	84	NW 2	NW 2	NW 2	10^1	10^1	10^1	3.4	
15.	20.5	17.8	18.4	8.2	9.8	8.7	11.3	8.2	7.2	8.4	7.9	89	94	95	NW 2	SW 2	SW 2	$10^2\bullet$	$10^2\bullet$	10^2	0.7	n, $0^{54-7.49}$ p ◍
16.	20.0	22.6	23.4	7.2	11.6	7.2	13.0	7.2	7.0	6.5	6.7	93	64	89	SW 2	NW 4	W 2	10^1	$5^1\odot$	0	6.7	n u. a ◍
17.	24.4	24.6	24.7	5.6	15.5	10.8	16.2	5.3	6.2	8.8	8.8	91	67	92	SW 2	SW 2	SW 2	○○	○○	0	0.9	⏢
18.	19.4	24.3	25.6	7.6	14.1	9.7	14.1	6.6	7.6	8.0	7.3	98	67	83	SW 2	NW 2	N 2	$2^0\odot$	10^1	10^1	–	⏢.
19.	25.7	24.5	25.4	8.2	11.6	8.2	13 3	7.5	7.4	7.3	7.2	92	71	89	N 2	N 2	NE 2	10^1	10^1	10^1	–	⏢
20.	24.4	24.3	24.9	5.2	10.3	7.4	11.5	3.8	5.9	6.1	6.5	89	65	85	NE 2	NE 2	NE 2	10^2	10^1	10^1	–	$8^{19.14}$ a ◍
21.	25.8	25.8	**27.1**	4.3	11.2	5.1	11.5	3.1	6.1	6.2	5.4	98	62	83	NE 2	NE 4	NE 4	○○	6^2	0	0.3	
22.	26.6	25.9	25.8	2.6	11.2	6.0	11.2	1.8	5.1	5.7	5.8	93	59	84	NE 2	NE 6	NE 4	○○	$7^2\odot$	0	–	⌴
23.	25.2	25.0	24.1	3.6	11.4	7.0	12.5	2.7	5.4	6.5	6.0	92	65	79	NE 4	NE 6	NE 2	$2^1\odot$	8^2	6^1	–	⌴
24	22.4	22.0	21.6	4.0	10.4	6.9	11.4	3.6	5.7	7.2	6.5	93	76	87	NE 2	E 2	NE 2	10^1	10^1	10^2	–	
25.	19.9	19.2	20.1	3.4	8.9	4.0	8.9	3.4	5.5	6.3	5.8	95	74	95	NE 2	SE 2	SE 2	$10^2\equiv$	8^2	10^1	–	n u. a $\equiv^2$, $2^{59-3.19}$ p ◍ △, $5^{28-6.39}$ p ◍
26.	20.3	21.3	21.2	4.0	7.1	4.4	9.8	3.5	5.7	6.4	6.1	93	86	98	SE 2	E 2	E 2	10^2	10^1	10^2	4.8	3^{24} p–n ◍
27.	21.2	22.3	22.4	5.4	7.8	7.0	9.3	3.8	6.5	6.8	6.8	97	86	91	E 2	E 2	E 2	$10^2\bullet$	10^1	10^1	3.4	n–8^{24} a ◍
28.	21.5	20.7	20.6	5.4	12.2	7.5	12.2	5.0	6.5	7.7	7.0	97	72	90	E 4	SE 4	E 2	10^1	$4^0\odot$	0	0.5	
29.	21.3	20.7	21.2	4.6	13.5	9.2	13.5	3.8	6.2	8.4	8.0	100	72	92	E 2	E 2	E 2	$10^2\equiv$	$5^1\odot$	6^1	–	n u. a $\equiv^2$
30.	19.4	17.4	15.1	4.5	16.4	11.2	**17.3**	4.1	6.2	**9.7**	9.0	98	69	92	C	NE 2	NE 2	$10^1\equiv$	8^1	4^0	–	n u. a $\equiv^1$
																					91.1	
Mittel	21.2	21.0	21.4	6.6	11.8	8.4	12.5	5.9	6.9	7.6	7.3	94	73	89				8.1	8.1	7.3		

Alle Angaben nach Ortszeit.

München-C.St.

September. $\varphi = 48^0\ 9'$ N. $\lambda = 11^0\ 34'$ E $= 46^m\ 16^s$. H $= 526.4$ m. Cg $= +0.1$ mm. 1912.

Datum	Luftdruck auf 0^0 u. Normalschwere reduziert 700 mm +			Lufttemperatur C°					Absolute Feuchtigkeit mm			Relative Feuchtigkeit Proz.			Richtung und Stärke des Windes 0 bis 12			Bewölkung 0 bis 10			Niederschlag mm	Bemerkungen
	7^a	2^p	9^p	7^a	2^p	9^p	Max.	Min.	7^a	2^p	9^p	7^a	2^p	9^p	7^a	2^p	9^p	7^a	2^p	9^p	7^a	
1.	18.5	16.8	15.6	10.7	13.2	11.2	14.6	10.4	9.0	8.7	8.6	94	77	86	W 1	W 1	C	10^1●	10^1	6^1	1.0	n, t–3 p ztw. ●0.1
2.	13.0	10.8	10.8	10.1	16.4	10.8	16.4	9.0	7.8	5.9	8.6	84	43	90	SW 2	W 1	W 1	9^1	8^1⊙	9^1	3.2	a ∞, p ztw. ●0.1
3.	12.5	16.8	20.7	9.5	9.6	9.4	11.6	9.2	7.9	8.2	8.0	89	92	91	NW 2	W 2	SW 2	10^1	10^1	10^1	3.1	t ztw. ●
4.	22.5	20.7	18.9	8.6	15.9	12.4	16.8	7.8	7.3	6.0	7.2	89	46	67	SW 2	NW 3	W 2	9^1	7^1⊙	10^1	6.7	n ●
5.	15.9	16.3	16.5	11.5	12.5	11.1	14.6	10.9	**9.4**	8.9	7.8	93	83	79	SW 2	SW 1	SW 1	10^1●	10^1	9^1	5.1	n, a–1^{20} p ●
6.	14.2	12.9	14.2	10.0	12.1	6.7	12.3	6.5	7.0	5.4	6.7	76	52	92	SW 2	SW 3	W 1	9^1	9^1	0	8.2	3^{26}–6^{16} p ●, ≡, 3^{41}–4^6 p △
7.	14.9	16.7	19.0	7.1	10.1	7.5	10.6	6.4	6.7	7.4	6.4	89	80	84	SW 3	SW 2	SW 3	10^1●	10^1	0	7.1	n, t–ca 8 p ztw. ●, $6^{58.11}$ p ⊏
8.	20.3	19.6	17.2	7.9	8.5	9.5	9.6	6.1	6.6	6.9	8.1	84	85	92	SW 3	W 2	SW 3	10^1	10^1●	10^1●	9.5	a–n ztw. ●
9.	14.1	14.6	16.0	10.7	9.5	7.9	11.8	7.6	8.6	7.9	7.5	91	89	94	SW 4	SW 3	C	10^1●	10^1●	10^1	19.9	n, a–8^{15} p ●
10.	15.5	14.9	15.5	6.5	11.0	7.9	11.1	5.2	6.4	4.9	6.4	89	51	82	SW 1	W 2	C	9^1	10^1	10^1	**23.7**	a △2, ≡0
11.	14.8	15.4	16.7	6.8	11.3	7.5	11.8	6.2	6.6	5.2	6.7	91	52	89	C	SW 2	C	10^1●	9^1	0	0.1	mrgs.–ca 8 a ●
12.	18.5	19.6	21.4	5.0	11.9	7.8	12.8	4.0	6.7	6.4	6.7	89	62	87	C	E 1	C	⊙⊙	8^1	10^1	1.3	mrgs ⌊, ≡1, p ztw. kurz ●
13.	21.6	21.8	22.1	6.5	11.1	7.8	11.8	6.2	6.8	6.8	7.3	94	69	93	C	NE 1	C	10^1	10^1	10^1●	0.1	mrgs. △, t ztw. ●
14.	21.1	19.6	19.2	7.3	11.9	8.7	12.2	7.0	7.2	6.8	7.1	94	66	87	SW 1	W 1	SW 2	10^1●	10^1	10^1	5.8	n u. t ztw. ●
15.	16.0	15.1	15.8	8.1	9.3	8.1	9.8	8.0	7.8	7.8	7.6	98	90	94	SW 3	SW 2	SW 2	10^1●	10^1	10^1	3.9	n u. t ztw. ●
16.	17.3	18.5	20.9	7.1	10.6	7.7	11.8	6.7	6.7	5.8	6.3	89	61	81	W 1	W 1	W 1	9^1	8^1	10^1	9.2	n ●
17.	21.8	21.3	22.0	7.3	16.1	10.9	16.2	5.4	6.2	6.7	8.1	83	49	84	SW 1	W 1	C	8^1	⊙⊙	0	1.3	a △2
18.	21.9	21.7	23.0	9.5	13.5	10.3	13.6	7.3	7.6	7.7	7.0	87	67	75	SW 1	NW 1	W 1	9^1	10^1	10^1	–	a △, ≡0. $6^{28.31}$ p ●tropfen
19.	22.9	22.3	22.5	8.3	12.1	8.3	12.2	7.9	6.3	5.3	6.6	76	51	80	NW 1	NW 1	NE 1	8^1	9^1	10^1	–	a ≡0
20.	21.5	21.1	22.1	6.3	11.1	7.6	11.1	5.7	6.1	5.3	6.2	87	54	80	NE 1	NE 3	C	9^1	8^1⊙	10^1	–	a △
21.	23.1	23.3	**24.5**	3.5	10.1	5.4	11.0	3.0	5.5	5.3	5.1	93	58	76	E 1	E 2	E 1	⊙⊙	7^1⊙	4^0	–	a ⌊, ∞
22.	24.1	23.2	23.2	2.1	10.2	6.7	10.3	**1.6**	**4.9**	5.1	5.5	92	56	75	E 2	E 3	E 4	⊙⊙	6^1⊙	9^1	–	a ⌊2
23.	22.5	21.8	21.6	4.3	11.5	7.1	11.8	3.2	5.2	5.5	6.2	85	55	84	E 2	E 3	C	9^1	10^1	9^1	–	a △2
24.	19.7	18.6	18.7	4.1	10.6	6.7	11.2	4.0	5.4	5.9	7.2	89	62	**99**	NE 1	NE 1	C	10^1=	10^1	10^1●	–	a △2, abds. ●0
25.	16.9	16.9	17.5	4.7	6.0	3.7	7.6	3.4	5.8	5.8	5.5	90	85	93	NE 1	SW 1	C	10^1	10^1●	10^1●	0.5	n, t–n ztw. ●0
26.	17.8	18.1	18.4	4.0	5.7	4.5	6.7	3.2	5.7	5.7	6.1	93	84	97	C	E 2	C	10^1	10^1●	10^1	5.3	n, a–abds. ztw. ●0
27.	18.3	19.5	19.9	4.9	6.9	6.5	7.8	4.2	6.3	6.3	7.0	98	85	98	NE 2	E 2	C	10^2●	10^1	10^1	6.5	n, a ●
28.	19.0	18.2	17.9	5.3	12.7	6.5	**12.7**	5.0	6.1	6.8	6.4	93	62	89	SE 2	E 4	E 2	10^1	4^0⊙	0	0.8	a △2
29.	18.3	18.1	18.8	3.6	13.7	9.9	13.8	3.0	5.7	6.9	6.9	97	59	75	C	NE 1	C	10^1=	6^0⊙	8^0	–	a ≡1, △2, m ∞
30.	16.9	14.9	12.8	6.1	17.8	10.1	**17.9**	5.2	6.4	7.5	8.5	92	50	92	C	E 2	C	⊙⊙	6^0⊙	3^0	–	a ≡1, △2
																					122.3	
Mittel	18.5	18.3	18.8	6.9	11.4	8.2	12.1	6.0	6.7	6.5	7.0	90	66	86				8.3	8.5	7.6		

Traunstein.

September. $\varphi = 47^0\ 52'$ N. $\lambda = 12^0\ 39'$ E $= 50^m\ 36^s$. H $= 597$ m. Cg $= +0.1$ mm. 1912.

1.	12.6	11.4	10.5	10.4	13.6	8.7	14.8	8.7	9.4	7.5	8.4	100	64	100	W 2	NW 3	W 2	10^2	6^2⊙	3^2	5.3	a u. abds. ●
2.	07.6	05.4	05.5	8.3	15.9	9.6	15.9	6.8	8.0	7.5	8.2	98	56	92	S 2	SW 2	W 4	8^2⊙	6^2⊙	10^2●	0.1	a △. abds. ●
3.	06.9	10.9	14.4	8.8	8.2	7.8	9.9	6.9	8.0	6.4	7.9	95	79	100	NW 2	W 6	NW 6	10^2	10^2	10^2	21.7	n u. p ●
4.	16.6	15.1	13.5	8.4	14.5	10.7	15.3	7.8	8.2	7.1	8.7	100	57	92	W 4	W 4	W 2	10^2	5^2⊙	10^2	7.6	abds. ●
5.	10.8	10.4	11.0	10.0	11.8	10.0	12.9	9.3	9.2	**10.1**	9.2	100	98	100	W 2	W 6	W 2	10^2●	10^2●	10^2	3.9	n u. t ●
6.	09.0	08.7	09.5	9.4	10.6	7.1	11.6	6.6	5.9	5.9	6.4	67	62	86	W 4	W 6	W 6	10^2	10^2	10^2	10.6	abds. ●
7.	09.5	10.8	13 1	5.5	7.8	5.8	8.6	5.2	6.4	6.2	6.9	96	79	100	W 6	W 8	W 6	10^2●	10^2	10^2●	2 6	n, a u. abds. ●, p ≡
8.	14.2	14.1	11.6	6.8	6.8	8.2	8.4	5.8	6.6	6.8	7.9	90	93	98	NW 6	S 4	W 6	10^2●	10^2●	10^2●	8.5	n u. t ●
9.	08.9	08.3	10.3	9.4	9.4	6.8	10.4	6.8	8.4	8.8	7.4	96	100	100	W 6	NW 6	W 4	10^2●	10^2●	10^2●	**61.5**	n u. t ●
10.	10.1	09.5	09.3	6.0	9.0	6.4	9.9	5.6	7.0	6.0	6.9	100	70	96	S 2	W 4	SE 2	10^2	10^2	10^2	27.3	a ●
11.	09.4	10.1	11.0	5.6	7.8	4.6	10.0	4.6	6.5	7.3	6.0	96	94	96	W 2	W 2	E 2	10^2●	10^2	0	0.9	n u. a ●
12.	12.3	13.7	15.5	2.2	9.2	6.2	11.0	1.0	5.1	6.5	6.9	94	75	97	SE 2	E 2	E 2	10^2	10^2	10^2	2.4	a ⌊, p ●
13.	15.7	16.0	16.1	6.2	7.0	6.0	8.2	5.4	6.8	7.0	6.7	96	94	96	NE 2	N 2	N 2	10^2	10^2●	10^2●	1.1	a ≡1.2, t ●
14.	14.7	14.2	13.1	5.4	8.4	6.6	9.6	5.0	6.4	6.6	6.9	95	81	94	W 4	W 4	W 2	10^2●	10^2	10^2	44.3	n u. t ●
15.	09.9	09.1	09.5	6.6	8.0	7.4	8.7	6.3	6.9	7.6	7.7	94	94	100	W 6	W 8	W 6	10^2●	10^2●	10^2●	23.3	n u. t ●
16.	11.2	12.1	15.7	6.3	9.2	7.2	9.9	6.1	6.6	5.6	6.2	93	65	82	W 6	SW 6	W 4	10^2	6^2⊙	6^2	23.2	t ztw. ●
17.	16.1	15.8	16.3	6.4	13.2	6.2	15.1	6.2	6.1	6.4	6.8	86	56	96	S 4	W 4	S 2	10^2	2^2⊙	0	0.5	
18.	15.8	15.6	17.0	8.2	14.0	9.9	14.8	5.0	7.3	7.6	8.0	91	64	88	S 2	NW 4	W 2	10^2	8^2⊙	10^2	–	
19.	17.6	16.6	16.5	7.6	11.3	6.9	11.8	6.9	7.0	6.5	7.0	90	65	94	SW 2	N 2	NE 2	9^2	10^2	0	–	
20.	15.7	15.2	16.3	5.6	8.8	4.2	9.0	4.0	6.3	5.6	5.9	93	67	96	NE 2	NE 2	NE 2	10^2	10^2	7^2	–	
21.	17.0	17.9	**18.8**	3.0	7.7	4.0	9.0	2.1	5.4	5.2	4.9	95	67	80	NE 2	NE 6	NE 4	4^2	10^2	10^0	–	a △, t ztw. ●
22.	18.4	17.8	17.9	2.2	8.0	5.7	8.3	0.9	5.0	4.4	5.5	93	56	80	E 2	E 4	E 4	4^2	10^2	10^2	1.0	a ⌊
23.	16.9	16.2	16.0	4.8	9.1	5.1	10.5	4.5	6.0	5.8	6.2	94	67	95	E 4	NE 4	NE 2	9^2	6^2	6^2	–	
24.	14.2	13.1	12.8	3.2	9.4	6.5	10.0	1.3	5.7	4.9	6.9	98	56	96	S 2	NE 2	NE 2	10^2	8^2⊙	10^2●	–	a △, gegen abds. ●
25.	10.7	10.9	11.4	4.4	6.0	3.6	6.9	3.3	6.0	5.8	5.8	97	84	98	NE 2	NE 2	NE 2	10^2●	10^2	10^2	7.5	n u. t ●
26.	11.7	11.8	12.5	3.3	5.4	4.0	5.6	3.0	5.8	5.7	6.0	100	85	98	E 2	E 2	E 2	10^2	10^2●	10^2	2.8	a ≡, t ≡reissen
27.	12.5	13.4	14.6	3.7	6.1	5.8	7.0	3.6	5.9	6.3	6.7	98	90	98	S 2	S 2	E 2	10^2	10^2	10^2	7.7	n ●, a ≡, p ≡reissen
28.	13.5	13.0	12.3	0.9	10 6	5.2	11.5	**0.1**	4.8	7.2	6.4	98	74	97	SE 2	E 6	E 2	⊙⊙	2^1⊙	0	0.3	a ⌊
29.	12.6	12.1	12.8	1.0	13.7	5.2	14.3	0.2	4.8	6.6	6.4	98	56	97	E 2	E 2	E 2	4^2⊙	2^2⊙	0	–	a ⌊
30.	11.3	09.7	07.7	3.8	15.5	8.7	**16.0**	3 0	5.8	6 8	7.6	97	52	91	W 2	NE 4	E 2	2^2⊙	⊙⊙	0	–	a △
																					264.1	
Mittel	12.8	12.6	13.1	5.8	9.9	6.7	10.8	4.7	6.6	6.6	6.9	95	73	94				8.6	8.0	7.1		

Alle Angaben nach Ortszeit.

Partenkirchen.

September. $\varphi = 47^0\ 30'$ N. $\lambda = 11^0\ 6'$ E $= 44^m\ 24^s$. H $= 714.6$ m. Cg $= +0.1$ mm 1912.

Datum	Luftdruck auf 0° u. Normalschwere reduziert 700 mm +			Lufttemperatur C°					Absolute Feuchtigkeit mm			Relative Feuchtigkeit Proz.			Richtung und Stärke des Windes 0 bis 12			Bewölkung 0 bis 10			Niederschlag mm	Schneedecke cm	Bemerkungen
	7a	2p	9p	7a	2p	9p	Max.	Min.	7a	2p	9p	7a	2p	9p	7a	2p	9p	7a	2p	9p	7a	7a	
1.	02.7	01.5	00.5	9.0	11.0	9.0	12.1	9.0	8.6	8.1	8.1	100	82	95	C	C	C	10^2●	10^1	8^1	4.2	–	a ◍0, Berge im Nebel
2.	697.1	695.0	695.3	7.1	12.7	10.0	13.9	6.0	6.7	6.8	9.0	88	62	99	SE 3	NW 3	C	8^0	9^1	10^1	2.0	–	früh Berge meist frei
3.	697.4	02.3	05.7	6.1	6.6	6.8	10.0	6.0	6.9	7.0	7.4	99	96	100	C	C	C	10^1●	10^1●	10^1●	15.0	–	n u. t ◍, Berge meist im Nebel
4.	06.7	04.8	03.6	7.1	13.9	10.9	14.4	6.1	7.5	6.8	8.3	100	58	85	C	C	C	8^0	7^0	9^0	16.8	–	früh Berge teilw. frei, bis ca 1700 m Neuschnee
5.	01.0	00.4	00.6	9.6	12.4	10.9	13.0	9.0	8.6	**9.7**	9.2	96	91	96	C	C	C	9^0●	10^0●	8^1	1.5	–	früh Berge meist frei, mrgs. u. m ◍0
6.	698.7	697.5	698.6	8.7	9.6	6.6	11.0	6.6	7.7	5.9	6.4	92	66	88	C	NW 3	C	9^1	9^1	10^1	4.0	–	a Berge teilweise bewölkt
7.	00.2	01.9	04.5	5.1	6.7	5.8	6.7	4.9	6.5	6.9	6.8	99	94	99	C	C	C	10^1●	10^1●	10^1●	2.3	–	t ◍, Berge im Nebel
8.	04.8	04.0	02.8	5.6	8.5	7.5	9.3	4.5	6.7	7.3	7.7	99	88	100	C	C	C	10^1	9^1	10^1	14.7	–	a Berge ab ca 1400 m Neuschnee
9.	699.7	698.0	00.4	8.2	13.2	7.0	15.0	7.0	8 0	7.0	7.5	99	62	100	C	NW 2	C	10^1●	10^1	10^1●	21.0	–	a Berge meist frei, mrgs. u. abds. ◍0.1
10.	699.8	698.8	699.8	5.5	8.2	7.0	9.0	5.2	6.7	6.1	6.7	99	75	89	C	NW 3	C	10^1	10^1	10^1	13.9	–	n ◍, a Berge meist im Nebel
11.	698.6	699.3	01.0	5.1	8.0	6.9	8.9	4.7	6.4	6.2	7.0	97	78	94	C	NW 2	C	10^1	9^1	7^0	0.2	–	a Berge bis ca 1000 m im Nebel
12.	02.2	03.0	05.2	2.8	9.0	6.3	10.3	2.1	5.5	5.8	6.9	98	68	98	C	NW 2	C	7^0	9^1	10^1	2.2	–	a ⊿, Berge teilweise bewölkt
13.	05.5	05.9	06.8	5.4	6.0	4.8	7.2	4.7	6.7	6.9	6.4	100	99	100	C	C	C	10^1●	10^1●	10^1●	5.0	–	n ◍, t meist ◍, a Berge im Nebel. 7^{02} a ⊿
14.	05.2	04.2	03.7	4.6	8.1	7.0	8.7	4.3	6.3	7.1	7.5	100	88	100	C	C	C	10^1	8^0	10^0	17.0	–	a Berge bewölkt
15.	01.2	00.2	01.1	6.9	8.0	6.8	8.4	5.9	6.7	8.0	7.4	90	100	100	C	C	C	9^1	10^1●	10^1●	1.0	–	a Berge teilweise frei, ab ca 9^{45} a–n ◍1
16.	01.7	03.0	05.5	5.4	9.4	6.9	9.6	5.0	6.7	6.0	7.0	100	69	94	C	NW 4	C	9^1	8^1	5^0	**37.5**	–	a Berge meist bedeckt
17.	06.5	05.1	06.8	2.7	14.4	9.1	15.3	2.4	5.5	7.0	7.6	98	57	89	C	N 2	C	1^0	1^0○	0	1.5	–	a ⊿, Berge rein
18.	06.4	04.6	05.9	4.6	14.8	8.8	15.3	3.6	5.9	8.3	7.3	94	66	87	C	N 4	N 4	2^0	1^0○	10^1	–	–	a ⊿, Berge frei
19.	06.6	05.7	06.2	7.6	8.6	7.5	8.9	7.0	7.3	7.1	6.6	94	86	86	C	C	C	10^1	10^1	10^1	–	–	a ⊿, Berge bedeckt
20.	04.7	04.5	05.8	5.7	6.0	4.8	7.5	4 8	6.7	6.6	6.3	99	94	98	C	NW 4	C	10^1	10^1	10^1	–	–	a ⊿, Berge meist im Nebel
21.	06.3	05.8	06.9	3.4	8.9	4.4	9.9	3.2	5.6	5.3	5.8	97	62	93	SE 2	NW 4	C	8^0	7^1	4^0	2.7	–	a Berge meist im Nebel
22.	**07.0**	05.4	06.0	0.3	9.3	5.4	9.5	0.0	4.3	4.5	5.4	92	51	80	C	NW 5	C	1^0	3^1○	5^1	–	–	a ⊿, Berge meist frei
23.	06.0	04.2	04.8	0.4	10.2	6.8	10.2	– 0.2	4.4	5.3	6.1	92	58	82	SE 2	N 4	C	0	6^0	8^1	–	–	a ⌊, Berge rein
24.	04.1	02.0	02.1	2.8	9.4	6.5	10.1	1.0	4.7	5.4	6.1	82	61	84	E 2	N 4	C	8^0	8^0	7^1	–	–	a ⊿, Berge rein
25	00.3	00.4	01.4	5.3	3.0	2.0	6.5	2.0	6.3	5.6	5 3	96	98	100	C	N 4	C	10^1	10^1●	10^1●	–	–	a ⊿, Berge meist im Nebel; p–n ◍
26.	01.3	01.5	01.7	2.2	5.1	3.5	6.0	1.8	5.3	4.1	5.5	98	63	93	C	N 3	C	10^0	9^1	7^1	9.8	–	n ◍, a Berge im Nebel; Neuschneegrenze ca 1000 m
27.	01.8	02.5	03.6	2.7	6.8	4.4	7.2	2.5	5.4	5 6	5.9	96	76	96	C	C	C	10^1	10^1	3^0	0.2	–	a Berge teilweise im Nebel
28.	02.5	01.5	02.0	1.5	12.6	6.3	13 2	0.4	4.3	5.6	5.1	83	51	72	S 4	SW 2	C	0	1^0○	3^0	–	–	a ⌊; Berge rein, föhnig
29.	02.6	01.5	03.1	4.8	14.3	8.9	15.1	3.8	4.8	6.9	7.8	74	57	92	SE 3	NW 4	S 2	5^0	6^0	6^1	–	–	a Berge rein, föhnig
30.	01.3	698.8	697.7	6.4	17.7	10.8	**18.5**	5.3	5.5	6.0	6.2	76	40	64	S 3	C	S 3	0	2^0○	6^0	–	–	a ⊿; Berge sehr rein, föhnig
																					172.5		
Mittel	02.7	02.1	03.0	5.1	9.7	7.0	10.7	4.3	6.3	6.5	6.9	94	73	92				7.5	7.7	7.9		–	

Hohenpeissenberg.

September. $\varphi = 47^0\ 48'$ N. $\lambda = 11^0\ 1'$ E $= 44^m\ 4^s$. H $= 993.9$ m. Cg $= \pm 0.0$ mm. 1912.

	600 mm +																						
1.	79 0	77.9	76.5	7.0	11.2	8.3	11.4	6.7	7.5	7.6	6.6	100	77	81	W 1	C	W 2	10^2=	10^2	6^2	7.9	–	n ◍, a ≡2; p u. abds. ∞
2.	73.7	72.2	**72.0**	6.1	11.7	7.2	11.9	5.8	6.5	6.6	7.3	93	64	96	W 1	C	SW 3	10^1	9^2	10^2	2.4	–	n ◍, a ∞; t öfters ◍; p ziemlich reine, 1)
3.	73 5	78.2	81.3	3.9	3.1	4.9	7.2	3.1	6.1	5.7	6.5	100	100	100	SW 1	SW 4	W 4	10^2=●	10^2=●	10^2=●	9.3	–	t ≡2 ◍
4.	82.6	81.6	80.0	5.5	11.9	9.4	11.9	4.9	6.2	5.7	5.8	93	55	66	W 1	NW 3	SW 5	9^1	10^1	10^2	8.7	–	n ≡2, t ∞
5.	76.8	77.2	77.3	8.6	8.0	7.9	10.4	7.5	**8.3**	8.0	6.3	100	100	79	SW 6	W 4	W 4	10^2=●	10^2=	10^2	4.3	–	n u. a ◍, n–p ≡2, abds. ∞
6.	74.9	73.8	74.8	6.2	6.6	4.1	8.7	4.1	4.9	5.2	5.8	69	71	95	W 4	SW 6	SW 6	10^1	10^2	6^2	2.3	–	a ∞9, p ◍, im S ∞
7.	75.5	77.7	79.9	2.7	3.3	3.6	4.1	2.6	5.6	5.8	5.8	100	100	98	W 6	W 4	S 6	10^2=	10^2=	10^2	5.0	–	n u. t ◍, a bis nach 2 p ≡2, abds. im S ∞
8.	80.6	79.9	77.8	4.2	5.8	6.7	6.7	3.6	6.1	5.2	7.2	98	76	99	W 3	W 5	SW 8	10^2●	10^2●	10^2●	8.0	–	t ◍ ∞0.1, abds. ⩸
9.	75.4	75.3	76.4	7.2	6.4	4.7	8.8	4.7	7.6	7.2	6.4	100	100	100	W 8	W 1	SW 1	10^2●	10^2=●	10^2=●	22.6	–	n ⩸ ◍; p u. abds. ≡2 ◍
10.	75.7	75.3	75.6	3.0	6.6	3.8	6.7	3.0	5.5	5.5	5.0	96	76	83	W 3	NW 1	SW 1	10^2	10^1	10^2	**23.5**	–	n ≡2, t ∞, abds. Sprühregen
11	75.1	76.0	77.0	2.7	7.3	5.2	7.8	2.4	5 6	5.0	5.1	100	66	77	W 1	NW 1	NW 1	10^2=●	9^2	9^2	1.1	–	a ≡2 ◍, p reine Fernsicht, abds. im S ∞
12.	78.1	79.2	81.2	3.8	7.4	4.3	7.8	3.5	5.4	5.8	5.7	90	76	92	NE 1	NE 5	NE 4	5^1	9^2	8^2	0.9	–	a ≡ ringsum, p u. abds. ∞2
13.	81.7	81.9	82.1	3.7	7.3	4.4	7.6	3.4	6.0	6.0	6.0	100	79	97	C	NE 4	SW 1	10^2=●	8^2	10^2●	–	–	a ≡2 ◍0, p u. abds. ∞, abds. ◍
14	81.1	80.2	79 7	3.9	6.4	5.4	7 4	3.4	5.7	6.3	5.7	93	88	85	W 1	SW 1	SW 5	10^2	10^1	10^1	6.9	–	n u. a ◍, t ∞
15.	76.9	76.4	76.4	5.4	5.6	5.1	6.1	5.0	5.7	6.8	6.6	85	100	100	W 6	W 4	W 5	10^2	10^2=●	10^2=	2.7	–	a ∞, p ◍, p u. abds. ≡2
16.	77.8	79.0	81.0	4.1	6.8	4.2	7.4	4.1	6.1	5.0	5.2	100	68	85	C	NW 4	E 3	10^2=	9^2	9^2	21.7	–	a ≡2, p Flachland rein, Gebirge bedeckt
17.	81.9	82.2	82.6	4.1	11.4	8.9	11.8	3.5	5.2	6.1	6.2	85	60	73	NW 1	C	N 3	○○	○○	0	–	–	a ⊿, starker Horiz.≡, ∞3; p ∞3; 2)
18.	82.4	82.2	**83.1**	6.9	11.1	6.6	11.3	6.3	6.5	7.8	7.1	87	79	98	NW 1	NW 1	E 3	9^1	9^2	10^2●	–	–	a ⊿, t ∞0.1, abds. ◍tropfen, ∞
19.	82.7	82.2	82.2	5.2	6.9	4.7	6.9	4.7	6.6	5.3	5.8	100	72	90	NE 1	NE 1	NE 3	10^1=	10^1	10^2	–	–	a ≡1, p u. abds. ∞
20.	80.8	80.8	81.2	3.3	4.8	3.5	5.2	3.0	5.8	5 7	5.6	100	89	95	NE 1	NE 4	NE 4	10^2=	10^2	10^2	–	–	≡2, p u. abds. ∞
21.	81.9	82.2	83 0	1.0	6.4	1.5	6.6	1.0	4.9	**4.0**	4.7	100	55	93	NE 5	NE 4	NE 5	10^2=	3^2○	o	–	–	≡1, p reine Fernsicht, abds. ∞
22.	82.2	82.0	81.6	– 0.5	5.6	1.8	5.6	– 1.2	4.4	**4.0**	4.7	100	60	90	NE 5	NE 6	E 7	c=	2^2○	o	–	–	a ≡2 ⌊1-2, p sehr reine Fernsicht, abds. ⩸ ∞
23.	81.5	81.3	81.0	1.6	6.8	3.9	6.8	1.3	5.2	4.8	4.9	100	66	80	E 5	NE 5	NE 4	10^2=	6^2	o	–	–	a ≡2, p reine Fernsicht, abds. ∞
24.	79.2	78.2	78.2	3.2	7.0	3.7	7.4	2.2	5.4	5.4	6.0	93	72	100	NE 1	NE 3	NE 2	5^1	9^2	10^2=	–	–	a ≡ ringsum, p ∞, abds. ≡2
25.	76.6	76.8	77.1	2.3	0.4	0.4	3.7	– 0.7	5.4	4.7	4.4	100	100	92	C	C	NE 2	10^2=	10^2=*	10^2=	–	–	t ≡2, ca 9^{15} a bis abds. ztw. ✳
26.	77.0	77.5	77.5	0 4	2.3	0.6	3.3	– 0.2	4.5	5.1	4.8	94	94	100	NE 1	E 3	NE 2	o=	10^2	10^2=	13.5	1	a u. abds. ≡1, p ∞ u. ✳0
27.	77.9	78.9	79.0	0.9	3.9	2.7	4.1	0.6	4.9	5.7	5.6	100	93	100	C	E 1	NE 3	10^2=	10^2	10^2=	2.5	–	a u. abds. ≡2, p ∞2
28.	78.2	78.0	77.8	1.6	8.8	5.8	8.8	1.6	4.3	6.1	6.2	84	72	90	NE 1	NE 4	E 3	○○	2^1○	c=	–	–	n ≡2, a ⌊ ≡2, p ∞3, abds. ≡1
29.	78.5	78.8	79.1	7.4	10.5	7.1	10.5	5.8	5.3	6.8	6.4	69	72	86	SW 1	NE 1	S 2	7^1	6^1○	o	–	–	a ≡2 i. E, sonst ≡0, besond. ü. d. Gewässern 3)
30.	77.4	76.0	74.0	9.2	14.1	10.3	**14.1**	7.1	5.6	6.2	6.7	65	52	72	SE 1	NE 1	SW 2	○○	9^1	3^2	–	–	a ⊿, ≡ besonders i. E u. S, p reine Fernsicht, 4)
																					143.3		
Mittel	78.6	78.6	78.9	4.2	7.2	5.0	7.9	3.4	5.8	5.8	5.9	93	78	90				7.8	8.3	7.4		–	

1) abds. reine Fernsicht. 2) abds. Horiz.≡
3) ∞3, p ∞, abds. wieder ≡ ü. d. Gew., ∞
4) abds. i. S ∞.

Alle Angaben nach Ortszeit.

Zugspitze.

September. $\varphi = 47^0\ 25'$ N. $\lambda = 10^0\ 59'$ E $= 43^m\ 56^s$. H = 2964 m. Cg = − 0.2 mm. 1912.

Datum	Luftdruck auf 0^0 u. Normalschwere reduziert 500 mm +			Lufttemperatur C⁰					Absolute Feuchtigkeit mm			Relative Feuchtigkeit Proz.			Richtung und Stärke des Windes 0 bis 12			Bewölkung 0 bis 10			Niederschlag mm	Schneedecke cm
	7^a	2^p	9^p	7^a	2^p	9^p	Max.	Min.	7^a	2^p	9^p	7^a	2^p	9^p	7^a	2^p	9^p	7^a	2^p	9^p	7^a	7^a
1.	30.7	30.1	28.7	− 3.9	− 1.9	− 6.4	− 1.1	− 6.4	3.3	3.9	2.7	100	100	100	C	C	NW 3	10^2 ≡ *	10^2 ≡	2^1	13.8	170
2.	26.5	25.7	**25.0**	− 5.0	− 2.6	− 4.2	− 2.2	− 6.4	3.1	3.7	3.3	100	100	100	C	NW 1	N 3	10^2 ≡	10^2 ≡	10^2 ≡ *	0.7	170
3.	25.3	28.6	31.6	− 5.8	− 6.5	− 6.3	− 4.2	− 6.8	2.9	2.7	2.7	100	100	100	N 4	N 4	N 5	10^2 ≡ *	10^2 ≡ *	10^2 ≡ *	**25.9**	185
4.	32.8	33.6	33.4	− 6.3	− 6.9	− 1.7	− 0.4	− 6.9	2.7	2.6	4.0	100	100	100	N 2	N 6	N 4	10^2 ≡	8^1 ⊙	10^2 ≡	13.5	200
5.	31.0	30.9	30.1	− 0.9	− 0.3	− 2.0	− 0.1	− 2.0	4.3	**4.5**	3.9	100	100	100	N 3	NW 3	NW 3	10^2 ≡ *	10^2 ≡ ●	10^2 ≡	9.5	205
6.	26.9	25.8	25.4	− 4.8	− 3.4	− 7.9	− 2.0	− 7.9	3.1	3.5	2.4	100	100	100	W 2	N 4	N 5	10^2 ≡	10^2 ≡	10^2 ≡	14.5	205
7.	25.3	28.3	29.5	− 9.0	− 7.6	− 8.1	− 7.3	− 9.5	2.2	2.5	2.3	100	100	100	N 6	N 5	N 5	10^2 ≡ *	10^2 ≡ *	10^2 ≡ *	3.6	215
8.	29.6	30.7	30.7	− 8.2	− 5.6	− 4.0	− 4.0	− 8.5	2.3	2.9	3.3	100	100	100	N 4	NW 4	NW 3	10^2 ≡	10^2 ≡ *	10^2 ≡ *	20.7	220
9.	28.8	28.2	27.8	− 3.2	− 2.0	− 3.7	− 1.9	− 4.0	3.6	3.9	3.4	100	100	100	N 2	NW 3	NW 3	10^2 ≡ *	10^2 ≡ *	10^2 ≡ *	19.5	225
10.	26.4	26.4	26.2	− 5.5	− 4.8	− 5.6	− 3.7	− 5.7	2.9	3.1	2.9	100	100	100	NW 3	NW 2	C	8^1	10^2 ≡	10^2 ≡	15.6	245
11.	25.5	26.6	27.8	− 7.1	− 5.7	− 5.2	− 5.1	− 7.2	2.6	2.9	3.0	100	100	100	NW 1	NW 2	C	10^2 ≡ *	10^2 ≡	10^2 ≡	1.3	250
12.	27.9	29.7	31.5	− 5.1	− 4.8	− 6.1	− 3.8	− 6.1	3.0	3.1	2.8	100	100	100	SE 1	E 2	E 1	10^2 ≡	10^2 ≡ *	10^2 ≡	0.4	250
13.	30.7	31.4	31.7	− 7.7	− 6.7	− 7.5	− 6.1	− 7.7	2.4	2.6	2.5	100	100	100	E 2	N 1	N 1	10^2 ≡ *	10^2 ≡ *	10^2 ≡ *	12.5	270
14.	30.7	30.4	30.2	− 7.5	− 6.0	− 7.5	− 6.0	− 7.7	2.5	2.8	2.5	100	100	100	C	N 3	N 4	10^2 ≡ *	10^2 ≡	$1C^2$ ≡	17.8	310
15.	28.6	28.0	27.6	− 4.9	− 4.4	− 5.6	− 4.2	− 7.7	3.1	3.2	2.9	100	100	100	N 3	N 6	N 5	10^2 ≡	10^2 ≡	10^2 ≡ *	8.2	320
16.	27.6	29.1	30.8	− 7.5	− 6.5	− 7.9	− 5.6	− 8.2	2.5	2.7	2.4	100	100	100	NW 4	NW 5	NW 4	10^2 ≡ *	10^2 ≡	10^2 ≡	6.6	**3.5**
17.	32.7	34.6	**35.1**	− 7.6	− 4.2	− 4.6	− 3.9	− 8.7	2.4	3.1	3.1	95	94	95	NW 6	NW 3	NW 4	2^1 ⊙	3^1 ⊙	1^1	0.8	325
18.	34.7	**35.1**	34.5	− 5.7	− 3.5	− 2.8	− 2.7	− 5.9	2.7	3.2	3.7	93	92	100	NW 4	NW 2	NW 3	6^1 ⊙	2^1 ⊙	10^1	–	300
19.	33.6	33.0	32.2	− 4.5	− 3.2	− 4.8	− 2.8	− 4.8	3.2	3.4	2.8	100	95	91	W 4	NW 3	W 2	1^0 ⊙	6^0 ⊙	4^1	–	300
20.	30.7	30.5	30.5	− 5.9	− 3.2	− 4.8	− 3.2	− 6.4	2.8	3.6	3.1	100	100	100	NW 2	C	S 1	9^1 ≡	10^2 ≡ *	10^2 ≡	–	290
21.	30.4	31.4	31.7	− 5.3	− 7.2	− 9.7	− 4.6	− 9.7	2.9	2.6	1 7	95	99	79	SE 4	SE 3	E 3	3^1 ⊙	10^2 ≡	0	1.1	290
22.	31.2	31.5	30.8	− 9.8	− 8.5	− 6.7	− 6.7	−10.3	1.5	1.7	2.2	75	73	83	SE 4	SE 4	E 3	3^0 ⊙	o⊙	o	–	280
23.	30.5	31.2	30.6	− 7.6	− 6.7	− 7.9	− 6.2	− 8.0	2.1	2.4	2.1	84	91	90	E 4	E 3	E 2	1^1 ⊙	7^1 ⊙	10^2 ≡	–	270
24.	28.9	28.4	28.2	−10.4	− 7.5	− 7.7	− 7.1	−10.4	**1.4**	2.5	2.4	**73**	98	100	E 3	SE 4	SE 3	7^0	10^2 ≡	10^2 ≡	–	270
25.	26.2	25.6	25.8	− 9.5	− 9.0	−11.0	− 6.8	−11.0	2.1	2.2	1.8	100	100	100	NW 2	NW 4	NW 2	10^2 ≡	10^2 ≡ *	10^2 ≡ *	4.3	275
26.	25.4	26.2	26.7	−10.0	− 7.7	−10.2	− 6.9	**−12.1**	2.0	2.4	2.0	100	100	100	S 2	SE 2	SE 3	6^1	10^2 ≡ *	9^1	7.6	280
27.	27.2	28.6	29.9	− 9.1	− 6.7	− 7 1	− 6.7	−11.9	2.1	2.4	2.0	100	90	80	NW 2	SE 4	SE 4	9^1 ⊙	1^0 ⊙	o	2.4	285
28.	30.4	31.0	31.7	− 5.8	− 4.8	− 3.6	− 3.4	− 7.1	2.5	2.4	3.3	88	75	94	W 3	W 4	NW 1	2^0 ⊙	4^0 ⊙	2^0	–	280
29.	31.7	32.0	32.2	− 3.2	− 1.7	− 2.1	− 0.9	− 3.6	3.5	3.6	3.8	98	90	97	C	SW 4	W 2	7^1 ⊙	6^1 ⊙	10^1 ≡	–	270
30.	31.2	30.7	29.7	− 2.9	− 1.4	− 1.3	**0.6**	− 3.9	3.1	3.6	3.7	84	88	90	S 3	S 6	S 4	2^0 ⊙	7^0 ⊙	8^1	–	265
																					200.3	
Mittel	29.3	29.8	29.9	− 6.3	− 5.0	− 5.8	− 4.0	− 7.4	2.7	3.0	2.8	96	96	97				7.3	8.1	7.9		

Bemerkungen.

1. t ≡², a ✳¹, ab ca 7 p Aufklaren
2. t ≡², 9^{28-44} a Zerreissen der Nebelschicht, 2^{29}–3^{00} p △¹, schwache elektrische Ausstrahlung, 5^{00}–ca 7 p ztw. △¹, ab ca 7 p ✳¹
3. a 15 cm Neuschnee, t ≡² ✳¹
4. a ≡², ca 9^{15} a Aufklaren, cu (NW mässig), über Flachland u. Zentralalpen cu-meer, ab 3^{29} p gleichmässige st-Decke, ab ca 4 p Gipfel im ≡
5. t ≡², a ✳¹, p ztw. Eisregen, ᔓ, ca 5^{30} p kurzes Zerreissen der Nebelschicht i. SW, cu, ⊙ durchscheinend; ab 6 p ≡²
6. t ≡², ab ca 2^{15} p △¹, ab ca 6^{30} p ✳¹; ab 7 p Auffrischen des Windes, Schneetreiben; V 20 cm
7. t ≡², ✳⁰·¹
8. t ≡², ✳⁰·¹, V 70 cm
9. t ≡², ✳⁰·¹, ab ca 7–11^{45} p ⁱˡˡˡ ✳¹, Schneetreiben, V 90 cm
10. a 20 cm Neuschnee, p ≡², V 100 cm
11. n ✳⁰·¹, a ✳¹, t ≡², V 110 cm
12. t ≡², ab m ✳⁰, ab ca 3 p △¹, ab 4^{04} p ✳⁰·¹, 9 p 5 cm Neuschnee
13. a 20 cm Neuschnee, kräftige, elektrische Ausstrahlung, t ≡² ✳¹·², ca 11 a Gipfel in ziemlich heftiger elektrischer Ausstrahlung
14. a 40 cm Neuschnee, ✳², t ≡², ca 11^{15} a Aufhören des Schneefalles, abds. Schneetreiben
15. t ≡², Schneetreiben. ca 8 p Abflauen des Windes, 8^{54}–ca 9^{30} p negatives Elmsfeuer
16. n ✳⁰·¹, a ✳⁰, 5 cm Neuschnee, t ≡², m Aufhören des Schneefalles
17. a über Flachland ∞meer, über Zentralkette cu, t Fernsicht auf Zentralalpen rein, Flachland ∞
18. t über Flachland cu-meer, ab 3^{10} p Gipfel ztw. im ≡
19. t ringsum cu-meer in ca 2000 m, 3^{00} p 10^0 ci-st, ci-cu, am Horizont a-st, ca 7^{10} p ztw. Aufklaren
20. t ≡², a ztw. Zerreissen der Nebelschicht, ca 1^{20}–7 p ✳⁰
21. a cu-meer in ca 2000 m, ab ca 11 a Gipfel im ≡, ca 6^{30} p wieder Aufklaren
22. a über Zentralkette cu-meer in ca 2000 m, über Alpenvorland vereinzelt cu u. Nebelfahnen, Flachland ∞, p ringsum cu-meer in ca 2000–2500 m
23. a über Zentralkette u. Alpenvorland ∞meer, ab ca 1 p Gipfel ztw. im ≡, 5^{14-34} p △⁰, abds. ringsum cu-meer bis 2900 m, ᗐ
24. a über Zentralkette cu-meer in ca 2500 m, über Alpenvorland vereinzelte cu, über Flachland st-Decke, m Gipfel ztw. im ≡, ab ca 2^{15} p △⁰, ab 4^{54} p △²
25. t ≡², ab 9^{04} a △⁰. 10^{34}–ca 1 p ✳¹, p ✳².
26. ca 11 p ztw. Aufklaren, ᗐ; a über Zentralalpen u. Alpenvorland cu-meer in ca 1800–2000 m, ab ca 1 p ✳¹·², ca 8 p ztw. Aufklaren, 9 p ringsum cu-meer in ca 2200 m
27. a Zentralkette im Nebel, über Alpenvorland u. Flachland st-cu-Decke in ca 1800 m, p ringsum cu-meer in ca 2500–2800 m, abds. über Zentralkette u. Alpenvorland vereinzelt [1]
28. a über Zentralkette ∞¹, Nebelfahnen, über Flachland u. Alpenvorland st-cu-Decke in ca 1500 m; 2^{00}–ca 7 p starke Bewölkungszunahme, ci, ci-cu, a-cu aus S (rasch)
29. a über Zentralkette ∞¹, Nebelfahnen, Alpenvorland Nebeldecke, p Fernsicht auf Zentralalpen rein, ca 4 p 10^1 a-st, st-cu aus S (rasch)
30. a über Zentralkette cu-meer, über Alpenvorland ∞¹, p Flachland u. Zentralkette frei

[1]) cu u. Nebelfahnen; über Flachland st-Decke

Alle Angaben nach Ortszeit.

Kahl a/M.

Oktober. $\varphi = 50^0\ 4'$ N. $\lambda = 9^0\ 1'$ E $= 36^m\ 4^s$. H $= 114.1$ m. Cg $= +0.3$ mm. 1912.

Datum	Luftdruck auf 0° u. Normalschwere reduziert 700 mm + 7a	2p	9p	Lufttemperatur C° 7a	2p	9p	Max.	Min.	Absolute Feuchtigkeit mm 7a	2p	9p	Relative Feuchtigkeit Proz. 7a	2p	9p	Richtung und Stärke des Windes 0 bis 12 · 7a	2p	9p	Bewölkung 0 bis 10 7a	2p	9p	Niederschlag mm 7a	Bemerkungen
1.	39.4	39.8	39.2	13.1	17.9	16.3	**18.5**	12.3	10.4	9.7	**11.6**	94	63	84	S 4	SW 4	SW 4	10^1●	10^1	10^1	4.3	n, a ztw. ◍
2.	39.2	40.7	44.2	14.1	16.3	9.4	17.6	9.2	9.6	8.8	7.9	80	63	89	SW 4	SW 6	C 10^0	8^1	7^1	6.6	n ◍ ⩍. 4⁰⁶ p an ◍
3.	48.4	51.9	56.5	6.6	9.2	4.2	11.0	3.9	6.2	4.6	5.6	85	53	90	SW 2	NW 2	C 10^0	10^1	0	4.2	
4.	63.4	65.5	**67.1**	0.6	8.2	1.6	9.1	− 1.6	4.7	2.8	3.4	98	34	66	C	NE 4	NE 2	○○	○○	0	–	a ⌊⌋
5.	66.8	64.4	63.2	− 2.6	8.0	− 0.7	8.9	− 4.3	3.4	2.9	3.9	92	36	90	C	E 4	E 4	○○	○○	0	–	a ⌊⌋
6.	61.2	58.4	58.3	− 0.5	8.2	3.9	9.0	− 3.2	3.5	3.7	4.6	79	46	75	E 2	NE 2	C	1^1○	9^0	10^1	–	a ⌊⌋
7.	59.6	57.7	58.1	− 3.0	10.0	2.8	11.2	− 4.2	3.7	4.6	5.1	100	50	91	C	N 2	NE 2	○○	○○	0	–	a ⌊⌋
8.	58.1	57.3	58.1	− 0.1	13.8	4.0	14.9	− 2.3	4.4	4.9	4.7	96	42	77	C	E 2	E 4	1^0○	○○	0	–	a ⌊⌋
9.	59.4	58.8	59.9	− 0.5	14.6	9.5	15.3	− 1.9	4.4	5.1	6.0	100	41	67	E 2	E 4	C	○●	○○	0	–	a ⌊⌋
10.	61.0	60.3	60.5	0.7	13.5	3.6	14.3	− 0.4	4.8	4.9	5.5	98	43	93	C	E 2	C	○○	○○	0	–	a ⌊⌋
11.	60.6	59.0	59.9	− 0.4	12.4	2.3	12.9	− 1.2	4.5	6.8	5.3	100	63	98	C	NE 2	C	○○	1^1	0	–	a ⌊⌋
12.	60.5	60.9	61.0	2.5	8.3	− 0.3	10.1	− 3.1	5.5	6.2	4.5	100	75	100	C	SW 4	NE 2	10^1=	○○	0	–	a ≡¹
13.	61.8	61.2	62.1	0.2	8.4	0.7	9.2	− 2.1	4.7	6.5	4.9	100	79	100	C	W 2	C	10^1=	○○	0	–	a ≡¹
14.	62.1	60.6	60.1	2.8	5.7	4.7	6.6	− 0.9	5.5	6.3	6.4	98	93	100	C	C	C	10^1=	10^1=	10^1=	–	a ≡¹, 2 p, 9 p ≡¹
15.	59.6	59.8	60.0	5.3	10.4	4.3	11.2	3.4	6.7	8.4	6.2	100	91	100	C	C	C	10^1●	3^0	10^2=	4.1	n, a ◍. a ≡⁰. 9 p ≡²
16.	59.7	57.1	56.5	3.0	11.3	7.1	12.2	2.7	5.7	8.3	7.2	100	83	96	C	SW 2	SW 2	10^1=	○○	10^1	1.4	a ≡¹
17.	53.4	53.1	56.7	9.2	12.0	5.3	13.0	5.0	8.2	9.7	6.7	95	95	100	SE 2	W 2	W 2	10^1	10^1●	0	–	t von 7^{31} a an ◍
18.	59.5	58.8	58.7	4.2	10.2	3.4	11.2	1.1	6.1	7.0	5.8	98	76	100	SE 2	SW 2	SW 2	9^1	10^1●	0	6.6	p ztw. ◍
19.	55.0	52.1	52.2	5.7	9.2	6.4	10.4	1.2	6 5	7.8	7.2	96	91	100	S 2	SW 4	SW 2	10^1	10^1	10^1	4 8	
20.	51.9	50.3	49.7	4.8	10.1	7.1	10.9	4.5	6.4	6.8	6.6	100	74	87	C	SW 2	C	7^1	4^1	10^1	–	$30^{1.11}$ p ◍
21.	46.0	42.8	41.9	5.5	11.5	8.7	13.0	5.0	5.7	6.4	6.8	85	63	81	SE 2	SE 2	SW 2	6^0	9^1	10^0	0.3	
22.	41.7	39.6	38.0	6.2	5.3	4.7	10.3	4.5	7.1	6.3	6.2	100	96	97	C	N 2	NW 2	10^1●	10^1	10^1●	5.3	n, t–n ◍
23.	38.5	40.5	42.0	4.3	7.0	5.8	8.1	4.0	6.1	6.7	6.2	98	89	90	SW 2	SW 2	C	10^1	10^1	10^0	**20.9**	t ztw. ◍
24.	42.1	41.8	42.2	5.9	10.1	7.2	10.8	3.1	6.1	6.9	7.3	88	75	96	SE 2	S 2	C	10^1	10^1	10^0	0.7	4^{36} p an ztw. ◍
25.	40.0	41.7	45.1	6.2	6.0	6.6	9.0	5.1	7.0	6.5	6.5	99	93	90	SE 2	W 4	SW 4	10^1●	10^1●	10^1	4.3	n, t ◍
26.	48.3	50.1	51.8	5.8	10.1	6.5	10.8	3.7	6.6	6.9	6.9	96	75	96	SW 2	SW 2	SW 2	10^1	9^1	9^1	12.8	
27.	52.2	53.0	53.0	7.3	13.5	9.5	15.0	4.5	7.5	10.6	8.7	99	93	99	S 2	S 2	NW 2	10^1●	5^1	0	1.1	n, a ◍
28.	51.6	49.8	50.2	8.2	15.9	10.6	17.0	6.3	7.6	8.5	7.7	93	63	81	SW 4	SW 2	C	1^0	10^1	7^0	–	
29.	48.4	49.0	49.9	10.3	14.6	12.0	17.3	8.3	7.3	10.3	10.1	78	84	97	S 2	SW 2	SW 2	10^1	10^1	10^1●	–	p ztw. ◍
30.	45.0	44.9	46.0	12.7	13.1	10.5	15.6	10.1	10.4	10.0	8.3	96	90	88	SW 2	W 4	SW 2	10^1●	10^1	10^1	18.1	n, a, t ◍
31.	43.6	42.2	44.1	9.0	9.9	8.8	11.9	8.3	7.3	7.6	7.2	86	83	86	SW 4	SW 4	W 2	10^1	10^1●	10^0	7.1	n ◍. p ztw. ◍
Mittel	52.8	52.4	53.1	4.8	10.8	6.0	12.1	2.6	6.3	6.9	6.5	94	71	91				6.9	6.1	5.6	102.6	

Bayreuth.

Oktober. $\varphi = 49^0\ 57'$ N. $\lambda = 11^0\ 34'$ E $= 46^m\ 16^s$. H $= 363.3$ m. Cg $= +0.3$ mm. 1912.

1.	21.2	18.3	18.8	9.7	16.6	14.1	**16.7**	7.4	8.4	11.0	11.0	94	78	93	E 4	W 6	SW 6	10^1	9^2	10^2	1.6	t ztw. ◍⁰ ⩍
2.	16.5	19.2	21.8	15.0	14.9	10.9	15.6	10.6	**12.1**	8.8	8.6	96	70	89	SW 6	NW 6	W 2	10^2●	10^1	10^2●	5.8	n ◍$^{0.1}$ ⩍. 7 a ◍^{1}. t–n ztw. ●$^{0.1}$ ⩍
3.	25.2	28.7	33.3	4.9	6.2	4.9	11.0	4.1	5.7	5.3	5.7	90	75	88	N 2	NW 2	C	10^2●	10^2	10^1	5.1	n–8^{36} a ◍⁰
4.	40.7	43.1	**45.1**	− 0.7	5.1	− 1.2	5.4	− 1.8	4.2	3.1	3.6	96	47	86	NW 2	N 2	N 2	○○	2^0○	0	0.4	a ⌊⌋^{1}
5.	44.7	42.3	41.5	− 5.1	6.7	0.0	7.9	− 6.2	2.9	3.1	3.7	96	43	81	NW 2	E 2	E 2	○○	○○	0	–	a ⌊⌋^{2}
6.	38.5	35.9	35.6	− 2.3	8.0	0.9	8.1	− 3.8	3.5	4.1	4.2	89	53	86	NW 2	E 2	E 6	○○	2^1○	0	–	a ⌊⌋^{1}
7.	36.6	35.8	36.6	2.1	10.3	3.7	11.2	− 1.0	4.8	5.5	5.4	90	59	91	E 2	E 2	C	10^1=	6^0○	0	–	a ≡¹
8.	35.8	35.8	37.0	− 0.9	10.6	2.9	12.0	− 1.8	4.2	5.8	5.1	98	61	91	NW 2	E 4	E 2	7^1	8^1	0	–	a ⌊⌋^{1}, ≡¹
9.	38.2	37.6	39.0	− 1.7	12.5	4.5	13.0	− 2.6	3.9	5.9	5.3	96	54	85	NW 2	E 2	E 2	10^1	○○	0	–	a ⌊⌋^{1}, ≡¹
10.	39.7	39.2	39.6	− 0.2	11.8	3.7	12.0	− 1.0	4.4	5.3	5.3	96	51	89	NW 2	E 2	E 2	○○	○○	0	–	a ⌊⌋^{0}
11.	39.0	37.7	38.2	− 2.5	9.5	1.3	10.9	− 3.6	3.6	5.3	4.7	96	60	92	C	SE 2	E 2	10^2=	6^0○	0	–	a ⌊⌋^{1}, ≡²
12.	38.9	39.4	39.5	− 2.1	5.0	0.2	6.6	− 2.9	3.7	5.4	4.6	94	84	98	E 2	C	C	○○	8^0○	10^2=	–	a ⌊⌋^{1}. 9 p ≡²
13.	39.9	39.9	40.8	0.1	5.9	1.4	7.1	− 1.5	4.5	5.6	5.0	98	92	98	E 2	E 2	C	10^1=	5^1○	10^1	–	n, a ≡¹
14.	40.6	38.6	37.5	1.7	10.5	5.7	11.5	0.2	5.0	7.5	6.5	96	80	96	E 2	E 2	C	10^1=	3^0○	10^1	–	a ≡²
15.	36.5	37.1	39.6	4.4	7.9	4.8	8.8	2.4	6.0	7.4	6.3	97	93	98	E 2	NW 2	E 2	10^2=●	10^2	10^2=	0.5	a ◍^{0} ≡¹, 9 p ≡²
16.	37.8	36.1	34.7	3.5	8.5	4.0	10.1	2.4	5.9	7.2	5.9	100	88	97	E 2	C	E 2	10^2=	10^0○	0	3.8	n ◍^{0}. a ≡²
17.	32.6	31.1	33.1	5.4	11.7	8.7	12.5	2.8	6.3	9.6	7.4	94	95	89	E 2	SW 2	W 4	10^1	10^2●	10^2	0.4	ca 4^{45}–5^{45} a, p ◍^{0}
18.	36.8	36.0	36.3	4.1	10.0	6.2	10.2	3.2	5.9	5.8	6.5	97	63	92	W 2	W 2	W 2	10^1	6^0○	10^1	3.1	p ztw. ◍^{0}
19.	33.1	30.0	29.1	5.5	6.5	7.3	7.5	4.1	6.0	6.6	7.1	90	92	94	SW 4	SW 4	SW 4	10^2	10^2●	10^2	1.3	t ◍^{0}
20.	28.3	28.3	28.4	5.6	8.4	4.5	9.0	4.2	6.4	5.5	5.7	94	67	91	W 2	NW 4	E 2	10^1	8^1	4^0	**6.1**	n ztw. ◍
21.	25.5	22.8	21.8	1.7	10.3	6.9	10.4	0.9	4.8	6.2	5.8	93	66	80	SE 2	SE 4	SE 4	10^1	4^1○	10^1	–	a ⌊⌋^{0}
22.	18.5	15.8	14.1	1.9	7.7	5.8	7.7	1.2	5.1	6.2	6.5	96	80	94	W 2	W 2	W 2	10^2=	10^2	10^2●	–	a ≡². ca 7^{45} p ab–n ◍^{0}
23.	17.0	19.3	20.8	3.7	7.5	2.9	8.0	2.2	5.5	5.6	5.2	92	71	91	S 2	S 2	E 2	10^2	9^1	4^1	4.2	n ◍^{0}
24.	21.6	21.2	21.6	2.7	7.5	5.1	7.7	1.5	5.1	6.1	5.8	93	80	90	SE 2	SE 2	E 2	10^2	10^1	10^2	–	7 a ≡⁰
25.	19.6	20.6	23.1	3.7	8.6	6.5	9.2	3.2	5.5	6.2	5.6	92	74	79	E 2	S 2	W 4	10^1=	10^2	10^2●	0.1	t–n ztw. ◍^{0}
26.	26.1	27.7	30.6	5.1	8.5	2.9	8.8	2.6	5.8	6.6	5.4	90	79	96	W 4	W 2	E 2	10^2	10^2	10^0	3.3	n ztw. ◍^{0}
27.	31.9	32.4	32.7	3.1	7.0	7.5	7.7	0.2	5.5	7.2	7.4	96	96	96	SE 2	SE 2	E 4	10^1=	10^2●	10^1	–	a ≡¹. t ztw. ◍^{0}
28.	31.2	30.0	30.4	6.7	9.7	6.9	10.0	6.0	7.0	7.7	7.1	96	86	96	SE 4	E 4	E 4	10^2	10^0	10^0	1.4	7 a ≡⁰
29.	29.1	28.5	29.4	4.3	13.7	9.2	13.8	3.8	5.9	8.0	7.5	96	69	89	SE 4	SE 4	SE 4	7^0	8^1	10^2	–	a ⌓
30.	25.4	23.8	25.3	8.5	11.7	9.7	13.8	8.0	7.0	9.1	7.9	87	89	88	SE 4	SE 2	SE 2	10^2●	10^2●	10^2●	1.5	n, a–n ◍^{0}
31.	23.0	21.7	20.7	7.9	8.7	6.6	9.7	6.4	6.8	6.7	6.4	87	81	89	SW 4	S 4	SW 6	10^2	10^2	10^2●	5.6	n ◍^{0} ⩍. t ztw. ◍$^{0.1}$. 9 p ◍^{1}
Mittel	31.3	30.8	31.4	3.1	9.3	5.1	10.1	1.7	5.5	6.4	6.1	94	73	91				8.2	7.3	6.7	44.2	

Alle Angaben nach Ortszeit.

Bamberg.

Oktober. $\varphi = 49^0\ 53'$ N. $\lambda = 10^0\ 53'$ E $= 43^m\ 32^s$. H $= 287.7$ m. Cg $= +0.3$ mm. 1912.

Datum	Luftdruck auf 0° u. Normalschwere reduziert 700 mm + 7ª	2ᵖ	9ᵖ	Lufttemperatur C° 7ª	2ᵖ	9ᵖ	Max.	Min.	Absolute Feuchtigkeit mm 7ª	2ᵖ	9ᵖ	Relative Feuchtigkeit Proz. 7ª	2ᵖ	9ᵖ	Richtung und Stärke des Windes 0 bis 12 7ª	2ᵖ	9ᵖ	Bewölkung 0 bis 10 7ª	2ᵖ	9ᵖ	Niederschlag mm 7ª	Bemerkungen
1.	26.7	24.9	24.9	11.6	17.2	12.9	**18.7**	10.1	8.7	10.7	10.9	86	73	99	SW 5	SW 6	S 3	7¹	10²	10²	1.3	n, 8¹⁶·²⁴ a ◯¹, 10¹⁹·⁵⁸ a ◯², 11¹⁸ a ◯¹, 6¹⁸·²⁴ p ◯², 1)
2.	23.5	25.7	28.6	14.4	15.5	10.3	16.8	10.3	**11.1**	8.5	9.0	92	64	96	W 2	W 3	W 1	10²	8¹⊙	10²	5.1	n, 8²⁹-ca 9 p ◯¹
3.	31.9	35.6	41.2	4.7	7.8	5.3	11.2	4.7	6.0	5.7	5.5	94	72	83	W 1	N 3	NW 3	10²	10²	10²	1.7	n ◯
4.	47.4	49.9	**51.8**	0.0	6.6	0.0	7.4	− 1.0	4.5	2.8	3.1	98	39	78	W 3	NE 3	NW 1	1¹⊙	1¹⊙	0	0.2	n ⌴, 7 a ≡
5.	51.3	49.1	48.0	− 3.7	7.0	0.3	7.9	− **4.6**	3.4	2.5	3.7	98	34	78	NW 2	E 3	NW 1	oo	1⁰⊙	2	0.1	n ⌴, ≡
6.	45.4	42.4	42.3	− 2.0	9.2	4.5	9.9	− 3.0	3.5	4.4	5.1	90	51	81	NW 3	SE 3	W 2	oo	7	10²	0.1	n ⌴, ∞
7.	43.4	42.4	43.1	3.2	11.0	4.6	11.7	3.0	5.6	5.3	5.3	97	54	84	S 1	NW 3	N 1	10²	10⁰⊙	10⁰	0.1	n ⌴, 9 p ∞
8.	42.3	42.4	43.9	1.2	11.7	4.3	12.3	0.5	4.5	5.4	5.3	91	53	85	NW 3	N 3	C	10⁰⊙	8¹	2¹	0.1	n ⌴, 9 p ≡ ∞
9.	44.6	44.0	45.6	0.8	14.4	5.1	15.0	0.4	4.7	5.9	5.8	96	49	89	N 2	S 4	NW 1	1¹⊙	1¹⊙	2¹	0.1	n ⌴, 7 a ≡, 9 p ∞
10.	46.4	45.4	46.0	1.4	13.0	4.9	13.8	0.9	4.7	5.1	5.6	93	46	86	W 2	E 2	N 1	oo	oo	0	–	n ⌴, 7 a ≡, 9 p ≡¹
11.	45.6	44.6	44.9	− 1.0	11.0	2.2	11.8	− 1.4	4.3	5.4	5.2	100	55	96	W 2	E 1	C	2¹⊙	10⁰⊙	2¹≈	0.1	n ⌴, 7 a ≡, 9 p ≡¹
12.	45.8	46.2	46.4	− 0.6	4.4	2.0	5.9	− 3.2	4.4	5.3	5.1	100	85	96	S 2	E 1	N 2	10²≈	10²	10²≈	0.1	n ⌴; 7 a, 9 p ≡²
13.	46.7	46.9	47.4	0.2	3.9	2.7	4.6	− 0.6	4.7	5.6	5.5	100	92	98	SW 2	SW 2	N 2	10²≈	10²	10²≈	0.2	n ⌴, 7 a ≡², 2 p ∞, 9 p ≡²
14.	47.0	45.2	44.2	0.3	11.8	5.2	13.0	− 0.2	4.6	7.2	6.2	98	71	94	S 1	W 3	C	10²≈	8¹⊙	10⁰	0.1	7 a ≡², 2 p ∞
15.	43.2	44.2	44.8	5.3	9.3	5.6	10.2	2.8	6.5	8.3	6.7	97	95	99	C	C	E 1	10²● ≈	10²	10²≈	0.1	ca 6–11 a ◯, t ≡¹·³
16.	44.0	42.7	41.2	5.5	10.4	3.2	10.5	3.1	6.8	7.4	5.8	100	78	100	SE 1	C	C	10²≈	7¹⊙	10²≈	2.9	n ◯⁰, 7 a u. 9 p ≡²
17.	38.8	37.7	40.1	6.9	11.5	8.5	14.4	1.6	7.2	9.7	7.8	98	97	94	SW 3	SW 2	W 1	10²●	10²●	7¹	0.5	a, p ztw. ◯
18.	43.8	42.9	43.0	2.6	10.7	5.9	11.9	2.4	5.4	5.8	6.0	98	61	87	S 2	NW 2	C	7¹	8¹	8¹	2.8	5¹⁴ p ◯⁰
19.	39.6	36.2	36.3	3.6	6.6	6.8	7.7	1.9	5.7	6.7	7.0	97	93	94	SW 5	W 3	W 3	9¹	10²●	10¹	0.1	n ⌴, 8²³ a–ca 3 p ◯
20	35.5	34.8	35.1	5.3	9.3	4.5	11.3	4.4	6.5	6.1	5.5	97	70	87	W 1	W 2	S 2	6¹	10²	10⁰	3.6	n ⌴, 3²¹·⁵⁴ p ◯¹
21.	31.4	28.5	26.9	3.1	11.5	8.5	12.2	1.5	5.2	6.3	5.4	91	62	65	SW 4	S 5	S 2	10¹	10¹	10¹	0.2	n ⌴, 7²⁶ p ◯⁰
22	25.1	22.6	**24.1**	3.9	7.4	4.6	9.7	3.5	5.7	6.4	6.1	93	83	97	W 2	W 1	C	10²	10²●	10²●	0.1	n ⌴, 7 a ≡, ca 1–4 p ◯⁰, ca 8–9 p ◯¹, 9 p Ψ
23.	23.6	25.9	27.1	3.3	7.9	4.2	8.7	1.8	5.5	5.1	5.5	95	64	89	S 2	SW 3	S 3	10²	8¹	10²	**5.7**	ca 9 p–n ◯¹
24.	27.7	27.4	27.7	3.1	8.3	6.2	9.7	2.2	5.0	6.1	6.7	88	74	94	S 3	E 2	SW 4	10²	9²	10²●	0.1	n ⌴, 7²³·⁴⁷ p, 8¹⁶·³⁴ p, 7²⁹–ca 9 p ◯⁰
25.	25.8	27.3	29.9	4.7	7.7	5.8	8.7	4.3	6.0	6.7	6.2	94	86	90	S 2	SW 3	S 2	10²●	10²	10²	0.5	ca 6 a–9 p ◯⁰·¹
26.	33.0	34.8	37.2	3.9	8.4	4.5	9.4	3.8	5.7	6.3	6.1	93	77	97	S 2	W 3	S 1	7¹	10²	10¹	5.3	2²¹ p ◯⁰, 9 p Ψ
27.	38.3	38.6	39.0	2.9	8.2	8.1	10.0	0.9	5.2	8.0	8.0	93	99	99	C	SW 3	S 2	10²≈	10²● ≈	10⁰	0.1	n ⌴, 5¹⁹ a ◯⁰, 7 a ≡², 7²⁹ a–ca 3 p ◯⁰·¹; 2 p ≡¹, 2)
28.	37.5	35.8	36.3	6.4	13.1	8.8	14.4	6.1	7.1	9.0	7.9	99	81	93	S 5	S 3	S 2	10²≈	10¹	10⁰	2.5	ca 10 p ≡², 7 a ≡¹
29.	34.7	34.6	35.8	7.3	16.2	12.3	18.0	6.6	6.2	8.3	8.9	82	60	85	S 3	SW 3	SW 2	10⁰⊙	10²	10²●	0.1	6³⁰–9⁰⁰ p ◯⁰
30.	31.0	29.4	31.6	10.7	13.3	9.0	14.0	8.9	7.9	8.5	8.0	83	75	93	SW 3	S 5	S 1	10²●	10²●	10²●	2.2	n, t–9 p ◯⁰
31.	29.4	27.9	28.0	7.9	10.5	7.3	11.3	6.9	7.1	5.9	6.9	89	63	90	SW 4	W 5	W 3	10²	10²	10²	3.1	9⁰⁰ p–ca 6 a ◯⁰·¹, 9¹² a ◯¹, p ztw. ◯¹
Mittel	37.8	37.3	38.0	3.8	10.2	5.7	11.4	2.5	5.8	6.5	6.3	94	70	90				7.7	8.3	8.2	39.2	1) 7¹⁶·²³ p ◯¹. 2) 9 p Ψ.

Würzburg.

Oktober. $\varphi = 49^0\ 48'$ N. $\lambda = 9^0\ 56'$ E $= 39^m\ 44^s$. H $= 179.3$ m. Cg $= +0.3$ mm. 1912.

1.	34.9	33.8	32.8	12.9	18.0	14.8	**19.0**	11.5	9.7	10.7	**11.4**	88	70	91	SE 2	SW 5	W 3	9²	8²●	10²●	0.9	ztw. ◯
2.	32.9	34.4	37.8	15.4	16.8	11.4	17.0	11.3	10.8	7.9	8.2	83	56	82	SW 4	SW 5	W 3	9²	7²	10²●	7.5	ztw. ◯⁰
3.	41.6	45.2	49.9	6.8	9.1	6.6	11.4	6.1	6.6	5.1	5.6	90	60	77	NW 3	N 1	N 1	10²●	9²	10²	1.7	ztw. ◯⁰
4.	57.3	59.5	**61.5**	1.2	8.1	1.8	8.1	0.4	4.4	3.0	3.7	89	38	71	E 1	NE 3	C	oo	oo	o	0.2	a ⌴
5.	61.0	58.7	57.6	− 1.8	7.5	1.9	7.5	− 2.5	3.4	3.4	3.7	84	44	69	C	E 3	C	oo	oo	o	–	a ⌴
6.	55.2	52.4	53.2	0.7	8.2	6.6	8.2	− 1.4	3.6	3.8	5.6	75	48	77	E 3	NE 2	N 1	1¹⊙	oo	o	–	a ⌴
7.	53.2	52.2	52.4	0.3	10.4	4.2	10.9	− 0.1	4.5	4.9	5.6	96	52	90	C	E 1	C	oo	1¹⊙	o≈	–	a, p ≡
8.	52.1	51.9	52.9	1.3	12.4	5.5	12.4	0.8	4.8	5.3	5.5	96	49	82	W 1	E 3	S 2	4¹≈	1¹⊙	o	–	a ≡
9.	53.9	53.5	54.5	2.4	13.8	7.0	14.0	1.6	5.0	4.9	6.1	91	42	81	E 3	E 5	C	oo	oo	o	–	a ≡; ztw. ⚊
10.	55.7	55.0	55.0	2.6	12.7	6.3	12.8	2.1	5.1	4.8	5.9	93	44	83	S 2	E 2	E 2	oo	oo	o	–	
11.	55.2	53.7	54.4	0.2	11.4	3.2	11.4	− 0.2	4.5	5.3	5.1	96	52	89	E 1	E 1	C	oo≈	2¹⊙	o	–	n ⌴, früh ≡
12.	55.1	56.0	55.8	1.5	5.5	1.8	5.5	− 0.3	5.1	5.4	5.1	100	80	96	C	SE 2	C	10²≈	9²	10²≈	–	a ≡, p ≡²
13.	56.1	56.5	56.1	0.8	4.2	4.1	4.2	0.5	4.8	5.4	5.7	100	87	93	SE 3	SE 1	C	10²≈	10²	10²≈	–	a u. p ≡
14.	56.4	56.9	54.7	1.9	7.9	3.7	8.0	1.5	5.2	6.4	5.9	98	81	98	E 1	S 2	C	10²≈	oo	o≈	–	a u. p ≡
15.	53.0	53.6	54.5	5.0	10.2	4.8	10.9	2.3	6.3	8.4	6.2	97	91	97	S 1	N 2	N 1	10²●	10²	o≈	–	a ztw. ◯, p ≡
16.	54.1	52.3	50.8	3.0	6.9	6.5	7.2	1.8	5.4	7.0	7.0	95	94	98	C	E 1	SE 1	10²≈	10²	10²	3.9	a ≡
17.	48.0	47.3	50.1	7.2	12.1	8.8	13.2	6.0	7.4	10.1	7.6	98	97	91	C	W 1	NW 2	10²≈	10²●	o	1.1	a ≡, ztw. ◯
18.	53.4	52.7	52.9	4.0	10.4	6.0	10.9	3.1	5.8	6.8	6.7	95	73	96	C	W 4	C	3²⊙	4²⊙	3²	2.9	a ≡, p ztw. ◯
19.	49.2	45.9	46.2	6.1	7.0	7.7	8.4	3.8	6.8	6.5	7.1	97	87	90	W 2	W 4	W 1	10²	10²	3²	1.1	ztw. ◯ ⚊
20.	45.3	44.7	44.7	5.6	10.6	5.8	10.6	5.3	6.5	6.1	6.2	96	64	90	W 1	W 2	W 1	8²	4²	10²	1.9	p ⊽
21.	40.5	37.0	36.2	2.5	12.1	7.3	12.1	1.7	5.0	6.1	6.5	91	58	86	SE 1	W 4	C	6²	7¹⊙	9¹	–	
22.	34.6	32.6	**31.2**	6.6	6.1	4.5	7.3	4.5	6.9	5.9	5.6	94	84	89	NW 2	NW 4	NW 2	10²●	10²	10²●	0.5	ztw. ◯
23.	32.4	34.6	35.9	4.5	8.7	5.6	8.9	3.2	5.4	6.2	6.2	86	67	91	SW 3	SW 3	C	10²	10²	9²	**10.5**	ztw. einige ◯tropfen, p gewitterdrohende Wolken
24.	36.5	36.0	36.5	4.4	10.8	7.3	10.8	2.7	5.8	5.9	7.4	93	61	98	SE 2	SW 4	C	9²	8²⊙	9²	0.1	ztw. ◯
25.	34.3	35.7	39.2	5.9	9.7	7.1	9.9	4.1	6.9	6.2	6.3	99	69	84	SE 1	W 5	C	10²●	7²	9²	4.1	ztw. ◯
26.	42.5	44.1	46.4	6.0	10.2	4.8	10.2	4.8	6.5	6.3	6.1	93	68	96	C	W 2	C	10²	7²⊙	o≈	6.5	a ztw. ◯, p ≡
27.	47.1	47.5	48.0	5.3	9.9	6.7	10.0	2.1	6.7	8.3	7.1	100	91	98	C	W 1	W 1	10²●	10²	o≈	0.9	a ◯, m ∞, abds. ≡
28.	46.6	44.8	44.8	5.0	15.4	7.7	15.4	4.1	6.5	7.6	7.4	100	59	94	C	W 1	C	10²≈	3¹⊙	2¹≈	1.9	a, p ≡, Ψ
29.	43.4	43.4	44.7	4.4	17.1	12.5	17.3	4.0	5.8	7.8	10.3	93	54	96	SE 1	SW 2	C	4¹≈	8²	10²●	0.2	a ≡, p ◯
30.	40.8	37.9	40.7	11.2	16.5	11.2	16.5	10.9	9.7	9.4	7.5	98	68	75	SE 1	SW 3	NW 1	10²	10²	10²●	3.0	ztw. ◯⁰, ca 2–3 p ⚊
31.	38.0	36.4	37.5	8.9	11.9	9.3	12.1	7.8	6.8	6.0	6.3	80	58	72	SW 2	W 6	SW 5	5²	9²	10²	1.0	ztw. ◯ ⚊
Mittel	47.1	46.7	47.4	4.6	10.7	6.5	11.0	3.3	6.1	6.4	6.5	93	66	88				6.7	5.9	4.9	49.9	

Alle Angaben nach Ortszeit.

Ludwigshafen a/Rh.

Oktober. $\varphi = 49^0\ 29'$ N. $\lambda = 8^0\ 26'$ E = 33m 44s. H = 100.3 m. Cg = + 0.3 mm. 1912.

Datum	Luftdruck auf 0° u. Normalschwere reduziert 700 mm + 7a	2p	9p	Lufttemperatur C° 7a	2p	9p	Max.	Min.	Absolute Feuchtigkeit mm 7a	2p	9p	Relative Feuchtigkeit Proz. 7a	2p	9p	Richtung und Stärke des Windes 0 bis 12 7a	2p	9p	Bewölkung 0 bis 10 7a	2p	9p	Niederschlag mm 7a	Bemerkungen
1.	41.0	42.1	41.1	14.0	17.4	17.1	17.6	12.8	9.8	**12.0**	11.4	82	81	79	S 2	SW 2	SW 2	8^2●	10^1	10^1	1.4	n, nachm. öfters ◍^{0}
2.	41.6	43.1	45.9	15.4	17.5	11.0	**18.0**	11.0	8.9	7.0	7.8	70	47	80	W 3	SW 3	NE 2	10^2	6^1⊖	10^2	0.8	n ≡, abds. ◍^{0}
3.	49.7	53.6	57.7	7.7	9.8	6.9	11.0	6.9	5.6	4.7	5.3	71	52	72	N 1	N 1	SW 3	10^1●	10^1	10^1	3.8	n–ca 7^{30} a ◍^{1}
4.	64.6	66.8	**68.3**	1.5	10.0	4.7	10.0	1.1	4.5	3.0	3.3	89	33	52	N 1	NE 1	NE 1	0≡	5^1⊖	0	0.4	a ⌴^{1}, ≡^{1}
5.	68.0	65.3	64.9	1.2	8.9	5.4	9.7	0.1	3.2	2.8	3.5	63	33	52	NE 1	NE 2	NE 1	0●	0○	0	–	a ⌴^{1}
6.	62.4	60.0	60.2	0.3	8.0	5.0	8.6	– 0.3	3.7	3.3	4.3	83	41	66	NE 1	N 2	SW 2	○○	5^1⊖	0	–	a ⌴^{1}, t ∞
7.	61.2	59.1	59.5	0.1	10.1	6.5	10.1	– **0.4**	4.3	4.0	5.1	92	44	71	NE 1	NW 1	N 1	10^1≡	5^1⊖	0	–	a ⌴^{1}, ≡^{1}
8.	59.5	59.1	59.6	1.6	12.1	8.0	12.4	1.1	4.7	5.7	6.1	91	54	76	N 1	S 1	SE 1	10^1≡	○○	0≡	–	a ≡^{1}, ⌴^{1}; m ∞, abds. ≡^{1}
9.	60.5	60.2	60.9	6.9	14.4	8.8	14.8	4.2	5.6	5.9	5.8	76	49	69	N 1	C	N 1	10^2	○○	0	–	a ∞, ⏢
10.	62.5	61.6	61.7	5.8	13.2	9.0	13.2	5.0	5.5	5.0	5.4	81	44	63	NE 1	N 1	N 1	○○	○○	0	–	a ∞, ⏢
11.	61.9	60.5	61.3	2.3	12.2	6.6	12.5	2.0	5.2	5.1	6.0	96	49	83	N 1	S 1	N 1	10^2≡	1^1⊖	0	–	a ≡^{1}, ⌴^{2}
12.	62.6	62.9	62.5	2.7	8.0	4.5	8.1	0.5	5.1	6.7	6.1	91	83	97	S 1	N 1	N 2	10^2≡	○○	10^2≡	–	a ≡^{1}, ⌴^{0}; bis ca 10^{30} a ≡, dann ∞, abds. ≡^{1}
13.	63.6	63.6	63.6	2.8	5.1	4.8	5.1	2.2	5.5	6.4	5.9	98	97	92	SE 1	SE 2	C	10^2≡	10^2≡	10^2≡	–	n ⏢, t anhaltend ≡^{1}
14.	64.0	62.7	62.1	4.3	7.2	5.1	7.2	4.0	6.0	6.7	6.6	97	89	100	SW 2	S 1	SW 1	10^2≡	10^2≡	10^2≡	0.2	n ⏢^{2}, ca 8^{30} a ≡^{2}, dann ≡^{1}, ca 6^{30} p ab ≡^{2}
15.	61.0	61.7	61.8	6.8	9.6	9.3	9.6	3.0	7.0	8.4	8.5	94	95	98	SE 1	SE 1	SE 1	10^2≡●	10^2	10^2≡	0.5	a–ca 9^{30} a ≡^{1}-Reissen, ca 0 p ∞, abds. ≡^{1}
16	60.7	59.1	57.3	6.2	9.4	8.5	9.4	6.0	7.0	7.9	7.9	99	89	96	E 1	SE 1	SE 1	10^2≡	10^1	10^1	3.6	a ≡^{2}
17.	55.3	55.3	58.8	9.5	13.0	8.6	13.6	8.0	8.5	10.5	7.0	96	95	84	SW 2	SW 1	W 1	10^2●	10^2	0	0.3	n ⏢^{2}, ca 6^{30} a–nachm. anhaltend ≡Reissen
18.	61.6	60.6	61.0	5.0	11.9	7.2	12.8	4.8	6.1	6.6	6.3	94	64	83	S 1	SW 1	SW 1	10^2≡	7^2	0	1.9	a ≡^{1}
19.	56.9	54.3	54.1	6.0	9.2	8.0	9.2	5.1	6.1	7.5	7.6	88	87	94	S 2	SW 1	SW 1	10^2	10^2	0	–	ca 9–10^{30} a ◍^{2}
20.	53.3	52 6	51.7	4.1	10.6	8.2	10.8	3.4	5.9	6.8	6.5	97	72	81	SE 1	SE 1	SE 1	10^2≡	10^1	10^1	**7.8**	a ≡^{1}
21.	46.9	43.3	43.7	6.2	12.8	9.5	13.0	6.0	5.4	5.8	7.1	76	53	80	SE 2	S 1	SW 1	10^2	5^1⊖	10^2●	–	abds. ◍^{0}
22.	42.2	40.6	39.2	6.9	8.0	6.3	9.5	6.2	6.9	5.8	5.9	93	72	83	C	W 1	C	10^2●	10^2	10^2●	4.8	n–ca 9 a, nachm. u. abds. ◍^{1}
23.	40.2	42.0	42.7	5.4	7.2	6.8	8.1	5.0	6.3	6.1	6.1	94	80	82	C	S 1	SW 1	10^2●	10^2	10^2	**7.8**	n–ca 0 p anhaltend ◍^{1}, zuletzt ganz schwach
24.	43.2	42.9	43.2	6.2	10.2	7.9	10.2	5.2	6.2	7.0	7.1	88	76	89	S 1	C	S 1	9^2	10^2	10^2	1.7	vorm. u. nachm. öfters ◍^{0}
25.	40.4	44.2	47.4	7.4	8.4	6.8	9.0	6.6	7.1	6.4	6.1	93	78	82	S 1	SW 1	SW 1	10^2●	10^2●	5^1	3.6	n ◍^{1}, vorm. u. nachm. öfters ◍^{0}
26.	49.9	51.5	53.4	6.9	11.9	8.7	12.0	5.8	6.5	6.8	7.1	87	66	86	S 1	C	C	10^2	10^2	10^2	1.2	
27.	54.3	55.8	54.8	8.6	16.2	12.6	16.4	8.0	7.9	10 3	9.6	95	75	89	S 2	SW 2	SW 1	10^2●	10^1	0	0.8	n–ca 7 a ◍^{0}
28.	52.8	51.5	51.9	9.2	16.3	12.8	16.8	7.8	7.5	8.2	7.7	87	59	70	SE 1	C	C	0	10^2	5^1	–	n ⏢^{2}
29.	49.8	50.7	51.5	11.2	17.2	13.0	17.2	10.1	6.9	8.6	10 2	69	59	93	S 1	S 2	SW 1	10^0	10^2	10^2●	–	abds. ◍^{1}
30.	46.5	47.4	47.4	13.1	13.4	10.8	14.4	10.8	10.3	8.3	8.2	93	73	86	SE 1	SW 1	SW 4	10^2●	10^2	10^2	6.8	n ◍^{1}, a, vorm. u. nachm. öfters ◍
31.	45.5	44.1	46.3	9.6	11.8	9.5	12.0	9.0	8.4	6.7	6.6	95	65	75	S 2	SW 3	SW 4	10^2●	10^2	10^2	3.6	n ≡, ◍^{1}; bis ca 10 a anhaltend ◍^{1}
Mittel	54.3	54.1	54.7	6.3	11.3	8.3	11.7	5.2	6.4	6.6	6.7	88	66	81				8.3	7.2	5.8	51.0	

Nürnberg.

Oktober. $\varphi = 49^0\ 27'$ N. $\lambda = 11^0\ 3'$ E = 44m 12s. H = 309.1 m. Cg = + 0.2 mm, über 735.0 mm Cg = + 0.3 mm. 1912.

1.	26.1	23.6	23.5	11.8	16.5	13.2	**17.8**	9.9	8.8	**11.9**	10.4	86	85	93	S 3	W 3	S 1	9^1●	7^1⊖	8^1	0.5	3^{16} a–5^{09} p häufig ◍$^{0.1}$; lebh. südl. bis westl. Winde, [1]
2.	23.0	24.4	26.3	14.6	15.3	11.0	16.4	11.0	11.4	8.8	8.1	92	68	82	SW 3	SW 3	SW 2	10^0	6^0⊖	0	4.0	0^{31}–10^{28} a ztw. ◍^{0}, ca 4–5 a ≡ (SW 5); p sicht. Luft
3.	29.7	33.3	37.6	4.7	7.0	5.6	11.0	4.7	5.8	6.1	6.0	90	80	81	N 4	N 2	N 2	10^0●	10^0	10^1	4.1	1^{24} a–2^{09} p ztw. ◍, abflauende nördl. Winde, unsicht. Luft
4.	44.8	47.0	**49.0**	0.9	6.1	1.2	6.9	0.9	4.3	2.9	3.1	87	40	62	N 1	N 3	NE 2	○○	1^0⊖	0	–	ab 2 a Aufklaren, 6 a ⌴^{1}, auffr. nördl. bis östl Winde, [2]
5.	48.8	46.3	45.4	– 2.1	6.0	1.2	6.2	– **3.0**	2.9	**2.5**	3.6	75	**36**	72	E 1	NE 3	E 2	0≡	○○	0	–	5 a ⌴^{2}, a ≡$^{0.1}$, mässige östl. Winde, sichtige Luft
6.	42.6	40.1	39.7	– 1.9	7.4	4.0	7.9	– 2.6	3.3	3.9	5.0	84	50	82	E 2	E 2	N 2	○○	○○	10^1	–	5 a ⌴^{2}, 6–9 a ≡^{0}, ab 3 p zunehmende Bewölkung, [3]
7.	40.8	40.4	40.3	3.9	9.7	5.4	10.1	3.4	5.4	4.7	5.6	88	52	83	N 1	NE 2	W 2	4^0⊖	8^0	0	–	6–10 a ≡$^{1-2}$, a sichtige, p weniger sichtige Luft
8.	39.6	39.8	40.8	2.5	12.3	7.4	12.4	1.8	4.8	5.7	5.8	87	53	76	N 1	E 2	E 2	7^0	6^0⊖	0	–	a ⏢ ≡^{0}, t wenig sichtige Luft
9.	42.0	41.6	42.6	3.5	12.8	7.2	13.0	3.3	5.5	4.7	5.4	93	43	72	E 2	E 3	E 2	0	○○	0	–	ab 3 a Aufklaren, ⌴^{0}, 5–9 a ≡^{0}, ab 11 a klar, auf- [4]
10.	43.5	43.0	43.3	2.8	11.3	6.7	12.0	1.9	4.9	4.6	5.1	88	47	70	E 2	E 2	E 2	0	○○	0	–	5 a ⌴^{1}, 5–8 a ≡^{0}, p sehr sichtige Luft
11.	43.1	41.9	42.7	– 1.1	10.5	3.7	10.9	– 1.3	4.0	4.9	5.2	94	52	87	E 2	C	C	0	6^0⊖	0	–	5 a ⌴^{2}, 6–10 a ≡^{0}, t cirrus-Schleier, wenig sicht. Luft
12	43.4	43.6	43.5	1.5	7.8	1.9	8.9	– 0.7	4.9	5.6	5.3	96	71	100	SE 2	N 1	SE 1	10^1≡	○○	0≡	–	n–5 a klar, ab 5 a Hoch≡, a u. abds. ≡^{1}, p ≡^{0}
13.	44.2	44.3	44.8	0.5	6.3	1.5	7.1	– 1.7	4.6	6.0	5.0	96	84	98	SE 1	S 1	C	0≡	○○	0≡	–	5 a ⋁^{1}, a u. abds. ≡^{2}, p ≡^{0}
14.	44.8	**42.9**	42.3	0.0	13.4	7.4	15.0	– 0.5	4.5	7.3	6.5	98	64	85	SE 1	SW 2	S 1	8^0	1^0⊖	0	–	5 a ⌴^{1}, a ≡^{2}, abds. ≡^{0}, Sichtigkeit wechselnd
15.	41.1	41.6	42.4	5.4	8.6	5.5	9.0	3.2	6.0	7.9	6.8	89	95	100	SW 1	NE 1	C	0≡	10^1≡	0≡	–	a klar, 5 a ⏢^{1}, a ≡^{1}, m ≡^{0}, abds. ≡^{2}, 5 a–2^{29} p [5]
16.	42.0	40.3	38.9	5.0	9.4	6.1	11.0	4.4	6.3	7.9	6.6	97	89	95	C	C	SE 2	0≡	6^0⊖	0	3.7	n u. a ≡^{2}, 1–7 p ≡^{0}, t unsichtige Luft
17.	37.2	36.1	37.9	8.2	12.2	9.2	14.9	5.7	7.6	9.6	7.6	93	91	89	SE 1	NW 2	W 1	9^1	10^1●	10^1●	0.2	4^{34} a–7^{43} p ztw. ◍, 6–10 a ≡^{0}, abds. ◍, unsicht. Luft
18.	41.8	41.0	41.0	4.7	9.4	6.4	11.2	4.4	6.1	5.4	6.4	96	61	90	W 1	NW 2	W 2	10^1	5^1⊖	10^1●	3.6	n ◍, 5 a ⏢^{2}, 7–11 a ≡^{0}, abds. ◍
19.	38.3	34.8	34.3	5.1	7.1	6.7	8.2	3.9	5.9	6.6	6.9	90	87	94	S 2	SW 3	SW 2	10^0	10^1●	7^1	0.6	n u. t ztw. ◍^{0}, 6–10 a ≡^{0}, t unsichtige Luft
20.	33.6	33.2	33.3	5.8	9.1	3.9	9.2	3.9	6.6	5.8	5.5	96	67	90	W 2	W 2	S 2	10^1	10^1	0	2.6	n ◍^{0}, 6–11 a ≡^{0}, p sichtige Luft
21.	29.8	26.7	25.3	3.0	11.4	8.2	11.9	1.9	5.5	5.6	6.1	96	56	75	SE 2	SE 3	SE 2	10^0≡	1^1⊖	10^1	–	9^{45} p ψ, 5 a ⌴^{1}, 6–11 a ≡$^{0.2}$, p sichtige Luft
22.	22.7	20.5	19.2	5.5	7.1	3.4	8.2	3.4	5.7	7.6	6.0	5.5	85	80	95	NE 2	NE 2	NW 2	10^1	10^1	10^1●	–	6–9 a ≡^{0}, p u. abds. ◍$^{0.1}$
23.	21.8	23.8	25.0	3.3	7.7	4.9	8.2	2.1	5.3	5.3	5.7	92	68	87	SW 3	S 2	SE 2	10^1	7^1	6^1	**5.2**	n ✳. 6–10 a ≡^{0}, p sichtige Luft, 7^{44} p ψ
24.	26.0	25.1	25.5	3.7	9.7	7.0	9.9	2.3	5.1	5.8	6.6	85	64	88	SE 2	SW 2	SE 2	10^1	9^1	10^1	–	6 a ⏢, 6–11 a ≡^{0}, p sichtige Luft. 6^{34}–8^{12} p ◍^{0}
25.	23.7	24.9	28.1	4.9	7.5	6.5	8.9	4.4	5.9	7.1	6.0	92	91	83	SE 2	SW 2	SW 2	10^1	9^0	10^1	1.5	t häufig ◍$^{0.1}$, ca 5^{45} p ≡ (SW 5)
26.	31.1	32.5	34.9	5.6	8.1	5.1	8.8	5.1	6.1	6.7	6.1	89	83	94	SW 2	N 1	SE 1	9^1≡	6^1	0≡	3.2	n u. t ztw. ◍, mrgs. u. abds. ≡$^{0.1}$
27.	36.1	36.8	36.8	5.1	10.0	10.0	11.2	2.1	5.9	8.7	9.0	90	95	99	SE 2	SE 2	S 2	10^1≡	10^0	8^1	2.4	5 a ⏢^{0}, n u. a ≡^{2}, a ≡Reissen, t häufig ◍^{0}
28.	35.7	34.0	34.3	6.6	14.5	9.9	15.0	6.4	7.0	8.6	8.4	96	70	92	SW 1	SE 1	S 1	10^1≡	5^1⊖	2^1	1.0	n–10 a ≡$^{0.2}$, 1–3 a ≡Reissen, p sehr sichtige Luft
29.	33.1	33.1	33.6	7.4	16.5	11.8	16.7	6.9	6.0	7.3	7.1	79	53	69	S 1	S 2	S 2	8^1	7^1⊖	9^1	–	9^{45} p ψ, 6 a ⏢^{0}, 6–11 a ≡^{0}
30.	29.6	28.7	29.8	10.4	11.4	10.4	15.2	9.9	6.8	8.2	7.7	73	82	82	S 1	S 1	W 2	10^1	10^1	10^1	–	t häufig ◍^{0}, 8 a–1 p ≡^{0}, 4^{15} p ≡ (W 5)
31.	27.7	26.7	26.4	8.3	11.5	8.4	12.0	7.9	7.0	6.0	6.5	87	59	79	W 1	NW 2	W 1	9^1	7^1⊖	10^1	1.9	t ztw. ◍, 9^{45} a ≡ (SW 5), 4^{45} p ≡ (SW 6)
Mittel	35.8	35.2	35.8	4.5	10.1	6.5	11.2	3.4	5.8	6.4	6.3	90	68	86				6.5	5.7	4.5	34.5	

Alle Angaben nach Ortszeit.

[1] ztw. ≡, sichtige Luft. [2] sehr sichtige Luft.
[3] ab 7 p bedeckt, sichtige Luft.
[4] frischender Ostwind, wenig sichtige Luft.
[5] meist ◍$^{0.1}$, sehr unsichtige Luft.

Kaiserslautern.

Oktober. $\varphi = 49^0\ 27'$ N. $\lambda = 7^0\ 46'$ E $= 31^m\ 4^s$. H $= 242.2$ m. Cg $= +0.3$ mm. 1912.

Datum	Luftdruck auf 0^0 u. Normalschwere reduziert 700 mm +			Lufttemperatur C°					Absolute Feuchtigkeit mm			Relative Feuchtigkeit Proz.			Richtung und Stärke des Windes 0 bis 12			Bewölkung 0 bis 10			Niederschlag mm	Bemerkungen
	7^a	2^p	9^p	7^a	2^p	9^p	Max.	Min.	7^a	2^p	9^p	7^a	2^p	9^p	7^a	2^p	9^p	7^a	2^p	9^p	7^a	
1.	28.7	30.1	29.0	15.6	16.0	15.7	16.0	12.8	9.8	11.1	**11.8**	75	82	89	W 8	W 4	W 6	10^2●	10^1	10^2	3.0	n ◯ ⚊, a–7^{46} a, 10^{51}–11^{01} a ◍^{2} ⚊, p–n ztw. ⚊. $^{1)}$
2.	29.8	31.3	33.5	13.1	15.7	9.9	16.0	9.9	9.4	7.3	8.1	85	56	89	NW 2	W 2	C	10^1	10^2	10^1	4.3	n ◍ ⚊, a ztw. ⚊, 6^{21}–8^{01} p ◍
3.	37.3	40.7	45.0	5.9	8.3	5.3	9.9	5.1	5.7	5.2	4.9	83	63	74	E 1	N 1	C	10^2●	10^1	0	4.6	n, a–9^{01} a ◍$^{0.1}$
4.	51.3	53.0	**54.3**	1.8	7.9	1.9	8.5	– 0.1	4.7	3.7	3.7	90	46	69	C	E 3	E 1	5^0	3^0◎	0	0.1	a ⌊, ≡^{2}, ≡^{2}
5.	53.7	51.8	50.6	– 0.8	6.7	0.5	7.2	– 2.3	3.4	**3.0**	3.6	79	**41**	75	E 1	E 2	C	0◎	0◎	0	–	a ⌊^{2}, t ∞
6.	48.7	47.0	46.9	– 1.8	5.9	0.1	6.1	– 2.8	3.4	3.5	3.9	86	50	85	S 1	E 2	C	0◎	5^0◎	0	–	a ⌊^{2}, ≡^{0}. p ∞
7	47.5	46.0	46.1	– 3.0	8.7	1.8	9.1	– **4.1**	3.3	4.2	4.8	91	50	91	C	E 2	C	5^0	3^0◎	0	–	a ⌊^{2}, ≡^{2}. abds. ∞
8.	46.0	45.8	46.3	– 0.6	10.9	2.9	11.3	– 1.0	4.3	5.5	5.2	98	56	93	E 1	E 1	C	7^1	1^0◎	0	–	a ⌊^{2}, ≡^{1}. p ∞. abds. ≡^{2}
9.	46.6	46.7	47.6	5.0	12.5	4.3	12.9	1.2	5.5	5.9	5.7	84	54	92	E 1	E 3	C	10^1	0◎	0	–	a, t ∞. abds. ≡^{2}
10.	48.7	48.1	48.5	2.0	11.3	3.0	11.6	0.2	4.8	5.6	5.2	91	57	91	C	NE 2	C	5^0	0◎	0	–	a ⌊^{2}, ∞
11.	48.1	47.0	48.2	– 0.5	11.7	2.4	12.0	– 1.5	4.3	5.7	5.0	96	55	91	C	E 2	C	2^0	1^0◎	0	–	a ⌊^{2}, ≡^{0}
12.	48.7	48.6	49.2	– 1.5	12.2	2.8	13.0	– 2.0	4.1	7.2	5.5	100	68	98	SE 1	E 1	C	10^2=	0◎	0	–	a ≡^{2}, ⌊^{2}; dann ≡^{2}. abds. ≡^{2}, ∞
13.	49.3	48.9	50.0	0.2	13.9	4.3	14.5	0.0	4.7	8.2	5.8	100	69	93	C	C	C	10^2=	0◎	0	–	a ≡^{2}, ⌊^{0}. abds. ≡^{2}
14.	50.1	48.7	48.4	0.4	13.7	4.9	14.4	0.1	4.7	6.4	6.0	100	55	94	C	W 2	C	10^0=	0◎	0	–	a ≡^{2}, ⌊^{2}
15.	47.9	48.4	48.4	6.5	9.3	8.9	10.0	3.1	7.0	8.5	8.5	98	98	100	W 1	C	C	10^2●	10^2	10^2=	2.1	n, a–8^{31} a ◍. p ≡^{2}, bis n ≡
16.	47.1	45.8	44.2	6.7	9.7	8.1	10.7	6.2	7.3	8.3	7.8	100	92	98	C	C	C	10^2=	10^1	10^1	1.0	a ≡^{2}. p ≡^{2}, ∞
17.	42.5	42.7	46.2	10.4	12.0	6.1	12.6	6.1	9.0	9.3	6.8	96	90	97	W 2	W 2	C	10^2	10^2	0	0.6	n ◍^{0}. 8^{01}–6^{01} p ztw. ◍. ∞
18.	48.6	47.5	47.7	3.2	10.1	5.3	10.5	2.1	5.7	6.5	6.0	98	71	91	C	W 2	C	10^1	1^1◎	7^1	3.0	a ⌓, ≡^{2}. t–n ∞
19.	44.0	41.7	41.8	6.5	8.3	7.7	8.9	4.0	6.4	7.5	7.8	88	92	100	W 2	W 2	C	10^2	10^2●	9^1	–	8 a an, p–ca 5^{30} p ztw. ◍
20.	41.1	40.0	38.3	3.0	8.3	6.1	9.0	2.1	5.7	6.6	6.2	100	81	88	C	W 2	C	10^2=	9^2	0	1.5	a ⌓, ≡
21.	34.1	30.6	30.9	6.7	11.5	7.7	12.0	5.0	5.5	5.9	7.2	76	58	91	C	SW 1	C	7^1	9^1	10^2●	–	5^{01} p–n ◍^{0}
22	30.1	28.8	**27.1**	5.4	7.6	5.9	8.0	5.0	6.2	5.7	6.1	92	73	88	N 1	C	C	10^1	10^1	10^2●	2.6	n ◍. a, p ∞. 7^{01} p–n ◍^{0}
23.	28.0	29.4	30.1	5.1	6.3	5.9	6.8	4.1	5.9	6.3	5.8	90	88	84	W 1	W 1	C	10^2●	10^2●	10^1	2.3	n, a, p–3^{16} p ◍
24.	30.7	30.5	30.3	6.4	7.7	6.1	8.6	4.1	6.4	7.1	6.5	90	90	95	W 1	SW 1	C	9^1	10^2●	7^1	3.0	n ◍. a ≡^{1}. 9^{01} a–4^{01} p ztw. ◍
25.	28.1	31.8	34.8	6.4	7.7	5.7	8.0	4.0	6.7	6.5	6.0	93	83	88	S 1	W 2	W 2	10^2	10^2	0	5.5	n, 7^{39} a–1^{31} p, ca 3^{30}–6^{56} p ztw. ◍
26.	37.5	38.7	40.1	6.0	9.9	7.7	10.1	4.5	6.5	6.9	7.2	93	76	91	SW 1	W 2	W 1	7^1	10^2	10^1	6.1	a ztw. ◍tropfen. 7^{46} p–n ztw. ◍^{0}
27.	41.0	42.0	41.6	9.5	15.1	8.8	15.2	7.0	8.7	9.5	7.5	99	74	89	C	SW 2	W 1	10^2	7^1◎	0	0.6	n ◍^{0}. a ≡^{2}
28.	40.1	38.8	39.1	8.9	15.7	13.3	16.1	3.5	7.6	7.7	7.3	89	58	64	W 1	SW 2	W 3	3^0	10^1	5^1	0.2	n ◍^{0}. a ⌓. abds.–n ztw. ⚊
29.	37.2	37.8	38.7	14.1	16.1	11.9	**16.8**	11.0	7.7	9.9	9.9	64	73	96	W 3	W 3	C	9^1	10^2	10^2●	–	a ztw. ⚊, 10^{46} a an ◍^{0}. 1^{01} p ab ztw. ◍. p ⚊
30.	33.7	35.2	34.6	13.1	11.0	10.3	13.9	10.3	10.2	8.4	7.8	91	87	83	W 3	W 2	W 3	10^2●	10^2●	5^1	**15.0**	n ◍^{2}. a ◍$^{1.2}$. p–3^{26} p ztw. ◍, dann ztw. ⚊. $^{2)}$
31.	33.0	31.8	34.4	7.9	9.8	8.4	10.3	7.5	6.5	7.3	6.9	82	82	84	W 4	NW 6	NW 3	10^2●	10^2●	10^1	13.2	n, t meist ◍, bis 5^{01} p ⚊
Mittel	41.3	41.1	41.7	5.2	10.7	6.3	11.3	3.4	6.2	6.8	6.5	90	70	89				8.0	6.4	4.3	68.7	$^{1)}$ 9^{51}–3^{06} p ◍, dann bis n ztw. ◍. 7^{21} p ↖. $^{2)}$ $6^{31.41}$ p ↖ im W.

Ansbach.

Oktober. $\varphi = 49^0\ 18'$ N. $\lambda = 10^0\ 33'$ E $= 42^m\ 12^s$. H $= 437.5$ m. Cg $= +0.2$ mm. 1912.

1.	14.3	13.1	12.8	11.6	15.8	13.0	**18.2**	10.1	8.6	**11.2**	9.7	85	84	88	S 4	W 4	SW 4	6^2	6^2	8^2●	1.2	4^{42}–6^{27} a ◍. t ztw. ◍. 9 p ◍
2.	12.8	13.5	15.7	14.0	14.0	9.2	15.4	9.1	10.8	8.7	7.5	92	74	89	W 6	W 4	W 2	10^2●	8^2	0	3.6	7 a ◍. t ztw. ◍
3.	18.3	22.1	26.5	5.1	5.3	4.3	10.0	2.7	5.8	5.6	5.6	90	86	91	N 2	NW 2	C	10^2●	10^2●	10^2	4.6	7 a ◍. t ztw. ◍
4.	33.0	35.4	**37.3**	0.5	5.8	– 0.9	5.8	– 0.9	4.0	**2.8**	3.1	85	**40**	71	NE 2	NE 2	NE 2	0◎	0◎	0	2.8	mrgs. ⌊
5.	36.8	34.7	33.5	– 4.0	5.5	– 0.5	6.0	– 4.8	2.9	2.8	2.9	84	42	66	NE 2	E 2	C	0◎	0◎	0	–	mrgs. ⌊
6.	30.8	28.6	28.1	– 4.2	6.2	3.3	7.0	– **4.8**	3.2	3.6	4.7	95	51	82	C	E 2	C	0◎	2◎	10^2	–	mrgs. ⌊
7.	29.3	28.8	28.8	**2.6**	8.4	3.7	8.8	2.1	4.5	4.6	5.2	81	56	88	C	E 4	C	2^0◎	2◎	0	–	
8.	28.1	28.4	**29.6**	1.3	10.2	6.6	11.0	0.6	4.7	5.3	6.4	92	58	89	C	E 2	C	4^0	2◎	10^2	–	mrgs. ⌊
9.	30.2	30.0	31.2	4.8	12.4	5.1	12.8	4.0	5.6	5.4	5.3	88	51	83	NE 2	E 4	C	6^1	0◎	0	–	mrgs. ≡^{0}
10.	31.9	31.3	31.7	0.6	11.0	3.9	11.4	– 0.2	4.5	5.0	5.2	94	52	86	C	E 4	C	0◎	0◎	0	–	mrgs. ⌊, ≡^{0}
11.	31.5	30.3	31.3	– 3.0	10.4	1.1	11.0	– 3.0	3.4	5.0	4.7	94	54	94	C	NE 2	C	0◎	2^0◎	0	–	mrgs. ⌊, ≡^{1}
12.	31.8	32.1	32.1	2.4	10.4	0.9	11.0	0.0	5.2	5.4	4.7	94	58	96	SW 2	C	C	10^2	0◎	0	–	
13.	32.2	32.7	33.4	– 1.4	8.6	2.3	9.6	– 2.7	3.8	7.0	4.1	92	85	91	C	E 2	C	10^2=	0◎	0	–	mrgs. ≡^{2} ⌊
14	33.1	31.9	31.2	– 0.7	14.6	5.1	**14.8**	– 0.8	4.0	5.9	6.1	92	48	94	C	SW 2	C	10^2=	0◎	0	–	mrgs. ≡^{2} ⌊
15.	29.9	30.7	31.5	8.1	9.0	4.4	9.6	3.5	6.5	7.5	5.7	80	88	92	W 2	N 2	C	10^2	10^2●	10^2=	–	t ztw. ◍. abds. ≡^{2}
16.	30.3	28.8	27.5	1.3	10.8	6.2	11.2	0.9	4.8	7.3	6.8	96	74	96	C	C	C	10^2=	4^0◎	0	3.9	mrgs. ≡^{2}
17.	25.9	24.9	27.2	8.4	12.6	8.2	14.2	5.2	7.5	9.0	7.3	93	84	92	SW 2	W 4	NW 2	4^1	10^2●	10^2●	–	t ztw. ◍. 9 p ◍
18.	30.6	30.0	30.1	3.5	8.5	5.1	9.0	3.5	5.3	5.9	6.0	90	71	93	W 2	W 4	C	10^2	6^1	10^3●	5.8	8^{07} p ab ◍
19.	27.0	23.5	23.6	3.6	6.0	6.4	6.8	2.7	5.4	6.5	6.8	93	93	94	SW 2	SW 6	W 4	6^1	10^2●	10^2	1.6	10^{42} a ab ◍
20.	22.6	22.2	21.8	4.8	8.3	3.7	8.8	3.3	6.0	5.4	5.0	94	66	84	W 2	NW 2	SW 4	10^2	8^2	0	3.5	
21.	18.2	15.3	13.2	2.6	10.6	7.5	11.0	0.2	5.2	5.3	6.2	94	56	80	S 2	S 2	S 2	8^1	4^0◎	8^1	–	
22.	11.3	09.7	08.2	5.0	4.8	1.0	**8.2**	0.4	5.9	5.8	4.7	91	91	94	N 2	NW 2	W 2	10^2	10^2●	10^2✱	–	0^{32} p ab ◍. 7^{22} p ab–n ✱
23.	10.3	12.6	13.4	2.4	6.9	3.7	7.8	0.4	5.1	5.1	5.5	93	69	93	SW 2	SE 2	S 2	10^2	10^2	8^1	**7.9**	
24.	14.1	13.7	14.2	2.3	9.6	5.3	9.8	1.7	5.0	6.0	6.0	93	67	91	S 2	S 2	S 2	10^2	6^1◎	0	–	5^{37}–7^{22} p ◍
25.	12.0	14.2	17.4	4.5	7.7	5.2	8.0	**2.7**	6.0	6.3	5.5	96	81	84	SE 2	SW 4	W 4	10^2●	10^2	10^2	3.8	mrgs., t ztw. ◍
26	20.0	21.4	23.8	4.7	8.6	3.7	8.8	3.3	6.0	5.7	5.8	94	68	**97**	W 2	W 2	C	8^2	6^1	4^1	5.2	t ztw. ◍
27.	24.4	25.5	25.8	5.7	12.8	7.9	12.8	1.7	6.4	9.6	7.3	94	88	92	S 2	SW 2	C	10^2●	10^2	0	0.7	mrgs. ◍. abds. ≡^{0}
28.	24.2	22.9	23.4	5.5	16.0	9.6	16.0	5.0	6.1	8.9	7.7	91	65	87	SW 2	SW 2	SW 2	10^2=	4^0◎	2^0	0.5	mrgs. ≡^{2}
29.	21.7	21.9	22.9	8.0	17.1	12.3	17.2	6.8	6.1	7.7	8.0	76	53	75	SW 2	SW 2	W 2	4^0	8^1	8^1	–	
30.	18.1	17.3	18.7	10.0	11.5	8.8	15.0	8.7	7.5	8.5	7.4	82	84	89	S 2	S 4	SW 4	10^2●	10^2●	10^2	1.8	n, a ◍. Morgenröte. t ztw. ◍. nachm. ⚊
31.	16.6	15.1	15.8	7.2	10.6	7.0	11.0	6.8	7.0	5.2	6.4	94	56	86	SW 2	W 8	W 6	10^2	4^1◎	10^2	3.9	4^{27} p ab ◍ u. ⚊
Mittel	24.2	24.0	24.6	3.8	10.0	5.3	10.9	2.2	5.6	6.3	5.9	90	68	88				7.0	5.2	4.8	50.8	

Alle Angaben nach Ortszeit.

Regensburg.

Oktober. $\varphi = 49^0\ 1'$ N. $\lambda = 12^0\ 7'$ E $= 48^m\ 28^s$. H $= 354.3$ m. Cg $= +0.2$ mm. 1912.

Datum	Luftdruck auf 0^0 u. Normalschwere reduziert 700 mm +			Lufttemperatur C°					Absolute Feuchtigkeit mm			Relative Feuchtigkeit Proz.			Richtung und Stärke des Windes 0 bis 12			Bewölkung 0 bis 10			Niederschlag mm	Bemerkungen
	7^a	2^p	9^p	7^a	2^p	9^p	Max.	Min.	7^a	2^p	9^p	7^a	2^p	9^p	7^a	2^p	9^p	7^a	2^p	9^p	7^a	
1.	25.2	21.7	20.9	7.2	19.3	13.8	**19.8**	6.4	7.1	9.0	9.6	94	54	82	E 1	SW 5	C	10^1●	10^2	10	0.5	
2.	20.7	22.7	23.4	13.9	13.4	10.6	15.0	10.6	**11.1**	10.1	9.3	95	89	98	SW 4	W 3	C	10^1●	10^1	6^0	2.3	früh ◍
3.	24.8	28.6	33.2	9.1	5.0	5.2	11.0	5.0	7.7	5.6	5.7	91	86	86	SW 3	N 2	C	10^1●	10^1●	10	**8.6**	mrgs. ◍
4.	40.0	42.6	44.5	3.2	5.7	1.2	6.2	1.1	4.6	3.0	3.6	80	44	72	N 4	NE 1	C	8^1	3^0⊙	0	3.7	
5.	**44.7**	42.7	41.2	− 2.8	4.3	− 0.4	5.3	− **3.1**	**2.1**	3.0	3.8	57	48	85	C	E 1	C	3^0⊙	4^0⊙	0	−	⌴, m ∞
6.	38.4	36.1	35.5	− 1.2	6.8	3.2	7.7	− 2.9	3.2	4.0	4.8	76	54	83	C	NE 3	C	3^0	5^0⊙	1	−	⌴
7.	37.2	37.2	36.5	2.8	7.7	5.5	8.0	2.4	5.0	5.3	5.1	89	68	76	C	C E 4		10^1	10^1	00	−	
8.	35.0	36.0	37.3	4.6	7.8	7.0	8.4	4.0	5.0	6.0	6.2	79	76	82	E 2	E 3	C	10^1	10^1●	10	−	2^{00} p einzelne ◍tropfen
9.	37.5	37.6	38.6	6.8	11.8	7.0	12.3	6.3	6.2	5.3	5.4	84	51	72	E 2	E 5	C	10^1	5^0	0	−	
10.	39.4	39.1	39.7	1.8	9.8	4.0	11.0	1.8	4.7	5.0	5.3	90	56	87	C	E 2	C	4^0⊙	3^0⊙	0	−	7^{00} a, 2^{00} p ∞
11.	39.5	38.4	39.0	− 1.6	8.1	2.0	8.6	− 1.9	3.7	5.8	4.8	92	72	91	C	E 1	C	4^0	3^0⊙	0	−	∞, 2^{00} p ∞
12.	40.0	40.4	40.4	− 0.2	4.8	2.8	5.0	− 1.2	4.5	4.8	5.3	100	74	94	C	C	C	10^1≡	10^1	10^0	−	≡1
13.	40.6	41.0	41.9	1.2	5.1	2.2	5.2	1.0	4.8	5.6	5.2	96	86	96	C	C	C	10^2≡	10^0	10^1≡	−	t meist ≡2
14.	41.6	41.5	39.6	1.0	4.7	3.2	5.6	0.8	4.8	5.9	5.6	98	92	97	E 1	E 2	C	10^2≡	10^1	10^2≡	−	≡2
15.	38.2	37.9	38.8	3.1	5.8	5.5	6.6	2.6	5.5	6.5	6.5	96	94	97	E 2	E 1	C	10^1	10^1●	4^0	0.2	⌓, ca 8 a ◍, abds. ≡0
16.	38.6	36.5	35.8	2.4	8.4	2.7	8.4	2.0	5.5	6.2	5.3	100	76	94	C	E 2	C	10^2≡	8^0⊙	10^0	2.6	ca 10 p ≡, ≡2
17.	34.6	33.0	33.2	3.6	10.5	10.1	11.8	0.3	5.5	8.1	8.9	93	87	96	E 3	SE 4	C	10^1	6^0⊙	10^1●	−	9^{00} p ab ≡$^{05/13}$ p, 9^{00} p ◍
18.	37.3	37.5	37.5	4.8	8.4	3.3	10.1	3.3	6.0	5.8	5.1	94	70	88	W 4	W 3	C	10^1	7^1	9^0	3.7	
19.	35.6	32.6	31.0	2.2	6.2	6.2	8.0	2.0	4.9	5.8	6.5	91	82	91	C	SW 3	W 4	5^0	10^1●	5^0	−	ca 1 p ◍
20.	29.8	29.5	30.2	5.6	8.9	3.3	9.0	3.2	6.3	5.7	5.3	93	67	92	C	W 4	C	7^0	10^1	0	0.8	
21.	27.1	24.0	23.0	1.2	8.9	5.6	9.8	0.2	4.8	6.2	6.2	96	73	91	C	SE 2	E 1	10^1≡	3^0⊙	10^0	−	≡1
22.	18.3	16.2	15.3	4.6	8.6	4.6	8.8	3.0	5.3	5.8	5.4	84	69	86	NE 3	NE 1	W 4	10^1	10^2	10^1●	−	
23.	18.4	20.8	22.1	2.6	6.2	1.6	6.9	1.5	5.1	5.4	4.9	93	76	94	S 1	S 2	S 3	10^1	9^2⊙	3^1	1.3	
24.	22.7	22.5	22.9	0.6	6.8	4.8	8.0	0.0	4.5	6.1	5.8	94	83	90	S 2	S 3	SE 2	10^1	9^1	10^1●	−	⌓
25.	21.9	22.6	25.2	1.7	6.4	4.0	7.8	1.2	4.7	6.4	5.5	91	90	90	E 2	S 1	SW 4	10^0	10^1	7^1	−	ca 9 a ◍
26.	27.4	29.1	31.8	4.0	7.9	3.3	8.2	3.0	5.3	6.3	5.3	87	79	92	SW 2	W 4	C	5^0	10^2	10^0	0.6	11^{23} a–m, 4^{38}–5^{03} p ◍, 9^{00} p ☋
27.	33.5	33.9	34.2	2.7	7.2	6.6	7.4	1.0	5.4	7.1	7.1	96	94	98	W 1	SE 3	E 3	10^1≡	10^0≡	10^1≡	0.8	t ≡2, ca 8 a ◍0, 9^{00} p ≡1
28.	33.1	32.2	32.4	5.0	8.1	6.2	8.8	3.2	6.3	7.3	6.9	97	91	97	SE 3	SE 3	E 4	10^1≡	10^1	10^2≡	1.2	≡2, 9^{00} p ≡2
29.	31.6	31.1	31.5	3.2	8.4	6.2	8.9	2.9	5.6	7.2	6.5	97	88	91	SE 4	E 3	E 2	10^2≡	9^1⊙	7^1	−	≡2
30.	28.2	25.8	26.9	4.1	8.4	9.0	9.9	3.7	5.6	6.9	7.5	92	84	88	E 2	SE 2	C	10^1	10^1	10^1	−	n ◍
31.	25.6	24.5	23.4	7.2	8.8	7.9	10.0	7.1	6.9	6.5	6.6	91	77	83	S 3	S 3	SW 5	10^1●	10^2	9^1●	1.4	bis ca 10 a ◍, ab 8^{38} p ◍
Mittel	32.5	32.1	32.5	3.4	8.0	5.1	9.0	2.3	5.4	6.1	6.0	91	75	89				8.7	8.2	6.8	27.7	

Passau.

Oktober. $\varphi = 48^0\ 34'$ N. $\lambda = 13^0\ 28'$ E $= 53^m\ 52^s$. H $= 309.3$ m. Cg $= +0.2$ mm. 1912.

1.	29.7	26.4	26.3	5.9	17.2	11.7	**17.2**	4.3	6.6	8.9	9.8	96	61	96	C	C	C	10^2≡	8^2	8^1	−	a ≡2, ca 2–3 p ◍0
2.	25.2	26.6	28.5	11.7	12.6	12.1	14.7	10.6	10.1	**10.2**	9.9	99	95	95	C	C	C	10^1●	10^1●	10^1	4.2	a ◍, t öfters ◍
3.	28.6	31.8	36.0	10.2	9.3	6.9	12.1	6.9	9.0	8.4	6.5	97	96	87	C	SW 2	C	10^1≡●	10^1●	10^1	12.5	n, t ◍
4.	43.5	46.4	**48.9**	4.3	6.3	1.2	6.9	2.2	4.5	5.0	4.4	73	71	87	SE 2	SE 2	C	10^0	10^0	0	**18.0**	
5.	**48.9**	46.4	46.0	− 0.4	6.5	1.1	6.7	− **1.5**	**3.1**	3.6	4.3	70	50	87	SE 2	SE 4	SE 4	00	00	0	−	⌓
6.	41.9	39.2	39.5	0.2	11.3	4.6	11.3	− 0.6	4.0	5.6	5.7	85	56	90	SE 2	SE 2	SE 4	00	00	0	−	⌓
7.	41.5	40.9	40.1	3.2	9.5	7.5	9.6	1.7	5.4	5.8	5.7	93	65	73	C	SE 2	C	10^1≡	00	10^1	−	a ≡1
8.	38.5	39.9	41.3	4.7	9.1	7.5	9.1	4.2	6.2	6.9	7.2	97	80	93	W 2	SE 1	C	8^0	10^1	10^1	0.5	n ◍
9.	41.3	41.5	42.7	8.3	12.1	5.2	12.1	5.2	6.9	6.5	6.4	86	62	97	SE 2	SE 4	C	10^1	00	0	−	
10.	43.3	43.1	44.1	2.8	11.3	5.1	11.3	1.9	5.0	5.6	5.3	89	56	82	SE 2	E 4	C	00	00	0	−	⌓
11.	43.5	42.0	43.1	− 0.4	10.3	3.6	10.4	− 0.9	4.3	6.0	5.5	96	64	93	C	C	C	00	00	0	−	a–ca 7 a ≡2, ⌓
12.	44.3	44.3	44.7	− 0.1	7.1	3.0	7.1	− 1.0	4.0	6.0	5.3	100	80	93	C	NW 4	C	10^2≡	10^0⊙	10^1	−	⌓, ca 9 a ≡2
13.	44.8	45.2	46.0	1.2	3.6	2.2	3.7	0.0	4.8	5.5	5.4	96	93	100	C	W 1	C	10^2≡	10^1	0	−	a–ca 9 a ≡2
14.	46.0	44.0	43.8	0.0	7.3	3.8	8.1	− 0.6	4.0	6.4	6.0	100	85	100	C	W 1	C	10^2≡	00	10^2≡	−	a ≡2 ⌓
15.	42.7	42.0	42.6	3.6	6.7	6.7	6.7	1.9	5.7	7.0	7.2	97	96	98	C	S 2	C	10^1≡	10^1●	10^1	−	a ≡2, ca 11 a–8 p ◍0
16.	42.5	41.0	40.6	3.6	11.1	4.0	11.1	3.1	5.9	6.4	5.7	100	64	93	C	C	C	10^2≡	5^0⊙	0	2.8	
17.	39.0	37.3	37.2	4.3	12.6	9.3	12.7	2.2	5.9	8.3	8.4	96	77	96	SE 1	C	C	10^1	00	10^0●	−	a ca 7 a ≡1, 8^{24} p–n ◍
18.	40.8	41.6	41.8	6.5	8.9	5.3	9.3	5.3	6.7	6.3	6.3	93	74	96	S 2	S 2	C	10^0	10^1	0	4.5	n ◍
19.	39.8	33.8	35.9	6.3	9.5	5.1	9.6	1.5	5.7	6.0	6.1	92	67	92	C	SW 4	C	10^2	10^1	10^0●	−	ca 7 a ◍tropfen, ca 8–9 p ◍
20.	33.9	33.8	34.8	6.3	8.9	5.1	9.1	5.1	6.9	6.8	6.1	98	80	92	S 1	SW 2	C	10^1	8^1⊙	0	2.3	
21.	31.5	28.1	27.4	2.2	12.4	5.1	12.4	1.8	5.2	6.3	6.2	96	59	94	C	C	C	10^1	00	0	−	a–ca 7 a ≡1
22.	22.6	**20.5**	20.9	3.8	9.7	5.9	9.7	2.1	5.6	7.2	6.2	93	80	90	SE 1	S 1	W 4	10^1	8^1⊙	10^1●	−	8^{24}–ca 9 p ◍
23.	23.4	25.7	26.9	4.3	6.3	2.0	6.3	2.0	5.5	6.0	5.3	89	84	100	S 1	C	C	10^1	10^1	0	2.8	n ◍
24.	27.8	27.4	27.8	0.4	7.1	3.2	7.2	− 0.6	4.7	6.6	5.6	100	87	97	C	C	C	10^2≡	5⊙	8^1	−	a ≡2
25.	25.4	27.6	29.6	0.4	6.9	5.5	6.9	− 0.2	4.7	6.6	6.5	100	88	97	C	C	C	10^2	10^1●	10^1	−	a ≡2, m–ca 6 p ztw. ◍
26.	31.8	33.4	35.4	4.7	7.3	5.3	7.6	4.0	5.9	6.9	6.5	92	90	97	S 1	S 2	C	10^1	10^1	8^1	1.5	n ◍, t ztw. ◍
27.	37.8	38.5	38.8	4.5	7.3	7.1	7.6	2.5	6.0	7.3	7.2	96	96	96	C	C	C	10^1	10^1	10^1	1.2	m–12^h p ◍
28.	38.0	36.6	37.6	5.7	11.1	6.1	11.1	5.0	6.7	8.7	6.7	97	86	96	C	W 2	C	10^2≡	00	10^0	1.0	≡1
29.	36.9	36.0	36.7	4.0	8.9	4.9	9.2	3.2	5.7	7.0	6.1	93	83	96	C	SE 2	C	10^1≡	10^0⊙	8^1	−	a ≡1
30.	33.0	30.5	31.7	3.0	9.7	6.9	9.7	2.2	5.5	7.7	6.9	96	86	93	C	S 2	C	10^1≡	10^1	10^1	−	a ≡1
31.	31.3	30.3	29.0	7.3	8.7	6.7	8.7	6.2	7.3	7.4	6.1	96	88	82	C	S 1	C	10^1●	10^1	5^1	0.6	n, a–0^{24} p ◍
Mittel	36.7	36.3	37.0	3.9	9.2	5.5	9.5	2.5	5.7	6.7	6.3	94	77	93				8.6	6.3	5.7	51.9	

Alle Angaben nach Ortszeit.

Landshut.

Oktober. $\varphi = 48^0\ 32'$ N. $\lambda = 12^0\ 10'$ E $= 48^m\ 40^s$. H $= 397.7$ m. Cg $= +0.2$ mm. 1912.

Datum	Luftdruck auf 0° u. Normalschwere reduziert 700 mm + 7a	2p	9p	Lufttemperatur C° 7a	2p	9p	Max.	Min.	Absolute Feuchtigkeit mm 7a	2p	9p	Relative Feuchtigkeit Proz. 7a	2p	9p	Richtung und Stärke des Windes 0 bis 12 7a	2p	9p	Bewölkung 0 bis 10 7a	2p	9p	Niederschlag mm 7a	Bemerkungen
1.	20.7	17.4	17.3	6.7	20.4	15.0	**22.0**	3.2	7.0	8.7	9.6	96	49	75	C	SW 6	C	10^1●	5^1	10^1	–	ca 7–7^{03} a ◍tropfen
2.	16.9	18.1	19.4	13.8	13.3	11.1	16.2	10.7	**11.1**	10.2	9.7	95	90	99	SW 6	W 4	W 4	10^1●	10^1●	10^1	5.9	n, ca 7 a–5 p ●
3.	20.3	24.6	29.1	9.5	5.1	5.0	11.1	4.2	8.7	6.3	5.7	99	95	87	W 2	N 4	N 2	10^1●	10^1●	10^1	7.3	n, ca 7 a–8^{19} p ◍
4.	35.1	38.4	**40.0**	3.5	6.0	0.0	7.0	– 0.8	4.9	3.4	3.8	83	49	83	E 4	NE 2	E 4	10^1	7^1⊙	0	9.4	7^{19-24} a ◍tropfen
5.	39.6	37.9	36.2	– 2.6	5.0	– 0.6	6.3	– **4.2**	3.2	**2.7**	4.0	85	**41**	90	E 2	E 4	E 2	○○	○○	0	–	⌊
6.	33.3	31.2	31.2	– 3.2	8.5	2.8	9.9	– **4.2**	3.4	4.4	5.1	94	54	91	C	E 2	C	○○	1^1⊙	10^1	–	⌊
7.	33.2	32.2	31.2	1.0	8.5	4.6	9.3	– 1.0	4.5	4.5	5.4	90	55	86	SW 2	E 4	E 4	9^1	9^1⊙	10^1	–	⌊^{10}
8.	30.1	31.6	32.5	4.5	8.9	7.3	9.9	3.4	5.5	6.5	6.7	87	76	88	C	E 2	C	8^1	10^1	10^1	–	⊿
9.	32.8	33.0	33.8	6.7	11.8	4.0	13.1	3.1	6.7	6.0	5.6	91	58	92	E 2	E 6	E 2	10^1	2^1⊙	0	–	⊿
10.	34.7	34.3	34.9	1.2	11.4	3.4	12.2	– 0.8	4.7	5.1	4.8	94	50	82	E 2	E 4	E 4	○○	○○	0	–	⌊
11.	34.6	33.8	34.6	– 1.2	9.5	0.4	11.0	– 2.0	4.0	5.0	4.5	96	56	94	C	E 2	C	○○	7^0⊙	0	–	⌊
12.	35.5	35.9	35.9	0.7	6.5	0.4	7.8	– 1.8	4.7	6.1	4.6	96	84	98	NE 2	NW 2	C	10^1≡	10^1	10^1≡	0.1	ca 7 a ≡^{1} ⌊^{9}, ca 9p ≡^{1}
13.	36.1	36.2	37.0	2.3	7.4	1.2	8.3	0.0	5.3	6.0	4.9	98	79	98	C	N 2	E 2	10^0≡	7^0⊙	10^1≡	0.2	≡^{1}, ca 9 p ≡^{1}
14.	37.1	35.8	34.9	1.9	7.7	2.8	9.1	0.0	5.2	6.8	5.5	98	88	98	E 2	N 2	C	10^1	6^0⊙	10^1≡	0.1	⊿, ca 9 p ≡^{1}
15.	33.9	33.5	34.5	1.6	9.2	7.5	11.2	0.2	5.0	8.0	7.6	96	92	99	W 2	W 2	C	8^1	10^1●	10^1	0.1	10^{23}–ca 11 a, ca 1–7p◍^{0}
16.	33.8	32.6	31.4	3.6	10.1	5.3	12.2	2.4	5.8	7.7	6.3	98	83	96	NE 2	NE 2	C	10^1≡	10^1	0	2.3	≡^{1} ⊿
17.	29.9	28.6	29.4	3.4	17.0	10.2	18.0	2.3	5.7	8.1	9.3	98	56	100	C	W 2	W 2	9^1	7^1⊙	10^1●	–	⊿
18.	33.1	33.5	33.4	5.0	9.0	2.1	10.2	1.4	6.0	5.2	5.0	92	61	93	W 2	W 2	W 2	10^1	9^1	0	**10.2**	n ◍
19.	31.5	28.8	27.1	0.6	6.4	6.3	10.8	– 0.2	4.6	6.1	6.4	96	86	90	W 2	W 2	W 4	2^1	10^1●	10^1	–	⊿, 1^{19}–ca 3 p ◍^{0}
20.	25.5	25.6	26.1	5.7	9.5	3.0	10.9	2.2	6.5	5.3	5.2	96	60	91	W 2	W 4	C	10^1	9^1⊙	1^1	1.4	⊿
21.	22.1	19.0	18.4	– 0.5	11.1	5.9	12.2	– 2.0	4.3	6.0	6.3	98	61	91	NE 4	SE 2	C	10^1≡	○○	10^1	–	≡^{1} ⊿
22.	13.5	12.3	**12.0**	4.4	6.8	1.4	8.2	0.8	5.8	6.3	5.0	93	85	98	E 2	W 4	W 6	10^1	10^1	10^1●	–	⊿, ca 7–9 p ◍
23.	14.2	17.0	17.6	2.4	7.6	0.8	8.8	0.1	5.2	4.8	4.7	94	61	96	SW 2	W 2	C	10^1	9^1	0	2.3	9^{00-24} p ◍
24.	18.5	18.0	18.4	0.4	9.0	4.4	10.1	– 2.6	4.7	6.1	6.0	100	71	97	C	NW 2	C	10^1	10^1	1^1	–	≡^{0} ⌊, 7^{13}–ca 8 a ◍^{0}, 7^{01}–ca 8 p ◍
25.	16.0	18.9	21.2	1.0	8.3	3.4	9.2	– 0.3	4.8	6.1	5.2	98	74	88	NE 2	SW 4	W 4	10^1	10^1	1^0	0.3	≡^{0} ⌊, 9^{13} a ◍tropfen, m–0^{19}p◍^{0}
26.	23.7	25.3	27.8	4.0	8.5	5.4	10.0	1.6	5.6	5.9	6.4	92	71	95	W 4	N 4	C	10^1	10^1●	10^1	0.2	ca 8–10 a ◍; ca 1–1^{09} p, ca 6 p ◍böe
27.	28.9	29.6	29.7	2.2	9.7	7.3	12.2	1.4	5.2	8.5	7.5	98	95	99	NE 2	S 2	C	10^1	10^1	10^1≡	4.0	7^{13}–ca 9 a ◍
28.	28.9	27.9	28.0	2.7	13.0	4.5	15.0	2.1	5.5	8.3	6.2	98	75	98	E 2	C	C	10^1	5^0⊙	10^1≡	1.0	ca 9 p ≡^{1}
29.	26.9	26.9	27.2	1.8	11.4	6.8	12.6	0.9	5.1	7.8	7.1	98	78	96	NE 2	E 2	C	5^0	9^1⊙	1^1	0.1	ca 7 a ≡
30.	23.2	21.5	23.1	4.1	10.2	9.7	11.9	2.6	5.9	7.6	7.7	97	82	86	NE 2	NE 2	C	9^1	10^1	10^1	–	
31.	21.3	20.9	19.8	7.5	9.7	7.7	12.0	7.0	6.7	6.1	6.1	88	68	77	S 4	SW 4	W 6	10^1●	9^1	1^1	0.8	n ●, a–ca 10 a ◍^{0}
Mittel	27.9	27.8	28.2	3.1	9.6	4.8	11.2	1.0	5.5	6.2	6.1	95	70	92				8.0	7.4	6.0	45.7	

Augsburg.

Oktober. $\varphi = 48^0\ 22'$ N. $\lambda = 10^0\ 54'$ E $= 43^m\ 36^s$. H $= 499.6$ m. Cg $= +0.1$ mm, über 728.8 mm Cg $= +0.2$ mm. 1912.

1.	11.3	09.3	08.8	11.0	22.1	15.4	**22.1**	10.5	8.2	8.3	10.8	83	43	83	SW 4	SW 8	SW 4	8^1	5^2⊙	10^2●	0.2	n, 8^{20} p–n ◍
2.	08.0	09.5	11.1	14.0	13.2	10.6	15.8	10.6	**11.4**	10.5	8.9	96	94	94	SW 2	SW 2	SW 2	10^2●	10^2●	0	4.3	n–3^{29} p ◍
3.	12.2	17.0	20.9	9.8	5.4	4.6	10.9	4.6	8.8	6.0	6.1	98	89	97	SW 2	N 2	NE 2	10^2●	10^2●	10^2●	8.8	n u. t ◍
4.	26.4	28.8	**31.1**	3.9	6.7	1.4	8.0	1.4	5.7	4.8	**4.0**	95	65	80	NE 2	E 2	E 2	10^1	5^1⊙	0	**11.4**	n–7^{14} a ◍
5.	29.9	28.5	27.2	– 1.6	4.5	0.2	4.8	– **2.5**	3.3	4.0	3.8	82	62	81	E 4	E 4	E 2	○○	○○	0	0.3	⌊
6.	24.1	22.7	23.3	– 2.0	7.0	3.6	7.0	– 2.3	**2.7**	4.7	4.9	70	63	83	E 2	E 4	SW 2	○○	7^1	10^1	–	⌊
7.	24.6	23.4	22.4	0.5	7.2	4.6	8.4	– 0.1	4.4	5.2	5.3	92	69	84	SW 2	E 4	E 2	10^1	8^1	10^1	–	⌊
8.	21.9	23.0	23.9	3.8	7.1	6.2	8.0	3.6	5.7	6.4	6.9	95	86	97	NE 2	E 2	NE 2	10^2	10^2	10^2	0.5	n, 3^{20}–4^{04} p ◍
9.	23.9	24.3	24.8	6.3	8.6	6.0	9.1	6.0	7.1	7.0	6.4	99	84	91	NE 2	NE 4	NE 2	10^2	10^1	0	0.4	
10.	25.6	26.0	25.8	2.3	9.8	4.7	9.9	1.8	5.1	5.8	5.9	94	64	92	NE 2	SE 4	SE 2	8^1	○○	0	–	⌊
11.	25.6	25.4	26 3	0.8	8.4	4.2	9.3	0.6	4.6	6.2	6.0	94	75	97	SE 2	SE 2	SW 2	10^1≡	7^0⊙	10^1	–	n u. a ⌊ ≡^{1}
12.	26.6	26.6	26.9	5.2	10.4	5.6	10.7	4.2	6.4	7.6	6.6	97	81	97	SW 2	C	C	10^2≡	○○	0	–	n u. a ≡^{2}
13.	27.4	27.5	28.3	2.2	11.0	5.8	11.5	1.2	5.4	7.8	6.8	100	80	99	C	N 2	NE 2	10^2≡	○○	0	–	n u. a ≡^{2}
14.	28.0	27.0	26 6	0.3	11.5	7.1	11.9	– 0.3	4.7	7.5	7.2	100	74	96	SE 2	SW 2	SW 2	10^2≡	○○	10^1	–	n ≡^{2}, a ⌊
15.	25.5	25.4	26.2	6.3	11.1	8.6	12.0	4.4	6.6	8.5	8.3	93	85	100	SW 2	SW 2	NW 2	5^1	10^2	10^2	–	⊿, 11^{34} a–0^{01} p ◍
16.	24.7	23.5	22.4	8.0	11.7	8.0	11.7	7.6	8.0	8.5	7.8	100	84	98	NE 2	NE 2	SE 2	10^2≡	8^1	8^1	0.6	n u. a ≡^{2}
17.	21.4	20.2	21.6	8.2	15.4	10.6	15.4	6.9	8.1	9.3	9.3	100	71	98	SW 2	SW 2	NW 2	7^1	8^1	10^2●	–	⊿, 4^{09} p–n ◍
18.	25.3	25.1	25.2	5.4	9.4	5.2	12.0	5.2	6.6	6.8	5.8	99	77	87	NW 2	NW 2	SW 2	4^1	6^2	0	9.6	n ◍
19.	23.0	20.1	19.0	3.0	6.3	6.0	7.9	2.8	5.2	6.2	6.7	91	87	96	SW 2	SW 4	SW 2	5^1	10^2	10^1	–	2^{14}–3^{09} p ◍
20.	17.4	17.0	17.3	6.2	9.8	4.8	9.8	4.8	7.1	6.5	6.2	100	71	97	SW 2	NW 2	W 2	7^1	6^2	3^0	3.7	
21.	13.2	10.1	09.1	2.0	10.8	6.6	11.5	1.6	5.2	7.4	6.9	98	76	94	C	SW 2	E 2	5^2≡	6^0⊙	10^1	–	n u. a ≡^{2} ⌊
22.	05.2	04.1	**04.0**	5.0	4.1	1.6	6.6	1.6	6.4	5.9	5.0	98	97	96	NW 2	NW 2	SW 2	10^2	10^2●	10^2●✱	–	10^{03} a–3^{34} p ◍, 3^{34} p–n ◍ ✱
23.	05.3	07.9	08.9	2.3	5.8	2.6	6.0	1.4	5.1	5.8	5.1	94	85	93	SW 2	SW 2	SW 2	3^1	8^1	10^0	6.1	n ◍ ✱
24.	09.4	08.8	09.5	4.0	8.6	6.0	8.6	1.5	5.7	7.3	6.7	93	75	96	SW 2	SW 2	SW 2	8^1	6^1⊙	5^1	0.5	n. 3^{24}–7^{19} p ◍
25.	06.5	10.3	13.0	3.7	7.6	4.4	7.7	3.4	5.6	6.0	5.4	93	77	87	E 4	SW 4	SW 2	10^1	10^1●	0	2.5	1^{20}–2^{14} p, 7^{19}–8^{19} p ◍
26.	15.3	16.6	18.9	4.9	8.9	5.7	8.9	3.9	5.9	6.3	6.3	92	74	93	SW 2	SW 4	SW 2	10^1	9^2	10^1	0.9	
27.	19.7	20.8	21.0	6.6	13.6	8.4	13.6	4.8	7.2	9.7	8.2	99	85	100	SW 2	SW 2	SW 2	10^2●	4^1⊙	0	2.7	n–8^{14} a ◍
28.	19.8	18.9	19.4	3.0	16.8	10.4	16.8	3.0	5.7	8.3	7.0	100	59	75	SW 2	SW 2	SW 2	0	3^0⊙	2^9	0.6	⌊
29.	17.9	18.3	18.2	6.4	16.4	12.6	16.4	5.7	5.5	8.4	7.7	76	61	70	S 2	SW 2	SW 2	2^9	5^1⊙	8^1	–	⊿
30.	14.0	12.9	14.8	8.6	10.8	9.5	12.6	8.6	7.2	8.4	7.9	87	89	89	SE 2	S 2	S 2	10^2	10^2	10^2	–	
31.	12.8	11.9	12.0	7.7	11.0	8.2	11.0	6.8	6.7	6.0	6.4	86	62	79	S 2	SW 8	SW 6	10^2	3^1	3^1	1.1	n ◍
Mittel	19.1	19.1	19.6	4.8	10.0	6.4	10.8	3.7	6.2	7.0	6.7	93	76	91				7.5	6.3	5.8	54.2	

Alle Angaben nach Ortszeit.

München-C.St.

Oktober. $\varphi = 48^0\ 9'$ N. $\lambda = 11^0\ 34'$ E $= 46^m\ 16^s$. H $= 526.4$ m. Cg $= +0.1$ mm. 1912

Datum	Luftdruck auf 0° u. Normalschwere reduziert 700 mm + 7a	2p	9p	Lufttemperatur C° 7a	2p	9p	Max.	Min.	Absolute Feuchtigkeit mm 7a	2p	9p	Relative Feuchtigkeit Proz. 7a	2p	9p	Richtung und Stärke des Windes 0 bis 12 7a	2p	9p	Bewölkung 0 bis 10 7a	2p	9p	Niederschlag mm 7a	Bemerkungen
1.	09.9	07.3	07.0	10.7	21.2	16.3	**21.2**	9.0	7.0	7.6	9.1	73	**40**	66	C	SW 6	SW 4	10^1	3^1⊙	10^1	–	a ⏢, ≡⁰, t Gebirge gut sichtbar
2.	06.3	07.4	09.1	13.9	13.5	11.1	16.6	10.9	**10.5**	9.5	8.7	90	83	87	SW 2	W 1	C	10^1●	10^1	10^1	3.5	n, a–0⁰⁶ p ztw. ◍
3.	09.8	13.5	17.7	9.7	6.1	4.2	11.6	4.0	8.5	6.4	5.8	95	92	93	W 1	W 1	W 1	10^3●	10^1●	10^1●	11.4	n, a–n ◍
4.	23.5	26.8	**28.2**	3.6	4.8	1.6	5.0	1.2	5.3	5.0	3.7	91	77	72	C	E 3	E 2	10^2●	10^1	0	12.1	n, a ◍, 10^{14}–11^{09} a ✳ u. ◍
5.	27.2	25.8	24.3	– 1.7	3.8	0.3	4.1	– 2.4	3.1	**2.8**	3.3	77	47	72	E 2	E 3	E 2	○○	○○	0	1.9	a ⌴²
6.	21.4	19.9	20.8	– 1.9	6.9	3.7	7.7	– **2.6**	3.3	4.4	4.7	84	60	79	E 1	E 1	W 2	○○	1^0⊙	10^1	–	a ⌴²
7.	22.0	20.5	19.5	2.1	7.1	4.7	7.3	0.8	3.9	5.0	5.1	72	66	80	C	NW 1	E 3	10^1	10^1	10^1	–	a ⏢, ≡⁰, abds. ≡⁰
8.	19.0	20.1	21.3	4.7	6.5	5.9	6.9	4.2	6.3	6.3	6.6	98	88	96	C	NE 1	E 1	10^1	10^1	10^1	1.2	n ◍
9.	21.3	21.5	22.0	6.1	7.9	5.5	8.8	5.4	6.8	6.5	6.3	97	83	94	NE 1	NE 2	C	10^1	10^1	0	1.4	n u. a ≡Reissen, a, abds. ≡⁰
10.	22.6	22.8	23.4	3.5	9.2	4.6	9.4	3.2	5.3	5.3	5.3	91	61	85	E 2	E 2	C	10^1	3^0⊙	0	0.1	a ⏢², ≡⁰
11.	22.7	22.4	23.7	2.2	8.4	2.3	9.4	0.0	4.6	5.9	5.3	96	71	98	C	SE 1	C	10^1	6^1⊙	0	–	a ⌴², ≡⁰, m ∞, abds. ≡¹
12.	24.0	24.1	24.5	5.9	11.3	4.4	11.6	1.4	6.4	7.4	6.2	94	74	100	C	SW 1	C	10^1	2^0⊙	10^2	–	a ≡⁰, ⏢², t ∞³, abds. ≡²
13.	24.7	24.9	25.7	4.0	12.1	5.7	12.3	2.9	6.0	7.2	6.4	98	69	94	C	N 1	C	10^1=	○○	0	0.2	n, a ≡¹·², a ⏢². ca 11 a Aufklaren
14.	25.3	24.1	24.0	1.8	13.4	7.7	13.4	0.0	4.7	7.0	7.2	91	61	92	C	C	C	10^1=	○○	0	–	a ⌴², ≡¹, m ∞, abds. ≡⁰
15.	23.1	22.2	23.3	6.0	12.6	8.5	14.0	5.4	5.7	7.6	7.8	82	70	94	SW 1	NW 2	C	3^0⊙	10^1	10^1	–	a ⏢². ∞⁶, ca 1 p kurz ◍tropfen, ca 3 p-abds. ◍
16.	22.4	21.1	20.1	7.9	12.9	8.6	12.9	7.4	7.5	7.6	7.8	94	69	94	C	C	C	10^1=	7^1	9^1	2.1	a ≡¹, ⏢²
17.	19.1	17.6	19.0	9.1	16.4	10.4	16.6	8.0	7.4	7.6	8.9	88	55	95	SW 1	W 1	W 1	9^1	9^1	10^1●	–	a ⏢², ∞¹, ca 5 p an ◍tropfen, ca 6 p–n ◍
18.	22.3	22.3	22.7	5.7	8.1	5.1	10.8	5.0	6.2	5.2	5.8	92	64	90	W 2	NW 1	C	10^1	8^1	0	**13.8**	n ◍, a ≡⁰
19.	20.7	18.3	16.8	3.4	6.1	6.1	9.6	2.2	5.0	5.6	6.2	86	79	89	SW 2	SW 3	SW 2	7^0	10^1●	10^1●	–	a ⌴², ≡⁰. 1^{02} p–n ◍
20.	15.0	14.7	15.1	6.4	9.3	5.8	9.8	5.7	5.7	5.0	6.1	79	57	89	C	NW 3	C	10^1●	9^1⊙	0	5.3	n, a–6^{32} a ◍
21.	10.8	08.0	07.4	3.5	10.9	6.9	10.9	2.8	5.1	6.5	6.4	88	66	87	C	E 1	C	10^1	3^0⊙	10^1=	0.2	a ≡⁰, ⌴², abds. ≡¹
22.	02.7	**01.7**	02.7	4.4	5.1	1.7	7.1	1.0	6.2	6.5	4.8	100	98	93	C	SW 2	SW 2	10^1=	10^1=	10^1 ●✱	–	n u. a ≡¹, ⏢², ab 0^{32} p ≡Reissen, 3 p an ◍, 1)
23.	03.3	05.7	06.4	3.1	6.9	3.5	7.3	1.1	5.0	5.3	5.0	89	71	86	SW 1	SW 2	C	4^0	9^1⊙	0	7.8	n ◍ ✳, a ∞, abds. ≡⁰
24.	07.3	06.7	07.3	4.0	9.1	6.2	9.2	2.1	5.3	5.6	5.3	88	64	75	SW 1	SW 1	C	7^1	10^0	1^0	0.6	n ◍, 4^{02} p ab ztw. ◍⁰, abds. ≡⁰
25.	04.6	08.3	10.6	4.2	7.6	4 3	7.8	3.2	4 9	5.2	4.8	80	66	77	NE 1	SW 3	SW 2	10^1	10^1	3^0	0.4	a ⏢², ≡⁰. 9^{17} a ◍
26.	12.7	14.3	16.6	5.1	8.6	5.8	9.0	4.0	5.4	5.1	5.7	94	61	85	SW 2	W 3	C	9^1	9^1	6^0	–	n ◍⁰, a, abds. ∞
27.	17.5	18.4	18.5	5.7	13.5	8.1	14.0	5.0	6.4	9.3	7.4	94	81	93	SW 1	W 1	C	10^1●	4^1⊙	0	1.4	n, a–ca 1 p ◍
28.	17.5	16.8	17.2	5.3	16.1	9.6	16.2	3.9	4.8	7.3	7.7	88	54	87	C	NW 1	C	0	3^0⊙	7^0	2.8	a ⏢, ≡¹, m ∞. 9 p ⏦
29.	15.5	15.5	16.0	7.7	19.1	12.1	19.2	6.8	5.1	6.9	5.7	65	43	54	S 1	C	SW 2	3^0	7^1⊙	4^0	–	a ⏢, ∞, m Gebirge gut sichtbar
30.	11.7	10.8	12.7	12.9	13.8	10.1	17.3	9.6	5.7	8.7	7.4	52	74	80	S 2	C	W 2	10^1	10^1	10^1	–	a Gebirge gut sichtbar, ebenso m; 5 p an ztw. ◍tropfen
31.	11.1	10.2	10.0	7.5	11.6	8.7	11.6	7.1	6.4	4.5	5.2	84	44	61	SW 3	W 4	SW 5	10^1●	4^1⊙	0	1.4	n, a ◍⁰, abds. ⩫, ca 7 p an kurze Zeit ◍⁰
Mittel	16.7	16.6	17.2	5.4	10.3	6.4	11.2	3.8	5.8	6.3	6.2	86	67	85				8.1	6.7	5.2	67.6	1) 6 p–n ✳ ◍

Traunstein.

Oktober. $\varphi = 47^0\ 52'$ N. $\lambda = 12^0\ 39'$ E $= 50^m\ 36^s$. H $= 597$ m. Cg $= +0.1$ mm. 1912.

Datum	Luftdruck auf 0° u. Normalschwere reduziert 700 mm + 7a	2p	9p	Lufttemperatur C° 7a	2p	9p	Max.	Min.	Absolute Feuchtigkeit mm 7a	2p	9p	Relative Feuchtigkeit Proz. 7a	2p	9p	Richtung und Stärke des Windes 0 bis 12 7a	2p	9p	Bewölkung 0 bis 10 7a	2p	9p	Niederschlag mm 7a	Bemerkungen
1.	04.5	02.2	02.4	7.6	20.2	11.7	**21.0**	4.4	6.4	6.3	**9.2**	82	**36**	91	S 2	W 6	W 2	8^2	6^2⊙	4^2	–	n ⏢, a ◍⁰
2.	01.6	02.7	03.9	11.1	12.6	9.9	14.0	9.9	8.8	8.7	8.7	82	89	96	SE 2	W 4	W 2	10^2	10^2●	10^2	0.1	n, t ztw. ◍
3.	04.1	07.2	11.7	9.0	8.7	3.9	10.0	3.9	8.2	7.6	5.6	96	91	92	NW 2	W 2	W 2	10^2●	10^2●	10^2	**24.1**	n, t ◍
4.	17.1	20.8	**22.3**	2.0	3.9	1.3	5.0	0.3	5.0	5.2	3.9	94	85	78	E 2	E 4	E 2	10^3●	10^2●	4^2	21.2	n u. a ≡¹·² u. ◍, a u. m ◍ ✳
5.	21.1	19.9	18.4	– 2.8	2.8	– 1.0	3.2	– 2.9	**2.9**	3.2	3.4	79	57	80	E 2	NE 4	E 4	2^2⊙	4^2⊙	0	1.4	a ⌴
6.	15.6	13.7	14.9	– 3.2	6.2	2.6	8.0	– 3.9	3.4	4.3	4.8	94	60	87	E 2	E 6	SE 2	○○	○○	0	–	a ⌴
7.	15.8	14.7	13.7	2.4	6.1	4.5	6.3	2.2	4.5	4.9	6.0	82	71	96	NW 2	SE 4	SE 2	10^2	10^2	10^2●	–	abds. ◍
8.	12.9	14.3	15.5	4.3	5.8	5.4	6.3	4.1	5.9	6.4	6.2	96	93	92	SE 2	NE 2	E 2	10^2	10^2	10^2	3.3	n u. a ≡¹·² ◍
9.	15.3	15.9	16.2	5.2	6.9	5.3	7.8	4.0	6.2	6.7	6.1	94	90	92	E 4	E 6	E 2	10^2	10^2	10^2	0.1	a ≡¹·²
10.	16.3	17.0	17.6	3.0	7.9	3.5	8.2	3.0	5.3	5.3	4.9	93	67	83	E 4	SE 4	E 4	10^2	8^2⊙	0	–	
11.	16.7	16.6	17.8	3.1	8.1	2.0	8.9	2.0	5.1	5.7	5.0	90	71	94	E 2	NE 4	E 2	10^2	7^2⊙	0	–	a ≡¹·²
12.	18.1	18.7	18.7	1.8	9.0	1.6	9.5	– 0.2	5.1	6.5	5.0	96	76	96	W 2	E 4	E 4	10^2=	○○	10^2=	–	a u. abds. ≡¹·²
13.	18.6	19.2	20.2	– 0.6	12.5	3.0	12.5	– 0.8	4.2	5.1	5.4	96	47	95	NE 2	W 2	E 2	4^2	2^1⊙	0	–	a ⌴, abds. ≡⁰
14.	19.5	18.6	18.3	0.5	12.0	3.0	12.2	0.1	4.5	4.7	5.4	94	45	95	S 2	E 4	E 2	6^2	○○	0	–	n ⌴ u. ≡¹·²
15.	17.7	16.8	17.5	2.0	13.4	8.6	14.5	1.5	5.0	6.2	8.0	94	54	96	SW 2	W 2	W 2	6^2	8^2	10^2●	–	a ⌴, abds. ◍
16.	16.8	15.5	15.1	6.6	11.0	4.8	11.2	4.8	6.9	8.2	6.0	94	83	94	E 2	E 2	E 2	10^2=	8^2	0	4.9	n ◍, a ≡¹·²
17.	13.5	12.3	13.2	5.1	15.2	9.8	15.3	3.1	6.3	6.6	8.4	97	51	94	NE 2	N 2	NW 2	8^2	4^2⊙	10^2●	–	a ⏢
18.	15.9	16.6	17.0	5.7	7.4	**2.8**	9.8	2.0	6.6	5.4	5.3	97	70	94	W 2	NW 4	NE 2	10^2	8^2⊙	3^2	19.3	n ◍
19.	14.7	11.9	11.1	0.1	9.3	5.3	9.9	– 0.5	4.3	3.7	6.2	94	43	94	S 2	W 4	W 4	4^2	10^2	10^2●	–	a ⌴, abds. ◍
20.	09.1	09.1	9.7	5.3	8.0	4.6	8.9	4.6	6.2	5.1	6.0	94	63	96	SW 4	W 4	SE 2	9^2	6^2⊙	6^2	15.8	n, p ztw. ◍
21.	05.2	02.7	02.1	1.3	9.6	5.3	10.2	0.8	4.8	6.0	6.3	96	67	96	E 2	E 4	E 2	10^2=	○○	0	1.9	n u. a ⌴ u. ≡¹·²
22.	696.9	**695.9**	696.4	4.4	6.5	1.4	7.0	1.0	5.2	6.1	5.0	84	84	98	SW 6	NW 2	W 4	10^2	10^2	10^2	–	abds. ◍ u. ✳
23.	697.6	00.3	01.1	2.1	7.2	0.4	7.6	0.4	5.2	4.1	**4.6**	98	54	96	W 2	W 2	E 2	10^2	8^1	0	5.4	
24.	02.2	01.6	01.9	2.4	9.2	4.2	9.3	– 0.5	5.2	4.8	6.0	94	56	97	W 2	NW 2	SE 2	10^2	8^2⊙	6^2	0.5	n ◍
25.	699.3	03.0	05.3	0.4	5.6	5.2	7.0	0.0	4.6	5.8	4.7	98	85	71	E 2	W 4	W 2	8^2	10^2	6^2	–	a ⌴, m ◍
26	07.2	08.8	10.8	4.8	7.0	2.4	8.0	2.4	5.9	6.0	5.5	92	79	100	W 4	W 2	W 2	9^2	8^2	6^2	1.9	2^{21} p ◍ u. △
27.	12.0	13.4	13.3	4.2	8.9	5.6	9.8	2.4	6.2	8.5	6.9	100	100	100	W 2	SW 4	SW 2	10^2●	10^2	0	3.6	n u. a, t ztw. ◍
28.	13.0	11.1	11.7	3.6	15.6	5.1	15.9	3.0	5.7	8.7	6.6	97	65	100	SE 2	E 2	E 2	0	4^7⊙	2^1	**3.1**	a ⏢, t Föhn
29.	10.7	10.7	10.9	3.8	18.8	6.5	18.8	2.8	5.6	6.3	7.2	93	39	100	E 2	W 2	E 2	2^1	6^2⊙	1^1	–	a ⏢
30.	07.0	04.8	07.7	5.6	20.1	10.2	20.1	4.4	6.2	6.8	7.9	91	40	82	E 2	S 2	W 4	4^2	8^2	10^2	–	
31.	06.8	05.7	04.7	5.7	7.2	5.8	10.2	4.8	6.3	6.5	5.5	93	86	81	W 2	SW 4	S 2	10^2●	8^2	6^2	3.3	n u. a ◍
Mittel	11.1	11.0	11.6	3.4	9.8	4.7	10.5	2.0	5.5	6.0	6.0	93	68	92				7.7	6.8	4.9	109.9	

Alle Angaben nach Ortszeit.

Partenkirchen.

Oktober. $\varphi = 47^0\ 30'$ N. $\lambda = 11^0\ 6'$ E $= 44^m\ 24^s$. H $= 714.6$ m. Cg $= +0.1$ mm. 1912.

Datum	Luftdruck auf 0^0 u. Normalschwere reduziert 700 mm +			Lufttemperatur C°					Absolute Feuchtigkeit mm			Relative Feuchtigkeit Proz.			Richtung und Stärke des Windes 0 bis 12			Bewölkung 0 bis 10			Niederschlag mm	Schneedecke cm	Bemerkungen
	7^a	2^p	9^p	7^a	2^p	9^p	Max.	Min.	7^a	2^p	9^p	7^a	2^p	9^p	7^a	2^p	9^p	7^a	2^p	9^p	7^a	7^a	
1.	695.2	692.5	692.2	10.2	19.8	15.6	**20.3**	8.1	6.1	6.5	6.3	66	38	48	S 3	S 2	C	7^1	8^1⊙	8^0	–	–	
2.	697.0	692.0	694.0	10.7	11.2	9.4	15.6	9.4	8.5	**9.8**	8.7	90	99	99	C	C	SW 2	8^1	10^1●	9^1	–	–	
3.	694.9	697.2	01.0	7.9	8.0	3.4	9.4	3.4	7.9	7.9	5.8	99	99	100	C	C	N 4	10^1●	10^1●	10^1●	**19.0**	–	t ◍, Berge im Nebel
4.	06.5	09.3	**10.8**	1.4	1.5	1.2	3.4	1.1	5.0	5.0	5.0	98	98	100	NW 2	NW 4	C	10^1	10^1● ≡	10^1	11.8	–	a Berge i. Nebel, bis 900 m herab ⚹, ab ca 11a ◍ ⚹
5.	09.5	08.1	06.8	– 1.0	3.1	0.7	3.5	– 1.0	**4.0**	4.4	4.2	94	76	87	C	N 4	C	10^0	5^0	10^0	3.0	–	a Berge im Nebel
6.	04.5	03.3	04.7	– 1.3	0.8	1.0	1.6	– **1.3**	4.1	4.2	4.3	98	87	87	C	N 3	C	10^0	10^0	10^0	–	–	a Berge im Nebel
7.	05.2	03.6	02.7	1.1	4.5	3.8	5.3	0.7	4.7	5.0	6.0	94	79	100	C	N 2	C	10^0	10^0	10^1●	–	–	a Berge im Nebel; mrgs. u. abds. ◍
8.	02.5	03.5	04.8	3.3	8.4	6.3	9.2	1.2	5.8	6.5	6.5	100	79	91	C	W 2	C	10^0	10^0	10^0	2.0	–	a Berge im Nebel
9.	04.6	04.7	05.2	5.2	6.9	5.8	7.3	4.7	6.2	6.5	6.8	94	87	99	C	NW 2	C	10^0	10^0	10^0	–	–	a Berge im Nebel
10.	05.6	06.1	06.2	4.8	4.8	4.8	5.8	4.8	6.3	6.3	6.3	98	98	98	C	N 2	C	10^0≡	10^0≡	10^1≡	0.3	–	t ≡1.2
11.	06.2	06.3	07.0	1.3	4.8	3.6	5.2	1.1	5.0	5.8	5.5	100	90	93	C	NW 2	C	10^0	10^0	10^0	0.4	–	a ⩍, Berge im Nebel
12.	08.0	06.9	08.2	2.6	14.6	5.4	15.3	– 0.1	5.2	6.9	6.5	94	55	97	SE 2	N 2	C	0	1^0⊙	0	–	–	a ⌴, Berge rein
13.	09.0	08.1	09.9	2.6	14.7	4.6	15.0	2.3	5.3	4.7	5.7	96	38	90	C	NW 3	C	1^0	1^0⊙	0	–	–	a ⩍, Berge rein, föhnig
14.	09.2	07.4	08.4	3.4	14.8	6.2	15.2	2.6	4.5	5.8	6.0	76	47	86	S 3	NW 2	C	1^0	○⊙	0	–	–	a ⩍, Berge rein, föhnig
15.	08.1	06.2	07.4	2.7	14.6	8.4	16.1	2.1	4.7	6.4	7.7	84	52	93	SE 3	N 3	C	1^0	7^0	10^0	–	–	a ⩍, Berge rein
16.	06.8	04.3	04.2	5.6	13.0	8.4	14.0	5.1	6.2	7.3	7.3	91	66	89	SE 2	N 2	C	7^0	4^0⊙	0	–	–	a Berge meist frei
17.	04.1	01.7	03.8	5.9	16.3	8.9	16.6	5.7	6.2	7.1	8.5	90	52	100	S 2	NW 3	C	2^0	2^0⊙	10^1●	–	–	a ⩍, Berge meist frei; abds. ◍
18.	06.3	05.4	06.8	4.1	8.6	4.3	8.9	4.0	5.9	5.2	5.8	97	63	93	C	NW 4	C	10^1	7^1	5^1	13.2	–	n ◍, a Berge bewölkt
19.	05.2	01.7	01.1	– 0.1	8.9	5.3	9.7	– 0.3	4.4	4.2	6.5	96	49	97	C	NW 2	C	1^0	9^0	10^1●	–	–	a ⌴, Berge rein, ca 5 p–n ◍
20.	699.3	698.6	699.2	4.8	7.0	3.8	8.2	3.8	6.4	6.6	5.7	100	88	95	C	C	C	10^1	10^1●	7^0	3.6	–	a Berge meist bewölkt, m ◍
21.	694.8	691.6	691.8	2.6	11.6	4.2	12.4	1.9	4.9	6.1	5.9	89	59	96	S 4	S 2	C	9^0	7^0	9^0	1.5	–	a Berge frei, föhnig
22.	687.7	685.8	686.2	3.4	4.0	0.9	5.6	0.9	5.5	5.7	4.9	95	93	100	C	NW 4	C	10^0	10^1●	6^0≡	–	–	a ⩍, p ◍, a, ca 5 p ⚹1
23.	687.6	689.8	690.9	– 0.2	5.2	1.5	6.5	– 0.2	4.4	5.2	4.9	98	78	96	SE 1	C	C	3^0	10^1	8^0	17.4	6	a Berge frei
24.	692.1	690.6	692.0	1.7	8.6	3.4	8.9	0.3	4.7	4.5	5.1	91	54	87	C	S 4	S 3	10^0	4^0⊙	7^1	–	–	a Berge teilweise bewölkt
25.	689.3	693.3	695 5	2.6	5.3	2.2	5.7	1.3	4.6	5.9	4.8	82	89	89	S 3	C	SE 3	6^0	10^1	9^0	–	–	a Berge rein, föhnig
26.	698.1	699.0	00.9	1.8	5.2	2.7	5.6	1.7	5.2	5.8	5.5	100	87	98	C	C	C	10^1●	10^1●	10^1●	6.3	–	a Berge meist bedeckt, t ◍
27.	02.1	02.8	02.9	3.8	12.9	5.8	13.8	2.6	6.0	8.1	6.1	100	74	88	S 3	S 2	S 2	10^1●	1^0⊙	0	14.3	–	mrgs. Berge meist bedeckt, ◍; ab m Berge frei
28.	02.3	00.8	01.5	5.2	17.6	7.8	18.3	4.4	5.0	6.6	5.0	75	44	62	S 4	S 1	S 4	0	1^0⊙	0	1.4	–	a Berge sehr rein, föhnig
29.	01.5	00.8	01.3	5.4	16.9	7.4	19.8	4.0	4.4	5.2	5.5	66	**37**	72	S 2	S 2	S 2	1^0	6^0⊙	2^0	–	–	a ⩍, Berge sehr rein
30.	696.3	695.5	696.5	11.5	17.2	8.6	18.8	6.8	6.1	6.3	7.4	60	43	89	S 2	S 2	N 4	8^0	8^0	10^0	–	–	a Berge sehr rein
31.	697.0	694.5	694.9	4.8	10.8	5.0	11.3	4.8	5.8	6.1	5.1	90	63	78	N 2	S 2	S 2	10^0●	1^0⊙	3^0	7.6	–	a Berge bedeckt, n u. a ◍
Mittel	01.0	00.4	01.2	3.8	9.7	5.2	10.7	2.7	5.5	6.1	6.0	90	70	90				6.9	6.8	6.9	101.8		

Hohenpeissenberg.

Oktober. $\varphi = 47^0\ 48'$ N. $\lambda = 11^0\ 1'$ E $= 44^m\ 4^s$. H $= 993.9$ m. Cg $= \pm\ 0.0$ mm. 1912.

	600 mm +																						
1.	71.7	69.9	69.1	10.8	16.3	14.0	**17.1**	10.0	5.3	6.7	7.7	55	49	65	SW 4	SW 6	SW 7	9^2	5^2⊙	10^2	–	–	t sehr reine Fernsicht (Föhnstimmung), 11^{45} a ◍
2.	68.3	69.2	69.9	10.4	9.5	8.5	14.2	8.0	**8.8**	8.6	6.4	94	98	77	SW 5	W 4	N 3	10^2	10^2●	8^2	2.3	–	n u. t ztw. ◍, a reine Fernsicht, p ∞
3	70.8	73.7	77.4	5.8	4.7	0.2	8.5	0.2	6.9	6.4	4.7	100	100	100	W 1	NE 2	NE 4	10^2≡	10^2≡●	10^2≡●	10.6	–	t ≡2, meist ◍, p ◍ △
4.	82.2	85.3	**85.7**	– 0.6	– 1.0	– 2.4	0.2	– 2.4	4.4	4.3	3.6	100	100	94	NE 1	NE 4	NE 6	10^2≡ ≡	10^2≡ ≡	10^2	15.3	2	n–p ≡2 ⚹, p ⩎
5	84.4	83.9	82.1	– 5.3	– 0.4	– 3.4	– 0.4	– **5.4**	**3.0**	3.5	3.1	98	79	89	NE 4	NE 1	NE 6	0≡	6^2	0	6.0	2	a ≡1 V, p reine Fernsicht, abds. ∞ u. V
6.	79.7	79.5	80.1	– 4.4	– 0.6	– 1.2	– 0.6	– 4.7	3.3	3.8	4.2	100	86	100	NE 1	NE 1	W 2	10^2≡	10^2≡	10^2	–	1	a–p ≡1.2, t V, abds. ∞2
7.	80.9	79.4	78.4	– 1.4	2.1	1.1	2.2	– 2.1	3.8	4.4	5.0	92	82	100	S 1	NE 3	E 6	9^1	10^1	10^2≡●	–	–	a ∞ ⌴, abds. ≡2 ◍
8.	78.8	79.8	80.4	1.9	3.8	3.4	3.9	1.1	5.3	6.0	5.8	100	100	100	W 1	NE 1	NE 1	10^2≡	10^2≡	10^2≡	1.9	–	n ◍, n u. t ≡2
9.	80.4	80.8	81.7	2.4	3.7	2.7	4.0	2.4	5.5	6.0	5.6	100	100	100	NE 1	NE 5	E 7	10^2≡	10^2≡	10^2≡	–	–	n u. t ≡2
10.	81.4	82.2	82.0	1.5	2.4	2.1	3.2	1.4	5.1	5.5	5.2	100	100	96	NE 4	C	NE 4	10^2≡	10^2≡	10^2	1.1	–	n ◍, n u. t ≡1.2
11.	81.5	82.0	82.8	0.0	3.1	2.7	3.1	– 0.1	4.6	5.7	5.6	100	100	100	E 1	C	W 2	0≡	10^2≡	10^2≡	–	–	n u. t ≡1.2
12.	83.4	84.2	84.3	7.0	9.9	6.8	10.4	2.2	4.5	7.6	7.3	61	83	99	SW 1	N 1	S 2	○○	1^1	0	–	–	a ≡ ⩍, p ∞, abds. i. N Horizont ≡, i. SE ∞, ≡
13.	84.4	84.9	**85.7**	6.6	10.9	7.2	10.9	5.6	4.5	4.8	5.3	62	50	70	SW 1	C	E 2	1^1	○○	0	–	–	a ⌴, reine Fernsicht, p sehr reine Fernsicht, 1)
14.	84.9	84.3	84.1	7.0	9.8	8.7	10.0	5.3	4.5	4.9	5.3	61	54	63	SE 1	NE 1	SW 2	2^1	○○	0	–	–	a reine Fernsicht, im Tale ⌴, pn u. abds. reine2)
15.	83.7	82.9	83.2	6.8	10.3	7.1	10.7	6.0	4.1	6.0	7.5	56	64	100	SW 1	SW 1	W 2	4^1	8^2	10^2≡●	–	–	a ⩍, reine Fernsicht, p ∞3 abds. ≡2 ◍
16.	82.5	81.3	80.1	6.4	10.1	7.0	10.1	6.0	7.2	8.1	7.4	100	88	99	SW 1	SW 1	E 1	10^2≡	9^1	0	9.5	–	n u. a ◍ ≡2, p∞, abds. Horizont ≡, 3)
17.	79.7	78.8	79.4	8.3	12.5	6.7	12.5	6.7	6.2	7.0	7.3	75	65	100	SW 1	NW 2	SW 6	7^1	5^2	10^2≡●	–	–	a ⩍ ≡, ü. d. Gewäss. ∞0; p ∞0, abds. ≡1, 4)
18.	82.2	81.9	82.3	2.4	4.0	2.6	6.7	2.1	5.5	5.7	4.7	100	93	84	N 1	NE 1	C	10^2≡	9^2	2^2	**17.0**	–	n ◍, n u. a ≡2, p ∞1, abds. ≡ ü. d. Gewässern
19.	80.3	77.9	76.8	1.6	4.4	3.5	5.1	1.5	3.7	3.1	5.9	73	50	100	W 1	SW 6	SW 7	2^1	10^2	10^2●	–	–	a ⌴, bis p ∞5, p ◍ ⚹ ⩎, abds. ◍
20.	75.2	75.2	75.0	3.5	4.5	3.1	5.2	3.0	5.9	4.9	4.6	100	78	81	W 1	W 1	SW 4	10^2	10^2	0	3.4	–	t ∞
21.	71.0	68 9	67.7	2.3	7.2	4.7	7.2	1.3	4.8	5.2	5.2	87	69	81	SE 1	N 1	E 1	9^1	8^1	8^1	–	–	a ⌴, ≡, besond. i. N u. E, sonst reine Fernsicht, 5)
22.	64.0	62.4	62.2	2.6	0.9	– 0.1	6.2	– 0.7	5.5	4.9	4.6	100	100	100	W 3	NW 1	SW 5	10^2≡	10^2≡ ≡	10^2≡ ≡	–	–	t ≡2, ca 0^{45} p–n ⚹
23.	63.6	66.2	66.9	– 0.7	2.6	1.4	2.6	– 0.7	4.4	5.0	4.3	100	91	85	W 1	W 1	E 1	1^1	5^2	10^1	11.7	3	n ⚹ ≡, a ∞1, p ∞0, abds. wieder ∞1
24.	67.7	67.3	67.9	2.4	5.3	3.3	5.5	0.5	4.5	5.0	5.0	82	75	87	W 3	SW 1	C	10^2	9^2	8^2	1.1	–	n ◍, a reine, p sehr r. Fernsicht, ca 5^{45} p kurz ◍, 6)
25	65.2	68.8	70.9	4.7	4.1	1.9	5.5	1.9	3.6	4.2	4.3	56	69	82	S 1	W 5	SW 7	9^1	10^1	5^2	0.2	–	t sehr reine Fernsicht, föhnig, vorm. ◍
26.	73.4	74.9	76.4	1.0	3.5	2.1	3.6	0.5	4.7	5.0	5.1	96	85	94	W 3	W 4	SW 4	10^2	10^2	10^2●	1.2	–	t reine Fernsicht, abds. ∞ u. ◍
27.	77.8	79.3	78.7	6.1	10.6	8.5	10.7	2.1	7.0	7.2	6.1	100	74	74	W 1	W 1	W 1	10^2≡ ●	5^2⊙	0	10.4	–	n ◍, a ≡ ◍; p sehr reine Fernsicht, abds. stellw. ≡
28	78.4	78.0	78.6	10.5	13.8	12.4	13.8	8.3	3.4	5.6	3.6	36	48	**33**	SW 1	W 1	NW 1	○○	1^1⊙	6^1	1.1	–	a ⩍, Tal stellw. Reifbedeckung, t sehr reine 7)
29.	77.0	77.3	77.0	11.0	15.8	11.3	15.8	9 8	3.4	4.8	5.1	34	36	51	S 1	SW 3	SW 5	1^1⊙	9^1	8^1	–	–	a ⩍, im Tale Reifbedeckung, t reine Fernsicht, 8)
30	73.3	72.6	73.2	14.0	13.7	6.5	15.0	6.3	4.5	6.4	6.6	38	55	91	SW 1	N 1	NW 4	9^1	10^1	10^2●	–	–	a sehr reine Fernsicht, ca 5^{15} p–n ◍
31.	71.5	70.9	70.7	3.7	7.1	3.5	7.3	3.2	5.5	4.7	5.2	92	62	88	W 8	W 8	W 9	10^1	○○	10^2●	2.1	–	n ◍, a ∞, p reine Fernsicht, abds. ⩎ u. ◍
Mittel	76.8	76.9	77.1	4.1	6.6	4.4	7.4	2.6	4.9	5.5	5.4	82	77	87				6.9	7.4	6.9	94.9		

Alle Angaben nach Ortszeit.

1) t Horizont ≡, abds. ∞.
2) Fernsicht, abds. Horizont ≡.
3) Nebelstreifen. 4) ab ca 5^{45} p ◍. 5) abds. ∞
6) abds. Horizont ≡, Nebelstreifen in Bodennähe.
7) Fernsicht, abds. ∞0, einzelne ≡. 8) abds. ∞1

Zugspitze.

Oktober. $\varphi = 47^0\ 25'$ N. $\lambda = 10^0\ 59'$ E $= 43^m\ 56^s$. H $= 2964$ m. Cg $= -0.2$ mm. 1912.

Datum	Luftdruck auf 0° u. Normalschwere reduziert 500 mm + 7a	2p	9p	Lufttemperatur C° 7a	2p	9p	Max.	Min.	Absolute Feuchtigkeit mm 7a	2p	9p	Relative Feuchtigkeit Proz. 7a	2p	9p	Richtung und Stärke des Windes 0 bis 12 7a	2p	9p	Bewölkung 0 bis 10 7a	2p	9p	Niederschlag mm 7a	Schneedecke cm 7a
1.	27.3	27.0	26.5	– 1.1	0.0	1.4	**1.4**	– 2.5	4.2	4.4	4.2	100	95	84	W 8	W 4	S 9	10^1	6^1⊙	10^1	–	260
2.	24.8	24.9	25.5	0.7	– 0.8	– 1.1	**1.4**	– 2.8	**4.6**	4.3	4.2	94	100	100	S 7	NW 2	NW 2	10^2=	10^2=	10^1	2.9	250
3.	24.5	26.2	27.7	– 1.8	– 3.2	– 4.1	– 0.8	– 4.3	4.0	3.6	3.3	100	100	100	SW 4	NW 2	SW 3	10^2= *	10^2= *	0	**26.7**	255
4.	29.4	31.4	31.9	– 6.7	– 9.2	– 9.2	– 4.1	– 9.4	2.6	2.1	2.1	100	100	100	SE 2	SE 2	E 3	10^2=	10^2	10^2=	1.0	255
5.	32.1	32.0	31.4	– 8.7	– 5.6	– 7.8	– 4.9	–10.7	1.5	2.3	1.1	67	80	43	E 2	C	NE 3	2^0⊙	1^0⊙	0	–	255
6.	30.2	30.1	30.0	– 6.9	– 1.9	– 6.3	– 1.0	– 8.8	1.4	2.6	2.4	53	65	88	SE 2	S 5	W 6	3^0⊙	4^0⊙	0	–	250
7.	31.4	31.2	31.0	– 3.8	– 3.0	– 1.1	– 1.1	– 8.1	1.2	1.3	4.2	35	38	100	N 1	SE 6	SE 5	10^1	10^1	10^2=	–	250
8.	30.6	32.2	32.9	– 2.0	– 0.8	– 1.1	– 0.3	– 2.4	3.9	4.3	4.2	100	100	100	S 3	S 3	S 4	10^1= *	10^2=	8^1	0.2	250
9.	32.8	33.1	33.3	– 2.2	– 0.3	– 1.5	– 0.1	– 3.1	3.5	3.5	4.1	90	78	100	SE 4	SE 4	SE 2	8^1⊙	6^1⊙	0	–	250
10.	33.1	33.1	33.3	– 2.8	– 0.4	– 3.9	0.0	– 3.9	2.7	3.1	0.9	73	70	25	C	SE 1	SE 1	1^1⊙	2^1⊙	0	–	240
11.	33.4	33.8	34.7	– 4.3	– 1.9	– 4.5	– 1.9	– 4.5	**0.8**	1.6	1.5	25	40	46	E 2	C	N 4	1^1⊙	2^1⊙	0	–	240
12.	35.3	36.6	36.5	– 4.0	– 0.1	– 3.0	0.1	– 4.5	1.4	2.1	2.0	42	45	56	N 5	SE 1	W 1	2^0⊙	5^0⊙	0	–	235
13.	36.2	36.8	37.2	– 3.2	– 0.2	– 4.3	– 0.2	– 4.3	2.3	3.0	1.3	65	65	40	N 3	C	N 2	4^0⊙	3^0⊙	0	–	235
14.	37.3	**37.4**	36.9	– 1.4	0.3	– 2.1	0.9	– 4.3	1.2	1.6	1.5	30	35	40	N 1	W 1	NW 3	5^0⊙	0^0⊙	0	–	230
15.	35.8	35.6	34.7	– 3.8	– 2.3	– 4.8	– 1.9	– 5.0	1.5	2.0	2.7	43	52	85	W 3	NW 3	NW 3	4^0⊙	9^1	10^2= △	–	230
16.	33.9	34.5	33.7	– 4.4	0.6	– 1.3	0.7	– 5.7	3.2	2.5	2.9	100	53	70	NW 2	NW 2	NW 4	4^0⊙	6^0⊙	0	0.7	230
17.	32.5	32.4	31.6	– 2.8	– 2.3	– 3.9	– 1.3	– 3.9	3.3	3.6	3.3	90	95	100	NW 4	W 3	N 6	2^0⊙	6^1⊙	10^2= *	–	230
18.	30.7	30.4	30.5	–11.4	– 8.9	–10.4	– 3.9	–11.4	1.8	1.3	1.9	100	58	100	N 2	C	NW 2	7^1	5^1⊙	10^2=	10.7	240
19.	28.6	28.4	27.8	–11.2	– 4.2	– 5.8	– 4.1	**–12.6**	1.8	3.3	2.9	70	100	100	N 6	N 7	NW 5	3^1⊙	10^2=	10^2=	–	240
20.	25.7	25.9	26.3	– 7.5	– 6.3	– 7.5	– 5.8	– 7.5	2.5	2.7	2.5	100	100	100	NW 4	W 3	W 4	10^2=	10^2= *	0	–	240
21.	24.2	22.6	21.7	– 4.6	– 3.1	– 4.2	– 2.2	– 8.8	2.3	3.6	3.3	72	100	100	S 7	SE 7	SE 8	10^1	6^0⊙	10^1	17.5	240
22.	17.7	15.4	14.3	– 5.8	– 5.2	–11.0	– 4.2	–11.8	2.8	3.0	1.7	100	100	95	SE 4	SE 4	SW 2	10^1	10^2= *	10^1=	–	240
23.	15.1	17.7	18.4	–11.1	– 8.9	– 8.3	– 7.3	–11.8	1.7	2.2	1.8	95	100	81	W 1	SE 2	W 4	8^1	10^2=	10^1	20.7	250
24.	19.1	19.7	20.5	–10.2	– 4.8	– 8.4	0.2	–10.6	2.0	2.6	2.3	100	83	100	NW 3	SW 5	W 5	10^2= *	8^1	10^1	2.3	250
25.	19.2	20.0	21.5	– 4.7	–10.5	–11.4	– 2.9	–11.4	2.3	1.9	1.8	73	100	100	S 8	NW 4	NW 4	9^1	10^2=	10^2= *	8.2	250
26.	23.3	24.9	26.5	–11.1	– 9.1	– 7.4	– 7.4	–11.5	1.8	2.1	2.5	100	100	100	NW 5	NW 4	N 5	10^1=	10^2=	10^1=	9.7	**265**
27.	29.8	32.1	33.4	– 3.3	– 2.8	– 3.4	– 2.3	– 7.4	3.5	3.5	2.8	100	96	80	NW 6	NW 1	NW 4	10^2=	2^0⊙	0	5.1	**265**
28.	33.7	33.5	33.9	– 4.5	– 3.6	– 3.2	– 3.2	– 5.0	1.9	2.2	2.0	61	63	58	W 6	SW 5	S 4	1^0⊙	5^0⊙	8^0	–	260
29.	32.4	33.2	32.2	– 1.8	– 0.3	– 1.3	– 0.3	– 3.2	2.1	3.3	3.4	52	73	82	S 4	NW 4	S 7	5^0⊙	8^1	5^0	–	250
30.	29.2	28.4	27.0	– 1.0	0.7	– 1.9	**1.4**	– 1.9	3.4	3.8	3.9	80	78	100	S 10	S 9	SE 6	10^1	9^1	10^2=	–	240
31.	22.8	23.6	23.0	– 7.2	– 8.7	– 9.1	– 1.9	– 9.1	2.6	1.8	2.1	100	80	100	NW 7	NW 5	NW 6	10^2=	2^1⊙	10^2=	4.8	240
Mittel	28.8	29.2	29.2	– 5.0	– 3.4	– 4.9	– 1.8	– 6.8	2.4	2.7	2.6	78	79	83				6.7	6.6	5.8	110.5	

Bemerkungen.

1. a ✳ u. ≡treiben, über Zentralkette cu-haufen, Blick ins Alpenvorland frei, $8^{23.34}$ a ◍^{1}, ca 1 p kurze Zeit ✳$^{0.1}$, p Fernsicht ringsum frei
2. n ⎓, ztw. ◍$^{0.1}$ ✳^{0}, t ≡^{2}, ab 8^{24} a ztw. ◍ ᔓ, ca 11 a kurze Zeit △^{1}, m–8^{15} p ✳$^{0.1}$, 9 p 3 cm Neuschnee
3. a 5 cm Neuschnee, t ✳^{1} ≡^{2}, ca 5 p Aufhören des Schneefalles, 7^{34} p Aufklaren, Wind dreht nach SW
4. t ≡^{2}, ca 8 a kurze Zeit △^{0}, m–1^{04} p ✳^{0}, ca 5–6 p Zerreissen der Nebeldecke, ab 7^{15} p ztw. Aufklaren
5. t ringsum cu-meer in ca 1800–2000 m, abds. langsames Sichheben der cu-decke bis 2500 m
6. a üb. Zentralkette vereinzelte cu in ca 1800 m, ○○^{1}, üb. Alpenvorland u. Flachland Nebeldecke in ca 1000 m, p Fernsicht auf Zentralalpen rein, Alpenvorland Nebeldecke in ca 1200 m, [1])
7. t über Alpenvorland u. tlw. über Zentralkette Nebeldecke in ca 1500 m, Flachland ○○^{1}, ca 5 p Gipfel im ≡, ab 5^{21} p ✳$^{0.1}$
8. a Zentralkette im Nebel, über Alpenvorland Nebeldecke in ca 1500 m, ab ca 1^{15} p Gipfel im ≡, ca 8 p tlw. Aufklaren
9. t über Inntal u. Alpenvorland Nebelmeer in ca 1500 m
10. t über Inntal u. Alpenvorland Nebelmeer in ca 18^{00} m
11. t Täler u. Alpenvorland Nebelmeer in ca 1200–1500 m, p leichte Bewölkungszunahme, ci, ci-st aus NW (langsam)
12. a über Alpenvorland Nebelmeer in ca 1000–1200 m, p Fernsicht ringsum frei, Flachland ○○^{1}
13. a in Tälern u. über Alpenvorland ○○, vereinzelte Nebelfahnen, p Fernsicht ringsum frei u. rein
14. t über Alpenvorland ○○^{1}
15. a Fernsicht frei, ab ca 4^{35} p △$^{0.1}$, ab ca 8 p Gipfel im ≡
16. a in Tälern cu u. Nebelfahnen, p Inntal ○○^{1}, üb. Alpenvorland u. in Tälern cu in ca 1500–1800 m, mäss. Bewölkungszunahme, st-cu aus NW (rasch), abds. ringsum cu-meer in ca 1200–1500 m
17. a ringsum cu-meer in ca 2000–2300 m, ab ca 3^{15} p Gipfel ztw. im ≡, 7^{19} p kurze Zeit ◍^{0}, ab 8^{29} p ⎓ ✳^{1}
18. a Nebelgrenze in ca 2950 m, 10 cm Neuschnee, p ringsum cu-meer in ca 2900 m, ab ca 3^{15} p Gipfel im ≡
19. a über südöstlichem Teil der Zentralalpen cu-meer in ca 2500 m, über Alpenvorland vereinzelte st-cu, ○○, p ≡^{2} ✳treiben
20. t ≡^{2} ✳treiben, p ztw. ✳$^{0.1}$, ab ca 8 p Aufklaren, ≡treiben
21. a über Alpenvorland tlw. Nebeldecke, ca 11 a Aufklaren, ab ca 5 p 10^1 a-st, st, in Tälern cu
22. a ≡treiben, 2^{44} p Wind dreht nach NW, elektrische Ausstrahlung, ca 8^{15} p Aufhören des Schneefalles
23. 9^{14} p allmähliches Aufklaren, ca 10 p 4^0 a-cu (SE mässig), Rundblick frei; a Zentralkette im Nebel, Blick ins Isar- u. Loisachtal frei, bis ca 700 m hinab Neuschnee
24. ab ca 11^{15} p Gipfel ztw. im ≡, abds. Rundblick frei; n ✳^{0}, ab ca 8 a ✳^{1}, ca 11 Aufklaren, über Alpenvorland u. Flachland cu-meer in ca 1800–2000 m, ab 3^{34} p Gipfel ztw. im ≡
25. a über Alpenvorland ○○^{1}, t ztw. ✳$^{1.2}$, ca 9 p schwaches negatives Elmsfeuer
26. a 15 cm Neuschnee, t ✳^{0}
27. n ✳$^{0.1}$, 11^{14} a kräftiges Abflauen des Windes, 0^{09} p Aufklaren, p im Inntal u. über Alpenvorland tlw. cu in ca 1500–2000 m
28. t Fernsicht ringsum frei u. rein
29. a über Zentralkette vereinzelt cu, t Flachland ○○^{1}, ca 5 p Wind dreht auf SW, dann auf S, 8^{09} p kräftiges Auffrischen des Windes S 7–8
30. a über Alpenvorland ○○^{1}, über östlichem Teil des Zentralkammes Föhnmauer, ab 7^{35} p Gipfel im ≡
31. n ✳^{0}, a 5 cm ⋁, ca 1 p Aufklaren, über Inntal cu-meer, über Alpenvorland ○○^{1}, ab 6^{34} p Gipfel wieder im ≡

[1]) ca 1–6^{30} p mässige Bewölkungszunahme, ci-st, a-st SW rasch, dann wieder vollständiges Aufklaren.

Alle Angaben nach Ortszeit.

Kahl a/M.

November. $\varphi = 50^0\ 4'$ N. $\lambda = 9^0\ 1'$ E $= 36^m\ 4^s$. H $= 114.1$ m. Cg $= +0.3$ mm. 1912.

Datum	Luftdruck auf 0^0 u. Normalschwere reduziert 700 mm + 7a	2p	9p	Lufttemperatur C° 7a	2p	9p	Max.	Min.	Absolute Feuchtigkeit mm 7a	2p	9p	Relative Feuchtigkeit Proz. 7a	2p	9p	Richtung und Stärke des Windes 0 bis 12 7a	2p	9p	Bewölkung 0 bis 10 7a	2p	9p	Niederschlag mm 7a	Schneedecke cm 7a	Bemerkungen
1.	51.0	56.0	59.2	5.4	5.8	0.5	**10.3**	0.0	5.4	5.1	4.5	80	75	94	NW 4	NW 4	C	1^0	1^0⊙	0	4.3	–	0^{36-7^6} p ●
2.	58.4	57.4	56.5	2.1	5.5	4.5	6.7	– 1.3	4.8	4.4	4.8	89	65	76	W 2	W 2	SW 4	1^0	10^1	10^2	0.1	–	
3.	55.6	56.0	58.1	3.0	6.0	1.6	7.2	0.7	5.0	4.2	4.6	88	60	89	C	NW 4	SW 2	4^0	5^1	0	–	–	
4.	60.9	60.8	59.8	– 1.0	5.2	2.5	6.1	– 2.4	4.2	4.9	4.8	98	74	87	C	SW 2	C	10^1	5^1⊙	10^1	–	–	a ⌊
5.	54.6	50.7	50.4	3.3	5.9	3.6	6.3	1.0	4.8	4.7	5.4	83	68	92	C	SW 2	SW 2	10^1●	10^1	10^1	0.3	–	n, 7 a ●
6.	53.1	56.8	60.3	3.4	5.2	0.1	5.8	– 0.4	5.7	3.0	3.7	98	45	79	SW 2	NE 4	NE 2	9^1	2^1⊙	0	1.3	–	n ●
7.	63.3	64.1	**64.4**	– 4.9	3.4	– 1.5	4.1	– 5.6	3.1	3.3	4.0	98	56	98	C	SW 2	C	0	00	0	–	–	a ⌊
8.	63.3	62.2	61.6	0.8	1.8	1.9	2.4	– 3.0	4.1	4.3	4.6	85	82	88	C	S 2	SW 2	10^1	10^1	10^1	0.3	–	n ●
9.	60.9	59.4	57.4	2.7	5.0	5.6	6.1	1.4	5.4	6.5	6.7	96	100	99	C	C	SW 2	10^1	10^1●	10^1	0.5	–	n, t ●. 2 p ≡⁰ ●
10.	52.1	49.3	47.0	6.8	9.3	8.2	**10.3**	5.4	7.4	**8.0**	7.7	100	92	94	S 2	C	SW 2	9^1	10^1	10^1	6.2	–	n, t ztw. ●
11.	34.9	33.7	31.3	7.0	6.4	2.9	9.6	2.2	6.9	4.3	4.6	92	59	80	SW 6	SW 4	SW 6	10^1●	10^1	9^1	10.7	–	n ● ⎍; 7 a ●
12.	27.2	29.6	33.3	2.4	3.6	0.7	5.2	0.2	5.1	4.6	4.8	93	78	98	SW 4	W 4	C	10^1●	10^1	10^1	5.7	–	n ●. a ● (9^{04} a ● ✳)
13.	37.4	39.7	42.9	3.0	4.3	4.6	5.0	0.2	5.3	5.3	4.8	93	85	82	SW 2	SW 4	SW 2	10^0	10^1	10^1	**12.9**	–	n ✳
14.	46.2	48.8	51.9	3.0	5.3	5.2	6.0	2.2	5.1	5.4	5.2	90	82	78	SW 2	SW 2	SW 4	10^1	10^1	10^1	–	–	
15.	52.3	52.5	53.9	4.1	5.8	3.8	7.7	3.5	5.2	5.7	5.9	85	84	98	C	C	C	10^1	10^0	10^1	–	–	
16.	54.2	54.8	55.5	4.4	6.0	4.8	6.8	3.2	5.9	6.5	6.4	96	93	100	C	SW 2	C	10^1	10^1	10^1	0.4	–	n ●
17.	56.3	56.9	57.1	4.4	5.7	4.8	8.2	4.0	6.2	6.5	6.3	100	96	98	C	C	C	10^1	10^1	10^1	–	–	
18.	55.4	53.7	53.3	4.5	6.0	2.5	6.6	2.1	5.1	5.1	5.2	81	74	94	C	S 2	C	10^1	9^1	10^1	–	–	
19.	53.8	54.2	53.9	2.5	5.1	4.7	5.9	1.6	5.0	6.4	5.8	91	97	90	S 2	SW 2	SW 4	10^1	9^0	10^1	–	–	9^{04} a–0^{81} p ●
20.	51.0	51.2	51.3	4.5	6.5	6.0	7.1	3.8	6.0	6.0	5.6	96	83	81	SW 4	W 4	SW 4	10^1	9^1	10^1	2.2	–	n, t ztw. ●
21.	50.4	53.1	57.2	3.8	6.3	3.3	8.8	3.0	5.6	5.5	5.6	93	78	97	SW 2	C	C	10^1	10^1	5^0	2.3	–	
22	60.7	62.3	63.8	2.9	6.9	– 0.7	7.3	– 1.1	5.2	5.3	4.4	93	72	100	C	NE 2	C	10^1	9^1⊙	0	–	–	
23.	63.9	62.8	62.0	– 0.4	3.9	0.8	4.3	– 3.9	4.5	4.6	4.6	100	75	94	C	C	C	9^1	5^0	9^1	–	–	a ⌊
24.	58.8	57.1	58.2	– 2.1	1.3	0.9	2.5	– 2.8	3.9	4.5	4.7	100	89	96	C	S 2	SW 2	4^0	10^1	10^1	–	–	a ⌊
25.	58.4	57.3	54.9	1.0	4.3	4.0	5.2	0.4	4.8	5.4	4.8	98	87	78	S 2	S 2	SW 2	1^0	10^1	10^1	1.1	–	n ✳
26.	53.1	51.2	47.6	3.4	5.3	4.5	6.2	2.9	5.0	5.7	5.3	85	86	84	S 2	SW 2	SW 4	10^0	10^1	9^0	–	–	
27.	42.8	42.6	43.2	6.4	6.2	4.3	8.8	3.5	4.3	6.1	5.6	59	87	90	SW 4	SW 4	SW 4	10^1	10^1	9^1	–	–	8^{36} a an ztw. ●
28.	44.9	47.1	49.3	3.0	4.6	1.5	6.8	1.0	5.0	4.6	4.9	88	73	96	SW 2	SW 2	SW 2	8^1	4^1	10^1	2.5	–	t ztw. ●⁰
29.	47.2	42.5	41.4	– 1.5	3.1	3.3	3.7	– 1.8	4.1	4.1	5.2	100	71	90	C	SW 2	SW 4	0	10^1	10^1●	0.6	–	a ⌊. 4^{21} p ✳, dann ●. 9 p ●
30.	41.5	40.5	39.3	3.9	6.8	4.4	7.7	2.9	5.7	5.7	5.4	93	77	87	SW 2	SE 2	SW 2	10^1	6^0	10^1	1.6	–	
																					53.0		
Mittel	52.1	52.1	52.5	2.7	5.2	3.1	6.5	0.8	5.1	5.2	5.2	91	78	90				7.9	8.1	8.0			

Bayreuth.

November. $\varphi = 49^0\ 57'$ N. $\lambda = 11^0\ 34'$ E $= 46^m\ 16^s$. H $= 363.3$ m. Cg $= +0.3$ mm. 1912.

1.	25.6	31.8	35.8	5.1	5.1	– 0.3	6.4	– 0.8	6.0	4.0	4.1	92	62	90	W 6	W 6	C	10^2●	7^1	0	**10.2**	–	n ●$^{0.1}$ ⎍. 7 a ●^{0}. t ztw. ●^{0} △ ✳^{0}
2.	34.4	33.5	32.8	0.5	2.5	1.1	3.5	– 1.8	4.5	4.4	4.6	94	80	92	W 4	W 6	W 4	10^2≋	10^2≋	10^2	0.7	–	a ⌊^{1}. 7 a ✳^{1}. t ztw. ✳$^{0.1}$
3.	30.8	32.0	34.2	1.1	2.9	0.9	3.5	0.2	4.4	4.6	4.4	90	81	90	W 4	W 6	W 4	10^1	5^1⊙	10^1	0.9	–	t ztw. ✳$^{0.1}$
4	37.4	37.8	37.1	0.1	2.3	0.9	2.8	– 1.5	4.3	4.3	4.2	94	80	86	W 2	W 4	W 2	10^2	9^1	10^2	0.3	–	n ✳^{0}
5.	32.2	28.4	27.2	0.7	1.9	0.9	3.3	0.1	4.4	4.9	4.6	90	93	94	W 2	W 2	SW 4	10^2≋	10^2≋	10^2	0.3	–	7 a ✳^{1}. t ✳$^{0.1}$
6.	29.4	34.1	38.0	0.5	0.1	– 3.8	2.5	– 4.2	4.4	4.0	3.3	92	87	95	NW 2	NW 4	E 2	7^1	7^1	0	8.6	1	p ztw. ✳$^{0.2}$
7.	41.0	41.6	41.5	– 7.8	– 0.2	– 4.9	0.7	– 8.3	**2.1**	3.2	2.8	86	70	88	NW 2	E 2	E 2	0	8^1	0	–	–	a ⌊^{2}
8.	41.3	40.3	39.2	– 5.5	– 1.0	– 0.3	– 0.2	– 8.8	2.7	3.5	4.2	90	82	94	E 2	S 2	E 2	10^2	10^2	10^2	–	–	a ⌊^{1}. 7^{46} a–1^{46} p ✳$^{0.2}$
9.	38.6	37.7	36.3	0.9	1.7	1.2	2.4	– 0.8	4.7	5.0	4.9	96	96	98	SW 2	SE 2	E 2	10^2≈	10^1≈	10^1	7.1	**5**	7 a ≡^{2}. t ≡$^{0.2}$
10.	31.3	27.1	24.9	1.6	3.5	4.9	5.2	0.7	4.9	5.7	6.2	94	94	97	E 2	SE 2	C	10^2●	10^2	10^2●	1.5	–	n, 7 a, 9 p ●^{0}. t ztw. ●^{0}
11.	14.5	11.6	10.9	6.1	3.0	2.1	6.8	1.9	**6.3**	5.2	4.6	91	91	86	SW 4	W 4	W 4	10^2●	9^2	4^1	6.6	–	n, a ●$^{0.1}$
12.	07.8	**07.0**	09.5	0.7	1.9	1.3	6.4	0.2	4.7	4.9	4 5	96	93	90	SE 4	SW 4	W 6	10^2≋	10^2≋	10^2	7.0	–	n ●. 7 a ✳^{1}. t ✳$^{0.1}$ ●^{0}
13.	14.7	18.0	21.7	1.3	2.9	0.3	4.2	– 0.3	4.7	5.0	4.4	92	89	94	W 6	SW 6	W 2	10^2	10^2	0	4.3	–	n ✳^{0}
14.	24.9	27.2	29.6	– 0.1	2.7	2.9	3.3	– 1.8	4.1	4.6	4.5	90	83	80	S 4	SW 2	W 6	10^1	10^2	10^2	–	–	a ⌊ ztw. ✳^{0}
15.	30.4	30.2	31.1	1.7	4.5	1.9	5.6	1.2	4.5	4.9	4.8	89	79	91	SE 2	SW 2	W 2	10^1	10^1	10^1	0.2	–	
16.	31.4	32.0	33.1	1.8	4.2	3.1	5.4	1.2	5.1	5.5	5.7	96	90	98	SW 2	NW 2	W 2	10^2	10^1	10^1	0.3	–	a ztw. ●^{0}. 2 p ≡^{0}
17.	34.0	34.5	35.0	2.8	4.6	3.1	4.8	2.1	5.4	5.7	5.5	96	91	96	W 2	W 2	W 2	10^2	10^2	10^2	0.1	–	a ≡^{0}
18.	33.5	31.3	30.7	2.1	3.8	1.7	4.3	1.4	5.2	5.1	4.5	96	86	89	SE 2	SE 2	C	10^1≈	10^2	10^2	–	–	7 a ≡^{1}. t ≡^{0}
19.	30.7	30.4	30.9	1.5	4.3	2.6	4.9	0.2	4.7	4.3	4.8	93	69	88	SW 2	W 4	W 4	10^1	10^1	10^1	–	–	
20.	27.6	27.5	28.2	2.3	4.6	2.7	5.0	1.2	5.0	5.4	5.2	93	87	93	SW 6	W 6	W 6	10^2●	10^2	10^1	3.1	–	n ●^{0} ⎍. t ztw. ●^{0} ⎍
21.	26.9	29.2	33.6	1.3	2.7	2.4	3.4	0.0	4.8	5.2	5.4	96	93	98	W 2	W 4	W 2	10^2	10^2●	10^2	7.5	–	n ●$^{0.1}$ ⎍. t ztw. ●^{0}
22.	38.1	40.1	**42.1**	1.7	3.1	1.3	3.9	1.6	4.9	4.3	4.0	100	74	96	W 2	N 4	N 2	10^1≈	5^1⊙	0	1.7	–	a ≡^{1}
23.	41.8	41.0	39.8	– 1.3	2.8	– 0.3	3.8	– 3.3	4.0	4.3	4.1	96	76	92	E 2	E 2	E 2	10^1	4^1⊙	3^1	–	–	a ⌊^{1}
24.	36.2	34.5	35.4	– 3.5	1.9	– 0.8	2.0	– 4.2	3.4	3.9	4.2	98	76	96	E 2	SW 2	W 2	10^2≈	8^1	10^2	–	–	a ⌊^{3}, ≡^{3}. 7^{01}–8^{46} p ✳^{2}
25.	36.2	35.1	33.6	0.7	2.8	2.1	3.2	– 1.5	4.8	4.7	4.5	98	83	85	SW 2	SW 2	W 2	10^2	3^1⊙	10^1	2.9	**5**	
26.	31.2	29.7	27.1	1.2	3.3	2.1	4.4	0.3	4.6	5.4	4.8	92	93	90	SE 2	SE 2	SE 4	10^2●	10^1≈	4^1	0.3	–	7 a ●^{0}. 2 p ≡^{1}
27.	22.4	20.9	22.1	0.3	8.2	4.6	**8.3**	– 0.7	4.1	3.9	5.3	87	50	85	SE 4	SE 4	SE 2	10^1≈	4^1	10^2	0.2	–	a ⌊^{1} ≡^{1}
28.	22.7	24.4	26.7	2.1	2.7	1.3	4.5	1.0	4.6	4.1	4.4	86	75	88	W 4	W 4	W 2	10^2	10^1	10^1	1.5	–	n ●^{0}
29.	25.9	21.8	21.0	0.1	1.2	0.6	2.2	– 0.6	4.2	3.8	4.2	90	76	87	SE 2	SE 4	E 4	8^1	7^0	10^2	–	–	6^{46}–7^{46} p ✳^{0}
30	20.9	20.5	19.1	1.1	2.8	1.5	3.3	– 1.4	4.6	4.5	3.5	90	71	70	E 4	SE 4	C	10^1	8^0	10^2	0.1	–	
																					65.4		
Mittel	29.8	29.7	30.3	0.7	2.9	1.2	4.0	– 1.0	4.5	4.6	4.5	93	82	91				9.5	8.5	7.7			

Alle Angaben nach Ortszeit.

Bamberg.

November. $\varphi = 49^0\ 53'$ N. $\lambda = 10^0\ 53'$ E $= 43^m\ 32^s$. H $= 287.7$ m. Cg $= +0.3$ mm. 1912.

Datum	Luftdruck auf 0° u. Normalschwere reduziert 700 mm + 7a	2p	9p	Lufttemperatur C° 7a	2p	9p	Max.	Min.	Absolute Feuchtigkeit mm 7a	2p	9p	Relative Feuchtigkeit Proz. 7a	2p	9p	Richtung und Stärke des Windes 0 bis 12 7a	2p	9p	Bewölkung 0 bis 10 7a	2p	9p	Niederschlag mm 7a	Schneedecke cm 7a	Bemerkungen
1.	33.6	39.1	43.2	5.0	6.4	− 0.2	8.4	− 0.3	5.4	4.0	4.0	83	55	89	W 5	W 6	C	10^2	8^1⊙	4^1	6.3	–	n ●, 9^{51}–10^{04} a △
2.	41.8	40.9	40.0	1.0	3.6	1.2	5.5	− 2.1	4.3	4.0	4.7	87	67	94	W 2	W 5	SW 2	10^2*	10^2	10^3*	0.5	–	2 a Höhenstaub, n ⌴, a ztw. ✳^{0}; 1)
3.	38.2	39.1	41.4	1.0	4.3	0.6	5.7	0.6	4.4	4.5	4.2	89	73	89	W 3	W 4	SW 2	5^2	5^1	8^2	0.7	–	9^{00}–ca 10 p ✳^{0}, a ztw. ✳^{0}, ca 3 p ✳bäe
4.	44.9	45.1	43.8	0.0	3.2	− 0.5	4.7	− 0.5	4.3	4.2	4.0	92	73	90	NW 1	W 2	SW 2	10^1	8^1	8^1	1.8	–	
5	39.1	35.0	33.7	0.4	3.3	0.6	4.8	− 1.3	4.7	4.7	4.7	100	82	98	SW 3	S 2	SW 1	10^2*	10^2	10^2*	1.2	–	5^{29}–ca 11 a ✳^{1}, 4^{26}–9^{00} p ✳$^{0.1}$
6.	36.5	41.1	44.6	0.6	2.0	− 2.8	2.8	− 2.8	4.7	3.4	3.6	98	64	98	W 2	N 3	C	5^1	10^1	0	7.9	–	9^{00}–mm ✳^{0}, mm–ca 5 a ●, 2^{23}–ca 3 p ✳^{0}; 2)
7.	48.1	48.7	**49.5**	− 5.8	2.5	− 3.0	3.5	− 5.8	2.9	**2.6**	3.0	98	**47**	83	W 1	N 1	NW 1	1^1	9^1	2^1	0.2	–	n ⋁, 7 a ≡
8.	48.2	46.9	45.8	− 4.0	− 0.6	− 0.3	− 0.1	− 5.9	3.1	4.1	4.4	91	94	98	S 2	S 3	SW 2	10^2	10^2	10^2	0.1	–	n ⌴, 8^{15} a–ca 1 p ✳^{0}, $14^{.34}$ p Eisregen, ca 3–8^{59} p ●
9.	45.5	44.4	42.9	0.2	1.2	1.6	1.8	− 0.7	4.6	5.0	5.2	98	100	100	S 1	C	S 2	10^2=	10^2=	10^2=	5.1	**3**	7 a ≡^{1}, t ●^{0}; 2 p u. 9 p ≡^{2}
10.	37.4	33.3	31.6	3.4	7.7	7.1	8.5	1.4	5.7	**7.6**	7.1	98	98	94	SW 3	S 4	W 1	10^2=	10^2	10^2●	2.5	–	n, a ●^{0}, 7 a ≡^{1}, ca 9–10 a ◍^{1}, 7^{32}–9^{00} p ●
11.	20.9	18.3	17.1	5.9	4.1	2.5	8.1	0.5	6.5	5.0	4.6	94	82	82	S 2	W 3	SW 4	10^3●	5^2	10^2*	4.4	–	9^{00} p–ca 10 a ◍$^{1.2}$, $0^{01.05}$ p ◍^{1}, $0^{03.09}$ p △
12.	13.5	**13.3**	17.0	1.8	1.9	0.9	3.6	0.4	4.4	4.6	4.6	84	88	94	S 4	SW 2	W 2	10^2*	10^2*	10^2	5.0	–	8^{59} p ✳, ca 5 a ●^{0} ✳^{0}, 6^{37}–ca 7 p ✳^{1}
13.	21.8	24.3	28.0	1.2	3.3	0.6	3.8	0.1	4.7	5.0	4.4	94	87	92	SW 3	W 1	S 4	9^1	10^1	10^2	**9.9**	2	n, a–6^{29} a ✳, a ztw. ●^{0}
14.	31.7	33.7	36.5	− 0.2	3.1	2.2	3.7	− 1.6	3.9	4.6	4.5	87	81	84	S 3	SW 4	S 2	10^2	10^2	10^2	0.1	–	n ⌴, 6^{11} a ✳^{0}, a ztw. ●^{0}
15.	37.2	36.9	38.1	1.6	4.2	2.6	5.0	1.4	4.5	5.1	5.1	89	82	93	SW 2	S 1	S 1	10^2=	10^1	10^2	0.2	–	
16.	38.1	37.7	39.7	1.4	5.6	3.9	6.0	1.1	4.9	5.9	5.9	96	86	97	S 2	S 2	C	10^2=	10^0	10^3●	0.2	–	n ●^{0}, 7 a ≡^{1}, p ●^{0}, 9 p ≡^{0}
17.	40.7	41.3	41.7	3.0	4.8	3.1	5.7	2.7	5.6	6.1	5.7	98	96	98	S 1	S 1	W 2	10^2	10^1	10^2	1.0	–	n ●^{0}; 7 a, 2 p ≡^{0}
18.	40.2	38.0	37.4	1.9	3.6	1.8	4.4	1.7	5.0	5.5	5.1	95	93	96	SW 1	C	S 1	10^2	10^2	10^2	0.1	–	n ⌓, 9 p ≡^{0}
19	37.7	37.8	38.5	0.3	3.9	2.3	6.0	0.1	4.6	5.0	5.1	98	82	94	S 2	W 1	SW 1	10^2	10^2	10^2	0.1	–	n ⌓, 8^{15} p ◍^{1}
20.	34.6	34.8	35.2	3.0	5.5	3.1	6.4	2.1	5.1	5.4	5.3	90	80	93	W 6	W 3	C	10^3●	9^1⊙	10^2●	1.6	–	n ●; ca 7–8 a, $11^{03.29}$ a ◍^{1}, 4^{14} p ●^{0}, 8^{29}–9^{00} p ◍^{1}
21.	34.2	36.1	41.0	1.8	3.6	3.0	4.5	1.1	5.1	5.5	5.3	96	93	93	W 1	W 4	W 2	10^2	10^2	10^2	6.1	–	n ●, 10^{59} a–0^{33} p ◍^{1}
22.	45.0	46.7	49.0	1.9	4.2	− 0.4	5.4	− 0.7	5.1	5.1	4.2	96	82	94	W 2	C	C	10^2=	5^1	8^1	1.9	–	7 a ≡^{1}, 9 p ≡$^{0.1}$
23.	48.4	47.7	46.6	− 1.7	4.7	− 0.7	5.3	− 3.3	4.0	3.7	4.1	98	57	94	S 1	E 1	C	10^2	9^0⊙	4^1	0.2	–	n ⌴, 7 a ≡^{0}
24.	43.3	41.6	42.6	− 3.1	1.2	− 0.5	1.8	− 3.9	3.5	3.9	4.2	98	78	94	C	S	2 S 3	10^2=	10^4	10^2*	0.1	–	n ⌴, 7 a ≡^{2}, 2^{49}–9^{00} p ✳^{0}
25.	43.3	41.8	39.7	0.7	3.0	2.4	3.8	− 0.7	4.5	4.5	4.5	92	79	80	S 1	S 2	W 3	10^2	10^2	10^2	1.5	–	n ✳^{0}
26.	38.1	36.0	33.3	1.2	4.3	2.2	5.5	0.8	4.8	5.6	4.8	96	90	89	SE 2	S 2	S 5	10^2	10^2	10^1	0.2	–	6^{14}–ca 7 a ◍^{0}, ca 8–10 a ●$^{0.1}$, 8 p teilw. ⋓ 3)
27.	28.8	27.2	28.3	1.7	9.8	3.9	**10.2**	1.3	3.8	4.4	5.3	73	48	87	SW 3	SW 1	C	10^2	10^2	10^1	0.7	–	
28.	29.4	31.2	33.6	1.4	3.2	0.9	4.8	0.7	4.4	4.5	4.4	87	78	89	SW 1	SW 1	SW 2	10^2	7^1	10^2	0.5	–	
29.	32.6	28.3	27.1	− 2.0	1.5	0.6	2.3	− 2.4	3.9	3.7	4.2	98	72	89	SW 1	S 2	SE 4	S	10^2	2^1	0.1	–	n ⌴, 5^{14}–ca 8 p ✳^{0}
30.	27.1	26.7	24.8	1.6	5.3	2.9	5.9	− 0.4	4.4	4.4	3.4	85	66	61	W 3	NW 4	SW 2	10^2	10^0⊙	10^2	0.2	–	
																					61.3		
Mittel	36.7	36.4	37.1	0.8	3.8	1.4	4.9	− 0.5	4.6	4.7	4.7	93	78	91				9.3	9.2	8.5			1) ca 4 p, ca 8–9^{00} p ✳^{0} 2) 7 a u. 9 p ≡ 3) (4° Durchmesser), später ⋓ (6° Durchmesser)

Würzburg.

November. $\varphi = 49^0\ 48'$ N. $\lambda = 9^0\ 56'$ E $= 39^m\ 44^s$. H $= 179.3$ m. Cg $= +0.3$ mm. 1912.

1.	43.8	49.7	52.8	6.0	4.3	2.3	6.3	2.3	5.2	5.2	4.6	75	84	84	NW 4	NW 4	NW 3	6^2⊙	9^2	10^2	2.0	–	ztw. ◍^{0}, 0^{35}–1^{15} p ▲ △
2.	52.2	51.3	50.2	7.1	5.4	3.9	7.1	0.9	4.8	3.8	4.7	84	56	77	W 4	NW 6	C	10^2	9^2	10^2●	1.5	–	ztw. ◍^{0}
3.	48.7	49.6	51.6	3.0	3.4	2.3	5.6	2.3	4.9	5.0	4.6	87	85	84	NW 3	NW 5	NW 3	10^2	8^2	4^2	0.5	–	ztw. ◍^{0} ⌯
4.	54.3	55.1	53.9	1.2	5.3	3.3	5.3	− 0.7	4.3	4.0	4.4	85	60	76	NW 2	NW 3	NW 3	5^2	9^2	10^2	0.2	–	n ⌴
5.	48.5	44.6	43.7	2.9	5.8	4.1	5.8	1.1	4.5	4.4	4.8	79	64	79	W 2	SW 2	NW 3	10^2●	10^2	10^2	0.1	–	p ◍^{1}
6.	46.5	50.5	54.7	4.1	4.2	− 0.9	4.2	− 0.9	5.1	3.6	4.0	84	58	92	NW 3	NE 3	C	10^2	5^2	0	0.3	–	p schneedrohend
7.	57.9	58.7	**59.4**	− 4.3	2.3	− 1.4	2.3	− 4.3	3.2	3.3	3.7	98	61	90	W 2	C	N 3	0≡	0⊙	0	–	–	a ≡^{1} ⌴
8.	57.9	56.8	55.1	− 1.4	0.6	1.6	1.6	− 3.0	3.6	4.7	4.7	88	98	91	C	W 2	SE 2	10^2*	10^2●	10^2	–	–	a ⌴ ✳, p ztw. ◍
9.	55.1	54.2	52.3	2.1	4.1	3.5	4.1	1.0	5.2	6.0	5.7	96	98	97	NW 1	N 1	C	10^2=	10^2●	10^2	2.6	–	a ≡^{2}, ztw. ◍, p ∞
10.	46.6	42.7	40.9	4.8	10.1	8.4	**10.1**	2.6	6.3	**8.1**	7.2	98	86	88	W 1	W 2	W 3	10^2	10^2	10^1●	3.8	–	ztw. ●
11.	29.7	27.6	26.3	7.4	6.7	3.2	8.6	3.2	6.7	4.4	4.6	88	60	80	SW 8	W 5	W 5	10^2●	3^2⊙	0	4.2	–	ztw. ● ⌯
12.	22.1	22.7	26.9	2.6	3.1	2.1	3.2	2.1	5.6	4.7	4.9	91	84	91	W 5	NW 4	W 2	10^2●	10^2●	10^2●	6.6	–	meist ◍, n ✳
13.	31.0	34.7	36.7	3.0	5.0	3.9	5.0	0.9	5.0	4.6	4.4	88	72	72	W 4	W 2	SW 3	10^2	2^2⊙	10^2	**10.8**	–	ztw. einige ◍tropfen
14.	40.5	43.8	45.8	2.6	5.1	5.1	5.1	2.3	4.5	3.9	4.5	80	58	69	SW 3	W 3	NW 3	10^2	10^2	10^2	–	–	a ztw. einige ◍tropfen u. ✳
15.	46.6	46.5	47.5	3.7	6.1	4.8	6.1	3.1	4.5	4.9	5.4	75	71	84	SW 3	SW 2	C	10^2	6^2⊙	10^2	–	–	
16.	47.6	48.4	49.3	4.3	7.1	5.4	7.1	3.6	5.5	5.9	6.1	89	78	91	W 2	W 3	C	10^2	10^2	10^2●	–	–	ztw. ●^{0}
17.	51.4	50.7	50.8	4.1	7.0	5.3	7.0	3.9	5.8	6.2	6.0	95	82	91	NW 1	E 2	C	10^2	10^2	10^2	0.6	–	
18.	49.8	47.5	47.6	4.0	5.5	3.5	7.5	3.5	5.3	4.8	5.0	87	71	85	S 2	SE 2	C	10^2=	10^2	10^2	–	–	a ≡^{1}
19.	47.4	47.8	47.8	2.2	4.9	4.6	5.2	2.0	4.7	5.1	5.3	87	78	84	NE 1	NW 4	NW 3	10^2=	10^2	10^2	–	–	a ≡^{2}, p ztw. ◍
20.	44.8	44.9	45.0	3.8	5.6	6.0	7.8	3.1	5.2	5.5	5.3	87	82	76	NW 3	W 3	W 4	10^2	10^2	10^2●	1.8	–	ztw. ◍ ⌯
21.	43.9	46.5	50.8	3.9	6.0	4.1	6.0	2.9	5.3	5.3	5.1	87	76	84	W 4	W 4	W 3	10^2	10^3●	10^2	7.5	–	ztw. ◍^{0}
22.	54.8	56.1	58.4	3.1	6.2	0.2	6.2	0.2	5.3	5.1	4.6	93	72	98	NW 2	E 1	C	10^2=	4^1⊙	0	0.3	–	a ≡^{2}
23.	58.3	57.3	56.3	− 0.5	2.7	0.1	2.7	− 1.5	4.2	5.0	4.6	94	89	100	N 1	W 2	C	10^2=	4^1	7^1	–	–	a ⌴, ≡^{1}; m ∞, p ≡^{1}
24.	53.2	51.5	51.9	− 3.0	1.6	1.2	1.9	− 3.0	3.7	4.4	4.7	100	85	94	NW 3	SW 2	SW 2	10^2=	10^2	10^2*	–	–	a ⌴ ≡^{2}; m ∞, p ✳ ●
25.	52.7	51.6	49.7	2.3	5.1	2.0	5.1	0.7	5.0	4.8	4.6	93	74	87	SE 2	NW 4	NW 2	10^2	6^2⊙	8^1	0.8	–	p ⋓
26	47.3	45.3	42.0	3.1	6.5	4.1	6.5	1.6	4.6	5.2	5.2	81	72	85	SW 3	W 4	W 3	10^2	10^2	8^2	0.5	–	a ◍^{0}
27.	37.6	36.5	36.8	2.2	8.3	4.4	8.3	1.2	4.2	4.0	5.2	79	50	84	SW 3	SW 4	C	8^1	10^2	5^1	–	–	a ⋓, p ztw. ⌯
28.	39.1	41.0	43.2	2.6	4.9	2.1	5.0	2.1	4.5	4.3	4.6	80	65	85	W 3	W 4	W 3	5^2	6^2⊙	0	–	–	
29.	41.6	37.6	36.0	− 1.3	2.2	2.3	3.0	− 1.3	3.9	3.9	4.8	94	74	87	W 2	E 4	SE 2	0	10^2	10^2	–	–	a ⌴
30.	35.8	35.1	33.7	2.8	5.9	3.2	6.0	0.9	5.2	5.2	4.3	93	75	75	W 3	SE 3	SE 4	10^2●	10^2	10^2	–	–	a ◍^{0}
																					44.1		
Mittel	46.2	46.2	46.6	2.5	5.0	3.2	5.5	1.1	4.9	4.9	4.9	88	74	85				8.8	8.0	7.7			

Alle Angaben nach Ortszeit.

Ludwigshafen a/Rh.

November. $\varphi = 49^0\ 29'$ N. $\lambda = 8^0\ 26'$ E $= 33^m\ 44^s$. H $= 100.3$ m. Cg $= +0.3$ mm. 1912.

Datum	Luftdruck auf 0° u. Normalschwere reduziert 700 mm + 7a	2p	9p	Lufttemperatur C° 7a	2p	9p	Max.	Min.	Absolute Feuchtigkeit mm 7a	2p	9p	Relative Feuchtigkeit Proz. 7a	2p	9p	Richtung und Stärke des Windes 0 bis 12 7a	2p	9p	Bewölkung 0 bis 10 7a	2p	9p	Niederschlag mm 7a	Schneedecke cm 7a	Bemerkungen
1.	53.1	58.7	61.6	6.5	7.8	3.9	9.5	3.9	5.6	4.2	4.5	78	55	73	W 3	SW 3	SW 2	6^2	5^1⊙	0	1.2	–	
2.	60.8	59.9	59.2	3.9	6.6	4.2	6.9	2.3	4.9	3.7	4.1	80	51	66	SW 1	SW 2	SW 2	9^2	5^1⊙	10^1	–	–	
3.	57.8	58.8	60.6	2.1	4.9	4.3	6.5	1.9	4.2	5.1	5.2	78	79	84	SW 3	SW 2	SW 1	0	6^1	0	–	–	a ⌊⌋ 1, nachm., abds. ◎0
4.	63.3	62.9	61.6	0.5	6.1	2.1	6.5	− 0.1	4.2	4.3	4.8	89	62	85	SW 2	SW 1	E 2	0	3^1⊙	0	1.2	–	a ⌊⌋ 1, ≡1
5.	56.7	52.3	51.9	2.6	7.0	5.7	7.3	0.9	4.2	4.4	3.4	75	59	70	S 2	S 1	SW 2	10^2	10^2	10^2●	–	–	abds. ◎0
6.	54.6	57.7	61.1	5.2	6.3	2.1	7.1	2.1	6.0	4.4	3.4	90	62	61	NW 1	NE 1	NE 1	10^2	3^0	0	1.6	–	n ◎
7.	64.9	65.8	**66.4**	− 1.4	4.3	1.5	4.4	− 2.1	3.4	3.1	4.0	82	49	78	E 1	SE 1	N 1	10^1	○○	0	–	–	a ≡0, ⌊⌋2
8.	64.8	64.4	63.6	0.9	2.5	2.9	3.0	− 0.3	4.1	4.2	4.3	82	75	76	SW 1	SE 1	S 1	10^2●≡	10^2	10^1	–	–	5.30–7.30 a ≡Reissen
9.	63.0	61.0	59.6	4.9	6.6	7.1	7.1	2.5	5.3	6.5	6.7	81	90	88	S 1	SE 1	SW 1	10^2	10^2≡	10^2	0.8	–	a ∞. 9.30 a–abds. ≡1
10.	53.7	51.6	49.2	6.8	10.8	9.2	**11.1**	6.0	6.8	**8.0**	6.8	93	83	79	S 1	W 2	W 2	10^1	10^2	10^2	**5.8**	–	2.30–4.30 p ◎1
11.	37.5	35.4	33.6	7.8	7.2	3.8	9.2	3.8	6.8	4.2	4.9	86	55	82	S 3	SW 3	SW 2	10^2●	5^1⊙	10^1	2.6	–	n ◎ ⌊⌋, vorm. u. nachm. ◎0
12.	29.8	32.3	35.6	3.5	6.5	4.7	6.8	2.7	4.9	4.7	5.3	83	65	82	SW 3	W 3	SW 3	10^2	8^1	10^2●	3.6	–	n ◎. 6.24 a ✕. abds. ◎0
13.	39.3	41.7	45.0	4.1	5.8	3.3	6.1	2.9	5.1	4.6	4.2	84	67	73	SW 3	SW 2	SW 2	10^2	10^2	10^1	0.4	–	
14.	48.2	51.1	53.7	3.2	7.0	5.6	7.1	1.9	4.9	5.0	4.9	85	67	73	S 2	SW 2	SW 2	10^2●	10^1	10^2	0.1	–	
15.	54.1	54.3	55.6	3.6	6.0	4.4	7.2	2.5	4.4	5.2	5.3	75	75	85	S 1	N 2	SW 2	10^2	10^2	10^2	–	–	
16.	55.6	56.0	56.7	5.2	7.1	6.0	7.6	2.9	5.7	6.2	6.4	86	83	91	SW 2	N 1	N 1	10^2●≡	10^2	10^1	0.4	–	a ≡Reissen. 9.04–11.04 a ≡1, dann ∞. 11.31 a–1.30 p ≡0
17.	58.6	58.6	58.6	5.2	5.8	5.2	6.1	4.3	6.3	5.9	6.1	95	87	92	S 1	SW 1	SW 1	10^2≡	10^2	10^1	–	–	a ≡1
18.	57.0	54.8	54.6	4.7	5.1	4.1	6.0	4.0	5.4	5.1	4.9	84	78	80	SE 1	S 1	S 1	10^2	10^2	10^1	–	–	a ∞. 9.04–10.19 a ≡1. 0.30 p schwaches ≡Reissen
19.	55.4	56.3	56.4	3.6	6.0	5.3	7.1	2.7	5.4	5.9	5.4	92	85	82	S 1	S 1	SW 2	10^2≈	9^2	10^2	–	–	a ≡1. 7.30.59 a, 10.04–11.30 a ≡Reissen
20	53.8	54.0	54.4	5.7	8.0	7.2	8.9	4.0	5.8	5.2	5.2	85	64	69	SW 3	SW 5	SW 3	10^2	10^2	10^2	0.6	–	✕ bög
21.	52.5	55.4	59.2	5.3	7.0	5.7	7.3	5.0	5.4	5.8	5.8	82	77	85	W 2	SW 1	SW 1	10^2	10^2	10^2	1.4	–	11.04 p ✕ Flocken. n ◎0. a u. nachm. ◎
22.	62.5	64.0	65.5	5.0	7.5	2.9	8.1	2.9	5.7	5.5	4.9	87	70	86	C	N 1	N 1	10^2	9^2	0	1.2	–	a ≡0
23	65.5	64.4	63.5	− 1.9	1.6	− 0.5	2.9	− 2.2	3.9	4.8	4.3	**98**	93	96	C	W 1	W 1	10^2≈	10^2≈	10^2≈	–	–	a ⌊⌋2. t ≡2
24.	60.5	60.1	60.3	− 2.4	1.3	1.9	1.9	− 2.6	3.8	4.5	4.7	**98**	91	90	S 1	NE 1	NE 1	10^2≈	10^1	10^2	–	–	a ≡2. 5.19 p △. abds. ◎
25.	61.1	59.5	57.9	1.9	6.0	2.8	6.1	0.9	4.7	4.9	4.4	90	70	77	S 1	SW 1	SW 1	10^2	10^2	10^2	0.8	–	a ∞
26.	55.2	53.1	49.2	3.5	5.8	4.7	6.1	1.9	4.5	5.1	4.8	77	75	74	S 3	S 1	SW 1	10^2	10^2	10^2	–	–	a böig, ∞
27.	44.2	44.4	44.0	5.0	7.2	4.8	8.0	2.0	3.2	5.6	5.2	49	74	81	S 2	S 1	S 2	10^2	10^2	0	–	–	a böig, vorm. u. nachm. öfters ◎0
28.	46.6	49.3	51.3	3.3	5.8	2.3	6.1	2.0	4.7	4.1	4.3	82	60	79	S 3	SW 1	SW 2	10^2	5^2⊙	10^2	1.2	–	n–mn ◎
29.	47.6	43.4	43.0	− 0.1	3.3	2.3	3.3	− 0.9	3.9	3.5	4.7	85	59	85	SE 1	S 1	SW 1	10^1	10^1	10^1	–	–	a ⌊⌋1, ≡1. 2.30–5 p ✕. 3.30–4.30 p ┼. 6-mn ✕ ◎. [1]
30.	42.7	41.1	39.7	4.8	7.5	5.6	9.6	2.1	5.2	5.0	5.6	81	65	83	S 1	SE 1	SE 1	10^1	10^2	10^2	1.6	–	abds. ◎0
																					24.5		
Mittel	54 0	54.1	54.4	3.5	6.0	4.2	6.7	2.0	5.0	5.0	5.0	84	71	80				9.2	8.3	7.6			

[1] 4.30 p 2 cm ✕Höhe.

Nürnberg.

November. $\varphi = 49^0\ 27'$ N. $\lambda = 11^0\ 3'$ E $= 44^m\ 12^s$. H $= 309.1$ m. Cg $= +0.2$ mm; über 735.0 mm Cg $= +0.3$ mm. 1912.

1.	31.0	37.0	40.6	5.5	3.5	1.1	8.4	1.1	5.9	5.2	4.9	88	88	90	NW 3	NW 3	W 2	10^0●	10^1	0	4.7	–	n ztw. ⌊⌋0.2. ca 6 a–8 p ⌊⌋. 7 a ◎. 2.23–4.39 p [1]
2.	40.1	39.4	38.3	1.3	4.1	2.5	4.4	− 0.2	4.4	4.5	4.0	87	74	72	SW 2	W 3	W 3	10^1	10^1	10	–	–	a ⌊⌋2. 5.59–9.01 a ztw. ✕0. ca 9 a–4 p ⌊⌋.
3	36.5	37.4	39.6	1.8	1.5	2.1	4.5	0.4	4.4	4.7	4.5	84	93	84	W 3	NW 3	W 2	10^1	7^1	6^1	–	–	n–0.05 p ztw. ✕0. 7 a ≡0. t ⌊⌋. 1.07–2.54 p ┼
4	42.6	43.1	42.1	0.5	3.4	1.1	4.5	0.1	4.2	4.2	4.1	89	71	83	NW 2	W 3	S 1	10^1	8^1	10^1	2.0	–	5.41–10.44 a ≡0.1. 10.51–11.54 a ✕0
5	37.5	33.2	31.9	0.4	4.7	2.5	5.6	− 1.0	4.4	3.9	4.9	92	60	89	S 2	W 2	W 2	10^1≈*	10^0	10^1*	0.5	–	5.41–10.44 a ≡0.1. 5.34–8.13 a ✕0.1. 2 p ≡0. [2]
6.	33.7	38.3	42.0	2.0	2.0	− 1.9	3.9	− 1.9	5.0	3.5	3.7	94	66	92	N 3	NE 2	NE 1	10^1	6^1	0	2.2	–	n–5.19 a ◎0, ✕0, △0. 7 a ≡0. ca 8 a Aufklaren. [3]
7.	45.5	46.0	**47.1**	− 4.9	1.6	− 2.1	2.0	− 5.0	3.2	3.1	3.0	100	59	77	C	NE 1	SE 1	7^0	6^0⊙	0	–	–	n klar. ca 4 a ⌊⌋2. 4.44–10.44 a ≡1.2.
8.	45.7	45.0	43.8	− 2.9	− 0.1	0.9	0.9	− 5.0	3.0	3.8	4.6	81	83	94	SE 1	S 1	S 2	10^1≈	10^1	10^0	–	–	n klar. ca 4 a ⌊⌋2. ca 5 a–0 p ≡0.2. ca 10 a–0 p [4]
9	43.1	42.2	40.6	1.3	3.0	3.3	3.3	0.9	4.9	5.6	5.8	98	98	100	SE 1	S 1	SE 2	10^2≈	10^2≈	10^0	5.0	–	ca 0 a–n öfters ◎0. ca 4 a–n ≡0.2. 9 p ≡0. [5]
10.	35.6	31.6	29.7	4.6	7.8	7.2	**8.9**	3.3	6.2	**7.6**	6.9	98	96	91	SE 1	S 2	SW 3	10^1≈	10^1	10^0●	1.8	–	n–ca. 10 p ≡0.2. n–ca 11 p öft. ◎0. ca 6 a–4 p ≡0.1. [6]
11.	19.7	16.8	15.4	6.6	4.5	2.3	7.2	1.3	6.6	5.0	4.5	91	79	82	S 3	SW 3	SW 3	10^1	8^1⊙●	5^1	3.4	–	0–ca 11 a ◎. 7 a ≡0. p wechs. ◎0, ✕0, △0. [7]
12.	12.5	12.3	15.3	2.5	2.9	1.7	3.8	1.3	4.4	5.1	4.2	79	90	84	S 3	SW 2	SW 2	10^1	10^1	4^1	1.7	–	n–ca. 11 a ✕0 mit ◎0. 7 a. 2 p ≡0. ca 2 p–n öft. ✕0, ⌊⌋
13.	20.3	22.9	26.1	2.0	4.4	0.6	4.9	0.5	4.5	4.5	4.2	85	73	89	SW 3	SW 2	S 1	10^1	9^1	3^1	**5.5**	–	n–ca. 0 a ✕0. ca 0–5 a ◎0 ✕0. 7 a ≡0. p Aufklaren
14.	29.7	32.2	34.5	0.2	3.9	1.7	4.5	− 1.3	3.9	4.7	4.3	83	77	82	SW 2	SW 2	SW 2	10^1	10^1	0	–	–	ca 0–4 a klar. ca 4 a ⌊⌋2. ca 6–11 a ≡0. [8]
15.	35.1	34.2	35.7	0.8	4.1	1.9	4.9	0.6	4.1	5.0	4.8	83	82	91	S 2	C	C	10^1	○○	10^0	–	–	ca 6–11 a ≡0.1. ca 6–9 p wechs. Bew. t unsicht. Luft
16.	35.9	36.6	37.2	1.8	4.9	3.7	5.1	1.0	4.8	5.4	5.7	91	82	95	C	NE 1	C	10^2≈	10^1	10^1	–	–	ca 6 a–4 p ≡0.1.2; (7 a ≡2, 2 p ≡0)
17.	38.6	39.1	39.5	2.7	5.1	3.6	5.4	2.5	5.6	5.6	5.2	100	86	88	S	S 2	S 1	10^1≈	10^1	10^1	–	–	n ≡, meist C. ca 0 a–2 p ≡0.1.2; (7 a ≡1). 2 p ∞
18	37.9	35.8	35.0	2.5	3.1	2.5	4.3	2.0	4.9	5.0	5.3	89	88	96	SE 1	SE 2	W 1	10^1≈	10^0	10^1≈	–	–	n bedeckt. ca 6 a–5 p ≡0.1.2; (7 a ≡1, 2 p ≡0, 9 p ≡1)
19.	35.5	35.9	36.1	1.6	4.5	2.9	5.3	1.4	4.8	4.6	5.2	93	73	93	W 1	W 1	W 2	10^1≈	7^0	10^1	–	–	ca 1–11 a ≡0.1; (7 a ≡1). ca 8 a ab Aufklaren. [9]
20.	33.2	33.4	33.2	3.1	4.6	4.5	5.9	2.3	5.1	5.2	5.5	90	82	87	NW 2	W 1	W 2	10^1	9^1	10^1	0.5	–	9–11.48 p ◎0. ca 3 a–9 p häufig ◎0. 2.44–3.34 p △. [10]
21	31.7	34.1	38.8	1.8	3.3	2.9	5.0	1.3	5.0	5.3	5.4	95	92	96	NW 2	W 3	NW 3	10^1●	10^1●	10^1	**5.5**	–	ca 9 p–3 a ◎0. ca 3–8 a öft. ◎0. ca 6–7.04 a ◎0 ✕0. [11]
22.	42.5	44.4	46.2	2.2	4.6	2.7	5.0	1.9	5.2	4.1	5.0	96	65	89	NW 1	NE 1	E 2	10^1	10^0	10^1	2.5	–	ca 5–10 a ≡0.1.
23.	46.1	45.2	44.1	− 3.0	2.2	− 0.2	3.0	− 3.8	3.5	4.7	4.0	96	87	89	SE 1	NW 2	SE 1	6^1≈	1^0○	1^1	–	–	n klar. ca 5 a ⌊⌋2. ca 6–11 a ≡0.2; (7 a ≡1). [12]
24.	40.8	39.6	40.3	− 3.5	− 0.1	− 0.3	0.5	− 4.3	3.3	3.7	4.2	93	87	94	C	SW 2	S 2	10^1≈	10^0	10^1*	–	–	ca 9–10 p ≡0; ca 3 a ⌊⌋2. ca 5 a–1 p ≡0.2; [13]
25	41.1	40.1	38.0	1.1	3.8	2.5	4.2	− 0.4	4.7	4.6	4.6	94	77	82	SW 2	SW 2	SW 3	10^1	10^0	10^1	1.3	1	ca 9 p–3 a ✕0. ca 7 a–1 p ≡0.1; (7 a ≡0). 2 p ≡0
26.	36.2	34.5	41.3	2.4	5.8	2.5	6.2	1.9	4.5	5.8	4.5	82	85	80	S 1	SW 2	SE 1	10^1*	10^0●	8^1	–	–	ca 6 a–1 p ≡0.1. 5.49–8.44 a ✕0 △0, ◎0. [14]
27.	26.8	25.8	26.1	3.5	8.4	4.9	8.5	2.0	3.6	4.0	5.3	62	49	81	SE 1	SW 3	S 2	10^0	5^0○	10^1	–	–	7 a, ca 9–11 a ≡0. ca 1–2 p ⌊⌋
28.	27 5	29.1	31.4	2.4	3.7	0.9	4.0	0.9	4.7	4.1	4.4	85	69	89	W 2	W 2	W 2	10^1	10^1	7^1	–	–	ca 1 1 p ∪. 2.31.41 a ◎0. 7 a, ca 8–10 a ≡0.
29.	30.2	25.8	25.5	− 1.4	1.6	1.5	1.9	− 1.9	3.6	3.6	4.1	86	71	80	SE 2	SE 1	W 2	10^2≈	10^0	8^1	–	–	ca 6 a ⌊⌋1. ca 6–10 a ≡0.2; (7 a ≡2). 2 p ≡0. [15]
30.	25.2	25.0	22.8	2.5	4.5	1.5	5.0	0.0	4.3	3.7	3.4	77	59	67	SE 2	SE 1	SE 2	10^1	8^1	0	–	–	t wechs. Bew., lebhafte südl. Winde. 2 p ≡0.
																					36.6		
Mittel	34.6	34.5	34.9	1.4	3.7	2.0	4.7	0.1	4.6	4.7	4.7	89	78	87				9.8	8.5	7.0			

[1] ztw. ◎0, ztw. ✕ ◎0, kurz △0.232 p ⌒.
[2] 6.07 p–n ztw. ✕0. ca 6–7 p ⌊⌋. [3] sicht. Luft.
[4] öfters ◎0 u. ✕0. 2 p ≡0. (abds. 1–2 cm ⊠. 9 p ∞. [5] (untertags ≡Reissen).
[6] 2 p ≡0. 9 p ◎. [7] p ⌊⌋
[8] 11.41 a–0.04 p ✕0. 2 p ≡0. [9] 4.37–9 p öfters ◎0.
[10] 7.16.29 p Fern[ϟ i. NW. abds. ≤.
[11] ca 9–10 a ◎0. 9.31.39 a ✕. ca 0–4 p ◎0. 2.29.59 p △.

Alle Angaben nach Ortszeit.

Kaiserslautern.

November. $\varphi = 49^0\ 27'$ N. $\lambda = 7^0\ 46'$ E $= 31^m\ 4^s$. H $= 242{,}2$ m. Cg $= +0.3$ mm 1912.

Datum	Luftdruck auf 0^0 u. Normalschwere reduziert 700 mm + 7ª	2ᵖ	9ᵖ	Lufttemperatur C⁰ 7ª	2ᵖ	9ᵖ	Max.	Min.	Absolute Feuchtigkeit mm 7ª	2ᵖ	9ᵖ	Relative Feuchtigkeit Proz. 7ª	2ᵖ	9ᵖ	Richtung und Stärke des Windes 0 bis 12 7ª	2ᵖ	9ᵖ	Bewölkung 0 bis 10 7ª	2ᵖ	9ᵖ	Niederschlag mm 7ª	Schneedecke cm 7ª	Bemerkungen
1.	41.3	45.7	48.6	5.4	6.0	1.2	8.4	1.2	5.0	4.7	4.5	75	67	91	NW 2	NW 1	NW 1	5^1	5^1 ⊙●	2^1	3.7	–	10^{46}–11^{01} a, 14^{6}–20^{6} p ◍. $0^{46.51}$ p △
2.	47.8	46.8	45.9	2.0	4.6	1.8	4.9	1.1	4.8	3.8	4.4	91	60	84	NW 2	NW 3	NW 2	7^1	3^1⊙	0	0.5	–	a 〓⁰
3.	45.3	45.0	47.5	1.5	5.7	1.6	6.2	1.1	4.6	4.7	5.0	91	68	96	W 1	W 2	W 1	7^1	10^2 ●△	5^0	–	–	n △⁰. 10^{6}–9^{30} p ztw. △ ◍⁰
4.	49.5	49.4	48.4	− 2.4	2.0	0.9	2.5	− 2.8	3.7	4.8	4.9	96	91	100	C	W 1	C	10^1	9^1	10^2	0.1	–	a ⌙², 〓². abds. 〓²
5.	43.6	39.3	39.0	1.2	5.5	4.3	5.8	0.4	4.5	4.5	5.0	91	67	80	W 2	W 2	C	10^1	10^1	10^2●	–	–	a 〓¹. $11^{1.30}$ p ⟋. 8^{56} p–n ◍⁰
6.	41.6	44.6	48.1	4.1	4.7	− 0.2	5.0	− 0.2	5.9	5.0	3.9	97	78	87	C	E 2	E 1	10^2	9^1	0	1.4	–	n ◍. a 〓¹
7.	51.0	51.5	**52.3**	− 3.6	3.2	− 1.3	3.5	− 3.9	3.3	**2.7**	3.6	95	46	86	C	SE 2	SE 1	10^2▬	0⊙	0	–	–	a ⌙², 〓².
8.	50.8	50.4	49.9	− 0.2	3.5	3.7	3.9	− 2.3	3.7	3.7	4.4	81	63	73	C	NW 1	C	10^1	10^2●	10^1	–	–	a ⌙, 〓¹. 10^{01} a–3^{41} p ztw. ◍⁰ 〓¹
9.	49.2	47.6	45.8	4.5	8.1	7.1	8.4	3.5	5.9	6.9	7.3	94	86	98	C	W 1	C	10^1=	10^1	10^1	0.3	–	a 〓¹, später–n 〓²
10.	40.7	38.7	36.7	7.9	9.3	7.7	**9.8**	6.0	**7.4**	7.3	7.1	93	84	90	W 2	W 1	W 3	10^2	10^2	10^2●	1.9	–	n ◍. 3^{30} p ab ztw. ⟋. 8^{30} p–n ◍, ⟋
11.	25.8	23.5	21.1	6.2	5.5	3.0	7.7	3.0	6.2	4.5	4.6	88	67	81	NW 4	W 3	W 3	10^2●	8^1⊙●	9!	**9.0**	–	n ◍, ⟋. a–9 a ◍ ⟋. p ztw. ◍⁰. abds. ztw. ⟋
12.	18.8	21.3	24.3	2.4	4.7	**3.5**	5.0	2.1	5.0	5.4	5.3	91	81	90	W 3	W 2	W 3	10^2	10^2	10^2	2.6	–	n ✳ ◍. a 〓². a, p ztw. ◍tropfen. 3^{30}–5^{30} p ◍
13.	27.1	29.1	32.2	2.4	3.7	3.1	4.1	2.1	5.0	4.8	4.4	91	80	76	W 3	W 2	W 2	10^1	10^2	10^1	1.3	–	
14.	35.4	38.2	40.5	3.0	4.9	4.7	5.1	2.1	5.2	5.3	5.0	91	81	78	W 2	W 1	W 1	10^2●	10^2●	10^1	0.2	–	n, a–8^{30} a ◍⁰. 1^{30}–3^{21} p ztw. ◍tropfen
15.	40.9	41.0	42.7	3.4	4.8	1.9	5.0	1.9	5.0	5.5	4.9	85	86	93	W 1	C	C	10^1	10^1	0	0.1	–	a, p ∞. abds. 〓²
16.	42.6	43.0	43.8	2.8	5.7	4.7	6.0	1.2	5.5	6.4	6.3	98	94	98	W 1	W 1	C	10^2●	10^2	10^1	1.1	–	n, a–8^{25} a ◍⁰. 0^{31}–1^{05} p ◍⁰. ∞. 〓⁰
17.	44.8	45.0	45.4	3.8	6.3	5.1	6.7	3.5	5.9	6.3	5.9	98	88	90	SE 1	C	C	10^2	10^1	10^1	0.1	–	a 〓². t 〓
18.	43.5	41.7	41.4	4.2	3.6	3.4	5.1	3.4	5.5	5.4	5.7	89	92	98	W 1	S 1	C	10^1	10^2●	10^2●	–	–	a 〓², ztw. ◍. t ztw. 〓-Reissen, ∞
19.	42.3	43.2	43.4	3.2	5.7	4.1	6.0	3.0	5.4	5.8	5.3	93	85	87	C	W 1	W 3	10^1	9^1	10^1	0.9	–	n ◍. a 〓-Reissen, ∞
20.	41.0	41.6	41.7	5.0	6.7	5.5	7.0	3.0	5.6	5.6	5.7	86	77	85	NW 4	NW 2	NW 3	10^1	10^1	10^2	2.0	–	n ◍, a ztw. ⟋. 7^{30} p–n ztw. ◍
21.	40.2	42.6	46.4	3.8	6.5	3.1	6.7	3.0	5.7	5.5	5.5	95	77	96	NW 1	W 1	N 1	10^2	7^1⊙	5^1	4.7	–	n ◍. a ztw. ◍. 3^{21}–4^{01} p ◍. abds. 〓²
22.	49.2	50.6	51.9	2.5	6.3	0.0	6.4	0.0	5.4	5.8	4.6	98	81	100	C	N 1	C	10^1	9^1	0	2.0	–	a, abds. 〓², ⌙²
23.	51.5	50.5	49.5	− 1.8	4.1	0.0	4.1	− 2.9	3.8	4.1	4.4	96	68	96	C	E 2	C	10^1	5^0⊙	10^1	–	–	n, a ⌙², 〓². abds. 〓²
24.	46.9	46.1	47.2	− 2.0	1.1	1.2	1.5	− 2.9	3.8	4.5	4.8	96	90	96	C	SW 1	W 2	7^1	10^1	10^1	–	–	a ⌙², 〓⁰. 3^{51} p–n ztw. ✳⁰, ◍⁰
25.	47.6	45.9	43.5	1.0	3.8	2.8	4.1	0.7	4.7	5.1	4.7	96	85	82	W 1	W 1	W 3	10^1	10^1	10^2	0.8	–	a 〓¹
26.	41.9	39.8	36.4	2.6	5.5	3.5	5.7	2.3	4.8	5.3	4.7	87	79	80	W 4	W 2	W 4	10^1	10^1	10^1	–	–	n, a–9^{30} a ⟋
27.	30.9	31.7	31.0	6.2	5.3	4.9	7.2	2.5	5.3	5.8	5.4	75	87	82	W 6	W 2	W 2	10^2●	9^1	10^2●	0.2	–	n ztw. ⟋. a, p–1^{16} p ◍, ⟋^{18}. 8^{01} p–n ◍
28.	33.9	36.8	38.2	2.2	3.8	1.7	4.9	1.7	4.9	4.2	4.6	91	70	90	W 2	W 1	C	10^1	7^1	10^1	4.5	–	
29.	34.3	30.3	29 8	− 1.4	0.8	3.3	3.5	− 1.8	3.8	4.1	5.0	92	85	87	S 2	S 1	SW 2	4^1	10^1*	10^2●	–	–	a ⌙. 1^{30}–6^{01} p ✳⁰, dann–n ◍⁰
30.	30.0	29.1	27.7	4.3	7.4	4.5	7.6	3.1	5.4	5.4	5.9	87	70	94	W 3	S 1	C	10^1	10^1●	10^1	1.2	–	n ◍, ztw. ⟋, a ztw. ◍⁰. p–6^{01} p ◍. $3^{26.51}$ p ◍ ⟋
																					38.6		
Mittel	41.0	41.0	41.3	2.5	5.0	3.0	5.6	1.2	5.0	5.1	5.1	91	78	89				9.3	8.7	7.7			

Ansbach

November. $\varphi = 49^0\ 18'$ N. $\lambda = 10^0\ 33'$ E $= 42^m 12^s$. H $= 437.5$ m. Cg $= +0.2$ mm. 1912.

1.	20.7	26.1	29.6	3.7	2.9	0.1	7.8	0.0	5.2	4.8	4.3	88	86	92	NW 6	NW 4	NW 2	10^2●	2^1⊙	0	1.7	–	mrgs. ◍ u. ⟋. 11^{54} a △. 0^{52}–1^{27} p ✳. 1)
2.	28.7	28.1	27.2	0.3	2.5	0.9	2.6	− 1.1	4.3	3.3	3.7	92	60	73	W 4	W 6	W 4	10^2	4^1	10^2	1.6	–	t ztw. ✳
3.	25.4	26.1	28.4	0.3	3.1	1.1	3.2	− 0.2	4.3	4.2	4.3	92	72	88	W 6	NW 4	W 6	10^2	8^2	10^2	0.6	–	n, a ✳. t ztw. ✳ Tauwetter
4.	31.3	31.6	30.4	− 1.2	2.5	− 1.2	3.0	− 1.9	3.9	3.6	3.8	92	65	90	NW 2	W 2	W 2	8^2	4^1⊙	0	0.3	–	
5.	25.8	21.8	20.8	− 0.2	4.1	1.1	4.2	− 1.9	3.8	3.7	4.9	85	60	91	SW 2	SW 2	W 6	10^2*	10^2	10^2*	–	–	mrgs., 8^{17} p–n ✳
6.	22.7	26.8	30.7	1.5	1.7	− 3.8	2.2	− 3.8	4.9	3.0	3.0	96	58	89	N 2	N 4	C	10^2	4^1⊙	0	3.6	–	n, a ✳ u. ◍
7.	33.6	34.2	**35.3**	− 6.6	1.0	− 4.0	1.2	− **6.7**	2.5	2.6	2.9	92	53	87	C	NE 2	C	0	0⊙	0	–	–	mrgs. V. 〓⁰
8.	34.0	33.3	32.0	− 4.0	− 0.5	0.8	0.8	− 6.5	2.9	3.5	4.5	84	79	92	C	SW 2	W 2	6^0	10^2●	10^2	–	–	mrgs. V. 9^{17} a–0^{37} p ✳, später ◍
9.	31.6	30.7	29.2	1.1	2.5	2.9	2.9	0.2	4.7	5.2	5.6	94	64	100	W 2	W 2	C	10^2▬●	10^2▬	10^2▬	4.2	–	Tauwetter. t–n 〓². 4^{12} p ab ztw. ◍
10.	24.4	20.7	19.2	4.3	9.4	6.6	**9.8**	2.1	6.0	**8.0**	6.7	97	92	94	W 2	SW 2	W 4	10^2●	10^2	10^2●	2.8	–	n, t–n ztw. ◍
11.	08.7	05.8	04.5	5.7	4.4	1.6	7.0	0.6	6.4	4.9	4.2	94	80	83	SW 4	SW 4	SW 8	10^2●	10^2	10^2	5.8	–	n, a ⟋. mrgs. ◍. vorm, ztw. ◍. abds. ⟋
12.	00.9	00.9	04.5	0.9	1.3	1.5	2.4	0.2	4.4	4.5	4.5	90	90	90	SW 4	W 4	W 4	10^2*	10^2*	10^2	4.4	–	n, a, t ztw. ✳. Tauwetter
13.	09.2	11.6	14.8	1.1	3.5	− 0.8	3.5	− 0.8	4.4	4.7	4.1	90	80	94	W 2	W 2	SW 2	10^2	6^1⊙	0	4.6	–	
14.	18.3	21.0	23.5	− 0.5	3.3	1.5	3.4	− 1.9	3.7	4.4	4.2	83	77	83	SW 4	SW 2	W 2	10^2	8^1	0	0.1	–	mrgs. ✳ (schwache ⊠ < 1 cm). Tauwetter
15.	23.8	23.3	24.2	− 1.8	4.0	0.7	4.0	− 1.8	3.4	4.4	4.5	86	71	92	C	C	C	0	4^0⊙	10^2	–	–	mrgs. ⌙
16.	24.7	24.8	25.8	1.1	4.3	2.4	4.4	0.0	4.6	5.2	5.2	92	85	94	W 2	C	C	10^2	10^2	10^2	–	–	
17.	27.0	27.6	28.0	2.1	3.5	1.8	3.8	1.5	5.2	5.0	4.9	96	86	93	C	W 2	C	10^2	10^2	10^2	–	–	mrgs. 〓⁰
18.	26.3	24.1	23.6	0.9	2.6	0.9	2.8	0.2	4.4	4.8	4.5	90	86	92	C	C	C	10^2	10^2	10^2	–	–	
19.	24.4	24.6	25.2	0.3	2.7	2.3	3.0	− 0.2	4.2	4.6	5.0	90	83	93	SW 2	W 2	W 4	10^2	10^2	10^2	–	–	
20.	22.3	22.5	22.4	1.7	2.5	3.5	4.4	0.8	4.8	4.9	5.1	93	90	88	W 6	W 4	W 6	10^2●	10^2●	10^2●	1.1	–	t ztw. ◍, ✳, △, ⟋. 9 p ◍
21.	20.8	23.0	27.4	1.7	1.9	2.1	3.6	0.6	4.8	4.9	5.0	93	93	93	NW 2	NW 4	NW 2	10^2	10^2●	8^1	**10.8**	–	t ztw. ◍ u. ✳
22.	31.1	32.6	34.6	1.5	4.3	− 0.6	4.4	− 0.6	4.9	4.5	4.0	96	72	90	C	C	C	10^2	8^1⊙	6^1	2.7	–	abds. 〓⁰
23.	34.4	33.6	32.4	− 4.3	2.5	− 2.7	2.6	− 4.8	3.1	3.6	3.3	93	64	87	C	NE 2	C	10^2=	2^0⊙	0	–	–	mrgs. 〓² V
24.	29.1	28.1	28.8	− 5.0	− 1.8	− 0.8	− 0.2	− 5.0	2.8	3.4	3.8	88	86	88	C	W 2	W 2	0	10^1	10^2*	–	–	mrgs. ⌙. 7^{12} p–n ✳
25.	29.9	28.4	26.1	0.5	2.7	0.9	2.8	− 1.0	4.3	4.5	4.3	90	81	88	W 2	W 2	W 2	10^2	10^2	10^2	1.6	1	Tauwetter
26.	24.5	23.2	19.8	1.3	5.1	1.9	5.2	0.4	4.1	5.4	4.3	83	84	83	SW 4	SW 2	SW 2	10^2	10^2	8^2	–	–	stellenweise ⊠
27.	15.3	14.4	14.9	2.7	8.8	3.3	9.0	1.1	3.6	4.2	5.0	63	51	88	SW 2	SW 2	SW 4	6^0	2^0⊙	10^2	–	–	nachm. ztw. ⟋
28.	16.2	17.9	20.4	2.0	2.7	0.5	3.8	− 0.2	4.3	3.9	4.1	83	70	85	W 4	W 4	W 2	10^2	10^2	10^2	–	–	
29.	18.4	14.2	14.0	− 3.6	1.3	− 0.6	1.4	− 3.6	3.2	3.5	4.0	91	68	90	S 2	S 2	S 2	0	10^2	0	–	–	mrgs. ⌙. 4^{37}–6^{42} p ✳
30.	13.6	13.4	10.8	0.9	4.3	0.8	4.4	− 0.8	4.1	3.7	3.5	84	60	71	S 2	S 2	S 2	10^2	6^1⊙	10^2	0.2	1	
																					46.1		
Mittel	23.2	23.1	23.6	0.3	3.1	0.8	3.8	− 1.2	4.2	4.4	4.4	89	76	89				8.3	7.6	7.0		–	1) 2^{27}–3^{32} p △ u. ✳.

Alle Angaben nach Ortszeit.

Regensburg.

November. $\varphi = 49^0\ 1'$ N. $\lambda = 12^0\ 7'$ E $= 48^m\ 28^s$. H $= 354.3$ m. Cg $= +0.2$ mm. 1912.

Datum	Luftdruck auf 0° u. Normalschwere reduziert 700 mm +			Lufttemperatur C°					Absolute Feuchtigkeit mm			Relative Feuchtigkeit Proz.			Richtung und Stärke des Windes 0 bis 12			Bewölkung 0 bis 10			Niederschlag mm	Schneedecke cm	Bemerkungen
	7^a	2^p	9^p	7^a	2^p	9^p	Max.	Min.	7^a	2^p	9^p	7^a	2^p	9^p	7^a	2^p	9^p	7^a	2^p	9^p	7^a	7^a	
1.	26.1	32.6	37.1	6.7	5.2	1.1	**8.0**	1.0	**6.1**	5.0	4.1	83	75	83	W 3	W 5	C	10^2●	4^2⊙	0	3.4	–	7^{00} a ◍, 0^{35}–ca 1 p △
2.	36.4	35.3	34.8	– 0.5	4.0	1.4	4.2	– 1.2	4.1	3.9	3.5	92	64	69	SW 4	W 6	W 4	10^1	7^1⊙	10^0	0.6	–	7^{00} a ⌴, 10^{41} a ✳
3.	32.4	33.1	35.4	1.0	2.8	1.0	3.2	– 0.8	4.4	4.7	4.4	89	89	89	SW 6	SW 3	W 3	10^1	10^1	10^1	1.9	–	n, 7^{15-25} a, t öfters ✳
4.	38.2	39.5	38.5	0.1	1.8	– 0.8	2.1	– 1.3	3.9	3.9	3.7	86	75	85	W 3	W 2	C	10^2	9^2⊙	0	1.3	–	
5.	34.5	30.2	27.8	– 0.8	2.8	1.8	3.1	– 2.1	3.8	4.3	4.5	88	75	85	C	SW 1	W 2	10^2	10^1	10^1	–	–	7^{33}–8^{35} a ✳^{0}
6.	29.4	33.4	38.0	2.0	1.6	– 1.8	2.4	– 1.8	4.7	3.5	3.4	89	68	83	W 4	N 3	C	10^2	4^1⊙	0	2.6	–	n ✳, m Aufheiterung
7.	41.4	42.2	**43.0**	– 4.4	– 0.4	– 4.2	0.0	– 4.9	2.9	2.4	2.6	90	53	79	C	NE 2	C	4^0	3^0⊙	0	–	–	7^{00} a ⌴
8.	42.5	41.8	40.6	– 6.4	– 1.8	– 1.2	– 0.8	**– 7.0**	2.4	3.2	4.1	90	80	97	C	C	C	4^0	10^1≠	10^1≠	–	–	7^{00} a ⌴, ab 1^{08} p ✳
9.	39.7	38.9	37.8	– 0.2	0.7	0.6	2.0	– 1.2	4.5	4.8	4.8	99	100	100	E 1	C	C	10^1●	10^1≡	10^0●	2.6	–	ab 9^{00} p ✳, 7^{00} a ◍^{0}, ab ca 10 a ≡^{1}
10.	33.6	29.4	27.2	1.2	3.7	3.8	4.0	0.4	5.0	6.0	6.0	100	100	100	SE 2	E 3	C	10^1≡	10^1	10^1	1.2	–	ab 9^{30} p ◍^{0}, 7^{00} a ≡^{1}, 7^{15} a ●, t öfters kurz ◍
11.	18.0	13.9	13.2	5.7	4.2	1.7	7.7	1.7	**6.1**	4.9	4.3	90	79	84	S 1	SW 3	W 4	10^2	10^2	6^1	6.8	–	7^{53} a ◍, 11^{18} a ◍böe △ 𝍐
12.	10.2	09.3	11.8	0.9	2.8	1.5	3.0	0.8	4.1	4.7	4.5	84	84	87	C	S 3	W 4	7^0	10^2	10^1	2.3	–	$7^{38.53}$ a, ✳^{0}, dann Aufheiterung, m Trübung, [1]
13.	17.0	19.1	22.6	0.9	3.6	0.1	3.8	0.1	4.3	4.2	4.3	87	72	94	SW 4	C	C	5^0	4^1⊙	0	3.1	–	
14.	27.0	29.1	31.9	– 1.4	3.2	0.5	3.7	– 2.0	3.8	4.2	3.9	93	73	82	SW 1	SW 3	W 3	5^0	9^1	0	–	–	7^{00} a ⌴, m Trübung, ca 3 p Aufheiterung
15.	32.2	31.3	31.6	– 3.2	0.7	– 1.4	1.3	– 3.3	3.3	3.7	3.8	94	77	92	S 1	S 1	SW 1	5^0	5^1⊙	10^1	–	–	7^{00} a ⌴
16.	32.3	32.7	33.4	– 0.9	0.2	0.2	0.4	– 2.6	4.0	4.3	4.3	95	93	93	C	S 1	C	10^2	10^2	10^2	–	–	7^{00} a ⌴
17.	34.8	35.7	35.9	0.2	1.1	0.6	1.2	– 0.2	4.4	4.7	4.6	95	94	96	C	C	C	10^2	10^2	10^1	–	–	7^{00} a Ferne nebelartig verschleiert
18.	34.3	32.2	31.3	0.5	1.6	0.6	1.9	0.1	4.6	4.8	4.6	96	93	96	C	C	C	10^1≡	10^0	10^1	–	–	7^{00} a ≡^{1}, 2^{00} p in der Ferne etwas Nebel
19.	31.7	32.0	32.7	0.1	3.6	2.2	4.0	– 0.2	4.3	4.0	5.1	93	67	94	C	SW 2	SW 3	10^0	4^1	10^0	–	–	7^{00} a ≡^{0} dann Aufheiterung, abds. leichte Trübung
20.	30.2	30.3	30.1	1.8	4.0	3.3	4.4	1.0	4.6	5.3	4.9	88	87	85	SW 4	SW 4	SW 5	10^1●	10^2	7^1	0.6	–	n, 7 a ●, t öfters kurz ◍ ztw. ◍ ✳
21.	27.7	29.9	31.4	2.4	3.8	2.5	3.9	1.9	5.1	4.7	5.0	93	78	91	W 3	W 3	W 2	10^1●	10^2	10^2	**11.0**	–	n, 1^{00}–ca 7^{45} a, 2^{25} p ◍
22.	38.0	40.1	42.2	1.4	3.2	1.6	4.0	1.0	4.5	4.6	4.3	89	80	84	NW 2	N 2	C	10^2	9^1	9^1	1.9	–	
23.	42.3	41.7	40.3	– 3.6	1.3	– 2.4	2.0	– 4.0	3.3	3.6	3.6	96	72	93	C	C	N 1	7^0	4^0⊙	0	–	–	7^{00} a ⌴, Ferne nebelartig verschleiert
24.	36.8	36.0	36.4	– 4.8	– 1.1	– 1.1	– 0.4	– 5.0	2.8	3.5	3.5	91	83	84	C	W 1	C	4^0	10^1	10^0	–	–	7^{00} a ⌴; m u. p Trübung
25.	37.6	36.8	34.7	– 1.2	0.3	0.2	1.0	– 1.4	4.0	4.5	4.5	96	96	96	W 1	E 1	C	10^1	10^0	10^1	1.7	2	n ✳, 2^{00} p ≡^{0}
26.	33.3	32.0	29.3	0.4	2.4	0.0	2.8	0.0	4.4	4.7	4.3	92	85	94	C	S 3	SE 3	10^1	10^1	7^1	–	–	
27.	24.9	23.3	24.2	– 1.5	2.2	0.4	2.4	– 1.8	3.7	4.2	3.9	91	79	84	W 1	SE 2	SE 1	8	8⊙	10^1	–	–	7^{00} a ⌴ Ψ
28.	24.1	25.4	28.0	– 0.6	0.6	– 0.4	1.0	– 1.4	4.2	4.6	4.1	95	96	92	SE 1	C	C	10^1	10^1	3^0	2.0	–	n ✳^{0}
29.	27.3	23.5	23.2	– 3.0	– 1.4	– 1.1	– 0.2	– 5.0	3.5	3.8	3.8	97	92	90	W 1	SW 3	W 2	10^1	9^1	0	–	–	7^{00} a in der Ferne etwas Nebel
30.	23.3	22.5	20.4	– 2.2	– 0.8	– 2.4	– 0.4	– 4.2	3.4	3.5	3.1	90	82	84	SE 4	E 4	W 3	10^2	4^0⊙	0	2.0	–	n ✳, vorm. Aufheiterung, abds. kurze Trübung
																					45.0		
Mittel	31.2	31.1	31.6	– 0.3	1.8	0.3	2.5	– 1.4	4.1	4.3	4.2	92	81	89				8.6	8.1	6.4			[1] 3^{05}–ca 7^{30} p ◍.

Passau.

November. $\varphi = 48^0\ 34'$ N. $\lambda = 13^0\ 28'$ E $= 53^m\ 52^s$. H $= 309.3$ m. Cg $= +0.2$ mm. 1912.

1.	30.6	35.1	40.7	7.3	6.1	3.2	7.3	3.2	**6.4**	5.9	4.8	85	84	83	W 4	W 4	C	10^1	8^1	0	2.8	–	n, a–ca 10 a ●, p ztw. ◍
2.	40.9	38.7	39.1	2.0	4.9	2.4	5.2	1.0	4.5	4.4	3.9	85	67	72	C	W 2	W 2	10^1	8^1	10^1	2.2	–	
3.	36.1	37.0	39.2	0.5	2.0	1.2	2.8	0.1	4.5	4.7	4.6	94	82	92	C	W 4	W 2	10^1≠	10^1	10^1	**11.5**	**8**	n, a ✳; t öfters ✳
4.	41.9	43.2	43.2	0.8	2.8	0.4	2.8	0.0	4.3	4.7	4.5	89	82	96	NW 2	W 2	C	10^1	5^1	0	7.0	4	
5.	39.1	34.5	33.6	– 1.0	1.8	0.8	1.8	– 2.3	4.1	4.8	4.7	96	91	96	C	S 1	C	10^1	10^1	0	0.3	–	n ✳
6	33.5	36.4	41.3	1.2	2.2	– 2.2	2.7	– 2.2	4.8	3.7	3.4	96	68	87	W 2	NW 2	C	10^1	3^1⊙	0	7.5	1	n ◍ ✳
7.	45.4	46.4	**47.4**	– 6.2	0.4	– 5.0	0.6	– 6.4	2.4	2.3	2.7	84	49	86	C	NW 1	C	5^1	○⊙	0	–	–	⌴
8.	47.2	45.9	45.5	– 9.3	0.6	– 0.8	0.6	**–10.0**	1.9	2.9	3.5	85	64	80	C	**S** 1	C	○⊙	5^0⊙	10^1	–	–	⌴
9.	44.1	43.4	42.4	– 0.2	1.7	1.2	1.8	– 1.9	4.1	4.7	4.9	100	91	96	C	C	C	10^1	10^1	10^1	0.7	–	n, a ✳ ●, t ◍^{0}
10	38.3	34.4	32.0	1.8	4.7	3.4	4.7	1.0	5.1	6.1	5.7	96	95	99	C	C	C	10^1	10^1	10^1	1.7	–	t ◍^{0}
11.	24.4	19.5	19.3	4.2	4.3	2.8	**7.6**	2.8	6 2	5.8	5.1	100	90	91	E 1	W 4	W 4	10^1	10^1●	10^1	4.1	–	n, ⁝ ◍
12.	15.8	14.4	16.2	1.0	3.8	2.4	3.9	0.4	4.7	4.2	5.0	95	70	90	E 1	W 4	W 4	10^1	10^1	10^1	3.2	–	ca 3–6 p ◍
13.	22.2	24.5	26.4	1.6	4.7	1.4	4.7	1.1	4.1	3.8	4.2	80	60	83	NW 2	C	C	8^1	8^2	10	2.4	–	
14.	32.2	34.1	36.7	– 1.2	4.9	– 0.2	5.7	– 2.1	4.9	3.4	4.1	99	52	90	C	W 4	C	10^1≡	5^1⊙	0	–	–	a ≡^{2}
15.	37.0	35.2	35.8	– 3.2	1.8	– 1.4	1.8	– 3.8	3.3	3.9	4 0	90	75	95	C	C	C	0	○⊙	10^1	–	–	⌴
16	37.1	37.3	37.9	– 3.4	– 0.4	– 0.4	0.0	– 4.2	3.5	4.0	4.3	99	90	95	C	C	C	10^2≡	10^1	10^1	–	–	a ≡^{2}
17.	39.3	39 8	40.2	0.0	2.2	1.0	2.2	– 0.9	4.3	4.5	4.5	92	84	90	C	C	C	10^1	10^1	10^1	–	–	a-ca 7 a ≡^{1}
18.	38.8	37.1	35.7	0 8	2.4	1.2	2.4	0.0	4.4	4.5	4.5	90	82	90	W 1	W 1	C	10^1≡	10^1	10^1	–	–	a ≡^{1}
19.	36.3	36.7	37.4	0.8	3.4	1.6	3.7	0.5	4.4	4.3	3.3	91	72	64	C	W 2	C	10^1	10^1	10^1	–	–	
20.	35.4	35.4	35.2	2.2	3.8	3.2	4.8	1.5	4.8	4.9	4.7	89	82	75	NW 4	NW 4	NW 4	10^1●	10^1●	10^1	0.6	–	n, t–ca 5 p ◍
21.	32.6	34.4	39.1	2.8	3.8	2.4	4.2	2.0	5.1	5.1	5.2	90	85	94	NW 2	NW 2	C	10●	5^1⊙	10^1	4.7	–	n, a–ca 11 a ◍
22.	41.8	44.1	46.3	1.2	3.6	0.0	3.7	0.0	4.8	3.4	4.2	96	57	90	C	NW 2	C	10^2≡	5^1	5^1	3.2	–	a ≡^{2}
23.	46.8	45.7	44.9	– 2 7	3.0	– 1.2	3.0	– 3.0	3.7	3.3	3.6	100	57	85	C	E 1	C	10^2≡	○⊙	0	–	–	a ≡^{2}
24.	41.3	40.3	42.1	– 4.8	– 1.0	– 1.0	– 0.7	– 5.3	2.9	3.5	3.4	90	81	80	C	NW 1	C	0	10^1	10^1	–	–	⌴
25.	42.2	41.6	40.2	– 0.6	0.6	0.8	0 8	– 1.6	4.1	4.6	4.7	94	95	96	C	C	C	10^1	10^1≡	10^1	1.8	3	n ✳
26.	38.5	37.4	35.3	0.6	3.0	0.4	3.3	0.1	4.6	5.1	4.3	95	90	90	C	C	C	10^1	10^1	10^1	–	1	
27.	30 0	27.7	28.9	– 2.2	3.8	– 0.8	4.1	– 2.3	3.6	4.2	3 9	91	70	90	E 1	C	C	0	○⊙	10^1	–	–	⌴
28.	28.4	29.7	32.4	– 0.8	1.3	0.4	1.3	– 2.3	4.2	4.8	4.7	96	94	100	C	C	C	10^1	10^1	10^1	0.3	–	n, a–m ✳
29.	32.4	27.8	28.7	– 1.8	2.2	– 1.6	2.2	– 2.1	3.8	3.3	3.7	95	60	90	C	E 1	C	10^1≡	○⊙	10^1	3.5	3	
30.	29.0	27.7	26.2	– 4.4	1.2	– 2.6	1.8	– 5.4	3.6	3.6	3.4	90	72	90	C	C	C	10^1≡	○⊙	10^1	–	2	a ≡^{1} ⌴
																					57.5		
Mittel	36.0	35.5	36.3	– 0.4	2.7	0.5	3.0	– 1.4	4.2	4.3	4.3	92	76	89				8.4	6.7	7.5			

Alle Angaben nach Ortszeit.

Landshut.

November. $\varphi = 48^{0}\ 32'$ N. $\lambda = 12^{0}\ 10'$ E $= 48^{m}\ 40^{s}$. H $= 397.7$ m. Cg $= +0.2$ mm. 1912.

Datum	Luftdruck auf 0^{0} u. Normalschwere reduziert. 700 mm +			Lufttemperatur C°					Absolute Feuchtigkeit mm			Relative Feuchtigkeit Proz.			Richtung und Stärke des Windes 0 bis 12			Bewölkung 0 bis 10			Niederschlag mm	Schneedecke cm	Bemerkungen
	7^{a}	2^{p}	9^{p}	7^{a}	2^{p}	9^{p}	Max.	Min.	7^{a}	2^{p}	9^{p}	7^{a}	2^{p}	9^{p}	7^{a}	2^{p}	9^{p}	7^{a}	2^{p}	9^{p}	7^{a}	7^{a}	
1.	22.7	29.2	32.9	6.2	2.4	1.2	7.7	0.3	6.2	5.0	4.2	88	91	83	W 6	W 6	W 4	10^{1}	$10^{1}\bullet$	0	3.8	–	7^{09} a–ca 10 a ◍, ca 2 p △ dann–ca 5 p ◍böen
2.	32.5	31.2	31.0	– 0.4	4.2	1.3	6.0	– 1.8	4.3	3.8	3.7	96	62	72	W 4	NW 4	W 6	10^{1}	$1^{1}\odot$	10^{1}	0.8	–	⌙, ca 1 p △ ◍böe
3	28.4	29.7	31.8	– 0.4	2.7	0.0	3.3	– 1.1	4.4	4.7	4.3	98	84	94	W 6	W 6	W 4	$10^{1}*$	7^{1}	0	0.8	–	n ✳^{0}, a–m ✳
4.	34.2	35.3	34.4	– 0.7	2.8	– 2.4	4.3	– 3.7	3.9	3.5	3.6	90	62	94	W 2	W 2	W 2	9^{1}	$8^{1}\odot$	0	1.1	–	n ✳Flocken
5.	30.1	25.5	23.6	– 1.2	5.2	2.4	6.2	– 4.2	3.6	3.9	4.6	86	58	94	W 2	W 2	C	10^{1}	10^{1}	10^{1}	–	–	⌙^{2}
6.	25.2	29.1	33.2	1.0	1.8	– 2.6	3.5	– 3.7	4.7	3.4	3.4	94	64	92	NW 2	NE 4	C	$10^{1}*$	7^{1}	0	**5.9**	–	n, a–7^{09} a ✳
7.	36.8	37.8	**38.6**	– 6.2	0.5	– 4.8	2.0	– 7.4	2.7	2.6	3.0	95	54	94	C	E 2	C	2^{1}	$1^{1}\odot$	0	–	–	⌙
8.	37.3	37.1	36.0	– 7.8	0.4	0.0	2.0	– 8.4	2.4	3.2	3.8	97	68	83	NW 2	W 2	C	1^{1}	5^{1}	10^{1}	–	–	⌙^{2}, 7^{19} p kurze ◍ △ böe
9.	35.2	34.5	33.2	1.1	4.1	2.3	5.0	– 0.9	4.9	5.8	5.3	98	95	98	W 2	N 2	C	10^{1}	10^{1}	$10^{1}\bullet$	2.3	–	n ◍, ca 8 a–m ≡Reissen, ca 4 p–n ◍^{0}, 9 p ≡
10.	29.0	25.2	23.3	2.4	8.2	7.9	**9.7**	1.0	5.4	**7.6**	7.2	98	93	90	C	C	W 4	$10^{1}\equiv$	6^{0}	10^{1}	0.4	–	≡^{1}, a–ca 11 a ≡Reissen, 3^{34}–7^{19} p ◍^{0}
11.	14.2	10.7	09.7	7.9	3.9	2.3	8.0	1.6	6.1	5.1	4.9	76	84	91	W 6	W 4	W 6	10^{1}	$10^{1}\bullet$	10^{1}	3.3	–	8^{19}–11^{09} a ◍, 0^{39}–2^{39} p ◍
12	06.2	**05.6**	07.9	0.9	2.7	1.6	4.1	0.1	4.2	4.7	4.5	85	84	87	W 4	W 4	W 6	10^{1}	$10^{1}\bullet$	10^{1}	1.5	–	m–ca 4 p ◍^{0}, dann–4^{19} p ◍ u. ✳Flocken
13.	13.4	15.2	18.6	0.0	4.8	– 0.5	6.2	– 1.0	4.2	4.1	4.2	90	64	94	SW 2	S 2	C	10^{1}	$2^{1}\odot$	0	1.2	–	
14.	22.9	25.3	28.0	– 3.0	4.8	– 1.8	6.0	– 4.1	3.5	3.5	3.8	96	55	94	C	W 4	W 2	0	$2^{0}\odot$	0	–	–	⌙
15.	27.9	26.9	27.2	– 4.6	2.8	– 2.8	4.0	– 6.1	3.1	3.9	3.6	98	69	96	NE 2	N 2	C	1^{1}	$2^{1}\odot$	0	–	–	⌙^{2}
16	27.9	28.2	29.1	– 4.0	2.2	0.5	3.0	– 5.2	3.4	4.5	4.5	100	84	94	C	N 2	C	10^{1}	10^{1}	10^{1}	–	–	⌙^{2}
17.	30.3	31.1	31.4	0.2	4.0	0.6	4.9	– 0.9	4.6	4.6	4.7	98	75	98	C	NE 2	C	10^{1}	9^{1}	10^{1}	–	–	
18.	29.5	27.5	27.0	0.3	4.1	0.7	5.0	– 0.8	4.6	4.6	4.5	98	76	92	NE 2	C	C	$10^{1}\equiv$	10^{1}	10^{1}	–	–	≡^{1}
19.	27.7	28.4	29.1	0.4	3.2	2.2	4.8	– 0.3	4.5	4.3	4.8	94	75	89	W 2	W 2	W 4	10^{1}	$5^{0}\odot$	$10^{1}\bullet$	–	–	ca 8 p–n ◍^{0}
20.	26.7	27.1	27.2	1.8	5.2	3.3	6.2	0 9	4.8	4.9	4.7	91	74	82	W 6	W 6	W 6	$10^{1}\bullet$	$8^{1}\odot$	6^{1}	0.6	–	n ◍, t 🌧
21	24.0	26.4	30.0	2.6	2.3	2.1	5.4	0.4	5.1	4.9	5.2	93	89	96	W 4	N 2	C	$10^{1}\bullet$	$10^{1}\bullet$	10^{1}	4.2	–	n, a–ca 10 a ◍ 🌧; 1^{29}–2^{09} p, ca 3–6^{19} p ◍^{0}
22.	33.8	36.0	37.8	0.3	3.8	1.6	4.6	– 0.5	4.6	4.7	4.3	98	78	84	C	N 2	E 2	9^{1}	9^{1}	9^{1}	2.5	–	
23.	37.8	36.8	35.4	– 3.4	2.8	– 2.2	3.8	– 5.0	3.5	3 4	3.6	98	60	94	NE 2	E 4	C	0	00	0	–	–	⌙
24.	32.3	31.9	32.9	– 6.0	– 1.6	– 0.8	0.1	– 7.3	2.9	3.7	3.9	100	90	90	N 2	C	W 2	2^{1}	10^{1}	10^{1}	–	–	⌙^{2}
25.	33.4	32.5	30.6	0.8	2.8	0.4	4.1	– 1.8	4.9	4.6	4.6	100	80	98	W 2	W 2	C	10^{1}	10^{1}	10^{0}	1.1	–	n ✳
26.	29.3	28.0	24.9	0.6	4.3	– 0.4	5.4	– 2.0	4.2	4.5	3.9	89	73	87	SW 2	SW 2	C	10^{1}	5^{1}	10^{0}	–	–	
27.	20.4	19.3	19.9	– 2.8	4.4	– 0.6	5.4	– 4.1	3.4	4.6	4.1	92	74	92	N 2	W 2	E 2	2^{0}	8^{0}	0	–	–	⌙
28.	19.8	21.4	23.9	1.0	2.8	0.4	3.8	– 2.9	4.6	5.0	4.5	92	89	94	W 4	W 2	W 2	$10^{1}\bullet$	10^{1}	2^{1}	5.5	–	n ◍ ✳, a–7^{09} a ◍
29	22.8	18.1	19.2	– 4.6	1.2	– 2.2	2.1	– 6.2	3.1	3.5	3.5	98	68	89	C	E 4	C	0	$3^{0}\odot$	0	0.2	–	7 a ≡
30.	18.9	17.9	15.8	– 2.1	2.0	– 1.6	3.0	– 4.2	3.4	3.4	3.3	87	64	82	NE 2	E 2	C	8^{1}	$7^{0}\odot$	0	–	–	⌙
																					35.2		
Mitte	27.0	27.0	27.5	– 0.7	3.2	0.3	4.7	– 2.7	4.2	4.3	4.3	94	75	90				7.5	6.8	5.5			

Augsburg.

November. $\varphi = 48^{0}\ 22'$ N. $\lambda = 10^{0}\ 54'$ E $= 43^{m}\ 36^{s}$. H $= 499.6$ m. Cg $= +0.1$ mm, über 728.8 mm Cg $= +0.2$ mm. 1912.

1.	15.3	21.3	24.8	5.6	5.0	1.2	8.2	1.2	6.4	5.0	4.7	94	76	94	W 4	NW 4	NW 4	$10^{2}\bullet$	$10^{2}\bullet*$	0	1.4	–	n n. a ztw. ◍, p ztw. ◍ ✳
2.	24.4	23.3	23.0	1.3	3.2	0.6	3.9	0.6	4.6	4.6	3.8	91	80	80	W 4	NW 4	NW 4	$10^{2}*$	7^{2}	10^{2}	2.7	1	n–7^{39} a ✳
3.	21.1	21.7	23.6	0,2	2.6	0.3	2.7	– 0.4	4.0	4.4	4.4	85	79	94	SW 4	NW 4	NW 2	$10^{2}*$	$5^{2}\odot$	3^{2}	0 3	1	n–9^{19} a, 5^{01}–6^{31} p ✳
4.	26.2	27.5	25.7	– 0.7	3.6	– 0.2	4.3	– 0.8	4.1	4.3	4.0	94	71	89	W 2	SW 2	SW 2	5^{0}	$4^{2}\odot$	0	1.5	1	
5.	21.6	17.0	15.6	– 0.8	4.5	3.6	5.3	– 2.2	3.8	4.1	4.5	88	63	77	SW 2	SW 2	SW 2	10^{1}	10^{1}	10^{1}	–	–	⌙
6.	17.2	20.6	24.8	2.3	2.6	– 1.2	3.6	– 1.2	5.2	4.5	3.6	96	80	86	NW 2	NE 2	NE 2	$10^{2}\bullet*$	8^{2}	0	2.2	–	n ◍. 6^{39}–10^{44} a ◍ ✳
7.	27.6	29.1	**29.5**	– 3.9	0.4	– 2.4	0.8	– 3.9	2.9	3 5	3.0	85	75	80	E 2	E 2	E 2	0	$2^{0}\odot$	0	1.4	–	⌙
8.	28.5	28.5	27.6	– 5.1	0.2	1.0	1.0	– **5.1**	2.3	3.9	4.8	76	84	98	SE 2	SE 2	SW 2	2^{0}	$10^{2}*$	$10^{2}*$	–	–	⌙. 0^{51} p–n ✳
9.	26.7	25.7	24.3	2.0	4.5	4.4	4.8	1.0	5.3	6.3	6.2	100	100	100	SW 2	W 2	SW 2	10^{2}	10^{2}	10^{1}	**4.4**	–	n u. a ztw. ◍ ✳, p ≡^{2}
10.	20.2	16.0	15.0	4.5	11.9	8 0	**11.9**	3.9	6.3	**8.9**	7.1	100	86	89	SW 2	SW 2	SW 2	$10^{2}\bullet$	$10^{2}\bullet$	10^{2}	1.2	–	n–7^{04} a, 1^{34}–3^{44} p ◍
11.	05.0	02.3	00.2	8.4	3.0	1.2	9.3	1.2	6.4	5.2	4.4	78	91	89	SW 8	SW 4	SW 4	10^{1}	10^{2}	0	1.2	–	n 🌧, 8^{04}–9^{39} a, 0^{44}–1^{49} p, 5^{34}–7^{24} p ◍
12.	097.2	097 5	00.2	1.0	1.6	1.2	2.2	0.8	4.6	4.7	4.8	92	91	96	SW 4	NW 2	SW 4	10^{2}	$10^{2}*$	10^{1}	4.1	–	⌙; 7^{34}–10^{44} a, 0^{49}–2^{09} p ✳; 2^{39}–3^{34} p △
13.	04.7	07.0	09.9	0.0	2,6	0.4	2.8	0.0	4.4	4.5	4.4	96	80	92	SW 4	W 2	W 2	1^{1}	$5^{2}\odot$	0	3.1	1	⌙
14.	14.2	16.7	19.4	– 0.9	3.7	– 0.5	3.7	– 1.5	3.9	4.2	3.7	90	70	83	SW 2	SW 2	SW 2	0	$4^{0}\odot$	0	–	–	⌙⌙
15.	18.5	18.0	19.0	– 2.8	1.9	– 0.3	3.2	– 3.5	3.2	4.3	4.3	87	82	96	S 2	N 2	NE 2	0	$2^{0}\odot$	8^{1}	–	–	⌙⌙
16.	19 3	19.4	20.5	– 0.6	2.4	1.1	2.7	– 0.8	4.4	4.7	4.7	100	85	94	SE 2	NE 2	SE 2	$10^{2}\equiv$	8^{1}	10^{1}	–	–	⌙, n u. a ≡^{2}
17.	22.0	22.2	22.8	1.0	3.3	0.8	3.6	0.8	4.7	5.1	4.7	96	88	96	SE 2	SE 2	SE 2	$10^{2}\equiv$	10^{1}	10^{1}	–	–	n u. a ≡^{2}
18.	20.9	18 8	18.2	0.4	1.8	0 7	2.2	0.3	4.7	4.7	4.8	100	90	98	SE 2	SE 2	SE 2	$10^{2}\equiv$	10^{2}	10^{1}	–	–	⌙, n u. a ≡^{2}
19.	19.3	20.3	21.0	0.6	1.7	1.9	3.2	0.4	4.7	4.9	4.8	98	94	91	SE 2	SW 2	SW 2	10^{2}	10^{2}	10^{1}	0.1	–	n ✳
20.	18.7	19.2	19.5	1.7	3.4	3.2	3.4	1.2	4.7	5.2	5.0	91	88	87	SW 6	SW 6	SW 4	$10^{2}*$	8^{2}	10^{1}	0.7	–	n 🌧, n–7^{04} a, 9^{24}–11^{04} a ✳
21.	15.9	18.4	22.0	2.4	3.6	2.3	4.0	1.8	5.1	5.0	5.2	93	85	96	SW 4	W 4	NW 2	10^{2}	10^{2}	10^{1}	3.2	–	n ◍; $11^{04.09}$ a, 11^{34} a–0^{04} p ◍ △; 3^{34}–5^{44} p ◍
22.	25.4	27.4	28.9	2.0	3.8	0.4	4.3	0.4	5.1	4.4	4.6	96	73	96	NW 2	N 2	SE 2	10^{1}	8^{1}	0	1.8	–	
23.	28.6	27.5	26.4	– 1.9	1.4	– 1.5	2.2	– 2.0	3.7	4.2	3.5	93	84	87	NE 2	NE 2	E 2	0	$2^{1}\odot$	0	–	–	⌙
24	23.5	22.9	24.3	– 2.7	– 1.3	– 0.3	– 0.3	– 3.1	3.3	3.6	3.8	87	86	85	SE 2	SE 2	SW 2	10^{2}	10^{2}	10^{2}	–	–	⌙⌙
25.	25.1	23.7	21.7	0.7	2.2	0.5	2.2	– 0.3	4.8	4.7	4.6	98	87	96	SW 2	SW 2	SW 2	10^{1}	10^{1}	10^{1}	1.1	1	n ✳
26.	20.5	19.0	15.8	0.4	6.0	2.0	6.0	– 0.2	4.4	5.4	4.1	92	77	77	SW 2	SW 2	SW 2	2^{1}	8^{1}	4^{1}	–	–	
27.	11.5	09 9	11.1	1.0	8.0	4.1	8.0	0.8	4.1	4.3	5 2	83	55	85	SW 2	SW 2	SW 2	7^{1}	8^{0}	10^{2}	–	–	⌙
28.	11.3	13.2	15.7	2.2	3.0	0.6	4.1	0.6	5.1	4.7	4.2	94	82	87	SW 2	W 2	NW 2	10^{1}	10^{1}	4^{1}	0.9	–	n ◍
29.	13.1	08.7	10.2	– 2.4	1.3	1.2	1.8	– 2.6	3.6	4.3	4.6	95	85	92	SE 2	SE 2	SW 2	0	$7^{0}\odot$	0	–	–	⌙
30.	09 3	08.1	05.8	– 0.4	4.0	1.1	4.1	– 0.7	3.3	4.5	3.9	75	73	79	SW 2	E 2	SE 2	8^{1}	7^{1}	8^{0}	–	–	
																					31.3		
Mitte	18.4	18.4	18.9	0.5	3.2	1.2	4.0	– 0.4	4.4	4.7	4.5	91	81	90				7.2	7.8	5.9			

Alle Angaben nach Ortszeit.

München-C.St

November. $\varphi = 48^0\ 9'$ N. $\lambda = 11^0\ 34'$ E $= 46^m\ 16^s$. H $= 526.4$ m. Cg $= +\ 0.1$ mm. 1912.

Datum	Luftdruck auf 0° u. Normalschwere reduziert 700 mm + 7a	2p	9p	Lufttemperatur C° 7a	2p	9p	Max.	Min	Absolute Feuchtigkeit 7a	2p	9p	Relative Feuchtigkeit 7a	2p	9p	Richtung und Stärke des Windes 0 bis 12 7a	2p	9p	Bewölkung 0 bis 10 7a	2p	9p	Niederschlag mm	Schneedecke cm	Bemerkungen
1.	13.5	18.3	22.3	5.7	5.5	1.8	9.6	1.5	5.9	4.2	4.1	87	63	79	SW 3	NW 3	W 2	10^1	9^1	8^1	2.1	–	n ◎, a ztw. ◎1.2, ca 4 p an ztw. ✳
2.	21.8	20.6	20.4	1.8	2.6	0.9	4.0	0.4	4.3	4.7	3.6	83	85	71	SW 2	W 2	W 2	10^1	9^1*	8^1	2.3	–	a ⌴, 7^{12} a an ✳, $11^{12.16}$ a △, dann–ca 0^{48} p ✳
3.	18.1	19.2	20.7	1.0	2.2	0.6	2.4	– 0.7	3.3	5.3	3.9	66	**98**	82	SW 4	SW 3	SW 4	10^1	10^1	4^1	0.8	–	7^{02}–11^{02} a ✳, 10^{03} a Aufhellen, p ztw. ✳0
4.	23.4	23.9	23.4	0.6	3.0	0.2	3.3	– 0.8	3.8	3.5	3.8	81	60	82	W 2	NW 1	C	8^1	4^1⊙	8^1	0.5	–	n ✳, a ∞, abds. ⌴ ≡3
5.	19.0	14.4	12.8	– 0.4	6.0	4.4	6.7	– 2.0	3.3	3.2	3.7	74	47	59	W 2	W 1	C	10^1	9^0⊙	10^1	–	–	a ⌴2, m Gebirge schwach sichtbar, ∞
6.	14.5	17.9	21.9	0.8	1.5	– 1.4	4.4	– 1.8	4.5	4.1	3.1	92	81	75	W 2	C	C	10^1*	10^1	0	5.8	–	n u. a–ca 0^{45} p ✳
7.	25.1	26.1	**27.0**	– 3.2	0.0	– 2.8	0.2	– 4.2	3.3	**2.3**	2.4	91	51	66	E 1	E 3	E 2	1^0	2^1⊙	0	4.3	–	a ⌴2 ≡0
8.	25.8	25.4	24.7	– 5.0	0.5	1.0	1.1	– **6.1**	2.4	3.2	3.7	76	67	75	C	C	SW 1	0	10^1	10^1	0.4	–	a ⌴2 ≡0.1, m ≡0
9.	24.0	23.0	21.8	2.6	4.9	4.9	5.9	– 1.1	5.1	6.1	6.0	93	96	94	SW 2	SW 2	C	10^2●	10^1≡	10^1≡	3.2	–	n u. a ◎, m ≡1 ≡Reissen, abds. ≡1, abds. ᔓ
10.	18.0	13.7	12.9	4.6	11.3	8.9	**11.3**	4.0	6.1	**8.1**	5.9	97	81	69	C	S 1	SW 4	10^1●	9^1	8^1	2.3	–	n ≡1, a ≡0, 6^{50} a–ca 1 p ◎, m Gebirge 1)
11.	03.5	00.3	698.9	8.6	2.6	1.8	8.9	1.4	5.1	4.8	4.1	61	88	79	**8W** 4	**W** 3	SW 4	9^1	10^1●*	10^1	2.0	–	a Gebirge gut sichtbar, 11^{46} a–12^{22} p ◎ ✳
12	695.8	695.0	698.1	1.6	2.8	1.2	3.3	1.0	3.7	4.1	4.6	72	71	92	SW 2	**SW** 2	SW 3	6^1	10^1*	10^1*	3.1	–	a ⌴, ca 9^{17} a an ztw. ✳
13.	02.7	04.0	07.4	– 0.8	3.6	1.4	3.7	– 0.8	3.6	3.3	3.8	73	56	73	SW 3	C	C	3^0	3^0⊙	8^1	0.8	–	n ✳0, m im S ∞
14.	12.0	14.3	17.1	0.4	5.5	0.4	5.7	0.0	3.3	2.9	3.1	69	44	65	SW 3	SW 2	SW 1	0	1^0⊙	0	0.1	–	a ⌴, m ∞0, Gebirge schwach sichtbar
15.	16.0	15.1	16.4	– 1.4	2.8	– 0.4	2.8	– 2.8	3.0	3.2	3.9	71	57	88	C	E 1	C	6^1	3^0⊙	0	–	–	a ⌴ ≡0; m ∞
16.	16.5	16.6	17.8	0.8	3.2	1.0	3.3	– 0.8	4.0	5.1	4.0	82	90	82	C	NE 2	C	10^1	6^1⊙	10^1	–	–	a ⌴1, ≡0
17.	19.3	19.4	20.0	0.6	3.8	1.2	3.9	0.0	4.2	3.9	3.9	90	65	79	C	SE 1	C	10^1	9^1	10^1	–	–	a ⌴, ≡0; ca 10^{20} a Zerteilen der st-Decke, 2)
18.	18.1	15.9	15.7	0.3	2.3	1.2	2.4	0.0	4.2	4.1	4.3	91	76	86	C	E 1	C	10^1≈	10^1	10^1	–	–	a ⌴1, ≡1
19.	16.8	17.3	18.4	1.1	2.6	2.2	2.9	0.4	4.0	4.2	4.4	82	76	83	SW 2	SW 3	SW 2	10^1	10^1	10^1	–	–	n ✳0, a ztw. ✳0, ca 11 a–0 p Aufklaren, 0^{02} p ◎0
20.	16.4	17.0	16.8	1.8	3.2	3.6	3.9	1.0	4.3	5.0	4.5	83	88	78	SW 5	SW 4	W 4	10^1	10^1	10^1	0.7	–	n u. a ztw. ✳0, t ztw. ✳
21.	13.6	15.3	19.2	2.5	1.8	1.9	3.7	0.8	4.9	4.9	4.9	90	93	93	W 2	W 1	W 2	10^1	9^1	10^1●	3.0	–	n ◎, ca 0^{45}–1^{21} p △, geht in grossflockigen ✳ über; 3)
22.	22.4	24.3	26.1	1.6	3.0	1.3	3.1	1.1	4.9	4.6	4.4	94	82	88	C	C	NE 1	10^1	10^2	8^1	4.2	–	n ◎0, a ≡0
23.	25.8	24.7	23.6	– 1.8	1.4	– 1.8	2.0	– 2.2	3.8	3.6	3.5	95	71	87	E 2	E 2	C	10^1	1^1⊙	0	0.2	–	a ⌴2, ≡0; m ∞, abds. ⌴2
24.	21.0	20.4	21.8	– 3.2	– 1.7	– 1.8	– 1.0	– 3.5	3.1	3.2	3.3	87	79	81	SW 2	**W** 1	SW 2	10^1	10^1	8^1	–	–	a ⌴, 6^{45}–ca 8^{15} p ᗤ
25.	22.3	21.0	19.1	0.8	3.9	0.0	3.9	– 2.0	4.3	4.7	4.4	89	78	96	**SW** 1	SW 1	C	10^1	7^1⊙	0	–	–	n ✳, 7^{00}–ca 8 a ✳
26.	18.3	16.6	13.5	– 1.0	4.9	2.4	5.5	– 2.1	3.9	3.2	3.4	91	50	60	SW 2	S 1	SW 1	0	10^1	9^1	0.4	–	a ⌴2 ≡0, m Gebirge gut sichtbar
27.	09.1	07.9	08.7	1.6	6.8	3.2	9.4	0.0	3.8	4.3	3.3	76	58	58	C	C	SW 1	4^1	10^1	4^0	–	–	a ⌴0 ≡1, m ≡0
28.	08.9	10.5	13.0	1.8	2.6	1.1	3.9	0.8	4.6	4.3	4.4	89	78	90	SW 2	SW 2	NW 1	10^1	10^1	10^1*	**8.2**	–	n ✳, ca 0 a ᗤ, ca 6 p an ztw. ✳0
29.	11.1	06.3	08.1	– 1.4	1.4	2.2	2.4	– 2.0	3.8	3.9	4.3	91	75	81	SE 1	SE 1	SW 1	0	3^0⊙	0	0.8	–	n ✳0, a ⌴2, ∞
30.	07.1	06.0	04.2	– 1.2	3.9	2.6	4.9	– 1.9	2.9	3.4	3.2	69	56	59	S 1	S 1	SW 1	4^1	4^0⊙	10^1	–	–	a ⌴, ∞; m ∞
																					45.2		
Mittel	16.0	15.7	16.4	0.7	3.3	1.4	4.3	– 0.7	4.0	4.2	4.0	83	72	78				7.4	7.6	6.8			

1) teilweise schwach sichtbar. 2) Zug aus E. 3) abds. ztw. ◎.

Traunstein.

November. $\varphi = 47^0\ 52'$ N. $\lambda = 12^0\ 39'$ E $= 50^m\ 36^s$. H $= 597$ m. Cg $= +\ 0.1$ mm. 1912

1.	06.9	11.5	15.5	4.0	3.0	1.4	6.0	0.9	6.1	5.7	5.0	100	100	100	W 6	W 6	NW 2	10^2●	10^2	10^2	10.2	–	n u. t ztw. ◎
2.	16.1	14.7	14.7	1.0	1.7	0.4	2.8	0.0	4.7	4.4	4.5	96	85	95	W 6	W 6	W 4	10^2	10^2△	10^2	4.0	–	a ✳, 1^{21}–2^{26} p △
3.	12.0	12.9	14.6	0.0	0.4	0.6	0.9	– 1.3	3.1	4.0	4.8	78	85	100	W 6	W 6	W 8	10^2	10^2	10^2	3.3	–	a ✳
4.	17.2	18.1	16.7	– 0.6	2.5	– 2.8	2.6	– 3.0	4.1	4.1	3.7	91	74	100	N 4	W 4	E 2	10^2	6^2⊙	0	2.0	1	
5.	13.3	09.0	07.1	– 2.2	4.9	1.2	5.9	– 4.2	3.6	3.2	4.3	92	**49**	85	SE 2	SE 2	SE 2	8^2	8^2	10^2	–	–	
6.	07.8	11.3	15.5	0.3	0.4	– 4.0	1.2	– 4.0	4.7	4.6	3.4	100	98	100	NW 4	W 2	N 2	10^2*	10^2*	0	**13.1**	3	n u. t ✳
7.	18.6	20.3	**21.4**	– 6.0	– 1.6	– 7.8	– 1.4	– 8.0	2.9	2.9	2.4	100	72	97	N 2	NW 2	N 2	6^2	3^2⊙	0	7.1	5	
8	20.2	19.6	19.4	– 8.8	0.1	– 1.2	0.2	– **9.2**	2.2	3.2	4.0	97	69	94	SE 2	W 2	W 2	0	6^2⊙	10^2	–	5	
9.	17.8	17.6	16.6	0.7	3.0	1.6	3.6	– 1.2	4.9	5.7	5.2	100	100	100	W 2	W 2	W 2	10^2	10^2	10^2	–	5	n ≡1.2, a u. abds. ◎
10.	12.1	09.2	07.0	2.3	6.9	8.6	**8.6**	1.0	5.4	7.4	**7.5**	100	100	91	W 2	W 2	S 6	10^2	10^2●	10^2	4.9	2	n u. p ◎, abds. ⩛ (Föhn)
11.	699.5	693.2	693.8	4.4	6.5	0.6	**8.6**	0.6	6.2	6.5	4.8	100	96	100	SE 2	W 2	W 2	6^2	10^2●	10^2●	3.9	–	m ◎, p ◎ ✳
12.	690.3	689.6	692.0	– 0.8	0.8	0.8	0.8	– 0.9	4.3	4.5	4.7	100	92	96	S 2	S 2	W 8	10^2	10^2*	10^2*	**13.1**	2	p ✳
13.	697.3	699.0	01.7	– 1.2	2.9	– 2.0	2.9	– 2.0	3.8	3.0	4.0	90	53	100	W 2	S 2	SE 2	2^1	4^2⊙	0	0.8	2	
14.	06.5	08.8	11.6	– 3.3	4.2	– 2.8	4.4	– 4.0	3.6	3.0	3.6	100	**49**	98	SE 2	S 2	E 2	7^2	0⊙	0	–	1	
15.	10.1	09.2	10.0	– 4.6	– 0.1	– 3.4	0.5	– 5.0	3.1	3.5	3.5	98	78	100	SE 2	E 2	NE 2	6^2	6^2	0	–	1	
16.	10.3	10.8	11.8	– 4.6	0.1	– 1.2	0.1	– 6.0	3.2	4.0	4.1	100	87	98	SE 2	E 2	E 2	8^2	10^2	10^2	–	1	
17.	13.2	13.5	14.0	– 0.8	1.4	0.0	1.6	– 1.2	4.3	4.2	4.6	100	92	96	NW 2	E 2	SE 2	10^3	10^2	10^2	–	1	
18.	12.0	10.1	09.5	– 0.7	1.3	– 0.2	1.7	– 0.8	4.4	4.4	4.5	100	87	100	E 2	NW 2	NW 2	10^2≈*	10^2	10^2≈	–	1	a ≡1.2 ✳, abds. ≡1.2
19.	10.4	11.2	12.5	– 0.4	1.9	0.2	1.9	– 0.8	4.5	4.3	4.7	100	82	100	W 2	W 2	W 2	10^2*	10^3	10^2*	0.3	1	n ≡1.2, t ztw. ✳
20.	10.9	11.1	11.3	1.4	3.0	1.6	3.2	0.2	4.9	4.8	5.2	96	85	100	W 4	W 6	W 8	10^2*	8^2	10^2	2.6	2	n u. a ✳
21.	08.1	09.3	12.8	0.8	2.2	0.6	2.5	0.2	4.8	4.9	4.8	100	91	100	W 4	W 2	NW 2	10^2●	10^2	10^2	8.6	1	n u. a ◎ ✳, p ✳; $2^{16.22}$ p △
22.	16.0	18.5	20.2	0.4	1.0	– 0.4	1.6	– 0.4	4.7	4.5	4.5	100	90	100	NW 2	W 2	SE 2	10^2	10^2	8^2	10.1	3	a ≡1.2, p ✳
23.	19.7	19.0	18.0	– 5.8	0.1	– 5.6	0.1	– 6.0	2.9	3.0	3.0	100	65	100	SE 2	E 4	E 2	0	6^1⊙	0	0.7	2	n u. a ≡1.2
24.	14.7	14.4	16.0	– 8.1	– 4.4	– 5.0	– 3.8	– 8.5	2.4	3.0	3.1	100	95	100	SW 2	S 2	SE 2	10^2≈*	10^2	7^2	–	2	n u. a ≡1.2 ✳0
25.	16.5	15.4	13.5	– 2.4	2.4	– 3.4	2.4	– 6.0	3.8	4.6	3.5	100	84	100	W 2	W 2	W 2	10^2*	8^2	0	0.5	3	n u. a ✳, abds. ≡1.2
26.	12.3	11.3	08.3	– 4.4	3.4	0.0	3.8	– 5.0	3.3	4.5	4.1	100	76	89	W 2	S 2	S 2	4^2	6^2⊙	2^2	0.3	2	
27.	03.5	02.3	02.6	– 1.0	6.0	– 1.1	6.4	– 1.4	3.9	4.4	4.0	92	63	94	SE 2	SE 2	SE 2	3^2	3^2⊙	3^2	–	2	
28.	03.1	05.1	07.0	0.2	0.7	– 0.4	0.9	– 3.2	4.7	4.7	4.5	100	96	100	W 4	NW 2	W 2	10^2*	10^2	10^2*	4.3	10	n u. a ✳
29.	05.8	01.0	02.9	– 6.4	– 0.8	– 4.0	– 0.4	– 6.4	2.8	4.2	3.4	100	96	100	W 2	E 2	E 2	10^2≈	4^2⊙	0	10.3	**15**	n u. a ≡1.2
30.	01.8	01.0	699.4	– 3.8	1.4	– 1.2	1.6	– 5.8	3.1	4.0	3.8	91	78	90	SE 2	E 2	SE 2	0	6^2⊙	0	–	**15**	
																					100.1		
Mittel	10.1	09.9	10.6	– 1.7	1.8	– 1.0	2.4	– 3.0	4.0	4.3	4.2	97	82	98				7.6	7.8	6.0			

Alle Angaben nach Ortszeit.

Partenkirchen.

November. $\varphi = 47^0\ 30'$ N. $\lambda = 11^0\ 6'$ E $= 44^m\ 24^s$. H $= 714.6$ m. Cg $= +0.1$ mm 1912.

Datum	Luftdruck auf 0° u. Normalschwere reduziert 700 mm + 7a	2p	9p	Lufttemperatur C° 7a	2p	9p	Max.	Min.	Absolute Feuchtigkeit mm 7a	2p	9p	Relative Feuchtigkeit Proz. 7a	2p	9p	Richtung und Stärke des Windes 0 bis 12 7a	2p	9p	Bewölkung 0 bis 10 7a	2p	9p	Niederschlag mm 7a	Schneedecke cm 7a	Bemerkungen
1	697.7	02.7	05.8	3.8	1.4	0.2	6.1	0.2	5.8	4.9	4.6	97	96	98	C	C	C	10^1●	10^1⁎	10^1⁎	7.8	–	mrgs. ◍^{0}, Berge im Nebel, abds. ✳^{0}
2.	05.7	04.0	04.1	0.0	3.8	– 0.4	4.3	– 0.4	4.6	3.8	4.3	100	64	96	C	N 2	C	8^0	8^0⊖	2^0	11 9	1	n ✳^{0}, a Berge meist bedeckt
3.	02.4	03.2	04.0	– 2.9	0.9	– 0.6	1.5	– 3.0	3.1	3.4	3.4	85	68	79	C	C	C	4^0	9^0	10^0	–	–	⌴, a Berge rein
4.	07.1	07.0	06.9	– 1.2	3.5	– 3.2	4.3	– 3.2	4.0	3.4	3.0	96	58	85	C	N 2	C	10^0⁎	6^n⊖	0	1.9	3	n u. mrgs. ✳^{0}, Berge bedeckt
5.	02.9	698.1	696 8	– 5.4	5.6	2.4	6.5	– 5.8	2.4	4.3	4.1	80	64	75	SE 2	SW 2	C	2^0	8^0	10^0	–	–	⌴, a Berge sehr rein
6.	697.9	01.2	04.4	2.3	– 0.4	– 2.3	2.6	– 2.3	4.4	4.3	3.6	80	96	94	N 2	N 4	C	10^1	10^1⁎	10^1⁎	–	–	t ✳, a Berge meist im Nebel
7.	08.3	08.7	**10.3**	– 7.7	– 0.6	– 7.1	– 0.2	– 7.7	2.2	2.9	2.1	89	66	81	SE 2	SE 2	SE 2	1^0	10^0⊖	0	4.2	6	a Berge frei
8.	09.7	08.7	08.5	– 8.0	1.2	– 0.2	1.4	– 8.5	1.9	3.6	3.8	80	70	85	SE 3	SE 2	C	0	10^0	10^1⁎	–	3	a Berge sehr rein, abds. ✳^{0}
9.	08.1	06.8	06.0	0.8	5.0	2.5	5.7	– 0.4	4.8	6.3	5.4	98	97	98	C	C	SE 3	10^1●	10^1	9^1	2 4	–	n ✳^{0}, mrgs. ◍^{0}, Berge meist im Nebel
10.	02.4	698.8	697.2	4.5	10.6	5.5	**11.0**	1.3	5.9	**7.4**	6.4	94	77	96	S 3	S 4	C	9^1	5^1	10^1●	1.3	–	a Berge teilweise bewölkt, abds. ◍
11.	689 1	684.3	682.8	3 2	2.4	– 0.3	7.0	– 0.3	5.7	5.4	4.2	98	98	94	C	N 6	C	10^1	10^3●	2^0	1.2	–	n u. m ◍, a Berge teilweise bewölkt, p ✳
12.	680 8	680.0	683.2	– 2.1	2.0	0.0	2.9	– 2.1	3.8	3.6	4.4	96	68	96	C	W 3	C	8^0	10^0	10^0⁎	7.5	2	a Berge meist frei, abds. ✳^{1}
13.	687.6	688.2	691.5	– 5.2	1.2	– 1.0	1.9	– 5.2	2.5	3.4	4.0	80	67	94	S 2	C	C	1^0	9^1	10^1	3.0	5	n ✳, a Berge rein
14.	697.2	698.4	01.6	– 4.9	2.9	– 4.0	3.4	– 5.0	2.8	3.3	2.9	90	57	84	SE 3	SE 2	S 2	0	⊙	0	–	3	föhnig, a Berge rein
15.	699.7	698.2	699 3	– 5.0	0.2	– 4.4	1.0	– 5.2	2.4	3.0	2.9	76	64	88	SE 2	C	C	1^0	9^0	2^0	–	2	⌴, a Berge rein
16.	00.2	699.9	01.2	– 6.2	1.1	– 2.2	2.3	– 6.2	2.7	3 6	3.6	95	70	92	C	N 3	C	1^0	2^0⊖	8^0	–	1	⌴, a Berge rein
17.	02.9	02.6	03.4	– 1.7	0.8	– 0.6	1.6	– 2.3	3 7	4.0	4.1	92	82	94	C	C	C	10^0	10^0	10^0	–	–	a Berge bis ca 1400 m herab im Nebel
18.	01.4	699 1	698.9	– 0.9	0.9	– 0.2	1.6	– 0.9	3.8	4.0	4.2	88	80	92	C	C	C	10^0	10^0	5^1	–	–	a Berge bis ca 1300 m herab im Nebel
19.	00.6	01.1	02.5	– 1.2	2.8	0.2	3.2	– 2.7	4.2	3.3	3.7	100	59	80	C	C	C	10^0⁎	10^0	10^0	0.1	1	mrgs. ✳^{0} Berge im Nebel
20.	01.3	01.5	01.7	0.1	2.3	1.0	2.5	– 1.6	4.0	5.0	4.6	87	91	92	SE 2	C	C	10^1⁎	10^2	10^1⁎	0.1	1	mrgs. ✳^{0}, abds. ✳^{1}
21.	698.7	699.4	02.5	0.3	0.4	0.1	1.0	0.1	4.7	4.6	4.6	100	98	100	C	C	C	10^1⁎	10^1⁎	10^1⁎	9.0	4	mrgs. ✳^{2} t ✳^{0}.^{1}
22.	05.9	07.5	09 5	– 0.1	0.5	– 4.8	**0.7**	– 4.8	4.6	4.4	3.2	100	92	100	C	C	S 2	10^1⁎	9^1	3^0	**21.0**	26	n u. mrgs. ✳, a Berge im Nebel
23.	08.9	07.4	06.9	– 8.6	– 1.0	– 7.8	– 0.9	– 8.7	2.0	3.0	2.1	85	71	86	SE 3	C	SE 2	0	⊙	0	3.0	22	a Berge rein
24.	04.5	03.9	05.2	–13.7	– 5.0	– 8.9	– 5.0	**–13.7**	**1.4**	2.5	2.1	88	81	94	C	SE 2	C	0	⊙	3^0	–	22	a Berge sehr rein
25	06.2	04.5	03.0	– 2.2	1.2	– 3.6	1.5	–10 2	3.4	3.5	3 0	87	68	87	C	C	S 3	9^1	⊙	0	–	21	a Berge teilweise bewölkt, ab ca 9 a föhnig
26.	02.4	00.1	697.9	– 4.5	2.6	0.5	4.3	– 4.8	2.6	4.0	3.3	81	72	70	SE 3	C	C	0	6^0⊖	3^0	–	20	a Berge sehr rein, föhnig
27.	693.8	692 0	692.6	1.6	6 4	0.4	8.0	0.0	3.3	3.9	3.2	64	54	68	S 4	SE 3	S 2	3^0	6^0	6^0	–	18	a Berge sehr rein, föhnig
28.	693.3	694 6	696.6	– 0.5	0 5	– 1.2	1.0	– 3.2	4.3	4.3	4.1	96	90	98	C	C	C	10^1⁎	10^0	10^0⁎	6.0	26	n ✳^{2}, mrgs. u. abds. ✳^{0}.^{1}, a 10 cm Neuschnee
29.	694.5	690.3	692.2	– 6.7	0.2	– 3.4	0.5	– 6.9	2.5	3.1	2.7	92	66	78	SE 2	S 2	C	0	3^0⊖	2^0	2.4	**28**	a Berge rein, föhnig
30.	692.0	690.9	689 3	– 3.9	3.6	3.2	7.4	– 5.7	2.2	2.8	3.4	66	**47**	59	SE 2	8E 4	W 4	0	3^0	10^0	–	25	a Berge sehr rein, föhnig
																					82.8		
Mittel	00.1	699 4	00.2	– 2.5	1.9	– 1.3	3.0	– 4.0	3.5	4.0	3.7	89	74	88				5.6	6.8	6.2			

Hohenpeissenberg.

November. $\varphi = 47^0\ 48'$ N. $\lambda = 11^0\ 1'$ E $= 44^m\ 4^s$. H $= 994.1$ m. Cg $= \pm 0.0$ mm. 1912.

	600 mm + 7a	2p	9p	7a	2p	9p	Max.	Min.	7a	2p	9p	7a	2p	9p	7a	2p	9p	7a	2p	9p	7a	7a	
1.	73 4	78.6	81.5	1.4	– 0.1	– 1.3	3.5	– 1.3	5.0	4.6	4.2	100	100	100	W 3	NW 1	NW 3	10^2=●	10^2=⁎	10^2=	7.6	–	n, a ◍, t ≡$^{1.2}$, ab ca 11 a ztw. ✳
2.	81.2	80.1	79.4	– 2.1	– 0.8	– 2.6	– 0.7	– 2 7	3 9	4.1	3.4	100	94	89	SW 1	W 4	SW 4	10^1	9^2	2^2	3.7	2	t ∞, a ztw. ✳
3	78.0	78.6	79.9	– 3.7	– 1.9	– 2.2	– 1.9	– 3.9	3.2	2.8	3.1	93	72	79	W 5	W 5	W 5	10^1	3^2	10^2	2 8	1	∞, abds. ✳^{0}
4.	82.2	82.8	82.2	– 3.0	– 0.5	– 3.0	– 0.1	– 3.3	3 6	3.5	3.0	98	79	83	W 1	W 1	W 1	10^1	6^2⊖	0	2.1	4	n ✳; ∞, p kurz ✳
5.	78.3	74.6	73.4	– 3.1	4.2	3.3	4.6	– 3.4	2.1	2.0	2.4	57	32	41	SW 1	SW 3	W 6	4^1	10^1	10^2	0.1	4	Gegend sehr rein
6.	74.3	76.9	80.3	– 0.8	– 2.0	– 5.3	3.3	– 5.3	4 3	4.0	3.0	100	100	98	W 4	N 1	NE 2	10^2=	10^2=⁎	0	–	4	t ≡$^{1.2}$, p ✳, abds. Horiz.≡
7.	82.9	83.9	**84.5**	– 7.0	– 4.6	– 6.8	– 4.6	– 7.0	2.7	2.4	2.6	100	74	94	E 1	NE 1	E 3	0	1^2⊖	0	5.9	12	Gegend rein, abds. Horiz.≡
8.	84.0	84.2	83.2	– 4.3	0.0	0.4	0.4	– 6.8	**1.4**	3.2	3.5	43	69	73	SE 1	NW 1	SW 5	0	10^1	10^2	–	10	a Gegend rein, p ∞, abds, rein
9.	83.6	82.7	81.4	1.3	3.1	3.7	3.7	0.4	5.0	5.7	6.0	100	100	100	W 1	W 1	SW 3	10^2=●	10^2=	2^2	5.6	-	n, a ◍, a u. p ≡, abds. ≡
10.	78.4	75.0	73.5	6.0	10.9	3.8	**11.0**	3.0	**6.5**	**6.5**	5.9	93	68	98	SW 3	SW 1	SW 8	10^2	9^1⊖	10^2=	1.1	–	n ◍; a ∞, p Gegend rein, ca 8 p ◍, abds. ≡^{1}
11.	64.1	60.9	58.6	5.1	– 0.8	– 1.5	6.1	– 1.6	4.6	4.3	3.3	71	100	80	W 8	W 4	SW 8	10^1	10^2=	10^2	0 1	–	a Gegend rein, ab ca 1 p ≡^{2}, p ⫩, abds. ≡
12.	56.0	**55.7**	58.5	– 2.5	– 1.5	– 2.0	– 1.4	– 2.7	3.2	4.8	4.0	85	92	100	W 6	SW 6	W 8	10^1	10^2	10^2=	**10.4**	4	t Gegend rein, a Schneewehen, p ⫩, abds. ≡^{2}
13.	63.0	64.2	67.7	– 3.8	– 1.0	– 2.7	– 0.7	– 3 8	3.0	3.3	3.2	89	76	85	W 1	W 1	W 2	10^1	1^2	6^2	6.2	4	t Gegend rein, a Schneewehen, abds. Horiz.≡
14	71.8	74.2	76 2	– 4.5	– 0.2	– 1.8	0.0	– 4.5	2.8	2.4	2.6	88	54	66	SW 1	SW 1	SW 3	0	⊙	0		4	t Gegend rein, abds. Horiz.≡
15.	75.0	74.1	75.0	– 2.7	– 2.8	– 3.6	– 1.7	– 3.6	2.2	2.7	3.5	60	72	100	E 1	E 3	NE 3	1^2	3^2	4^2		2	t Gegend rein
16.	75.4	75.8	76.7	– 4.0	– 2.0	– 2.9	– 2.0	– 4.2	3.4	3.7	3.7	100	94	100	E 1	NE 1	NE 2	10^1	1^2	10^2		–	t ∞
17.	78.4	78.6	78.7	– 2.8	– 1.6	– 2.5	– 1.6	– 2.9	3.4	3.7	3.8	92	90	100	E 1	NE 1	E 2	10^2	10^2	10^2=⁎		–	t ∞^{2}
18.	77.1	75.1	74.7	– 3.0	– 1.7	– 2.4	– 1.7	– 3.1	3.7	3.9	3.8	100	96	98	NE 1	NW 1	NE 1	10^2=	10^2⁎	10^2		–	a ≡^{1}, p ∞ ✳, abds. ≡^{1}
19.	76 0	76.8	77.8	– 3.0	– 0.8	– 1.1	– 0.8	– 3 4	3.7	3.4	3.7	100	79	86	W 1	NW 4	W 5	10^2	10^2	10^2	0.9	1	t ∞$^{1.2}$, a ztw. ✳
20.	75.7	76.9	76.3	– 2.0	– 0.4	– 0.7	– 0.2	– 2.0	4.0	4.3	4 3	100	96	98	W 8	W 8	SW 8	10^2	10^2	10^2=	0.5	2	a ∞, t öfters ⫩, abds. ≡^{1}
21.	73.5	75.0	78 4	– 0.8	– 1.1	– 1.2	– 0.6	– 1.3	4.3	4 2	4.1	100	100	98	W 6	NW 3	NE 6	10^2=	10^2=⁎	10^2=	8.2	10	n, a ✳, p ⫩, t ≡^{2}
22.	81.6	83.0	84.4	– 1.7	– 1.6	– 2.6	– 1.2	– 2.7	4.0	**4.1**	3.7	100	100	98	C	NE 1	E 2	10^2=	10^2	0=	8.6	15	a ≡^{2}, p ∞, abds. ≡^{1}
23.	83.7	82.6	81.3	– 5.4	– 4.1	– 5.7	– 2.6	– 6.2	3.0	3.2	2.9	98	98	98	E 1	E 3	NE 4	0	⊙	0=	–	15	a Gegend sehr rein, Nebelmeer; p rein, Horiz.≡, [1])
24.	79.2	78.8	80.6	– 8.5	– 5.4	– 3.3	– 3.3	– 8 5	2.3	3.0	2.8	100	98	78	W 3	W 1	W 5	0	0=	10^2	–	15	Berge rein, Nebelmeer, p ztw. ≡^{1}, abds. ∞
25.	81.6	80 4	78.4	– 1.3	0.8	– 1.2	0.9	– 3.3	4.1	4.2	4.1	98	87	98	W 1	SW 1	W 1	10^1	2^1	1^1	–	13	a Gegend rein, p ∞
26.	77.5	76.5	73.8	– 0.8	2.4	6.1	6.1	– 2.4	1,9	2.5	1.8	44	46	25	SW 1	SW 1	E 1	0	10^1	9^1	–	10	t Gegend rein, a Horiz.≡
27.	70.3	69.1	69.0	6.9	4.7	0.8	9.1	0.8	1.9	2.4	4.1	25	37	83	C	W 1	W 5	8^1	9^1	6^2	–	10	t Gegend sehr rein, abds. ∞
28.	69.0	70 5	72.5	– 1.6	– 0.8	– 2.6	0.8	– 2.6	4.1	3.6	3.7	100	83	98	NW 1	W 1	SW 5	10^2	10^2	10^2=	3.9	12	t Gegend rein, abds. ≡^{2}, ca 6–9 p ⫩
29.	68.8	65.9	67.9	– 4 6	– 1.3	– 0.8	– 0.1	– 4.9	3.2	2.1	3.3	100	43	73	W 1	SE 1	SW 5	0	7^2	0	7.7	**30**	n ✳, t Gegend rein, abds. Horiz.≡
30.	67.2	65.9	64.0	1.2	4.0	5.7	5.7	– 1.8	2.0	2.2	2.1	41	36	31	E 1	S 4	W 8	5^1	9^1	10^2	–	**30**	t Gegend sehr rein
																					75 4		
Mittel	75.4	75.2	75.7	– 1.8	– 0.2	– 1.2	1.0	– 3.2	3.4	3.5	3.5	86	79	85				6.9	7.0	6.3			

[1]) abds. ≡^{1}.

Alle Angaben nach Ortszeit.

Zugspitze.

November. $\varphi = 47^0\ 25'$ N. λ 10° 59′ E = 43 m 56 s. H = 2964 m. Cg = −0,2 mm. 1912.

Datum	Luftdruck auf 0° u. Normalschwere reduziert 500 mm +			Lufttemperatur C°					Absolute Feuchtigkeit mm			Relative Feuchtigkeit Proz.			Richtung und Stärke des Windes 0 bis 12			Bewölkung 0 bis 10			Niederschlag mm	Schneedecke cm
	7a	2p	9p	7a	2p	9p	Max.	Min.	7a	2p	9p	7a	2p	9p	7a	2p	9p	7a	2p	9p	7a	7a
1.	23.1	26.0	27.9	− 9.8	−12.4	−13.6	− 9.1	−13.6	2.0	1.6	1.4	100	100	100	NW 6	NW 5	N 6	10^2=*	10^2=*	10^2=*	1.7	245
2.	26.8	26.8	26.0	−15.8	−14.0	−15.3	−13.6	−16.0	1.2	1.4	1.2	100	100	100	N 5	NW 4	NW 5	10^2=	10^2=	1^1	4.3	255
3.	24.1	24.6	25.6	−17.2	−15.9	−16.7	−15.3	−17.2	1.1	1.2	1.1	100	100	100	N 7	N 6	N 5	9^1⊙	10^2=	10^2=	3.0	260
4.	27.1	28.?	27.9	−16.8	−16.1	−16.4	−16.0	−16.8	1.1	1.2	1.1	100	100	100	N 5	N 1	N 7	10^2=	⊙⊙	⊙	1.5	270
5.	27.4	26.1	24.1	−13.0	−10.7	−11.3	− 8.8	−16.4	1.2	1.9	1.8	77	98	100	NW 6	W 7	W 7	5^0⊙	10^1	10^1	–	270
6.	21.6	23.8	24.8	−11.3	−13.5	−16.8	−11.1	−16.8	1.8	1.5	1.1	100	100	100	N 9	N 4	N 4	10^2=	10^2=*	10^2=*	2.2	270
7.	26.3	28.2	30.4	−20.3	−15.7	−13.8	−13.8	−20.6	0.5	0.8	0.9	57	70	63	N 5	N 6	N 7	⊙⊙	2^0⊙	2^1	9.5	285
8.	32.0	32.3	**33.7**	− 9.1	− 5.3	− 3.3	− 3.3	−13.8	1.0	3.0	3.5	**45**	100	100	N 6	N 7	N 7	2^0⊙	10^1=*	10^2=	–	280
9.	33.0	32.5	32.0	− 5.2	− 5.5	− 6.0	− 2.9	− 6.0	3.0	2.9	2.8	100	100	100	N 3	N 4	N 5	10^2=*	10^2=	⊙	2.7	285
10.	30.1	28.9	26.1	− 4.0	− 2.8	− 4.2	− 2.8	− 6.0	3.3	**3.7**	3.3	100	100	100	NW 5	NW 4	NW 3	10^2=*	10^2=	10^2=*	12.5	295
11.	18.8	13.9	09.9	− 6.2	− 5.7	−13.7	**− 2.4**	−13.7	2.8	2.9	1.4	100	100	100	NW 4	SW 5	NW 9	10^1	10^2=*	4^1	5.7	305
12.	07.3	**07.2**	10.2	−16.1	−14.5	−14.8	−13.7	−16.1	1.2	1.3	1.3	100	100	100	NW 6	NW 5	NW 6	10^2=	10^2=*	10^2=*	3.2	310
13.	13.1	13.9	16.2	−11.2	−12.6	− 8.6	− 8.6	−16.5	1.4	1.6	2.3	75	100	100	S 4	SE 2	SE 4	6^0	8^1=	10^2=	0.7	310
14.	19.7	22.6	24.7	− 7.3	− 6.8	−13.1	− 6.1	−13.2	2.2	2.2	1.3	88	82	85	S 7	S 7	W 6	5^1	1^0⊙	1^1	–	350
15.	24.5	24.9	25.0	− 9.1	− 7.2	− 6.0	− 6.0	−14.3	2.0	2.5	2.7	90	95	96	SE 4	SE 3	SE 2	5^1	9^1	1^1	–	350
16.	24.4	24.8	25.2	− 8.1	− 7.3	− 7.9	− 5.8	− 8.4	2.3	2.5	2.3	98	99	96	SE 5	E 3	N 3	5^1	3^1	2^1	–	350
17.	26.3	27.0	27.1	− 8.8	− 6.4	− 9.6	− 4.6	− 9.6	2.2	2.7	2.0	98	100	96	N 2	SE 2	E 3	2^0	⊙⊙	⊙	–	345
18.	24.9	23.1	22.9	− 9.7	− 4.4	− 6.8	− 3.2	−11.4	2.0	3.1	2.6	100	100	95	SW 1	SW 3	W 5	10^2=	10^2=*	⊙	–	345
19.	22.9	24.3	25.4	−13.4	−13.9	−14.2	− 6.8	−14.6	1.5	1.4	1.4	100	100	100	NW 3	N 4	NW 3	10^2=*	10^2=*	10^2=	0.4	345
20.	24.5	24.8	24.7	−13.5	−12.9	−13.4	−12.7	−14.2	1.5	1.5	1.5	100	100	100	NW 8	NW 4	NW 5	10^2=*	10^2=	10^2=*	3.4	350
21.	22.2	23.0	25.4	−13.1	−13.4	−14.4	−12.4	−14.4	1.5	1.5	1.4	100	100	100	NW 3	NW 4	NW 3	10^2=*	10^2=*	10^2=*	3.3	360
22.	27.2	28.4	29.5	−14.8	−14.6	−14.6	−13.3	−15.2	1.3	1.3	1.3	100	100	100	N 2	N 4	SE 4	10^2=*	10^2=	⊙	**14.4**	410
23.	30 5	31.1	30.9	−12.1	−10.4	− 9.4	− 9.4	−14.6	1.7	1.8	2.1	100	95	100	SE 4	SE 4	SE 5	⊙	2^0⊙	1^0	7.1	**450**
24.	29.6	28.8	29.0	− 8.1	− 9.3	−12.9	− 6.8	−13.3	2.1	1.7	1.4	88	80	78	W 4	W 4	NW 4	⊙	2^0⊙	10^1	–	**450**
25.	29.2	29.2	28.9	−11.1	−11.8	−10.2	− 9.3	−13.0	1.8	1.2	1.3	100	74	65	N 2	N 2	NW 3	1^1=	2^0⊙	3^0	1.5	**450**
26.	28.1	27.9	27.3	−10.8	− 8.2	− 5.7	− 5.7	−11.0	1.5	1.7	2.1	78	77	72	NW 4	NW 4	W 5	4^1	7^1⊙	10^1	–	430
27.	24.5	22.0	20.6	− 5.5	− 5.6	− 9.3	− 4.7	− 9.3	1.7	1.7	1.7	55	60	80	SW 4	SE 5	SE 5	5^1	6^1	3^1	–	430
28.	18.0	18.6	19.9	−14.0	−16.0	−15.6	− 9.3	−16.9	1.4	1.2	1.2	100	100	100	N 4	N 3	N 2	10^2=*	10^2=	10^2=△	2.5	435
29.	18.8	17.8	18.6	−15.7	− 9.8	−13.4	− 9.6	−16.5	1.2	1.6	1.4	100	80	95	SW 5	SW 6	W 7	1^1	6^1	⊙	1.4	435
30.	19.3	18.9	19.0	−10.3	− 8.3	− 6.7	− 6.7	−13.8	1.4	1.6	2.2	74	70	82	S 6	SW 10	S 10	3^1	10^1	10^1	–	430
																					81.0	
Mittel	24.2	24.3	24.6	−11.4	−10.4	−11.3	− 8.5	−13.8	1.7	1.9	1.8	91	93	93				6.4	7.3	5.6		

Bemerkungen.

1. a 5 cm Neuschnee, 10 cm ⋁, t ≡² ✳0.1
2. a 10 cm Neuschnee, 20 cm ⋁, t ztw. ✳0.1, ≡², abds. Aufklaren, ≡0.1 u. d. G., in Tälern cu
3. a ≡⁰, in Tälern u. über Alpenvorland vereinzelte cu, ab 8^{45} a Gipfel im ≡, p ztw. ✳0.1
4. a ≡², 10 cm Neuschnee, 50 cm ⋁, ca 1 p Aufklaren, ringsum cu-meer in ca 2700–2900 m, ztw. fr-cu NW r über Gipfel
5. t Alpenvorland u. Flachland ∞¹, abds. in Tälern ztw. cu in ca 2500 m
6. n ✳⁰, t ≡² ✳0.1, ab 7^{30} p ztw. Zerreissen der Nebelschicht, 9 p 15 cm Neuschnee
7. t in Tälern u. über Alpenvorland cu-meer in ca 1800–2500 m
8. a Inntal ∞¹, ca 11 a starke Bewölkungszunahme, ab 0^{30} p ≡² ✳0.1, ab ca 3 p ᔓ
9. a 5 cm Neuschnee, t ≡² ✳0.1 ᔓ, 7^{35} p Aufklaren
10. n ✳¹, a 10 cm Neuschnee, t ≡² ✳1.2; ca 7 p kurzes Aufklaren
11. a 10 cm Neuschnee, 60 cm ⋁, Inntal cu-meer in ca 2000 m, über Alpenvorland tlw. cu in ca 1800 m, ab 0^{30} p ≡², kurze Zeit SW 9, ab 1^{15} p ✳0.1, abds. Aufkaren, [1])
12. a 5 cm Neuschnee, 60 cm ⋁, t ≡², p ztw. ✳⁰, ca 7–9 p negatives Elmsfeuer
13. a Fernsicht ringsum frei, ab ca 3 p Gipfel ztw. im ≡, cu-Grenze in ca 2900 m
14. t über südöstl. u. südl. Teil der Zentralkette Föhnmauer, in Tälern cu u. Nebelfahnen bis ca 2000 m, abds. fr-st längs des ganzen Zentralkammes, in Tälern vereinzelte cu bis ca 1800 m
15. t vereinzelte st-cu über Zentralkette, p Alpenvorland ∞¹
16. t über südlichem Kamm der Zentralalpen Föhnmauer, über Alpenvorland tlw. Nebeldecke, abds. ringsum cu-meer in ca 2400 m
17. ab 11 p ≡0.1 um den Gipfel, a ringsum cu-meer in ca 2200–2500 m, p über Alpenvorland u. Flachland cu-meer in ca 2000 m, über Zentralkette vereinzelte Nebelfahnen, [2])
18. a leichter ⋁, t ≡², ab 9 a–3 p ✳⁰, 3^{15} p tlw. Aufklaren, ca 8 p vollständiges Aufklaren, ringsum cu-meer in ca 2500 m
19. a leichter ⋁, t ≡² ✳0.1
20. a 5 cm Neuschnee, kräftige elektrische Ausstrahlung, t ≡² ✳0.1, ⸸
21. a 10 cm Neuschnee, 60 cm ⋁, t ≡² ✳0.1, ca 3–6^{15} p ✳², 9 p 30 cm Neuschnee
22. a 50 cm Neuschnee ≡² ✳², 11^{40} a Aufhören des Schneefalles, ztw. Zerreissen der Nebelschicht, ca 3^{45} p Aufklaren, ringsum cu-meer in ca 2700–2900 m
23. a Inntal cu-meer in ca 2000 m, Alpenvorland ∞¹, p ∞¹, über Alpenvorland tlw. cu-Decke, abds. Alpenvorland u. Flachland Nebeldecke
24. a über Alpenvorland Nebeldecke, t über Alpenvorland ztw. cu-Decke in ca 1000–1500 m, ab 8 p vollständig bedeckt, E
25. ab 10^{55} p ≡² ✳⁰, a ringsum cu-meer in ca 2900 m, t über Alpenvorland tlw. cu-Decke in ca 1500 m
26. t über Alpenvorland ∞¹, p starke Bewölkungszunahme
27. p starkes ✳treiben, über Alpenvorland ∞¹, abds. Föhnmauer längs der ganzen Zentralkette
28. n ✳0.1, a 5 cm Neuschnee, t ≡1.2 ✳⁰, m–4^{05} p Talblick tlw. frei
29. a Inntal cu-meer in ca 2000 m, über Alpenvorland tlw. Nebeldecke, 2^{30} p starke Bewölkungszunahme, W 7 st-cu W r, ca 4 p ≡0.1 u. d. G., ca 8 p wieder Aufklaren
30. p über südl. u. südöstl. Teil der Zentralkette Föhnmauer, m starke Bewölkungszunahme, ab 7 p S 9–10

[1]) über Zentralkette cu u. fr-cu, Talblick frei. [2]) abds. ringsum cu-meer in ca 2200 m.

Alle Angaben nach Ortszeit.

Kahl a/M.

Dezember. $\varphi = 50^{0}\ 4'$ N. $\lambda = 9^{0}\ 1'$ E $= 36^{m}\ 4^{s}$. H $= 114.1$ m. Cg $= +\ 0.3$ mm. 1912.

Datum	Luftdruck auf 0° u. Normalschwere reduziert 700 mm +			Lufttemperatur C°					Absolute Feuchtigkeit mm			Relative Feuchtigkeit Proz.			Richtung und Stärke des Windes 0 bis 12			Bewölkung 0 bis 10			Niederschlag	Schneedecke	Bemerkungen
	7a	2p	9p	7a	2p	9p	Max.	Min.	7a	2p	9p	7a	2p	9p	7a	2p	9p	7a	2p	9p	mm 7a	cm 7a	
1.	**41.3**	49.4	53.4	3.1	3.3	0.7	6.3	0.7	5.5	4.0	3.9	96	70	80	SW 2	W 2	SW 2	10^{1}	4^{1}	10^{1}	1.7	–	n ◍
2.	50.8	50.1	52.7	0.5	2.2	2.0	3.0	− 0.8	4.1	4.7	5.1	85	87	96	SW 2	SW 2	SW 2	10^{1}*	10^{1}	10^{1}	0.5	1	n–10^{26} a ✳
3.	57.6	61.1	64.4	1.0	1.0	0.3	4.1	− 0.1	4.9	4.7	4.4	100	96	94	SW 2	C	SW 2	10^{1}	10^{1}	10^{1}	3.0	**3**	7^{16}–9^{26} a ✳
4	**65.3**	64.6	63.8	− 0.1	− 0.2	− 2.7	2.0	− 3.1	4.6	4.5	3.7	100	100	100	S 2	SW 2	C	10^{1}	10^{1}	0	4.7	–	
5.	60.2	57.5	57.2	− 3.7	1.3	− 4.1	1.9	− 5.0	3.5	4.2	3.3	100	83	100	C	E 2	C	0	00	0	–	–	a ⌊
6.	57.5	58.0	58.2	− 6.6	− 1.1	− 1.0	0.2	− 7.1	2.8	4.1	4.2	100	96	98	C	C	SW 2	0	1^{0}⊙	8^{0}	0.8	–	n ●
7.	58.9	60.2	60.9	− 1.5	− 1.6	− 5.1	0.7	− 5.4	4.1	4.1	3.1	100	100	100	C	SW 2	SW 2	10^{1}	00	10^{0}	–	–	
8.	61.6	62.1	62.2	− 7.1	− 0.7	− 5.3	0.0	− 7.9	2.6	3.8	3.0	100	86	100	C	C	C	0	00	0	–	–	
9.	61.4	60.2	59.9	− 8.3	− 3.6	− 4.7	− 3.0	− 8.6	**2.4**	3.5	3.2	100	100	100	S 2	SW 2	C	0	2^{0}	10^{1}	–	–	
10.	58.8	57.9	57.4	− 5.3	− 1.5	− 0.7	− 0.1	− 6.0	3.0	4.1	4.4	100	100	100	C	C	C	10^{1}	10^{1}	10^{1}	–	–	a ≡^{1}
11.	55 8	54.5	52.8	2.0	3.0	3.1	3 9	− 1.2	5.1	5.6	5.7	96	98	100	C	S 2	SW 2	10^{1}	10^{1}	10^{1}	–	–	8^{11}–9^{26} a ◍
12.	49.0	49.3	53.3	4.6	6.1	6.0	7.2	2.9	5.8	6.9	6.1	92	99	88	SW 2	SW 2	SW 2	10^{1}	10^{1}●	9^{1}	1.8	–	n, 2 p ◍
13.	58.0	59.1	59.4	3.6	4.8	4.2	8.6	2.4	5.4	5.6	5.6	92	87	90	SW 2	SW 2	SW 2	0	8^{0}	10^{1}	–	–	
14.	55.5	54.7	55.5	5.6	7.6	9.4	10.0	4.0	6.3	6.7	7.5	93	86	87	SW 6	SW 4	SW 6	10^{1}	9^{1}	10^{1}	1.2	–	n ◍ ≡
15.	55.1	56.8	54.9	10.6	11.6	10.5	12.2	9.1	8.0	8.7	**8.3**	84	86	88	SW 6	SW 4	SW 2	10^{1}	9^{1}	10^{1}	2.0	–	n, t ztw. ◍
16.	50.0	48.5	50.0	11.2	9.3	4.6	12.2	4.1	8.4	8.4	6 0	85	96	96	SW 6	W 2	C	10^{1}	10^{1}	10^{1}	1.9	–	n ◍ ≡, p ◍
17.	50.6	51.7	52.7	0.2	4.0	4.1	6.9	− 0.8	4.7	5.2	5.2	100	85	85	C	W 2	SW 4	1^{0}	7^{0}	10^{1}	**14.0**	–	a ⌊
18.	51.5	45.2	42.9	1.6	3.7	2.5	6.5	0.6	4.7	4.1	5.0	91	**69**	91	SW 2	S 4	SW 4	3^{0}	10^{2}	10^{1}●	–	–	
19.	53.8	55.5	56.0	1.1	4.8	2.3	5.0	0.3	4.6	5.5	4.9	92	86	89	SW 4	SW 2	SW 2	0	10^{0}	0	7.3	–	n ◍
20.	56.9	57.6	58.3	− 0.6	3.9	− 1.7	4.6	− 2.2	4.4	5.1	4.0	100	84	100	C	S 2	C	0	1^{0}⊙	0	–	–	a ⌊
21.	58.5	57.6	56.5	− 3.1	2.1	− 2.5	2.6	− 4.3	3.6	4.7	3.8	100	87	100	C	S 2	C	0	00	0	–	–	a ⌊
22.	56.2	55.5	55.6	− 5.1	0.5	0.1	2.2	− 5.8	3.1	4.6	4.6	100	96	100	C	SW 2	SW 2	10^{1}	6^{0}	10^{1}	–	–	a ≡^{1} ⌊
23.	55.0	54.5	55.6	0.5	3.6	− 0.1	4.4	− 0.8	4.7	5.0	4.6	98	85	100	C	SE 2	C	10^{1}	00	1^{0}	–	–	
24.	56.5	58.1	57.6	− 1.7	2.7	6.0	7 8	− 3.0	4.0	5.2	6.3	100	93	90	C	SW 2	SW 4	8^{0}	10^{2}	10^{0}	–	–	
25.	56.8	55.7	52.7	8.3	9.2	9.9	10.8	5.9	7.4	7.5	7.9	91	88	87	SW 4	SW 2	SW 4	10^{1}	10^{1}	10^{1}	0.6	–	n, 2^{36} p an ◍
26.	52.4	46.4	42.7	7.8	9.1	7.3	11.4	6.8	6.7	7.5	6.7	85	88	88	SW 4	S 2	SW 4	4^{0}	10^{1}	10^{1}●	3.7	–	3^{26} p–n ◍
27.	15.9	49.6	50.7	7.3	8.1	7.3	9.1	6.7	6.1	6.9	7.1	80	86	93	SW 4	SW 2	SW 2	10^{2}	10^{1}	10^{2}	6.4	–	n ◍
28	50.2	50.7	51.0	12.0	12.3	9.3	**13.1**	6.7	**9 6**	8.5	8 1	93	80	93	W 4	W 6	SW 2	10^{1}	10^{2}	0	2.7	–	n ◍
29.	51.1	51.8	54.9	2.5	8.2	9 2	11.2	1.9	5.3	7.7	6.7	96	94	78	W 2	C	SW 4	0	1^{0}⊙	10^{2}	–	–	7^{36}–8^{36} a ≡$^{0.2}$
30.	57.9	59.5	62.6	5.6	7.4	5.5	11.8	4.7	5.5	5.5	5.6	82	72	83	SW 4	W 4	W 4	9^{1}	9^{1}	10^{0}	–	–	
31.	62.7	61.8	60.3	4.2	6.3	− 1.2	7.3	− 1.6	5.6	5.7	4.2	90	79	100	SW 2	SW 2	C	10^{1}	4^{1}	0	–	–	
Mittel	55.3	55.3	55.7	1.6	4.1	2.4	6.0	− 0.2	5.1	5.6	5.2	94	89	93				6.3	6.5	7.0	52.3		

Bayreuth.

Dezember. $\varphi = 49^{0}\ 57'$ N. $\lambda = 11^{0}\ 34'$ E $= 46^{m}\ 16^{s}$. H $= 363.3$ m. Cg $= +\ 0.3$ mm. 1912.

1.	**19.4**	24.9	30.6	1.1	1.7	0.3	3.7	− 0.4	4.2	4.4	3.8	86	86	80	SE 2	W 6	W 2	3^{0}	10^{2}	10^{2}	–	–	
2.	30.4	28.2	30.4	− 2.3	− 0.2	1.1	1.2	− 2.9	3.3	4.4	4.6	85	94	92	E 2	SW 2	SW 2	1^{1}	10^{2}*	10^{2}	–	–	a ⌊^{1}, 10^{46} a–2^{16} p ✳$^{0.1}$
3.	34.6	37.2	40.4	0.3	2.5	− 0.2	2.8	− 0.6	4.4	4.1	4.1	94	75	90	W 2	W 4	W 2	10^{1}	2^{0}⊙	10^{2}	0.5	–	
4.	**42.8**	42.5	42.0	− 0.7	− 0.7	− 2.3	1.0	− 2.6	4.0	3.9	3.6	92	90	94	W 2	SW 2	E 2	10^{2}	10^{1}=	0	–	–	a ⌊^{1}, p ≡^{1}
4	38.5	37.4	35.2	− 5.9	2.7	− 1.7	3.0	− 6.7	2.8	3.9	3 2	95	**70**	80	NE 2	SE 4	E 2	0	00	0	–	–	a ⌊^{1}
6	35.7	36 0	36.1	− 4.1	− 1.9	− 4.9	− 0.8	− 5.2	3 0	3.6	2.8	91	90	90	E 2	SE 4	E 2	2^{1}	6^{1}	0	–	–	a ⌊^{2} ≡^{0}
7.	36 9	38 3	39.1	− 7.6	− 4.4	− 4.2	− 4.1	**8 5**	**2.3**	3.1	3.2	92	95	97	E 2	E 2	E 2	0	10^{1}=	10^{0}	–	–	a ⌊^{2}, t ≡$^{0.1}$
8.	40.2	39.7	40.0	− 6 2	− 1.9	− 5.2	− 1.9	− 6.8	2.7	3.3	2.8	95	84	9 3	E 2	SE 2	E 2	10^{1}	00	0	–	–	a ⌊^{1}
9.	38.7	37.4	37.9	− 7.5	− 1.9	− 6.2	− 1.7	− 8.3	2.4	3.1	2.5	95	78	90	E 2	SE 4	E 2	0	3^{1}⊙	0	–	–	a ⌊^{2}
10.	36.5	36.0	35.4	− 7.1	− 2.0	− 2.5	− 0.5	− 8.3	2.5	3.7	3.6	95	94	96	SE 2	E 4	E 2	10^{0}	10^{1}=	10^{1}=	–	–	a ⌊^{2}, t ≡$^{0.1}$
11.	33.5	32.2	31.0	− 1.9	2.2	2.7	2.8	− 3.7	3.8	5.3	5.4	96	**98**	96	E 2	SW 2	W 2	10^{1}=	10^{1}=●	10^{2}	0.3	–	n ᔓ, t ≡^{1} ◍^{0}
12.	28 1	27.4	30.6	3.3	5.7	4.9	6.3	2.1	5.4	5.5	5.9	93	81	92	S 2	SW 4	SW 4	10^{1}=	10^{2}	10^{2}	2.2	–	a ≡^{1}, p ztw. ◍^{0}
13.	35.3	36.4	37.2	3.7	4 7	2 9	5 0	2.5	5.4	5 1	5.0	91	80	89	SW 6	SW 4	W 2	10^{2}	2^{0}⊙	8^{1}	0.8	–	n ≡
14.	33.2	32.0	32.6	3.7	6.0	6.8	6 9	2.2	5.4	6.3	6.7	91	91	92	SW 4	SW 6	W 6	10^{2}●	10^{2}●	10^{2}	0.6	–	n ◌^{0}, t ≡ ztw. ◍^{0}
15	30.7	33.1	33.7	8.3	9.3	8.0	9.8	6.2	7.2	7.6	7.1	89	89	90	W 8	W 8	W 8	10^{2}	10^{2}	10^{2}	2.1	–	n, t ≡; t ztw. ◍^{0}
16.	27.4	25.3	27.3	8.9	9.5	2.4	9.9	2 1	7.9	7.8	5.0	93	89	91	SW 8	SW 8	W 4	10^{2}●	10^{2}●	10^{2}	1.7	–	n, t ≡ ◍^{0}
17.	27.4	28.8	30.5	0 2	2.1	1.5	2.5	− 0.5	4.4	4.2	4.3	94	79	83	NW 2	W 6	W 2	8^{1}	9^{1}	10^{1}	5.8	–	
18.	30.2	25.7	20.8	0.1	1.9	2.3	4.5	− 0.6	3.9	3.9	4.5	85	76	83	SE 2	SE 4	W 4	5^{0}	7^{0}⊙	10^{2}●	–	–	8^{36} p–n ◍^{0}
19.	30.9	33.2	34.6	1.4	2.8	0.9	3.4	0.2	4.2	4.7	4.5	84	85	92	W 6	W 2	W 2	10^{2}	10^{2}	5^{0}	4.0	–	n ◍$^{0.1}$
20.	35.6	36.0	36.8	0.1	4.3	− 1.3	4.3	− 1.8	4.3	4.5	3.8	92	72	92	SE 2	E 2	E 2	10^{0}	2^{0}⊙	0	–	–	a ⌊^{0}
21	36.3	35.1	35.4	− 3.9	2.9	− 1.5	2.9	− 4.5	3.2	4.5	3.9	96	80	94	SE 2	SE 2	E 2	0	00	0	–	–	a ⌊^{2} ≡^{0}
22	34.4	33.9	33 9	− 1.7	− 0.9	− 1.5	− 0.7	− 2.9	3.7	3 9	3 9	92	90	96	SE 2	SE 2	E 2	10^{2}=	10^{1}=	9^{1}	–	–	a ⌊^{1}, t ≡$^{0.2}$
23.	33.4	33.2	34.1	− 3.3	− 0.9	− 2.8	− 0.5	− 4.0	3.4	3.7	3.6	96	86	96	E 2	E 2	E 4	0	5^{1}⊙	0	–	–	a ⌊^{1}
24.	35.4	36.0	36.7	− 3.1	0.4	1.6	1.7	− 4.7	3.4	4.1	4.9	94	87	94	SE 2	E 2	C	10^{1}	10^{1}=	10^{2}	–	–	a ⌊^{1}, t ≡^{1}, p ztw. ◍^{0}
25.	35.1	35.1	31.8	4.7	6.8	6.9	7.0	1.1	5 9	6.8	6.8	92	93	91	S 2	SW 4	SW 4	10^{2}●	10^{2}	10^{2}	2.3	–	n ◍^{0}, t ztw. ◍^{0}
26.	30.0	27.4	21.4	7.1	7.5	6.9	8.0	6.1	6.1	7.0	6.0	82	91	82	W 4	S 2	SW 8	8^{1}	10^{2}	10^{2}	2.1	–	n ◍^{0}, p ≡ ◍^{0}
27	21.3	27.1	29.4	6.1	6.6	4.1	7.0	3 7	5.9	5.8	5.9	85	81	97	W 8	W 4	E 2	10^{2}●	10^{1}	5^{1}	**8.9**	–	n ◍^{2} ≡, a ◍^{0} ≡
28	28.5	29.3	29.8	6.1	10.6	9.5	**11.0**	2.2	6.7	**8.1**	7.9	96	85	90	SW 2	SW 6	C	10^{2}●	10^{2}	10^{2}	4.4	–	n, a–7^{16} a ◍$^{0.1}$
29.	29.9	30.8	32.4	4.1	5.8	3.5	9.6	2.2	6.0	6 7	5.7	**98**	97	97	SE 2	SE 2	E 2	10^{2}=	10^{0}	0	0.1	–	a ≡^{2}
30.	35.3	36.4	38.8	4.4	5.5	4.6	5.8	2.8	5.0	4.8	5.0	81	71	80	SW 4	W 6	W 6	10^{1}	9^{1}	10^{2}	–	–	
31.	40.5	39.8	38.9	2.6	4.5	0.5	5.8	0.2	4.8	4.8	4.2	88	75	90	W 4	W 4	SE 2	8^{1}	10^{1}	0	–	–	
Mittel	33.1	33.3	33.7	0.4	2.9	1.2	3.7	− 1.3	4.4	4.9	4.7	91	85	91				7.3	7.6	6.3	35.8		

Alle Angaben nach Ortszeit.

Bamberg.

Dezember. $\varphi = 49^0\ 53'$ N. $\lambda = 10^0\ 53'$ E $= 43^m\ 32^s$. H $= 287.7$ m. Cg $= +0.3$ mm. 1912.

Datum	Luftdruck auf 0° u. Normalschwere reduziert 700 mm +			Lufttemperatur C°					Absolute Feuchtigkeit mm			Relative Feuchtigkeit Proz.			Richtung und Stärke des Windes 0 bis 12			Bewölkung 0 bis 10			Niederschlag mm	Bemerkungen
	7a	2p	9p	7a	2p	9p	Max.	Min.	7a	2p	9p	7a	2p	9p	7a	2p	9p	7a	2p	9p	7a	
1.	25.5	32.0	37.8	− 0.2	3.7	0.1	4.6	− 0.7	3.9	4.7	4.2	87	78	90	W 2	W 3	S 1	10^1	10^1	10^1	0.1	n △0. 2h.45 p ✳
2.	36.7	35.2	37.5	− 1.5	− 0.3	0.6	1.1	− 2.8	3.3	4.3	4.2	80	96	89	SW 4	SW 4	SW 2	9^1	10^2	10^2≡	0.1	n ⌴. 9h a, 9 p ✳0
3.	42.3	44.5	47.9	0.4	2.2	− 2.0	3.8	− 2.2	4.3	4.0	3.9	90	75	98	C	W 2	C	10^1	8^1	4^1	0.2	n ◍0. ca 7h5 p ⌴
4.	50.1	49.3	48.7	− 1.4	− 1.6	− 2.8	− 1.0	− 3.1	4.1	3.8	3.7	98	94	100	W 1	S 1	E 1	10^2	10^2	10^2	0.1	
5.	45.2	42.4	42.0	− 5.3	2.8	− 1.9	3.1	− 5.7	3.0	3.1	3.2	98	55	80	W 1	S 2	S 1	1^1	1^1⊙	0	0.1	n ⌴. ca 7h4 a ≡
6.	42.3	42.5	42.8	− 5.8	− 0.1	− 4.6	0.6	− 6.0	2.8	3.8	3.1	95	83	98	S 1	S 1	S 1	10^0	10^0⊙	1^1	0.1	n ⌴. früh ≡1
7.	44.2	45.2	46.0	− 7.0	− 4.2	− 3.3	− 3.0	− 7.9	2.6	3.3	3.6	97	100	100	SW 1	S 2	S 2	10^2	10^2	10^2	0.1	n ≡1 V. 7 a, 2 p, 9 p ∞
8.	47.2	46.5	47.1	− 5.8	− 2.1	− 5.7	1.9	− 6.3	2.9	2.9	3.0	100	75	100	S 2	W 1	SW 1	10^2	0⊙	0	0.1	n ⌴. 7 a ∞. 2 p, 9 p ≡. 8a. 7h5 p V
9.	46.1	44.2	44.3	− 8.4	− 1.3	− 6.1	− 1.2	− 9.5	2.2	2.8	2.8	94	67	98	S 1	S 2	S 2	1^1	2^1⊙	10^0	0.1	7 a ≡. 9 p ∞
10.	43.0	42.6	41.8	− 9.0	− 2.4	− 0.6	− 0.4	− 9.0	2.2	3.8	4.4	97	100	100	SE 1	SE 2	SW 3	4^0	10^2≡	10^2≡	0.1	n ⌴. 2 p, 9 p ≡1. ca 6h5 p ᔓ
11.	40.1	38.8	37.7	0.1	1.9	2.2	2.6	− 2.1	4.6	5.2	5.3	100	98	98	S 2	SW 2	S 3	10^2	10^2≡ ●	10^2≡	1.2	n ◍. 7 a ≡0 ᔓ. 2 p ≡1 ◍0. 9 p ≡1
12.	34.6	34.2	38.0	2.4	5.1	4.5	5.7	1.6	5.3	5.5	5.9	96	85	94	SW 3	SW 4	NE 2	10^2	10^2	10^2	1.1	ca 11h5 p ◍1. ca 3h5 p ◍0
13.	42.5	43.3	44.2	3.2	5.8	2.0	6.4	1.7	5.3	5.1	4.7	92	75	89	SW 1	W 2	SW 2	10^2	2^1	10^1	0.7	
14.	40.2	39.5	40.0	4.4	6.3	7.8	8.3	1.9	5.5	6.3	6.7	89	88	85	SW 5	W 7	W 8	10^2	10^2	10^2●	0.2	ca 6 a ◍0. p ztw. ◍. 9 p ◍0
15.	38.5	40.5	40.1	8.6	9.1	8.5	10.5	7.3	7.3	8.1	7.4	88	95	89	W 7	W 7	SW 3	10^2●	10^2	10^1	0.7	7 a ◍0. ca 9h5 a–14h5 p ◍1
16.	34.6	32.7	33.9	9.7	9.5	2.9	11.0	2.8	7.3	8.0	5.4	83	91	96	W 6	W 6	W 3	10^2	10^2●	10^2●	3.2	ca 14h5–ca 23h0 p ◍0. ca 23h0–ca 3h5 p ◍2. ca 3h5 p–n ◍1
17.	34.5	35.6	37.3	0.2	2.8	1.6	3.8	0.0	4.5	4.7	4.4	96	82	85	W 7	W 3	SW 4	10^1	6^1	10^1	15.4	n-ca 9h5 p ◍1. n ⌴0. ca 3h5 p △0
18	36.6	31.5	26.5	0.0	2.4	2.8	4.6	− 0.4	4.0	3.8	5.1	87	70	91	SW 2	S 5	S 6	10^1	10^1	10^2●	0.1	n ⌴. ca 8–9 p ◍1. 9 p ◍2
19.	38.0	39.7	41.1	1.4	3.5	1.3	4.3	0.4	4.2	5.0	4.7	83	85	92	SW 2	W 3	SW 2	9^2	10^1	10^1	6.7	ca 9–ca 11h5 p ◍1
20.	41.9	42.5	43.7	0.0	5.5	− 1.0	5.8	− 1.2	4.1	4.5	4.2	89	67	98	S 2	S 1	C	10^1	2^0⊙	10^1▬	0.1	n ⌴. 9 p ≡1
21	43.4	41.9	41.6	− 4.0	1.8	− 2.4	3.0	− 4.7	3.3	4.0	3.8	98	77	98	C	C	S 1	2^1	2^1⊙	10^0	0.1	7 a, 2 p ≡. 9 p ∞
22	41.0	40.4	40.4	− 1.9	− 0.9	− 1.2	− 0.5	− 2.6	4.0	4.2	4.2	100	98	100	SW 3	S 2	C	10^2	10^2	10^2	0.1	n ⌴
23.	39.9	39.7	40.9	− 4.9	2.4	− 2.0	3.0	− 5.2	3.2	3.4	4.0	100	63	100	W 1	S 1	C	10^1	0⊙	0	0.1	n V. 2 p, 9 p ∞
24.	41.7	42.8	43 5	− 3.8	0 8	2.3	3.2	− 4.9	3.4	4.4	5.1	100	90	94	S 2	SW 1	SW 1	3^2	10^2●	10^2	0.1	2h6 p ◍1
25.	41.9	41.8	38.2	4.4	7.3	5.6	7.8	1 3	5.9	7.2	6.4	96	94	94	SW 2	SW 1	SW 3	10^2●	9^2	10^1	2.0	n ◍. 7 a ◍0. p ztw. ◍
26.	37.1	33.3	27.8	7.3	7.0	6.2	9.2	5.5	6.2	7.2	5.6	82	96	79	W 2	S 3	SW 3	9^1	10^2	3^2	1.0	ca 11h5 a ◍1
27.	28.8	34.1	35.9	6.3	6.9	4.1	7.6	3.9	5.9	5.8	5.8	83	79	95	W 6	W 3	SW 2	10^2	10^2	4^1	6.0	n ztw. ◍
28.	35.0	35 8	36.2	9.4	11.2	8.8	12.3	3.1	8.7	8.2	7.4	99	83	88	W 1	SW 3	S 2	10^2●	10^2	2^1	3.3	7 a ◍0
29.	36.1	36.9	39.1	3.2	9.0	5.9	9.8	2.9	5.7	7.1	5.9	98	83	86	S 2	S 2	SW 3	1^1	3^0⊙	5^1	0.2	n △
30.	42.1	43.9	46.0	4.1	6.1	4.5	7.2	3.5	5.0	4.4	4.9	82	63	78	S 3	W 5	SE 4	10^1	9^2	7^1	0.1	
31.	47.2	46.5	45.3	2.7	4.8	− 0.3	5.2	− 0.4	5.0	5.1	4 1	89	79	90	SW 2	S 2	SE 1	10^2	10^1	0	0.1	
Mittel	40.0	40.0	40.4	0.3	3.4	1.2	4.5	− 1.3	4.5	5.0	4.8	93	83	93				8.4	7.5	7.3	43.6	

Würzburg.

Dezember. $\varphi = 49^0\ 48'$ N. $\lambda = 9^0\ 56'$ E $= 39^m\ 44^s$. H $= 179.3$ m. Cg $= +0.3$ mm. 1912.

1.	35 2	42.6	47.3	2.1	3.2	1.4	4.5	1.4	4.7	4.1	4.1	87	71	82	SW 3	NW 4	NW 2	10^2	3^2	0	1.3	a ≡1
2.	46.0	44.0	49.0	1.2	2.5	2.6	2.6	− 0.9	2 9	4.4	4.8	58	79	87	NW 4	NW 3	C	10^2	8^2⊙	10^2	−	n ⌴. a ✳
3.	51.9	54.7	58.3	2.7	4.8	− 0.3	4.8	− 0.3	4.5	5.2	4 0	80	81	90	W 2	W 2	C	9^2	10^2	2^1	0.4	a ◍0
4.	59.9	59.2	58.8	− 1.5	1.3	− 1.4	1.3	− 1.5	3.8	4.2	4.0	92	83	96	W 3	W 3	W 2	10^2	8^2	10^2	0.1	a ⌴
5.	54.6	51.9	51.4	− 3.2	2.0	− 2.0	2.0	− 3.2	3.3	3.7	3.4	91	69	86	W 2	SE 4	C	5^1	0⊙	0	−	a ⌴
6.	51.9	52.4	52.8	− 4.7	− 2.4	− 4.5	− 1.9	− 4 9	3.1	3.5	3.2	98	92	98	SE 1	C	C	10^2▬	0⊙	0	−	n ⌴. a ≡2
7.	54.0	54.9	55.6	− 5.4	− 1.8	− 3.1	− 1.3	− 6.3	2.8	3.4	3.5	93	86	93	SE 2	C	C	10^2▬	0⊙	10^2	−	n ⌴2. a ≡2
8.	56.8	56.6	56.7	− 4.7	− 1.3	− 4.2	− 1.0	− 4.8	2.9	3.0	3.1	90	73	93	SE 2	E 1	C	10^2	0⊙	0	−	a ⌴
9.	56 0	54.3	54.2	− 6.9	− 2.1	− 5.7	− 1.6	− 6.9	2.5	2.9	2.8	94	75	90	C	C	C	10^2≡	1^1⊙	0	−	n ⌴2. a ≡1
10.	53.2	52.5	51.5	− 8.0	− 2.6	− 0.7	− 0.6	− 8.0	2.4	3.8	4.4	97	100	100	SE 3	SE 2	C	10^2≡	10^2≡	10^2≡	−	n ⌴2. 7 a ≡2. 2 p, 9 p ≡. p ᔓ
11.	49.8	48.2	47.1	2 8	3.8	3.6	3.9	− 0.8	5.0	5.2	5 4	89	87	92	S 1	SW 2	W 2	10^2	10^2	10^2	−	a ztw. ◍0
12.	43.6	43.5	47.6	3.6	7.2	5.3	7.6	2.6	5.3	6.1	5.9	90	82	89	E 1	SW 4	SW 3	10^1	10^2	10^2	0.9	m ⌒
13.	52.2	53.4	53.6	3.4	5.9	4.0	5.9	3.0	5.1	5.4	5.0	87	78	82	W 2	W 4	SW 3	0	7^2	0	--	
13.	49.5	49.3	49.8	5.9	7.3	8.2	8.0	3 8	5.5	6.5	6.9	79	86	85	SW 6	W 6	W 6	10^2●	10^2	10^2	−	7 a ◍. t ⌒ ztw. ◍
15.	48 7	50.1	49.7	11.0	11.5	10.5	11.5	8.0	7.1	8.0	7.7	73	80	81	W 6	W 5	SW 4	10^2	10^2	8^2	0.5	t ⌒, ztw. ◍ tropfen
16.	44.1	42.2	44.0	10.2	10.7	3.9	11.3	3.9	8 0	8.6	5.3	86	91	87	W 5	W 5	C	3^2	10^2●	10^2●	0 1	p–n ◍
17.	44.2	45.3	46.9	2.3	4.5	3.5	4.5	1.8	5.0	4.6	4.9	93	73	83	W 2	W 3	NW 1	10^2	10^2	8^1	9.0	
18.	46.3	40.3	36.2	0.7	3.6	3.5	5 9	0.4	4.4	4.2	5.1	90	70	87	NW 1	NW 2	SW 3	0	10^2	10^2●	−	p, 9 p ◍
19.	47.7	49.4	50.4	2.5	5.4	3.0	5.4	2,2	4.5	4.9	4.7	80	74	83	W 2	W 2	NW 2	7^2	8^2	8^2	7.0	
20.	51.3	52.3	53.3	− 0.8	1.7	− 1.3	2.0	− 1.3	4.2	4.7	4.2	96	91	100	W 1	SW 1	C	0≡	0⊙	0≡	−	n ⌴. a, p, 9 p ≡1
21.	53.1	52.0	51.4	− 3.0	− 1.4	− 2.8	− 1.0	− 3.5	3.6	3.9	3.7	98	94	100	C	W 1	C	10^2≡	0⊙	0≡	−	n ⌴. n, 7 a, p, 9 p ≡2
22.	51.0	50.4	50 4	− 2.7	− 1.5	− 0.7	− 0.4	− 3.9	3.7	3.9	4.1	100	96	94	W 3	C	C	0≡	10^2	10^1	−	n V. a ≡1
23.	49.7	49.3	49.9	− 2.2	0.9	− 1.5	1.0	− 2.2	3.9	4.3	3.8	100	87	94	C	C	C	10^1≡	0⊙	0	−	a ≡1
24.	51.3	52.1	52.7	− 2.5	0.7	3.9	5.4	− 3.0	3.7	4.4	5.7	98	90	95	SW 2	S 2	W 1	0≡	10^2	8^2	−	n ⌴, ztw. ◍0. 7 a ≡1
25.	51.0	51.0	47.0	7.3	9.2	9.9	9.9	2.9	6.9	7.2	7.6	90	83	83	W 3	W 2	W 4	8^2	4^2	9^2	1.5	ztw. ◍0
26.	45.3	42.0	36.9	8.3	8.7	7.4	12 2	7.4	6.4	7.6	5.9	78	81	77	W 2	W 3	NW 5	4^1	10^2	2^1	2.5	t ztw. ◍. p ⌒
27	38.8	43.4	44 9	8.1	8.6	7.1	8.6	6.8	5.6	6.1	6.9	68	73	91	NW 6	SW 3	C	9^2	8^2	10^2●	4.2	a ⌒. p ◍0. 9 p ◍ tropfen
28.	44.1	45.1	45.5	11.2	12.1	7.2	12.5	6.5	9.4	8.1	7.3	95	78	96	SW 1	W 4	C	10^2	10^2	0	2,8	ztw. ◍0
29	45 4	46.0	48.9	1.3	7.2	6.7	8.0	1.0	4 9	6.8	6.3	98	90	86	W 2	W 2	NW 2	10^2≡	2^1	8^1	0.2	a ≡2
30.	51.8	53.5	56.4	5.9	7.4	6.2	7.4	5.6	5.1	4.6	5.0	74	60	71	NW 3	W 4	NW 4	10^1	6^2	10^2	−	
31.	57.1	56.1	54.9	4.0	6.2	1.3	6.3	1.3	5.2	5.0	4.8	85	71	94	N 2	SW 2	C	9^2	8^2	0	−	
Mittel	49.5	49.6	50.1	1.6	4.0	2.3	4.7	0.2	4.7	5.1	5.0	88	82	89				7.5	6.2	5.6	30.5	

Alle Angaben nach Ortszeit

Ludwigshafen a/Rh.

Dezember. $\varphi = 49^0\ 29'$ N. $\lambda = 8^0\ 26'$ E $= 33^m\ 44^s$. H $= 100.3$ m. Cg $= +0.3$ mm. 1912.

Datum	Luftdruck auf 0^0 u. Normalschwere reduziert 700 mm +			Lufttemperatur C°					Absolute Feuchtigkeit mm			Relative Feuchtigkeit Proz.			Richtung und Stärke des Windes 0 bis 12			Bewölkung 0 bis 10			Niederschlag	Schneedecke	Bemerkungen
	7^a	2^p	9^p	7^a	2^p	9^p	Max.	Min.	7^a	2^p	9^p	7^a	2^p	9^p	7^a	2^p	9^p	7^a	2^p	9^p	mm 7^a	cm 7^a	
1.	43.8	51.8	55.9	4.5	4.8	0.9	5.6	0.9	5.8	4.1	4.1	92	62	82	SW 1	SW 2	SW 2	10^1●	10^2	10^2	1.4	–	n–a ◉
2.	53.3	52.0	55.2	0.5	2.3	3.0	3.0	– 0.3	4.1	4.5	5.1	85	82	90	SE 2	S 2	S 1	10^1	10^1	10^1	–	–	7^{04} a ✳Flocken. 8^{49}–10^{04} a ✳. ca 2^{04} p, abds. ◍
3.	59.5	62.9	66.2	3.3	2.9	1.1	5.2	1.1	5.2	5.1	4.6	90	90	92	S 1	W 2	N 1	10^1	10^1	0	3.8	–	vorm. ◍
4.	**67.6**	66.3	65.0	– 0.9	0.9	– 0.7	1.2	– 2.8	4.1	4.4	4.0	96	89	92	C	SE 1	N 1	10^2≡	10^1	10^1	2.8	–	n V¹, ∽, ≡². 7 a ≡
5.	61.4	59.1	58.3	– 3.1	1.8	– 2.4	2.0	– 3.8	3.5	3.6	3.4	96	69	89	N 1	SE 1	S 2	10^2≡	oo	o	–	–	a ≡². ca 7^{30}–10^{30} a ≡¹
6.	59.2	59.4	59.9	– 4.5	– 0.7	– 1.8	– 0.7	– 5.2	3.1	3.9	3.8	95	90	94	S 1	E 1	NW 1	10^1	oo	10^1≡	–	–	n V¹. 7 a, ca 9^{30} a ∞. 7 a ≡. nachm. u. abds. ≡¹
7.	61.2	61.4	61.5	– 3.3	– 1.5	– 2.2	– 1.4	– 5.0	3.3	3.9	3.6	94	94	94	S 1	C	S 1	10^2≡	5^1≡	10^1≡	–	–	n V². t ≡¹
8.	63.7	63.3	64.2	– 2.7	– 3.0	– 3.8	– 2.2	– 3.8	3.5	3.5	3.3	96	96	95	SW 1	N 2	N 1	10^2≡	10^1≡	10^1≡	–	–	n V². t ≡¹
9.	63.1	62.0	61.6	– 4.6	– 2.7	– 3.4	– 1.1	– 5.3	3.0	3.5	3.4	93	94	95	SW 1	S 1	SW 1	10^2≡	10^1≡	10^1≡	–	–	n V². t ≡¹
10	60.2	59.6	58.9	– 3.6	0.8	0.8	1.0	– 5.0	3.3	4.6	4.4	93	94	90	SW 1	S 1	S 1	10^1≡	7^1≡	10^1≡	–	–	n V². t ≡¹ u. ∞
11.	57.9	56.1	54.3	2.1	4.7	4.7	4.8	0.3	4.6	4.8	6.0	85	74	94	SW 1	C	S 1	10^2	10^1	10^1	1.7	–	n ◉
12.	50.5	51.5	55.6	6.0	6.8	5.1	7.5	3.9	5.6	6.5	5.7	81	88	88	SW 1	S 1	S 1	10^2	10^2	o	0.4	–	n, ca 6^{30} p ◍^{0}
13.	60.8	61.6	61.9	4.1	7.0	5.4	7.3	3.9	5.3	5.3	5.1	87	71	77	S 1	SW 1	SW 1	o	5^1o	10^1	0.5	–	
14.	58.7	58.4	59.6	5.2	8.8	10.4	10.4	3.1	5.5	6.4	7.3	83	76	76	SW 5	SW 3	SW 3	10^2●	10^2	10^2	1.8	–	n ◉ ⌒. a ◉
15.	59.3	60.0	58.1	10.2	10.6	10.8	11.3	8.0	7.8	8.6	8.2	84	91	86	SW 3	SW 3	SW 2	10^2	10^1	10^2	1.2	–	vorm. u. nachm. ◍^{0}
16.	53.4	50.8	51.9	11.0	11.4	4.5	12.1	4.5	8.3	8.7	5.3	85	87	84	SW 3	SW 2	NE 3	10^2	10^2	10^2●	0.8	–	n ⌒. abds. ◍^{1}
17.	52.4	53.9	55.2	3.1	5.6	5.2	6.1	2.5	5.5	4.9	5.1	96	73	77	SW 2	SW 3	SW 2	10^1	9^2	10^2	**12.5**	–	abds. ◍^{0}
18.	53.2	46.8	44.7	2.1	4.7	5.1	5.2	1.1	4.0	4.2	5.2	75	65	78	N 1	S 1	SW 3	10^1	8^1	10^1●	1.6	–	abds. ◍^{1}
19	55.9	57.1	57.5	2.4	7.0	4.1	7.3	0.9	4.7	5.3	4.7	85	71	77	NE 1	S 1	N 1	10^1	3^1o	o	4.4	–	n ⌒
20.	58.7	59.3	59.8	0.7	5.5	2.1	5.9	0.0	4.3	4.8	4.6	89	71	85	SW 1	SE 1	SE 1	10^1	oo	o	–	–	n ⌊¹
21.	60.2	59.1	58.3	– 1.3	2.5	– 2.0	2.6	– 2.1	4.0	4.2	3.7	94	75	94	SE 1	SE 1	SE 2	10^2≡	oo	10^2≡	–	–	a, abds. ≡² vorm. ≡¹
22.	57.4	56.9	56.8	– 2.8	2.5	2.5	2.5	– 3.0	3.6	4.0	4.6	96	72	82	S 1	S 1	SW 1	10^2▬	10^2	10^2.	–	–	n ⌊ V². a ≡¹, vorm. anhaltend
23.	56.4	56.1	57.2	1.5	5.1	2.1	5.2	0.3	4.5	4.9	4.6	89	75	85	SW 2	C	SW 1	10^2	2^0o	10^2	–	–	
24	58.1	60.4	60.0	2.5	5.7	6.0	6.1	0.9	4.7	6.1	6.4	85	90	91	SW 1	S 1	SW 2	10^2	10^2	10^2	–	–	vorm. u. nachm. öfters ◍^{0} (rasch wechs. Bewölkung)
25.	59.1	58.4	58.5	8.0	8.8	8.6	9.3	5.0	7.1	8.0	7.4	89	95	89	S 1	SW 1	SW 1	10^2	10^2	10^2	1.8	–	vorm. u. nachm. öfters ◍^{0}
26.	54.4	**47.6**	47.5	8.4	10.8	8.8	11.0	5.0	7.3	7 0	7.9	89	72	93	S 1	S 1	S 1	10^1	10^2	10^2	1.2	–	vorm. u. nachm. öfters ◍
27	49.0	51.5	52.1	8.2	9.7	8.4	10.0	8.0	6.1	6.9	8.0	75	76	**97**	SW 3	SW 2	SW 1	10^2	10^2	10^2	3.5	–	n ⌒. vorm. u. nachm. öfters ◍^{0}
28.	52.4	53.2	53.5	12.3	13.2	12.8	**13.8**	8.0	**9.8**	8.2	7.7	93	73	70	C	S 1	C	10^2	10^2	10^2	4.5	–	n ◉
29.	52.6	52.8	57.7	6.4	10.2	9.0	12.8	5.2	6.6	7.0	6.5	91	76	76	SE 1	SE 1	C	o	5^1o	10^1	0.4	–	n ◍^{0}
30.	61.2	63.3	65.0	6.7	7.3	4.7	9.0	**4.7**	5.2	5.0	5.2	72	66	81	S 1	SW 3	SW 2	10^2	3^1o	o	–	–	
31.	64.8	63.5	62.4	3.1	6.6	3.1	6.8	2.2	5.1	5.5	4.9	90	76	87	S 1	S 1	SW 1	3^0	5^1o	o	–	–	ca 9^{15}–10^{15} a ≡¹, dann bis ca 0^{30} p ∞
Mittel	57.4	56.3	57.9	2.8	5.2	3.6	5.8	1.1	5.1	5.4	5.3	88	80	86				9.1	7.2	7.7	44.3		

Nürnberg.

Dezember. $\varphi = 49^0\ 27'$ N. $\lambda = 11^0\ 3'$ E $= 44^m\ 12^s$. H $= 309.1$ m. Cg $= +0.2$ mm, über 735.0 mm Cg $= +0.3$ mm. 1912.

1.	23 9	30.4	35.9	– 1.7	3.3	0.1	4.5	0.1	4.0	4.7	4.2	77	82	90	SE 2	NW 2	SW 2	10^1≡	10^1	o	–	–	3^{14} a ψ. ca 7–10 a ≡$^{0.1}$. 0^{04}–4^{04} p ◍^{0} ✕^{0}. m ≡^{0}
2.	35 0	32.9	35 3	– 1.1	0.8	1.5	1.5	– 1.6	3.2	4.2	4.8	76	87	94	S 3	S 2	SW 2	7^0	10^1✱	10^1	–	–	ca 8–11 a ≡^{0}. $9^{14.59}$ a ✕^{0}. 14^{4}–2^{39} p ✕$^{0.1}$. 7^{49}–8^{39} p ◍^{0}
3.	39 3	42.1	45.7	1.6	2.6	– 0.2	3.0	– 0.2	4.8	4.6	4.5	93	82	100	NW 3	NW 3	W 2	10^1	9^1	o	2.7	2	ca 0–0^{34} a ◍^{0} ✕^{0}. ca 2–3 a ◉^{0}. ca 3–4 a ◍^{0} ✕^{0}. 1)
4.	**47.7**	47.1	46.4	– 1.5	– 1.1	– 3.3	– 0.2	– 3.3	3.9	3.8	3.4	94	90	96	NW 2	SE 2	SE 2	10^1	10^1	10^1	–	–	ca 4 a ⌊². ca 7 a–m ztw. ≡$^{0.2}$
5.	42.8	40.2	39.6	– 4.8	2.3	– 1.7	2.4	– 5.2	3.1	3.4	3.5	98	63	86	SE 2	E 2	E 1	10^1	oo	o	–	–	ca 6–11 a ≡$^{0.1}$. ca 3 a ⌊¹. m ≡¹
6.	39.9	40.2	40.4	– 4.8	0.1	– 4.0	0.2	– 5.0	2.9	3.5	3.2	93	78	95	SE 2	SE 2	SE 2	10^1	7^0	o	–	–	ca 5 a ⌊². ca 6–11 a, m, ca 6–9 p ≡^{0}
7.	41.6	43.0	43.6	– 5.1	– 3.3	– 5.3	– 3.0	– 6.1	2.9	3.2	2.7	93	89	90	SE 2	C	E 2	10^1≡	10^1▬	10^0	–	–	ca 1 a–4 p ≡$^{1.2}$. ca 4 a ⌊². ca 0 p V. abds. ∞
8	44.5	44.4	44.7	– 6.7	– 2.5	– 5.2	– 1.9	– 7.0	2.5	3.0	2.7	92	79	88	SE 2	W 1	E 2	10^1	oo	o	–	–	ca 0 a V². ca 7 a–5 p ≡^{0}
9.	43.5	42.4	42.0	– 7.9	– 2.0	– 6.2	– 1.8	– 7.9	**2.2**	3.1	2.5	89	80	90	C	SE 1	E 2	o	oo	o	–	–	ca 5 a ⌊². ca 7 a–5 p ≡^{0}. abds. ∞
10.	40.8	40.6	40.0	– 7.2	– 0.7	– 3.5	– 0.1	– **8.0**	2.4	3.9	3.1	93	90	89	C	SW 1	SE 2	o▬	10^0≡	10^1	–	–	ca 4 a ⌊². ca 7 a–6 p ≡$^{0.2}$. ca 6–8 p, 9 p ≡^{0}
11.	38.2	37.0	35.7	0.2	2.8	2.6	3.0	– 3.7	4.4	5.3	5.0	94	94	91	S 2	SE 1	W 2	10^1▬	10^1▬	10^1	–	–	ca 6 a–7 p ≡$^{0.2}$. 5^{44}–6^{14} a ◍^{0} ✕^{0}. ca 7 a ab ∽. 2)
12	32.8	32 8	36.4	3.4	5.5	4.8	5.9	2.6	5.2	5.4	5.9	90	80	92	W 1	SW 2	SW 2	10^1	10^1	10^1	1.3	–	ca 0 a–4 p ≡^{0}. 0^{54}–1^{39} p, ca 5–7 p ◍^{0}. 3)
13.	40.6	41.8	42.4	3.7	5 5	2.2	5.9	2.2	5.4	5.2	4.5	90	77	84	SW 2	SW 3	S 1	10^1	2^0	o	–	–	ca 8 a–0 p ≡^{0}. 6^{39} p ψ
14.	39.6	38.3	38.6	3.8	6.9	7.6	7.8	2.0	4.9	6.4	7.0	82	86	90	SW 3	SW 3	SW 3	10^1	10^1	10^2	–	–	6^{04} a–9 p ztw. ◍$^{0.1}$. ⌒ (SW 5)
15.	38.3	39.3	38.8	9.1	11.0	9 4	11.1	6.4	7.0	7.3	7.5	81	86	87	W 3	W 4	SW 2	10^1	10^1	10^2	2.0	–	9–11^{04} p ◍$^{0.1}$. ⌒. ca 0 a–0 p öfters ◍^{0}, böig. 4)
16.	33.7	31.4	31.7	10.2	10.2	4.0	11.0	4.0	7.4	7.9	5.8	79	82	95	SW 2	W 3	N 2	10^1	10^1	10^1●	–	–	11^{44} p–0^{13} a ◍^{0}. 5^{16}–9 p ◍$^{0.2}$. ⌒
17.	32.1	33.8	35.7	1.8	3.3	1.3	4.0	1.3	5.0	3.9	4.8	95	68	94	W 2	W 3	SW 2	10^1	5^1	10^1✱	**8.0**	–	9 p–0^{04} a ◍^{0}. 2^{34}–3^{19} a ◍^{0}. ca 6–11 a ≡$^{0.1}$. 5)
18.	35.0	30.0	24.8	0.9	3.5	4.7	4.7	– 0.1	4.0	3.4	5.2	80	58	81	S 2	SE 2	SW 3	4^0	10^0	10^1	2.4	–	9^{00}–10^{34} p ◍$^{0.1}$. 10^{24}–11^{44} p ◍^{0}. m ≡^{0}. $8^{03.34}$ p ◍^{0} ✕^{0}
19.	36.1	38.1	39 0	1.5	4.9	2.3	5.9	1.2	4.3	4.9	4.4	83	75	80	SW 2	W 2	S 2	10^1	9^0	10^1	–	–	ca 9 p–0 a ⌒. 9^{41}–11^{41} p ◍$^{0.1}$. ca 0 a–1^{31} p ztw. ◉^{0}. 6)
20.	39.6	40.3	41.1	0.9	3.5	– 0.1	4.0	– 0.1	4.3	4.7	4.3	87	80	94	SE 2	S 1	SE 1	10^1	2^0	o	–	–	0^{39} a ψ. ca 6 a ⌊⁰. ca 8 a–9 p ztw. ≡$^{0.1}$
21.	40.8	39 7	39 6	– 3.5	3.1	– 1.1	3.8	– 3.6	3.4	4.2	3.9	95	73	92	SW 1	SE 2	SE 2	o▬	oo	10^0	–	–	ca 5 a ⌊². ca 6 a–0 p ≡$^{1.2}$
22.	38.8	38.4	38.0	– 1.7	– 0.3	– 1.1	0.0	– 2.1	3 9	4.1	3.9	96	92	92	SE 2	SE 1	SE 2	10^1≡	7^0	9^1	–	–	ca 0 a–5 p ztw. ≡$^{2.0}$. ca 4 a V¹. ca 4 p Aufklaren
23.	37.9	37.7	38 5	– 2.7	1.5	– 1.7	1.8	– 2.9	3.7	4.1	3 9	97	80	96	SE 3	SE 2	E 1	o	oo	o	–	–	ca 5 a ⌊². ca 7 a–5 p ≡^{0}
24.	39.9	40.7	41.5	– 2.5	3.0	3.3	3.5	– 2.9	3.8	5.0	5.3	100	83	92	C	S 1	S 1	2^0▬	10^0	10^1	–	–	5^{14} a ⌊². ca 8 a ab ∽. ca 6 a–5 p ≡$^{0.2}$. 7)
25	39.9	40.2	37.2	5.1	6.8	7.1	7.4	2.4	5.7	6.7	6.5	88	91	86	SW 1	SW 2	S 2	10^1	9^1	10^1	4.0	–	ca 8 a–1 p ≡$^{0.1}$. 3^{54} a–0^{44} p ztw. ◍^{0}. 4^{54}–6^{14} p ◍$^{0.1}$
26.	35.6	31.9	26.7	7.8	8.4	5 4	9.2	5.0	7.5	6.9	5.8	94	84	86	SW 1	SE 1	W 3	9^1	10^0	5^2	0.5	–	ca 9 a–1 p ≡$^{0.1}$. $3^{04.38}$ p ◍^{0}. 3^{38} a–0^{21} p ◍^{0}. 8)
27.	27.8	32.1	33.8	6.5	7.7	6.0	7 9	4.7	5.7	5.7	6.5	80	72	93	SW 4	W 3	SW 2	10^1	7^1	10^1	2.4	–	10^{39} p–ca 0 a ◉^{0}. ca 5–6 a ⌒. ca 0–7 a ztw. ◉^{0}. 9)
28.	33.3	34.4	34.4	10.4	11.6	7.9	**12.3**	5.9	**9.2**	8.2	7.5	98	80	94	W 2	W 1	S 2	10^1	10^1	o	4.8	–	ca 10 p–0 a ⌒. ca 0–2 a ≡^{0}. ca 0 a–1^{14} a, $10^{}$
29.	34.4	35.1	37.7	2.9	8.9	4.1	9.1	2.2	5.6	7.0	5.7	100	83	93	C	SW 1	S 1	o▬	2^0o	o	–	–	2^{54} a ⌓. ca 5 a–1 p ≡$^{0.2}$
30	10.8	42.2	44.6	4.5	6.7	6.9	6.9	3.9	5.2	4.8	5.5	82	66	74	C	W 3	W 2	10^1	8^1	10^1	–	–	1^{54} p ⌒
31.	45.5	44.5	43.3	2.0	5.3	0.1	7.0	0.1	4.9	4.4	4.0	93	66	85	C	W 1	S 2	9^0	8^1o	o	–	–	ca 7–11 a ≡$^{0.1}$. ca 5 p Aufklaren. ca 6–8 p ≡$^{0.1}$
Mittel	38.1	38.2	38.5	0.9	3.8	1.5	4.4	– 0.5	4.6	4.9	4.8	90	80	90				7.8	6.9	5.9	28.1		

Alle Angaben nach Ortszeit.

1) ca 5^{-54} a ✕^{0}. ca 7–11 a ≡$^{0.1}$.
2) 9^{18} a–0^{39} p ztw. ◍^{0}. 2^{54}–3^{08} p ◍^{0}.
3) 7^{13}–8^{02} p ≲ i. W u. SW. 4) ca 5–6 a, p ⌒
5) 8^{24}–9^{00} p ✕$^{0.1}$.
6) ca 0–1 a ⌒. ca 8–11 a ≡$^{0.1}$. 7 p ψ.
7) 9^{13}–10^{44} a ztw. ◍$^{0.1}$. $11^{44.54}$ a, 2^{14}–3^{04} p ◍^{0}.
8) 6^{11}–7^{14} p ◍$^{0.1}$. $8^{11.36}$ p ◍^{1}. $8^{47.57}$ p ◍^{0}.

Kaiserslautern.

Dezember. $\varphi = 49^0\ 27'$ N. $\lambda = 7^0\ 46'$ E $= 31^m\ 4^s$. H $= 242.2$ m. Cg $= +0.3$ mm. 1912.

Datum	Luftdruck auf 0^0 u. Normalschwere reduziert 700 mm +			Lufttemperatur C°					Absolute Feuchtigkeit mm			Relative Feuchtigkeit Proz.			Richtung und Stärke des Windes 0 bis 12			Bewölkung 0 bis 10			Niederschlag mm	Schneedecke cm	Bemerkungen
	7^a	2^p	9^p	7^a	2^p	9^p	Max.	Min.	7^a	2^p	9^p	7^a	2^p	9^p	7^a	2^p	9^p	7^a	2^p	9^p	7^a	7^a	
1.	31.6	38.6	42.2	3.6	2.8	0.4	4.7	0.4	5.6	4.4	3.8	95	77	80	W 2	NW 2	NW 2	10^2●	9^1	10^1	5.5	–	n, a ◍. 10^{25} a–0^{56} p, p ztw. ✳^{0}
2.	39.3	38.7	42.2	– 0.2	1.2	2.4	2.9	– 0.7	4.2	4.5	5.3	92	91	96	NW 2	W 2	C	10^2●●	10^2✳	10^1	0.8	3	n ✳. a ✳, ◍. p–3^{16} p ✳, dann–5^{01} p ◍
3.	46.3	49.4	53.0	2.6	2.6 –	1.0	3.2	– 1.0	5.2	5.0	4.1	94	91	96	NW 2	NE 1	C	10^1	9^1	10^2≡	2.4	–	a ≡. 8^{11}–10^{21} a ◍. p ∞. abds. ≡^{2}, ⌴^{2}
4.	53.2	51.8	50.5	– 3.0	1.0 –	1.2	1.9	– 3.9	3.6	4.6	3.8	98	92	90	E 1	E 2	E 2	10^2=	00	10^1	2.0	–	n, a ≡^{2}, ⌴^{2}. p–n ≡^{1}
5.	47.0	45.1	44.7	– 3.2	0.4 –	3.8	0.9	– 3.8	3.3	3.8	3.1	91	80	91	E 2	E 2	C	3^0	1^0⊜	0	–	–	a ⌴, ≡^{2}. p ∞. abds. ≡^{1}, ⌴^{2}
6.	45.0	45.2	46.1	– 6.2	1.5 –	2.4	1.9	– 7.0	2.5	4.5	3.7	90	87	96	C	E 1	C	5^0	10^1	0	–	–	n, a V^2 ≡. p–abds. ∞, V, ≡^{1}
7.	46.9	47.4	48.5	– 4.9	0.5 –	3.2	0.9	– 5.9	2.8	4.4	3.5	90	92	96	C	C	C	2^0	5^0⊜	0	–	–	n, t V^2, ∞, ≡^{2}
8.	49.5	49.2	49.7	– 6.4	0.0 –	4.4	0.0	– 6.9	2.5	4.2	3.1	90	90	95	SE 1	SE 1	C	5^0	00	0	–	–	n, t V^2. a ≡^{0}. p, abds. ≡^{1}
9.	48.9	47.4	47.4	– 7.2	– 0.8 –	4.7	– 0.2	– 8.0	2.3	4.2	3.1	90	96	95	SE 1	C	C	3^0	5^0⊜	0	–	–	n, t V^2, ≡^{2}
10.	46.4	45.4	45.5	– 2.6	3.5	2.8	4.0	– 6.8	3.6	5.3	5.1	96	90	91	C	W 1	C	10^0=	3^0⊜	0	–	–	a V^2, ≡^{2}. p ≡^{2}
11.	44.5	42.8	41.1	2.4	3.8	3.8	4.0	2.1	5.2	5.7	5.9	94	95	98	W 2	W 2	W 3	10^1	10^2●	10^2●	–	–	a ≡^{2}. 9^{01} a–n ◍^{0}. p ∞, ≡^{2}
12.	37.1	38.5	42.7	6.2	6.4	5.0	7.4	3.7	6.1	6.7	5.8	87	93	89	W 3	W 2	W 2	10^2	10^2	7^1	1.0	–	n ◍^{0}. 10^{31} a 3^{30} p ztw. ◍^{0}
13.	47.2	48.2	48.2	3.5	3.6	3.6	5.0	3.1	5.3	5.4	5.2	90	92	88	W 2	W 3	W 4	4^1	10^1	10^1	0.2	–	6^{01} p–n ztw. ⌴
14.	45.2	45.6	46.0	5.1	5.7	7.6	7.9	3.1	5.8	6.4	7.2	89	94	93	SW 6	W 6	W 6	10^2	10^2●	10^2	–	–	n, t ⌴. 8^{01} a–n ztw. ◍^{0}
15.	45.5	46.7	44.9	8.7	11.3	9.8	11.4	7.2	7.9	8.5	8.3	95	85	92	W 5	W 4	W 3	10^2	10^2	10^2	1.7	–	n ◍^{0} ⌴. t–1^{16} p ztw. ◍, ⌴. p ztw. ⌴
16.	40.4	38.3	38.9	9.5	10.1	4.7	10.3	4.7	8.3	8.5	5.9	94	92	92	W 7	W 3	W 2	10^2●	10^2●	10^2●	1.3	–	n ◍^{0} ⌴, t–3^{31} p meist ◍^{0} ⌴; dann bis 8^{01} p ◍$^{1.2}$, [1]
17.	39.7	40.9	41.7	1.2	3.6	4.9	5.0	1.2	4.8	5.0	5.0	91	85	85	NW 1	NW 2	W 4	3^0	9^1	7^1	11.3	–	n ◍. 3^{30} p–n ztw. ◍^{0} ⌴
18.	39.8	33.5	33.5	1.8	4.9	2.4	5.0	1.5	4.8	3.7	5.0	91	56	91	W 2	SW 2	W 7	3^1	10^0	10^2●	0.2	–	n ◍^{0}. a ≡^{2}. 5^{01} p ab ◍^{0}. 5^{30}–7^{21} p ✳ ⌴, [2]
19.	42.6	43.7	44.1	2.9	5.9	2.4	6.0	1.7	5.1	5.3	4.8	90	77	87	W 1	W 2	W 1	10^1	8^1⊜	0	8.6	–	n ◍, ✳, ⌴
20.	45.1	45.4	46.3	– 1.2	3.9 –	0.2	4.4	– 1.7	3.8	5.7	4.5	90	93	100	W 1	W 1	W 1	10^1	2^0⊜	0	–	–	a ⌴^{2}, ≡^{0}. p ∞. abds. ⌴, ≡^{0}
21.	46.5	45.2	44.5	– 2.4	1.2 –	0.8	1.9	– 2.9	3.8	4.8	4.3	100	96	100	C	C	C	5^0	5^0⊜	0	–	–	n, a ⌴^{2}, ≡^{0}. p, abds. ≡^{2}, ⌴^{2}, ∞
22.	44.8	43.3	43.2	– 3.4	1.0	1.1	1.5	– 3.9	3.4	4.7	4.8	95	96	96	C	C	C	5^1	10^1	10^2●●	–	–	a ⌴^{2}, dann ≡^{2}. p ⌴^{2}, ≡^{1}, ∞. 2^{16} p–n ztw. ◍, [3]
23	42.7	42.4	43.2	0.4	3.6 –	0.4	4.0	– 0.7	4.7	5.8	4.5	100	98	100	C	C	C	9^1	5^0	0	0.8	–	n ◍^{0}. ∽ a ≡^{0} ∽. p–n ≡^{2}, ∞
24.	44.9	46.6	46.4	2.2	5.7	6.5	6.9	– 1.6	5.3	6.6	6.4	98	98	88	W 1	W 2	W 3	10^2●	10^2●	10^1	0.1	–	n, a ∽, ≡^{2}. a, p ztw. ◍^{0}. 5^{30}–7^{30} p ⌴
25	45.7	44.6	41.8	7.6	8.3	9.3	9.8	6.0	7.5	7.7	7.5	96	94	87	W 3	W 2	W 6	10^2●	10^2●	5^1	0.5	–	n ⌴, ◍^{0}. a ◍^{0}. p–5^{01} p ◍^{0}, dann–n ⌴
26	41.3	34.6	32.2	7.9	10.5	7.1	10.7	7.1	6.9	6.2	6.2	88	65	83	W 3	W 2	W 5	9^1	10^1	10^2●	0.9	–	n ◍^{2} ⌴. $9^{31.51}$ a ◍, bis 11 a ⌴. 2^{51} p–n ● ⌴; [4]
27.	36.4	38.4	38.9	6.9	8.3	7.7	8.3	6.1	6.1	6.8	7.6	83	84	98	W 3	W 2	W 1	6^1	10^2	10^2●	13.0	–	n ◍^{2} ⌴. 5^{01} p–n ◍^{0}
28	39 7	39.9	39.8	11.1	12.1	9.0	12 8	7.1	9.4	8.5	7.7	95	82	91	W 3	NW 2	C	10^2●	7^1⊜	0	2.2	–	n ◍. a–7^{11} a ◍^{0}.
29.	39.6	40.6	44.2	5.1	10.3	8.3	10.8	3.1	6.5	7.0	6.8	98	75	84	C	W 2	W 2	10^2=	1^0⊜	10^1	0.1	–	a ≡^{2}
30.	47.6	49.9	51.4	4.7	5.7	4.1	8.4	4.0	5.4	5.4	5.5	84	79	90	W 2	NW 3	NW 1	10^1	10^1	5^0	–	–	6^{30} p kurz ◍ tropfen
31.	51.1	49.6	48.5	3.8	5.7	0.6	6.0	0.6	5.5	5.6	4.8	92	82	100	W 1	W 2	C	10^1	3^0⊜	10^2=	–	–	5^{30} p–n ≡^{2}
Mittel	43.9	43.8	44.2	1.8	4.7	2.6	5.4	0.3	5.1	5.6	5.2	93	87	92				7.8	7.2	5.9	52.6		

[1] 8^{01} p–n ◍^{0}. [2] dann–n ◍ ⌴
[3] ≡, ∽ [4] ztw. ◍^{2}

Ansbach.

Dezember. $\varphi = 49^0\ 18'$ N, $\lambda = 10^0\ 33'$ E $= 42^m\ 12^s$. H $= 437.5$ m. Cg $= +0.2$ mm. 1912.

1.	12.3	19.6	24.5	1.7	1.1 –	1.0	3.4	– 1.0	3.8	4.0	3.5	72	82	82	W 2	NW 2	W 4	4^0	10^2	0	–	–	vorm. ≡^{0}. nachm. ztw. △
2.	23.3	21.6	23.9	– 3.0	0.3	0.7	1.2	– 3.2	2.7	4.2	4.5	74	89	92	NW 2	SW 2	W 4	4^0	10^1	10^2	0.4	–	mrgs. stellenweise ✳. 10^{32} a–1^{42} p ✳
3.	28.3	30.8	34.4	0.8	1.5 –	1.6	1.8	– 1.6	4.5	4.6	3.8	92	92	94	W 2	C	NW 2	8^2	10^2	0	2.1	1	8^{52}–10^{12} a ✳. Tauwetter
4.	35.9	35.1	34.3	– 3.1	– 1.9 –	3.6	– 0.6	– 3.6	3.4	3.7	3.3	94	92	93	C	C	C	10^2=	10^2=	10^2	1.0	–	mrgs. ≡^{1}. 2 p ≡^{2}
5.	30.4	28.3	27.7	– 4.6	0.9 –	3.7	1.0	– 5.0	3.0	4.1	3.1	93	82	91	C	SE 2	C	0	00	0	–	–	mrgs. V. t stellenweise ✳
6.	28.1	28.3	28.7	– 8.2	– 0.8 –	6.6	0.0	– 8.3	2.2	3.5	2.5	91	81	89	C	C	C	0	2^0⊜	0	–	–	mrgs. V ≡^{0}, stellenweise ✳
7.	29.7	30.8	31.7	– 7.2	– 2.8 –	6.8	– 2.0	– 7.9	2.3	3.1	2.4	90	83	89	C	C	C	10^2=	2^0⊜	0	–	–	mrgs. ≡^{2} V, stellenweise ✳
8.	33.4	32.5	32.3	– 8.0	– 3.0 –	7.6	– 2.2	– 8.9	2.2	3.0	2.3	88	83	92	C	C	C	10^2=	00	0	–	–	mrgs. ≡^{1} V, stellenweise ✳
9.	31.4	30.2	30.0	– 8.8	– 3.8 –	6.8	– 3.0	– 9.6	2.1	2.9	2.4	91	84	89	C	S 2	C	0	00	0	–	–	mrgs. V, stellenweise ✳
10.	29.0	28.8	28.2	– 8.4	– 0.7 –	3.6	– 0.2	– 8.7	2.1	3.9	3.3	88	90	95	C	C	C	0	10^2=	0	–	–	mrgs. V, stellenweise ✳. nachmitt. ≡^{2}
11.	26.7	25.2	24.4	1.3	4.2	2.3	4.4	– 3.6	4.5	4.8	4.9	90	78	90	W 2	SW 2	C	10^2	10^2	10^2	0.1	–	mrgs. ◍^{0} ∽, stellenweise ✳; dann Tauwetter
12.	21.5	21.4	25.3	2.7	5.1	4.1	5.2	1.9	5.0	5.1	5.6	90	79	93	SW 2	SW 2	W 2	10^2	10^2	10^2	–	–	abds. ztw. ◍
13.	29.6	30.6	31.1	2.5	5.1	2.1	5.2	1.1	4.9	5.0	4.3	90	76	81	W 2	W 2	W 2	2^1	8^1	0	0.5	–	
14	27.4	27.4	27.7	3.7	6.0	6.3	7.2	1.5	4.5	6.1	6.8	76	89	96	SW 6	W 6	SW 8	10^2	10^2●	10^2●	–	–	n, a, mrgs. ⌴. t ◍, ztw. ⌴
15.	27.1	28.2	27.9	7.6	9.5	8.4	10.0	6.0	7.0	7.2	7.4	91	83	92	W 8	W 10	W 6	10^2	10^2	10^2	3.3	–	7 a ⌴. p ztw. ◍ u. ⌴
16.	22.8	20.4	20.7	9.0	9.0	3.4	9.8	2.9	7.1	7.7	5.4	84	92	93	W 6	W 6	W 4	10^2	10^2●	10^2●	0.2	–	n, a ⌴. t ztw. ⌴ u. ◍
17.	20.7	22.7	24.2	1.3	2.3	1.4	3.4	0 6	4.8	4 3	4.4	96	80	88	NW 2	W 2	W 2	10^2	8^2	10^2	11.2	–	n, a ◍. vormitt. zeitw. ✳ u. ◍. $7^{31.52}$ p ✳
18.	23.4	18.3	13.7	– 1.1	1.9	3.8	3.8	– 1.7	3.6	3.7	5.1	84	71	86	S 2	S 2	SW 6	0	6^0⊜	10^2●	0.4	–	7^{52} p ab ◍ u. ⌴
19.	25.1	26.4	27.6	0.5	4.1	1.1	4.2	– 0.4	4.1	4.6	4.1	85	77	83	W 4	W 2	C	6^2	8^1	8^1	5.8	–	abds. ψ
20.	28.2	28.8	29.8	– 1.6	2.5 –	2.4	2.8	– 2.4	3.7	4.4	2.5	90	79	92	C	C	C	4^0	2^0⊜	0	–	–	mrgs. ≡^{0}
21.	29.0	28.2	28.0	– 4.2	2.0 –	3.0	2.2	– 4.6	2.9	4.5	3.5	89	85	96	C	C	SW 2	0	00	10^2=	–	–	mrgs. V. abds. ≡^{2}
22	27.2	26.7	26.5	– 3.4	1.1 –	1.4	1.4	– 3.6	3.4	4.3	3.7	95	87	90	SW 2	C	C	10^2=	4^0⊜	8^1	–	–	mrgs. ≡^{2} V
23.	26.0	25.8	26.6	– 3.8	1.9 –	2.8	2.2	– 3.8	3.1	4.3	3.4	91	83	92	C	C	C	0	00	0	–	–	mrgs. V
24.	28 2	29.4	30.2	– 2.6	4.9	3.7	5.0	– 3.6	3.4	5.5	5.4	92	84	91	C	W 2	SW 2	6^1	10^2	8^2	–	–	mrgs. V. 8^{42}–9^{12} a ●
25.	28.7	28.7	25.4	5.3	6.3	6.4	6.8	2.1	5.8	6.3	6.4	88	90	91	SW 4	W 2	SW 4	10^2	10^2	8^2	0.5	–	vormitt. zeitw. ◍. abds. ψ
26	24.4	20.2	15.5	7.0	8.4	4.1	9.0	3.3	6.7	7.0	5.5	90	87	91	W 4	C	W 4	8^2	10^2	4^2	0.5	–	5^{37} p ab zeitw. ◍
27	17.1	21.2	22.7	5.3	6.0	5.5	6.6	3.7	5.8	6.5	6.5	88	93	97	W 8	W 4	C	10^2●	10^2	10^2●	7.6	–	n, a, t ◍ u. ⌴
28.	22.6	23.5	23.4	10.4	11.2	7.6	11.4	5.0	9.0	8.1	7 0	96	81	91	W 4	W 2	C	10^2●	10^2	0	5.4	–	7 a ◍
29.	23.2	24.1	26.5	0.3	5.7	4.5	8.2	– 0.2	4.4	6 4	5.5	94	94	88	C	SW 2	C	0=	00	0	0.1	–	mrgs. ≡^{1}
30	29.5	30.8	33.4	3.7	5.9	3.9	6.4	3.1	4.9	4.8	4.9	83	68	81	W 4	W 6	W 4	10^2	6^1⊜	0	–	–	t ztw. ⌴
31.	33.9	32.9	31.5	2.3	4.5 –	1.0	4.6	– 1.0	4.9	4.4	3.8	91	69	88	W 2	C	C	10^2	4^1	0	–	–	
Mittel	26.6	26.7	27.0	– 0.8	3.2	0.6	3.8	– 1.7	4.3	4.9	4.4	89	83	90				6.2	6.4	4.7	39.1		

Alle Angaben nach Ortszeit.

Regensburg.

Dezember. $\varphi = 49^0\ 1'$ N. $\lambda = 12^0\ 7'$ E $= 48^m\ 28^s$. H $= 354.3$ m. Cg $= +0.2$ mm. 1912.

Datum	Luftdruck auf 0° u. Normalschwere reduziert 700 mm + 7a	2p	9p	Lufttemperatur C° 7a	2p	9p	Max.	Min.	Absolute Feuchtigkeit mm 7a	2p	9p	Relative Feuchtigkeit Proz. 7a	2p	9p	Richtung und Stärke des Windes 0 bis 12 7a	2p	9p	Bewölkung 0 bis 10 7a	2p	9p	Niederschlag mm 7a	Schneedecke cm 7a	Bemerkungen
1.	20.5	26.2	32.2	− 0.9	2.6	0.7	3.1	− 2.9	3.6	4.9	4.1	85	89	86	C	S 2	W 1	10^1	10^2	10^1	−		333 p ●
2.	32.3	30.1	32.2	− 3.2	0.8	0.9	1.4	− 3.4	3.4	4.3	4.5	95	89	92	C	W 2	W 3	3^0	10^1✲	5^1	−		033 p ✳
3.	35.3	38.2	41.6	1.5	1.6	− 1.2	2.0	− 1.2	4.6	4.4	4.0	91	85	86	W 3	W 3	W 4	10^1	3^0⊙	0	2.0		m Aufheiterung
4.	43.4	44.0	42.4	− 1.6	− 2.1	− 2.3	− 0.1	− 2.3	3.6	3.5	3.6	90	91	95	SW 2	SW 1	C	10^1	10^1	10^1	−		
5.	39.3	36.4	36.1	− 4.8	− 0.4	− 4.0	0.7	− 5.5	3.0	2.9	3.0	95	66	90	SW 1	S 3	W 1	10^1=	3^1⊙	0	−		700 a ≡¹, dann Aufheiterung
6.	36.4	37.0	36.9	− 5.4	− 3.0	− 4.2	− 2.2	− 7.0	2.7	3.4	3.1	94	95	96	C	S 3	S 2	5^0	10^0	10^0	−		700 a ⌴, Ferne nebelig
7.	37.9	39.2	40.1	− 6.2	− 4.3	− 5.1	− 3.0	− 7.0	2.6	3.1	2.9	96	95	95	C	S 1	S 1	10^1=	10^1	10^1	−		700 a V, t Ferne leichter ≡
8.	40.7	40.8	41.1	− 5.9	− 5.9	− 6.5	− 4.2	− 6.6	2.7	2.7	2.5	96	95	95	S 2	S 1	S 3	10^1	10^1	10^1	−		700 a V, Ferne nebelig
9.	40.3	38.6	38.6	− 7.0	− 5.7	− 5.6	− 5.2	− 7.6	2.4	2.7	2.8	96	95	95	C	S 1	C	10^1	10^1	10^1	−		700 a V
10.	37.7	37.5	37.0	− 5.8	− 4.8	− 6.2	− 4.2	− 6.4	2.7	3.0	2.6	96	95	97	C	S 2	S 4	10^1	10^1	10^0	−		
11.	35.6	34.6	33.1	− 5.2	− 1.8	− 0.4	− 0.4	− 7.2	2.9	3.9	4.4	96	98	99	S 1	S 3	S 2	10^1	10^2	10^1	−		900 p ≡⁰, 700 a V, ca 10^{40} a u. ab ca 5 p ●
12.	30.5	30.2	33.2	− 0.2	0.8	2.3	2.6	− 0.6	4.5	4.7	5.2	99	98	96	S 3	S 3	S 2	10^1	10^1	10^1●	1.3		700 a Ferne nebelig
13.	37.3	38.2	39.3	2.1	5.4	1.0	5.4	1.0	4.8	4.7	4.4	89	71	89	S 2	SW 3	S 2	10^2	5^2⊙	0	0.6		900 p ●, m Aufheiterung
14.	36.8	34.9	35.3	2.0	4.5	5.8	6.0	− 1.0	4.3	5.0	5.6	82	79	82	S 4	SW 5	SW 6	10^1	10^2	10^1	−		⩩, häufig kurz ●
15	34.5	35.3	36.0	7.2	8.0	7.9	8.8	5.4	6.3	7.1	7.2	83	89	90	SW 5	SW 5	SW 4	10^2	10^1●	7^1	0.4		108 p ●⁰, ab 8^{21} p ● ⩩
16.	30.5	28.7	27.5	8.2	9.6	5.7	9.8	5.4	6.7	6.7	6.1	82	75	90	SW 4	SW 5	N 2	10^1	10^1	10^1●	0.6		8^{41} p–n ●
17.	28.4	30.0	32.1	1.7	2.8	0.8	5.8	0.8	4.7	4.5	4.1	91	79	85	NW 2	NW 3	S 3	10^2	8^1⊙	3^1	5.4		p Aufheiterung
18	32.5	28.4	23.4	− 1.0	0.7	0.4	1.0	− 1.2	3.7	4.0	4.0	88	84	85	C	E 2	SE 2	3^0	7^1⊙	8^0	−		
19.	32.2	34.3	35.8	1.7	3.8	0.4	4.0	0.2	3.6	4.1	4.4	69	69	92	W 5	S 2	C	6^1	4^0⊙	0	−		mrgs. ∞⁰, aber bald Aufheiterung
20.	36.6	36.7	37.4	− 1.0	2.3	− 1.6	3.0	− 1.6	3.9	4.4	3.7	92	80	92	C	SE 1	C	8^1	5^0⊙	0	−		vorm. Aufheiterung
21.	37.2	36.0	36.6	− 4.0	− 1.8	− 1.8	0.0	− 4.2	3.1	3.9	3.9	94	98	97	C	SE 2	SE 4	7^0	10^1=	10^2=	−		700 a ⌴, 200 p ≡¹, 900 p ≡²
22	35.3	35.2	34.9	− 2.6	− 2.2	− 3.2	0.0	− 3.4	3.7	3.8	3.5	99	100	99	C	C	SE 2	10^1=	10^1=	10^1=	−		t ≡
23	34.8	34.6	35.3	− 2.8	− 2.4	− 2.2	− 1.4	− 3.4	3.6	3.7	3.8	99	98	99	SE 2	SE 2	C	10^1=	10^2=	10^2=	−		700 a ≡ u. leichtes ≡Reissen
24.	36.7	37.5	39.0	− 1.6	− 0.2	− 0.4	0.0	− 2.6	4.0	4.3	4.3	99	96	98	C	SE 3	C	10^2=	8^1	10^1	−		700 a ≡² V
25.	37.5	37.7	35.3	0.2	1.8	1.4	2.6	− 1.0	4.6	5.1	5.0	98	98	100	SE 2	SE 1	C	10^1●	10^1●	10^1●	2.0		t ab ca 6 a ●
26	32.3	30.4	24.1	3.8	4.1	6.2	6.8	1.0	5.8	5.9	6.2	97	97	88	S 1	SE 2	S 2	7^1●	8^1	10^1	7.3		700–ca 9 a ●
27.	23.7	28.4	30.8	6.4	7.4	4.4	7.4	4.0	5.4	5.8	5.8	75	76	93	SW 8	W 3	C	10^1	10^1	10^1	4.1		⩩
28.	30.3	31.5	31.1	4.6	11.2	5.7	11.2	3.8	6.0	8.6	6.1	96	86	90	C	SW 4	C	10^0●	10^2	O	4.7		700 a ●, abds. Aufhellung
29.	32.3	32.8	34.2	1.3	6.8	0.8	7.0	0.8	4.8	6.4	4.6	94	87	94	C	C	C	10^2=	10^1=	10^1=	−		t ≡²
30.	37.0	37.8	41.0	0.6	5.9	4.8	6.6	0.4	4.7	4.6	4.3	98	66	67	C	W 4	W 3	10^1=	4^0⊙	10^1	−		700 a ≡¹, m Aufheiterung
31.	41.6	40.8	40.0	2.0	3.8	− 0.4	5.5	− 0.5	4.5	5.0	4.2	85	83	94	W 3	C	C	7^1	10^1=	10^0	−		900 p ≡¹
Mittel	34.8	34.9	35.3	− 0.5	1.6	0.1	2.6	− 1.7	4.1	4.6	4.3	92	87	92				8.9	8.5	7.5	28.4		

Die Schneehöhe konnte in diesem Monat nicht beobachtet werden.

Passau.

Dezember. $\varphi = 48^0\ 34'$ N. $\lambda = 13^0\ 28'$ E $= 53^m\ 52^s$. H $= 309.3$ m. Cg $= +0.2$ mm. 1912.

1	21.9	30.7	36.8	− 2.4	1.6	1.0	2.8	− 3.7	3.4	4.4	4.5	89	85	90	C	C	C	10^1	10^1●	10^1	−	2	t ●
2.	37.2	34.5	36.4	− 1.4	1.1	1.0	1.8	− 2.3	3.9	4.5	4.5	95	90	90	C	C	C	10^1=	10^1=	10^1=	2.6	2	t ≡1.2
3.	38.9	41.9	45.3	1.3	2.6	− 0.6	2.7	− 0.6	4.8	4.5	4.2	94	80	95	C	NW 2	C	10^1●	0⊙	10^1	2.1	1	n, a ●
4.	47.4	47.5	47.4	0.0	1.0	− 0.2	1.2	− 1.6	4.2	4.2	4.1	90	85	90	C	W 1	C	10^1	10^1	O	−	1	
5.	43.5	40.2	40.0	− 5.0	2.8	− 2.6	2.8	− 5.1	3.8	3.6	3.4	90	64	90	C	C	C	10^1=	0⊙	10^1	−	1	a ≡¹
6.	41.2	41.3	41.4	− 5.0	− 0.4	− 4.2	0.0	− 6.0	2.8	3.4	2.5	90	76	76	C	C	C	O	0⊙	O	−	1	⌴
7.	42.3	43.5	44.5	− 4.8	− 4.2	− 4.6	− 3.7	− 6.1	3.0	3.1	3.0	95	92	92	C	W 2	C	10^2=	10^1	10^1=	−	1	V, t ≡1.2
8.	45.5	44.8	45.3	− 6.2	− 5.2	− 5.6	− 4.2	− 6.9	2.6	2.8	2.8	92	92	95	E 2	E 2	C	10^0	10^1	10^2	−	1	V
9.	44.8	43.4	43.4	− 7.6	− 5.0	− 6.0	− 4.2	− 8.0	2.4	2.7	2.7	95	86	95	E 2	W 2	C	10^1	10^1	10^1	−	1	V
10.	42.7	41.8	41.7	− 8.0	− 4.2	− 6.0	− 4.2	− 8.2	2.3	2.9	2.7	95	85	95	C	W 2	C	10^0	0⊙	10^2=	−	1	⌴, 9 p ≡²
11.	40.8	39.6	38.1	− 5.0	− 0.8	− 0.2	0.0	− 7.0	3.0	3.7	4.4	95	86	96	C	C	C	10^1	10^1●	10^1	−	1	⌴; 2 p, ca 6–7 p ●⁰
12.	34.8	35.4	37.0	− 0.8	1.6	1.0	1.8	− 1.0	3.0	3.7	4.4	95	86	96	C	C	C	10^1=	10^1	10^1	2.0	−	7 a ≡¹
13.	41.4	42.7	44.1	0.8	3.8	1.8	4.1	0.0	4.1	5.0	4.7	95	95	95	C	C	C	10^2=	8^1	10^2=	1.5	−	n ●⁰, a u. 9 p ≡¹
14	42.0	40.4	40.7	− 1.8	0.8	3.8	3.9	− 2.8	4.6	5.4	3.8	93	89	96	C	C	C	8^1=	10^1	10^1	−	−	a ≡², ca 11 a–1 p ✳⁰
15.	39.3	39.6	41.7	5.5	9.3	7.5	9.6	3.0	6.4	6.0	7.0	95	75	90	C	SW 4	SW 2	10^1	10^1	10^1	7.7	−	n ●
16	35.6	33.5	31.7	8.3	9.9	8.3	9.9	6.6	6.6	5.4	6.2	80	59	76	SW 2	SW 4	SW 4	10^1	10^1	10^1	1.0	−	t ●⁰
17.	32.4	34.1	37.2	3.0	2.8	1.4	8.3	1.4	5.5	4.9	4.6	95	90	90	C	W 2	C	10^1	10^1	5^1	0.4	−	n ●, t ●⁰
18.	37.8	34.0	28.4	− 1.0	3.0	0.2	3.2	− 1.2	4.1	3.7	4.2	95	66	90	C	E 2	C	O	5^0⊙	10^0	0.6	−	⌴
19	37.3	39.4	40.8	2.2	4.3	1.0	4.3	0.0	4.0	4.1	4.3	75	66	86	W 4	W 2	C	10^1	8^1	5^1	0.5	−	n ●
20	41.1	40.9	41.7	− 1.6	3.2	− 1.0	3.7	− 2.2	3.9	4.4	4.1	95	76	96	C	C	C	10^0	0⊙	5^0	−	−	⌴
21.	41.7	41.1	41.3	− 3.4	− 0.4	− 0.9	0.0	− 3.8	3.5	4.3	4.1	100	95	95	C	C	C	10^2=	10^1	10^1	−	−	a ≡²
22.	39.6	39.5	39.6	− 2.2	− 1.2	− 1.8	− 0.9	− 2.9	3.7	4.0	4.0	95	95	100	C	C	C	10^1	10^1	10^1	−	−	⌴
23	39.4	39.0	39.2	− 2.8	− 1.0	− 0.9	− 0.7	− 3.5	3.6	4.1	4.2	95	95	95	C	C	C	10^1	10^1	10^1	−	−	⌴
24.	41.2	42.0	43.5	− 0.8	0.6	− 0.6	1.0	− 1.5	4.2	4.3	4.4	95	90	100	C	C	C	10^1	0⊙	10^1	−	−	⌴
25.	42.8	42.5	40.0	− 0.8	1.6	1.2	2.3	− 1.5	4.3	5.2	5.0	100	100	100	C	C	C	10^2=	10^1●=	10^2=	−	−	a u. 9 p ≡², t ●⁰
26.	37.1	34.9	29.8	1.2	6.7	2.6	6.7	0.9	5.0	7.0	5.5	100	95	100	C	E 1	C	10^2=	0⊙	10^1	4.0	−	n ●, a ≡²
27.	28.8	32.6	35.4	7.3	6.9	4.5	7.3	2.2	5.4	4.9	6.2	70	80	98	W 6	W 4	W 4	10^1	10^1	10^1	2.0	−	n, a–ca 11 a ●
28.	35.1	36.0	35.8	4.3	6.3	4.3	6.7	3.4	6.2	7.1	6.2	100	99	100	C	C	C	10^1●=	10^1	10^1	4.9	−	n, a ≡², t ●⁰
29	36.1	37.6	38.6	1.2	3.6	1.2	4.3	0.8	5.0	5.9	5.0	100	100	109	C	C	C	10^2=	0⊙	10^1▬	2.0	−	a ≡², 9 p ≡¹
30.	41.6	42.6	44.9	1.2	5.1	4.7	5.7	0.0	5.0	5.9	4.9	100	90	76	C	W 4	C	10^1=	5^0⊙	10^1	0.2	−	n ●⁰, a ≡²
31.	46.0	44.8	44.6	2.3	4.3	− 0.6	4.3	− 0.6	4.8	5.0	4.1	86	80	90	C	NW 2	C	O	0⊙	10^1=	−	−	9 p ≡¹
Mittel	39.4	39.4	39.9	− 0.7	2.0	0.2	2.6	− 1.9	4.2	4.6	4.4	93	85	93				9.0	6.6	8.9	31.5		

Alle Angaben nach Ortszeit.

Landshut.

Dezember. $\varphi = 48^0\ 32'$ N. $\lambda = 12^0\ 10'$ E $= 48^m\ 40^s$. H $= 397.7$ m. Cg $= +0.2$ mm. 1912.

Datum	Luftdruck auf 0^0 u. Normalschwere reduziert 700 mm +			Lufttemperatur C^0					Absolute Feuchtigkeit mm			Relative Feuchtigkeit Proz.			Richtung und Stärke des Windes o bis 12			Bewölkung o bis 10			Niederschlag mm	Schneedecke cm	Bemerkungen
	7^a	2^p	9^p	7^a	2^p	9^p	Max	Min.	7^a	2^p	9^p	7^a	2^p	9^p	7^a	2^p	9^p	7^a	2^p	9^p	7^a	7^a	
1.	**16.3**	22.3	28.4	− 1.8	4.0	0.9	4.9	− 3.0	3.4	5.3	4.2	86	87	85	W 2	W 4	W 2	8^1	10^1	10^0	–	–	⌊, ca 11 a–1 p ◍^{0}
2.	28.1	26.3	28.1	− 2.4	1.0	1.2	4.9	− 3.6	3.5	4.6	4.5	92	92	91	SW 2	W 4	W 4	0	10^1#	10^1	0.9	–	⌊, ca 1–7 p ✳
3.	31.2	34.4	37.0	1.4	**2.4**	0.4	4.0	− 1.0	4.9	4.5	4.5	96	80	94	W 4	W 4	C	10^1	10^1	0	**7.5**	–	
4.	**39.1**	**39.1**	37.9	− 1.4	− 1.7	− 2.0	0.5	− 3.0	3.9	3.9	**3.7**	94	96	94	SW 2	NE 2	E 2	5^1	10^1	10^1	–	–	
5.	34.0	31.8	31.5	− 1.9	2.0	− 4.2	3.1	− 5.1	3.5	4.0	3.0	88	75	91	NE 4	E 4	C	0	1^0◎	0	–	–	⌊^{0}
6.	32.0	32.2	32.1	− 6.6	− 0.8	− 4.2	0.0	− 8.4	**2.6**	3.9	3.2	95	90	95	C	NE 2	E 2	10^1=	10^0	10^1	–	–	ca 7 a ≡^{1} ⌊^{1}
7.	33.2	35.0	35.2	− 5.4	− 3.2	− 5.4	− 2.1	− 6.2	2.9	3.0	2.7	96	85	90	SW 2	N 2	N 2	10^1	10^1	10^1	–	–	⌊^{2}
8.	36.2	36.3	36.4	− 6.0	− 4.4	− 6.0	− 3.2	− 7.4	2.7	2.7	2.7	95	84	95	E 2	C	NE 2	10^1	10^1	10^1	–	–	⌊^{2}
9.	35.6	34.5	34.1	− 6.6	− 4.6	− 5.7	− 3.8	− 8.2	**2.6**	2.8	2.8	95	88	96	SW 2	SW 2	W 2	10^1	10^1	10^1	–	–	⌊
10.	33.2	32.7	32.2	− 6.6	− 3.4	− 6.4	− 3.0	− 7.6	**2.6**	3.1	**2.6**	95	89	95	C	E 2	C	10^1=	4^0◎	10^1=	–	–	≡^{1} V, 9 p ≡^{1}
11.	31.3	30.2	28.8	− 4.8	1.6	0.4	3.0	− 8.3	3.0	4.7	4.5	95	91	96	SW 2	SW 2	C	10^1	10^1●	10^1●	–	–	V; ca 1–3 p, ca 8–nach 9 p ◍^{9}
12.	26.1	26.3	29.0	0.4	6.2	4.4	7.8	− 1.9	4.5	5.2	5.3	94	74	85	SW 2	SW 2	W 4	10^1	9^1	10^1	0.8	–	
13.	33.4	34.4	35.4	2.9	5.9	− 0.6	7.0	− 1.9	4.9	4.7	3.8	86	68	86	W 4	W 2	W 2	9^1	1^1◎	0	–	–	
14.	33.0	31.9	32.1	2.7	6.1	6.5	7.6	− 2.0	4.0	4.8	5.8	72	69	81	W 4	W 4	W 6	10^1	10^1	10^1	–	–	8^{34}–10^{19} a ◍^{0}, t ≡, $3^{19.39}$ p ◍böe
15.	31.4	32.0	32.6	7.7	10.2	8.1	11.2	5.8	6.2	6.5	6.9	79	70	86	W 6	W 6	W 4	10^1	10^1	10^1	0.9	–	n ●
16.	27.0	25.0	22.8	8.5	10.2	8.8	11.3	6.7	6.4	6.9	6.5	77	74	77	SW 6	W 4	W 6	10^1	9^0◎	10^1	–	–	t ≡
17.	24.2	26.4	28.5	1.1	2.3	0.3	8.8	− 1.0	4.7	4.7	4.2	94	85	90	W 4	W 2	W 4	10^1●	3^1◎	0	5.1	–	n ◍, ca 7–10^{19} a ◍^{0}
18.	28.6	23.2	19.7	− 3.2	3.2	0.9	4.2	− 4.2	3.3	3.1	3.8	91	53	77	W 2	E 2	W 4	0	10^1	10^1	1.0	–	⌊
19.	29.0	31.0	**31.9**	0.4	4.8	− 0.7	5.0	− 1.8	3.9	4.3	4.1	83	67	94	W 4	SW 2	E 2	9^1	1^0◎	0	1.3	–	n ◍ ≡, 6 p farbiger Ψ
20.	32.1	32.0	33.1	− 2.6	5.0	− 2.2	6.0	− 3.6	3.8	4.4	3.7	100	68	96	C	NE 2	C	10^1	6^0◎	0	–	–	⌊
21.	32.7	32.2	32.0	− 3.6	− 2.6	− 2.8	− 0.8	− 5.7	3.4	3.7	3.6	98	98	98	C	C	C	10^1=	10^1=	10^1=	–	–	t ≡^{1}, a ⌊
22.	30.9	30.9	30.3	− 3.6	− 1.8	− 2.7	− 0.9	− 4.4	3.5	3.9	3.7	100	98	98	W 2	C	E 4	10^1=	10^1	10^1	–	–	≡^{1} ⌊^{1}, ca 5 p ≡^{1}
23.	30.2	30.0	30.3	− 3.2	− 1.0	− 1.7	− 0.5	− 4.7	3.5	4.0	4.0	98	94	100	E 4	SE 2	C	10^1	10^1	10^1	–	–	V, 9 p ≡
24.	32.3	33.1	34.6	− 2.6	1.5	− 0.6	2.9	− 4.4	3.5	4.5	4.4	94	89	100	C	NE 2	C	10^1	2^1◎	10^1	–	–	⌊^{1}, 7^{19} p ◍tropfen
25.	33.4	33.7	30.7	− 0.7	5.4	1.8	6.6	− 3.0	4.4	6.1	5.0	100	91	95	E 2	SW 2	W 2	10^1	10^1●	10^1●	–	–	8^{34}–9^{14} a, 10^{19} a–2^{09} p ◍^{0}
26.	28.0	25.5	20.3	4.0	10.0	7.1	11.2	0.3	5.2	6.8	6.1	85	74	81	W 4	W 2	W 4	3^1	10^0	10^1●	1.4	–	ca 9 p–n ●
27.	20.5	24.9	26.4	6.8	6.2	5.3	7.1	4.3	5.1	6.6	6.5	70	93	97	W 6	N 2	C	10^1	10^1●	10^1●	1.2	–	ca 9 p–n ◍, ca 10–10^{19} a, 10^{44}–m, ca 8 p–n ◍
28.	26.4	27.8	27.3	9.6	12.8	5.6	**14.5**	4.2	8.4	**8.7**	6.5	95	80	96	SW 4	SW 2	C	10^1	8^0	0	6.3	–	n ◍
29.	27.1	27.9	30.4	− 0.9	6.2	0.0	7.6	− 2.1	4.3	6.7	4.6	100	94	100	C	W 2	W 2	10^1=	1^0◎	0	–	–	a ≡^{1}, 9 p ≡
30.	33.4	34.9	37.4	2.4	6.2	3.4	7.5	− 1.8	5.0	4.7	4.7	91	66	80	W 4	W 4	W 4	10^1	2^0◎	0	0.1	–	
31.	37.6	36.1	35.6	− 1.8	4.9	− 1.6	5.9	− 3.0	3.8	4.8	4.0	94	73	98	W 2	C	C	0	9^0	0	–	–	⌊
Mittel	30.6	30.8	31.0	− 0.6	3.1	0.3	4.5	− 2.8	4.1	4.8	4.4	91	82	92				8.2	7.6	6.8	26.5		

Augsburg.

Dezember. $= 48^0\ 22'$ N. $\lambda = 10^0\ 54'$ E $= 43^m\ 36^s$. H $= 499.6$ m. Cg $= +0.1$ mm, über 728.8 mm Cg $= +0.2$ mm. 1912.

1.	08.4	14.5	19.8	3.1	3.0	0.8	4.1	0.8	4.3	4.9	4.4	74	87	90	SW 2	W 2	W 2	10^2	10^2	6^1	–	–	9^{04}–11^{39} a ◍
2.	19.0	17.4	19.4	− 1.1	0.6	1.4	1.9	− 1.6	3.6	4.5	4.7	84	94	93	SW 2	SW 2	W 2	0	10^2≋	10^2	0.4	–	⌊, 0^{04}–3^{39} p ✳
3.	23.5	25.9	28.9	1.4	1.4	1.4	1.8	0.9	5.0	4.9	5.0	98	96	100	W 2	W 2	C	10^2	10^2●≋	10^2	6.4	**5**	p ≡, $7^{09.19}$ a ✳, 0^{09}–2^{04} p ✳
4.	**30.6**	29.5	28.4	− 1.7	− 1.5	− 2.1	1.4	− 3.6	4.0	4.1	3.9	100	100	100	C	NW 2	NW 2	10^2=	10^2=	10^2=	1.8	3	⌊, n, t ≡^{2}
5.	24.8	22.9	22.7	− 2.3	− 0.6	− 3.1	− 0.2	− 3.1	3.8	4.1	3.6	98	94	100	NW 2	SE 2	SE 2	10^2	2^1◎	0	–	3	⌊
6.	23.1	23.5	23.3	− 6.8	− 2.4	− 5.4	− 2.2	− 6.8	2.4	3.8	3.0	90	98	100	C	C	SE 2	10^2=	10^2=	10^2=	–	2	V, n, t ≡^{1}
7.	24.7	25.5	26.3	− 7.2	− 2.8	− 5.8	− 2.8	− 7.9	2.5	3.6	2.9	98	95	100	SW 2	C	SE 2	10^2=	4^1◎≋	10^2=	–	2	V, n, t ≡^{2}
8.	27.0	27.1	27.4	− 6.1	− 5.0	− 6.5	− 3.9	− 6.7	2.9	3.0	2.8	100	98	100	S 2	SE 2	SE 2	10^2=	10^2=	10^2=	–	2	V, n, t ≡^{2}
9.	26.7	25.6	25.3	− 7.9	− 3.6	− 4.9	− 3.1	− 8.8	2.5	3.0	3.2	100	87	100	SE 2	SW 2	C	10^2≋	○○	0	–	2	V, n, a ≡^{2}
10.	24.0	23.7	23.6	− 7.7	− 1.1	− 4.7	− 0.5	− 7.8	**2.3**	3.9	3.2	92	92	100	S 2	C	NW 2	0	○○	0	–	2	V, a ≡^{1}
11.	22.5	20.9	20.0	0.1	4.2	3.2	4.2	− 5.6	3.8	4.4	5.0	84	71	87	SW 2	SW 2	SW 2	10^1	6^1◎	0	–	2	⌊
12.	17.4	18.1	21.0	1.7	6.0	4.2	6.2	0.2	3.6	5.3	5.5	70	76	89	SW 2	SW 4	SW 2	0	8^1	10^1	–	1	$20^{2.34}$ p ◍
13.	25.2	25.8	27.1	2.8	5.8	1.5	5.8	1.5	5.0	4.9	4.6	89	70	91	SW 2	SW 2	SW 4	4^1	1^1◎	0	0.4	–	
14.	24.8	24.0	24.6	3.2	6.0	6.3	6.3	1.5	4.6	5.3	6.4	80	76	90	SW 8	SW 8	SW 8	10^2	10^2	6^2	–	–	n ≡, $8^{31.39}$ a, ca 3–3^{34} p ≡
15.	24.3	24.8	24.7	7.6	10.4	8.4	10.4	6.3	6.7	7.0	7.2	86	75	88	SW 8	SW 8	SW 6	10^2	8^2	10^2	0.5	–	n ≡
16.	19.2	17.0	15.1	8.0	9.0	9.3	9.9	7.8	6.9	7.5	7.0	86	88	80	SW 8	SW 6	SW 4	10^2	6^2◎	10^2	–	–	n ≡
17.	15.6	18.3	20.4	1.4	2.6	0.9	9.7	0.9	5.0	4.6	4.5	98	82	90	W 2	W 2	SW 2	10^2	2^1◎	8^2	**10.3**	1	n, 8^{29}–ca 11 a ● ✳
18.	19.0	13.9	10.9	− 2.1	1.2	4.3	4.3	− 2.5	3.4	4.3	4.4	85	85	71	SW 2	SE 2	SW 6	0	10^1	0	1.1	–	n ⌊
19.	20.8	22.0	22.7	0.8	4.8	0.8	6.1	0.7	4.3	4.7	4.5	89	73	92	SW 4	SW 2	SW 2	8^2	○○	0	2.2	–	n ◍ ≡, ⌊
20.	23.4	23.7	22.5	− 1.8	2.1	− 0.3	3.0	− 1.8	4.0	4.6	4.4	100	85	98	C	NW 2	NW 2	0	2^0◎	0	–	–	⌊
21.	24.1	22.8	22.9	− 2.5	1.3	− 2.3	1.3	− 3.6	3.8	4.8	3.9	100	94	100	N 2	N 2	NE 2	10^2=	○○	10^2=	–	–	⌊, n, t ≡^{2}
22.	22.6	21.4	21.4	− 4.8	1.3	− 3.3	1.3	− 5.4	2.6	4.6	3.6	85	91	100	S 2	SE 2	SE 2	5^1=	○○	0	–	–	⌊, n, a ≡^{1}
23.	21.3	20.7	21.8	− 4.6	0.8	− 2.3	0.8	− 4.6	2.8	4.5	3.9	86	92	100	E 2	C	C	10^1=	3^0◎	10^2=	–	–	⌊, n, t ≡
24.	23.7	24.8	25.8	− 2.2	6.4	3.8	6.4	− 4.3	3.7	5.5	5.6	95	76	93	C	SW 2	SW 2	10^1	4^0◎	5^1	–	–	⌊
25.	25.1	24.6	22.1	5.1	8.0	8.2	8.2	3.8	5.2	6.2	5.8	81	78	71	SW 2	SW 2	SW 4	10^1●	10^2	5^1	0.9	–	n, a–ca 9 a ◍
26.	20.6	16.0	12.0	7.4	10.6	7.4	10.6	7.4	6.7	6.7	6.7	87	71	88	SW 2	SW 4	SW 6	3^1	6^1◎	10^2●	2.1	–	6^{39} p ◍
27.	13.4	16.4	17.8	6.6	7.7	7.2	8.8	6.6	5.6	6.3	7.5	76	80	99	SW 8	SW 6	SW 4	8^2	10^2	10^2●	2.2	–	n ◍ ≡, ◍, 6^{09} p–n ◍
28.	18.7	19.2	18.7	9.9	12.4	8.7	**12.4**	7.2	8.4	**8.6**	7.8	92	79	93	SW 2	SW 2	SW 2	10^2	10^1	0	3.3	–	n ◍
29.	18.5	19.3	22.2	2.9	9.3	5.2	9.3	2.7	4.5	7.0	5.6	83	80	84	SW 2	NW 2	SW 2	0	2^0◎	2^0	–	–	
30.	25.4	27.3	29.4	4.1	5.8	3.1	6.4	3.1	5.7	5.0	4.6	93	73	81	SW 2	SW 4	SW 2	8^1	4^1◎	5^1	–	–	
31.	29.3	27.4	26.5	− 0.4	3.9	0.4	3.9	− 0.4	3.9	4.8	4.6	87	78	96	SW 2	SE 2	NE 2	0	3^0◎	0	–	–	⌊
Mittel	22.1	22.1	22.4	0.2	3.5	1.5	4.3	− 0.7	4.3	5.0	4.8	89	84	92				7.0	5.5	5.4	31.6		

Alle Angaben nach Ortszeit.

München-C.St.

Dezember. $\varphi = 48^0\ 9'$ N. $\lambda = 11^0\ 34'$ E = 46 m 16 s. H = 526.4 m. Cg = + 0.1 mm. 1912.

Datum	Luftdruck auf 0° u. Normalschwere reduziert 700 mm + 7a	2p	9p	Lufttemperatur C° 7a	2p	9p	Max.	Min.	Absolute Feuchtigkeit mm 7a	2p	9p	Relative Feuchtigkeit Proz. 7a	2p	9p	Richtung und Stärke des Windes 0 bis 12 7a	2p	9p	Bewölkung 0 bis 10 7a	2p	9p	Niederschlag mm 7a	Schneedecke cm 7a	Bemerkungen
1.	05.9	11.5	17.3	4.4	4.2	1.4	7.9	1.2	3.9	4.8	4.0	62	78	81	SW 2	SW 3	C	7⁰	10¹	10¹	–	–	ab 9¹⁶ a ◍⁰, später ztw.–³⁴⁶ p ◍⁰·¹
2.	16.9	15.3	17.3	– 0.4	0.8	2.2	4.0	– 0.7	3.8	4.5	4.4	84	93	83	S 2	SW 2	SW 3	0	10²✻	10²	0.7	–	a ⌴, 1²¹–ca 4 p ✳¹·²
3.	20.6	23.0	25.9	1.8	2 6	1.2	3.0	0.9	4.8	4.7	4.8	92	85	96	SW 2	W 1	C	10¹	10²	10¹≡	3.1	2	n, a ◍⁰, p ztw. ✳, abds. ≡¹
4.	27.5	26.7	25.8	– 0.2	– 0.4	– 2.2	1.9	– 2.5	3.8	4.2	3.9	86	94	100	C	C	C	3¹	10¹≡	10¹≡	1.6	–	a ⌴², ≡⁰, ca 1³⁰ p an ≡¹
5.	22.2	20.1	20.0	– 4.2	0.4	– 2.2	1.0	– 4.6	3.2	3.4	3.4	96	71	86	E 3	C	C	1¹	2¹⁰	0	–	–	
6.	20.3	20.3	20.2	– 3.4	1.0	– 4.4	1.2	– 4.7	2.9	4.1	3.2	82	82	98	C	C	C	0	7¹⊙	10¹≡	–	–	a ⌴² ≡⁰, m ≡⁰, abds. ≡¹
7.	22.0	22.5	23.4	– 5.0	– 0.7	– 5.3	– 0.7	– 5.9	3.0	3.5	3.0	94	81	100	C	C	C	10¹≡	00	10²≡	–	–	n, a ≡¹ V, m ≡⁰, abds. ≡²
8.	24.2	24.3	24.4	– 7.8	– 5.1	– 5.2	– 4.8	– 8.1	2.2	2.8	2.9	90	90	96	C	C	C	0	10¹	10¹≡	–	–	a V, ≡⁰, p V, abds. ≡² V
9.	23.9	22.5	22.6	– 6.0	– 2.6	– 4 0	– 0.9	– 7.1	2.5	3.0	3.1	86	81	93	C	C	C	10¹≡	00	0	–	–	n, a ≡¹, V, m ≡⁰, abds. ≡¹
10.	21.6	20.9	20 7	– 4.4	0.2	– 2.0	0.6	– 8.4	2.8	3 8	3.4	85	81	86	C	C	C	0	0◎	0	–	–	a ≡¹ V, m, abds. ≡⁰
11.	20.1	18.8	17.7	– 0.2	5.5	3.8	6.2	– 3.0	3.2	3.4	4.2	70	51	70	SW 1	SW 1	SW 2	10¹	9¹	10¹	–	–	a ⌴, ≡⁰, m ∞
12.	15.3	15.1	18.4	1.8	7.3	5.0	7.7	0.0	3.3	4.7	5.4	64	62	82	C	SW 3	SW 3	10¹≡	2⁰⊙	10¹	–	–	a ≡¹, ⌴², m ∞
13.	22.6	23.1	24.5	4.3	6.5	1.4	6.8	1.2	4.5	3.9	4.0	72	54	79	W 2	SW 3	SW 3	10¹	1⁰⊙	0	–	–	m im S ∞
14.	22.4	21.2	22.4	4.1	8.5	6.9	8.6	0.5	4.1	3.6	5.6	66	43	75	SW 4	SW 6	SW 7	10¹	10¹	10¹	–	–	mn ⌴, ztw.–n ◍tropfen, t ⩸
15.	21.5	22.1	22.4	8.1	10.1	8.5	10 2	6.0	6.2	5.7	6.5	76	62	78	SW 7	SW 5	SW 6	10¹	10¹	9¹	–	–	n ⩸, m ganze Gebirgskette sehr gut sichtbar, t ⩸
16.	16.8	14.9	12.6	8.0	10.6	9.5	10.6	7.7	6.0	6.3	5.5	74	66	62	SW 6	SW 6	SW 4	10¹	9¹	10¹	–	–	a ganze Gebirgskette sehr gut sichtbar, 1)
17.	13 2	15.7	18.0	2.2	2.6	0.6	10.0	0.5	4.8	4.8	3.8	90	86	79	C	W 2	SW 2	10¹●✻	7¹	1⁰	4.8	–	n, a ✳◍, ztw.–ca 1 p ≡¹, 1¹⁵ p kurzes Aufklaren
18.	17.1	11.7	08.9	– 1.2	2.6	3.3	4 9	– 1.8	3.0	3.3	3.3	73	59	56	E 1	SE 3	SE 1	0	10¹	10¹	4.1	–	a ⌴
19.	18.5	19.6	20 4	0.8	5.1	1.2	5.7	0.4	4.1	3.6	3.9	84	55	78	SW 3	SW 3	SW 1	2¹	1⁰⊙	0	1.6	–	n ◍✳⁰, ztw. ⩸, m ∞, Gebirg schwach sichtbar
20.	20.5	20.4	21.7	– 0.1	3.5	0.1	5.4	– 0.9	3.5	4.3	4.2	79	73	91	C	C	C	0	00	0	–	–	a ⌴, ≡⁰, m ∞, abds. ⌴ ≡⁰
21.	21.2	20.3	20.3	– 1.6	3.2	– 0.4	3.3	– 2.0	3.9	4.6	4.4	96	81	98	C	C	C	0	00	0	–	–	a ⌴, ≡⁰, t≡⁰
22.	19.4	18.9	18.9	– 6.6	0.8	– 3.4	1.0	– 6.6	2.7	4.6	3.5	96	94	100	NW 2	C	C	0	4¹	0	–	–	a ⌴², ≡⁰, abds. ≡¹
23.	18.5	18.1	18.9	– 2 6	2.0	– 1.8	2.1	– 5.8	3.4	4.3	4.0	88	83	100	C	C	C	10¹≡	8¹⊙	10²≡	–	–	a ≡¹, V, m ∞, abds. ≡²
24.	21.0	21.8	23.6	– 0.1	7.4	3.8	7.9	– 4.4	4.0	4.9	5.2	88	63	88	C	8W 2	SW 2	10¹≡	1¹⁰⊙	8¹	–	–	a ≡¹ ⌴, m ∞. 9 p ⊓
25.	22.6	22.0	19.6	4.5	9.7	6.6	9.7	3.0	4.7	5.1	4.3	74	57	59	SW 1	SW 1	SW 2	10¹	10¹	10¹	–	–	m Gebirge gut sichtbar, t ztw. ◍⁰
26.	17.7	14.3	09.8	8.5	11.9	8.3	12.0	6.4	5.9	5.4	5.7	71	53	70	SW 3	W 1	SW 3	2¹	6⁹	10¹	0.4	–	a Gebirge gut sichtbar, 9³⁴ a ◍tropfen, 2)
27.	10.9	14.1	15.5	7.1	8.4	7.1	8.8	6.0	5.0	5.4	6.5	66	66	87	SW 7	W 3	W 1	10¹	10¹	10¹●	0.5	–	n ◍ ⩸, a ⩸, ca 6 p–n ◍
28.	16.2	17.1	16.4	10.5	13.6	7.9	13.7	7.0	8.1	7.8	6.8	87	68	87	SW 3	SW 2	S 2	10¹●	7⁰⊙	0	11.1	–	n, a ◍, m Gebirge sichtbar
29.	15.9	16.7	19.5	3.4	11.9	7.3	12.3	2.9	5.2	6.3	4.8	89	61	63	C	W 1	W 2	0	1¹⁰⊙	0	0.9	–	a ⌴ ∞² m ∞
30.	22.8	24.6	26.6	6.5	6.5	3.0	7.7	2.9	5.7	4.0	4.0	80	55	71	W 2	W 4	W 2	10¹	7¹	0	–	–	m Gebirge schwach sichtbar
31.	26.4	24.6	24.1	0.8	4.7	0.2	4.9	0.1	3.8	4.1	3.8	78	64	81	C	NW 1	C	0	2⁰⊙	0	–	–	a ⌴², ∞ u. Rauchkranz, m ∞kranz
Mittel	19.5	19.4	19.9	1.1	4.6	1.9	5.6	– 0.6	4.1	4.5	4.4	81	71	83				5.7	5.6	5.7	29.8		1) der Hintergrund dunkelrot beleuchtet. 2) m ganze Gebirgskette gut sichtbar.

Traunstein.

Dezember. $\varphi = 47^0\ 52'$ N. $\lambda = 12^0\ 39'$ E = 50 m 36 s. H = 597 m. Cg = + 0.1 mm. 1912.

1.	699.2	05.1	11.6	– 1.4	2.4	1.3	4.2	– 2.2	4.1	5.5	5.0	100	100	100	S 2	W 6	W 2	4²	10²●	10²✻	–	15	a Föhn, m u. p ◍
2.	11.1	08.9	11.6	– 2.0	2.8	0.7	2.9	– 2.9	4.1	4.3	3.9	100	75	80	W 2	E 2	W 4	4²	9²	10²✻	5.4	10	abds. ✳ ◍
3.	13.9	17.4	19 8	0.4	1.3	0.2	1.7	0.0	4.5	4.2	4.2	94	82	90	W 2	NW 2	W 2	10²✻	9²	10²	5.4	10	n, a ✳ ◍
4.	21.9	21.0	20.1	– 0.7	1.2	– 5.4	1.2	– 5.4	4.0	3.6	2.7	92	72	90	NW 2	E 2	E 2	10²	2¹	0	4.1	10	
5.	16.2	14.2	13.2	– 8.4	– 1.2	– 6.6	– 1.0	– 8.8	2.2	3.0	2.5	94	71	92	E 2	NE 2	E 2	0	2¹⊙	0	–	10	
6.	14.5	14.6	14.3	– 7.7	– 0.4	– 7.3	– 0.2	– 8.0	2.2	3.1	2.3	89	68	89	NE 2	E 2	E 2	2²	2²⊙	0	–	10	
7.	15.6	17.1	17.9	– 6.4	– 2.4	– 8.0	– 2.0	– 9.0	2.3	3.3	2.2	84	85	91	SE 2	NE 2	NE 2	10²	00	0	–	10	n u. abds. V
8.	18.1	18.2	18.7	–11.8	– 4.0	– 8.4	– 4.0	–12.0	1.7	2.9	2.2	93	87	94	SE 2	N 2	E 2	10¹	3²⊙	0	–	10	n V, a ≡, p V
9.	17.6	16.6	16.7	–13.0	– 1.9	– 7.5	– 1.8	–13.2	1.5	3.1	2.3	92	78	92	E 2	N 2	S 2	0	00	0	–	10	t V
10.	15.3	15.1	15.2	– 9.2	0.6	– 6 6	0.8	– 9.4	2.0	2.7	2.5	91	56	92	SE 2	SE 2	E 2	0	00	0	–	10	n V, a ≡
11.	13.4	13.6	12.1	– 4.8	4.4	0.8	4.8	– 8.0	2.8	3.8	3.9	88	60	80	SE 2	NW 2	SE 2	4²	10²	0	–	10	
12.	09.4	10.0	12.5	– 3.6	5.1	5.0	5.3	– 3.6	3.3	4.1	4.0	95	63	61	SE 2	8W 2	W 2	4²	7²	10²	–	10	
13.	16.5	17.5	19 0	3.5	4.8	– 0.4	5.1	– 0.4	3.8	3.7	3.4	65	57	76	W 2	W 2	S 2	6²	2²⊙	0	–	7	
14.	17.0	15.3	16.5	– 2.1	5.4	6.8	6.8	– 4.0	2.9	3.2	4.9	73	47	67	SE 2	W 6	SW 6	6²	10²	10²	–	5	m u. p ◍
15.	15.2	16.3	17 0	7.4	9.2	7.4	10.0	6.5	5.4	4.9	5.3	70	57	69	W 6	W 8	W 8	6²	10²	10¹	1.1	3	n ◍
16.	11.8	09.4	07.7	3.5	9.4	8.9	9.8	2.0	5.2	5.5	5.0	88	62	59	W 2	W 4	S 4	2²	8¹	8²	–	–	
17.	06.9	09.4	12.3	2.4	0.6	– 0.4	8 9	– 0.4	5.1	4.3	2.0	93	90	70	W 2	W 4	W 2	10²●	10²✻	8²	2.3	–	n ◍, a u. p ◍ ✳
18.	12.0	07.0	02.7	– 4.4	1.3	3.5	4.5	– 5.0	3.0	3.3	2.6	91	65	44	W 2	E 2	S 2	2²	8¹⊙	8²	4.1	–	
19.	12.7	14.4	14.8	1.4	3.9	– 0.7	5.0	– 0.7	3.7	3.2	3.5	72	53	81	SW 2	W 2	SE 2	8²	2²⊙	0	2.9	1	n ⩸ ✳
20.	14.5	14.9	15.9	– 2.0	5.2	– 2.2	5.6	– 2.9	3.1	3.4	3.6	80	51	92	SE 2	E 2	SE 2	2²	4²⊙	0	–	–	
21.	15.1	14.3	14.7	– 4.4	3.8	– 4.2	4.2	– 4.4	3.0	3.8	3.0	91	64	91	S 2	S 2	S 2	0	00	0	–	–	n ⌴
22.	13.1	13.0	12.6	– 3.8	2.8	– 2.4	3.2	– 4.2	3.1	4.0	3.6	91	70	94	W 2	W 2	W 2	4²	00	8²	–	–	n ⌴
23.	12.9	12.3	12.8	– 4.0	3.1	– 2.4	3.1	– 5.0	3.2	4.1	3.5	95	71	92	W 2	SE 2	SE 2	0	10²	0	–	–	n ⌴ ≡
24.	14.9	15.9	18.5	– 2.4	4.6	2.6	5.0	– 4.5	3.6	4 8	5.0	94	76	91	W 2	S 2	S 2	8²	6²⊙	8²	–	–	n ⌴, später ≡
25.	17.1	17.0	14.3	0.4	7.0	4.6	8.0	– 1.5	4.3	4.7	4.2	90	63	67	NW 2	W 2	S 2	10²	10²	8²	–	–	n ⌴, später ≡
26.	12.2	10.2	04.3	8.4	9.2	4.0	10.0	3.0	5.8	6.0	4.9	70	70	80	W 2	S 2	W 2	8²	2²	10²	–	–	Tauwetter
27.	05.5	09.0	10.4	6.9	7.2	4.9	7.6	4.0	5 0	4.9	6.5	67	65	100	W 8	SW 6	W 2	8²	8²	20²●	–	–	n, a ⩸, Föhnwetter
28.	10.4	11.7	11.3	8.2	12.0	4.4	12.1	4.1	7 9	7.0	5.8	98	67	93	W 2	W 2	SE 2	10²●	6²⊙	0	25.8	–	n u. a ◍ u. Föhn
29.	10.2	11.5	13.7	3.2	10 9	2.0	11.0	1.1	5.1	6.3	4.5	89	64	85	SE 2	W 2	W 2	0	4²⊙	0	1.4	–	n ⌴
30.	17.1	18.7	21.3	6.8	5.4	2.6	7.0	2.0	5.1	5.3	4.1	70	78	74	W 2	W 4	W 4	10²	4²⊙	0	–	–	a ◍
31.	20.8	19 0	18.5	– 2.4	3.4	– 2 6	3.8	– 2.6	3.5	3.7	3.5	92	63	94	S 2	E 2	E 2	2²	6²⊙	0	0.9	–	n ⌴
Mittel	13.6	13.8	14.3	– 1.4	3.8	– 0.1	4.6	– 3.1	3.8	4.2	3.8	87	69	83									
																		5.1	5.3	4.1	53.4		

Alle Angaben nach Ortszeit.

Partenkirchen.

Dezember. $\varphi = 47^0\ 30'$ N. $\lambda = 11^0\ 6'$ E $= 44^m\ 24^s$. H $= 716.8$ m. Cg $= +0.1$ mm. 1912.

Datum	Luftdruck auf 0° u. Normalschwere reduziert 700 mm +			Lufttemperatur C°					Absolute Feuchtigkeit mm			Relative Feuchtigkeit Proz.			Richtung und Stärke des Windes 0 bis 12			Bewölkung 0 bis 10			Niederschlag mm	Schneedecke cm	Bemerkungen
	7a	2p	9p	7a	2p	9p	Max.	Min.	7a	2p	9p	7a	2p	9p	7a	2p	9p	7a	2p	9p	7a	7a	
1.	690.1	695.9	00.3	− 1.0	2.1	0.0	3.2	− 1.6	3.6	5.1	4.4	84	94	96	C	C	C	8^0	10^1●	10^0	−	22	a Berge rein, föhnig. m, 2 p ◍⁰
2.	00.7	699.0	01.0	− 2.4	2.1	− 0.6	2.5	− 2.4	3.6	3.5	4.2	94	66	96	S 2	W 3	C	2^0	10^0	5^1	2.1	18	a Berge meist frei
3.	04.6	06.5	09.1	− 0.6	0.6	− 0.2	1.2	− 1.9	4.4	4.2	4.5	100	89	100	C	C	C	10^1⁎	10^1	10^1	6.0	26	n, mrgs. ⚹. a Berge im Nebel
4.	**11.3**	09.5	09.2	− 2.0	− 0.4	− 6.6	0.1	− 6.6	3.9	3.0	2.4	98	68	87	C S 2		C	10^0	00	0	5.4	**28**	a Berge bis 1400 m im Nebel
5.	05.2	03.2	03.7	− 5.7	0.3	− 3.4	0.7	− 7.2	**2.1**	2.9	3.1	72	62	87	SE 2	C	C	0	09	0	−	26	a Berge sehr rein, föhnig
6.	04.3	03.3	03.4	− 5.6	2.0	− 2.6	3.2	− 6.1	2.5	3.4	2.9	85	64	77	SE 2	C	C	2^0	6^0	0	−	25	a Berge sehr rein, föhnig
7.	05.3	05.9	07.0	− 6.0	1.2	− 4.0	1.6	− 7.6	2.4	3.3	2.6	85	65	77	SE 2	C	S 3	0	00	0	−	22	a Berge sehr rein, föhnig
8.	07.4	06.9	07.2	− 4.7	− 1.0	− 6.8	1.2	− 6.8	2.2	2.6	2.6	69	61	94	S 3	C	C	0	00	0	−	20	a Berge sehr rein, föhnig
9.	07.6	05.6	06.6	− 6.0	3.4	− 2.8	3.8	− 8.9	2.3	3.0	2.5	79	52	68	C	C	C	0	00	0	−	19	a Berge sehr rein, föhnig
10.	05.3	03.9	05.2	− 5.1	1.4	− 4.6	2.3	− 5.1	2.2	2.7	2.3	71	53	72	C	C	C	0	00	0	−	18	a Berge sehr rein, föhnig
11.	05.1	03.1	02.0	− 4.2	3.0	− 0.9	3.4	− 6.0	2.3	3.3	3.5	70	57	80	S 3	C	C	2^0	9^0	0	−	17	a Berge sehr rein, föhnig
12.	699.8	699.7	02.6	− 4.0	2.6	1.2	3.3	− 4.2	2.6	3.9	3.8	77	70	75	C	C	C	0	00	8	−	16	a Berge sehr rein, föhnig
13.	07.3	06.8	08.6	− 3.6	2.2	− 5.8	3.3	− 5.8	3.5	3.1	2.6	100	58	87	C	C	C	2^1	00	0	−	16	a Berge sehr rein, föhnig
14	06.8	05.9	06.7	− 2.1	5.0	4.6	7.1	− 6.0	2.4	4.2	5.3	61	64	82	SE 4	C	C	9^0	10^1●	10^1●	−	15	a Berge frei. 2 p, 9 p ◍⁰
15.	05.4	06.1	06.9	4.4	12.6	4.7	**13.1**	3.4	5.1	2.8	5.0	84	**26**	78	SE 2	W 5	C	1^0	3^0○	8^0	0.3	12	a Berge sehr rein und nahe
16.	01.6	699.0	697.9	− 0.4	5.4	2.2	11.0	− 0.4	4.2	4.7	4.9	94	71	91	C	C	C	2^1	4^0	9^0	−	10	a Berge sehr rein
17.	696.5	698.8	02.3	1.1	1.0	− 4.3	2.8	− 4.3	4.9	4.7	3.0	98	96	91	C	C	C	10^0●	8^1	0	1.6	9	mrgs. ◍⁰, Berge im Nebel
18.	00.6	696.5	693.1	− 5.6	2.2	5.8	5.8	− 6.2	2.5	3.5	2.7	82	65	38	SE 2	SE 2	S 2	0	8^0○	9^0	3.6	11	n ⚹. a Berge sehr rein
19.	02.3	03.4	04.3	0.1	2.5	− 0.7	5.0	− 0.7	4.5	4.7	3.8	98	84	86	C	C	S 2	10^0⁎	1^0○	0	6.2	10	mrgs. ⚹⁰, Berge im Nebel
20.	04.7	03.8	05.7	− 0.4	5.4	− 2.6	5.9	− 2.6	3.2	3.9	3.5	79	59	94	S 4	S 2	C	1^0	2^0○	0	−	9	a Berge sehr rein
21.	05.1	03.8	03.9	− 5.0	3.0	− 2.8	3.9	− 5.0	3.0	3.9	3.3	95	69	89	C	C	C	0	00	0	−	9	a ⌴, Berge sehr rein
22.	03.3	02.2	02.1	2.4	3.8	2.1	5.5	− 3.0	3.7	4.1	4.4	68	69	82	C	C	C	3^0	8^0	9^0	−	8	a Berge sehr rein
23.	02.4	01.5	02.2	3.1	5.6	1.3	6.2	0.6	4.5	5.1	4.6	79	75	91	C	C	C	10^1	7^0	8^0	−	8	a Berge teilweise bedeckt
24.	05.0	05.6	08.0	0.8	7.0	0.3	7.2	− 0.1	4.6	4.9	4.2	94	66	90	C	C	SE 2	10^0	2^0○	6^0	−	7	a Berge teilweise frei
25.	07.1	05.9	03.8	2.0	6.1	4.2	7.2	− 1.1	3.6	4.5	4.1	68	65	68	S 2	C	C	10^0	9^0	9^1	−	7	a Berge meist frei
26	02.1	695.3	694.3	2.1	7.6	3.7	8.4	− 1.1	4.1	5.0	4.4	77	64	73	SE 2	C	C	1^0	6^0○	10^0	−	7	a Berge sehr rein, föhnig
27.	695.8	698.7	00.4	7.3	7.7	4.3	9.7	**2.7**	3.7	5.2	6.0	49	67	97	W 5	W 3	C	9^1	10^1	10^1●	3.7	6	n ◍. a Berge meist frei, föhnig. 9 p ◍⁰
28.	01.6	01.8	01.7	5.3	10.8	4.4	11.1	3.8	6.6	**7.1**	5.8	99	88	93	C	S 2	C	9^1	4^0○	1^0	**13.4**	4	n ◍, föhnig
29.	00.7	01.4	04.0	3.5	8.8	1.7	10.1	1.7	4.8	5.8	4.3	82	68	84	S 2	SE 2	C	2^0	2^0○	1^0	−	−	a Berge sehr rein, föhnig
30.	07.2	08.5	11.2	1.4	7.2	− 2.6	7.3	− 2.6	4.6	4.0	3.4	91	52	89	S 2	NW 5	C	10^2	2^0○	0	−	−	a Berge meist bewölkt
31.	10.3	08.1	08.0	− 3.9	3.1	− 2.7	3.3	− 4.1	2.7	2.7	2.5	80	48	68	S 2	C	S 2	0	2^0○	0	0.2	−	a ⌴, Berge sehr rein, föhnig
Mittel	03.6	03.2	04.0	− 1.1	4.0	− 0.4	5.2	− 3.1	3.6	4.0	3.8	83	66	83				4.3	4.3	4.0	42.5		

Hohenpeissenberg.

Dezember. $\varphi = 47^0\ 48'$ N. $\lambda = 11^0\ 1'$ E $= 44^m\ 4^s$. H $= 994.1$ m. Cg $= +0.0$ mm. 1912.

	600 mm +																						
1.	66.9	71.8	76.5	1.5	0.3	− 1.8	6.8	− 1.9	3.9	4.0	3.9	76	85	98	W 6	W 6	SW 3	10^1	10^1	10^2	−	**28**	7 a Land sehr rein, föhnig; vorm. kurz ⚹, 9 p ∞
2.	76.3	74.4	76.4	− 3.8	− 1.9	− 1.5	− 0.2	− 3.8	3.1	3.5	3.9	91	88	96	SW 1	W 6	SW 8	0	10^2=⁎	0	0.5	20	7 a Land sehr rein, ab ca 2 p ≡¹ ⏚, abds. Horiz.≡
3.	79.7	82.0	84.4	− 1.4	− 1.1	− 1.5	− 1.0	− 2.0	4.1	4.2	4.0	100	98	98	SW 6	W 2	W 5	10^2=⁎	10^2=	10^2=⁎	3.8	25	7 a ≡² ⚹⁰, vorm. ⚹, ab ca 3 p ⚹, 9 p ≡²
4.	85.8	84.7	83.3	− 4.2	− 2.8	− 3.4	− 1.5	− 4.3	3.3	3.6	3.5	100	98	98	NW 1	E 5	SE 6	0	1^1○	0	5.1	**28**	7 a ≡, 2 p u. 9 p ∞, Horiz.≡
5.	79.8	78.7	79.2	− 7.4	1.4	3.1	3.3	− 7.4	2.5	1.9	1.4	97	38	24	E 2	SW 2	SW 1	0	00	0	−	20	7 a ≡ ∞, t Horiz.≡
6.	79.7	79.6	78.8	2.9	3.8	0.6	4.4	0.0	1.6	1.7	1.9	29	29	39	E 1	SE 1	NE 1	0	5^1	0	−	20	7 a Land sehr rein, 2 p rein. 9 p Horiz.≡
7.	80.5	81.7	82.0	− 1.3	1.6	− 0.6	1.9	− 2.8	1.9	2.1	2.1	46	40	48	W 1	SW 1	SE 6	0	00	0	−	18	7 a Land sehr rein, 2 p rein, 2 p u. 9 p Horiz.≡
8.	82.7	82.6	82.7	0.2	2.1	1.3	2.4	− 0.6	1.9	2.0	2.3	41	37	46	SW 1	E 1	SE 2	0	00	0	−	16	7 a u. 2 p Land sehr rein, 9 p Horiz.≡
9.	82.5	81.8	81.6	0.6	4.2	2.0	4.6	− 0.1	2.1	2.0	2.2	44	32	41	W 1	W 1	SW 1	0	00	0	−	15	7 a u. 2 p Land sehr rein
10.	80.8	80.3	80.1	0.8	3.4	2.3	3.4	0.4	2.0	2.0	2.2	41	34	41	W 1	SW 1	SW 3	0	00	0	−	12	7 a Land sehr rein, 2 p rein, t Horiz.≡
11.	79.8	78.9	77.5	2.1	4.3	1.1	4.3	0.5	2.1	2.0	3.3	40	33	65	W 5	W 6	SW 4	4^1	10^1	0	−	8	7 a u. 2 p Land rein, 2 p föhnig, 9 p Horiz.≡
12.	75.0	75.4	78.4	0.6	3.7	1.1	4.0	− 0.1	3.8	3.7	4.8	80	62	96	SW 1	W 6	SW 8	1^1	1^1	10^2	−	7	7 a Land rein, 2 p sehr rein
13.	82.4	82.7	83.5	0.9	1.9	− 0.8	2.0	− 0.8	3.4	3.5	3.3	68	65	77	NW 5	NW 1	SW 7	6^2	00	0	−	5	7 a u. 2 p Land rein, 2 p u. 9 p Horiz.≡ ⁄
14.	82.2	81.0	82.1	1.1	4.8	4.5	5.6	− 1.2	2.2	3.0	5.4	45	46	86	W 8	W 8	SW 8	7^2	10^2	1^2	−	3	7 a Land sehr rein, Gebirge in ni; 2 p Land rein, [1]
15.	81.1	82.6	82.4	4.9	6.8	5.8	7.0	4.5	5.6	4.8	5.1	86	66	75	W 9	W 8	SW 8	1^1	10^1	10^2	−	−	n ≡, 7 a u. 2 p Land sehr rein, 9 p ⌴
16.	77.9	75.6	73.3	4.4	7.1	6.5	7.1	4.3	5.2	5.6	4.3	84	74	60	W 5	W 6	W 9	0	8^2	9^1	−	−	7 a Land rein, 2 p sehr rein, 9 p ⌴
17.	72.9	75.2	77.0	− 0.5	− 1.5	− 3.0	6.5	− 3.2	4.4	4.1	3.0	100	100	83	W 1	W 1	W 6	10^2⁎	8^2	0	**8.7**	3	n, a ⚹, vorm. ⚹ ∞, 9 p Horiz.≡
18.	75.8	71.7	69.6	− 2.2	5.2	2.0	6.1	− 3.0	1.8	2.0	3.2	47	30	61	SE 4	S 1	W 7	0	10^1	10^1	4.7	1	7 a Land sehr rein, 2 p rein
19.	77.8	79.4	79.4	− 1.2	1.2	1.2	4.3	− 1.7	4.0	4.0	3.4	94	80	67	W 1	C	W 5	10^1	00	0	2.8	3	n, a ⚹, 2 p Land rein, 2 p u. 9 p Horiz.≡
20.	79.9	79.8	80.7	3.8	3.2	1.6	5.5	0.7	2.4	3.9	3.2	40	68	61	SW 1	C	SW 2	0	00	0	−	3	7 a u. 2 p Land sehr rein, 2 p Horiz.≡, 9 p ∞
21.	80.7	79.9	79.8	1.0	3.8	4.3	4.3	0.5	3.2	4.0	2.6	65	67	41	C	W 1	SW 3	0	00	0	−	2	7 a Land sehr rein, 2 p u. 9 p Horiz.≡, 2 p ∞⁰
22.	78.9	78.1	77.9	5.7	5.9	6.8	7.1	3.6	2.6	2.6	3.1	38	37	42	C	NE 3	SW 2	10^1	4^2	10^1	−	1	7 a Land sehr rein, 2 p u. 9 p ∞
23.	78.3	77.9	78.3	5.4	4.7	3.9	7.1	3.7	4.1	3.8	4.1	62	59	67	W 1	NE 1	SE 2	10^1	5^1	0	−	1	7 a Land rein, 2 p sehr rein, Horiz.≡, 9 p im E ≡
24.	80.5	81.7	82.9	2.9	5.2	2.1	5.2	2.0	3.9	4.6	4.6	69	69	85	SW 1	SW 3	SW 7	9^2	2^2○	7^1	−	−	t Land rein, 9 p stellenweise ≡
25.	82.8	82.3	79.8	3.3	7.2	9.0	9.0	1.9	3.7	4.0	4.6	63	52	53	W 1	W 3	W 4	10^1	10^1	10^2	−	−	7 a Land rein, 2 p sehr rein
26.	78.3	75.0	70.2	6.8	8.5	5.0	9.4	5.0	6.1	4.0	4.4	82	49	68	W 3	SW 4	W 8	5^1	10^1	10^2	−	−	t Land sehr rein
27.	72.0	74.4	75.6	3.6	3.9	5.8	5.8	2.6	4.1	5.3	6.9	69	87	100	W 6	SW 6	W 8	10^1	10^1	10^2=●	3.2	−	n ●, 7 a Land rein, 2 p sehr rein, 9 p ≡² ◍ ⌴
28.	77.1	78.1	77.2	7.8	8.8	8.4	9.9	5.8	**7.3**	6.8	5.0	93	81	61	W 5	NW 4	SE 3	10^2	10^1	0	7.4	−	n ◍, t Land sehr rein
29.	76.4	77.8	79.9	10.9	10.6	5.4	**11.2**	5.1	4.3	3.9	3.9	44	41	59	NW 1	SW 1	SW 7	0	00	0	−	−	7 a u. 2 p Land sehr rein, 9 p Horiz.≡
30.	82.6	84.4	**85.9**	3.5	3.0	− 0.7	5.7	− 0.7	5.2	2.9	3.6	88	51	83	SW 3	SW 5	SW 6	10^1	00	0	−	−	7 a Land rein, 9 p Horiz.≡
31.	85.4	83.7	83.0	− 1.2	1.4	0.1	1.4	− 1.5	3.5	3.7	3.4	84	72	73	SW 3	SE 1	SW 4	0	1^1○	0	−	−	⌴, 7 a Land rein, 2 p ∞⁰
Mittel	79.1	79.1	79.3	1.7	3.6	2.3	4.9	0.2	3.5	3.5	3.6	68	60	67				4.3	4.7	3.5	36.2		

[1] 9 p ≡.

Alle Angaben nach Ortszeit.

Zugspitze.

Dezember. $\varphi = 47^0\ 25'$ N. $\lambda = 10^0\ 59'$ E $= 43^m\ 56^s$. H $= 2964$ m. Cg $= -0{,}2$ mm. 1912.

Datum	Luftdruck auf 0^0 u. Normalschwere reduziert 500 mm +			Lufttemperatur C^0					Absolute Feuchtigkeit mm			Relative Feuchtigkeit Proz.			Richtung und Stärke des Windes 0 bis 12			Bewölkung 0 bis 10			Niederschlag mm	Schneedecke cm
	7^a	2^p	9^p	7^a	2^p	9^p	Max.	Min.	7^a	2^p	9^p	7^a	2^p	9^p	7^a	2^p	9^p	7^a	2^p	9^p	7^a	7^a
1.	19.2	21.5	24.0	− 9.0	−10.3	−11.2	− 6.7	−12.7	2.1	1.9	1.8	95	100	100	SE 5	NW 2	C	10^1	10^2≡ ✻	10^2≡ ✻	–	430
2.	24.2	23.8	24.4	−14.6	−12.0	−13.0	−10.0	−14.7	1.0	1.7	1.4	75	90	100	NW 7	NW 4	NW 3	2^1	10^1≡ ✻	10^2≡ ✻	12.1	440
3.	26.5	28.0	30.0	−14.2	−14.3	−14.6	−13.0	−14.8	1.4	1.3	1.3	100	100	100	NW 3	N 4	N 1	10^2≡ ✻	10^2≡ *	10^2≡	2.2	445
4.	31.0	31.4	32.2	−16.0	−13.4	− 8.8	− 8.8	−16.0	1.2	1.1	1.0	100	76	47	N 2	NE 3	E 6	0	1^0◎	0	5.2	**450**
5.	32.0	31.8	31.7	− 4.5	− 2.0	− 4.2	− 1.7	− 8.8	1.8	2.3	1.6	56	57	49	SE 3	SW 3	NW 3	1^0	2^0◎	0	–	**450**
6.	31.1	31.1	31.4	− 5.2	− 3.0	− 3.1	− 2.8	− 5.8	1.0	2.0	1.5	33	55	42	N 3	SE 3	SE 3	4^0	8^0◎	0	–	440
7.	31.2	32.2	32.8	− 6.1	− 5.0	− 5.1	− 2.8	− 6.2	1.4	1.5	1.5	51	50	51	NW 4	W 2	W 3	2^0	3^0◎	0	–	430
8.	33.5	33.6	33.9	− 6.2	− 3.2	− 4.9	− 3.2	− 6.2	1.3	1.5	1.5	46	48	51	W 1	C	N 2	3^0	5^0◎	0	–	430
9.	33.5	33.3	32.8	− 3.8	− 3.4	− 4.7	− 1.8	− 5.0	1.3	1.4	1.8	37	41	55	NE 2	NW 2	N 2	0	1^0◎	0	–	420
10.	31.8	31.6	31.4	− 4.5	− 4.4	− 7.8	− 3.0	− 7.8	2.5	1.9	1.6	70	60	67	NW 1	W 3	NW 4	1^0	2^0◎	0	–	420
11.	29.8	29.4	28.5	− 9.8	− 8.5	− 8.4	− 7.7	− 9.8	1.4	1.8	1.8	68	80	80	NW 1	NW 5	W 5	7^1	10^1	0	–	410
12.	26.6	27.0	28.2	− 7.4	− 5.8	− 9.1	− 5.6	− 9.3	2.3	2.2	2.1	90	77	100	NE 3	NW 3	NW 3	5^1	3^0◎	10^2≡ ✻ △	–	400
13.	29.6	30.8	32.0	−13.9	−11.4	−11.8	− 8.1	−13.9	1.4	1.2	1.2	100	72	68	W 1	W 5	W 4	1^0	1^0◎	0	7.3	400
14.	32.4	33.3	33.6	− 8.6	− 3.6	− 3.0	− 2.5	−11.9	1.8	3.5	**3.6**	81	100	100	NW 7	NW 6	NW 9	10^1	10^2 ≡ ✻ △	10^2≡	–	390
15.	33.7	34.2	33.6	− 3.6	− 6.4	− 5.0	− 3.0	− 6.6	3.5	2.5	3.1	100	90	100	W 9	NW 8	NW 6	4^1≡	8^1	10^2≡	7.3	390
16.	31.3	28.1	26.5	− 5.6	− 4.2	− 6.3	− 3.7	− 6.4	2.4	2.7	2.3	80	83	84	NW 8	NW 7	NW 7	5^1	6^1	10^1	–	390
17.	23.5	23.2	24.3	− 7.5	−12.5	−17.0	− 6.3	**−17.0**	2.5	1.6	1.1	100	100	100	NW 5	NW 5	NW 4	10^2≡ ✻	10^1≡	1^0	**15.5**	400
18.	26.0	24.4	20.9	−13.1	− 7.3	− 8.4	− 6.9	**−17.0**	1.1	2.0	1.8	66	78	80	SW 5	S 8	S 11	5^1	10^1	10^1	1.9	400
19.	25.7	28.0	30.3	−12.3	−12.8	− 8.2	− 8.2	−13.8	1.6	1.4	1.9	100	88	80	NW 6	NW 4	E 2	10^2≡	6^0◎	4^0	0.6	400
20.	32.7	33.2	33.9	− 3.2	− 2.0	− 1.2	− 0.9	− 8.2	2.8	2.8	2.7	81	73	65	N 2	SE 3	SE 3	5^0	3^0◎	1^0	–	390
21.	33.5	32.8	32.2	− 3.0	− 2.6	− 4.8	− 1.0	− 4.9	2.4	2.0	2.1	67	53	68	SW 2	S 4	SE 6	0	⊖◎	0	–	380
22.	30.8	30.5	30.0	− 5.5	− 3.1	− 6.2	− 2.5	− 6.8	2.3	2.7	2.4	80	75	85	S 5	S 6	S 5	8^1	10^1	10^0	–	380
23.	29.5	29.1	29.5	− 5.7	− 5.8	− 7.4	− 3.8	− 7.9	2.8	2.7	2.4	95	92	95	S 5	SW 3	W 1	10^2≡ ✻	9^1	10^1	–	380
24.	30.6	31.4	32.6	− 8.5	− 8.7	− 9.6	− 7.3	− 9.8	2.3	2.2	2.1	100	100	100	N 3	W 1	NW 5	10^2≡ ✻	4^1≡◎	7^0	0.5	380
25.	33.2	32.9	32.7	− 7.9	− 5.2	− 4.2	− 4.2	−10.1	1.8	3.0	3.3	75	100	100	W 5	NW 4	W 7	10^1	10^2≡	10^1	0.2	380
26.	30.6	27.8	23.2	− 5.4	− 5.0	− 7.0	− 4.0	− 7.0	3.0	2.0	2.4	100	68	95	W 4	W 9	W 8	1^0≡	8^1	10^2≡ ✻	–	380
27.	21.9	24.1	27.6	−10.0	− 7.0	− 4.0	− 4.0	−10.6	2.0	2.6	3.3	100	100	100	NW 7	NW 9	NW 8	10^2≡	10^2≡	10^2≡	2.4	380
28. 8/8	30.2	31.4	31.5	− 3.3	− 3.3	− 4.2	− 2.6	− 5.1	3.5	3.5	2.8	100	100	85	NW 8	NW 6	NW 6	10^2≡	9^0◎	1^1	14.2	390
29.	31.2	31.8	32.0	− 3.8	− 4.0	− 5.6	− 3.6	− 5.6	2.4	2.2	2.2	70	65	75	NW 5	W 3	W 2	2^0	5^0◎	1^0	–	380
30.	31.6	31.8	33.0	− 8.4	−11.7	−14.0	− 5.2	−14.6	2.4	1.7	**0.9**	100	100	66	NW 3	NW 4	NW 5	10^2≡	10^2≡	0	–	380
31.	33.6	34.3	**34.6**	− 9.0	− 4.4	− 0.2	**− 0.2**	−14.2	1.0	1.6	2.9	47	50	64	NW 5	W 4	S 2	2^0	6^0◎	0	4.7	385
Mittel	29.7	29.9	30.2	− 7.7	− 6.6	− 7.2	− 4.7	−10.0	2.0	2.1	2.1	80	78	79				5.4	6.5	4.7	74.1	

Bemerkungen.

1. a längs der ganzen Zentralkette Föhnmauer, Alpenvorland u. Flachland ∞^{1}, ab 7^{35} a ≡^{2}, 8^{57} a–ca 4 p ✻^{1}, ca 4–9^{00} p ✳^{0}, C
2. ab $9^{00.30}$ p ✳^{0} leichter SE, a 10 cm Neuschnee, in Täler cu-meer in ca 2000 m Höhe, Alpenvorland ∞^{1}, 11^{35} a starke Bewölkungszunahme (st-cu W r), 1^{35} p 10^1 ≡^{1} st, ab 2^{26} p ✳$^{0.1}$
3. a 5 cm Neuschnee, t ✳$^{-1}$ ≡^{2}, 9 p 10 cm Neuschnee
4. a ringsum cu-meer in ca 1800–2000 m Höhe, p Inntal cu-meer in ca 1500 m Höhe, Täler u. Alpenvorland vereinzelte cu, starkes ✳treiben, abds. in Tälern ∞^{1}
5. a über Alpenvorland leichte Nebeldecke, t ∞^{1}
6. t über Alpenvorland u. Flachland ∞^{1}, ca 4^{45} p kurze Zeit starke Bewölkungszunahme (9^0 ci-st i. NW, a-cu N m), abds. über Flachland Nebeldecke
7. a über Flachland Nebeldecke, t ∞^{1}
8. a über Alpenvorland u. Flachland Nebeldecke, t über Flachland tlw. Nebeldecke, p C, 5^{01} p Einsetzen eines leichten N-Windes
9. a über Flachland Nebeldecke, t ∞^{1}
10. t Fernsicht ringsum frei u. rein
11. a über Alpenvorland ∞^{1}, p u. abds. Fernsicht sehr klar
12. a über Flachland tlw. cu-decke, p über westl. Teil der Zentralkette Föhnmauer, ab 4^{15} p ≡$^{0.1}$ u. d. G., 5^{15} p–n ≡$^{1.2}$ ztw. ⁂, ∨ 3 cm
13. n ✳$^{0.1}$, ab 11^{15} p Aufklaren, a ∨ 10 cm, ringsum cu-meer in ca 2200–2700 m Höhe, p über Flachland ∞^{1}, Blick auf Zentralalpen rein
14. a über Alpenvorland ∞^{1}, starkes ✳treiben, 8^{15} a längs der Zentralkette tiefhängender fr-st, ab 9 a ≡$^{0.1}$, ab 9^{35} a ≡^{2}, 1^{20} p–n ✳^{0} △^{0} ᔓ
15. a ∨ 50 cm, p über westl. Teil der Zentralkette Föhnmauer, über Alpenvorland ∞^{1}, ab 3^{30} p ≡^{2}, 7^{15} p kurze Zeit tlw. Aufklaren, ⊕ von 22^0 Halbmesser
16. 10^{15} p erneutes Aufklaren, Talblick tlw. frei, a ∨ 30 cm, über Flachland ∞^{2}, t starke wechselnde Bewölkung, NW 7–8, p über westl. Teil der Zentralkette Föhnmauer, [1])
17. n ✳$^{0.1}$, a 5 cm Neuschnee, ✳^{0}, ∨ 10 cm, t ≡$^{1.2}$, p ztw. Zerreissen der Nebelschicht, 3^{10} p kurze Zeit ✳$^{0.1}$, ab 5^{25} p Aufklaren, E
18. a über Flachland ∞^{1}, ab 0^{55} p vollständig bedeckt, ab 3^{35} p Föhnmauer längs des südl. u. südöstl. Teiles der Zentralkette, ab 4 p längs der ganzen Zentralkette, S 11
19. ab 10^{05} p ≡^{1} ✳^{0}, a ≡^{2} ✳treiben; 10^{00} a Aufklaren (ci, a-cu W m), in Tälern dichte cu-haufen, p Fernsicht ringsum frei, in Tälern vereinzelt Nebelfahnen, über Flachland ∞^{1}
20. a Fernsicht ringsum frei u. rein, p über Flachland ∞^{1}
21. a Fernsicht ringsum frei u. rein, ab 4^{35} p über Zentralkette vereinzelte st-cu, über Flachland Nebeldecke
22. a über Flachland leichte Nebeldecke, t längs des südl. u. südöstl. Teiles der Zentralkette Föhnmauer, über Flachland ∞^{1}, abds. längs der ganzen Zentralkette Föhnmauer
23. a ≡^{2} ✳^{0}, 8^{55} a Aufklaren, t stark wechselnde Bewölkung, tiefhängender fr-st längs des südl. u. südöstl. Teiles der Zentralkette, über Flachland ∞^{1}, [2])
24. a ∨ 3 cm, ≡^{2} ✳^{0}, ca 11 a allmähliches Aufklaren, in Tälern dichter Nebel, p ztw. ≡$^{0.1}$ u. d. G., ca 3–5 p ≡^{2}, 5 p Zerreissen der Nebelschicht (st-cu NW l), 9 p ≡^{0}
25. ab 9 p ≡$^{0.1}$ u. d. G., a ≡^{0}, Talblick frei, ab 11^{15} a ≡^{2}, ab ca 3 p kurze Zeit Aufklaren (st-cu NW r), 5^{05}–8 p neuerdings ≡$^{0.1}$ u. d. G., 9 p ∨ 5 cm
26. a ≡treiben, ca 9 a Gipfel nebelfrei, p starke Bewölkungszunahme, über Flachland ∞^{1}, ab 8^{15} p ≡^{2}
27. n ✳^{0}, a ≡^{2}, ✳treiben, ∨ 20 cm, t ≡^{2} ✳treiben, ztw. ✳^{0}, NW 9–10, 9 p ∨ 30 cm
28. a ≡^{2}, ∨ 40 cm, 11^{55} a Aufklaren, in Tälern tlw. dichter Nebel, ca 1^{45}–2 p gut ausgebildete zweifache Glorie, p über westl. Teil der Zentralkette Föhnmauer, [3])
29. t über Flachland ∞^{1}, abds. Fernsicht ringsum frei u. rein
30. a ≡^{2}, ∨ 3 cm, ab 8^{30} a ≡$^{0.1}$, 10 a kurze Zeit △^{1}, dann ✳^{1}, ab 0^{35} p ztw. Aufklaren, ≡treiben u. d. G., ab ca 5 p wolkenlos, über Flachland ∞^{1}
31. t über Flachland ∞^{1}, abds. Fernsicht ringsum frei u. rein

[1]) über Alpenvorland tlw. cu-decke.
[2]) ab ca 6 p wieder vollständig bedeckt, über Flachland Nebeldecke.
[3]) in Tälern u. über Alpenvorland tlw. cu, starkes ✳treiben, abds. Fernsicht frei u. rein, leichtes Alpenglühen.

Alle Angaben nach Ortszeit.

1912. **Tagesmittel der Windgeschwindigkeit in Metern pro Sekunde.** 1912.

München-C.St.

Datum	Januar	Februar	März	April	Mai	Juni	Juli	August	September	Oktober	November	Dezember	Datum
1.	1.4	**4.0**	1.6	2.4	2.6	1.6	1.3	1.8	1.2	3.0	3.4	2.5	1.
2.	2.1	1.8	2.8	3.5	1.2	2.7	2.0	1.9	1.3	**2.9**	2.3	1.7	2.
3.	2.7	2.7	2.0	2.8	1.3	2.9	1.3	2.3	2.4	1.6	3.4	2.0	3.
4.	4.2	2.0	3.1	1.4	2.0	1.9	1.9	1.5	2.5	1.7	1.7	0.9	4.
5.	4.5	1.4	3.0	4.8	1.0	1.3	1.4	2.4	2.8	2.3	1.6	1.7	5.
6.	5.2	1.2	**3.9**	**5.4**	1.5	1.1	2.0	1.2	2.9	1.6	2.0	0.2	6.
7.	**6.5**	0.5	2.8	4.2	2.8	1.1	2.3	2.2	3.5	1.7	0.7	0.2	7.
8.	3.5	1.2	1.6	2.6	3.0	1.6	2.3	3.4	3.4	1.1	0.3	0.1	8.
9.	2.4	1.7	1.8	3.7	1.3	1.7	2.4	1.9	**3.8**	2.8	0.6	0.0	9.
10.	2.4	1.8	2.3	3.7	2.6	1.8	1.0	1.8	2.0	2.4	1.3	0.1	10.
11.	2.2	1.5	2.5	3.5	2.5	1.3	1.4	3.8	1.0	1.2	**3.9**	1.0	11.
12	1.0	2.7	2.0	4.0	3.0	1.0	0.9	2.5	0.8	1.0	3.1	2.1	12.
13.	1.3	1.3	1.4	1.9	**4.2**	1.8	1.5	2.3	0.8	0.5	2.5	2.5	13.
14.	2.0	0.4	2.1	1.3	1.8	2.9	2.5	2.4	1.6	0.3	2.4	5.0	14.
15.	1.2	1.3	1.6	1.8	1.5	2.6	2.5	2.5	3.3	1.8	0.9	**6.4**	15.
16.	1.9	2.0	2.6	2.5	4.1	–*)	2.2	2.6	**2.4**	0.8	0.5	4.6	16.
17.	2.3	1.1	2.0	2.1	3.2	–*)	1.8	1.2	1.8	1.8	0.4	2.4	17.
18.	2.6	0.7	1.8	1.4	2.9	3.2	1.1	0.7	1.7	1.6	0.4	2.2	18.
19.	0.7	1.0	3.4	1.0	1.3	1.8	1.7	1.8	0.7	2.7	1.7	2.6	19.
20.	0.1	3.1	2.3	2.0	1.5	–*)	1.6	1.5	1.5	1.7	**4.5**	0.6	20.
21.	0.3	3.2	3.2	2.6	2.4	1.9	3.8	3.2	1.9	0.9	2.6	0.2	21.
22.	0.4	1.3	3.1	2.8	2.0	1.0	**3.9**	3.2	2.7	2.0	0.8	0.3	22.
23.	1.0	2.1	3.1	2.0	2.2	1.4	1.4	3.0	1.8	1.5	1.6	0.3	23.
24.	1.2	3.3	3.1	2.5	2.0	2.4	1.0	3.2	**0.8**	1.5	1.7	1.0	24.
25.	0.8	3.9	2.7	1.3	2.0	**2.6**	1.3	2.7	1.2	2.0	1.4	2.0	25.
26.	0.9	1.0	1.9	1.0	2.2	2.0	1.6	2.2	0.9	2.4	1.4	2.5	26.
27.	1.1	3.3	2.5	1.0	1.3	1.8	1.0	**4.9**	1.0	1.4	0.7	4.7	27.
28.	1.2	2.8	3.0	1.6	1.1	1.7	0.8	3.2	2.8	0.8	1.7	3.0	28.
29.	1.3	1.0	2.9	2.0	2.1	1.7	2.0	1.8	0.7	1.5	1.7	0.7	29.
30.	1.1		3.1	1.8	1.3	2.7	2.1	1.6	0.8	1.5	1.7	2.8	30.
31.	3.1		2.8		0.9		1.7	2.8		**3.5**		0.9	31.
Mittel	2.02	1.91	2.52	2.49	2.09	–	1.83	2.37	1.87	1.73	1.76	1.84	Mittel

*) Ausser Betrieb.

Nürnberg.

Datum	Januar	Februar	März	April	Mai	Juni	Juli	August	September	Oktober	November	Dezember	Datum
1.	2.3	3.5	2.2	3.3	3.4	2.7	1.1	2.4	3.3	2.8	3.4	2.3	1.
2.	2.4	3.1	3.0	3.8	3.3	2.8	2.1	2.1	1.7	**3.0**	3.3	2.5	2.
3.	3.2	3.0	3.7	4.9	2.2	3.3	2.2	1.9	2.0	2.5	3.7	2.3	3.
4.	4.4	3.0	3.1	2.9	2.7	3.5	1.9	2.1	2.8	2.0	3.0	2.3	4.
5.	4.5	3.6	3.5	3.1	3.5	3.1	1.9	2.3	2.3	2.5	2.1	1.7	5.
6.	5.0	3.5	3.7	4.9	2.4	3.3	2.3	2.2	3.4	2.5	2.5	1.9	6.
7.	4.6	2.9	3.7	**5.3**	2.9	2.4	2.3	2.1	3.0	1.9	2.0	1.9	7.
8.	**5.9**	2.0	3.3	4.6	3.5	2.9	1.9	2.5	**4.0**	2.9	1.5	2.2	8.
9.	3.7	3.0	2.4	4.4	2.9	3.0	1.7	3.0	3.0	2.3	1.5	1.9	9.
10.	2.8	2.3	3.1	4.3	3.1	3.0	2.0	2.1	2.3	2.5	1.8	1.7	10.
11.	2.9	2.4	3.5	4.7	2.4	2.5	1.7	2.0	1.7	2.2	2.5	1.7	11.
12.	3.8	1.4	2.6	5.2	2.9	3.2	2.0	3.2	1.8	1.7	3.0	1.5	12.
13.	3.3	2.7	3.4	4.6	3.3	3.0	2.4	2.5	1.9	1.5	3.0	2.3	13.
14.	2.2	2.5	2.4	2.5	**4.4**	3.4	2.8	2.5	1.9	1.5	2.0	2.5	14.
15.	2.1	1.0	2.4	2.4	2.6	4.0	**4.3**	2.4	2.6	1.7	2.4	3.7	15.
16.	3.1	2.5	3.0	3.6	3.6	**4.4**	2.9	2.5	3.5	1.4	1.5	**4.2**	16.
17.	3.5	2.5	3.4	3.6	4.3	3.4	1.7	2.3	2.8	1.6	1.2	3.0	17.
18.	4.1	2.6	3.2	3.0	3.8	3.6	1.5	1.7	2.3	2.4	1.5	2.3	18.
19.	3.4	2.5	3.5	3.1	3.1	2.6	1.3	2.0	2.4	2.1	1.5	3.6	19.
20.	2.2	2.3	3.8	2.6	2.4	2.5	2.3	2.1	2.1	2.4	2.8	1.9	20.
21.	3.4	3.2	3.4	3.3	3.1	2.5	2.2	1.8	2.5	2.3	**3.8**	1.5	21.
22.	2.5	3.0	**3.8**	4.2	2.7	2.3	2.3	3.4	2.6	2.1	2.5	1.9	22.
23.	2.9	2.7	3.1	3.6	**2.6**	2.7	1.9	3.2	2.4	2.3	1.7	1.9	23.
24.	3.1	1.7	3.5	4.2	3.0	2.8	1.5	3.0	1.9	2.8	1.5	2.1	24.
25.	2.4	3.2	3.9	3.4	3.1	3.4	1.8	3.7	2.1	2.6	1.7	1.9	25.
26.	2.4	2.5	2.6	3.0	4.1	2.7	2.3	2.5	1.9	2.3	2.3	2.4	26.
27.	3.4	2.7	2.2	2.7	3.3	2.6	1.9	2.8	2.2	1.7	2.5	3.4	27.
28.	**4.8**	**3.8**	3.3	2.3	3.2	2.4	1.8	**4.0**	2.5	2.1	2.5	2.5	28.
29.	3.3	3.0	3.4	3.1	3.1	2.8	2.3	2.3	2.9	2.5	2.1	2.1	29.
30.	3.4		4.1	3.5	3.2	2.5	1.9	2.8	2.2	2.3	3.0	1.9	30.
31.	2.3		**4.4**		2.9		2.3	2.8		2.3		3.2	31.
Mittel	3.33	2.69	3.24	3.67	3.13	2.98	2.08	2.49	2.47	2.22	2.33	2.33	Mittel

1912. **Tagesmittel der Windgeschwindigkeit in Metern pro Sekunde.** 1912.

Kaiserslautern.

Datum	Januar	Februar	März	April	Mai	Juni	Juli	August	September	Oktober	November	Dezember	Datum
1.	0.5	3.8	1.7	3.6	1.1	1.8	3.0	2.4	1.8	**7.0**	2.3	3.5	1.
2.	2.5	2.0	4.6	2.9	0.9	3.1	2.0	1.2	1.9	4.9	3.2	4.4	2.
3.	5.3	1.3	3.2	0.8	1.6	5.6	1.1	1.0	1.7	1.4	2.7	1.3	3.
4.	5.5	2.6	4.8	1.7	1.0	2.5	0.9	1.9	3.6	2.1	1.1	1.4	4.
5.	**7.9**	2.1	**7.4**	6.0	1.1	4.5	2.0	2.8	**5.0**	2.1	2.9	2.1	5.
6.	6.9	0.2	5.9	**6.2**	2.2	1.8	1.5	1.7	4.4	1.6	1.6	0.3	6.
7.	7.7	1.2	3.0	3.7	2.7	1.3	1.7	1.5	4.7	1.1	1.3	0.4	7.
8.	1.9	0.6	0.8	5.7	3.4	**3.1**	1.6	4.0	4.7	1.4	1.1	0.6	8.
9.	1.5	0.8	1.4	5.8	2.2	0.6	0.6	1.7	1.7	2.6	1.1	0.3	9.
10.	1.5	1.3	2.0	4.6	1.7	0.9	0.9	1.9	3.0	1.6	3.1	1.0	10.
11.	2.8	2.7	0.8	2.8	2.4	1.9	0.5	3.4	2.9	1.3	**7.2**	3.6	11.
12.	0.9	0.9	0.3	**3.5**	**4.4**	1.9	1.9	2.3	1.2	0.9	5.2	5.2	12.
13.	2.1	1.0	1.2	1.4	3.3	1.6	2.1	3.3	0.9	0.8	4.1	4.3	13.
14.	2.9	0.7	2.7	0.9	2.1	5.5	2.7	3.3	1.3	0.7	5.2	**9.5**	14.
15.	2.8	0.7	0.7	3.2	3.2	6.1	**3.3**	4.8	2.5	0.2	1.1	7.6	15.
16.	3.6	0.8	4.5	2.5	4.3	**6.2**	2.5	4.5	0.8	0.4	0.3	5.7	16.
17.	4.8	0.2	0.8	1.8	**3.1**	3.6	2.1	1.3	0.5	2.3	0.2	3.0	17.
18.	3.8	0.5	2.9	0.6	2.7	4.3	1.5	1.1	0.7	1.2	0.9	3.8	18.
19.	1.9	4.3	6.9	0.8	0.8	0.7	1.4	1.2	1.4	2.5	3.0	3.1	19.
20.	0.2	**6.4**	3.7	1.3	1.9	4.8	0 8	1.7	2.0	1.9	6.6	0.1	20.
21.	0.1	3.6	4.3	**2.8**	1.6	2.3	2.5	4.4	2.9	2.0	2.1	0.1	21.
22.	0.2	1.3	6.0	3.8	1.5	1.2	2.1	3.9	3.6	0.7	0.4	0.1	22.
23.	0.2	3.0	4.4	3.5	1.7	2.2	0.4	4.4	1.8	1.5	0.6	0.1	23.
24.	0.8	4.2	5.1	2.9	1.2	2.4	1.0	5.4	2.0	1.6	1.3	2.9	24.
25.	0.2	2.2	2.4	1.3	2.2	0.7	1.8	3.9	1.4	3.7	3.2	6.5	25.
26.	0.3	1.7	0.4	0.9	1.9	3.1	1.8	4.3	1.8	1 8	5.4	6.5	26.
27.	4.7	4.6	2.8	0.8	1.0	0.7	1.8	**7.7**	1.5	1.3	5.8	4.6	27.
28.	2.7	2.9	3.5	2.5	1.9	1.5	2.4	2.8	3.7	3.1	3.4	4.5	28.
29.	1.5	2 7	3.3	2.4	1.4	2.6	3.1	1.1	1.8	4.9	2.7	2.5	29.
30.	0.7		5.2	2.4	1.3	3.0	2.3	2.9	1.1	4.7	2.2	4.1	30.
31.	3.2		2.0		0.5		3.1	2.7		6.8		1.5	31.
Mittel	2.63	2,08	3.18	2,77	2,01	2.72	1.82	2.92	2,28	2.26	2,71	3.05	Mittel

Monatliche und Jahres-Resultate.

Stationen II. Ordnung.

1912

Monat	Luftdruck auf 0° und Normalschwere reduziert			Lufttemperatur										Absolute Feuchtigkeit				Relative Feuchtigkeit				
	Mittel	Maximum	Minimum	7ª	2ᵖ	9ᵖ	Tagesmittel	Mittl. Maximum	Mittl. Minimum	Absol. Maximum	Datum	Absol. Minimum	Datum	7ª	2ᵖ	9ᵖ	Mittel	7ª	2ᵖ	9ᵖ	Mittel	Minimum
	mm	mm	mm	C°	C°	C°	C°	C°	C°	C°		C°		mm	mm	mm	mm	Proz.	Proz.	Proz.	Proz.	Proz.
Hof.																						
$\varphi = 50^0\ 19'$ N $\lambda = 11^0\ 55'$ E													H = 476.1 m Cg = + 0.3 mm									
Januar . .	719.7	730.9	693.8	- 4.7	- 1.4	- 3.3	- 3.2	- 0.2	- 6.8	5.2	öfters	-18.5	17.	3.2	3.6	3.3	3.4	90	81	89	87	58
Februar . .	716.1	727.1	698.3	- 1.1	4.7	0.4	1.1	5.5	- 2.7	16.5	29.	-18.6	4.	4.3	5.1	4.6	4.7	**95**	78	**93**	89	50
März . . .	717.2	728.9	702.4	3.0	8.1	3.9	4.7	9.3	0.8	17.4	27.	- 5.6	13.	5.2	5.4	5.3	5.3	90	67	86	81	36
April . . .	720.5	730.8	705.5	2.0	9.1	4.2	4.9	10.7	- 1.1	17.9	27.	- 7.0	4.	4.6	4.5	4.9	4.7	86	55	78	73	26
Mai . . .	719.3	728.5	711.4	8.5	16.1	9.3	11.1	17.6	4.5	27.7	12.	- 7.1	2.	7.2	6.7	7.1	7.0	85	50	77	71	20
Juni . . .	718.6	725.4	709 2	12.5	19.3	13.0	14.4	21.0	8.6	27.3	29.	2.5	1.	9.6	9.6	9.8	9.7	88	60	88	79	35
Juli . . .	720.4	726.0	711.6	**13.0**	**21.8**	**14.8**	**16.1**	**23.5**	**8.9**	**30.4**	28.	3.6	6.	**9.8**	**9.8**	**10.7**	**10.1**	89	52	85	75	33
August . .	717.5	723.7	706.9	11.1	16.4	11.3	12.5	17.9	8.4	27.1	30.	3.3	18.	9.1	9.5	9.2	9.3	92	70	92	85	44
September .	**722.4**	730.2	714.7	5.2	10.2	6.0	6.9	11.5	3.1	16.1	1.	- 2.9	20.	6.4	6.8	6.6	6.6	**95**	73	**93**	87	51
Oktober . .	720.4	**733.9**	704.2	2.0	9.4	3.4	4.5	10 1	- 0.2	15.5	öfters	- 8.6	5.	5.1	6.0	5.6	5.6	94	68	**93**	85	37
November	718.5	730.9	696.3	- 0.1	1.9	0.1	0.5	2.7	- 1.9	7.0	27.	-14.8	8.	4.2	4.3	4.2	4.3	91	82	90	88	59
Dezember .	721.5	730.9	708.3	- 0.5	2.8	0.4	0.8	3.5	- 2.1	10.0	28.	- 9.4	9.	4.3	4.9	4.5	4.6	92	**87**	92	**91**	59
Jahr . . .	719.3	733.9	693.8	4.2	9.9	5.3	6.2	11.9	1.6	30.4	28. VII.	-18.6	4. II.	6.1	6.4	6.3	6.3	91	69	88	83	20

1912

Monat	Bewölkung				Niederschlag			Zahl der Tage										Windverteilung								
	7ª	2ᵖ	9ᵖ	Mittel	Summe	Tagesmaximum Betrag	Tagesmaximum Gemessen am	≧0.1 mm Niederschlag	≧1.0 mm	≧0.1 mm ✳	⊞	△	▲	◪	≡	heitere	trübe	N	NE	E	SE	S	SW	W	NW	C
					mm	mm	am																				
Hof.																										
$h_t = 1.2$ m																									$h_r = 1.5$ m		
Januar . . .	7.9	7.2	6.3	7.1	46.9	12.3	7.	16	9	12	**23**	–	–	–	9	**3**	17	14	1	6	**29**	9	**11**	14	8	1
Februar . .	9.2	7.8	6.0	7.7	30.2	6.2	25.	16	9	4	10	–	–	–	13	–	16	4	5	1	15	17	25	11	8	1
März . . .	8.0	7.9	6.5	7.5	45.1	13.2	6.	**24**	11	5	1	–	–	1	8	–	12	5	–	–	11	20	**44**	7	5	1
April . . .	6.3	7.2	4.1	5.9	22.7	4.0	12.	15	8	9	3	1	–	1	4	2	7	17	**13**	**8**	7	–	12	17	11	5
Mai	8.4	7.0	5.6	7.0	53.2	11.6	23.	15	9	–	–	1	–	3	10	1	10	12	10	–	4	9	**11**	**21**	**21**	5
Juni	7.4	7.5	6.4	7.1	99.3	19.0	25.	18	14	–	–	–	–	6	9	1	11	14	8	1	7	12	19	15	11	3
Juli	6.5	6.6	3.7	5.6	49.9	17.7	20.	**11**	8	–	–	–	–	**7**	**21**	**3**	5	17	5	7	11	14	15	5	13	6
August . .	8.8	8.3	6.0	7.7	**132.1**	**23.2**	8.	**24**	**17**	–	–	–	–	–	12	–	15	3	–	–	8	29	38	9	6	–
September .	9.2	**8.6**	5.8	7.9	47.2	11.8	9.	20	13	1	–	1	–	–	14	–	14	**19**	**13**	1	5	4	13	11	**21**	3
Oktober . .	8.0	6.6	6.8	7.1	41.3	13.2	2.	16	10	–	–	–	–	–	18	1	15	8	7	5	10	18	21	8	**5**	**11**
November .	**9.4**	8.5	**8.6**	**8.8**	72.5	10.6	6.	21	15	**16**	11	–	–	–	6	–	**24**	6	1	1	10	19	22	16	15	–
Dezember .	6.6	6.4	7.5	6.9	61.1	16.1	27.	15	9	4	7	–	–	–	13	2	12	–	–	–	5	**41**	26	14	7	–
Jahr . . .	8.0	7.5	6.1	7.2	701.5	23.2	8. VIII.	211	132	51	55	3	–	18	137	13	158	119	63	30	122	192	257	148	131	36

Alle Angaben nach Ortszeit.

1912

Bad Kissingen.

$\varphi = 50^0\ 12'$ N. $\lambda = 10^0\ 5'$ E — H = 209.2 m. Cg = + 0,3 mm

Monat	Luftdruck auf 0° und Normalschwere reduziert: Mittel mm	Maximum mm	Minimum mm	Lufttemperatur: 7a C°	2p C°	9p C°	Tagesmittel C°	Mittl. Maximum C°	Mittl. Minimum C°	Absol. Maximum C°	Datum	Absol. Minimum C°	Datum	Absolute Feuchtigkeit: 7a mm	2p mm	9p mm	Mittel mm	Relative Feuchtigkeit: 7a Proz.	2p Proz.	9p Proz.	Mittel Proz.	Minimum Proz
Januar	744.2	756.5	714.0	− 2.0	1.0	− 1.1	− 0.8	1.7	− 3.6	7.2	öfters	−10.3	15.	3.7	4.0	3.8	3.8	87	76	86	83	40
Februar	740.0	751.4	721.5	− 0.1	5.5	1.5	2.1	6.3	− 1.7	15.2	28.	−18.4	4.	4.5	5.3	4.9	4.9	92	74	89	85	54
März	741.0	752.7	724.9	4.5	10.0	5.9	6.5	11.1	3.1	19.7	27.	− 1.8	9.	5.6	5.8	6.0	5.8	88	62	86	79	39
April	744.8	757.5	728.2	4.5	11.9	6.5	7.4	13.4	2.3	19.5	27.	− 5.0	4.	5.2	4.8	5.4	5.1	81	47	73	67	27
Mai	743.3	752.7	734.7	9.6	17.9	11.7	12.7	19.4	7.1	29.0	12.	− 3.3	2.	8.0	7.6	8.4	8.0	88	49	80	72	27
Juni	742.0	748.8	731.6	13.2	20.6	14.4	15.7	22.2	10.8	29.8	29.	4.2	4.	10.2	9.9	10.6	10.2	89	56	87	77	32
Juli	743.7	749.7	735.3	**14.5**	**23.3**	**16.3**	**17.6**	**24.5**	**12.1**	**29.9**	25.	8.4	3.	**11.3**	**10.6**	**11.6**	**11.2**	92	52	85	76	34
August	741.3	748.5	730.1	12.4	17.3	13.4	14.1	18.6	10.5	27.0	4.	6.2	29.	9.9	10.2	10.3	10.1	92	70	90	84	43
September	**746.9**	755.0	738.5	6.8	12.7	8.4	9.1	13.7	5.1	17.4	1.	− 0.6	20.	7.0	6.8	7.4	7.1	94	63	89	82	41
Oktober	744.7	**759.8**	728.4	3.2	9.7	5.3	5.9	10.3	2.1	17.4	1.	− 4.7	5.	5.7	6.2	6.2	6.0	**95**	69	90	85	32
November	743.7	756.6	718.1	1.8	4.3	2.3	2.7	5.0	0.4	8.1	10.	− 5.6	7.	4.8	4.8	4.9	4.8	91	77	89	86	53
Dezember	**746.9**	757.5	732.9	1.1	3.4	1.5	1.9	4.2	− 0.7	12.3	15.	− 8.2	10.	4.7	5.0	4.8	4.8	92	**85**	**92**	**89**	64
Jahr	743 5	759.8	714.0	5.8	11.5	7.2	7.9	12.5	4.0	29.9	25. VII.	−18.4	4. II.	6.7	6.8	7.0	6.8	90	65	86	80	27

Kahl a. M.

$\varphi = 50^0\ 4'$ N $\lambda = 9^0\ 1'$ E — H = 114,1 m Cg = + 0,3 mm

Monat	Luftdruck auf 0° und Normalschwere reduziert: Mittel mm	Maximum mm	Minimum mm	Lufttemperatur: 7a C°	2p C°	9p C°	Tagesmittel C°	Mittl. Maximum C°	Mittl. Minimum C°	Absol. Maximum C°	Datum	Absol. Minimum C°	Datum	Absolute Feuchtigkeit: 7a mm	2p mm	9p mm	Mittel mm	Relative Feuchtigkeit: 7a Proz.	2p Proz.	9p Proz.	Mittel Proz.	Minimum Proz
Januar	753.1	764.7	723.8	− 0.6	2.3	0.1	0.5	3.6	− 2.6	9.6	7.	− 9.4	16.	4.0	4.4	4.2	4.2	87	77	85	83	49
Februar	**748.7**	759.5	731.1	0.8	7.0	2.6	3.2	8.3	− 1.3	17.2	29.	−17.3	4.	4.9	6.1	5.2	5.4	**94**	76	90	87	53
März	749.7	760.9	733.6	5.7	10.9	7.0	7.7	12.2	4.0	20.3	27.	− 0.5	30.	6.1	6.3	6.4	6.3	88	64	85	79	38
April	753.7	764.4	737.9	6.1	12.9	7.3	8.4	14.9	2.0	22.9	26.	− 6.6	13.	5.4	5.0	5.3	5.2	76	47	69	64	31
Mai	751.7	760.6	743.5	11.9	18.4	12.6	13.9	20.9	7.1	31.6	12.	− 4.2	2.	8.6	7.8	8.8	8.4	81	49	79	70	25
Juni	750.0	757.2	739.9	15.5	21.6	15.4	17.0	24.0	10.9	**33.9**	19.	5.0	1.	10.7	9.7	10.8	10.4	82	51	83	72	23
Juli	751.3	757.4	742.9	**17.0**	**24.1**	**17.7**	**19.1**	**26.0**	**12.6**	31.3	12.	8.1	3.	**11.9**	10.9	**12.0**	**11.6**	84	51	81	72	32
August	749.1	737.8	756.5	13.6	18.3	13.8	14.9	20.2	11.2	27.6	4.	5.3	29.	10.4	**11.2**	10.7	10.8	89	72	91	84	46
September	755.2	763.0	746.3	7.4	13.8	9.2	9.9	14.9	5.4	18.3	17.	− 0.7	26.	7.2	7.4	7.7	7.4	92	63	88	81	45
Oktober	752.8	**767.1**	738.0	4.8	10.8	6.0	6.9	12.1	2.6	18.5	1.	− 4.3	5.	6.3	6.9	6.5	6.5	**94**	71	91	85	34
November	752.3	764.4	727.2	2.7	5.2	3.1	3.5	6.5	0.8	10.3	1., 10.	− 5.6	7.	5.1	5.2	5.2	5.2	91	78	90	87	45
Dezember	**755.4**	765.3	741.3	1.6	4.1	2.4	2.7	6.0	− 0.2	13.1	28.	− 8.6	9.	5.1	5.6	5.2	5.2	**94**	**89**	**93**	**92**	69
Jahr	751.9	767.1	723.8	7.2	14.5	8.1	9.0	14.1	4.4	33.9	19. VI.	−17.3	4. II.	7.1	7.2	7.3	7.2	88	66	85	80	23

Luitpoldheim.

$\varphi = 50^0\ 1'$ N $\lambda = 9^0\ 34'$ E — H = 250 m

Monat	Luftdruck auf 0° und Normalschwere reduziert: Mittel mm	Maximum mm	Minimum mm	Lufttemperatur: 7a C°	2p C°	9p C°	Tagesmittel C°	Mittl. Maximum C°	Mittl. Minimum C°	Absol. Maximum C°	Datum	Absol. Minimum C°	Datum	Absolute Feuchtigkeit: 7a mm	2p mm	9p mm	Mittel mm	Relative Feuchtigkeit: 7a Proz.	2p Proz.	9p Proz.	Mittel Proz.	Minimum Proz
Januar				− 1.6	0.6	− 1.0	− 0.7	1.5	− 3.0	10.6	3.	− 9.7	28.	3.7	4.0	3.8	3.9	87	81	85	84	54
Februar				0.1	4.6	2.6	2.5	5.4	− 0.8	13.6	28.	−18.7	4.	4.6	5.5	5.3	5.1	93	84	90	89	62
März				4.3	9.2	6.4	6.6	9.8	3.3	15.0	26.	− 1.5	9.	5.7	6.3	6 3	6.1	92	74	86	84	44
April				3.8	11.2	7.4	7.4	12.2	2.7	17.9	24.	− 3.9	4.	5.1	5.5	5.6	5.3	83	55	73	**70**	36
Mai				8.8	16.6	12.6	12.7	17.9	7.4	27.6	12.	− 1.9	2.	7.9	8.3	8.6	8.3	91	58	78	76	33
Juni				12.4	19.2	14.5	15.1	20.2	10.3	27.0	29.	4.9	3.	9.9	10.8	10.6	10.4	92	66	87	81	42
Juli				**13.5**	**21.9**	**17.1**	**17.4**	**22.7**	**11.9**	**28.0**	13.	7.8	3.	**11.0**	**11.9**	**11.7**	**11.5**	95	62	81	79	40
August				11.7	16.2	13.2	13.6	17.3	10.2	24.4	4.	7.1	29.	9.5	10.4	10.2	10.1	93	76	90	86	55
September				6.5	11.5	8.4	8.7	12.4	5.5	15.8	17.	0.5	20.	6.9	7.9	7.5	7.4	95	78	90	88	52
Oktober				3.5	8.9	5.8	6.0	9.4	2.5	16.4	1.	− 3.9	5.	5.8	6.6	6.3	6.2	**96**	77	90	88	44
November				1.4	3.5	2.1	2.3	4.3	0.3	8.2	27.	− 4.9	7.	4.7	5.0	4.9	4.9	93	85	90	89	54
Dezember				1.1	2.8	1.6	1.8	3.8	− 0.4	11.7	28.	− 7.8	10.	4.8	5.0	4.8	4.9	93	**88**	**92**	**91**	69
Jahr				5.5	10.5	7.6	7.8	11.4	4.2	28.0	13. VII.	−18.7	4. II.	6.6	7.3	7.1	7.0	92	74	86	84	33

Alexandersbad.

$\varphi = 50^0\ 1'$ N $\lambda = 12^0\ 1'$ E — H = 590 m

Monat	Luftdruck auf 0° und Normalschwere reduziert: Mittel mm	Maximum mm	Minimum mm	Lufttemperatur: 7a C°	2p C°	9p C°	Tagesmittel C°	Mittl. Maximum C°	Mittl. Minimum C°	Absol. Maximum C°	Datum	Absol. Minimum C°	Datum	Absolute Feuchtigkeit: 7a mm	2p mm	9p mm	Mittel mm	Relative Feuchtigkeit: 7a Proz.	2p Proz.	9p Proz.	Mittel Proz.	Minimum Proz
Januar				− 6.1	− 2.5	− 5.0	− 4.6	− 1.7	− 8.0	4.0	5.	−19.6	16.	2.9	3.3	3.1	3.1	89	81	90	87	54
Februar				− 1.8	3.2	− 0.4	0.1	3.8	− 3.5	14.3	29.	−21.5	4.	4.1	4.7	4.4	4.4	95	78	92	88	57
März				2.3	6.5	3.4	3.9	7.8	.0.7	16.2	27.	− 4.6	13.	5.1	5.3	5.3	5.2	94	74	90	86	51
April				2.3	8.0	3.2	4.2	9.5	− 0.6	16.1	27.	− 6.0	4.	4.4	4.6	4.8	4.6	81	59	81	74	33
Mai				8.5	14.4	9.2	10.3	15.7	5.0	26.6	12.	− 5.0	2.	6.9	6.7	7.1	6.9	81	55	80	72	24
Juni				12.0	17.3	12.6	13.7	18.7	9.2	24.6	7.	4.0	1.	9.4	9.7	9.7	9.6	89	67	89	82	41
Juli				**13.0**	**19.7**	**14.6**	**15.5**	**20.5**	**10.0**	**26.8**	28.	7.5	1.	**10.0**	**10.2**	**10.4**	**10.2**	90	62	85	79	42
August				10.3	14.5	11.3	11.9	15.7	8.7	24.2	30.	4.7	29.	8.7	9.6	9.1	9.1	93	78	91	87	52
September				5.0	8.9	6.1	6.5	9.9	3.4	14.0	1.	− 1.4	23.	6 2	6.5	6.5	6.4	95	77	92	90	52
Oktober				2.1	7.6	3.5	4.2	8.7	0.1	13.4	14.	− 7.0	5.	5.1	5.9	5.5	5.5	94	75	92	87	42
November				− 1.0	0.7	− 0.9	− 0.6	1.4	− 2.6	5.1	öfters	−12.5	8.	4.0	4.1	4.1	4.1	94	85	**94**	91	59
Dezember				− 1.5	1.4	− 0.7	− 0.4	2.3	− 3.3	9.7	28.	−10.4	8.	4.1	4.7	4.2	4.3	**96**	**91**	**94**	**93**	74
Jahr				3.8	8.3	4.7	5.4	9.4	1.6	26.8	28. VII.	−21.5	4. II.	5.9	6.3	6 2	6.1	91	74	89	85	24

Alle Angaben nach Ortszeit.

1912

Bad Kissingen.

h_t = 4.8 m h_r = 1.4 m

Monat	Bewölkung 7a	2p	9p	Mittel	Niederschlag Summe mm	Tagesmaximum Betrag mm	Gemessen am	Zahl der Tage ≧0.1 mm Niederschlag	≧1.0 mm	≧0.1 mm ✳	⊠	△	▲	⊠	≡	heitere	trübe	Windverteilung N	NE	E	SE	S	SW	W	NW	C
Januar	7.2	7.4	5.6	6.7	62.9	17.4	7.	16	3	5	2	–	–	–	4	4	14	**31**	**17**	2	1	6	13	10	8	5
Februar	**8.6**	7.4	5.7	7.2	47.0	11.3	25.	15	11	3	**7**	–	–	–	8	–	14	13	8	5	3	13	18	8	12	7
März	8.4	7.5	5.4	7.1	68.4	9.2	25.	20	19	1	–	–	–	2	4	1	12	**7**	–	3	2	20	**33**	11	9	8
April	**4.6**	6.3	4.3	5.1	25.3	5.2	1.	12	9	6	1	–	–	–	–	6	6	30	7	**8**	–	7	**11**	11	12	4
Mai	6.3	6.3	5.9	6.2	44.6	10.8	16.	15	11	–	–	–	–	**6**	3	3	10	12	4	4	–	20	15	18	**14**	6
Juni	6.3	6.4	5.8	6.2	88.4	11.6	15.	18	17	–	–	1	–	**6**	1	2	8	10	3	1	1	12	24	**23**	6	10
Juli	5.1	5.1	3.7	4.6	113.9	**38.8**	26.	12	11	–	–	–	–	**6**	6	**9**	3	21	8	6	**4**	12	12	11	4	15
August	8.5	7.9	6.3	7.6	**117.4**	18.7	24.	**27**	**23**	–	–	–	–	3	2	–	14	8	–	1	2	20	28	19	8	7
September	6.4	7.1	3.7	5.7	45.1	16.6	9.	14	11	–	–	1	–	–	4	3	6	25	7	**8**	1	9	17	8	8	7
Oktober	7.1	6.9	5.4	6.5	75.0	11.3	2., 26.	17	15	–	–	–	–	–	**11**	6	13	17	7	5	–	14	18	6	10	16
November	8.3	**8.5**	**6.9**	**7.9**	83.8	14.4	21.	21	17	**9**	1	1	–	–	5	1	**18**	9	1	–	**4**	**29**	19	13	5	10
Dezember	7.5	7.6	5.7	6.9	54.9	9.5	27.	17	15	2	–	–	–	–	9	3	16	13	7	2	1	15	17	15	6	**17**
Jahr	7.0	7.0	5.4	6.5	826.7	38.8	26. VII.	204	162	26	11	3	–	23	57	38	134	196	69	45	19	177	225	153	102	112

Kahl a. M.

h_t = 6.1 m h_r = 1.6 m

Monat	Bewölkung 7a	2p	9p	Mittel	Niederschlag Summe mm	Tagesmaximum Betrag mm	Gemessen am	Zahl der Tage ≧0.1 mm Niederschlag	≧1.0 mm	≧0.1 mm ✳	⊠	△	▲	⊠	≡	heitere	trübe	Windverteilung N	NE	E	SE	S	SW	W	NW	C
Januar	7.7	7.6	7.0	7.4	52.6	20.9	7.	11	8	**5**	2	–	–	–	1	3	**19**	1	7	6	12	7	27	**1**	5	27
Februar	7.3	8.2	5.4	7.0	48.3	14.7	24.	14	11	2	**6**	–	–	–	3	1	10	1	2	4	5	**11**	29	3	–	32
März	7.7	7.4	6.3	7.1	54.6	6.0	24.	21	17	–	–	1	–	1	2	–	13	1	–	2	6	6	55	8	2	13
April	5.1	5.7	4.4	5.0	16.5	5.4	11.	11	5	2	–	**2**	–	–	–	6	7	**2**	**22**	**9**	3	2	**14**	**9**	**10**	19
Mai	**4.6**	5.8	5.2	5.2	62.7	20.4	22.	12	7	–	–	–	–	3	–	4	4	–	2	4	3	5	28	8	7	**36**
Juni	6.0	6.5	6.2	6.2	81.2	**29.7**	8.	19	14	–	–	–	**2**	4	1	4	9	–	3	4	10	9	38	5	1	20
Juli	5.2	**4.7**	6.5	5.5	72.8	21.0	19.	10	10	–	–	–	1	**6**	2	**7**	6	1	5	7	**16**	7	17	3	1	**36**
August *)	**8.3**	**8.9**	7.0	**8.1**	**109.9**	14.9	5.	**25**	**23**	–	–	–	–	4	–	-	17	–	–	–	6	**11**	**56**	1	2	17
September	6.8	7.8	5.8	6.8	75.4	25.0	9.	13	12	–	–	–	1	1	3	2	15	1	11	5	6	4	26	6	3	28
Oktober	6.9	6.1	5.6	6.2	102.6	20.9	23.	16	14	–	–	–	–	–	**5**	**7**	13	**2**	6	8	6	6	28	6	3	28
November	7.9	8.1	**8.0**	8.0	53.0	12.9	13.	17	11	3	–	–	–	–	–	2	**19**	–	3	–	1	8	40	4	3	31
Dezember	6.3	6.5	7.0	6.6	52.3	14.0	17.	15	12	3	2	–	–	–	3	4	13	–	–	1	1	7	49	8	–	27
Jahr	6.7	6.9	6.2	6.6	781.9	29.7	8. VI.	184	144	15	10	3	4	19	20	40	145	9	61	50	75	83	407	62	37	314

*) Im August ist Luftdruck-Maximum und Minimum vertauscht.

Luitpoldheim.

h_t = 1.7 m h_r = 1.3 m

Monat	Bewölkung 7a	2p	9p	Mittel	Niederschlag Summe mm	Tagesmaximum Betrag mm	Gemessen am	Zahl der Tage ≧0.1 mm Niederschlag	≧1.0 mm	≧0.1 mm ✳	⊠	△	▲	⊠	≡	heitere	trübe	Windverteilung N	NE	E	SE	S	SW	W	NW	C
Januar	7.6	7.3	5.8	6.9	54.2	8.9	6.	18	10	5	2	1	–	–	6	3	14	5	8	12	**6**	–	26	–	5	31
Februar	8.2	6.5	5.1	6.6	55.3	9.8	25.	18	11	6	**9**	–	–	–	**14**	1	10	4	–	–	3	–	42	–	–	38
März	7.5	6.6	7.1	7.1	59.9	8.3	25.	20	17	1	–	1	2	1	3	2	14	2	4	2	5	2	48	1	4	25
April	4.5	5.9	4.6	5.0	30.4	6.9	15.	12	8	6	–	1	–	1	–	**6**	4	**6**	6	**14**	1	1	27	9	**9**	**17**
Mai	5.3	5.9	4.6	5.3	49.1	15.5	16.	14	9	–	–	–	–	4	8	4	5	3	3	5	**6**	**12**	37	6	4	**17**
Juni	7.1	5.9	5.5	6.1	70.2	12.6	10.	20	13	–	–	–	–	**9**	11	1	8	–	3	1	**6**	5	30	4	1	40
Juli	6.2	4.1	3.9	4.7	45.4	9.4	20.	16	10	–	–	–	–	7	13	**6**	5	–	1	12	**6**	3	28	–	–	43
August	8.6	7.6	**7.3**	7.9	**115.2**	**18.9**	24.	**27**	**19**	–	–	–	–	7	11	1	18	–	–	4	4	4	**56**	1	–	24
September	6.7	7.7	4.8	6.4	57.6	18.3	9.	18	10	–	–	–	–	1	7	2	8	–	**15**	3	–	7	34	7	1	23
Oktober	7.3	6.3	5.8	6.6	78.2	16.1	2.	17	15	–	–	–	–	–	13	4	12	3	7	4	2	–	38	–	1	38
November	**8.9**	**8.2**	7.0	**8.0**	79.9	18.5	21.	20	17	**7**	1	**3**	–	–	6	–	**19**	4	–	–	–	–	30	**13**	7	36
Dezember	8.1	6.8	6.3	7.1	70.0	12.9	27.	18	14	4	–	–	–	–	11	2	16	4	–	4	–	3	25	9	1	**47**
Jahr	7.2	6.6	5.7	6.5	765.4	18.9	24. VIII.	218	153	29	12	6	2	30	103	32	133	31	47	61	39	37	421	50	33	379

Alexandersbad.

h_t = 1.8 m h_r = 1.4 m

Monat	Bewölkung 7a	2p	9p	Mittel	Niederschlag Summe mm	Tagesmaximum Betrag mm	Gemessen am	Zahl der Tage ≧0.1 mm Niederschlag	≧1.0 mm	≧0.1 mm ✳	⊠	△	▲	⊠	≡	heitere	trübe	Windverteilung N	NE	E	SE	S	SW	W	NW	C
Januar	6.7	6.5	5.5	6.3	84.5	33.2	7.	13	9	10	**27**	–	–	–	2	5	11	3	6	12	8	2	**4**	19	7	32
Februar	7.1	6.6	4.8	6.2	68.0	10.0	24.	13	12	5	23	1	–	–	2	4	11	–	–	6	4	1	17	17	5	**37**
März	7.3	7.6	5.5	6.8	80.4	11.2	6.	20	19	6	2	**4**	–	1	1	–	8	1	–	–	7	**11**	**21**	19	12	22
April	4.4	6.4	3.8	4.9	45.7	9.4	11.	13	10	9	5	–	–	1	–	3	5	1	12	13	3	6	6	18	14	17
Mai	6.1	5.9	4.9	5.6	**34.1**	7.0	9.	12	9	–	–	–	–	6	–	3	5	**5**	14	3	**1**	1	5	30	13	21
Juni	6.5	5.8	5.8	6.0	154.7	**42.6**	25.	19	17	–	–	1	**2**	**8**	1	4	9	–	15	6	2	1	8	23	11	24
Juli	4.3	5.4	3.7	4.5	62.5	14.4	29.	9	8	–	–	–	1	6	1	6	**3**	**5**	14	**16**	**1**	1	4	**13**	8	31
August	8.3	7.7	5.5	7.2	**176.9**	21.5	24.	**23**	**22**	–	–	–	1	3	2	1	14	–	4	4	**9**	3	16	25	**16**	**16**
September	8.0	**8.1**	**7.1**	**7.7**	68.0	9.0	8.	18	15	–	–	2	–	–	4	–	12	–	**16**	9	1	–	5	22	**16**	21
Oktober	5.8	5.4	4.4	5.2	61.2	14.7	2.	13	12	1	–	–	–	–	1	**10**	10	–	10	8	7	3	13	17	**2**	33
November	**8.6**	7.4	**7.1**	**7.7**	113.8	23.3	21.	21	16	**17**	24	1	–	–	2	–	**16**	2	2	5	8	2	12	21	12	26
Dezember	6.5	5.3	5.8	5.9	85.3	24.9	27.	12	12	3	20	–	–	–	**5**	5	11	3	4	3	3	1	5	**33**	11	30
Jahr	6.6	6.5	5.3	6.2	1035.1	42.6	25. VI.	186	161	51	101	9	4	25	21	41	115	20	97	85	54	32	116	257	127	310

Alle Angaben nach Ortszeit.

1912

Bayreuth.

$\varphi = 49^0\ 57'$ N $\lambda = 11^0\ 34'$ E — H = 363.3 m Cg = + 0.3 mm

Monat	Luftdruck auf 0° und Normalschwere reduziert: Mittel mm	Maximum mm	Minimum mm	Lufttemperatur: 7a C°	2p C°	9p C°	Tagesmittel C°	Mittl. Maximum C°	Mittl. Minimum C°	Absol. Maximum C°	Datum	Absol. Minimum C°	Datum	Absolute Feuchtigkeit: 7a mm	2p mm	9p mm	Mittel mm	Relative Feuchtigkeit: 7a Proz.	2p Proz.	9p Proz.	Mittel Proz.	Minimum Proz.
Januar	730.6	742.2	700.9	- 3.4	- 0.4	- 2.1	- 2.0	0.2	- 5.1	6.9	7.	-14.6	16.	3.3	3.5	3.4	3.4	85	76	82	81	40
Februar	726.6	738.2	707.2	0.2	5.4	1.9	2.3	6.2	- 1.9	15.7	29.	-20.1	4.	4.5	5.1	4.8	4.8	91	72	87	83	53
März	727.8	739.5	713.0	4.0	8.9	5.6	6.1	10.2	2.4	18.3	27.	- 2.7	11.	5.5	5.5	5.7	5.6	89	65	83	79	41
April	731.0	742.1	715.5	3.8	10.4	6.2	6.7	12.1	0.9	20.3	27.	- 5.5	3.	4.8	4.6	5.0	4.8	79	51	70	67	27
Mai	729.9	739.3	720.3	9.5	16.5	12.1	12.5	18.4	6.2	29.0	12.	- 4.0	2.	7.6	7.2	8.0	7.6	84	51	74	70	27
Juni	728.7	735.6	718.3	13.5	20.3	14.9	15.9	22.1	10.4	29.5	23., 29.	4.4	1.	10.0	9.9	10.2	10.0	86	57	82	75	39
Juli	730.4	735.8	721.3	**14.7**	**22.6**	**17.5**	**18.1**	**24.5**	**11.3**	**31.3**	28.	7.1	6.	**10.6**	**10.5**	**11.0**	**10.7**	85	53	75	71	36
August	728.0	735.0	717.7	12.4	17.0	13.2	13.9	18.7	10.1	27.7	30.	5.2	29.	9.5	9.9	9.9	9.8	89	70	87	82	44
September	733.0	740.9	724.5	6.1	11.3	8.1	8.4	12.3	4.3	16.8	1.	- 1.8	20.	6.6	6.9	7.0	6.8	92	69	87	83	53
Oktober	731.2	**745.1**	714.1	3.1	9.3	5.1	5.7	10.1	1.7	16.7	1.	- 6.2	5.	5.5	6.4	6.1	6.0	**94**	73	**91**	86	43
November	729.9	742.1	707.0	0.7	2.9	1.2	1.5	4.0	- 1.0	8.3	27.	- 8.8	8.	4.5	4.6	4.5	4.6	93	82	**91**	88	50
Dezember	**733.4**	742.8	719.4	0.4	2.9	1.2	1.4	3.7	- 1.3	11.0	28.	- 8.5	7.	4.4	4.9	4.7	4.7	91	**85**	**91**	**89**	70
Jahr	730.0	745.1	700.9	5.4	10.6	7.1	7.5	11.9	3.2	31.3	28. VII.	-20.1	4. II.	6.4	6.6	6.6	6.6	88	67	83	80	27

Bamberg.

$\varphi = 49^0\ 53'$ N $\lambda = 10^0\ 53'$ E — H = 287.7 m Cg = + 0.3 mm

Monat	Luftdruck auf 0° und Normalschwere reduziert: Mittel mm	Maximum mm	Minimum mm	Lufttemperatur: 7a C°	2p C°	9p C°	Tagesmittel C°	Mittl. Maximum C°	Mittl. Minimum C°	Absol. Maximum C°	Datum	Absol. Minimum C°	Datum	Absolute Feuchtigkeit: 7a mm	2p mm	9p mm	Mittel mm	Relative Feuchtigkeit: 7a Proz.	2p Proz.	9p Proz.	Mittel Proz.	Minimum Proz.
Januar	737.3	749.1	707.9	- 2.8	0.9	- 1.5	- 1.2	1.9	- 4.0	8.9	24.	-11.8	16.	3.5	3.9	3.7	3.7	86	75	84	82	47
Februar	733.3	744.8	713.7	0.1	7.1	2.4	3.0	8.2	- 1.1	17.4	29.	-19.6	4.	4.6	5.6	5.0	5.1	93	72	86	84	41
März	734.4	746.1	718.9	4.3	10.2	5.8	6.5	11.8	3.0	20.8	27.	- 2.1	9.	5.6	5.9	5.8	5.8	89	63	83	78	39
April	737.8	749.1	722.1	4.6	11.6	6.6	7.3	14.0	2.2	20.8	27.	- 6.0	13.	4.8	4.6	4.8	4.7	76	47	65	63	24
Mai	736.4	746.1	726.0	10.3	17.7	11.9	12.9	19.9	7.1	29.3	12.	- 2.0	2.	8.1	8.0	8.2	8.1	84	53	77	71	33
Juni	735.3	742.2	725.1	14.4	20.9	14.4	16.0	22.9	10.8	29.4	29.	5.9	1.	10.5	10.8	10.4	10.6	85	60	85	77	42
Juli	736.8	742.6	727.3	**15.6**	**23.4**	**17.2**	**18.4**	**25.4**	**12.6**	**30.0**	12.	9.4	3.	**11.2**	**11.3**	**10.9**	**11.1**	85	55	75	72	35
August	734.5	741.6	724.1	12.6	17.7	13.1	14.1	19.9	10.6	26.8	4.	6.3	29.	9.9	10.5	9.8	10.1	91	71	87	83	49
September	739.8	747.6	731.4	6.7	12.1	8.0	8.7	14.1	5.1	17.4	30.	0.9	20.	6.8	7.5	7.2	7.2	92	71	88	84	47
Oktober	737.7	**751.8**	721.1	3.8	10.2	5.7	6.4	11.4	2.5	18.7	1.	- 4.6	5.	5.8	6.5	6.3	6.2	**94**	70	90	85	34
November	736.7	749.5	713.3	0.8	3.8	1.4	1.9	4.9	- 0.5	10.2	27.	- 5.9	8.	4.6	4.7	4.7	4.6	93	78	91	87	47
Dezember	**740.1**	750.1	725.5	0.3	3.4	1.2	1.5	4.5	- 1.3	12.3	28.	- 9.5	9.	4.5	5.0	4.8	4.7	93	**83**	**93**	**89**	55
Jahr	736.7	751.8	707.9	5.9	11.6	7.2	8.0	13.2	3.9	30.0	12. VII.	-19.6	4. II.	6.7	7.0	6.8	6.8	88	67	84	80	24

Würzburg.

$\varphi = 49^0\ 48'$ N $\lambda = 9^0\ 56'$ E — H = 179.3 m Cg = + 0.3 mm

Monat	Luftdruck auf 0° und Normalschwere reduziert: Mittel mm	Maximum mm	Minimum mm	Lufttemperatur: 7a C°	2p C°	9p C°	Tagesmittel C°	Mittl. Maximum C°	Mittl. Minimum C°	Absol. Maximum C°	Datum	Absol. Minimum C°	Datum	Absolute Feuchtigkeit: 7a mm	2p mm	9p mm	Mittel mm	Relative Feuchtigkeit: 7a Proz.	2p Proz.	9p Proz.	Mittel Proz.	Minimum Proz.
Januar	746.7	758.4	717.8	- 1.0	1.7	- 0.2	0.1	2.3	- 2.1	10.0	7.	- 9.7	16.	3.7	4.0	3.8	3.8	82	72	80	78	42
Februar	742.4	753.8	722.7	0.8	6.5	3.0	3.3	7.2	- 0.5	16.7	29.	-20.2	4.	4.7	5.5	5.2	5.1	89	72	86	82	51
März	743.3	755.0	727.9	5.6	10.5	7.2	7.6	11.4	4.2	19.5	27.	- 0.6	9.	5.8	6.0	6.1	6.0	85	62	80	76	28
April	747.0	758.6	731.3	5.3	12.1	7.8	8.3	13.7	3.1	19.1	27.	- 3.0	4., 13.	4.9	4.7	5.2	5.0	73	46	64	63	25
Mai	745.4	754.1	735.3	11.1	18.4	13.5	14.1	20.5	8.3	**31.0**	12.	- 1.5	2.	8.1	7.4	8.4	7.9	79	47	72	66	22
Juni	744.4	752.3	735.6	14.4	20.7	15.6	16.6	22.4	11.5	29.8	23.	7.2	1.	10.2	9.9	10.9	10.3	83	56	82	74	33
Juli	745.7	751.6	736.1	**15.7**	**23.3**	**17.8**	**18.6**	**24.4**	**13.2**	29.0	12.	10.2	5., 6.	**11.2**	**10.4**	**12.3**	**11.3**	85	51	79	72	32
August	743.6	752.8	733.2	13.1	18.2	14.1	14.8	19.4	11.4	27.8	4.	6.4	29.	9.9	9.9	10.4	10.1	88	64	87	80	42
September	749.2	757.0	740.4	7.6	13.2	9.2	9.8	13.8	6.4	18.0	30.	1.4	20.	7.1	7.1	7.6	7.3	90	63	87	80	43
Oktober	747.0	**761.5**	731.2	4.6	10.7	6.5	7.1	11.0	3.3	19.0	1.	- 2.5	5.	6.1	6.4	6.5	6.3	**93**	66	88	82	38
November	746.3	759.4	722.1	2.5	5.0	3.2	3.5	5.5	1.1	10.1	10.	- 4.3	7.	4.9	4.9	4.9	4.9	88	74	85	82	50
Dezember	**749.8**	759.9	735.2	1.6	4.0	2.3	2.5	4.7	0.2	12.5	28.	- 8.0	10.	4.7	5.1	5.0	4.9	88	**82**	**89**	**86**	58
Jahr	745.9	761.5	717.8	6.8	12.0	8.3	8.9	13.0	5.0	31.0	12. V.	-20.2	4. II.	6.8	6.8	7.2	6.9	85	63	82	77	22

Ludwigshafen a. Rh.

$\varphi = 49^0\ 29'$ N $\lambda = 8^0\ 26'$ E — H = 100.3 m Cg = + 0.3 mm

Monat	Luftdruck auf 0° und Normalschwere reduziert: Mittel mm	Maximum mm	Minimum mm	Lufttemperatur: 7a C°	2p C°	9p C°	Tagesmittel C°	Mittl. Maximum C°	Mittl. Minimum C°	Absol. Maximum C°	Datum	Absol. Minimum C°	Datum	Absolute Feuchtigkeit: 7a mm	2p mm	9p mm	Mittel mm	Relative Feuchtigkeit: 7a Proz.	2p Proz.	9p Proz.	Mittel Proz.	Minimum Proz.
Januar	754.3	767.1	725.7	0.8	3.2	2.0	2.0	4.1	- 0.3	11.1	7.	- 6.0	28.	4.2	4.6	4.5	4.4	84	77	83	81	34
Februar	750.1	762.5	730.2	2.9	7.8	5.3	5.3	8.4	1.9	15.8	29.	-15.0	4.	5.2	5.8	5.6	5.5	**88**	69	81	79	44
März	751.2	763.3	734.2	6.4	11.7	8.8	8.9	12.3	5.4	20.1	27.	1.3	8.	6.0	6.0	6.2	6.1	82	58	73	71	35
April	755.1	766.8	738.7	6.0	13.1	9.8	9.7	13.9	4.7	20.0	24.	- 2.0	13.	5.2	4.5	5.3	5.0	74	42	59	58	19
Mai	753.2	763.0	744.4	12.0	19.1	15.3	15.4	20.6	9.9	30.3	12.	1.5	1.	8.2	7.6	8.6	8.1	75	46	65	62	23
Juni	751.7	758.9	741.5	15.4	22.5	18.2	18.6	23.6	13.3	32.1	23.	9.2	4., 17.	10.1	8.7	9.9	9.6	78	44	64	62	26
Juli	752.8	758.6	744.4	**16.8**	**24.9**	**20.9**	**20.8**	**25.8**	**14.9**	**33.1**	14.	10.4	5.	**11.3**	**10.3**	**11.5**	**11.0**	80	46	65	64	23
August	751.0	758.6	740.4	13.9	19.2	16.6	16.6	20.0	12.6	24.8	4.	8.8	29.	10.0	9.5	10.2	9.9	84	58	73	72	39
September	756.9	764.1	747.8	8.3	14.2	11.2	11.2	14.8	7.1	18.0	1.	2.7	25., 26.	7.2	7.1	7.7	7.4	87	60	78	75	38
Oktober	754.4	**768.3**	739.2	6.3	11.3	8.3	8.6	11.7	5.2	18.0	2.	- 0.4	7.	6.4	6.6	6.7	6.6	**88**	66	81	78	33
November	754.2	766.4	729.8	3.5	6.0	4.2	4.5	6.7	2.0	11.1	10.	- 2.6	24.	5.0	5.0	5.0	5.0	84	71	80	78	49
Dezember	**757.2**	767.6	743.8	2.8	5.2	3.6	3.8	5.8	1.1	13.8	28.	- 5.3	9.	5.1	5.4	5.3	5.3	**88**	**80**	**86**	**85**	62
Jahr	753.5	768.3	725.7	7.9	13.2	10.4	10.5	13.9	6.5	33.1	14. VII.	-15.0	4. II.	7.0	6.8	7.2	7.0	79	60	74	72	19

Alle Angaben nach Ortszeit.

1912

Bayreuth.

h_t = 9.7 m h_r = 1.7 m

Monat	Bewölkung 7a	2p	9p	Mittel	Niederschlag Summe mm	Tagesmaximum Betrag mm	Gemessen am	Zahl der Tage ≧0.1 mm Niederschlag	≧1.0 mm	≧0.1 mm ✳	⊞	△	▲	⊠	≡	heitere	trübe	Windverteilung N	NE	E	SE	S	SW	W	NW	C
Januar	7.0	7.2	6.7	7.0	44.9	16.9	7.	14	8	9	**12**	–	–	–	5	**6**	16	3	2	**36**	18	–	6	21	6	1
Februar	8.7	7.2	5.3	7.1	36.6	10.4	24.	15	10	3	8	1	–	–	**9**	2	13	3	**2**	23	**19**	–	16	21	2	1
März	8.2	8.4	6.0	7.5	43.3	9.9	6.	**23**	10	2	–	**2**	–	2	4	1	12	1	1	22	18	3	13	34	1	–
April	5.8	7.5	**4.5**	5.9	15.9	4.0	1.	10	6	5	2	1	–	1	**1**	2	8	**12**	2	31	2	–	7	30	5	1
Mai	7.4	7.3	5.9	6.9	62.3	**24.5**	10.	13	10	–	–	1	–	4	4	2	12	2	3	13	7	1	1	39	**23**	4
Juni	6.9	7.6	6.7	7.0	67.4	17.1	25.	20	15	–	–	–	–	**8**	3	1	14	4	4	11	12	7	7	32	11	2
Juli	6.2	6.2	5.2	5.9	36.8	19.1	20.	10	6	–	–	–	–	7	5	5	8	6	3	28	14	1	6	24	7	4
August	8.7	8.5	5.7	7.6	**104.7**	17.3	24.	**23**	**19**	–	–	–	–	3	3	–	15	–	–	6	18	**9**	14	**40**	–	6
September	8.2	**8.6**	5.6	7.5	40.3	12.6	9.	18	9	–	–	1	–	–	6	1	12	9	**7**	10	7	–	**4**	35	14	4
Oktober	8.2	7.3	6.7	7.4	44.2	6.1	20.	16	12	–	–	–	–	–	8	4	17	3	–	32	15	4	9	**12**	10	**8**
November	**9.5**	8.5	**7.7**	**8.6**	65.4	10.2	1.	22	13	**10**	3	1	–	–	6	–	**20**	2	–	13	15	2	14	36	4	4
Dezember	7.3	7.6	6.3	7.1	35.8	8.9	27.	14	9	1	–	–	–	–	7	4	15	–	1	25	17	3	**18**	26	1	2
Jahr	7.7	7.7	6.0	7.1	597.6	24.5	10. V.	198	127	30	25	7	–	25	61	28	162	45	25	250	162	30	115	350	84	37

Bamberg.

h_t = 2.3 m h_r = 1.4 m

Monat	Bewölkung 7a	2p	9p	Mittel	Niederschlag Summe mm	Tagesmaximum Betrag mm	Gemessen am	Zahl der Tage ≧0.1 mm Niederschlag	≧1.0 mm	≧0.1 mm ✳	⊞	△	▲	⊠	≡	heitere	trübe	Windverteilung N	NE	E	SE	S	SW	W	NW	C
Januar	7.3	7.8	7.8	7.6	34.5	13.6	7.	28	6	9	3	1	–	–	5	3	18	2	1	**10**	**13**	18	9	16	12	12
Februar	9.1	9.0	7.8	8.6	37.0	9.6	25.	**29**	7	5	**6**	–	–	–	7	–	20	2	–	4	3	**31**	13	12	8	**14**
März	8.9	9.1	7.3	8.4	54.1	11.1	6.	**31**	13	–	–	**3**	–	1	3	1	20	1	1	4	4	25	26	22	2	8
April	7.3	8.6	5.2	7.1	18.5	3.1	1., 10.	26	8	7	–	1	–	1	–	1	10	**9**	4	**10**	5	6	7	30	13	6
Mai	**7.2**	7.8	7.7	7.6	83.8	**17.0**	21.	30	13	–	–	–	–	5	2	1	14	7	1	6	3	16	6	**33**	14	7
Juni	7.4	8.0	7.9	7.7	76.7	11.8	30.	**30**	14	–	–	–	–	**8**	1	2	16	7	4	1	8	17	11	17	13	12
Juli	7.8	7.7	**7.2**	7.6	42.0	16.7	24.	27	6	–	–	–	1	7	7	2	19	8	5	7	**13**	14	12	14	13	7
August	9.2	9.1	**8.9**	**9.1**	**87.3**	13.4	6.	**31**	**17**	–	–	–	–	3	2	–	**25**	–	–	–	3	24	25	28	1	12
September	8.1	8.8	7.5	8.2	41.3	13.7	9.	**30**	12	–	–	–	–	1	3	1	19	**9**	**6**	6	3	7	7	29	**19**	4
Oktober	7.7	8.3	8.2	8.1	39.2	5.7	23.	30	11	–	–	–	–	–	**8**	**4**	23	7	1	6	2	23	16	19	9	10
November	**9.3**	**9.2**	8.5	9.0	61.3	9.9	13.	**30**	14	**13**	2	2	–	–	5	–	23	2	–	1	2	27	22	23	2	11
Dezember	8.4	7.5	7.3	7.7	43.6	15.4	17.	**31**	9	2	–	1	–	–	4	1	16	–	1	1	4	29	**28**	23	–	7
Jahr	8.1	8.4	7.6	8.1	619.3	17.0	21. V.	353	130	36	11	8	1	26	47	16	223	54	24	56	63	237	182	266	106	110

Würzburg.

h_t = 4.6 m h_r = 1.4 m

Monat	Bewölkung 7a	2p	9p	Mittel	Niederschlag Summe mm	Tagesmaximum Betrag mm	Gemessen am	Zahl der Tage ≧0.1 mm Niederschlag	≧1.0 mm	≧0.1 mm ✳	⊞	△	▲	⊠	≡	heitere	trübe	Windverteilung N	NE	E	SE	S	SW	W	NW	C
Januar	7.9	7.1	6.6	7.2	41.5	13.4	7	13	9	4	2	–	–	–	6	3	16	2	2	**31**	13	2	3	23	1	16
Februar	5.5	7.7	6.1	6.4	43.0	12.2	25.	16	11	3	**8**	–	–	–	14	5	12	–	–	5	**6**	3	15	26	5	**27**
März	8.6	**8.0**	6.1	7.6	50.3	12.9	6.	21	13	1	–	**2**	–	–	5	2	16	2	–	5	7	**14**	10	**33**	6	16
April	5.0	6.7	3.8	5.2	20.8	7.8	1.	12	4	**5**	–	**2**	–	1	–	4	4	**6**	**17**	15	10	2	1	15	15	**9**
Mai	5.3	4.8	3.8	4.6	30.1	7.1	8.	9	7	–	–	–	–	3	1	6	3	**6**	5	8	9	5	12	18	18	12
Juni	6.3	6.0	4.9	5.7	**88.0**	**27.0**	25.	18	13	–	–	–	1	**9**	4	3	5	1	3	5	13	9	24	**10**	6	19
Juli	4.4	4.6	2.9	3.9	48.3	14.2	4.	13	9	–	–	–	–	4	7	**9**	3	3	1	14	**15**	6	17	**10**	7	20
August	7.9	7.7	4.7	6.7	80.4	10.8	24.	**23**	**19**	–	–	–	1	4	4	**1**	8	–	–	–	7	**14**	**38**	10	5	19
September	5.9	7.2	4.9	6.0	43.1	16.3	9.	18	12	–	–	–	1	2	7	3	9	–	2	14	7	2	9	16	16	24
Oktober	6.7	5.9	4.9	5.9	49.9	10.5	23.	19	13	–	–	–	–	–	**15**	8	11	5	2	13	10	**4**	10	18	6	25
November	**8.8**	**8.0**	**7.7**	**8.1**	44.1	10.8	13.	17	9	3	–	1	1	–	7	1	**18**	3	2	3	6	1	11	29	**23**	12
Dezember	7.5	6.2	5.6	6.4	30.5	9.0	17.	13	7	1	–	–	–	–	9	2	10	1	–	2	6	2	13	32	13	24
Jahr	6.7	6.7	5.2	6.1	570.0	27.0	25. VI.	192	126	17	10	5	4	23	79	47	115	29	34	115	109	64	163	240	121	223

Ludwigshafen a. Rh.

h_t = 6.5 m h_r = 1.3 m

Monat	Bewölkung 7a	2p	9p	Mittel	Niederschlag Summe mm	Tagesmaximum Betrag mm	Gemessen am	Zahl der Tage ≧0.1 mm Niederschlag	≧1.0 mm	≧0.1 mm ✳	⊞	△	▲	⊠	≡	heitere	trübe	Windverteilung N	NE	E	SE	S	SW	W	NW	C
Januar	8.7	**8.3**	**7.9**	8.3	26.4	6.4	7.	12	7	2	1	–	–	–	**11**	–	18	18	10	5	5	16	24	8	3	4
Februar	8.5	7.0	5.5	7.0	44.3	11.8	25.	16	10	2	**4**	–	–	–	9	1	13	13	1	1	2	18	23	10	2	17
März	7.7	6.8	5.7	6.7	50.8	9.4	6.	22	14	–	–	–	–	1	4	2	13	1	2	2	12	22	37	8	2	7
April	5.2	6.2	2.0	4.4	14.1	2.8	1.	11	6	–	–	**2**	–	–	–	7	4	**26**	**12**	5	2	9	16	9	6	6
Mai	5.3	6.3	5.7	5.8	52.3	13.5	16.	**10**	9	–	–	1	–	7	–	5	9	17	4	5	1	3	12	**23**	**7**	21
Juni	5.4	6.6	6.0	6.0	41.1	6.6	14.	16	14	–	–	–	–	**8**	–	5	7	6	4	2	1	15	27	8	5	22
Juli	4.0	5.2	4.2	4.5	81.1	23.6	19.	15	13	–	–	–	–	7	1	**11**	7	3	6	**10**	4	20	13	3	1	**27**
August	7.0	8.1	7.3	7.5	**108.2**	16.8	5.	**24**	**18**	–	–	–	1	2	–	1	14	–	–	1	6	**32**	30	5	–	19
September	6.6	7.8	5.8	6.7	83.5	**37.4**	9.	16	10	–	–	–	–	1	8	4	13	23	**12**	5	6	8	20	8	2	6
Oktober	8.3	7.2	5.8	7.1	51.0	7.8	20., 23.	18	12	–	–	–	–	–	**11**	4	17	14	9	1	**14**	17	24	3	1	10
November	**9.2**	**8.3**	7.6	**8.4**	24.5	5.8	10.	16	10	**3**	–	1	–	–	9	1	**22**	6	4	2	7	23	**38**	7	1	2
Dezember	9.1	7.2	7.7	8.0	44.3	12.5	17.	17	13	1	–	–	–	–	10	–	19	7	2	1	10	27	37	1	1	7
Jahr	7.1	7.1	5.9	6.7	621.6	37.4	9. IX.	193	136	8	5	4	1	26	63	41	156	134	66	40	70	216	301	93	31	147

Alle Angaben nach Ortszeit.

1912

Kaiserslautern.

$\varphi = 49^0\ 27'$ N $\lambda = 7^0\ 46'$ E — H = 242.2 m Cg = + 0.3 mm

Monat	Luftdruck auf 0° und Normalschwere reduziert: Mittel mm	Maximum mm	Minimum mm	Lufttemperatur: 7a C°	2p C°	9p C°	Tagesmittel C°	Mittl. Maximum C°	Mittl. Minimum C°	Absol. Maximum C°	Datum	Absol. Minimum C°	Datum	Absolute Feuchtigkeit: 7a mm	2p mm	9p mm	Mittel mm	Relative Feuchtigkeit: 7a Proz.	2p Proz.	9p Proz.	Mittel Proz.	Minimum Proz.
Januar	741.1	753.5	**714.7**	0.1	2.5	0.8	1.0	3.3	− 1.2	9.4	7.	− 7.0	28., 31.	4.3	4.8	4.5	4.5	91	84	89	88	51
Februar	**737.2**	749.5	718.4	1.9	7.2	3.5	4.0	8.0	0.5	15.1	29.	−18.6	4.	5.2	6.0	5.6	5.6	**94**	76	91	87	47
März	738.3	749.5	722.0	5.2	10.1	7.1	7.4	11.2	3.9	18.2	27.	− 0.8	8.	5.9	6.1	6.3	6.1	89	66	83	80	38
April	742.4	752.9	726.7	4.6	11.6	7.1	7.6	12.9	2.2	18.3	24., 28.	− 4.1	13.	5.2	5.1	5.5	5.3	80	52	**71**	68	29
Mai	740.8	750.3	732.5	10.6	18.1	13.0	13.7	19.8	7.7	30.7	12.	− 1.7	2.	7.9	7.9	8.6	8.2	80	**51**	76	69	30
Juni	739.4	746.1	730.0	14.6	20.7	15.6	16.6	22.4	11.4	30.5	19.	7.6	1.	9.8	9.3	10.1	9.7	**79**	52	77	69	33
Juli	740.5	745.8	733.0	**15.9**	**23.3**	**17.7**	**18.6**	**24.5**	**12.6**	**31.3**	13.	7.5	3.	**10.6**	**10.4**	**11.3**	**10.8**	80	**51**	76	69	**26**
August	738.6	745.9	728.7	13.0	18.0	13.5	14.5	18.8	11.0	25.6	4.	6.0	29.	9.8	9.6	10.0	9.8	87	63	87	79	42
September	**744.1**	750.1	734.7	7.1	13.1	9.0	9.6	13.5	5.6	17.2	2.	0.7	21.	6.9	7.2	7.5	7.2	90	65	87	81	43
Oktober	741.4	**754.3**	727.1	5.2	10.7	6.3	7.1	11.3	3.4	16.8	29.	− 4.1	7.	6.2	6.8	6.5	6.5	90	70	89	83	41
November	741.1	752.3	718.8	2.5	5.0	3.0	3.4	5.6	1.2	9.8	10.	− 2.9	23., 24.	5.0	5.1	5.1	5.1	91	78	89	86	46
Dezember	744.0	753.2	731.6	1.8	4.7	2.6	2.9	5.4	0.3	12.8	28.	− 8.0	9.	5.1	5.6	5.2	5.3	93	**87**	**92**	**91**	56
Jahr	740.7	754.3	714.7	6.9	12.1	8.3	8.9	13.1	4.9	31.3	13. VII.	−18.6	4. II.	6.8	7.0	7.2	7.0	87	66	84	79	26

Nürnberg.

$\varphi = 49^0\ 27'$ N $\lambda = 11^0\ 3'$ E — H = 309.1 m Cg = + 0.2 mm, über 735.0 mm = + 0.3 mm

Monat	Luftdruck auf 0° und Normalschwere reduziert: Mittel mm	Maximum mm	Minimum mm	Lufttemperatur: 7a C°	2p C°	9p C°	Tagesmittel C°	Mittl. Maximum C°	Mittl. Minimum C°	Absol. Maximum C°	Datum	Absol. Minimum C°	Datum	Absolute Feuchtigkeit: 7a mm	2p mm	9p mm	Mittel mm	Relative Feuchtigkeit: 7a Proz.	2p Proz.	9p Proz.	Mittel Proz.	Minimum Proz.
Januar	735.0	746.7	**706.8**	− 2.1	1.0	− 0.8	− 0.7	2.0	− 3.4	8.6	24.	−11.9	16.	3.5	3.8	3.7	3.7	82	73	80	78	45
Februar	**731.1**	742.7	709.9	0.9	6.4	3.1	3.4	7.3	0.0	16.7	29.	−20.1	4.	4.7	5.1	5.1	4.9	88	67	83	80	37
März	732.4	744.0	717.5	5.1	10.0	6.7	7.1	10.8	3.8	18.8	27.	− 0.9	9.	5.7	5.4	5.9	5.7	86	59	79	75	38
April	735.5	746.9	720.6	4.5	11.2	7.2	7.5	12.1	2.5	17.9	28.	− 3.8	4.	4.8	4.4	5.0	4.7	**75**	**46**	**66**	**62**	25
Mai	734.1	743.0	724.0	11.1	17.0	13.1	13.6	18.5	8.1	**30.2**	12.	− 2.3	2.	7.7	7.1	8.1	7.6	76	50	71	65	**24**
Juni	733.1	740.1	722.6	15.0	20.6	15.9	16.9	21.8	11.9	28.9	23.	7.3	1.	10.2	9.7	10.5	10.1	80	56	78	71	34
Juli	734.5	739.9	725.2	**16.3**	**22.6**	**18.2**	**18.8**	**23.7**	**13.5**	29.0	28.	10.5	24.	**10.9**	**9.9**	**11.0**	**10.6**	79	51	73	67	31
August	732.5	739.5	722.8	13.3	17.9	14.1	14.8	19.1	11.3	26.3	30.	6.8	29.	9.7	9.6	10.0	9.8	85	64	84	78	41
September	737.5	744.9	728.9	7.0	12.0	8.6	9.0	13.0	5.7	16.8	30.	0.2	25.	6.9	6.8	7.1	6.9	**91**	66	84	80	38
Oktober	735.6	**749.0**	719.2	4.5	10.1	6.5	6.9	11.2	3.4	17.8	1.	− 3.0	5.	5.8	6.4	6.3	6.2	90	68	86	81	36
November	734.7	747.1	712.3	1.4	3.7	2.0	2.3	4.7	0.1	8.9	10.	− 5.0	7., 8.	4.6	4.7	4.7	4.6	89	78	87	85	49
Dezember	**738.2**	747.7	723.9	0.9	3.8	1.5	2.0	4.4	− 0.5	12.3	28.	− 8.0	10.	4.6	4.9	4.8	4.8	90	**80**	**90**	**87**	58
Jahr	734.5	749.0	706.8	6.5	11.4	8.0	8.5	12.4	4.7	30.2	12. V.	−20.1	4. II.	6.6	6.5	6.9	6.6	84	63	80	76	24

Ansbach.

$\varphi = 49^0\ 18'$ N $\lambda = 10^0\ 33'$ E — H = 437.5 m Cg = + 0.2 mm

Monat	Luftdruck auf 0° und Normalschwere reduziert: Mittel mm	Maximum mm	Minimum mm	Lufttemperatur: 7a C°	2p C°	9p C°	Tagesmittel C°	Mittl. Maximum C°	Mittl. Minimum C°	Absol. Maximum C°	Datum	Absol. Minimum C°	Datum	Absolute Feuchtigkeit: 7a mm	2p mm	9p mm	Mittel mm	Relative Feuchtigkeit: 7a Proz.	2p Proz.	9p Proz.	Mittel Proz.	Minimum Proz.
Januar	723.4	735.2	**696.3**	− 2.9	0.7	− 1.8	− 1.5	1.7	− 4.3	7.8	7.	−12.2	16.	3.4	3.8	3.5	3.6	86	74	82	81	44
Februar	**719.8**	731.4	699.0	− 0.2	5.8	1.4	2.1	6.8	− 1.8	15.4	29.	**−25.8**	4.	4.5	5.2	4.8	4.8	**92**	72	89	84	35
März	721.2	732.7	706.2	4.1	9.1	5.4	6.0	10.3	2.4	17.8	27.	− 2.9	9.	5.6	5.7	5.8	5.7	90	66	85	80	47
April	724.3	735.2	709.3	3.7	10.6	5.3	6.2	11.6	0.9	18.0	27.	− 5.0	13., 14.	5.0	4.8	5.0	4.9	82	51	**73**	69	32
Mai	723.3	732.6	713.5	10.5	16.9	11.5	12.6	18.5	6.6	29.8	12.	− 4.4	2.	7.7	7.6	7.7	7.7	80	53	75	69	**28**
Juni	722.4	729.2	712.4	14.1	20.1	14.3	15.7	21.8	10.3	**31.0**	23.	5.4	1.	9.7	9.3	9.5	9.5	78	52	76	69	40
Juli	722.9	729.0	714.3	**15.3**	**22.3**	**15.7**	**17.3**	**23.4**	**11.1**	28.0	12.	7.3	5.	**10.6**	**9.7**	**10.3**	**10.3**	82	**49**	78	70	34
August	721.7	728.9	712.1	12.1	17.1	12.5	13.5	18.2	9.7	26.4	4.	5.0	29.	9.2	9.1	9.3	9.2	87	63	86	79	42
September	726.5	733.3	718.0	6.3	11.3	7.2	8.0	12.2	4.5	16.8	30.	− 0.2	23.	6.6	6.5	6.8	6.6	**92**	66	89	82	46
Oktober	724.3	**737.3**	708.2	3.8	10.0	5.3	6.1	10.9	2.2	18.2	1.	− 4.8	5., 6.	5.6	6.3	5.9	5.9	90	68	88	82	40
November	723.3	735.3	700.9	0.3	3.1	0.8	1.3	3.8	− 1.2	9.8	10.	− 6.7	7.	4.2	4.4	4.4	4.3	89	76	89	85	51
Dezember	**726.8**	735.9	712.3	− 0.8	3.2	0.6	1.1	3.8	− 1.7	11.4	28.	− 9.6	9.	4.3	4.9	4.4	4.5	89	**83**	**90**	**87**	68
Jahr	723.3	737.3	696.3	5.5	10.9	6.5	7.4	11.9	3.2	31.0	23. VI.	−25.8	4. II.	6.4	6.4	6.5	6.4	86	64	83	78	28

Landau i. Pf.

$\varphi = 49^0\ 12'$ N $\lambda = 8^0\ 7'$ E — H = 149.9 m Cg = + 0.3 mm

Monat	Luftdruck auf 0° und Normalschwere reduziert: Mittel mm	Maximum mm	Minimum mm	Lufttemperatur: 7a C°	2p C°	9p C°	Tagesmittel C°	Mittl. Maximum C°	Mittl. Minimum C°	Absol. Maximum C°	Datum	Absol. Minimum C°	Datum	Absolute Feuchtigkeit: 7a mm	2p mm	9p mm	Mittel mm	Relative Feuchtigkeit: 7a Proz.	2p Proz.	9p Proz.	Mittel Proz.	Minimum Proz.
Januar	749.3	761.5	**722.3**	0.3	2.7	1.1	1.3	3.9	− 1.0	10.6	7.	− 6.7	28.	4.3	4.7	4.5	4.5	88	82	87	86	54
Februar	**745.4**	757.7	725.6	2.1	8.1	4.2	4.7	8.7	1.0	15.8	29.	**−17.4**	4.	5.1	6.1	5.9	5.7	91	76	88	85	52
März	746.5	757.7	730.2	6.2	11.3	7.8	8.3	12.7	4.2	20.3	27.	− 0.2	17.	6.0	6.1	6.3	6.1	84	61	80	75	34
April	750.1	761.3	734.6	7.4	12.8	8.2	9.1	14.0	3.6	20.1	27.	− 3.2	13.	5.3	4.9	5.2	5.1	**68**	**47**	**64**	**59**	**22**
Mai	748.3	757.6	739.0	13.9	19.2	14.0	15.3	20.7	8.7	**31.7**	12.	− 0.4	2.	8.2	8.0	8.6	8.3	68	48	71	62	23
Juni	747.0	754.6	737.9	17.2	21.9	**16.5**	18.0	23.2	12.4	30.3	23.	7.8	4.	10.4	9.6	10.3	10.1	71	50	74	65	34
Juli	748.2	753.2	740.6	**18.1**	**23.9**	15.0	**19.3**	**25.6**	**13.8**	31.1	12.	8.2	3.	**11.3**	**10.9**	**11.7**	**11.3**	75	52	76	68	31
August	746.4	753.4	737.1	14.1	18.6	14.2	15.3	19.8	11.6	26.0	4.	6.5	29.	10.2	10.5	10.5	10.4	85	66	87	79	43
September	751.8	757.9	743.6	8.4	13.8	9.7	10.4	14.9	6.5	**26.2**	1.	2.9	25.	7.3	7.6	7.7	7.5	88	65	85	79	44
Oktober	749.5	**762.5**	735.5	5.7	10.6	6.7	7.4	11.5	4.1	18.5	1.	− 2.0	7.	6.4	7.1	6.7	6.7	91	74	89	85	40
November	749.3	760.6	726.8	2.7	5.6	3.5	3.8	6.2	1.3	11.3	10.	− 2.9	29.	4.9	5.2	5.0	5.1	88	77	80	83	52
Dezember	**752.5**	761.8	739.5	2.1	4.7	2.7	3.1	5.3	0.5	13.4	28.	− 7.0	8.	5.1	5.6	5.2	5.3	**92**	**85**	**90**	**89**	72
Jahr	748.7	762.5	722.3	8.2	12.8	8.6	9.7	13.9	5.6	31.7	12. V.	−17.4	4. II.	7.0	7.2	7.3	7.2	82	65	81	76	22

Alle Angaben nach Ortszeit.

1912

Kaiserslautern.

h_t = 6.0 m h_r = 1.3 m

Monat	Bewölkung 7a	2p	9p	Mittel	Niederschlag Summe mm	Tagesmaximum Betrag mm	Gemessen am	Zahl der Tage ≧0.1 mm Niederschlag	≧1.0 mm	≧0.1 mm ✳	🌫	△	▲	🌁	≡	heitere	trübe	Windverteilung N	NE	E	SE	S	SW	W	NW	C
Januar	8.8	**8.7**	**8.0**	8.5	46.6	16.1	7.	15	7	4	1	2	–	–	**6**	1	**22**	1	1	**24**	**8**	–	1	22	6	30
Februar	9.1	7.3	5.4	7.3	47.3	12.0	25.	18	12	4	**6**	–	–	–	4	1	15	4	1	5	1	–	2	33	6	35
März	8.5	8.3	5.8	7.5	85.6	13.2	6.	**25**	19	2	–	**4**	1	2	–	2	14	–	–	3	–	3	2	45	9	31
April	6.6	6.9	3.0	5.5	15.5	4.2	1.	**11**	5	**6**	–	2	–	–	–	2	6	5	3	20	4	–	–	**18**	7	33
Mai	5.3	6.8	5.8	6.0	26.4	8.0	16.	14	8	–	–	–	1	3	1	5	9	**6**	**5**	7	–	1	1	28	5	**40**
Juni	6.1	7.5	6.8	6.8	39.2	8.2	17.	16	11	-	–	–	1	7	–	2	12	2	–	4	6	2	2	33	**14**	27
Juli	6.1	6.3	5.7	6.1	73.8	22.0	22.	16	10	–	–	–	–	**9**	1	**6**	9	–	1	12	5	2	–	23	11	39
August	8.8	**8.7**	7.2	8.2	**113.0**	12.0	27.	**25**	**20**	–	–	–	–	6	–	1	21	1	–	2	–	**4**	3	**51**	9	23
September	7.8	8.6	5.3	7.3	60.1	**37.7**	9.	15	8	–	–	1	–	1	3	1	13	2	3	20	6	1	1	24	7	26
Oktober	8.0	6.4	4.3	6.3	68.7	15.0	30.	18	14	–	–	–	–	–	**6**	4	13	2	1	13	1	2	**5**	28	3	38
November	**9.3**	**8.7**	7.7	**8.6**	38.6	9.0	11.	21	12	3	–	2	–	–	5	–	21	**2**	–	3	3	**4**	2	41	12	23
Dezember	7.8	7.2	5.9	7.0	52.6	13.0	27.	18	10	3	1	–	–	–	**6**	2	14	–	1	6	3	–	2	47	9	25
Jahr	7.7	7.6	5.9	7.1	667.4	37.7	9. IX.	212	136	22	8	11	3	28	32	27	169	25	16	119	37	19	21	393	98	370

Nürnberg.

h_t = 10.3 m h_r = 1.3 m

Monat	Bewölkung 7a	2p	9p	Mittel	Niederschlag Summe mm	Tagesmaximum Betrag mm	Gemessen am	Zahl der Tage ≧0.1 mm Niederschlag	≧1.0 mm	≧0.1 mm ✳	🌫	△	▲	🌁	≡	heitere	trübe	Windverteilung N	NE	E	SE	S	SW	W	NW	C
Januar	6.6	7.0	7.0	6.8	29.8	8.1	7.	11	7	6	3	–	–	–	15	3	16	2	4	24	19	5	10	15	7	**7**
Februar	8.0	7.6	6.4	7.4	32.6	9.2	24.	11	4	3	**11**	1	–	–	12	–	13	2	2	9	21	11	**27**	7	4	4
März	7.8	7.9	6.9	7.5	43.4	11.6	25.	13	12	2	–	2	–	–	7	1	12	2	1	4	20	12	23	**24**	5	2
April	6.2	7.4	3.7	5.7	23.0	11.6	2.	6	4	1	–	2	–	1	3	3	7	9	11	**26**	6	2	11	9	13	3
Mai	6.6	7.1	5.8	6.5	65.1	15.5	22.	11	9	–	–	–	1	7	2	3	13	**11**	1	8	12	6	8	17	**27**	3
Juni	7.3	7.7	**7.3**	7.4	107.1	32.0	25.	16	15	–	–	–	–	**9**	1	1	13	7	8	2	13	5	13	21	16	5
Juli	5.7	6.1	5.3	5.7	**124.5**	**41.0**	22.	13	11	–	–	–	–	**9**	4	**6**	9	5	6	22	18	4	13	14	8	3
August	8.4	8.3	6.9	7.8	111.5	17.7	3.	**20**	**19**	–	–	–	–	3	5	–	17	1	–	3	20	6	**27**	**24**	8	4
September	7.8	**8.9**	5.4	7.4	45.1	21.0	9.	17	11	–	–	3	–	3	14	1	16	7	**18**	13	**2**	4	15	16	14	1
Oktober	6.5	5.7	4.5	5.6	34.5	5.2	23.	14	11	–	–	–	–	–	10	5	11	10	5	13	18	14	13	10	4	6
November	**9.8**	8.5	7.0	**8.4**	36.6	5.5	13., 21.	13	11	**8**	1	**5**	–	1	**16**	–	**20**	**1**	5	**1**	16	**16**	16	20	9	6
Dezember	7.8	6.9	5.9	6.8	28.1	8.0	17.	9	8	3	1	–	–	–	14	3	14	1	–	6	**23**	13	22	17	4	**7**
Jahr	7.4	7.4	6.0	6.9	681.3	41.0	22. VII.	154	122	23	16	13	1	33	103	26	161	58	61	131	188	98	198	194	119	51

Ansbach.

h_t = 5.0 m h_r = 1.4 m

Monat	Bewölkung 7a	2p	9p	Mittel	Niederschlag Summe mm	Tagesmaximum Betrag mm	Gemessen am	Zahl der Tage ≧0.1 mm Niederschlag	≧1.0 mm	≧0.1 mm ✳	🌫	△	▲	🌁	≡	heitere	trübe	Windverteilung N	NE	E	SE	S	SW	W	NW	C
Januar	6.3	7.2	5.6	6.4	38.7	6.8	10.	18	8	8	1	–	–	–	2	5	14	4	2	**20**	6	2	6	23	**1**	29
Februar	6.8	6.7	4.0	5.8	44.1	9.4	1.	16	**7**	5	**11**	–	–	–	4	**1**	7	2	1	3	1	5	9	19	4	**43**
März	7.3	6.8	5.9	6.7	55.0	8.1	25.	22	16	1	–	**2**	–	–	1	2	8	–	–	2	1	9	16	42	5	**18**
April	4.4	5.6	3.1	4.3	28.4	8.1	2.	14	**7**	5	–	**2**	–	2	–	6	4	10	**10**	**13**	–	–	**2**	19	7	29
Mai	5.4	6.8	4.3	5.5	88.2	16.6	25.	16	10	–	–	1	1	**6**	–	5	8	8	2	2	–	1	4	20	**14**	42
Juni	6.1	6.4	5.6	6.0	53.5	11.6	24.	17	11	–	–	–	1	5	–	3	7	7	2	2	3	3	8	30	6	29
Juli	3.8	4.3	4.3	4.1	104.7	**36.4**	22.	**14**	12	–	–	–	–	**6**	2	**8**	3	1	1	6	**7**	3	3	22	10	40
August	8.1	7.7	6.7	7.5	**116.8**	15.4	20.	**24**	**22**	–	–	–	–	4	1	**1**	14	–	–	1	1	5	**19**	**45**	3	19
September	7.3	**8.4**	4.4	**7.7**	92.7	32.7	9.	19	15	–	–	1	1	1	2	**1**	10	**13**	9	5	–	2	4	23	10	24
Oktober	7.0	5.2	4.8	5.6	50.8	7.9	23.	15	13	1	–	–	–	–	4	5	8	3	6	7	2	**11**	17	**17**	4	26
November	**8.3**	7.6	**7.0**	7.6	46.1	10.8	21.	16	12	**13**	2	**2**	–	–	1	**1**	**17**	2	2	–	–	6	18	33	8	21
Dezember	6.2	6.4	4.7	5.7	39.1	11.2	17.	15	7	3	1	–	–	–	**7**	5	9	–	–	–	1	3	14	32	**3**	40
Jahr	6.4	6.6	5.0	6.1	758.1	36.4	22. VII.	206	140	36	15	8	3	24	24	43	109	50	35	61	22	50	120	325	75	360

Landau i. Pf.

h_t = 7.9 m h_r = 1.2 m

Monat	Bewölkung 7a	2p	9p	Mittel	Niederschlag Summe mm	Tagesmaximum Betrag mm	Gemessen am	Zahl der Tage ≧0.1 mm Niederschlag	≧1.0 mm	≧0.1 mm ✳	🌫	△	▲	🌁	≡	heitere	trübe	Windverteilung N	NE	E	SE	S	SW	W	NW	C
Januar	**8.8**	**8.5**	**8.2**	**8.5**	44.7	19.8	7.	15	8	4	3	–	–	–	3	–	**21**	–	**46**	–	2	1	34	9	**1**	–
Februar	8.1	7.6	6.8	7.5	39.8	11.7	25.	16	8	**5**	**7**	–	–	–	1	–	11	–	14	–	**8**	2	42	10	11	–
März	8.3	7.3	7.0	7.5	79.6	16.0	6.	23	17	–	–	1	–	1	–	1	14	1	–	–	2	**3**	59	8	20	–
April	5.2	6.7	4.0	5.3	25.6	9.2	1.	12	7	2	–	1	–	1	–	3	5	**4**	37	**3**	4	–	**13**	13	16	–
Mai	5.3	7.2	5.5	6.0	36.9	12.3	22.	14	10	–	–	1	–	4	–	5	11	–	23	–	1	–	32	**23**	14	–
Juni	5.5	7.0	7.2	6.5	56.5	14.5	2.	18	12	–	–	–	–	4	–	4	11	–	20	–	3	2	49	9	7	–
Juli	**4.7**	5.3	4.2	**4.7**	55.6	13.9	19.	14	9	–	–	–	–	**9**	1	**9**	8	1	32	2	5	1	**43**	1	8	–
August	8.0	8.2	6.7	7.7	**146.3**	15.8	27.	**24**	**20**	–	–	–	1	4	–	2	16	1	2	–	–	**3**	**71**	7	9	–
September	6.9	7.5	6.4	6.9	60.2	**27.5**	9.	15	8	–	–	–	–	1	1	2	13	1	34	2	–	**3**	24	4	**22**	–
Oktober	7.0	6.9	6.2	6.7	57.1	13.7	2.	18	15	–	–	–	1	–	5	6	16	1	35	–	2	1	48	1	5	–
November	7.6	**8.5**	7.5	7.8	42.4	7.0	11.	22	10	1	–	–	1	–	–	2	18	3	10	–	1	**3**	51	9	13	–
Dezember	7.0	6.1	6.5	6.5	69.9	16.5	17.	17	11	2	1	–	–	–	**6**	5	11	–	14	1	3	1	62	1	11	–
Jahr	6.9	7.2	6.4	6.8	714.6	27.5	9. IX.	208	135	14	11	3	3	24	17	39	155	12	267	8	31	20	528	95	137	–

Alle Angaben nach Ortszeit.

1912

Weissenburg i. B.

$\varphi = 49^0\ 2'$ N $\lambda = 10^0\ 58'$ E — H = 431 m Cg = + 0.2 mm

Monat	Luftdruck auf 0° und Normalschwere reduziert: Mittel mm	Maximum mm	Minimum mm	Lufttemperatur: 7a C°	2p C°	9p C°	Tagesmittel C°	Mittl. Maximum C°	Mittl. Minimum C°	Absol. Maximum C°	Datum	Absol. Minimum C°	Datum	Absolute Feuchtigkeit: 7a mm	2p mm	9p mm	Mittel mm	Relative Feuchtigkeit: 7a Proz.	2p Proz.	9p Proz.	Mittel Proz.	Minimum Proz.
Januar	724.7	735.7	697.7	- 2.2	1.3	- 0.7	- 0.6	2.3	- 3.4	10.0	24.	-10.6	17.	3.6	4.0	3.9	3.8	87	77	**90**	85	44
Februar	721.1	732.3	699.6	0.8	6.1	2.7	3.1	6.9	- 0.7	15.8	29.	-24.0	4.	4.6	5.7	5.2	5.2	90	78	88	85	54
März	722.5	733.7	708.2	5.0	9.8	6.4	6.9	10.7	3.6	19.5	27.	- 1.9	17.	5.8	6.3	6.0	6.0	87	69	84	80	40
April	725.2	735.6	710.8	4.7	11.0	6.4	7.1	12.0	1.6	18.9	28.	- 5.1	13.	5.3	5.9	5.7	5.6	81	61	**77**	73	43
Mai	724.3	733.2	714.8	11.1	17.6	12.1	13.2	18.6	7.4	**29.4**	12.	- 2.9	2.	8.5	9.5	8.7	8.9	85	63	81	76	33
Juni	723.4	729.8	713.2	14.9	20.4	14.9	16.3	21.4	10.8	27.8	29.	6.2	1.	10.7	11.7	10.9	11.1	85	66	86	79	45
Juli	724.7	729.7	715.8	**16.4**	**22.4**	**16.4**	**17.9**	**23.2**	**12.3**	28.2	28.	8.1	21.	**11.7**	**12.4**	**11.7**	**11.9**	85	63	85	78	42
August	722.8	729.5	713.6	13.1	17.4	13.5	14.3	18.5	10.9	26.5	30.	4.9	29.	9.8	10.7	10.0	10.2	87	73	87	82	47
September	727.2	733.7	719 3	6.7	11.7	8.0	8.6	12.4	5.1	16.9	1.	- 0.2	23.	6.8	7.5	7.1	7.1	**92**	74	88	85	50
Oktober	725 3	**737.6**	709.8	4.9	10.2	6.4	7.0	11.0	3.3	19.4	1.	- 4.0	5.	5.9	7.1	6.6	6.5	90	75	**90**	85	55
November	724.4	735.7	702.3	0.7	3.2	1.3	1.6	4.0	- 0.6	9.9	10.	- 6.4	7.	4.4	4.7	4.5	4.6	91	82	89	87	59
Dezember	**727 9**	736.6	714.8	0.5	3.2	1.2	1.5	4.0	- 1.0	12.0	28.	- 8.1	9.	4.4	5.0	4.7	4.7	90	**84**	**90**	**88**	67
Jahr	721.5	737.6	697.7	6.4	11.2	7.4	8.1	12.1	4.1	29.4	12. V.	-24.0	4. II.	6.8	7.5	7.1	7.1	88	72	86	82	33

Buchenau.

$\varphi = 49^0\ 2'$ N $\lambda = 13^0\ 20'$ E — H = 750 m Cg = + 0.1 mm, über 692.8 mm = + 0.2 mm

Monat	Luftdruck auf 0° und Normalschwere reduziert: Mittel mm	Maximum mm	Minimum mm	Lufttemperatur: 7a C°	2p C°	9p C°	Tagesmittel C°	Mittl. Maximum C°	Mittl. Minimum C°	Absol. Maximum C°	Datum	Absol. Minimum C°	Datum	Absolute Feuchtigkeit: 7a mm	2p mm	9p mm	Mittel mm	Relative Feuchtigkeit: 7a Proz.	2p Proz.	9p Proz.	Mittel Proz.	Minimum Proz.
Januar	695.4	706.1	**669.3**	- 5.4	- 1.4	- 4.5	- 4 0	0.0	- 7.0	6.1	25.	-16.7	17.	2.8	3 4	2.9	3.1	84	78	84	82	45
Februar	**692 4**	704.3	671.1	- 0.6	3.4	0.2	0.8	4.5	- 2.0	12.7	8.	-20.4	4.	4.0	4.8	4.3	4.3	87	75	88	84	48
März	694.2	705.9	680.1	1.1	6.2	2.4	3.0	7.3	0.0	16 2	27.	- 4.8	13.	4.5	5.4	4.7	4.9	90	76	85	84	48
April	696.3	706.1	682.4	1.6	6.9	3.0	3.6	8.9	- 0.2	17.1	27.	- 8.0	4.	4.2	5.0	4.4	4.5	80	67	77	74	41
Mai	696.1	705.1	689.3	7.5	13.8	9.1	9.9	15.6	5.6	25.4	15.	- 0.1	1., 3.	7.0	7.6	7.4	7.4	88	66	85	80	33
Juni	696 0	702.3	689.5	11.6	17.2	12.5	13.5	19.3	9.4	25.8	7.	5.6	30.	9.6	10 7	9.5	10.0	94	**94**	89	86	45
Juli	697.3	702.5	688.3	**12.4**	**18.7**	**13.8**	**14.7**	**20 1**	**10.6**	**26.1**	28.	7.7	5.	**10.1**	**11.2**	**10.1**	**10.5**	94	71	87	84	51
August	695.2	701.4	686.9	9.4	14.7	10.4	11.2	16.1	8.0	24.5	30.	4.0	15., 29.	8.5	10.1	8.9	.9.2	**96**	82	**94**	**91**	55
September	698.5	705.2	691.6	4.6	8.3	5.4	5.9	9.6	3.8	15.2	2.	0.8	26.	6.1	6.8	6.3	6.4	95	83	**94**	90	58
Oktober	697.1	**708.4**	680.5	2.1	7.8	3.1	4.0	8.9	0 6	15.7	30.	- 5.3	5.	4.8	6.0	5 1	5.3	87	76	88	83	30
November	695.5	706.3	674.6	- 2.7	- 0.2	- 2.4	- 2.0	0.7	- 4.2	5.8	1.	-11.0	8.	3.6	3.9	3 6	3.7	94	85	92	90	53
Dezember	**699.2**	706.7	686.7	- 1.2	1.7	- 1.1	- 0.4	2.6	- 2.7	7.0	28.	- 8.0	8.	3.9	4 4	3.9	4.1	91	84	89	88	44
Jahr	696.1	708.4	669.3	3.4	8.1	4.3	5.0	9.5	1.8	26.1	28. VII.	-20.4	4. II.	5.8	6.6	5.9	6.1	90	78	88	85	30

Regensburg.

$\varphi = 49^0\ 1'$ N $\lambda = 12^0\ 7'$ E — H = 342.6 m, vom 11. VII. ab H = 354.3 m Cg = + 0.2 mm

Monat	Luftdruck auf 0° und Normalschwere reduziert: Mittel mm	Maximum mm	Minimum mm	Lufttemperatur: 7a C°	2p C°	9p C°	Tagesmittel C°	Mittl. Maximum C°	Mittl. Minimum C°	Absol. Maximum C°	Datum	Absol. Minimum C°	Datum	Absolute Feuchtigkeit: 7a mm	2p mm	9p mm	Mittel mm	Relative Feuchtigkeit: 7a Proz.	2p Proz.	9p Proz.	Mittel Proz.	Minimum Proz.
Januar*)	731.1	741.9	705.1	- 4.0	- 0.9	- 3.0	- 2 8	0.2	- 6.3	7.2	7.	-13.5	16.	3.1	3.4	3.2	3.2	84	77	82	81	61
Februar	**727.4**	738.9	706.5	- 0.9	4.0	0.8	1.2	5.8	- 2.8	16.0	28., 29.	-25 0	4.	4.1	4.8	4.5	4.5	91	76	89	85	53
März	728.9	739.7	715.4	3.5	9.4	5.4	5.9	10.6	1.3	19.5	27.	- 2.5	öfters	5.0	5.5	5.5	5.3	84	61	81	76	33
April	731.0	742.1	717.2	4.0	10.9	6.6	7.0	12.4	1.6	20.0	28.	- 5.0	13., 14.	4.5	4.1	4.8	4.5	71	43	65	59	21
Mai	730.2	739 9	721.7	10.0	17.2	11.9	12.8	18.8	7.2	**30.0**	15.	- 2.0	2.	7.3	7.0	7.7	7.3	77	48	73	66	**19**
Juni	729.5	736.0	719.1	14.3	20.9	15.4	16.5	**23.0**	11.4	29.2	19.	7.5	1., 2.	9.7	9.4	10.0	9.7	79	52	76	69	37
Juli	730.7	735.7	722.0	**14.7**	**21.9**	**16.6**	**17.5**	22.9	**12.1**	27.0	28.	9.2	5.	**10.7**	**10.7**	**11.6**	**11.0**	80	56	82	73	36
August	728.6	735.0	721.0	12.0	17.4	13.6	14.2	18.4	10.4	24 5	1., 4.	6.0	29.	9.4	9.9	9.9	9.7	90	67	85	81	49
September	733.8	740 7	725.5	6.8	11.6	8 4	8.8	12.2	5.7	15.8	4.	1.0	23.	6.7	6.7	7.0	6.8	89	66	85	80	42
Oktober	732.4	**744.7**	715.3	3.4	8.0	5.1	5.4	9.0	2.3	19.8	1.	- 3.1	5.	5.4	6.1	6.0	5.8	91	75	89	85	44
November	731.3	743.0	709.3	- 0.3	1.8	0.3	0.5	2.5	- 1.4	8.0	1.	- 7.0	8.	4.1	4.3	4.2	4.2	**93**	81	89	87	53
Dezember	**735.0**	743.4	720.5	- 0.5	1.6	0.1	0.3	2.6	- 1.7	11.2	28.	- 7.6	9.	4.1	4.6	4.3	4.3	**92**	**87**	**92**	**90**	66
Jahr	730 8	744.7	705.1	5.3	10 3	6.8	7.3	11.5	3.3	30.0	15. V.	-25.0	4. II.	6.2	6.4	6.6	6.4	85	66	82	78	19

*) Die Barometerstände bis zum 11. VII. sind auf die neue Höhe reduziert.

Metten.

$\varphi = 48^0\ 51'$ N $\lambda = 12^0\ 55'$ E — H = 320 m

Monat	Luftdruck auf 0° und Normalschwere reduziert: Mittel mm	Maximum mm	Minimum mm	Lufttemperatur: 7a C°	2p C°	9p C°	Tagesmittel C°	Mittl. Maximum C°	Mittl. Minimum C°	Absol. Maximum C°	Datum	Absol. Minimum C°	Datum	Absolute Feuchtigkeit: 7a mm	2p mm	9p mm	Mittel mm	Relative Feuchtigkeit: 7a Proz.	2p Proz.	9p Proz.	Mittel Proz.	Minimum Proz.
Januar				- 5.3	- 1.1	- 3.8	- 3 5	- 0.3	- 7.2	6.2	7.	-16.3	17.	3.1	3 3	3.4	3.3	92	75	93	86	47
Februar				- 1.8	3.7	0.1	0.5	5.1	- 3.8	15.1	29.	-24.7	4.	4.1	5.2	4.6	4.6	96	82	94	91	62
März				3.0	9.5	5.1	5.7	10.5	1.1	17.8	27.	- 3.1	9.	5.4	6.3	5.6	5.8	94	71	85	83	35
April				4.7	11.3	6.4	7.2	12.9	1.2	21.4	28.	- 6.2	13.	5 2	5.2	5.1	5.2	**79**	54	72	68	**24**
Mai				10.4	17.2	12.0	12.9	19 1	6.5	**29.3**	15.	- 2.1	3.	8.2	8.4	8.3	8.3	85	58	78	74	32
Juni				14.2	21.5	15.6	16.7	23.1	10.2	28.3	7.	5.7	18.	10.8	11 0	10.9	10.9	89	59	82	77	38
Juli				**15.3**	**23.0**	**16.5**	**17.8**	**24.0**	**11.2**	29.2	28.	8.4	18.	**11.4**	**11.2**	**11.5**	**11.4**	88	55	83	75	29
August				12.2	18.5	13.1	14.2	19.8	9.0	27.4	30.	3.7	15., 29	9 9	10.6	10.0	10.1	93	67	89	83	47
September				6.9	12.2	8.1	8.8	13.2	4.7	17.8	1.	0.2	29.	6 9	7.2	7.0	7.1	92	69	87	83	39
Oktober				2.8	8.6	4.9	5.3	9.5	0.7	19.1	1.	- 4.2	5.	5.6	6.5	5.9	6.0	96	78	90	88	46
November				- 1.0	2.3	- 0.3	0.2	2.9	- 2.7	8.8	1.	-10.1	8.	4.2	4.5	**4.1**	4.3	96	83	90	90	63
Dezember				- 1.7	1.4	- 0.3	- 0.2	2.5	- 3.5	9.0	16.	- 9.7	9.	4.1	4.8	4.4	4.4	**97**	**92**	**95**	**94**	62
Jahr				5.0	10.7	6.5	7.1	11.9	2.3	29.3	15. V.	-24.7	4. II.	6.6	7.0	6.7	6.8	91	70	87	83	24

Alle Angaben nach Ortszeit.

1912

Weissenburg i. B.

h_t = 10.2 m — h_r = 1.2 m

Monat	Bewölkung 7a	2p	9p	Mittel	Niederschlag Summe mm	Tagesmaximum Betrag mm	Tagesmaximum Gemessen am	Zahl der Tage ≧0.1 mm Niederschlag	≧1.0 mm	≧0.1 mm ✳	⊠	△	▲	⊼	≡	heitere	trübe	Windverteilung N	NE	E	SE	S	SW	W	NW	C
Januar	6.7	**8.0**	6.2	7.0	32.2	14.1	7.	11	10	3	2	–	–	–	**7**	2	14	1	21	14	14	6	14	18	2	3
Februar	6.8	7.5	5.0	6.4	36.6	9.8	25.	13	7	4	**11**	–	–	–	3	–	10	–	6	6	14	11	27	16	4	3
März	7.5	7.8	7.0	7.4	38.9	10.6	24.	20	10	–	–	1	–	–	2	–	13	1	3	1	15	11	31	28	3	–
April	6.0	7.1	3.9	5.7	29.5	10.5	2.	**10**	7	4	–	**2**	–	–	–	2	6	7	**24**	**15**	2	–	12	12	**14**	4
Mai	6.0	7.1	5.4	6.2	104.7	21.1	22.	15	12	–	–	–	–	3	–	4	9	6	10	4	**2**	11	18	20	**14**	8
Juni	6.3	7.0	5.8	6.4	115.2	49.9	25.	17	11	–	–	–	–	**5**	3	2	9	4	9	6	5	8	20	**30**	3	5
Juli	**4.7**	**5.7**	4.7	**5.0**	**170.1**	**60.4**	8.	12	10	–	–	–	–	**5**	3	**8**	8	–	8	**15**	8	11	17	14	9	11
August	7.5	7.6	**7.4**	7.5	107.9	17.5	3.	**24**	**17**	–	–	–	–	1	1	2	**19**	–	–	1	5	**20**	37	25	1	4
September	8.0	**8.0**	5.9	**7.3**	66.6	28.2	9.	17	12	–	–	1	–	2	6	1	14	**9**	15	8	6	3	19	17	7	6
Oktober	7.2	6.3	4.9	6.1	42.9	10.3	3.	13	9	1	–	–	–	–	3	3	11	3	11	11	11	15	23	**9**	4	6
November	**8.3**	7.8	7.0	**7.7**	38.0	5.2	9.	14	12	**6**	2	1	–	–	3	1	14	–	4	5	9	10	22	23	5	**12**
Dezember	6.3	6.6	5.4	6.1	**29.4**	10.1	17.	11	**6**	2	1	–	–	–	–	6	9	1	2	2	**21**	9	**38**	14	**1**	5
Jahr	6.8	7.2	5.7	6.6	812.0	60.4	8. VII.	177	123	20	16	5	–	16	31	31	136	32	113	88	112	115	278	226	67	67

Buchenau.

h_t = 1.6 m — h_r = 1.3 m

Monat	Bewölkung 7a	2p	9p	Mittel	Niederschlag Summe mm	Tagesmaximum Betrag mm	Tagesmaximum Gemessen am	Zahl der Tage ≧0.1 mm Niederschlag	≧1.0 mm	≧0.1 mm ✳	⊠	△	▲	⊼	≡	heitere	trübe	Windverteilung N	NE	E	SE	S	SW	W	NW	C
Januar	7.0	6.6	5.6	6.4	127.6	23.8	7.	12	10	11	**31**	1	–	–	1	6	15	–	1	33	2	–	3	36	1	17
Februar	7.9	7.5	6.0	7.1	84.7	20.7	25.	15	12	8	**29**	1	–	–	3	2	14	–	1	**17**	2	1	2	47	–	17
März	7.5	7.6	5.5	6.9	104.9	12.3	3.	22	**21**	8	7	**3**	–	–	1	**1**	10	–	–	22	–	–	7	49	–	15
April	5.5	7.0	5.4	6.0	110.9	31.2	6.	13	12	6	6	1	–	1	1	4	11	–	1	**45**	–	1	2	36	1	4
Mai	6.3	6.7	6.2	6.4	147.9	28.4	23.	18	14	–	–	–	–	5	**4**	5	15	2	**5**	26	2	1	5	32	–	20
Juni	6.6	7.6	6.7	6.9	212.8	48.4	25.	21	19	–	–	–	–	**10**	3	2	16	2	1	30	–	**2**	4	27	–	24
Juli	4.9	6.5	5.2	5.5	151.0	53.2	22.	14	**10**	–	–	–	1	8	1	7	9	–	–	39	2	**2**	1	30	**3**	16
August	6.6	8.0	6.4	7.0	**231.3**	52.1	8.	21	19	–	–	–	**2**	3	–	3	13	–	1	19	–	–	**8**	**52**	1	12
September	**8.1**	**8.1**	**8.2**	**8.2**	144.5	33.4	9.	**23**	19	1	–	1	1	–	**4**	1	**22**	–	3	39	1	–	–	38	1	8
Oktober	6.2	6.3	4.7	5.7	70.9	15.2	4.	13	11	1	–	–	–	1	–	8	12	–	2	40	**3**	–	1	24	–	23
November	7.9	7.6	7.5	7.7	156.9	**53.3**	21.	19	16	**17**	29	1	–	–	1	2	19	–	1	21	2	**2**	7	27	–	**30**
Dezember	5.0	4.4	3.8	4.4	116.1	35.7	15.	16	13	7	27	–	–	–	3	**9**	13	–	–	22	1	–	2	39	–	29
Jahr	6.6	7.0	5.9	6.5	1659.5	53.3	21. XI.	207	176	59	129	8	4	28	22	50	169	4	16	353	15	9	42	437	7	215

Regensburg.

h_t = 6.8 m. Vom 11. VII. ab h_t = 2.0 m. — h_r = 1.6 m. Vom 11. VII. ab h_r = 1.2 m

Monat	Bewölkung 7a	2p	9p	Mittel	Niederschlag Summe mm	Tagesmaximum Betrag mm	Tagesmaximum Gemessen am	Zahl der Tage ≧0.1 mm Niederschlag	≧1.0 mm	≧0.1 mm ✳	⊠	△	▲	⊼	≡	heitere	trübe	Windverteilung N	NE	E	SE	S	SW	W	NW	C
Januar	7.0	6.1	4.7	5.9	41.3	15.5	7.	11	9	4	7	–	–	–	6	4	9	**34**	2	–	–	27	11	4	**15**	–
Februar	8.3	6.9	7.0	7.4	33.0	10.0	3.	9	9	3	**11**	–	–	–	4	2	14	7	4	1	6	27	15	15	12	–
März	7.7	7.5	4.8	6.7	47.0	7.0	25.	**19**	**19**	–	–	2	–	–	1	1	11	10	3	–	2	**37**	3	32	6	–
April	5.9	6.7	3.6	5.4	22.0	9.0	2.	8	8	4	–	2	–	–	–	1	6	17	2	**24**	5	10	3	17	12	–
Mai	6.5	6.3	4.7	5.8	77.3	21.2	25.	15	11	–	–	–	–	4	–	**5**	9	3	2	19	9	6	**2**	43	9	–
Juni	6.0	6.4	5.9	6.1	**107.4**	**45.0**	25.	13	10	–	–	–	–	**5**	1	3	10	2	–	17	–	11	9	**48**	3	–
Juli	**5.7**	**4.9**	4.8	**5.2**	99.1	30.7	22.	15	11	–	–	–	–	**5**	3	4	8	1	5	14	7	10	16	25	3	12
August	8.3	6.8	5.2	6.8	75.3	25.8	8.	16	12	–	–	–	–	1	2	1	12	–	3	7	**15**	7	**35**	18	3	5
September	8.5	8.1	4.5	7.1	33.2	11.3	9.	15	11	–	–	–	–	–	4	1	9	8	**17**	4	3	–	20	15	4	19
Oktober	8.7	8.2	6.8	7.9	27.7	8.6	3.	13	8	–	–	–	–	–	8	–	19	2	4	22	8	8	7	8	–	**34**
November	8.6	8.1	6.4	7.7	45.0	11.0	21.	16	14	**9**	1	2	–	–	3	–	15	3	1	4	6	6	15	21	1	33
Dezember	**8.9**	**8.5**	**7.5**	**8.3**	28.4	7.3	26.	10	**7**	1	–	–	–	–	**9**	–	**21**	1	–	1	11	25	13	12	2	28
Jahr	7.5	7.0	5.5	6.7	636.7	45.0	25. VI.	160	129	21	19	6	–	15	41	22	143	88	43	113	72	174	149	258	70	131

Metten.

h_t = 13.0 m — h_r = 1.5 m

Monat	Bewölkung 7a	2p	9p	Mittel	Niederschlag Summe mm	Tagesmaximum Betrag mm	Tagesmaximum Gemessen am	Zahl der Tage ≧0.1 mm Niederschlag	≧1.0 mm	≧0.1 mm ✳	⊠	△	▲	⊼	≡	heitere	trübe	Windverteilung N	NE	E	SE	S	SW	W	NW	C
Januar	6.6	7.1	5.9	6.5	68.7	23.4	7.	12	9	9	**24**	1	–	–	7	5	15	**6**	**12**	6	1	6	7	16	7	32
Februar	**8.2**	8.0	6.9	**7.7**	58.1	19.1	25.	13	**9**	6	20	1	–	–	**17**	–	15	1	4	6	6	5	13	21	7	24
März	7.8	8.0	6.2	7.3	77.9	14.3	25.	17	15	–	–	–	–	–	9	–	11	–	–	2	6	**18**	13	24	9	21
April	5.8	7.7	4.8	6.1	36.4	12.3	6.	12	9	5	1	2	–	–	1	2	10	–	4	**17**	7	4	4	24	**10**	20
Mai	7.1	6.9	5.8	6.6	86.5	12.4	24.	15	13	–	–	–	–	6	8	3	12	3	–	1	3	5	5	**35**	8	**33**
Juni	7.5	7.1	6.1	6.9	131.3	31.0	25.	17	15	–	–	–	–	**8**	4	3	13	1	2	9	8	8	8	29	**10**	15
Juli	6.3	6.3	**4.5**	**5.7**	88.8	30.2	26.	12	11	–	–	–	–	6	8	**6**	10	–	–	10	12	8	9	23	1	30
August	7.0	7.6	6.3	7.0	**133.6**	**42.0**	8.	**20**	**17**	–	–	–	–	2	6	3	13	–	1	4	3	9	**18**	34	4	20
September	8.0	7.9	7.2	**7.7**	114.2	35.5	9.	**20**	14	–	–	–	–	1	9	1	18	3	7	9	9	7	1	25	6	23
Oktober	7.6	7.4	7.2	7.4	53.1	12.4	2.	11	9	–	–	–	–	–	11	4	**19**	–	1	10	**16**	12	12	**11**	3	28
November	7.8	7.8	**7.3**	7.6	70.1	10.2	21.	17	15	**11**	13	**3**	–	–	10	3	18	3	1	4	7	9	6	26	7	27
Dezember	8.0	**8.3**	6.6	7.6	49.6	8.0	26.	14	11	6	14	1	–	–	16	2	17	2	1	3	6	6	10	32	5	28
Jahr	7.3	7.5	6.2	7.0	968.3	42.0	8. VIII.	180	147	37	72	8	–	23	106	32	171	19	33	81	84	97	106	300	77	301

Alle Angaben nach Ortszeit.

1912

Nördlingen.

$\varphi = 48^0\ 51'$ N $\lambda = 10^0\ 30'$ E — H = 435.6 m Cg = + 0.2 mm

Monat	Luftdruck auf 0° und Normalschwere reduziert: Mittel mm	Maximum mm	Minimum mm	Lufttemperatur: 7a C°	2p C°	9p C°	Tagesmittel C°	Mittl. Maximum C°	Mittl. Minimum C°	Absol. Maximum C°	Datum	Absol. Minimum C°	Datum	Absolute Feuchtigkeit: 7a mm	2p mm	9p mm	Mittel mm	Relative Feuchtigkeit: 7a Proz.	2p Proz.	9p Proz.	Mittel Proz.	Minimum Proz.
Januar	723.0	735.0	697.1	- 2.1	- 0.8	- 1.2	- 0.9	1.7	- 3.3	8.2	7.	- 9.9	15.	3.5	3.9	3.7	3.7	86	77	84	82	42
Februar	719.6	731.4	698.0	- 0.2	5.4	2.1	2.4	6.6	- 1.3	15.3	29.	-25.3	4.	4.4	5.1	4.8	4.8	**91**	73	87	84	40
März	721.0	732.1	706.3	4.5	9.9	6.2	6.7	11.0	3.3	20.2	27.	- 1.2	9.	5.4	5.4	5.6	5.5	85	59	78	74	37
April	723.8	734.8	709.1	3.6	11.1	6.2	6.7	12.7	1.4	20.9	27.	- 5.2	13.	4.8	5.0	5.1	5.0	80	52	**72**	68	33
Mai	722.9	732.1	713.5	10.3	17.1	12.5	13.1	18.8	8.0	**30.3**	12.	- 1.4	2.	7.7	8.0	8.1	7.9	80	56	74	70	25
Juni	721.9	728.7	712.0	13.5	19.8	15.0	15.8	21.3	11.2	28.2	29.	7.2	1.	9.6	10.0	10.0	9.8	83	59	78	74	41
Juli	723.2	728.4	714.1	**14.3**	**21.8**	**16.2**	**17.1**	**22.9**	**11.7**	28.2	13.	7.0	5.	**10.5**	**10.4**	**11.1**	**10.7**	86	56	82	74	33
August	721.5	728.7	712.5	12.3	17.4	13.2	14.0	18.3	10.5	27.1	30.	3.6	29.	9.1	9.5	9.8	9.5	85	65	86	79	44
September	725.9	732.3	717.8	6.5	11.5	7.8	8.4	12.6	5.2	17.6	1.	0.1	22.	6.5	6.8	6.8	6.7	90	68	86	81	44
Oktober	723.9	**736.3**	708.3	4.4	10.2	6.1	6.7	11.1	3.2	20.4	1.	- 4.5	6.	5.8	6.5	6.2	6.2	**91**	69	88	82	43
November	723.1	734.5	701.5	0.6	3.3	1.1	1.5	4.0	- 0.7	9.4	27.	- 5.6	7.	4.4	4.5	4.4	4.4	**91**	79	89	86	49
Dezember	**726.6**	735.0	712.6	0.0	3.1	1.0	1.2	3.9	- 1.2	12.6	28.	- 8.6	10.	4.3	4.8	4.5	4.6	**91**	**84**	**91**	**88**	65
Jahr	723.0	736.3	697.1	5.6	10.8	7.2	7.7	12.1	4.0	30.3	12. V.	-25.3	4. II.	6.3	6.7	6.7	6.6	87	67	83	79	25

Ingolstadt.

$\varphi = 48^0\ 45'$ N $\lambda = 11^0\ 26'$ E — H = 368 m

Januar				- 3.7	0.3	- 2.2	- 1.9	1.3	- 5.1	8.2	7.	-14.3	29.	3.3	3.7	3.5	3.5	88	75	84	82	48
Februar				- 1.5	5.3	0.6	1.3	6.4	- 3.3	16.9	29.	-26.0	4.	4.1	5.2	4.6	4.6	**94**	75	91	87	49
März				3.4	10.2	5.4	6.1	11.6	1.7	21.0	27.	- 3.6	17.	5.4	5.7	5.7	5.6	91	62	84	79	34
April				3.5	11.6	6.1	6.8	13.0	0.7	20.6	27.	- 7.3	13.	4.9	4.8	5.2	5.0	83	48	73	68	27
Mai				9.9	17.9	11.8	12.9	19.5	6.3	30.1	12.	- 3.8	2.	7.9	8.3	8.3	8.2	84	54	79	72	31
Juni				13.7	21.1	14.9	16.2	22.5	10.0	29.4	19.	4.2	1.	10.3	10.5	10.6	10.4	88	57	84	76	40
Juli				**14.3**	**22.6**	**16.0**	**17.2**	**24.1**	**10.7**	**31.1**	28.	6.3	3.	**11.0**	**11.1**	**11.3**	**11.1**	91	56	84	77	34
August				11.6	18.1	12.8	13.8	19.9	9.0	28.5	30.	3.6	22.	9.5	10.2	9.9	9.8	93	67	89	83	44
September				6.3	12.2	7.7	8.5	13.6	4.3	17.9	17.	- 0.4	22.	6.7	7.0	6.9	6.9	93	66	88	82	43
Oktober				3.4	9.7	4.9	5.7	10.7	1.3	21.7	1.	- 3.8	5.	5.6	6.4	6.0	6.0	**94**	71	91	85	40
November				- 0.4	3.1	0.5	0.9	4.2	- 2.3	9.8	10.	- 7.9	8.	4.3	4.5	4.3	4.4	**94**	78	91	88	57
Dezember				- 0.5	2.3	0.1	0.5	3.6	- 2.5	12.9	28.	- 8.3	10.	4.2	4.7	4.4	4.5	**94**	**86**	**94**	**91**	62
Jahr				5.0	11.2	6.6	7.3	12.5	2.6	31.1	28. VII.	-26.0	4. II.	6.4	6.8	6.7	6.7	91	66	86	81	27

Karlshuld.

$\varphi = 48^0\ 40'$ N $\lambda = 11^0\ 18'$ E — H = 382.0 m Cg = + 0.2 mm

Januar	728.4	739.7	**702.4**	- 4.1	0.1	- 2.4	- 2.2	2.1	- 5.4	8.9	3.	-14.6	29.	3.2	3.8	3.5	3.5	89	77	85	84	41
Februar	**724.9**	736.7	704.2	- 2.1	4.7	0.5	0.9	6.4	- 3.8	15.8	29.	-26.9	4.	4.1	5.2	4.7	4.7	96	76	93	88	55
März	726.2	736.7	711.3	3.5	10.0	5.3	6.0	11.8	1.8	21.4	27.	- 4.1	9.	5.6	5.9	5.8	5.8	94	64	85	81	39
April	728.5	739.8	709.0	3.5	11.1	6.0	6.7	13.4	0.2	20.0	8., 27.	- 7.4	13.	5.1	4.8	5.2	5.0	**85**	**50**	**73**	**70**	**25**
Mai	727.7	736.9	718.5	10.3	17.6	12.2	13.1	20.3	6.4	**33.5**	12.	- 4.2	2.	8.2	8.0	8.4	8.2	86	54	78	72	29
Juni	726.8	733.5	716.6	**14.2**	20.7	15.1	16.2	23.7	9.5	32.5	19.	3.9	1.	10.5	10.1	10.6	10.4	87	57	83	76	38
Juli	728.2	732.7	719.8	14.0	**22.4**	**15.6**	**16.9**	**24.6**	**10.1**	31.4	28.	5.4	18.	**11.0**	**10.6**	**11.6**	**11.1**	92	55	88	78	35
August	726.6	733.7	717.6	12.1	17.7	12.7	13.8	20.3	9.0	29.2	4.	2.3	29.	9.7	9.8	10.0	9.8	91	67	91	83	40
September	731.0	737.6	722.6	6.3	11.8	7.4	8.2	13.8	4.1	18.3	1.	- 1.3	22.	6.9	7.1	7.2	7.0	95	69	92	85	42
Oktober	729.3	**741.4**	713.5	3.2	9.5	4.5	5.4	10.9	0.9	21.7	1.	- 5.1	5.	5.7	6.8	6.1	6.2	**97**	76	**95**	89	52
November	728.6	740.1	706.9	- 0.6	2.8	0.3	0.7	4.3	- 1.8	10.0	10.	- 8.2	8.	4.3	4.6	4.4	4.4	96	81	94	**90**	62
Dezember	**732.2**	740.7	718.5	- 0.7	1.2	0.1	0.4	4.0	- 2.0	12.9	28.	- 9.3	11.	4.2	4.6	4.4	4.4	93	**86**	93	**90**	62
Jahr	728.2	741.4	702.4	5.0	10.8	6.4	7.2	13.0	2.4	33.5	12. V.	-26.9	4. II.	6.5	6.8	6.8	6.7	92	68	88	82	25

Passau.

$\varphi = 48^0\ 34'$ N $\lambda = 13^0\ 28'$ E — H = 309.3 m Cg = + 0.2 mm

Januar	736.2	747.6	**708.8**	- 4.1	- 0.2	- 2.3	- 2.2	0.8	- 5.3	8.1	7.	-13.9	15.	3.2	3.5	3.6	3.4	88	72	86	82	45
Februar	**732.4**	744.3	710.0	- 1.0	4.0	1.0	1.2	5.2	- 2.2	15.9	29.	-17.1	4.	4.3	5.0	4.9	4.7	**95**	81	**94**	**90**	56
März	733.7	744.9	719.0	3.5	9.6	6.0	6.3	10.5	2.6	18.8	27.	- 0.9	10., 30.	5.6	5.9	6.1	5.9	**95**	66	86	83	40
April	735.5	747.0	721.2	4.4	10.7	6.9	7.2	11.9	2.8	19.9	28.	- 3.3	14.	5.3	5.3	5.7	5.4	84	55	76	71	37
Mai	734.6	744.0	726.0	9.8	16.7	12.2	12.7	17.5	8.1	27.7	15.	0.0	3.	8.1	8.4	9.2	8.6	88	59	86	78	32
Juni	733.6	740.3	722.9	13.8	20.7	16.0	16.6	21.5	11.7	27.4	7.	7.0	18.	10.4	10.9	11.3	10.9	88	61	84	77	39
Juli	735.0	740.0	725.3	**14.7**	**22.2**	**16.9**	**17.7**	**22.9**	**12.7**	**28.2**	28.	10.0	18.	**10.9**	**11.4**	**12.0**	**11.5**	88	59	84	77	38
August	733.5	740.1	724.0	12.3	18.4	14.0	14.7	19.0	10.6	26.9	30.	6.3	18.	9.5	10.3	10.7	10.2	90	66	89	82	33
September	737.6	744.3	729.7	7.7	12.2	9.0	9.5	12.5	6.4	16.8	1., 2.	2.1	29.	7.3	7.5	7.7	7.5	92	71	90	84	51
Oktober	736.7	**748.9**	720.5	3.9	9.2	5.5	6.0	9.5	2.5	17.2	1.	- 1.5	5.	5.7	6.7	6.3	6.3	94	77	93	88	50
November	735.9	747.4	714.4	- 0.4	2.7	0.5	0.8	3.0	- 1.4	7.6	11.	-10.0	8.	4.2	4.3	4.3	4.3	92	76	89	86	52
Dezember	**739.6**	747.5	724.9	- 0.7	2.0	0.2	0.4	2.6	- 1.9	9.9	16.	- 8.2	10.	4.2	4.6	4.4	4.4	93	**85**	93	**90**	59
Jahr	735.4	748.9	708.8	5.3	10.7	7.2	7.6	11.4	3.9	28.2	28. VII	-17.1	4. II.	6.6	7.0	7.2	6.9	91	69	88	82	32

Alle Angaben nach Ortszeit.

1912

Nördlingen.

h_t = 3.5 m h_r = 1.5 m

Monat	Bewölkung 7a	2p	9	Mittel	Niederschlag Summe mm	Tagesmaximum Betrag mm	Gemessen am	Zahl der Tage ≧0.1 mm Niederschlag	≧1.0 mm Niederschlag	≧0.1 mm ✳	⊛	△	▲	⊠	≡	heitere	trübe	Windverteilung N	NE	E	SE	S	SW	W	NW	C
Januar	7.8	7.6	**7.5**	**7.7**	38.6	15.7	7.	16	6	7	4	–	–	–	4	–	**17**	2	7	**23**	**20**	1	17	15	2	6
Februar	7.2	7.8	6.0	7.0	35.0	11.3	3.	14	9	3	**12**	–	–	–	4	–	14	–	2	3	17	**17**	15	19	4	10
März	7.0	7.5	6.6	7.0	25.6	3.4	2.	22	9	1	–	**5**	–	1	1	2	13	–	1	6	13	11	27	29	2	4
April	4.8	6.8	**4.9**	5.5	**22.4**	7.5	2.	11	6	5	1	3	–	1	–	5	**7**	**6**	13	12	**1**	–	13	21	10	14
Mai	5.6	6.9	6.1	6.2	75.2	18.7	22.	15	9	–	–	1	–	5	–	3	11	5	5	6	3	5	14	**32**	10	13
Juni	6.4	7.2	6.5	6.7	95.0	18.6	25.	20	13	–	–	–	–	7	–	3	10	2	7	4	10	5	17	31	7	7
Juli	**4.3**	**5.5**	5.1	**5.0**	**125.8**	**29.2**	22.	15	12	–	–	–	–	**10**	4	**9**	**7**	–	5	19	14	**7**	**7**	21	5	**15**
August	7.6	7.9	6.6	7.4	89.7	8.1	2.	**24**	**18**	–	–	–	–	6	1	1	14	–	1	3	15	4	**30**	29	7	**4**
September	7.7	**8.4**	6.2	7.4	52.7	22.5	9.	19	10	–	–	–	–	1	1	1	14	5	**14**	8	5	1	15	22	**15**	5
Oktober	6.9	5.9	6.3	6.4	43.9	13.0	3.	16	11	1	–	–	–	–	4	3	12	4	13	6	14	10	24	**11**	5	6
November	**8.1**	7.7	**7.5**	**7.7**	35.0	8.3	12.	15	11	**13**	3	4	–	–	2	2	**17**	1	1	5	10	14	15	26	4	14
Dezember	6.6	6.0	7.4	6.7	29.7	8.0	17.	**10**	7	3	–	–	–	–	**6**	1	12	1	–	9	19	10	28	14	**2**	10
Jahr	6.7	7.1	6.4	6.7	668.6	29.2	22. VII.	197	121	33	20	13	–	31	27	30	148	26	69	104	141	85	222	270	73	108

Ingolstadt.

h_t = 1.8 m h_r = 1.6 m

Monat	Bewölkung 7a	2p	9	Mittel	Niederschlag Summe mm	Tagesmaximum Betrag mm	Gemessen am	Zahl der Tage ≧0.1 mm Niederschlag	≧1.0 mm Niederschlag	≧0.1 mm ✳	⊛	△	▲	⊠	≡	heitere	trübe	Windverteilung N	NE	E	SE	S	SW	W	NW	C
Januar	7.1	7.2	5.7	6.7	41.3	15.7	10.	15	7	7	4	2	–	–	1	4	13	2	6	**44**	4	3	20	9	2	3
Februar	8.7	7.3	5.6	7.2	29.7	11.1	3.	11	5	4	**11**	–	–	–	8	–	13	–	6	20	**13**	–	**27**	15	4	2
März	8.1	8.1	6.0	7.4	49.5	8.1	4.	20	14	1	–	2	–	–	2	–	11	2	2	20	6	4	22	31	4	2
April	**5.0**	6.7	**4.8**	**5.5**	30.5	11.0	2.	**10**	7	5	1	**5**	–	–	–	4	6	3	10	27	5	1	15	13	**12**	4
Mai	7.0	6.5	5.5	6.3	81.1	16.8	24.	16	11	–	–	2	–	7	1	5	11	**4**	9	11	3	3	**27**	23	10	3
Juni	6.3	6.8	7.0	6.7	**125.0**	42.2	25.	18	10	–	–	–	–	**10**	5	2	13	–	5	18	7	–	25	28	1	6
Juli	5.9	**5.9**	5.5	5.8	107.4	**49.2**	22.	16	7	–	–	–	–	5	2	**7**	12	1	4	27	12	2	17	20	6	4
August	8.3	**8.4**	6.1	7.6	101.1	16.6	8.	**21**	**16**	–	–	2	1	4	2	2	15	1	4	10	7	3	19	**40**	5	4
September	7.9	**8.4**	7.0	7.7	62.4	21.3	9.	17	12	–	–	2	–	–	1	1	**19**	1	**11**	24	6	–	12	31	4	1
Oktober	8.4	7.4	6.4	7.4	39.0	7.7	3.	14	12	1	–	–	–	–	7	3	18	1	4	40	12	–	5	27	1	3
November	8.3	8.2	6.7	7.7	26.2	4.5	2.	17	9	**9**	1	2	–	–	3	2	18	2	5	16	9	–	22	30	4	2
Dezember	**8.8**	7.9	**7.4**	**8.0**	34.5	9.4	28.	13	7	3	5	1	–	–	**9**	1	17	2	4	14	11	**6**	15	30	3	**8**
Jahr	7.5	7.4	6.1	7.0	727.7	49.2	22. VII.	188	117	30	22	18	1	26	41	31	166	19	70	271	95	22	226	297	56	42

Karlshuld.

h_t = 5.1 m h_r = 0.9 m

Monat	Bewölkung 7a	2p	9	Mittel	Niederschlag Summe mm	Tagesmaximum Betrag mm	Gemessen am	Zahl der Tage ≧0.1 mm Niederschlag	≧1.0 mm Niederschlag	≧0.1 mm ✳	⊛	△	▲	⊠	≡	heitere	trübe	Windverteilung N	NE	E	SE	S	SW	W	NW	C
Januar	6.2	6.5	5.7	6.1	35.5	13.9	10.	8	6	2	1	–	–	–	4	5	15	1	12	**28**	–	–	5	19	–	28
Februar	7.2	7.5	4.9	6.5	46.5	15.1	25.	6	**5**	3	**11**	–	–	–	9	4	9	–	3	11	2	–	13	20	–	38
März	7.2	7.4	5.1	6.5	45.0	7.1	4.	13	10	–	–	–	1	–	2	2	9	–	1	21	–	–	**21**	19	2	29
April	**4.3**	6.5	**3.3**	4.7	29.9	11.3	3.	8	6	3	2	2	–	–	1	6	4	–	8	14	–	–	10	24	2	32
Mai	6.0	6.0	4.8	5.6	108.0	29.3	9.	12	10	–	–	–	–	1	1	5	10	–	2	4	–	1	8	**33**	–	**45**
Juni	5.4	6.4	5.7	5.8	92.2	27.5	25.	15	**14**	–	–	–	–	**5**	7	5	10	–	4	9	–	**6**	15	24	–	32
Juli	4.5	**5.0**	4.2	**4.6**	**139.6**	**56.2**	22.	16	12	–	–	–	–	**5**	**11**	**8**	5	–	8	18	**3**	–	8	24	2	30
August	7.9	**7.9**	5.5	7.1	106.3	21.2	2.	**17**	**14**	–	–	–	–	3	6	1	15	–	1	3	–	5	18	**33**	3	30
September	**8.0**	**7.9**	5.5	**7.2**	84.9	22.6	9.	15	12	–	–	–	**2**	–	4	2	**16**	–	10	18	1	1	10	23	**4**	23
Oktober	7.7	6.8	5.2	6.6	51.0	8.4	20.	13	12	1	–	–	–	–	9	2	12	–	15	13	–	1	10	14	2	38
November	6.7	7.4	5.5	6.5	23.4	4.0	25.	14	11	**5**	1	–	–	–	1	2	12	–	**16**	6	–	–	20	17	3	28
Dezember	7.3	7.2	**6.2**	6.9	35.0	9.7	28.	9	9	3	3	–	–	–	6	4	15	1	6	14	–	–	9	29	–	34
Jahr	6.5	6.9	5.1	6.2	797.3	56.2	22. VII.	146	121	17	18	2	3	14	61	46	132	2	86	159	6	14	147	279	18	387

Passau.

h_t = 8.5 m h_r = 1.3 m

Monat	Bewölkung 7a	2p	9	Mittel	Niederschlag Summe mm	Tagesmaximum Betrag mm	Gemessen am	Zahl der Tage ≧0.1 mm Niederschlag	≧1.0 mm Niederschlag	≧0.1 mm ✳	⊛	△	▲	⊠	≡	heitere	trübe	Windverteilung N	NE	E	SE	S	SW	W	NW	C
Januar	8.7	6.9	7.1	7.6	69.6	15.0	7., 10.	13	10	8	**23**	–	–	–	4	4	19	–	1	9	–	1	–	17	–	65
Februar	**9.5**	7.3	6.8	7.8	63.9	14.0	25.	**12**	10	4	18	–	–	–	**17**	1	17	–	–	4	–	3	–	9	1	**70**
März	8.1	6.6	5.3	6.6	57.0	10.1	25.	18	14	2	–	1	–	–	9	3	12	–	–	7	–	3	–	23	3	57
April	5.9	6.8	4.4	5.7	59.0	19.2	6.	17	11	6	–	–	–	–	1	3	8	–	–	**13**	–	1	3	14	**12**	47
Mai	6.9	5.7	5.3	6.0	116.8	18.8	24.	16	13	–	–	–	–	4	2	**5**	12	–	–	4	–	6	3	**24**	5	51
Juni	6.8	6.2	7.2	6.8	**133.1**	24.4	21.	17	14	–	–	–	–	**7**	1	4	15	1	–	9	3	4	3	11	3	56
Juli	6.0	6.0	6.4	6.1	105.7	**46.0**	22.	14	11	–	–	–	–	**7**	5	**5**	13	1	–	10	8	6	9	6	1	52
August	8.1	7.0	6.9	7.4	121.1	21.5	8.	**22**	**20**	–	–	–	–	4	5	–	17	1	–	5	7	2	**21**	17	2	38
September	**9.5**	**8.0**	7.8	**8.4**	95.0	26.0	9.	20	14	–	–	–	–	–	6	1	**23**	–	–	3	11	–	18	13	2	43
Oktober	8.6	6.3	5.7	6.9	51.9	18.0	4.	**12**	10	–	–	–	–	–	14	4	13	–	–	**1**	**16**	**10**	3	5	1	57
November	8.4	6.7	7.5	7.6	57.5	11.5	3.	17	13	**9**	7	–	–	–	7	1	16	–	–	5	–	2	–	16	11	56
Dezember	9.0	6.6	**8.9**	8.2	**31.5**	7.7	15.	14	**10**	1	11	–	–	–	14	1	19	–	–	5	–	–	5	11	2	**70**
Jahr	8.0	6.7	6.6	7.1	962.1	46.0	22. VII.	192	150	30	59	1	–	22	85	32	184	3	1	75	45	38	65	166	43	662

Alle Angaben nach Ortszeit.

1912

Landshut.

$\varphi = 48^0\ 32'$ N $\lambda = 12^0\ 10'$ E — H = 397.7 m Cg = + 0.2 mm

Monat	Luftdruck auf 0° und Normalschwere reduziert: Mittel mm	Maximum mm	Minimum mm	Lufttemperatur: 7a C°	2p C°	9p C°	Tagesmittel C°	Mittl. Maximum C°	Mittl. Minimum C°	Absol. Maximum C°	Datum	Absol. Minimum C°	Datum	Absolute Feuchtigkeit: 7a mm	2p mm	9p mm	Mittel mm	Relative Feuchtigkeit: 7a Proz.	2p Proz.	9p Proz.	Mittel Proz.	Minimum Proz.
Januar	727.0	738.6	700.5	- 3.5	0.6	- 2.4	- 1.9	1.8	- 6.0	8.8	7.	-14.4	29.	3.3	3.5	3.4	3.4	87	70	85	81	50
Februar	723 6	735.6	701.6	- 1.1	5.6	0.6	1.4	7.4	- 3.8	17.3	29.	-25.4	4.	4.2	5.0	4.6	4.6	93	71	92	85	38
März	725.0	736.1	709.5	3.8	10.3	5.5	6.3	12.4	0.9	22.1	27.	- 4.2	17.	5.4	5.6	5.6	5.5	88	60	81	77	29
April	727.3	739.0	712.7	4.0	10.9	5.7	6.6	14.4	0.1	23.6	27.	- 7.5	13.	4.9	4.7	5.2	4.9	79	49	76	68	26
Mai	726.5	736.1	717.5	10.7	17.8	11.4	12.8	20.7	6.1	34.2	12.	- 3.0	3.	8.1	7.6	8.3	8.0	84	51	82	72	25
Juni	725.6	732.5	714.5	14.7	21.7	15.0	16.6	25.1	10.5	32.3	23.	6.0	1.	10.6	10.2	10.8	10.5	85	53	85	74	33
Juli	726.9	732.3	718.2	15.0	22.7	15.7	17.3	25.3	11.4	30.9	28.	7.2	18.	11.0	10.4	11.7	11.0	86	53	88	76	32
August	725.4	732.3	716.1	12.0	18.6	12.8	14.1	21.0	9.2	31.2	1.	2.6	15.	9.6	9.9	10.0	9.8	91	63	91	81	46
September	729.5	736.3	720.9	6.5	12.0	7.7	8.5	14.0	4.7	19.3	1.	- 0 8	22.	6.7	6.7	7.2	6.9	92	65	92	83	47
Oktober	727.9	740.0	712.0	3.1	9.6	4.8	5.6	11.2	1.0	22.0	1.	- 4.2	5., 6.	5.5	6.2	6.1	6.0	95	70	92	86	41
November	727.2	738.6	705.6	- 0.7	3.2	0.3	0.8	4.7	- 2.7	9.7	10.	- 8.4	8.	4.2	4.3	4.3	4.3	94	75	90	86	54
Dezember	730.8	739.1	716.3	- 0.6	3.1	0.3	0.8	4.5	- 2.8	14.5	28.	- 8.4	6.	4.1	4.8	4.4	4.4	91	82	92	88	53
Jahr	726.9	740.0	700.5	5.3	11.3	6.5	7.4	13.5	2.4	34.2	12. V.	-25.4	4. II.	6.5	6.6	6.8	6.6	89	64	87	71	25

Augsburg.

$\varphi = 48^0\ 22'$ N $\lambda = 10^0\ 54'$ E — H = 499.6 m Cg = + 0.1 mm, über 728.8 mm = + 0.2 mm

Monat	Luftdruck auf 0° und Normalschwere reduziert: Mittel mm	Maximum mm	Minimum mm	Lufttemperatur: 7a C°	2p C°	9p C°	Tagesmittel C°	Mittl. Maximum C°	Mittl. Minimum C°	Absol. Maximum C°	Datum	Absol. Minimum C°	Datum	Absolute Feuchtigkeit: 7a mm	2p mm	9p mm	Mittel mm	Relative Feuchtigkeit: 7a Proz.	2p Proz.	9p Proz.	Mittel Proz.	Minimum Proz.
Januar	718.3	730.4	692.7	- 2.1	1.0	- 0.9	- 0.7	2 0	- 3.8	8.4	24.	-10.8	29.	3.6	4.0	3.9	3.8	85	78	86	83	47
Februar	715.0	727.5	692 4	0.5	6.0	3.0	3.1	6.6	- 0.6	14.2	29.	-20.9	4.	4.3	5.0	4.9	4.8	86	70	84	80	45
März	716.5	727.7	701.9	4.6	9.9	6.6	6.9	10.8	3.3	20.5	27.	- 1.2	9.	5.3	5.6	5.6	5.5	83	61	76	73	35
April	719.0	730.4	704.4	4.2	11.1	7.1	7.4	12.4	2.5	20.0	28.	- 4.5	13.	4.9	4.9	5.4	5.1	77	50	71	66	31
Mai	718.3	727.7	709.1	10.9	17.7	13.3	13.8	18.7	8.9	30.3	12.	1.2	2.	8.0	8.2	8.5	8.2	81	55	74	70	27
Juni	717.5	724.4	706.7	14.2	20.3	16.0	16.6	21.5	11.8	29.7	23.	7.7	1., 17.	10.2	10.4	10.9	10.5	84	60	80	75	40
Juli	718.8	723.7	710.1	14.5	21.9	16.6	17.4	23.0	12.4	29.7	12.	8.6	5.	10.6	11.3	11.3	11.1	87	59	81	75	42
August	717.3	724.5	708.2	12.0	17.7	13.8	14.3	18.6	10.8	25.8	30.	6.4	29.	9.3	10.2	10.1	9.9	89	69	86	81	49
September	721.2	727.1	713.0	6.6	11.8	8.4	8.8	12.5	5.9	17.3	30.	1.8	22.	6.9	7.6	7.3	7.3	94	73	89	85	59
Oktober	719.3	731.1	704.0	4.8	10.0	6.4	6.9	10.8	3.7	22.1	1.	- 2.5	5.	6.2	7.0	6.7	6.6	93	76	91	87	43
November	718.6	729.5	697.2	0.5	3.2	1.2	1.5	4.0	- 0.4	11.9	10.	- 5.1	8.	4.4	4.7	4.5	4.6	91	81	90	87	55
Dezember	722.2	730.6	708.4	0.2	3.5	1.5	1.7	4.3	- 0.7	12.4	28.	- 8.8	9.	4.3	5.0	4.8	4.7	89	84	92	89	70
Jahr	718.5	731.1	692.4	5 9	11.2	7.8	8.1	12.1	4.5	30.3	12. V.	-20.9	4. II.	6.5	7.0	7.0	6.8	87	68	83	79	27

Burghausen.

$\varphi = 48^0\ 10'$ N $\lambda = 12^0\ 50'$ E — H = 365 m Cg = + 0.2 mm, unter 700.3 mm = + 0.1 mm

Monat	Luftdruck auf 0° und Normalschwere reduziert: Mittel mm	Maximum mm	Minimum mm	Lufttemperatur: 7a C°	2p C°	9p C°	Tagesmittel C°	Mittl. Maximum C°	Mittl. Minimum C°	Absol. Maximum C°	Datum	Absol. Minimum C°	Datum	Absolute Feuchtigkeit: 7a mm	2p mm	9p mm	Mittel mm	Relative Feuchtigkeit: 7a Proz.	2p Proz.	9p Proz.	Mittel Proz.	Minimum Proz.
Januar	730.4	742.1	704.4	- 3.6	0.3	- 2.1	- 2 0	1.1	- 4.9	9.3	7.	-16.1	30.	3.2	3.7	3.5	3.5	87	74	86	82	50
Februar	727.0	739.1	705.0	- 1.1	5.7	0.6	1.4	7.0	- 2.9	16.4	29.	-21.1	4.	4.2	5.1	4.6	4.6	94	72	92	86	47
März	728.4	739.3	713.2	3.2	10.3	4.9	5.8	11.4	1.7	21.4	27.	- 3.5	9.	5.4	5.8	5.7	5.6	91	62	87	80	40
April	730.3	742.1	715.8	4.3	10.9	5.5	6.6	12.6	1.6	19.8	28.	- 3.1	14.	5.2	5.3	5.7	5.4	83	55	83	74	30
Mai	729.6	738.8	720.6	10.5	17.4	10.9	12.4	18.7	7.6	30.0	15.	- 1.1	3.	8.2	8.2	8.8	8.4	84	57	89	77	32
Juni	728.6	735.5	717.2	14.2	21.4	14.1	16.0	23.0	10.7	29.2	29.	7.7	5.	10.4	10.1	11.1	10.5	86	54	92	78	30
Juli	729.7	734.5	720.5	14.3	22.5	15.1	16.8	23.7	11.3	30.9	28.	7.2	18.	11.1	10.7	11.7	11.2	91	54	91	79	34
August	728.4	735.2	719.5	12.4	18.6	13.0	14.3	20.1	9.4	28.0	1.	4.7	15.	9.8	10.4	10.4	10.2	91	66	92	83	45
September	732.5	739.1	724.1	7.1	12.1	7.9	8.7	13.0	5.6	17.6	2.	1.0	22., 29.	7.1	7.1	7.5	7.2	93	68	93	85	48
Oktober	731.2	743.3	715.2	3.6	9.6	4.9	5.7	10.5	2.0	20.2	1.	- 3.0	6.	5.7	6.5	6.1	6.1	94	72	92	86	38
November	730.6	742.0	709.5	- 0.5	2.9	0.1	0.7	3.7	- 1.5	8.7	11.	- 6.8	30.	4.1	4.3	4 2	4.2	92	76	90	86	47
Dezember	734.2	742.5	719.2	- 0.9	3.2	0.1	0.6	3.9	- 2.4	13.7	28.	- 8.8	10.	4.0	4.7	4.3	4.3	92	81	92	88	54
Jahr	730.1	743.3	704.4	5.3	11.2	6.3	7.3	12.4	3.2	30.9	28. VII.	-21.1	4. II.	6.5	6.8	7.0	6.8	90	65	90	82	30

München-C.St.

$\varphi = 48^0\ 9'$ N $\lambda = 11^0\ 34'$ E — H = 526.4 m Cg = + 0.1 mm

Monat	Luftdruck auf 0° und Normalschwere reduziert: Mittel mm	Maximum mm	Minimum mm	Lufttemperatur: 7a C°	2p C°	9p C°	Tagesmittel C°	Mittl. Maximum C°	Mittl. Minimum C°	Absol. Maximum C°	Datum	Absol. Minimum C°	Datum	Absolute Feuchtigkeit: 7a mm	2p mm	9p mm	Mittel mm	Relative Feuchtigkeit: 7a Proz.	2p Proz.	9p Proz.	Mittel Proz.	Minimum Proz.
Januar	715.6	727.6	690 5	- 2.0	0.9	- 1.1	- 0.8	2.1	- 3.7	9.5	3.	-11.1	30.	3.6	3.9	3.7	3.7	88	77	84	83	46
Februar	712.5	724.8	690.5	1.5	7.0	3.5	3.9	7.8	0.3	15.7	29.	-18.7	4.	4.4	4.8	4.9	4.7	83	64	80	76	41
März	714.1	725.2	699.5	4.8	9.9	6.3	6.8	11.2	3.8	22.1	27.	- 0.8	10.	5.2	5.3	5.5	5.3	80	58	76	71	31
April	716.3	727.3	702.3	4.5	10.4	6.7	7.1	12.0	2.8	19.3	8.	- 3.5	13.	4.9	4.6	5.2	4.9	75	50	70	65	31
Mai	715.8	725.0	706.9	11.3	17.0	12.8	13.5	18.1	9.2	31.6	12.	1.2	2.	7.6	7.6	8.1	7.8	75	55	74	68	22
Juni	715.0	721.7	704.5	14.6	20.1	15.9	16.6	21.6	12.2	27.6	29.	9.2	17.	9.4	9.4	10.1	9.6	76	55	75	69	35
Juli	716.2	721.0	708.0	15.0	21.6	16.4	17.3	22.6	12.9	28.1	28.	9.0	21.	10.0	10.1	10.8	10.3	80	54	79	71	35
August	714.8	721.8	706.0	12.8	17.9	13.6	14.5	19.1	10.9	26.6	1.	7.6	29.	9.0	8.9	9.5	9.2	82	60	82	75	36
September	718.5	724.5	710.8	6.9	11.4	8.2	8.7	12.1	6.0	17.9	30.	1.6	22.	6.7	6.5	7.0	6.7	90	66	86	81	43
Oktober	716.8	728.2	701.7	5.4	10.3	6.4	7.1	11.2	3.8	21.2	1.	- 2.6	6.	5.8	6.3	6.2	6.1	86	67	85	80	40
November	716.0	727.0	695.0	0.7	3.3	1.4	1.7	4.3	- 0.7	11.3	10.	- 6.1	8.	4.0	4.2	4.0	4.1	83	72	78	78	44
Dezember	719.6	727.5	705.9	1.1	4.6	1.9	2.4	5.6	- 0.6	13.7	28.	- 8.4	10.	4.1	4.5	4.4	4.3	81	71	83	78	43
Jahr	715.9	728.2	690.5	6.4	11.2	7.7	8.2	12.3	4.7	31.6	12. V.	-18.7	4. II.	6.2	6.3	6.6	6.4	82	62	79	75	22

Alle Angaben nach Ortszeit.

1912

Landshut.

h_t = 7.2 m h_r = 1.4 m

Monat	Bewölkung 7a	2p	9p	Mittel	Niederschlag Summe mm	Tagesmaximum Betrag mm	Gemessen am	Zahl der Tage ≧0.1 mm Niederschlag	≧1.0 mm	≧0.1 mm ✳	▣	△	▲	⊠	≡	heitere	trübe	Windverteilung N	NE	E	SE	S	SW	W	NW	C
Januar	8.1	7.5	6.1	7.2	56.0	19.6	10.	12	8	3	1	1	–	–	–	2	16	6	**11**	**25**	2	1	7	24	2	15
Februar	**9.6**	6.9	5.1	7.2	39.6	12.8	25.	14	**7**	4	**11**	1	–	–	2	–	13	–	5	11	–	2	9	31	2	**27**
März	7.6	7.5	4.8	6.7	57.5	8.6	4.	20	**14**	–	–	2	–	–	1	1	8	1	3	15	2	**3**	11	46	4	8
April	5.7	7.0	4.2	5.6	35.7	14.0	2.	15	**7**	5	1	**5**	–	–	1	4	8	5	8	21	**7**	–	4	29	**7**	9
Mai	7.4	6.6	**4.0**	6.0	94.7	21.0	24.	19	12	–	–	–	1	3	2	5	8	**9**	5	11	–	1	8	39	5	15
Juni	6.3	6.2	5.9	6.1	**136.8**	31.4	25.	17	13	–	–	–	–	**9**	1	6	12	2	7	8	1	1	12	40	3	16
Juli	5.4	5.0	5.5	5.3	102.5	**34.4**	22.	14	11	–	–	–	–	3	2	**9**	10	–	7	19	1	1	8	29	2	26
August	8.2	7.3	5.3	6.9	122.5	33.5	8.	**21**	**14**	–	–	–	1	1	2	2	14	2	3	8	1	2	9	**47**	5	16
September	8.2	**8.2**	**7.3**	**7.9**	96.1	21.8	9.	20	13	–	–	–	–	1	3	2	**19**	2	**11**	14	1	1	3	35	**7**	16
Oktober	8.0	7.4	6.0	7.1	45.7	10.2	18.	17	9	–	–	–	–	–	**6**	2	15	5	10	21	1	2	6	**21**	2	25
November	7.5	6.8	5.5	6.6	35.2	5.9	6.	16	11	**6**	–	3	–	–	2	5	13	7	6	6	–	1	3	38	3	26
Dezember	8.2	7.6	6.8	7.5	26.5	7.5	3.	**11**	**7**	1	–	–	–	–	5	1	16	3	6	15	1	–	**14**	38	–	16
Jahr	7.5	7.0	5.5	6.7	848.8	34.4	22. VII.	196	126	19	13	12	2	17	27	39	152	42	82	174	17	15	94	417	42	215

Augsburg.

h_t = 9.2 m h_r = 1.5 m

Monat	Bewölkung 7a	2p	9p	Mittel	Niederschlag Summe mm	Tagesmaximum Betrag mm	Gemessen am	Zahl der Tage ≧0.1 mm Niederschlag	≧1.0 mm	≧0.1 mm ✳	▣	△	▲	⊠	≡	heitere	trübe	Windverteilung N	NE	E	SE	S	SW	W	NW	C
Januar	7.5	7.7	6.4	7.2	66.6	28.7	10.	12	10	7	9	–	–	–	7	4	**18**	3	10	**23**	16	4	24	4	2	7
Februar	7.2	7.0	5.4	6.5	36.7	15.7	3.	**10**	7	**3**	**11**	1	–	–	3	2	11	3	4	8	15	1	37	7	3	9
März	7.1	7.0	5.7	6.6	54.2	7.7	25.	17	12	–	–	**3**	–	1	–	**1**	8	–	2	6	11	3	42	**13**	11	5
April	4.8	5.6	5.9	5.5	**27.7**	13.6	2.	12	5	4	2	2	–	2	–	4	8	**6**	**23**	19	4	–	**23**	4	8	3
Mai	6.7	6.1	6.8	6.5	115.6	18.6	9.	14	13	–	–	1	–	4	–	4	14	5	9	1	5	**5**	32	3	**23**	10
Juni	6.3	6.1	7.2	6.5	**182.0**	**66.3**	14.	18	16	–	–	–	1	**8**	3	3	9	–	8	10	7	3	32	9	16	5
Juli	**4.7**	5.1	5.2	5.0	129.8	54.6	22.	17	12	–	–	–	–	6	4	**7**	8	4	7	21	12	2	24	6	10	7
August	7.2	7.7	6.4	7.1	136.1	30.2	2.	**22**	**17**	–	–	2	–	4	2	1	17	–	1	7	3	2	**54**	6	16	4
September	**8.1**	**8.1**	**7.3**	**7.8**	91.1	15.6	10.	18	13	–	–	1	–	–	4	1	17	3	**23**	11	3	–	**23**	11	14	2
Oktober	7.5	6.3	5.8	6.5	54.2	11.4	4.	17	9	1	–	–	–	–	6	2	11	2	11	12	7	4	45	1	7	4
November	7.2	7.8	5.9	6.9	31.3	4.4	9.	17	13	**12**	5	2	–	–	4	3	14	2	6	5	**17**	1	40	8	11	–
Dezember	7.0	5.5	5.4	6.0	31.6	10.3	17.	12	8	3	**11**	–	–	–	**10**	6	10	2	2	1	11	3	49	7	7	**11**
Jahr	6.8	6.7	6.1	6.5	956.9	66.3	14. VI.	186	135	30	38	12	1	25	43	38	145	30	106	124	111	28	425	79	128	67

Burghausen.

h_t = 1.6 m h_r = 1.6 m; seit 23. III. 1912 ist h_r = 1.0 m

Monat	Bewölkung 7a	2p	9p	Mittel	Niederschlag Summe mm	Tagesmaximum Betrag mm	Gemessen am	Zahl der Tage ≧0.1 mm Niederschlag	≧1.0 mm	≧0.1 mm ✳	▣	△	▲	⊠	≡	heitere	trübe	Windverteilung N	NE	E	SE	S	SW	W	NW	C
Januar	7.9	7.6	5.6	7.1	88.8	28.8	10.	14	10	7	**15**	1	–	–	1	2	16	**4**	**13**	11	1	3	14	7	–	40
Februar	8.3	7.3	**4.7**	6.8	38.2	11.4	25.	14	11	4	11	–	–	–	7	1	12	1	4	1	5	6	7	3	1	**59**
März	7.8	**7.9**	5.7	7.2	74.4	10.7	25.	**21**	14	1	–	1	–	3	7	–	12	1	9	4	2	6	18	**11**	1	41
April	5.8	7.0	5.4	6.1	58.7	19.1	2.	13	10	7	3	1	1	–	–	2	11	1	**13**	10	2	2	24	1	**2**	35
Mai	6.8	6.7	6.0	6.5	138.1	21.2	26.	14	13	–	–	–	1	**8**	5	5	15	**4**	–	9	3	5	16	4	**2**	50
Juni	7.0	6.0	6.8	6.6	129.9	23.2	10., 25.	16	13	–	–	–	–	**8**	7	2	12	**4**	2	6	4	10	21	1	1	41
Juli	5.4	4.8	5.0	5.0	105.7	29.5	22.	13	10	–	–	–	–	4	11	**8**	8	3	11	7	**17**	**19**	13	1	1	**21**
August	7.4	7.1	6.1	6.8	115.1	14.8	27.	19	**17**	–	–	–	–	2	6	2	13	3	4	–	9	5	**26**	8	1	37
September	**9.2**	7.7	**7.1**	**8.0**	**166.9**	**29.9**	9.	17	14	–	–	–	–	1	9	1	**20**	**4**	2	12	3	3	25	4	–	37
Oktober	8.1	7.2	6.5	7.3	59.4	19.2	4.	11	8	–	–	–	–	–	**14**	3	16	1	7	**16**	3	–	17	3	–	46
November	7.5	7.1	6.3	7.0	46.0	9.6	6.	16	12	**11**	3	**2**	–	–	4	4	16	–	4	3	3	1	19	–	1	**59**
Dezember	8.3	6.6	6.4	7.1	21.6	8.5	28.	10	6	3	1	–	–	–	9	–	15	1	3	2	6	2	25	–	–	54
Jahr	7.5	6.9	6.0	6.8	1042.8	29.9	9. IX.	178	138	33	33	5	2	26	80	30	166	27	72	81	58	62	225	43	10	520

München-C.St.

h_t = 8.4 m h_r = 1.4 m

Monat	Bewölkung 7a	2p	9p	Mittel	Niederschlag Summe mm	Tagesmaximum Betrag mm	Gemessen am	Zahl der Tage ≧0.1 mm Niederschlag	≧1.0 mm	≧0.1 mm ✳	▣	△	▲	⊠	≡	heitere	trübe	Windverteilung N	NE	E	SE	S	SW	W	NW	C
Januar	8.2	8.1	6.6	7.6	92.5	44.3	10.	20	13	**15**	**11**	–	–	–	14	2	17	–	4	**21**	3	–	27	5	4	29
Februar	7.9	7.2	4.1	6.4	32.5	10.7	3.	11	**6**	3	8	–	–	–	7	3	12	1	3	7	5	–	36	5	5	25
März	7.4	7.3	5.4	6.7	78.2	12.0	4.	**22**	16	3	–	**3**	–	1	2	2	10	–	–	9	**11**	1	40	9	9	**14**
April	5.6	6.6	5.8	6.0	43.9	23.5	2.	15	6	6	3	2	–	–	2	3	11	–	**12**	14	3	1	**17**	13	**16**	**14**
Mai	7.3	6.9	6.4	6.9	143.0	35.7	9.	17	15	–	–	1	–	7	–	3	16	–	5	5	4	1	29	12	15	22
Juni	6.4	6.6	7.3	6.8	**163.2**	48.2	30.	15	13	–	–	–	–	**9**	1	3	13	–	5	10	4	–	31	13	11	16
Juli	5.0	5.1	5.3	5.1	149.0	**48.5**	22.	16	13	–	–	–	–	5	1	**9**	9	–	5	**21**	5	–	21	4	8	29
August	7.6	7.6	6.4	7.2	126.1	30.8	8.	19	15	–	–	–	–	1	–	3	15	–	1	4	6	**4**	**43**	**15**	6	14
September	**8.3**	**8.5**	**7.6**	**8.1**	122.3	23.7	10.	21	**17**	–	–	1	–	1	3	–	20	–	9	14	1	–	25	**15**	5	21
Oktober	8.1	6.7	5.2	6.7	67.6	13.8	18.	17	13	2	–	–	–	–	8	1	9	1	4	12	2	1	22	12	5	34
November	7.4	7.6	6.8	7.3	45.2	8.2	28.	20	11	12	–	1	–	–	4	3	16	–	2	7	3	**4**	34	13	3	24
Dezember	5.7	5.6	5.7	5.7	29.8	11.1	28.	**10**	6	5	1	–	–	–	**15**	4	**23**	–	–	2	2	2	35	11	2	**39**
Jahr	7.1	7.0	6.1	6.7	1093.3	48.5	22. VII.	203	144	46	23	8	–	24	57	36	171	2	50	126	49	14	360	127	89	281

Alle Angaben nach Ortszeit.

1912

Ottobeuren.

$\varphi = 47^0\ 56'$ N $\lambda = 10^0\ 18'$ E — H = 660.0 m Cg = + 0.1 mm

Monat	Luftdruck auf 0° und Normalschwere reduziert: Mittel mm	Maximum mm	Minimum mm	Lufttemperatur: 7a C°	2p C°	9p C°	Tagesmittel C°	Mittl. Maximum C°	Mittl. Minimum C°	Absol. Maximum C°	Datum	Absol. Minimum C°	Datum	Absolute Feuchtigkeit: 7a mm	2p mm	9p mm	Mittel mm	Relative Feuchtigkeit: 7a Proz.	2p Proz.	9p Proz.	Mittel Proz.	Minimum Proz.
Januar	703.9	715.7	681.9	- 2.3	0.8	- 1.8	- 1.3	1.8	- 4.1	9.0	24.	-13.6	30.	3.5	3.9	3.7	3.7	88	**78**	87	**84**	42
Februar	**701.1**	713.7	**679.3**	0.3	5.9	2.0	2.6	7.1	- 1.2	15.0	29.	**-21.0**	4.	4.1	4.7	4.4	4.4	83	66	81	77	35
März	702.8	713.2	689.3	3.8	8.9	4.7	5.5	10.2	1.9	19.2	27.	- 3.0	17.	4.9	5.4	5.1	5.1	80	63	79	74	36
April	704.9	715.1	691.2	3.5	9.3	4.5	5.5	10.7	0.5	18.1	27.	- 8.6	13.	4.8	4.6	5.0	4.8	79	**53**	**78**	**70**	31
Mai	704.8	**718.9**	696.7	10.7	16.7	10.8	12.3	18.3	7.2	**30.8**	15.	- 4.0	2.	7.6	7.6	7.6	7.6	79	55	79	71	25
Juni	704.1	710.6	694.6	14.2	18.9	13.3	14.9	20.7	10.0	29.5	23.	6.0	1.	9.3	9.0	9.4	9.2	**78**	57	82	72	34
Juli	705.0	709.2	696.9	**14.3**	**20.5**	**14.1**	**15.8**	**21.6**	**10.4**	27.0	28.	6.9	5.	**10.1**	**9.8**	**10.1**	**10.0**	83	57	84	75	33
August	703.7	710.8	696.5	11.8	16.7	11.8	13.0	18.2	9.3	25.5	30.	5.0	29.	8.8	8.9	8.8	8.8	85	64	85	78	45
September	707.1	711.6	699.9	5.5	10.4	6.5	7.2	11.3	4.2	18.0	30.	0.0	24.	6.2	6.6	6.5	6.4	**92**	71	**90**	**84**	45
Oktober	705.3	715.3	691.7	4.3	8.9	4.6	5.6	10.0	2.1	19.6	1.	- 5.0	6.	5.8	6.1	5.8	5.9	91	73	**90**	**84**	44
November	704.6	714.1	684.9	0.5	2.1	0.1	0.3	3.3	- 2.7	11.8	10.	- 8.0	8.	3.9	4.0	3.9	3.9	87	74	85	82	37
Dezember	**708.1**	715.5	695.7	- 0.6	3.2	0.0	0.7	4.5	- 2.5	11.4	28.	-12.8	8.	3.9	4.2	4.0	4.1	84	72	85	80	46
Jahr	704.6	718.9	679.3	5.5	10.2	5.9	6.8	11.5	2.9	30.8	15. V.	-21.0	4. II.	6.1	6.2	6.2	6.2	84	65	84	78	25

Traunstein.

$\varphi = 47^0\ 52'$ N $\lambda = 12^0\ 39'$ E — H = 597 m Cg = + 0.1 mm

Monat	Luftdruck auf 0° und Normalschwere reduziert: Mittel mm	Maximum mm	Minimum mm	Lufttemperatur: 7a C°	2p C°	9p C°	Tagesmittel C°	Mittl. Maximum C°	Mittl. Minimum C°	Absol. Maximum C°	Datum	Absol. Minimum C°	Datum	Absolute Feuchtigkeit: 7a mm	2p mm	9p mm	Mittel mm	Relative Feuchtigkeit: 7a Proz.	2p Proz.	9p Proz.	Mittel Proz.	Minimum Proz.
Januar	709.8	721.9	684.9	- 4.0	0.1	- 2.8	- 2.3	1.1	- 5.3	9.0	24.	-17.2	30.	3.3	3.8	3.5	3.5	91	78	90	86	55
Februar	**706.8**	719.1	**684.4**	0.5	6.1	1.4	2.4	7.0	- 1.3	15.8	29.	**-20.0**	4.	4.0	4.4	4.3	4.2	81	62	81	74	33
März	708.5	719.5	693.6	2.9	8.8	4.4	5.1	9.7	1.6	20.0	27.	- 2.4	10.	4.9	4.8	5.2	4.9	86	59	82	75	27
April	710.4	720.8	695.9	3.1	8.8	4.7	5.3	10.1	1.1	18.2	28.	- 6.4	4.	4.7	4.3	4.9	4.6	80	**53**	**76**	**69**	27
Mai	710.2	719.2	701.9	10.1	15.4	10.7	11.7	16.6	7.6	**30.0**	12.	- 1.4	2.	7.3	6.8	8.0	7.4	**78**	55	82	72	**17**
Juni	709.5	716.2	698.6	13.5	19.4	13.8	15.1	21.1	10.5	26.4	29.	6.8	3.	9.3	9.0	9.9	9.4	80	54	84	73	34
Juli	710.6	715.2	702.3	**14.1**	**20.4**	**14.7**	**16.0**	**21.5**	**11.0**	27.9	28.	8.4	17., 21.	**10.5**	**9.9**	**11.2**	**10.5**	87	57	90	78	31
August	709.3	716.6	699.6	11.5	16.7	12.1	13.1	18.1	9.2	25.2	4.	4.9	15.	9.1	9.1	9.8	9.3	90	64	92	82	43
September	712.8	718.8	705.4	5.8	9.9	6.7	7.2	10.8	4.7	16.0	30.	0.1	28.	6.6	6.6	6.9	6.7	95	73	94	87	52
Oktober	711.2	**722.3**	695.9	3.4	9.8	4.7	5.6	10.5	2.0	21.0	1.	- 3.9	6.	5.5	6.0	6.0	5.8	93	68	92	84	36
November	710.2	721.4	689.6	- 1.7	1.8	- 1.0	- 0.4	2.4	- 3.0	8.6	10., 11.	- 9.2	8.	4.0	4.3	4.2	4.2	**97**	**82**	**98**	**92**	49
Dezember	**713.9**	721.9	699.2	- 1.4	3.8	- 0.1	0.5	4.6	- 3.1	12.1	28.	-13.2	9.	3.8	4.2	3.8	3.9	87	69	83	79	44
Jahr	710.3	722.3	684.4	4.8	10.1	5.8	6.6	11.1	2.9	30.0	12. V.	-20.0	4. II.	6.1	6.1	6.5	6.2	87	65	87	79	17

Schaftlach.

$\varphi = 47^0\ 48'$ N $\lambda = 11^0\ 41'$ E — H = 760 m

Monat	Luftdruck auf 0° und Normalschwere reduziert: Mittel mm	Maximum mm	Minimum mm	Lufttemperatur: 7a C°	2p C°	9p C°	Tagesmittel C°	Mittl. Maximum C°	Mittl. Minimum C°	Absol. Maximum C°	Datum	Absol. Minimum C°	Datum	Absolute Feuchtigkeit: 7a mm	2p mm	9p mm	Mittel mm	Relative Feuchtigkeit: 7a Proz.	2p Proz.	9p Proz.	Mittel Proz.	Minimum Proz.
Januar																						
Februar																						
März *)				2.4	7.3	4.2	4.5	9.3	0.8	20.3	27.	- 5.0	17.	4.7	5.1	5.0	4.9	85	69	81	78	30
April				2.3	7.8	4.7	4.7	10.0	0.2	20.1	8.	-11.2	13.	4.7	4.7	5.0	4.8	84	62	78	75	35
Mai				10.0	15.0	11.0	11.8	16.9	6.8	30.5	15.	- 3.5	2.	7.6	7.9	7.9	7.8	82	64	80	75	35
Juni				13.6	17.9	13.8	14.8	20.1	9.1	26.4	29.	6.2	3.	9.2	9.6	9.4	9.4	79	64	80	74	39
Juli				13.4	18.9	14.4	15.0	20.4	9.9	27.0	28.	7.3	23.	9.9	10.2	10.2	10.1	87	64	84	78	46
August				10.4	15.6	11.6	12.3	17.2	8.1	24.3	30.	3.2	9.	8.5	9.5	8.9	9.0	91	72	87	83	57
September				4.5	9.0	6.2	6.5	10.2	3.3	15.9	30.	- 1.2	22.	6.0	6.6	6.4	6.3	95	77	90	88	56
Oktober				3.4	9.0	5.0	5.6	10.3	1.6	20.2	1.	- 5.3	5.	5.4	6.3	5.8	5.8	91	75	88	84	40
November				- 3.2	1.3	- 2.1	- 1.5	2.8	- 5.4	9.9	10.	-13.6	24.	3.4	4.1	3.6	3.7	91	81	89	87	48
Dezember				- 1.9	3.9	- 0.7	0.1	5.4	- 4.5	12.3	29.	-13.3	9.	3.5	4.3	3.7	3.9	83	71	84	79	37
Jahr *)																						

*) am 1. III. Beginn der Beobachtungen.

Tegernsee.

$\varphi = 47^0\ 43'$ N $\lambda = 11^0\ 45'$ E — H = 738 m; vom 27. V. 1912 ab H = 727.8 m Cg = + 0.1 mm

Monat	Luftdruck auf 0° und Normalschwere reduziert: Mittel mm	Maximum mm	Minimum mm	Lufttemperatur: 7a C°	2p C°	9p C°	Tagesmittel C°	Mittl. Maximum C°	Mittl. Minimum C°	Absol. Maximum C°	Datum	Absol. Minimum C°	Datum	Absolute Feuchtigkeit: 7a mm	2p mm	9p mm	Mittel mm	Relative Feuchtigkeit: 7a Proz.	2p Proz.	9p Proz.	Mittel Proz.	Minimum Proz.
Januar*)	697.9	709.4	674.4	- 1.4	2.4	- 0.7	- 0.1	4.1	- 3.1	11.6	20.	-12.8	29.	3.7	**4.0**	3.8	3.8	85	73	86	81	41
Februar	695.4	707.9	**673.2**	2.6	7.4	3.8	4.4	8.7	0.3	19.0	29.	**-14.2**	4.	4.8	4.3	4.6	4.5	76	63	76	72	**23**
März	697.1	708.2	683.3	4.2	8.2	4.9	5.5	9.9	2.2	20.2	27.	- 2.3	17.	4.6	4.8	4.6	4.7	74	**61**	**72**	**69**	27
April	698.9	709.6	685.3	3.8	8.2	4.2	5.1	10.5	0.9	20.2	8.	- 8.0	13.	4.6	5.1	5.0	4.9	75	63	79	72	32
Mai	699.1	707.7	691.4	10.4	14.4	10.6	11.5	16.2	7.7	**29.2**	12.	- 1.1	2.	7.2	7.4	7.3	7.3	77	63	78	73	32
Juni	698.6	705.3	688.2	13.3	17.7	13.0	14.3	19.5	10.3	26.2	29.	5.8	3.	8.7	9.6	9.2	9.2	77	65	83	75	31
Juli	699.7	704.1	691.9	**14.0**	**19.0**	**13.5**	**15.0**	**20.2**	**11.1**	26.2	28.	7.7	21.	**9.8**	**10.1**	**10.1**	**10.0**	83	63	**88**	78	38
August	698.5	705.7	691.2	11.8	16.1	12.0	13.0	17.2	9.4	24.8	1.	5.8	15.	8.3	9.5	8.8	8.8	81	69	84	78	40
September	701.7	707.8	694.4	5.9	9.5	6.7	7.2	10.4	4.3	18.4	30.	- 1.4	22.	6.1	6.5	6.3	6.3	**87**	73	86	**82**	45
Oktober	699.9	709.8	684.4	5.5	9.5	5.8	6.7	11.2	3.7	20.9	1.	- 2.6	6.	5.4	6.1	5.9	5.8	81	70	85	79	25
November	698.9	708.7	678.6	- 0.8	2.4	0.0	0.6	3.9	- 2.7	10.8	10.	- 8.8	24.	3.8	4.0	3.9	3.9	86	**74**	83	81	31
Dezember	**702.7**	**711.1**	691.5	1.8	5.3	2.2	2.8	7.1	- 1.0	12.3	29.	- 7.1	5.	3.6	4.3	3.9	4.0	**69**	65	73	**69**	24
Jahr	699.0	711.1	673.2	5.9	10.0	6.3	7.2	11.6	3.6	29.2	12. V.	-14.2	4. II.	5.9	6.3	6.1	6.1	79	67	81	76	23

*) Die Barometerstände bis zum 27. V. sind auf die neue Höhe reduziert.

Alle Angaben nach Ortszeit.

1912

Ottobeuren.

h_t = 7.6 m — h_r = 1.9 m

Monat	Bewölkung 7a	2p	9p	Mittel	Niederschlag Summe mm	Tagesmaximum Betrag mm	Gemessen am	Zahl der Tage ≧0.1 mm Niederschlag	≧1.0 mm	≧0.1 mm ✳	⊠	△	▲	⊠	≡	heitere	trübe	Windverteilung N	NE	E	SE	S	SW	W	NW	C
Januar . . .	7.4	**7.8**	6.5	**7.2**	99.4	39.6	10.	16	11	10	13	1	–	1	6	4	16	–	12	**18**	7	1	35	2	2	16
Februar . .	7.0	6.6	5.5	6.3	49.8	19.2	3.	14	8	6	14	1	–	–	1	3	10	–	4	2	**10**	4	40	1	2	24
März . . .	6.3	6.3	4.7	5.8	82.9	22.3	4.	17	13	2	–	1	–	–	–	4	6	–	3	6	8	1	53	3	8	**11**
April . . .	5.5	6.1	5.6	5.7	60.3	17.0	2.	**10**	8	7	6	**2**	1	–	1	5	9	1	**22**	8	9	1	29	1	3	16
Mai	5.8	6.0	6.2	6.0	129.8	18.4	25.	16	12	–	–	1	–	**7**	–	4	11	**3**	14	1	2	1	33	**8**	2	29
Juni	6.0	6.3	6.5	6.2	**149.1**	**41.5**	25.	14	14	–	–	–	–	6	2	3	10	2	18	7	**1**	–	40	**2**	3	17
Juli	**4.0**	5.1	4.8	4.6	126.7	29.0	8.	16	13	–	–	–	–	5	1	**11**	8	1	23	4	**1**	2	**25**	2	3	**32**
August . .	7.0	7.4	6.8	7.1	136.7	22.1	8.	**22**	**20**	–	–	–	1	2	1	3	**17**	1	**2**	–	4	**2**	53	3	**10**	18
September .	7.2	7.4	6.7	7.1	118.8	32.6	9.	17	13	2	–	–	–	–	4	2	14	1	12	12	**1**	–	33	1	1	29
Oktober . .	**7.6**	6.8	5.7	6.7	87.4	20.7	3.	18	14	3	1	–	–	–	**8**	3	12	1	**25**	2	2	3	40	1	–	19
November .	7.3	7.3	**7.1**	**7.2**	46.1	10.7	12.	15	11	**12**	12	–	–	–	–	**1**	15	1	7	2	**1**	–	**56**	**2**	1	20
Dezember .	5.7	**4.6**	**3.7**	**4.6**	**35.5**	9.1	19.	**10**	**6**	5	**18**	1	–	–	2	9	8	–	6	5	6	**5**	54	–	–	17
Jahr	6.4	6.5	5.8	6.2	1122.5	41.5	25. VI.	185	143	47	64	7	2	21	26	52	136	11	148	67	52	20	491	26	35	248

Traunstein.

h_t = 6.7 m — h_r = 1.4 m

Monat	Bewölkung 7a	2p	9p	Mittel	Niederschlag Summe mm	Tagesmaximum Betrag mm	Gemessen am	Zahl der Tage ≧0.1 mm Niederschlag	≧1.0 mm	≧0.1 mm ✳	⊠	△	▲	⊠	≡	heitere	trübe	Windverteilung N	NE	E	SE	S	SW	W	NW	C
Januar . . .	7.8	**8.1**	6.7	7.5	143.6	46.5	10.	18	14	10	24	–	–	–	5	2	16	2	5	**43**	7	2	1	29	4	–
Februar . .	7.1	7.0	4.5	6.2	76.7	21.9	25.	15	13	4	14	–	–	–	2	1	9	2	3	13	15	4	4	42	4	–
März . . .	7.1	7.3	5.8	6.7	154.7	20.2	4.	**23**	**20**	4	2	1	–	2	–	2	10	1	2	16	7	9	7	45	6	–
April . . .	6.4	7.0	5.1	6.2	131.6	36.8	2.	17	15	6	9	1	–	–	–	2	11	**5**	11	21	9	4	2	36	**2**	–
Mai	7.4	7.0	6.4	6.9	284.7	38.9	9.	18	15	–	–	–	–	4	–	4	12	4	**1**	14	4	7	7	43	**13**	–
Juni	6.4	6.4	6.3	6.4	**332.8**	**85.3**	14.	20	16	–	–	–	1	**9**	–	1	6	1	4	19	9	6	8	38	5	–
Juli	5.5	5.4	5.0	5.3	244.8	49.8	22.	14	14	–	–	–	–	7	–	**7**	10	4	3	32	5	9	**9**	23	8	–
August . .	6.8	7.4	6.7	7.0	202.9	26.9	8.	22	**20**	–	–	–	–	3	–	3	15	1	**1**	12	11	6	4	**49**	9	–
September .	**8.6**	8.0	**7.1**	**7.9**	264.1	61.5	9.	22	18	–	–	–	–	–	3	2	**18**	3	**16**	17	3	9	3	33	6	–
Oktober . .	7.7	6.8	4.9	6.5	109.9	24.1	3.	16	13	2	–	1	–	–	**8**	1	6	**1**	6	33	9	5	6	27	6	–
November .	7.6	7.8	6.0	7.1	100.1	13.1	6., 12.	19	14	**14**	**25**	**2**	–	–	7	–	17	4	1	12	**18**	8	1	37	9	–
Dezember .	5.1	5.3	4.1	4.8	53.4	25.8	28.	**10**	9	5	16	–	–	–	4	6	6	2	4	14	15	**13**	3	38	4	–
Jahr . . .	7.0	7.0	5.7	6.5	2299.3	85.3	14. IV.	214	181	45	90	5	1	25	29	31	136	30	57	246	112	82	55	440	76	–

Schaftlach.

h_t = 1.3 m — h_r = 1.6 m

Monat	Bewölkung 7a	2p	9p	Mittel	Niederschlag Summe mm	Tagesmaximum Betrag mm	Gemessen am	Zahl der Tage ≧0.1 mm Niederschlag	≧1.0 mm	≧0.1 mm ✳	⊠	△	▲	⊠	≡	heitere	trübe	Windverteilung N	NE	E	SE	S	SW	W	NW	C
Januar . . .																										
Februar . .																										
März . . .	6.9	7.4	6.3	6.8	134.5	21.6	25.	15	15	8	6	3	–	1	2	2	12	–	–	22	–	4	2	47	3	15
April . . .	6.2	7.1	6.3	6.5	114.3	27.9	2.	13	13	6	11	1	–	1	3	5	11	3	5	20	9	2	13	21	1	16
Mai	7.1	7.2	7.2	7.2	260.7	47.5	9.	21	18	1	–	1	–	6	4	4	16	1	5	18	–	2	9	34	4	20
Juni	6.3	7.3	7.1	6.9	213.6	51.2	25.	18	15	–	–	1	–	7	–	1	11	1	3	19	1	2	2	38	5	19
Juli	8.2	8.2	8.9	8.4	216.6	38.7	22.	15	15	–	–	–	–	3	3	–	19	1	8	26	–	4	2	35	5	12
August . .	8.7	8.9	8.3	8.6	281.6	40.2	11.	18	18	–	–	1	–	2	1	1	21	1	–	11	–	11	3	57	3	7
September .	9.5	9.2	8.0	8.9	246.1	60.1	9.	23	18	–	–	–	–	–	4	–	21	2	9	28	–	–	6	37	1	7
Oktober . .	8.9	8.0	6.5	7.8	119.3	30.5	20.	20	13	4	2	–	–	–	6	–	18	3	7	21	4	8	5	30	2	13
November .	8.5	8.2	6.7	7.5	107.9	17.2	22.	17	13	12	27	1	–	–	5	1	16	1	3	14	3	6	9	36	2	16
Dezember .	6.1	5.7	4.0	5.2	51.7	32.6	28.	6	5	3	25	–	–	–	–	5	6	–	–	5	–	3	19	39	–	27
Jahr . . .																										

Tegernsee.

h_t = 1.8 m — h_r = 1.8 m

Monat	Bewölkung 7a	2p	9p	Mittel	Niederschlag Summe mm	Tagesmaximum Betrag mm	Gemessen am	Zahl der Tage ≧0.1 mm Niederschlag	≧1.0 mm	≧0.1 mm ✳	⊠	△	▲	⊠	≡	heitere	trübe	Windverteilung N	NE	E	SE	S	SW	W	NW	C
Januar . . .	**8.5**	7.8	**7.5**	**7.9**	158.3	53.0	10.	15	14	8	**18**	–	–	1	**7**	**1**	**19**	2	2	**2**	12	11	**5**	6	9	**44**
Februar . .	7.7	7.4	**3.3**	6.1	63.1	17.8	25.	14	11	4	6	–	–	–	1	4	9	6	–	3	17	14	–	**2**	9	36
März . . .	6.8	7.0	4.8	6.2	97.0	17.2	25.	18	17	7	–	–	–	–	–	3	8	9	3	11	26	14	–	10	7	13
April . . .	6.3	6.9	5.7	6.3	109.8	26.2	2.	17	13	6	7	–	–	1	–	4	13	**10**	**8**	8	17	8	–	15	6	18
Mai	7.4	6.9	6.2	6.8	280.9	58.0	9.	19	17	1	–	–	1	5	–	4	15	6	4	15	14	12	1	4	6	31
Juni	5.7	7.1	5.3	6.2	198.5	49.0	25.	18	14	–	–	–	**2**	**9**	–	5	7	8	5	16	13	11	1	11	8	17
Juli	4.9	5.3	4.3	4.8	205.1	30.7	8.	16	15	–	–	–	–	4	–	**12**	12	4	3	**29**	11	10	2	11	6	17
August . .	7.1	7.4	7.4	7.3	249.1	30.5	27.	20	**20**	–	–	–	–	3	–	4	18	5	–	25	13	12	1	13	7	17
September .	7.8	**8.0**	6.8	7.6	**293.0**	**80.0**	9.	**21**	18	–	–	–	–	–	5	2	16	1	2	21	9	3	–	17	9	28
Oktober . .	6.6	7.0	5.7	6.4	107.5	22.8	3.	14	13	3	–	–	–	–	5	4	9	2	1	19	16	11	2	16	**10**	16
November .	6.0	6.5	5.8	6.1	94.4	13.0	1., 22.	17	16	**13**	16	–	–	–	–	6	11	1	–	10	32	3	–	**22**	**10**	12
Dezember .	4.4	4.3	3.4	4.0	58.5	30.0	28.	**10**	9	3	16	–	–	–	–	**12**	3	3	–	5	**43**	**19**	1	13	6	3
Jahr	6.6	6.8	5.5	6.3	1915.2	80.0	9. IX.	199	177	45	63	–	3	23	18	61	140	57	28	164	223	128	13	140	93	252

Alle Angaben nach Ortszeit.

1912

Bad Reichenhall.

$\varphi = 47^0\,43'$ N $\lambda = 12^0\,53'$ E — H = 477 m Cg = + 0.1 mm

Monat	Luftdruck auf 0° und Normalschwere reduziert: Mittel mm	Maximum mm	Minimum mm	Lufttemperatur: 7a C°	2p C°	9p C°	Tagesmittel C°	Mittl. Maximum C°	Mittl. Minimum C°	Absol. Maximum C°	Datum	Absol. Minimum C°	Datum	Absolute Feuchtigkeit: 7a mm	2p mm	9p mm	Mittel mm	Relative Feuchtigkeit: 7a Proz.	2p Proz.	9p Proz.	Mittel Proz.	Minimum Proz.
Januar	719.9	732.0	695.3	− 2.9	1.1	− 1.3	− 1.1	2.5	− 4.2	10.0	3., 24.	−15.9	30.	3.5	4.0	3.7	3.7	90	**78**	86	**85**	45
Februar	**716.8**	729.1	**694.6**	1.7	7.5	2.8	3.7	8.5	0.3	18.5	29.	**−18.9**	4.	4.4	4.7	4.7	4.6	82	63	83	76	28
März	718.5	730.8	703.3	4.7	10.8	5.8	6.8	11.9	3.2	23.1	27.	− 0.9	9.	5.1	5.3	5.4	5.3	80	57	80	72	**20**
April	720.3	731.9	705.1	4.8	10.5	5.7	6.7	12.2	2.5	20.1	28.	− 3.9	13.	5.1	4.9	5 5	5.2	78	52	79	70	24
Mai	719.9	729.1	711.1	11.4	16.8	11.6	12.9	18.6	8.9	**33.9**	12.	0.3	2.	7.9	7.7	8.5	8.0	79	56	83	73	24
Juni	719.0	725.9	707.6	14.8	21.3	14.7	16.3	22.7	11.6	29.8	29.	7.8	3.	9.7	9.9	10.7	10.1	78	54	86	72	28
Juli	720.1	725.4	711.0	**15.4**	**21.9**	**15.7**	**17.2**	**23.4**	**12.5**	31.0	28.	9.5	öfters	**10.6**	**10.7**	**11.2**	**10.8**	82	56	84	74	36
August	719.1	725.8	711.9	13.1	18.8	13.3	14.6	20.8	10.8	28.9	30.	7.1	9.	9.3	9.9	10.1	9.8	83	62	89	78	44
September	722.6	728.7	714.6	6.9	11.3	7.5	8.3	12.5	5.8	18.7	30.	1.0	22.	6.8	7.2	7.1	7.0	**91**	73	**93**	**85**	50
Oktober	721.1	732.1	705.8	5.2	10.6	6.0	7.0	12.4	3.7	24.0	1.	− 3.6	6.	5.8	6.5	6.3	6.2	87	69	89	82	33
November	720.4	731.7	699.4	− 0.4	2.6	− 0.1	0.5	3.9	− 1.7	9.3	10.	− 7.3	24.	3.9	4.3	4.1	4.1	88	77	89	84	49
Dezember	**724.1**	**732.3**	709.4	− 0.7	3.9	0.3	1.0	5.5	− 2.0	13.1	15.	−10.4	8.	4.0	4.4	4.1	4.2	88	72	87	82	33
Jahr	720.2	732.3	694.6	6.2	11.4	6.8	7.8	12.9	4.3	33.9	12. V.	−18.9	4. II.	6.3	6.6	6.8	6.6	84	64	86	78	20

Berchtesgaden.

$\varphi = 47^0\,38'$ N $\lambda = 13^0\,0'$ E — H = 600 m

Monat	Luftdruck: Mittel	Maximum	Minimum	Lufttemperatur: 7a C°	2p C°	9p C°	Tagesmittel C°	Mittl. Maximum C°	Mittl. Minimum C°	Absol. Maximum C°	Datum	Absol. Minimum C°	Datum	Absolute Feuchtigkeit: 7a mm	2p mm	9p mm	Mittel mm	Relative Feuchtigkeit: 7a Proz.	2p Proz.	9p Proz.	Mittel Proz.	Minimum Proz.
Januar				− 2.8	0.7	− 1.4	− 1.3	2.1	− 4.6	9.1	7.	−16.5	30.	3.5	4.0	3.8	3.7	88	80	89	86	54
Februar				− 0.3	5.7	1.5	2.1	6.9	− 2.1	16.9	29.	−19.1	4.	4.2	4.8	4.6	4.5	89	70	87	82	35
März				2.4	9.2	4.8	5.3	10.6	0.8	20.3	27.	− 4.1	9.	4.9	5.1	5.3	5.1	88	61	83	77	24
April				2.8	9.6	5.1	5.7	11.3	0.7	18.6	28.	− 8.1	13.	4.9	4.7	5.2	4.9	85	52	79	72	30
Mai				9.8	15.5	11.0	11.8	16.5	7.6	**29.0**	15.	− 1.0	2.	7.9	7.8	8.1	7.9	87	62	84	77	26
Juni				12.8	19.5	14.1	15.1	20.5	10.1	26.2	29.	6.3	1.	9.3	9.6	10.1	9.7	84	58	84	76	34
Juli				**13.7**	**20.2**	**15.2**	**16.1**	**21.2**	**11.1**	27.8	28.	8.0	6.	**10.3**	**10.3**	**10.9**	**10.5**	88	60	85	78	41
August				11.2	17.5	12.8	13.6	18.8	9.4	25.3	30.	5.0	29.	9.0	9.3	9.7	9.4	91	63	89	81	44
September				5.8	10.2	6.9	7.5	10.9	4.8	16.2	30.	0.3	24.	6.5	6.7	6.8	6.7	**93**	73	90	85	44
Oktober				3.6	9.7	5.5	6.1	11.1	2.4	20.3	1.	− 3.2	6.	5.5	6.4	6.1	6.0	92	71	90	84	44
November				− 1.9	1.4	− 1.1	− 0.7	**1.9**	− 3.2	7.5	1.	− 9.9	8.	3.8	4.2	3.9	4.0	92	**82**	92	**89**	55
Dezember				− 2.2	2.3	− 1.2	− 0.6	3.2	− 3.7	10.6	15.	−11.8	9.	3.8	4.4	4.0	4.1	**93**	81	**93**	**89**	47
Jahr				4.6	10.1	6.1	6.7	11.3	2.8	29.0	15. V.	−19.1	4. II.	6.1	6.4	6.5	6.4	89	68	87	81	24

Ettal.

$\varphi = 47^0\,34'$ N $\lambda = 11^0\,5'$ E. — H = 879.5 m Cg = ± 0.0 mm

Monat	Luftdruck: Mittel	Maximum	Minimum	Lufttemperatur: 7a C°	2p C°	9p C°	Tagesmittel C°	Mittl. Maximum C°	Mittl. Minimum C°	Absol. Maximum C°	Datum	Absol. Minimum C°	Datum	Absolute Feuchtigkeit: 7a mm	2p mm	9p mm	Mittel mm	Relative Feuchtigkeit: 7a Proz.	2p Proz.	9p Proz.	Mittel Proz.	Minimum Proz.
Januar	683.6	**695.1**	661.0	− 3.0	0.7	− 2.1	− 1.6	3.5	− 5.0	9.9	23.	−17.1	30.	3.4	3.5	3.6	3.5	88	71	88	82	41
Februar	681.2	693.6	**659.1**	0.1	6.1	0.9	2.0	8.1	− 2.2	14.8	8.	−16.8	4.	4.0	4.0	4.1	4.0	84	58	83	75	24
März	683.0	693.8	669.4	1.8	7.7	3.1	3.9	9.8	− 0.3	20.0	27.	− 5.5	9.	4.3	4.4	4.5	4.4	83	58	80	**74**	**18**
April	684.9	694.7	671.6	1.7	7.7	2.9	3.8	9.7	− 0.8	18.1	8.	−10.1	13.	4.4	4.3	4 8	4.5	82	56	84	**74**	25
Mai	685.1	694.2	677.9	8.8	14.5	9.6	10.6	16.6	6.1	**29.1**	15.	− 2.2	2.	7.2	6.9	7.0	7.0	84	59	81	**74**	**18**
Juni	684.7	691.4	674.5	**14.1**	17.4	11.8	13.5	20.1	8.6	27.8	23.	4.2	3.	8.9	8.7	9.0	8.9	**80**	60	87	76	33
Juli	685.7	689.9	678.0	13.5	**18.7**	**12.6**	**14.3**	**20.6**	**9.9**	26.2	28.	6.0	3.	**9.5**	**9.7**	**9.6**	**9.6**	83	62	89	78	36
August	684.4	691.4	676.4	10.2	15.5	10.7	11.8	17.4	7.5	24.0	19.	3.2	9.	8.1	8.6	8.6	8.4	88	66	89	81	41
September	687.2	691.7	680.4	4.5	8.8	5.3	6.0	10.5	2.9	17.5	30.	− 2.2	22.	5.9	6.3	6.1	6.1	**93**	75	**90**	**86**	53
Oktober	685.3	694.7	670.7	3.4	8.0	4.3	5.0	10.7	2.0	20.0	1.	− 3.0	6.	5.3	5.8	5.7	5.6	90	75	**90**	85	33
November	684.2	693.8	664.2	− 2.3	0.5	− 1.8	− 1.4	3.4	− 5.0	10.2	27.	−15.2	24.	3.6	3.7	3.6	3.7	90	**80**	89	**86**	43
Dezember	**687.9**	694.5	675.1	− 1.1	2.4	− 0.5	0.3	5.8	− 3.8	13.1	23.	− 8.9	5.	3.6	3.9	3.8	3.8	84	73	87	81	34
Jahr	684.8	695.1	659.1	4.3	9.0	4.7	5.7	11.4	1.7	29.1	15. V.	−17.1	30. I.	5.7	5.8	5.9	5.8	86	66	86	79	18

Lindau i. B. (Reutin).

$\varphi = 47^0\,33$ N $\lambda = 9^0\,41'$ E — H = 401.7 m Cg = + 0.1 mm

Monat	Luftdruck: Mittel	Maximum	Minimum	Lufttemperatur: 7a C°	2p C°	9p C°	Tagesmittel C°	Mittl. Maximum C°	Mittl. Minimum C°	Absol. Maximum C°	Datum	Absol. Minimum C°	Datum	Absolute Feuchtigkeit: 7a mm	2p mm	9p mm	Mittel mm	Relative Feuchtigkeit: 7a Proz.	2p Proz.	9p Proz.	Mittel Proz.	Minimum Proz.
Januar	726.8	738.9	703.6	− 0.7	2.3	0.3	0.6	3.7	− 2.2	11.8	7.	−10.0	30., 31.	4.2	4.6	4.3	4.4	**93**	83	90	**89**	39
Februar	**723.7**	737.3	**700.6**	1.2	6.4	3.0	3.4	8.7	− 0.6	16.9	9.	−16.1	4.	4.7	5.6	5.2	5.1	89	75	88	84	50
März	725.6	735.9	710.6	4.3	9.5	6.3	6.6	12.0	2.3	21.5	27.	− 2.3	9.	5.4	6.0	5.8	5.7	86	68	81	79	42
April	727.5	738.8	713.3	4.9	10.0	7.1	7.3	12.8	2.0	19.6	28.	− 4.5	13.	5.5	5.9	5.8	5.7	83	64	**77**	**74**	38
Mai	727.0	737.0	718.9	10.5	16.1	12.6	12.9	18.0	8.3	27.0	12.	− 1.7	2.	8.5	9.1	8.9	8.9	89	67	82	79	39
Juni	726.0	732.7	715.7	14.3	18.9	15.8	16.2	20.7	11.4	26.7	23.	8.1	1.	10.4	10.9	10.8	10.7	85	67	81	78	52
Juli	726.7	731.1	718.3	**14.8**	**19.8**	**16.7**	**17.0**	**21.7**	**11.8**	**27.5**	13.	7.9	5.	**11.2**	**12.1**	**11.6**	**11.6**	90	72	83	81	47
August	726.0	733.9	717.0	12.8	17.0	13.9	14.4	18.7	10.4	26.1	4.	6.0	9.	9.8	10.5	10.3	10.2	89	73	87	83	51
September	729.6	734.5	722.0	6.9	11.7	8.9	9.1	13.3	5.3	16.2	17.	− 0.4	26.	6.9	7.5	7.4	7.3	92	74	87	84	53
Oktober	727.6	737.1	713.0	5.9	9.7	7.1	7.4	11.2	3.8	20.8	1.	− 1.1	7.	6.4	7.1	6.7	6.7	91	79	88	86	52
November	727.6	737.3	707.3	0.8	4.3	2.2	2.4	6.0	− 1.2	11.9	11.	− 5.7	24.	4.3	4.5	4.4	4.4	86	73	82	80	44
Dezember	**731.7**	**739.3**	718.9	0.6	3.4	1.2	1.6	5.3	− 1.7	14.0	1.	− 7.0	8.	4.4	4.9	4.6	4.6	91	**84**	**92**	**89**	53
Jahr	727.2	739.3	700.6	6.4	10.8	7.9	8.2	12.7	4.1	27.5	13. VII.	−16.1	4. II.	6.8	7.4	7.2	7.1	89	73	85	82	38

Alle Angaben nach Ortszeit.

1912

Bad Reichenhall.

h_t = 10.9 m — h_r = 1.5 m

Monat	Bewölkung 7a	2p	9p	Mittel	Niederschlag Summe mm	Tagesmaximum Betrag mm	Gemessen am	Zahl der Tage ≧0.1 mm Niederschlag	≧1.0 mm	≧0.1 mm ✳	⊠	△	▲	⊿	≡	heitere	trübe	Windverteilung N	NE	E	SE	S	SW	W	NW	C
Januar . .	6.6	7.8	6.8	7.1	157.5	36.0	8.	17	15	8	**22**	**3**	–	–	1	4	14	–	5	21	1	3	10	20	1	32
Februar . .	6.9	6.4	4.8	6.1	73.1	27.3	25.	16	15	8	9	1	–	–	1	5	10	–	2	12	1	**5**	13	29	1	24
März . . .	6.8	7.2	6.2	6.7	130.1	29.1	26.	20	16	3	1	–	–	–	–	4	13	–	3	10	–	2	16	**45**	–	17
April . .	5.9	7.0	6.3	6.4	128.4	24.9	2.	18	14	7	7	–	–	–	–	3	12	–	4	21	2	4	11	35	2	**11**
Mai	7.3	7.0	6.0	6.8	284.6	55.8	26.	20	14	–	–	–	–	–	2	5	13	1	**6**	20	1	2	18	28	**5**	12
Juni	6.4	6.2	5.4	6.0	235.6	52.7	14.	17	15	–	–	–	–	–	4	4	11	–	1	24	–	3	13	23	–	26
Juli	5.0	4.6	4.6	4.7	219.0	47.1	22.	13	13	–	–	–	–	**5**	–	**11**	8	1	4	**28**	3	**5**	15	20	–	17
August . .	6.3	6.7	6.7	6.6	161.8	25.0	27.	**22**	17	–	–	–	–	1	–	5	15	1	3	19	1	2	**19**	30	–	18
September .	**8.2**	**8.0**	**7.7**	**8.0**	**290.8**	**68.5**	16.	21	**19**	–	–	–	–	–	–	3	**20**	–	–	23	2	2	3	29	–	31
Oktober . .	6.5	6.8	6.4	6.6	80.4	19.7	3.	14	12	–	–	–	–	–	2	4	12	–	3	15	1	2	16	**17**	–	39
November .	7.0	6.5	6.5	6.7	132.1	20.0	1.	18	16	**15**	18	2	–	–	–	5	16	–	–	5	–	**5**	3	27	–	**50**
Dezember .	4.7	3.7	5.3	4.6	60.9	29.5	28.	12	11	4	15	1	–	–	**3**	7	5	–	1	17	**4**	3	10	29	–	29
Jahr . . .	6.5	6.5	6.1	6.4	1954.3	68.5	16. IX.	208	177	45	72	7	–	12	7	60	149	3	32	215	16	38	147	332	9	306

Berchtesgaden.

h_t = 3.5 m — h_r = 1.6 m

Monat	Bewölkung 7a	2p	9p	Mittel	Niederschlag Summe mm	Tagesmaximum Betrag mm	Gemessen am	Zahl der Tage ≧0.1 mm Niederschlag	≧1.0 mm	≧0.1 mm ✳	⊠	△	▲	⊿	≡	heitere	trübe	Windverteilung N	NE	E	SE	S	SW	W	NW	C
Januar . .	7.4	7.2	7.5	7.4	151.1	41.1	10.	17	16	12	**31**	–	–	–	**3**	3	17	–	–	4	1	–	–	10	–	78
Februar . .	7.7	7.3	4.4	6.5	72.1	23.2	25.	19	15	9	27	1	–	–	2	3	11	–	–	5	2	1	–	–	–	79
März . . .	6.6	6.8	6.2	6.5	137.6	29.4	26.	**27**	**21**	6	3	1	–	1	1	3	10	–	–	10	3	–	1	3	–	76
April . . .	6.9	7.4	6.8	7.1	136.1	29.0	2.	18	14	5	8	–	–	–	–	2	15	–	–	6	1	–	–	**14**	1	68
Mai	7.8	7.6	7.4	7.6	233.0	46.8	9.	19	14	–	–	–	–	7	–	4	19	–	–	5	1	–	1	7	–	79
Juni	7.0	6.7	6.3	6.7	225.9	47.1	14.	20	17	–	–	–	–	**8**	1	2	11	–	–	12	–	–	–	5	–	73
Juli	6.8	6.1	5.1	6.0	245.1	46.6	30.	15	14	–	–	–	1	7	1	6	12	–	–	9	**8**	–	–	2	–	74
August . .	7.7	7.1	7.7	7.5	174.2	21.2	27.	22	19	–	–	–	–	3	2	4	16	–	–	9	2	–	–	1	–	81
September .	**9.4**	**8.6**	**8.0**	**8.7**	**285.2**	**70.0**	4.	23	**21**	–	–	–	–	–	2	–	**23**	–	–	**16**	–	–	–	2	–	72
Oktober . .	7.3	7.1	6.1	6.8	76.5	20.0	4.	15	12	–	–	–	–	–	**3**	3	15	–	–	13	2	–	–	1	–	77
November .	7.8	7.0	6.6	7.1	125.2	25.9	1.	18	15	**15**	27	1	–	–	–	2	16	–	–	**4**	–	–	–	2	–	84
Dezember .	4.4	4.8	3.8	4.3	47.1	16.6	28.	12	11	5	**31**	–	–	–	1	**10**	6	–	–	4	1	–	–	1	–	**87**
Jahr	7.2	7.0	6.3	6.9	1909.1	70.0	4. IX.	225	189	52	127	3	1	26	16	42	171	–	–	97	21	1	2	48	1	928

Ettal.

h_t = 2.4 m — h_r = 1.9 m

Monat	Bewölkung 7a	2p	9p	Mittel	Niederschlag Summe mm	Tagesmaximum Betrag mm	Gemessen am	Zahl der Tage ≧0.1 mm Niederschlag	≧1.0 mm	≧0.1 mm ✳	⊠	△	▲	⊿	≡	heitere	trübe	Windverteilung N	NE	E	SE	S	SW	W	NW	C
Januar . . .	5.8	7.2	6.6	6.5	127.0	37.4	8.	17	16	**16**	**31**	1	–	1	8	4	14									
Februar . .	6.4	6.9	4.2	5.8	60.8	17.2	25.	17	11	12	27	–	–	–	1	2	7									
März . . .	5.8	6.7	5.3	5.9	111.8	24.5	26.	20	13	13	7	**3**	1	1	2	4	9									
April . . .	6.2	6.7	6.6	6.5	131.1	28.0	2.	17	13	9	9	2	2	–	3	3	12									
Mai	7.0	6.9	6.3	6.8	**289.4**	**68.4**	9.	19	16	2	–	1	–	5	–	3	13									
Juni	5.6	**7.3**	5.5	6.0	232.3	62.1	25.	17	14	–	–	–	**3**	4	–	4	10									
Juli	4.0	5.3	4.8	4.7	201.1	42.8	21.	17	16	–	–	–	–	**6**	–	**14**	9									
August . .	6.7	6.8	7.0	6.9	211.7	32.4	21.	**22**	**22**	–	–	–	–	2	–	3	14					*)				
September .	**7.2**	7.1	**7.3**	**7.2**	251.1	56.5	16.	20	17	2	–	1	–	1	3	4	**16**									
Oktober . .	6.4	6.6	6.7	6.5	103.5	18.2	18.	18	13	4	3	–	–	–	**9**	4	13									
November .	6.8	6.2	5.6	6.2	89.7	15.0	2.	20	14	9	28	–	–	–	4	3	10									
Dezember .	4.7	3.8	3.4	3.9	57.1	20.1	28.	8	7	6	**31**	–	–	–	–	12	6									
Jahr . . .	6.1	6.5	5.8	6.1	1866.6	68.4	9. V.	212	172	73	136	8	6	20	30	60	133									

*) Die eingeschlossene Lage Ettals macht Windbeobachtungen unmöglich.

Lindau i. B. (Reutin).

h_t = 2.1 m — h_r = 1.4 m

Monat	Bewölkung 7a	2p	9p	Mittel	Niederschlag Summe mm	Tagesmaximum Betrag mm	Gemessen am	Zahl der Tage ≧0.1 mm Niederschlag	≧1.0 mm	≧0.1 mm ✳	⊠	△	▲	⊿	≡	heitere	trübe	Windverteilung N	NE	E	SE	S	SW	W	NW	C
Januar . . .	7.6	7.5	7.5	7.5	82.5	32.7	10.	14	10	7	7	1	–	1	3	3	16	12	19	2	2	15	3	17	4	**19**
Februar . .	6.6	5.7	5.1	5.8	88.8	24.9	22.	13	11	4	**8**	1	–	–	1	4	8	9	10	**9**	3	25	5	9	5	12
März . . .	6.4	6.6	6.1	6.4	98.6	23.9	26.	19	15	1	–	–	–	–	1	5	13	7	14	5	2	25	5	21	6	8
April . . .	5.7	6.2	5.0	5.6	71.7	39.5	2.	13	6	6	–	**2**	–	–	–	6	9	9	21	3	–	15	**8**	20	6	8
Mai	6.2	5.3	6.5	6.0	191.5	34.9	25.	18	16	–	–	1	–	1	–	5	13	9	9	3	4	23	7	24	2	12
Juni	6.8	4.8	5.9	5.8	135.0	**44.2**	14.	17	13	–	–	–	–	**7**	–	4	**7**	6	8	4	–	22	3	**32**	**8**	7
Juli	**4.0**	4.3	5.1	4.4	195.7	40.9	21.	14	11	–	–	–	–	2	–	**13**	8	6	15	3	–	26	3	24	4	12
August . .	7.0	6.2	6.8	6.7	**216.5**	25.0	8., 21.	**23**	**21**	–	–	–	–	2	–	3	13	–	11	1	4	24	7	28	7	11
September .	6.5	6.7	5.8	6.3	154.6	28.7	10.	17	11	–	–	–	–	1	–	5	13	**14**	**28**	2	**7**	8	1	20	4	6
Oktober . .	**8.4**	**8.2**	**7.7**	**7.8**	150.6	26.0	18.	20	13	1	–	–	–	–	4	–	**17**	7	16	2	2	26	–	19	6	15
November .	6.8	6.4	6.0	6.4	**57.3**	18.9	12.	14	12	**8**	1	**2**	–	–	1	3	10	5	13	1	1	**28**	4	18	3	17
Dezember .	7.8	6.8	7.0	7.2	59.3	25.1	28.	**12**	10	2	1	1	–	–	**10**	3	16	4	25	3	–	25	1	**12**	7	16
Jahr	6.7	6.2	6.2	6.3	1502.1	44.2	14. VI.	194	149	29	17	8	–	14	20	54	143	88	189	38	25	262	47	244	62	143

Alle Angaben nach Ortszeit.

1912

Partenkirchen.

$\varphi = 47^0\ 30'$ N $\lambda = 11^0\ 6'$ E — H = 716.8 m*) Cg = + 0.1 mm

Monat	Luftdruck auf 0° und Normalschwere reduziert: Mittel mm	Maximum mm	Minimum mm	Lufttemperatur: 7 C°	2p C°	9p C°	Tagesmittel C°	Mittl. Maximum C°	Mittl. Minimum C°	Absol. Maximum C°	Datum	Absol. Minimum C°	Datum	Absolute Feuchtigkeit: 7a mm	2p mm	9p mm	Mittel mm	Relative Feuchtigkeit: 7a Proz.	2p Proz.	9p Proz.	Mittel Proz.	Minimum Proz.
Januar	699.3	**711.5**	677.1	− 3.2	1.3	− 1.8	− 1.4	2.7	− 4.5	9.7	5.	−16.2	29.	3.4	3.8	3.7	3.6	87	**74**	88	83	50
Februar	696.8	709.1	673.7	0.1	8.1	1.7	2.9	9.3	− 1.2	19.5	29.	−16.0	4.	3.9	4.3	4.3	4.2	81	55	81	**72**	31
März	698.5	709.6	684.4	2.1	9.9	4.1	5.0	11.7	0.9	23.3	27.	− 4.6	9.	4.6	4.4	4.9	4.6	84	**52**	**80**	**72**	16
April	700.2	711.1	686.6	2.3	9.4	4.2	5.1	10.8	0.7	21.5	8.	− 9.3	13.	4.6	4.7	5.2	4.8	84	55	84	74	23
Mai	700.2	710.0	692.8	8.9	15.8	10.8	11.6	17.0	7.2	**29.8**	12.	− 1.3	2.	7.6	7.4	8.1	7.7	89	58	84	77	**15**
Juni	699.6	706.0	689.3	12.0	18.2	13.2	14.2	19.5	9.6	26.6	23.	5.7	17.	9.2	9.7	10.0	9.6	89	63	88	80	36
Juli	700.7	705.2	692.7	**12.9**	**18.7**	**13.9**	**14.8**	**20.2**	**10.9**	26.5	28.	7.1	22.	**9.8**	**10.3**	**10.6**	**10.2**	89	66	90	82	38
August	699.4	706.5	690.6	10.5	16.4	11.8	12.6	17.7	8.9	25.4	30.	4.6	15.	8.6	9.2	9.5	9.1	91	67	**92**	84	44
September	702.6	707.0	695.0	5.1	9.7	7.0	7.2	10.7	4.3	18.5	30.	− 0.2	23.	6.3	6.5	6.9	6.5	**94**	73	**92**	**86**	40
Oktober	700.9	710.8	685.8	3.8	9.7	5.2	6.0	10.7	2.7	20.3	1.	− 1.3	6.	5.5	6.1	6.0	5.8	90	70	90	83	37
November	699.9	710.3	680.0	− 2.5	1.9	− 1.3	− 0.8	3.0	− 4.0	11.0	10.	−13.7	24.	3.5	4.0	3.7	3.7	89	**74**	88	84	47
Dezember	**703.6**	711.3	690.1	− 1.1	4.0	− 0.4	0.5	5.2	− 3.1	13.1	15.	− 8.9	9.	3.6	4.0	3.8	3.8	83	66	83	77	26
Jahr	700.1	711.5	673.7	4.2	10.3	5.7	6.5	11.5	2.7	29.8	12. V.	−16.2	29. I.	5.9	6.2	6.4	6.1	88	64	87	80	15

*) Barometerhöhe am 20. XII. 1912 genau eingemessen.

Mittenwald.

$\varphi = 47^0\ 27'$ N $\lambda = 11^0\ 16'$ E — H = 911.8 m*) Cg = ± 0.0 mm

Monat	Luftdruck auf 0° und Normalschwere reduziert: Mittel mm	Maximum mm	Minimum mm	Lufttemperatur: 7 C°	2p C°	9p C°	Tagesmittel C°	Mittl. Maximum C°	Mittl. Minimum C°	Absol. Maximum C°	Datum	Absol. Minimum C°	Datum	Absolute Feuchtigkeit: 7a mm	2p mm	9p mm	Mittel mm	Relative Feuchtigkeit: 7a Proz.	2p Proz.	9p Proz.	Mittel Proz.	Minimum Proz.
Januar	682.2	694.1	660.5	− 2.4	2.0	− 1.3	− 0.7	2.8	− 4.4	9.6	24.	−18.1	31.	3.4	3.9	3.6	3.6	84	72	85	80	49
Februar	679.9	692.3	**657.5**	1.2	7.2	2.1	3.1	8.2	− 1.0	17.2	29.	−17.4	4.	3.7	4.3	4.1	4.0	**75**	**57**	**76**	**69**	**21**
März	681.6	692.7	667.9	1.8	8.0	3.4	4.2	9.4	0.0	20.0	27.	− 5.9	17.	4.3	4.6	4.5	4.5	81	59	79	73	25
April	683.3	693.6	669.6	1.9	8.3	3.0	4.0	9.9	− 0.5	18.4	8.	−13.0	13.	4.3	4.7	4.9	4.7	80	58	86	75	36
Mai	683.8	692.8	677.3	8.3	14.4	9.4	10.3	15.9	5.7	**28.0**	15.	− 2.3	2.	7.0	7.5	7.4	7.3	86	64	85	78	29
Juni	683.2	689.3	673.2	12.3	18.1	11.5	13.3	19.8	7.8	27.4	29.	3.5	17.	8.4	9.1	9.1	8.8	79	60	90	76	38
Juli	684.3	688.7	676.5	**13.1**	**18.6**	**12.2**	**14.0**	**20.2**	**9.3**	26.6	28.	5.9	21., 23.	**9.4**	**10.2**	**9.9**	**9.8**	85	66	**94**	81	42
August	683.0	689.6	674.6	10.6	16.1	10.3	11.8	17.4	7.6	25.1	4.	1.2	9.	8.0	8.7	8.4	8.3	85	65	91	80	41
September	685.7	689.9	678.6	4.0	9.2	5.3	5.9	10.0	2.7	17.1	30.	− 3.7	22.	5.6	6.2	6.0	5.9	**92**	73	90	**85**	40
Oktober	684.0	693.0	668.4	3.9	9.3	4.7	5.6	10.5	2.1	18.9	1.	− 3.1	23.	5.1	5.9	5.6	5.5	85	70	87	80	40
November	682.8	**699.2**	662.8	− 2.6	1.5	− 1.6	− 1.1	2.1	− 4.9	8.5	10.	−12.1	24.	3.5	3.9	3.6	3.7	90	**76**	88	**85**	51
Dezember	**686.7**	693.8	673.3	0.0	4.0	− 0.3	0.8	4.9	− 3.5	10.7	21.	− 8.4	6.	3.7	4.2	3.9	3.9	80	70	86	79	37
Jahr	683.4	699.2	657.5	4.3	9.7	4.9	5.9	10.9	1.7	28.0	15. V.	−18.1	31. I.	5.5	6.1	5.9	5.8	84	66	86	78	21

*) Barometerhöhe am 14. XI. 1912 genau eingemessen.

Oberstdorf.

$\varphi = 47^0\ 24'$ N $\lambda = 10^0\ 17'$ E — H = 811.4 m Cg = + 0.1 mm

Monat	Luftdruck auf 0° und Normalschwere reduziert: Mittel mm	Maximum mm	Minimum mm	Lufttemperatur: 7 C°	2p C°	9p C°	Tagesmittel C°	Mittl. Maximum C°	Mittl. Minimum C°	Absol. Maximum C°	Datum	Absol. Minimum C°	Datum	Absolute Feuchtigkeit: 7a mm	2p mm	9p mm	Mittel mm	Relative Feuchtigkeit: 7a Proz.	2p Proz.	9p Proz.	Mittel Proz.	Minimum Proz.
Januar	690.8	702.6	669.3	− 3.3	1.8	− 1.9	− 1.3	3.2	− 5.8	10.1	3.	−18.3	30.	3.4	4.0	3.8	3.7	93	**76**	92	**87**	43
Februar	688.4	701.7	666.2	− 0.4	7.1	1.1	2.2	8.3	− 3.0	15.0	6., 29.	−20.1	4.	4.1	4.5	4.1	4.2	89	60	85	78	26
März	690.2	700.6	675.6	1.2	8.7	3.2	4.1	9.9	− 0.7	19.0	27.	− 7.6	9.	4.6	4.7	4.8	4.7	90	58	**83**	**77**	21
April	692.0	702.3	678.7	1.5	8.5	3.6	4.1	10.3	− 1.2	18.1	8.	−10.3	4.	4.8	4.7	5.2	4.9	91	58	88	79	31
Mai	692.2	701.3	684.6	8.8	15.3	10.0	11.0	16.8	5.8	27.3	12.	− 2.9	2.	7.4	7.5	7.7	7.5	88	60	85	78	31
Juni	691.6	697.5	681.2	12.7	17.8	12.2	13.7	20.0	7.6	**28.9**	19.	4.0	1.	9.3	8.8	9.6	9.3	**85**	60	91	79	34
Juli	692.5	696.8	684.4	**13.2**	**19.2**	**13.0**	**14.6**	**20.9**	**8.8**	26.4	13.	4.6	5.	**10.1**	**9.7**	**10.3**	**10.0**	89	61	92	81	38
August	691.5	699.0	683.5	9.9	15.9	10.5	11.7	17.7	6.9	25.0	4., 19.	2.3	9., 29.	8.5	8.6	8.8	8.6	92	65	**94**	84	43
September	694.2	699.1	686.9	4.3	9.9	5.4	6.2	11.4	2.8	17.6	30.	− 3.2	28.	6.0	6.3	6.2	6.2	**94**	70	92	85	38
Oktober	692.4	701.1	677.5	3.8	9.4	4.7	5.6	10.5	1.6	19.4	30.	− 2.0	5.	5.4	5.9	5.8	5.7	90	69	90	83	30
November	691.6	700.7	671.9	− 3.7	1.4	− 2.2	− 1.6	3.1	− 6.1	12.3	1.	−16.4	24.	3.4	3.8	3.3	3.6	91	73	87	84	31
Dezember	**695.6**	703.2	683.0	− 2.2	3.4	− 1.6	− 0.5	4.9	− 5.3	10.2	29.	−15.1	5.	3.5	4.0	3.7	3.7	88	69	88	81	15
Jahr	691.9	703.2	666.2	3.8	9.9	4.8	5.8	11.4	1.0	28.9	19. VI.	−20.1	4. II.	5.9	6.0	6.1	6.0	90	65	89	81	15

Alle Angaben nach Ortszeit.

1912

Partenkirchen.

h_t = 2.1 m — h_r = 1.2 m

Monat	Bewölkung 7a	2p	9p	Mittel	Niederschlag Summe mm	Tagesmaximum Betrag mm	Gemessen am	Zahl der Tage ≧0.1 mm Niederschlag	≧1.0 mm	≧0.1 mm ✳	⊠	△	▲	⊿	≡	heitere	trübe	Windverteilung N	NE	E	SE	S	SW	W	NW	C
Januar	6.1	6.7	6.1	6.3	126.5	36.0	8.	17	14	9	26	–	–	–	–	4	13	3	–	–	11	22	**3**	–	6	48
Februar	6.2	6.3	3.7	5.4	46.1	12.0	25.	15	10	4	12	–	–	–	–	4	**5**	2	–	–	11	**27**	2	4	5	36
März	5.5	6.6	4.9	5.6	103.6	18.3	25.	18	14	4	4	–	1	–	–	6	**5**	–	1	–	9	26	**3**	3	13	38
April	6.3	6.7	6.6	6.5	102.2	24.5	2.	19	14	5	7	–	–	–	–	4	13	6	–	–	15	7	1	2	**21**	38
Mai	6.9	6.9	6.2	6.7	**243.4**	**71.0**	9.	21	15	–	–	–	–	5	–	4	16	3	–	–	5	6	1	**6**	15	57
Juni	4.9	6.7	5.4	5.7	195.0	43.0	25.	18	14	–	–	–	–	**6**	–	5	10	1	–	–	9	8	–	2	19	51
Juli	4.6	6.1	4.5	5.1	175.6	35.0	21.	17	14	–	–	–	–	**6**	–	**11**	10	4	–	–	13	9	–	–	17	50
August	6.9	7.1	6.6	6.9	219.8	33.4	27.	**22**	**19**	–	–	–	–	2	1	3	16	2	–	–	16	5	–	–	18	52
September	**7.5**	**7.7**	**7.9**	**7.7**	172.5	37.5	16.	20	18	–	–	–	–	1	–	2	**18**	7	–	1	4	4	1	–	11	62
Oktober	6.9	6.8	6.9	6.9	101.8	19.0	3.	14	12	2	1	–	–	–	1	4	16	**10**	–	–	5	22	1	1	10	44
November	5.6	6.8	6.2	6.2	82.8	21.0	22.	16	14	**12**	21	–	–	–	–	5	10	6	–	–	**19**	9	1	2	–	53
Dezember	4.3	4.3	4.0	**4.2**	42.5	13.4	28.	10	8	4	**28**	–	–	–	–	10	6	–	–	–	10	15	–	4	1	**63**
Jahr	6.0	6.6	5.8	6.1	1611.8	71.0	9. V.	207	166	40	99	–	1	20	2	62	138	44	1	1	127	160	13	24	136	592

Mittenwald.

h_t = 2.0 m — h_r = 1.7 m

Monat	Bewölkung 7a	2p	9p	Mittel	Niederschlag Summe mm	Tagesmaximum Betrag mm	Gemessen am	Zahl der Tage ≧0.1 mm Niederschlag	≧1.0 mm	≧0.1 mm ✳	⊠	△	▲	⊿	≡	heitere	trübe	Windverteilung N	NE	E	SE	S	SW	W	NW	C
Januar	6.7	6.9	7.2	6.9	106.4	29.2	8.	17	13	12	**28**	**2**	–	–	–	5	16	5	4	3	1	15	**23**	6	**8**	28
Februar	6.7	7.6	5.6	6.6	47.3	12.1	25.	15	11	8	13	**2**	–	–	–	1	10	3	5	1	2	19	13	**11**	7	**26**
März	6.2	7.1	6.0	6.4	120.4	22.2	23.	16	14	9	9	–	–	–	–	5	10	**3**	1	1	**5**	17	12	10	7	37
April	6.5	7.6	7.3	7.1	105.9	24.7	2.	17	15	9	10	–	–	–	–	3	17	**10**	6	5	4	11	5	–	**8**	**41**
Mai	7.4	7.5	7.3	7.4	**277.9**	**97.9**	9.	20	14	1	–	1	–	5	–	3	17	6	6	**7**	**5**	8	5	–	4	52
Juni	6.1	7.1	6.7	6.6	181.5	49.5	25.	17	12	–	–	–	–	**6**	–	3	12	8	**12**	1	–	17	5	3	5	39
Juli	5.0	6.6	5.1	5.6	232.9	36.7	21.	14	14	–	–	–	1	5	–	7	12	5	10	2	3	14	**1**	–	**1**	**57**
August	7.2	7.8	7.0	7.3	208.0	28.2	27.	**22**	**17**	–	–	–	–	2	–	2	16	6	3	4	3	12	12	2	3	48
September	**7.7**	**8.1**	**8.5**	**8.1**	184.6	40.8	16.	21	**17**	1	–	–	–	1	**3**	2	**20**	6	5	4	–	9	4	1	5	56
Oktober	6.6	6.5	7.6	6.9	112.5	26.9	23.	14	12	3	2	–	–	–	1	5	19	4	9	–	–	15	13	7	3	42
November	6.4	7.0	6.8	6.7	82.9	21.5	22.	16	14	**13**	25	1	–	–	–	2	12	4	3	2	4	12	11	4	4	46
Dezember	4.8	4.9	4.6	4.8	37.2	11.3	4.	11	8	7	24	–	–	–	–	**8**	5	6	2	2	1	**26**	9	6	6	35
Jahr	6.4	7.1	6.6	6.7	1697.5	97.9	9. V.	200	161	63	111	6	1	19	4	46	166	66	66	32	28	175	113	50	61	507

Oberstdorf.

h_t = 3.0 m — h_r = 1.3 m

Monat	Bewölkung 7a	2p	9p	Mittel	Niederschlag Summe mm	Tagesmaximum Betrag mm	Gemessen am	Zahl der Tage ≧0.1 mm Niederschlag	≧1.0 mm	≧0.1 mm ✳	⊠	△	▲	⊿	≡	heitere	trübe	Windverteilung N	NE	E	SE	S	SW	W	NW	C
Januar	6.7	7.7	6.5	6.9	169.1	42.8	10.	15	13	10	**31**	–	1	1	6	3	14	4	–	–	3	5	11	6	7	**57**
Februar	7.0	6.9	4.1	6.0	100.4	27.0	25.	17	16	9	17	–	–	–	1	3	8	4	1	1	5	**12**	9	**5**	11	39
März	6.3	7.8	4.8	6.3	158.8	40.1	25.	21	21	7	5	–	–	1	1	4	10	5	1	–	2	11	7	21	7	39
April	7.0	7.3	5.6	6.6	122.6	22.2	10.	16	12	6	7	–	–	1	2	3	15	7	1	1	2	2	4	8	**20**	45
Mai	7.3	7.5	7.3	7.4	243.6	**59.2**	9.	21	18	1	–	–	–	2	3	3	18	9	**4**	2	**10**	9	6	10	13	30
Juni	7.0	7.4	6.6	7.0	184.1	45.0	25.	17	17	–	–	–	–	3	2	4	16	18	–	1	3	3	4	17	16	28
Juli	4.1	6.7	5.1	5.3	145.8	28.5	8.	19	15	–	–	–	1	**4**	1	7	11	17	2	**6**	1	8	3	11	**2**	43
August	7.2	7.8	7.4	7.5	**293.5**	39.7	8.	**23**	**23**	–	–	–	–	1	1	2	19	14	1	3	3	8	**12**	**27**	9	**16**
September	**7.9**	**8.0**	**7.5**	**7.8**	202.6	36.0	16.	17	13	1	–	–	–	1	**8**	3	**20**	22	3	1	1	8	11	14	3	27
Oktober	7.3	7.0	6.7	7.0	127.9	34.1	27.	14	**12**	2	1	–	–	–	2	4	13	22	–	–	2	9	**12**	12	11	25
November	6.5	7.0	6.4	6.6	134.5	33.7	21.	15	14	**11**	21	–	–	–	2	3	12	**23**	–	–	–	6	10	9	9	33
Dezember	4.8	4.5	3.4	4.2	89.6	31.0	28.	14	12	3	**31**	–	–	–	–	**11**	6	17	–	1	2	6	6	13	8	40
Jahr	6.6	7.1	6.0	6.6	1972.5	59.2	9. V.	209	186	50	113	–	2	14	34	50	162	162	13	16	34	87	95	153	116	**422**

Alle Angaben nach Ortszeit.

Hochstationen.

1912

Hohenpeissenberg.

$\varphi = 47^0\,48'$ N $\lambda = 11^0\,1'$ E — H = 994.1 m*) Cg = ± 0.0 mm

Monat	Luftdruck auf 0° und Normalschwere reduziert: Mittel mm	Maximum mm	Minimum mm	Lufttemperatur: 7a C°	2p C°	9p C°	Tagesmittel C°	Mittl. Maximum C°	Mittl. Minimum C°	Absol. Maximum C°	Datum	Absol. Minimum C°	Datum	Absolute Feuchtigkeit: 7a mm	2p mm	9p mm	Mittel mm	Relative Feuchtigkeit: 7a Proz.	2p Proz.	9p Proz.	Mittel Proz.	Minimum Proz.
Januar	674.8	**686.7**	651.7	− 2.0	− 0.2	− 1.7	− 1.4	1.1	− 3.9	8.2	23.	−13.1	29.	3.4	3.5	3.5	3.5	85	77	84	82	41
Februar	672.7	685.3	650.4	1.8	4.6	2.8	3.0	6.0	0.4	12.0	8.	−14.2	3.	3.6	4.1	4.0	3.9	71	64	72	69	27
März	674.4	685.3	661.3	2.9	5.9	3.8	4.1	7.4	1.5	16.7	27.	− 1.8	17.	4.3	4.4	4.4	4.4	75	65	73	71	21
April	676.2	685.6	663.2	2.1	6.0	3.1	3.6	7.2	0.6	15.9	8.	− 5.7	3.	4.0	4.1	4.4	4.2	76	60	77	71	27
Mai	676.8	685.6	669.4	8.8	13.2	9.6	10.3	14.1	7.0	**26.3**	12.	− 1.2	2.	6.5	6.8	6.5	6.6	77	62	75	71	**18**
Juni	676.4	682.5	666.4	12.5	15.6	12.4	13.2	17.0	9.8	24.7	23.	4.6	2.	8.0	8.2	8.3	8.2	75	64	78	72	35
Juli	677.5	681.7	669.8	**13.1**	**16.8**	**13.3**	**14.1**	**17.8**	**11.1**	22.8	28.	4.7	21.	**8.6**	**9.1**	**8.8**	**8.8**	78	65	79	74	42
August	676.1	682.6	668.1	10.8	13.6	10.4	11.3	15.1	8.3	21.8	30.	4.5	23.	7.4	8.0	8.0	7.8	78	70	85	78	40
September	678.7	683.1	672.0	4.2	7.2	5.0	5.3	7.9	3.4	14.1	30.	− 1.2	22.	5.8	5.8	5.9	5.8	**93**	78	**90**	**87**	52
Oktober	676.9	685.7	662.2	4.1	6.6	4.4	4.9	7.4	2.6	17.1	1.	− 5.4	5.	4.9	5.5	5.4	5.3	82	77	87	82	33
November	675.4	684.5	655.7	− 1.8	− 0.2	− 1.2	− 1.1	1.0	− 3.2	11.0	10.	− 8.5	24.	3.4	3.5	3.5	3.5	86	**79**	85	83	25
Dezember	**679.2**	685.9	666.9	1.7	3.6	2.3	2.4	4.9	0.2	11.2	29.	− 7.4	5.	3.5	3.5	3.6	3.6	68	60	67	65	24
Jahr	676.3	686.7	650.4	4.9	7.7	5.4	5.8	8.9	3.1	26.3	12. V.	−14.2	3. II.	5.3	5.5	5.5	5.5	79	68	79	75	18

*) Barometerhöhe am 27. XI. 1912 genau eingemessen.

Zugspitze.

$\varphi = 47^0\,25'$ N $\lambda = 10^0\,59'$ E — H = 2964 m Cg = — 0.2 mm

Monat	Luftdruck auf 0° und Normalschwere reduziert: Mittel mm	Maximum mm	Minimum mm	Lufttemperatur: 7a C°	2p C°	9p C°	Tagesmittel C°	Mittl. Maximum C°	Mittl. Minimum C°	Absol. Maximum C°	Datum	Absol. Minimum C°	Datum	Absolute Feuchtigkeit: 7a mm	2p mm	9p mm	Mittel mm	Relative Feuchtigkeit: 7a Proz.	2p Proz.	9p Proz.	Mittel Proz.	Minimum Proz.
Januar	524.8	535.2	508.0	−10.1	− 9.5	− 9.9	− 9.8	− 7.4	−12.0	− 1.1	5.	−21.3	8.	1.9	2.0	1.9	2.0	90	90	90	90	48
Februar	524.3	536.0	503.9	− 9.7	− 8.4	− 8.7	− 8.9	− 6.6	−11.3	− 0.8	19.	−25.2	4.	1.9	2.1	2.1	2.0	88	90	91	90	45
März	525.5	538.0	515.7	− 9.5	− 8.1	− 8.6	− 8.7	− 6.2	−11.1	− 2.5	26.	−18.5	17.	2.0	2.2	2.1	2.1	92	92	92	92	42
April	526.3	533.4	516.0	− 9.3	− 7.3	− 8.0	− 8.1	− 5.0	−11.0	0.7	27.	−21.8	13.	2.2	2.7	2.4	2.4	**95**	**96**	96	**96**	56
Mai	530.2	537.0	524.5	− 3.7	− 1.7	− 2.7	− 2.7	− 0.5	− 4.7	7.2	15.	−12.5	17.	3.2	3.8	3.5	3.5	92	94	93	93	54
Juni	531.4	**538.3**	523.2	− 0.5	1.4	0.1	0.3	2.7	− 2.2	8.3	22.	− 7.4	3.	3.9	4.7	4.4	4.4	89	93	96	93	40
Juli	**533.1**	**538.3**	524.3	**1.2**	**3.4**	**1.3**	**1.8**	**4.7**	− **0.2**	**9.9**	15.	− 5.7	21.	**4.1**	**5.3**	**4.6**	**4.7**	83	91	91	89	**14**
August	530.7	534.9	522.4	− 1.5	0.1	− 1.0	− 0.9	1.5	− 2.9	8.0	1.	− 6.9	23.	3.8	4.5	4.1	4.1	93	**96**	95	95	60
September	529.7	535.1	525.0	− 6.3	− 5.9	− 5.8	− 5.7	− 4.0	− 7.4	0.6	30.	−12.1	**26.**	2.7	3.0	2.8	2.8	96	**96**	**97**	**96**	73
Oktober	529.1	537.4	514.3	− 5.0	− 3.4	− 4.9	− 4.6	− 1.8	− 6.8	1.4	öfters	−12.6	19.	2.4	2.7	2.6	2.6	78	79	83	80	25
November	524.4	533.7	507.2	−11.4	−10.4	−11.3	−11.1	− 8.5	−13.8	− 2.4	11.	−20.6	7.	1.7	1.9	1.8	1.8	91	93	93	92	45
Dezember	530.0	534.6	519.2	− 7.7	− 6.6	− 7.2	− 7.2	− 4.7	−10.0	− 0.2	31.	−17.0	17., 18.	2.0	2.1	2.1	2.0	80	78	79	79	33
Jahr	528.3	538.3	503.9	− 6.1	− 4.6	− 5.6	− 5.5	− 3.0	− 7.7	9.9	15. VII.	−25.2	4. II.	2.7	3.1	2.9	2.9	89	91	91	90	14

Alle Angaben nach Ortszeit.

Hochstationen.

1912

Hohenpeissenberg.

h_t = 9.0 m h_r = 1.6 m

Monat	Bewölkung 7ª	2ᵖ	9ᵖ	Mittel	Niederschlag Summe mm	Tagesmaximum Betrag mm	Gemessen	Zahl der Tage ≧0.1 mm Niederschlag	≧1.0 mm	≧0.1 mm ✳	⊠	△	▲	⊠	≡	heitere	trübe	Windverteilung N	NE	E	SE	S	SW	W	NW	☾
Januar	7.7	7.5	6.6	7.3	109.2	42.4	10.	18	14	**15**	20	–	1	–	13	5	**20**	3	16	5	8	1	14	32	8	6
Februar	6.8	7.6	4.6	6.3	38.9	8.9	25.	12	9	10	11	–	–	–	9	2	10	1	3	–	**11**	**9**	13	30	14	6
März	6.5	7.7	5.2	6.5	73.9	15.1	26	17	13	12	2	**2**	–	1	8	5	13	2	6	7	7	–	21	**42**	6	2
April	6.1	7.1	6.5	6.5	81.8	30.0	2.	16	9	8	6	–	–	–	12	4	12	4	20	12	4	–	6	25	12	7
Mai	7.4	7.4	6.9	7.2	185.5	25.1	9.	21	17	1	–	1	1	7	12	3	17	–	18	8	3	–	16	30	16	2
Juni	6.4	7.4	6.5	6.8	196.1	**52.2**	30.	**22**	16	–	–	–	**3**	**9**	4	4	15	3	14	14	4	–	13	21	**18**	3
Juli	4.8	5.5	4.5	4.9	179.2	32.8	21.	15	13	–	–	–	1	5	10	10	11	3	19	**26**	5	1	11	**19**	6	3
August	7.0	7.7	7.0	7.2	**202.5**	37.4	8.	20	**19**	–	–	1	–	2	9	2	15	2	6	7	7	5	21	36	6	3
September	**7.8**	**8.3**	**7.4**	**7.8**	143.3	23.5	10.	17	16	2	1	–	–	–	**21**	3	**20**	1	**28**	7	**1**	2	15	20	8	**8**
Oktober	6.9	7.4	6.9	7.1	94.9	17.0	18.	16	15	3	4	1	–	–	16	3	13	**5**	20	7	2	4	24	23	3	5
November	6.9	7.0	6.3	6.7	75.4	10.4	12.	17	13	13	**23**	–	–	–	12	3	10	1	11	12	2	1	20	34	7	2
Dezember	4.3	4.7	3.5	4.1	36.2	8.7	17.	8	7	6	21	–	–	–	3	**11**	5	–	3	4	8	1	**33**	35	5	4
Jahr	6.6	7.1	6.0	6.5	1416.9	52.2	30. VI.	199	161	70	88	5	6	24	129	55	161	25	164	109	62	24	207	347	109	51

Zugspitze.

h_t = 7.3 m h_r = 10.0 m

Monat	Bewölkung 7ª	2ᵖ	9ᵖ	Mittel	Niederschlag Summe mm	Tagesmaximum Betrag mm	Gemessen	Zahl der Tage ≧0.1 mm Niederschlag	≧1.0 mm	≧0.1 mm ✳	⊠	△	▲	⊠	≡	heitere	trübe	Windverteilung N	NE	E	SE	S	SW	W	NW	☾
Januar	6.9	7.2	6.0	6.7	56.2	11.0	10.	14	12	14	*)	–	–	–	18	5	16	20	3	6	3	8	5	9	27	**12**
Februar	6.8	7.9	5.7	6.8	62.8	29.7	25.	13	9	13		–	–	–	17	1	11	15	1	–	7	12	**9**	10	30	3
März	6.1	7.7	6.5	6.8	96.3	16.4	8, 17.	19	17	19		1	–	1	22	3	10	14	–	–	7	8	**9**	17	35	3
April	6.8	8.1	**8.1**	7.7	85.2	14.7	29.	19	15	19		2	–	–	24	1	18	**32**	**4**	7	16	4	5	2	13	7
Mai	7.4	7.9	6.8	7.4	178.4	**32.7**	9.	22	**20**	**21**		**10**	–	**6**	24	5	**19**	19	1	–	9	4	3	10	**41**	6
Juni	5.9	7.9	7.0	7.0	174.2	26.1	25.	18	13	14		6	3	5	23	3	14	11	–	3	**19**	**16**	6	8	24_2	3
Juli	5.2	7.9	5.5	6.2	118.2	24.6	8.	15	13	11		2	3	**6**	24	3	11	24	–	2	9	13	6	7	25	7
August	**7.6**	**8.5**	7.4	**7.8**	**224.5**	25.8	3.	**23**	**20**	20		4	–	3	**25**	–	17	10	–	1	11	15	**9**	14	32	1
September	7.3	8.1	7.9	**7.8**	200.3	25.9	3.	21	18	**21**		6	–	–	22	1	**19**	22	–	**9**	11	5	1	6	28	8
Oktober	6.7	6.6	5.8	6.4	110.5	26.7	3.	13	11	14		9	**4**	–	18	**4**	12	11	1	3	17	13	5	13	25	5
November	6.4	7.3	5.6	6.4	81.0	14.1	22.	19	17	19		1	–	–	18	3	10	30	–	2	13	5	7	8	25	–
Dezember	5.4	6.5	4.7	5.5	74.1	15.5	17.	13	10	13		3	–	–	15	**7**	8	8	3	2	7	8	4	**19**	40	2
Jahr	6.5	7.6	6.4	6.9	1461.7	32.7	9. V.	209	175	198		44	10	21	250	36	165	216	13	35	129	111	69	123	345	57

*) Die Messung der Schneehöhe ist auf der Zugspitze unmöglich.

Alle Angaben nach Ortszeit.

Stationen III. Ordnung.

1912

Amberg (M.-H.-B.).

$\varphi = 49^0\ 27'$ N $\lambda = 11^0\ 52'$ E $H = 519$ m $h_t = 5.9$ m $h_r = 1.5$ m

Monat	Lufttemperatur: Mittl. Maximum C°	Mittl. Minimum C°	Mittel aus beiden C°	Absol. Maximum C°	Datum	Absol. Minimum C°	Datum	Niederschlag: Summe mm	Tagesmaximum Betrag mm	Tagesmaximum Gemessen am	Zahl der Tage: ≧0,1 mm Niederschlag	≧1,0 mm	≧0,1 mm ✳	⊠	△	▲	⍁	=	heitere	trübe	Windverteilung*): N	NE	E	SE	S	SW	W	NW	C
Januar	- 0.5	- 6.5	- 3.5	6.1	7.	-15.4	16.	53.3	19.0	7.	15	12	9	**23**	1	–	–	3	4	13	4	**8**	13	11	2	2	17	1	4
Februar	5.3	- 2.3	1.5	13.6	29.	-**22.5**	4.	40.0	10.5	24.	14	8	4	12	–	1	–	8	2	13	4	2	9	10	4	1	18	3	7
März	9.3	1.3	5.2	17.4	27.	- 2.7	13.	46.9	10.0	25.	22	14	4	–	1	1	–	9	2	12	1	–	7	11	4	2	29	3	5
April	11.3	1.3	6.3	18.3	28.	- 5.0	4., 13.	**27.3**	6.2	1.	**11**	9	5	2	**4**	–	–	–	7	6	11	**8**	13	1	–	1	23	2	**1**
Mai	17.7	6.8	12.4	**28.4**	12.	- 0.7	1.	91.7	26.0	22.	15	13	–	–	1	1	7	4	**10**	2	10	6	7	3	4	1	21	4	6
Juni	21.2	10.7	15.9	26.2	7.	7.1	14.	**138.0**	30.2	25.	20	14	–	–	–	1	7	2	2	8	7	4	9	3	2	–	22	5	8
Juli	**22.7**	**12.3**	**17.5**	26.8	28.	8.2	5.	117.8	**64.0**	22.	14	10	–	–	–	–	**9**	2	9	6	6	4	11	1	3	1	8	4	**24**
August	18.5	9.4	13.9	24.3	30.	5.3	**29.**	132.1	37.5	8.	**23**	**18**	–	–	–	–	–	6	–	10	1	–	9	7	4	**6**	29	**1**	5
Septbr.	11.7	4.3	8.0	18.2	2.	0.8	23.	55.9	16.0	9.	19	15	–	–	–	–	1	11	4	11	**12**	7	5	–	1	–	26	2	7
Oktober	9.1	1.5	5.3	18.2	1.	- 3.6	6., 12.	43.6	6.4	3.	20	12	–	–	–	–	**17**	4	14	10	6	**16**	21	4	5	17	1	**13**
Novbr.	3.9	- 2.6	0.6	11.0	11.	- 9.4	8.	71.9	12.0	21.	**23**	15	**18**	20	–	–	–	11	1	17	7	4	7	13	7	5	33	4	10
Dezbr.	2.7	- 2.6	0.1	10.1	28.	-10.4	9.	37.5	11.5	17.	22	8	5	16	–	–	–	14	1	**18**	–	–	8	**25**	**15**	1	**38**	**1**	5
Jahr	11.1	2.8	6.9	28.4	**12. V.**	-22.5	4. II.	856.0	64.0	22. VII.	218	148	45	73	7	4	24	87	46	130	73	49	114	106	50	25	281	31	95

Cham.

$\varphi = 49^0\ 13'$ N $\lambda = 12^0\ 40'$ E $H = 386$ m $h_t = 2.3$ m $h_r = 1.4$ m

Monat	Lufttemperatur: Mittl. Maximum C°	Mittl. Minimum C°	Mittel aus beiden C°	Absol. Maximum C°	Datum	Absol. Minimum C°	Datum	Niederschlag: Summe mm	Tagesmaximum Betrag mm	Tagesmaximum Gemessen am	Zahl der Tage: ≧0,1 mm Niederschlag	≧1,0 mm	≧0,1 mm ✳	⊠	△	▲	⍁	=	heitere	trübe	Windverteilung*): N	NE	E	SE	S	SW	W	NW	C
Januar	0.6	- 5.4	- 2.4	7.1	7.	-18.0	16.	52.2	14.1	8.	12	9	**7**	22	–	1	1	4	1	14	12	**21**	2	–	–	5	22	–	–
Februar	6.1	- 2.3	1.9	18.8	29.	-**30.2**	4.	40.2	9.8	25.	12	7	4	12	–	–	–	3	**8**	12	**24**	6	–	–	–	10	17	1	–
März	11.0	2.0	6.5	18.9	27.	- 3.0	9.	58.9	9.0	21.	20	**17**	2	–	1	–	–	4	–	15	11	5	–	–	–	13	33	–	–
April	12.7	1.5	7.1	19.9	28.	- 4.8	4., 13.	37.2	8.7	6.	10	7	5	1	–	–	–	1	4	**7**	–	2	**28**	2	2	5	**15**	**6**	–
Mai	19.1	6.7	12.9	**31.0**	21.	- 4.0	2.	93.5	19.2	24.	16	14	–	–	–	–	6	2	1	12	4	1	10	2	2	6	35	2	–
Juni	22.0	11.5	16.7	28.0	7., 29.	7.8	1.	88.8	20.1	25.	19	14	–	–	–	1	**7**	5	–	10	1	–	21	–	–	1	34	3	–
Juli	**24.1**	**11.8**	**18.0**	30.1	28.	9.0	18.	**119.7**	**50.4**	22.	10	9	–	–	–	–	4	11	–	9	–	10	21	2	1	9	**15**	4	–
August	19.3	10.0	14.6	27.4	30.	5.0	29.	106.5	26.5	8.	**23**	16	–	–	**2**	–	1	6	–	**17**	–	5	7	–	–	8	37	4	1
Septbr.	12.9	5.6	9.3	17.9	2.	1.8	23.	66.5	26.2	9.	20	13	–	–	–	–	–	6	–	**17**	–	8	14	–	–	–	33	5	–
Oktober	10.3	1.9	6.1	15.1	2.	- 4.5	12.	41.3	9.1	3.	12	10	–	–	–	–	–	**15**	–	9	–	5	21	–	3	19	38	1	**6**
Novbr.	4.0	- 1.5	1.2	8.9	1.	- 9.8	8.	54.6	9.0	6.	17	13	**7**	14	–	–	–	8	–	16	–	2	5	–	**5**	18	**56**	2	2
Dezbr.	3.9	- 1.5	1.2	11.1	28.	- 9.9	9.	33.0	9.0	17.	15	6	2	10	–	–	–	11	–	12	1	–	15	–	2	**24**	47	1	3
Jahr	12.2	3.4	7.8	31.0	21. V.	-30.2	4. II.	792.4	50.4	22. VII.	184	135	27	59	3	2	19	76	14	150	53	65	144	6	15	118	382	29	12

Eggenfelden.

$\varphi = 48^0\ 24'$ N $\lambda = 12^0\ 46'$ E. $H = 417$ m $h_t = 4.8$ m. $h_r = 1.5$ m

Monat	Lufttemperatur: Mittl. Maximum C°	Mittl. Minimum C°	Mittel aus beiden C°	Absol. Maximum C°	Datum	Absol. Minimum C°	Datum	Niederschlag: Summe mm	Tagesmaximum Betrag mm	Tagesmaximum Gemessen am	Zahl der Tage: ≧0,1 mm Niederschlag	≧1,0 mm	≧0,1 mm ✳	⊠	△	▲	⍁	=	heitere	trübe	Windverteilung*): N	NE	E	SE	S	SW	W	NW	C
Januar	0.2	- 5.8	- 2.8	7.6	7.	-13.3	30.	75.1	19.7	10.	17	11	5	2	–	–	–	6	2	11	1	13	**26**	3	–	6	**10**	3	–
Februar	5.5	- 3.6	1.0	14.8	29.	-**20.6**	4.	34.5	11.1	25.	21	9	4	**11**	1	–	–	7	2	10	1	9	15	2	–	15	14	2	–
März	10.3	1.6	6.0	20.3	27.	- 3.3	9.	72.3	9.2	4.	23	**16**	1	–	2	–	1	9	**1**	9	–	6	17	1	**2**	22	12	2	–
April	11.7	1.3	6.5	19.2	28.	- 6.1	13.	49.4	15.0	10.	**17**	9	5	2	**2**	–	–	–	7	11	1	8	22	3	–	6	15	5	–
Mai	18.1	7.7	12.9	**29.1**	15.	- 2.0	3.	103.0	24.9	24.	21	12	–	–	–	–	6	1	5	11	**4**	5	9	–	–	7	22	15	–
Juni	22.3	10.8	16.5	26.5	**2., 29.**	6.6	1.	130.9	24.8	25.	**17**	12	–	–	–	–	**11**	4	3	11	2	9	7	–	–	8	24	10	–
Juli	**22.7**	**11.5**	**17.1**	28.4	28.	8.2	18.	127.6	**29.9**	22.	19	14	–	–	–	1	3	10	**9**	6	2	5	20	2	**2**	5	24	**2**	–
August	20.4	9.6	15.0	26.3	1.	3.8	15.	119.6	22.6	8.	21	15	–	–	–	–	5	5	5	12	–	2	10	1	**2**	6	**36**	5	–
Septbr.	12.9	5.5	9.2	19.9	2.	0.1	22.	**133.3**	29.5	9.	21	15	–	–	–	1	2	4	**2**	**16**	1	20	4	–	1	3	22	9	–
Oktober	11.4	1.8	6.6	**21.1**	1.	- 3.3	5.	46.8	16.0	4.	25	9	–	–	–	1	–	**19**	4	11	–	**24**	18	**4**	1	17	11	**18**	–
Novbr.	2.9	- 2.1	0.4	8.3	11.	- 7.5	8.	44.2	7.9	6.	25	13	**15**	7	–	1	–	14	4	15	1	17	8	**9**	–	**25**	15	15	–
Dezbr.	3.7	- 2.3	0.7	14.0	28.	- 8.7	10.	23.0	9.2	28.	**28**	6	3	3	–	–	–	16	**1**	**16**	–	16	20	**9**	–	15	26	7	–
Jahr	11.8	3.0	7.4	29.1	15. V.	-20.6	4. II.	959.7	29.9	22. VII.	255	141	33	25	6	4	28	95	45	139	13	134	176	34	8	135	231	93	–

*) Beobachten seit 1. Oktober an 3 Terminen. *Alle Angaben nach Ortszeit.*

Übersicht

über

die wichtigsten Jahresresultate der Stationen II. und III. Ordnung.

I. Resultate aus Elementen, welche nur an den Stationen II. Ordnung beobachtet wurden.

Station	Meereshöhe	Luftdruck									Luft-Temperatur				Feuchtigkeit							
		Mittel	höchster				tiefster								absolute				relative			
			Tag	Monat	bei Wind	mm	Tag	Monat	bei Wind	mm	7^a	2^p	9^p	Mittel	7^a	2^p	9^p	Mittel	7^a	2^p	9^p	Mittel
Ludwigshafen a. Rh.	100.3	753.5	4.	X.	NE	768.3	7.	I.	W	725.7	7.9	13.2	10.4	10.5	7.0	6.8	7.2	7.0	79	60	74	72
Kahl a. M.	114.1	751.9	4.	X.	NE	767.1	7.	I.	SW	723.8	7.2	14.5	8.1	9.0	7.1	7.2	7.3	7.2	88	66	85	80
Landau i. Pf.	149.9	748.7	4.	X.	NE	762.5	7.	I.	SW	722.3	8.2	12.8	8.6	9.7	7.0	7.2	7.3	7.2	82	65	81	76
Würzburg	179.3	745.9	4.	X.	C	761.5	7.	I.	W	717.8	6.8	12.0	8.3	8.9	6.8	6.8	7.2	6.9	85	63	82	77
Bad Kissingen	209.2	743.5	4.	X.	E	759.8	7.	I.	W	714.0	5.8	11.5	7.2	7.9	6.7	6.8	7.0	6.8	90	65	86	80
Kaiserslautern	242.2	740.7	4.	X.	E	754.3	6.	I.	W	714.7	6.9	12.1	8.3	8.9	6.8	7.0	7.2	7.0	87	66	84	79
Luitpoldheim	250	–	–	–	–	–	–	–	–	–	5.5	10.5	7.6	7.8	6.6	7.3	7.1	7.0	92	74	86	83
Bamberg	287.7	736.7	4.	X.	NW	751.8	7.	I.	W	707.9	5.9	11.6	7.2	8.0	6.7	7.0	6.8	6.8	88	67	84	80
Nürnberg	309.1	734.5	4.	X.	NE	749.0	7.	I.	SW	706.8	6.5	11.4	8.0	8.5	6.6	6.5	6.9	6.6	84	63	80	76
Passau	309.3	735.4	4., 5.	X.	C, SE	748.9	7.	I.	W	708.8	5.3	10.7	7.2	7.6	6.6	7.0	7.2	6.9	91	69	88	82
Metten	320	–	–	–	–	–	–	–	–	–	5.0	10.7	6.5	7.1	6.6	7.0	6.7	6.8	91	70	87	83
Regensburg	354.3	730.8	5.	X.	C	744.7	7.	I.	S	705.1	5.3	10.3	6.8	7.3	6.2	6.4	6.6	6.4	85	66	82	78
Bayreuth	363.3	730.0	4.	X.	N	745.1	7.	I.	W	700.9	5.4	10.6	7.1	7.5	6.4	6.6	6.6	6.6	88	67	83	80
Burghausen	365	730.1	4.	X.	E	743.3	7.	I.	SW	704.4	5.3	11.2	6.3	7.3	6.5	6.8	7.0	6.8	90	65	90	82
Ingolstadt	368	–	–	–	–	–	–	–	–	–	5.0	11.2	6.6	7.3	6.4	6.8	6.7	6.7	91	66	86	81
Karlshuld	382.0	728.2	4.	X.	NE	741.4	7.	I.	W	702.4	5.0	10.8	6.4	7.2	6.5	6.8	6.8	6.7	92	68	88	82
Landshut	397.7	726.9	4.	X.	E	740.0	7.	I.	W	700.5	5.3	11.3	6.5	7.4	6.5	6.6	6.8	6.6	89	64	87	71
Lindau i. B. (Reutin)	401.7	727.2	30.	XII.	NE	739.3	2.	II.	S	700.6	6.4	10.8	7.9	8.2	6.8	7.4	7.2	7.1	89	73	85	82
Weissenburg i. B.	431	724.5	4.	X.	E	737.6	7.	I.	W	697.7	6.4	11.2	7.4	8.1	6.8	7.5	7.1	7.1	88	72	86	82
Nördlingen	435.6	723.0	4.	X.	NE	736.3	7.	I.	W	697.1	5.6	10.8	7.2	7.7	6.3	6.7	6.7	6.6	87	67	83	79
Ansbach	437.5	723.3	4.	X.	NE	737.3	7.	I.	W	696.3	5.5	10.9	6.5	7.4	6.4	6.4	6.5	6.4	86	64	83	78
Hof	476.1	719.3	4.	X.	N	733.9	7.	I.	W	693.8	4.2	9.9	5.3	6.2	6.1	6.4	6.3	6.3	91	69	88	83
Bad Reichenhall	477	720.2	4.	X.	C	732.3	2.	II.	W	694.6	6.2	11.4	6.8	7.8	6.3	6.6	6.8	6.6	84	64	86	78
Augsburg	499.6	718.5	4.	X.	E	731.1	2.	II.	SE	692.4	5.9	11.2	7.8	8.1	6.5	7.0	7.0	6.8	87	68	83	79
München-C.St.	526.4	715.9	4.	X.	E	728.2	7. 2.	I. II.	SW NW	690.5	6.4	11.2	7.7	8.2	6.2	6.3	6.6	6.4	82	62	79	75
Alexandersbad	590	–	–	–	–	–	–	–	–	–	3.8	8.3	4.7	5.4	5.9	6.3	6.2	6.1	91	74	89	85
Traunstein	597	710.3	4.	X.	E	722.3	2.	II.	E	684.4	4.8	10.1	5.8	6.6	6.1	6.1	6.5	6.2	87	65	87	79
Berchtesgaden	600	–	–	–	–	–	–	–	–	–	4.6	10.1	6.1	6.7	6.1	6.4	6.5	6.4	89	68	87	81
Ottobeuren	660.0	704.6	10.	V.	SW	718.9	2.	II.	C	679.3	5.5	10.2	5.9	6.8	6.1	6.2	6.2	6.2	84	65	84	78
Partenkirchen	716.8	700.1	1.	I.	C	711.5	2.	II.	C	673.7	4.2	10.3	5.7	6.5	5.9	6.2	6.4	6.1	88	64	87	80
Tegernsee	727.8	699.0	30.	XII.	W	711.1	2.	II.	C	673.2	5.9	10.0	6.3	7.2	5.9	6.3	6.1	6.1	79	67	81	76
Buchenau	750	696.1	4.	X.	E	708.4	7.	I.	SW	669.3	3.4	8.1	4.3	5.0	5.8	6.6	5.9	6.1	90	78	88	85
*) Oberstdorf	811.4	691.9	30.	XII.	C	703.2	2.	II.	C	666.2	3.8	9.9	4.8	5.8	5.9	6.0	6.1	6.0	90	65	89	81
Ettal	879.5	684.8	1.	I.	–	695.1	2.	II.	–	659.1	4.3	9.0	4.7	5.7	5.7	5.8	5.9	5.8	86	66	86	79
Mittenwald	911.8	683.4	7.	XI.	S	699.2	2.	II.	C	657.5	4.3	9.7	4.9	5.9	5.5	6.1	5.9	5.8	84	66	86	78
Hohenpeissenberg	994.1	676.3	1.	I.	C	686.7	2.	II.	NW	650.4	4.9	7.7	5.4	5.8	5.3	5.5	5.5	5.5	79	68	79	75
Zugspitze	2964	528.3	19. 12.	VI. VII.	SE N	538.3	3.	II.	N	503.9	-6.1	-4.6	-5.6	-5.5	2.7	3.1	2.9	2.9	89	91	91	90

*) Schaftlach erst seit 1. III. 1912 in Betrieb.

II. Resultate aus Elementen, welche an den Stationen II. und III. Ordnung beobachtet wurden.

Station	Meereshöhe	Luft-Temperatur													Niederschlag				Tage mit						Tage	
		mittleres		Mittel		absolutes Minimum			absolutes Maximum			grösste tägl. Schwankung			Summe	Maximum						Niederschlag überhaupt				heitere	trübe
		Max.	Min.	aus Maxim. u. Min.	der Schwankungen	Tag	Monat	C°	Tag	Monat	C°	Tag	Monat	C°	mm	Tag	Monat	mm	✳	△	▲	IV 0.1 mm	IV 1.0 mm	☒	☰		
Ludwigshafen a. Rh.	100.3	13.9	6.5	10.2	7.5	4.	II.	−15.0	14.	VII.	33.1	21.	V.	19.4	621.6	9.	IX.	37.4	8	4	4	193	136	26	63	41	156
Kahl a. M.	114.1	14.1	4.4	9.3	9.8	4.	II.	−17.3	19.	VI.	33.9	19.	VI.	25.2	781.9	8.	VI.	29.7	15	3	4	184	144	19	20	40	145
Landau i. Pf.	149.9	13.9	5.6	9.7	8.3	4.	II.	−17.4	12.	V.	31.7	19.	V.	19.1	714.6	9.	IX.	27.5	14	3	3	208	135	24	17	39	155
Würzburg	179.3	13.0	5.0	9.0	8.1	4.	II.	−20.2	12.	V.	31.0	15.	V.	22.9	570.0	25.	VI.	27.0	17	5	4	192	126	23	79	47	114
Bad Kissingen	209.2	12.5	4.0	8.2	8.6	4.	II.	−18.4	25.	VII.	29.9	3.	V.	20.4	826.7	26.	VII.	38.8	26	3	–	204	162	23	57	38	139
Kaiserslautern	242.2	13.1	4.9	8.9	8.2	4.	II.	−18.6	13.	VII.	31.3	22.	VI.	19.4	667.4	9.	IX.	37.7	22	11	3	212	136	28	32	27	163
Luitpoldheim	250	11.4	4.2	7.8	7.2	4.	II.	−18.7	13.	VII.	28.0	15.	V.	18.0	765.4	24.	VIII.	18.9	29	6	2	218	153	30	103	32	133
Bamberg	287.7	13.2	3.9	8.6	9.3	4.	II.	−19.6	12.	VII.	30.0	3.	V.	21.0	619.3	21.	V.	17.0	36	8	1	*353	130	26	47	16	221
Nürnberg	309.1	12.4	4.7	8.6	7.7	4.	II.	−20.1	12.	V.	30.2	3. 23.	V. VI.	17.4	681.3	22.	VII.	41.0	23	13	1	154	122	33	103	26	161
Passau	309.3	11.4	3.9	7.6	7.5	4.	II.	−17.1	28.	VII.	28.2	30.	VIII.	19.5	962.1	22.	VII.	46.0	30	1	–	192	150	22	85	32	184
Metten	320	11.9	2.3	7.1	9.5	4.	II.	−24.7	15.	V.	29.3	15.	V.	22.1	968.3	8.	VIII.	42.0	37	8	–	180	147	23	106	32	171
Regensburg	354.3	11.5	3.3	7.4	8.2	4.	II.	−25.0	15.	V.	30.0	15.	V.	19.8	636.7	25.	VI.	45.0	21	6	–	160	129	15	41	22	148
Bayreuth	363.3	11.9	3.2	7.5	8.7	4.	II.	−20.1	28.	VII.	31.3	15.	V.	21.6	597.6	10.	V.	24.5	30	7	–	198	127	25	61	28	162
Burghausen	365	12.4	3.2	7.8	9.2	4.	II.	−21.1	28.	VII.	30.9	15.	V.	21.8	1042.8	9.	IX.	29.9	33	5	2	178	138	26	80	30	166
Ingolstadt	368	12.5	2.6	7.5	10.0	4.	II.	−26.0	28.	VII.	31.1	20.	V.	22.4	727.7	22.	VII.	49.2	30	18	1	188	117	26	41	31	166
Karlshuld	382.0	13.0	2.4	7.7	10.3	4.	II.	−26.9	12.	V.	33.5	23.	VI.	26.1	797.3	22.	VII.	56.2	17	2	3	146	121	14	61	46	132
Cham	386	12.2	3.4	7.8	8.8	4.	II.	−30.2	21.	V.	31.0	21.	V.	24.9	792.4	22.	VII.	50.4	27	3	2	184	135	19	76	14	150
Landshut	397.7	13.5	2.4	8.0	11.1	4.	II.	−25.4	12.	V.	34.2	27.	IV.	25.5	848.8	22.	VII.	34.4	19	12	2	196	126	17	27	39	152
Lindau i. B. (Reutin)	401.7	12.7	4.1	8.4	8.6	4.	II.	−16.1	13.	VII.	27.5	26.	IV.	18.5	1502.1	14.	VI.	44.2	29	8	–	194	149	14	20	54	143
Eggenfelden	417	11.8	3.0	7.4	8.9	4.	II.	−20.6	15.	V.	29.1	15.	V.	20.0	959.7	22.	VII.	29.9	33	6	4	255	141	28	95	45	139
Weissenburg i. B.	431	12.1	4.1	8.1	8.0	4.	II.	−24.0	12.	V.	29.4	20.	V.	21.1	812.0	8.	VII.	60.4	20	5	–	177	123	16	31	31	136
Nördlingen	435.6	12.1	4.0	8.0	8.1	4.	II.	−25.3	12.	V.	30.3	27.	IV.	18.3	668.6	22.	VII.	29.2	33	13	–	197	121	31	27	30	148
Ansbach	437.5	11.9	3.2	7.6	8.7	4.	II.	−25.8	23.	VI.	31.0	23.	VI.	21.9	758.1	22.	VII.	36.4	36	8	3	206	140	24	24	43	109
Hof	476.1	11.9	1.6	6.4	9.5	4.	II.	−18.6	28.	VII.	30.4	15.	V.	23.9	701.5	8.	VIII.	23.2	51	3	–	211	132	18	137	13	158
Bad Reichenhall	477	12.9	4.3	8.6	8.6	4.	II.	−18.9	12.	V.	33.9	12.	V.	19.2	1954.3	16.	IX.	68.5	45	7	–	208	177	12	7	60	149
Augsburg	499.6	12.1	4.5	8.3	7.6	4.	II.	−20.9	12.	V.	30.3	23.	VI.	17.7	956.9	14.	VI.	66.3	30	12	1	186	135	25	43	38	145
Amberg (M.H.B.)	519	11.1	2.8	6.9	8.4	4.	II.	−22.5	12.	V.	28.4	15.	V.	18.0	856.0	22.	VII.	64.0	45	7	4	218	148	24	87	46	130
München-C.St.	526.4	12.3	4.7	8.5	7.6	4.	II.	−18.7	12.	V.	31.6	12.	V.	17.8	1093.3	22.	VII.	48.5	46	8	–	203	144	24	57	36	171
Alexandersbad	590	9.4	1.6	5.5	7.8	4.	II.	−21.5	28.	VII.	26.8	15.	V.	21.0	1035.1	25.	VI.	42.6	51	9	4	186	161	25	21	41	115
Traunstein	597	11.1	2.9	7.1	8.2	4.	II.	−20.0	12.	V.	30.0	15.	V.	19.6	2099.3	14.	IV.	85.3	45	5	1	214	181	25	29	31	136
Berchtesgaden	600	11.3	2.8	7.0	8.5	4.	II.	−19.1	15.	V.	29.0	12.	V.	19.4	1909.1	4.	IX.	70.0	52	3	1	225	189	26	16	42	171
Ottobeuren	660.0	11.5	2.9	7.2	8.5	4.	II.	−21.0	15.	V.	30.8	23.	VI.	19.8	1122.5	25.	VI.	41.5	47	7	2	185	143	21	26	52	136
Partenkirchen	716.8	11.5	2.7	7.1	8.9	29.	I.	−16.2	12.	V.	29.8	12.	V.	20.0	1611.8	9.	V.	71.0	40	–	1	207	166	20	2	62	138
Tegernsee	727.8	11.6	3.6	7.6	8.0	4.	II.	−14.2	12.	V.	29.2	8.	IV.	19.6	1915.2	9	IX.	80.0	45	–	3	199	177	23	18	61	140
**) Buchenau	750	9.5	1.8	5.6	7.6	4.	II.	−20.4	28.	VII.	26.1	15.	V.	17.3	1659.5	21.	XI.	53.3	59	8	4	207	176	28	22	50	169
Oberstdorf	811.4	11.4	1.0	6.2	10.5	4.	II.	−20.1	19.	VI.	28.9	19.	VI.	21.9	1972.5	9.	V.	59.2	50	–	2	209	186	14	34	50	162
Ettal	879.5	11.4	1.7	6.6	9.8	30.	I.	−17.1	15.	V.	29.1	12.	V.	20.0	1866.6	9.	V.	68.4	73	8	6	212	172	20	30	60	133
Mittenwald	911.8	10.9	1.7	6.3	9.2	31.	I.	−18.1	15.	V.	28.0	19.	VI.	20.2	1697.5	9.	V.	97.9	63	6	1	200	161	19	4	46	166
Hopenpeissenberg	994.1	8.9	3.1	6.0	5.8	3.	II.	−14.2	12.	V.	26.3	5.	II.	15.5	1416.9	30.	VI.	52.2	70	5	6	199	161	24	129	55	161
Zugspitze	2964	−3.0	−7.7	−5.4	4.7	4.	II.	−25.2	15.	VII.	9.9	4.	II.	15.4	1461.7	9.	V.	32.7	198	44	10	209	175	21	250	36	165

*) Die grosse Anzahl der Tage mit Niederschlägen ≧ 0.1 mm ist durch die Mitzählung von Reif und Tau bedingt.
**) Schaftlach, Beginn der Beobachtungen erst am 1. III. 1912.

III. Abweichungen der Temperatur und der Niederschlagsmenge vom langjährigen Mittel für eine Anzahl ausgewählter Beobachtungsorte.

Die Berechnung der Abweichungen ermöglicht eine gedrängte Übersicht über die Witterung des Berichtsjahres in Bezug auf die beiden wichtigsten meteorologischen Faktoren, Temperatur und Niederschlag.

Die Temperaturdifferenzen (Tabelle a) sind gewonnen durch Vergleich des aus der Periode 1881—1910 gewonnenen Temperaturmittels (vgl. E. Alt, Anhang) mit dem für den betreffenden Monat berechneten Wert. Positive Zahlen bedeuten einen Temperaturüberschuss, negative eine gegenteilige Abweichung vom langjährigen Mittel.

Die Abweichungen der monatlichen Niederschlagsmengen vom langjährigen Durchschnittswert sind durch die Verhältniszahl ausgedrückt, die durch Division der Monatssumme durch den für den betreffenden Monat gültigen langjährigen Durchschnittswert erhalten wurde. Alle Werte über 1.0 zeigen also einen Überschuss, unter 1.0 eine gegenteilige Abweichung vom langjährigen Mittel an.

a) Temperaturdifferenzen gegen das langjährige Mittel (1881—1910).

Stationen	Januar	Februar	März	April	Mai	Juni	Juli	August	September	Oktober	November	Dezember
Ludwigshafen a. Rh.	1.3	3.0	3.4	−0.3	0.8	0.6	1.2	−2.3	−4.1	−1 6	−0.9	3.1
Kahl a. M.	1 4	2.1	3.7	−0.2	0.8	0.2	1.1	−2.2	−3.6	−1.7	−0.7	3.1
Landau i. Pf.	1.8	3.0	3.3	−0.9	0.8	0.3	0.3	−2.7	−4.4	−2.0	−1.1	1.8
Würzburg	0.8	2.2	3.6	−0.4	0.8	−0.4	0.3	−2.4	−3.8	−1.5	−0.8	2.8
Bad Kissingen	0.8	1.9	3.3	−0.4	0.2	−0.3	0.3	−2.2	−3.8	−2.0	−0.9	3.1
Kaiserslautern	1.6	2.8	3.5	−0.6	0.9	0.1	0.5	−2.7	−4.9	−1.7	−0.9	3.1
Luitpoldheim	0.7	2.3	3.5	−0.2	0.8	0.0	0.7	−2.4	−4.1	−2.0	−1.1	2.9
Bamberg	0.5	3.0	3.3	−0.5	0.2	−0.1	1.1	−2.5	−4.6	−1.7	−1.4	2.9
Nüruberg	0.7	3.1	3.6	−0.6	0.5	0.1	0.7	−2.5	−4.5	−1.6	−1.4	2.9
Passau	0.2	1.4	2.8	−0.7	−0.1	0.3	0.0	−2.2	−4.1	−2.6	−2.7	1.4
Metten	−0.5	1.6	3.0	−0.7	0.3	0.5	0.5	−2.0	−3.9	−2.3	−2.3	1.6
Regensburg	0.2	2.1	3.2	−0.3	0.3	0.3	−0.1	−2.3	−4.0	−2,1	−2.0	2.0
Bayreuth	0.0	2.6	3.4	−0.6	0.0	0.0	0.9	−2.4	−4.4	−2.1	−1.5	3.0
Burghausen	1.1	2.3	3.0	−0.6	0.4	0.4	−0.1	−1.8	−3.8	−1.8	−2.0	2.1
Ingolstadt	1.5	2.7	2.9	−0.8	0.2	−0.2	−0.7	−2.8	−4.3	−1.5	−1.5	2.3
Karlshuld	1.1	2.1	3.6	−0.2	1.1	0.6	0.0	−2.1	−3.9	−1.4	−1.5	2.4
Cham	0.8	2.7	3.5	−0.4	0.6	1.2	1.1	−1.8	−3.6	−1.9	−1.3	2.6
Landshut	1.0	2.3	3.6	−0.7	0.5	0.8	0.1	−2.2	−3.9	−1.8	−1.9	2.4
Lindau i. B. (Reutin)	1.3	2.6	2.4	−1.2	−0.1	−0.5	−1.6	−3.6	−5.4	−2.2	−2.6	0.6
Eggenfelden	0.8	2.5	3.3	−0.6	1.1	1.0	0.2	−1.2	−3.3	−0.8	−1.9	2.9
Weissenburg i. B.	1.2	3.3	3.8	−0.7	0.6	0.1	0.2	−2.6	−4.4	−1.0	−1.7	2.9
Ansbach	1.0	3.0	3.7	−0.7	0.8	0.1	0.3	−2.6	−4.3	−1.2	−1.2	2.9
Hof	0.0	3.1	3.9	−1.1	0.4	0.9	0.7	−1.7	−4.1	−2.0	−1.4	2.8
Bad Reichenhall	1.8	4.4	4.0	−0.5	0.7	0.7	0.0	−1.8	−4.6	−0.9	−2.3	2.4
Augsburg	1.4	3.4	3.7	−0.2	1.1	0.2	−0.5	−2.9	−4.4	−1.3	−1.7	2.6
Amberg (M.H.B.)	−0.2	2.8	3.0	−0.7	0.3	0.0	0.4	−2.5	−4.9	−2.4	−1.4	2.0
München-C.St.	1.5	4.4	3.8	−0.4	1.0	0.6	−0.4	−2.5	−4.4	−1.0	−1.4	3.4
Alexandersbad	−1.8	1.4	2.8	−1.0	0.1	−0.1	0.3	−2.4	−4.7	−2.0	−2.1	1.5
Traunstein	1.4	4.2	3.6	−0.8	0.5	0.3	−0.3	−2.3	−4.7	−1.2	−2.4	2.6
Berchtesgaden	2.2	3.8	3.7	−0.5	0.6	0.3	0.1	−1.7	−4.7	−1.2	−3.0	1.7
Ottobeuren	1.6	3.4	3.5	−0.8	1.3	0.1	−0.6	−2 8	−4.6	−1.2	−2.3	2.0
Partenkirchen	1.9	4.4	2.9	−1.4	0.8	0.1	−0.7	−2.6	−5.0	−1.5	−3.3	2.4
Tegernsee	1.1	4.8	3.1	−1.1	0.8	−0.1	−0.9	−2.6	−5.4	−1.5	−3.1	2.6
Buchenau	−0.3	3.0	2.5	−0.8	0.0	0.2	−0.6	−2.2	−4.8	−2.3	−3.3	2.1
Oberstdorf	2.6	4.6	3.2	−1.5	1.0	0.0	−0.6	−3.0	−5.5	−1.0	−3.5	2.1
Mittenwald	1.6	4.3	2.7	−1.6	0.5	0.1	−0.5	−2.1	−5.5	−1.4	−3.7	1.6
Hohenpeissenberg	0.8	4.4	2.9	−1.5	0.8	0.0	−0.7	−3.2	−5.9	−1.8	−3.2	3.3
Zugspitze *)	1.4	3.7	1.9	−0.4	0.5	0.2	0.2	−2.7	−5.3	−1.4	−3.2	2.6

*) Mittel 1901/10.

b) Niederschlagsverhältnisse.

Stationen	Januar	Februar	März	April	Mai	Juni	Juli	August	September	Oktober	November	Dezember
Ludwigshafen a. Rh.	0.8	1.7	1.4	0.3	1.0	0.6	1.1	1.8	1.5	1.1	0.7	1.2
Kahl a. M.	1.1	1.1	1.1	0.3	1.1	1.3	0.9	1.5	1.4	2.0	1.1	0.9
Landau i. Pf.	0.9	0.9	1.7	0.5	0.7	0.9	0.7	2.4	1.3	0.8	0.7	1.0
Würzburg	1.1	1.3	1.3	0.6	0.6	1.5	0.6	1.3	0.9	0.9	1.0	0.7
Bad Kissingen	1.2	1.0	1.4	0.6	0.9	1.4	1.4	1.7	0.8	1.1	1.5	0.8
Kaiserslautern	0.9	0.9	1.6	0.3	0.5	0.6	0.9	1.7	1.0	1.0	0.6	0.8
Luitpoldheim	0.9	0.8	1.1	0.5	0.8	1.0	0.9	1.6	1.3	1.7	1.1	1.1
Bamberg	0.8	1.0	1.2	0.5	1.6	1.1	0.5	1.3	0.7	0.7	1.3	0.8
Nürnberg	0.8	1.0	1.2	0.6	1.1	1.6	1.6	2.0	0.9	0.7	0.9	0.6
Passau	1.2	0.9	1.1	1.0	1.4	1.4	0.6	1.3	1.2	0.9	1.1	0.5
Metten	1.0	1.0	1.4	0.7	1.2	1.6	0.8	1.5	1.5	0.8	1.1	0.6
Regensburg	1.3	1.1	1.5	0.6	1.4	1.5	1.2	1.2	0.6	0.8	1.3	0.7
Bayreuth	1.2	1.1	1.1	0.4	1.2	1.1	0.5	1.6	0.8	0.9	1.5	0.8
Burghausen	1.6	0.9	1.7	0.8	1.7	1.3	0.9	1.2	2.2	1.1	0.9	0.3
Ingolstadt	1.3	1.0	1.5	0.6	1.3	1.5	1.2	1.4	1.0	0.8	0.7	0.7
Karlshuld	1.1	1.8	1.3	0.6	1.9	1.1	1.9	1.3	1.6	1.4	0.8	1.0
Cham	1.4	1.3	1.7	0.9	1.6	1.1	1.3	1.3	1.1	1.1	1.4	0.7
Landshut	1.5	1.1	1.5	0.7	1.3	1.6	1.1	1.5	1.4	0.9	0.8	0.5
Lindau i. B. (Reutin)	1.5	1.4	1.5	0.7	1.8	0.9	1.2	1.5	1.1	1.6	0.9	0.9
Eggenfelden	1.7	0.8	1.6	0.8	1.2	1.3	1.1	1.2	1.6	0.8	0.9	0.4
Weissenburg i. B.	0.8	1.1	0.9	0.6	1.6	1.4	2.0	1.5	1.1	0.8	0.9	0.6
Ansbach	0.9	1.2	1.3	0.6	1.4	0.8	1.4	1.9	1.6	0.9	1.0	0.7
Hof	1.1	0.7	0.8	0.5	0.8	1.3	0.5	1.8	0.8	0.8	1.3	1.1
Bad Reichenhall	2.2	0.9	1.5	1.3	2.4	1.5	1.1	0.9	2.2	0.9	2.1	0.7
Augsburg	1.6	1.0	1.1	0.4	1.4	1.8	1.0	1.5	1.2	0.9	0.6	0.5
Amberg (M.H.B.)	1.3	1.1	1.1	0.6	1.5	1.8	1.4	2.0	1.0	0.8	1.3	0.7
München-C.St.	2.1	0.8	1.5	0.6	1.5	1.4	1.2	1.1	1.3	1.0	0.9	0.5
Alexandersbad	1.3	0.8	1.3	0.7	0.5	2.6	0.9	2.2	1.0	1.2	1.2	1.3
Traunstein	1.7	1.1	1.7	1.1	1.9	1.9	1.2	1.1	1.7	1.1	1.1	0.5
Berchtesgaden	1.4	0.6	1.6	1.1	1.8	1.4	1.3	0.9	2.3	0.8	1.3	0.4
Ottobeuren	2.1	1.1	1.5	0.8	1.3	1.2	1.0	1.1	1.2	1.3	0.9	0.8
Partenkirchen	1.7	0.6	1.2	0.9	1.8	1.2	1.0	1.4	1.4	1.4	1.5	0.6
Tegernsee	2.0	0.7	1.0	0.6	1.9	1.2	1.1	1.6	2.2	1.3	1.5	0.7
Buchenau	1.0	0.7	1.0	1.3	1.3	1.7	1.0	1.8	1.3	0.7	1.7	0.9
Oberstdorf	1.7	0.9	1.3	0.9	1.9	1.3	0.6	1.6	1.3	1.2	1.5	0.7
Mittenwald	1.6	0.9	1.5	0.9	2.2	1.0	1.2	1.2	1.4	1.5	1.6	0.5
Hohenpeissenberg	2.4	0.9	1.4	1.0	1.7	1.4	0.7	1.5	1.3	1.4	1.5	0 7
Zugspitze	0.8	0.8	1.0	0.7	1.3	1.0	1.2	1.4	1.9	1.3	1.2	0.8

1912. Wintertage (W), Frosttage (F), Sommertage (S), Tropentage (T).

Stationen	Januar		Februar		März		April		Mai			Juni		Juli		August		Septbr.		Okt.	Novbr.		Dezbr.		Jahr			
	W	F	W	F	W	F	W	F	F	S	T	S	T	S	T	S	T	F	S	F	F	W	F	W	W	F	S	T
Ludwigshafen a. Rh.	2	14	3	6	–	–	–	3	–	6	1	10	2	16	6	–	–	–	–	2	6	–	10	4	9	41	32	9
Kahl a. M.	3	25	3	20	–	1	–	8	2	4	1	8	4	17	3	1	–	2	–	11	9	–	17	2	8	95	30	8
Landau i. Pf.	3	17	3	8	–	1	–	6	1	6	1	6	1	15	3	1	–	–	–	4	6	–	14	5	11	57	28	5
Würzburg	7	23	4	13	–	1	–	4	1	4	1	7	–	13	–	2	–	–	–	5	7	–	15	7	18	69	26	1
Bad Kissingen	10	24	4	14	–	6	–	6	3	3	–	6	–	13	–	2	–	1	–	11	9	–	16	7	21	90	24	–
Kaiserslautern	5	18	3	11	–	1	–	8	1	4	1	6	2	14	4	1	–	–	–	7	7	–	14	1	9	67	25	7
Luitpoldheim	15	24	4	17	–	3	–	8	3	2	–	3	–	10	–	–	–	–	–	6	8	–	16	8	27	85	15	–
Bamberg	9	24	4	12	–	5	–	8	3	3	–	6	–	16	–	3	–	–	–	7	15	1	18	5	19	92	28	–
Nürnberg	12	22	4	7	–	2	–	8	3	2	1	5	–	11	–	2	–	–	–	5	10	–	16	5	21	73	20	1
Passau	10	24	4	17	–	4	–	4	–	2	–	3	–	9	–	3	–	–	–	7	16	1	20	6	21	92	17	–
Metten	17	24	4	22	–	11	–	12	2	4	–	9	–	15	–	4	–	–	–	16	25	2	26	9	32	138	32	–
Regensburg	16	27	4	16	–	8	–	10	2	2	–	10	–	5	–	–	–	–	–	4	20	4	21	8	32	108	17	–
Bayreuth	16	26	5	16	–	5	–	10	3	3	–	7	–	13	1	3	–	3	–	10	16	1	18	7	29	107	26	1
Burghausen	12	23	3	19	–	8	–	9	2	3	–	8	–	11	1	2	–	–	–	6	18	2	25	8	25	110	24	1
Ingolstadt	12	23	4	19	–	7	–	13	3	4	1	8	–	14	1	4	–	2	–	10	25	1	26	7	24	128	30	2
Karlshuld	9	24	4	17	–	8	–	14	2	5	1	12	3	18	1	5	–	3	–	10	20	–	22	7	20	120	40	5
Cham	12	25	3	14	–	7	–	10	2	3	1	7	–	14	1	4	–	–	–	9	21	1	20	6	22	108	28	2
Landshut	8	28	3	22	–	11	–	14	2	4	1	18	1	19	1	5	1	1	–	11	24	–	26	7	18	139	46	4
Lindau i. B. (Reutin)	4	24	2	18	–	8	–	7	2	3	–	2	–	6	–	2	–	3	–	3	17	–	22	6	12	104	13	–
Eggenfelden	14	26	4	20	–	6	–	10	2	2	–	6	–	8	–	2	–	–	–	7	24	3	26	8	29	121	18	–
Weissenburg i. B.	9	21	5	11	–	2	–	8	2	2	–	4	–	10	–	1	–	1	–	3	14	1	17	5	20	79	17	–
Nördlingen	10	23	5	15	–	2	–	10	1	2	1	3	–	11	–	2	–	–	–	5	17	1	17	6	22	90	18	1
Ansbach	10	23	5	15	–	6	–	11	3	2	–	5	1	12	–	1	–	1	–	6	18	1	20	5	21	103	20	1
Hof	14	27	5	19	–	12	–	21	6	2	–	4	–	11	1	2	–	6	–	17	23	1	19	4	24	150	19	1
Bad Reichenhall	9	22	3	8	–	1	–	10	–	3	2	9	–	10	1	4	–	–	–	3	21	1	21	3	16	86	26	3
Augsburg	9	24	4	10	–	3	–	8	–	3	1	6	–	11	–	2	–	–	–	4	15	1	16	6	20	80	22	1
Amberg (M.H.B.)	16	28	5	19	–	12	–	10	2	2	–	3	–	5	–	–	–	–	–	10	29	1	15	9	31	125	10	–
München-C.St.	10	24	5	10	–	3	–	7	–	3	1	5	–	8	–	2	–	–	–	2	16	1	15	3	19	77	18	1
Alexandersbad	16	27	5	18	–	14	1	15	4	2	–	–	–	1	–	–	–	4	–	16	26	5	20	10	37	144	3	–
Traunstein	9	25	5	14	–	7	–	12	1	2	–	2	–	5	–	2	–	–	–	6	24	3	23	5	22	112	11	–
Berchtesgaden	7	23	5	16	–	12	–	11	1	3	–	2	–	4	–	1	–	–	–	5	22	2	24	6	20	114	10	–
Ottobeuren	11	27	4	16	–	5	–	15	2	4	1	4	–	7	–	1	–	–	–	6	24	2	20	4	21	115	16	1
Partenkirchen	9	24	3	13	–	12	–	12	1	3	–	3	–	3	–	1	–	1	–	5	26	3	26	–	15	120	10	–
Tegernsee	9	21	3	6	–	4	–	11	1	2	–	3	–	1	–	–	–	2	–	2	23	1	20	–	13	90	6	–
Buchenau	14	30	5	16	–	14	1	12	2	2	–	1	–	1	–	–	–	–	–	13	29	10	22	2	32	138	4	–
Schaftlach *)					–	12	–	15	–	2	1	3	–	2	–	–	–	5	–	10	28	5	24	–			7	1
Oberstdorf	7	25	3	18	–	16	–	20	2	3	–	3	–	3	–	–	–	5	–	10	27	4	26	3	17	149	9	–
Ettal	8	24	3	19	–	18	–	16	1	2	–	4	–	3	–	–	–	3	–	7	28	5	26	–	16	142	9	–
Mittenwald	6	21	1	14	–	14	–	16	2	3	–	3	–	4	–	1	–	3	–	6	27	4	25	2	13	128	11	–
Hohenpeissenberg **)	10	22	4	11	–	9	3	13	3	2	–	–	–	–	–	–	–	3	–	7	27	17	16	3	37	111	2	–

*) Beginn der Beobachtungen erst am 1. III. 1912.
**) Ausserdem wurden auf dem Hohenpeissenberg im Oktober 2 Wintertage beobachtet.

Winter- und Frosttage an der Hochstation Zugspitze.

Januar		Februar		März		April		Mai		Juni		Juli		August		Septbr.		Oktober		Novbr.		Dezbr.		Jahr	
W	F	W	F	W	F	W	F	W	F	W	F	W	F	W	F	W	F	W	F	W	F	W	F	W	F
31	31	29	29	31	31	26	30	21	27	8	23	3	16	11	26	29	30	23	31	30	30	31	31	273	335

Datumsgrenzen von Wintertagen, Frosttagen, Sommertagen, sowie von Schneefällen.

Stationen	Letzter Wintertag		Letzter Frosttag		Erster Sommertag		Letzter Sommertag		Erster Frosttag		Erster Wintertag		Letzter Schneefall		Erster Schneefall		Stationen
	Tag	Monat	Tag	Monat	Tag	Monat	Tag	Monat	Tag	Monat	Tag	Monat	Tag	Monat	Tag	Monat	
Ludwigshafen a. Rh.	5.	II.	14.	IV.	11.	V.	28.	VII.	6.	X.	6.	XII.	3.	II.	12.	XI.	Ludwigshafen a. Rh.
Kahl a. M.	5.	II.	3.	V.	12.	V.	4.	VIII.	20.	IX.	9.	XII.	12.	IV.	12.	XI.	Kahl a. M.
Landau i. Pf.	5.	II.	2.	V.	11.	V.	4.	VIII.	5.	X.	4.	XII.	12.	IV.	29.	XI.	Landau i. Pf.
Würzburg	5.	II.	2.	V.	12.	V.	30.	VIII.	5.	X.	6.	XII.	12.	IV.	8.	XI.	Würzburg
Bad Kissingen	5.	II.	3.	V.	12.	V.	30.	VIII.	20.	IX.	4.	XII.	12.	IV.	3.	XI.	Bad Kissingen
Kaiserslautern	5.	II.	2.	V.	11.	V.	4.	VIII.	4.	X.	9.	XII.	12.	IV.	29.	XI.	Kaiserslautern
Luitpoldheim	5.	II.	3.	V.	12.	V.	28.	VII.	4.	X.	4.	XII.	12.	IV.	2.	XI.	Luitpoldheim
Bamberg	5.	II.	3.	V.	12.	V.	30.	VIII.	4.	X.	8.	XI.	13.	IV.	2.	XI.	Bamberg
Nürnberg	5.	II.	3.	V.	12.	V.	30.	VIII.	5.	X.	4.	XII.	12.	IV.	22.	X.	Nürnberg
Passau	5.	II.	14.	IV.	12.	V.	30.	VIII.	5.	X.	24.	XI.	12.	IV.	3.	XI.	Passau
Metten	5.	II.	4.	V.	12.	V.	30.	VIII.	4.	X.	16.	XI.	13.	IV.	2.	XI.	Metten
Regensburg	5.	II.	3.	V.	12.	V.	28.	VII.	5.	X.	8.	XI.	12.	IV.	2.	XI.	Regensburg
Bayreuth	5.	II.	3.	V.	12.	V.	30.	VIII.	20.	IX.	8.	XI.	13.	IV.	2.	XI.	Bayreuth
Burghausen	5.	II.	3.	V.	12.	V.	4.	VIII.	5.	X.	24.	XI.	13.	IV.	2.	XI.	Burghausen
Ingolstadt	5.	II.	4.	V.	12.	V.	30.	VIII.	22.	IX.	21.	XI.	12.	IV.	22.	X.	Ingolstadt
Karlshuld	5.	II.	3.	V.	11.	V.	30.	VIII.	21.	IX.	6.	XII.	12.	IV.	22.	X.	Karlshuld
Cham	5.	II.	3.	V.	12.	V.	30.	VIII.	4.	X.	8.	XI.	12.	IV.	3.	XI.	Cham
Landshut	5.	II.	3.	V.	12.	V.	30.	VIII.	22.	IX.	7.	XII.	12.	IV.	3.	XI.	Landshut
Lindau i. B. (Reutin)	4.	II.	3.	V.	12.	V.	19.	VIII.	23.	IX.	6.	XII.	11.	IV.	22.	X.	Lindau i. B. (Reutin)
Eggenfelden	6.	II.	4.	V.	15.	V.	19.	VIII.	4.	X.	16.	XI.	12.	IV.	2.	XI.	Eggenfelden
Weissenburg i. B.	5.	II.	3.	V.	12.	V.	30.	VIII.	23.	IX.	24.	XI.	12.	IV.	22.	X.	Weissenburg i. B.
Nördlingen	5.	II.	2.	V.	12.	V.	30.	VIII.	5.	X.	24.	XI.	12.	IV.	22.	X.	Nördlingen
Ansbach	5.	II.	3.	V.	12.	V.	4.	VIII.	23.	IX.	24.	XI.	12.	IV.	22.	X.	Ansbach
Hof	5.	II.	30.	V.	12.	V.	30.	VIII.	12.	IX.	8.	XI.	30.	IV.	25.	IX.	Hof
Bad Reichenhall	5.	II.	17.	IV.	12.	V.	30.	VIII.	5.	X.	24.	XI.	12.	IV.	2.	XI.	Bad Reichenhall
Augsburg	5.	II.	16	IV.	12.	V.	30.	VIII.	5.	X.	23.	XI.	12.	IV.	22.	X.	Augsburg
Amberg (M.H.B.)	5.	II.	2.	V.	12.	V.	28.	VII.	4.	X.	8.	XI.	13.	IV.	1.	XI.	Amberg (M. H. B.)
München-C.St.	5.	II.	14.	IV.	12.	V.	4.	VIII.	5.	X.	24.	XI.	13.	IV.	4.	X.	München C.St.
Alexandersbad	3.	IV.	6.	V.	12.	V.	28.	VII.	20.	IX.	5.	XI.	14.	IV.	3.	X.	Alexandersbad
Traunstein	5.	II.	2.	V.	12.	V.	4.	VIII.	5.	X.	7.	XI.	12.	IV.	4.	X.	Traunstein
Berchtesgaden	5.	II.	2.	V.	12.	V.	30.	VIII.	5.	X.	24.	XI.	12.	IV.	2.	XI.	Berchtesgaden
Ottobeuren	4.	II.	3.	V.	12.	V.	30.	VIII.	5.	X.	7.	XI.	12.	IV.	25.	IX.	Ottobeuren
Partenkirchen	4.	II.	2.	V.	12.	V.	30.	VIII.	23.	IX.	7.	XI.	12.	IV.	4.	X.	Partenkirchen
Tegernsee	4.	II.	2.	V.	12.	V.	28.	VII.	22.	IX.	24.	XI.	17.	V.	4.	X.	Tegernsee
Buchenau	11.	IV.	3.	V.	12.	V.	28.	VII.	4.	X.	2.	XI.	13.	IV.	26.	IX.	Buchenau.
Schaftlach	Beobachtg. beg. erst am 1. März.		2.	V.	12.	V.	28.	VII.	12.	IX.	7.	XI.	17.	V.	25.	IX.	Schaftlach
Oberstdorf	4.	II.	3.	V.	12.	V.	28.	VII.	17.	IX.	15.	XI.	17.	V.	25.	IX.	Oberstdorf
Ettal	4.	II.	2.	V.	12.	V.	28.	VII.	22.	IX.	7.	XI.	17.	V.	25.	IX.	Ettal
Mittenwald	4.	II.	3.	V.	12.	V.	4.	VIII.	22.	IX.	3.	XI.	17.	V.	25.	IX.	Mittenwald
Hohenpeissenberg	10.	IV.	2.	V.	12.	V.	15.	V.	22.	IX.	5.	X.	17.	V.	25.	IX.	Hohenpeissenberg

Die Sonnenscheindauer in Bayern

im Jahre 1912.

Von mehreren Seiten ist uns der Wunsch ausgesprochen worden, die mit dem Jahre 1908 unterbrochene Publikation der Sonnenscheindauer wieder aufzunehmen. Veranlassung zur Einstellung boten die in zahlreichen Einzeluntersuchungen namhafter Meteorologen aller Länder erhobenen Einwände gegen die zur Registrierung des Sonnenscheins verwendeten Campbell-Stokesschen Autographen. Nach diesen Untersuchungen ist, wenn man auch von der geringen Genauigkeit des ganzen Systems absehen wollte, die Verschiedenheit der Glassorte sowie der Farbe und Beschaffenheit des Papieres so gross, dass ein Vergleich verschiedener Orte fast völlig ausgeschlossen erscheint. Dazu kommen die Unterschiede, die bisher in der Behandlung der Apparate bestanden: an einer Station sind die Streifen am Rande der Kugelschale abgeschnitten, an einer anderen umgebogen, an einer dritten unverändert in ihrer ganzen Länge belassen worden; die Einstellung in den Meridian ist häufig verschoben worden, da die Apparate nicht fixiert waren etc. Die letzteren Fehlerquellen, die in der Behandlung liegen, hoffen wir bald gänzlich beseitigen zu können; auch haben die Streifen einheitlich im ganzen Netze nunmehr eine Farbe erhalten. Dagegen ist es vorläufig nicht möglich, die im Systeme des Instruments gelegenen Fehler zu beheben. Wir geben daher im folgenden mit allem Vorbehalt nur von einer ausgewählten Anzahl von Stationen die Registrierungsergebnisse an. Ihre Verwendung wird sich dann auf den Vergleich verschiedener Jahre an ein und derselben Station beschränken, die Registrierungen werden also immerhin für land- und forstwirtschaftliche Zwecke, für den Weinbau, für Sanatorien etc. brauchbar sein, da sie besonders sonnenscheinarme oder -reiche Jahre erkennen lassen.

Datum	Sonnenscheindauer Januar 1912					Sonnenscheindauer Februar 1912					Sonnenscheindauer März 1912				
	Kaiserslautern	Luitpoldheim	Alexandersbad	München-C.St.	Mittenwald	Kaiserslautern	Luitpoldheim	Alexandersbad	München-C St.	Mittenwald	Kaiserslautern	Luitpoldheim	Alexandersbad	München-C.St.	Mittenwald
1.	—	1 1/4	—	—	—	—	—	—	—	—	1	1	2 3/4	6	6
2.	—	1/4	—	—	—	—	—	—	—	—	4 1/4	3 1/2	3/4	4 1/4	5 1/2
3.	—	—	—	3/4	1	6 1/4	5 1/2	2	1 1/4	—	—	—	4	7	1 1/4
4.	—	—	—	—	1/2	—	—	2 1/4	3/4	1/4	2 3/4	1 3/4	1 1/4	2 3/4	2 1/2
5.	—	—	—	2	3 1/4	—	—	—	3	4 1/4	3 1/4	3 1/2	1	2	1 3/4
6.	—	—	—	1/2	—	—	—	1	4 3/4	4 3/4	2 1/4	3 1/2	1	3	1/4
7.	1/4	1/4	—	—	1/4	3 1/4	3 1/2	1 3/4	3 3/4	4 1/4	1 1/2	3 1/2	1	7 1/4	—
8.	2 1/2	2 1/2	—	1 3/4	—	—	4 1/4	6	4 1/4	1 1/4	3 1/4	6	1/4	3/4	1/4
9.	—	—	—	—	—	4 1/4	5 1/4	2 3/4	3 1/2	4	6 3/4	7 1/4	7 3/4	9 3/4	7
10.	—	1/4	—	—	1/4	—	—	—	—	1 1/4	4 1/4	3 3/4	5 3/4	7 3/4	4
11.	—	4 1/2	4 1/2	3/4	4 3/4	3 1/2	—	1/4	1/4	1 3/4	1/4	4 1/2	—	—	1/4
12.	1/2	—	—	—	—	1	—	4 3/4	2 1/2	2 3/4	1 1/2	1/4	1/4	3	4 1/4
13.	—	—	—	—	4 1/4	1 1/4	3/4	5 1/2	4 1/4	3 1/2	1 3/4	1 1/4	4	2	1 1/2
14.	—	3 1/4	2 1/4	1/4	3 1/4	—	1 1/4	1 1/2	—	—	—	—	—	1/4	—
15.	1/4	7	2 1/2	—	5	1 1/2	1 3/4	—	1/4	—	4 3/4	1 1/2	—	5 1/2	7 1/2
16.	—	5	3 1/2	3	—	3 3/4	—	—	3 1/2	3 1/4	3 3/4	3	—	1/4	—
17.	—	6	3 1/2	—	—	6 1/2	5 3/4	2 1/2	8 3/4	6 1/4	1/4	1 1/4	2	4 3/4	5 1/2
18.	—	—	3	—	—	2 1/2	7	7 1/2	8 1/2	5 3/4	1 3/4	1 1/2	2 1/2	—	—
19.	3 1/4	—	—	—	—	1 1/4	1 1/4	3 1/2	4 3/4	1 1/2	5 1/2	4 1/2	1 3/4	4 1/4	2 3/4
20.	3/4	5 1/2	4 1/2	1 3/4	4 3/4	4	4 1/4	3 1/2	1 1/4	—	3/4	1 1/2	6 1/4	6	4
21.	—	—	4 1/2	5 3/4	5	—	—	2 1/4	3/4	5 1/2	1/4	—	5	10	7 3/4
22.	—	—	—	1 1/4	4 1/2	—	4	3 1/2	2 1/4	1 1/4	3	2	2 1/2	1 1/4	3/4
23.	—	—	1 1/4	2	1 3/4	—	—	—	1 3/4	3	1 3/4	3 1/2	3/4	3/4	1
24.	1/2	2 1/2	4	3 3/4	3	—	1/4	—	—	1 1/4	1/2	—	—	1 1/2	—
25.	—	1	—	—	1/2	3/4	1/4	—	3	2 1/2	—	—	—	—	—
26.	—	—	1	—	3 1/2	—	1 1/2	4	4	3 1/2	3/4	3/4	1/2	7 1/4	9
27.	—	6	—	—	—	3/4	1 1/2	—	5 3/4	5 1/2	7 1/2	6 1/4	6 1/2	8 1/2	8 1/4
28.	7 3/4	1 1/4	6 1/2	—	—	1 3/4	5 1/2	2 3/4	8 3/4	6 1/2	1/4	3/4	—	—	1/4
29.	—	3/4	2 1/4	7 1/2	4 1/2	4 1/4	5 1/4	7 1/4	8 3/4	6 1/2	8	7	4 1/2	—	—
30.	2 1/4	2 1/2	—	6 1/2	5 3/4						7 1/4	7 1/4	7	9	9
31.	—	—	—	3 1/4	2 3/4						5	5	5 3/4	8 1/2	6 1/2

Datum	Sonnenscheindauer April 1912					Sonnenscheindauer Mai 1912					Sonnenscheindauer Juni 1912				
	Kaiserslautern	Luitpoldheim	Alexandersbad	München-C.St.	Mittenwald	Kaiserslautern	Luitpoldheim	Alexandersbad	München-C.St.	Mittenwald	Kaiserslautern	Luitpoldheim	Alexandersbad	München-C.St.	Mittenwald
1.	—	—	—	—	—	10 1/2	6 1/4	5 1/4	4 3/4	—	4 1/4	9 1/4	10 1/4	9	10 1/4
2.	6 1/4	5	—	1 3/4	1/4	11 1/4	12 1/4	**12** 1/4	9 3/4	1/2	—	1/2	3 1/4	8	8 3/4
3.	3 3/4	11 1/2	6 1/4	4	2 1/2	10	11 1/4	**12** 1/4	12 1/2	11	7 1/4	6 1/4	8	10 1/2	11 3/4
4.	9	5 3/4	1 3/4	9 1/2	9 1/4	1 1/4	6 1/4	4 1/2	11 3/4	10 1/2	8	10	11 1/4	10 1/2	9 1/2
5.	—	—	—	3/4	1	1 1/4	4	3 1/2	1	1 1/4	7 3/4	10	4	—	6 1/4
6.	—	4 1/2	—	7	1 1/4	3 1/2	5 1/4	2 1/2	5 3/4	2 1/2	6 1/4	8 1/2	9 1/4	9 3/4	11 1/4
7.	9	7	1/4	1 1/4	1/4	1 1/2	5 1/4	5 3/4	3 1/4	2 1/4	3 1/2	6 3/4	8 1/4	7	4 3/4
8.	10	9 3/4	5 1/2	10 1/2	10	1	—	—	1/2	—	11 3/4	9 1/2	2	1/4	—
9.	2 1/2	3 1/4	7 1/4	—	—	2 1/2	4	8	1 3/4	1 3/4	1/4	—	1 3/4	6 3/4	6 1/4
10.	—	3 1/2	5 1/4	6 3/4	6	3 1/4	3 3/4	4 1/4	1	3/4	2	5 1/4	1/4	3 1/4	1/4
11.	3	7 1/4	2 1/4	5 3/4	3 1/4	3 1/4	3 1/2	7	1 1/4	3/4	7 3/4	6 1/2	2 3/4	10	8
12.	8 3/4	7 1/2	6 1/4	7	3	7 3/4	8	5 1/2	11 3/4	11 1/4	8	8 1/4	—	11 1/2	9 3/4
13.	**11** 1/4	9	5 1/2	11 1/2	**11**	5 3/4	8	5 3/4	8 1/2	7 3/4	1/4	1 1/2	1 3/4	3/4	2 1/2
14.	1 3/4	—	1/4	10 1/4	9 1/2	6 3/4	8 1/4	11	8 1/4	10 1/4	3 3/4	5	5	7 1/2	3 3/4
15.	1 1/4	2 1/4	2 1/2	1 3/4	1 1/2	6 1/4	8 3/4	10 1/2	9 3/4	9 1/4	1 1/2	7 3/4	4 1/4	—	1 1/2
16.	10 1/4	**12**	11 3/2	10 3/4	1 1/4	3 1/4	5 1/2	5 1/4	3	2 3/4	2 1/2	2	3	8	6
17.	10	11 1/2	**11** 3/4	11 1/2	7	3	8 1/2	1 1/4	3	3/4	2 1/2	1/2	6 1/2	2 1/4	3 1/2
18.	5 3/4	11 1/4	9 1/4	4 3/4	6	9 1/4	4 3/4	3	6	6 3/4	5 1/2	3/4	—	2	1
19.	4	5 1/4	7 3/4	2 1/4	1/2	**12** 3/4	10 1/2	6 1/4	**13** 3/4	**12** 1/2	12 3/4	11	**13** 1/2	13 1/2	**13**
20.	7 3/4	6 1/2	7 3/4	3/4	—	9 1/4	11 1/2	**12** 1/4	13	10 3/4	8 1/4	10 1/2	6 1/2	3 1/4	4 1/4
21.	8 1/4	11 1/4	8 1/2	8 1/4	3 3/4	2 3/4	7 3/4	8 1/2	9 3/4	7	6 1/4	3 3/4	1	4	3/4
22.	9 1/4	10 3/4	9	11 1/4	9 3/4	2 1/4	1/2	1/2	—	1/2	**13** 3/4	11 1/2	13 1/4	13 1/4	11 1/2
23.	7 3/4	7 3/4	8 1/4	6 1/4	1 3/4	5	11 1/2	6	—	—	9 3/4	**12** 3/4	12 3/4	**13** 3/4	12 3/4
24.	11	8 1/2	8 3/4	12	9	1 1/4	—	—	—	—	2	2 3/4	2 3/4	2 1/2	1 1/2
25.	5 1/4	9 3/4	7	11	5 1/2	1/2	2	—	—	3/4	7 1/4	7 1/2	—	—	—
26.	6 1/4	7 3/4	10 3/4	**12** 1/4	5 3/4	3 3/4	7	2 1/2	—	—	3 1/2	3 3/4	1/2	3/4	—
27.	2 3/4	3 3/4	7	11 1/4	9 1/4	7 1/4	9 1/4	5 1/4	5 1/4	2 1/2	6 3/4	8 1/2	5 1/2	8 1/4	4 1/2
28.	7 3/4	7 1/4	5 1/4	4 1/2	4 1/2	6 3/4	7	3 3/4	11	8 1/4	12 3/4	11 1/4	12	12 3/4	12 1/2
29.	8 3/4	6 1/2	4	4 1/2	—	11 1/2	**12** 1/2	8 3/4	12	1/2	3 1/2	8 1/2	11 1/4	11 1/2	10 1/2
30.	1/4	3 3/4	1/2	2 1/4	—	11 1/4	7 3/4	11	11 1/2	1/4	3/4	2 1/2	3	10 1/4	7
31.						6 1/2	**12** 1/2	6 3/4	11 1/2	1 1/4					

Datum	Sonnenscheindauer Juli 1912					Sonnenscheindauer August 1912					Sonnenscheindauer September 1912				
	Kaiserslautern	Luitpoldheim	Alexandersbad	München-C.St.	Mittenwald	Kaiserslautern	Luitpoldheim	Alexandersbad	München-C.St.	Mittenwald	Kaiserslautern	Luitpoldheim	Alexandersbad	München-C.St.	Mittenwald
1.	5 3/4	4 1/4	4 3/4	1/4	—	—	—	1	9 1/2	10	—	1 1/4	7 1/4	3/4	1
2.	1 3/4	5	3 1/4	2	—	1 1/4	1/3	—	—	—	2 1/4	—	1/2	2 1/2	1 1/4
3.	2 3/4	5 1/4	5 1/2	6	4 3/4	8 3/4	**9** 1/2	6	7 1/4	6 1/2	1 1/2	—	—	—	—
4.	2 1/4	—	—	5 3/4	1 3/4	2 1/4	9	**10** 3/4	11	10 1/2	—	—	4 3/4	4 3/4	4 1/4
5.	7 1/2	6	7 1/2	11 1/2	12	2 1/4	3	—	—	—	2 3/4	3 1/2	3 3/4	1/4	1/4
6.	4 3/4	11	**13**	11	9 1/4	2 1/4	3 1/4	3 3/4	2 1/4	1	3 3/4	3	1 1/2	1/2	—
7.	1/2	1 3/4	2 1/2	—	—	—	—	—	—	—	2 1/4	2	—	—	—
8.	6 3/4	6 1/4	7	2 3/4	4	1/2	1 1/4	—	1 1/4	3/4	—	—	—	—	—
9.	5 1/2	10	5 1/4	3 3/4	3 1/4	2 1/4	4 3/4	4 1/2	5	2 3/4	1 1/4	2	2 1/4	—	—
10.	5	6 1/2	4 1/4	12	9 3/4	1 1/2	3	4 3/4	2 1/4	1 1/4	—	—	—	3/4	—
11.	6 1/2	10 3/4	9	12 1/4	9 1/4	—	1 1/2	—	1 3/4	—	—	1 3/4	3/4	3 1/2	1
12.	11 3/4	12 1/4	10 3/4	12 1/2	**12** 1/4	1 3/4	5	1/2	—	—	4 3/4	3 1/4	—	5 1/2	3/4
13.	**12**	12 1/4	12 3/4	13	**12** 1/4	1/4	—	—	1/2	3 1/2	6 3/4	3 3/4	1 1/2	1/4	—
14.	11 3/4	**12** 3/4	12 1/4	**13** 1/2	10 3/4	3 1/4	2 3/4	2 1/4	2 1/2	—	1 3/4	—	—	1/4	—
15.	**12**	12 1/4	11	12 1/4	11 1/4	2	2 1/4	1 3/4	8	3 1/2	—	—	—	—	—
16.	10 3/4	11 3/4	11 1/2	11 3/4	11 1/4	1/4	2 3/4	1/4	1/4	1/2	3/4	4	2 1/2	3 1/4	1 1/2
17.	9 3/4	12	11	12 1/2	11	3	2 3/4	1	5 1/2	6 3/4	—	2 3/4	—	**9**	**8** 1/4
18.	2	7 1/2	6	9 1/2	6 3/4	4 1/4	7	10 1/4	9 1/4	10 1/4	1/2	2	3/4	1 1/4	6 1/2
19.	1	—	3/4	1 3/4	—	1/4	3 1/2	4	9 1/4	9 1/4	1 1/4	1/4	3/4	—	—
20.	1/2	4 3/4	9 1/4	3	2	1	1 3/4	—	3 1/4	4	7	3 1/4	1/2	1 1/2	—
21.	—	—	—	—	—	4 1/4	3 1/2	4 1/4	8 1/4	1 1/2	7	5 1/2	3 3/4	6 3/4	3 3/4
22.	2 1/2	6 1/4	5	—	—	3/4	—	—	—	1	**8**	5	2 1/4	7 1/4	7
23.	—	—	6	7	8 1/2	—	—	—	1 3/4	—	6 1/2	5 1/4	6	4 1/2	6 3/4
24.	7 3/4	9 3/4	9 1/4	12 1/4	11 3/4	1/4	—	—	7 1/4	8 1/4	—	—	—	1 3/4	2
25.	5 3/4	9 1/4	8 1/2	8 1/2	6 1/2	5 1/2	3 3/4	2 1/4	9 3/4	7	1	1 1/2	—	—	—
26.	8	5 3/4	3 3/4	10 3/4	3 ?	1 1/2	3/4	1/4	1 3/4	2 1/4	—	2 1/2	—	—	—
27.	6	5	7 1/4	7	7 1/4	—	—	—	1 1/2	3 1/4	1 3/4	6	2	—	—
28.	6	7	11	9 3/4	10 1/4	4 3/4	4 3/4	1/2	1	3/4	6	**8** 3/4	**8** 1/2	6 1/2	6 3/4
29.	6 1/4	4 1/2	3/4	—	—	**9** 3/4	8 1/4	8	**11** 1/2	**10** 3/4	—	1/2	—	6 1/4	2 1/4
30.	—	1 1/2	5 3/4	6	3/4	1/2	6 1/2	**10** 3/4	11 1/4	9 3/4	—	4	4	6 1/2	6 1/4
31.	6 1/4	5 1/2	6	8 1/4	10 3/4	2 1/4	1	2 1/4	1 3/4	1 1/2					

Datum	Sonnenscheindauer Oktober 1912					Sonnenscheindauer November 1912					Sonnenscheindauer Dezember 1912				
	Kaiserslautern	Luitpoldheim	Alexandersbad	München-C.St	Mittenwald	Kaiserslautern	Luitpoldheim	Alexandersbad	München-C.St.	Mittenwald	Kaiserslautern	Luitpoldheim	Alexandersbad	München-C.St.	Mittenwald
1.	1/4	1/2	1/2	6 1/2	4	2 1/2	4 1/2	3 1/4	1/4	—	1/4	3/4	—	—	—
2.	2 1/2	1 1/2	1/4	—	—	1 1/4	3 3/4	3/4	1/2	3	—	—	—	1 3/4	1 1/4
3.	—	—	—	—	—	1 3/4	4	4 3/4	1 3/4	—	—	1 3/4	4 3/4	—	—
4.	8	7 3/4	4 3/4	1/4	—	3/4	3	—	6	4 1/4	1/4	—	5 3/4	1 3/4	4 3/4
5.	8 1/2	7 3/4	6 1/4	8 3/4	4	—	—	—	1/4	—	3 1/2	4 3/4	—	3 1/4	4 1/2
6.	6 1/2	1 3/4	5 1/4	8 1/2	6 1/2	—	4	3/4	1/4	—	—	3	—	—	2 1/4
7.	6	6 1/4	3 1/2	—	—	5	7	3 1/2	6 3/4	6	—	—	—	—	4 1/4
8.	8 1/2	6	1 3/4	—	3/4	—	—	—	—	2	—	—	2	—	4 1/4
9.	5 3/4	7 1/2	7 1/2	—	3 1/2	—	—	—	—	—	—	3 3/4	3 1/2	—	4 1/4
10.	7 3/4	8	7 3/4	3 3/4	—	—	—	—	1/4	1/4	—	—	2 3/4	—	4 1/4
11.	6 3/4	6	4 1/4	2 1/4	6 1/2	1 3/4	3	—	—	—	—	—	—	—	—
12.	6 1/2	—	8	5 1/2	6 3/4	—	—	1	1/4	1/2	—	3	—	3 1/4	4 1/4
13.	6	—	5	6 1/4	6 1/4	—	1/4	—	3 1/4	2 1/4	—	1/4	—	5 1/2	3 1/4
14.	4	—	7	7 1/4	6 1/4	—	—	—	5 1/4	5	—	—	—	—	—
15.	—	1	—	2 1/2	3 1/4	—	—	3	2 1/4	1/4	—	1/2	—	1	3
16.	—	—	2 1/4	1 1/2	6	—	—	—	4 3/4	4 1/2	—	—	1 3/4	2	3/4
17.	—	—	1 1/4	3 3/4	6 1/4	—	—	—	—	1/4	—	1	—	—	—
18.	1/2	5 1/4	2 3/4	2 1/2	1 1/2	—	—	—	—	—	—	—	—	2 1/2	1/2
19.	—	—	—	2 3/4	1 3/4	—	—	—	—	—	1 1/2	—	1	6	4
20.	—	—	2 1/2	1 1/2	1	1/4	—	—	3/4	—	—	3 1/2	4 1/4	1	3 3/4
21.	1/2	3 1/4	3 1/2	3 1/4	4 1/2	—	3/4	—	—	—	—	3	4 1/2	—	4
22.	—	—	—	—	—	—	2	1/4	1/4	1/4	—	—	—	—	—
23.	—	—	1/2	4	3 3/4	—	—	—	4 1/2	5	—	—	2 1/2	—	1/2
24.	—	1 3/4	—	1 1/2	1 1/2	—	—	3 1/4	—	5	—	—	1 1/2	2 1/2	1/2
25.	—	—	1 3/4	—	—	—	1 1/2	—	1/2	5	—	1/2	—	—	—
26.	—	1 1/2	—	1 1/2	—	—	—	—	1/4	1 1/4	—	1/4	1/4	2 3/4	3 1/4
27.	2	—	—	2 1/2	3 3/4	—	—	3 3/4	1/2	1/4	—	—	—	—	—
28.	—	1	1/4	8 1/2	6	—	2	3 1/2	—	—	—	—	—	4	3 1/4
29.	1/4	—	3 1/2	4 1/2	2 1/2	—	1 1/2	4 1/2	5	3 3/4	4 1/2	—	2 3/4	2 1/2	4
30.	—	—	1 3/4	—	1/4	—	1/2	2 3/4	4 1/2	1 3/4	—	1 1/2	1 1/4	3 1/4	1/4
31.	1/4	1/4	—	3 1/4	3 3/4						3	1	—	2 1/2	4

Sonnenscheindauer im Jahre 1912.

	Kaiserslautern	Luitpoldheim	Alexandersbad	München-C.St.	Mittenwald
Januar	18	49 3/4	43 1/4	40 3/4	58
Februar	46 1/2	58 3/4	64 1/2	90 1/4	80 1/4
März	83 3/4	85 1/2	74 3/4	123 1/4	96 3/4
April	171 1/2	199 3/4	160	191 1/4	122 3/4
Mai	172	213 1/4	179	191 1/4	124 1/4
Juni	169 3/4	192 1/2	163 1/2	200 3/4	182 3/4
Juli	169	206 3/4	210 1/2	226 1/2	189 1/4
August	66 1/2	92	79	134 1/2	116 1/2
September	66 3/4	71 3/4	53 1/4	73 1/2	59 1/2
Oktober	80 1/2	65	81 3/4	92 1/4	90 1/4
November	13 1/4	37 3/4	35	48	50 1/2
Dezember	13	28 1/2	38 1/2	45 1/2	69
Summe	1070 1/2	1301 1/4	1183	1457 3/4	1239 3/4

Auswertung der Registrierungen vom Hohenpeissenberg.

Die Auszählung der Kontakte des Anemographen besorgte in dankenswerter Weise der Beobachter Herr Lehrer Jung selbst. Die Registrierungen wurden an der Centralstation ausgewertet und zwar von

Sekretär L. Gsell:

die Barometerregistrierung und
die Hygrometerregistrierung

Assistent A. Huber:

die Thermometerregistrierung und
die Anemometerregistrierung.

Hohenpeissenberg.

Barometer-Registrierung. **Jahr 1912.** 1912.

Januar

600 mm +

Datum	1ª	2ª	3ª	4ª	5ª	6ª	7ª	8ª	9ª	10ª	11ª	12m	1P	2P	3P	4P	5P	6P	7P	8P	9P	10P	11P	12 mn	Mittel
1.	83.7	83.8	84.0	83.7	83.4	83.6	83.9	84.7	84.9	84.8	84.8	84.7	85.0	85.2	85.4	85.6	85.9	86.1	86.3	86.6	86.7	86.5	86.2	86.2	85.07
2.	86.1	86.2	86.3	86.2	86.1	86.2	86.2	86.2	86.3	86.1	86.0	85.8	85.5	85.5	85.3	85.1	84.9	84.7	84.9	84.8	84.7	84.6	84.6	84.5	85.53
3.	84.3	83.9	83.7	82.9	82.4	82.0	81.8	81.7	81.6	81.6	82.2	80.6	79.5	78.6	78.5	78.6	78.6	78.7	78.8	79.0	79.3	79.4	78.8	78.7	80.63
4.	78.4	78.5	78.8	78.7	78.3	78.0	77.9	77.8	77.7	77.5	77.0	76.6	75.8	74.9	74.7	74.7	74.7	74.5	74.4	74.2	74.1	73.8	73.6	73.6	76.18
5.	73.2	72.5	72.2	71.6	71.1	70.7	70.5	70.4	70.2	69.6	69.0	68.5	67.9	67.7	67.4	67.5	66.9	66.7	66.9	67.2	66.2	66.1	66.8	67.6	68.93
6.	68.1	68.4	68.4	68.3	68.0	67.9	67.8	67.9	67.8	67.7	67.5	67.0	66.1	65.0	64.4	63.1	61.9	60.6	58.4	56.3	55.1	54.0	52.8	52.5	63.54
7.	52.3	52.7	54.1	54.1	54.3	54.0	54.9	54.6	54.0	54.6	54.6	53.2	51.9	51.7	53.1	54.5	54.8	55.2	56.5	57.9	59.7	62.1	64.2	66.1	55.63
8.	67.4	69.3	70.3	71.1	71.5	72.2	72.6	73.3	73.6	73.8	74.1	74.6	74.3	74.7	74.8	74.9	75.2	75.2	75.4	75.7	75.2	75.1	75.0	74.2	73.48
9.	73.7	73.1	72.7	71.9	71.0	69.8	69.1	68.8	68.6	68.5	68.8	69.0	69.4	69.1	69.4	69.9	70.0	70.2	70.4	70.4	70.5	70.9	71.3	71.3	70.33
10.	71.3	71.5	72.0	72.4	72.7	73.5	74.1	74.8	75.3	75.8	76.2	76.5	76.7	77.0	77.3	77.9	78.4	78.7	79.4	79.8	80.5	80.7	80.8	81.0	76.43
11.	81.1	81.3	81.3	81.3	81.3	81.7	82.0	82.2	82.2	82.3	82.3	82.4	82.3	82.3	82.6	82.6	82.9	83.0	83.0	83.1	83.1	82.9	82.7	82.5	82.27
12.	82.5	82.6	82.6	82.4	82.3	82.3	82.4	82.4	82.7	82.8	82.9	82.7	82.7	82.7	82.5	82.5	82.7	83.1	83.2	83.1	82.8	82.6	82.5	82.5	82.65
13.	82.6	82.7	82.5	82.2	82.1	82.1	82.0	82.0	82.3	82 2	81.9	81.7	81.4	81.3	81.2	81.1	80.9	81.1	81.1	81.0	80.9	80.7	80.2	79.8	81.54
14.	79.8	79.6	79.4	78.9	78.7	78.6	78.5	78.5	78.6	78.6	78.1	77.9	77.8	77.7	77.8	77.8	77.8	77.8	77.8	77.8	77.8	77.8	77.6	77.4	78.25
15.	77.1	77.0	76.8	76.6	76.3	76.3	76.3	76.3	76.2	76.0	75 8	75.8	75.4	75.2	75.1	75.2	75.2	75.1	75.1	75.1	75.1	75.1	75.2	75.3	75.78
16.	75.1	75.0	74.9	74.8	74.7	74.3	74.1	74.1	74.3	74.3	74.2	73.9	73.5	73.5	73.5	73.7	73.7	73.8	73.9	74.0	74.0	74.0	74.1	74.2	74.15
17.	74.0	74.0	74.1	73.9	74.0	74.0	74.0	74.1	74.7	74.9	75.1	75.1	75.1	75.3	75.7	75.9	76.2	76.3	76.6	76.8	76.9	76.9	76.5	76.7	75.28
18.	76.7	76.9	77.0	77.0	77.0	76.8	76.7	77.0	77.1	77.4	77.7	77.9	78.0	78.4	78.7	79.1	79.2	79.2	79.3	79.7	79.9	80.0	80.3	80.3	78.22
19.	80.3	80.4	80.3	80.1	80.0	79.9	79.8	79.9	79.9	79.8	79.6	79.2	79.0	78.8	78.8	78.6	78.5	78.3	78.2	78.2	78.1	78.1	78.0	77.9	79.15
20.	77.7	77.6	77.4	77.3	77.3	77.3	77.4	77.6	77.8	78.0	78.0	77.9	77.8	77.9	78.0	78.1	78.3	78.5	78.7	78.8	78.9	78.9	79.0	79.0	78.05
21.	79.0	79.0	79.1	79.1	79.1	79.0	79.0	79.0	78.9	78.9	78.8	78.5	77.9	77.7	77.6	77.3	77.2	77.1	77.0	76.7	76.7	76.7	76.6	76.4	78.01
22.	76.2	75.9	75.9	75.6	75.5	75.3	75.3	75.3	75.4	75.4	75.4	75.4	75.2	74.8	74.7	74.5	74.4	74.2	74.1	73.5	73.3	73.3	73.2	73.2	74.79
23.	73.2	73.4	73.5	73.4	73.5	73.3	73.1	73.0	73.0	72.9	72.8	72.6	72.3	71.9	71.7	71.7	71.5	71.4	71.3	71.2	71.0	70.9	70.9	71.0	72.27
24.	71.1	71.2	71.6	72.2	72.9	73.2	73.4	73.7	74.2	74.2	74.2	74.1	73.4	73.1	73.2	73.1	73.0	72.9	72.6	72.6	72.6	72.6	72.3	71.9	72.89
25.	75.5	70.9	70.9	70.6	69.9	69.6	69.1	68.8	68.8	68.7	68.1	68.0	67.9	67.9	67.8	67.8	67.8	68.0	68.1	68.4	68.7	69.0	69.2	69.4	69.12
26.	69.7	70.1	70 4	70.3	70.2	70.2	70.3	70.4	70.7	70.7	70.7	70 5	70.0	69.6	69.6	69.7	69.8	69.9	69.9	69.9	69.6	69.5	69.6	69.6	70.04
27.	69.5	69.5	69.4	69.3	69.4	69.4	69.5	69.7	70.0	70.1	70.5	70.4	70.4	70.3	70.6	70.8	71.1	71.4	71.6	71.9	72.3	72.5	72.5	72.5	70.61
28.	72.5	72.6	72.6	72.7	72.8	72.8	72.9	73.3	73.6	73.9	73.8	73.8	73.8	73.7	73.8	74.1	74.4	74.8	74.9	74.9	75.0	75.0	74.9	74.8	73.81
29.	74.7	74.7	74.7	74.5	74.4	74.3	74.2	74.2	74.3	74.5	74.6	74.5	74.5	74.3	74.3	74.3	74.4	74.6	74.6	74.5	74.6	74.6	74.5	74.2	74.46
30.	73.9	73.8	73.7	73.6	73.6	73.5	73.8	73.8	74.0	74.1	74.4	74.3	74.3	74.1	74.0	74.0	74.0	74.0	74.7	74.8	74.9	74.9	74.9	74.8	74.16
31.	74.7	74.6	74.4	74.2	74.2	74.2	74.2	74.2	74.1	74.0	73.9	73.6	72.5	72.2	71.9	71.9	71.8	71.3	71.4	71.2	71.1	71.1	71.1	70.9	72.86
Mittel	75.34	75.25	75.32	75.19	75.10	75.03	75.06	75.15	75.25	75.28	75.26	75.06	74.75	74.58	74.63	74.70	74.71	74.72	74.79	74.81	74.82	74.85	74.84	74.84	74.97

Februar

600 mm +

Datum	1ª	2ª	3ª	4ª	5ª	6ª	7ª	8ª	9ª	10ª	11ª	12m	1P	2P	3P	4P	5P	6P	7P	8P	9P	10P	11P	12 mn	Mittel
1.	70.3	70.1	69.7	69.2	69.1	68.7	68.6	68.6	68.4	68.2	68.0	67.3	66.8	66.1	65.8	65.3	65.0	64.6	63.9	63.6	63.2	62.8	62.6	62.4	66.60
2.	61.6	61.2	60.6	60.1	59.6	58.6	58.1	57.7	56.9	56.7	56.6	55.9	55.1	54.2	53.4	52.2	51.7	51.8	51.5	50.9	50.4	50.1	49.8	49.4	55.17
3.	49.0	49.7	50.4	51.8	52.4	53.4	54.4	55.7	56.8	57.8	58.7	59.2	59.7	60.1	60.5	61.2	61.9	62.6	63.3	63.6	64.0	64.1	64.2	64.3	58.28
4.	64.2	64.2	64.0	63.7	63.6	63.4	63.3	63.2	63.2	62.8	63.0	62.9	62.7	62.3	62.1	62.4	62.3	62.1	62.0	61.8	61.8	61.5	61.4	61.3	62.72
5.	61.2	61.3	61.4	61.5	61.5	61.4	61.4	61.5	61.7	62.0	62.2	62.3	62.3	62.2	62.4	62.5	62.8	63.1	63.6	64.1	64.3	64.3	64.5	64.7	62.51
6.	64.7	64.3	64.2	64.0	64.0	64.2	64.6	65.3	65.7	65.6	65.6	65.4	65.4	65.3	65.2	65.1	65.1	65.2	65.2	65.3	65.7	66.0	66.1	66.3	65.15
7.	66.3	66.3	66.4	66.6	67.0	67.2	67.4	67.7	68.2	68.4	68.7	68.7	68.8	68.8	68.9	68.9	68.8	69.0	69.1	68.9	68.8	68.8	68.7	68.6	68.13
8.	68.3	68.1	68.0	67.5	67.1	66.9	66.8	66.6	66 4	66.3	66.3	66.3	66.3	66.5	66.4	66.2	66.6	66.5	66 6	66.4	66.3	66.2	66.1	65.6	66.68
9.	65.0	64.4	64.2	64.1	64.0	63.9	63.9	64.2	64.7	65.1	65.3	65.3	65.2	65.1	65.1	65.1	64.8	64.8	64.7	64.4	64.3	64.3	64.3	64.4	64.61
10.	64.6	64.8	64.6	64.8	65.3	65.5	66.0	66.3	66.5	66.6	66.5	66.4	66.3	66.1	66.0	66 0	65.8	65.8	65.5	65.2	64.8	64.8	64.6	64.6	65.56
11.	64.4	64.2	64.3	64.4	64.7	65.3	65.5	65.9	66.2	66.3	66.6	66.7	66.6	66.4	66.6	66.7	66.8	66.8	66.8	66.9	67.2	67.6	68 0	68.6	66.23
12.	69.1	69 6	70.0	70.5	71.2	71.8	72.4	72.8	73.2	73.3	73.4	73.5	73.8	73.9	74.1	74.2	74.4	74.8	75.3	75.5	75.8	75.8	75.9	75 9	73.34
13.	75.8	75.7	75.5	75.2	75.0	74.9	74.8	74.7	74.8	74.9	74.9	74.9	74.7	74.6	74.5	74.4	74.1	73.9	73.8	73.7	73.6	73.3	73.2	73.1	74.50
14.	73.2	73.2	73.2	73.3	73.3	73.5	73.6	73.9	74.0	74.1	74.1	74.2	74.0	73.9	73.9	73.9	74.0	74.2	74.4	74.5	74.6	74.8	75.0	75.0	73.99
15.	75.2	75.2	75.3	75.5	75.7	76.0	76.5	76.8	77.2	77.5	77.9	78.1	78.2	78.4	78.7	79.0	79.4	80.0	80.2	80.4	80.7	80.8	80.7	80.8	78.09
16.	81.0	81.2	81.4	81.5	81.9	81.9	82.0	82.4	82.7	82.7	82.5	82.4	82.4	82.2	82.1	82.3	82.4	82.5	82.5	82.5	82.5	82.6	82.8	83.0	82.23
17.	82.9	83.0	82.9	82.9	82.9	82.8	82.7	82.7	82.8	82.8	82.9	82.8	82.5	82.3	82.3	82.2	82.1	82.0	81.9	81.7	81.7	81 6	81.4	81.2	82.38
18.	81.0	80.8	80.4	80.0	79.7	79.3	79.2	79.0	78.8	78.5	78.3	78.0	77.6	77.2	77.1	76.9	76.7	76.4	76.3	76.0	75.9	75.7	75.4	75.2	77.89
19.	74.9	74.7	74.3	74.0	73.9	73.7	73.5	73.5	73.1	72.9	72.8	72.5	71.2	70.9	70.7	70.4	70.0	69.9	70.1	70.2	70.3	70.5	70.8	71.2	72.08
20.	71.5	71.7	71.7	71.8	72.0	71.9	71.9	72.2	72.2	72.3	72.3	72.4	72.4	72.4	72.4	72.5	72.6	72.9	73.3	73.4	73.7	73.7	73.9	74.1	72.55
21.	74.4	74.4	74.3	74.3	74.5	74.7	75.0	75.1	75.3	75.5	75.6	75.8	75.6	75.7	75.8	76.0	76.1	76.5	77.0	77.5	78.0	78.4	78.7	78.8	75.96
22.	78.9	78.9	79.2	79.4	79.7	80.2	80.8	81.5	81.9	82.3	82.6	82.9	82.9	83.0	83.1	83.3	83.4	83.6	83.7	83.9	84.1	84.2	84.1	84.0	82.15
23.	84.0	83.9	83.6	83.3	83.2	83.1	83.0	83.1	82.9	82.8	82.6	82.3	81.8	81.2	80.8	80.5	80.4	80.1	79.8	79.6	78.9	78.7	78.6	78.7	81.54
24.	78.2	78.1	77.6	77.5	77.3	77.0	76.7	76.9	77.1	76.8	76.7	76.7	76.7	76.5	76.4	76.5	76.7	76.5	76.5	76.5	76.2	76.0	75.5	75.4	76.75
25.	75.2	75.0	74.7	74.7	74.7	74.7	74.7	74.9	75.3	75.5	75.7	75.8	75.9	75.9	76.0	76.0	75.2	76.2	76.4	76.4	76.3	76.6	76.6	76.7	75.63
26.	76.6	76.6	76.5	76.4	76.6	77.0	77.3	77.9	78.3	78.7	78.9	79.2	78.9	79.0	79.2	79.4	79.5	79.9	80.3	80.6	80.8	81.0	81.4	80.6	78.78
27.	81.7	81.8	81.8	81.8	81.9	82.3	82.7	83.3	83.5	83.4	83.4	83.4	83.1	82.8	82.8	82.8	83.2	83.6	84.3	85.0	85.3	85.7	86.0	85.9	83 40
28.	85.8	85.7	85.3	84.8	84.5	84.5	84.8	85.1	85.1	85.3	85.3	85.2	84.8	84.2	84.2	84.1	83.9	83.9	84.0	83.9	84.0	84.0	83.9	83.7	84.58
29.	83.4	83.0	82.5	82.0	81.9	81.4	81.2	81.1	80.9	80.8	80.7	80.6	80.3	80.0	80.0	79.9	79.8	80.0	80.3	80.6	80.8	81.0	81.1	81.1	81.02
Mittel	72.50	72.45	72.35	72.30	72.35	72.39	72.51	72.75	72.89	72.96	73.04	73.00	72.83	72.66	72.64	72.62	72.60	72.73	72.84	72.86	72.90	72.93	72.94	72.92	72.71

Barometer-Registrierung. **Hohenpeissenberg.** 1912.

März
600 mm +

Datum	1a	2a	3a	4a	5a	6a	7a	8a	9a	10a	11a	12m	1p	2p	3p	4p	5p	6p	7p	8p	9p	10p	11p	12mn	Mittel
1.	81.1	81.1	81.0	81.0	81.0	81.1	81.1	81.1	81.0	80.6	80.4	79.9	79.2	78.8	78.7	78.4	77.9	77.6	77.5	77.3	77.2	76.9	76.8	76.4	79.30
2.	76.3	75.8	76.0	76.2	76.3	76.5	76.5	76.8	76.4	77.8	77.8	77.8	77.9	77.9	78.0	77.8	77.7	77.6	77.4	77.2	76.8	76.0	75.2	74.8	76.85
3.	73.9	73.2	72 5	72.2	72.0	71.7	71.8	71.8	71.9	71.6	71.4	70.9	69.9	69.6	69.5	69.4	69.9	70.9	71.4	71.5	71.8	72.2	72.4	72.5	71.50
4.	72.6	72.8	73.0	73.1	73.3	73.6	73.9	74.3	74.7	75.0	75.3	75.5	75.4	75.1	75.0	75.0	74.8	74.8	74.7	74.5	74.4	74.3	74.1	73.8	74.29
5.	73.6	73.4	73.0	72.4	71.7	71.6	71.4	71.3	71.1	71.1	70.7	70.6	70.8	70.6	70.7	70.6	70.5	70.4	70.2	70.4	70.0	70.0	70.1	70.4	71.11
6.	70.0	70.6	70.7	69.7	69.5	69.4	70.0	70.3	70.3	70.1	70.0	69.9	70.1	69.9	69.7	69.8	69.8	69.8	69.9	70.0	70.4	69.9	70.5	70.7	70.04
7.	70.7	70.8	70.7	70.9	71.3	71.5	71.8	71.9	72.3	72.6	72.8	72.8	72.8	72.7	72.7	72.7	72.8	73.1	73.4	73.8	74.2	74.4	74.8	74.9	72.60
8.	74.9	74.9	75.4	75.7	76.0	76.2	76.4	76.6	76.7	77.0	76.7	76.5	76.1	75.8	75.7	75.7	75.7	75.9	76.1	76.0	75.9	75.9	75.9	75.8	75.98
9.	75.8	75.7	75.6	75.6	75.6	75.6	75.5	75.5	75.5	75.5	75.6	75.6	75.2	74.7	74.5	74.3	74.0	73.6	73.5	73.4	73.1	73.0	72.9	72.9	74.68
10.	72.8	72.7	72.7	72.5	72.5	72.6	72.6	72.6	72.5	72.1	71.8	71.5	71.4	71.1	71.1	71.0	70.9	70.7	70.9	71.1	71.1	71.2	71.2	71.5	71.75
11.	71.9	72.1	72.1	72.2	72.6	72.8	73.0	73.4	73.6	74.0	74.5	74.8	75.4	75.6	75.9	76.1	76.3	76.8	77.1	77.6	78.0	78.3	78.5	78.6	75.05
12.	78.8	78.9	79.1	79.3	79.6	79.9	80.4	80.6	80.9	81.1	81.4	81.5	81.5	81.4	81.4	81.5	81.7	82.0	82.4	82.9	83.2	83.3	83.3	83.3	81.23
13.	83.2	83.2	83.1	83.1	83.1	83.2	83.4	83.5	83.7	83.8	83.9	83.8	83.6	83.2	83.1	82.8	82.6	82.6	82.6	82.5	82.4	82.2	82.1	81.7	83.02
14.	81.6	81.3	81.1	81.0	80.9	80.6	80.6	80.7	80.7	80.6	80.4	80.2	80.0	79.7	79.4	79.2	79.0	78.9	78.9	78.7	78.6	78.6	78.6	78.6	79.91
15.	78 4	78.1	77.8	77.6	77.6	77.6	77.5	77.4	77.0	76.5	76.0	75.6	75.1	74.7	74.5	74.3	74.1	73.7	73.6	73.5	73.3	73.2	73.1	72.8	75.54
16.	72.6	72.3	72.0	71.6	71.9	71.6	71.6	71.6	72.1	72.3	72.2	72.4	72.6	72.5	72.4	72.4	72.5	72.6	72.9	73.1	73.2	73.2	73.2	73.1	72.41
17.	72.9	72.7	72.4	72.3	72 1	72.0	71.9	71.6	71.3	71.1	70.9	70.4	69.9	69.6	69.5	69.1	68.9	68.7	68.6	68.6	68.3	68.2	67.8	67.3	70.25
18.	66.7	66.2	65.7	65.5	65.5	65.3	65.0	64.6	64.4	64.3	63.9	63.2	62.1	61.4	60.8	60.4	60.2	60.3	60.4	60.7	61.3	61.4	61.4	61.5	63.01
19.	61.4	61.4	61.4	61.5	61.9	61.9	62.3	62.7	63.4	64.0	64.9	64.8	64.9	65.3	66.3	66.8	67.4	67.7	68.4	69.0	69.2	69.3	69.7	70.1	65.24
20.	70.2	70.2	69.7	69.3	69.2	69.1	69.0	68.9	69.1	69.2	69.1	68 9	69.1	69.2	69.3	69.4	69.4	69.5	69.6	69.7	69.7	69.7	69.7	69.6	69.41
21.	69.6	69.6	69.6	69.5	69.6	69.7	69.7	69.8	70.0	70.1	70.0	69.8	69.6	69.4	69.4	69.1	68.7	68.4	68.2	68.2	68.2	68.2	68.3	68.3	69.21
22.	68.3	68.1	67.7	67.5	67.0	66.9	66.9	66.9	67.1	67.1	67.3	67.4	67.6	67.6	67.6	67.7	67.9	68.1	68.3	68.6	68.6	69.0	69.4	69.5	67.84
23.	69.9	70.3	70.6	70.9	71.2	71.5	71.8	72.1	72.3	72.7	73.0	73.2	73.3	73.5	73.5	73.4	73.4	73.3	73.3	73.2	73.2	73.1	72.8	72.5	72.42
24.	72.0	71.5	70 9	70.9	69.2	69.6	68.6	68.2	68.1	67.8	67.8	67.9	68.1	68.9	70.1	71.2	72.2	73.2	73.9	74.5	75.2	75.6	76.1	76.6	71.17
25.	77.2	77.8	78.4	78.8	79.4	80.0	80.5	80.9	81.5	81.9	82.2	82.3	81.8	81.8	81.8	82.2	82.7	83.1	83.7	84.2	84.4	84.5	84.6	84.8	81.69
26.	85.0	85.1	85.2	85.2	85.2	85.2	85.3	85.3	85.3	85.3	85.2	85.2	85.0	84.8	84.6	84.5	84.4	84.1	84.2	84.2	84.0	83.9	83.8	83.7	84.74
27.	83.6	83.3	83.2	82.9	82.6	82.5	82.2	81.9	81.9	81.8	81.4	81.0	80.3	79.8	79.6	79.3	79.3	79.5	79.5	79.5	79.6	79.6	79.6	79.5	80.98
28.	79.4	79.1	79.0	79.0	79.0	79.1	79.1	79.0	79.0	79.1	79.2	79.0	78.8	78.5	78.5	78.5	78.5	78.7	78.8	78.9	78.8	78.7	78.5	78.3	78.85
29.	78.2	77.7	77.5	77.1	77.0	77.0	77.0	77.1	77.4	77.6	78.1	78.3	78.4	78.5	78.6	78.9	79.3	79.7	80.3	80.8	80.9	80.9	80.8	80.8	78.66
30.	80.5	80.0	79.5	79.0	78.7	78.3	78.2	78.1	78.0	77.8	77.4	76.9	76.6	76.4	75.8	75.4	75.5	75.5	76.0	76.5	76.9	77.2	77.3	77.3	77.45
31.	77.1	77.1	77.0	77.0	76.9	76.7	76.7	76.6	76.3	75.9	74.9	74.2	72.6	72.1	71.4	70.5	69.4	68.5	67.8	67.4	67.4	66.8	66.6	66.4	72.64
Mittel	74.85	74.74	74 63	74.53	74.50	74.53	74.57	74.62	74.69	74.76	74.72	74.57	74.36	74.20	74.17	74.11	74.11	74.17	74.31	74.44	74.49	74.47	74.49	74.45	74.48

April
600 mm +

1.	66.1	65.3	64.6	64.0	63.6	63.5	63.5	63.5	63.8	63.8	63.7	63.6	63.3	63.2	63.3	63.3	63.5	63.9	64.1	64.5	65.1	65.6	66.1	66.6	64.23
2.	67.3	67.9	68.6	69.8	71.1	72.0	72.9	73.0	73.6	74.1	74.6	74.7	75.1	75.3	75.7	76.2	76.6	77.0	77.6	78.0	78.6	78.8	79.2	79.4	74.46
3.	79.5	79.7	79.8	80.0	80.4	80.8	81.2	81.4	81.7	82.2	82.3	82.4	82.4	82.4	82.3	82.5	82.6	83.0	83.4	84.1	84.4	84.5	84.7	84.8	82.19
4.	85.0	85.1	85.1	85.0	85.1	85.5	85.6	85.7	85.9	85.9	85.8	85.6	85.5	85.4	85.0	84.8	84.7	84.7	84.8	85.3	85.3	85.0	84.7	84.4	85.20
5.	84.6	84.0	83.2	83.1	82.9	82.8	82.3	82.2	82.1	82.0	81.7	81.3	81.0	80.7	80.5	79.9	79.5	79.6	79.7	79.9	80.4	80.7	80.9	80.6	81.48
6.	80.8	80.9	80.9	80.7	80.4	80.2	80.5	80.6	80.5	80.2	80.0	79.9	79.6	79.4	80.0	79.7	79.7	79.4	79.5	79.8	80.4	80.3	80.4	80.3	80.17
7.	80.3	80.1	79.6	79.4	79.3	79.4	79.6	79.8	79.9	80.1	80.3	80.3	80.2	80.1	79.9	79.9	79.8	79.8	79.9	80.2	80.4	80.4	80.3	80.1	79.96
8.	79.8	79.5	79.2	78.8	78.3	77.9	77.7	77.4	77.0	76.6	76.0	75.3	73.4	72.8	72.0	71.4	70.6	70.2	69.8	69.1	68.8	68.1	68.1	68.0	73.99
9.	77.7	67.4	66.5	66.2	66.1	65.9	65.7	65.5	65.4	65.3	65.0	65.1	65.4	65.6	65.7	65.8	65.9	66.2	66.7	67.3	67.6	67.9	67.9	68.1	66.75
10.	68.2	68.2	68.4	68.7	68.9	69.3	69.5	69.6	69.5	69.4	69.4	68.9	68.4	67.4	67.1	67.0	66.9	66.9	66.8	67.0	67.6	67.8	68.2	68.5	68.23
11.	68.8	69.9	70.6	71.3	72.0	72.7	73.1	73.3	73.3	73.3	73.2	72.8	72.9	72.9	72.8	72.6	72.4	72.5	72.7	73.4	73.5	73.3	72.8	72.5	72.44
12.	72.6	73.0	73.2	73.6	74.5	75.2	76.2	77.0	77.8	78.2	78.4	78.6	79.0	79.4	79.5	79.7	79.9	80.5	81.2	82.0	82.4	83.3	83.4	83.6	78.43
13.	83.7	83.9	84.0	84.1	84.2	84.3	84.6	84 6	84.7	84.6	84.4	83.9	83.8	83.5	83.1	82.7	82 6	82.5	82.4	82.3	82.2	82.0	81.7	81.4	83.38
14.	80.9	80.5	80.4	80.0	79.8	79.7	79.7	79.7	79.6	79.6	79.3	79.1	78.9	78.7	78.3	78.1	78.0	77.9	78.0	78.1	78.1	78.0	77.9	77.9	79.01
15.	77.7	77.6	77.5	77.3	77.3	77.3	77.2	77.3	77.5	77.7	77.8	77.8	77.5	77.4	77.1	77.2	77.4	77.4	77.7	77.8	77.9	77.9	77.8	77.7	77.53
16.	77.6	77.3	77.3	77.2	77.1	77.1	77.2	77.3	77.4	77.5	77.5	77.6	77.7	77.7	77.6	77.5	77.5	77.6	77.7	77.8	77.8	77.6	77.5	77.4	77.48
17.	77.2	77.1	77.0	76.9	76.9	77.0	77.1	77.2	77.4	77.5	77.8	77.8	77.7	77.4	77.3	77.3	77.2	76.8	76.6	76.6	76.6	76.6	76.4	76.2	77.07
18.	76.0	75.8	75.6	75.4	75.3	75.3	75.4	75.4	75.4	75.5	75.4	75.3	75.1	74.8	74.7	74.7	74.7	74.7	74.8	74.9	75.0	74.9	74.9	74.9	75 16
19.	75.0	74.9	74.9	74.9	75.1	75.3	75.5	75.7	76.1	76.3	76.5	76.5	76.6	76.6	76.7	76.7	76.9	77.0	77.3	77.5	77.8	77.9	77.9	78.0	76.40
20.	78.0	78.1	78.0	78.0	78.1	78.3	78.5	78.8	78.9	79.0	79.2	79.2	79.2	79.2	79.2	79.3	79.3	79.6	79.7	79.9	80.1	80.1	80.2	80.1	79.08
21.	80.0	79 9	79.6	79.6	79.6	79.6	79.7	79.6	79.7	79.8	79.8	79.7	79.7	79.7	79.7	79.8	79.8	79.8	79.9	80.1	80.1	80.2	80.4	80.3	79.84
22.	80.2	80.1	80.1	80.0	80.0	80.2	80.3	80.4	80.8	80.9	80.9	80.8	80.6	80.5	80.3	80.2	80.2	80.2	80.4	80.7	80.7	80.6	80.3	80.3	80.40
23.	80.1	79.8	79.6	79.5	79.7	79.8	79.9	79.9	79.9	79.9	79.8	79.6	79.4	79.1	78.9	78.8	78.8	78.7	78.7	78.7	78.7	78.7	78.7	78.7	79.31
24.	78.7	78.6	78.5	78.3	78.2	78.3	78.4	78.6	78.7	78.8	78.9	78.8	78.5	78.1	77.9	77.8	77.7	77.6	77.7	78.0	78.1	78.0	78.0	77.9	78.25
25.	77.9	77.7	77.6	77.5	77.5	77.5	77.6	77.6	77.7	77.8	77.7	77.5	77.2	77.0	76.9	76.7	76.6	76.3	76.4	76.3	76.4	76.5	76.5	76.4	77.12
26.	76.3	76.2	75.9	75.8	75.8	75.8	75.8	75.9	75.9	75.7	75.5	75.2	75.1	75.0	74.9	74.6	74.5	74.3	74.2	74.2	74.2	74.2	74.1	73.8	75.12
27.	73.5	73.2	73.0	72,8	72.8	72.8	72.8	72.8	72.8	72.8	72.5	72.3	71.6	71.4	71.3	70.8	70.4	70.1	70.0	69.8	69.8	69.8	69.8	69.8	71.61
28.	69.5	69.3	68.7	68.3	68.2	68.1	67.9	67.9	67.9	67.5	67.3	67.2	67.1	66.8	66.6	66.5	66.5	66.6	66.8	66.9	67.3	67.3	67.3	67.3	67.53
29.	67.1	66.9	66.9	66.9	67.3	67.4	68.0	68.3	68.6	69.0	69.3	69.5	69.8	69.9	70.0	70.2	70.5	70.7	71.2	71.7	72.1	72.3	72.5	72.5	69.53
30.	72.4	72.2	72.3	72.3	72.3	72.6	72.8	73.1	73.1	73.6	73.7	73.8	73.8	73.8	73.7	73.8	73.8	74.2	74.6	75.1	75.4	75.5	75.5	75.5	73.70
Mittel	76.32	76.00	75.89	75.84	75.93	76.05	76.21	76.30	76.42	76.45	76.46	76.34	76.18	76.04	75.93	75.85	75.82	75.86	76.01	76.23	76.43	76.46	76.44	76.43	76.17

Barometer-Registrierung. **Hohenpeissenberg.** 1912.

Mai

600 mm +

Datum	1ª	2ª	3ª	4ª	5ª	6ª	7ª	8ª	9ª	10ª	11ª	12m	1P	2P	3P	4P	5P	6P	7P	8P	9P	10P	11P	12ma	Mittel
1.	75.4	75.3	75.3	75.4	75.5	75.7	75.8	76.0	76.3	76.6	76.6	76.6	76.5	76.4	76.3	76.4	76.5	76.9	77.1	77.3	77.4	77.5	77.5	77.4	76.40
2.	77.2	77.1	77.0	76.9	76.8	76.9	77.0	77.1	77.1	77.0	77.0	76.9	76.8	76.8	76.8	76.8	76.8	77.0	77.1	77.3	77.4	77.4	77.4	77.4	77.04
3.	77.3	77.2	77.0	76.9	76.8	76.8	76.9	77 0	77.1	77.0	76.8	76.5	76.4	76.2	76.1	76.0	76.0	76.0	76.1	76.3	76.5	76.5	76.5	76.3	76.59
4.	76.2	76.0	75.9	75.9	75.9	76.1	76.2	76.3	76.3	76.3	76.3	76.1	76.1	76.0	75.9	75.8	75.8	75.8	75.9	76.2	76.6	76.7	76.8	76.8	76.16
5.	76.8	77.0	76.8	76.7	76.9	77.2	77.3	77.4	77.5	77.8	77.8	77.8	77.9	77.9	77.9	77.9	78.1	78.7	78.9	79.1	79.4	79.5	79.6	79.6	77.98
6.	79.5	79.4	79.3	79.3	79.4	79.6	79.8	79.9	80.2	80.3	80.2	80.2	80.1	80.0	80.0	80.0	80.2	80.5	80.8	81.2	81.4	81.6	82.1	82.2	80.30
7.	82.1	82.1	82.3	82.3	82.4	82.9	83.3	83.7	84.0	84.2	84.3	84.3	84.3	84.3	84.2	84.0	84.0	84.0	83.9	84.0	84.1	84.1	84 2	84.0	83.63
8.	83.5	83.1	82.8	82.7	82.4	82.3	81.9	81.9	82.0	82.1	82.1	82.1	82.1	82.1	82.1	82.2	82.6	83.0	83.4	83.8	84.3	84.6	84.8	84.7	82.86
9.	84.7	84.9	84.9	84.8	85.2	85.5	85.6	85.6	85.6	85.5	85.4	85.2	84.9	84.7	84.5	84.1	83.9	83.4	83.1	82.9	82.8	82.7	82.5	82.4	84.37
10.	82.1	81.6	81.2	81.0	81.0	80.8	80.6	80.5	80.4	80.3	80.3	80.2	80.3	80.1	79.7	79.6	79.4	79.4	79.4	79.5	79.8	79.8	79.7	79.6	80.26
11.	79.5	79.5	79.4	79.4	79.5	79.6	79.7	79.8	80.0	80.4	80.4	80.4	80.2	80.1	80.1	80.0	79.9	79.9	79.9	80.0	80.1	80.1	80.0	79.6	79.90
12.	79.4	79.1	78.8	78.7	78.8	79.0	79.1	79.1	79.0	78.9	78.4	78.3	78.0	77.8	77.6	77.4	77.2	77.1	76.8	76.7	76.8	76.8	76.4	76.3	77.98
13.	76.8	77.2	77.1	77.3	77.7	77.8	77.9	77.8	77.9	78.0	78.2	78.3	78.5	78.6	78.5	78.5	78.9	79.2	79.5	79.7	80.2	80.2	80.2	80.1	78.50
14.	79.9	79.8	79.7	79.6	79.5	79.6	79.6	79.3	79.2	79.1	79.0	78.8	78.4	78.1	77.4	77.1	76.7	76.3	75.9	75.5	75.3	75.1	74.8	74 8	77.85
15.	74.3	73.9	73.6	73.4	73.6	73.5	73.4	73.3	73.3	73.4	73.2	73.0	72.7	72.3	71.9	71 6	71.2	70.7	70.0	69.4	69.4	69.5	70.2	71.0	72.16
16.	71.6	71.7	71.6	71.6	71.7	72.0	72.1	72.2	72.0	71.9	71.9	71.9	71.9	71.9	72.0	71.8	71.7	71.9	71.9	71.9	72.8	72.9	73.1	73.2	72.05
17.	73.5	73.9	74.1	74.3	74.6	74.9	75.2	75.4	75.5	75.5	75.5	75.8	76.2	76.4	76.7	76.9	77.0	77.4	77.6	78.3	78.4	78.4	78.5	78.5	76.19
18.	78.4	78.3	78.2	78.2	78.3	78.5	78.7	78.9	79.1	79.0	78.8	78.6	78.4	78.4	78.3	78.2	78.3	78.3	78.4	78.8	79.1	79.2	79.2	79.1	78.61
19.	79.0	78.8	78.6	78.5	78.5	78.6	78.7	78.8	78.9	78.9	78.8	78.7	78.6	78.6	78.4	78.2	78.1	78.1	78.0	78.0	78.1	78.1	78.1	78.1	78.47
20.	78.1	78.1	78.1	78.1	78.1	78.1	78.2	78.2	78.0	77.7	77.5	77.3	76.3	75.9	75.6	75.2	75.0	74.8	74.8	74.9	74.9	74.9	74.9	74.9	76.57
21.	75.1	75.1	75.1	74.9	75.0	75.2	75.2	75.1	75.0	74.8	74.5	74.2	73.7	73.3	72.7	72.4	72.0	71.7	71.4	72.0	72.4	72.6	72.7	72.5	73.69
22.	72.2	71.9	71.5	71.3	72.2	71.1	71.0	70.9	70.9	70.9	70.9	70.8	70.7	70.6	70.5	70.4	70.4	70.4	70.7	71.1	71.2	71.4	71.6	71.7	71.10
23.	71.7	71.8	71.9	71.9	72.0	72.2	72.3	72.3	72.3	72.3	72.4	72.3	72.2	72.1	71.9	71.8	71.7	71.7	71.7	71.8	72.0	71.9	71.9	71.8	72.00
24.	71.7	71.7	71.6	71.7	71.9	72.3	72.7	73.0	73.2	73.4	73.6	73.9	74.1	74.3	74.3	74.4	74.5	74.7	74.9	75.3	75.6	75.7	75.7	75.7	73.75
25.	75.7	75.7	75.6	75.6	75.7	75.9	76.2	76.3	76.4	76.4	76.5	76.6	76.6	76.7	76.6	76.7	76.7	76,7	76.7	76.7	76.9	76.9	76.9	76.8	76.40
26.	76.7	76.7	76.7	76.6	76.6	76.7	76.8	76.9	76.9	76.9	77.0	77.0	76.9	76.8	76.8	76.6	76.6	76.5	76.7	76.8	76.9	76.8	76.8	76.7	76.77
27.	76.6	76.3	76.0	75.9	75.9	75.9	76.0	76.0	76.0	76.0	76.0	76.0	76.0	76.0	76.0	76.1	76.1	76.2	76.3	76.4	76.6	76.7	76.7	76.7	76.18
28.	76.7	76.7	76.6	76.6	76.6	76.8	77.1	77.2	77.1	76.9	76.8	76.5	76.4	76.3	76.0	75.8	75.6	65.5	75.4	75.3	75.2	75.1	74.8	74.6	76.15
29.	74.3	74.3	74.1	73.8	73.9	73.9	74.2	74.3	74.2	73.8	73.7	73.5	73.2	73.1	72.8	72.5	72.3	72.3	72.3	72.4	72.8	73.2	73.3	73.3	73.40
30.	73.3	73.3	73.2	73.1	72.9	72.9	73.0	73.1	73.1	73.2	73.0	72.8	72.5	72.4	72.3	72.0	71.9	71.7	71.8	71.9	72.2	72.2	72.3	72.3	72.60
31.	72.3	72.3	72.3	72.3	72.5	72.7	73.1	73.4	73.5	73.6	73.7	73.8	73.8	73.8	73.9	73.9	73.9	73.8	74.0	74.2	74.3	74.3	74.3	74.1	73.49
Mittel	76.83	76.77	76.66	76.60	76.70	76.81	76.92	76.99	77.03	77.04	76.99	76.92	76.80	76.71	76.57	76.46	76.42	76.44	76.47	76.60	76.80	76.85	76.89	76.85	76.75

Juni

600 mm +

Datum	1ª	2ª	3ª	4ª	5ª	6ª	7ª	8ª	9ª	10ª	11ª	12m	1P	2P	3P	4P	5P	6P	7P	8P	9P	10P	11P	12ma	Mittel
1.	73.8	73.6	73.3	73.2	72.8	72.7	72.5	73.3	72.2	72.1	71.7	71.3	71.0	70.7	70.6	70.3	70.0	69.8	69.6	69.5	69.4	69.2	69.0	68.2	71.20
2.	68.0	67.3	66.6	66.2	66.3	66.4	66.4	66.4	66 4	66.5	66.8	67.2	67.4	68.0	68.4	68.8	69.2	69.4	69.9	70.3	70.4	70.5	71.0	71.2	68.13
3.	71.3	71.4	71.6	71.8	72.0	72 4	72.6	72.6	72.7	72.9	73.0	73.1	72.8	72.8	72.9	72.8	72.7	72.8	73.1	73.7	74.3	74.8	75.0	75.0	72.92
4.	75.0	75.0	74.9	74.9	74.9	74.9	74.8	74.8	74.7	74.6	74.3	74.1	73.7	73.6	73.6	73.6	73.4	73.5	73.4	73.4	73.6	73.6	73.8	74.0	74.17
5.	74.2	74.3	74.6	74.8	75.0	75.0	75.2	75.6	75.8	76.2	76.4	76.5	76.6	76.4	76.4	76.2	75.9	75.8	75.9	76.1	76.6	76.8	77.0	77.0	75.85
6.	77.0	77 0	77.0	77.0	77.1	77.3	77.5	77.7	77.7	77.7	77.7	77.6	77.4	77.2	77.1	76.9	76.6	76.7	76.5	76 6	76.5	76.5	76.4	76.3	77.04
7.	76.1	76.0	75.9	75.6	75.7	75.7	75.7	75.8	75.6	75.6	75.5	75.3	75.2	75.2	75.1	75.1	74.8	74.8	75.1	75.4	75.8	76.1	76.4	76.5	75.58
8.	76.7	76.8	76.9	77.1	77.5	77 8	78.0	78.2	78.3	78.3	78.4	78.4	78.4	78.4	78.2	78.1	78.0	78.2	78.3	78.4	78.5	78.5	78.6	78.5	78.02
9.	78.5	78.4	78.1	78.0	78.0	77.9	77.9	77.8	77.8	77.8	77.6	77.5	77.2	77.0	76.6	76.4	76.3	76.4	76.5	76.4	76.3	76.3	76.2	76.0	77.20
10.	75.8	75.4	75 3	75.2	75.1	75 1	75.1	75.1	75.1	75.1	75.0	74.9	74.4	73.9	73.7	73.3	72.9	72.7	72.6	72.4	72.4	72.3	72.2	72.0	74.04
11.	71.6	71.1	70.5	70.2	69.8	69 7	69.4	69.2	69.1	69.1	68.9	68.7	68.6	68.4	68.2	68.1	68.3	68.4	68.7	68.4	68.5	68.3	68.2	68.3	69.07
12.	68.3	68.4	68.3	68.4	68.7	68.8	69.1	69.1	69 2	69.5	69.8	69.8	69.7	69.8	69.9	69.8	69.8	69.7	69.8	70.1	70.3	70.4	70.3	70.2	69.47
13.	70.1	69.8	69.6	69.7	69.7	69.8	69.8	69.8	69.8	69.8	69.8	69.8	69.8	69.9	70.1	70.4	70.7	71.0	71.4	71.7	72.0	72.3	72.4	72.5	70.49
14.	72.5	72.1	72.2	72.7	73.3	73.6	74.0	74.1	74.1	74.3	74.4	74.6	74.7	74.9	75.0	75.4	75.5	75.6	75.9	76.2	76.5	76.7	76.8	76.9	74.67
15.	76.8	76.7	76.6	76.4	76.2	76.0	75.8	75.8	75.8	75.9	75.8	75.7	75.5	75.9	76.1	76.3	76.3	76.2	76.6	76.9	77.2	77.8	78.2	78.3	76.45
16.	78.3	78.1	77.9	77.8	77.9	78.0	77.8	77.6	77.3	76.9	76.4	75.6	75.4	74.8	74.3	74.3	74.0	73.9	74.4	74.8	74.7	76.2	76.7	77.0	76.25
17.	77.7	77.8	77.6	78.0	78.2	78.7	79.2	79.4	79.6	79.8	80.0	80.0	80.1	80.2	80.2	80.2	80.2	80.2	80.3	80.4	80.7	80.8	80.9	81.1	79.64
18.	81.1	81.0	80.8	80.7	80.6	80.5	80.5	80.3	80.4	80.5	80.6	80.6	80.6	80.7	80.7	80.7	81.0	80.7	80.9	81.2	81.5	81.6	81.8	81.9	80.87
19.	82.1	82.2	82.1	82.1	82.1	82.2	82.2	82.2	82.2	82.0	81.8	81.6	81.3	81.2	80.7	80.4	80.0	79.7	79.5	79.5	79.5	79.3	79.2	79.1	81.01
20.	79.0	78.9	78.5	78.3	78.7	79.2	79.7	79.7	79.9	79.9	80.1	80.1	80.1	80.0	80.3	80.2	80.2	80.3	80.4	80.5	80.7	80.9	81.0	81.2	79.91
21.	81.0	80.8	80.7	80.7	80.7	80.5	80.5	80.5	80.5	80.5	80.5	80.3	80.2	80.2	80.2	80.1	80.1	80.1	80.2	80.3	80.6	80.7	80.8	80.7	80.48
22.	80.6	80.6	80 6	80.6	80.6	80.6	80.6	80.5	80.4	80.3	80.2	80.0	80 0	79.8	79.6	79.4	79 4	79.5	79.5	79.4	79.4	79.3	79.2	79.0	79.96
23.	79.0	78.8	78.6	78.5	78.4	78.4	78.4	78.5	78.6	78.6	78.6	78.5	78.3	78.1	78.0	77.9	77.7	77.6	77.5	77.4	77.3	77.3	77.4	77.4	78.12
24.	77.8	77.6	77.5	77.7	77.9	78.4	78.5	78.5	78.4	78.2	78.0	77.9	77.8	77.7	77.8	77.9	78.0	78.0	78.0	78.2	78.2	78.2	78.2	78.3	78.03
25.	78.3	78.3	78.3	78.4	78.7	78.9	79.2	79.4	79.6	79.6	79.6	79.6	79.6	79.5	79.4	79.3	79.0	79.0	79.0	79.0	79.1	79.1	79.0	78.8	79.07
26.	78.5	78.2	77.9	77.9	77.9	77.9	77.9	77.9	78.2	78.3	78.6	79.0	79.1	79.2	79.2	79.3	79.6	79.8	80.2	80.3	81.0	81.1	81.5	81.7	79.18
27.	81.9	81.9	81.9	82.0	82.1	82.3	82.5	82.5	82.6	82.7	82.7	82.6	82.6	82.5	82.4	82.3	82.1	82.1	81.9	81.7	81.7	81.7	81.7	81.5	82.16
28.	81.2	80.9	80.7	80.4	80.3	80.3	80.3	80.4	80.4	80.6	80.6	80.6	80.4	80.1	80.0	79.9	79.5	79.4	79.3	79.3	79.4	79.5	79.4	79.2	80.09
29.	79.9	78.9	78.9	78.6	78.5	78.4	78.2	78.1	77.9	77.6	77.1	76.8	76.3	76.0	75.5	75.1	75.1	75.5	75.3	75.4	75.4	75.5	76.2	76.1	76.89
30.	76.3	76.4	76.7	76.9	77.4	77.6	77.7	77.8	77.8	77.7	77.4	77.2	77.0	77.0	76.8	76.3	76.0	75.8	75.8	75.7	75.7	75.6	75.7	75.8	76.67
Mittel	76.58	76.46	76.34	76.33	76.40	76.50	76.57	76.59	76.60	76.62	76.58	76 49	76.37	76.30	76.23	76.16	76.08	76.09	76.18	76.29	76.44	76.56	76.67	76.66	76.42

Barometer-Registrierung. **Hohenpeissenberg.** 1912.

Juli
600 mm +

Datum	1ª	2ª	3ª	4ª	5ª	6ª	7ª	8ª	9ª	10ª	11ª	12m	1p	2p	3p	4p	5p	6p	7p	8p	9p	10p	11p	12mn	Mittel
1.	75.8	75.9	75.9	75.8	75.9	76.0	76.2	76.5	76.6	76.8	76.8	76.7	76.3	76.2	76.0	75.8	75.7	75.9	75.7	75.7	75.9	75.9	75.9	75.9	76.08
2.	75.8	75.6	75.5	75.4	75.3	75.2	75.3	75.4	75.5	75.6	75.8	75.6	75.5	75.2	75.2	75.3	75.2	75.5	75.9	76.1	76.4	76.6	76.8	77.0	75.70
3.	77.0	76.9	76.8	76.6	76.6	76.7	76.8	76.6	76.2	76.1	75.6	75.1	74.8	74.5	74.3	74.5	74.4	74.6	74.7	75.2	76.1	76.5	77.2	77.3	75.88
4.	77.2	77.2	77.1	77.1	77.2	77.4	77.5	77.7	77.9	78.0	78.2	78.4	78.5	78.5	78.6	78.8	79.0	79.3	79.8	80.3	80.6	80.8	81.0	81.2	78.64
5.	81.2	81.1	81.0	80.9	81.0	81.2	81.3	81.4	81.4	81.4	81.3	81.3	81.2	81.2	81.1	81.0	80.8	80.6	80.4	80.3	80.2	80.0	79.7	79.6	80.86
6.	79.5	79.2	79.1	78.8	78.7	78.4	78.2	78.2	78.2	78.3	78.4	78.3	78.2	78.0	78.5	77.1	77.1	77.7	78.4	78.5	78.8	78.5	78.2	77.6	78.33
7.	77.1	76.8	76.7	76.7	76.7	76.8	76.8	76.8	76.7	76.7	76.7	76.8	76.6	76.6	76.9	77.0	77.6	77.7	78.1	78.3	78.4	78.4	78.6	78.8	77.26
8.	79.0	79.2	79.2	79.3	79.5	79.8	80.0	80.1	80.2	80.3	80.4	80.5	80.5	80.5	80.3	80.2	80.1	80.1	80.1	80.4	80.5	80.8	80.9	80.8	80.11
9.	80.8	80.6	80.4	80.3	80.3	80.3	80.4	80.4	80.5	80.6	80.5	80.4	80.2	80.0	79.8	79.5	80.0	80.2	80.1	80.3	80.8	80.8	80.7	80.5	80.35
10.	80.4	80.3	80.2	80.1	80.1	80.2	80.2	80.2	80.2	80.2	80.0	80.0	79.9	79.9	79.9	79.7	79.5	79.6	79.7	79.8	80.2	80.3	80.4	80.4	80.06
11.	80.3	80.3	80.3	80.3	80.5	80.6	80.8	81.0	81.2	81.4	81.4	81.3	81.3	81.2	81.1	81.0	81.1	81.2	81.2	81.3	81.6	81.7	81.8	81.7	81.07
12.	81.5	81.4	81.4	81.4	81.4	81.6	81.7	82.1	82.1	81.9	81.9	81.7	81.6	81.4	81.3	81.2	80.9	80.7	80.5	80.4	80.4	80.3	80.2	80.0	81.21
13.	79.8	79.7	79.7	79.7	79.8	79.9	80.0	80.0	80.0	79.9	79.9	79.8	79.6	79.5	79.2	79.1	79.0	79.0	79.0	79.2	79.2	79.2	79.1	78.9	79.51
14.	78.7	78.6	78.6	78.6	78.5	78.5	78.5	78.5	78.5	78.5	78.5	78.5	78.5	78.5	78.5	78.5	78.7	78.9	79.3	79.6	79.7	79.9	80.0	80.1	78.86
15.	79.8	79.7	79.7	79.8	80.1	80.4	80.5	80.7	80.9	80.9	81.0	81.0	81.2	81.2	81.1	81.0	81.0	81.1	81.2	81.4	81.5	81.4	81.3	81.1	80.79
16.	81.0	81.0	80.9	80.5	80.5	80.5	80.5	80.5	80.5	80.6	80.8	80.8	80.6	80.5	80.4	80.3	80.1	80.0	79.9	79.9	79.8	79.7	79.6	79.3	80.34
17.	79.1	78.9	78.7	78.5	78.6	78.6	78.6	78.5	78.4	78.4	78.4	78.2	78.1	78.1	77.8	77.5	77.4	77.3	77.2	77.3	77.5	77.5	77.4	77.4	78.06
18.	77.0	76.8	76.3	76.1	75.9	75.7	75.6	75.5	75.3	75.3	75.1	74.9	74.5	74.2	73.7	73.3	73.0	72.8	72.8	72.7	72.5	72.4	72.3	72.1	74.41
19.	71.6	71.0	70.4	70.3	70.3	70.2	69.8	69.8	69.8	69.8	70.0	70.1	70.2	70.3	71.0	71.5	71.8	72.3	72.7	73.1	73.3	73.3	73.4	73.3	71.22
20.	73.2	73.2	73.0	73.0	73.0	73.1	73.1	72.9	72.6	72.5	72.3	72.3	72.0	71.7	71.3	71.8	72.1	72.3	72.5	72.8	73.1	73.2	73.0	72.8	72.62
21.	72.5	72.3	72.0	71.8	71.7	71.6	71.6	71.6	71.8	72.1	72.3	72.5	72.6	72.4	72.5	72.9	73.0	73.3	73.4	73.5	73.5	73.4	73.2	73.3	72.53
22.	73.2	73.2	73.2	73.3	73.4	73.6	74.0	74.5	74.9	75.2	75.3	75.4	75.7	76.0	76.1	76.2	76.2	76.3	76.3	76.5	76.7	76.8	76.9	76.9	75.24
23.	76.9	76.8	76.7	76.7	76.6	76.6	76.9	77.0	77.1	77.2	77.3	77.2	77.1	77.1	77.1	77.2	77.3	77.5	77.6	77.9	78.0	78.0	78.1	78.0	77.25
24.	77.9	77.9	77.8	77.8	77.9	78.0	78.1	78.2	78.3	78.4	78.5	78.5	78.4	78.2	78.0	77.9	77.9	77.7	77.6	77.7	77.5	77.4	77.4	77.2	77.93
25.	76.9	76.6	76.4	76.3	76.3	76.3	76.4	76.4	76.4	76.4	76.2	76.1	75.8	75.5	75.7	76.1	76.3	76.7	77.2	77.3	77.6	77.8	77.9	77.9	76.60
26.	77.7	77.8	78.0	78.5	78.6	78.9	79.0	79.2	79.5	79.6	79.5	79.3	79.1	79.1	79.1	78.8	78.7	78.7	78.7	78.6	78.5	78.3	78.1	77.7	78.71
27.	77.4	77.2	77.1	76.9	76.8	77.0	77.1	77.1	77.2	77.3	77.2	77.1	76.9	76.7	76.4	76.1	76.0	75.8	75.6	75.4	75.3	75.2	75.1	75.2	76.46
28.	75.2	75.2	75.2	75.1	75.1	75.1	75.3	75.5	75.6	75.6	75.4	75.3	75.1	75.0	75.0	75.0	75.0	74.9	75.0	75.1	75.1	75.1	75.1	75.1	75.17
29.	75.4	75.8	76.2	76.9	77.3	77.7	77.9	78.0	77.9	77.7	77.6	77.6	76.8	76.7	76.7	76.6	76.4	75.8	75.8	75.7	75.5	75.6	75.9	76.1	76.65
30.	76.0	76.1	76.0	76.2	76.3	76.6	76.9	77.1	77.1	76.9	76.7	76.3	76.2	76.1	76.0	76.0	76.1	76.3	76.5	76.9	77.2	77.4	77.6	77.9	76.60
31.	78.0	78.0	78.0	78.1	78.2	78.2	78.2	78.4	78.4	78.3	78.1	78.0	77.6	77.3	77.0	76.8	76.6	76.3	76.3	76.2	76.1	76.0	75.8	75.5	77.31
Mittel	77.51	77.43	77.34	77.32	77.36	77.44	77.52	77.61	77.64	77.67	77.65	77.58	77.44	77.33	77.28	77.22	77.23	77.29	77.39	77.53	77.66	77.68	77.70	77.63	77.48

August
600 mm +

1.	75.4	75.4	74.9	74.8	74.6	74.4	74.1	74.0	73.6	73.3	73.2	72.9	72.9	72.9	72.7	72.3	72.0	71.9	71.6	71.5	71.7	72.2	72.8	72.9	73.25
2.	72.7	72.6	72.5	72.5	72.6	73.0	73.1	73.1	73.2	73.3	73.4	73.5	73.6	73.6	73.6	73.7	73.8	74.1	74.6	75.0	75.2	75.4	75.5	75.7	73.72
3.	76.2	76.5	76.7	77.0	77.4	77.7	78.0	78.1	78.2	78.3	78.3	78.0	78.0	78.1	78.1	77.9	77.6	77.4	77.3	77.3	77.1	76.9	76.7	76.5	77.47
4.	76.5	76.2	76.1	76.1	76.1	76.2	76.3	76.4	76.5	76.5	76.2	76.0	75.7	75.6	75.4	75.0	74.7	74.2	74.0	73.9	74.3	74.6	74.8	74.9	75.51
5.	75.1	75.0	75.0	75.1	75.4	75.6	75.8	76.1	76.4	76.7	77.0	77.2	77.3	77.5	77.5	77.4	77.2	77.0	76.8	76.6	76.5	76.3	75.7	75.1	76.30
6.	74.7	74.3	73.7	73.4	73.3	73.2	73.2	73.2	73.4	73.5	73.9	74.0	74.0	73.9	73.7	73.5	73.0	73.1	73.1	73.6	74.2	74.2	74.1	73.8	73.67
7.	73.4	73.0	72.6	72.2	72.3	72.5	72.8	72.9	72.4	71.8	71.5	71.2	71.1	70.7	70.8	70.9	71.4	71.8	72.3	72.7	72.8	73.0	73.2	73.4	72.20
8.	73.5	73.7	73.9	73.9	74.0	74.4	74.6	74.8	75.0	75.1	75.3	75.2	75.3	75.4	75.6	75.7	76.1	76.2	76.8	77.0	77.1	77.0	77.1	77.0	75.40
9.	76.9	76.7	76.5	76.4	76.2	76.1	76.1	76.2	76.1	76.3	76.5	76.6	76.7	76.7	76.7	76.7	76.7	76.6	77.0	77.2	77.2	77.2	77.1	77.0	76.64
10.	76.8	76.6	76.6	76.5	76.4	76.3	76.4	76.7	76.8	76.9	76.8	76.6	76.5	76.4	76.2	76.1	76.4	76.6	77.0	76.8	76.7	76.6	76.5	76.5	76.57
11.	76.5	76.8	77.1	77.2	77.3	77.6	77.7	78.0	78.4	78.7	78.7	78.9	79.0	79.0	79.1	79.3	79.5	79.7	80.3	80.6	80.7	80.8	80.8	80.7	78.85
12.	80.6	80.2	79.9	79.7	79.5	79.5	79.3	79.3	79.2	78.9	78.6	78.5	77.8	77.6	77.3	76.9	76.4	76.1	75.8	75.6	75.3	74.7	74.4	73.9	77.71
13.	73.6	73.0	72.5	72.1	71.6	71.3	71.2	70.9	71.2	71.3	71.2	70.7	70.9	71.2	71.7	71.5	70.6	70.4	70.5	70.7	71.1	71.2	71.4	71.5	71.39
14.	71.9	72.3	72.5	72.7	72.8	73.3	73.8	74.2	74.8	75.3	75.6	75.8	75.9	76.3	76.3	76.2	76.0	76.1	76.2	76.3	76.4	76.4	76.5	76.6	75.01
15.	76.7	76.7	76.7	76.8	76.9	77.0	77.3	77.2	77.7	77.8	77.7	77.8	77.7	77.7	77.7	77.7	78.0	78.1	78.8	79.3	79.5	79.7	79.7	79.8	77.91
16.	79.7	79.6	79.4	79.3	79.4	79.7	79.8	79.9	80.3	80.6	81.0	81.0	81.1	81.1	81.1	81.1	81.2	81.3	81.6	81.6	81.6	81.7	81.9	81.9	80.70
17.	81.7	81.7	81.7	81.7	81.8	81.9	82.1	82.3	82.3	82.3	82.0	81.7	81.7	81.6	81.2	81.1	80.9	80.8	80.8	80.9	80.8	80.6	80.2	79.7	81.40
18.	79.6	79.5	79.0	78.8	78.7	78.7	78.6	78.6	78.6	78.5	78.2	77.9	77.8	77.8	77.8	77.8	77.8	77.6	77.6	77.5	77.5	77.5	77.3	77.3	78.16
19.	77.2	77.5	77.6	78.0	78.0	78.1	78.2	78.0	77.8	77.5	77.3	77.2	76.1	76.0	75.8	75.6	75.4	75.4	75.1	75.2	75.3	75.8	76.2	76.5	76.70
20.	76.4	76.3	76.0	75.8	75.7	75.8	76.1	76.4	76.7	76.7	76.8	76.6	76.6	76.7	77.6	76.4	76.3	76.4	76.6	76.8	77.0	77.2	77.3	77.5	76.53
21.	77.7	77.8	77.9	78.0	78.6	79.0	79.3	79.6	79.9	80.1	80.2	80.0	80.4	80.5	80.7	80.9	81.4	81.6	82.1	82.5	82.6	82.6	82.6	82.5	80.35
22.	82.3	82.1	82.0	82.4	81.0	80.9	80.6	80.5	80.1	79.7	79.3	78.8	78.5	78.0	77.5	77.5	78.0	78.4	78.8	79.5	79.8	80.1	80.5	80.6	79.87
23.	80.4	80.4	80.2	80.1	80.1	80.2	80.3	80.5	80.5	80.3	80.0	79.7	79.5	79.0	80.6	78.3	77.9	77.8	77.7	77.3	76.6	76.2	75.7	75.2	78.85
24.	75.2	73.8	73.4	73.3	73.1	73.2	73.2	73.3	73.6	73.7	73.6	73.7	73.7	73.5	73.5	73.4	73.3	73.4	73.6	73.7	73.7	73.5	73.4	73.3	73.55
25.	73.2	73.1	73.1	73.1	73.5	73.7	73.7	73.8	73.9	74.0	74.1	74.0	74.0	74.0	73.8	73.8	73.9	74.0	74.1	74.1	73.5	73.2	72.7	72.3	73.61
26.	71.6	71.0	70.3	69.9	69.8	69.5	69.2	69.0	68.6	68.4	68.4	67.8	68.1	68.7	68.8	68.5	68.2	68.2	68.2	68.4	68.5	68.4	68.1	67.8	68.89
27.	67.7	67.9	67.9	68.1	68.1	68.0	68.1	68.1	68.4	68.3	68.7	69.2	69.7	70.3	70.7	70.8	70.8	70.8	71.0	71.1	71.0	71.0	71.3	71.4	69.52
28.	71.2	71.2	71.1	71.1	71.4	71.9	72.3	73.0	73.7	74.1	74.4	75.0	75.2	75.4	75.9	76.4	76.6	77.1	77.7	78.2	78.5	78.6	78.6	78.5	74.88
29.	78.2	78.1	77.8	77.6	77.5	77.5	77.6	77.4	77.4	77.6	77.5	77.4	77.3	77.1	77.1	77.1	77.0	76.9	77.0	77.0	76.9	76.8	77.1	77.3	76.34
30.	77.3	77.0	76.6	76.4	76.2	76.0	75.9	75.7	75.5	75.3	74.9	74.7	74.3	74.3	74.4	74.8	75.4	75.9	76.5	77.1	77.3	77.4	77.5	77.5	76.00
31.	77.6	77.5	77.5	77.4	77.5	77.6	77.6	77.8	77.9	77.9	78.0	78.0	78.2	78.2	78.3	78.5	78.6	78.9	79.4	79.4	79.4	79.4	79.4	79.4	78.31
Mittel	76.05	75.92	75.77	75.72	75.70	75.80	75.88	75.97	76.07	76.09	76.08	75.98	75.96	75.96	75.94	75.90	75.87	75.93	76.12	76.27	76.32	76.33	76.33	76.26	76.01

Barometer-Registrierung. **Hohenpeissenberg.** 1912.

September

600 mm +

Datum	1ª	2ª	3ª	4ª	5ª	6ª	7ª	8ª	9ª	10ª	11ª	12m	1P	2P	3P	4P	5P	6P	7P	8P	9P	10P	11P	12mn	Mittel
1.	79.3	79.0	78.9	78.9	78.9	78.9	79.0	79.0	78.8	78.7	78.3	78.2	77.9	77.9	77.6	77.4	77.1	77.0	76.9	76.7	76.5	76.3	76.2	75.9	77.89
2.	75.6	75.2	74.8	74.5	74.3	74.0	73.7	73.6	73.5	73.2	72.9	72.8	72.3	72.2	72.3	72.1	72.0	72.0	72.0	72.0	72.0	72.0	72.0	72.0	73.04
3.	71.9	72.0	72.0	72.0	72.4	73.0	73.5	74.0	74.7	75.6	76.3	76.9	77.6	78.2	78.3	78.8	79.1	80.1	80.4	81.0	81.3	81.5	81.7	81.8	76.84
4.	81.9	81.9	82.0	82.1	82.2	82.5	82.6	82.7	82.7	82.7	82.6	82.2	81.8	81.6	81.5	81.2	80.8	80.4	80.2	80.1	80.0	79.6	79.3	78.9	81.40
5.	78.4	77.9	77.7	77.3	77.2	77.1	76.8	76.9	77.0	77.2	77.0	77.1	77.2	77.2	76.9	76.7	76.6	76.9	77.1	77.3	77.3	77.2	76.8	76.5	77.14
6.	76.2	75.8	75.5	75.3	75.2	74.9	74.9	74.9	74.9	74.7	74.5	74.4	74.0	73.8	74.0	74.2	74.4	74.4	74.5	74.8	74.8	74.8	75.0	75.2	74.80
7.	75.3	75.3	75.1	75.1	75.3	75.3	75.5	75.8	76.1	76.3	76.6	77.0	77.3	77.7	77.8	77.9	78.1	78.6	79.3	79.6	79.9	80.0	80.1	80.1	77.30
8.	80.1	80.3	80.4	80.4	80.5	80.6	80.6	80.6	80.7	80.7	80.6	80.2	80.1	79.9	79.3	78.9	78.7	78.7	78.7	78.3	77.8	77.7	77.4	77.0	79.50
9.	76.6	76.4	76.1	75.8	75.5	75.4	75.4	75.2	74.9	74.7	74.7	74.8	75.1	75.3	75.4	75.8	75.9	75.9	76.2	76.4	76.4	76.4	76.4	76.3	75.71
10.	76.0	76.0	75.8	75.7	75.5	75.6	75.7	75.8	75.9	75.8	75.7	75.5	75.3	75.3	75.1	75.1	75.1	75.3	75.4	75.6	75.6	75.6	75.4	75.4	75.55
11.	75.2	75.0	74.9	74.8	74.9	74.9	75.1	75.3	75.6	75.8	75.9	76.0	76.0	76.0	75.9	75.9	76.0	76.1	76.4	76.8	77.0	77.1	77.2	77.5	75.89
12.	77.6	77.7	77.5	77.5	77.6	78.0	78.1	78.4	78.9	78.9	78.9	78.9	79.1	79.2	79.2	79.4	79.6	80.1	80.6	81.2	81.2	81.3	81.3	81.4	79.23
13.	81.3	81.4	81.4	81.4	81.5	81.6	81.7	81.9	82.0	82.0	81.9	81.9	81.9	81.9	81.9	81.9	81.9	81.8	82.0	82.1	82.1	82.0	82.0	81.9	81.81
14.	81.7	81.6	81.3	81.1	81.0	81.0	81.1	81.1	81.2	81.2	80.9	80.7	80.5	80.2	80.2	80.1	79.9	79.8	79.6	79.7	79.7	79.6	79.1	78.9	80.47
15.	78.5	78.1	77.7	77.5	77.5	76.9	76.9	76.9	77.0	76.7	76.5	76.5	76.4	76.4	76.0	75.9	75.9	75.9	76.0	76.3	76.4	76.5	76.7	76.9	76.75
16.	77.0	76.9	76.8	77.0	77.3	77.6	77.8	78.1	78.3	78.5	78.7	78.8	79.0	79.0	79.2	79.3	79.5	79.7	79.9	80.7	81.0	81.2	81.2	81.1	78.90
17.	81.3	81.5	81.6	81.5	81.4	81.7	81.9	82.0	82.3	82.3	82.4	82.3	82.3	82.2	82.1	82.1	82.1	82.1	82.3	82.5	82.6	82.6	82.6	82.6	82.10
18.	82.5	82.4	82.3	82.3	82.3	82.3	82.4	82.5	82.6	82.7	82.7	82.5	82.3	82.2	82.3	82.4	82.6	82.8	82.9	83.1	83.2	83.1	83.0	82.57	
19.	82.9	82.8	82.8	82.7	82.7	82.7	82.7	82.7	82.7	82.8	82.6	82.5	82.4	82.2	82.1	82.1	82.0	82.1	82.1	82.1	82.2	81.8	81.7	81.6	82.38
20.	81.5	81.3	81.0	80.8	80.6	80.7	80.8	80.9	80.9	80.9	81.0	80.9	80.9	80.8	80.8	80.8	80.9	81.0	81.2	81.2	81.2	81.2	81.3	81.2	80.99
21.	81.3	81.2	81.1	81.3	81.5	81.7	81.9	82.1	82.4	82.5	82.4	82.3	82.2	82.2	82.3	82.4	82.5	82.8	82.9	83.0	83.0	82.8	82.7	82.5	82.21
22.	82.2	82.0	81.8	81.8	81.8	82.0	82.2	82.3	82.3	82.2	82.3	82.2	82.1	82.0	82.1	82.0	81.9	81.8	81.8	81.6	81.6	81.6	81.6	81.3	81.94
23.	81.2	81.1	80.9	80.9	80.8	81.2	81.5	81.5	81.5	81.6	81.6	81.5	81.4	81.3	81.3	81.2	81.2	81.1	81.1	81.1	81.0	80.8	80.5	80.3	81.15
24.	80.1	79.8	79.6	79.2	79.2	79.2	79.2	79.2	79.2	79.1	78.9	78.7	78.3	78.2	77.9	77.8	77.9	78.0	78.1	78.2	78.2	78.0	78.0	77.7	78.65
25.	77.5	77.2	76.9	76.7	76.5	76.5	76.6	76.6	76.7	76.7	76.8	76.8	76.8	76.8	76.8	67.7	76.5	76.8	76.9	77.0	77.1	77.0	76.9	76.9	76.82
26.	76.8	76.8	76.6	76.6	76.7	76.9	77.0	77.2	77.5	77.6	77.6	77.6	77.5	77.5	77.5	77.4	77.4	77.4	77.5	77.5	77.5	77.4	77.5	77.5	77.27
27.	77.5	77.4	77.3	77.4	77.4	77.6	77.9	78.1	78.3	78.5	78.7	78.7	78.7	78.9	79.0	79.1	79.2	79.2	79.3	79.2	79.0	78.8	78.7	78.5	78.43
28.	78.3	78.3	78.1	77.9	77.9	78.1	78.2	78.4	78.5	78.5	78.5	78.3	78.2	78.0	77.9	77.8	77.6	77.6	77.6	77.7	77.8	77.9	78.1	78.2	78.06
29.	78.3	78.3	78.3	78.3	78.3	78.4	78.5	78.6	78.5	78.5	78.6	78.7	78.6	78.8	78.8	78.8	78.9	78.9	79.0	79.1	79.1	79.1	78.7	78.6	78.66
30.	78.4	78.2	78.0	77.7	77.7	77.5	77.4	77.4	77.4	77.3	77.3	77.1	76.2	76.0	75.7	75.1	74.7	74.6	74.4	74.2	74.0	73.8	73.8	73.4	76.14
Mittel	78.75	78.63	78.47	78.38	78.39	78.46	78.55	78.66	78.77	78.80	78.78	78.73	78.65	78.63	78.57	78.54	78.53	78.62	78.74	78.86	78.88	78.83	78.77	78.67	78.65

Oktober

600 mm +

1.	72.9	72.4	72.3	71.9	71.7	71.7	71.7	71.4	71.2	71.0	70.7	70.6	70.2	69.9	69.7	69.7	69.6	69.6	69.6	69.6	69.1	69.0	68.8	68.7	70.54
2.	68.6	68.3	68.2	68.0	68.2	68.3	68.3	68.4	68.5	68.4	69.0	69.4	69.3	69.2	69.3	69.4	69.9	70.0	70.0	69.9	69.9	70.0	70.0	70.1	69.11
3.	69.9	69.8	69.7	70.0	70.3	70.5	70.8	71.2	71.3	71.8	72.5	72.9	73.2	73.7	74.1	74.5	75.5	75.8	76.3	76.6	77.4	77.9	78.5	78.9	73.46
4.	79.4	79.9	80.3	80.7	81.0	81.1	82.2	82.7	83.1	83.7	84.3	84.5	84.8	85.3	85.3	85.5	85.5	85.7	85.7	85.7	85.7	85.6	85.4	85.2	83.69
5.	85.0	84.8	84.6	84.5	84.4	84.3	84.4	84.3	84.2	84.1	84.2	84.2	84.1	83.9	83.6	83.5	83.3	83.2	82.9	82.5	82.1	81.9	81.6	81.4	83.63
6.	81.2	81.0	80.7	80.4	80.2	79.8	79.7	79.7	79.7	79.5	79.4	79.4	79.4	79.5	79.2	79.3	79.5	79.8	80.1	80.1	80.1	80.1	80.3	80.3	79.93
7.	80.4	80.5	80.6	80.7	80.7	80.7	80.9	80.9	80.7	80.7	80.4	80.1	79.6	79.4	79.1	79.2	78.8	78.7	78.6	78.5	78.4	78.4	78.3	78.3	79.69
8.	78.4	78.2	78.0	78.2	78.3	78.5	78.8	79.2	79.4	79.7	79.7	79.8	79.8	79.8	79.8	79.8	79.9	79.9	80.2	80.4	80.4	80.3	80.1	80.0	79.44
9.	79.9	79.8	79.8	79.9	80.0	80.1	80.4	80.6	80.8	80.9	81.0	81.0	80.9	80.8	81.0	81.1	81.3	81.4	81.5	81.6	81.7	81.6	81.6	81.5	80.84
10.	81.5	81.4	81.2	81.2	81.2	81.3	81.4	81.8	82.0	82.1	82.2	82.2	82.3	82.2	82.0	82.0	82.0	82.2	82.1	82.1	82.0	82.0	81.8	81.8	81.83
11.	81.7	81.6	81.4	81.4	81.4	81.4	81.5	81.7	81.9	82.0	82.0	82.1	82.1	82.0	82.1	82.2	82.4	82.6	82.7	82.7	82.8	82.9	82.9	82.9	82.10
12.	82.9	83.0	83.0	83.0	83.0	83.1	82.4	83.7	84.1	84.2	84.2	84.2	84.2	84.2	84.2	84.1	84.2	84.1	84.2	84.3	84.3	84.4	84.3	84.0	83.85
13.	83.9	83.9	83.9	83.9	84.0	84.1	84.4	84.5	84.8	85.0	85.4	85.2	85.1	84.9	85.1	85.1	85.3	85.5	85.6	85.6	85.7	85.8	85.9	85.9	84.94
14.	85.7	85.6	85.3	85.0	84.9	84.8	84.9	85.1	85.3	85.3	85.2	85.0	84.5	84.3	84.2	84.2	84.2	84.3	84.3	84.2	84.1	84.1	84.1	84.0	84.69
15.	83.8	83.7	83.6	83.4	83.5	83.6	83.7	83.7	83.5	83.4	83.3	83.2	83.0	82.9	82.8	82.8	82.9	83.0	83.2	83.2	83.2	83.1	82.8	82.6	83.25
16.	82.5	82.5	82.5	82.4	82.3	82.4	82.5	82.3	82.2	82.3	82.1	81.9	81.7	81.3	81.1	80.8	80.6	80.6	80.6	80.3	80.1	80.2	80.0	80.0	81.47
17.	79.9	79.9	79.6	79.6	79.6	79.7	79.7	79.8	79.8	79.9	79.9	79.6	79.0	78.8	78.7	78.7	78.6	78.7	79.0	79.3	79.4	79.6	79.8	80.1	79.45
18.	80.6	81.0	81.2	81.4	81.6	81.8	82.2	82.5	82.7	82.8	82.7	82.6	82.2	81.9	81.8	81.9	81.9	82.2	82.3	82.4	82.3	82.2	82.1	81.7	82.00
19.	81.5	81.3	81.2	81.0	80.7	80.4	80.3	80.2	79.8	79.3	79.1	78.6	78.1	77.9	77.8	77.5	77.3	77.1	76.9	76.9	76.8	76.6	76.5	76.2	78.71
20.	76.1	76.0	75.6	75.3	75.2	75.1	75.2	75.3	75.5	75.6	75.7	75.5	75.3	75.2	75.2	75.1	75.1	75.1	75.2	75.1	75.0	74.8	74.5	74.1	75.24
21.	73.8	73.0	72.3	71.8	71.2	71.0	71.0	71.0	70.9	70.6	70.3	70.0	69.1	68.9	68.6	68.3	68.3	68.6	68.7	68.4	67.7	67.3	66.9	66.0	69.74
22.	65.7	65.0	64.7	64.6	64.3	64.1	64.0	64.0	64.0	63.8	63.7	63.2	62.8	62.4	62.4	62.3	62.4	62.3	62.3	62.2	62.2	62.1	62.1	62.1	63.28
23.	62.1	62.2	62.3	62.6	62.9	63.3	63.6	64.0	64.3	65.1	65.7	65.9	65.9	66.2	66.3	66.3	66.4	66.5	66.6	66.8	66.9	67.3	67.4	67.5	65.17
24.	67.4	67.2	67.2	67.1	67.3	67.4	67.7	67.8	67.8	67.8	67.8	67.8	67.8	67.3	67.1	67.1	67.6	67.8	67.9	67.9	67.9	67.9	67.8	67.6	67.58
25.	67.3	66.7	66.5	65.8	65.4	65.3	65.2	66.0	66.8	67.3	68.0	68.3	68.6	68.8	69.1	69.7	69.9	70.0	70.2	70.5	70.9	71.1	71.3	71.8	68.35
26.	71.9	72.1	72.2	72.4	72.9	73.1	73.4	73.6	74.0	74.2	74.5	74.9	74.8	74.9	75.0	75.0	75.1	75.5	75.7	76.0	76.4	76.5	76.7	76.7	74.46
27.	76.9	77.0	76.9	77.0	77.1	77.4	77.8	78.1	78.5	78.9	79.4	79.6	79.5	79.3	79.2	79.1	78.9	78.9	78.7	78.6	78.7	78.7	78.4	78.4	78.38
28.	78.3	78.2	78.1	78.0	78.2	78.3	78.4	78.5	78.3	78.2	78.2	78.3	78.2	78.0	77.9	77.9	77.9	78.0	78.1	78.3	78.6	78.4	78.2	78.0	78.19
29.	77.7	77.6	77.4	77.1	77.0	76.9	77.0	77.1	77.2	77.2	77.3	77.2	77.3	77.3	77.3	77.2	77.2	77.3	77.4	77.1	77.0	76.8	76.4	76.1	77.13
30.	75.9	75.5	75.0	74.3	74.1	73.5	73.3	73.4	73.3	73.3	73.3	72.9	72.6	72.6	72.6	73.0	72.7	73.3	73.3	73.3	73.2	73.2	73.2	73.3	73.50
31.	73.2	73.0	72.5	71.3	71.4	71.4	71.5	71.7	71.7	71.8	71.5	71.4	71.1	70.9	70.8	70.7	70.7	70.7	70.6	70.5	70.7	70.8	70.9	70.9	71.32
Mittel	76.97	76.84	76.70	76.78	76.58	76.60	76.75	76.91	77.01	77.09	77.18	77.15	76.98	76.89	76.85	76.87	76.93	77.05	77.11	77.12	77.12	77.12	77.05	76.97	76.94

Barometer-Registrierung. **Hohenpeissenberg.** 1912.

November

600 mm +

Datum	1ª	2ª	3ª	4ª	5ª	6ª	7ª	8ª	9ª	10ª	11ª	12m	1p	2p	3p	4p	5p	6p	7p	8p	9p	10p	11p	12mn	Mittel
1.	71.2	71.6	71.6	71.9	72.0	72.5	73.4	73.8	74.6	75.2	76.5	77.3	78.1	78.6	78.7	79 1	79.6	80.3	80.8	81.1	81.5	81.7	81.7	81.7	76.85
2.	81.8	81.8	81.6	81.5	81.4	81.3	81.2	81.3	81.1	81.0	80.9	80.7	80.4	80.1	80.0	79 8	80.0	80.0	79.9	79.7	79.4	79.0	78.7	78.6	80.47
3.	78.3	78.3	78.1	78.1	78.0	77.9	78.0	78.1	78.1	78.3	78.6	78.8	78.9	78.6	78.6	78.7	79.0	79.2	79.4	79.4	79 9	80.1	80.3	80.3	78.79
4.	80.4	80.5	80.8	81.2	81.5	81.7	82.2	82.5	82.8	83.1	83.3	83.3	83.0	82.8	82.6	82.5	82.4	82.3	82.3	82.2	82.2	81.9	81.6	81.3	82.10
5.	80.9	80.6	80.1	79.6	79.3	78.7	78.3	77.9	77.4	77.0	76.7	76.1	75.5	74.6	74.3	74.0	73.6	73.4	73.2	73.0	73.4	73.4	73.4	73.6	76.17
6.	73.5	73.5	73.5	73.5	73.7	73.8	74.3	74.7	75.3	75.7	76.1	76.4	76.6	76.9	77.1	77.8	78.2	79.0	79.4	80.0	80.3	80.5	80.5	81.0	76.72
7.	81.7	81.6	81.9	82.1	82.2	82.5	82.9	83.2	83.5	83.8	83.9	83.9	83.9	83.9	83.8	83.9	84.0	84.1	84.3	84.4	84.5	84.4	84.4	84.5	83.47
8.	84.3	84.3	84.2	84.1	84.1	84.0	84.0	84.0	84.2	84.3	84 4	84.3	84.2	84.2	84.1	84.0	83.9	83.7	83.5	83.4	83.2	83.2	83.1	83.0	83.90
9.	83.2	83.3	83.1	83.1	83.2	83.4	83.6	83.8	83.9	83.7	83.5	83.2	82.8	82.7	82.2	82.1	82.0	81.9	81.7	81.6	81.4	81.1	80.8	80.6	82.58
10.	80.1	79.6	79.1	79.0	78.7	78.5	78.4	78.2	77.8	77.4	76.7	76.2	75.4	75.0	74.9	74.6	74.3	74.1	74.0	73.7	73.5	73.2	73.2	71.4	76.08
11.	70.4	70.0	68.2	67.4	66.5	65.6	64.1	63.3	63.0	62.1	61.5	60.6	61.0	60.9	60.9	60.4	60.2	59.7	59.2	59.0	58.6	58.4	58.3	57.8	62.38
12.	57.8	57.9	57.4	56.7	56 2	56.5	56.0	55.9	55.6	55.5	55.3	55.2	55.4	55.7	56.0	56.3	56.8	57.3	57.5	58.1	58.5	58.9	59.4	60.0	56.90
13.	60.6	61.3	61.6	61.9	62.2	62.4	63.0	63.5	63.7	64.0	64.2	64.3	64.1	64.2	64.6	65.1	65.8	66.2	66.9	67.3	67.7	67.9	68.5	68.7	64.57
14.	69.1	69.4	69.6	69.9	70.5	71.0	71.8	72.1	72.5	73.0	73.6	73.8	74.0	74.2	74.6	74.8	75.1	75.5	75.9	76.1	76.2	76.2	76.3	76.4	73.40
15.	76.1	76.1	75.7	75.5	75.3	75.1	75.0	75.0	75.0	75.0	74.7	74.3	74.2	74.1	74.0	74 0	73.9	74.0	74.4	74.6	75.0	75.1	75.2	75.2	74.85
16.	75.1	75.0	74.8	74.9	75.3	75.4	75.4	75.7	75.8	75.9	76.1	75.9	75.9	75.8	75.9	76.0	76.2	76.1	76.4	76.5	76.7	76.9	77.1	77.2	75.92
17.	77.3	77.5	77.6	77.6	77.8	78.1	78.4	78.6	78.9	79.0	79.0	78.8	78.7	78.6	78.7	78.7	78.7	78.7	78.7	78.7	78.7	78.7	78.6	78.3	78.43
18.	78.1	77 9	77.7	77.6	77.3	77.2	77.1	77.1	77.1	77.0	76.8	76.3	75.3	75.1	75.0	74.8	74.7	74.7	74.7	74.7	74.7	74.7	74.8	74.7	76.05
19.	74.8	74.8	74.9	75.1	75.3	75.8	76.0	76.4	76.6	76.7	76.9	76.8	76.8	76.8	76.9	77.2	77.4	77.6	77.6	77.7	77.8	77.8	77.8	77.6	76.62
20.	77.4	77.1	76.2	75.9	75.9	75.8	75.7	75.9	76.3	76.7	76.8	76.8	76.9	76.9	76.8	76.4	76.6	76.4	76.4	76.5	76.3	76.2	76.0	75.8	76.40
21.	75.3	75.0	74.4	73.7	73.6	73.6	73.5	73.5	73.7	74.0	74.5	74.8	74.9	75.0	75.4	76.0	76.5	76.9	77.4	78.0	78.4	78.7	79.3	79.6	75.65
22.	80.0	80.2	80.4	80.6	80.9	81.2	81.6	82.0	82.4	82.6	82.8	82.9	82.9	83.0	83.2	83.4	83.7	83.9	84.2	84.3	84.4	84.4	84.4	84.4	82.66
23.	84.3	84.2	84.0	83.9	83.7	83.6	83.7	83.8	83.7	83.4	83.3	82.9	82.7	82.6	82.5	82.4	82.2	82.1	81.8	81.5	81.3	81.0	80.7	80.5	82.74
24.	80.1	79.7	79.4	79.2	79.2	79.2	79.2	79.0	79.1	79.2	79.2	78.9	78.8	78.8	78.8	79 1	79.5	79.9	80.1	80.3	80.6	80.8	81.0	81.0	79.59
25.	81.0	81.2	81.2	81.2	81.3	81.5	81.6	81.6	81.6	81.6	81.6	81.5	80.8	80.4	80.1	79.9	79.7	79.3	79.1	78.7	78.4	78.3	78.1	78.1	80.33
26.	77.8	77.5	77.8	77.4	77.3	77.3	77.5	77.5	77.4	77.4	77.3	77.0	76.6	76.5	76.2	75.9	75.7	75.1	74.5	74.0	73.8	73.4	73.0	72.8	76.11
27.	72.1	71.8	71.2	70.7	70.5	70 4	70.3	70.2	70.1	69.8	69 6	69.1	69.1	69.1	68.9	68.8	68.7	68.6	68.4	68.6	69.0	68.9	68.7	68.5	69.63
28.	68.3	68.1	68.4	68.5	68.5	68.7	69.0	69.1	69.4	69.8	70.0	70.2	70.3	70.5	70.8	71.1	71.5	71.7	72.0	72.2	72.5	72.7	72.6	72.4	70.35
29.	71.7	71.4	70.9	70.3	69.9	69.4	68.8	68.4	67.9	67.5	66.9	66.4	66.1	65.9	66.6	67.0	67.1	67.7	67.6	67.7	67.9	68.0	68.1	67.8	68.21
30.	67.4	67.4	67.4	67.5	67.4	67.3	67.2	67.2	67.3	67.3	67.3	66 9	66.5	65.9	66.0	66.1	65.9	65.7	65.0	64.2	64.0	63.7	63.8	64.0	66.18
Mittel	75.67	75.62	75.43	75.32	75.29	75.31	75.37	75.44	75.53	75.57	75.60	75.45	75.33	75.25	75.27	75.33	75.43	75.50	75.54	75.57	75.66	75.64	75.61	75.56	75.47

Dezember

600 mm +

Datum	1ª	2ª	3ª	4ª	5ª	6ª	7ª	8ª	9ª	10ª	11ª	12m	1p	2p	3p	4p	5p	6p	7p	8p	9p	10p	11p	12mn	Mittel
1.	64.1	64.1	64.3	64.6	65.5	66.1	66.9	67.4	68.1	69.0	69.8	70.4	70.9	71 8	72.7	73.7	74.6	75.3	75.8	76.3	76.5	76.6	76.6	76.7	70.74
2.	76.8	76.8	76.7	76.6	76.5	76.4	76.3	76.2	76.0	75.6	75.2	74.9	74.2	74.4	74.7	74.9	75.1	75.3	75.8	76.1	76 4	76.8	77.2	77.6	75.94
3.	77.8	78.2	78.3	78.5	78.9	79.4	79.7	80.2	80.7	81.1	81.6	81.7	81.9	82.0	82.2	82.5	82.7	83.3	83.7	84.0	84 4	84.7	84.9	85.3	81.57
4.	85.5	85.7	85.8	85.8	86.0	86.0	85.8	85.9	85.9	85.9	85.7	85.3	84.8	84.7	84.6	84.5	84.1	84.2	84.0	83.6	83.3	83.1	82.6	82.2	84.79
5.	81.5	81.0	80.7	80.2	80.0	79.9	79.8	79.6	79.5	79.4	79.3	79.2	78.8	78.7	78.6	78 6	78.6	78.8	78.9	79.0	79.2	79.2	79.3	79.5	79.47
6.	79.6	79.6	79.7	79.7	79.8	79.7	79.7	79.8	79.8	80.0	79.8	79.7	79 7	79.6	79.5	79.4	79.1	79.1	79.0	78.8	78.8	78.8	78.8	78.7	79.42
7.	78.8	79.1	79.3	79.5	79.7	80.2	80.5	80.7	81.4	81.6	81.8	81.7	81.8	81.7	81.8	81.9	82.0	82.1	82.3	82.1	82.0	82.0	82 0	81.9	81.16
8.	81.9	82.2	82.3	82.4	82.5	82.6	82.7	82.7	82.8	83.1	83.1	82.8	82.6	82.6	82.6	82.6	82.8	82 9	82.9	82.8	82.7	82.7	82.7	82.6	82.65
9.	82.4	82.4	82.4	82.4	82.4	82.4	82.5	82.5	82.5	82.7	82.5	82.3	81.8	81.8	81.8	81.9	81 9	81.9	81.8	81.7	81.6	81.5	81.5	81.2	82.08
10.	81.0	80.9	80.8	80.8	80.8	80.8	80.8	80.8	80.9	81.0	81.0	80.9	80.6	80.3	80.2	80.2	80.2	80.0	80.1	80.2	80.1	80.0	80.2	80.3	80.54
11.	80.2	80.1	80.0	79.3	79.2	79.3	79.8	79.9	79.8	79.7	79.6	79.3	79.3	78.9	78.3	78.0	77.8	77.7	77.7	77.7	77.7	77.5	77.0	76.9	76.2	78.72
12.	76.0	75.0	75.3	75.1	74.9	74.9	75.0	74.9	75.2	75 3	75.6	75.4	75.4	75.4	75.6	75.8	76.3	76.8	77.4	77.9	78.4	79.1	79.5	80.1	76.26
13.	80.3	80.4	81.1	81.3	81.5	81.8	82.4	82.7	83.0	83.3	83.4	83.2	82.9	82.7	82.7	82 7	82.6	83.0	83.7	83.5	83 5	83.4	83.3	83.3	82.57
14.	83.3	83.0	82.7	82.5	82.4	82.3	82.2	82.1	81.8	81.6	81.8	81.5	81.1	81.0	81.0	81.3	81.6	81.6	82.0	81.9	82.1	82.0	81.6	81.5	81.91
15.	81.6	81.4	80.5	80.5	81.0	81.0	81.1	81.2	82.1	82.4	82.7	82.6	82.6	82.6	82.6	83.1	83.1	83.3	82.9	82.6	82.4	82.3	81.4	80.7	81.99
16.	80.4	80.0	79.7	79.0	78.4	78.2	77.9	77.6	77.2	76.9	76.8	76.3	76.0	75.6	75.0	74.8	74.6	74.1	73.7	73.5	73.3	73.0	72.4	72.5	76.12
17.	72.4	72.4	72.7	72.7	72.7	72.7	72.9	73.0	73.1	73.8	74.3	74.8	74.8	75.2	75.3	75.9	76.3	76.4	76.5	77.0	77.0	77.2	77.1	77.1	74.73
18.	77.1	77.1	77.2	76.9	76.7	76.5	75.8	75.0	74.2	74.0	73.5	73.0	72.3	71.7	71.1	70.3	69.7	69.5	69.6	69.6	69.6	70.0	70.1	71.6	73.00
19.	71.9	73.0	74.6	75.3	76.2	77 3	77.8	78.1	78.6	79.0	79.1	79.1	79.1	79.4	79.7	79.9	79.8	79.7	79.6	79.6	79.4	79.3	79.3	79.3	78.09
20.	79.4	79.6	79.4	79.5	79.5	79.6	79.9	80.0	80.2	80.6	80.6	80.5	79.9	79.8	80.3	80.3	80.5	80.5	80.8	80.8	80.7	80.7	81.0	81.1	80.22
21.	80.9	80.7	80.6	80.3	80.4	80.6	80.7	80.8	80.8	80.9	80.8	80 6	80.3	79.9	79.9	80.0	80.0	80.1	80.0	80.0	79.8	79.8	79.8	79.5	80.30
22.	79.1	79.0	78.9	78.8	78.8	78.8	78.9	79.0	78.9	79.0	78.9	78.8	78.3	78.1	78.0	77.9	77.8	77.7	77.7	77.8	77.9	78.0	78.2	78.3	78.44
23.	78.3	78.4	78.5	78.6	78.3	78.2	78.3	78.5	78.6	78.6	78.4	77.8	78 0	77.9	77.9	77.9	77.9	77.9	78.0	78.1	78.3	78.5	78.6	78.8	78.26
24.	78.9	79.1	79.3	79.8	80.0	80.2	80.5	81.0	81.3	81.6	81.8	82.0	81.7	81.7	82.1	82.5	82.8	82.5	82.5	82.9	82.9	82.8	82.9	83 0	81.49
25.	83.0	82.9	82.5	82.5	82.6	82.6	82.8	83.0	83.3	83.3	83.2	82.6	82.4	82.3	82.0	81.7	81.4	81.1	80.7	80.1	79.8	79.7	79.8	79.3	81.86
26.	79.1	78.9	78.7	78.5	78.3	78.3	78.3	78.3	77.9	77.5	77.2	76.7	76.0	75.0	73.9	72.5	71 5	70.8	70.8	70.3	70.2	70.6	70.7	70.6	75.03
27.	70.4	70.2	70.6	70.8	71.1	71.2	72.0	72.5	72.9	73.6	74.0	74.4	74.3	74.4	74.5	74.7	75.2	75.4	75.5	75.6	75.6	75.9	76.6	76.2	73.63
28.	76.5	76.7	76.8	76.8	76.7	76.9	77.1	77.4	77.8	78.2	78.6	78.4	78.3	78.1	78 1	78.0	77.8	77.7	77.5	77.4	77.2	77.2	77.1	77.1	77.48
29.	77.1	77.0	76.9	76.6	76.4	76.2	76.4	76.8	77.2	77.4	77 7	77.6	77.6	77.8	78.0	78 4	78.6	79.0	79.3	79.6	79.9	80.4	80.7	81.4	78.08
30.	81.6	81.8	81.9	82.0	82.1	82.3	82.6	82.8	83.0	83.6	83.8	84.3	84.2	84.4	84.7	85.0	85.0	85.1	85.2	85.5	85.9	86.0	86.1	86.1	83.96
31.	85.9	86.1	86.2	86.1	85.9	85.6	85.4	85.3	85.2	85.2	85.0	84.6	84.2	83.7	83.4	83.4	83.5	83.5	83.4	83.2	83.0	82.9	82.8	82.5	84.42
Mittel	78.80	78.80	78.85	78.82	78.88	78.97	79.11	79.22	79.35	79.51	79.57	79.43	79.22	79.14	79.12	79.17	79.19	79.24	79.32	79.33	79.34	79.39	79.39	79.43	79.19

Thermometer-Registrierung. **Hohenpeissenberg.** 1912.

Januar

Datum	1a	2a	3a	4a	5a	6a	7a	8a	9a	10a	11a	12m	1p	2p	3p	4p	5p	6p	7p	8p	9p	10p	11p	12mn	Mittel
1.	− 1.4	− 1.3	− 1.2	− 1.2	− 1.4	− 1.7	− 1.6	− 1.7	− 1.8	− 1.7	− 1.6	− 1.5	− 1.1	− 1.0	− 1.0	− 1.0	− 1.0	− 0.9	− 0.9	− 0.8	− 0.8	− 0.9	− 0.6	− 0.5	− 1.19
2.	− 1.0	− 1.0	− 1.2	− 1.3	− 1.6	− 1.2	− 1.4	− 1.2	− 1.0	− 0.4	0.0	0.5	0.9	1.0	1.1	0.8	0.6	2.3	1.9	1.7	2.1	2.5	2.4	3.5	0.42
3.	4.1	4.4	4.4	4.8	4.9	4.7	5.0	5.0	4.9	4.5	5.0	5.8	6.2	7.7	7.1	6.7	4.4	3.3	1.6	1.4	1.6	1.4	1.4	0.8	4.21
4.	0.2	0.0	− 0.1	− 0.3	− 0.4	− 0.6	− 0.4	− 0.1	0.2	0.2	1.3	1.0	0.9	1.3	0.9	0.1	0.1	0.2	0.2	0.2	0.2	0.3	0.4	0.4	0.26
5.	0.6	0.7	0.8	0.8	0.6	0.8	1.5	1.5	1.9	2.0	3.0	3.2	1.5	2.2	3.1	0.6	0.5	1.4	2.0	1.4	0.2	1.8	1.0	− 1.8	1.30
6.	− 1.7	− 1.7	− 1.7	− 1.8	− 2.3	− 2.1	− 2.0	− 1.6	− 2.3	− 1.4	− 1.0	− 0.7	− 1.0	− 0.8	− 0.1	0.1	0.5	0.6	1.3	1.8	1.7	1.7	2.3	3.0	− 0.38
7.	3.9	4.3	4.9	5.3	4.8	3.0	1.0	0.8	1.7	2.4	− 0.1	2.9	4.7	3.9	0.1	0.6	1.2	0.8	0.0	− 3.1	− 3.9	− 5.4	− 6.9	− 7.3	0.82
8.	− 7.4	− 7.6	− 7.8	− 8.7	− 9.3	− 9.3	− 9.4	− 8.9	− 8.3	− 7.8	− 7.2	− 6.7	− 5.5	− 5.1	− 4.9	− 4.9	− 5.1	− 5.4	− 5.6	− 5.6	− 5.8	− 6.1	− 4.8	− 5.1	− 6.76
9.	− 4.7	− 3.9	− 3.5	− 2.5	− 1.6	− 2.9	− 1.4	− 1.3	− 0.2	1.8	2.1	2.1	2.1	2.5	3.0	3.1	3.1	2.9	3.1	3.0	1.6	1.1	0.4	0.1	0.42
10.	0.1	0.3	0.0	− 0.4	− 0.7	− 0.8	− 0.6	− 0.6	0.0	0.0	0.2	0.5	0.9	0.8	0.7	0.7	0.9	0.5	0.5	0.1	0.2	0.3	0.4	0.5	0.19
11.	0.5	0.5	0.3	0.2	0.0	0.0	− 0.3	− 0.5	− 0.6	− 0.6	− 0.3	− 0.3	− 0.2	0.2	− 0.4	− 1.0	− 1.8	− 2.0	− 2.3	− 2.8	− 3.0	− 3.2	− 3.1	− 2.9	− 0.98
12.	− 2.0	− 0.2	0.5	0.5	1.8	1.2	0.8	2.6	2.3	3.1	3.5	3.5	3.7	3.5	3.5	3.4	2.7	2.7	2.5	2.4	2.5	2.8	2.3	2.0	2.15
13.	1.8	1.7	1.6	1.7	1.6	1.3	1.0	1.3	2.2	2.1	2.6	2.5	1.0	1.2	0.7	0.3	− 0.3	− 0.2	− 2.4	− 2.3	− 2.8	− 2.9	− 3.1	− 3.1	0.31
14.	− 3.8	− 3.9	− 4.0	− 4.1	− 4.3	− 4.6	− 4.8	− 4.8	− 4.8	− 4.7	− 4.1	− 4.1	− 4.6	− 5.1	− 5.3	− 5.3	− 5.8	− 6.1	− 6.3	− 6.4	− 6.6	− 6.7	− 6.7	− 6.8	− 5.15
15.	− 6.8	− 6.9	− 6.6	− 7.1	− 6.9	− 6.8	− 6.8	− 6.9	− 6.9	− 6.7	− 6.1	− 6.2	− 6.0	− 7.0	− 6.7	− 6.1	− 6.0	− 6.1	− 5.8	− 5.7	− 5.0	− 5.4	− 5.8	− 5.9	− 6.34
16.	− 5.8	− 5.5	− 5.4	− 5.4	− 5.7	− 5.7	− 5.2	− 5.4	− 5.2	− 5.7	− 5.0	− 3.9	− 3.3	− 3.4	− 3.1	− 3.5	− 4.1	− 4.3	− 4.4	− 4.0	− 3.8	− 3.1	− 3.2	− 4.4	− 4.52
17.	− 4.4	− 5.1	− 5.1	− 5.5	− 5.0	− 5.7	− 6.6	− 6.6	− 6.8	− 7.3	− 7.8	− 9.8	−10.0	−10.3	−10.7	−10.7	−10.7	−10.8	−11.1	−11.2	−11.3	−11.3	−11.4	−11.3	− 8.60
18.	−10.6	− 9.8	− 9.1	− 8.4	− 7.6	− 6.9	− 6.2	− 4.9	− 4.3	− 3.8	− 4.3	− 1.7	− 1.2	− 0.5	− 0.2	− 1.3	− 0.8	− 0.6	− 0.6	0.2	2.0	2.4	2.2	3.0	− 3.04
19.	2.1	3.1	1.9	1.2	− 0.3	1.8	1.4	2.2	3.5	3.7	5.5	6.2	5.4	5.3	5.4	5.3	4.3	3.7	4.0	4.8	5.0	5.0	5.5	5.6	3.82
20.	5.5	5.2	5.3	4.1	4.5	4.0	3.2	2.9	3.8	4.1	4.8	5.8	6.1	6.8	6.4	5.9	5.4	4.8	4.4	3.7	2.7	2.5	1.5	1.2	4.36
21.	0.8	0.9	1.6	2.0	2.4	2.3	2.1	2.4	2.3	2.6	2.7	2.8	3.2	3.4	2.7	2.1	1.7	1.7	1.5	1.6	1.6	1.5	1.6	1.7	2.05
22	1.7	1.4	1.7	1.7	1.2	1.4	1.1	1.7	2.2	2.9	3.2	3.7	3.9	3.7	3.6	3.3	2.6	2.0	2.3	2.3	3.3	3.5	4.4	4.5	2.64
23.	3.6	3.4	3.6	3.4	2.6	3.1	3.5	3.7	4.0	4.6	5.6	6.7	8.2	7.9	7.3	6.2	6.0	5.8	6.0	6.0	5.7	5.8	6.3	6.4	5.23
24.	7.3	6.9	7.1	7.6	4.5	4.2	4.4	4.6	5.0	5.0	5.7	5.8	5.6	5.4	5.0	4.8	3.9	3.3	4.3	5.1	5.2	5.0	5.0	5.3	5.25
25.	5.4	5.4	5.7	5.8	6.2	5.4	5.4	4.9	5.0	4.8	6.7	6.1	6.2	6.6	7.2	5.2	4.7	2.5	2.7	1.9	0.8	0.7	0.3	0.4	4.42
26.	0.5	0.5	0.5	0.6	0.7	0.7	0.8	1.0	1.0	1.7	1.9	2.7	3.0	2.9	1.9	1.9	1.7	1.4	1.2	0.9	1.0	0.7	0.9	1.1	1.30
27.	1.3	1.2	0.5	0.4	− 0.3	− 0.4	− 1.0	− 1.3	− 1.6	− 2.0	− 2.0	− 3.0	− 3.6	− 4.2	− 5.5	− 6.0	− 6.3	− 7.1	− 7.3	− 7.4	− 7.8	− 8.0	− 7.9	− 8.4	− 3.65
28.	− 8.4	− 8.4	− 8.4	− 8.7	− 8.9	− 9.1	− 9.1	− 9.2	− 9.9	− 9.6	− 9.6	− 9.5	− 9.6	− 9.7	− 9.9	−10.5	−10.6	−10.7	−10.9	−11.0	−11.5	−11.6	−11.6	−11.7	− 9.92
29.	−11.9	−12.1	−12.3	−12.5	−12.9	−12.9	−12.7	−13.1	−13.1	−12.9	−12.5	−11.8	−10.6	−10.4	−10.2	−10.4	−10.9	−11.3	−11.6	−11.6	−11.3	−11.1	−10.9	−10.6	−11.73
30.	−10.3	−10.7	−11.3	−11.1	−11.0	−11.2	−11.3	−11.5	−10.8	−11.1	−11.2	−11.4	−10.5	−10.1	− 9.9	− 9.9	−10.3	−10.7	−10.7	−10.5	−10.5	−10.6	−11.1	−11.2	−10.79
31.	−11.4	−11.5	−11.1	−10.5	−10.5	−10.9	−11.0	−10.4	− 9.8	− 8.6	− 7.0	− 6.3	− 5.8	− 5.4	− 5.5	− 5.3	− 5.3	− 5.7	− 5.8	− 5.7	− 5.6	− 5.5	− 5.4	− 5.4	− 7.73
Mittel	−1.68	−1.60	−1.56	−1.58	−1.77	−1.90	−1.95	−1.79	−1.53	−1.25	−0.84	−0.49	−0.31	−0.22	−0.44	−0.80	−1.12	−1.36	−1.49	−1.60	−1.69	−1.70	−1.75	−1.84	− 1.34

Februar

Datum	1a	2a	3a	4a	5a	6a	7a	8a	9a	10a	11a	12m	1p	2p	3p	4p	5p	6p	7p	8p	9p	10p	11p	12mn	Mittel
1.	− 5.4	− 5.2	− 5.2	− 5.2	− 5.2	− 5.2	− 5.2	− 5.1	− 5.0	− 4.8	− 4.6	− 4.2	− 4.3	− 4.2	− 4.2	− 4.2	− 4.3	− 4.4	− 4.5	− 4.5	− 4.5	− 4.2	− 4.0	− 3.9	− 4.65
2.	− 3.7	− 4.7	− 4.3	− 4.0	− 4.1	− 3.9	− 3.8	− 3.6	− 3.7	− 2.7	− 2.0	− 2.3	− 2.4	− 3.4	− 3.6	− 3.9	− 4.7	− 4.6	− 4.7	− 4.3	− 4.2	− 3.1	− 3.1	− 2.3	− 3.63
3.	− 2.8	− 5.0	− 5.3	− 6.5	− 6.8	− 9.9	−11.5	−12.4	−12.2	−12.1	−12.2	−12.7	−12.4	−12.5	−12.7	−13.6	−14.0	−14.2	−13.8	−13.6	−13.5	−13.3	−13.3	−12.9	−11.22
4.	−12.6	−13.1	−12.9	−12.5	−12.2	−12.2	−12.3	−12.6	−13.0	−12.7	−12.7	−13.0	−12.8	−12.2	−12.3	−12.5	−12.6	−12.9	−12.8	−12.4	−12.6	−11.4	− 9.0	− 6.7	−12.17
5.	− 5.6	− 5.0	− 4.4	− 2.2	− 1.5	− 1.3	− 1.0	− 0.7	− 0.9	− 0.3	− 0.2	0.6	1.7	1.8	1.5	1.4	0.9	0.8	0.7	1.2	2.9	0.9	0.2	1.5	− 0.29
6.	1.3	0.3	0.1	2.0	2.2	2.2	3.0	1.9	2.9	3.2	4.4	5.2	7.1	8.5	8.1	8.0	7.3	7.3	8.9	10.1	8.7	8.1	8.2	8.9	5.33
7.	8.6	9.0	9.0	9.1	8.9	8.6	8.2	8.1	7.7	7.4	8.7	10.0	10.6	10.3	10.2	9.1	8.2	6.8	6.6	6.7	6.9	7.3	7.1	7.4	8.35
8.	7.7	7.7	7.8	8.1	8.4	8.6	8.8	9.3	9.5	10.1	11.2	11.9	12.0	11.3	10.3	9.9	8.7	9.2	8.9	8.6	8.2	8.6	8.4	8.5	9.24
9.	8.6	9.1	9.6	9.1	9.3	9.3	9.3	9.0	9.1	9.6	10.0	10.2	10.2	10.7	10.4	8.7	7.5	7.0	7.1	6.9	7.4	8.1	8.1	7.4	8.82
10.	7.5	4.9	4.0	3.6	3.6	2.8	2.1	1.8	1.4	1.4	1.8	2.1	2.5	3.0	3.5	3.2	3.1	2.6	2.2	2.1	1.4	1.4	1.6	1.8	2.73
11.	2.3	2.2	6.2	5.2	3.9	1.4	1.6	2.6	2.8	3.4	3.4	3.5	4.3	4.0	4.5	3.4	2.9	2.9	2.6	2.3	2.3	2.4	2.0	2.2	3.10
12.	2.4	2.0	1.7	0.8	0.2	− 0.1	− 0.4	− 0.4	0.1	0.7	1.7	2.9	4.1	4.9	4.7	4.8	3.9	3.1	2.5	2.2	2.3	2.2	2.5	2.6	2.14
13.	1.8	1.9	2.3	2.2	2.5	2.4	2.3	2.4	3.3	3.4	4.1	5.1	5.2	5.5	5.3	4.6	4.2	3.8	3.3	2.5	2.1	2.2	3.1	2.8	3.26
14.	2.9	0.9	0.7	0.6	0.2	0.1	0.0	0.1	0.3	0.7	1.2	1.9	2.5	2.9	2.5	1.9	0.9	0.4	0.0	− 0.2	− 0.4	− 0.3	− 0.5	− 0.3	0.79
15.	− 0.5	− 0.7	− 0.9	− 1.0	− 1.2	− 1.3	− 1.2	− 1.1	− 0.7	− 0.4	− 0.2	− 0.1	0.3	0.4	0.2	0.3	0.1	− 0.1	− 0.4	− 0.6	− 0.7	− 0.7	− 0.6	− 0.7	− 0.49
16.	− 0.3	− 0.6	− 0.9	− 1.2	− 1.4	− 1.5	− 1.4	− 1.3	− 0.9	− 0.5	0.2	0.9	1.8	2.9	3.2	3.0	2.9	2.4	1.8	1.7	1.8	2.4	2.8	3.1	0.87
17.	3.4	2.7	3.0	2.2	2.5	2.9	2.5	1.9	3.6	3.4	4.5	5.5	6.8	7.0	7.7	7.9	7.2	6.7	5.9	6.2	6.2	6.7	6.3	6.5	4.97
18.	6.3	7.7	8.2	9.3	9.6	7.8	7.5	8.5	8.1	8.2	9.4	9.9	10.3	9.9	9.4	9.0	8.1	7.7	6.7	6.5	7.1	7.5	9.0	8.9	8.36
19.	9.1	9.3	8.8	7.2	6.6	7.7	5.3	5.0	5.8	6.7	6.1	6.8	8.2	8.5	8.3	8.1	7.1	6.9	6.6	5.7	5.8	4.5	3.8	3.2	6.71
20.	2.5	2.4	2.3	2.2	2.1	2.0	1.6	1.2	1.3	1.9	2.1	2.1	3.1	3.6	2.4	1.9	1.2	0.4	0.4	0.4	0.2	0.5	0.7	0.7	1.63
21.	1.0	0.6	− 0.1	− 0.2	− 0.3	0.4	0.4	− 0.4	− 0.6	0.5	1.4	1.5	2.4	3.2	3.0	3.7	2.9	2.8	2.5	2.1	2.0	2.1	1.9	1.7	1.44
22.	1.2	0.4	0.1	0.0	0.0	− 0.1	0.0	0.1	0.3	1.1	1.7	2.2	2.7	3.1	3.3	3.3	3.5	3.2	3.2	3.4	3.1	3.1	3.3	3.6	1.91
23.	3.3	4.4	5.1	5.2	4.5	4.7	5.8	6.3	6.8	7.0	7.7	8.9	10.0	10.6	11.3	11.1	10.5	9.8	9.4	8.7	10.0	9.9	9.1	8.9	7.88
24.	8.1	8.4	8.1	8.5	8.2	7.6	7.5	7.4	6.5	5.3	7.5	8.7	8.6	8.5	8.5	8.4	8.2	7.5	7.4	5.6	5.4	5.4	5.8	6.4	7.40
25.	6.7	5.8	4.3	3.7	4.4	3.6	4.4	5.5	5.4	6.4	6.2	6.7	7.7	7.5	7.7	7.3	6.9	6.3	5.4	4.9	4.4	4.3	4.2	4.3	5.58
26.	4.4	4.3	4.6	4.9	5.2	4.0	4.1	3.9	4.2	4.3	6.2	5.5	8.1	7.7	7.7	8.1	8.3	7.3	7.2	6.1	6.1	5.9	5.3	5.1	5.77
27.	4.8	4.7	4.2	4.2	4.4	4.1	3.9	3.9	4.1	5.2	7.0	7.9	8.4	8.8	9.9	9.8	9 7	8.0	7.1	6.5	6.2	6.0	5.5	5.3	6.23
28.	4.8	4.5	4.1	3.5	4.0	3.7	3.4	3.2	3.6	4.4	6.2	8.2	9.2	10.5	10.3	10.3	10.1	9.4	9.1	7.7	7.7	9.3	7.5	6.6	6.72
29.	6.6	8.4	8.0	8.5	7.0	8.3	8.4	9.3	9.3	9.8	9.8	11.0	11.1	11.6	11.9	11.9	11.6	11.2	10.0	9.2	8.5	8.0	8.7	7.9	9.42
Mittel	2.57	2.32	2.35	2.32	2.24	1.96	1.84	1.86	2.04	2.43	3.12	3.69	4.38	4.63	4.59	4.31	3.80	3.36	3.08	2.82	2.79	2.89	2.92	3.05	2.97

Thermometer-Registrierung. **Hohenpeissenberg.** 1912.

März

Datum	1a	2a	3a	4a	5a	6a	7a	8a	9a	10a	11a	12m	1p	2p	3p	4p	5p	6p	7p	8p	9p	10p	11p	12mn	Mittel
1.	8.0	6.8	6.7	6.5	6.5	6.4	6.2	6.4	6.9	8.1	8.9	9.3	9.8	10.5	10.6	10.5	9.7	8.6	8.4	8.0	7.6	7.7	7.1	6.7	8.00
2.	6.6	6.6	5.5	5.0	5.0	5.0	5.6	5.7	5.1	6.2	7.7	8.0	8.6	8.3	7.9	8.4	7.4	6.9	6.5	6.0	6.0	6.2	6.0	6.4	6.53
3.	6.6	6.6	7.4	6.5	7.5	8.0	7.2	7.6	8.0	7.6	8.3	10.1	10.0	10.9	10.8	10.5	8.0	4.4	0.6	0.5	0.4	0.3	0.2	0.0	6.17
4.	0.2	0.4	0.3	0.2	0.1	0.1	0.2	0.4	1.0	1.1	1.5	1.7	2.3	3.7	3.9	4.2	3.9	3.1	2.3	2.0	2.3	2.2	1.4	2.0	1.69
5.	2.4	1.8	2.6	4.6	5.7	5.2	5.6	5.9	4.7	4.9	8.0	8.2	7.2	8.1	8.5	7.5	8.1	7.3	7.1	6.9	5.0	6.1	6.2	5.4	5.96
6.	4.4	4.2	2.2	2.2	2.8	2.4	1.2	1.3	1.0	2.1	3.7	3.1	0.3	2.1	2.4	3.0	2.8	2.3	2.3	2.1	2.5	2.5	2.7	0.5	2.34
7.	0.9	1.2	1.1	0.8	0.4	0.2	0.2	0.3	1.2	2.1	2.4	2.9	4.0	3.9	4.2	4.1	3.3	2.7	1.5	1.0	− 0.4	− 0.5	− 0.8	− 1.2	1.48
8.	− 1.2	− 1.1	− 1.2	− 1.4	− 1.3	− 1.4	− 1.4	− 1.4	− 1.4	− 1.2	0.1	0.6	1.6	1.5	1.3	1.1	0.3	0.2	0.3	0.1	− 0.1	− 0.3	− 0.3	− 0.4	− 0.29
9.	− 0.4	− 0.3	− 0.1	− 0.2	− 1.0	− 1.2	− 1.2	− 0.9	0.8	0.9	2.3	2.8	3.7	5.0	4.8	4.8	4.5	2.9	1.8	1.5	2.8	2.0	2.6	2.4	1.68
10.	2.8	3.5	3.4	2.8	3.1	3.2	4.6	4.7	4.9	4.9	7.9	8.4	9.3	10.8	9.8	9.0	7.9	7.0	6.3	6.9	6.7	6.2	5.6	4.8	6.02
11.	3.5	3.3	2.8	1.9	1.2	0.5	1.0	1.0	1.3	1.4	1.9	2.3	2.8	3.1	2.9	3.2	4.0	3.3	3.1	2.2	2.3	2.2	2.0	2.2	2.31
12.	2.0	1.9	1.8	1.6	1.5	1.5	1.5	1.9	2.3	3.0	4.5	5.2	6.1	5.4	5.2	5.2	4.9	4.1	2.5	1.7	1.6	1.7	1.7	1.6	2.93
13.	1.5	1.2	1.3	1.0	1.0	1.0	0.6	0.1	0.6	1.8	3.6	4.4	3.6	4.2	5.6	5.8	4.1	3.4	3.1	2.8	2.5	2.4	2.9	2.7	2.55
14.	2.9	2.7	2.6	2.4	2.6	2.5	2.3	2.6	3.1	3.0	4.1	4.6	5.1	5.4	5.8	5.6	5.6	5.5	5.2	5.1	5.0	4.9	4.8	4.7	4.09
15.	4.6	4.7	4.3	4.0	4.0	3.7	3.7	4.0	5.5	5.6	6.3	7.0	8.0	8.2	8.4	8.3	6.7	6.2	5.6	4.7	5.2	4.8	4.8	4.6	5.54
16.	5.1	5.9	5.8	5.6	5.0	4.7	4.1	1.9	− 0.2	0.0	0.0	− 0.8	− 0.9	− 0.6	0.2	0.5	0.8	0.1	− 0.7	− 1.0	− 1.1	− 1.3	− 1.3	− 1.7	1.25
17.	− 1.6	− 1.6	− 1.6	− 1.7	− 1.6	− 1.7	− 1.4	− 0.6	− 0.3	0.0	1.4	1.8	2.6	2.7	2.5	2.3	1.8	1.4	1.1	1.5	1.4	1.5	1.6	2.2	0.57
18.	2.3	2.5	3.2	2.8	2.6	2.1	2.3	2.9	3.3	3.7	4.1	4.2	5.4	6.4	6.9	6.2	6.6	7.2	7.1	6.7	4.8	4.2	4.4	4.1	4.42
19.	3.7	4.8	6.0	4.9	3.8	3.4	3.5	3.9	4.3	3.0	0.1	1.0	4.1	3.9	4.1	5.0	4.5	3.1	2.2	2.2	2.7	2.6	1.9	1.7	3.35
20.	1.6	1.9	1.9	1.8	2.5	2.3	2.4	2.8	4.1	3.8	4.9	6.0	5.7	2.1	0.3	0.0	− 0.3	− 0.6	− 1.0	− 1.1	− 1.2	− 1.3	− 1.2	− 1.2	1.51
21.	− 1.4	− 1.5	− 1.4	− 1.6	− 1.6	− 1.5	− 1.5	− 1.7	− 0.9	− 0.5	1.2	2.0	3.3	5.1	5.4	5.7	6.1	5.1	4.5	4.2	4.9	4.9	4.2	3.3	1.93
22.	3.0	3.2	3.6	3.7	4.0	2.6	2.5	2.4	3.4	3.1	2.6	0.3	0.4	0.7	0.9	1.6	2.1	2.1	2.4	2.1	1.6	1.2	1.1	0.7	2.14
23.	0.8	0.3	− 0.2	− 0.4	− 0.2	− 0.1	0.0	0.1	1.2	0.9	2.6	3.0	3.0	3.2	3.6	3.8	3.7	3.1	2.5	2.4	2.5	2.1	1.5	1.3	1.70
24.	1.3	0.9	0.7	1.1	1.4	1.8	2.4	2.6	3.2	4.2	5.3	5.5	2.6	3.2	3.1	4.8	4.7	4.2	3.3	3.3	3.9	3.6	2.9	3.1	3.05
25.	3.2	2.5	2.4	3.0	3.4	4.0	4.1	4.3	5.0	4.7	5.2	5.3	5.3	6.3	7.0	7.1	6.8	6.8	6.8	6.8	6.6	6.7	6.6	6.8	5.28
26.	7.0	7.0	6.7	7.2	7.4	7.4	7.3	7.3	7.6	8.3	9.4	10.4	12.6	13.2	13.9	13.9	13.8	13.0	12.1	11.9	10.7	10.9	11.7	11.3	10.08
27.	11.2	10.1	10.8	11.7	11.7	10.0	11.5	12.2	12.6	13.7	15.2	16.0	16.3	16.4	16.4	15.7	14.9	14.3	13.1	12.4	11.2	10.6	10.4	10.2	12.86
28.	10.3	9.9	8.8	8.5	8.2	8.0	8.0	8.4	9.4	9.9	10.2	10.4	10.7	9.9	10.8	10.0	9.5	8.9	8.7	8.7	8.7	8.7	8.3	8.0	9.20
29.	7.8	7.8	7.0	6.7	6.9	6.3	6.1	6.3	6.6	6.2	4.3	4.0	4.0	3.0	2.9	2.8	2.7	2.7	2.3	2.2	2.0	1.3	1.2	0.9	4.33
30.	0.8	0.5	0.4	0.1	0.1	0.2	0.8	1.2	2.1	3.7	5.4	6.4	7.4	8.2	7.7	7.2	6.8	5.8	4.7	3.7	2.7	2.0	1.8	1.3	3.38
31.	1.2	1.0	0.5	0.6	0.5	0.6	1.1	2.2	3.8	5.0	6.0	6.6	7.2	7.9	8.3	7.9	7.4	6.8	6.9	7.1	8.2	8.7	8.7	8.7	5.12
Mittel	3.26	3.18	3.07	2.97	3.01	2.81	2.92	3.09	3.56	3.91	4.81	5.18	5.55	5.89	6.00	5.99	5.58	4.90	4.28	4.02	3.84	3.70	3.57	3.33	4.10

April

1.	8.2	6.9	6.6	6.5	6.4	6.6	6.2	4.7	5.2	4.0	4.1	2.9	3.2	2.5	2.0	1.9	1.5	1.3	0.5	− 0.1	− 0.6	− 0.7	− 1.0	− 1.0	3.24
2.	− 1.0	− 1.1	− 1.7	− 3.1	− 3.4	− 3.4	− 3.9	− 3.8	− 3.4	− 3.2	− 2.7	− 2.4	− 2.0	− 1.8	− 1.7	− 2.4	− 2.2	− 2.5	− 2.8	− 2.9	− 3.1	− 3.3	− 3.3	− 3.5	− 2.69
3.	− 3.7	− 4.1	− 4.2	− 4.5	− 4.8	− 5.2	− 5.6	− 5.7	− 5.1	− 4.8	− 4.4	− 4.0	− 3.7	− 2.9	− 2.7	− 2.4	− 2.5	− 2.4	− 2.5	− 2.7	− 3.0	− 3.0	− 2.9	− 3.1	− 3.75
4.	− 3.2	− 3.5	− 3.8	− 4.0	− 4.1	− 4.2	− 3.4	− 3.1	− 2.6	− 2.4	− 2.1	− 1.2	− 0.8	− 0.5	0.5	0.6	0.8	0.9	0.9	0.6	0.2	0.2	0.2	1.0	− 1.38
5.	0.9	1.1	1.3	1.6	2.3	2.6	4.1	4.6	5.2	8.2	8.5	10.2	10.3	9.8	8.0	8.5	7.7	5.5	4.2	4.5	5.2	5.8	5.9	6.6	5.53
6.	6.9	6.8	6.6	6.3	6.2	6.5	7.3	7.7	9.5	10.8	11.6	11.2	12.5	13.2	13.1	13.2	11.8	11.7	11.4	9.7	8.2	7.8	7.1	7.1	9.34
7.	7.0	7.4	7.6	7.7	7.7	7.6	7.3	7.3	7.3	7.2	7.6	6.8	8.5	8.6	9.0	8.8	8.4	8.2	7.5	7.0	6.8	6.7	6.7	6.4	7.55
8.	6.1	6.0	5.8	5.7	5.7	5.7	5.9	6.9	8.8	10.0	10.9	12.6	13.9	14.9	15.9	15.4	14.6	14.1	12.1	11.7	11.8	11.3	11.3	8.7	10.24
9.	7.6	6.8	7.0	6.7	5.0	4.6	4.1	3.6	3.2	2.6	3.2	− 0.5	− 0.7	− 0.4	− 0.7	− 1.1	− 1.2	− 1.3	− 1.8	− 2.5	− 2.6	− 2.7	− 2.7	− 3.1	1.38
10.	− 3.6	− 3.6	− 3.9	− 4.1	− 4.3	− 4.4	− 4.2	− 4.0	− 3.8	− 3.7	− 3.3	− 3.1	− 2.6	− 0.9	− 0.6	− 0.7	− 1.2	− 1.8	− 2.0	− 3.1	− 2.3	− 2.0	− 1.8	− 1.8	− 2.78
11.	− 2.2	− 3.5	− 3.3	− 4.1	− 4.2	− 3.9	− 3.3	− 2.9	− 2.2	− 1.0	0.0	0.2	− 1.8	− 1.5	− 1.4	− 0.9	− 0.1	− 0.3	− 0.5	− 1.1	− 0.8	− 0.6	− 0.3	0.0	− 1.65
12.	− 0.5	− 2.1	− 2.2	− 1.9	− 4.4	− 5.3	− 5.2	− 5.1	− 4.6	− 3.9	− 3.1	− 2.3	− 1.6	− 1.8	− 1.8	− 1.7	− 1.8	− 2.1	− 3.7	− 3.8	− 5.3	− 5.2	− 5.1	− 5.0	− 3.31
13.	− 4.9	− 4.7	− 5.0	− 5.3	− 5.3	− 4.1	− 3.1	− 3.1	− 2.3	− 1.9	− 1.4	− 1.0	− 0.4	0.2	0.2	0.1	− 0.1	− 0.4	− 1.2	− 2.0	− 2.8	− 3.2	− 3.7	− 3.6	− 2.45
14.	− 3.5	− 3.4	− 3.3	− 3.4	− 3.6	− 2.9	− 3.0	− 2.3	− 0.7	− 0.1	1.5	2.4	3.5	4.5	4.9	4.9	4.4	3.7	2.5	2.2	1.9	1.7	1.5	0.5	0.58
15.	0.1	0.1	0.1	0.0	− 0.1	− 0.1	− 0.1	− 0.1	− 0.2	− 0.4	− 0.9	− 0.9	1.2	3.0	0.8	0.3	− 0.3	− 0.1	0.1	0.0	− 0.4	− 0.6	− 1.0	− 1.1	− 0.03
16.	− 1.3	− 2.1	− 2.2	− 2.6	− 2.7	− 2.7	− 2.5	− 2.5	− 2.1	− 1.6	− 0.7	1.4	2.3	2.7	2.6	3.0	2.6	2.4	2.1	1.9	1.6	1.0	0.8	0.5	0.08
17.	− 0.1	0.2	0.9	0.8	0.4	1.3	3.3	3.3	3.4	4.5	5.7	7.3	6.7	7.3	7.8	7.8	7.9	7.4	6.2	4.8	4.1	3.6	3.5	4.5	4.28
18.	4.3	4.1	4.8	4.7	4.6	5.5	5.0	5.4	6.2	7.4	8.0	9.1	9.4	9.5	9.7	9.1	8.8	8.4	7.6	7.3	6.6	6.6	6.7	6.3	6.88
19.	6.0	5.7	5.3	5.5	4.9	5.2	5.2	6.3	6.4	6.9	7.9	8.6	8.4	8.9	7.6	7.4	5.8	5.4	4.8	4.5	4.3	4.0	3.9	4.1	5.96
20.	4.1	4.1	4.3	4.0	4.0	3.9	4.0	4.2	5.0	5.9	7.6	6.5	7.4	8.2	6.3	6.5	6.7	6.3	5.5	4.8	4.2	4.4	4.7	4.9	5.31
21.	4.9	3.8	3.2	3.3	2.9	3.0	3.3	3.8	4.3	4.8	6.1	6.6	7.6	7.5	7.4	8.2	7.8	7.3	6.1	5.3	5.0	4.5	4.2	3.1	5.17
22.	2.5	1.9	1.1	0.7	0.4	0.9	1.4	2.3	5.5	6.3	7.0	7.7	8.4	8.7	8.8	8.8	8.3	7.9	6.0	5.0	3.7	4.5	4.6	3.8	4.84
23.	2.6	3.2	2.7	2.6	2.3	1.6	2.0	2.2	3.1	5.0	5.6	5.4	5.7	6.1	6.3	5.3	5.6	4.7	4.0	3.6	3.1	2.5	2.7	2.7	3.78
24.	3.2	3.5	3.5	3.5	3.2	3.7	4.4	4.2	5.9	6.2	8.0	9.1	10.2	11.2	11.5	10.9	11.0	10.7	7.8	7.6	7.0	6.5	6.0	5.2	6.83
25.	4.5	6.2	5.7	4.3	4.2	4.2	5.1	6.1	6.9	7.3	9.6	10.0	10.9	11.1	10.5	10.6	9.0	9.4	8.0	7.2	7.2	6.6	6.2	6.0	7.37
26.	6.0	6.4	6.2	5.9	4.8	5.3	6.9	7.3	7.7	8.3	9.6	10.3	9.9	10.1	10.9	10.6	10.2	9.9	9.4	9.0	8.0	7.9	7.3	7.0	8.12
27.	7.6	6.9	7.5	7.4	7.4	7.5	8.5	8.5	10.5	11.0	11.7	12.3	12.8	13.6	13.7	13.6	13.1	12.9	10.9	10.8	9.3	8.8	8.6	8.5	10.14
28.	8.7	9.2	9.6	9.4	8.5	8.2	8.5	7.9	9.7	10.1	11.7	13.0	14.1	14.4	14.2	14.0	12.8	11.8	10.9	10.7	9.3	9.1	9.2	7.6	10.53
29.	7.2	6.5	4.7	3.6	2.9	3.0	2.8	2.8	3.7	4.2	5.2	6.2	8.0	8.4	9.0	8.6	8.2	7.5	6.6	5.6	4.8	3.9	3.2	3.1	5.40
30.	2.9	2.2	1.5	1.4	0.4	0.4	0.7	0.9	1.4	2.3	2.9	4.3	4.5	6.6	7.1	6.9	5.8	5.0	3.8	3.1	2.3	1.7	1.3	1.0	2.93
Mittel	2.58	2.36	2.21	1.95	1.58	1.70	2.06	2.25	3.06	3.67	4.51	4.99	5.53	6.04	5.96	5.86	5.45	5.05	4.15	3.62	3.12	2.93	2.79	2.55	3.58

Thermometer-Registrierung. **Hohenpeissenberg.** 1912.

Mai

Datum	1ª	2ª	3ª	4ª	5ª	6ª	7ª	8ª	9ª	10ª	11ª	12m	1P	2P	3P	4P	5P	6P	7P	8P	9P	10P	11P	12mn	Mittel
1.	0.5	0.8	0.5	0.0	− 0.5	− 0.4	0.0	0.5	1.2	2.7	3.5	4.5	4.9	4.7	4.5	4.0	3.5	3.1	2.6	2.0	1.4	0.8	0.6	0.2	1.90
2.	− 0.4	0.1	− 0.8	− 0.9	− 1.2	0.3	1.3	2.1	3.2	3.8	5.5	6.4	7.0	8.5	7.8	7.5	7.1	6.6	5.6	4.7	4.2	4.4	4.5	4.5	3.83
3.	4.6	4.5	3.8	3.8	4.0	4.4	4.8	5.3	7.0	8.0	9.1	9.7	11.4	11.8	12.3	12.0	12.2	11.9	10.3	9.3	8.6	8.4	8.5	7.8	8.66
4.	8.0	7.5	7.6	7.9	7.7	7.9	8.5	9.0	10.8	12.0	13.0	13.4	14.3	14.7	15.0	14.9	14.7	13.3	12.5	10.8	9.8	9.3	8.8	8.6	10.83
5.	8.3	8.3	7.8	8.2	5.6	6.3	7.3	8.3	9.0	9.4	9.7	10.3	10.2	10.7	6.9	7.0	6.8	6.4	6.5	6.1	6.4	6.6	6.9	6.9	7.75
6.	6.4	6.7	7.6	7.5	7.7	8.9	9.9	10.7	11.1	11.8	13.5	12.6	12.9	12.7	13.5	14.0	13.1	11.9	10.8	9.5	9.0	9.0	8.5	7.5	10.28
7.	7.8	7.7	7.6	7.6	7.1	7.0	7.3	7.3	7.9	8.0	9.9	9.1	9.7	10.4	8.1	9.6	10.3	8.5	10.6	10.8	10.6	10.3	10.0	9.2	8.54
8.	8.3	7.9	8.1	7.8	7.7	8.2	8.4	8.6	9.0	9.7	10.3	10.8	11.1	12.0	11.9	10.8	10.8	10.2	10.1	9.9	9.3	9.1	9.1	8.9	9.50
9.	8.9	8.7	8.6	8.5	7.8	8.1	8.5	8.9	9.5	10.1	11.6	12.2	13.0	14.4	14.0	14.0	13.8	13.1	12.8	12.3	11.3	11.5	11.6	11.8	11.04
10.	10.9	10.2	9.7	9.5	9.4	9.6	10.1	10.7	11.6	12.2	11.7	12.2	10.2	10.1	11.5	11.3	10.5	9.8	10.1	10.5	9.5	9.7	10.2	9.9	10.05
11.	9.9	9.8	10.1	10.4	10.4	10.6	11.1	11.3	11.8	13.4	15.8	16.4	17.1	17.0	15.3	16.0	16.4	16.2	15.1	14.9	14.8	14.9	15.0	14.7	13.68
12.	15.9	15.5	17.9	16.6	17.8	18.4	19.0	20.3	22.6	23.8	25.1	25.6	26.0	25.2	25.7	25.1	24.9	23.2	20.9	21.1	21.5	20.9	21.0	21.4	21.48
13.	19.3	19.5	19.4	19.2	18.2	18.1	18.2	18.6	18.8	19.3	19.9	20.2	20.1	20.7	20.7	20.7	17.9	14 6	13.7	12.8	12.1	12.2	12.0	11.9	17.42
14.	11.8	11.4	11.5	11.4	11.5	13.1	14.5	15.3	17.0	16.6	17.2	17.5	18.5	18.6	18.7	18.8	17.7	16.7	15.9	15.7	16.3	16.3	17.3	16.8	15 67
15.	16.8	17.3	18.3	17.2	18.2	17.7	19.0	20.6	22.4	23.4	24.2	24.6	24.9	24.9	25.1	23.9	22.2	22.1	20.7	20.3	19.9	19.2	14.2	9.8	20.29
16.	8 5	8.2	8.1	8.4	8.4	8.6	8.8	8.7	10.0	10.3	11.4	12.7	12.0	11.7	11.1	11.0	10.3	8.0	6.3	5.6	5.3	5.3	4.4	3.9	8.63
17.	3.3	1.7	0.8	0.7	0.6	1.6	2.3	1.0	2.7	2.7	1.7	1.6	− 0.1	2.9	2.9	2.3	1.4	2.1	2.7	2.6	2.1	2.1	1.8	2.1	1.90
18.	2.4	2.4	2.4	2.7	2.8	3.3	4.2	4.9	5.4	6.2	7.8	8.4	9.2	10.8	10.5	10.6	10.6	10.6	8.2	8.0	7.5	7.3	7.0	7.1	6.68
19.	7.3	6.8	6.7	6.4	7.6	8.8	9.9	10.6	11.0	12.0	13.4	14.5	15.1	16.0	16.0	15.8	15.6	15.5	13.5	12.2	12.0	11.4	11.1	11.4	11.69
20.	11.2	13.3	12.2	12.7	13.6	14.0	14.6	15.4	16.3	17.0	17.8	18.5	18.5	18.9	19.1	19.2	19.1	17.6	16.4	13.3	12.4	12.0	12.4	13.6	15.38
21.	13.5	12.5	12.5	12.3	12.3	12.7	12.6	13.5	16.0	17.0	17.1	18.1	19.2	19.2	18.5	18.6	18.3	17.6	16.8	12.5	10.2	10.2	10.1	10.3	14.64
22.	11.0	11.0	11.1	10.9	10.7	10.1	9.9	10.0	9.5	9.5	10.2	10.6	12.6	14.2	14.8	14.7	13.5	10.5	9.9	9.0	8.7	8.6	8.6	8.5	10.75
23.	8.8	8.7	8.5	7.8	7.7	7.7	7.7	7.9	8.3	8.4	8.5	8.8	9.4	10.0	9.0	9.1	9.0	8.2	7.7	7.4	7.1	7.0	7.0	6.9	8.19
24.	7.0	7.0	6.8	6.9	6.9	6.8	6.5	6.5	6.5	6.5	6.5	6.4	6.4	6.6	6.6	6.5	6.4	6.5	6.5	6.4	6.2	6.2	6.1	6.0	6.53
25.	6.0	6.0	6.0	6.1	6.0	6.0	6.1	6.4	6.8	8.0	8.4	7.7	8.2	9.1	7.2	6.7	7.2	6.9	6.5	6.4	6.4	6.4	6.0	5.2	6.74
26.	4.3	4.2	3.9	3.5	3.5	3.4	3.4	3.5	3.6	4.1	4.1	4.5	4.7	4.7	4.4	4.2	3.9	3.7	3.6	3.5	3.4	3.6	3.9	3.9	3.90
27.	3.9	3.9	3.9	3.7	3.6	3.8	3.8	4.2	4.5	5.0	6.2	7.3	8.9	9.4	8.9	9.1	9.4	8.9	8.0	7.6	6.8	6.9	6.4	6.0	6 25
28.	6.2	6.1	6.2	5.0	5.0	5.6	6.6	6.8	8.9	10.2	*11.3*	*12.4*	*13.5*	14.6	13.8	13.8	14.6	12.5	11.7	11.0	10.3	10.0	9.9	9.7	9.82
29.	9.6	10.1	11.6	11.6	11.4	10 9	11.2	11.7	13.6	14.1	14.9	14.8	14.4	15.4	14.3	13.6	12.8	13.2	12.3	11 5	10.7	9 9	9 0	9.0	12.15
30.	8.7	8.0	7.9	7 8	8.3	8.6	7.5	8.5	9.6	10.1	10.6	11.2	11.6	13.6	12.2	12.5	12.1	11.7	10 3	10 2	9.8	9.8	9.7	9.8	10.co
31.	9.9	9.1	9.3	9.2	9.5	9.7	10.4	12.2	12.5	13.3	13.9	13.9	14.4	14.4	14.4	14.5	15.2	14.3	13 3	12.7	12.6	11.9	11.8	11.8	12.26
Mittel	8.34	8.22	8.25	8.08	8.04	8.39	8 82	9.33	10.26	10.92	11.74	12.16	12.56	13.16	12.73	12.64	12.30	11.47	10.71	10.01	9.55	9.39	9.14	8.87	10.21

Juni

1.	10.9	11.1	10.9	10.7	11.2	11.0	11.8	12.4	13.1	14.8	16.3	17.2	16.6	16.4	16.4	16.6	16.1	14.7	15.2	12.1	12.1	11.6	11.9	11.7	13.45
2.	10.6	10.8	11.1	10.6	10.9	10.8	13.6	13.8	15.3	15 8	12.8	11.1	9.5	8.7	7.1	5 8	4.7	5.0	5.2	6.0	6.3	6.6	7.3	6.9	9.43
3.	7.3	7.3	6.7	6.6	6.7	7.3	8.2	9.3	10.3	11.3	11.4	12.3	12.9	11.6	13.0	13.7	13.2	12.0	10.7	10.2	8.2	8.2	8.2	8.4	9.79
4.	7.0	6.9	6.9	7.3	7.4	7.8	8.9	10.5	12.1	12.4	12.0	12 6	13.2	14.6	14.7	14.9	14.7	14.1	13.9	12.6	12.0	12.0	11.6	11.7	11.33
5.	9.6	9.2	9.2	9.2	9.4	11.0	10.9	11.1	11.5	11.2	9.9	9.5	9.7	12.7	12.6	13.3	12 8	11.9	11.0	11.0	11.1	11.0	10.9	10.9	10 86
6.	10.6	10.7	10.8	10.9	11.6	12.2	14.3	13.9	14.5	14.8	15.4	16.1	17.1	17.9	18 2	18.5	18.3	17.4	16.1	14.8	14.6	14.7	14.3	14.3	14.67
7.	14.4	14.4	12.8	13.0	13.6	15.8	17.5	16.8	17.8	18.2	19.4	19.7	19.8	19.1	19.1	14.2	14.3	14.1	13.8	12 9	12.5	11.5	11.5	11.0	15.30
8.	10.7	10.5	11.1	10.9	11.0	11.2	11.4	11.9	13.3	13.5	12.6	12.5	12.9	13.1	13.8	13.9	14.1	13.6	12.6	12.0	11.9	11.5	10.7	10.7	12.14
9.	10 5	10.5	10.5	10.5	10.5	10.6	10.8	11.4	11.7	13.3	13.9	14.3	14.3	14.4	14.0	13.7	12.5	11.7	11.1	10.8	10.6	10.5	10.4	10.1	11.78
10.	9.8	9.8	9.7	9.8	9.8	9.8	10.0	10.3	10.8	11.0	11.7	12.5	12.2	15.2	14.1	14.4	13.9	14.9	14.6	13.4	12.8	12.9	12.1	12 0	11.98
11.	12.1	12.1	12.2	12.1	11.6	12.7	12.5	12.5	14.2	15.2	16.6	17.4	16.7	16.0	15.0	15.0	14.9	12.9	13.2	13.3	13.1	12.4	12.7	13.1	13.73
12.	12.5	12.0	11.7	12.4	15.2	15.5	16.0	14.9	14.3	15.8	17.5	18.2	19.3	19.7	18.9	18.7	18.7	18.3	16.7	13.7	14.0	14.8	14.2	14.8	15.74
13.	14.4	14.2	14.0	14.0	14.1	13.6	13.2	13.1	13.4	13.8	13.7	13.8	13.4	13.1	12.9	12.3	11.9	11.7	11.3	11.3	10.3	9.8	9.6	9.3	12.59
14.	9.2	9.2	8.8	8.4	7.3	6.6	7.0	9.2	9.5	9.7	8.8	8.1	9.8	10.1	11.3	11.0	10.8	10.4	9.9	8.9	8.0	7.8	7.8	7.7	8.97
15.	7.7	7.7	7.6	7.6	7.7	8.7	10.3	11.4	11.5	11.5	11.0	11.2	10.8	9.6	9.8	10.0	10.0	9 9	10.0	10.1	10.0	9.8	9.6	9.6	9.71
16.	9.6	9.6	9.3	9.3	9.4	9.6	10.5	11.4	13.0	14.0	15.2	17.2	17.4	17.5	17.9	16.5	15.4	13.7	14.0	13.4	11.2	6.1	6.3	6.9	12.27
17.	7.0	6.4	6.0	6.4	6.5	6.6	7.2	7.6	8.6	9.3	9.6	9.6	9.9	10.9	11.0	11.0	10.9	11.4	11.0	10.0	9.7	9 5	9·3	9.2	8.94
18.	8.9	9.0	9.1	9.0	9.5	9.9	10.6	11.2	11.7	12.0	12.1	13.1	13.7	14.0	14.6	14.7	15.7	16.2	16.4	14.9	14.3	14.3	13.7	13.7	12.60
19.	14.3	15.0	15.2	14.3	14.7	15.8	16.4	17.2	18.1	19.4	20.1	20.4	21.1	21.4	21.8	21.7	22.1	21.9	19.9	19.5	18.6	18.0	17.0	16.6	18.35
20.	17.1	19.2	19.2	19.6	17.3	16.8	15.9	16.8	18.2	18.4	18.5	18.7	19.5	19.7	16.4	17.6	15.0	14.7	13.6	14.0	14.1	13.3	12.8	12.4	16.62
21.	11.5	10.5	9.5	9.5	9.0	9.5	10.1	10.1	11.0	11.6	13.6	15.1	14.7	15.4	16,2	15.3	14.1	14.4	13.0	12.7	12.5	12.5	12.7	12.6	12.38
22.	12.5	11.9	11.7	11.3	11.8	13.6	14.4	14.7	15.2	15.7	16.5	17.2	17.9	18.3	18.8	19.0	19.3	18.8	17.1	15.6	14.8	14.8	14.6	15.7	15.47
23.	15.2	15.4	14.9	15.1	16.3	19.5	19.4	19.3	19.6	21.6	21.7	22.7	23.1	23.8	24.0	24.1	24.7	22.7	21.6	21.3	19.4	20.2	20.2	19.4	20.22
24.	15.7	15.3	15.4	15.7	15.5	15.6	16.1	17.1	17.5	17.6	16.9	16.6	14.3	13.1	12.2	11.9	11.2	11.0	10 6	9.9	10.3	10.2	9.8	9.7	13.72
25.	9.8	9.7	9.8	9.5	9.2	9.3	9.4	10.1	10.9	11.5	11.4	11.7	12.3	14.0	13.3	13.2	13.4	13.6	13.0	12.7	12.3	12.5	12.4	12.7	11.57
26.	12.5	12.3	12.3	12.2	12.2	12.1	14.0	14.2	14.4	14.0	14.1	13.8	13.2	12.9	12.8	11.5	10.3	10.4	9.9	10 3	9.4	9.9	8.8	10.0	11.98
27.	10.0	9.8	9.5	9.7	10.1	10.1	11.1	12.1	12.9	14.0	13.6	14.2	15.0	15.2	15.6	15.3	15.1	14.0	13.5	12 9	12.1	12.0	12.1	11.9	12.58
28.	11.1	11.0	11.0	10.8	10.9	11.5	13.8	14.2	14.8	16.6	17.8	19.2	20.1	20.7	21.0	21.0	21.1	20.5	19.3	18.1	17.4	17.3	17.2	17.1	16.40
29.	17.2	16.1	16.0	15.9	16.5	17.9	19.6	20.2	20.9	21.5	21.5	21.9	22.7	22.6	22.7	22.7	21.9	13.9	14.6	14.8	14.8	11.9	11.2	10.0	17.88
30.	10.1	9.9	8.1	8.3	8.5	8.6	9.1	10.6	11.1	12.8	13.6	13.9	14.7	16.1	15.8	15.4	15.2	14.8	13.8	13.4	12.7	12.7	12.6	12.6	12.27
Mittel	11.33	11.25	11.03	11.02	11.18	11.70	12.47	12.98	13.71	14.41	14.64	15.06	15.26	15.59	15.50	15.23	14.88	14.15	13.55	12.89	12.37	12.01	11.78	11.76	13.16

Thermometer-Registrierung. **Hohenpeissenberg.** 1912.

Juli

Datum	1a	2a	3a	4a	5a	6a	7a	8a	9a	10a	11a	12m	1p	2p	3p	4p	5p	6p	7p	8p	9p	10p	11p	12mn	Mittel
1.	12.5	11.7	9.7	11.1	10.2	11.0	11.1	10.4	10.9	11.1	11.9	12.0	13.3	13.1	13.2	13.0	12.0	10.4	10.3	10.3	10.3	10.0	10.0	9.9	11.23
2.	9.8	9.6	9.5	9.3	8.7	9.0	9.0	9.7	10.2	10.3	10.4	12.7	13.5	14.4	15.0	14.6	13.2	12.2	10.8	10.0	9.5	9.5	9.8	9.8	10.85
3.	9.6	9.2	8.6	8.6	9.0	9.7	11.1	11.3	11.7	12.2	12.4	13.3	13.8	12.4	11.0	10.2	9.3	9.2	8.9	9.2	7.6	7.2	7.4	7.1	10.00
4.	7.2	7.2	7.2	7.6	8.1	8.7	9.8	10.0	10.8	11.4	11.4	12.7	12.2	13.3	12.2	11.8	11.3	10.5	10.0	9.6	9.6	9.5	9.4	9.0	10.02
5.	8.9	8.8	8.3	8.2	8.6	9.5	10.6	9.7	11.0	12.3	13.1	14.0	14.9	15.4	15.8	15.7	15.6	14.9	14.0	12.9	12.1	11.6	11.0	11.8	12.03
6.	12.0	11.1	11.2	10.9	11.9	12.7	12.9	14.4	14.3	15.5	17.0	18.2	18.9	19.6	19.2	19.2	18.7	16.6	11.5	10.7	11.8	12.2	11.8	11.9	14.34
7.	12.7	14.5	14.5	13.0	11.1	11.6	11.7	11.9	12.0	11.5	11.4	10.7	9.8	9.8	9.9	10.0	9.7	9.4	9.0	8.9	9.0	9.0	9.0	9.2	10.80
8.	9.3	9.2	9.1	9.1	9.1	9.2	9.5	9.8	10.0	10.4	11.1	12.7	14.3	15.0	16.1	15.7	15.8	14.7	14.6	14.2	14.0	14.2	14.2	13.9	12.30
9.	13.2	12.6	13.2	13.9	13.8	14.0	14.9	15.2	15.9	16.1	17.0	16.7	17.2	18.7	18.3	18.8	14.8	11.7	12.7	12.5	12.4	12.3	12.4	12.6	14.62
10.	14.4	14.3	13.6	13.1	12.4	13.5	14.7	14.9	15.3	15.3	16.3	17.5	18.6	19.2	19.4	19.8	19.7	19.1	18.5	17.6	16.1	16.2	16.2	16.8	16.35
11.	16.2	16.8	16.3	16.1	16.3	16.0	16.6	17.6	18.8	18.9	19.4	20.1	20.6	20.8	21.1	21.2	20.8	20.4	19.6	18.4	17.7	17.6	17.1	17.1	18.40
12.	16.9	17.0	16.6	16.7	16.8	17.2	18.6	18.7	20.2	19.1	19.3	20.5	21.4	21.8	22.0	22.0	21.9	21.5	20.0	19.0	17.9	17.6	17.8	17.6	19.09
13.	16.8	17.4	17.5	17.2	16.3	17.4	18.8	19.2	19.1	19.2	19.3	20.2	21.3	21.7	22.1	22.0	21.8	21.0	19.3	18.3	17.9	17.2	17.0	15.9	18.91
14.	15.5	14.8	14.9	14.6	13.3	13.8	13.8	14.6	16.3	17.7	18.6	19.0	19.7	20.0	20.0	19.8	19.3	18.8	17.4	16.7	15.7	14.9	14.6	14.1	16.58
15.	12.7	11.8	11.7	11.2	10.7	11.3	12.2	12.4	14.9	16.0	17.0	17.8	18.5	19.0	19.1	18.8	18.5	17.9	16.9	16.0	15.2	14.9	14.6	14.7	15.16
16.	14.5	14.0	14.2	14.0	13.6	13.6	14.6	13.6	14.7	16.4	17.3	17.5	18.1	18.2	18.3	18.1	17.6	16.7	15.0	14.3	13.7	13.0	12.8	13.3	15.30
17.	13.3	13.4	13.5	12.8	12.6	13.1	14.4	15.2	15.9	15.7	17.4	18.6	18.7	19.5	19.6	19.5	19.2	18.1	17.0	15.5	14.9	14.9	14.5	14.4	15.90
18.	14.4	14.6	14.4	14.3	14.5	14.9	16.6	16.9	17.2	18.1	19.5	19.8	19.0	20.6	20.8	19.6	18.8	16.4	15.7	15.2	15.2	16.8	15.9	14.5	16.82
19.	13.6	13.7	14.3	15.5	16.1	14.9	14.9	15.4	16.8	16.7	16.5	15.8	15.2	12.9	12.2	11.6	11.3	11.5	10.9	10.8	9.8	9.3	9.2	9.2	13.25
20.	9.8	10.1	10.3	9.9	9.9	10.1	10.1	10.5	11.5	12.2	13.1	13.9	14.4	14.8	14.8	14.3	11.7	11.6	10.1	9.8	8.6	7.9	7.3	7.1	10.99
21.	6.8	6.5	5.9	5.6	5.0	5.0	5.0	4.9	4.9	5.3	5.7	5.8	5.9	6.4	6.4	6.5	6.4	6.6	6.6	6.7	6.7	6.7	6.8	6.8	6.04
22.	7.0	7.0	6.9	6.9	7.0	7.0	7.1	7.3	7.8	8.5	9.0	9.5	8.7	8.5	8.5	8.9	9.7	10.8	10.5	10.5	10.6	10.7	10.5	10.3	8.72
23.	10.6	10.5	10.5	10.8	11.0	11.5	12.1	13.3	14.6	14.8	16.0	16.6	17.2	16.8	17.2	17.3	17.4	16.5	15.4	15.1	14.0	13.7	13.6	13.6	14.17
24.	13.3	13.3	13.2	12.9	12.7	13.3	14.5	14.8	14.8	15.2	16.4	17.5	18.0	18.6	19.2	19.3	19.2	18.1	17.2	16.9	16.2	15.9	15.4	15.7	15.90
25.	15.7	15.3	15.2	15.1	15.5	15.9	15.6	16.5	17.4	18.3	19.5	20.3	20.8	19.1	16.3	11.9	13.1	13.8	14.3	13.4	11.9	12.9	11.6	12.1	15.48
26.	12.9	13.5	12.2	12.1	12.1	12.5	12.8	14.1	14.8	15.7	16.6	17.2	17.6	17.8	17.5	17.6	17.7	17.2	16.4	15.4	15.0	14.3	14.3	14.5	15.08
27.	14.6	14.5	14.9	15.0	15.6	16.2	16.4	17.1	16.6	18.4	18.9	19.9	20.8	21.1	21.1	21.2	20.8	19.9	18.9	18.1	17.6	17.2	16.8	16.6	17.84
28.	17.2	18.1	19.0	18.0	17.5	18.9	19.8	20.4	19.9	21.7	22.7	22.1	22.0	22.5	22.8	22.4	21.7	20.9	20.7	20.4	20.1	19.8	18.6	16.0	20.13
29.	15.4	13.2	12.5	12.3	11.5	11.3	11.1	11.4	11.8	12.4	13.0	13.7	16.2	14.8	14.1	13.5	12.8	12.8	12.7	12.6	12.4	11.9	11.8	11.8	12.79
30.	11.8	12.0	11.9	11.6	10.8	10.9	11.9	12.1	12.7	14.7	16.0	17.1	17.3	17.6	17.2	16.4	16.5	15.2	13.8	13.3	13.3	12.8	12.7	12.0	13.82
31.	10.7	11.3	11.1	11.1	11.3	11.5	12.5	12.9	14.0	15.1	15.9	16.9	17.7	17.2	17.8	17.6	17.2	17.0	16.4	16.6	15.0	15.6	14.2	14.3	14.62
Mittel	12.56	12.48	12.32	12.21	12.03	12.43	13.05	13.43	14.09	14.72	15.45	16.14	16.63	16.79	16.72	16.40	15.92	15.21	14.36	13.84	13.28	13.14	12.85	12.70	14.11

August

Datum	1a	2a	3a	4a	5a	6a	7a	8a	9a	10a	11a	12m	1p	2p	3p	4p	5p	6p	7p	8p	9p	10p	11p	12mn	Mittel
1.	14.3	14.2	14.8	14.0	14.3	15.6	16.8	17.6	18.3	18.7	19.7	20.4	21.1	21.3	21.1	20.9	20.6	19.5	16.9	15.8	14.8	14.4	13.5	12.9	17.15
2.	13.0	13.2	12 6	11.4	11.6	11.3	11.6	12.0	12.6	13.1	13.4	13.5	13.6	14.1	14.2	13.0	12.7	12.3	11.4	10.4	10.5	10.5	10.6	10.1	12.20
3.	10.4	10.7	10.7	10.8	10.7	10.6	11.1	11.7	12.8	13.8	13.6	14.1	14.8	14.9	15.0	15.3	14.9	14.7	13.6	13.0	12.4	11.6	12.5	12.3	12.75
4.	12.4	12.3	14.5	14.3	14.5	16.7	17.3	17.6	18.3	18.7	19.1	20.1	20.5	20.8	21.3	20.8	19.9	19.2	18.2	17.8	17.4	14.8	14.1	13.6	17.26
5.	13.7	13.5	12.9	12.7	12.4	12.0	11.3	11.2	11.2	10.2	10.4	10.3	10.4	10.9	9.3	9.8	10.3	10.2	9.6	9.5	9.5	9.1	9.1	9.3	10.78
6.	9.7	9.5	9.2	9.2	8.9	9.0	10.6	10.1	10.2	10.8	14.5	15.2	15.5	16.0	16.4	16.4	16.3	15.1	14.0	11.5	9.3	9.7	9.6	10.2	11.95
7.	10.6	11.2	11.6	11.9	12.4	8.9	8.9	8.3	8.4	8.8	8.9	8.9	8.7	8.9	8.9	8.8	8.1	7.7	6.7	5.9	5.9	5.9	6.1	6.4	8.61
8.	6.8	6.7	6.6	6.6	6.6	7.2	7.3	7.6	9.0	9.1	9.2	8.9	10.3	10.0	10.2	10.4	9.0	9.0	8.9	8.1	7.9	7.7	7.0	7.2	8.23
9.	7.2	7.3	8.1	8.3	7.6	8.2	9.6	10.7	11.2	11.5	11.9	11.8	11.7	10.9	10.8	10.7	10.1	9.7	9.1	8.6	8.1	8.5	8.9	9.5	9.58
10.	9.6	9.3	9.7	9.5	9.7	10.8	11.9	12.7	10.9	11.2	11.4	11.7	14.0	14.3	14.7	16.0	13.9	13.9	13.3	10.0	10.1	11.2	11.0	10.7	11.73
11.	10.1	8.2	7.4	7.1	6.7	6.6	7.0	6.4	6.7	6.4	8.3	7.5	8.9	9.9	9.0	9.8	9.6	8.7	8.2	7.5	7.2	7.2	6.5	6.3	7.80
12.	5.4	5.8	6.0	6.0	6.3	6.4	6.6	6.9	7.6	9.3	9.8	10.7	11.4	11.0	11.0	11.1	10.3	9.9	8.3	7.7	7.3	7.8	7.7	7.3	8.23
13.	7.8	8.6	10.9	11.0	10.2	12.3	12.6	13.7	12.4	12.2	12.9	13.2	10.7	9.5	7.8	7.8	7.9	8.4	8.9	9.1	10.1	9.8	9.9	9.0	10.28
14.	9.0	8.9	8.1	7.8	7.7	7.4	7.3	7.2	6.3	6.6	7.2	7.1	7.6	9.0	9.8	10.2	10.6	10.5	9.3	8.5	7.8	7.8	7.8	7.2	8.20
15.	7.2	7.0	6.9	7.1	7.5	7.7	10.1	9.9	10.5	11.0	11.8	12.5	12.8	13.3	12.2	11.8	11.6	10.7	10.0	8.7	8.2	8.2	8.3	8.2	9.72
16.	8.1	8.6	8.7	8.9	8.7	8.5	8.3	9.4	9.8	10.1	10.2	10.6	12.4	13.4	12.9	13.2	13.0	11.9	11.0	10.6	10.0	9.4	8.9	8.7	10.22
17.	8.8	8.5	8.3	8.2	8.0	8.4	8.7	9.1	10.1	11.0	11.8	12.4	13.3	13.3	13.9	13.1	12.7	11.7	11.0	10.8	10.3	10.2	10.2	10.6	10.60
18.	10.5	10.9	12.0	11.7	11.7	12.5	14.0	15.3	16.6	17.2	18.0	18.3	19.0	19.4	19.6	19.5	18.7	18.2	16.2	15.3	14.2	14.6	14.1	14.2	15.49
19.	15.6	15.2	13.8	12.7	13.1	13.9	14.8	15.8	17.0	16.9	17.5	17.9	18.1	19.0	19.4	19.5	19.3	18.7	18.2	18.3	17.5	17.9	16.2	14.2	16.69
20.	13.5	13.8	13.8	13.9	13.7	13.6	13.9	14.0	14.6	14.7	15.0	14.2	15.1	14.1	14.8	13.8	13.3	12.7	11.7	11.8	11.8	10.6	10.2	10.6	13.30
21.	10.6	10.2	10.1	9.9	9.9	9.2	9.3	9.6	10.3	10.7	11.3	12.2	12.6	12.3	12.7	11.8	11.2	10.9	10.0	9.6	8.8	8.6	8.3	8.2	10.35
22.	8.0	7.9	7.8	7.8	7.9	7.7	8.3	8.5	9.0	9.5	9.5	18.0	8.1	10.5	11.7	11.5	9.0	8.9	8.6	7.2	5.8	5.9	6.2	6.0	8.39
23.	5.9	5.8	5.5	4.9	4.9	5.2	5.0	4.7	6.1	4.9	5.6	6.3	6.4	6.9	7.3	7.9	7.7	7.5	7.3	7.4	7.2	7.5	8.6	9.5	6.50
24.	9.9	10.0	10.4	10.2	10.2	10.5	11.2	12.6	14.0	14.8	15.8	16.6	16.2	17.1	16.3	16.5	15.8	15.1	14.3	13.8	13.8	14.1	13.6	13.8	13.61
25.	14.3	14.0	14.7	13.9	12.5	12.6	12.9	13.8	15.2	15.9	15.8	16.6	17.8	18.4	18.6	18.3	17.7	16.7	16.2	15.3	13.9	13.7	13.6	14.9	15.30
26.	14.4	14.1	14.6	14.8	15.6	15.9	15.8	16.8	17.7	17.9	19.1	18.7	16.1	15.2	11.3	11.0	11.3	11.1	10.7	10.9	10.5	10.4	10.2	9.7	13.91
27.	9.0	5.8	5.0	6.5	6.8	7.5	8.1	8.4	9.5	9.6	9.3	9.6	9.4	8.7	8.5	8.4	9.3	9.4	9.3	9.1	9.3	9.4	9.0	8.3	8.47
28.	7.7	7.3	7.2	7.2	7.0	7.0	6.6	7.1	7.4	8.7	9.7	9.9	10.4	9.4	8.4	8.4	9.0	7.9	7.3	7.3	8.1	8.0	7.9	7.9	8.03
29.	7.4	7.2	7.1	7.0	7.2	7.2	10.8	9.5	11.3	12.5	14.1	15.3	15.8	17.2	17.8	18.1	17.7	17.7	15.8	15.0	16.7	17.7	15.7	16.8	13.28
30.	17.4	15.9	15.5	15.5	15.3	15.7	18.1	18.2	18.9	20.2	20.1	21.2	22.1	21.4	21.6	20.9	16.9	14.2	11.4	11.0	10.1	9.8	10.0	9.5	16.29
31.	8.7	8.1	8.5	8.6	8.3	8.4	9.1	8.8	10.1	10.9	12.3	12.6	10.8	11.5	11.8	12.0	8.7	8.6	8.2	7.9	7.4	7.3	7.3	7.4	9.30
Mittel	10.23	9.99	10.07	9.98	9.93	10.15	10.80	11.15	11.74	12.16	12.81	13.17	13.41	13.63	13.49	13.44	12.81	12.28	11.41	10.76	10.38	10.30	10.08	10.01	11.42

Thermometer-Registrierung. **Hohenpeissenberg.** 1912.

September

Datum	1ª	2ª	3ª	4ª	5ª	6ª	7ª	8ª	9ª	10ª	11ª	12m	1P	2P	3P	4P	5P	6P	7P	8P	9P	10P	11P	12mn	Mittel
1.	7.2	7.2	7.0	6.9	6.8	6.7	7.0	7.5	7.8	8.5	9.2	9.3	10.8	11.2	10.7	9.0	9.7	9.3	8.2	8.1	8.3	7.7	7.1	6.8	8.25
2.	7.0	6.6	6.8	5.8	6.0	6.0	6.1	6.2	6.8	8.6	10.0	10.4	11.8	11.7	11.7	11.5	10.4	7.9	7.8	7.5	7.2	7.1	6.8	7.1	8.12
3.	6.8	6.5	6.3	5.8	5.2	4.2	3.9	3.9	3.9	3.5	3.1	3.2	3.2	3.1	3.9	4.1	4.2	4.6	4.9	4.8	4.9	4.9	5.0	5.0	4.54
4.	4.9	5.0	5.0	4.9	4.9	5.0	5.5	6.2	8.0	9.0	10.1	10.6	11.4	11.9	10.1	9.5	9.1	9.0	9.4	9.5	9.4	10.4	9.5	9.6	8.25
5.	9.9	9.5	9.2	8.7	8.4	8.1	8.6	9.1	9.3	9.3	8.6	7.9	7.5	8.0	8.8	9.7	9.5	9.1	8.6	8.2	7.9	7.9	7.8	7.3	8.62
6.	7.1	7.0	6.9	6.7	6.3	6.0	6.2	6.4	6.3	6.2	7.6	7.6	5.7	6.6	7.7	7.7	5.8	4.8	4.5	4.4	4.1	3.7	3.8	3.4	5.94
7.	3.5	3.5	3.3	3.2	3.0	2.6	2.7	3.2	3.2	3.2	3.2	3.2	3.3	3.3	3.1	3.2	3.9	3.8	2.9	3.1	3.6	3.9	3.8	3.9	3.32
8.	4.1	4.0	3.9	3.9	4.0	4.0	4.2	4.5	3.7	4.4	5.0	6.2	6.6	5.8	4.9	5.0	5.5	5.8	6.2	6.7	6.7	6.9	6.9	7.0	5.25
9.	7.1	7.1	7.0	7.0	7.1	7.2	7.2	7.4	7.8	8.7	8.8	8.6	8.1	6.4	5.1	5.4	5.7	5.3	4.8	4.8	4.7	4.8	4.1	4.0	6.43
10.	3.7	3.7	3.7	3.4	3.4	3.0	3.0	3.5	4.4	5.3	5.0	5.3	6.3	6.6	6.7	6.4	5.7	4.6	4.0	3.6	3.8	4.0	4.2	4.1	4.48
11.	3.8	3.2	3.0	2.9	2.7	2.6	2.7	2.4	2.9	3.7	4.4	5.6	6.3	7.3	7.5	7.8	7.1	6.1	5.8	5.5	5.2	5.2	5.4	5.3	4.77
12.	5.2	4.9	4.8	4.2	4.0	3.6	3.8	3.9	4.5	5.4	6.5	7.1	7.4	7.4	7.3	6.5	6.4	5.9	5.3	5.1	4.3	4.5	4.7	4.1	5.28
13.	3.9	3.8	3.8	3.4	3.5	3.5	3.7	4.2	4.4	4.9	5.2	5.6	7.1	7.3	7.5	7.6	5.7	5.4	5.2	4.9	4.4	4.4	4.1	3.9	4.98
14.	4.1	3.5	3.5	3.8	3.9	3.8	3.9	4.1	4.3	4.8	5.9	7.0	6.9	6.4	6.4	5.9	6.0	5.6	5.4	5.7	5.4	5.4	5.5	5.8	5.13
15.	6.0	6.0	5.7	5.4	5.0	5.0	5.4	5.4	5.2	5.3	5.4	5.5	5.5	5.6	6.1	6.1	6.1	6.1	5.3	5.2	5.1	5.0	5.0	5.1	5.48
16.	5.1	4.7	4.7	4.5	4.4	4.2	4.1	4.4	4.5	5.3	5.9	5.2	6.7	6.8	6.6	6.6	6.0	5.6	4.9	4.8	4.2	4.4	4.1	4.0	5.07
17.	4.1	4.1	4.0	3.8	4.1	3.9	4.1	5.3	6.1	7.4	8.4	9.6	10.6	11.4	11.8	11.8	11.1	10.3	9.5	9.2	8.9	7.5	6.9	6.6	7.52
18.	6.5	6.6	6.2	6.3	6.3	6.6	6.9	7.1	8.0	8.2	9.2	10.3	11.1	11.1	10.7	9.4	8.3	7.9	7.4	7.0	6.6	6.5	6.3	5.8	7.76
19.	5.6	5.6	5.6	5.9	5.7	5.3	5.2	5.0	5.7	6.2	6.7	6.5	6.7	6.9	6.8	6.4	6.2	5.5	5.2	5.1	4.7	4.4	3.9	3.8	5.61
20.	3.3	3.2	3.0	3.0	3.0	3.2	3.3	3.3	3.2	3.4	3.9	4.4	5.2	4.8	4.8	4.3	4 1	4.1	3.9	3.7	3.5	3.3	3.0	2.5	3.64
21.	2.2	2.1	1.6	1.3	1.1	1.1	1.0	1.4	1.8	2.7	3.9	5.2	6.2	6.4	6.0	5.2	4.6	3.2	3.1	2.0	1.5	1.1	0.7	0.6	2.75
22.	0.1	− 0.5	− 0.9	− 1.1	− 1.0	− 1.2	− 0.5	1.3	2.7	3.6	4.5	4.7	5.1	5.6	5.4	4.9	3.9	2.9	2.2	1.8	1.8	1.8	1.8	1.7	2.11
23.	1.4	1.3	1.3	1.4	1.4	1.4	1.6	2.2	2.7	3.4	5.4	6.1	6.5	6.8	6.6	6.2	5.7	4.8	4.6	4.4	3.9	3.8	3.8	3.7	3.77
24.	3.7	3.5	3.2	3.4	3.3	2.9	3.2	2.5	3.0	3.5	4.2	5.4	6.6	7.0	*6.5*	*6.1*	*5.6*	*5.1*	*4.6*	*4.2*	3.7	*3.5*	*3.4*	*3.2*	4.22
25.	*3.1*	*3.0*	*2.8*	*2.7*	*2.5*	*2.4*	2.3	1.9	1.6	1.0	0.1	0.4	0.7	0.4	1.0	0.6	0.9	0.6	0.2	0.0	0.4	0.3	*0.3*	*0.3*	1.23
26.	*0.3*	*0.2*	*0.2*	*0.2*	*0.4*	*0.4*	0.4	1.1	1.9	2.8	2.6	2.5	2.5	2.3	2.1	2.0	1.5	1.0	0.9	0.7	0.6	0.7	0.6	0.9	1.20
27.	1.0	1.1	0.8	0.8	0.8	0.7	0.9	1.1	1.8	2.4	2.9	3.5	3.2	3.9	3.9	3.9	3.7	3.6	3.4	3.2	2.7	2.6	2.2	1.8	2.33
28.	1.9	2.2	1.9	1.6	1.8	2.0	1.6	1.8	2.8	3.5	3.7	5.2	7.5	8.8	8.8	8.6	7.9	6.8	6.3	5.7	5.8	5.8	7.7	7.2	4.87
29.	7.2	7.0	5.9	7.1	7.2	7.7	7.4	8.0	9.4	10.1	9.8	9.7	10.0	10.5	10.5	9.7	9.2	8.5	8.2	7.4	7.1	7.2	7.1	9.2	8.38
30.	9.2	9.6	8.9	7.7	8.1	9.4	9.2	9.8	9.4	10.4	11.5	12.2	13.3	14.1	14.0	13.8	12.6	11.2	10.9	10.0	10.3	11.3	12.3	12.2	10.89
Mittel	4.63	4.51	4.30	4.15	4.11	4.04	4.15	4.47	4.90	5.49	6.02	6.47	6.99	7.18	7.10	6.83	6.40	5.81	5.45	5.21	5.02	5.00	4.93	4.86	5.33

Oktober

1.	10.7	10.9	11.1	11.4	11.9	10.6	10.8	11.5	12.9	14.3	15.5	17.0	15.7	16.3	16.0	14.9	14.2	13.7	13.8	14.2	14.0	13.9	13.5	13.2	13.42
2.	12.5	11.6	11.2	11.3	11.5	10.7	10.4	10.6	10.9	11.3	11.2	9.0	9.1	9.5	9.3	9.0	8.8	8.1	8.3	8.8	8.5	7.9	7.8	7.8	9.80
3.	8.2	7.9	7.5	6.1	5.8	5.9	5.8	5.7	5.5	5.5	5.6	5.6	5.6	4.7	3.6	2.6	1.5	1.2	0.9	0.6	0.2	− 0.2	− 0.3	− 0.5	3.96
4.	− 0.5	− 0.4	− 1.0	− 1.1	− 0.9	− 0.7	− 0.6	− 0.6	− 0.4	− 0.3	− 0.4	− 1.0	− 1.3	− 1.0	− 1.4	− 1.3	− 1.4	− 1.5	− 1.6	− 1.6	− 2.4	− 2.9	− 3.3	− 3.5	− 1.29
5.	− 3.9	− 4.3	− 4.7	− 5.1	− 5.2	− 5.3	− 5.3	− 5.1	− 4.3	− 3.5	− 2.7	− 2.4	− 1.7	− 0.4	− 1.5	− 1.4	− 1.8	− 2.5	− 3.2	− 3.3	− 3.4	− 3.5	− 3.8	− 4.2	− 3.44
6.	− 4.4	− 4.3	− 4.4	− 4.5	− 4.6	− 4.6	− 4.4	− 4.1	− 3.1	− 2.6	− 2.5	− 2.0	− 2.2	− 0.6	− 1.9	− 1.7	− 1.4	− 1.3	− 1.2	− 1.1	− 1.2	− 1.2	− 1.1	− 1.4	− 2.58
7.	− 1.6	− 2.0	− 2.1	− 1.6	− 1.5	− 1.4	− 1.4	− 1.1	− 0.6	− 0.5	− 0.5	0.4	1.7	2.1	1.6	1.5	1.4	1.4	1.3	1.2	1.1	1.1	1.2	1.3	0.13
8.	1.5	1.6	1.8	1.9	2.0	2.0	1.9	2.3	2.6	2.9	3.0	3.5	3.6	3.8	3.8	3.6	3.4	3.4	3.4	3.4	3.4	3.4	3.3	3.3	2.87
9.	3.2	2.8	2.6	2.4	2.4	2.5	2.4	2.4	2.6	3.0	3.4	3.6	3.7	3.7	4.0	3.9	3.7	3.5	3.4	3.1	2.7	2.3	2.2	2.1	2.98
10.	2.1	2.1	2.1	2.1	1.9	1.6	1.5	1.4	1.4	1.5	1.6	1.5	1.8	2.4	2.9	3.2	3.1	3.2	3.1	2.9	2.1	2.0	1.5	1.2	2.07
11.	1.3	1.4	1.5	0.6	0.1	0.4	0.0	0.5	1.1	1.6	2.8	2.6	3.0	3.1	2.8	2.6	2.5	2.3	2.2	2.2	2.7	2.5	2.3	2.3	1.85
12.	2.9	2.4	3.8	3.8	5.2	5.9	7.0	7.8	7.8	8.4	9.4	10.4	9.8	9.9	9.7	9.0	8.5	7.8	7.0	6.8	6.8	7.1	7.0	6.6	7.12
13.	6.6	6.3	5.9	5.8	6.0	6.7	6.6	6.8	8.0	8.6	9.1	9.9	10.6	10.9	10.3	9.4	8.8	7.8	7.3	7.1	7.2	6.9	6.8	5.7	7.71
14.	5.3	5.5	6.8	5.9	6.3	6.4	7.0	7.5	8.0	7.7	7.8	9.1	9.5	9.8	9.9	9.9	9.4	8.7	7.7	7.4	8.7	7.7	7.6	7.8	7.81
15.	7.7	7.3	7.0	6.9	6.9	6.3	6.8	7.0	7.5	9.5	10.3	10.6	10.4	10.3	10.2	9.7	7.8	7.1	7.2	7.1	7.1	6.3	6.2	6.3	7.90
16.	6.5	6.3	6.3	6.4	7.0	6.6	6.4	6.9	7.3	7.3	7.3	7.4	7.7	10.1	9.1	8.5	8.3	8.0	7.3	7.1	7.0	6.9	7.1	7.4	7.34
17.	7.9	8.1	7.4	8.1	8.8	8.3	8.3	9.7	8.5	9.2	10.9	12.1	12.2	12.5	11.8	11.2	10.7	9.1	7.0	7.0	6.7	6.3	6.1	4.1	8.83
18.	4.0	3.7	3.3	3.0	2.9	2.6	2.4	2.2	2.1	2.7	3.6	3.8	3.8	4.0	3.9	3.5	3.5	3.1	2.9	2.5	2.6	2.4	2.0	1.9	3.02
19.	1.7	1.7	1.6	1.7	1.8	1.9	1.6	2.0	2.5	3.8	5.1	4.4	4.6	4.4	3.4	2.0	2.4	3.0	3.5	3.5	3.5	3.6	3.7	3.9	2.97
20.	4.1	4.2	4.1	4.2	4.2	4.2	3.5	3.5	3.3	4.0	4.6	5.1	4.9	4.5	3.7	3.2	3.1	3.1	3.1	3.1	3.1	2.9	2.3	2.2	3.68
21.	2.7	2.6	2.2	2.6	2.3	2.3	2.3	1.4	2.2	3.5	4.5	5.5	7.1	7.2	6.6	5.8	4.8	4.7	5.1	4.5	4.7	4.3	4.7	5.2	4.12
22.	5.8	5.7	2.9	2.5	2.6	2.7	2.6	2.5	2.4	2.5	2.3	1.9	1.5	0.9	0.1	− 0.6	− 0.6	− 0.7	− 0.5	− 0.4	− 0.1	0.1	− 0.2	− 0.3	1.48
23.	− 0.3	− 0.3	− 0.3	− 0.2	− 0.1	0.3	− 0.7	0.5	0.6	0.7	0.7	0.9	1.8	2.6	2.5	2.4	2.1	1.8	1.6	1.8	1.4	1.3	1.4	1.4	1.00
24.	1.6	2.0	1.3	0.6	1.5	2.0	2.4	2.2	2.6	3.4	4.3	4.4	4.8	5.3	5.3	5.0	4.8	4.3	3.7	3.4	3.3	2.9	2.8	2.9	3.20
25.	3.7	4.6	3.9	3.8	4.0	5.2	4.7	3.5	2.9	2.1	2.7	3.2	3.5	4.1	3.6	3.8	3.2	2.2	2.3	1.9	1.9	0.9	1.1	1.3	3.09
26.	0.8	1.1	0.5	0.5	1.1	1.0	1.0	1.4	2.4	2.5	2.7	3.1	3.6	3.5	3.3	2.7	2.6	2.6	2.4	2.1	2.1	2.3	2.5	3.1	2.12
27.	3.3	3.2	3.4	3.8	5.0	5.5	6.1	6.4	7.1	7.4	7.7	8.5	9.7	10.6	10.4	9.9	8.9	8.6	8.2	9.0	8.5	8.4	8.4	8.9	7.37
28.	9.5	9.3	9.0	9.4	10.0	11.2	10.5	10.4	10.9	12.0	13.3	12.7	13.2	13.8	13.1	12.8	12.4	11.1	11.2	11.7	12.4	10.6	10.4	10.6	11.31
29.	9.9	10.6	12.6	13.6	11.3	11.7	11.0	11.9	13.4	14.9	15.3	15.7	15.5	15.8	15.3	14.8	13.7	13 6	12.5	11.9	11.3	12.0	11.4	11.5	12.97
30.	11.7	11.8	12.2	12.6	13.4	13.4	14.0	14.0	13.8	14.0	14.0	14.4	14.7	13.7	13.7	13.2	12.2	11.3	7.0	6.4	6.5	6.5	6.3	5.4	11.51
31.	4.9	4.2	4.2	4.3	3.4	3.6	3.7	3.5	3.5	3.4	4.1	5.3	6.5	7.1	7.2	6.7	5.9	6.3	6.4	5.1	3.5	3.0	3.2	3.0	4.67
Mittel	4.17	4.12	3.99	3.96	4.10	4.18	4.14	4.35	4.69	5.19	5.70	6.01	6.27	6.60	6.20	5.80	5.37	5.00	4.62	4.50	4.38	4.12	4.00	3.89	4.81

Thermometer-Registrierung. **Hohenpeissenberg.** 1912.

November

Datum	1ª	2ª	3ª	4ª	5ª	6ª	7ª	8ª	9ª	10ª	11ª	12m	1P	2P	3P	4P	5P	6P	7P	8P	9P	10P	11P	12mn	Mittel
1.	2.8	1.8	1.2	1.6	2.0	1.4	1.4	1.5	1.4	1.0	0.2	0.3	0.4	− 0.1	0.0	− 0.4	− 0.7	− 0.7	− 0.8	− 1.3	− 1.3	− 1.4	− 1.8	− 2.0	0.27
2.	− 2.1	− 2.3	− 2.7	− 2.4	− 2.0	− 2.1	− 2.1	− 1.9	− 1.6	− 0.9	− 1.7	− 1.4	− 1.3	− 0.8	− 0.7	− 1.1	− 1.5	− 1.7	− 2.2	− 2.6	− 2.6	− 2.6	− 2.7	− 3.2	−1.93
3.	− 3.3	− 3.6	− 3.0	− 3.8	− 3.8	− 3.9	− 3.7	− 3.6	− 3.4	− 3.2	− 3.4	− 2.9	− 2.5	− 1.9	− 1.9	− 2.1	− 2.7	− 2.8	− 2.4	− 2.1	− 2.2	− 2.3	− 2.6	− 2.6	−2.93
4.	− 2.8	− 2.8	− 3.0	− 2.9	− 3.0	− 3.0	− 3.0	− 3.1	− 3.1	− 2.7	− 2.5	− 2.2	− 0.7	− 0.5	− 0.1	− 1.1	− 1.5	− 1.8	− 2.7	− 2.9	− 3.0	− 3.1	− 3.3	− 2.9	−2.40
5.	− 2.7	− 3.0	− 3.0	− 3.0	− 3.1	− 3.3	− 3.1	− 2.9	− 0.1	0.0	0.9	2.2	3.3	4.2	4.5	4.6	4.4	4.1	3.8	3.6	3.3	2.8	1.5	1.4	0.85
6.	0.2	− 0.1	− 0.3	0.2	0.3	− 0.4	− 0.8	− 1.5	− 1.4	− 1.4	− 1.6	− 1.7	− 1.9	− 2.0	− 2.0	− 2.5	− 3.2	− 4.3	− 4.8	− 4.9	− 5.3	− 5.8	− 6.2	− 6.4	−2.41
7.	− 6.5	− 6.5	− 6.6	− 6.6	− 6.9	− 6.5	− 7.0	− 6.8	− 6.7	− 6.0	− 6.2	− 5.8	− 4.9	− 4.6	− 4.7	− 5.2	− 5.5	− 5.9	− 6.2	− 6.7	− 6.8	− 5.7	− 5.7	− 5.7	−6.07
8.	− 5.8	− 5.7	− 4.7	− 4.8	− 5.0	− 4.7	− 4.3	− 3.4	− 2.1	− 0.7	0.1	0.2	0.0	0.0	− 0.2	− 1.0	− 1.1	− 1.0	− 1.0	− 0.6	0.4	0.7	0.6	0.9	−1.80
9.	1.2	1.1	1.2	1.3	1.2	1.2	1.3	1.5	2.0	2.2	2.7	2.7	2.8	3.1	3.2	3.3	3.5	3.7	3.7	3.7	3.7	3.0	3.7	3.8	2.53
10.	3.8	4.0	4.8	6.5	6.0	6.4	6.0	7.2	8.0	7.9	8.3	9.0	9.9	10.9	10.7	9.6	8.4	7.2	6.6	4.5	3.8	3.3	3.8	4.3	6.70
11.	4.6	4.1	4.6	5.0	4.8	4.7	5.1	5.1	5.9	6.1	4.6	4.4	3.6	− 0.8	− 0.8	− 0.8	− 0.7	− 0.7	− 1.6	− 1.5	− 1.5	− 1.8	− 1.8	− 1.6	2.04
12.	− 1.6	− 2.2	− 2.3	− 2.6	− 2.7	− 2.7	− 2.5	− 2.4	− 2.2	− 1.8	− 1.7	− 1.7	− 1.5	− 1.5	− 1.6	− 1.9	− 1.8	− 1.8	− 1.7	− 1.9	− 2.0	− 2.2	− 2.3	− 2.7	−2.05
13.	− 3.4	− 3.7	− 3.2	− 3.1	− 3.1	− 3.6	− 3.8	− 3.7	− 3.3	− 2.9	− 2.2	− 1.6	− 0.8	− 1.0	− 1.3	− 1.5	− 1.7	− 2.2	− 2.4	− 2.6	− 2.7	− 2.9	− 3.0	− 3.2	−2.62
14.	− 3.1	− 3.0	− 3.2	− 3.8	− 3.7	− 4.0	− 4.5	− 3.3	− 2.3	− 1.3	− 0.3	0.0	− 0.2	− 0.2	− 0.4	− 1.0	− 1.6	− 1.7	− 1.7	− 1.9	− 1.8	− 1.7	− 1.9	− 2.0	−2.03
15.	− 1.8	− 2.2	− 2.7	− 2.5	− 2.6	− 2.8	− 2.7	− 2.8	− 2.9	− 2.9	− 2.9	− 3.1	− 3.2	− 2.8	− 2.6	− 2.8	− 2.9	− 3.2	− 3.4	− 3.6	− 3.6	− 3.6	− 3.7	− 2.9	−2.93
16.	− 3.0	− 3.7	− 4.1	− 4.0	− 3.8	− 4.0	− 4.0	− 4.1	− 3.9	− 3.8	− 2.9	− 2.7	− 2.5	− 2.0	− 2.1	− 2.2	− 2.2	− 2.6	− 2.9	− 3.0	− 2.9	− 2.9	− 2.7	− 2.6	−3.07
17.	− 2.4	− 2.6	− 2.8	− 2.8	− 2.7	− 2.7	− 2.8	− 2.5	− 2.4	− 2.2	− 2.0	− 2.0	− 1.7	− 1.6	− 1.6	− 1.7	− 1.7	− 1.8	− 2.0	− 2.3	− 2.5	− 2.6	− 2.5	− 2.6	−2.27
18.	− 2.6	− 2.6	− 2.7	− 2.6	− 2.8	− 2.9	− 3.0	− 3.1	− 3.0	− 3.0	− 2.9	− 2.3	− 1.7	− 1.7	− 1.8	− 2.3	− 2.4	− 2.6	− 2.6	− 2.5	− 2.4	− 2.4	− 2.6	− 3.2	−2.57
19.	− 3.1	− 3.2	− 3.3	− 3.4	− 3.3	− 3.0	− 3.0	− 3.1	− 3.0	− 2.4	− 2.1	− 1.4	− 1.2	− 0.8	− 0.8	− 1.0	− 1.1	− 1.2	− 1.2	− 1.2	− 1.1	− 1.0	− 1.2	− 1.3	−1.98
20.	− 1.3	− 1.4	− 1.4	− 0.8	− 1.0	− 1.8	− 2.0	− 1.8	− 1.7	− 1.3	− 1.2	− 1.1	− 0.7	− 0.4	− 0.3	− 0.5	− 0.3	− 0.5	− 0.6	− 0.9	− 0.7	− 0.8	− 0.9	− 1.0	−1.02
21.	− 0.9	− 0.7	− 0.6	− 0.7	− 0.8	− 0.8	− 0.8	− 0.8	− 0.7	− 0.6	− 0.7	− 0.7	− 0.7	− 1.1	− 1.1	− 1.1	− 1.1	− 1.2	− 1.3	− 1.3	− 1.2	− 1.2	− 1.4	− 1.2	−0.94
22.	− 1.3	− 1.3	− 1.4	− 1.5	− 1.5	− 1.7	− 1.7	− 1.8	− 1.7	− 1.8	− 1.9	− 1.7	− 1.7	− 1.6	− 1.9	− 2.6	− 2.7	− 2.5	− 2.3	− 2.4	− 2.6	− 2.7	− 3.0	− 3.1	−2.02
23.	− 3.9	− 4.1	− 4.5	− 4.9	− 5.1	− 5.3	− 5.4	− 5.9	− 6.2	− 6.0	− 5.7	− 5.1	− 4.6	− 4.1	− 4.4	− 4.5	− 4.4	− 4.6	− 5.1	− 5.3	− 5.7	− 6.1	− 6.2	− 6.4	−5.15
24.	− 6.6	− 7.2	− 7.4	− 7.8	− 8.0	− 8.4	− 8.5	− 8.2	− 7.6	− 7.1	− 6.3	− 5.9	− 5.6	− 5.4	− 5.3	− 5.2	− 4.8	− 4.5	− 4.3	− 3.6	− 3.3	− 3.0	− 2.8	− 2.5	−5.80
25.	− 1.7	− 2.1	− 2.3	− 2.2	− 1.9	− 1.8	− 1.3	− 0.9	− 0.4	− 0.5	− 0.4	0.3	0.7	0.8	0.7	0.4	0.2	− 0.1	− 0.8	− 1.1	− 1.2	− 0.4	− 1.0	− 1.5	−0.77
26.	− 1.5	− 1.7	− 1.5	− 1.2	0.3	− 0.2	− 0.8	− 0.3	0.4	2.2	1.7	1.4	1.6	2.4	3.6	2.9	2.8	3.1	4.4	4.3	6.1	7.1	7.2	6.2	2.10
27.	6.1	5.5	5.7	6.5	7.5	7.0	6.9	7.7	7.7	7.8	8.3	9.1	5.1	4.7	4.5	4.0	3.8	3.1	2.9	2.6	0.8	0.0	0.4	0.4	4.92
28.	0.2	0.3	− 1.0	− 1.3	− 1.0	− 1.7	− 1.6	− 1.0	− 1.6	− 1.5	− 1.5	− 1.3	− 1.1	− 0.8	− 1.0	− 1.3	− 1.5	− 1.8	− 1.9	− 2.3	− 2.6	− 3.0	− 3.1	− 3.5	−1.59
29.	− 3.6	− 3.9	− 4.2	− 4.3	− 4.5	− 4.8	− 4.6	− 4.6	− 4.7	− 4.7	− 3.8	− 2.9	− 2.3	− 1.3	− 1.7	− 2.7	− 2.8	− 2.3	− 0.8	− 0.1	− 0.8	− 1.2	− 1.7	− 1.3	−2.90
30.	− 0.6	− 0.1	0.4	0.6	1.0	1.0	1.2	1.3	1.0	1.2	1.8	2.9	3.5	4.0	3.7	3.4	3.9	3.4	3.8	4.9	5.7	6.8	6.6	6.2	2.82
Mittel	−1.56	−1.76	−1.82	−1.71	−1.66	−1.81	−1.84	−1.66	−1.32	−1.01	−0.84	−0.50	−0.33	−0.23	−0.25	−0.61	−0.76	−0.96	−1.05	−1.17	−1.20	−1.22	−1.34	−1.41	−1.17

Dezember

1.	5.8	6.7	6.5	5.4	5.1	2.3	1.5	1.5	1.3	0.5	0.4	0.3	0.3	0.3	0.0	− 0.9	− 1.0	− 1.6	− 1.8	− 1.9	− 1.8	− 1.8	− 1.9	− 2.4	0.95
2.	− 2.9	− 3.2	− 3.4	− 3.4	− 3.3	− 3.6	− 3.8	− 3.7	− 2.7	− 2.6	− 1.3	− 0.2	− 0.8	− 1.9	− 1.9	− 1.4	− 1.3	− 1.2	− 1.3	− 1.5	− 1.5	− 1.5	− 1.4	− 1.8	−2.15
3.	− 2.0	− 1.9	− 1.6	− 1.5	− 1.3	− 1.4	− 1.4	− 1.5	− 1.3	− 1.3	− 1.2	− 1.1	− 1.0	− 1.1	− 1.2	− 1.2	− 1.2	− 1.4	− 1.4	− 1.5	− 1.5	− 1.6	− 1.6	− 2.1	−1.43
4.	− 2.3	− 2.6	− 2.8	− 3.2	− 3.6	− 4.0	− 4.2	− 4.0	− 3.8	− 3.5	− 3.0	− 2.4	− 2.7	− 2.8	− 2.6	− 2.8	− 2.9	− 2.9	− 3.0	− 3.5	− 3.4	− 4.0	− 4.2	− 4.4	−3.28
5.	− 4.6	− 5.0	− 5.9	− 6.2	− 4.6	− 4.6	− 7.4	− 6.2	− 4.2	− 3.5	− 2.1	− 1.0	− 0.2	1.4	2.2	3.0	1.4	1.2	2.9	3.3	3.1	3.1	2.4	1.4	−1.25
6.	2.4	1.4	1.5	2.1	3.0	2.5	2.9	3.3	3.5	2.7	3.0	3.9	4.4	3.8	2.7	1.5	0.9	0.3	0.7	0.0	0.6	− 0.5	− 1.3	− 2.0	1.80
7.	− 1.9	− 2.4	− 2.4	− 1.9	− 1.6	− 0.7	− 1.3	− 1.3	− 0.7	− 0.1	0.9	1.6	1.8	1.6	1.7	1.2	0.2	0.2	− 0.2	0.2	− 0.6	− 0.4	0.0	0.6	−0.23
8.	1.9	1.8	1.2	0.9	− 0.2	0.6	0.2	− 0.4	− 0.1	1.1	2.4	1.5	1.8	2.1	2.4	1.8	1.1	0.6	1.1	1.9	1.3	1.3	1.7	0.8	1.20
9.	1.2	0.1	0.5	1.1	0.9	0.8	0.6	0.9	0.8	2.6	3.6	3.9	4.1	4.2	3.4	2.9	2.8	2.5	2.0	2.3	2.0	2.1	2.0	2.6	2.08
10.	2.7	2.5	2.4	1.8	0.7	0.4	0.8	1.4	1.3	1.9	2.9	3.0	3.4	3.4	3.0	2.4	2.0	1.9	2.2	2.4	2.3	2.6	1.9	1.8	2.13
11.	1.9	1.7	0.9	1.5	1.5	2.6	2.1	2.1	2.4	3.5	4.2	4.0	4.1	4.3	3.6	3.9	3.9	3.3	2.9	2.1	1.1	0.4	0.0	1.0	2.46
12.	1.0	2.1	3.0	2.2	1.9	1.3	0.6	0.2	0.6	1.1	1.4	2.3	3.2	3.7	4.0	3.6	3.4	3.2	2.5	1.8	1.1	0.9	1.0	0.9	1.96
13.	0.9	1.1	1.0	0.9	0.9	1.0	0.9	0.4	0.7	1.0	1.5	2.0	2.0	1.9	1.6	0.9	0.3	0.0	− 0.6	− 0.5	− 0.8	− 0.9	− 1.1	− 0.9	0.59
14.	− 1.1	− 0.9	− 0.7	− 0.2	0.2	1.0	1.1	1.2	2.4	2.9	3.4	4.1	4.9	4.8	5.6	5.1	4.1	4.1	4.2	4.8	4.5	4.6	4.8	4.9	2.91
15.	4.9	5.6	5.8	5.7	5.2	5.6	4.9	5.0	5.1	5.0	5.2	6.1	6.3	6.8	6.9	6.3	6.0	5.8	5.4	5.5	5.8	6.2	6.0	6.7	5.74
16.	6.6	5.7	5.4	5.8	5.8	5.0	4.4	4.3	4.7	6.0	6.6	6.6	6.9	7.1	6.9	6.3	6.3	6.7	6.7	6.6	6.5	6.0	6.0	5.9	6.03
17.	5.8	5.3	3.4	0.3	− 0.1	− 0.4	− 0.5	− 0.4	− 0.4	− 0.7	− 0.8	− 1.0	− 1.4	− 1.5	− 2.2	− 2.8	− 3.0	− 3.0	− 2.9	− 3.2	− 3.0	− 3.0	− 2.8	− 2.6	−0.87
18.	− 2.6	− 1.8	− 2.2	− 2.5	− 2.0	− 2.4	− 2.2	− 2.0	− 1.1	0.9	2.1	3.0	4.1	5.2	5.6	5.5	5.7	5.5	5.9	2.6	2.0	2.5	3.3	1.0	1.50
19.	0.5	0.9	− 0.6	− 1.6	− 1.7	− 1.4	− 1.2	− 1.0	− 1.0	− 0.9	− 0.2	0.4	1.0	1.2	1.4	1.1	0.6	0.7	1.1	1.3	1.2	0.9	0.9	1.1	0.20
20.	2.7	2.9	3.6	2.9	4.4	5.0	3.8	4.5	2.5	1.2	1.9	3.6	3.8	3.2	2.2	1.6	0.7	1.0	0.9	1.3	1.6	1.7	2.0	1.8	2.53
21.	1.3	0.6	0.6	1.4	1.6	1.5	1.0	1.6	1.5	2.1	2.8	3.0	3.4	3.8	3.7	3.1	2.2	2.2	3.3	3.2	4.3	4.3	3.6	4.3	2.52
22.	4.3	5.1	5.8	6.2	5.5	6.5	5.7	5.6	6.2	5.3	5.6	6.3	5.9	5.9	4.9	4.2	4.3	4.0	4.1	5.1	6.8	6.2	5.0	5.3	5.41
23.	4.8	4.9	5.1	5.5	6.0	5.7	5.4	5.4	5.5	5.7	5.7	4.8	4.6	4.7	4.6	3.9	3.7	3.7	4.0	4.1	3.9	3.2	3.3	3.9	4.67
24.	2.5	2.4	2.9	2.5	2.7	2.7	2.9	3.3	3.2	3.1	3.5	4.8	4.9	5.2	4.4	3.5	3.1	2.5	3.1	2.4	2.1	2.0	2.1	2.1	3.08
25.	2.8	3.0	3.0	4.2	4.5	3.9	3.3	3.5	3.6	4.4	5.3	5.5	6.5	7.2	7.1	7.7	7.4	7.3	6.8	8.4	9.0	9.5	7.6	6.3	5.74
26.	7.8	7.6	7.5	7.6	6.7	6.6	6.8	6.0	6.2	7.2	8.1	8.6	8.4	8.5	8.2	7.5	8.5	9.2	8.1	6.4	5.0	3.5	2.6	3.6	6.93
27.	4.0	4.2	2.9	2.7	3.5	3.7	3.6	3.8	4.3	4.4	4.2	4.4	4.4	3.9	3.9	3.7	4.0	4.6	5.1	5.3	5.8	6.2	6.2	6.4	4.38
28.	6.5	6.6	6.9	7.1	7.5	7.6	7.8	7.9	7.7	7.5	8.0	8.8	9.1	8.8	9.0	9.4	9.8	9.8	8.8	8.4	8.4	8.9	9.4	11.2	8.33
29.	9.4	9.2	8.8	8.9	9.2	9.7	10.9	9.5	9.5	9.2	9.7	10.4	10.9	10.6	10.5	10.1	9.7	7.3	5.4	5.1	5.4	5.7	5.1	3.9	8.51
30.	4.1	4.1	4.1	4.4	4.3	3.9	3.5	3.0	2.7	2.9	3.2	3.0	2.8	3.0	2.5	1.2	0.6	− 0.1	− 0.2	− 0.6	− 0.7	− 0.9	− 1.2	− 1.3	2.01
31.	− 1.3	− 0.9	− 1.2	− 1.3	− 1.4	− 1.2	− 1.2	− 1.1	− 0.4	0.0	0.8	0.7	0.3	1.4	1.2	1.1	0.8	0.4	− 0.3	0.1	0.1	1.1	1.2	1.6	0.02
Mittel	2.16	2.15	2.00	1.91	1.98	1.91	1.66	1.70	1.94	2.25	2.83	3.25	3.46	3.57	3.40	3.01	2.71	2.48	2.44	2.32	2.28	2.20	2.02	1.99	2.40

Hygrometer-Registrierung. **Hohenpeissenberg.** 1912.

Januar

Datum	1a	2a	3a	4a	5a	6a	7a	8a	9a	10a	11a	12m	1p	2p	3p	4p	5p	6p	7p	8p	9p	10p	11p	12mn	Mittel
1.	96	97	97	97	97	98	98	98	98	98	97	98	98	98	98	98	98	98	98	98	98	97	96	95	97.5
2.	94	93	92	90	89	88	82	71	68	64	62	64	65	60	63	72	79	66	72	78	77	86	90	91	77.3
3.	91	91	91	91	92	88	84	84	88	86	80	72	64	53	60	67	78	86	92	92	91	93	94	94	83.4
4.	94	95	95	95	95	96	94	93	92	89	89	92	87	91	96	96	97	97	99.	99	100	99	99	98	94.9
5.	95	94	92	94	93	93	87	92	88	89	87	84	88	80	68	80	76	69	67	77	98	74	93	92	85.4
6.	90	87	92	86	91	88	88	81	85	78	76	74	76	73	69	70	72	69	72	80	91	94	93	91	81.9
7.	89	90	91	83	85	91	100	100	100	100	100	99	79	77	100	100	100	100	100	100	100	99	99	98	95.0
8.	99	99	99	100	100	100	100	100	100	100	100	91	64	64	60	56	51	46	44	42	47	45	50	52	75.4
9.	46	48	50	39	50	81	96	96	96	96	96	98	98	100	100	100	100	100	100	100	100	100	100	100	87.1
10.	100	100	100	100	100	100	100	100	99	99	99	99	98	98	98	98	98	98	98	98	98	98	98	99	98.9
11.	99	99	99	99	100	100	100	100	99	99	99	99	98	98	98	98	98	98	98	98	98	97	97	96	98.5
12.	96	95	58	62	65	55	56	52	50	51	52	57	61	65	64	71	74	78	78	78	77	77	77	80	67.9
13.	83	84	84	84	84	87	85	78	79	79	79	85	91	96	97	94	96	98	100	100	100	100	100	100	90.1
14.	100	100	100	100	100	100	100	100	99	99	99	99	98	98	98	98	97	97	97	97	97	97	98	98	98.6
15.	98	99	99	99	99	100	100	100	100	100	100	100	98	97	97	98	98	98	98	98	98	98	98	97	98.6
16.	97	97	97	97	96	96	96	96	97	97	98	99	100	100	100	100	100	100	100	100	100	100	100	100	98.5
17.	100	100	100	100	100	100	100	100	100	100	100	100	100	100	98	96	94	91	89	87	85	84	84	83	95.5
18.	83	82	81	82	83	83	82	81	82	81	80	81	81	81	81	80	82	79	80	80	82	72	76	79	80.6
19.	77	65	70	70	77	74	74	68	64	64	57	56	61	56	56	57	62	64	63	61	61	63	60	59	64.1
20.	58	58	55	59	57	56	61	61	57	57	52	49	44	41	41	41	43	49	51	53	57	60	66	72	54.1
21.	73	73	69	69	60	61	62	63	71	73	74	75	70	68	69	77	79	78	80	84	84	81	81	81	73.1
22.	80	81	81	79	73	77	72	72	70	69	67	67	65	70	71	71	73	74	72	71	53	54	52	47	69.2
23.	45	51	51	48	55	47	44	46	45	43	42	42	43	49	47	47	47	47	48	49	48	49	49	48	47.1
24.	47	49	46	47	59	61	66	66	64	64	61	60	60	63	63	65	66	65	55	52	50	49	49	49	57.3
25.	49	50	50	50	49	47	51	51	56	48	51	51	51	53	58	69	78	84	94	98	100	100	99	99	66.1
26.	99	99	99	99	99	98	98	96	93	91	88	85	83	85	89	92	94	96	97	98	100	100	98	95	94.2
27.	93	96	100	100	100	100	100	100	100	100	100	99	100	100	99	99	99	97	97	97	97	97	97	97	98.5
28.	97	98	97	97	97	97	97	94	91	88	85	83	80	77	78	80	81	82	84	84	85	85	86	86	87.9
29.	86	87	87	87	86	86	84	85	86	82	83	82	74	70	67	62	62	63	61	63	58	56	55	58	73.8
30.	56	60	67	69	71	73	75	79	77	77	77	79	78	80	79	79	80	82	84	86	90	92	91	92	78.0
31.	91	94	92	90	92	92	93	91	87	81	76	75	57	61	63	65	68	80	88	94	96	96	96	97	84.0
Mittel	83.9	84.2	83.3	82.6	83.7	84.3	84.7	83.7	83.3	82.0	80.8	80.4	77.7	77.5	78.2	79.9	81.3	81.6	82.5	83.6	84.4	83.7	84.5	84.6	82.3

Februar

Datum	1a	2a	3a	4a	5a	6a	7a	8a	9a	10a	11a	12m	1p	2p	3p	4p	5p	6p	7p	8p	9p	10p	11p	12mn	Mittel
1.	97	95	97	97	98	98	98	96	95	93	91	89	88	86	87	88	89	90	91	92	90	84	78	74	90.9
2.	69	72	69	66	65	65	60	59	59	57	58	56	55	60	73	79	91	92	95	97	100	100	100	100	74.9
3.	100	100	100	100	100	100	100	96	92	88	85	80	76	73	75	76	78	79	81	82	84	82	81	80	87.0
4.	78	77	75	74	73	71	70	70	71	71	70	73	76	77	80	83	85	86	88	90	92	91	92	91	79.3
5.	84	82	76	73	71	69	71	74	78	79	77	75	68	68	65	65	65	65	64	73	69	66	53	47	69.9
6.	46	52	49	46	48	51	48	47	50	48	48	47	45	43	44	46	48	48	44	46	46	49	49	48	47.3
7.	48	48	48	46	47	47	46	47	47	45	44	44	44	45	46	46	52	52	51	51	52	50	51	49	47.8
8.	48	48	48	46	45	44	41	41	40	38	35	34	36	36	38	42	40	41	42	43	43	43	41	41	41.4
9.	40	39	39	39	38	37	35	36	36	36	39	41	41	42	45	49	53	53	53	52	49	51	54	54	43.8
10.	66	79	89	90	94	97	100	100	100	100	100	100	98	96	95	95	97	99	98	100	100	100	96	91	95.0
11.	89	69	69	65	77	94	93	90	90	89	88	86	84	85	86	87	87	86	86	87	87	91	91	88	85.2
12.	92	91	98	99	98	99	100	100	100	98	87	78	54	55	59	58	63	67	73	72	70	69	66	65	79.6
13.	65	64	60	58	55	52	48	45	48	42	41	45	45	59	48	52	56	60	59	64	71	61	51	52	54.2
14.	51	69	76	75	74	71	71	73	77	78	79	80	78	80	89	92	96	98	99	100	100	100	99	99	83.5
15.	99	100	100	100	100	100	100	99	98	97	96	96	95	94	95	96	97	98	99	99	100	100	97	90	97.7
16.	88	90	92	92	91	90	82	79	80	80	80	80	80	71	65	65	65	65	63	65	62	55	50	48	74.1
17.	43	45	40	39	39	39	38	40	40	42	47	51	50	51	47	43	48	47	48	47	46	42	36	36	43.5
18.	34	29	27	23	22	27	30	28	31	32	35	37	35	34	49	48	52	51	57	56	58	52	40	36	38.5
19.	34	36	35	40	42	40	43	48	47	47	46	46	58	58	58	59	66	64	66	69	50	70	78	84	53.5
20.	87	88	88	85	84	83	87	89	87	84	82	78	73	69	78	85	88	92	92	94	94	88	86	85	85.3
21.	84	85	97	100	91	87	96	99	100	93	89	88	76	65	66	65	68	69	71	73	73	76	84	89	82.7
22.	93	96	96	97	98	99	100	99	97	97	97	97	96	95	89	84	84	85	85	82	79	75	70	71	90.0
23.	67	62	64	77	78	75	45	61	62	62	64	64	65	61	58	57	54	54	58	60	55	52	57	67	61.6
24.	67	65	66	65	65	65	68	63	79	82	73	66	72	67	68	69	71	75	80	93	97	92	88	81	74.0
25.	77	90	95	93	99	97	87	88	94	89	91	87	81	80	80	80	81	81	87	86	96	92	95	96	88.4
26.	94	98	95	91	88	98	100	99	96	96	96	89	72	77	75	70	71	66	72	76	72	72	74	78	84.0
27.	78	80	83	82	83	82	80	80	79	68	58	54	52	49	50	49	55	62	68	77	82	83	82	82	70.8
28.	83	85	89	91	85	87	85	81	80	75	61	52	48	41	39	37	40	43	49	50	41	44	46	43	61.5
29.	34	32	29	31	29	28	27	27	26	26	31	36	39	40	40	40	33	32	34	33	35	35	37	38	33.0
Mittel	70.2	71.2	72.0	71.7	71.6	72.1	70.7	70.8	71.7	70.1	68.6	67.2	64.8	64.0	65.1	65.7	68.3	69.0	70.8	72.7	72.2	71.2	69.7	69.1	69.6

Hygrometer-Registrierung. **Hohenpeissenberg.** 1912.

März

Datum	1a	2a	3a	4a	5a	6a	7a	8a	9a	10a	11a	12m	1p	2p	3p	4p	5p	6p	7p	8p	9p	10p	11p	12mn	Mittel
1.	48	59	67	67	70	73	74	79	76	72	68	66	62	59	59	63	73	74	78	79	79	81	86	89	70.5
2.	99	92	97	96	96	95	85	83	83	71	66	65	63	62	61	62	65	65	68	72	70	63	58	46	74.3
3.	41	35	32	39	30	30	30	28	32	32	32	33	35	37	40	43	61	89	95	98	100	100	100	100	53.8
4.	100	100	100	100	100	100	100	100	100	100	100	99	78	70	65	64	66	67	70	71	72	66	59	52	83.3
5.	48	61	54	57	53	54	52	52	56	61	55	60	69	61	65	63	62	65	63	64	66	62	74	83	60.8
6.	75	91	91	90	84	81	96	97	93	80	74	94	96	82	73	72	73	63	58	53	49	50	75	71	77.5
7.	66	63	64	69	70	70	71	69	63	61	60	52	47	45	48	53	59	72	84	97	98	100	100	100	70.0
8.	100	100	100	100	100	100	100	99	97	92	79	71	69	74	72	79	83	81	81	80	79	80	78	77	86.3
9.	74	72	70	68	67	67	65	63	64	62	54	48	42	41	39	38	50	55	54	55	45	45	42	37	54.9
10.	35	29	31	34	33	31	31	31	36	33	35	35	32	30	32	36	37	47	45	45	47	52	52	56	37.7
11.	76	80	86	94	97	99	100	99	100	99	99	98	91	90	89	88	84	88	97	98	96	94	93	93	92.8
12.	92	93	91	90	90	88	87	87	83	83	74	71	72	72	77	76	81	84	96	100	100	97	97	94	86.5
13.	94	94	97	97	97	96	100	100	99	96	87	77	77	73	64	61	76	78	79	84	85	81	73	74	85.0
14.	67	69	66	65	64	63	66	71	70	70	65	62	62	59	58	59	58	58	58	57	58	59	60	65	62.9
15.	66	65	67	70	68	70	70	70	67	71	67	61	56	52	54	56	65	68	72	79	75	74	76	76	67.3
16.	68	73	61	63	64	66	72	89	94	94	91	83	91	83	74	72	68	67	75	75	71	71	69	69	75.1
17.	66	65	63	60	62	60	60	61	60	66	63	64	56	55	58	63	65	67	70	72	74	75	77	75	64.9
18.	73	72	70	68	70	74	75	74	74	73	73	74	65	64	66	66	70	62	63	68	82	91	88	83	72.4
19.	82	71	60	62	74	71	73	73	75	81	88	87	70	67	62	55	55	56	61	61	54	48	50	53	66.2
20.	58	59	58	59	58	59	59	56	53	57	56	55	58	85	96	97	97	98	99	100	100	99	99	97	75.5
21.	96	96	94	92	90	90	86	79	77	74	68	51	48	45	38	39	40	43	45	45	39	42	50	63	63.8
22.	67	65	59	58	53	59	58	66	79	85	90	95	95	96	92	85	79	75	69	68	80	89	92	94	77.0
23.	95	98	99	99	100	100	100	98	90	82	76	74	69	68	63	59	58	58	61	60	58	60	69	74	77.8
24.	77	77	88	88	93	95	96	95	96	97	98	95	97	100	99	92	94	79	76	86	85	80	84	88	89.8
25.	89	93	96	93	96	100	98	99	93	100	100	100	100	100	100	100	100	100	100	100	100	100	100	100	98.2
26.	100	100	100	100	100	100	100	99	98	97	96	83	76	71	75	75	79	80	84	85	82	68	66	71	86.9
27.	67	65	63	58	54	51	47	48	48	49	46	46	44	43	45	47	53	58	57	61	62	65	72	75	55.2
28.	73	73	75	76	79	80	81	79	75	67	63	61	60	57	52	60	64	68	73	75	73	69	73	75	70.0
29.	73	68	72	74	75	76	75	74	73	85	95	94	96	100	100	96	95	90	90	92	96	93	91	88	85.9
30.	85	81	77	76	77	70	63	63	56	46	37	32	24	21	22	23	27	36	46	44	49	55	61	64	51.5
31.	67	69	71	71	70	70	68	65	61	58	53	45	43	40	40	42	44	45	39	36	28	31	32	32	50.8
Mittel	74.7	75.1	74.8	75.3	75.3	75.4	75.4	75.7	74.9	74.0	71.2	68.7	65.9	64.6	63.8	64.0	67.1	68.9	71.2	72.9	72.7	72.3	74.1	74.7	71.8

April

1.	52	56	56	55	53	53	55	71	76	86	86	100	100	100	100	100	100	100	100	100	100	100	100	100	83.3
2.	100	100	100	100	100	100	100	100	100	100	100	100	100	100	100	100	100	100	100	100	100	99	99	98	99.8
3.	98	96	95	94	93	93	90	90	89	88	87	86	85	86	86	84	82	82	80	78	74	76	77	76	86.0
4.	78	77	78	77	79	78	78	77	71	65	60	56	52	45	46	49	49	48	42	40	60	59	57	45	61.1
5.	46	44	44	43	39	36	37	38	42	37	41	46	47	46	39	45	41	69	81	84	81	76	77	75	52.3
6.	72	72	71	73	73	72	69	68	65	62	61	59	55	53	56	57	62	67	74	89	93	89	90	89	70.5
7.	89	88	88	86	86	86	88	89	91	94	94	95	88	81	79	78	81	78	76	77	80	80	82	82	84.8
8.	83	82	83	80	80	77	83	83	78	75	70	63	35	27	29	34	38	44	50	48	50	52	60	68	61.3
9.	68	74	74	78	86	83	85	89	91	95	92	99	99	100	100	99	100	100	100	100	100	100	99	99	92.1
10.	97	97	96	96	94	94	93	91	89	85	81	72	62	59	59	58	63	73	86	99	100	100	95	100	85.0
11.	98	97	94	93	91	90	89	89	88	84	80	80	96	100	100	100	99	99	98	98	98	98	98	98	94.0
12.	98	98	98	98	96	96	96	93	90	87	83	77	73	66	72	71	69	76	84	85	85	81	77	68	84 0
13.	63	59	58	55	52	45	38	39	43	43	41	44	45	40	36	37	40	43	46	48	53	57	59	60	47.7
14.	58	62	61	62	62	58	59	56	53	54	53	43	42	41	43	45	49	53	57	70	71	74	76	77	57.5
15.	88	90	90	90	90	90	90	90	90	90	90	88	72	64	83	84	88	90	89	89	90	90	91	91	87.4
16.	92	90	91	91	90	90	89	89	88	89	81	76	71	70	70	69	69	71	72	76	76	73	71	71	79.8
17.	74	71	69	67	67	59	47	52	57	62	58	57	60	60	55	56	57	57	61	64	65	68	69	62	61.4
18.	59	59	56	52	53	53	58	62	59	53	51	49	46	47	47	50	50	50	54	57	58	58	58	62	54.2
19.	62	64	66	66	70	70	71	74	72	72	66	64	65	67	68	77	84	89	89	91	96	96	96	94	76.2
20.	94	92	89	93	93	95	95	96	92	87	76	70	71	71	75	82	83	81	85	91	100	99	97	91	87.4
21.	93	100	100	100	100	100	100	98	90	85	77	71	60	54	65	56	61	66	73	75	76	78	78	81	80.7
22.	81	80	80	85	87	85	85	83	80	70	59	55	38	38	42	47	52	57	73	87	95	89	89	92	72.0
23.	94	87	95	90	99	98	96	94	91	74	68	66	61	63	76	75	77	79	92	99	98	97	89	84	85.1
24.	77	72	68	64	60	55	59	59	55	48	45	40	35	34	38	37	42	49	56	60	62	66	74	79	55.6
25.	77	76	81	84	86	85	85	70	71	55	43	41	38	38	38	47	49	49	50	48	52	52	53	53	59.2
26.	51	51	52	53	53	48	52	51	50	48	47	48	47	47	46	45	46	44	43	45	47	48	48	48	48 3
27.	48	46	46	44	45	42	41	42	45	42	41	39	39	37	37	37	37	40	44	45	45	46	48	50	42.8
28.	50	47	48	49	54	51	54	54	59	56	50	46	44	41	43	46	49	55	57	59	70	71	77	90	55.0
29.	85	90	94	98	98	99	100	99	96	91	86	80	68	63	55	52	53	53	54	54	57	62	65	69	75.9
30.	72	77	80	82	85	89	89	91	91	93	93	89	84	71	58	56	72	72	74	77	82	87	87	90	80.9
Mittel	76.6	76.5	76.7	76.6	77.1	75.7	75.7	75.9	75.1	72.3	68.7	66.6	62.6	60.3	61.4	62.4	64.7	67.8	71.3	74.4	77.1	77.4	77.9	78.1	72.0

Hygrometer-Registrierung. **Hohenpeissenberg.** 1912.

Datum	1ª	2ª	3ª	4ª	5ª	6ª	7ª	8ª	9ª	10ª	11ª	12m	1P	2P	3P	4P	5P	6P	7P	8P	9P	10P	11P	12mn	Mittel
Mai																									
1.	90	82	80	81	81	78	72	69	62	52	49	49	47	46	46	49	52	53	55	58	61	62	65	70	62.9
2.	75	77	79	79	79	76	73	71	69	63	57	54	51	49	50	52	54	57	58	60	60	58	58	60	63.3
3.	59	61	62	62	62	62	61	59	50	48	45	40	37	34	33	34	35	36	37	38	42	42	45	45	47.0
4.	44	42	43	43	44	43	44	48	43	39	33	30	29	28	28	29	30	33	36	49	57	61	63	65	41.8
5.	71	73	79	78	89	88	90	80	78	72	72	69	68	65	75	86	88	91	88	90	91	90	95	95	81.7
6.	88	86	80	80	79	77	71	71	67	67	66	57	64	69	64	60	65	72	78	85	80	81	90	89	74.4
7.	90	95	94	95	100	100	100	100	99	98	91	88	88	82	94	90	81	87	72	72	72	76	80	88	88.8
8.	93	96	91	94	99	99	100	100	100	99	98	97	97	94	94	98	98	98	99	100	99	100	100	100	97.6
9.	100	100	100	100	100	100	100	99	98	95	79	74	71	66	66	64	65	63	61	60	65	67	72	73	80.8
10.	79	85	91	93	94	95	95	91	89	87	92	82	97	95	92	95	93	95	93	92	99	98	93	97	92.2
11.	95	95	94	93	94	93	91	81	77	71	65	65	58	60	66	69	64	63	68	68	67	63	60	59	74.1
12.	53	52	42	45	42	41	43	42	41	33	25	23	20	18	18	20	23	28	31	26	23	25	25	25	31.8
13.	29	34	34	34	37	39	41	41	43	45	45	44	51	53	54	55	64	67	67	68	83	68	71	75	51.8
14.	75	77	81	80	80	76	69	72	71	74	73	72	71	70	70	68	67	71	75	73	68	69	63	63	72.0
15.	65	51	39	47	39	42	40	39	39	33	33	31	30	32	32	37	35	37	33	28	26	29	64	68	39.5
16.	75	73	68	67	67	67	66	65	59	58	56	57	58	60	62	63	67	83	76	76	75	75	86	93	68.8
17.	95	95	95	96	97	95	96	94	83	80	94	95	96	93	90	89	90	92	87	90	93	93	95	94	92.4
18.	94	95	97	96	96	94	90	86	77	70	64	57	55	52	50	50	51	54	63	65	65	69	69	65	71.8
19.	64	67	70	71	62	60	65	67	61	59	54	52	47	49	46	47	48	47	56	61	61	62	63	63	58.4
20.	62	55	56	50	54	44	46	47	45	45	46	44	50	47	47	48	55	63	86	71	82	83	82	74	57.6
21.	78	85	81	79	80	77	74	75	69	64	59	53	50	50	51	54	60	65	70	99	100	100	100	94	73.6
22.	93	94	94	95	98	100	100	99	96	95	93	88	79	69	69	71	86	94	95	98	99	96	95	93	91.2
23.	91	91	97	97	99	100	100	98	96	96	94	91	85	89	92	93	96	98	98	99	100	100	100	100	95.8
24.	100	100	100	100	100	100	100	100	100	96	98	98	98	99	99	99	99	100	100	100	100	100	100	100	99.4
25.	100	100	100	100	100	100	100	98	96	94	92	90	85	81	84	87	89	92	95	99	100	100	100	100	95.1
26.	100	100	100	100	100	100	100	100	99	99	98	98	97	97	97	98	98	99	99	100	100	100	99	99	99.0
27.	97	93	92	92	95	96	97	90	87	89	88	81	65	61	62	62	63	64	71	73	84	76	76	80	80.6
28.	80	79	73	77	77	65	65	67	68	64	59	59	59	57	54	53	50	54	55	55	60	63	63	66	63.4
29.	67	62	58	57	58	63	63	66	62	58	58	58	56	55	60	68	75	63	68	76	76	88	88	89	66.3
30.	79	73	70	70	67	73	79	79	73	70	64	61	58	56	53	54	56	58	59	61	63	65	65	67	65.5
31.	65	69	70	69	70	68	68	66	62	62	59	58	57	54	55	56	56	57	60	62	61	65	64	70	62.6
Mittel	78.9	78.6	77.7	78.1	78.7	77.8	77.4	76.1	72.9	70.2	67.7	65.0	63.7	62.3	63.0	64.5	66.2	68.8	70.6	72.7	74.6	75.0	77.1	78.0	72.3
Juni																									
1.	72	70	70	71	72	74	72	72	71	67	62	59	63	58	58	59	64	70	68	79	76	75	71	76	68.7
2.	77	75	69	60	64	58	52	57	55	56	77	83	86	89	89	90	90	84	79	72	68	66	62	66	71.8
3.	64	62	68	69	67	68	65	62	62	59	57	55	57	59	62	64	68	71	81	77	91	87	81	92	68.7
4.	93	92	88	85	85	83	78	75	70	69	65	65	62	61	57	57	58	63	72	76	73	75	76	78	73.2
5.	85	87	81	78	76	71	74	68	72	72	67	67	63	59	57	63	68	72	75	77	79	79	75	77	72.6
6.	74	72	69	68	64	58	61	62	60	61	62	62	61	59	58	57	62	64	76	76	74	74	75	78	66.1
7.	76	79	80	72	62	56	55	57	63	54	47	51	54	59	76	84	85	84	94	98	99	99	98	98	74.2
8.	97	96	90	90	87	88	88	87	79	84	89	91	91	91	86	85	85	88	96	96	95	100	100	100	90.8
9.	100	100	100	100	100	100	100	99	97	84	86	84	83	84	84	82	90	96	98	99	100	100	100	100	94.4
10.	100	100	100	100	100	100	100	100	97	96	94	88	79	69	67	69	71	72	73	77	82	82	88	90	87.3
11.	91	87	85	86	86	84	85	89	88	79	73	68	66	75	82	83	81	84	87	71	83	87	80	81	81.7
12.	80	81	88	74	62	65	66	67	68	60	67	59	57	51	57	57	60	62	75	88	80	79	70	81	68.9
13.	86	87	89	89	91	95	95	97	96	93	95	92	91	97	97	98	98	99	99	100	100	100	100	100	95.2
14.	100	100	99	99	98	92	91	82	80	82	84	86	76	71	66	66	63	65	68	70	72	75	76	78	80.8
15.	80	80	82	85	82	72	66	66	69	78	76	88	92	100	100	98	96	95	94	95	95	94	92	87	85.9
16.	82	81	82	80	80	77	75	75	64	63	58	52	47	46	45	50	59	65	60	60	65	88	88	83	67.7
17.	84	84	84	80	84	87	82	80	73	68	67	67	59	53	53	55	57	56	55	58	60	64	67	69	68.6
18.	70	67	67	69	71	68	68	67	65	63	63	61	61	62	63	61	63	62	64	69	72	74	76	77	66.9
19.	74	70	67	69	66	66	64	65	62	64	63	63	59	52	47	47	42	51	53	56	57	61	66	66	60.4
20.	65	62	62	65	72	74	78	73	66	65	59	49	45	39	72	74	83	76	76	76	80	86	86	86	69.5
21.	89	94	91	90	87	78	78	83	80	79	69	66	66	63	62	68	69	74	75	74	76	76	77	76	76.7
22.	78	81	84	85	83	80	80	77	75	69	64	63	59	54	52	50	55	58	64	67	68	66	67	66	68.5
23.	68	68	69	69	66	59	61	62	59	56	59	47	41	35	39	40	42	48	48	50	52	59	57	56	54.6
24.	72	81	66	66	69	72	73	77	77	78	81	85	99	97	99	99	97	98	100	100	99	100	100	100	86.9
25.	100	100	100	100	100	100	100	96	87	82	80	80	73	65	58	61	68	71	73	72	73	68	68	66	80.9
26.	65	67	65	64	63	58	55	59	64	62	65	70	74	76	80	89	94	92	93	91	92	91	94	86	75 4
27.	87	88	88	86	83	83	81	77	70	63	67	65	57	57	60	68	69	66	71	71	75	76	73	73	73.1
28.	74	70	68	67	62	59	59	65	60	52	47	45	43	41	40	41	36	39	40	45	47	48	50	50	52.0
29.	53	55	56	55	50	46	47	48	52	45	44	45	46	47	48	50	70	88	86	79	78	93	94	94	61.2
30.	94	95	94	94	93	92	91	81	77	72	67	64	60	57	59	60	62	66	66	67	71	69	75	76	75.1
Mittel	81.0	81 0	80.0	78.8	77.5	75.4	74.7	74 2	71.9	69.2	68.5	67.3	65.7	64.2	65.8	67.6	70.2	72.6	75.3	76 2	77.7	79.7	79.4	80.2	73.9

Hygrometer-Registrierung. **Hohenpeissenberg.** 1912.

Datum	1a	2a	3a	4a	5a	6a	7a	8a	9a	10a	11a	12m	1p	2p	3p	4p	5p	6p	7p	8p	9p	10p	11p	12mn	Mittel
Juli																									
1.	75	81	92	82	87	83	82	88	74	82	79	79	60	69	73	74	79	92	92	94	97	97	95	94	83.3
2.	91	94	90	90	93	81	84	77	79	79	76	72	61	57	57	52	62	64	70	78	83	80	72	74	75.7
3.	73	73	76	77	75	74	72	68	74	72	70	67	62	71	85	94	97	98	98	98	100	99	99	98	82.1
4.	98	96	93	89	89	87	87	78	75	73	71	74	79	56	70	77	73	78	84	91	94	92	91	93	82.5
5.	94	93	93	94	94	91	89	89	88	83	75	70	62	59	59	60	63	66	72	77	83	86	90	83	79.7
6.	82	88	86	86	84	79	78	77	81	81	74	70	66	68	65	64	70	85	96	100	94	86	92	90	80.9
7.	77	79	64	77	97	97	96	97	96	99	98	98	98	95	96	96	97	99	100	99	99	99	99	98	93.8
8.	97	100	100	100	100	100	100	100	100	100	100	99	84	83	78	76	70	68	71	73	67	61	63	68	85.8
9.	79	79	73	71	72	72	72	73	75	76	75	72	70	67	64	67	90	83	89	76	88	91	85	80	76.2
10.	67	71	74	77	79	75	75	76	78	79	77	69	68	64	62	62	62	62	65	70	74	76	74	72	71.2
11.	69	67	67	66	63	61	63	64	67	60	54	51	49	49	51	51	55	59	69	71	68	72	73	72	62.1
12.	69	69	67	65	62	59	56	59	57	64	60	56	49	50	48	49	48	54	65	66	63	65	65	69	59.8
13.	64	66	65	68	66	64	66	71	71	67	72	69	63	60	57	54	58	59	63	57	53	57	61	65	63.2
14.	69	72	76	79	82	83	82	81	78	70	63	57	54	55	52	52	51	53	55	58	61	66	66	71	66.1
15.	75	80	80	84	88	85	83	84	80	73	68	67	59	58	57	57	57	58	62	64	68	69	68	66	70.4
16.	66	67	65	64	65	63	61	67	68	59	54	56	54	54	49	47	48	51	55	57	61	63	62	53	58.7
17.	52	54	53	51	54	50	49	49	52	55	45	42	43	42	41	42	49	51	53	58	57	55	57	57	50.5
18.	57	58	59	59	59	62	64	60	61	62	59	62	63	52	63	68	75	78	82	81	86	84	87	83	67.7
19.	91	86	80	75	73	78	75	75	75	75	77	83	89	100	99	99	99	99	99	100	100	100	96	98	88.4
20.	79	79	79	85	86	92	94	95	87	85	83	73	73	68	72	74	94	79	98	99	100	100	100	100	87.2
21.	100	100	100	100	100	100	100	100	100	100	100	100	100	100	100	100	100	99	99	99	99	99	99	100	99.8
22.	99	99	99	100	100	100	100	99	97	94	92	91	98	98	100	97	96	93	95	94	92	91	92	93	96.2
23.	91	92	91	88	87	83	82	81	80	75	67	65	64	68	63	60	61	66	65	72	78	79	80	76	75.6
24.	77	76	77	79	79	76	75	73	71	75	67	59	57	51	47	47	51	55	61	62	65	68	68	65	65.9
25.	64	68	67	64	65	67	67	63	65	65	66	67	66	63	80	78	77	75	84	90	98	98	93	85	74.0
26.	84	84	86	86	81	81	82	78	75	72	70	67	65	66	66	66	66	65	65	68	72	76	77	76	73.9
27.	76	75	71	69	67	64	66	63	67	65	63	60	66	55	46	52	57	62	66	73	76	77	74	71	65.8
28.	69	61	61	56	56	50	47	44	52	48	47	49	49	48	47	49	49	54	52	52	50	52	54	77	53.0
29.	82	92	95	95	97	99	100	95	94	92	89	87	70	71	79	79	87	84	85	82	82	84	90	87	87.4
30.	88	87	86	90	94	96	93	89	87	82	72	65	59	52	52	59	63	64	73	62	59	61	65	59	73.6
31.	81	80	78	81	77	81	75	73	67	62	60	55	57	60	57	58	59	61	62	64	67	71	71	72	67.9
Mittel	78.6	79.6	78.8	79.6	79.7	78.5	77.9	76.9	76.5	75.0	71.7	69.4	66.4	64.8	65.7	66.5	69.8	71.4	75.7	76.9	78.5	79.2	79.3	78.9	74.8
August																									
1.	70	71	66	67	67	64	62	61	61	56	55	53	52	52	52	55	59	68	80	80	82	89	92	92	69.9
2.	88	88	92	91	91	92	100	87	86	88	89	90	87	88	90	95	97	98	97	98	98	97	96	96	92.5
3.	96	96	94	93	92	92	89	78	76	76	71	72	69	68	67	69	73	78	81	84	89	91	83	84	81.7
4.	81	80	68	68	63	54	51	50	58	67	63	63	60	62	61	64	67	68	74	75	80	90	88	87	68.4
5.	87	88	93	93	92	97	99	98	97	98	98	98	97	97	97	97	90	90	92	96	95	93	93	93	94.5
6.	89	91	89	94	92	95	90	80	86	81	74	56	52	52	55	55	61	64	68	91	100	91	95	90	78.8
7.	87	81	78	76	70	100	100	100	99	99	100	100	100	100	100	99	99	98	98	97	96	90	91	90	93.7
8.	91	95	95	94	91	88	86	84	79	81	79	73	75	73	67	70	73	76	73	76	75	76	77	73	80.0
9.	71	71	69	67	70	67	65	60	64	61	59	58	58	59	64	66	75	77	81	91	93	92	90	87	71.5
10.	90	89	87	84	80	73	73	84	86	82	85	81	73	71	65	75	66	68	84	79	78	79	80	84	79.0
11.	93	93	95	94	94	94	89	96	95	94	89	84	77	73	76	67	71	75	81	86	86	90	92	93	86.5
12.	94	93	94	90	88	86	85	85	84	74	69	70	61	64	64	69	72	77	85	95	96	97	100	99	83.0
13.	98	95	90	94	90	75	76	73	86	89	86	85	93	100	100	99	94	91	86	81	73	76	85	83	87.4
14.	85	87	89	90	93	96	98	97	96	94	92	90	85	80	77	72	75	80	84	80	79	75	76	74	85.2
15.	74	72	71	69	68	66	65	64	63	61	59	57	56	56	64	65	72	76	85	91	89	85	84	87	70.8
16.	82	80	78	79	83	89	84	79	83	82	82	74	69	63	64	68	70	76	80	84	88	91	89	89	79.4
17.	90	92	93	94	84	87	88	85	76	76	73	90	68	67	69	70	71	70	71	71	75	76	77	79	78.0
18.	80	70	72	68	69	67	63	62	64	60	49	50	51	51	50	50	49	51	55	65	72	69	71	66	61.4
19.	64	62	70	74	74	68	62	63	64	60	59	61	63	62	61	61	63	64	62	63	60	72	70	80	65.1
20.	79	76	76	77	79	80	80	83	81	78	80	83	82	84	84	92	97	97	99	99	100	100	95	98	86.6
21.	98	98	97	94	94	93	88	83	76	69	69	62	64	63	61	65	65	67	71	75	83	83	77	79	78.1
22.	77	76	76	73	74	74	71	68	66	67	68	79	77	70	65	88	84	85	92	98	99	99	97	98	80.0
23.	97	96	93	91	94	91	92	92	94	92	93	92	91	90	88	92	97	98	100	100	100	99	98	91	95.0
24.	90	88	84	85	85	82	78	70	63	59	54	51	52	53	55	57	61	70	74	70	79	79	77	64	70.0
25.	60	53	55	67	74	75	75	72	68	64	66	63	53	51	49	51	53	55	60	67	72	73	71	67	63.1
26.	67	67	62	60	65	52	54	53	61	59	63	59	71	72	83	87	81	83	89	88	90	90	87	90	72.2
27.	86	94	92	84	80	73	71	70	68	60	64	65	67	73	76	77	71	72	73	74	72	72	77	83	74.8
28.	91	93	95	96	95	91	91	88	89	82	81	81	81	89	93	93	91	95	92	95	89	91	86	84	89.7
29.	87	86	84	93	80	78	70	67	70	73	68	57	57	55	55	58	56	67	71	72	60	52	60	55	68.0
30.	54	53	55	52	50	42	40	44	45	46	45	51	54	48	52	56	77	80	90	96	99	100	95	96	63.3
31.	96	94	94	92	92	91	87	91	86	80	77	67	76	71	70	72	85	97	98	98	100	100	97	96	88.0
Mittel	83.6	82.8	82.1	82.1	81.1	79.7	78.1	76.4	76.5	74.5	72.9	71.5	70.0	69.6	70.4	72.7	74.4	77.8	81.5	84.4	85.4	85.7	85.4	84.7	78.5

Hygrometer-Registrierung. **Hohenpeissenberg.** 1912.

September

Datum	1a	2a	3a	4a	5a	6a	7a	8a	9a	10a	11a	12m	1p	2p	3p	4p	5p	6p	7p	8p	9p	10p	11p	12mn	Mittel
1.	99	100	100	100	100	100	100	100	98	97	91	86	79	77	82	79	80	79	79	78	81	87	87	90	89.5
2.	87	85	97	99	97	92	93	93	90	83	78	75	60	64	66	68	86	94	96	97	96	98	98	99	87.1
3.	99	99	99	99	100	100	100	100	100	100	100	100	100	100	100	100	100	100	100	100	100	100	100	99	99.8
4.	99	99	99	99	98	97	93	90	83	70	65	58	54	55	67	73	74	75	70	69	66	63	75	79	77.9
5.	78	85	91	95	96	99	100	100	100	100	99	100	100	100	98	86	83	82	80	78	79	78	78	79	90.2
6.	77	76	76	75	75	71	69	74	71	69	65	62	74	71	67	68	81	90	92	92	95	94	95	94	78.0
7.	97	97	97	99	99	100	100	100	100	100	100	100	100	100	100	100	100	98	98	98	98	97	97	96	98.8
8.	96	99	98	98	97	97	98	92	88	92	90	73	70	76	84	87	90	95	97	98	99	100	100	100	92.3
9.	100	100	100	100	100	100	100	100	97	91	89	95	95	100	100	99	99	100	100	100	100	100	100	99	98.5
10.	99	98	97	99	98	98	96	93	89	84	82	83	78	76	73	68	72	82	87	88	83	79	81	85	86.2
11.	88	90	97	98	99	96	100	98	96	95	89	79	73	66	65	67	68	73	75	77	77	74	73	73	82.8
12.	77	79	81	85	86	91	90	90	85	86	80	73	79	76	72	78	80	81	92	85	92	86	90	96	83.8
13.	94	98	100	100	100	100	100	100	99	98	96	94	81	79	77	78	90	95	92	94	97	97	99	96	93.9
14.	93	96	95	95	92	92	93	95	94	94	86	83	82	88	86	86	87	85	84	84	85	85	81	77	88.3
15.	77	80	81	83	90	90	85	89	96	97	98	99	100	100	100	100	100	100	100	100	100	100	100	100	94.4
16.	100	100	100	100	100	100	100	100	100	91	83	92	73	68	69	72	72	74	78	81	85	85	87	84	87.3
17.	83	81	81	81	83	80	85	83	75	69	65	59	60	60	60	60	61	64	65	65	73	79	86	90	82.8
18.	90	89	91	92	94	94	87	88	88	88	83	78	77	79	83	90	89	89	93	94	98	98	98	99	89.5
19.	93	92	94	95	98	100	100	97	92	84	81	76	74	72	72	74	75	88	89	89	90	90	96	98	87.9
20.	98	98	99	99	99	100	100	100	100	99	98	91	87	89	89	90	91	90	91	94	95	92	97	99	95.2
21.	99	99	99	100	100	100	100	99	96	90	83	76	62	55	67	66	75	79	84	90	93	93	93	91	87.0
22.	94	98	99	100	99	100	100	98	86	75	69	64	61	60	61	62	67	76	83	87	90	91	93	95	83.7
23.	97	97	97	99	99	100	100	100	100	100	91	83	68	66	68	74	76	79	82	81	80	83	84	83	86.9
24.	85	83	83	81	82	84	93	90	85	85	83	78	72	72	71	77	85	91	95	99	100	100	100	100	86.4
25.	100	100	100	100	100	100	100	100	100	100	100	100	100	100	99	98	97	95	91	92	92	92	92	92	97.5
26.	93	94	94	94	92	91	94	93	93	85	90	89	88	94	99	96	97	100	100	100	100	100	100	100	94.8
27.	100	100	100	100	100	100	100	99	98	97	96	95	94	93	93	94	95	97	98	99	100	100	99	99	77.8
28.	94	89	86	87	83	79	84	84	79	79	84	80	74	72	75	78	82	87	87	92	90	86	74	78	82.6
29.	78	75	72	69	71	71	69	71	69	77	76	75	74	72	73	81	85	88	86	86	86	88	86	85	77.6
30.	71	65	65	71	69	67	65	62	63	62	69	70	54	52	50	52	65	71	72	75	72	59	54	55	63.8
Mittel	91.2	91.4	92.2	93.1	93.2	93.0	93.1	92.6	90.3	87.9	85.3	82.2	78.1	77.7	78.9	80.3	83.4	86.6	87.9	88.7	89.7	89.1	89.8	90.3	87.7

Oktober

1.	60	55	51	50	48	53	55	53	51	46	48	47	52	49	54	58	64	66	67	64	65	67	69	71	56.8
2.	79	87	89	90	86	94	94	92	91	91	96	97	98	98	99	99	98	93	82	76	77	84	84	86	90.0
3.	83	87	87	88	89	100	100	100	89	93	97	99	99	100	100	100	100	100	100	100	100	100	100	100	96.3
4.	100	100	100	100	100	100	100	100	100	100	100	100	100	100	99	99	98	97	96	96	94	93	93	94	98.3
5.	95	95	95	96	96	97	98	97	94	93	89	88	84	79	78	75	81	83	84	85	89	90	92	95	89.5
6.	98	99	99	100	100	100	100	98	97	95	92	90	89	86	89	90	93	95	97	98	100	98	98	95	95.7
7.	91	90	92	92	88	84	92	89	85	81	84	81	80	82	89	92	94	96	98	99	100	100	100	100	90.8
8.	100	100	100	100	100	100	100	99	99	99	100	100	100	100	100	100	100	100	100	100	100	100	100	100	99.9
9.	100	100	100	100	100	100	100	100	100	100	100	100	100	100	100	100	100	100	100	100	100	100	100	100	100.0
10.	100	100	100	100	100	100	100	100	100	100	100	100	100	100	100	100	92	90	92	94	96	94	96	98	98.0
11.	98	99	99	99	99	100	100	100	100	100	100	100	100	100	100	100	100	100	100	100	100	99	98	98	99.5
12.	97	95	86	82	71	68	61	58	60	67	68	70	80	83	85	89	91	95	96	98	99	100	99	97	83.1
13.	92	87	82	77	72	67	62	60	59	57	55	53	52	50	66	64	63	73	69	71	70	72	76	77	67.8
14.	75	72	70	68	66	63	61	60	60	59	59	58	57	54	52	53	57	60	64	68	63	69	68	67	62.6
15.	64	61	60	58	54	56	56	56	60	61	59	61	61	64	61	66	84	96	97	99	100	100	100	100	72.3
16.	100	100	100	100	100	100	100	100	100	100	100	95	93	88	90	90	90	91	96	100	99	96	95	91	96.4
17.	89	86	85	81	76	77	75	67	77	80	72	67	64	65	69	72	79	90	98	99	100	100	100	100	82.0
18.	100	100	100	100	100	100	100	100	100	100	93	93	93	93	93	93	91	88	84	86	84	86	84	81	93.4
19.	88	86	82	79	75	70	73	71	71	70	67	69	68	50	79	92	92	91	93	96	100	100	100	100	81.8
20.	100	100	100	100	100	100	100	99	99	86	87	82	80	78	84	84	85	84	88	83	81	84	87	89	90.0
21.	91	91	92	90	91	90	87	93	91	87	55	81	69	69	76	80	83	82	69	80	81	84	78	76	81.9
22.	76	78	94	98	100	100	100	100	99	99	98	99	100	100	100	100	100	100	100	100	100	100	100	100	97.5
23.	100	100	100	100	100	100	100	99	98	97	95	94	93	91	83	79	74	84	85	76	85	83	83	84	91.0
24.	81	81	86	91	86	85	82	84	83	81	78	78	77	75	75	77	79	82	86	88	87	87	87	85	82.5
25.	71	67	68	68	66	59	56	65	83	86	84	80	76	69	71	69	69	74	73	77	82	88	88	90	74.1
26.	93	93	96	97	94	95	96	93	90	91	91	86	84	85	88	88	90	91	92	94	94	93	93	93	91.7
27.	93	96	97	99	99	100	100	98	97	96	95	94	88	74	73	79	83	84	82	70	74	71	67	60	86.2
28.	56	57	50	47	42	38	36	38	42	42	43	45	48	48	55	49	53	61	60	52	33	41	46	45	47.0
29.	45	38	28	25	33	31	34	32	32	32	34	35	38	36	37	41	47	48	50	54	51	48	49	49	39.5
30.	47	47	44	43	40	39	38	38	41	44	46	47	48	55	55	57	64	73	87	90	91	89	62	91	58.6
31.	91	95	93	89	86	89	92	90	91	89	84	77	69	62	62	59	61	62	56	61	88	86	91	89	79.7
Mittel	85.6	85.2	84.7	84.1	82.5	82.4	82.2	81.6	81.9	81.4	79.7	79.6	78.7	76.9	79.4	80.5	82.4	84.8	85.2	85.6	86.6	87.2	87.5	87.1	83.0

Hygrometer-Registrierung. **Hohenpeissenberg.** 1912.

Datum	1ª	2ª	3ª	4ª	5ª	6ª	7ª	8ª	9ª	10ª	11ª	12m	1ᵇ	2ᵇ	3ᵇ	4ᵇ	5ᵇ	6ᵇ	7ᵇ	8ᵇ	9ᵇ	10ᵇ	11ᵇ	12mn	Mittel
November																									
1.	90	95	97	98	97	99	100	100	100	100	100	100	100	100	100	100	100	100	100	100	100	100	100	100	99.0
2.	100	100	98	97	97	99	100	99	96	93	98	97	95	94	92	90	94	93	91	85	89	88	90	92	94.5
3.	91	90	89	91	93	93	93	90	85	78	84	79	75	72	74	75	78	80	78	76	79	82	87	94	83.6
4.	95	96	96	97	98	98	98	98	98	99	98	97	83	79	76	75	75	78	82	82	83	83	82	79	88.5
5.	71	69	66	64	62	62	57	56	40	40	42	38	34	32	31	31	32	33	35	38	41	47	63	66	47.9
6.	74	79	82	80	82	89	100	100	100	100	100	100	98	100	100	100	100	100	99	98	98	97	97	97	94.6
7.	98	99	99	100	100	100	100	94	92	88	87	84	81	74	75	80	87	88	91	93	94	91	87	85	90.3
8.	82	78	64	59	56	46	43	44	43	37	41	45	52	69	72	75	81	80	81	71	73	84	93	95	65.2
9.	96	97	97	97	98	99	100	100	100	100	100	100	100	100	100	100	100	100	100	100	100	100	100	100	99.3
10.	99	96	90	83	83	85	93	89	87	83	78	75	75	68	67	70	74	83	91	97	98	97	93	88	85.1
11.	83	80	77	72	72	72	71	71	70	66	70	80	86	100	97	93	90	87	85	84	80	71	71	78	79.4
12.	84	84	90	85	84	86	85	85	84	82	86	89	91	92	93	99	98	99	99	100	100	100	100	100	91.5
13.	99	100	99	95	88	88	89	89	87	86	83	76	79	76	79	79	80	82	84	85	85	89	86	92	86.5
14.	87	85	85	88	84	85	88	76	67	60	57	53	52	54	55	58	61	62	63	66	66	66	66	66	68.8
15.	64	65	69	66	66	66	60	65	63	64	63	64	71	72	75	77	82	87	92	97	100	99	100	90	75.7
16.	89	92	99	100	100	100	100	100	100	100	99	98	97	94	95	95	96	94	96	99	100	98	90	88	96.6
17.	85	87	91	92	90	91	92	90	89	88	88	89	89	90	92	91	89	89	91	95	100	100	100	100	91.6
18.	100	100	100	100	100	100	100	100	100	100	98	92	94	96	96	98	100	100	100	99	98	98	98	100	98.6
19.	100	100	100	100	100	100	100	99	96	94	90	84	82	79	79	82	85	87	86	88	86	86	87	90	90.8
20.	91	93	89	82	85	85	100	99	100	98	95	98	96	96	93	95	86	88	92	98	98	99	99	99	93.9
21.	99	99	99	100	100	100	100	100	100	100	100	100	100	100	100	99	99	99	99	98	98	98	98	99	99.3
22.	99	99	99	99	100	100	100	100	100	100	100	100	100	100	100	99	99	99	99	98	98	98	98	98	99.3
23.	98	98	98	98	98	98	98	98	98	98	98	98	98	98	98	98	98	98	98	98	98	98	98	99	98.0
24.	99	99	99	99	100	100	100	100	99	99	99	99	98	98	95	92	89	87	84	81	78	80	82	84	93.3
25.	86	88	90	92	94	96	98	96	95	93	92	90	89	87	88	90	94	95	98	99	98	92	83	80	91.8
26.	75	67	70	58	42	42	44	42	36	32	36	42	48	46	40	40	42	45	37	39	25	24	29	32	43.0
27.	32	36	33	31	25	25	25	23	23	24	23	22	36	37	42	48	51	60	62	66	83	100	97	97	45.9
28.	98	96	100	100	100	100	100	100	98	98	96	92	86	83	83	88	88	98	98	98	98	98	98	98	95.5
29.	99	99	99	100	100	100	100	95	89	82	70	63	52	43	51	42	49	50	59	64	75	65	65	65	74.0
30.	53	51	47	44	47	43	41	46	40	40	44	44	42	36	37	36	41	40	34	33	31	31	33	38	40.5
Mittel	87.2	87.2	87.0	85.6	84.7	84.9	85.8	84.8	82.5	80.7	80.5	79.6	79.3	78.8	79.2	79.8	81.3	82.7	83.5	84.2	85.0	85.3	85.7	86.3	83.4
Dezember																									
1.	36	38	42	43	53	71	76	86	93	97	96	91	86	85	85	99	100	100	99	97	98	97	98	93	81.6
2.	89	90	89	87	89	91	91	92	86	81	76	70	67	88	98	95	100	100	99	97	96	100	100	100	90.5
3.	100	100	100	100	100	100	100	100	99	99	98	98	98	98	98	98	98	99	99	99	98	98	99	99	99.0
4.	100	100	99	100	100	100	100	100	100	100	100	100	100	98	99	99	99	99	99	98	98	96	95	91	98.8
5.	86	86	87	86	72	79	97	83	72	67	57	63	61	38	27	31	41	43	32	30	24	21	27	30	55.8
6.	30	33	34	35	30	32	29	29	29	36	38	32	26	29	32	36	42	44	39	46	39	42	52	52	36.1
7.	64	57	56	53	51	47	46	43	41	39	35	33	31	40	41	38	45	56	45	41	48	47	46	35	44.9
8.	28	36	36	38	42	38	41	41	41	39	35	39	42	37	35	37	39	42	43	47	46	51	46	47	40.3
9.	44	44	46	42	39	39	44	42	43	39	35	33	33	32	36	38	40	41	39	37	41	43	41	38	39.5
10.	37	37	37	36	40	41	41	38	39	41	35	35	34	34	36	40	41	42	41	39	41	38	40	40	38.5
11.	39	40	42	40	40	40	40	38	36	32	30	33	35	33	34	37	40	46	48	53	65	81	84	64	44.6
12.	57	52	54	55	53	57	80	83	83	80	76	67	65	62	63	64	67	70	81	93	96	95	91	88	72.2
13.	92	71	71	74	69	65	68	72	71	72	67	59	64	65	70	73	75	79	84	81	77	71	68	63	71.7
14.	61	59	51	52	50	47	45	41	34	32	35	47	46	46	48	50	59	71	83	82	86	90	85	83	57.6
15.	83	82	81	82	86	83	86	85	83	83	79	73	70	66	66	68	71	74	79	78	75	68	70	68	76.6
16.	68	73	76	71	69	80	84	80	79	76	75	76	74	74	74	74	73	68	65	62	60	61	60	61	71.4
17.	64	70	93	100	100	100	100	100	100	100	100	100	99	100	98	95	93	91	89	87	83	79	73	63	90.7
18.	62	51	51	54	52	51	47	48	45	32	31	29	28	30	30	33	31	29	41	57	61	64	68	100	46.9
19.	100	100	100	99	98	96	94	96	93	88	81	79	79	80	80	85	83	82	76	70	67	68	64	56	83.9
20.	53	45	49	43	29	41	40	37	52	58	51	53	58	68	67	70	72	68	66	67	61	60	57	58	55.1
21.	65	69	67	63	61	63	65	63	63	61	61	63	64	67	68	68	75	76	67	64	41	53	57	52	63.2
22.	52	46	45	41	41	41	38	39	43	40	42	36	38	37	38	42	45	49	52	53	42	44	46	44	43.1
23.	50	55	53	56	55	58	62	60	61	67	71	66	59	59	64	61	62	64	64	63	67	69	68	65	61.6
24.	70	74	68	71	71	71	69	68	67	67	67	64	65	69	74	78	82	88	83	84	85	85	82	82	74.3
25.	76	72	65	52	47	58	63	61	61	61	66	58	56	52	52	50	51	54	55	52	53	52	54	60	57.5
26.	55	57	59	64	80	78	82	83	84	77	60	52	49	49	54	58	47	40	46	52	68	94	94	79	65.0
27.	71	73	91	89	82	68	69	65	60	56	72	72	77	87	96	100	100	100	100	100	100	100	100	100	84.5
28.	100	100	100	100	99	94	93	94	97	98	92	85	79	81	78	69	57	60	63	64	61	57	52	48	80.0
29.	53	53	54	53	47	41	44	49	48	46	48	45	39	41	42	41	42	52	57	58	59	60	60	82	50.6
30.	84	84	84	81	81	86	88	95	90	88	74	52	57	51	55	65	75	84	79	83	83	83	86	88	77.9
31.	89	85	84	84	84	83	84	78	75	74	70	69	71	72	68	64	64	69	80	72	73	57	49	42	72.5
Mittel	66.4	65.6	66.6	65.9	64.8	65.8	67.9	67.4	66.7	65.2	63.0	60.4	59.7	60.3	61.5	63.1	64.8	67.1	67.5	67.9	67.5	68.5	68.1	66.8	65.4

Anemometer-Registrierung. **Hohenpeissenberg.** 1912.

Januar

Datum	0–1a	1–2a	2–3a	3–4a	4–5a	5–6a	6–7a	7–8a	8–9a	9–10a	10–11a	11a–m	0–1p	1–2p	2–3p	3–4p	4–5p	5–6p	6–7p	7–8p	8–9p	9–10p	10–11p	11p–mn	Mittel
1.											4.2	4.5	4.2	2.3											
2.															11.3	9.6	11.0	9.9	10.7	10.4	9.0	8.2	8.5	9.3	
3.															9.9	10.7									
4	9.6	9.0	7.7	8.2	6.5	6.2	7.1	7.1	7.4	6.5	7.7				8.5	9.3	15.0	15.3	14.4	13.9	15.9	16.8	13.0	13.0	
5.															12.1	10.2	11.5	8.2	8.5	9.9	13.0	14.7	17.0	19.2	11.44
6.	11.8	11.0	12.1	10.2	10.4	10.2	9.3	9.9	9.9	11.8	10.7	9.9	11.5	11.5	12.1	11.5	12.1	12.4	13.3	12.1	9.3	6.8	5.4	4.8	
7.	20.3	20.3	18.7	14.2	14.4	15.3	13.0	10.4	12.7	11.5					7.4	9.0	9.3	9.6	9.3	8.0	5.7	4.8	4.8	3.7	5.73
8.	3.7	4.0	2.6	2.9	2.9	2.9	2.9	4.0	5.1	5.7	7.4	7.1	7.4	7.4											
9.	2.9	3.5	4.8	4.0	3.2	3.2	5.9	7.7	9.3	12.7	12.4	11.8	12.7	13.3											
10.																									
11.																									
12.																									
13.																									
14.																									
15.																									
16.																									
17.																									
18.													2.9	1.8	1.5	1.5	0.8	4.5	6.2	3.7	2.3	2.6	3.5	4.5	
19.	2.9	4.5	5.7	8.5	6.8	4.8	2.3	1.5	0.5	0.8	1.2														
20.															?0.0	1.2	2.6	1.8	1.5	2.1	2.6	2.1	1.2	1.2	
21.																									
22.	1.2																								
23.													1.5	1.5	2.6	5.7	6.8	5.9	5.9	6.5					
24.																									
25.									1.2	1.8	4.2	2.3	1.8	1.2	2.6										
26.														4.5	3.5	3.2	1.5	1.8	0.8	0.8	1.5	1.8	0.8	0.8	
27.	2.6	1.8	2.9	3.2	2.9	1.2																			
28.																									
29.																									
30.		3.2	7.4	9.0	6.2	8.2	6.5																		
31.														8.5	10.7	9.3	12.4	11.8	13.0	12.1					
Mittel																									

Februar

Datum	0–1a	1–2a	2–3a	3–4a	4–5a	5–6a	6–7a	7–8a	8–9a	9–10a	10–11a	11a–m	0–1p	1–2p	2–3p	3–4p	4–5p	5–6p	6–7p	7–8p	8–9p	9–10p	10–11p	11p–mn	Mittel
1.																									
2.																									
3.																									
4.																									
5.																									
6.																									
7.																									
8.															7.7	9.3	6.5	2.1	2.3	4.8	5.4	7.1	7.7	8.2	
9.	10.4	9.6	10.7	9.0	7.4	7.4	10.2	9.9	5.7	6.2	7.4	4.8	1.5	3.2	3.7	6.2	10.2	12.7	10.2	8.5	7.1	4.0	4.0	3.2	7.22
10.	?0.0	5.4	6.5	9.9	11.0	11.3	7.7	8.0	5.7	5.1	5.9	5.4	4.8	4.5	2.3	1.2	0.5	0.0	0.8	4.0	4.0	6.8	4.8	3.5	4.96
11.	2.6	3.2	2.6	2.3	2.9	6.2	7.4	5.9	5.4	5.9	3.2	4.2	4.0	2.6	2.1	1.5	2.1	1.8	1.2	0.0	2.6	0.8	2.3	0.8	3.07
12.	0.8	1.2	0.0	2.9	4.8	6.8	6.5	5.9	5.9	6.8	7.1	8.5	6.8	5.9	5.4	4.5	4.8	5.7	1.5	4.2	4.0	3.2	2.3	0.8	4.43
13.	0.5											0.5			0.5	4.0	4.5	5.4	5.1	4.8	4.0	1.8	2.6	2.9	
14.	2.1	3.5	3.7	2.1	2.9	4.8	5.4	4.5	4.8	4.8	3.7	2.1	1.5	1.2	1.2	2.1	2.9	2.6	1.2	0.8	0.8	0.5	0.8	1.2	2.55
15.	1.5	1.5	1.2	0.5	0.8	1.5	1.5	0.8	1.2	0.0	1.2	1.8	2.6	3.2	2.6	2.3	2.6	2.6	4.0	3.2	4.0	4.0	3.5	3.2	2.14
16.	4.8	4.5	4.8	4.8	4.5	4.5	5.7	4.8	4.8	4.0	3.5	2.6	2.9	2.6	2.3	1.8	0.8	1.5	2.1	2.3	3.2	3.5	5.4	4.5	3.59
17.	4.5	2.3	2.6	1.8	0.8	3.5	1.5	2.9	4.0	3.2	2.9	2.3	2.9	2.3	1.8	0.8	3.5	4.5	5.7	5.1	4.0	2.9	4.8	3.7	3.10
18.	3.2	1.2	1.5	1.2	0.5	1.2	3.2	4.5	3.2	3.2	2.9	2.1	1.5	0.8	1.5	2.3	2.9	2.1	3.7	3.5	3.5	3.2	3.7	2.9	2.48
19.	0.5	1.2	4.0	4.5	2.9	2.6	0.8	1.5	0.5	0.8	1.2	1.5	2.1	0.5	1.5	1.2	2.1	2.3	2.6	5.7	5.7	5.4	6.8	6.5	2.68
20.	6.5	6.2	8.2	6.5	6.2	7.1	6.5	5.4	5.1	6.2	6.5	7.7	7.7	7.1	6.8	7.1	7.1	8.2	8.5	9.9	8.2	10.4	10.2	9.6	7.45
21.	8.0	6.5	8.5	10.4	9.6	8.2	6.5	7.1	9.0	9.0	8.8	8.8	8.5	8.0	8.2	8.0	6.8	5.7	6.5	6.8	7.7	5.1	4.8	4.8	7.55
22.	4.5	4.5	4.8	5.4	6.2	5.1	4.2	3.7	3.7	3.5	3.2	3.2	3.2	3.5	3.5	3.7	3.5	3.5	3.5	3.5	3.5	2.1	2.9	2.6	3.79
23.	3.2	3.5	4.5	3.5	3.2	3.7	4.8	5.7	8.2	6.8	6.8	5.1	3.5	2.3	2.6	1.5	2.6	3.7	3.7	3.7	5.4	5.1	8.2	8.2	4.56
24.	10.7	9.6	7.4	8.8	8.0	9.3	10.2	9.0	8.8	11.0	13.9	10.4	9.3	9.0	8.2	8.8	6.5	6.5	8.5	8.8	11.0	8.2	8.0	8.5	9.10
25.	5.1	8.0	13.6	13.9	12.4	13.6	13.6	14.4	11.8	10.2	9.3	8.8	8.8	9.3	8.5	7.1	5.1	3.7	1.8	2.3	2.1	3.7	3.2	4.0	8.10
26.	4.2	3.5	2.9	3.5	6.5	5.4	5.7	6.2	5.7	4.2	4.0	3.5	3.5	3.2	2.1	2.6	4.2	5.9	6.5	5.1	6.5	7.1	6.5	8.0	4.85
27.	7.4	7.4	7.1	7.7	6.8	5.9	7.4	7.7	5.1	7.7	8.0	8.2	7.1	4.8	4.8	4.0	4.0	5.7	7.1	6.8	5.1	5.1	7.7	7.4	6.50
28.	6.5	5.9	5.4	4.8	3.2	3.5	4.2	3.7	5.1	3.5	5.1	3.5	4.2	3.7	2.9	3.2	2.3	3.5	1.2	1.2	0.8	0.0	0.8	3.2	3.39
29.	4.0	4.5	5.4	6.2	6.8	4.8	1.8	1.5	1.8	1.8	2.3	0.5	0.5	0.0	0.0	0.0	0.0	0.0	3.7	5.4	7.4	7.1	7.1	5.1	3.24
Mittel																									

Anemometer-Registrierung. **Hohenpeissenberg.** 1912.

März

Datum	0–1ª	1–2ª	2–3ª	3–4ª	4–5ª	5–6ª	6–7ª	7–8ª	8–9ª	9–10ª	10–11ª	11ª–m	0–1ᵖ	1–2ᵖ	2–3ᵖ	3–4ᵖ	4–5ᵖ	5–6ᵖ	6–7ᵖ	7–8ᵖ	8–9ᵖ	9–10ᵖ	10–11ᵖ	11ᵖ–mn	Mittel
1.	6.5	8.2	7.7	6.5	4.0	4.0	4.0	3.2	2.1	2.1	0.8	0.8	2.9	4.0	2.3	0.8	3.7	5.7	4.8	5.4	4.2	2.9	2.6	4.5	3 90
2.	2.9	2.3	3.2	4.2	5.4	6.8	10.4	11.5	8.0	9.0	9.9	7.1	9.0	8.2	6.8	7.1	5.4	5.4	2.3	3.2	5.9	7.4	8.0	5.9	6.47
3.	5.4	6.2	5.4	5.7	6.5	5.4	4.0	2.6	1.8	2.6	1.8	1.5	4.2	6.2	5.9	5.7	5.4	6.8	6.5	7.7	7.4	6.5	5.1	5.9	5.09
4.	5.9	6.8	6.5	4.8	4.2				5.7	5.9	6.5	6.2	5.4	5.4	6.2	6.2	4.5	5.1	4.5	5.1	5.7	5.7	5.1	5.1	
5.	7.4	8.2	9.6	8.2	8.8										8.5	9.0	9.9	8.8	9.0	7.4	8.8	5.9	8.5	7.7	
6.	5.9	7.4	8.5	10.4	9.6	9.0	9.9	9.9	6.5	8.5	8.5	8.5	8.0		9.9	9.0	8.2	6.8	8.0	8.2	6.8	8.2	6.2	8.5	
7.	8.0	8.8	8.8	6.2	7.4	7.7	6.8	5.7	4.0	4.8	4.2	4.2	3.2	3.5	2.9	2.1	1.5	1.2	0.8	2.3	4.0	3.5	4.0	4.0	4.57
8.	4.0	4.0	4.0	3.5	4.0	4.0	4.0	4.0	2.6	1.8	1.5	1.8	1.2	2.1	1.8	0.8	0.8								
9.							0.5	1.5	2.1	2.3	2.9	4.0	4.0	3.5	5.1	4.5	5.1	8.0				8.5	7.7		
10.															6.5	5.9	4.8	2.3	4.5	2.6			3.2	2.9	
11.	5.9	5.7	3.7	5.9	5.4	8.5	9.9	9.6	8.0	6.8	6.2	5.9	6.8	6.8					4.8	4.8	4.8	3.2	4.2	4.2	
12.	3.7	3.7	5.4	3.7	3.2	3.5	4.2	3.2	3.5	2.3	3.7	1.8	1.8	0.8	0.8	0.8	2.3	2.1	1.2	2.6	2.9	0.8	1.2	1.5	2.53
13.	2.6	3.2	3.2	3 7	3.7	4.2	2.3	3.7	2.3						2.1	2.9	1.2	1.2	1.2	0.8	1.8	2.3	2.6	3.2	
14.	3.5	3.7	4.5	4.8	4.5	5.1	5.7	7.1	5.4	6.2	6.2	4.8	4.0	4.5	5.1	4.5	4.0	3.5	4.5	4.8	5.7	5.4	5.4	5.7	4.94
15.	4.8	4.8	4.0	2.3	0.5	2.1	2.6	2.1	1.2	0.8	1.2	1.5	2.3	2.6	2.3	2.9	4.2	7.4	7.4	7.1	7.1	4.2	2.1	2.1	8.26
16.	1.8	4.8	2.6	5.4	3.5	5.9		5.9	6.2	7.1	8.0	8.5	5.7	5.7	5.7	5.7									
17.																									
18.																									
19.																									
20.																									
21.															5.1	4.8	4.2	4.8	6.8	5.7	4.0	5.4	5.7	5.4	
22.	4.5	2.9	5.4	8.0	6.8	5.7	5.7	4.8	5.7	4.5	4.2	6.5	5 9	5.9	8.2	8.0	7.7	6.2	6.2	5.9	5.9	6.8	6.8	5.9	6.00
23.	5.1	5.7	4.2	4.2	4.8	4.5	4.5	5.1	6.2	7.4	7.1	6.8	6.2	6.5	6.5	5.1	5.9	5.7	5.4	4.2	7.1	5.4	4.5	3.5	5.48
24.	3.5	4.2	5.9	6.5	8.0	8.5	9.0	9.3	8.8	10.2	11.0	10.7	9.9	10.4	9.0	11.5	8.8	9.9	6.5	7.4	7.4	9.0	7.7	5.7	8.28
25.	6.8	8.2	8.2	8.2	8.0	8.2	8.2	7.7	5.9	5.1	4.2	5.4	6.2	4.8	5.4	5.4	5.4	5.7	5.1	4.8	5.4	5.4	5.4	5.7	6.20
26.	5.9	4.5	4.5	4.0	3.2	1.5	1.5								4.5	5.1	5.7	5.4	5.7	5.1	2.9	1.2	4.8	5.4	
27.	5.1	5.1	5.1	4.2	4.2	5.1	5.9												6.8	2.6	4.8	6.2	6.8	7.1	
28.	8.2	8.5	7.1	7.7	7.1	7.7	7.7	6.8	6.5						7.1	6.5	7.7	5.4	6.2	6.8	7.1	7.1	6.5	7.1	
29.	5.9	7.1	6.5	5.9	7.1	8.2	8.2	9.0							4.8	4.5	4.8	5.1	5.9	3.7	4.2	4.8	4.2	5.1	
30.	4.2	4.0	3.5	4.0	3.5	? 0.5	5.7	4.0							2.6	3.5									
31.																									
Mittel																									

April

1.																									
2.																									
3.															2.3	1.2	2.1	1.2	1.8	1.5	2.6	0.8	0.8	2.1	
4.	1.5	0.5	0.0	1.2	0.8	1.5	1.8	1.5	0.8	1.5	1.5	2.1	1.5	1.8	1.2	0.5	1.5	1.8	2.9	2.9	4.2	4.2	4.0	5.4	1.94
5.	5.4	6.5	6.8	5.9	6.8	8.2	9.9	9.3	8.2	8.2	11.0	11.5	11.3	11.5	11.5	16.5	16.8	16.5	17.0						
6.								10.2	10.2	11.8	12.4	12.1	12.4	12.4	10.4	9.9	10.7	10.2	11.5	9.9	9.9	10.7	9.9	10.7	
7.	10.2	11.5	11.8	11.0	10.4	9.9	8.8	8.5	8.5	7.7	8.0	7.7	6.5	8.2	7.7	6.8	6.5	5.9	6.2	5.9	4.5	4.5	4.2	4.5	7.73
8.	5.4	4.8	4.2	4.2	2.9	3.2	2.6	2.6	2.9	2.6	4.0	4.5	5.1	5.9	6.2	6.2	6.2	8.0	7.7	8.8	11.8	12.7	10.7	10.7	6.45
9.	10.4	10.4	11.3	9.6	11.3	11.3	11.5	9.9	10.7	9.6	8.8	8.2	6.2	3.2	5.4	5.1	5.9	7.1	5.1	5.1	4.0	4.8	4.0	4.8	7.65
10.	4.5	3.7	4.2	4.0	4.2	4.5	4.5	5.4	5.4	5.7	7.1	8.8	8.2	8.8	6.2	5.4	6.8	7.7	9.9	11.3	7.7	7.1	8.5	8.0	6.57
11.	8.5	8.8	7.7	8.0	6.5	4.5	3.7	4.2	5.9	6.2	6.2	5.7	5.9	4.2	4.2	6.8	6.8	6.8	7.4	4.5	3.5	3.2	3.5	5.9	5.73
12.	8.0	9.0	9.0	9.3	9.9	9.0	7.4	5.1	4.8	4.8	6.8	7.1	7.4	6.2	5.1	5.9	7.1	8.0	8.5	6.2	6.2	5.9	3.7	5.7	6.92
13.	2.3	2.1	1.8	1.8	2.3	1.5	0.5	0.8	1.2	1.8	2.3	3.2	4.5	3.7	4.2	4.2	4.2	4.0	4.8	6.2	6.5	8.0	8.5	9.0	3.45
14.	9.0	8.0	6.8	5.7	5.9	5.7	6.2	4.2	4.0	3.5	2.3	2.6	2.1	1.2	1.8	2.3	1.5	1.2	2.3	5.7	5.7	3.5	2.6	1.5	3.97
15.	5.1	6.5	6.5	5.4	4.0	3.7	4.2	4.2	4.8	4.8	7.1	8.2	6.2	8.2	8.5	9.9	7.1	7.4	7.1	7.1	8.8	9.0	9.3	9.9	6.79
16.	8.5	9.6	9.0	8.2	6 5	5.4	5.4	4.2	4.5	4.8	6.5	7.1	8.0	7.4	8.2	6.2	7.7	7.1	7.1	7.1	8.0	8.8	8.5	6.5	7.10
17.	5.7	4.2	4.8	5.4	3.5	3.7	1.2	0.5	0.8	0.5	0.8	1.5	1.2	2.1	4.0	3.5	4.5	5.7	7.1	8.8	9.3	7.4	5.7	4.0	4.00
18.	4.5	4.2	3.2	2.3	2.3	0.8	2.1	2.9	1.2	0.8	1.5	2.6	3.5	3.5	4.0	3.5	5.4	5.1	6.5	5.9	5.9	5.9	5.1	3 7	3.60
19.	0.8	1.5	2.3	4.0	3.7	5.1	4.0	3.2	2.6	2.6	2.6	1.8	2.1	0.8	1.8	2.1	2.1	3.5	4.0	3.7	2.6	2.6	2.3	3.2	2.71
20.	2.9	2.9	3.2	3.5	3.5	3.5	3.7	2.6	3.2	3.2	3.2	2 3	3.5	1.2	3.2	2.6	3.2	2.1	0.5	1.8	2.3	3.2	1.2	1.8	2.68
21.	2.3	2.6	3.5	6.5	6.2	5.4	5.7	5.9	8.5	8.8	8.8	10.2	9.0	9.6	10.4	9.0	9.9	10.2	9.3	10.4	10.4	12.1	12.4	11.3	8.27
22.	10.7	9.9	11.3	11.0	10.7	11.0	11.5	11.5	9.0	9.3	10.7	12.7	13.6	13.9	11.8	11.8	10.2	9 0	9.0	8.2	8.0	6.5	7.4	7.4	10.25
23.	7.4	6.5	6.8	7.1	8.0	8.2	7.7	6.2	6.5	7.7	8 5	9.0	9.9	9.6	10.2	9.6	8.8	9.0	9.3	10.2	9.9	8.8	9 0	8 0	8.04
24.	6.5	6.5	5.9	6.2	5.7	4.0	3.2	2.1	0.8	3.5	4.2	3.5	3.2	3.5	4.8	5.9	5.7	4.8	6.5	6.5	4.2	6.5	7.7	7.1	4.94
25.	6.2	5.7	5.4	4.2	4.5	4.0	4.0	3.2	5.4	7.4	6.2	6.5	6.5	5.7	4.5	4.8	3.5	4.2	2.9	6.2	5.7	5.1	3.2	2.6	4.90
26.	4.5	3.7	3.5	2.6	1.8	1.2	0.0	0.5	0.5	1.8	2.9	2.9	1.5	1.2	1.2	1.8	2.1	4.0	3.7	4.2	5.1	4.0	3.2	3.2	2.55
27.	3.5	3.7	2.9	2.3	1.5	1.5	0.8	2.1	0.8	0.0	1.5	1.8	2.6	2.3	2.9	3.5	4.0	3.5	7.4	10.7	11.3	8.8	8.0	5.4	3.87
28.	2.8	1 8	1.2	1.2	2.9	6.5	5.9	4.5	2.6	5.4	7.1	6.8	6.8	4.5	5.4	5.9	6.2	4.5	4.8	4.2	2.9	2.9	1.8	2.3	4.21
29.	2.9	1.8	3.2	2.6	2.1	1.8	2.3	2.6	2.6	2.6	2.6	2.1	2.3	1.5	1.2	2.6	2.6	2.3	2.9	3.2	2.9	2.6	2.6	1.8	2.40
30.	1.5	2.3	1.8	3.2	2.3	2.9	1.2	1.8	1.8	2.1	1.5	1.8	2.3	2.6	4.8	8.0	6.5	7.7	7.1	8.2	7.4	8.5	9.3	10.2	4.45
Mittel																									

Anemometer-Registrierung. **Hohenpeissenberg.** 1912.

Mai

Datum	0–1ª	1–2ª	2–3ª	3–4ª	4–5ª	5–6ª	6–7ª	7–8ª	8–9ª	9–10ª	10–11ª	11ª–m	0–1ᵖ	1–2ᵖ	2–3ᵖ	3–4ᵖ	4–5ᵖ	5–6ᵖ	6–7ᵖ	7–8ᵖ	8–9ᵖ	9–10ᵖ	10–11ᵖ	11ᵖ–mn	Mittel
1.	10.4	11.3	10.4	8.8	9.3	9.9	9.6	10.2	8.8	8.5	9.3	8.0	7.7	7.7	8.0	7.4	8.2	7.4	6.5	6.2	8.0	7.7	7.4	7.1	8.49
2.	8.0	7.7	7.1	6.5	5.9	4.5	2.1	2.3	2.9	3.5	3.5	3.2	1.8	2.1	1.5	0.5	0.5	1.5	1.5	1.5	1.5	2.1	2.9	3.7	3.26
3.	3.7	2.9	2.1	2.6	2.1	1.2	1.5	0.8	1.2	1.5	2.3	2.1	2.1	2.6	2.3	2.3	2.3	2.3	3.5	4.2	3.5	4.5	4.2	4.5	2,60
4.	4.2	4.2	4.5	4.0	3.7	3.2	3.5	2.9	2.1	1.5	2.9	2.9	3.2	2.9	3.2	3.5	3.5	3.7	3.7	3.7	6.5	6.5	7.7	6.8	3.94
5.	4.8	2.6	4.0	4.8	3.7	3.7	4.0	3.7	3.5	3.5	3.5	4.5	4.5	3.2	3.5	2.3	1.8	2 3	2.6	2.9	2.3	2.6	3.2	2.6	3.34
6.	2.3	2.9	2.1	1.8	1.8	2.1	1.8	0.8	0.8	2.1	2.1	4.2	3.5	3.5	1.5	2.1	3.7	5.1	5.1	6.2	7.7	9.0	8.0	9.6	3.74
7.	8.8	8.8	6.8	7.4	6.8	6.5	6.2	5.9	4.8	5.1	5.9	6.8	3.7	5.4	5.1	7.7	6.2	5.4	6.2	6.2	6.8	5.9	5.9	7.1	6,31
8.	7.7	9.6	8.8	8.2	9.3	6.8	6.5	7.7	8.5	9.6	10.2	8.2	7.7	8.2	9.6	10.4	7.1	8.5	7.4	6.8	7.1	7.1	6.8	6.5	8.10
9.	6.5	5.7	5.7	5.8	5.4	4.5	4.0	3.5	2.9	2.9	3.5	3.7	3.5	3.7	4.5	3.5	4.0	4.5	5.4	5.1	5.4	7.1	8.0	8.2	4.88
10.	7.7	5 4	5.9	5.9	5.1	5.9	5.7	5.7	6.2	6.8	7.7	5.4	5.9	6.5	5.7	5.1	6.2	7.4	5.1	5.4	5.7	5.1	7.4	5.9	6.03
11.	6.2	5.1	6,5	8,0	6.2	6.2	5.9	5 7	7.1	5.9	4.0	4.2	3.7	4.2	4.5	4.8	5.4	4.8	4.5	4.0	5.1	5.1	5.4	5.9	5.35
12	6.8	8.0	9.0	9.3	7.4	6.2	5.4	4.2	4.5	4.2	3.5	4.5	5.1	5.9	7.1	6.2	6.8	5.9	6.8	9.3	10.7	11.5	12.7	13.6	7.28
13.	12.4	9.3	12.4	12.7	9.9	9.0	9.6	9.6	9.9	11.3	9.6	10.7	12.4	11.0	8.2	9.0	7.1	3.5	3.5	2.3	2.3	1.5	0.8	0.8	7.87
14.	1.5	2.1	2.9	3.2	3.2	3.2	3.2	2.3	0.8	1.8	2.1	3.2	2.1	2.9	4.5	4.5	4.5	6.5	6.8	6.5	8.0	7.7	7.4	5.4	4.01
15.	3.2	3.5	4.5	5.1	5.7	3.2	4.0	5.7	1.8	1.2	1.2	2.1	1.5	2.1	1.2	3.2	3.5	1.8	5.1	7.7	9 9	7.7	8.5	9.9	4.30
16.	9.9	8.5	8,0	8.0	9.0	7.7	7.4	7.4	8.5	9.3	9.6	8.8	8.8	8 5	7.1	5.7	6.8	8.0	9.3	10.2	10.4	8.5	9.0	7.4	8.41
17.	5.7	5.4	6.5	6.2	5.4	5.9	9.3	6.2	7.1	7.1	6.8	6.8	6.5	8,0	6.2	6.8	8.8	6.5	5.9	6.2	6.5	8.5	8,0	7.7	6,83
18.	7.4	6.5	5.7	5.7	5 4	5.4	4.2	5.7	5.1	4.5	5.4	6.5	5.7	4.5	4.8	5.1	4.5	4.5	4.8	2.3	5.7	5.1	3.7	4.8	5.13
19.	5.4	5.7	5.7	5.9	5.9	5.9	4.0	0.5	1.5	1.5	1.5	0.8	0.8	1.2	2.3	3.2	4.5	4.2	4.0	7.4	7.4	6.8	5.9	3.2	3.97
20.	1.5	1.2	1.8	2.6	3.2	2.6	2.1	1.5	0.5	0.5	2.1	2.1	3.7	3.2	2.3	2.9	1.8	1.8	3.2	5.4	4.2	4.8	4.8	3.2	2,63
21.	6.8	7.4	7.4	6.8	6.8	5 4	6.2	4.8	2.9	2.3	3.2	2.9	1.2	2.6	4.0	5.1	5.9	6.2	7.1	5.9	7.1	4.5	3.7	3.7	5.00
22.	2.6	2.3	2.9	2.6	2.9	3.5	3.7	4.2	5.1	5.4	4.8	4.0	2.6	2.6	2.6	2.3	5.9	7.4	6.2	5.9	7.1	6.5	6.2	7.1	4.43
23.	7.4	5.7	5.1	4.5	4.2	4.0	3.7	3.7	3.7	3.2	4.2	3.2	2.1	0.5	3.7	3.2	3.2	3.7	4.5	4.0	3.2	3.7	4.5	3.7	4.86
24.	3.7	3.5	3.7	3.7	3.5	2.9	2.6	2.6	2.3	2.9	2.1	2.6	2.6	1.2	2.9	4.0	1.2	2.3	4.2	4.0	3.2	1.8	0.8	1.5	2.74
25.	1.8	0.8	2.3	2.6	2.9	3 2	2.6	4.0	3.7	4.5	4.2	3.5	3.5	4.2	0.8	2.3	5.7	3.5	2.9	4.2	3.5	4.0	3.5	4.0	3.26
26.	4.2	4.5	4.5	4.5	4.5	3.7	3.2	3.2	2.9	2.6	1.8	1.2	1.2	1.5	2.1	2.3	1.8	2.1	1.8	1.8	1.5	1.2	0.8	0.0	2.45
27.	0.8	1.2	1.5	0.0	1.2	2.1	2.9	4.0	4.5	4.5	3.5	0.8	0.8	0.8	1.2	1.5	1.2	1.5	1.2	0.8	2.6	2.6	2.9	2.1	1.91
28.	0.5	1.2	2.1	2.3	3.2	3.7	3.5	1.8	0.8	0.8	2.3	2.1	1.5	0.8	1.8	1.8	0.8	2.9	4.8	5.7	5.9	6.8	6.5	5.4	2,88
29.	3.7	3 5	4.5	5.4	4.2	4.8	5.7	5.9	3.2	4.8	4.2	4.0	4.0	4.0	4.2	1,2	2.6	2,3	2.9	2.1	3.5	2.1	2.3	2.1	3.63
30.	2.6	1.8	3.7	4.0	4.0	4.0	3.7	5.1	4.8	4.2	4.5	4.8	4.8	5.7	5.7	5.7	6,2	6.5	6.5	8.5	8.8	8.0	8.0	7.7	5.39
31.	8.0	7.1	6.5	5.4	6.2	5.4	2.9	1.5	1.5	2.6	1.8	0.5	0.5	1.5	2.9	1.5	1.2	0.5	0.0	0.5	1.2	1.8	0.8	1.5	2.64
Mittel	5.36	5.01	5.31	5.30	5.10	4 72	4.54	4.29	4.00	4.20	4.30	4.14	3.83	3.96	4.03	4.10	4.29	4.33	4.61	4.93	5.56	5.41	5.41	5.25	4.67

Juni

Datum	0–1ª	1–2ª	2–3ª	3–4ª	4–5ª	5–6ª	6–7ª	7–8ª	8–9ª	9–10ª	10–11ª	11ª–m	0–1ᵖ	1–2ᵖ	2–3ᵖ	3–4ᵖ	4–5ᵖ	5–6ᵖ	6–7ᵖ	7–8ᵖ	8–9ᵖ	9–10ᵖ	10–11ᵖ	11ᵖ–mn	Mittel
1.	4.2	4.8	3.5	4.2	4.2	5.1	5.7	5.7	5.7	5.1	4.8	4.5	5.1	6.5	8.2	8.0	2.3	3.5	7.4	4.5	4.2	5.7	6.8	6.5	5.26
2.	9.0	8.2	6.8	5.7	5.9	4.5	2.9	1.5	0.5	0.8	1.5	4.2	8.5	8.5	9.9	8.8	9.9	9.3	11.0	6.8	9.0	8.5	7.7	5.9	6.47
3.	7.4	6.2	5.9	5.7	8.8	8.0	5.7	5.7	5.9	4.5	3.2	2.3	2.1	1.8	1.2	0.8	2.1	2.6	3.2	2.1	5.9	4.0	2.3	1.8	4.13
4.	4.2	4.2	4.5	3.7	3.2	4.0	4.2	3.2	2.6	2.6	3.7	4.2	3.7	3.2	4.2	1 8	2.3	0.8	2.6	4.2	5.9	5.7	3.7	4.0	3.60
5.	5.4	5.9	3.7	2.1	0.5	3.2	2.6	2.1	1.5	2.9	4.2	4.5	3.7	2.1	0,8	1.8	5.9	4.2	4.8	4.8	4.5	2.1	1.2	0.8	3.14
6.	2.1	2.1	2.1	2.1	1.2	1.2	0.5	0.5	0.8	2.1	3.7	3.5	2.9	3.5	3.7	3.2	2.9	3.5	5.1	5.4	9.0	6.8	7.7	6.2	3.83
7.	4.8	2.6	1.5	2.6	3.2	4.5	2.9	1.8	0.8	1.8	1.8	4.0	4.5	4.0	2.9	4.8	4.5	4.5	5.7	5.1	3.2	2.9	4.5	4.2	3.46
8.	4.5	4.8	6.2	7.1	7.7	6.5	5.4	4.0	2.9	2.9	2.1	2.9	0.8	0.8	2,3	1.8	2.1	2.1	2.1	2.1	2.1	3.2	1.8	3.7	3.41
9.	1.8	1.8	1 5	2.9	2,3	0.8	1.2	0.5	1.2	1.2	1.2	1.2	2.1	2.6	4.8	4.5	4.5	4.5	2.6	3.5	4.0	2.6	2.3	2.9	2.44
10.	3.2	4.2	4.0	4.0	3.7	4.2	3.2	2.9	3.2	2.6	2.6	0.8	0.5	0.5	0.8	0.5	0,8	1,8	1,8	2.6	2.6	2.6	4.2	3.7	2,54
11.	5.1	4.5	4.2	5.4	6.5	7.7	6,8	8.5	6.5	7.1	6.2	5.9	5.4	4.5	5.4	7.7	5.4	4.2	2.6	4.5	8.0	8.5	7.1	5.9	5.98
12.	5.9	4.8	3.2	3.7	1.5	2.6	2.6	0.8	1.2	1.8	2.9	3.2	5.4	4.0	3.5	3.5	2.9	3.2	3.5	3.2	5.7	4.8	4.8	3.2	3.41
13.	3.2	2.9	4.5	1.8	0,8	0.5	2.3	3.5	0.8	1.8	2.3	4.0	4.0	5.1	4.8	4.0	5.1	5.1	4.8	4.8	6.2	6.2	7.4	7.1	3.88
14.	6.2	5.9	6.8	8.8	6.8	8,8	8.2	5.4	6.8	7.4	7.4	9.3	7.1	6.8	7.4	8.2	8.0	8.0	6.2	6.8	8.0	7.7	8.5	9.0	7.48
15.	8.5	7.4	7.4	8.5	10.2	10.7	11.8	12.7	11.8	10.4	9.0	11.8	11.8	10.7	8.5	8.2	8.8	9.9	8.8	6.5	8.5	8.2	5.9	5.7	9.24
16.	5.4	6.5	6.2	7.7	7.7	7.1	5.7	5.1	4.0	5.4	4.2	4.2	4.8	4.8	6.8	7.7	8.2	7.7	8.0	10.2	8.8	11.0	9.9	11.8	7.04
17.	8.8	8.2	7.7	8.2	6.8	5.7	5.4	5.7	5.7	4.8	4.2	5.1	4.8	6.2	4.8	4.0	3.2	3.5	4.5	5.7	5.1	5.9	5.7	5.7	5.64
18.	5.9	6.8	6.5	7.7	8.0	6.2	7.1	7.1	8.2	8.5	8.5	9.6	8.8	7.1	6.5	7.1	7.1	7.7	8.0	8.8	8.0	7.7	6.2	5.9	7.46
19.	5.9	5 7	6.2	5.1	4.0	4.8	1.8	0.8	1.2	1.5	1.5	2.1	2.6	3.5	3.7	3.7	4.5	2.6	4.2	6.5	5.9	5.7	4.2	4.0	3.82
20.	4.2	4.5	8,0	8.8	9 3	11.8	9.9	8.8	7.1	7.4	6.5	8.2	8.8	8.2	6.2	2,9	4.8	4.8	4.0	3.5	2.6	4.0	2.9	2.9	6.25
21.	4.0	4.2	4.2	2,6	2.1	2,3	2.1	2.1	2.1	1.2	1.2	1.8	1.5	1.5	1.8	1,2	1,2	0.8	2.9	2.1	2.6	1.5	0.0	0.5	1,98
22.	0 0	1.2	1.5	3 2	4.2	3.7	1,8	2,3	2.6	2,3	2.6	2,3	2.1	3.2	3.2	3,2	4.2	2,9	5.1	8.8	8.2	8.0	8.8	7.1	3.85
23.	4.0	4.0	4.8	4.5	4.5	2,3	0.0	0.5	0.8	2.1	1.8	1.5	3.2	1.2	*1.8*	*2.4*	*3.0*	*3.6*	4.2	6.2	5.7	5.9	4.8	3.2	3.17
24.	6.5	8.5	7.7	5.4	3 7	4.0	3.2	2.3	1.5	1.8	2.3	2,3	4.2	4.8	4.8	5.1	5.7	4.2	4.0	2.9	4.0	1.8	3.2	4.0	4.08
25.	5.1	5.7	6.5	6.2	5.4	5.9	5.7	5.1	5.4	5.7	5.4	4.5	4.0	4.0	3.7	2,3	2,3	1.5	2.1	1.5	1.8	0.8	1.5	1 2	3.89
26.	1.2	1.5	1.8	2,6	2.9	2.6	2,3	2,3	1.8	3.2	4.5	4.5	4.0	3.2	2,3	4.2	5.4	4.5	4.5	4.5	5.4	5.7	5.9	5.4	3.59
27.	3.5	3.5	5.1	4.0	4.5	3.7	3.2	1.5	1.2	1.2	1.5	2.6	1.2	2.1	1,8	3.5	4.0	4.5	4.8	6.2	7.1	8.0	8.0	5.7	3.85
28.	6 2	6.5	6.5	7.1	6,8	6 8	5.1	1,2	0.5	0.5	1.5	2.1	2.1	3.2	3.7	3.2	2.6	2.9	3.7	4.2	4.2	3.2	2.6	2,3	3.70
29.	2.3	2,3	2.6	2.1	2.1	2.9	2.6	1.5	0.5	1.5	1,8	0.8	0.8	2,1	1,8	3,2	2.6	9.6	5.1	5.1	3.7	5.4	6.2	7.4	3.17
30.	6.8	6.8	7.7	7.1	5.4	5.9	5.9	5.1	5.1	3.5	3.5	2,9	1.8	0.5	1,2	2,6	2,9	2.9	3.5	4.5	4.0	5.1	4.2	2,9	4.24
Mittel	4.84	4.87	4.96	5.02	4.80	4.93	4.26	3.67	3.33	3.52	3.59	4.03	4.08	4.01	4.08	4.13	4.31	4.36	4.69	4.92	5.46	5.31	5 00	4.69	4.45

Anemometer-Registrierung. **Hohenpeissenberg.** 1912.

Datum	0–1ª	1–2ª	2–3ª	3–4ª	4–5ª	5–6ª	6–7ª	7–8ª	8–9ª	9–10ª	10–11ª	11ª–m	0–1ᵖ	1–2ᵖ	2–3ᵖ	3–4ᵖ	4–5ᵖ	5–6ᵖ	6–7ᵖ	7–8ᵖ	8–9ᵖ	9–10ᵖ	10–11ᵖ	11ᵖ–mn	Mittel
Juli																									
1.	3.5	2.6	4.2	3.5	2.9	3.7	4.8	4.0	3.7	2.6	2.1	1.5	0.5	1.8	1.2	1.2	0.8	3.2	2.9	2.9	2.6	2.1	2.1	4.0	2.68
2.	4.5	4.5	5.1	4.2	4.2	4.5	4.0	2.6	2.9	3.2	3.2	4.0	3.5	3.7	3.2	3.5	3.7	4.8	4.0	3.7	4.5	5.1	4.2	5.7	4.02
3.	4.8	4.0	5.1	3.5	2.9	2.1	1.2	0.5	0.8	2.9	4.2	5.7	5.9	5.4	5.1	3.2	3.5	4.5	4.0	1.2	3.7	6.2	4.5	3.5	3.68
4.	2.9	2.3	2.1	2.1	2.3	1.8	1.2	0.8	1.5	1.8	1.8	1.8	2.1	2.9	4.2	5.1	5.4	4.2	3.7	2.9	3.2	2.9	2.6	2.9	2.69
5.	2.3	1.2	0.8	1.8	2.6	2.9	2.9	2.6	3.5	3.7	4.8	5.7	6.2	6.2	5.9	7.1	7.4	6.8	8.2	9.0	9.9	10.2	9.6	8.5	5.41
6.	5.7	7.4	9.0	7.1	6.8	6.5	5.7	4.2	2.6	3.7	6.2	5.4	3.5	4.5	4.5	5.9	4.8	2.6	8.0	5.4	5.1	3.2	2.6	4.5	5.20
7.	5.7	4.5	2.1	2.3	4.5	2.1	1.2	2.1	3.7	2.9	3.2	4.2	5.7	8.0	8.0	7.7	6.2	5.7	5.9	8.2	5.9	5.1	5.7	5.4	4.81
8.	5.4	4.5	4.2	5.4	5.7	5.1	4.2	4.0	3.2	3.2	3.2	3.5	2.9	2.6	3.5	1.5	0.8	2.3	2.9	2.9	2.9	1.5	2.3	2.3	3.33
9.	1.5	2.1	1.2	0.8	0.5	0.8	2.1	0.5	0.8	1.2	2.1	2.9	3.5	2.9	2.1	2.9	5.7	8.5	5.4	3.2	2.9	2.6	2.3	2.9	2.56
10.	1.2	2.1	2.3	0.5	1.2	2.3	3.5	3.7	3.5	2.9	3.7	4.0	4.5	4.0	2.9	2.1	4.0	4.2	4.8	5.1	5.7	6.2	6.2	4.5	3.55
11.	2.3	2.1	2.9	2.6	2.9	3.2	2.3	1.5	0.8	0.5	2.1	3.2	2.9	3.2	2.6	1.8	3.5	3.2	2.3	6.2	6.5	7.1	7.4	7.4	3.35
12.	7.1	5.9	4.5	4.0	4.8	4.5	4.2	3.7	2.1	3.2	5.1	5.4	4.5	3.2	4.2	4.5	4.2	5.4	5.9	7.7	8.5	7.7	8.5	8.2	5.29
13.	6.8	4.2	3.5	3.2	2.6	2.1	2.1	0.8	0.0	0.8	2.1	4.0	4.0	5.4	4.8	5.4	5.4	6.5	6.5	8.0	9.0	8.5	8.8	9.6	4.75
14.	9.9	10.2	10.4	9.6	8.5	8.8	8.8	8.2	7.7	8.2	9.3	9.3	8.2	10.7	9.9	8.0	8.8	8.5	8.2	9.3	10.2	9.6	9.3	8.2	9.08
15.	8.8	10.4	8.2	8.2	8.8	8.2	7.7	8.8	9.6	9.3	10.2	8.8	9.3	9.0	9.6	10.7	9.9	9.3	8.5	9.3	10.2	10.7	9.3	8.8	9 23
16.	9.9	9.6	9.6	8.2	8.2	8.2	9.9	8.2	8.5	8.5	8.5	7.7	7.7	7.7	8.8	8.0	8.5	7.7	9.0	9.3	8.2	9.3	9.9	9.9	8.71
17.	9.9	10.2	9.3	7.7	7.7	6.5	7.7	5.9	6.5	6.5	6.5	6.8	6.8	6.2	6.5	6.2	6.2	6.8	7.7	8.5	8.2	7.4	5.9	4.8	7.18
18.	4.5	3.2	2.6	3.2	2.6	2.3	1.5	2.1	0.5	0.0	0.8	2.9	4.2	3.5	2.3	4.2	4.2	4.5	6.2	6.8	4.0	3.7	5.4	4.2	3.31
19.	6.8	7.4	5.4	2.6	1.8	4.0	4.0	2.9	1.8	2.3	4.0	4.5	5.1	6.2	6.2	5.4	3.7	4.8	3 5	3.5	3.5	4.2	4.8	4 2	4.28
20.	3.2	0.8	1.2	2.6	2.3	3.7	4.0	4.5	4.5	3.7	4.8	5.9	6.5	7.4	7.4	7.4	4.0	3.2	3.7	4.2	4.8	4 0	4.2	5.4	4.31
21.	6.2	5.7	5.1	7.1	8.0	9.0	10.2	10.2	12.1	12.4	11.8	10.4	8.8	9.3	8.8	8.5	7.7	8.5	8.5	7.7	9.0	9.3	10.2	10.4	8.95
22.	10.2	9.3	9.6	8.5	9.0	8.8	8.8	8.2	7.7	7.7	6.8	5.9	7.4	7.4	5.4	4.8	4.2	4.5	4 8	4.0	4.0	4.2	4.5	4.0	6.65
23.	3.5	3.7	3.7	4.0	3.7	2.9	1.2	0.5	1.2	0.5	0.5	0 8	1.5	3.2	2.6	2.6	1.8	3.5	4.5	5.4	6.5	6.5	6 2	6.5	3.21
24.	5.9	5.4	4.5	4.0	4.5	4.5	3.7	2.9	3.2	6.5	6.8	6.8	5.9	5.7	5.4	4.8	4.2	5.7	5.9	5.9	7.1	8.8	8.0	6.8	5.54
25.	4.5	3.5	4.2	4.8	3.7	1.8	2.1	2.6	1.5	1.2	0.8	0.5	0.8	2.1	3.5	9.3	6.8	5.1	4.8	5.4	6.2	6.2	5.9	5.7	3.88
26.	5.1	4.8	4.2	4.5	4.2	5.1	3.5	0.8	0 8	0.8	1.5	0.8	1.2	1.2	2.6	2.1	2.1	2.9	3.7	6.5	7.7	8.2	8.8	7.7	3.78
27.	5.9	4.8	5.7	1.5	2.6	3.7	2.1	1.5	2.9	2.6	0.8	0.5	1.2	2.3	3.2	2.1	2.9	3.2	5.7	6.8	6.5	6.8	4.8	3.7	3.49
28.	2.9	2.9	2.1	2.6	3.5	3.5	3.5	2.9	3.7	3.2	1.8	2.9	3.5	2.3	1.5	2.1	2.6	2.9	1.8	2.3	3.2	2.9	2.3	4.5	2 81
29.	4.8	4.2	5.7	5.4	5.7	5.4	6.2	5.9	5.7	4.0	2.9	2.3	2.3	2.9	2.1	2.3	3.7	2.9	3.2	3.5	4.2	2.1	3.5	4.0	3.95
30.	4.2	4.5	5.9	6.5	5.1	4 5	3.7	3.5	2.9	2.9	2.6	2.3	2.1	0.8	1.5	0.8	1.2	2.6	3.2	5.4	6.8	7.1	6.5	5.7	3.85
31.	6.5	6.8	6.2	5.1	2.9	3.7	3.5	2.3	3.2	3.2	2.1	1.5	1.5	2.9	2.9	2.9	3.5	2.3	2.1	2.9	4.0	4.0	3.7	3.2	3.45
Mittel	5.37	4.98	4.86	4.42	4.41	4.39	4.24	3.64	3.65	3.75	4.07	4.26	4.31	4 67	4.59	4.65	4.56	4.87	5.15	5.58	5.96	5.92	5.81	5.71	4.74
August																									
1.	2.9	3.5	5.7	4.8	3.2	4.5	4.5	4.2	5.1	5.1	3.7	2.9	2.3	1.5	1.5	3.5	4.2	4.2	5.1	3.7	5.1	2.3	5.1	4.2	3.87
2.	3.2	3.2	4.0	5.4	2.9	2.9	2.3	3.2	2.1	2.1	2.3	2.3	2.3	2.3	1.8	1.8	3.2	4.5	6.5	6 8	5.9	6.8	7.7	8.2	3.90
3.	6.2	5.1	4.2	4.2	4.0	4.2	2.6	1.2	0.8	1.8	2.6	4.5	5.4	4.8	4.2	4.2	5.1	6.2	6.5	7.4	7.4	8.0	7.7	5.1	4.74
4.	4.5	1.8	2.3	4.0	4.2	4.0	3.2	2.9	1.2	0.0	2.3	4.0	4.0	4.2	4.2	6.5	7.4	4.2	6.2	8.0	6.2	4.5	7.7	7.7	4.38
5.	6.5	5.4	5.4	5.7	5.9	4.8	5.1	4.8	5.1	5.7	5.4	4.0	4.8	4.0	3.2	2.6	1.2	0.8	3.2	4.0	4.0	4.5	6.8	6.5	4.56
6.	6.8	7.7	7.4	6.2	7.7	5.1	0.8	2.9	4.5	3.7	4.5	2.6	2.9	2.9	1.8	1.5	1.5	2.3	3.5	3.7	5.4	5.7	4.5	6.5	4.25
7.	6.8	5.7	5.7	5.7	3.5	4.5	5.1	2.9	3.7	6.2	5.1	4.2	3.2	1.5	1.8	4.2	4.5	5.9	6.2	6.2	6.5	6.8	6.5	6.2	4.94
8.	6.2	6.8	6.2	7.1	7.4	8.0	7.7	9.0	8.8	7.7	8.2	7.7	8.8	7.7	6.8	8.2	8.2	5.9	5.7	6.8	8.8	5.9	7.1	7.4	7.42
9.	7.4	4.8	5.1	4.5	4.5	1.8	1.2	0.8	0.5	0.5	1.2	1.5	2.1	4.0	4.5	4.0	4.0	4.8	4.2	4.2	4.8	5.9	6.2	6.2	3.70
10.	6.8	6.8	5.4	3.5	2.9	1.5	2.1	2.9	3.7	4.0	3.5	4.5	3.2	3.5	3.5	4.8	5.9	5.9	4.0	8.0	8.8	9.3	9.3	7.7	5.06
11.	7.7	9.3	10.4	9.0	9.6	8.8	9.0	8.8	9.0	7.1	7.1	9.6	9.0	9.0	9.6	9.3	9.9	8.0	7.4	7.4	7.7	6.8	6.2	8.0	8.49
12.	7.1	8.2	7.4	5.4	6.5	6.2	6.5	6.8	3.5	3.2	2.3	1.5	1.8	2.3	1.2	1.5	3.2	3.5	2.6	3.2	2.6	3.5	5.4	5.9	4.22
13.	4.5	5.4	5.4	6.5	4.5	4.8	2.6	1.8	3.2	5.7	4.8	3.5	4.5	6.2	7.7	5.1	4.5	7.7	4.8	2.9	2.6	5.7	9.6	9.9	5.16
14.	9.3	7.7	7.7	5.4	5.1	5.7	5.7	4.8	6.8	4.5	4.0	4.2	4.0	4.2	2.9	1.2	1.5	0.8	2.9	4.0	4.2	3.2	3.5	3.5	4.45
15.	2.3	2.9	3.5	4.0	3.5	2.9	3.7	3.5	5.1	6.2	5.4	5.1	4.2	3.5	4.0	3.7	4.5	4.5	5.7	6.8	7.7	6.8	8.0	6.5	4.75
16.	6.8	6.5	8.2	8.2	9.3	7.1	9.3	10.4	11.0	11.3	9.9	9.6	7.7	7.1	5.7	5.1	4.8	4.8	3.7	3.5	3.2	4.2	6.2	4.5	7.00
17.	4.2	4.0	2.9	2.9	2.6	2.9	2.9	1.5	1.5	0.0	0.5	0.8	0.5	1.2	0.5	2.1	2.6	2.6	4.8	4.8	5.1	6.2	6.5	4.8	2.85
18.	4.5	4.8	3.2	1.8	1.5	2.1	1.5	1.5	1.2	0.5	0.5	0.0	0.0	0.5	0.5	1.5	2.3	3.2	2.9	2.3	3.5	2.9	4.2	4.8	2.15
19.	5.4	4.0	3.5	6.5	5.4	5.1	4.2	2.1	2.1	4.0	5.7	6.2	8.8	9.3	7.7	6.2	6.8	4.2	4.2	4.8	4.5	4.8	7.1	5.9	5.35
20.	5.1	2.3	3.2	5.1	5.9	7.1	6.5	1.5	0.8	1.5	1.2	1.5	1.8	1.5	2.1	1.8	0.8	1.2	3.2	1.2	2.1	3.7	5.4	4.2	2.95
21.	6.2	6.8	7.7	7.1	5.9	7.1	7.7	7.7	9.0	9.6	6.5	9.6	7.4	8.0	8.5	9.9	8.0	6.2	5.4	3.7	4.2	4.0	4.8	5.7	6.95
22.	6.5	7.4	5.1	5.9	6.2	5.9	5.4	5.1	4.5	4.8	5.1	4.8	9.3	9.0	9.0	9.3	13.0	9.0	8.5	8.8	7.1	7.4	7.7	7.1	7.16
23.	4.2	5.4	5.9	7.1	7.4	5 4	7.1	8.2	5.7	5.4	5.4	5.9	5.1	4.2	3.7	4.2	4.0	5.1	6.5	5.1	7.7	8 8	10.2	13.3	6.29
24.	11.5	8.8	11.8	9.9	10.4	10.7	10.2	9.6	9.0	8.8	8.2	7.4	8.8	8.0	6.8	7.1	7.4	5.7	7.4	7.4	5.4	5.1	6,2	6.2	8 24
25.	8.0	7.4	7.7	8.2	8.2	7.7	7.7	6.2	7.1	8.5	8.2	7.7	7.1	6.8	5.1	5.9	3.7	3.7	4.2	2.9	2.9	3.7	5.4	6.8	6.28
26.	4.0	4.5	5.7	4.5	3.7	5.7	4.8	2.3	1.9	3.2	4.5	2.3	5.4	9.0	9.6	12.7	13.6	11.8	9.6	7.1	8.0	7.4	10.2	8.2	6.65
27.	8.0	11.3	12.4	9.6	7.7	8.8	9.0	11.3	14.2	14.7	15.6	16.2	17.0	14.7	13.0	13.9	12.7	10.7	10.4	10.4	10.4	10.2	9.0	8.0	11.63
28.	7.4	6,2	6.2	4.8	5.1	5.4	8.0	8.2	5.9	7.4	6.8	6.2	6.8	5.9	4.8	3.5	4.2	5.1	4.5	5.7	3.2	1.8	1.5	1.2	5.24
29.	3.2	5.4	6.8	6.5	6.2	5.4	4.2	4.2	3.5	0.8	2.3	2.3	1.5	0.8	1.8	1.8	3.5	4.5	4.2	3.5	3.7	4.0	4.2	6.5	3.78
30.	4.2	0.5	0.0	2.1	2.6	4.0	3.7	0.5	0.5	0.5	0.5	0.8	0.5	1.2	2.3	4.8	7.7	8 0	8.2	7.4	7.7	8.2	7.7	7.1	3.78
31.	8 8	6.8	5.9	6.2	5.9	6.5	5.9	6.8	7.1	5.1	4.0	4.0	4.8	6.5	4.5	4.5	3.5	5.1	5.7	3.7	3.7	3.5	4.0	4.2	5.28
Mittel	6.01	5.69	5.87	5.74	5.47	5.37	5.17	4.76	4.77	4.83	4.75	4.76	5.00	5.01	4.66	5.05	5.40	5.17	5.42	5.34	5.49	5.54	6.50	6.40	5.34

Anemometer-Registrierung. **Hohenpeissenberg.** 1912.

September

Datum	0–1ª	1–2ª	2–3ª	3–4ª	4–5ª	5–6ª	6–7ª	7–8ª	8–9ª	9–10ª	10–11ª	11ª–m	0–1ᵖ	1–2ᵖ	2–3ᵖ	3–4ᵖ	4–5ᵖ	5–6ᵖ	6–7ᵖ	7–8ᵖ	8–9ᵖ	9–10ᵖ	10–11ᵖ	11ᵖ–mn	Mittel
1.	4.0	4.0	3.7	4.0	4.2	3.7	1.8	1.5	0.5	2.6	3.5	2.6	1.8	1.2	0.8	2.6	1.5	2.9	2.9	2.3	3.2	3.7	4.0	3.2	2.76
2.	4.0	4.2	4.2	3.7	3.7	3.7	4.0	2.9	1.8	0.0	0.0	0.0	0.0	0.5	2.1	1.8	3.5	5.1	5.4	4.2	4.2	4.2	4.5	3.7	2.98
3.	3.2	5.1	4.8	5.1	5.1	4.2	5.1	6.8	6.5	5.7	6.5	7.7	6.8	6.5	6.5	5.7	6.5	5.7	5.1	5.1	5.4	5.7	5.1	4.2	5.59
4.	4.0	4.5	5.1	4.5	4.0	4.5	5.9	4.8	4.2	4.5	3.5	4.2	4.8	4.2	5.1	4.8	4.5	4.8	5.4	6.5	7.7	8.5	7.7	7.7	5.23
5.	8.5	11.3	10.2	8.8	9.3										5.9	6.8	7.1	8.0	8.2	8.2	6.8	4.8	5.1	5.9	
6.	5.4	6.5	7.4	5.4	5.9	6.2	8.2	6.8	8.5	8.2	7.1	6.5	9.0	11.0	8.8	8.0	7.7	8.0	6.5	7.1	6.8	6.5	6.5	5.9	7.25
7.	7.4	6.5	5.9	7.1	6.8	6.8	8.0	7.4	6.5	6.8	8.2	7.4	7.7	9.6	8.2	8.5	11.4	8.5	8.8	7.1	7.1	7.4	7.1	8.0	7.63
8.	8.2	8.2	7.7	8.2	8.5	9.0	8.8	8.5	9.6	8.8	6.5	8.2	8.5	9.9	11.8	14.2	15.0	13.6	12.1	11.3	11.5	12.4	10.7	12.7	10.16
9.	13.6	12.4	10.2	9.6	11.0	13.0	11.3	12.4	11.5	13.3	13.6	11.0	9.9	2.1	5.7	2.9	0.0	2.9	2.9	3.5	2.6	2.3	2.6	3.2	7.65
10.	2.6	3.7	4.0	3.7	3.5	4.2	4.5	5.1	3.5	3.2	4.2	3.7	4.2	4.0	0.8	2.9	4.2	3.7	3.2	2.6	1.2	1.2	0.0	0.0	3.08
11.	0.0	0.5	2.1	1.8	0.8	1.5	0.0	0.0	0.0	0.0	0.0	0.0	0.0	0.0	2.3	1.8	1.5	2.9	2.6	1.5	1.8	2.1	1.8	1.2	1.09
12.	0.8	1.2	3.2	4.8	5.4	6.2	6.8	6.5	5.4	5.1	5.9	6.5	5.7	5.7	6.8	5.4	4.5	6.5	5.4	6.8	7.1	6.8	5.7	2.9	5.30
13.	2.9	1.5	0.0	0.0	0.0	0.0	0.0	0.0	0.0	0.0	0.0	0.0	0.0	1.5	0.0	0.0	0.0	0.8	0.0	0.0	0.0	2.6	2.3	2.9	0.60
14.	2.1	3.5	3.5	3.5	3.7	3.7	3.2	2.1	2.1	2.9	3.2	2.9	2.9	3.2									7.7	7.7	
15.	8.2	8.5	8.5	8.5	8.5	9.6	9.9	9.0	8.8	9.0	8.5	7.7	7.7	5.4	5.9	6.8	8.0	7.7	8.0	4.2	4.8	5.9	0.0	0.0	7.05
16.	0.0	0.0	0.0	0.0	0.0	0.0	0.0	3.2	4.2	3.2	4.2	4.8	5.4	5.9	4.5	5.4	4.5	4.8	3.7	3.2	3.5	3.5	2.6	3.2	2.91
17.	5.1	2.9	2.3	2.9	3.2	3.2	3.2	1.5	0.8	1.5	0.5	0.5	0.5	0.5	0.5	0.5	2.1	3.5	4.2	4.5	4.5	5.4	5.4	4.0	2.63
18.	2.6	3.2	2.6	3.5	2.9	1.8	1.5								2.1	2.9	2.6	0.5	0.0	0.0	0.0	0.0	0.0	0.0	
19.	0.0	0.0	0.0	0.0	0.0	0.0	0.0	4.0	5.7	4.2	4.0	4.8	4.2	4.8											
20.															7.4	4.2									
21.								7.7	7.7	8.5	8.5	10.4	4.2	6.5	9.9	10.7						9.3	9.3	9.6	
22.	9.6	9.9	9.6	8.8	9.3	9.0	9.6	11.3	13.0	13.9	13.9	12.1	11.8	11.3	12.1	11.3	11.5	11.5	12.7	13.9	11.5	11.3	11.3	12.7	11.37
23.	13.0	11.0	9.9	9.0	8.2	8.2	8.0	7.7	8.5	9.0	8.8	10.7	8.5	8.5	8.0	6.2	6.8	7.1	7.4	7.1	6.2	6.2	7.1	7.4	8.27
24.	8.0	7.4	6.2									5.9	5.4	5.1	5.9	6.5	6.5	6.8	5.4	5.9	5.1	3.5	5.7	4.0	
25.	1.8	0.0	0.0	0.0	0.0	0.0	0.0	1.8	1.2	1.2	1.5	1.5	1.8	1.2	2.1	2.6	0.8	2.1	2.3	0.0	0.0	0.0	0.0	0.0	0.91
26.	0.0	0.0	0.0	0.0	0.0	0.0	0.5	0.8	1.5	2.3	2.6	4.5	3.2	3.2	5.7	5.9	5.7	6.2	5.9	6.5	3.2	2.9	3.5	2.9	2.79
27.	3.2	2.3	0.0	0.0	0.0	0.0	0.0	0.5	0.5	0.0	1.5	2.6	3.5	3.7	4.0	4.8	5.7	5.4	4.5	4.8	5.4	6.5	7.1	6.8	3.03
28.	7.4	6.5	6.8	5.9	5.4	4.0	3.5	3.7	4.5	4.5	4.2	4.8	5.9	7.7	8.0	8.8	8.5	9.6	8.5	6.8	4.8	3.2	2.6	2.1	5.74
29.	2.1	3.7	3.7	3.2	3.2	2.3	1.5	1.5	1.8	0.0	0.0	0.5	2.1	1.5	1.5	0.8	0.5	1.5	2.1	2.6	2.6	2.3	2.6	2.6	1.93
30.	2.3	2.3	2.6	3.5	2.6	0.8	0.8	1.2	1.5	1.8	1.2	0.8	1.8	3.5	5.1	6.5	7.7	7.4	7.7	5.7	4.5	5.1	5.4	3.7	3.56
Mittel																									

Oktober

1.	2.9	5.4	4.5	5.4	5.1	4.8	5.9	5.4	4.5	4.8	5.4	6.5	8.2	9.6	9.9	9.6	9.3	11.5	9.3	9.6	8.8	7.7	6.5	9.0	7.07
2.	8.2	7.4	7.1	7.1	6.2	8.8	9.9	8.8	8.2	4.5	5.1	4.5	4.0	3.7	4.0	5.1	8.8	11.0	10.7	8.2	5.7	4.2	2.3	2.6	6.50
3.	2.1	2.3	1.5	4.0	2.3	1.8	2.6	2.6	2.1	2.9	2.3	2.1	2.1	2.6	2.3	2.1	1.8	1.8	3.2	5.4	3.2	1.2			
4.																									
5.																									
6.																									
7.															6.5	7.4	10.4	11.8	9.6	10.2	9.9	9.6	8.2	6.8	
8.	4.5	5.1	2.3	0.8	0.5	0.0	0.5								1.5	2.3	3.7	4.5	5.1	5.7	5.9	5.9	6.5	5.7	
9.	5.1	5.4	6.5	5.9	6.2	6.5	6.5	6.5	5.7	6.8	7.1	8.0	8.2	9.6	8.0	8.2	8.5	9.3	9.0	9.9	10.7	9.9	8.5	8.0	7.67
10.	7.1	7.1	5.9	5.7	5.7	5.4	5.4	3.2							5.7	7.4	6.2	8.2	9.6	9.3	8.2	8.8	9.0	8.0	
11.	6.2	6.2	6.5	5.1	4.5	2.1	2.1	1.8	1.5	1.2	0.5	0.5	0.5	0.8	1.8	1.2	0.8	2.3	2.9	3.2	2.6	2.3	2.6		
12.									3.7	3.2	2.1	2.1	0.8	0.8	1.8	0.8	0.8	1.2	2.1	2.3	2.6	1.5	2.9	4.0	
13.	4.0	4.2	4.2	4.2	4.5	5.4	3.5	3.2	1.8	0.5	0.0	0.5	0.5	0.8	4.0	4.0	3.7	5.7	5.1	4.0	3.7	3.7	3.7	3.5	3.27
14.	2.9	4.0	4.2	4.8	4.2	3.2	3.5	4.0	2.3	0.5	0.5	0.5	1.2	2.3	1.5	0.5	0.0	0.0	1.5	2.9	3.7	3.7	4.0	3.7	2.48
15.	4.5	4.5	4.8	6.8	7.4	7.4	6.2	4.8	4.8	5.7	5.4	4.2	4.5	3.5	4.0	4.5	3.7	4.8	4.8	2.6	2.6	4.5	4.0	3.5	4.73
16.	2.3	2.1	0.8	1.8	1.5	0.5	1.2	2.1	0.8	0.5	0.0	0.8	2.9	0.5	1.2	1.2	1.8	1.2	2.3	4.2	4.2	2.9	2.9	3.7	1.81
17.	4.0	3.7	4.2	5.1	6.2	6.2	5.4	5.1	4.5	4.0	2.9	3.5	4.0	3.7	3.2	4.2	4.8	5.7	7.1	5.4	5.7	6.8	4.8	4.0	4.76
18.	4.2	3.2	2.6	3.7	2.9	2.9	2.1	1.2	0.8	0.5	0.0	0.5	0.8	0.8	1.2	2.1	0.8	0.5	0.8	0.5	1.5	1.5	2.9	4.0	1.75
19.	2.9	2.9	3.5	3.2	2.9	2.9	2.9	5.4	6.5	5.1	4.5	6.8	6.5	7.1	7.1	9.9	8.8	7.1	7.1	7.4	6.8	6.8	5.9	5.1	5.63
20.	4.8	4.5	4.8	4.8	5.7	5.9	5.9	5.9	5.1	4.5	3.2	2.3	2.6	4.0	3.7	3.7	4.5	4.0	4.5	5.9	5.4	3.7	2.6	3.2	4.39
21.	4.8	6.2	6.8	5.9	6.8	4.8	2.6	2.9	3.5	2.1	0.0	1.2	0.5	0.8	2.1	1.2	3.5	4.2	2.6	0.5	2.3	5.4	8.2	9.6	3.69
22.	8.8	8.5	7.1	7.4	6.5	5.9	4.8	5.1	4.8	3.7	2.1	2.1	3.5	4.0	4.5	5.7	4.8	4.5	4.5	5.1	5.4				
23.															4.0	2.6	2.1	3.5	2.9	0.8	2.3	1.5	0.5	2.1	
24.	3.7	5.9	4.5	3.5	7.1	6.5	6.8	7.1	6.8	4.2	5.1	4.0	2.3	1.2	1.5	2.1	0.8	2.6	3.7	3.2	1.8	1.2	2.6	4.0	3.84
25.	5.9	7.1	4.0	4.5	7.4	4.2	4.2	4.2	8.5	10.2	9.3	7.4	6.2	6.8	6.8	6.2	6.2	6.5	7.7	7.4	6.8	9.6	9.0	6.8	6.79
26.	8.2	7.4	7.4	7.4	6.8	7.4							3.7	3.7	4.0	4.2	4.5	5.4	6.5	6.8	4.5	4.0			
27.								5.7	6.2	6.2	5.4	4.8	4.2	2.6											
28.																									
29.															3.5	1.2	0.8	3.5	1.2	3.5	5.9	6.8	6.5	6.2	
30.	5.7	4.5	6.5												4.8	4.8	6.2	6.5	6.5	4.8	5.4	4.8	5.1	5.9	
31.	5.1	6.5	8.8	8.5	9.3			10.4	9.3	8.8	9.9	9.6	11.0	9.6	8.0	8.8	9.0	11.5	15.3	13.3	15.0	13.9	12.7	10.7	
Mittel																									

Anemometer-Registrierung. **Hohenpeissenberg.** 1912.

November

Datum	0–1ª	1–2ª	2–3ª	3–4ª	4–5ª	5–6ª	6–7ª	7–8ª	8–9ª	9–10ª	10–11ª	11ª–m	0–1ᵖ	1–2ᵖ	2–3ᵖ	3–4ᵖ	4–5ᵖ	5–6ᵖ	6–7ᵖ	7–8ᵖ	8–9ᵖ	9–10ᵖ	10–11ᵖ	11ᵖ–mn	Mittel
1.																									
2.																									
3.																									
4.																									
5.																									
6.																									
7.																									
8.																									
9.																									
10.																									
11.																									
12.																									
13.																									
14.																									
15.																									
16.																									
17.																									
18.																									
19.																									
20.																									
21.																									
22.																									
23.																									
24.																									
25.																									
26.																									
27.																									
28.																									
29.																									
30.																									
Mittel																									

Dezember

1.	8.0	8.2	6.8	7.7	6.5	6.2	6.5	7.4	8.0	8.8	8.8	8.8	8.0	8.5	8.2	8.0	5.9	4.2	3.7	2.3	2.1	2.1	3.7	4.8	6.38
2.	3.7	3.7	3.5	3.2	2.9	2.3	3.2	3.5	2.3	3.2	3.2	2.3	3.7	4.2	9.0	8.2	9.3	8.2	9.3	9.6	9.6	8.5	5.9	4.8	5.30
3.	5.7	5.1	6.2	5.4	6.5	5.7	6.5	6.5	6.2	4.0	3.2	2.6	2.6	2.3	2.6	3.2	2.9	3.2	3.5	3.2	3.2	2.9	2.1	2.3	4.07
4.	1.8	1.8	0.0	0.0	0.0	0.0	0.0	0.0	0.0	0.0	0.0	1.8	3.2	4.5	5.4	5 4	3.7	4.8	4.8	4.5	4.0	5.4	5.9	6.2	2.63
5.	8.2	9.6	8.0	7.7	8.0	5.4	2.6	3.2	2.3	4.0	3.5	2.9	2.3	1.5	2.6	2.9	2.6	2.9	2.6	3.2	2.6	2.1	0.5	1.2	3.85
6.	1.5	2.1	0.8	3.2	4.2	3.5	3.2	2.9	1.2	2.1	2.6	1 2	0.5	1.5	2.6	3.7	3.7	3.7	4.8	3.2	2.3	0.5	1.5	1.2	2 40
7.	2.3	3.7	4.0	5.7	4.8	4.2	6.8	5.7	3.5	2.9	2.1	1.8	0.0	0.8	0.0	0.5	1.8	3.2	2.9	4.2	5.7	5.7	5.9	5.1	3.47
8.	3.2	4.2	4.0	3.7	2.1	1.5	0.0	2.1	1.8	1.5	0.8	2.6	2.1	2.6	2.1	3.7	3.2	2.6	3.7	3.2	3.2	2.3	1.8	1.5	2.48
9.	2.6	3.7	4.0	4.0	4.2	4.8	4.8	3.7	2.6	2.1	2.9	4.0	2.9	2.3	2.3	3.2	3.5	4.5	5.7	5.9	4.2	3.2	2.9	2.3	3.60
10.	3.2	3.2	3.5	4.8	5.1	5.1	4.8	3.7	2.9	2.6	1.2	0.0	1.2	2.6	1.2	1.5	2.1	3.2	3.7	4.0	4.5	4.0	5.1	3.7	3.20
11.	4.5	5.1	5.1	6.5	7.1	10.4	9.3	6.5	6.5	8.2	9.9	9.6	8.0	6.5	5.4	6.2	6.8	6.2	6.2	4.5	4.5	5.7	5.1	5.4	6.63
12.	3.2	4.0	3.5	4.0	4.2	4.8	4.8	4.5	5.1	4.0	6.2	8.2	8.2	8.5	9.6	8.2	8.0	8.2	8.5	10.2	8.5	7.1	7.1	6.5	6.46
13.	7.7	7.7	7.1	7.1	8.0	9.0	5.9	5.7	5.1	4.2	4.5	4.8	4.2	4.0	3.7	4.8	4.0	5.4	5.9	7.4	7.1	8.5	8.8	8.8	6.22
14.	8.0	8.8	7.7	9.3	11.3	10.4	9.9	12.1	12.7	12.1	13.3	13.9	18.5	13.6	27.0	15.0	12.7	14.2	13.6	15.6	13.3	14.4	14.4	14.4	12.76
15.	12.7	12.1	16.2	13.9	13.3	14.2	15.3	16.2	13.9	12.7	14.7	13.3	16.5	17.3	14.2	12.7	12.1	10.7	11.5	10.7	11.5	10.7	13.0	13 6	13.46
16.	10.2	9.6	10.2	12.1	12.1	8.8	8.5	10.7	11.0	8.8	9.3	10.2	11.3	8.5	11.0	7.7	9.9	12.1	10.4	11.8	11.3	12.4	12.4	11.0	10.47
17.	11.0	9.9	9.3	6.2	6.0	5.8	5.7	5.5	5.3	5.1	4.9	4.7	4.5	4.3	4.2	5.1	4.5	6.2	6.2	5.9	8.0	8.8	8.8	9.0	6.45
18.	8.2	8.0	6.2	4.2	2.6	3.2	7.7	9.0	9.6	7.7	7.1	7.7	6.8	4.2	5.9	7.1	8.0	5.7	3.7	5.9	6.8	10.7	11.5	12.1	7.07
19.	15.6	11.5	9.6	9.6	7.7	7.1	7.1	5.9	5.9	5.7	7.1	4.5	4.2	4.0	2.1	2.1	2.9	5.7	5.7	4.8	7.4	8.2	8.5	6.5	6.64
20.	5.9	3.7	2.1	2.3	1.8	1.5	2.1	0.5	2.3	4.0	2.9	2.9	2.1	0.8	0.5	0.0	1.8	2.6	3.4	4.2	2.9	2.1	2.3	1.2	2.33
21.	0.8	1.8	2.3	1.8	0.8	0.8	0.5	2.1	2.6	3.2	2.1	1.8	1.5	0.8	1.5	1.2	1.8	2.3	3.5	4.2	5.1	3.7	3.5	2.9	2.19
22.	4.0	5.7	4.5	2.9	3.7	4.0	3.7	1.5	1.5	1.2	0.8	0.5	0.8	2.1	4.0	5.1	5.1	4.8	5.1	2.9	2.6	4.0	3.5	4.5	3.27
23.	4.2	3.7	4.0	4.0	3.5	2.9	2.3	2.3	3.2	2.9	2.6	3.7	4.8	3.7	2.9	3.2	3.7	4.2	4.2	3.5	3.7	2.1	1.5	1.8	3.27
24.	2.3	2.9	2.6	4.2	3.7	3.7	4.0	3.7	3.5	4.2	5.4	5.7	5.1	4.8	8.0	8.5	6.8	7.1	7.7	5.9	7.4	7.7	7.1	7.7	5.40
25.	8.0	6.2	9.0	8.0	7.7	6.2	5.9	5.9	7.1	7.4	9.0	11.3	9.9	8.2	7.1	5.7	4.8	7.1	5.9	10.4	9.0	6.2	7.7	9.0	7.61
26.	8.8	8.8	10.2	10.4	9.9	10.4	8.2	8.5	8.2	9.6	11.3	8.5	5.7	2.9	2.6	7.4	7.7	2.3	7.1	8.5	10.7	8.8	11.0	13.6	8.38
27.	13.3	14.4	11.3	12.4	13.3	13.6	14.7	12.1	12.7	12.1	12.4	10.7	10.2	9.0	9.3	7.1	7.4	7.4	7.7	8.2	10.4	9.3	9.0	9.9	10.75
28.	9.6	9.6	10.7	11.0	11.8	10.7	9.9	9.3	8.8	8.5	8.0	7.7	7.7	5.7	6.8	7.1	6.2	4.2	3.7	2.9	3.2	2.6	2.3	2.3	7.10
29.	2.6	3.5	3.2	3.5	2.3	2.1	2 6	5.4	5.4	4.2	5 4	6.2	4.5	2.6	2.9	3.2	3.2	6.2	8.2	8.5	7.4	9.3	8.2	10.2	5.03
30.	8.5	6.2	7.1	7.4	7.1	7.4	5.4	5.1	6.8	5.9	8.0	7.7	7.7	5.7	6.8	6.5	8.5	8.0	8 2	7.1	8.2	7.1	5.4	4.8	6.94
31.	6.2	5.1	3.5	2.9	3.2	2.3	1.8	2.1	2.3	2.6	3.5	2.9	2.9	2.9	1.8	0.8	0.0	0.0	1.8	2.6	3.2	3.7	3.5	2.9	2.69
Mittel	6.31	6.25	6.01	6.10	5.98	5.74	5.60	5.59	5.49	5.34	5.70	5.63	5.54	4.87	5.27	5.32	5.31	5.52	5.90	6.10	6.25	6.12	6.13	6.17	5.76

Täglicher Gang der meteorologischen Elemente auf dem Hohenpeissenberg im Jahre 1912.

Luftdruck

600 mm +

Monat	1a	2a	3a	4a	5a	6a	7a	8a	9a	10a	11a	12m	1p	2p	3p	4p	5p	6p	7p	8p	9p	10p	11p	12mn	Mittel
Jan.	75.34	75.25	75.32	75.19	75.10	75.03	75.06	75.15	75.25	75.28	75.26	75.06	74.75	74.58	74.63	74.70	74.71	74.72	74.79	74.81	74.82	74.85	74.84	74.84	74.97
Feb.	72.50	72.45	72.35	72.30	72.35	72.39	72.51	72.75	72.89	72.96	73.04	73.00	72.83	72.66	72.64	72.62	72.60	72.73	72.84	72.86	72.90	72.93	72.94	72.92	72.71
März	74.85	74.74	74.63	74.53	74.50	74.53	74.57	74.62	74.69	74.76	74.72	74.57	74.36	74.20	74.17	74.11	74.11	74.17	74.31	74.44	74.49	74.47	74.49	74.45	74.48
April	76.32	76.00	75.89	75.84	75.93	76.05	76.21	76.30	76.42	76.45	76.46	76.34	76.18	76.04	75.93	75.85	75.82	75.86	76.01	76 23	76.43	76.46	76.44	76.43	7617
Mai	76.83	76.77	76.66	76.60	76.70	76.81	76.92	76.99	77.03	77.04	76.99	76.92	76.80	76.71	76.57	76.46	76.42	76.44	76.47	76.60	76.80	76.85	76.89	76.85	76.75
Juni	76.58	76.46	76.34	76.33	76.40	76.50	76.57	76.59	76.60	76.62	76.58	76.49	76.37	76.30	76.23	76.16	76.08	76.09	76.18	76.29	76.44	76.56	76.67	76.66	76.42
Juli	77.51	77.53	77.34	77.32	77.36	77.44	77.52	77.61	77.64	77.67	77.65	77.58	77.44	77.33	77.28	77.22	77.23	77.29	77.39	77.53	77.66	77.68	77.70	77.63	77.48
Aug.	76.05	75.92	75.77	75.72	75.70	75.80	75.88	75.97	76.07	76.09	76.08	75.98	75.96	75.96	75.94	75.90	75.87	75.93	76.12	76.27	76.32	76.33	76.33	76.26	76 01
Sept.	78.75	78.63	78.47	78.38	78.39	78.46	78.55	78.66	78.77	78.80	78.78	78.73	78.65	78.63	78.57	78.54	78.53	78.62	78.74	78.86	78.88	78.83	78.77	78.67	78.65
Okt.	76.97	76.84	76.70	76.78	76.58	76.60	76.75	76.91	77.01	77.09	77.18	77.15	76.98	76.89	76.85	76.87	76.93	77.05	77.11	77.12	77.12	77.12	77.05	76.97	76.94
Nov.	75.67	75.62	75.43	75.32	75.29	75.31	75.37	75 44	75.53	75.57	75.60	75.45	75.33	75.25	75.27	75.33	75.43	75.50	75.54	75.57	75.66	75.64	75.61	75.56	75.47
Dez.	78.80	78 80	78.85	78.82	78.88	78.97	79.11	79.22	79.35	79.51	79.57	79.43	79.22	79.14	79.12	79.17	79 19	79.24	79.32	79.33	79.34	79.39	79.39	79.43	79.19
Mittel	76.35	76.24	76.15	76.09	76.10	76.16	76.25	76.35	76.44	76.49	76.49	76.39	76.24	76.14	76.10	76.08	76.08	76.14	76.24	76.33	76.41	76.43	76.43	76.39	76.27

Temperatur

Jan.	– 1.68	– 1.60	– 1.56	– 1.58	– 1.77	– 1.90	– 1.95	– 1.79	– 1.53	– 1.25	– 0.84	– 0.49	– 0.31	– 0.22	– 0.44	– 0.80	– 1.12	– 1.36	– 1 49	– 1.60	– 1.69	– 1.70	– 1.75	– 1.84	– 1.34
Feb.	2.57	2.32	2.35	2.32	2.24	1.96	1.84	1 86	2.04	2.43	3.12	3 69	4.38	4.63	4.59	4.31	3.80	3.36	3.08	2.82	2.79	2.89	2.92	3.05	2.97
März	3.26	3.18	3.07	2.97	3.01	2.81	2.92	3.09	3.56	3.91	4.81	5.18	5.55	5.89	6.00	5.99	5.58	4.90	4.28	4.02	3.84	3.70	3.57	3.33	4.10
April	2.58	2.36	2.21	1.95	1.58	1.70	2.06	2.25	3.06	3.67	4.51	4.99	5.53	6.04	5.96	5.86	5.45	5.05	4.15	3.62	3.12	2.93	2.79	2.55	3.58
Mai	8.34	8.22	8.25	8.08	8.04	8.39	8.82	9.33	10.26	10.92	11.74	12.16	12.56	13.16	12.73	12.64	12.30	11.47	10.71	10.01	9.55	9 39	9.14	8.87	10.21
Juni	11.33	11.25	11.03	11.02	11.18	11.70	12.47	12.98	13.71	14.41	14.64	15.06	15.26	15.59	15.50	15.23	14.88	14.15	13.55	12.89	12.37	12.01	11.78	11.76	13.16
Juli	12.56	12.48	12.32	12.21	12.03	12.43	13.05	13.43	14.09	14.72	15.45	16.14	16.63	16.79	16.72	16.40	15.92	15.21	14.36	13.84	13.28	13.14	12.85	12.70	14.11
Aug.	10.23	9.99	10.07	9.98	9.93	10.15	10.80	11.15	11.74	12.16	12 81	13.17	13.41	13.63	13.49	13.44	12.81	12.28	11.41	10.75	10.38	10.30	10.08	10.01	11.42
Sept.	4.63	4.51	4.30	4.15	4.11	4.04	4.15	4.47	4.90	5.49	6.02	6.47	6.99	7.18	7.10	6.83	6.40	5.81	5.45	5.21	5.02	5.00	4.93	4.86	5.33
Okt.	4.17	4.12	3.99	3.96	4.10	4.18	4.14	4.35	4.69	5.19	5.70	6.01	6 27	6.60	6.20	5 80	5.37	5.00	4.62	4.50	4.38	4.12	4.00	3.89	4.81
Nov.	– 1.56	– 1.76	– 1.82	– 1.71	– 1.66	– 1.81	– 1.84	– 1.66	– 1.32	– 1.01	– 0.84	– 0.50	– 0.33	– 0.23	– 0.25	– 0.61	– 0.76	– 0.96	– 1.05	– 1.17	– 1.20	– 1.22	– 1.34	– 1.41	– 1.17
Dez.	2.16	2.15	2.00	1.91	1.98	1.94	1.66	1.70	1.94	2.25	2.83	3.25	3.46	3.57	3.40	3.01	2.71	2.48	2.44	2.32	2.28	2.20	2.02	1.99	2.40
Mittel	4.88	4 77	4.68	4.61	4 56	4.63	4.84	5.10	5.60	6.07	6.66	7.09	7.45	7.72	7.58	7.34	6.95	6.45	5.96	5.60	5.34	5.23	5.08	4.98	5.80

Relative Feuchtigkeit

Jan.	83.9	84.2	83.3	82.6	83.7	84.3	84.7	83.7	83.3	82.0	80.8	80.4	77.7	77.5	78.2	79.9	81.3	81.6	82.5	83.6	84.4	83.7	84.5	84.6	82.3
Feb.	70 2	71.2	72.0	71.7	71.6	72.1	70.7	70.8	71.7	70.1	68.6	67.2	64.8	64.0	65.1	65.7	68.3	69.0	70.8	72.7	72.2	71.2	69.7	69.1	69.6
März	74.7	75.1	74.8	75.3	75.3	75.4	75.4	75.7	74.9	74.0	71.2	68.7	65.9	64.6	63.8	64.0	67.1	68.9	71.2	72.9	72.7	72.3	74.1	74.7	71.8
April	76.6	76.5	76.7	76.6	77.1	75.7	75.7	75.9	75.1	72.3	68.7	66.6	62.6	60.3	61.4	62.4	64.7	67.8	71.3	74.4	77.1	77.4	77.9	78.1	72.0
Mai	78.9	78.6	77.7	78.1	78.7	77.8	77.4	76 1	72.9	70.2	67.7	65.0	63.7	62.3	63.0	61.5	66.2	68.8	70.6	72.7	74.6	75.0	77.1	78.0	72.3
Juni	81.0	81.0	80.0	78.8	77.5	75.4	74.7	74.2	71.9	69.2	68.5	67.3	65.7	64.2	65.8	67.6	70.2	72.6	75.3	76.2	77.7	79.7	79.4	80.2	73.9
Juli	78.6	79.6	78.8	79.6	79.7	78.5	77.9	76.9	76.5	75.0	71.7	69.4	66 4	64.8	65.7	66.5	69.8	71.4	75.7	76.9	78.5	79.2	79.3	78.9	74 8
Aug.	83.6	82.8	82.1	82.1	81.1	79 7	78.1	76.4	76.5	74.5	72.9	71.5	70.0	69.6	70 4	72.7	74.4	77.8	81.5	84.4	85.4	85.7	85.4	84.7	78.5
Sept.	91.2	91.4	92.2	93.1	93.2	93.0	93.1	92.6	90.3	87.9	85.3	82.2	78.1	77.7	78.9	80.3	83.4	86.6	87.9	88.7	89.7	89.1	89.8	90.3	87.7
Okt.	85.6	85.2	84.7	84.1	82.5	82.4	82.2	81.6	81.9	81.4	79.7	79.6	78.7	76.9	79.4	80.5	82.4	84.8	85.2	85.6	86.6	87.2	87.5	87.1	83.0
Nov.	87.2	87.2	87.0	85.6	84.7	84.9	85.8	84.8	82.5	80.7	80.5	79.6	79.3	78.8	79.2	79.8	81.3	82.7	83.5	84.2	85.0	85.3	85.7	86.3	83.4
Dez.	66.4	65.6	66.6	65.9	64.8	65.8	67.9	67.4	66.7	65.2	63.0	60.4	59.7	60.3	61.5	63.1	64.8	67.1	67.5	67.9	67.5	68.5	68.1	66.8	65.4
Mittel	79.8	79.9	79.7	79.5	79.2	78.8	78.6	78.0	77.0	75.2	73.2	71.5	69.4	68.4	69.4	70.6	72.8	74.9	76.9	78.4	79.3	79.5	79.9	79.9	76,2

Stündliche Windgeschwindigkeiten

in m pro Sekunde

Datum	0–1a	1–2a	2–3a	3–4a	4–5a	5–6a	6–7a	7–8a	8–9a	9–10a	10–11a	11a-m	0–1p	1–2p	2–3p	3–4p	4–5p	5–6p	6–7p	7–8p	8–9p	9–10p	10–11p	11p-mn	Mittel
Jan.																									
Feb.																									
März																									
April																									
Mai	5.36	5.01	5.31	5.30	5.10	4.72	4.54	4.29	4.00	4.20	4.30	4.14	3.83	3.96	4.03	4.10	4.29	4.33	4.61	4.93	5.56	5.41	5.41	5.25	4.67
Juni	4.84	4.87	4.96	5.02	4.80	4.93	4.26	3.67	3.33	3.62	3.59	4.03	4.08	4.01	4.08	4.13	4.31	4.36	4.69	4.92	5.46	5.31	5.00	4.69	4.45
Juli	5.37	4.98	4.86	4.42	4.41	4.39	4.24	3.64	3.65	3.75	4.07	4.26	4.31	4.67	4.59	4.65	4.56	4.87	5.15	5.58	5.96	5.92	5.81	5.71	4.74
Aug.	6,01	5.69	5.87	5.74	5.47	5.37	5.17	4.76	4.77	4.83	4.75	4.76	5.00	5.01	4.66	5.05	5.40	5.17	5.42	5.34	5.49	5.54	6.50	6.40	5.34
Sept.																									
Okt.																									
Nov.																									
Dez.	6.31	6.25	6.01	6,10	5.98	5.74	5 60	5.59	5.49	5 34	5.70	5.63	5.54	4.87	5.27	5.32	5.31	5.52	5.90	6.10	6.25	6.12	6.13	6.17	5.76
Mittel																									

Zugspitze.

Jahr 1912.

Barometer-Registrierung. 1912.

Januar

500 mm +

Datum	1a	2a	3a	4a	5a	6a	7a	8a	9a	10a	11a	12m	1p	2p	3p	4p	5p	6p	7p	8p	9p	10p	11p	12 mn	Mittel
1.	31.9	31.9	31.9	31.3	31.0	31.0	31.0	31.0	31.1	31.2	31.2	31.3	31.3	31.6	31.7	31.9	32.3	32.4	32.6	32.7	32.9	33.0	33.1	33.4	31.86
2.	33.4	34.0	34.1	34.1	34.2	34.3	34.5	34.6	34.7	34.9	34.9	34.7	34.2	34.2	34.4	34.5	34.8	35.0	35.1	35.1	35.2	35.2	35.0	35.0	34.59
3.	34.9	34.6	34.4	33.9	33.3	33.0	33.0	33.0	32.5	32.4	31.8	31.6	30.4	30.6	30.4	29.6	29.7	29.1	29.1	28.8	28.7	28.9	27.9	27.8	31.23
4.	28.4	28.2	27.9	27.7	27.0	27.2	27.0	26.9	26.6	26.8	26.6	26.1	25.9	25.5	25.3	25.1	24.8	25.3	24.9	24.6	24.4	24.3	24.2	24.4	26.05
5.	24.4	24.5	24.4	23.9	23.7	23.6	23.6	23.4	23.6	23.3	22.6	22.0	21.6	21.4	21.2	20.9	20.7	20.3	20.0	19.3	18.9	18.2	18.1	17.7	21.72
6.	17 6	17.5	17.6	17.2	17.0	16.7	16.7	16.6	16.8	17.1	16,8	16.5	16,1	15.2	14.9	14.5	13.7	12.9	11.5	10.4	09.6	08.7	08.3	08.9	14.53
7.	09.7	09.6	10.0	09.8	09.8	10.1	09.6	09.2	09.7	09.4	09.6	08.8	08.3	08.0	07.5	08.3	08.9	09.1	09.4	09.3	10.3	11.1	11.8	12.5	09.58
8.	13 4	14.5	15.2	15.7	16.1	16.2	16.6	17.3	18.1	18.6	18.8	19.1	19.3	19.9	20.4	20.6	21.0	21.3	21.3	21.1	21.3	21.7	21.7	21.5	18.78
9.	21.4	21.3	20.5	20.8	20.6	20.5	20.8	21.3	21.3	21.4	21.7	21.4	21.5	22,1	22,2	22.2	22.8	23.0	23.0	22.9	22.9	22.9	23.0	23.0	21.85
10.	23.0	23.0	22.9	23.2	23.2	23.5	23.9	24.2	25.0	25.3	25.4	25.4	25.5	25.9	26,2	26.7	26.9	27.1	27.5	28.1	28.5	28.6	18.7	29 0	25.70
11.	29.0	29.3	29.5	29.5	29.5	29.7	30.1	30.3	30.4	30.6	30.9	30.9	31.1	31.1	31.4	31.8	32.0	32.1	32,2	32.4	32.4	32.5	32.5	32.5	30.99
12.	32.5	32.4	32.3	32.1	32.1	32.1	32.1	32.2	32.3	32.5	32.5	31.9	31.6	31.5	31.5	31.5	31.5	31.4	31.2	31.3	31.4	31.3	31.1	31.2	31.81
13.	31.1	31.1	31.1	31.0	30.7	30.9	31.0	31.0	31.0	31.1	31.1	30.9	30.8	30.7	30.7	30.6	30.5	30.4	30.4	30.3	30.2	30.1	30.0	29.8	30.69
14.	29.7	29.7	29.4	29.1	28.7	28.5	28.5	28.4	28.2	28.2	28.0	27.8	27.4	27.2	27.0	26.9	26.9	26.9	26.9	26.7	26.7	26.7	26.6	26.4	27.77
15.	26.0	25.8	25.7	25 5	25.1	25.0	24.9	25.0	25.0	24.9	24.8	24.6	24.1	23.8	23.7	23.6	23.6	23.6	23.5	23.4	23.2	23.0	22.9	22.9	24.32
16.	22.9	23.0	23.0	23.0	22.8	22.6	22.5	22.4	22.4	22.4	22.4	22.3	22.9	22.0	21.9	22.1	22.3	22.4	22.6	22.7	22.9	22.9	22.8	22.9	22.59
17.	22.9	22.9	22.7	22.8	22.8	23.0	23.3	23.5	23.7	24.1	24.4	24.5	24.5	24.7	25,2	25.4	25.6	25.9	26.4	26.6	26.8	27.0	27.0	27.2	24.70
18.	27.3	27.5	27.8	28.1	28,2	28.4	28.6	28,9	29.4	29.7	30,0	30.2	30.3	30.3	30.5	30.9	31.1	31.2	31.4	31.7	31.8	32.1	32.2	32.1	29.99
19.	32.1	32.1	32.1	32.0	31.8	31.7	31.6	31.9	31.8	31.9	31.8	31.6	31.3	31.1	31.1	31.0	31.0	30.8	30.7	30.7	30.6	30.4	30.2	30.1	31.26
20.	29.7	29.6	29 4	29.2	29.2	29.1	29.0	28.9	29.0	29.4	29.6	29.5	29.3	29.2	29.3	29.5	29.4	29.4	29.5	29.5	29.8	29.8	29.8	29.8	29.41
21.	29.8	29.7	29.7	29.7	29.6	29.5	29.5	29.6	29.6	29.6	29,3	29.0	28.8	28.5	28.4	28.3	28,2	28.2	28,0	27.8	27.8	27.7	27.7	27.5	28.81
22.	27.1	26.8	26.8	26.6	26.5	26.3	26.2	26.1	26.2	26.5	26.7	26.7	26.5	26,2	26.2	26.3	26.3	26.2	26.2	26,3	26.4	26.4	26.4	26.4	26.43
23.	26.4	26.2	26.2	26.2	25.9	25.8	25.8	25.9	26.0	25.9	25.6	25.7	25.4	25.3	25.0	25.0	24.9	25.0	24.9	24.9	24.9	24.9	24.8	25.0	25.48
24.	24.8	25.2	25.4	25.4	25.7	25.8	25.9	26.1	26,3	26.3	26.4	26.2	26.0	25.9	25.8	25.6	25.7	25.5	25.7	25.7	25.8	25.5	25.4	25.2	25.72
25.	24.7	24.4	24.1	23.9	23.8	23.1	22.8	22.6	22.4	21.9	21.8	21.7	21.4	21.0	20 9	20.8	20.8	20.7	20.7	20.7	20.7	20.8	20.9	21.1	21.99
26.	21.3	21.6	21.7	21.8	21.8	21.9	22.0	22.0	22.0	21.9	21.9	21.8	21.5	21.3	21.3	21.3	21.3	21.3	21.3	21.3	21.2	21.2	21.2	21.1	21.54
27.	20.9	20.8	20.6	20.5	20.4	20.1	20.0	20.1	20.2	20.2	20,1	20.1	19.9	19.7	19.8	19.9	19.9	19.9	19.9	20.1	20.2	20.2	20.2	20.1	20.16
28.	20.0	20 0	20.0	19.9	19.8	19.7	19.7	19 6	19.7	19.8	19.9	19.9	19.9	19.9	19.8	19.9	19.9	19.9	19.9	19.9	19.9	19.9	19.9	19.9	19.86
29.	19.8	19.9	19.9	19.9	19.8	19.9	19.9	20.0	20.0	20.4	20 6	20.5	20 4	20.4	20.8	20.9	20.9	20.9	20.9	20.9	21.0	21.1	21.2	21.1	20 46
30.	21.0	21.1	21.0	20.9	20,8	20.8	20.8	20.8	21.0	21.1	21.4	21.3	21.2	21.0	21.1	21.1	21.1	21.1	21.1	21.2	21.4	21.4	21.4	21.4	21.10
31.	21.3	21.1	21.0	20.9	20.7	20.5	20.3	20.3	20.4	20.4	20.3	20.1	19.4	19.4	19.5	19.4	19.4	19.1	19.1	18.6	18.6	18.4	18.0	18.0	19.76
Mittel	25.11	25.14	25.11	25.02	24.89	24.86	24.88	24.94	25.05	25.14	25.13	24.97	24.77	24.66	24.68	24.71	24.77	24.75	24.74	24.67	24.72	24.70	24.64	24.67	24.86

Februar

500 mm +

1.	17.8	17.1	16.9	16.1	16.1	16.0	15.8	15.8	15.9	15.9	15.9	15.5	15.0	14.7	14.4	14.1	13.8	13.6	13.1	12.7	12.7	12.6	12.5	12 4	14.85
2.	12.1	12.0	11.7	11.7	11.3	11.0	10.8	10.7	10.6	09.9	09.8	09.2	08.5	07.3	07.0	06.6	06.3	06.0	05.8	05.5	05.5	05.6	05.3	05 0	08.55
3.	04.3	04.2	04.1	04.3	04 2	03.9	03.9	04.4	04.7	05.1	05.3	05.9	06.2	06.4	00.9	07.2	07.6	08.0	08.3	08.5	08.9	09.4	09.6	09.9	06.30
4.	10.1	10.4	10.5	10.5	10.6	10.6	10.7	11.0	11.2	11.3	11.8	11.9	11.8	11.8	11.9	12.5	12.9	12.9	13.2	13.4	13.5	13.6	13.6	13.7	11.89
5.	13.7	13.8	13.8	13.7	13.7	13.5	13.5	13.7	14.0	14.2	14.6	14.6	14.9	15.0	15.3	15.9	16.1	16.3	16.8	17.4	17.6	17.6	18.2	18.4	15.26
6.	18 5	18.6	18.5	18.4	18.5	19.1	19.7	20.4	20.4	20 8	21.2	21.1	21.0	20.9	20.5	21.2	21.5	21.8	22.0	22,2	22.2	22.6	22.7	22.6	20.68
7.	22.6	22.6	22.6	22.6	22.5	22.5	22.9	22.0	23.4	23.9	24.3	24.4	24.5	24.5	24.4	24.4	24.2	24.2	24.1	24.0	23.9	23.9	23.9	23.8	23.59
8.	23.6	23 2	22.9	22.5	22.1	21.9	21.9	22.1	21.9	22.1	22.2	22.1	22.1	22.2	22.2	22.3	22.7	22.8	22.9	22.8	22.6	22.6	22,2	22.1	22.42
9.	21.7	21.0	20.5	19.8	19.6	19.9	20.0	20.1	20.2	20.5	20.7	20.6	20.6	20.5	20.5	20.5	20.5	20,3	20.2	20.0	19.9	19.9	19.9	19.9	20.30
10.	19.8	19.7	19.6	19.4	19.3	19.2	19.2	19.3	19.2	19.3	19.3	19 2	19.2	19.2	19.2	19.2	19.2	19.3	19.2	19.2	19.2	19.2	19.2	19.3	19.30
11.	19.3	19.2	19.0	18 9	18 9	18.9	18.8	18.8	18.9	19.0	19.0	19.0	18.9	18.9	18.9	19.1	19.1	19.1	19.1	19.2	19.4	19.6	19.7	20.0	19.11
12.	20.2	20.5	20.7	21.0	21.6	22.0	22.5	22.8	22.9	23.3	23.8	24.0	24.1	24 2	24.7	24.7	24.9	25.2	25.5	25.7	25.9	25.9	26.0	26.0	23.67
13.	26.0	26.1	26.1	25.9	25.8	25.9	25.8	25.8	25.9	26.0	25.9	25.9	25.7	25.5	25.4	25.1	24.9	24.8	24.8	24.7	24.4	24.3	24.1	24.0	25.37
14.	24.0	23.9	23.7	23.6	23.4	23.3	23.3	23.3	23.3	23.4	23.5	23.4	23.4	23.2	23.1	23.2	23.2	23.2	23.3	23.5	23.6	23.7	23.8	23.8	23.46
15.	23.8	23.9	23.9	23.9	24.0	24.3	24.5	24.7	24.9	25.3	25.8	26.2	26.3	26.5	26.8	27.0	27.2	27.4	27.5	27.7	27.8	27.8	27.8	27.8	25.95
16.	27.9	28.1	28.2	28.3	28.2	28.3	28.9	29.2	29.8	30.0	30.2	30.3	30.7	30.8	31.1	31.4	31.4	31.5	31.6	31.5	31.4	31.6	32.2	32.2	30.20
17.	32.2	32.4	32.4	32.6	32.7	32.8	32.8	33.0	32.9	33.1	33.3	33.3	33.3	33.1	33.1	33.3	33.5	33.5	33.5	33.6	33.6	33.7	33.7	33.8	33.13
18.	33.7	33.6	33.5	33.4	33.2	33.1	33.1	33.1	33.0	33.0	32.9	32.9	32.6	32.3	31.9	31.7	31.6	31.3	31.1	30.9	30.7	30.6	30.2	29.8	32.22
19.	29.7	29.2	28.9	28.7	28.5	28.1	27.8	27.8	27.5	27.2	26.8	26,5	25.9	25.5	25.2	24.7	24.6	24.3	24.0	24.1	24.0	23.9	23.6	23.6	26 25
20.	23.6	23.3	23.0	23.0	22.9	22.8	22.8	22.7	22.7	22.7	22.6	22.5	22.6	22.8	22.9	23.2	23.3	23.7	23.7	23.8	23.7	24.1	24.1	23.13	
21.	24.0	24.1	23.8	24.0	24.2	24.3	24.5	24.0	24.9	24.9	25.1	25 3	25.4	25.6	25.8	25.8	25.9	25.9	26.1	26.4	26.9	27.1	27.2	27.4	25.36
22.	27.2	26.9	27.2	27.3	27.6	28.3	29.0	29.5	29.9	30.2	30.6	30.9	30.9	31.3	31.6	31.8	31.9	32.1	32.4	32.7	33.1	33.2	33.2	33.3	30.50
23.	33.4	33.5	33.4	33.1	33.1	33.1	33.2	33.7	33.9	33.5	33.8	33.9	33.8	33.6	33.5	33.3	33.2	33.1	32.9	32.7	32.1	32.1	32.1	31.5	33.15
24.	31.2	30.5	30.3	30.1	30.1	29.8	29.4	29.3	29.2	29.3	29.2	29.0	29.1	28.8	28.6	28.5	28.6	28.7	28.8	28.6	28.5	28.1	27.9	27.8	29.14
25.	27.9	27.8	27.6	27.2	27.3	27.2	27.0	27.2	27.1	27.3	27.7	27.7	27.7	27.8	27.9	27.9	27.8	28.0	28.1	28.1	28.0	27.9	27.9	27.9	29.70
26.	27.8	27.8	27.8	27.8	27.8	27.9	28.0	28.8	28.8	29.1	29.3	29.7	29.7	29.9	30 1	30.4	30.7	31.0	31.2	31.4	31.8	31.9	32.0	32.2	28.54
27.	32.2	32.2	32.0	32.0	32.1	32.1	32.2	32.8	33.0	33.3	33.5	33.6	33.6	33.7	34.2	34.3	34.3	34.6	34.9	35.1	35.1	35.3	35.3	35.4	33.62
28.	35.5	35.5	35.1	34.8	35.0	34.9	35.1	35.6	35.6	35.6	35.8	35.9	35.7	35.5	35.7	35.7	35.8	35.9	35.8	35.9	36.0	36.0	36.0	36.1	35.60
29.	36.1	36.0	35.6	35.4	35.4	35.3	35.3	35.3	35.1	35.1	35.1	35.0	34.6	34.4	34.2	34.1	34.0	34.2	34.1	34.2	34.2	34.2	34.0	33.8	34.78
Mittel	24.13	24.04	23.91	23.79	23.78	23.45	23.88	24.03	24.17	24.29	24.45	24.47	24.40	24.33	24.38	24.44	24.50	24.56	24.62	24.67	24.70	24.75	24.76	24.75	24.30

Barometer-Registrierung. **Zugspitze.** 1912

März

500 mm +

Datum	1a	2a	3a	4a	5a	6a	7a	8a	9a	10a	11a	12m	1p	2p	3p	4p	5p	6p	7p	8p	9p	10p	11p	12mn	Mittel
1.	33.6	33.4	33.0	32.9	32.9	32.7	32.5	32.3	32.6	32.3	32.3	32.2	31.9	31.7	31.5	31.3	30.9	30.8	30.7	30.5	30.0	29.8	29.6	29.5	31.70
2.	29.1	28.7	28.5	28.5	28.4	28.5	28.6	28.6	28.6	28.8	29.0	29.0	29.1	29.2	29.3	29.4	29.4	29.4	29.3	29.4	29.3	29.3	29.3	29.1	28.99
3.	28.8	28.4	28.0	27.4	26.8	26.1	25.8	25.6	25.5	25.2	25.1	24.7	24.2	23.8	23.7	23.7	23.7	23.7	23.7	23.5	23.3	23.1	23.1	22.8	24.99
4.	22.7	22.9	22.9	23.1	23.2	23.4	23.4	23.7	24.1	24.3	24.6	24.9	24.7	24.7	24.7	24.8	24.9	24.9	25.1	25.2	25.3	25.4	25.1	25.0	24.20
5.	25.0	24.8	24.6	24.5	24.8	23.9	24.0	24.4	24.0	24.0	23.9	23.5	23.5	23.4	23.6	23.8	23.8	23.8	23.8	23.9	23.6	23.5	23.6	23.3	23 96
6.	22.8	22.7	22.5	22 0	21.9	21.8	21.7	21.6	21.4	21.2	21.3	21.2	21.2	20.5	20.8	20.6	20.8	20.8	21.1	21.2	21.3	21.3	21.3	21.4	21.43
7.	21.4	21.2	21.2	21.2	21.3	21.4	21.5	21.8	22.1	22.3	22.3	22.3	22.3	22.3	22.2	22.5	22.7	22.7	22.8	23.1	23.3	23.4	23.4	23.5	22.26
8.	23.5	23.3	23.3	23.4	23.6	23.5	23.5	23.7	23.9	24.2	24.1	24.0	24.0	23.8	23.8	23.7	23.7	23.8	23.9	23.9	23.9	23.9	24.0	24.1	23.77
9.	24.2	24.1	24.1	24.1	24.2	24.2	24.3	24.6	24.7	24.8	25.1	25.5	25.5	25.5	25.5	25.5	25.5	25.5	25.4	25.3	25.3	25.2	25.3	25.3	24.95
10.	25.0	25.0	24.9	24.8	24.7	24.8	24.7	24.7	24.6	24.4	24.4	24.4	24.2	24.2	24.2	24.1	23.9	23.7	23.7	23.6	23.6	23.5	23.5	23.6	24.26
11.	23.6	23.6	23.6	23.5	23.6	23.7	23.8	24.1	24.2	24.4	24.8	25.3	25.5	25.7	26.0	26.2	26.4	26.8	27.1	27.5	27.8	28.0	28.2	28.2	25.48
12.	28.4	28.4	28.4	28.5	28.6	28.8	29.0	29.2	29.4	29.9	30.2	30.3	30.5	30.6	30.6	30.7	30.7	30.9	31.1	31.3	31.3	31.3	31.3	31.3	30.03
13.	31.3	31.1	31.0	31.0	31.1	31.1	31.2	31.0	30.9	31.4	31.4	31.3	31.3	31.0	30.9	30.9	30.8	30.8	30.8	30.8	30.7	30.6	30.5	30.4	30.97
14.	30.2	29.8	29.5	29.5	29.4	29.3	29.2	29.3	29.3	29.3	29.3	29.4	29.4	29.3	29.3	29.2	29.0	28.8	28.9	28.7	28.9	28.9	28.9	28.7	29.23
15.	28.6	28.3	27.9	27.8	27.7	27.7	27.7	27.7	27.6	27.6	27.5	27.5	27.5	27.3	27.1	26.7	26.8	26.6	26.3	26.2	25.8	25.6	25.3	25.2	27.08
16.	24.8	24.5	24.2	23.8	23.8	23.6	23.4	23.2	23.1	22.8	22.6	22.4	22.0	21.7	21.5	21.5	21.4	21.3	21.4	21.6	21.6	21.5	21.4	21.4	22.52
17.	21.2	21.2	20.9	20.8	20.7	20.7	20.6	20.4	20.6	20.7	20.7	20.7	20.4	20.4	20.3	20.3	20.3	20.1	20.1	20.0	19.9	19.8	19.7	19.5	20.42
18.	19.3	19.1	18.8	18.5	18.4	18.1	17.6	17.6	17.6	17.5	17.3	17.0	16.5	16.1	15.9	15.7	15.6	15.1	15.3	15.6	15.7	15.7	15.8	15.9	16.90
19.	15.8	15.8	15.7	15.7	15.9	15.7	15.8	16.3	16.6	16.9	17.4	17.3	17.7	18.3	18.7	18.9	19.4	19.6	20.1	20.5	20.7	20.9	21.1	21.1	18.00
20.	21.1	21.2	21.1	20.9	20.7	20.6	20.4	20.5	20.6	20.6	20.6	20.6	20.5	20.2	20.0	20.0	19.9	19.5	19.5	19.3	19.2	19.2	19.1	18.9	20.18
21.	18.9	19.1	18.9	18.8	19.0	19.2	19.3	19.4	19.6	19.7	19.9	19.9	20.1	20.5	20.6	20.6	20.7	20.6	20.6	20.7	21.1	21.1	20.8	20.8	20.00
22.	20.9	20.8	20.1	20.1	19.8	19.6	19.5	19.0	19.2	19.2	19.0	18.9	18.8	18.8	18.9	18.9	18.9	19.1	19.2	19.2	19.3	19.2	19.6	19.7	19.40
23.	20.0	19.9	20.1	20.2	20.3	20.9	21.1	21.8	22.1	22.4	22.6	23.0	23.0	23.2	23.3	23.4	23.4	23.2	23.3	23.2	23.2	23.0	22.7	22.4	22.15
24.	22.2	22.0	21.7	21.5	21.2	21.0	20.9	20.6	20.3	20.7	20.0	20.3	19.9	20.5	21.1	21.4	22.7	23.2	24.5	25.0	25.6	26.1	26.7	27.0	22.37
25.	27.3	27.6	27.9	28.2	28.4	29.0	30.0	30.4	31.2	31.4	32.1	32.1	32.3	32.6	33.1	33.7	34.0	34.5	35.1	35.4	35.6	35.8	36.0	36.2	32.08
26.	36.3	36.3	36.3	36.3	36.4	36.4	36.7	36.9	37.2	37.5	37.8	37.9	37 7	37 8	37.8	37.9	38 0	37.9	37.9	38.0	38.0	37.9	37.6	37.2	37.32
27.	37.0	36.8	36.4	36.2	36.0	35.9	35.8	35.8	35.8	35.6	35.7	35.3	34.9	34.8	34.6	34.3	33.9	33.7	33.6	33.4	33.3	32.8	32.5	32.5	34.87
28.	32.5	32.0	31.8	31.5	31.4	31.2	31.2	31.1	31.0	30.8	31.1	31.1	30.9	30.8	30.8	30.9	30.9	30.9	31.0	31.2	31.2	30.8	30.7	30.5	31.14
29.	30.3	29.8	29.7	29.6	29.3	29.3	29.3	29.3	29.3	29.3	29.3	29.2	29.1	28.8	28.8	28.9	28.9	28.9	28.8	29.1	29.0	29.0	28.8	28.8	29.19
30.	28.7	28.7	28.4	28.1	27.9	27.9	28.0	28.0	28.1	28.0	28.0	28.0	27.9	27.6	27.3	26.8	26.4	26.3	26.2	26.1	26.2	26.0	26.0	25.7	27.35
31.	25.7	25.7	25 6	25.6	25.7	25.7	26.1	26.4	26.5	26.6	26.4	25.9	25.7	25.0	24.7	24.2	23.8	23.2	22.9	22.6	22.1	21.6	21.2	20.8	24.57
Mittel	25.81	25.68	25.52	25.42	25.39	25.35	25.37	25.45	25.54	25.61	25.70	25.65	25.56	25.49	25.50	25.50	25.52	25.49	25.59	25.65	25.65	25.59	25.56	25.48	25.54

April

500 mm +

1.	20.4	19.9	19.4	18.8	18.6	18.1	18.1	17.9	17.9	17.6	17.5	17.1	16.5	16.5	16.2	15.9	15.8	15.9	15.9	15.9	16.3	16.7	17.1	17.3	17.39
2.	17.6	18.0	18.0	18.3	18.8	19.1	19.6	19.7	20.2	20.9	21.2	21.4	21.9	22.3	22.3	22.7	23.0	23.1	23.5	23.9	23.8	23.9	24.0	24.4	21.32
3.	24.4	24.4	24.3	24.4	24.6	25.0	24.9	25.3	25.8	26.1	26.3	26.4	26.4	26.6	26.9	27.1	27.3	27.7	28.1	28.4	28.5	28.6	28.6	28.7	26.45
4.	28.8	28.9	28.8	28.8	29.1	29.4	29.9	30.0	30.3	30.8	31.1	31.1	31.4	31.6	31.6	31.6	31.9	32.0	32.3	32.8	33.1	33.2	33.1	33.2	31.03
5.	33.2	33.1	33.0	32.7	33.0	33.2	33.4	33.5	33.3	33.0	33.0	33.0	32.8	32.7	32.2	31.7	31.2	31.1	30.4	31.1	32.1	32.6	33.0	33.0	32.55
6.	32.8	32.9	33.0	33.1	33.2	33.2	33.3	33.4	33.1	33.6	33.3	33.5	33.7	32.4	32.6	32.9	32.8	32.6	32.6	32.5	32.6	32.4	32.2	32.3	32.92
7.	31.9	32.0	31.8	31.7	31.1	31.1	31.1	31.5	31.3	31.0	31.1	31.3	31.5	31.5	31.5	31.2	31.2	31.2	31.4	31.5	31.7	31.5	31.1	31.1	31.39
8.	30.9	30.6	30.5	30.3	30.0	29.8	29.8	29.4	29.2	29.1	28.8	28.4	28.4	28.3	28.0	27.8	27.4	26.9	26.5	25.9	25.3	24.6	24.2	23.6	28.07
9.	23.0	22.3	21.5	21.0	20.4	20.0	19.6	19.2	18.7	18.7	18.0	17.0	16.6	16.4	16.1	16.2	16.2	16.0	16.1	16.4	16.6	16.6	16.3	16.4	18.14
10.	16.2	16.0	15.6	15.6	15.6	15.8	16.0	16.5	16.6	16.7	16.8	16.8	16.8	16.8	16.7	16.4	16.4	16.2	16.1	15.9	16.3	16.6	16.9	16.5	16.33
11.	16.7	17.3	17.7	18.3	18.6	19.0	19.1	19.3	20.2	20.4	20.5	20.7	20.6	20.1	20.5	20.4	21.0	21.1	21.5	21.9	22.0	21.6	21.7	21.2	20.06
12.	21.2	21.0	21.4	21.4	21.6	21.7	21.9	22.5	22.4	23.0	23.0	23.7	24.2	24.8	25.2	25.1	25.2	25.4	25.5	27.0	27.2	27.3	27.3	27.3	24.01
13.	27.2	27.3	27.4	27.4	27.4	27.6	28.2	28.4	28.7	28.8	29.0	29.0	29.1	29.1	29.0	28.9	28.9	29.0	29.0	29.1	29.3	29.2	29.1	29.0	28.55
14.	28.8	28.4	28.3	28.1	27.9	27.8	28.0	27.9	27.9	28.0	27.9	27.6	27.5	27.5	27.4	27.3	27.2	27.0	26.9	26.8	26.7	26.5	26.4	26.3	27.50
15.	26.1	26.0	25.8	25.4	25.3	25.2	25.2	25.0	25.1	25.5	25.5	25.6	25.8	25.8	25.8	25.8	25.7	25.7	25.7	25.7	25.8	25.8	25.8	25.8	25.62
16.	25.7	25.6	25.4	25.2	25.3	25.3	25.4	25.5	25.7	26.0	26.0	26.2	26.4	26.5	26.6	26.5	26.5	26.5	26.6	26.8	26.9	27.0	27.0	27 1	26.15
17.	27.1	27.1	27.1	27.1	27.2	27.3	27.7	27.7	27.8	28.0	28.1	28.1	28.3	28.1	28.1	28,2	28.2	28.1	28.1	27.8	27.6	27.6	27.6	27.6	27.73
18.	27.5	27.3	27.0	26.8	26.7	26.7	26.7	26.6	26.7	26.9	26.9	26.9	26.9	26.9	26.9	26.9	26.8	26.8	26.8	26.9	26.9	26.9	26.9	26.9	26.88
19.	26.8	26.8	26.7	26.7	26.7	26.8	26.8	26.9	27.1	27.3	27.4	27.6	27.6	27.7	27.7	27.8	27.9	28.0	28.1	28.3	28.6	28.6	28.7	28.7	27.55
20.	28.7	28.8	28.8	28.7	28.7	28.8	29.0	29.3	29.4	29.5	29.7	29.6	29.7	29.9	29.8	29.8	29.9	30.1	30.2	30.2	30.2	30.2	30.3	30.2	29.56
21.	30.0	29.7	29.5	29.3	29.2	29.2	29.1	29.0	29.2	29.3	29.3	29.7	29.9	30.1	30.1	30.1	30.2	30.3	30.4	30.5	30.5	30.6	30.6	30.6	29.85
22.	30.5	30.2	30.0	29.9	29.7	29.7	29.8	29.8	30.0	30.4	30.5	30.5	30.7	30.7	30.7	30.7	30.7	30.7	30.7	30.7	30.5	30.4	30.1	29.9	30.31
23.	29.6	29.4	29.2	28.9	28.8	28.7	28.7	28.7	28.7	28.6	28.6	28.6	28.7	28.7	28.6	28.5	28.5	28.6	28.7	28.8	28.8	28.9	28 8	29.1	28.80
24.	29.3	29.3	29.3	29.2	29.2	29.2	29.4	29.8	29.8	29.8	29.8	29.8	29.8	30.0	30.0	30.0	29.9	29.9	29.8	29.8	29.9	29.9	29.8	29.8	29.69
25.	29.7	29.5	29.2	29.1	28.9	28.8	28.6	28.6	28.6	28.6	28.6	28.5	28.5	28.4	28.3	28.3	28.1	28.0	27.9	27.9	27.9	27.9	27.9	27.7	28.48
26.	27.5	27.5	27.3	27.2	27.1	27.1	27.1	27.2	27.2	27.3	27.3	27.3	27.4	27.4	27.4	27.2	27.1	27.1	27.0	27.1	27.1	27.1	27.1	26.9	27.21
27.	26.6	26.4	26.2	25.8	25.9	25.9	25.9	26.1	26.2	26.3	26.3	26.2	25.8	25.8	25.8	25.6	25.4	25.3	25.1	25.0	24.8	24.8	24.6	24.4	25.68
28.	24 2	24.0	23.5	23.2	23.0	22.9	22.8	22.7	22.7	22.5	22.4	22.5	22.5	22.5	22.4	22.4	22.3	22.2	22.1	22.0	22.0	22.0	21.9	21.9	22.61
29.	21.4	21.2	21.0	20.8	20.9	20.9	21.0	21.0	21.3	21.6	21.7	21.9	22.2	22.5	22.6	22.7	22.9	23.1	23.2	23.5	23.7	23.7	23.7	23.5	22.17
30.	23.4	23 4	23.3	23.3	23.2	23.2	23.3	23.4	23.7	23 9	24.3	24.3	24.4	24.4	24.4	24.5	24.5	24.6	25.2	25.2	25.3	25.3	25.4	25.2	24.21
Mittel	26.24	26.14	26.00	25.88	25.86	25.88	25.98	26.06	26.16	26.31	26.33	26.34	26.40	26.40	26.38	26.34	26.34	26.34	26.38	26.51	26.60	26.60	26.57	26.52	26.27

Barometer-Registrierung. **Zugspitze.** 1912.

Mai

500 mm +

Datum	1ª	2ª	3ª	4ª	5ª	6ª	7ª	8ª	9ª	10ª	11ª	12m	1	2P	3P	4P	5P	6P	7P	8P	9P	10P	11P	12ma	Mittel
1.	25.2	25.0	24.9	24.9	25.0	25.0	25.0	25.0	25.0	25.3	25.5	25.6	25.6	25.6	25.6	25.5	25.5	25.6	25.7	25.8	26.1	25.9	26.0	26.0	25.43
2.	25.9	25.9	25.8	25.7	25.7	25.7	26 0	25.9	26.2	26.4	26.5	26.5	26.8	26.9	26.9	27.0	27.2	27.2	27.4	27.7	27.9	27.8	27.8	27.9	26.70
3.	27.8	27.6	27.5	27.5	27.3	27 3	27.6	27.7	27.8	27.9	28.0	28.2	28.3	28 5	28.6	28.7	28.7	28.7	28.8	28.9	29.0	29.1	29.0	29.0	28.23
4.	28.8	28.7	28.7	28.7	28.7	28.7	29.0	29.0	29.1	29.3	29.4	29.7	29.8	30.0	29.9	29.9	30.1	30.0	30.0	30.1	30 2	30.1	30.1	29.9	29.50
5.	29.7	29.7	29.7	29.5	29.4	29.5	29.6	29.6	29.7	29.9	30.0	30.0	29.9	30.2	30.4	30.4	30.6	30.8	31.0	31.2	31.5	31.1	31.7	31.7	30.31
6.	31.7	31.5	31.4	31.3	31.5	31.6	31.7	31.8	31.9	32.3	32.5	32.7	32.8	32.9	33.0	33.0	33.1	33.4	33.4	33.6	33.8	33.9	34.1	34.2	32.63
7.	34.1	34.0	33.9	33.8	33.8	33.9	34.2	34.9	34.9	35.4	35.6	35.7	35.7	35.9	35 9	35.9	35.9	35.8	35.7	36.0	35.9	35.9	35.9	35.8	35.19
8.	35.5	35.1	34.4	33.8	34.0	34.0	33.4	33.1	32.9	33.1	34.0	34.1	34.3	34.5	34.3	34.5	34.6	34.8	35.3	35.7	35.9	35.9	36.1	35.7	34.54
9.	35.3	35.7	35.7	35.6	35.8	36.1	36.3	36 4	36.4	36.6	36.4	36 6	36.3	36.4	36.6	36.2	36.2	36.0	35.8	35.7	35.3	35.4	35.1	34.8	35.95
10.	34.5	34.6	33.0	32.8	32.6	32.6	32.8	33.1	33.1	33.0	32.8	33.0	33.0	32.8	32.9	32.9	32.6	32.5	32.8	32.7	32.4	32.5	32.3	32.7	32.92
11.	32.6	32.4	32.2	32.1	32.6	32.4	32.9	33.0	33.6	34.0	34.2	34.2	34.3	34.2	34.2	34.4	35.0	35.6	35.9	36.1	36.4	36.6	36.6	36.1	34.24
12.	36.4	36.6	36.7	36.6	36.7	36.8	37.0	37.2	37.2	37.3	37.2	36.9	36.8	36.8	36.8	36.7	36.4	36.3	35.9	36.0	35.6	35 6	35.4	35.2	36.50
13.	35.2	35.3	35.2	35.1	35.2	35.2	35.2	35.1	35.2	35.0	35.2	35.2	35.1	35.3	35.2	35.2	35.3	35.0	35.2	35.0	35.4	35.3	35.4	35.3	35.20
14.	35.2	35.1	34.9	34.8	34.9	35.0	34.8	34.8	35.0	35.1	35.1	35.0	34.9	34.8	34.7	34.5	34.3	34.2	34.0	33.9	33.7	33 3	33.1	33.0	34.50
15.	32.8	32.5	32.4	32.3	32.5	32.5	32.5	32.5	32.6	32.6	32.6	32.5	32.3	32.0	31.7	31.3	30.8	30.1	29.3	28.8	28.5	28.3	28.3	28.2	31.25
16.	28.0	28.0	26.7	26.2	25.9	25.9	25.8	25.8	25.8	25.8	26.1	26.3	26.8	26.6	26.8	26.6	26.4	26.2	25.9	25.6	25.4	24.9	24.9	24.7	26.13
17.	24.6	24.6	24.3	24.3	24.5	24.5	24.5	24.3	24.4	24.3	24.8	24.8	25.4	25.8	26.2	26.0	26.1	25.8	26.8	27.2	27.4	27.1	27.2	27.6	25.52
18.	27.7	27.6	27.7	27.6	27.6	27.9	28.1	28.3	28.4	28.7	29.0	29.2	29.8	30.2	30.4	30.5	30.7	30.9	30.9	30.9	31.1	31.1	31.1	31.2	29.44
19.	31.2	31.3	31.3	31.4	31.5	31.8	32.0	31.3	31.4	32.4	32.6	32.8	32.9	33.2	33.1	33.1	33.1	33.1	33.1	33.2	33.4	33.6	33.5	33.5	32.49
20.	33.4	33.1	32.9	32.9	32.9	32.9	33.0	33.0	32.9	32.8	32.8	32.7	32.5	32.5	32.3	32.2	32.1	31.9	31.7	31.6	31.4	31.4	31.3	31.3	32.40
21.	31.3	31.3	31.1	30 9	30.9	31.0	30.9	30.8	30.8	30.7	30.6	30.5	30.5	30.2	29.8	29.5	29.3	29.3	28.9	28.7	28.8	28.7	28.5	28.3	30.05
22.	27.8	27.3	27.0	26.8	26.6	26.4	26.3	26.2	26.1	26.0	26.0	26.0	25.8	25.8	25.9	25.9	25.9	25.7	26.0	26.1	26.2	26.1	26.3	26.1	26.26
23.	26.0	26.0	25.9	25.9	25.9	26.0	26.0	26.0	26.0	26.0	26.0	26.0	25.9	25.8	25.7	25.6	25.6	25.5	25.4	25.4	25.4	25.4	25.4	25.3	25 75
24.	25.2	25.0	24.9	24.8	24 8	24.9	25.2	25.6	25 7	25.9	26 0	26.3	26.4	26.6	26 7	26.8	26.9	27.2	27.3	27.5	27.6	27.7	27.8	27.8	26.28
25.	27.7	27.7	27.7	27.6	27.8	27.8	28.0	28.1	28.1	28.2	28.4	28.5	28.7	28.6	28.6	28.6	28.6	28.5	28.6	28.7	28.7	28.7	28.6	28.5	28.33
26.	28.4	28.1	28.0	27.9	27.8	27.8	27.8	27.9	27.9	27.9	27.9	27.9	27.8	27.9	27.9	28.0	27.9	27.9	27.9	28.0	28.0	27.9	27.8	27.7	27.92
27.	27.6	27.4	27.2	27.2	27.2	27.2	27.1	27.3	27.4	27.5	27.6	27.6	27.7	27.7	27.8	28.0	28.0	28.3	28.3	28.6	28.8	28.8	28.8	28.8	27.83
28.	28.9	28.8	28.7	28.7	28.8	28.9	29.3	29.2	29.3	29.5	29.6	30.0	30.3	30.4	30.6	30.6	30.5	30.6	30.7	30.5	30.7	30.5	30.4	30.2	29.82
29.	30.2	30.0	29.7	29.4	29.1	29.1	29.0	28.9	28.6	28.5	28.6	28.7	28.7	28.4	28.2	27.8	27.5	27.3	27.3	27.3	27.4	27.4	27.3	27.2	28.40
30.	27.2	27 0	26.9	26.8	26.7	26.6	26.6	26.4	26.5	26.6	26.7	26.8	26.8	26.9	26.9	26.9	26.7	26.7	26.7	26.9	26.8	26.9	26.9	26 8	26.78
31.	26.7	26.7	26.7	26.6	26.7	26.8	27.1	27.3	27.5	27.7	27.9	27.9	28.1	28.2	28.3	28.5	28.6	28.6	28.6	28.7	28.8	29.0	29.0	29.0	27.88
Mittel-	30.08	29.99	29.78	29.66	29.69	29.74	29.83	29.86	29.92	30.06	30.18	30.26	30.32	30.37	30.38	30.35	30.33	30.31	30.33	30.39	30.44	30.40	30.38	30.31	30.14

Juni

500 mm +

1.	28.8	28.7	28.5	28 4	28.2	28.1	28.1	28.1	28.0	28.0	28.0	27.8	27.5	27.7	27.6	27.3	27.2	26.9	26.5	26.3	26.1	25 6	25 4	24.9	27 42
2.	24.6	23.9	23.7	23.5	23.4	23.4	23.2	23.1	23.1	23.2	23.4	23.5	23.5	23.6	23.5	23.4	23.2	23 2	23.3	23.4	23.6	23 6	24.0	24.2	23.52
3.	24.5	24.6	24.7	24.9	25.2	25.5	25.8	26.0	26.2	26.5	26.7	26.9	27.2	27.3	27 4	27.5	27.6	27.5	27.5	27.8	28.0	28.0	27.9	27.8	26.63
4.	27.6	27.7	27.7	27 6	27.6	27.6	27.6	27.7	27.8	28.0	28.1	28.2	28.3	28.4	28.6	28.6	28.6	28.6	28.5	28.6	28.7	28.7	28.7	28.7	28.18
5.	28.8	28.8	28.8	28.7	28.7	28.8	28.9	29.1	29.3	29.5	29.5	29.6	29.7	30.0	30.2	30.4	30.5	30.4	30.5	30.9	31.2	31.2	31.2	31.3	29.84
6.	31.2	31.1	31.1	31.1	31.2	31.3	31.7	31.8	31.9	32.3	32.5	32.8	32.9	32.9	32.9	32.8	32.8	32.8	32.8	32.8	32.9	32.8	32.7	32.7	32.24
7.	32.6	32.5	32.4	32.3	32.3	32.4	32.5	32.4	32.4	32.4	32.4	32.4	32.4	31.9	31.8	31.7	31.5	31.3	31.4	31.5	31.5	31.5	31.5	31.5	32.02
8.	31.5	31.4	31.4	31.4	31.6	31.8	32.1	32.2	32.2	32.4	32.4	32.4	32.5	32.5	32.5	32.5	32.5	32.6	32.6	32.7	32.8	32.8	32.8	32.7	32.36
9.	32.5	32.3	32.1	32.0	31.9	31.7	31.7	31.7	31.6	31.7	31.7	31.6	31.6	31.4	31 2	31.1	31.1	31.1	31.1	31.1	31.1	31.0	30.9	30.5	31.49
10.	30.3	30.2	30.0	29.9	29.8	29.8	29.6	29.4	29.3	29.3	29.3	29.3	29.3	29.1	29.1	29.0	28.8	28.8	28.6	28.6	28.5	28.4	28.3	27.9	29.19
11.	27.6	27.3	26.9	26.6	26.4	26.3	26.2	26.2	26.1	26.1	26.1	26.0	26.0	25.6	25.6	25.6	25.6	25.7	25.7	25.8	26.0	26.0	26.1	26.1	26.15
12.	26.1	26.1	26.0	26.0	26.1	26.2	26.4	26.5	26.7	27.0	27.5	27.5	27.7	27.8	27.8	27.8	27.8	27.7	27.7	27.7	27.8	27.8	27.7	27.7	27.13
13.	27.4	27.2	26.9	26.9	26.9	26.7	26.5	26.6	26.4	26.3	26.2	26.3	26.3	26.4	26.8	26.8	26.0	27.0	27.1	27.2	27.3	27.2	27.2	27.2	26.78
14.	27.1	26.7	26.6	26.8	26.9	27.3	27.4	27.3	26.8	27.2	27.4	27.7	28.1	28.1	28.2	28.3	28.6	28.7	28.8	29.0	29.5	29.5	29.6	29.7	27.97
15.	29.5	29.5	29.2	29.0	29.2	29.1	29.5	29.5	29.8	30.0	30.2	30.4	30.2	30.4	30.4	30.4	30.4	30.3	30.5	30.9	30.7	31.2	31.3	31.6	30.13
16.	31.6	31.5	31.4	31.5	31.3	31.6	31.5	31.7	31.8	31.8	31.8	31.7	31.6	31.4	31.1	30.8	30.4	29.9	29.7	29.5	29.5	29.4	29.1	29.1	30.86
17.	29.0	29.2	29.3	29.3	29 3	29.6	29.8	30.2	30.6	31.0	31.4	31.5	31.7	31.9	32.2	32.6	32.6	32.6	32.6	32.7	32.9	32.9	32.9	33.1	31.29
18.	33.1	33.0	32.9	33.0	33.0	33.1	33.5	33.6	33.8	34.0	34.0	34.2	34.3	34.2	34.4	34.5	34.9	35.0	35.1	35.1	35.4	35.7	36.1	36.2	34.26
19.	36.2	36.4	36.6	36.8	37.1	37.2	37.5	37.7	37.8	38.0	38.1	38.3	38.4	38.3	38.3	38.1	37.9	37.7	37.6	37.4	37.4	37.3	37.3	37.2	37.53
20.	36.8	36.7	36.4	36.2	35.9	36.0	36.2	36.3	36.2	36.1	36.2	36.2	36.3	36.0	35.9	35.7	35.6	35.5	35.5	35.4	35.4	35.3	35.1	34.9	35.91
21.	34.7	34.4	34.2	34.2	34.2	34.0	34.0	33.8	33.7	33.9	33.9	33.9	33.9	34.0	34.0	34.1	34.0	34.0	34.0	34.1	34.3	34.4	34.3	34.3	34.10
22.	34.4	34.3	34.2	34.2	34.3	34.4	34.7	34.7	34.9	35.1	35.4	35.6	35.9	35.9	36.1	36.2	36.2	36.2	36.2	36.3	36.3	36.3	36.2	36.0	35.42
23.	36.0	35.8	35.6	35.6	35.6	35.6	35.6	35.9	35.6	35.7	35.8	36.0	36.1	36.1	36.1	36.1	36.0	36 0	36.1	36.0	35.8	35.8	35.8	25.6	35.85
24.	35.5	35.3	35.0	34.9	34.8	34.7	34.6	34.5	34.4	34.2	34.0	33.9	33.6	33.4	33.3	33.0	32.4	32.2	32.1	32.2	32.2	32.1	32.1	32.0	33.60
25.	31.8	31.5	31.3	31.3	31.4	31.5	31.6	31.7	32.0	32.1	32.1	32.3	32.4	32.6	32.7	32.7	32.7	32.9	32.9	32.9	33.1	33.2	33 1	33.0	32.28
26.	32.8	32.6	32.4	32.4	32.3	32.3	32.3	32.3	32.4	32.5	32.6	32.7	32.7	32.7	32.8	32.9	33.0	33.1	33.1	33.3	33.7	33.9	34.0	34.1	32.87
27.	34.1	34.0	34.1	34.0	34.1	34.2	34 4	34.7	34.9	34.9	35.0	35.1	35.2	35.3	35.4	35.5	35.5	35.5	35.5	35.7	35.9	35.9	35.9	35.9	35.03
28.	35.7	35.6	35.4	35 4	35.4	35.5	35.6	35.7	35.9	35.9	36.1	36.4	36.5	36.5	36.5	36.5	36.4	36.4	36.4	36.5	36.6	36.4	36.4	36.1	36.08
29.	36.1	35.9	35.6	35.4	35.2	35.2	35.0	35.1	35.0	34.9	34 9	34.7	34.6	35.3	34.1	33.8	33.3	32.9	32.7	32.3	32.1	32.1	32.0	31.8	34.13
30.	31.6	31.1	31.0	30.8	30.7	30.7	30.7	30.8	30.9	31.1	31.1	31.2	31.3	31.4	31.3	31.3	31.2	31.2	31.2	31.2	31.3	31.2	31.2	31.3	31.12
Mittel	31.32	31.18	31.05	31.00	31 00	31.05	31.15	31.21	31.25	31.37	31.46	31.54	31.60	31.57	31.59	31.57	31.48	31.46	31.44	31.50	31.59	31.57	31.56	31.50	31.38

Barometer-Registrierung. **Zugspitze.** 1912.

Juli
500 mm +

Datum	1ª	2ª	3ª	4ª	5ª	6ª	7ª	8ª	9ª	10ª	11ª	12m	1P	2P	3P	4P	5P	6P	7P	8P	9P	10P	11P	12mn	Mittel
1.	31.2	31.1	31.1	30.9	30.8	30.7	30.6	30.8	30.7	30.7	30.7	30.7	30.8	30.7	30.5	30.2	30.2	30.0	29.9	29.9	30.1	30.0	30.0	29.9	30.51
2.	29.8	29.5	29.4	29.1	28.9	28.8	28.7	28.8	28.7	28.7	29.0	29.1	29.2	29.2	29.3	29.4	29.4	29.5	29.6	29.6	29.9	29.8	29.9	30.1	29.31
3.	30.0	30.0	29.9	29.4	29.8	29.8	29.9	29.9	29.8	29.8	29.8	29.7	29.5	29.2	28.8	28.9	28.8	28.9	29.0	29.2	29.6	29.6	30.0	30.1	29.56
4.	30.1	30.0	29.9	29.9	29.9	30.1	30.2	30.4	30.5	30.9	31.0	31.4	31.7	31.8	32.0	32.1	32.1	32.3	32.6	32.8	33.1	33.4	33.5	33.6	31.47
5.	33.6	33.7	33.7	33.7	33.7	33.9	34.2	34.3	34.4	34.6	34.8	35.1	35.3	35.5	35.6	35.7	35.7	35.7	35.6	35.5	35.5	35.4	35.3	35.4	34.80
6.	35.3	35.0	34.8	34.5	34.7	34.7	34.6	34.6	34.6	34.7	34.9	35.0	35.0	34.7	34.5	34.1	33.7	33.8	34.0	34.1	34.1	34.1	33.9	33.7	34.47
7.	33.4	33.2	32.7	32.6	32.3	32.0	31.6	31.3	31.1	31.2	31.1	31.1	31.1	31.1	31.1	31.1	31.1	31.2	31.4	31.7	32.1	32.1	32.4	32.5	31.77
8.	32.6	32.8	32.8	33.0	33.3	33.6	33.8	34.0	34.1	34.3	34.6	34.7	34.8	34.9	35.0	35.0	35.1	35.1	35.2	35.3	35.4	35.4	35.4	35.3	34.40
9.	35.3	35.4	35.4	35.3	35.3	35.3	35.3	35.3	35.4	35.5	35.5	35.6	35.5	35.5	35.5	35.4	35.4	35.3	35.3	35.3	35.6	35.5	35.5	35.3	35.40
10.	35.3	35.3	35.0	34.9	35.1	35.1	35.1	35.1	35.3	35.3	35.5	35.7	35.8	36.0	36.0	36.0	36.0	36.0	36.1	36.2	36.4	36.5	36.5	36.4	35.64
11.	36.4	36.3	36.3	36.2	36.2	36.3	36.4	36.6	36.8	37.3	37.4	37.5	37.4	37.4	37.5	37.4	37.5	37.7	37.7	37.9	38.1	38.1	38.0	37.9	37.18
12.	37.8	37.5	37.4	37.4	37.4	37.5	37.8	37.9	38.0	38.2	38.2	38.3	38.3	38.3	38.3	38.2	38.0	37.9	37.8	37.8	37.9	37.9	37.8	37.7	37.88
13.	37.5	37.3	37.2	37.0	36.9	36.9	37.0	37.1	37.0	37.0	37.0	37.0	37.0	36.9	36.8	36.7	36.5	36.5	36.5	36.5	36.6	36.5	36.4	36.2	36.83
14.	36.0	35.9	35.7	35.5	35.4	35.3	35.4	35.5	35.4	35.5	35.5	35.5	35.5	35.5	35.5	35.5	35.5	35.5	35.8	35.9	36.0	36.1	36.1	36.1	37.13
15.	36.0	36.0	35.9	35.9	35.9	36.0	36.1	36.3	36.5	36.6	36.6	36.8	36.9	37.0	37.1	37.2	37.2	37.2	37.2	37.4	37.5	37.5	37.4	37.3	36.73
16.	37.1	37.0	36.8	36.5	36.4	36.4	36.4	36.4	36.5	36.5	36.5	36.6	36.6	36.6	36 6	36.4	36.3	36.0	35.8	35.8	35.8	35.7	35.7	35.6	36.33
17.	35.3	35.3	35.1	34.9	34.8	34.7	34.7	34.7	34.8	34.9	35.1	35.1	35.2	35.1	35.0	34.9	34.8	34.8	34.6	34.5	34.5	34.3	34.1	34.1	34.80
18.	33.9	33.7	33.3	33.1	33.0	32.9	32.7	32.6	32.6	32.6	32.6	32.5	32.0	31.6	31.4	31.1	30.9	30.5	30.6	30.6	30 5	30.5	30.3	30.1	31.90
19.	29.7	29.2	28.7	28.5	28.3	28.1	27.5	27.4	27.3	27.3	27.3	27.3	27.3	27.4	27.4	27.4	27.5	27.5	27.8	27.9	28.0	28.0	28.0	28.1	27.87
20.	27.9	27.8	27.6	27.5	27.6	27.6	27.6	27.6	27.7	27.7	27.7	27.8	27.7	27.7	27.6	27.6	27.7	27.5	27.3	27.3	27.2	27.1	27.1	26.7	27.57
21.	26.3	26.0	25.6	25.4	24.8	24.4	24.3	24.6	24.8	24.6	25.1	25.5	25.5	25.9	26.0	26.1	26.2	26.2	26.2	26.3	26.4	26.5	26.8	26.7	25.68
22.	26.7	26.8	26.9	27.0	27.5	27.7	28.2	28.4	29.1	29.4	29.7	29.9	30.3	30.4	30.5	30.6	30.8	31.0	31.1	31.3	31.5	31.6	31.6	31.5	20.56
23.	31.3	31.2	31.2	31.2	31.1	31.0	31.2	31.3	31.5	31.8	32.1	32.2	32.3	32.4	32.5	32.7	32.8	32.8	33.0	33.3	33.5	33.5	33.6	33.6	32.21
24.	33.6	33.6	33 6	33.5	33.6	33.7	33.8	33.9	34.0	34.1	34.3	34.4	34.5	34.4	34.4	34.5	34.5	34.5	34.4	34.5	34.5	34.4	34.4	34.4	34.15
25.	34.4	34.3	34.0	33.9	33.8	33.8	33.6	33.6	33.6	33.6	33.6	33.6	33.5	32.9	32.7	32.7	32.5	32.6	33.0	33.1	33.1	33.2	33.2	33.3	33.40
26.	33.3	33.3	33.1	33.1	33.3	33.4	33.4	33.6	34.0	34.1	34.4	34.4	34.5	34.6	34.6	34.7	34.7	34.7	34.8	34.9	35.0	35.0	35 0	34.8	34.20
27.	34.7	34.4	34.3	34.2	34.1	34.1	34.2	34.3	34.3	34.4	34.6	34.5	34.5	34.4	34.4	34.3	34.2	34.2	34.1	34.1	34.0	33.9	33.9	34.0	34.25
28.	33.9	33.8	33.8	33.7	33.6	33.5	33.5	33.6	33.7	33 9	34.0	34.0	34.0	33.9	33.9	33.8	33.8	33.7	33.7	33.7	33.8	33.8	33.8	33.5	33.77
29.	33.2	33.0	33.0	32.9	32.9	32.9	32.9	33.0	32.9	32.8	32.8	32.6	32.5	32.3	32.3	32.2	31.9	31.4	31.3	31.2	31.0	31.0	31.0	31.0	32.25
30.	31.0	30.9	30.7	30.9	31.0	31.2	31.3	31.4	31.2	31.2	31.1	31.1	31.2	31.3	31.2	31.2	31.3	31.4	31.4	31.8	32.0	32.2	32.3	32.5	31.37
31.	32.5	32.5	32.5	32.5	32.7	32.8	32.8	33.0	33.1	33.0	33.1	33.2	33.2	33.0	33.0	33.0	33.0	32.8	32.7	32.8	32.8	32.9	32.9	32.7	32.85
Mittel	33.07	32.96	32.82	32.71	32.71	32.72	32.74	32.82	32.88	32.97	33.08	33.16	33.18	33.15	33.13	33.10	33.07	33.04	33.08	33.17	33.27	33.27	33.28	33.23	33.03

August
500 mm +

1.	32.3	32.3	32.0	31.6	31.6	31.4	31.3	31.3	31.2	31.2	31.3	31.3	31.3	31.3	31.3	31.1	30.9	30.8	30.3	30.3	30.3	30.4	30.4	30.1	31.14
2.	30.0	29.7	29.5	29.4	29.3	29.3	29.3	29.3	29.3	29.3	29.3	29.3	29.3	29.4	29.4	29.4	29.2	29.1	29.3	29.8	30.0	30.0	30.0	30.1	29.50
3.	30.4	30.4	30.5	30.7	31.0	31.2	31.5	31.6	31.6	32.0	32.2	32.4	32.5	33.0	33.2	33.3	33.4	33.3	33.5	33.7	33.8	33.9	33.8	33.8	32.36
4.	33.8	33.8	33.7	33.7	33.7	33.8	33.8	33.8	33.7	33.9	33.9	33.9	33.9	33.8	33.7	33.5	33.3	33.1	32.7	32.8	33.0	33.0	32.8	32.4	33.48
5.	32.2	31.7	31.5	31.2	30.0	30.8	30.8	30.6	31.0	31.1	31.1	31.0	30.6	30.9	30.7	30.8	30.7	30.5	30.5	30.5	30.6	30.4	30.1	29.7	30.83
6.	29.6	29.5	29.3	29.2	29.2	29.2	29.2	29.1	29.0	28.9	29.1	29.1	29.2	29.2	29.3	29.3	29.3	29.3	29.3	29.3	29.4	29.4	29.2	28.8	29.23
7.	28.7	28.4	28.1	27.8	27.6	27.5	27.4	27.1	26.9	26.4	26.3	26.2	25.8	25.5	25.4	25.4	25.4	25.3	25.5	25.4	25.9	26.0	26.1	26.1	26.51
8.	25.9	26.1	26.3	26.3	26.4	26.7	27.1	27.3	27.4	28.0	28.3	28.4	28.6	28.9	29.2	29.2	29.3	29.3	29.5	29.8	29.7	29.7	29.7	29.6	28.20
9.	29.5	29.3	29.1	29.1	28.8	28.7	28.9	28.9	29.0	29.2	29.5	29.7	29.8	30.0	30.0	30.1	30.1	30.2	30.3	30.7	30.8	30.8	30.8	30.8	29.75
10.	30.8	30.7	30.7	30.7	30.8	30.8	30.8	30.9	31.0	31.1	31.2	31.3	31.2	31.2	31.2	31.1	31.1	31.0	31.1	30.9	30.9	30.9	30.8	30.6	30.95
11.	30.4	30.2	29.9	29.9	29.6	29.7	30.0	30.2	30.1	30.4	30.5	30.6	30.8	31.1	31.3	31.2	31.3	31.4	31.8	31.9	31.9	32.0	32.0	32.1	30.85
12.	31.9	31.7	31.3	31.2	31.2	31.1	31.1	31.1	30.9	30.8	30.6	30.5	30.4	30.5	30.6	30.3	29.8	29.6	29.4	29.4	29.3	29.3	29.2	29.2	30.43
13.	29.0	28.7	28.4	28.3	28.0	27.9	27.8	27.5	27.7	27.7	27.4	27.1	26.8	26.7	26.5	26.2	26.1	26.0	25.9	26.0	26.2	26.2	26,3	26.6	27.13
14.	26.7	26.7	26.7	26.7	26.8	27.0	27.2	27.4	27.3	27.5	27.6	28.1	28.1	28.4	28.6	28.7	28.7	28.9	29.1	29.2	29.4	29.4	29.7	29.7	28.07
15.	29.8	29.7	29.8	29.8	29.9	30.0	30.2	30.5	30.7	30 8	31.1	31.2	31.2	31.2	31.3	31.3	31.4	31.6	31.6	31.7	31.8	32.1	31.9	32.4	30.96
16.	32.5	32.5	32.5	32.5	32.5	32.4	32.6	33.0	33.1	33.4	33.6	33.8	33.9	34.1	34.3	34.5	34.8	34.7	34.7	34.7	34.7	34.8	34.9	34.9	33.73
17.	34.7	34.5	34.2	34.1	34.0	34.0	34.0	34.1	34.3	34.4	34 4	34.5	34.5	34.7	34.5	34.4	34.4	34.3	34.4	34.7	34.9	34.9	34.8	34.6	34.43
18.	34.5	34.3	34.1	33.9	33.9	33.7	33.7	33.7	33.9	34.2	34.2	34.3	34.3	34.3	34.3	34.2	34.2	34.3	34.2	34.1	34.2	34.2	34.3	34.2	34.13
19.	34.2	34.2	34.2	34.2	34.1	34.0	34.0	34.0	33.9	33.9	33.8	33.7	33.7	33.8	33.8	33.8	33.7	83.8	33.6	33.6	33.6	33.6	33.6	33.7	33.85
20.	33.5	33.2	32.8	32.5	32.6	32.5	32.4	32.4	32.4	32.4	32.3	32.5	32.7	32.8	32.6	32.5	32.4	32.3	32.4	32.3	32.2	32.1	32.2	32.2	32.51
21.	32.1	32.1	32.0	31.8	31.9	32.0	32.1	32.4	32.7	33.0	33.1	33.4	33.5	33.6	33.8	33.9	33.9	34.2	34.4	34.5	34.5	34.5	34.4	34.3	33.25
22.	34.0	33.8	33.6	33.1	33.0	32.9	32.8	32.7	32.5	32.0	31.8	31.3	31.3	30.9	30.8	31.0	30.7	31.2	31.3	31.8	31.5	31.9	31.7	31.6	32.05
23.	31.3	31.2	31.0	30.5	30.3	30.4	30.4	30.5	30.7	30.8	30.7	30.8	30.8	30.8	30.8	30.9	30.9	30.5	30.5	30.4	29.8	29.8	29.2	29.5	30.52
24.	29.9	29.6	29.3	29.3	29.4	29.4	29.4	29.7	29.8	30.1	30.4	30.5	30.4	30.6	30.5	30.5	30.4	30.5	30.5	30.6	30.7	30.6	30.5	30.6	30.13
25.	30.4	30.3	30.2	30.1	30.1	30.1	30.2	30.3	30.5	30.7	31.0	31.1	31.0	31.1	31.2	31.1	31.0	31.1	31.1	31.0	30.9	30.7	30.3	30.1	30.65
26.	29.5	29.4	28.8	28 7	28.2	27.8	27.7	27.5	27.4	27.2	27.2	27.0	27.1	27.0	26.7	26.4	26.2	25.6	25.6	25.6	25.4	25.2	24.9	24.5	26.94
27.	24.2	23.3	22.1	22.7	22.1	22.3	22.4	22.6	23.1	23.5	23.6	23.8	24.3	24.3	24.8	24.9	25.0	25.2	25 5	25.7	25.9	25.7	25.6	25.5	24.09
28.	25.3	25.0	24.8	24.9	25.0	25.4	25.8	25.9	26.6	27.2	27.4	27.8	28.3	28.7	29.3	29.7	29.7	30.1	30.6	31.0	31.2	31.3	31.3	31.2	28.06
29.	31.2	31.2	31.2	31.2	31.4	31.8	32.2	32.5	32.8	33.0	33.2	33.4	33.7	33.8	34.1	34.1	34.3	34.3	34.5	34.6	34.7	34.8	34.8	34.9	33.24
30.	34.9	34.7	34.3	34.1	34.0	33.8	33.7	33.5	33.5	33.3	33.1	33.0	33.0	33.0	32.6	32.6	32.6	32.5	32.5	32.4	32.2	32.3	32.3	32.4	33.18
31.	32.2	32.0	31.6	31.5	31.1	31.0	31.0	30.9	30.9	31.0	31.0	31.1	31.1	31.2	31.3	31.2	31.2	31.3	31.3	21.2	31.4	31.4	31.5	31.5	31.29
Mittel	30.82	30.65	30.44	30.35	30.27	30.28	30.35	30.40	30.48	30.59	30.65	30.71	30.75	30.83	30.87	30.86	30.82	30.82	30.87	30.95	30.99	31.01	30.94	30.89	30.69

Barometer-Registrierung **Zugspitze.** 1912.

September
500 mm +

Datum	1ª	2ª	3ª	4ª	5ª	6ª	7ª	8ª	9ª	10ª	11ª	12m	1ᵇ	2ᵇ	3ᵇ	4ᵇ	5ᵇ	6ᵇ	7ᵇ	8ᵇ	9ᵇ	10ᵇ	11ᵇ	12mn	Mittel
1.	30.8	30.9	31.0	30.9	30.9	30.8	30.7	30.6	30.5	30.6	30.5	30.3	30.2	30.1	29.9	29.7	29.5	29.3	29.2	29.0	28.7	28.6	28.5	28.2	29.98
2.	28.1	27.8	27.4	27.2	27.0	26.9	26.5	26.3	26.1	25.8	25.7	25.8	25.7	25.7	25.5	25.3	25.3	25.2	25.2	25.1	25.0	25.0	24.8	24.7	25.96
3.	24.6	24.6	24.6	24.6	24.8	25.0	25.3	25.4	26.0	26.4	27.1	27.5	28.2	28.6	29.1	29.7	30.2	30.8	31.1	31.4	31.6	31.7	31.9	32.0	28.01
4.	32.2	32.2	32.2	32.3	32.4	32.6	32.8	32.9	33.1	33.3	33.5	33.5	33.7	33.6	33.6	33.3	33.5	33.7	33.3	33.4	33.4	33.3	32.9	32.5	33.06
5.	32.3	32.1	31.8	31.3	31.2	31.2	31.0	31.0	31.3	31.2	30.9	30.9	30.9	30.9	31.0	30.8	30.7	30.6	30.4	30.5	30.1	29.9	29.5	29.1	30.86
6.	28.8	28.4	28.0	27.8	27.4	27.2	26.9	26.8	26.9	26.6	26.3	26.1	26.0	25.8	25.5	25.7	25.8	25.8	25.7	25.4	25.4	25.4	25.3	25.5	26.44
7.	25.4	25.3	25.0	24.9	24.9	25.0	25.3	25.3	25.7	26.0	26.3	26.8	27.3	28.3	28.5	29.0	28.3	28.6	28.9	29.5	29.5	29.4	29.6	29.2	27.17
8.	29.5	29.6	29.5	29.7	29.6	29.7	29.6	30.1	30.4	30.7	31.1	30.9	30.8	30.7	30.7	30.6	30.7	30.7	30.9	30.9	30.7	30.5	30.3	30.3	30.34
9.	29.9	29.7	29.4	29.2	28.9	28.9	28.8	28.7	28.4	28.5	28.3	28.2	28.2	28.2	28.0	27.8	27.8	27.6	27.7	27.9	27.8	27.7	27.8	27.7	28.38
10.	27.4	27.0	26.8	26.7	26.5	26.5	26.4	26.5	26.6	26.7	26.7	26.6	26.5	26.4	26.4	26.3	26.3	26.1	26.1	26.1	26.2	26.1	26.1	25.9	26.45
11.	25.7	25.6	25.7	25.5	25.3	25.5	25.5	25.7	25.9	26.0	26.0	26.4	26.5	26.6	26.6	26.7	26.8	27.0	27.4	27.6	27.8	27.8	27.8	27.8	26.47
12.	27.8	27.8	27.9	27.8	27.7	27.8	27.9	28.0	28.5	28.8	29.1	29.3	29.5	29.7	30.0	30.2	30.4	30.5	30.9	31.3	31.5	31.5	31.5	31.3	29.45
13.	31.2	31.1	30.9	30.8	30.9	30.8	30.7	30.9	31.3	31.4	31.4	31.4	31.3	31.4	31.3	31.4	31.4	31.5	31.7	31.7	31.7	31.7	31.5	31.5	31.29
14.	31.3	31.1	31.0	30.8	30.7	30.7	30.7	30.8	30.8	30.9	30.8	30.6	30.6	30.4	30.3	30.3	30.3	30.1	30.1	30.2	30.2	30.0	29.9	29.8	30.52
15.	29.7	29.4	29.0	29.2	28.9	28.9	28.6	28.7	28.4	28.2	28.2	28.0	27.8	28.0	27.4	27.2	27.0	27.1	27.3	27.1	27.6	27.7	27.8	27.8	28.13
16.	27.7	27.7	27.3	27.5	27.4	27.5	27.6	27.7	27.7	28 0	28.4	28.9	29.0	29.1	29.4	29.6	29.7	29.9	30.4	30.7	30 8	30.9	31.0	31.1	28.96
17.	31.4	31.6	31.8	31.8	32.1	32.3	32.7	32.9	33.2	33.7	34.5	34.5	34.5	34.6	34.6	34.7	34.7	34.8	35.0	35.1	35.1	35.1	34.9	34.7	33.76
18.	34.6	34.7	34.7	34.7	34.7	34.7	34.7	34.8	35.0	35.2	35.3	35.3	35.1	35.1	35.0	34.9	34.9	34.7	34.5	34.6	34.5	34.5	34.4	34.3	34.79
19.	34.2	33.9	33.8	33.7	33.7	33.6	33.6	33.6	33.6	33.6	33.4	33.3	33.2	33.0	32.8	32.7	32.5	32.5	32.4	32.4	32.2	32.0	31.9	31.8	33.06
20.	31.5	31.2	31.1	30.9	30.8	30.8	30.7	30.6	30.5	30.5	30.5	30.5	30.5	30.5	30.3	30.2	30.3	30.4	30.5	30.5	30.5	30.5	30.6	30.6	30.63
21.	30.5	30.4	30.4	30.3	30.3	30.4	30.4	30.5	30.7	30.8	30.9	31.0	31.1	31.4	31.4	31.5	31.5	31.5	31.5	31.6	31.7	31.7	31.6	31.7	31.03
22.	31.6	31.5	31.2	31.0	31.1	31.1	31.2	31.2	31.4	31.4	31.5	31.7	31.4	31.5	31.3	31.1	31.0	31.0	31.0	31.0	30.8	30.8	30.9	30.9	31.19
23.	30.8	30.6	30.5	30.4	30.4	30.5	30.5	30.6	30.7	30.8	31.1	31.2	31.2	31.2	31.1	30.9	30.8	30.8	30.7	30.7	30.6	30.4	30.3	30.2	30.71
24.	30.5	29.7	29.6	29.3	29.2	29.1	28.9	28.8	28.7	28.7	28.6	28.6	28.5	28.4	28.4	28.2	28.2	28.2	28.2	28.2	28.2	28.1	27.9	27.5	28.65
25.	27.5	27.1	26.9	26.6	26.3	26.2	26.2	26.2	26.2	26.4	26.4	26.2	25.6	25.6	25.5	25.5	25.6	25.6	25.7	25.8	25.8	25.8	25.8	25.7	26.09
26.	25.6	25.5	25.4	25.3	25.3	25.4	25.4	25.5	25.5	25.6	25.8	25.9	26.0	26.2	26.2	26.2	26.5	26.6	26.7	26.7	26.7	26.8	26.8	26.9	26.02
27.	26.9	26.8	26.8	26.8	26.9	26.9	27.2	27.3	27.5	27.7	28.0	28.2	28.4	28.6	28.8	28.9	29.1	29.2	29.5	29.7	29.9	29.9	30.0	30.0	28.29
28.	30.3	30.2	30.1	30.2	30.1	30.3	30.4	30.5	30.8	31.0	31.1	31.0	31.0	31.0	31.1	31.1	31.1	31.1	31.5	31.6	31.7	31.9	32.1	32.0	30.97
29.	32.0	32.0	32.0	31.8	31.6	31.6	31.7	31.9	31.9	32.1	32.1	32.0	32.0	32.0	31.9	31.9	31.9	31.9	32.1	32.1	32.2	32.2	32.2	32.0	31.96
30.	32.0	31.7	31.6	31.5	31.3	31.2	31.2	31.2	31.2	31.2	31.1	31.1	30.9	30.7	29.6	30.1	29.8	29.6	29.7	30.0	29.7	29.5	29.3	29.3	30.60
Mittel	29.73	29.57	29.45	29.35	29.28	29.30	29.30	29.37	29.48	29.59	29.69	29.72	29.72	29.79	29.71	29.72	29.72	29.75	29.85	29.93	29.92	29.88	29.83	29.73	29.64

Oktober
500 mm +

1.	29.0	28.8	28.3	28.3	27.8	27.3	27.3	27.2	27.2	27.3	27.4	27.3	27.3	27.0	27.0	27.1	27.1	26.9	26.9	26.7	26.5	26.4	26.1	26.1	27.26
2.	25.4	25.2	25.0	24.7	24.4	24.7	24.8	25.1	25.1	24.9	25.4	25.4	25.2	24.9	25.0	25.1	25.2	25.3	25.5	25.5	25.5	25.5	25.4	25.2	25.14
3.	25.0	24.8	24.4	24.4	24.4	24.4	24.5	24.7	24.8	25.1	25.5	25.5	25.6	26.2	26.4	26.7	27.2	27.2	27.3	27.6	27.7	27.9	28.0	28.0	25.97
4.	28.2	28.3	28.4	28.7	28.8	29.1	29.4	29.9	30.1	30.4	30.8	30.9	31.0	31.4	31.6	31.6	31.7	31.8	31.8	31.8	31.9	32.0	31.9	32.0	30.56
5.	31.8	31.7	31.7	31.8	32.0	32.1	32.1	32.2	32.1	32.1	32.1	32.1	32.0	32.0	31.8	31.6	31.5	31.5	31.5	31.4	31.4	31.1	31.1	30.9	31.73
6.	30.7	30.5	30.6	30.4	30.2	30.2	30.2	30.2	30.4	30.4	30.2	30.2	30.2	30.1	29.8	29.9	29.9	30.0	30.0	30.0	30.0	29.9	29.9	30.0	30.16
7.	30.1	30.4	30.8	31.1	31.1	31.1	31.4	31.7	31.7	31.8	31.9	31.6	31.4	31.2	31.0	31.3	31.1	31.2	31.1	31.1	31.0	30.9	30.8	30.7	31.15
8.	30.7	30.6	30.3	30.3	30.4	30.4	30.6	30.8	31.3	31.7	31.9	32.0	32.1	32.2	32.3	32.3	32.5	32.5	32.7	32.8	32.9	32.9	32.9	32.9	31.75
9.	32.8	32.7	32.7	32.7	32.7	32.7	32.8	32.8	33.1	33.3	33.4	33.3	33.1	33.1	33.1	33.1	33.1	33.2	33.2	33.2	33.3	33.4	33.4	33.3	33.07
10.	33.3	33 3	33.3	33.2	33.2	33.1	33.1	33.2	33.2	33.3	33.2	33.2	33.1	33.1	33.0	33.0	33.0	33.1	33.2	33.2	33.3	33.4	33.4	33.4	33.20
11.	33.4	33.4	33.4	33.4	33.4	33.4	33.4	33.6	33.7	34.0	33.8	33.8	33.7	33.8	33.9	34.0	34.1	34.3	34.4	34.5	34.7	34.8	34.8	34.9	33.94
12.	34.9	35.0	35.0	35.0	35.1	35.1	35.3	35.8	36.1	36.3	36.4	36.6	36.6	36.6	36.5	36.5	36.4	36.6	36 6	36.6	36.5	36.6	36.5	36.3	36.04
13.	36.1	36.1	36.1	36.1	36.1	36.0	36.2	36.4	36.6	36.8	36.8	36.8	36.8	36.8	36.8	36.8	36.9	37.1	37.2	37.2	37.2	37.4	37.4	37.6	36.73
14.	37.6	37.5	37.4	37.3	37.3	37.2	37.3	37.5	37.6	37.7	37.7	37.7	37.5	37.4	37.2	37.1	37.1	37.0	37.0	36.9	36.9	36.8	36.7	36.6	37.25
15.	36.5	36.3	36.1	35.8	35.8	35.7	35.8	35.8	35.8	36.0	35.9	35.8	35.8	35.6	35.4	35.2	34.9	35.3	34.8	34.7	34.7	34.6	34.4	34.1	35.45
16.	33.9	33.9	33.7	33.7	33.8	33.8	33.9	34.0	34.2	34.4	34.5	34.5	34.5	34.5	34.3	34.3	34.1	34.0	34.0	33.9	33.7	33.5	33.5	33.3	34.00
17.	33.1	33.0	32.8	32.7	32.7	32.5	32.5	32.6	32.7	32.9	32.9	32.5	32.5	32.4	32.4	32.2	32.1	32.0	31.9	31.7	31.6	31.2	31.3	31.2	32.31
18.	31.1	31.1	31.0	30.8	30.7	30.7	30.7	30.8	30.9	30.9	30.8	30.7	30.6	30.4	30.4	30.4	30.4	30.5	30.5	30.5	30.5	30.5	30.4	30.2	30.65
19.	30.1	29.7	29.3	29.2	29.1	28.6	28.6	28.5	29.1	29.0	29.0	28.8	28.7	28.4	28.1	27.9	28.3	28.4	28.2	27.9	27.8	27.7	27.6	27.4	28.56
20.	27.0	27.0	26.6	26.3	26.2	25.9	25.7	26.2	26.3	26.4	26.4	26.0	25.9	25.9	26.0	26.0	26.0	26.0	26.2	26.2	26.3	26.0	25.8	25.5	26.16
21.	25.6	25.4	25.0	24.7	24.6	24.3	24.2	24.2	24.0	23.8	23.4	23.4	23.1	22.6	22.5	22.5	22.3	22.4	22.3	22.1	21.7	21.4	20.9	20.7	23.22
22.	20.3	19.7	19.4	19.0	18.6	18.2	17.7	17.7	17.7	17.5	17.2	16.3	16.2	15.4	15.2	14.7	14.4	14.4	14.4	14.2	14.3	14.2	14.2	14.1	16.46
23.	14.1	14.1	14.2	14.2	14.3	14.6	15.1	15.6	15.8	16.5	17.1	17.3	17.4	17.7	17.8	17.7	17.8	18.0	18.3	18.3	18.4	18.4	18.6	18.6	16.66
24.	18.4	18.4	18.4	18.6	18.8	18.9	19.1	19.6	19.7	19.8	19.9	19.8	19.8	19.7	19.7	19.8	19.9	20.0	20.3	20.4	20.5	20.7	20.7	20.7	19.65
25.	20.5	20.1	19.9	19.5	19.4	19.2	19.2	19.5	19.7	19.9	19.4	19.9	19.8	20.0	20.5	20.6	21.0	21.1	21.1	21.3	21.5	21.8	22.0	22.2	20.38
26.	22.2	22.2	22.2	22.4	22.7	22.9	23.3	23 5	23.6	23.9	24.4	24.5	24.7	24.9	25.1	25.3	25.2	25.5	25.9	26.3	26.5	27.0	27.3	27.2	24.53
27.	27.4	27.9	27.9	28.8	29.1	29.2	29.8	30.3	30.6	31.3	31.6	32.0	32.0	32.1	32.2	32.4	32.8	32.9	33.0	33.2	33.4	33.5	33.3	33.4	31.25
28.	33.5	33.4	33.3	33.3	33.4	33.4	33.7	33.8	33.8	33.9	33.9	33.8	33.8	33.5	33.4	33.4	33.6	33.7	33.7	33.7	33.9	33.9	33.6	33.4	33.61
29.	33.1	32.9	32.7	32.6	32.5	32.3	32.4	32.6	32.8	32.9	33.5	33.3	33.3	33.2	33.2	33.2	32.9	33.0	32.8	32.4	32.2	31.9	31.5	31.4	32.70
30.	31.5	31 3	30.7	30.3	30.0	29.8	29.2	29.2	29.1	29.3	29.4	28.9	28.6	28.4	28.4	28.4	28.0	28.2	27.9	27.6	27.0	26.7	26.6	26.3	28.78
31.	26.0	25.6	25.3	24.7	24.3	23.6	22 8	22.7	23.2	23.1	23.4	23.4	23.3	23.6	23.7	23.6	23.3	23.4	23.4	23.0	23.0	22.8	22.7	22.5	23.60
Mittel	29.14	29 04	28.90	28.84	28.80	28.72	28.78	28.96	29.10	29.25	29.33	29.27	29.22	29.17	29.15	29.15	29.15	29.24	29.26	29.22	29.22	29.19	29.12	29.04	29.10

Barometer-Registrierung. **Zugspitze.** 1912.

November

500 mm +

Datum	1a	2a	3a	4a	5a	6a	7a	8a	9a	10a	11a	12m	1p	2p	3p	4p	5p	6p	7p	8p	9p	10p	11p	12mn	Mittel
1.	22.7	22.3	22.5	22.4	22.6	22.8	23.1	23.7	24.5	25.0	25.3	25.7	25.8	26.0	26.1	26.5	26.9	27.4	27.6	27.5	27.9	28.2	28.0	27.6	25.34
2.	27.5	27.5	27.3	27.2	27.1	26.9	26.8	26.9	26.9	26.8	27.1	26.8	26.8	26.8	26.8	26.6	26.6	26.7	26.4	26.2	26.0	25.9	25.6	25.4	26 69
3.	25.3	24.9	24.6	24.4	24.3	23.8	24.1	24.6	24.4	24.4	24.6	24.8	24.7	24.6	24.9	24.8	24.8	25.1	25.3	25.3	25.6	25.6	25.9	25.9	24.86
4.	25.7	25.7	25.8	26.4	26.5	26.8	27.1	27.1	27.7	28.0	28.5	28.2	28.2	28.2	28.4	28.3	28.5	28.1	28.1	28.0	27.9	28.0	28.0	28.0	27.55
5.	27.7	27.8	27.7	27.5	27.5	27.5	27.4	27.5	27.5	27.4	27.2	27.2	26.7	26.1	25.5	25.2	24.8	24.8	24.8	24.3	24.1	24.0	23.6	23.4	26.13
6.	23.2	22.8	22.8	22.7	21.8	21.3	21.6	21.6	22.2	22.6	23.6	23.4	23.5	23.8	23.8	23.8	23.9	24.3	24.4	24.5	24.8	24.7	24.8	25.2	23.78
7.	25.4	25.7	25.7	25.7	25.7	25.8	26.3	26.8	27.3	27.7	28.2	28.2	28.1	28.2	28.5	28.7	28.9	29.1	29.5	29.8	30.4	30.6	30.7	30.9	27.99
8.	31.0	31.2	31.2	31.3	31.7	31.8	32.0	32.3	32.6	32.6	32.8	32.7	32.5	32.3	32.4	32.5	32.5	32.7	33.1	33.4	33.7	33.8	33.8	33.8	32.45
9.	33.8	33.7	33.4	33.3	33.1	32.9	33.0	33.2	33.4	33.6	33.5	33.3	32.8	32.5	32.5	32.4	32.3	32.3	32.3	32.1	32.0	31.9	31.8	31.6	32.78
10.	31.6	31.1	31.0	31.0	30.6	30.3	30.1	30.1	30.2	30.0	29.7	29.2	29.2	28.9	28.5	28.2	28.0	27.6	27.2	26.9	26.1	25.9	25.0	24.4	28.79
11.	23.4	22.7	22.1	21.0	20.3	20.1	18.8	18.6	18.0	17.1	16.3	15.6	14.2	13.9	13.1	12.0	11.9	10.7	10.6	10.0	09.9	09.7	09.6	09.3	15.37
12.	09.3	09.0	08.5	08.0	07.5	07.5	07.3	07.0	06.8	06.8	07.1	07.0	07.2	07.2	07.1	07.7	07.4	08.0	08.5	08.9	10.2	10.6	11.0	11.4	82.12
13.	11.7	11.7	12.2	12.3	12.5	12.8	13.1	13.5	13.8	14.1	14.0	14.0	13.9	13.9	14.3	14.7	14.8	15.2	15.5	15.9	16.2	16.6	16.9	17.4	14.21
14.	17.6	17.9	18.0	18.4	18.8	19.2	19.7	20.3	20.8	21.3	21.9	22.4	22.5	22.6	23.0	23.3	23.6	24.0	24 3	24.7	24.7	24.6	24.9	24.9	21.81
15.	24.9	25.0	24.8	24.7	24.5	24.5	24.5	24.5	24.6	24.6	24.8	24.8	24.8	24.9	24.9	25.0	24.9	24.9	24.9	25.0	25.0	25.1	25.0	25.0	24.82
16.	25.0	25.0	24.7	24.6	24.5	24.4	24.4	24.7	24.9	25.1	25.2	24.8	24.8	24.8	24.8	24.9	25.0	25.1	25.0	25.0	25.2	25.2	25.4	25.5	24.92
17.	25.5	25.6	25.8	25.9	26.0	26.1	26.3	26.7	26.9	27.3	27.4	27.2	27.0	27.0	27.0	27.0	27.0	27.1	27.1	27.1	27.1	27.0	27.0	26.7	26,70
18.	26.6	26.2	26.0	25.5	25.4	25.1	24.9	24.8	24.8	24.7	24.3	23.6	23.3	23.1	22.9	22.8	22.6	22.6	22.6	22.7	22.9	22.9	22.7	22.8	23.99
19.	22.6	22.5	22.5	22.5	22.6	22.7	22.9	23.0	23.3	23.8	24.1	24.3	24.3	24.3	24.4	24.5	24.8	24.9	25.2	25.3	25.4	25.4	25.4	25.3	24.00
20.	25.0	24.9	24.8	24.8	24.7	24.6	24.5	24.0	24.7	25.0	25.2	25.0	25.1	24.8	25.0	24.8	24 9	25.0	24.6	24.4	24.7	24.5	24.3	24.3	24.73
21.	23.9	23.8	23.5	23.1	22.5	22.0	22.2	22.4	22.5	22.6	22.5	23.0	22.9	23.0	23.2	23.5	23.8	24.3	24.7	25.0	25.4	25.6	25.9	26.2	23.65
22.	26.3	26.4	26.3	26.6	26.7	26.7	27.2	27.5	27.9	28.3	28.4	28,3	28.4	28.4	28.6	28.6	28.9	29.0	29.2	29.4	29.5	29.6	29.8	29.9	28.16
23.	30.1	30.0	30.0	30.1	30.2	30.3	30.5	30.8	30.9	31.2	31.3	31.2	31.1	31.1	31.0	31.1	30.9	30.9	30.9	30.9	30.9	30.9	30.8	30.7	30.74
24.	30.5	30.4	30.2	30.0	29.9	29.7	29.6	29.6	29.6	29.6	29.2	29.0	28.9	28.8	28.7	28.5	28.6	28,6	28.8	28.8	29.0	29.3	29.2	29.2	29.32
25.	28.9	28.9	29.2	29.1	29.1	29.1	29.2	29.3	29.3	29.6	29.5	29.5	29.4	29.3	29.2	29.1	29.1	29.2	29.2	29.0	28.9	28.8	28.7	28.6	29.13
26.	28.5	28.4	28.4	28.3	28.2	28.1	28.1	28.1	28.2	28.2	28.4	28.1	28.0	27.9	27.8	27.8	27.7	27.6	27.5	27.5	27.3	27.2	27.1	26.8	27.88
27.	26.3	26.0	25.6	25.1	24.8	24.5	24.5	24.2	24.2	23.8	23.2	22.7	22.4	22.0	21.6	21.2	21.1	21.0	20.9	20.7	20.6	20.4	20.0	19.4	22.76
28.	19.1	19.1	19.0	18.8	18.3	17.9	18.0	18.0	18.1	18.3	18.4	18.5	18.5	18.6	19 0	19.5	19.5	19.8	19.7	19.8	19.9	19.9	20.0	19.9	18.98
29.	19.6	19.4	19.3	19.0	18.9	18.9	18.8	18.7	18.8	18.8	18.6	18.5	18.3	17.8	17.7	18.0	18.1	18.1	18.5	18.6	18.6	18.6	18.9	18.7	18.63
30.	18.8	18.8	18.8	19.0	19.1	19.2	19.3	19.4	19.5	20.0	19.7	19.6	19.0	18.9	18.9	18.8	18.8	18.9	18.8	18.9	19.0	18.3	17.8	17.7	18.96
Mittel	24.58	24 48	24.39	24.29	24.18	24.11	24.18	24.30	24.48	24.61	24.67	24.55	24.41	24.32	24.32	24.33	24.35	24.43	24.51	24.52	24.63	24.63	24.59	24.53	24.43

Dezember

500 mm +

Datum	1a	2a	3a	4a	5a	6a	7a	8a	9a	10a	11a	12m	1p	2p	3p	4p	5p	6p	7p	8p	9p	10p	11p	12mn	Mittel
1.	17.3	17.8	17.9	18.2	18.6	19.0	19.2	19.6	19.9	20.7	21.2	21,2	21.3	21.5	22.0	22.5	23.0	23.4	23.6	23.9	24.0	24.1	24.1	24.2	21.18
2.	24.2	24.3	24.5	24.5	24.4	24.4	24.2	24.5	24.6	24.5	24.5	24.1	23.9	23.8	23.6	23.8	23.9	23.7	24.0	24.3	24.4	24.5	24.7	24.9	24.26
3.	25.2	25.4	25.5	25.6	25.9	26.2	26.5	26.5	27.1	27.4	27.5	27.7	27.8	28.0	28.5	28.6	29.0	29.0	29.4	29.9	30.0	30.2	30.4	30.6	27.83
4.	30.6	30.7	30.7	30.7	30.7	30.9	31.0	31.3	31.5	31.9	32.0	31.5	31.6	31.4	31.5	31.7	31.8	32.0	32.0	32.1	32.2	32.2	32.2	32.2	31.52
5.	32.1	32.0	32.0	32.0	32.0	32.0	32.0	32.0	32.1	32.2	32.2	32.2	31.9	31.8	31.8	31.7	31.7	31.7	31.8	31.7	31.7	31.7	31.6	31.6	31.90
6.	31.6	31.5	31.5	31.4	31.3	31.1	31.1	31.1	31.3	31.4	31.4	31.4	31.2	31.1	31.1	31.1	31.1	31.2	31.2	31.3	31.4	31.4	31.4	31.3	31.29
7.	31.2	31.2	31.2	31.1	31.1	31.1	31.2	31.4	31.9	32.1	32.2	32.1	32.1	32.2	32.3	32.4	32.6	32.7	32.8	32.8	32.8	32.9	33.0	33.1	32.08
8.	33.1	33.1	33.1	33.1	33.3	33.3	33.5	33.7	33.8	34.1	33.9	33.8	33 7	33.6	33.6	33.7	33.7	33.7	33.8	33.8	33.9	33.9	33.9	33.8	33.63
9.	33.7	33.6	33.6	33.5	33.5	33.5	33.5	33.5	33.6	33.6	33.6	33.5	33.4	33.3	33.1	33.0	33.0	33.0	33.0	32.9	32.8	32.6	32.5	32.4	33.24
10.	32.3	32.1	32.1	32.0	31.9	31.8	31.8	31.9	32.0	32.4	31.9	31.8	31.7	31.6	31.5	31.4	31.3	31.4	31.4	31.4	31.4	31.3	31.2	31.2	31.70
11.	30.9	30.8	30.7	30.4	30.3	30.1	29.8	30.2	30.2	30.3	29.9	29.9	29.6	29.4	29.2	29.7	29.8	29.5	29.6	29.6	28.5	28.4	28.0	28.1	29.70
12.	27.8	27.4	27.4	27.1	26.9	26.7	26.6	26.6	26.6	26.8	26.8	26.9	26.9	27.0	27.0	27.1	27.3	27.5	27.8	28.0	28.2	28.5	28.5	28.8	27.34
13.	29.0	29.0	29.1	29.1	29.2	29.5	29.6	29.8	30.2	30.7	30.8	30.8	30.8	30.8	30.8	31.0	31.1	31.2	31.5	32.0	32.0	32.1	32.1	32.0	30.59
14.	32.1	32.2	32.2	32.2	32.1	32.1	32.4	32.4	32.3	33.1	33.3	33.2	33.3	33.3	33.3	32.9	33.0	33.2	33.6	33.4	33.6	33.4	33.3	33.2	32.88
15.	34.1	34.0	33.4	33.6	33.3	33.8	33.7	33.3	34.0	34.3	34.4	34.2	34.1	34.2	33.9	33.7	33.8	33.8	33.3	33.6	33.6	33.4	32.8	32.4	33.74
16.	32.4	32.5	32.4	32.1	31.7	31.5	31.3	31.0	30.7	30.6	30.2	29.5	29.0	28.1	27.8	27.7	27.4	27.3	27.1	26.8	26.5	26.0	25.9	25.6	29.21
17.	25.4	25.1	25.0	24.4	24.0	23.9	23.5	23.5	23.4	23.7	23.7	23.6	23.5	23.2	23.2	23.3	23.5	23.7	23.7	24.1	24.3	24.4	24.6	24.7	23.94
18.	24.9	25.2	25.5	25.6	25.6	25.9	26.0	25.8	25.6	25.6	25.3	24.9	24.6	24.4	23.7	24.1	22.6	21.9	21.5	21.0	20.9	20.7	21.7	22.0	23.96
19.	22.2	23.1	23.3	24.1	24.6	25.3	25.7	25.8	26.1	26.8	27.3	27.4	27.7	28.0	28.5	28.8	29.0	29.3	29.8	30.1	30.3	30.5	30.7	31.2	27.32
20.	31.4	31.5	31.9	32.0	32.2	32.4	32.7	33.0	33.2	33.6	33.7	33 3	33.3	33.2	33.3	33.4	33.6	33.7	33.8	33 9	33.9	33.9	34.0	34 0	33.12
21.	34.0	33.9	33.9	33.7	33.7	33.7	33.5	33.5	33.6	33.6	33.5	33.3	33.0	32.8	32.7	32.7	32.5	32.4	32.5	32.4	32.2	32.1	32.1	31.8	33.05
22.	31.6	31.4	31.1	31.1	30.9	30.8	30.8	30.8	30.7	30.9	30.7	30.7	30.7	30 5	30.4	30.3	30.2	30.0	30.0	30.0	30.0	30.1	30.3	30.2	30.59
23.	30.0	30.0	30.0	29.8	29.8	29.7	29.5	29.4	29.5	29.5	29.5	29.4	29.2	29.1	29.1	29.2	29.2	29.2	29.3	29.4	29.5	29.6	29.8	29.9	29.53
24.	29.9	29.9	30.1	30.2	30.3	30.5	30.6	30.8	31.0	31.3	31.5	31.5	31.5	31.4	31.7	32.1	32.6	32.5	32.5	32.6	32.6	32.8	32.8	32.9	31 48
25.	32.8	33.0	33.2	33.2	33.1	33.1	33.2	33.3	33.3	33.4	33.4	33.2	33.1	32.9	32.8	33.0	33.0	32.9	32.9	32.8	32.7	32.7	32.7	32.4	33.00
26.	32.0	31.8	31.5	31.3	31.1	30.8	30.6	30.3	30.3	30.0	29.8	29.2	28.5	27.8	27.3	26.4	25.4	24.7	24.3	23.5	23.2	22.9	23.0	22.5	27.84
27.	22.5	22.0	22.3	21.7	21.9	21.8	21.9	22.0	22.8	23.1	23.5	23.3	23.8	24.1	24.3	24.5	25.3	25.7	26.7	27.1	27.6	27.8	28.6	28.6	24.29
28.	28.7	28.8	28.8	29.1	29.3	29.8	30.2	30.2	30.9	31.4	31.4	31.5	31.5	31.4	31.5	31.4	31.4	31.5	31.6	31.4	31.5	31.6	31.7	31.7	30.76
29.	31.6	31.5	31.6	31.5	31.2	31.1	31.2	31.4	31.6	31.8	31.9	31.9	31.8	31.8	31.9	32.0	31.9	31.9	31.9	32.0	32 0	32.1	32.1	32.1	31.74
30.	32.0	31.9	31.9	31.8	31.5	31.5	31.6	31.7	31.9	32.3	31.9	31.7	31.7	31.8	32.0	32.2	32.1	31.9	32.4	32.6	33.0	33.0	33.1	33.2	32.11
31.	33.3	33.3	33.3	33.3	33.4	33.5	33.6	33.8	34.2	34.4	34.5	34.6	34.4	34.3	34.3	34.3	34.4	34.4	34.5	34.5	34.6	34.7	34.5	34.4	34.10
Mittel	29.67	29.68	29.70	29.66	29.64	29.70	29.74	29.81	30.00	30.24	30.24	30.11	30.02	29.93	29.93	29.99	30.01	30.01	30.11	30.16	30.17	30.18	30.24	30.23	29.96

Thermometer-Registrierung. **Zugspitze.** 1912.

Januar

Datum	1a	2a	3a	4a	5a	6a	7a	8a	9a	10a	11a	12m	1p	2p	3p	4p	5p	6p	7p	8p	9p	10p	11p	12mn	Mittel
1.	-12.1	-12.2	-12.3	-12.4	-12.4	-12.5	-12.6	-13.0	-14.1	-13.0	-13.0	-12.3	-12.4	-12.2	-12.2	-12.2	-12.2	-12.1	-12.2	-12.2	-11.4	-10.7	-10.5	-10.6	-12.20
2.	-10.8	-10.8	-10.8	-10.8	-10.2	-10.8	-10.0	- 9.6	- 9.8	- 9.4	- 9.1	- 8.9	- 8.5	- 5.3	- 4.4	- 4.2	- 3.6	- 3.7	- 3.2	- 3.2	- 3.1	- 3.2	- 3.1	- 3.5	- 7.08
3.	- 3.9	- 4.2	- 4.4	- 4.5	- 4.6	- 4.8	- 4.7	- 4.5	- 4.8	- 4.8	- 4.3	- 4.2	- 4.8	- 5.8	- 6.3	- 7.5	- 8.5	- 8.4	- 8.9	- 9.0	- 9.2	- 9.3	- 9.0	- 9.2	- 6.23
4.	- 9.3	- 9.6	- 9.6	- 9.7	- 9.6	- 9.6	- 9.8	- 9.7	- 9.8	- 9.6	- 9.4	- 9.8	- 8.8	- 8.7	- 8.7	- 8.7	- 8.8	- 8.0	- 7.8	- 7.7	- 7.5	- 7.6	- 8.0	- 8.0	- 8.91
5.	- 8.1	- 8.0	- 7.5	- 7.3	- 7.3	- 7.3	- 7.2	- 7.0	- 6.6	- 6.3	- 5.8	- 4.6	- 2.2	- 5.2	- 3.2	- 2.0	- 1.1	- 5.8	- 6.2	- 8.7	-10.0	-10.6	-11.5	-11.6	- 6.71
6.	-13.0	-14.6	-15.4	-15.7	-15.7	-16.0	-16.2	-16.0	-15.7	-15.8	-15.6	-15.5	-15.3	-14.1	-12.8	-12.6	- 7.9	- 7.8	- 7.9	- 7.6	- 7.3	- 7.3	- 7.4	- 7.4	-12.57
7.	- 6.8	- 6.5	- 6.6	- 7.4	- 7.8	- 7.8	- 7.8	- 7.5	- 7.6	- 7.6	- 7.9	- 9.2	- 9.4	- 9.1	- 8.9	- 9.2	- 9.6	-10.0	-10.5	-11.2	-11.6	-12.7	-13.9	-14.8	- 9.23
8.	-15.6	-16.1	-16.6	-16.9	-16.9	-17.2	-17.7	-18.3	-21.0	-20.9	-20.5	-19.9	-21.3	-21.1	-20.7	-20.8	-20.9	-20.4	-20.2	-20.4	-20.3	-20.5	-20.4	-20.6	-19.38
9.	-19.4	-19.3	-18.7	-15.4	-14.3	-12.8	-11.8	-10.3	- 9.0	- 9.1	- 7.9	- 8.0	- 8.1	- 8.1	- 7.8	- 7.5	- 7.4	- 7.2	- 7.1	- 7.1	- 7.0	- 7.1	- 7.1	- 7.0	-10.19
10.	- 6.9	- 6.9	- 7.0	- 6.8	- 6.8	- 7.5	- 8.1	- 8.4	- 9.3	- 9.4	- 9.7	- 9.8	- 9.8	-10.0	-10.1	-10.3	-10.7	-11.0	-11.2	-11.0	-11.1	-11.1	-11.1	-11.0	- 9.38
11.	-11.0	-11.1	-11.5	-11.6	-11.9	-11.9	-11.9	-11.4	-11.5	-11.9	-11.9	-11.6	-11.2	-11.0	-11.1	-10.9	-11.0	-11.5	-11.6	-11.6	-11.9	-12.1	-12.0	-12.0	-11.55
12.	-12.0	-12.0	-11.9	-11.4	-11.1	-11.1	-10.8	-10.5	-10.4	-10.5	-10.4	-10.2	-10.1	-10.3	-10.3	- 9.8	- 9.9	- 9.6	- 9.1	- 9.0	- 9.2	- 9.3	- 9.1	- 9.2	-10.30
13.	- 9.3	- 9.5	- 9.8	- 9.7	- 9.7	- 9.6	- 9.7	-10.5	-11.0	-11.4	-11.8	-11.9	-11.9	-12.0	-12.0	-11.9	-11.5	-11.9	-11.9	-11.7	-11.6	-11.7	-12.0	-11.8	-11.08
14.	-11.7	-11.0	-10.9	-11.0	-11.0	-11.1	-11.8	-11.6	-10.9	-10.7	-10.4	-10.1	-10.8	-11.0	-11.6	-11.8	-12.0	-12.8	-13.0	-13.2	-13.4	-13.8	-14.0	-14.2	-11.83
15.	-14.2	-14.3	-14.5	-14.8	-14.3	-14.6	-14.4	-14.3	-14.5	-14.3	-14.3	-14.3	-14.5	-14.5	-14.6	-14.6	-14.8	-14.7	-14.8	-14.9	-15.1	-15.0	-14.9	-14.9	-14.59
16.	-14.7	-14.5	-14.6	-14.7	-14.4	-14.2	-13.6	-13.2	-13.0	-12.8	-12.4	-12.0	-11.9	-11.6	-11.5	-11.6	-11.6	-11.5	-11.3	-11.1	-11.1	-11.0	-10.9	-10.8	-12.50
17.	-10.7	-10.6	-10.4	-10.3	-10.2	-10.1	-10.0	- 9.4	- 9.4	- 9.3	- 9.3	- 9.2	- 8.9	- 8.4	- 8.4	- 8.3	- 8.2	- 8.0	- 8.0	- 8.0	- 7.8	- 7.7	- 7.6	- 7.1	- 8.97
18.	- 7.1	- 7.0	- 6.8	- 6.7	- 6.5	- 6.4	- 6.3	- 5.9	- 5.6	- 5.7	- 5.4	- 5.3	- 4.5	- 4.5	- 3.7	- 3.4	- 3.9	- 3.9	- 3.4	- 3.8	- 3.8	- 4.3	- 4.3	- 4.0	- 5.09
19.	- 3.3	- 3.2	- 3.2	- 3.2	- 3.7	- 3.3	- 3.4	- 3.6	- 3.5	- 3.6	- 3.4	- 3.1	- 2.4	- 3.2	- 1.8	- 2.5	- 3.2	- 3.2	- 3.9	- 4.3	- 2.8	- 4.5	- 5.7	- 5.8	- 3.49
20.	- 5.9	- 5.0	- 5.5	- 5.8	- 6.3	- 6.2	- 7.3	- 6.9	- 6.4	- 5.9	- 6.4	- 6.9	- 7.5	- 8.0	- 8.1	- 8.2	- 8.3	- 8.3	- 8.3	- 8.3	- 8.3	- 8.3	- 8.4	- 8.4	- 7.20
21.	- 8.4	- 8.5	- 8.5	- 8.5	- 8.5	- 8.6	- 8.6	- 8.2	- 7.8	- 7.1	- 6.7	- 6.7	- 6.7	- 6.6	- 6.8	- 7.5	- 6.9	- 7.0	- 7.8	- 8.2	- 8.5	- 8.7	- 8.1	- 7.7	- 7.78
22.	- 7.1	- 7.6	- 7.8	- 5.4	- 7.4	- 7.4	- 7.1	- 7.7	- 7.3	- 6.9	- 6.9	- 7.0	- 7.0	- 6.2	- 5.5	- 5.9	- 6.8	- 9.0	- 9.1	- 9.0	- 8.8	- 8.6	- 8.7	- 7.7	- 7.41
23.	- 7.3	- 7.0	- 6.9	- 7.1	- 7.2	- 6.6	- 6.6	- 6.2	- 5.9	- 5.7	- 5.5	- 5.3	- 4.9	- 4.9	- 4.4	- 4.7	- 4.9	- 4.7	- 4.9	- 4.2	- 4.2	- 4.5	- 4.6	- 5.2	- 5.56
24.	- 5.2	- 5.2	- 5.4	- 5.7	- 5.8	- 5.8	- 6.1	- 5.5	- 6.1	- 5.9	- 5.6	- 5.1	- 5.8	- 5.8	- 4.9	- 5.9	- 5.4	- 6.3	- 5.4	- 5.3	- 5.4	- 5.6	- 5.7	- 5.6	- 5.60
25.	- 6.1	- 6.8	- 7.2	- 6.9	- 6.9	- 6.9	- 6.9	- 6.9	- 7.1	- 7.3	- 6.1	- 6.2	- 5.7	- 6.5	- 6.7	- 7.0	- 7.2	- 6.8	- 6.8	- 7.0	- 7.9	- 8.3	- 8.9	- 8.9	- 7.04
26.	- 8.9	- 8.9	- 8.9	- 8.9	- 8.9	- 8.8	- 8.9	- 8.7	- 8.1	- 8.1	- 8.2	- 8.0	- 4.2	- 4.9	- 4.9	- 5.6	- 6.5	- 7.8	- 7.1	- 7.8	- 6.4	- 6.1	- 5.5	- 5.3	- 7.31
27.	- 7.4	- 6.4	- 5.7	- 5.1	- 4.8	- 5.0	- 6.0	- 6.3	- 6.7	- 6.8	- 6.1	- 6.5	- 7.8	- 7.4	- 5.7	- 7.1	- 7.4	- 8.2	- 8.2	- 9.1	- 8.1	- 8.6	- 9.1	- 9.5	- 7.04
28.	- 9.0	- 9.2	- 9.7	- 9.5	- 9.1	- 9.9	-10.0	- 9.9	- 9.2	-10.5	-10.4	-11.2	-12.8	-13.6	-13.7	-13.8	-14.2	-13.8	-13.8	-13.8	-13.9	-13.8	-13.6	-14.5	-11.79
29.	-14.7	-14.8	-14.9	-14.8	-14.7	-14.7	-14.5	-14.1	-14.3	-14.7	-14.7	-14.4	-14.2	-13.8	-15.1	-16.4	-16.5	-16.4	-16.3	-15.7	-15.2	-15.3	-15.4	-15.5	-15.05
30.	-15.4	-15.5	-14.8	-16.0	-16.4	-15.8	-15.8	-15.2	-14.5	-15.2	-14.3	-14.4	-13.8	-14.0	-14.6	-15.4	-15.6	-15.9	-15.8	-15.9	-16.1	-16.6	-16.1	-16.1	-15.38
31	-16.7	-16.9	-17.0	-17.6	-17.6	-17.6	-17.9	-18.1	-17.7	-16.9	-17.1	-17.1	-17.0	-16.0	-16.1	-18.0	-18.4	-17.1	-18.0	-18.2	-18.3	-18.3	-18.5	-19.0	-17.55
Mittel	-10.07	-10.10	-10.16	-10.05	-10.07	-10.06	-10.11	- 9.95	- 9.96	- 9.91	- 9.69	- 9.64	- 9.49	- 9.48	- 9.28	- 9.49	- 9.51	- 9.77	- 9.80	- 9.91	- 9.88	-10.07	-10.17	-10.22	- 9.87

Februar

Datum	1a	2a	3a	4a	5a	6a	7a	8a	9a	10a	11a	12m	1p	2p	3p	4p	5p	6p	7p	8p	9p	10p	11p	12mn	Mittel
1.	-19.2	-19.1	-19.0	-18.8	-18.7	-18.8	-18.9	-18.5	-18.3	-18.0	-17.8	-17.6	-17.3	-18.0	-17.0	-17.0	-17.1	-17.2	-17.1	-16.9	-16.5	-16.2	-16.2	-16.4	-17.73
2.	-15.8	-15.6	-14.7	-14.6	-14.4	-14.5	-13.8	-12.9	-11.9	-10.5	-10.6	-11.2	- 9.7	-10.4	-10.3	- 9.6	- 9.3	- 9.2	- 9.1	-10.0	-10.0	-10.1	-10.1	-10.1	-11.60
3.	- 9.7	-10.2	-10.1	-12.5	-13.2	-14.9	-16.7	-17.9	-19.5	-20.7	-22.2	-22.7	-23.0	-23.4	-24.6	-24.0	-24.6	-24.7	-24.6	-24.9	-24.9	-25.1	-25.1	-25.2	-20.18
4.	-24.4	-24.0	-23.5	-22.6	-21.4	-20.3	-18.9	-17.7	-16.6	-15.8	-15.6	-14.8	-14.1	-13.1	-12.2	-11.2	-11.4	-11.0	-11.0	-10.3	- 9.8	- 9.9	- 9.9	-10.6	-15.43
5.	-10.3	-10.7	-10.9	-11.4	-11.8	-12.1	-12.2	-11.9	-12.0	-11.6	-11.4	-11.4	-11.4	-11.2	-11.1	-10.8	- 9.8	- 9.9	- 9.7	- 8.9	- 8.0	- 8.2	- 8.5	- 8.8	-10.58
6.	- 8.6	- 8.0	- 8.0	- 8.1	- 7.8	- 7.5	- 7.8	- 7.6	- 6.7	- 5.5	- 4.4	- 4.3	- 4.8	- 4.1	- 4.5	- 4.0	- 4.1	- 4.0	- 4.2	- 4.2	- 4.6	- 4.4	- 4.4	- 4.6	- 5.68
7.	- 4.5	- 4.9	- 4.6	- 5.0	- 5.3	- 5.4	- 5.1	- 4.9	- 4.9	- 3.9	- 3.4	- 2.7	- 2.3	- 2.3	- 2.5	- 2.6	- 3.5	- 4.1	- 3.9	- 4.4	- 4.2	- 4.2	- 4.6	- 4.7	- 4.08
8.	- 4.6	- 5.0	- 5.5	- 5.7	- 5.9	- 5.8	- 5.7	- 5.2	- 5.3	- 4.9	- 4.6	- 4.6	- 4.9	- 4.6	- 4.7	- 4.0	- 3.7	- 3.9	- 3.9	- 3.9	- 3.9	- 4.1	- 4.0	- 4.1	- 4.69
9.	- 4.6	- 5.2	- 5.2	- 5.3	- 5.6	- 5.9	- 5.9	- 5.5	- 5.2	- 4.8	- 4.6	- 4.9	- 4.2	- 5.1	- 5.0	- 4.6	- 5.8	- 5.9	- 5.9	- 5.8	- 5.8	- 5.8	- 5.4	- 5.9	- 5.33
10.	- 6.5	- 6.9	- 7.1	- 7.1	- 7.1	- 7.3	- 7.2	- 7.3	- 7.2	- 6.7	- 6.1	- 5.4	- 5.1	- 5.1	- 5.1	- 6.0	- 6.4	- 6.4	- 6.6	- 6.6	- 6.3	- 6.5	- 6.5	- 6.2	- 6.45
11.	- 6.3	- 5.8	- 6.0	- 5.7	- 6.0	- 6.4	- 7.0	- 7.0	- 6.6	- 6.9	- 7.5	- 7.5	- 7.4	- 8.0	- 7.7	- 7.9	- 8.2	- 8.6	- 9.1	- 9.5	- 9.6	- 9.8	-10.1	- 9.6	- 7.68
12.	- 9.9	-10.1	-10.7	-10.8	-10.7	-10.9	-11.3	-11.5	-11.7	-11.6	-11.1	-11.6	-11.6	-10.8	-10.5	-10.7	-11.2	-11.5	-11.7	-12.3	-12.6	-12.6	-12.6	-12.7	-11.36
13.	-12.6	-12.1	-11.9	-11.7	-11.5	-11.5	-11.4	-10.2	- 9.2	- 9.2	- 8.4	- 8.8	- 8.4	- 8.0	- 7.7	- 8.1	- 7.9	- 9.1	- 8.9	- 9.9	-10.9	-10.5	-10.7	-10.6	- 9.93
14.	-10.8	-11.1	-11.3	-11.8	-11.9	-12.0	-12.0	-12.3	-12.4	-12.0	-11.4	-10.8	-10.4	-10.1	-10.6	-10.0	-11.1	-11.3	-11.5	-11.7	-11.8	-12.4	-12.6	-12.9	-11.55
15.	-13.1	-13.3	-13.3	-13.1	-13.0	-12.9	-13.0	-12.6	-12.5	-12.3	-11.8	-11.1	-10.8	-10.9	-10.9	-11.5	-12.5	-12.8	-13.1	-13.2	-13.5	-13.8	-13.8	-13.9	-12.61
16.	-14.5	-14.9	-15.3	-15.0	-15.1	-15.1	-15.0	-14.9	-14.0	-13.9	-13.9	-13.6	-13.0	-12.8	-11.2	-11.1	-10.0	- 9.7	- 8.8	- 9.3	- 9.5	- 9.9	- 9.7	- 9.9	-12.50
17.	- 9.6	-10.1	-11.0	-10.2	- 9.8	- 9.8	- 9.7	- 9.1	- 9.1	- 9.2	- 9.0	- 9.1	- 8.7	- 7.6	- 7.8	- 7.3	- 7.2	- 7.0	- 6.7	- 6.4	- 6.2	- 4.9	- 4.6	- 4.8	- 8.12
18.	- 4.1	- 3.9	- 4.3	- 4.4	- 4.4	- 3.9	- 3.7	- 3.3	- 3.2	- 2.3	- 1.1	- 1.3	- 1.4	- 1.7	- 1.7	- 1.4	- 1.5	- 1.7	- 1.9	- 1.8	- 1.1	- 1.7	- 1.7	- 2.9	- 2.52
19.	- 2.5	- 2.5	- 2.8	- 3.1	- 3.0	- 2.5	- 3.3	- 3.3	- 1.3	- 2.3	- 2.3	- 1.9	- 1.3	- 1.2	- 1.5	- 2.4	- 3.5	- 4.3	- 4.6	- 5.5	- 5.6	- 5.4	- 6.3	- 6.6	- 3.29
20.	- 7.3	- 7.4	- 7.7	- 8.2	- 8.7	- 9.6	- 9.8	- 9.5	-10.3	-10.4	-10.4	-10.6	-11.6	-11.6	-11.5	-11.2	-11.4	-11.3	-12.0	-12.0	-12.2	-12.6	-12.5	-12.8	-10.53
21.	-13.1	-13.2	-13.2	-13.0	-12.7	-12.7	-12.9	-12.7	-12.4	-12.7	-12.9	-12.4	-12.4	-11.6	-11.5	-11.8	-12.2	-12.7	-12.9	-12.8	-12.2	-12.1	-12.1	-12.1	-12.51
22.	-11.5	-11.2	-10.4	-10.2	-10.2	-10.2	-10.2	-10.1	-10.0	-10.0	- 9.9	- 9.7	- 9.4	- 9.3	- 9.3	- 9.5	- 9.4	- 9.9	-10.0	-10.0	-10.4	- 9.6	- 9.3	- 9.4	- 9.96
23.	- 9.5	- 9.8	- 9.9	- 9.6	- 8.7	- 8.2	- 7.6	- 6.6	- 5.9	- 5.8	- 5.5	- 5.1	- 4.3	- 3.8	- 3.6	- 3.5	- 3.3	- 3.3	- 3.2	- 3.4	- 3.4	- 3.6	- 3.7	- 3.6	- 5.62
24.	- 3.6	- 3.7	- 3.7	- 3.9	- 4.0	- 4.2	- 4.6	- 4.6	- 4.7	- 5.0	- 5.1	- 5.2	- 5.1	- 5.2	- 5.3	- 5.3	- 5.3	- 5.3	- 5.4	- 5.4	- 5.4	- 5.5	- 5.7	- 5.8	- 4.88
25.	- 5.9	- 5.9	- 6.0	- 6.0	- 6.0	- 5.9	- 6.0	- 6.0	- 6.1	- 6.3	- 6.3	- 6.2	- 6.2	- 6.2	- 6.2	- 6.2	- 6.3	- 6.3	- 6.3	- 6.2	- 6.1	- 5.9	- 5.9	- 5.9	- 6.10
26	- 6.5	- 6.5	- 6.7	- 6.7	- 6.6	- 6.6	- 6.7	- 6.5	- 6.3	- 7.1	- 7.5	- 7.3	- 7.0	- 6.8	- 7.3	- 7.2	- 7.1	- 7.2	- 8.6	- 9.5	- 9.6	- 9.6	- 9.6	- 9.4	- 7.50
27.	- 9.4	- 9.6	- 8.9	- 9.1	- 9.4	- 9.3	- 9.4	- 9.4	- 9.1	- 9.2	- 9.6	- 9.0	- 8.6	- 8.2	- 6.9	- 6.7	- 7.5	- 7.1	- 7.0	- 7.3	- 7.2	- 7.3	- 7.5	- 7.8	- 8.35
28.	- 8.1	- 8.3	- 8.3	- 8.4	- 8.6	- 8.6	- 8.7	- 8.8	- 8.9	- 8.8	- 8.8	- 9.1	- 9.1	- 8.3	- 8.0	- 7.9	- 7.9	- 7.8	- 7.2	- 7.3	- 7.4	- 7.4	- 7.8	- 6.9	- 8.18
29.	- 7.0	- 7.2	- 7.3	- 7.4	- 7.5	- 7.1	- 7.2	- 8.0	- 7.2	- 6.5	- 5.9	- 6.0	- 5.2	- 5.2	- 5.1	- 4.9	- 4.6	- 4.7	- 4.3	- 4.5	- 4.7	- 5.5	- 6.1	- 5.7	- 6.03
Mittel	-9.43	-9.52	-9.56	-9.63	-9.62	-9.65	-9.71	-9.51	-9.26	-9.10	-8.93	-8.82	-8.58	-8.44	-8.32	-8.26	-8.41	-8.55	-8.59	-8.76	-8.71	-8.78	-8.86	-8.96	- 9.00

Thermometer-Registrierung. **Zugspitze.** 1912.

Datum	1a	2a	3a	4a	5a	6a	7a	8a	9a	10a	11a	12m	1p	2p	3p	4p	5p	6p	7p	8p	9p	10p	11p	12mn	Mittel
März																									
1.	– 6.3	– 4.8	– 4.2	– 5.6	– 6.2	– 6.2	– 6.1	– 6.1	– 6.3	– 5.9	– 6 0	– 4.8	– 5.0	– 4.7	– 4.6	– 4.8	– 4.5	– 4.8	– 4.4	– 4.4	– 3.9	– 4.7	– 4.3	– 5.0	– 5.15
2.	– 4.8	– 4.4	– 4.3	– 4.5	– 4.4	– 4.3	– 4.8	– 5.4	– 5.4	– 6.0	– 6.6	– 6.3	– 6.9	– 6.8	– 6.9	– 6.9	– 8.1	– 9.1	– 9.3	– 8.6	– 8.2	– 8.1	– 8.7	– 7.9	– 6.53
3.	– 7.6	– 6.4	– 6.1	– 6.4	– 6.5	– 6.5	– 6.8	– 5.7	– 5.6	– 5.4	– 4.7	– 5.5	– 5.6	– 5.4	– 5.6	– 5.1	– 5.5	– 5.4	– 5.6	– 5.8	– 5.9	– 8.1	– 9.6	– 10.1	– 6.29
4.	– 10.7	– 11.0	– 11.2	– 11.1	– 11.0	– 11.0	– 11.4	– 12.0	– 12 0	– 11.9	– 11.8	– 11.9	– 12.2	– 11.4	– 11.0	– 11.4	– 11.1	– 10.8	– 10.5	– 8.8	– 10.7	– 11.0	– 11.7	– 11.7	– 11.22
5.	– 11.4	– 10.1	– 9.1	– 9.1	– 9.8	– 9.7	– 9.7	– 8.3	– 7.5	– 8.5	– 7.8	– 7.3	– 7.9	– 6.9	– 7.3	– 7.4	– 8.0	– 8.0	– 7.9	– 7.3	– 7.0	– 7.8	– 7.3	– 7.5	– 8.28
6.	– 7.6	– 7.4	– 8.2	– 8.3	– 8.6	– 8.4	– 8.6	– 8.3	– 8.8	– 8.7	– 8.7	– 10.4	– 10.8	– 10.3	– 10.5	– 10.7	– 10.8	– 11.7	– 12.0	– 12.2	– 12.3	– 12.4	– 12.4	– 12.4	– 10.02
7.	– 12.0	– 12.5	– 12.6	– 12.8	– 13.2	– 13.4	– 13.8	– 13.4	– 13.4	– 13.4	– 13 4	– 13.3	– 13.0	– 11.1	– 11.6	– 11.8	– 12.3	– 12.5	– 12.4	– 12.6	– 12.2	– 12.7	– 12.7	– 13.2	– 12,72
8.	– 13.1	– 13.4	– 13.4	– 13.6	– 13.7	– 14.1	– 14.2	– 14.2	– 14.2	– 14.0	– 13.4	– 12.8	– 12.0	– 11.8	– 11.7	– 11.9	– 12.5	– 13.2	– 13.2	– 12.0	– 12.4	– 12.5	– 12.2	– 12.8	– 13.01
9.	– 13.2	– 13.3	– 13.6	– 14.4	– 15.2	– 15.4	– 15.3	– 15.0	– 14.6	– 14.3	– 13.9	– 12.6	– 11.8	– 11.0	– 10.8	– 10.5	– 8.7	– 10.1	– 8.4	– 7.8	– 8.5	– 7.4	– 7.9	– 8.0	– 11.74
10.	– 8.2	– 8.6	– 9.0	– 8.4	– 7.8	– 7.6	– 8.4	– 8.2	– 9.1	– 7.9	– 7.1	– 8.2	– 8 5	– 7.5	– 6.6	– 6.4	– 6.8	– 7.7	– 7.6	– 7.1	– 7.4	– 6.7	– 6.9	– 6.8	– 7.69
11.	– 7.9	– 8.1	– 8.5	– 10.3	– 10.0	– 10.4	– 10.1	– 9.8	– 9.9	– 9.7	– 9.7	– 9.4	– 9.0	– 8.7	– 8.4	– 8.9	– 9.1	– 9.4	– 9.6	– 9.9	– 9.8	– 9.9	– 10.0	– 10.2	– 9.45
12.	– 10.6	– 10.9	– 11.2	– 11.4	– 11.6	– 11.5	– 11.6	– 11.3	– 11.0	– 11.1	– 10.4	– 9.7	– 9.1	– 8.4	– 8.0	– 8.0	– 8.5	– 9.3	– 9.7	– 10.1	– 9.7	– 10 3	– 11.1	– 11.1	– 10.23
13.	– 11.3	– 11.4	– 11.4	– 11.7	– 11.8	– 11.6	– 11.5	– 11.1	– 10.7	– 11.0	– 10.3	– 9.3	– 8.2	– 8.4	– 9.2	– 9.3	– 9.7	– 10.0	– 10.1	– 10.6	– 10.0	– 11.5	– 12.2	– 12.3	– 10.65
14.	– 12.4	– 12.6	– 12.8	– 12.8	– 12.7	– 12.7	– 12.6	– 11.6	– 10.6	– 10.6	– 10 4	– 10.1	– 9.6	– 9.2	– 8.9	– 8.7	– 9.2	– 9.3	– 9.6	– 9.7	– 9.8	– 9.8	– 9.7	– 9.7	– 10.63
15.	– 9.6	– 9.6	– 9.7	– 10.0	– 10.1	– 10.1	– 10.1	– 10.4	– 10.6	– 9.2	– 8.3	– 7.4	– 6.8	– 5.8	– 4.5	– 5.3	– 5.5	– 5.6	– 4.8	– 5.4	– 6.2	– 6.7	– 7.4	– 7.7	– 7.78
16.	– 7.9	– 8.0	– 8.2	– 8.6	– 8.9	– 9.1	– 9.0	– 8.9	– 7.7	– 8.6	– 9.3	– 9.0	– 8.1	– 8.0	– 9.4	– 10.8	– 12.6	– 13.4	– 13.9	– 14.5	– 14.8	– 15.4	– 16.2	– 16.7	– 10,70
17.	– 17.3	– 17.8	– 18.2	– 18.5	– 17.7	– 13.9	– 13 2	– 13.6	– 13.9	– 13.6	– 11.9	– 10.4	– 9.2	– 10.0	– 10.4	– 10.5	– 9.3	– 9.0	– 8.8	– 8.5	– 7.8	– 7.6	– 8.6	– 9.2	– 12.04
18.	– 9.0	– 8.7	– 8.2	– 8.1	– 8.0	– 8.0	– 8.0	– 8.6	– 8.6	– 7.8	– 6.7	– 5.7	– 5.8	– 5.6	– 5.8	– 6.1	– 6.3	– 6.7	– 6.8	– 5.9	– 5.9	– 6.7	– 8.8	– 9.1	– 7.29
19.	– 10.9	– 9.9	– 9.4	– 9.0	– 9.5	– 8.0	– 7.9	– 7.9	– 8.0	– 8.0	– 8.2	– 8.4	– 8.6	– 8.8	– 9.0	– 9.2	– 9.4	– 9.6	– 9.8	– 10.1	– 10.3	– 10.2	– 10.2	– 10.1	– 9.18
20.	– 10.0	– 9.9	– 9.9	– 9.8	– 9.7	– 9.7	– 9.6	– 9.3	– 8.7	– 7.7	– 7.6	– 8.0	– 7.0	– 7.7	– 6.0	– 5.3	– 5.8	– 10.7	– 12.1	– 12.3	– 13.0	– 13.4	– 13.9	– 14.1	– 9.63
21.	– 14.2	– 14.3	– 14.6	– 15.2	– 15.2	– 15.2	– 15.2	– 15.0	– 14.8	– 15.5	– 15.0	– 14.5	– 15.4	– 14.1	– 13.2	– 11.2	– 10.8	– 8.9	– 8.4	– 8.6	– 9.1	– 9.3	– 8.5	– 8.4	– 12.69
22.	– 9.1	– 7.9	– 7.8	– 7.3	– 7.0	– 7.5	– 8.2	– 7.9	– 7.5	– 7.5	– 6.5	– 5.9	– 5.8	– 7.3	– 8.4	– 8.6	– 9.5	– 10.1	– 9.8	– 9.5	– 9.3	– 9.2	– 9.1	– 9.4	– 8.17
23.	– 9 4	– 9.3	– 9.1	– 8.9	– 8.9	– 8.9	– 9.3	– 9.8	– 10 4	– 10.3	– 10.5	– 10.5	– 10.2	– 10.2	– 10.1	– 9.7	– 9.8	– 10.2	– 10.3	– 10.2	– 10.2	– 10.6	– 10.2	– 10.1	– 9.88
24.	– 9 6	– 9.1	– 9.2	– 9.0	– 9.2	– 9.3	– 9.2	– 9.1	– 9.1	– 9.0	– 7.9	– 7.2	– 6.4	– 5.9	– 7.9	– 8.2	– 8.1	– 8.7	– 8.8	– 8.7	– 8.9	– 9.0	– 8.9	– 9.0	– 8.56
25.	– 8.6	– 8.4	– 8.5	– 8.6	– 8.6	– 8.7	– 8.5	– 11.1	– 8.6	– 7.6	– 6.8	– 6.1	– 5.4	– 4.7	– 4.5	– 4.0	– 3.8	– 3.7	– 3.5	– 3.3	– 3.4	– 2.9	– 2.6	– 2.5	– 6.02
26.	– 2.6	– 2.6	– 2.8	– 3.0	– 3.1	– 3.2	– 3.2	– 3.2	– 3.1	– 3.2	– 2.5	– 3.1	– 3.3	– 3.2	– 3.0	– 3.0	– 3.2	– 3.0	– 3.0	– 3.3	– 3.5	– 3.6	– 4.2	– 4.1	– 3.17
27.	– 3.7	– 3.9	– 3.5	– 3.5	– 3.7	– 3.9	– 3.9	– 3.8	– 4.3	– 4.1	– 3.8	– 3.6	– 3.4	– 3.4	– 3.2	– 3.1	– 3.4	– 3.5	– 3.0	– 3.2	– 3.0	– 3.0	– 3.1	– 3.2	– 3.51
28.	– 3.3	– 3.2	– 3.6	– 4.2	– 4.2	– 4.2	– 4.2	– 4.3	– 4.3	– 4.5	– 4.8	– 5.2	– 5.1	– 5.0	– 4.5	– 4.5	– 4.8	– 5.6	– 5.4	– 5.3	– 5.2	– 4.7	– 4.6	– 4.7	– 4.56
29.	– 4.9	– 5.0	– 5.0	– 5.1	– 5.2	– 5.1	– 5.1	– 5.1	– 5.0	– 5.0	– 4.7	– 4.9	– 4 7	– 5.1	– 5.1	– 4.9	– 5.7	– 6.6	– 6.9	– 8.3	– 8.3	– 9 0	– 9 6	– 10.1	– 6.02
30.	– 11.1	– 12.1	– 12.6	– 13.0	– 13.1	– 13.4	– 13.2	– 13.2	– 13.1	– 13.1	– 12 6	– 12.7	– 12.3	– 12.4	– 12.3	– 12.1	– 11.8	– 11.3	– 11.6	– 11.4	– 11.2	– 11.3	– 11.4	– 11.6	– 12.25
31.	– 11.9	– 12.1	– 12.2	– 12.3	– 12.3	– 12.4	– 12.6	– 14.6	– 15.0	– 14.9	– 14.2	– 12.0	– 12.0	– 12.1	– 12.1	– 11.5	– 7.9	– 8.0	– 8.1	– 7.9	– 8.2	– 8.1	– 8.2	– 7.9	– 11.19
Mittel	– 9.36	– 9.25	– 9.29	– 9.50	– 9.58	– 9.47	– 9.53	– 9.56	– 9.41	– 9.29	– 8,89	– 8.59	– 8.36	– 8.09	– 8.08	– 8.06	– 8.15	– 8.58	– 8.56	– 8.49	– 8.61	– 8.83	– 9.10	– 9.25	– 8.91
April																									
1.	– 8.0	– 7.7	– 7.6	– 7.2	– 7.1	– 6.3	– 6.5	– 6.5	– 6.5	– 6.5	– 6.3	– 6.3	– 6.1	– 5.7	– 6.2	– 7.6	– 7.1	– 5.8	– 6.5	– 7.1	– 7.7	– 8.2	– 8.9	– 9.4	– 7.03
2.	– 9.7	– 9.3	– 10.7	– 11.3	– 12.2	– 13.2	– 14.4	– 15.0	– 15.7	– 16.4	– 16.8	– 16.8	– 16.6	– 16.2	– 16.2	– 16.0	– 16.0	– 16.0	– 16.1	– 16.0	– 16.0	– 16.2	– 16.3	– 16.5	– 14.82
3.	– 16.7	– 17.0	– 17.3	– 17.5	– 17.7	– 17.8	– 18 1	– 18.5	– 18.6	– 18.7	– 19.4	– 19.1	– 18.3	– 18.5	– 17.8	– 17.4	– 17.1	– 16.7	– 16.6	– 16.6	– 17.0	– 17.5	– 18.4	– 18.8	– 17.80
4.	– 19.4	– 19.9	– 20.0	– 20.4	– 20.3	– 19.9	– 19.6	– 18.7	– 18.7	– 18.0	– 17.5	– 17.1	– 16.5	– 15.9	– 15.6	– 14.9	– 14.1	– 14 0	– 13.9	– 13.0	– 12.6	– 11 7	– 10.8	– 10.8	– 16.39
5.	– 9.2	– 9.0	– 8.8	– 8.4	– 7.8	– 7.2	– 6.7	– 6.2	– 5.8	– 5.4	– 5.5	– 5.4	– 5.3	– 5.2	– 5.4	– 5.7	– 5.7	– 5.8	– 4.8	– 4.0	– 3.1	– 3.5	– 3.0	– 2.1	– 5.79
6.	– 2.0	– 2.2	– 2.0	– 2.6	– 2.3	– 1.7	– 2.0	– 2.0	– 2.5	– 3 1	– 2.8	– 2.2	– 2.5	– 1.9	– 1.3	– 1.9	– 2.1	– 3.5	– 3.7	– 3.8	– 3.7	– 3.6	– 3.7	– 4.3	– 2.64
7.	– 4.4	– 4.7	– 4.3	– 4.2	– 4.3	– 4.3	– 3.8	– 3.5	– 3.2	– 3.3	– 3.7	– 4.0	– 3.9	– 4.0	– 4.4	– 4.4	– 4.6	– 4.6	– 4.8	– 4.8	– 4.8	– 4.9	– 5.1	– 5.3	– 4.30
8.	– 5.6	– 5.8	– 5.9	– 6.1	– 6.4	– 6.6	– 6.4	– 6.1	– 5.9	– 6.1	– 6.3	– 6.3	– 4.9	– 3.2	– 3.5	– 3.8	– 2.5	– 3.0	– 3.4	– 2.7	– 1.3	– 2.3	– 2.5	– 2.5	– 4.55
9.	– 3.5	– 2.7	– 3.3	– 3.3	– 3.5	– 3.8	– 3.1	– 3.9	– 2.0	– 1.8	– 4.6	– 6.9	– 9.0	– 10.9	– 12.3	– 12.7	– 13.2	– 13.5	– 13.5	– 13.3	– 13.5	– 14.3	– 14.5	– 15.2	– 8.26
10.	– 15.9	– 16.4	– 17.4	– 17.9	– 18.7	– 19.0	– 19.3	– 19.3	– 18.4	– 18.5	– 18.4	– 18.3	– 17.9	– 17.7	– 17.3	– 16.4	– 15.9	– 15.9	– 15.9	– 15.9	– 15.9	– 16.1	– 16.1	– 16.5	– 17.29
11.	– 16.4	– 16.7	– 17.0	– 17.2	– 17.6	– 18.3	– 18.8	– 18.5	– 18.1	– 18.0	– 17.6	– 17.0	– 16.1	– 15.2	– 14.4	– 14.0	– 13.7	– 13.3	– 13.0	– 12.8	– 12.4	– 12.2	– 12.2	– 12.2	– 15.53
12.	– 12.5	– 12.7	– 12.7	– 12.9	– 13.6	– 13.2	– 14.8	– 15.0	– 16.4	– 18.9	– 18.7	– 18.7	– 18.2	– 17.5	– 17.1	– 17.2	– 17.3	– 17.1	– 17.5	– 17.4	– 18.2	– 18.5	– 19.3	– 20.4	– 16.49
13.	– 21.5	– 21.8	– 21.7	– 21.7	– 21.5	– 21.1	– 20.6	– 19.6	– 19.1	– 18.6	– 17.7	– 17.2	– 16.6	– 16.1	– 15.5	– 15.1	– 14.9	– 14.9	– 15.0	– 15.1	– 14.5	– 14.0	– 14.0	– 13.7	– 17.56
14.	– 13.6	– 13.3	– 13.2	– 13.2	– 13.1	– 13.0	– 12.6	– 12.2	– 12.2	– 12.2	– 12.1	– 12.1	– 12.0	– 11.7	– 11.2	– 11.0	– 10.9	– 11.0	– 11.3	– 11.1	– 11.4	– 11.8	– 11.9	– 12.0	– 12.09
15.	– 12.2	– 12.1	– 12.1	– 12.6	– 12.4	– 12.3	– 11.6	– 12.7	– 12.4	– 10.7	– 11.0	– 9.4	– 8.0	– 7.8	– 8.3	– 9.4	– 8.4	– 8.0	– 8.3	– 8.2	– 7.4	– 6.7	– 7.6	– 6.3	– 9.83
16.	– 6.7	– 8.4	– 9.4	– 9.3	– 8.3	– 7.2	– 9.0	– 8.3	– 8.1	– 8.5	– 8.7	– 8.4	– 5.2	– 6.6	– 6.7	– 6.7	– 6.6	– 6.8	– 5.1	– 5.7	– 6.9	– 5.8	– 4.2	– 3.5	– 7.09
17.	– 5.6	– 4.0	– 3.7	– 4.1	– 5.1	– 6.1	– 6.4	– 7.8	– 7.7	– 7.3	– 7.0	– 6.2	– 5.7	– 5.8	– 5.4	– 2.1	– 1.2	– 3.2	– 5.1	– 5.4	– 5.5	– 5.7	– 5.3	– 4.7	– 5.25
18.	– 4.2	– 7.0	– 7.4	– 6.3	– 7.5	– 8.1	– 7.3	– 7.5	– 6.9	– 6.8	– 5.0	– 4.0	– 4.0	– 4.7	– 5.2	– 5.3	– 5.3	– 5.5	– 5.8	– 6.0	– 5.8	– 6.0	– 5.9	– 6.3	– 5.99
19.	– 6.5	– 6.4	– 6.4	– 7.9	– 8.3	– 8.2	– 8.0	– 7.3	– 7.0	– 6.3	– 5.2	– 4.4	– 3.8	– 2.9	– 2.2	– 2.4	– 3.1	– 3.9	– 4.7	– 5.7	– 5.9	– 6.1	– 5.8	– 5.4	– 5.58
20.	– 6.5	– 6.9	– 7.3	– 7.6	– 7.6	– 7.5	– 7.3	– 6.1	– 5.5	– 4.7	– 3.5	– 2.9	– 2.5	– 2.7	– 2.9	– 2.9	– 3.7	– 4.9	– 6.0	– 7.0	– 7.6	– 8.0	– 7.9	– 7.6	– 5.71
21.	– 7.4	– 7.9	– 8.0	– 8.0	– 7.6	– 6.3	– 5.5	– 5.0	– 4.4	– 5.0	– 4.0	– 3.3	– 3.3	– 3.0	– 2.9	– 3.0	– 2.4	– 1.5	– 3.1	– 3.5	– 4.8	– 3.4	– 3.9	– 5.2	– 4.68
22.	– 6.1	– 5.9	– 5.8	– 4.9	– 5.0	– 5.4	– 5.9	– 7.7	– 5.1	– 7.7	– 6.1	– 4.0	– 3.7	– 3.2	– 3.2	– 3.6	– 3.3	– 3.9	– 5.0	– 6.2	– 7.0	– 6.3	– 6.0	– 6.8	– 5.33
23.	– 6.8	– 7.1	– 6.1	– 5.5	– 6.7	– 6.9	– 7.6	– 6.8	– 6.7	– 5.8	– 4.6	– 3.6	– 2.2	– 1.4	– 1.2	– 0.3	0.0	– 0.8	– 1.4	– 2.6	– 4.9	– 5.2	– 4.1	– 3.6	– 4.25
24.	– 3.9	– 5.9	– 6.9	– 5.4	– 5.5	– 5.5	– 5.0	– 5.2	– 5.5	– 5.8	– 5.7	– 5.6	– 5.4	– 4.6	– 4.2	– 3.1	– 2.9	– 2.8	– 3.9	– 3.4	– 4.0	– 4.9	– 5.2	– 5.9	– 4.84
25.	– 6.6	– 7.1	– 7.2	– 7.7	– 8.2	– 8.1	– 8.1	– 7.4	– 6.5	– 5.6	– 5.6	– 4.3	– 3.9	– 5.1	– 4.7	– 5.1	– 5.9	– 5.5	– 6.2	– 6.2	– 7.4	– 8.2	– 7.8	– 7.3	– 6.49
26.	– 8.4	– 8.0	– 8.8	– 9.2	– 9.2	– 9.4	– 9.1	– 8.4	– 8.3	– 7.6	– 6.2	– 4.5	– 3.2	– 2.2	– 1.8	– 1.7	– 1.6	– 1.5	– 3.0	– 3.7	– 5.6	– 6.6	– 6.9	– 6.9	– 5.91
27.	– 5.8	– 3.0	– 2.1	– 1.9	– 3.4	– 2.9	– 5.2	– 4.7	– 4.4	– 4.2	– 3.2	– 2.4	– 1.9	– 1.7	– 1.4	– 1.4	0.3	0.6	0.7	0.6	0.5	0.6	0.5	0.3	– 1.90
28.	0.1	– 0.1	– 0.6	– 1.2	– 1.4	– 1.8	– 2.1	– 2.0	– 1.5	– 1.4	– 1.0	– 1.1	– 0.5	– 0.1	0.1	– 1.0	– 0.8	– 1.6	– 2.2	– 2.4	– 2.4	– 3.9	– 4.3	– 4.5	– 1.57
29.	– 4.5	– 4.7	– 4.9	– 5 1	– 5.3	– 5.3	– 5.4	– 5.6	– 5.5	– 5.3	– 4.9	– 3.9	– 3.8	– 3.7	– 4.8	– 5.8	– 5.8	– 6.0	– 6.7	– 6.4	– 6.7	– 7.1	– 8.2	– 8.3	– 5.57
30.	– 8.6	– 8.9	– 9.0	– 9.0	– 8.9	– 8.4	– 7.7	– 6.1	– 5.8	– 5.1	– 4.1	– 3.2	– 3.7	– 4.3	– 4.1	– 4.8	– 5.8	– 5.8	– 6.9	– 6.9	– 6.5	– 6.5	– 7.2	– 7.3	– 6.44
Mittel	– 8.60	– 8.75	– 8.92	– 8.99	– 9.22	– 9.16	– 9.26	– 9.12	– 8.81	– 8.78	– 8.44	– 7.95	– 7.49	– 7.32	– 7.24	– 7.23	– 7.05	– 7.21	– 7.62	– 7.74	– 8.00	– 8,15	– 8.22	– 8.30	– 8.23

Thermometer-Registrierung. **Zugspitze.** 1912.

Mai

Datum	1a	2a	3a	4a	5a	6a	7a	8a	9a	10a	11a	12m	1p	2p	3p	4p	5p	6p	7p	8p	9p	10p	11p	12mn	Mittel
1.	– 8.2	– 8.6	– 8.7	– 9.4	– 9.4	– 9.0	– 8.5	– 6.5	– 5.8	– 4.8	– 2.9	– 1.4	– 1.6	– 0.7	– 0.8	– 3.7	– 6.0	– 7.7	– 7.4	– 6.8	– 8.0	– 9.0	–10.6	– 9.4	– 6.45
2.	– 9.2	– 9.4	–11.0	– 9.9	– 7.9	– 8.5	– 8.9	– 8.6	– 8.4	– 7.3	– 5.9	– 3.8	– 2.8	– 2.5	– 1.8	– 1.3	– 1.1	– 1.0	0.2	– 5.3	– 7.2	– 7.5	– 7.9	– 7.9	– 6.04
3.	– 7.9	– 8.2	– 8.0	– 8.3	–10.0	– 9.5	– 8.1	– 7.5	– 6.8	– 7.1	– 7.4	– 7.3	– 6.7	– 4.6	– 4.7	– 3.7	– 3.7	– 3.7	– 4.8	– 5.0	– 5.9	– 5.9	– 6.8	– 7.1	– 6.61
4.	– 8.2	– 8.5	– 8.5	– 6.7	– 7.8	– 7.7	– 7.0	– 5.9	– 6.2	– 5.7	– 5.3	– 4.2	– 3.2	– 2.5	– 2.1	– 1.5	– 1.6	– 2.1	– 2.7	– 3.8	– 4.2	– 4.5	– 5.2	– 5.4	– 5.02
5.	– 5.4	– 5.2	– 5.2	– 5.2	– 5.2	– 5.3	– 5.2	– 4.6	– 4.4	– 4.8	– 3.9	– 2.9	– 2.8	– 3.0	– 3.4	– 3.6	– 3.9	– 4.1	– 4.4	– 4.9	– 5.0	– 5.1	– 5.2	– 5.2	– 4.50
6.	– 5.1	– 5.1	– 5.4	– 5.8	– 5.7	– 5.0	– 4.5	– 3.9	– 4.1	– 3.6	– 2.4	– 1.2	– 1.9	– 0.3	– 0.2	– 0.2	– 0.2	– 2.5	– 3.2	– 3.5	– 3.9	– 3.9	– 4.1	– 4.1	– 3.33
7.	– 4.1	– 4.0	– 4.0	– 4.0	– 3.8	– 3.9	– 4.0	– 3.7	– 3.8	– 4.0	– 3.3	– 2.8	– 1.9	– 1.7	– 2.5	– 2.5	– 2.9	– 3.3	– 3.3	– 3.3	– 3.3	– 3.3	– 3.3	– 3.3	– 3.33
8.	– 3.3	– 3.2	– 3.0	– 2.4	– 2.2	– 2.2	– 2.2	– 1.8	– 1.4	– 0.8	– 0.7	– 1.1	– 0.6	– 0.5	– 0.7	– 0.5	– 0.5	– 0.5	– 1.0	– 1.4	– 1.9	– 2.4	– 2.5	– 2.7	– 1.65
9.	– 3.0	– 3.1	– 3.3	– 3.5	– 3.5	– 3.5	– 3.5	– 3.2	– 3.2	– 3.3	– 3.3	– 3.1	– 3.0	– 2.9	– 2.9	– 2.7	– 2.6	– 2.4	– 2.5	– 2.6	– 2.9	– 2.9	– 2.8	– 2.6	– 3.01
10.	– 2.7	– 2.5	– 2.4	– 2.2	– 2.2	– 2.1	– 2.2	– 2.0	– 2.2	– 2.2	– 2.1	– 2.0	– 1.8	– 1.7	– 1.7	– 1.8	– 2.2	– 1.9	– 1.7	– 1.6	– 1.8	– 2.0	– 1.9	– 1.7	– 2.03
11.	– 1.6	– 1.9	– 1.9	– 1.9	– 1.8	– 1.6	– 1.7	– 1.6	– 1.5	– 1.3	– 0.7	– 0.3	– 0.1	– 0.1	0.0	0.0	0.0	– 0.1	0.0	0.0	0.0	0.0	0.0	– 0.1	– 0.76
12.	– 0.1	– 0.2	– 0.2	– 0.2	– 0.1	– 0.1	0.0	0.3	0.7	1.0	1.2	1.4	1.7	1.9	3.4	3.4	3.4	3.2	2.9	2.6	2.3	2.3	2.3	2.3	1.48
13.	2.3	2.3	2.2	2.2	2.2	2.2	2.2	2.3	2.7	2.8	3.0	3.1	3.1	2.9	2.9	2.9	2.6	2.3	2.0	1.8	1.8	1.8	1.9	1.7	2.38
14.	1.7	1.6	1.5	1.9	1.2	1.4	1.3	1.8	2.0	2.1	2.2	2.8	3.4	4.0	4.9	5.2	5.4	5.2	4.7	4.6	4.3	4.3	4.3	4.3	3.17
15.	3.9	4.2	4.2	4.3	4.2	4.7	5.2	5.3	5.4	5.5	5.8	6.1	6.4	6.7	7.2	6.0	5.3	4.7	4.0	3.5	3.8	3.0	2.1	1.9	4.71
16.	1.3	0.1	– 0.1	– 1.3	– 3.2	– 4.0	– 4.3	– 4.4	– 4.6	– 4.2	– 3.4	– 3.3	– 3.2	– 3.0	– 2.1	– 2.0	– 2.5	– 1.7	– 1.7	– 3.5	– 6.4	– 7.0	– 7.0	– 7.0	– 3.27
17.	– 7.2	– 7.7	– 8.6	– 9.5	–10.0	–10.3	–10.6	–10.9	–11.5	–12.0	–11.5	–10.7	–10.4	–10.3	–10.4	–10.4	–10.4	–10.4	–10.5	–10.5	–10.4	–10.1	– 9.7	– 9.6	–10.15
18.	– 9.6	– 9.7	– 9.7	– 9.6	– 9.7	– 9.8	– 9.8	– 9.5	– 9.3	– 9.2	– 8.8	– 8.4	– 8.0	– 7.7	– 7.3	– 7.0	– 6.6	– 6.2	– 5.9	– 5.5	– 5.1	– 5.3	– 5.4	– 5.6	– 7.86
19.	– 5.8	– 6.0	– 6.2	– 6.3	– 6.5	– 6.7	– 6.8	– 6.2	– 6.2	– 6.3	– 6.2	– 6.1	– 5.8	– 3.9	– 2.8	– 1.4	– 0.7	– 0.6	– 0.9	– 1.2	– 0.6	– 2.8	– 2.8	– 2.8	– 4.23
20.	– 3.0	– 3.3	– 3.3	– 3.4	– 3.1	– 2.7	– 1.5	– 1.0	– 0.7	– 0.8	– 0.8	– 0.8	– 0.4	– 0.3	– 0.3	– 0.1	– 0.1	0.0	– 0.2	– 0.1	0.0	0.2	– 0.3	– 0.5	– 1.10
21.	– 0.7	– 0.8	– 0.9	– 0.9	– 0.9	– 0.9	– 0.5	– 0.9	– 0.9	– 0.9	– 0.2	– 0.2	0.7	0.0	– 0.4	– 0.2	0.3	0.6	0.4	0.3	0.0	– 0.1	– 0.6	– 0.8	– 0.35
22.	– 0.8	– 0.7	– 0.7	– 0.6	– 0.9	– 0.7	– 0.2	– 0.4	– 0.4	– 0.4	0.0	0.4	– 1.0	– 0.6	– 0.9	– 0.9	– 0.9	– 1.9	– 2.1	– 2.3	– 2.4	– 2.7	– 2.8	– 3.1	– 1.13
23.	– 3.7	– 3.7	– 3.7	– 3.7	– 3.5	– 3.3	– 3.1	– 1.9	– 1.4	– 0.7	– 0.6	– 0.3	0.0	0.0	– 0.5	– 0.4	– 1.1	– 2.3	– 2.7	– 3.4	– 3.7	– 3.8	– 3.8	– 3.9	– 2.30
24.	– 4.1	– 4.4	– 4.7	– 4.6	– 4.8	– 4.8	– 4.7	– 4.8	– 4.8	– 4.8	– 4.6	– 4.5	– 4.5	– 4.2	– 4.3	– 4.3	– 4.4	– 4.4	– 4.5	– 4.5	– 4.9	– 5.2	– 5.1	– 5.1	– 4.63
25.	– 5.0	– 5.0	– 5.1	– 5.1	– 5.0	– 5.1	– 5.1	– 4.8	– 4.7	– 4.6	– 4.3	– 4.3	– 4.3	– 4.2	– 4.0	– 4.0	– 4.4	– 4.5	– 4.6	– 4.6	– 4.7	– 4.7	– 5.1	– 5.2	– 4.68
26.	– 5.3	– 5.5	– 5.6	– 5.7	– 5.7	– 5.8	– 5.8	– 5.7	– 5.6	– 5.4	– 5.0	– 4.1	– 3.2	– 2.9	– 2.1	– 1.2	– 1.4	– 1.5	– 1.4	– 1.8	– 1.9	– 2.1	– 2.4	– 2.6	– 3.74
27.	– 2.9	– 3.1	– 3.3	– 3.6	– 3.9	– 4.2	– 4.5	– 4.0	– 4.0	– 4.0	– 3.9	– 4.7	– 4.9	– 4.5	– 5.1	– 3.3	– 2.8	– 2.8	– 3.4	– 4.7	– 6.3	– 6.9	– 7.1	– 7.3	– 4.38
28.	– 7.2	– 6.7	– 5.9	– 5.8	– 5.9	– 5.9	– 5.6	– 4.8	– 4.9	– 4.8	– 4.3	– 4.3	– 1.9	– 2.0	– 1.9	– 1.7	– 1.6	– 1.5	– 1.4	– 1.2	– 1.1	– 1.1	– 1.2	– 1.3	– 3.50
29.	– 1.4	– 2.2	– 2.3	– 2.1	– 2.2	– 2.0	– 2.0	– 1.1	– 1.1	– 0.7	– 0.4	– 0.5	– 1.3	– 1.2	– 0.5	– 1.4	– 1.4	– 1.5	– 1.5	– 1.6	– 1.6	– 1.5	– 1.8	– 2.5	– 1.49
30.	– 3.2	– 4.1	– 4.1	– 4.0	– 3.8	– 3.0	– 2.5	– 1.6	– 1.1	– 0.9	– 0.8	– 0.5	– 0.3	– 0.1	– 0.1	– 0.1	– 0.1	– 0.1	– 0.1	– 0.1	– 0.1	– 0.4	– 0.8	– 0.7	– 1.36
31.	– 0.7	– 1.0	– 1.1	– 1.1	– 1.1	– 1.2	– 1.2	– 1.1	– 1.3	– 0.9	– 0.8	– 1.3	– 1.3	– 1.3	– 1.3	– 1.4	– 1.5	– 1.5	– 1.6	– 1.7	– 1.8	– 2.4	– 2.5	– 2.7	– 1.41
Mittel	–3.55	–3.73	–3.84	–3.82	–3.94	–3.89	–3.72	–3.31	–3.21	–3.04	–2.62	–2.27	–1.99	–1.65	–1.50	–1.41	–1.54	–1.75	–1.91	–2.33	–2.67	–2.94	–3.16	–3.23	– 2.79

Juni

1.	– 2.7	– 2.6	– 2.2	– 2.2	– 1.7	– 1.6	– 1.1	– 1.1	– 1.1	– 0.9	– 0.3	– 0.2	– 0.2	– 0.1	0.0	0.1	0.2	0.3	0.4	0.3	– 1.4	– 2.3	– 1.9	– 2.2	– 1.02
2.	– 2.4	– 2.4	– 2.5	– 2.4	– 2.4	– 2.2	– 1.9	– 1.5	– 1.5	– 1.2	– 0.5	– 0.2	– 0.1	– 0.1	0.0	– 0.1	– 2.4	– 4.3	– 5.6	– 6.5	– 7.1	– 7.3	– 7.1	– 7.0	– 2.86
3.	– 7.0	– 7.3	– 7.3	– 7.1	– 7.2	– 6.9	– 6.5	– 6.1	– 5.8	– 5.1	– 4.5	– 3.3	– 2.1	– 2.1	– 1.2	– 1.1	– 1.1	– 1.0	– 1.8	– 2.0	– 2.0	– 2.2	– 2.4	– 2.5	– 3.98
4.	– 2.5	– 2.6	– 2.8	– 2.8	– 2.8	– 2.8	– 2.3	– 2.3	– 2.2	– 2.1	– 2.0	– 1.6	– 0.8	– 0.8	– 0.5	– 0.4	– 0.2	0.1	0.4	– 0.1	– 0.4	– 0.6	– 0.4	– 1.9	– 1.43
5.	– 2.5	– 2.8	– 2.6	– 2.6	– 2.6	– 1.9	– 2.1	– 2.0	– 2.0	– 1.3	– 0.9	– 0.8	– 0.5	– 0.2	0.0	0.6	0.6	0.5	0.2	– 0.1	– 0.1	– 0.3	– 0.5	– 1.1	– 1.04
6.	– 0.7	– 1.4	– 1.5	– 1.8	– 1.4	– 1.2	– 0.5	– 0.5	– 0.5	– 0.4	– 0.3	– 0.1	– 0.1	0.0	0.5	0.9	0.7	0.9	1.1	1.0	0.5	0.3	0.2	0.3	– 0.17
7.	0.1	0.0	0.5	0.4	0.8	1.3	1.9	2.0	2.0	2.1	2.3	2.3	1.7	1.6	1.6	1.7	1.6	1.5	1.4	1.4	1.0	1.0	0.6	0.4	1.30
8.	0.1	– 0.1	– 0.6	– 0.9	– 0.9	– 1.0	– 0.7	0.2	0.2	1.8	2.0	1.3	1.3	1.2	1.8	1.1	1.3	1.7	1.2	0.6	0.5	– 0.2	– 0.3	0.0	0.48
9.	– 0.7	– 0.9	– 1.1	– 1.1	– 1.0	– 0.5	0.1	0.6	0.6	1.4	1.4	2.1	2.2	3.0	1.4	1.8	1.8	0.6	0.7	0.6	0.4	0.3	0.0	– 0.1	0.57
10.	0.2	0.4	0.7	0.9	1.2	1.5	1.7	1.7	1.9	2.4	3.3	4.0	3.8	4.2	2.5	2.1	1.3	1.1	1.4	1.0	0.8	0.7	0.7	0.7	1.68
11.	0.8	0.6	0.4	0.5	0.9	2.3	2.9	3.1	2.9	2.7	3.3	4.4	4.7	4.1	3.7	2.8	2.7	2.0	1.9	1.3	1.1	1.2	1.4	0.9	2.19
12.	0.6	0.2	– 0.1	– 0.4	0.5	1.4	2.7	1.5	2.0	2.4	1.9	2.7	3.7	3.8	3.8	3.3	2.9	2.4	2.4	2.1	1.8	1.3	1.3	1.3	1.90
13.	1.4	1.3	0.7	0.9	1.0	1.1	1.4	1.0	0.5	0.6	1.4	2.3	2.7	4.0	3.8	2.4	1.5	0.6	0.1	– 0.1	– 0.4	– 0.9	– 1.3	– 1.9	1.00
14.	– 2.2	– 2.4	– 2.2	– 2.8	– 3.3	– 3.4	– 3.6	– 2.9	– 3.2	– 3.4	– 3.5	– 3.5	– 3.4	– 3.2	– 3.5	– 3.6	– 3.9	– 4.2	– 4.5	– 4.7	– 5.1	– 5.2	– 5.0	– 5.0	– 3.65
15.	– 5.0	– 5.1	– 4.9	– 4.8	– 4.7	– 4.4	– 4.0	– 3.1	– 2.5	– 2.2	– 1.7	– 1.3	– 0.9	– 0.6	– 0.5	– 0.6	– 0.9	– 1.3	– 1.4	– 1.6	– 2.0	– 2.1	– 2.3	– 2.3	– 2.51
16.	– 2.2	– 2.2	– 2.2	– 2.2	– 2.1	– 1.9	– 1.5	– 0.9	– 0.7	– 0.7	– 0.5	– 0.2	0.1	0.1	0.2	0.4	0.5	0.6	0.8	0.9	– 1.0	– 1.6	– 2.2	– 2.8	– 0.89
17.	– 3.4	– 4.0	– 4.6	– 5.2	– 5.8	– 6.4	– 7.1	– 6.8	– 6.5	– 5.5	– 4.4	– 3.3	– 3.5	– 3.2	– 2.6	– 2.5	– 2.3	– 2.4	– 2.5	– 3.6	– 4.1	– 4.5	– 4.5	– 4.4	– 4.30
18.	– 4.4	– 4.4	– 4.4	– 4.1	– 3.4	– 2.5	– 2.1	– 1.4	– 0.2	0.0	0.0	0.4	0.1	0.0	0.4	– 0.1	0.1	0.3	0.2	– 0.1	– 0.1	– 0.6	– 1.0	– 1.0	– 1.18
19.	– 0.9	– 1.0	– 1.0	– 0.3	0.6	1.2	1.6	1.9	2.1	2.5	3.3	3.3	3.6	4.2	4.8	5.3	6.2	6.2	6.3	5.5	4.8	4.7	4.3	4.5	3.07
20.	4.2	4.2	3.8	3.2	1.7	2.2	2.1	2.4	2.5	2.7	2.9	3.0	2.9	2.5	2.9	3.0	2.0	2.1	2.2	1.8	1.5	1.0	0.7	– 0.1	2.39
21.	– 0.2	– 0.8	– 0.9	– 1.0	– 1.1	– 1.0	– 1.0	0.0	0.0	0.0	0.1	0.1	2.0	2.1	1.6	0.9	0.6	0.1	– 0.2	– 0.2	– 0.1	0.0	0.1	0.2	0.05
22.	0.3	0.5	0.5	0.5	0.6	0.5	0.5	0.9	0.9	1.9	1.8	2.2	3.3	4.1	5.5	6.3	7.5	7.6	7.7	6.1	4.3	4.4	4.4	4.5	3.20
23.	4.5	4.6	4.7	4.7	4.8	4.8	4.9	5.9	6.2	6.3	6.0	5.9	6.7	7.1	6.9	7.0	7.1	7.0	6.2	5.8	5.8	5.6	5.5	5.3	5.80
24.	5.1	4.9	4.8	4.6	4.4	4.3	4.1	4.0	3.5	2.9	3.7	3.5	3.3	3.5	3.5	1.8	0.2	– 0.1	– 0.9	– 0.6	– 0.7	– 1.0	– 1.5	– 1.9	2.31
25.	– 2.5	– 2.3	– 2.5	– 2.7	– 2.8	– 3.0	– 3.5	– 3.3	– 3.1	– 2.8	– 3.0	– 2.9	– 2.8	– 2.4	– 2.2	– 1.9	– 1.6	– 1.5	– 1.4	– 1.4	– 1.4	– 1.4	– 1.5	– 2.3	– 2.30
26.	– 1.5	– 1.5	– 2.0	– 2.0	– 1.8	– 1.4	– 0.3	0.4	0.2	0.2	0.2	– 0.1	0.0	0.0	0.4	0.2	– 0.1	– 0.2	– 0.9	– 1.6	– 2.4	– 2.5	– 2.6	– 2.7	– 0.95
27.	– 2.8	– 2.9	– 3.0	– 3.1	– 3.2	– 3.3	– 3.4	– 2.9	– 2.4	– 1.9	– 1.9	– 1.5	– 0.5	0.0	0.1	0.1	0.1	0.2	0.1	0.0	– 0.1	– 0.2	– 0.4	– 1.37
28.	– 0.5	– 1.0	– 1.3	– 1.6	– 1.2	– 0.9	– 1.0	– 1.0	– 0.9	– 0.8	0.2	1.2	2.1	3.1	3.7	4.8	5.9	5.9	5.3	3.4	2.5	1.8	1.7	1.9	1.39
29.	2.3	2.5	2.4	2.2	2.3	2.8	3.5	3.6	4.3	4.8	5.0	5.3	6.1	5.9	6.0	6.3	6.4	4.5	4.6	4.1	3.7	2.6	1.5	0.4	3.88
30.	0.3	– 0.3	– 0.6	– 1.4	– 2.2	– 2.4	– 1.4	0.2	– 0.3	– 1.0	– 0.6	0.1	0.3	1.1	1.6	2.2	2.9	3.2	3.9	3.1	2.8	2.8	2.7	1.7	0.78
Mittel	–0.81	–0.96	–1.06	–1.15	–1.09	–0.84	–0.55	–0.21	–0.10	0.17	0.48	0.84	1.19	1.43	1.54	1.49	1.39	1.14	0.98	0.55	0.11	–0.17	–0.32	–0.56	0.14

Thermometer-Registrierung. **Zugspitze.** 1912.

Juli

Datum	1ª	2ª	3ª	4ª	5ª	6ª	7ª	8ª	9ª	10ª	11ª	12m	1P	2P	3P	4P	5P	6P	7P	8P	9P	10P	11P	12mn	Mittel
1.	1.6	1.6	0.9	0.7	0.7	0.5	0.2	0.3	− 0.2	0.9	0.6	1.3	2.5	4.5	3.8	3.0	0.9	− 0.1	− 1.7	− 2.0	− 2.3	− 1.9	− 1.8	− 1.8	0.51
2.	− 2.0	− 2.1	− 1.9	− 1.9	− 2.0	− 1.8	− 1.7	− 2.3	− 2.7	− 2.8	− 1.4	− 1.2	− 1.6	− 1.7	− 1.9	− 2.0	− 2.3	− 1.7	− 1.7	− 2.5	− 3.1	− 3.6	− 3.6	− 3.6	− 2.21
3.	− 3.9	− 4.2	− 4.4	− 4.4	− 4.4	− 4.0	− 2.7	− 1.6	− 0.6	− 0.1	0.2	0.7	0.1	0.0	− 0.1	− 0.2	− 0.6	− 0.4	0.9	0.5	− 1.8	− 2.0	− 2.1	− 2.3	− 1.56
4.	− 2.4	− 2.6	− 2.7	− 2.9	− 3.0	− 3.2	− 3.3	− 2.2	− 1.7	− 0.9	− 1.2	− 1.0	− 0.9	− 0.9	− 1.8	− 2.3	− 2.3	− 2.2	− 2.4	− 2.1	− 3.1	− 3.1	− 2.9	− 2.8	− 2.25
5.	− 2.8	− 2.9	− 3.6	− 3.7	− 3.6	− 3.1	− 2.0	− 2.2	− 1.5	− 0.4	0.1	0.1	0.4	1.6	1.7	1.8	2.1	2.3	2.2	1.6	1.5	1.6	1.5	1.6	− 0.24
6.	1.4	1.3	1.2	1.3	1.2	1.3	3.0	3.4	3.8	4.2	4.3	5.2	5.9	5.0	5.4	5.2	4.6	3.4	2.4	1.7	0.9	0.8	0.8	0.7	2.85
7.	0.7	0.6	0.6	0.5	0.5	0.4	0.4	0.5	0.6	0.8	0.1	− 0.3	− 1.0	− 0.8	− 1.6	− 1.9	− 2.4	− 2.4	− 2.3	− 2.3	− 1.6	− 1.5	− 1.3	− 1.2	− 0.62
8.	− 1.1	− 0.9	− 0.8	− 0.7	− 0.6	− 0.5	− 0.3	− 0.6	− 0.4	0.0	0.4	0.7	1.1	1.7	2.2	2.5	2.9	2.9	2.6	1.4	0.8	1.2	1.0	0.5	0.67
9.	1.1	1.0	1.0	0.7	0.8	0.9	1.6	2.7	3.2	3.5	3.5	3.2	3.2	4.2	3.4	2.7	2.1	1.2	1.0	0.7	0.7	0.3	0.2	0.0	1.79
10.	− 0.2	0 2	0.1	0.1	0.0	1.0	2.1	3.2	3.6	3.4	3.5	4.2	4.5	4.0	3.7	3.4	3.9	3.2	2.6	2.3	2.3	2.3	2.1	2.3	2.41
11.	2.3	2.2	2.1	1.8	1.7	2.5	3.3	2.9	3.1	3.5	3.8	3.4	4.6	6.2	6.8	5.4	4.2	4.9	5.7	4.3	3.7	3.5	3.0	3.3	3.68
12.	3.3	3.6	3.7	3.2	3.6	3.8	4.6	5.0	5.2	5.9	6.2	7.0	8.1	8.3	8.7	6.6	6.4	6.2	6.4	6.8	5.4	5.6	5.2	5.1	5.58
13.	5.5	4.7	4.8	4.7	4.7	4.4	4.8	5.2	5.5	5.9	6.4	7.8	7.7	8.8	8.2	6.1	5.4	5.5	5.5	6.4	6.2	5.9	5.8	5.7	5.90
14.	5.7	5.6	5.5	5.4	5.3	5.2	5.1	5.8	5.8	6.9	6.6	6.6	7.0	6.8	6.4	6.6	6.8	7.4	7.3	5.9	4.0	3.4	3.0	2.6	5.70
15.	2.5	3.2	3.7	3.7	3.6	4.0	4.0	4.4	4.7	5.0	5.4	5.9	6.6	7.0	7.4	7.7	7.8	8.1	5.8	5.0	4.5	4.6	4.9	4.6	5.17
16.	4.4	4.9	4.9	4.7	4.6	4.6	4.6	5.0	5.0	5.2	5.5	5.6	5.9	6.7	7.0	6.7	5.7	4.8	3.8	3.6	3.5	3.5	3.5	3.5	4.88
17.	3.7	3.7	3.4	3.4	3.4	3.5	3.5	3.7	3.8	4.0	4.6	5.0	4.7	5.2	6.0	6.3	6 7	6.6	5.2	4.2	3.9	3.4	2.9	2.8	4.32
18.	2.5	2.0	2.0	2.1	2.8	3.4	3.9	3.9	4.0	3.6	3.9	5 3	3.8	2.9	3.3	2.2	3.2	3.7	3.3	3.1	3.0	2.9	2.7	2.7	3.18
19.	2.8	2.7	3.4	3.3	3.0	3.5	3.6	3.5	4.1	4.7	3.8	4.6	4.2	3.1	2.3	1.3	0.6	0.2	− 0.7	− 0.9	− 1.7	− 1.9	− 1.8	− 1.8	1.91
20.	− 1.8	− 1.7	− 1.6	− 1.6	− 1.7	− 1.4	− 0.9	− 0.1	0.6	0.7	1.7	1.7	2.8	2.7	2.8	2.7	2.1	1.1	0.3	− 0.1	− 0.9	− 1.2	− 1.4	− 1.9	0.12
21.	− 2.4	− 2.9	− 3.4	− 4.0	− 4.5	− 5.0	− 5.5	− 5.3	− 5.2	− 5.2	− 5.3	− 5.3	− 5.1	− 5.0	− 5.0	− 4.8	− 4.7	− 4.7	− 4.6	− 4.4	− 4.2	− 4.1	− 4.2	− 3.9	− 4.53
22.	− 3.8	− 4.1	− 3.9	− 3.8	− 3.6	− 3.2	− 3.2	− 2.9	− 2.6	− 2.3	− 1.4	− 0.5	− 0.5	− 0.5	− 0.3	− 0.2	0.0	0.0	0.0	− 0.2	− 0.3	− 0.7	− 0.8	− 1.0	− 1.66
23.	− 1.3	− 1.6	− 1.8	− 1.7	− 1.6	− 1.4	− 2.0	− 1.8	− 1.5	− 1.9	− 1.4	− 0.5	− 0.2	− 0.5	− 0.3	− 0.2	− 0.1	0.0	0.0	0.1	0.0	0.1	0.0	− 0.1	− 0.82
24.	− 0.1	− 0.2	− 0.2	− 0.3	− 0.1	0.1	− 0.4	− 0.6	− 0.5	− 0.1	0.4	1.0	1.6	2.1	2.3	3.8	4.3	4.5	3.3	2.8	2.8	2.8	2.8	3.1	1.47
25.	2.7	2.7	2.6	2.6	2.8	3.6	3.9	3.9	4.0	4.2	4.8	5.5	5.3	4.3	4.2	2.7	3.7	3.0	2.7	1.4	1.0	0.9	0.8	0.9	3.09
26.	0.6	0.0	− 0.5	− 0.5	− 0.2	0.2	0.4	1.9	1.9	2.7	3.3	3.6	4.3	5.2	5.4	5.0	5.1	4.6	4.5	4.2	4.1	3.7	3.9	3.8	2.80
27.	3.7	3.2	3.0	2.9	3.0	3.6	4.4	6.0	5.9	5.8	5.7	6.4	6.9	7.3	6.9	7.7	7.6	7.5	6.7	5.6	5.2	5.2	4.9	4.7	5.41
28.	4.4	4.1	3.9	3.9	4.0	4.5	4.9	5.5	5.7	6.0	6.7	7.3	7.7	8.3	8.7	8.3	8.1	7.0	6.2	5.5	5.3	4.9	4.8	4.5	5.84
29.	4.6	4.1	3.9	2.9	3.0	3.2	2.8	2.6	2.4	2.6	3.5	3.6	3.9	4.4	4.6	4.1	4.1	3.3	2.7	2.2	1.7	0.8	0.2	0.2	2.98
30.	− 0.3	− 0.4	− 1.9	− 1.7	− 1.2	− 1.5	− 0.6	0.0	0.0	0.0	0.9	2.0	2.7	2.4	0.8	0.6	0.8	0.1	− 1.3	− 2.2	− 2.0	− 1.8	− 1.8	− 1.8	− 0.34
31.	− 1.8	− 1.6	− 1.5	− 1.4	− 1.5	− 1.5	− 1.5	− 1.4	− 1.0	− 0.5	− 0.1	− 0.3	0.8	2.5	2.8	3.1	3.6	3.2	2.4	1.9	2.1	1.8	1.8	2.0	0.58
Mittel	0.95	0.85	0.73	0.63	0.67	0.89	1.19	1.56	1.77	2.11	2.42	2.86	3.13	3.41	3.35	3.03	2.91	2.68	2,22	1.76	1.34	1,21	1.10	1.05	1.83

August

Datum	1ª	2ª	3ª	4ª	5ª	6ª	7ª	8ª	9ª	10ª	11ª	12m	1P	2P	3P	4P	5P	6P	7P	8P	9P	10P	11P	12mn	Mittel
1.	2.2	1.9	1.9	2.2	2.6	3.4	3.8	4.9	5.0	5.8	6.1	5.8	6.5	7.8	6.0	6.5	6.2	5.6	4.9	4.3	4.2	4.0	4.0	3.3	4.54
2.	3.1	2.8	2.7	2.6	2.7	3.0	3.1	3.1	3.3	2.7	2,2	2.0	2.3	2.7	3.0	3.1	1.3	− 0.1	− 0.9	− 0.8	− 0.8	− 1.0	− 0.9	− 0.6	1,69
3.	− 0.8	− 0.8	− 1.5	− 2.1	− 1.7	− 1.0	− 0.4	0.0	− 0.1	− 0.1	− 0.1	0.1	2.0	3.0	3.2	3.9	4.4	4.8	4.4	4.5	4.5	4.5	4.5	4.5	1.65
4.	4.5	4.4	4.4	4.4	4.4	4.4	4.4	4.5	5.1	5.2	6.1	6.0	6.4	6.5	6.6	6.4	6.6	6.5	5.6	5.7	6.2	5.7	4.9	4.0	5.37
5.	3.8	3.6	3.2	2.7	2.1	1.8	1.1	1.8	1.1	0.4	− 0.1	− 0.3	− 1.2	− 1.1	− 0.9	− 0.5	− 0.3	− 0.2	− 0.1	0.7	0.9	1.3	1.3	1.4	0.94
6.	1.7	1.8	1.9	2.1	2.0	1.9	1.9	0.7	0.7	0.4	1.0	2.3	1.8	2.3	2.4	2.3	2.1	2.0	0.5	0.2	− 0.2	− 0.3	− 0.9	− 0.9	1.24
7.	− 0.6	− 0.4	− 0.4	− 0.4	− 0.5	− 0.4	− 0.1	0.3	0.3	0.3	0.5	0.5	0.0	0.2	− 0.2	− 2.1	− 2.5	− 4.2	− 4.4	− 4.3	− 4.0	− 3.8	− 4.0	− 4.3	− 1.44
8.	− 4.6	− 4.9	− 5.5	− 5.8	− 6.2	− 6.4	− 5.8	− 4.8	− 5.0	− 4.7	− 4.3	− 4.5	− 4.0	− 3.0	− 2.8	− 3.3	− 3.6	− 3.7	− 3.7	− 4.4	− 4.7	− 4.7	− 4.7	− 4.9	− 4.59
9.	− 5.2	− 4.6	− 3.5	− 3.0	− 3.1	− 4.3	− 5.0	− 3.3	− 3.4	− 2.6	− 2.2	− 1.7	− 1.4	− 0.9	− 0.5	− 0.9	− 2.3	− 2.8	− 3.1	− 3.0	− 3.2	− 3.0	− 2.9	− 2.9	− 2.87
10.	− 2.9	− 3.0	− 3.4	− 3.5	− 3.3	− 1.9	− 2.0	− 1.0	− 0.2	− 0.1	− 0.1	0.0	0.1	0.4	0.3	0.0	− 0.4	− 2.1	− 2.2	− 1.8	− 2.4	− 3.0	− 2.7	− 3.1	− 1.60
11.	− 2.9	− 3.9	− 4.6	− 5.3	− 5.7	− 5.9	− 5.8	− 4.9	− 4.7	− 4.6	− 4.6	− 4.7	− 4.7	− 4.8	− 4.9	− 4.9	− 4.8	− 5.2	− 5.5	− 5.6	− 5.5	− 5.5	− 5.6	− 5.5	− 5.00
12.	− 5.8	− 5.6	− 5.6	− 5.7	− 5.8	− 5.8	− 5.7	− 5.4	− 4.9	− 4.5	− 4.5	− 3.6	− 4.1	− 4.5	− 4.2	− 2.5	− 1.8	− 1.6	− 1.3	− 1.1	− 1.0	− 0.6	− 0.5	− 0.3	− 3.60
13.	− 0.1	− 0.3	0.0	0.5	0.5	1.1	1.1	2.0	1.6	1.4	1.2	1.8	1.6	1.7	0.2	0.2	0.1	0.2	− 1.2	− 1.6	− 2.2	− 2.1	− 2.1	− 2.2	0.13
14.	− 2.8	− 3.8	− 3.8	− 3.6	− 3.3	− 3.3	− 3.3	− 3.7	− 4.4	− 5.0	− 5.3	− 5.0	− 4.3	− 3.1	− 2.1	− 2.0	− 2.7	− 3.1	− 3.7	− 3.6	− 4.5	− 3.9	− 4.0	− 4.1	− 3.69
15.	− 4.0	− 4.0	− 4.0	− 3.8	− 3.9	− 3.6	− 3.2	− 2.0	− 1.6	− 1.4	− 1.0	− 0.2	− 0.3	− 0.3	− 1.1	− 1.3	− 2.1	− 2.6	− 3.7	− 3.6	− 4.0	− 4.0	− 4.3	− 4.6	− 2.69
16.	− 4.7	− 4.8	− 4.8	− 4.8	− 4.7	− 4.3	− 3.8	− 3.0	− 2.9	− 2.8	− 2.7	− 2.3	− 1.8	− 1.7	− 1.7	− 1.1	− 1.0	− 1.0	− 1.1	− 1.2	− 1.5	− 1.7	− 1.8	− 1.9	− 2.63
17.	− 2.0	− 2.3	− 2.5	− 2.6	− 2.5	− 2.3	− 2.0	− 0.9	− 0.9	− 0.8	− 0.5	− 0.4	− 0.1	0.0	0.2	0.0	− 0.2	− 0.4	− 0.6	− 0.9	− 1.0	− 0.9	− 0.9	− 0.8	− 1.05
18.	− 0.9	− 0.9	− 0.9	− 0.8	− 0.6	− 0.4	− 0.4	0.9	1.1	1.4	1.7	2.0	2.9	3.1	3.6	3.6	3.7	3.5	3.1	2.8	3.4	3.3	3.2	3.1	1.73
19.	3.0	2.1	1.8	1.5	1.4	1.0	1.0	1.7	2.6	2.8	3.1	3.1	3.6	4.1	4.5	4.7	4.8	4.7	4.4	4.2	3.9	3.0	3.2	3.3	3.06
20.	2.8	2.7	2.7	2.6	3.0	2.7	2.8	3.0	2.3	2.5	2.5	3.3	3.9	4.4	4.5	4.1	3.7	3.8	3.6	1.4	1.8	1.8	1.3	0.5	2.82
21.	− 0.6	− 1.1	− 1.7	− 1.8	− 1.9	− 2.1	− 2.2	− 2.6	− 2.4	− 1.9	− 1.8	− 0.9	− 0.7	− 1.1	− 1.1	− 1.5	− 1.9	− 2.1	− 2.3	− 3.1	− 3.5	− 3.6	− 3.8	− 3.9	− 2.07
22.	− 4.4	− 4.7	− 4.7	− 5.0	− 5.4	− 5.3	− 4.9	− 3.8	− 3.5	− 2.6	− 2.2	− 2.1	− 2.4	− 2.8	− 3.0	− 3.2	− 4.2	− 4.4	− 4.4	− 4.8	− 4.9	− 5.2	− 5.7	− 6.4	− 4.17
23.	− 6.4	− 6.7	− 6.8	− 6.6	− 6.5	− 6.7	− 6.9	− 7.0	− 6.9	− 6.7	− 6.6	− 6.2	− 5.3	− 4.9	− 4.6	− 4.0	− 3.8	− 3.7	− 3.6	− 3.1	− 2.7	− 2.5	− 1.3	− 1.4	− 5.04
24.	− 1.0	− 1.7	− 2.2	− 2.3	− 2.3	− 2.3	− 2.2	− 2.1	− 2.1	− 1.9	− 1.5	− 1.1	− 0.7	− 0.6	− 0.6	− 0.4	− 0.4	− 0.3	− 0.3	− 0.2	− 0.1	− 0.1	0.0	0.0	− 1.09
25.	− 2.0	− 0.2	− 0.7	− 1.1	− 1.0	− 0.8	− 0.7	− 0.5	− 0.4	− 0.3	− 0.3	− 0.4	− 0.1	0.0	0.1	0.1	0.8	1.2	0.3	0.2	0.1	0.2	0.0	0.2	− 0.22
26.	0.1	0.3	0.3	0.4	0.5	0.5	2.5	2.9	3.2	2.9	3.6	2.9	2.7	2.7	2.3	2.0	1.6	1.5	1.2	0.7	− 0.6	− 0.7	− 0.2	− 0.3	1.38
27.	− 0.8	− 3.0	− 5.4	− 5.4	− 5.4	− 5.4	− 5.4	− 5.1	− 4.8	− 4.4	− 4.9	− 4.8	− 4.6	− 4.8	− 5.1	− 4.9	− 5.0	− 4.9	− 4.8	− 4.5	− 4.4	− 4.4	− 4.4	− 4.4	− 4.63
28.	− 4.1	− 4.0	− 3.7	− 3.6	− 4.0	− 4.2	− 4.4	− 4.0	− 4.0	− 3.9	− 3.6	− 3.1	− 3.0	− 2.9	− 2.7	− 2.8	− 2.9	− 3.1	− 3.4	− 3.5	− 3.6	− 3.7	− 3.7	− 3.9	− 3.58
29.	− 4.4	− 5.0	− 5.8	− 5.9	− 5.8	− 5.3	− 4.8	− 4.2	− 4.0	− 3.6	− 3.7	− 3.3	− 2.1	− 1.0	− 0.7	− 0.7	1.1	1.4	1.3	1.4	1.5	1.8	1.4	1.3	− 2.05
30.	1.3	1.5	1.6	1.6	1.7	2.1	2.9	3.7	4.3	4.4	4.2	3.7	4.0	4.7	4.0	4.0	3.1	2.5	1.8	1.3	0.5	− 1.5	− 2.6	− 3.1	2.15
31.	− 3.5	− 3.6	− 3.2	− 2.9	− 2.6	− 1.8	− 2.8	− 2.3	− 2.4	− 2.5	− 2.4	− 1.6	− 1.4	− 2.0	− 1.9	− 2.5	− 2.4	− 2.6	− 3.4	− 3.3	− 3.6	− 3.5	− 3.6	− 3.7	− 2.73
Mittel	−1.35	−1.55	−1.75	−1.79	−1.78	−1.66	−1.52	−1.00	−0.90	−0.78	−0.65	−0.41	−0.14	0.13	0.09	0.06	−0.09	−0.34	−0.72	−0.87	−1.01	−1.10	−1.19	−1.34	− 0.90

Thermometer-Registrierung. **Zugspitze.** 1912.

September

Datum	1ª	2ª	3ª	4ª	5ª	6ª	7ª	8ª	9ª	10ª	11ª	12m	1p	2p	3p	4p	5p	6p	7p	8p	9p	10p	11p	12mn	Mittel
1.	– 3.8	– 3.9	– 4.2	– 4.4	– 4.4	– 4.3	– 3.9	– 3.4	– 3.4	– 2.6	– 1.7	– 1.1	– 2.6	– 2.9	– 3.4	– 4.2	– 3.9	– 4.3	– 4.4	– 5.3	– 6.4	– 6.2	– 6.0	– 6.1	– 4.03
2.	– 6.2	– 5.8	– 5.5	– 5.8	– 5.6	– 5.4	– 5.0	– 4.3	– 4.2	– 3.6	– 3.1	– 2.2	– 3.0	– 2.6	– 2.9	– 3.2	– 3.5	– 3.6	– 3.7	– 3.9	– 4.2	– 4.3	– 4.4	– 4.6	– 4.19
3.	– 4.8	– 5.0	– 5.4	– 5.4	– 5.4	– 5.7	– 5.8	– 5.9	– 6.3	– 6.6	– 6.8	– 6.8	– 6.7	– 6.5	– 6.4	– 6.3	– 6.3	– 6.2	– 6.2	– 6.2	– 6.3	– 6.3	– 6.3	– 6.3	– 6.08
4.	– 6.3	– 6.3	– 6.3	– 6.3	– 6.3	– 6.3	– 6.3	– 6.3	– 6.4	– 6.4	– 6.7	– 6.9	– 6.9	– 6.9	– 7.0	– 6.4	– 1.9	– 0.7	– 0.7	– 1.7	– 1.7	– 1.8	– 1.2	– 0.9	– 4.78
5.	– 0.8	– 0.7	– 0.8	– 0.7	– 0.8	– 0.8	– 0.9	– 0.7	– 0.5	– 0.5	– 0.3	– 0.3	– 0.3	– 0.3	– 0.2	– 0.2	– 0.1	– 0.3	– 0.8	– 1.5	– 2.0	– 2.5	– 2.8	– 3.1	– 0.91
6.	– 3.6	– 3.8	– 4.0	– 4.1	– 4.3	– 4.6	– 4.8	– 4.4	– 4.5	– 4.4	– 4.2	– 3.7	– 3.0	– 3.4	– 4.2	– 5.2	– 6.0	– 6.5	– 6.7	– 7.3	– 7.9	– 8.1	– 8.6	– 8.9	– 5.26
7.	– 8.9	– 9.1	– 9.4	– 9.5	– 9.4	– 9.2	– 9.0	– 8.4	– 8.5	– 8.4	– 8.2	– 8.0	– 7.8	– 7.6	– 7.4	– 7.4	– 7.4	– 7.5	– 7.7	– 8.0	– 8.1	– 8.2	– 8.3	– 8.4	– 8.33
8.	– 8.5	– 8.5	– 8.5	– 8.4	– 8.3	– 8.2	– 8.2	– 7.9	– 7.9	– 7.9	– 7.6	– 6.9	– 6.3	– 5.6	– 4.7	– 4.3	– 4.0	– 4.0	– 4.0	– 4.0	– 4.0	– 3.9	– 4.0	– 3.9	– 6.23
9.	– 3.8	– 3.8	– 3.7	– 3.6	– 3.5	– 3.4	– 3.2	– 2.8	– 2.9	– 3.0	– 3.0	– 2.7	– 2.4	– 2.0	– 1.9	– 1.9	– 1.9	– 2.2	– 2.8	– 3.4	– 3.8	– 4.3	– 4.7	– 4.8	– 3.15
10.	– 5.0	– 5.2	– 5.5	– 5.6	– 5.6	– 5.6	– 5.5	– 5.7	– 5.6	– 5.6	– 5.6	– 5.6	– 4.9	– 4.8	– 4.6	– 4.4	– 4.3	– 4.3	– 4.7	– 5.0	– 5.6	– 5.7	– 6.2	– 6.6	– 5.30
11.	– 6.7	– 6.8	– 7.0	– 7.1	– 7.1	– 7.1	– 7.1	– 6.8	– 7.1	– 7.2	– 7.1	– 6.9	– 6.3	– 5.7	– 5.4	– 5.2	– 5.1	– 5.1	– 5.1	– 5.1	– 5.2	– 5.3	– 5.3	– 5.6	– 6.18
12.	– 5.7	– 5.9	– 6.1	– 6.2	– 6.1	– 5.7	– 5.1	– 4.1	– 4.7	– 5.3	– 5.1	– 5.1	– 5.0	– 4.8	– 5.0	– 5.0	– 5.1	– 5.2	– 5.4	– 5.7	– 6.1	– 6.2	– 6.3	– 6.7	– 5.48
13.	– 6.9	– 7.2	– 7.4	– 7.5	– 7.6	– 7.7	– 7.7	– 7.3	– 7.4	– 7.5	– 7.3	– 7.2	– 6.9	– 6.7	– 6.6	– 6.6	– 6.6	– 6.9	– 7.1	– 7.3	– 7.5	– 7.6	– 7.7	– 7.6	– 7.24
14.	– 7.6	– 7.6	– 7.6	– 7.6	– 7.5	– 7.5	– 7.5	– 6.7	– 6.9	– 7.2	– 7.1	– 6.9	– 6.4	– 6.0	– 6.0	– 6.2	– 6.4	– 6.4	– 6.8	– 7.1	– 7.5	– 7.5	– 7.7	– 7.7	– 7.06
15.	– 7.6	– 7.5	– 7.4	– 7.0	– 6.4	– 5.9	– 4.9	– 4.6	– 4.5	– 4.2	– 4.3	– 4.3	– 4.3	– 4.4	– 4.5	– 4.8	– 5.0	– 5.2	– 5.3	– 5.4	– 5.6	– 5.8	– 6.2	– 6.4	– 5.48
16.	– 6.6	– 6.7	– 7.0	– 7.2	– 7.3	– 7.4	– 7.5	– 7.4	– 7.9	– 8.1	– 8.2	– 8.2	– 8.0	– 6.5	– 7.7	– 7.7	– 7.7	– 7.8	– 7.8	– 7.8	– 7.9	– 8.0	– 8.2	– 8.4	– 7.63
17.	– 8.4	– 8.5	– 8.7	– 8.5	– 8.4	– 7.9	– 7.6	– 6.0	– 5.4	– 5.1	– 4.5	– 4.4	– 4.2	– 4.2	– 4.2	– 4.0	– 3.9	– 4.0	– 4.1	– 4.3	– 4.6	– 4.5	– 4.7	– 5.2	– 5.64
18.	– 5.3	– 5.5	– 5.8	– 5.9	– 5.9	– 5.8	– 5.7	– 4.8	– 4.7	– 4.4	– 4.2	– 3.9	– 3.8	– 3.5	– 3.4	– 3.3	– 2.9	– 2.8	– 2.7	– 2.7	– 2.8	– 2.9	– 3.1	– 3.2	– 3.71
19.	– 3.5	– 3.7	– 4.0	– 4.2	– 4.4	– 4.4	– 4.5	– 4.1	– 4.4	– 4.5	– 4.3	– 4.0	– 3.6	– 3.2	– 3.2	– 3.3	– 3.5	– 3.7	– 4.0	– 4.4	– 4.8	– 5.0	– 5.5	– 5.7	– 4.16
20.	– 5.9	– 6.1	– 6.4	– 6.4	– 6.4	– 6.0	– 5.9	– 4.6	– 4.9	– 5.3	– 5.0	– 4.3	– 3.7	– 3.2	– 3.2	– 3.5	– 3.9	– 4.1	– 4.4	– 4.6	– 4.8	– 4.7	– 4.6	– 4.7	– 4.86
21.	– 4.8	– 5.0	– 5.0	– 4.8	– 5.1	– 5.3	– 5.3	– 4.4	– 5.4	– 9.6	– 6.5	– 6.8	– 7.2	– 7.2	– 7.4	– 7.6	– 7.7	– 8.2	– 8.5	– 9.0	– 9.7	– 9.8	– 9.9	– 9.9	– 7.09
22.	–10.3	–10.3	–10.2	–10.1	–10.0	– 9.9	– 9.8	– 8.9	– 9.1	– 9.3	– 9.4	– 9.2	– 8.8	– 8.5	– 7.6	– 6.8	– 6.8	– 6.9	– 6.9	– 6.7	– 6.7	– 6.7	– 6.8	– 7.0	– 8.45
23.	– 7.3	– 7.6	– 7.7	– 7.9	– 7.8	– 8.0	– 7.6	– 7.4	– 7.3	– 7.3	– 7.2	– 7.2	– 7.0	– 6.7	– 6.5	– 6.2	– 6.3	– 6.5	– 7.2	– 7.7	– 7.9	– 8.0	– 8.5	– 9.0	– 7.41
24.	– 9.2	– 9.9	–10.1	–10.0	–10.0	–10.0	–10.4	–10.3	– 9.1	– 8.7	– 8.2	– 8.0	– 7.3	– 7.5	– 7.1	– 7.2	– 7.1	– 7.1	– 7.1	– 7.3	– 7.7	– 8.0	– 9.0	– 9.3	– 8.56
25.	– 9.6	– 9.8	– 9.6	– 7.4	– 7.3	– 7.7	– 9.5	– 8.8	– 8.7	– 8.0	– 7.8	– 8.1	– 8.7	– 9.0	– 9.1	– 9.3	– 9.7	–10.1	–10.2	–10.9	–11.0	–11.2	–11.3	–11.6	– 9.35
26.	–11.9	–11.6	–11.8	–12.1	–11.2	– 9.9	–10.0	– 7.0	– 7.4	– 9.0	– 9.3	– 8.8	– 8.4	– 7.7	– 8.0	– 7.1	– 8.3	– 8.5	– 9.8	–10.1	–10.2	–11.8	–11.3	–11.6	– 9.70
27.	–10.7	– 9.5	–10.6	– 9.9	– 9.4	– 9.5	– 9.1	– 8.6	– 8.5	– 7.9	– 7.8	– 7.3	– 6.8	– 6.7	– 7.1	– 6.6	– 7.1	– 7.4	– 7.1	– 7.2	– 7.1	– 7.3	– 5.3	– 4.7	– 7.89
28.	– 5.0	– 5.5	– 5.8	– 6.6	– 7.1	– 6.8	– 5.8	– 5.7	– 5.2	– 4.9	– 4.8	– 4.4	– 3.4	– 4.8	– 4.6	– 4.5	– 4.2	– 4.2	– 3.8	– 3.6	– 3.6	– 3.7	– 2.9	– 3.6	– 4.77
29.	– 3.5	– 3.4	– 3.6	– 3.6	– 3.6	– 3.4	– 3.2	– 2.8	– 2.1	– 1.9	– 1.5	– 1.5	– 1.5	– 1.7	– 1.1	– 1.2	– 1.3	– 1.4	– 1.8	– 2.1	– 2.1	– 2.5	– 2.7	– 2.6	– 2.33
30.	– 2.8	– 2.4	– 3.0	– 2.1	– 2.9	– 3.1	– 2.9	– 1.6	– 1.7	– 1.7	– 1.8	– 1.6	– 1.8	– 1.4	– 1.1	– 0.6	– 0.2	– 0.6	– 1.3	– 1.3	– 1.3	– 1.1	– 2.2	– 2.3	– 1.73
Mittel	–6.37	–6.42	–6.60	–6.53	–6.50	–6.42	–6.32	–5.72	–5.75	–5.87	–5.62	–5.41	–5.23	–5.07	–5.05	–5.01	–4.94	–5.02	–5.27	–5.55	–5.80	–5.96	–6.06	–6.21	– 5.78

Oktober

1.	– 2.3	– 2.4	– 1.8	– 1.6	– 1.6	– 1.2	– 1.1	– 0.5	– 0.5	– 0.5	– 0.2	– 0.2	– 0.2	0.0	0.1	0.2	0.2	0.1	0.1	0.4	1.4	0.8	0.9	0.9	– 0.38
2.	0.7	0.7	0.3	0.8	0.9	0.4	0.7	0.6	0.8	1.1	0.8	0.7	0.6	– 0.8	– 0.4	– 0.5	– 1.7	– 2.4	– 2.4	– 2.0	– 1.1	– 1.7	– 2.4	– 1.7	– 0.33
3.	– 1.6	– 1.1	– 0.8	– 1.1	– 1.7	– 1.6	– 1.8	– 2.4	– 2.7	– 2.8	– 3.0	– 3.0	– 3.5	– 3.2	– 3.3	– 3.6	– 3.7	– 4.0	– 4.1	– 4.4	– 4.1	– 4.3	– 4.6	– 4.6	– 2.96
4.	– 4.6	– 4.6	– 5.0	– 6.4	– 6.3	– 6.7	– 6.7	– 5.8	– 7.2	– 6.9	– 7.5	– 8.7	– 9.0	– 9.2	– 8.3	– 8.4	– 9.4	– 9.7	– 9.5	– 8.9	– 9.2	– 8.7	– 8.8	– 8.8	– 7.68
5.	– 9.7	– 9.7	–10.6	–10.5	– 8.5	– 8.8	– 8.7	– 7.8	– 7.1	– 6.7	– 6.3	– 5.0	– 5.0	– 5.6	– 6.1	– 5.8	– 7.4	– 8.1	– 8.6	– 8.4	– 8.8	– 8.2	– 7.4	– 7.5	– 7.76
6.	– 7.8	– 7.2	– 7.0	– 7.2	– 7.3	– 6.9	– 6.9	– 5.8	– 5.4	– 4.7	– 4.2	– 4.2	– 3.1	– 1.9	– 2.4	– 2.5	– 2.2	– 4.9	– 5.6	– 6.0	– 6.3	– 7.3	– 8.0	– 8.1	– 5.54
7.	– 8.0	– 7.7	– 8.0	– 6.8	– 5.1	– 4.6	– 3.8	– 3.1	– 2.3	– 2.9	– 2.9	– 2.9	– 2.9	– 3.0	– 3.6	– 1.5	– 2.8	– 2.0	– 1.7	– 1.3	– 1.1	– 1.4	– 1.6	– 1.7	– 3.45
8.	– 1.8	– 2.1	– 2.1	– 2.4	– 2.4	– 2.2	– 2.0	– 1.8	– 1.8	– 1.5	– 1.3	– 1.2	– 1.0	– 0.8	– 0.8	– 0.8	– 0.3	– 1.4	– 1.4	– 1.5	– 1.1	– 1.8	– 2.1	– 3.0	– 1.61
9.	– 2.0	– 2.7	– 2.1	– 2.6	– 2.7	– 2.4	– 2.2	– 1.6	– 1.1	– 0.9	– 0.6	– 0.4	– 0.1	– 0.3	– 0.5	– 0.1	– 0.2	– 0.8	– 1.1	– 1.3	– 1.5	– 1.6	– 1.9	– 2.2	– 1.37
10.	– 2.5	– 2.3	– 2.2	– 2.6	– 2.8	– 2.8	– 2.8	– 2.6	– 2.5	– 2.2	– 1.9	– 1.2	– 0.6	– 0.4	– 0.5	0.0	– 1.6	– 1.3	– 3.0	– 3.7	– 3.9	– 3.6	– 3.8	– 3.8	– 2.28
11.	– 3.8	– 3.8	– 3.7	– 3.8	– 3.9	– 4.0	– 4.3	– 3.6	– 3.6	– 2.9	– 3.3	– 2.7	– 2.2	– 1.9	– 2.4	– 3.1	– 3.5	– 4.0	– 4.2	– 4.2	– 4.5	– 4.4	– 4.0	– 4.3	– 3.59
12.	– 4.2	– 4.4	– 4.4	– 4.0	– 4.0	– 4.0	– 4.0	– 3.5	– 3.3	– 3.1	– 3.0	– 1.2	0.0	– 0.1	– 1.0	– 1.2	– 1.7	– 2.8	– 2.8	– 2.9	– 3.0	– 3.2	– 3.4	– 3.3	– 2.85
13.	– 3.2	– 3.5	– 3.7	– 3.5	– 3.2	– 3.2	– 3.2	– 3.1	– 3.0	– 2.3	– 1.4	– 0.7	– 0.6	– 0.2	– 0.3	– 0.6	– 1.4	– 2.9	– 3.6	– 4.1	– 4.3	– 4.0	– 3.9	– 3.8	– 2.65
14.	– 3.7	– 3.1	– 2.4	– 2.4	– 1.4	– 1.4	– 1.4	– 0.7	– 0.3	0.1	0.1	0.9	0.7	0.3	0.2	0.8	– 0.7	– 1.9	– 2.4	– 2.6	– 2.1	– 2.3	– 2.6	– 2.9	– 1.30
15.	– 2.2	– 2.6	– 2.9	– 2.9	– 2.9	– 3.7	– 3.8	– 3.1	– 2.8	– 2.7	– 2.7	– 2.9	– 1.9	– 2.3	– 2.2	– 2.7	– 3.9	– 4.0	– 4.8	– 5.0	– 4.8	– 3.9	– 3.3	– 3.4	– 3.23
16.	– 4.2	– 4.3	– 4.4	– 4.6	– 5.2	– 5.7	– 4.4	– 4.2	– 3.0	– 2.6	– 1.3	– 0.8	– 0.1	0.6	– 0.2	– 0.1	– 0.6	– 0.6	– 0.7	– 1.5	– 1.3	– 1.3	– 1.5	– 1.7	– 2.23
17.	– 2.0	– 2.0	– 2.3	– 2.1	– 2.1	– 2.3	– 2.8	– 2.6	– 2.9	– 2.9	– 2.6	– 2.5	– 2.3	– 2.3	– 1.9	– 1.8	– 2.3	– 2.3	– 2.6	– 2.7	– 3.9	– 4.8	– 4.7	– 5.5	– 2.76
18.	– 5.9	– 6.4	– 7.5	– 8.4	– 8.8	– 9.9	–11.4	–10.2	–10.5	–10.8	–10.9	–10.8	–10.4	– 8.9	– 8.8	– 9.1	– 9.4	– 9.9	–10.2	–10.6	–10.4	–10.6	–11.0	–11.2	– 9.67
19.	–11.2	–12.5	–12.6	–12.5	–12.5	–11.9	–11.2	–11.7	–11.1	–10.8	–10.1	–10.2	– 8.2	– 4.2	– 4.7	– 5.4	– 5.3	– 5.2	– 5.3	– 5.5	– 5.8	– 6.4	– 6.6	– 6.6	– 8.65
20.	– 6.3	– 6.6	– 6.8	– 6.9	– 6.7	– 7.2	– 7.5	– 6.7	– 6.8	– 7.1	– 6.9	– 7.2	– 6.6	– 6.3	– 6.7	– 6.7	– 6.9	– 7.1	– 7.1	– 7.3	– 7.5	– 7.8	– 8.7	– 8.7	– 7.09
21.	– 8.7	– 8.4	– 7.7	– 6.7	– 6.1	– 5.1	– 4.6	– 4.7	– 5.0	– 4.3	– 4.1	– 3.5	– 2.7	– 3.1	– 2.2	– 3.7	– 4.4	– 4.1	– 4.7	– 4.3	– 4.2	– 5.5	– 5.4	– 5.6	– 4.95
22.	– 5.7	– 5.8	– 5.8	– 5.9	– 5.9	– 5.8	– 5.8	– 6.9	– 6.4	– 5.4	– 5.4	– 5.6	– 5.0	– 5.2	– 4.9	– 5.6	– 9.3	–10.9	–11.8	–11.7	–11.0	– 9.4	–10.0	–10.4	– 7.32
23.	–10.7	–10.6	–11.2	–11.3	–11.7	–11.6	–11.1	– 9.6	–11.5	–11.8	–11.3	–10.8	– 9.5	– 8.9	– 8.6	– 9.2	– 8.5	– 8.2	– 8.3	– 8.3	– 9.5	–10.2	–10.4	–10.06	
24.	–10.4	– 9.7	– 9.9	–10.1	–10.3	–10.2	–10.2	–10.1	– 9.1	– 8.5	– 6.0	– 3.9	– 3.6	– 4.8	– 4.4	– 1.9	– 1.2	– 3.8	– 8.2	– 8.6	– 8.4	– 5.4	– 6.5	– 3.9	– 7.05
25.	– 5.3	– 3.3	– 2.9	– 3.5	– 3.8	– 3.5	– 4.7	– 5.3	– 6.8	– 7.9	– 9.6	–10.0	–10.0	–10.5	–10.4	–10.5	–10.5	–10.9	–11.3	–11.4	–11.4	–11.3	–11.4	–11.3	– 8.23
26.	–11.3	–11.3	–11.2	–11.4	–11.5	–11.4	–11.1	–10.6	–11.2	–10.8	–10.4	–10.1	– 9.5	– 9.1	– 9.0	– 8.9	– 8.1	– 7.9	– 7.7	– 7.6	– 7.4	– 6.7	– 6.2	– 4.7	– 9.38
27.	– 3.8	– 3.8	– 3.7	– 3.6	– 3.5	– 3.4	– 3.3	– 2.9	– 2.8	– 3.0	– 3.2	– 2.7	– 2.8	– 2.8	– 2.7	– 2.5	– 3.0	– 2.9	– 3.0	– 3.3	– 3.4	– 3.5	– 3.9	– 4.1	– 3.23
28.	– 4.3	– 4.4	– 4.5	– 4.5	– 4.4	– 4.5	– 4.5	– 5.0	– 4.5	– 4.3	– 3.7	– 3.8	– 3.9	– 3.6	– 3.7	– 3.4	– 3.6	– 3.5	– 4.1	– 3.2	– 3.2	– 2.9	– 2.1	– 1.8	– 3.81
29.	– 1.3	– 1.9	– 1.8	– 2.0	– 1.4	– 1.7	– 1.8	– 2.3	– 1.8	– 0.9	– 0.6	– 0.5	– 0.3	– 0.3	– 0.4	– 0.4	– 0.4	– 0.2	– 1.1	– 1.4	– 1.3	– 0.4	– 1.0	– 1.0	– 1.09
30.	– 0.4	– 0.5	– 0.3	– 0.5	– 0.2	– 0.2	– 1.0	– 0.8	– 0.5	0.2	1.0	0.9	1.0	0.7	0.2	– 0.4	– 1.1	– 0.4	– 1.1	– 1.0	– 1.9	– 1.8	– 2.0	– 2.1	– 0.51
31.	– 2.5	– 2.8	– 3.9	– 6.1	– 6.7	– 6.9	– 7.2	– 7.5	– 7.5	– 7.9	– 7.8	– 7.7	– 8.2	– 8.7	– 8.7	– 8.9	– 9.0	– 9.0	– 9.0	– 9.1	– 9.1	– 9.1	– 9.1	– 9.4	– 7.58
Mittel	–4.86	–4.86	–4.93	–5.07	–4.96	–4.98	–4.99	–4.71	–4.65	–4.44	–4.20	–3.93	–3.57	–3.45	–3.50	–3.47	–4.02	–4.43	–4.88	–4.95	–4.93	–4.90	–5.07	–5.05	– 4.53

Thermometer-Registrierung. **Zugspitze.** 1912.

November

Datum	1a	2a	3a	4a	5a	6a	7a	8a	9a	10a	11a	12m	1p	2p	3p	4p	5p	6p	7p	8p	9p	10p	11p	12mn	Mittel
1.	– 9.5	– 9.5	– 9.7	–10.2	–10.3	–10.1	– 9.8	– 9.1	– 9.2	– 9.4	– 9.8	–10.5	–11.5	–12.4	–12.9	–13.1	–13.2	–13.3	–13.5	–13.5	–13.6	–13.8	–13.9	–14.1	–11.50
2.	–14.2	–14.7	–15.0	–15.3	–15.6	–15.7	–15.8	–16.0	–16.0	–15.9	–15.3	–14.9	–14.1	–14.0	–13.8	–13.9	–14.0	–14.3	–14.8	–14.8	–15.3	–15.7	–15.9	–15.8	–15.03
3.	–15.9	–16.0	–16.4	–16.7	–17.1	–17.1	–17.2	–15.7	–15.9	–15.9	–16.2	–15.8	–15.9	–15.9	–16.0	–16.2	–16.4	–16.7	–16.9	–16.8	–16.7	–16.6	–16.6	–16.5	–16.38
4.	–16.7	–16.7	–16.8	–16.8	–16.7	–16.7	–16.8	–16.0	–16.8	–16.8	–16.3	–16.0	–16.1	–16.1	–16.1	–16.0	–16.0	–16.3	–16.5	–16.5	–16.4	–16.3	–16.2	–15.5	–16.38
5.	–14.8	–14.6	–14.4	–14.1	–13.8	–13.4	–13.0	–12.0	–10.5	– 9.5	– 8.9	– 9.7	–10.5	–10.7	–10.8	–11.1	–11.0	–11.2	–11.1	–11.3	–11.3	–12.0	–12.1	–12.3	–11.84
6.	–12.7	–13.4	–12.5	–12.4	–11.4	–11.6	–11.3	–11.1	–11.6	–11.9	–12.6	–13.2	–13.3	–13.5	–14.2	–15.0	–14.8	–16.0	–16.1	–16.3	–16.8	–16.5	–18.1	–18.9	–13.97
7.	–19.2	–19.2	–19.2	–19.4	–19.7	–20.2	–20.3	–19.8	–18.3	–17.0	–16.9	–16.6	–16.1	–15.7	–15.6	–15.7	–16.0	–14.3	–14.4	–14.3	–13.8	–13.4	–12.2	–12.4	–16.65
8.	–11.4	–11.3	–10.8	–10.8	–10.2	– 9.8	– 9.1	– 8.6	– 9.1	– 8.6	– 8.7	– 7.9	– 5.9	– 5.3	– 5.7	– 5.2	– 4.8	– 4.7	– 4.8	– 3.9	– 3.3	– 2.9	– 3.0	– 3.0	– 7.03
9.	– 3.5	– 3.7	– 5.1	– 5.3	– 5.7	– 5.7	– 5.2	– 4.5	– 4.6	– 5.1	– 5.3	– 5.3	– 5.4	– 5.5	– 5.7	– 5.7	– 5.8	– 5.7	– 5.8	– 5.6	– 6.0	– 5.4	– 5.3	– 4.5	– 5.23
10.	– 4.1	– 4.2	– 4.2	– 4.1	– 3.9	– 3.9	– 4.0	– 3.6	– 3.5	– 3.4	– 3.0	– 2.9	– 2.8	– 2.8	– 2.9	– 3.0	– 3.1	– 3.5	– 3.6	– 3.6	– 4.2	– 4.3	– 4.4	– 4.3	– 3.64
11.	– 3.4	– 2.4	– 3.4	– 4.0	– 5.0	– 5.2	– 6.2	– 6.0	– 6.8	– 6.1	– 5.3	– 6.2	– 5.7	– 5.7	– 6.1	– 9.1	– 9.3	–11.7	–12.6	–13.1	–13.7	–13.8	–14.5	–14.8	– 7.92
12.	–15.0	–14.9	–15.2	–15.8	–15.9	–16.1	–16.1	–15.1	–15.9	–15.7	–15.1	–15.0	–14.9	–14.5	–14.9	–14.9	–15.0	–14.7	–14.7	–14.7	–14.8	–14.9	–15.2	–15.4	–15.20
13.	–15.8	–16.2	–16.2	–13.3	–13.1	–11.9	–11.2	–10.2	–10.6	–10.7	–10.8	–10.5	–11.5	–12.6	–11.7	–11.9	–10.5	– 9.2	– 9.3	– 8.9	– 8.6	– 7.9	– 6 8	– 6.7	–11.09
14.	– 6.1	– 6.2	– 6.6	– 6.6	– 7.1	– 7.1	– 7.3	– 7 5	– 7.5	– 7.6	– 7.4	– 7.2	– 6.8	– 6.8	– 8.1	– 9.2	–12.1	–11.6	– 9.4	–10.8	–13.1	–14.0	–10.4	–10.5	– 8.63
15.	–10.5	–10.3	– 9.6	– 9.3	– 9.2	– 9.0	– 9.1	– 9.4	– 8 4	– 9 2	– 7.8	– 7.1	– 7.1	– 7.2	– 7.2	– 6.9	– 7.2	– 6.9	– 6.6	– 6.1	– 6.0	– 5.8	– 5.9	– 6.3	– 7.84
16.	– 6.6	– 7.5	– 7.8	– 8.3	– 8.3	– 7.9	– 8.1	– 7.8	– 7.8	– 6.8	– 6.7	– 5.9	– 6.5	– 7.3	– 7.4	– 7.3	– 7.6	– 7.8	– 7.7	– 7.7	– 7.9	– 7.9	– 7.7	– 8.6	– 7.54
17.	– 8.8	– 8.7	– 7.9	– 7.8	– 8.2	– 8.6	– 8.8	– 8.2	– 8 4	– 8.5	– 8.6	– 8.4	– 7.5	– 6.4	– 5.4	– 4.7	– 5.0	– 6.5	– 8.0	– 8.8	– 9.6	–10.2	–10.9	–11.5	– 8.14
18.	–11.6	–11.3	–10.9	–10.5	–10.7	– 9.8	– 9.7	– 8.0	– 8.9	– 8.1	– 6.7	– 5.0	– 4.9	– 4.4	– 4.1	– 3.8	– 3.4	– 3.2	– 4.2	– 4.6	– 6.8	– 6.7	– 7.2	– 7.5	– 7.17
19.	– 6.7	– 8.7	– 9.8	– 9.1	–11.3	–11.8	–13.4	–14.2	–14.6	–14.6	–14.6	–13.8	–13.7	–13.9	–14.2	–14.4	–14.5	–14.6	–14.5	–14.3	–14.2	–14.0	–13.9	–13.7	–13.02
20.	–13.8	–13.9	–14.1	–14.2	–13.6	–13.5	–13.5	–12.8	–12.8	–12.7	–12.7	–12.7	–12.8	–12.9	–13.2	–13.4	–13.6	–13.8	–13.7	–13.6	–13.4	–13.3	–13.3	–13.2	–13.35
21.	–13.2	–13.1	–13 4	–13.2	–13.1	–13.0	–13.1	–12.4	–12.6	–12.6	–12.7	–13.0	–13.0	–13.4	–13.6	–14.0	–14.2	–14.4	–14.4	–14.4	–14.4	–14.4	–14.4	–14.4	–13.52
22.	–14.6	–14.5	–14.6	–14.9	–14.8	–14.8	–14.8	–14.1	–14.3	–14.2	–13.9	–14.0	–11.6	–14.6	–15.0	–15.1	–15.2	–15.1	–15.1	–15.0	–14.6	–14.1	–13.9	–14.4	–14.59
23.	–14.2	–13.8	–12.6	–11.1	–11.5	–11.9	–12.1	–11.5	–11.5	–11.1	–10.8	–10.5	–10.4	–10.4	–10.3	–10.1	–10.5	–10.3	–10.1	–10.3	– 9.4	– 9.0	– 8.4	– 7.8	–10.82
24.	– 7.5	– 7.7	– 8.1	– 7.7	– 7.7	– 7.3	– 8.1	– 7.8	– 8.5	– 7.8	– 8.4	– 8.4	– 9.1	– 9.3	– 9.7	–10.6	–11.6	–12.1	–12.5	–13.2	–12.9	–13.0	–11.2	– 9.3	– 9.56
25.	–11.4	–10.6	–10.5	–10.6	–10.6	–10.8	–11.1	–11.3	–11.4	–12.4	–12.8	–12.6	–12.4	–11.8	–10.9	–10.3	–10.3	–10.4	– 9.9	– 9.9	–10.2	–10.4	–10.3	–10.9	–10.99
26.	–11.0	–10.7	–10.7	–10.3	–10.1	–10.6	–10.8	–10.3	–10.4	– 9.7	– 9.3	– 9.1	– 8.5	– 8.2	– 7.6	– 8.0	– 7.6	– 7.1	– 6.7	– 6.2	– 5.7	– 5.2	– 5.3	– 5.5	– 8.53
27.	– 5.8	– 5.7	– 5.6	– 5.9	– 5.7	– 5.2	– 5.5	– 5.2	– 4.8	– 4.9	– 4.9	– 5.8	– 6.0	– 5.6	– 7.0	– 8.6	– 7.7	– 7.7	– 7.8	– 8.4	– 9.3	– 9.3	–10.4	–10.2	– 6.79
28.	–10.6	–10.3	– 9.6	–12.1	–12.7	–13.6	–14.0	–15.0	–14.7	–14.6	–15.5	–16.9	–16.2	–16.0	–15.9	–15.4	–15.3	–15.3	–15.5	–15.6	–15.6	–15.7	–15.3	–15.2	–14.44
29.	–15.1	–15.4	–16.3	–16.4	–16.0	–15.4	–15.7	–13.2	–13.3	–13.1	–11.4	–11.7	– 9.6	– 9.8	–11.3	–12.4	–11.6	–12.7	–13.0	–13.3	–13.4	–13.8	–13.2	–12.7	–13.33
30.	–12.9	–12.6	–12.4	–12.4	–11.9	–11.0	–10.3	– 9.5	– 8.9	– 8 5	– 8.1	– 7.8	– 7.8	– 8.3	– 8.8	– 8.0	– 7.5	– 9.0	– 8.4	– 7.7	– 6.7	– 8.1	– 8.9	– 8.8	– 9.35
Mittel	–11.22	–11.26	–11.31	–11.29	–11.36	–11.29	–11.38	–10.87	–10.92	–10.75	–10.55	–10.48	–10.35	–10.37	–10.54	–10.77	–10.83	–11.00	–11.05	–11.11	–11.26	–11.28	–11.16	–11.16	–10.98

Dezember

Datum	1a	2a	3a	4a	5a	6a	7a	8a	9a	10a	11a	12m	1p	2p	3p	4p	5p	6p	7p	8p	9p	10p	11p	12mn	Mittel
1.	– 9.2	– 9.3	– 9.3	– 9.4	– 9.1	– 9.0	– 9.0	– 8.8	– 8.8	– 8.9	– 8.8	–10.3	– 9.7	–10.3	–10.5	–10.7	–10.9	–11.4	–12.0	–11.6	–11.2	–10.9	–11.1	–11.2	–10.06
2.	–10.8	–11.3	–13.6	–13.7	–14.4	–14.7	–14.6	–14.5	–13.8	–13.8	–11.9	–11.3	–11.6	–12.0	–12.1	–12.7	–12.5	–12.6	–12.6	–12.7	–13.0	–13.2	–13.4	–13.5	–12.93
3.	–14.2	–14.5	–14.6	–14.1	–14.0	–14.1	–14.2	–13.9	–14.1	–14.2	–14.0	–14.3	–14.4	–14.3	–14.4	–14.8	–14.7	–14 6	–14.4	–14.4	–14.6	–14.8	–14.9	–15.0	–14.40
4.	–15.2	–15.2	–15.3	–16.0	–16.0	–16.2	–16.0	–14.9	–15.2	–15.0	–15.0	–15.4	–13.7	–13.4	–12.9	–12.1	–11.7	–11.0	–10.5	–10.7	– 8.8	– 8.4	– 8.4	– 7.6	–13.12
5.	– 6.8	– 5.8	– 4.8	– 4.7	– 4.2	– 4.2	– 4.5	– 4.2	– 3.4	– 3.5	– 3.3	– 3.0	– 2.8	– 2.0	– 2.4	– 3.1	– 3.8	– 4.0	– 3.9	– 3.4	– 4.2	– 4 3	– 4.1	– 4.2	– 3.94
6.	– 5.0	– 5.4	– 5.6	– 4.2	– 5.3	– 5.5	– 5.2	– 5.2	– 4.1	– 3.5	– 3.4	– 3.1	– 2.9	– 3.0	– 3.2	– 3.4	– 4.1	– 3.7	– 3.7	– 3.5	– 3.1	– 2.9	– 2.8	– 2.9	– 3.95
7.	– 2.9	– 3.1	– 4.8	– 5.6	– 5.9	– 6.0	– 6.1	– 5.9	– 5.3	– 5.6	– 5.8	– 5.6	– 5.4	– 5.0	– 4.4	– 5.0	– 5.1	– 5.2	– 5.4	– 5.3	– 5.1	– 4.0	– 4.9	– 5.2	– 5.11
8.	– 5.5	– 5.6	– 6.0	– 6.2	– 6.2	– 6.2	– 6.2	– 4.9	– 5.2	– 4.6	– 4.2	– 3.5	– 3.3	– 3.2	– 3.6	– 4.2	– 4.7	– 5.0	– 5.0	– 5.1	– 4.9	– 4.9	– 4.5	– 4.4	– 4.88
9.	– 3.6	– 3.9	– 4.0	– 3.8	– 4.1	– 3.5	– 3.8	– 3.3	– 3.4	– 3.5	– 2 5	– 2.1	– 1.9	– 3.4	– 4.8	– 4.8	– 4.7	– 4.3	– 3.8	– 4.0	– 4.7	– 5.7	– 6.1	– 5.8	– 3.98
10.	– 5.8	– 5.4	– 5.6	– 4.4	– 4.1	– 4.8	– 4.5	– 4.6	– 4.6	– 4.2	– 3.0	– 3.6	– 3.4	– 4.4	– 5.4	– 5.7	– 6.3	– 7.1	– 7.4	– 7.8	– 7.8	– 7.7	– 8.1	– 8.3	– 5.58
11.	– 8.5	– 8.8	– 8.7	– 8.6	– 8.4	– 8.9	– 9.8	– 9 7	– 8.9	– 8.4	– 8.0	– 8.4	– 8.4	– 8.5	– 8.4	– 8.3	– 8.3	– 8.4	– 8.7	– 8.6	– 8.4	– 8.3	– 7.5	– 7.0	– 8.50
12.	– 7.1	– 7.1	– 7.2	– 7.5	– 7.4	– 7.4	– 7.4	– 6.6	– 6.4	– 6.0	– 6.0	– 6.2	– 5.6	– 5.8	– 6.7	– 9.2	– 9.3	– 9.2	– 9.2	– 9 2	– 9.1	– 9.4	– 9.9	–10.4	– 7.72
13.	–10.7	–11.8	–12.6	–11.9	–13.1	–13.9	–13 9	–13.3	–13.4	–13.3	–12.9	–12.5	–12.3	–11.4	–11.4	–10.6	– 8.6	–11.3	–13.0	–12.7	–11.8	–11.5	–11.6	–10.9	–12.10
14.	–10.9	–10.2	– 9.7	– 9.8	–10.3	– 9.8	– 8.6	– 7.3	– 6.0	– 4.2	– 4.3	– 3.7	– 3.7	– 3.6	– 3.7	– 3.4	– 3.3	– 2.6	– 2.5	– 2.6	– 3.0	– 4.4	– 4.1	– 4.2	– 5.66
15.	– 4.0	– 4.1	– 3.8	– 3.6	– 3 3	– 3.5	– 3.6	– 4.0	– 4.3	– 4.4	– 4.6	– 5.6	– 6.3	– 6.4	– 6.6	– 6.3	– 5.8	– 5.6	– 5.4	– 5.3	– 5.0	– 4.7	– 4.5	– 4.1	– 4.78
16.	– 4.0	– 4.1	– 4.5	– 4.8	– 5.0	– 5.6	– 5.6	– 4.4	– 4.3	– 4.0	– 3.9	– 3.7	– 3.8	– 4.2	– 4.3	– 4.3	– 4.7	– 5.0	– 5.4	– 6.0	– 6.3	– 6.3	– 7.3	– 7.6	– 4.96
17.	– 7.7	– 7.5	– 7.2	– 7.2	– 7.2	– 7.3	– 7.5	– 7.7	– 8.3	– 8.7	– 9.8	–10.7	–11.8	–12.5	–12 7	–13.5	–14.6	–15.7	–16.8	–16.9	–17.0	–16.9	–16 6	–16.1	–11.58
18.	–16.0	–15.9	–1 1.8	–14.0	–14.0	–13.5	–13.1	–10.1	– 9.6	– 9.2	– 8.9	– 8.2	– 7.6	– 7.3	– 7.9	– 8.0	– 7.7	– 8.4	– 8.7	– 8.9	– 8.4	– 9.2	– 9.3	– 9.7	–10.35
19.	–10.1	–10.5	–10.9	–11.0	–11.7	–11.9	–12.3	–12.4	–12.5	–12.5	–12.8	–13.7	–13.1	–12.8	–11.0	–10.4	– 9 8	– 9.0	– 8.6	– 8.9	– 8.2	– 7.8	– 7.8	– 7.3	–10.71
20.	– 7.1	– 5.3	– 4.9	– 3.8	– 3.2	– 3.2	– 3.2	– 2.8	– 2.8	– 2.4	– 2.4	– 2.5	– 2.4	– 2.0	– 2.1	– 2.1	– 2.2	– 1.6	– 1.4	– 1.2	– 1.2	– 1.2	– 1.4	– 1.7	– 2 67
21.	– 1.9	– 2 1	– 2.3	– 2.5	– 2.7	– 2.8	– 3.0	– 2.9	– 2.9	– 2.6	– 2.7	– 2.5	– 2.6	– 2.6	– 2.7	– 3.4	– 4.3	– 4.1	– 4.4	– 4.8	– 4.8	– 4.4	– 4.4	– 3.9	– 3.22
22.	– 4.3	– 4.3	– 5.0	– 5.0	– 5.3	– 5.6	– 5.5	– 6.2	– 6.3	– 6.4	– 6.0	– 4.7	– 2.7	– 3.1	– 4.5	– 5.4	– 5.7	– 6.0	– 6.5	– 6.7	– 6.2	– 4.9	– 4.2	– 5 2	– 5.24
23.	– 5.4	– 5.7	– 5.9	– 5.5	– 5.7	– 6.0	– 5.7	– 6.3	– 5.9	– 5.7	– 4.9	– 5.5	– 5.7	– 5.8	– 6.3	– 6.7	– 7.4	– 7.7	– 7.8	– 7.3	– 7.4	– 7.3	– 7.6	– 7.7	– 6.37
24.	– 7.9	– 8.1	– 8.3	– 8.4	– 8.4	– 8 4	– 8.5	– 8.1	– 9.0	– 9.2	– 8.8	– 8.7	– 8.5	– 8.7	– 8.4	– 8.6	– 9.2	– 8.9	– 9.2	– 9.7	– 9.6	– 9.6	– 9.9	– 9.1	– 8.80
25.	– 9.1	– 8.6	– 7.3	– 7.5	– 7.9	– 8.0	– 7.9	– 7.7	– 8.0	– 7.4	– 6 8	– 5.7	– 5.4	– 5.2	– 5.4	– 5.2	– 5.0	– 4.8	– 4.4	– 4.2	– 4.2	– 4.1	– 4.1	– 4.2	– 6.17
26.	– 4.7	– 4.8	– 5.1	– 5.2	– 5.2	– 5.3	– 5.4	– 5.4	– 5.8	– 6.4	– 6.5	– 5.9	– 5.3	– 5.0	– 5.0	– 4.7	– 4.5	– 4.7	– 4.8	– 5.5	– 7.0	– 7.1	– 7.4	– 8.4	– 5.63
27.	– 9.0	– 9.5	– 9.4	– 9.6	– 9.6	–10.0	–10.0	–10.1	–10.2	–10.4	– 9.7	– 9.9	– 9.1	– 7.0	– 6.0	– 5.4	– 5.2	– 4.9	– 4.8	– 4.4	– 4.0	– 3.7	– 3.6	– 3.6	– 7.46
28.	– 3.6	– 3.6	– 3.3	– 3.1	– 3.2	– 3.2	– 3.3	– 2.8	– 2.6	– 2.6	– 2.8	– 3.2	– 3.2	– 3.3	– 3.7	– 4.2	– 4.9	– 5 0	– 5.1	– 4.9	– 4.2	– 4.1	– 4.0	– 3.8	– 3.65
29.	– 4.0	– 4.3	– 4.0	– 3.9	– 3.7	– 3.8	– 3.8	– 3.9	– 4.2	– 4.0	– 3.6	– 4.0	– 4.3	– 4.0	– 4.0	– 4.2	– 4.7	– 4.4	– 4.4	– 5.2	– 5.6	– 5.8	– 6.0	– 6 0	– 4.40
30.	– 5.4	– 6.1	– 6.8	– 7.7	– 8.8	– 8.7	– 8.4	– 8.5	– 8.8	– 8.9	– 9.9	–10.3	–11.8	–11.7	–12.4	–13.8	–14.4	–13.6	–13.7	–13.7	–14.0	–13.9	–13.7	–13.5	–10.77
31.	–13.6	–13.3	–13.2	–11.8	–10.2	– 9.7	– 9.0	– 7.8	– 7.1	– 6.4	– 4.7	– 5.2	– 5.1	– 4.4	– 4.3	– 4.3	– 3.9	– 3.3	– 2.3	– 2.0	– 0.2	– 0.3	0.2	– 1.3	– 5.97
Mittel	–7.55	–7.59	–7.69	–7.56	–7.66	–7.76	–7.73	–7.36	–7.26	–7.09	–6.84	–6.87	–6.70	–6.65	–6.81	–7.06	–7.16	–7.20	–7.28	–7.33	–7.19	–7.15	–7.19	–7.22	– 7.25

Hygrometer-Registrierung. **Zugspitze.** 1912.

Datum	1ª	2ª	3ª	4ª	5ª	6ª	7ª	8ª	9ª	10ª	11ª	12m	1P	2P	3P	4P	5P	6P	7P	8P	9P	10P	11P	12mn	Mittel
Januar																									
1.	83	85	85	83	81	78	81	82	83	98	99	99	100	100	100	100	100	100	100	100	100	100	96	93.0	
2.	79	76	75	77	79	76	80	77	71	71	72	73	79	100	100	100	100	100	100	100	100	100	100	100	86.9
3.	100	100	100	100	100	100	100	100	100	100	100	100	100	100	100	100	100	100	100	100	100	100	100	100	100.0
4.	100	100	100	100	100	100	100	100	100	100	100	100	100	100	100	100	100	100	100	100	100	100	100	100	100.0
5.	100	100	100	100	100	100	100	100	100	100	100	100	94	96	96	97	96	100	100	100	100	100	100	100	99.1
6.	100	100	100	100	100	100	100	100	100	100	100	100	100	100	100	100	100	100	100	100	100	100	100	100	100.0
7.	100	100	100	100	100	100	100	100	100	100	100	100	100	100	100	100	100	100	100	100	100	97	96	94	99.5
8.	94	92	91	91	90	90	89	100	100	100	100	100	100	100	100	100	100	100	100	100	100	100	100	100	97.4
9.	100	100	100	100	100	100	100	100	100	100	100	100	100	100	100	100	100	100	100	100	100	100	100	100	100.0
10.	100	100	100	100	100	100	100	100	100	100	100	100	100	100	100	100	100	100	100	100	100	100	100	99	100.0
11.	99	99	99	97	91	89	80	86	95	95	94	92	91	90	91	89	89	88	88	87	86	100	90	82	91.1
12.	92	84	82	86	89	95	90	90	91	93	94	97	99	100	100	100	100	100	100	100	100	100	100	100	95.1
13.	100	100	100	100	100	100	100	100	100	100	92	88	83	80	81	82	80	77	76	74	76	76	76	79	88.3
14.	81	87	89	89	90	90	83	80	82	85	87	87	84	84	84	81	80	78	76	74	72	71	71	70	81.5
15.	71	71	70	70	68	67	65	54	58	62	65	68	64	64	65	67	71	70	67	71	70	71	78	79	67.8
16.	100	100	100	100	100	100	100	100	100	100	100	100	100	100	100	100	100	100	100	100	100	100	100	100	100.0
17.	100	100	100	100	100	100	100	100	100	100	100	100	100	100	100	100	100	100	100	100	100	100	100	100	100.0
18.	100	100	100	100	100	100	100	100	100	100	100	100	100	100	100	100	100	100	100	100	100	100	100	100	100.0
19.	100	100	100	100	100	100	100	92	92	92	92	92	92	92	91	70	89	84	86	85	82	82	82	83	90.8
20.	84	85	85	86	87	87	89	87	91	90	86	85	91	91	96	100	100	100	100	96	75	86	97	85	90.0
21.	88	97	97	98	99	99	100	100	89	90	92	92	90	89	88	86	87	87	87	90	91	93	96	97	92.6
22.	96	95	97	97	96	95	92	100	99	98	96	94	92	90	87	89	90	89	76	69	65	59	62	58	86.7
23.	62	64	64	66	69	71	72	73	74	78	79	76	77	80	80	82	80	80	80	79	79	78	79	79	75.0
24.	81	80	81	83	81	83	83	85	86	87	83	85	81	84	85	85	90	89	83	76	78	83	84	78	83.1
25.	81	84	86	83	81	84	77	85	92	95	97	98	97	100	100	100	100	100	100	100	100	100	100	100	93.3
26.	100	100	100	100	100	100	100	90	90	90	91	91	92	92	92	92	92	92	92	92	92	87	86	80	93.0
27.	86	83	87	86	86	88	93	96	100	100	99	100	99	100	98	96	97	98	100	100	100	100	100	99	95.5
28.	100	100	99	100	98	98	100	90	96	98	100	100	100	100	100	100	100	100	100	100	100	99	96	98	98.8
29.	100	97	97	96	93	92	90	81	78	71	65	76	75	65	76	76	73	67	65	62	62	62	61	59	76.6
30.	58	56	54	55	55	56	55	50	45	40	38	45	42	48	64	70	75	58	62	50	57	38	38	45	52.3
31.	44	34	44	42	53	55	57	67	64	60	62	62	60	60	68	72	95	98	99	99	100	100	100	100	69.1
Mittel	89.6	89.3	89.7	89.8	89.9	90.1	89.5	89.2	89.5	90.1	89.8	90.3	89.7	90.5	91.7	91.4	93 0	92.1	91.5	90.5	89.8	89.7	90.1	89.0	90.3
Februar																									
1.	100	100	100	100	100	100	100	100	100	100	100	100	100	100	100	100	100	100	100	100	100	99	95	83	99.0
2.	70	80	73	73	63	56	60	69	65	80	88	91	95	100	100	98	99	100	100	100	100	100	100	100	85.8
3.	100	100	100	100	100	100	100	100	100	100	100	100	100	100	100	100	100	100	100	100	100	100	100	100	100.0
4.	100	99	99	99	97	96	95	70	69	69	66	71	81	92	95	100	100	100	100	98	95	95	95	97	90.8
5.	100	100	100	100	100	100	100	100	100	100	100	100	100	100	100	100	100	91	80	83	84	83	74	66	64	92.7
6.	64	63	78	99	96	91	91	95	75	50	52	64	81	86	91	92	94	90	93	91	93	89	88	90	83.2
7.	89	88	89	91	88	86	79	79	78	78	87	77	77	77	79	82	89	92	94	97	95	95	97	99	86.0
8.	99	100	100	100	100	100	97	99	100	91	89	91	97	100	100	87	84	83	81	77	77	77	74	80	91.0
9.	82	88	89	97	96	96	95	91	95	90	93	98	99	100	98	100	99	98	96	96	93	90	87	82	93.7
10.	90	92	98	100	100	100	100	100	100	100	100	100	100	100	100	100	100	95	87	87	70	47	32	41	89.1
11.	37	44	67	76	80	92	100	100	100	100	100	100	100	100	100	100	100	100	100	100	100	100	100	100	91.5
12.	100	100	100	100	100	100	100	100	100	100	100	100	100	100	100	100	98	98	98	96	95	96	96	80	98.2
13.	70	72	76	78	76	72	64	71	76	74	72	73	73	74	77	77	74	78	80	83	89	86	86	82	76.4
14.	84	90	95	98	100	100	100	100	100	100	99	100	100	100	100	100	100	100	100	100	100	100	100	100	98.6
15.	100	100	100	100	100	100	100	100	100	100	100	100	100	100	100	100	100	100	100	100	100	100	100	100	100.0
16.	100	100	100	100	100	100	100	72	72	70	70	69	62	75	100	100	100	100	100	100	100	100	100	100	91.3
17.	100	100	99	96	93	69	45	46	47	47	49	51	53	55	59	63	67	71	75	80	86	60	53	58	67.6
18.	51	48	48	47	50	48	45	39	37	45	43	49	54	53	52	53	54	54	49	50	54	60	58	59	50.0
19.	61	62	62	61	64	62	60	64	67	64	64	66	66	67	77	79	83	88	90	93	95	89	90	90	73.5
20.	89	92	98	98	100	100	100	100	100	100	100	100	100	100	100	100	100	100	100	100	100	100	100	100	99.0
21.	100	100	100	100	100	100	100	100	100	100	100	100	100	100	100	100	100	100	100	100	100	100	100	100	100.0
22.	100	100	100	100	100	100	100	100	100	100	100	100	100	100	100	100	100	100	100	100	100	100	100	100	100.0
23.	100	100	100	100	100	100	100	100	100	100	100	100	100	100	100	100	100	100	100	100	100	100	100	100	100.0
24.	100	100	100	100	100	100	100	100	100	100	100	100	100	100	100	100	100	100	100	100	100	100	100	100	100.0
25.	100	100	100	100	100	100	100	100	100	100	100	100	100	100	100	100	100	100	100	100	100	100	100	100	100.0
26.	100	100	100	100	100	100	100	100	100	100	100	100	100	100	100	100	100	98	96	96	96	98	97	97	99.1
27.	97	94	99	95	94	97	98	100	100	100	100	100	100	100	100	99	98	100	100	100	100	99	99	97	98.6
28.	94	90	88	80	69	63	62	77	82	81	77	75	73	80	78	74	73	72	72	68	66	62	62	66	74.3
29.	69	68	71	67	59	53	57	53	50	47	47	46	46	45	42	46	47	50	52	55	58	61	69	63	55.0
Mittel	87.8	88.6	90.7	91.6	90.5	89.0	87.9	87.1	86.7	85.7	86.1	86.9	88.2	89.8	91.3	91.4	91.4	91.3	91.2	91.4	91.2	88.9	87.7	87.2	89.1

Hygrometer-Registrierung. **Zugspitze.** 1912.

März

Datum	1a	2a	3a	4a	5a	6a	7a	8a	9a	10a	11a	12m	1p	2p	3p	4p	5p	6p	7p	8p	9p	10p	11p	12mn	Mittel
1.	71	68	61	66	75	93	100	94	92	91	87	80	76	74	75	76	77	78	79	81	95	98	100	100	82.8
2.	100	100	100	100	100	100	100	100	100	100	100	100	100	100	99	99	97	95	74	72	42	32	33	30	86.4
3.	27	30	34	37	39	38	43	55	59	63	66	71	82	87	90	93	98	97	99	99	100	98	100	100	71.2
4	100	100	100	100	100	100	100	100	100	100	100	100	100	100	99	98	97	95	94	93	92	78	78	65	95.4
5.	72	96	97	98	99	99	100	100	100	100	100	100	98	100	100	99	99	98	98	97	94	89	89	95	96.5
6.	94	95	96	97	99	100	100	100	100	100	100	100	100	100	100	100	100	100	100	100	100	98	96	96	98.8
7.	95	94	94	93	92	91	90	90	92	93	95	100	100	100	100	100	100	100	100	100	100	100	100	100	96.6
8.	100	100	100	100	100	100	100	100	100	100	100	100	100	100	99	99	97	95	94	96	93	91	88	86	97.4
9.	84	81	79	77	75	72	70	71	69	65	73	82	80	82	81	84	83	80	73	74	64	54	61	68	74.3
10.	79	75	75	78	78	78	80	67	55	61	51	53	62	59	67	71	76	83	85	80	80	74	77	76	71.7
11.	82	83	92	100	100	100	100	100	100	100	100	100	100	100	100	100	100	100	100	100	100	100	100	100	98.2
12.	100	100	100	100	100	100	100	100	100	100	99	98	96	89	87	87	97	100	99	100	100	99	98	98	97.8
13.	98	99	98	99	99	100	100	100	100	100	100	100	100	100	100	100	100	100	100	100	100	100	100	100	99.7
14.	100	100	100	100	100	100	100	100	100	100	100	100	100	100	100	100	100	100	100	100	100	99	98	97	99.8
15.	96	95	94	93	91	91	90	90	91	91	91	90	90	88	84	84	90	100	91	90	88	90	92	100	91.3
16.	99	100	100	100	100	100	100	100	100	100	99	100	100	100	96	96	98	100	100	100	100	100	99	98	99.4
17.	98	98	97	97	98	99	95	73	76	77	73	73	75	82	83	87	83	82	81	83	80	79	84	85	84.9
18.	82	81	78	77	76	76	76	74	73	73	76	74	78	76	75	78	79	85	85	81	78	80	95	88	78.9
19.	95	96	93	88	87	86	82	87	92	100	99	100	100	100	99	98	97	95	94	93	92	92	93	94	93.8
20.	95	94	94	93	90	87	86	85	83	85	91	100	100	100	100	100	100	100	100	100	100	100	100	100	95.1
21.	98	94	92	90	89	87	86	79	82	85	94	100	100	99	97	95	89	83	80	78	78	76	76	75	87.6
22.	74	73	74	74	73	75	79	88	97	100	100	100	100	100	100	100	100	100	100	100	100	100	100	100	92.0
23.	100	100	100	100	100	100	100	100	100	100	100	100	100	100	100	100	100	100	100	100	100	100	100	100	100.0
24.	100	100	100	100	100	100	100	100	100	100	100	100	100	100	100	100	100	100	100	100	100	100	100	100	100.0
25.	100	100	100	100	100	100	100	100	100	100	100	100	100	100	100	100	100	100	100	100	100	100	100	100	100.0
26.	100	100	100	100	100	100	100	87	74	62	65	51	54	57	57	66	57	87	89	89	90	87	86	79	80.7
27.	83	81	88	90	90	85	92	83	82	84	84	86	84	84	84	84	81	95	100	100	100	100	99	100	89.1
28.	100	100	100	99	100	100	100	100	100	100	100	100	100	100	100	100	100	100	100	100	100	100	100	100	100.0
29.	100	100	100	100	100	100	100	100	99	100	100	100	100	100	100	100	100	100	99	99	100	100	100	100	99.8
30.	99	99	98	96	94	93	95	87	80	84	87	89	90	85	87	86	87	86	98	100	100	100	99	98	92.4
31.	97	97	96	96	96	96	96	72	74	76	75	79	79	80	80	80	78	78	79	80	81	85	86	87	84.3
Mittel	90.9	91.3	91.3	91.6	91.6	91.8	92.3	89.7	89.4	90.0	90.5	91.3	91.7	91.7	91.6	92.3	92.3	93.9	93.3	93.1	91.8	90.3	91.2	90.8	91.5

April

1.	88	88	89	89	89	89	90	93	97	100	100	100	100	100	100	100	100	100	100	100	100	100	100	100	96.3
2.	100	100	100	100	100	100	100	100	100	100	100	100	100	100	100	100	100	100	100	100	100	100	100	100	100.0
3.	100	100	100	100	100	100	100	100	100	100	100	100	100	100	100	100	100	100	100	100	100	100	99	99	99.9
4.	99	98	98	97	96	95	95	77	70	70	70	72	73	75	74	73	70	69	70	74	78	83	93	93	81.8
5.	95	95	94	96	97	98	100	100	100	100	100	100	100	100	100	100	100	100	100	100	100	100	100	100	99.0
6.	100	100	100	100	100	100	100	100	100	100	100	100	100	100	100	100	100	100	100	100	100	100	100	100	100.0
7.	100	100	100	100	100	100	100	100	100	100	100	100	100	100	100	100	100	100	100	100	100	98	96	94	99.5
8.	92	90	88	86	85	82	80	85	88	88	86	83	81	79	78	78	77	69	70	70	56	68	70	69	79.1
9.	72	74	75	77	77	83	88	99	98	100	100	100	100	100	100	100	100	100	100	100	100	100	100	100	93.5
10.	100	100	100	100	100	100	100	100	100	100	98	96	94	90	92	94	96	98	100	100	100	100	100	100	98.3
11.	100	100	100	100	100	100	100	100	100	100	100	100	100	100	100	100	100	100	100	100	100	100	100	100	100.0
12.	100	100	100	100	100	100	100	100	100	100	100	100	100	100	100	100	100	100	100	100	100	100	99	99	99.9
13.	99	98	98	98	98	97	97	80	76	80	80	80	81	81	80	81	80	80	80	80	83	83	83	84	85.7
14.	84	84	87	87	87	87	88	86	84	85	88	88	90	90	92	95	96	95	99	95	96	97	97	99	90.7
15.	98	99	99	99	99	100	100	100	100	100	100	100	100	100	100	98	99	97	98	96	100	94	92	90	98.3
16.	89	89	89	89	86	85	84	89	89	90	91	93	91	94	95	96	97	98	96	96	98	97	91	91	91.8
17.	95	91	89	90	95	93	93	86	86	87	91	94	97	100	100	92	90	93	96	95	95	93	92	92	92.7
18.	90	92	93	90	90	88	90	89	88	88	91	88	91	96	95	98	99	100	100	100	100	99	99	98	93.8
19.	100	99	96	98	100	100	100	100	100	100	100	100	100	100	100	100	100	100	100	100	100	100	100	100	99.7
20.	100	98	100	100	100	100	100	100	100	100	100	100	100	100	100	100	100	100	100	100	100	100	100	100	99.9
21.	100	100	100	100	100	100	100	100	100	100	100	100	100	100	100	100	100	100	100	100	100	98	96	96	99.6
22.	95	94	94	94	92	90	91	91	91	97	98	100	100	100	100	100	100	100	100	100	100	100	100	100	97.0
23.	100	100	100	99	100	100	100	100	100	100	100	100	100	100	100	99	94	98	95	97	100	99	98	91	98.8
24.	94	91	94	93	92	94	94	91	91	90	89	90	91	92	92	93	93	94	95	97	97	96	93	94	92.9
25.	93	93	96	94	94	94	95	96	98	100	100	100	100	100	100	100	100	100	99	97	94	93	94	93	96.8
26.	92	94	91	91	91	91	92	91	91	93	93	95	96	97	96	97	95	92	96	93	92	89	90	92	92.9
27.	90	84	82	80	84	80	88	87	87	89	93	93	95	94	93	93	85	81	80	80	81	79	78	78	85.6
28.	79	81	77	80	82	90	90	93	93	92	92	95	94	97	97	97	97	100	100	99	98	96	99	100	92.4
29.	100	100	100	100	100	100	100	100	100	100	100	100	100	100	100	100	100	100	100	100	100	100	100	100	100.0
30.	100	100	100	100	100	100	100	100	100	100	100	100	100	100	100	100	100	98	99	100	100	98	98	96	99.5
Mittel	94.8	94.4	94.3	94.2	94.5	94.5	95.2	94.4	94.2	95.0	95.3	95.6	95.8	96.2	96.1	96.1	95.6	95.4	95.8	95.6	95.6	95.3	95.2	94.9	95.2

Hygrometer-Registrierung **Zugspitze.** 1912.

Mai

Datum	1a	2a	3a	4a	5a	6a	7a	8a	9a	10a	11a	12m	1p	2p	3p	4p	5p	6p	7p	8p	9p	10p	11p	12mn	Mittel
1.	100	100	100	100	100	100	100	100	100	100	100	100	100	100	100	98	97	100	100	100	100	99	98	94	99.4
2.	90	89	85	89	92	90	90	85	87	88	90	91	93	92	93	94	97	98	89	85	88	87	86	84	89.6
3.	82	83	81	81	66	65	66	65	72	70	67	65	83	95	98	97	97	100	100	97	91	94	92	91	83.3
4.	83	79	73	82	70	65	67	77	77	78	82	85	86	86	88	89	90	91	91	91	100	100	99	96	84.4
5.	97	100	100	100	100	100	100	100	100	100	100	100	100	100	100	100	100	100	100	100	100	100	100	100	99.9
6.	100	100	100	100	100	100	100	99	97	95	96	98	99	100	100	100	100	100	100	100	100	100	100	100	99.3
7.	100	100	100	100	100	100	100	100	100	100	100	100	100	100	100	100	100	100	100	100	100	100	100	100	100.0
8.	100	100	100	100	100	100	100	100	100	100	100	100	100	100	100	100	100	100	100	100	100	100	100	100	100.0
9.	100	100	100	100	100	100	100	100	100	100	100	100	100	100	100	100	100	100	100	100	100	100	100	100	100.0
10.	100	100	100	100	100	100	100	100	100	100	100	100	100	100	100	100	100	100	100	100	100	100	100	100	100.0
11.	100	100	100	100	100	100	100	100	100	100	100	100	100	100	100	100	100	100	100	100	100	100	100	100	100.0
12.	99	99	99	99	98	98	98	95	92	89	79	76	83	82	86	87	82	85	83	82	82	81	81	80	88.1
13.	79	79	81	82	81	83	80	76	72	72	74	75	77	85	85	87	89	96	99	100	100	94	92	89	84.5
14.	89	88	90	90	97	92	100	89	87	86	90	88	90	87	83	83	77	70	73	78	80	76	71	70	84.3
15.	69	67	66	65	64	60	54	56	57	55	58	60	64	61	62	64	66	66	67	67	65	66	69	71	63.3
16.	75	79	84	88	92	96	100	100	100	100	100	100	100	100	100	100	100	100	100	100	100	100	100	100	96.4
17.	100	100	100	100	100	100	100	100	100	100	100	100	100	100	100	100	100	100	100	100	100	100	100	100	100.0
18.	100	100	100	100	100	100	100	100	100	100	98	95	93	94	97	91	96	97	98	94	90	89	90	85	96.1
19	82	83	81	77	75	64	58	59	59	61	63	69	77	78	81	81	85	77	82	73	72	72	74	78	73.4
20.	79	78	78	78	76	81	80	78	80	74	88	85	82	80	81	81	87	86	86	87	79	79	79	82	81.0
21.	86	90	93	92	91	92	91	85	85	80	85	81	78	83	87	85	81	82	83	83	87	93	96	99	87.0
22.	100	100	100	100	100	100	100	100	100	100	100	100	100	100	100	100	100	100	100	100	100	100	100	100	100.0
23.	100	100	100	100	100	100	100	100	100	100	100	100	100	100	100	100	100	100	100	100	100	100	100	100	100.0
24.	100	100	100	100	100	100	100	100	100	100	100	100	100	100	100	100	100	100	100	100	100	100	100	100	100.0
25.	100	100	100	100	100	100	100	100	100	100	100	100	100	100	100	100	100	100	100	100	100	100	100	100	100.0
26.	100	100	100	100	100	100	100	100	100	100	100	100	100	100	100	100	100	100	100	100	100	98	97	95	99.6
27.	92	90	87	86	85	83	80	82	85	87	91	83	82	95	97	95	93	91	87	78	66	69	66	68	84.1
28.	71	85	87	82	81	80	84	81	79	78	86	86	88	89	89	89	90	90	90	90	90	90	90	90	85.6
29.	91	93	94	95	97	98	100	98	98	95	95	96	95	100	100	100	100	100	100	100	100	99	98	98	97.5
30.	99	99	98	98	98	99	100	92	89	88	91	94	99	100	100	100	100	100	100	100	100	100	100	100	97.7
31.	100	100	100	100	100	100	100	100	100	100	100	100	100	100	100	100	100	100	100	100	100	100	100	100	100.0
Mittel	92.4	92.9	92.8	93.0	92.4	91.8	91.9	90.9	90.8	90.2	91.4	91.2	92 5	93.8	94.4	94.2	94.4	94.5	94.5	93.7	93.2	93.1	92.8	92.6	92.7

Juni

Datum	1a	2a	3a	4a	5a	6a	7a	8a	9a	10a	11a	12m	1p	2p	3p	4p	5p	6p	7p	8p	9p	10p	11p	12mn	Mittel
1.	96	94	93	90	89	86	85	84	88	90	95	95	90	92	92	88	90	94	94	96	90	84	84	85	90.2
2.	90	95	95	94	92	94	93	88	86	90	87	87	90	97	100	98	99	94	98	99	100	100	99	99	94.3
3.	99	98	98	98	98	97	98	96	93	92	93	94	94	90	97	98	93	96	92	96	96	93	95	98	95.5
4.	99	97	96	96	95	95	93	92	91	90	84	84	84	85	86	91	89	90	88	90	90	90	90	90	90.6
5.	90	90	90	90	90	90	90	84	93	97	98	99	99	100	96	93	94	95	95	96	96	96	98	97	94.0
6.	96	96	93	93	91	89	85	84	87	86	87	90	93	92	93	98	96	98	98	97	95	96	89	81	91 8
7.	85	82	75	79	80	83	81	81	80	81	83	89	92	94	97	97	97	98	98	98	98	98	99	99	89.3
8.	99	100	100	100	100	100	100	100	100	100	100	100	100	100	99	99	94	93	95	97	100	99	99	98	98.8
9.	99	99	100	98	99	100	100	89	96	93	90	86	83	85	94	90	92	93	95	97	100	100	100	100	94.9
10.	97	94	91	88	85	82	79	85	91	98	94	92	96	94	100	100	99	100	100	90	93	93	93	94	92.8
11.	93	96	100	100	94	89	85	78	78	82	87	84	82	93	100	100	100	96	100	100	100	94	90	77	91.6
12.	72	74	76	77	75	71	66	71	71	77	83	85	85	86	88	98	100	100	100	100	100	100	95	87	84.9
13.	86	83	86	85	87	95	100	100	100	100	99	99	98	98	98	99	99	99	99	100	100	100	100	99	96.2
14.	99	99	99	99	99	99	100	100	100	100	100	100	100	100	100	100	100	100	100	100	100	100	100	100	99.8
15.	99	99	99	99	99	100	100	100	100	100	100	100	100	100	100	100	100	100	100	100	100	100	100	100	99.8
16.	100	100	100	100	100	100	100	100	100	100	100	100	100	88	94	97	97	98	99	99	100	100	100	100	98.8
17.	100	100	100	100	100	100	100	100	100	100	100	100	100	100	100	100	100	100	100	100	100	100	100	100	100.0
18.	100	100	100	100	100	100	100	100	100	100	100	100	100	100	100	100	100	100	100	100	100	100	99	88	99.5
19.	83	82	83	70	73	89	89	80	70	72	78	79	80	83	82	80	78	80	82	86	94	84	82	76	80.6
20.	82	82	90	95	100	97	100	100	100	98	100	94	99	100	100	100	100	100	100	100	100	100	100	100	97.4
21.	100	100	100	100	100	100	100	100	100	100	100	100	100	100	100	100	100	100	100	100	100	100	100	100	100.0
22.	100	100	100	100	99	99	52	33	29	23	23	26	47	64	75	78	86	92	95	78	71	60	50	38	67.4
23.	36	37	37	35	36	37	40	35	41	57	80	92	95	94	91	93	90	87	85	80	93	99	100	100	69.6
24.	99	100	84	84	87	94	93	82	83	90	86	97	98	100	100	100	100	100	100	100	100	100	100	100	94.9
25.	100	100	100	100	100	100	100	100	100	100	100	100	100	100	100	100	100	100	100	100	100	98	98	98	99.8
26.	97	98	97	97	97	98	98	97	100	100	97	97	100	100	100	100	100	100	100	100	100	100	100	100	98.9
27.	100	100	100	100	100	100	100	100	100	100	100	100	100	100	100	100	100	100	100	100	100	93	86	83	98.4
28.	81	77	68	69	61	63	58	40	35	45	47	58	69	69	69	75	75	78	79	84	76	56	57	77	65.3
29.	78	85	73	79	80	79	79	75	70	70	69	77	79	82	80	81	93	100	99	100	100	100	100	100	84.5
30.	100	100	100	100	100	100	100	99	98	97	98	98	98	98	98	97	70	58	63	88	95	95	93	100	93.5
Mittel	91.8	91.9	90.8	90.5	90.2	90.9	88.8	85.8	86.0	87.6	88.6	90.1	91.7	92.8	94.3	95 0	94.4	94.6	95.1	95.7	96.2	94.3	93.2	92.1	91.8

Hygrometer-Registrierung. **Zugspitze.** 1912.

Juli

Datum	1a	2a	3a	4a	5a	6a	7a	8a	9a	10a	11a	12m	1p	2p	3p	4p	5p	6p	7p	8p	9p	10p	11p	12mn	Mittel
1.	99	100	100	100	100	100	100	100	100	100	100	100	100	94	89	89	92	93	100	100	100	100	100	100	98.2
2.	100	100	100	100	100	100	100	100	100	100	100	100	100	100	100	100	100	100	100	100	100	100	99	99	99.9
3.	98	98	98	97	97	96	96	97	97	100	100	100	100	100	100	100	100	100	100	100	100	100	100	100	98.9
4.	100	100	100	100	100	100	100	100	100	100	100	100	100	100	100	100	100	100	100	100	100	100	100	100	100.0
5.	100	100	100	100	100	100	100	100	98	98	95	84	91	80	80	85	83	89	79	87	88	90	92	93	92.1
6.	91	89	85	85	78	51	63	66	66	72	89	94	90	92	92	98	99	95	95	100	100	100	100	100	87.1
7.	100	97	90	88	95	100	100	100	100	100	100	100	100	100	100	100	100	100	100	100	100	100	100	100	98.8
8.	100	100	100	100	100	100	100	100	100	100	100	100	100	100	100	100	99	99	97	98	96	96	96	94	99.0
9.	97	91	92	96	98	96	94	93	90	89	88	89	92	93	94	100	100	100	100	100	100	99	98	97	95.3
10.	96	85	85	81	76	76	71	83	82	78	77	80	85	99	100	91	90	97	74	74	87	91	94	98	85.4
11.	94	98	94	91	90	93	89	90	90	86	88	86	85	89	94	100	100	92	76	77	87	61	69	75	87.3
12.	73	71	73	71	67	67	60	61	59	69	74	75	74	81	84	99	89	95	81	86	86	81	83	81	76.7
13.	79	84	91	80	94	81	74	73	72	80	80	75	70	83	84	100	100	84	76	76	53	71	73	72	79.4
14.	67	71	80	83	73	75	90	84	89	75	78	83	64	84	74	41	34	29	38	85	80	97	85	89	72.8
15.	89	28	17	16	17	15	14	21	25	25	26	59	65	74	71	61	61	63	61	58	52	33	30	37	42.4
16.	33	32	32	32	31	31	38	26	25	27	27	32	34	44	47	67	57	63	92	75	57	52	51	52	44.0
17.	52	51	49	45	41	46	45	43	46	47	76	86	91	86	82	85	88	88	94	87	90	68	92	97	69.8
18.	79	87	88	63	59	68	63	89	91	100	99	89	99	100	97	99	98	97	100	100	100	100	99	97	90.0
19.	91	90	89	88	90	92	89	85	83	83	98	91	91	100	100	100	100	100	100	100	100	100	100	100	94.4
20.	100	100	100	100	100	100	100	100	100	100	100	100	100	100	100	100	100	100	100	100	100	100	100	100	100.0
21.	100	100	100	100	100	100	100	100	100	100	100	100	100	100	100	100	100	100	100	100	100	100	100	100	100.0
22.	100	100	100	100	100	100	100	100	100	100	100	100	100	100	100	100	100	100	100	100	100	100	100	100	100.0
23.	100	100	100	100	100	100	100	100	99	99	98	100	100	100	98	100	100	99	99	97	91	84	82	80	96.9
24.	84	87	86	83	81	86	87	79	79	77	82	87	92	95	94	91	87	82	84	90	91	89	89	87	86.2
25.	86	84	83	81	79	78	76	72	74	80	87	91	91	100	97	100	94	99	100	100	100	100	100	100	89.6
26.	100	100	100	100	100	100	100	100	100	100	100	100	98	94	94	97	100	99	98	96	93	92	96	98	98.1
27.	89	86	78	64	70	66	66	56	57	59	84	80	76	79	82	80	81	79	83	84	84	78	78	75	75.6
28.	74	77	71	75	73	69	69	49	49	55	54	57	67	70	73	76	83	91	94	92	91	93	95	93	74.6
29.	86	83	84	89	96	100	100	100	100	100	100	100	100	100	100	99	98	98	99	100	100	100	100	100	97.2
30.	100	100	100	100	100	100	100	100	100	100	100	100	100	100	100	100	100	100	100	100	100	100	100	100	100.0
31.	100	100	100	100	100	100	100	98	97	96	99	100	100	99	99	91	96	100	100	99	89	90	87	86	97.0
Mittel	88.9	86.7	86.0	84.1	84.0	83.4	83.4	82.7	82.8	83.7	87.1	88.3	88.9	91.5	91.1	92.0	91.3	91.3	91.0	92.3	90.8	89.2	89.9	90.3	88 o

August

Datum	1a	2a	3a	4a	5a	6a	7a	8a	9a	10a	11a	12m	1p	2p	3p	4p	5p	6p	7p	8p	9p	10p	11p	12mn	Mittel
1.	87	95	93	88	85	71	71	70	72	70	66	87	86	86	95	94	92	94	95	99	99	97	94	100	86.9
2.	100	100	100	100	100	100	100	100	100	100	100	100	100	100	100	100	100	100	100	100	100	100	100	100	100.0
3.	100	100	100	100	100	100	100	100	100	100	100	100	100	100	97	98	91	84	87	88	85	84	86	87	95.3
4.	85	84	83	81	78	75	69	67	61	66	67	77	89	94	96	98	98	95	98	94	79	84	92	97	83.6
5.	100	100	100	100	100	100	100	100	100	100	100	100	100	100	100	100	100	100	100	100	91	92	93	94	98.8
6.	83	84	83	87	88	89	92	99	100	100	100	97	98	100	100	95	97	97	94	99	100	100	100	100	95.1
7.	100	100	100	100	100	100	100	100	100	100	100	100	100	100	100	100	100	100	100	100	100	100	100	100	100.0
8.	100	100	100	100	100	100	100	100	100	100	100	100	100	100	100	100	100	100	100	100	100	100	100	100	100.0
9.	100	100	100	98	97	95	95	94	93	93	100	100	100	100	100	100	100	100	100	100	100	100	100	100	98.5
10.	100	100	100	100	100	100	100	100	100	100	100	100	100	100	100	100	100	100	100	100	100	100	100	100	100.0
11.	100	100	100	100	100	100	100	100	100	100	100	100	100	100	100	100	100	100	100	100	100	100	100	100	100.0
12.	100	100	100	100	100	100	100	100	100	100	100	100	100	100	100	100	100	100	100	100	100	100	100	100	100.0
13.	100	100	100	100	100	100	100	100	100	100	100	100	100	100	100	100	100	100	100	100	100	100	100	100	100.0
14.	100	100	100	100	100	100	100	100	100	100	100	100	100	100	100	100	100	100	100	100	91	94	93	89	98.6
15.	88	89	90	93	94	94	93	100	100	100	100	100	100	100	100	100	100	100	100	100	100	100	100	100	97.5
16.	100	100	100	100	100	100	100	100	100	100	100	100	100	100	100	100	100	100	100	100	100	100	100	100	100.0
17.	100	100	100	100	100	100	100	100	100	100	100	100	100	100	99	99	98	98	97	97	96	94	93	91	98.4
18.	90	88	87	85	84	82	81	80	71	66	73	75	79	78	87	97	97	97	96	96	90	84	87	84	84.8
19.	76	77	80	84	93	94	98	92	78	84	90	97	94	84	82	81	80	82	83	81	81	87	79	79	84.8
20.	80	77	80	80	80	81	84	76	80	95	87	88	90	90	97	99	98	99	99	100	100	100	100	100	90.0
21.	100	100	100	100	100	100	100	100	100	100	100	100	100	100	100	100	100	100	100	100	100	94	92	93	99.1
22.	94	94	95	96	96	94	87	98	98	98	98	99	100	100	100	100	100	100	100	100	100	100	100	100	97.8
23.	100	100	100	100	100	100	100	100	100	100	100	100	100	100	100	100	100	100	100	100	100	100	100	99	100.0
24.	99	99	99	99	93	92	92	90	90	90	92	95	94	94	94	89	85	88	89	89	95	98	99	99	93.5
25.	99	96	87	87	88	91	90	83	84	84	86	89	91	95	92	94	92	88	87	88	81	83	89	72	88.2
26.	78	79	75	76	79	84	82	85	84	88	83	89	91	97	100	100	100	99	100	100	100	100	100	100	90.4
27.	100	100	100	100	100	100	100	100	100	100	100	100	100	100	100	100	100	100	100	100	100	100	100	100	100.0
28.	100	100	100	100	100	100	100	100	100	100	100	100	100	100	100	100	100	100	100	100	100	100	99	99	99.9
29.	98	97	87	82	81	76	75	70	66	66	62	58	72	76	78	83	82	80	78	71	68	70	72	72	75.8
30.	74	71	70	67	65	65	60	49	47	49	56	71	69	78	84	93	97	98	99	99	100	100	100	100	77.5
31.	100	100	100	100	100	100	100	100	100	100	100	100	100	100	100	100	100	100	100	100	100	100	100	100	100,0
Mittel	94.5	94.5	93.8	93.6	93.6	93.0	92.5	92.0	91.1	91.9	92.3	94.3	95.3	95.9	96.8	97.4	97.0	96.7	96.8	96.8	95.4	95.5	95.7	95.3	94.7

Hygrometer-Registrierung. **Zugspitze.** 1912.

Datum	1ª	2ª	3ª	4ª	5ª	6ª	7ª	8ª	9ª	10ª	11ª	12m	1p	2p	3p	4p	5p	6p	7p	8p	9p	10p	11p	12mn	Mittel
September																									
1.	100	100	100	100	100	100	100	100	100	100	100	100	100	100	100	100	100	100	100	100	100	100	100	100	100,0
2.	100	100	100	100	100	100	100	100	100	100	100	100	100	100	100	100	100	100	100	100	100	100	100	100	100,0
3.	100	100	100	100	100	100	100	100	100	100	100	100	100	100	100	100	100	100	100	100	100	100	100	100	100,0
4.	100	100	100	100	100	100	100	100	100	100	100	100	100	100	100	100	100	100	100	100	100	100	100	100	100,0
5.	100	100	100	100	100	100	100	100	100	100	100	100	100	100	100	100	100	100	100	100	100	100	99	100	100,0
6.	100	100	100	100	100	100	100	99	100	100	100	100	100	100	100	100	100	100	100	100	100	100	100	100	100,0
7.	100	100	100	100	100	100	100	100	100	100	100	100	100	100	100	100	100	100	100	100	100	100	100	100	100,0
8.	100	100	100	100	100	100	100	99	99	100	100	100	100	100	100	100	100	100	100	100	100	100	100	100	99,9
9.	100	100	100	100	100	100	100	100	100	100	100	100	100	100	100	100	100	100	99	99	98	98	98	98	99,6
10.	98	99	99	99	99	99	99	99	99	100	100	100	100	100	100	100	100	100	100	100	100	100	100	100	99 6
11.	100	100	100	100	100	100	100	100	100	100	100	100	100	100	100	100	100	100	100	100	100	100	100	99	100,0
12.	99	99	99	99	98	100	100	100	100	100	100	100	100	100	100	100	100	100	100	100	100	100	100	100	99.8
13.	100	100	100	100	100	100	100	100	100	100	100	100	100	100	100	100	100	100	100	100	100	100	100	100	100,0
14.	100	100	100	100	100	100	100	100	100	100	100	100	100	100	100	100	100	100	100	100	100	100	100	100	100,0
15.	100	100	100	100	100	100	100	100	100	100	100	100	100	100	100	100	100	100	100	100	100	100	100	100	100,0
16.	100	100	100	100	100	100	100	100	100	100	100	100	100	100	100	100	100	100	100	100	100	99	97	96	99.7
17.	96	95	95	96	94	95	95	92	93	93	93	94	94	94	94	94	95	95	95	95	95	94	94	93	94.3
18.	92	92	92	91	91	91	93	92	93	93	93	92	91	92	94	97	99	99	98	98	100	100	100	100	94.7
19.	99	99	99	99	100	100	100	93	95	95	95	94	94	95	96	96	96	93	93	92	91	92	92	92	95.4
20.	93	94	95	97	97	100	100	98	100	100	99	99	100	100	99	98	96	99	99	99	100	100	99	99	98.3
21.	98	98	99	98	96	96	95	91	88	87	89	91	96	99	100	95	91	88	84	83	79	78	77	76	90.5
22.	74	76	77	75	76	74	75	74	74	74	72	72	74	73	80	85	85	83	84	85	83	84	84	82	78.1
23.	82	83	83	83	81	82	84	85	81	85	85	86	90	91	92	96	100	97	87	84	90	84	79	75	86.0
24.	78	74	68	71	70	70	73	77	88	92	94	94	94	98	98	98	98	99	100	100	100	100	99	99	88.8
25.	99	99	99	100	100	100	100	100	100	100	100	100	100	100	100	100	100	100	100	100	100	100	100	99	99.8
26.	99	100	100	100	99	100	100	100	100	100	99	99	100	100	100	100	100	100	100	100	100	97	95	97	99 4
27.	99	100	97	97	98	97	100	93	96	96	94	93	91	90	86	86	84	84	81	83	80	79	84	76	90.2
28.	82	84	79	84	89	88	88	73	76	73	72	69	70	75	80	83	87	90	93	94	94	98	96	95	83.8
29.	94	97	97	94	98	98	98	85	89	85	91	90	92	90	90	90	90	92	94	96	97	98	91	86	92.6
30.	84	83	82	84	83	84	84	89	85	83	83	81	82	88	89	85	85	80	81	86	90	90	87	86	84.8
Mittel	95.5	95.7	95.3	95.6	95.6	95.8	96.1	94.6	95.2	95.2	95.3	95.1	95.6	96.2	96.6	96.8	96.9	96.6	96.3	96.5	96.6	96.4	95.7	94.9	95.8
Oktober																									
1.	85	84	93	93	95	99	100	100	99	98	94	93	96	95	92	89	90	91	89	86	84	84	85	86	91.7
2.	88	89	91	91	91	94	94	97	99	96	97	100	100	100	99	98	99	99	99	99	100	100	100	100	96.7
3.	100	100	100	100	100	100	100	100	100	100	100	100	100	100	100	100	100	100	100	100	100	100	100	100	100.0
4.	100	100	100	99	99	99	100	100	100	100	100	100	100	100	100	100	100	100	100	100	100	98	94	90	99.1
5.	74	71	67	70	71	68	67	75	81	78	75	86	85	80	82	83	61	51	48	46	43	40	34	32	65.3
6.	58	68	76	46	57	63	53	48	48	47	46	54	61	65	65	70	71	73	77	83	88	82	75	67	64.2
7.	62	56	60	51	44	40	35	33	31	35	35	33	35	38	46	73	88	92	94	97	100	100	100	100	61.6
8.	100	100	100	100	100	100	100	100	100	100	100	100	100	100	100	100	98	97	99	100	100	100	100	100	99.8
9.	96	96	95	94	90	90	90	82	80	80	80	79	81	78	78	79	82	82	88	93	100	99	96	93	87.5
10.	89	79	75	82	90	90	73	73	72	72	71	77	74	70	73	68	61	60	56	41	25	21	23	22	64.0
11.	22	23	23	25	32	28	25	33	36	40	37	37	39	40	46	49	45	45	44	44	46	50	46	45	37.5
12	46	47	48	45	45	42	42	43	39	42	34	39	44	45	49	50	55	57	61	61	56	58	62	64	48.9
13.	66	67	67	71	62	62	65	61	61	56	54	56	60	65	69	62	50	45	43	43	40	39	37	37	55.8
14.	35	33	35	35	32	31	30	28	25	29	29	37	34	35	37	38	46	48	44	43	40	38	37	38	35.7
15.	36	36	38	40	40	42	43	44	42	40	43	46	45	52	53	55	68	72	64	62	85	91	92	94	55.1
16.	95	96	96	97	99	99	100	74	67	56	56	54	56	53	45	44	47	59	61	68	70	76	80	83	72.1
17.	83	84	84	83	84	83	90	90	80	70	69	78	88	95	97	98	97	99	99	100	100	100	100	100	89 6
18.	100	100	100	100	100	100	100	74	69	65	62	62	60	58	69	79	85	89	93	97	100	98	97	95	85.5
19.	94	93	92	91	89	86	70	86	79	73	71	71	84	100	100	100	100	100	100	100	100	100	100	100	90.8
20.	100	100	100	100	100	100	100	100	100	100	100	100	100	100	100	100	100	100	100	100	100	97	93	91	99.2
21.	88	85	82	80	78	75	72	71	75	77	91	96	98	100	97	99	99	100	100	100	100	100	100	100	90.1
22.	100	100	100	100	100	100	100	96	95	95	97	98	99	100	99	97	96	96	96	95	95	97	96	96	97.6
23.	96	96	95	95	95	95	95	79	86	92	95	95	97	100	100	97	94	87	83	81	81	81	83	89	91.1
24.	100	100	100	100	100	100	100	90	92	90	89	84	83	83	83	82	84	92	97	99	100	96	92	86	92.6
25.	84	79	76	76	74	71	73	86	98	100	100	100	100	100	100	100	100	100	100	100	100	100	100	100	92.4
26.	100	100	100	100	100	100	100	100	100	100	100	100	100	100	100	100	100	100	100	100	100	100	100	100	100,0
27.	100	100	100	100	100	100	100	100	100	100	98	98	97	96	94	92	91	89	87	85	80	77	75	72	93 0
28.	71	68	66	65	62	61	61	76	75	75	70	71	68	63	61	56	50	50	53	55	58	53	53	47	62.0
29.	42	45	46	52	42	47	52	58	57	58	58	67	69	73	75	76	78	75	75	79	82	82	83	83	64.8
30.	80	79	79	79	79	77	80	84	82	80	78	76	75	78	84	88	91	91	97	98	100	100	100	100	85.6
31.	100	100	100	100	100	100	100	100	100	100	99	100	100	80	100	97	97	98	98	99	100	100	100	100	98.7
Mittel	80.3	79.8	80.1	79.4	79.0	78.8	77.7	76.7	76.4	75.6	75.1	77.0	78.3	78.8	80.4	81.3	81.4	81.8	82.1	82.4	83.0	82.5	81.7	81.0	79.6

Hygrometer-Registrierung. **Zugspitze.** 1912.

November

Datum	1ª	2ª	3ª	4ª	5ª	6ª	7ª	8ª	9ª	10ª	11ª	12m	1p	2p	3p	4p	5p	6p	7p	8p	9p	10p	11p	12mn	Mittel
1.	100	100	100	100	100	100	100	100	100	100	100	100	100	100	100	100	100	100	100	100	100	100	100	100	100.0
2.	100	100	100	100	100	100	100	100	100	100	100	100	100	100	100	100	100	100	100	100	100	100	100	100	100.0
3.	100	100	100	100	100	100	100	100	100	100	100	100	100	100	100	100	100	100	100	100	100	100	100	100	100.0
4.	100	100	100	100	100	100	100	100	100	100	100	100	100	100	100	100	100	100	100	100	100	98	96	95	99.5
5.	93	92	90	87	84	82	77	98	98	98	98	98	98	98	97	96	95	96	97	98	100	100	100	100	94.2
6.	100	100	100	100	100	100	100	100	100	100	100	100	100	100	100	100	100	100	100	100	100	95	91	88	98.9
7.	84	79	75	70	67	63	57	64	64	64	66	67	69	70	70	69	73	73	70	67	63	61	57	57	67.5
8.	49	48	45	46	44	43	45	38	34	59	64	82	99	100	100	100	100	100	100	100	100	100	100	100	74.4
9.	100	100	100	100	100	100	100	100	100	100	100	100	100	100	100	100	100	100	100	100	100	100	100	100	100.0
10.	100	100	100	100	100	100	100	100	100	100	100	100	100	100	100	100	100	100	100	100	100	100	100	100	100.0
11.	100	100	100	100	100	100	100	100	100	100	100	100	100	100	100	100	100	100	100	100	100	100	100	100	100.0
12.	100	100	100	100	100	100	100	100	100	100	100	100	100	100	100	100	100	100	100	100	100	100	100	99	100.0
13.	99	99	99	100	100	100	75	100	100	100	100	100	100	100	100	100	100	100	100	100	100	99	97	97	98.5
14.	95	94	93	91	91	89	88	81	82	81	81	81	82	82	83	84	86	86	81	83	85	86	83	82	85.4
15.	83	83	81	84	86	85	90	83	89	90	88	89	92	95	96	96	99	98	96	96	96	96	96	98	91.0
16.	97	100	100	100	100	99	98	96	97	98	95	94	96	99	97	97	96	96	96	96	96	96	96	99	97.3
17.	99	99	97	96	97	97	98	98	99	98	98	98	99	100	98	96	96	96	96	96	96	95	95	91	97.0
18.	92	95	97	98	96	98	100	96	98	100	99	97	98	100	97	96	90	91	95	93	95	95	93	92	95.8
19.	91	95	96	95	99	97	100	100	100	100	100	100	100	100	100	100	100	100	100	100	100	100	100	100	98.9
20.	100	100	100	100	100	100	100	100	100	100	100	100	100	100	100	100	100	100	100	100	100	100	100	100	100.0
21.	100	100	100	100	100	100	100	100	100	100	100	100	100	100	100	100	100	100	100	100	100	100	100	100	100.0
22.	100	100	100	100	100	100	100	100	100	100	100	100	100	100	100	100	100	100	100	100	100	100	100	99	100.0
23.	100	100	100	99	99	100	100	100	100	100	100	99	97	95	95	95	93	93	91	90	100	95	94	93	97.0
24.	92	95	91	94	93	89	88	84	87	90	87	84	83	80	80	81	81	81	79	74	78	80	93	96	85.8
25.	96	96	97	97	98	99	100	97	99	93	85	81	77	74	73	72	71	71	64	62	65	67	66	71	82.1
26.	73	72	73	75	82	79	78	72	73	78	77	78	76	77	84	78	80	77	76	74	72	71	71	69	75.6
27.	66	64	64	62	60	57	55	54	57	55	57	58	60	60	63	66	70	71	74	77	80	83	85	89	66.1
28.	92	96	97	98	98	99	100	100	100	100	100	100	100	100	100	100	100	100	100	100	100	100	100	100	99.2
29.	100	100	100	100	100	100	100	79	82	85	83	80	80	80	80	80	100	100	99	97	95	89	86	86	90.9
30.	85	84	81	76	82	82	74	65	67	68	69	65	67	70	75	81	81	82	84	82	82	85	91	88	77.8
Mittel	92.9	93.0	92.5	92.3	92.5	91.9	90.7	90.2	90.9	91.9	91.6	91.7	92.4	92.6	92.9	92.9	93.7	93.7	93.3	92.8	93.4	93.0	93.0	93.0	92.5

Dezember

Datum	1ª	2ª	3ª	4ª	5ª	6ª	7ª	8ª	9ª	10ª	11ª	12m	1p	2p	3p	4p	5p	6p	7p	8p	9p	10p	11p	12mn	Mittel
1.	90	91	91	92	92	93	95	99	100	100	100	100	100	100	100	100	100	100	100	100	100	100	100	100	97.6
2.	100	100	100	92	85	72	75	65	70	73	91	92	87	90	98	97	98	98	99	99	100	100	100	100	90.9
3.	100	100	100	100	100	100	100	100	100	100	100	100	100	100	100	100	100	100	100	100	100	100	100	100	100.0
4.	100	100	100	100	100	100	100	92	91	90	90	86	82	76	72	70	60	54	51	48	47	46	45	44	76.8
5.	42	41	43	48	55	56	56	56	56	58	58	57	58	57	57	56	56	56	53	48	49	48	41	41	51.9
6.	43	45	42	48	33	31	33	35	38	50	50	49	55	55	57	56	62	68	45	41	42	42	44	54	46.6
7.	59	62	56	52	52	52	51	49	45	40	42	43	44	50	43	46	50	54	48	45	51	53	53	51	49.6
8.	51	53	51	49	47	47	46	48	45	45	51	57	57	48	47	42	41	45	52	51	51	48	48	48	48.7
9.	50	39	38	38	36	36	37	38	37	38	50	57	56	41	34	45	43	43	54	55	55	50	50	56	44.8
10.	57	57	57	62	69	70	70	69	70	76	74	70	69	60	59	63	64	58	60	71	67	59	58	61	64.6
11.	61	62	64	64	64	64	68	68	77	80	84	80	80	80	78	77	79	77	76	78	80	75	93	89	74.9
12.	86	90	88	86	87	85	90	80	76	80	79	80	75	77	77	97	98	98	99	99	100	100	100	100	88.6
13.	100	100	100	100	100	100	100	77	77	75	75	83	83	72	64	61	66	62	68	66	68	69	70	77	79.7
14.	78	78	77	79	82	81	81	80	100	100	100	100	100	100	100	100	100	100	100	100	100	100	100	100	93.2
15.	100	100	100	100	100	100	100	100	100	100	99	97	93	90	95	97	97	98	99	99	100	100	100	100	98.5
16.	100	100	99	97	88	83	80	74	79	80	80	80	81	83	83	83	82	78	77	85	84	76	96	97	85.2
17.	96	97	97	98	99	100	100	100	100	100	100	100	100	100	100	100	100	100	100	100	100	100	100	93	99.2
18.	91	89	76	71	77	72	66	65	69	65	63	66	66	78	66	67	67	69	73	78	80	90	97	98	75.0
19.	98	98	98	99	99	100	100	100	100	100	98	95	93	88	80	73	75	73	72	79	80	74	75	73	88.3
20.	72	78	81	87	86	84	81	79	81	78	78	79	78	73	73	73	69	69	68	68	65	64	65	67	74.8
21.	66	67	66	67	68	67	67	65	64	58	56	55	54	53	54	53	57	61	64	66	68	70	70	72	62.8
22.	73	76	75	75	77	80	80	85	86	85	84	79	77	75	79	84	88	90	92	94	85	82	81	77	81.6
23.	75	78	81	86	90	93	95	100	99	97	91	91	93	92	92	94	94	97	98	96	95	94	94	92	92.0
24.	100	100	100	100	100	100	100	100	100	100	100	100	100	100	100	100	100	100	100	100	100	99	97	66	98.4
25.	57	53	73	76	72	72	75	92	98	100	100	100	100	100	100	100	100	100	100	100	100	100	100	100	90.3
26.	100	100	100	100	100	100	100	92	91	90	86	84	82	68	59	51	55	57	60	76	95	100	100	100	85.3
27.	100	100	100	100	100	100	100	100	100	100	100	100	100	100	100	100	100	100	100	100	100	100	100	100	100.0
28.	100	100	100	100	100	100	100	100	100	100	100	100	100	100	100	100	100	100	89	82	85	85	86	83	96.2
29.	79	75	73	73	80	73	70	72	71	75	70	68	71	65	62	63	74	86	78	82	75	82	83	88	74.5
30.	96	94	90	95	100	100	100	100	100	100	100	100	100	100	98	94	91	84	73	66	66	56	49	48	87.5
31.	51	51	52	48	46	46	47	48	46	43	38	48	47	50	48	42	50	46	50	61	64	61	59	57	50.0
Mittel	79.7	79.8	79.6	80.1	80.1	79.3	79.5	78.3	79.5	79.9	80.2	80.5	80.0	78.1	76.6	76.9	77.9	78.1	77.4	78.5	79.1	78.2	79.2	78.5	79.0

Anemometer-Registrierung. **Zugspitze.** 1912.

Datum	0–1^a	1–2^a	2–3^a	3–4^a	4–5^a	5–6^a	6–7^a	7–8^a	8–9^a	9–10^a	10–11^a	11^a–m	0–1^p	1–2^p	2–3^p	3–4^p	4–5^p	5–6^p	6–7^p	7–8^p	8–9^p	9–10^p	10–11^p	11^p–mn	Mittel
Januar																									
1.	3.7	3.4	3.9	4.2	6.7	7.5	7.8	8.1	6.7	5.9	5.9	7.0	5.3	5.3	7.5	3.9	5.3	3.7	4.7	5.9	7.0	8.1	9.3	9.3	6.09
2.	8.4	5.6	6.4	6.4	5.3	6.1	5.0	7.5	9.8	8.1	6.4	7.0	12.1	13.5	14.6	7.3	5.0	3.7	4.2	9.3	9.8	8.7	8.7	3.9	7.62
3.	3.7	3.1	2.8	1.4	2.0	4.2	6.7	8.7	11.2	13.8	14.1	11.8	8.4	11.8	10.7	21.4	23.1	21.7	22.6	22.6	20.3	11.2	16.3	17.5	12.13
4.	8.1	3.4	4.2	7.3	7.5	5.6	5.6	5 9	6.4	7.5	4.7	7.5	3.9	5.0	6.1	7.5	14.9	13.8	11.5	11.8	14.4	12.9	7.0	6.4	7.87
5.	6.4	6.1	6.1	5.9	5.6	5.6	5.3	5.3	5.0	4.7	6.1	6.1	7.0	5.9	12.1	12.1	12.4	7.0	6.4	5.6	6.7	7.0	6.4	9.0	6.91
6.	11.5	14.1	12.4	8.1	7.3	12.6	10.1	12.1	6.4	7.5	5.0	3.4	4.7	9.3	7.3	13.8	14.4	4.5	7.3	10.1	15.2	13.2	11.5	7.0	9.53
7.	7.8	8.7	9.5	10.1	10.9	11.8	12.4	13.2	13.8	14 6	15.5	16.3	17.2	18.0	18.9	16.3	16.1	15.2	19.8	19.2	15.8	10.7	7.0	7.5	13.60
8.	8.1	8.4	9.0	9.5	10.1	10.7	11.2	11.8	12.4	12.6	15.2	14.9	13.8	15.5	15.8	18.3	17.2	15.5	14.1	18.6	17.8	14.9	15.5	7.0	13.25
9.	4.5	2.8	3.7	6.1	4.2	3.7	5.0	4.5	10.9	9.3	5.9	15.2	12.4	12.1	11.5	9.8	8.7	8.4	8.1	8.1	7.8	7.5	7.2	7.0	7.68
10.	6.7	6.7	6.4	6.1	6.1	5.9	5.9	5.6	5.3	5 0	4.7	4.5	4.5	4.2	4.2	5.3	5.3	3.4	2.0	1.4	2.0	0.0	0.0	0.0	4.22
11.	0.0	0.0	0.0	0.0	0.0	0.0	0.0	0.0	0.0	0.0	0.0	0.0	0.0	0.7	1.7	2.3	2.8	3.9	3.9	3.9	3.9	3.9	4.2	4.5	1.49
12.	4.5	4.7	7.3	7.5	7.5	5.9	5.9	4.2	8.4	8.4	6.1	5.6	7.3	8.1	8.1	7.0	6.4	3.9	3.9	3.9	3.9	3.9	4.2	4.2	5.87
13.	4.2	4.5	4.5	4.7	4.7	4.7	5.0	5.0	5.3	5.3	5.6	5.6	5.9	4.2	6.7	7.3	9.0	6.1	5.3	8.7	7.3	4.2	5.3	7.5	5.69
14.	3.7	4.5	3.7	5.0	6.4	5.6	5.6	5.6	7.5	5.9	5.9	5.9	3.1	2.5	5.0	5.9	5.9	5.0	5.3	5.3	4.7	4.7	5.9	5.9	5.19
15.	7.3	8.7	8.7	7.3	7.3	7.3	7.3	6.1	2.5	4.7	3.1	2.0	7.5	8.7	10.1	8.7	5.3	6.4	10.9	13.5	14.9	14.9	14.9	13.2	8.39
16.	6.4	5.6	3.1	4.2	2.5	2.3	5.3	8.1	7.0	4.7	5.0	5.0	3.7	4.2	8.7	8.1	7.0	5.3	6.1	6.7	7.3	7.8	5.3	5.9	5.64
17.	5.9	5.9	5.6	5.6	5.6	5.3	5.3	5.0	5.0	4.7	4.7	4.7	4.5	4.5	4.5	2.0	0.0	0.0	0.0	0.0	0.0	0.0	0.0	0.0	3.28
18.	0.0	0.0	0.0	0.0	0.0	0.0	0.0	0.4	2.0	3.1	3.9	4.7	10.7	10.7	5.3	2,8	0.7	0.0	0 0	0.0	0.0	0.0	0.0	0.0	1.85
19.	0.0	0.0	0.0	0.7	0.4	0.4	0.0	0.0	0.7	2.0	3.1	2.5	4.5	2.5	2.8	5.3	5.9	8.7	4.7	6.4	7.5	7.8	5.0	6.7	3.23
20.	5.0	5.9	5.9	5.9	6.4	5.3	2.3	3.4	2.8	4.7	4.2	4.2	4.2	3.1	3.7	3.7	5.3	6.4	6 4	6.4	4.2	3.7	5.3	7.3	4.82
21.	7.3	4.5	5.0	5.0	5 0	4.7	4.7	4.5	4.5	4.2	4.2	5.0	7.8	7.5	8.7	7.0	8.7	7.5	8.1	4.7	4.7	4.7	4.7	7.5	5.84
22.	9.3	9.3	5.3	5.3	6.4	7.3	6.7	4.2	5.3	5.3	6.4	6.4	10.9	9.8	10.4	7.8	10,1	7.8	8.1	6.7	6.4	5.3	7.5	8.7	7.36
23.	8.1	7.5	9.3	9.3	9.3	9.3	9.3	11.5	12.9	14.9	18.6	18.6	12.9	17.2	18.0	19.2	20.0	18.9	18.3	18.6	16.3	16.6	18.6	17.2	14.60
24.	18.6	17.8	15.2	15.2	10.7	11.5	10.7	6.7	7.3	9.3	10.4	8.1	8.7	8.7	11.2	14.4	10.1	14.9	15.2	17.8	12.4	11.5	12.1	14.9	12.23
25.	12.4	11.5	13.5	11.5	10.9	8.4	3.9	3.7	2.3	10.7	8.7	5.9	6.4	6.4	8.4	4.5	3.7	2.3	2.0	1.7	1.4	1.1	0.7	0.4	5.93
26.	0.0	0.0	0.0	0.0	0.0	0.0	0.0	0.0	0.0	0.0	0.0	1.7	5.0	8.1	9.3	7.3	10.1	9.5	3 9	6.4	6.4	5.9	5.0	4.5	3.46
27.	3.9	3.4	4.7	5.0	4.2	4.5	4.7	5.6	5.0	4.7	4.2	3.9	3.7	5.3	7.3	7.0	6.4	5.9	5.3	4.7	4.5	4.2	3.7	3.1	4.79
28.	2.8	2.3	2.0	1.7	1.1	0.4	0.0	0.0	0.0	0.0	0.0	0.0	0.0	0.0	0.4	1.1	5.6	7.5	7.5	5.9	5.9	6.7	6.7	4.5	2.59
29.	4.5	7.0	7.0	7.0	7.5	5.6	4.5	5.3	9.3	10.1	9.3	7.3	5.3	7.5	7.0	5.3	7.8	10,1	11.2	10.4	9.3	8.4	9 3	9.3	7.72
30.	8.7	7.3	4.7	3.9	3.7	2.3	2,8	5.0	2.3	2.5	3.4	0.4	0,0	0.4	0.0	0.4	0.0	0.0	0.0	0.0	0,0	0,0	1.7	3.1	2.19
31.	3.7	4 2	2.0	0.0	4.7	8.1	9.3	5.3	5.3	4.5	3.7	2.8	2.3	3.1	4.2	5.0	5.0	4.7	4.5	5.3	3.7	3.7	4.5	4.5	4.34
Mittel	5.97	5.71	5.55	5.48	5.48	5.57	5.43	5.56	5.91	6.41	6.26	6.26	6.57	7.22	8.07	7.99	8.33	7.47	7.46	8.05	7.79	6.88	6 89	6.69	6.63
Februar																									
1.	3.7	5.9	6.1	4.5	3.1	3.7	4.7	4.7	5.3	3.7	3.4	3.1	3.4	2,5	4.0	5.3	6.9	9.9	12.1	11.5	11.2	11.5	10.7	9.3	6.26
2.	10.4	9.0	9.9	8.5	7.7	6.1	8.5	5.6	8.5	13.1	15.6	15.3	20.3	22.6	19.2	21.3	19.7	20.3	15.0	15.6	12.6	11.0	9.6	9.0	13.10
3.	9.3	11.2	11.8	5.0	5.8	6.3	7.2	7.7	8.5	12.1	12.1	10.4	8.5	7.5	4.5	4.0	2.4	2.4	3.2	3.2	2.4	1.9	1.2	0.8	6.23
4.	0.8	1.2	0.4	1.2	2.4	2.9	3.5	5.8	6.9	9.9	12.6	13.1	12.6	13.1	14.7	15.8	15.0	13.1	11.8	12.6	11.5	10.1	7.7	5.0	8.49
5.	3.5	2.9	2.4	1.9	2.1	1.9	1.9	1.9	0.8	2.9	3.2	5.8	7.2	8.8	8.5	7.2	10.4	14.5	12.3	14.7	13.1	13 9	15.8	16.4	7.25
6.	16.7	14.5	12.3	15.6	20.5	17.8	17.2	15.8	12.9	17.2	13.7	17.5	20.3	20.8	22.1	21.8	19.7	20,8	20.3	19.2	19.7	18.0	16.9	17.5	17.87
7.	17.4	18.9	18.6	16.7	16.4	18.3	18,0	14.7	17.5	17.8	14.2	12.9	12.1	12.3	12.9	13.4	13.4	15.6	12.9	16.1	13.9	12.1	11.0	11.0	14.92
8.	11.8	9.6	14.7	15.3	17.5	12.1	18.3	17.2	15.6	15.3	14.2	16.7	14.7	15.0	18.0	20.3	18.9	17.2	14.5	12.9	10.7	13.9	15.8	17.5	15.32
9.	10.4	14.5	23.4	15.0	15.0	14.5	11.8	13.1	12.1	12.9	11.5	15.0	12.6	12.1	9.9	11.0	6.3	8.8	9.9	9.9	12.1	10.4	5.3	2.1	11.65
10.	1.6	1.6	1.2	1.2	1.2	1.2	1.2	0.8	4.2	2.7	1.9	1.2	1.2	1.9	3.7	5.6	6.1	12.9	11.0	12.3	11.5	10.4	9.9	9.3	4.83
11.	9.6	8.5	8.5	9.0	12.3	8.5	6.1	9.6	6.3	6.6	5.6	3.5	2.9	2.7	2.7	1.9	1.6	0.8	0.8	0.0	0.4	1.9	2.1	2.7	4.78
12.	2.4	3.2	4.0	4.8	5.6	6.3	7.2	8,0	8.2	6.1	3.2	2.1	2.7	2.7	2.7	2.4	3.5	2.7	2.7	2.7	2.7	2.7	2.9	3.2	3.95
13.	3.7	2.9	2.7	2.1	2.1	3.2	2.9	3.2	4.8	6.9	4.0	3.2	5.3	4.5	4.0	2 9	3.5	3.7	2.7	1.9	1.2	0.8	0.8	0.8	3.08
14.	1.2	0.8	0.8	1.2	0.8	0.8	1.2	4.5	4.8	3.7	2.7	3.2	2.7	2.1	1.6	1.9	1.2	0.8	0.4	0.4	0.0	0.8	0.8	0.8	1.63
15.	0.8	1.2	1.6	1.2	0.4	0.8	0.8	1.6	1.6	1.6	1.2	1.6	1.6	1.2	0.8	0.8	1.6	2.1	2.1	2.1	2.7	5.3	2.7	2.7	1.67
16.	3.5	4.2	3.7	4.2	4.5	5.8	5.6	8.0	9.6	10.7	8 5	8.5	9.0	8.8	9.3	7.2	7.7	7.2	8.5	11.0	15.0	13.1	12.1	8.5	8.09
17.	8.5	5.0	5.8	5.8	9.3	8.8	9.0	8,0	9.0	6.9	6.1	5.0	2.9	2.9	4.0	4.0	3.7	6.3	8.5	8.0	7.4	5.8	2.7	2.4	6.08
18.	5.8	7.7	5.0	2.7	1.6	2.1	2.7	2.7	2.9	3.5	3.7	3.5	5.6	4.5	4.0	4.2	6.9	5.3	6.6	5.6	3.5	4.5	8.5	10.7	4.74
19.	10.7	11.2	8.5	4.8	4.2	4.8	4.8	6.9	8.0	9.0	10.1	10.7	12.6	11.5	16.4	13.1	15.3	15.0	15.0	14.7	14.7	13.9	13.7	12.6	10.93
20.	13.4	8.8	10.4	8.8	5.0	2.7	0.8	3.1	1.6	1.2	2.4	2.1	3.7	2.9	2.1	1.2	1.9	2.4	3.2	2.4	2.7	2.7	2.7	2.7	3.75
21.	2.7	2.7	2.7	2.7	2.7	2.7	2.7	2.7	2.7	2.7	2.7	2.4	2.1	2.1	1.2	1.6	1.9	1.6	2.1	2.4	2.9	2.4	1.2	0.4	2.25
22.	0.4	2.1	2.4	2.4	1.9	1.6	1.9	2.1	2.4	2.4	2.7	2.7	2.7	2.9	2.9	2.9	2.7	2.4	1.9	1.2	0.4	0.0	0.0	0.0	1.88
23.	0.0	0.0	0.0	0.0	0.4	1.2	2.9	2.9	3.2	3.2	3.2	3.2	3.2	3.2	5.0	4.2	6.3	6.3	5.3	5.8	6.1	5.8	5.3	4.5	3.38
24.	9.0	8.5	5.6	4.2	4.5	2.1	2.9	2.1	2.1	1.9	1.9	3.2	4.5	5.8	7.2	5.8	4.8	4.8	4.8	4.8	4.8	4.8	3.5	3.2	4.45
25.	1.9	2,1	2,1	2.4	2.7	2.9	2.9	3.2	3.5	3.5	3.7	4.2	4.8	5.3	5.8	3.7	2.9	1.9	1.9	1.9	2.1	2.1	2.4	2.4	3.01
26.	2.4	2.4	2.7	2.7	2.7	2.9	2.9	2.9	2.9	2.9	2.9	2.1	0.0	0.4	1.6	1.9	1.9	2.1	3.2	4.5	4.8	3.5	3.7	3.7	2.65
27.	4.0	4.2	4.5	4.5	4.8	5.0	5'0	5.3	5.0	6,1	8.0	6,1	6.3	6.6	7.2	6.1	6.3	6.6	6.6	7.4	7 2	7.4	8.0	8.0	6.09
28.	7.2	3.2	5.8	9.3	8.5	8.5	9.0	9.0	6.3	5.8	7.7	7.7	7.4	6.6	5.6	7.7	7.2	6.1	6.1	6.1	4.8	3.2	2.1	2.7	6.40
29.	4 5	3.7	3.5	2.7	2.7	3.7	3.2	3.2	8.2	8.5	8.8	7.7	8.0	10.4	10.1	8,8	12.1	10.4	10.7	8.5	5.3	4.2	4.8	5.0	6.61
Mittel	6.11	5.92	6.25	5.53	5.81	5.49	5.75	6.05	6.39	6.92	6.60	6.68	6.93	7.03	7.30	7.17	7.30	7.72	7.45	7.57	7.15	6.83	6.34	6.03	6.60

Anemometer-Registrierung. **Zugspitze.** 1912.

März

Datum	0–1ª	1–2ª	2–3ª	3–4ª	4–5ª	5–6ª	6–7ª	7–8ª	8–9ª	9–10ª	10–11ª	11ª–m	0–1ᵖ	1–2ᵖ	2–3ᵖ	3–4ᵖ	4–5ᵖ	5–6ᵖ	6–7ᵖ	7–8ᵖ	8–9ᵖ	9–10ᵖ	10–11ᵖ	11ᵖ–mn	Mittel
1.	2.4	4.2	6.1	7.7	4.2	3.5	3.5	6.6	6.6	6.6	6.9	8.0	8.8	7.7	7.7	9.0	10.4	10.4	10.1	10.1	11.2	10.1	11.0	9.6	7.60
2.	7.2	8.0	10.4	8.5	6.3	5.8	5.3	4.2	2.9	3.2	5.8	4.0	5.8	3.5	3.2	2.7	4.0	6.1	7.2	9.9	6.3	7.4	8.2	7.4	5.97
3.	9.9	10.1	10.1	11.2	13.9	15.0	18.6	14.2	14.2	12.3	13.4	15.6	15.0	13.7	13.1	10.4	10.4	5.8	3.7	2.7	2.4	3.2	3.2	2.4	10.19
4.	2.1	1.6	0.8	1.6	1.2	1.9	2.7	2.7	2.7	2.7	2.4	2.4	2.4	2.4	2.4	1.6	1.6	1.2	1.9	2.7	3.7	4.0	5.3	11.2	2.72
5.	7.4	12.1	10.1	9.9	16.9	17.5	18.0	18.0	15.6	20.5	16.4	15.8	25.6	20.0	13.4	10.4	9.6	9.0	15.0	16.7	16.1	16.4	10.4	12.9	14.74
6.	14.7	17.8	10.1	7.4	6.9	6.3	7.7	9.0	8.5	7.4	6.3	5.3	5.0	4.8	4.5	4.2	4.2	4.0	3.7	3.2	3.2	3.5	4.2	4.0	6.50
7.	3.7	4.2	2.4	2.1	2.4	2.1	1.6	2.1	2.7	2.7	2.4	2.1	0.8	0.4	0.0	0.0	0.4	0.4	0.0	0.0	0.0	0.0	0.0	0.0	1.35
8.	0.4	0.4	0.4	0.4	0.4	0.4	0.4	0.0	0.4	0.0	0.0	0.0	0.0	0.0	0.4	0.0	0.4	1.6	0.8	1.2	0.8	0.4	0.4	1.6	0.45
9.	3.2	4.0	3.5	3.5	3.5	2.1	4.2	3.5	1.6	1.2	2.9	1.2	1.6	2.1	2.1	2.7	3.5	4.2	6.9	8.0	4.5	4.0	4.0	5.3	3.47
10.	6.9	6.3	5.8	5.6	5.3	4.8	4.5	4.2	4.0	5.3	6.9	5.3	5.0	4.2	8.5	8.5	6.3	6.6	6.9	6.6	6.3	6.1	5.8	5.8	5.90
11.	5.8	5.6	5.0	5.0	4.8	4.5	4.2	4.0	4.0	3.5	4.0	2.9	1.9	2.1	2.7	3.2	3.7	2.9	2.1	1.6	0.4	1.9	1.9	1.6	3.30
12.	1.6	1.9	0.8	0.8	0.8	0.4	0.4	0.4	0.4	1.9	1.9	2.1	2.4	2.1	2.4	1.6	1.9	1.9	1.2	1.2	0.8	1.6	1.2	1.6	1.39
13.	1.6	1.6	1.2	0.8	0.4	0.4	0.8	1.2	0.8	0.4	0.8	1.2	1.2	2.1	2.4	1.9	1.6	1.6	1.2	2.7	0.8	2.1	2.4	1.9	1.38
14.	0.8	1.2	1.9	1.9	1.6	0.8	1.2	1.9	1.9	2.1	1.9	1.6	1.2	2.1	3.2	3.5	5.0	6.3	8.5	7.4	4.0	5.8	4.8	4.0	3.11
15.	2.7	1.9	1.9	1.9	1.9	2.1	1.9	2.7	2.4	6.9	6.3	5.3	4.0	2.9	3.2	3.7	2.7	3.7	10.7	8.0	5.8	4.2	3.2	5.0	3.96
16.	4.8	4.2	1.6	1.2	1.2	0.0	0.8	1.6	1.2	0.4	0.4	1.2	3.2	3.7	4.5	4.0	3.5	2.7	2.7	2.7	2.7	2.4	2.4	2.4	2.31
17.	1.9	1.2	1.6	1.9	2.9	3.2	5.8	9.3	11.5	13.9	15.6	13.9	12.3	15.0	10.1	9.6	10.1	9.0	7.2	8.5	11.0	6.9	11.5	10.7	8.53
18.	9.3	8.5	8.5	10.1	10.7	10.7	7.4	14.2	10.1	12.3	13.4	13.9	12.3	13.4	13.9	11.2	13.1	11.2	14.2	13.9	16.4	13.9	16.7	12.6	12.16
19.	11.8	11.8	11.2	6.9	5.8	10.4	12.1	10.7	11.2	8.0	4.8	7.4	8.8	5.8	3.2	2.7	2.4	2.4	2.4	2.7	2.7	2.7	3.5	3.5	6.45
20.	3.7	3.2	2.7	2.9	1.2	1.6	1.6	2.1	3.5	4.5	3.5	2.1	1.6	1.2	2.7	1.6	1.9	4.5	9.0	4.2	9.9	9.9	7.4	7.4	3.91
21.	9.0	6.3	5.3	5.8	5.6	5.3	5.0	4.5	2.1	4.2	3.7	4.5	4.8	4.8	5.3	4.8	6.1	6.1	6.9	5.8	5.8	7.7	9.3	10.4	5.80
22.	7.2	5.0	5.3	6.3	6.3	5.8	1.9	1.9	1.9	3.2	4.8	5.0	1.6	2.4	4.8	4.2	4 0	3.5	3.7	2.9	2.9	2.9	2.9	2.9	3.89
23.	2.9	2.9	2.9	2.9	2.9	2.7	2.7	2.7	2.7	2.7	2.7	2.7	2.7	2.4	1.9	1.2	1.6	0.8	2.4	1.2	2.7	3.5	5.0	10.7	2.90
24.	4.8	4.2	4.5	4.8	4 8	5.8	5.8	5.8	5.8	5.3	6.3	5.8	6.9	7.2	7.4	7.7	8.0	8.2	8.5	8.5	8.8	9.0	9.3	9.6	6.78
25.	9.9	10.1	10.1	10 4	10.7	11.0	11.2	11.5	11.5	11.8	12.1	12.3	12.3	12.3	12.1	5.3	3.5	3.7	3.2	6.1	8.5	9.0	5.8	5.3	9.15
26.	4.8	4.5	4.2	3.7	3.5	3.2	2.7	2.4	2.1	1.2	1.2	2.1	2.4	3.7	4.5	3.2	1.9	2.4	4.0	2.7	3.2	3.2	4.0	4.2	3.13
27.	4.5	3.7	4.2	4.2	4.2	4.2	4.2	6.1	8.8	8.0	7.4	5.8	7.4	6.9	7.2	5.8	8.0	8.2	8.0	5.3	6.3	6.3	6.1	5.0	6.08
28.	4.5	2.7	3.2	3.7	2.7	2.1	4.0	3.5	6.1	2.7	5.0	4.5	4.2	4.5	2.9	2.1	2.1	2.4	2.9	2.4	1.6	1.9	2.4	1.2	3.14
29.	2.1	1.6	1.6	1.9	1.9	2.1	2.4	2.4	2.7	2.4	2.1	2.1	1.9	1.6	1.2	1.2	1.2	1.2	1.2	4.2	3.5	2.7	1.9	1.9	2.04
30.	1.9	1.6	1.6	0.8	0.4	1.9	3.2	2.4	2.7	4.5	2.9	5.6	4.5	4.2	4.5	5.6	5.6	6.1	6.1	7.2	8.0	6.1	6.3	4.2	4.08
31.	4.8	4.0	3.5	3.7	3.5	3.7	5.3	5.3	3.7	2.7	2.9	4.8	7.4	8.0	11.8	11.0	13.4	13.4	13.9	18.3	16.7	20.5	21.0	16.1	9.14
Mittel	5.11	5.05	4.60	4.50	4.48	4.56	4.87	5.20	5.04	5.31	5.39	5 37	5.65	5.39	5.39	4.66	4.91	4.89	5.68	5.76	5.71	5.78	5.85	5.88	5.21

April

1.	13.4	14.7	12.3	14.7	13.1	13.4	12.9	9.6	6.6	6.3	6.1	4.8	4.2	1.9	2.9	6.3	7.4	6.9	6.9	6.9	6.9	5.0	5.3	5.6	8.09
2.	5.8	6.3	6.6	6.9	7.2	7.4	7.7	8.0	8.0	7.2	8 5	9.9	11.2	12.6	12.6	9.3	6.9	6.6	11.0	8.8	8.2	9.0	6.1	6.6	8.27
3.	6.9	7.2	7.4	8.0	8.2	8.5	8.8	9.0	6.1	6.3	6.9	7.7	6.1	5.8	6.6	6.1	5.3	4.0	3.7	2.9	2.7	3.5	4.8	5 3	6.16
4.	5.8	8.2	8.5	8.5	9.9	9.9	9.9	9.6	11.0	9.6	9.3	8.0	6.3	5.0	6 9	8.8	11.5	9.6	8.8	8.0	7.2	6.9	6.1	5.6	8.29
5.	5.8	5.0	4.2	5.8	4.8	4.5	4.0	7.7	12.6	12.9	15.8	13.1	9.6	8.2	9.0	7.7	6.6	5.6	9.9	9.0	10.7	11.2	11.8	12.3	8.66
6.	12.9	13.4	13.9	14.5	15.0	15.6	16.1	16.7	13.1	18.9	16.1	15.8	15.3	14.7	14.5	19.7	8.0	8.5	9.0	9.6	10.1	10.7	11.2	11.2	13.52
7.	11.2	11.2	11.2	11.2	11.2	11.2	11.2	11.2	11.2	11.2	11.2	8.5	8.5	8.5	8.5	8.5	6.9	8.0	8.0	7.7	7.7	7.4	7.4	7 4	9.43
8.	7.4	7.2	6.9	6.9	6.6	6.6	6.3	6.1	6 1	5.8	5.8	5.6	5.3	4.8	10.7	8.2	10.1	13.4	13.7	14.2	19 4	15.8	16.7	16.7	9.43
9.	15.0	13.9	13.1	12.6	12.3	9.9	13.9	11.0	11.0	9 3	4.2	3.5	4.2	4.2	5.3	6.3	7.4	6.9	9.0	7.4	5.8	4.5	4.5	3.2	8.27
10.	3.2	2.9	3.5	3.7	3.7	3.2	2.7	3.7	3.5	3.2	6.1	5.0	4.5	3 5	1.9	2.7	2.9	5.6	8.5	18.9	18.0	16.4	11.2	14.5	6.38
11.	15.6	13.9	14.7	11.5	8.5	9.0	13.4	12.1	10.4	9.9	9.0	6.1	3.2	7.7	8.5	13.1	9.9	10.7	11.2	11.0	11.5	12.9	8.0	6.3	10.34
12.	6.3	8.0	11.0	5.3	7.4	10.1	8.5	8.5	8.8	8.0	10.4	9.9	6.9	6.9	5.8	6.9	6.9	7.7	11.0	8.0	5.6	4.8	3.2	3.7	7.48
13.	4.2	3.7	4.0	3.7	3.7	3.7	4.0	5.3	6.1	4.8	5.8	5.3	3.5	5.6	6.6	5.8	5.3	4.2	4.2	4.8	3.7	4.0	4.2	3.7	4.58
14.	3.7	4.2	4.2	2.9	3.7	3.7	4.2	5.6	4.5	2.9	4.2	3.2	2 9	3.5	3.2	2.7	3.2	2.4	2.4	1.2	0.8	2.1	2.1	0.8	3.10
15.	0.8	0.8	0.8	0.8	1.2	0.8	1.2	2.1	2.9	2.9	2.7	2.7	2.1	2.1	3.5	3.5	3.2	3.2	2.7	1.9	2.1	2.1	2.9	2.4	2.14
16.	2.9	2.1	2.1	2.4	3.7	5.3	6.9	5.3	5.0	7.4	8.5	11.5	11.8	9.0	8.8	6.6	4.8	5.6	5.3	4.8	4.2	3.5	3.7	3.7	5.62
17.	2.9	2.7	3.2	2.7	1.9	0.8	2.4	2.7	2.1	3.5	2.9	4.5	4.0	4.0	5.0	5.8	6.9	6.3	5.8	8.0	5.6	5.8	5.8	6.3	4.23
18.	6.9	1.6	1.2	3.7	3.2	3.2	4.5	4.8	3.5	4.8	9.3	10.1	6.9	5.8	5.6	5.0	5.0	3.5	5.0	5.8	5.8	3.7	3.5	3.2	4.82
19.	1.2	1.2	4.8	4.0	3.5	2.9	2.1	1.6	0.8	1.6	2.4	2.4	1.2	0.8	0.4	0.4	1.2	0.0	0.0	0.8	0.0	0.4	0.8	0.4	1.45
20.	0.8	0.0	0.4	0.8	0.4	0.0	0.0	0.0	0.0	0.0	0.4	0.0	0.0	0.4	0.4	0.4	0.0	0.8	2.7	4.8	4.2	4.0	2.1	1.9	1.02
21.	1.2	1.9	1.9	1.2	1.6	1.6	2.1	2.7	3.2	4.8	3.2	3.2	3.7	2.7	3.2	2.7	4.8	5.6	4.8	4.8	4.8	4.5	4.0	2.9	3.21
22.	1.9	2.1	2.1	4.0	4.8	4.5	4.8	6.6	10.4	10.7	8.2	7.4	6.1	4.5	4.2	0.8	4.8	2.7	2.7	2.4	1.9	1.6	2.4	1.9	4.31
23.	1.9	0.8	1.9	2.9	1.6	1.6	1.9	1.6	2.7	2.9	2.7	2.7	2.9	2.1	2.4	2.9	4.8	5.0	5.3	5.3	6.6	3.7	5.6	4.8	3.19
24.	4.5	2.7	0.8	0.8	1.2	1.9	2.7	2.7	4.0	4.5	4.8	4.8	5.8	4.5	4.2	3.5	2.4	1.2	1.6	2.1	1.6	0.4	0.0	0.0	2,61
25.	1.2	0.8	1.2	0.8	0.8	0.8	1.9	1.6	0.4	0.0	0.4	2.7	3.5	2.1	1.2	1.9	1.6	1.6	1.9	1.6	0.8	1.9	3.5	3.2	1.56
26.	3.7	3.2	0.8	0.4	0.4	0.4	1.6	1.2	1.9	1.6	1.2	1.2	2.4	1.9	2.9	1.6	3.2	3.2	2.9	4.8	5.8	5.6	6.6	6.9	2 73
27.	5.8	10.1	9.0	8.8	9.0	8.5	5.0	4.8	6.3	4.5	3.7	4.5	5.3	4.8	6.1	5.6	7.4	6.9	6.9	8.5	8.5	7.7	10.1	10.4	7.01
28.	11.0	11.8	9.9	8.5	5.0	3.5	2.4	5.3	4.5	6.3	5.8	6.3	4.5	3.7	2.1	0.8	0.8	2.1	2.1	1.9	3.2	2.1	0.8	0.0	4.35
29.	1.2	0.4	0.8	1.6	0.8	0.8	1.2	0.8	1.9	0.4	0.0	0.4	0.0	0.4	1.2	0.8	0.8	1.2	0.8	1.6	2.1	1.6	1.9	0.4	0,96
30.	0.0	0.4	0.0	0.0	0.4	1.9	2.9	2.7	2.7	2.4	2.1	2.9	2.7	3.2	3.5	3.2	3.2	2.9	3.2	2.7	1.9	1.9	1.9	2.1	2,12
Mittel	5.50	5.41	5.41	5.32	5.16	5.17	5.57	5.69	5.71	5.82	5.92	5.79	5.15	4.83	5.26	5.25	5.11	5.06	5.70	6.01	5.91	5.49	5.27	5.11	5.44

Anemometer-Registrierung. **Zugspitze.** 1912.

Datum	0–1ª	1–2ª	2–3ª	3–4ª	4–5ª	5–6ª	6–7ª	7–8ª	8–9ª	9–10ª	10–11ª	11ª–m	0–1ᵖ	1–2ᵖ	2–3ᵖ	3–4ᵖ	4–5ᵖ	5–6ᵖ	6–7ᵖ	7–8ᵖ	8–9ᵖ	9–10ᵖ	10–11ᵖ	11ᵖ–mn	Mittel
Mai																									
1.	2.1	2.4	2.4	2.7	2.7	2.9	2.9	3.2	2.7	2.7	3.7	0.4	1.6	0.8	1.6	3.2	3.5	2.9	2.9	3.2	2.7	2.4	0.8	0.4	2.37
2.	1.2	2.1	2.7	3.2	4.5	4.0	2.9	4.2	4.0	2.4	3.2	3.7	4.5	5.6	4.5	4.0	2.7	1.2	2.1	1.2	0.8	0.8	0.8	0.8	2.80
3.	0.8	2.1	1.6	2.1	4.2	4.0	3.7	2.1	1.9	0.8	0.8	1.9	0.8	1.6	1.2	1.9	1.2	1.9	1.9	2.9	3.7	2.4	1.6	1.2	2.01
4.	2.1	2.7	3.7	3.7	2.7	2.4	2.1	1.9	3.5	4.0	2.4	2.4	2.4	1.9	1.6	1.2	1.6	1.2	1.6	2.4	1.6	1.6	1.6	2.4	2.28
5.	4.5	2.9	2.7	2.7	2.9	2.7	1.9	1.2	2.7	4.2	1.9	1.9	1.9	1.2	2.1	1.9	1.6	1.2	0.0	1.9	1.6	2.4	2.1	1.2	2.14
6.	2.4	2.4	1.2	1.2	0.8	0.4	0.4	0.8	0.8	0.4	1.6	1.9	4.2	3.2	2.9	2.9	1.9	2.7	2.1	2.4	2.7	2.4	2.7	2.7	1.96
7.	2.7	2.7	2.7	2.7	2.7	2.7	2.7	4.5	6.3	8.5	9.0	5.8	4.8	5.0	6.3	5.0	7.2	5.8	7.2	6.9	8.5	6.6	8.2	5.0	5.40
8.	6.6	8.2	9.9	11.5	13.1	14.7	16.4	17.8	16.9	16.1	15.6	15.0	14.5	13.9	13.4	13.4	9.0	13.9	14.2	14.5	14.7	15.3	13.1	10.1	13.41
9.	6.9	6.9	6.9	6.9	6.9	7.2	7.2	7.2	7.2	7.2	8.5	7.2	8.5	9.0	7.7	8.5	8.0	4.8	5.6	7.4	9.9	10.1	9.9	9.9	7.73
10.	8.8	7.7	9.0	7.2	7.7	7.7	6.3	7.2	7.7	7.7	8.5	6.9	6.3	6.1	11.8	10.1	9.6	11.0	9.6	9.3	9.0	8.8	8.8	8.5	8.39
11.	8.2	8.0	7.7	7.7	7.4	7.2	6.9	6.6	6.3	6.3	5.6	7.7	9.3	12.3	13.9	15.6	16.7	13.4	11.2	6.3	6.3	6.9	10.1	11.8	9.15
12.	6.6	3.2	2.9	2.9	5.3	5.0	4.8	4.2	6.3	8.5	9.9	14.2	15.0	12.6	8.5	7.4	7.4	8.5	14.7	17.5	15.6	15.0	17.2	16.1	9.55
13.	10.1	8.0	9.3	8.0	6.6	7.2	6.3	11.0	7.7	6.3	8.0	8.2	8.2	7.7	12.1	14.5	12.6	13.9	15.0	16.4	11.0	9.0	8.2	8.8	9.75
14.	8.5	8.8	9.6	10.4	9.9	11.5	13.4	9.9	5.8	6.6	6.6	6.6	5.3	5.0	3.2	2.4	2.1	2.4	2.7	6.3	9.3	13.9	13.9	13.1	7.80
15.	11.0	12.3	10.1	7.2	3.5	3.5	4.2	6.1	9.3	6.6	7.4	7.4	8.0	8.0	9.6	10.1	11.2	12.3	13.9	17.5	16.7	17.5	17.5	11.5	10.10
16.	5.3	5.6	5.0	4.8	4.2	4.0	3.5	3.2	3.2	2.9	2.9	2.7	2.7	1.6	0.8	2.7	3.7	3.7	4.0	4.2	4.5	4.8	5.0	5.3	3.76
17.	5.6	5.8	6.1	6.1	6.3	6.6	6.9	7.2	7.4	7.7	8.0	8.2	8.5	8.5	7.2	7.7	5.3	8.0	9.3	10.1	11.0	12.1	12.1	8.5	7.93
18.	6.3	5.8	4.0	4.0	4.0	4.0	4.0	4.0	5.3	4.2	3.2	2.4	4.8	3.7	4.2	4.8	4.8	5.6	2.9	2.1	2.1	2.4	2.1	2.4	3.88
19.	4.5	3.7	3.5	3.2	2.9	4.5	5.3	5.8	2.4	3.5	3.2	1.9	0.0	0.8	1.2	1.9	3.2	5.3	8.8	8.2	8.8	5.0	5.0	3.5	4.00
20.	1.6	2.4	0.8	0.4	0.0	0.0	0.0	0.0	1.6	2.4	4.5	6.1	6.9	6.1	6.3	5.8	6.3	7.4	8.5	10.4	10.4	10.7	9.9	9.3	4.91
21.	8.8	8.2	7.7	7.2	6.6	6.1	5.6	5.0	4.5	4.5	4.5	4.0	2.9	4.8	5.6	4.2	4.8	5.0	6.6	9.0	8.0	6.1	5.6	5.0	5.85
22.	4.2	4.5	4.0	3.2	3.7	5.0	3.7	2.9	3.5	2.7	4.8	3.7	3.5	6.9	5.8	4.8	5.3	7.4	7.7	6.6	5.6	5.3	4.8	4.5	4.75
23.	4.0	3.7	3.2	2.9	2.4	2.1	1.6	1.2	1.6	0.4	0.4	0.0	0.0	0.8	1.6	1.6	1.9	1.5	3.2	3.5	4.0	3.5	3.5	3.7	2.20
24.	3.7	4.0	4.0	4.2	4.2	4.5	4.5	4.8	4.0	3.5	2.9	3.2	3.7	4.0	4.2	4.5	4.2	3.7	3.5	4.0	4.8	5.3	5.6	4.0	4.13
25.	4.2	4.5	4.8	5.3	5.6	5.8	6.1	7.2	6.6	4.8	6.3	6.3	6.3	6.3	6.3	4.5	4.8	4.8	4.8	5.0	5.0	5.0	3.7	3.7	5.32
26.	3.7	3.7	3.7	3.7	3.7	3.7	3.7	3.7	3.7	4.2	3.7	2.7	1.9	2.4	1.9	0.0	0.4	0.0	0.8	0.8	2.4	1.6	1.9	2.7	2.53
27.	2.1	0.8	0.8	1.2	2.4	1.9	3.2	2.9	2.9	3.5	4.2	5.0	5.6	5.0	5.0	4.0	4.0	4.0	4.0	4.0	4.0	3.2	3.7	3.7	3.38
28.	4.0	4.2	4.0	3.7	4.0	3.7	4.0	3.5	4.2	7.4	5.3	5.0	3.7	4.8	4.2	4.5	5.8	6.9	4.2	2.4	3.2	3.7	2.7	3.7	4.28
29.	3.7	2.9	2.9	2.4	2.7	3.2	3.5	2.4	2.4	7.4	6.6	6.1	4.5	2.9	4.8	3.2	5.8	3.7	2.7	2.1	0.4	0.0	0.0	0.0	3.18
30.	0.4	3.5	2.4	0.8	1.2	0.0	0.0	0.0	1.2	0.8	3.2	3.7	4.0	2.4	0.8	1.2	1.2	1.9	1.2	1.6	0.0	0.0	0.0	0.0	1.31
31.	0.0	0.0	0.0	0.0	0.0	0.0	0.0	0.0	0.4	1.6	2.4	3.2	4.8	4.5	4.2	3.7	2.7	1.9	0.8	1.2	2.1	1.6	1.2	1.2	1.56
Mittel	4.66	4.64	4.49	4.30	4.35	4.46	4.44	4.57	4.65	4.83	5.12	5.01	5.13	5.14	5.31	5.20	5.18	5.43	5.73	6.17	6.14	5.98	5.91	5.31	5.09
Juni																									
1.	1.2	1.9	2.9	2.9	3.2	2.7	4.2	3.5	2.4	2.1	7.4	6.6	6.3	6.3	5.4	3.7	5.3	5.8	9.0	11.2	13.7	9.3	9.0	6.6	5.61
2.	4.5	5.0	4.8	3.2	4.2	4.5	5.0	5.6	10.1	8.0	4.2	5.3	4.2	5.3	6.3	8.0	5.8	5.8	5.8	5.8	6.1	6.1	6.1	6.1	5.66
3.	6.3	6.3	6.3	6.6	6.6	6.6	6.6	6.9	6.9	6.9	6.9	6.9	6.1	6.3	5.8	5.6	5.6	5.6	5.6	5.3	5.3	5.3	5.3	5.0	6.11
4.	5.0	5.0	5.0	4.8	4.8	4.8	4.5	4.5	4.5	4.5	5.6	6.1	5.8	5.8	5.8	4.2	5.3	6.9	5.3	6.6	6.1	5.8	8.8	11.2	5.70
5.	8.0	5.3	6.9	8.0	9.0	4.8	8.5	7.2	6.1	5.0	5.6	8.2	8.5	9.0	8.5	6.9	4.8	5.3	6.3	6.9	7.4	6.9	5.3	6.1	6.85
6.	7.7	7.7	6.6	6.1	5.3	6.1	6.3	7.2	8.5	8.0	7.2	9.6	6.6	6.3	5.8	6.1	6.9	6.3	7.2	6.6	6.6	6.9	7.7	7.2	6.94
7.	9.3	9.6	8.8	11.2	11.0	12.6	12.6	11.0	9.6	8.5	8.8	6.6	6.6	5.0	8.5	5.0	2.9	8.0	2.9	5.0	5.3	4.8	7.2	5.3	7.75
8.	4.5	3.7	2.9	2.1	1.2	0.0	0.0	0.0	0.4	0.4	0.8	0.8	1.6	4.2	2.9	5.8	5.3	4.0	4.0	3.7	5.0	6.9	3.5	2.4	2.75
9.	2.4	3.5	1.2	0.0	0.0	2.1	1.9	1.6	3.2	5.0	4.2	4.5	4.2	2.4	2.7	3.2	3.5	3.7	3.2	2.9	2.7	2.4	0.4	0.0	2.54
10.	0.0	0.0	0.0	0.0	0.0	0.0	0.8	1.6	0.4	1.6	2.1	3.2	3.7	4.0	2.4	1.9	1.9	1.9	1.6	1.6	1.6	1.2	1.2	1.2	1.41
11.	0.8	0.8	0.8	0.4	0.4	0.4	0.0	0.4	1.2	1.6	1.9	2.4	2.7	3.2	3.5	3.7	4.0	4.5	5.0	5.3	5.6	5.0	5.8	6.1	2.73
12.	7.2	5.8	5.6	6.9	6.1	3.7	2.9	3.2	3.7	4.0	4.2	4.8	5.0	5.3	3.2	3.5	5.3	4.8	5.8	6.9	7.4	6.3	5.3	5.6	5.10
13.	3.5	3.7	5.8	5.6	5.6	4.2	4.8	3.7	7.4	6.3	7.7	6.3	4.8	6.3	6.1										
14.																									
15.																									
16.	6.6	6.1	5.8	5.6	5.3	5.0	4.5	4.2	5.0	5.6	5.6	4.2	2.9	1.6	5.3	4.8	5.0	3.7	6.3	6.3	6.1	6.1	5.8	5.8	5.13
17.	5.6	5.3	5.3	5.0	5.0	4.8	4.8	4.5	4.2	4.2	4.0	4.0	3.7	3.7	3.2	3.7	3.2	2.7	2.7	4.0	4.0	4.5	3.5	3.5	4.13
18.	3.2	3.2	2.7	2.9	1.2	4.2	2.9	1.6	5.3	11.2	14.2	16.9	20.0	17.8	15.3	12.9	9.6	9.0	9.6	13.1	10.4	6.1	4.5	6.3	8.50
19.	8.8	11.5	10.7	9.6	8.2	5.8	6.1	5.8	4.8	4.8	5.0	5.0	5.3	5.0	5.0	6.1	5.8	6.9	7.2	7.4	6.3	7.2	10.4	6.6	6.89
20.	5.6	6.1	5.3	5.3	6.1	7.4	8.0	5.3	5.3	4.8	4.0	3.5	4.5	8.5	6.9	7.4	9.0	11.5	9.9	8.0	6.6	6.9	8.0	7.7	6.73
21.	8.0	7.7	7.2	6.9	6.3	6.1	5.6	5.3	4.8	2.7	3.5	2.4	2.1	4.2	2.4	1.6	2.4	3.2	5.3	4.2	3.5	3.2	2.9	2.9	4.23
22.	2.7	2.4	2.4	2.1	1.9	1.9	2.7	3.5	4.2	5.0	4.2	3.5	2.7	1.9	1.6	1.6	1.2	1.2	1.6	3.2	6.3	6.6	6.3	6.6	3.22
23.	9.3	6.3	4.0	5.0	6.1	4.2	4.2	6.3	6.9	6.3	1.9	1.6	0.0	0.4	2.1	1.2	4.2	6.6	5.3	4.0	2.9	2.4	2.9	4.10
24.	3.7	3.5	3.5	3.7	3.7	3.7	0.8	0.8	0.4	1.9	1.9	2.4	0.8	2.1	2.4	1.9	2.1	2.1	2.7	3.5	4.0	4.8	5.3	5.8	2.81
25.	5.8	5.8	5.8	5.8	5.8	5.8	5.8	5.8	5.8	5.8	5.8	5.8	5.8	4.5	4.5	4.5	5.8	4.8	3.7	2.9	2.9	2.1	2.1	1.6	4.78
26.	1.9	1.6	0.8	0.8	0.4	1.2	0.8	2.4	2.1	2.1	2.7	2.4	1.6	2.7	3.5	4.2	5.3	8.5	15.6	11.8	10.1	8.5	8.0	4.8	4.33
27.	6.1	4.0	2.9	2.9	2.9	2.9	2.9	2.9	2.4	1.9	2.4	0.8	2.4	0.8	2.4	2.4	2.7	3.2	3.7	3.2	0.8	0.4	0.4	0.8	2.43
28.	2.4	2.1	0.0	0.0	0.4	0.4	1.9	2.1	1.6	2.4	1.6	3.7	0.0	0.0	1.6	0.0	0.0	0.0	0.0	2.4	4.0	3.5	2.9	2.7	1.49
29.	2.7	2.7	2.9	2.4	2.4	2.4	2.9	4.2	7.4	6.9	6.1	5.8	5.8	4.8	4.5	3.7	4.0	5.0	6.9	6.3	9.6	6.1	5.6	3.5	4.79
30.	2.4	2.9	3.5	4.0	4.5	5.0	5.6	6.1	10.7	11.5	7.2	6.3	8.2	8.5	9.3	9.0	11.8	12.3	10.1	8.8	10.1	11.0	11.0	10.1	6.91
Mittel																									

Anemometer-Registrierung. **Zugspitze.** 1912.

Juli

Datum	0–1a	1–2a	2–3a	3–4a	4–5a	5–6a	6–7a	7–8a	8–9a	9–10a	10–11a	11a–m	0–1p	1–2p	2–3p	3–4p	4–5p	5–6p	6–7p	7–8p	8–9p	9–10p	10–11p	11p–mn	Mittel
1.	11.0	9.6	7.2	7.7	6.6	5.3	4.2	4.0	4.5	4.2	5.6	7.7	7.2	8.0	5.8	5.6	4.2	3.7	2.7	3.7	4.8	4.2	3.5	3.7	5.61
2.	3.7	3.5	3.5	3.5	3.2	3.2	3.2	2.9	2.9	4.8	3.5	2.1	3.7	4.8	4.2	5.3	4.5	1.6	0.8	2.1	6.3	6.9	7.4	7.4	3.96
3.	7.4	7.4	7.7	7.7	7.7	7.7	8.0	8.0	8.0	8.0	7.2	9.0	9.0	9.0	8.2	7.4	6.6	5.8	4.8	6.3	5.8	5.3	4.8	4.5	7.14
4.	4.0	3.7	3.2	2.9	2.4	1.9	1.6	0.8	0.0	0.0	1.6	2.4	2.9	5.0	5.3	5.3	5.8	5.6	4.5	5.0	7.4	5.8	5.8	4.5	3.64
5.	3.5	0.4	0.0	0.0	0.0	0.0	0.0	1.6	0.0	0.0	1.2	4.8	5.8	5.3	4.8	4.5	5.0	4.0	3.2	4.0	5.6	5.8	5.3	6.3	2.96
6.	9.3	11.2	11.5	11.5	7.7	2.1	0.8	3.2	2.7	2.1	2.4	2.9	4.0	4.0	4.0	5.3	6.6	7.7	3.7	1.9	2.9	3.5	2.1	2.9	4.83
7.	2.7	2.4	2.1	3.2	1.2	2.1	2.1	5.3	5.3	5.0	4.8	5.0	5.3	5.3	5.0	4.8	6.6	5.8	7.2	8.2	8.5	8.0	7.7	7.4	5.04
8.	7.2	7.2	6.9	6.6	6.3	6.1	6.1	5.8	4.8	4.5	4.2	4.8	2.4	1.6	0.8	1.9	1.9	0.4	1.9	1.2	1.2	0.4	0.4	1.2	3.58
9.	3.7	2.4	2.9	2.4	2.4	2.7	4.2	2.4	1.6	3.2	2.1	0.8	2.9	0.8	0.0	0.0	0.0	4.5	4.2	5.0	3.5	2.1	1.9	1.9	2.40
10.	1.6	1.9	1.9	1.9	1.9	1 9	1.9	0.0	0.8	2.9	3.5	2.9	2.7	2.1	4.0	5.8	3.7	3.7	3.7	5.0	5.8	3.2	1.9	4.0	2.86
11.	1.2	1.2	0.8	0.0	0.0	1.6	2.7	4.2	1.2	0.4	0.0	0.8	0.4	0.8	1.6	0.8	2.7	2.7	1.6	1.9	1.2	1.6	1.9	1.2	1.35
12.	2.4	2.4	3.7	3.7	3.7	3.7	2.9	2.4	1.2	0 0	0.8	0 0	0.4	0.4	0.8	1.9	0.8	1.2	0.8	1.2	2.1	1.6	2.1	4.2	1.85
13.	3.7	4.2	1.9	2.4	2.7	2.7	2.9	2.9	2.9	4.0	2.4	0.8	0.4	1.6	2.4	2.7	3.7	4.0	3.5	3.5	1.6	2.7	2.1	2.4	2.67
14.	2.4	1.9	1.9	1.9	1.9	4.2	4.2	4.8	4.5	1.2	1.6	1.6	0.8	0.8	3.2	3.2	2.9	2.9	0.8	1.2	3.2	3.7	5.3	4.8	2.70
15.	4.8	2.1	1.9	2.7	3.2	4.0	4.5	5.0	4.5	3.2	2.9	2.1	3.7	3.7	3.2	2.7	1.9	0.4	1.6	1.9	3.2	3.2	3.7	4.2	3.10
16.	4.8	4.5	2.7	2.7	4.2	4.5	4.2	4.2	2.4	4.0	3.5	2.9	1.9	0.4	0.8	0.8	0.4	3.7	8.0	8.2	8.5	8.5	5.3	6.3	4.06
17.	9.0	8.8	8.8	8.8	5.6	8.8	8.8	7.4	6.3	6.9	3.5	2.7	4.8	3.5	0.0	0.8	2.9	3.2	3.2	6.1	4.8	6.9	7.4	3.7	5.53
18.	3.2	4.8	2.7	2.4	3.2	3.2	3.2	6.9	5.8	5.8	3.7	1.9	2.4	4.0	4.0	4.0	3.7	3.2	4.5	4.0	2.4	2.9	2.4	1.9	3.59
19.	2.9	1.9	2.1	5.0	3.7	3.7	2.9	6.1	4.0	2.1	0.8	2.1	1.9	2.4	4.8	10.1	12.9	9.3	6.1	6.9	7.7	7.4	2.7	4.5	4.74
20.	4.5	4.2	4.2	4.2	4.0	4.0	4.0	4.0	3.7	2.1	3.7	4.2	4.5	4.8	5.3	4.2	8.0	3.2	2.1	2.4	2.7	3.2	2.4	2.9	3.85
21.	3.7	4.5	5.0	5.8	6.1	6.6	7.2	14.5	11.5	11.2	8.5	5.8	5.0	5.8	11.0	8.5	6.9	8.0	8.5	11.2	10.1	12.3	7.7	4.5	7.91
22.	4.5	4.8	5.0	5.3	5.3	5.6	5.8	5.8	6.9	5.3	9.0	8.0	5.0	6.3	6.3	3.2	2.9	3.2	1.6	2.1	2.1	2.4	3.2	2.4	4.67
23.	2.1	2.9	3.5	4.0	5.0	3.2	2.1	2.9	2.7	2.4	1.2	0 8	0.0	0.4	0.8	2.1	2.1	2.1	1.9	4.2	4.2	3.7	4.2	3.7	2.59
24.	2.1	2.1	3.5	4.2	3.7	4.2	4.2	1.6	1.2	1.9	1.6	2.1	3.7	4.5	4.8	3.5	2.1	2.7	1.6	2.4	2.1	3.2	2.7	4.5	2.93
25.	4.8	5.8	5.8	5.8	6.6	9.6	7.4	6.1	8.0	8.0	3.2	3.7	3.7	5.8	3.5	4.8	11.2	9.3	5.3	2.1	3.5	1.9	4.0	2.1	5.50
26.	3.5	2.9	0.0	0.0	0.0	0.0	1.2	3.2	4.0	4.8	4.0	4.0	4.0	4.5	4.8	4.8	3.5	5.0	4.8	5.3	4.2	4.0	4.2	6.6	3.47
27.	8.5	7.2	8.2	6.3	4.8	5.6	5.0	4.0	4.2	4.8	4.2	4.2	4.8	4.5	4.8	4.8	4.5	3.7	4.0	4.0	5.8	8.0	8.2	6.9	5.46
28.	7.4	6.6	8.0	6.3	8.0	6.9	5.8	6.9	9.0	7.4	7.7	7.2	6.6	6.3	5.8	5.3	4.8	4.8	5.3	4.8	4.8	5.8	6.1	6.6	6.43
29.	8.5	7.4	8.8	9.3	9.6	6.9	8.2	6.3	6.1	6.1	6.9	9.3	5.0	6.6	5.3	3.7	7.2	5.6	5.8	2.7	3.2	3.7	6.3	4.8	6.39
30.	5.0	4.2	0.0	0.0	0.0	0.0	0.0	0.0	0.8	0.8	4.5	7.2	8.5	3.7	5.0	4.8	4.5	3.5	5.0	6.3	8.0	7.2	5.0	4.2	3.68
31.	3.2	2.1	1.6	1.2	0.8	1.6	1.6	1.6	1.2	2.9	5.8	4.8	4.5	5.6	7.2	5.3	4.8	4.8	3.7	2.7	3.2	2.1	3.2	8.5	3.46
Mittel	4.72	4.39	4 10	4.17	3.92	3.99	3.90	4.35	3.96	3.87	3.70	3.83	3.80	3.95	4.11	4.13	4.49	4.17	3.75	4.11	4.53	4.55	4.22	4.35	4.13

August

1.	8.5	7.7	5.8	6.3	7.7	8.5	7.7	7.7	8.0	6.9	6.3	5.8	5.3	4.0	3.7	5.8	6.6	7.7	8.8	9.9	8.2	10.7	8.2	6.3	7.17
2.	8.0	7.4	5.8	4.5	5.6	4.5	8.0	5.3	5.8	5.8	5.0	3.7	5.0	5.8	5.3	5.8	6.1	6.6	6.3	4.2	5.0	5.8	8.5	8.0	5.91
3.	5.8	4.5	3.7	2.9	2.1	1.2	0.0	0.4	0.4	2.4	6.6	8.5	8 5	6.9	8.5	9.6	9.0	9.6	8.5	8.5	6.6	10.1	8.0	9.0	5.89
4.	5.0	2.9	3.7	4.2	2.1	2.7	4.2	6.6	8.2	6.9	5.6	5.0	6.9	5.8	5.8	6.9	6.1	7.4	11.0	11.8	15.0	9.6	7.4	4.8	6.48
5.	5.0	7.2	7.4	8.5	9.0	7.2	6.9	6.3	3.7	3.5	5.0	5.6	4.5	2.4	0.4	2 9	1.6	5.0	5.3	5.8	7.4	9.6	8.0	6.3	5.60
6.	9.3	9.9	7.7	7.7	6.6	7.4	5.0	2.7	2.9	4.0	2.9	3.7	4.0	6.3	8.0	7.4	3.7	4.2	2.7	4.8	4.8	4.8	4.8	4.8	5.42
7.	4.8	4.8	4.8	4.8	4.8	4.8	4.8	4.8	3.7	4.2	3.2	1.2	2.7	4.5	3.7	5.8	5.8	12.6	9.9	11.8	6.3	7.4	6.9	6.6	5.61
8.	6.3	6.1	5.8	5.6	5.0	4.8	4.5	4.2	4.0	3.7	3.5	3.2	2.9	2.4	2.4	2.4	2.7	2.7	2.7	2.9	2.9	3.2	3.2	2.7	3.74
9.	1.6	2.1	2.7	2.7	2.7	3.2	1.9	5.6	9.6	11.2	8.5	8.5	6.6	4.5	5.8	2.1	9.3	8.0	4.5	2.9	3.7	3.2	3.2	3.5	4.90
10.	2.7	3.5	3.2	2.7	3.5	6.3	4.2	4.8	4.2	4.0	3.5	3.2	3.5	3.7	3.5	3.2	4.8	6.9	9.9	8.5	7.2	5.8	4.0	2.1	4.54
11.	2.9	3.2	3.7	4.2	4.8	5.3	5.8	6.3	6.9	6.9	5.6	5.8	6.1	6.1	6.1	4.2	5.3	5.8	6.9	4.5	5.0	5.8	3.5	3.2	5.16
12.	2.9	2.7	2.4	2.4	2.1	1.9	1.6	1.2	1.2	1.6	1.6	2.7	3.2	2.4	3.2	2.4	2.7	3.7	3.5	3.5	4.0	4.8	5.3	8.0	2.96
13.	6.1	4.8	4.5	6.9	7.4	8.0	7.2	15.3	10.7	8.5	6.9	10.1	7.2	6.9	2.1	4.2	5.0	4.2	3.5	2.9	4.0	1.9	2.1	2.1	5.94
14.	2.1	2.1	2.1	2.1	2.1	2.1	2.1	2.1	2.7	3.2	3.7	3.2	2.4	2.4	2.9	3.5	4.0	4.8	5.3	5.8	9.3	10.4	10.1	9.9	4.18
15.	9.9	9.6	9.3	9.0	9.0	8.8	8.5	7.4	7.4	7.7	6.1	6.1	6.6	4.2	2.1	0.8	1.9	3.5	3.5	3.5	3.2	3.2	3.2	2. 9	5.73
16.	2.9	2.9	2.7	2.7	2.4	2.4	2.4	2.1	2.1	2.1	2.7	2.7	2.9	2.9	2.9	2.9	2.7	2.1	2.4	2.7	2.7	2.7	2.7	2.9	2.61
17.	2.9	2.9	2.9	3.2	3.2	3.2	3.2	3.2	3.2	3.5	7.4	6.3	5.0	5.0	4.2	3.5	4.5	5.0	4.8	4.5	3.7	2.9	3.2	2.7	3.92
18.	2.7	2.7	2.1	1.9	2.7	4.0	4.8	3.2	3.2	6.9	4.2	5.8	6.6	4.8	3.2	4.2	3.7	5.3	7.4	8.0	12.3	8.5	6.1	7.4	5.07
19.	6.6	5.8	1.6	1.6	2.9	3.7	8.2	7.7	9.9	5.3	9.6	8.0	10.7	13.4	11.8	10.1	12.3	8.5	11.2	13.9	13.9	12.1	11.5	10.1	8.77
20.	5.3	12.9	12.9	15.0	13.4	14.7	12.3	12.9	10.7	10.1	8.0	8.0	11.2	6.9	5.8	5.8	4.2	6.1	6.1	4.8	6.9	7.2	6.3	6.1	8.90
21.	6.1	5.8	5.6	5.3	5.3	5.0	4.8	4.5	4.5	4.5	4.8	3.5	6.9	5.3	4.0	3.7	3.5	3.2	3.2	3.2	3.2	3.2	3.2	3.2	4.40
22.	3.2	3.2	3.2	3.2	3.2	3.2	3.2	3.2	3.2	4.2	8.5	6.1	5.3	5.3	5.3	5.3	5.8	6.3	6.3	6.6	6.6	6.9	7.2	7.2	5.11
23.	7.4	7.4	7.7	7.7	8.0	8.0	8.2	8.2	8.5	8.5	15.0	5.0	2.9	4.8	5.6	4.5	3.5	2.7	2.9	3.2	3.5	4.0	9.6	12.3	6.21
24.	10.1	8.2	6.6	6.1	4.5	3.2	4.5	5.6	3.7	4.8	4.5	3.5	3.2	4.2	5.3	6.1	7.7	6.1	4.5	4.2	2.1	2.4	5.0	5.8	5.08
25.	4.8	5.3	3.7	4.0	4.8	5.0	4.5	6.1	6.1	6.1	4.5	3.2	2.9	1.9	1.9	0.0	0.0	0.0	0.0	0.0	6.6	6.6	8.8	12.6	4.14
26.	12.6	12.6	11.2	11.8	12.1	15.3	16.5	12.6	13.7	13.1	13.9	13.9	11.5	7.7	5.3	5.6	7.4	6.6	8.2	7.4	5.8	8.5	8.2	8.0	10.39
27.	7.4	7.2	6.6	6.1	5.8	5.6	5.0	4.8	4.2	4.0	3.7	3.2	2.4	2.4	2.4	2.4	2.4	2.4	2.4	2.7	2.7	2.7	2.7	2.7	3.91
28.	2.7	2.9	2.9	2.9	2.9	2.9	2.9	3.2	3.2	3.2	3.2	3.2	4.2	5.0	6.1	7.2	8.0	7.4	4.5	3.5	4.8	2.4	2.4	2.1	4.08
29.	2.1	1.6	2.4	2.9	2.9	3.2	2.7	2.4	2.7	3.7	3.7	3.7	2.7	4.2	3.2	2.4	2.1	2.4	2.4	3.5	3.5	2.7	2.1	1.6	2.78
30.	2.4	5.6	5.6																						
31.							5.8	5.0	4.5	4.0	3.5	5.0	5.6	7.7	5.8	5.6	5.0	4.8	4.2	4.0	3.7	3.5	3.2	2.9	
Mittel																									

Anemometer-Registrierung. **Zugspitze.** 1912.

Datum	0–1ª	1–2ª	2–3ª	3–4ª	4–5ª	5–6ª	6–7ª	7–8ª	8–9ª	9–10ª	10–11ª	11ª–m	0–1ᵖ	1–2ᵖ	2–3ᵖ	3–4ᵖ	4–5ᵖ	5–6ᵖ	6–7ᵖ	7–8ᵖ	8–9ᵖ	9–10ᵖ	10–11ᵖ	11ᵖ–mn	Mittel
September																									
1.	0.0	0.0	0.0	0.0	0.0	0.0	0.0	0.0	0.0	0.0	0.0	0.0	0.0	0.0	2.7	4.8	3.7	2.9	4.5	4.2	4.2	3.7	2.1	1.2	1.42
2.	0.0	0.0	1.2	<1.0	0.0	0.0	0.0	0.0	0.0	<1.0	<1.0	0.0	0.0	0.0	2.4	4.2	4.0	4.0	3.2	4.0	4.5	4.8	4.9	5.0	1.88
3.	5.1	5.2	5.3	5.4	5.5	5.6	5.7	5.8	5.6	4.2	4.0	3.2	3.2	6.6	5.3	4.2	6.9	5.3	5.0	5.8	6.3	6.6	6.3	6.1	5.34
4.	5.8	5.5	5.2	4.9	4.6	4.3	4.0	3.7	3.2	5.6	5.8	7.4	5.6	9.0	11.5	12.3	13.1	8.0	7.4	8.0	8.2	5.3	8.2	8.0	6.86
5.	7.6	7.2	6.8	6.4	6.0	5.6	5.2	4.8	4.8	4.8	5.0	7.4	4.8	3.2	3.2	6.9	4.8	3.7	4.2	4.0	3.8	3.7	3.5	3.3	5.03
6.	3.2	3.1	2.9	2.8	2.6	2.4	2.2	2.1	1.9	<1.0	1.6	<1.0	<1.0	4.2	6.7	3.4	4.8	3.7	3.7	6.9	7.2	8.6	9.0	9.4	3.98
7.	9.8	10.2	10.6	11.0	11.4	11.8	12.2	12.5	10.0	8.3	9.4	8.4	8.4	6.9	7.7	9.7	8.3	6.4	6.4	6.9	8.6	7.7	8.6	8.2	9.14
8.	7.7	7.3	6.9	6.4	6.0	5.5	5.1	4.6	4.2	7.4	6.3	12.1	11.8	11.6	11.3	11.0	8.0	9.0	8.8	5.8	4.8	3.5	2.9	2.9	7.12
9.	3.7	3.7	3.8	3.8	3.9	3.9	4.0	4.0	4.8	5.0	5.3	4.8	6.6	4.5	5.3	7.7	8.7	9.6	7.2	6.6	6.3	6.0	5.7	5.5	5.43
10.	5.2	5.0	4.7	4.4	4.2	3.9	3.7	3.4	3.1	2.9	2.6	2.4	2.1	2.1	2.1	<1.0	3.4	2.1	2.9	1.8	<1.0	1.5	<1.0	<1.0	2.81
11.	<1.0	<1.0	<1.0	<1.0	<1.0	<1.0	<1.0	<1.0	<1.0	1.5	2.1	2.1	1.8	2.3	<1.0	0.0	1.5	<1.0	<1.0	0.0	0.0	0.0	0.0	0.0	0.97
12.	0.0	0.0	0.0	0.0	1.5	2.9	2.6	<1.0	1.8	2.1	2.1	2.3	<1.0	<1.0	3.2	2.6	3.2	2.1	2.3	2.3	1.8	<1.0	<1.0	<1.0	1.62
13.	<1.0	<1.0	<1.0	<1.0	<1.0	<1.0	<1.0	1.5	1.9	1.9	<1.0	1.6	1.6	1.6	1.6	1.9	2.1	2.4	1.9	2.1	2.7	2.9	3.2	3.2	1.75
14.	3.1	3.1	3.0	3.0	2.9	2.9	2.8	2.8	2.7	2.7	<1.0	1.9	1.2	3.2	3.2	3.2	2.4	2.9	4.2	4.2	4.0	6.3	6.3	6.2	3.30
15.	6.1	6.0	5.9	5.8	5.6	5.0	4.4	3.7	2.9	4.0	14.7	12.2	11.4	10.5	11.6	10.8	14.7	18.6	17.5	14.7	10.0	6.9	6.9	6.9	9.03
16.	6.9	6.9	6.9	6.9	6.9	6.9	6.9	6.9	6.9	6.6	5.3	6.1	6.9	7.7	8.5	7.2	5.8	6.9	5.0	4.0	3.2	11.5	12.1	10.1	7.04
17.	9.4	8.6	8.6	9.1	11.1	10.3	10.3	11.2	12.3	6.3	6.3	4.2	3.2	4.2	3.7	3.2	3.7	5.3	9.6	8.2	5.8	4.5	5.6	13.1	7.41
18.	14.7	11.8	12.1	9.9	10.4	8.8	9.6	7.4	4.2	4.0	2.1	3.5	3.7	4.8	2.7	2.7	4.5	5.3	7.7	6.3	4.5	3.7	3.7	2.7	6.28
19.	2.4	1.9	2.4	1.6	1.6	1.6	1.6	2.1	2.1	2.4	2.7	2.4	3.2	3.7	3.2	3.7	3.2	2.9	2.7	3.2	3.7	4.2	4.5	5.0	2.83
20.	5.0	5.6	4.8	2.9	3.2	2.9	2.7	3.2	3.7	2.7	1.2	<1.0	<1.0	<1.0	2.1	2.4	2.1	<1.0	<1.0	0.0	0.0	2.4	<1.0	<1.0	2.25
21.	2.1	1.9	2.7	3.5	2.7	2.7	5.6	5.3	4.8	6.1	5.6	4.8	6.3	5.8	4.2	3.7	4.2	3.7	3.5	2.9	3.5	4.2	5.6	5.3	4.20
22.	5.3	5.3	5.3	6.1	6.3	6.6	6.9	5.0	5.6	5.6	6.3	5.8	5.6	6.3	6.1	5.8	5.6	5.3	5.0	4.8	4.5	4.8	4.0	3.5	5.48
23.	2.4	4.2	4.8	3.7	5.0	5.8	6.9	6.1	7.4	8.0	8.8	8.2	4.5	3.2	4.0	3.2	2.7	3.5	3.2	2.7	2.9	2.9	2.1	2.4	4.53
24.	1.6	1.9	2.1	2.9	3.2	2.9	3.2	5.8	6.6	5.6	6.9	6.6	5.3	5.8	5.8	5.8	5.0	2.1	2.9	2.7	2.7	2.9	4.8	6.1	4.22
25.	7.4	6.9	6.9	6.9	5.8	4.8	3.7	2.9	2.1	2.3	3.2	4.0	4.5	4.5	6.7	5.3	5.8	5.3	4.5	3.7	2.9	2.1	0.0	<1.0	4.30
26.	<1.0	0.0	0.0	0.0	0.0	0.0	0.0	1.8	1.8	2.9	4.0	3.2	2.3	2.3	2.3	2.6	2.9	2.9	3.2	3.2	3.4	3.7	3.4	4.2	2.13
27.	4.2	4.8	5.0	6.4	5.8	4.5	3.7	3.2	5.0	5.8	6.9	4.0	<1.0	2.3	6.4	5.0	3.7	5.3	3.7	5.0	5.3	6.4	6.4	5.6	4.81
28.	5.3	6.4	6.9	4.5	3.4	4.5	4.2	3.2	4.8	3.7	4.5	6.9	7.7	6.7	7.2	10.3	6.7	4.8	3.7	2.9	2.1	0.0	<1.0	<1.0	4.68
29.	<1.0	<1.0	<1.0	<1.0	<1.0	<1.0	0.0	<1.0	<1.0	<1.0	2.1	5.0	3.7	6.9	7.2	8.0	8.3	8.0	8.0	5.3	3.2	3.4	6.1	9.1	3.89
30.	8.9	8.0	5.8	5.6	6.7	6.9	5.8	4.8	3.7	4.8	7.7	8.3	6.9	11.4	9.4	9.4	15.0	12.2	8.6	5.3	4.8	4.8	4.8	5.3	7.29
Mittel	4.56	4.45	4.45	4.26	4.31	4.20	4.17	4.03	4.00	4.01	4.52	4.69	4.21	4.78	5.28	5.40	5.63	5.21	5.08	4.58	4.20	4.33	4.49	4.78	4.57
Oktober																									
1.	6.3	4.8	5.8	8.2	10.1	13.1	12.9	15.3	16.1	18.3	13.4	15.8	9.9	17.5	11.5	12.6	8.2	14.5	18.3	18.3	20.3	15.0	16.7	12.3	13.13
2.	13.1	16.7	16.7	20.8	18.6	17.2	20.0	13.4	13.1	16.9	18.3	6.9	10.1	4.2	1.9	3.5	2.1	1.9	2.3	2.6	3.0	3.3	3.7	4.1	9.77
3.	4.4	4.8	5.1	5.5	5.9	6.2	6.6	6.9	8.3	4.2	4.8	3.2	3.4	3.2	2.6	2.9	2.3	<1.0	<1.0	<1.0	3.4	3.4	3.2	3.1	4.02
4.	2.9	2.8	2.6	2.4	2.3	2.1	2.0	1.8	1.8	4.0	3.4	3.4	3.2	3.7	1.8	1.5	2.6	4.0	6.1	5.8	5.0	5.0	6.7	6.9	3.49
5.	8.3	7.5	7.7	8.0	3.4	0.0	0.0	<1.0	0.0	0.0	0.0	<1.0	2.4	1.2	4.2	3.5	<1.0	1.2	2.7	4.0	4.2	3.5	3.5	4.0	3.01
6.	2.9	3.5	<1.0	1.2	0.0	0.0	<1.0	2.4	<1.0	1.6	1.9	5.3	5.6	6.9	8.8	10.4	9.6	10.4	9.3	7.4	11.8	10.1	12.1	16.1	5.85
7.	10.4	12.3	9.6	13.7	5.8	7.2	5.3	2.4	3.7	6.1	5.6	5.3	8.2	8.2	13.7	9.6	5.6	8.8	8.5	15.0	2.7	9.0	8.8	8.6	8.09
8.	8.5	8.3	8.2	8.0	7.8	7.7	7.5	7.4	7.2	5.8	8.5	5.8	5.6	5.8	6.3	8.2	6.6	7.7	7.4	6.6	5.8	5.6	5.6	6.1	7.00
9.	6.3	5.6	4.0	2.4	4.0	5.0	6.6	6.3	6.6	6.1	4.8	3.7	4.8	5.8	7.2	6.1	4.0	2.7	3.2	3.5	2.9	2.7	4.2	5.8	4.76
10.	4.2	3.2	1.9	1.6	<1.0	9.6	1.6	0.0	3.2	2.1	1.2	0.0	0.0	1.9	2.4	1.2	0.0	0.0	0.0	0.0	1.9	4.8	4.5	5.3	2.15
11.	6.3	5.3	4.2	4.5	3.7	3.5	2.9	2.9	2.1	1.9	1.9	1.9	1.2	0.0	4.0	2.4	3.5	3.5	3.7	5.0	7.4	8.0	7.2	7.4	3.93
12.	7.7	8.2	7.4	8.5	8.5	8.5	5.0	8.5	5.3	5.0	3.7	<1.0	0.0	0.0	2.1	2.7	2.7	1.9	<1.0	1.6	1.6	1.2	1.6	1.6	3.97
13.	2.9	2.9	2.4	2.9	4.5	4.2	5.6	4.8	4.2	<1.0	0.0	<1.0	<1.0	0.0	0.0	0.0	<1.0	1.2	2.1	2.4	3.2	3.7	2.9	3.5	2.39
14.	3.7	4.5	3.5	4.0	3.2	2.7	<1.0	<1.0	1.9	1.2	<1.0	0.0	<1.0	2.9	1.9	2.1	1.6	5.8	5.0	3.5	3.5	3.7	3.5	3.7	2.75
15.	3.5	4.2	5.0	4.8	4.0	3.5	4.2	4.2	3.2	1.9	2.4	4.8	4.0	3.7	3.7	3.5	3.7	4.5	4.8	5.3	4.8	3.7	4.8	4.0	4.01
16.	4.0	3.9	3.7	3.5	3.4	3.2	3.1	2.9	4.2	2.7	2.7	2.9	3.2	2.4	2.4	3.2	2.7	4.5	3.2	4.8	5.6	5.0	5.6	5.0	3.66
17.	5.8	5.3	4.8	5.0	4.5	5.3	5.8	5.6	7.7	5.6	5.8	6.1	6.3	6.6	4.8	4.8	6.1	4.8	4.2	1.9	0.0	9.9	6.9	5.6	5.38
18.	4.0	3.7	3.5	3.2	2.9	2.7	2.4	2.2	1.9	3.2	2.7	2.9	1.6	1.2	1.6	2.9	2.9	2.9	3.7	4.0	2.9	3.5	3.2	3.5	2.88
19.	2.9	2.4	4.2	4.2	4.5	6.6	8.8	10.4	10.4	8.5	10.4	11.5	9.0	16.9	12.9	16.7	11.8	10.1	9.3	8.8	8.8	7.2	6.1	7.7	8.75
20.	7.6	7.5	7.4	7.3	7.2	7.1	7.0	6.9	4.2	4.5	3.2	3.7	2.9	<1.0	5.3	5.3	4.5	2.9	1.9	3.2	4.5	5.8	8.0	10.4	5.39
21.	9.6	13.9	11.8	15.3	10.7	12.6	13.1	11.5	14.7	14.5	16.7	18.3	16.4	17.5	13.4	13.7	10.4	12.9	9.9	12.1	14.5	10.7	14.2	10.1	13.27
22.	12.6	10.4	10.7	9.9	6.6	5.6	7.2	6.9	5.6	6.9	8.2	9.6	11.0	8.2	9.0	5.6	4.8	5.3	5.3	4.8	3.7	4.0	6.6	6.3	7.28
23.	5.3	2.7	1.9	2.1	2.1	1.9	1.2	2.1	3.7	4.0	3.2	2.7	<1.0	2.4	3.5	4.0	6.1	7.4	6.9	7.7	8.2	8.8	7.2	8.5	4.36
24.	14.5	12.6	12.9	7.2	6.9	5.6	5.8	7.4	7.4	6.6	7.7	8.5	10.7	10.4	9.0	10.7	13.7	12.1	9.9	8.5	9.9	7.7	7.7	8.2	9.23
25.	9.3	8.5	12.9	13.4	11.8	18.3	19.2	12.3	5.6	3.4	12.7	11.4	8.6	7.5	4.5	4.2	3.4	4.5	4.5	4.5	4.0	6.7	7.2	6.7	8.55
26.	6.1	4.5	4.5	3.7	5.0	6.4	7.7	9.1	8.6	5.3	5.3	5.6	4.5	4.0	7.2	6.4	8.3	6.9	8.3	9.1	10.0	10.3	11.4	11.6	7.08
27.	8.6	9.7	10.3	10.4	10.6	10.7	10.8	11.0	11.1	8.3	5.3	3.2	2.3	<1.0	1.8	3.7	0.0	0.0	4.8	7.2	7.7	6.7	6.4	8.9	6.69
28.	8.0	7.5	9.4	9.1	9.4	9.4	8.0	7.7	7.2	10.5	9.1	8.9	10.0	9.4	7.5	9.1	10.3	8.3	10.5	10.0	6.7	7.5	13.3	12.7	9.15
29.	13.3	12.2	14.2	10.8	10.8	8.9	5.8	11.1	14.2	9.1	8.0	8.0	6.1	6.7	7.7	9.4	7.5	7.5	5.0	9.7	10.5	17.2	16.1	18.4	10.34
30.	20.5	10.2	17.8	17.2	19.1	22.5	20.3	18.1	20.8	20.5	16.9	20.8	21.9	19.7	14.4	16.7	10.8	10.3	9.1	6.9	10.0	10.8	6.9	7.5	15.40
31.	7.5	5.6	3.2	4.8	5.3	5.6	5.8	6.1	6.4	6.1	12.5	9.7	7.5	8.9	9.1	9.4	9.4	15.2	10.3	11.9	9.7	11.9	13.3	9.1	8.51
Mittel	7.45	6.94	7.04	7.21	6.57	7.19	6.91	6.76	6.82	6.32	6.49	6.22	5.92	6.09	6.01	6.32	5.39	5.96	5.88	6.36	6.39	6.98	7.40	7.51	6.59

Anemometer-Registrierung. **Zugspitze.** 1912.

November

Datum	0–1ª	1–2ª	2–3ª	3–4ª	4–5ª	5–6ª	6–7ª	7–8ª	8–9ª	9–10ª	10–11ª	11ª–m	0–1ᵖ	1–2ᵖ	2–3ᵖ	3–4ᵖ	4–5ᵖ	5–6ᵖ	6–7ᵖ	7–8ᵖ	8–9ᵖ	9–10ᵖ	10–11ᵖ	11ᵖ–mn	Mittel
1.	9.4	8.0	8.6	9.2	9.8	10.4	11.0	11.6	7.5	8.9	10.6	6.7	5.6	5.0	7.2	8.6	6.7	6.1	5.3	5.6	7.5	9.1	8.3	8.4	8.13
2.	8.5	8.6	8.7	8.7	8.8	8.9	9.0	9.1	10.0	7.7	8.0	8.3	7.5	6.1	7.2	5.0	4.2	4.2	4.0	5.3	6 7	8.0	8.6	8.0	7.46
3.	7.2	8.0	9.1	9.1	8.6	9.4	12.2	14.4	13.6	14.4	14.2	13.3	9.1	8.3	10.0	6.9	6.9	8.3	7.2	6.9	8.3	9.7	8.6	8.0	9.65
4.	8.4	8.7	9.1	9.4	9.8	10.1	10.5	10.8	7.7	2 9	4.5	2.9	2.9	3.2	3.2	4.2	6.1	7.5	9.1	11.4	12.2	13.6	11.9	12.2	8.01
5.	14.1	11.9	11.9	12.2	11.9	11.4	10.8	10.5	10.5	10.9	11.9	10.0	11.6	12.2	14.2	14.2	13.6	12.2	11.9	13.0	13.0	12.2	13.6	13.6	12.22
6.	11.9	13.6	13.6	12.2	11.9	13.0	14.2	16.4	15.2	14.2	9.1	5.8	4.5	5.6	6.9	5.3	5.0	3.7	3 4	4.8	4.2	6.9	6.9	10.3	9.11
7.	13.6	8.0	7.1	11.6	10.8	9.1	10.0	8.6	7.5	10.0	8.6	9.1	9.7	9.7	9.7	14.4	11.9	15.8	11.9	11.4	10.8	9 7	12.2	10.5	10.49
8.	11.9	8.9	11.4	12.2	10.8	9.1	10.5	9.1	7.2	8.3	6.1	5.0	6.1	12.2	11.4	9.1	11.4	11.9	14.1	13.6	12.2	11.4	10.8	10.2	10.20
9.	9.6	9.0	8.5	8.0	7.4	6.8	6.2	5.6	5.0	6.3	7.4	5.8	6.9	6.6	5.8	4.2	5.3	5.3	5.8	5.3	5.0	9.6	10.1	9.9	6.89
10.	9.7	9.5	9.2	8.8	8.6	8.4	8.2	8 0	5.8	6.1	8.8	9.0	8.0	7.2	7.4	6.9	6.9	5.0	6.3	6.3	5.6	5.0	6.1	9.3	7.50
11.	11.2	8.8	8.0	9.6	7.4	7.7	6 6	6.1	9.3	12.6	12.3	10.7	10.7	12.6	10.1	9.6	8.0	10 7	10.4	13.7	15.3	11.8	10.7	7.2	10.04
12.	5.6	3.2	5.0	6.1	6.1	5.6	6.3	10.7	12.3	13.1	12.6	11.8	8.8	8.5	10.7	11.2	12.6	14.7	13.9	16.1	12.6	10 1	9.6	7.7	9.79
13.	8.0	8.2	8.2	9.0	8.0	5.8	5.8	6.3	5.8	4.5	4.5	4.5	3.5	2.9	2.1	1.2	5.6	6.1	5.3	5.3	5.6	8.2	9.9	9.9	6.01
14.	12.6	11.2	11.2	10.7	9.6	12.3	10.7	12.1	11.2	11.8	11.8	9.3	10.4	11.2	13.4	14.5	12.9	12.6	11.2	12.9	10.1	11.2	11.2	9.3	11.48
15.	8.8	8.2	8.5	7.4	6.9	7.4	4.8	6.6	5.8	7.4	8.2	11.8	8.2	5.6	4.5	3.2	4.8	4.5	5.6	5.8	3·7	4.5	1.6	1.9	6.07
16.	3.7	<1.0	<1.0	3.7	3.5	4.5	7.4	6.1	6.9	8.5	7.7	5.6	5.3	4.8	5.3	5 0	5.6	4.2	5.3	6.6	5.6	5.8	5.6	5.8	5.18
17.	5.6	4.0	4.2	2.9	2.4	2.7	3.5	3.2	2.9	3.7	3.2	1.9	4.0	2.9	2.9	2.5	0 0	0.0	2.1	4.2	4.5	5.0	3.7	3.5	3.13
18.	3.2	2.9	1.9	1.6	<1.0	<1.0	2.4	2.4	1.6	2.9	4.0	5.8	5.3	5.0	5.8	8.5	8.8	8.2	5.6	5.3	7.4	6.6	6.6	6.6	4.60
19.	5.8	4.5	4.5	4.4	4.4	4.3	4.3	4.2	3.7	3.7	4.8	5.8	5.8	6.6	7.4	8.0	6.6	8.0	7.2	4.0	3.5	5.6	4.2	3.7	5.18
20.	3.7	3.2	7.4	11.2	9.9	9.9	9.9	16.7	13.7	10.4	8.5	6.6	6.1	5.3	8.0	8.8	9.6	10.1	9.3	8.5	7.2	9.0	8.8	7.7	8.73
21.	6.1	6.6	5.6	4.5	5.0	6.1	4.8	5.0	7.2	6.1	8.8	8.0	7.2	6.3	5.8	5.6	5.6	5.8	5.0	5.0	4.8	4.8	4.8	4.5	5.79
22.	4.2	4.2	4.0	3.7	3.5	3.2	3 2	2.9	2.4	1.9	1.6	1.6	2.1	6.6	7.7	8.2	6.6	5.6	5.0	5.6	6.9	6.9	6.6	6.1	4.60
23.	7.2	6.4	6.7	10.0	9.1	6.9	6.9	6.9	8.0	6.9	8.0	10.3	9.1	8.0	6.9	6.1	5.3	5.6	6.7	7.5	8.0	7.7	10.3	9.7	7.68
24.	8.3	2.1	2.1	1.0	3.4	3.7	6.4	6.1	4.2	6.1	5.3	6.4	6.4	6.1	6.9	6.4	4.5	3.4	4.5	5.0	6.1	5.3	4.2	5.6	4.98
25.	6.1	5.6	6.9	5.6	5.1	4.6	4.2	3.7	2,6	3.7	3.7	2.9	2.3	2.3	2.9	2.9	2.0	1.8	3.2	3.4	4.0	4.2	4.2	4.8	3.86
26.	4.0	4.5	4.2	5.6	5.0	5.0	5.9	4.5	6.4	7.2	5.8	6.7	6.1	6.4	6.4	7.7	7.7	7.7	8.9	8.6	8.6	7.7	7.2	6 9	6.45
27.	8.0	8.6	7.2	7.7	8.0	8.3	6.9	5.9	6.9	8.6	8.6	8.6	8.6	7.7	7.7	8.3	8.6	8.3	9.4	10.6	8.0	6.1	5.6	6.7	7.87
28.	6.6	6.5	6.3	6.2	6.1	6.0	5.9	5.8	4.5	6.1	7.2	6.9	6 1	4.8	4.0	5.0	4.2	5.8	4.2	3.4	1.8	2.6	<1.0	<1.0	4.92
29.	0.0	0.0	0.0	0.0	1.8	4.8	6.9	7.5	<1.0	<1.0	4.0	6.1	8.6	9.4	10.3	12.2	11.9	14.4	12.2	10.0	13.0	13.6	14.7	15.2	7.44
30.	16.4	15.8	14.7	13.3	12.7	11.6	11.6	9.7	8.6	11.9	9.4	10.0	14.2	20.2	17.5	18.1	20.2	17.5	17.2	19.4	18.1	16.1	16.7	15.5	14.85
Mittel	7.98	6.99	7.16	7.52	7.24	7.27	7.57	7.88	7.17	7.59	7.64	7.21	7.02	7.31	7.64	7.71	7.64	7.83	7.71	8.15	8.01	8.27	8.14	7.98	7.61

Dezember

1.	15.3	14.7	18.8	16.4	15.8	19.1	12.2	7.5	8.0	6.9	4.2	5.3	3.2	3.2	3.5	2.7	0.0	0.0	0.0	0.0	0.0	1.9	2.4	<1.0	6.75
2.	0.0	0.0	0.0	1.2	4.0	6.1	7.7	11.2	11.8	10.4	10.7	6.1	6.1	3.5	9.6	8.5	4.2	5.3	5.0	2.7	2.9	4.0	4.1	4.2	5.39
3.	4.2	4.3	4.4	4.5	4.6	4.6	4.7	4.8	5.3	3.2	3.7	4.9	1.9	3.2	3.2	3.5	4.5	5.6	6.9	2.4	1.9	2.1	2.1	2.4	3.83
4.	2.1	1.2	0.0	<1.0	1.6	1.2	2.9	5.0	8.8	9.3	10.1	7.4	7.7	6.9	6.6	5.6	5.8	6.9	7.7	8.5	8.8	9.0	9.6	5.0	5.78
5.	6.9	8.6	7.2	5.3	6.9	4.5	4.5	5.6	7.4	8.2	5.8	5.0	6.1	5.6	5.6	4.5	6.1	6.1	6.1	5.8	5.0	4.8	5.0	5.8	5.93
6.	4.8	5.0	4.8	4.5	5.8	5.0	6.1	5.3	4.8	4.2	3.7	2.4	4.5	4.2	4.2	4.5	5.3	5.0	5.0	3.7	4.2	4.0	2.9	2.7	4.44
7.	3.2	4.2	4.5	3.7	7.4	8.8	8.5	5.8	4.8	6.6	5.6	4.8	4.2	2.9	2.7	1.9	2.4	3.2	3.5	4.5	4.8	4.0	3.5	3.5	4.54
8.	3.7	3.5	3.2	3.7	3.7	3.5	2.7	1 9	2.9	0.4	0.0	0.0	<1.0	0.0	<1.0	1.6	2.9	3.5	4.0	4.8	4.5	4.5	4.2	4.2	2.73
9.	4.0	3.5	4.5	3 7	3.2	1.9	2.4	2.7	3.2	2.9	1.2	0.0	0.0	1.6	4.5	4.8	2.9	3.7	4.2	3.5	2.9	4.2	4.5	3.7	3.07
10.	4.5	6.1	5.6	2.7	2.1	1.2	2.4	1.6	1.6	<1.0	2.1	3.7	4.8	5.3	4.8	4.5	4.2	6.6	6.9	7.4	7.7	7.2	7.2	5.3	4.44
11.	2.4	1.6	<1.0	1.9	2.1	1.2	1.2	6.9	10.1	10.4	11.8	10.4	9.3	8.5	7.4	11.2	9.9	9.0	11.0	10.4	7.7	8.0	11.0	8.2	7.19
12.	6.6	7.2	8.2	5.3	5.0	3.7	3.7	5.0	6.3	6.9	6.9	8.0	8.0	7.4	4.0	7.7	8.0	6.1	5.6	6.6	5.8	5.0	4.2	5.0	6.09
13.	4.9	4.8	4.7	4.6	4.5	4.4	4.3	4.2	5.6	4.0	3.7	4.8	5.3	6.3	6.3	7.2	6.3	6.3	9.6	7.7	8.2	8.0	7.4	9.9	5.96
14.	10.1	9.3	11.0	9.3	11.8	13.4	11.8	15.6	14.2	14.2	13.7	13.9	12.6	13.4	10.7	17.2	15.6	16.7	15.6	14.2	12.9	14.5	17.2	12.9	13.41
15.	13.6	14.3	15.0	15.7	16.4	17.1	17.8	18.3	18.3	15.0	13.1	13.7	16.7	14.2	12.9	10.7	10.7	11.5	10.1	8.8	10.1	10.1	11.8	13.9	13.74
16.	17.5	13.9	15.0	13.4	16.1	14.5	15.6	15.0	17.5	17.8	14.2	13.0	11.6	12.5	14.7	13.4	14.2	15.0	13.6	15.2	15.2	16.7	14 2	13.7	14.77
17.	13.2	12.6	12.0	11.4	10.8	10.3	9.7	9.1	7.5	7.5	7.5	8.0	7.7	10.3	8.6	6.7	6.9	5.3	5.3	5.3	4.7	7.5	8 6	8.6	8.55
18.	9.7	9.4	7.7	8.6	4.5	4.0	6.1	10.0	15.5	15.2	19.1	19.4	17.2	16.4	15.0	18.6	21.1	26.6	25.8	22.5	22.2	21.7	19.1	18.4	15.58
19.	21.0	9.9	13.1	13.4	13.7	14.0	14.3	14.5	11.0	6.6	7.2	6.6	5.8	6.1	6.9	7.4	7.4	6.1	3.5	2.9	2.7	4.2	6.3	6.6	8.80
20.	6.3	6.3	5.0	3.7	3.7	3.7	4.0	2.4	2.9	3.2	4.2	5.8	8.0	7.4	6 6	7.7	5.3	5.8	5.0	1.9	4.0	6.1	6.1	4.0	4.96
21.	5.0	7.2	7.2	7.2	4.8	5.0	3.7	3.7	6.1	8.5	9.0	9.0	8.5	8.2	8.2	8.5	10.1	12.3	8.5	7.4	9.3	11.1	12.2	10.3	7.96
22.	8.0	8.0	13.6	12.7	12.7	9.7	8.8	10.5	13.6	13.0	12.2	14 4	11.6	13.3	9.4	7.7	9.1	11.1	9.1	9.4	10.0	8 9	8.9	7.7	10.56
23.	6.9	5.0	6.9	8.0	7.9	7.8	7.6	7.5	7.7	7.7	6.1	7.2	8.0	6.4	4.0	4.0	2.1	2.3	2.6	3.4	1.8	2.9	2.3	2.3	5.35
24.	2.6	3.2	2.6	4.0	4.2	3.2	3.4	5.3	5.3	5.0	3.4	2.6	2.3	1.5	1.8	2.3	3.7	6.1	4.5	4.5	7.2	10.0	9.7	10.0	4.52
25.	13.0	12.2	12.2	10.3	11.4	12.2	10.0	9.4	8.9	12.2	11.6	8.6	6.4	5.6	7.2	6.9	9.7	12.5	11.1	8.9	9.7	12.7	10.0	8.3	10.04
26.	11.1	10.0	10.5	9.1	8.3	6.7	6.1	6.9	6.9	10.0	9.7	10.0	10.8	15.8	17.0	17.2	17.2	17.5	17.0	14.4	14.2	13.6	10.8	11.9	11.78
27.	11.9	11.9	12.2	12.5	12.8	13.1	13.4	13.6	11.9	9.7	15.2	21.4	21.9	20.8	18.1	13.3	20.5	15.8	14.2	14.7	14.7	14.7	14.7	14.6	14.90
28.	14.6	14.6	14.5	14.5	14.5	14.5	14.4	14.4	10.8	7.5	8.0	9.1	9.4	9.1	10.8	10.5	10.5	13.0	12.5	12.7	13.3	11.9	10.8	9.1	11.88
29.	8.9	9.7	9.7	11.6	9.1	9.7	10.5	7.2	7.7	10.3	6.9	5.3	3.7	4.0	5.3	6.1	4.5	3.7	4.8	4.8	5.0	2,6	2.6	2.3	6.50
30.	3.4	4.0	4.5	6.1	6.1	5.0	3.4	5.0	3.7	4.8	5.8	5.8	4.5	6.4	9.7	10.8	11.4	12.2	12,2	10,0	9.4	8.9	8.9	8.9	7.12
31.	7.7	8.6	8.3	9.4	7.5	8.3	8.3	8.0	6.9	6.6	6.6	7.2	8.3	8.3	8.6	9.1	8.3	8.6	9.1	7.5	4.5	4.2	6.4	5.3	7.57
Mittel	7.97	7.57	8.00	7.72	7.84	7.66	7.49	7.87	8.29	8.04	7.84	7.84	7.65	7.69	7.71	7.98	8.09	8.69	8.39	7.63	7.59	8.03	8.02	7.41	7.87

Täglicher Gang der meteorologischen Elemente auf der Zugspitze im Jahre 1912.

Luftdruck

500 mm +

Monat	1ª	2ª	3ª	4ª	5ª	6ª	7ª	8ª	9ª	10ª	11ª	12 m	1ᵖ	2ᵖ	3ᵖ	4ᵖ	5ᵖ	6ᵖ	7ᵖ	8ᵖ	9ᵖ	10ᵖ	11ᵖ	12 mn	Mittel
Jan.	25.11	25.14	25.11	25.02	24.89	24.86	24.88	24.94	25.05	25.14	25.13	24.97	24.77	24.66	24.68	24.71	24.77	24.75	24.74	24.67	24.72	24.70	24.64	24.67	24.86
Febr.	24.13	24.04	23.91	23.79	23.78	23.45	23.88	24.03	24.17	24.29	24.45	24.47	24.40	24.33	24.38	24.44	24.50	24.56	24.62	24.67	24.70	24.75	24.76	24.75	24.30
März	25.81	25.68	25.52	25.42	25.39	25.35	25.37	25.45	25.54	25.61	25.70	25.65	25.56	25.49	25.50	25.50	25.52	25.49	25.59	25.65	25.65	25.59	25.56	25.48	25.54
April	26.24	26.14	26.00	25.88	25.86	25.88	25.98	26.06	26.16	26.31	26.33	26.34	26.40	26.40	26.38	26.34	26.34	26.34	26.38	26.51	26.60	26.60	26.57	26.52	26.27
Mai	30.08	29.99	29.78	29.66	29.69	29.74	29.83	29.86	29.92	30.06	30.18	30.26	30.32	30.37	30.38	30.35	30.33	30.31	30.33	30.39	30.44	30.40	30.38	30.31	30.14
Juni	31.32	31.18	31.05	31.00	31.00	31.05	31.15	31.21	31.25	31.37	31.46	31.54	31.60	31.57	31.59	31.57	31.48	31.46	31.44	31.50	31.59	31.57	31.56	31.50	31.38
Juli	33.07	32.96	32.82	32.71	32.71	32.72	32.74	32.82	32.88	32.97	33.08	33.16	33.18	33.15	33.13	33.10	33.07	33.04	33.08	33.17	33.27	33.27	33.28	33.23	33.03
Aug.	30.82	30.65	30.44	30.35	30.27	30.28	30.35	30.40	30.48	30.59	30.65	30.71	30.75	30.83	30.87	30.86	30.82	30.82	30.87	30.95	30.99	31.01	30.94	30.89	30.69
Sept.	29.73	29.57	29.45	29.35	29.28	29.30	29.30	29.37	29.48	29 59	29.69	29.72	29.72	29.79	29.71	29.72	29.72	29.75	29.85	29.93	29.92	29.88	29.83	29.73	29.64
Okt.	29.14	29.04	28.90	28.84	28.80	28.72	28.78	28.96	29.10	29.25	29.33	29.27	29.22	29.17	29.15	29.15	29.15	29.24	29.26	29.22	29.22	29.19	29.12	29.04	29.09
Nov.	24.58	24.48	24.39	24.29	24 18	24.11	24.18	24.30	24.48	24.61	24.67	24.55	24.41	24.32	24.32	24.33	24.35	24.43	24.51	24.52	24.63	24.63	24.59	24.53	24.43
Dez.	29.67	29.68	29.70	29.66	29.64	29.70	29.74	29.81	30.00	30.24	30.24	30.11	30.02	29.93	29.93	29.99	30.01	30.01	30.11	30.16	30.17	30.18	30.24	30.23	29.97
Mittel	28.31	28.21	28.09	28.00	27.96	27.93	28.02	28.10	28.21	28.34	28.41	28.40	28.36	28.33	28.34	28.34	28.34	28.35	28.40	28.45	28.49	28.48	28.46	28.41	28 28

Temperatur

Jan.	-10.07	-10.10	-10.16	-10.05	-10.07	-10.06	-10.11	- 9.95	- 9.96	- 9.91	- 9.69	- 9.64	- 9.49	- 9.48	- 9.28	- 9.49	- 9.51	- 9.77	- 9.80	- 9.91	- 9.88	-10.07	-10.17	-10.22	- 9.87
Febr.	- 9.43	- 9.52	- 9.56	- 9.63	- 9.62	- 9.65	- 9.71	- 9.51	- 9.26	- 9.10	- 8.93	- 8.82	- 8.58	- 8.44	- 8.32	- 8.26	- 8.41	- 8.55	- 8.59	- 8.76	- 8.71	- 8.78	- 8.86	- 8.96	- 9.00
März	- 9.36	- 9.25	- 9.29	- 9.50	- 9.58	- 9.47	- 9.53	- 9.56	- 9.41	- 9.29	- 8 89	- 8.59	- 8.36	- 8.09	- 8.08	- 8.06	- 8.15	- 8.58	- 8.56	- 8.49	- 8.61	- 8.83	- 9.10	- 9.25	- 8.91
April	- 8.60	- 8.75	- 8.92	- 8.99	- 9.22	- 9.16	- 9.26	- 9.12	- 8.81	- 8.78	- 8.44	- 7.95	- 7.49	- 7.32	- 724	- 7.23	- 7.05	- 7.21	- 7.62	- 7.74	- 8.00	- 8.15	- 8.22	- 8.30	- 8.23
Mai	- 3.55	- 3.73	- 3.84	- 3.82	- 3.94	- 3.89	- 3.72	- 3.31	- 3.21	- 3.04	- 2.62	- 2.27	- 1.99	- 1.65	- 1.50	- 1.41	- 1.54	- 1.75	- 1.91	- 2.33	- 2.67	- 2.94	- 3.16	- 3.23	- 2.79
Juni	- 0.81	- 0.96	- 1.06	- 1.15	- 1.09	- 0.84	- 0.55	- 0.21	- 0.10	0.17	0.48	0.84	1.19	1.43	1 54	1.49	1.39	1.14	0.98	0.55	0.11	- 0.17	- 0.32	- 0.56	0.14
Juli	0.95	0.85	0.73	0.63	0.67	0.89	1.19	1.56	1.77	2.11	2.42	2.86	3.13	3.41	3.35	3.03	2.91	2.68	2.22	1.76	1.34	1.21	1.10	1.05	1.83
Aug.	- 1.35	- 1.55	- 1.75	- 1.79	- 1.78	- 1.66	- 1.52	- 1.00	- 0.90	- 0.78	- 0.65	- 0.41	- 0.14	0.13	0.09	0.06	- 0.09	- 0.34	- 0.72	- 0.87	- 1.01	- 1.10	- 1.19	- 1.34	- 0.90
Sept.	- 6.37	- 6.42	- 6.60	- 6.53	- 6.50	- 6.42	- 6.32	- 5.72	- 5.75	- 5 87	- 5.62	- 5.41	- 5.23	- 5.07	- 5.05	- 5.01	- 4.94	- 5.02	- 5.27	- 5.55	- 5.80	- 5.96	- 6.06	- 6.21	- 5.78
Okt.	- 4.86	- 4.86	- 4.93	- 5.07	- 4.96	- 4.98	- 4.99	- 4.71	- 4.65	- 4.44	- 4.20	- 3.93	- 3.57	- 3.45	- 3.50	- 3.47	- 4.02	- 4.43	- 4.88	- 4.95	- 4.93	- 4.90	- 5.07	- 5.05	- 4.53
Nov.	-11.22	-11.26	-11.31	-11.29	-11.36	-11.29	-11.38	-10 87	-10.92	-10.75	-10.55	-10.48	-10.35	-10.37	-10.54	-10.77	-10.83	-11.00	-11.05	-11.11	-11.26	-11.28	-11.16	-11.16	-10.98
Dez.	- 7.57	- 7.59	- 7.69	- 7.56	- 7.66	- 7.76	- 7.73	- 7.36	- 7.26	- 7.09	- 6.84	- 6.87	- 6.70	- 6.65	- 6.81	- 7.06	- 7.16	- 7.20	- 7.28	- 7.33	- 7.19	- 7.15	- 7.19	- 7.22	- 7.25
Mittel	- 6.02	- 6 10	- 6.20	- 6.23	- 6.26	- 6.19	- 6.14	- 5.81	- 5.71	- 5.56	- 5.29	- 5.06	- 4.80	- 4.63	- 4 61	- 4.68	- 4.78	- 5.00	- 5.21	- 5.39	- 5.55	- 5.68	- 5.78	- 5.87	- 5.52

Relative Feuchtigkeit

Jan.	89.6	89.3	89.7	89.8	89.9	90.1	89.5	89.2	89.5	90.1	89.8	90.3	89.7	90.5	91.7	91.4	93.0	92.1	91.5	90.5	89.8	89.7	90.1	89.0	90.3
Febr.	87.8	88.6	90.7	91.6	90.5	89.0	87.9	87.1	86.7	85.7	86.1	86.9	88.2	89.8	91.3	91.4	91.4	91.3	91.2	91.4	91.2	88.9	87.7	87.2	89.1
März	90.9	91.3	91.3	91.6	91.6	91.8	92.3	89.7	89.4	90 0	90.5	91.3	91.7	91.7	91.6	92.3	92.3	93.9	93.3	93.1	91.8	90.3	91.2	90.8	91.5
April	94.8	94.4	94.3	94.2	94.5	94.5	95.2	94.4	94.2	95.0	95.3	95.6	95.8	96.2	96.1	96.1	95.6	95.4	95.8	95.6	95.6	95.3	95.2	94.9	95.2
Mai	92.4	92.9	92.8	93.0	92.4	91.8	91.9	90.9	90.8	90.2	91.4	91.2	92.5	93.8	94.4	94.2	94.4	94.5	94.5	93.7	93.2	93.1	92.8	92.6	92.7
Juni	91.8	91.9	90.8	90.5	90.2	90.9	88.8	85.8	86.0	87.6	88.6	90.1	91.7	92.8	94.3	95.0	94.4	94.6	95.1	95.7	96.2	94.3	93.2	92.1	91.8
Juli	88.9	86.7	86.0	84.1	84.0	83.4	83.4	82.7	82.8	83.7	87.1	88.3	88.9	91.5	91.1	92.0	91.3	91.3	91.0	92.3	90.8	89.2	89.9	90.3	88.0
Aug.	94 5	94.5	93.8	93.6	93.6	93.0	92.5	92.0	91.1	91.9	92.3	94.3	95.3	95.9	96.8	97.4	97.0	96.7	96.8	96.8	95.4	95.5	95.7	95.3	94.7
Sept.	95.5	95.7	95.3	95.6	95.6	95.8	96.1	94.6	95.2	95.2	95.3	95.1	95.6	96.2	96.6	96.8	96.9	96.6	96.3	96.5	96.6	96.4	95.7	94.9	95.8
Okt.	80.3	79.8	80.1	79.4	79.0	78.8	77.7	76.7	76.4	75.6	75.1	77.0	78.3	78.8	80.4	81.3	81.4	81.8	82.1	82.4	83.0	82.5	81.7	81.0	79.6
Nov.	92.9	93.0	92.5	92.3	92.5	91.9	90.7	90.2	90.9	91.9	91.6	91.7	92.4	92.6	92.9	92.9	93.7	93.7	93.3	92.8	93.4	93.0	93.0	93.0	92.5
Dez.	79.7	79.8	79.6	80.1	80.1	79.3	79.5	78.3	79.5	79.9	80.2	80.5	80.0	78.1	76.6	76.9	77.9	78.1	77.4	78.5	79.1	78.2	79.2	78.5	79.0
Mittel	89 9	89.8	89.7	89.7	89.5	89.2	88.8	87.6	87.7	88.1	88.6	89.4	90.0	90.7	91.2	91.5	91.6	91.7	91.5	91.6	91.3	90.5	90.5	90.0	90.0

Stündliche Windgeschwindigkeiten

in m pro Sekunde

Datum	0–1ª	1–2ª	2–3ª	3–4ª	4–5ª	5–6ª	6–7ª	7–8ª	8–9ª	9–10ª	10–11ª	11ª–m	0–1ᵖ	1–2ᵖ	2–3ᵖ	3–4ᵖ	4–5ᵖ	5–6ᵖ	6–7ᵖ	7–8ᵖ	8–9ᵖ	9–10ᵖ	10–11ᵖ	11ᵖ–mn	Mittel
Jan.	5.97	5.71	5.55	5.48	5.48	5.57	5.43	5.56	5.91	6.41	6.26	6.26	6.57	7.22	8.07	7.99	8.33	7.47	7.46	8.05	7.79	6.88	6.89	6.69	6.63
Febr.	6.11	5.92	6.25	5.53	5.81	5.49	5.75	6.05	6.39	6.92	6.60	6.68	6.93	7.03	7.30	7.17	7.30	7.72	7.45	7.57	7.15	6.83	6.34	6.03	6.60
März	5.11	5.05	4.60	4.50	4.48	4.56	4.87	5.20	5.04	5.31	5.39	5.37	5.65	5.39	5.39	4.66	4.91	4.89	5.68	5.76	5.71	5.78	5.85	5.88	5.21
April	5.50	5.41	5.41	5.32	5.16	5.17	5.57	5.69	5.71	5.82	5.92	5.79	5.15	4.83	5.26	5.25	5.11	5.06	5.70	6.01	5.91	5.49	5.27	5.11	5.44
Mai	4.66	4.64	4.49	4.30	4.35	4.46	4.44	4.57	4.65	4.83	5.12	5.01	5.13	5.14	5.31	5.20	5.18	5.43	5.73	6.17	6.14	5.98	5.91	5.31	5.09
Juni																									
Juli	4.72	4.39	4.10	4.17	3.92	3.99	3.90	4.35	3.96	3.87	3.70	3.83	3.80	3.95	4.11	4.13	4.49	4.17	3.75	4.11	4.53	4.55	4.22	4.35	4.13
Aug.																									
Sept.	4.56	4.45	4.45	4.26	4.31	4.20	4.17	4.03	4.00	4.01	4.52	4.69	4.21	4.78	5.28	5.40	5.63	5.21	5.08	4.58	4.20	4.33	4.49	4.78	4.57
Okt.	7.45	6.94	7.04	7.21	6.57	7.19	6.91	6.76	6.82	6.32	6.49	6.22	5.92	6.09	6 01	6.32	5.39	5.96	5.88	6.36	6.39	6.98	7.40	7.51	6.59
Nov.	7.98	6.99	7.16	7.52	7.24	7.27	7.57	7.88	7.17	7.59	7.64	7.21	7.02	7.31	7.64	7.71	7.64	7.83	7.71	8.15	8.01	8.27	8.14	7.98	7.61
Dez.	7.97	7.57	8.00	7.72	7.84	7.66	7.49	7.87	8.29	8.04	7.84	7.84	7.65	7.69	7.71	7.98	8.09	8.69	8.39	7.63	7.59	8.03	8.02	7.41	7.87
Mittel																									

Beobachtungen

über

Gewitter in Bayern

während des Jahres 1912.

Die statistische Bearbeitung des bayerischen Materiales über Gewitter und Hagelfälle erfolgte in gleicher Weise wie im Vorjahre. Die nachfolgenden Tabellen geben für 29 Stationen der Pfalz und 476 Stationen des rechtsrheinischen Bayern für jeden Monat und für das Jahr die Anzahl der beobachteten Gewitter und der Gewittertage. Die Zahl der Hagelfälle ist den einzelnen Häufigkeitszahlen der Gewitter als Exponent beigesetzt. Die Zahl der Tage mit Hagelfall wurde nur für das Jahr gegeben.

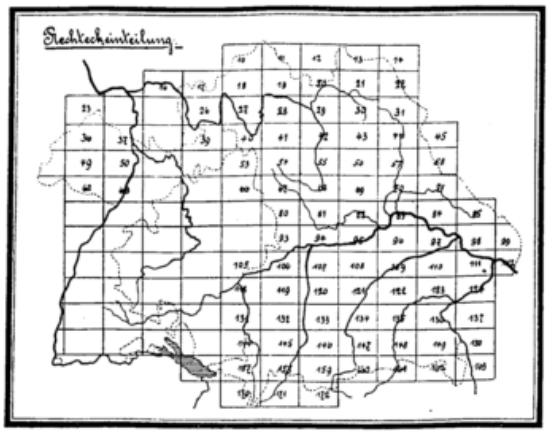

Die Rechtecknummer, welche in der Spalte vor dem Stationsnamen beigedruckt ist, bezieht sich auf die in obenstehendem Kärtchen dargestellte Einteilung des bayerischen Gebietes.

Zahl der Gewitter (Die Zahl der Hagelfälle ist in den einzelnen Monaten als Exponent beigesetzt.)													Rechteck Nr.	Station	Jahressumme der Hageltage	Zahl der Gewittertage											
Jan.	Febr.	März	April	Mai	Juni	Juli	Aug.	Sept.	Okt.	Nov.	Dez.	Jahr				Jan.	Febr.	März	April	Mai	Juni	Juli	Aug.	Sept.	Okt.	Nov.	Dez.	Jahr
														Pfalz.														
–	–	2^1	–	6^1	6	6	5	–	–	–	–	25	23	Duchroth	2	–	–	1	–	5	5	5	4	–	–	–	–	20
–	–	–	–	4	2	4	3	–	–	–	–	13	35	Rammelsbach	–	–	–	–	–	4	2	4	3	–	–	–	–	13
–	–	–	–	1	4	11	5^1	1	–	–	–	22	36	Gehrweiler	1	–	–	–	–	1	3	9	4	1	–	–	–	18
–	–	–	–	3	10	14^1	7^1	1	–	–	–	35	„	Schallodenbach	2	–	–	–	–	3	7	11	5	1	–	–	–	27
–	–	1	–	3	10	6^2	5	1	–	–	–	26	37	Einselthum	2	–	–	1	–	3	8	4	4	1	–	–	–	21
–	–	2	–	4	10	14^1	6^1	1	–	–	–	37	„	Kirchheimbolanden	2	–	–	2	–	4	7	8	5	1	–	–	–	27
–	–	–	–	2	5	7	5	–	–	–	–	19	48	Mittelbexbach	–	–	–	–	–	2	5	5	5	–	–	–	–	17
–	–	–	–	5	6	6	5	–	–	–	–	22	„	Obermiesau	–	–	–	–	–	4	6	4	4	–	–	–	–	18
–	–	1	–	2^1	4	6	6	1	–	–	–	20	49	Elmstein	1	–	–	1	–	2	4	5	6	1	–	–	–	19
–	–	2^1	–	4^1	6^1	13	8	1	–	–	–	34	„	Kaiserslautern	3	–	–	2	–	3	6	8	5	1	–	–	–	25
–	–	–	–	5^1	5^1	5	5^1	–	–	–	–	20	„	Kirchmohr	3	–	–	–	–	5	5	5	5	–	–	–	–	20
–	–	–	–	2	4	5	4^1	1	–	–	–	16	„	Landstuhl	1	–	–	–	–	2	4	4	4	1	–	–	–	15
–	–	2^1	–	7^1	7	6	4	–	–	–	–	26	„	Mittelbrunn	2	–	–	1	–	5	6	4	3	–	–	–	–	19
–	–	–	1	4	3	9	5	2	–	–	–	24	„	Trippstadt	–	–	–	–	1	3	3	5	4	1	–	–	–	17
–	–	–	–	3	5	8	7^1	1	–	–	–	24	„	Waldleiningen	1	–	–	–	–	3	5	5	5	1	–	–	–	19
–	–	1	1^1	3^1	5	8	5^1	2	–	–	–	25	50	Hambach	3	–	–	1	1	3	4	6	5	1	–	–	–	21
–	–	–	2	7	7	12	8	2	–	–	–	38	„	Hassloch	–	–	–	–	2	6	5	9	7	1	–	–	–	30
–	–	1	–	8	12	8	2^1	1	–	–	–	32	„	Ludwigshafen	1	–	–	1	–	7	9	7	2	1	–	–	–	27
–	–	2^1	1	3^1	6	11	8	2	–	–	–	33	„	Neustadt a. H.	2	–	–	1	1	3	6	8	8	1	–	–	–	28
–	–	1	–	6^1	7	9	1	1	–	–	–	25	„	Oggersheim	1	–	–	1	–	6	6	7	1	1	–	–	–	22
–	–	$-^2$	–	8	9	11	8	1	–	–	–	37	61	Zweibrücken	2	–	–	–	–	4	8	7	7	1	–	–	–	27
–	–	$-^1$	–	2^3	3	5^1	4	–	–	–	–	14	62	Burgalben	5	–	–	–	–	2	3	3	4	–	–	–	–	12
–	–	–	–	1^1	4	2	7	–	–	–	–	14	„	Dahn	1	–	–	–	–	1	4	1	6	–	–	–	–	12
–	–	–	–	–	5	6	6	–	–	–	–	17	„	Hinterweidenthal	–	–	–	–	–	–	4	5	5	–	–	–	–	14
–	–	2	1	2^1	5	9	9	–	–	–	–	28	63	Edenkoben	1	–	–	1	1	2	4	7	8	–	–	–	–	23
–	–	1	1	5	5	11	5^1	2	–	$-^1$	–	30	„	Landau	2	–	–	1	1	4	5	9	4	1	–	–	–	25
–	–	–	1	4	3^1	5	6	1	–	–	–	20	76	Hagenbach	1	–	–	–	1	3	3	5	6	1	–	–	–	19
–	–	–	–	6	6	6^1	7	1	–	–	–	26	„	Kandel	1	–	–	–	–	6	5	5	6	1	–	–	–	23
–	–	2^1	2	9	8	9^2	9^1	1	–	–	–	40	„	Wörth	4	–	–	2	2	7	7	7	9	1	–	–	–	35

Zahl der Gewitter (Die Zahl der Hagelfälle ist in den einzelnen Monaten als Exponent beigesetzt.)													Rechteck Nr.	Station	Jahressumme der Hageltage	Zahl der Gewittertage										
Jan.	Febr.	März	April	Mai	Juni	Juli	Aug.	Sept.	Okt.	Nov.	Dez.	Jahr				Jan.	Febr.	März	April	Mai	Juni	Juli	Aug.	Sept.	Okt.	Nov.	Dez.	Jahr
														Bayern.														
—	—	1	—	4	5	6	6	—	—	—	—	22	10	Kreuzberg (Rhön)	—	—	—	—	1	—	4	3	5	4	—	—	—	—	17
—	—	—	—	4	4	5	4	—	—	—	—	17	„	Oberelsbach	—	—	—	—	—	—	4	4	3	4	—	—	—	—	15
—	—	—	—	2	6	6	3	—	—	—	—	17	„	Steinach o. S.	—	—	—	—	—	—	2	4	6	3	—	—	—	—	15
—	—	3	—	10	12	11	6^{1}	2	1	—	—	45	„	Volkersberg	1	—	—	—	3	—	7	9	7	3	2	1	—	—	32
—	—	—	—	7	8	5	2	—	—	—	—	22	11	Mellrichstadt	—	—	—	—	—	—	3	7	4	2	—	—	—	—	16
—	—	—	—	5	7	5	1	—	—	—	—	18	„	Neustadt a. S.	—	—	—	—	—	—	3	7	4	2	—	—	—	—	16
—	—	2^{1}	—	9	8	13	8	—	—	—	—	40	„	Rödelmaier	1	—	—	—	2	—	6	7	8	8	—	—	—	—	31
—	—	3^{2}	—	2	7	13	—	—	—	—	—	25	13	Berg	2	—	—	—	3	—	1	**4**	9	—	—	—	—	—	17
—	—	3^{2}	1	5	6	13	2	—	—	—	—	30	„	Effelter	2	—	—	—	3	1	5	6	11	2	—	—	—	—	28
—	—	3^{1}	—	3	6^{1}	13	2	—	—	—	—	27	„	Lichtenberg	2	—	—	—	2	—	3	4	10	2	—	—	—	—	21
—	—	2	—	3	4	8	1	—	1	—	—	19	„	Ludwigstadt	—	—	—	—	2	—	3	3	8	1	—	1	—	—	18
—	—	3	1	5	5	11	2	—	1	—	—	28	„	Tschirn	—	—	—	—	3	1	4	5	8	2	—	1	—	—	24
—	—	1	2	3	6	8	—	—	—	—	—	20	14	Hof	—	—	—	—	1	2	3	5	6	—	—	—	—	—	17
—	—	1	—	3	4^{2}	5^{1}	5	2^{1}	—	—	—	20	16	Kahl	4	—	—	—	1	—	3	4	5	4	1	—	—	—	18
—	—	1^{1}	—	2	8	6	5	2	—	—	—	24	17	Ernstkirchen	1	—	—	—	1	—	2	6	5	4	1	—	—	—	19
—	—	2	—	4	11	6	8^{1}	2	—	—	—	33	„	Heigenbrücken	1	—	—	—	2	—	3	8	5	7	1	—	—	—	26
—	—	$-^{2}$	—	6	12	6	6	1	—	—	—	31	„	Mittelsinn	2	—	—	—	1	—	5	8	6	5	1	—	—	—	25
—	—	1	—	7	11	3	4	3	1	—	—	30	18	Bonnland	—	—	—	—	1	—	5	8	3	3	3	1	—	—	24
—	—	2	—	7	11^{1}	8	4	2	—	—	—	34	„	Dittlofsroda	1	—	—	—	2	—	6	8	6	4	2	—	—	—	28
—	—	2	—	8	14	9	5	1	1	—	—	40	„	Hammelburg-Altstadt	—	—	—	—	2	—	5	10	7	4	1	1	—	—	30
—	—	2	—	7	9	10	3	—	—	—	—	31	„	Bad Kissingen	—	—	—	—	2	—	5	6	5	3	—	—	—	—	21
—	—	1	—	3	9	4	—	—	—	—	—	17	„	Schönau	—	—	—	—	1	—	3	8	4	—	—	—	—	—	16
—	—	1	—	6	12	6	6	1^{1}	—	—	—	32	„	Schwärzelbach	1	—	—	—	1	—	5	9	6	5	1	—	—	—	27
—	—	1	1	3	8	3	4	—	—	—	—	20	„	Wernfeld	—	—	—	—	1	1	3	8	3	3	—	—	—	—	19
—	—	2	2	1_{1}	16	14	4^{1}	1	—	—	1	51	19	Bischofsheim	1	—	—	—	2	1	6	13	8	4	1	—	—	1	36
—	—	—	2	2	5	2	1	—	—	—	—	12	„	Friesenhausen	—	—	—	—	—	1	2	5	2	1	—	—	—	—	11
—	—	2	—	2	4	2	4	—	—	—	—	14	„	Massbach	—	—	—	—	1	—	2	3	2	4	—	—	—	—	12
—	—	—	—	2	8	4	1	1^{1}	—	—	—	16	„	Schonungen	1	—	—	—	—	—	2	6	3	1	1	—	—	—	13
—	—	1	1^{1}	3	6	3	1	1	—	—	—	16	„	Schweinfurt	1	—	—	—	1	1	3	5	3	1	1	—	—	—	15
—	—	2	1	7	12	14^{1}	3^{1}	—	—	—	—	39	20	Arnstein	2	—	—	—	2	1	5	8	10	3	—	—	—	—	29
—	—	1	—	4	6	3	—	1	—	—	—	15	„	Ebensfeld	—	—	—	—	1	—	4	6	3	—	1	—	—	—	15
—	—	2	1	6	8	7	1	—	—	—	1	26	„	Gereuth	—	—	—	—	2	1	5	8	6	1	—	—	—	1	24
—	—	1	1	4	6	3	—	—	—	—	—	15	„	Lichtenfels	—	—	—	—	1	1	3	5	2	—	—	—	—	—	12
—	—	4	1	5	8^{1}	4	—	—	1	—	—	23	„	Mitwitz	1	—	—	—	3	1	4	7	4	—	—	1	—	—	20
—	—	1	2	6	9	3	2	1	—	—	—	24	„	Vierzehnheiligen	—	—	—	—	1	1	5	7	3	2	1	—	—	—	20
—	—	1	—	1^{1}	11^{1}	7^{1}	2	—	—	—	—	22	21	Bischofsgrün	3	—	—	—	1	—	1	6	4	2	—	—	—	—	14
—	—	1	1	4	6	5	—	—	—	—	—	17	„	Kulmbach	—	—	—	—	1	1	4	5	4	—	—	—	—	—	15
—	—	2^{1}	2	5	9^{1}	8	3	1	—	—	—	30	„	Marienweiher	2	—	—	—	2	1	4	6	7	2	1	—	—	—	23
—	—	2	1	4	6^{1}	5	1	—	—	—	—	19	„	Marktschorgast	1	—	—	—	2	1	3	4	4	1	—	—	—	—	15
—	—	1	2	5	8^{3}	1	—	—	—	—	—	17	„	Münchberg	3	—	—	—	1	1	4	6	1	—	—	—	—	—	13
—	—	3	1	8	13^{1}	12^{1}	4	1^{2}	—	—	—	42	„	Presseck	3**)	—	—	—	3	1	7	11	10	3	1	—	—	—	36
—	—	1	—	2	5	6	2	—	—	—	—	16	„	Stadtsteinach	—	—	—	—	1	—	1	3	5	1	—	—	—	—	11
—	—	1	1	5	9	9^{1}	—	—	—	—	—	25	22	Arzberg	1	—	—	—	1	1	4	7	6	—	—	—	—	—	19
—	—	1	—	6	10	7	3	—	—	—	—	27	„	Wunsiedel	—	—	—	—	1	—	5	7	6	3	—	—	—	—	22
—	—	2	1	8	12	5	5	5	—	—	—	38	26	Eschau	—	—	—	—	2	1	6	8	5	4	4	—	—	—	30
—	—	1	2	5	13	9	7	1	—	—	—	38	„	Luitpoldheim	—	—	—	—	1	1	3	9	8	7	1	—	—	—	30
—	—	3	1	3	7	5	7	2	—	—	—	28	„	Strassbessenbach	—	—	—	—	3	1	3	6	5	7	1	—	—	—	26
—	—	3	1	5	10	6	12	2	—	—	—	39	„	Waldaschaff	—	—	—	—	3	1	3	7	5	10	2	—	—	—	31
—	—	1^{2}	1	9	13	11	10^{1}	5	—	—	—	50	„	Wintersbach	3	—	—	—	1	1	6	8	9	9	3	—	—	—	37
—	—	—	—	5	13	8	3	—	1^{1}	—	—	30	27	Estenfeld	1	—	—	—	—	—	4	10	7	3	—	1	—	—	25
3	—	3	3	8	10	11	3	5	—	—	—	46	„	Karlstadt	—	3	—	2	2	2	4	5	8	3	2	—	—	—	29
—	—	—	1	6	10	9	3^{1}	3^{2}	2	—	—	35	„	Remlingen	3	—	—	—	1	1	4	8	7	2	2	2	—	—	26
—	—	1	2	7	9	7	4	5	2	—	—	37	„	Urspringen	—	—	—	—	1	1	5	6	6	4	2	2	—	—	27
—	—	2	1	5	15	6	4	—	—	—	—	33	„	Werneck	—	—	—	—	1	1	4	10	5	3	—	—	—	—	24
—	—	—	1	4	9	6	3^{1}	2	—	—	—	25	„	Zellingen	1	—	—	—	—	1	3	7	4	3	2	—	—	—	20
—	—	1	—	3	11	12^{1}	13^{1}	11	—	—	—	51	28	Altenschönbach	2	—	—	—	1	—	3	6	9	7	7	—	—	—	33
—	—	—	1	5	9	5	1	2	—	—	—	23	„	Burgwindheim	—	—	—	—	—	1	5	6	4	1	2	—	—	—	19
—	—	1^{2}	—	6^{1}	11^{2}	5	3	2	—	—	—	28	„	Gerolzhofen	5	—	—	—	1	—	5	7	3	3	2	—	—	—	21
—	—	4	2	6	8	5	1	3	—	—	—	29	„	Trabelsdorf	—	—	—	—	3	1	5	6	4	1	2	—	—	—	22
—	—	1	1	4	11	12	4*)	—*)	—	—	—	33	„	Zeilitzheim	—	—	—	—	1	1	4	6	6	4*)	—*)	—	—	—	22
—	—	1	1	4	14	8^{1}	3	1	—	—	—	32	29	Bamberg	1	—	—	—	1	1	4	9	6	3	1	—	—	—	25
—	—	1	2	3	7	5^{1}	2^{1}	—	—	—	—	20	„	Heiligenstadt	2	—	—	—	1	1	3	6	3	2	—	—	—	—	16
—	—	3^{2}	3^{1}	7	12	8	4^{2}	1^{1}	—	—	—	38	„	Peulendorf	6	—	—	—	2	2	5	8	5	4	1	—	—	—	27
1	—	1	—	6	8^{1}	7	?	—	—	—	—	?	„	Reundorf	?	1	—	—	1	—	5	7	3	?	—	—	—	—	?
—	—	3	2	12	16	10^{1}	5	—	—	—	2	50	„	Rossdorf	1	—	—	—	3	1	7	13	7	4	—	—	—	2	37
—	—	2	—	4^{1}	10^{1}	6	1	1	—	—	—	24	„	Schesslitz	2	—	—	—	2	—	4	7	5	1	1	—	—	—	20
—	—	1	1	8	10^{1}	5	2	—	—	—	—	27	„	Walsdorf	1	—	—	—	1	1	6	7	4	2	—	—	—	—	21
—	—	2	1	6	12	8^{1}	3	—	—	—	—	32	„	Wonsees	1	—	—	—	2	1	4	7	6	3	—	—	—	—	23
—	—	2	1	6	12	8	3	—	—	—	—	32	30	Bayreuth	—	—	—	—	2	1	4	8	8	3	—	—	—	—	26
—	—	1	—	7	12^{1}	10	3	—	—	—	—	33	„	Lindenhardt	1	—	—	—	1	—	6	7	7	3	—	—	—	—	24
—	—	3	2	7	8	9	2	—	—	—	—	31	„	Oberwaiz	—	—	—	—	2	1	5	5	6	2	—	—	—	—	21
—	—	—	—	1	5	3	—	—	—	—	—	9	„	Seybothenreuth	—	—	—	—	—	—	1	4	3	—	—*)	—	—	—	8
—	—	3	—	2	5	3	—	—	—	—	—	13	„	Weidenberg	—	—	—	—	2	—	1	4	2	—	—	—	—	—	9
—	—	1	1	7	11^{2}	8^{1}	3^{1}	—	—	—	—	31	31	Alexandersbad	4	—	—	—	1	1	5	7	6	3	—	—	—	—	23
—	—	2	1	7	13	12	4^{1}	—	1	—	—	40	„	Bärnau	1	—	—	—	2	1	6	8	7	3	—	1	—	—	28
1	—	—	—	5	9	6	2	—	—	—	—	23	„	Erbendorf	—	1	—	—	—	—	5	6	5	2	—	—	—	—	19
—	—	2^{1}	2^{1}	3	17	15	4	—	—	—	—	43	„	Maiersreuth	2	—	—	—	1	1	3	10	11	4	—	—	—	—	30
—	—	2	—	8	10^{1}	6^{1}	?	—	1	—	—	?	„	Waldeck	?	—	—	—	1	—	7	5	4	?	—	1	—	—	?
—	—	1	2	5	16	14	3	—	—	—	—	41	„	Witzlasreuth	—	—	—	—	1	1	3	8	12	2	—	—	—	—	27
1	—	1	2	5	15^{1}	10	4	—	1	—	—	39	32	Mähring	1	1	—	1	1	1	3	8	7	4	—	1	—	—	26

*) Wegen längerer Abwesenheit des Beobachters unsicher. **) September 1 Hageltag.

Zahl der Gewitter (Die Zahl der Hagelfälle ist in den einzelnen Monaten als Exponent beigesetzt.)													Rechteck Nr.	Station	Jahressumme der Hageltage	Zahl der Gewittertage											
Jan.	Febr.	März	April	Mai	Juni	Juli	Aug.	Sept.	Okt.	Nov.	Dez.	Jahr				Jan.	Febr.	März	April	Mai	Juni	Juli	Aug.	Sept.	Okt.	Nov.	Dez.	Jahr
–	–	3	1	5	13^{1}	6	5	6	–	–	–	39	39	Engelberg	1	–	–	3	1	5	10	5	5	4	–	–	–	33
–	–	–	1	6	16^{1}	7	7	1	–	–	–	38	„	Miltenberg	1	–	–	–	1	6	9	6	7	1	–	–	–	30
–	–	–	1	7	13	6	3	2	–	–	–	32	„	Stadtprozelten	–	–	–	–	1	6	10	5	3	1	–	–	–	26
–	–	1^{1}	1	4	12	2	2	2	–	–	–	24	40	Bibelried	1	–	–	1	1	3	8	2	2	2	–	–	–	19
–	–	2	1	9	13	7	6	3	–	–	–	41	„	Dettelbach	–	–	–	2	1	6	10	5	6	2	–	–	–	32
–	–	2	1	5	13	3	6	4	–	–	–	34	„	Höchberg	–	–	–	1	1	4	9	2	5	4	–	–	–	26
–	–	–	1	3	12	2	2	1	–	–	–	21	„	Kirchheim	–	–	–	–	1	3	10	2	2	1	–	–	–	19
–	–	2^{2}	1^{2}	5	10	3	–	1	–	–	–	22	„	Kitzingen	4	–	–	2	1	3	7	3	–	1	–	–	–	17
–	–	1	1	6	9	2	2	2	–	–	–	23	„	Mainbernheim	–	–	–	1	1	4	6	2	2	2	–	–	–	18
–	–	–	1	3	12	3	2	3	–	–	–	24	„	Ochsenfurt	–	–	–	–	1	3	9	3	2	3	–	–	–	21
–	–	1	1	5	12	5	4^{1}	1	–	–	–	29	„	Unteraltertheim	1	–	–	1	1	4	7	4	4	1	–	–	–	22
–	–	–	1	5	11^{1}	4	4^{1}	2^{1}	–	$-^{1}$	–	27	„	Würzburg	4	–	–	–	1	3	9	4	4	2	–	–	–	23
–	–	1	–	2^{1}	7^{2}	–	2	–	–	–	–	12	41	Baudenbach	3	–	–	1	–	2	5	–	2	–	–	–	–	10
1	–	1	–	10	15	7	2	2	–	–	–	38	„	Breitenlohe	–	1	–	1	–	7	10	5	2	1	–	–	–	27
1	–	1	–	6	6	1	1	–	–	–	–	16	„	Burghaslach	–	1	–	1	–	5	5	1	1	–	–	–	–	14
–	–	–	–	2	6	2	1	1	–	–	–	12	„	Castell	–	–	–	–	–	1	4	2	1	1	–	–	–	9
–	–	–	–	5	7	2	3	2	–	–	–	19	„	Lonnerstadt	–	–	–	–	–	3	5	2	3	1	–	–	–	14
3	–	4	1	10	15	7	7	3	–	–	–	50	„	Nenzenheim	–	1	–	3	1	6	10	6	6	3	–	–	–	36
1	–	3	1	7	9	–	–	–	–	–	–	21	„	Oberscheinfeld	–	1	–	3	1	4	8	–	–	–	–	–	–	17
1	–	3^{1}	2	7	11	5	2	2	–	–	–	33	„	Schwarzenberg	1	1	–	3	1	5	9	4	2	1	–	–	–	26
1	–	1^{1}	–	7	9	1	2	1	–	–	–	22	„	Wachenroth	1	1	–	1	–	4	5	1	2	1	–	–	–	15
1^{1}	–	1	1	11	12^{2}	8	4	$-^{1}$	–	1^{1}	–	39	42	Erlangen	5	1	–	1	1	6	8	7	4	–	–	1	–	29
1	–	2^{1}	1	10	14^{1}	6	–	–	–	–	–	34	„	Forchheim	2	1	–	2	1	7	8	5	–	–	–	–	–	24
–	–	1	1	10	9	10	2	–	–	–	–	33	„	Gräfenberg	–	–	–	1	1	6	6	6	2	–	–	–	–	22
–	–	3	–	7	9^{1}	7	2	–	–	–	–	28	„	Hiltpoltstein	1	–	–	3	–	6	6	6	1	–	–	–	–	22
–	–	1	–	8	8	3	–	–	–	–	–	20	„	Steppach	–	–	–	1	–	5	6	3	–	–	–	–	–	15
–	–	–	–	8	10	9	2	–	–	–	–	29	43	Gössweinstein	–	–	–	–	–	7	8	7	2	–	–	–	–	24
–	–	–	–	6	6	6	–	–	–	–	–	18	„	Vilseck	–	–	–	–	–	5	4	5	–	–	–	–	–	14
–	–	2^{1}	–	3	5	9^{1}	1	–	–	–	–	20	44	Mantei	2	–	–	2	–	3	4	5	1	–	–	–	–	15
–	–	3^{1}	–	3	9^{1}	6	2	–	–	–	–	23	„	Neunkirchen	2	–	–	3	–	3	6	4	2	–	–	–	–	18
–	–	3	1	5	8	9	1	1^{5}	1	–	–	29	„	Plössberg	2**)	–	–	2	1	5	7	6	1	1	1	–	–	24
–	–	1	–	5	6	7	3	–	1	–	–	23	„	Pressath	–	–	–	1	–	5	4	5	3	–	1	–	–	19
–	–	2	–	3	11	12	2	–	1	–	–	31	„	Roggenstein	–	–	–	2	–	3	8	9	2	–	1	–	–	25
1^{1}	–	3	–	6	11	10^{2}	2	–	1	–	–	34	„	Waldthurn	3	1	–	2	–	6	6	6	2	–	1	–	–	24
–	–	1^{1}	–	4	8	10	–	–	1	–	–	24	„	Weiden	1	–	–	1	–	4	6	7	–	–	1	–	–	19
1^{1}	–	3^{1}	–	4	6	6	1	1	–	–	–	22	45	Vohenstrauss	2	1	–	3	–	4	6	6	1	1	–	–	–	22
–	–	1	2	4	11	5	4	2^{1}	–	–	–	29	53	Stalldorf	1	–	–	1	1	3	8	4	4	2	–	–	–	23
–	–	–	–	6	7	5	1	1	–	–	–	20	54	Bergel	–	–	–	–	–	3	7	5	1	–	–	–	–	17
–	–	–	–	2	5	7	5	2	–	–	–	21	„	Dietenhofen	–	–	–	–	–	2	5	5	4	1	–	–	–	17
–	–	–	–	3	5	7^{1}	3	3	–	–	–	21	„	Ipsheim	1	–	–	–	–	2	5	5	3	2	–	–	–	17
–	–	–	–	2^{1}	6^{1}	6	2	1	–	–	–	17	„	Obernzenn	2	–	–	–	–	2	6	4	2	1	–	–	–	15
–	–	–	–	7	12	8	5	3	–	–	–	35	„	Steinach b. R.	–	–	–	–	–	4	10	5	5	3	–	–	–	27
1^{1}	–	–	–	8^{1}	8^{1}	6	2	2	–	–	–	27	„	Windsheim	3	1	–	–	–	5	7	4	2	2	–	–	–	21
–	–	1	–	10	14^{1}	12	2	2	–	–	–	41	55	Beerbach	1	–	–	1	–	7	8	8	2	2	–	–	–	28
–	–	–	–	6	12	5	4	1	–	–	–	28	„	Burgfarrnbach	–	–	–	–	–	5	9	5	4	1	–	–	–	24
–	–	–	–	5	7	2	3^{1}	–	–	–	–	17	„	Hagenbüchach	1	–	–	–	–	4	6	2	3	–	–	–	–	15
–	–	–	1	5	10	4	4	1	–	–	–	25	„	Langenzenn	–	–	–	–	1	4	7	4	4	1	–	–	–	21
–	–	–	1	7^{1}	17	12	4	4	–	–	–	45	„	Nürnberg	1	–	–	–	1	6	9	8	3	3	–	–	–	30
–	–	–	–	5	9	2	3^{1}	1	–	–	–	20	„	Puschendorf	1	–	–	–	–	3	6	2	2	1	–	–	–	14
–	–	1	–	7	5	8^{1}	4	–	–	–	–	25	„	Rossstall	1	–	–	1	–	7	5	6	3	–	–	–	–	22
–	–	1	–	4	5	6^{1}	–	2	–	–	–	18	56	Altdorf	1	–	–	1	–	3	2	5	–	1	–	–	–	12
–	–	$-^{1}$	–	9^{1}	12^{1}	13	4	1	–	–	–	39	„	Amberg	3	–	–	–	–	6	7	8	3	1	–	–	–	25
–	–	–	–	7	9	12	1	–	–	–	–	29	„	Hahnbach	–	–	–	–	–	4	7	8	1	–	–	–	–	20
–	–	–	–	8	8	12	3	1	–	–	–	32	„	Hohenkemnath	–	–	–	–	–	6	5	8	3	1	–	–	–	23
–	–	2	–	8^{1}	14^{2}	13^{1}	4	–	–	–	–	41	„	Holenstein	4	–	–	1	–	6	6	9	3	–	–	–	–	25
–	–	–	–	11	8^{1}	13^{1}	1	–	–	–	–	33	„	Michaelspoppenricht	1	–	–	–	–	8	6	7	1	–	–	–	–	22
–	–	–	–	7	6	8	2	1	1	–	1	26	„	Sulzbach	–	–	–	–	–	6	5	7	2	1	1	–	1	23
–	–	–	–	6^{1}	7^{1}	7^{1}	1	–	–	–	–	21	57	Aschach	3	–	–	–	–	6	6	7	1	–	–	–	–	20
1	–	2	–	8	16	13^{1}	3	2	1	–	–	46	„	Böhmischbruck	1	1	–	2	–	6	9	9	3	2	1	–	–	33
–	–	2	–	10	10	7	1	–	1	–	–	31	„	Luhe	–	–	–	2	–	8	6	5	1	–	1	–	–	23
–	–	$-^{1}$	–	6^{2}	8^{1}	9	–	–	–	–	–	23	„	Nabburg	4	–	–	–	–	5	6	6	–	–	–	–	–	17
–	–	1	–	7^{3}	11^{4}	8	2	–	–	–	–	29	„	Oberviechtach	7	–	–	1	–	6	8	8	2	–	–	–	–	25
–	–	1	1	8	13	9	3	1	1	–	–	37	„	Pfreimd	–	–	–	1	1	6	9	5	3	1	1	–	–	27
–	–	–	–	5	7	8	2	–	1	–	–	23	„	Saltendorf	–	–	–	–	–	4	5	5	2	–	1	–	–	17
–	–	1	–	12	16	10	7	1	–	–	–	47	„	Schwarzenfeld	–	–	–	1	–	7	10	9	5	1	–	–	–	33
–	–	1	–	6	15	11	2	1	1	–	–	37	„	Tännesberg	–	–	–	1	–	5	10	7	2	1	1	–	–	27
–	–	–	–	11	12	9	6	2	–	–	–	40	58	Winklarn	–	–	–	–	–	7	8	8	5	2	–	–	–	30
–	–	–	–	6	5	8	1	1*)	–	–	–	21	66	Erzberg	–	–	–	–	–	4	4	7	1	1*)	–	–	–	17
–	–	–	1	12	15^{1}	10	6	6	–	–	1	51	„	Lohr b. D.	1	–	–	–	1	7	11	9	5	5	–	–	1	39
–	–	–	2	9^{1}	5^{1}	8	4	1^{1}	–	–	–	29	67	Ansbach	3	–	–	–	2	6	4	7	3	1	–	–	–	23
–	–	–	–	5	10	9	4	1	–	–	–	29	„	Arberg	–	–	–	–	–	4	7	8	3	1	–	–	–	23
–	–	–	1	7	5	8	4	3	–	–	–	28	„	Aurach	–	–	–	–	1	5	4	7	4	3	–	–	–	24
–	–	1	2	10	12	9	5	3^{2}	–	–	–	42	„	Colmberg	2	–	–	1	2	5	9	8	5	3	–	–	–	33
–	–	–	–	5	2	6	3	–	–	–	–	16	„	Eschenbach	–	–	–	–	–	4	1	4	2	–	–	–	–	11
–	–	–	–	7^{1}	3	7	4	1	–	–	–	22	„	Herrieden	1	–	–	–	–	6	1	5	4	1	–	–	–	17
–	–	1	–	7^{1}	5	11	4	5^{1}	–	–	–	33	„	Mosbach	2	–	–	1	–	4	5	6	4	4	–	–	–	24
–	–	–	–	4	4	8	5	2	–	–	–	23	„	Ornbau	–	–	–	–	–	3	1	7	4	1	–	–	–	16
–	–	–	–	6	6	9	4	1	–	–	–	26	„	Petersaurach	–	–	–	–	–	5	5	7	4	1	–	–	–	22
–	–	–	1	8	10^{1}	8	5	3	–	–	–	35	„	Schillingsfürst	1	–	–	–	1	3	8	7	5	3	–	–	–	27
–	–	–	1^{1}	12	•15	11	3	2	–	–	–	44	„	Weinberg	1	–	–	–	1	7	9	9	3	2	–	–	–	31
–	–	–	–	5	5	7	2	5^{1}	–	–	–	24	„	Wörnitz	1	–	–	–	–	3	3	4	2	5	–	–	–	17
–	–	–	–	7	7^{1}	8	2	2	–	–	–	26	68	Allersberg	1	–	–	–	–	5	5	6	1	2	–	–	–	19

*) Unsicher infolge wiederholter Unterbrechung der Beobachtungen. **) September 2 Hageltage.

Zahl der Gewitter (Die Zahl der Hagelfälle ist in den einzelnen Monaten als Exponent beigesetzt.)													Rechteck Nr.	Station	Jahressumme der Hageltage	Zahl der Gewittertage											
Jan.	Febr.	März	April	Mai	Juni	Juli	Aug.	Sept.	Okt.	Nov.	Dez.	Jahr				Jan.	Febr.	März	April	Mai	Juni	Juli	Aug.	Sept.	Okt.	Nov.	Dez.	Jahr
–	–	–	–	4	7	6	2	2	–	–	–	21	68	Hilpoltstein	–	–	–	–	–	4	4	4	2	2	–	–	–	16
–	–	–	–	9^{1}	6	8	3^{1}	2	–	–	–	28	69	Freystadt	2	–	–	–	–	6	4	6	3	2	–	–	–	21
1	–	1	–	8^{1}	8	7	2	2	–	1	–	30	„	Habsberg	1	1	–	1	–	6	5	7	2	–	–	1	–	24
–	–	–	–	7	8	10	2	–	–	–	–	27	„	Hohenburg	–	–	–	–	–	6	5	7	2	–	–	–	–	20
–	–	–	–	6	7	8	3	2^{1}	–	–	–	26	„	Neumarkt	1	–	–	–	–	4	4	6	3	1	–	–	–	18
–	–	–	–	6	7	8	3	–	–	–	–	24	„	Velburg	–	–	–	–	–	4	5	5	2	–	–	–	–	16
–	–	1	–	6	7	7	2	1	–	–	–	24	70	Dietldorf	–	–	–	1	–	5	6	6	2	1	–	–	–	21
–	–	–	–	9^{1}	7^{1}	6	2^{1}	1	–	–	–	25	„	Ensdorf	3	–	–	–	–	6	4	4	2	1	–	–	–	17
–	–	–	–	7	8	10	5^{1}	1^{1}	–	–	–	31	„	Kreuzberg b. Schwandorf	2	–	–	–	–	6	7	7	4	1	–	–	–	25
–	–	1	–	7^{2}	5	6	2	–	–	–	–	21	„	Nittenau	2	–	–	1	–	6	4	5	1	–	–	–	–	17
–	–	–	–	6	5	7	2	1	–	–	–	21	„	Leonberg	–	–	–	–	–	5	4	6	1	1	–	–	–	17
–	–	–	–	6	8^{1}	4	1	–	–	–	–	19	7^{1}	Cham	1	–	–	–	–	5	7	4	1	–	–	–	–	17
–	–	–	–	6^{1}	14^{1}	4	1	–	–	–	–	25	„	Furth	2	–	–	–	–	5	9	3	1	–	–	–	–	18
–	–	–	–	5	7	3	1	–	–	–	–	16	„	Kötzting	–	–	–	–	–	4	6	3	1	–	–	–	–	14
–	–	–	–	2	5	5	1	–	–	–	–	13	„	Roding	–	–	–	–	–	2	4	5	1	–	–	–	–	12
–	–	–	–	4	9	7	3^{1}	–	–	–	–	23	„	Rötz	1	–	–	–	–	3	5	6	2	–	–	–	–	16
–	–	–	–	7	14	12	4	1	–	–	–	38	„	Runding	–	–	–	–	–	6	8	9	4	1	–	–	–	28
–	–	1	–	7	13	11	7^{1}	2	–	–	–	41	80	Belzheim	1	–	–	1	–	4	7	9	5	1	–	–	–	27
–	–	–	1	6^{1}	7	5^{1}	5	1	–	–	–	25	„	Dinkelsbühl	2	–	–	–	1	4	5	5	4	1	–	–	–	20
–	–	–	1	4	11	10	4	3	–	–	–	33	„	Gunzenhausen	–	–	–	–	1	3	6	7	4	3	–	–	–	24
–	–	–	–	5^{1}	5	5	2	1	–	–	–	18	„	Lehengütingen	1	–	–	–	–	4	4	4	2	1	–	–	–	15
–	–	1	–	5	14	12	5	1	–	–	–	38	„	Maihingen	–	–	–	1	–	2	9	8	4	1	–	–	–	25
–	–	–	–	7	6	8	4	1	–	–	–	26	„	Schopfloch	–	–	–	–	–	5	6	7	3	1	–	–	–	22
–	–	1	1^{1}	5	6	8	4	–	–	–	–	25	„	Wassertrüdingen	1	–	–	1	1	4	4	6	4	–	–	–	–	20
–	–	–	–	6	8	5	1	3	–	–	–	23	81	Nennslingen	–	–	–	–	–	6	8	5	1	3	–	–	–	23
–	–	1	–	4	6	7	4	3	–	–	–	25	„	Pfofeld	–	–	–	1	–	3	5	5	4	3	–	–	–	21
–	–	–	–	8	14^{2}	8	3^{1}	–	–	–	–	33	„	Rapperszell	3	–	–	–	–	6	9	6	2	–	–	–	–	23
–	–	–	–	4	9	5	1	2	–	–	–	21	„	Weissenburg	–	–	–	–	–	3	6	4	1	2	–	–	–	16
–	–	–	–	2	5	7	1	–	–	–	–	15	„	Wettelsheim	–	–	–	–	–	1	4	4	1	–	–	–	–	10
–	–	–	–	6	16	5^{1}	2	–	–	–	–	29	82	Altmühlmünster	1	–	–	–	–	5	8	5	2	–	–	–	–	20
–	–	–	–	7	7	7	2	–	–	–	–	23	„	Beratzhausen	–	–	–	–	–	6	6	6	1	–	–	–	–	19
–	–	–	–	7	10	8	2	1	–	–	–	28	„	Berching	–	–	–	–	–	6	6	6	1	1	–	–	–	20
–	–	–	–	7	9	8	2	–	–	–	–	26	„	Breitenbrunn	–	–	–	–	–	3	4	4	1	–	–	–	–	12
–	–	–	–	6	9	6	2	–	–	–	–	23	„	Hemau	–	–	–	–	–	5	8	6	1	–	–	–	–	20
–	–	–	–	9	11	6	?*)	1	–	–	–	?	„	Kelheim	?	–	–	–	–	7	9	5	?	1	–	–	–	?
–	–	–	–	6	13	6	2	–	–	–	–	27	„	Schlott	–	–	–	–	–	6	8	4	2	–	–	–	–	20
–	–	–	–	5	5	3	1	–	–	–	–	14	83	Abbach	–	–	–	–	–	5	4	3	1	–	–	–	–	13
–	–	–	–	8	5	8	2	1	–	–	–	24	„	Donaustauf	–	–	–	–	–	7	4	7	1	1	–	–	–	20
–	–	–	–	6	7	9	–	–	–	–	–	22	„	Eichhofen	–	–	–	–	–	5	7	6	–	–	–	–	–	18
–	–	–	–	6	10	9	2^{1}	–	–	–	–	27	„	Frauenberg	1	–	–	–	–	5	9	8	1	–	–	–	–	23
–	–	–	–	11	10	9	4	1	–	–	–	35	„	Kiefenholz	–	–	–	–	–	8	6	8	3	1	–	–	–	26
–	–	–	–	8	12	9	3	1	–	–	–	33	„	Köfering	–	–	–	–	–	5	6	7	2	1	–	–	–	21
–	–	–	–	9	14	12^{1}	5^{1}	1	1^{1}	–	–	42	„	Kürn	3	–	–	–	–	8	9	10	4	1	1	–	–	33
–	–	–	–	5	5	4	1	–	–	–	–	15	„	Regensburg	–	–	–	–	–	4	5	4	1	–	–	–	–	14
–	–	1	–	7	6^{1}	6	1	–	–	–	–	21	84	Falkenstein	1	–	–	1	–	6	4	4	1	–	–	–	–	16
–	–	–	–	10	14	11	4	–	–	–	–	39	„	Viechtach	–	–	–	–	–	8	12	10	4	–	–	–	–	34
–	–	–	1	7	13	12^{1}	3^{2}	$-^{1}$	1	–	–	37	85	Buchenau	4	–	–	–	1	4	10	6	3	–	1	–	–	25
–	–	–	–	3	7	10	2	–	–	–	–	22	„	Kirchdorf	–	–	–	–	–	3	4	10	2	–	–	–	–	19
–	–	–	–	4	9	7	1	–	–	–	–	21	„	Regen	–	–	–	–	–	3	7	6	1	–	–	–	–	17
–	–	–	1	6	10	10	3	–	1	–	–	31	„	Rinchnach	–	–	–	–	1	5	9	9	3	–	1	–	–	28
–	–	1	–	4	7	3	3	–	–	–	–	18	93	Donauwörth	–	–	–	1	–	3	6	3	3	–	–	–	–	16
–	–	1	–	9	10	9	3	–	–	–	–	32	„	Fronhofen	–	–	–	1	–	6	6	7	3	–	–	–	–	23
–	–	1^{1}	–	5	11	5	3	–	–	–	–	25	„	Mündling	1	–	–	1	–	2	8	4	3	–	–	–	–	18
–	–	1	1	7	17	10	4	1	–	–	–	41	„	Nördlingen	–	–	–	1	1	5	8	9	4	1	–	–	–	29
–	–	–	–	3	10	6	3	–	–	–	–	22	94	Breitenfurt	–	–	–	–	–	2	6	5	3	–	–	–	–	16
–	–	–	–	2	8	8	5	–	–	–	–	23	„	Burgheim	–	–	–	–	–	2	6	6	5	–	–	–	–	19
–	–	–	–	6	15	10^{1}	3	–	–	–	–	34	„	Eichstätt	1	–	–	–	–	3	10	6	3	–	–	–	–	22
–	–	–	–	4	11^{1}	9	?*)	–	–	–	–	?	„	Monheim	?	–	–	–	–	2	6	6	?	–	–	–	–	?
–	–	–	–	3	9	3	4	–	–	–	–	19	„	Rain	–	–	–	–	–	2	7	3	3	–	–	–	–	15
–	–	–	–	3	8	7	4	–	–	–	–	22	„	Tagmersheim	–	–	–	–	–	2	5	6	3	–	–	–	–	16
–	–	–	–	6	11^{1}	6	2	$-^{1}$	–	–	–	25	95	Hofstetten	2	–	–	–	–	5	11	6	2	–	–	–	–	24
–	–	–	–	8	15	6	4^{1}	–	–	–	–	33	„	Ingolstadt	1	–	–	–	–	5	9	5	3	–	–	–	–	22
–	–	–	–	7	11	7^{1}	–	–	–	–	–	25	„	Weltenburg	1	–	–	–	–	5	9	5	–	–	–	–	–	19
–	–	–	–	6	5	3	2	–	–	–	–	16	96	Ergoldsbach	–	–	–	–	–	4	5	3	2	–	–	–	–	14
–	–	–	–	8	8	4	2	–	–	–	–	22	„	Oberroning	–	–	–	–	–	5	7	4	2	–	–	–	–	18
–	–	–	–	8	11	5	2	1^{1}	–	–	–	27	„	Rohr	1	–	–	–	–	6	8	5	2	1	–	–	–	22
–	–	–	–	7	10	5	1	1	–	–	–	24	„	Schierling	–	–	–	–	–	6	6	4	1	1	–	–	–	18
–	–	–	–	12	11	8	4	1^{1}	–	–	–	36	„	Sünching	1	–	–	–	–	8	6	5	3	1	–	–	–	23
–	–	–	–	4	6	6	1	2	–	–	–	19	97	Altenbuch	–	–	–	–	–	4	5	6	1	2	–	–	–	18
–	–	–	–	5	5	6	–	–	–	–	–	16	„	Deggendorf	–	–	–	–	–	4	5	5	–	–	–	–	–	14
–	–	–	–	3	6	5^{1}	1	1	–	–	–	16	„	Irlbach	1	–	–	–	–	3	5	5	1	1	–	–	–	15
–	–	–	–	5	6	3	2	–	–	–	–	16	„	Leiblfing	–	–	–	–	–	4	4	3	2	–	–	–	–	13
–	–	–	–	5	7	5	2	1	–	–	–	20	„	Metten	–	–	–	–	–	5	6	5	2	1	–	–	–	19
–	–	–	–	7^{1}	7	6	2	1	–	–	–	23	„	Pfelling	1	–	–	–	–	5	7	5	2	1	–	–	–	20
–	–	–	–	6	8	5	1	1	–	–	–	21	„	Pilsting	–	–	–	–	–	4	7	4	1	1	–	–	–	17
–	–	–	–	5	7^{1}	4	–	–	1	–	–	17	„	Puchhausen	1	–	–	–	–	4	6	3	–	–	1	–	–	14
–	–	–	–	8	7	3	2	1	–	–	–	21	„	Reissing	–	–	–	–	–	5	4	2	1	1	–	–	–	13
–	–	–	–	12	8^{1}	8	1	1	–	–	–	30	„	Straubing	1	–	–	–	–	6	7	6	1	1	–	–	–	21
–	–	–	–	6	9	4	5	1	1	–	–	26	98	Aussernzell	–	–	–	–	–	5	7	4	4	1	1	–	–	22
–	–	–	–	2^{1}	3^{1}	5	3^{1}	–	1	–	–	14	„	Fürstenstein	3	–	–	–	–	1	2	4	2	–	1	–	–	10
–	–	–	–	3	4	6	4	–	–	–	–	17	„	Grafenau	–	–	–	–	–	3	3	4	3	–	–	–	–	13

*) Ohne Aufzeichnungen.

Zahl der Gewitter (Die Zahl der Hagelfälle ist in den einzelnen Monaten als Exponent beigesetzt.)													Rechteck Nr.	Station	Jahressumme der Hageltage	Zahl der Gewittertage										
Jan.	Febr.	März	April	Mai	Juni	Juli	Aug.	Sept.	Okt.	Nov.	Dez.	Jahr				Jan.	Febr.	März	April	Mai	Juni	Juli	Aug.	Sept.	Okt.	Nov.	Dez.	Jahr
–	–	–	–	5	8	3	3	1	–	–	–	20	98	Hengersberg	–	–	–	–	–	5	6	2	2	1	–	–	–	16
–	–	–	–	7	7	6	1	1	–	–	–	22	„	Osterhofen	–	–	–	–	–	6	6	4	1	1	–	–	–	18
–	–	–	–	2	2	6^1	3	–	–	–	–	13	„	Perlesreut	1	–	–	–	–	2	2	4	2	–	–	–	–	10
–	–	–	–	3	5	6	–	–	2	–	–	16	„	Schönberg	–	–	–	–	–	3	3	6	–	–	1	–	–	13
–	–	–	–	2	8	10	–	–	2	–	–	22	99	Bischofsreut	–	–	–	–	–	2	6	8	–	–	1	–	–	17
–	–	–	–	–	6	13	3	–	2	–	–	24	„	Grainet	–	–	–	–	–	–	4	9	2	–	1	–	–	16
–	–	–	–	1	4	6	?	–	3	–	–	?	„	Schwarzental	?	–	–	–	–	1	3	4	?	–	2	–	–	?
–	–	–	–	1	3	5	2	–	–	–	–	11	„	Waldkirchen	–	–	–	–	–	1	3	5	2	–	–	–	–	11
–	–	–	–	2	6	3	1	–	–	–	–	12	105	Oberelchingen	–	–	–	–	–	2	5	3	1	–	–	–	–	11
–	–	–	–	4	9	4	3	–	–	–	–	20	106	Affaltern	–	–	–	–	–	2	6	4	2	–	–	–	–	14
–	–	–	1	4	9	4	2	–	–	–	–	20	„	Emersacker	–	–	–	–	1	3	6	4	1	–	–	–	–	15
–	–	–	–	2	6	4	–	–	–	–	–	12	„	Glött	–	–	–	–	–	1	5	4	–	–	–	–	–	10
–	–	–	–	9	10	5	5	1	–	–	–	30	„	Günzburg	–	–	–	–	–	7	7	4	4	1	–	–	–	23
–	–	–	–	–	5	2	2	–	–	–	–	9	„	Maria-Medingen	–	–	–	–	–	–	4	2	1	–	–	–	–	7
–	–	–	–	1	5	2	2	–	–	–	–	10	„	Reistingen	–	–	–	–	–	1	4	2	2	–	–	–	–	9
–	–	–	–	8	12	11	7	–	–	–	–	38	„	Rettenbach	–	–	–	–	–	7	7	8	5	–	–	–	–	27
–	–	–	–	4	8	5	5	–	–	–	–	22	„	Steinheim	–	–	–	–	–	3	6	5	5	–	–	–	–	19
–	–	–	–	3	9	6	5	–	–	–	–	23	„	Wertingen	–	–	–	–	–	2	6	6	3	–	–	–	–	17
–	–	–	–	2	10	6	4	1	–	–	–	23	107	Herbertshofen	–	–	–	–	–	1	7	5	2	1	–	–	–	16
–	–	–	–	8	12	5	2	–	–	–	–	27	„	Karlshuld	–	–	–	–	–	6	7	5	2	–	–	–	–	20
–	–	1	1	4	9	4	5	1	–	–	–	25	„	Kühbach	–	–	–	1	1	3	5	4	5	1	–	–	–	20
–	–	–	–	3	10	6	5	–	–	–	–	24	„	Mertingen	–	–	–	–	–	2	7	6	3	–	–	–	–	18
1	–	1	–	12	13	10	4	–	–	–	–	41	„	Niederarnbach	–	1	–	1	–	6	10	8	3	–	–	–	–	29
–	–	–	–	1	5	2	1	–	–	–	–	9	108	Geisenfeld	–	–	–	–	–	1	5	2	1	–	–	–	–	9
–	–	1	1	5	13^1	5	5	1	–	–	–	31	„	Gerolsbach	1	–	–	1	1	3	8	5	5	1	–	–	–	24
–	–	–	2	3	12	4	2	1	–	–	–	24	„	Hohenwart	–	–	–	–	2	3	7	4	2	1	–	–	–	19
–	–	–	–	1	8	4	–	–	–	–	–	13	„	Mainburg	–	–	–	–	–	1	6	2	–	–	–	–	–	9
–	–	–	–	5	11	4	1	2	–	–	–	23	„	Nandlstadt	–	–	–	–	–	3	7	3	1	2	–	–	–	16
–	–	–	1	4	9	3	3	1	–	–	–	21	„	Pfaffenhofen a. I.	–	–	–	–	1	3	5	3	3	1	–	–	–	16
–	–	–	1	6	10	4	2	1	–	–	–	24	„	Scheyern	–	–	–	–	1	3	6	4	2	1	–	–	–	17
–	–	–	–	2	5	3	1	–	–	–	–	11	„	Wolnzach	–	–	–	–	–	1	4	3	1	–	–	–	–	9
–	–	1	–	6	10	5	3^1	2	–	–	–	27	109	Bruckberg	1	–	–	1	–	4	8	4	3	1	–	–	–	21
–	–	–	–	6	9	3	1	2	–	–	–	21	„	Essenbach	–	–	–	–	–	5	8	3	1	2	–	–	–	19
–	–	3	–	7^1	14	7	3	4	–	–	–	38	„	Gramelkam	1	–	–	2	–	6	11	5	3	2	–	–	–	29
–	–	1	–	7	10	3	2	1	–	–	–	24	„	Isareck	–	–	–	1	–	4	7	3	2	1	–	–	–	18
–	–	–	–	4^1	8	3	1^1	1	–	–	–	17	„	Landshut	2	–	–	–	–	3	8	3	1	1	–	–	–	16
–	–	–	–	3	7	3	3	3	–	–	–	19	„	Pfeffenhausen	–	–	–	–	–	3	7	3	3	3	–	–	–	19
–	–	–	–	2	7	5	–	?*)	–	–	–	?	„	Weihenstephan b. L.	?	–	–	–	–	1	6	4	–	?	–	–	–	?
–	–	1	–	12^1	13	8	6	3	1	–	–	44	110	Arnstorf	1	–	–	1	–	6	10	5	4	3	1	–	–	30
–	–	2	–	11	14	5	4	2	1	–	–	39	„	Dietersburg	–	–	–	2	–	9	11	4	4	2	1	–	–	33
–	–	–	–	6	7	?	4	2	1	–	–	?	„	Dingolfing	?	–	–	–	–	3	6	?	3	2	1	–	–	?
–	–	–	–	9	12	4	3	–	–	–	–	28	„	Falkenberg	–	–	–	–	–	5	6	3	3	–	–	–	–	17
1	–	–	–	4	10	5	2	2	–	–	–	24	„	Frontenhausen	–	1	–	–	–	2	8	4	2	2	–	–	–	19
1	–	–	–	10	13	7	3	3^1	1	–	–	38	„	Poxau	1	1	–	–	–	8	10	4	3	3	1	–	–	30
1	–	1	–	8	8	4	–	–	–	–	1	23	„	Reisbach	–	1	–	1	–	5	7	3	–	–	–	1	18
–	–	–	–	3	5	3	4	–	–	–	–	15	111	Hutthurm	–	–	–	–	–	2	3	3	3	–	–	–	–	11
–	–	–	–	8	12	5	4	1	–	–	–	30	„	Neuhaus	–	–	–	–	–	6	9	5	3	1	–	–	–	24
–	–	1	–	7	11	4	3	–	–	–	–	26	„	Ortenburg	–	–	–	1	–	4	5	3	2	–	–	–	–	15
–	–	–	–	4	12	6	4	–	–	–	–	26	„	Passau	–	–	–	–	–	4	8	6	3	–	–	–	–	21
–	–	1	–	6^1	9	5	2	1	–	–	–	24	„	Pleinting	1	–	–	1	–	6	6	4	2	1	–	–	–	20
–	–	–	–	7	12	6	4	2^1	1	–	–	32	„	Schweiklberg	1	–	–	–	–	6	9	4	3	2	1	–	–	25
–	–	–	–	5	12	5	4	1	–	–	–	27	„	St. Salvator	–	–	–	–	–	5	9	4	3	1	–	–	–	22
–	–	1	–	8	9	6		2	1	–	–	?	„	Wallerdorf	?	–	–	1	–	7	7	5	?	2	1	–	–	?
–	–	–	–	3	9	7	2	–	–	–	–	21	112	Wegscheid	–	–	–	–	–	3	8	7	2	–	–	–	–	20
–	–	–	–	4	9	6^2	6	–	–	–	–	25	„	Wildenranna	2	–	–	–	–	4	7	6	3	–	–	–	–	20
–	–	–	–	–	4	8	4	2	–	–	–	18	118	Pfaffenhofen a. R.	–	–	–	–	–	–	4	6	4	1	–	–	–	15
–	–	–	–	3	4	5	–	1	–	–	–	13	„	Vöhringen	–	–	–	–	–	3	4	5	–	1	–	–	–	13
–	–	–	–	6	6	6	4	2	–	–	–	24	„	Weissenhorn	–	–	–	–	–	6	6	6	3	2	–	–	–	23
–	–	1	–	3	9	6	5	1	–	–	–	25	119	Balzhausen	–	–	–	1	–	3	7	5	5	1	–	–	–	22
–	–	1	–	5	6	5	5	–	–	–	–	22	„	Burgau	–	–	–	1	–	4	5	4	5	–	–	–	–	19
–	–	–	–	3	7	5	4	–	–	–	–	19	„	Dinkelscherben	–	–	–	–	–	3	5	4	4	–	–	–	–	16
–	–	1	–	4	8	6	2	2	–	–	–	23	„	Horgauergreut	–	–	–	1	–	3	5	6	2	1	–	–	–	17
–	–	1	–	9	8	5	3	1	–	–	–	27	„	Krumbach	–	–	–	1	–	7	5	4	3	1	–	–	–	21
–	–	1^1	–	4	10^1	4	4^1	1^1	–	–	–	24	„	Reinhardshofen	4	–	–	1	–	3	6	4	3	1	–	–	–	18
–	–	1	–	5	11	5	3	–	–	–	–	25	„	Strassberg	–	–	–	1	–	3	7	5	2	–	–	–	–	18
–	–	–	–	8	6	6	5	–	–	–	–	25	„	Wettenhausen	–	–	–	–	–	7	4	6	2	–	–	–	–	19
1	–	–	–	1^1	9	4	3	1	–	–	–	19	120	Aichach	1	1	–	–	–	1	5	3	3	1	–	–	–	14
–	–	–	–	1	7	3	3	–	–	–	–	14	„	Altomünster	–	–	–	–	–	1	5	3	3	–	–	–	–	12
–	–	1	2	5	11^1	6	5	–	–	–	–	30	„	Augsburg	1	–	–	1	2	4	7	6	4	–	–	–	–	24
–	–	–	–	1	6	3	3	–	–	–	–	13	„	Dasing	–	–	–	–	–	1	5	3	3	–	–	–	–	12
–	–	–	1	1	7	5	1	–	–	–	–	15	„	Derching	–	–	–	–	1	1	5	4	1	–	–	–	–	12
–	–	–	–	1	6	3	3	–	–	–	–	13	„	Mering	–	–	–	–	–	1	5	3	2	–	–	–	–	11
–	–	1	1	5	8	6	2	–	–	–	–	23	„	Oberottmarshausen	–	–	–	1	1	4	7	6	2	–	–	–	–	21
–	–	1	–	6	11^1	6	4	–	–	–	–	28	121	Allershausen	1	–	–	1	–	5	8	5	4	–	–	–	–	23
–	–	$-^1$	$-^1$	11	6	4	3	$-^1$	–	–	–	24	„	Aufkirchen	3	–	–	–	–	8	4	4	3	–	–	–	–	19
–	–	1	1	3	6	3	2	–	–	–	–	16	„	Dachau	–	–	–	1	1	3	4	2	2	–	–	–	–	13
–	–	–	1	2	7	3	1	–	–	–	–	14	„	Garching b. M.	–	–	–	–	1	2	5	3	1	–	–	–	–	12
–	–	–	–	6	9	4	2	–	–	–	–	21	„	Hohenkammer	–	–	–	–	–	5	6	4	2	–	–	–	–	17
–	–	–	1	1	8	3	–	–	–	–	–	13	„	Jetzendorf	–	–	–	–	1	1	5	3	–	–	–	–	–	10
–	–	–	–	–	8	3	–	1	–	–	–	12	„	Weichs a. Gl.	–	–	–	–	–	–	4	3	–	1	–	–	–	8
1	–	1	1	7	12^1	5	2	1	–	–	1	31	„	Weihenstephan b. Fr.	1	1	–	1	1	4	10	5	2	1	–	–	1	25
–	–	–	–	3	10^1	3	1	–	–	–	–	17	122	Altfraunhofen	1	–	–	–	–	3	7	3	1	–	–	–	–	14

*) Ohne Beobachtung.

Zahl der Gewitter (Die Zahl der Hagelfälle ist in den einzelnen Monaten als Exponent beigesetzt.)													Rechteck Nr.	Station	Jahressumme der Hageltage	Zahl der Gewittertage											
Jan.	Febr.	März	April	Mai	Juni	Juli	Aug.	Sept.	Okt.	Nov.	Dez.	Jahr				Jan.	Febr.	März	April	Mai	Juni	Juli	Aug.	Sept.	Okt.	Nov.	Dez.	Jahr
–	–	3	1	4	10	7	2	–	–	–	–	27	122	Bockhorn	–	–	–	2	1	3	7	6	2	–	–	–	–	21
–	–	–	–	4^{1}	12	6	5^{1}	2	–	–	–	29	„	Eberspoint	2	–	–	–	–	3	8	4	5	1	–	–	–	21
–	–	1	–	2	9^{1}	6	3	1	–	–	–	22	„	Hohenpolding	1	–	–	1	–	2	7	6	3	1	–	–	–	20
–	–	1	1	5	12	5	3	2	–	–	–	29	„	Moosen	–	–	–	1	1	5	9	4	3	2	–	–	–	25
–	–	–	–	4	10	5	5^{1}	1	–	–	–	25	„	Neufraunhofen	1	–	–	–	–	4	9	5	4	1	–	–	–	23
–	–	1	–	7^{1}	10^{1}	4	3	1	–	–	–	26	„	Velden	2	–	–	1	–	6	7	4	3	1	–	–	–	22
–	–	–	–	6	13	4	3	2	–	–	–	28	„	Vilsbiburg	–	–	–	–	–	5	9	3	3	1	–	–	–	21
–	–	–	–	4	9	4	2	1	–	–	–	20	„	Vilsheim	–	–	–	–	–	4	7	4	2	1	–	–	–	18
1	–	1	–	11^{1}	12	5	3	1	–	–	–	34	123	Anzenberg	1	1	–	1	–	7	10	4	3	1	–	–	–	27
–	–	1	–	2	9	3	3	1	–	–	–	19	„	Ecksberg	–	–	–	1	–	2	4	2	3	1	–	–	–	13
–	–	1	–	6	13	3^{1}	4	2^{1}	$-^{1}$	$-^{1}$	–	29	„	Eggenfelden	4	–	–	1	–	6	11	3	4	2	–	–	–	27
–	–	1	–	1	9	3	2	–	–	–	–	16	„	Neuötting	–	–	–	1	–	1	7	2	2	–	–	–	–	13
–	–	3	–	9	10	2	3	1	–	–	–	28	„	Perach	–	–	–	3	–	6	6	2	2	1	–	–	–	20
–	–	2	–	11	14	4	1^{1}	1	–	–	–	33	„	Pfarrkirchen	1	–	–	2	–	6	11	3	1	1	–	–	–	24
–	–	–	–	7	8	2	4	2	–	–	–	23	„	Reischach	–	–	–	–	–	5	5	2	4	1	–	–	–	17
–	–	1	–	11	12^{2}	4	2	1	–	–	–	31	„	St. Veit	2	–	–	1	–	7	9	4	2	1	–	–	–	24
–	–	1	–	10	14	5	4	–	–	–	–	34	„	Staudach	–	–	–	1	–	9	11	4	4	–	–	–	–	29
–	–	–	–	7	9	3	2	–	–	–	–	21	„	Wurmannsquick	–	–	–	–	–	5	7	3	2	–	–	–	–	17
–	–	1	–	7	11	4	3	1	–	–	–	27	124	Griesbach	–	–	–	1	–	5	9	4	3	1	–	–	–	23
–	–	1	–	6	8	3	3	–	–	–	–	21	„	Kirchberg	–	–	–	1	–	3	6	3	3	–	–	–	–	16
–	–	1	–	10	8	4	4	1	–	–	–	28	„	Kirn	–	–	–	1	–	6	7	4	4	1	–	–	–	23
–	–	1	–	9^{1}	9	4^{1}	6^{1}	1	–	–	–	30	„	Kösslarn	3	–	–	1	–	7	7	4	5	1	–	–	–	25
–	–	–	–	5	12	7^{1}	5	2	–	–	–	31	„	Tettenweis	1	–	–	–	–	4	9	7	5	2	–	–	–	27
–	–	–	–	5	10	3	2^{1}	1	–	–	–	21	„	Triftern	1	–	–	–	–	5	9	3	2	1	–	–	–	20
–	–	–	1	10	10	8	3	–	–	–	–	32	131	Osterberg	–	–	–	–	1	6	9	7	3	–	–	–	–	26
–	–	–	–	10	16	3	3	–	–	–	–	32	132	Buchloe	–	–	–	–	–	6	10	3	3	–	–	–	–	22
–	–	–	–	14	13	4	5	–	–	–	–	36	„	Erkheim	–	–	–	–	–	10	6	4	4	–	–	–	–	24
–	–	1	–	9	10	5^{1}	2	–	–	–	–	27	„	Loppenhausen	1	–	–	1	–	4	7	4	2	–	–	–	–	18
–	–	–	–	10^{1}	10	3^{1}	3^{2}	–	–	–	–	26	„	Mindelheim	3^{**})	–	–	–	–	6	7	3	3	–	–	–	–	19
1	1	1	–	12	16	6	3	–	–	–	–	40	„	Türkheim	–	1	1	1	–	8	10	6	3	–	–	–	–	30
1	–	–	–	2	9^{1}	4	2	–	–	–	–	18	„	Tussenhausen	1	1	–	–	–	2	7	4	2	–	–	–	–	16
–	–	–	–	2	8	3	2	–	–	–	–	15	133	Adelshofen	–	–	–	–	–	2	4	3	1	–	–	–	–	10
–	–	–	–	9	10	5	1	–	–	–	–	25	„	Breitbrunn	–	–	–	–	–	6	6	4	1	–	–	–	–	17
–	–	–	–	7^{1}	6	3^{1}	1	–	–	–	–	17	„	Eching	2	–	–	–	–	7	5	3	1	–	–	–	–	16
–	–	1	–	6^{1}	8^{1}	3	2^{1}	–	–	–	–	20	„	Egling	3	–	–	1	–	6	6	2	1	–	–	–	–	16
–	–	1	–	1	5	2	2	–	–	–	–	11	„	Emmering	–	–	–	1	–	1	4	2	1	–	–	–	–	9
–	–	1	–	2^{1}	6	3	2	–	–	–	–	14	„	Fürstenfeldbruck	1	–	–	1	–	2	5	3	1	–	–	–	–	12
–	–	–	–	2	7	4	1	–	–	–	–	14	„	Grafrath	–	–	–	–	–	2	6	4	1	–	–	–	–	13
–	–	1	1	4	8	4	–	–	–	–	–	18	„	Hechendorf	–	–	–	1	1	4	6	3	–	–	–	–	–	15
–	–	1	–	5	9	4^{1}	1	1	–	–	–	21	„	Oberalting	1	–	–	1	–	3	6	4	1	1	–	–	–	16
–	–	1	–	3	5	2	1	–	–	–	–	12	„	Puch	–	–	–	1	–	3	3	2	1	–	–	–	–	10
–	–	1	–	4	8	4^{1}	2	–	–	–	–	19	„	St. Ottilien	1	–	–	1	–	4	6	4	2	–	–	–	–	17
–	–	–	–	7^{3}	11^{1}	5	1	1	–	–	–	25	134	Anzing	3	–	–	–	–	6	7	5	1	1	–	–	–	20
–	–	1^{2}	2^{1}	12^{1}	10^{1}	6	1	1	–	–	–	33	„	Feldkirchen bei München	4	–	–	1	2	8	7	6	1	1	–	–	–	26
–	–	1	1	8	12^{1}	7	3^{2}	2	–	–	–	34	„	Ismaning	2	–	–	1	1	6	8	7	3	2	–	–	–	28
–	–	1	1	7	12^{1}	5	1	1	–	–	–	28	„	München	–	–	–	1	1	7	8	5	1	1	–	–	–	24
–	–	–	–	5	9^{1}	5^{1}	1	–	–	–	–	20	„	Oberhaching	2	–	–	–	–	4	6	5	1	–	–	–	–	16
–	–	–	–	9^{1}	12^{1}	8	1	–	–	–	–	30	„	Prinz-Ludwigshöhe	1	–	–	–	–	8	9	6	1	–	–	–	–	24
–	–	1	–	9^{1}	11^{1}	5	2	3	–	–	–	31	135	Aschau	1	–	–	1	–	8	7	4	2	2	–	–	–	24
–	–	1	–	10	10^{1}	5	2	–	–	–	–	28	„	Attel	–	–	–	1	–	6	8	4	2	–	–	–	–	21
–	–	2	1	16^{1}	14^{1}	6	4	1	–	–	–	44	„	Gars	3	–	–	1	1	9	11	6	4	1	–	–	–	33
–	–	1	1	8	7	4	2	2	–	–	–	25	„	Haag	–	–	–	1	1	6	6	4	2	2	–	–	–	22
–	–	–	–	4	7^{1}	4	–	–	–	–	–	15	„	Hohenlinden	1	–	–	–	–	2	5	4	–	–	–	–	–	11
–	–	2	1	11	8	5	6	1	–	–	–	34	„	Kircheiselfing	–	–	–	2	1	6	7	4	6	1	–	–	–	27
–	–	2	2	9^{1}	9^{1}	4	1	1	–	–	–	28	„	Ottenhofen	2	–	–	2	1	7	7	4	1	1	–	–	–	23
–	–	1	1	7	8	3	2	?*)	–	–	–	?	„	St. Wolfgang	?	–	–	1	1	6	7	6	3	2	?	–	–	?
–	–	1	1	14	12^{2}	7	6^{1}	2	–	–	–	43	„	Schnaitsee	2	–	–	1	1	10	8	5	5	1	–	–	–	31
–	–	3^{1}	1	10^{2}	11^{1}	6	4	1	–	–	–	36	„	Wasserburg	$2^{\dagger}$)	–	–	3	1	8	8	4	4	1	–	–	–	29
–	–	3	$-^{1}$	8	13	6	2	1	–	–	–	33	136	Burghausen	1	–	–	3	–	8	8	5	2	1	–	–	–	27
–	–	2	1	13	13	5	3	6	–	–	–	43	„	Engelsberg	–	–	–	2	1	10	9	4	3	4	–	–	–	33
–	–	–	–	7	13	8	4	?*)	–	–	–	?	„	Feldkirchen bei Trostberg	?	–	–	–	–	6	10	6	4	?	–	–	–	?
–	–	–	–	5	9	4	2	1	–	–	–	21	„	Tittmoning	–	–	–	–	–	4	6	3	2	1	–	–	–	16
–	–	–	–	7	9	6	3	2	–	–	–	27	144	Grönenbach	–	–	–	–	–	4	6	5	2	2	–	–	–	19
1	–	–	–	8	8	4	5	–	–	–	–	26	„	Hawangen	–	1	–	–	–	5	6	4	4	–	–	–	–	20
1	–	–	–	7	8	4	4	3	–	–	–	27	145	Dietmannsried	–	1	–	–	–	6	7	4	3	3	–	–	–	24
–	–	–	–	2	8	5	4	1	–	–	–	20	„	Ebersbach	–	–	–	–	–	2	5	3	3	1	–	–	–	14
–	–	–	–	7	11^{1}	3^{1}	3	–	–	–	–	24	„	Mussenhausen	1	–	–	–	–	6	7	3	2	–	–	–	–	18
1	–	–	$-^{1}$	10	11^{1}	4	3^{1}	–	–	–	–	29	„	Ottobeuren	2	1	–	–	–	7	7	4	2	–	–	–	–	21
1	–	2	1	11	14^{2}	6	4	–	–	–	–	39	146	Andechs	2	1	–	2	1	7	9	4	3	–	–	–	–	27
–	–	–	–	5	12^{1}	6^{1}	2	–	–	–	–	25	„	Diessen	1	–	–	–	–	4	6	4	2	–	–	–	–	16
–	–	–	–	4	7	÷	–	–	–	–	–	15	„	Herrsching	–	–	–	–	–	4	5	3	–	–	–	–	–	12
–	–	–	–	7^{1}	12^{2}	8^{1}	3	–	–	–	–	30	„	Hohenpeissenberg	5	–	–	–	–	7	9	5	2	–	–	–	–	23
–	–	–	–	6	5	4	2	–	–	–	–	17	„	Ludenhausen	–	–	–	–	–	5	3	2	–	–	–	–	–	13
–	–	1	–	6	8^{1}	5	–	–	–	–	–	20	„	Peiting	1	–	–	1	–	3	5	3	–	–	–	–	–	12
–	–	2	1	12	12	7	2	–	–	–	–	36	„	Perchting	–	–	–	2	1	8	9	6	2	–	–	–	–	28
–	–	1	–	7	5^{1}	7	1^{1}	–	–	–	–	21	„	Schongau	2	–	–	1	–	3	4	4	1	–	–	–	–	13
–	–	1	–	5	5	6	1	2	–	–	–	20	„	Seeshaupt	–	–	–	1	–	4	3	3	1	2	–	–	–	14
–	–	–	1	11	18	9	5	–	–	–	–	44	„	Tutzing	–	–	–	–	1	7	11	6	4	–	–	–	–	29
–	–	1	–	5	11	5	3	–	–	–	–	25	„	Unterhausen	–	–	–	1	–	5	7	5	3	–	–	–	–	21
–	–	2	–	9	9	6	1	–	–	–	–	27	„	Weilheim	–	–	–	2	–	7	7	5	1	–	–	–	–	22
–	–	2	1	14	14	8	5	–	–	–	–	44	147	Ammerland	–	–	–	2	1	10	10	6	4	–	–	–	–	33
1	–	2	–	12	15^{1}	7	4	–	–	–	–	41	„	Assenhausen	1	1	–	2	–	7	12	6	4	–	–	–	–	32

*) Ohne Aufzeichnungen. **) August 1 Hageltag. †) Mai 1 Hageltag.

Zahl der Gewitter (Die Zahl der Hagelfälle ist in den einzelnen Monaten als Exponent beigesetzt.)													Rechteck Nr.	Station	Jahressumme der Hageltage	Zahl der Gewittertage											
Jan.	Febr.	März	April	Mai	Juni	Juli	Aug.	Sept.	Okt.	Nov.	Dez.	Jahr				Jan.	Febr.	März	April	Mai	Juni	Juli	Aug.	Sept.	Okt.	Nov.	Dez.	Jahr
–	–	–	–	3	7^{1}	5	4	–	–	–	–	19	147	Dietramszell	1	–	–	–	–	2	3	4	2	–	–	–	–	11
–	–	1	–	9	15	7	?	–	–	–	–	?	„	Farchach	?	–	–	1	–	7	8	5	?	–	–	–	–	?
–	–	–	–	6	9	5	4	–	–	–	–	24	„	Grossdingharting	–	–	–	–	–	5	6	3	2	–	–	–	–	16
–	–	3	–	6	6	6	3	–	–	–	–	24	„	Königsdorf	–	–	–	3	–	5	4	4	2	–	–	–	–	18
–	–	2	–	12	10	6	4	–	1	–	–	35	„	Münsing	–	–	–	2	–	7	7	5	4	–	1	–	–	26
–	–	1	–	3	6	5	–	–	–	–	–	15	„	Oed	–	–	–	1	–	3	3	5	–	–	–	–	–	12
–	–	1	–	5^{1}	7	5	8	–	–	–	–	26	„	Schäftlarn	1	–	–	1	–	4	5	5	7	–	–	–	–	22
–	–	1	–	6	8	6	2	–	–	–	–	23	„	Starnberg	–	–	–	1	–	4	5	5	2	–	–	–	–	17
–	–	1	1^{1}	2	5^{1}	3	1	1	–	–	–	14	„	Westerham	2	–	–	1	1	2	5	3	1	1	–	–	–	14
–	–	–	–	6^{1}	7	3	4	1	–	–	–	21	„	Bad Aibling	1	–	–	–	–	5	4	3	4	1	–	–	–	17
–	–	2	–	12	8	6	2	–	–	–	–	30	„	Pang	–	–	–	2	–	7	7	6	2	–	–	–	–	24
–	–	1	1	9	12	7	4	1	–	–	–	35	„	Rott a. I.	–	–	–	1	1	6	10	7	3	1	–	–	–	29
–	–	2	1	11	13	6	2	–	–	–	–	35	„	Söchtenau	–	–	–	2	1	8	9	5	2	–	–	–	–	27
–	–	3	–	4	8	6	2	–	–	–	–	23	„	Söllhuben	–	–	–	2	–	3	7	4	2	–	–	–	–	18
–	–	1	1	7	8	5	2	–	–	–	–	24	„	Vogtareuth	–	–	–	1	1	5	6	5	2	–	–	–	–	20
–	–	–	–	3	7	5	1	–	–	–	–	16	149	Anger	–	–	–	–	–	3	5	4	1	–	–	–	–	13
–	–	–	1	4	6	5	3	?*)	–	–	–	?	„	Baumburg	?	–	–	–	1	3	5	4	3	?	–	–	–	?
–	–	–	–	5	8^{1}	4	1	–	–	–	–	18	„	Bergen	1	–	–	–	–	5	7	3	1	–	–	–	–	16
–	–	–	–	8	12	7	3	–	–	–	–	30	„	Chieming	–	–	–	–	–	7	11	6	3	–	–	–	–	27
–	–	2	–	8	12	5	3	–	–	–	–	30	„	Frauenchiemsee	–	–	–	2	–	7	11	5	3	–	–	–	–	28
–	–	2^{1}	1	8^{1}	14^{2}	4	1	–	1	–	–	31	„	Maria-Eck	4	–	–	2	1	7	11	3	1	–	1	–	–	26
–	–	–	–	11	15^{1}	7	7^{1}	?*)	–	–	–	?	„	St. Georgen	?	–	–	–	–	9	13	6	7	?	–	–	–	?
–	–	–	–	11	16^{2}	7^{1}	5	–	–	–	–	39	„	Surrberg	3	–	–	–	–	10	12	5	4	–	–	–	–	31
–	–	–	–	5	10^{1}	9	3	–	–	–	–	27	„	Traunstein	1	–	–	–	–	4	8	6	3	–	–	–	–	21
–	–	–	1	5	9	8	4	–	–	–	–	27	„	Waging	–	–	–	–	1	5	6	6	4	–	–	–	–	22
1	–	–	–	3	7	2	2	1	–	–	–	16	156	Lindau-Reutin	–	1	–	–	–	2	6	2	2	1	–	–	–	14
2	–	–	–	4	9	3	4	1	–	–	–	23	„	Unterreitnau	–	1	–	–	–	3	6	3	4	1	–	–	–	18
–	–	–	–	7	8	6	?	2	–	–	–	?	157	Knottenried	?	–	–	–	–	6	6	4	?	2	–	–	–	?
1^{1}	–	1	–	6	8^{2}	6	5	1^{1}	–	–	–	28	„	Oberstaufen	4	1	–	1	–	5	6	5	4	1	–	–	–	23
1	1	1	–	9	12^{2}	9	3	–	–	–	–	36	158	Bernbeuren	2	1	1	1	–	6	9	6	2	–	–	–	–	26
–	–	–	–	5	4	5	2	–	–	–	1	17	„	Füsseu	–	–	–	–	–	3	3	4	2	–	–	–	1	13
2	–	–	–	8	9	6	2	2	–	–	–	29	„	Kempten	–	1	–	–	–	7	7	4	2	2	–	–	–	23
1	–	–	–	3	8^{1}	5^{1}	2	1	–	–	–	20	„	Markt Oberdorf	2	1	–	–	–	2	6	3	2	1	–	–	–	15
–	–	–	–	8	8^{1}	6	2	–	–	–	–	24	„	Mittersulzberg	1	–	–	–	–	5	5	5	2	–	–	–	–	17
–	–	–	–	3	5	5	2	–	–	–	–	15	„	Nesselwang	–	–	–	–	–	2	4	4	2	–	–	–	–	12
–	–	1	–	8	14	7	4	–	–	–	–	34	159	Ammerhöfe	–	–	–	1	–	7	9	6	2	–	–	–	–	25
–	–	2	–	4	7^{1}	6	4	1	–	–	–	24	„	Eglfing-Uffing	1	–	–	2	–	4	4	3	3	1	–	–	–	17
1	–	1^{1}	$-^{2}$	8	9^{2}	9	3	1	–	–	–	32	„	Ettal	6	1	–	1	–	5	5	6	2	1	–	–	–	21
–	–	–	–	8	12	8	2	–	–	–	–	30	„	Huglfing	–	–	–	–	–	7	6	6	1	–	–	–	–	20
–	–	2^{1}	1	13	10	9	5	1	–	–	–	41	„	Iffeldorf	1	–	–	2	1	9	8	6	4	1	–	–	–	31
–	–	–	–	9	7^{1}	9	3	1	–	–	–	29	„	Kohlgrub	1	–	–	–	–	6	4	5	2	1	–	–	–	18
–	–	–	–	1	6^{1}	9	4	–	–	–	–	20	„	Linderhof	1	–	–	–	–	1	4	5	3	–	–	–	–	13
–	–	–	–	5^{2}	10^{1}	7^{1}	5	–	–	–	–	27	„	Murnau	4	–	–	–	–	5	4	5	2	–	–	–	–	16
–	–	1	–	6	6	8	3	–	–	–	–	24	„	Ohlstadt	–	–	–	1	–	3	3	4	2	–	–	–	–	13
–	–	–	–	6	13	5	3	–	–	–	–	27	„	Ramsau	–	–	–	–	–	4	7	5	2	–	–	–	–	18
–	–	2	–	14	13^{2}	6	5	–	–	–	–	40	„	Rottenbuch	2	–	–	2	–	11	8	5	4	–	–	–	–	30
–	–	–	–	7	11	12	7^{1}	1	–	–	–	38	„	Schlehdorf	1	–	–	–	–	5	6	7	6	1	–	–	–	25
–	–	1	1	8	3	5	–	–	–	–	–	18	160	Fall	–	–	–	1	1	5	2	5	–	–	–	–	–	14
–	–	1	–	3	6^{1}	3	3	–	–	–	–	16	„	Hausham	1	–	–	1	–	3	4	3	2	–	–	–	–	13
1	–	1	1	4^{1}	8^{2}	8^{1}	5	–	–	–	–	28	„	Jachenau	3**)	1	–	1	1	3	4	6	4	–	–	–	–	20
–	–	–	–	5	6	3	2	–	–	–	–	16	„	Miesbach	–	–	–	–	–	4	5	3	2	–	–	–	–	14
–	–	1	1	9	7	3	3	–	–	–	–	24	„	Schaftlach	–	–	–	1	1	6	5	3	3	–	–	–	–	19
1	–	–	1	7^{1}	10^{2}	4	3	–	–	–	–	26	„	Tegernsee	3	1	–	–	1	5	7	4	3	–	–	–	–	21
–	–	3	–	20	13^{1}	8	7	–	–	–	–	51	„	Tölz (Bad)	1	–	–	2	–	13	8	5	4	–	–	–	–	32
–	–	2	–	8	8^{1}	5^{1}	4^{1}	2	–	–	–	29	161	Hohenaschau	3	–	–	2	–	6	5	5	3	2	–	–	–	23
–	–	2	1	?	7	?	1	–	–	–	–	?	„	Kiefersfelden	?	–	–	2	1	?	4	?	1	–	–	–	–	?
–	–	2^{1}	–	8	10	5	2^{1}	1	–	–	–	28	„	Nussdorf	2	–	–	2	–	6	7	5	2	1	–	–	–	23
–	–	3^{1}	–	9	9	9	3	–	–	–	–	31	„	Reisach	1	–	–	2	–	7	7	6	2	–	–	–	–	24
–	–	–	–	3	8	3	1	–	–	–	–	15	162	Inzell	–	–	–	–	–	3	7	3	1	–	–	–	–	14
–	–	–	–	3	6	4	1	–	–	–	–	14	„	Reichenhall	–	–	–	–	–	3	4	4	1	–	–	–	–	12
–	–	–	–	2	4	3	1	–	–	–	–	10	„	Reit i. W.	–	–	–	–	–	2	3	3	1	–	–	–	–	9
–	–	1	–	9	11	12^{1}	4	–	–	–	–	37	163	Berchtesgaden	1	–	–	1	–	6	8	7	3	–	–	–	–	25
2^{1}	–	1	1	2	3	4^{1}	2	1	–	–	–	16	170	Oberstdorf	2	1	–	1	1	2	3	4	1	1	–	–	–	14
1	–	–	–	6	7	5	2	1	–	–	–	22	„	Sonthofen	–	1	–	–	–	4	7	4	2	1	–	–	–	19
–	–	–	–	3	3	5	1	1	–	–	–	13	„	Untermaiselstein	–	–	–	–	–	2	2	3	1	1	–	–	–	9
–	–	1	–	10	3	6^{1}	1	–	–	–	–	21	171	Oberjoch	1	–	–	1	–	5	3	5	1	–	–	–	–	15
–	–	–	–	6	7	6^{1}	3	1	–	–	–	23	172	Mittenwald	1	–	–	–	–	4	5	5	2	1	–	–	–	17
–	–	–	–	8	10	7	3	1	–	–	–	29	„	Partenkirchen	–	–	–	–	–	4	5	5	2	1	–	–	–	17
–	–	1	–	–	3	5^{1}	4	–	–	–	–	13	173	Vorderriss	1	–	–	1	–	–	3	4	3	–	–	–	–	11

*) Ohne Aufzeichnungen. **) Juni 1 Hageltag.

Übersicht über die Witterungsverhältnisse im Königreiche Bayern

während des Januar 1912.

Die Vergleichung der Temperaturmittel des diesjährigen Januar mit den aus langjährigen Beobachtungsreihen abgeleiteten Durchschnittswerten führt zu einer Zweiteilung unseres Gebietes. Der kleinere Teil, der das Naabgebiet und die Donauebene von Kelheim abwärts, ausserdem die ganze Mittelgebirgslandschaft an der Ostgrenze Bayerns umfasst, weist vorzugsweise negative Differenzen auf. Wir müssen hierin den Einfluss des kontinentalen Winters von Osteuropa erkennen, der häufig mit seinen Kältegraden in diese Gebiete herübergriff. Der grössere Teil, der das übrige rechtsrheinische Bayern und die Rheinpfalz umfasst, zeigt positive Differenzen und deutet damit für das Rhein- und Maingebiet das Vorherrschen ozeanischer Luftzufuhr und damit milden, zyklonalen Wetters an. In Südbayern, wo die positiven Differenzen ihre höchsten Beträge erreichen, war es der langanhaltende und kräftige Föhneinfluss, der die Temperaturen in die Höhe trieb. Bei Schilderung des zeitlichen Witterungsverlaufes werden diese Einflüsse noch näher beleuchtet werden.

Die Niederschlagssummen waren im Vergleiche mit den langjährigen Mittelwerten in der Rheinpfalz und im Maingebiet mit Ausnahme des Quellbezirkes nahezu normal, an den meisten Orten um kleine Beträge zu gering, an andern wieder etwas zu gross. Die Kammlinie des Frankenjura trennt dieses relative Trockengebiet von dem grösseren ost- und südbayerischen Gelände mit vorwiegend übernormalen Niederschlagsmengen. Insbesondere im Alpenvorland wurde das langjährige Mittel beträchtlich überschritten, vielenorts um mehr als das Doppelte.

Nach dieser kurzen, allgemeinen Charakterisierung des Monats in Hinsicht auf die beiden wichtigsten Elemente, Temperatur und Niederschlag, soll zunächst eine kurze Witterungsgeschichte desselben entworfen werden.

Am Morgen des 1. Januar bedeckte hoher Luftdruck West- und Zentraleuropa, während über Nordeuropa eine Depression sich befand. Das Zentrum derselben drang bis zum folgenden Tage nach dem nördlichen Ostseegebiete vor und da sich gleichzeitig ein Ausläufer niedrigen Luftdruckes bildete, der sich über die Ostsee bis Österreich herab erstreckte, kam es über unserem ganzen Gebiete zu Niederschlägen. Bei ozeanischer Luftzufuhr lagen die Temperaturen ziemlich hoch, so dass die Niederschläge in den tieferen Lagen als Regen fielen. Das Depressionszentrum zog in der Folge ins Innere Russlands ab, doch folgten weitere Minima nach, deren Bahnen immer weiter nach den zentralen Lagen herein sich verlagerten. Damit gelangte unser Gebiet immer mehr in den Einflussbereich dieser Minima und das milde, niederschlagsreiche Wetter dauerte fort. Eine vorübergehende Besserung der Wetterlage brachte nur der 8. Januar, als auf der Rückseite eines tiefen Minimums hoher Luftdruck für kurze Zeit zur Herrschaft gelangte. Aber erst vom 11. Januar ab erfuhr die Luftdruckverteilung und damit die Wetterlage eine durchgreifende Änderung.

Am Morgen dieses Datums lagerte ein barometrisches Maximum über Zentraleuropa, das allerdings von einer ozeanischen Depression bereits wieder kräftig angegriffen wurde. Nachdem es am 11. aufgeklart hatte, trat am 12. und 13. unter dem Einflusse zyklonaler Störungen alsbald wieder stärkere Bewölkung ein, doch fielen keine nennenswerten Niederschläge. Das Barometermaximum war allmählich nach Westrussland gezogen und hatte dort eine ungewöhnliche Intensität erreicht. Vom 13. auf den 14. verlagerte sich der Kern des hohen Druckes etwas nordwärts nach dem nordrussischen Seengebiet und die nun auftretenden östlichen Luftströmungen brachten auch unserem Gebiete tiefe Frostgrade. Die Wetterlage blieb bis zum 17. ohne nennenswerte Änderung bestehen. Bei vorwiegend heiterem oder nebelig trübem Wetter herrschte Frost, dessen Intensität jedoch von Ost nach West rasch abnahm. Am Morgen des 14. herrschte in Passau eine Temperatur von — 11.2°, in Kaiserslautern von + 0.3°, am 15. waren die entsprechenden Werte — 13.9° und — 3.0°, am 16. Januar — 12.5° und — 5.2°, endlich am 17. Januar — 11.3° und —5.2°.

Der Westen Süddeutschlands gehörte eben schon in die Einflusssphäre des über Westeuropa liegenden tiefen Luftdruckes, sodass meist trübes Wetter bestand und damit eine Hauptursache strengen Frostes, die nächtliche Ausstrahlung, in Wegfall kam. Bis zum 18. Januar hatte eine Depression über Frankreich nach Südbayern herein erheblich an Raum gewonnen und verursachte in ganz Süddeutschland Trübung mit stellenweisen leichten Niederschlägen. Der Frost verminderte sich sehr erheblich, als in der Folge der Kern des hohen Druckes immer weiter nach dem Südosten des Erdteiles sich verlagerte. Es entwickelte sich so eine Wetterlage, welche im südlichen Bayern das Auftreten kräftiger Föhnströmungen mit allen ihren Begleiterscheinungen begünstigte. Die temperatursteigernde Wirkung des Föhn kam insbesondere in den Mittagstunden deutlich zum Ausdruck. Wir stellen nachfolgend die Temperaturmaxima in der Zeit vom 18.—25. für die

durch Föhn besonders begünstigten Stationen Hohenpeissenberg in 1000 m Seehöhe, Mittenwald in 910 m Seehöhe und die im warmen Maintale gelegene Station Würzburg in 179 m Seehöhe einander gegenüber:

	18.	19.	20.	21.	22.	23.	24.	25.
Hohenpeissenberg	2.0	7.0	7.0	3.4	5.8	9.2	8.2	7.1
Mittenwald	5.2	7.4	6.9	5.0	7.2	8.0	9.6	9.1
Würzburg	— 1.3	1.0	1.0	— 1.0	3.2	2.1	7.0	2.8

Die durch Föhn bewirkte Bevorzugung des Alpengebietes und dessen Vorlandes gegen klimatisch sonst sehr begünstigte Lagen kommt in diesen Zahlen deutlich zum Ausdruck.

Bis zum Morgen des 26. hatte sich ein Minimum nach der südlichen Ostsee verlagert und über ganz Osteuropa ein starkes Sinken des Luftdruckes verursacht. Unser Gebiet kam dadurch aut die Rückseite niedrigen Druckes zu liegen und bei dem Vorhandensein hohen Luftdruckes über Nord- und Nordwesteuropa traten nördliche Luftströme ein, die unserem Gebiete empfindliche Abkühlung, stellenweise auch, insbesondere in den Alpen, leichte Niederschläge brachten. Das Minimum zog rasch nach Süddeutschland ab und hoher Druck rückte nach den zentralen Gebietsteilen herein. Das in seiner Begleitung auftretende nächtliche Aufklaren hatte strenge Strahlungskälte zur Folge. Die Kälteperiode fand aber bald ihren Abschluss, als am 30. ein tiefes Minimum von Irland über Mittelskandinavien nach der Ostsee zog und eine Wetterlage schaffte, welche unserem Gebiete wieder warme ozeanische Luft zuführte.

Die Kurven, welche den zeitlichen Gang der Temperaturtagesmittel darstellen, geben ein getreues Bild des eben geschilderten Witterungsverlaufes. Die Temperaturmittel der ersten Dekade, die durch ozeanisch-zyklonales Wetter ausgefüllt war, liegen hoch. Dann sinken die Temperaturen und führen um die Monatsmitte zu den tiefen Werten, welche bei östlicher Luftströmung durch die Zufuhr eisig kalter Luft aus dem Osten und Nordosten unseres Kontinentes geschaffen wurden. Vom 18. ab erfolgt dann wieder ein steiler Temperaturanstieg, der insbesondere im südlichen Bayern durch die intensive Föhnwirkung weit über die Mittelwerte hinaufreichte. Als dann unser Gebiet auf die Rückseite niedrigen Druckes kam, sanken vom 26. ab die Temperaturen wieder sehr stark und erreichten ein zweites Minimum, das durch Strahlungskälte bei antizyklonaler Witterung verursacht war. Gegen Ende des Monats lässt die ozeanische Luftzufuhr die Temperaturkurven wieder ansteigen.

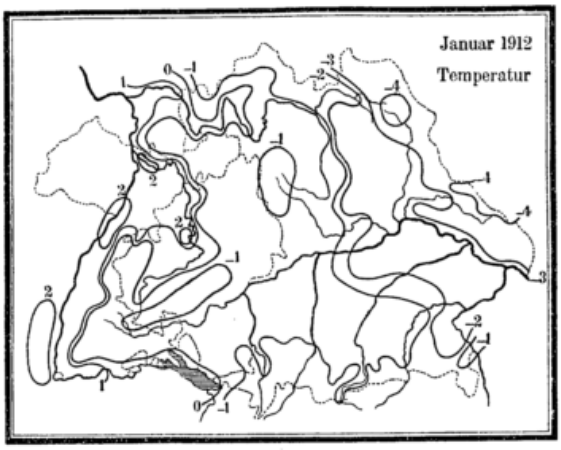

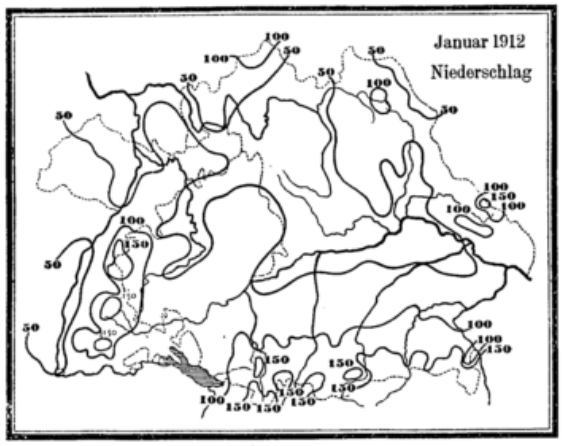

Auf dem ersten der beigegebenen Kärtchen ist die geographische Verteilung der Temperaturmittel über Süddeutschland dargestellt. Abweichend von dem sonst durch das Bodenrelief bedingten Verlauf der Isothermen, finden wir durch die Kurven für — 1 und — 2 Grad das kältere Ostbayern von dem wärmeren Westbayern abgegrenzt. Weiterhin kommt noch die durch Föhn bedingte Bevorzugung des Alpenvorlandes und insbesondere einiger Alpentäler deutlich zum Ausdruck. Wie kräftig dieser Einfluss noch auf die Temperaturmittel wirkt, ergibt sich aus der Tatsache, dass Mittenwald in 1000 m Seehöhe ein Temperaturmittel (—0.7) berechnete, das dem von Nürnberg in 309 m Seehöhe gleichkommt, jenes von Bad Kissingen (—0.8) in 209 m Höhe sogar etwas übertrifft. Positive Temperaturmittel von mehr als 1 Grad, stellenweise sogar von mehr als 2 Grad kamen in der Rheinpfalz, in der Rheinebene, sowie im unteren und mittleren Neckartal und im untersten Maintal zur Aufzeichnung. Am Ufergelände des Bodensee lagen die Mitteltemperaturen zwischen 0 und 1 Grad. Das Kärtchen, welches die geographische Verteilung des mittleren Maximums darstellt, zeigt nur im Gebiete des Bayerischen Waldes, des Böhmerwaldes und der Mittelgebirge im Nordosten Bayerns negative Werte. Im Alpengebiet wurden in den Tallagen allenthalben mehr als 2, vielfach aber auch mehr als 3 Grad als mittleres Maximum ermittelt, das sind Werte, wie sie sonst nur mehr in der Pfalz und in der Rheinebene aufgezeichnet wurden. Auch das Kärtchen für das mittlere Minimum zeigt ähnliche Züge. Während im Osten Bayerns mittlere Minima von unter 7 Grad zu verzeichnen waren, ergaben sich in der Rheinebene Werte, die noch nicht einmal — 1 ⁰ erreichten. Die mittlere Schwankung betrug in dem mehr kontinental gelegenen Ost- und Südbayern mehr als 5, im Alpengebiet sogar mehr als 7 Grad, in dem mehr maritimen Einflüssen zugänglichen Maingebiet und in der Pfalz zumeist weniger als 5 Grad.

Die Anzahl der Frosttage war wieder am grössten im östlichen Bayern, wo zumeist zwischen 25 und 30 Tage mit einem negativen Minimum aufgezeichnet wurden. In der Pfalz blieb die Zahl der Frosttage unter 20, in begünstigsten Lagen der Rheinebene sogar unter 15. Hier und am Ufergelände des Bodensee war auch die Zahl der Wintertage am geringsten (weniger als 5), die im Osten Bayerns ihren höchsten Wert erreichte. Nähere Einzelheiten sind der betreffenden Spalte der beigedruckten Tabelle III zu entnehmen.

Das zweite Kärtchen gibt die geographische Verteilung der Niederschlagssummen über Süddeutschland wieder. Die grössten Niederschlagsmengen mit mehr als 150 mm wurden auf den Höhen des Schwarzwaldes, im Alpengebiet und im Arbergebiet des Böhmerwaldes gemessen. Im Flachlande schwankte die Monatssumme mit mässiger Amplitude um den Wert 50 mm. Die Niederschlagshäufigkeit war, wie schon aus der Schilderung des zeitlichen Witterungsverlaufes hervorgeht, am grössten in der ersten Monatsdekade, in welcher fast jeder Tag verbreitete Niederschläge brachte. Geringe Mengen wurden auch noch in der Zeit vom 16. bis 18., sowie vom 25. bis 28. verzeichnet. Stärkere Niederschläge von mehr als 10 mm innerhalb 24 Stunden fielen nur in der zweiten Monatspentade.

Die Niederschläge kamen in den niederen Lagen des Rhein- und Maingebietes vorherrschend als Regen, in den höheren Lagen des übrigen rechtsrheinischen Bayern, insbesondere in den östlichen Mittelgebirgslandschaften vorherrschend als Schnee, oder doch als ein Gemisch von Regen und Schnee zu Boden. Zur Bildung einer zusammenhängenden Schneedecke kam es aber in den Niederungen nur an wenigen Tagen. Nähere diesbezügliche Angaben finden sich in den von der k. b. meteorologischen Centralstation veröffentlichten Berichten über die „Schneehöhen in Bayern".

Die mittlere Bewölkungsziffer war am grössten in der Rheinpfalz, wo sich dieselbe auf mehr als 8 Zehntel der vollen Bedeckung bezifferte. Weniger als 7 Zehntel wurden im Osten Bayerns und im Alpengebiet zwischen Iller und Inn verzeichnet. Spezielle Angaben über diese Verhältnisse, wie auch über die Anzahl der heiteren und trüben Tage sind den entsprechenden Spalten der Tabelle III zu entnehmen.

Die mittleren auf Meeresniveau reduzierten Barometerstände lassen ein von Ost nach West gerichtetes Druckgefälle erkennen. Vielenorts waren Winde aus östlicher Richtung vorherrschend, doch wurden anderseits auch wieder häufig westliche Winde in grösserer Anzahl verzeichnet. In den alpinen Tallagen zwischen Iller und Inn herrschten südliche Luftströmungen vor.

München, 22. Februar 1912.

E. Alt.

Station	Höhe über Normal-Null m	Luftdruck in mm: höchster am	höchster mm	tiefster am	tiefster mm	Monatsmittel lokal	Monatsmittel auf Meeresniveau reduziert	Temperatur C°: Mittel um 7a	2p	9p	Mittlere Tagestemperatur	Mittleres Maximum	Mittleres Minimum	Mittel aus Maximum und Minimum	Mittlere Schwankung	Station
Ludwigshafen a/Rh.	100.3	1.	767.1	7.	725 7	754.3	763 8	0.8	3.2	2.0	2.0	4.1	– 0.3	1.9	4.4	Ludwigshafen a/Rh.
Kahl a/M.	114.1	1.	764.7	7.	723.8	753.1	763.8	–0.6	2.3	0.1	0.5	3.6	– 2.6	0.5	6.2	Kahl a/M.
Landau i. Pf.	149.9	1.	761.5	7.	722.3	749.3	763.4	0.3	2.7	1.1	1.3	3.9	– 1.0	1.5	4.9	Landau i. Pf.
Würzburg	179.3	1.	758.4	7.	717.8	746.7	763.6	–1.0	1.7	– 0.2	0.1	2.3	– 2.1	0.1	4.4	Würzburg
Bad Kissingen	209.2	1.	756.5	7.	714.0	744.2	763.9	–2.0	1.0	– 1.1	– 0.8	1.7	– 3.6	– 0.9	5.3	Bad Kissingen
Kaiserslautern	242.2	1.	753.5	6.	714.7	741.1	763.7	0.1	2.5	0.8	1.0	3.3	– 1.2	1.0	4.6	Kaiserslautern
Luitpoldheim	250	–	–	–	–	–	–	–1.6	0.6	– 1.0	– 0.7	1.5	– 3.0	– 0.7	4.4	Luitpoldheim
Bamberg	287.7	1.	749.1	7.	707.9	737.3	764.3	–2.8	0.9	– 1.5	– 1.2	2.3	– 4.0	– 0.9	6.2	Bamberg
Nürnberg	309.1	1.	746.7	7.	706.8	735.0	763.9	–2.1	1.0	– 0.8	– 0.7	2.0	– 3.4	– 0.7	5.4	Nürnberg
Passau	309.3	1.	747.6	7.	708.8	736.2	765.3	–4.1	– 0.2	– 2.3	– 2.2	0.8	– 5.3	– 2.3	6.1	Passau
Metten	320	–	–	–	–	–	–	–5.3	– 1.1	– 3.8	– 3.5	– 0.3	– 7.2	– 3.7	6.8	Metten
Regensburg	342.6	1.	743.1	7.	706.3	732.3	764.5	–4.0	– 0.9	– 3.0	– 2.8	0.2	– 6.3	– 3.1	6.5	Regensburg
Bayreuth	363.3	1.	742.2	7.	700.9	730.6	764.6	–3.4	– 0.4	– 2.1	– 2.0	0.2	– 5.1	– 2.5	5.3	Bayreuth
Burghausen	365	1.	742.1	7.	704.4	730.4	764.5	–3.6	0.3	– 2.3	– 2.0	1.1	– 4.9	– 1.9	6.0	Burghausen
Ingolstadt	368	–	–	–	–	–	–	–3.7	0.3	– 2 2	– 1.9	1.3	– 5.1	– 1.9	6.4	Ingolstadt
Karlshuld	382.0	2.	739.7	7.	702.4	728.4	764.1	–4.1	0.1	– 2.4	– 2.2	2.1	– 5.4	– 1.6	7.5	Karlshuld
Landshut	397.7	1.	738.6	7.	700 5	727.0	764.3	–3.5	0.6	– 2.4	– 1.9	1.8	– 6.0	– 2.1	7.8	Landshut
Lindau i. B. (Reutin)	401.7	2.	738.9	7.	703.6	726.8	763.9	–0.7	2.3	0.3	0.6	3.7	– 2.2	0.8	5.9	Lindau i. B. (Reutin)
Weissenburg i. B.	431	2.	735.7	7.	697.7	724.7	764.7	–2.2	1.2	– 0.7	– 0.6	2.3	– 3.4	– 0.5	5.7	Weissenburg i. B.
Nördlingen	435.6	1.	735.0	7.	697.1	723.0	763.4	–2.1	– 0.8	– 1.2	– 0.9	1.7	– 3.3	– 0.8	5.0	Nördlingen
Ansbach	437.5	1.	735.2	7.	696.3	723.4	764.1	–2.9	0.7	– 1.8	– 1.5	1.7	– 4.3	– 1.3	6.0	Ansbach
Hof	476.1	1.	730.9	7.	690.8	719.7	764.1	–4.7	– 1.4	– 3.3	– 3.2	– 0.2	– 6.8	– 3.5	6.5	Hof
Bad Reichenhall	477	1.	732.0	7.	695.3	719.9	764.0	–2.9	1.1	– 1.3	– 1.1	2.5	– 4.2	– 0.8	6.7	Bad Reichenhall
Augsburg	499.6	1.	730.4	7.	692.7	718.3	764.4	–2.1	1.0	– 0.9	– 0.7	2.0	– 3.8	– 0.9	5.9	Augsburg
München C.-St.	526.4	1.	727.6	7.	690.5	715.6	764.0	–2.0	0.9	– 1.1	– 0.8	2.1	– 3.7	– 0.8	5.7	München C.-St.
Alexandersbad	590	–	–	–	–	–	–	–6.1	– 2.5	– 5.0	– 4.6	– 1.7	– 8.0	– 4.9	6.4	Alexandersbad
Traunstein	597	1.	721.8	7.	684.9	709.8	764.9	–4.0	0.1	– 2.8	– 2 3	1.1	– 5.3	– 2.1	6.3	Traunstein
Berchtesgaden	600	–	–	–	–	–	–	–2.8	0.7	– 1.4	– 1.3	2.1	– 4.6	– 1.2	6.7	Berchtesgaden
Ottobeuren	660.0	1.	715.7	7.	681.9	703.9	764.1	–2.3	0.8	– 1.8	– 1.3	1.8	– 4.1	– 1.1	5.9	Ottobeuren
Partenkirchen	714.6	1.	711.5	7.	677.1	699.3	764.4	–3.2	1.3	– 1.8	– 1.4	2.7	– 4.5	– 0.9	7.2	Partenkirchen
Tegernsee	738	1.	708.9	7.	673.9	697.4	764.6	–1.4	2.4	– 0.7	– 0.1	4.1	– 3.1	0.5	7.2	Tegernsee
Buchenau	750	1.	706.1	7.	669.3	695.4	764.4	–5.4	– 1.4	– 4.5	– 4.0	0.0	– 7.0	– 3.5	6.9	Buchenau
Oberstdorf	811.4	1.	702.6	7.	669.3	690.8	764.2	–3.3	1.8	– 1.9	– 1.3	3.2	– 5.8	– 1.3	8.9	Oberstdorf
Ettal	879.5	1.	695.1	7.	661.0	683.6	762.6?	–3.0	0.7	– 2.1	– 1.6	3.5	– 5.0	– 0.7	8.4	Ettal
Mittenwald	910	1.	694.1	7.	660.5	682.2	763.6	–2.4	2.0	– 1.3	– 0.7	2.8	– 4.4	– 0.8	7.3	Mittenwald
Hohenpeissenberg	993.9	1.	686.7	7.	651.7	674.8	763.5	–2.0	– 0.2	– 1.8	– 1.5	1.5	– 4.1	– 1.3	5.7	Hohenpeissenberg
Zugspitze	2964	2.	535.2	7.	508.0	524.8	–	–10.1	– 9.5	– 9.9	– 9.8	– 7.4	–12.0	– 9.7	4.6	Zugspitze

Station	Temperatur C° höchste am	höchste C°	tiefste am	tiefste C°	grösste Schwankung am	grösste Schwankung C°	Dampfdruck Monatsmittel mm	Relative Feuchtigkeit % Monatsmittel	kleinste am	kleinste %	grösste am	grösste %	Bewölkung Monatsmittel	Niederschlag grösster am	grösster mm	Monats-Summe mm	Station
Ludwigshafen a/Rh.	7.	11.1	28.	– 6.0	7.	11.5	4.4	81	28.	34	20.	98	8.3	7.	6.4	26.4	Ludwigshafen a/Rh.
Kahl a/M.	7.	9.6	16.	– 9.4	7.	12.9	4.2	83	17., 28.	49	öfters	100	7.4	7.	20.9	52.6	Kahl a/M.
Landau i. Pf.	7.	10.6	28.	– 6.7	7.	11.0	4.5	86	8.	54	öfters	100	8.5	7.	19.8	44.7	Landau i. Pf.
Würzburg	7.	10.0	16.	– 9.7	7.	11.7	3.8	78	28.	42	öfters	96	7.2	7.	13.4	41.5	Würzburg
Bad Kissingen	öfters	7.2	15.	–10.3	7.	10.7	3.8	83	28.	40	24., 26.	100	6.7	7.	17.4	62.9	Bad Kissingen
Kaiserslautern	7.	9.4	28., 31.	– 7.0	7.	11.1	4.5	88	28.	51	öfters	100	8.5	7.	16.1	46 6	Kaiserslautern
Luitpoldheim	3.	10.6	28.	– 9.7	7.	11.4	3.9	84	28.	54	öfters	100	6.9	6.	8.9	54.2	Luitpoldheim
Bamberg	11.	12.7	16.	–11.8	11.	17.4	3.7	82	28.	47	öfters	100	7.6	7.	13.6	34.5	Bamberg
Nürnberg	24.	8.6	16.	–11.9	7.	12.2	3.7	78	28.	45	10., 26.	98	6.8	7.	8.1	29.8	Nürnberg
Passau	7.	8.1	15.	–13.9	30.	13.5	3.4	82	öfters	45	öfters	100	7.6	7., 10.	15.0	69.6	Passau
Metten	7.	6.2	17.	–16.3	18.	13.2	3.3	86	12.	47	öfters	100	6.5	7.	23.4	68.7	Metten
Regensburg	7.	7.2	16.	–13.5	7.	12.3	3.2	81	20.	61	öfters	100	5.9	7.	15.5	41.3	Regensburg
Bayreuth	7.	6.9	16.	–14.6	7.	12.8	3.4	81	28.	40	10.	100	7.0	7.	16.9	44.9	Bayreuth
Burghausen	7.	9.3	30.	–16.1	30.	12.0	3.5	82	29.	50	1., 10.	98	7.1	10.	28.8	88.8	Burghausen
Ingolstadt	7.	8.2	29.	–14.3	31.	13.5	3.5	82	28.	48	26.	98	6.7	10.	15.7	41.3	Ingolstadt
Karlshuld	3.	8.9	29.	–14.6	29.	13.7	3.5	84	28.	41	öfters	100	6.1	10.	13.9	35.5	Karlshuld
Landshut	7.	8 8	29.	–14.4	31.	13.0	3.4	81	19.	50	25.	100	7.2	10.	19.6	56.0	Landshut
Lindau i. B. (Reutin)	7.	11.8	30., 31.	–10.0	31.	10.8	4.4	89	29.	39	öfters	100	7.5	10.	32.7	82.5	Lindau i. B. (Reutin)
Weissenburg i. B.	24.	10.0	17.	–10.6	8.	11.2	3.8	85	28.	44	26.	100	7.0	7.	14.1	32.2	Weissenburg i. B.
Nördlingen	7.	8.2	15.	– 9.9	7.	11.1	3.7	82	28.	42	öfters	100	7.7	7.	15.7	38.6	Nördlingen
Ansbach	7.	7.8	16.	–12.2	7.	12.6	3.6	81	28.	44	3.	97	6.4	10.	6,8	38.7	Ansbach
Hof	öfters	5.2	17.	–18.5	14.	13.3	3.4	87	18.	58	öfters	100	7.1	7.	12.3	46.9	Hof
Bad Reichenhall	3., 24.	10.0	30.	–15.9	23.	13.7	3.7	85	23.	45	öfters	100	7.1	8.	36.0	157.5	Bad Reichenhall
Augsburg	24.	8.4	29.	–10.8	29.	9.5	3.8	83	29.	47	25.	100	7.2	10.	28.7	66.6	Augsburg
München C.-St.	3.	9.5	30.	–11.1	24.	11.1	3.7	83	29.	46	öfters	100	7.6	10.	44.3	92.5	München C.-St.
Alexandersbad	5.	4 0	16.	–19.6	7.	13.0	3.1	87	28.	54	25	100	6.3	7.	33.2	84.5	Alexandersbad
Traunstein	24.	9.0	30.	–17.2	31.	14.0	3.5	86	8., 31.	55	öfters	100	7.5	10.	46.5	143.6	Traunstein
Berchtesgaden	7.	9.1	30.	–16.5	31.	12.3	3.7	86	8.	54	öfters	100	7.4	10.	41.1	151.1	Berchtesgaden
Ottobeuren	24.	9.0	30.	–13.6	20.	11.5	3.7	84	29.	42	öfters	98	7.2	10.	39.6	99.4	Ottobeuren
Partenkirchen	5.	9.7	29.	–16.2	9.	12.5	3.6	83	31.	50	öfters	100	6.3	8.	36.0	126.5	Partenkirchen
Tegernsee	20.	11.6	29.	–12.8	20.	11.0	3.8	81	23.	41	26.	100	7.9	10.	53.0	158.3	Tegernsee
Buchenau	25.	6.1	17.	–16.7	18.	12.2	3.1	82	28.	45	3.	100	6.4	7.	23.8	127.6	Buchenau
Oberstdorf	3.	10.1	30.	–18.3	31.	15.6	3.7	87	12.	43	öfters	100	6.9	10.	42.8	169.1	Oberstdorf
Ettal	23.	9.9	30.	–17.1	9.	13 4	3.5	82	23.	41	öfters	100	6.5	8.	37.4	127.0	Ettal
Mittenwald	24.	9.6	31.	–18.1	31.	13.2	3.6	80	24.	49	öfters	100	6.9	8.	29.2	106.4	Mittenwald
Hohenpeissenberg	23.	9.2	29.	–13.1	18.	13.4	3.5	82	20.	41	öfters	100	7.3	10.	42.4	109.2	Hohenpeissenberg
Zugspitze	5.	– 1.1	8.	–21.3	9.	13 6	2.0	90	30.	48	öfters	100	6.7	10.	11.0	56.2	Zugspitze

Station	Tage mit Niederschlägen ≥ 0.1mm	Niederschlägen ≥ 1.0mm	Schneefall	Schneedecke	Graupeln	Hagel	Gewitter	Nebel	Reif	Tau	Tage heitere	trübe	Frost	Winter	Anzahl der beobachteten Windrichtungen N	NE	E	SE	S	SW	W	W	Stille	Station
Ludwigshafen a/Rh.	12	7	2	1	–	–	–	11	4	–	–	18	14	2	18	10	5	5	16	24	8	3	4	Ludwigshafen a/Rh.
Kahl a/M.	11	8	5	2	–	–	–	1	5	–	3	19	25	3	1	7	6	12	7	27	1	5	27	Kahl a/M.
Landau i. Pf.	15	8	4	3	–	–	–	3	4	–	–	21	17	3	–	46	–	2	1	34	9	1	–	Landau i. Pf.
Würzburg	13	9	4	2	–	–	–	6	17	–	3	16	23	7	2	2	31	13	2	3	23	1	16	Würzburg
Bad Kissingen	16	3	5	2	–	–	–	4	13	–	4	14	24	10	31	17	2	1	6	13	10	8	5	Bad Kissingen
Kaiserslautern	15	7	4	1	2	–	–	6	6	–	1	22	18	5	1	1	24	8	–	1	22	6	30	Kaiserslautern
Luitpoldheim	18	10	5	2	1	–	–	6	3	–	3	14	24	15	5	8	12	6	–	26	–	5	31	Luitpoldheim
Bamberg	28	6	9	3	1	–	–	5	11	–	3	18	24	9	2	1	10	13	18	9	16	12	12	Bamberg
Nürnberg	11	7	6	3	–	–	–	15	8	–	3	16	22	12	2	4	24	19	5	10	15	7	7	Nürnberg
Passau	13	10	8	23	–	–	–	4	14	–	4	19	24	10	–	1	9	–	1	–	17	–	65	Passau
Metten	12	9	9	24	1	–	–	7	10	–	5	15	27	17	6	12	6	1	6	7	16	7	32	Metten
Regensburg	11	9	4	7	–	–	–	6	–	–	4	9	27	16	34	2	–	–	27	11	4	15	–	Regensburg
Bayreuth	14	8	9	12	–	–	–	5	2	–	6	16	26	16	3	2	36	18	–	6	21	6	1	Bayreuth
Burghausen	14	10	7	15	1	–	–	1	9	–	2	16	23	12	4	13	11	1	3	14	7	–	40	Burghausen
Ingolstadt	15	7	7	4	2	–	–	1	9	–	4	13	23	12	2	6	44	4	3	20	9	2	3	Ingolstadt
Karlshuld	8	6	2	1	–	–	–	4	1	–	5	15	24	9	1	12	28	–	–	5	19	–	28	Karlshuld
Landshut	12	8	3	1	1	–	–	–	9	–	2	16	28	8	6	11	25	2	1	7	24	2	15	Landshut
Lindau i. B. (Reutin)	14	10	7	7	1	–	1	3	10	–	3	16	24	4	12	19	2	2	15	3	17	4	19	Lindau i. B. (Reutin)
Weissenburg i. B.	11	10	3	2	–	–	–	7	8	–	2	14	21	9	1	21	14	14	6	14	18	2	3	Weissenburg i. B.
Nördlingen	16	6	7	4	–	–	–	4	6	1	–	17	23	10	2	7	23	20	1	17	15	2	6	Nördlingen
Ansbach	18	8	8	1	–	–	–	2	1	–	5	14	23	10	4	2	20	6	2	6	23	1	29	Ansbach
Hof	16	9	12	23	–	–	–	9	–	–	3	17	27	14	14	1	6	29	9	11	14	8	1	Hof
Bad Reichenhall	17	15	8	22	3	–	–	1	1	–	4	14	22	9	–	5	21	1	3	10	20	1	32	Bad Reichenhall
Augsburg	12	10	7	9	–	–	–	7	13	–	4	18	24	9	3	10	23	16	4	24	4	2	7	Augsburg
München C.-St.	20	13	15	11	–	–	–	14	6	–	2	17	24	10	–	4	21	3	–	27	5	4	29	München C.-St.
Alexandersbad	13	9	10	27	–	–	–	2	9	–	5	11	27	16	3	6	12	8	2	4	19	7	32	Alexandersbad
Traunstein	18	14	10	24	–	–	–	5	1	–	2	16	25	9	2	5	43	7	2	1	29	4	–	Traunstein
Berchtesgaden	17	16	12	31	–	–	–	3	6	–	3	17	23	7	–	–	4	1	–	–	10	–	78	Berchtesgaden
Ottobeuren	16	11	10	13	1	–	1	6	6	–	4	16	27	11	–	12	18	7	1	35	2	2	16	Ottobeuren
Partenkirchen	17	14	9	26	–	–	–	–	2	–	4	13	24	9	3	–	–	11	22	3	–	6	48	Partenkirchen
Tegernsee	15	14	8	18	–	–	1	7	–	–	1	19	21	9	2	2	2	12	11	5	6	9	44	Tegernsee
Buchenau	12	10	11	31	1	–	–	1	3	–	6	15	30	14	–	1	33	2	–	3	36	1	17	Buchenau
Oberstdorf	15	13	10	31	–	1	1	6	–	–	3	14	25	7	4	–	–	3	5	11	6	7	57	Oberstdorf
Ettal	17	16	16	31	1	–	1	8	–	–	4	14	24	8										Ettal
Mittenwald	17	13	12	28	2	–	–	–	2	–	5	16	21	6	5	4	3	1	15	23	6	8	28	Mittenwald
Hohenpeissenberg	18	14	15	20	–	1	–	13	1	–	5	20	22	9	3	16	5	8	1	14	32	8	6	Hohenpeissenberg
Zugspitze	14	12	14	31	–	–	–	18	1	–	5	16	31	31	20	3	6	3	8	5	9	27	12	Zugspitze

Übersicht über die Witterungsverhältnisse im Königreiche Bayern

während des Februar 1912.

Die Mitteltemperaturen des Februar lagen an allen Beobachtungsorten um erhebliche Beträge über den aus langjährigen Reihen abgeleiteten Normalwerten. In den durch häufigen Föhneinfluss begünstigten alpinen Tallagen, sowie im ganzen Alpenvorland bezifferte sich der Mehrbetrag auf mehr als 4, vereinzelt sogar auf mehr als 5 Grad. Im übrigen Bayern schwankten die Temperaturdifferenzen mit nur geringer Amplitude um den Wert von 3 Grad, nur Würzburg erreichte noch eine positive Abweichung von etwas über 4 Grad. Wenn wir nach diesen Ergebnissen den Februar 1912 als einen durch ausserordentlich milde Witterung ausgezeichneten Monat bezeichnen dürfen, so ist dies nur so lange berechtigt, als wir die mittleren Verhältnisse des Monats, als Ganzes betrachtet, kennzeichnen wollen. Berücksichtigt man jedoch den zeitlichen Gang der Temperatur, so müssen zwei sehr verschiedene Epochen unterschieden werden. Die Temperaturtagesmittel, welche zu Beginn des Monats sehr nahe bei den Normalwerten lagen, sanken am 3. und 4. zu ungewöhnlich tiefen Graden herab, um dann aber in den nächsten Tagen ebenso rasch zu relativ hohen Werten anzusteigen. Vom 6. ab bewegten sich die Temperaturtagesmittel bis Ende des Monats in einem Niveau, das sich andauernd mehrere Grade über den normalen Beträgen hielt. Wir müssen also eine nur wenige Tage umfassende strenge Frostperiode zu Anfang des Monats, von einer lang währenden Periode milder Witterung unterscheiden, deren Einwirkung auf die Monatsmittel der Temperatur weit überwiegt.

Erwähnen wir noch, dass die Niederschlagsverhältnisse im grossen und ganzen normale waren, so ist die allgemeine Charakteristik des Berichtsmonats nach den hauptsächlichsten Gesichtspunkten gegeben.

Die nachfolgende kurze Schilderung des zeitlichen Witterungsverlaufes wird die wichtigsten meteorologischen Vorgänge im Zusammenhang mit der jeweils herrschenden Luftdruckverteilung erläutern: Am Morgen des 1. Februar lag ein tiefes Minimum über den russischen Ostseeprovinzen, das sowohl nach der Nordsee, wie auch nach den zentralen Lagen Europas herein Ausläufer entsandte. Der östliche Rand eines neuen vom Ozean sich nähernden Minimums war über der Biskayasee zu erkennen. Das Wetter war allenthalben trüb und bei kühlen Temperaturen traten verbreitete Schneefälle ein. Dieselben erreichten noch höhere Intensität, als die atlantische Depression über Südfrankreich in das Mittelmeer eindrang und mit einem über der ungarischen Tiefebene entstandenen Tiefdruckgebiete Verbindung fand. Am Morgen des 3. Februar trug ganz Süddeutschland eine lückenlose Schneedecke, die selbst in den so begünstigten Tieflagen der Rheinebene mehrere Zentimeter Mächtigkeit aufwies. Die nördlichen und nordöstlichen Winde, welche durch die Verlagerung des Tiefdrucks nach dem Süden und Südosten des Erdteiles hervorgerufen wurden, führten unserem Gebiete die kalten Luftmassen zu, welche seit längerer Zeit über Nordwestrussland lagerten. Als dann in der Nacht vom 3. auf 4. Februar hoher Luftdruck über Zentraleuropa sich entwickelte, klarte es auf und die ungehinderte Ausstrahlung verursachte bei dem Vorhandensein einer ausgebreiteten Schneedecke noch weitere Verschärfung des Frostes. In den ersten Morgenstunden des 4. Februar wurden an fast allen Beobachtungsstellen Temperaturen von weniger als – 15, vielenorts sogar von weniger als – 20 Grad aufgezeichnet, die tiefsten Kältegrade des Winters 1911/12. Die Luftdruckverteilung war aber nicht von langer Dauer. Der hohe Luftdruck wurde von einer neuen Depression kräftig und erfolgreich angegriffen, die von der Biskayasee gegen Frankreich hereinhohrte. Der Kern des Hochdruckes verlagerte sich nach dem Schwarzen Meere und der Frost liess allmählich nach. Kleinere Störungen in der Luftdruckverteilung verursachten am 5. noch vereinzelte, leichte Schneefälle. Am Morgen des 6. Februar war der Kern des hohen Druckes bereits nach Russland zurückgedrängt und eine Furche geringen Druckes reichte von einem Minimum westlich von Irland ostwärts bis an die Weichsel. Damit war eine Wetterlage geschaffen, welche durch Zufuhr ozeanischer warmer Luft über unserem ganzen Gebiete Tauwetter, im südlichen Bayern Föhnsituation bringen musste. In der Pfalz und in Nordbayern kam es stellenweise zu Regenfällen. Während der folgenden Tage blieben die wesentlichen Züge der Luftdruckverteilung unverändert und bei andauernd milden Temperaturen herrschte vorwiegend heiteres Wetter ohne nennenswerte Niederschläge. Um ein Bild über die aussergewöhnlichen Temperaturgegensätze innerhalb weniger Tage zu geben, stellen wir für eine Anzahl ausgewählter Stationen die Extreme, sowie die Tagesmittel der Temperatur vom 4. und 7. Februar einander gegenüber.

	Maximum		Minimum		Tagesmittel	
	4.	7.	4.	7.	4.	7.
Ludwigshafen	– 6.2	+11.1	–15.0	+2.4	– 9.5	+6.8
Würzburg	– 8.8	+ 7.4	–20.2	+1.0	–12.8	+2.4
Nürnberg	– 9.1	+ 7.4	–20.1	+0.4	–12.5	+3.1
Hof	–10.0	+ 5.0	–18.6	– 2.4	–14.6	+0.8
Metten	–10.6	+ 2.6	–24.7	– 7.4	–15.0	– 2.7
München	– 7.0	+ 7.3	–18.7	– 2.0	–11.1	+1.2
Reichenhall	– 6.5	+13.0	–18.9	+3.1	–12.3	+6.7
Mittenwald	– 3.2	+12.2	–17.4	+7.6	– 6.0	+9.8

Leider können wir des beschränkten Raumes wegen, die mehrfachen interessanten Details, welche in diesen Zahlen liegen, nicht ausführlicher besprechen. Es mag genügen, unter Hinweis auf die für Reichenhall und Mittenwald gültigen Daten auf die durchgreifende Erwärmung durch Föhneinfluss aufmerksam zu machen. Vom 10. Februar ab war die Luftdruckverteilung raschen Änderungen unterworfen, so dass unser Gebiet bald auf die Vorderseite, bald auf die Rückseite niedrigen Druckes zu liegen kam. Unbeständiges Wetter mit rasch wechselnder Bewölkung und nur leichten Niederschlägen bestand bis um die Mitte des Monats. Die Temperaturen waren im allgemeinen wieder im Sinken begriffen, hielten sich aber andauernd mehrere Grade über den Normalwerten. Am Morgen des 16. Februar lag über Zentraleuropa ein barometrisches Maximum, dessen Kern über Ostfrankreich und Südwestdeutschland eine Intensität von mehr als 770 mm aufwies. Der Maximalkern verlagerte sich von einer ozeanischen Depression vorwärtsgedrängt rasch nach dem Osten und Südosten des Erdteiles. Über unserem ganzen Gebiete trat Aufklaren ein und die Temperaturen stiegen wieder an, insbesondere im Alpengebiete und in dessen Vorland, wo sich wieder Föhnlage entwickelt hatte. Die Schönwetterperiode war aber nur von kurzer Dauer. Bis zum 20. Februar war ein Minimum in die Nordsee vorgedrungen, das durch Ausläufer und Randgebilde seinen Einfluss weit in die zentralen Gebiete herein ausdehnte. Gleichzeitig hatten sich auch über der Adria kleine Störungen entwickelt. Die Bewölkung nahm rasch wieder zu und insbesondere im südlichen Bayern traten zeitweise Niederschläge auf, die aber keine nennenswerte Ergiebigkeit erreichten. Erst in der Zeit vom 23. bis 25. kam es zu verbreiteten und nun auch etwas stärkeren Niederschlägen, als unser Gebiet auf die Rückseite eines Ausläufers niedrigen Druckes gelangte. Vom 26. ab gestaltete sich die Luftdruckverteilung wieder regelmässiger. Während die Nordhälfte Europas dem Bereiche einer ausgedehnten Depression angehörte, bestand über dem Kontinentalrumpfe hoher Luftdruck, dessen Herrschaft allerdings zeitweise durch Ausläufer des nördlichen Tiefdruckes beeinträchtigt wurde. Die Bewölkung war raschen Wechseln unterworfen, doch kam es nicht zu nennenswerten Niederschlägen. Die Temperaturen lagen andauernd hoch, insbesondere im Süden Bayerns, wo die Witterung wieder föhnigen Einschlag aufwies.

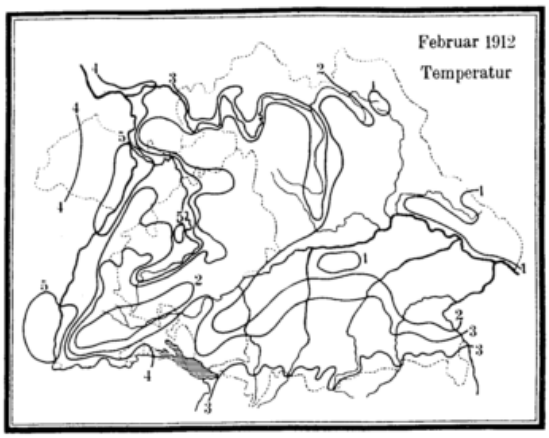

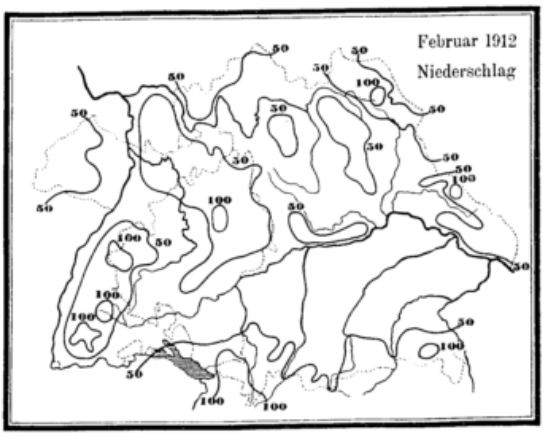

Die geographische Verteilung der Mitteltemperaturen über Süddeutschland ist auf dem ersten der beigegebenen Kärtchen zur Darstellung gebracht. Als die wärmsten Gebiete mit einer Mitteltemperatur von mehr als 4, stellenweise sogar mehr als 5 Grad stellen sich die Rheinebene und das untere und mittlere Neckartal dar. Mehr als 3 Grad wurden in den tieferen Tallagen des Maingebietes, am Ufergelände des Bodensee und in dem durch häufige Föhnströmungen so bevorzugten Alpenvorland erreicht. Dagegen erscheinen die mittleren Temperaturen der Donauniederung, sowie des ganzen Ostens von Bayern mit weniger als 2 Grad relativ niedrig. Auch das mittlere Maximum lässt die Bevorzugung der alpinen Tallagen deutlich erkennen. Die dortselbst berechneten Mittelwerte von mehr als 8, stellenweise sogar mehr als 9 Grad kommen denen der Rheinebene nicht nur gleich, sondern übertreffen sie sogar zumeist. In der Donauebene von Ingolstadt abwärts wurden mittlere Maxima von weniger als 6 Grad, in den eigentlichen Mittelgebirgsgegenden an der Ostgrenze Bayerns noch von weniger als 5 und 4 Grad verzeichnet. Auch die kartographische Darstellung der Verteilung des mittleren Minimums lässt die abnorm günstigen Temperaturverhältnisse des Alpenvorlandes wieder erkennen, wenn auch nicht mit gleicher Deutlichkeit. Die niedrigsten Minima (weniger als 3—5 Grad) berechnete das Gebiet, das sich von der Ingolstädter Gegend und dem Donaumoos ostwärts über Landshut bis ins obere Rottal erstreckt. In diesem Gelände, sowie an einigen alpinen Tallagen, an denen die mittägige Erwärmung, unterstützt durch Föhn, sehr kräftig wirksam war, erreichte auch die mittlere Schwankung mit mehr als 10 Grad ihre höchsten Beträge.

Die Zahl der Frosttage betrug in der Pfälzer Rheinebene, in der unmittelbaren Umgebung Nürnbergs, ferner am Ufer des Tegernsee und im Reichenhaller Tal weniger als 10. Im übrigen Bayern schwankt die Häufigkeitszahl um den Wert 15 und nur die Stationen Landshut und Metten verzeichneten mehr als 20 Frosttage. Die erste Monatspentade brachte auch für alle Stationen unseres Gebietes einige Wintertage, das sind Tage, an welchen die Temperatur zu keiner Stunde den Nullpunkt erreicht. Die Zahl derselben beträgt zumeist zwischen 3 und 5, nur einige durch Föhn besonders begünstigte Lagen (wie Mittenwald, Partenkirchen und Lindau) bleiben noch unter diesen Häufigkeitswerten.

Die geographische Verteilung der Niederschlagsmengen bringt das zweite Kärtchen zur Darstellung. Wie wir schon eingangs erwähnten, waren die Monatssummen in Vergleich mit den aus langjährigen Reihen abgeleiteten Durchschnittswerten als nahezu normale zu bezeichnen, insoferne, als sich nach keiner Seite grössere Abweichungen ergaben. Nur vereinzelte Lagen finden sich, in denen die Monatssumme des diesjährigen Februar den Normalwert um nennenswerte Beträge überragte (Karlshuld, Ludwigshafen.) Die Niederschlagshäufigkeit war, wie dies auch schon aus der Schilderung des zeitlichen Witterungsverlaufes sich entnehmen lässt, nicht gross, wenigstens solange man nur stärkere Niederschläge von mindestens 1 mm Regen- oder Schmelzwassermenge berücksichtigt. Es wurden zumeist 7 bis 12 Tage mit nennens. wertem Niederschlag gezählt, höhere und niedrigere Häufigkeitswerte finden sich nur vereinzelt. Die Niederschläge fielen teils als Regen, teils als Schnee. Insbesondere zu Beginn des Monats fiel eine starke Schneedecke an, deren Mächtigkeit jedoch durch das alsbald eintretende Tauwetter, im Alpengebiet unterstützt durch kräftigen Föhn, rasch abnahm. Bereits vor Ablauf der ersten Monatshälfte war der grösste Teil unseres Gebietes wieder schneefrei und nur die eigentlichen Gebirgslagen trugen noch eine zusammenhängende Schneelage.

Die mittlere Bewölkungsziffer schwankt im allgemeinen zwischen 6 und 8 Zehnteln der vollen Bedeckung. Die Anzahl der heiteren Tage erreichte nur an wenigen Orten 4, anderseits umfasste aber auch die Zahl der trüben Tage nur vereinzelt mehr als die Hälfte aller Monatstage.

Nähere Einzelheiten sind den entsprechenden Spalten der Tabelle III zu entnehmen.

Die mittleren auf Meeresniveau reduzierten Barometerstände bewegen sich in nur sehr geringem Abstande um den Wert 760 mm. Winde aus westlichen Richtungen waren vorherrschend.

München, den 23. März 1912.

E. Alt.

Station	Höhe über Normal-Null	Luftdruck in mm						Temperatur C°								Station
		höchster		tiefster		Monatsmittel		Mittel um			Mittlere Tagestemperatur	Mittleres		Mittel aus Maximum und Minimum	Mittlere Schwankung	
	m	am	mm	am	mm	lokal	auf Meeresniveau reduziert	7a	2p	9p		Maximum	Minimum			
Ludwigshafen a/Rh.	100.3	27.	762.5	2.	730.2	750.1	759.4	2.9	7.8	5.3	5.3	8.4	1.9	5.2	6.5	Ludwigshafen a/Rh.
Kahl a/M.	114.1	27.	759.5	2.	731.1	748.7	759.3	0.8	7.0	2.6	3.2	8.3	− 1.3	3.5	9.6	Kahl a/M.
Landau i. Pf.	149.9	27.	757.7	2.	725.6	745.4	759.2	2.1	8.1	4.2	4.7	8.7	1.0	4.9	7.7	Landau i. Pf.
Würzburg	179.3	22.	753 8	2.	722.7	742.4	759.0	0.8	6.5	3.0	3.3	7.2	− 0.5	3.4	7.7	Würzburg
Bad Kissingen	209.2	22.	751.4	2.	721.5	740.0	759.3	− 0.1	5.5	1.5	2.1	6.3	− 1.7	2.3	8.1	Bad Kissingen
Kaiserslautern	242.2	27.	749.5	2.	718.4	737.2	759.4	1.9	7.2	3.5	4.0	8.0	0.5	4.2	7.6	Kaiserslautern
Luitpoldheim	250							0.1	4.6	2.6	2.5	5.4	− 0.8	2.3	6.3	Luitpoldheim
Bamberg	287.7	22.	744.8	2.	713.7	733.3	759.7	0.1	7.1	2.4	3.0	8.2	− 1.1	3.6	9.3	Bamberg
Nürnberg	309.1	22.	742.7	2.	709.9	731.1	759.4	0.9	6.4	3.1	3.4	7.3	0.0	3.7	7.4	Nürnberg
Passau	309.3	22.	744.3	2.	710 0	732.4	761.0	− 1.0	4.0	1.0	1.2	5.2	− 2.2	1.5	7.4	Passau
Metten	320							− 1.8	3.7	0.1	0.5	5.1	− 3.8	0.6	8.9	Metten
Regensburg	342.6	22.	740.1	2.	707.7	728.6	760.1	− 0.9	4.0	0.8	1.2	5.8	− 2.8	1.5	8.6	Regensburg
Bayreuth	363.3	22.	738.2	2.	707.2	726.6	759.9	0.2	5.4	1.9	2.3	6.2	− 1.9	2.1	8.0	Bayreuth
Burghausen	365	22.	739.1	2.	705.0	727.0	760.4	− 1.1	5.7	0.6	1.4	7.0	− 2.9	2.1	9.9	Burghausen
Ingolstadt	368							− 1.5	5.3	0.6	1.3	6.4	− 3.3	1.6	9.7	Ingolstadt
Karlshuld	382.0	27.	736.7	2.	704.2	724.9	760.0	− 2.1	4.7	0.5	0.9	6.4	− 3.8	1.3	10.1	Karlshuld
Landshut	397.7	22.	735.6	2.	701.6	723.6	760.2	− 1.1	5.6	0.0	1.4	7.4	− 3.8	1.8	11.2	Landshut
Lindau i. B. (Reutin)	401.7	27.	737.3	2.	700.6	723.7	760.3	1.2	6.4	3.0	3.4	8.7	− 0.6	4.0	9.3	Lindau i. B. (Reutin)
Weissenburg i. B.	431	22., 27.	732.3	2.	699.6	721.1	760.4	0.8	6.1	2.7	3.1	6.9	− 0.7	3.1	7.6	Weissenburg i. B.
Nördlingen	435.6	27.	731.4	2.	698.0	719.6	759.2	− 0.2	5.4	2.1	2.4	6.6	− 1.2	2.6	7.9	Nördlingen
Ansbach	437.5	22.	731.4	2.	699.0	719.8	759.7	− 0.2	5.8	1.4	2.1	6.8	− 1.8	2 5	8.5	Ansbach
Hof	476.1	22.	727.1	2.	698.3	716.1	759.5	− 1.1	4.7	0.4	1.1	5.5	− 2.7	1.4	8.2	Hof
Bad Reichenhall	477	22.	729.1	2.	694.6	716.8	759.9	1.7	7.5	2.8	3.7	8.5	0.3	4.4	8.1	Bad Reichenhall
Augsburg	499.6	27.	727.5	2.	692.3	715.0	760.2	0 5	6.0	3.0	3.1	6.6	− 0.6	3.0	7.2	Augsburg
München C.-St.	526.4	27.	724.8	2.	690.5	712.5	759.8	1.5	7.0	3.5	3.9	7.8	0.3	4.1	7.5	München C.-St.
Alexandersbad	590							− 1.8	3.2	− 0.4	0.1	3.8	− 3.5	0.2	7.3	Alexandersbad
Traunstein	597	27.	719.1	2.	684.4	706.8	760.6	0.5	6.1	1.4	2.4	7.0	− 1.3	2.9	8.3	Traunstein
Berchtesgaden	600							− 0.3	5.7	1.5	2.1	6.9	− 2.1	2.4	9.0	Berchtesgaden
Ottobeuren	660.0	27.	713.7	2.	679.3	701.1	760.3	0.3	5.9	2.0	2.6	7.1	− 1.2	3.0	8.2	Ottobeuren
Partenkirchen	714.6	28.	709.1	2.	673.7	696.8	760.6	0,1	8.1	1.7	2.9	9.3	− 1.2	4.1	10.5	Partenkirchen
Tegernsee	738	27.	707.4	2.	672.7	694.9	760.8	2 6	7.4	3.8	4.4	8.7	0.3	4.5	8.3	Tegernsee
Buchenau	750	22.	704.3	2.	671.1	692.4	759.6	− 0.6	3.4	0.2	0.8	4.5	− 2.0	1.2	6.5	Buchenau
Oberstdorf	811.4	27.	701.7	2.	666.2	688.4	760.5	− 0.4	7.1	1.1	2.2	8.3	− 3.0	2.7	11.3	Oberstdorf
Ettal	879.5	27.	693.6	2.	659.1	681.2	758.9	0.1	6.1	0.9	2.0	8.1	− 2.2	2.9	10.3	Ettal
Mittenwald	910	27.	692.3	2.	657.5	679.9	759.9	1.2	7.2	2.1	3.1	8.2	−1.0	3.6	9.2	Mittenwald
Hohenpeissenberg	993.9	27.	685.3	2.	650.4	672.7	759.6	1.8	4.6	2.8	3.0	6.1	0.0	3.1	6.1	Hohenpeissenberg
Zugspitze	2964	28.	536.0	3.	503.9	524.3	–	− 9.7	− 8.4	− 8.7	− 8.9	− 6.6	−11.3	− 9.0	4.6	Zugspitze

Station	Temperatur C° höchste am	höchste C°	tiefste am	tiefste C°	grösste Schwankung am	grösste Schwankung C°	Dampfdruck Monatsmittel mm	Relative Feuchtigkeit % Monatsmittel	kleinste am	kleinste %	grösste am	grösste %	Bewölkung Monatsmittel	Niederschlag grösster am	grösster mm	Monatssumme mm	Station
Ludwigshafen a/Rh.	29.	15.8	4.	−15.0	29.	11.8	5.5	79	20.	44	öfters	100	7.0	25.	11.8	44.3	Ludwigshafen a/Rh.
Kahl a/M.	29.	17.2	4.	−17.3	29.	17.6	5.4	87	20.	53	öfters	100	7.0	24.	14.7	48.3	Kahl a/M.
Landau i. Pf.	29.	15.8	4.	−17.4	29.	14.9	5.7	85	29.	52	2., 6.	100	7.5	25.	11.7	39.8	Landau i. Pf.
Würzburg	29.	16.7	4.	−20.2	29.	14.9	5.1	82	28.	51	23.	98	6.4	25.	12.2	43.0	Würzburg
Bad Kissingen	28.	15.2	4.	−18.4	5.	14.8	4.9	85	28.	54	26.	100	7.2	25.	11.3	47.0	Bad Kissingen
Kaiserslautern	29.	15.1	4.	−18.6	29.	15.0	5.6	87	19.	47	öfters	100	7.3	25.	12.0	47.3	Kaiserslautern
Luitpoldheim	28.	13.6	4.	−18.7	29.	11.3	5.1	89	28.	62	öfters	100	6.6	25.	9.8	55.3	Luitpoldheim
Bamberg	29.	17.4	4.	−19.6	29.	16.3	5.1	84	29.	41	11., 12.	100	8.6	25.	9.6	37.0	Bamberg
Nürnberg	29.	16.7	4.	−20.1	29.	13.6	4.9	80	29.	37	11., 23.	98	7.4	24.	9.2	32.6	Nürnberg
Passau	29.	15.9	4.	−17.1	29.	15.5	4.7	90	29.	56	öfters	100	7.8	25.	14.0	51.5	Passau
Metten	29.	15.1	4.	−24.7	3.	15.9	4.6	91	3., 29.	62	öfters	100	7.7	25.	19.1	58.1	Metten
Regensburg	28., 29.	16.0	4.	−25.0	29.	16.0	4.5	85	28.	53	12.	100	7.4	3.	10.0	33.0	Regensburg
Bayreuth	29.	15.7	4.	−20.1	29.	14.4	4.8	83	8.	53	12.	100	7.1	24.	10.4	36.6	Bayreuth
Burghausen	29.	16.4	4.	−21.1	6.	17.6	4.6	86	27.	47	öfters	100	6.8	25.	11.4	38.2	Burghausen
Ingolstadt	29.	16.9	4.	−26.0	3.	21.6	4.6	87	29.	49	10., 29.	100	7.2	3.	11.1	29.7	Ingolstadt
Karlshuld	29.	15.8	4.	−26.9	29.	17.8	4.7	88	3.	55	öfters	100	6.5	25.	15.1	46.5	Karlshuld
Landshut	29.	17.3	4.	−25.4	29.	18.3	4.6	85	29.	38	öfters	100	7.2	25.	12.8	39.6	Landshut
Lindau i. B. (Reutin)	9.	16.9	4.	−16.1	8.	17.1	5.1	84	28.	50	öfters	100	5.8	22.	24.9	88.8	Lindau i. B. (Reutin)
Weissenburg i. B.	29.	15.8	4.	−24.0	4.	13.9	5.2	85	29.	54	10.	100	6.4	25.	9.8	36.6	Weissenburg i. B.
Nördlingen	29.	15.3	4.	−25.3	4.	15.2	4.8	84	29.	40	11.	100	7.0	3.	11.3	35.0	Nördlingen
Ansbach	29.	15.4	4.	−25.8	3.	16.6	4.8	84	29.	35	23.	99	5.8	1.	9.4	44.1	Ansbach
Hof	29.	16.5	4.	−18.6	29.	17.3	4.7	89	29.	50	öfters	100	7.7	25.	6.2	30.2	Hof
Bad Reichenhall	29.	18.5	4.	−18.9	29.	14.7	4.6	76	28., 29.	28	11.	100	6.1	25.	27.3	73.1	Bad Reichenhall
Augsburg	29.	14.2	4.	−20.9	29.	12.4	4.8	80	29.	45	3.	100	6.5	3.	15.7	36.7	Augsburg
München C.-St.	29.	15.7	4.	−18.7	8.	17.5	4.7	76	28.	41	11.	98	6.4	3.	10.7	32.5	München C.-St.
Alexandersbad	29.	14.3	4.	−21.5	29.	14.5	4.4	88	26.	57	öfters	100	6.2	24.	10.0	68.0	Alexandersbad
Traunstein	29.	15.8	4.	−20.0	8.	15.2	4.2	74	29.	33	11., 25.	96	6.2	25.	21.9	76.7	Traunstein
Berchtesgaden	29.	16.9	4.	−19.1	29.	17.0	4.5	82	29.	35	25., 26.	97	6.5	25.	23.2	72.1	Berchtesgaden
Ottobeuren	29.	15.0	4.	−21.0	29.	16.3	4.4	77	29.	35	12.	96	6.3	3.	19.2	49.8	Ottobeuren
Partenkirchen	29.	19.5	4.	−16.0	29.	17.5	4.2	72	29.	31	öfters	100	5.4	25.	12.0	46.1	Partenkirchen
Tegernsee	29.	19.0	4.	−14.1	29.	15.7	4.5	72	7.	23	25., 26.	98	6.1	25.	17.8	59.1	Tegernsee
Buchenau	8.	12.7	4.	−20.4	4.	13.5	4.3	84	8.	48	öfters	98	7.1	25.	20.7	84.7	Buchenau
Oberstdorf	6., 29.	15.0	4.	−20.1	6.	20.3	4.2	78	29.	26	öfters	100	6.0	25.	27.0	100.4	Oberstdorf
Ettal	8.	14.8	4.	−16.8	6.	16.1	4.0	75	7.	24	öfters	100	5.8	25.	17.2	60.8	Ettal
Mittenwald	29.	17.2	4.	−17.4	29.	15.7	4.0	69	29.	21	3., 15.	100	6.6	25.	12.1	47.3	Mittenwald
Hohenpeissenberg	8.	13.0	3.	−15.0	5.	16.0	3.9	69	29.	27	öfters	100	6.3	25.	8.9	38.9	Hohenpeissenberg
Zugspitze	19.	− 0.8	4.	−25.2	4.	15.4	2.0	90	öfters	45	öfters	100	6.8	25.	29.7	62.8	Zugspitze

Station	Tage mit Niederschlägen ≥ 0.1mm	Niederschlägen ≥ 1.0mm	Schneefall	Schneedecke	Graupeln	Hagel	Gewitter	Nebel	Reif	Tau	Tage heitere	trübe	Frost	Winter	Anzahl der beobachteten Windrichtungen N	NE	E	SE	S	SW	W	NW	Stille	Station
Ludwigshafen a/Rh.	16	10	2	4	–	–	–	9	4	1	1	13	6	3	13	1	1	2	18	23	10	2	17	Ludwigshafen a/Rh.
Kahl a/M.	14	11	2	6	–	–	–	3	9	–	1	10	20	3	1	2	4	5	11	29	3	–	32	Kahl a/M.
Landau i. Pf.	16	8	5	7	–	–	–	1	2	1	–	11	8	3	–	14	–	8	2	42	10	11	–	Landau i. Pf.
Würzburg	16	11	3	8	–	–	–	14	9	2	5	12	13	4	–	–	5	6	3	15	26	5	27	Würzburg
Bad Kissingen	15	11	3	7	–	–	–	8	5	–	–	14	14	4	13	8	5	3	13	18	8	12	7	Bad Kissingen
Kaiserslautern	18	12	4	6	–	–	–	4	6	–	1	15	11	3	4	1	5	1	–	2	33	6	35	Kaiserslautern
Luitpoldheim	18	11	6	9	–	–	–	14	4	–	1	10	17	4	4	–	–	3	–	42	–	–	38	Luitpoldheim
Bamberg	29	7	5	6	–	–	–	7	8	4	–	20	12	4	2	–	4	3	31	13	12	8	14	Bamberg
Nürnberg	11	4	3	11	1	–	–	12	5	–	–	13	7	4	2	2	9.	21	11	27	7	4	4	Nürnberg
Passau	12	10	4	18	–	–	–	17	1	–	1	17	17	4	–	–	4	–	3	–	9	1	70	Passau
Metten	13	9	6	20	1	–	–	17	6	–	–	15	22	4	1	4	6	6	5	13	21	7	24	Metten
Regensburg	9	9	3	11	–	–	–	4	–	–	2	14	16	4	7	4	1	6	27	15	15	12	–	Regensburg
Bayreuth	15	10	3	8	1	–	–	9	6	–	2	13	16	5	3	2	23	19	–	16	21	2	1	Bayreuth
Burghausen	14	11	4	11	–	–	–	7	10	2	1	12	19	3	1	4	1	5	6	7	3	1	59	Burghausen
Ingolstadt	11	5	4	11	–	–	–	8	6	–	–	13	19	4	–	6	20	13	–	27	15	4	2	Ingolstadt
Karlshuld	6	5	3	11	–	–	–	9	2	–	4	9	17	4	–	3	11	2	–	13	20	–	38	Karlshuld
Landshut	14	7	4	11	1	–	–	2	6	–	–	13	22	3	–	5	11	–	2	9	31	2	27	Landshut
Lindau i. B. (Reutin)	13	11	4	8	1	–	–	1	9	–	4	8	18	2	9	10	9	3	25	5	9	5	12	Lindau i. B. (Reutin)
Weissenburg i. B.	13	7	4	11	–	–	–	3	5	–	–	10	11	5	–	6	6	14	11	27	16	4	3	Weissenburg i. B.
Nördlingen	14	9	3	12	–	–	–	4	6	4	–	14	15	5	–	2	3	17	17	15	19	4	10	Nördlingen
Ansbach	16	7	5	11	–	–	–	4	5	–	1	7	15	5	2	1	3	1	5	9	19	4	43	Ansbach
Hof	16	9	4	10	–	–	–	13	5	–	–	16	19	5	4	5	1	15	17	25	11	8	1	Hof
Bad Reichenhall	16	15	8	9	1	–	–	1	2	–	5	10	8	3	–	2	12	1	5	13	29	1	24	Bad Reichenhall
Augsburg	10	7	3	11	1	–	–	3	12	1	2	11	10	4	3	4	8	15	1	37	7	3	9	Augsburg
München C.-St.	11	6	3	8	–	–	–	7	8	3	3	12	10	5	1	3	7	5	–	36	5	5	25	München C.-St.
Alexandersbad	13	12	5	23	1	–	–	2	10	–	4	11	18	5	–	–	6	4	1	17	17	5	37	Alexandersbad
Traunstein	15	13	4	14	–	–	–	2	5	–	1	9	14	5	2	3	13	15	4	4	42	4	–	Traunstein
Berchtesgaden	19	15	9	27	1	–	–	2	8	–	3	11	16	5	–	–	5	2	1	–	–	–	79	Berchtesgaden
Ottobeuren	14	8	6	14	1	–	–	1	7	–	3	10	16	4	–	4	2	10	4	40	1	2	24	Ottobeuren
Partenkirchen	15	10	4	12	–	–	–	–	1	–	4	5	13	3	2	–	–	11	27	2	4	5	36	Partenkirchen
Tegernsee	13	10	4	6	–	–	–	1	–	–	4	9	6	3	6	–	3	17	14	–	2	9	36	Tegernsee
Buchenau	15	12	8	29	1	–	–	3	2	–	2	14	16	5	–	1	17	2	1	2	47	–	17	Buchenau
Oberstdorf	17	16	9	17	–	–	–	1	4	–	3	8	18	3	4	1	1	5	12	9	5	11	39	Oberstdorf
Ettal	17	11	12	27	–	–	–	1	2	–	2	7	19	3										Ettal
Mittenwald	15	11	8	13	2	–	–	–	1	–	1	10	14	1	3	5	1	2	19	13	11	7	26	Mittenwald
Hohenpeissenberg	12	9	10	11	–	–	–	9	1	–	2	10	11	4	1	3	–	11	9	13	30	14	6	Hohenpeissenberg
Zugspitze	13	9	13	29	–	–	–	17	1	–	1	11	29	29	15	1	–	7	12	9	10	30	3	Zugspitze

Übersicht über die Witterungsverhältnisse im Königreiche Bayern

während des März 1912.

Wie im Vormonat, so lagen auch im März die Temperaturmittel an allen Beobachtungsorten Süddeutschlands erheblich über dem langjährigen Mittelwert. Auf der bayerischen Hochebene, sowie auch stellenweise in der Donauniederung und an vereinzelten Orten des nördlichen Bayern bezifferte sich die Differenz auf mehr als 4 Grad, im übrigen Bayern und in der Rheinpfalz zumeist auf mehr als 3, nur vereinzelt auf etwas weniger als 3 Grad. Diese Verhältnisse leiten sich aus einem ziemlich gleichförmigen zeitlichen Temperaturgang ab. Wenn auch die Temperatur im Verlaufe des Monats mehrfachen Schwankungen unterworfen war, von denen einige nicht unbeträchtliche Amplituden aufwiesen, so sank sie doch nicht, oder nur selten und für sehr kurze Zeit, unter die aus langjährigen Reihen abgeleiteten Durchschnittswerte. Die milde Witterung wurde durch keinen nennenswerten Kälterückfall unterbrochen.

Die Monatssummen des Niederschlages fielen an der weitaus überwiegenden Mehrzahl unserer Stationen grösser aus als der langjährige Mittelwert, doch erreichte der Mehrbetrag nur an wenigen Orten des Alpengebietes und der Rheinpfalz mehr als 50 Prozent der normalen Niederschlagsmenge. Die Niederschläge verteilten sich mit ziemlicher Gleichmässigkeit über die ganze Erstreckung des Monats, so dass im Zusammenhang mit der andauernd milden Temperatur eine Witterung geschaffen war, welche einer raschen und kräftigen Entwicklung der Vegetation äusserst günstig war.

Nach dieser allgemeinen Charakteristik des diesjährigen März soll zunächst der zeitliche Witterungsverlauf nach seinen hervortretendsten Zügen geschildert werden.

Die Luftdruckverteilung zu Beginn des Monats wies ein barometrisches Maximum im Südosten des Erdteiles auf, während niedriger Luftdruck über dem nordatlantischen Ozean bestand. Der durch diese Anordnung bedingte Verlauf der Isobaren von Südwest nach Nordost war vielfach gestört durch eingelagerte Teilminima und Randgebilde, welche an der Süd- und Südostseite der atlantischen Depression auftraten. Diese Beschreibung passt in gleicher Weise für die ersten vier Monatstage, vom 5. ab trat insoferne eine Änderung ein, als sich das Zentrum des tiefen Druckes weiter südlich nach der Nordsee verlagert hatte und in niedrigerer Breite auch weiterhin seine östliche Bahn verfolgte. Die Witterung trug bei sinkenden Temperaturen unbeständigen Charakter, die Bewölkung war raschen Änderungen unterworfen und es fielen häufige, jedoch nur mässig starke Niederschläge. Eine vorübergehende Besserung des Wetters trat ein, als vom 6. auf den 7. März hoher Luftdruck von West und Südwest gegen die zentralen Gebietsteile vordrang und Anschluss an das über Osteuropa lagernde Hochdruckgebiet fand. Die Bewölkung wurde schwächer und die Niederschläge hörten auf. Am 9. März verzeichnete ganz Süddeutschland heiteren oder wolkenlosen Himmel. In der Luftdruckverteilung dieses Tages waren aber bereits wieder die Anzeichen eines bevorstehenden Witterungswechsels zu erkennen. Eine atlantische Depression war in kräftigem Vorstosse gegen Frankreich und den Kanal begriffen und verursachte über Zentraleuropa ein rasches Sinken des Luftdruckes. Bereits am 10. trat wieder stärkere Bewölkung auf und vielenorts kam es zu leichten Niederschlägen. Die Wetterlage verschlechterte sich jedoch noch, als Teile der ozeanischen Depression nach Zentraleuropa herein ihren Weg fanden und mit einem im Osten unseres Gebietes entstandenen Minimum sich verbanden. Selbst als am 13. auf der Rückseite der Störungen ein intensives Barometermaximum über Zentraleuropa sich ausbreitete, machte sich noch der Einfluss der östlichen, erheblich verflachten Depression geltend, so dass es bei wolkigem Himmel noch häufig zu Niederschlägen kam. Neue vom Ozean vorrückende Minima zehrten sodann das über Zentraleuropa liegende Maximum ebenso rasch auf, als es entstanden war. In rascher Folge zogen über unser Gebiet Ausläufer ozeanischer Depressionen hinweg und verursachten andauernd unbeständiges Wetter mit rasch wechselnder Bewölkung und häufigen, aber nur wenig ergiebigen Niederschlägen. Erst in der letzten Monatswoche trat wieder eine erwähnenswerte Besserung des Wetters ein. Bereits am 25. ragte ein breiter Keil hohen Druckes vom Südwesten unseres Erdteiles nach den zentralen Lagen herein, eine Furche niedrigen Druckes im Osten unseres Gebietes verursachte jedoch noch Trübung und Niederschläge. Als jedoch der Hochdruck noch weiter ostwärts vordrang und seinen Kern nach Süddeutschland verlagerte, trat am 26. März über unserem Gebiete Aufklaren ein. Die Besserung war aber nicht von Bestand. Bereits am folgenden Tage herrschte wieder stärkere Bewölkung und als am 28. ein kräftiger Barometerfall im Osten Europas eintrat, kam es auf unserem Gebiete sogar wieder zu vereinzelten, leichten Niederschlägen. Immerhin löste sich die geschlossene Wolkendecke bald wieder auf und die beiden letzten Monatstage brachten sonniges Wetter mit nur mässiger Bewölkung und stellenweisen leichten Niederschlägen.

Auf dem ersten der beigegebenen Kärtchen ist die Verteilung der Mitteltemperaturen über Süddeutschland zur Darstellung gebracht. Die höchsten Temperaturen wurden in der Rheinebene, sowie im unteren und mittleren Neckartal erhalten, woselbst mehr als 8, in der Umgebung von Colmar sogar mehr als 9 Grad berechnet wurden. Die Isotherme von 7 Grad umschliesst noch das untere und mittlere Maintal bis Schweinfurt aufwärts, sowie die ganze Rheinpfalz. Im

grössten Teile des rechtsrheinischen Bayern wurde eine Mitteltemperatur von 6 bis 7 Grad verzeichnet. Erst mit dem eigentlichen Anstiege gegen die Gebirge nehmen die Temperaturen noch weiter ab und zwar dem vorwiegend zyklonalen Witterungscharakter des Monats entsprechend ziemlich rasch. Bei dem kleinen Massstabe des Kärtchens ist es natürlich nicht möglich, die Isothermen für Höhenlagen von über 1000 m noch aufzunehmen. Auf der Zugspitze in zirka 3000 m Seehöhe wurde eine Temperatur von — 8.7° ermittelt. Das mittlere Maximum erreichte seine höchsten Beträge mit mehr als 12 Grad in der Rheinebene und den tieferen Tallagen der Rheinzuflüsse, am Ufergelände des östlichen Bodensees und ausserdem in der weiteren Umgebung von Landshut. Mehr als 11 Grad wurden noch im grössten Teile des Maintales, sowie auf dem der bayerischen Hochebene vorgelagerten Gebiete zwischen Lech und Inn aufgezeichnet. Sonst ergaben sich, solange wir von den eigentlichen Gebirgslagen absehen, mittlere Maxima, welche nur wenig von 10° sich entfernen. Die mittleren Minima betrugen in der Rheinebene und den benachbarten, tieferen Tallagen mehr als 4 und 5 Grad, in den niedrigeren Tallagen des Maingebietes noch mehr als 3 Grad. Die Grenze der Isotherme für 3 Grad folgt im allgemeinen dem Westabhange des Jura und trennt das kältere Donaugebiet von dem wärmeren Maingebiet. Negative mittlere Minima wurden erst in Seehöhen von 800 und 900 m aufwärts verzeichnet. Frost trat an allen unseren Stationen mit Ausnahme von Ludwigshafen auf, an den Pfälzer Stationen und im unteren Maintal allerdings nur an je einem Tage. Auch in dem geschützten Talkessel von Bad Reichenhall trat nur einmal eine negative Minimaltemperatur auf. Häufige Fröste (mehr als 10) traten nur im eigentlichen Alpengebiete, im Bereiche des Mittelgebirges an der Ostgrenze Bayerns und in der Umgebung von Landshut auf. Nähere Einzelheiten sind der entsprechenden Spalte der Tabelle III zu entnehmen. Wintertage kamen in Höhenlagen bis zu 1000 m nicht zur Aufzeichnung.

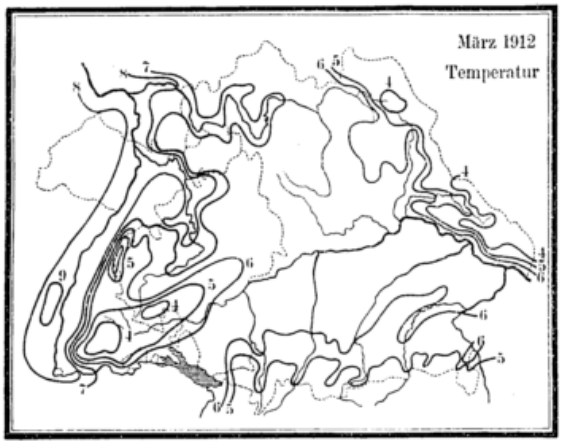

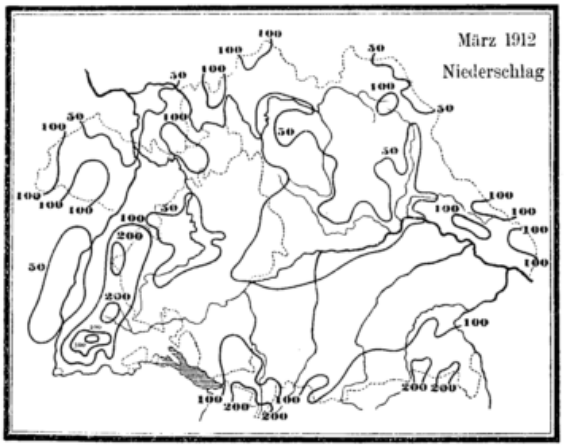

Auf dem zweiten der beigegebenen Kärtchen ist die geographische Verteilung der Niederschlagsmengen über Süddeutschland dargestellt. Die grössten Summen mit mehr als 200 mm wurden auf den höheren Erhebungen des Schwarzwaldes, im Algäu und in den Chiemgauer Alpen gemessen. Im südlichen Schwarzwald wurden sogar vereinzelt Monatssummen von mehr als 300 mm erhalten. In den tieferen Lagen des Geländes blieb die Niederschlagsmenge zumeist unter 100 mm, auf ausgedehnten Bezirken sogar unter 50 mm. Die Niederschlagshäufigkeit war, wie dies schon aus der Schilderung des zeitlichen Witterungsverlaufes entnommen werden konnte, ziemlich erheblich. Berücksichtigt man alle Niederschläge, die eine messbare Regenmenge ergaben, so sind an allen Stationen (mit Ausnahme von Karlshuld und Nürnberg) mehr als die Hälfte, an der überwiegenden Mehrzahl sogar mehr als Zweidrittel aller Monatstage als Tage mit Niederschlag zu zählen. Aber auch wenn man schwächere Niederschläge von weniger als 1.0 mm ausschliesst, bleiben noch zumeist mehr als 14 Niederschlagstage übrig. Die mittlere Ergiebigkeit der Niederschläge war jedoch nicht erheblich. Selbst bei Beschränkung auf stärkere Niederschläge von mindestens 1.0 mm ergab sich nur im Alpengebiet und in dessen unmittelbaren Vorlande eine Niederschlagsdichte von mehr als 5 mm. Die Niederschläge fielen vorzugsweise als Regen, an mehreren Stationen sogar ausnahmslos. Häufigere Schneefälle kamen nur in den höheren Gebirgslagen zur Beobachtung, woselbst auch an mehreren Tagen eine zusammenhängende Schneedecke sich bilden konnte.

Die mittlere Bewölkungsziffer schwankt zwischen 6 und 8 Zehnteln der vollen Bedeckung; nur Partenkirchen, Hohenpeissenberg und Ottobeuren im bayerischen Oberschwaben ermittelten einen Bewölkungsgrad von etwas weniger als 6 Zehnteln. Im allgemeinen ist eine Bevorzugung des südlichen Bayern gegenüber dem nördlichen und der Rheinpfalz zu konstatieren, insoferne, als in diesen Gebieten Bewölkungsziffern von mehr als 7 Zehnteln, in Südbayern hingegen solche von weniger als 7 Zehnteln vorherrschend sind. Auch die geographische Verteilung der Häufigkeit heiterer und trüber Tage lässt eine geringe Begünstigung des südlichen Bayern gegen den Norden und die Pfalz hervortreten.

Die mittleren auf Meeresniveau reduzierten Barometerstände weisen ein schwaches, von Süd nach Nord gerichtetes Gefälle auf. Winde aus westlichen Richtungen waren vorherrschend.

München, den 22. April 1912. E. Alt.

Station	Höhe über Normal-Null m	Luftdruck in mm: höchster am	höchster mm	tiefster am	tiefster mm	Monatsmittel lokal	Monatsmittel auf Meeresniveau reduziert	Temperatur C°: Mittel um 7a	2p	9p	Mittlere Tagestemperatur	Mittleres Maximum	Mittleres Minimum	Mittel aus Maximum und Minimum	Mittlere Schwankung	Station
Ludwigshafen a/Rh.	100.3	13.	763.3	18.	734.2	751.2	760.4	6.4	11.7	8.8	8.9	12.3	5.4	8.9	6.9	Ludwigshafen a/Rh.
Kahl a/M.	114.1	13.	760.9	18.	733.6	749.7	760.1	5.7	10.9	7.0	7.7	12.2	4.0	8.1	8.2	Kahl a/M.
Landau i. Pf.	149.9	13.	757.5	18.	730.2	746.5	760.1	6.2	11.3	7.8	8.3	12.7	4.2	8.4	8.5	Landau i. Pf.
Würzburg	179.3	26.	755 0	19.	727.9	743.3	759.6	5.6	10.5	7.2	7.6	11.4	4.2	7.8	7.2	Würzburg
Bad Kissingen	209.2	26.	752.7	19.	724.9	741.0	760.1	4.5	10.0	5.9	6.5	11.1	3.1	7.1	8.0	Bad Kissingen
Kaiserslautern	242.2	13.	749.5	18.	722.0	738.3	760.4	5.2	10.1	7.1	7.4	11.2	3.9	7.5	7.2	Kaiserslautern
Luitpoldheim	250							4.3	9.2	6.4	6.6	9.8	3.3	6.6	6.5	Luitpoldheim
Bamberg	287.7	26.	746.1	19.	718.9	734.4	760.5	4.3	10.2	5.8	6.5	11 8	3.0	7.4	8.8	Bamberg
Nürnberg	309.1	26.	744.0	18.	717.5	732.4	760.4	5.1	10.0	6.7	7.1	10.8	3.8	7.3	7.0	Nürnberg
Passau	309.3	26.	744.9	18.	719.0	733.7	761.8	3.5	9.6	6.0	6.3	10.5	2.6	6.5	7.9	Passau
Metten	320							3.0	9.5	5.1	5.7	10.5	1.1	5.8	9.4	Metten
Regensburg	342.6	26.	740.9	18.	716.6	730.1	761.2	3.5	9.4	5.4	5.9	10.6	1.3	6 0	9.3	Regensburg
Bayreuth	363.3	26.	739.5	18., 19.	713 0	727.8	760.6	4.0	8.9	5.6	6.1	10.2	2.4	6.3	7.8	Bayreuth
Burghausen	365	26.	739.3	18.	713.2	728.4	761.5	3.2	10.3	4.9	5.8	11.4	1.7	6.5	9.7	Burghausen
Ingolstadt	368							3.4	10.2	5.4	6.1	11.6	1.7	6.6	9.9	Ingolstadt
Karlshuld	382.0	13.	736.7	18.	711.3	726.2	760.7	3.5	10.0	5.3	6.0	11.8	1.8	6.8	10.1	Karlshuld
Landshut	397.7	26.	736.1	18.	709.5	725.0	761.1	3.8	10.3	5.5	6.3	12.4	0.9	6.6	11.5	Landshut
Lindau i. B. (Reutin)	401.7	13.	735.9	18.	710.6	725.6	761.8	4.3	9.5	6.3	6.6	12.0	2.3	7.2	9.8	Lindau i. B. (Reutin)
Weissenburg i. B.	431	26.	733.7	18.	708.2	722.5	761.3	5.0	9.8	6.4	6.9	10.7	3.6	7.2	7.1	Weissenburg i. B.
Nördlingen	435.6	26.	732.1	18.	706.3	721.0	760.1	4.5	9.9	6.2	6.7	11.0	3.3	7.1	7.6	Nördlingen
Ansbach	437.5	26.	732.7	18.	706.2	721.2	760.6	4.1	9.1	5.4	6.0	10.3	2.4	6 3	7.9	Ansbach
Hof	476.1	26.	728.9	19.	702.4	717.2	760.1	3.0	8.1	3.9	4.7	9.3	0.8	5.1	8.4	Hof
Bad Reichenhall	477	26.	730.8	18.	703.3	718.5	761.2	4.7	10.8	5.8	6.8	11.9	3.2	7.6	8.6	Bad Reichenhall
Augsburg	499.6	26.	727.7	18.	701.9	716.5	761.2	4 6	9 9	6.6	6.9	10.8	3.3	7.1	7.4	Augsburg
München C.-St.	526.4	26.	725.2	18.	699.5	714.1	761.1	4.8	9.9	6.3	6.8	11.2	3.8	7.5	7.5	München C.-St.
Alexandersbad	590							2.3	6.5	3.4	3.9	7.8	0.7	4.2	7.0	Alexandersbad
Traunstein	597	26.	719.5	18.	693.6	708.5	761.9	2.9	8.8	4.4	5.1	9.7	1.6	5.7	8.0	Traunstein
Berchtesgaden	600							2.4	9.2	4.8	5.3	10.6	0.8	5.7	9.8	Berchtesgaden
Ottobeuren	660.0	26.	713.2	18.	689.3	702.8	761.5	3.8	8.9	4.7	5.5	10.2	1.9	6.1	8.3	Ottobeuren
Partenkirchen	714.6	26.	709.6	18.	684.4	698.5	761.9	2.1	9.9	4.1	5.0	11.7	0.9	6.3	10.8	Partenkirchen
Tegernsee	738	26.	707.7	18.	682.8	696.6	761.7	4.2	8.2	4.9	5.5	9.9	2.2	6.0	7.7	Tegernsee
Buchenau	750	26.	705.9	18.	680.1	694.2	760.7	1.1	6.2	2.4	3.0	7.3	0.0	3.7	7.3	Buchenau
Oberstdorf	811.4	26.	700.6	18.	675.6	690.2	762.0	1.2	8.7	3.2	4.1	9.9	− 0.7	4.6	10.6	Oberstdorf
Ettal	879.5	26.	693.8	18.	669.4	683.0	760.3	1.8	7.7	3.1	3.9	9.8	− 0.3	4.8	10.1	Ettal
Mittenwald	910	26.	692.7	18.	667.9	681.6	761.5	1.8	8.0	3.4	4.2	9.4	0.0	4.7	9.4	Mittenwald
Hohenpeissenberg	993.9	26.	685.3	18.	661.3	674.4	761.2	2.9	5.9	3.8	4.1	7.4	1.2	4.3	6.2	Hohenpeissenberg
Zugspitze	2964	26.	538.0	18.	515.7	525.5	—	− 9.5	− 8.1	− 8.6	− 8.7	− 6.3	−10.9	− 8.6	4.6	Zugspitze

Station	Temperatur C°: höchste am	höchste C°	tiefste am	tiefste C°	grösste Schwankung am	grösste Schwankung C°	Dampfdruck Monatsmittel mm	Relative Feuchtigkeit %: Monatsmittel	kleinste am	kleinste %	grösste am	grösste %	Bewölkung Monatsmittel	Niederschlag: grösster am	grösster mm	Monats-Summe mm	Station
Ludwigshafen a/Rh.	27.	20.1	8.	1.3	27.	13.5	6.1	71	9., 29.	35	27.	100	6.7	6.	9.4	50.8	Ludwigshafen a/Rh.
Kahl a/M.	27.	20.3	30.	− 0.5	27.	16.9	6.3	79	29.	38	öfters	100	7.1	24.	6.0	54.6	Kahl a/M.
Landau i. Pf.	27.	20.3	17.	− 0.2	27.	14.2	6.1	75	28., 29.	34	1.	99	7.5	6.	16.0	79.6	Landau i. Pf.
Würzburg	27.	19.5	9.	− 0.6	27.	13.3	6.0	76	29.	28	24.	99	7.6	6.	12.9	50.3	Würzburg
Bad Kissingen	27.	19.7	9.	− 1.8	27.	13.9	5.8	79	29.	39	3.	100	7.1	25.	9.2	68.4	Bad Kissingen
Kaiserslautern	27.	18.2	8.	− 0.8	27.	14.2	6.1	80	31.	38	12.	100	7.5	6.	13.2	85.6	Kaiserslautern
Luitpoldheim	26.	15.0	9.	− 1.5	27.	13.8	6.1	84	29.	44	öfters	100	7.1	25.	8.3	59.9	Luitpoldheim
Bamberg	27.	20.8	9.	− 2.1	9.	13 3	5.8	78	30.	39	9., 15.	100	8.4	6.	11.1	54.1	Bamberg
Nürnberg	27.	18.8	9.	− 0.9	27.	11.4	5.7	75	30.	38	öfters	98	7.5	25.	11.6	43 4	Nürnberg
Passau	27.	18.8	10., 30.	− 0.9	20.	14.3	5.9	83	20.	40	öfters	100	6.6	25.	10.1	57.0	Passau
Metten	27.	17.8	9.	− 3.1	27.	15.7	5.8	83	20.	35	öfters	100	7.3	25.	14.3	77.9	Metten
Regensburg	27.	19.5	öfters	− 2.5	27.	15.6	5.3	76	31.	33	öfters	97	6.7	25.	7.0	47.0	Regensburg
Bayreuth	27.	18.3	11.	− 2.7	9.	12.1	5.6	79	30.	41	26.	99	7.5	6.	9 9	43.2	Bayreuth
Burghausen	27.	21.4	9.	− 3.5	27.	18.6	5.6	80	31.	40	öfters	100	7.2	25.	10.7	74.4	Burghausen
Ingolstadt	27.	21.0	17.	− 3.6	27.	17.2	5.6	79	31.	34	9, 17.	100	7.4	4.	8.1	49.5	Ingolstadt
Karlshuld	27.	21.4	9.	− 4.1	27.	17.9	5.8	81	30.	39	öfters	100	6.5	4.	7.1	45.0	Karlshuld
Landshut	27.	22.1	17.	− 4.2	30.	18.2	5.5	77	30.	29	öfters	99	6.7	4.	8.6	57.5	Landshut
Lindau i. B. (Reutin)	27.	21.5	9.	− 2.3	31.	16.1	5.7	79	31.	42	12., 25.	100	6.4	26.	23.9	98.6	Lindau i. B. (Reutin)
Weissenburg i. B.	27.	19 5	17.	− 1.9	27.	12.0	6.0	80	30.	40	11.	98	7.4	24.	10.6	38.9	Weissenburg i. B.
Nördlingen	27.	20.2	9.	− 1.2	27.	16.5	5.5	74	19.	37	25., 27.	99	7.0	2.	3.4	25.6	Nördlingen
Ansbach	27.	17.8	9.	− 2.9	27.	12.8	5.7	80	17.	47	15.	99	6.6	25.	8.1	55.0	Ansbach
Hof	27.	17.4	13.	− 5.6	13.	14.6	5.3	81	9.	36	9., 15.	100	7.5	6.	13.2	45.1	Hof
Bad Reichenhall	27.	23.1	9.	− 0.9	20., 27.	14.6	5.3	72	30.	20	8., 26.	98	6.7	26.	29.1	130.1	Bad Reichenhall
Augsburg	27.	20.5	9.	− 1.2	27.	14.3	5.5	73	30.	35	26.	98	6.6	25.	7.7	54.2	Augsburg
München C.-St.	27.	22.1	10.	− 0.8	27.	14.7	5.3	71	30.	31	26.	95	6.7	4.	12.0	78.2	München C.-St.
Alexandersbad	27.	16.2	13.	− 4.6	9.	12.2	5.2	86	31.	51	öfters	100	6.8	6.	11.2	80.4	Alexandersbad
Traunstein	27.	20.0	10.	− 2.4	27.	15.8	4.9	75	3.	27	öfters	96	6.7	4.	20.2	154.7	Traunstein
Berchtesgaden	27.	20.3	9.	− 4.1	27.	17.9	5.1	77	30.	24	öfters	96	6.5	26.	29.4	137.6	Berchtesgaden
Ottobeuren	27.	19.2	17.	− 3.0	3.	14.7	5.1	74	30.	36	13., 25.	96	5.8	4.	22.3	82.9	Ottobeuren
Partenkirchen	27.	23.3	9.	− 4.6	27.	18.3	4.6	72	30.	16	öfters	100	5.6	25.	18.3	103.6	Partenkirchen
Tegernsee	27.	20.2	17.	− 2.3	27.	14.2	4.7	69	31.	27	8., 24.	96	6.2	25.	17.2	97.0	Tegernsee
Buchenau	27.	16.2	13.	− 4.8	20.	13.1	4.9	84	30.	48	öfters	98	6.9	3.	12.3	104.9	Buchenau
Oberstdorf	27.	19.0	9.	− 7.6	26.	17.5	4.7	77	31.	21	8., 17.	100	6.3	25.	40.1	158.8	Oberstdorf
Ettal	27.	20.0	9.	− 5.5	10.	16.7	4.4	74	30.	18	öfters	100	5.9	26.	24.5	111.8	Ettal
Mittenwald	27.	20.0	17.	− 5.9	31.	15.5	4.5	73	30.	25	öfters	100	6.4	23.	22.2	120.4	Mittenwald
Hohenpeissenberg	27.	17.0	9.	− 2.4	3.	10,8	4.4	71	30.	21	öfters	100	6.5	26.	15.1	73.9	Hohenpeissenberg
Zugspitze	26.	− 2.5	17.	−18.5	17.	10.7	2.1	92	2.	42	öfters	100	6.8	8.,17.	16.4	96.3	Zugspitze

Station	Tage mit Niederschlägen ≥ 0.4mm	Tage mit Niederschlägen ≥ 1.0mm	Tage mit Schneefall	Tage mit Schneedecke	Tage mit Graupeln	Tage mit Hagel	Tage mit Gewitter	Tage mit Nebel	Tage mit Reif	Tage mit Tau	Tage heitere	Tage trübe	Tage Frost	Tage Winter	Anzahl der beobachteten Windrichtungen N	NE	E	SE	S	SW	W	W	Stille	Station
Ludwigshafen a/Rh.	22	14	–	–	–	–	1	4	3	–	2	13	–	–	1	2	2	12	22	37	8	2	7	Ludwigshafen a/Rh.
Kahl a/M.	21	17	–	–	1	–	1	2	3	–	–	13	1	–	1	–	2	6	6	55	8	2	13	Kahl a/M.
Landau i. Pf.	23	17	–	–	1	–	1	–	1	6	1	14	1	–	1	–	–	2	3	59	8	20	–	Landau i. Pf.
Würzburg	21	13	1	–	2	–	–	5	3	6	2	16	1	–	2	–	5	7	14	10	33	6	16	Würzburg
Bad Kissingen	20	19	1	–	–	–	2	4	5	1	1	12	6	–	7	–	3	2	20	33	11	9	8	Bad Kissingen
Kaiserslautern	25	19	2	–	4	1	2	–	4	–	2	14	1	–	–	–	3	–	3	2	45	9	31	Kaiserslautern
Luitpoldheim	20	17	1	–	1	2	1	3	2	1	2	14	3	–	2	4	2	5	2	48	1	4	25	Luitpoldheim
Bamberg	31	13	–	–	3	–	1	3	8	6	1	20	5	–	1	1	4	4	25	26	22	2	8	Bamberg
Nürnberg	13	12	2	–	2	–	–	7	3	3	1	12	2	–	2	1	4	20	12	23	24	5	2	Nürnberg
Passau	18	14	2	–	1	–	–	9	4	2	3	12	4	–	–	–	7	–	3	–	23	3	57	Passau
Metten	17	15	–	–	–	–	–	9	9	1	–	11	11	–	–	–	2	6	18	13	24	9	21	Metten
Regensburg	19	19	–	–	2	–	–	1	6	–	1	11	8	–	10	3	–	2	37	3	32	6	–	Regensburg
Bayreuth	23	10	2	–	2	–	2	4	6	1	1	12	5	–	1	1	22	18	3	13	34	1	–	Bayreuth
Burghausen	21	14	1	–	1	–	3	7	6	5	–	12	8	–	1	9	4	2	6	18	11	1	41	Burghausen
Ingolstadt	20	14	1	–	2	–	–	2	6	4	–	11	7	–	2	2	20	6	4	22	31	4	2	Ingolstadt
Karlshuld	13	10	–	–	–	1	–	2	6	1	2	9	8	–	–	1	21	–	–	21	19	2	29	Karlshuld
Landshut	20	14	–	–	2	–	–	1	7	1	1	8	11	–	1	3	15	2	3	11	46	4	8	Landshut
Lindau i. B. (Reutin)	19	15	1	–	–	–	–	1	7	8	5	13	8	–	7	14	5	2	25	5	21	6	8	Lindau i. B. (Reutin)
Weissenburg i. B.	20	10	–	–	1	–	–	2	9	–	–	13	2	–	1	3	1	15	11	31	28	3	–	Weissenburg i. B.
Nördlingen	22	9	1	–	5	–	1	1	4	3	2	13	2	–	–	1	6	13	11	27	29	2	4	Nördlingen
Ansbach	22	16	1	–	2	–	–	1	3	1	2	8	6	–	–	–	2	1	9	16	42	5	18	Ansbach
Hof	24	11	5	1	–	–	1	8	8	1	–	12	12	–	5	–	–	11	20	44	7	5	1	Hof
Bad Reichenhall	20	16	3	1	–	–	–	–	3	1	4	13	1	–	–	3	10	–	2	16	45	–	17	Bad Reichenhall
Augsburg	17	12	–	–	3	–	1	–	7	3	1	8	3	–	–	2	6	11	3	42	13	11	5	Augsburg
München C.-St.	22	16	3	–	3	–	1	2	9	4	2	10	3	–	–	–	9	11	1	40	9	9	14	München C.-St.
Alexandersbad	20	19	6	2	4	–	1	1	8	–	–	8	14	–	1	–	–	7	11	21	19	12	22	Alexandersbad
Traunstein	23	20	4	2	1	–	2	–	8	2	2	10	7	–	1	2	16	7	9	7	45	6	–	Traunstein
Berchtesgaden	27	21	6	3	1	–	1	1	11	–	3	10	12	–	–	–	10	3	–	1	3	–	76	Berchtesgaden
Ottobeuren	17	13	2	–	1	–	–	–	7	–	4	6	5	–	–	3	6	8	1	53	3	8	11	Ottobeuren
Partenkirchen	18	14	4	4	–	1	–	–	5	1	6	5	12	–	–	1	–	9	26	3	3	13	38	Partenkirchen
Tegernsee	18	17	7	–	–	–	–	–	–	–	3	8	4	–	9	3	11	26	14	–	10	7	13	Tegernsee
Buchenau	22	21	8	7	3	–	–	1	10	1	1	10	14	–	–	–	22	–	–	7	49	–	15	Buchenau
Oberstdorf	21	21	7	5	–	–	1	1	9	1	4	10	16	–	5	1	–	2	11	7	21	7	39	Oberstdorf
Ettal	20	13	13	7	3	1	1	2	2	–	4	9	18	–										Ettal
Mittenwald	16	14	9	9	–	–	–	–	5	–	5	10	14	–	3	1	1	5	17	12	10	7	37	Mittenwald
Hohenpeissenberg	17	13	12	2	2	–	1	8	5	–	5	13	11	–	2	6	7	7	–	21	42	6	2	Hohenpeissenberg
Zugspitze	19	17	19	31	1	–	1	22	–	–	3	10	31	31	14	–	–	7	8	9	17	35	3	Zugspitze

Übersicht über die Witterungsverhältnisse im Königreiche Bayern

während des April 1912.

Im Gegensatz zu den beiden Vormonaten, die sich durch auffallend milde Witterung auszeichneten, lieferte der Monat April Temperaturmittel, die an allen unseren Beobachtungsstellen zirka um einen Grad unter den aus langjährigen Reihen abgeleiteten Normalwerten zurückblieben. Diese Erscheinung erklärt sich aus den intensiven Temperaturrückgängen, die während des Monats mehrere Male auftraten und durch die dazwischenliegenden Perioden warmer Witterung nicht genügend kompensiert werden konnten. Zu Beginn des Monats lagen die Temperaturtagesmittel ziemlich nahe dem normalen Niveau, dann trat aber ein starker Temperatursturz ein, der bis zur Mitte der ersten Pentade die Mittelwerte 4—5° unter den Normalbetrag führte. Allerdings erfolgte dann ein ebenso steiler Anstieg der Temperatur, doch bereits mit dem 9. April nahm eine zweite intensive Temperaturdepression ihren Anfang, die bis zum 16. andauerte und deren Wirkung durch die hierauf folgende wärmere Witterungsepoche nur zum Teil aufgehoben wurde. Auch die beiden letzten Monatstage wiesen Temperaturmittel auf, welche, wenn auch nur um mässige Beträge, unter dem Normalwerte lagen.

Die Monatssummen des Niederschlages erreichten nur im äussersten Südosten Bayerns, ausserdem im Gebiete des Bayerischen und Böhmerwaldes normale Beträge. Meistenorts wurde nur wenig mehr als die Hälfte der langjährigen Durchschnittsmenge gemessen, in der nördlichen Pfalz und im unteren Maingebiet sogar nur etwa 30 Prozent derselben.

Beschränken wir unsere Betrachtung auf die mittleren Temperatur- und Niederschlagsverhältnisse, so müssen wir den Monat April als eine Periode kühler niederschlagsarmer Witterung ansprechen. Der zeitliche Verlauf des Wetters zeigt jedoch grosse Gegensätze innerhalb kurzer Frist, so dass der Monat seinem Rufe als unbeständigste Jahreszeit vollauf gerecht wurde.

Eine ausgedehnte Depression bedeckte am Morgen des 1. April unseren Erdteil und wies ihr Zentrum mit weniger als 745 mm östlich von Jütland auf. Bis zum folgenden Tage verlagerte sich das Minimum ostwärts bis Polen, während hoher Luftdruck vom Ozean kräftig nach den zentralen Lagen hereindrängte. Über unserem ganzen Gebiete herrschte bei sinkenden Temperaturen trübes Wetter mit Niederschlägen, die insbesondere im Alpengebiete unter dem Einflusse eines von Nord nach Süd gegen den Gebirgskamm gerichteten Druckgefälles ziemlich ergiebig waren. Erst im Verlauf des 3. April trat über unserem ganzen Gebiete Aufklaren ein, als das Maximum sich über Zentraleuropa festgesetzt hatte. Unter dem Einflusse der ungehinderten nächtlichen Ausstrahlung sanken in der kommenden Nacht die Temperaturen auf sehr tiefe Beträge, so dass in der bereits weit fortgeschrittenen Vegetation erhebliche Frostschäden eintraten. Die Herrschaft des Barometermaximums war jedoch nur von kurzer Dauer. Bereits am 5. herrschte wieder über unserem ganzen Gebiete Trübung mit leichten Niederschlägen und starker Temperatursteigerung, als eine im hohen Norden Europas erschienene Depression einen Ausläufer über die Ostsee bis nach der Adria entwickelt hatte. Der Hochdruck war nach Südwesten zurückgedrängt worden, doch machte er bald wieder einen wirksamen Vorstoss gegen Zentraleuropa, so dass am 7. und 8. heiteres oder doch nur mässig bewölktes Wetter herrschte. Aber schon hatte sich wieder ein neuer durchgreifender Wechsel in der Luftdruckverteilung vorbereitet. Bereits am Morgen des 8. April lag ein tiefes Minimum nördlich von Schottland. Dasselbe drang in raschem Laufe nach Südschweden vor und verursachte über ganz Zentral- und Osteuropa ein starkes Sinken des Luftdruckes. Zahlreiche Randgebilde an der Südseite der Depression machten ihren Einfluss auf die Witterung unseres Gebietes geltend, die dementsprechend den Charakter des Unbeständigen annahm. Trübung und Niederschläge wechselten mit Aufheiterung; die Temperaturen waren im Sinken begriffen. Obgleich das Hauptminimum in der Folge nach Nordrussland abzog, blieb doch unter dem Einfluss der sekundären Störungen der unbeständige Witterungscharakter erhalten. Erst vom 12. ab, als hoher Luftdruck von Westen her kräftig gegen die zentralen Lagen vorrückte, trat eine merkliche Wendung zum Besseren ein; die Bewölkung nahm ab und die Niederschläge wurden seltener und weniger ergiebig. Das nächtliche Aufklaren und die dadurch ermöglichte ungehinderte Ausstrahlung führten in der Nacht vom 12. auf 13. wieder zu starken Frösten, die intensiver waren, als sie während der eigentlichen Wintermonate zur Aufzeichnung gelangt waren. Noch war aber der hohe Druck nicht zur unbestrittenen Herrschaft gelangt. Kleinere Störungen in der Luftdruckverteilung verursachten am 14. und 15. neuerdings das Auftreten stärkerer Bewölkung und leichte Niederschläge. Erst als der Kern des Maximums in raschem Zuge von Irland nach Preussen sich verlagert hatte, war am 16. eine Wetterlage geschaffen, die bei kräftiger Einstrahlung Temperatursteigerung und Trockenheit brachte. Nur im südlichen Bayern bestand unter dem Einflusse des gegen den Alpenkamm gerichteten Druckgefälles zeitweise etwas stärkere Bewölkung. Allmählich verlagerte sich der Kern des Hochdruckes gegen Finnland und gewährte damit über unserem Gebiete wieder kleineren Störungen Raum, die denn auch vom 18. ab in dem zeitweisen Auftreten stärkerer Bewölkung und leichten Strichregens sich äusserten. Nur im Alpengebiet kam es am 19. und 20. zu stärkeren Niederschlägen. Von nun ab blieb unser Gebiet von der Einwirkung tieferer Minima verschont. Kleine Unregelmässigkeiten führten mitunter zu zeitweiser Trübung und leichten Regenfällen, im allgemeinen jedoch war heiteres sonniges Wetter vorherrschend. Die Temperaturen stiegen bei der Lage des Maximums im Norden unseres Erdteiles nur zu mässigen Beträgen an. Erst gegen Ende des Monats, als das barometrische Maximum über dem Nordwesten Europas sich festgesetzt hatte und über Ost- und Südosteuropa niedriger Druck sich ausbreitete, trat nochmals stärkere Trübung mit stellenweisen Niederschlägen und Abkühlung ein.

Auf dem ersten der beigegebenen Kärtchen ist die geographische Verteilung der Mitteltemperaturen über Süddeutschland dargestellt. Die höchsten Temperaturwerte (8—10°) wurden, wie gewöhnlich, in der Rheinebene sowie im unteren Main- und Neckartale aufgezeichnet. Der gedrängte Verlauf der Temperaturkurven an den Hängen des Schwarzwaldes und des BayerischenWaldes lässt auf eine ziemlich rasche Abnahme der Mitteltemperatur bei vertikaler Erhebung schliessen. Weniger deutlich tritt diese Erscheinung an der Nordabdachung der Alpen zutage, da bereits die Hochebene ziemlich niedrige Mitteltemperaturen aufweist.

Auch das mittlere Maximum weist seine höchsten Beträge (13—14°) im Rhein-, Main- und Neckartal auf, doch findet sich auch im rechtsrheinischen Bayern ein Gebiet gleichhoher Maxima, das die Orte Karlshuld im Donaumoos, Ingolstadt und Landshut umfasst. Das gleiche Gebiet zeichnet sich durch auffallend niedrige mittlere Minima aus, die nur wenige Zehntelgrade über dem Gefrierpunkte liegen und nicht nur gegen die entsprechenden Werte in der Rheinebene um 3—4° abstehen, sondern auch aus ihrer näheren Umgebung deutlich heraustreten. Negative mittlere Minima wurden nur im Alpengebiete sowie im Gebiete der östlichen Grenzgebirge Bayerns verzeichnet. Die mittlere Schwankung beträgt im allgemeinen 9—12°, nur in dem soeben erwähnten Gebiet auffallend hoher Maxima und tiefer Minima werden Beträge von über 13 und 14° verzeichnet.

Die Anzahl der Frosttage betrug selbst in den so milden Lagen der Rheinebene sowie des unteren und mittleren Maintales 3—4, in höheren Lagen 5—10, in gebirgigen Lagen sogar noch mehr als 10. Oberstdorf im Algäu verzeichnete 20 (16), Mittenwald 16 (14), Alexandersbad im Fichtelgebirge 15 (14) und Hof sogar 21 (12) Tage mit Frost. Die eingeklammerten Zahlen beziehen sich auf den Vormonat. In Alexandersbad und in Buchenau bei Zwiesel wurde sogar je ein Wintertag aufgezeichnet, auf dem Hohenpeissenberg (1000 m) wurden 2, auf der Zugspitze (ca. 3000 m) 29 solcher Tage gezählt.

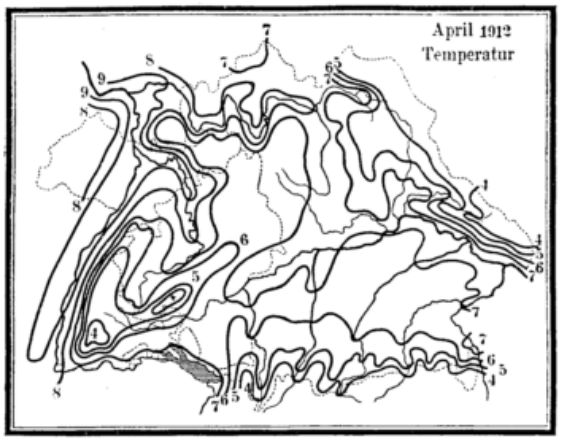

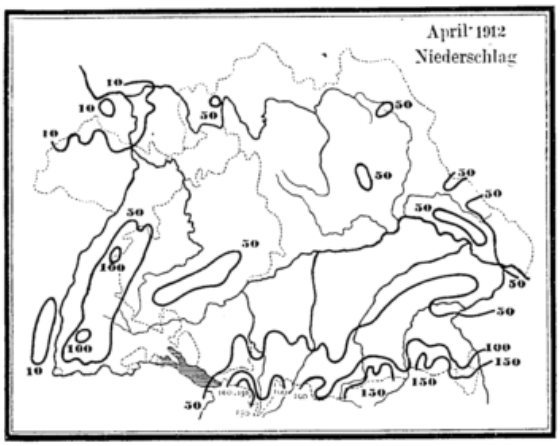

Auf dem zweiten der beigegebenen Kärtchen ist die geographische Verteilung der Monatssummen des Niederschlags über Süddeutschland zur Darstellung gebracht. Wie wir schon erwähnten, ist der Monat April im Vergleich mit langjährigen Mittelwerten als niederschlagsarm zu bezeichnen. Niederschlagsmengen von mehr als 100 mm wurden nur auf den höchsten Erhebungen des nördlichen und südlichen Schwarzwaldes sowie im Alpengebiet und in dessen unmittelbarem Vorlande gemessen. An besonders exponierten Lagen der Alpenkette wurden auch noch mehr als 150 mm erhalten. Im grössten Teile Süddeutschlands blieb die Monatssumme des Niederschlags mehr oder weniger beträchtlich unter 50 mm, wobei im grossen und ganzen eine Abnahme der Regenmengen in der Richtung von Südost nach Nordwest angedeutet ist. Am Ostabhang der Vogesen sowie im Mainzer Becken wurden sogar weniger als 10 mm Monatssumme gemessen. Die Niederschlagshäufigkeit war in der ersten Monatshälfte ziemlich beträchtlich, wenigstens so lange, als man alle, überhaupt messbaren Niederschläge berücksichtigt. Die zweite Monatshälfte brachte nur seltene und geringfügige Niederschläge. Zur Zeit der Temperaturdepressionen fielen die Niederschläge vielfach als Schnee und in den höheren Lagen kam es auch mehrmals zur Bildung einer, wenn auch nur kurzdauernden Schneedecke.

Die mittlere Bewölkungsziffer betrug im Alpengebiete und in dessen Vorland, ferner im Gebiete des südöstlichen Böhmerwaldes sowie in der Umgebung von Bamberg mehr als 6 Zehntel der vollen Bedeckung, im übrigen Bayern und in der Pfalz schwankt dieselbe um den Wert 5 Zehntel. Bei dem unbeständigen Witterungscharakter, insbesondere der ersten Monatshälfte mit raschwechselnder Bewölkung war im allgemeinen weder die Zahl der heiteren noch die der trüben erheblich. Nur im südlichen und östlichen Bayern überwiegt die Zahl der trüben Tage jene der heiteren ziemlich beträchtlich.

Die mittleren, auf Meeresniveau reduzierten Barometerstände zeigen ein schwaches, von Nord nach Süd gerichtetes Gefälle. Eine über dem ganzen Gebiete vorherrschende Windrichtung war nicht zu konstatieren.

München, den 23. Mai 1912. E. Alt.

Station	Höhe über Normal-Null m	Luftdruck in mm: höchster am	höchster mm	tiefster am	tiefster mm	Monatsmittel lokal	Monatsmittel auf Meeresniveau reduziert	Temperatur C°: Mittel um 7a	2p	9p	Mittlere Tagestemperatur	Mittleres Maximum	Mittleres Minimum	Mittel aus Maximum und Minimum	Mittlere Schwankung	Station
Ludwigshafen a/Rh.	100.3	4.	766.8	1.	738.7	755.1	764.3	6.0	13.1	9.8	9.7	13.9	4.7	9.3	9.2	Ludwigshafen a/Rh.
Kahl a/M.	114.1	4.	764.4	1.	737.9	753.7	764.6	6.1	12.9	7.3	8.4	14.9	2.0	8.4	12.9	Kahl a/M.
Landau i. Pf.	149.9	4.	761.3	1.	734.6	750.1	763.8	7.4	12.8	8.2	9.1	14.0	3.6	8.8	10.4	Landau i. Pf.
Würzburg	179.3	4.	758.6	1.	731.3	747.0	763.3	5.3	12.1	7.8	8.3	13.7	3.1	8.4	10.6	Würzburg
Bad Kissingen	209.2	4.	757.5	1.	728.2	744.8	764.0	4.5	11.9	6.5	7.4	13.4	2.3	7.8	11.1	Bad Kissingen
Kaiserslautern	242.2	4.	752.9	1.	726.7	742.4	764.5	4.6	11.6	7.1	7.6	12.9	2.2	7.5	10.7	Kaiserslautern
Luitpoldheim	250							3.8	11.2	7.4	7.4	12.2	2.7	7.4	9.5	Luitpoldheim
Bamberg	287.7	4.	749.1	1.	722.1	737.8	764.0	4.6	11.6	6.6	7.3	14.0	2.2	8.1	11.8	Bamberg
Nürnberg	309.1	4.	746.9	1.	720.6	735.5	763.6	4.5	11.2	7.2	7.5	12.1	2.5	7.3	9.5	Nürnberg
Passau	309.3	4.	747.0	1.	721.2	735.5	763.6	4.4	10.7	6.9	7.2	11.9	2.8	7.4	9.1	Passau
Metten	320							4.7	11.3	6.4	7.2	12.9	1.2	7.1	11.6	Metten
Regensburg	342.6	4.	743.3	1.	718.4	732.2	763.3	4.0	10.9	6.6	7.0	12.4	1.6	7.0	10.8	Regensburg
Bayreuth	363.3	4.	742.1	1.	715.5	731.0	764.0	3.8	10.4	6.2	6.7	12.1	0.9	6.5	11.2	Bayreuth
Burghausen	365	4.	742.1	1.	715.8	730.3	763.4	4.3	10.9	5.5	6.6	12.6	1.6	7.1	11.0	Burghausen
Ingolstadt	368							3.5	11.1	6.1	6.8	13.0	0.7	6.8	12.2	Ingolstadt
Karlshuld	382.0	4.	739.8	1.	709.0	728.5	763.1	3.5	11.1	6.0	6.7	13.4	0.2	6.8	13.2	Karlshuld
Landshut	397.7	4.	739.0	1.	712.9	727.3	763.5	4.0	10.9	5.7	6.6	14.4	0.1	7.2	14.3	Landshut
Lindau i. B. (Reutin)	401.7	4.	738.8	1.	713.3	727.5	763.7	4.9	10.0	7.1	7.3	12.8	2.0	7.4	10.8	Lindau i. B. (Reutin)
Weissenburg i. B.	431	4.	735.6	1.	710.8	725.2	764.1	4.7	11.0	6.4	7.1	12.0	1.6	6.8	10.5	Weissenburg i. B.
Nördlingen	435.6	4.	734.8	1.	709.1	723.8	763.0	3.6	11.1	6.2	6.7	12.7	1.4	7.1	11.3	Nördlingen
Ansbach	437.5	4.	735.2	1.	709.3	724.3	763.9	3.7	10.6	5.3	6.2	11.6	0.9	6.3	10.7	Ansbach
Hof	476.1	4.	730.8	1.	705.5	720.5	763.6	2.0	9.1	4.2	4.9	10.7	– 1.1	4.8	11.8	Hof
Bad Reichenhall	477	4.	731.9	1.	705.1	720.3	763.1	4.8	10.5	5.7	6.7	12.2	2.4	7.3	9.8	Bad Reichenhall
Augsburg	499.6	13.	730.4	1.	704.4	719.0	763.8	4.2	11.1	7.1	7.4	12.4	2.5	7.5	9.8	Augsburg
München C.-St.	526.4	4.	727.3	1.	702.3	716.3	763.3	4.5	10.4	6.7	7.1	12.0	2.8	7.4	9.2	München C.-St.
Alexandersbad	590							2.3	8.0	3.2	4.2	9.5	– 0.6	4.4	10.1	Alexandersbad
Traunstein	597	4.	720.8	1.	695.9	710.4	763.9	3.1	8.8	4.7	5.3	10.1	1.1	5.6	9.0	Traunstein
Berchtesgaden	600							2.8	9.6	5.1	5.7	11.3	0.7	6.0	10.6	Berchtesgaden
Ottobeuren	660.0	4.	715.1	1.	691.2	704.9	763.7	3.5	9.3	4.5	5.5	10.7	0.5	5.6	10.2	Ottobeuren
Partenkirchen	714.6	4.	711.1	1.	686.6	700.2	763.9	2.3	9.4	4.2	5.1	10.8	0.7	5.7	10.1	Partenkirchen
Tegernsee	738	4.	709.1	1.	684.8	698.4	763.2	3.8	8.2	4.2	5.1	10.5	0.9	5.7	9.6	Tegernsee
Buchenau	750	4.	706.1	1.	682.4	696.3	763.1	1.6	6.9	3.0	3.6	8.9	– 0.2	4.4	9.1	Buchenau
Schaftlach	757							2.3	7.8	4.7	4.9	10.0	0.2	5.1	9.8	Schaftlach
Oberstdorf	811.4	4.	702.3	1.	678.7	692.0	763.8	1.5	8.5	3.6	4.1	10.3	– 1.2	4.6	11.5	Oberstdorf
Ettal	881.5	4.	694.7	1.	671.6	684.9	762.4	1.7	7.7	2.9	3.8	9.7	– 0.8	4.4	10.5	Ettal
Mittenwald	910	4.	693.6	1.	669.6	683.3	763.4	1.9	8.3	3.0	4.0	9.9	– 0.5	4.7	10.4	Mittenwald
Hohenpeissenberg	993.9	4.	685.6	1.	663.2	676.2	763.3	2.1	6.1	3.1	3.6	7.5	0.1	3.8	7.4	Hohenpeissenberg
Zugspitze	2964	5.	533.4	10.	516.0	526.3	–	– 9.3	– 7.3	– 8.0	– 8.1	– 5.0	–11.0	– 8.0	5.9	Zugspitze

Station	Temperatur C°: höchste am	höchste C°	tiefste am	tiefste C°	grösste Schwankung am	grösste Schwankung C°	Dampfdruck Monatsmittel mm	Relative Feuchtigkeit %: Monatsmittel	kleinste am	kleinste %	grösste am	grösste %	Bewölkung Monatsmittel	Niederschlag: grösster am	grösster mm	Monats-Summe mm	Station
Ludwigshafen a/Rh.	24.	20.0	13.	– 2.0	8.	14.3	5.0	58	27.	19	öfters	94	4.4	1.	2.8	14.1	Ludwigshafen a/Rh.
Kahl a/M.	26.	22.9	13.	– 6.6	26.	22.6	5.2	64	23.	31	1.	98	5.0	11.	5.4	16.5	Kahl a/M.
Landau i. Pf.	27.	20.1	13.	– 3.2	8.	16.9	5.1	59	26.	22	11., 15.	92	5.3	1.	9.2	25.6	Landau i. Pf.
Würzburg	27.	19.1	4., 13.	– 3.0	27.	16.0	5.0	63	28.	25	1.	99	5.2	1.	7.8	20.8	Würzburg
Bad Kissingen	27.	19.5	4.	– 5.0	27.	18.1	5.1	67	26.	27	22.	96	5.1	1.	5.2	25.3	Bad Kissingen
Kaiserslautern	24., 28.	18.3	13.	– 4.1	26.	16.4	5.3	68	29.	29	öfters	91	5.5	1.	4.2	15.5	Kaiserslautern
Luitpoldheim	24.	17.9	4.	– 3.9	8.	14.7	5.3	70	4., 25.	36	14.	98	5.0	15.	6.9	30.4	Luitpoldheim
Bamberg	27.	20.8	13.	– 6.0	27.	18.9	4.7	63	28.	24	30.	97	7.1	1., 10.	3.1	18.5	Bamberg
Nürnberg	28.	17.9	4.	– 3.8	27.	15.9	4.7	62	25.	25	öfters	93	5.7	2.	11.6	23.0	Nürnberg
Passau	28.	19.9	14.	– 3.3	27.	16.2	5.4	71	28.	37	26., 27.	100	5.7	6.	19.2	59.0	Passau
Metten	28.	21.4	13.	– 6.2	28.	18.1	5.2	68	22.	24	1., 5.	99	6.1	6.	12.3	36.4	Metten
Regensburg	28.	20.0	13., 14.	– 5.0	8.	18.1	4.5	59	25.	21	8.	96	5.4	2.	9.0	22.0	Regensburg
Bayreuth	27.	20.3	3.	– 5.5	27.	19.9	4.8	67	27.	27	14.	95	5.9	1.	4.0	15.9	Bayreuth
Burghausen	28.	19.8	14.	– 3.1	26.	17.9	5.4	74	25.	30	öfters	96	6.1	2.	19.1	58.7	Burghausen
Ingolstadt	27.	20.6	13.	– 7.3	27.	22.0	5.0	68	22.	27	14.	100	5.5	2.	11.0	30.5	Ingolstadt
Karlshuld	8., 27.	20.0	13.	– 7.4	27.	23.1	5.0	70	26.	25	24.	98	4.7	2.	11.3	29.9	Karlshuld
Landshut	27.	23.6	13.	– 7.5	27.	25.5	4.9	68	27.	26	20.	96	5.6	2.	14.0	35.7	Landshut
Lindau i. B. (Reutin)	28.	19.6	13.	– 4.5	26.	18.5	5.7	74	13.	38	9.	100	5.6	2.	39.5	71.7	Lindau i. B. (Reutin)
Weissenburg i. B.	28.	18.0	13.	– 5.1	8.	16.8	5.6	73	25.	43	20.	98	5.7	2.	10.5	29.5	Weissenburg i. B.
Nördlingen	27.	20.9	13.	– 5.2	27.	18.3	5.0	68	24.	33	12.	97	5.5	2.	7.5	22.4	Nördlingen
Ansbach	27.	18.0	13., 14.	– 5.0	27.	17.6	4.9	69	23.	32	9.	97	4.3	2.	8.1	28.4	Ansbach
Hof	27.	17.9	4.	– 7.0	27.	21.5	4.7	73	25.	26	öfters	100	5.9	12.	4.0	22.7	Hof
Bad Reichenhall	28.	20.1	13.	– 3.9	24.	16.6	5.2	70	25.	24	2.	98	6.4	2.	24.9	128.4	Bad Reichenhall
Augsburg	28.	20.0	13.	– 4.5	8.	15.6	5.1	66	27.	31	15.	93	5.5	2.	13.6	27.7	Augsburg
München C.-St.	8.	19.3	13.	– 3.5	9.	14.7	4.9	65	26., 27.	31	9.	96	6.0	2.	23.5	43.9	München C.-St.
Alexandersbad	27.	16.1	4.	– 6.0	27.	17.2	4.6	74	26., 28.	33	1., 10.	99	4.9	11.	9.4	45.7	Alexandersbad
Traunstein	28.	18.2	4.	– 6.4	24.	15.8	4.6	69	14., 24.	27	12.	100	6.2	2.	36.8	131.6	Traunstein
Berchtesgaden	28.	18.6	13.	– 8.1	5.	16.2	4.9	72	27.	30	2.	96	7.1	2.	29.0	136.1	Berchtesgaden
Ottobeuren	27.	18.1	13.	– 8.6	24., 27.	17.0	4.8	70	24., 27.	31	1.	96	5.7	2.	17.0	60.3	Ottobeuren
Partenkirchen	8.	21.5	13.	– 9.3	5.	19.1	4.8	74	8.	23	öfters	100	6.5	2.	24.5	102.2	Partenkirchen
Tegernsee	8.	20.2	13.	– 8.0	8.	19.6	4.9	72	24., 25.	32	20.	97	6.3	2.	26.2	109.8	Tegernsee
Buchenau	27.	17.1	4.	– 8.0	27.	15.4	4.5	74	25.	41	6.	99	6.0	6.	31.2	110.9	Buchenau
Schaftlach	8.	20.1	13.	–11.2	5.	18.1	4.8	75	27.	35	öfters	98	6.5	2.	27.9	114.3	Schaftlach
Oberstdorf	8.	18.1	4.	–10.3	27.	18.2	4.9	79	8.	31	öfters	100	6.6	10.	22.2	122.6	Oberstdorf
Ettal	8.	18.1	13.	–10.1	5., 6.	16.7	4.5	74	27.	25	öfters	100	6.5	2.	28.0	131.1	Ettal
Mittenwald	8.	18.4	13.	–13.0	17.	15.9	4.7	75	8.	36	9., 11.	100	7.1	2.	24.7	105.9	Mittenwald
Hohenpeissenberg	8.	16.0	13.	– 7.2	9.	14.8	4.2	71	8.	27	öfters	100	6.5	2.	30.0	81.8	Hohenpeissenberg
Zugspitze	27.	0.7	13.	–21.8	9.	13.7	2.4	96	8.	56	öfters	100	7.7	29.	14.7	85.2	Zugspitze

Station	Tage mit										Tage				Anzahl der beobachteten Windrichtungen									Station
	Niederschlägen		Schneefall	Schneedecke	Graupeln	Hagel	Gewitter	Nebel	Reif	Tau	heitere	trübe	Frost	Winter	N	NE	E	SE	S	SW	W	NW	Stille	
	≥ 0.1mm	≥ 1.0mm																						
Ludwigshafen a/Rh.	11	6	–	–	2	–	–	–	7	2	7	4	3	–	26	12	5	2	9	16	9	6	5	Ludwigshafen a/Rh.
Kahl a/M.	11	5	2	–	2	–	–	–	5	8	6	7	8	–	2	22	9	3	2	14	9	10	19	Kahl a/M.
Landau i. Pf.	12	7	2	–	1	–	1	–	6	4	3	5	6	–	4	37	3	4	–	13	13	16	–	Landau i. Pf.
Würzburg	12	4	5	–	2	–	1	–	5	15	4	4	4	–	6	17	15	10	2	1	15	15	9	Würzburg
Bad Kissingen	12	9	6	1	–	–	–	–	3	15	6	6	6	–	30	7	8	–	7	11	11	12	4	Bad Kissingen
Kaiserslautern	11	5	6	–	2	–	–	–	8	5	2	6	8	–	5	3	20	4	–	–	18	7	33	Kaiserslautern
Luitpoldheim	12	8	6	–	1	–	1	–	2	5	6	4	8	–	6	6	14	1	1	27	9	9	17	Luitpoldheim
Bamberg	26	8	7	–	1	–	1	–	6	13	1	10	8	–	9	4	10	5	6	7	30	13	6	Bamberg
Nürnberg	6	4	1	–	2	–	1	3	5	6	3	7	8	–	9	11	26	6	2	11	9	13	3	Nürnberg
Passau	17	11	6	–	–	–	–	1	1	7	3	8	4	–	–	–	13	–	1	3	14	12	47	Passau
Metten	12	9	5	1	2	–	–	1	6	10	2	10	12	–	–	4	17	7	4	4	24	10	20	Metten
Regensburg	8	8	4	–	2	–	–	–	2	–	1	6	10	–	17	2	24	5	10	3	17	12	–	Regensburg
Bayreuth	10	6	5	2	1	–	1	1	9	1	2	8	10	–	12	2	31	2	–	7	30	5	1	Bayreuth
Burghausen	13	10	7	3	1	1	–	–	7	7	2	11	9	–	1	13	10	2	2	24	1	2	35	Burghausen
Ingolstadt	10	7	5	1	5	–	–	–	12	9	4	6	13	–	3	10	27	5	1	15	13	12	4	Ingolstadt
Karlshuld	8	6	3	2	2	–	–	1	9	1	6	4	14	–	–	8	14	–	–	10	24	2	32	Karlshuld
Landshut	15	7	5	1	5	–	–	1	10	2	4	8	14	–	5	8	21	7	–	4	29	7	9	Landshut
Lindau i. B. (Reutin)	13	6	6	–	2	–	–	–	4	11	6	9	7	–	9	21	3	–	15	8	20	6	8	Lindau i. B. (Reutin)
Weissenburg i. B.	10	7	4	–	2	–	–	–	6	–	2	6	8	–	7	24	15	2	–	12	12	14	4	Weissenburg i. B.
Nördlingen	11	6	5	1	3	–	1	–	3	6	5	7	10	–	6	13	12	1	–	13	21	10	14	Nördlingen
Ansbach	14	7	5	–	2	–	2	–	6	1	6	4	11	–	10	10	13	–	–	2	19	7	29	Ansbach
Hof	15	8	9	3	1	–	1	4	10	6	2	7	21	–	17	13	8	7	–	12	17	11	5	Hof
Bad Reichenhall	18	14	7	7	–	–	–	–	–	1	3	12	10	–	–	4	21	2	4	11	35	2	11	Bad Reichenhall
Augsburg	12	5	4	2	2	–	2	–	10	5	4	8	8	–	6	23	19	4	–	23	4	8	3	Augsburg
München C.-St.	15	6	6	3	2	–	–	2	3	7	3	11	7	–	–	12	14	7	1	17	13	16	14	München C.-St.
Alexandersbad	13	10	9	5	–	–	1	–	9	4	3	5	15	1	1	12	13	3	6	6	18	14	17	Alexandersbad
Traunstein	17	15	6	9	1	–	–	–	6	4	2	11	12	–	5	11	21	9	4	2	36	2	–	Traunstein
Berchtesgaden	18	14	5	8	–	–	–	–	7	6	2	15	11	–	–	–	6	1	–	–	14	1	68	Berchtesgaden
Ottobeuren	10	8	7	6	2	1	–	1	11	4	5	9	15	–	1	22	8	9	1	29	1	3	16	Ottobeuren
Partenkirchen	19	14	5	7	–	–	–	–	3	4	4	13	12	–	6	–	–	15	7	1	2	21	38	Partenkirchen
Tegernsee	17	13	6	7	–	–	1	–	–	–	4	13	11	–	10	8	8	17	8	–	15	6	18	Tegernsee
Buchenau	13	12	6	6	1	–	1	1	6	9	4	11	12	1	–	1	45	–	1	2	36	1	4	Buchenau
Schaftlach	13	13	6	11	1	–	1	3	9	2	5	11	15	–	3	5	20	9	2	13	21	1	16	Schaftlach
Oberstdorf	16	12	6	7	–	–	1	2	9	1	3	15	20	–	7	1	1	2	2	4	8	20	45	Oberstdorf
Ettal	17	13	9	9	2	2	–	3	9	3	3	12	16	–										Ettal
Mittenwald	17	15	9	10	–	–	–	–	4	1	3	17	16	–	10	6	5	4	11	5	–	8	41	Mittenwald
Hohenpeissenberg	16	9	8	6	–	–	–	12	–	–	4	12	13	2	4	20	12	4	–	6	25	12	7	Hohenpeissenberg
Zugspitze	19	15	19	30	2	–	–	24	–	–	1	18	30	29	32	4	7	16	4	5	2	13	7	Zugspitze

Übersicht über die Witterungsverhältnisse im Königreiche Bayern

während des Mai 1912.

Die Befürchtungen, welche der niederschlagsarme April und die erste regenlose Woche des Mai in weiten Kreisen wachgerufen hatte, es möchte sich im Sommer 1912 die Trockenperiode des Vorjahres wiederholen, haben sich nach dem Gesamtergebnis des verflossenen Monats als unbegründet erwiesen. Die Niederschlagsmengen haben mit Ausnahme der Pfalz und einiger Bezirke des Maingebiets, wo sie ca. 30% zu niedrig waren, den durchschnittlichen Betrag bedeutend überschritten, insbesondere in Südbayern und hier speziell im Alpengebiet, wo fast das Doppelte des langjährigen Mittels erreicht wurde. Der Niederschlag fiel vorwiegend in zwei Regenperioden, vom 6.—11. und vom 21.—26. Mai.

Die erste Regenzeit war verursacht durch südliche Ausläufer atlantischer Depressionen, während die zweite ganz dem Einflusse zahlreicher Teilminima angehörte, die über Zentraleuropa selbst lagen. Die Wirkung der Luftdruckstörungen steigerte sich dabei beidemale im Alpengebiet durch den Anstieg des Geländes derart, dass die Niederschläge zu Hochwasser führten. Wir werden im Folgenden die Entwicklung dieser Situationen an der Hand der Luftdruckverteilung der einzelnen Tage studieren, wobei sich Gelegenheit geben wird, auch auf einige andere Erscheinungen einzugehen, die besonders in den Temperaturverhältnissen hervorgetreten sind und die den Monat Mai 1912 für die Wettergeschichte Bayerns bemerkenswert machen.

Der Anfang des Monats gehorchte, wie bereits angedeutet, noch ganz dem Regime des regenarmen April. Hoher Druck lagerte über Zentraleuropa, und hielt sich dort, allerdings unter anhaltenden Intensitätsverlusten, während der ersten Pentade. Auf allen Seiten, im Westen, Süden und Osten bedrohten tiefe Depressionen seinen Bestand, aber jedesmal vereitelte der Vorstoss einer westlichen Depression die Entfaltung der Rückseitenwirkung der östlichen und es blieb trocken. Dabei lagen die Temperaturen infolge der nächtlichen Ausstrahlung ungewöhnlich tief und die intensiven Nachtfröste der ersten drei Tage (vgl. Tabelle II; tiefste Temperatur) schädigten an vielen Orten die bereits ziemlich entwickelte Vegetation, insbesondere die Obstkulturen.

Noch am 4. konstatierte der Wetterbericht „die bemerkenswerte Niederschlagsarmut der Depressionen der letzten Wochen"; bereits am 5. aber bereitete sich die Wendung vor, indem eine neue atlantische Depression, diesmal mit einem weiter nach Süden ausgreifenden Ausläufer sich vor die britischen Inseln legte. Der Durchzug dieses Ausläufers setzte bereits am 5. mit Gewittern ein, die am 6. in Nordbayern, am 7. in Südbayern ihren Höhepunkt erreichten. Die Gewitterregen arteten aber dann im Laufe des 7. und 8 Mai, als der Ausläufer sich mehr und mehr über den Osten unseres Gebietes ausdehnte, in Landregen aus, der insbesondere im Alpengebiet katastrophale Intensität erreichte (vgl. Tabelle II: grösster Niederschlag.)

Am 9. Mai zog neuerdings unter lebhafter Gewitterbildung in Nordbayern ein Ausläufer über unser Gebiet hinweg, diesmal wurde auch der Norden mit stärkeren Niederschlägen getroffen. Wieder verzögerte sich die Wirkung des Ausläufers in Südbayern um einen Tag; erst am 10. erreichte hier die Gewitterfrequenz ihr Maximum. Da diese Erscheinung der Verspätung von Gewitterstörungen in Südbayern gegenüber der Pfalz und Nordwestbayern ein recht instruktives Beispiel ist für die Schwierigkeiten, denen die Wetterprognose in unserem Königreiche mit seinen disjazenten Gebietsteilen und der starken Profilierung des Geländes begegnet, wollen wir die Verhältnisse vom 6.—13. noch durch die nachfolgende Tabelle der Anzahl der Gewittermeldungen illustrieren, die das Wandern der Gewitterzone sehr deutlich wiedergibt:

Anzahl der Gewittermeldungen.

	6.	7.	8.	9.	10.	11.	12.	13.	14.
Nordbayern	**171**	39	22	**150**	12	5	**95**	4	2
Südbayern	112	**118**	63	19	**181**	35	7	**49**	2

Südbayern reagiert eben auf das Herannahen westlichen Tiefdruckes durch Föhn, dessen wolkenauflösende, austrocknende Wirkung den Bedingungen für Gewitterbildung geradewegs widerspricht. Die Schwierigkeit für die Wetterprognose aber beruht auf dem Fehlen sicherer Anhaltspunkte für die Dauer der Föhnströmung, so dass zwar der Verlauf der Witterung mit Sicherheit angegeben werden kann, nicht aber die genaue Zeit für den Eintritt der Erscheinungen.

Nach dieser kleinen Abschweifung kehren wir zur weiteren Besprechung der Luftdruckverhältnisse zurück. Im Laufe des 11. erschöpfte sich der Einfluss des Ausläufers vom 9. Mai und es trat unter der Herrschaft hohen Druckes, der sich im Rücken des abziehenden Ausläufers gebildet hatte, über dem ganzen Gebiete Aufklaren und Erwärmung ein. Allerdings war schon am Morgen des 11. eine neue Depression über den britischen Inseln erschienen, die auch wieder von einem sackförmigen, offenbar weit nach Süden herabgesenkten Randgebilde begleitet war, für dessen Durchgang in der Wetterkarte vom 11. Mai „Aufklaren und Temperatursteigerung" angekündigt war. In welchem Masse die letztere in der Tat eintraf, ersieht man aus den beiden ersten Spalten der Tabelle II. Eine ganz ungeheure Überflutung des westlichen Kontinents mit warmer Luft setzte schon am 11. Mai ein und erreichte ihren Höhepunkt am Nachmittage des 12., wo auf unserem ganzen Gebiete geradezu tropische Temperaturen verzeichnet wurden. In München wurde die Maximaltemperatur von 31.6° C beobachtet. Maximaltemperaturen von mehr als 30° C kommen im Monat Mai ausserordentlich selten zur Aufzeichnung. Seit regelmässige Aufzeichnungen vorliegen, wurden solche Werte in München erst fünfmal

festgestellt: am 29. V. 1788, 30.6°; am 29. V. 1791, 30.9°; am 24. V. 1847, 30.3°; am 29. V. 1869, 30.4°; am 12. V. 1912, 31.6°. Der Wert vom 12. Mai dieses Jahres ist also der grösste seit 125 Jahren.

Meist fällt auf diesen Tag auch ein Minimum der relativen Feuchtigkeit. In der Tat zeigt eine Untersuchung des vertikalen Temperaturgradienten an den 3 Tagen vom 11.—13., dass der Hauptanteil an diesen Temperaturen dynamischen Ursprungs ist. Es wurden zu den Beobachtungsterminen um 7 h früh, 2 h mittags, 9 h abends abgelesen:

	11. Mai			12. Mai			13. Mai		
	7a	2p	9p	7a	2p	9p	7a	2p	9p
Zugspitze (2964 m)	−1.7°	−0.1°	0.0°	0.0°	1.9°	2.3°	2.2°	2.9°	1.8°
Hohenpeissenberg (994 m)	11.1°	17.0°	14.8°	19.0°	25.2°	21.5°	18.2°	20.7°	12.1°
△t (Zugspitze—Hohenpeissenberg)	12.8°	17.1°	14.8°	19.6°	23.3°	19.2°	16.0°	17.8°	10.3°
△t/100 m	0.64°	0.85°	0.74°	0.95°	1.16°	0.96°	0.80°	0.89°	0.51°

Nebenbei verdient festgestellt zu werden, dass diese abnorm hohen Temperaturen an einem der „Eismännertage" angefallen sind, denn es wird damit ein Beweis gewonnen, dass die Kälterückfälle im Mai, die wegen der meist schon vorgeschrittenen Vegetationsentwicklung von alters her als besonders schädlich empfunden wurden, nicht an diese „kritischen Tage" gebunden sind, die Neigung zu Nachtfrösten besteht im ganzen Monat nahezu im gleichen Masse.

Mit dem Abzug des Ausläufers rückte auch die Wärmewelle vom 12. Mai rasch nordostwärts ab und hinter dem Ausläufer breitete sich wieder hoher Druck über Zentraleuropa aus; am 14. bedeckte ein geschlossenes Maximalgebiet Westdeutschland. Aber schon machten sich wieder Anzeichen für neue westliche Störungen bemerkbar. Das Spiel wiederholte sich von neuem, bereits am Morgen des 15. reichte ein tiefer Ausläufer von einer isländischen Depression über die britischen Inseln nach Frankreich. Die Temperaturen stiegen abermals gewaltig an, gleichzeitig schnellte die Gewitterfrequenz mit dem Durchzug des Ausläufers in die Höhe, der hohe Druck wich zuerst nach Südosten aus und als der Ausläufer sich auch dahin noch ausdehnte, kam unser Gebiet ganz ausgesprochen auf die Rückseite einer östlichen Furche. Bei scharfen Nord- und Nordwestwinden trat eine intensive Abkühlung ein, so dass die Mitteltemperaturen, die am 15. noch um 10° über dem langjährigen Durchschnittswert lagen, schon am 17. um 5° unter das Normal gesunken waren. Zum Beispiel ergeben die Temperatur-Tagesmittel vom 15., 16. und 17. Mai für eine Auswahl von Stationen das folgende Bild für diesen nordwestlichen Kälteeinbruch:

Temperatur-Tagesmittel (° C).

Station	15. Mai	16. Mai	17. Mai	Station	15. Mai	16. Mai	17. Mai
Kaiserslautern	17.1	11.6	8.9	Ottobeuren	22.2	10.1	5.7
Ludwigshafen a. Rh.	19.0	13.2	9.7	Burghausen	20.2	14.3	7.5
Würzburg	20.2	12.9	10.0	Bad Reichenhall	21.5	13.5	5.6
Bamberg	20.3	12.1	8.6	Tegernsee	23.4	10.1	4.9
Bayreuth	19.8	12.5	7.8	Ettal	22.1	9.6	3.7
Hof	17.3	11.8	7.0	Mittenwald	21.8	9.1	4.5
Nürnberg	21.8	13.7	8.7	Oberstdorf	21.7	9.1	4.3
Passau	18.0	14.2	9.3	Lindau	20.3	11.5	6.9
Nördlingen	21.8	11.6	8.4	Hohenpeissenberg	20.9	7.8	2.4
München	21.7	12.5	7.0	Zugspitze	+4.9	− 5.0	−10.4

Es würde ermüden in ausführlicher Beschreibung den noch bis zum 20. Mai anhaltenden Wechsel zwischen Ausläufern und Hochdruckkeilen, Wärme- und Kältewellen zu schildern. Eine Änderung dieser Witterungstendenz trat ein, als am Morgen des 20. eine atlantische Depression sich direkt vor den Kanal legte und zum Übergang auf den Kontinent selbst anschickte, der bis zum 22. vollzogen war. Bis dahin hatten Randwirbel den Weg unter ausgedehnter Gewitterbildung, die am 21. ihr Maximum mit 272 Meldungen aus Nord- und 132 aus Südbayern erreichte, vorbereitet. Die weitere Verlagerung der Depression erfolgte in südöstlicher Richtung. Nachrückender Hochdruck erzeugte dabei in Südbayern steile Luftdruckgradienten gegen die Alpen, so dass hier zu der Rückseitenwirkung der Einfluss des Geländes sich addierte, was zu heftigen Niederschlägen führte, die am Pfingstsamstag, den 25. Mai, ihren Höhepunkt aufwiesen, und wiederum zu einem beträchtlichen Ansteigen der Gewässer führten.

Mit dem schliesslichen Abzug dieses Tiefdruckgebietes trat eine Besserung in der gesamten Wetterlage ein, indem zwar sehr schwacher, aber ziemlich gleichmässig verteilter Luftdruck über dem Kontinent sich erhielt. Die Gewittertätigkeit kam zur Ruhe, die Bewölkung löste sich auf und die letzten drei Tage waren, von unerheblichen lokalen Gewitterstörungen in Südbayern abgesehen, vorwiegend heiter und mild.

Man wird aus der vorhergehenden Schilderung den Eindruck gewonnen haben, dass das Bild des zeitlichen Verlaufes der Witterung im vergangenen Monat recht bewegt ist und insbesondere die Temperaturen erhebliche Schwankungen aufweisen. Die schliesslichen Monatsmittel der Temperatur sind gleichwohl nicht stark vom Normalwert verschieden. Immerhin haben die Hitzewellen vom 12. und 15. das Mittel um zirka 1° über das Normal gesteigert, was aber noch innerhalb der normalen Veränderlichkeit des Maimittels liegt. Am grössten war die Steigerung (ca 1.5°) in der Pfalz, die noch direkt in der Zugrichtung der aus Südwesten kommenden Wärmewellen lag und damit wieder einmal ihre Zugehörigkeit zu der maritimen Klimazone von Westeuropa beweist. Gleich hohe Mehrbeträge lieferte auch das Alpengebiet, das durch Föhn begünstigt war. Unter dem langjährigen Mittel blieben zurück die Stationen des Donautals

von Regensburg bis Passau, wie überhaupt der Einfluss der warmen ozeanischen Luftzufuhr mit dem Fortschreiten gegen Osten abnimmt. Deshalb weist in diesem Jahre auch das Temperaturkärtchen verhältnismässig tiefe Temperaturen im Bayerischen- und Böhmerwalde sowie im Fichtelgebirge auf (vgl. Tabelle I, Temperaturmittel Buchenau 750 m: 9.9°. Schaftlach 757 m: 11.8°, Alexandersbad 590 m: 10.3°, Traunstein 597 m: 11.7°). Sonst ist die Temperaturverteilung normal.

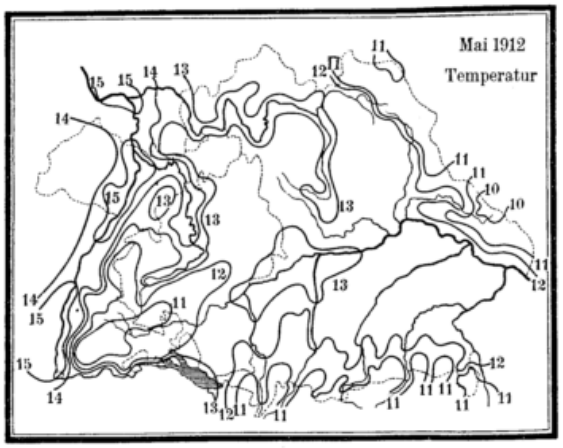

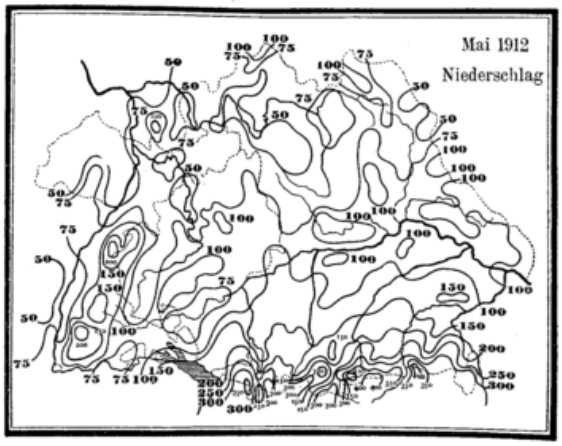

In der Niederschlagsverteilung drückt sich der Witterungscharakter des Monats insoferne deutlicher aus, als die Benachteiligung des Alpengebiets bei der Häufigkeit der Luftdruckstörungen sich geltend machen muss. In der Tat übersteigen die Niederschläge hier die sonst in Süddeutschland erreichten Beträge ganz gewaltig. Meist wurden mehr als 200 mm schon von ca 600 m Seehöhe an gemessen und dann folgen rasch mit der weiteren Erhebung des Geländes 300, 400 und 500 mm. Im Schwarzwald finden sich 100 bis 200 mm, im Bayerischen Wald und Fichtelgebirge 100—150 mm, im übrigen Bayern durchschnittlich 50—75 mm. Weniger als 50 mm besitzt nur die Pfalz mit Ausnahme der Haardt, sowie Teile des Main- und Neckartales und die Leeseite des Wasgenwaldes.

Über sonstige Einzelheiten geben die folgenden Tabellen Aufschluss.

München, den 28. Juni 1912.

L. Weickmann.

Tabelle I.

Station	Höhe über Normal-Null m	Luftdruck in mm: höchster am	höchster mm	tiefster am	tiefster mm	Monatsmittel lokal	Monatsmittel auf Meeresniveau reduziert	Temperatur C°: Mittel um 7a	2p	9p	Mittlere Tagestemperatur	Mittleres Maximum	Mittleres Minimum	Mittel aus Maximum und Minimum	Mittlere Schwankung	Station
Ludwigshafen a/Rh.	100.3	9.	763.0	15.	744.4	753.2	762.2	12.0	19.1	15.3	15.4	20.6	9.9	15.3	10.8	Ludwigshafen a/Rh.
Kahl a/M.	114.1	9.	760.6	15.	743.5	751.7	761.9	11.9	18.4	12.6	13.9	20.9	7.1	14.0	13.9	Kahl a/M.
Landau i. Pf.	149.9	9.	757.6	24.	739.0	748.3	761.6	13.9	19.2	14.0	15.3	20.7	8.7	14.7	12.0	Landau i. Pf.
Würzburg	179.3	8.	754.1	15.	735.3	745.4	761.4	11.1	18.4	13.5	14.1	20.5	8.3	14.4	12.2	Würzburg
Bad Kissingen	209.2	9.	752.7	12.	734.7	743.3	762.0	9.6	17.9	11.7	12.7	19.4	7.1	13.2	12.3	Bad Kissingen
Kaiserslautern	242.2	9.	750.3	15.	732.5	740.8	762.3	10.6	18.1	13.0	13.7	19.8	7.7	13.7	12.1	Kaiserslautern
Luitpoldheim	250							8.8	16.6	12.6	12.7	17.9	7.4	12.6	10.5	Luitpoldheim
Bamberg	287.7	9.	746.1	15.	726.0	736.4	762.0	10.3	17.7	11.9	12.9	19.9	7.1	13.5	12.8	Bamberg
Nürnberg	309.1	9.	743.0	15.	724.0	734.1	761.5	11.1	17.0	13.1	13.6	18.5	8.1	13.3	10.4	Nürnberg
Passau	309.3	9.	744.0	15.	726.0	736.4	762.0	9.8	16.7	12.2	12.7	17.5	8.1	12.6	9.4	Passau
Metten	320							10.4	17.2	12.0	12.9	19.1	6.5	12.8	12.5	Metten
Regensburg	342.6	9.	741.1	15.	722.9	731.4	761.7	10.0	17.2	11.9	12.8	18.8	7.2	13.0	11.6	Regensburg
Bayreuth	363.3	9.	739.3	15.	720.3	729.9	762.0	9.5	16.5	12.1	12.5	18.4	6.2	12.3	12.3	Bayreuth
Burghausen	365	9.	738.8	15.	720.6	729.6	761.9	10.5	17.4	10.9	12.4	18.7	7.6	13.1	11.1	Burghausen
Ingolstadt	368							9.9	17.9	11.8	12.9	19.5	6.3	12.9	13.1	Ingolstadt
Karlshuld	382.0	9.	736.9	15.	718.5	727.7	761.5	10.3	17.6	12.2	13.1	20.3	6.4	13.4	13.9	Karlshuld
Landshut	397.7	9.	736.1	15.	717.5	726.5	761.8	10.7	17.8	11.4	12.8	20.7	6.1	13.4	14.6	Landshut
Lindau i. B. (Reutin)	401.7	9.	737.0	15.	718.9	727.0	762.4	10.5	16.1	12.6	12.9	18.0	8.3	13.2	9.8	Lindau i. B. (Reutin)
Weissenburg i. B.	431	9.	733.2	15.	714.8	724.3	762.2	11.1	17.6	12.1	13.2	18.6	7.4	13.0	11.2	Weissenburg i. B.
Nördlingen	435.6	9.	732.1	15.	713.5	722.9	761.1	10.3	17.1	12.5	13.1	18.8	8.0	13.4	10.8	Nördlingen
Ansbach	437.5	9.	732.6	15.	713.5	723.3	760.8	10.5	16.9	11.5	12.6	18.5	6.6	12.5	11.9	Ansbach
Hof	476.1	9.	728.5	15.	711.4	719.3	761.3	8.5	16.1	9.3	11.1	17.6	4.6	11.1	13.0	Hof
Bad Reichenhall	477	9.	729.1	15.	711.1	719.9	761.9	11.4	16.8	11.6	12.9	18.6	8.9	13.8	9.7	Bad Reichenhall
Augsburg	499.6	9.	727.7	15.	709.1	718.3	761.9	10.9	17.7	13.3	13.8	18.7	8.9	13.8	9.0	Augsburg
München C.-St.	526.4	9.	725.0	15.	706.9	715.8	761.7	11.3	17.0	12.8	13.5	18.1	9.2	13.6	8.9	München C.-St.
Alexandersbad	590							8.5	14.4	9.2	10.3	15.7	5.0	10.3	10.7	Alexandersbad
Traunstein	597	9.	719.2	15.	701.9	710.2	762.4	10.1	15.4	10.7	11.7	16.6	7.6	12.1	9.0	Traunstein
Berchtesgaden	600							9.8	15.5	11.0	11.8	16.5	7.6	12.1	8.9	Berchtesgaden
Ottobeuren	660.0	10.	718.9	15.	696.7	704.8	762.0	10.7	16.7	10.8	12.3	18.3	7.2	12.7	11.1	Ottobeuren
Partenkirchen	714.6	9.	710.0	15.	692.8	700.2	762.2	8.9	15.8	10.8	11.6	17.0	7.2	12.1	9.9	Partenkirchen
Tegernsee	726	9.	707.2	15.	690.9	698.6	761.9	10.4	14.4	10.6	11.5	16.2	7.7	11.9	8.5	Tegernsee
Buchenau	750	9.	705.1	22.	689.3	696.1	761.3	7.5	13.8	9.1	9.9	15.6	5.6	10.6	10.1	Buchenau
Schaftlach	757							10.0	15.0	11.0	11.8	16.9	6.8	11.8	10.1	Schaftlach
Oberstdorf	811.4	9.	701.3	15.	684.6	692.2	762.2	8.8	15.3	10.0	11.0	16.8	5.8	11.3	11.0	Oberstdorf
Ettal	879.5	9.	694.2	15.	677.9	685.1	760.7	8.8	14.5	9.6	10.6	16.6	6.1	11.3	10.5	Ettal
Mittenwald	910	9.	692.8	22.	677.3	683.8	762.0	8.3	14.4	9.4	10.3	15.9	5.7	10.8	10.2	Mittenwald
Hohenpeissenberg	993.9	9.	685.6	15.	669.4	676.8	761.8	8.8	13.2	9.6	10.3	14.7	6.7	10.7	8.0	Hohenpeissenberg
Zugspitze	2964	12.	537.0	17.	524.5	530.2	–	– 3.7	– 1.7	– 2.7	– 2.7	– 0.7	– 5.5	– 2.6	3.8	Zugspitze

Tabelle II.

Station	Temperatur C° höchste am	höchste C°	tiefste am	tiefste C°	grösste Schwankung am	grösste Schwankung C°	Dampfdruck Monatsmittel mm	Relative Feuchtigkeit % Monatsmittel	kleinste am	kleinste %	grösste am	grösste %	Bewölkung Monatsmittel	Niederschlag grösster am	grösster mm	Monatssumme mm	Station
Ludwigshafen a/Rh	12.	30.3	1.	1.5	21.	19.4	8.1	62	2	23	22.	91	5 8	16.	13.5	52.3	Ludwigshafen a/Rh.
Kahl a/M.	12.	31.6	2.	– 4.2	3.	23.7	8.4	70	2.	25	8.	98	5.2	22.	20.4	62.7	Kahl a/M.
Landau i. Pf.	12.	31.7	2.	– 0.4	19.	19.1	8.3	62	3.	23	7.	93	6.0	22.	12.3	36.9	Landau i. Pf.
Würzburg	12.	31.0	2.	– 1.5	15.	22.9	7.9	66	1., 3.	22	8.	99	4.6	8.	7.1	30.1	Würzburg
Bad Kissingen	12.	29.0	2.	– 3.3	3.	20.4	8.0	72	14.	27	8.	99	6.2	16.	10.8	44.6	Bad Kissingen
Kaiserslautern	12.	30.7	2.	– 1.7	20.	19.2	8.2	69	2.	30	9., 24.	96	6.0	16.	8.0	26.4	Kaiserslautern
Luitpoldheim	12.	27.6	2.	– 1.9	15.	18.0	8.3	76	3.	33	2.	100	5.3	16.	15.5	49 1	Luitpoldheim
Bamberg	12.	29.3	2.	– 2.0	3.	21.0	8.1	71	1.	33	9.	100	7.6	21.	17.0	83.8	Bamberg
Nürnberg	12.	30.2	2.	– 2.3	3.	17.4	7.6	65	3.	24	8., 9.	97	6.5	22.	15.5	65.1	Nürnberg
Passau	15.	27.7	3.	0.0	15.	17.8	8.6	78	2.	32	8.	99	6.0	24.	18.8	116.8	Passau
Metten	15.	29.3	3.	– 2.1	15.	22.1	8.3	74	1.	32	18.	100	6.6	24.	12.4	86.5	Metten
Regensburg	15.	30.0	2.	– 2.0	15.	19.8	7.3	66	15.	19	öfters	93	5.8	25.	24.2	77.3	Regensburg
Bayreuth	12.	29.0	2.	– 4.0	15.	21.6	7.6	70	3.	27	9., 11.	98	6.9	10.	24.5	62.3	Bayreuth
Burghausen	15.	30.0	3.	– 1.1	15.	21.8	8.4	77	15.	32	8., 23.	97	6.5	26.	21.2	138.1	Burghausen
Ingolstadt	12.	30.7	2.	– 3.8	20.	22.4	8.2	72	3.	31	9., 10.	97	6.3	24.	16.8	81.1	Ingolstadt
Karlshuld	12.	33.5	2.	– 4.2	12.	23.3	8.2	72	3.	29	öfters	100	5.6	9.	29.3	108.0	Karlshuld
Landshut	12.	34.2	3.	– 3.0	12.	25.0	8.0	72	3.	25	9.	100	6.0	24.	21.0	94.7	Landshut
Lindau i. B. (Reutin)	12.	27.0	2.	– 1.7	4.	17.0	8.9	79	4.	39	25.	100	6.0	25.	34.9	191.5	Lindau i. B. (Reutin)
Weissenburg i. B.	12.	29.4	2.	– 2.9	20.	21.1	8.9	76	15.	33	8.	100	6.2	22.	21.1	104.7	Weissenburg i. B.
Nördlingen	12.	30.3	2.	– 1.4	15.	17 8	7.9	70	3., 15.	25	8.	98	6.2	22.	18.7	75.2	Nördlingen
Ansbach	12.	29.8	2.	– 4.4	20.	19.2	7.7	69	3.	28	9.	97	5.5	25.	16.6	88.2	Ansbach
Hof	12.	27.7	2.	– 7.1	15.	23.9	7.0	71	3.	20	2.	100	7.0	23.	11.6	53.2	Hof
Bad Reichenhall	12.	33 9	2.	0.3	12.	19.2	8.0	73	12.	24	9.	99	6.8	26.	55.8	284.6	Bad Reichenhall
Augsburg	12.	30.3	2.	1.2	5., 12.	17.1	8.2	70	15.	27	8.	97	6.5	9.	18.6	115.6	Augsburg
München C.-St.	12.	31.6	2.	1.2	12.	17.8	7.8	68	12.	22	24.	96	6.9	9.	35.7	143.0	München C.-St.
Alexandersbad	12.	26.6	2.	– 5.0	15.	21.0	6.9	72	14.	24	18.	100	5.6	9.	7.0	34.1	Alexandersbad
Traunstein	12.	30.0	2.	– 1.4	15.	19.6	7.4	72	12.	17	10., 21.	96	6.9	9.	38.9	284.7	Traunstein
Berchtesgaden	15.	29.0	2.	– 1.0	12.	19.4	7.9	77	12., 15.	26	9.	98	7.6	9.	46.8	333.0	Berchtesgaden
Ottobeuren	15.	30.8	2.	– 4.0	15.	17.8	7.6	71	12.	25	25.	98	6.0	25.	18.4	129.8	Ottobeuren
Partenkirchen	12.	29.8	2.	– 1.3	12.	20.0	7.7	77	15.	15	öfters	100	6.7	9.	71 0	243.4	Partenkirchen
Tegernsee	12.	29.2	2.	– 1.1	12.	16.6	7.3	73	15.	32	8.	98	6.8	9.	58.0	280.9	Tegernsee
Buchenau	15.	25.4	1., 3.	– 0.1	15.	17.3	7.4	80	3.	33	öfters	99	6.4	23.	28.4	147.9	Buchenau
Schaftlach	15.	30.5	2.	– 3.5	19.	18.1	7.8	75	öfters	35	8., 9.	98	7.2	9.	47.5	260.7	Schaftlach
Oberstdorf	12.	27.3	2.	– 2.9	19.	19.3	7.5	78	12.	31	öfters	99	7.4	9.	59.2	243.6	Oberstdorf
Ettal	15.	29.1	2.	– 2.2	12.	20.0	7.0	74	12., 15.	18	öfters	98	6.8	9.	68.4	289.4	Ettal
Mittenwald	15.	28.0	2.	– 2.3	19.	18.4	7.3	78	12.	29	8., 9.	100	7.4	9.	97.9	277.9	Mittenwald
Hohenpeissenberg	12.	26.7	2.	– 2.3	16.	14.9	6.6	71	12.	18	öfters	100	7.2	9.	25.1	185.5	Hohenpeissenberg
Zugspitze	15.	7.2	17.	–12.5	2.	10.3	3.5	93	15.	54	öfters	100	7.4	9.	32.7	178.4	Zugspitze

Station	Tage mit Niederschlägen ≥ 0.1mm	Niederschlägen ≥ 1.0mm	Schneefall	Schneedecke	Graupeln	Hagel	Gewitter	Nebel	Reif	Tau	Tage heitere	trübe	Sommer	Frost	Anzahl der beobachteten Windrichtungen N	NE	E	SE	S	SW	W	W	Stille	Station
Ludwigshafen a/Rh.	10	9	–	–	1	–	7	–	–	6	5	9	6	–	17	4	5	1	3	12	23	7	21	Ludwigshafen a/Rh.
Kahl a/M.	12	7	–	–	–	–	3	–	2	5	4	4	4	2	–	2	4	3	5	28	8	7	36	Kahl a/M.
Landau i. Pf.	14	10	–	–	1	–	4	–	1	7	5	11	6	1	–	23	–	1	–	32	23	14	–	Landau i. Pf.
Würzburg	9	7	–	–	–	–	3	1	3	18	6	3	4	1	6	5	8	9	5	12	18	18	12	Würzburg
Bad Kissingen	15	11	–	–	–	–	6	3	3	9	3	10	3	3	12	4	4	–	20	15	18	14	6	Bad Kissingen
Kaiserslautern	14	8	–	–	–	1	3	1	2	12	5	9	4	1	6	5	7	–	1	1	28	5	40	Kaiserslautern
Luitpoldheim	14	9	–	–	–	–	4	8	1	10	4	5	2	3	3	3	5	6	12	37	6	4	17	Luitpoldheim
Bamberg	30	13	–	–	–	–	5	2	3	13	1	14	3	3	7	1	6	3	16	6	33	14	7	Bamberg
Nürnberg	11	9	–	–	–	1	7	2	2	8	3	13	2	3	11	1	8	12	6	8	17	27	3	Nürnberg
Passau	16	13	–	–	–	–	4	2	1	7	5	12	2	–	–	–	4	–	6	3	24	5	51	Passau
Metten	15	13	–	–	–	–	6	8	2	13	3	12	4	2	3	–	1	3	5	5	35	8	33	Metten
Regensburg	15	11	–	–	–	–	4	–	2	–	5	9	2	2	3	2	19	9	6	2	43	9	–	Regensburg
Bayreuth	13	10	–	–	1	–	4	4	4	7	2	12	3	3	2	3	13	7	1	1	39	23	4	Bayreuth
Burghausen	14	13	–	–	–	1	8	5	3	9	5	15	3	2	4	–	9	3	5	16	4	2	50	Burghausen
Ingolstadt	16	11	–	–	2	–	7	1	3	17	5	11	4	3	4	9	11	3	3	27	23	10	3	Ingolstadt
Karlshuld	12	10	–	–	–	–	1	1	2	12	5	10	5	2	–	2	4	–	1	8	33	–	45	Karlshuld
Landshut	19	12	–	–	–	1	3	2	2	6	5	8	4	2	9	5	11	–	1	8	39	5	15	Landshut
Lindau i. B. (Reutin)	18	16	–	–	1	–	1	–	2	10	5	13	3	2	9	9	3	4	23	7	24	2	12	Lindau i. B. (Reutin)
Weissenburg i. B.	15	12	–	–	–	–	3	–	3	8	4	9	2	2	6	10	4	2	11	18	20	14	8	Weissenburg i. B.
Nördlingen	15	9	–	–	1	–	5	–	1	5	3	11	2	1	5	5	6	3	5	14	32	10	13	Nördlingen
Ansbach	16	10	–	–	1	1	6	–	2	1	5	8	2	3	8	2	2	–	1	4	20	14	42	Ansbach
Hof	15	9	–	–	1	–	3	10	6	10	1	10	2	6	12	10	–	4	9	11	21	21	5	Hof
Bad Reichenhall	20	14	–	–	–	–	2	–	1	6	5	13	3	–	1	6	20	1	2	18	28	5	12	Bad Reichenhall
Augsburg	14	13	–	–	1	–	4	–	2	10	4	14	3	–	5	9	1	5	5	32	3	23	10	Augsburg
München C.-St.	17	15	–	–	1	–	7	–	1	10	3	16	3	–	–	5	5	4	1	29	12	15	22	München C.-St.
Alexandersbad	12	9	–	–	–	–	6	–	4	11	3	5	2	4	5	14	3	1	1	5	30	13	21	Alexandersbad
Traunstein	18	15	–	–	–	–	4	–	2	2	4	12	2	1	4	1	14	4	7	7	43	13	–	Traunstein
Berchtesgaden	19	14	–	–	–	–	7	–	1	11	4	19	3	1	–	–	5	1	–	1	7	–	79	Berchtesgaden
Ottobeuren	16	12	–	–	1	–	7	–	5	9	4	11	4	2	3	14	1	2	1	33	8	2	29	Ottobeuren
Partenkirchen	21	15	–	–	–	–	5	–	1	5	4	16	3	1	3	–	–	5	6	1	6	15	57	Partenkirchen
Tegernsee	19	17	1	–	–	1	5	–	–	–	4	15	2	1	6	4	15	14	12	1	4	6	31	Tegernsee
Buchenau	18	14	–	–	–	–	5	4	2	14	5	15	2	2	2	5	26	2	1	5	32	–	20	Buchenau
Schaftlach	21	18	1	–	1	–	6	4	1	9	4	16	2	1	1	5	18	–	2	9	34	4	20	Schaftlach
Oberstdorf	21	18	1	–	–	–	2	3	2	6	3	18	3	2	9	4	2	10	9	6	10	13	30	Oberstdorf
Ettal	19	16	2	–	1	–	5	–	3	7	3	13	2	1										Ettal
Mittenwald	20	14	1	–	1	–	5	–	3	3	3	17	3	2	6	6	7	5	8	5	–	4	52	Mittenwald
Hohenpeissenberg	21	17	1	–	1	1	7	12	–	3	3	17	2	3	–	18	8	3	–	16	30	16	2	Hohenpeissenberg
Zugspitze *)	22	20	21	31	10	–	6	24	–	–	5	19	–	27	19	1	–	9	4	3	10	41	6	Zugspitze

*) Zugspitze 21 Wintertage.

Übersicht über die Witterungsverhältnisse im Königreiche Bayern

während des Juni 1912.

Die Temperaturverhältnisse des Juni waren normale insofern, als im allgemeinen weder nach der positiven, noch nach der negativen Seite beträchtlichere Abweichungen von den langjährigen Mittelwerten auftraten. Nur ganz vereinzelt waren Differenzen von mehr als 1 Grad zu verzeichnen, so in München und Landshut nach der positiven, in Bamberg nach der negativen Richtung. Im allgemeinen bezifferten sich die Abweichungen nur auf wenige Zehntel, wobei sie im Maingebiet und im unteren Donautal vorwiegend negatives, im übrigen Bayern und in der Rheinpfalz meist positives Vorzeichen trugen.

Betrachten wir, um zu einer allgemeinen Charakteristik des Berichtsmonats nach den hauptsächlichsten Witterungsfaktoren zu gelangen, noch die Niederschlagsverhältnisse, so ist in erster Linie die ziemlich beträchtliche Häufigkeit der Regenfälle zu erwähnen. Was die angefallenen Niederschlagssummen selbst betrifft, so fielen dieselben in der Pfalz, auf der Frankenhöhe und am unmittelbaren Ufergelände des Bodensees etwas geringer aus, als nach langjährigen Aufzeichnungen zu erwarten stand; im übrigen Bayern wurden die normalen Regenmengen zumeist um Geringes, stellenweise aber auch um mehr als 50 Prozent überschritten.

Der zeitliche Temperaturverlauf, der durch die Schwankungen der Temperatur-Tagesmittel dargestellt wurde, zeigt zwar grosse Beweglichkeit, doch sind die Abweichungen von den Durchschnittswerten nicht erheblich und sowohl nach der positiven, wie nach der negativen Seite ungefähr gleich häufig. Die wiederholten Temperaturschwankungen standen in unmittelbarem Zusammenhang mit einer recht wechselreichen Luftdruckverteilung und trugen in hohem Grade dazu bei, der Witterung den Charakter des Unbeständigen zu verleihen. Eine kurze Beschreibung der hervortretendsten Witterungserscheinungen wird diese Verhältnisse näher beleuchten.

Am Morgen des 1. Juni gestaltete sich die Luftdruckverteilung recht unregelmässig. Flache Depressionen lagen über der Biscayasee, Südskandinavien und Nordwestrussland; ein Maximalkern von nennenswerter Intensität war über Europa nicht vorhanden. Die Witterung war vorwiegend heiter, in den Nachmittags- und Abendstunden traten zahlreiche Gewitter auf. Bis zum folgenden Tage rückte die westliche Depression ostwärts bis Centraleuropa vor und verursachte über unserem Gebiete starke Bewölkung und verbreitete Niederschläge bei sinkenden Temperaturen. Obschon die Luftdruckstörungen rasch nach der Nord- und Ostsee zurückgedrängt wurden, trat doch keine durchgreifende Besserung der Wetterlage ein. Zahlreiche Ausläufer und Randgebilde der im Norden unseres Gebietes vorbeiziehenden Depressionen hatten wechselnde Bewölkung mit zeitweisen Niederschlägen zur Folge. Vom 4. ab waren diese allerdings nur auf enge Bezirke beschränkt und zeigten nur geringe Dauer und Ergiebigkeit; auch die Temperaturen stiegen von diesem Termine wieder kräftig an. Hingegen gewannen dieselben am 7. wieder weite Verbreitung und traten vielfach in Form kräftiger Gewitterregen auf. So war die Wetterlage beständigen Wechseln unterworfen, ohne dass sowohl die zyklonalen, wie die antizyklonalen Eigentümlichkeiten des Wetters mit grosser Schärfe hervorgetreten wären. Im allgemeinen dauerte diese Situation bis zum 18. und bildete mit ihrem beständigen Wechsel von Regen und Sonnenschein eine für die Entwicklung der Vegetation recht günstige Periode. Vom 19. ab waren schroffere Gegensätze in der Witterung einzelner Epochen zu verzeichnen. An diesem Tage herrschte unter der Herrschaft eines Barometermaximums vorwiegend heiteres und warmes Wetter. Bald gewann aber wieder ein südlicher Ausläufer einer über der Nordsee gelegenen Depression Einfluss und verursachte am 20. und 21. stärkere Bewölkung und am erstgenannten Tage verbreitete Gewitter mit stellenweise kräftigen Regenmengen. Erst am 22. kam das kontinentale Maximum wieder zur unbestrittenen Herrschaft, die es auch noch am 23. über dem grössten Teile Süddeutschlands behauptete. Der 24. brachte unter dem Einflusse eines über unser Gebiet hinwegziehenden flachen Ausläufers niedrigen Druckes neuerdings Trübung, verbreitete Gewitter und ergiebige Regenfälle. Auch am 25. und 26. war noch die Einwirkung niedrigen Druckes fühlbar und erst am 27. und 28. kam wieder die Herrschaft hohen Druckes zur unbestrittenen Geltung. Auch am 29. herrschte untertags noch meist heiteres Wetter, gegen Abend nahm dann die Bewölkung rasch zu und wieder brachten zahlreiche Gewitter eine kurze Unterbrechung des heiteren und warmen Sommerwetters. Zumeist klarte es jedoch bereits am 30. wieder auf.

Nach dieser flüchtigen Skizzierung des zeitlichen Witterungsverlaufes gehen wir zur Betrachtung der geographischen Verteilung der Mittelwerte der hauptsächlichsten meteorologischen Elemente über. Auf dem ersten der beigegebenen Kärtchen ist die Verteilung der Mitteltemperaturen über Süddeutschland dargestellt. Der Verlauf der Isothermen weist in gewohnter Weise auf die Abhängigkeit der Temperaturverteilung vom Aufbau des Geländes hin. Der Rheinebene, sowie den tieferen Tallagen von Main und Neckar, kommen Mitteltemperaturen von mehr als 17, einigen Bezirken sogar von mehr als 18 Grad zu. Die Isotherme für 16 Grad umfasst noch den grössten Teil des Maintales und die tieferen Tallagen der Mainzuflüsse, das Ufergelände des Bodensees, ferner das Donautal von Ulm abwärts und daran anschliessend das Gebiet südlich der Donau bis ungefähr zu 500 Meter Seehöhe. Die hohen Werte des Temperaturmittels auf diesem letztangeführten Gelände sind auf Kosten der hohen Maximalbeträge zu setzen, welche die Temperaturen hier an heiteren Tagen in den ersten Nachmittagsstunden erreichen. So ergaben sich in der weiteren Umgebung Landshuts mittlere Maxima von mehr als 24 Grad, wie solche nicht einmal in den begünstigten Lagen der Rheinebene verzeichnet wurden.

Andererseits finden wir auf dem gleichen Gebiete mittlere Minima von weniger als 10 Grad, also von einer Grössenordnung, wie sie sonst nur im Alpengebiete und im Gebiete unserer östlichen Mittelgebirge auftritt. Das Gelände, das in sanfter Abdachung von der bayerischen Hochebene nach der Donauniederung sich senkt, ist ausgezeichnet durch auffallend hohe Maxima und bemerkenswert tiefe Minima, also durch eine ungewöhnlich hohe tägliche Temperaturamplitude. Es ist anzunehmen, dass diese extremen Verhältnisse nur den tieferen Tallagen eigentümlich sind und schon in mässigen Höhen verschwinden. Im Monat Juni ergab sich für Landshut und Karlshuld im Donaumoos eine mittlere Temperaturschwankung von 14.6 beziehungsweise 14.2 Grad, ein Betrag, der nur in Kahl a. M. mit 13.1 Grad annähernd erreicht wurde. An der Mehrzahl unserer Beobachtungsorte bewegten sich die entsprechenden Werte zwischen 9 und 12 Grad. Eine selbstverständliche Folge des starken mittägigen Temperaturanstieges ist die Tatsache, dass Landshut und Karlshuld weitaus die höchste Anzahl von Sommertagen verzeichneten. In Landshut wurden 18, in Karlshuld 12 Tage mit einem Temperaturmaximum von mehr als 25 Grad gezählt; Ludwigshafen a. Rh. notierte nur 10 solcher Tage. Die diesbezüglichen Angaben für die übrigen Orte unseres Beobachtungsnetzes finden sich auf Tabelle III, wo neben der Spalte für die Häufigkeitszahlen der Sommertage noch eine solche für Tropentage beigefügt ist, an denen die Maximaltemperaturen über 30 Grad angestiegen sind.

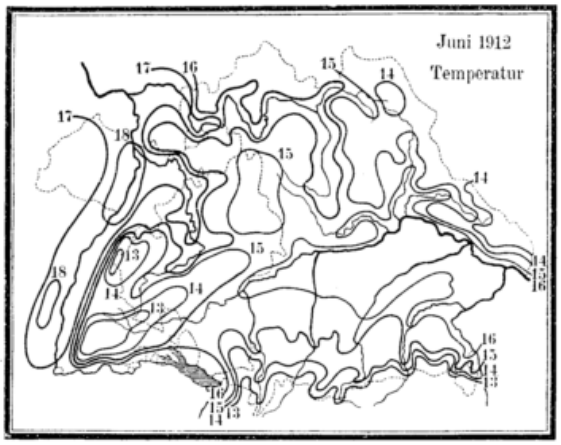

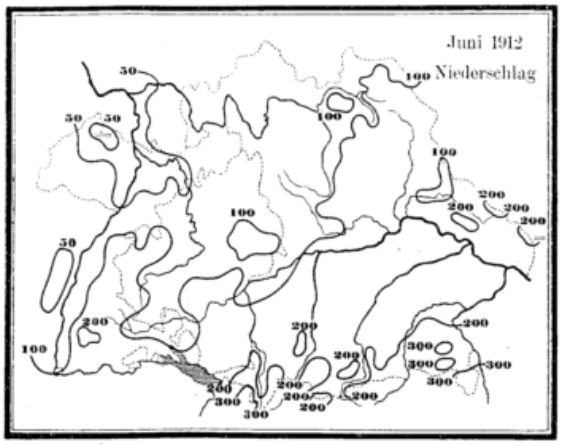

Auf dem zweiten der beigegebenen Kärtchen ist die geographische Verteilung der Niederschlagsmengen über Süddeutschland zur Darstellung gebracht. Wie schon eingangs kurz erwähnt und wie auch der kurzen Schilderung des zeitlichen Witterungsverlaufes zu entnehmen ist, war die Niederschlagshäufigkeit eine ziemlich beträchtliche. Da die Niederschläge vielfach als Gewitterregen niedergingen, so gestaltete sich ihre zeitliche wie auch örtliche Verteilung recht unregelmässig. So lieferten beispielsweise die starken Gewitterregen des 13. an den verschiedenen Messungsstellen in Augsburg recht verschiedene Beträge. Während an der Beobachtungsstelle an der Lechhauserstrasse 52.0 mm gemessen wurden, kamen in Augsburg-Hochablass 85.9 mm zur Aufzeichnung, das ist in geringer Distanz ein Unterschied von etwa 34 mm innerhalb weniger Stunden. In dem ca 20 km nördlich gelegenen Ellgau fielen in der gleichen Zeit nur 10.2 mm an. Unter solchen Umständen musste natürlich auch die Verteilung der monatlichen Niederschlagsmengen recht unregelmässig ausfallen, so dass die Isohyeten nur in grossen Abständen gezogen werden konnten. Im Alpengebiete, auf den Höhen des südlichen Schwarzwaldes und an den besonders exponierten Westabhängen des Bayerischen Waldes wurden Regenmengen von mehr als 200 mm, im Algäu und im Traungebiet sogar solche von über 300 mm erhalten. Die Kurve für 100 mm Niederschlagssumme zieht etwa von Basel dem Westabfall des Schwarzwaldes entlang, nimmt das Trockengebiet an der Leeseite des Schwarzwaldes aus und folgt dann dem Nordwestfuss des Jura. Diese Kurve trennt im allgemeinen das trockenere Rhein- und Maingebiet von dem niederschlagsreicheren Donaugebiet. Trockengebiete mit weniger als 50 mm finden sich im Lee der Vogesen, im Mainzer Becken und der Rheinebene von Karlsruhe abwärts. Auch die Niederschlagsdichte, das ist die mittlere Niederschlagsmenge eines Regentages, nimmt in der Richtung von Nordwest nach Südost zu. Während in der Pfalz der entsprechende Wert zwischen 2 und 3 mm schwankt, beträgt derselbe in der Donauebene 6 bis 8 mm und wächst am Alpenfusse auf 10 bis 14 mm an. Diese Zahlen gelten für den Fall, dass alle Tage mit überhaupt messbaren Niederschlagsmengen zur Berechnung beigezogen wurden. Berücksichtigt man nur jene Tage mit stärkeren Niederschlägen von mindestens 1.0 mm Messungsergebnis, so erhöhen sich die Zahlen für die Dichte um mässige Beträge und die Zunahme von Nordwest gegen Südost ist noch stärker ausgesprochen.

Die mittlere Bewölkungsziffer schwankt im allgemeinen zwischen 5 und 7 Zehnteln der vollen Bedeckung. Die Zahl der heiteren Tage, die vorwiegend in die zweite Monatshälfte fielen, war gering und erreichte nur an wenigen Orten den Wert 5; andererseits war dem unbeständigen Witterungscharakter entsprechend auch die Zahl der trüben Tage nicht sehr gross (im Mittel etwa 10). Nähere diesbezügliche Angaben mögen wieder den entsprechenden Rubriken der Tabelle III entnommen werden.

Die mittleren, auf Meeresniveau reduzierten Barometerstände liegen in der Nähe von 760.5 mm, ohne dass ein ausgesprochenes Gefälle nach irgendeiner Richtung zu konstatieren wäre. Die vorherrschende Windrichtung war West.

München, den 19. Juli 1912. Alt.

Tabelle I.

Station	Höhe über Normal-Null m	Luftdruck in mm: höchster am	höchster mm	tiefster am	tiefster mm	Monatsmittel lokal	Monatsmittel auf Meeresniveau reduziert	Temperatur C°: Mittel um 7a	2p	9p	Mittlere Tagestemperatur	Mittleres Maximum	Mittleres Minimum	Mittel aus Maximum und Minimum	Mittlere Schwankung	Station
Ludwigshafen a/Rh.	100.3	27.	758.9	2.	741.5	751.7	760.5	15.4	22.5	18.2	18.6	23.6	13.3	18.4	10.3	Ludwigshafen a/Rh.
Kahl a/M.	114.1	27.	757.2	2.	739.9	750.0	760.1	15.5	21.6	15.4	17.0	24.0	10.9	17.4	13.1	Kahl a/M.
Landau i. Pf.	149.9	27.	754.6	2.	737.9	747.0	760.2	17.2	21.9	16.5	18.0	23.2	12.4	17.8	10.8	Landau i. Pf.
Würzburg	179.3	27.	752.3	2.	735.6	744.4	760.2	14.4	20.7	15.6	16.6	22.4	11.5	17.0	10.9	Würzburg
Bad Kissingen	209.2	27.	748.8	2.	731.6	742.0	760.5	13.2	20.6	14.4	15.7	22.2	10.8	16.5	11.4	Bad Kissingen
Kaiserslautern	242.2	27.	746.1	2.	730.0	739.4	760.6	14.6	20.7	15.6	16.6	22.4	11.4	16.9	11.0	Kaiserslautern
Luitpoldheim	250							12.4	19.2	14.5	15.1	20.2	10.3	15.3	9.8	Luitpoldheim
Bamberg	287.7	27.	742.2	2.	725.1	735.3	760.5	14.4	20.9	14.4	16.0	22.9	10.8	16.8	12.1	Bamberg
Nürnberg	309.1	27.	740.1	2.	722.6	733.1	760.1	15.0	20.6	15.9	16.9	21.8	11.9	16.9	9.8	Nürnberg
Passau	309.3	27.	740.3	2.	722.9	733.6	760.6	13.8	20.7	16.0	16.6	21.5	11.7	16.6	9.8	Passau
Metten	320							14.2	21.5	15.6	16.7	23.1	10.2	16.6	12.8	Metten
Regensburg	342.6	27.	737.2	2.	720.3	730.7	760.5	14.3	20.9	15.4	16.5	23.0	11.4	17.2	11.6	Regensburg
Bayreuth	363.3	27.	735.6	2.	718.3	728.7	760.4	13.5	20.3	14.9	15.9	22.1	10.4	16.2	11.6	Bayreuth
Burghausen	365	27.	735.5	2.	717.2	728.6	760.4	14.2	21.4	14.1	16.0	23.0	10.7	16.8	12.3	Burghausen
Ingolstadt	368							13.7	21.1	14.9	16.2	22.5	10.0	16.2	12.5	Ingolstadt
Karlshuld	382.0	27.	733.5	2.	716.6	726.8	760.1	14.2	20.7	15.1	16.2	23.7	9.5	16.6	14.2	Karlshuld
Landshut	397.7	27.	732.5	2.	714.5	725.6	760.3	14.7	21.7	15.0	16.6	25.1	10.5	17.8	14.6	Landshut
Lindau i. B. (Reutin)	401.7	27.	732.7	2.	715.7	726.0	760.9	14.3	18.9	15.8	16.2	20.7	11.4	16.0	9.3	Lindau i. B. (Reutin)
Weissenburg i. B.	431	27.	729.8	2.	713.2	723.4	760.8	14.9	20.4	14.9	16.3	21.4	10.8	16.1	10.6	Weissenburg i. B.
Nördlingen	435.6	27.	728.7	2.	712.0	721.9	759.7	13.5	19.8	15.0	15.8	21.3	11.2	16.2	10.1	Nördlingen
Ansbach	437.5	27.	729.2	2.	712.4	722.4	760.4	14.1	20.1	14.3	15.7	21.8	10.3	16.1	11.5	Ansbach
Hof	476.1	27.	725.4	2.	709.2	718.6	760.1	12.5	19.3	13.0	14.4	21.0	8.6	14.8	12.4	Hof
Bad Reichenhall	477	27.	725.9	2.	707.6	719.0	760.3	14.8	21.3	14.7	16.3	22.7	11.6	17.2	11.1	Bad Reichenhall
Augsburg	499.6	27.	724.4	2.	706.7	717.5	760.5	14.2	20.3	16.0	16.6	21.5	11.8	16.7	9.7	Augsburg
München C.-St.	526.4	27.	721.7	2.	704.5	715.0	760.3	14.6	20.1	15.9	16.6	21.6	12.2	16.9	9.3	München C.-St.
Alexandersbad	590							12.0	17.3	12.6	13.7	18.7	9.2	13.9	9.4	Alexandersbad
Traunstein	597	27.	716.2	2.	698.6	709.5	761.0	13.5	19 4	13.8	15.1	21.1	10.5	15.8	10.6	Traunstein
Berchtesgaden	600							12.8	19.5	14.1	15.1	20.5	10.1	15.3	10.4	Berchtesgaden
Ottobeuren	660.0	27.	710.6	2.	694.6	704.1	760.7	14.2	18.9	13.3	14.9	20.7	10.0	15.4	10.7	Ottobeuren
Partenkirchen	714.6	19., 27.	706.0	2.	689.3	699.6	760.8	12.0	18.2	13.2	14.2	19.5	9.6	14.5	9.9	Partenkirchen
Tegernsee	727.8	27.	705.3	2.	688.2	698.6	760.8	13.3	17.7	13.0	14.3	19.5	10.3	14.9	9.2	Tegernsee
Buchenau	750	27.	702.3	2.	689.5	696.0	760.2	11.6	17.2	12.5	13.5	19.3	9.4	14.3	9.8	Buchenau
Schaftlach	757							13.6	17.9	13.8	14.8	20.1	9.1	14.6	11.0	Schaftlach
Oberstdorf	811.4	27.	697.5	2.	681.2	691.6	760.9	12.7	17.8	12.2	13.7	20.0	7.6	13 8	12.4	Oberstdorf
Ettal	879 5	27.	691.4	2.	674.5	684.7	760.7	14.1	17.4	11.8	13.5	20.1	8.6	14.3	11.5	Ettal
Mittenwald	910	19.	689.3	2.	673.2	683.2	760.5	12.3	18.1	11.5	13.3	19.8	7.8	13.8	12.0	Mittenwald
Hohenpeissenberg	993.9	27.	682.5	2.	666.4	676.4	760.4	12.5	15.6	12.4	13.2	17.6	9.5	13.6	8.1	Hohenpeissenberg
Zugspitze	2964	19.	538.3	2.	523.2	531.4		- 0.6	1.5	0.1	0.3	2.7	- 1.9	0 4	4.6	Zugspitze

Tabelle II.

Station	Temperatur C°: höchste am	höchste C°	tiefste am	tiefste C°	grösste Schwankung am	grösste Schwankung C°	Dampfdruck Monatsmittel mm	Relative Feuchtigkeit %: Monatsmittel	kleinste am	kleinste %	grösste am	grösste %	Bewölkung Monatsmittel	Niederschlag: grösster am	grösster mm	Monats-Summe mm	Station
Ludwigshafen a/Rh	23.	32.1	4., 17.	9.2	23.	17.9	9.6	62	16.	26	2., 7.	92	6.0	14.	6.6	41.1	Ludwigshafen a/Rh.
Kahl a/M.	19.	33.9	1.	5.0	19.	25.2	10.4	72	1.	23	7.	99	6.2	8.	29.7	81.2	Kahl a/M.
Landau i. Pf.	23.	30.3	4.	7.8	23.	16.2	10.1	65	16.	34	7., 29.	92	6.5	2.	14.5	56.5	Landau i. Pf.
Würzburg	23.	29.8	1.	7.2	23.	18.9	10.3	74	23.	33	24.	98	5.7	25.	27.0	88.0	Würzburg
Bad Kissingen	29.	29.8	4.	4.2	1.	19.9	10.2	77	1.	32	4., 18	98	6.2	15.	11.6	88.4	Bad Kissingen
Kaiserslautern	19.	30.5	1.	7.6	22.	19.4	9.7	69	19.	33	2.	94	6.8	17.	8.2	39.2	Kaiserslautern
Luitpoldheim	29.	27.0	3.	4.9	29.	16.3	10.4	81	29.	42	18.	99	6.1	10.	12.6	70.2	Luitpoldheim
Bamberg	29.	29.4	1.	5.9	29.	19.7	10.6	77	1., 22.	42	öfters	98	7.7	30.	11.8	76.7	Bamberg
Nürnberg	23.	28.9	1.	7.3	23.	17.4	10.1	71	1., 23.	34	9., 24.	96	7.4	25.	32.0	107.1	Nürnberg
Passau	7.	27.4	18.	7.0	28.	15.3	10.9	77	7.	39	10.	97	6.8	21.	24.4	133.1	Passau
Metten	7.	28.3	18.	5.7	1.	19.0	10.9	77	1., 2.	38	26.	100	6.9	25.	31.0	131.3	Metten
Regensburg	19.	29.2	1., 2.	7.5	23.	17.5	9.7	69	21.	37	26.	98	6.1	25.	45.0	107.4	Regensburg
Bayreuth	23., 29.	29.5	1.	4.4	1.	20.4	10.0	75	23.	39	13.	99	7.0	25.	17.1	67.4	Bayreuth
Burghausen	29.	29.2	5.	7.7	29.	19.4	10.5	78	2.	30	11., 25.	98	6.6	10., 25.	23.2	129.9	Burghausen
Ingolstadt	19.	29.4	1.	4.2	1.	20.8	10.4	76	19.	40	öfters	98	6.7	25.	42.2	125.0	Ingolstadt
Karlshuld	19.	32.5	1.	3.9	23.	26.1	10.4	76	19., 30.	38	2.	100	5.8	25.	27.5	92.2	Karlshuld
Landshut	23.	32.3	1.	6.0	23.	22.1	10.5	74	29.	33	24., 25.	99	6.1	25.	31.4	136.8	Landshut
Lindau i. B. (Reutin)	23.	26.7	1.	8.1	23.	15.7	10.7	78	1.	52	13.	99	5.8	14.	44.2	135.0	Lindau i. B. (Reutin)
Weissenburg i. B.	29.	27.8	1.	6.2	23.	17.6	11.1	79	23.	45	öfters	99	6.4	25.	49.9	115.2	Weissenburg i. B.
Nördlingen	29.	28.2	1.	7.2	29.	17.0	9.8	74	3., 16.	41	11.	96	6.7	25.	18.6	95.0	Nördlingen
Ansbach	23.	31.0	1.	5.4	23.	21.9	9.5	69	22.	40	10.	96	6.0	24.	11.6	53.5	Ansbach
Hof	29.	29.3	1.	2.5	23.	22.4	9.7	79	29.	35	9.	98	7.1	25.	19.0	99.3	Hof
Bad Reichenhall	29.	29.8	3.	7.8	2., 7.	18.0	10.1	72	2.	28	3.	98	6.0	14.	52.7	235.6	Bad Reichenhall
Augsburg	23.	29.7	1., 17.	7.7	23.	17.7	10.5	75	7.	40	11., 12	98	6.5	14.	66.3	182.0	Augsburg
München C.-St.	29.	27.6	17.	9.2	23.	14.3	9.6	69	3.	35	25.	98	6.8	30.	48.2	163.2	München C.-St.
Alexandersbad	7.	24.6	1.	4.0	1.	16.3	9.6	82	29.	41	25., 26.	100	6.0	25.	42.6	154.7	Alexandersbad
Traunstein	29.	26.4	3.	6.8	28.	16.4	9.4	73	2.	34	10.	97	6.4	14.	85.3	332.8	Traunstein
Berchtesgaden	29.	26.2	1.	6.3	28.	16.6	9.7	76	2.	34	27.	96	6.7	14.	47.1	225.9	Berchtesgaden
Ottobeuren	23.	29.5	1.	6.0	23.	19.8	9.2	72	23.	34	öfters	96	6.2	25.	41.5	149.1	Ottobeuren
Partenkirchen	23.	26.6	17.	5.7	19.	16.3	9 6	80	1.	36	öfters	100	5.7	25.	43.0	195.0	Partenkirchen
Tegernsee	29.	26.2	3.	5.8	23.	15.5	9.2	75	2.	31	20.	98	6.2	25.	49.0	198.5	Tegernsee
Buchenau	7.	25.8	30.	5.6	23.	16.7	10.0	86	1.	45	öfters	100	6.9	25.	48.4	212.8	Buchenau
Schaftlach	29.	26.4	3.	6.2	28.	21.5	9.4	74	19., 20.	39	25., 26.	96	6.9	25.	51.2	213.6	Schaftlach
Oberstdorf	19.	28.9	1.	4.0	19.	21.9	9.3	79	23.	34	öfters	99	7.0	25.	45.0	184.1	Oberstdorf
Ettal	23.	27.8	3.	4.2	19.	19.3	8.9	76	23.	33	13.	100	6.0	25.	62.1	232.3	Ettal
Mittenwald	29.	27.4	17.	3.5	19.	20.2	8.8	76	öfters	38	24.	100	6.6	25.	49.5	181.5	Mittenwald
Hohenpeissenberg	23.	25.9	2.	4.6	2.	12.9	8.2	72	23.	35	öfters	100	6.8	30.	52.2	196.1	Hohenpeissenberg
Zugspitze	22.	8.3	3.	- 7.4	22.	8.4	4.4	93	23.	40	öfters	100	7.0	25.	26.1	167.6	Zugspitze

Tabelle III.

Station	Tage mit Niederschlägen ≥ 0,1mm	Tage mit Niederschlägen ≥ 1,0mm	Schneefall	Schneedecke	Graupeln	Hagel	Gewitter	Nebel	Reif	Tau	Tage heitere	Tage trübe	Tage Sommer	Tage Tropen	Anzahl der beobachteten Windrichtungen N	NE	E	SE	S	SW	W	NW	Stille	Station
Ludwigshafen a/Rh.	16	14	–	–	–	–	8	–	–	3	5	7	10	2	6	4	2	1	15	27	8	5	22	Ludwigshafen a/Rh.
Kahl a/M.	19	14	–	–	–	2	4	1	–	3	4	9	8	4	–	3	4	10	9	38	5	1	20	Kahl a/M.
Landau i. Pf.	18	12	–	–	–	–	4	–	–	6	4	11	6	1	–	20	–	3	2	49	9	7	–	Landau i. Pf.
Würzburg	18	13	–	–	–	1	9	4	–	10	3	5	7	–	1	3	5	13	9	24	10	6	19	Würzburg
Bad Kissingen	18	17	–	–	1	–	6	1	–	7	2	8	6	–	10	3	1	1	12	24	23	6	10	Bad Kissingen
Kaiserslautern	16	11	–	–	–	1	7	–	–	8	2	12	6	2	2	–	4	6	2	2	33	14	27	Kaiserslautern
Luitpoldheim	20	13	–	–	–	–	9	11	–	12	1	8	3	–	–	3	1	6	5	30	4	1	40	Luitpoldheim
Bamberg	30	14	–	–	–	–	8	1	–	14	2	16	6	–	7	4	1	8	17	11	17	13	12	Bamberg
Nürnberg	16	15	–	–	–	–	9	1	–	7	1	13	5	–	7	8	2	13	5	13	21	16	5	Nürnberg
Passau	17	14	–	–	–	–	7	1	–	10	4	15	3	–	1	–	9	3	4	3	11	3	56	Passau
Metten	17	15	–	–	–	–	6	4	–	12	3	13	9	–	1	2	9	8	8	8	29	10	15	Metten
Regensburg	13	10	–	–	–	–	5	1	–	–	3	10	8	–	2	–	17	–	11	9	48	3	–	Regensburg
Bayreuth	20	15	–	–	–	–	8	3	–	11	1	14	7	–	4	4	11	12	7	7	32	11	2	Bayreuth
Burghausen	16	13	–	–	–	–	8	7	–	12	2	12	8	–	4	2	6	4	10	21	1	1	41	Burghausen
Ingolstadt	18	10	–	–	–	–	10	5	–	20	2	13	8	–	–	5	18	7	–	25	28	1	6	Ingolstadt
Karlshuld	15	14	–	–	–	–	5	7	–	14	5	10	12	3	–	4	9	–	6	15	24	–	32	Karlshuld
Landshut	17	13	–	–	–	–	9	1	–	10	6	12	18	1	2	7	8	1	1	12	40	3	16	Landshut
Lindau i. B. (Reutin)	17	13	–	–	–	–	7	–	–	14	4	7	2	–	6	8	4	–	22	3	32	8	7	Lindau i. B. (Reutin)
Weissenburg i. B.	17	11	–	–	–	–	5	3	–	9	2	9	4	–	4	9	6	5	8	20	30	3	5	Weissenburg i. B.
Nördlingen	20	13	–	–	–	–	7	–	–	7	3	10	3	–	2	7	4	10	5	17	31	7	7	Nördlingen
Ansbach	17	11	–	–	–	1	5	–	–	2	3	7	5	1	7	2	2	3	3	8	30	6	29	Ansbach
Hof	18	14	–	–	–	–	6	9	–	16	1	11	4	–	14	8	1	7	12	19	15	11	3	Hof
Bad Reichenhall	17	15	–	–	–	–	4	–	–	8	4	11	9	–	–	1	24	–	3	13	23	–	26	Bad Reichenhall
Augsburg	18	16	–	–	–	1	8	3	–	10	3	9	6	–	–	8	10	7	3	32	9	16	5	Augsburg
München C.-St.	15	13	–	–	–	–	9	1	–	12	3	13	5	–	–	5	10	4	–	31	13	11	16	München C.-St.
Alexandersbad	19	17	–	–	1	2	8	1	–	9	4	9	–	–	–	15	6	2	1	8	23	11	24	Alexandersbad
Traunstein	20	16	–	–	–	1	9	–	–	5	1	6	2	–	1	4	19	9	6	8	38	5	–	Traunstein
Berchtesgaden	20	17	–	–	–	–	8	1	–	18	2	11	2	–	–	–	12	–	–	–	5	–	73	Berchtesgaden
Ottobeuren	14	14	–	–	–	–	6	2	–	8	3	10	4	–	2	18	7	1	–	40	2	3	17	Ottobeuren
Partenkirchen	18	14	–	–	–	–	6	–	–	6	5	10	3	–	1	–	–	9	8	–	2	19	51	Partenkirchen
Tegernsee	18	14	–	–	–	2	9	–	–	–	5	7	3	–	8	5	16	13	11	1	11	8	17	Tegernsee
Buchenau	21	19	–	–	–	–	10	3	–	15	2	16	1	–	2	1	30	–	2	4	27	–	24	Buchenau
Schaftlach	18	15	–	–	1	–	7	–	–	19	1	11	3	–	1	3	19	1	2	2	38	5	19	Schaftlach
Oberstdorf	17	17	–	–	–	–	3	2	–	13	4	16	3	–	18	–	1	3	3	4	17	16	28	Oberstdorf
Ettal	17	14	–	–	–	3	4	–	–	18	4	10	4	–										Ettal
Mittenwald	17	12	–	–	–	–	6	–	–	4	3	12	3	–	8	12	1	–	17	5	3	5	39	Mittenwald
Hohenpeissenberg	22	16	–	–	–	3	9	4	–	5	4	15	1	–	3	14	14	4	–	13	21	18	3	Hohenpeissenberg
Zugspitze*)	18	13	14	30	5	2	5	22	1	–	3	14	–	–	11	–	3	19	16	6	8	24	3	Zugspitze

*) Zugspitze: 23 Frosttage, 8 Wintertage.

Übersicht über die Witterungsverhältnisse im Königreiche Bayern

während des Juli 1912.

Nach dem zeitlichen Verlaufe der Witterung zerfiel der diesjährige Juli in drei Perioden. Die erste Periode umfasst ungefähr die Zeit bis zum 10. und war gekennzeichnet durch vorwiegend bewölktes Wetter mit häufigen, wenn auch nur wenig ergiebigen Regenfällen. Hieran schloss sich eine Epoche trockener, wolkenloser und warmer Witterung, die bis zum 17. anhielt, worauf wieder eine Periode stärkerer Bewölkung und häufiger, zu Beginn der dritten Dekade auch kräftiger Niederschläge einsetzte und bis Monatsschluss anhielt.

Die ungünstige Wetterlage während der ersten Dekade war in erster Linie bedingt durch das Vorherrschen ozeanischer Depressionen, die von der Biskayasee her gegen Zentraleuropa vordrangen. Am 1. Juli lag ein Minimum vor der Südküste Norwegens, weitere Störungen befanden sich über Österreich und jenseits der Alpen. Bei vorwiegend trübem Himmel und relativ niedrigen Temperaturen fielen verbreitete Niederschläge. In der Folge drang zwar allmählich hoher Luftdruck vom nordatlantischen Ozean über die britischen Inseln und die Nordsee nach Zentraleuropa vor, doch gelangte er nur für kurze Dauer am 5. und 6. zur Herrschaft. Vor und nach diesen Tagen blieb die Einwirkung flacher Depressionen vorherrschend, die hauptsächlich, von der Biskayasee kommend, nach den kontinentalen Lagen hereindrangen und zu starker Bewölkung und Niederschlägen Veranlassung gaben. Die Temperaturen waren in stetigem Anstiege begriffen.

Der Beginn der zweiten Periode, der Schönwetterepoche, ist im südlichen Bayern etwa bis zur Donau bereits auf den 10., im übrigen Bayern und in der Pfalz erst auf den 11. anzusetzen. Am Morgen des erstgenannten Datums lagerte bereits ein, wenn auch nicht sehr intensiver Maximalkern über Deutschland, doch waren noch kleinere Unregelmässigkeiten in der Luftdruckverteilung vorhanden, welche im bayerischen Rhein- und Maingebiet zu stärkerer Bewölkung Anlass gaben. Erst als sich der Schwerpunkt des hohen Druckes nach dem Ostseegebiet verlagerte, trat über unserem ganzen Gebiete Aufklaren ein. Der Anstieg der Temperatur erfolgte zunächst unter dem Einfluss der kräftigen Einstrahlung ziemlich steil, führte jedoch bereits am 12. oder 13. Juli zu einem Maximalwert. Von da ab gingen die Temperaturen trotz des andauernd wolkenfreien Himmels wieder zurück, eine Erscheinung, welche durch nachfolgende Zahlenreihen zum Ausdruck kommt.

	Temperaturtagesmittel am							Temperaturmaximum am							Sonnenscheindauer in Stunden am						
	11.	12.	13.	14.	15.	16.	17.	11.	12.	13.	14.	15.	16.	17	11.	12.	13.	14.	15.	16.	17.
Kaiserslautern	21.4	23.7	**24.0**	23.2	22.8	22.5	22.1	30.2	31.2	**31.3**	30.2	29.2	29 2	29.7	5	11	11¼	11¼	11¼	10	9
Luitpoldheim b. Lohr . . .	20.1	21.1	**21.2**	20 4	20.5	20.1	19.6	26.3	27.5	**28.0**	27.3	26.7	25.7	26.3	10	11¾	11½	12¾	12	11¾	11¾
Alexandersbad	16.6	**18.5**	17.8	18.2	17.8	17.5	16.3	23.2	**24.9**	24.3	23.7	23.5	22.1	22.1	6¾	10	12¼	10½	9½	10¼	9¼
Buchenau	14.7	**17.8**	16.8	16.0	16.2	14.7	15.1	20 5	**24.2**	23.1	21.8	21.8	20.8	21.0	8	11½	13¼	12½	9½	11	6¾
München	20.8	21.0	**21.1**	19.8	19.5	18.8	19.2	26.3	**26.8**	26.6	25.2	24.6	23.6	24.6	11¾	12½	12	12¾	11¾	11¼	12
Mittenwald	16.8	**18.5**	18.3	16.9	16.3	14.8	14.9	23.4	25.6	**26.4**	24.3	23.1	22.9	24.0	7½	10	11¼	9¼	10	10	10½
Bad Reichenhall	19.1	**20.4**	19.9	19.1	18.2	16.6	17.2	27.4	**28.7**	28.6	26.0	25.0	23.5	24.4	11	13¾	13¾	13¾	13½	13½	13½

Die Ursache dieses auffallenden Temperaturrückganges bei andauernd sonniger Witterung kann nur in der starken Trübung der Atmosphäre durch Staub und der dadurch erfolgten Schwächung der Insolation gesucht werden. Die Trübung war so stark, dass selbst in den Mittagsstunden die Schwächung der Sonnenstrahlung eine deutlich bemerkbare war. Obschon die Temperaturmaxima keineswegs abnorme Beträge erreichten und auch die Trockenheit noch kaum nachteilige Folgen zeitigte, wurden doch vielfach Befürchtungen laut, es möchte wieder, wie im Vorjahre, eine langdauernde Dürreperiode eintreten. Diese Befürchtungen, die durch entsprechende Prophezeiungen von manchen Seiten noch Nahrung fanden, wurden aber rasch zerstreut, als bereits am 18. Juli wieder kräftige Bewölkung und in den darauffolgenden Tagen ergiebige Niederschläge eintraten.

Am Morgen dieses Tages erstreckte sich eine Furche niedrigen Druckes von den Dänischen Inseln über Westdeutschland und Frankreich nach dem westlichen Mittelmeerbecken, während hoher Luftdruck vom Ozean nach Europa vordrängte. In den Frühstunden des 18. herrschte noch vorwiegend heiteres Wetter, als aber die erwähnte Furche ostwärts sich fortbewegte, trat bald stärkere Bewölkung, stellenweise auch Niederschlag auf.

Aber erst als die Depression über Südosteuropa und das Mittelmeer sich ausbreitete, traten ausgedehnte Regenfälle ein, die in fast ganz Süddeutschland von grosser Ergiebigkeit waren.

Die Niederschlagsmengen, welche in der Zeit vom 19. auf 23. Juli fielen, betrugen nur in der Rheinpfalz und im Maingebiet nördlich der Breite von Nürnberg sowie in der Donauebene von der Einmündung der Altmühl abwärts bis gegen Passau weniger als 50 mm, auf allen übrigen Gebietsteilen 50 bis 100 mm. Insbesondere in der Zeit vom Morgen des 21. bis zum Morgen des 22. fielen stellenweise ungewöhnlich grosse Regenmengen (siehe Tabelle II Rubrik Niederschlag).

Die Temperaturen waren seit dem 13. im Rückgange begriffen, zunächst, wie wir zeigten, nur in geringem Grade, vom 18. jedoch in recht schroffer und empfindlicher Weise. Erst vom 22. ab stiegen dieselben wieder an, nachdem die Wirkung der südöstlichen Depression überwunden war. Auch die Niederschläge liessen allmählich nach und unter dem Einflusse eines zwischen der abziehenden östlichen und einer herannahenden westlichen Depression gelegenen Hochdruckrückens klarte es teilweise auf. In der Pfalz und im nördlichen Bayern kam es aber unter der Einwirkung kleinerer Luftdruckstörungen immer noch zu leichten Regenfällen. Der 24. Juli brachte vorwiegend heiteres und auch wieder warmes Wetter, doch war die Besserung nicht von Bestand. Neue Unregelmässigkeiten drangen vom Ozean nach den zentralen Lagen vor und verliehen der Witterung den Charakter des Unbeständigen. Bei rasch veränderlicher Bewölkung kam es am 25. und 26., dann wieder am 28., 29. und 30. zu verbreiteten Niederschlägen, die aber im allgemeinen nur von geringer Ergiebigkeit waren. Nur im Alpengebiet, speziell im Traun- und Salzachgebiete waren die Regenmengen der beiden letztangeführten Tage wieder von beträchtlicher Stärke. Vom 28. ab zeigten auch die Temperaturen wieder sinkende Tendenz. Der letzte Monatstag brachte unter der Herrschaft eines schwachen barometrischen Maximums wieder vorwiegend heiteres und wärmeres Wetter.

Die Mittelwerte der meteorologischen Elemente, deren Betrachtung wir uns nun zuwenden, sind aus der Zusammenfassung von Beobachtungsdaten entstanden, welche, wie gezeigt, ganz gegensätzlichen Wetterlagen entstammen. Die Mitteltemperaturen lagen in der Pfalz und im Maingebiet etwas höher, im Donaugebiet zumeist etwas niedriger als die aus langjährigen Reihen abgeleiteten Normalwerte, doch waren die Abweichungen im allgemeinen nur gering. Nur in der Donauebene bei Regensburg und am unmittelbaren Ufergelände des Bodensees wurden negative Differenzen von mehr als 1 Grad verzeichnet. Die geographische Verteilung der Mitteltemperaturen ist auf dem ersten der beigegebenen Kärtchen dargestellt und zeigt den bekannten Verlauf der Isothermen, wie er durch den topographischen Aufbau des Geländes bedingt wird. Auch die entsprechenden Darstellungen für die mittleren Extreme lassen in erster Linie den vorherrschenden Einfluss der Höhenlage auf die Temperaturverhältnisse eines Ortes erkennen.

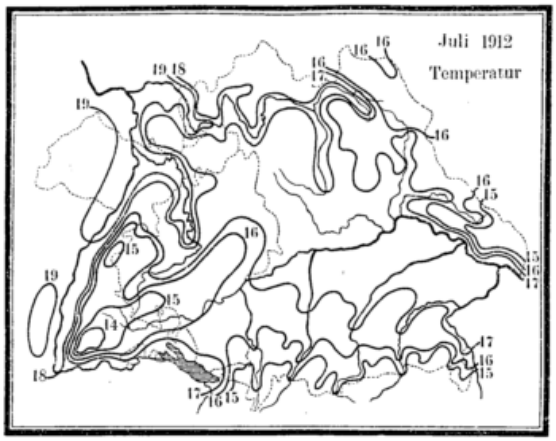

Die Anzahl der Sommertage war am grössten in der Pfalz und in den niederen Tallagen des Maingebietes, wo etwa die Hälfte aller Monatstage Temperaturmaxima von mehr als 25 Grad lieferte. Mit der Annäherung gegen die Alpen und die Mittelgebirge an der Ostgrenze Bayerns nimmt die Zahl der Sommertage zunächst langsam, dann sehr rasch ab. Selbst das sonst sehr warme Lindau zählte nur 6 Sommertage, die alpinen Talstationen nur 3 oder 4. Auffallend hoch war die Zahl der Sommertage in Karlshuld (18) und Landshut (19), eine Erscheinung, die wir bereits in früheren Monaten häufig erwähnen mussten.

Die Niederschläge, die hauptsächlich während der ersten Dekade und dann wieder in der Zeit vom 18. Juli ab fielen, ergaben Gesamt-Monatssummen, die in der Pfalz und im Maintale, ausserdem im unteren Donau- und Inntale im Vergleich zu langjährigen Durchschnittswerten etwas zu gering, im übrigen Bayern zu hoch waren. In Hof, Bayreuth und Bamberg wurde nur die Hälfte des auf den Juli entfallenden Mittelwertes erhalten, andererseits fielen im Ries Regenmengen, die das Doppelte des Durchschnittes noch übertreffen.

Die geographische Verteilung der Regenmengen ist auf dem zweiten der beigegebenen Kärtchen zur Darstellung gebracht. Im Algäu sowie im Alpengebiet zwischen Isar und Salzach ergaben sich Monatssummen von mehr als 200 mm, ein Betrag, der sonst nur noch an den exponiertesten Stellen des nördlichen Schwarzwaldes gemessen wurde. Diesen Gebieten grösster Niederschlagsmenge stehen Trockengebiete gegenüber, an denen die Monatssummen noch nicht 50 mm erreichten. Wir haben hier zu nennen die Rheinebene von der Neckarmündung bis an die Mainmündung und das ganze obere Maingebiet. Im allgemeinen ist der Verlaut der Isohyeten ziemlich unruhig, wie dies bei einem Monat, dessen Niederschläge zum grossen Teil in Form von Gewitterregen fielen, nicht verwundern kann.

Die mittlere Bewölkungsziffer wurde durch die vom 10. bis 17. dauernde Schönwetterperiode günstig beeinflusst und schwankt im allgemeinen mit geringer Amplitude um den Wert 5 (volle Bedeckung = 10). Über die Zahl der heiteren und trüben Tage geben die entsprechenden Rubriken der Tabelle III Auskunft.

Die mittleren, auf Meeresniveau reduzierten Barometerstände liegen im allgemeinen zwischen 761 und 762 mm; ein bestimmtes Gefälle in irgendwelcher Richtung ist nicht zu erkennen.

München, den 22. August 1912. Alt.

Tabelle I.

Station	Höhe über Normal-Null m	Luftdruck in mm: höchster am	höchster mm	tiefster am	tiefster mm	Monatsmittel lokal	Monatsmittel auf Meeresniveau reduziert	Temperatur C°: Mittel um 7ª	2ᵖ	9ᵖ	Mittlere Tagestemperatur	Mittleres Maximum	Mittleres Minimum	Mittel aus Maximum und Minimum	Mittlere Schwankung	Station
Ludwigshafen a/Rh.	100.3	5.	758.6	19.	744.4	752.8	761.5	16.8	24.9	20.9	20.8	25.8	14.9	20.3	10.9	Ludwigshafen a/Rh.
Kahl a/M.	114.1	5.	757.4	19.	742.9	751.3	761.3	17.0	24.1	17.7	19.1	26.0	12.6	19.3	13.4	Kahl a/M.
Landau i. Pf.	149.9	5.	753.2	19.	740.6	748.2	761.3	18.1	23.9	15.0	19.3	25.6	13.8	19.4	11.5	Landau i. Pf.
Würzburg	179.3	5.	751.6	19.	736.1	745.7	761.4	15.7	23.3	17.8	18.6	24.4	13.2	18.8	11.2	Würzburg
Bad Kissingen	209.2	5.	749.7	19.	735.3	743.7	762.0	14.5	23.3	16.3	17.6	24.5	12.1	18.3	12.7	Bad Kissingen
Kaiserslautern	242.2	5.	745.8	19.	733.0	740.5	761.6	15.9	23.3	17.7	18.6	24.5	12.6	18.5	12.0	Kaiserslautern
Luitpoldheim	250							13.5	21.9	17.1	17.4	22.7	11.9	17.3	10.8	Luitpoldheim
Bamberg	287.7	5.	742.6	19.	727.3	736.8	761.9	15.6	23.4	17.2	18.4	25.4	12.6	19.0	12.8	Bamberg
Nürnberg	309.1	5.	739.9	19.	725.2	734.5	761.2	16.3	22.6	18.2	18.8	23.7	13.5	18.6	10.2	Nürnberg
Passau	309.3	5.	740.0	19.	725.3	735.0	762.1	14.7	22.8	16.9	17.7	22.9	12.7	17.8	10.2	Passau
Metten	320							15.3	23.0	16.5	17.8	24.0	11.2	17.6	12.8	Metten
Regensburg	342.6	5.	736.9	19.	722.0	731.1	760.8	14.7	21.9	16.6	17.5	22.9	12.1	17.5	10.9	Regensburg
Bayreuth	363.3	15.	735.8	19.	721.3	730.4	761.9	14.7	22.6	17.5	18.1	24.5	11.3	17.9	13.1	Bayreuth
Burghausen	365	5.	734.5	19.	720.5	729.7	761.5	14.3	22.5	15.1	16.8	23.7	11.3	17.5	12.4	Burghausen
Ingolstadt	368							14.3	22.6	16.0	17.2	24.1	10.7	17.4	13.5	Ingolstadt
Karlshuld	382.0	12.	732.7	19.	719.8	728.2	761.3	14.0	22.4	15.6	16.9	24.6	10.1	17.3	14.5	Karlshuld
Landshut	397.7	5.	732.3	19.	718.2	726.9	761.5	15.0	22.7	15.7	17.3	25.3	11.4	18.3	13.9	Landshut
Lindau i. B. (Reutin)	401.7	5.	731.1	19.	718.3	726.7	761.7	14.8	19.8	16.7	17.0	21.7	11.8	16.7	9.9	Lindau i. B. (Reutin)
Weissenburg i. B.	431	5.	729.7	19.	715.8	724.7	762.1	16.4	22.4	16.4	17.9	23.2	12.3	17.7	10.9	Weissenburg i. B.
Nördlingen	435.6	5.	728.4	19.	714.1	723.2	760.8	14.3	21.8	16.2	17.1	22.9	11.7	17.3	11.2	Nördlingen
Ansbach	437.5	5.	729.0	19.	714.3	722.9	760.7	15.3	22.3	15.7	17.3	23.4	11.1	17.3	12 2	Ansbach
Hof	476.1	15., 16.	726.0	19.	711.6	720.4	761.6	13.0	21.8	14.8	16.1	23.5	8.9	16.2	14.5	Hof
Bad Reichenhall	477	5.	725.4	19.	711.0	720.1	761.2	15.4	21.9	15.7	17.2	23.4	12.5	18.0	11.0	Bad Reichenhall
Augsburg	499.6	5.	723.7	19.	710.1	718.8	761.8	14.5	21.9	16.6	17.4	23.0	12.4	17.7	10.7	Augsburg
München C.-St.	526.4	5.	721.0	19.	708.0	716.2	761.4	15.0	21.6	16.4	17.3	22.6	12.9	17.8	9.7	München C.-St.
Alexandersbad	590							13.0	19.7	14.6	15.5	20.5	10.0	15.3	10.5	Alexandersbad
Traunstein	597	5.	715.2	19.	702.3	710.6	761.9	14.1	20.4	14.7	16.0	21.5	11.0	16.3	10.5	Traunstein
Berchtesgaden	600							13.7	20.2	15.2	16.1	21.2	11.1	16.1	10.1	Berchtesgaden
Ottobeuren	660.0	5.	709.2	19.	696.9	705.0	761.3	14.3	20.5	14.1	15.8	21.6	10.4	16.0	11.2	Ottobeuren
Partenkirchen	714.6	5.	705.2	19.	692.7	700.7	761.9	12.9	18.7	13.9	14.8	20.2	10.9	15.6	9.3	Partenkirchen
Tegernsee	727.8	5.	704.1	19.	691.9	699.7	761.8	14.0	19.0	13.5	15.0	20.2	11.1	15.7	9.1	Tegernsee
Buchenau	750	12.	702.5	19.	688.3	697.3	761.4	12.4	18.7	13.8	14.7	20.1	10.6	15.3	9.5	Buchenau
Schaftlach	757							13.4	18.9	14.4	15.0	20.4	9.9	15.1	10.1	Schaftlach
Oberstdorf	811.4	11.	696.8	19.	684.4	692.5	761.3	13.2	19.2	13.0	14.6	20.9	8.8	14.9	12.2	Oberstdorf
Ettal	879.5	11., 12.	689.9	19.	678.0	685.7	?	13.5	18.7	12.6	14.3	20.6	9.9	15.2	10.8	Ettal
Mittenwald	910	12.	688.7	19.	676.5	684.3	761.3	13.1	18.6	12.2	14.0	20.2	9.3	14.8	10.9	Mittenwald
Hohenpeissenberg	993.9	12.	681.7	19.	669.8	677.5	761.2	13.1	16.8	13.3	14.1	17.8	11.1	14.5	6.7	Hohenpeissenberg
Zugspitze	2964	12.	538.3	21.	524.3	533.1		1.2	3.4	1.4	1.8	4.4	− 0.3	2.1	4.7	Zugspitze

Tabelle II.

Station	Temperatur C°: höchste am	höchste C°	tiefste am	tiefste C°	grösste Schwankung am	grösste Schwankung C°	Dampfdruck Monatsmittel mm	Relative Feuchtigkeit %: Monatsmittel	kleinste am	kleinste %	grösste am	grösste %	Bewölkung Monatsmittel	Niederschlag: grösster am	grösster mm	Monats-Summe mm	Station
Ludwigshafen a/Rh.	14.	33.1	5.	10.4	14.	14.3	11.0	64	14.	23	5.	96	4.5	19.	23.6	81.1	Ludwigshafen a/Rh.
Kahl a/M.	12.	31.3	3.	8.1	11.	20.3	11.6	72	17.	32	19.	100	5.5	19.	21.0	72.8	Kahl a/M.
Landau i. Pf.	12.	31.1	3.	8.2	19.	16.6	11.3	68	15.	31	5.	98	4.7	19.	13.9	55.6	Landau i. Pf.
Würzburg	12.	29.0	5., 6.	10.2	17.	15.5	11.3	72	18.	32	1., 4.	97	3.9	4.	14.2	48.3	Würzburg
Bad Kissingen	25.	29.9	3.	8.4	14., 18.	15.9	11.2	76	14.	34	25.	99	4.6	26.	38.8	113.9	Bad Kissingen
Kaiserslautern	13.	31.3	3.	7.5	17.	17.2	10.8	69	16.	26	öfters	94	6.1	22.	22.0	73.8	Kaiserslautern
Luitpoldheim	13.	28.0	3.	7.8	18.	15.4	11.5	79	14.	40	öfters	99	4.7	20.	9.4	45.4	Luitpoldheim
Bamberg	12.	30.0	3.	9.4	28.	18.0	11.1	72	15.	35	9., 23.	100	7.6	24.	16.7	42.0	Bamberg
Nürnberg	28.	29.0	24.	10.5	27.	14.4	10.6	67	öfters	31	21.	99	5.7	22.	41.0	124.5	Nürnberg
Passau	28.	28.1	18.	10.0	14.	15.4	11.5	77	14.	38	8., 9.	100	6.1	22.	46.0	105.7	Passau
Metten	28.	29.2	18.	8.4	28.	17.4	11.4	75	13.	29	24.	100	5.7	26.	30.2	88.8	Metten
Regensburg	28.	27.0	5.	9.2	6.	14.5	11.0	73	14.	36	24.	97	5.2	22.	30.7	99.1	Regensburg
Bayreuth	28.	31.3	6.	7.1	28.	20.1	10.7	71	13.	36	8.	97	5.9	20.	19.1	36.8	Bayreuth
Burghausen	28.	30.9	18.	7.2	18.	19.9	11.2	79	17.	34	21., 24.	99	5.0	22.	29.5	105.7	Burghausen
Ingolstadt	28.	31.1	3.	6.3	18.	20.8	11.1	77	13.	34	24.	98	5.8	22.	49.2	107.4	Ingolstadt
Karlshuld	28.	31.4	18.	5.4	18.	23.5	11.1	78	13.	35	öfters	100	4.6	22.	56.2	139.6	Karlshuld
Landshut	28.	30.9	18.	7.2	18.	21.8	11.0	76	13.	32	21., 22.	99	5.3	22.	34.4	102.5	Landshut
Lindau i. B. (Reutin)	13.	27.5	5.	7.9	5.	14.7	11.6	81	16.	47	21.	99	4.4	21.	40.9	195.7	Lindau i. B. (Reutin)
Weissenburg i. B.	28.	28.2	21.	8.1	27.	15.8	11.9	78	12.	42	21.	99	5.0	8.	60 4	170.1	Weissenburg i. B.
Nördlingen	13.	28.2	5.	7.0	24.	15.6	10.7	74	16.	33	öfters	97	5.0	22.	29.2	125.8	Nördlingen
Ansbach	12.	28.0	5.	7.3	17.	16.9	10.3	70	14., 18.	34	4.	99	4.1	22.	36.4	104.7	Ansbach
Hof	28.	30.4	6.	3.6	28.	23.2	10.1	75	13.	33	10.	99	5.6	20.	17.7	49.9	Hof
Bad Reichenhall	28.	31.0	öfters	9.5	6.	16.5	10.8	74	16.	36	9.	97	4.7	22.	47.1	219.0	Bad Reichenhall
Augsburg	12.	29.7	5.	8.6	11.	15.5	11.1	75	16.	42	öfters	98	5.0	22.	54.6	129.8	Augsburg
München C.-St.	28.	28.1	21.	9.0	6.	12.8	10.3	71	16., 18.	35	21., 22.	94	5.1	22.	48.5	149.0	München C.-St.
Alexandersbad	28.	26.8	1.	7.5	28.	14.9	10.2	79	13.	42	10., 29.	99	4.5	29.	14.4	62.5	Alexandersbad
Traunstein	28.	27.9	17., 21.	8.4	18.	16.3	10.5	78	16.	31	öfters	100	5.3	22.	49.8	244.8	Traunstein
Berchtesgaden	28.	27.8	6.	8.0	6., 28.	15.7	10.5	78	17.	41	22.	97	6.0	30.	46.6	245.1	Berchtesgaden
Ottobeuren	28.	27.0	5.	6.9	18.	16.3	10.0	75	17.	33	21.	96	4.6	8.	29.0	126.7	Ottobeuren
Partenkirchen	28.	26.5	22.	7.1	17.	13.5	10.2	82	17.	38	öfters	100	5.1	21.	35.0	175.6	Partenkirchen
Tegernsee	28.	26.2	21.	7.7	6.	13.9	10.0	78	16.	38	öfters	98	4.8	8.	30.7	205.1	Tegernsee
Buchenau	28.	26.1	5.	7.7	18.	13.5	10.5	84	15.	51	22.	100	5.5	22.	53.2	151.0	Buchenau
Schaftlach	28.	27.0	23.	7.3	28.	15.6	10.1	78	15., 17.	46	8.	97	8.4	22.	38.7	216.6	Schaftlach
Oberstdorf	13.	26.4	5.	4.6	17.	18.0	10.0	81	12.	38	29.	100	5.3	8.	28.5	145.8	Oberstdorf
Ettal	28.	26.2	3.	6.0	24.	15.4	9.6	78	17.	36	8.	99	4.7	21.	42.8	201.1	Ettal
Mittenwald	28.	26.6	21., 23.	5.9	17.	17.0	9.8	81	28.	42	öfters	99	5.6	21.	36.7	232.9	Mittenwald
Hohenpeissenberg	28.	22.8	21.	4.7	29.	9.2	8.8	74	17.	42	öfters	100	4.9	21.	32.8	179.2	Hohenpeissenberg
Zugspitze	15.	10.0	21.	− 5.5	15.	7.7	4.7	89	15.	14	öfters	100	6.2	8.	24.6	118.2	Zugspitze

Tabelle III.

Station	Tage mit: Niederschlägen ≥ 0,1mm	Tage mit: Niederschlägen ≥ 1,0mm	Tage mit: Schneefall	Tage mit: Schneedecke	Tage mit: Graupeln	Tage mit: Hagel	Tage mit: Gewitter	Tage mit: Nebel	Tage mit: Reif	Tage mit: Tau	Tage: heitere	Tage: trübe	Tage: Tropen	Tage: Sommer	Anzahl der beobachteten Windrichtungen: N	NE	E	SE	S	SW	W	NW	Stille	Station
Ludwigshafen a/Rh.	15	13	–	–	–	–	7	1	–	7	11	7	6	16	3	6	10	4	26	13	3	1	27	Ludwigshafen a/Rh.
Kahl a/M.	10	10	–	–	–	1	6	2	–	13	7	6	3	17	1	5	7	16	7	17	3	1	36	Kahl a/M.
Landau i. Pf.	14	9	–	–	–	–	9	1	–	17	9	8	3	15	1	32	2	5	1	43	1	8	–	Landau i. Pf.
Würzburg	13	9	–	–	–	–	4	7	–	18	9	3	–	13	3	1	14	15	6	17	10	7	20	Würzburg
Bad Kissingen	12	11	–	–	–	–	6	6	–	19	9	3	–	13	21	8	6	4	12	12	11	4	15	Bad Kissingen
Kaiserslautern	16	10	–	–	–	–	9	1	–	14	6	9	4	14	–	1	12	5	2	–	23	11	39	Kaiserslautern
Luitpoldheim	16	10	–	–	–	–	7	13	–	17	6	5	–	10	–	1	12	6	3	28	–	–	43	Luitpoldheim
Bamberg	27	6	–	–	–	1	7	7	–	25	2	19	–	16	8	5	7	13	14	12	14	13	7	Bamberg
Nürnberg	13	11	–	–	–	–	9	4	–	10	6	9	–	11	5	6	22	18	4	13	14	8	3	Nürnberg
Passau	14	11	–	–	–	–	7	5	–	12	5	13	–	9	1	–	10	8	6	9	6	1	52	Passau
Metten	12	11	–	–	–	–	6	8	–	18	6	10	–	15	–	–	10	12	8	9	23	1	30	Metten
Regensburg	15	11	–	–	–	–	5	3	–	8	4	8	–	5	1	5	14	7	10	16	25	3	12	Regensburg
Bayreuth	10	6	–	–	–	–	7	5	–	19	5	8	1	13	6	3	28	14	1	6	24	7	4	Bayreuth
Burghausen	13	10	–	–	–	–	4	11	–	17	8	8	1	11	3	11	7	17	19	13	1	1	21	Burghausen
Ingolstadt	16	7	–	–	–	–	5	2	–	25	7	12	1	14	1	4	27	12	2	17	20	6	4	Ingolstadt
Karlshuld	16	12	–	–	–	–	5	11	–	22	8	5	1	18	–	8	18	3	–	8	24	2	30	Karlshuld
Landshut	14	11	–	–	–	–	3	2	–	17	9	10	1	19	–	7	19	1	1	8	29	2	26	Landshut
Lindau i. B. (Reutin)	14	11	–	–	–	–	2	–	–	17	13	8	–	6	6	15	3	–	26	3	24	4	12	Lindau i. B. (Reutin)
Weissenburg i. B.	12	10	–	–	–	–	5	3	–	17	8	8	–	10	–	8	15	8	11	17	14	9	11	Weissenburg i. B.
Nördlingen	15	12	–	–	–	–	10	4	–	13	9	7	–	11	–	5	19	14	7	7	21	5	15	Nördlingen
Ansbach	14	12	–	–	–	–	6	2	–	14	8	3	–	12	1	1	6	7	3	3	22	10	40	Ansbach
Hof	11	8	–	–	–	–	7	21	–	25	3	5	1	11	17	5	7	11	14	15	5	13	6	Hof
Bad Reichenhall	13	13	–	–	–	–	5	–	–	15	11	8	1	10	1	4	28	3	5	15	20	–	17	Bad Reichenhall
Augsburg	17	12	–	–	–	–	6	4	–	14	7	8	–	11	4	7	21	12	2	24	6	10	7	Augsburg
München C.-St.	16	13	–	–	–	–	5	1	–	15	9	9	–	8	–	5	21	5	–	21	4	8	29	München C.-St.
Alexandersbad	9	8	–	–	–	1	6	1	–	19	6	3	–	1	5	14	16	1	1	4	13	8	31	Alexandersbad
Traunstein	14	14	–	–	–	–	7	–	–	10	7	10	–	5	4	3	32	5	9	9	23	8	–	Traunstein
Berchtesgaden	15	14	–	–	–	1	7	1	–	18	6	12	–	4	–	–	9	8	–	–	2	–	74	Berchtesgaden
Ottobeuren	16	13	–	–	–	–	5	1	–	21	11	8	–	7	1	23	4	1	2	25	2	3	32	Ottobeuren
Partenkirchen	17	14	–	–	–	–	6	–	–	5	11	10	–	3	4	–	–	13	9	–	–	17	50	Partenkirchen
Tegernsee	16	15	–	–	–	–	4	–	–	–	12	12	–	1	4	3	29	11	10	2	11	6	17	Tegernsee
Buchenau	14	10	–	–	–	1	8	1	–	19	7	9	–	1	–	–	39	2	2	1	30	3	16	Buchenau
Schaftlach	15	15	–	–	–	–	3	3	–	18	–	19	–	2	1	8	26	–	4	2	35	5	12	Schaftlach
Oberstdorf	19	15	–	–	–	1	4	1	–	18	7	11	–	3	17	2	6	1	8	3	11	2	43	Oberstdorf
Ettal	17	16	–	–	–	–	6	–	–	20	14	9	–	3										Ettal
Mittenwald	14	14	–	–	–	1	5	–	–	9	7	12	–	4	5	10	2	3	14	1	–	1	57	Mittenwald
Hohenpeissenberg	15	13	–	–	–	1	5	10	–	5	10	11	–	–	3	19	26	5	1	11	19	6	3	Hohenpeissenberg
Zugspitze*)	15	13	11	31	2	3	6	24	1	–	3	11	–	–	24	–	2	9	13	6	7	25	7	Zugspitze

*) Zugspitze: 16 Frosttage, 4 Wintertage.

Übersicht über die Witterungsverhältnisse im Königreiche Bayern

während des August 1912.

Der diesjährige August bildete eine Periode vorwiegend trüber, regnerischer und kühler Witterung und hat noch mehr als der Vormonat die durch entsprechende Prophezeihungen genährte Erwartung eines trockenen und sehr warmen Sommers enttäuscht. Bei der grossen Niederschlagshäufigkeit wurden die vorherrschenden niedrigen Temperaturen noch um so unangenehmer empfunden, als kräftige Winde keineswegs selten waren. In München lag beispielsweise nur an 10 Tagen das Temperaturtagesmittel um geringe Beträge über dem langjährigen Durchschnittsbetrage, hingegen recht oft um 4 bis 5 Grad unter dem Mittelwert. Ähnlich waren auch die Verhältnisse an den übrigen Beobachtungsorten unseres Gebietes. So kam es, dass die Differenzen des Monatsmittels der Temperatur an allen Stationen erheblich niedriger ausfielen als die langjährigen Durchschnittswerte. Im grössten Teile des Maingebietes, ferner im Donautale von Kelheim bis gegen Passau, im Regentale, sowie am unmittelbaren Ufergelände des Bodensees bezifferten sich die Abweichungen auf mehr als 3 Grad, an den übrigen Gebietsteilen noch zumeist auf mehr als 2½ und nur an wenigen Orten am Nordrande der bayerischen Hochebene und in einigen alpinen Tallagen auf weniger als 2 Grad.

Der unfreundliche Witterungscharakter des August wurde bestimmt durch die fast ununterbrochene Herrschaft von Depressionen, die in rascher Folge vom atlantischen Ozean nach unserem Erdteile vordrangen. Am Morgen des 1. August lag ein Minimum mit weniger als 745 mm über der Nordsee und entsandte von hier einen Ausläufer niedrigen Druckes über Frankreich bis an die Pyrenäen. Das Wetter war vorwiegend trüb und verbreitete Regenfälle gingen nieder. In der Folge zog die Furche ostwärts über unser Gebiet hinweg und verursachte weiterhin Trübung mit Regenfällen. Da jedoch ein barometrisches Maximum von der Biscayasee kräftig gegen Zentraleuropa vordrang, kam es in der Pfalz bereits am Mittag des 2., im diesseitigen Bayern zumeist erst am 3. August zum Aufklaren. Doch bereits am Morgen des 4. war wieder eine Depression über dem Kanale erschienen und hatte einen Ausläufer geringen Luftdruckes über Frankreich bis Südbayern herein entwickelt. In der Pfalz und im nordwestlichen Bayern trat wieder stärkere Bewölkung auf, im übrigen Bayern war der Himmel noch vorwiegend heiter, insbesondere im Süden, wo kräftige Föhnlage bestand. Als aber die erwähnte Furche über unser Gebiet hinweg nach Böhmen und Österreich sich verlagert hatte, trat am 5. allenthalben wieder Trübung mit Regenfällen ein. Von nun ab war die Luftdruckverteilung andauernd raschen Veränderungen unterworfen. Eine Depression nach der anderen erschien an den atlantischen Küstengebieten und zog ostwärts, zumeist gegen das Ostseegebiet weiter. Zugleich waren Luftdruckstörungen jenseits der Alpen in ständiger Bildung und Auflösung begriffen. Unter diesen Umständen gestaltete sich die Wetterlage auf unserem Gebiete recht ungünstig. Der Himmel war meist wolkig bis trüb und bei andauernd niedrigen Temperaturen fielen häufig, ja, wenn wir unsere Betrachtung auf ganz Süddeutschland erstrecken, täglich Niederschläge. Eine kurze Unterbrechung der unfreundlichen Witterung brachten nur die Tage vom 17. bis 19. August. Am Morgen des erstgenannten Datums lag ein barometrisches Maximum über Zentraleuropa, doch machten sich, insbesondere in den Vormittagsstunden noch kleine Unregelmässigkeiten geltend und verursachten stärkere Bewölkung. Erst als mit dem Vordringen einer Tiefdruckfurche das Barometermaximum ostwärts gedrängt wurde, trat Aufklaren ein, das dann auch am 18. noch anhielt. Bis zum 19. war der Maximalkern schon bis zu den unteren Donauländern zurückgewichen und die von Westen vordringenden Störungen hatten schon erheblich an Raum gewonnen. In der Pfalz und im Maingebiet war bereits wieder stärkere Bewölkung, stellenweise auch Regen eingetreten, im übrigen Bayern, insbesondere im Osten und Süden, bestand die vorwiegend heitere und trockene Witterung noch fort. Aber auch hier brachte bereits der kommende Tag den Wetterumschlag, der wiederum den Beginn einer langdauernden Periode ungünstiger Witterung bildete. Unser Gebiet unterstand neuerdings dem Einfluss der Ausläufer nördlicher Depressionen, die in rascher Folge vom Ozean ostwärts vordrangen und zumeist ihre Bahn nach dem Ostseegebiete lenkten. Eine kurzdauernde Besserung brachte nur der 29. August, an welchem Tage ein barometrisches Maximum über Österreich lag. Eine von Westen vorrückende Furche niedrigen Druckes drängte jedoch das Maximum rasch ostwärts zurück und verursachte bereits am Nachmittage des 30. wieder Trübung und Niederschläge.

Auf dem ersten der beigegebenen Kärtchen ist die geographische Verteilung der Mitteltemperaturen über Süddeutschland zur Darstellung gebracht. Die Isothermen zeigen den gewohnten, durch den topographischen Aufbau des Geländes bedingten Verlauf. In den wärmsten Gebietsteilen, Rheinebene und Neckartal, wurden Mitteltemperaturen von über 15 Grad erhalten, während für die gleichen Bezirke im Vorjahre 21 bis 22 Grad ermittelt wurden. Die niedrigsten Temperaturen ergaben sich auf den Höhen des Schwarzwaldes und der Alpen, woselbst weniger als 11 Grad verzeichnet wurden, ein Wert, der gleichfalls um etwa 6 Grad unter dem entsprechenden Betrag des Vorjahres liegt. Die Kärtchen, welche die geographische Verteilung der mittleren Extreme darstellen, zeigen in ihren Hauptzügen ebenfalls die Abhängigkeit vom Aufbau des Geländes. Durch relativ hohe Maxima tritt wie so oft das Gebiet nördlich der bayerischen Hochebene (etwa unterhalb der Isohypse für 500 m) bis zur Donau hervor. Dortselbst wurden mittlere Maxima von mehr als

20 Grad ermittelt, Werte, die sonst nur in engbegrenzten Bezirken des Rhein- und Maingebietes erreicht wurden. Andererseits finden wir auf dem gleichen Gebiete verhältnismässig niedrige Werte der mittleren Minima (unter 10°), so dass die mittlere Schwankung auffallend hohe Werte erreicht. Dieselben schwanken zwischen 10 und 12 Grad, während sie an den übrigen Stationen unseres Gebietes zumeist zwischen 7 und 10 liegen. Die günstigen Vorbedingungen für das Auftreten hoher Mittagstemperaturen äussern sich auch in der relativen Häufigkeit von Sommertagen. In Karlshuld im Donaumoos und in Landshut wurden je 5 Tage mit einer Maximaltemperatur von mehr als 25 Grad verzeichnet, Ingolstadt, Metten, Cham und Bad Reichenhall zählten vier solcher Tage. Hiernach wären aufzuzählen Bamberg und Bayreuth mit je 3 Sommertagen, während an allen übrigen Stationen höchstens 2, häufig aber auch nur ein oder überhaupt kein Sommertag zu verzeichnen waren. Nähere Auskunft gewährt die entsprechende Spalte der beigedruckten Tabelle III.

Wie wir schon bei der Schilderung des zeitlichen Witterungsverlaufes zeigten, war der August 1912 auffallend niederschlagsreich. Hierzu ist noch zu bemerken, dass mehr die Niederschlagshäufigkeit als die Ergiebigkeit den ungünstigen Gesamteindruck des Berichtsmonats rechtfertigen. Allerdings fielen stellenweise in der Pfalz und im Fichtelgebirge Monatssummen, welche das Doppelte des langjährigen Durchschnittes noch übertreffen und das Eineinhalbfache des Mittelwertes wurde an sehr vielen Beobachtungsorten überschritten, andererseits ergaben sich aber auch vielenorts monatliche Regenmengen, welche nahezu normal waren, ja selbst, wie im Südosten Bayerns, unter dem Durchschnitte blieben. Hingegen war die Niederschlagshäufigkeit über unserem ganzen Gebiete auffallend hoch. Berücksichtigt man alle Tage, an denen überhaupt ein messbarer Niederschlag fiel, so waren fast allenthalben mehr als 20, im unteren Maingebiete und in der Westpfalz sogar mehr als 25 Niederschlagstage zu zählen. Aber auch, wenn man sich nur auf die Zählung jener Niederschlagstage beschränkt, an denen eine Regenmenge von mindestens 1.0 mm gemessen wurde, sind an fast allen Beobachtungsstellen mehr als die Hälfte, und sehr häufig mehr als zwei Drittel aller Monatstage als Niederschlagstage anzusprechen. Die geographische Verteilung der monatlichen Regenmengen über Süddeutschland ist auf dem

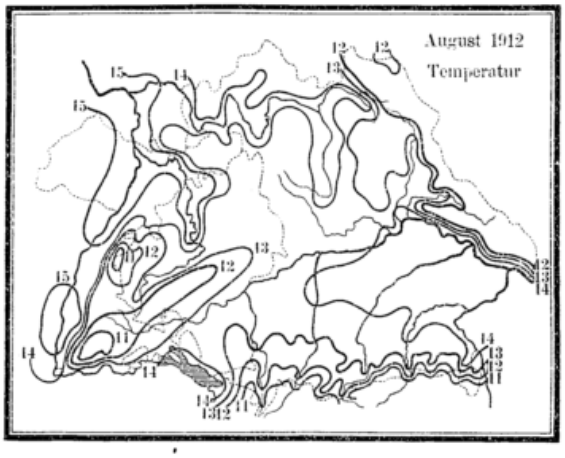

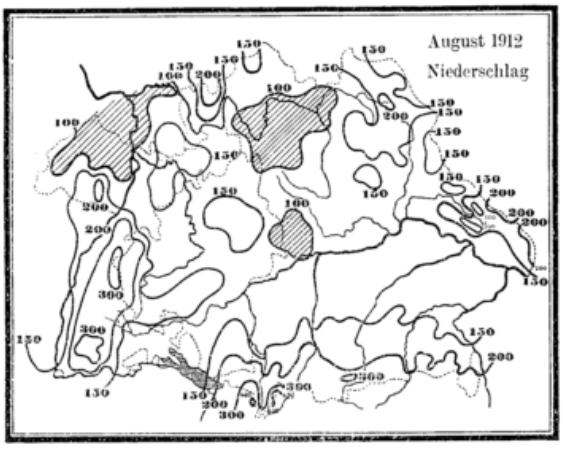

zweiten Kärtchen dargestellt. Auf den höheren Erhebungen des südlichen und nördlichen Schwarzwaldes, sowie im Alpengebiete zwischen Bodensee und Isar finden sich Bezirke mit Monatssummen von mehr als 300 mm, ja an einigen besonders exponierten Stellen des Algäus wurden sogar mehr als 400 mm gemessen. Die Isohyete für 200 mm umfasst ausgedehnte Gebiete des Schwarzwaldes, das gesamte Alpengebiet, ausserdem die höheren Lagen des Bayerischen und Böhmerwaldes, des Fichtelgebirges und des Spessart. Relative Trockengebiete mit einer Monatssumme von weniger als 100 mm bilden das Mainzer Becken und daran anschliessend die nördliche Pfalz, das mittlere Maingebiet und das Ries.

Die mittlere Bewölkungsziffer schwankt im allgemeinen zwischen 6 und 8 Zehnteln der vollen Bedeckung. Eine Begünstigung weist in dieser Hinsicht das bereits einmal hervorgehobene Gebiet zwischen der Nordgrenze der bayerischen Hochebene und der Donau auf und zum Teil finden wir in diesen günstigen Bewölkungsverhältnissen die Erklärung der relativ hohen Maximal- und niedrigen Minimaltemperaturen. Auch einige alpine Tallagen, wie Bad Reichenhall und Partenkirchen, ferner Lindau und Würzburg weisen einen mittleren Bewölkungsgrad von weniger als 7 Zehnteln der vollen Bedeckung auf. Die Zahl der heiteren Tage war nur sehr gering und erreichte nur an wenigen Orten, wie in Eggenfelden und Bad Reichenhall den Wert 5. Im Alpengebiete und in dessen unmittelbarem Vorlande, wo einige Tage mit kräftiger Föhnwirkung auftraten, betrug die Zahl der heiteren Tage wenigstens 2 bis 3, manchenorts auch 4, hingegen wurde an den nordbayerischen Stationen höchstens ein heiterer Tag verzeichnet (der 29. August), vielenorts auch gar keiner. Hingegen war die Zahl der trüben Tage zumeist recht beträchtlich und überschritt häufig die Hälfte aller Monatstage. Nähere Einzelheiten mögen wieder den entsprechenden Spalten der Tabelle III entnommen werden.

Die mittleren auf Meeresniveau reduzierten Barometerstände weisen ein von Nord nach Süd gerichtetes, schwaches Gefälle auf. Winde aus westlichen Richtungen waren vorherrschend.

München, den 19. September 1912. Alt.

Tabelle I.

Station	Höhe über Normal-Null m	Luftdruck in mm: höchster am	höchster mm	tiefster am	tiefster mm	Monatsmittel lokal	Monatsmittel auf Meeresniveau reduziert	Temperatur C°: Mittel um 7a	2p	9p	Mittlere Tagestemperatur	Mittleres Maximum	Mittleres Minimum	Mittel aus Maximum und Minimum	Mittlere Schwankung	Station
Ludwigshafen a/Rh.	100.3	17.	758.6	26., 27.	740.4	751.0	759.8	13.9	19.2	16.6	16.6	20.0	12.6	16.3	7.4	Ludwigshafen a/Rh.
Kahl a/M.	114.1	17.	756.5	27.	737.8	749.1	759.3	13.6	18.3	13.8	14.9	20.2	11.2	15.7	9.0	Kahl a/M.
Landau i. Pf.	149.9	17., 21.	753.4	26.	737.1	746.4	759.7	14.1	18.6	14.2	15.3	19.8	11.6	15.7	8.2	Landau i. Pf.
Würzburg	179.3	21.	752.8	26.	733.2	743.6	759.4	13.1	18.2	14.1	14.8	19.3	11.5	15.4	7.8	Würzburg
Bad Kissingen	209.2	17.	748.5	27.	730.1	741.3	759.8	12.4	17.3	13.4	14.1	18.6	10.5	14.6	8.2	Bad Kissingen
Kaiserslautern	242.2	17.	745.9	27.	728.7	738.6	760.0	13.0	18.0	13.5	14.5	18.8	11.0	14.9	7.8	Kaiserslautern
Luitpoldheim	250							11.7	16.2	13.2	13.6	17.3	10.2	13.7	7.1	Luitpoldheim
Bamberg	287.7	17.	741.6	26.	724.1	734.5	759.8	12.6	17.7	13.1	14.1	19.9	10.6	15.2	9.4	Bamberg
Nürnberg	309.1	21.	739.5	26.	722.8	732.5	759.7	13.3	17.9	14.1	14.8	19.1	11.3	15.2	7.9	Nürnberg
Passau	309.3	21.	740.1	26.	724.0	733.5	760.6	12.3	18.4	14.0	14.7	19.0	10.6	14.8	8.4	Passau
Metten	320							12.2	18.5	13.1	14.2	19.8	9.0	14.4	10.8	Metten
Regensburg	354.3	21.	735.0	27.	721.0	728.6	759.4	12.0	17.4	13.6	14.2	18.4	10.4	14.4	8.0	Regensburg
Bayreuth	363.3	17.	735.0	27.	717.7	728.0	759.9	12.4	17.0	13.2	13.9	18.7	10.1	14.4	8.6	Bayreuth
Burghausen	365	17.	735.2	26.	719.5	728.4	760.4	12.4	18.6	13.0	14.3	20.1	9.4	14.7	10.6	Burghausen
Ingolstadt	368							11.6	18.1	12.8	13.8	19.9	9.0	14.4	10.9	Ingolstadt
Karlshuld	382.0	21.	733.7	26.	717.6	726.6	760.1	12.1	17.7	12.7	13.8	20.3	9.0	14.7	11.3	Karlshuld
Landshut	397.7	17., 21.	732.3	26.	716.1	725.4	760.4	12.0	18.6	12.8	14.1	21.0	9.2	15.1	11.7	Landshut
Lindau i. B. (Reutin)	401.7	21.	733.9	26.	717.0	726.0	761.2	12.8	17.0	13.9	14.4	18.7	10.4	14.6	8.3	Lindau i. B. (Reutin)
Weissenburg i. B.	431	17.	729.5	26.	713.6	722.8	760.4	13.1	17.4	13.5	14.3	18.5	10.9	14.7	7.6	Weissenburg i. B.
Nördlingen	435.6	21.	728.7	26.	712.5	721.5	759.4	12.3	17.4	13.2	14.0	18.3	10.5	14.4	7.8	Nördlingen
Ansbach	437.5	17.	728.9	26.	712.1	721.7	760.0	12.1	17.1	12.5	13.5	18.2	9.7	14.0	8.5	Ansbach
Hof	476.1	17.	723.7	27.	706.9	717.5	759.2	11.1	16.4	11.3	12.5	17.9	8.4	13.2	9.5	Hof
Bad Reichenhall	477	21.	725.8	26.	711.9	719.1	760.7	13.1	18.8	13.3	14.6	20.8	10.8	15.8	10.0	Bad Reichenhall
Augsburg	499.6	21.	724.5	26.	708.2	717.3	760.8	12.0	17.7	13.8	14.3	18.6	10.8	14.7	7.8	Augsburg
München C.-St.	526.4	21.	721.8	26.	706.0	714.8	760.4	12.8	17.9	13.6	14.5	19.1	10.9	15.0	8.3	München C.-St.
Alexandersbad	590							10.3	14.5	11.3	11.9	15.7	8.7	12.2	7.0	Alexandersbad
Traunstein	597	21.	716.6	26.	699.6	709.3	761.2	11.5	16.7	12.1	13.1	18.1	9.2	13.7	8.9	Traunstein
Berchtesgaden	600							11.2	17.5	12.8	13.6	18.8	9.4	14.1	9.4	Berchtesgaden
Ottobeuren	660.0	21.	710.8	26.	696.5	703.7	760.7	11.8	16.7	11.8	13.0	18.2	9.3	13.8	8.9	Ottobeuren
Partenkirchen	714.6	21.	706.5	26.	690.6	099.4	761.1	10.5	16.4	11.8	12.6	17.7	8.9	13.3	8.9	Partenkirchen
Tegernsee	727.8	21.	705.7	27.	691.2	698.5	761.1	11.8	16.1	12.0	13.0	17.2	9.4	13.3	7.8	Tegernsee
Buchenau	750	21.	701.4	26.	686.9	695.2	759.9	9.4	14.7	10.4	11.2	16.1	8.0	12.0	8.0	Buchenau
Schaftlach	757							10.4	15.6	11.6	12.3	17.2	8.1	12.7	9.1	Schaftlach
Oberstdorf	811.4	21.	699.0	26.	683.5	691.5	761.3	9.9	15.9	10.5	11.7	17.7	6.9	12.3	10.8	Oberstdorf
Ettal	879.5	21.	691.4	26.	676.4	684.4	760.9	10.2	15.5	10.7	11.8	17.4	7.5	12.5	9.8	Ettal
Mittenwald	910	21.	689.6	26.	674.6	683.0	760.6	10.6	16.1	10.3	11.8	17.4	7.6	12.5	9.8	Mittenwald
Hohenpeissenberg	993.9	21.	682.6	27.	668.1	676.1	760.6	10.8	13.6	10.4	11.3	15.1	8.3	11.7	6.8	Hohenpeissenberg
Zugspitze	2964	17.	534.9	27.	522.4	530.7	–	– 1.5	0.1	– 1.9	– 1.3	1.4	– 2.8	– 0.7		Zugspitze

Tabelle II.

Station	Temperatur C°: höchste am	höchste C°	tiefste am	tiefste C°	grösste Schwankung am	grösste Schwankung C°	Dampfdruck Monatsmittel mm	Relative Feuchtigkeit %: Monatsmittel	kleinste am	kleinste %	grösste am	grösste %	Bewölkung Monatsmittel	Niederschlag: grösster am	grösster mm	Monats-Summe mm	Station
Ludwigshafen a/Rh.	4.	24.8	29.	8.8	29.	13.2	9.9	72	21.	39	26.	95	7.5	5.	16.8	108.2	Ludwigshafen a/Rh.
Kahl a/M.	4.	27.6	29.	5.3	18.	17.6	10.8	84	3.	46	29.	99	8.1	5.	14.9	109.9	Kahl a/M.
Landau i. Pf.	4.	26.0	29.	6.5	29.	15.0	10.4	79	3.	43	öfters	97	7.7	27.	15.8	146.3	Landau i. Pf.
Würzburg	4.	27.8	29.	6.4	18.	15.9	10.1	80	4.	42	2., 26.	99	6.7	24.	10.8	80 4	Würzburg
Bad Kissingen	4.	27.0	29.	6.2	30.	16.8	10.1	84	3.	43	öfters	98	7.6	24.	18.7	117.4	Bad Kissingen
Kaiserslautern	4.	25.6	29.	6.0	29.	15.6	9.8	79	3.	42	13., 20.	95	8.2	27.	12.0	113.0	Kaiserslautern
Luitpoldheim	4.	24.4	29.	7.1	18.	14.3	10.1	86	9.	55	2., 29.	100	7.9	24.	18.9	115.2	Luitpoldheim
Bamberg	4.	26.8	29.	6.3	18.	17.1	10.1	83	4., 18.	49	29.	99	9.1	6.	13.4	87.3	Bamberg
Nürnberg	30.	26.3	29.	6.8	18.	15.0	9.8	78	14.	41	2., 5.	97	7.8	3.	17.7	111.5	Nürnberg
Passau	30.	26.9	18.	6.3	30.	19.5	10.2	82	30.	33	4.	99	7.4	8.	21.5	121.1	Passau
Metten	30.	27.4	15., 29.	3.7	30.	20.8	10.1	83	1., 30.	47	24.	100	7.0	8.	42.0	133.6	Metten
Regensburg	1., 4.	24.5	29.	6.0	30.	14.6	9.7	81	öfters	49	6.	97	6.8	8.	25.8	75.3	Regensburg
Bayreuth	30.	27.7	29.	5.2	4.	17.5	9.8	82	3.	44	19.	98	7.6	24.	17.3	104.7	Bayreuth
Burghausen	1.	28.0	15.	4.7	1.	17.2	10.2	83	1.	45	29., 30.	100	6.8	27.	14.8	115.1	Burghausen
Ingolstadt	30.	28.5	22.	3.6	18.	20.6	9.8	83	29.	44	öfters	98	7.6	8.	16.6	101.1	Ingolstadt
Karlshuld	4.	29.2	29.	2.3	30.	21.2	9.8	83	4.	40	7., 8.,	100	7.1	2.	21.2	106.3	Karlshuld
Landshut	1.	31.2	15.	2.6	18.	22.2	9.8	81	1.	46	29.	99	6.9	8.	33.5	122.5	Landshut
Lindau i. B. (Reutin)	4.	26.1	9.	6.0	4.	15.4	10.2	83	19.	51	10.	99	6.7	8., 21.	25.0	216.5	Lindau i. B. (Reutin)
Weissenburg i. B.	30.	26.5	29.	4.9	29.	15.2	10.2	82	30.	47	2.	99	7.5	3.	17.5	107.9	Weissenburg i. B.
Nördlingen	30.	27.1	29.	3.6	29.	16.7	9.5	79	3.	44	2.	96	7.4	2.	8.1	89.7	Nördlingen
Ansbach	4.	26.4	29.	5.0	18.	16.6	9.2	79	3.	42	29., 31.	96	7.4	20.	15.4	116.8	Ansbach
Hof	30.	27.1	18.	3.3	30.	20.1	9.3	85	3., 30.	44	29.	100	7.7	8.	23.2	132.1	Hof
Bad Reichenhall	30.	28.9	9.	7.1	18.	15.7	9.8	78	öfters	44	14.	99	6.6	27.	25.0	161.8	Bad Reichenhall
Augsburg	30.	25.8	29.	6.4	29.	15.4	9.9	81	3., 30.	49	6.	100	7.1	2.	30.2	136.1	Augsburg
München C.-St.	1.	26.6	29.	7.6	18.	14.4	9.2	75	18.	36	7.	97	7.2	8.	30.8	126.1	München C.-St.
Alexandersbad	30.	24.2	29.	4.7	30.	17.5	9.1	87	30.	52	öfters	100	7.2	24.	21.5	176.9	Alexandersbad
Traunstein	4.	25.2	15.	4.9	4.	15.4	9.3	82	1.	43	öfters	100	7.0	8.	26.9	202.9	Traunstein
Berchtesgaden	30.	25.3	29.	5.0	4.	16.0	9.4	81	26.	44	18.	98	7.5	27.	21.2	174.2	Berchtesgaden
Ottobeuren	30.	25.5	29.	5.0	29.	17.6	8.8	78	18.	45	16.	96	7.1	8.	22.1	136.7	Ottobeuren
Partenkirchen	30.	25.4	15.	4.6	30.	17.3	9.1	84	27.	44	öfters	100	6.9	27.	33.4	219.8	Partenkirchen
Tegernsee	1.	24.8	15.	5.8	18.	12.5	8.8	78	19.	40	3.	99	7.3	27.	30 5	249.1	Tegernsee
Buchenau	30.	24.5	15., 29.	4.0	30.	16.9	9.2	91	30.	55	15., 24.	100	7.0	8.	52.1	231.3	Buchenau
Schaftlach	30.	24.3	9.	3.2	30.	15.0	9.0	83	öfters	57	23.	98	8.6	11.	40.2	281.6	Schaftlach
Oberstdorf	4., 19.	25.0	9., 29.	2.3	29.	18.8	8.6	84	18.	43	15.	100	7.5	8.	39.7	293.5	Oberstdorf
Ettal	19.	24.0	9.	3.2	29.	16.0	8.4	81	27.	41	20., 23.	98	6.9	21.	32.4	211.7	Ettal
Mittenwald	4.	25.1	9.	1.2	29.	16.5	8.3	80	30.	41	27.	100	7.3	27.	28.2	208.0	Mittenwald
Hohenpeissenberg	30.	21.8	23.	4.5	30.	11.7	7.8	78	30.	40	öfters	100	7.2	8.	37.4	202.5	Hohenpeissenberg
Zugspitze	1.	8.0	18.	– 6.9	3.	7.4	4.1	95	30.	60	öfters	100	7.8	3.	25.8	224.5	Zugspitze

Tabelle III.

Station	Tage mit										Tage				Anzahl der beobachteten Windrichtungen									Station
	Niederschlägen		Schneefall	Schneedecke	Graupeln	Hagel	Gewitter	Nebel	Reif	Tau	heitere	trübe	Tropen	Sommer	N	NE	E	SE	S	SW	W	NW	Stille	
	≥ 0.1mm	≥ 1.0mm																						
Ludwigshafen a/Rh.	24	18	–	–	–	1	2	–	–	2	1	14	–	–	–	–	1	6	32	30	5	–	19	Ludwigshafen a/Rh.
Kahl a/M.	25	23	–	–	–	–	4	–	–	–	–	17	–	1	–	–	–	6	11	56	1	2	17	Kahl a/M.
Landau i. Pf.	24	20	–	–	–	1	4	–	–	7	2	16	–	1	1	2	–	–	3	71	7	9	–	Landau i. Pf.
Würzburg	23	19	–	–	–	1	4	4	–	5	1	8	–	2	–	–	–	7	14	38	10	5	19	Würzburg
Bad Kissingen	27	23	–	–	–	–	3	2	–	5	–	14	–	2	8	–	1	2	20	28	19	8	7	Bad Kissingen
Kaiserslautern	25	20	–	–	–	–	6	–	–	8	1	21	–	1	1	–	2	–	4	3	51	9	23	Kaiserslautern
Luitpoldheim	27	19	–	–	–	–	7	11	–	3	1	18	–	–	–	–	4	4	4	56	1	–	24	Luitpoldheim
Bamberg	31	17	–	–	–	–	3	2	–	9	–	25	–	3	–	–	–	3	24	25	28	1	12	Bamberg
Nürnberg	20	19	–	–	–	–	3	5	–	3	–	17	–	2	1	–	3	20	6	27	24	8	4	Nürnberg
Passau	22	20	–	–	–	–	4	5	–	5	–	17	–	3	1	–	5	7	2	21	17	2	38	Passau
Metten	20	17	–	–	–	–	2	6	–	15	3	13	–	4	–	1	4	3	9	18	34	4	20	Metten
Regensburg	16	12	–	–	–	–	1	2	–	9	1	12	–	–	–	3	7	15	7	35	18	3	5	Regensburg
Bayreuth	23	19	–	–	–	–	3	3	–	5	–	15	–	3	–	–	6	18	9	14	40	–	6	Bayreuth
Burghausen	19	17	–	–	–	–	2	6	–	4	2	13	–	2	3	4	–	9	5	26	8	1	37	Burghausen
Ingolstadt	21	16	–	–	2	1	4	2	–	24	2	15	–	4	1	4	10	7	3	19	40	5	4	Ingolstadt
Karlshuld	17	14	–	–	–	–	3	6	–	12	1	15	–	5	–	1	3	–	5	18	33	3	30	Karlshuld
Landshut	21	14	–	–	–	1	1	2	–	13	2	14	1	5	2	3	8	1	2	9	47	5	16	Landshut
Lindau i. B. (Reutin)	23	21	–	–	–	–	2	–	–	12	3	13	–	2	–	11	1	4	24	7	28	7	11	Lindau i. B. (Reutin)
Weissenburg i. B.	24	17	–	–	–	–	1	1	1	5	2	19	–	1	–	–	1	5	20	37	25	1	4	Weissenburg i. B.
Nördlingen	24	18	–	–	–	–	6	1	–	5	1	14	–	2	–	1	3	15	4	30	29	7	4	Nördlingen
Ansbach	24	22	–	–	–	–	4	1	–	5	1	14	–	1	–	–	1	1	5	19	45	3	19	Ansbach
Hof	24	17	–	–	–	–	–	12	–	11	–	15	–	2	3	–	–	8	29	38	9	6	–	Hof
Bad Reichenhall	22	17	–	–	–	–	1	–	–	10	5	15	–	4	1	3	19	1	2	19	30	–	18	Bad Reichenhall
Augsburg	22	17	–	–	2	–	4	2	–	10	1	17	–	2	–	1	7	3	2	54	6	16	4	Augsburg
München C.-St.	19	15	–	–	–	–	1	–	–	10	3	15	–	2	–	1	4	6	4	43	15	6	14	München C.-St.
Alexandersbad	23	22	–	–	–	1	3	2	–	4	1	14	–	–	–	4	4	9	3	16	25	16	16	Alexandersbad
Traunstein	22	20	–	–	–	–	3	–	–	12	3	15	–	2	1	1	12	11	6	4	49	9	–	Traunstein
Berchtesgaden	22	19	–	–	–	–	3	2	–	15	4	16	–	1	–	–	9	2	–	–	1	–	81	Berchtesgaden
Ottobeuren	22	20	–	–	–	1	2	1	1	5	3	17	–	1	1	2	–	4	2	53	3	10	18	Ottobeuren
Partenkirchen	22	19	–	–	–	–	2	1	–	3	3	16	–	1	2	–	–	16	5	–	–	18	52	Partenkirchen
Tegernsee	20	20	–	–	–	–	3	–	–	–	4	18	–	–	5	–	25	13	12	1	13	7	17	Tegernsee
Buchenau	21	19	–	–	–	2	3	–	–	14	3	13	–	–	–	1	19	–	–	8	52	:	12	Buchenau
Schaftlach	18	18	–	–	1	–	2	1	–	16	1	21	–	–	1	–	11	–	11	3	57	3	7	Schaftlach
Oberstdorf	23	23	–	–	–	–	1	1	–	9	2	19	–	–	14	1	3	3	8	12	27	9	16	Oberstdorf
Ettal	22	22	–	–	–	–	2	–	–	9	3	14	–	–										Ettal
Mittenwald	22	17	–	–	–	–	2	–	–	6	2	16	–	1	6	3	4	3	12	12	2	3	48	Mittenwald
Hohenpeissenberg	20	19	–	–	1	–	2	9	–	2	2	15	–	–	2	6	7	7	5	21	36	6	3	Hohenpeissenberg
Zugspitze*)	23	20	20	31	4	–	3	25	1	–	–	17	–	–	10	–	1	11	15	9	14	32	1	Zugspitze

*) Zugspitze: 26 Frosttage, 11 Wintertage.

Übersicht über die Witterungsverhältnisse im Königreiche Bayern

während des September 1912.

Die erste Dekade des September bildete die ununterbrochene Fortsetzung des vorwiegend trüben, regnerischen und kühlen Wetters, das mit geringen Ausnahmen während des ganzen August vorherrschend gewesen war. In den ersten Monatstagen lagerte hoher Luftdruck im Südwesten Europas, während tiefe Depressionen in rascher Folge vom nordatlantischen Ozean über die britischen Inseln und die Nordsee nach dem Ostseegebiete und Osteuropa vordrangen. Über dem Mittelmeere bestand gleichfalls niedriger Druck, der bald mehr bald weniger nach der Balkanhalbinsel übergriff. Bei frischen westlichen bis nordwestlichen Winden herrschte meist trübes kühles Wetter mit häufigen Regenfällen. In der Rheinpfalz und im nördlichen Bayern trat mehrmals wenigstens für einige Stunden teilweises Aufklaren ein, während im südlichen Bayern, insbesondere an unseren alpinen Stationen, die Bewölkung kaum Lücken aufwies und der Regen nahezu ununterbrochen andauerte. Eine Änderung des Witterungscharakters trat ein, als hoher Luftdruck von Island südwärts vordrang und mit dem über Südwesteuropa gelegenen Barometermaximum in Verbindung trat. Nun war dem Einzug neuer Depressionen vom Atlantik der Weg versperrt. Da aber über der Ostsee noch eine Depression vorhanden war und auch im Mittelmeere Störungen in stetiger Umbildung und Neubildung begriffen waren, so trat noch keine durchgreifende Besserung ein. Allerdings hörten vom 10. ab die Regenfälle auf, oder gingen doch nur in geringfügigen Mengen nieder, doch war noch allenthalben, insbesondere im nördlichen Alpenvorlande starke Bewölkung vorhanden. Bis zum Morgen des 13. September war hoher Luftdruck von Westen und Nordwesten her kräftig gegen die zentralen Lagen vorgedrungen und verursachte in der Pfalz und im Maingebiete Aufklaren. Im südlichen und östlichen Bayern hingegen machte sich der im Südosten Europas befindliche Tiefdruck in verstärktem Masse geltend, so dass es neuerdings zu Niederschlägen kam. Dieselben griffen in den nächsten Tagen auch wieder auf das Maingebiet und die Pfalz über, als eine Depression vom Europäischen Nordmeere nach dem Ostseegebiete einbrach.

Erst mit dem 17. September beginnt eine Schönwetterperiode, die zunächst bis zum 23. dauerte. Unter der Herrschaft hohen Druckes herrschte heiteres oder nebelig trübes, bei nördlicher und nordöstlicher Luftzufuhr aber andauernd kühles Wetter. Bereits am Morgen des 22. war über Nordskandinavien eine Depression erschienen, die in der Folge in raschem Zuge nach den russischen Ostseeprovinzen und den unteren Donauländern sich verlagerte und Anschluss an die über dem Mittelmeere vorhandene Depression gewann. In der Pfalz und im nördlichen Bayern erschöpfte sich die Wirkung dieser Depression in Zunahme der Bewölkung und geringfügigen Niederschlägen, im südlichen Bayern war ihr Einfluss stärker bemerkbar und führte in den Tagen vom 24. bis 26. Trübung und stärkere Niederschläge herbei. Am 28. hatte der hohe Druck, dessen Kern nun über Skandinavien lag, bereits wieder die Herrschaft inne und behauptete dieselbe bis Monatsschluss. Der Kern des Maximums verlagerte sich immer mehr südostwärts, zurückgedrängt von einer kräftigen Depression, welche vom Atlantik gegen die britischen Inseln vorstiess.

Wenn wir demnach auch im allgemeinen einen tiefgreifenden Gegensatz zwischen der Witterung der ersten Monatshälfte und jener der zweiten feststellen müssen, in einer Richtung bestand eine auffallende Konstanz der Witterungserscheinungen: es herrschten andauernd niedrige Temperaturen. In der die erste Monatshälfte umfassenden zyklonalen Witterungsperiode verursachten vorwiegend nordwestliche Winde an der Rückseite niedrigen Druckes gemeinschaftlich mit häufigen Niederschlägen empfindliche Abkühlung; in der zweiten Monatshälfte waren es nördliche bis nordöstliche Winde, welche uns die kalte Luft aus der Gegend des barometrischen Maximums zuführten und in Zusammenhang mit kräftiger nächtlicher Ausstrahlung bei heiterem Himmel auffallend niedrige Temperaturen brachten. Unter solchen Umständen ergaben sich Mitteltemperaturen, welche 4 bis 5 Grad hinter den aus langjährigen Reihen abgeleiteten Durchschnittswerten zurückblieben. Die tiefsten Temperaturen während des Monats wurden zu Beginn oder um die Mitte der dritten Dekade aufgezeichnet und führten selbst in den so begünstigten Lagen der Pfälzer Rheinebene nahe an den Gefrierpuukt herab. Im bayerischen Alpengebiete zwischen Bodensee und Inn, sowie im Gebiete des Fichtelgebirges trat bereits an 3 bis 6 Tagen Frost ein, aber auch in der Donauebene und im Maingebiet waren stellenweise bereits ein- oder zweimal negative Minima zu verzeichnen. Nähere Einzelheiten mögen der entsprechenden Spalte der beigedruckten Tabelle III entnommen werden.

Die geographische Verteilung der Mitteltemperaturen über Süddeutschland ist auf dem ersten der beigegebenen Kärtchen zur Darstellung gebracht. Die Isothermen zeigen den gewohnten, durch den topographischen Aufbau des Geländes bedingten Verlauf. In der Rheinebene, sowie im unteren Main- und Neckartale wurden Mitteltemperaturen von mehr als 10 Grad erreicht, während im grössten Teile des rechtsrheinischen Bayern 8 bis 9 Grad ermittelt wurden. Mit dem Anstiege gegen die schwäbisch-bayerische Hochebene und die Mittelgebirge nehmen die Temperaturen noch weiter,

zunächst langsam, mit steilerer Erhebung rascher ab. Die Kärtchen, welche die geographische Verteilung der mittleren Extreme darstellen, weisen ganz ähnliche Bilder auf, wie das Kärtchen der Mitteltemperaturen. Zu erwähnen wäre wieder das zwischen Donau und Nordrand der bayerischen Hochebene (500 m-Isohypse) gelegene Gelände, das sich einerseits durch auffallend hohe Maxima, andererseits durch abnorm tiefe Minima hervorhebt. Hier erreichte auch die mittlere Schwankung mit mehr als 9 Grad ihre höchsten Beträge, während an der überwiegenden Mehrzahl unserer Stationen für dieses Element nur Werte von 6 bis 9 Grad verzeichnet wurden.

Auf dem zweiten Kärtchen ist die geopraphische Verteilung der Niederschlagsmengen über Süddeutschland dargestellt. Wie wir aus der Schilderung des zeitlichen Verlaufes der Witterung entnehmen können, war die erste Monatshälfte sehr niederschlagsreich, ja die erte Dekade brachte täglich Niederschläge. Es entspricht den durch die Luftdruckverteilung bedingten Winden aus nordwestlicher Richtung, dass die Niederschlagsmengen im allgemeinen in der Richtung von Nordwest nach Südost, also in der Richtung wachsender Geländeerhebung zunehmen. Die höchsten Niederschlagssummen wurden im Algäu, sowie im Alpengebiete zwischen Isar und Salzach gemessen, wo mehr als 300, vereinzelt sogar mehr als 400 Millimeter anfielen. Die Isohyete für 200 Millimeter schliesst schon weitere Teile des Alpenvorlandes ein und umfasst weiterhin engbegrenzte Bezirke auf den Höhen des nördlichen Schwarzwaldes und des bayerischen Waldes. Neben diesen Gebieten hoher Niederschlagssummen finden wir aber auch ausgedehnte Landstriche relativer Niederschlagsarmut. Auf unserem Kärtchen sind diese Gebiete mit weniger als 50 mm Regenmenge durch Schraffur hervorgehoben.

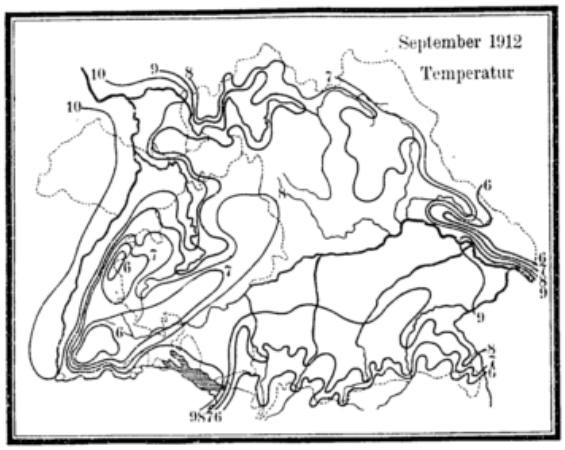

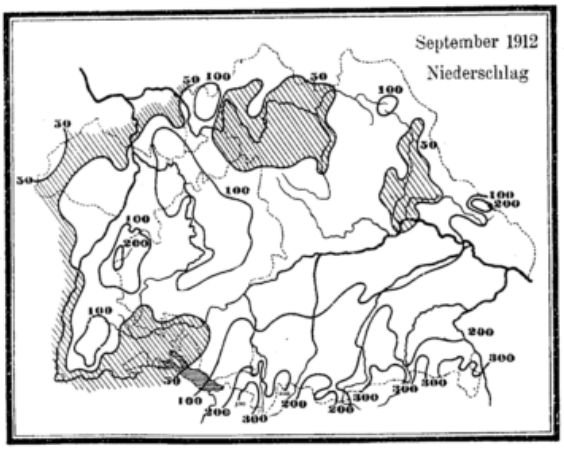

Vergleichen wir die Monatssummen des diesjährigen Septembers mit den aus langjährigen Reihen abgeleiteten mittleren Niederschlagsmengen, so finden wir, dass das obere und mittlere Maingebiet etwas geringere Regenmengen erreichte, als dies nach langjährigem Durchschnitte zu erwarten gewesen wäre. Auch Regensburg verzeichnete vergleichsweise eine zu geringe Monatssumme, während an der Mehrzahl unserer Beobachtungen der Durchschnittswert mehr oder weniger übertroffen wurde. An besonders exponierten Stellen des Alpengebietes und dessen Vorlandes wurde sogar mehr als das Doppelte des normalen Betrages überschritten. Auch die Niederschlagshäufigkeit nimmt vom Maingebiet nach den Alpen zu, eine Erscheinung, die in der Schilderung des zeitlichen Witterungsverlaufes ebenfalls schon ihre natürliche Erklärung findet. Am auffallendsten tritt aber die Zunahme der Niederschlagsintensität von Nord nach Süd bei Betrachtung der geographischen Verteilung der Niederschlagsdichte hervor. Während im Maingebiete die mittlere Regenmenge eines Niederschlagstages nur 2 bis 5 mm betrug, erreichte dieselbe im Alpengebiete und in dessen unmittelbarem Vorlande 9 bis 14 mm.

Die mittlere Bewölkungsziffer belief sich in der Pfälzer Rheinebene und im unteren Maingebiete, etwa von Schweinfurt abwärts sowie am Ufer des Bodensee auf weniger als 7 Zehntel der vollen Bedeckung. In Bad Kissingen ergab sich sogar ein mittlerer Bewölkungsgrad von nur 5.7, wenn die volle Bedeckung des Firmaments mit der Zahl 10 gekennzeichnet wird. Im übrigen Bayern und in der westlichen Pfalz schwankt die Bewölkungsziffer zwischen 7 und 8; an einigen Orten wurde auch die letzte Grenze noch mehr oder weniger überschritten. Die Zahl der heiteren Tage war gering und erreichte nur an wenigen Orten, wie Lindau, Ettal, Ludwigshafen, 4 bis 5; hingegen war die Zahl der trüben Tage meistenorts ziemlich beträchtlich. Auffallend begünstigt erscheint in dieser Beziehung das Gebiet, das die Orte Gemünden, Würzburg und Kissingen umschliesst, sowie die Umgebung von Regensburg, wo überall weniger als 10 trübe Tage zur Aufzeichnung gelangten. Andererseits finden sich im Süden und Osten Bayerns zahlreiche Beobachtungsstellen, an denen mehr als 20 trübe Tage gezählt wurden. Nähere Einzelheiten können der entsprechenden Spalte der Tabelle III entnommen werden.

Die mittleren auf Meeresniveau reduzierten Barometerstände gruppieren sich um den Wert 765.5 mm, ohne dass ein deutlich ausgesprochenes Gefälle nach irgend einer Richtung zu erkennen wäre.

München, den 21. Oktober 1912. Alt.

Tabelle I.

Station	Höhe über Normal-Null m	Luftdruck in mm: höchster am	höchster mm	tiefster am	tiefster mm	Monatsmittel lokal	Monatsmittel auf Meeresniveau reduziert	Temperatur C°: Mittel um 7ª	Mittel um 2ᵖ	Mittel um 9ᵖ	Mittlere Tagestemperatur	Mittleres Maximum	Mittleres Minimum	Mittel aus Maximum und Minimum	Mittlere Schwankung	Station
Ludwigshafen a/Rh.	100.3	22.	764.1	2.	747.8	756.9	766.0	8.3	14.2	11.2	11.2	14.8	7.1	10.9	7.7	Ludwigshafen a/Rh.
Kahl a/M.	114.1	22.	763.0	30.	746.3	755.2	765.6	7.4	13.8	9.2	9.9	14.9	5.4	10.2	9.5	Kahl a/M.
Landau i. Pf.	149.9	22.	757.9	30.	743.6	751.8	765.4	8.4	13.8	9.7	10.4	14 9	6.5	10.7	8.4	Landau i. Pf.
Würzburg	179.3	22.	757.0	2.	740.4	749.2	765.5	7.6	13.2	9.2	9.8	13.8	6.4	10.1	7.4	Würzburg
Bad Kissingen	209.2	22.	755.0	2.	738.5	746.9	766.0	6.8	12.7	8.4	9.1	13.7	5.1	9.4	8.6	Bad Kissingen
Kaiserslautern	242.2	22.	750.1	30.	734.7	744.1	766.0	7.1	13.1	9.0	9.6	13.5	5.6	9.6	7.9	Kaiserslautern
Luitpoldheim	250							6.5	11.5	8.4	8.7	12.4	5.5	8.9	6.9	Luitpoldheim
Bamberg	287.7	22.	747.6	2.	731.4	739.8	765.8	6.7	12.1	8.0	8.7	14.1	5.1	9.6	9.0	Bamberg
Nürnberg	309.1	21., 22.	744.9	2.	728.9	737.5	766.5	7.0	12.0	8.6	9.0	13.0	5.7	9.3	7.3	Nürnberg
Passau	309.3	21., 22.	744.3	2.	729.7	737.6	765.5	7.7	12.2	9.0	9.5	12.5	6.4	9.4	6.1	Passau
Metten	320							6.9	12.2	8.1	8.8	13.2	4.7	9.0	8.5	Metten
Regensburg	354.3	22.	740.7	2.	725.5	733.8	765.8	6.8	11.6	8.4	8.8	12.2	5.7	9.0	6.5	Regensburg
Bayreuth	363.3	21., 22.	740.9	2.	724.5	733.0	765.8	6.1	11.3	8.1	8.4	12.3	4.3	8.3	8.0	Bayreuth
Burghausen	365	21.	739.1	2.	724.1	732.5	765.4	7.1	12.1	7.9	8.7	13.0	5.6	9.3	7.3	Burghausen
Ingolstadt	368							6.3	12.2	7.7	8.5	13.6	4.3	9.0	9.4	Ingolstadt
Karlshuld	382.0	22.	737.6	2.	722.6	731.0	765.5	6.3	11.8	7.4	8.2	13.8	4.1	9.0	9.7	Karlshuld
Landshut	397.7	22.	736.3	2.	720.9	729.5	765.4	6.5	12.0	7.7	8.5	14.0	4.7	9.4	9.3	Landshut
Lindau i. B. (Reutin)	401.7	4.	734.5	2.	722.0	729.6	765.6	6.9	11.7	8.9	9.1	13.3	5.3	9.3	8.1	Lindau i. B. (Reutin)
Weissenburg i. B.	431	21., 22.	733.7	2.	719.3	727.2	765.9	6.7	11.7	8.0	8.6	12.4	5.1	8.8	7.3	Weissenburg i. B.
Nördlingen	435.6	21.	732.3	2.	717.8	725.9	764.9	6.5	11.5	7.8	8.4	12.6	5.2	8.9	7.4	Nördlingen
Ansbach	437.5	21.	733.3	2.	718.0	726.5	765.7	6.3	11.3	7.2	8.0	12.2	4.5	8.3	7.7	Ansbach
Hof	476.1	21., 22.	730.2	2.	714.7	722.4	765.3	5.2	10.2	6.0	6.9	11.5	3.1	7.3	8.3	Hof
Bad Reichenhall	477	21., 22.	728.7	2.	714.6	722.6	765.3	6.9	11.3	7.5	8.3	12.5	5.8	9.1	6.7	Bad Reichenhall
Augsburg	499.6	21.	727.1	2.	713.0	721.2	765.9	6.6	11.8	8.4	8.8	12.5	5.9	9.2	6.6	Augsburg
München C.-St.	526.4	21.	724.5	2.	710.7	718.5	765.4	6.9	11.4	8.2	8.7	12.1	6.0	9.0	6.1	München C.-St.
Alexandersbad	590							5.0	8.9	6.1	6.5	9.9	3.4	6.7	6.5	Alexandersbad
Traunstein	597	21.	718.8	2.	705.4	712.8	766.1	5.8	9.9	6.7	7.2	10.8	4.7	7.8	6.1	Traunstein
Berchtesgaden	600							5.8	10.2	6.9	7.5	10.9	4.8	7.9	6.1	Berchtesgaden
Ottobeuren	660.0	21.	711.6	2.	699.9	707.1	765.7	5.5	10.4	6.5	7.2	11.3	4.2	7.8	7.1	Ottobeuren
Partenkirchen	714.6	22.	707.0	2.	695.0	702.6	765.8	5.1	9.7	7.0	7.2	10.7	4.3	7.5	6.4	Partenkirchen
Tegernsee	727.8	21.	707.8	2.	694.4	701.7	766.0	5.9	9 5	6.7	7.2	10.4	4 3	7.4	6 2	Tegernsee
Buchenau	750	21.	705.2	2.	691.6	698.5	765.0	4.6	8 3	5.4	5.9	9.6	3.8	6.7	5.8	Buchenau
Schaftlach	760							4.5	9.0	6.2	6.5	10.2	3.3	6.7	6.9	Schaftlach
Oberstdorf	811.4	13.	699.1	2.	686.9	694.2	765.5	4.3	9.9	5.4	6.2	11.4	2.8	7.1	8.6	Oberstdorf
Ettal	879.5	21.	691.7	2.	680.4	687.2	764.3?	4.5	8.8	5.3	6.0	10.5	2.9	6.7	7.6	Ettal
Mittenwald	910	17., 21.	689.9	2.	678.6	685.7	765.5	4.0	9.2	5.3	5.9	10.0	2.7	6.4	7.3	Mittenwald
Hohenpeissenberg	993.9	18.	683.1	2.	672.0	678.7	765.5	4.2	7.2	5.0	5.3	7.9	3.4	5.7	4.5	Hohenpeissenberg
Zugspitze	2964	17., 18.	535.1	2.	525.0	529.6		- 6.3	- 5.0	- 5.8	- 5:7	- 4.0	- 7.4	- 5.7	3.4	Zugspitze

Tabelle II.

Station	Temperatur C°: höchste am	höchste C°	tiefste am	tiefste C°	grösste Schwankung am	grösste Schwankung C°	Dampfdruck Monatsmittel mm	Relative Feuchtigkeit %: Monatsmittel	kleinste am	kleinste %	grösste am	grösste %	Bewölkung Monatsmittel	Niederschlag: grösster am	grösster mm	Monats-Summe mm	Station
Ludwigshafen a/Rh.	1.	18.0	25., 26.	2.7	28.	12.5	7.4	75	20.	38	30.	97	6.4	9.	37.4	83.5	Ludwigshafen a/Rh.
Kahl a/M.	17.	18.3	26.	- 0.7	30.	15.9	7.7	81	21., 28.	45	öfters	100	6.8	9.	25.0	75.4	Kahl a/M.
Landau i. Pf.	1.	23.2	25.	2.9	1.	13.0	7.5	79	20.	44	öfters	98	6.9	9.	27.5	60.2	Landau i. Pf.
Würzburg	30.	18.0	20.	1.4	30.	14.5	7.3	80	28.	43	5.	98	6.0	9.	16.3	43.1	Würzburg
Bad Kissingen	1.	17.4	20.	- 0.6	30.	14.7	7.1	82	20.	41	öfters	98	5.7	9.	16.7	45.1	Bad Kissingen
Kaiserslautern	2.	17.2	21.	0.7	30.	13.5	7.2	81	22.	43	9.	98	7.3	9.	37.7	60.1	Kaiserslautern
Luitpoldheim	17.	15.8	20.	0.5	28.	12.1	7.4	88	22.	52	1., 30.	100	6.4	9.	18.3	57.6	Luitpoldheim
Bamberg	30.	17.4	20.	0.9	30.	16.0	7.2	84	21.	47	öfters	100	8.2	9.	13.7	41.3	Bamberg
Nürnberg	30.	16.8	25.	0.2	30.	13.1	6.9	80	22.	38	12.	99	7.4	9.	21.0	45.1	Nürnberg
Passau	1., 2.	16.8	29.	2.1	29.	13.7	7.5	84	21.	51	29., 30.	100	8.4	9.	26.0	95.0	Passau
Metten	1.	17.8	29.	0.2	29.	14.8	7.1	83	18.	39	öfters	100	7.7	9.	35.5	114.2	Metten
Regensburg	4.	15.8	23.	1.0	30.	12.6	6.8	80	23.	42	12.	98	7.1	9.	11.3	33.2	Regensburg
Bayreuth	1.	16.8	20.	- 1.8	30.	15.3	6.8	83	öfters	53	30.	98	7.5	9.	12.6	40.3	Bayreuth
Burghausen	2.	17.6	22., 29.	1.0	29., 30.	14.1	7.2	85	23.	48	öfters	100	8.0	9.	29.9	166.9	Burghausen
Ingolstadt	17.	17.9	22.	- 0.4	30.	16.4	6.9	82	23.	43	12., 24.	97	7.7	9.	21.3	62.4	Ingolstadt
Karlshuld	1.	18.3	22.	- 1.3	30.	16.0	7.0	85	23.	42	öfters	100	7.2	9.	22.6	84.9	Karlshuld
Landshut	1.	19.3	22.	- 0.8	30.	16.8	6.9	83	22.	47	22.	100	7.9	9.	21.8	96.1	Landshut
Lindau i. B. (Reutin)	17.	16.2	26.	- 0.4	23.	14.9	7.3	84	22., 24.	53	öfters	100	6.3	10.	28.7	154.6	Lindau i. B. (Reutin)
Weissenburg i. B.	1.	16.9	23.	- 0.2	23.	12.6	7.1	85	21.	50	21.	100	7.3	9.	28.2	66.6	Weissenburg i. B.
Nördlingen	1.	17.6	22.	0.1	23.	14.3	6.7	81	23.	44	21., 26.	97	7.4	9.	22.5	52.7	Nördlingen
Ansbach	30.	16.8	23.	- 0.2	30.	15.9	6.6	82	22.	46	2.	97	7.7	9.	32.7	92.7	Ansbach
Hof	1.	16.1	20.	- 2.9	30.	16.9	6.6	87	28.	51	öfters	100	7.9	9.	11.8	47.2	Hof
Bad Reichenhall	30.	18.7	22.	1.0	29.	12.7	7.0	85	4.	50	28.	100	8.0	16.	68 5	290.8	Bad Reichenhall
Augsburg	30.	17.3	22.	1.8	30.	13.2	7.3	85	22.	59	29.	100	7.8	10.	15.6	91.1	Augsburg
München C.-St.	30.	17.9	22.	1.6	30.	12.7	6.7	81	2.	43	24.	99	8.1	10.	23.7	122.3	München C.-St.
Alexandersbad	1.	14.0	23.	- 1.4	30.	12.8	6.4	90	1.	52	öfters	100	7.7	8.	9.0	68.0	Alexandersbad
Traunstein	30.	16.0	28.	0.1	29.	14.1	6.7	87	30.	52	öfters	100	7.9	9.	61.5	264.1	Traunstein
Berchtesgaden	30.	16.2	24.	0.3	29.	14.8	6.7	85	29.	44	27.	100	8.7	4.	70.0	285.2	Berchtesgaden
Ottobeuren	30.	18.0	24.	0.0	30.	14.6	6.4	84	22.	45	15., 29.	98	7.1	9.	32.6	118.8	Ottobeuren
Partenkirchen	30.	18.5	23.	0.2	30.	13.2	6.5	86	30.	40	öfters	100	7.7	16.	37 5	172.5	Partenkirchen
Tegernsee	30.	18.4	22.	- 1.4	17.	12.3	6.3	82	22.	45	22.	100	7.6	9.	80.0	293.0	Tegernsee
Buchenau	2.	15.2	26.	0.8	30.	12.1	6.4	90	23.	58	öfters	100	8.2	9.	33.4	144.5	Buchenau
Schaftlach	30.	15.9	22.	- 1.2	29.	13.1	6.3	88	22.	56	15.	99	8.9	9.	60.1	246.1	Schaftlach
Oberstdorf	30.	17.6	28.	- 3.2	28.	16.3	6.2	85	30.	38	23.	100	7.8	16.	36.0	202 6	Oberstdorf
Ettal	30.	17.5	22.	- 2.2	30.	14.0	6.1	86	22.	53	23.	100	7.2	16.	56 5	251.1	Ettal
Mittenwald	30.	17.1	22.	- 3.7	17.	13.9	5.9	85	30.	40	öfters	100	8.1	16.	40.8	184.6	Mittenwald
Hohenpeissenberg	30.	14.1	22.	- 1.2	17.	8.3	5.8	87	30.	52	öfters	100	7.8	10.	23.5	143.3	Hohenpeissenberg
Zugspitze	30.	0.6	26.	-12.1	4.	6.5	2.8	96	22., 24.	73	öfters	100	7.8	3.	23.9	200.3	Zugspitze

Tabelle III.

Station	Tage mit: Niederschlägen ≥0,1mm	Niederschlägen ≥1,0mm	Schneefall	Schneedecke	Graupeln	Hagel	Gewitter	Nebel	Reif	Tau	Tage: heitere	trübe	Frost	Winter	Anzahl der beobachteten Windrichtungen: N	NE	E	SE	S	SW	W	NW	Stille	Station
Ludwigshafen a/Rh.	16	10	–	–	–	–	1	8	1	10	4	13	–	–	23	12	5	6	8	20	8	2	6	Ludwigshafen a/Rh.
Kahl a/M.	13	12	–	–	–	1	1	3	6	–	2	15	2	–	1	11	5	6	4	26	6	3	28	Kahl a/M.
Landau i. Pf.	15	8	–	–	–	–	1	1	–	17	2	13	–	–	1	34	2	–	3	24	4	22	–	Landau i. Pf.
Würzburg	18	12	–	–	–	1	2	7	–	5	3	9	–	–	–	2	14	7	2	9	16	16	24	Würzburg
Bad Kissingen	14	11	–	–	1	–	–	4	4	16	3	6	1	–	25	7	8	1	9	17	8	8	7	Bad Kissingen
Kaiserslautern	15	8	–	–	1	–	1	3	5	10	1	13	–	–	2	3	20	6	1	1	24	7	26	Kaiserslautern
Luitpoldheim	18	10	–	–	–	–	1	7	5	5	2	8	–	–	–	15	3	–	7	34	7	1	23	Luitpoldheim
Bamberg	30	12	–	–	–	–	1	3	4	17	1	19	–	–	9	6	6	3	7	7	29	19	4	Bamberg
Nürnberg	17	11	–	–	3	–	3	14	7	6	1	16	–	–	7	18	13	2	4	15	16	14	1	Nürnberg
Passau	20	14	–	–	–	–	–	6	–	–	1	23	–	–	–	–	3	11	–	18	13	2	43	Passau
Metten	20	14	–	–	–	–	1	9	3	11	1	18	–	–	3	7	9	9	7	1	25	6	23	Metten
Regensburg	15	11	–	–	–	–	–	4	–	3	1	9	–	–	8	17	4	3	–	20	15	4	19	Regensburg
Bayreuth	18	9	–	–	1	–	–	6	7	6	1	12	3	–	9	7	10	7	–	4	35	14	4	Bayreuth
Burghausen	17	14	–	–	–	–	1	9	–	12	1	20	–	–	4	2	12	3	3	25	4	–	37	Burghausen
Ingolstadt	17	12	–	–	2	–	–	1	3	15	1	19	2	–	1	11	24	6	–	12	31	4	1	Ingolstadt
Karlshuld	15	12	–	–	–	2	–	4	3	12	2	16	3	–	–	10	18	1	1	10	23	4	23	Karlshuld
Landshut	20	13	–	–	–	–	1	3	3	9	2	19	1	–	2	11	14	1	1	3	35	7	16	Landshut
Lindau i. B. (Reutin)	17	11	–	–	–	–	1	–	2	18	5	13	3	–	14	28	2	7	8	1	20	4	6	Lindau i. B. (Reutin)
Weissenburg i. B.	17	12	–	–	1	–	2	6	7	3	1	14	1	–	9	15	8	6	3	19	17	7	6	Weissenburg i. B.
Nördlingen	19	10	–	–	–	–	1	1	4	12	1	14	–	–	5	14	8	5	1	15	22	15	5	Nördlingen
Ansbach	19	15	–	–	1	1	1	2	6	6	1	10	1	–	13	9	5	–	2	4	23	10	24	Ansbach
Hof	20	13	1	–	1	–	–	14	3	13	–	14	6	–	19	13	1	5	4	13	11	21	3	Hof
Bad Reichenhall	21	19	–	–	–	–	–	–	1	8	3	20	–	–	–	–	23	2	2	3	29	–	31	Bad Reichenhall
Augsburg	18	13	–	–	1	–	–	4	2	4	1	17	–	–	3	23	11	3	–	23	11	14	2	Augsburg
München C.-St.	21	17	–	–	1	–	1	3	3	10	–	20	–	–	–	9	14	1	–	25	15	5	21	München C.-St.
Alexandersbad	18	15	–	–	2	–	–	4	5	7	–	12	4	–	–	16	9	1	–	5	22	16	21	Alexandersbad
Traunstein	22	18	–	–	–	–	–	3	4	4	2	18	–	–	3	16	17	3	9	3	33	6	–	Traunstein
Berchtesgaden	23	21	–	–	–	–	–	2	2	7	–	23	–	–	–	–	16	–	–	–	2	–	72	Berchtesgaden
Ottobeuren	17	13	2	–	–	–	–	4	5	5	2	14	–	–	1	12	12	1	–	33	1	1	29	Ottobeuren
Partenkirchen	20	18	–	–	–	–	1	–	2	9	2	18	1	–	7	–	1	4	4	1	–	11	62	Partenkirchen
Tegernsee	21	18	–	–	–	–	–	5	–	–	2	16	2	–	1	2	21	9	3	–	17	9	28	Tegernsee
Buchenau	23	19	1	–	1	1	–	4	4	5	1	22	–	–	–	3	39	1	–	–	38	1	8	Buchenau
Schaftlach	23	18	–	–	–	–	–	4	5	7	–	21	5	–	2	9	28	–	–	6	37	1	7	Schaftlach
Oberstdorf	17	13	1	–	–	–	1	8	5	3	3	20	5	–	22	3	1	1	8	11	14	3	27	Oberstdorf
Ettal	20	17	2	–	1	–	1	3	8	8	4	16	3	–										Ettal
Mittenwald	21	17	1	–	–	–	1	3	3	5	2	20	3	–	6	5	4	–	9	4	1	5	56	Mittenwald
Hohenpeissenberg	17	16	2	1	–	–	–	21	2	3	3	20	3	–	1	28	7	1	2	15	20	8	8	Hohenpeissenberg
Zugspitze	21	18	21	30	6	–	–	22	–	–	1	19	30	29	22	–	9	11	5	1	6	28	8	Zugspitze

Übersicht über die Witterungsverhältnisse im Königreiche Bayern

während des Oktober 1912.

Der Monat begann mit vorwiegend trüber und regnerischer Witterung bei lebhaften südwestlichen Winden. In den Morgenstunden des 1. Oktober lag eine tiefe Depression vor der deutschen Nordseeküste, während hoher Luftdruck im äussersten Südosten unseres Erdteils sowie bei Island sich befand. Bis zum kommenden Tage verlagerte sich die Depression in raschem Zuge nach der Ostsee, um dann in der Folge nach dem Weissen Meere abzuziehen. An der Rückseite der Depression drängte hoher Druck von den britischen Inseln nach den zentralen Gebietsteilen vor, doch machten sich zunächst noch Randstörungen des abziehenden Tiefdruckgebietes geltend und verursachten weiterhin Trübung mit Niederschlägen. Erst am 4. Oktober trat über unserem Gebiete Aufklaren ein, als der Kern des Hochdruckes auf unser Gebiet übertrat. Nur im Alpengebiete bestand unter der Einwirkung von Mittelmeerstörungen noch trübes Wetter mit zeitweisen Schneefällen fort und erst am 5. kam auch hier der Hochdruck zur Herrschaft. Im allgemeinen dauerte die antizyklonale Wetterlage bis zum 14., wenn man von kleineren, nur kurzdauernden Störungen absieht, die zeitweise zu stärkerer Bewölkung und geringfügigen Niederschlägen führten. Die Temperaturen, die zu Beginn des Monats um geringe Beträge über dem langjährigen Mittel gelegen waren, sanken zunächst unter dem Einflusse kalter nördlicher Winde und dann infolge der durch das aufklarende Wetter verursachten ungehinderten nächtlichen Ausstrahlung bis zum 5. November auf ein Minimum, das 9 bis 10 Grad unter dem Durchschnittswerte lag. Hierauf stiegen die Temperaturen wieder an, um vom 9. ab, nachdem sich der Kern des Barometermaximums nach Skandinavien verlagert hatte, neuerdings einen mässigen Rückgang zu erfahren, der aber die steigende Tendenz der Temperaturen nur kurze Zeit unterbrechen konnte.

Am Morgen des 14. Oktober lag der Kern des hohen Druckes über Zentraleuropa, während der ganze Ozean und Westeuropa einer umfangreichen Depression angehörten. Der Tiefdruck rückte kräftig gegen den Kontinent vor und verursachte zunächst in der Pfalz und in Nordwestbayern, später auch im Süden und Osten unseres Gebietes Trübung und leichte Niederschläge. Im Alpengebiete und in dessen Vorland war der Bewölkungszunahme kräftige Föhnsituation vorausgegangen. Bereits am 16. war der ungünstige Einfluss der Depression wieder überwunden und ein kontinentales Maximum brachte vorwiegend heiteres Wetter. Die Temperaturen lagen nun zumeist um geringe Beträge über dem langjährigen Mittel. Nur in der Pfalz und im unteren Maingebiete war unter dem Einflusse einer neuen, vom Ozean vordringenden Depression bereits wieder Trübung eingetreten, die sich mit dem weiteren raschen Vorwärtsschreiten des niedrigen Druckes bald wieder über ganz Zentraleuropa verbreitete und Niederschläge im Gefolge hatte. Im südlichen Bayern war dem eigentlichen Witterungsumschlag wieder kräftiger Föhn vorausgegangen. Dieser rasche Wechsel zyklonaler und antizyklonaler Witterung dauerte nun bis Monatsende fort und verlieh der zweiten Hälfte des Oktober den Charakter des Unbeständigen. Ein Ausläufer niedrigen Druckes nach dem andern zog über unser Gebiet hinweg. Auf der Vorderseite trat bei südlichen Windströmungen leichte Erwärmung, im Alpengebiete und in dessen Vorland mehr oder minder ausgeprägte Föhnstimmung ein, auf der Rückseite des niedrigen Druckes kam es zu Niederschlägen und Abkühlung. Es muss aber bemerkt werden, dass weder die Wirkung der Vorderseite noch jene der Rückseite besonders intensiv auftraten. Nur im Alpengebiete kam es stellenweise zu kräftigeren Niederschlägen. Die Temperaturen lagen im allgemeinen um Geringes unter den Normalbeträgen, bis am 27. starke südliche Winde kräftige Erwärmung brachten. Die Temperaturtagesmittel stiegen im südlichen Bayern, wo intensive Föhnlage herrschte, bis zum 29. um 7 bis 8 Grad über Normal. Ebenso schroff erfolgte nach dem Aufhören des Föhns der Temperaturrückgang, doch lagen die Temperaturen am Monatsende immer noch einige Grade über dem langjährigen Mittel.

Da das Temperaturtagesmittel nur an wenigen Tagen zu Beginn, um die Mitte und gegen Ende des Monats über den langjährigen Durchschnittswerten lag, sonst unterhalb derselben, so fielen die Differenzen der Monatsmittel gegen die Normalwerte allenthalben negativ aus. In der Donauebene von Kelheim abwärts bezifferte sich die Differenz auf 3 bis 4 Grad, an der überwiegenden Mehrzahl unserer Beobachtungsorte noch auf mehr als 2 Grad; nur in einigen alpinen Tallagen, wo häufige Föhnlage geherrscht hatte, wurden Differenzen von nur wenigen Zehntelgraden erhalten.

Die geographische Verteilung der Mitteltemperaturen über Süddeutschland ist auf dem ersten der beigegebenen Kärtchen zur Darstellung gebracht. Die höchsten Temperaturen von mehr als 8 Grad wurden in der Rheinebene und in den besonders begünstigten Lagen des Neckartales ermittelt. Die Isotherme für 7 Grad umfasst noch die ganze Rheinpfalz, das gesamte Neckartal mit Ausnahme des Quellgebietes, das Uferland des Bodensees und einige bevorzugte Lagen des Maintales. Im rechtsrheinischen Bayern wurden, soweit die niederen Lagen des Maingebietes in Betracht kommen, Mitteltemperaturen von 6 bis 7 Grad berechnet, während in den Mittelgebirgsgegenden und im grössten Teile des Donaugebietes Temperaturen unter 6, im Bereiche der Gebirge an der Ostgrenze Bayerns und im nördlichen Frankenjura sogar

unter 5 Grad erhalten wurden. Unsere alpinen Talstationen lieferten Temperaturmittel, welche als auffallend hoch zu bezeichnen sind, eine Folge der häufigen, mitunter recht kräftigen Föhnlagen. Die Führung der Isotherme für 6 Grad am Alpenfusse entlang ist natürlich rein hypothetisch, was auch durch die Zeichnung zum Ausdruck gebracht ist. Die kartographischen Darstellungen der geographischen Verteilung der mittleren Extreme zeigen im allgemeinen die gleichen Grundzüge wie die Karte der Verteilung der Mitteltemperatur. Durch auffallend hohe Werte sowohl des Maximums wie auch des Minimums zeichnen sich wieder die durch Föhn begünstigten alpinen Tallagen aus. Andererseits finden wir in dem Gebiete, das sich zwischen den Nordrand der bayerischen Hochebene und das Donautal einschiebt, auffallend tiefe Minima und abnorm hohe Maxima, so dass sich hier für die mittlere Schwankung die höchsten Beträge von über 10 Grad ableiten.

Die Zahl der Frosttage betrug im Rhein- und Maingebiet mit Ausnahme der Mittelgebirgslagen weniger als 10, in besonders günstigen Lagen, wie in der Rheinebene, sogar weniger als 5. Im Donaugebiete haben wir in bezug auf Frosthäufigkeit drei Gebietsteile zu unterscheiden. Im Alpengebiet und auf der schwäbisch-bayerischen Hochebene wurden weniger als 10 Frosttage gezählt; in einigen Lagen, wo der so häufig auftretende Föhn besonders wirksam war, sogar weniger als 5. In den niederen Lagen der Donauebene wurden zumeist 10 bis 12 Frosttage gezählt, doch haben wir hier die Umgebung Regensburgs und das untere Nab- und Regental als begünstigt auszunehmen. In den eigentlichen Mittelgebirgsgegenden des östlichen Bayern endlich ergaben sich 12 bis 15, in höheren Lagen über 15 Tage mit Frost.

Die Niederschlagsmengen des diesjährigen Oktober waren im allgemeinen normale insofern, als sowohl nach der negativen wie auch nach der positiven Seite grössere Abweichungen vom langjährigen Durchschnittswerte nicht zu verzeichnen waren. Eine Ausnahme bilden nur das untere Maingebiet und das unmittelbare Ufergestade des Bodensees,

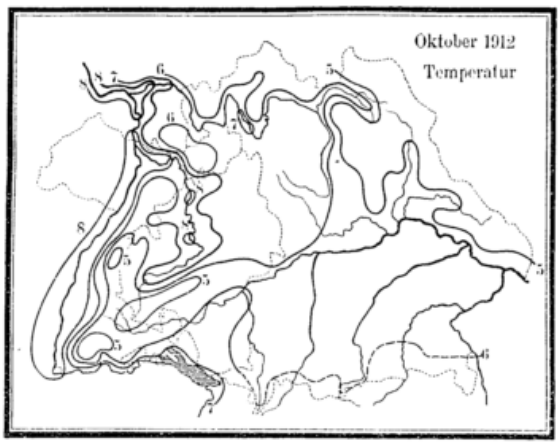

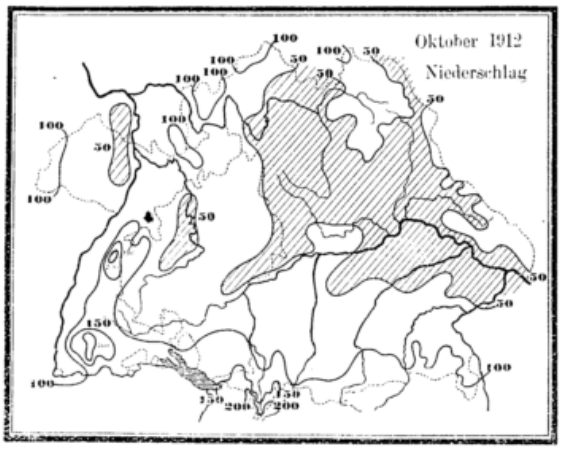

woselbst etwas mehr als das Eineinhalbfache, vereinzelt auch das Doppelte der normalen Niederschlagsmenge, anfiel. Die geographische Verteilung der Niederschlagsmengen über Süddeutschland wird durch das zweite Kärtchen dargestellt und bedarf keiner näheren Erläuterung. Die Niederschlagshäufigkeit war, wie dies der Schilderung des zeitlichen Witterungsverlaufes zu entnehmen ist, in der ersten Monatshälfte gering, hingegen in der zweiten Hälfte ziemlich erheblich. Wie wir aber gleichfalls schon erwähnten, waren die Niederschläge im allgemeinen wenig intensiv, nur einige Male waren im Alpengebiete erhebliche Mengen (bis zu 30 mm und darüber) zu verzeichnen. Die Niederschläge fielen vorwiegend als Regen. In den höheren Lagen der Alpen allerdings waren Schneefälle keine seltene Erscheinung und am 23. und 24. griffen dieselben sogar weit ins Flachland über. Am Morgen des 23. Oktober lag im ganzen Alpengebiet und in dessen Vorland, ausserdem auf den Hügeln zwischen Lech und Amper und auf den Höhen des Jura zu beiden Seiten der Altmühl eine allerdings nur schwache und vielfach unterbrochene Schneedecke. Auch im Zentralstock des Fichtelgebirges und im Bayerischen Wald war bereits Schneefall zu konstatieren, ohne dass derselbe jedoch zur Bildung einer nennenswerten Schneedecke geführt hätte.

Die mittlere Bewölkungsziffer schwankt zwischen 6 und 8 Zehnteln der vollen Bedeckung. Weniger als 6 Zehntel ermittelten nur die Orte Würzburg, Ansbach und Nürnberg sowie Alexandersbad im Fichtelgebirge und Buchenau bei Zwiesel im Bayerischen Wald. Die häufigen Nebelbildungen, die unter der Herrschaft des hohen Druckes in der ersten Hälfte des Monats auftraten, haben die Zahl der heiteren Tage beträchtlich vermindert. Andererseits war aber auch die Zahl der trüben Tage im allgemeinen nicht sehr erheblich, ausgenommen an Orten, an denen eine erhöhte Disposition zu lokaler Nebelbildung besteht. Nähere Details mögen der entsprechenden Spalte der Tabelle III entnommen werden.

Die mittleren, auf Meeresniveau reduzierten Barometerstände weisen ein schwaches, von Südost nach Nordwest gerichtetes Gefälle auf. An der Mehrzahl der Stationen waren Winde aus westlichen Richtungen vorherrschend, an einigen alpinen Tallagen traten nach den Windstillen südliche Luftströmungen mit grösster Häufigkeit auf.

München, den 21. November 1912. Alt.

Tabelle I.

Station	Höhe über Normal-Null m	Luftdruck in mm: höchster am	höchster mm	tiefster am	tiefster mm	Monatsmittel lokal	Monatsmittel auf Meeresniveau reduziert	Temperatur C°: Mittel um 7ª	2ᵖ	9ᵖ	Mittlere Tagestemperatur	Mittleres Maximum	Mittleres Minimum	Mittel aus Maximum und Minimum	Mittlere Schwankung	Station
Ludwigshafen a/Rh.	100.3	4.	768.3	22.	739.2	754.4	763.6	6.3	11.3	8.3	8.6	11.7	5.2	8.4	6.5	Ludwigshafen a/Rh.
Kahl a/M.	114.1	4.	767.1	22.	738.0	752.8	763.3	4.8	10.8	6.0	6.9	12.1	2.6	7.4	9.5	Kahl a/M.
Landau i. Pf.	149.9	4.	762.5	22.	735.5	749.5	763.2	5.7	10.6	6.7	7.4	11.5	4.1	7.8	7.2	Landau i. Pf.
Würzburg	179.3	4.	761.5	22.	731.2	747.0	763.5	4.6	10.7	6.5	7.1	11.0	3.3	7.2	7.7	Würzburg
Bad Kissingen	209.2	4.	759.8	22.	728.4	744.7	763.9	3.2	9.7	5.3	5.9	10.3	2.1	6.2	8.2	Bad Kissingen
Kaiserslautern	242.2	4.	754.3	22.	727.1	741.4	763.5	5.2	10.7	6.3	7.1	11.3	3.4	7.3	7.9	Kaiserslautern
Luitpoldheim	250							3.5	8.9	5.8	6.0	9.4	2.5	6.0	6.9	Luitpoldheim
Bamberg	287.7	4.	751.8	22.	721.1	737.7	763.9	3.8	10.2	5 7	6.4	11.4	2.5	7.0	8.8	Bamberg
Nürnberg	309.1	4.	749.0	22.	719.2	735.6	763.7	4.5	10.1	6.5	6.9	11.2	3.4	7.3	7.8	Nürnberg
Passau	309.3	4., 5.	748.9	22.	720.5	736.7	764.9	3.9	9.2	5.5	6.0	9.5	2.5	6.0	7.0	Passau
Metten	320							2 8	8.6	4.9	5.3	9.5	0.7	5.1	8.8	Metten
Regensburg	354.3	5.	744.7	22.	715.3	732.4	764.7	3.4	8.0	5.1	5.4	9.0	2.3	5.6	6.7	Regensburg
Bayreuth	363.3	4.	745.1	22.	714.1	731.2	764.2	3.1	9.3	5.1	5.7	10.1	1.7	5.6	8.8	Bayreuth
Burghausen	365	4.	743.3	22.	715.2	731.2	764.6	3.6	9.6	4.9	5.7	10.5	2.0	6.2	8.5	Burghausen
Ingolstadt	368							3.4	9.7	4.9	5.7	10.7	1.3	6.0	9.4	Ingolstadt
Karlshuld	382.0	4.	741.4	22.	713.5	729.3	764.1	3.2	9.5	4.5	5.4	10.9	0.9	5.9	10.0	Karlshuld
Landshut	397.7	4.	740.0	22.	712.0	727.9	764.2	3.1	9.6	4.8	5.6	11.2	1.0	6.1	10.3	Landshut
Lindau i. B. (Reutin)	401.7	4.	737.1	22.	713.0	727.7	763.8	5.9	9.7	7.1	7.4	11.2	3.8	7.5	7.5	Lindau i. B. (Reutin)
Weissenburg i. B.	431	4.	737.6	22.	709.8	725.3	764.1	4.9	10.2	6.4	7.0	11.0	3.3	7.1	7.8	Weissenburg i. B.
Nördlingen	435.6	4.	736.3	22.	708.3	723.9	763.1	4.4	10.2	6.1	6.7	11.1	3.2	7.2	7.9	Nördlingen
Ansbach	437.5	4.	737.3	22.	708.2	724.3	763.8	3.8	10.0	5.3	6.1	10.9	2.2	6.5	8.6	Ansbach
Hof	476.1	4.	733.9	22.	704.2	720.4	763.5	2.0	9.4	3.4	4.5	10.1	- 0.2	5.0	10.4	Hof
Bad Reichenhall	477	4.	732.1	22.	705.8	721.1	763.9	5 2	10.6	6.0	7.0	12.4	3.7	8.1	8.7	Bad Reichenhall
Augsburg	499.6	4.	731.1	22.	704.0	719.3	764.0	4.8	10.0	6.4	6.9	10.8	3.7	7.2	7.2	Augsburg
München C.-St.	526.4	4.	728.2	22.	701.7	716.8	764.0	5.4	10.3	6.4	7.1	11.2	3.8	7.5	7.4	München C.-St.
Alexandersbad	590							2.1	7.6	3.5	4.2	8 7	0.1	4.4	8.6	Alexandersbad
Traunstein	597	4.	722.3	22.	695.9	711.2	764.7	3.4	9.8	4.7	5.6	10.5	2.0	6.3	8.5	Traunstein
Berchtesgaden	600							3.6	9.7	5.5	6.1	11.1	2.4	6.8	8.7	Berchtesgaden
Ottobeuren	660.0	4.	715.3	22.	691.7	705.3	764.1	4.3	8.9	4.6	5.6	10.0	2.1	6.0	7.8	Ottobeuren
Partenkirchen	714.6	4.	710.8	22.	685.8	700.9	764.3	3.8	9.7	5.2	6.0	10.7	2.7	6.7	8.0	Partenkirchen
Tegernsee	727.8	4.	709.8	22.	684.4	699.9	764.2	5.5	9 5	5.8	6.7	11.2	3.7	7.4	7.5	Tegernsee
Buchenau	750	4.	708.4	22.	680.5	697.1	763.9	2.1	7 8	3.1	4.0	8.9	0.6	4.7	8.3	Buchenau
Schaftlach	760							3.4	9.0	5.0	5.6	10.3	1.6	5.9	8.6	Schaftlach
Oberstdorf	811.4	4.	701.1	22.	677.5	692.4	765.5	3.8	9.4	4.7	5.6	10.5	1.6	6.0	8.9	Oberstdorf
Ettal	879 5	4.	694.7	22.	670.7	685.3	?	3.4	8.0	4.3	5.0	10.7	2.0	6.4	8.7	Ettal
Mittenwald	910	13.	693.0	22.	668.4	684.0	763.7	3.9	9.3	4.7	5.6	10.5	2.1	6.3	8.4	Mittenwald
Hohenpeissenberg	993.9	4., 13.	685.7	22.	662.2	676.9	763.6	4.1	6.6	4.4	4.9	7.4	2.6	5.0	4.9	Hohenpeissenberg
Zugspitze	2964	14.	537.4	22.	514.3	529.1		- 5.0	- 3.4	- 4.9	- 4.6	- 1.8	- 6.8	- 4.3	5.0	Zugspitze

Tabelle II.

Station	Temperatur C°: höchste am	höchste C°	tiefste am	tiefste C°	grösste Schwankung am	grösste Schwankung C°	Dampfdruck Monatsmittel mm	Relative Feuchtigkeit %: Monatsmittel	kleinste am	kleinste %	grösste am	grösste %	Bewölkung Monatsmittel	Niederschlag: grösster am	grösster mm	Monatssumme mm	Station
Ludwigshafen a/Rh	2.	18.0	7.	- 0.4	8.	11.3	6.6	78	4., 5.	33	14.	100	7.1	20., 23.	7.8	51.0	Ludwigshafen a/Rh.
Kahl a/M.	1.	18.5	5.	- 4.3	8., 9.	17.2	6.5	85	4.	34	öfters	100	6.2	23.	20.9	102.6	Kahl a/M.
Landau i. Pf.	1.	18.5	7.	- 2.0	28.	12.4	6.7	85	5.	40	öfters	100	6.7	2.	13.7	57.1	Landau i. Pf.
Würzburg	1.	19.0	5.	- 2.5	29.	13.3	6.3	82	4.	38	öfters	100	5.9	23.	10.5	49.9	Würzburg
Bad Kissingen	1.	17.4	5.	- 4 7	8.	16.8	6.0	85	öfters	32	27., 29.	100	6.5	2., 26.	11.3	75.0	Bad Kissingen
Kaiserslautern	29.	16.8	7.	- 4.1	12.	15.0	6.5	83	5.	41	öfters	100	6.3	30.	15.0	68.1	Kaiserslautern
Luitpoldheim	1.	16.4	5.	- 3.9	29.	12.6	6.2	88	5.	44	öfters	100	6.6	2.	16.1	78.2	Luitpoldheim
Bamberg	1.	18 7	5.	- 4.6	9.	14.6	6.2	85	5.	34	öfters	100	8.1	23.	5.7	39 2	Bamberg
Nürnberg	1.	17.8	5.	- 3.0	14.	15.5	6.2	81	5.	36	12., 15.	100	5.6	23.	5.2	34.5	Nürnberg
Passau	1.	17.2	5.	- 1.5	1.	12.9	6.3	88	5.	50	öfters	100	6.9	4.	18.0	51.9	Passau
Metten	1.	19.1	5.	- 4.2	1.	16.2	6.0	88	5.	46	öfters	100	7.4	2.	12.4	53.1	Metten
Regensburg	1.	19.8	5.	- 3.1	1.	13.4	5.8	85	4.	44	12., 16.	100	7.9	3.	8.6	27.7	Regensburg
Bayreuth	1.	16.7	5.	- 6.2	9.	15.6	6.0	86	5.	43	16.	100	7.4	20.	6.1	44.2	Bayreuth
Burghausen	1.	20.2	6.	- 3.0	1.	17.3	6.1	86	5.	38	öfters	100	7.3	4.	19.2	59.4	Burghausen
Ingolstadt	1.	21.7	5.	- 3.8	1.	16.0	6.0	85	4.	40	21.	100	7.4	3.	7.7	39.0	Ingolstadt
Karlshuld	1.	21.7	5.	- 5.1	1.	18.3	6.2	89	5.	52	öfters	100	6.6	20.	8.4	51 0	Karlshuld
Landshut	1.	22.0	5., 6.	- 4.2	1.	18.8	6.0	86	5.	41	17., 24.	100	7.1	18.	10.2	45 7	Landshut
Lindau i. B. (Reutin)	1.	20.8	7.	- 1.1	1.	13.5	6.7	86	31.	52	öfters	100	7.8	18.	26.0	150.6	Lindau i. B. (Reutin)
Weissenburg i. B.	1.	19.4	5.	- 4.0	14.	13.1	6.5	85	5.	55	öfters	98	6.1	3.	10.3	42.9	Weissenburg i. B.
Nördlingen	1.	20.4	6.	- 4.5	14.	14.2	6.2	82	5.	43	14., 28.	100	6.4	3.	13.0	43.9	Nördlingen
Ansbach	1.	18.2	5., 6.	- 4.8	14.	15.6	5.9	82	4.	40	26.	97	5.6	23.	7.9	50.8	Ansbach
Hof	öfters	15.5	5.	- 8.6	12.	19.4	5.6	85	5.	37	öfters	100	7.1	2.	13.2	41.3	Hof
Bad Reichenhall	1.	24.0	6.	- 3.6	1.	15.0	6.2	82	29.	33	12., 13.	100	6.6	3.	19.7	80.4	Bad Reichenhall
Augsburg	1.	22.1	5.	- 2.5	28.	13.8	6.6	87	1.	43	öfters	100	6.5	4.	11.4	54.2	Augsburg
München C.-St.	1.	21.2	6.	- 2.6	14.	13.4	6.1	80	1.	40	12., 22.	100	6.7	18.	13.8	67.6	München C.-St.
Alexandersbad	14.	13.4	5.	- 7.0	14.	17.4	5.5	87	12.	42	öfters	100	5.2	2.	14.7	61.2	Alexandersbad
Traunstein	1.	21.0	6.	- 3 9	1.	16.6	5.8	84	1.	36	öfters	100	6.5	3.	24.1	109.9	Traunstein
Berchtesgaden	1.	20 3	6.	- 3.2	1.	16.5	6.0	84	19.	44	27.	100	6.8	4.	20.0	76.5	Berchtesgaden
Ottobeuren	1.	19.6	6.	- 5.0	14.	13.8	5.9	84	13.	44	öfters	100	6.7	3.	20.7	87.4	Ottobeuren
Partenkirchen	1.	20.3	6.	- 1.3	29.	15.8	5.8	83	29.	37	öfters	100	6.9	3.	19.0	101.8	Partenkirchen
Tegernsee	1.	20.9	6.	- 2.6	12.	14.3	5.8	79	29.	25	11.	100	6.4	3.	22.8	107.5	Tegernsee
Buchenau	30.	15.7	5.	- 5.3	14	14.1	5.3	83	22.	30	27	100	5.7	4.	15.2	70.9	Buchenau
Schaftlach	1.	20.2	5.	- 5.3	29.	16.6	5.8	84	29.	40	6.	100	7.8	20.	30.5	119.3	Schaftlach
Oberstdorf	30.	19.4	5.	- 2.0	29.	17.5	5.7	83	29.	30	20., 27.	100	7.0	27.	34.1	127.9	Oberstdorf
Ettal	1.	20.0	6.	- 3.0	15., 29.	13.5	5.6	85	30.	33	öfters	100	6.5	18.	18.2	103.5	Ettal
Mittenwald	1.	18.9	23.	- 3.1	14.	15.4	5.5	80	13.	40	öfters	100	6.9	23.	26.9	112.5	Mittenwald
Hohenpeissenberg	1.	17.1	5.	- 5.4	30.	8.7	5.3	82	28.	33	öfters	100	7.1	18.	17.0	94.9	Hohenpeissenberg
Zugspitze	öfters	1.4	19.	-12.6	24.	10.8	2.6	80	10., 11.	25	öfters	100	6.4	3.	26.7	110.5	Zugspitze

Tabelle III.

Station	Tage mit: Niederschlägen ≥ 0,1mm	Niederschlägen ≥ 1,0mm	Schneefall	Schneedecke	Graupeln	Hagel	Gewitter	Nebel	Reif	Tau	Tage: heitere	trübe	Frost	Winter	Anzahl der beobachteten Windrichtungen: N	NE	E	SE	S	SW	W	NW	Stille	Station
Ludwigshafen a/Rh.	18	12	–	–	–	–	–	11	7	6	4	17	2	–	14	9	1	14	17	24	3	1	10	Ludwigshafen a/Rh.
Kahl a/M.	16	14	–	–	–	–	–	5	8	–	7	13	11	–	2	6	8	6	6	28	6	3	28	Kahl a/M.
Landau i. Pf.	18	15	–	–	–	1	–	5	5	4	6	16	4	–	1	35	–	2	1	48	1	5	–	Landau i. Pf.
Würzburg	19	13	–	–	–	–	–	15	4	–	8	11	5	–	5	2	13	10	4	10	18	6	25	Würzburg
Bad Kissingen	17	15	–	–	–	–	–	11	9	1	6	13	11	–	17	7	5	–	14	18	6	10	16	Bad Kissingen
Kaiserslautern	18	14	–	–	–	–	–	6	10	1	4	13	7	–	2	1	13	1	2	5	28	3	38	Kaiserslautern
Luitpoldheim	17	15	–	–	–	–	–	13	7	2	4	12	6	–	3	7	4	2	–	38	–	1	38	Luitpoldheim
Bamberg	30	11	–	–	–	–	–	8	8	8	4	23	7	–	7	1	6	2	23	16	19	9	10	Bamberg
Nürnberg	14	11	–	–	–	–	–	15	5	2	5	11	5	–	10	5	13	18	14	13	10	4	6	Nürnberg
Passau	12	10	–	–	–	–	–	14	3	–	4	13	7	–	–	–	1	16	10	3	5	1	57	Passau
Metten	11	9	–	–	–	–	–	11	10	3	4	19	16	–	–	1	10	16	12	12	11	3	28	Metten
Regensburg	13	8	–	–	–	–	–	8	2	2	–	19	4	–	2	4	22	8	8	7	8	–	34	Regensburg
Bayreuth	16	12	–	–	–	–	–	8	9	1	4	17	10	–	3	–	32	15	4	9	12	10	8	Bayreuth
Burghausen	11	8	–	–	–	–	–	14	5	13	3	16	6	–	1	7	16	3	–	17	3	–	46	Burghausen
Ingolstadt	14	12	1	–	–	–	–	7	8	3	3	18	10	–	1	4	40	12	–	5	27	1	3	Ingolstadt
Karlshuld	13	12	1	–	–	–	–	9	5	8	2	12	10	–	–	15	13	–	1	10	14	2	38	Karlshuld
Landshut	17	9	–	–	–	–	–	6	8	8	2	15	11	–	5	10	21	1	2	6	21	2	25	Landshut
Lindau i. B. (Reutin)	20	13	1	–	–	–	–	4	2	8	–	17	3	–	7	16	2	2	26	–	19	6	15	Lindau i. B. (Reutin)
Weissenburg i. B.	13	9	1	–	–	–	–	3	6	4	3	11	3	–	3	11	11	11	15	23	9	4	6	Weissenburg i. B.
Nördlingen	16	11	1	–	–	–	–	4	4	9	3	12	5	–	4	13	6	14	10	24	11	5	6	Nördlingen
Ansbach	15	13	1	–	–	–	–	4	7	–	5	8	6	–	3	6	7	2	11	17	17	4	26	Ansbach
Hof	16	10	–	–	–	–	–	18	14	3	1	15	17	–	8	7	5	10	18	21	8	5	11	Hof
Bad Reichenhall	14	12	–	–	–	–	–	2	6	1	4	12	3	–	–	3	15	1	2	16	17	–	39	Bad Reichenhall
Augsburg	17	9	1	–	–	–	–	6	8	3	2	11	4	–	2	11	12	7	4	45	1	7	4	Augsburg
München C.-St.	17	13	2	–	–	–	–	8	6	8	1	9	2	–	1	4	12	2	1	22	12	5	34	München C.-St.
Alexandersbad	13	12	1	–	–	–	–	1	12	2	10	10	16	–	–	10	8	7	3	13	17	2	33	Alexandersbad
Traunstein	16	13	2	–	1	–	–	8	8	4	1	6	6	–	1	6	33	9	5	6	27	6	–	Traunstein
Berchtesgaden	15	12	–	–	–	–	–	3	9	6	3	15	5	–	–	–	13	2	–	–	1	–	77	Berchtesgaden
Ottobeuren	18	14	3	1	–	–	–	8	8	9	3	12	6	–	1	25	2	2	3	40	1	–	19	Ottobeuren
Partenkirchen	14	12	2	1	–	–	–	1	2	7	4	16	5	–	10	–	–	5	22	1	1	10	44	Partenkirchen
Tegernsee	14	13	3	–	–	–	–	5	?	?	4	9	2	–	2	1	19	16	11	2	16	10	16	Tegernsee
Buchenau	13	11	1	–	–	–	1	–	11	7	8	12	13	–	–	2	40	3	–	1	24	–	23	Buchenau
Schaftlach	20	13	4	2	–	–	–	6	6	3	–	18	10	–	3	7	21	4	8	5	30	2	13	Schaftlach
Oberstdorf	14	12	2	1	–	–	–	7	7	3	4	13	10	–	22	–	–	2	9	12	12	11	25	Oberstdorf
Ettal	18	13	4	3	–	–	–	9	10	6	4	13	7	–										Ettal
Mittenwald	14	12	3	2	–	–	–	1	3	4	5	19	6	–	4	9	–	–	15	13	7	3	42	Mittenwald
Hohenpeissenberg	16	15	3	4	1	–	–	16	4	6	3	13	7	2	5	20	7	2	4	24	23	3	5	Hohenpeissenberg
Zugspitze	13	11	14	31	3	–	–	18	–	–	4	12	31	23	11	1	3	17	13	5	13	25	5	Zugspitze

Übersicht über die Witterungsverhältnisse im Königreiche Bayern

während des November 1912.

Die Witterung des November stand vorwiegend unter dem Einflusse ozeanischer Depressionen, deren Zentren zwar im allgemeinen im Norden unseres Gebietes blieben, die aber durch südliche Ausläufer und Randstörungen häufig ganz Zentraleuropa bis an den nördlichen Alpenrand in Mitleidenschaft zogen. Unter solchen Umständen herrschte in der Pfalz und in Nordbayern andauernd Trübung, die nur einigemal für kurze Zeit eine Unterbrechung erfuhr, während im südlichen Bayern häufige Föhnlage und das damit verbundene Aufklaren günstigere Bewölkungsverhältnisse schuf. Niederschläge fielen, insbesondere in der ersten Monatshälfte, ziemlich häufig, ohne jedoch nennenswerte Ergiebigkeit aufzuweisen. Bei vorwiegend bedecktem Himmel waren in der Pfalz und in Nordbayern Einstrahlung wie Ausstrahlung in gleicher Weise gehindert, was in der verhältnismässig niedrigen Werten der mittleren Tagesschwankung der Temperatur in die Erscheinung tritt. Dieselbe beträgt im Durchschnitt 2 bis 3 Grade weniger als im südlichen Bayern, woselbst häufigeres Autklaren insbesondere die nächtliche Ausstrahlung recht wirksam werden liess. Diesem Umstande ist es auch teilweise zuzuschreiben, dass die Mitteltemperaturen im südlichen Bayern bis zu einem Grad hinter den langjährigen Durchschnittsbeträgen zurückblieben, während in der Pfalz und im Maingebiet nur geringe Abweichungen, und zwar ebenso nach der positiven wie nach der negativen Seite hin zu verzeichnen waren. Auffallend sind die erheblichen Temperaturdifferenzen im Donautale von Regensburg bis Passau abwärts. Wenn hier Abweichungen gegen das langjährige Mittel bis zum Betrage von 1.7 Grad verzeichnet wurden, so ist dies wohl in erster Linie dem Zufliessen erkalteter Luft von den Höhen des Bayerischen Waldes herab zuzuschreiben.

Bevor wir zur Betrachtung der geographischen Verteilung der hauptsächlichsten klimatischen Elemente übergehen, soll in kurzen Zügen der zeitliche Witterungsverlauf geschildert werden: Zu Beginn des Monats bedeckte eine tiefe Depression die Ostsee und erstreckte sich mit einem Ausläufer niedrigen Druckes bis zu den Karpathen. Hoher Luftdruck lagerte auf dem Ozean und drang keilförmig über Frankreich bis Süddeutschland vor. Nachdem an der Rückseite der Depression allenthalben Trübung mit Niederschlägen geherrscht hatte, klarte es unter der Wirkung des Hochdruckes zeitweise auf, doch hatte die Besserung keinen Bestand. Neue Randstörungen der andauernd über dem Ostseegebiete lagernden Depression machten ihren Einfluss geltend und verursachten bei raschwechselnder Bewölkung zeitweise Niederschläge. Eine wesentliche Umgestaltung erfuhr die Luftdruckverteilung am 5. November. Bis zum Morgen dieses Tages war ein Minimum in die Nordsee vorgedrungen, das nun in raschem Zuge quer durch Zentraleuropa nach dem Südosten des Erdteils wanderte. Der Durchzug des Minimums brachte uns am 5. bei vorwiegend trübem Himmel Erwärmung und Niederschläge, am 6. trat starke Abkühlung und Autklaren ein. Bis zum 7. hatte sich über Kontinentaleuropa ein kräftiges Barometermaximum entwickelt, das bei ungehinderter nächtlicher Ausstrahlung weiteren Temperaturrückgang zur Folge hatte. Die Herrschaft des hohen Druckes fand jedoch ein rasches Ende. Bereits am Morgen des 8. erstreckte sich ein Ausläufer niedrigen Druckes von Skandinavien bis an den Rhein. Westliche Winde führten ozeanische Luft nach Zentraleuropa herein und brachten trotz des hohen Barometerstandes (über 770 mm) Trübung und Niederschläge, die bei der einsetzenden starken Erwärmung vorwiegend als Regen fielen. Als nun in den folgenden Tagen ein tiefes Minimum von Irland über die Nordsee gegen Zentraleuropa vorstiess, wurde der hohe Druck vollständig abgebaut und trübes regnerisches Wetter behauptete sich bis zum 13. Die Temperaturen waren vom 11. ab wieder im Sinken begriffen. Eine Besserung der Wetterlage trat ein, als am 13. von Südosteuropa her neuerdings hoher Luftdruck gegen die zentralen Gebietsteile vordrang. In der Pfalz und im nördlichen Bayern herrschte unbeständiges Wetter mit rasch wechselnder Bewölkung und nur vereinzelten Niederschlägen, Südbayern erfreute sich unter Föhneinfluss insbesondere am 14. und 15. heiteren Himmels. In den Tagen vom 15. bis zum 19. brachten westliche Winde warme ozeanische Luft in unser stark abgekühltes Gebiet, so dass eine ausgebreitete Nebeldecke sich einstellte. Als am 20. über dem Ostseegebiet wieder ein starker Barometerfall eintrat und der Hochdruck nach dem Südosten und Südwesten des Erdteiles zurückgedrängt wurde, traten wieder Regen- und Schneefälle ein, die erst am 22. ihr Ende fanden. Bis zum Morgen dieses Tages war hoher Druck über Frankreich bis Deutschland vorgedrungen und verursachte nun Autklaren und bei Windstille und ungehinderter Ausstrahlung merklichen Temperaturrückgang. Das kontinentale Barometermaximum erhielt sich zwar während der folgenden

Tage, wurde aber durch Ausläufer tiefer nördlicher Minima immer mehr geschwächt. Zeitweise dominierte auch der Einfluss solcher zyklonaler Störungen und führte zu Trübung und vereinzelten leichten Niederschlägen. Vom 27. ab wurde der Ansturm der Depressionen immer energischer und der Hochdruck wurde nach Osten und Südosten zurückgedrängt. Immerhin hielt derselbe so weit stand, dass ein Vordringen des tiefen Druckes als Ganzes über unser Gebiet hinweg unmöglich war, wenn auch kleinere Störungen nicht den Durchzug erzwangen. Im südlichen Bayern stellte sich gegen Monatsende intensive Föhnlage ein.

Auf dem ersten der beigegebenen Kärtchen ist die geographische Verteilung der Mitteltemperaturen über Süddeutschland zur Darstellung gebracht. Im Rhein- und Maingebiet zeigen die Isothermen den gewohnten, durch den topographischen Aufbau des Geländes bedingten Verlauf. Sehr markant ist der Verlauf der Isotherme für 1 Grad, die, von kleineren Ausbuchtungen abgesehen, vom Quellgebiet des Maines zunächst, dem Westabhang des Jura folgend, nach dem unteren Lechgebiet und dann nach dem Bodensee verläuft. Diese Kurve trennt das mehr maritimen Einflüssen ausgesetzte westliche Süddeutschland von dem mehr kontinentalen Einwirkungen unterworfenen östlichen. Erwähnenswert sind hiebei wieder die verhältnismässig niedrigen Temperaturwerte, die auf der bayerischen Hochebene und in der Donauebene, etwa von der Lechmündung abwärts, zu verzeichnen waren. Die Erklärung dieser Erscheinung haben wir bereits weiter oben bei der allgemeinen Charakterisierung des Monats zu geben versucht. Ähnliche Bilder zeigen die für die geographische Verteilung der mittleren Extreme entworfenen Kärtchen. Zu erwähnen sind nur die auffallend grossen Abstände zwischen mittlerem Maximum und Minimum, die auf dem Gebiete zwischen Lech und Isar nördlich der Breite Münchens ermittelt wurden. So berechnete Landshut ein mittleres Maximum von 4.7 Grad, das dem für Nürnberg gültigen genau gleichkommt; anderseits steht aber einem mittleren Minimum von 0.1 Grad in Nürnberg ein solches von −2.7 Grad in Landshut entgegen.

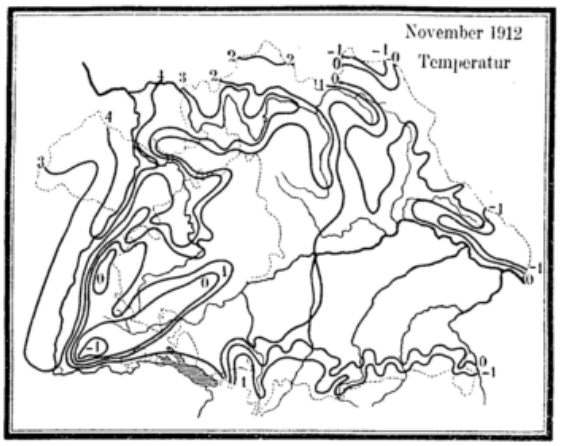

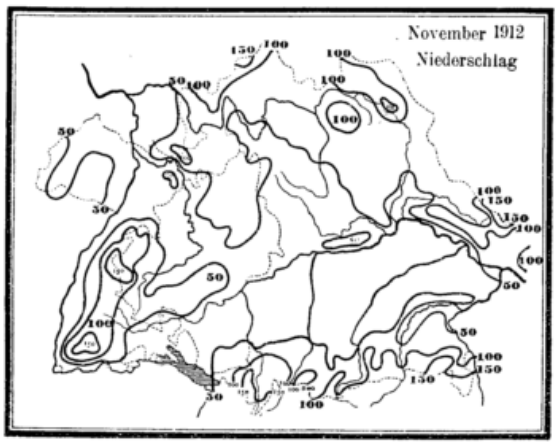

Die gleichen Verhältnisse treffen noch für Karlshuld im Donaumoos und Ingolstadt zu. An allen Stationen unseres Beobachtungsnetzes wurde mehr oder minder häufig Frost beobachtet. Während in der Rheinpfalz und im unteren und mittleren Maintal nur an weniger als 10 Tagen Frost verzeichnet wurde, steigt die Zahl der Frosttage im östlichen und südlichen Bayern auf mehr als 20 Wintertage, das sind Tage, an denen auch um die wärmste Tageszeit die Temperatur noch unter dem Gefrierpunkte blieb, waren nur im Gebiete der Alpen und in deren unmittelbarem Vorlande, im Bayerischen Walde und im Fichtelgebirge in nennenswerter Zahl zu verzeichnen. In der Pfalz, im unteren und mittleren Maingebiet und am unmittelbaren Ufergelände des Bodensees, auffallenderweise auch in Karlshuld und Landshut, war kein Wintertag zu zählen. Wegen näherer Einzelheiten muss auf die entsprechende Rubrik der Tabelle II verwiesen werden.

Auf dem zweiten der beigegebenen Kärtchen ist die geographische Verteilung der Niederschlagsmengen über Süddeutschland dargestellt. Im allgemeinen waren die Niederschlagsverhältnisse des heurigen November ziemlich normaler insoferne, als im grössten Teile unseres Gebietes nur geringe Abweichungen vom Mittelwerte nach der einen oder anderen Seite zu verzeichnen waren. Nur das Alpengebiet und der hintere Bayerische Wald wiesen Niederschlagsmengen auf, die den Durchschnitt um 50 Prozent und mehr übertrafen. Die Monatssummen erreichten und überschritten auf den Höhen des südlichen und nördlichen Schwarzwaldes, im Algäu und in den Chiemgauer Alpen, ferner in den besonders exponierten Lagen des Bayerischen Waldes, des Fichtelgebirges und der Rhön 150 mm, während sie im grössten Teile des Flachlandes und der niedrigen Mittelgebirge um den Wert 50 mm mit geringen Ausschlägen schwanken. Die Niederschlagshäufigkeit war, wie dies schon bei der Schilderung des zeitlichen Witterungsverlaufes erwähnt wurde, in der ersten Monatshälfte recht erheblich, hingegen geringfügig in der zweiten Hälfte des November. Dies gilt insbesondere dann, wenn man von den häufigen, nur sehr wenig ergiebigen Nebelregen absieht und nur jene Tage mit stärkerem Niederschlag von mindestens 1 mm berücksichtigt. Unter dieser Einschränkung bezifferte sich die Niederschlagsdichte, das heisst die mittlere Niederschlagsmenge eines Regentages im grössten Teile unseres Gebietes auf 3 bis 5 mm, um nur im Alpengebiete sowie im Fichtelgebirge und im Bayerischen Walde höhere Beträge bis nahe zu 10 mm zu erreichen. Die Niederschläge fielen in

den Niederungen vorzugsweise als Regen, doch war auch in den begünstigsten Lagen des Rhein- und Maingebietes an 1 bis 3 Tagen Schneefall zu verzeichnen. Zur Bildung einer länger dauernden Schneedecke kam es aber in der Rheinpfalz sowie in den Tallagen des unteren und mittleren Maines nicht. Nähere Details über die Schneeverhältnisse wären den von der Meteorologischen Centralstation herausgegebenen Schneeberichten, sowie den bezüglichen Spalten der Tabelle III zu entnehmen.

Die mittlere Bewölkungsziffer berechnete sich am höchsten in der Pfalz und im Maingebiet, woselbst zumeist 8 bis 9 Zehntel der vollen Bedeckung sich ergaben. Gegen Süden vermindert sich der mittlere Bewölkungsgrad, um im Alpengebiete und in dessen Vorland auf weniger als 7 Zehntel herabzugehen. Auch die Orte Augsburg, Karlshuld und Landshut verzeichneten einen derartig geringen mittleren Bewölkungsgrad. Dieselbe Begünstigung des südlichen Bayern, insbesondere des Alpengebietes, gegen das Rhein- und Maingebiet kommt auch hinsichtlich der geographischen Verteilung der Häufigkeitszahlen der heiteren und trüben Tage zum Ausdruck. Einzelheiten mögen wieder der Tabelle III entnommen werden.

Die mittleren, auf Meeresniveau reduzierten Barometerstände weisen ein ziemlich kräftiges, von Süd nach Nord gerichtetes Gefälle auf. Winde aus westlicher und südwestlicher Richtung waren vorherrschend, doch wurden auch vielenorts, insbesondere im südlichen und östlichen Bayern, Windstillen mit grösster Häufigkeit verzeichnet.

München, den 21. Dezember 1912.

Alt.

Tabelle I.

Station	Höhe über Normal-Null m	Luftdruck in mm						Temperatur C°								Station
		höchster		tiefster		Monatsmittel		Mittel um			Mittlere Tagestemperatur	Mittleres		Mittel aus Maximum und Minimum	Mittlere Schwankung	
		am	mm	am	mm	lokal	auf Meeresniveau reduziert	7ª	2ᵖ	9ᵖ		Maximum	Minimum			
Ludwigshafen a/Rh.	100.3	7.	766.4	12.	729.8	754.2	763.5	3.5	6.0	4.2	4.5	6.7	2.0	4.4	4.7	Ludwigshafen a/Rh.
Kahl a/M.	114.1	7.	764.4	12.	727.2	752.3	762.9	2.7	5.2	3.1	3.5	6.5	0.8	3.6	5.7	Kahl a/M.
Landau i. Pf.	149.9	7.	760.6	12.	726.8	749.3	763.2	2.7	5.6	3.5	3.8	6.2	1.3	3.8	4.9	Landau i. Pf.
Würzburg	179.3	7.	759.4	12.	722.1	746.3	763.0	2.5	5.0	3.2	3.5	5.5	1.1	3.3	4.4	Würzburg
Bad Kissingen	209.2	7.	756.6	12.	718.1	743.7	763.1	1.8	4.3	2.3	2.7	5.0	0.4	2.7	4.6	Bad Kissingen
Kaiserslautern	242.2	7.	752.3	12.	718.8	741.1	763.5	2.5	5.0	3.0	3.4	5.6	1.2	3.4	4.4	Kaiserslautern
Luitpoldheim	250							1.4	3.5	2.1	2.3	4.3	0.3	2.3	4.0	Luitpoldheim
Bamberg	287.7	7.	749.5	12.	713.3	736.7	763.4	0.8	3.8	1 4	1.9	4.9	− 0.5	2.2	5.5	Bamberg
Nürnberg	309.1	7.	747.1	12.	712.3	734.7	763.2	1.4	3.7	2.0	2.3	4.7	0.1	2.4	4.6	Nürnberg
Passau	309.3	7.	747.4	12.	714.4	735.9	764.7	− 0.4	2.7	0.5	0.8	3.0	− 1.4	0.8	4.4	Passau
Metten	320							− 1.0	2.3	− 0.3	0.2	2.9	− 2.7	0.1	5.6	Metten
Regensburg	354.3	7.	743.0	12.	709.3	731.3	764.2	− 0.3	1.8	0.3	0.5	2.5	− 1.4	0.5	4.0	Regensburg
Bayreuth	363.3	22.	742.1	12.	707.0	729.9	763.5	0.7	2.9	1.2	1.5	4.0	− 1.0	1.5	5.0	Bayreuth
Burghausen	365	7.	742.0	12.	709.5	730.6	764.4	− 0.5	2.9	0.1	0.7	3.7	− 1.5	1.1	5.2	Burghausen
Ingolstadt	368							− 0.4	3.1	0.5	0.9	4.2	− 2.3	1.0	6.5	Ingolstadt
Karlshuld	382.0	7.	740.1	12.	706.9	728.6	764.0	− 0.6	2.8	0.3	0.7	4.3	− 1.8	1.2	6.1	Karlshuld
Landshut	397.7	7.	738.6	12.	705.6	727.2	764.1	− 0.7	3.2	0.3	0.8	4.7	− 2.7	1.0	7.3	Landshut
Lindau i. B. (Reutin)	401.7	8.	737.3	12.	707.3	727.6	764.5	0.8	4.3	2.2	2.4	6.0	− 1.2	2.4	7.2	Lindau i. B. (Reutin)
Weissenburg i. B.	431	7.	735.7	12.	702.3	724.4	764.1	0.7	3.2	1.3	1.6	4.0	− 0.6	1.7	4.6	Weissenburg i. B.
Nördlingen	435.6	7.	734.5	12.	701.5	723.1	763.1	0.6	3.3	1.1	1.5	4.0	− 0.7	1.6	4.7	Nördlingen
Ansbach	437.5	7.	735.3	12.	700.9	723.3	763.5	0.3	3.1	0.8	1.3	3.8	− 1.2	1.3	5.0	Ansbach
Hof	476.1	7.	730.9	12.	696.3	718.5	762.2	− 0.1	1.9	0.1	0.5	2.7	− 1.9	0.4	4.6	Hof
Bad Reichenhall	477	7.	731.7	12.	699.4	720.4	764.3	− 0 4	2.6	− 0.1	0.5	3.9	− 1.7	1.1	5.6	Bad Reichenhall
Augsburg	499.6	7.	729.5	12.	697.2	718.6	764.3	0.5	3.2	1.2	1.5	4.0	− 0.4	1.8	4.4	Augsburg
München C.-St.	526.4	7.	727.0	12.	695.0	716.0	764.1	0.7	3.3	1.4	1.7	4.3	− 0.7	1.8	5.0	München C.-St.
Alexandersbad	590							− 1.0	0.7	− 0.9	− 0.6	1.4	− 2.6	− 0.6	4.0	Alexandersbad
Traunstein	597	7.	721.4	12.	689.6	710.2	764.9	− 1.7	1.8	− 1.0	− 0.4	2.4	− 3.0	− 0.3	5.4	Traunstein
Berchtesgaden	600							− 1.9	1.4	− 1.1	− 0.7	1.9	− 3.3	− 0.7	5.3	Berchtesgaden
Ottobeuren	660.0	7.	714.1	12.	684.9	704.6	764.6	0.5	2.1	0.1	0.3	3.3	− 2.7	0.3	6.0	Ottobeuren
Partenkirchen	714.6	7.	710.3	12.	680.0	699.9	765.0	− 2.5	1.9	− 1.3	− 0.8	3.0	− 4.0	− 0.5	6.9	Partenkirchen
Tegernsee	727.8	7.	708.7	12.	678.6	698.9	764.7	− 0.8	2.4	0.0	0.6	3.9	− 2.7	0.6	6.6	Tegernsee
Buchenau	750	7., 22.	706.3	12.	674.6	695.5	763.8	− 2.7	− 0.2	− 2.4	− 2.0	0.7	− 4.2	− 1.8	4.9	Buchenau
Schaftlach	760							− 3.2	1.3	− 2.1	− 1.5	2.8	− 5.4	− 1.3	8.2	Schaftlach
Oberstdorf	811.4	8.	700.7	12.	671.9	691.6	765.2	− 3.7	1.4	− 2.2	− 1.6	3.1	− 6.1	− 1.5	9.1	Oberstdorf
Ettal	879 5	7.	693.8	12.	664.2	684.2	763.2	− 2.3	0.5	− 1.8	− 1.4	3.4	− 5.0	0.8	9.5	Ettal
Mittenwald	911.8	7.	692.2	12.	662.8	682.8	764.5	− 2.6	1.5	− 1.6	− 1.1	2.1	− 4.9	− 1.4	7.1	Mittenwald
Hohenpeissenberg	994.1	7.	684.5	12.	655.7	675.4	764.1	− 1.8	− 0.2	− 1.2	− 1.1	1.0	− 3.2	− 1.1	4.2	Hohenpeissenberg
Zugspitze	2964	8.	533.7	12.	507.2	524.4		−11.4	−10.4	-11.3	-11.1	− 8.5	-13.8	-11.1	5.3	Zugspitze

Tabelle II.

Station	Temperatur C° höchste am	höchste C°	tiefste am	tiefste C°	grösste Schwankung am	grösste Schwankung C°	Dampfdruck Monatsmittel mm	Relative Feuchtigkeit % Monatsmittel	kleinste am	kleinste %	grösste am	grösste %	Bewölkung Monatsmittel	Niederschlag grösster am	grösster mm	Monats-Summe mm	Station
Ludwigshafen a/Rh.	10.	11.1	24.	− 2.6	30.	7.5	5.0	78	7., 27.	49	23., 24.	98	8.4	10.	5.8	24.5	Ludwigshafen a/Rh.
Kahl a/M.	1., 10.	10.3	7.	− 5.6	1.	10.3	5.2	87	6.	45	öfters	100	8.0	13.	12.9	53.0	Kahl a/M.
Landau i. Pf.	10.	11.3	29.	− 2.9	1.	7.6	5.1	83	7.	52	4.	100	7.8	11.	7.0	42.4	Landau i. Pf.
Würzburg	10.	10.1	7.	− 4.3	10.	7.5	4.9	82	27.	50	23., 24.	100	8.1	13.	10,8	44.1	Würzburg
Bad Kissingen	10.	8.1	7.	− 5.6	7.	8.0	4.8	86	1.	53	öfters	100	7.9	21.	14.4	83.8	Bad Kissingen
Kaiserslautern	10.	9.8	23., 24.	− 2.9	7.	7.4	5.1	86	7.	4 6	4 , 22.	100	8.6	11.	9.0	38.6	Kaiserslautern
Luitpoldheim	27.	8.2	7.	− 4.9	7.	7.3	4.9	89	6.	5 4	öfters	100	8.0	21.	18.5	79.9	Luitpoldheim
Bamberg	27.	10 2	8.	− 5.9	7.	9.3	4.6	87	7.	47	5., 9.	100	9.0	13.	9.9	61.3	Bamberg
Nürnberg	10.	8.9	7., 8.	− 5.0	1.	7.3	4.6	85	27.	49	öfters	100	8.4	13., 21.	5.5	36.6	Nürnberg
Passau	11.	7.6	8.	−10.0	8.	10.6	4.3	86	14.	52	öfters	100	7.6	3.	11.5	57.5	Passau
Metten	1.	8.8	8.	−10.1	8.	10.2	4.3	90	1., 7.	63	öfters	100	7.6	21.	10.2	70.1	Metten
Regensburg	1.	8.0	8.	− 7.0	1.	7.0	4.2	87	7.	53	9., 10.	100	7.7	21.	11.0	45.0	Regensburg
Bayreuth	27.	8.3	8.	− 8.8	7.	9.0	4.6	88	27.	50	22.	100	8.6	1.	10.2	65.4	Bayreuth
Burghausen	11.	8.7	30.	− 6.8	14.	9.1	4.2	86	14.	47	23., 29.	100	7.0	6.	9.6	46 0	Burghausen
Ingolstadt	10.	9.8	8.	− 7.9	7.	10.3	4.4	88	7.	57	öfters	100	7 7	2.	4.5	26.2	Ingolstadt
Karlshuld	10.	10.0	8.	− 8.2	8.	9.2	4.4	90	2., 6.	62	öfters	100	6.5	25.	4.0	23 4	Karlshuld
Landshut	10.	9.7	8.	− 8.4	5., 8.	10.4	4.3	86	7.	54	öfters	100	6.6	6.	5.9	35.2	Landshut
Lindau i. B. (Reutin)	11.	11.9	24.	− 5.7	27.	14 0	4.4	80	30.	44	9.	100	6.4	12.	18.9	57.3	Lindau i. B. (Reutin)
Weissenburg i. B.	10.	9.9	7.	− 6.4	7.	7.3	4.6	87	7.	59	öfters	98	7.7	9.	5.2	38.0	Weissenburg i. B.
Nördlingen	27.	9.4	7.	− 5.6	27.	8.1	4.4	86	27.	49	öfters	99	7.7	12.	8.3	35 0	Nördlingen
Ansbach	10.	9.8	7.	− 6.7	7., 27.	7.9	4.3	85	27.	51	9.	100	7.6	21.	10.8	46.1	Ansbach
Hof	27.	7.0	8.	−14.8	8.	13.9	4.3	88	27.	59	9., 10.	100	8.8	6.	10.6	72.5	Hof
Bad Reichenhall	10.	9.3	24.	− 7.3	8., 25.	9.1	4 1	84	30.	49	21., 22.	100	6.7	1.	20.0	132.1	Bad Reichenhall
Augsburg	10.	11.9	8.	− 5.1	11.	8.1	4.6	87	27.	55	öfters	100	6.9	9.	4.4	31.3	Augsburg
München C.-St.	10.	11.3	8.	− 6.1	27.	9.4	4.1	78	14.	44	3.	98	7.3	28.	8.2	45.2	München C.-St.
Alexandersbad	öfters	5.1	8.	−12.5	8.	11.4	4.1	91	1.	59	öfters	100	7.7	21.	23.3	113.8	Alexandersbad
Traunstein	10., 11.	8.6	8.	− 9.2	5.	10.1	4.2	92	5., 14.	49	öfters	100	7.1	6., 12.	13.1	91.5	Traunstein
Berchtesgaden	1.	7.5	8.	− 9.9	8.	10.1	4.0	89	4., 5.	55	öfters	100	7.1	1.	25.9	125.2	Berchtesgaden
Ottobeuren	10.	11.8	8.	− 8.0	15.	9.7	3.9	82	27.	37	2., 7.	100	7.2	12.	10.7	46.1	Ottobeuren
Partenkirchen	10.	11.0	24.	−13.7	30.	13.1	3.7	84	30.	47	öfters	100	6.2	22.	21.0	82.8	Partenkirchen
Tegernsee	10.	10.8	24.	− 8.8	30.	12.5	3.9	81	5.	31	öfters	100	6.1	1., 22.	13.0	94.4	Tegernsee
Buchenau	1.	5.8	8.	−11.0	8.	10.0	3.7	90	7.	53	öfters	100	7.7	21.	53.3	156.9	Buchenau
Schaftlach	10.	9.9	24.	−13.6	8.	14.8	3.7	87	30.	48	öfters	98	7.5	22.	17.2	107.9	Schaftlach
Oberstdorf	1.	12.3	24.	−16.4	30.	18.4	3.6	84	30.	31	4.	100	6.6	21.	33.7	134.5	Oberstdorf
Ettal	27.	10.2	24.	−15.2	5.	16.3	3.7	86	30.	43	öfters	100	6.2	2.	15.0	89.7	Ettal
Mittenwald	10.	8.5	24.	−12.1	8.	12.1	3.7	85	29.	51	öfters	100	6.7	22.	21.5	82.9	Mittenwald
Hohenpeissenberg	10.	11.0	24.	− 8.5	6.	8.6	3.5	83	26., 27.	25	öfters	100	6.7	12.	10.4	75.4	Hohenpeissenberg
Zugspitze	11.	− 2.4	7.	−20.6	11.	11.3	1.8	92	8.	45	öfters	100	6.4	22.	14.4	80.0	Zugspitze

Tabelle III.

Station	Tage mit Niederschlägen ≥ 0,1mm	Niederschlägen ≥ 1,0mm	Schneefall	Schneedecke	Graupeln	Hagel	Gewitter	Nebel	Reif	Tau	Tage heitere	trübe	Frost	Winter	Anzahl der beobachteten Windrichtungen N	NE	E	SE	S	SW	W	NW	Stille	Station
Ludwigshafen a/Rh.	16	10	3	–	1	–	–	9	5	–	1	22	6	–	6	4	2	7	23	38	7	1	2	Ludwigshafen a/Rh.
Kahl a/M.	17	11	3	–	–	–	–	–	5	–	2	19	9	–	–	3	–	1	8	40	4	3	31	Kahl a/M.
Landau i. Pf.	22	10	1	–	–	1	–	–	3	–	2	18	6	–	3	10	–	1	3	51	9	13	–	Landau i. Pf.
Würzburg	17	9	3	–	1	1	–	7	6	–	1	18	7	–	3	2	3	6	1	11	28	24	12	Würzburg
Bad Kissingen	21	17	9	1	1	–	–	5	4	–	1	18	9	–	9	1	–	4	29	19	13	5	10	Bad Kissingen
Kaiserslautern	21	12	3	–	2	–	–	5	6	–	–	21	7	–	2	–	3	3	4	2	41	12	23	Kaiserslautern
Luitpoldheim	20	17	7	1	3	–	–	6	4	–	–	19	8	–	4	–	–	–	–	30	13	7	36	Luitpoldheim
Bamberg	30	14	13	2	2	–	–	5	6	2	–	23	15	1	2	–	1	2	27	22	23	2	11	Bamberg
Nürnberg	13	11	8	1	5	–	1	16	7	–	–	19	10	–	1	5	1	16	16	16	20	9	6	Nürnberg
Passau	17	13	9	7	–	–	–	7	6	–	1	16	16	1	–	–	5	–	2	–	16	11	56	Passau
Metten	17	15	11	13	3	–	–	10	8	–	3	18	25	2	3	1	4	7	9	6	26	7	27	Metten
Regensburg	16	14	9	1	2	–	–	3	9	–	–	15	20	4	3	1	4	6	6	15	21	1	33	Regensburg
Bayreuth	22	13	10	3	1	–	–	6	7	–	–	20	16	1	2	–	13	15	2	14	36	4	4	Bayreuth
Burghausen	16	12	11	3	2	–	–	4	14	–	4	16	18	2	–	4	3	3	1	19	–	1	59	Burghausen
Ingolstadt	17	9	9	1	2	–	–	3	13	–	2	18	25	1	2	5	16	9	–	22	30	4	2	Ingolstadt
Karlshuld	14	11	5	1	–	–	–	1	11	–	2	12	20	–	–	16	6	–	–	20	17	3	28	Karlshuld
Landshut	16	11	6	–	3	–	–	2	11	–	5	13	24	–	7	6	6	–	1	3	38	3	26	Landshut
Lindau i. B. (Reutin)	14	12	8	1	2	–	–	1	11	–	3	10	17	–	5	13	1	1	28	4	18	3	17	Lindau i. B. (Reutin)
Weissenburg i. B.	14	12	6	2	1	–	–	3	11	1	1	14	14	1	–	4	5	9	10	22	23	5	12	Weissenburg i. B.
Nördlingen	15	11	13	3	4	–	–	2	10	1	2	17	17	1	1	1	5	10	14	15	26	4	14	Nördlingen
Ansbach	16	12	13	2	2	–	–	1	4	–	1	17	18	1	2	2	–	–	6	18	33	8	21	Ansbach
Hof	21	15	16	11	–	–	–	6	3	–	–	24	23	1	6	1	1	10	19	22	16	15	–	Hof
Bad Reichenhall	18	16	15	18	2	–	–	–	3	–	5	16	21	1	–	–	5	–	5	3	27	–	50	Bad Reichenhall
Augsburg	17	13	12	5	2	–	–	4	13	–	3	14	15	1	2	6	5	17	1	40	8	11	–	Augsburg
München C.-St.	20	11	12	–	1	–	–	4	–	–	3	16	16	1	–	2	7	3	4	34	13	3	24	München C.-St.
Alexandersbad	21	16	17	24	1	–	–	2	–	–	–	16	26	5	2	2	5	8	2	12	21	12	26	Alexandersbad
Traunstein	18	13	14	25	2	–	–	7	–	–	–	17	24	3	4	1	12	18	8	1	37	9	–	Traunstein
Berchtesgaden	18	15	15	27	1	–	–	–	11	–	2	16	22	2	–	–	4	–	–	–	2	–	84	Berchtesgaden
Ottobeuren	15	11	12	12	–	–	–	–	8	–	1	15	24	2	1	7	2	1	–	56	2	1	20	Ottobeuren
Partenkirchen	16	14	12	21	–	–	–	–	4	–	5	10	26	3	6	–	–	19	9	1	2	–	53	Partenkirchen
Tegernsee	17	16	13	16	–	–	–	–	–	–	6	11	23	1	1	–	10	32	3	–	22	10	12	Tegernsee
Buchenau	19	16	17	29	1	–	–	1	–	–	2	19	29	10	–	1	21	2	2	7	27	–	30	Buchenau
Schaftlach	17	13	12	27	1	–	–	5	16	–	1	16	28	5	1	3	14	3	6	9	36	2	16	Schaftlach
Oberstdorf	15	14	11	21	–	–	–	2	3	–	3	12	27	4	23	–	–	–	6	10	9	9	33	Oberstdorf
Ettal	20	14	9	28	–	–	–	4	–	–	3	10	28	5										Ettal
Mittenwald	16	14	13	25	1	–	–	–	4	–	2	12	27	4	4	3	2	4	12	11	4	4	46	Mittenwald
Hohenpeissenberg	17	13	13	23	–	–	–	12	–	–	3	10	27	17	1	11	12	2	1	20	34	7	2	Hohenpeissenberg
Zugspitze	19	17	19	30	1	–	–	18	–	–	3	10	30	30	30	–	2	13	5	7	8	25	–	Zugspitze

Übersicht über die Witterungsverhältnisse im Königreiche Bayern

während des Dezember 1912.

Der Dezember war durch grosse Temperaturgegensätze einzelner Perioden ausgezeichnet. Während der ersten Dekade lag das Temperaturtagesmittel nur wenig über oder unter dem langjährigen Normalwerte; dann stieg die Temperatur stark an, so dass um die Monatsmitte die Tagesmittel der Temperatur den Durchschnittswert um etwa 10 Grad überragten. Diesem Maximum folgte aber unmittelbar ein steiler Temperaturrückgang der sehr nahe an die normalen Beträge heranreichte, stellenweise auch wohl noch unter dieselben führte. Vom 20. ab erfolgte abermals eine rasche und intensive Temperatursteigerung, so dass vom 25. bis zum 28. Tagesmittel der Temperatur zu verzeichnen waren, welche 10 bis 14 Grad über dem langjährigen Mittelwerte lagen. Vom 29. ab sank die Temperatur zwar ziemlich rasch, konnte jedoch im Verlaufe des Berichtsmonats das normale Niveau nicht mehr erreichen. Bei der Grösse der positiven Abweichungen ist es erklärlich, dass das Monatsmittel der Temperatur den Normalwert an allen unseren Stationen erheblich überragt, mindestens um 2 bis 3, zumeist aber um 3 bis 4 Grad.

Bei den innigen Beziehungen, welche insbesondere im Winter zwischen den Temperaturverhältnissen und der allgemeinen Wetterlage bestehen, dürfen wir schon aus dem zeitlichen Temperaturverlaufe auf mehrfache Wechsel gegensätzlicher Witterungsperioden schliessen. Die Frostperioden gehören vorwiegend einem antizyklonalen Wettertypus mit schwachen, östlichen Winden an, die Perioden milder Witterung zyklonalen Wetterlagen mit lebhafter, zeitweise stürmischer ozeanischer Luftzufuhr, also Winden aus westlichen Richtungen. Eine kurze Schilderung des zeitlichen Witterungsverlaufes an Hand der täglichen Wetterkarten wird über die wichtigsten Ereignisse Aufschluss geben.

Am Morgen des 1. Dezember lag ein Depressionszentrum über Südnorwegen und entsandte einen Ausläufer südwärts bis Böhmen. Hoher Luftdruck lagerte über Russland und dem äussersten Südwesten Europas. Die Witterung trug unbeständigen Charakter, bei positiven Temperaturen herrschte meist bewölktes Wetter, stellenweise fiel Niederschlag. Bis zum folgenden Tage drangen neue Störungen vom Ozeane in die Nordsee und in der Folge in die Ostsee ein. Unter ihrem Einflusse blieb das vorwiegend trübe nasskalte Wetter auch noch am 2. und 3. erhalten. Erst als am 4. Dezember auf der Rückseite der abziehenden Störungen ein barometrisches Maximum über Zentraleuropa sich ausbildete, hörten die Niederschläge auf und im Alpengebiete trat Aufklaren ein. Hier traten infolge der ungehinderten nächtlichen Ausstrahlung auch bereits starke Fröste auf, während im übrigen Bayern, wo zumeist eine Nebeldecke sich ausbreitete, Temperaturen in der Nähe des Gefrierpunktes zu verzeichnen waren. Das barometrische Maximum verlagerte sich in der Folge nach dem Südosten und Osten unseres Erdteiles, doch blieb über dem Alpengebiete ein sekundärer Kern erhalten. Bei fortschreitender Verstärkung des Frostes herrschte bis zum 10. Dezember im Alpengebiete heiteres oder wolkenloses, im übrigen Bayern mässig bewölktes oder nebelig-trübes trockenes Wetter. Eine Änderung der Wetterlage trat mit Beginn der zweiten Dekade ein, als ein ausgedehntes Sturmfeld vom Ozeane nach Europa vordrang. Bereits am 10. Dezember hatten westliche und südwestliche Winde die Oberhand gewonnen und Abminderung des Frostes gebracht. In der Folge erweiterte die Depression ihre Herrschaft immer mehr und die mitunter stürmische Zufuhr ozeanischer Luft hatte Trübung, andauernde Temperatursteigerung und verbreitete, wenn auch nur leichte Niederschläge zur Folge. Im Alpengebiet und in dessen unmittelbarem Vorlande war die Bewölkung raschen Änderungen unterworfen, indem der Durchzug kleinerer Teildepressionen vorübergehend Föhnsituation und damit Aufklaren schuf. Dieser Witterungscharakter erhielt sich im allgemeinen bis zum 19., doch ist zu erinnern, dass vom 17. ab die Temperatur wieder merklich gesunken war. Bis zum Morgen des 19. hatte sich über dem Alpengebiete wieder ein barometrisches Maximum festgesetzt, das bald an das über Südosteuropa gelegene Hochdruckgebiet Anschluss fand. Die Niederschläge hörten auf; es trat Aufklaren mit Frost ein. In den Morgen- und Abendstunden stellte sich häufig kräftige Nebelbildung ein. Aber bereits am 24. gewannen westliche und südwestliche Winde, welche im Gefolge einer in breiter Front gegen unseren Erdteil vordringenden ozeanischen Depression auftraten, wieder die Oberhand und leiteten eine neue Periode trüber, milder und regnerischer Witterung ein, die bis zum 28. anhielt. Während der letzten Monatstage gewann wieder hoher Druck, der von der Biskayasee östlich vordrang und mit einem sekundären Kerne über den Alpen sich vereinigte, wenigstens in Südbayern, Einfluss, so dass Aufklaren eintrat. Die Pfalz und das nördliche Bayern unterstanden noch der Einwirkung zahlreicher Randstörungen grosser nördlicher Depressionen, so dass wolkiges bis trübes Wetter, aber ohne nennenswerte Niederschläge, bestand.

Nach dieser kurzen Darlegung des zeitlichen Witterungsverlaufes wenden wir uns der geographischen Verteilung der hauptsächlichsten klimatischen Elemente zu. Auf dem ersten der beigedruckten Kärtchen sind die Isothermen des Berichtsmonats enthalten. In der Rheinebene und in den tieferen Tallagen der Rheinzuflüsse wurden Mitteltemperaturen von über 3 Grad verzeichnet. Die Isotherme für 2 Grad schliesst noch das untere und mittlere Maintal, das Neckartal und dessen Zugänge sowie das ganze linksrheinische Gebiet mit Ausnahme der Gebirgslagen ein. Charakteristisch ist

der Verlauf der Isotherme für 1 Grad. Dieselbe folgt, vom Quellgebiet des Mains ausgehend, den Nord- und Westabhängen des Fränkischen und Schwäbischen Jura, umfasst den südlichen Schwarzwald und schliesst dann, dem oberen Donaulaufe sich anschmiegend, das württembergische Oberschwaben und hierauf das südliche bayerische Schwaben und das oberbayerische Seengebiet aus. Wahrscheinlich haben wir in diesen begünstigten Gebieten das Einbruchsgebiet für die warmen und feuchten Südwestwinde vor uns, die von Frankreich über die relativ niedrigen Höhen des Schweizer Jura und das ausgedehnte Bodenseebecken hereinkommen. Die östliche bayerische Hochebene wird von diesen Winden, durch den Alpenwall geschützt, nicht direkt betroffen. Eine bemerkenswerte Eigentümlichkeit weist die geographische Verteilung der mittleren Maxima auf. Wir finden an unseren alpinen Beobachtungsstationen selbst in Seehöhen von etwa 1000 m noch mittlere Maximaltemperaturen von der gleichen Grössenordnung wie im Rheintale. Wir erkennen hier den zeitweise sehr intensiv wirksamen Föhneinfluss, der beispielsweise am 21. Dezember in Mittenwald (Seehöhe über 900 m) ein Maximum von 10.7 Grad verursachte, während in dem nur etwa 100 m hoch gelegenen Ludwigshafen gleichzeitig nur 2.7 Grad verzeichnet wurden. Da bei Föhnlage klarer Himmel besteht, so ist die nächtliche Ausstrahlung sehr kräftig und führt zu tiefen Minimaltemperaturen. Um bei unserem Beispiele zu bleiben, wurde in Mittenwald ein Minimum von – 4.1 Grad, in Ludwigshafen ein solches von – 2.1 Grad notiert. Unter solchen Umständen erreichte das Alpengebiet zwischen Bodensee und Inn die höchsten Beträge für die mittlere Schwankung von 8 bis über 10 Grad. In den Salzburger Alpen wurde eine mittlere Schwankung von etwa 7 Grad abgeleitet, ein Wert, der nur noch im südlichen Schwarzwalde und im Quellgebiet der Donau sowie in der Umgebung von Landshut erreicht wurde. Im übrigen Bayern lag die mittlere Schwankung meist zwischen 4 und 6 Grad. Die Zahl der Frosttage war am geringsten in der Pfalz (unter 15) und im Maingebiet (zwischen 15 und 20); aber selbst in den rauhen Lagen des hinteren Bayerischen Waldes wurden noch 8 bis 9 frostfreie Tage gezählt. Die Zahl der Wintertage schwankt im allgemeinen zwischen 5 und 10; bevorzugt erscheinen die westliche Pfalz und das untere Maintal sowie aus bereits angeführten Ursachen die alpinen Tallagen. Nähere diesbezügliche Angaben mögen den betreffenden Spalten der beigedruckten Tabelle III entnommen werden.

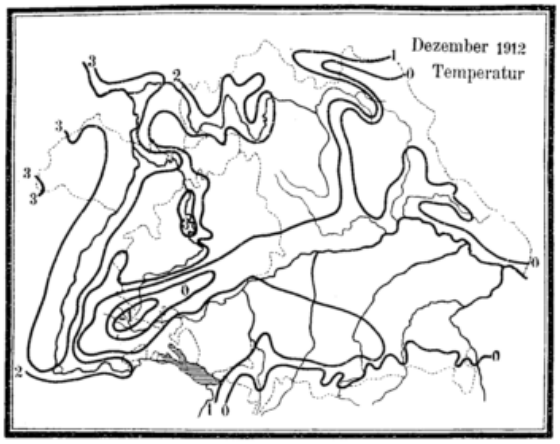

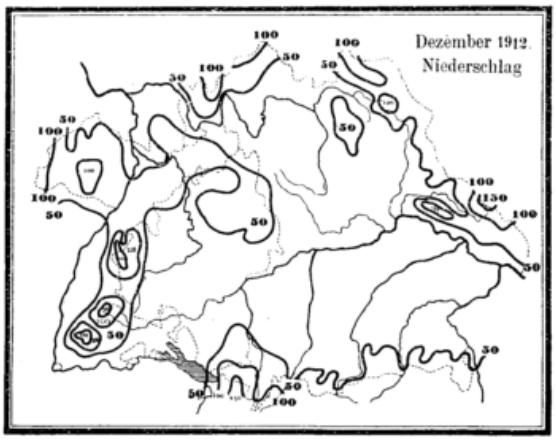

Auf dem zweiten der beigegebenen Kärtchen ist die geographische Verteilung der Monatssummen des Niederschlages über Süddeutschland dargestellt. Wie schon aus der Schilderung des zeitlichen Witterungsverlaufes hervorgeht, war weder die Niederschlagshäufigkeit noch die Intensität der Regen- oder Schneefälle erheblich. So kam es, dass nur an wenigen Orten unseres Stationsnetzes die normale Niederschlagsmenge erreicht oder gar um Geringes übertroffen wurde; zumeist wurden geringere Summen gemessen, als man nach langjährigen Aufzeichnungen erwarten sollte. Regen- und Schmelzwassermengen von über 100 oder 150 mm wurden nur auf den höheren Lagen des Schwarzwaldes, der Algäuer Alpen sowie an den besonders exponierten Lagen unserer östlichen und nördlichen Mittelgebirge erreicht. Im weitaus grössten Teile unseres Gebietes wurden Niederschlagsmengen von weniger als 50 mm gemessen. Bezeichnend für den Charakter des Berichtsmonats ist die Tatsache, dass selbst in Seehöhen von über 800 m Regenfälle viel häufiger waren als Schneefälle und dass kein Tag zu verzeichnen ist, an welchem sich über ganz Süddeutschland eine geschlossene Schneedecke ausgebreitet hätte.

Die mittlere Bewölkungsziffer schwankt im allgemeinen zwischen 6 und 8 Zehnteln der vollen Bedeckung, nur im Alpengebiete und in dessen unmittelbarem Vorlande schuf das häufige Auftreten von Föhn noch günstigere Verhältnisse. Der mittlere Bewölkungsgrad betrug hier nur wenig über 4 Zehntel der völligen Bedeckung. Gleichgünstige Verhältnisse herrschten auch im hinteren Bayerischen Walde (Gegend von Zwiesel). Die gleiche Bevorzugung ergibt sich natürlich auch aus der Festlegung der Häufigkeitszahlen der heiteren und trüben Tage. Wir verweisen auf die diesbezüglichen Spalten der Tabelle III.

Die mittleren, auf Meeresniveau reduzierten Barometerstände weisen ein schwaches, von Südost nach Nordwest gerichtetes Luftdruckgefälle auf. Winde aus südwestlicher bis westlicher Richtung waren im allgemeinen vorherrschend, nur im Alpengebiete waren stellenweise Winde aus südlicher Richtung in der Überzahl.

München, den 24. Januar 1913. Alt.

Tabelle I.

Station	Höhe über Normal-Null m	Luftdruck in mm: höchster am	höchster mm	tiefster am	tiefster mm	Monatsmittel lokal	Monatsmittel auf Meeresniveau reduziert	Temperatur C°: Mittel um 7a	2p	9p	Mittlere Tagestemperatur	Mittleres Maximum	Mittleres Minimum	Mittel aus Maximum und Minimum	Mittlere Schwankung	Station
Ludwigshafen a/Rh.	100.3	4.	767.6	1.	743.8	757.2	766.9	2.8	5.2	3.6	3.8	5.8	1.1	3.4	4.7	Ludwigshafen a/Rh.
Kahl a/M.	114.1	4.	765.3	1.	741.3	755.4	766.1	1.6	4.1	2.4	2.7	6.0	– 0.2	2.9	6.2	Kahl a/M.
Landau i. Pf.	149.9	4.	761.8	1.	739.5	752.5	766.5	2.1	4.7	2.7	3.1	5.3	0.5	2.9	4.8	Landau i. Pf.
Würzburg	179.3	4.	759.9	1.	735.2	749.8	766.5	1.6	4.0	2.3	2.5	4.7	0.2	2.5	4.4	Würzburg
Bad Kissingen	209.2	4.	757.5	1.	732.9	746.9	766.4	1.1	3.4	1.5	1.9	4.2	– 0.7	1.7	4.9	Bad Kissingen
Kaiserslautern	242.2	4.	753.2	1.	731.6	744.0	766.5	1.8	4.7	2.6	2.9	5.4	0.3	2.8	5.2	Kaiserslautern
Luitpoldheim	250							1.1	2.8	1.6	1.8	3.8	– 0.4	1.7	4.2	Luitpoldheim
Bamberg	287.7	4.	750.1	1.	725.5	740.1	766.9	0.3	3.4	1.2	1.5	4.5	– 1.3	1.6	5.8	Bamberg
Nürnberg	309.1	4.	747.7	1.	723.9	738.2	766.9	0.9	3.8	1.5	2.0	4.4	– 0.5	2.0	4.9	Nürnberg
Passau	309.3	4.	747.5	1.	724.9	739.6	768.6	– 0.7	2.0	0.2	0.4	2.6	– 1.8	0.4	4.4	Passau
Metten	320							– 1.7	1.4	– 0.3	– 0.2	2.5	– 3.5	– 0.5	6.0	Metten
Regensburg	354.3	4.	743.4	1.	720.5	735.0	768.1	– 0.5	1.6	0.1	0.3	2.6	– 1.7	0.4	4.3	Regensburg
Bayreuth	363.3	4.	742.8	1.	719.4	733.4	767.1	0.4	2.9	1.2	1.4	3.7	– 1.3	1.2	5.0	Bayreuth
Burghausen	365	4.	742.5	1.	719.2	734.2	768.2	– 0.9	3.2	0.1	0.6	3.9	– 2.4	0.8	6.3	Burghausen
Ingolstadt	368							– 0.5	2.3	0.1	0.5	3.6	– 2.5	0.5	6.1	Ingolstadt
Karlshuld	382.0	4.	740.7	1.	718.5	732.2	767.8	– 0.7	1.2	0.1	0.4	4.0	– 2.0	1.0	6.0	Karlshuld
Landshut	397.7	4.	739.1	1.	716.3	730.8	767.9	– 0.6	3.1	0.3	0.8	4.5	– 2.8	0.8	7.2	Landshut
Lindau i. B. (Reutin)	401.7	30.	739.3	1.	718.9	731.7	769.0	0.6	3.4	1.2	1.6	5.3	– 1.7	1.8	7.0	Lindau i. B. (Reutin)
Weissenburg i. B.	431	4.	736.6	1.	714.8	727.9	767.7	0.5	3.2	1.2	1.5	4.0	– 1.0	1.5	5.0	Weissenburg i. B.
Nördlingen	435.6	4.	735.0	1.	712.6	726.6	766.8	0.0	3.1	1.0	1.2	3.9	– 1.2	1.3	5.1	Nördlingen
Ansbach	437.5	4.	735.9	1.	712.3	726.8	767.2	– 0.8	3.2	0.6	1.1	3.8	– 1.7	1.1	5.5	Ansbach
Hof	476.1	4.	730.9	1.	708.3	721.5	765.3	– 0.5	2.8	0.4	0.8	3.5	– 2.1	0.7	5.6	Hof
Bad Reichenhall	477	4.	732.3	1.	709.4	724.1	768.1	– 0.7	3.9	0.3	1.0	5.5	– 2.0	1.8	7.5	Bad Reichenhall
Augsburg	499.6	4.	730.6	1.	708.4	722.2	768.1	0.2	3.5	1.5	1.7	4.3	– 0.7	1.8	5.0	Augsburg
München C.-St.	526.4	4.	727.5	1.	705.9	719.6	767.8	1.1	4.6	1.9	2.4	5.6	– 0.6	2.5	6.2	München C.-St.
Alexandersbad	590							– 1.5	1.4	– 0.7	– 0.4	2.3	– 3.3	– 0.5	5.6	Alexandersbad
Traunstein	597	4.	721.9	1.	699.2	713.9	768.7	– 1.4	3.8	– 0.1	0.5	4.6	– 3.1	0.8	7.7	Traunstein
Berchtesgaden	600							– 2.2	2.3	– 1.2	– 0.6	3.2	– 3.7	– 0.2	6.9	Berchtesgaden
Ottobeuren	660.0	30.	715.5	1.	695.7	708.1	768.3	– 0.6	3.2	0.0	0.7	4.5	– 2.5	1.0	7.0	Ottobeuren
Partenkirchen	716.8	4.	711.3	1.	690.1	703.6	767.7	– 1.1	4.0	– 0.4	0.5	5.2	– 3.1	1.1	8.3	Partenkirchen
Tegernsee	727.8	30.	711.1	1.	691.5	702.7	768.3	1.8	5.3	2.2	2.8	7.1	– 1.0	3.0	8.1	Tegernsee
Buchenau	750	4.	706.7	1.	686.7	699.2	767.3	– 1.2	1.7	– 1.1	– 0.4	2.6	– 2.7	0.0	5.2	Buchenau
Schaftlach	760															Schaftlach
Oberstdorf	811.4	30.	703.2	1.	683.0	695.6	769.2	– 2.2	3.4	– 1.6	– 0.5	4.9	– 5.3	– 0.2	10.2	Oberstdorf
Ettal	879.5	4.	694.5	1.	675.1	687.9	766.9?	– 1.1	2.4	– 0.5	0.3	5.8	– 3.8	1.0	9.6	Ettal
Mittenwald	911.8	30.	693.8	1.	673.3	686.7	768.4	0.0	4.0	– 0.3	0.8	4.9	– 3.5	0.7	8.4	Mittenwald
Hohenpeissenberg	994.1	30.	685.9	1.	666.9	679.2	767.2	1.7	3.6	2.3	2.4	4.9	0.2	2.6	4.7	Hohenpeissenberg
Zugspitze	2964	31.	534.6	1.	519.2	530.0		– 7.7	– 6.6	– 7.2	– 7.2	– 4.7	–10.0	– 7.3	5.3	Zugspitze

Tabelle II.

Station	Temperatur C°: höchste am	höchste C°	tiefste am	tiefste C°	grösste Schwankung am	grösste Schwankung C°	Dampfdruck Monatsmittel mm	Relative Feuchtigkeit %: Monatsmittel	kleinste am	kleinste %	grösste am	grösste %	Bewölkung Monatsmittel	Niederschlag: grösster am	grösster mm	Monats-Summe mm	Station
Ludwigshafen a/Rh.	28.	13.8	9.	– 5.3	16., 29.	7.6	5.3	85	1.	62	27.	97	8.0	17.	12.5	44.3	Ludwigshafen a/Rh.
Kahl a/M.	28.	13.1	9.	– 8.6	24.	10.8	5.2	92	18	69	öfters	100	6.6	17.	14.0	52.3	Kahl a/M.
Landau i. Pf.	28.	13.4	8.	– 7.0	10., 29.	8.7	5.3	89	30.	72	öfters	100	6.5	17.	16.5	69.9	Landau i. Pf.
Würzburg	28.	12.5	10.	– 8.0	24.	8.4	4.9	86	2.	58	öfters	100	6.4	17.	9.0	30.5	Würzburg
Bad Kissingen	15.	12.3	10.	– 8.2	28.	8.8	4.8	89	15.	64	12.	100	6.9	27.	9.5	54.9	Bad Kissingen
Kaiserslautern	28.	12.8	9.	– 8.0	10.	10.8	5.3	91	18.	56	öfters	100	7.0	27.	13.0	52.6	Kaiserslautern
Luitpoldheim	28.	11.7	10.	– 7.8	15.	8.3	4.9	91	1.	69	28.	100	7.1	27.	12.9	70.0	Luitpoldheim
Bamberg	28.	12.3	9.	– 9.5	28.	9.2	4.7	89	5.	55	öfters	100	7.7	17.	15.4	43.6	Bamberg
Nürnberg	28.	12.3	10.	– 8.0	10.	7.9	4.8	87	18.	58	öfters	100	6.8	17.	8.0	28.1	Nürnberg
Passau	16.	9.8	10.	– 8.2	5.	7.9	4.4	90	16.	59	öfters	100	8.2	15.	7.7	31.5	Passau
Metten	16.	9.0	9.	– 9.7	6.	10.0	4.4	94	18.	62	öfters	100	7.6	26.	8.0	49.6	Metten
Regensburg	28.	11.2	9.	– 7.6	28.	7.4	4.3	90	30.	66	22., 25.	100	8.3	26.	7.3	28.4	Regensburg
Bayreuth	28.	11.0	7.	– 8.5	5.	9.7	4.7	89	5.	70	11., 29.	98	7.1	27.	8.9	35.8	Bayreuth
Burghausen	28.	13.7	10.	– 8.8	14.	12.6	4.3	88	14.	54	öfters	100	7.1	28.	8.5	21.6	Burghausen
Ingolstadt	28.	12.9	10.	– 8.3	17.	11.1	4.5	91	13.	62	öfters	100	8.0	28.	9.4	34.5	Ingolstadt
Karlshuld	28.	12.9	11.	– 9.3	11.	11.9	4.4	90	13.	62	öfters	100	6.9	28.	9.7	35.0	Karlshuld
Landshut	28.	14.5	6.	– 8.4	11.	11.3	4.4	88	18.	53	öfters	100	7.5	3.	7.5	26.5	Landshut
Lindau i. B. (Reutin)	1.	14.0	8.	– 7.0	17.	11.9	4.6	89	14.	53	öfters	100	7.2	28.	25.1	59.3	Lindau i. B. (Reutin)
Weissenburg i. B.	28.	12.0	9.	– 8.1	11.	8.9	4.7	88	18.	67	öfters	98	6.1	17.	10.1	29.4	Weissenburg i. B.
Nördlingen	28.	12.6	10.	– 8.6	29.	10.8	4.6	88	30.	65	öfters	99	6.7	17.	8.0	29.7	Nördlingen
Ansbach	28.	11.4	9.	– 9.6	10.	8.5	4.5	87	30.	68	27.	97	5.7	17.	11.2	39.1	Ansbach
Hof	28.	10.0	9.	– 9.4	9.	12.4	4.6	91	9.	59	öfters	100	6.9	27.	16.1	61.1	Hof
Bad Reichenhall	15.	13.1	8.	–10.4	14.	11.0	4.2	82	18.	33	öfters	100	4.6	28.	29.5	60.9	Bad Reichenhall
Augsburg	28.	12.4	9.	– 8.8	24.	10.7	4.7	89	13.	70	öfters	100	6.0	17.	10.3	31.6	Augsburg
München C.-St.	28.	13.7	10.	– 8.4	24.	12.3	4.3	78	11.	51	öfters	100	5.7	28.	11.1	29.8	München C.-St.
Alexandersbad	28.	9.7	8.	–10.4	24.	14.1	4.3	93	3.	74	öfters	100	5.9	27.	24.9	85.3	Alexandersbad
Traunstein	28.	12.1	9.	–13.2	11.	12.8	3.9	79	18.	44	öfters	100	4.8	28.	25.8	53.4	Traunstein
Berchtesgaden	15.	10.6	9.	–11.8	9.	10.1	4.1	89	27.	47	öfters	100	4.3	28.	16.6	47.1	Berchtesgaden
Ottobeuren	28.	11.4	8.	–12.8	9.	13.8	4.1	80	11.	46	öfters	98	4.6	19.	9.1	35.5	Ottobeuren
Partenkirchen	15.	13.1	9.	– 8.9	14.	13.1	3.8	77	15.	26	öfters	100	4.2	28.	13.4	42.5	Partenkirchen
Tegernsee	29.	12.3	5.	– 7.1	14.	13.4	4.0	69	18.	24	20.	100	4.0	28.	30.0	58.5	Tegernsee
Buchenau	28.	7.0	8.	– 8.0	5.	12.2	4.1	88	5.	44	öfters	100	4.4	15.	35.7	116.1	Buchenau
Schaftlach																	Schaftlach
Oberstdorf	29.	10.2	5.	–15.1	18.	19.6	3.7	81	18.	15	4.	100	4.2	28.	31.0	89.6	Oberstdorf
Ettal	23.	13.1	5.	– 8.9	14.	17.1	3.8	81	18.	34	öfters	100	3.9	28.	20.1	57.1	Ettal
Mittenwald	21.	10.7	6.	– 8.4	21.	14.8	3.9	79	18.	37	öfters	100	4.8	4.	11.3	37.2	Mittenwald
Hohenpeissenberg	29.	11.2	5.	– 7.4	5.	10.7	3.6	65	5.	24	öfters	100	4.1	17.	8.7	36.2	Hohenpeissenberg
Zugspitze	31.	– 0.2	17., 18.	–17.0	31.	14.0	2.0	79	9.	41	öfters	100	5.5	17.	15.5	74.1	Zugspitze

Tabelle III.

Station	Tage mit										Tage				Anzahl der beobachteten Windrichtungen									Station
	Niederschlägen		Schneefall	Schneedecke	Graupeln	Hagel	Gewitter	Nebel	Reif	Tau	heitere	trübe	Frost	Winter	N	NE	E	SE	S	SW	W	NW	Stille	
	≥ 0,1mm	≥ 1,0mm																						
Ludwigshafen a/Rh.	17	13	1	–	–	–	–	10	8	–	–	19	10	4	7	2	1	10	27	37	1	1	7	Ludwigshafen a/Rh.
Kahl a/M.	15	12	3	2	–	–	–	3	5	–	4	13	17	2	–	–	1	1	7	49	8	–	27	Kahl a/M.
Landau i. Pf.	17	11	2	1	–	–	–	6	7	–	5	11	14	5	–	14	1	3	1	62	1	11	–	Landau i. Pf.
Würzburg	13	7	1	–	–	–	–	9	11	–	2	10	15	7	1	–	2	6	2	13	32	13	24	Würzburg
Bad Kissingen	17	15	2	–	–	–	–	9	8	–	3	16	16	7	13	7	2	1	15	17	15	6	17	Bad Kissingen
Kaiserslautern	18	10	3	1	–	–	–	6	6	–	2	14	14	1	–	1	6	3	–	2	47	9	25	Kaiserslautern
Luitpoldheim	18	14	4	–	–	–	–	11	4	–	2	16	16	8	4	–	4	–	3	25	9	1	47	Luitpoldheim
Bamberg	31	9	2	–	1	–	–	4	10	2	1	16	18	5	–	1	1	4	29	28	23	–	7	Bamberg
Nürnberg	9	8	3	1	–	–	–	14	6	1	3	14	16	5	1	–	6	23	13	22	17	4	7	Nürnberg
Passau	14	10	1	11	–	–	–	14	8	–	1	19	20	6	–	–	5	–	–	5	11	2	70	Passau
Metten	14	11	6	14	1	–	–	16	8	–	2	17	26	9	2	1	3	6	6	10	32	5	28	Metten
Regensburg	10	7	1	–	–	–	–	9	2	–	–	21	21	8	1	–	1	11	25	13	12	2	28	Regensburg
Bayreuth	14	9	1	–	–	–	–	7	13	–	4	15	18	7	–	1	25	17	3	18	26	1	2	Bayreuth
Burghausen	10	6	3	1	–	–	–	9	11	–	–	15	25	8	1	3	2	6	2	25	–	–	54	Burghausen
Ingolstadt	13	7	3	5	1	–	–	9	15	–	1	17	26	7	2	4	14	11	6	15	30	3	8	Ingolstadt
Karlshuld	9	9	3	3	–	–	–	6	4	–	4	15	22	7	1	6	14	–	–	9	29	–	34	Karlshuld
Landshut	11	7	1	–	–	–	–	5	13	–	1	16	26	7	3	6	15	1	–	14	38	–	16	Landshut
Lindau i. B. (Reutin)	12	10	2	1	1	–	–	10	8	2	3	16	22	6	4	25	3	–	25	1	12	7	16	Lindau i. B. (Reutin)
Weissenburg i. B.	11	6	2	1	–	–	–	–	14	–	6	9	17	5	1	2	2	21	9	38	14	1	5	Weissenburg i. B.
Nördlingen	10	7	3	–	–	–	–	6	11	2	1	12	17	6	1	–	9	19	10	28	14	2	10	Nördlingen
Ansbach	15	7	3	1	–	–	–	7	–	–	5	9	20	5	–	–	–	1	3	14	32	3	40	Ansbach
Hof	15	9	4	7	–	–	–	13	7	–	2	12	19	4	–	–	–	5	41	26	14	7	–	Hof
Bad Reichenhall	12	11	4	15	1	–	–	3	4	–	7	5	21	3	–	1	17	4	3	10	29	–	29	Bad Reichenhall
Augsburg	12	8	3	11	–	–	–	10	12	–	6	10	16	6	2	2	1	11	3	49	7	7	11	Augsburg
München C.-St.	10	6	5	1	–	–	–	15	13	–	4	23	15	3	–	–	2	2	2	35	11	2	39	München C.-St.
Alexandersbad	12	12	3	20	–	–	–	5	10	–	5	11	20	10	3	4	3	3	1	5	33	11	30	Alexandersbad
Traunstein	10	9	5	16	–	–	–	4	7	–	6	6	23	5	2	4	14	15	13	3	38	4	–	Traunstein
Berchtesgaden	12	11	5	31	–	–	–	1	13	–	10	6	24	6	–	–	4	1	–	–	1	–	87	Berchtesgaden
Ottobeuren	10	6	5	18	1	–	–	2	5	–	9	8	20	4	–	6	5	6	5	54	–	–	17	Ottobeuren
Partenkirchen	10	8	4	28	–	–	–	–	2	–	10	6	26	–	–	–	–	10	15	–	4	1	63	Partenkirchen
Tegernsee	10	9	3	16	–	–	–	–	– ?	–	12	3	20	–	3	–	5	43	19	1	13	6	3	Tegernsee
Buchenau	16	13	7	27	–	–	–	3	2	–	9	13	22	2	–	–	22	1	–	2	39	–	29	Buchenau
Schaftlach																								Schaftlach
Oberstdorf	14	12	3	31	–	–	–	–	–	–	11	6	26	3	17	–	1	2	6	6	13	8	40	Oberstdorf
Ettal	8	7	6	31	–	–	–	–	–	–	12	6	26	–										Ettal
Mittenwald	11	8	7	24	–	–	–	–	2	–	8	5	25	2	6	2	2	1	26	9	6	6	35	Mittenwald
Hohenpeissenberg	8	7	6	21	–	–	–	3	1	–	11	5	16	3	–	3	4	8	1	33	35	5	4	Hohenpeissenberg
Zugspitze	13	10	13	31	3	–	–	15	–	–	7	8	31	31	8	3	2	7	8	4	19	40	2	Zugspitze

Münchener Pilotballonbeobachtungen 1912

ausgeführt von

K. Bux und **P. Zistler**

unter Mitwirkung des Dieners **G. Götz.**

---

1. Januar. Kein Aufstieg wegen ◍.

Nr. 1. 2. Januar. 9^{25} a; Bew. 9^{1}, ci-cu, ci-st, st-cu, ∞.

Stufenwerte m	Wind Richtung	Wind Geschwindigkeit m p. s.	Stufenwerte m	Wind Richtung	Wind Geschwindigkeit m p. s.
540	SW	3.1	1240—1940	N 70° W	7.0
540— 820	S 54° W	6.0	1940—3060	N 30° W	9.4
820—1240	W	7.1			

3. und 4. Januar. Die Beobachtungen unterblieben wegen tiefliegender st-Schicht.

Nr. 2. 5. Januar. 0^{15} p; Bew. 7° ⊙, ci st SW, a-cu, st-cu, cu.

540	W	3.1	820—1800	S 80° W	20.4
540 - 820	N 85° W	11.8			

6. und 7. Januar. Die Beobachtungen unterblieben wegen ≈ und ◍.

Nr. 3. 8. Januar. 9^{12} a; Bew. 2° ⊙, ci-st NW, ci-cu, st

540	SW	1.7	680—1100	W	14.4
540—680	S 70° W	5.0			

9. und 10. Januar. Kein Aufstieg wegen ✳ und ◍.

Nr. 4. 11. Januar. 1^{40} p; Bew. 1° ⊙, ci-st NE.

540	E	1.7	820—1660	S 75° E	8.4
540—820	N 85° E	6.3	1660—2500	S 70° E	6.8

12.—15. Januar. Keine Beobachtung wegen tiefliegender st-Schicht.

Nr. 5. 16. Januar. 1^{45} p; Bew. 4^{1} ⊙, st, st-cu SW mässig.

540	SE	1.7	960 - 1100	S 37° E	2.5
540—820	N 75° E	2.0	1100 - 1380	N 62° W	2.7
820—960	S 72° E	4.0			

17. Januar. Kein Aufstieg wegen ✳.

Nr. 6. 18. Januar. 1^{35} p; Bew. 9^{1}, a-st, st-cu, cu.

540	E	1.7	1380—1660	S 57° E	6.0
540— 820	N 85° E	4 1	1660—2780	S 33° W	3.9
820— 960	S 84° E	6.3	2780—3340	S 59° W	6.5
960—1380	S 43° E	5 5			

19. Januar. Kein Aufstieg wegen tiefliegender st-Schicht.

Nr. 7. 20. Januar. 0^{15} p; Bew. 8^{1} ⊙, ≡^{1}, ci, st; Föhnlage.

540	C		820—1100	S 56° W	2.5
540—680			1100—1240	S 39° W	5.0
680—820	W	3.0			

21. und 22. Januar. Kein Aufstieg wegen ≡ und tiefliegender st-Schicht.

Anm. Alle Zeitangaben beziehen sich auf M.E.Z.

Nr. 8. 23. Januar. 0^{02} p; Bew. 7^0 ⊙, ci-st SW, st-cu.

Stufenwerte m	Wind Richtung	Wind Geschwindigkeit m p. s.	Stufenwerte m	Wind Richtung	Wind Geschwindigkeit m p. s.
540	E	1.7	1940—2220	S 25° W	7.5
540— 680	N 80° E	2.6	2220—2640	S 60° W	7.7
680—1380	S 4° W	6.0	2640—2920	S 80° W	9.3
1380—1940	S 17° E	6.4			

Nr 9. 24. Januar. 8^{35} a; Bew. 8^1 ≡^{1}, st-cu, st.

540	C		820—1520	N 61° W	10.4
540 820	S 84° W	6.8	1520—2080	N 72° W	7.0

25.—28. Januar. Die Beobachtungen unterblieben wegen ungünstiger Witterung.

Nr. 10. 29. Januar. 9^{10} a; Bew. 1^0 ⊙, ci, ∞kranz.

540	NE	1 7	960—1660	N 78° E	10.1
540—960	N 85° E	6.6	1660 – 2360	E	8.9

Nr. 11. 30. Januar. 9^{35} a; Bew. o ⊙, ≡^{1}.

540	C		680 - 1100	S 83° E	8.8
540—680	S 55° E	3.5			

Nr. 12. 31. Januar. 9^{50} a; Bew. 2^0 ⊙, ci-st i. NW, ∞kranz.

540	SW	3.1	820—1380	N 85° W	13.8
540—820	S 73° W	9.2			

1.—5. Februar. Die Beobachtungen unterblieben wegen ≡ und tiefliegender st-Schicht.

Nr. 13. 6. Februar. 1^{10} p; Bew. 7^0 ⊙, ci-st, st-cu.

540	C		1240 – 1800	S 20° W	6.0
540— 960	S 47° E	5.0	1800—2640	S 57° W	11.9
960—1240	S 16° E	7.6	2640—3200	S 80° W	15.0

Nr. 14. 7. Februar. 1^{15} p; Bew. 7^0 ⊙, ci-st, a-st, st-cu, ≡^{0}.

540	NW	1.7	2780—3200	S 55° W	7.0
540 — 820	N 63° E	3.0	3200—3760	S 71° W	6.9
820—1380	S 12° W	6.4	3760—5160	S 46° W	4.8
1380—2780	S 42° W	4.6			

Nr. 15. 8. Februar. 11^{05} a; Bew. 4^0 ⊙, ci-st WSW, ≡^{0}.

540	SE	1.7	1100—1520	S	6.5
540—1100	S 34° E	4.3	1520—2080	S 15° W	9.0

Nr. 16. 9. Februar. 10^{55} a; Bew. 9^1, st-cu, ≡^{0}.

540	SW	1.7	820—1240	S 29° W	9.3
540—820	S 75° W	6.5			

10.—12. Februar. Kein Aufstieg wegen ▨ und tiefliegender st-Schicht.

Nr. 17. 13. Februar. 8^{25} a; Bew. 3^0 ⊙, ci-st SSW, st-cu.

540	C		1100—1380	S 80° E	2.6
540— 680	S	1.8	1380—1520	S 16° E	2.2
680—1100	S 50° E	2.8	1520—1940	S 50° W	3.3

14. und 15. Februar. Kein Aufstieg wegen tiefliegender st-Schicht.

Nr. 18. 16. Februar. 11^{55} a; Bew. 4^1 ⊙, cu.

540	W	1.7	680—1800	S 82° W	7.3
540—680	N 85° W	3.0			

Nr. 19. 17. Februar. 9^{13} a; Bew. 9^1 ⊙, ci W, ci-st, ∞kranz.

540	} S	1.7	1520—1800	S 53° E	1.2
540— 820		3.1	1800—2080	S	2.2
820 – 1520	Schleife rechts	1.1	2080—2220	S 37° W	4.0

Nr. 20. 18. Februar. 8^{25} a; Bew. 3^0 ⊙, ci W. ∞^{1}.

540	S	1.7	1800—2640	S 43° W	1.2
540— 680	S 43° E	3.0	2640—4880	N 68° W	4.2
680—1380	S 55° E	3.5	4880—5440	N 45° W	9.0
1380—1800	S 20° E	2.8			

Nr. 21. 19. Februar. 9^{39} a; Bew. 2^0 ⊙, ci, ≡^{0}.

540	SE	1.7	1520—2220	S 13° E	5.0
540— 960	S 44° E	2 7	2220—2500	S 15° W	4.6
960—1520	E	5.9	2500—3060	S 48° W	6.1

Nr. 22. 20. Februar. 9^{27} a; Bew. 10^1, st-cu, st; ⊙ durchscheinend.

Stufenwerte m	Wind Richtung	Wind Geschwindigkeit m p. s.	Stufenwerte m	Wind Richtung	Wind Geschwindigkeit m p. s.
540	SW	3.1	780—1140	N 84° W	9.8
540—780	S 79° W	5.2			

Nr 23. 21. Februar. 9^{33} a; Bew. 5^1, st-cu, st.

540	SW	1.7—3.1	960—1240	W	14 5
540—960	S 70° W	9.2			

Nr. 24. 22. Februar. 0^{30} p; Bew. 6^1, cu.

540	NW	1.7	1020—1500	S 78° W	5.2
540 - 1020	N 78° W	4.3			

23.—28. Februar. Die Beobachtungen unterblieben wegen ▨ und tiefliegender st-Schicht.

Nr. 25. 29. Februar. 1^{28} p; Bew. 2^0 ⊙, ci, ci-st, ∞ i. S.

540	C		1520—1940	S 21° W	4.2
540— 820	N 45° E	1.5	1940—2220	S 40° W	4.2
820—1100	S 38° E	2.7	2220—3340	S 67° W	5.4
1100—1520	S 19° E	2.6	3340—4460	S 83° W	9.3

Nr. 26. 1. März. 9^{20} a; Bew. 8^1, st-cu, ∞ i. S.

540	C		960—1940	S 82° W	6.0
540—820	N 75° E	1.0	1940—2220	S 68° W	8.5
820—960	S 45° E	1.0			

2. März. Kein Aufstieg wegen tief und rasch ziehender cu.

Nr. 27. 3. März. 8^{28} a; Bew. 3^0, a-cu, ∞.

540	SE	3.1	820—1660	N 65° W	4.3
540—820	S 46° W	4.7	1660—1940	S 58° W	2.5

4.—6. März. Die Beobachtungen unterblieben wegen ▨ und tiefliegender st-cu-Schicht.

Nr. 28. 7. März. 8^{40} a; Bew. 1^0 ⊙, ci-st SW, st-cu; Föhnlage.

540	SW	3.1—4.8	680—1100	W	12.0
540—680	S 72° W	4.0			

8. März. Kein Aufstieg wegen tiefliegender st-cu-Schicht.

Nr. 29. 9. März. 8^{30} a; Bew. 0 ⊙, ≡°.

540	SE	1.7	1940—2640	N 72° W	1.1
540— 680	S 36° E	3.0	2640—3340	N 44° W	3.6
680—1520	S 47° E	5.6	3340—3760	N 38° W	6.4
1520—1940	S 63° E	2.0			

Nr 30. 10. März. 8^{29} a; Bew. 9^1 ⊙, a-cu, a-st W, st-cu.

540	SE	3.1	1380—1940	S 13° W	3.5
540— 960	S 42° E	3.5	1940—2360	Schleife	> 0.5
960—1380	S 12° E	3.5	2360—3900	S 11° W	3.5

11.—14. März. Kein Aufstieg wegen tiefliegender st-cu-Schicht.

Nr. 31. 15. März. 0^{34} p; Bew. 4^1 ⊙, cu.

540	SE	1.7	1240—2080	Ballon in cu	
540— 820	S 80° E	1.4	2080—2430	S 80° W	4.8
820—1240	S 48° E	1.8	2430—2700	N 22° W	5.9

16. März. Kein Aufstieg wegen ▨.

Nr. 32. 17. März. 8^{35} a; Bew. 3^0, ≡^{1}, ci-cu.

540	SW	1.7	1240—1660	S 16° W	2.0
540— 680	S 16° E	2.4	1660—2780	S 71° W	2.8
680—1240	S 38° E	1.9	2780—3200	S 50° W	4.8

18. und 19. März. Keine Beobachtung wegen tiefliegender Wolken.

Nr. 33. 20. März. 8^{15} a; Bew. 1^0 ⊙, ci i. N, ≡°.

540	SE	1.7	1660—2220	S 59° E	2.8
540— 820	S 25° E	3.6	2220—2640	S 29° E	4.8
820—1100	S 55° E	10.0	2640—2920	S 4° W	9.0
1100 - 1660	S 38° E	5.1			

Nr. 34. 21. März. 8^{13} a; Bew. 3⁰ ⊙, ci-st SW; Föhnlage, Gebirge sichtbar.

Stufenwerte m	Wind Richtung	Wind Geschwindigkeit m p. s.	Stufenwerte m	Wind Richtung	Wind Geschwindigkeit m p. s.
540	SW	3.1	1100—1660	W	14.3
540— 680	S 72⁰ W	5.0	1660—2780	S 81⁰ W	10.5
680—1100	S 81⁰ W	15 3			

22.—25. März. Die Beobachtungen unterblieben wegen ◍ und tiefliegender st-Schicht.

Nr. 35. 26. März. 2^{06} p; Bew. 1⁰ ⊙ cu.

540	E	3.1	1520—2640	S 51⁰ W	1.6
540— 820	N 82⁰ E	7.0	2640—3340	N 58⁰ W	5.8
820—1100	S 84⁰ E	5.0	3340—4320	N 51⁰ W	10.9
1100—1520	S 52⁰ E	3.5	4320—6000	N 54⁰ W	7.9

Nr 36. 27. März. 8^{16} a; Bew. 1⁰ ⊙, a-cu, st-cu, ∞⁰.

540	S	1.7	680— 960	S 75⁰ W	8.3
540—680	S 45⁰ W	5.6	960—1380	S 85⁰ W	12.6

Nr. 37. 27. März. 9^{09} a; Bew. 1⁰ ⊙, ci NW, st-cu, ∞¹.

540	SW	1.7	1240—1660	S 81⁰ W	10.5
540— 820	S 68⁰ W	6.0	1660—1940	W	13.0
820—1240	S 85⁰ W	13.4			

28. und 29. März. Kein Aufstieg wegen tiefliegender st-Schicht und ◍.

Nr. 38. 30. März. 8^{15} a; Bew. 0 ⊙, ∞¹.

540	SW	3.1	680—1240	S 79⁰ W	11.8
540—680	S 56⁰ W	4.0			

Nr. 39. 30. März. 11^{45} a; Bew. 0 ⊙, ∞.

540	SW	6 7	820—1380	S 73⁰ W	9.0
540—820	W	8 3	1380—2080	S 82⁰ W	16.0

Nr. 40. 31. März. 8^{16} a; Bew. 0 ⊙, ∞¹ am Horizont.

540	SW	4.8	1380 - 1800	S 85⁰ W	11.2
540— 960	S 85⁰ W	5.8	1800—2220	W	14.2
960—1380	N 85⁰ W	9.2			

1.—3. April. Die Beobachtungen unterblieben wegen ◍ und tiefliegender Wolkenschicht.

Nr. 41. 4. April. 8^{19} a; Bew. 0 ⊙, ∞¹.

540	SW	1.7	1800—2220	N 38⁰ E	3.9
540— 820	S 57⁰ W	2.8	2220—2640	N 28⁰ E	8.7
820—1100	N 76⁰ W	2.8	2640—2920	N 41⁰ E	12.5
1100—1800	N 25⁰ W	1 9			

5. April. Kein Aufstieg wegen tiefliegender st-Schicht.

Nr. 42. 6. April. 8^{45} a; Bew. 2⁰ ⊙ ci, a-st.

540	SW	6.7	680—1240	W	19.5
540—680	S 81⁰ W	16.7	1240—1520	N 81⁰ W	21.5

7. April. Kein Aufstieg wegen tiefziehender st-cu.

Nr. 43. 8. April. 8^{20} a; Bew. 0 ⊙.

540	SW	3.1	680—1100	S 68⁰ W	4.2
540—680	S 32⁰ W	3.0	1100—1660	S 84⁰ W	8.6

9. April. Kein Aufstieg wegen ◍ und ⚹.

Nr. 44. 10. April. 1^{20} p; Bew. 7^{1}, cu.

540	SW	4.8	960—1660	S 75⁰ W	16.0
540—960	S 76⁰ W	8.2	1660—2220	S 72⁰ W	26.8

11. und 12. April. Die Beobachtungen unterblieben wegen tief und rasch ziehender st-cu.

Nr. 45. 13. April. 9^{26} a; Bew. 1⁰ ⊙, cu, ∞.

540	NW	1.7	1660—1940	N 50⁰ W	5.0
540— 680	N 43⁰ W	4.6	1940—2360	N	4.1
680—1100	N 60⁰ W	5.1	2360—3060	N 11⁰ W	5.9
1100—1380	N 73⁰ W	5.4	3060—3760	N 9⁰ E	9 6
1380—1660	W	3.0			

Nr. 46. 14. April. 8^{50} a; Bew. 0 ⊙, ∞¹ am Horizont.

540	SE	1.7	1380—1800	N 77⁰ E	4.0
540— 680	S 49⁰ E	3.0	1800—2920	N	5.3
680—1380	S 82⁰ E	4.9	2920—4460	N 9⁰ W	6.7

15. und 16. April. Kein Aufstieg wegen ◍ und tiefziehender Wolken.

Nr. 47. 17. April. 9^{47} a; Bew. o ⊙, ∞.

Stufenwerte m	Wind Richtung	Wind Geschwindigkeit m p. s.	Stufenwerte m	Wind Richtung	Wind Geschwindigkeit m p. s.
540	E	3.1	2220—3200	S 85° E	3.9
540— 960		5.8	3200—3620	S 67° E	8.3
960—1380	S 55° E	6.7	3620—4180	S 77° E	11.3
1380—2220	S 60° E	3.7	4180—4880	S 68° E	12.8

Nr. 48. 18. April. 1^{11} p; Bew. 7°, ci-st SW, a-cu, ∞² i. S.

540	E	1.7	1660—2220	S 71° E	3.8
540—1100	S 74° E	6.5	2220—2640	N 44° W	4.5
1100—1660	S 59° E	4.0	2640—2780	N 6° E	3.4

Nr. 49. 19. April. 1^{00} p; Bew. 10^{1} a-st, cu.

540	C		2460—2580	N 23° E	1.4
540—1260	N 19° E	1.4	2580—3420	S 72° E	2.9
1260—2220	S 72° W	2.6	3420—3660	S 61° E	7.3
2220—2460	N 52° W	1.8	3660 4260	S 82° E	8.9

20. und 21. April. Keine Beobachtung wegen tiefziehender st-cu

Nr. 50. 22. April. 8^{15} a; Bew. o ⊙.

540	NE	3.1	820 - 1800	E	15.6
540—820	N 70° E	6.0			

23. April. Kein Aufstieg wegen tiefziehender st-cu.

Nr. 51. 24. April. 8^{12} a; Bew. 1° ⊙, ci-st NE, a-cu; Gebirge schwach sichtbar.

540	E	3.1	1660—2360	S 75° E	7.4
540— 820		6.0	2360—2920	S 38° E	7.3
820—1240	S 64° E	8.7	2920—3340	S 65° E	10.6
1240—1660	S 70° E	10.8			

Nr. 52. 25. April. 8^{8} a; Bew. 1° ⊙, ci NE, a-cu; nach der Visierung: 2° ⊙, ci-st, a-cu.

540	E	1.7	2640—3340	N 48° E	5.2
540— 960	S 71° E	5.0	3340—5020	N	2.4
960—1940	N 82° E	8.4	5020—6140	N 25° E	6.4
1940—2640	N 67° E	8.0			

Nr. 53. 26. April. 8^{26} a; Bew. o ⊙, ∞¹.

540	NW	1.0	3060—3620	N 27° W	2.6
540—1100	N 25° W	2.2	3620—4740	N 18° E	4.4
1100—1520		1.4	4740 - 6140	N 50° E	7.6
1520—2220	N 17° E	2.2	6140—7260	N 75° E	11.2
2220—3060	N 7° E	3.3			

Nr. 54. 27. April. 8^{22} a; Bew. o ⊙, ≡°.

540	C		1520 2360	S 62° W	2.0
540— 680	W	1.0	2360—3340	S 87° W	7.1
680— 960	S 13° W	3.0	3340—4180	N 84° W	9.8
960—1520	S 52° E	1.7			

Nr. 55. 28. April. 8^{55} a; Bew. 10^{1}, st-cu.

540	NE	1.7	1380—1660	S 80° E	10.5
540— 680	N 76° E	3.5	1660—2640	E	8.6
680—1380	E	10.0			

Nr. 56. 29. April. 8^{20} a; Bew. 10^{1}, a-st, st-cu.

540	NW	1.7	820 - 1100	N 49° W	4.0
540—820	N 22° W	4.5	1100—1380	W	4.5

30. April. Kein Aufstieg wegen tiefliegender st-Schicht.

Nr. 57. 1. Mai. 11^{01} a; Bew. 7° ⊙, ci-st, cu.

540	NE	4.8	2360—3480	Schleife links	2.0—3.0
540— 680	N 67° E	6.5	3480—3760	N 53° W	5.0
680—1380	N 73° E	13.2	3760—5020	N 35° E	3.0
1380—2360	N 83° E	13.7			

Nr. 58. 2. Mai. 8^{00} a; Bew. o ⊙; nach der Visierung 1° ⊙; ci-st i. SE.

540	E	1.7	2220—2500	S 57° W	2.5
540— 680	S 73° E	4.0	2500—2920	N 79° E	2.4
680— 960	N 86° E	4.5	2920—4320	E	4.6
960—1380	N 67° E	5.8	4320—5580	S 18° E	5.0
1380—1940	S 83° E	4.6	5580—8800	S 14° W	5.4
1940—2220	S 16° E	1.5	8800—9920	S 31° W	5.0

Nr. 59. 3. Mai. 8^{86} a; Bew. o ⊙, ∞^1; nach der Visierung W 1, 2^0 ⊙, cu.

Stufenwerte m	Wind Richtung	Wind Geschwindigkeit m p. s.	Stufenwerte m	Wind Richtung	Wind Geschwindigkeit m p. s.
540	C		1380—1660	S 75° W	1.5
540— 680	S 57° W	2 0	1660—3340	W	4.3
680— 960	S 83° W	1.5	3340—4740	N 34° W	5.6
960—1380	Schleife links	0.5	4740—6280	N 24° W	3.7

Nr. 60. 4. Mai. 8^{17} a; Bew. o ⊙, ∞^0.

540	SW	1.7	1800—2920	N 87° W	9.4
540—1240	N 80° W	6.2	2920—3200	N 69° W	9.0
1240—1800	S 87° W	7.1			

5. Mai. Kein Aufstieg wegen ▨.

Nr. 61. 6 .Mai. 9^{19} a; 3^1 ⊙, ci SW, ci-cu SSW, cu.

540	SW	1.7	1100—1800	S 70° W	6.0
540— 680	S 75° W	2.3	1800 – 2500	S 85° W	5.2
680—1100	S 29° W	1.2			

7.—10. Mai. Die Beobachtungen unterblieben wegen ▨ und tiefliegender Wolkenschicht.

Nr. 62. 11. Mai. 0^{00} p; Bew. 9^1, a-cu, st-cu.

540	SW	4.8	1100 – 1380	N 85° W	12.0
540—1100	S 77° W	8.0	1380—2080	N 62° W	11.8

Nr. 63. 12. Mai. 8^{23} a; Bew. 3° ⊙, ci-st NW langsam.

540	SW	1.7	820 – 1240	S 80° W	13.2
540—820	S 50° W	7.0			

Nr. 64. 13. Mai. 11^{20} a; Bew. 8^1 ⊙, st-cu, cu.

540	SW	10.7	820 –1240	N 86° W	9.7
540—820	S 82° W	11.0	1240—1520	W	17.8

Nr. 65. 14. Mai. 9^{58} a; Bew. 4° ⊙, ci, ci-cu, ci-st.

540	E	1.7	820—1100	S 86° E	2.2
540— 820	N 77° E	2.0	1100—1240	S 26° W	1.4

Nr. 66. 14. Mai. 1^{00} p; Bew. 6°, ci-st, a-cu.

540	E	1.7	820—1240	N 46° E	1.7
540—820	N 70° E	3.0	1240—1380	S 72° W	2.2

Nr. 67 15. Mai. 8^{11} a; Bew. o ⊙, ∞.

540	S	1.7	1520—2080	S 84° W	8.4
540 — 820	S 18° W	4 0	2080—2640	N 84° W	11.4
820—1520	S 70° W	5.8	2640—3200	N 77° W	14.5

16.—18. Mai. Kein Aufstieg wegen ▨ und tiefliegender Wolkenschicht.

Nr. 68. 19. Mai. 8^{12} a; Bew. o ⊙.

540	SE	1 7	1940—3620	N 75° W	10.6
540—1660	S 69° E	3.4	3620—4320	N 52° W	12.8
1160—1940	S 59° W	3.2	4320—4880	N 45° W	13.3

Nr. 69. 20. Mai. 8^{22} a; Bew. o ⊙, ∞^2.

540	C		2360 – 2640	S 33° W	2.5
540 — 680	N 12° W	1.3	2640 – 2780	N 24° W	2.4
680— 960	S 8° W	1.7	2780—3340	S 74° W	4.3
960—1100	S 23° E	3.0	3340—3760	W	4.3
1100—1660	S 5° E	2.6	3760—5860	S 62° W	6.4
1660—1940	S 10° W	2.6	5860—6980	W	5.0
1940—2360	S 7c° W	1.8			

Nr. 70. 21. Mai. 10^{37} a; Bew. 1°, ci SW, a-st, cu i. W, ∞^1.

540	SW	1.0	1380—1800	S 87° W	7.0
540— 680	S 22° W	1.0	1800—2080	S 69° W	7.3
680— 960	S 72° W	1.0	2080—2780	S 52° W	9.5
960—1380	N 80° W	5.7			

22.–28. Mai Die Beobachtungen unterblieben wegen ▨ und tiefliegender st-Schicht.

Nr. 71. 29. Mai. 8^{40} a; Bew. 3° ⊙, st-cu.

540	SW	3.1	960 – 1660	N 81° W	8.2
540—960	S 80° W	6.8			

Nr. 72. 30. Mai. 9^{10} a; Bew. 3^0 ⊙. a-cu, a-st, ∞.

Stufenwerte m	Wind: Richtung	Wind: Geschwindigkeit m p. s.	Stufenwerte m	Wind: Richtung	Wind: Geschwindigkeit m p. s.
540	E	3.1	1380 – 1520	N 5° W	1.2
540—1380	N 65° E	1.8	1520—2080	W	2.9

Nr. 73. 31. Mai. 9^{10} a; Bew. 2^0 ⊙, a-cu, ∞

540	C		4040—4320	S 25° E	2.5
540 — 960	N 28° E	1.1	4320 — 5020	S 85° E	1.3
960 – 1800	N 44° E	1.5	5020—5860	S 12° W	0.7
1800—2220	N 84° E	3.3	5860—6560	S 75° W	2.9
2220—2500	N 50° E	2.6	6560—7540	S 9° W	9.5
2500—2640	N 12° W	1.3	7540—7960	S 46° W	6.8
2640—2920	N 83° W	2.3	7960—8660	S 25° E	17.0
2920—3060	N 19° W	1.1	8660—8940	S 58° E	28.0
3060—4040	S 12° W	3.5			

Nr. 74. 1. Juni. 8^{32} a; Bew. 5^0 ⊙, ci-st SW.

540	E	3.1	1520—2640	S 56° E	7.6
540—1240	S 86° E	10.5	2640—2920	S 18° E	5.0
1240—1520	S 73° E	11.5	2920—4040	S 43° W	6.5

2. Juni. Kein Aufstieg wegen tiefziehender cu.

Nr. 75. 3. Juni. 11^{12} a; Bew. 7^1 ⊙, cu-st; Föhnlage, Gebirge gut sichtbar.

540	SW	3.1	540—1240	S 82° W	9.7

Nr. 76. 4. Juni. 10^{43} a; Bew. 7^1 ⊙, cu.

540	SE	1.7	680—1520	S 50° E	3.4
540—680	E	2.6			

5. Juni. Kein Aufstieg wegen tiefziehender cu.

Nr. 77. 6. Juni. 9^{30} a; Bew. 4^1 ⊙, a-cu, cu; Föhnlage.

540	NW	1.7	1100—1240	N 71° E	1.5
540 — 680	N 25° E	1.9	1240—1520	S 63° E	3.6
680—1100	N 8° W	0.9	1520—2080	S 12° E	3.6

Nr. 78. 7. Juni. 8^{59} a; Bew. 6^0 ⊙, ci-st SW, a-cu; Föhnlage.

540	SE	1.0	1660—2080	S 4° W	2.2
540— 960	S 36° E	1.5	2080—3060	S 38° W	5.0
960—1660	S 18° W	2.9	3060—3340	S 24° W	9.3

8. und 9. Juni. Kein Aufstieg wegen ◍.

Nr. 79. 10. Juni. 1^{25} p; Bew. 9^1, a-cu, st-cu.

540	W	3.1	820—1240	N 67° W	5.0
540—820	N 80° W	7.3	1240—2080	S 86° W	6.8

Nr. 80. 11. Juni. 8^{14} a; Bew. 3^0 ⊙, a-cu, cu; nach der Visierung: 6^0, ci, ci-cu, a-cu, fr-cu.

540	E	1.7	4740—5160	S 24° E	5.5
540—1520	S 86° E	6.5	5160—6140	S 64° E	3.8
1520—2500	S 79° E	5.0	6140—7120	S 42° E	5.4
2500—4740	S	1.9	7120—8240	S 13° E	9.8

Nr. 81. 12. Juni. 8^{25} a; Bew. 4^0 ⊙, ci-st, fr-cu; nach der Visierung: 8^0, ci-st, st-cu, fr-cu.

540	C		2080—2640	S 52° W	1.9
540— 680	N 64° E	2.4	2640—4180	S 37° E	4.3
680—1240	E	3.9	4180—5020	S 26° E	7.1
1240—1800	S 44° E	1.8	5020—6700	S 4° E	3.4
1800—2080	S 10° E	3.4	6700—7260	S 31° W	4.0

13. Juni. Kein Aufstieg wegen tiefliegender st-Schicht und ◍.

Nr. 82. 14. Juni. 10^{48} a; Bew. 8^1 ⊙, st-cu, cu-ni, ◍tropfen.

540	W	4.8 (böig)	1100—1660	N 80° W	15.6
540—1100	N 83° W	10.5			

15. Juni. Kein Aufstieg wegen ◍.

Nr. 83. 16. Juni. 8^{35} a; Bew. 8^0 ⊙, ci-st, st-cu, cu.

540	SW	8.8	960—1380	S 81° W	19.0
540—960	S 72° W	17.0			

17. und 18. Juni. Kein Aufstieg wegen ◍ und tiefziehender Wolken.

Nr. 84. 19. Juni. 10^{25} a; Bew. 1^0 ⊙, a-cu; Föhnlage.

Stufenwerte m	Wind Richtung	Wind Geschwindigkeit m p. s.	Stufenwerte m	Wind Richtung	Wind Geschwindigkeit m p. s.
540	C		2080—2780	N 73° W	6.6
540—1100	N 85° W	3.3	2780—3060	N 45° W	7.3
1100—1520	S 80° W	6.5	3060—4180	N 28° W	7.8
1520—2080	S 66° W	3.8			

Nr. 85. 20. Juni. 10^{50} a; Bew. 8^1, ci-st SW, a st, cu.

540	W	3.1	960—1660	W	15.5
540—960		7.0			

Nr. 86. 21. Juni. 10^{45} a; Bew. 8^1 ⊙, ci-st SW, cu; ⊕.

540	NW	3.1	1100—2080	N 79° W	6.2
540—1100	N 60° W	3.6	2080—2640	S 82° W	10.9

Nr. 87. 22. Juni 8^{14} a; Bew. 0 ⊙; nach der Visierung: 1^0 ⊙, cu i. S.

540	E	1.7	1520—2220	N 73° W	1.7
540—1100	S 61° E	1.8	2220 2640	N 18° W	5.1
1100—1520	S 11° W	0.9	2640—4040	N 24° W	14.6

Nr. 88. 23. Juni. 8^{20} a; Bew. 3^0 ⊙, ci-st

540	SE	1.7	1520—2080	S 69° W	2.3
540—1240	S 56° E	2.7	2080—3340	N 61° W	6.2
1240—1520	S 13° E	2.4			

Nr. 89. 24 Juni. 8^{23} a; Bew. 8^0 ⊙, ci-st, cu.

540	C		2360—2920	N 78° W	6.2
540— 680	N 8° E	1.3	2920—3900	N 63° W	10.1
680— 820	N 35° W	1.4	3900—4880	N 81° W	12.4
820—2360	N 58° W	3.9			

25. Juni. Kein Aufstieg wegen ●.

Nr. 90. 26. Juni. 9^{15} a; Bew. 10^0, a-st.

540	SW	1.7	3060—4040	S 45° W	7.8
540— 820	S 54° W	3.5	4040—4880	S 85° W	3.7
820—1660	S 72° W	2.8	4880—5580	S 15° W	6.8
1660—3060	W	4.5			

Nr. 91. 27. Juni 8^{25} a; Bew. 3^1 ⊙, ci-st, cu.

540	W	1.7	1240—1800	N 49° W	2.8
540—1240	N 75° W	2.6			

Nr. 92. 28. Juni. 8^{06} a; Bew. 0 ⊙.

540	SE	3.1	2780—3760	S 27° W	3.1
540—1520	S 70° E	12.2	3760—4740	N 65° W	2.0
1520—2780	S 51° E	5.9	4740—6420	N 5° W	4.1

Nr. 93. 29. Juni. 8^{16} a; Bew. 0 ⊙.

540	SW	1.7	1800—3200	S 76° W	7.7
540—1240	S 10° W	1.8	3200—3760	S 60° W	6.6
1240—1800	S 31° W	1.8	3760—4040	S 25° W	4.5

30. Juni. Kein Aufstieg wegen tiefliegender st-Schicht.

Nr. 94. 1. Juli. 0^{15} p; Bew. 10^1, a-st, cu.

540	SE	1.7	1660—2500	S 14° W	3.8
540— 820	S 36° E	3.0	2500—3340	S 73° W	8.1
820—1660	S 53° W	3.2	3340—3760	S 27° W	10.7

Nr. 95. 2. Juli. 0^{05} p; Bew. 9^1, st-cu, cu-ni.

540	SW	1.7	1660 2360	N 83° W	5.8
540—1660	S 62° W	4.8			

Nr. 96. 3. Juli. 9^{34} a; Bew. 6^1 ⊙, ci-st i. SE, cu.

540	E	1.7	540—1240	S 55° E	1.7

Nr. 97. 4. Juli. 8^{17} a; Bew. 5^1 ⊙, st-cu, cu.

540	W	1.7	820—1240	S 80° W	2.4
540— 820	N 61° W	1.8	1240—2220	N 80° W	7.4

Nr. 98. 5 Juli. 11^{17} a; Bew. 6 ⊙, cu E mässig.

540	NE	1.7	1380—1800	N 70° E	13.3
540— 960	N 67° E	3.8	1800—2360	S 40° E	4.0
960—1380	N 62° E	11.4			

Nr. 99. 6. Juli. 9^{14} a; Bew. o ⊙, ∞.

Stufenwerte m	Wind Richtung	Wind Geschwindigkeit m p. s.	Stufenwerte m	Wind Richtung	Wind Geschwindigkeit m p. s.
540	E	4.8	2640—3060	N 4° E	2.8
540—1100		8.7	3060—4180	N 65° W	3.4
1100—1660	S 68° E	7.7	4180—4600	S 27° W	1.7
1660—2220	S 27° E	2.8	4600—5160	S	2.9
2220—2360	S 78° W	0.8	5160—6700		7.4
2360—2640	N 28° W	1.9	6700—7260	S 19° W	8.2

7. und 8. Juli. Kein Aufstieg wegen ▨ und tiefliegender st-Schicht.

Nr. 100. 9. Juli. 9^{30} a; Bew. 10^{1}, a-st, st-cu.

540	C		2080—2780	N 25° W	3.0
540—960	N	1.6	2780—3340	N 43° W	2.4
960—1660	N 26° W	2.8	3340—4740	S 29° W	2.5
1660—2080	N 32° W	1.1	4740—5440	S 42° W	7.2

Nr. 101. 10. Juli. 8^{29} a; Bew. 1^{0} ⊙, cu, ∞.

540	E	1.7	2640—3200	Schleife rechts	2.0
540—1240	S 71° E	5.1	3200—4460	S 68° W	3.8
1240—1940	S 87° E	5.3	4460—5580	N 67° W	7.2
1940—2640	N 48° E	2.6			

Nr. 102. 11. Juli. 8^{43} a; Bew. o ⊙, ≡^{1}.

540	C		2640—4460	N 35° W	1.7
540—1100			4460—6140	N 44° W	5.0
1100—1800	S 82° E	3.8	6140—8240	N 31° W	3.5
1800—2080	N 18° E	2.0	8240—9780	N 4° E	5.0
2080—2640	N 27° W	2.3			

Nr. 103. 12. Juli. 8^{10} a; Bew. o ⊙.

540	SE	1.7	5300—6140	S 55° E	6.0
540—960	S 47° E	4.7	6140—6840	N 85° E	5.2
960—2220	S 82° E	7.9	6840—8240	N 40° E	6.4
2220—3620	N 74° E	2.2	8240—9360	N 26° E	6.5
3620—5300	N 10° E	2.7			

Nr. 104. 13. Juli. 8^{29} a; Bew. 1^{0} ⊙, ci N.

540	E	1.7	2080—2640	N	3.5
540—960		3.5	2640—3340	N 52° W	6.6
960—1660	N 82° E	6.2	3340—4040	N 40° W	4.2
1660—1800	S 68° E	2.4	4040—6420	N 21° W	2.7
1800—2080	N 65° E	3.4	6420—7960	N 5° E	4.6

Nr. 105. 14. Juli. 9^{47} a; Bew. o ⊙.

540	E	1.7	820—1240	S 85° E	12.5
540—820	N 85° E	4.0			

Nr. 106. 15. Juli. 8^{34} a; Bew. o ⊙, ∞.

540	E	3.1	820—1240	S 88° E	> 10.0
540—820	S 77° E	7.0			

Nr. 107. 16. Juli. 8^{22} a; Bew. o ⊙, ∞.

540	E	3.1	680—1800	S 83° E	11.8
540—680		4.0	1800—2500	N 88° E	

Nr. 108. 17. Juli. 8^{22} a; Bew. o ⊙, ∞.

540	SE	1.7	680—1520	S 67° E	11.3
540—680	N 86° E	2.5	1520—2640	E	7.8

Nr. 109. 18. Juli. 8^{20} a; Bew. o ⊙, ∞^{2}.

540	C		1520—1800	N 62° W	2.9
540—820	N 77° E	1.4	1800—2360	N 84° W	7.6
820—1520	S 85° E	3.8			

Nr. 110. 19. Juli 8^{13} a; Bew. 7^{0} ⊙, a-cu, a-st, st-cu.

540	SW	1.7	1660—2220	S 38° W	4.6
540—820	S 67° W	2.2	2220—2780	S 12° W	7.6
820—1240	S 87° W	5.5	2780—3340	S 47° W	9.1
1240—1660	S 64° W	4.3			

Nr. 111. 20. Juli. 8^{20} a; Bew. 10^{1}, st-cu.

540	C		960—1940	S 35° E	1.7
540—680	N 55° E	1.0	1940—2220	N 75° W	1.0
680—960	S 73° E	1.6	2220—2780	S 50° W	3.5

21. und 22. Juli. Kein Aufstieg wegen ▨ und tiefziehender Wolken.

Nr. 112. 23. Juli. 9^{25} a; Bew. 10^{1}, st.

Stufenwerte m	Wind Richtuug	Wind Geschwindigkeit m p. s	Stufenwerte m	Wind Richtung	Wind Geschwindigkeit m p. s.
540-	SW	1.7	540 – 960	N 85° W	2.8

Nr. 113. 24. Juli. 8^{09} a; Bew o ⊙, ∞^{1}.

540	C		3200—4600	N 39° W	2.2
540 – 1800	N 80° E	4.0	4600—5440	N 11° E	2.7
1800—2080	N 85° E	4.3	5440 6420	N 7° W	6.4
2080—2640	S 56° E	3.5	6420—6840	N 27° W	8.7
2640 – 3200	S 81° E	1.8			

Nr. 114. 25. Juli. 8^{21} a; Bew. o ⊙, ∞.

540	SE	1.0	1940—2220	S 49° E	5.0
540— 820	S 63° E	1 5	2220—2780	S 12° E	4.0
820— 960		8.5 (böig)	2780—3200	S 38° W	2.7
960—1940	S 75° E	6.6			

Nr 115. 26. Juli. 8^{27} a; Bew. 3^{1} ⊙, st-cu i. SE.

540	C		1380—2640	W	7.8
540— 960	S 83° W	1.6	2640 – 3340	S 85° W	6.1
960—1380	N 80° W	4.0	3340—4160	S 68° W	5.0

Nr. 116. 27. Juli. 8^{15} a; Bew. 10^{0} ≡^{0}, a-st.

540	SW	1 7	2640 – 3060	S 84° W	4.5
540— 820	N 65° W	0.9	3060—3480	S 62° W	6.3
820—1520	S 21° W	2.6	3480—4320	S 43° W	8.0
1520—2640	S 60° W	2.3	4320 – 4600	S 57° W	11.5

Nr. 117. 28. Juli. 8^{20} a; Bew. 7^{0} ⊙, ci-st, st-cu, ∞^{1}.

540	SW	1.7	2080—2780	S 10° E	3.2
540—1100	S 33° W	2.8	2780—3340	S 20° W	4.0
1100—1800	W	1.3	3340—3900	S 35° W	7.3
1800—2080	S 13° W	2.5			

29. Juli. Kein Aufstieg wegen ◍.

Nr. 118. 30. Juli. 8^{25} a; Bew. 3^{1} ⊙, st-cu, cu.

540	W	3.1	960 – 1660	N 55° W	6.4
540— 960	N 60° W	4.2	1660 – 1940	N 70° W	5.6

Nr. 119. 31. Juli. 8^{28} a; Bew. 2^{1} ⊙, a-cu, cu; Gebirge schwach sichtbar.

540	SW	1.7	1660 – 2220	S 84° W	5.2
540—1100	S 76° W	1.8	2220 – 3060	S 76° W	6.8
1100—1660	S 70° W	5.0			

Nr. 120. 1. August. 8^{30} a; Bew. o ⊙, ∞; nach der Visierung 1^{0} ⊙, st-cu i. W.

540	S	1.7	1800 – 2080	S 44° W	4.5
540— 820	S 21° E	2.7	2080 – 2360	S 12° W	5.5
820—1240	S 3° E	3.0	2360—2640	S 47° W	
1240—1800	S 77° W	5.3	2640—3200	S 67° W	9.5

2. August. Kein Aufstieg wegen ●.

Nr. 121. 3. August. 0^{00} p; Bew. 7^{1} ⊙, ci, cu, ∞.

540	N	1.7	1940—2780	N 58° E	2.5
540— 960	N 27° W	2.4	2780—3060	S 36° E	1.9
960—1800	N 26° E	3.2	3060—3480	S	7.6
1800—1940	S 31° E	1.5	3480—3900	S 16° W	8.5

Nr. 122. 4. August. 9^{02} a; Bew. o ⊙, ≡^{0}.

540	C		680 – 1130	S 56° W	1.6
540— 680	N 41° E	0.6	1130—1660	N 68° W	2.0

5. August. Kein Aufstieg wegen ◍.

Nr. 123. 6. August. 1^{12} p; Bew. 10^{1} ⊙, a-st, cu, st-cu ∞.

540	C		1660—1940	S 82° W	9.0
540— 820	S 63° W	1.7	1940—2220	N 65° W	6.3
820—1660	N 85° W	8.4			

7. und 8. August. Kein Aufstieg wegen ◍.

Nr. 124. 9. August. 8^{37} a; Bew. 3^{0} ⊙, ci NW, a-st i. E.

540	SW	1.7	1340—1940	W	7.3
540— 940	N 87° W	2.0	1940—2740	S 83° W	9.9
940—1340	S 67° W	4.0	2740—3940	S 78° W	15.3

Nr. 125. 10. August. 8^{30} a; Bew. 5^1 ⊙, st, ∞².

Stufenwerte m	Wind Richtung	Wind Geschwindigkeit m p. s.	Stufenwerte m	Wind Richtung	Wind Geschwindigkeit m p. s.
540	C		1340—1940	S 87° W	11.8
540— 940	W	2.0	1940—2340	W	13.3
940—1340	N 81° W	5.8			

11. August. Kein Aufstieg wegen ▨.

Nr. 126. 12. August. 10^{16} a; Bew. 10^1, a-st, cu W'mässig, ⊙ durchscheinend.

540	SW	1.7	820—1240	N 89° W	10.8
540—820	N 84° W	10.5	1240—1520	N 78° W	12.6

13. und 14. August. Kein Aufstieg wegen ▨.

Nr. 127. 15. August. 9^{22} a; Bew. 8^1 ⊙, a-st, st-cu SW mässig, böiger Wind.

540	SSW	3.1	680— 820	S 71° W	8.1
540—680	S 53° W	4.3	820—1380	S 65° W	12.8

16. August. Kein Aufstieg wegen ▨.

Nr. 128. 17. August. 1^{30} p; Bew. 7^1 ⊙, cu W r.

540	NW	4.8	1100—1380	N 84° W	5.2
540—1100	N 70° W	5.0	1380—1800	N 89° W	6.0

Nr. 129. 18. August. 8^{40} a; Bew. o ⊙, rings ∞².

540	E	1 7	1380—1660	S 62° W	5.0
540—1100	S 41° E	2.8	1660—2080	S 81° W	6.1
1100—1380	S 19° W	4.0			

Nr. 130. 19. August. 8^{45} a; Bew. 7^0 ⊙, ci-st SW, ci-cu, rings ∞¹.

540	S	1.7	3060—3340	S 7° W	7.8
540— 960	N 13° E		3340—3760	S 3° E	9.7
960—1100	N 7° W	3.3	3760—4040	S 6° E	13.5
1100—2080	N 30° W	1.9	4040—4460	S 8° W	14.7
2080—2500	S 60° E	1.5	4460—5160	S 36° W	13.2
2500—3060	S 16° W	7.6			

Nr. 131. 20. August. 8^{56} a; Bew. 6^1 ⊙, ci, ci-st, ci-cu in Auflösung, cu W.

540	W	6.7	940—1740	N 83° W	14.5
540—940		7.5	1740—2940	S 89° W	20.2

21. August. Kein Aufstieg wegen starker cu-Bedeckung.

22. und 23. August. Kein Aufstieg wegen ▨.

Nr. 132. 24. August. 11^{10} a; Bew. 7^1 ⊙, ci-cu, ci-st, ci NW, a-cu, a-st W.

540	W	8.8	940—1140	S 84° W	21.1
540—940	S 84° W	9.7	1140—1340		11.2

Nr. 133. 25. August. 8^{35} a; Bew. 7^0, ci-st W, a-st; böiger Wind.

540	SW	8.8	740— 940	S 84° W	12.8
540—740	S 84° W	7.5	940—1140		18.6

Nr. 134. 26. August. 10^{37} a; Bew. 7^1 ⊙, ci, ci-st SW, a-cu SW m., a-st i. W-NW; rasche Bewölkungszunahme.

540	SE	1.7	1660—1940	S 9° W	7.7
540— 820	S 74° E	4.6	1940—2360	S 27° W	10.3
820—1100	S 22° E	6.0	2360—2920	S 54° W	10.5
1100—1380	S 12° W	5.6	2920—3340	S 76° W	11.7
1380—1660	S 10° E	12.1	3340—3900	S 81° W	19.0

27. und 28. August. Kein Aufstieg wegen ▨.

Nr. 135. 29. August. 8^{30} a; Bew. 1^1 ⊙, ci i. N, ∞¹.

540	SE	1.7	2360—2500	N 81° W	11.0
540—1520	S 47° E	7.5	2500—2920	S 84° W	13.9
1520—1800	S 6° E	3.5	2920—3340	N 87° W	13.7
1800—2360	S 73° W	5.9	3340—4740	N 69° W	11.0

Nr. 136. 30. August. 8^{15} a; Bew. o ⊙, ∞², rings Rauchkranz.

540	C		2220—2640	S 68° E	7.0
540— 960	S 69° E	3.2	2640—3060	S 38° E	6.7
960—1800	S 75° E	7.0	3060—3620	S 8° E	5.5
1800—2220	N 81° E	4.7	3620—4180	S 22° W	10.0

31. August bis 3. September. Kein Aufstieg wegen ▨ oder tiefliegender Wolkendecke.

Nr. 137. 4. September. 9^{06} a; Bew. 8^1 ⊙, ci-st, a-cu, st-cu, cu W mässig.

Stufenwerte m	Wind Richtung	Wind Geschwindigkeit m p. s.	Stufenwerte m	Wind Richtung	Wind Geschwindigkeit m p. s.
540	W	3.1	1100—1660	N 80° W	7.6
540—1100	W	8.3	1660—2220	N 74° W	9.5

5.—9. September. Kein Aufsteg wegen ▨ oder tiefliegender Wolkendecke.

Nr. 138. 10. September. 11^{00} a; Bew. 10^1 a-st, st-cu W mässig.

540	W	4.7	960—1660	S 83° W	9.6
540— 960	S 88° W	3.8	1660—2080	S 80° W	13.6

Nr. 139. 11. September. 11^{28} a; Bew. 7^2 ⊙, st-cu SW mässig.

540	SW	4.8	1340—1940	N 84 W	5.2
540—1340	S 89° W	2.7			

Nr. 140. 12. September. 8^{37} a; Bew. 0 ⊙, ∞².

540	E	1.7	1740—2140	N 81° E	6.4
540— 740	N 58° E	4.0	2140—3340	N 70° E	6.7
740—1740	N 76° E	7.6			

13. September. Kein Aufstieg wegen tiefliegender st-Decke.

Nr. 141. 14. September. 11^{40} a; Bew. 9^1, st-cu NW mässig.

540	W	1.7	680— 820	N 77° W	2.9
540— 680	S 80° W	2.0	820 — 960	N 51° W	1.6

15 und 16. September. Kein Aufstieg wegen ▨.

Nr. 142. 17. September. 8^{10} a; Bew. 1^0 ⊙, a-st, ∞⁰.

540	SW	1.7	1100—1240	N 79° W	6 7
540— 820	S 88° W	3.7	1240—1380	N 65° W	4.7
820—1100	N 84° W	5.6			

Nr. 143. 17. September. 9^{03} a; Bew. 1^1 ⊙, a-st.

540	SW	1.7	1100—1240	N 82° W	7.0
540— 680	W	2.1	1240—1380	N 78° W	6.8
680— 820	W	3.8	1380—1520	N 67° W	6.2
820— 960	N 85° W	6.1	1520—1660	N 78° W	4.0
960—1100	N 85° W	7.6	1660—1800	S 89° W	3.7

Nr. 144. 17. September. 9^{28} a; Bew. 1^1 ⊙, ci NW, a-st, ∞¹.

540	W	1.7	1940—2080	N 73° W	4.0
540— 680	S 84° W	5 2	2080—2220	N 34° W	3.7
680— 960	W	6.8	2220—2360	N 25° W	5.5
960—1100	W	5.3	2360—2640	N 13° W	7.5
1100—1240	N 84° W	5.5	2640 — 2920	N 32° W	7.2
1240—1550	N 75° W	6.5	2920—3200	N 32° W	8.5
1550—1660	N 81° W	6.5	3200—3340	N 32° W	7.2
1660—1800	S 85° W	5.5	3340—3860	N 27° W	11.7
1800—1940	S 85° W	4.5			

Nr. 145. 18. September. 8^{32} a; Bew. 9^1, st-cu.

540	SW	1.7	820— 960	N 67° W	4.9
540 — 680	N 88° W	3.0	960—1240	N 58° W	5.1
680— 820	N 76° W	5.5			

Nr. 146. 19. September. 10^{39} a; Bew. 10^1 st-cu (Hochnebeldecke).

540	N	3.1	1380—1520	N 21° E	2.7
540— 680	N 43° E	2.8	1520 — 1660	N 16° E	2.3
680— 820	N 34° E	2.8	1660—1800	N 63° W	Schleife
820—1100	N 28° E	3.7	1800—1940	N 63° W	3.0
1100—1240	N 28° E	3.2	1940—2080	N 87° W	7.5
1240—1380	N 21° E	1.8	2080—2220	N 87° W	9.7

Nr. 147. 20. September. 9^{52} a; Bew. 8^1, a-cu, st-cu.

540	E	4.8	1240—1520	N 74° E	6.4
540— 680	N 70° E	5.0	1520—1800	N 74° E	7 4
680— 960	N 58° E	5.4	1800—2080	N 70° E	0.5
960 — 1100	N 77° E	9.0	2080—2220	N 88° E	4.5
1100—1240	N 84° E	9.8			

Nr. 148. 21. September. 8^{25} a; Bew. 1^1 ⊙, cu i. S.

540	E	4.8	1540—1940	S 85° E	13.4
540— 740	N 77° E	6.3	1940—2140	S 85° E	14.2
740— 940	N 77° E	11.7	2140—2340	E	13.4
940—1140	N 83° E	12.2	2340—2540	E	11.6
1140—1540	E	13.3			

Nr. 149. 22. September. 8^{29} a; Bew. 1^{u} ⊙, a-cu E mässig.

Stufenwerte m	Wind Richtung	Wind Geschwindigkeit m p. s.	Stufenwerte m	Wind Richtung	Wind Geschwindigkeit m p. s.
540	E	6.7	1540—2140	S 86° E	15.6
540— 740	N 81° E	7.0	2140—2340	E	14.0
740— 940	N 88° E	11.3	2340—2540	N 77° E	12.0
940—1140		13.5	2540—2940		15.4
1140—1540	S 83° E	15.2	2940—3540		18.1

Nr. 150. 23. September. 10^{30} a; Bew. 2^{1} ⊙, cu.

540	NE	1.7	940—1140	S 88° E	8.8
540—740	N 66° E	2.4	1140—1340		9.3
740—940	N 86° E	5.8	1340—1540	S 86° E	11.8

24. September. Kein Aufstieg wegen tiefliegender Wolkenschicht.

25. September. Kein Aufstieg wegen ▨.

Nr. 151. 26. September. 9^{47} a; Bew. 10^{2}, fr-st E.

540	NE	3.1	820— 960	N 85° E	4.6
540 - 680	N 65° E	3.7	960—1100	S 84° E	3.0
680—820	N 85° E	3.5			

27. September. Kein Aufstieg wegen ▨.

Nr. 152. 28. September. 11^{41} a; Bew. 4^{u} ⊙, ci-st, cu.

540	E	4.8 (böig)	820— 960	S 78° E	7.8
540—680	S 58° E	2.2	960—1100		9.3
680—820		3.5			

Nr. 153. 29. September. 9^{12} a; Bew. 9^{1} ⊙, ≡^{1}.

540	E	1.7	680—820	S 26° E	2.5
540—680	S 70° E	2.0			

Nr. 154. 30. September. 10^{01} a; Bew. 0; am Horizont ≡^{0} und ∞^{1}.

540	C		3540—3740		1.2
540— 740	N 81° E	1.0	3740—3940	S 70° W	0.8
740—1140	S 30° E	2.6	3940—4140		3.2
1140—1340	S 8° W	3.6	4140—4340		6.1
1340—1740	S 29° W	2.5	4340—4540	S 59° W	7.6
1740—2140	S 12° W	2.2	4540—5140		6.7
2140—2340	S 32° W	2.4	5140—5540	S 69° W	7.7
2340—2540	S 57° W	3.0	5540—5940	N 87° W	6.8
2540—2740	S 45° W	4.0	5940—6940	N 70° W	7.3
2740—3140	S 26° W	5.4	6940—7740	N 74° W	7.5
3140—3540	S 6° W	3.0			

Nr. 155. 1. Oktober. 9^{29} a; Bew. 3^{0} ⊙, a-cu; nach der Visierung 6^{1} ⊙, a-cu; Föhnlage.

540	SE	3.1	1340—1940	S 67° W	13.7
540— 740	S 7° W	5.0	1940—2340	S 73° W	16.7
740— 940	S 42° W	5.8	2340—2540		20.5
940—1140	S 70° W	6.5			
1140—1340		9.5			

2.—4. Oktober. Die Beobachtungen unterblieben wegen ▨.

Nr. 156. 5. Oktober. 8^{58} a; Bew. 0 ⊙.

540	E	4.8	940—1340	S 82° E	16.0
540— 740	N 88° E	13.0	1340—2940	S 85° E	
740— 940	S 87° E		2940—3140	N 84° E	18.6

Nr. 157. 6. Oktober. 8^{24} a; Bew. 0 ⊙, ∞^{0}.

540	E	3.1	2540—3140	S 44° E	3.6
540— 740	S 81° E	6.7	3140—4140	S 25° E	3.5
740— 940	S 70° E	6.3	4140—4740	S 15° E	7.0
940—1540		7.0	4740—4940		5.9
1540—1940		5.3	4940—5140	S 5° W	9.2
1940—2140	S 40° E	4.5	5140—5340		12.5
2140—2340		2.1	5340—6540	S 41° W	14.0
2340—2540	S 15° E	3.0	6540—7540	S 47° W	18.8

Nr. 158. 7. Oktober. 1^{22} p; Bew. 10^{+}, st-cu.

540	SE	3.1	1520—1660	N 83° E	4.2
540— 680	S 80° E	7.5	1660—1800	S 46° E	2.0
680— 820	S 86° E	11.0	1800—1940		5.2
820—1380	N 89° E	11.2	1940—2080	S 35° E	4.0
1380—1520	N 83° E	8.0			

8. und 9. Oktober. Kein Aufstieg wegen ▨ und ≡reissen.

Nr. 159. 10. Oktober. 1^{42} p; Bew. 3^1 ⊙, cu.

Stufenwerte m	Wind Richtung	Wind Geschwindigkeit m p. s.	Stufenwerte m	Wind Richtung	Wind Geschwindigkeit m p. s.
540	E	4.8	960—1240	N 84° E	14.0
540— 680	N 84° E	7.2	1240—1380	N 84° E	7.2
680— 820	N 84° E	6.9	1380—1520	E	8.6
820— 960	N 84° E	12.0	1520—1660	S 67° E	6.0

Nr. 160. 11. Oktober. 1^{35} p; Bew. 7^1 ⊙, cu

540	SE	1.7	2140—2940	N 16° W	2.7
540— 740	S 70° E	1.1	2940—3140	N 12° E	6.1
740— 940	N 61° E	1.3	3140—3540	N 26° E	5.0
940—1440	—	Ballon in cu	3540—4140	N 18° E	7.3
1440—1540	N 80° E	1.0	4140—4540	N 26° E	8.0
1540—1740	N 38° E	0.7	4540—4740	N 63° E	4.8
1740—1940	N 46° E	1.8	4740—4940	N 20° E	7.2
1940—2140	N	2.6	4940—5740	N 6° E	6.9

Nr. 161. 12. Oktober. 0^{15} p; Bew. 0 ⊙, ∞².

540	SW	1.7	3340—3540	N	2.1
540— 740	N 68° W	1.2	3540—3740	N 58° W	4.2
740— 940	S 24° W	1.3	3740—3940	N 35° W	1.3
940—1140	S 86° W	6.5	3940—4140	N 76° E	1.2
1140—1540	N 84° W	10.7	4140—4340	N 58° E	3.6
1540—1740	W	9.8	4340—4740	N 37° E	2.3
1740—1940	W	7.0	4740—5140	N 18° W	3.4
1940—2540	N 73° W	4.4	5140—5540	N 36° W	4.9
2540—2940	N 60° W	2.1	5540—6140	N 48° W	6.0
2940 3340	N 31° W	3.2			

13 Oktober. Kein Aufstieg.

Nr. 162. 14. Oktober. 10^{49} a; Bew. 6^1 ⊙, ≡¹, a-cu.

540	N	1.7	1940—2500	N 19° W	2.1
540— 680	N 85° E	1.5	2500—2640	N 16° E	2.2
680— 820	S 85° E	3.5	2640—2920	N	1.3
820—1100	S 74° E	4.4	2920—3200	N 42° W	2.5
1100—1240	E	2.6	3200—3340	N 54° W	4.0
1240—1380	S 30° E	1.0	3340—3620	N 54° W	6.0
1380—1520	S 31° W	0.3	3620—3760	N 54° W	7.8
1520—1660	N 43° W	0.8	3760—4180	N 54° W	9.2
1660—1800	N 51° W	0.5	4180—4320	N 54° W	11.7
1800—1940	N 57° W	0.7	4320—5020	N 40° W	10.0

Nr. 163. 15. Oktober. 8^{22} a; Bew. 3^1 ⊙, ci-st, ci-cu, st-cu.

540	SW	1.7	1740—1940	N 79° W	11.8
540— 740	S 62° W	6.8	1940—2540	N 77° W	12.6
740— 940	N 77° W	10.8	2540—3140	N 68° W	15.3
940—1140	N 85° W	10.0	3140—3340	N 68° W	22.0
1140—1740	W	11.4			

Nr. 164. 16. Oktober. 10^{30} a; Bew. 10^1, a-st, st-cu.

540	E	3.1	680—820	S 88° E	2.3
540—680	S 83° E	2.6	820—960	S 50° E	1.8

Nr. 165. 16. Oktober. 1^{20} p; Bew. 7^1 ⊙, ci, cu, cu-st.

540	C		820— 960	N 68° W	0.5
540—680	S 29° W	0.8	960—1100	W	3.4
680—820	S 54° W	0.5			

Nr. 166. 17. Oktober. 10^{40} a; Bew. 4° ⊙, st-cu, ∞°.

540	SW	1.7	960—1240	N 86° W	10.2
540—680	S 40° W	2.4	1240—1380	S 88° W	12.4
680—820	S 64° W	4.5	1380—1660	S 88° W	10.6
820—960	S 86° W	8.5			

Nr. 167. 18. Oktober. 11^{10} a; 9^1, st, st-cu.

540	NW	1.0	820—960	N 55° W	2.4
540—820	N 38° W	1.0			

Nr. 168. 19. Oktober. 8^{16} a; Bew. 6° ⊙, st-cu, a-cu.

540	SW	3.1	1100—1520	W	10.2
540— 680	S 65° W	6.5	1520 1800	W	9.4
680— 820	S 76° W	8.0	1800—1940	W	11.0
820— 960	S 85° W	8.5	1940—2080	W	10.0
960—1100	W	7.6	2080—2360	W	9.3

Nr. 169. 20. Oktober. 8^{19} a; Bew. 9^1, st-cu.

540	C		820—1240	N 68° W	11.1
540—680	N 85° W	4.7	1240—1520	N 63° W	11.7
680—820	N 73° W	9.7			

Nr. 170. 21. Oktober. 10^{58} a; Bew. 8⁰ ⊙, ≡¹ ci-st.

Stufenwerte m	Wind Richtung	Wind Geschwindigkeit m p. s.	Stufenwerte m	Wind Richtung	Wind Geschwindigkeit m p. s.
540	SE	1.7	1800—1940	S 15⁰ E	4.4
540— 680	S 42⁰ E	1.8	1940—2220		2.9
680— 960	S 38⁰ E	3.1	2220—2500	S 17⁰ W	2.8
960—1100	S 31⁰ E	4.2	2500—2780	S 36⁰ W	10 0
1100—1380	S 20⁰ E	2.5	2780—3480	S 40⁰ W	12.7
1380—1660	S 44⁰ E	4.1	3480—3760	S 54⁰ W	10.0
1660 - 1800	S 28⁰ E	4.8			

22. Oktober Kein Aufstieg wegen tiefliegender st-Schicht.

Nr. 171. 23. Oktober. 8^{05} a; Bew. 3⁰ ⊙, ci-st SE.

540	SW	1.7	1340—1740	S 82⁰ W	6.0
540— 740	S 70⁰ W	3.8	1740 - 1940		5.6
740— 940	W	5.5	1940—2140		3.2
940 - 1140		4.7	2140—2940	S 57⁰ W	4.4
1140—1340	S 77⁰ W	5.7	2910 - 3740		7.9

Nr. 172. 24. Oktober. 8^{38} a; Bew 9 ⊙, st-u WSW, ≡⁰.

540	SW	1.7	940—1140	S 69⁰ W	16.0
540—740	S 63⁰ W	5.1	1140—1340	S 79⁰ W	13.5
740—940	S 69⁰ W	11.2	1340—1740	S 86⁰ W	12.3

25. Oktober. Kein Aufstieg wegen ◍ und tiefliegender st-Schicht.

Nr. 173. 26. Oktober. 11^{15} a; Bew. 6¹, cu-st SW mässig.

540	W	3.1	960—1100	S 87⁰ W	7.0
540—680	S 85⁰ W	3.5	1100—1240	N 84⁰ W	7.2
680—960	S 81⁰ W	4.2			

Nr. 174. 27. Oktober. 11^{40} a; Bew. 10¹, st, ≡⁰.

540	SW	1.7	680—820	S 84⁰ W	8.6
540—680	S 70⁰ W	4.3			

Nr. 175. 28. Oktober. 8^{26} a; Bew. 0 ⊙, ≡⁰.

540	SE	3.1	1540—1740	N 79⁰ W	10.4
540- 940	S 14⁰ W	5.4	1740—1940	N 88⁰ W	
940—1140	S 75⁰ W	6.4	1940—2340	S 79⁰ W	11.8
1140—1340	N 84⁰ W	7.3	2340—2940		14.8
1340 —1540	N 79⁰ W	8.7			

Nr. 176. 28. Oktober. 0^{10} p; Bew. 3⁰ ⊙, ci W mässig, st.

540	W	1.7	960—1100	S 43⁰ W	5.0
540—680	N 60⁰ W	2.8	1100—1240	S 15⁰ W	2.8
680—820	N 81⁰ W	2 5	1240—1520	S 65⁰ W	3.0
820—960	S 66⁰ W	3 7	1520—1660	S 35⁰ W	5.4

Nr. 177. 29. Oktober. 8^{10} a; Bew. 3⁰ ⊙, ci-st WNW, ∞. Föhnlage, Gebirge gut sichtbar.

540	S	3.1	2220—2500	N 68⁰ W	14.6
540— 820	S 3⁰ E	10.8	2500—2780	N 73⁰ W	12.2
820— 960	S 12⁰ E	8.4	2780—3060	N 76⁰ W	8.8
960—1100	S 41⁰ E	5.8	3060—3200		
1100—1240	S 58⁰ E	3.4	3200—3340	S 60⁰ W	5.6
1240 - 1380	S 88⁰ E	1.4	3340—3480	S 30⁰ W	8.8
1380—1660	N 35⁰ W	1.3	3480—3760	S 43⁰ W	13.6
1660—1940	N 53⁰ W	6.6	3760—4040	S 50⁰ W	14.6
1940—2220	N 63⁰ W	10.9	4040—4320	S 55⁰ W	12.8

Nr. 178. 29. Oktober. 0^{05} p; 8¹ ⊙, a-cu W, ci SW, st.

540	SW	1.7	960—1240	S 45⁰ W	6.4
540—680	S 5⁰ E	4.0	1240—1380	S 61⁰ W	8.3
680—820	S 27⁰ W	4.3	1380—1520	S 67⁰ W	
820—960	S 45⁰ W	6.5	1520—1660	S 80⁰ W	9.3

Nr. 179. 30. Oktober. 9^{12} a; Bew. 10¹, st-cu W, Föhnlage.

540	S	3.1	1100—1380	S 43⁰ W	9.6
540— 680	S 6⁰ W	7.4	1380—1800	S 56⁰ W	9.1
680— 820	S 14⁰ W	18.0	1800—2220	S 61⁰ W	
820 —1100	S 26⁰ W	13.8			

Nr. 180. 31. Oktober. 11^{45} a; Bew. 10¹, st-cu SW, st.

540	SW	4.8	960—1100	S 71⁰ W	17.3
540—680	S 56⁰ W	8.0	1100—1240	S 73⁰ W	
680—820	S 71⁰ W	6.4	1240—1380		19 6
820—960		11.6	1380—1660	S 80⁰ W	21.9

1. November. Kein Aufstieg wegen ◍.

Nr. 181. 2. November. 0^{19} p; Bew. 8^1, st-cu, ni W mässig.

Stufenwerte m	Wind Richtung	Wind Geschwindigkeit m p. s.	Stufenwerte m	Wind Richtung	Wind Geschwindigkeit m p. s.
540	SW	4.8	540— 680	S 82° W	6.4

3. November. Kein Aufstieg wegen ✳.

Nr. 182. 4. November. 8^{30} a; Bew. 3^0 ⊙, a-cu WNW.

540	W	1.7	1660—1940	N 62° W	9.3
540— 680		3.8	1940—2220	N 47° W	8.0
680— 820	N 75° W	7.6	2220—2640	N 31° W	8.9
820—1100	N 72° W	9.1	2640—2920	N 41° W	8.0
1100—1240	N 64° W	9.0	2920—3060		12.6
1240—1380	N 52° W	4.8	3060—3340	N 27° W	10.4
1380—1660	N 62° W	6.9	3340—3760	N 15° W	11.2

Nr. 183. 5. November. 0^{18} p; Bew. 10^1, st, st-cu W.

540	SW	3.1	960—1100	S 78° W	13.5
540— 820	S 61° W	4.6	1100—1240	S 82° W	22.7
820— 960	S 72° W	6.8			

Nr. 184. 6. November. 1^{25} p; Bew. 8^1 ⊙, cu-st NNW, ni.

540	N	1.7	820—1100	N 2° W	5.6
540— 680	N 13° W	2.8	1100—1380	N	6.9
680— 820	N 2° W	4.4	1380—1660	N 3° W	11.0

Nr. 185. 7. November. 8^{30} a; Bew. 0 ⊙, ≡⁰, i. E und SE ≡¹.

540	E	1.7	1940—2080	N 65° E	8.8
540— 680		4.5	2080—2220		7.4
680— 820	S 73° E	4.9	2220—2640	N 52° E	9.0
820—1100	S 66° E	6.3	2640—3060	N 65° E	12.4
1100—1240	S 80° E		3060—3480		14.0
1240—1380	N 87° E	5.2	3480—4040	N 55° E	15.8
1380—1800	N 74° E		4040—4320	N 50° E	20.2
1800—1940	N 57° E	8.0			

Nr. 186. 7. November. 11^{35} a; Bew. 2^0 ⊙, cu E mässig, ∞.

540	SE	3.1	1940—2340	N 60° E	9.3
540— 740	S 53° E	3.4	2340—2540	N 64° E	12.3
740—1140	S 85° E	3.8	2540—3140	N 56° E	12.2
1140—1340	N 81° E	3.2	3140—3540		15.4
1340—1540	N 70° E	5.3	3540—3940	N 52° E	15.6
1540—1740	N 62° E	6.6	3940—4340		17.2
1740—1940	N 74° E	8.0			

Nr. 187. 8. November. 9^{35} a; Bew. 6^0 ⊙, a-cu WNW, ≡⁰.

540	SW	1.7	1240—1380	N 57° E	1.2
540— 820	S 50° W	0.9	1380—1800	Schleife nach links	
820— 960	S 17° W	1.4	1800—1940	N 20° E	1.3
960—1100		4.8	1940—2080	N 5° E	2.5
1100—1240	S 50° E	2.4			

Nr. 188. 8. November. 0^{10} p; Bew. 10^1, ≡¹.

540	N 19° W	1.0	1620—1740	N 62° W	3.9
540— 660		1.3	1740—1860		5.2
660— 780	S 69° W	0.7	1860—1980	N 71° W	
780— 900	S 32° W	2.2	1980—2100		4.6
900—1020	S 56° W	1.5	2100—2220	N 13° W	
1020—1260	N 58° W	1.6	2220—2460	Schleife nach rechts	
1260—1380	W	2.7			
1380—1620	N 77° W	3.0	2160—2580	N 22° W	3.0

9.—11. November. Kein Aufstieg wegen ◍ und ✳.

Nr. 189. 12. November. 8^{15} a; Bew. 10^1, a-st, st-cu SW l.

540	SW	3.1	1380—1800	S 80° W	20.1
540— 680	S 55° W	4.6	1800—1940		10.0
680— 820	S 63° W	10.2	1940 2080	S 85° W	14.4
820— 960	S 68° W	13.0	2080—2220		9.2
960—1100		17.0	2220—2360	S 75° W	15.2
1100—1240	S 72° W	21.6	2360—2920	S 72° W	11.3
1240—1380		31.6			

Nr. 190. 13. November. 8^{24} a; Bew. 2^0 ⊙, ci-cu SW l, ci-st, ∞ i. S.

540	SW	3.1	1520—2220	S 81° W	14.8
540— 680	S 52° W	6.0	2220—2640		12.8
680— 820	S 65° W	11.0	2640—2780	S 74° W	14.4
820— 960	S 80° W	11.8	2780—2920	S 65° W	
960—1380		13.2	2920—3200	S 25° W	6.4
1380—1520	S 76° W	17.2	3200—3340		9.6

Nr. 191. 13. November. 11^{35} a; Bew. 8^0 ⊙, ci-st, a-st SW, st.

Stufenwerte m	Wind: Richtung	Wind: Geschwindigkeit m p. s.	Stufenwerte m	Wind: Richtung	Wind: Geschwindigkeit m p. s.
540	SW	3.1	1800—1940	S 85° W	12.6
540— 680	S 29° W	6.0	1940—2360		14.0
680— 820		7.6	2360—2500	S 40° W	
820— 960	S 64° W	3.0	2500—2640	N 72° W	20.0
960—1100		8.0	2640—2780	S 76° W	16.0
1100—1660	S 78° W	12.0	2780—2920	N 80° W	20.0
1660—1800	S 85° W	10.0			

Nr. 192. 14. November. 8^{15} a; Bew. o⊙, ∞^{0}.

540	SW	4.8	2140—2340	S 75° W	16.0
540— 740	S 50° W	8.2	2340—2540	S 67° W	
740— 940	S 60° W	12.8	2540—2740	S 60° W	21.4
940—1140	S 67° W		2740—2940	S 52° W	14.4
1140—1340	S 77° W	16.6	2940—3540	S 64° W	18.4
1340—1540	S 83° W		3540—3740	S 72° W	14.4
1540—1740	S 87° W		3740—4340	S 65° W	15.4
1740—1940	S 85° W	15.0	4340—4540	S 73° W	11.2
1940—2140	S 82° W				

Nr. 193. 15. November. o^{45} p; Bew. 4^1 ⊙, ci, a-cu SW langsam, st-cu, i. S. ∞.

540	SE	1.7	2640—2780	W	2.2
540— 680	N 75° E	3.0	2780—3060	S 82° W	2.1
680— 820	S 81° E	5.3	3060—3340	N 73° W	2.4
820— 960	S 85° E	7.9	3340—3480	S 71° W	4.6
960—1240	S 78° E	7.6	3480—3620		10.6
1240—1660	N 83° E	7.5	3620—3760	S 60° W	13.6
1660—2080	S 82° E	7.8	3760—3900	S 52° W	14.8
2080—2220	S 68° E	5.4	3900—4180	S 44° W	15.6
2220—2360	S 56° E	3.7	4180—5020	S 37° W	15.8
2360—2500	S 27° E	3.4	5020—5300	S 40° W	14.4
2500—2640	S 30° W	3.2	5300—5720	S 46° W	12.2

Nr. 194. 16. November. 11^{18} a; Bew. 4^1 ⊙, st, st-cu NE mässig, ∞.

540	SE	1.7	820— 960	S 67° W	2.9
540—680	S 36° W	0.7	960—1100	S 52° W	7.2
680—820	S 67° W	1.6	1100—1240		6.6

17. und 18. November. Kein Aufstieg wegen tiefliegender st-Schicht.

Nr. 195. 19. November. 11^{15} a; Bew. 4^0 ⊙, st-cu W, ∞^{2}.

540	W	4.8	820—1380	N 85° W	8.7
540—680	S 86° W	4.0	1380—1520	S 86° W	9.4
680—820	W	7.2			

Nr. 196. 20. November. o^{25} p; Bew. 10^2, st-cu W, ni.

540	SW	4.8	820— 960	S 77° W	17.4
540—680	S 69° W	10.6	960—1100	S 70° W	19.0
680—820	S 77° W	21.6			

21. November. Kein Aufstieg wegen ✕.

Nr. 197. 22. November. 9^{15} a; Bew. 2^0 ⊙, cu NNW mässig, fr-cu.

540	N	1.7	680—820	N 25° E	5.0
540—680		2.0	820—960	N 36° E	5.6

Nr. 198. 23. November. o^{50} p; Bew. 3^0 ⊙, cu E rasch.

540	E	1.7	1140—1540	E	10.7
540— 740	N 84° E	4.0	1540—2140	S 80° E	13.7
740— 940	S 86° E	5.2	2140—2540	S 88° S	12.0
940—1140		9.6			

24. und 25. November. Kein Aufstieg wegen tiefliegender st-Schicht.

Nr. 199. 26. November. 8^{30} a; Bew, 3^1 ⊙, st, cu, ∞.

540	C		820— 960	S 86° W	12.8
540—680	S 21° W	4.2	960—1100	W	17.3
680—820	S 52° W	6.4	1100—1200	N 88° W	12.4

Nr. 200. 27. November. 10^{53} a; Bew. 8^1 ⊙, a-st SW mässig, st-cu, ≡^{1}.

540	C		2080—2220	S 43° E	6.0
540— 820	S 35° E	4.8	2220—2360	S 25° E	6.2
820— 960	S 63° E	1.4	2360—2500	S 5° E	7.3
960—1100	S 16° W	3.3	2500—2640	S 8° W	6.5
1100—1240	S 56° W	4.4	2640—2780	S 18° W	7.2
1240—1380		4.3	2780—3200	S 29° W	11.2
1380—1520	W	3.1	3200—3480	S 31° W	13.5
1520—1660		1.7	3480—3760	S 28° W	
1660—1800	S 76° E	1.2	3760—4040	S 38° W	14.8
1800—1940	E	1.4.	4040—4600	S 24° W	18.4
1940—2080	S 60° E	3.7			

Nr. 201. 27. November. 0^{60} p; Bew. 7^1, a-st SW, st-cu, $\equiv^1$.

Stufenwerte m	Wind Richtung	Wind Geschwindigkeit m p. s.	Stufenwerte m	Wind Richtung	Wind Geschwindigkeit m p. s.
540	C		1800—1940	S 65° W	1.8
540— 680	S 64° E	1.0	1940 - 2080	S 25° W	1.2
680— 820	S 21° W	1.6	2080 - 2220	S 48° E	3.7
820— 960		5.0	2220—2360	S 30° E	
960—1100	S 30° W	5.2	2360—2500	S 7° W	
1100—1240	S 20° W	5.0	2500—2640	S 15° W	7.8
1240—1380	S 11° W		2640—2780	S 16° W	
1380—1520	S 49° W	1.8	2780—3200	S 24° W	
1520—1800	S 72° W				

28. November. Kein Aufstieg wegen tiefliegender st-Schicht.

Nr. 202. 29. November. 8^{23} a; Bew. o, ⊙.

540	E	1.7	4540—4740	N 46° W	10.6
540— 940	S 51° E	10.5	4740—4940	N 49° W	
940—1340	S 57° E	10.3	4940—5140	N 64° W	11.2
1340—1540	S 50° E		5140—5340	N 78° W	
1540—1740	S 40° E	9.4	5340—5740	N 88° W	14.6
1740 - 1940	S 25° E		5740—6140	N 84° W	13.7
1940—2140	S 27° E	7.6	6140—6740	N 81° W	
2140—2340	S 30° E	6.4	6740—7140	N 87° W	16.0
2340—2540	S 26° E	6.0	7140—7340		
2540—2740	S 6° E	4.8	7340—7540	N 78° W	18.4
2740—3540	S 60° W		7540—7940	N 69° W	
3540—3740	S 55° W		7940 - 8140	N 70° W	
3740—3940	S 81° W	2.8	8140—8340	N 76° W	20.2
3940—4140	N 34° W		8340—8740	N 80° W	
4140—4340		6.4	8740—8940	N 73° W	
4340—4540	N 46° W				

Nr. 203. 30. November. 8^{10} a; Bew. 3^0 a-st, ∞; nach der Visierung: 6°.

540	C		2140—2340	S 58° W	8.4
540— 740	S 15° W	3.4	2340—2540		9.8
740— 940	S 3° W	1.4	2540—2740	S 61° W	10.8
940—1140	E	2.0	2740—2940	S 72° W	12.7
1140—1340	S 81° E	1.8	2940—3140	S 69° W	16.0
1340—1540	S 42° E	2.4	3140—3340	S 73° W	17.8
1540—1740	S 16° W	4.9	3340—3540		18.8
1740—1940	S 32° W	5.6	3540—3940	S 66° W	20.6
1940—2140	S 54° W	7.0	3940—4140		21.0

1. Dezember. Kein Aufstieg wegen tiefliegender st-Schicht.

Nr. 204. 2. Dezember. 8^{50} a; Bew. o, ⊙.

540	SW	1.7	1340 - 1540	S 73° W	13.6
540— 740	S 5° W	3.8	1540—1740	S 63° W	14.1
740— 940	S 27° W	6.2	1740—1940	S 69° W	16.1
940—1140	S 55° W		1940—2140	S 78° W	
1140—1340	S 73° W	10.2			

3. Dezember. Kein Aufstieg wegen tiefliegender st-Schicht.

Nr. 205. 4. Dezember. 9^{16} a; Bew. 4^0 st, $\equiv^1$.

540	C		2340 - 2540	N 27° E	8.9
540—1540	S 21° E	2.3	2540—2740		11.8
1540—1740	S 45° E	5.8	2740—3140	N 24° E	13.9
1740—2140	S 60° E		3140—3540	N 32° E	13.0
2140—2340	S 74° E		3540—3740	N 30° E	

Nr. 206. 5. Dezember. 9^{10} a; Bew. 5^1 ⊙, cu E mässig.

540	E	1.7	960—1100	S 73° E	14.3
540—680	S 84° E	2.9	1100—1240	S 84° E	13.0
680—820	S 62° E	5.3	1240—1380	S 70° E	16.0
820—960		12.3			

Nr. 207. 5. Dezember. 0^{00} p; Bew. 2° ⊙, fr-st E mässig, ∞.

540	E	1.7	5340— 5540	N 7° E	1.0
540— 740	S 58° E	2.8	5540— 6140		3.0
740— 940		5.0	6140— 6340	S 60° W	
940—1140	S 69° E	12.0	6340— 7340	N 63° W	5.7
1140—1340		17.0	7340— 7940	N 55° W	
1340—1940	S 75° E	13.2	7940— 8140	N 49° W	7.1
1940—2140	S 68° E	9.6	8140— 8540	N 41° W	
2140—2740	S 52° E	7.5	8540 - 9340	N 23° W	9.7
2740—3140	S 41° E	10.4	9340— 9740	N 16° W	
3140—3340	S 44° E		9740—10140	N 6° W	7.8
3340—3540	S 51° E	8.8	10140—10540		6.3
3540—3740	S 67° E	6.0	10540—11340	N	
3740—4140	S 81° E	6.8	11340 - 11540		8.6
4140—4340	S 67° E	4.1	11540—11740	N 6° E	
4340—4740	S 28° E	2.8	11740—11940	N 18° E	9.6
4740—4940			11940—12540	N 14° E	
4940—5140		1.0	12540—12940	N 25° E	15.4
5140—5340	N 78° E				

Nr. 208. 6. Dezember. 0^{56} p; Bew. 6^1 ⊙, ci-st, a-cu NW, ≡¹.

Stufenwerte m	Wind Richtung	Wind Geschwindigkeit m p. s.	Stufenwerte m	Wind Richtung	Wind Geschwindigkeit m p. s.
540	N	1.7	3620—3900	S 65° E	
540— 680	N 17° E	2.2	3900—4320	S 52° E	4.5
680— 960	S 60° W	3.8	4320—4740	S 65° E	
960—1100	W	0.3	4740—4880	S 75° E	2.9
1100—1240		3.5	4880—5160	E	2.2
1240—1380	S 60° W		5160—5720	N 59° E	2.5
1380—1800	S 53° W	4.6	5720—5860		
1800—1940	S 60° W		5820—6000	N 33° E	3.8
1940—2220	S 72° W	4.9	6000—6140	N 12° E	5.2
2220—2360	S 47° W	3.3	6140—6280	N 2° E	
2360—2500	S 30° E	2.9	6280—6420	N 14° E	
2500—2640	S 42° E		6420—6840	N 17° E	7.2
2640—2780	S 52° E	4.2	6840—6980	N 12° E	
2780—2920	S 64° E	3.3	6980—7120	N 2° W	
2920— 3340	N 81° E		7120—7540	N 8° E	7.8
3340—3480	N 87° E	3.7	7540— 7680	N 10° W	
3480—3620	S 85° E				

Nr. 209. 7. Dezember. 0^{30} p; Bew. 8^1 ⊙, ≡¹.

540	C		1940—2080	S 87° W	5.8
540— 680	N 36° W	1.5	2080—2360	N 75° W	5.3
680— 820	S 82° W	3.8	2360—2640	N 87° W	
820—1100			2640—2780		4.0
1100—1380	S 85° W	5.5	2780—3200	N 72° W	5.5
1380—1520	W		3200—3480	S 83° W	4.6
1520—1660		4.8	3480—3760	S 66° W	
1660—1940	N 87° W	5.2			

Nr. 210. 8. Dezember. 9^{20} a; Bew. 8^1 ⊙, ≡².

540	C		1520—1660	E	1.0
540— 960	S 41° E	1.2	1660—1800		1.7
960—1100	E	3.2	1800—1940	S 81° E	1.0
1100—1240	N 57° E		1940—2080	S 61° W	0.5
1240—1380	N 68° E	1.9	2080—2360		1.6
1380—1520	E				

Nr. 211. 9. Dezember. 11^{05} a; Bew. 0 ⊙, ≡¹, V.

540	C		3140—3340	S 50° W	1.8
540— 740	S 39° W	2.8	3340—3740	S 76° W	3.3
740— 940	S 78° W	3.8	3740—4140	N 64° W	
940—1140	S 72° W	12.0	4140—4340	N 85° W	5.7
1140—1340	S 65° W	6.8	4340—4540	S 82° W	6.0
1340—2140	S 70° W	4.9	4540—5140	S 75° W	
2140—2340		3.0	5140—5540	N 88° W	
2340—2540	S 87° W	2.4	5540—5740	S 82° W	5.1
2540—2740	S	0.8	5740—6140	W	
2740—2940	S 81° E	1.6	6140—6340	N 70° W	
2940—3140	S 52° E	1.8			

Nr. 212. 10. Dezember. 9^{55} a; Bew. 0 ⊙, ≡¹, V.

540	C		2940—3140	N 80° W	6.0
540— 740	W		3140—3340	S 80° W	8.6
740— 940	N 53° W	1.3	3340—3540		
940—1140	N 74° W		3540—4340	N 78° W	5.7
1140—1540	S 68° W	6.0	4340—4940	S 84° W	7.2
1540—2340	S 84° W	8.0	4940—5140	W	11.4
2340—2540		4.4	5140—5340	N 85° W	
2540—2940	N 71° W				

Nr. 213. 11. Dezember. 9^{05} a; Bew. 8° a-cu, st-cu SW mässig, ∞°.

540	SW	3.1	820— 960	S 81° W	19.2
540— 680	S 51° W	7.4	960—1240	S 86° W	12.1
680— 820	S 81° W	11.0			

Ballon hinter dem Turm der technischen Hochschule verschwunden.

Nr. 214. 12. Dezember. 0^{00} p; Bew. 2° ⊙, ci NW l., st-cu W mässig, ∞.

540	SW	3.1	960—1100	S 84° W	12.7
540— 680	S 36° W	3.5	1100—1240	W	
680— 820	S 60° W	7.1	1240—1380	N 84° W	
820— 960	S 72° W	10.6			

Ballon hinter dem Turm der technischen Hochschule verschwunden.

Nr. 215. 13. Dezember. 10^{03} a; Bew. 1° ⊙, st-cu W mässig.

540	SW	3.1	680— 820	S 82° W	12.5
540— 680	S 75° W	6.1			

Ballon hinter dem Turm der technischen Hochschule verschwunden.

14. Dezember. Kein Aufstieg wegen starken SW Winds.

15. Dezember. Keine Visierung wegen starken SW-Winds.

16. Dezember. Die Visierung misslang, da der Ballon schon während der 1. Minute hinter dem Turm der technischen Hochschule verschwand.

17. Dezember. Kein Aufstieg wegen ✳.

Nr. 216. 18. Dezember. 10^{00} a; Bew. 2^0 ⊙, ci-st W mässig, st-cu, ⌴.

Stufenwerte m	Wind: Richtung	Wind: Geschwindigkeit m p. s.	Stufenwerte m	Wind: Richtung	Wind: Geschwindigkeit m p. s.
540	SE	4.8	680— 960	S 40° E	13.4
540— 680	S 42° E	6 0	960—1100		8.7

Nr. 217. 18. Dezember. 10^{30} a; Bew. 2^0 ⊙, ci-st W langsam, a-cu, ∞.

540	SE	3.1	1520—1660	S 25° W	7.2
540— 680	S 50° E	5.8	1660—1800	S 35° W	
680— 960		9.8	1800 - 1940		9.2
960—1100	S 35° E	8.6	1940—2220	S 39° W	7.2
1100—1240	S 25° E		2220—2640	S 55° W	7.7
1240—1380	S 2° W	7.6	2640—3200	S 62° W	11.3
1380—1520	S 13° W		3200—3340	S 65° W	15.2

Nr. 218. 18. Dezember. 0^{22} p; Bew. 7^0 ci-st, st-cu SW mässig.

540	SE	3.1	1800—2360	S 33° W	9.1
540— 680	S 42° E	4.8	2360—2500	S 44° W	8.8
680— 820	S 24° E	10.6	2500—2640	S 50° W	
820—1100	S 4° E		2640—2920	S 65° W	14.0
1100—1240	S 19° W	10.0	2920—3060	S 74° W	17.0
1240—1380	S 32° W		3060—3200	S 84° W	
1380—1520	S 47° W	8.6	3200—3340	S 71° W	
1520—1660	S 43° W		3340—3480	S 80° W	20.4
1660—1800	S 38° W	9.1	3480 - 3760		

Nr. 219. 19. Dezember. 9^{30} a; Bew. 3^1 ⊙, st-cu SW mässig.

540	SW	4.8	820— 960	S 85° W	14.5
540— 680	S 51° W	5.9	960—1100	W	16.6
680— 820	S 75° W	12.0			

Ballon hinter dem Turm der technischen Hochschule verschwunden.

Nr. 220. 20. Dezember. 8^{50} a; Bew. 8^0, ≡^{1}.

540	C		2640 - 2780	N 26° W	4.2
540— 680	N 12° E	1.0	2780 - 2920		
680— 820	S 38° W	3.2	2920—3200	N 18° W	2.6
820— 960	S 16° E	1.8	3200—3340	N 11° E	
960—1100	S 35° E	2.4	3340—3480	N 26° E	1.6
1100—1240	S 68° E	4.5	3480—3620	N 65° E	2.6
1240—1380	S 61° E		3620—3760	N 86° E	3.4
1380 - 1520	S 52° E		3760—3900	N 75° E	4.2
1520—1660	S 44° E	3.7	3900—4040	N 54° E	5.2
1660—1940	S 35° E		4040 - 4320	N 51° E	5.6
1940 - 2080	S 26° E		4320—4460	N 62° E	6.4
2080—2220	S 18° E	2.8	4460—4600	N 67° E	
2220—2360		1.6	4600—4740	N 56° E	6.2
2360 - 2500	N 9° E	2.0	4740—4880	N 65° E	
2500—2640		4.2			

Nr. 221. 20. Dezember. 0^{30} p; Bew. 2^0 ⊙, ci-st ∞^{0}.

540	C		2740 - 2940	S 78° E	5.5
540— 940	Ballon im Zenith		2940—3140	S 63° E	6.2
940—1140	S 64° E	2.0	3140—3340	S 49° E	
1140—1340		7.0	3340—3740	S 58° E	7.4
1340—1540	S 44° E	6.6	3740—4340	S 54° E	6.7
1540—1740		5.6	4340—4740	S 42° E	8.0
1740—1940	S 61° E	4.2	4740—4940	S 26° E	6.5
1940—2140	S 84° E	4.3	4940 - 5340	S 41° E	8.4
2140—2340	N 84° E	3.7	5340 - 5540	S 51° E	9.7
2340 - 2540	N 80° E	3.2	5540—5940	S 63° E	9.0
2540—2740	E	4.2	5940—6140		10.0

Nr. 222. 21. Dezember. 9^{18} a; Bew. o ⊙, ≡^{0}, ⌴.

540	SW	1.7	3740—3940	S 18° E	4.5
540— 740	S 80° W	2.4	3940—4140	S 5° E	6.6
740—1140		4.5	4140—4340	S 10° E	8.0
1140—1540	S 68° W	4.0	4340 - 4540		11.7
1540—1940	S 27° W	5.3	4540—4740	S 23° E	13.8
1940—2540	S 16° W	6.0	4740—5340	S 19° E	
2540—2740	S 2° E	5.2	5340 - 5740		16.0
2740—2940	S 12° W	4.6	5740 - 6340	S 14° E	20.0
2940—3140	S 47° W	5.1	6340—6940	S 19° E	18.0
3140—3340		5.8	6940—7140		
3340—3540		4.5	7140—7340	S 25° E	17.0
3540—3740	S 12° W	3.6	7340—7540		

22. Dezember. Kein Aufstieg wegen ≡.

Nr. 223. 23. Dezember. 1^{35} p; Bew. 7^{1}, st-cu SW langsam, ≡^{0}.

Stufenwerte m	Wind Richtung	Wind Geschwindigkeit m p. s.	Stufenwerte m	Wind Richtung	Wind Geschwindigkeit m p. s.
540	C		2080—2220	S 61° E	
540— 680	E	2.2	2220—2360	S 82° E	1.3
680— 820		1.5	2360—2500		
820— 960		0.5	2500—2640	S 76° E	2.4
960—1100	N 38° W	1.2	2640—2780		
1100—1240		4.1	2780 – 2920	S 44° E	4.2
1240 –1380	N 84° W	3.3	2920—3060	S 28° E	3.3
1380—1520	S 87° W	2.6	3060—3200	S 23° W	4.5
1520—1660	S 77° W		3200—3340	S 40° W	1.9
1660—1800	S 60° W	2.3	3340—3480	S 60° W	5.2
1800—1940	S 30° W	0.8	3480—3620		6.8
1940—2080	S 13° E	0.7			

Nr 224. 24. Dezember. 11^{54} a; Bew. 7^{0}, a-cu SW langsam, st, ∞^{0}.

540	SW	3.1	1380—1520	S 55° W	5.7
540— 680	S 64° W	6.0	1520—1660		
680— 820	S 73° W	12.0	1660—1800	S 53° W	4.7
820— 960	S 82° W	8.7	1800—1940	S 44° W	5.4
960—1100	S 77° W	5.4	1940— 2220	S 58° W	6.0
1100—1240	S 62° W	4.3	2220—2360	S 66° W	5.7
1240—1380		6.3			

25. Dezember. Kein Aufstieg wegen dichter, tiefliegender st-Schicht.

Nr. 225. 26. Dezember. 8^{20} a; Bew. 6^{1}, st-cu SW mässig, fr-st SW rasch; Gebirge sichtbar, föhnig.

540	SW	3.1	740— 940	S 80° W	17.8
540— 740	S 69° W	9.3	940—1090	S 85° W	26.0

Ballon hinter dem Turm der technischen Hochschule verschwunden.

27. Dezember. Kein Aufstieg wegen tiefliegender st-Schicht.

Nr. 226. 28. Dezember. 10^{46} a; Bew. 6^{1} ⊙, st-cu NW langsam.

540	SW	4.8	820— 960	S 82° W	18.5
540— 680	S 62° W	7.5	960—1100	S 87° W	21.0
680— 820	S 72° W	12.0			

Ballon hinter dem Turm der technischen Hochschule verschwunden.

Nr. 227. 29. Dezember. 11^{00} a; Bew. 8^{0} ⊙, ci W, ∞^{1}.

540	SW	4.8	2340—2940	S 75° W	12.0
540— 740	S 58° W	6.0	2940—3140	S 81° W	16.5
740—1340	S 80° W		3140—3340	N 87° W	
1340—1540	S 85° W	10.0	3340 – 3540	N 74° W	14.0
1540—1740		11.0	3540—3940	N 87° W	18.0
1740—1940	S 80° W	9.0	3940 —4340	S 82° W	
1940—2340	S 61° W				

Ballon hinter dem Turm der technischen Hochschule verschwunden.

Nr. 228. 30. Dezember. 11^{15} a; Bew. 9^{1} a-cu W mässig. fr-cu SW rasch, st-cu.

540	SW	4.8	680— 820	S 88° W	12.5
540 — 680	S 85° W	5.3			

Ballon hinter dem Turm der technischen Hochschule verschwunden.

Nr. 229. 31. Dezember. 8^{10} a; Bew. 0, Rauch- und Dunstkranz.

540	C		2140—2340	N 85° W	
540— 740	S 21° W	3.6	2340—2540	N 74° W	8.1
740— 940	S 51° W	1.1	2540—2740		
940—1140	N 82° W	2.0	2740—2940	N 67° W	9.8
1140—1340	S 82° W		2940—3140		10.4
1340—1540	S 71° W	3.0	3140—3340	N 59° W	8.9
1540—1740		5.2	3340—3540	N 51° W	9 5
1740—1940	S 83° W	9.5	3540—3940	N 38° W	14.2
1940—2140		10.6			

Die Münchener Registrierballonfahrten im Jahre 1912

von

August Schmauss.

Mit einem Anhang: Allgemeine Ergebnisse der Fahrten von 1906—1912.

Inhaltsverzeichnis.

Seite

Vorwort . . . . . 5— 6

Ergebnisse der einzelnen Fahrten des Jahres 1912 . . . . . 7—44

4., 5. Januar . . . . . 7— 9

1. Februar . . . . . 9—10

7. März . . . . . 10—11

11.—13. April . . . . . 11—17

2. Mai . . . . . 18—19

6. Juni . . . . . 19—20

1.—6. Juli . . . . . 20—28

1. u. 3. August . . . . . 28—31

5. September . . . . . 31—32

2.—4. Oktober . . . . . 32—41

7. November . . . . . 41—42

5. Dezember . . . . . 42—44

Zusammenfassende Besprechung charakteristischer Ergebnisse dieses Jahres:

Seehöhe der Nullgradisotherme bei den einzelnen Fahrten 45

Die Temperaturen in verschiedenen Höhen 45

Anhang: Allgemeine Ergebnisse der Fahrten von 1906—1912 . . . . . 46—47

Vorwort.

Für das Jahr 1912 waren von der internationalen Kommission für wissenschaftliche Luftschiffahrt 23 Aufstiegstage festgesetzt worden. Wir konnten uns an allen Tagen beteiligen.

An den kleinen Serienaufstiegen vom April und Oktober wurde ausser dem obligatorischen Aufstieg um 8 a ein weiterer um 2 p veranstaltet, um allmählich ein Bild der Tagesschwankung der meteorologischen Elemente zu bekommen. Dem Aufstiege vom 1. August wurde ein weiterer am 3. August beigegeben, um die meteorologischen Verhältnisse recht genau zu haben für eine wissenschaftliche Hochfahrt des Münchener Vereins für Luftschiffahrt, welche am 3. August stattfinden sollte, im letzten Augenblick aber auf den 4. verschoben werden musste.

Die Instrumente vom 3. Januar und 12. April 2p sind noch nicht gefunden. Zur Auswertung standen also 28 Fahrten zur Verfügung, nämlich vom:

4., 5. Januar 8 a	2. Mai 8 a	5. September 8 a
1. Februar 8 a	6. Juni 8 a	2., 3., 4. Oktober 8 a
7. März 8 a	1.—6. Juli 8 a	2., 3., 4. Oktober 2 p
11., 12., 13. April 8 a	1. August 8 a	7. November 8 a
11., 13. April 2 p	3. August 0^{30} p	5. Dezember 8 a

Die Auswertung der sechs Fahrten im Oktober besorgte Herr G. Marczell, Adjunkt des Met. Instituts in Budapest, dessen aerologische Unterweisung uns anvertraut wurde. Ungarn wird sich ab 1. Januar 1913 an den Arbeiten der internationalen Kommission beteiligen.

Die Form der Mitteilung lehnt sich genau an die Veröffentlichungen der Vorjahre an. Der Hinweis auf die früheren Zusammenstellungen erfolgt mit der Abkürzung R. 1906 usw.

Zum erstenmale werden die Höhenangaben und Druckangaben, einem Antrage des Herrn Bjerknes entsprechend, im absoluten Masssystem mitgeteilt. Um aber nicht blos den Dynamiker zu befriedigen und den Anschluss an andere Publikationen nicht zu verlieren, wurden die bisherigen Masse daneben beibehalten. Ausserdem sind noch die Höhen eingeschoben, in welchen der Druck den Wert von 900, 800, 700 ... mbar erreichte. Die Umrechnungen besorgten die Assistenten Höllerer und Zistler.

Einer Anregung von Herrn v. Hann entsprechend sind in der Zusammenstellung der Temperaturen des Jahres die Abweichungen des Luftdruckes und der Temperatur von ihren Mittelwerten aufgenommen, welche in München und auf der Zugspitze an den einzelnen Aufstiegstagen herrschten.

Es wurde dabei nicht der gerade zur Aufstiegsstunde geltende Wert zugrunde gelegt, um von mehr zufälligen Abweichungen unabhängig zu sein. Vielmehr wurde für einen 8 Uhr-Aufstieg das Mittel aus 8 p (9 p) des Vortages, 8 a (7 a), 2 p und 8 p (9 p) des Haupttages gebildet; für einen 2 p-Aufstieg diente das Mittel aus 8 a (7 a), 2 p und 8 p (9 p) des Haupttages als Massstab. Die Beobachtungszeiten von der Münchener Sternwarte waren hiebei mit Vorteil zu verwenden, deren Temperaturbeobachtungen zudem als die einer Aussenstation angesprochen werden dürfen.

Als langjährige Mittel wurden die von Herrn Messerschmitt[1]) berechneten Werte genommen.

Entsprechend dem Wiener Beschlusse der Intern. Komm. für wissenschaftl. Luftschiffahrt wurde die Rubrik: Ventilation fortgelassen, der dadurch verfügbare Raum ermöglichte die Angabe der Steiggeschwindigkeit des Ballons. Es braucht nicht weiter ausgeführt zu werden, dass natürlich nicht jede Anomalie derselben durch eine entsprechende Vertikalbewegung der Atmosphäre zu erklären ist; das gilt insbesondere für die Benutzung kleiner Höhenintervalle.

Von der jedesmaligen Wiederholung instrumenteller Angaben durfte abgesehen werden.

[1]) J. B. Messerschmitt, Das Klima von München, Neue Ann. der Sternwarte in München.

Als Ersatz mögen folgende Angaben dienen: Die Ermittelung der Temperaturkorrektion des Aneroïdes erfolgte an der Centralstation durch eine Temperaturmessung bei konstantem Druck. Die nach der jeweils angegebenen Formel ermittelten Korrektionen sind an den abgedruckten Luftdruckangaben bereits angebracht.

Von den Angaben einer mittleren Fluggeschwindigkeit, welche im internationalen Schema gefordert ist, wurde abgesehen; die Berechnung einer solchen ist ja nur für den doch recht seltenen Fall erlaubt, dass der Landungsort auf dem Wege der geraden Linie erreicht wurde.

Die benützten Instrumente waren ausschliesslich solche von Bosch, besassen also einen Barographen, einen Rohrthermographen nach Hergesell, einen Lamellenthermographen nach Teisserenc de Bort und zwar den kleinen, thermisch gut isolierten Typus von Kleinschmidt. Als Hygrometer dienten einige Haare.

Das Instrument wurde eingebunden in ein Körbchen, das zum Schutze gegen Strahlung mit Nickelfolie umkleidet war.

Alle Aufstiege fanden von dem Übungsplatze des K. B. Luftschiffer- und Kraftfahrbataillons aus statt; es darf dem Herrn Kommandeur desselben für die Unterstützung bei den Aufstiegen ergebenst gedankt werden. Als treuer Mitarbeiter stand mir Sekretär Karl Brunner zur Seite. Wir benutzten aus Ersparnisrücksichten wieder den Fallschirm, den wir unter den Ballon hängten. Trotz des Fehlens des Signalballons sind nicht mehr Instrumente verloren gegangen als unter Anwendung der früher benützten Tandemmethode.

Es darf noch darauf hingewiesen werden, dass an der Meteorologischen Centralstation tunlichst tägliche Pilotvisierungen veranstaltet wurden, deren Ergebnisse auch für die Registrierballonaufstiege von Wert sein werden. Es erfolgt daher die Veröffentlichung derselben gleichzeitig durch die Assistenten K. Bux und P. Zistler.

München, im Januar 1913.

A. Schmauss.

Ergebnisse der einzelnen Fahrten des Jahres 1912.

3. Januar 1912: Das Instrument ist noch nicht gefunden worden.

4. Januar 1912.

Instrument No. 424.

Temperatur-Korrektion des Aneroïdes:

$$dp = -\Delta T\,(0.592 - 0.000457 \cdot p).$$

Art, Grösse, Füllung, Steigkraft des Ballons: 1 Gummiballon mit Fallschirm 1.5 m Durchm. Wasserstoff; 0.6 kg.

Zeit des Aufstiegs: 7^{59}a M. E. Z.

Witterung beim Aufstieg:

a) Wind, Bewölkung, Form, Richtung und Geschwindigkeit der Wolken etc.: WSW_3, 10^2 cu ni, Regenstimmung, 2 Min. nach Abfahrt ◍°.

b) Temperatur beim Aufstieg: 3.4°; relative Feuchtigkeit: 83 %.

Temperatur 2 Stunden vor dem Aufstieg: 3.2°, nach dem Aufstieg: 3.9°.

Maximum des Vortages: 10.0°.

Maximum des Aufstiegstages: 6.0° um 11^{30}a n. 1^{40} p.

Minimum des Aufstiegstages: 2.9° um 3^{15}a.

Name, Seehöhe, Entfernung und Richtung des Landungsortes: Haindorf bei Aschau (Prien) ca. 590 m, ca 75 km S 54° E.

Dauer des Aufstiegs: $45^{m}\,18^{sec}$.
Mittlere Steiggeschwindigkeit 3.5 m/sec.

Grösste Höhe: 10010 m.

Tiefste Temperatur: $\left\{\begin{matrix} -55.6° \\ -56.8° \end{matrix}\right.$ in 10010 m.

Ventilation bis zur erreichten Höhe > 1.0.

Besondere Bemerkungen: Den Berechnungen liegt das Lamellenthermogramm zugrunde.
Eine Visierung war nicht möglich.

Ergebnis der Registrierung:

Zeit h m s	Luftdruck mm	Luftdruck mbar	Seehöhe m	Seehöhe Dyn. m	Temperatur C° Rohr.	Temperatur C° Lam. Therm.	Gradient △t/100 m	Relative Feuchtigkeit %	Steiggeschwindigkeit des Ballons m/sec.	Bemerkungen
0 0 0	718	957	516	506	3.4	3.4		83		Aufstieg. Ballon nach 2½ Min. in die Wolken eingetreten.
1 19	691	921	830	810	1.2	0.3	1.00	89	3.9	
	677	902	1 000	980		- 0.5	0.46		4.5	
		900		**1 000**						
3 11	649	865	1 330	1 300	- 0.8	- 2.0		**90**		Maximum der R. F. (cu ni).
	635	847	1 500	1 470		- 3.2	0.71		3.9	
		800		**1 910**						
5 54	599	799	1 960	1 920	- 5.1	- 6.5		82		
	596	795	2 000	1 960		- 6.8	0.67		3.6	
	559	745	2 500	2 450		-10.1				
10 14	531	708	2 880	2 820	-12.1	-12.7		82		Von hier ab sehr starke Abnahme der R. F. (obere Grenze des cu ni?), kräftige Temperaturumkehr.
		700		**2 910**			-2.06		3.2	
	523	697	3 000	2 940		-10.2				
11 0	521	695	3 030	2 970	- 8.5	- 9.7	-0.08	64	4.7	
11 51	505	673	3 270	3 210	- 8.5	- 9.5		43		Höchste Temperatur in der Inversion, von hier ab sehr gleichmässige, ungestörte Temparaturabnahme.
	460	613	4 000	3 920		-14.3	0.66		3.9	
		600		**4 080**						
17 7	430	573	4 490	4 400	-12.7	-17.5		24		
	402	536	5 000	4 900		-20.7	0.62		3.1	
21 27	386	515	5 290	5 190	-21.3	-22.5		20		Von hier ab Hygrogramm nur mehr gerade Linie.
		500		**5 400**		-27.6				
	350	466	6 000	5 880			0.71		3.5	
24 56	349	465	6 020	5 900	-26.4	-27.7				
	305	407	7 000	6 860		-35.2	0.77		3.2	
		400		**6 980**						
33 54	273	364	7 740	7 880	-39.4	-40.9				
	262	349	8 000	7 840		-42.7				
	236	301	9 000	8 820		-49.7	0.70		3.4	
		300		**8 860**						
	193	257	10 000	9 800		-56.7				
45 18	193	257	**10 010**	9 810	-55.6	-56.8				Höchster Punkt.
59 23	508	677	3 230	3 170	-12.8	-10.2				Beim Abstieg wird die Inversion über dem cu ni Meer wieder in der gleichen Höhe und bei gleichen Temperaturgraden angetroffen.
1 0 16	535	713	2 820	2 770	-15.0	-12.7				
1 6 4			ca 590	ca. 580						Landung.

5. Januar 1912.

Instrument No. 425.

Temperaturkorrektion des Aneroïds:

$$dp = -\Delta T\,(0.430 - 0.000457 \cdot p).$$

Art, Grösse, Füllung, Steigkraft des Ballons: 1 Gummiballon, 1.5 m Durchmesser, mit Fallschirm, Wasserstoff; 0.6 kg.

Zeit des Aufstiegs: 8^{26} a M. E. Z. (verspätet wegen ◍).

Witterung beim Aufstieg:

a) Wind, Bewölkung, Form, Richtung und Geschwindigkeit der Wolken etc.: $W_{2\text{-}3}$ $10^{1\text{-}2}$, st cu aus W mässig rasch, Regen bis kurz vor der Abfahrt, später allmählich Auflösen der Wolken.

b) Temperatur beim Aufstieg: 3.6°; relative Feuchtigkeit: 85%.

Temperatur 2 Stunden vor dem Aufstieg: 3.3°, nach dem Aufstieg: 4.6°.

Maximum des Vortages: 6.0°.

Maximum des Aufstiegstages: 6.1° um 2^{30} p.

Minimum des Aufstiegstages: 3.2° um 6^{45} a.

Name, Seehöhe, Entfernung und Richtung des Landungsortes: Inzell bei Traunstein, ca. 670 m, 100 km, S 67° E.

Dauer des Aufstiegs: 46^{m} 4^{s}_{5}.

Mittlere Steiggeschwindigkeit: 4,2 m/sec.

Grösste Höhe: 12000 m.

Tiefste Temperatur: $\begin{cases} -66.8^{0} \\ -64.2^{0} \end{cases}$ in 11400 m.

Ventilation bis zur erreichten Höhe > 1.0.

Besondere Bemerkungen: Den Berechnungen liegt das Lamellenthermogramm zugrunde. Eine Visierung war nicht möglich, der Ballon trat nach 5 Minuten in die Wolken ein.

Ergebnis der Registrierung:

Zeit h m s	Luftdruck mm	mbar	Seehöhe m	Dyn. m	Temperatur C° Rohr.	Lam. Therm.	Gradient △ t/100 m	Relative Feuchtigkeit %	Steiggeschwindigkeit des Ballons m/sec.	Bemerkungen
0 0 0	711	948	516	506	3.6	3.6		85		Aufstieg.
							0.60		4.0	
1 26	681	908	860	840	1.9	1.5		87		Inversion.
		900		**910**						
							-0.37		4.3	
	670	893	1 000	980		2.0				
2 16	663	884	1 080	1 060	2.0	2.3		74		
							-0.51		4.8	
2 57	647	863	1 280	1 260	3.1	3.3		71		Minimum der R. F.
	629	839	1 500	1 470		2.1	0.50		4.2	
4 23	619	825	1 630	1 600	1.7	1.5		87		
							0.55		4.2	
5 19	601	801	1 870	1 830	0.5	0.2		**91**		Schwache Temperaturabnahme, höchster Wert der R. F.
		800		**1 850**			0.25		3.6	
5 41	595	793	1 950	1 910	0.5	0.0		89		
	592	789	2 000	1 960		- 0.4				
	559	745	2 500	2 450		- 3.8				
	535	**700**	3 000	**2 940**		- 7.1	0.68		4.4	
	459	612	4 000	3 920		-13.9				
		600		**4 050**						
14 29	440	586	4 290	4 210	-15.5	-15.9		76		
							0.46		5.1	
14 45	435	580	4 380	4 290	-15.5	-16.3		74		
	402	536	5 000	4 900		-19.9				
							0.58		4.2	
		500		**5 390**						
19 59	365	487	5 680	5 570	-24.1	-23.9		65		
	351	468	6 000	5 880		-26.5				
	308	410	7 000	6 860		-34.5				
							0.80		4.0	
		400		**7 030**						
	263	351	8 000	7 840		-42.5				
31 11	249	332	8 340	8 170	-48.1	-45.3		47		
	227	302	9 000	8 820		-49.8				
							0.69		3.7	
		300		**8 870**						
	193	257	10 000	9 800		-56.7				
38 52	192	256	10 030	9 820	-59.5	-56.9		43		
	165	220	11 000	10 770		-62.0	0.53		4.6	
43 53	154	205	11 400	11 160	-66.8	-64.2		44		Ende der Troposphäre (Typus I in R. 1909 S. 29).
		200		**11 330**			-0.25		4.2	
44 41	149	199	11 610	11 370	-66.6	-63.7		44		
							-0.08		4.6	
46 4	140	187	**12 000**	11 750	-66.3	-63.4		45		Höchster Punkt.
1 6 54										Landung.

Die Januarfahrten fielen gerade noch in den ausserordentlich milden ersten Teil des Winters 1911/12 hinein, dessen hohe Temperaturen wie eine Fortsetzung der ungewöhnlich hohen Temperaturen der zweiten Hälfte des Jahres 1911 empfunden wurden.

Zentraleuropa blieb fortgesetzt auf der „Vorderseite" ozeanischer Depressionen. Selbst der gewaltige Kälteeinbruch, der einer in den Tagen vom 1. bis 4. Januar vom nördlichen Eismeer bis nach dem Gebiet des Schwarzen Meeres einbrechenden Depression folgte, brachte noch keine Ausdehnung der Frostgrade nach Zentraleuropa.

Erst eine am Abend des 4. Januar von den britischen Inseln kommende Depression mündete schliesslich in die östliche über Polen streichende Bahn ein: Auf ihrer Rückseite begann am 8. Januar der „Winter".

Die Vorderseite der Depression brachte unserem Gebiete zunächst eine Erwärmung der unteren Schichten der Troposphäre, während die oberen Teile bemerkenswert konstante Temperaturverhältnisse aufwiesen.

	516	1	2	3	4	5	6	7	8	9	10
4.	3.4	— 0.5	— 6.8	—10.2	—14.3	—20.7	—27.6	—35.2	—42 7	—49.7	—56.7
5.	3.6	2.0	— 0.4	— 7.1	—13.9	—19.9	—26.5	—34.5	—42.5	—49.8	—56.7
Diff. 5.—4.	0.2	2.5	**6.4**	3.1	0.4	0.8	1.1	0.7	0.2	— 0.1	0.0

1. Februar 1912.

Instrument Nr. 428.

Temperatur-Korrektion des Aneroïdes: nicht benötigt; siehe Bemerkungen.

Art, Grösse, Füllung, Steigkraft des Ballons: 1 Gummiballon mit Fallschirm, 1.5 m Durchmesser, Wasserstoff; 0.5 kg.

Zeit des Aufstiegs: 8 a M.E.Z.

Witterung beim Aufstieg:

a) Wind, Bewölkung, Form, Richtung und Geschwindigkeit der Wolken etc.: W_3, böig bis 5, 10^2 ✳^{0} cu ni; der ✳^{0} verstärkt sich bis 8^{30} auf ✳^{1}.

b) Temperatur beim Aufstieg: —1.7°, relative Feuchtigkeit: 88 %

Temperatur 2 Stunden vor dem Aufstieg: — 1.5°, nach dem Aufstieg: — 1.2°.

Maximum des Vortages: —1.0°.

Maximum des Aufstiegstages: + 0.4° um 2 p.

Minimum des Aufstiegstages: —2.6° um 3 a.

Name, Seehöhe, Entfernung und Richtung des Landungsortes: Rettenbach bei Rott am Inn, 470 m, 43 km, S. 70° E.

Dauer des Aufstiegs: $25^m\ 44^s$.

Mittlere (angenommene) Steiggeschwindigkeit 3,5 m/sec.

Grösste Höhe: 6230 m.

Tiefste Temperatur: —34.3° in 6230 m.

Ventilation bis zur erreichten Höhe > 1.

Besondere Bemerkungen: Das Instrument scheint etwas schief im Korb gehangen zu sein, der Lamellenthermographen- und der Barographenhebel waren daher abgehoben. Die Höhen wurden aus der Steigkraft nach früheren Fahrten berechnet mit 220 m pro Minute. Eine Visierung war nicht möglich, der Ballon trat nach 3 Minuten in die Wolken ein.

Ergebnis der Registrierung:

Zeit h m s	Luftdruck mm | mbar	Seehöhe m	Seehöhe Dyn. m	Temperatur C° Rohr.-Therm.	Gradient △ t/100 m	Relative Feuchtigkeit %	Steiggeschwindigkeit des Ballons m/sec.	Bemerkungen
0 0 0	siehe unter	516	506	- 1.7		88		Aufstieg.
	Be-	1 000	980	- 4.6	0.61			
3 21	merkungen	1 260	1 240	- 6.2		98		
		1 500	1 470	- 7.8	0.66			
6 41		2 000	1 960	-11.1		100		Maximum der R. F.
		2 500	2 450	-14.3	0.65			
9 27		2 610	2 560	-15.1		97	siehe unter	
		3 000	2 940	-17.8	0.70		Bemerkungen	
12 17		3 240	3 180	-19 5		97		
		4 000	3 920	-25.6	0.80			
16 6		4 090	4 010	-26.3		84		Inversion. Minimum der R. F.
18 6		4 540	4 450	-26.1	-0.05	89		
19 47		4 910	4 810	-29.1	0.80	89		Schwache Gradienten von hier ab.
		5 000	4 900	-29.3	0.25			
21 23		5 270	5 170	-30.0		89		
		6 000	5 880	-33.3	0.45			
25 44		**6 230**	6 110	-34.3		91		Höchster Punkt. Im Abstieg werden die gleichen Temperaturverhältnisse angetroffen.
38 30		ca 470						Landung.

Am 1. Februar fand eine Unterbrechung des vorhergegangenen, ziemlich strengen Frostes statt, die sich am 31. Januar einleitete. An diesem Tage war von Island her eine Depression über Norwegen bis nach dem bottnischen Busen eingebrochen. Am Morgen herrschten in Südbayern noch Frostgrade von —10 bis —17°, während die der Depression entsprechende Wärmewelle bereits über Nordbayern angelangt war. Es gelang der Depression mit einer Furche Anschluss an ein über der Adria gelegenes Tiefdruckgebiet zu gewinnen; Schneefälle, die im Laufe des 1. Februar fielen, leiteten einen gewaltigen, durch Ausstrahlung fortgesetzt wachsenden Kälteeinbruch ein, der auf der Rückseite der nach Inner-Russland abziehenden Depression ganz Zentraleuropa ergriff, so dass bis zum Morgen des 4. Februar überall die tiefsten Temperaturen dieses Winters (bis zu —30°) erreicht wurden.

Aus unserer Registrierung, deren Höhenangaben leider aus dem in den Bemerkungen angegebenen Grunde nicht ganz verlässig sind, geht manches Bemerkenswerte hervor: Die relativ starken Temperaturgradienten bis hinauf zu 4000 m, darüber auffallend geringe Temperaturabnahme. Auch die hohen Werte der R F bis in grosse Höhen verdienen hervorgehoben zu werden.

Recht beträchtlich war die mittlere Windgeschwindigkeit, welche wir für diesen Tag genügend genau erhalten durch den Ansatz: Aufstiegsort — Landungsort, da der Ballon nahezu in einer geraden Linie abzog. Es ergibt sich daraus ein Mittel der Schichten von 500 bis 6200 m: N 70° W ca 18 m/sec.

7. März 1912.

Instrument No. 149.

Temperatur-Korrektion des Aneroïdes:

$$d\,p = -\Delta T\,(0.610 - 0.000457 \cdot p).$$

Art, Grösse, Füllung, freie Steigkraft des Ballons: 1 Gummiballon, 1.5 m Durchmesser mit Fallschirm; Wasserstoff, 0.5 kg.

Zeit des Aufstiegs: 8^{h} M. E. Z.

Witterung beim Aufstieg:

a) Wind, Bewölkung, Form, Richtung und Geschwindigkeit der Wolken etc.: SW_2 1 ⊙ cu st, Gebirge sichtbar.

b) Temperatur beim Aufstieg: 3.6°; relative Feuchtigkeit: 79%.

Temperatur 2 Stunden vor dem Aufstieg: 3.5°, nach dem Aufstieg: 7.1°.

Maximum des Vortages: 9.5°.

Maximum des Aufstiegstages: 8.7° um 2^{30} p.

Minimum des Aufstiegstages: 3.0° um 7 a.

Name, Seehöhe, Entfernung und Richtung des Landungsortes: Lappach, Post St. Wolfgang bei Dorfen, 560 m, 42 km, N 80° E.

Dauer des Aufstiegs: $26^{m}\ 45^{s}$.
Mittlere Steiggeschwindigkeit: 4.3 m/sec.

Grösste Höhe: 7340 m.

Tiefste Temperatur: $\begin{cases} -45.8^{\circ} \\ -45.5^{\circ} \end{cases}$ in 7340 m.

Ventilation bis zur erreichten Höhe > 1.0.

Besondere Bemerkungen: Den Berechnungen liegt das Lamellenthermogramm zugrunde.

Ergebnis der Registrierung:

Zeit h m s	Luftdruck mm	mbar	Seehöhe m	Dyn. m	Temperatur C° Rohr. Therm.	Lam. Therm.	Gradient △ t/100 m	Relative Feuchtigkeit %	Steiggeschwindigkeit des Ballons m/sec.	Bemerkungen	
											Windrichtung und Geschwindigkeit:
0 0 0	712	949	516	506	3.6	3.6		79		Aufstieg.	516—940 m S 81° W 9.7 m
		900		**930**							940—2000 m N 83° W 15.5 m
	671	894	1 000	980		1.4	0.45		3.9		
2 28	663	884	1 090	1 070	0.3	1.0		76			
3 46	641	855	1 360	1 330	- 1.1	- 0.4	0.52	75	3.5		
	630	840	1 500	1 470		- 1.6					
		800		**1 840**			0.83		3.3		
6 50	594	792	1 960	1 920	- 5.9	- 5.4		76			
	591	788	2 000	1 960		- 5.7	0.70		3.6		2000—5100 m S 81° W 15.6 m
9 9	557	743	2 460	2 410	- 9.4	- 8.9		78			
	554	739	2 500	2 450		- 9.1	0.41		4.4		
9 30	550	733	2 560	2 510	- 9.6	- 9.3		77			
		700		**2 870**			0.78		4.2		
	520	693	3 000	2 940		-12.7					
13 14	487	649	3 490	3 420	-17.2	-16.5	0.11	78	3.3	Kleine Störungsschicht.	
13 42	481	641	3 580	3 510	-17.2	-16.6		74			
	457	609	4 000	3 920		-19.8					
		600		**4 030**			0.76		4.7		
	398	531	5 000	4 900		-27.4					5100 - 7150 m S 73° W 19.7 m
19 55	377	503	5 360	5 250	-30.3	-30.1		71			

Zeit h m s	Luftdruck mm	mbar	Seehöhe m	Dyn. m	Temperatur C° Rohr.	Lam. Therm.	Gradient △ t/100 m	Relative Feuchtigkeit %	Steiggeschwindigkeit des Ballons m/sec.	Bemerkungen
19 55	377	503	5 360	5 250	-30.3	-30.1		71		
		500		**5 300**			0.73		5.0	
	347	462	6 000	5 880		-34.8				
24 11	314	419	6 640	6 510	-39.9	-39.5		70		
		400		**6 830**			0.85		4.6	
	299	398	7 000	6 860		-42.6				
26 45	283	377	**7 340**	7 190	-45.8	-45.5		70		Höchster Punkt. Das Platzen des Ballons wurde im Fernrohr um 26 Min. 40 Sec. beobachtet.
44 33										Landung.

Am 7. März lag eine Depression über Skandinavien und stand mit einer flachen Furche niedrigen Druckes in Verbindung mit einem über der Adria liegenden Tiefdruckgebiete. Von den britischen Inseln her stieg der Luftdruck langsam an.

Schon bald nach der Visierung, welche noch nahezu bei wolkenlosem Himmel erfolgte, trat daher stärkere Bewölkung ein, am Mittag ging eine leichte Graupelbö über München nieder. Die Vertiefung der südlichen Depression brachte im Alpengebiete zum Teil ergiebige Schneefälle.

Die Registrierung wies im allgemeinen eine sehr gleichmässige, stetig nach oben wachsende Temperaturabnahme auf. Bemerkenswert konstant war auch die Windrichtung, die nur wenig von WSW abwich.

11. April 1912 8 a.

Instrument No. 116.

Temperatur-Korrektion des Aneroïdes:

$$d\,p = -\Delta T\,(0.340 - 0.000457 \cdot p).$$

Art, Grösse, Füllung, freie Steigkraft des Ballons: 1 Gummiballon, 1.5 m Durchmesser, Wasserstoff; 0.5 kg.

Zeit des Aufstiegs: 7^{58} a M. E. Z.

Witterung beim Aufstieg:

a) Wind, Bewölkung, Form, Richtung und Geschwindigkeit der Wolken etc.: SW_3 6° $\odot \frac{ci\ st}{cu\ st\ (gestreift\ von\ SW\ nach\ NE)}$ rasch wechselnde Bewölkung.

b) Temperatur beim Aufstieg: 0.0°, relative Feuchtigkeit: 71 %.

Temperatur 2 Stunden vor dem Aufstieg: −2.3°, nach dem Aufstieg: + 2.0°.

Maximum des Vortages: 7.0°.

Maximum des Aufstiegstages: 5.1° um 1^{40} p.

Minimum des Aufstiegstages: −2.4° um 6^{5} a.

Name, Seehöhe, Entfernung und Richtung des Landungsortes: Haarpoint bei St. Johann im Pongau, ca 520 m, 152 km, S 55° E.

Dauer des Aufstiegs: $52^{m}\ 33^{sec}$.

Mittlere Steiggeschwindigkeit: 4.4 m/sec.

Grösste Höhe: 14 590 m.

Tiefste Temperatur: — 53.3° in 14 590 m.

Ventilation noch in 14250 m 0.7.

Besondere Bemerkungen: Den Berechnungen liegt das Lamellenthermogramm zugrunde.

Ergebnis der Registrierung:

Zeit h m s	Luftdruck mm	mbar	Seehöhe m	Dyn. m	Temperatur C° Rohr.	Lam. Therm.	Gradient △ t/100 m	Relative Feuchtigkeit %	Steiggeschwindigkeit des Ballons m/sec.	Bemerkungen	
0 0 0	714	952	516	506	0.0	0.0		71		Aufstieg. In den unteren Schichten grosse Temperaturgradienten.	Windrichtung und Geschwindigkeit: 516—920 m S 75° W 15.3 m/s; 920—2680 m N 73° W 12.7 m/s
		900		**950**			0.88		3.8		
	672	896	1 000	980		- 4.2					
3 12	651	868	1 250	1 230	- 6.0	- 6.4		76			
	630	840	1 500	1 470		- 7.8	0.55		3.8		
		800		**1 830**							
6 7	598	797	1 900	1 860	- 9.9	-10.0		72			
	590	787	2 000	1 960		-11.1	1.08		2.8		
	553	737	2 500	2 450		-16.5					
10 37	540	720	2 680	2 630	-19.3	-18.4		70			In 2680 m ungefähr Niveau der Wolken.
		700		**2 850**							
	519	692	3 000	2 940		-20.6	0.68		6.0		
	452	603	4 000	3 920		-27.4					
		600		**3 960**							
15 12	430	573	4 340	4 250	-31.7	-29.7		70			

Zeit h m s	Luftdruck mm	mbar	Seehöhe m	Dyn. m	Temperatur C° Rohr.	Lam. Therm.	Gradient △t/100m	Relative Feuchtigkeit %	Steiggeschwindigkeit des Ballons m/sec.	Bemerkungen
15 12	430	573	4 340	4 250	-31.7	-29.7	0.55	70	5.2	
17 10	395	527	4 940	4 840	-35.2	-33.0		im Hygrogramm von		Von hier an bereits Übergang zur Stratosphäre.
	392	522	5 000	4 900		-33.1	0.10	hier ab keine Aenderung mehr	5.5	
		500		**5 210**						
19 12	359	479	5 610	5 500	-35.6	-33.7				
	341	454	6 000	5 880		-35.0	0.34		5.1	
23 34	296	395	6 950	6 810	-40.3	-38.2				
	294	392	7 000	6 860		-38.3	0.18		5.4	
25 26	271	361	7 550	7 400	-40.6	-39.3				
		400		**7 710**			0.35		5.6	
	254	339	8 000	7 840		-40.9				
27 12	248	331	8 160	8 000	-42.2	-41.4				Nochmals grössere Gradienten.
		300		**8 630**			0.79		4.3	
29 52	224	299	8 840	8 660	-47.0	-46.8				
	219	292	9 000	8 820		-47.8	0.63		5.6	
30 52	213	284	9 170	8 980	-51.0	-48.9	0.01		3.5	Beginn der Stratosphäre?
32 22	203	271	9 500	9 310	-51.3	-49.2	0.30		3.6	
34 3	192	256	9 850	9 650	-53.3	-50.3				Erstes Minimum der Temperatur.
	188	250	10 000	9 800		-50.3	0.0		4.8	
36 57	169	225	10 680	10 460	-53.0	-50.3				
37 52	164	219	10 880	10 660	-51.3	-48.9	-0.71		3.6	
	161	215	11 000	10 770		-48.9	0.0		3.9	
39 6	157	209	11 160	10 930	-51.3	-48.9				
		200		**11 210**			-0.38		3.0	
41 0	149	199	11 510	11 270	-49.3	-47.6	0.17		4.2	
41 42	145	193	11 690	11 450	-49.3	-47.9				
	138	184	12 000	11 750		-47.2	-0.23		4.0	
44 4	133	177	12 260	12 000	-47.5	-46.6				Höchste Temperatur innerhalb der Stratosphäre.
	119	158	13 000	12 730		-48.7	0.28		5.4	
46 29	118	157	13 050	12 780	-51.0	-48.9				
	102	136	14 000	13 700		-52.2	0.35		4.8	
50 41	98	131	14 250	13 950	?	-53.2	0.03		3.0	
52 33	93	124	**14 590**	14 280	?	-53.3				Höchster Punkt, tiefste Temperatur. Im Abstieg werden alle Einzelheiten des interessanten Diagrammes wieder angetroffen.
1 21 49										Landung.

11. April 1912 2 p.

Instrument Nr. 149.

Temperatur-Korrektion des Aneroïdes:

$$d\,p = -\Delta T\,(0.610 - 0.000457 \cdot p).$$

Art, Grösse, Füllung, freie Steigkraft des Ballons: 1 Gummiballon mit Fallschirm, Wasserstoff, 1.5 m Durchmesser, 0.5 kg.

Zeit des Aufstiegs: 1^{59} post M. E. Z.

Witterung beim Aufstieg:

a) Wind, Bewölkung, Form, Richtung und Geschwindigkeit der Wolken etc.: W^5 (böig) $10^1 \divideontimes^{00}$ st, st cu (6^{24} p ☈, Temperaturfall).

b) Temperatur beim Aufstieg: 4.6^0; relative Feuchtigkeit: 46%.

Temperatur 2 Stunden vor dem Aufstieg: 4.0^0, nach dem Aufstieg: 4.5^0.

Maximum des Vortages: 7.0^0

Maximum des Aufstiegstages: 5.1^0 um 1^{40} p.

Minimum des Aufstiegstages: -2.4^0 um 6^{05} a.

Name, Seehöhe, Entfernung und Richtung des Landungsortes: Ebersberg bei München 560 m, 32 km, S 75° E.

Dauer des Aufstiegs: $15^m\ 56^s$.

Mittlere Steiggeschwindigkeit: 4.1 m/sec.

Grösste Höhe: 4 370 m.

Tiefste Temperatur: $\begin{cases} -25.4^0 \\ -26.9^0 \end{cases}$ in 4370 m.

Ventilation bis zur erreichten Höhe > 1.0.

Besondere Bemerkungen: Den Berechnungen liegt das Lamellenthermogramm zugrunde.

Ergebnis der Registrierung:

Zeit h m s	Luftdruck mm	mbar	Seehöhe m	Dyn. m	Temperatur C° Rohr.	Lam. Therm.	Gradient △ t/100 m	Relative Feuchtigkeit %	Steiggeschwindigkeit des Ballons m/sec.	Bemerkungen		
0 0 0	713	951	516	506	4.6	4.6		46		Aufstieg. Zunächst grosse Gradienten.	516— 930 m	S 65° W 8.5 m
		900		**950**								
	673	897	1 000	980		0.2	0.92		3.5	R. F. nimmt gleichmässig zu.	930—1140 m	S 77° W 10.0 m
	632	843	1 500	1 470		- 4.5					1140—1340 m	S 84° W 12.9 m
		800		**1 850**							1340—1550 m	W 13.3 m
6 47	597	796	1 930	1 890	- 8.9	- 8.4		61		Etwas schwächere Gradienten.	Ballon im st verschwunden.	
	591	788	2 000	1 960		- 8.8	0.63		3.4			
7 44	582	776	2 120	2 080	-10.3	- 9.6	0.43	63	2.9			
8 17	575	767	2 220	2 180	-10.3	-10.0		64				
	557	742	2 500	2 450		-12.1						
		700		**2 890**			0.74		4.9			
	522	696	3 000	2 940		-15.7						
13 49	463	617	3 850	3 780	-23.8	-22.0	0.0	66	4.7	Kleine Isothermie.		
14 6	458	611	3 930	3 850	-23.8	-22.0		67				
	454	605	4 000	3 920		-22.6	0.77		4.5			
		600		**3 980**								
15 56	431	575	**4 370**	4 280	-26.9	-25.4		67		Höchster Punkt.		
26 26										Landung.		

12. April 1912 8 a.

Instrument Nr. 208.

Temperatur-Korrektion des Aneroïdes:

$$dp = -\Delta T\,(0.480 - 0.000457 \cdot p).$$

Art, Grösse, Füllung, freie Steigkraft des Ballons: 1 Gummiballon, 1.5 m Durchmesser, Wasserstoff. 0.5 kg.

Zeit des Aufstiegs: 7 h 52 m a M. E. Z.

Witterung beim Aufstieg:

a) Wind, Bewölkung, Form, Richtung und Geschwindigkeit der Wolken etc.: W N W 4 7^1 ⊙ cu, cu st rasch aus W N W, Bewölkung rasch wechselnd.

b) Temperatur beim Aufstieg: —0.9°, relative Feuchtigkeit: 79%.

Temperatur 2 Stunden vor dem Aufstieg: — 1.0°, nach dem Aufstieg: 1.2°.

Maximum des Vortages: 5.1°.

Maximum des Aufstiegstages: 4.4° um 1^{55} u. 3^{35} p.

Minimum des Aufstiegstages: — 2.1° um 12 p.

Name, Seehöhe, Entfernung und Richtung des Landungsortes: Abtenau bei Golling ca 710 m, 150 km, S 67° E (sehr nahe dem Landungsort des Ballones vom 11. April 1912 8 a).

Dauer des Aufstiegs: 36 m 25 s.

Mittlere Steiggeschwindigkeit: 4.7 m/sec.

Grösste Höhe: 10730 m.

Tiefste Temperatur: $\begin{cases} -50.8^\circ \\ -52.6^\circ \end{cases}$ in 9740 m.

Ventilation bis zur erreichten Höhe > 1.0.

Besondere Bemerkungen: Den Berechnungen liegt das Lamellenthermogramm zugrunde.

Ergebnis der Registrierung:

Zeit h m s	Luftdruck mm	mbar	Seehöhe m	Dyn. m	Temperatur C° Rohr.	Lam. Therm.	Gradient △t/100 m	Relative Feuchtigkeit %	Steiggeschwindigkeit des Ballons m/sec.	Bemerkungen		
0 0 0	718	957	516	506	- 0.9	- 0.9	0.90	79	4.3	Aufstieg.	516— 760 m	N 79° W 6.2 m/sec.
1 44	679	905	960	940	- 5.6	- 4.9		83		Grosse Temperaturgradienten.	760—1240 m	N 64° W 14.2 m/sec.
	675	**900**	1 000	**980**		- 5.2						
	635	846	1 500	1 470		- 8.5	0.66		3.9			
		800		**1 890**								
	594	792	2 000	1 960		-11.7						
7 20	573	764	2 270	2 230	-14.3	-13.5	-0.35	76	6.1	Kleine Inversion.		
7 53	558	744	2 470	2 420	-13.5	-12.8		70				
	556	741	2 500	2 450		-13.0	0.62		4.8			
		700		**2 870**								
9 40	521	695	2 990	2 930	-17.3	-16.0		64				
	521	694	3 000	2 940		-16.1	0 90		6.1			
11 56	466	621	3 820	3 750	-25.5	-23.5		63				

Zeit h m s	Luftdruck mm	mbar	Seehöhe m	Dyn. m	Temperatur C° Rohr.	Lam. Therm.	Gradient △ t/100 m	Relative Feuchtigkeit %	Steiggeschwindigkeit des Ballons m/sec.	Bemerkungen
11 56	466	621	3 820	3 750	−25.5	−23.5		63		
	455	606	4 000	3 920		−24.2	0.41		6 8	
		600		**3 990**						
13 5	437	583	4 290	4 210	−27.6	−25.4	0.86	59	5.2	
15 17	397	529	4 970	4 870	−33.6	−31.3		57		Von hier ab schon Übergang zur Stratosphäre.
	395	527	5 000	4 900		−31.3	0.12		5.6	
		500		**5 260**						
16 50	369	492	5 490	5 380	−34.1	−31.9	0.49	56	4.7	
18 26	346	461	5 940	5 820	−36.9	−34.1		54		
	343	457	6 000	5 880		−34.3	0.27		5.6	
21 2	305	407	6 820	6 680	−38.3	−36.5		53		
		400		**6 810**			0.10		4.2	
	298	397	7 000	6 860		−36.7				
21 51	296	395	7 030	6 890	−38.3	−36.7		53		
22 39	287	383	7 240	7 090	−37.3	−36.1	−0.28	53	4.4	Nochmals stärkere Gradienten.
24 5	275	367	7 530	7 380	−38.4	−36.9	0.27	52	3.4	
	257	343	8 000	7 840		−39.6	0.57		4.1	
26 56	248	331	8 240	8 070	−42.7	−40.9	0.89	51	4.6	
29 4	227	303	8 840	8 660	−48.3	−46.2				
		300		**8 730**			0.51		4.2	
	222	296	9 000	8 820		−47.0				
32 38	198	264	9 740	9 530	−52.6	−50.8	0.0		3.4	Tiefste Temperatur; endgültiger Beginn der Stratosphäre?
33 47	191	255	9 970	9 770	−52.4	−50.8				
	190	253	10 000	9 800		−50.8	−0.08		4.3	
35 17	180	240	10 360	10 150	−50.5	−50 5	−0.21		5.6	
36 25	170	227	**10 730**	10 510	−51.2	−49.7				Höchster Punkt. Die kleine Inversion in 2270 m war beim Abstieg (innerhalb des Gebirges) nicht vorhanden.
1 2 32										Landung.

12. April 1912:

Das Instrument ist noch nicht gefunden worden.

13. April 1912 8 a.

Instrument Nr. 349.

Temperatur-Korrektion des Aneroïdes:

$$dp = -\Delta T\,(0.243 - 0.000457 \cdot p).$$

Art, Grösse, Füllung, freie Steigkraft des Ballons: 1 Gummiballon, 1.5 m Durchmesser mit Fallschirm, Wasserstoff, 0.5 kg.

Zeit des Aufstiegs: 7^{54} a. M. E. Z.

Witterung beim Aufstieg:

a) Wind, Bewölkung, Form, Richtung und Geschwindigkeit der Wolken etc.: S W 2 0 ⊙ ∞ (nachts klarer Himmel, ⌴[1]), der N W der Visierung kommt bis 10 a auch an der Erde durch.

b) Temperatur beim Aufstieg: −0.3°; relative Feuchtigkeit 66 %.

Temperatur 2 Stunden vor dem Aufstieg: — 3.8 °, nach dem Aufstieg: 1.6°.

Maximum des Vortages: 4.4°.

Maximum des Aufstiegstages: 4.8° um 3 p.

Minimum des Aufstiegstages: —3.8° um 6 a.

Name, Seehöhe, Entfernung und Richtung des Landungsortes: Schölmberg-Alpe bei Pass Thurn (Mittersill) ca 2000 m, 120 km, S 34° E.

Dauer des Aufstiegs: $54^{m}\ 2^{s}$.

Mittlere Steiggeschwindigkeit: 4.0 m/sec.

Grösste Höhe: 13 590 m.

Tiefste Temperatur: { — 57.9 ° in 10090 m. — 60.2 ° bis 10640 m.

Ventilation im höchsten Punkte noch 0.76.

Besondere Bemerkungen: Den Berechnungen liegt das Lamellenthermogramm zugrunde.

Ergebnis der Registrierung:

Zeit h m s	Luftdruck mm	mbar	Seehöhe m	Dyn. m	Temperatur C° Rohr.	Lam. Therm.	Gradient △t/100 m	Relative Feuchtigkeit %	Steiggeschwindigkeit des Ballons m/sec.	Bemerkungen	Windrichtung und Geschwindigkeit.
0 0 0	727	969	516	506	– 0.3	– 0.3		66		Aufstieg, grosse Temp.-Gradienten.	
38	711	948	690	680	– 2.9	– 2.5	1.24	71	4.7		516—1040 m N 78° W 3.1 m
	685	913	1 000	980		– 4.9					
		900		**1 090**			0.80		4.2		1040—1560 m N 56° W 4.2 m
	642	856	1 500	1 470		– 9.0					
5 0	618	824	1 780	1 750	–11.9	–11.2		70		Kleine Störungszone	1560—2080 m N 36° W 5.2 m
5 33	607	809	1 920	1 880	–12.5	–11.6	0.29	70	4.2		
	601	801	2 000	1 960		–12.3					
		800		**1 970**			0.85		4.4		2080—3130 m N 9° W 8.8 m
	563	751	2 500	2 450		–16.6					
8 9	554	739	2 610	2 560	–18.4	–17.5	0.65	69	4.5		
9 7	535	713	2 870	2 820	–20.1	–19.2		69		Mächtige Schicht geringe Temperatur-abnahme.	
	525	**700**	3 000	2 940		–19.4	0.17		4.4		
10 0	518	691	3 110	3 050	–20.8	–19.6		68			3130—8700 m N 15° W 17.3 m
10 34	510	680	3 230	3 170	–20.0	–18.5	–0.94	68	3.5		
11 52	486	648	3 590	3 520	–21.1	–20.0	0.42	65	4.6		3700—4580 m N 15° W 24.7 m
	461	614	4 000	3 920		–20.0					
		600		**4 090**			0.0		4.7		
15 19	426	568	4 560	4 470	–21.1	–20.0		59		Hygrogramm nur mehr gerade Linie.	4580—6030 m N 15° W 30.7 m
	404	538	5 000	4 900		–22.8					
		500		**5 450**			0.65		4.7		
	353	471	6 000	5 880		–29.3					6030—7740 m N 30° W 33.0 m
23 48	306	408	6 940	6 800	–35.6	–35.4					
	304	405	7 000	6 860		–35.9					
		400		**6 950**			0.75		3.6		
	264	352	8 000	7 840		–43.4					
32 19	233	311	8 780	8 600	–49.3	–49.2					
	226	301	9 000	8 820		–50.7					
		300		**8 850**			0.66		3.5		
	193	257	10 000	9 800		–57.3					
38 34	190	253	10 090	9 880	–60.2	–57.9				Ende der Troposphäre, zunächst kleine Isothermie, dann Inversion.	
41 41	174	232	10 640	10 420	–60.2	–57.9	0.0		3.0		
	165	220	11 000	10 770		–56.6			3.5		
43 38	163	217	11 060	10 830	–59.8	–56.4	–0.36				
45 36	155	207	11 380	11 140	–54.8	–53.6	0.87		3.8		
		200		**11 310**			–0.26		4.3		
	142	189	12 000	11 750		–52.0					
47 34	141	188	12 030	11 780	–53.6	–51.9					
	122	163	13 000	12 730		–52.0	0.01		4.0		
54 2	110	147	**13 590**	13 300	–53.9	–52 0				Höchster Punkt.	
57 16	139	185	12 080	11 830	–54.3	–52.4				Aus dem Abstiegsdiagramm.	
58 22	155	207	11 380	11 140	–57.6	–56.2					
1 0 25	188	251	10 160	9 950	–58.1	–56.6				Wiedereintritt in die Troposphäre.	
1 20 7	602	803	ca 2 000	ca 1 940	–14.6	11.9				Landung (nach dem Barogramm in 1970 m, nach der Angabe des Finders in 2000 m).	

13. April 1912 2 p.

Instrument Nr. 350.
Temperatur-Korrektion des Aneroïdes:
$$dp = -\Delta T\ (0.501 - 0.000457 \cdot p).$$

Art, Grösse, Füllung, freie Steigkraft des Ballons: 1 Gummiballon, 1.5 m Durchmesser mit Fallschirm, Wasserstoff, 0.5 kg.

Zeit des Aufstiegs: 1^{56} p. M. E. Z.

Witterung beim Aufstieg:

a) Wind, Bewölkung, Form, Richtung und Geschwindigkeit der Wolken etc.: NW_1 5^1 ⊙ cu aus E mässig (Witterung in fortschreitender Besserung begriffen).

b) Temperatur beim Aufstieg: 4.4°; relative Feuchtigkeit: 34%.

Temperatur 2 Stunden vor dem Aufstieg: 3.6°, nach dem Aufstieg: 4.2°.

Maximum des Vortages: 4.4°.

Maximum des Aufstiegstages: 4.8° um 3 p.

Minimum des Aufstiegstages: — 3.8° um 6 a.

Name, Seehöhe, Entfernung und Richtung des Landungsortes: Lochneralpe (Post Walchsee) Tirol ca 1200 m, 81 km, S 45° E.

Dauer des Aufstiegs; 44^m 59^s.

Mittlere Steiggeschwindigkeit: 4.2 m/sec.

Grösste Höhe: 11910 m.

Tiefste Temperatur: $\begin{cases} -60.4^0 \\ -58.3^0 \end{cases}$ in 10410 m.

Ventilation in 11900 m noch 0.9.

Besondere Bemerkungen: Die Diagramme sind nur zum Teil erhalten (Instrument gefunden am 18. Juni 1912). Für die Höhen bis 5120 m war das Rohrthermogramm, von da an das Lamellenthermogramm massgebend.

Ergebnis der Registrierung:

Zeit h m s	Luftdruck mm	mbar	Seehöhe m	Dyn. m	Temperatur C° Rohr. Therm.	Lam. Therm.	Gradient △ t/100 m	Relative Feuchtigkeit %	Steiggeschwindigkeit des Ballons m/sec.	Bemerkungen	
0 0 0	725	967	516	506	4.4	4.4	1.56		3.5	Aufstieg. Grosse Temp. Gradienten.	Windrichtung und Geschwindigkeit: 516—750 m N 52° E 2.0 m
2 13	684	912	980	960	− 2.9						750—1200 m N 39° E 1.7 m
	682	909	1 000	980	− 2.9						1200—1430 m E 0.9 m
		900		**1 070**							1430—2120 m S 7° W 1.6 m
	642	856	1 500	1 470	− 7.3		0.88		3.8		
	602	803	2 000	1 960	−11.7						
		800		**1 990**							
8 49	563	751	2 500	2 450	−16.1					Kl. Inversion.	Ballon verloren (Durchgang dureh das Zenith)
		700		**2 920**			−0.20		4.3		
10 59	523	697	3 000	2 940	−15.0		0.66		5.1		3480—3920 m N 20° W 15.4 m
12 44	487	649	3 570	3 500	−18.5						3920—5250 m N 23° W 18.2 m
	461	615	4 000	3 920	−20.1						
		600		**4 110**			0.40		4.7		
	401	535	5 000	4 900	−24.1						Ballon von einem Cu verdeckt.
18 14	395	527	5 120	5 020	−24.6	−26.9					
		500		**5 430**			0.67		5.0		5980—6420 m N 45° W 22.7 m
	353	470	6 000	5 880		−32.8					Ballon wieder hinter einen Cu getreten und endgültig verloren.
24 7	311	415	6 870	6 130	−36.9	−38.6					
	305	407	7 000	6 860		−39.7	0 81		4.2		
		400		**6 980**							
26 33	284	379	7 480	7 330	−41.3	−43.6					
	265	353	8 000	7 840		−47.5	0.75		4.0		
32 51	226	301	9 000	8 820	−52.6	−55.0				Uebergangsschicht zur Stratosphäre.	
		300		**8 850**			0.56		3.9		
34 51	210	280	9 440	9 250	−55.3	−57.6					
	193	257	10 000	9 800		−59.2	0.28		3.7		
39 9	180	240	10 410	10 200	−58.3	−60.4				Ende der Troposphäre. Stratosphäre stark geschichtet.	
40 20	170	227	10 770	10 550	−58.3	−59.9	−0.14		5.0		
40 53	165	220	10 950	10 720	−58.3	−60.2	0.16		5.6		
	164	218	11 000	10 770		−60.0	−0.31		2.3		
41 34	163	217	11 050	10 820	−58.3	−59.9	0.04		5.3		
42 18	157	209	11 280	11 050	−58.2	−60.0					
		200		**11 320**			−0.56		3.9		
44 3	147	196	11 690	11 450	−57.8	−57.7	0.09		3.9		
44 59	142	189	11 910	**11 660**	−57.8	−57.9				Höchster Punkt. Abstiegsdiagramme nicht zu gebrauchen.	

Lamellenthermogramm zerstört.

Hygrogramm vollkommen zerstört.

Am ersten und zweiten Tage des kleinen Serienaufstieges im April war der Luftozean kräftig aufgepeitscht. Tiefe Depressionen lagen östlich von unserem Gebiete, hoher Druck schob sich rasch von Westen her nach; bis zum dritten Aufstiegstage bereits bildete sich ein kontinentales Maximum aus.

Wir führten zum ersten Male unseren Plan durch, bei den kleinen Serienaufstiegen einen weiteren Aufstieg um 2 p einzuschieben, um allmählich Material für die Tagesperiode der meteorologischen Elemente und ähnliche Fragen zu bekommen. Leider waren wir nicht vom Glück begünstigt, da eines von den sechs emporgeschickten Instrumenten verloren ging und der Aufstieg vom 11. April 2 p schon in 4370 m sein Ende fand.

Aus dem beigegebenen Temperaturdiagramm leiten wir zwei Resultate ab:

1. Die auf die Tagesperiode zurückzuführende Erwärmung am 11. von 8 a bis 2 p ist bis in 5000 m Seehöhe noch deutlich zu erkennen.
2. Wenn die Troposphäre durch stärkere Temperaturabnahme definiert ist, dann fand sie am 11. und 12. schon in 5000 m ihr Ende. Das Herabgehen der Stratosphäre bis in so niedrige Höhen ist charakteristisch für die geschilderte Luftdruckverteilung (Typus IV).

Die Steiggeschwindigkeit der beiden Ballone vom 11. und 12. 8 a wies eine bemerkenswerte Übereinstimmung auf: in den untersten Schichten nahezu normal; darauf folgte eine Zone mit stark aufsteigender Komponente, darüber absteigende Bewegung; erst in 12000 m näherte sich die Steiggeschwindigkeit der „normalen“ [1]).

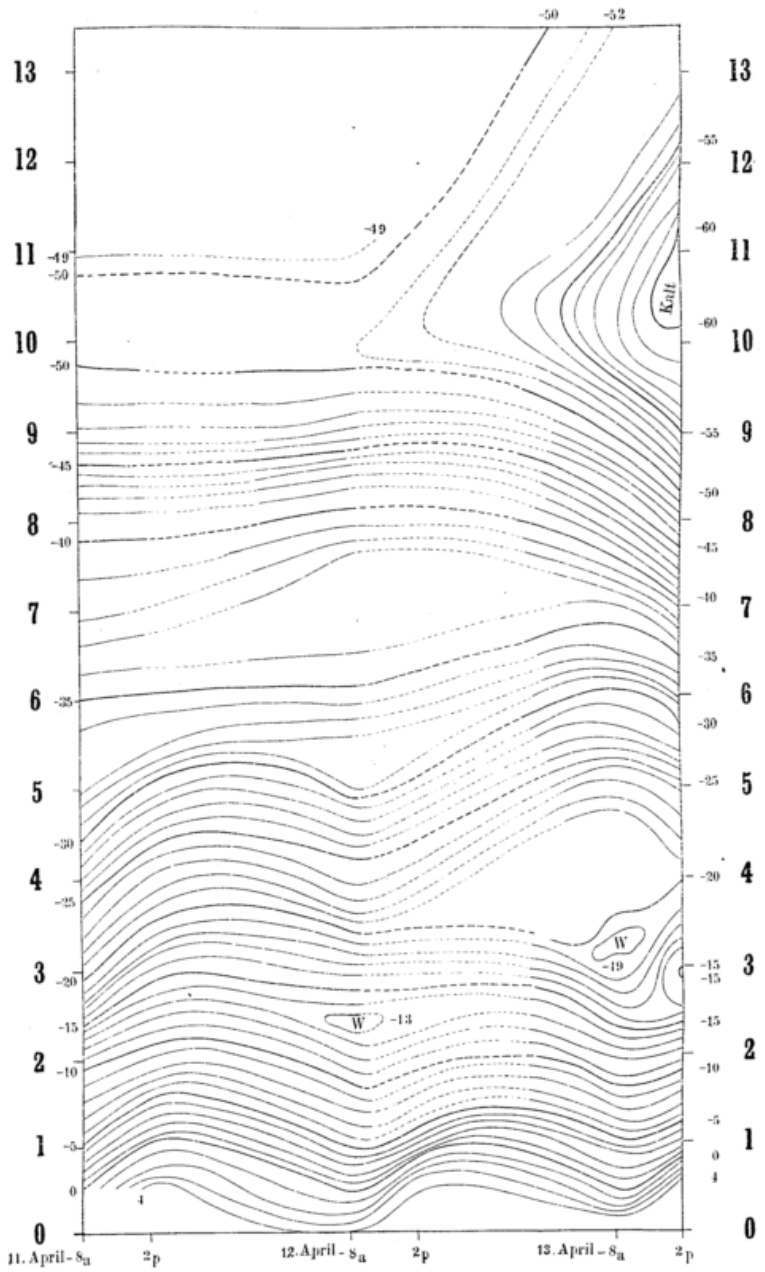

Im einzelnen ergab die Berechnung

am 11. (8 a)

	0—2	2—4	4—6	6—8	8—10	10—12	12—14 km
Sollwert	4.2	4.3	4.5	4.6	4.8	4.9	5.1
Wirkl. Wert	3.8	4.4	5.4	5.4	4.2	4.0	4.8
	nahezu normal		aufsteig. Bewegung der Atm.		absteig. Bewegung der Atm.		nahe normal

am 12. (8 a)

Sollwert	4.3	4.5	4.6	4.8	5.0	5.2
Wirkl. Wert	4.0	5.3	5.3	4.6	4.2	[4.7] [2])
	nahe normal	aufsteig. Bewegung der Atm.		normal	absteig. Bewegung der Atm.	

Die spezielle Dynamik wird sich erst erschliessen lassen, wenn auch von anderen Aufstiegsorten die Vertikalbewegungen der Atmosphäre an diesen Tagen bekannt sein werden.

[1]) Vergl. Met. Zeitschr. 1912 Heft 5.

[2]) Extrapoliert.

2. Mai 1912.

Instrument No. 407.

Temperatur-Korrektion des Aneroïdes:

$$dp = -\Delta T\,(0.500 - 0.000457 \cdot p).$$

Art, Grösse, Füllung, freie Steigkraft des Ballons: 1 Gummiballon, 1.5 m Durchmesser mit Fallschirm, Wasserstoff; 0.5 kg.

Zeit des Aufstiegs: 8^h a M. E. Z.

Witterung beim Aufstieg:

a) Wind, Bewölkung, Form, Richtung und Geschwindigkeit der Wolken etc.: $E_{1\text{-}2}\,O\odot$, nachts ⌴, am Morgen noch ⌓.

b) Temperatur beim Aufstieg: 3.6°; relative Feuchtigkeit: 57%.

Temperatur 2 Stunden vor dem Aufstieg: —0.7°, nach dem Aufstieg: 8.1°.

Maximum des Vortages: 11.5°.

Maximum des Aufstiegstages: 12.1° um 1—3 p.

Minimum des Aufstiegstages: —1.3° um 5^{35} a.

Name, Seehöhe, Entfernung und Richtung des Landungsortes Hebertshausen bei Dachau 470 m, 16.5 km, N 22° W.

Dauer des Aufstiegs: $48^m\ 58^s$.

Mittlere Steiggeschwindigkeit: 3.6 m/sec.

Grösste Höhe: 11 000 m.

Tiefste Temperatur: — 60.8° in 9 950 m.

Ventilation bis zur erreichten Höhe > 1.0.

Besondere Bemerkungen: Das Rohrthermogramm wies Mängel auf, weshalb von der Mitteilung der Temperaturangaben desselben Abstand genommen wurde. Der Ballon wurde 16 Min. lang verfolgt. Dann kam er in unerklärlicher Weise aus dem Gesichtsfelde (Refraktionsanomalie?); für die grösseren Höhen ist daher das Ergebnis der gleichzeitigen, in den unteren Schichten gut übereinstimmenden Pilotvisierung eingetragen.

Ergebnis der Registrierung:

Zeit h m s	Luftdruck mm	mbar	Seehöhe m	Dyn m	Temperatur C°	Gradient △ t/100 m	Relative Feuchtigkeit %	Steiggeschwindigkeit des Ballons m/sec.	Bemerkungen	Windrichtung und Geschwindigkeit.		
0 0 0	718	957	516	506	3.6		57		Aufstieg.			
						1.26		3.4		516— 750 m	S 75° E	4.8 m
1 11	697	929	760	750	0.6		58			750—1230 m	N 72° E	4.7 m
	676	901	1 000	980	- 0.7							
						0.52		4.2				
		900		**990**								
2 15	674	899	1 020	1 000	- 0.8		58		Kleine Inversion.			
						-0.38		5.0				
2 41	663	884	1 160	1 140	- 0.3		59			1230—1470 m	S 85° E	4.8 m
	635	847	1 500	1 470	- 2.6					1470—1960 m	S 67° E	2.6 m
						0.66		4.1				
		800		**1 890**								
6 13	594	792	2 000	1 960	- 6.0		59			1960—2200 m	S 67° W	2.4 m
						0.26		3.8				
7 12	577	769	2 250	2 210	- 6.6		59			2200—2680 m	E	1.7 m
						-0.22		4.3				
8 16	557	743	2 500	2 450	- 6.0		57			2680—3770 m	E	4.8 m
						0.26		3.6				
10 3	530	707	2 910	2 850	- 7.0		52					
									Schwache Gradienten.			
		700		**2 930**		0.27		3.3				
	524	699	3 000	2 940	- 7.2							
12 54	493	657	3 480	3 410	- 8.5		53			3770—3980 m	E	1.4 m
	461	614	4 000	3 920	-11.8					**3980—4200 m**	**N 31° E**	**2.1 m**
						0.63		3.9		Pilotballonvisierung von hier ab eingesetzt		
15 37	454	605	4 110	4 030	-12.5		53			4200—4320 m	E	2.0 m
		600		**4 100**								
	405	540	5 000	4 900	-19 0					4320—5580 m	S 18° E	5.0 m
						0.73		3.1				
		500		**5 450**								
24 47	361	481	5 820	5 710	-25.0		53			5580—8800 m	S 14° W	5.4 m
	353	470	6 000	5 880	-26 6							
	306	408	7 000	6 860	-35 5							
						0.88		3.3				
		400		**7 000**								
32 19	293	391	7 290	7 140	-38 1		52					
						0.90		3.2				
	264	352	8 000	7 840	-44.5							
37 40	251	335	8 330	8 160	-47.5		52			8800—9920 m	S 31° W	5.0 m
	227	303	9 000	8 820	-53.5							
						0.91		3.8				
		300		**8 880**								
42 19	212	283	9 430	9 240	-57.4		50		Hygrogramm nur mehr gerade Linie			
						0.65		3.4				
44 56	195	260	9 950	9 750	-60.8				Beginn der Stratosphäre, tiefste Temperatur.			
	193	257	10 000	9 800	-60.7	-0.08		3.5				
46 39	184	245	10 310	10 100	-60.5							
						-0.49		5.7				
47 33	175	233	10 630	10 410	-59.0							
						0.22		4.3				
48 58	165	220	**11 000**	10 770	-59.8				Höchster Punkt.			
1 20 6									Landung.			

Am Morgen des 2. Mai befand sich München im Kerne eines kontinentalen barometrischen Maximums und hatte dementsprechend wolkenloses Wetter.

Der starke Temperaturgradient unmittelbar am Boden findet seine Erklärung in der raschen Erwärmung der bodennächsten Schichten. Im übrigen war die Temperaturabnahme bis hinauf zu 3480 m bemerkenswert gering.

Ziehen wir die Steiggeschwindigkeit des Ballons als Massstab für vertikale Bewegungen der Atmosphäre heran, so ergibt sich (die Steiggeschwindigkeit zwischen der Erde und 10630 m als Normale genommen)

	0.5—2	2—4	4—6	6—8	8—10 km
Sollwert	3.3	3.4	3.5	3.6	3.8
Wirkl. Wert	4.0	3.7	3.1	3.3	3.7
	aufsteigende Bewegung		absteigende Bewegung		normal

Es erscheint bemerkenswert, dass bei Vertikalbewegungen der Atmosphäre (wie zwischen 0.5 und 4 km) durchaus nicht immer grosse Temperaturgradienten angetroffen werden müssen. Zur Erklärung darf man wohl an einen Mischungsvorgang denken zwischen den durch nächtliche Temperaturumkehr noch warmen Schichten mit den adiabatisch abgekühlten Konvektionsströmen.

6. Juni 1912.

Instrument No. 424.

Temperatur-Korrektion des Aneroïdes:

$$dp = -\Delta T\,(0.583 - 0.000457 \cdot p).$$

Art, Grösse, Füllung, freie Steigkraft des Ballons: 1 Gummiballon, 1.5 m Durchm. mit Fallschirm, Wasserstoff, 0.5 kg.

Zeit des Aufstiegs: 7^{57} a. M. E. Z.

Witterung beim Aufstieg:

a) Wind, Bewölkung, Form, Richtung und Geschwindigkeit der Wolken etc.: E 0-1 9^{1} ⊙ cu str aus E langsam (bis 7^{30} ganz wolkenlos, von da an Bewölkung rasch zunehmend).

b) Temperatur beim Aufstieg: 16.9°; relative Feuchtigkeit: 59%.

Temperatur 2 Stunden vor dem Aufstieg: 11.3°, nach dem Aufstieg: 19.0°.

Maximum des Vortages: 19.2°.

Maximum des Aufstiegstages: 25.0° zwischen 2^{30} und 5^{30} mehrmals.

Minimum des Aufstiegstages: 10.5° um 4 a.

Name, Seehöhe, Entfernung und Richtung des Landungsortes: Berg ob Landshut ca 500 m, 62 km N 41° E.

Dauer des Aufstiegs: $49^{m}\ 6^{s}$.

Mittlere Steiggeschwindigkeit: 4.4 m/sec.

Grösste Höhe: 13430 m.

Tiefste Temperatur: $\begin{cases} -55.9^{0} \\ -55.3^{0} \end{cases}$ in 11640 m.

Ventilation in Maximalhöhe noch 1.0.

Besondere Bemerkungen: Den Berechnungen liegt das Lamellenthermogramm zugrunde.

Ergebnis der Registrierung:

Zeit h m s	Luftdruck mm	mbar	Seehöhe m	Dyn. m	Temperatur C° Rohr.	Lam. Therm.	Gradient △ t/100 m	Relative Feuchtigkeit %	Steiggeschwindigkeit des Ballons m/sec.	Bemerkungen
0 0 0	717	956	516	506	16.9	16.9		59		Aufstieg direkt im Zenith; nach 6 Min. Eintritt in eine tiefliegende Wolke.
	678	904	1 000	980		12.9	0.82		4.7	
		900		**1 020**						
3 12	644	859	1 420	1 390	9.4	9.5		62		
	638	850	1 500	1 470		8.9				
		800		**1 950**			0.68		4.8	
	599	799	2 000	1 960		5.5				
5 31	593	791	2 090	2 050	5.1	4.9	0 0	82	4.8	Kleine Isothermie.
6 2	582	776	2 250	2 210	5.1	4.9		79		
	564	752	2 500	2 450		3.9	0 40		5.0	
7 28	552	736	2 680	2 630	3.1	3.2		70		
	531	708	3 000	2 940		0.8	0.72		5 3	
		700		**3 030**						
10 15	494	659	3 560	3 490	- 2.5	- 3.2	0 24	72	4.7	Geringe Temperaturabnahme.
11 25	474	632	3 890	3 810	- 4.1	- 4.0		71		
	467	623	4 000	3 920		- 4 7	0.70		5 2	
		600		**4 220**						
13 22	438	584	4 510	4 420	- 8.5	- 8.3	0.0	74	5.2	Kleine Isothermie.
14 3	426	568	4 720	4 630	- 8.3	- 8.3		72		Von hier ab ziemlich gleichmässige grosse Gradienten.
	413	550	5 000	4 900		-10.2				
		500		**5 640**			0.68		5.0	
	362	483	6 000	5 880		-17.0				
20 34	328	437	6 700	6 570	-21 3	-21.8		64		

Zeit h m s	Luftdruck mm	mbar	Seehöhe m	Dyn. m	Temperatur C° Rohr.	Lam.	Gradient △ t/100 m	Relative Feuchtigkeit %	Steiggeschwindigkeit des Ballons m/sec.	Bemerkungen
20 34	328	437	6 700	6 570	-21.3	-21.8		64		
	316	421	7 000	6 860		-23.9				
		400		**7 250**			0.71		4.2	
	285	367	8 000	7 840		-31.0				
28 58	245	327	8 780	8 600	-36.5	-36.5		69		
	238	317	9 000	8 820		-38.2				
		300		**9 210**			0.78		4.0	
	206	274	10 000	9 800		-46.0				
35 46	193	257	10 390	10 180	-49.0	-49.0		61		
	176	234	11 000	10 770		-53.1	0.67		3.9	
39 58	166	221	11 360	11 120	-54.9	-55.5		61		Ende der Troposphäre.
							0.15		3.8	
41 9	159	212	11 640	11 400	-55 3	-55.9		58		Tiefste Temperatur.
	150	200	12 000	11 750		-55.9				
		200		**11 760**			-0.01		3.7	
44 58	139	185	12 490	12 230	-55.3	-55.8		59		
	128	171	13 000	12 730		-54.7	-0.23		3.9	
47 28	127	169	13 070	12 800	-54.9	-54.5		62		
							-0.25		3.7	
49 6	120	160	**13 430**	13 150	-53.4	-53.6		61		Höchster Punkt.
52 4	157	209	11 740	11 500	-55.8	-56.9				Tiefste Temperatur des Abstieges.
53 15	175	233	11 030	10 800	-55.6	-56.9				Austritt aus der Stratosphäre.
1 21 18	716	955	ca 500							Landung.

Am 6. Juni befand sich München im Bereiche eines ganz flachen barometrischen Maximums, dessen Kern über Finnland lag. Von einer wenig intensiven, über den britischen Inseln liegenden Depression spalteten sich gelegentlich kleine Gewitterwirbel ab, ohne dass das Tiefdruckgebiet selbst seine Stellung veränderte.

Die Temperaturregistrierung ergab, entsprechend der Luftdruckverteilung, in den unteren 5000 m mehrere „Sperrschichten". Bemerkenswert ist der ganz präzise Ansatz der Stratosphäre, und zwar nach Typus I von R 1909 S. 29. Es verrät sich darin die Stabilität der Luftdruckverteilung, um nicht zu sagen die Neutralität desselben.

1. Juli 1912.

Instrument No. 424.

Temperatur-Korrektion des Aneroïdes:

$$dp = -\Delta T\,(0.580 - 0.000457 \cdot p).$$

Art, Grösse, Füllung, freie Steigkraft des Ballons: 1 Gummiballon, 1.5 m Durchmesser, Fallschirm, Wasserstoff, 0.5 kg.

Zeit des Aufstiegs: 8^{10} a M. E. Z.

Witterung beim Aufstieg:

a) Wind, Bewölkung, Form, Richtung und Geschwindigkeit der Wolken etc.: S W $_{0\cdot1}$ 10^{1} cu ni $\circledcirc^{0-1}$ (alt st —, st cu aus W langsam) (Ballon in einer kurzen Regenpause hoch).

b) Temperatur beim Aufstieg: 14.1°; relative Feuchtigkeit: 90%.

Temperatur 2 Stunden vor dem Aufstieg: 13.1°, nach dem Aufstieg: 16.1°.

Maximum des Vortages: 21.0°.

Maximum des Aufstiegstages: 18.5° um 1 p.

Minimum des Aufstiegstages: 13.0° um 4^{05} a.
12.9° um 12 p.

Name, Seehöhe, Entfernung und Richtung des Landungsortes: Eichendorf bei Landau an der Isar ca 380 m, 102 km, N 56° E.

Dauer des Aufstiegs: $52^{m}\ 14^{s}$.
Mittlere Steiggeschwindigkeit: 3.9 m/sec.

Grösste Höhe: 12 870 m.

Tiefste Temperatur: −53.6° / −56.0° in 12 090 m.

Ventilation bis zur erreichten Höhe > 0.7.

Besondere Bemerkungen: Das Instrument wurde am 2. August gefunden. Den Berechnungen liegt das Lamellenthermogramm zugrunde.

Ergebnis der Registrierung:

Zeit h m s	Luftdruck mm	mbar	Seehöhe m	Dyn. m	Temperatur C° Rohr.	Lam.	Gradient △ t/100 m	Relative Feuchtigkeit %	Steiggeschwindigkeit des Ballons m/sec.	Bemerkungen
0 0 0	715	953	516	506	14.1	14.1		90		Aufstieg. Sehr kleiner Gradient trotz des voraufgegangenen Regens, Abnahme der R. F., erst in 750 m Zunahme derselben bis zum Maximum in der unteren Wolkenschicht.
							0.17		4.0	
59	695	927	750	740	13.3	13.7		66		
	675	**900**	1 000	**980**		12.1				
							0.64		4.3	
	634	846	1 500	1 470		8.9				
4 2	632	843	1 540	1 510	8.2	8.6		72		

Zeit h m s	Luftdruck mm	mbar	Seehöhe m	Dyn. m	Temperatur C° Rohr.	Lam.	Gradient △ t/100 m	Relative Feuchtigkeit %	Steiggeschwindigkeit des Ballons m/sec.	Bemerkungen
4 2	632	843	1 540	1 510	8.2	8.6		72		
		800		**1 930**			0.84		3.9	
	598	797	2 000	1 960		4.7				
7 29	573	764	2 340	2 290	1.2	1.9		86		
	560	747	2 500	2 450		1.3				
		700		**2 900**			0.37		3.5	
	522	696	3 000	2 940		- 0.5				
11 23	518	691	3 150	3 090	- 1.3	- 1.1		91		
	464	619	4 000	3 920		- 5.3				
		600		**4 180**			0.50		3.6	
	410	546	5 000	4 900		-10.3				
21 35	389	519	5 380	5 270	-13.3	-12.3		71		
		500		5 540			0.59		4.9	
22 40	373	497	5 700	5 590	-15.7	-14.2		69		
	359	478	6 000	5 880		-15.3	0.37		4.0	
24 7	356	475	6 050	5 930	-16.3	-15.5		49		
	314	419	7 000	6 860		-21.6	0.64		3.7	
29 14	306	408	7 180	7 040	-24.5	-22.7		26		
		400		**7 180**			0.45		4.3	
31 8	286	381	7 670	7 520	-26.7	-24.9		25		Ungestörte Temperaturabnahme bis zur Uebergangsschicht.
	273	364	8 000	7 840		-27.4	0.75		3.9	
33 28	265	353	8 220	8 050	-31.2	-29.0	0.72	23	3.9	
35 30	248	331	8 690	8 510	-35.4	-32.4		23		
	237	316	9 000	8 820		-35.4	0.95		3.9	
37 50	229	305	9 250	9 060	-40.4	-37.7		22		
		300		**9 180**			0.84		4.1	
	206	274	10 000	9 800		-44.0				
43 50	184	245	10 720	10 500	-52.2	-50.1		21		Uebergang zur Stratosphäre.
	176	235	11 000	10 770		-50.9	0.27		3.2	
46 10	172	229	11 160	10 930	-53.6	-51.3	-0.62	Hygrogramm zeigt keine weitere Aenderung an.	6.6	
46 39	167	223	11 350	11 110	-52.4	-50.1	0.20		5.2	
47 56	157	209	11 750	11 510	-53.4	-50.9				
	152	202	12 000	11 750		-52.9	0.80		5.9	
		200		**11 810**						Eintritt in die Stratosphäre.
48 53	149	199	12 090	10 840	-56.0	-53.6	-0.06		4.0	
50 55	138	184	12 580	12 320	-55.6	-53.3	-1.22		3.7	
52 14	132	176	**12 870**	12 600	-51.9	-49.8				Höchster Punkt.
										Einige Korrespondenzpunkte aus dem Abstiege:
54 9	153	204	11 910	11.660	-55.8	-53.3				entspricht im Aufstieg 12 090 m
55 19	172	229	11 160	10 930	-52.4	-50.6				entspricht im Aufstieg 11 350 m
56 7	191	255	10 470	10 250	-53.7	-51.9				entspricht im Aufstieg 11 160 m
1 23 48			ca 380							Landung.

2. Juli 1912.

Instrument No. 116.

Temperatur-Korrektion des Aneroïdes:

$$d\,p = -\Delta T\,(0.340 - 0.000457 \cdot p).$$

Art, Grösse, Füllung, freie Steigkraft des Ballons: 1 Gummiballon 1.5 m Durchmesser mit Fallschirm, Wasserstoff; 0.5 kg.

Zeit des Aufstiegs: 7^{48} a M. E. Z.

Witterung beim Aufstieg:

a) Wind, Bewölkung, Form, Richtung und Geschwindigkeit der Wolken etc.: SW_{0-1} 10^2 ◍^{0} cu ni aus NW.

b) Temperatur beim Aufstieg: 12.3°, relative Feuchtigkeit: 90 %.

Temperatur 2 Stunden vor dem Aufstieg: 12.1°, nach dem Aufstieg: 13.0°.

Maximum des Vortages: 18.5°.

Maximum des Aufstiegstages: 18.4° um 3^{30} bis 4^{30} p mehreremale.

Minimum des Aufstiegstages: 12.0° um 3^{45} a, 11.9° um 12 p.

Name, Seehöhe, Entfernung und Richtung des Landungsortes: Perkam (bei Straubing), ca 350 m, 109 km, N 42° E.

Dauer des Aufstiegs: $55^m\ 32^s$.

Mittlere Steiggeschwindigkeit: 4.3 m/sec.

Grösste Höhe: 14 920 m.

Tiefste Temperatur: $\begin{cases} -45.9^0 \\ -47.7^0 \end{cases}$ in 10 200 m.

Ventilation bis 14 000 m > 0.6 (auch noch in Max.-Höhe genügend).

Besondere Bemerkungen: Das Instrument wurde am 13. August 1912 gefunden. Den Berechnungen liegt das Lamellenthermogramm zugrunde.

Ergebnis der Registrierung.

Zeit h m s	Luftdruck mm	mbar	Seehöhe m	Dyn. m	Temperatur C° Rohr.	Lam.	Gradient △ t/100 m	Relative Feuchtigkeit %	Steiggeschwindigkeit des Ballons m/sec.	Bemerkungen
0 0 0	715	953	516	506	12.8	12.8		90		Aufstieg. Starke Temperaturabnahme reell, Instrument vor dem
							0.72		4.2	Aufstieg ventiliert.
1 43	679	905	950	930	9.6	9.7		91		
		900		**970**						
							0.09		3.9	
	674	899	1 000	980		9.7				
2 11	670	893	1 060	1 040	9.6	9.6		83		
	635	847	1 500	1 470		6.9	0.62		4.2	
4 40	621	828	1 680	1 650	5.5	5.7		90		
		800		**1 900**						
							0.54		4.8	
	595	793	2 000	1 960		4.0				
6 36	580	773	2 240	2 200	2.2	2.7		98		
	560	747	2 500	2 450		1.4	0.49		4.7	
8 32	542	723	2 780	2 730	- 0.4	0.1		93		
9 13	529	705	2 970	2 910	- 1.1	- 0.8	0.46	96	4.7	
	527	702	3 000	2 940		- 0.9				
		700		**2 960**			0.34		4.1	
10 24	510	680	3 260	3 200	- 2.6	- 1.8		87		
	464	619	4 000	3 920		- 5.1	0.44		4.1	
14 0	456	608	4 150	4 070	- 6.5	- 5.7		81		
		600		**4 180**						
	410	546	5 000	4 900		-10.8	0.60		4.9	
		500		**5 540**						
19 22	371	495	5 730	5 620	-17.9	-15.2		73		
20 6	358	477	6 000	5 880	-18.0	-16.3	0.41	72	5.0	
22 47	321	428	6 810	6 670	-22.5	-20.6	0.53	56		
	313	417	7 000	6 860		-22.0				
		400		**7 180**			0.75		4.5	
	273	364	8 000	7 840		-29.5				
27 48	266	355	8 180	8 010	-34.9	-30.9		51		
29 12	250	333	8 610	8 440	-37.7	-34.6	0.85	50	5.2	
	236	315	9 000	8 820		-37.7				
		300		**9 140**			0.79		4.4	
32 40	219	292	9 520	9 330	-44.0	-41.8		49		
33 12	212	283	9 740	9 540	-45.6	-43.3	0 68	48		Übergangsschicht zur Stratosphäre.
	204	272	10 000	9 800		-44.8	0 57		5.0	
34 48	198	264	10 200	9 990	-47.7	-45.9		48		Ende der Troposphäre.
36 32	186	247	10 620	10 400	-47.0	-44.7	-0.29	48	4.0	
37 42	179	239	10 870	10 650	-45 1	-42.8	-0 74	47	3.6	
	176	234	11 000	10 770		-42.8	0.03		4.4	
39 58	164	219	11 470	11 230	-45.1	-43 0		46		
	152	202	12 000	11 750		-45.1	0.39		4.1	
		200		**11 810**						
42 35	149	199	12 110	11 860	-47.5	-45.5	-0.32	43	3.6	
46 10	133	177	12 870	12 600	-44.8	-43.1		42		
	130	173	13 000	12 730		-43.0	-0.07		3.6	
50 23	116	155	13 790	13 500	-45.1	-42.5		40		
	113	150	14 000	13 700		-43.5	0.48		5.7	
52 10	106	141	14 400	13 700	-45.6	-45.4				
55 32	98	131	**14 920**	14 600	-45.7	-43.9	-0.29		2.6	Höchster Punkt,
										Einige korrespondierende Punkte des Abstieges
56 52	113	150	13 970	13 680	-48.2	-46 4				Entspricht 14 400 m im Aufstieg.
59 54	145	260	12 310	12 050	-45.4	-44.2				Entspricht 12 870 m im Aufstieg.
61 32	163	217	11 530	11 290	-47.0	-46.1				Entspricht 12 100 m im Aufstieg.
1 3 2	185	247	10 680	10 460	-45.1	-44.2				Entspricht 10 870 m im Aufstieg.
1 5 17	214	285	9 710	9 510	-46.0	-45.9				Entspricht 10 200 m im Aufstieg.
										(Wiedereintritt in die Stratosphäre.)
1 30 5	[725]		ca. 350							Landung.

Hygrogramm zeigt keine Änderung mehr

3. Juli 1912.

Instrument No. 529.

Temperatur-Korrektion des Aneroïdes:

$$d\,p = -\Delta T\,(0.450 - 0.000457 \cdot p).$$

Art, Grösse, Füllung, freie Steigkraft des Ballons: 1 Gummiballon mit Fallschirm 1.5 m Durchmesser, Wasserstoff; 0.5 kg.

Zeit des Aufstiegs: 8° a. M. E. Z.

Witterung beim Aufstieg:

a) Wind, Bewölkung, Form, Richtung und Geschwindigkeit der Wolken etc.: SSW_1. West-Himmel wolkenlos, am Osthimmel starke cu, cu st, darüber ci. Die Bewölkung im Osten nimmt zu und macht einen gewitterigen Eindruck.

b) Temperatur beim Aufstieg: 13.7°, relative Feuchtigkeit: 68%.

Temperatur 2 Stunden vor dem Aufstieg 11.5°, nach dem Aufstieg: 15.5°.

Maximum des Vortages: 18.4°.

Maximum des Aufstiegstages: 20.3° um 1 p.

Minimum des Aufstiegstages: 10.4° um 5 a.

Name, Seehöhe, Entfernung und Richtung des Landungsortes: Birnbach im Rottal (Niederbayern) ca 380 m, 115 km, N 73° E.

Dauer des Aufstiegs: 48 m 59 s.

Mittlere Steiggeschwindigkeit: 4.5 m/sec.

Grösste Höhe: 13690 m.

Tiefste Temperatur: $\begin{cases} -46.0^\circ \\ -47.5^\circ \end{cases}$ in 10370 m.

Ventilation in 13690 m noch 0.6.

Besondere Bemerkungen: Den Berechnungen liegt das Lamellenthermogramm zugrunde.

Ergebnis der Registrierung:

Zeit h m s	Luftdruck mm	Luftdruck mbar	Seehöhe m	Seehöhe Dyn. m	Temperatur C° Rohr.	Temperatur C° Lam.	Gradient △t/100 m	Relative Feuchtigkeit %	Steiggeschwindigkeit des Ballons m/sec.	Bemerkungen	Bemerkungen
											Windrichtung und Geschwindigkeit
0 0 0	717	956	516	506	13.7	13.7		68		Aufstieg. Grosse Temp.-Gradienten m. grosser Steiggeschwindigkeit. Für die Auswertung massgebend das structurliche Hygrogramm.	516— 1450 m C
	676	901	1 000	980		10.1					
		900		**990**			0.75		6.2		
1 39	666	888	1 130	1 110	9.4	9.1		83			
	637	849	1 500	1 470		6.4	0.73		5.1		ab 1450 m S 85° W (sehr schwach)
3 19	626	835	1 640	1 610	6.3	5.4		77			
3 42	619	825	1 730	1 700	4.8	4.6	0.87	79	4.0		1770—2900 m S 73° W 7.1 m
		800		**1 950**			0.58		4.5		
	599	799	2 000	1 960		3.0					
4 59	593	791	2 080	2 040	2.6	2.6		79			
	562	749	2 500	2 450		1.3	0.32		4.6		
6 43	559	745	2 550	2 500	0.9	1.1		73			
7 47	537	716	2 870	2 820	- 1.3	- 0.7	0.56	75	5.0		2900—3740 m S 58° W 12.2 m
	527	703	3 000	2 940		- 1.3	0.50		4.4		
8 28	525	**700**	3 050	**2 990**	- 2.0	- 1.6		73			
10 34	490	653	3 600	3 530	- 6.8	- 5.9	0.79	82	4.3		3740—5830 m S 68° W 14.3 m
	467	623	4 000	3 920		- 8.3					
		600		**4 220**			0.59		5.0		
	410	547	5 000	4 900		-14.2					
16 34	387	516	5 410	5 310	-17.6	-16.6		59			5830—7220 m S 77° W 28.5 m
		500		**5 590**							
	363	484	6 000	5 880		-20.3					
	323	430	7 000	6 860		-26.5	0.62		6.4		7220—8600 m S 82° W 34.0 m
		400		**7 410**						Übergangsschicht zur Stratosphäre.	
	282	376	8 000	7 840		-32.8					8600—9840 m S 75° W 42.9 m
24 53	259	345	8 580	8 410	-37.8	-36.4		58	2.3		
25 39	255	340	8 690	8 510	-38.0	-36.6	0.19	57			
	244	325	9 000	8 820		-38.5	0.60		4.0		
27 52	236	315	9 220	9 030	-41.4	-39.8		57			
		300		**9 360**			0.82		5.4		
29 30	218	291	9 760	9 560	-46.1	-44.2		56	3.2		Ballon nicht mehr sichthar.
30 20	213	284	9 920	9 720	-46.9	-45.1	0.58	56		Hygrogramm nur mehr gerade Linie, Ende der Troposphäre. (Übergangsschicht) Tiefste Temperatur	
	210	280	10 000	9 800		-45.3	0.20		3.4		
32 31	199	265	10 370	10 160	-47.5	-46.0					

Zeit h m s	Luftdruck mm	mbar	Seehöhe m	Dyn. m	Temperatur C° Rohr.	Lam.	Gradient △ t/100 m	Relative Feuchtigkeit %	Steiggeschwindigkeit des Ballons m/sec.	Bemerkungen
32 31	199	265	10 370	10 160	**-47.5**	-46.0				Tiefste Temperatur
	182	242	11 000	10 770		-45.1	-0.14		3.9	
38 0	164	219	11 650	11 410	-46.6	-44.2				
	156	208	12 000	11 750		-43.5	-0.20		3.4	
40 59	150	**200**	12 250	**11 990**	-45.0	-43.0				
	134	179	13 000	12 730		-43.0	0.0		3.0	
48 59	121	161	**13 690**	13 400	-45.0	-43.0				Höchster Punkt
57 32	220	292	9 680	9 480	**-47.5**	**-44.7**				Wiedereintritt in die Troposphäre.
1 23 56										Landung.

4. Juli 1912.

Instrument No. 208.

Temperatur-Korrektion des Aneroïdes:

$$dp = -\Delta T\,(0.480 - 0.000457 \cdot p).$$

Art, Grösse, Füllung, freie Steigkraft des Ballons: 1 Gummiballon mit Fallschirm, Ballon 1.5 m Durchm., Wasserstoff; 0.5 kg.

Zeit des Aufstiegs: 7^{57} a M. E. Z.

Witterung beim Aufstieg:

a) Wind, Bewölkung, Form, Richtung und Geschwindigkeit der Wolken etc.: W_1, $4^1 \odot$ cu aus W langsam.

b) Temperatur beim Aufstieg: 11.8°; relat. Feuchtigkeit 83%.

Temperatur 2 Stunden vor dem Aufstieg: 11.1°, nach dem Aufstieg: 14.0°.

Maximum des Vortages: 20.3°.

Maximum des Aufstiegstages: 17.6° um 1^{20} p.

Minimum des Aufstiegstages: 9.7° um 5^{30} a.

Name, Seehöhe, Entfernung und Richtung des Landungsortes: Falkenberg in Niederbayern, ca 480 m, 95 km, N 68° E.

Dauer des Aufstiegs: $59^m\ 40^s$.

Mittlere Steiggeschwindigkeit: 4.3 m/sec.

Grösste Höhe: 15 880 m.

Tiefste Temperatur: $\begin{cases} -46.6^0 \\ -45\ 8^0 \end{cases}$ in 15 880 m.

Ventilation bis zur Maximalhöhe > 0.6

Besondere Bemerkungen: Den Berechnungen liegt das Lamellenthermogramm zugrunde. Das Instrument wurde am 10. August 1912 gefunden.

Ergebnis der Registrierung:

Zeit h m s	Luftdruck mm	mbar	Seehöhe m	Dyn. m	Temperatur C° Rohr.	Lam.	Gradient △ t/100 m	Relative Feuchtigkeit %	Steiggeschwindigkeit des Ballons m/sec.	Bemerkungen
0 0 0	717	956	516	506	11.8	11.8		83		Aufstieg.
1 20	676	901	1 000	980	9.1	8.6	0.65	83	6.1	Der Ballon verfing sich im Drachenballon der Luftschifferabteilung. Die Temperaturen steigen an.
4 31	676	901	1 000	980	[10.3]	[9.7]	0.31	[67]		Ballon wird wieder frei.
		900		**990**					5.8	
5 56	637	849	1 500	1 470	6.0	7.1		83		
7 4	610	813	1 850	1 810	5.0	4.7	0.68	82	5.3	
		800		**1 930**						
	598	797	2 000	1 960		3.5	0.78		5.4	
8 29	576	768	2 310	2 270	1.3	1.1		84		
	563	750	2 500	2 450		0.0	0.58		4.6	
10 24	539	719	2 840	2 790	- 1.7	- 2.0		97		
10 53	529	705	3 000	2 940	- 1.4	- 1.6	-0.27	88	5.1	
		700		**2 990**						
	466	621	4 000	3 920		- 6.3	0.47		5.3	
14 52	450	**600**	4 260	**4 180**	- 7.1	- 7.6		61		
	410	547	5 000	4 960		-12.1				
		500		**5 570**			0.61		7.0	
	358	477	6 000	5 880		-18 2				
19 20	352	469	6 120	6 000	-18.9	-19.0		59		
	315	420	7 000	6 860		-23.9				
		400		**7 210**			0.56		4.1	
	273	364	8 000	7 840		-29.5				
27 54	263	351	8 240	8 070	-31.5	-30.8		47		

Zeit h m s	Luftdruck mm	mbar	Seehöhe m	Dyn. m	Temperatur C° Rohr.	Lam.	Gradient △ t/100 m	Relative Feuchtigkeit %	Steiggeschwindigkeit des Ballons m/sec.	Bemerkungen
27 54	263	351	8 240	8 070	-31.5	-30.8		47		
	238	317	9 000	8 820		-35.2				
		300		**9 200**			0.58		4.2	
	205	273	10 000	9 800		-41.0				
36 6	195	260	10 310	10 100	-43.6	-42.8		44		Übergang zur Stratosphäre.
	176	235	11 000	10 770		-44.4	0.22		3.9	
39 30	173	231	11 110	10 880	-45.2	-44.6				
42 46	156	208	11 810	11 570	-43.3	-43.2	-0.20	Das Hygrogramm weist keine Änderung mehr auf.	3.5	
44 8	151	201	12 000	11 750	-44.5	-44.3	0.50		2.7	
		200		**11 800**						
	132	176	13 000	12 730		-43.2	-0.11		3.8	
	113	151	14 000	13 700		-42.1				
53 24	110	147	14 160	13 860	-44.1	-41.9				
	98	131	15 000	14 680		-44.2	0.27		4.6	
59 40	85	113	**15 880**	15 540	-45.8	-46.6				Höchster Punkt.
1 3 0	179	239	10 590	10 370	-45.8	-45.8				Wiedereintritt in die Troposphäre.
1 34 52			[ca 480]							Landung.

5. Juli 1912.

Instrument No. 428.

Temperatur-Korrektion des Aneroïdes:

$$d\,p = -\,\Delta T\,(0.456 - 0.000457 \cdot p).$$

Art, Grösse, Füllung, freie Steigkraft des Ballons: 1 Gummiballon mit Fallschirm, 1.5 m Durchmesser, Wasserstoff; 0.5 kg.

Zeit des Aufstiegs: 8^{48} a M. E. Z. (erster Aufstieg von 8 a durch vorzeitiges Platzen des Ballons verunglückt).

Witterung beim Aufstieg:

a) Wind, Bewölkung, Form, Richtung und Geschwindigkeit der Wolken etc.: NW 1 4^1 ⊙ ci cu, cu verstreut, ∞°, nach der Visierung rasche Bewölkungszunahme.

b) Temperatur beim Aufstieg: 14.3°; relative Feuchtigkeit 81 %.

Temperatur 2 Stunden vor dem Aufstieg: 11.0°, nach dem Aufstieg: 17.0°.

Maximum des Vortages: 17.6°.

Maximum des Aufstiegstages: 22.0° um 3^{50} p.

Minimum des Aufstiegstages: 9.0° um 5^{30} a.

Name, Seehöhe, Entfernung und Richtung des Landungsortes: nahe bei Teisendorf in Ob.B, ca 510 m, 106 km, S 72° E.

Dauer des Aufstiegs: $58^{m}\ 29^{sec.}$

Mittlere Steiggeschwindigkeit: 4.3 m/sec.

Grösste Höhe: 15 750 m.

Tiefste Temperatur: $\left\{\begin{matrix} -49.7^\circ \\ -49.2^\circ \end{matrix}\right.$ in 15750 m.

Ventilation in 15 700 m noch 0.7.

Besondere Bemerkungen: Den Berechnungen liegen die Angaben des Lamellenthermometers zugrunde.

Ergebnis der Registrierung:

Zeit h m s	Luftdruck mm	mbar	Seehöhe m	Dyn. m	Temperatur C° Rohr.	Lam.	Gradient △ t/100 m	Relative Feuchtigkeit %	Steiggeschwindigkeit des Ballons m/sec.	Bemerkungen	
											Windrichtung und Geschwindigkeit:
0 0 0	721	961	516	506	14.3	14.3		81		Aufstieg.	516—720 m N 66° E 1.7 m
1 39	684	912	960	940	11.3	10.3	0.91	88	4.4		720—1030 m S 53° E 2.3 m
	680	907	1 000	980		10.1	0.65		4.2		1030—1800 m N 60° E 1.3 m
		900		**1 040**							
3 39	643	857	1 470	1 440	8.3	7.0		76		Sperrschicht.	
	640	853	1 500	1 470		6.9	0.20		4.4		
4 14	631	841	1 620	1 590	8.1	6.7	0.65	68	3.8		
5 2	617	823	1 800	1 770	6.8	5.5	0.61	69	4.6		1800—2310 m N 21° E 0.8 m
5 48	601	801	2 000	1 960	5.8	4.2		62			
		800		**1 970**			0.74		4.0		
7 55	564	752	2 500	2 450	2.1	0.4	0.0	74	4.3	Sperrschicht.	2310—3080 m S 57° E 2.3 m
9 28	537	716	2 920	2 860	2.1	0.4		63			

Zeit h m s	Luftdruck mm	mbar	Seehöhe m	Dyn. m	Temperatur C° Rohr.	Lam.	Gradient △ t/100 m	Relative Feuchtigkeit %	Steiggeschwindigkeit des Ballons m/sec.	Bemerkungen
										Windrichtung und Geschwindigkeit:
9 28	537	716	2 920	2 860	2.1	0.4		63		
	532	709	3 000	2 940		0.0	0.53		4.3	3080—3850 m S 30° W 2.2 m
		700		**3 040**						3850—4850 m S 67° W 5.0 m
13 2	478	637	3 850	3 780	- 3.1	- 4.5		40		Ballon hinter einen Cu getreten.
	469	625	4 000	3 920		- 5.5	0.62		4.2	
		600		**4 240**						
17 6	419	559	4 870	4 770	- 8.9	-10.9		28		
	413	550	5 000	4 900		-11.8	0.72		4.3	
		500		**5 610**						
21 30	361	481	6 000	5 880	-17.2	-19.0		25		
	314	419	7 000	6 860		-26.7	0.76		4.5	
25 28	312	416	7 060	6 920	-28.8	-27.2		23		
		400		**7 200**			0.65		4.9	
28 19	277	369	7 910	7 750	-31.2	-32.7		Hygrogramm nur mehr gerade Linie		Sperrschicht.
	273	364	8 000	7 840		-32.9	0.17		4.2	
29 14	268	357	8 140	7 980	-32.7	-33.1				
	238	317	9 000	8 820		-37.9	0.56		4.2	
		300		**9 180**						
36 3	208	277	9 890	9 690	-42.8	-42.9				Ende der Troposphäre.
	204	272	10 000	9 800		-43.1	0.17		3.8	
37 22	199	265	10 180	9 970	-43.6	-43.4	0.0		4.2	
40 12	179	239	10 900	10 680	-43.5	-43.4				
	177	236	11 000	10 770		-43.9	0.54		3.9	
42 11	167	223	11 360	11 120	-46.0	-45.9				
	152	203	12 000	11 750		-46.1	0.02		3.9	
		200		**11 840**						
47 15	139	185	12 580	12 320	-46.0	-46.2				
	132	176	13 000	12 730		-46.7				
	116	154	14 000	13 700		-47.8	0.11		4.7	
	99	132	15 000	14 680		-48.9				
58 29	86	115	**15 750**	15 400	-49.2	-49.7				Höchster Punkt, tiefste Temperatur.
1 39 30										Landung.

6. Juli 1912.

Instrument No. 427.

Temperaturkorrektion des Aneroïdes:

$$d\,p = -\,\Delta T\,(0.406 - 0.000457 \cdot p).$$

Art, Grösse, Füllung, freie Steigkraft des Ballons: 1 Gummiballon mit Fallschirm, 1.5 m Durchmesser, Wasserstoff; 0.5 kg.

Zeit des Aufstiegs: 7^{58} a M. E. Z.

Witterung beim Aufstieg:

a) Wind, Bewölkung, Form, Richtung und Geschwindigkeit der Wolken etc.: E $_{2-3}$ O ⊙.

b) Temperatur beim Aufstieg: 14.3°; relative Feuchtigkeit: 74 %.

Temperatur 2 Stunden vor dem Aufstieg: 11.4°, nach dem Aufstieg: 18.8°.

Maximum des Vortages: 22.0°.

Maximum des Aufstiegstages: 25.0° um 2^{30} bis 3^{30} p.

Minimum des Aufstiegstages: 10.7° um 4^{50} a.

Name, Seehöhe, Entfernung und Richtung des Landungsortes: Neufahrn bei Freising, 490 m, 22 km, N 21° E.

Dauer des Aufstiegs: $59^{m}\ 42^{sec.}$

Mittlere Steiggeschwindigkeit 4.2 m/sec.

Grösste Höhe: 14 100 m.

Tiefste Temperatur: — 52.5° in 12 400 m.

Ventilation in der Maximalhöhe noch 0.7.

Besondere Bemerkungen: Vergleiche die Uhrkontrolle, die durch die Beobachtung des Platzens des Ballons gegeben war. Den Berechnungen liegen die Angaben des Rohrthermogrammes zugrunde.

Ergebnis der Registrierung:

Zeit h m s	Luftdruck mm	mbar	Seehöhe m	Dyn. m	Temperatur C° Lam.	Rohr.	Gradient △ t/100 m	Relative Feuchtigkeit %	Steiggeschwindigkeit des Ballons m/sec.	Bemerkungen	Windrichtung und Geschwindigkeit:		
0 0 0	718	944	516	506	14.3	14.3		74		Aufstieg.			
1 24	694	925	800	790	11.1	11.8	0.88	85	3.4	Kräftige Inversion.	516— 770 m	E	7.3 m
	677	903	1 000	980		12.8					770— 1530 m	S 68° E	8.3 m
		900		**1 010**			−0.51		4.6				
2 28	670	893	1 090	1 070	14.3	13.3		59					
	639	852	1 500	1 470		13.2	0.02		4.9				
3 57	636	848	1 530	1 500	14.3	13.2		47			1530— 2060 m	S 10° E	2.4 m
	603	804	2 000	1 960		10.5					2060— 2330 m	N	2.2 m
		800		**2 000**			0.58		4.4				
	567	756	2 500	2 450		7.5					2330— 3130 m	N 57° W	4.6 m
9 30	532	709	3 000	2 940	4.2	4.6		42			3130— 3660 m	S 82° W	3.2 m
		700		**3 040**			0.41		4.5				
	470	627	4 000	3 920		0.5					3660— 4470 m	S 36° W	3.1 m
13 34	464	619	4 110	4 030	− 0.6	0.1		26			4470— 5720 m	S 5° E	3.4 m
		600		**4 280**									
	417	556	5 000	4 900		− 6.9	0.78	Hygrogramm nur mehr gerade Linie	4.4		5270— 6560 m	S 12° E	3.9 m
		500		**5 700**									
	365	487	6 000	5 880		−14.7							
21 37	353	471	6 230	6 110	−16.5	−16.5					6560— 6790 m	S 24° E	5.7 m
	320	426	7 000	6 860		−22.4	0.76		3.9		6790— 7490 m	S 24° E	11.1 m
		400		**7 310**									
	276	368	8 000	7 840		−30.0					7490— 8450 m	S 38° E	11.3 m
29 28	274	365	8 070	7 910	−30.3	−30.6				Lamellenthermograph hat nicht mehr geschrieben.	8450—10230 m	S 12° E	6.3 m
							0.65		4.2				
	242	322	9 000	8 820		−36.6							
		300		**9 300**									
36 58	208	277	10 000	9 800		−43.1				Kleine Sperrschicht Überleitung zur Stratosphäre.	10230—12780 m	S 72° W	9.3 m
							0.20		4.3				
38 30	196	261	10 380	10 170		−43.9							
	178	237	11 000	10 770		−48 2	0.69		4.1				
41 35	175	233	11 130	10 930		−49 1							
43 30	163	217	11 600	11 360		−49.1	0.0		4.1				
	153	204	12 000	11 750		−50.8							
		200		**11 880**			0.42		4.3				
46 37	144	192	12 400	12 140		−52.5				Tiefste Temperatur.	12780—14100 m	S 70° W	16.8 m
	131	174	13 000	12 730		−51.3	−0.21		4.4				
49 41	127	169	13 220	12 940		−50.8							
	113	150	14 000	13 700		−50.6	−0 02		3.9				
53 24	111	148	**14 100**	13 800		−50.6				Höchster Punkt. (Platzen des Ballons im Fernrohr beobachtet um 53 Min. 30 Sek.)			
59 42	147	196	12 270	12 010		−52.9				Tiefste Temperatur im Abstieg. Wiedereintritt in die Troposphäre präziser als im Aufstiege der Austritt aus derselben.			
1 20 48										Landung.			

Den Auftakt zu der interessanten Luftdruckgestaltung der „grossen Woche" gab der Durchgang eines Frontgewitters am 29. Juni. Dasselbe entstammte einem Ausläufer einer flachen über den britischen Inseln liegenden Depression. Hoher Druck drängte sofort stürmisch nach; es gelang ihm auch, die Hauptdepression nach Südskandinavien heranzuschieben. Da sich zudem südlich der Alpen ein flaches Tiefdruckgebiet entwickelte und über Russland niedriger Druck herrschte, schien die Ausbildung einer „Rückseite" sicher zu sein. Überraschender

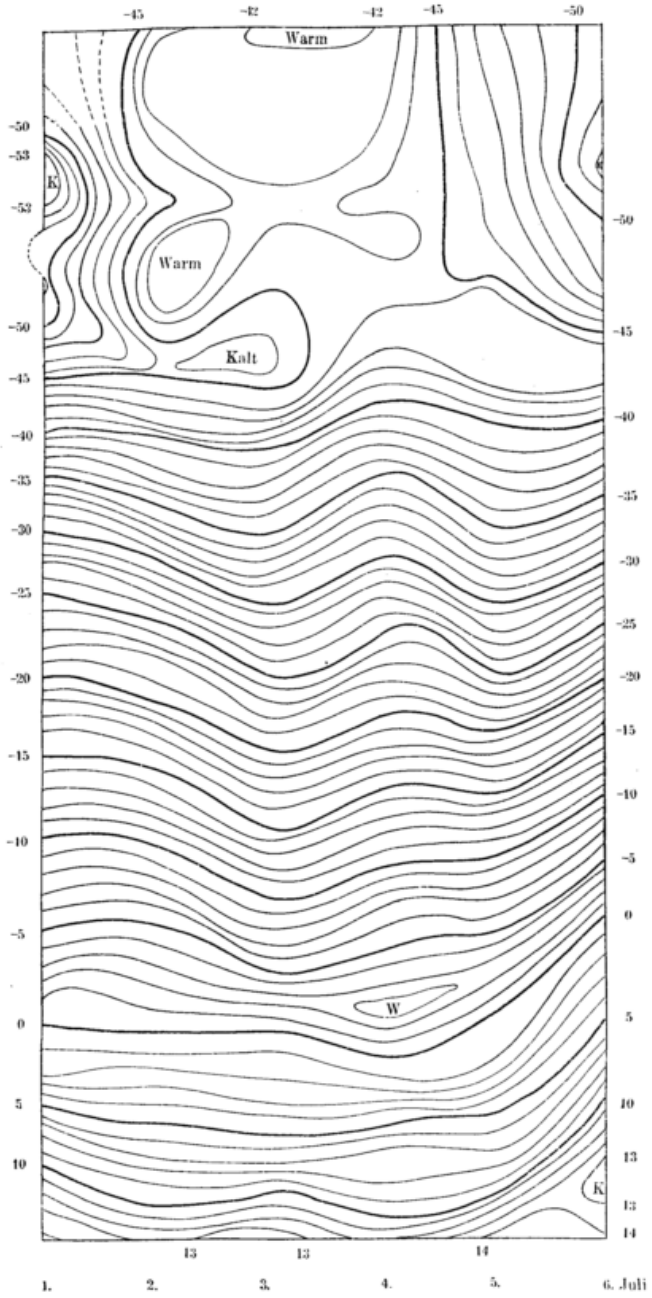

Weise marschierte jedoch die Hauptdepression nach der Nordsee zurück (2. Juli) und setzte ihren anormalen Weg über Frankreich fort, so dass sich am 3. Juli unser Gebiet zwischen zwei Depressionen befand. Die westliche Depression wich schliesslich nach dem Mittelmeere aus, am 4. Juli war eine schwache Verbindungsfurche mit dem russischen Tiefdruckgebiete hergestellt. Hoher Druck rückte breitausladend nach dem Kontinent herein, so dass der Rest der Ballonwoche von gutem Wetter begünstigt war. Jedoch schon am 6. Juli drangen neue atlantische Störungen vor und brachten am späten Nachmittage des 6. Juli intensive Frontgewitter.

In dem Temperaturdiagramm zeigt sich wieder deutlich die bekannte Tatsache, dass im Sommer selbst beträchtliche Umgestaltungen der Luftdruckverteilung von nur geringer Wirkung auf die Temperatur der Schichten von 2 km bis zur Stratosphäre sind. Erst in der Stratosphäre sind die Veränderungen kenntlich.

Man bemerke die Kompensation der Temperaturverhältnisse der Troposphäre und Stratosphäre:

Am 1. Juli Troposphäre warm — Stratosphäre kalt.

Am 2. und 3. Juli in der Troposphäre Abkühlung — in der Stratosphäre Erwärmung.

Am 4. Juli in der Troposphäre Erwärmung — Stratosphäre neutral.

Am 5. Juli in der Troposphäre Ansatz zur Erwärmung — in der Stratosphäre Ansatz zur Abkühlung.

Am 6. Juli in der Troposphäre Erwärmung — in der Stratosphäre Abkühlung

ohne dass die Höhe der Troposphäre besonders grosse Veränderungen durchmachte.

Ihre Lage war am

1.	in	10720 m
2.		10200 m
3.		9920 m
4.		10310 m
5.		9890 m
6.		10000 m (Übergangsschicht).

1. August 1912.

Instrument No. 149.

Temperatur-Korrektion des Aneroïdes:

$$dp = -\Delta T\,(0.610 - 0.000457 \cdot p).$$

Art, Grösse, Füllung, freie Steigkraft des Ballons: 1 Gummiballon, 1.5 m Durchmesser, Fallschirm, Wasserstoff, 0.5 kg.

Zeit des Aufstiegs: 8^{15} a. M. E. Z.

Witterung beim Aufstieg:

a) Wind, Bewölkung, Form, Richtung und Geschwindigkeit der Wolken etc.: $S_1\ 2^0\ \odot\ \frac{\text{alt cu}}{\text{st cu}}$ im S W und N, dunstig.

b) Temperatur beim Aufstieg: 20.1°, relative Feuchtigkeit: 57%.

Temperatur 2 Stunden vor dem Aufstieg: 16.5°, nach dem Aufstieg: 23.6°.

Maximum des Vortages: 24.0°.

Maximum des Aufstiegstages: 27.6° um 1^{50} p.

Minimum des Aufstiegstages: 15.2° um 5 a.

Name, Seehöhe, Entfernung und Richtung des Landungsortes: Hebertsfelden (Niederbayern) ca. 390 m, 99 km, N 73° E.

Dauer des Aufstiegs: $59^m\ 35^s$.

Mittlere Steiggeschwindigkeit: 3.9 m/sec.

Grösste Höhe: > 14630 m.

Tiefste Temperatur: — 55.9° in 11670 m.

Ventilation bis zur Maximalhöhe > 0.6.

Besondere Bemerkungen: Den Berechnungen liegt das Lamellenthermogramm zugrunde.

Ergebnis der Registrierung:

Zeit h m s	Luftdruck mm	mbar	Seehöhe m	Dyn. m	Temperatur C° Rohr.	Lam.	Gradient △t/100 m	Relative Feuchtigkeit %	Steiggeschwindigkeit des Ballons m/sec.	Bemerkungen	Windrichtung und Geschwindigkeit:		
0 0 0	713	951	516	506	20.1	20.1		57		Aufstieg.	516—730 m	S 17° E	2.3 m
1 2	693	924	760	750	19.1	18.5	0.66	51	3.9		730—1050 m	S 10° W	2.1 m
		900		**970**							1050—1150 m	S 45° W	2.6 m
	674	899	1 000	980		16.5	0 85		3.3		1150—1360 m	S 87° W	4.6 m
	635	846	1 500	1 470		12.2					1360—1570 m	S 71° W	4.5 m
5 27	624	832	1 640	1 610	11.1	11.0		60			1570—2000 m	S 44° W	4.6 m
6 22	608	811	1 860	1 820	9.6	9.3	0.79	68	4.0				
		800		**1 940**							2000—2220 m	S 60° W	5.2 m
	599	798	2 000	1 960		8.3	0.70		3.9		2220—2440 m	S 60° W	7.8 m
	563	751	2 500	2 450		4.8					2440—2660 m	S 68° W	8.7 m
10 34	539	719	2 840	2 790	2.0	2.4		87			2660—3110 m	S 68° W	11.7 m
	528	704	3 000	2 940		1.6	0.50		3 9				
		700		**2 990**									
11 36	523	697	3 080	3 020	0.7	1.2		89		Maximum der R. F.	3110—3790 m	S 58° W	12.8 m
12 52	508	677	3 320	3 260	0 7	0.7	0.21	83	3.1				
14 14	490	653	3 610	3 540	- 1.5	- 1.7	0,83	82	3.5				
14 50	480	640	3 770	3 700	- 1.9	- 2.0	0.18	68	4.6		3790—4020 m	S 63° W	15.0 m
	467	623	4 000	3 920		- 3.1					4020—4240 m	S 73° W	13.3 m
		600		**4 230**			0.49		3.8		4240—4470 m	S 63° W	15.8 m
20 10	411	548	5 000	4 900	- 8.3	- 8.0		66			4470—4700 m	S 77° W	15.0 m
22 33	385	513	5 500	5 390	-11.6	-11.2	0 64	75	3.5		4700—5400 m	S 69° W	17.8 m
		500		**5 600**							5400—5630 m	S 69° W	13.3 m
	362	482	6 000	5 880		-15 2					5630—6090 m	S 76° W	11.6 m
	314	419	7 000	6 860		-23.1	0.79		5 9		6090—7020 m	S 68° W	16.7 m
		400		**7 160**							7020—8180 m	S 75° W	18 m
	267	356	8 000	7 840		-31.0							
33 45	260	347	8 140	7 980	-32.5	-32.2		71			8180—8960 m	S 75° W	23 m
	230	306	9 000	8 820		-38.8	0.77		4.7		8960—9740 m	S 79° W	26 m
37 19	225	300	9 140	8 950	-39.9	-39.9		64			9740—10520 m	S 79° W	29 m
	199	265	10 000	9 800		-46.6	0.78		4.1				
42 48	184	245	10 480	10 260	-50.4	-50 3		63		Übergang zur Stratosphäre.	10520—11450 m	S 79° W	30 m
	170	227	11 000	10 770		-52.7	0.47		3.9 •				
47 54	153	204	11 670	11 430	-55.9	55.9		63		Beginn der Stratosphäre, tiefste Temperatur.			
		200		**11 560**			-0.39		5.1				
	145	194	12 000	11 750		-54.6							
49 45	140	187	12 240	11 980	-53.2	-53.7	0.01		4.7				
52 21	125	167	13 000	12 730	-53.2	-53.8							
	107	143	14 000	13 700		-52.9	-0.09		3.8				
59 35	96	128	**14 630**	14 320	-51.2	-52.3				Höchster Punkt.			
1 5 10	162	216	11 270	11 040	-55.0	-56.1				Tiefste im Abstiege registrierte Temperatur (korrespondiert mit 11 670 m im Aufstieg).			
1 40 0										Landung.			

Im Hygrogramm keine weitere Änderung

3. August 1912.

Instrument No. 425.

Temperatur-Korrektion des Aneroïdes:

$$d\,p = -\,\Delta T\,(0.140 - 0.000457 \cdot p)$$

Art, Grösse, Füllung, freie Steigkraft des Ballons: 1 Gummiballon 1.5 m Durchm., Fallschirm, Wasserstoff; 0.4 kg.

Zeit des Aufstiegs: 12^{30} p M. E. Z.

Witterung beim Aufstieg:

a) Wind, Bewölkung, Form, Richtung und Geschwindigkeit der Wolken etc.: C 6^1 cu aus W mässig, die cu Bildung nimmt bis 2 p stark zu (Gewitterneigung).

b) Temperatur beim Aufstieg: 19.7°; relative Feuchtigkeit 46%.

Temperatur 2 Stunden vor dem Aufstieg: 17.2°, nach dem Aufstieg: 21.0°.

Maximum des Vortages: 16.5°.

Maximum des Aufstiegstages: 22.2^0 um 3^{30} p.

Minimum des Aufstiegstages: 13.2^0 um 5 a.

Name, Seehöhe, Entfernung und Richtung des Landungsortes: Laufen in Oberbayern, ca 400 m, 107 km, S 77° E.

Dauer des Aufstiegs: 102 m.
Mittlere Steiggeschwindigkeit 2.8 m/sec.
Grösste Höhe: 17490 m.
Tiefste Temperatur: — 46.2° in 14610 m.
Ventilation genügt bis 14610 m, von da ab zweifelhaft.
Besondere Bemerkungen: Die grossen Differenzen zwischen den Angaben der beiden Thermographen scheinen darauf hinzudeuten, dass die Ventilation bei der hochstehenden Sonne nicht ausreichend war, um die beiden Instrumente zusammen zu bringen. Den Vorzug verdiente daher das besser geschützte Rohrthermometer, das wesentlich tiefere Temperaturen anzeigte.

Ergebnis der Registrierung:

Zeit h m s	Luftdruck mm	mbar	Seehöhe m	Dyn. m	Temperatur C° Lam.	Rohr.	Gradient △ 1/100 m	Relative Feuchtigkeit %	Steiggeschwindigkeit des Ballons m/sec.	Bemerkungen
										Wind:
0 0 0	717	956	516	506	19.7	19.7		46		Aufstieg. 516—870 m N 43° E 2.1 m
	678	904	1 000	980		15.3	0.91		2.8	870—1220 m N 55° E 2.5 m
		900		**1 000**						
5 55	638	851	1 500	1 470	12.2	10.8		59		1220—1400 m N 70° E 3.3 m
	601	801	2 000	1 960		7.2	0.73		3.2	1400—1580 m N 57° E 1.1 m
		800		**1 970**						1580—1780 m N 67° E 2.3 m
8 51	596	795	2 060	2 020	8.7	6.7	0.76	53	3.3	1780—1930 m S 69° E 2.7 m
10 2	579	772	2 300	2 260	6.9	4.9	-0.08	56	2.2	Inversion. 1930—2100 m S 21° E 2.8 m
11 1	570	760	2 420	2 370	7.7	5 0		59		Ballon in Cu eingetreten.
	565	753	2 500	2 450		4.4	0.65		2.1	
15 54	529	705	3 000	2 940	3.4	1.1		69		Inversion
		700		**3 020**			-0.98		1.5	
17 14	521	695	3 150	3 090	5.9	2.3	0.66	63	2.8	
20 44	484	645	3 740	3 670	2.5	- 1.6	0.85	63	2.6	
22 33	467	623	4 000	3 920	- 0.1	- 4.0		61		
		600		**4 240**			0.42		2.7	
	413	550	5 000	4 900		- 8.2				
30 12	398	531	5 270	5 170	- 5.7	- 9.3		35		
		500		**5 660**						
	364	485	6 000	5 880		-14 8	0.75		2.1	
	317	423	7 000	6 860		-22.3				
		400		**7 250**						
47 0	298	397	7 400	7 250	-19.8	-25.3		30		
	275	367	8 000	7 840		-28.8	0.58		2.6	
54 54	250	333	8 640	8 470	-27.6	-32.6		29		
	238	317	9 000	8 820		-34.6				
		300		**9 210**			0.55		3.4	
	206	275	10 000	9 800		-40.1				
1 2 48	198	264	10 250	10 040	-36.0	-41.4		27		Ende der Troposphäre.
	178	237	11 000	10 770		-42.7	0.17		3.0	
1 10 42	160	213	11 690	11 450	-38.7	-43.9				
	153	204	12 000	11 750		-44.2				
		200		**11 890**			0.09		2.9	
	132	176	13 000	12 730		-45 0				
1 20 7	125	167	13 330	13 050	-39.2	-45 3				
	113	151	14 000	13 700		-45 8	0.07		2.7	
1 28 12	103	137	14 610	14 300	-40.1	-46.2				Tiefste Temperatur.
	98	129	15 000	14 680		-46 0	-0.06		3.2	
1 34 7	87	116	15 740	15 400	-39 8	-45.5				
	84	112	16 000	15 660		-44.8	-0.26		3.4	
1 38 58	75	**100**	16 730	**16 370**	-38.2	-42.9				
	72	96	17 000	16 630		-43.3	0.16		4.0	
1 42 6	67	89	**17 490**	17 110	-39.1	-44.1				Höchster Punkt.

Hygrogramm weist keine Änderung mehr auf.

Da im Aufstieg die Ventilation ab 14 610 m nicht mehr genügt haben dürfte, werden einige Punkte des Abstiegsdiagramms noch mitgeteilt.

Zeit	Luftdruck		Seehöhe		Temperatur C°		Gradient	Relative Feuchtigkeit	Steiggeschwindigkeit des Ballons	Bemerkungen
h m s	mm	mbar	m	Dyn. m	Lam.	Rohr.	△ t/100 m	%	m/sec.	
1 42 41	71	95	17 100	16 730	-41.5	-48.0				
1 44 8	84	112	15 990	15 650	-42.7	-47.8				
1 46 21	105	140	14 520	14 210	-44.2	-49.8				
1 50 51	152	203	12 100	11 850	-42.2	-47.4				
1 52 47	174	232	11 200	10 970	-39.5	-43.9				
1 53 56	189	252	10 670	10 450	-38.5	-43.3				Wiedereintritt in die Troposphäre.
2 0 38	288	384	7 740	7 580	-23.5	-28.2				
2 15 32	532	709	3 070	3 010	6.3	1.9				Uhr abgelaufen.
										Landungszeit extrapoliert.
ca 2 24 0			ca 400	392						Landung.

Die Sondierung vom 1. August konnte zufällig etwas weiter ausgebaut werden. Der Münchener Verein für Luftschiffahrt wollte nämlich an diesem Tage eine Hochfahrt veranstalten, bei welcher neben Messungen der Füllungstemperatur auch meteorologische Aufzeichnungen gemacht werden sollten. Die Witterung erlaubte den Aufstieg jedoch erst am 4. August; am 3. August wurde mittags ein Registrierballon aufgelassen.

Wetterlage: Am 31. Juli lag hoher Druck über Zentraleuropa, eine tiefe atlantische Depression drang gegen die britischen Inseln vor. Dieselbe wanderte bis zum 1. August nach der Nordsee, so dass sich in Südbayern Föhn einstellte. Bis zum 2. August zerfiel das Tiefdruckgebiet in eine Reihe von Störungszentren, welche der Witterung auf unserem Gebiete einen unbeständigen Charakter aufprägten. Die Verschlechterung dauerte jedoch nicht lange, da vor einer neuen, vom Ozean kommenden Depression ein, wenn auch schwacher Hochdruckrücken sich über Zentraleuropa ausbildete, der unserem Gebiete im Laufe des 3. August vollständiges Aufklaren brachte. Am 4. August herrschte dann unter dem Einflusse der inzwischen über dem Kanale angelangten Depression wieder Föhn.

Am 1. August kam der Föhn sehr deutlich zum Ausdruck in der verhältnismässig grossen und gleichmässigen Temperaturabnahme der Luft bis in 2840 m Höhe. Es folgte eine Schicht gestörter Temperaturabnahme bis 5500 m, dann aber wieder bemerkenswert gleichmässige Gradienten bis 10480 m.

Der 3. August ist charakteristisch als Vorstadium des Föhns, zugleich als Rückseite einer abziehenden Depression, mit stark anormaler Temperaturabnahme. Erst am 4. August ist der Föhn — mit Ausnahme in den untersten Ausstrahlungsschichten — gut ausgebildet.

In technischer Hinsicht ist sehr bemerkenswert die auffallend grosse Differenz in den Angaben des Rohr- und Lamellenthermographen am 3. August. Der Aufstieg fand um Mittag statt. Aus dem wesentlich tieferen Stand des Rohrthermographen und insbesondere aus der charakteristisch gezähnten Kurve des Lamellenthermographen geht hervor, dass dieser stark dem Strahlungseinfluss der hochstehenden Sonne ausgesetzt war. Man wird daher bei Mittagsfahrten dem Ballone wesentlich grössere Steigkraft zu geben haben, als das am 3. August aus äusseren Gründen (mit Rücksicht auf den vorhandenen Ballon) geschehen ist.

5. September 1912.

Instrument No. 526.

Temperatur-Korrektion des Aneroïdes:

$$dp = -\Delta T\,(0.535 - 0.000457 \cdot p).$$

Art, Grösse, Füllung, freie Steigkraft des Ballons: 1 Gummiballon mit Fallschirm, Wasserstoff; 1.5 m Durchmesser, 0.5 kg.

Zeit des Aufstiegs: 8^{26} a. M. E. Z.

Witterung beim Aufstieg:

a) Wind, Bewölkung, Form, Richtung und Geschwindigkeit der Wolken etc.: SW bis W $_{1-2}$ 10^{1-2} ◍ $^{1-2}$ ni mit raschem Zuge aus W.

b) Temperatur beim Aufstieg; 12.0°, relative Feuchtigkeit: 93%.

Temperatur 2 Stunden vor dem Aufstieg: 10.7°, nach dem Aufstieg: 11.7°.

Maximum des Vortages: 16.0°.

Maximum des Aufstiegtages: 14.0° um 2—3 p.

Minimum des Aufstiegtages: 10.3° um 4 a.

Name, Seehöhe, Entfernung und Richtung des Landungsortes: Hallwang bei Salzburg, ca. 410 m, 118 km, S 72° E.

Dauer des Aufstiegs: $51^{m}\ 31^{s}$.
Mittlere Steiggeschwindigkeit 3.2 m/sec.

Grösste Höhe: 10 300 m.

Tiefste Temperatur: — 36.5° in 10 300 m.

Ventilation bis zur Maximalhöhe > 0.9.

Besondere Bemerkungen: Den Berechnungen liegt das Lamellenthermogramm zugrunde.

Ergebnis der Registrierung:

Zeit h m s	Luftdruck mm	mbar	Seehöhe m	Dyn. m	Temperatur C° Rohr.	Lam.	Gradient △ 1/100 m	Relative Feuchtigkeit %	Steiggeschwindigkeit des Ballons m/sec.	Bemerkungen
0 0 0	716	955	516	506	12.0	12.0	0.53	93		Aufstieg. Ballon nach 2 Minuten in die Wolken eingetreten; dort kleinere Gradienten.
2 33	678	904	970	950	9.4	9.6		90	3.0	
	676	901	1 000	980		9.5	0.25		3.4	
		900		**990**						
4 40	643	857	1 410	1 380	8.4	8.5		85		
	636	848	1 500	1 470		8.1				
		800		**1 950**			0.42		2.9	
	599	799	2 000	1 960		6.0				
	563	750	2 500	2 450		3.9				
11 31	557	743	2 580	2 530	3.5	3.6	0.47	76	2.9	
13 47	530	707	3 000	2 940	1.2	1.7		76		
		700		**3 010**						
	467	623	4 000	3 920		- 1.5	0.32		2.7	
21 5	458	611	4 150	4 070	-2.9	- 2.0		74		
		600		**4 320**			0.57		2.7	
	411	548	5 000	4 900		- 6.8				
26 23	407	543	5 070	4 970	-7.1	- 7.3	0.28	74	4.0	
28 12	385	513	5 510	5 400	-8.1	- 8.5		74		
		500		**5 610**			0.80		3.3	
29 17	374	499	5 730	5 620	-9.6	-10.3		74		
	362	482	6 000	5 880		-11.6	0.49		3.6	
33 0	337	449	6 530	6 400		-14.2		74		
	318	424	7 000	6 860		-17.2				
		400		**7 290**			0.63		3.2	
	278	370	8 000	7 840	Keine Registrierung	-23.5				
42 0	267	356	8 250	8 280		-25.2		75		
	242	322	9 000	8 820		-29.5	0.57		3.8	
47 10	227	303	9 410	9 220		-31.8		75		
		300		**9 280**	-35.6		0.53		3.4	
	209	279	10 000	9 800		-34.9				
51 31	200	267	**10 300**	10 090	-39.9	-36.5		75		Höchster Punkt.
1 19 0										Landung.

Wetterlage am 5. September: Hochdruck über Südwesteuropa mit einem nach Süddeutschland und das Alpengebiet vorspringenden Keil; eine tief von Island kommende, nach Skandinavien zustrebende Depression. Ihr Vormarsch ist erleichtert durch ein über Polen liegendes flaches Minimum.

Von den Ergebnissen ist am bemerkenswertesten die ausserordentlich kleine mittlere Temperaturabnahme, die noch besonders dargestellt sei.

	1—2	2—3	3—4	4—5	5—6	6—7	7—8	8—9	9—10 km
Gradient 5. Sept. 1912	0.35	0.43	0.32	0 53	0.48	0.56	0.63	0.60	0.54
Sollwert für September (aus R 1911)	0.49	0.59	0.57	0.57	0.58	0.67	0.70	0 76	0.69

Es kommen darin wohl die im Sommer 1912 sehr ergiebige ozeanische Luftzufuhr und die häufigen Kondensationsvorgänge zum Ausdruck.

2. Oktober 1912 8 a.

Instrument No. 149.

Temperatur-Korrektion des Aneroïdes:

$$d\,p = -\Delta T\,(0.610 - 0.000457 \cdot p).$$

Art, Grösse, Füllung, freie Steigkraft des Ballons: 1 Gummiballon mit Fallschirm, 1.5 m Durchmesser, Wasserstoff; 0.5 kg.

Zeit des Aufstiegs: $7^h\,58^m$ a M. E. Z.

Witterung beim Aufstieg:

a) Wind, Bewölkung, Form, Richtung und Geschwindigkeit der Wolken etc.: SSW 2, 10^{1-2}, zeitweise ◍ $0-1$, ni aus W. Zeitweise Versuch zum Aufklaren. Nach dem Aufstieg wieder ●.

b) Temperatur beim Aufstieg: 14.1°; relative Feuchtigkeit: 86%.
Temperatur 2 Stunden vor dem Aufstieg: 14.0°, nach dem Aufstieg: 14.4°.
Maximum des Vortages: 21.7°.
Maximum des Aufstiegstages: 16.3° um 0h 20m a m.
Minimum des Aufstiegstages: 10.2° um 12h p m.
Name, Seehöhe, Entfernung und Richtung des Landungsortes: Suben (Ober-Österreich) 370 m, 143 km, N 78° E.

Dauer des Aufstiegs: 48m 56s.
Mittlere Steiggeschwindigkeit: 3·8 m/sec.
Grösste Höhe: 11 610 m.
Tiefste Temperatur: $\left\{\begin{matrix} -47.0^{0} \\ -48.0^{0} \end{matrix}\right.$ in 11 610 m.
Ventilation genügt bis zur erreichten Höhe.
Besondere Bemerkungen: Diagramm durch ◍ ein wenig beschädigt, den Berechnungen liegt das Rohrthermogramm zugrunde.

Ergebnis der Registrierung:

Zeit h m s	Luftdruck mm	mbar	Seehöhe m	Dyn. m	Temperatur C° Lam.	Rohr.	Gradient △ t/100 m	Relative Feuchtigkeit %	Steiggeschwindigkeit des Ballons m/sec.	Bemerkungen	
											Windrichtung und Geschwindigkeit:
0 0 0	707	943	516	506	14.1	14.1		86		Aufstieg. Zunächst nur geringe Temperaturabnahme.	516— 820 m S 65° W 11.3 m/sec.
							0.27		4.1		
		900		**890**							
1 37	674	899	920	900	12.7	13.0		85		Ballon durch ◍ stark belastet, daher die Abnahme der Steiggeschwindigkeit.	820— 910 ,, S 83° W 18.3 ,,
2 2	670	893	970	950	13.2	13 3	-0.61	76	2.0		910— 960 ,, N 68° W 6.1 ,,
							0.24		5.0		
	667	889	1 000	980		13.2					960—1120 ,, S 87° W 16 9 ,,
2 26	660	880	1 090	1 070	12.7	13.0		70		Erstes Minimum der R. F.	
	629	838	1 500	1 470		10.0	0.66		4.9		1120—1270 ,, N 87° W 18.4 ,,
4 26	615	820	1 680	1 650	9.0	9.1		69			
		800		**1 850**							
	593	790	2 000	1 960		6.8	0.71		4.1		1270—2060 ,, N 84° W 15.3 ,,
7 14	566	755	2 360	2 310	3.8	4.3		86			2060—2300 ,, S 84° W 14.7 ,,
	556	741	2 500	2 450		3.5	0.54		4.0		
9 36	527	703	2 940	2 880	0.5	1.2		96		Eintritt in feuchte, nahe gesättigte Luft.	2300—2800 ,, S 74° W 20.2 ,,
							0.43		3.9		
		700		**2 910**							
	524	698	3 000	2 940		0.9					2800—2980 ,, S 67° W 15.3 ,,
10 36	512	683	3 170	3 160	0.1	0.2		95			Nach 9m 45sec. in 2980 m in Wolken verschwunden.
							0.56		3.7		
11 53	494	659	3 450	3 380	- 1.7	- 1.4		100			
13 17	475	633	3 770	3 700	- 2.6	- 2.5	0.35	95	3.7		
	461	615	4 000	3 920		- 3.8	0 56		5.4		
14 36	450	**600**	4 190	**4 110**	- 4.6	- 4.9		100			
15 49	431	575	4 530	4 440	- 7.1	- 6.8	0.56	100	4.6		
16 43	419	559	4 750	4 660	- 8.5	- 8.4	0.73	94	4.0		
	406	541	5 000	4 900		-10.2	0.74		5.9		
17 57	396	528	5 180	5 080	-11.6	-11.4		100			
18 45	386	515	5 380	5 270	-12.6	-12.7	0.66	100	4.1		
							0.28		3.0	Austritt aus der feuchten Schicht.	
19 44	377	503	5 560	5 450	-13.2	-13.2		92			
		500		**5 500**							
	356	475	6 000	5 880		-16.5	0.74		3.0		
24 39	335	447	6 440	6 310	-19.8	-19.8		73			
	311	415	7 000	6 860		-23 3					
		400		**7 120**			0.59		5.0		
27 41	296	395	7 350	7 200	-26.3	-25.2		79			
	271	361	8 000	7 840		-29.0	0.58		3.2		
32 32	260	347	8 280	8 110	-31.4	-30.6		77			

Zeit h m s	Luftdruck mm	mbar	Seehöhe m	Dyn. m	Temperatur C° Lam.	Rohr.	Gradient △ t/100 m	Relative Feuchtigkeit %	Steiggeschwindigkeit des Ballons m/sec.	Bemerkungen
32 32	260	347	8 280	8 110	-31.4	-30.6		77		
	235	313	9 000	8 820		-32.5	0.27	64	2.9	
37 5	232	309	9 090	8 900	-32.6	-32.8				
		300		**9 110**			0.58		2.9	
41 36	207	276	9 880	9 680	-37.0	-37.4		57		
	204	272	10 000	9 800		-38.2	0.67		3.7	
	186	235	11 000	10 770		-44.9				
47 49	169	225	11 250	11 020	-47.5	-46.6	0.11	54	5.3	Ende der Troposphäre?
48 56	160	213	**11 610**	11 360	-48.0	-47.0		54		Höchster Punkt.
1 15 39			ca 370 m							Landung.

2. Oktober 1912 2 p.

Instrument No. 150.

Temperatur-Korrektion des Aneroïdes:

$$dp = -\Delta T\,(0.342 - 0.000457 \cdot p).$$

Art, Grösse, Füllung, freie Steigkraft des Ballons: 1 Gummiballon, 1.5 m Durchm., Fallschirm, Wasserstoff; 0.6 kg.

Zeit des Aufstiegs: $2^h\ 0^m$ M. E. Z.

Witterung beim Aufstieg:

a) Wind, Bewölkung, Form, Richtung und Geschwindigkeit der Wolken etc.: SW_1, 10^{1-2} cu Ni aus WSW, zeitweise ◍°.

b) Temperatur beim Aufstieg: 13.9°, relative Feuchtigkeit: 81 %.

Temperatur 2 Stunden vor dem Aufstieg: 11.3°, nach dem Aufstieg: 11.2°.

Maximum des Vortages: 21.7°.

Maximum des Aufstiegstages: 16.3° um $0^{2\,0}$ a.

Minimum des Aufstiegstages: 10.2° um 12 p.

Name, Seehöhe, Entfernung und Richtung des Landungsortes: Unterwuldau in Böhmen, ca 600 m, 192 km, N 71° E.

Dauer des Aufstiegs: $1^h\ 6^m\ 22^s$.

Mittlere Steiggeschwindigkeit: 5.1 m/sec.

Grösste Höhe: ca 20 530 m.

Tiefste Temperatur: —57.6° in 17 290 m.

Ventilation genügt bis 16.000 m.

Besondere Bemerkungen: Der Berechnung liegen die Angaben des besser geschützten Rohrthermographen zugrunde, weil die Ventilation scheinbar nicht genügte, um beide Thermographen zusammenzubringen. Die Luftdruckangaben des Abstieges (in [ ]) sind nicht korrigiert wegen elastischer Nachwirkung, welche laut Aichung je nach dem Luftdruck ca 15—5 mm betragen haben dürfte.

Ergebnis der Registrierung:

Zeit h m s	Luftdruck mm	mbar	Seehöhe m	Dyn. m	Temperatur C° Lam.	Rohr.	Gradient △ t/100 m	Relative Feuchtigkeit %	Steiggeschwindigkeit des Ballons m/sec.	Bemerkungen	
											Windrichtung und Geschwindigkeit:
0 0 0	707	943	516	506	13.9	13.9		81		Abfahrt.	516—1090 m S 82° W 9.4 m/sec.
		900		**870**			0.85		5.3		
1 16	674	897	920	900	11.0	10.5		84			
	666	888	1 000			10.0	0.60		4.4		1090—1200 m N 83° W 9.4 ,,
2 35	650	867	1 210	1 190	8.7	8.7		84			1200—1320 m N 82° W 14.2 ,,
3 39	629	839	1 480	1 450	6.9	6.9	0.67	83	4.2		1320—1450 m N 88° W 13.8 ,,
	628	837	1 500	1 470		6.8	0.34		3.9		1450—1660 m N 88° W 15.8 ,,
4 53	607	809	1 770	1 740	5.7	5.9		89			Ballon verschwand nach 4 m 25 sec. in
		800		**1 840**							Wolken bei 1660 m Höhe.
	592	789	2 000	1 900		4.6					
	558	744	2 500	2 450		1.8					
		700		**2 930**			0.56		4.5		
	524	699	3 000	2 940		- 0.8					
	457	609	4 000	3 920		- 6.4					
13 20	454	605	4 050	3 970	- 6.1	- 6.8		71			
		600		**4 030**			0.61		4.5		
16 15	410	547	4 830	4 730	-10.4	-11.6		73			

Zeit h m s	Luftdruck mm	mbar	Seehöhe m	Dyn. m	Temperatur C° Lam. Therm.	Rohr. Therm.	Gradient △ t/100 m	Relative Feuchtigkeit %	Steiggeschwindigkeit des Ballons m/sec.	Bemerkungen
16 15	410	547	4 830	4 730	-10.4	-11.6		73		
	404	539	5 000	4 900		-12.6				
		500		**5 290**			0.56		5.0	
	356	474	6 000	5 880		-18.2				
	307	409	7 000	6 860		-23.8				
23 30	306	408	7 020	6 880	-22.3	-23.9		70		
		400		**7 030**			0.83		6.3	
25 35	274	365	7 820	7 660	-28.2	-30.5		68		Von hier ab Ueberleitung zur Stratosphäre. (Typ. IV in R 1909)
	266	355	8 000	7 840		-30.4	-0.04		5.2	
27 8	256	341	8 300	8 130	-28.5	-30.3	0.65	66	5.5	
28 21	242	323	8 700	8 520	-31.1	-32.9	0.13	65	5.0	
29 20	232	309	8 990	8 810	-31.7	-33.3		63		
	231	308	9 000	8 820		-33.4				
		300		**9 010**			0.68		4.8	
	199	265	10 000	9 800		-40.2				
34 2	191	255	10 330	10 120	-38.8	-42.5		60		
	173	230	11 000	10 770		-45.3	0.42		4.1	
39 42	155	207	11 720	11 480	-44.7	-48.3		59		
		200		**11 690**			-0.22		3.2	
	149	198	12 000	11 750		-47.6				
41 45	146	195	12 120	11 870	-43.9	-47.4		57		
	128	171	13 000	12 730		-51.3	0.45		5.3	
45 55	119	159	13 450	13 160	-48.9	-53.4		55		
	110	146	14 000	13 700		-53.4	0.00		5.7	
48 15	105	140	14 250	13 950	-49.1	-53.4		55		
	95	126	15 000	14 680		-55.5	0.28		8.0	
51 13	84	112	15 670	15 340	-53.2	-57.4		55		
	80	107	16 000	15 660		-57.4				
		100		**16 900**						
	68	91	17 000	16 630		-57.5	0.01		4.7	
56 58	65	87	17 290	16 910	-53.4	-57.6		55		Tiefste Temperatur im Aufstiege. Beginn der Stratosphäre ?
	59	79	18 000	17 610		-56.7				
	51	68	19 000	18 580		-55.4	-0.13		5.7	
	43	57	20 000	19 560		-54.2				
1 6 22	39	52	**20 530**	20 080	-49.2	-53.6		55		Höchster Punkt, Ballon geplatzt.
1 8 13	[48]	64	[19 180]	18 760	-53.7	-56.5				
1 9 55	[64]	85	[17 360]	16 980	-53.9	-57.4				
1 10 45	[72]	96	[16 520]	16 160	-55.8	-57.6				Tiefste Temperatur im Abstiege
1 23 43	[255]	340	[8 070]	7 910	-28.0	-31.4				entspricht im Aufstiege der Höhe 8300 m
1 23 59	[261]	348	[7 910]	7 750	-28.6	-30.9				entspricht im Aufstiege der Höhe 7820 m
1 41 53	[684]	912	[1 030]	1 010	11.0	9.1				Landung.

3. Oktober 1912 8 a.

Instrument No. 407.

Temperatur-Korrektion des Aneroïdes:

$$dp = -\sqrt{T}\,(0.595 - 0.000457 \cdot p).$$

Art, Grösse, Füllung, freie Steigkraft des Ballons: 1 Gummiballon, 1.5 m Durchm., Fallschirm, Wasserstoff; 0.6 kg.

Zeit des Aufstiegs: 8^{38} a M. E. Z.

Witterung beim Aufstieg:

a) Wind, Bewölkung, Form, Richtung und Geschwindigkeit der Wolken etc.: W_1 10^1 cu ni aus W, ◍ 1,

b) Temperatur beim Aufstieg: 9.9°; relative Feuchtigkeit 90 %.

Temperatur 2 Stunden vor dem Aufstieg: 10.0°, nach dem Aufstieg: 10.2°.

Maximum des Vortages: 16.3°.

Maximum des Aufstiegstages: 10.2° um 12^{20} a.

Minimum des Aufstiegstages: 3 3° um 12 p.

Name, Seehöhe, Entfernung und Richtung des Landungsortes: Ginham, Post Wittibreuth, ca 400 m, 108 km, N 72° E.

Dauer des Aufstiegs: 11 m 44 sec.
Grösste Höhe: 2 090 m.
Tiefste Temperatur: 0.0 in 2 090 m.

Ventilation genügt bis zur erreichten Höhe.
Besondere Bemerkungen: Den Berechnungen liegt das Lamellenthermogramm zugrunde.

Ergebnis der Registrierung:

Zeit h	m	s	Luftdruck mm	mbar	Seehöhe m	Dyn. m	Temperatur C° Rohr.	Lam. Therm.	Gradient △ t/100 m	Relative Feuchtigkeit %	Steiggeschwindigkeit des Ballons m/sec.	Bemerkungen
0	0	0	710	947	516	506	9.9	9.9		90		Aufstieg.
				900		**900**			0.82		3.2	
	2	16	674	899	940	920	7.0	6.4		90		
			669	892	1 000	980		5.9	0.77		2.4	
	3	47	656	875	1 160	1 140	3.9	4.7		89		
			630	840	1 500	1 470		2.6	0.61		2.2	
	8	5	611	815	1 740	1 710	0.9	1.2		90		
				800		**1 850**			0.34		1.6	
			585	789	2 000	1 960		0.3				
	11	44	585	780	**2 090**	2 040	− 0.4	0.0		90		Höchster Punkt. Der Ballon erwies sich undicht, stieg daher mit abnehmender Geschwindigkeit und verlor in 2090 m seine Steigkraft.

3. Oktober 1912 2 p.

Instrument No. 424.
Temperatur-Korrektion des Aneroïdes:

$$d\,p = -\Delta T\,(0.583 - 0.000457 \cdot p).$$

Art, Grösse, Füllung, freie Steigkraft des Ballons: 1 Gummiballon, 1.5 m Durchm., Fallschirm, Wasserstoff; 0.6 kg.
Zeit des Aufstiegs: 1 h 54 m p M. E. Z.
Witterung beim Aufstieg:
a) Wind, Bewölkung, Form, Richtung und Geschwindigkeit der Wolken etc.: N N W 1, 10 1 Ni, (gleichförmige Decke), Richtung unbestimmbar.
b) Temperatur beim Aufstieg: 6.5 °, relative Feuchtigkeit: 92 %.
Temperatur 2 Stunden vor dem Aufstieg: 7.9 °, nach dem Aufstieg: 5.5°.
Maximum des Vortages: 16.3°.
Maximum des Aufstiegstages: 10.2° um 12 20 a.
Minimum des Aufstiegstages: 3.3° um 12 p.
Name, Seehöhe, Entfernung und Richtung des Landungsortes: Guthausen (Böhmen) 740 m, 192 km, N 62° E.
Dauer des Aufstiegs: 60 m 13 sec.
Mittlere Steiggeschwindigkeit: 3.9 m/sec.
Grösste Höhe: 17 560 m.
Tiefste Temperatur: − 51.0 Lam. / − 53.5 Rohr. in 15 540 m/sec.
Ventilation bis 14 000 > 0.6.
Besondere Bemerkungen: Zur Berechnung wurde das Lamellenthermogramm herangezogen. Nach dem Platzen des Ballons waren die Schreibstifte der Thermographen zeitweise ausser Funktion, aus diesem Grunde konnten korrespondierende Daten aus dem Abstieg nicht entnommen werden.

Ergebnis der Registrierung:

Zeit h	m	s	Luftdruck mm	mbar	Seehöhe m	Dyn. m	Temperatur C° Rohr.	Lam. Therm.	Gradient △ t/100 m	Relative Feuchtigkeit %	Steiggeschwindigkeit des Ballons m/sec.	Bemerkungen
0	0	0	713	951	516	506	6.5	6.5		92		Abfahrt.
				900		**940**			0.65		4.2	
			672	896	1 000	980		3.4				
	2	11	667	889	1 060	1 040	2.8	3.0		90		Kleine Inversion.
	2	54	654	872	1 220	1 200	3.1	3.6	−0.38	86	3.6	Auffallend geringe Temperaturgradienten.
			632	842	1 500	1 470		2.3	0.45		4.0	
	5	1	614	819	1 730	1 700	1.8	1.3		80		
				800		**1 840**			0.22		3.7	
			593	790	2 000	1 960		0.7				
	6	52	583	777	2 130	2 090	0.3	0.4		78		
			558	744	2 500	2 450		− 1.1				
				700		**2 900**			0.40		4.2	
			524	699	3 000	2 940		− 3.1				
	11	44	499	665	3 370	3 300	− 4.3	− 4.5		78		

Zeit h m s	Luftdruck mm	mbar	Seehöhe m	Dyn. m	Temperatur C° Rohr.	Lam. Therm.	Gradient △t/100m	Relative Feuchtigkeit %	Steiggeschwindigkeit des Ballons m/sec.	Bemerkungen
11 44	499	665	3 370	3 300	– 4.3	– 4.5		78		
	461	615	4 000	3 920		– 8.4	0.61		3.9	
		600		**4 020**						
17 38	417	556	4 760	4 670	-12.5	-12.7	0.11	69	2.8	
18 11	412	549	4 850	4 750	-12.4	-12.8		69		
	404	538	5 000	4 900		-13.7	0.63		4.6	
		500		**5 440**						
21 0	372	496	5 620	5 510	-16.7	-17.6		68		
	354	472	6 000	5 880		-19.5	0.51		4.5	
25 27	316	421	6 820	6 680	-22.9	-23.7		64		
	309	412	7 000	6 860		-25.1				
		400		**7 060**			0.75		5.8	
	271	361	8 000	7 040		-32.6				
	233	310	9 000	8 820		-40.1				
32 20	225	**300**	9 210	**9 030**	-41.7	-41.7	-0.07	57	4.7	Überleitung zur Stratosphäre.
32 52	220	293	9 360	9 170	-41.9	-41.6		56		
	201	268	10 000	9 800		-45.0	0.53		4.0	
38 58	177	236	10 810	10 590	-50.1	-49.3		53		Beginn der Stratosphäre
	172	229	11 000	10 770		-49.3	0.00		3.1	
42 49	159	212	11 510	11 270	-50.1	-49.3		49		
		200		**11 670**			-0.45		4.0	
44 37	149	199	11 940	11 690	-48.7	-47.4		48		
	149	198	12 000	11 750		-47.4	0.12		4.0	
	138	171	13 000	12 730		-48.7				
52 33	112	149	13 810	13 520	-50.0	-49.6		44		
	109	145	14 000	13 700		-49.8	0.08		2.9	Ventilation nach dem Aussehen des Diagrammes wahrscheinlich noch genügend.
	95	126	15 000	14 680		-50.6				
1 2 18	86	115	15 540	15 210	-53.5	-51.0		39		
	80	107	16 000	15 660		-50.9				
		100		**16 100**			-0.03		3.2	
1 9 42	69	92	16 970	16 600	-52.2	-50.6		39		
	69	92	17 000	16 630		-50.5	-0.27		2.9	
1 13 9	63	84	**17 560**	17 180	-50.3	-49.0		28		Höchster Punkt. Ballon geplatzt.
1 48 9	687		[820]		1.6	1.9		82		Landung. Höhe aus der Karte: 740 m ca. Die Höhenangabe in [ ] ist wegen elastischer Nachwirkung des Aneroïdes nicht korrigiert.

4. Oktober 1912 8 a.

Instrument No. 425.

Temperatur-Korrektion des Aneroïdes:

$$d\,p = -\Delta T\,(0.140 - 0.000457 \cdot p).$$

Art, Grösse, Füllung, freie Steigkraft des Ballons: 1 Gummiballon, 1.5 m Durchmesser, Fallschirm, Wasserstoff; 0.5 kg.

Zeit des Aufstiegs: 7^{54} a M. E. Z.

Witterung beim Aufstieg:

a) Wind, Bewölkung, Form, Richtung und Geschwindigkeit der Wolken etc.: N_3, 10^1 st, ni aus N, ◍ wechselnder Intensität zwischen ◍^{0} und ◍^{1}.

b) Temperatur beim Aufstieg: 3.4°, relative Feuchtigkeit: 91 %.

Temperatur 2 Stunden vor dem Aufstieg: 3.5 °, nach dem Aufstieg: 3.2 °.

Maximum des Vortages: 10.2 °.

Maximum des Aufstiegstages: 5.1 ° um 4 p.

Minimum des Aufstiegstages: 0.3 ° um 12 p.

Name, Seehöhe, Entfernung und Richtung des Landungsortes: Unteriglbach bei Ortenburg, 340 m, 132 km, N 70 ° E.

Dauer des Aufstiegs: $1^h\ 24^m$.

Mittlere Steiggeschwindigkeit: 3.5 m/sec.

Grösste Höhe: 16 110 m.

Tiefste Temperatur: 51.0 ° Lam. / 51.7 ° Rohr. in ca 15 000 m.

Ventilation genügt bis 12 000 m.

Besondere Bemerkungen: Zur Berechnung sind die Angaben des Rohrthermographen verwendet worden. An die Angaben des Luftdruckes ist die Temperaturkorrektion des Aneroïdes bereits angebracht. Die Angaben des Luftdruckes beim Abstieg sind nicht korrigiert wegen elastischer Nachwirkung, welche laut Eichung ca + 10 mm ergeben würde.

Ergebnis der Registrierung:

Zeit h m s	Luftdruck mm	mbar	Seehöhe m	Dyn. m	Temperatur C° Lam.	Rohr. Therm.	Gradient △ t/100 m	Relative Feuchtigkeit %	Steiggeschwindigkeit des Ballons m/sec.	Bemerkungen
0 0 0	724	965	516	506	3.4	3.4	0.60	91	4.6	Abfahrt.
1 20	692	923	880	860	0.8	1.2		92		
	683	910	1 000	980		0.5				
		900		**1 070**						
	641	855	1 500	1 470		- 2.5	0.59		3.5	
	601	801	2 000	1 960		- 5.4				
		800		**1 970**						
6 34	598	797	2 040	2 000	- 5.8	- 5.6	0.34	86	4.0	
7 30	587	783	2 180	2 140	- 5.9	- 6.1		87		
	565	753	2 500	2 450		- 7.7	0.49		3.5	
	529	705	3 000	2 940		-10.1				
11 40	525	**700**	3 050	**2 990**	-10.5	-10.3	0.30	82		
11 58	516	688	3 180	3 120	-10.7	-10.7	-0.27	81	5.8	Beginn einer bedeutenden Isothermie.
12 16	511	681	3 260	3 200	- 9.7	-10.5	0.08	82	3 8	
13 54	487	649	3 630	3 560	-10.9	-10.8	-0.04	80	4.4	
14 54	471	628	3 880	3 800	-10.2	-10.7		80		Gleichmässige, aber verhältnismässig geringe Temperaturabnahme.
	464	618	4 000	3 920		-11.3				
		600		**4 150**			0.50		4.3	
	392	523	5 000	4 900		-16.3				
20 36	387	516	5 360	5 250	-18.5	-18.1		73		
		500		**5 200**			0.56		3.8	
	356	475	6 000	5 880		-21.7				
25 12	336	448	6 400	6 270	-24.5	-23.9		70		
	311	415	7 000	6 860		-27.6				
		400		**7 130**			0.61		3.3	
	269	359	8 000	7 840		-33.6				
34 1	263	351	8 150	7 990	-35.8	-34.5	0.97	66	3.9	
35 10	253	337	8 420	8 250	-36.7	-37.1		65		
	230	306	9 000	8 820		-40.5	0.59		3.7	
38 24	229	305	9 100	8 910	-40.8	-41.1		64		Ueberleitung zur Stratosphäre.
		300		**8 950**			0.33		3.7	Beginn der Stratosphäre (Typ. I).
42 28	201	268	9 980	9 780	-43.5	-44.0		64		
	200	267	10 000	9 800		-44.0	-0.10		3.2	
44 48	189	252	10 390	10 180	-43.2	-43.6	-0.16	63	3.3	
46 30	179	239	10 760	10 540	-42.5	-43.0		64		
	175	233	11 000	10 770		-43.1	0.04		3.4	
52 4	151	201	11 900	11 650	-43.5	-43.5		60		
		200		**11 680**			0.14		3.0	
	149	198	12 000	11 750		-43.6				
58 17	128	171	13 010	12 720	-45.2	-45.1		57		
	110	146	14 000	13 700		-45.3	0.24		3.4	
1 6 43	99	132	14 710	14 400	-49.1	-49.2		55		Tiefste Temperatur des Aufstiegs.
7 58	95	127	14 980	14 660	-47.5	-48.5	-0.26	55	3.6	
	93	124	15 000	14 680		-48.4				
	81	108	16 000	15 660		-48.0	-0.05		3.0	
14 16	80	107	16 110	15 770	-48.1	-47.9		52		Höchster Punkt, Ballon geplatzt.
15 7	[83]		[15 860]		-51.0	-51.7		52		
16 22	[97]		[14 840]		-49.6	-49.9		51		entspricht im Aufstiege der Höhe 14 980 m
17 7	[103]		[14 450]		-50.6	-51.0		51		„ „ „ „ „ 14 710 „
23 2	[181]		[10 730]		-43.3	-44.3		51		„ „ „ „ „ 10 390 „
25 8	[213]		[9 640]		-42.8	-43.8		50		„ „ „ „ „ 9 100 „
										Auch die grosse Isothermie von 3200—3900 m wurde wieder angetroffen.
1 51 8			ca 340							Landung.

4. Oktober 1912 2 p.

Instrument No. 427.

Temperatur-Korrektion des Aneroïdes:

$$d\,p = -\Delta T\ (0.406 - 0.000\,457 \cdot p).$$

Art, Grösse, Füllung, freie Steigkraft des Ballons: 1 Gummiballon, 1.5 m Durchm., mit Fallschirm, 0.6 kg.

Zeit des Aufstiegs: $2^h\ 8^m$ MEZ.

Witterung beim Aufstieg:

a) Wind, Bewölkung, Form, Richtung und Geschwindigkeit der Wolken etc.: E_2, $9^{1-2} \odot \frac{\text{alt st-cu aus E}}{}$, im N klart es auf.

b) Temperatur beim Aufstieg: 4.4°; relative Feuchtigkeit 74%.

Temperatur 2 Stunden vor dem Aufstieg: 3.8°; nach dem Aufstieg: 5.1°.

Maximum des Vortages: 10.2°.

Maximum des Aufstiegtages: 5.1° um 4 p.

Minimum des Aufstiegtages: 0.3° um 12 p.

Name, Seehöhe, Entfernung und Richtung des Landungsortes: Eggenfelden, 400 m (nach der Karte), 95 km, N 73 E°.

Dauer des Aufstieges: $50^m\ 29^s$

Mittlere Steiggeschwindigkeit: 4.1 m/sec.

Grösste Höhe: 12 520 m.

Tiefste Temperatur — 52.4° in 12 520 m.

Ventilation genügt bis zum Ende (> 0.8)

Besondere Bemerkungen: Zur Berechnung wurden die Daten des Lamellenthermographen benützt. — Höhenangaben in [ ] sind genäherte Werte, ohne Korrektion wegen elastischer Nachwirkung.

Ergebnis der Registrierung:

Zeit h m s	Luftdruck mm	mbar	Seehöhe m	Dyn. m	Temperatur C° Rohr	Lam.	Gradient △t/100 m	Relative Feuchtigkeit %	Steiggeschwindigkeit des Ballons m/sec.	Bemerkungen
										Windrichtung und Geschwindigkeit:
0 0 0	727	969	516	506	4.4	4.4		74		Abfahrt. Grosser Temperaturgradient richtig. 516— 710 m N 76° E 5.3 m/sec.
							1.46		3.4	
1 6	708	944	730	720	2.2	1.3		74		710—1000 m N 76° E 6.3 ,,
	685	913	1 000	980		− 0.8				
		900		**1 100**			0.88		5.0	1000—1440 m N 56° E 7.2 ,,
	642	856	1 500	1 470		− 5.5				
4 13	631	841	1 640	1 610	− 5.8	− 6.7		81		Erste Temperaturschicht. 1440—1570 m N 56° E ? ,,
	602	803	2 000	1 960		− 7.6				Ballon in st-cu eingetreten.
		800		**1 980**			0.25		4.3	
5 54	597	796	2 070	2 030	− 6.7	− 7.8		81		
							0.80		5.0	
7 16	566	755	2 480	2 430	−10.4	−11.1		67		Zweite Sperrschicht von grosser Mächtigkeit. Minimum der relativen Feuchtigkeit.
	565	753	2 500	2 450		−11.1	0.00		4.7	
7 45	556	741	2 620	2 570	−10.3	−11.1		70		
							0.38		4.9	
8 27	541	721	2 830	2 760	−10.5	−11.9		73		
	539	705	3 000	2 940		−12.5				
							0.37		4.8	
		700		**2 990**						
9 29	520	693	3 130	3 070	−11.8	−13.0		75		
							0.21		3.9	
13 5	465	620	3 980	3 900	−13.5	−14.8		80		Wiederum Temperaturabnahme.
	464	618	4 000	3 920		−14.9				
							0.55		4.3	
		600		**4 140**						
16 12	418	557	4 770	4 680	−18.1	−19.2		81		
	405	540	5 000	4 900		−21.1	0.82		4.8	
17 59	390	520	5 280	5 180	−22.2	−23.4		81		Dritte (kleinere) Sperrschicht.
							0.47		5.4	
		500		**5 430**						
19 13	369	492	5 690	5 590	−23.9	−25.3		80		Grössere Temperaturabnahme, jedoch unter den gewohnten Gradienten.
	353	471	6 000	5 880		−27.6	0.72		5.0	
21 41	332	443	6 440	6 310	−30.7	−30.7		76		
							0.60		3.9	
22 54	319	425	6 720	6 590	−32.5	−32.4		75		
							0.56		6.7	
23 37	307	409	6 990	6 850	−34.3	−33.9		75		
	306	408	7 000	6 860		−34.0				
							0.76		3.5	
		400		**7 090**						
	265	353	8 000	7 840		−41.6				
30 20	250	333	8 400	8 230	−44.4	−44.6		74		Überleitung zur Stratosphäre.
							0.34		3.3	
32 27	235	313	8 810	8 630	−45.6	−46.0		72		
	229	305	9 000	8 820		−47.1				
							0.59		3.4	
		300		**8 910**						
35 0	217	289	9 340	9 150	−48.8	−49.1		72		

Zeit h m s	Luftdruck mm	mbar	Seehöhe m	Dyn. m	Temperatur C° Rohr.	Lam.	Gradient △ t/100 m	Relative Feuchtigkeit %	Steiggeschwindigkeit des Ballons m/sec.	Bemerkungen
35 0	217	289	9 340	9 150	-48.8	-49.1		72		
	197	262	10 000	9 800		-49.8	0.11		3.4	
39 38	188	251	10 270	10 060	-49.9	-50.2		71		Endgültiger Beginn der Stratosphäre.
41 39	177	236	10 670	10 450	-48.8	-48.4	-0.46	71	3.2	
	168	224	11 000	10 770		-49.1	0.19		3.9	
44 30	160	213	11 330	11 100	-49.3	-49.7		70		
		200		**11 540**			0.22		3.1	
47 57	145	193	11 970	11 720	-50.5	-51.1		70		
	144	192	12 000	11 750		-51.2	0.23		3.6	
50 29	133	177	**12 520**	12 260	-52.1	-52.4		70		Tiefste Temperatur. Höchster Punkt, Ballon geplatzt.
54 22	184		[10 410]		-49.2	-47.9				Entspricht im Aufstiege der Höhe 10670 m.
57 0	222		[9 180]		-50.5	-49.1				Entspricht im Aufstiege der Höhe 9340 m.
1 5 4	269		[5 680]		-26.5	-26.1				Entspricht im Aufstiege der Schicht in 5280—5690 m.
1 5 52	385		[5 370]		-26.4	-25.2				
1 20 47	731		[350]		+1.4	+2.2				Landung.

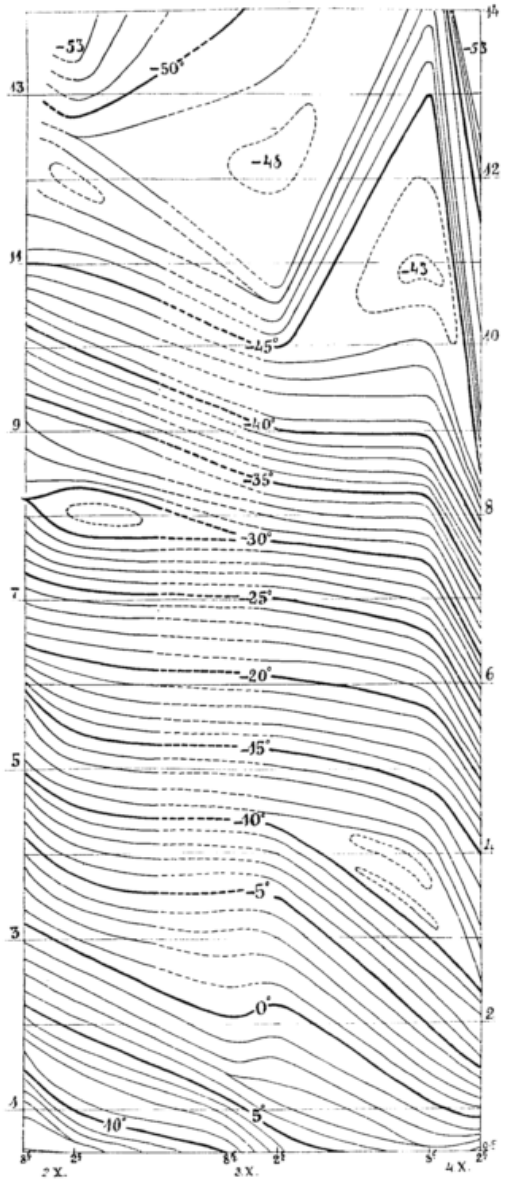

An dem Serienaufstiege vom 2. zum 4. Oktober wurden wieder 2 p Aufstiege eingeschoben; die Wetterlage ist kurz dahin zu charakterisieren: Abzug einer tiefen Depression, Ausbildung eines kontinentalen Maximums.

Am 1. Oktober lag eine tiefe Depression, die in raschem Zuge vom Ozean hereingebrochen war, über der Nordsee. Am 2. finden wir ihr Zentrum bereits über dem bottnischen Busen. Ihr folgt ein intensives Hochdruckgebiet von den britischen Inseln nach, das sich schliesslich bis zum 5. Oktober als ein kontinentales Barometermaximum ausbildete.

Wie stets bei solch rasch wandernden Tief- und Hochdruckgebieten war ein starker Kälteeinbruch damit verbunden, dessen Ausdehnung sich an der Hand des Isoplethendiagrammes gut studieren lässt. Man sieht, dass die ganze Troposphäre davon erfasst wird, und zwar die höheren Schichten mit grösseren Beträgen erst später als die erdnäheren Schichten, wie aus der starken Temperaturabnahme am 4. Oktober von 8 a bis 2 p hervorgeht. Die Luftdruckverteilung vom 4. Oktober abends 8 Uhr weist über der Rheinmündung den Kern des Hochdruckgebietes mit der ungewöhnlichen Höhe von 780 mm auf.

Die eingetretenen Temperaturrückgänge sind in folgender Tabelle besonders dargestellt.

	1	2	3	4	5	6 km
2. Oktober 2 p	10.0	4.6	-0.8	- 6.4	-12.6	-18.2
4. Oktober 2 p	-0.8	-7.6	-12.5	-14.9	-21.1	-27.6
Differenz	10.8	12.2	11.7	8.5	8.5	9.4
	7	8	9	10	11	12 km
2. Oktober 2 p	-23.8	-30.4	-33.4	-40.2	-45.3	-47.6
4. Oktober 2 p	-34.0	-41.6	-47.1	-49.8	-49.1	-51.2
Differenz	10.2	11.2	**13.7**	9.6	3.8	3.6

Trotzdem das Maximum des Temperaturrückganges nicht in den erdnächsten Schichten lag, ist die bei solch rasch wandernden Tief- und Hochdruckgebieten eintretende Luftdruckänderung bedingt durch die Temperaturänderung der erdnahen Schichten. Es wäre falsch, die neuerdings von Shaw und Dines betonte Tatsache, dass die Druckänderungen in 9 km noch eben so gross sein können wie die an Erde, auf den vorliegenden Fall übertragen zu wollen.

Es geht das am besten aus der folgenden Zusammenstellung hervor, in welcher die Abweichungen des Luftdruckes in München und auf der Zugspitze vom Oktobermittel eingetragen sind.

	1.			2.			3.			4.			5.		
	7 a	2 p	9 p	7 a	2 p	9 p	7 a	2 p	9 p	7 a	2 p	9 p	7 a	2 p	9 p
München	−6.3	−8.9	−9.2	**−9.9**	−8.8	−7.1	−6.4	−2.7	1.5	7.3	10.6	**12.0**	11.0	9.6	8.1
Zugspitze	−2.4	−3 7	−4.2	−5.9	−5.8	−5.2	**−6.3**	−4.5	−3.0	−1.3	0.7	1.2	**1.4**	1.3	0.7

Das Maximum der negativen Luftdruckabweichung trat auf der Zugspitze um einen vollen Tag, das Maximum der positiven (nach den Terminbeobachtungen) um 10 Stunden später ein als in München.

Die auf der Vorderseite der Depression eintretende Luftdruckabnahme reicht weiter in die Atmosphäre hinauf als die durch den Kälteeinbruch bedingte nachfolgende Zunahme des Luftdruckes. Das Ergebnis wird uns nicht überraschen, wenn wir die auf der Vorderseite stattfindende Föhnbildung bedenken, wobei Luft von oben herabgezogen wird, während bei dem darauffolgenden Umschlag kalte und schwere Luft von der Ebene hinankriecht.

Das durch Föhn hervorgerufene Temperaturmaximum in München betrug am 1. Oktober 21.2°, der Kälteeinbruch führte (vor der darauffolgenden Strahlungskälte) herab auf 3.6° am 4. Oktober um 7 a.

Auf der Zugspitze brachte der Föhnsturm am 1. Oktober 9 p eine Temperatursteigerung auf 1.4°, der Kälteeinbruch führte bis auf −10.4°.

Dem Temperaturrückgang in München um 17.6° steht demnach auf der Zugspitze ein solcher von 11.8° entgegen.

7. November 1912.

Instrument No. 208.

Temperatur-Korrektion des Aneroïdes:

$$d\,p = -\Delta T\,(0.470 - 0.000457\,p)$$

Art, Grösse, Füllung, freie Steigkraft des Ballons: 1 Gummiballon mit Fallschirm, Wasserstoff; Durchm. 1.5 m; 0.5 kg.

Zeit des Aufstiegs: 8^{50} a MEZ.

Witterung beim Aufstieg:

a) Wind, Bewölkung, Form, Richtung und Geschwindigkeit der Wolken etc.: C o $\equiv^{1-2}$ (bis 9a vollkommen aufgeklart.)

b) Temperatur beim Aufstieg — 7.0°; relative Feuchtigkeit 97%.

Temperatur 2 Stunden vor dem Aufstieg: — 5.7°, nach dem Aufstieg: — 5.4°.

Maximum des Vortages: 2.0°.

Maximum des Aufstiegtages: — 3.0° um 2 p.

Minimum des Aufstiegtages: — 7.2° um 7^{50} a.

Name, Seehöhe, Entfernung und Richtung des Landungsortes: Ballon vorzeitig geplatzt, Landung in Nymphenburg bei München (westl.)

Dauer des Aufstiegs: $6^{m}\ 19^{s}$.

Mittlere Steiggeschwindigkeit: 4.5 m/sec.

Grösste Höhe: 2230 m.

Tiefste Temperatur — 12.4° in 2230 m.

Ventilation genügt bis zur erreichten Höhe.

Besondere Bemerkungen: Den Berechnungen liegt das Lamellenthermogramm zugrunde.

Ergebnis der Registrierung:

Zeit h	m	s	Luftdruck mm	mbar	Seehöhe m	Dyn. m	Temperatur C° Rohr.	Lam.	Gradient △t/100 m	Relative Feuchtigkeit %	Steiggeschwindigkeit des Ballons m/sec.	Bemerkungen
0	0	0	725	967	516	506	- 6.9	- 7.0	-0.92	97	5.1	Aufstieg in Nebel, Temperaturumkehr.
	40		706	941	720	710	- 4.8	- 5.1		94		
			681	908	1 000	980		- 6.2	0 38		4.5	
				900		**1 050**						
	2	8	671	895	1 120	1 100	- 6.3	- 6.6		86		
			639	852	1 500	1 470		- 9.9	0.86		4.6	
	3	44	634	845	1 560	1 530	- 9.9	-10.4		83		
				800		**1 940**			0.60		4.3	
			599	799	2 000	1 960		-13.0				
	5	50	590	787	2 110	2 070	-13.0	-13.7	-1.12	77	4.2	Beginn einer weiteren Inversion.
	6	19	581	775	**2 230**	2 190	-12.7	-12.4		75		Höchster Punkt.
	12	20										Landung.

Pilotballon-Visierungen:

a) 8^{30} a

Stufenwerte m	Wind Richtung	Wind Geschwindigkeit m p. s.
540	E	1.7
540— 680	E	4.5
680— 820	S 73° E	4.9
820—1100	S 66° E	6.3
1100—1240	S 80° E	5.2
1240—1380	N 87° E	5.2
1380—1800	N 74° E	5.2
1800—1940	N 57° E	8.0
1940—2080	N 65° E	8.8
2080—2220	N 65° E	7.4
2220—2640	N 52° E	9.0
2640—3060	N 65° E	12.4
3060—3480	N 65° E	14.0
3480—4040	N 55° E	15.8
4040—4320	N 50° E	20.2

b) 11^{35} a

Stufenwerte m	Wind Richtung	Wind Geschwindigkeit m p. s
540	SE	3.1
540— 740	S 53° E	3.4
740—1140	S 85° E	3.8
1140—1340	N 81° E	3.2
1340—1540	N 70° E	5.3
1540—1740	N 62° E	6.6
1740—1940	N 74° E	8.0
1940—2340	N 60° E	9.3
2340—2540	N 64° E	12.3
2540—3140	N 56° E	12.2
3140—3540	N 56° E	15.4
3540—3040	N 52° E	15.6
3940—4340	N 52° E	17.2

Am 7. November befand sich München im Bereiche einer rasch wandernden, und damit kalten Antizyklone. Eine mit ziemlich ergiebigen Schneefällen nach Südosteuropa abziehende Depression war gefolgt von einem Keile hohen Druckes.

Der wichtige Unterschied stationärer und rasch wandernder Antizyklone kommt zunächst im Verhalten der Windrichtung zum Ausdruck. Bei stationären Hochdruckgebieten findet man fast stets über der flachen Ostströmung der unteren Schichten eine ausgeprägte Südwestbewegung in den höheren Schichten — ich möchte diese Strömung „Antipassatströmung" nennen.

Im Gegensatz hiezu bleibt bei den rasch beweglichen, bis in grosse Höhen hinauf kalten Antizyklonen die Luftbewegung nordöstlich, wie übereinstimmend die Visierung des Pilotballons um 8^{30} und um 11^{30} ergeben haben.

In der Temperaturregistrierung, die leider durch einen schlechten Ballon ein vorzeitiges Ende fand, erkennen wir bereits den Übergang zum stationären Hochdruckstadium, das eine beträchtliche Temperaturumkehr bis zum folgenden Tage brachte. Zunächst beschränkt sich die Inversion auf die untersten Schichten, sie wird sich aber im Laufe des Tages mit der in 2100 m beginnenden Umkehrsschicht vereinigt haben. Das Vorhandensein der letzteren wurde auch bei einer Freiballonfahrt vom gleichen Tage festgestellt, welche auf Grund der Abmachungen der wissenschaftlichen Kommission des deutschen Luftfahrerverbandes stattfand (Ermittlung der Trajektorien betreffend.) Die Umkehrsschicht ermöglichte ein mehrstündiges Schwimmen des Ballons in 2500 m.

5. Dezember 1912.

Instrument Nr. 208.

Temperatur-Korrektion des Aneroïdes:

$$dp = -\Delta T\,(0.470 - 0.000457 \cdot p).$$

Art, Grösse, Füllung, freie Steigkraft des Ballons: 1 Gummiballon, 1.5 m Durchm., Fallschirm, Wasserstoff, 0.5 kg.

Zeit des Aufstiegs: 8^{04} a M. E. Z.

Witterung beim Aufstieg:

a) Wind, Bewölkung, Form, Richtung und Geschwindigkeit der Wolken etc.: E_3 6☉ Fr cu aus E S E rasch, stark dunstig.

b) Temperatur beim Aufstieg: — 4.1°, relative Feuchtigkeit: 92%.

Temperatur 2 Stunden vor dem Aufstieg: — 4.1°, nach dem Aufstieg: 3.0°.

Maximum des Vortages: 1.0°.

Maximum des Aufstiegtages: 1.0° um 2^{20} p.

Minimum des Aufstiegtages: — 4.4° um 7 a.

Name, Seehöhe, Entfernung und Richtung des Landungsortes: Antdorf bei Staltach (Oberbayern), ca 600 m, 49 km, S 22.5° W.

Dauer des Aufstiegs: $75^{m}\ 35^{s}$.

Mittlere Steiggeschwindigkeit: 3.6 m/sec.

Grösste Höhe: 16820 m.

Tiefste Temperatur: — 67.9° in 14440 m.
[— 69.4°] in [14010] m.

Ventilation genügt bis ca 16000 m.

Besondere Bemerkungen: Alle Berechnungen sind nach dem Rohrthermogramme erfolgt. Eine Visierung war wegen der rasch treibenden Fr cu unmöglich. Zum Ersatz wird das Ergebnis der Pilotvisierung um 12^{00}p mitgeteilt, welche bei vollkommen klargewordenem Himmel durchgeführt werden konnte.

Ergebnis der Registrierung:

Zeit h m s	Luftdruck mm	mbar	Seehöhe m	Dyn. m	Temperatur C° Lam.	Rohr.	Gradient △ t/100 m	Relative Feuchtigkeit %	Steiggeschwindigkeit des Ballons m/sec.	Bemerkungen
0 0 0	722	963	516	506	- 4.2	- 4.1	0.67	92	4.7	Aufstieg. Zunächst Temperaturabnahme.
1 1	699	932	770	760	- 5.8	- 5.8	-2.23	92	3.0	Starke Temperaturumkehr.
1 52	686	915	920	900	- 2.5	- 2.5	-0.98	93	4.6	
2 10	679	905	1 000	980	- 2.1	- 1.7	-5.40	87	2.8	
		900		**1 020**						
2 34	673	897	1 070	1 050	1.0	2.1	-0.89	82	3.2	
4 39	641	855	1 460	1 430	5.0	5.6		74		Erstes Temperatur-Maximum.
	637	849	1 500	1 470		5.5	0.15		3.2	
6 23	615	820	1 800	1 780	4.5	5.1	-0.38	49	2.9	
6 59	607	809	1 910	1 870	5.0	5.5		39		Zweites Temperatur-Maximum, sehr geringe R. F.
	601	801	2 000	1 960		4.9				
		800		**1 980**						
	566	755	2 500	2 450		1.9	0.61		3.4	
	531	708	3 000	2 940		- 1.1				
		700		**3 030**						
15 40	487	649	3 670	3 600	- 5.0	- 5.2		38		
	465	620	4 000	3 920		- 7.6	0.72		4.7	
		600		**4 170**						
19 48	419	559	4 830	4 730	-12.9	-13.6		40		
	409	545	5 000	4 900		-14.6	0.56		2.9	
		500		**5 560**						
25 6	371	495	5 750	5 640	-18.5	-18.7		39		
	358	477	6 000	5 880		-20.8	0.83		3.3	
30 49	318	424	6 880	6 740	-27.0	-28.1		38		
	312	416	7 000	6 860		-29.1				
		400		**7 150**			0.82		3.5	
	272	363	8 000	7 840		-37.3				
	235	313	9 000	8 820		-45.5				
41 54	227	303	9 220	9 030	-44.7	-47.3		38		Lamellenthermogramm bis 15 500 m unbrauchbar. Hygrogramm nicht weiter ausgewertet, da nur gerade Linie.
		300		**9 070**						
	199	265	10 000	9 800		-52.2	0.63		4.2	
	170	227	11 000	10 770		-58.5				
50 23	162	216	11 380	11 140		-60.9				Übergang zur Stratosphäre.
		200		**11 590**			0.47		6.2	
51 53	148	197	11 930	11 680		-63.5				
	146	195	12 000	11 750		-63.5	0.0		6.2	
53 2	138	184	12 360	12 100		-63.5				
	124	165	13 000	12 730		-65.0	0.20		5.2	
	105	140	14 000	13 700		-67.0				
59 47	98	131	14 440	14 130		-67.9				Tiefste Temperatur, zunächst Isothermie.
	89	119	15 000	14 680		-67.9	0.0		2.2	
1 5 9	87	116	15 140	14 820		-67.9	-0.86		1.6	
1 8 49	82	109	15 500	15 170	-63.2	-64.8				
	75	**100**	16 000	**15 660**		-65.2	0.08		4.4	
1 13 7	68	91	16 640	16 280	-64.5	-65.7	-1.21		1.2	Höchster Punkt Endtemperatur wohl durch Strahlung nicht mehr sicher. Vergleiche jedoch Übereinstimmung der beiden Thermographen.
1 15 35	66	88	16 820	**16 460**	-62.4	-63.5				
1 26 5	105	140	14 010	13 710		-69.4				Wiedereintritt in die Troposphäre, tiefste im Abstiege registrierte Temperatur. Die starke Bodeninversion wird in der gleichen Höhe wieder angetroffen.
2 7 45	701	935	ca 790	780						Nach der Karte Landungspunkt in ca 600 m.

Pilotballon-Visierungen:
12^{00} p

Stufenwerte m	Wind Richtung	Wind Geschwindigkeit m p. s.	Stufenwerte m	Wind Richtung	Wind Geschwindigkeit m p. s.
540	E	1.7	5340—5540	N 7° E	1.0
540—740	S 58° E	2.8	5540—6140		3.0
740—940		5.0	6140—6340	S 60° W	
940—1140	S 69° E	12.0	6340—7340	N 63° W	5.7
1140—1340		17.0	7340—7940	N 55° W	
1340—1940	S 75° E	13.2	7940—8140	N 49° W	7.1
1940—2140	S 68° E	9.6	8140—8540	N 41° W	
2140—2740	S 52° E	7.5	8540—9340	N 23° W	9.7
2740—3140	S 41° E	10.4	9340—9740	N 16° W	
3140—3340	S 44° E		9740—10140	N 6° W	7.8
3340—3540	S 51° E	8.8	10140—10540		
3540—3740	S 67° E	6.0	10540—11340	N	6.3
3740—4140	S 81° E	6.8	11340—11540	N	8.6
4140—4340	S 67° E	4.1	11540—11740	N 6° E	
4340—4740			11740—11940	N 18° E	9.6
4740—4940	S 28° E	2.8	11940—12540	N 14° E	
4940—5140			12540—12940	N 25° E	15.4
5140—5340	N 78° E	1.0			

Der Aufstieg vom 5. Dezember erfolgte im Kerne eines kontinentalen barometrischen Maximums, dessen Schwerpunkt über Böhmen und Polen lag, so dass die starken Gradienten gegen eine auf dem Ozean liegende Depression kräftig kalte Ostwinde auslösten. In Anbetracht der lebhaften Luftbewegung ist die intensive, allerdings nicht direkt am Erdboden beginnende Temperaturumkehr bemerkenswert; sie sagt uns, dass beim Strömungsvorgang über die unebene Erdoberfläche nur eine etwa 200 bis 300 m dicke Schicht konvektiv durchmischt war. Ihre niedere Temperatur hinderte eine weitere Durchmischung mit der darüberfliessenden warmen Luft, deren Geschwindigkeit — wenigstens nach der vier Stunden später erfolgten Pilotvisierung — bis auf 17 m/sec. anwuchs.

An der unteren Grenze der Inversion trieben die Fr cu, die vermutlich ihre Entstehung einer Ansaugung durch die lebhaften in 940—1940 m herrschenden Winde verdankten. Mir scheint die Registrierung eine Stärkung der von W. Peppler[1]) vor kurzem entwickelten Anschauungen über den Zusammenhang von Inversionen und Vertikalbewegungen der Atmosphäre zu geben.

Die weitere Temperaturregistrierung bot nicht viel Interessantes. Verhältnismässig tief war die Temperatur der Stratosphäre, deren untere Grenze, entsprechend dem intensiven Barometermaximum, in 14 440 m angetroffen wurde. Der Übergang vollzog sich nach Typus I bezw. IV, falls wir das Übergangsstadium ab 11 830 m dazu nehmen.

Die Intensität des Hochdruckgebietes fand auch in der Visierung des um 12^{00} aufgelassenen Pilotballons ihren Ausdruck: Von 10 500 bis 3000 m herrschte N bzw. NNE.

[1]) W. Peppler, Lindenberger Jahrbuch 1911 S. 243. Das Wetter 1912 S. 246.

Zusammenfassung von Ergebnissen des Jahres 1912.

Seehöhe der Nullgradisotherme bei den einzelnen Fahrten.

4. Januar	900 m	6. Juni	3100 m	2. Oktober 8 a	3180 m
5. Januar	1950 m	1. Juli	2850 m	2 p	2860 m
1. Februar	tiefer als München	2. Juli	2800 m	3. Oktober 8 a	2040 m
7. März	1300 m	3. Juli	2700 m	2 p	2230 m
11. April 8 a	520 m	4. Juli	2500 m	4. Oktober 8 a	1100 m
2 p	1000 m	5. Juli	3000 m	2 p	900 m
12. April 8 a	tiefer als München	6. Juli	4120 m	7. November	tiefer als München
13. April 8 a	tiefer als München	1. August	3400 m	5. Dezember	1010 m
2 p	800 m	3. August	3500 m		2740 m
2. Mai	870 m	5. September	3530 m		

Die Temperaturen der freien Atmosphäre im Jahre 1912.

	München Abweichung vom Mittel		Zugspitze Abweichung vom Mittel		516 m	1 km	2 km	3 km	4 km	5 km	6 km	7 km	8 km	9 km	10 km	11 km	12 km	13 km	14 km	15 km	16 km	17 km	18 km	19 km	20 km
	Luftdruck	Temper.	Luftdruck	Temper.																					
	mm	°	mm	°																					
4. Januar	-0.3	6.9	-1.3	2.4	3.4	-0.5	-6.8	-10.2	-14.3	-20.7	-27.6	-35.2	-42.7	-49.7	-56.7										
5. Januar	-7.6	7.1	-5.4	3.7	3.6	2.0	-0.4	-7.1	-13.9	-19.9	-26.5	-34.5	-42.5	-49.8	-56.7	-62.0	-63.4								
1. Februar	-8.1	-0.3	-8.2	-5.3	-1.7	-4.6	-11.1	-17.8	-25.6	-29.3	-33.3														
7. März	-1.9	3.0	-2.4	-1.7	3.6	1.4	-5.7	-12.7	-19.8	-27.4	-34.8	-42.6													
11. April 8 a	-1.7	-5.3	-6.9	-7.9	0.0	-4.2	-11.1	-20.6	-27.4	-33.1	-35.0	-38.3	-40.9	-47.8	-50.3	-48.9	-47.2	-48.7	-52.2						
2 p	-0.1	-5.2	-5.9	-7.8	4.6	0.2	-8.8	-15.7	-22.6																
12. April 8 a	5.1	-6.4	-2.1	-8.0	-0.9	-5.2	-11.7	-16.1	-24.2	-31.3	-34.3	-36.7	-39.6	-47.0	-50.8										
13. April 8 a	11.1	-6.3	2.1	-9.6	-0.3	-4.9	-12.3	-19.4	-20.0	-22.8	-29.3	-35.9	-43.4	-50.7	-57.3	-56.6	-52.0	-52.0							
2 p	11.5	-5.8	2.5	-9.4	4.4	-2.9	-11.7	-15.0	-20.1	-24.1	-32.8	-39.7	-47.5	-55.0	-59.2	-60.0	-58.0								
2. Mai	2.7	-4.4	-3.7	-3.4	3.6	-0.7	-6.0	-7.2	-11.8	-19.0	-26.6	-35.5	-44.5	-53.5	-60.7	-59.8									
6. Juni	-0.8	2.9	-0.5	-0.1	16.9	12.9	5.5	0.8	-4.7	-10.2	-17.0	-23.9	-31.0	-38.2	-46.0	-53.1	-55.9	-54.7							
1. Juli	-2.2	-1.6	-4.2	-0.3	14.1	12.1	4.7	-0.5	-5.3	-10.3	-15.3	-21.6	-27.4	-35.4	-44.0	-50.9	-52.9								
2. Juli	-2.4	-2.8	-5.1	-3.8	12.8	9.7	4.0	-0.9	-5.1	-10.8	-16.3	-22.0	-29.5	-37.7	-44.8	-42.8	-45.1	-43.0	-43.5	-43.7					
3. Juli	-2.3	-2.0	-4.9	-3.5	13.7	10.1	3.0	-1.3	-8.3	-14.2	-20.3	-26.5	-32.8	-38.5	-45.3	-45.1	-43.5	-43.0							
4. Juli	-2.4	-3.5	-3.4	-3.9	11.8	8.6	3.5	-1.6	-6.3	-12.1	-18.2	-23.9	-29.5	-35.2	-41.0	-44.4	-44.3	-43.2	-42.1	-44.2	[-46.9]				
5. Juli	3.4	-1.3	0.0	-2.1	14.3	10.1	4.2	0.0	-5.5	-11.8	-19.0	-26.7	-32.9	-37.9	-43.1	-43.9	-46.1	-46.7	-47.8	-48.9					
6. Juli	0.7	1.2	0.1	1.0	14.3	12.8	10.5	4.6	0.5	-6.9	-14.7	-22.4	-30.0	-36.6	-43.1	-48.2	-50.8	-51.3	-50.6						
1. August	-5.6	4.0	-3.7	2.7	20.1	16.5	8.3	1.6	-3.1	-8.0	-15.2	-23.1	-31.0	-38.8	-46.6	-52.7	-54.6	-53.8	-52.9						
3. August	-1.6	-0.2	-3.0	-0.2	19.7	15.3	7.2	1.1	-4.0	-8.2	-14.8	-22.3	-28.8	-34.6	-40.1	-42.7	-44.2	-45.0	-45.8	-46.0	-44.8	-43.3			
5. September	-1.0	-0.7	-2.4	-0.8	12.0	9.5	6.0	1.7	-1.5	-6.8	-11.6	-17.2	-23.5	-29.5	-34.9										
2. Oktober 8 a	-8.9	6.1	-5.3	3.3	14.1	13.2	6.8	0.9	-3.8	-10.2	-16.5	-23.3	-29.0	-32.5	-38.2	-44.9									
2 p	-8.7	5.2	-5.6	2.8	13.9	10.0	4.6	-0.8	-6.4	-12.6	-18.2	-23.8	-30.4	-33.4	-40.2	-45.3	-47.6	-51.3	-53.4	-55.5	-57.4	-57.5	-56.7	-55.4	-54.2
3. Oktober 8 a	-3.8	0.2	-4.7	0.6	9.9	5.9	0.3																		
2 p	-2.6	-0.9	-4.6	0.2	6.5	3.4	0.7	-3.1	-8.4	-13.7	-19.5	-25.1	-32.6	-40.1	-45.0	-49.3	-47.4	-48.7	-49.8	-50.6	-50.9	-50.5			
4. Oktober 8 a	7.7	-4.0	-0.6	-4.1	3.4	0.5	-5.4	-10.1	-11.3	-16.3	-21.7	-27.6	-33.6	-40.5	-44.0	-43.1	-43.6	-45.0	-45.3	-48.4	-48.0				
2 p	9.9	-4.3	0.2	-5.2	4.4	-0.8	-7.6	-12.5	-14.9	-21.1	-27.6	-34.0	-41.6	-47.1	-49.8	-49.1	-51.2								
7. November	8.8	-3.7	0.5	-8.8	-7.0	-6.2	-13.0																		
5. Dezember	5.4	-0.1	6.9	4.9	-4.1	-1.7	4.9	-1.1	-7.6	-14.6	-20.8	-29.1	-37.3	-45.5	-52.2	-58.5	-63.5	-65.0	-67.0	-67.9	-65.2				
Mittel					7.5	4.4	-0.5	-6.3	-11.4	-16.6	-22.7	-28.8	-35.0	-41.5	-47.4	-50.1	-50.6	-49.4	-50.0	-50.6	-52.2	-50.4	-56.7	-55.4	-54.2
Anzahl der Fahrten					28	28	28	26	26	25	25	24	23	23	23	20	18	14	11	8	6	3	1	1	1

Anhang.

Zusammenstellung der Temperaturwerte nach den Fahrten 1906—1912.

Jährlicher Gang der Temperatur (1906—1912).

	516	1	2	3	4	5	6	7	8	9	10
Januar	− 3.4(11)	− 2.7(11)	− 5.2(11)	− 9.6(11)	−14.8(11)	−21.3(11)	−28.5(10)	−36.3(10)	−44.4(10)	−52.1(10)	−57.5(9)
Februar	− 4.8(8)	− 5.5(8)	− 8.4(8)	−12.3(8)	−17.8(8)	−23.7(7)	−30.1(7)	−36.5(6)	−44.1(6)	−50.0(6)	−52.8(5)
März	3.7(8)	1.4(8)	− 4.3(8)	−10.5(8)	−17.3(8)	−23.9(8)	−31.4(8)	−39.0(8)	−46.0(7)	−51.4(6)	−52.7(6)
April	3.4(12)	0.0(12)	− 7.3(11)	−13.9(11)	−19.8(11)	−25.0(10)	−31.3(10)	−37.3(10)	−44.0(10)	−49.6(10)	−52.4(10)
Mai	11.5(12)	10.2(12)	4.4(12)	− 1.0(12)	− 6.9(11)	−13.5(11)	−20.3(11)	−27.5(11)	−34.7(11)	−42.3(11)	−49.6(10)
Juni	**15.9**(9)	12.9(9)	**8.0**(8)	1.3(8)	− **3.2**(8)	− 9.0(8)	−15.7(8)	−22.5(8)	−30.1(8)	−37.3(8)	−44.9(8)
Juli	15.4(21)	**13.0**(21)	7.7(23)	**1.9**(23)	− 3.4(23)	− **8.8**(23)	**−15.3**(23)	−22.2(23)	−29.1(22)	−36.6(22)	−44.3(22)
August	15.7(12)	12.7(12)	6.5(12)	0.8(11)	− 4.5(11)	− 9.1(11)	−15.4(11)	**−22.0**(11)	**−29.0**(10)	**−36.3**(10)	**−43.2**(10)
September	13.6(12)	11.8(12)	7.0(12)	1.2(12)	− 4.2(12)	− 9.9(12)	−15.6(12)	−22.2(11)	−29.2(11)	−36.5(11)	−43.4(11)
Oktober	9.4(15)	8.3(15)	3.5(15)	− 0.9(14)	− 5.7(14)	−11.2(14)	−16.1(14)	−23.8(11)	−30.5(14)	−37.2(13)	−43.5(13)
November	1.2(10)	3.9(10)	0.3(10)	− 4.4(9)	−11.1(9)	−18.0(9)	−25.1(9)	−31.6(9)	−37.8(9)	−43.2(9)	−48.4(9)
Dezember	− 0.4(16)	− 0.9(16)	− 3.5(16)	− 9.5(16)	−15.8(16)	−22.5(15)	−29.5(11)	−37.0(11)	−43.2(14)	−48.6(13)	−53.2(12)
Jahr	7.7	6.5	1.7	− 4.1	− 9.6	−15.4	−21.9	−28.7	−35.7	−42.4	−48.0
Schwankung	**20.7**	18.5	16.4	**15.8**	16.6	16.2	16.1	**17.0**	**17.0**	15.8	14.3
Anzahl der Fahrten	149	149	146	143	142	139	137	135	132	129	125

	11	12	13	14	15	16	17	18	19	20
Januar	−60.0(6)	−57.8(6)	−56.5(5)	−59.2(2)						
Februar	−55.1(5)	−57.7(2)	−52.7(2)	−53.1(1)	−55.6(1)	−58.1(1)				
März	−52.3(4)	−52.1(4)	−50.2(2)							
April	−55.0(7)	−52.9(7)	−52.5(3)	−53.6(2)	−54.2(1)	−55.0(1)	−55.8(1)	−55.9(1)	−54.9(1)	
Mai	−54.6(9)	−57.8(8)	−55.5(7)	−52.9(4)	−50.9(3)	−50.8(3)	−50.9(3)	−50.2(3)	−50.1(2)	−49.1(1)
Juni	−51.7(8)	−56.0(7)	−55.9(7)	−56.3(5)	−54.7(3)	−57.4(1)				
Juli	−49.6(22)	−52.9(20)	−51.0(11)	**−49.4**(9)	**−48.2**(6)	−49.1(4)	−47.2(1)			
August	−49.3(10)	**−51.5**(8)	**−50.5**(7)	−51.1(6)	−50.2(4)	**−44.8**(1)	−43.3(1)			
September	**−49.2**(10)	−54.4(8)	−57.3(7)	−57.4(6)	−55.4(5)	−52.8(1)	−52.5(3)			
Oktober	−48.9(13)	−52.8(11)	−54.4(8)	−55.2(7)	−53.4(5)	−53.5(5)	−54.4(1)	−56.1(2)	−54.8(2)	−53.6(2)
November	−53.7(9)	−57.4(5)	−57.2(4)	−55.6(3)	−56.2(3)					
Dezember	−56.5(10)	−59.8(8)	−61.4(7)	−60.9(4)	−62.5(2)	−65.2(1)				
Jahr	−52.1	−54.5	−54.6	−54.4	−53.2	−52.7	−51.9	−53.1	−52.9	−52.1
Schwankung	10.8	8.3	10.9	11.5	14.3	20.4				
Anzahl der Fahrten	113	94	73	49	33	21	13	6	5	3

Mittleres Ende der Troposphäre.

(Entnommen der vorhergehenden Temperaturreihe.)

	Seehöhe	Endtemperatur	Anzahl der Fahrten
Januar zwischen	11 und 12 km	ca —60.0	6
Februar	12 „ 13 km	—57.7	2
März	**10.** „ **11** km	**—52.7**	6
April	11 „ 12 km	—55.0	7
Mai	12 „ 13 km	—57.8	8
Juni	12 „ 13 km	—56.0	7
Juli	12 „ 13 km	—52.9	20
August	12 „ 13 km	**—51.5**	8
September	13 „ 14 km	—57.3	7
Oktober	**14** „ **15** km	—55.2	7
November	12 „ 13 km	—57.4	5
Dezember	13 „ 14 km	—61.4	7

Zur annähernden Beurteilung, ob die Temperaturwerte bereits als Mittelwerte gelten dürfen, sind in der folgenden Tabelle die für die Höhe 516 m und 3000 m erhaltenen Mitteltemperaturen mit den Mittelwerten für München-Sternwarte und Zugspitze in Parallele gesetzt.

	516 m	München	△	3000 m	Zugspitze	△
Januar . .	— 3.4	— 3.1	— 0.3	— 9.6	—11.2	1.6
Februar .	— 4.8	— 1.3	— 3.5	—12.3	—12.6	0.3
März . .	3.7	2.0	1.7	—10.5	—10.6	0.1
April . .	3.4	7.0	— 3.6	—13.9	— 7.7	— 6.2
Mai . . .	11.5	11.6	— 0.1	— 1.0	— 3.2	2.2
Juni . . .	15.9	15.2	0.7	1.3	0.1	1.2
Juli . . .	15.4	16.9	— 1.5	1.9	1.6	0.3
August . .	15.7	16.2	— 0.5	0.8	1.8	— 1.0
September.	13.6	12.6	1.0	1.2	— 0.4	1.6
Oktober .	9.4	7.6	1.8	— 0.9	— 3.2	2.3
November .	1.2	1.8	— 0.6	— 4.4	— 7.9	3.5
Dezember .	— 0.4	— 1.9	1.5	— 9.5	— 9.8	0.3
Jahr . . .	7.7	7.0	0.7	— 4.1	— 5.2	1.1

Demnach dürfen die Monatsmittel des Januar, März, Juni, Juli, August, September und Dezember schon als gute Näherungswerte bezeichnet werden. Die Jahresmittel sind genügend genau.

Jährlicher Gang der Temperaturgradienten (1906—1912)

(abgeleitet aus obigen Werten, also ohne Zurückgreifen auf die Einzelgradienten).

	516—1	1—2	2—3	3—4	4—5	5—6	6—7	7—8	8—9	9—10	10—11	11—12	12—13	13—14
Januar . .	**- 0.12**	**0.25**	0.44	0.52	0.65	0.72	**0.78**	**0.81**	**0.77**	0.54	0.25	-0.22	-0.13	0.27
Februar . .	0.14	0.29	0.39	0.55	0.59	0.64	0.64	0.76	0.59	0.28	0.23	0 26	-0.50	0.04
März . . .	0.48	0.57	0.62	**0.68**	0.66	**0.75**	0.76	0.70	**0.54**	**0.13**	-0.06	-0.02	-0.19	—
April . . .	**0.70**	**0.73**	0.66	0.59	0.52	0 63	0.60	0.67	0.56	0.28	0.26	0.21	-0.04	0.11
Mai	0.28	0.58	0.54	0.59	0.66	0.68	0.72	0.72	0.76	0.73	0.50	0.32	-0.23	-0.26
Juni . . .	0.62	0.49	**0.67**	0.45	0.58	0.67	0.68	0.76	0.72	0.76	0.68	0.43	-0.01	0 04
Juli	0.50	0.53	0.58	0.53	0.54	0.65	0.69	0.69	0.75	**0.77**	0.53	0.24	-0.10	-0.16
August . .	0.62	0.62	0.57	0.53	**0.46**	0.63	0.66	0.70	0.73	0.69	0.61	0.22	-0.10	0.06
September .	0.37	0.48	0.58	0.54	0.57	0 57	0.66	0.70	0 73	0.69	0.58	0.52	0.29	0.01
Oktober . .	0.23	0.48	0.44	0.48	0.55	**0.49**	0.77	0.67	0.67	0.63	0.54	0.39	0.16	0.08
November .	**- 0.56**	0.36	0.47	0.67	**0.78**	0.71	0.65	0 62	0.54	0.52	0.53	0.37	-0.02	-0.16
Dezember .	0.10	0.26	0.60	0.63	0.67	0.70	0.75	0.62	0.54	0.46	0.33	0.33	0.16	-0.05
Jahr . . .	0.25	0.48	0.58	0.55	0.58	0.65	0.68	**0 70**	0.67	0.56	0.41	0.24	0.01	-0.02

Ein Beitrag zur Kritik der Pilotballonvisierungen

von

Karl Bux.

Einleitung.

Die internationalen Ballonaufstiege geben eine erwünschte Gelegenheit, die Ergebnisse einfacher Pilotballonvisierungen auf ihre Brauchbarkeit zu untersuchen. Das Aneroid, das ein Registrierballon mit sich emporführt, gibt mit hinreichender Genauigkeit Aufschluss über die jeweilige Höhe, in welcher der Ballon schwimmt; die Visierung eines solchen Ballons ist demnach geeignet, die Visierung eines gleichzeitig oder kurze Zeit später aufgelassenen Piloten zu prüfen.

Aus diesen Gründen erfolgte an den internationalen Tagen des Jahres 1911/12 der tägliche Pilotballonaufstieg an der meteorologischen Centralstation zum Teil gleichzeitig, zum Teil circa 1 Stunde später als der des Registrierballons. Hiebei sollte in erster Linie über folgende zwei Fragen Aufschluss gewonnen werden:

1. geben gleichzeitige Pilot- und Registrierballonvisierungen übereinstimmende Werte der Windrichtung und Windgeschwindigkeit?
2. in wie weit können Pilotvisierungen für eine etwa 1—1½ Stunden später erfolgende Freiballonfahrt verwertet werden?

Für die Beurteilung der Visierungen möge noch angeführt sein, dass die Aufstiegsorte für Pilot- und Registrierballon verschiedene waren; der Aufstieg des Pilotballons erfolgte von der Plattform des Daches der meteorologischen Centralstation aus, der des Registrierballons auf dem ca. 1.8 km entfernten Übungsplatz der K. Luftschiffer-Abteilung.

Auswertung der Visierungen.

Die Auswertung der Visierungen wurde nach den üblichen graphischen Methoden durchgeführt. Die Bahnkurven sind je nach den herrschenden Windgeschwindigkeiten im Massstab 1 : 10000 bezw. 1 : 20000 gezeichnet worden; die Auswertung derselben hinsichtlich Windrichtung und Windgeschwindigkeit geschah für beide Ballone so weit als möglich nach den gleichen Höhenstufen. Die Höhenschichtung ist dabei nur für die ersten 1000 m etwas enger, im allgemeinen ziemlich grob gehalten, in Rücksicht auf die der Visierung wie der Zeichnung anhaftenden Fehler. Hervortretende Wendepunkte der Ballonbahn, sowie andere charakterische Momente, starkes Abflauen oder kräftiges Anwachsen der Windgeschwindigkeit waren besonders für die Auswertung massgebend.

Endlich sei noch darauf hingewiesen, dass der bei den täglichen Visierungen zur Verwendung kommende Pilotballon eine Steiggeschwindigkeit von 120 bezw. 140 m/min. besitzt, während die des Registrierballons zwischen 180 und 250 m/min schwankt — ausgenommen die Fahrt vom 3. August 1911, wo die Steiggeschwindigkeit des Registrierballons nur 127 m/min. betrug.

Deshalb zeichnet auch die Pilotballonkurve mehr Einzelabweichungen von der Hauptwindrichtung in einem grösseren Intervalle auf als die entsprechende Kurve des Registrierballons.

Ergebnisse.

a) Gleichzeitige Aufstiege.

Betrachten wir zunächst die nahezu gleichzeitig erfolgten Aufstiege vom 6. Juli, 3. August, 12., 13., 14. und 15. September, 9. November 1911, 2. Mai 1912, deren Resultate auf Tabelle I zusammengestellt sind. Die Bahnkurven finden sich auf Tafel I.

Tabelle I (gleichzeitige Aufstiege).

	Registrierballon			Pilotballon			Abweichungen in	
	Höhenstufen	Richtung	Geschwindigkeit in m/sec.	Höhenstufen	Richtung	Geschwindigkeit in m/sec.	Richtung	Geschwindigkeit
1911								
6. Juli . . .	8^{00} a			8^{04} a				
	516— 980	S 77° E	5.6	540— 960	S 75° E	6.8	2°	1.2
	980 - 1440	N 83° E	6.5	960—1380	E	7.2	7°	0.7
	1440—2130	N 64° E	6.0	1380 - 2080	N 68° E	7.4	4°	1.4
	2130 —3280	N 52° E	7.2	2080—3340	N 45° E	6.1	7°	1.1
	3280—4200	N 25° E	10.6	3340—4040	N 38° E	11.8	13°	1.2
3. August .	8^{03} a			8° a				
	516— 640	S 76° W	4.5	540— 680	S 66° W	3.0	10°	1.5
	640— 900	N 75° W	4.6	680— 960	N 72° W	4.9	3°	0.3
	900—1280	N 46° W	5.3	960—1240	N 44° W	4.3	2°	1.0
	1280—1900	N 22° W	5.8	1240—1940	N 29° W	5.1	7°	0.7
	1900—2670	N	5.4	1940—2640	N 6° W	4.4	6°	1.0
	2670—3950	N 11° W	4.3	2640 - 2900	N 15° W	4.6	4°	0.3
12. Sept. .	8^{05} a			8^{00} a				
	516 - 1140	S 19° E	1.9	540 - 1140	S 25° E	1.9	6°	0.0
	1140—1770	N 74° W	3.9	1140 - 1740	N 81° W	3.1	7°	0.8
	1770—2400	W	8.6	1740 - 2460	W	10.3	0°	1.7
	2400—4270	N 70° W	5.1	2460 - 4260	N 73° W	5.7	3°	0.6
13 Sept. .	7^{53} a			8° a				
	516 - 1020	S 77° W	13.5	540 - 1020	S 75° W	13.6	2°	0.1
	1020—1530	W	12.3	1020 - 1380	W	15.6	0°	3.3
14. Sept. .	8^{06} a			8^{08} a				
	516— 1300	N 80° W	10.0	540— 1260	N 83° W	9.5	3°	0.5
	1300—2090	S 84° W	6.0	1260—1860	S 88° W	6.5	4°	0.5
15. Sept. .	7^{58} a			7^{59} a				
	516 — 970	N 55° W	2.8	540—1020	N 57° W	4.5	2°	1.7
	970—1420	N 68° W	1.7	1020—1380	S 77° W	2.5	35°	0.8
	1420—1650	N 83° W	4.2	1380—1620	S 85° W	3.6	12°	0.6
	1650—2100	S 65° W	9.8	1620 - 1980	S 73° W	7.7	8°	2.1
9. Nov. . .	8^{01} a			8^{00} a				
	—	—	—	—	--	—	—	—
	890—1640	S 5° E	4.4	820—1660	S 4° E	4.0	1°	0.4
	1640 —3370	S 7° W	7.1	1660—3340	S 4° W	6.9	3°	0.2
	3370 —4520	S 66° W	15.3	3340—4460	S 56° W	13.1	10°	2.2
1912								
2. Mai . .	8^{00} a			8^{00} a				
	516— 990	E	4.2	540— 960	E	4.3	0°	0.1
	990—1230	N 72° E	5.3	960—1380	N 67° E	5.8	5°	0.5
	1230—1710	S 80° E	4.0	1380—1800	S 86° E	5.0	6°	1.0
	1710—1960	S 49° E	1.8	1800—1940	S 71° E	3.3	22°	1.5
	1960—2200	S 67° W	2.4	1940—2220	S 16° E	1.5	51°	0.9
				2220 - 2500	S 57° E	2.5	—	—
	2200 —2680		1.7	2500—2640	E	1.0	—	—
	2680—3770	E	4.8	2640—2920	N 77° E	3.1	—	—
	3770—3980		1.4	2920 - 3900	E	5.2	—	—
	3980—4200	N 41° E	2.1	3900—4180	N 78° E	3.7	37°	1.6

Von den Aufstiegen am 15. September 1911 und 2. Mai 1912 abgesehen zeigen die Resultate eine gute Übereinstimmung. Von den 22 Vergleichswerten der Registrierballon- und Pilotballonvisierungen liegen 19 Richtungsabweichungen unter 10^0, 18 Geschwindigkeitsabweichungen unter 1.5 m/sec. Richtungs- und Geschwindigkeitsfehler sind also verhältnismässig sehr gering und liegen vollkommen innerhalb der Genauigkeitsgrenzen, die durch die Methode der einfachen Visierung gegeben sind.

Richtungsabweichungen über 10^0 und Geschwindigkeitsdifferenzen $>$ 1.5 m/sec. finden sich, den 3. August 1911 ausgenommen, nur bei Windgeschwindigkeiten $>$ 10 m/sec. In diesen Fällen wird der Pilotballon mit seiner geringen Steigkraft in horizontaler Richtung stark abgetrieben (13. September 1911, 9. November 1911.)

Ausserdem zeigt die Tabelle deutlich, dass bei geringen Windgeschwindigkeiten die Differenzen prozentualiter erheblich grösser sind als bei mittleren und grossen. Der Pilotballon kann eben infolge seiner kleinen Steigkraft mehr auf schwache Windströmungen reagieren, als der rasch steigende Registrierballon.

Für die grossen Differenzen, die die Aufstiege vom 15. September 1911 ergeben, konnte keine Erklärung gefunden werden.

Dagegen mochten am 2. Mai 1911 absteigende Luftströmungen, — ca 0.4 m/sec. von 2910—4110 m, aus dem Barogramm des Registrierballons schätzungsweise berechnet — einerseits, starke Anwärmung des Füllgases — es wurde ein Pilotballon von schwarzer Farbe benutzt — anderseits Richtungs- wie Geschwindigkeitsangaben des Pilotballons stark verfälscht haben. Immerhin weisen die Flugbahnen beider Ballone eine charakteristische Spitze — plötzliches Umschlagen des SE in SW — auf, nur liegt diese beim Registrierballon schon in 2000 m Höhe, beim Pilotballon erst in 2200 m; das Zurückdrehen des Windes nach E erfolgt beim Registrierballon in 2200, beim Pilotballon erst in 2500 m Höhe.

b) Nicht gleichzeitige Aufstiege.

Betrachten wir die Aufstiege vom 4. Mai, 7., 8. und 9. Juni 1911, 13. April und 6. Juli 1912; der Pilotballonaufstieg erfolgte ca. $^1/_2$—$1^1/_2$ Stunden nach dem Registrierballonaufstieg.

Die Flugbahnen weisen zum Teil ziemliche Verschiedenheiten auf, so dass eine Auswertung der Bahnkurven (Tafel II) nach genau gleichen Höhenstufen nicht immer durchführbar war.

In nachfolgender Tabelle sind die Resultate der Visierungen zusammengestellt.

Tabelle II (nichtgleichzeitige Aufstiege).

	Registrierballon			Pilotballon			Abweichungen in	
	Höhenstufen	Richtung	Geschwindigkeit in m/sec.	Höhenstufen	Richtung	Geschwindigkeit in m/sec.	Richtung	Geschwindigkeit
1911								
4. Mai . .	7^{51} a			8^{16} a				
	516— 900	N 82° W	3.3	540— 900	N 88° W	2.8	6°	0.5
	900—1390	S 75° W	1.9	900—1380	S 81° W	2.2	6°	0.3
	1390—2560	N 33° W	3.2	1380—2580	N 43° W	2.7	10°	0.5
	2560—3140	N 83° E	1.8	2580—3180	N 88° E	3.3	5°	0.5
	3140—3730	S 38° E	3.4	3180—3780	S 33° E	3.6	5°	0.2
7. Juni . .	7^{56} a			8^{38} a				
	516— 810	N 76° W	1.8	540 — 820	S 16° W	0.9	88°	0.9
	810—1100	S 74° W	0.8	820—1100	S 56° W	0.8	18°	0.0
				1100—1240	N 62° W	0.8		
				1240—1380	S 56° E	0.3		
				1380—1660	S 71° E	1.6		
				1660—1940	N 85° E	2.1		
				1940—2640	N 57° E	3.4		
				2640—3480	N 34° E	6.4		
	3460—4640	N 37° E	8.0	3480—4460	N 34° E	8.3	3°	0.3
8. Juni . .	7^{57} a			8^{20} a				
	516— 900	N 79° W	3.8	540— 820	N 80° W	2.8	1°	1.0
	900—1490	N 65° W	6.1	820—1520	N 74° W	6.8	9°	0.7
	1490—2460	N 65° W	9.3	1520—2360	N 66° W	9.8	1°	0.5

Tabelle II (nichtgleichzeitige Aufstiege [Fortsetzung]).

	Registrierballon			Pilotballon			Abweichungen in	
	Höhenstufen	Richtung	Geschwindigkeit in m/sec.	Höhenstufen	Richtung	Geschwindigkeit in m/sec.	Richtung	Geschwindigkeit
1911								
9. Juni . .	7^{52} a			8^{20} a				
	516— 690	C	—	540— 680	N 32° E	2.5		2.5
	690—1050	S 77° W	2.5	680— 960	S 36° W	0.8	41°	0.8
	1050—1400	N 77° W	3.9	960—1240	S 73° W	3.0	30°	0.9
				1240—1520	S 68° W	3.4		
	1400—1760	W	4.0	1520—1800	W	4.3	0°	0.3
	1760—2110	N 65° W	5.4	1800—2080	W	4.5	25°	0.9
1912								
13. April .	7^{54} a			9^{26} a				
	516—1040	N 78° W	3.1	540—1100	N 57° W	4.9	21°	1.8
	1040—1560	N 56° W	4.2	1100—1660	N 78° W	4.2	22°	0.0
	1560—2080	N 36° W	5.2	1660—1940	N 51° W	4.9	15°	0.3
	2080—3130	N 9° W	8.8	1940—3060	N 11° W	5.9	2°	2.9
	3130—4000	N 15° W	19.0	3060—3760	N	9.5	15°	9.5
6. Juli . .	7^{58} a			9^{14} a				
	516— 770	E	7.3	540—1100	E	8.7		
	770—1530	S 68° E	8.3	1100—1660	S 68° E	7.7		
	1530—2060	S 10° E	2.4	1660—2220	S 27° E	2.8		
	2060—2330	N	2.2	2220—2360	S 78° W	0.8		
				2360—2640	N 28° W	1.9		
	2330—3130	N 57° W	4.6	2640—3060	N 4° E	2.8		
	3130—3660	S 82° W	3.2	3060—4180	N 65° W	3.4		
	3660—4470	S 36° W	3.1	4180—4600	S 27° W	1.7		
	4470—5270	S 5° E	3.4	4600—5160	S	2.9		
	5270—6560	S 12° E	3.9	5160—6700	S	7.4		
	6560—7490	S 24° E	9.9	6700—7260	S 19° W	8.2		

Die Aufstiege vom 4. Mai und 8. Juni 1911 ausgenommen zeigen sich vornehmlich in den bodennächsten Luftschichten grössere Richtungsabweichungen (im allgemeinen bis zu 40°). Die Geschwindigkeitsabweichungen sind im Verhältnis zu den Richtungsänderungen ziemlich gering (Höchstbetrag 2.5 m/sec). Eine Ausnahme hievon machen nur die Aufstiege vom 13. April und 6. Juli 1912.

Die grosse Geschwindigkeitsdifferenz von 9.5 m/sec. in der Höhenschicht von 3060—4000 bei den Fahrten am 13. April kann zum Teil ihre Erklärung durch vertikale Luftströmungen finden. Das Barogramm des Registrierballons liess an diesem Tag eine aufsteigende Luftströmung von ca. 1.1 m/sec. in einer Höhenschicht von 3040—6870 m schätzen. Eine rechnerische Überlegung zeigt, dass durch eine solche Vertikalströmung von 1.1 m/sec. eine Geschwindigkeitsdifferenz von etwas mehr als 2 m/sec. in horizontaler Richtung sich ergibt.

Bezeichnet man mit α_1 ε_1 Azimut und Elevation des Ballons zur Zeit t_1, mit α_2 ε_2 die entsprechenden Grössen zur Zeit t_2, $t_2 > t_1$, und mit a die konstante Steiggeschwindigkeit des Ballons dann ergibt sich für den in der Zeit $t_2 - t_1$ zurückgelegten horizontalen Weg d die Formel:

$$d = a \sqrt{t_2^2 \cot^2 \varepsilon_2 + t_1^2 \cot^2 \varepsilon_1 - 2 t_1 t_2 \cot \varepsilon_1 \cot \varepsilon_2 \cos(\alpha_2 - \alpha_1)}.$$

Ist während der Zeit $t_2 - t_1$ nur eine geringe Azimutänderung vorhanden, so dass also $\cos(\alpha_2 - \alpha_1)$ praktisch $= 1$ gesetzt werden kann, so vereinfacht sich obige Formel und wir erhalten:

$$d = a (t_2 \cot \varepsilon_2 - t_1 \cot \varepsilon_1)$$

und für die horizontale Geschwindigkeit des Ballons

$$v = \frac{a}{60} (t_2 \cot \varepsilon_2 - t_1 \cot \varepsilon_1).$$

Tritt nun vom Zeitmoment t_1 ab eine Steiggeschwindigkeitsänderung $da = k$ ein, so ergibt sich für die entsprechende Änderung der Horizontalgeschwindigkeit:

$$dv = \frac{(t_2 - t_1)\cot \varepsilon_2}{60} \cdot da,$$

bei konstanter Steiggeschwindigkeitsänderung erfährt also die horizontale Geschwindigkeit, wie sie sich unter Voraussetzung konstanter Steiggeschwindigkeit berechnet, einen Zuwachs, der lediglich von der verflossenen Zeit $(t_2 - t_1)$ und der entsprechenden Elevation ε_2 abhängt.

Für den Pilotballon vom 13. April 1912, schwankt nun für die in Betracht kommende Höhenschicht ε_2 zwischen 26.3^0 und 23.5^0, und besitzt im Mittel den Wert von 25.3^0; $da = 1.1$ m/sec. $= 66$ m/min., $t_2 - t_1 = 1$ min, es ergibt sich also für dv im Mittel:

$$dv = \frac{2.12 \cdot 66}{60} = 2.3 \text{ m/sec.}$$

und demnach für die Horizontalgeschwindigkeit v des Ballons in einer Höhe von 3060 m ab der Wert 11.9 m/sec. statt 9.6 m/sec. Im übrigen ist eine Verringerung der Strömungsgeschwindigkeit der Atmosphäre um 9—10 m/sec. in diesen Höhen nicht undenkbar.

Kleinere vertikale Luftbewegungen zeigt auch das Barogramm der Fahrt vom 6. Juli und zwar ca. + 0.2 m von 1500—3100 m, ca. + 0.4 m von 3100—6600 m; ca. — 0.4 m von 6600—7800 m.

In welchem Masse nun aber diese Vertikalbewegungen der Luft bei dem circa 1 Stunde später aufgelassenen Pilotballon wirksam waren, ist nicht zu entscheiden. Jedenfalls zeichnet der Pilotballon die Kurve des Registrierballons nur in grossen Zügen nach, weist dagegen im einzelnen ziemliche Richtungs- und Geschwindigkeitsänderungen auf.

Zusammenfassung.

Fassen wir die erhaltenen Ergebnisse zusammen, so lassen sich die aufgestellten Fragen dahin beantworten:

1. Die gleichzeitig erfolgten Aufstiege zeigen eine ziemlich gute Übereinstimmung. Von den sämtlich angeführten 14 Visierungen sind nur zwei durch stärkere vertikale Luftströmungen beeinflusst.
2. Zeitlich nur wenig auseinander liegende Aufstiege können bereits sehr verschiedene Resultate über Windrichtung und Windstärke liefern; nur das Bild der allgemeinen Windverteilung wird im grossen und ganzen erhalten bleiben. Für die Luftschiffahrt werden daher im allgemeinen nur Pilotballone, die kurz vor der Abfahrt aufgelassen werden, brauchbare Resultate liefern können.

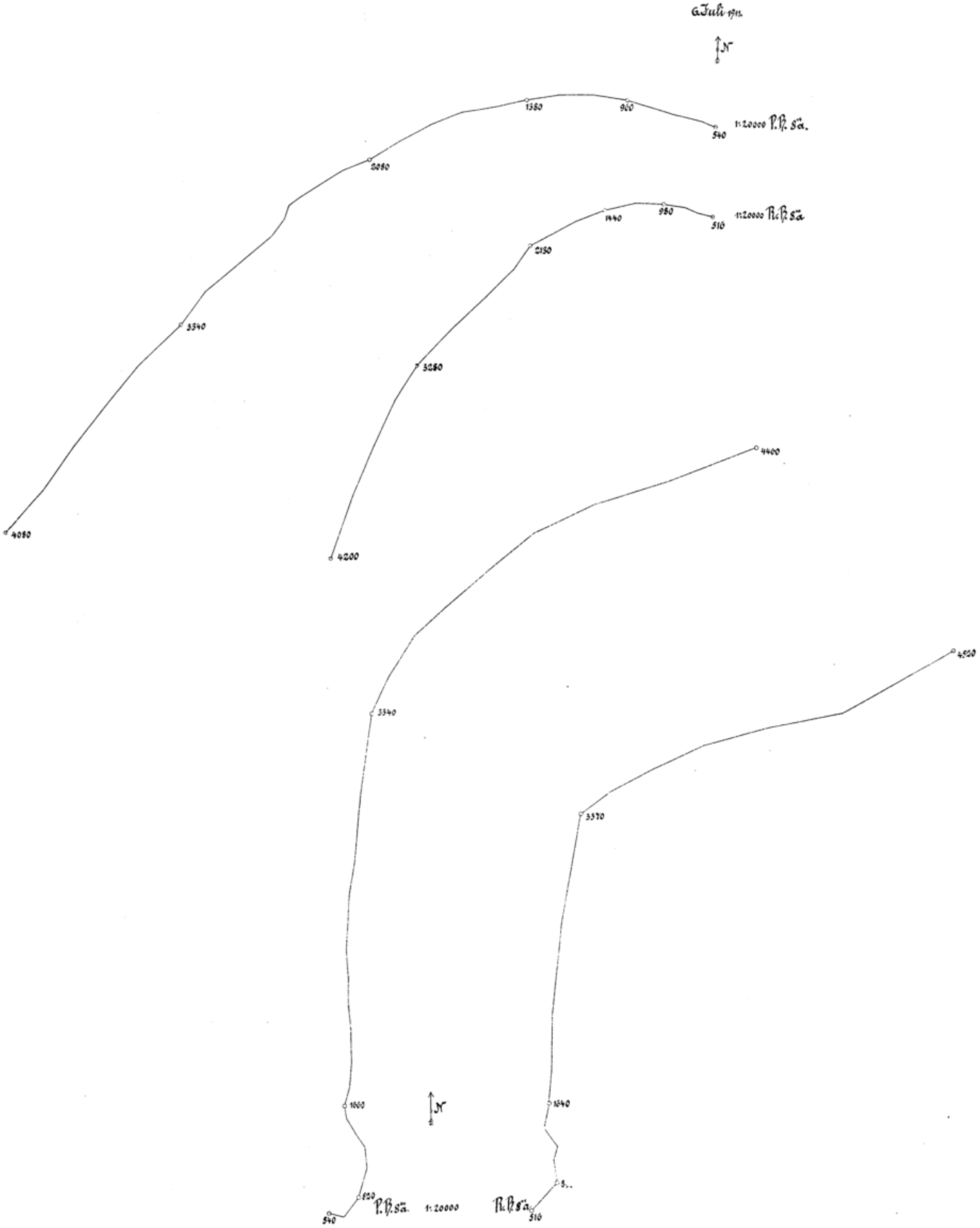
6. Juli 97m.
N
1580
960
540
1:20000 P.Pf. Sä.
2080
1440
960
516
1:20000 Ri.Pf. Sä
2150
3340
3280
4080
4200
4460
3340
4520
3570
1660
1640
N
650
540
P.Pf. Sä. 1:20000
Ri.Pf. Sä.
510
9. November 1911.

12. September 1911.

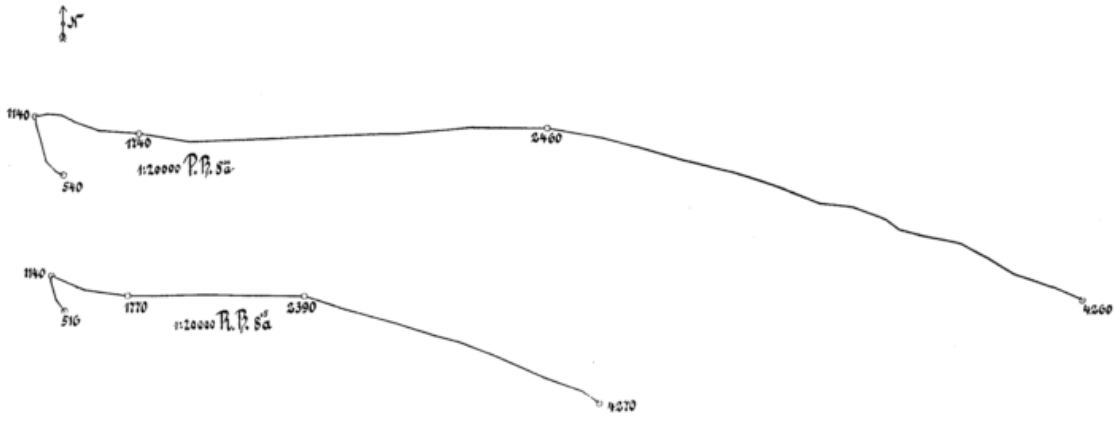

13. September 1911.

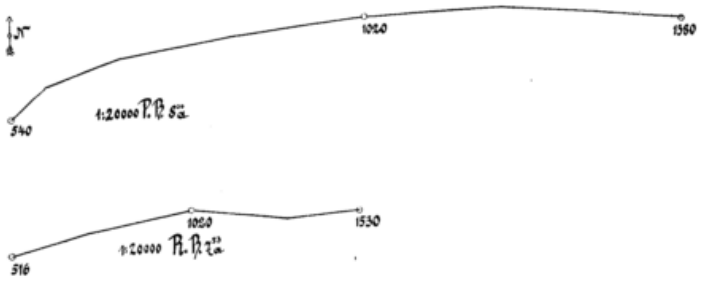

14. September 1911.

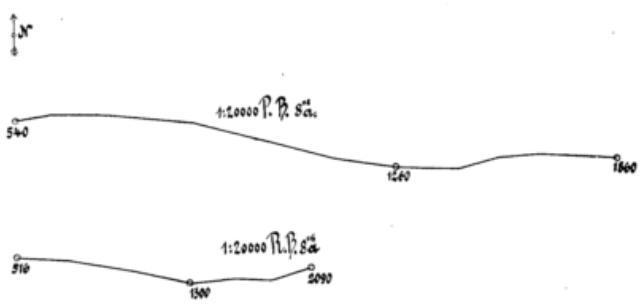

15. September 1911.

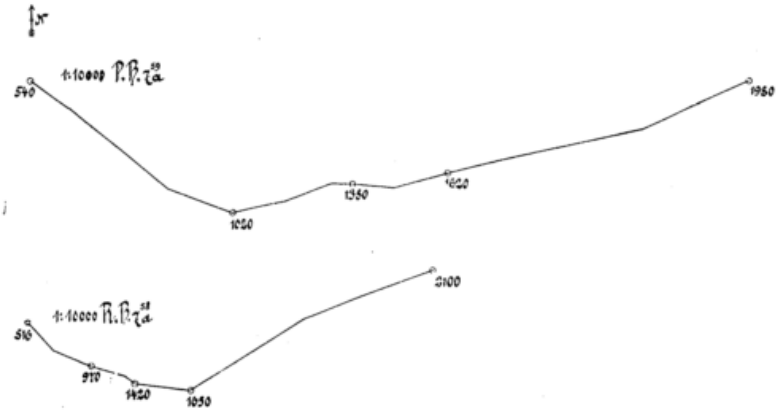

3. August 1911.

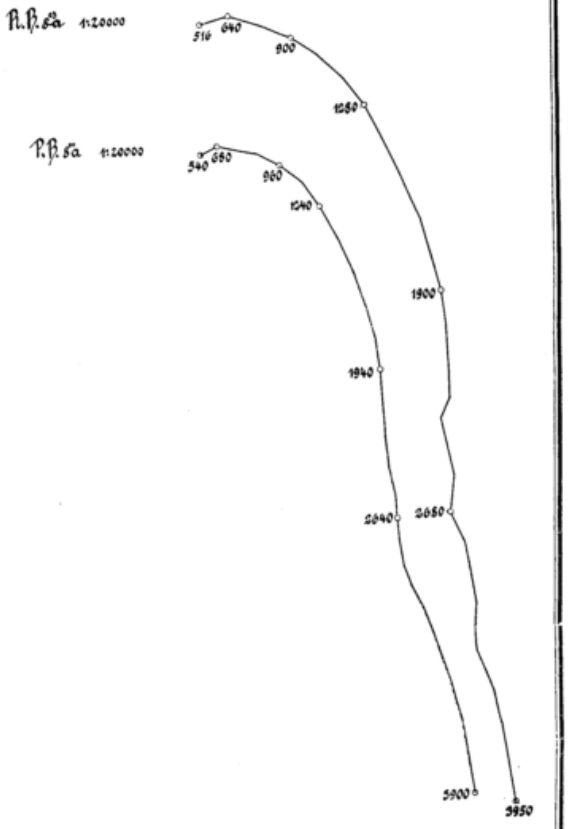

1. Mai 1912.

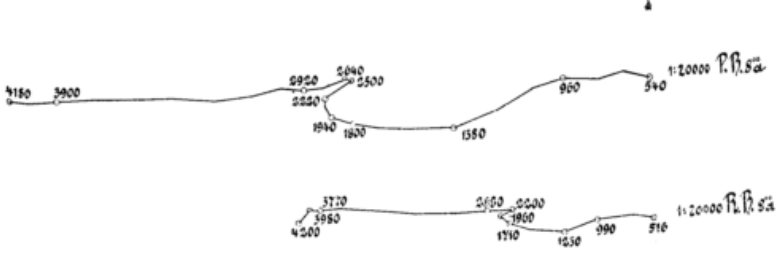

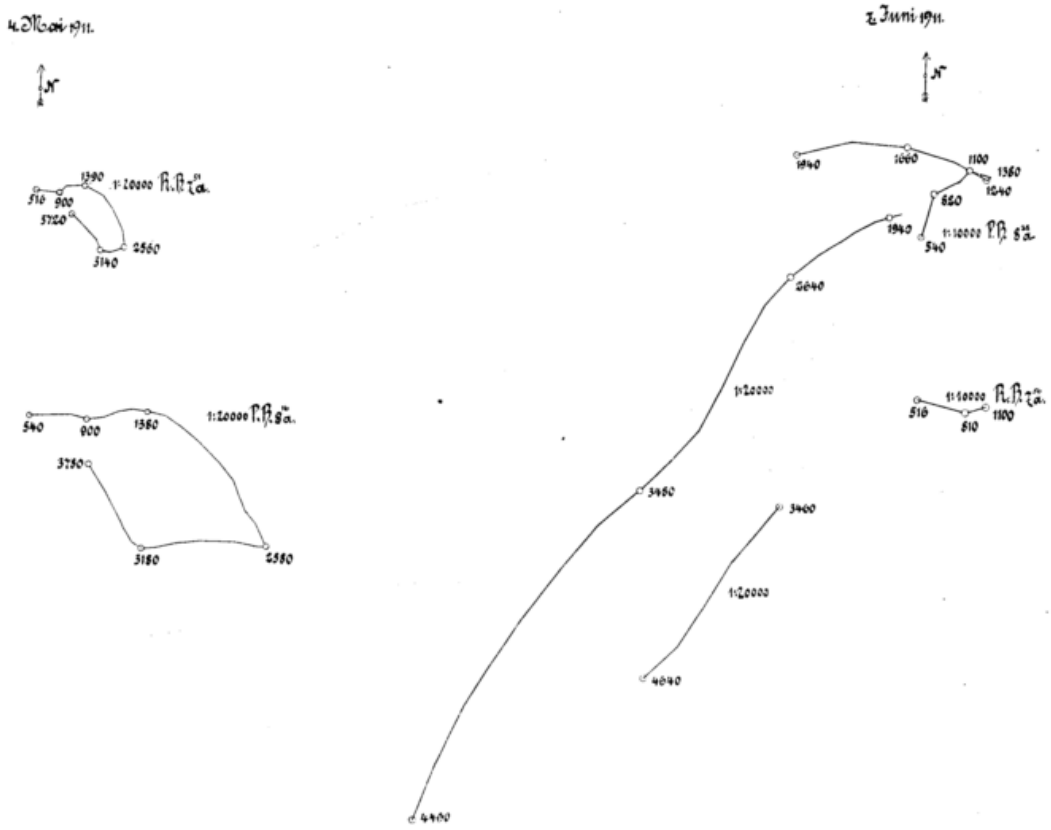
4. Mai 1911.
N
1390
1:20000 R.B. 7a
510
900
5720
2560
5140
540
900
1580
1:20000 P.B. 8a
3750
3180
2550
7. Juni 1911.
N
1940
1060
1100
1360
1040
820
1940
540
1:10000 P.B. 8a
2640
1:20000
1:10000 R.B. 7a
510
510
1100
3450
3400
1:20000
4040
4400

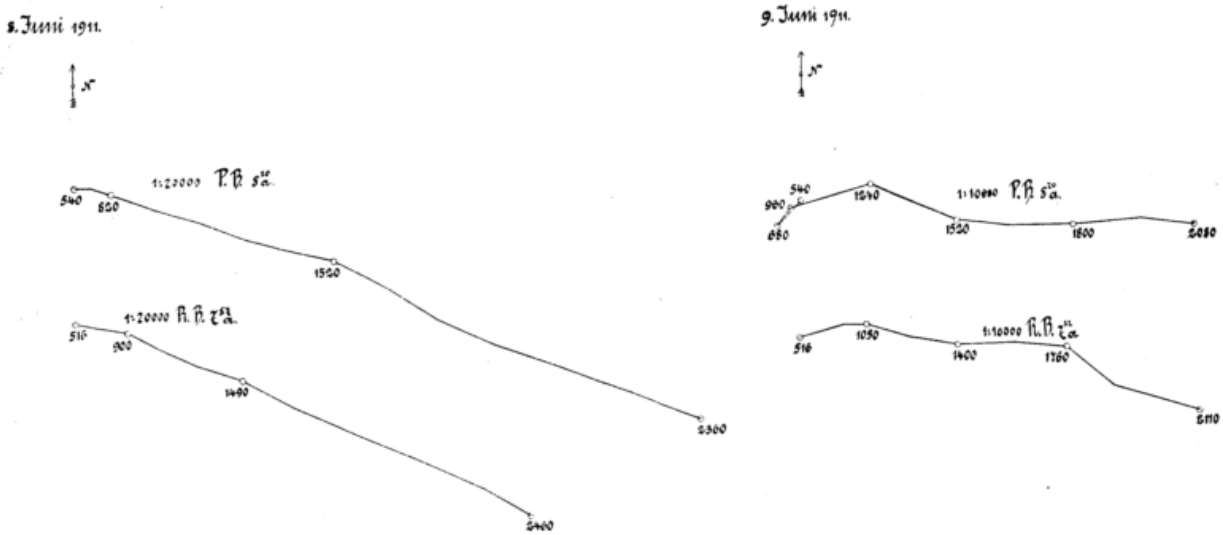
8. Juni 1911.
N
1:20000 P.B. 8a
540
820
1500
1:20000 R.B. 7a
510
900
1490
2300
2400
9. Juni 1911.
N
540
900
650
1240
1:10000 P.B. 8a
1500
1800
2080
1:10000 R.B. 7a
516
1050
1400
1760
2110

12. April 1912.

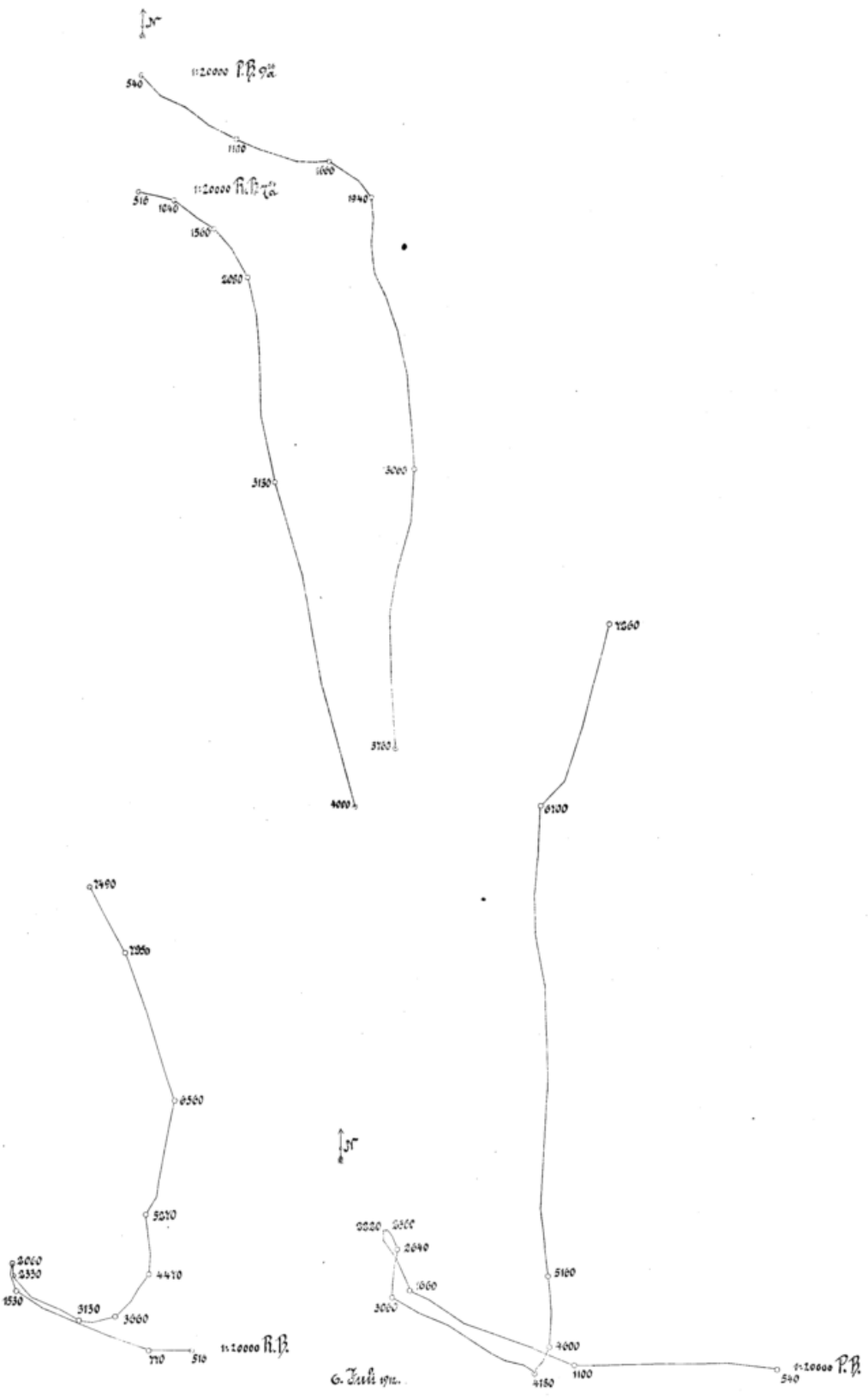

6. Juli 1912.

Verdunstungsmessungen in München

(Sommer 1912)

von **W. Gallenkamp.**

Die im folgenden bearbeiteten Verdunstungsmessungen sind mit dem im vorjährigen Bande der „Beobachtungen der meteorologischen Stationen im Königreich Bayern" beschriebenen Apparat angestellt worden; sie erstrecken sich vom 24. Februar bis 22. Oktober, leider unterbrochen (durch Abwesenheit) vom 15. Juli bis 21. September.

Als Beobachtungszeiten wählte ich (aus praktisch notwendigen Gründen) 8^h a, 2^h p und 8^h p, ergänzt durch halbstündige (später gelegentlich ganzstündige) Beobachtungen an Sonn- und Feiertagen. Der Standplatz des Apparates war in einer Laube an einer sonst möglichst freien Stelle meines Gartens. Dieser Platz hat sich insofern als nicht besonders günstig erwiesen, als von der zweiten Hälfte des Mai ab die Belaubung dichter und dichter wurde, so dass die freie Zirkulation der Luft und damit die Verdunstung deutlich erkennbar beeinflusst wurde (s. u.); deshalb wurde vom 7. Juli ab der Apparat völlig frei auf dem Balkon meines Hauses aufgestellt. Selbstverständlich war er hier, wie auch in der Laube, durch ein horizontales Dach gegen direkten Regen und Sonnenschein geschützt; in allen Fällen hat aber auch dieses Dach nicht, wenigstens bei sehr heftigen Regenböen oder bei nässendem Nebel, eine direkte Benetzung abhalten können, so dass in einzelnen Fällen eine negative Verdunstung gemessen wurde, die natürlich, wohl ohne grossen Fehler, einer Verdunstung 0 gleichgesetzt wurde. Den gleichen Wert 0 habe ich auch für die Nachtverdunstung in den wenigen Fällen angenommen, in denen Frost am Abend schon eintrat oder für die Nacht zu erwarten war, der Apparat also hereingenommen werden musste; ein Vergleich mit den vorhergehenden oder folgenden Nächten, in denen die Frostgrenze vielleicht gerade gestreift wurde, überzeugten mich, dass der Fehler 0.05 oder höchstens 0.1 mm nicht überstieg.

Die Verdunstungsfläche bestand aus einer Filtrierpapierscheibe von 40.5 mm Durchmesser, die durch Ausstanzen vermittelst des gleichen Locheisens hergestellt wurde, so dass bei dem öfters notwendigen Wechsel der Scheiben eine stets gleichbleibende Fläche garantiert war. Die Grösse dieser Scheibe war ausreichend, um auch im Sommer nur eine zweimalige Nullstellung des Apparates, um 8^h a und 8^h p, zu erfordern; nur an verhältnismässig wenigen Tagen war ein öfteres Nachfüllen des Rohres nötig.

Die korrespondierenden Daten für Temperatur, relative Feuchtigkeit, Dampfdruck, Wind etc. entnahm ich den Aufzeichnungen der Meteorologischen Centralstation München. Wenn ich bemerke, dass mein Beobachtungsort in einem Vorort von München, $7^1/_2$ km von der Centralstation entfernt, gelegen war, so bin ich mir bewusst, dass ein genauer Vergleich meiner Daten mit denen der Centralstation im strengen Sinne nicht wohl statthaft ist. Stichproben überzeugten mich auch des öfteren, dass im allgemeinen die Temperaturen der Centralstation höher, die relativen Feuchtigkeiten niedriger waren als bei mir, dass also im allgemeinen auch die Verdunstung bei mir geringere Werte ergeben musste als an der fast im Zentrum der Stadt gelegenen Centralstation. Wenn ich also auf den Zusammenhang der Verdunstung mit den genannten Werten der anderen Faktoren Schlüsse ziehe, so können diese nur ganz allgemeine Gesichtspunkte betreffen und mehr qualitativer als quantitativer Art sein.

Ich gebe nun in der folgenden Tabelle das gesamte Beobachtungsmaterial, d. h. die Verdunstung für die 12 Tagesstunden 8^h a—8^h p, für die 12 Nachtstunden 8^h p—8^h a und für die ganzen 24 Stunden, ebenso die Pentadenmittel und die Monats- (resp. Halbmonats-)mittel.

Februar

Datum	Tag	Nacht	total	Datum	Tag	Nacht	total	Datum	Tag	Nacht	total	Datum	Tag	Nacht	total
24.	0.46	0.21	0.67	26.	0.42	0.01	0.43	28.	1.70	0.17	1.88				
25.	1.24	0.11	1.35	27.	1.59	0.24	1.83	29.	1.88	0.33	2.21				

März

1.	1.75	0.25	2.00	9.	2.70	0	2.70	17.	2.05	0.43	2.48	25.	0.47	0.08	0.55
2.	1.68	0.15	1.83	10.	2.75	0.16	2.91	18.	1.80	0.71	2.51	26.	2.11	0.26	2.37
3.	3.12	0.07	3.19	11.	0.19	0.03	0.22	19.	2.00	0.33	2.32	27.	5.07	0.83	5.90
4.	1.03	0	1.03	12.	1.09	0.11	1.20	20.	1.61	0.14	1.75	28.	2.17	1.16	3.33
5.	1.68	0.83	2.51	13.	0.72	0.11	0.83	21.	2.92	0.60	3.52	29.	0.48	0.09	0.57
6.	1.72	0.70	2.41	14.	1.21	0.24	1.45	22.	0.88	0.29	1.17	30.	3.01	0.86	3.87
7.	2.27	0.15	2.42	15.	1.79	0.15	1.94	23.	1.78	0.32	2.11	31.	3.33	0.91	4.24
8.	0.60	0	0.60	16.	0.24	0	0.24	24.	0.91	0.71	1.62				

April

Datum	Tag	Nacht	total	Datum	Tag	Nacht	total	Datum	Tag	Nacht	total	Datum	Tag	Nacht	total
1.	0.31	0.06	0.38	9.	0.27	0	0.27	17.	2.93	0.16	3.08	25.	3 79	0.39	4.18
2.	0.08	0	0.08	10.	1.91	0	1.91	18.	2.94	0.30	3.24	26.	3.89	0.57	4.46
3.	0.10	0	0.10	11.	1.00	0	1.00	19.	2 03	0.30	2.34	27.	4.32	0.66	4.98
4.	2.17	0.85	3.01	12.	1.15	0	1.15	20.	0.87	0.15	1.03	28.	4.31	0.65	4.96
5.	3.45	1.58	5.03	13.	2.01	0	2.01	21.	2.43	0.65	3.08	29.	2.16	0.14	2.30
6.	4.15	1 50	5.65	14.	2.56	0.31	2.87	22.	4.45	0.26	4 71	30.	2.04	0 84	2.88
7.	1.76	0.35	2.12	15.	1.13	0.28	1.41	23.	2.19	0.36	2.56				
8.	4.94	1.98	6.92	16.	1.93	0.12	2.05	24.	4.21	0.50	4.72				

Mai

1.	2.98	0.20	3.19	9.	0.81	0.39	1.20	17.	0.59	0.31	0.90	25.	0.47	0.11	0.58
2.	2.75	0.52	3.26	10.	0.57	0.20	0.77	18.	1.95	0.25	2.20	26.	0.16	0.11	0.26
3.	4.01	0.81	4.82	11.	2.15	1.13	3.27	19.	3.69	0 48	4.16	27.	1.53	0.18	1.72
4.	4.17	0.49	4.67	12.	6,66	4.28	10 93	20.	4.22	0.25	4.47	28.	3.19	0.33	3.51
5.	0.78	0.23	1.01	13.	3.33	0.86	4.19	21.	3.81	0.25	4.06	29.	2.87	0.47	3.34
6.	1.99	0.53	2.52	14.	2.99	0.53	3.52	22.	0.36	0.22	0.58	30.	3.25	0 32	3.57
7.	0.94	0.16	1.09	15.	4.88	1.59	6.47	23.	0.38	0.04	0.42	31.	2.17	0.36	2.53
8.	0.40	0.10	0 50	16.	3.37	0.40	3.77	24.	0.19	0 09	0.29				

Juni

1.	3.28	0.39	3 67	9.	1.38	0.20	1.59	17.	1.26	0.68	1.94	25.	0.15	0.14	0.29
2.	2.87	1.17	4.05	10.	1.09	0.20	1.29	18.	1.99	0.57	2.55	26.	1.02	0.22	1.25
3.	2.77	0.19	2.95	11.	2.48	0.28	2.76	19.	3.92	0.33	4.25	27.	1.61	0.26	1.87
4.	2.59	0.53	3.11	12.	3.34	0.44	3.78	20.	1.78	0.26	2.04	28.	2.87	0.32	3.19
5.	1.67	0.42	2.09	13.	0.86	0.11	0.97	21.	1.53	0.34	1.87	29.	2.74	0	2.74
6.	3.18	0.40	3.58	14.	2.30	1.09	3.38	22.	3.16	0.36	3.53	30.	1.96	0.28	2.24
7.	2.58	0.13	2.71	15.	0.84	0.24	1.08	23.	3.45	0.63	4.08				
8.	0.43	0.07	0.50	16.	2.92	1.34	4.25	24.	1.08	0	1.08				

Juli

1.	0.49	0,09	0.58	5.	2.09	0.45	2.54	9.	2.86	0.41	3.27	13.	7.05	0.99	8.04
2.	0.79	0,26	1.05	6.	2,53	0.11	2,64	10.	4.70	0.51	5.20	14.	7.69	1.27	8.96
3.	1.46	0.08	1.53	7.	0.60	0.09	0.69	11.	5.48	0.83	6,31				
4.	0 60	0.08	0.69	8.	2,00	0,18	2.18	12.	6.68	0.79	7.47				

September

18.	1.04	0.24	1.28	22.	3.17	0.38	3.54	26.	0.45	0.14	0.59	30.	2,89	0.22	3.11
19.	1.45	0.40	1.85	23.	1.86	0,21	2.07	27.	0.17	0.27	0.44				
20.	1.72	0,25	1.97	24.	1.44	0.29	1.73	28.	1.60	0	1.60				
21.	1,86	0.24	2.11	25.	0.33	0.06	0.39	29.	1.73	0.26	1.99				

Oktober

1.	4.01	0.57	4.57	7.	1.30	0.22	1.52	13.	1.68	0.08	1.76	19.	1.29	0.07	1.36
2.	0.32	0	0.32	8.	0.30	0.15	0.45	14.	1.40	0.10	1.50	20.	0.93	0	0.93
3.	0,04	0.10	0.15	9.	0.76	0.22	0.98	15.	1.65	0	1.65	21.	1.29	0.03	1.32
4.	0.53	0	0.53	10.	1.47	0.16	1.63	16.	0.82	0.11	0.93				
5.	1.92	0	1.92	11.	0.67	0	0.67	17.	2.14	0	2.14				
6.	—	—	—	12.	1.08	0	1.08	18.	0.59	0	0.59				

Pentaden-Mittel

Pentade	Mittel	Pentade	Mittel
24.—29. Februar	1.54	1.— 5. Juni	3.17
1.— 5. März	2,11	6.—10. ,,	1.93
6.—10. ,,	2.19	11.—15. ,,	2.39
11.—15. ,,	1.11	16.—20. ,,	3.01
16.—20. ,,	1.86	21.—25. ,,	2.17
21.—25. ,,	1.79	26.—30 ,,	2,26
26.—31. ,,	3 38	1.— 5. Juli	1,28
1.— 5. April	1.72	6.—10. ,,	2.80
6.—10. ,,	3.37	11.—14. ,,	6,18
11.—15. ,,	1.69		
16.—20. ,,	2.35	18.—20. September	1.70
21.—25. ,,	3.85	21.—25. ,,	1.97
26.—30. ,,	3.92	26—30. ,,	1.55
1.— 5. Mai	3.39	1.— 5. Oktober	1.50
6.—10. ,,	1.21	6—10. ,,	1.15
11.—15. ,,	5.68	11.—15. ,,	1.33
16.—20. ,,	3.10	16.—21. ,,	1.21
21.—25. ,,	1.19		
26.—31. ,,	2.49		

Monats-Mittel

Februar	1.54 mm	Juni	2.49 mm
März	2.11 mm	Juli	3.65 mm
April	2.82 mm	September	1.74 mm
Mai	2.84 mm	Oktober	1.30 mm

Über die beobachteten Extremwerte lässt sich nicht viel sagen, da die theoretisch heissesten Monate, die allerdings in diesem Jahre bekanntlich wesentlich hinter der Theorie zurückblieben, wie erwähnt, fortfielen. Ohne Berücksichtigung dieser fällt das Maximum der Verdunstung mit 10.9 mm auf den 12. Mai, einen aussergewöhnlich föhnigen Tag (heissester Tag des Jahres 1912 mit Maximum 31.6°); im übrigen halten sich die Verdunstungshöhen in bescheidenen Grenzen, auch an heissen und trockenen Tagen.

Das Verhältnis der Verdunstung von 8 h a—8 h p, oder wie ich es bezeichnet habe, von Tag zu Nacht, zeigt eine gewisse Regelmässigkeit. Es ergibt sich für

Februar	Tag	87%	Nacht	13%
März	„	84%	„	16%
April	„	85%	„	15%
Mai	„	82%	„	18%
Juni	„	85%	„	15%
Juli	„	88%	„	12%
September	„	87%	„	13%
Oktober	„	90%	„	10%

also ein nach den heissen Monaten zu steigender prozentualer Anteil der Nachtverdunstung. Das ist natürlich nur selbstverständlich, weil eben in den heissen Monaten die frühen Morgenstunden vor 8 h a und die späten Abendstunden nach 8 h p, die hier noch zur Nacht gezählt wurden, eine auch relativ wesentlich höhere Temperatur, also auch stärkere Verdunstung zeigen als in den Frühlings- und Herbstmonaten.

Auch beim Vergleich der Verdunstungswerte vom Vormittag, d. h. von 8 h a – 2 h p, mit denen vom Nachmittag, d. h. von 2 h p—8 h p, zeigt sich eine ähnliche Regelmässigkeit, insofern die Nachmittagswerte gegen die heissen Monate hin prozentual gegenüber den Vormittagswerten wachsen. Das hat seinen Grund darin, dass, wie wir später sehen werden, das Maximum der Verdunstung mit wachsendem Sonnenstande sich mehr in die späteren Nachmittagsstunden verschiebt.

Was nun den Zusammenhang der Verdunstungshöhen mit den anderen meteorologischen Faktoren betrifft, so habe ich sie mit jedem einzelnen derselben graphisch in Verbindung gesetzt.

Mit der Temperatur allein zeigt sich nur ein ganz oberflächlicher Zusammenhang, insofern, wie selbstverständlich, mit steigender Temperatur im allgemeinen auch die Verdunstung zunimmt; im einzelnen besteht kein näherer Zusammenhang.

Die relative Feuchtigkeit (resp. ihr reziproker Wert) korrespondiert schon mehr mit der Verdunstung, insofern der Gang beider im allgemeinen sich ähnelt. Ein quantitativer Zusammenhang kann ja nicht bestehen, da die relative Feuchtigkeit den absoluten Wert der Temperatur nicht in sich einschliesst, der bei der Verdunstung, wo es sich um absolute Wassermengen handelt, eine Rolle spielt; bei gleicher relativer Feuchtigkeit kann bei höherer Temperatur die Luft selbstverständlich noch wesentlich mehr Wasserdampf aufnehmen, die Verdunstung also grösser sein, als bei niedriger Temperatur. So z B. betrug

am 5. Oktober bei 1.7° und 65% relativer Feuchtigkeit die Verdunstung 1.92 mm
„ 11. Juli „ 20.8° „ 65% „ „ „ „ 6.31 mm.

Bezüglich des Windes hat sich, soweit die Tagesmittel in Frage kommen, kein eindeutiges Bild ergeben; im einzelnen hat sich, besonders bei den stündlichen Beobachtungen, ein Einfluss des Windes unzweifelhaft ergeben.

Ein Zusammenhang mit den Niederschlägen hat sich nicht ergeben, wenigstens soweit die Höhe derselben in Betracht kommt, wohl aber, wenn man die Dauer berücksichtigt; das ist ja auch selbstverständlich. Ein ganztägiger Landregen von 1 mm Höhe beeinträchtigt natürlich die Verdunstung wesentlich mehr als ein Platzregen von 10 mm und 5 Minuten Dauer.

Am prägnantesten unter allen verglichenen Daten erwies sich, was ja auch nicht neu ist, der Zusammenhang der Verdunstung mit dem Sättigungsdefizit, d. h. der Differenz zwischen dem bei der beobachteten Temperatur möglichen Maximaldampfdruck und dem wirklich gemessenen Dampfdruck. Zur Illustrierung dieses Zusammenhangs mögen die Kurvenbilder für die einzelnen Monate dienen.

Die ausgezogenen Linien stellen den Verlauf der Verdunstung dar, die gestrichelten den des Sättigungsdefizits; letztere sind, um störende Deckungen und Durchschneidungen zu vermeiden, um eine Einheit erhöht worden.

Es zeigt sich hier eine ganz frappante Ähnlichkeit der Kurven, nicht nur im allgemeinen Verlauf, sondern auch in der relativen und absoluten Höhe der Werte. Letzteres allerdings nur, soweit bei der erwähnten Distanz von 7½ km zwischen den beiderseitigen Beobachtungsorten und bei einem so wechselnden Faktor wie Feuchtigkeit und Verdunstung überhaupt eine Übereinstimmung erwartet werden kann. Dies ist zweifellos auch der Grund, weshalb in einzelnen Fällen eine entschiedene Nichtübereinstimmung der Kurven sich zeigt. Wo die Verdunstung unverhältnismässig höher ist, als dem Sättigungsdefizit entsprechen würde, lässt sich in fast allen Fällen eine Steigerung des wichtigsten sekundären Faktors, der Windgeschwindigkeit, dafür verantwortlich machen.

Bei einem Blick auf die Kurven fällt auf, dass von Ende Mai ab bis zum 7. Juli die Kurve des Sättigungsdefizits wesentlich höher liegt als die Verdunstungskurve. Das zeigt sich noch deutlicher in den Monatsmitteln:

März	Defizit	2.2	Verdunstung	2.1	Differenz 0.1
April	„	2.9	„	2.8	„ 0.1
Mai	„	3.9	„	3.0	„ 0.9
Juni	„	4.6	„	2.5	„ 1.9
Juli 1.— 7.	„	2.9	„	1.3	„ 1.6
„ 8.—14.	„	5.8	„	5.8	„ 0.0
September	„	1.8	„	1.8	„ 0.0
Oktober	„	1.4	„	1.3	„ 0.1

Während im März und April die Differenz zwischen Verdunstung und Sättigungsdefizit nur 0.1 mm beträgt, steigt sie im Mai schon auf 0.9, im Juni und Juli auf 1.9 und 1.6 an, um mit dem Moment, wo die Aufstellung des Apparates gewechselt wird, wieder auf 0.0 und 0.1 zu sinken. Es ist dies, wie schon eingangs bemerkt, der Ausdruck für die Mitte Mai allmählich zuwachsende Laube und die dadurch beeinträchtigte Verdunstung, die sofort wieder normale Werte annimmt, sowie der Apparat der hemmenden Belaubung entzogen wird.

Die geringe Differenz von 0.1 mm und weniger zwischen Verdunstungswerten und Sättigungsdefizit könnte, wenn aus den vorliegenden Beobachtungen überhaupt bindende Schlüsse gezogen werden könnten, fast dazu verleiten, für rohe Annäherung und praktische Zwecke einfach die Verdunstung in 24 h gleich dem mittleren Sättigungsdefizit zu setzen. Jedenfalls zeigt sich ganz deutlich, wie richtig Professor Ramann auf der vorjährigen Versammlung der Meteorologischen Gesellschaft in München den Wert des Sättigungsdefizits für die Verdunstungsgrösse betont hatte. Dieser Wert liegt eben darin, dass ersteres in sich sowohl die Feuchtigkeit wie die Temperatur enthält, die beide vereinigt ja entscheidend für die Verdunstung sind.

Was nun die tägliche Periode der Verdunstung betrifft, so standen mir von möglichst störungsfreien ganztägigen Beobachtungen (ohne Nachtstunden) die Aufzeichnungen von 22 Tagen zur Verfügung.

Ich gebe zunächst wieder tabellarisch die Aufzeichnungen dieser 22 Tage, der Einfachheit halber direkt in den abgelesenen Skalenteilen pro Stunde.

Tagesstunde	Febr.	März				April					Mai				Juni				Juli	September		Okt.
	25.	3.	10.	17.	31.	5.	7.	8.	14	21	12	16.	19.	27	6.	9.	23.	30.	14.	22.	29.	13.
8— 9 a	15	10	11	11	35	39	11	35	34	17	68	33	34	9	31	3	34	8	101	35	6	11
9—10 a	28	53	30	27	44	58	27	56	40	30	100	49	46	14	43	8	47	24	131	42	16	42
10—11 a	42	64	55	43	55	**81**	13	70	50	38	127	65	62	24	**47**	11	**60**	31	150	**77**	29	45
11—12 a	53	**95**	65	49	63	76	**32**	73	55	42	162	**70**	69	**32**	46	23	59	43	152	70	**48**	**50**
12— 1 p	**55**	90	70	**53**	69	**94**	30	87	**57**	**45**	190	69	75	31	46	28	68	45	**154**	68	47	49
1— 2 p	55	82	84	46	**75**	91	41	106	56	44	**196**	63	**88**	30	55	34	76	**47**	148	60	46	47
2— 3 p	49	68	**85**	39	64	69	**46**	**123**	**57**	**54**	192	**73**	84	**35**	**71**	**42**	**76**	47	141	**62**	45	32
3— 4 p	**57**	56	48	38	**73**	59	35	119	50	44	**194**	73	76	32	69	33	72	41	136	58	36	19
4— 5 p	35	40	32	34	60	53	32	99	34	42	186	48	68	32	69	33	62	32	122	48	27	14
5— 6 p	16	20	24	25	45	18	31	73	26	**55**	155	32	47	24	54	21	43	25	108	44	15	8
6— 7 p	9	19	12	17	29	12	23	59	19	36	106	43	36	17	42	17	36	15	80	25	9	4
7— 8 p	9	11	10	11	25	10	16	57	12	18	83	26	23	12	28	10	27	14	35	17	7	1

Was hierbei auffällt, ist die Tatsache, dass an sehr vielen Tagen die Verdunstung 2 Maxima (durch Fettdruck hervorgehoben) aufweist, eins am Vormittag oder Mittag und eins am Nachmittag, oder aber, dass das Maximum überhaupt schon am Vormittag eintritt. Auch wo das Vormittagsmaximum als solches sich nicht scharf ausprägt, zeigt sich, besonders bei graphischer Darstellung, meistens eine plötzliche Abflachung der Kurve in den Mittagsstunden, die auf eine Verlangsamung der Verdunstung schliessen lässt. Es ist dies eine Erscheinung, wie sie im 10. Heft der Meteorologischen Zeitschrift 1912 auch von Türstig in Khartum konstatiert wurde. Ich muss gestehen, dass diese Tatsache selbst, wie sie von mir beobachtet wurde, vor Kenntnis der erwähnten Arbeit als wohl auffallend, aber auf Zufälligkeit beruhend nicht weiter beachtet wurde; um so interessanter war mir die Bestätigung von anderer Seite.

So regelmässig, wie es Türstig beobachtete, kann ich die Erscheinung in meinen Beobachtungen ja nicht wiederfinden, vor allem nicht regelmässig zu denselben Stunden. Das erklärt auch, dass sie im Mittelwert für alle ganztägigen Beobachtungen nicht auftritt. Dieser Mittelwert ergibt sich, diesmal in Millimeter Verdunstungshöhe ausgedrückt, wie folgt:

Gesamt-Mittel

8— 9 h a	0.14 mm	2—3 h p	**0.37** mm
9—10 h a	0.23 mm	3—4 h p	0.33 mm
10—11 h a	0.30 mm	4—5 h p	0.29 mm
11—12 h a	0.34 mm	5—6 h p	0.21 mm
12— 1 h p	**0.36** mm	6—7 h p	0.16 mm
1— 2 h p	**0.38** mm	7—8 h p	0.11 mm.

Nur angedeutet wird die Erscheinung vielleicht dadurch, dass einmal der Anstieg am Vormittag höher gewölbt ist als der Abfall am Nachmittag, und ferner, dass das Maximalmittel früher auftritt, um $^1/_2$ h p, als das Temperaturmaximum, das ja erst um 3 h p eintritt. Hierbei ergibt sich aber noch eine interessante Regelmässigkeit, wenn wir das Mittel für die einzelnen Monate nehmen und untereinander vergleichen:

Monats-Stunden-Mittel

Stunde	März	April	Mai	Juni	Juli	September/Oktober
8— 9 a	0.08 mm	0.14 mm	0.18 mm	0.12 mm	0.28 mm	0.09 mm
9—10 a	0.19 „	0.22 „	0.27 „	0.17 „	0.43 „	0.17 „
10—11 a	0.27 „	0.27 „	0.36 „	0.20 „	0.47 „	0.27 „
11—12 a	0.34 „	0.29 „	0.43 „	0.22 „	0.50 „	**0.29** „
12— 1 p	**0.35** „	0.33 „	0.47 „	0.24 „	**0.52** „	0.27 „
1— 2 p	**0.35** „	**0.35** „	**0.49** „	0.29 „	**0.52** „	0.27 „
2— 3 p	0.31 „	**0.34** „	**0.50** „	**0.33** „	0.49 „	0.24 „
3— 4 p	0.28 „	0.31 „	**0.49** „	**0.31** „	0.46 „	0.20 „
4— 5 p	0.21 „	0.27 „	0.43 „	0.29 „	0.40 „	0.15 „
5— 6 p	0.14 „	0.21 „	0.33 „	0.20 „	0.34 „	0.11 „
6— 7 p	0.09 „	0.16 „	0.27 „	0.17 „	0.24 „	0.07 „
7— 8 p	0.07 „	0.14 „	0.20 „	0.12 „	0.13 „	0.04 „

Es zeigt sich, dass im Frühjahr das Maximum ziemlich früh eintritt, gegen den Juni immer später in den Nachmittag rückt und dann im Herbst allmählich wieder nach früherer Stunde vorrückt. Auch aus den Türstigschen Messungen lässt sich wenigstens die allmähliche Verspätung des Maximums entnehmen.

Ich habe im Vorjahre bereits ein Kurvenbeispiel einer ganztägigen Beobachtungsreihe gegeben; als Kuriosum möchte ich diesmal ebenfalls ein solches geben, das den Verlauf der Verdunstung während der nahezu totalen Sonnenfinsternis am 17. April 1912 darstellt.

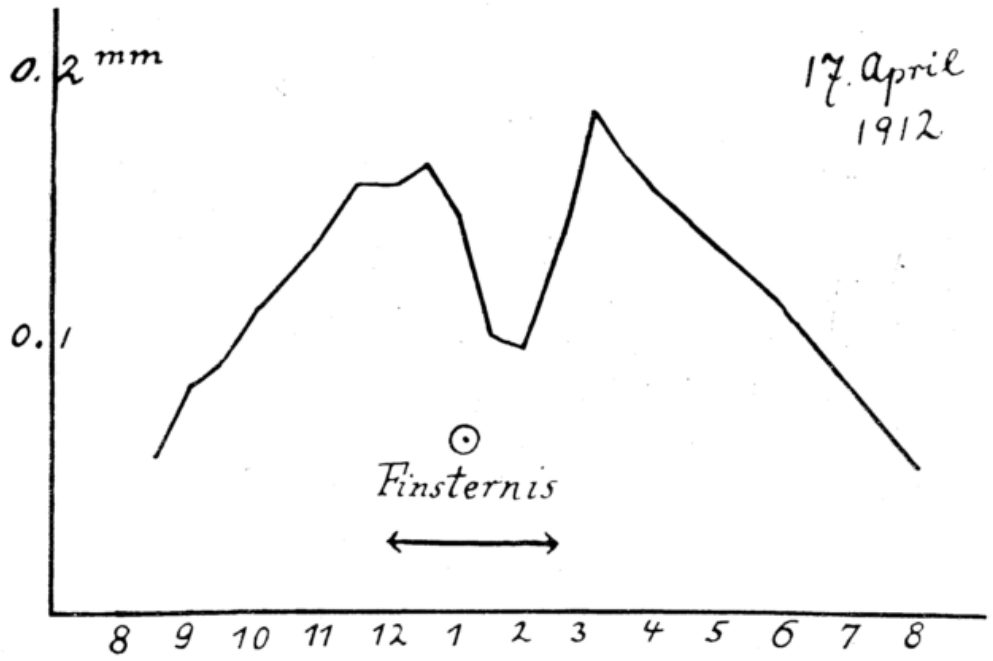

Mit prägnanter Schärfe spiegelt sich hier die Abnahme der Sonnenwärme in einem ganz wesentlichen Rückgang der Verdunstung (mit ca. $^1/_2$stündiger Verspätung) wieder.

Tafel I.

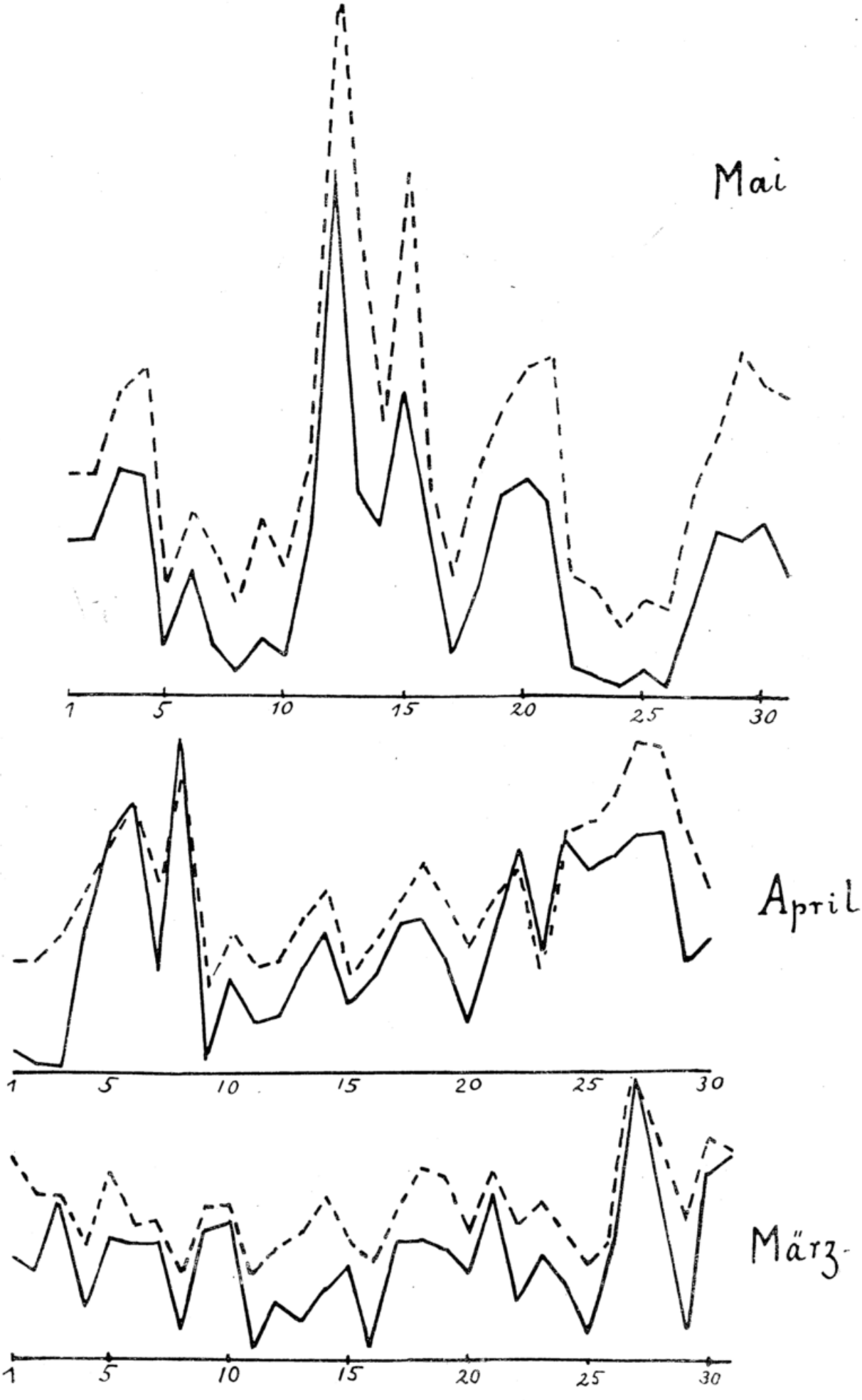

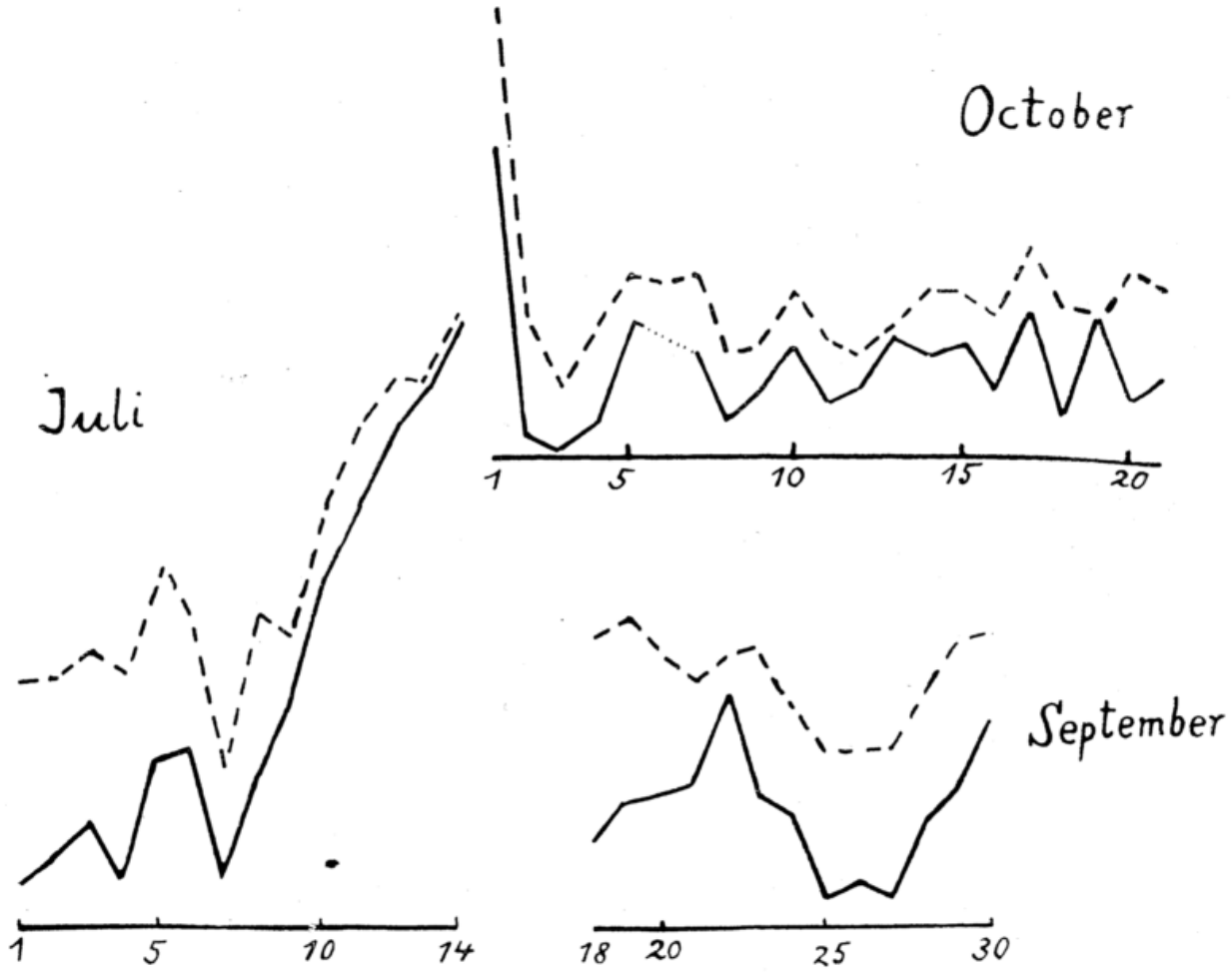
October
Juli
September
1
5
10
14
18
20
25
30
15
20

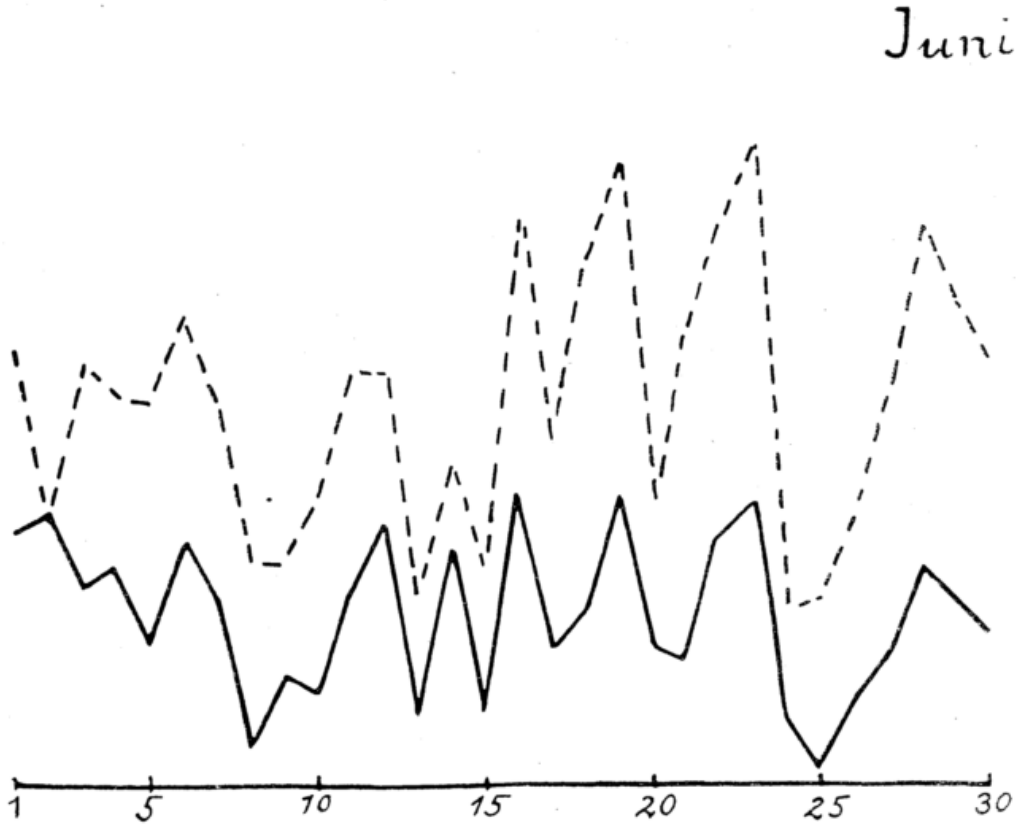
Juni
1
5
10
15
20
25
30

Münchener Aerologische Studien

von **A. Schmauss.**

No. 1. Temperaturwellen an der Grenze von Troposphäre und Stratosphäre.

Die Temperaturzustandskurven der freien Atmosphäre weisen beim Übergang von der Troposphäre zur Stratosphäre charakteristische Unterschiede auf, wie schon früher dargelegt wurde [1]). Es lassen sich alle Formen im wesentlichen auf 4 Typen zurückführen, die in Fig. 1 dargestellt sind.

Der Typus I veranschaulicht gewissermassen den normalen Zustand, bei welchem die Temperaturabnahme der Troposphäre gerade bis zur Temperatur der Stratosphäre geführt wird. Im Typus II erscheint die Troposphäre gewaltsam gehoben, so dass die Endtemperatur derselben wesentlich unter der Eintrittstemperatur der Stratosphäre liegt. Der Typus III möchte wohl als ein Mischungstypus von I und II zu betrachten sein. Der Typus IV erweckt den Eindruck, als reiche die Troposphäre nur bis zum Punkte a, die darüberliegende Atmosphäre weist eine langsame Temperaturabnahme bis zur Temperatur der Stratosphäre auf (Punkt b) [2]).

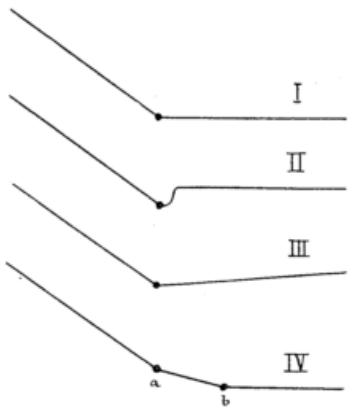

Fig. 1

Es wurde bereits früher hervorgehoben, dass die Typen auch durch die Höhenlage unterschieden sind, in welcher sie angetroffen werden: Der Eintritt in die Stratosphäre liegt im Mittel für Typus II wesentlich höher als für Typus I; der Typus III liegt auch nach diesem Gesichtspunkte in der Mitte zwischen beiden. Beim Typus IV findet sich der Punkt a sehr tief, der Punkt b meist sehr hoch, wesentlich höher als im Falle I.

Das bekannte Gesetz, dass die Höhenlage der Stratosphäre eine Abhängigkeit von der Luftdruckverteilung zeigt (in H höher als in T), legte die Vermutung nahe, dass auch die einzelnen Typen sich nach dem **Luftdruck** richten würden. Ich hatte die Hoffnung, dass der thermische Zustand an der Grenze der Troposphäre und Stratosphäre einen Schluss zulassen würde auf die dynamischen Verhältnisse in H und T.

Um diese Frage zu prüfen, wurden alle bisherigen Münchener Fahrten nach den vier Typen ausgeschieden und jeweils der Betrag beigeschrieben, um welchen der Luftdruck zur betreffenden Aufstiegsstunde über oder unter dem Mittel gelegen war.

Ferner wurde dem Ortsbarogramme die barometrische Tendenz entnommen für ein zweistündiges, achtstündiges und zwölfstündiges Intervall, wobei die Aufstiegsstunde jeweils in der Mitte lag. Die Untersuchung war notwendig, weil die Typen, wenn man ihnen sollte eine dynamische Bedeutung beilegen dürfen, von ganz bestimmten Änderungen des Luftdruckes begleitet sein mussten.

Die Untersuchung hatte ein negatives Ergebnis, wie aus den Tabellen hervorgeht.

		I	II	III	IV
Summe der mm über	dem Mittel	50	46	74	19
unter	dem Mittel	51	57	79	50
Anzahl der positiven	Abweichungen	18	9	15	9
negativen	Abweichungen	14	14	14	7

[1]) Met. Zeitschr. 1909 S. 241; Münchener Reg.-Ballonfahrten 1909 S. 29.

[2]) Man vergl. A. Wegener, Thermodynamik der Atmosphäre. S. 194.

Wie man sieht, kommen alle Typen bei allen Luftdruckverhältnissen vor. Nur beim Typus IV ergibt sich ein quantitativer Zusammenhang mit dem Luftdruck, indem die ganz grossen negativen Abweichungen des Luftdruckes häufig diesen Typus aufweisen, der oft so gesteigert sein kann, dass eine Bestimmung des Endes der Troposphäre überhaupt unmöglich wird.

Ähnlich negativ war das Ergebnis der Untersuchung der barometrischen Tendenz.

		I			II			III			IV		
		2^h	8^h	12^h	2^h	8^h	12^h	2^h	8^h	12^h	2^h	8^h	12^h
Anzahl der positiven	Barometer-Tendenzen	18	18	17	13	14	9	18	15	10	11	9	9
„ „ negativen		14	14	15	10	9	14	11	14	19	5	7	7

Es war noch zu untersuchen, ob die Form der Temperaturkurve sich zwar vom absoluten Luftdrucke als unabhängig erweist, jedoch vielleicht an ganz bestimmte typische Luftdruckverteilungen gebunden wäre. Auch nach dieser Richtung war das Ergebnis negativ, indem bei ganz ähnlichen Luftdruckverteilungen alle Typen der Temperaturkurve gefunden wurden.

Das Ergebnis legt daher die Vermutung nahe, dass wir es in den Typen mit einer Superpositionserscheinung zu tun haben, etwa Wellenvorgängen, welche an der Grenze von Troposphäre und Stratosphäre stattfinden.

Der Wellenberg wäre dargestellt durch die Form II, das Wellental durch IV, während die Ruhelage bzw. der Wechsel von Auf- und Abwärtsbewegung durch I ausgedrückt würde.

Um über die mittleren Amplituden derartiger an der Grenze von Troposphäre und Stratosphäre stattfindenden Wellenvorgänge einigen Aufschluss zu erhalten, wurden zunächst alle bisherigen Julifahrten einer Durchsicht unterzogen. Von diesem Monat stehen zurzeit am meisten Aufstiege zur Verfügung; die Beschränkung auf einen Monat hatte den Vorzug, dass man von den noch unsicheren jahreszeitlichen Höhenschwankungen der Stratosphäre unabhängig wurde.

Die Fahrten wurden wieder wie oben nach den vier Typen auseinandergeschieden und die jeweils in Frage kommenden Höhen herausgeschrieben. Zunächst konnten die Höhen der Punkte A und B der Fig. 2 festgestellt werden, A aus den Typen II, B aus den Typen I und III. Die Zusammenfassung der beiden Gruppen schien erlaubt. — Über dem Scheitel der Welle muss sich eine Höhe finden, welche von den durch die Aufwölbung der Troposphäre herrührenden Temperaturänderungen nicht mehr beeinflusst wird. Die Höhe des Punktes D wurde daher ebenfalls ermittelt, d. h. die Höhe, wo die Temperaturkurve innerhalb der Stratosphäre parallel zur Abszissenachse wurde. Ganz analog muss sich unter dem Wellentale C ein Punkt E finden, dessen Temperatur nicht mehr von der Wellenbewegung beeinflusst wird. Offenbar fällt der Punkt E mit dem Punkt a in Typus IV zusammen, während der Punkt F mit b korrespondieren würde.

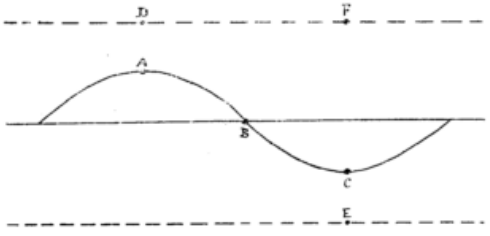

Fig. 2

Folgendes waren die Höhen:

	A	B	D	E	F
Anzahl der Fahrten	7	11	7	2	2
Mittlere Höhe	11740 m	11220 m	12290 m	10300 m	12240 m

Wenn auch die Anzahl der Fahrten noch gering ist, ist es doch wohl erlaubt, daraus einige Resultate abzuleiten.

1. Die Höhen von D und F sind annähernd gleich; D liegt 540 m über A, F 500 m.
2. Die halbe Wellenhöhe (aus A—B) berechnet sich zu 520 m.
3. Unter Vernachlässigung der grösseren Dichte der Luft in C würde dieser Punkt 520 m unter B liegen. Da E 920 m unter B liegt, heisst das, dass ca. 400 m unter dem Wellentale kein Temperatureinfluss mehr zu konstatieren ist — ganz analog den davon unabhängigen Betrachtungen für den Punkt D.
4. Wie man sieht, ergeben sich aus den lediglich nach der Form ihres Temperaturdiagrammes ausgeschiedenen Fahrten ganz übereinstimmende Werte der in Betracht kommenden Verhältnisse:

Es sprechen die Berechnungen für die Annahme, dass an der Grenze der Troposphäre gegen die Stratosphäre Wellenbewegungen stattfinden, die, wie oben hervorgehoben wurde, von der Luftdruckverteilung unabhängig sind. Die mittlere Höhe derselben im Juli beträgt rund $\pm$ 500 m; ungefähr von der gleichen Grössenordnung ist die Höhe der Störungszone, welche die Wellenbewegung in der Troposphäre bzw. Stratosphäre verursacht, so dass im Mittel eine Schicht von ca 2000 m Höhe Temperaturstörungen aufweisen kann.

Auch diese speziell untersuchten Julifahrten zeigten nur die Abhängigkeit der absoluten Höhe der Troposphäre von der Luftdruckverteilung. Um diese besonders deutlich zu machen, wurde für jede Fahrt die Abweichung der Temperatur der einzelnen Höhen von dem langjährigen Mittel gebildet. Es wurden dann die Abweichungen der Temperatur für die Höhenkilometer von 3—8 km addiert, die ja der beste Ausdruck der Luftdruckverteilung sind. Diese Temperatursummen sind in Fig. 3 als Funktion der Abweichung der Höhenlage der Stratosphäre von dem für den Monat Juli geltenden Werte von 11 220 m dargestellt (ermittelt aus den Typen I und III wie oben). Es konnten natürlich auf Grund unserer obigen Erörterungen, welche in den Typen II und IV Wellenvorgänge angenommen haben, nur die als normal geltenden Fälle I und III zum Eintrag kommen.

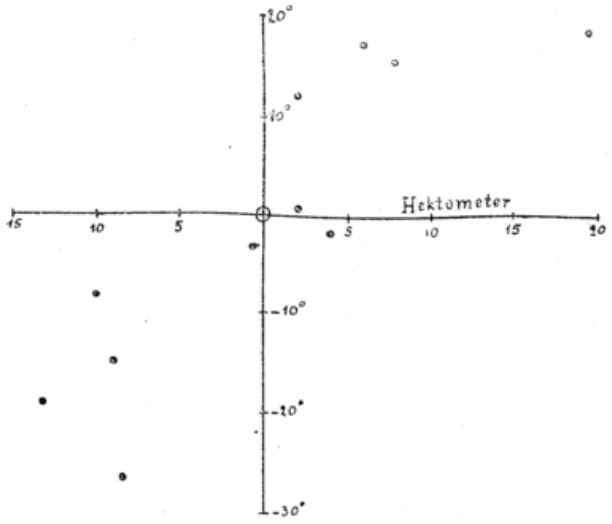

Fig. 3

Man ersieht die eindeutige Beziehung, wonach positiven Temperaturabweichungen der zwischen 3 und 8 km gelegenen Schichten auch positive Abweichungen der Höhenlage der Stratosphäre entsprechen, während umgekehrt in den durch negative Temperaturabweichungen charakterisierten Tiefdruckgebieten die Stratosphäre entsprechend tiefer liegt.

Dagegen war die Form der Temperaturzustandskurve vom Luftdruck völlig unabhängig; man darf in den Typen wohl den Ausdruck eines selbständigen Wellenvorganges ansehen.

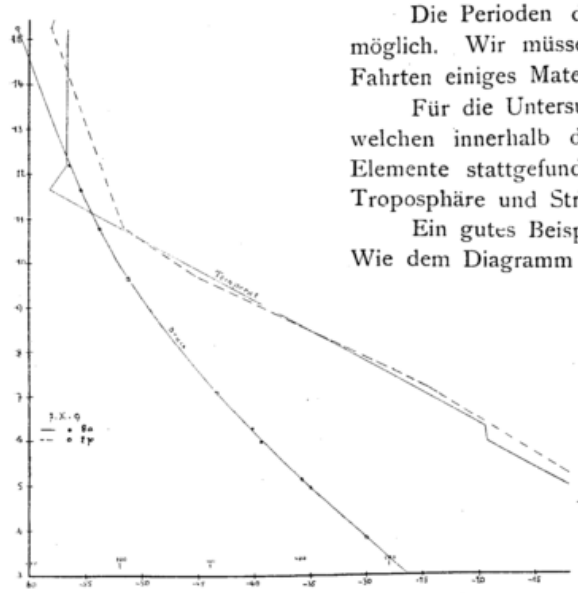
Fig. 4

Die Perioden derartiger „Temperaturseiches" zu ermitteln, ist vorerst noch nicht möglich. Wir müssen uns darauf beschränken, aus den wenigen bisher vorliegenden Fahrten einiges Material beizubringen.

Für die Untersuchung brauchbar sind nur solche aufeinanderfolgende Aufstiege, bei welchen innerhalb der Troposphäre möglichst wenig Änderung der meteorologischen Elemente stattgefunden hat. Nur dann ist die Unabhängigkeit der an der Grenze von Troposphäre und Stratosphäre stattfindenden Vorgänge gewährleistet.

Ein gutes Beispiel hierfür ergeben die Fahrten vom 7. Oktober 1909 8 a und 2 p. Wie dem Diagramm 4 zu entnehmen ist, waren sowohl die Druck- wie die Temperaturverhältnisse von 3.0 bis 10.8 km praktisch unverändert (für etwaige Zweifler an der Verlässigkeit der von den Registrierinstrumenten gelieferten Druck- und Temperaturangaben ein lehrreiches Beispiel).

Am Morgen fand sich das Ende der Troposphäre in 11.7 km, am Mittag in 10 8 km. Das Diagramm, das am Morgen eine Mittelstellung zwischen Typus I und III einnahm, wies am Nachmittage die Form IV auf.

Die Absenkung und die damit verbundene Änderung der Temperatur in der Stratosphäre am 7. Oktober von 8a bis 2p erwies sich demnach als ein von der Luftdruckverteilung unabhängiger Vorgang.

Eine recht gute Studienreihe lieferten die Fahrten vom 23.—27. Juli 1907. Die Luftdruckverteilung erlitt während der 5 Tage nur geringfügige Änderungen, dementsprechend waren auch die meteorologischen Elemente der oberen Hälfte der Troposphäre nur wenig geändert (vgl. R. 1907 S 33 Fig. 3).

Zum Beleg seien einige Daten mitgeteilt:

	23.	24.	25.	26.	27.
Druck an Erde	715	715	715	714	719
Temperatur in 6 km	−15.8	−15.2	−12.7	−14.5	−11.7
Temperatur in 8 km	−30.7	−30.5	−28.2	−29 7	−28.1
Temperatur in 10 km	−46.4	−46.4	−45.1	−47.3	−45.7

Auch die Diagramme, in welchen die Höhen als Funktion der Drucke eingetragen waren, liessen keine wesentliche Änderung in der in Frage stehenden Zeit erkennen. Dagegen ergaben sich bemerkenswerte Veränderungen an der Grenze von Troposphäre und Stratosphäre, welche eine unabhängige Erscheinung darstellen mussten.

	23.	24.	25.	26.	27.
Typus	III	III	II	II	III
Beginn der Stratosphäre	11160 m	11430 m	11760 m	11570 m	11420 m
Eintrittstemperatur	−54.1	−54.6	−58.3	−57.7	−53.8
Eintrittsdruck	172	165	158	161	167
Temperatur der ungestörten Stratosphäre (ungefähr)	−50	−51	−50	−50	−50

Die Zusammenstellung ergibt, dass auch innerhalb der Stratosphäre keine Änderung der Temperatur zu konstatieren war, wohl aber in der Grenzschichte.

Wenn es erlaubt ist, die Vorstellung eines Wellenvorganges weiter zu verfolgen, dann ergibt sich aus der Zusammenstellung, dass wir den Wellenberg vor uns hatten. Der Scheitelpunkt lag zwischen dem 25. und 26., welche beide einen ausgesprochenen Typus II im Temperaturdiagramm hatten. Der 27. korrespondiert annähernd mit dem 24. Vermutlich würde der 28. dem 23. entsprochen haben. Da am 23. das Temperaturdiagramm nicht den Typ I aufwies, wäre dieser etwa auf den 22., dann wieder auf den 29. zu verlegen, so dass wir es dann annähernd mit einer halben Wellenlänge zu tun hätten, deren Dauer sieben Tage betragen haben würde.

Der Hebung der Stratosphäre vom 23. zum 25. um 600 m entsprach eine Abminderung der Eintrittstemperatur um 4.2°, der Hebung vom 24. zum 25. um 330 m eine solche von 3.7°. Hieraus errechnet sich ein mittlerer Temperaturgradient von $(0.7 + 1.1) : 2 = 0.9\ ^0/_{100}$ m.

Damit ist die Temperaturänderung als ausschliesslich durch die Höhenänderung bedingt nachgewiesen.

Die ungefähre halbe Höhe der Welle erhalten wir, wenn wir die Angaben des 25. nehmen. Demnach betrug die maximale Temperaturdifferenz zwischen dem Scheitel der Welle (−58.3) und der Stratosphäre (−50) etwa 8°, so dass sich mit dem Gradienten 0.9 eine Höhe von 900 m errechnet.

Die einzelnen Grössen eines derartigen Wellenvorganges würden sich mithin darstellen:

ganze Amplitude . . . . . ca. 1800 m
ganze Periode . . . . . ca. 14 Tage
Wellenlänge und Wellengeschwindigkeit noch unbekannt.

Aus unseren Ergebnissen folgt jedenfalls, dass es sich um sehr lange Wellen handeln wird. Um darüber wenigstens einigen Anhalt zu bekommen, verglich ich mit München die Beobachtungen von Zürich aus der gleichen Zeit. Die vorherrschende Windrichtung in der Stratosphäre fiel annähernd in die Richtung Zürich—München, wodurch die Wahl Zürichs berechtigt erscheint.

Es wurden die gleichen Tabellen für Zürich angelegt wie oben für München.

	23.	24.	25.	26.	27.
Druck an Erde in Zürich	719	718	717	717	723
Temperatur in 6 km	−11.6	−15.8	−15.9	—	−15.4
Temperatur in 8 km	−30.4	−30.2	−29.6	—	−30.3
Temperatur in 10 km	−47.8	−47.2	−46.5	—	−45.8

Die zum Teil hervorragende Übereinstimmung der Münchener und Züricher Resultate rechtfertigt die weitere Vergleichung der beiden am Nordrande der Alpen gelegenen Stationen.

	23.	24.	25.	26.	27.
Beginn der Stratosphäre über Zürich	>11290 m	11430 m	11680 m	—	11020 m
Eintrittstemperatur	≤−56.1	−57.3	−58.5	—	−55 8
Eintrittsdruck	≤ 169	164	159	—	176
Temperatur der ungestörten Stratosphäre (ungefähr)	—	−50	−51	—	ca −53

Zürich hatte darnach bis auf den 25. etwas niedrigere Eintrittstemperaturen bei annähernd gleichen oder tieferen Lagen der Stratosphäre[1]). Wir sehen aber deutlich, dass auch in Zürich ein Übergang zu Typus II bis

[1]) Hängt vielleicht mit der grösseren Alpennähe Zürichs zusammen.

zum 25. und eine Rückbildung zu Typus III bis zum 27. stattfand, so dass zwischen Zürich und München (horizontale Entfernung 143 km) keine erhebliche Phasendifferenz bestanden haben kann.

Um kurze Zeit scheint Zürich vor München voraus gewesen zu sein, denn es lag am 23. in Zürich die Stratosphäre bereits etwas höher, am 27. etwas tiefer als in München. Falls die Wellengeschwindigkeit und die Windgeschwindigkeit zusammenfielen, lässt sich hierfür eine ungefähre Zeitangabe gewinnen.

Über Zürich bzw. über München wurden im Anfangsbereiche der Stratosphäre Winde von rund 10 m/sec. festgestellt. Um die Strecke Zürich—München zurückzulegen (ohne Berücksichtigung der Ablenkung), wäre eine Zeit von ca 7 Stunden notwendig — eine Angabe, die nicht übel mit den obigen Überlegungen übereinstimmt.

Es wäre verfrüht, weitergehendere Schlüsse daraus abzuleiten. Es genüge, vorerst zu konstatieren, dass die Beobachtungen von Zürich und München für eine langwellige Temperaturänderung an der Grenze von Troposphäre und Stratosphäre in der Zeit vom 23. bis 27. Juli 1907 sprechen.

Der Serienaufstieg vom 6. bis 8. November 1907 ergab den absteigenden Ast einer Welle: die Umwandlung des Typus III in IV. Das Stadium I wurde nicht gefunden, fiel demnach in die zwischen den Aufstiegen gelegene Zeit.

Vom 6. zum 7. war nur ganz wenig Änderung, so dass es wohl erlaubt ist, für den etwas niedrigeren Aufstieg vom 7. gleiche Verhältnisse wie am 6. anzunehmen. Demnach fand die eigentliche Umbildung vom 7. zum 8. statt,

	6.	7.	8.
Druck an Erde	717	720	718
Temperatur in 6 km	−18.5	−19.7	−20.4
Temperatur in 8 km	−33.7	−34 7	−36.5
Temperatur in 10 km	−48.9	−49.9	−52.6
Typus	III	III	IV
Beginn der Stratosphäre	12050 m	12130 m	10560 m
Eintrittstemperatur	−64.7	−64.6	−57.1
Eintrittsdruck	147	145	185
Temperatur der ungestörten Stratosphäre (ungefähr)	−62	[−62]	−61

Ein sehr schönes Beispiel eines Überganges der Form III in I ohne eine wesentliche Änderung der meteorologischen Verhältnisse der Troposphäre geben die Fahrten vom 2. und 3. Januar 1908.

	2.	3.
Druck an Erde	719	719
Temperatur in 5 km	−25.3	−26.5
Temperatur in 7 km	−41.0	−40.9
Temperatur in 9 km	−56.5	−56.3

Die Druck- und Temperaturverhältnisse waren befriedigend konstant; lediglich in den alleruntersten Schichten vollzogen sich unter Ausbildung einer starken Bodeninversion Änderungen der Temperatur, die aber auf die Lage der Isobarenflächen nahezu ohne Wirkung blieben, wie folgende kleine Zusammenstellung zeigt.

Druck von		250	200	150	100 mm
in Höhe	2.	8210	9670	11440	14000 m
	3.	8160	9630	11440	14000 m

Demnach darf die in der folgenden Tabelle dargestellte Veränderung an der Grenze von Troposphäre und Stratosphäre als ein selbständiger Vorgang angesehen werden.

	2.	3.
Typus	III	I
Beginn der Stratosphäre	10630	9110
Eintrittstemperatur	−63.8	−57.1
Eintrittsdruck	171	217
ungefähre Temperatur in der Stratosphäre	−59	−59

Die Absenkung der Stratosphäre scheint, wenn der Ausdruck erlaubt ist, in einem Fortspülen der obersten Partien der Troposphäre zu bestehen. Denn die Eintrittstemperatur am 3. mit −57.1° stimmt genauestens überein mit der Temperatur in der gleichen Höhe am Vortage (in 9000 m −56.5, Gradient 0.78 am 2., 0.80 am 3. ergibt in 9110 m −57.4).

Würde die Veränderung dagegen etwa in einer Kompression der obersten Schichten der Troposphäre bestehen, dann müsste sich dieselbe in der Temperatur und im Drucke äussern, was, wie gezeigt wurde, nicht der Fall war.

Die Gewichtsänderung, welche aus dem Ersatz der 1.5 km dicken Atmosphärenschicht von einer mittleren Temperatur von −60.6° durch eine solche von −57.1° resultiert, ist zu klein, um in den ohnehin geringen Drucken in 10 km Höhe noch zum Ausdruck zu kommen.

Für die Frage der Unabhängigkeit der Form der Temperaturzustandskurven von der Luftdruckverteilung ist es noch von Interesse anzugeben dass am 2. und 3. Januar der Kern eines kontinentalen Hochdruckgebietes unserem Aufstiegsorte nahelag, ohne dass an einem der beiden Tage der Typus II angetroffen worden wäre.

Das Höherrücken der Stratosphäre bei Typus II liess sich an den Fahrten vom 30. und 31. Juli 1908 studieren. Die Verhältnisse in der Troposphäre waren bis 10000 m nahezu konstant, so dass die Veränderungen der höheren Schichten davon unabhängig gewesen sein mussten.

Druck an Erde		Temperatur in	2	4	6	8	10 km
30.	721		12.3	0.6	−12.6	−26.3	−42.1
31.	720		11.8	−2.0	−11.0	−26.9	−42.8

Auch in der Luftdruckverteilung trat vom 30. auf 31. keine Änderung ein. Dagegen hob sich die Stratosphäre, was in den obersten, unmittelbar unter der Stratosphäre gelegenen Schichten der Troposphäre eine entsprechende Abkühlung hervorbrachte.

	30.	31.
Beginn der Stratosphäre	12140	13170
Eintrittstemperatur	−56 8	−64.6

Einer Hebung um 1030 m entsprach demnach eine Abminderung um 7.8°, was ganz nahe an den in den grossen Höhen der Troposphäre üblichen Betrag des Temperaturgradienten heranreicht.

Es macht den Eindruck, dass die oberen Teile der Troposphäre auf die Hebung der Stratosphäre mit einer Expansion antworteten, welche um so bedeutender wurde, je näher die Schichten der Stratosphäre lagen.

Hierüber gibt folgende Zusammenstellung Aufschluss:

	7	8	9	10	11	12	13 km
30. Juli	−19.2	−26.3	−34.3	−42.1	−49.0	−55.9	−52.4
31. Juli	−18.9	−26 9	−34.9	−42.8	−50 8	−58 7	−64.0
Differenz	0.3	−0 6	−0.6	−0.7	−1.8	−2 8	−11.6

In grösseren Beträgen äusserte sich demnach die Expansion herab bis 11 km. Die kleine Abminderung des Luftdruckes vom 30. auf 31. um ungefähr 1 mm dürfte auch damit in Zusammenhang zu bringen sein.

Kurz vor dem Beginn des starken Temperaturanstieges fand sich bei beiden Fahrten eine kleine Übergangsschicht von konstanter Temperatur. Vermutlich handelt es sich dabei um Mischungsvorgänge in der Grenzschicht.

Hatten wir bei den eben erwähnten Fahrten Gelegenheit, eine mit dem Höherrücken der Stratosphäre verbundene Temperaturerniedrigung der unmittelbar unter der Grenze gelegenen Troposphärenschichten zu konstatieren, so zeigten die Fahrten vom 30. September und 1. Oktober 1908, welche bei annähernd gleichen meteorologischen Verhältnissen stattfanden, den anderen Fall: ein Tieferrücken der Stratosphäre (Übergang von III in I), verbunden mit einer Erwärmung der unmittelbar darunterliegenden Schichten.

	Druck an Erde	Beginn der Stratosphäre	Eintritts-temperatur	2	4	6	8	10	11	12	13
30. September 1908	726 mm	13 560 m	−68.4	9.6	0.9	−10.7	−24.6	−40.4	−48 3	−56.2	−64.1
1. Oktober 1908	724 mm	13 300 m	−63.4	11.2	1.5	−11.3	−25.6	−39 9	−47.1	−54.2	−61.3
			Differenz:	1.6	0.6	− 0.6	− 1.0	0.5	1.2	2.0	3.2

Vielleicht war die Absenkung der Stratosphäre nicht mit einem Fortspülen der obersten Schichten der Troposphäre verbunden wie bei den Fahrten vom 2./3. Januar 1908, sondern mit einer Kompression derselben, hinabreichend bis 11 km, als deren Ausdruck die Erwärmung anzusehen wäre. Die Abminderung des Druckes an Erde würde nicht dagegen sprechen, da sie zur Genüge durch eine vom 30. auf 1. stattfindende advective Erwärmung der untersten Schichten erklärt wird.

Die Erwärmung an der untersten Grenze der Stratosphäre um 5.0° war erheblich bedeutender, als man nach der Absenkung um 260 m erwarten durfte. Es scheint daher noch eine andere Temperaturerhöhung — etwa durch Strahlungsabsorption — einhergegangen zu sein.

Nachdem wir jetzt die Veränderungen der Formen der Temperaturzustandskurven an der Grenze von Troposphäre und Stratosphäre richtig zu deuten wissen, können wir für weitere Untersuchungen auch solche Fälle heranziehen, in welchen innerhalb der Troposphäre grössere Veränderungen stattfanden, wenn nur die Verhältnisse der ausserhalb der Wellenbewegung gelegenen Stratosphärenschichten unverändert waren.

Ein solcher Fall war am 11. und 12. Januar 1909 gegeben.

An diesen beiden Tagen waren die Verhältnisse der Stratosphäre nahezu unverändert. Z. B. findet sich in den Thermogrammen eine recht charakteristische Schichtung innerhalb der Stratosphäre an beiden Tagen: nämlich ein Anstieg zu einem Maximum mit darauffolgender Temperaturabnahme auf eine nahe gleichvertikale Erstreckung.

	Temperaturmaximum		Gradient der folgenden	Ende der Temperaturabnahme	
	Höhe	Temperatur	Abnahme	in Höhe	bei Temperatur
11. Januar	11900 m	−52.9	0.45	12510 m	−55.7
12. Januar	11890 m	−52.5	0.30	12350 m	−53.9

Ich glaube auf Grund dieser Tabelle sagen zu dürfen, dass die Verhältnisse der Stratosphäre an beiden Tagen nahezu unverändert waren.

Dagegen wies die Troposphäre wesentliche Änderungen auf.

	6 km	8 km	9 km	Beginn der Stratosphäre	Bei °	Luftdruck
11. Januar	−27.6	−43.9	−53.0	9600	−58.5	717
12. Januar	−25.4	−40.5	−48.8	10310	−59.7	711

Der Grund für die Veränderungen in der Troposphäre liegt in der Luftdruckverteilung. Am 11. gehörte München dem Bereiche eines intensiven kontinentalen Hochdruckgebietes an, während die Witterung bis zum 12. ausgesprochen zyklonal wurde, da eine über Nordskandinavien gelegene tiefe Depression ihren Einfluss bis an den Alpenrand ausdehnte.

Wir haben im vorliegenden Falle sogar das Ergebnis: Trotzdem die Luftdruckverteilung zyklonal wurde und der Luftdruck um 6 mm abnahm, rückte die Stratosphärengrenze um 710 m **höher.**

Dieses mit dem allgemeingültigen Gesetze, wonach in Hochdruckgebieten die Grenze höher liegt, scheinbar im Widerspruch befindliche Ergebnis erklärt sich ungezwungen durch die Annahme von Wellenvorgängen, die von der Luftdruckverteilung unabhängig sind.

Erst im Mittel ist der Satz richtig, dass Hochdruck und hohe Lage der Stratosphäre miteinander einhergehen weil bei einer grossen Anzahl von Fällen Wellenberge und Wellentäler in gleicher Zahl vertreten sein werden, die sich der durch die Luftdruckverteilung bedingten Höhenschwankung der Stratosphäre superponieren.

Sehr deutlich kommt die Unabhängigkeit des Typus von der Luftdruckverteilung bei den Fahrten vom 8., 10. und 11. Dezember 1909 zum Ausdruck (die Fahrt vom 9. führte leider nicht in die Stratosphäre hinauf).

Am 8. Dezember lag München in einer flachen Furche niederen Druckes, die von einer über Skandinavien stationären Depression bis nach dem Mittelmeere reichte. Das Vordringen hohen Druckes von Südwesteuropa her brachte bis zum 10. starken Barometeranstieg und einen Rücken hohen Druckes über Zentraleuropa. Derselbe wurde bis zum 11. bereits wieder von Westen her durch eine von den britischen Inseln vordringende Depression abgebaut.

Wir erhielten am 8. Dezember im Bereiche tiefen Druckes Typus III
am 10. Dezember im Bereiche hohen Druckes Typus IV
am 11. Dezember im Bereiche mittleren Druckes Typus IV.

Die wichtige Veränderung vom 8. zum 10. lässt sich als eine Absenkung der Stratosphäre auffassen. Wir finden die Grenzen der Troposphäre

am 8. in Höhe 8650 m bei −58.7° Luftdruck an Erde 709 mm
am 10. in Höhe 7050 m bei −46.2° Luftdruck an Erde 723 mm

Der Luftdruckanstieg auf der Rückseite der abziehenden Depression war bedingt durch den Ersatz der unteren warmen Luftmassen durch kältere Schichten.

	1 km	2 km	3 km	4 km	5 km	6 km	7 km	8 km	9 km	10 km
8.	0.4	− 6.6	−14.0	−21.2	−29.2	−37.3	−45.4	−53.5	−57.6	−52.2
10.	− 4.3	−10.5	−15.9	−22.4	−29.0	−37.4	−45.8	−47.5	−49.1	−52.4
11.	− 4.7	− 5.6	−13.4	−21.2	−28.9	−36.7	−44.4	−44.1	−48.6	−52.1

Man sieht schon, in 5 km Höhe hatte die Auswechslung ihr Ende gefunden; in dem Bereiche von 5 bis 7 km bemerken wir keine Änderung, woraus wir schliessen müssen, dass die Schicht der Troposphäre von 8650 m bis herab auf 7050 vom 8. auf den 10. weggenommen wurde. Der Absenkung der Stratosphärengrenze um 1600 m entsprach eine Temperaturerhöhung um 12.5°, woraus sich der auch sonst in diesen Höhen gefundene Temperaturgradient von 0.75 ergibt.

Bis zum 11. senkte sich die Stratosphäre noch um 60 m hinab, im übrigen waren die Temperaturverhältnisse bemerkenswert konstant, wie aus der obigen Tabelle folgt. Wir sehen ferner: in 10 km Höhe herrschten an allen drei Tagen gleiche Temperaturen — d. h. etwa 1350 m über der Grenze vom 8. Dezember; — gleiche Temperaturen finden wir auch in 7 km, also etwa 1650 m unter der Grenze.

Es spricht nichts dagegen, in diesen Zahlen die Amplituden der Wellenbewegung zu sehen.

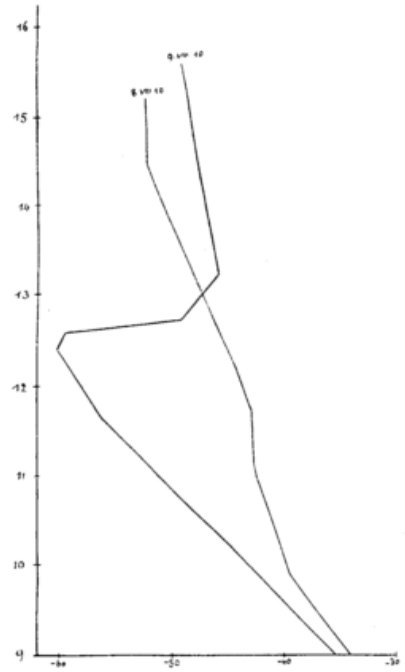

Fig. 5

Ein nach jeder Hinsicht instruktives Beispiel boten die Fahrten vom 8. und 9. August 1910. Die Luftdruckverteilung an beiden Tagen war nahezu die gleiche, dementsprechend auch der Luftdruck an Erde unverändert. Auch die Temperaturverhältnisse der Troposphäre waren nahe konstant, so dass die grosse Änderung an der Grenze der Stratosphäre ein von der Troposphäre unabhängiges Phänomen darstellt.

	6 km	7 km	8 km	9 km	Druck an Erde
8. August	−17.4	−21.7	−27.9	−34.1	713
9. August	−15.3	−20.3	−27.4	−35.4	713

Die Veränderungen oberhalb 9 km werden durch Fig. 5 dargestellt.

Am 8. August Typus IV. Beginn der Übergangszone in 9880 m, endgültiger Beginn der Stratosphäre wohl in 14440 m.

Am 9. August Typus II. Übergangszone in 12390 m, endgültiger Beginn der Stratosphäre wohl in 12710 m.

Im Verhältnis zu den meisten der anderen Fahrten konstatieren wir eine „kurze" Periode, da der Übergang von einem Extrem in das andere sich in einem einzigen Tage vollzog.

Um jedem Missverständnis vorzubeugen, sei ausdrücklich hervorgehoben, dass unsere Studien nur für die Fälle gelten, in denen die Unabhängigkeit der Form der Temperaturzustandskurve von der Luftdruckverteilung erwiesen ist.

Selbstverständlich kommen von einem zum nächsten Tage auch grosse Veränderungen der Form vor, wenn die Troposphäre durch die Luftdruckverteilung eine Umbildung erfährt.

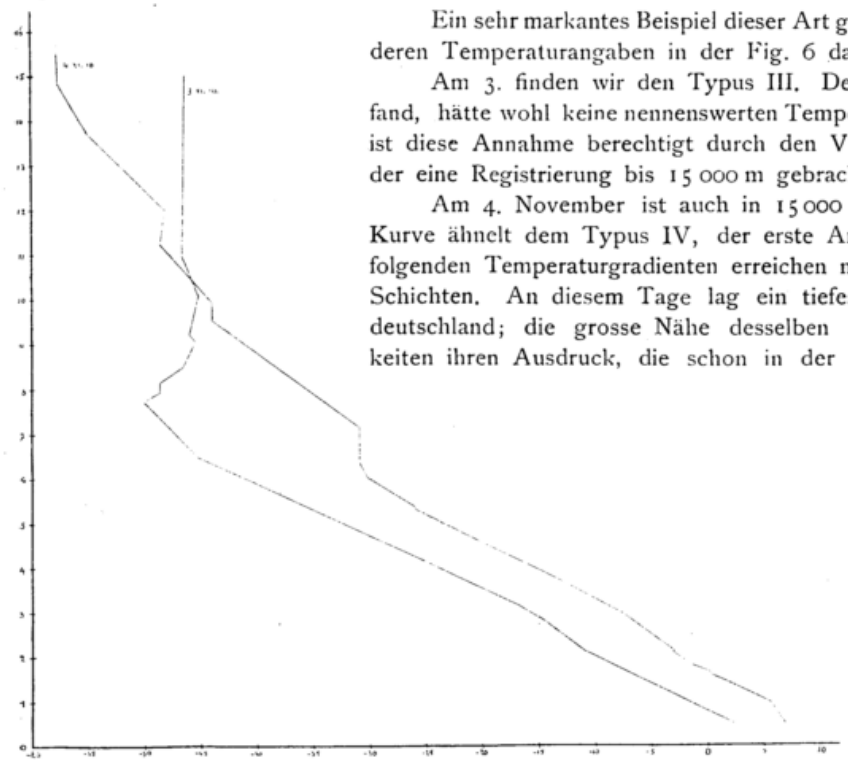

Fig. 6

Ein sehr markantes Beispiel dieser Art geben die Fahrten vom 3. und 4. November 1910, deren Temperaturangaben in der Fig. 6 dargestellt sind.

Am 3. finden wir den Typus III. Der Aufstieg, der schon in 11000 m sein Ende fand, hätte wohl keine nennenswerten Temperaturänderungen mehr gebracht. Wenigstens ist diese Annahme berechtigt durch den Vergleich mit dem Aufstiege vom 2. November, der eine Registrierung bis 15000 m gebracht hat.

Am 4. November ist auch in 15000 m die Stratosphäre noch nicht erreicht. Die Kurve ähnelt dem Typus IV, der erste Ansatzpunkt liegt in 6000 m. Die dann noch folgenden Temperaturgradienten erreichen nicht mehr die Beträge der daruntergelegenen Schichten. An diesem Tage lag ein tiefes (<740 mm) Barometerminimum über Norddeutschland; die grosse Nähe desselben findet in den ansehnlichen Windgeschwindigkeiten ihren Ausdruck, die schon in der Höhe von 1000 m den Betrag von 30 m/sec. überstiegen und damit ein wirkliches Überfluten Süddeutschlands mit warmer ozeanischer Luft brachten.

Es ist hier nicht der Ort, über die interessanten Ausblicke zu reden, die sich daraus für den Aufbau der Atmosphäre nahe dem Zentrum solcher Tiefdruckgebiete ergeben. Hier ist nur von Bedeutung der Hinweis, dass natürlich die Form der Temperaturzustandskurve beim Übergang zur Stratosphäre durch die Erstreckung der Troposphäre wesentlich beeinflusst sein muss.

Zusammenfassung.

Als „normale" Temperaturzustandskurve hat der Typus I zu gelten, denn die Erstreckung der Troposphäre ist gegeben durch die fest definierte, aus den Strahlungsgesetzen abgeleitete Temperatur der Stratosphäre. Die Troposphäre muss dort ihr Ende finden, wo die im konvektiven Gleichgewicht sich befindliche Atmosphäre eine Temperatur hat, die der Temperatur der Stratosphäre gerade gleich ist.

An Stelle dieser „normalen" Temperaturzustandskurve wird häufig einer der Typen II, III oder IV gefunden. Es lag die Vermutung nahe, dass dieselben mit dem dynamischen Zustand der Luftdruckgebilde zusammenhängen würden. Typus II z. B. könnte als Ausdruck einer besonderen, aus der Troposphäre heraus verständlichen Aufwärtsbewegung angesehen werden, die ähnlich zu deuten wäre wie die festgestellte Bewegung von Luft gegen einen barometrischen Gradienten.

Die Vermutung hat sich nicht bestätigt: die einzelnen Typen sind nicht an bestimmte Luftdruckverteilungen gebunden. Sie erweisen sich als eine selbständige Erscheinung, so dass z. B. der doch so markante Typus II sowohl in Hoch- als wie in Tiefdruckgebieten, sowohl bei steigendem wie bei fallendem Barometerstande vorkommen kann.

Als einfachste Interpretation der Typen wird die Auffassung gelten dürfen, dass an der Grenze von Troposphäre und Stratosphäre Wellenbewegungen stattfinden, ähnlich den kleinen (Helmholtzschen) Wogenbildungen, die man ganz allgemein an der Trennung zweier meteorologisch differenter Strömungen kennt.

Soweit die noch spärlichen Grundlagen erkennen lassen, handelt es sich um sehr lange Wellen, deren Periode in der Grössenordnung mehrerer Tage liegen kann. Für die Amplituden der Wellen haben sich Werte in der Grössenordnung von 1 bis 2 km ergeben.

Der Nachweis der von den meteorologischen Verhältnissen der Troposphäre und Stratosphäre für die erste Betrachtung unabhängigen Wellenvorgänge macht für theoretische Betrachtungen der Strahlungsverhältnisse Troposphäre : Stratosphäre grösste Vorsicht notwendig. Wenn es sich darum handelt, die Höhe und Temperatur der Stratosphäre als Funktionen der meteorologischen Verhältnisse der Troposphäre darzulegen, darf zunächst nur der Typus I verwandt werden. Die Typen II und III dürfen jedenfalls nur unter Ausschaltung der „Störungszone" benützt werden, wie wir die Schichten etwa bis 2 km unter- und oberhalb der Grenze der Stratosphäre gegen die Troposphäre nennen wollen (Fig. 7).

Über den Typus IV sollen hier zunächst keine weiteren Angaben gemacht werden. Man wird ihn für Strahlungsbetrachtungen vorläufig überhaupt ausschalten.

Ob mit dem auf Grund der vorliegenden Mitteilung wahrscheinlich gemachten Wellenvorgang entsprechende Barometerschwankungen an Erde stattfinden, konnte an der Hand des bisherigen Materials noch nicht festgestellt werden. Unsere obige Berechnung der barometrischen Tendenzen spricht nicht dagegen, da wir aus Gründen der Wahrscheinlichkeit ebenso oft im aufsteigenden Aste der Wellen sondiert haben werden wie im absteigenden Teile.

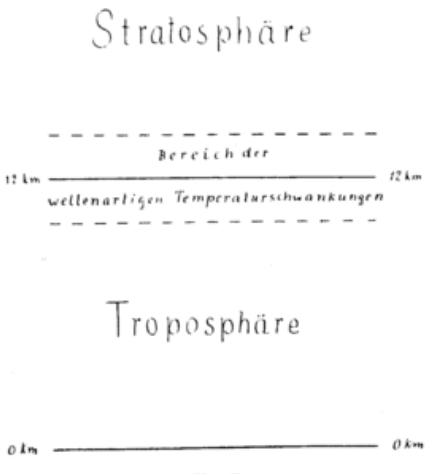

Fig. 7

Die wenigen Aufstiege mit kürzerem als 24stündigem Intervalle lassen die Möglichkeit erkennen, dass ausser den langen mehrtägigen Wellen noch kürzere sich superponieren. Mit der Mehrung von 2 p-Aufstiegen wird sich für diese Frage besseres Material gewinnen lassen. Die früher studierten Vertikalbewegungen an der Grenze [1]) sprechen für eine solche Annahme.

Es müssen nicht immer Wellenbewegungen an der Grenze von Troposphäre und Stratosphäre stattfinden Bemerkenswert ist, dass, wenn an aufeinanderfolgenden Tagen der gleiche Typus gefunden wird, es meist der Typus I (oder III) ist, welcher der stabilen Lagerung der Schichtgrenze entsprechen dürfte.

Der „normale" Typ I (oder III) gehorcht, wie neuerdings gezeigt wurde, dem bekannten Gesetz, dass die Grenze der Stratosphäre in Hochdruckgebieten (Temperaturen der Troposphäre über dem Mittel) höher liegt als in Tiefdruckgebieten (Temperaturen der Troposphäre unter dem Mittel). An Tagen mit mittleren Temperaturverhältnissen der Troposphäre (neutrale Luftdruckverteilung) liegt auch die Grenze der Stratosphäre nahe dem Mittel. Die in Fig. 7 in 12 km angenommene mittlere Höhe der Grenze ist demnach eine Funktion der Temperaturverhältnisse der Troposphäre. Mit ihr verschiebt sich „die Störungszone", der Bereich der wellenartigen Temperaturschwankungen.

1. Met. Zeitschr. 1912 S. 193.

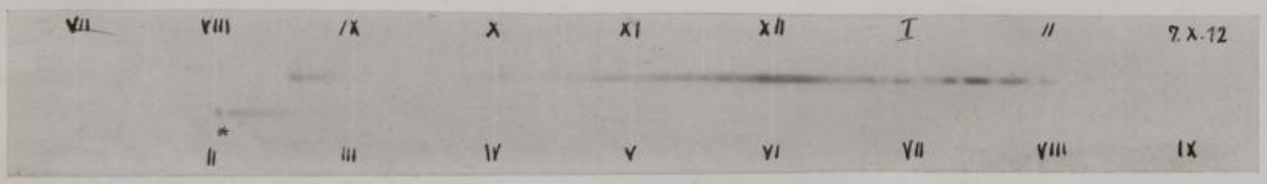
7.X.12

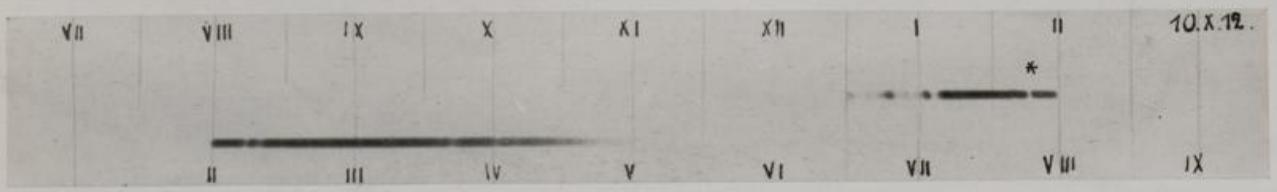
10.X.12.

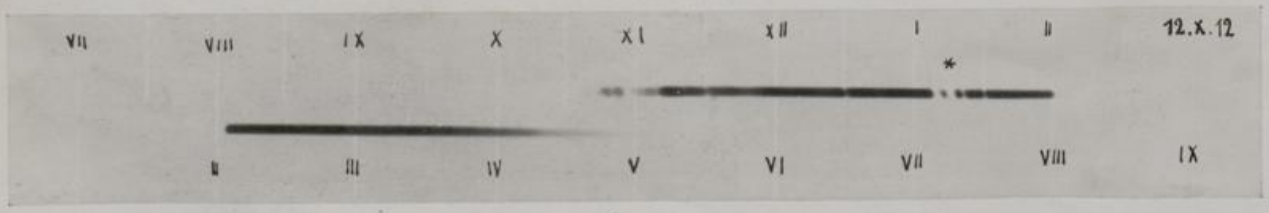
12.X.12

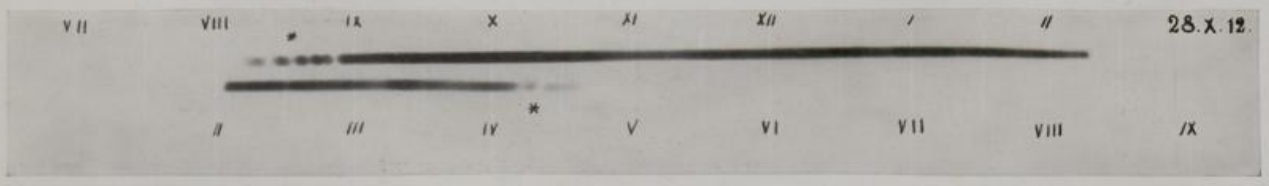
28.X.12.

Um 2^h p wird die Büchse umgelegt in die dritte Hauptstellung, die wieder durch einen Anschlag fixiert ist. In ihr weicht die Spaltebene um 165° gegen die Nord-Südrichtung ab. Der Apparat nimmt in dieser Lage den von 2^h p an auftretenden Sonnenschein auf.

Damit bei diesen Drehungen die Spurlinien getrennt erscheinen, wird bei jeder Umlegung durch einfache Kegelradübertragung jedesmal ein neues um 2 mm unter dem vorhergehenden liegendes Loch eingestellt. Das Zahnradverhältnis ist 1 : 3, so dass also die erste Drehung des Kastens um 60° eine Drehung der Lochscheibe um 20° bewirkt usf.

Würden die Löcher einfach senkrecht zur Lochscheibe gebohrt, so würde die maximale Öffnung jeweils nahezu zusammenfallen mit der grössten Intensität der Sonne bezw. die Öffnung mit abnehmender Wirkung der Sonne gleichfalls abnehmen und der Apparat würde daher den besonders beanstandeten Fehler des Campbell-Stokes'schen und der meisten anderen Autographen auch aufweisen. Um dies zu vermeiden, wurde eine Schrägbohrung des Loches gewählt, so dass die maximale Öffnung der schwächsten Sonne zugute kommt.

Nach mehrfachen Versuchen sind wir dazu gekommen, für die Schrägbohrung die in der Figur 1 angegebenen Winkel zu wählen und ausserdem noch die Bohrlochachse um + 15° resp. — 15° gegen die Aequatorebene zu neigen. Die dadurch auftretenden Lochweiten sind in mm in der folgenden Tabelle angegeben. Die Werte gelten für die Mittellinie jeder Spur. Sie sind nicht der direkte Wert für die Empfindlichkeit, da das Bild der Öffnung eine schräg liegende Ellipse ist und daher die Genauigkeit durch die Verjüngung gegen den oberen und unteren Rand eine wirksame Kontrolle und Steigerung erfährt, wie die auf der beigegebenen Tafel als Autotypien reproduzierten Registrierungen deutlich zeigen. Die Dicke der Lochplatte ist 0,7 mm, die Stärke des Bohrers 1,4 mm.

	1. Grundstellung					2. Grundstellung						3. Grundstellung					
Deklin. ☉	3^a	4^a	5^a	6^a	7^a*)	8^a	9^a	10^a	11^a	12	1^p	2^p	3^p	4^p	5^p	6^p	7^p	8^p	9^p
					(1.2)														
+ 23° 30′	1.2	1.4	1.5	1.5	1.4	1.4	1.5	1.5	1.4	1.1	0.8	0.4	0.8	1.1	1.4	1.5	1.5	1.4	1.2
					(1.2)														
+ 15°	1.2	1.4 +	1.5	1.5	1.4	1.4 +	1.5	1.5	1.4	1.1 +	0.8 +	0.4 +	0.8 +	1.1 +	1.4	1.5	1.5	1.4 +	1.2
					(1.1)														
0	1.1	1.5	1.6	1.6	1.4	1.5	1.6	1.6	1.4	1.2	0.9	0.5	0.9	1.2	1.4	1.6	1.6	1.5	1.1
					(1.2)														
— 15°	1.2	1.4 +	1.5	1.5	1.4	1.4	1.5	1.5	1.4	1.1 +	0.8 +	0.4 +	0.8 +	1.1 +	1.4	1.5	1.5	1.4 +	1.2
					(1.2)														
— 23° 30′	1.2	1.4	1.5	1.5	1.4	1.4	1.5	1.5	1.4	1.1	0.8	0.4	0.8	1.1	1.4	1.5	1.5	1.4	1.2

Damit bei der halben Höhe des Kastens der Apparat Sommers und Winters zu verwenden ist, sind auf der Lochscheibe beide Lochtripel eingebohrt. Zur Zeit der Aequinoktien hebt man den Kasten aus seinem Lager etwas heraus, so dass sich das Zahnrad frei drehen lässt, nimmt eine Grundstellung ein, dreht die Lochscheibe, bis das zu der Grundstellung passende Loch im Kastenmittel sitzt und schiebt dann den Kasten zurück.

Natürlich ist bei der Bohrung auch die Zeitgleichung berücksichtigt; die Löcher arbeiten noch zirka 45 Minuten über bezw. vor der Auswechselstunde, so dass auch eine etwaige Verspätung des Beobachters ohne Schaden für die Registrierung bleibt.

Die Bedienung des Apparates vollzieht sich in folgender Weise:

Am Vorabende jeden Tages wird nach Sonnenuntergang ein neuer Registrierstreifen aus Celloidinpapier, das in Blättern von 236 : 60 mm jeweils für ein Vierteljahr [1]) geliefert wird, in den Kasten eingelegt und mit der Spannfeder festgeklemmt. Nachdem der Deckel aufgesetzt und befestigt ist, wird die Dose je nach der Jahreszeit in die erste oder gleich in die zweite Hauptstellung gebracht. Im ersteren Falle, wenn also die Sonne vor 7^h aufgeht, wird der Kasten bei der Morgenbeobachtung in die zweite Stellung gebracht. Während der Wintermonate fällt diese Zeitmarke weg, dagegen ist jeden Tag um 2^h p die Umlegung in die dritte Stellung durchzuführen. Da mit dieser Manipulation auch jedesmal abgesehen von der erwünschten Zeitmarke eine Kontrolle des Apparates, Entfernung von Schnee etc. verbunden werden kann, wird die geringfügige etwa eintretende Mehrbeanspruchung des Beobachters gegenüber diesen Vorteilen nicht schwer ins Gewicht fallen. Am Abend wird dann der Registrierstreifen nach Sonnenuntergang herausgenommen und in einen Kopierrahmen von der Grösse des Streifens [2]) eingelegt; die Glasplatte des Rahmens trägt das Stundennetz. Da die Registrierlinie auf dem Celloidinpapier auch ohne Fixierung sichtbar ist, kann die Auswertung der Registrierung noch am Abend vorgenommen werden.

Andern Tages setzt man den Kopierrahmen gelegentlich einige Minuten dem Tageslicht aus, bis das Stundennetz eben in weissen Linien auf dem ganz leicht angebräunten Papier erscheint. Den ausgewerteten und mit dem Stundennetz versehenen Streifen bringt man dann zirka 8—10 Minuten in das Tonfixierbad und wässert ihn darauf genügend lange, womöglich 1—2 Stunden in fliessendem Wasser.

Bei genügend sorgfältiger Behandlung halten die Registrierungen unbegrenzt lange.

*) Die in Klammern stehenden Zahlen geben die Anfangswerte der zweiten Grundstellung an.

[1]) Da das Papier nicht unbegrenzt haltbar ist, empfiehlt sich ein längerer Zeitraum nicht. Ich verwende E. Schiffmachers, München, Hausmarke-Celloidin, das in vorzüglicher, völlig gleichartiger Qualität geliefert wird.

[2]) Kopierrahmen und Glasplatte mit Stundennetz werden mit dem Apparate geliefert.

Auf der Tafel sind ausser dem Apparate als Beispiele einige Registrierungen der letzten Zeit wiedergegeben. Die Sterne * bezeichnen zu Versuchen vorgenommene künstliche Abblendungen.

Der Streifen vom 7. Oktober 1912 zeigt das Ergebnis eines Tages, an dem der Campbell-Stokes'sche Apparat keinerlei Brennspur aufzeichnete. Die Bewölkung bestand den ganzen Tag aus einem leichten Dunstschleier, durch den die Sonne durchschien. Um 2^h p ist nach 3 Minuten Sonnenschein 3 Minuten abgeblendet.

Am 10. Oktober trat um $^1/_2\,1^h$ Aufklaren ein, abziehender Stratus mit nachfolgenden vereinzelten Cumuli. Zehn Minuten vor 2^h p wurde zur Kontrolle der Empfindlichkeit 2 Minuten abgeblendet. Der Streifen war ohne Einbusse an Güte drei Tage lang im Kasten exponiert.

Die Registrierung am 12. Oktober enthält wieder eine Empfindlichkeitsbestimmung. Um $1^h\,9'\,30''$ wurde 5 Minuten abgeblendet, dann 1 Minute belichtet, dann wieder 5 Minuten abgeblendet, darauf 2 Minuten belichtet und 2 Minuten abgeblendet. Um 11^{30}, 12^{30}, 1^{30} wurde je $1\,^1/_2$ Minuten abgeblendet, um die Länge einer Stunde = 20 mm zu prüfen. $1\,^1/_2$ Minuten Beschattung geben noch eine deutliche Unterbrechung der Registrierlinie:

Am 28. Oktober wurde um 8^{30} a 5 Minuten abgeblendet, darauf 5 Minuten belichtet, dann immer 1 Minute weniger beschattet und belichtet, also 4 Minuten abgeblendet, 4 Minuten belichtet, 3 Minuten abgeblendet, 3 Minuten belichtet, 2 Minuten abgeblendet und 2 Minuten belichtet, sodann 4 Minuten abgeblendet. Auch hier ist die Empfindlichkeit, insbesondere wenn man den Rand der Registrierlinie berücksichtigt, vollständig ausreichend. Um 4^{12} p wurde die Empfindlichkeit gegen Sonnenuntergang und die Dauer der Registrierung mit abnehmender Sonnenhöhe untersucht. Es ist um 4^{12} p 4 Minuten abgeblendet, 4 Minuten belichtet, 4 Minuten abgeblendet. Die Elevation der Sonne war um 4^{30} p M. E. Z. = 4^{32} w. Z. noch 4^0. Um 4^{34} M. E. Z. bei $3{,}5^0$ hört die Registrierung auf; erreichbar sind bei der eingebauten Lage der Centralstation etwa 45' bis 1^0; im Westen, wo grosse Fabrik- und Brauereischlote qualmen, ist der Stadtdunst aber so stark, dass praktisch nur etwa 2.5^0 bis 3^0 in Betracht kommen. Der Campbell-Stokes'sche Autograph hatte um 4^{12} zu schreiben aufgehört.

Ueber Versuche an anderen Orten hoffe ich im nächsten Jahre ausführlicher und mit Vergleichen berichten zu können. Ein Vergleich der einzelnen Apparate ist ohne weiteres möglich, da die Lochbohrungen mit Hilfe einer festen Führung (Leere) vorgenommen werden und absolut identisch sind.

Die Anschaffungs- und Betriebskosten sind verhältnismässig gering, etwa die Hälfte des Campbell-Stokes'schen Autographen.

Münchener Aerologische Studien

von **A. Schmauss.**

No. 2. Beziehungen zwischen der Luftversetzung und der Höhenerstreckung der Troposphäre.

Für die vorliegende Untersuchung war folgende Überlegung massgebend:

Aus der Tatsache der Stratosphäre darf der Schluss gezogen werden, dass normalerweise kein Luftaustausch zwischen der Troposphäre und der Stratosphäre stattfindet. Für eine Reihe von Betrachtungen wird das Bild einer auf Wasser schwimmenden Ölschicht auf das Verhältnis der Troposphäre zur Stratosphäre angewendet werden dürfen.

Wo es im fliessenden Wasser Stromschnellen gibt, wird die vertikale Erstreckung herabgedrückt. Wir werden daher erwarten dürfen, dass eine Beziehung zwischen der Geschwindigkeit der Luftversetzung in der Troposphäre und der Höhenerstreckung derselben besteht. Von dem Beispiele des strömenden Wassers ist der Fall dadurch unterschieden, dass die Luft kompressibel ist, so dass nicht eine so weitgehende und einfache Abhängigkeit bestehen kann wie dort, wo mit Rücksicht auf die Kontinuität der Strömung der doppelten Geschwindigkeit die halbe vertikale Erstreckung entspricht.

Um diese Frage studieren zu können, wurden alle bisherigen Münchener Aufstiege, welche bis in die Stratosphäre führten, nach dem Betrage der Luftversetzung zusammengestellt. Da nicht genug visierte Ballone vorhanden waren, musste als Massstab die mittlere Geschwindigkeit genommen werden, welche sich aus der Entfernung des Landungsortes und der Landungszeit errechnen lässt. Dabei werden bewusst zwei wichtige Vernachlässigungen gemacht:

1. wird zu der Versetzung der Troposphäre diejenige der Stratosphäre hinzugenommen, soweit der Ballon in dieselbe eindrang; der Fehler wird daher bei den hohen Aufstiegen besonders gross sein;

2. wird angenommen, dass der Ballon auf dem kürzesten Wege der geraden Linie den Landungsort erreichte.

Unter vorläufiger Vernachlässigung dieser beiden Fehlerquellen ergibt sich folgende Zusammenstellung:

Stufe	1	2	3	4	5	6	7
Mittlere Windgeschwindigkeit	0—5	5—10	10—15	15—20	20—25	25—30	>30 m/sec.
Höhe der Troposphäre	**10 740**	11 070	**11 660**	11 350	10 520	10 330	**10 070** m
Abweichung vom Mittelwerte	−280	50	640	330	−500	−690	−950 m
Anzahl der Fahrten	12	**23**	**21**	15	11	4	8

Die Tabelle lässt erkennen:

1. Die Erwartung wird bestätigt, dass einer Zunahme der Windgeschwindigkeit eine Absenkung der Stratosphäre entspricht, aber erst angefangen von Windgeschwindigkeiten > 10 m.

2. Als unvermutetes Resultat konstatieren wir eine Hebung der Stratosphäre beim Übergang von Windstille bis zu Windgeschwindigkeiten von 10 m.

3. Die Höhe der Stratosphäre bei geringeren Windgeschwindigkeiten (0—10 m) liegt sehr nahe dem Mittelwerte der ganzen Stufe, welcher sich aus obigen 94 Fahrten zu 11 020 m ergibt.

Die Verhältnisse werden besonders anschaulich durch Fig. 1, in welcher als Abszissen die obigen Stufen, als Ordinaten die Abweichungen der zugehörigen Höhenlage der Troposphäre vom Mittel eingetragen sind.

Um zu einer Erklärung dieser merkwürdigen Zunahme der Höhe vor der erwarteten Abnahme zu gelangen, wurden die einzelnen Fahrten nach den Himmelsrichtungen ausgeschieden, in welchen die Ballone landeten. Zur Bezeichnung der

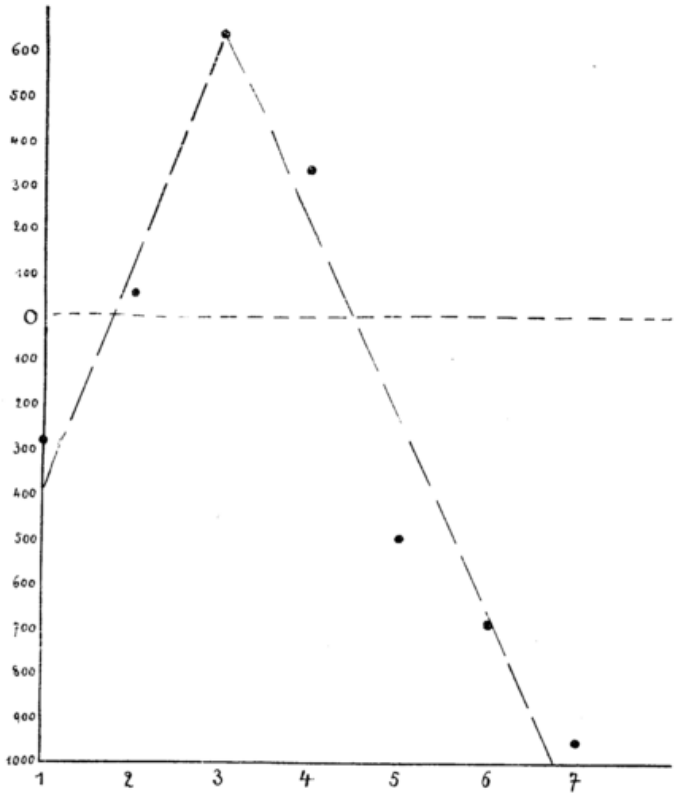

Fig. 1.

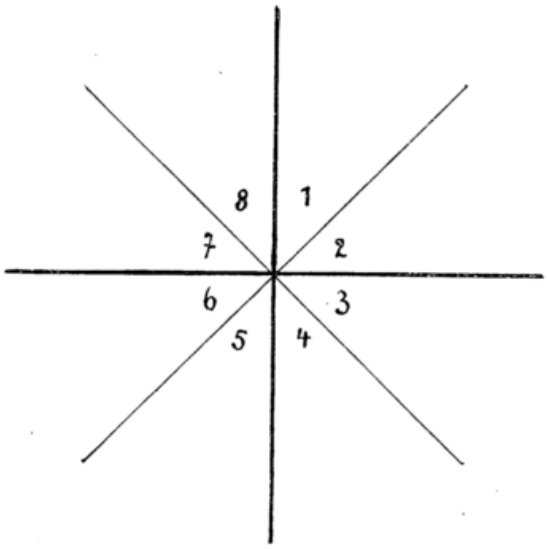

Fig. 2.

Sektoren diente das Schema der Fig. 2. In der Tabelle bedeutet H die mittlere Höhe der Troposphäre für die Anzahl A Fahrten, welche für eine mittlere Windgeschwindigkeit von 0—5, 5—10 usw. m vorlagen.

Oktant		0–5	5–10	10–15	15–20	20–25	25–30	> 30
1	H	11 100	10 650	10 720	9 490	10 200	—	—
	A	4	5	4	2	1	—	—
2	H	8 080	11 600	11 950	10 680	10 660	9 920	10 810
	A	1	5	6	5	5	2	1
3	H	—	10 880	12 660	11 620	9 740	11 400	9 560
	A	—	4	2	4	4	1	3
4	H	10 440	11 380	10 360	—	13 270	10 090	9 910
	A	1	4	2	0	1	1	2
5	H	10 100	12 150	9 940	12 690	—	—	9 150
	A	2	3	4	3	—	—	1
6	H	—	—	11 470	13 300	—	—	12 100
	A	—	—	3	1	—	—	1
7	H	12 010	—	—	—	—	—	—
	A	1	—	—	—	—	—	—
8	H	11 270	8 880	—	—	—	—	—
	A	3	2	—	—	—	—	—

Die Verteilung auf die einzelnen Oktanten ohne Rücksicht auf die Windgeschwindigkeit ergibt als mittlere Höhe H, berechnet aus einer Anzahl A Fahrten:

Oktant	1	2	3	4	5	6	7	8
H	10 610	11 000	10 800	10 900	11 050	11 960	12 010	10 320
A	16	25	18	11	13	5	1	5

Um etwas ausgeglichenere Werte zu bekommen, wurden die Zahlen nach der Formel $\frac{a+2b+c}{4}$ umgerechnet. Dann ergab sich als Abhängigkeit der Höhenlage der Stratosphäre von der Richtung des Landungsortes

Oktant	1	2	3	4	5	6	7	8
H	10 580	10 880	10 880	10 900	**11 120**	**11 470**	**11 300**	10 550 m
[A]	[62]	[84]	[72]	[53]	[42]	[24]	[12]	[27]

Wenn auch die Anzahl der auf die einzelnen Oktanten treffenden Fahrten noch sehr ungleich und für die interessanten Oktanten 5, 6 und 7 klein ist, geht doch, wie ich glaube, der Satz hervor:

Erfolgt die Luftversetzung entgegen der gewöhnlichen Westdrift der Atmosphäre, dann wächst die Höhe der Troposphäre.

Man geht wohl nicht fehl, darin eine Stauerscheinung zu erblicken.

Wir können diesen Satz sogleich an einem interessanten Aufstiege erproben, der in der obigen Zusammenstellung enthalten ist. Es findet sich bei 6 ein Aufstieg mit einer mittleren Luftversetzung von mehr als 30 m/sec., der die für das betreffende Geschwindigkeitsintervall ganz ungewöhnliche Höhe der Troposphäre von 12 100 m ergab. Dieses Beispiel fällt so sehr aus dem Rahmen heraus, dass ich zunächst an der Realität des unter 1 abgeleiteten Resultates gezweifelt habe.

Am 6. Oktober 1910 lag über Zentraleuropa ein intensives Hochdruckgebiet, über den Mittelmeerländern fand sich ein im Meeresniveau nicht besonders tiefes Depressionszentrum. Die Windverhältnisse, soweit die Visierung des Registrierballons reichte, waren folgende:

516— 880 m	N 55° E	7.2 m
880 – 1420 m	N 70° E	8.4 m
1420—1680 m	N 80° E	7.5 m
1680—2270 m	N 59° E	10.4 m
2270—3430 m	N 56° E	12.7 m.

Das aus der Zahlenreihe hervorgehende Anwachsen der Windgeschwindigkeit hielt weiter an, wie aus der Entfernung des Landungsortes hervorgeht, der in Richtung S 49° W gelegen war. Da in diesem Falle die mittlere Windrichtung ganz gut durch die Linie: Aufstiegsort—Landungspunkt gegeben ist, ist auch die Ableitung einer mittleren Windgeschwindigkeit erlaubt, die sich zu 37 m/sec. errechnet.

Unsere bis 3430 m reichende Visierung ergab wesentlich kleinere Geschwindigkeiten, es müssen also über 3430 m bis zu Maximalhöhe mittlere Geschwindigkeiten von mehr als 45 m geherrscht haben.

Da der Ballon noch in die Stratosphäre eintrat, in ihr aber nur mehr 200 m stieg, stellt die ermittelte Bewegung die Luftversetzung der Troposphäre rein dar, wodurch der Aufstieg noch besonders an Wert gewinnt.

Ein ganz ähnliches Beispiel war am 1. Oktober 1908 gegeben. An diesem Tage konnte der Ballon bis nahe an den Eintritt in die Stratosphäre anvisiert werden, so dass der Fortbestand der nordöstlichen Strömung (Landungsort S 48° W von München) unter dem Einflusse eines intensiven kontinentalen Hochdruckgebietes innerhalb der ganzen Troposphäre nachgewiesen werden konnte. Die Stratosphäre begann erst in 13 300 m. Auch am folgenden Tage waren alle Verhältnisse nahezu ungeändert: Landungsort S 57° W, Höhe der Stratosphäre 13 200 m, mittlere Versetzung 10.3 m (am Vortage 15.5 m).

Auf Grund dieser Beispiele können wir unsere Ergebnisse folgendermassen aussprechen:

I. Erfolgt die Luftversetzung der Troposphäre annähernd in der Richtung der allgemeinen Westdrift der Atmosphäre, dann liegt die Stratosphäre um so **tiefer**, je **grösser** die Windgeschwindigkeit ist.

II. Erfolgt die Luftversetzung der Troposphäre entgegen der Richtung der allgemeinen Westdrift der Atmosphäre, dann wächst die Höhe der Stratosphäre; **vermutlich** besteht auch hiebei eine Beziehung zwischen der Windgeschwindigkeit und der Höhenlage, und zwar in dem Sinne, dass die Stratosphäre um so **höher** rückt, je **grösser** die Windgeschwindigkeit ist. (Die Anzahl der Fahrten aus den Oktanten 5 7 reicht noch nicht aus, andere zufällige Einflüsse aus der Mittelbildung zu eliminieren.)

III. Wie schon die Studie No. 1 zeigt auch diese Untersuchung, dass die Höhenlage der Stratosphäre ausser durch die Strahlungsverhältnisse der Troposphäre: Stratosphäre noch durch andere Momente beeinflusst werden kann. Es möchte wohl berechtigt erscheinen, den für die geringste Windstärke ermittelten Wert für die Höhenlage der Stratosphäre (für München 10 740 m) als Normalwert anzusprechen.

Die Veränderung der Höhenlage in Hoch- und Tiefdruckgebieten kann durch Änderung der Strahlungsverhältnisse bedingt sein, kann aber auch, wie aus unseren Darlegungen hervorgeht, rein mechanisch erklärt werden. Es sei von diesem Gesichtspunkte aus an die Berechnung von E. Gold[1]) erinnert, der als Grenzwerte für die Höhenlage der Stratosphäre fand:

Die Troposphäre kann sich erstrecken bis zu der Höhe, in welcher der Druck den Wert $p = \frac{1}{4} p_0$ (ca 10 500 m) erreicht hat.

Die Troposphäre muss sich erstrecken mindestens bis zu der Höhe, in welcher der Druck den Wert $p = \frac{1}{2} p_0$ (ca 5 500 m) hat.

Unser oben gefundener Mittelwert der Stufe 1 liegt recht nahe an dem von Gold fixierten Maximalwerte.

---

[1]) E. Gold, Proc. of the Roy. Soc. (A) 82, S. 43, 1909.

Die Trübung der Atmosphäre durch Vulkanasche im Sommer und Herbst 1912

nach den Beobachtungen einiger bayerischen Stationen.

Von L. Weickmann.

Die Aufzeichnungen der Campbell-Stokesschen Sonnenscheinautographen vom Sommer und Herbste 1912 zeigen auch in Bayern eine deutliche Schwächung der Brennspur, insbesondere eine Verzögerung des Beginns der Registrierung nach Sonnenaufgang und ein früheres Erlöschen derselben vor Sonnenuntergang. Die Ursache der atmosphärischen Trübung, welche die Sonnenscheinregistrierungen derart beeinflusste, ist vor kurzem von Geh. Rat Hellmann in Berlin in einem Ausbruche des Vulkans Katmai auf der Halbinsel Alaska gefunden worden. Dieser Vulkan wurde seit langer Zeit als erloschen betrachtet, bis am 6. Juni 1912, nachmittags 4 Uhr, eine heftige Eruption sich ereignete, der im Laufe des 7. und 8. Juni weitere folgten. Der bei den Ausbrüchen aufgetretene Aschenregen, der im ganzen in der Umgebung des Vulkans eine Aschenschicht von ca 45 cm lieferte, war so intensiv, dass eine totale Verfinsterung eintrat. In den benachbarten Bergen hörte man Lawinen von Vulkanasche niedergehen. Dabei war insbesondere beim letzten Ausbruch die Asche von äusserst feiner Beschaffenheit, so dass sie durch die kleinsten Ritzen zu dringen vermochte. Die Eruptionen wiederholten sich im Laufe der nächsten vier Monate, blieben aber von geringer Intensität; nur am 19. August und am 25. Oktober fanden noch nennenswerte Ausbrüche statt, letzterer in Verbindung mit einem stärkeren Aschenregen.

Die bei den ersten Ausbrüchen in grosse Höhen geschleuderte feine Vulkanasche ist mit der allgemeinen Westdrift ostwärts gewandert und dürfte zwischen dem 15. bis 20. Juni über Grönland eingetroffen sein, wo die durch sie verursachte Trübung der Atmosphäre nach einer längeren Regenperiode von de Quervain am 21. Juni beobachtet wurde. Während die Beobachtungen in Potsdam, die Hellmann bisher allein zur Verfügung standen, erst am 27. Juni eine Störung erkennen lassen, ist es interessant, festzustellen, dass unsere bayerischen Stationen übereinstimmend bereits am 22. in den Aufzeichnungen der Sonnenscheinautographen unverkennbar den Einfluss der Trübung aufweisen. Ja, es ist in hohem Grade wahrscheinlich, dass ein am 21. Juni 1912 während der Vormittagsstunden bei alt cu und st cu Bewölkung in München beobachteter Sonnenring bereits das erste Anzeichen der Trübung für unser Gebiet gewesen ist[1]).

Die früheste direkte Konstatierung aus Süddeutschland und vielleicht aus ganz Westeuropa stammt, wie nach den bisherigen Veröffentlichungen über diese Erscheinung anzunehmen ist, von der Zugspitze, wo der Beobachter am 22. Juni den Eintrag ins Tagebuch machte: „Tagsüber heiter, jedoch eigentümlich dunstig." Die Sonnenscheinregistrierung der Zugspitze weist auch im Vergleich mit dem 18. und 19. eine Verspätung am 22. auf, doch sind die Aufzeichnungen des Sonnenscheinautographen auf der Zugspitze wegen Rauhfrostansätzen und häufigen Störungen der Aufstellung (Verlagerungen durch Eis, die den Apparat aus dem Meridian verschieben) bisher sehr unbefriedigend gewesen und zu genauerer Verwertung nicht zu gebrauchen. Dagegen weisen die Registrierungen von Mittenwald und auch die von München-Centralstation und Alexandersbad eine deutliche Verspätung der ersten Brennspur auf.

In Mittenwald ist die Erscheinung am schärfsten ausgeprägt, aber die in der beigegebenen Tabelle enthaltenen Differenzen sind nicht vergleichbar mit den Beträgen der anderen Stationen. Es kommt nämlich in Mittenwald die Sonne in der fraglichen Zeit über die Gebirgskette erst herauf, wenn sie schon eine beträchtliche Höhe erreicht hat, und sie setzt dann am Sonnenscheinautographen sogleich mit einer bestimmten Intensität präzis ein. Durch die Trübung ist nun eine Verspätung des Beginns der Registrierung eingetreten, und zwar beginnt die Brennspur mit dem Werte „Null" am 22. ungefähr um 6^{25}, während der normale Beginn, der aber nicht den Wert Null trägt, etwa bei 5^{15} liegt. Die Differenz dieser beiden Zeiten ist also offenbar noch etwas zu gering, denn der Beginn der Registrierung an ungestörten Tagen dürfte, wenn der Einfluss der Berge fehlen würde, etwa auf 4^{50-55} anzusetzen sein. Es wäre daher eine Differenz

[1]) Leider machen die räumlichen Verhältnisse und die Lage der Centralstation eingehendere Beobachtungen solcher Phänomene unmöglich.

von 1^h 30—35^m als Mass für die Trübung am 22. in Betracht zu ziehen. Schlägt man wegen der Unsicherheit des Einflusses der Gebirgskette einen anderen Weg ein und nimmt die Verspätung der „normalen" Aufgangsintensität als Mass der Störung, so wird ein etwas zu hoher Wert erreicht, da diese Intensität in dem gestörten Diagramm vom 22. Juni erst gegen 7^{m} auftritt. Es erscheint nicht ausgeschlossen, dass die so gewonnene um etwa 10 Minuten grössere Differenz eine Folge der Abhängigkeit der Extinktion von der Intensität ist, da ja bekanntlich $dJ = -kJ\,ds$ ist. Wenn das Vertrauen in den Campbell-Stokesschen Autographen auch als Intensitätsmesser nicht durch die Resultate von C. Dorno [1]) so sehr erschüttert wäre, könnte man sich fast versucht fühlen, die Trübung des Jahres 1912 mit Hilfe der Aufzeichnungen günstig gelegener Stationen zu einer Nachprüfung der verschiedenen Extinktionsformeln zu benützen.

Da der Wert von Mittenwald verhältnismässig hoch erscheint, habe ich auch noch die Beobachtungen von Oberstdorf untersucht, um sicher zu sein, dass nicht der in den Morgenstunden bestehende leichte Nebel („Früh ≏, ≡°, Berge grösstenteils frei") das Resultat gefälscht hat. In der Tat ergeben sich für Oberstdorf ganz entsprechende Verhältnisse. Die Verhältnisse bei Sonnenaufgang sind dort allerdings insofern noch ungünstiger, als das Gebirge die Sonne bis gegen 6^{m} (5♌) verdeckt. Die Brennwirkung setzt dann in der Regel schon nach ca 5 Minuten so heftig ein, dass ein vollständiges Durchbrennen der Streifen erfolgt. Am 19. Juni, bei wolkenlosem Sonnenaufgang beginnt die Registrierung noch normal um 6^{m} mit der erwähnten Intensität. Am 22., einem gleichfalls wolkenlosen Tage, zeigt der Streifen einen vollkommen stetigen Verlauf der Registrierung, Beginn mit der Intensität „Null" um 6♌, die „normale" Anfangsintensität wird etwa um 7♌ erreicht. Setzt man den Beginn der Registrierung ohne den Einfluss der Berge approximativ auf 5^{m} fest, so wäre eine Differenz von ca 1^h 10^m für den Beginn der Brennspur als Mass der atmosphärischen Trübung vom 22. Juni anzunehmen. Bei der anderen Methode, dem Aufsuchen der normalen Anfangsintensität im gestörten Diagramm, würde sich ganz ähnlich wie in Mittenwald etwa 1^h 35—40^m ergeben.

Auch die Münchener Registrierungen liefern, wenn man nicht den Beginn der Registrierung, sondern die Verspätung der um 5♌ oder 6^{m} normalerweise bestehenden Intensität in Betracht zieht, analoge Verhältnisse [2]).

Die Festlegung gerade des 22. Juni als Beginns der Trübung über unserem Gebiete ist nicht gesichert, da am 20. und 21. ein Vergleich wegen des vorwiegend bedeckten Himmels unmöglich ist. Dagegen ist es von Wert zu konstatieren, dass jedenfalls der 19. noch normale Verhältnisse aufweist. Dabei gewinnt auch die Feststellung der Trübung am 22. an Gewicht, denn beide Tage, der 19. und der 22., waren wolkenlos.

Am 23. scheint in Südbayern die Störung an Intensität etwas verloren zu haben; die Registrierungen von München, Mittenwald und Oberstdorf sind übereinstimmend nahezu normal, obwohl die Bewölkung im Zunehmen begriffen (ci, ci cu, ci st) und der Morgen nicht mehr ganz zweifellos klar war. Dagegen ist in Alexandersbad, wo der Himmel noch völlig wolkenlos geblieben war, keine Abminderung der Trübung zu bemerken.

Auf den 23. Juni folgen einige trübe Tage, an denen die Verfolgung des Phänomens unmöglich ist. Der erste, völlig klare Sonnenaufgang am 28. und schon der allerdings durch stärkere Bewölkung unsichere 27. zeigen eine äusserst intensive Trübung, deren direkte Beobachtung von mehreren Stationen verzeichnet wurde.

Geringere Werte treten dann wieder auf am 5. Juli, ferner vom 12. bis 13. Juli, auch Ende Juli und Anfang August, doch macht die grosse Anzahl trüber Tage diese Feststellungen der Schwankungen etwas unsicher. Der Beobachter auf der Zugspitze hebt den 6., 10., 11., 14., 16., 18., 24., 25. und 28. Juli als besonders dunstig hervor. Eine von Dr. Schmauss am 3. August in München unternommene Ballonfahrt ergab noch in grossen Höhen von 7700 m „weisslichen Himmel".

Ein merkliches und durch mehrere Wochen anhaltendes Nachlassen der Trübung setzt in München zwischen dem 6. und 13. Oktober ein, während in Alexandersbad um diese Zeit noch stärkere Störungen zu bestehen scheinen. Allerdings unterliegt die letztere Konstatierung der Einschränkung, dass die Ursache der Verzögerung hier auch in der während der ersten Hälfte des Oktober täglich aufgetretenen intensiven Reifbildung liegen kann; mit dem Verschwinden des starken Rauhreifs am 16. ist auch in Alexandersbad ein allmähliches Erlöschen der Trübung oder doch ihres Einflusses auf die Registrierungen des Campbell-Stokesschen Autographen zu bemerken. Im allgemeinen dürfte der Einfluss von schwächeren Tau- und Reifbildungen auf die Zeitdifferenz zwischen Sonnenaufgang und erster Brennspur gering sein; wenigstens ist aus dem Eintrag von ≏, ≡ und ⌙ in die Tabellen ein Zusammenhang zwischen grösseren Zeitdifferenzen und diesen Erscheinungen, wo sie mit geringer Intensität vorkamen, nicht hervorgetreten.

Zieht man die Werte für die einzelnen Monate zu Mitteln zusammen, so erhält man ein allgemeines Bild der atmosphärischen Trübung durch den Vergleich der Werte für 1911 und 1912. Dabei ist wiederholt hervorzuheben, dass die Differenzen für Mittenwald in der Weise gewonnen wurden, dass die an dem jeweils entsprechenden (oder benachbarten) Tage des Jahres 1911 herrschende Anfangsintensität in der gestörten Registrierung des Jahres 1912 aufgesucht und für beide Punkte die Zeit seit Sonnenaufgang bestimmt wurde. Die folgende Tabelle gibt die Resultate der Vergleichung; die für die Trübung charakteristischen Differenzen zwischen 1911 und 1912 sind in den drei letzten Spalten der Tabelle vorgetragen. Am zutreffendsten werden die Werte der mittleren von diesen drei Spalten die Störung charakterisieren. Die an sich zuverlässigere Ausscheidung der Tage mit stärkerer Bewölkung verliert dadurch an Wert, dass oft ein einziger Tag mit Bewölkung < 2.0 als Repräsentant des ganzen Monats auftritt, wobei der Zufall nicht ausgeschlossen werden kann, dass er zugleich ein Tag besonderer Intensität der Trübung ist.

[1]) C. Dorno, Dr. phil., Studie über Licht und Luft des Hochgebirgs, Braunschweig, Fr. Vieweg & S. 1911, p. 21.

[2]) Es freut mich, in dem soeben erschienenen Februarheft der Meteorologischen Zeitschrift zu bemerken, dass auch R. Billwiller in Zürich dieselbe Beobachtung gemacht hat. Wenn man als Intensitätsstufe den Wert wählt, bei dem eben das Durchbrennen der Streifen erfolgt, so wird die als Mass der Trübung auftretende Zeitdifferenz „um etwa eine halbe Stunde grösser".

Mittlere Zeitdifferenz zwischen Sonnenaufgang und Beginn der Registrierung.

Mai	1911			1912			△ (1911—1912)		
	Mittel aller untersuchten Tage	Mittel aller einwandfreien Tage	Mittel aller Tage mit Bewölkung < 2.0	Mittel aller untersuchten Tage	Mittel aller einwandfreien Tage	Mittel aller Tage mit Bewölkung < 2.0	Mittel aller untersuchten Tage	Mittel aller einwandfreien Tage	Mittel aller Tage mit Bewölkung < 2.0
Alexandersbad	1 08	1 08	1 11	1 01	1 01	51	— 7	— 7	— 20
München C.-St.	1 16	1 16	1 15	1 02	1 02	1 01	— 14	— 14	— 14
Mittenwald 2.—3. Mai	1 49	1 49	—	1 32	1 32	1 27	— 17	— 17	—
Mittenwald 4.—30. Mai	1 14	1 15	—	1 17	1 14	1 09	+ 3	— 1	—
Juni									
Alexandersbad 1.—19. Juni	51	51	1 02	1 09	1 09	52	+ 18	+ 18	— 10
Alexandersbad 22.—30. Juni	1 10	1 10	1 33	2 03	1 56	1 56	+ 53	+ 46	+ 23
Alexandersbad Gesamt	59	59	1 09	1 39	1 32	1 43	+ 40	+ 33	+ 34
München C.-St. 1.—19. Juni	1 39	1 28	—	1 17	1 17	1 09	— 22	— 11	—
München C.-St. 22.—30. Juni	1 31	1 31	1 29	1 40	1 40	1 50	+ 9	+ 9	+ 21
München C.-St. Gesamt	1 34	1 30	1 29	1 30	1 30	1 36	— 4	+ 0	+ 7
Mittenwald 1.—19. Juni	1 31	1 31	1 31	1 23	1 23	1 14	— 8	— 8	— 17
Mittenwald 22.—30. Juni	1 23	1 23	1 25	2 34	2 34	2 49	+ 1 11	+ 1 11	+ 1 24
Mittenwald Gesamt	1 28	1 28	1 28	1 45	1 45	2 17	+ 17	+ 17	+ 49
Juli									
Alexandersbad	1 —	1 —	1 —	1 57	1 57	1 51	+ 57	+ 57	+ 51
München C.-St.	1 20	1 20	1 16	1 54	1 53	1 52	+ 34	+ 33	+ 36
Mittenwald	1 20	1 20	1 21	2 54	3 02	2 47	+ 1 34	+ 1 42	+ 1 26
August									
Alexandersbad	36	36	36	1 25	1 25	1 54	+ 49	+ 49	+ 1 18
München C.-St.	55	55	49	1 47	1 47	1 30	+ 52	+ 52	+ 41
Mittenwald 1.— 9. August	1 07	1 07	1 10	1 54	1 54	1 24	+ 47	+ 47	+ 14
Mittenwald 11.—30. August	1 34	1 34	1 35	2 34	2 18	2 19	+ 1 00	+ 1 00	+ 44
September									
Alexandersbad	53	53	49	1 40	1 40	—	+ 47	+ 47	—
München C.-St.	1 01	1 01	59	1 29	1 29	—	+ 28	+ 28	—
Oktober									
Alexandersbad	46	44	49	1 40	1 40	1 43	+ 54	+ 56	+ 54
München C.-St.	38	38	32	45	45	1 07	+ 7	+ 7	+ 35

Noch einen weiteren Beitrag zur Frage der Trübung liefern die in Nürnberg täglich angestellten Strahlungsmessungen mit dem Schwarzkugelthermometer. Sucht man in ähnlicher Weise wie bei den Registrierungen der Sonnenscheinautographen die Tage mit Bewölkung ≤ 2.0 aus den Jahren 1911 und 1912 heraus und vergleicht die Tagesmaxima der Temperatur, so tritt der Einfluss der Trübung sehr markant hervor.

In der folgenden Tabelle sind die Werte für Mai bis Oktober angegeben. Die kursiv gedruckten Zahlen gehören zu Tagen, deren Bewölkung nur wenig grösser als 2.0 war.

Nürnberg-Wetterwarte.

Tagesmaxima abgelesen am Schwarzkugelthermometer.

Mai	1911	1912	Juni	1911	1912	Juli	1911	1912
2.	—	42.7	6.	*59.4*	—	3.	53.7	—
3.	55.5	50.9	7.	*59.5*	—	5.	52.4	—
4.	*55.4*	—	8.	58.8	—	6.	*58.5*	53.4
19.	—	51.6	9.	*59.4*	—	10.	60.1	—
20.	—	*57.5*	10.	56.5	—	11.	—	55.3
21.	49.9	—	19.	—	59.4	12.	—	56.7
22.	*54.7*	—	21.	—	—	13.	—	58.5
30.	—	56.0	22.	—	55.7	14.	—	59.0
31.	—	*55.0*	23.	—	*59.9*	15.	*62.8*	*56.0*
	Maximum	Maximum	28.	—	50.1	16.	—	55.5
	am 14.: 60.0	am 15.: 59.7	29.	—	*55.5*	17.	—	55.0
				Maximum	Maximum	19.	60.0	—
				am 7.: 59.5	am 23.: 59.9	20.	61.3	—
						21.	62.8	—
						22.	62.5	—
						23.	65.8	—
						24.	—	54.5
						31.	61.2	—
							Maximum	Maximum
							am 27.: 66.5	am 28.: 60.4

August	1911	1912	September	1911	1912	Oktober	1911	1912
1.	*61.5*	—	1.	58.9	—	4.	*49.5*	37.8
2.	*59.5*	—	2.	62.4	—	5.	—	39.0
3.	—	*48.0*	3.	65.5	—	6.	—	*38.5*
4.	—	55.5	4.	60.7	—	8.	*49.3*	—
7.	*68.5*	—	7.	60.3	—	9.	—	41.5
8.	63.0	—	8.	*61.7*	—	10.	—	43.0
9.	63.4	—	11.	57.2	—	11.	35.0	—
18.	—	*53.5*	12.	57.5	—	12.	56.0	—
21.	—	*58.0*	26.	*53.0*	—	13.	*46.3*	—
27.	59 7	—	28.	—	43.5	14.	—	43.8
28.	60.8	—		Maximum	Maximum	17.	44.6	—
29.	*62.5*	50.0		am 3.: 65.5	am 30.: 45.2	18.	46.0	—
30.	—	*58.3*				19.	44.8	—
	Maximum	Maximum				30.	43.4	—
	am 7.: 68.5	am 30.: 58.3					Maximum	Maximum
							am 12.: 56.0	am 14.: 43.8

München-Centralstation.

$\varphi = 48^0\ 9'$, $\lambda = 11^0\ 34'$, h = 526.4 m.

Monat Mai.

Datum	Differenz zw. Sonnenaufgang und Beginn der Brennspur in Stunden und Minuten		Bewölkungsgrad und -dicke					
	1911	1912	1911			1912		
	St. Min.	St. Min.	7 a	2 p	9 p	7 a	2 p	9 p
2.	1 21 ⌓¹	— 51 ⌊	1^0 ⊙	6^1	0	0 ⊙	6^1 ⊙	8^1
3.	— —	— 54 ⌓²	—	—	—	0 ⊙	1^1 ⊙	0
4.	1 20 ⌓²	1 20 ⌓	1^0 ⊙	7^0 ⊙	10^1	1^0 ⊙	3^0 ⊙	1^0
9.	— 57 ⌓²	— —	1^0 ⊙	6^1 ⊙	1^0	6^0 ⊙	1^0 ⊙	0
12.	— —	1 01 ⌓	—	—	—	—	—	—
14.	1 08 ⌓²	— —	4^0 ⊙	4^0 ⊙	10^1 ◺	—	—	—
15.	— —	1 25 ⌓	—	—	—	1^0 ⊙	6^0 ⊙	9^1
19.	— —	— 50 ⌓	—	—	—	0 ⊙	1^0 ⊙	0
20.	— —	— 51 ⌓	—	—	—	0 ⊙	1^0 ⊙	10^1 ◺ ◍
26.	1 15	— —	2^0 ⊙	3^0 ⊙	1^0	—	—	—
27.	1 22 ⌓	— —	2^0 ⊙	3^0 ⊙	6^1	—	—	—
28.	1 30 ⌓	— —	0 ⊙	3^1 ⊙	8^1	—	—	—
29.	— —	1 06 ⌓	—	—	—	4^0 ⊙	6^1 ⊙	10^1

Monat Juni.

1.	— —	1 21 ⌓	—	—	—	4^0 ⊙	6^0 ⊙	8^1
3.	— —	1 06	—	—	—	6^1 ⊙	7^1	10^1 ◍
6.	1 27 ⌓²	— —	0 ⊙	4^1 ⊙	7^1	—	—	—
7.	1 28 ⌓²	— —	1^0 ⊙	5^1 ⊙	4^0	—	—	—
9.	1 29 ⌓	— —	0 ⊙	3^1 ⊙	9^1 ◺	—	—	—
11.	— —	1 31 ⌓	—	—	—	3^0 ⊙	6^1 ⊙	3^1
13.	[1 47] ⌓²	— —	2^0 ⊙	1^{00}	10^1 ◍^{0}	—	—	—
16.	[1 38]	— —	6^1	4^0 ⊙	4^0	—	—	—
17.	[1 38] ⌓	— —	7^1 ⊙	10^1 ◍^{0}	6^2	—	—	—
19.	— —	1 09 ⌓	—	—	—	0 ⊙	1^0 ⊙	1^0
22.	1 29 ⌓²	1 49	0 ⊙	1^0 ⊙	0	0 ⊙	0 ⊙	2^0
23.	1 33 ⌓¹	1 08 ⌓	4^1 ⊙	7^1 ⊙	1^0	4^0 ⊙	4^0 ⊙	2^0
24.	1 32 ⌓²	— —	1^0 ⊙	6^1 ⊙	10^1	—	—	—
27.	— —	1 36 ⌓	—	—	—	4^0 ⊙	9^1	0
28.	— —	1 50 ⌓	—	—	—	0 ⊙	0 ⊙	0
29.	— —	1 59 ⌓	—	—	—	0 ⊙	1^0 ⊙	10^1 ◺
30.	1 29 ⌓²	— —	4^0 ⊙	6^0 ⊙ ⊕	10^1 ◍	—	—	—

Anmerkung: Im Mai und Juni 1911 wurden in München hellere Streifen verwendet. Die Differenz von zirka 1/4 Stunde, die auch für die störungsfreie Zeit bis zum 22. Juni 1912 sich wieder ergibt, ist zum Teil zugunsten der dunkleren Streifenart in Rechnung zu nehmen.

Monat Juli.

Datum	Differenz zw. Sonnenaufgang und Beginn der Brennspur in Stunden und Minuten		Bewölkungsgrad und -dicke					
	1911	1912	1911			1912		
	St. Min.	St Min.	7 a	2 p	9 p	7 a	2 p	9 p
5.	1 53 ⊿	2 18 ⊿	1^0 ⊙	3^0 ⊙	3^0	0 ⊙	5^1 ⊙	0
6.	1 27 ⊿	1 32 ⊿	0 ⊙	2^1 ⊙	0	0 ⊙	0 ⊙	10^1 ◍
7.	1 26 ⊿	— –	0 ⊙	3^1 ⊙	8^1	—	—	—
10.	— —	2 01 ⊿	—	—	—	0 ⊙	6^1 ⊙	2^0
11.	1 20	2 10 ⊿	2^0 ⊙	4^1 ⊙	4^1	0 ⊙	1^1 ⊙	0
12.	1 24	1 39 ⊿	6^1	6^1 ⊙	4^1	0 ⊙	0 ⊙	0
13.	— —	1 23 ⊿	—	—	—	0 ⊙	1^1 ⊙	1^1
14.	— —	1 17 ⊿	—	—	—	0 ⊙	0 ⊙	0
15.	1 27	1 57 ⊿	0 ⊙	6^2 ⊙	2^0	0 ⊙	0 ⊙	0
16.	— —	2 06 ⊿	—	—	—	0 ⊙	0 ⊙	0
17.	— —	2 00 ⊿	—	—	—	0 ⊙	1^0 ⊙	1^0
18.	— —	1 58 ⊿	—	—	—	0 ⊙	6^1 ⊙	9^1
19.	1 17 ⊿	— —	1^0 ⊙	3^0 ⊙	0	—	—	—
20.	1 16 ⊿	— —	3^0 ⊙	3^1 ⊙	0	—	—	—
21.	1 30 ⊿	— —	0 ⊙	4^0 ⊙	1^0	—	—	—
22.	1 14 ⊿	— —	0 ⊙	0 ⊙	0	—	—	—
23.	1 12 ⊿	— —	0 ⊙	1^0 ⊙	0	—	—	—
24.	1 15 ⊿	2 05 ⊿	3^0 ⊙	6^1	10^1 ≺	0 ⊙	0 ⊙	1^0
25.	1 09	1 54 ⊿	7^1	3^1 ⊙	4^1 ≺	0 ⊙	4^0 ⊙	10^1
26.	1 08	2 13	0 ⊙	4^1 ⊙	2^1	4^1 ⊙	4^1 ⊙	1^0
27.	1 22	— —	3^1 ⊙	1^0 ⊙	9^1 ≺	—	—	—
29.	1 09	— —	1^0 ⊙	3^0 ⊙	6^1	—	—	—
30.	— —	[2 02]	—	—	—	7^1	6^1	10^1
31.	1 07	— —	1^0 ⊙	1^0 ⊙	1^0	—	—	—

Monat August.

1.	1 01 ⊿	2 01	2^0 ⊙	2^0 ⊙	1^0	5^1 ⊙	6^1 ⊙	4^1
2.	1 10 ⊿	— —	4^0 ⊙	6^0 ⊙	4^1	—	—	—
4.	— –	1 53	—	—	—	0 ⊙	1^0 ⊙	1
8.	— 58 ⊿	— —	0 ⊙	1^0 ⊙	0	—	—	—
9.	— 51 ⊿	1 56	3^0 ⊙	0 ⊙	2^0	0 ⊙	10^1	10^0
10.	1 05 ⊿	1 50	2^0 ⊙	4^1 ⊙	0	5^0 ⊙	9^1	10^1
11.	— 54 ⊿	— —	0 ⊙	7^1 ⊙	4^1	—	—	—
12.	1 17 ⊿	— —	2^0 ⊙	6^1 ⊙	4^0	—	—	—
13.	1 01 ⊿	— —	6^0 ⊙	4^1 ⊙	6^1	—	—	—
15.	— —	2 23 ⊿¹	—	—	—	4^1 ⊙	9^2	10^0
18.	— —	1 36 ⊿¹	—	—	—	1^0 ⊙	4^0 ⊙	4^0
19.	— 45 ⊿	— —	0 ⊙	2^1 ⊙	0	—	—	—
20.	— 53 ⊿	— —	3^0 ⊙	6^0 ⊙	10^1 ◍	—	—	—
25.	— —	1 45 ⊿	—	—	—	7^0 ⊙	3^1 ⊙	2^0
27.	— 35	— —	0 ⊙	4^1 ⊙	0	—	—	—
28.	— 34 ⊿	— —	0 ⊙	0 ⊙	0	—	—	—
29.	— 43 ⊿	1 23 ⊿²	0 ⊙	2^0 ⊙	0	0 ⊙	2^0 ⊙	0
30.	— —	1 15 ⊿²	—	—	—	0 ⊙	1^0 ⊙	10^1

Monat September.

1.	— 52 ⊿	— —	1^0 ⊙	2^0 ⊙	0	—	—	—
2.	— 56 ⊿	— —	0 ⊙	0 ⊙	0	—	—	—
3.	— 54 ⊿	— —	0 ⊙	0 ⊙	0	—	—	—
4.	1 12 ⊿	— —	0 ⊙	0 ⊙	2^0	—	—	—
5.	— 56 ⊿	— —	3^0 ⊙	0 ⊙	3^1	—	—	—
7.	1 02 ⊿	— —	0 ⊙	0 ⊙	0	—	—	—
8.	— 55 ⊿	— —	0 ⊙	4^0 ⊙	8^0	—	—	—
11.	— 56 ⊿	— —	3^0 ⊙	0 ⊙	0	—	—	—
17.	— —	1 45 ⊿²	—	—	—	8^1	0 ⊙	0
21.	— —	1 33 ⌈⌈	—	—	—	0 ⊙	7^1 ⊙	4^0
22.	— —	1 11 ⌈²	—	—	—	0 ⊙	6^1 ⊙	9^1
26.	1 05 ⊿	— —	0 ⊙	2^1 ⊙	0	—	—	—
27.	1 17 ⊿	— —	5^1	3^1 ⊙	0	—	—	—

Monat Oktober.

3.	— 46 ⌈⌈	— —	0 ⊙	4^1 ⊙	10^1	—	—	—
4.	— 44 ⌈⌈	— —	4^0 ⊙	8^1	9^1	—	—	—
5.	— —	1 07 ⌈² *)	—	—	—	0 ⊙	0 ⊙	0
6.	— —	1 01 ⌈²	—	—	—	0 ⊙	1^0 ⊙	10^1
8.	— 52 ⊿ *)	— —	3^0 ⊙	4^0 ⊙	10^1	—	—	—
11.	— 33 ⌈⌈	— —	0 ⊙	1^0 ⊙	0	—	—	—
12.	— 36 ⌈⌈	— —	0 ⊙	0 ⊙	0	—	—	—
14.	— 33 ⊿²	— —	1^0 ⊙	2^0 ⊙	10^1	—	—	—
15.	— —	— 26 ⊿²	—	—	—	3^1 ⊙	10^1	10^1
21.	— 27 ⊿²	— —	0 ⊙	1^0 ⊙	0	—	—	—
23.	— 33	— 43	3^1	2^0 ⊙	0	4^0	9^1 ⊙	0
26.	— 32	— —	2^1	1^0 ⊙	0	—	—	—
28.	— —	— 39 ⊿²	—	—	—	0	3^0 ⊙	7^0
29.	— —	— 32 ⊿	—	—	—	3^0	7^1 ⊙	4^0
31.	— 40 ⌈²	— —	1^0 ⊙	4^0 ⊙	6^1	—	—	—

*) Streifenwechsel.

Alexandersbad.

$\varphi = 50^0\ 1'$, $\lambda = 12^0\ 1'$, $h = 590$ m.

Monat Mai.

Datum	Differenz zw. Sonnenaufgang und Beginn der Brennspur in Stunden und Minuten 1911 St.	Min.	1912 St.	Min.	Bewölkungsgrad und -dicke 1911 7 a	2 p	9 p	1912 7 a	2 p	9 p
1.	—	—	—	56 ⌐¹	—	—	—	0	7¹	0
2.	1	21 ⌐²	1	03 ⌐¹	0 ⊙	6⁰ ⊙	5⁰	0 ⊙	0 ⊙	0
3.	1	18 ⌐⁰	—	53 ⌐²	0 ⊙	1⁰ ⊙	1⁰	0 ⊙	0 ⊙	0
4.	—	55 ⊿	—	—	0 ⊙	2⁰ ⊙	10¹ ▨	—	—	—
9.	—	—	1	01	—	—	—	7⁰	8¹	10¹
14.	—	—	—	38 ⊿	—	—	—	3⁰ ⊙	2⁰ ⊙	0
15.	—	—	1	— ⊿	—	—	—	2⁰ ⊙	4⁰	10⁰
20.	—	49? ⊿	1	17 ⊿²	5²	10¹	5⁰	0 ⊙	2¹ ⊙	10⁰
21.	1	05 ⊿	1	05	0 ⊙	2⁰ ⊙	0	10¹	3¹ ⊙	10⁰
30.	1	25 ⊿	1	— ⊿²	1⁰ ⊙	6²	7¹	4⁰ ⊙	4¹	0
31.	1	01 ⊿	1	01 ⊿²	0 ⊙	8¹	10² ▨	0 ⊙	8¹	0

Monat Juni.

1.	—	47 ⊿	1	22 ⊿²	6⁰	4⁰—²	1⁰	0 ⊙	5²	10²
3.	—	—	1	14	—	—	—	4²	4²	3⁰
4.	—	49 ⊿	—	—	0 ⊙	0 ⊙	2	—	—	—
5.	1	— ⊿	—	—	0 ⊙	2⁰	0	—	—	—
7.	1	17 ⊿	1	07 ⊿¹	0 ⊙	2⁰ ⊙	0	0 ⊙	5¹	6² ◪
8.	—	42 ⊿	—	—	6⁰	4⁰ ⊙	6⁰	—	—	—
9.	—	47 ⊿	—	—	0 ⊙	8⁰	8¹	—	—	—
10.	—	39	—	—	3⁰ ⊙	5⁰ ⊙	2⁰	—	—	—
16.	—	46 ⊿	—	—	1⁰ ⊙	4²	3⁰	—	—	—
19.	—	—	—	52	—	—	—	1⁰ ⊙	0 ⊙	3¹
22.	1	33 ⊿¹	1	38 ⊿²	0 ⊙	5¹ ⊙	1⁰	0 ⊙	2² ⊙	0
23.	—	57 ⊿¹	1	37 ⊿²	1⁰ ⊙	8²	1⁰	0 ⊙	2¹ ⊙	2¹
24.	—	56 ⊿²	—	—	0 ⊙	6⁰	10¹ ▨	—	—	—
27.	—	—	[2	33] ⊿	—	—	—	8²	6¹	1¹
28.	1	08	2	23 ⊿²	1⁰	10¹	6⁰	0 ⊙	0 ⊙	6²
29.	1	28	2	06 ⊿².	1⁰ ⊙	6⁰	0	0 ⊙	0 ⊙	6²
30.	—	58¹ ⊿⁰	—	—	1⁰ ⊙	6⁰	10¹ ▨	—	—	—

Monat Juli.

2.	[1	08]	—	—	10¹	10¹	0	—	—	—
3.	1	07	2	17	6¹	5¹	0	3⁰ ⊙	8¹	10¹
5.	1	06 ⊿²	—	—	0 ⊙	7²	0	—	—	—
6.	—	—	1	26 ⊿²	—	—	—	0 ⊙	0 ⊙	0
7.	—	—	2	04 ⊿²	—	—	—	2⁰ ⊙	4²	8¹
8.	—	—	1	59 ⊿¹	—	—	—	0 ⊙	7¹	10¹
10.	[—	32] ⊿²	—	—	8¹	6⁰	4¹	—	—	—
11.	1	17 ⊿¹	2	27 ⊿²	1⁰ ⊙	1⁰ ⊙	1¹	0 ⊙	6²	0
12.	—	—	1	51 ⊿	—	—	—	0 ⊙	3² ⊙	0
13.	—	—	1	25 ⊿²	—	—	—	0 ⊙	2⁰ ⊙	0
14.	—	—	1	30 ⊿⁰	—	—	—	0 ⊙	3² ⊙	0
15.	—	48 ⊿	1	58 ⊿⁰	1⁰ ⊙	6²	7²	0 ⊙	2² ⊙	0
16.	—	—	1	47 ⊿¹	—	—	—	0 ⊙	2¹ ⊙	5¹
17.	[1	21]	—	— ⊿	9¹	10⁰	5⁰	—	—	—
19.	—	—	[1	54]	—	—	—	8⁰	10¹	10¹
20.	—	48 ⊿¹	2	18	0 ⊙	1⁰ ⊙	0	4⁰ ⊙	6² ⊙	0
22.	1	17 ⊿⁰	—	—	0 ⊙	0 ⊙	0	—	—	—
23.	—	44 ⊿	—	—	0 ⊙	1⁰ ⊙	0	—	—	—
24.	1	03	2	18 ⊿	0 ⊙	5¹ ⊙	8⁰	0 ⊙	5¹ ⊙	0
26.	—	46	—	—	1⁰ ⊙	3²	8² ◹	—	—	—
27.	—	—	1	45 ⊿²	—	—	—	4⁰ ⊙	5¹ ⊙	0
28.	1	12 ⊿⁰	—	—	0 ⊙	1⁰ ⊙	3⁰—²	—	—	—
29.	1	11 ⊿	—	—	0 ⊙	6² ◪	8¹	—	—	—
31.	—	44 ⊿⁰	2	09 ⊿⁰	0 ⊙	0 ⊙	0	4¹	4¹	0

Monat August.

1.	—	38 ⊿²	—	—	0 ⊙	0 ⊙	0	—	—	—
2.	—	37 ⊿⁰	—	—	0 ⊙	4¹ ⊙	0	—	—	—
3.	—	37	—	—	1 ⊙	4²	6⁰	—	—	—
4.	—	—	1	32 ⊿⁰	—	—	—	6¹	1⁰ ⊙	0
6.	—	49 ⊿²	—	—	0 ⊙	5¹	1¹ ◹	—	—	—
7.	—	58 ⊿²	—	—	2⁰	3⁰ ⊙	0	—	—	—
8.	—	27 ⊿²	—	—	0 ⊙	1⁰ ⊙	0	—	—	—
9.	—	27 ⊿²	—	—	0 ⊙	1² ⊙	1⁰	—	—	—
10.	—	27 ⊿¹	—	—	0 ⊙	2⁰ ⊙	0	—	—	—
13.	—	44 ⊿	—	—	0 ⊙	9¹ ⊙	4¹	—	—	—
18.	—	—	1	54 ⊿²	—	—	—	0 ⊙	2⁰ ⊙	0
21.	—	35 ⊿⁰	—	—	6¹	4⁰ ⊙	10⁰ ▨	—	—	—
22.	—	33	—	—	2⁰	8¹	5¹ ◹	—	—	—
23.	—	47	—	—	6⁰	10⁰	0	—	—	—
27.	—	40 ⊿²	—	—	0 ⊙	1⁰ ⊙	0	—	—	—
28.	—	23 ⊿²	—	—	0 ⊙	0 ⊙	0	—	—	—
29.	—	21 ⊿⁰	—	—	0 ⊙	3¹	8	—	—	—
30.	—	—	1	09 ⊿	—	—	—	0 ⊙	0 ⊙	8² ▨

Monat September.

Datum	Differenz zw. Sonnenaufgang und Beginn der Brennspur in Stunden und Minuten 1911 St. Min.	1912 St. Min.	Bewölkungsgrad und -dicke 1911 7 a	2 p	9 p	1912 7 a	2 p	9 p
	*)	*)						
2.	— 38	— —	0 ⊙	0 ⊙	0	—	—	—
3.	— 42	— —	0 ⊙	0 ⊙	3^1	—	—	—
4.	1 23?	1 53	0 ⊙	0 ⊙	0	3^0	10^0	10^1 ▨
7.	— 39	— —	0 ⊙	1^0 ⊙	0	—	—	—
8.	1 03	— —	0 ⊙	5^0 ⊙	0	—	—	—
9.	— 59	— —	0 ⊙	2^2 ⊙	10 ▨ ◺	—	—	—
11.	— 47	— —	1^0 ⊙	0 ⊙	0	—	—	—
12.	— 30	— —	0 ⊙	0 ⊙	0	—	—	—
13.	1 03	— —	0 ⊙	1^0 ⊙	8^1	—	—	—
17.	— 56	— —	8^1	2^1 ⊙	4^2	—	—	—
21.	— —	1 14	—	—	—	0 ⊙	10^2	8^1
23.	— —	1 35	—	—	—	0 ⊙	6^1	10^0
27.	— —	1 57	—	—	—	0 ⊙	10^0	0
29.	— 57	— —	3^0 ⊙	5^2	3^0	—	—	—

*) Streifenwechsel 1. September.

Monat Oktober.

4.	— —	1 55	—	—	—	0 ⊙	0 ⊙	0
6.	— —	2 41	—	—	—	0 ⊙	1^0 ⊙	0
9.	— —	1 20	—	—	—	0 ⊙	0 ⊙	0
10.	— 53	1 33	0 ⊙	10^0	3^0	0	0 ⊙	0
11.	— 56	1 56	0 ⊙	0 ⊙	0	0	1^0 ⊙	0
12.	— 58	1 33	2^0 ⊙	0 ⊙	0	—	0 ⊙	0
	*)	*)						
13.	— 26	— —	2^0	2^0 ⊙	0	0	—	—
14.	— —	1 50	—	—	—	2^0	0 ⊙	3^0
16.	— —	— 57	—	—	—	0	5^0 ⊙	0
18.	— 53	— —	1^0	0 ⊙	0	—	—	—
19.	— 56	— —	1^0 ⊙	0 ⊙	0	—	—	—
20.	— 50	— —	1^0 ⊙	5^1 ⊙	1	—	—	—
23.	— [23]	— —	8^2	9^1 ▨	10^1	—	—	—
25.	— 40	— —	5^0	10^0	10^1 ▨	—	—	—
29.	— —	1 18	—	—	—	4^1	3^1	8^1
30.	— 26	— —	1^0	1^0 ⊙	0	—	—	—

*) Streifenwechsel.

Mittenwald.

$\varphi = 47^0\,27'$, $\lambda = 11^0\,16'$, h = 910 m.

Monat Mai.

Datum	Differenz zw. Sonnenaufgäng und Beginn der Brennspur in Stunden und Minuten 1911 St. Min.	1912 St. Min.	Bewölkungsgrad und -dicke 1911 7 a	2 p	9 p	1912 7 a	2 p	9 p
2.	1 56	1 36	1^0 ⊙	$8^{0\,2}$ ⊙	0	4^2	10^{0-2}	10^{1-2}
3.	1 42	1 27	0 ⊙	6^{1-2} ⊙	8^0	1^0 ⊙	2^0 ⊙	0
*)								
4.	— —	1 18	—	—	—	0 ⊙	3^0 ⊙	7
12.	1 09	1 29	0 ⊙	9^{0-2}	0	6^1 ⊙	3^{0-1} ⊙	0
13.	1 10	1 15	0 ⊙	5^{0-2} ⊙	6^{0-2}	1^0 ⊙	$9^{0\,2}$	8^2
14.	[1 07]	[1 37]	8^{0-2} ⊙	7^{0-2} ⊙	7^1 ◹	4^{0-2} ⊙	4^{0-1} ⊙	6
15.	— —	1 03	—	—	—	1^2 ⊙	6^{1-2}	10^2
17.	1 21	— —	3^{1-2} ⊙	9^{0-2}	10^{0-2}	—	—	—
19.	— —	1 10	—	—	—	0 ⊙	1^1 ⊙	0
20.	— —	1 08	—	—	—	0 ⊙	2^0 ⊙	3
28.	1 19	— —	0 ⊙	6^{0-1} ⊙	10^2	—	—	—
30.	1 15	— —	3^{0-2} ⊙	$7^{0\,2}$ ⊙	9^{0-2}	—	—	—

*) Änderung der ausgewählten Intensitätsstufe wegen einer sprungweisen Verfrühung durch das Profil der Berge. Vgl. 10. August.)

Monat Juni.

Datum	Differenz zw. Sonnenaufgang und Beginn der Brennspur in Stunden und Minuten		Bewölkungsgrad und -dicke					
	1911	1912	1911			1912		
	St. Min.	St. Min.	7 a	2 p.	9 p	7 a	2 p	9 p
1.	— —	1 37	—	—	—	3^{0-1} ⊙	7^{0-1} ⊙	3^{2}
2.	1 23	1 23	4^{0} ⊙	7^{0-2}	10^{0-2}	7^{1-2} ⊙	8^{0-2}	10 ▨^{0}
3.	—	1 29	—	—	—	1^{0} ⊙	8^{0-1}	8^{1}
5.	—	1 15	—	—	—	1^{0} ⊙	9^{0-1}	6^{0-1}
6.	—	1 40 ⌓	—	—	—	0 ⊙	5^{0-1} ⊙	3^{2}
7.	1 31 ⌓	— —	0 ⊙	4^{0} ⊙	0	—	—	—
9.	1 26 ⌓	— —	1^{0-2} ⊙	10^{2} ◪ ▨	10^{2} ◪ ◹	—	—	—
12.	— —	1 17	—	—	—	3^{1-2} ⊙	7^{0-2}	7^{1}
13.	1 42	— —	6^{2} ⊙	10^{1-2}	10^{2}	—	—	—
15.	— —	1 23	—	—	—	8^{0-2}	10^{1-2}	10^{1} ▨^{2}
16.	1 33	— —	4^{0-2}	3^{1-2} ⊙	3^{0-1}	—	—	—
18.	— —	1 13	—	—	—	7^{2}	10^{0-1}	0
19.	— —	1 14 ⌓	—	—	—	0 ⊙	0 ⊙	0
22.	1 25 ⌓	2 45 ⌓ ≡^{0}	0 ⊙	2^{0-1} ⊙	3	2^{0-2} ⊙	0 ⊙	0
23.	1 20	1 10	1^{0-1} ⊙	5^{0-1}	2^{1}	4^{1-2} ⊙	3^{0-2} ⊙	0
24.	1 30	— —	0 ⊙	9^{0}	10	—	—	—
28.	— —	2 53	—	—	—	0 ⊙	0 ⊙	0
29.	1 28 ⌓	3 28	0 ⊙	7^{0} ⊙	0	0 ⊙	2^{0} ⊙	10^{2}
30.	1 23	— —	1^{0-1} ⊙	5^{0-1} ⊙	10 ◪ ▨	—	—	—

Anmerkung: Bis zum 21. Juni 1911 wurden helle Streifen verwendet, im Jahre 1912 ganz dunkle.

Monat Juli.

5.	— —	2 54	—	—	—	2^{0} ⊙	5^{0-2} ⊙	0
6.	1 23 ⌓	2 53	0 ⊙	0 ⊙	2^{0}	0 ⊙	8^{0-2} ⊙	10
7.	1 22 ⌓	—	0 ⊙	3^{0-1} ⊙	0	—	—	—
10.	— —	2 51	—	—	—	0 ⊙	7^{0-2}	3^{2}
11.	1 25 ⌓	[4 50?]	0 ⊙	5^{0-1} ⊙	0	4^{0} ⊙	7^{0-2}	0
12.	1 31 ⌓	2 29	0 ⊙	5^{0-2} ⊙	0	0 ⊙	2^{0-1} ⊙	0
13.	— —	2 28	—	—	—	0 ⊙	2^{0-2} ⊙	3^{2}
14.	— —	2 47 $⌓^{2}$	—	—	—	0 ⊙	3^{0-2} ⊙	0
15.	— —	3 22 $⌓^{0}$	—	—	—	3^{0-1} ⊙	5^{0-2} ⊙	0
16.	— —	3 46 $⌓^{1}$	—	—	—	0 ⊙	1^{0} ⊙	0
17.	— —	3 00 $⌓^{0}$	—	—	—	0 ⊙	0 ⊙	0
18.	1 34 ⌓	2 34 $⌓^{0}$	0 ⊙	3^{0-1} ⊙	0	1^{2} ⊙	10 ▨ ◪^{2}	4^{1}
19.	1 28	— —	0 ⊙	3^{0-2} ⊙	8^{2} ◹	—	—	—
21.	1 38 $⌓^{2}$	— —	0 ⊙	3^{0} ⊙	0	—	—	—
22.	1 30 $⌓^{1}$	— —	0 ⊙	1^{0} ⊙	0	—	—	—
23.	1 09	3 39 ⌓	0 ⊙	2^{0-1} ⊙	2	1^{0} ⊙	7^{0-1} ⊙	0
24.	1 18	2 38 ⌓	2^{0-2} ⊙	7^{0-2} ⊙	10 ◹	0 ⊙	2^{0} ⊙	1^{1}
25.	1 22	3 07	4^{1} ⊙	3^{0-1} ⊙	8^{2} ◹	0 ⊙	7^{2}	10 ▨^{0}
26.	1 11	— —	0 ⊙	3^{0-1} ⊙	0	—	—	—
27.	1 35 $⌓^{0}$	— —	0 ⊙	3^{0-1} ⊙	5^{0}	—	—	—
28.	1 03	2 43	2^{1} ⊙	1^{2} ⊙	3^{0}	7^{2}	4^{0-2} ⊙	4^{1}
29.	1 02	— —	0 ⊙	5^{0-1} ⊙	0	—	—	—
30.	1 11	— —	0 ⊙	5^{0-2} ⊙	2^{0}	—	—	—
31.	1 03 ⌓	2 23	1^{2} ⊙	6^{0-2} ⊙	5^{2}	1^{0} ⊙	3^{0-1} ⊙	0

Anmerkung: Am 10., 11., 14., 15., 16., 17., 24. und 25. Juli 1912 wird vom Beobachter ausdrücklich hervorgehoben, dass der Himmel stark dunstig erscheint.

Monat August.

1.	1 04 $⌓^{1}$	1 59 ⌓	1^{0} ⊙	1^{0} ⊙	0	0 ⊙	5^{0-2} ⊙	4
2.	1 03 $⌓^{0}$	— —	2^{0-1} ⊙	3^{2} ⊙	4^{1}	—	—	—
3.	1 22	— —	0 ⊙	3^{0-2}	3^{0-1}	—	—	—
4.	— —	1 24	—	—	—	0 ⊙	4^{0} ⊙	0
6.	1 03	— —	1^{0} ⊙	7^{0-1} ⊙	10^{2}	—	—	—
8.	1 06 ⌓	— —	5^{0-2} ⊙	4^{0-1} ⊙	7^{0-2}	—	—	—
9.	1 05 ⌓	2 20 ⌓	1^{1} ⊙	2^{1} ⊙	2^{0-1}	4^{0} ⊙	10^{1-2}	10^{2} ▨^{0}
*)								
11.	1 46 ⌓	— —	0 ⊙	5^{1-2} ⊙	0	—	—	—
12.	1 45 ⌓	— —	0 ⊙	4^{0-2} ⊙	2^{2}	◹	—	—
13.	1 53 ⌓	— —	1^{2} ⊙	4^{0-1} ⊙	4^{1}	—	—	—
15.	— —	[3 36]? ⌓	—	—	—	4^{0}	8^{0-2}	10^{1} ▨^{1}
18.	1 35 ⌓	2 45	2^{0-2} ⊙	4^{0-2} ⊙	0	0 ⊙	3^{0-2} ⊙	0
19.	1 34	— —	0 ⊙	0 ⊙	0	—	—	—
23.	1 26	— —	8^{0} ⊙	9^{0-1} ⊙	10	—	—	—
24.	1 25	2 15	3^{0-1} ⊙	10^{1}	10	7^{0-2}	7^{0-2}	4^{0-2}
27.	1 33	— —	1^{0-2} ⊙	2^{0-1} ⊙	0	—	—	—
28.	1 32	— —	0 ⊙	0 ⊙	0	—	—	—
29.	1 20 ⌓	2 30	1^{0} ⊙	1^{0-1} ⊙	0	2^{0} ⊙	4^{0} ⊙	0
30.	1 23 ⌓	1 43	0 ⊙	6^{0-1}	6 ◹	0 ⊙	0 ⊙	10^{2}

*) Vgl. 3. Mai, Bemerkung.

Im **September** stellt sich in Mittenwald infolge der vortretenden Berge eine rasch fortschreitende Verspätung ein, so dass ein Vergleich auf Schwierigkeiten stösst, um so mehr, da die Intensität von $7^{\underline{30}}$ oder $8^{\underline{00}}$ an nicht mehr so wächst, dass die Registrierung zur Entnahme einer markanten Stufe geeignet wäre.

Klimatologie von Süddeutschland.

II. Teil.

Temperaturmittel von Süddeutschland

bezogen auf die

Periode 1881 bis 1910.

Von

Eugen Alt.

Inhaltsverzeichnis.

	Seite
Vorwort	5
I. Allgemeine Vorbemerkungen über Fehlerquellen und Fehlerrechnung bei Ableitung von Temperaturmitteln	7
II. Festlegung der 30jähr. Periode 1881 bis 1910	9
Auswahl der Vergleichsstationen	10
III. Stationsverzeichnis	11
IV. Temperaturmittel von 119 süddeutschen Beobachtungsorten	15

Vorwort.

Bei der Bearbeitung des vorliegenden II. Teiles der Klimatologie von Süddeutschland Temperaturmittel von Süddeutschland) liess sich der Verfasser wieder in erster Linie von dem Bestreben leiten, nur homogenes und streng vergleichbares Material zugrunde zu legen. Es ist leicht erklärlich, dass Diskussion und Kritik bisher geübter Methoden der Ableitung von Temperaturmitteln einen breiten Raum einnehmen. Die Arbeit ist ebenso wie der I. Teil der Klimatologie (Untersuchungen über Gewitter und Hagel in Süddeutschland, München 1909) als eine Grundlage für eine künftige umfassende Bearbeitung der Klimatologie Süddeutschlands gedacht.

München, Meteorologische Centralstation, Januar 1913.

E. Alt.

I. Allgemeine Vorbemerkungen über Fehlerquellen und Fehlerrechnung bei Ableitung von Temperaturmitteln.

Der Bearbeitung von Temperaturmitteln legt man gerne eine möglichst lange Reihe von Beobachtungsjahren zugrunde. Es bedarf daher einer Rechtfertigung, weshalb in der vorliegenden Arbeit die Temperaturmittel nur auf eine 30jährige Periode (1881 bis 1910) bezogen wurden, trotzdem für eine grössere Anzahl von Stationen viel längere, für München, Hohenpeissenberg und Stuttgart sogar 100jährige Beobachtungsserien zur Verfügung stehen.

Zunächst einige allgemeine Bemerkungen. v. Hann schreibt in seinem Lehrbuche der Meteorologie S. 91: „Es ist vielfach vorteilhaft, zu einer bestimmten Vorstellung von der beiläufigen Fehlergrenze eines meteorologischen Mittelwertes zu gelangen. Zu diesem Zwecke leistet eine Formel die besten Dienste, welche Fechner aufgestellt hat, und von der auch schon vielfach Anwendung in der Meteorologie gemacht worden ist." Diese Formel, die vielfach vernunftgemässe Anwendung gefunden hat, mit der aber auch mitunter direkt Missbrauch getrieben worden ist, liefert den mittleren wahrscheinlichen Fehler eines Temperaturmittels aus der Beziehung:

$$w = \frac{1.1955}{\sqrt{2n-1}} \cdot v ,$$

worin n die Anzahl der Jahre und v die mittlere Veränderlichkeit (mittlere Abweichung, mittlere Anomalie) bedeutet. Die Anwendung der Fechnerschen Formel ist dann statthaft, wenn die Grösse v genau bekannt ist; bei der Grösse n ist dies ja wohl in allen Fällen zutreffend. Um jedoch zu dem richtigen Werte der mittleren Veränderlichkeit zu gelangen, muss man vom Mittelwerte sämtlicher Fälle ausgehen. Damit aber das arithmetische Mittel vieler Beobachtungen die richtige Bedeutung erhalte, sind folgende Bedingungen erforderlich, die schon Lamont im Jahre 1867 in der „Zeitschrift der österreichischen Gesellschaft für Meteorologie Bd. II p. 241" ausgesprochen hat:

1. dass es sich um eine an und für sich gesetzmässig bestimmte Grösse handle,
2. dass eine positive Abweichung ebensoleicht wie eine negative stattfinden könne,
3. dass die kleineren Abweichungen häufiger, die grösseren immer seltener vorkommen, und dass zwischen der Grösse der Abweichungen und ihrer Anzahl oder Häufigkeit ein bestimmtes, für positive und negative Abweichungen gleiches Abhängigkeitsverhältnis bestehe.

Wenn man also aus einer Serie von Beobachtungswerten das Mittel gebildet hat, so kommt dieser gewonnenen Zahl zunächst nur die Bedeutung eines Kollektivmasses zu, nicht aber die eines Mittelwertes, wie ihn die präzise Durchführung der Fehlerrechnung erfordert. Nur wenn die oben aufgeführten Bedingungen erfüllt sind, darf der Mittelwert zur Ableitung der mittleren Veränderlichkeit benutzt und somit in die Fechnersche Formel eingeführt werden. Man darf nun aber ruhig die Behauptung aussprechen, dass in unseren Breiten die angeführten Postulate bei keinem meteorologischen Elemente streng erfüllt sind. Die Ableitung der mittleren Veränderlichkeit aus dem arithmetischen Mittel aller Beobachtungen wird daher immer nur eine mehr oder minder günstige Annäherung an den wahren Wert liefern, die aber, solange man nur die Veränderlichkeit selbst betrachtet, für die Zwecke der Klimatologie vollauf genügt. Hingegen ist die Einführung dieses Wertes der mittleren Veränderlichkeit in die Fechnersche Formel unstatthaft, da schon ein geringer Fehler der Anomalie das Ergebnis der Formel stark beeinträchtigt. Wenn ich also die Angabe mache, dass an irgendeinem Orte der mittlere wahrscheinliche Fehler des Juni-Temperaturmittels einer dreissigjährigen Beobachtungsreihe 0.1° betrage, so ist diese Konstatierung solange wertlos, als ich nicht die strenge Erfüllung der oben angeführten Bedingungen, insbesondere der unter 3. zusammengefassten, nachgewiesen habe. Das Fehlerhafte liegt in der bestimmten Angabe einer an sich sehr kleinen Zahlengrösse, die leicht um 100 und mehr Prozent falsch sein kann. Gegen die Bildung der mittleren Veränderlichkeit ist nichts einzuwenden, solange man sich des approximativen Charakters der Zahlenangaben bewusst bleibt und die Werte zum Zwecke gegenseitiger Vergleichbarkeit ableitet.

Die Bedeutung der Fechnerschen Formel geht deutlich aus einem praktischen Beispiel hervor: Für Freudenstadt ($\varphi = 48^0\,28'$ $\lambda = 8^0\,25'$ E, h = 738 m) ergeben sich aus der 60jährigen Beobachtungsdauer (1851—1910) folgende Werte der mittleren Veränderlichkeit:

I.	II.	III.	IV.	V.	VI.	VII.	VIII.	IX.	X.	XI.	XII.	Jahr
2.1	2.1	1.5	1.3	1.4	1.0	1.3	1.1	1.2	1.5	1.4	1.9	0.5

aus der 30jährigen Serie (1881—1910) aber nachstehende Beträge der mittleren Abweichung:

I.	II.	III.	IV.	V.	VI.	VII.	VIII.	IX.	X.	XI.	XII.	Jahr
1.8	2.1	1.6	1.3	1.1	1.0	1.3	0.8	1.1	1.4	1.2	1.5	0.4

Es ist von vorneherein nicht zu entscheiden, welcher Reihe der Vorzug einzuräumen ist. Im allgemeinen wird man selbstverständlich den aus 60jähriger Beobachtungsdauer gewonnenen Werten grösseres Vertrauen entgegenbringen, denn sie sind sozusagen der Ausdruck längerer Erfahrung. Dies gilt aber nur, solange innerhalb der 60 Jahre keine wie auch immer sich gestaltenden Veränderungen stattgefunden haben, welche auf die Temperaturverhältnisse des Ortes Einfluss gewinnen können. Sobald diese Konstanz der äusseren Bedingungen bei den Aufzeichnungen nicht mehr gewährleistet ist, geht die Bedeutung der Langjährigkeit verloren und dann kann die kürzere Reihe vertrauenswertere Resultate liefern. Man muss ferner mit v. Hann vollständig übereinstimmen, wenn er ausspricht, dass man schon aus 20jährigen Beobachtungen einen brauchbaren Wert der Veränderlichkeit ableiten kann. Dies würde aber nichts anderes bedeuten, als dass die mittlere Veränderlichkeit, wenn sie aus mindestens 20 Jahren lückenloser und homogener Beobachtung abgeleitet ist, innerhalb bestimmter Fehlergrenzen eine Konstante ist. Sobald also n in der Fechnerschen Formel mindestens gleich 20 ist, wird v unter Berücksichtigung des eben Gesagten, konstant und die Formel spricht dann nur noch aus, dass die Genauigkeit von Mittelwerten mit der Anzahl der Beobachtungsjahre wächst. Diese Behauptung lässt sich aber in solcher Allgemeinheit nicht aufrecht erhalten. Nur wenn die äusseren Bedingungen, unter denen die Aufzeichnungen erfolgen, durch die ganze Zeit hindurch die gleichen geblieben sind, wächst der Wert eines Temperaturmittels mit der Dauer der Beobachtung. Die beste Gewähr verlässiger Werte liegt in der Homogenität der Aufzeichnungen, wobei natürlich unter eine gewisse Zahl von Jahren nicht heruntergegangen werden darf.

Wie schwer es aber ist, nur durch wenige Jahrzehnte hindurch homogenes lückenloses Beobachtungsmaterial an einem Orte zu sammeln, weiss jeder, dem der Geschäftsgang einer Zentralstelle nur einigermassen bekannt ist. Ist es auch gelungen, eine Aufstellung durchzuführen, welche die Entnahme vertrauenswerter Temperaturwerte gewährleistet, so ist damit noch lange nicht alles geschehen. Fast alle Vorkommnisse in der äusseren Lebensführung des Beobachters stören den stetigen Gang der Beobachtungen. Krankheit, Wohnungswechsel und was alles derartig störende Momente sind, machen einen Wechsel in der Person des Beabachters notwendig, bauliche Veränderungen in der nächsten Umgebung der Instrumentenaufstellung schaffen neue äussere Bedingungen, die den Wert der Aufzeichnungen immer mehr herabdrücken und schliesslich ganz fraglich machen. Welchen Einfluss aber selbst geringfügige Änderungen dieser äusseren Bedingungen ausüben, dafür hat Hellmann in seiner Arbeit: „Über die Aufstellung der Thermometer zur Bestimmung der Lufttemperatur“[1]), durchschlagenden Beweis erbracht. Wir wollen nur den letzten Satz aus der Zusammenstellung der Hauptresultate dieser Studie hier zitieren: „Der Gebrauch zweier prinzipiell verschiedener Arten von Thermometeraufstellungen, wie der Fenster- und der Gehäuseaufstellung, in einem und demselben Beobachtungsnetze ist unzweckmässig, weil die Vergleichbarkeit der Beobachtungen, namentlich zu den einzelnen Terminen dadurch sehr beeinträchtigt wird.“

Es kann der Behauptung kaum widersprochen werden, dass es unmöglich ist, Thermometeraufstellungen zu schaffen, welche jahraus, jahrein durch mehrere Dezennien hindurch die wahre Lufttemperatur zu messen gestatten, die dann auch für die weitere Umgebung des Beobachtungsortes zutreffend wäre.

Aus solchen Erwägungen allgemeiner Natur glaubten wir die Forderung möglichst vieljähriger Temperaturmittel, wie sie in der Fechnerschen Formel steckt, nicht allzusehr beachten zu müssen. Wir halten eben durch die Resultate der Fechnerschen Formel noch nicht den Beweis als erbracht, dass tatsächlich die Mittelwerte einer 60jährigen Beobachtungsreihe höheren Vertrauens wert seien, als jene aus nur 30 Beobachtungsjahren abgeleiteten. Um aber kein Missverständnis über unsere Auffassung der vorliegenden Frage aufkommen zu lassen, müssen wir noch erwähnen, dass wir bei Ableitung von Temperaturmitteln ceteris paribus eine 60jährige Beobachtungsreihe einer 30jährigen vorziehen würden, weil in ihr ja doch die Erfahrung eines viel längeren Zeitraumes verdichtet ist. Nur können wir nicht glauben, dass der Wert dieser 60jährigen Mittel jenen der 30jährigen in einem Verhältnisse übertrifft, wie dies durch die Fechnersche Formel zahlenmässig zum Ausdruck kommt. Was wir als Temperaturmittel bezeichen, sind Kollektivmasse, die, ob sie nun aus 30 oder 60 Beobachtungsjahren abgeleitet sind, doch immer nur einen recht notdürftigen Massstab zur Kennzeichnung der Temperaturverhältnisse einer Gegend darstellen. Will man über die Zuverlässigkeit dieses Kollektivmasses für den einzelnen Fall orientiert sein, das heisst verlangt man Angaben über die Grössen der wahrscheinlichen und möglichen Abweichungen, so genügt die Nennung der mittleren Veränderlichkeit, die aus einer 20—30jährigen Reihe bereits mit hinreichender Genauigkeit abzuleiten ist und die Angabe der absoluten Maxima und Minima während der ganzen Zeitdauer der Beobachtungen.

[1]) Veröffentlichungen des Königlich Preussischen Meteorologischen Instituts Nr. 244; pag. 59.

II. Festlegung der 30jährigen Periode 1881—1910.

Auswahl der Vergleichsstationen.

Dass gerade die 30jährige Periode 1881 bis 1910 der Bearbeitung der Temperaturmittel zugrunde gelegt wurde, ist begründet in dem Bestreben, möglichst rezentes und gut kontrollierbares Material der Verarbeitung zuzuführen und weiterhin aus einigen Gründen, die im nachfolgenden näher beleuchtet sind.

Wirklich einheitliche Beobachtungen der Temperatur werden in Süddeutschland erst seit dem Jahre 1901 durchgeführt. Vor diesem Termine waren in Süddeutschland die verschiedenartigsten Beobachtungsmoden im Gebrauch. Die Stationen des württembergischen Stationsnetzes beobachten seit Beginn des Beobachtungsdienstes um 7 Uhr früh, 2 Uhr mittags und 9 Uhr abends und bilden das Mittel nach der Formel $\frac{7a + 2p + 2 \times 9p}{4}$. In Bayern wurde des Temperaturtagesmittel nach der Formel $\frac{8a + 2p + 8p + \text{Min.}}{4}$ gebildet, an den Stationen, die dem preussischen Netze angehörten, waren zum Teil die Termine 6a, 2p und 10p festgesetzt, kurz es waren auf dem verhältnismässig wenig ausgebreiteten Gebiete Süddeutschlands fast alle gangbaren Terminskombinationen im Gebrauche. Erst mit dem 1. Januar 1901 wird an allen Stationen Süddeutschlands, also an den bayerischen, württembergischen, badischen, hessischen und preussischen, sowie an jenen der Reichslande, morgens 7 Uhr, mittags 2 Uhr und abends 9 Uhr Ortszeit die Temperatur aufgezeichnet und das Temperaturtagesmittel nach der bekannten Formel unter doppelter Berücksichtigung der Abendtemperatur abgeleitet.

Wenn man annehmen will, dass die Güte und Zuverlässigkeit von Temperaturmitteln in erster Linie in geradem Verhältnisse mit der Anzahl der verwendeten Jahre steigt, wird man bestrebt sein, die Temperaturmittel verschiedener Herkunft untereinander vergleichbar zu machen. Die Literatur weisst ja hiefür eine ganze Anzahl mehr oder weniger erprobter Rezepte auf. Für eine Verarbeitung der Temperaturmittel Süddeutschlands kämen wohl in erster Linie die Vorschriften in Betracht, die Lang in völlig korrekter Weise für München abgeleitet hat[1]). Man bräuchte nur noch die Annahme gelten lassen, dass die für München festgelegten Korrektionszahlen auch für andere Orte (extrem gelegene ausgenommen) massgebend seien.

Zu dieser Auffassung konnte sich aber der Verfasser nicht bekennen. Selbst wenn wir noch zugeben wollen, dass die für einen bestimmten Ort aus einer gewissen Periode abgeleiteten Korrektionsgrössen am gleichen Orte für irgendeine andere Periode ihre Richtigkeit beibehalten (wobei natürlich keinerlei Änderung in den äusseren Bedingungen der Beobachtungen eintreten dürfen), die Übertragung auf andere Orte erscheint uns nicht statthaft. Hiebei leiten uns analoge Überlegungen, wie wir sie bereits bei der Kritik der Fechnerschen Formel ausgesprochen haben. Wenn man in der bereits angezogenen Arbeit Hellmanns die Verschiedenartigkeit des täglichen Temperaturganges betrachtet, wie sie sich am gleichen Orte nur bei verschiedener Aufstellungsart der Thermometer zu jeder Jahreszeit darstellt, kann man kaum daran glauben, dass es in bezug auf den täglichen Temperaturgang klimatisch gleich gelegene Orte gibt. Jedenfalls genügt es nicht, aus der Tatsache, dass die horizontale und vertikale Entfernung zweier Orte nicht allzu gross sei und auch die Topographie derselben nicht allzu grosse Unterschiede aufweise, auf eine klimatologische Gleichartigkeit oder gar auf eine Kongruenz der mittleren Tageskurve der Temperatur zu folgern.

Wenn wir aber die Vornahme von Reduktionen der verschiedenen Terminskombinationen auf wahre Tagesmittel zum Zwecke der Vergleichbarkeit ablehnten, so war der Umfang des für die Bearbeitung bereitstehenden Materiales sofort gegeben. Es konnte nur noch das nach der gleichen Beobachtungsmethode angefallene Material von 1901 ab in Betracht kommen. Für den Zeitraum 1901 mit 1910 standen zur Ableitung des Temperaturtagesmittels nach der Formel $\frac{1}{4}(7a + 2p + 2 \times 9p)$ insgesamt 87 Beobachtungsorte zur Verfügung, welche während des ganzen Dezenniums Aufzeichnungen gesammelt hatten und 24 Orte, von welchen nur für eine bestimmte Anzahl von Jahren der angeführten Periode Beobachtungen vorlagen.

Dadurch, dass wir nur Temperaturmittel gleicher Herkunft (und zwar sowohl was Methode als auch Zeitraum betrifft) der Reduktion auf langjährige Reihen einiger Normalstationen unterwarfen, glaubten wir die sicherste Garantie für Homogenität und Vergleichbarkeit der Resultate zu gewinnen. Die für die Reduktionen in Betracht kommenden Normalstationen konnten nur dem badischen oder württembergischen Stationsnetze entnommen werden, innerhalb welcher bereits seit Dezennien der heute in ganz Süddeutschland übliche Modus der Mittelberechnung geübt wurde.

Zur Festsetzung der Normalstationen gelangten wir auf folgende Weise: Zunächst wurden für jede Station die Mitteltemperaturen von Januar, März, Juli und Oktober des Zeitraumes 1901—1910 in gleichen Abständen als Ordinaten aufgetragen und die erhaltenen Punkte durch Strecken verbunden. Man erhielt auf diese Weise gebrochene Linien, welche für die Frühjahrs-, Sommer- und Herbstmonate untereinander grosse Ähnlichkeit in den hauptsächlichsten Zügen ihres Verlaufes zeigten und die Erfahrung von der genäherten Konstanz der Temperaturdifferenzen benachbarter oder besser gesagt, unter dem gleichen Klimaregime stehender Orte zu bestätigen schienen. Ganz anders im Januar. Die Linienzüge der einzelnen Beobachtungsorte zeigten in diesem Monate grosse Verschiedenheiten, und zwar nicht nur solche, die durch die verschiedene Höhenlage der einzelnen Orte erklärt werden könnten. Es ergab sich hieraus, dass es ganz unstatthaft ist, die kurze Reihe eines Ortes auf die längere eines anderen zu reduzieren, ohne dass man sich zuvor überzeugt hat,

[1]) C. Lang. Siebenundsechzigjährige Beobachtungen in München. Beobachtungen der meteorologischen Stationen im Königreich Bayern. IV. Jahrgang 1882.

dass in der Zeit, für welche gemeinsame Beobachtungsergebnisse vorliegen, die Wintermittel parallelen Verlauf zeigen. Die Reduktionsmöglichkeit beruht ja auf der Voraussetzung, dass die Temperaturdifferenzen zweier Orte für die gleichen Perioden, in unserem Falle Monate, als konstant angesehen werden können. Nun beträgt aber beispielsweise die Januartemperatur des Jahres 1902 in Heidenheim (494 m) + 1.8°, in Freudenstadt (738 m) + 0.7°, so dass sich eine Differenz von 1.1° ergibt, hingegen sind die entsprechenden Werte des Jahres 1908 für Heidenheim — 5.4° und für Freudenstadt — 2.6°, so dass nun eine Differenz von — 2.8° sich ableitet. Dieses Beispiel beweist hinreichend, dass die Voraussetzung der Konstanz der Temperaturdifferenzen wenigstens für die Wintermonate in jedem einzelnen Falle aus dem zur Verfügung stehenden Materiale erst nachgewiesen werden muss.

Die Linienzüge, die sich aus den zehn Januartemperaturen der Jahre 1901 bis 1910 für die 111 Stationen gewinnen liessen, wurden nun nach ihrer äusseren Erscheinungsform in mehrere Gruppen geordnet. Es liessen sich fünf mehr oder weniger deutlich voneinander geschiedene Typen dieser Januarkurven aufstellen. Innerhalb jeder Gruppe musste nun eine Station ausgewählt werden, von welcher langjährige verlässige Beobachtungen vorlagen, so dass sie als Vergleichsstation für die übrigen Beobachtungsstellen fungieren konnte.

Auf solche Weise ergaben sich die folgenden fünf Vergleichsstationen:

I. Heilbronn	$\varphi = 49^0\ 8'$	$\lambda = 9^0\ 14'$ E.	h = 171 m.
II. Friedrichshafen	$\varphi = 47^0\ 39'$	$\lambda = 9^0\ 29'$ E.	h = 410 m.
III. Heidenheim	$\varphi = 48^0\ 41'$	$\lambda = 10^0\ 9'$ E.	h = 494 m.
IV. Freudenstadt	$\varphi = 48^0\ 28'$	$\lambda = 8^0\ 25'$ E.	h = 738 m.
V. Höchenschwand	$\varphi = 47^0\ 44'$	$\lambda = 8^0\ 10'$ E.	h = 1005 m.

Den aus diesen Hauptstationen abzuleitenden Vergleichsreihen wurde der Zeitraum 1881—1910 zugrunde gelegt. Für diese Periode ergab die durchgeführte graphische Kontrolle mit einer ganzen Reihe von anderen Stationen die grösste Sicherheit des zu verwendenden Materiales.

In der Fig. 1. stellen wir die Linienzüge dar, die sich für unsere fünf Hauptstationen aus den zehn Januar-, März-, Juli- und Oktober-Temperaturen des Zeitraumes 1901 bis 1910 ableiten liessen. Nach unseren bisherigen Ausführungen bedarf die Darstellung keiner weiteren Erläuterung. Im nachfolgenden Stationsverzeichnis, das nach den Hauptstationen in fünf Gruppen zerlegt ist, erfolgte also die Zuteilung einer Station zu einer Gruppe aus der möglichst angenäherten Übereinstimmung seiner Januarkurve mit der entsprechenden Kurve der Hauptstation. Alle innerhalb einer Gruppe sich vorfindenden Beobachtungsorte sind auf die gleiche an der Spitze stehende Hauptstation reduziert.

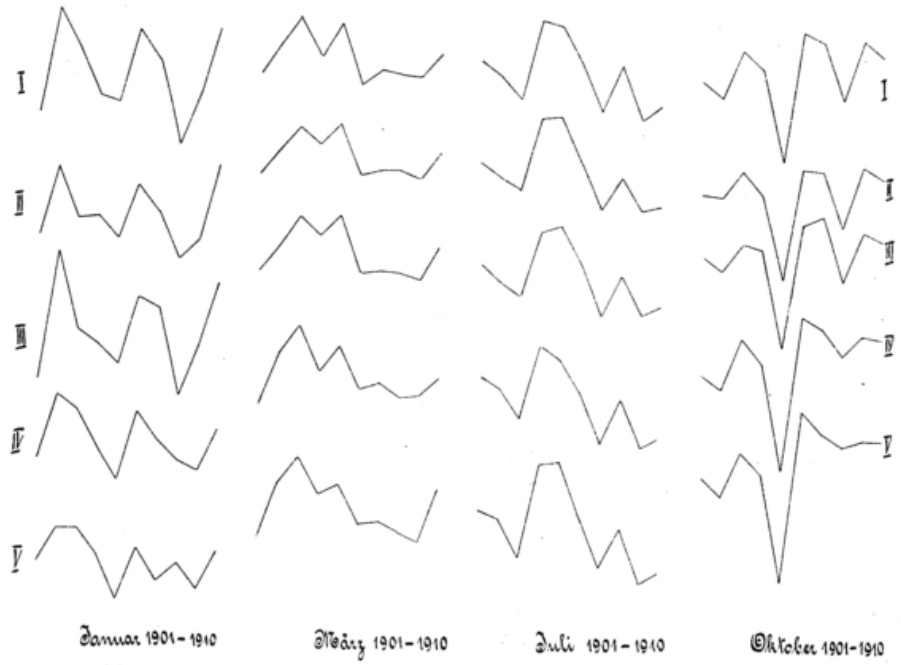

Fig. 1.

III. Stationsverzeichnis.

I. Gruppe.

Lfd. Nr.	Name	Breite Nord	Länge Ost	Höhe m	Staatszugehörigkeit	Bemerkungen*)
1	**Heilbronn**	49° 08′	9° 14′	171	Württemberg	Hauptstation. Periode 1881—1910
2	Mainz	50° 00′	8° 17′	91	Hessen	
3	Worms	49° 38′	8° 22′	98	Hessen	
4	Ludwigshafen a. Rh.	49° 29′	8° 26′	100	Bayern	
5	Mannheim	49° 29′	8° 27′	100	Baden	
6	Frankfurt a. M.	50° 07′	8° 41′	102	Preussen	
7	Offenbach	50° 07′	8° 44′	104	Hessen	
8	Wiesbaden	50° 05′	8° 14′	111	Preussen	
9	Kahl a. M.	50° 04′	9° 01′	114	Bayern	
10	Heidelberg	49° 25′	8° 42′	120	Baden	
11	Karlsruhe	49° 01′	8° 25′	127	Baden	
12	Strassburg	48° 35′	7° 45′	144	Élsass-Lothringen	
13	Bad Nauheim	50° 22′	8° 45′	145	Hessen	
14	Trier	49° 45′	6° 38′	146	Preussen	
15	Darmstadt	49° 53′	8° 40′	147	Hessen	
16	Wertheim	49° 46′	9° 31′	147	Baden	
17	Giessen	50° 35′	8° 41′	165	Hessen	
18	Metz	49° 07′	6° 09′	177	Elsass-Lothringen	
19	Würzburg	49° 48′	9° 56′	179	Bayern	
20	Gengenbach	48° 24′	8° 01′	181	Baden	
21	Colmar	48° 04′	7° 22′	189	Elsass-Lothringen	
22	Alzey	49° 45′	8° 07′	204	Hessen	
23	Saargemünd	49° 07′	7° 04′	206	Elsass-Lothringen	
24	Mergentheim	49° 30′	9° 47′	208	Württemberg	1903 mit 1909
25	Bad Kissingen	50° 12′	10° 05′	209	Bayern	
26	Baden	48° 46′	8° 14′	213	Baden	
27	Weinsberg	49° 09′	9° 17′	218	Württemberg	
28	Michelstadt	49° 41′	9° 01′	219	Hessen	
29	Kaiserslautern	49° 27′	7° 46′	242	Bayern	
30	Mülhausen	47° 45′	7° 20′	242	Elsass-Lothringen	
31	Luitpoldheim	50° 01′	9° 34′	250	Bayern	1904 mit 1910
32	Pforzheim	48° 53′	8° 43′	253	Baden	1901 mit 1906
33	Fulda	50° 33′	9° 41′	260	Preussen	
34	Stuttgart	48° 07′	9° 11′	269	Württemberg	
35	Gondrexange	48° 41′	6° 56′	270	Elsass-Lothringen	
36	Schotten	50° 30′	9° 07′	278	Hessen	
37	Winnental	48° 52′	9° 04′	282	Württemberg	1903 mit 1910
38	Bamberg	49° 53′	10° 53′	288	Bayern	
39	Freiburg	47° 59′	7° 52′	298	Baden	1901 mit 1907
40	Meiningen	50° 34′	10° 25′	309	Preussen	
41	Nürnberg	49° 27′	11° 05′	315	Bayern	
42	Coburg	50° 16′	10° 57′	315	Preussen	
43	Kirchheim u. T.	48° 39′	9° 23′	315	Württemberg	1901 mit 1905
44	Tübingen	48° 31′	9° 03′	328	Württemberg	1904 mit 1900
45	Buchen	49° 31′	9° 20′	345	Baden	
46	Eichhoff	48° 51′	6° 29′	347	Elsass-Lothringen	
47	Rothau	48° 27′	7° 12′	349	Elsass-Lothringen	
48	Neumatt	48° 59′	7° 18′	350	Elsass-Lothringen	
49	Bayreuth	49° 57′	11° 34′	363	Bayern	
50	Münster i. E.	48° 02′	7° 08′	392	Elsass-Lothringen	

*) Wenn nichts bemerkt ist, umfasst die der Reduktion zugrunde gelegte Beobachtungsdauer das Dezennium 1901 bis 1910.

d. r.	Name	Breite Nord	Länge Ost	Höhe m	Staatszugehörigkeit	Bemerkungen
51	Hohenheim	48° 43′	9° 13′	402	Württemberg	
52	Crailsheim	49° 07′	10° 05′	413	Württemberg	
53	Weissenburg i. B.	49° 02′	10° 58′	427	Bayern	
54	Wildbad	48° 45′	8° 32′	431	Württemberg	
55	Ansbach	49° 18′	10° 35′	438	Bayern	
56	Prevorst	49° 03′	9° 24′	479	Württemberg	1901 mit 1910
	II. Gruppe.					
57	**Friedrichshafen**	47° 39′	9° 29′	410	Württemberg	Hauptstation. Periode 1881—1910
58	Lindau	47° 33′	9° 41′	399	Bayern	
59	Bregenz	47° 30′	9° 45′	426	Österreich	
60	Meersburg	47° 42′	9° 16′	440	Baden	
	III. Gruppe.					
61	**Heidenheim**	48° 41′	10° 9′	494	Württemberg	Hauptstation. Periode 1881—1910
62	Passau	48° 34′	13° 28′	309	Bayern	
63	Metten	48° 51′	12° 55′	320	Bayern	1906 mit 1910
64	Regensburg	49° 01′	12° 07′	343	Bayern	
65	Burghausen	48° 10′	12° 50′	365	Bayern	
66	Karlshuld	48° 40′	11° 18′	382	Bayern	
67	Landshut	48° 32′	12° 10′	395	Bayern	
68	Salzburg	47° 48′	13° 02′	431	Österreich	1903 mit 1910
69	Wallerstein	48° 53′	10° 29′	447	Bayern	1901 mit 1909
70	Schaufling	48° 51′	13° 04′	470	Bayern	1901 mit 1904
71	Bad Reichenhall	47° 43′	12° 53′	471	Bayern	1901 mit 1909
72	Ulm	48° 24′	9° 59′	479	Württemberg	
73	Kaisheim	48° 46′	10° 48′	480	Bayern	1901 mit 1905
74	Augsburg	48° 22′	10° 54′	500	Bayern	
75	München	48° 09′	11° 34′	523	Bayern	
76	Biberach	48° 06′	9° 49′	537	Württemberg	
77	Harlaching	48° 05′	11° 34′	559	Bayern	1901 mit 1907
78	Traunstein	47° 52′	12° 39′	597	Bayern	
79	Berchtesgaden	47° 38′	13° 00′	600	Bayern	1905 mit 1910
80	Donaueschingen	47° 57′	8° 30′	692	Baden	
81	Schongau	47° 49′	10° 54′	710	Bayern	1901 mit 1905
82	Münsingen	48° 25′	9° 30′	712	Württemberg	1905 mit 1910
83	Zwiefalten	48° 15′	9° 28′	712	Württemberg	1905 mit 1910
84	Villingen	48° 04′	8° 27′	715	Baden	
85	St. Blasien	47° 46′	8° 08′	780	Baden	1903 mit 1910
	IV. Gruppe.					
86	**Freudenstadt**	48° 28′	8° 25′	738	Württemberg	Hauptstation. Periode 1881—1910
87	Badenweiler	47° 48′	7° 40′	401	Baden	
88	Hechingen	48° 21′	8° 58′	530	Preussen	
89	Frickenhofen	48° 56′	9° 48′	560	Württemberg	1904 mit 1910
90	Königstuhl	49° 24′	8° 44′	563	Baden	
91	Wildenstein	47° 59′	6° 58′	570	Elsass-Lothringen	
92	Kirchberg O.A. Sulz	48° 21′	8° 44′	577	Württemberg	
93	Alexandersbad	50° 01′	12° 01′	590	Bayern	1904 mit 1910

Lfd. Nr.	Name	Breite Nord	Länge Ost	Höhe m	Staatszugehörigkeit	Bemerkungen
94	Alfeldsee	47° 49′	6° 52′	620	Elsass-Lothringen	
95	Schömberg, O.A. Neuenb.	48° 47′	8° 39′	635	Württemberg	
96	Ottobeuren	47° 56′	10° 18′	660	Bayern	1907 mit 1910
97	Partenkirchen	47° 30′	11° 06′	715	Bayern	
98	Isny	47° 41′	10° 02′	721	Württemberg	1893 mit 1902
99	Tegernsee	47° 43′	11° 45′	735	Bayern	
100	Zeil	47° 52′	10° 00′	747	Württemberg	
101	Buchenau	49° 02′	13° 20′	750	Bayern	
102	Schopfloch	48° 32′	9° 32′	764	Württemberg	
103	Oberstdorf	47° 24′	10° 17′	823	Bayern	
104	Böttingen	48° 06′	8° 49′	908	Württemberg	

V. Gruppe.

105	**Höchenschwand**	47° 44′	8° 10′	1005	Baden	Hauptstation. Periode 1881—1910
106	Kniebis	48° 28′	8° 18′	904	Baden	
107	Mittenwald	47° 27′	11° 16′	919	Bayern	
108	Melkerei	48° 25′	7° 18′	935	Elsass-Lothringen	
109	Hohenpeissenberg	47° 48′	11° 01′	994	Bayern	
110	Todtnauberg	47° 51′	7° 57′	1024	Baden	
111	Grosser Belchen	47° 53′	7° 06′	1394	Elsass-Lothringen	

Es erscheint uns wichtig, auf die geographische Verbreitung der einzelnen Gruppen näher einzugehen. Eine oberflächliche Durchsicht des Stationsverzeichnisses führt zu dem Schlusse, dass für die Zuordnung eines Beobachtungsortes zu seiner Gruppe in erster Linie die Höhenlage massgebend ist. Die Tatsache jedoch, dass die am Ufer des Bodensees gelegenen Orte sich zu einer besonderen, von den übrigen deutlich geschiedenen Gruppe vereinigen, beweist schon, dass noch andere Gesichtspunkte massgebend sind. Wir haben auf einer Karte an jeden Stationsort ein der betreffenden Gruppe zugehöriges Zeichen eingetragen und dadurch das unter Fig. 2 dargestellte Kartenbild erhalten.

Gruppe I, deren Hauptstation Heilbronn ist, umfasst alle Stationen, des Rhein- und Maingebietes mit Ausnahme ausgesprochener Gebirgslagen und des Bodenseeufers. Aus der Tatsache, dass, von München aus gesehen, alle dieser Gruppe zugeteilten Orte jenseits des Jurabogens liegen, könnte man vielleicht die Berechtigung ableiten, von der Gruppe des maritimen Klimakreises Süddeutschlands zu sprechen. In der Tat bildet der Bogen des Jura eine ausgesprochene Scheide zwischen dem mehr maritimen Einflüssen ausgesetzten Rhein- und Maingebiet (mit Ausnahme des Rheinlaufes bis Basel) und dem schon mehr an das osteuropäische Kontinentalklima sich anlehnenden Donaugebiete.

Gruppe II mit der Vergleichsstation Friedrichshafen an der Spitze, fasst die Uferstationen des Bodensees zusammen, also eines Gebietes, dessen klimatische Sonderstellung keiner weiteren Erläuterung bedarf.

Gruppe III mit der Vergleichsstation Heidenheim enthält die Beobachtungsstellen der Donauebene und der gegen das Donautal abfallenden Gehänge der Rauhen Alb, des Jura und Bayerischen Waldes. Ausserdem ist dieser Gruppe das Gebiet der schwäbisch-bayerischen Hochebene und des südöstlichen Bayerns zuzuteilen, sowie das Ries.

Gruppe IV mit der Hauptstation Freudenstadt fasst die an steileren Bergabhängen gelegenen Stationen zusammen.

Gruppe V mit Höchenschwand an der Spitze begreift endlich die eigentlichen Hochlägen und Gipfelstationen in sich.

Man muss wohl zugestehen, dass unsere a priori ohne jede geographische Voraussetzung nur mit Rücksicht auf ähnlichen Verlauf der Januarkurven vorgenommene Zusammenfassung der Beobachtungsorte zu einzelnen Gruppen in der nachträglich gefundenen geographischen Differenzierung den besten Beweis ihrer Berechtigung findet.

Die Reduktion der kürzeren Beobachtungsreihen auf die 30jährigen der Hauptstationen (1881—1910) erfolgte in der bekannten Weise. Von einer Veröffentlichung der mittleren Differenzen glaubten wir Abstand nehmen zu dürfen. Wir erachten es als einen ganz besonderen Vorzug in Hinsicht auf die Vergleichbarkeit der abgeleiteten Temperaturmittel, dass bei der überwiegenden Mehrzahl der verfügbaren Stationen die gleiche Periode 1901 mit 1910 zur Differenzenbildung beigezogen werden konnte. Aber auch die kürzeren Reihen entstammen wenigstens dem gleichen Dezennium und nur bei Isny (Nr. 98 unseres Stationsverzeichnisses) liessen wir in Rücksicht auf die wichtige Lage dieses Ortes für das Zeichnen der Isothermen Süddeutschlands eine Ausnahme zu.

Um für künftige Studien der Temperaturverhältnisse Süddeutschlands ein möglichst vielseitiges Material bereitzulegen, wurden auch noch die mittleren Maxima und Minima unter Zugrundelegung der gleichen Periode und der nämlichen Vergleichsstationen abgeleitet.

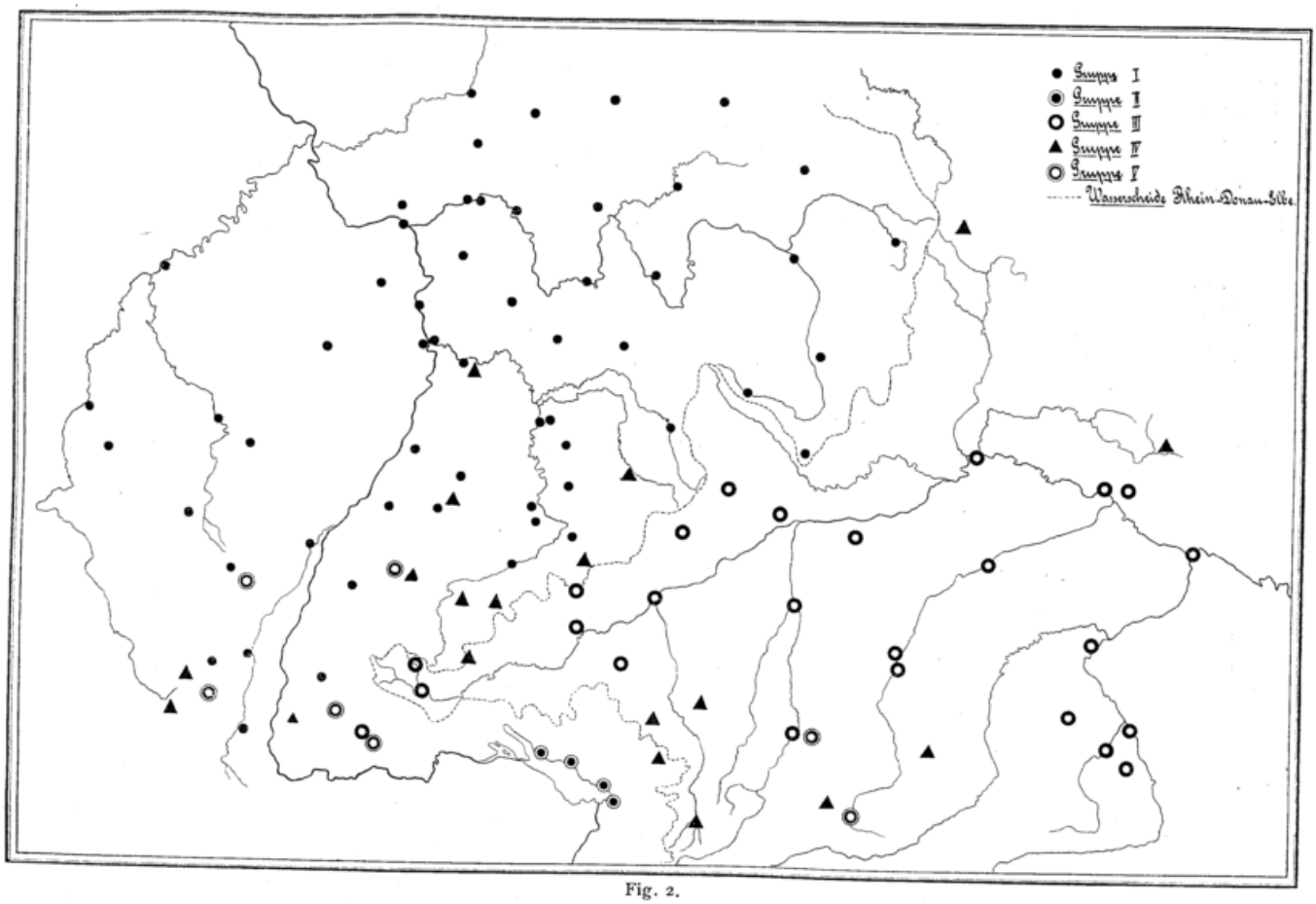

Fig. 2.

Leider fanden sich für Höchenschwand, die Hauptstation der Gruppe V, mittlere Maxima und Minima des Zeitraumes 1881 mit 1886 nicht vor, so dass also die mittleren Extreme der unter Gruppe V vereinigten Stationen sich nur auf die 24jährige Periode 1887 mit 1910 beziehen.

Ausserdem ergaben sich noch folgende Änderungen im Stationsnetze. Es fielen weg die Stationen: Bregenz (59), Salzburg (68), Melkerei (108), Alfeldsee (94) und Isny (98), während neu hinzukamen:

Zur Gruppe I.

Lfd. Nr.	Name	Breite Nord	Länge Ost	Höhe m	Staatszugehörigkeit	Bemerkungen
16 a	Landau i. Pf.	49° 12′	8° 07′	150	Bayern	
36 a	Erlangen	49° 36′	11° 01′	281	„	1901 mit 1908
49 a	Cham	49° 13′	12° 40′	386	„	Die Zuordnung dieser Stationen zu ihrer Gruppe ist ziemlich willkürlich.
55 a	Hof	50° 19′	11° 55′	476	„	
56 a	Amberg	49° 27′	11° 52′	519	„	

Zur Gruppe III.

65 a	Ingolstadt	48° 45′	11° 26′	368	Bayern	
67 a	Eggenfelden	48° 24′	12° 46′	417	„	
68 a	Rosenheim	47° 51′	12° 08′	446	„	1901 mit 1906

Durch diese Änderungen vergrösserte sich die Anzahl der Stationen, für welche die mittleren Extreme und damit auch die mittlere Schwankung vorliegen, auf 114.

Wir teilen nun die Temperaturdaten der einzelnen Stationen mit, wobei wir, um das Auffinden der einzelnen Beobachtungsorte zu erleichtern, als oberstes Einteilungsprinzip die Staatszugehörigkeit berücksichtigen. Innerhalb der einzelnen Staatengruppen sind die Orte nach der Höhe geordnet. In der ersten Zeile jeder Station unter Temperaturmittel sind die nach der Formel $\frac{1}{4}$ (7a + 2p + 2 × 9p) abgeleiteten Temperaturtagesmittel verzeichnet.

IV. Temperaturmittel von 119 süddeutschen Beobachtungsorten.

a) Temperaturmittel bayerischer Stationen.

1. Ludwigshafen a. Rh. $\varphi = 49^0\,29'$ $\lambda = 8^0\,26'$ h = 100 m.

	I.	II.	III.	IV.	V.	VI.	VII.	VIII.	IX.	X.	XI.	XII.	Jahr
Temperaturmittel . . .	0.3	2.3	5.5	10.0	14.6	18.0	19.6	18.9	15.3	10.2	5.4	0.7	10.0
Mittleres Maximum . .	2.7	5.7	9.7	15.0	19.7	23.0	24.5	24.0	20.2	14.1	8.1	4.0	14.3
Mittleres Minimum . .	− 2.9	− 1.6	0.7	4.4	8.2	11.9	13.4	12.5	9.8	5.9	2.1	− 1.3	5.3
Mittlere Schwankung .	5.6	7.3	9.0	10.6	11.5	11.1	11.1	11.5	10.4	8.2	6.0	5.3	9.0
½ (Max. + Min.) . .	− 0.1	2.1	5.2	9.7	13.9	17.4	18.9	18.2	15.0	10.0	5.1	1.3	9.8

2. Kahl a. M. $\varphi = 50^0\,04'$ $\lambda = 9^0\,01'$ h = 114 m.

Temperaturmittel . . .	− 0.9	1.1	4.0	8.6	13.1	16.8	18.0	17.1	13.5	8.6	4.2	− 0.4	8.6
Mittleres Maximum . .	2.6	5.5	9.7	15.2	20.4	24.1	25.2	24.2	20.4	14.0	7.9	3.8	14.4
Mittleres Minimum . .	− 4.9	− 3.3	− 1.1	2.3	6.0	9.4	11.2	10.1	7.3	3.6	0.3	− 2.9	3.2
Mittlere Schwankung .	7.5	8.8	10.8	12.9	14.4	14.7	14.0	14.1	13.1	10.4	7.6	6.7	11.2
½ (Max. + Min.) . .	− 1.1	1.1	4.3	8.8	13.2	16.8	18.2	17.2	13.9	8.8	4.1	0.5	8.8

3. Landau i. Pf. $\varphi = 49^0\,12'$ $\lambda = 8^0\,07'$ h = 150 m.

Temperaturmittel . . .	–	–	–	–	–	–	–	–	–	–	–	–	–
Mittleres Maximum . .	2.5	5.5	9.6	15.2	19.6	23.4	25.0	24.4	20.4	13.9	7.8	3.7	14.3
Mittleres Minimum . .	− 3.1	− 1.8	0.6	4.2	8.1	11.6	13.2	12.4	9.8	5.7	1.9	− 1.5	5.2
Mittlere Schwankung .	5.6	7.3	9.0	11.0	11.5	11.8	11.8	12.0	10.6	8.2	5.9	5.2	9.1
½ (Max. + Min.) . .	− 0.3	1.9	5.1	9.7	13.9	17.5	19.1	18.4	15.1	9.8	4.9	1.1	9.8

4. Würzburg $\varphi = 49^0\,48'$ $\lambda = 9^0\,56'$ h = 179 m.

Temperaturmittel . . .	− 0.7	1.1	4.0	8.7	13.3	17.0	18.3	17.2	13.6	8.6	4.3	− 0.3	8.7
Mittleres Maximum . .	1.9	4.7	9.0	14.4	19.2	22.6	23.7	23.0	19.5	13.1	7.1	3.2	13.5
Mittleres Minimum . .	− 4.1	− 2.6	− 0.5	3.2	7.1	10.9	12.7	11.8	8.7	4.8	1.0	− 2.3	4.3
Mittlere Schwankung .	6.0	7.3	9.5	11.2	12.1	11.7	11.0	11.2	10.8	8.3	6.1	5.5	9.2
½ (Max. + Min.) . .	− 1.1	1.1	4.2	8.8	13.2	16.7	18.2	17.4	14.1	8.9	4.1	0.4	8.9

5. Bad Kissingen $\varphi = 50^0\,12'$ $\lambda = 10^0\,05'$ h = 209 m.

Temperaturmittel . . .	− 1.6	0.2	3.2	7.8	12.5	16.0	17.3	16.3	12.9	7.9	3.6	− 1.2	7.9
Mittleres Maximum . .	1.5	4.4	8.7	14.4	19.3	22.8	23.8	23.0	19.6	13.1	6.7	2.6	13.3
Mittleres Minimum . .	− 5.3	− 4.0	− 1.7	1.8	5.9	9.1	11.0	10.0	7.2	3.7	0.2	− 3.2	3.0
Mittlere Schwankung .	6.8	8.4	10.4	12.6	13.4	13.7	12.8	13.0	12.4	9.4	6.5	5.8	10.3
½ (Max. + Min.) . .	− 1.9	0.2	3.5	8.1	12.6	16.0	17.4	16.5	13.4	8.4	3.5	− 0.3	8.2

6. Kaiserslautern $\varphi = 49^0\,27'$ $\lambda = 7^0\,46'$ h = 242 m.

Temperaturmittel . . .	− 0.6	1.2	3.9	8.2	12.8	16.5	18.1	17.2	14.5	8.8	4.3	− 0.2	8.5
Mittleres Maximum . .	2.4	5.0	8.9	14.1	19.3	23.0	24.4	23.2	19.5	13.6	7.5	3.6	13.7
Mittleres Minimum . .	− 3.8	− 2.4	− 0.3	2.8	6.6	10.2	12.0	11.1	8.4	4.9	1.3	− 2.0	4.1
Mittlere Schwankung .	6.2	7.4	9.2	11.3	12.7	12.8	12.4	12.1	11.1	8.7	6.2	5.6	9.6
½ (Max. + Min.) . .	− 0.7	1.3	4.3	8.4	12.9	16.6	18.2	17.2	13.9	9.2	4.4	0.8	8.9

7. Luitpoldheim $\varphi = 50^0\,01'$ $\lambda = 9^0\,34'$ h = 250 m.

Temperaturmittel . . .	− 1.4	0.2	3.1	7.6	11.9	15.1	16.7	16.0	12.8	8.0	3.4	− 1.1	7.7
Mittleres Maximum . .	1.2	3.7	7.8	12.9	17.6	21.1	22.3	21.5	18.4	12.1	6.3	2.2	12.3
Mittleres Minimum . .	− 4.6	− 3.6	− 1.4	2.3	5.8	9.1	10.8	10.1	7.6	4.0	0.3	− 3.0	3.2
Mittlere Schwankung .	5.8	7.3	9.2	10.6	11.8	12.0	11.5	11.4	10.8	8.1	6.0	5.2	9.1
½ (Max. + Min.) . .	− 1.7	0.1	3.2	7.6	11.7	15.1	16.6	15.8	13.0	8.1	3.3	− 0.4	7.8

8. **Erlangen** $\varphi = 49^0\,36'$ $\lambda = 11^0\,01'$ h = 281 m.

	I.	II.	III.	IV.	V.	VI.	VII.	VIII.	IX.	X.	XI.	XII.	Jahr
Temperaturmittel . . .	–	–	–	–	–	–	–	–	–	–	–	–	–
Mittleres Maximum . .	1.5	4.3	8.5	14.4	19.5	23.1	24.2	23.2	19.2	13.2	6.8	3.1	13.4
Mittleres Minimum . .	– 4.9	– 3.3	– 1.2	2.7	6.7	10.2	11.8	11.1	7.8	3.9	0.2	– 3.1	3.5
Mittlere Schwankung .	6.4	7.6	9.7	11.7	12.8	12.9	12.4	12.1	11.4	9.3	6.6	6.2	9.9
$^1/_2$ (Max. + Min.) . .	– 1.7	0.5	3.7	8.6	13.1	16.7	18.0	17.2	13.5	8.6	3.5	0.0	8.5

9. **Bamberg** $\varphi = 49^0\,53'$ $\lambda = 10^0\,53'$ h = 288 m.

Temperaturmittel . . .	– 1.7	0.0	3.2	7.8	12.7	16.1	17.3	16.6	13.3	8.1	3.3	– 1.4	7.9
Mittleres Maximum . .	1.8	4.7	9.3	15.0	19.7	23.3	24.3	23.8	20.5	13.9	7.1	2.8	13.9
Mittleres Minimum . .	– 5.2	– 3.8	– 1.5	2.1	6.3	9.7	11.6	10.8	8.1	4.0	0.1	– 3.4	3.3
Mittlere Schwankung .	7.0	8.5	10.8	12.9	13.4	13.6	12.7	13.0	12.4	9.9	7.0	6.2	10.6
$^1/_2$ (Max. + Min.) . .	– 1.7	0.5	3.9	8.6	13.0	16.5	18.0	17.3	14.3	9.0	3.6	– 0.3	8.6

10. **Nürnberg** $\varphi = 49^0\,27'$ $\lambda = 11^0\,05'$ h = 315 m.

Temperaturmittel . . .	– 1.4	0.3	3.5	8.1	13.1	16.8	18.1	17.3	13.5	8.5	3.7	– 0.9	8.4
Mittleres Maximum . .	1.6	4.0	8.1	13.5	18.3	21.9	23.1	22.7	18.9	13.0	6.8	2.8	12.9
Mittleres Minimum . .	– 5.4	– 3.9	– 1.5	2.3	6.6	10.1	11.8	11.2	7.8	3.7	– 0.2	– 3.2	3.4
Mittlere Schwankung .	7.0	7.9	9.6	11.2	11.7	11.8	11.3	11.5	11.1	9.3	7.0	6.0	9.5
$^1/_2$ (Max. + Min.) . .	– 1.9	0.1	3.3	7.7	12.4	16.0	17.4	16.9	13.3	8.3	3.3	– 0.2	8.1

11. **Passau** $\varphi = 48^0\,34'$ $\lambda = 13^0\,28'$ h = 309 m.

Temperaturmittel . . .	– 2.4	– 0.2	3.5	7.9	12.8	16.3	17.7	16.9	13.6	8.6	3.5	– 1.0	8.0
Mittleres Maximum . .	0.7	3.2	8.2	13.0	18.4	21.9	23.3	22.5	19.2	13.0	6.3	1.5	12.6
Mittleres Minimum . .	– 5.7	– 3.9	– 0.6	2.9	7.3	10.8	12.3	11.8	8.9	4.9	0.7	– 3.7	3.8
Mittlere Schwankung .	6.4	7.1	8.8	10.1	11.1	11.1	11.0	10.7	10.3	8.1	5.6	5.2	8.8
$^1/_2$ (Max. + Min.) . .	– 2.5	– 0.3	3.8	8.0	12.9	16.4	17.8	17.2	14.1	9.0	3.5	– 1.1	8.2

12. **Metten** $\varphi = 48^0\,51'$ $\lambda = 12^0\,55'$ h = 320 m.

Temperaturmittel . . .	– 3.0	– 1.1	2.7	7.9	12.6	16.2	17.3	16.2	12.7	7.6	2.5	– 1.8	7.5
Mittleres Maximum . .	0.0	3.0	8.3	13.7	19.1	22.9	24.2	23.1	19.3	12.7	5.9	1.2	12.8
Mittleres Minimum . .	– 6.9	– 5.1	– 1.7	1.8	6.4	9.6	11.0	10.2	7.2	3.2	– 1.0	– 5.0	2.5
Mittlere Schwankung .	6.9	8.1	10.0	11.9	12.7	13.3	13.2	12.9	12.1	9.5	6.9	6.2	10.3
$^1/_2$ (Max. + Min.) . .	– 3.4	– 1.1	3.3	7.7	12.7	16.2	17.6	16.6	13.2	7.9	2.4	– 1.9	7.6

13. **Regensburg** $\varphi = 49^0\,01'$ $\lambda = 12^0\,07'$ h = 343 m.

Temperaturmittel . . .	– 3.0	– 0.9	2.7	7.3	12.5	16.2	17.6	16.5	12.8	7.5	2.5	– 1.7	7.5
Mittleres Maximum . .	1.0	3.4	8.4	13.3	19.0	23.1	24.4	22.9	18.9	12.4	6.1	1.6	12.8
Mittleres Minimum . .	– 6.8	– 4.8	– 1.9	1.4	6.2	9.9	11.5	11.0	7.5	3.3	– 0.7	– 4.8	2.6
Mittlere Schwankung .	7.8	8.2	10.3	11.9	12.8	13.2	12.9	11.9	11.4	9.1	6.8	6.4	10.2
$^1/_2$ (Max. + Min.) . .	– 2.9	– 0.7	3.3	7.4	12.6	16.5	18.0	17.0	13.2	7.9	2.7	– 1.9	7.7

14. **Bayreuth** $\varphi = 49^0\,57'$ $\lambda = 11^0\,34'$ h = 363 m.

Temperaturmittel . . .	– 2.0	– 0.3	2.7	7.3	12.5	15.9	17.2	16.3	12.8	7.8	3.0	– 1.6	7.6
Mittleres Maximum . .	1.0	3.6	7.8	13.4	18.9	22.5	23.5	23.0	19.2	13.2	6.2	2.2	12.9
Mittleres Minimum . .	– 5.8	– 4.5	– 2.2	1.4	5.6	9.0	10.9	10.6	7.4	3.4	– 0.3	– 4.0	2.7
Mittlere Schwankung .	6.8	8.1	10.0	12.0	13.3	13.5	12.6	12.4	11.8	9.8	6.5	6.2	10.2
$^1/_2$ (Max. + Min.) . .	– 2.4	– 0.4	2.8	7.4	12.3	15.8	17.2	16.8	13.3	8.3	3.0	– 0.9	7.8

15. **Burghausen** $\varphi = 48^0\,10'$ $\lambda = 12^0\,50'$ h = 365 m.

	I.	II.	III.	IV.	V.	VI.	VII.	VIII.	IX.	X.	XI.	XII.	Jahr
Temperaturmittel . . .	– 3.1	– 0.9	2.8	7.2	12.0	15.6	16.9	16.1	12.5	7.5	2.7	– 1.5	7.3
Mittleres Maximum . .	0.9	3.8	8.9	13.7	18.7	22.4	24.2	23.2	19.6	13.2	6.7	2.1	13.1
Mittleres Minimum . .	– 7.1	– 5.0	– 1.9	1.7	6.0	9.2	10.8	10.5	7.5	3.5	– 0.5	– 5.0	2.5
Mittlere Schwankung .	8.0	8.8	10.8	12.0	12.7	13.2	13.4	12.7	12.1	9.7	7.2	7.1	10.6
½ (Max. + Min.) . .	– 3.1	– 0.6	3.5	7.7	12.3	15.8	17.5	16.8	13.5	8.3	3.1	– 1.4	7.8

16. **Ingolstadt** $\varphi = 48^0\,45'$ $\lambda = 11^0\,26'$ h = 368 m.

Temperaturmittel . . .	–	–	–	–	–	–	–	–	–	–	–	–	–
Mittleres Maximum . .	0.3	3.0	8.4	13.9	19.6	23.5	25.1	23.8	19.5	12.3	6.0	1.2	13.0
Mittleres Minimum . .	– 7.1	– 5.2	– 1.0	1.2	5.7	9.3	11.1	10.5	7.0	2.7	– 1.1	– 4.8	2.3
Mittlere Schwankung .	7.4	8.2	9.4	12.7	13.9	14.2	14.0	13.3	12.5	9.6	7.1	6.0	10.7
½ (Max. + Min.) . .	– 3.4	– 1.1	3.7	7.6	12.7	16.4	18.1	17.2	13.3	7.5	2.5	– 1.8	7.7

17. **Karlshuld** $\varphi = 48^0\,40'$ $\lambda = 11^0\,18'$ h = 382 m.

Temperaturmittel . . .	– 3.3	– 1.2	2.4	6.9	12.0	15.6	16.9	15.9	12.1	6.8	2.2	– 2.0	7.1
Mittleres Maximum . .	1.0	3.3	8.8	14.4	19.9	23.7	24.9	24.0	19.3	12.2	6.5	2.0	13.3
Mittleres Minimum . .	– 7.3	– 5.9	– 2.5	0.4	4.0	7.8	9.3	8.3	5.8	1.5	– 1.6	– 5.1	1.2
Mittlere Schwankung .	8.3	9.2	11.3	14.0	15.9	15.9	15.6	15.7	13.5	10.7	8.1	7.1	12.1
½ (Max. + Min.) . .	– 3.1	– 1.3	3.2	7.4	12.0	15.8	17.1	16.2	12.6	6.9	2.5	– 1.5	7.3

18. **Cham** $\varphi = 49^0\,13'$ $\lambda = 12^0\,40'$ h = 386 m.

Temperaturmittel . . .	–	–	–	–	–	–	–	–	–	–	–	–	–
Mittleres Maximum . .	0.4	3.6	8.4	13.9	19.1	22.3	23.3	22.9	19.2	13.1	6.1	1.7	12.9
Mittleres Minimum . .	– 6.8	– 5.1	– 2.5	1.1	5.4	8.7	10.5	9.8	6.6	2.9	– 1.2	– 4.6	2.1
Mittlere Schwankung .	7.2	8.7	10.9	12.8	13.7	13.6	12.8	13.1	12.6	10.2	7.3	6.3	10.8
½ (Max. + Min.) . .	– 3.2	– 0.8	3.0	7.5	12.3	15.5	16.9	16.4	12.9	8.0	2.5	– 1.4	7.5

19. **Landshut** $\varphi = 48^0\,32'$ $\lambda = 12^0\,10'$ h = 395 m.

Temperaturmittel . . .	– 2.9	– 0.9	2.7	7.3	12.3	15.8	17.2	16.3	12.4	7.4	2.7	– 1.6	7.4
Mittleres Maximum . .	0.9	3.5	8.8	14.2	19.8	23.6	25.1	24.3	19.8	12.9	6.4	1.7	13.4
Mittleres Minimum . .	– 7.4	– 5.6	– 2.7	0.7	4.8	8.7	10.2	9.8	6.1	2.0	– 2.2	– 5.8	1.6
Mittlere Schwankung .	8.3	9.1	11.5	13.5	15.0	14.9	14.9	14.5	13.7	10.9	8.6	7.5	11.8
½ (Max. + Min.) . .	– 3.2	– 1.1	3.0	7.4	12.3	16.2	17.6	17.1	12.9	7.4	2.1	– 2.1	7.5

20. **Lindau** $\varphi = 47^0\,33'$ $\lambda = 9^0\,41'$ h = 399 m.

Temperaturmittel . . .	– 0.7	0.8	4.2	8.5	13.0	16.7	18.6	18.0	14.5	9.6	5.0	1.0	9.2
Mittleres Maximum . .	1.9	4.2	8.7	13.7	19.1	22.4	25.0	24.2	19.2	13.2	7.5	3.4	13.5
Mittleres Minimum . .	– 3.8	– 2.6	0.4	3.9	8.1	12.2	14.2	14.0	10.7	6.6	2.3	– 2.1	5.4
Mittlere Schwankung .	5.7	6.8	8.3	9.8	11.0	10.2	10.8	10.2	8.5	6.6	5.2	5.5	8.1
½ (Max. + Min.) . .	– 0.9	0.8	4.6	8.8	13.6	17.3	19.6	19.1	14.9	9.9	4.9	0.7	9.4

21. **Eggenfelden** $\varphi = 48^0\,24'$ $\lambda = 12^0\,46'$ h = 417 m.

Temperaturmittel . . .	–	–	–	–	–	–	–	–	–	–	–	–	–
Mittleres Maximum . .	0.5	3.0	7.9	13.1	18.2	22.3	23.6	22.7	18.6	12.3	5.8	1.3	12.4
Mittleres Minimum . .	– 7.7	– 6.1	– 2.5	1.1	5.3	8.7	10.2	9.7	6.4	2.5	– 1.3	– 5.7	1.8
Mittlere Schwankung .	8.2	9.1	10.4	12.0	12.9	13.6	13.4	13.0	12.2	9.8	7.1	7.0	10.6
½ (Max. + Min.) . .	– 3.6	– 1.5	2.7	7.1	11.8	15.5	16.9	16.2	12.5	7.4	– 2.3	– 2.2	7.1

22. **Weissenburg** $\varphi = 49^0\,02'$ $\lambda = 10^0\,58'$ h = 427 m.

	I.	II.	III.	IV.	V.	VI.	VII.	VIII.	IX.	X.	XI.	XII.	Jahr
Temperaturmittel . . .	– 1.8	– 0.2	3.1	7.8	12.6	16.2	17.7	16.9	13.0	8.0	3.3	– 1.4	8.0
Mittleres Maximum . .	1.3	3.7	8.1	13.3	18.1	22.0	23.4	22.7	18.9	13.1	6.8	2 5	12.9
Mittleres Minimum . .	– 5.6	– 4.7	– 1.7	0.7	5.8	9.3	11.0	10 5	7.3	3.3	0.0	– 3.5	2.8
Mittlere Schwankung .	6.9	8.4	9.8	12.6	12.3	12.7	12.4	12.2	11.6	9.8	6.8	6.0	10.1
½ (Max. + Min.) . .	– 2.2	– 0.5	3.2	7.0	11.9	15.6	17.2	16.6	13.1	8.2	3.4	– 0.5	7 8

23. **Ansbach** $\varphi = 49^0\,18'$ $\lambda = 10^0\,35'$ h = 438 m.

Temperaturmittel . . .	– 2.5	– 0.9	2.3	6.9	11.8	15.6	17.0	16.1	12.3	7.3	2.5	– 1.8	7.2
Mittleres Maximum . .	1.0	3.5	7.7	13.0	17.9	22.0	23.0	22.3	18.5	12.5	6.0	2.1	12.5
Mittleres Minimum . .	– 5.9	– 5.0	– 2.4	1.3	5.4	9.1	10.8	10.1	6.9	2.8	– 1.0	– 4.4	2.4
Mittlere Schwankung .	6.9	8.5	10.1	11.7	12.5	12.9	12.2	12.2	11.6	9.7	7.0	6.5	10.1
½ (Max. + Min.) . .	– 2.4	– 0.8	2.6	7.2	11.6	15.6	16.9	16.2	12.7	7.6	2.5	– 1.2	7.4

24. **Rosenheim** $\varphi = 47^0\,51'$ $\lambda = 12^0\,08'$ h = 446 m.

Temperaturmittel . . .	–	–	–	–	–	–	–	–	–	–	–	–	–
Mittleres Maximum . .	0.5	3.6	8.3	13.2	18.1	21.7	23.4	22.7	18.7	12.6	6.5	1.6	12.5
Mittleres Minimum . .	– 8.3	– 6.0	– 2.9	2.0	6.1	9.4	11.1	10.8	7.8	3.0	– 1.3	– 5.3	2.2
Mittlere Schwankung .	8.8	9.6	11.2	11.2	12.0	12.3	12.3	11.9	10.9	9.6	7.8	6.9	10.3
½ (Max. + Min.) . .	– 3.9	– 1.2	2.7	7.6	12.1	15.6	17.3	16.8	13.3	7.8	2.6	– 1.8	7.4

25. **Wallerstein** $\varphi = 48^0\,53'$ $\lambda = 10^0\,29'$ h = 447 m.

Temperaturmittel . .	– 2.6	– 1.0	2.6	7.0	12.0	15.6	17.1	16.2	12.6	7.4	2.6	– 1.4	7.4
Mittleres Maximum . .	0.4	2.7	7.3	12.5	17 9	21.7	23.0	22.1	18.1	11.7	5.5	1.3	12.0
Mittleres Minimum . .	– 5.9	– 4.4	– 1.4	2.0	6.4	9.8	11.4	10.8	7.9	3.6	– 0.3	– 4.1	3.0
Mittlere Schwankung .	6.3	7.1	8 7	10.5	11.5	11.9	11.6	11.3	10.2	8.1	5.8	5.4	9.0
½ (Max. + Min.) . .	– 2.7	– 0.8	3.0	7.3	12.2	15 8	17.2	16.5	13.0	7.7	2.6	– 1.4	7.5

26. **Schaufling** $\varphi = 48^0\,51'$ $\lambda = 13^0\,04'$ h = 470 m.

Temperaturmittel . . .	– 3.2	– 1.2	2.5	7.0	11.9	15.6	17.0	16.0	12.6	7.5	2.3	– 2.0	7.2
Mittleres Maximum . .	0.4	2.7	7.7	13.0	18.2	22.0	23.6	22.6	19.4	13.4	6.3	1.4	12.5
Mittleres Minimum . .	– 7.3	– 5.3	– 1.9	1.3	5.6	8.5	10.0	9.4	6.8	2.8	– 1.1	– 4.5	1.9
Mittlere Schwankung .	7.7	8.0	9.6	11.7	12.6	13.5	13.6	13.2	12.6	10.6	7.4	5.9	10.6
½ (Max. + Min.) . .	– 3.4	– 1.3	2.9	7.2	11.9	15.2	16.8	16.0	13.1	8.1	2.6	– 1.6	7.2

27. **Bad Reichenhall** $\varphi = 47^0\,43'$ $\lambda = 12^0\,53'$ h = 471 m.

Temperaturmittel . . .	– 2.9	– 0.7	2.8	7.2	12.2	15.6	17.2	16.4	12.9	7.9	2.8	– 1.4	7.5
Mittleres Maximum . .	1.4	4.2	8.7	13.3	18.3	21.8	23.4	22.7	18.9	13.5	7.2	2.5	12.9
Mittleres Minimum . .	– 6.8	– 4.6	– 0.7	2.6	7.0	10.3	12.3	11.9	8.8	4.2	– 0.1	– 4.7	3.3
Mittlere Schwankung .	8.2	8.8	9.4	10.7	11.3	11.5	11.1	10.8	10.1	9.3	7.3	7.2	9.6
½ (Max. + Min.) . .	– 2.7	– 0.2	4.0	7.9	12.6	16.1	17.8	17.3	13.8	8.8	3.6	– 1.1	8.1

28. **Hof** $\varphi = 50^0\,19'$ $\lambda = 11^0\,55'$ h = 476 m.

Temperaturmittel . . .	–	–	–	–	–	–	–	–	–	–	–	–	–
Mittleres Maximum . .	– 0.5	1.9	5.7	11.4	17.1	20.4	21.6	21.1	17.2	11.5	4.8	0.4	11.0
Mittleres Minimum . .	– 6.6	– 5.4	– 3.3	0.3	4.0	7.4	9.3	8.6	5.6	2.3	– 1.3	– 4.7	1.4
Mittlere Schwankung .	6.1	7.3	9.0	11.1	13.1	13.0	12.3	12.5	11.6	9.2	6.1	5 1	9.6
½ (Max. + Min.) . .	– 3.5	– 1.7	1.2	5.9	10.6	13.9	15.5	14.9	11.4	6.9	1.8	– 2.1	6.2

29. **Kaisheim** $\varphi = 48^0\,46'$ $\lambda = 10^0\,48'$ h = 480 m.

	I.	II.	III.	IV.	V.	VI.	VII.	VIII.	IX.	X.	XI.	XII.	Jahr
Temperaturmittel . . .	– 3.2	– 1.3	2.1	6.7	11.4	15.1	16.5	15.6	12.1	6.9	2.4	– 1.9	6.9
Mittleres Maximum . .	0.6	3.2	8.3	13.3	19.2	23.1	24.9	23.5	19.3	12.3	6.3	1.7	13.0
Mittleres Minimum . .	– 7.9	– 6.4	– 3.4	0.5	4.7	8.1	9.9	9.4	6.6	2.4	– 1.5	– 5.3	1.5
Mittlere Schwankung .	8.5	9.6	11.7	12.8	14.5	15.0	15.0	14.1	12.7	9.9	7.8	7.0	11.5
½ (Max. + Min.) . .	– 3.6	– 1.6	2.4	6.9	11.9	15.6	17.4	16.4	12.9	7.3	2.4	– 1 8	7.2

30. **Augsburg** $\varphi = 48^0\,22'$ $\lambda = 10^0\,54'$ h = 500 m.

Temperaturmittel . . .	– 2.1	– 0.3	3.2	7.6	12.7	16.4	17.9	17.2	13.2	8.2	3.2	– 0.9	8.0
Mittleres Maximum . .	0.8	2.9	7.4	12.7	17.8	21.3	22.9	22.3	18.2	12.1	6.2	1.8	12.2
Mittleres Minimum . .	– 6.0	– 4.3	– 1.4	1.8	6.2	9.8	11.5	11.2	7.6	3.7	– 0.4	– 4.3	3.0
Mittlere Schwankung .	6.8	7.2	8.8	10.9	11.6	11.5	11.4	11.1	10.6	8.4	6.6	6.1	9.2
½ (Max. + Min.) . .	– 2.6	– 0.7	3.0	7.3	12.0	15.6	17.3	16.8	12.9	7.9	2.9	– 1.2	7.6

31. **Amberg** $\varphi = 49^0\,27'$ $\lambda = 11^0\,52'$ h = 519 m.

Temperaturmittel . . .	–	–	–	–	–	–	–	–	–	–	–	–	–
Mittleres Maximum . .	– 0.3	2 6	6.9	12.5	17.7	21 8	22.8	21.9	17.8	11.7	5.2	1.0	11.8
Mittleres Minimum . .	– 6.4	– 5.2	– 2.5	1.5	6.4	10.0	11.4	10.9	8.0	3.7	– 1.2	– 4.8	2.7
Mittlere Schwankung .	6.1	7.8	9.4	11.0	11.3	11.8	11.4	11.0	9.8	9.0	6.4	5.8	9.1
½ (Max. + Min.) . .	– 3.3	– 1.3	2.2	7.0	12.1	15.9	17.1	16.4	12.9	7.7	2.0	– 1.9	7.3

32. **München** $\varphi = 48^0\,09'$ $\lambda = 11^0\,34'$ h = 523 m.

Temperaturmittel . . .	– 2.3	– 0.5	3.0	7.5	12 5	16.0	17.7	17.0	13.1	8.1	3.1	– 1.0	7.9
Mittleres Maximum . .	1.2	3.3	7.9	12.8	18.0	21.4	23.3	22.5	18.4	12.6	6.6	2.4	12.5
Mittleres Minimum . .	– 5.9	– 4.1	– 1.0	2.4	6.9	10.6	12.4	11.8	8.4	4.2	– 0.1	– 4.1	3.5
Mittlere Schwankung .	7.1	7.4	8.9	10.4	11.1	10.8	10.9	10.7	10.0	8.4	6.7	6.5	9.0
½ (Max. + Min.) . .	– 2.3	– 0.4	3.5	7.6	12.5	16.0	17.9	17.2	13.4	8.4	3.3	– 0.8	8.0

33. **München-Harlaching** $\varphi = 48^0\,05'$ $\lambda = 11^0\,34'$ h = 559 m.

Temperaturmittel . . .	– 3.8	– 1.9	1.4	6.0	11.2	14.7	16.4	15.7	11.8	6.9	1.8	– 2.2	6.6
Mittleres Maximum . .	0.2	2.4	6.7	11.8	16.8	20.3	22.1	21.3	17.4	11.6	5.4	0.9	11.4
Mittleres Minimum . .	– 7.6	– 5.4	– 2.6	0.9	5.4	9.0	11.0	10.6	7.1	3.1	– 1.2	– 5.1	2.1
Mittlere Schwankung .	7.8	7.8	9.3	10.9	11.4	11.3	11.1	10.7	10.3	8 5	6.6	6.0	9.3
½ (Max. + Min.) . .	– 3.7	– 1.5	2.1	6.4	11.1	14.7	16.6	16.0	12.3	7.4	2.1	– 2.1	6.8

34. **Alexandersbad** $\varphi = 50^0\,01'$ $\lambda = 12^0\,01'$ h = 590 m.

Temperaturmittel . . .	– 2.8	– 1.3	1.1	5.2	10.2	13.8	15.2	14.3	11.2	6.2	1.5	– 1.9	6.0
Mittleres Maximum . .	– 0.1	2.1	5.7	10.7	15.9	19.1	20.1	19.4	16.0	10.4	3.9	0.1	10.2
Mittleres Minimum . .	– 6.8	– 5.2	– 3.7	– 0.4	3.9	7.9	9.3	8.7	6.2	1.4	– 2.3	– 5.3	1.2
Mittlere Schwankung .	6.7	7.3	9.4	11.1	12 0	11.2	10.8	10.7	9.8	9.0	6.2	5.4	9.0
½ (Max. + Min.) . .	– 3.4	– 1.6	1.0	5.2	9.9	13.5	14.7	14.1	11.1	5.9	0.8	– 2.6	5.7

35. **Traunstein** $\varphi = 47^0\,52'$ $\lambda = 12^0\,39'$ h = 597 m.

Temperaturmittel . . .	– 3.7	– 1.8	1.5	6.1	11.2	14.8	16.3	15.4	11.9	6.8	2.0	– 2.1	6.6
Mittleres Maximum . .	0.3	2.2	6.6	11.4	16.6	19.9	21.8	21.1	17.3	11.7	5.6	1.2	11.3
Mittleres Minimum . .	– 7.5	– 5.8	– 2.4	1.1	5.4	9.1	10.9	10.5	7.4	3.0	– 1.1	– 5.5	2.1
Mittlere Schwankung .	7.8	8.0	9.0	10.3	11.2	10.8	10.7	10.6	9.9	8.7	6.7	6.7	9.2
½ (Max. + Min.) . .	– 3.6	– 1.8	2.1	6.3	11.0	14.5	16.3	15.8	12.3	7.3	2.3	– 2.1	6.7

36. **Berchtesgaden** $\varphi = 47^0\,38'$ $\lambda = 13^0\,00'$ h = 600 m.

	I.	II.	III.	IV.	V.	VI.	VII.	VIII.	IX.	X.	XI.	XII.	Jahr
Temperaturmittel . . .	– 3.5	– 1.7	1.6	6.2	11.2	14.8	16.0	15.3	12.2	7.3	2.3	– 2.3	6.6
Mittleres Maximum . .	0.2	2.8	7.3	12.0	16.9	20.4	21.6	21.0	17.6	12.2	6.0	1.3	11.6
Mittleres Minimum . .	– 7.5	– 6.1	– 2.5	1.3	5.5	9.2	10.6	10.4	7.7	3.0	– 1.3	– 5.9	2.1
Mittlere Schwankung .	7.7	8.9	9.8	10.7	11.4	11.2	11.0	10.6	9.9	9.2	7.3	7.2	9.5
½ (Max. + Min.) . .	– 3.6	– 1.6	2.4	6.7	11.2	14.8	16.1	15.7	12.7	7.6	2.4	– 2.3	6.9

37. **Ottobeuren** $\varphi = 47^0\,56'$ $\lambda = 10^0\,18'$ h = 660 m.

Temperaturmittel . . .	– 2.9	– 0.8	2.0	6.3	11.0	14.8	16.4	15.8	11.8	6.8	2.6	– 1.3	6.8
Mittleres Maximum . .	1.1	3.3	7.0	11.7	15.4	20.0	21.3	21.2	17.3	11.3	5.9	1.9	11.3
Mittleres Minimum . .	– 6.4	– 5.1	– 2.2	1.3	5.3	9.2	11.2	10.0	7.8	3.4	– 0.8	– 4.4	2.5
Mittlere Schwankung .	7.5	8.4	9.2	10.4	10.1	10.8	10.1	11.2	9.5	7.9	6.7	6.3	8.8
½ (Max. + Min.) . .	– 2.6	– 0.9	2.4	6.5	10.4	14.6	16.3	15.6	12.6	7.4	2.6	– 1.2	6.9

38. **Schongau** $\varphi = 47^0\,49'$ $\lambda = 10^0\,54'$ h = 710 m.

Temperaturmittel . . .	– 3.4	– 1.7	1.5	6.3	11.1	14.9	16.7	16.0	12.2	7.0	2.1	– 2.3	6.7
Mittleres Maximum . .	0.7	3.0	7.2	12.6	17.5	21.1	23.2	22.5	18.2	12.3	6.7	2.2	12.3
Mittleres Minimum . .	– 7.9	– 6.7	– 3.0	0.7	4.9	8.6	10.6	9.6	6.7	2.7	– 1.6	– 6.1	1.6
Mittlere Schwankung .	8.6	9.7	10.2	11.9	12.6	12.5	12.6	12.9	11.5	9.6	8.3	8.3	10.7
½ (Max. + Min.) . .	– 3.6	– 1.8	2.1	6.6	11.2	14.8	16.9	16.1	12.4	7.5	2.6	– 1.9	6.9

39. **Partenkirchen** $\varphi = 47^0\,30'$ $\lambda = 11^0\,06'$ h = 715 m.

Temperaturmittel . . .	– 3.3	– 1.5	2.1	6.5	10.8	14.1	15.5	15.2	12.2	7.5	2.5	– 1.9	6.6
Mittleres Maximum . .	2.2	4.8	8.8	13.4	17.5	20.3	21.7	21.7	18.2	13.4	7.7	2.7	12.6
Mittleres Minimum . .	– 7.6	– 6.3	– 3.1	0.6	4.6	8.4	9.9	9.9	7.4	3.2	– 1.4	– 5.6	1.7
Mittlere Schwankung .	9.8	11.1	11.9	12.8	12.9	11.9	11.8	11.8	10 8	10.2	9.1	8.3	10.9
½ (Max. + Min.) . .	– 2.7	– 0.7	2.8	7.0	11.1	14.3	15.8	15.8	12.8	8.3	3.2	– 1.4	7.2

40. **Tegernsee** $\varphi = 47^0\,43'$ $\lambda = 11^0\,45'$ h = 735 m.

Temperaturmittel . . .	– 1.2	– 0.4	2.4	6.2	10.7	14.4	15.9	15.6	12.6	8.2	3.7	0.2	7.3
Mittleres Maximum . .	4.1	5.5	8.4	12.6	16.6	20.0	21.5	21.7	18.3	13.9	8.7	4.9	12.9
Mittleres Minimum . .	– 5.6	– 5.2	– 2.3	1.2	5.2	9.3	11.0	10.9	8.2	4.0	– 0.3	– 3.7	2.7
Mittlere Schwankung .	9.7	10.7	10.7	11.4	11.4	10.7	10.5	10.8	10.1	9.9	9.0	8.6	10.2
½ (Max. + Min.) . .	– 0.7	0.2	3.1	6.9	10.9	14.6	16.2	16.3	13.3	8.9	4.2	0.6	7.8

41. **Buchenau** $\varphi = 49^0\,02'$ $\lambda = 13^0\,20'$ h = 750 m.

Temperaturmittel . . .	– 3.7	– 2.2	0.5	4.4	9.9	13.3	15.3	13.4	10.7	6.3	1.3	– 2.5	5.4
Mittleres Maximum . .	0.4	2.3	5.6	10.5	16.0	19.6	20.3	19.9	16.4	11.4	5.0	0.8	10.6
Mittleres Minimum . .	– 7.0	– 5.9	– 3.5	– 0.2	4.9	8.4	9.6	9.1	6.4	2.7	– 2.0	– 5.4	1.5
Mittlere Schwankung .	7.4	8.2	9.1	10.7	11.1	11.2	10.7	10.8	10 0	8.7	7.0	6.2	9.1
½ (Max. + Min.) . .	– 3.3	– 1.8	1.1	5.2	10.4	14.0	15.0	14.5	11.4	7.1	1.5	– 2.3	6.1

42. **Oberstdorf** $\varphi = 47^0\,24'$ $\lambda = 10^0\,17'$ h = 823 m.

Temperaturmittel . . .	– 3.9	– 2.4	0.9	5.6	10.0	13.7	15.2	14.7	11.7	6.6	1.9	– 2.6	5.9
Mittleres Maximum . .	1.2	3.3	6.6	11.7	16.2	20.3	21.6	21.3	17.6	12.2	6.3	1.7	11.6
Mittleres Minimum . .	– 9.0	– 7.6	– 4.4	– 0.2	3.4	7.2	8.8	8.1	5.5	1.0	– 3.2	– 7.7	0.2
Mittlere Schwankung .	10.2	10.9	11.0	11.9	12.8	13.1	12.8	13.2	12.1	11.2	9.5	9.4	11.4
½ (Max. + Min.) . .	– 3.9	– 2.1	1.1	5.7	9.8	13.7	15.2	14.7	11.6	6.6	1.6	– 3.0	5.9

43. **Mittenwald** $\varphi = 47^0\,27'$ $\lambda = 11^0\,16'$ h = 919 m.

	I.	II.	III.	IV.	V.	VI.	VII.	VIII.	IX.	X.	XI.	XII.	Jahr
Temperaturmittel . . .	– 2.3	– 1.2	1.5	5.6	9.8	13.2	14.5	13.9	11.4	7.0	2.6	– 0.8	6.3
Mittleres Maximum . .	1.8	3.3	7.3	11.5	16.3	19.9	20.9	20.6	17.3	12.6	6.1	2.9	11.7
Mittleres Minimum . .	– 7.4	– 7.2	– 3.5	0.5	3.9	7.5	8.7	8.9	6.5	2.2	– 1.9	– 5.3	1.1
Mittlere Schwankung .	9.2	10.5	10.8	11.0	12.4	12.4	12.2	11.7	10.8	10.4	8.0	8.2	10.6
½ (Max. + Min.) . .	– 2.8	– 1.9	1.9	6.0	10.1	13.7	14.8	14.7	11.9	7.4	2.1	– 1.2	6.4

44. **Hohenpeissenberg** $\varphi = 47^0\,48'$ $\lambda = 11^0\,01'$ h = 994 m.

Temperaturmittel . . .	– 2.2	– 1.4	1.2	5.1	9.5	13.2	14.8	14.5	11.2	6.7	2.1	– 0.9	6.1
Mittleres Maximum . .	0.6	1.3	4.9	9.2	13.9	17.9	19.3	19.0	15.0	10.2	4.8	2.0	9.8
Mittleres Minimum . .	– 6.3	– 6.0	– 3.6	0.4	4.7	8.5	9.9	10.2	7.5	3.2	– 1.4	– 4.6	1.9
Mittlere Schwankung .	6.9	7.3	8.5	8.8	9.2	9.4	9.4	8.8	7.5	7.0	5.7	6.6	7.9
½ (Max. + Min.) . .	– 2.8	– 2.3	0.6	4.8	9.3	13.2	14.6	14.6	11.3	6.7	1.4	– 1.3	5.8

b) Temperaturmittel württembergischer Stationen.

1. **Heilbronn** $\varphi = 49^0\,08'$ $\lambda = 9^0\,14'$ h = 171 m.

Temperaturmittel . . .	0.0	1.7	5.0	9.5	13.9	17.3	18.6	17.9	14.4	9.4	5.0	0.5	9.4
Mittleres Maximum . .	2.7	5.2	9.7	15.0	19.5	22.9	24.1	23.7	20.1	14.0	8.0	3.9	14.1
Mittleres Minimum . .	– 3.0	– 1.7	0.8	4.5	8.3	11.9	13.5	12.8	9.9	5.8	2.1	– 1.1	5.4
Mittlere Schwankung .	5.7	6.9	8.9	10.5	11.2	11.0	10.6	10.9	10.2	8.2	5.9	5.0	8.7
½ (Max. + Min.) . .	– 0.2	1.8	5.3	9.8	13.9	17.4	18.8	18.3	15.0	9.9	5.1	1.4	9.8

2. **Mergentheim** $\varphi = 49^0\,30'$ $\lambda = 9^0\,47'$ h = 208 m.

Temperaturmittel . . .	– 1.5	0.5	3.4	8.2	12.6	16.1	17.6	16.7	13.0	8.0	3.7	– 0.6	8.1
Mittleres Maximum . .	0.9	3.9	8.1	14.3	18.9	21.4	23.4	22.7	19.1	12.8	6.6	2.5	12.9
Mittleres Minimum . .	– 4.3	– 2.5	– 0.3	3.2	6.8	10.3	12.4	11.7	8.5	4.5	1.1	– 2.0	4.1
Mittlere Schwankung .	5.2	6.4	8.4	11.1	12.1	11.1	11.0	11.0	10.6	8.3	5.5	4.5	8.6
½ (Max. + Min.) . .	– 1.7	0.7	3.9	8.8	12.8	15.8	17.9	17.2	13.8	8.6	3.8	0.2	8.5

3. **Weinsberg** $\varphi = 49^0\,09'$ $\lambda = 9^0\,17'$ h = 218 m.

Temperaturmittel . . .	– 0.7	1.1	4.4	8.9	13.3	16.9	18.1	17.5	13.8	8.9	4.3	0.1	8.8
Mittleres Maximum . .	2.1	4.8	9.2	14.3	18.9	22.2	23.4	23.0	19.1	13.3	7.1	3.3	13.4
Mittleres Minimum . .	– 3.7	– 2.5	0.1	3.8	7.6	11.3	13.1	12.3	9.3	5.3	1.5	– 1.7	4.8
Mittlere Schwankung .	5.8	7.3	9.1	10.5	11.3	10.9	10.3	10.7	9.8	8.0	5.6	5.0	8.6
½ (Max. + Min.) . .	– 0.8	1.2	4.6	9.1	13.2	16.7	18.2	17.6	14.2	9.3	4.3	0.8	9.1

4. **Stuttgart** $\varphi = 48^0\,07'$ $\lambda = 9^0\,11'$ h = 269 m.

Temperaturmittel . . .	0.3	1.9	5.1	9.6	13.9	17.4	19.0	18.3	14.6	9.8	5.4	0.6	9.6
Mittleres Maximum . .	2.8	5.3	9.5	14.7	19.2	22.6	24.1	23.7	19.6	13.9	8.2	4.1	14.0
Mittleres Minimum . .	– 2.3	– 1.4	1.1	4.9	8.8	12.4	14.2	13.6	10.3	6.4	2.2	– 1.0	5.8
Mittlere Schwankung .	5.1	6.7	8.4	9.8	10.4	10.2	9.9	10.1	9.3	7.5	6.0	5.1	8.2
½ (Max. + Min.) . .	0.2	1.9	5.3	9.6	14.0	17.5	19.2	18.6	15.0	10.1	5.2	1.5	9.9

5. **Winnental** $\varphi = 48^0\,52'$ $\lambda = 9^0\,04'$ h = 282 m.

Temperaturmittel . . .	– 1.2	0.5	3.7	8.2	12.7	16.2	17.6	16.9	13.2	8.5	3.9	– 0.5	8.4
Mittleres Maximum . .	2.7	5.2	9.3	14.4	19.3	22.9	24.3	23.6	19.7	13.8	7.8	3.8	14.0
Mittleres Minimum . .	– 4.9	– 3.8	– 1.1	2.3	5.9	9.3	11.3	10.7	7.8	3.9	0.1	– 2.8	3.3
Mittlere Schwankung .	7.6	9.0	10.4	12.1	13.4	13.6	13.0	12.9	11.9	9.9	7.7	6.6	10.7
½ (Max. + Min.) . .	– 1.1	0.7	4.1	8.3	12.6	16.1	17.8	17.2	13.7	8.8	4.0	0.5	8.6

6. Kirchheim unter Teck $\varphi = 48^0\,39'$ $\lambda = 9^0\,23'$ h = 315 m.

	I.	II.	III.	IV.	V.	VI.	VII.	VIII.	IX.	X.	XI.	XII.	Jahr
Temperaturmittel . . .	– 1.0	0.6	4.1	8.7	12.7	15.9	17.6	17.0	13.6	8.6	4.0	– 0.7	8.3
Mittleres Maximum . .	2.7	5.3	9.6	14.8	18.9	22.1	23.6	23.3	19.5	13.8	8.0	3.7	13.8
Mittleres Minimum . .	– 4.5	– 3.4	– 0.5	3.8	7.1	10.4	12.3	11.7	9.1	5.0	0.6	– 2.7	4.1
Mittlere Schwankung .	7.2	8.7	10.1	11.0	11.8	11.7	11.3	11.6	10.4	8.8	7.4	6.4	9.7
½ (Max. + Min.) . .	– 0.9	1.0	4.6	9.3	13.0	16.2	17.9	17.5	14.3	9.4	4.3	0.5	8.9

7. Tübingen $\varphi = 48^0\,31'$ $\lambda = 9^0\,03'$ h = 328 m.

Temperaturmittel . . .	– 1.2	0.8	4.1	8.7	12.9	16.4	17.9	17.2	13.7	8.6	4.0	– 0.6	8.5
Mittleres Maximum . .	1.9	5.0	9.6	14.6	19.2	22.6	24.1	23.5	19.6	14.0	7.6	3.0	13.8
Mittleres Minimum . .	– 6.0	– 4.3	– 1.8	2.1	5.8	9.4	11.2	10.5	8.3	3.6	– 0.4	– 3.9	3.0
Mittlere Schwankung .	7.9	9.3	11.4	12.5	13.4	13.2	12.9	13.0	11.3	10.4	8.0	6.9	10.8
½ (Max. + Min.) . .	– 2.0	0.4	3.9	8.4	12.5	16.0	17.6	17.0	13.9	8.8	3.6	– 0.4	8.4

8. Hohenheim $\varphi = 48^0\,43'$ $\lambda = 9^0\,13'$ h = 402 m.

Temperaturmittel . . .	– 1.4	0.1	3.5	8.1	12.6	16.0	17.5	16.9	13.4	8.5	3.6	– 1.1	8.1
Mittleres Maximum . .	1.3	3.7	8.1	13.4	18.2	21.6	23.1	22.7	19.0	13.0	6.5	2.5	12.8
Mittleres Minimum . .	– 4.5	– 3.3	– 0.5	3.4	7.4	10.7	12.5	11.9	9.0	4.9	0.7	– 2.7	4.2
Mittlere Schwankung .	5.8	7.0	8.6	10.0	10.8	10.9	10.6	10.8	10.0	8.1	5.8	5.2	8.6
½ (Max. + Min.) . .	– 1.6	0.2	3.8	8.4	12.8	16.2	17.8	17.3	14.0	8.9	3.6	– 0.1	8.5

9. Friedrichshafen $\varphi = 47^0\,39'$ $\lambda = 9^0\,29'$ h = 410 m.

Temperaturmittel . . .	– 1.3	0.2	3.6	8.2	12.7	16.4	18.1	17.1	13.6	8.6	4.1	0.4	8.5
Mittleres Maximum . .	1.4	3.6	7.8	13.0	17.9	21.3	23.2	22.2	18.0	12.3	6.7	2.7	12.5
Mittleres Minimum . .	– 4.1	– 3.1	– 0.3	3.4	7.5	11.2	13.0	12.4	9.6	5.4	1.3	– 2.1	4.6
Mittlere Schwankung .	5.5	6.7	8.2	9.6	12.4	10.1	10.2	9.8	8.4	6.9	5.4	4.8	7.9
½ (Max. + Min.) . .	– 1.3	0.3	3.8	8.2	12.7	16.2	18.1	17.3	13.8	8.8	4.0	0.3	8.5

10. Crailsheim $\varphi = 49^0\,07'$ $\lambda = 10^0\,05'$ h = 413 m.

Temperaturmittel . . .	– 1.8	– 0.4	2.8	7.4	12.0	15.7	17.2	16.3	12.9	7.8	3.2	– 1.4	7.6
Mittleres Maximum . .	0.9	3.4	7.5	12.8	17.5	21.1	22.4	21.9	18.3	12.4	6.2	2.1	12.3
Mittleres Minimum . .	– 4.5	– 3.8	– 0.8	3.1	7.1	10.5	12.3	11.6	8.7	4.5	0.7	– 3.0	3.9
Mittlere Schwankung .	5.4	7.2	8.3	9.7	10.4	10.6	10.1	10.3	9.6	7.9	5.5	5.1	8.4
½ (Max. + Min.) . .	– 1.8	– 0.2	3.3	7.7	12.3	15.8	17.3	16.7	13.5	8.4	3.4	– 0.4	8.1

11. Wildbad $\varphi = 48^0\,45'$ $\lambda = 8^0\,32'$ h = 431 m.

Temperaturmittel . . .	– 1.2	– 0.1	2.5	6.8	10.8	14.2	16.1	15.5	12.4	7.9	3.4	– 0.9	7.3
Mittleres Maximum . .	1.8	4.0	7.6	12.6	17.1	20.6	22.5	21.9	18.3	12.9	6.9	2.9	12.3
Mittleres Minimum . .	– 4.3	– 3.4	– 1.1	2.1	5.7	9.1	10.8	10.3	7.9	4.3	0.3	– 2.7	3.4
Mittlere Schwankung .	6.1	7.4	8.7	10.5	11.4	11.5	11.7	11.6	10.4	8.6	6.6	5.6	8.9
½ (Max. + Min.) . .	– 1.2	0.3	3.3	7.3	11.4	14.8	16.6	16.1	13.1	8.6	3.6	0.1	7.8

12. Prevorst $\varphi = 49^0\,03'$ $\lambda = 9^0\,24'$ h = 479 m.

Temperaturmittel . . .	– 1.2	0.0	3.2	7.6	12.3	15.7	17.1	16.6	13.4	8.6	3.8	– 1.0	8.0
Mittleres Maximum . .	0.8	3.0	7.0	12.4	17.0	20.5	21.7	21.1	17.4	11.7	6.1	2.3	11.8
Mittleres Minimum . .	– 3.5	– 2.6	– 0.1	3.7	8.2	11.9	13.3	12.8	9.9	6.0	1.4	– 2.0	5.0
Mittlere Schwankung .	4.3	5.6	7.1	8.7	8.8	8.6	8.4	8.3	7.5	5.7	4.7	4.3	6.8
½ (Max. + Min.) . .	– 1.3	0.2	3.4	8.1	12.6	16.2	17.5	16.9	13.6	8.8	3.7	– 0.1	8.4

13. **Ulm (Gasfabrik)** $\varphi = 48^0\,24'$ $\lambda = 9^0\,59'$ h = 479 m.

	I.	II.	III.	IV.	V.	VI.	VII.	VIII.	IX.	X.	XI.	XII.	Jahr
Temperaturmittel . . .	– 2.4	– 0.7	2.9	7.6	12.5	15.8	17.3	16.5	13.0	8.1	3.3	– 0.9	8.1
Mittleres Maximum . .	0.6	3.7	8.2	13.6	18.5	21.2	22.9	22.2	18.3	12.4	6.3	1.6	12.4
Mittleres Minimum . .	– 6.3	– 4.9	– 2.0	1.7	6.2	10.2	11.5	11.1	8.3	4.2	– 0.2	– 4.2	3.0
Mittlere Schwankung .	6.9	8.6	10.2	11.9	12.3	11.0	11.4	11.1	10.0	8.2	6.5	5.8	9.4
$^1/_2$ (Max. + Min.) . .	– 2.8	– 0.6	3.1	7.6	12.3	15.7	17.2	16.6	13.3	8.3	3.0	– 1.3	7.7

14. **Heidenheim** $\varphi = 48^0\,41'$ $\lambda = 10^0\,09'$ h = 494 m.

Temperaturmittel . . .	– 2.8	– 1.0	2.3	6.9	11.8	15.2	16.6	15.6	12.1	7.1	2.6	– 1.3	7.1
Mittleres Maximum . .	0.3	2.8	7.3	12.4	17.3	20.6	22.3	21.6	17.7	11.7	5.6	1.4	11.7
Mittleres Minimum . .	– 6.2	– 4.7	– 1.9	1.7	5.7	9.3	10.9	10.1	7.3	3.4	– 0.2	– 4.1	2.6
Mittlere Schwankung .	6.5	7.5	9.2	10.7	11.6	11.3	11.4	11.5	10.4	8.3	5.8	5.5	9.1
$^1/_2$ (Max. + Min.) . .	– 2.9	– 0.9	2.7	7.1	11.5	15.0	16.6	15.8	12.5	7.5	2.7	– 1.3	7.2

15. **Biberach** $\varphi = 48^0\,06'$ $\lambda = 9^0\,49'$ h = 537 m.

Temperaturmittel . . .	– 2.8	– 1.2	2.6	7.0	11.9	15.6	17.1	16.4	12.6	7.5	2.8	– 1.2	7.4
Mittleres Maximum . .	0.0	2.0	6.7	11.6	16.5	20.0	21.7	21.1	17.2	10.9	5.2	1.1	11.2
Mittleres Minimum . .	– 5.9	– 4.6	– 1.2	2.3	6.2	9.8	11.6	11.2	8.1	4.1	0.3	– 3.7	3.2
Mittlere Schwankung .	5.9	6.6	7.9	9.3	10.3	10.2	10.1	9.9	9.1	6.8	4.9	4.8	8.0
$^1/_2$ (Max. + Min.) . .	– 3.0	– 1.3	2.7	6.9	11.3	14.9	16.6	16.1	12.6	7.5	2.7	– 1.3	7.2

16. **Frickenhofen** $\varphi = 48^0\,56'$ $\lambda = 9^0\,48'$ h = 560 m.

Temperaturmittel . . .	– 1.8	– 0.3	2.7	6.9	11.6	15.2	16.6	15.9	12.8	7.8	3.0	– 0.5	7.4
Mittleres Maximum . .	1.7	3.2	6.9	11.6	16.7	20.5	21.9	20.8	16.9	11.0	5.6	1.7	11.4
Mittleres Minimum . .	– 4.2	– 3.0	– 0.7	2.7	7.3	10.9	12.5	12.0	9.2	4.8	0.5	– 2.5	4.1
Mittlere Sehwankung .	5.9	6.2	7.6	8.9	9.4	9.6	9.4	8.8	7.7	6.2	5.1	4.2	7.3
$^1/_2$ (Max. + Min.) . .	– 1.2	0.1	3.1	7.2	12.0	15.7	17.2	16.4	13.1	7.9	3.1	– 0.4	7.8

17. **Kirchberg O.-A. Sulz** $\varphi = 48^0\,21'$ $\lambda = 8^0\,44'$ h = 577 m.

Temperaturmittel . . .	– 1.5	0.0	3.1	7.2	11.9	15.4	17.1	16.5	13.2	8.2	3.4	– 0.1	7.8
Mittleres Maximum . .	1.9	3.6	7.7	12.4	17.1	20.7	22.5	21.8	18.1	12.3	6.5	2.7	12.2
Mittleres Minimum . .	– 4.5	– 3.2	– 0.7	3.0	7.0	10.8	12.5	12.0	9.3	5.0	0.7	– 2.6	4.1
Mittlere Schwankung .	6.4	6.8	8.4	9.4	10.1	9.9	10.0	9.8	8.8	7.3	5.8	5.3	8.1
$^1/_2$ (Max. + Min.) . .	– 1.3	0.2	3.5	7.7	12.1	15.7	17.5	16.9	13.7	8.6	3.6	0.1	8.2

18. **Schömberg O.-A. Neuenbürg** $\varphi = 48^0\,47'$ $\lambda = 8^0\,39'$ h = 635 m.

Temperaturmittel . . .	– 0.9	0.2	2.7	6.6	10.7	14.2	15.6	15.0	12.1	7.7	3.6	0.3	7.2
Mittleres Maximum . .	2.8	4.0	7.1	11.5	15.9	19.4	20.9	20.4	16.5	11.7	6.9	3.1	11.5
Mittleres Minimum . .	– 4.2	– 3.4	– 1.4	1.7	5.3	9.1	10.5	10.0	7.6	4.1	0.5	– 2.7	3.1
Mittlere Schwankung .	7.0	7.4	8.5	9.8	10.6	10.3	10.4	10.4	8.9	7.6	6.4	5.8	8.4
$^1/_2$ (Max. + Min.) . .	– 0.7	0.3	2.8	6.6	10.6	14.2	15.7	15.2	12.1	7.9	3.7	0.2	7.3

19. **Münsingen** $\varphi = 48^0\,25'$ $\lambda = 9^0\,30'$ h = 712 m.

Temperaturmittel . . .	– 3.4	– 2.3	1.2	5.7	10.6	14.1	15.6	14.8	11.5	6.7	2.1	– 2.1	6.2
Mittleres Maximum . .	– 0.4	1.8	6.4	10.5	15.6	19.0	20.6	20.1	16.4	10.8	5.1	0.6	10.5
Mittleres Minimum . .	– 6.5	– 5.6	– 2.4	1.4	5.4	8.6	9.9	9.2	6.7	3.0	– 0.5	– 4.5	2.1
Mittlere Schwankung .	6.1	7.4	8.8	9.1	10.2	10.4	10.7	10.9	9.7	7.8	5.6	5.1	8.4
$^1/_2$ (Max. + Min.) . .	– 3.4	– 1.9	2.0	5.9	10.5	13.8	15.2	14.6	11.6	6.9	2.3	– 1.9	6.3

20. **Zwiefalten** $\varphi = 48^0\ 15'$ $\lambda = 9^0\ 28'$ h = 712 m.

	I.	II.	III.	IV.	V.	VI.	VII.	VIII.	IX.	X.	XI.	XII.	Jahr
Temperaturmittel . . .	– 3.6	– 2.2	1.5	5.9	10.7	14.0	15.7	15.2	11.8	7.2	1.9	– 2.2	6.4
Mittleres Maximum . .	– 1.3	0.5	4.8	9.7	14.5	18.0	20.2	19.8	15.9	10.4	4.0	– 0.1	9.7
Mittleres Minimum . .	– 5.7	– 4.7	– 1.3	2.2	6.6	9.9	11.4	11.4	8.5	4.4	– 0.4	– 4.2	3.2
Mittlere Schwankung .	4.4	5.2	6.1	7.5	7.9	8.1	8.8	8.4	7.4	6.0	4.4	4.3	6.5
½ (Max. + Min.) . .	– 3.5	– 2.1	1.7	5.9	10.5	13.9	15.8	15.6	12.2	7.4	1.8	– 2.1	6.4

21. **Isny** $\varphi = 47^0\ 41'$ $\lambda = 10^0\ 02'$ h = 721 m.

Temperaturmittel . . .	– 2.5	– 0.6	2.5	7.1	11.4	14.8	16.5	15.9	12.7	7.8	2.9	– 1.2	7.2
Mittleres Maximum . .	–	–	–	–	–	–	–	–	–	–	–	–	–
Mittleres Minimum . .	–	–	–	–	–	–	–	–	–	–	–	–	–
Mittlere Schwankung .	–	–	–	–	–	–	–	–	–	–	–	–	–
½ (Max. + Min.) . .	–	–	–	–	–	–	–	–	–	–	–	–	–

22. **Freudenstadt** $\varphi = 48^0\ 28'$ $\lambda = 8^0\ 25'$ h = 738 m.

Temperaturmittel . . .	– 1.9	– 1.0	1.7	5.8	10.2	13.9	15.5	14.9	11.8	7.0	2.6	– 0.7	6.6
Mittleres Maximum . .	1.0	2.4	5.7	10.5	15.4	19.1	20.8	20.1	16.5	10.7	5.5	1.7	10.7
Mittleres Minimum . .	– 4.7	– 4.1	– 1.9	1.4	5.2	8.8	10.6	10.1	7.7	3.7	– 0.2	– 3.2	2.8
Mittlere Schwankung .	5.7	6.5	7.6	9.1	10.2	10.3	10.2	10.0	8.8	7.0	5.7	4.9	7.9
½ (Max. + Min.) . .	– 1.8	– 0.8	1.9	5.9	10.3	13.9	15.7	15.1	12.1	7.2	2.6	– 0.7	6.7

23. **Zeil** $\varphi = 47^0\ 52'$ $\lambda = 10^0\ 00'$ h = 747 m.

Temperaturmittel . . .	– 2.4	– 0.9	2.3	6.6	10.9	14.5	16.0	15.3	12.2	7.4	2.7	– 1.2	6.9
Mittleres Maximum . .	– 0.5	1.4	5.3	10.2	14.9	18.8	20.1	19.7	15.4	10.1	4.5	0.3	9.9
Mittleres Minimum . .	– 5.0	– 3.8	– 1.2	2.8	7.0	10.7	12.3	12.1	9.1	4.7	0.4	– 3.2	3.9
Mittlere Schwankung .	4.5	5.2	6.5	7.4	7.9	8.1	7.9	7.6	6.3	5.4	4.1	3.5	6.0
½ (Max. + Min.) . .	– 2.7	– 1.2	2.0	6.5	10.9	14.7	16.2	15.9	12.2	7.4	2.4	– 1.4	6.9

24. **Schopfloch** $\varphi = 48^0\ 32'$ $\lambda = 9^0\ 32'$ h = 764 m.

Temperaturmittel . . .	– 1.9	– 0.8	2.1	6.2	10.8	14.2	15.5	15.1	12.0	7.3	2.7	– 0.8	6.8
Mittleres Maximum . .	1.1	2.6	5.8	10.6	15.1	18.7	19.9	19.4	15.6	10.4	5.3	1.6	10.4
Mittleres Minimum . .	– 4.3	– 3.4	– 1.0	2.4	6.9	10.7	12.2	11.7	9.1	5.0	0.6	– 2.7	4.0
Mittlere Schwankung .	5.4	6.0	6.8	8.2	8.2	8.0	7.7	7.7	6.5	5.4	4.7	4.3	6.4
½ (Max. + Min.) . .	– 1.6	– 0.4	2.4	6.5	11.0	14.7	16.1	15.6	12.3	7.7	2.9	– 0.5	7.2

25. **Böttingen** $\varphi = 48^0\ 06'$ $\lambda = 8^0\ 49'$ h = 908 m.

Temperaturmittel . . .	– 3.8	– 2.9	0.3	4.9	9.4	12.9	14.4	13.8	10.5	5.6	1.1	– 2.4	5.3
Mittleres Maximum . .	– 0.1	1.3	4.6	9.6	14.1	17.8	19.4	19.0	15.3	9.8	4.5	0.4	9.6
Mittleres Minimum . .	– 8.0	– 7.6	– 4.4	– 0.1	3.3	6.8	8.5	8.0	5.3	1.2	– 2.6	– 6.0	0.4
Mittlere Schwankung .	7.9	8.9	9.0	9.7	10.8	11.0	10.9	11.0	10.0	8.6	7.1	6.4	9.2
½ (Max. + Min.) . .	– 4.0	– 3.1	0.1	4.7	8.7	12.3	13.9	13.5	10.3	5.5	0.9	– 2.8	5.0

c) Temperaturmittel badischer Stationen.

1. **Mannheim** $\varphi = 49^0\ 29'$ $\lambda = 8^0\ 27'$ h = 100 m.

Temperaturmittel . . .	– 0.2	1.7	4.9	9.5	13.8	17.2	18.8	18.2	14.8	9.7	4.8	0.1	9.4
Mittleres Maximum . .	2.5	5.5	9.5	14.6	19.4	22.6	23.9	23.7	20.1	13.7	7.6	3.6	13.9
Mittleres Minimum . .	– 3.0	– 1.5	0.8	4.5	8.4	12.1	14.0	13.4	10.3	6.2	2.1	– 1.4	5.5
Mittlere Schwankung .	5.5	7.0	8.7	10.1	11.0	10.5	9.9	10.3	9.8	7.5	5.5	5.0	8.4
½ (Max. + Min.) . .	– 0.2	2.0	5.2	9.6	13.9	17.4	18.9	18.5	15.2	10.0	4.8	1.1	9.7

2. **Heidelberg** $\varphi = 49^0\,25'$ $\lambda = 8^0\,42'$ h = 120 m.

	I.	II.	III.	IV.	V.	VI.	VII.	VIII.	IX.	X.	XI.	XII.	Jahr
Temperaturmittel . . .	0.6	2.4	5.5	9.9	14.2	17.6	19.0	18.2	15.0	10.2	5.6	1.0	9.9
Mittleres Maximum . .	2.7	5.4	9.9	14.9	19.7	23.1	24.3	23.6	19.9	13.7	7.9	4.1	14.1
Mittleres Minimum . .	– 2.2	– 0.9	1.4	5.0	8.8	12.2	13.9	13.0	10.5	6.6	2.8	– 0.5	5.9
Mittlere Schwankung .	4.9	6.3	8.5	9.9	10.9	10.9	10.4	10.6	9.4	7.1	5.1	5.3	8.2
½ (Max. + Min.) . .	0.3	2.3	5.6	10.0	14.3	17.6	19.1	18.3	15.2	10.2	5.3	1.8	10.0

3. **Karlsruhe** $\varphi = 49^0\,01'$ $\lambda = 8^0\,25'$ h = 127 m.

Temperaturmittel . . .	0.0	2.1	5.1	9.6	13.8	17.4	18.9	18.2	14.5	9.6	5.0	0.6	9.5
Mittleres Maximum . .	2.6	5.7	9.7	14.9	19.5	22.8	24.5	23.8	19.9	13.7	8.0	4.1	14.2
Mittleres Minimum . .	– 3.0	– 1.5	0.9	4.5	8.2	11.8	13.7	13.1	10.0	6.0	2.0	– 1.2	5.4
Mittlere Schwankung .	5.6	7.2	8.8	10.4	11.3	11.0	10.8	10.7	9.9	7.7	6.0	5.3	8.8
½ (Max. + Min.) . .	– 0.2	2.1	5.3	9.7	13.8	17.3	19.1	18.4	14.9	9.8	5.0	1.4	9.8

4. **Wertheim** $\varphi = 49^0\,46'$ $\lambda = 9^0\,31'$ h = 147 m.

Temperaturmittel . . .	– 0.9	1.1	3.8	8.3	12 8	16.4	17.8	16.9	13.4	8.5	4.2	– 0.4	8.5
Mittleres Maximum . .	2.0	4.9	8.9	14.2	19.0	22 9	23.6	23.1	19.5	13.1	7.2	3.3	13.5
Mittleres Minimum . .	– 3.9	– 2.4	– 0.5	3.0	7.0	10.5	12.4	11.5	8.7	4.9	1.2	– 2.1	4.1
Mittlere Schwankung .	5.9	7.3	9.4	11.2	11.3	12.4	11.2	11.6	10.8	8.2	6.0	5.4	9.4
½ (Max. + Min.) . .	– 0.9	1.3	4.2	8.6	13.0	16.7	18.0	17.3	14.1	9.0	4.2	0.6	8 8

5. **Gengenbach** $\varphi = 48^0\,24'$ $\lambda = 8^0\,01'$ h = 181 m.

Temperaturmittel . . .	– 0.6	1.4	4.7	9.1	13.0	16.4	18.0	17.5	14.3	9.4	4.6	0.1	9.0
Mittleres Maximum . .	2.3	5.4	9.7	14.8	19.4	22 7	24.3	23.6	19.9	13.8	7.7	4.0	14.0
Mittleres Minimum . .	– 3.8	– 2.4	0.3	4 0	7.5	10 9	12.8	12.2	9.7	5.7	1.5	– 1.9	4.8
Mittlere Schwankung .	6.1	7.8	9.4	10.8	11.9	11.8	11.5	11.4	10.2	8.1	6.2	5.9	9.2
½ (Max. + Min.) . .	– 0.7	1.5	5.0	9.4	13.4	16.8	18.6	17.9	13.8	9.7	4.6	1.0	9.4

6. **Baden** $\varphi = 48^0\,46'$ $\lambda = 8^0\,14'$ h = 213 m.

Temperaturmittel . . .	– 0.3	1.7	4.6	9.1	12.9	16.3	18.0	17.3	14.1	9.3	4.8	0.4	9.0
Mittleres Maximum . .	2.9	5.8	9.7	14.9	19.1	22.6	24.1	23.6	20.0	13.9	8.0	4.4	14.1
Mittleres Minimum . .	– 4.1	– 2.5	0.0	3.5	6.9	10.4	12.4	11.7	9.1	5.0	1.2	– 2.2	4.4
Mittlere Schwankung .	7.0	8.3	9.7	11.4	12.2	12.2	11.7	11.9	10.9	8.9	6.8	6.6	9.7
½ (Max. + Min.) . .	– 0.6	1.6	4 8	9.2	13.0	16.5	18.2	17.6	14.6	9.4	4.6	1.1	9.2

7. **Pforzheim** $\varphi = 48^0\,53'$ $\lambda = 8^0\,43'$ h = 253 m.

Temperaturmittel . . .	– 0.7	1.0	4.1	8.3	12.3	16.0	17.6	16.7	13.3	8.6	4.0	– 0.2	8.3
Mittleres Maximum . .	2.5	5.0	8.9	13.8	18.2	21.7	23.2	22.9	19.2	13.5	7.4	3.7	13.4
Mittleres Minimum . .	– 4.1	– 3.0	– 0.5	3.1	6.5	10.1	12.2	11.3	8.4	4.6	0.9	– 2.4	4.0
Mittlere Schwankung .	6.6	8.0	9.4	10.7	11.7	11.6	11.0	11.6	10.8	8.9	6.5	6.1	9.4
½ (Max. + Min.) . .	– 0.8	1.0	4.2	8.4	12.3	15.9	17.7	17.1	13.8	9.1	4.2	0.6	8.7

8. **Freiburg** $\varphi = 47^0\,59'$ $\lambda = 7^0\,52'$ h = 298 m.

Temperaturmitte . . .	0.3	2.2	5.6	10.0	14.2	17.4	19.4	19.0	15.2	10.2	5.3	0.9	9.9
ttleres Maximum . .	2.8	4.8	9.6	14.5	19.0	22.4	24 3	23.7	19.5	13,8	7.9	4.4	14.0
Mittleres Minimum . .	– 3.4	– 1.9	0.7	4.5	8.1	11.5	13.4	12.7	9.9	6.1	1.9	– 1.5	5.2
Mittlere Schwankung .	6.2	6.7	8.9	10.0	10.9	10.9	10.9	11.0	9.6	7.7	6.0	5.9	8.8
½ (Max. + Min.) . .	– 0.3	1.4	5.2	9 5	13.6	16.9	18.8	18.2	14.7	9.9	4.9	1.4	9.6

9. **Buchen** $\varphi = 49^0\,31'$ $\lambda = 9^0\,20'$ h = 345 m.

	I.	II.	III.	IV.	V.	VI.	VII.	VIII.	IX.	X.	XI.	XII.	Jahr
Temperaturmittel . . .	– 2.0	– 0.4	2.7	7.2	11.9	15.4	16.7	15.9	12.5	7.5	3.1	– 1.5	7.4
Mittleres Maximum . .	1.1	3.8	7.9	13.5	18.2	21.7	22.8	22.2	18.7	12.6	6.5	2.5	12.7
Mittleres Minimum . .	– 5.4	– 4.4	– 1.8	1.6	5.3	8.9	10.7	9.8	7.1	3.2	– 0.3	– 3.7	2.7
Mittlere Schwankung .	6.5	8.2	9.7	11.9	12.9	12.8	12.1	12.4	11.6	9.4	6.8	6.2	10.0
½ (Max. + Min.) . .	– 2.1	– 0.3	3.1	7.6	11.7	15.3	16.7	16.0	12.9	7.9	3.1	– 0.6	7.7

10. **Badenweiler** $\varphi = 47^0\,48'$ $\lambda = 7^0\,40'$ h = 401 m.

Temperaturmittel . . .	– 0.3	1.5	4.6	8.8	12.8	16.2	17.9	17.3	14.0	9.1	4.7	1.4	8.9
Mittleres Maximum . .	3.2	5.4	9.3	14.1	18.3	21.8	23.3	22.8	18.5	12.8	7.8	4.1	13.3
Mittleres Minimum . .	– 3.0	– 1.4	1.2	4.4	8.2	11.9	13.7	13.4	10.4	6.2	2.1	– 1.1	5.5
Mittlere Schwankung .	6.2	6.8	8.1	9.7	10.1	9.9	9.6	9.4	8.1	6.6	5.7	5.2	7.8
½ (Max. + Min.) . .	0.1	2.0	5.2	9.2	13.2	16.8	18.5	18.1	14.4	9.5	4.9	1.5	9.4

11. **Meersburg** $\varphi = 47^0\,42'$ $\lambda = 9^0\,16'$ h = 440 m.

Temperaturmittel . . .	– 0.9	0.7	4.0	8.4	12.9	16.5	18.3	17.5	14.0	9.1	4.3	0.6	8.8
Mittleres Maximum . .	1.7	3.8	8.1	13.3	17.8	21.3	23.3	22.4	18.2	12.5	6.9	3.0	12.7
Mittleres Minimum . .	– 3.9	– 2.7	– 0.1	3.2	7.5	11.2	13.2	12.5	9.9	5.7	1.5	– 2.0	4.7
Mittlere Schwankung .	5.6	6.5	8.2	10.1	10.3	10.1	10.1	9.9	8.3	6.8	5.4	5.0	8.0
½ (Max. + Min.) . .	– 1.1	0.6	4.0	8.2	12.6	16.2	18.2	17.4	14.1	9.1	4.2	0.5	8.7

12. **Königstuhl** $\varphi = 49^0\,24'$ $\lambda = 8^0\,44'$ h = 563 m.

Temperaturmittel . . .	– 1.7	– 0.3	2.7	6.6	11.3	14.7	15.8	15.1	12.5	7.7	3.0	– 0.6	7.2
Mittleres Maximum . .	1.1	2.6	6,2	10.9	15.4	19.0	20.1	19.3	15.9	10.4	5.4	1.8	10.6
Mittleres Minimum . .	– 4.0	– 2.7	– 0.5	2.6	7.2	10.7	12.2	11.6	9.2	5.0	0.7	– 2.6	4.1
Mittlere Schwankung	5.1	5.3	6.7	8.3	8.2	8.3	7.9	7.7	6.7	5.4	4.7	4.4	6.5
½ (Max. + Min.) . .	– 1.4	– 0.1	2.8	6.7	11.3	14.8	16.2	15.4	12.6	7.7	3.1	– 0.4	7.3

13. **Donaueschingen** $\varphi = 47^0\,57'$ $\lambda = 8^0\,30'$ h = 692 m.

Temperaturmittel . . .	– 4.4	– 2.9	0.7	5.6	10.3	13.9	15.8	14.6	11.0	6.1	1.4	– 2.6	5.8
Mittleres Maximum . .	– 0.3	1.8	6.3	11.5	16.5	20.1	22.3	21.3	17.3	11.4	5.3	0.9	11.2
Mittleres Minimum . .	– 9.0	– 7.6	– 3.8	0.1	3.5	7.1	8.8	7.8	5.5	1.6	– 2.4	– 6.0	0.5
Mittlere Schwankung .	8.7	9.4	10.1	11.4	13.0	14.0	13.5	13.5	11.8	9.8	7.7	6.9	10.7
½ (Max. + Min.) . .	– 4.6	– 2.9	1.2	5.8	10.0	13.6	15.5	14.6	11.4	6.5	1.4	– 2.5	5.8

14. **Villingen** $\varphi = 48^0\,04'$ $\lambda = 8^0\,27'$ h = 715 m.

Temperaturmittel . . .	– 4.6	– 3.1	0.5	5.0	9.6	13.2	15.1	14.0	10.5	5.6	1.0	– 2.8	5.4
Mittleres Maximum . .	0.1	1.7	5.9	10.8	16.0	19.4	21.3	20.7	17.1	11.2	5.3	0.8	10.8
Mittleres Minimum . .	– 9.1	– 7.7	– 3.8	– 0.1	3.3	6.8	8.7	7.8	5.2	1.2	– 2.7	– 6.1	0.3
Mittlere Schwankung .	9.2	9.4	9.7	10.9	12.7	12.6	12.6	12.9	11.9	10.0	8.0	6.9	10.5
½ (Max. + Min.) . .	– 4.5	– 3.0	1.1	5.3	9.6	13.1	15.0	14.2	11.2	6.2	1.3	– 2.6	5.5

15. **St. Blasien** $\varphi = 47^0\,46'$ $\lambda = 8^0\,08'$ h = 780 m.

Temperaturmittel . . .	– 3.6	– 2.7	0.3	4.7	9.2	12.8	14.4	13.6	10.6	6.1	1.6	– 2.3	5.4
Mittleres Maximum . .	0.8	1.7	5.9	10.7	15.6	19.0	21.0	20.3	16.9	11.2	5.5	1.4	10.8
Mittleres Minimum . .	– 7.8	– 7.0	– 3.6	– 0.1	3.4	7.1	8.9	8.4	6.0	2.3	– 1.2	– 5.2	1.1
Mittlere Schwankung .	8.6	8.7	9.5	10.8	12.2	11.9	12.1	11.9	10.9	8.9	6.7	6.6	9.7
½ (Max. + Min.) . .	– 3.5	– 2.6	1.2	5.3	9.5	13.1	14.9	14.3	11.4	6.7	2.1	– 1.9	5.9

16. **Kniebis** $\varphi = 48^0\,28'$ $\lambda = 8^0\,18'$ h = 904 m.

	I.	II.	III.	IV.	V.	VI.	VII.	VIII.	IX.	X.	XI.	XII.	Jahr
Temperaturmittel . . .	- 2.1	- 1.4	1.1	4.9	9.2	12.8	14.2	13.7	11.1	6.3	2.0	- 1.0	5.9
Mittleres Maximum . .	0.5	1.0	4.9	9.2	14.1	18.2	19.2	18.4	15.6	10.4	4.2	1.6	9.8
Mittleres Minimum . .	- 5.0	- 4.8	- 2.3	1.3	5.2	8.7	10.4	9.7	7.5	3.7	- 0.8	- 3.5	2.6
Mittlere Schwankung .	5.5	5.8	7.2	7.9	8.9	9.5	8.8	8.7	8.1	6.7	5.0	5.1	7.2
1/2 (Max. + Min.) . .	- 2.2	- 1.9	1.3	5.2	9.6	13.4	14.8	14.1	11.5	7.1	1.7	- 0.9	6.2

17. **Höchenschwand** $\varphi = 47^0\,44'$ $\lambda = 8^0\,10'$ h = 1005 m.

Temperaturmittel . . .	- 2.7	- 2.1	0.4	4.6	8.9	12.4	14.2	13.6	10.7	5.8	1.6	- 1.6	5.5
Mittleres Maximum . .	0.0	0.4	3.7	8.5	13.3	17.2	18.7	18.2	14.8	9.5	3.7	1.0	9.1
Mittleres Minimum . .	- 5.7	- 5.6	- 2.9	1.0	5.0	8.6	10.3	9.9	7.5	3.1	- 1.0	- 4.3	2.2
Mittlere Schwankung .	5.7	6.0	6.6	7.5	8.3	8.6	8.4	8.3	7.3	6.4	4.6	5.3	6.9
1/2 (Max. + Min.) . .	- 2.8	- 2.6	0.4	4.7	9.2	12.9	14.5	14.1	11.2	6.3	1.3	- 1.1	5.6

18. **Todtnauberg** $\varphi = 47^0\,51'$ $\lambda = 7^0\,57'$ h = 1024 m.

Temperaturmittel . . .	- 2.4	- 1.9	0.5	4.7	8.9	12.4	14.1	13.3	10.8	6.1	2.0	- 1.3	5.6
Mittleres Maximum . .	0.7	0.9	4.1	8.5	13.2	17.2	18.6	18.0	15.2	10.1	4.5	1.5	9.4
Mittleres Minimum . .	- 5.6	- 5.6	- 2.9	1.1	4.8	8.2	9.8	9.5	7.2	3.2	- 0.9	- 4.3	2.3
Mittlere Schwankung .	6.3	6.5	7.0	7.4	8.4	9.0	8.8	8.5	8.0	6.9	5.4	5.8	7.1
1/2 (Max. + Min.) . .	- 2.4	- 2.3	0.6	4.8	9.0	12.7	14.2	13.7	11.2	6.6	1.8	- 1.4	5.8

d) Temperaturmittel hessischer Stationen.

1. **Mainz** $\varphi = 50^0\,00'$ $\lambda = 8^0\,17'$ h = 91 m.

Temperaturmittel . . .	0.3	2.3	5.1	9.8	14.2	17.7	19.1	18.4	15.0	9.8	5.2	0.5	9.8
Mittleres Maximum . .	2.5	5.4	9.8	15.4	19.7	23.3	24.5	23.9	20.0	13.4	7.6	3.6	14.1
Mittleres Minimum . .	- 2.4	- 1.0	1.2	4.9	9.0	12.6	14.3	13.4	10.6	6.5	2.5	- 1.0	5.9
Mittlere Schwankung .	4.9	6.4	8.6	10.5	10.7	10.7	10.2	10.5	9.4	6.9	5.1	4.6	8.2
1/2 (Max. + Min.) . .	0.1	2.2	5.5	10.2	14.4	18.0	19.4	18.7	15.3	10.0	5.1	1.3	10.0

2. **Worms** $\varphi = 49^0\,38'$ $\lambda = 8^0\,22'$ h = 98 m.

Temperaturmittel . . .	- 0.1	1.9	4.8	9.4	14.2	17.7	19.2	18.4	14.7	9.6	4.8	0.3	9.5
Mittleres Maximum . .	2.6	5.6	9.8	15.3	19.9	23.6	25.0	24.2	20.4	13.8	7.7	3.6	14.3
Mittleres Minimum . .	- 3.1	- 1.6	0.5	4.1	8.2	11.6	13.6	12.8	9.8	5.6	1.7	- 1.6	5.2
Mittlere Schwankung .	5.7	7.2	9.3	11.2	11.7	12.0	11.4	11.4	10.6	8.2	6.0	5.2	9.1
1/2 (Max. + Min.) . .	- 0.2	2.0	5.2	9.7	14.1	17.6	19.3	18.5	15.1	9.7	4.7	1.0	9.8

3. **Offenbach** $\varphi = 50^0\,07'$ $\lambda = 8^0\,44'$ h = 104 m.

Temperaturmittel . . .	- 0.3	1.4	4.4	9.0	13.2	16.8	18.3	17.4	14.0	8.9	4.5	- 0.2	9.0
Mittleres Maximum . .	1.9	4.9	8.5	13.4	18.4	22.0	23.0	22.1	18.7	13.2	6.6	2.8	13.0
Mittleres Minimum . .	- 3.4	- 1.9	0.0	3.5	7.4	10.7	12.6	11.8	9.0	5.0	1.3	- 1.8	4.6
Mittlere Schwankung .	5.3	6.8	8.5	9.9	11.0	11.3	10.4	10.3	9.7	8.2	5.3	4.6	8.4
1/2 (Max. + Min.) . .	- 0.7	1.5	4.3	8.5	12.9	16.4	17.8	17.0	13.9	9.1	4.0	0.5	8.8

4. **Bad Nauheim** $\varphi = 50^0\,22'$ $\lambda = 8^0\,45'$ h = 145 m.

Temperaturmittel . . .	- 1.0	0.8	3.7	8.3	12.8	16.2	17.7	16.8	13.3	8.5	4.0	- 0.8	8.3
Mittleres Maximum . .	1.6	4.5	8.6	14.1	19.0	22.5	23.3	22.6	19.1	13.1	6.9	2.7	13.2
Mittleres Minimum . .	- 4.1	- 2.6	- 0.5	2,9	6.8	10.2	12.2	11.3	8.5	4.7	0.9	- 2.5	4.1
Mittlere Schwankung .	5.7	7.1	9.1	11.2	12.2	12.3	11.1	11.3	10.6	8.4	6.0	5.2	9.1
1/2 (Max. + Min.) . .	- 1.2	1.0	4.1	8.5	12.9	16.4	17.8	17.0	13.8	8.9	3.9	0.1	8.7

5. **Darmstadt** $\varphi = 49^0\,53'$ $\lambda = 8^0\,40'$ h = 147 m.

	I.	II.	III.	IV.	V.	VI.	VII.	VIII.	IX.	X.	XI.	XII.	Jahr
Temperaturmittel . . .	– 0.2	1.7	4.7	9.1	13.5	16.9	18.4	17.5	14.0	9.2	4.8	0.1	9.1
Mittleres Maximum . .	2.4	5.1	8.9	14.3	19.1	22.5	23.7	22.9	19.3	13.2	7.4	3.6	13.6
Mittleres Minimum . .	– 3.1	– 1.7	0.6	4.0	7.9	11.4	13.3	12 3	9.5	5.6	2.0	– 1.5	5.1
Mittlere Schwankung .	5.5	6.8	8.3	10.3	11.2	11.1	10 4	10.6	9.8	7.6	5.4	5.5	8.5
½ (Max. + Min.) . .	– 0.3	1.7	4.8	9.2	13.5	17.0	18.5	17.6	14.4	9.4	4.7	1.1	9.4

6. **Giessen** $\varphi = 50^0\,35'$ $\lambda = 8^0\,41'$ h = 165 m.

Temperaturmittel . . .	– 0.8	1.0	3.8	8.5	12.9	16.3	17.6	16.7	13.3	8.6	4.2	– 0.5	8.4
Mittleres Maximum . .	1.8	4.6	8.5	13 9	18.2	21.6	22.7	22.0	18.7	12.8	6.9	2.9	12.9
Mittleres Minimum . .	– 3.9	– 2.5	– 0.4	2.9	6.9	10.1	12.0	11.0	8.4	5.0	1.2	– 2 3	4.1
Mittlere Schwankung .	5.7	7.1	8.9	11.0	11.3	11.5	10.7	11.0	10.3	7.8	5.7	5.2	8.8
½ (Max. + Min.) . .	– 1.0	1.1	4.1	8.4	12.6	15.9	17.4	16.5	13 6	8.9	4.1	0 3	8.5

7. **Alzey** $\varphi = 49^0\,45'$ $\lambda = 8^0\,07'$ h = 204 m.

Temperaturmittel . . .	– 0.7	1.3	4.0	8.3	12.7	16.1	17.6	16.8	13.5	8.7	4.3	– 0.4	8.5
Mittleres Maximum . .	1.8	4.9	8.6	14.2	18.6	22.2	23.6	22.7	19.0	12.9	7.1	3.0	13.2
Mittleres Minimum . .	– 3.6	– 1.9	0.0	3.1	7.0	10.2	12.1	11.4	8.8	5.1	1.4	– 2.1	4.3
Mittlere Schwankung .	5.4	6.8	8.6	11.1	11.6	12 0	11.5	11.3	10.2	7.8	5.7	5.1	8.9
½ (Max. + Min.) . .	– 0.9	1.5	4.3	8.7	12.8	16.2	17.9	17.1	13.9	9.0	4.3	0.5	8.8

8. **Michelstadt** $\varphi = 49^0\,41'$ $\lambda = 9^0\,01'$ h = 219 m.

Temperaturmittel . . .	– 0.9	0.8	3.4	7.9	12.1	15.7	17.0	15.9	12.2	8.1	3.9	– 0.5	8.0
Mittleres Maximum . .	2.2	4.8	8.6	13.8	18.7	22.2	23.2	22.5	18.9	13.5	7.3	3.4	13.3
Mittleres Minimum . .	– 4.4	– 3.4	– 1.1	2.2	5.5	8.7	10.7	9.6	7.0	3.5	0.3	– 2.8	3.0
Mittlere Schwankung .	6.6	8.2	9.7	11.6	13.2	13.5	12.5	12.9	11.9	10.0	7.0	6.2	10.3
½ (Max. + Min.) . .	– 1.1	0.7	3.8	8.0	12.1	15.5	17.0	16.1	13.0	8.5	3.8	0.3	8.2

9. **Schotten** $\varphi = 50^0\,30'$ $\lambda = 9^0\,07'$ h = 278 m.

Temperaturmittel . . .	– 1.6	0.0	3.2	7.6	12.1	15.5	16.7	15.9	13.1	8.5	3.6	– 1.3	7.8
Mittleres Maximum . .	1.2	3.7	7.7	13.3	18.3	21.9	22.8	22.2	18.8	12.8	6.5	2.3	12.7
Mittleres Minimum . .	– 4.5	– 3.3	– 0.8	2.6	6.7	9.8	11.6	10.7	8.5	4.9	0.8	– 2.9	3.7
Mittlere Schwankung .	5.7	7.0	8.5	10.7	11.6	12.1	11.2	11.5	10.3	7.9	5.7	5.2	9.0
½ (Max. + Min.) . .	– 1.6	0.2	3.5	8.0	12.5	15.9	17.2	16.5	13.7	8.9	3.7	– 0.3	8.2

e) Temperaturmittel elsass-lothringischer Stationen.

1. **Strassburg** $\varphi = 48^0\,35'$ $\lambda = 7^0\,45'$ h = 144 m.

Temperaturmittel . . .	– 0.6	1.6	5.0	9.5	13.7	17.1	18.6	17.8	14.3	9.3	4.5	0.1	9.2
Mittleres Maximum . .	2.0	5.5	9.9	15.3	19.7	22.9	24.2	23.7	19.8	13.6	7.4	3.6	14.0
Mittleres Minimum . .	– 3.6	– 2.0	0.7	4.4	8.0	11.5	13.4	12 6	9.8	5.8	1.6	– 1.7	5.1
Mittlere Schwankung .	5.6	7.5	9.2	10.9	11.7	11.4	10.8	11.1	10.0	7.8	5.8	5.3	8.9
½ (Max. + Min.) . .	– 0.8	1.8	5.3	9.9	13.9	17.2	18.8	18.2	14.8	9.7	4.5	1.0	9.6

2. **Metz** $\varphi = 49^0\,07'$ $\lambda = 6^0\,09'$ h = 177 m.

Temperaturmittel . . .	– 0.2	1.4	4.9	9.3	13.2	16.5	18.1	17 4	14.4	9.2	5.0	0.3	9.0
Mittleres Maximum . .	2.9	5 1	9.7	14.8	19.2	22.4	24.3	23.5	20.2	14.1	8.1	4.2	14.0
Mittleres Minimum . .	– 3.1	– 1.7	0 3	3.8	7.3	10.7	12.5	11.7	9.5	5.6	1.7	– 1.3	4.8
Mittlere Schwankung .	6.0	6 8	9.4	11.0	11.9	11.7	11.8	11.8	10.7	8.5	6.4	5.5	9.2
½ (Max. + Min.) . .	– 0.1	1.7	5.0	9.3	13.3	16.6	18.4	17.6	14.9	9.9	4.9	1.5	9.4

3. Colmar $\varphi = 48^0\,04'$ $\lambda = 7^0\,22'$ h = 189 m.

	I.	II.	III.	IV.	V.	VI.	VII.	VIII.	IX.	X.	XI.	XII.	Jahr
Temperaturmittel . . .	0.2	2.5	5.8	10.4	14.7	18.2	20.1	19.3	15.4	10.3	5.5	0.9	10.3
Mittleres Maximum . .	2.9	6.3	10.4	15.6	20.1	23.8	25.6	24.9	20.6	14.6	8.4	4.4	14.8
Mittleres Minimum . .	− 2.9	− 0.9	1.5	5.3	8.8	12.3	14 2	13.4	10.6	6.4	2.5	− 0.8	5.9
Mittlere Schwankung .	5.8	7.2	8.9	10.3	11.3	11.5	11.4	11.5	10.2	8.2	5.9	5.2	8.9
½ (Max. + Min.) . .	0.0	2.7	6.0	10.5	14.5	18.1	19.9	19.2	15.6	10.5	5.5	1.8	10.4

4. Saargemünd $\varphi = 49^0\,07'$ $\lambda = 7^0\,04'$ h = 206 m.

Temperaturmittel . . .	− 0.2	1.5	4.5	9.0	13.3	16.7	18.2	17.2	14.1	9.2	4.8	0.3	9.0
Mittleres Maximum . .	2.7	5.2	9.4	14.5	19.1	22.4	24.2	23.4	19.9	13.9	7.8	3.9	13.7
Mittleres Minimum . .	− 3.2	− 2.0	− 0.2	3.8	7.4	10.8	12.6	11.8	9.5	5.5	1.7	− 1.4	4.8
Mittlere Schwankung .	5.9	7.2	9.6	10.7	11.7	11.6	11.6	11.6	10.4	8.4	6.1	5.3	8.9
½ (Max. + Min.) . .	− 0.2	1.5	4.6	9.2	13.3	16.6	18.4	17.6	14.7	9.7	4.8	1.3	9.3

5. Mülhausen $\varphi = 47^0\,45'$ $\lambda = 7^0\,20'$ h = 242 m.

Temperaturmittel . . .	− 0.5	1.5	4.9	9.7	13.8	17.1	19.1	18.4	14.7	9.7	4.8	0.3	9.7
Mittleres Maximum . .	2.4	5.3	9.6	15.0	19.2	22.5	24.5	24.1	20.0	14.0	7.8	4.0	14.1
Mittleres Minimum . .	− 3.4	− 1.8	0.5	4.6	8.2	11.7	13.5	13.1	10.3	6.1	1.9	− 1.4	5.3
Mittlere Schwankung .	5.8	7.1	9.1	10.4	11.0	10.8	11.0	11.0	9.7	7.9	5.9	5.4	8.8
½ (Max. + Min.) . .	− 0.5	1.8	5.1	9.8	13.7	17.1	19.0	18.6	15.2	10.1	4.9	1.3	9.7

6. Gondrexange $\varphi = 48^0\,41'$ $\lambda = 6^0\,56'$ h = 270 m.

Temperaturmittel . . .	− 0.7	0.8	3.9	8.4	12.6	16.0	17.7	17.0	13.7	8.9	4.2	− 0.2	8.5
Mittleres Maximum . .	1.5	4.1	8.2	13.3	17.6	21.0	22.7	22.1	18.6	12.9	6.8	3.0	12.7
Mittleres Minimum . .	− 3.9	− 2.8	− 0.2	3.3	6.8	10.2	12.1	11.5	9.0	5.1	1.1	− 2.0	4.3
Mittlere Schwankung .	5.4	6.9	8.4	10.0	10.8	10.8	10.6	10.6	9.6	7.8	5.7	5.0	8.4
½ (Max. + Min.) . .	− 1.2	0.7	4.0	8.3	12.2	15.6	17.4	16.8	13.8	9.0	4.0	0.5	8.5

7. Eichhoff $\varphi = 48^0\,51'$ $\lambda = 6^0\,29'$ h = 347 m.

Temperaturmittel . . .	− 1.0	0.5	3.6	8.0	12.2	15.5	17.3	16.7	13.7	8.9	4.0	− 0.7	8.2
Mittleres Maximum . .	1.4	3.7	8.0	13.3	18.2	21.9	23.4	22.2	18.6	12.6	6.4	2.5	12.7
Mittleres Minimum . .	− 4.0	− 2.5	− 0.2	3.4	7.3	10.8	13.0	12.0	9.4	5.7	1.0	− 2.3	4.4
Mittlere Schwankung .	5.4	6.2	8.2	9.9	10.9	11.1	10.4	10.2	9.2	6.9	5.4	4.8	8.3
½ (Max. + Min.) . .	− 1.3	0.6	3.9	8.4	12.8	16.4	18.2	17.1	14.0	9.2	3.7	0.1	8.6

8. Rothau $\varphi = 48^0\,27'$ $\lambda = 7^0\,12'$ h = 349 m.

Temperaturmittel . . .	− 1 3	0.5	3.3	7.6	11.5	14.8	16.6	16.0	13.0	8.1	3.7	− 0.6	7.8
Mittleres Maximum . .	1.5	4.1	8.2	13.3	18.3	21.9	23.5	22.4	18.9	12.9	6.9	3.4	13.0
Mittleres Minimum . .	− 4.3	− 3.0	− 0.8	2.3	5.8	9.2	11.2	10.6	8.2	4.2	0.4	− 2.6	3.5
Mittlere Schwankung .	5.8	7.1	9.0	11.0	12.5	12.7	12.3	11.8	10.7	8.7	6.5	6.0	9.5
½ (Max. + Min.) . .	− 1.4	0.6	3.7	7.8	12.1	15.6	17.4	16.5	13.6	8.6	3.7	0.4	8.3

9. Neumatt $\varphi = 48^0\,59'$ $\lambda = 7^0\,18'$ h = 350 m.

Temperaturmittel . . .	− 1.1	0.4	3.7	8.1	12.3	15.4	16.9	16.3	13.2	8.6	3.8	− 0.6	8 1
Mittleres Maximum . .	2.1	4.8	8.8	13.8	18.3	22.3	23.8	22.4	19.1	13.4	6.9	3.5	13.3
Mittleres Minimum . .	− 4.9	− 3.8	− 1.0	2.6	5.6	9.0	10.6	10.0	7.9	4.3	0.3	− 2.8	3.2
Mittlere Schwankung .	7.0	8.6	9.8	11.2	12.7	13.3	13.2	12.4	11.2	9.1	6.6	6.3	10.1
½ (Max. + Min.) . .	− 1.4	0.5	3.9	8.2	12.0	15.7	17.2	16.2	13.5	8.9	3.6	0.4	8.3

10. **Münster i. E.** $\varphi = 48^0\,02'$ $\lambda = 7^0\,08'$ h = 392 m.

	I.	II.	III.	IV.	V.	VI.	VII.	VIII.	IX.	X.	XI.	XII.	Jahr
Temperaturmittel . . .	– 1.0	0.7	3.7	8.0	12.2	15.9	17.7	16.7	13.3	8.4	3.8	– 0.5	8.2
Mittleres Maximum . .	2.3	4.9	9.0	13.7	18.2	22.6	23.5	22.9	19.0	13.2	7.3	3.7	13.3
Mittleres Minimum . .	– 3.9	– 2.9	– 0.2	3.3	6.5	9.8	11.9	11.0	8.7	4.8	0.7	– 2.4	4.0
Mittlere Schwankung .	6.2	7.8	9.2	10.4	11.7	12.8	11.6	11.9	10.3	8.4	6.6	6.1	9.3
½ (Max. + Min.) . .	– 0.8	1.0	4.4	8.5	12.4	16.2	17.7	17.0	13.9	9.0	4.0	0.7	8.7

11. **Wildenstein** $\varphi = 47^0\,59'$ $\lambda = 6^0\,58'$ h = 570 m.

Temperaturmittel . . .	– 1.3	– 0.1	2.4	6.7	10 6	14.1	15.7	14.8	12 3	7.6	3.5	0.1	7.2
Mittleres Maximum . .	2.6	4.0	7.1	12.3	16.9	20.9	22.5	21.8	17.7	12.0	6.9	3.1	12.2
Mittleres Minimum . .	– 4.3	– 3.1	– 1.0	2.3	5.8	9.3	10.9	10.4	8.4	4.3	0.5	– 2.5	3.4
Mittlere Schwankung .	6.9	7.1	8.1	10.0	11.1	11.6	11.6	11.4	9.3	7.7	6.4	5.6	8.8
½ (Max. + Min.) . .	– 0.8	0.5	3.1	7.3	11.4	15.1	16.7	16.1	13.1	8.2	3.7	0.3	7.8

12. **Alfeldsee** $\varphi = 47^0\,49'$ $\lambda = 6^0\,52'$ h = 620 m.

Temperaturmittel . . .	– 0.9	0.1	3.3	7.6	12.1	15.6	17.4	16.6	13.4	8.3	3.9	0.5	8.1
Mittleres Maximum . .	–	–	–	–	–	–	–	–	–	–	–	–	–
Mittleres Minimum . .	–	–	–	–	–	–	–	–	–	–	–	–	–
Mittlere Schwankung .	–	–	–	–	–	–	–	–	–	–	–	–	–
½ (Max. + Min.) . .	–	–	–	–	–	–	–	–	–	–	–	–	–

13. **Melkerei** $\varphi = 48^0\,25'$ $\lambda = 7^0\,18'$ h = 935 m.

Temperaturmittel . . .	– 1.8	– 1.1	1,1	5.3	9.5	13.2	14.7	14.0	11.3	6.6	2.3	– 0.7	6.2
Mittleres Maximum . .	–	–	–	–	–	–	–	–	–	–	–	–	–
Mittleres Minimum . .	–	–	–	–	–	–	–	–	–	–	–	–	–
Mittlere Schwankung .	–	–	–	–	–	–	–	–	–	–	–	–	–
½ (Max. + Min.) . .	–	–	–	–	–	–	–	–	–	–	–	–	–

14. **Grosser Belchen** $\varphi = 47^0\,53'$ $\lambda = 7^0\,06'$ h = 1394 m.

Temperaturmittel . . .	– 3.9	– 4.0	– 2.1	1.5	6.0	9.6	11.3	10.8	8.4	3.8	0.3	– 2.9	3.3
Mittleres Maximum . .	– 1.0	– 1.6	0.8	4.5	9.6	13.6	15.3	14.8	12.1	7.4	2.9	0.0	6.6
Mittleres Minimum . .	– 6.7	– 7.3	– 4.8	– 1.5	2.6	6.3	7.9	7.6	5.5	1.6	– 2.3	– 5.1	0.4
Mittlere Schwankung .	5.7	5.7	5.6	6.0	7.0	7.3	7.4	7.2	6.6	5.8	5.2	5.1	6.2
½ (Max. + Min.) . .	– 3.8	– 4.4	– 2.0	1.5	6.1	10.0	11.6	11.2	8.8	4.5	0.3	– 2.5	3.5

f) Temperaturmittel preussischer Stationen.

1. **Frankfurt a. M.** $\varphi = 50^0\,07'$ $\lambda = 8^0\,41'$ h = 102 m.

Temperaturmittel . . .	0.2	2.0	5.1	9.7	14.1	17.6	18.9	18.1	14.7	9.8	5.1	0.7	9.6
Mittleres Maximum . .	2.6	5.5	9.8	15.1	19.6	23.1	24.3	24.0	20.5	14.1	7.8	3.7	14.2
Mittleres Minimum . .	– 2.6	– 1.2	1 2	4.6	8.7	12.0	13.8	12.9	10.0	6.2	2.3	– 1.0	5.6
Mittlere Schwankung .	5.2	6.7	8.6	10.5	10.9	11.1	10.5	11.1	10.5	7.9	5.5	2.7	8.6
½ (Max. + Min.) . .	0.0	2.2	5.5	9.9	14.2	17.6	19.1	18.5	15.3	10.2	5.1	1.4	9.9

2. **Wiesbaden** $\varphi = 50^0\,05'$ $\lambda = 8^0\,14'$ h = 111 m.

Temperaturmittel . . .	0.0	1.9	4.7	9.3	13.6	17.0	18.4	17.5	14.3	9.4	5.0	0.4	9.3
Mittleres Maximum . .	2.5	5.1	8.8	14.1	18.7	22.4	23.6	23.0	19.4	13.1	7.5	3.5	13.5
Mittleres Minimum . .	– 2.9	– 1.5	0.5	4.1	8.0	11.3	12.9	12 0	9.5	5.8	2.1	– 1.3	5.1
Mittlere Schwankung .	5.4	6.6	8.3	10.0	10.7	11.1	10.7	11.0	9.9	7.3	5.4	4.8	8.4
½ (Max. + Min.) . . .	– 0.2	1.8	4.7	9.1	13.4	16.9	18.3	17.5	14 5	9.5	4.8	1.1	9.3

3. **Trier** $\varphi = 49^0\,45'$ $\lambda = 6^0\,38'$ h = 146 m.

	I.	II.	III.	IV.	V.	VI.	VII.	VIII.	IX.	X.	XI.	XII.	Jahr
Temperaturmittel . . .	0.0	1.8	4.6	8.8	12.8	16.3	17.9	16.9	13.9	9.3	4.8	0.0	8.9
Mittleres Maximum . .	3.0	5.7	9.8	14.9	19.4	22.7	24.2	23.7	20.5	14.4	8.2	4.2	14.3
Mittleres Minimum . .	– 2.9	– 1.6	0.3	3.3	6.8	10.5	12.2	11.3	9.2	5.5	1.7	– 1.2	4.6
Mittlere Schwankung .	5.9	7.3	9.5	11.6	12.6	12 2	12.0	12.4	11.3	8 9	6.5	5.4	9.7
½ (Max. + Min.) . .	0.1	2.1	5.1	9.1	13.1	16.6	18.2	17.5	14.9	10.0	5.0	1.5	9.5

4. **Fulda** $\varphi = 50^0\,33'$ $\lambda = 9^0\,41'$ h = 260 m.

Temperaturmittel . . .	– 1.7	0.1	3.3	7.9	12.6	16.0	17.2	16.6	13.3	8.6	3.7	– 1.3	8.0
Mittleres Maximum . .	1.1	3.6	7.8	13.3	18.5	21.8	22.4	21.9	19.1	12.6	6.5	2.3	12.6
Mittleres Minimum . .	– 4.6	– 3.4	– 0.8	2.5	6.3	9.7	11.7	10.7	8.0	4.5	0.8	– 2.8	3.6
Mittlere Schwankung .	5.7	7.0	8.6	10.8	12.2	12.1	10.7	11.2	11.1	8.1	5.7	5.1	9.0
½ (Max. + Min.) . .	– 1.7	0.1	3.5	7.9	12.4	15.8	17.1	16.3	13.6	8 6	3.7	– 0.2	8.1

5. **Meiningen** $\varphi = 50^0\,34'$ $\lambda = 10^0\,25'$ h = 309 m.

Temperaturmittel . . .	– 2.1	– 0.3	2.5	7.1	12.2	15.5	16.8	15.6	12.2	7.6	3.1	– 1.7	7.3
Mittleres Maximum . .	0.9	3.7	7.7	12.9	17.9	21.2	22.2	21.5	18.2	12.3	6.1	2.1	12.3
Mittleres Minimum . .	– 5.1	– 3.7	– 1.4	2.0	6.4	9.9	11.4	10.6	7.8	4.1	0.3	– 3 1	3.3
Mittlere Schwankung .	6.0	7.4	9.1	10.9	11.5	11 3	10.8	10.9	10.4	8.2	5.8	5.2	9.0
½ (Max. + Min.) . .	– 2.1	0.0	3.2	7.5	12.2	15.6	16.8	16.1	13.0	8.2	3.2	– 0.5	7.8

6. **Coburg** $\varphi = 50^0\,16'$ $\lambda = 10^0\,57'$ h = 315 m.

Temperaturmittel . . .	– 2.5	– 0.8	2.2	7.1	11.8	15.1	16.4	15.3	12.2	7.2	2.8	– 1.9	7.0
Mittleres Maximum . .	0.4	3.3	7.5	13.2	18.5	21.9	22.9	22.1	18.5	12.3	5.9	1.7	12.4
Mittleres Minimum . .	– 6.0	– 4.8	– 2.3	1.2	5.4	8.8	10.6	9.7	6.9	3.1	– 0.5	– 3.9	2.4
Mittlere Schwankung .	6.4	8.1	9.8	12.0	13.1	13.1	12.3	12.4	11.6	9.2	6.4	5.6	10.0
½ (Max. + Min.) . .	– 2.8	– 0.7	2.6	7.2	12.0	15.4	16.8	15.6	12.7	7.7	2.7	– 1.1	7.4

7. **Hechingen** $\varphi = 48^0\,21'$ $\lambda = 8^0\,58'$ h = 530 m.

Temperaturmittel . . .	– 1.4	0.3	3.3	7.6	11.8	15.2	16.7	16.1	12.8	8.0	3.6	0.1	7.8
Mittleres Maximum . .	2.7	4.8	8.6	13.5	17.8	21.2	22.9	22.5	18.4	12.9	7.4	3.4	12.9
Mittleres Minimum . .	– 4 7	– 3.3	– 0.8	2.6	6.3	9.9	11.7	11.1	8 4	4.1	0.3	– 2.7	3.6
Mittlere Schwankung .	7.4	8.1	9.4	10.9	11.5	11.3	11.2	11.4	10.0	8.8	7.1	6.1	9.3
½ (Max. + Min.) . .	– 1.0	0.8	3 .9	8.1	12.1	15.6	17.3	16.8	13.4	8.5	3.8	0.4	8.3

g) Temperaturmittel österreichischer Stationen.

1. **Bregenz** $\varphi = 47^0\,30'$ $\lambda = 9^0\,45'$ h = 426 m.

Temperaturmittel . . .	– 1.2	0.4	4.0	8.6	13.1	16.5	18.0	17.4	13.8	9.1	4.5	0.6	8.8
Mittleres Maximum . .	–	–	–	–	–	–	–	–	–	–	–	–	–
Mittleres Minimum . .	–	–	–	–	–	–	–	–	–	–	–	–	–
Mittlere Schwankung .	–	–	–	–	–	–	–	–	–	–	–	–	–
½ (Max. + Min.) . .	–	–	–	–	–	–	–	–	–	–	–	–	–

2. **Salzburg** $\varphi = 47^0\,48'$ $\lambda = 13^0\,02'$ h = 431 m.

Temperaturmittel . . .	– 2.7	– 0.8	3.2	7.6	12 9	16.3	17.6	16.9	13.2	8.3	3.0	– 1.1	7 8
Mittleres Maximum . .	–	–	–	–	–	–	–	–	–	–	–	–	–
Mittleres Minimum . .	–	–	–	–	–	–	–	–	–	–	–	–	–
Mittlere Schwankung .	–	–	–	–	–	–	–	–	–	–	–	–	–
½ (Max. + Min.) . .	–	–	–	–	–	–	–	–	–	–	–	–	–

Die gewonnenen Temperaturdaten wurden nun zur Herstellung monatlicher und jährlicher Isothermenkarten benützt. Der ganzen Art ihrer Entstehung nach können diese Karten nur die grossen Züge der Temperaturverteilung über Süddeutschland darstellen, während lokale Färbungen natürlich verschwinden müssen. Der Verlauf der einzelnen Isotherme ist ganz unsicher und würde durch das Hinzukommen oder den Wegfall eines oder mehrerer Beobachtungsorte wesentlich verändert werden. Dies ist auch der Grund, weshalb von der Veröffentlichung der Karten Abstand genommen wurde, die aber an unserer Centralstation jedem Interessenten zugänglich sind. Wir stimmen vollständig mit Schultheiss überein, der in seiner Arbeit: „Die Temperaturverhältnisse im Grossherzogtum Baden“[1]), sagt: „Behält man im Auge, wie sehr die Temperatur eines Ortes von seiner Lage abhängt, so wird man zugeben müssen, dass es nicht angeht, auf Grund eines solchen Materiales, das eben mehr oder minder nur lokale Bedeutung hat, Isothermenkarten kleinerer Gebiete mit so erheblicher vertikaler Gliederung zu entwerfen.“ Was Schultheiss in bezug auf Baden sagt, gilt auch noch für Süddeutschland, so dass unsere kartographischen Darstellungen nur recht bedingten Wert besitzen. Immerhin werden sie in der Hand eines Fachmannes für eine künftige Bearbeitung einer Klimatologie Süddeutschlands eine brauchbare Grundlage bilden, zumal sie auf der Basis eines streng homogenen Materiales entstanden sind.

[1]) Sonderabdruck aus dem 21. Band der Verhandlungen des Naturwissenschaftlichen Vereins. Karlsruhe 1908.